Documents complémentaires / Additional files
Licence / License

CAGE

MRNFP - SECTEUR DES MINES
REÇU LE
24 SEP. 2007
705544
Bureau régional - Montréal

1.0 ÉVALUATION PRÉLIMINAIRE DU POTENTIEL URANIFÈRE

*PROPRIÉTÉ **CAGE**, NUNAVIK, QUÉBEC*

PROJET 114024

URANOR

COPIE CONFORME

Ressources naturelles et Faune, Québec
17 MARS 2008
Service de la Géoinformation

GÉOLOGUE / GEOLOGIST
SERGE GENEST
577
QUÉBEC

TRAVAUX 2006

RAPPORT

- RAPPORT PRINCIPAL

- ANNEXE A

Vol. 1 de 8

GM 63422

Juin 2007

OMÉGALPHA

AVIS AUX LECTEURS SCIENTIFIQUES

La présentation de ce rapport géologique respecte les normes du règlement **43-101** sur l'information concernant les projets miniers de la Loi sur les valeurs mobilières du Québec. Ce règlement établit les règles à suivre pour présenter l'information géoscientifique, technique et **économique** concernant des *projets miniers*.

Ce règlement est très contraignant pour tout ce qui peut avoir un effet pour le calcul des ressources ou des réserves minérales. *Toute la structure du rapport est donc centrée sur les échantillons d'analyses, leur vérification, et l'estimation des ressources.* Un rapport 43-101 est destiné au public des investisseurs et non aux scientifiques, et est publié sur internet, site SEDAR et dans les pages Web des entreprises. D'une part, le règlement oblige les auteurs à être concis et à prendre en considération que le rapport doit être compréhensible pour des investisseurs qui n'ont pas de formation scientifique. D'autre part, en exigeant que toutes les données soient dévoilées, le dit rapport aux investisseurs inclut l'habituel **rapport géologique** avec le niveau de langage approprié, *mais modifie l'ordre de présentation des thèmes et impose un ordre de numérotation des chapitres.*

Un lecteur scientifique ne retrouve pas dans la structure de ce rapport *l'ordre* habituel de présentation d'un rapport géologique qui décrit :

Rapport géologique habituel	**Rapport 43-101**
• Localisation, accès	4.0 Introduction
	6.0 Emplacement
	7.0 Accessibilité
• Géologie générale,	9.0 Contexte géologique
• Historique des travaux,	8.0 Historique
et les travaux de l'année	12.0 Travaux d'exploration
• Géologie locale,	9.0 Contexte géologique
	11.0 Minéralisations
	13.0 Forages
• Pétrographie,	9.0 Contexte géologique
• Métamorphisme,	9,0 Contexte géologique
• Analyse structurale,	9,0 Contexte géologique
• Géochimie,	9,0 Contexte géologique
	11,0 Minéralisations
	13,0 Forages
• Géophysique,	9,0 Contexte géologique
• Radiométrie, spectrométrie	11,0 Minéralisations
• Géologie économique,	10,0 Type de gîtes minéraux
	11,0 Minéralisations
	19,0 Estimation des ressources

Pour des motifs juridiques, on trouve regroupées les expertises et un signataire officiel du dit rapport même si ce rapport est plutôt une oeuvre collective.

2.0 TABLE DES MATIÈRES

		Page
1.0	TITRE	1
2.0	TABLE DES MATIÈRES	3
3.0	RÉSUMÉ	13
4.0	INTRODUCTION	15
5.0	RECOURS À D'AUTRES SPÉCIALISTES	15
6.0	DESCRIPTION ET EMPLACEMENT DU TERRAIN	16
	6.1 Grille de repérage	17
7.0	ACCESSIBILITÉ, CLIMAT, RESSOURCES LOCALES, INFRASTRUCTURES ET GÉOGRAPHIE PHYSIQUE	17
	7.1 Accès	17
	7.2 Climat	18
	7.3 Ressources locales	18
	7.4 Infrastructures	18
	7.5 Géographie physique	18
8.0	HISTORIQUE	19
	8.1 Géologie et géophysique	19
	8.2 Géologie structurale	20
	8.3 Géologie du quaternaire	20
	8.4 Géochimie de sédiments de fonds de lacs	21
	8.5 Gîtologie U, Cu, Ni	21
	8.6 Travaux rapportés par d'autres compagnies d'exploration	21
9.0	CONTEXTE GÉOLOGIQUE	22
	9.1 Géologie régionale	22
	9.1.1 Métamorphisme et pétrologie	24
	9.1.2 Géochronologie des groupes lithologiques	25
	9.2 Géologie régionale du quaternaire	25
	9.3 Géologie locale	26
	9.3.1 Lithologie	28
	9.3.1.1 *Marbre et roche calco-silicatée*	28
	9.3.1.2 *Quartzite*	28
	9.3.1.3 *Paragneiss*	28
	9.3.1.4 *Pegmatite*	29
	9.3.1.5 *Orthogneiss, granite et pegmatite*	29
	9.3.1.6 *Roches mafiques*	30
	9.3.2 Lithogéochimie	30
	9.3.2.1 *Marbres et roches calco-silicatées*	31
	9.3.2.2 *Pegmatites*	32
	9.3.2.3 *Paragneiss et orthogneiss*	32
	9.4 Géologie locale du quaternaire	32
10.0	TYPES DE GÎTES MINÉRAUX	33
	10.1 Modèle de type Rossing (zone de Davis Inlet)	34
	10.2 Modèle de type CAGE	34

11.0 MINÉRALISATIONS 36
11.1 Zone CAGE (Indices CAGE-A à CAGE-F 38
11.1.1 Indice CAGE-A 41
11.1.2 Indice CAGE-B 41
11.1.3 Indice CAGE-C 41
11.1.4 Indice CAGE-D 41
11.1.5 Indice CAGE-E 42
11.1.6 Indice CAGE-F 42
11.2 Zone Davis Inlet 42
11.2.1 Partie nord de la zone Davis Inlet 42
11.2.2 Partie sud de la zone Davis Inlet 42
11.3 Zone Aqiarussuk 43
11.4 Zone Kéglo Sud 44
11.5 Zone Tasiujaaluk 45
11.6 Zone CAGE Extension Sud 45
11.6.1 *Secteur Nord (zone CAGE extension sud)* 45
11.6.2 *Secteur Sud (zone CAGE extension sud)* 46
11.7 Zone de la Presqu'île 46
11.8 Zone Tasiujaaluk NW 46
11.9 Zone du Lac en Croissant 47
11.10 Autres anomalies 47
11.10.1 *Occurrence Mo-U* 47
11.10.2 *Autres anomalies uranothorifères* 47
11.10.2.1 *En affleurement* 48
11.10.2.2 *En blocs* 48
11.10.2.3 *Dans le sol* 48

12.0 TRAVAUXD'EXPLORATION 48
12.1 Géologie 49
12.2 Géophysique 50
12.2.1 *Interprétation des données géophysiques régionales* 50
12.2.2 *Interprétation des données géophysiques locales (secteur indiciel de CAGE)* 51
12.3 Géochimie de sédiments de fonds de lacs 52
12.3.1 *Données uranium* 52
12.3.2 *Corrélation avec d'autres éléments (critère CAGE)* 52
12.3.3 *Utilisation des données géochimiques* 52
12.3.4 *Interprétation* 52
12.4 Structure 53
12.4.1 *Linéaments par photo-satellite* 53
12.4.2 *Zone indiciel* 55

13.0 FORAGES (rainurages) 56
13.1 Description des rainurages 57
13.1.1 *Rainurage CA06-T-01, indice CAGE-D* 57
13.1.2 *Rainurage CA06-T-02, indice CAGE-D* 57
13.1.3 *Rainurage CA06-T-03, indice CAGE-D* 58
13.1.4 *Rainurage CA06-T-04, indice CAGE-D* 58
13.1.5 *Rainurage CA06-T-05, indice CAGE-D* 58
13.1.6 *Rainurage CA06-T-06, indice CAGE B* 58
13.2 Lithogéochimie des rainurages 59

14.0 MÉTHODOLOGIE DE LA GRILLE DE REPÉRAGE SUR L'INDICE CAGE ET DE L'ÉCHANTILLONNAGE SUR L'ENSEMBLE DE LA PROPRIÉTÉ CAGE 59
14.1 Grilles de repérage 59
14.1.1 *Équipe et matériel* 59
14.1.2 *Grilles de repérage* 59
14.1.3 *Obstacles* 60
14.2 Échantillonnage 61
14.2.1 *Cueillette sur le terrain* 61
14.2.2 *Sélection et préparation des échantillons pour analyse ou étude pétrographique et métallogénique* 61
14.2.3 *Transport des échantillons* 62

15.0 PRÉPARATION, ANALYSE ET SÉCURITÉ DES ÉCHANTILLONS 62

16.0 VÉRIFICATION DES DONNÉES 63

17.0 TERRAINS ADJACENTS 63

18.0 ESSAIS DE TRAITEMENT ET ESSAIS MÉTALLURGIQUES 64

19.0 ESTIMATION DES RESSOURCES MINÉRALES ET DES RÉSERVES MINÉRALES 64

20.0 AUTRES DONNÉES ET RENSEIGNEMENTS PERTINENTS 64
20.1 Environnement 64

21.0 INTERPRÉTATIONS ET CONCLUSIONS 65
21.1 Atteinte des objectifs 65
21.2 Travaux de terrain 2006 66
21.3 Résultats 2006 66
21.3.1 *Anomalies radiométriques et zones anomaliques* 66
21.3.2 *Type de minéralisation* 67
21.3.2.1 *Synthèse du contexte des anomalies et de la minéralisation* 67
21.3.3 *Stations et traverses* 68
21.3.4 *Géologie* 68
21.3.5 *Géophysique* 69
21.3.6 *Géochimie des sédiments de fonds de lacs* 69
21.3.7 *Rainurages* 69
21.3.8 *Autres renseignements* 70

22.0 RECOMMANDATIONS 70

23.0 RÉFÉRENCES 72

ANNEXE A
(Volume 1 de 8)

LISTE DES FIGURES

Figure 6.1 : Localisation du projet CAGE 2006 dans la province du Québec, Canada (114024-CA06-F14-LocalisationCageQuébec8x11-07Déc2006)

Figure 6.2 : Localisation de la propriété CAGE, des claims d'Uranor et de la concurrence (114024-CA06-F18-LocalisationProjetCAGEClaimsUranorEtConcurrence-11Mai2007).

Figure 8.1.1 : - Contexte lithotectonique de la partie SE de la province de Churchill (tirée de Wardle (2002) et modifiée par Omégalpha (2006)) (114024-CA06-F16-ContexteLithotectoniquePartieSEProvinceChurchill-07Mai2007)

Figure 9.2.1 : Limites du front glaciaire sur la Baie d'Ungava de 8000 B.P. selon Dykes et al., 2003. (114024-CA06-F19-LimiteFrontGlaciaireBaieUngava-09Mai2007)

Figure 9.2.2 : Application du niveau marin de 481 pieds (148 mètres) vers 730B.P. d'après Lauriol et al. (1979) sur un modèle numérique d'élévation de la côte Est de la Baie d'Ungava dans le secteur de CAGE. (114024-CA06-F20-Application NiveauMarin481Pied-735BP-CAGE-09Mai2007).

Figure 9.3.2.1 : Distribution des analyses de marbre et de roches calco-silicatées peu minéralisées (U<67ppm) dans des diagrammes Li-CaO et Al2O3-CaO montrant la faible mobilité du calcium lors du métamorphisme (114024-CA06-F21-DistributionAnalysesMarbreCalco-silicatées-Li-CaO-Al2O3-CaO-11Mai2007).

Figure 9.3.2.2 : Diagrammes triangulaires : Al2O3-K2O-FeO+MgO pour les échantillons de pegmatite et Al2O3-CaO-FeO+MgO pour les échantillons de marbre et de roches calco-silicatées, de la zone indicielle de CAGE. (114024-CA06-F22-DiagrammeTriangulaire-AlO3-CaO-FeO+MgO-K2O-ZoneCAGE-11Mai2007)

Figure 9.3.2.3 : Diagrammes triangulaires : Al2O3-K2O-FeO+MgO pour les échantillons de pegmatite, paragneiss, orthogneiss et Al2O3-CaO-FeO+MgO pour les échantillons de marbre, de roches calco-silicatées et de diopsidite des zones anomaliques régionales. (114024-CA06-F23-DiagrammeTriangulaire-Al2O3-CaO-FeO+MgO-K2O-ZonesAnomaliques-11Mai2007)

Figure 9.3.2.4 : Diagrammes binaires : a) CaO+MgO-Al2O3, b) CaO+MgO-Fe2O3, c) CaO+MgO-K2O+Na2O et d) CaO+MgO-Ba, montrant la distribution des échantillons de marbre, de roches calco-silicatées et de diopsidite de la zone indicielle de CAGE et des zones d'anomalies régionales. (114024-CA06-F24-DiagrammeBinaire-Al2O3-CaO+MgO-Fe2O3-K2O+Na2O-Marbre-11Mai2007)

Figure 9.3.2.5 : Diagrammes binaires : a) Li-Ba, b) Th-U et c) MgO-Li, montrant la distribution des échantillons de marbre, de roches calco-silicatées et de

diopsidite de la zone indicielle de CAGE et des zones d'anomalies régionales. (114024-CA06-F25-DiagrammeBinaire-Ba-Li-U-Th-MgO-Marbre-11Mai2007)

Figure 9.3.2.6 : Diagrammes binaires : a) Al2O3-Na2O+K2O, b) Al2O3-CaO, c) Al2O3-FeO et d) TiO2-MgO+FeO, montrant la distribution des échantillons de pegmatite associée à du paragneiss, de l'orthogneiss ou au contact avec du marbre dans les zones d'anomalies régionales, et de pegmatite associée à du marbre et des roches calco-silicatées de la zone indicielle CAGE. (114024-CA06-F26-DiagrammeBinaire-Al2O3-Na2O-K2O-TiO2-Pegmatite-11Mai2007)

Figure 10.1.1 : Planche microphotographique (a à f) des minéraux accessoires (allanite, zircon, titanite, monazite, apatite) contenant de l'uranium et des éléments de terres rares. (114024-CA06-F27-PlancheMicrophotographique-Figure 10.1.1-10Mai2007)

Figure 10.2.1 : Planche microphotographique (a à f) du comportement de l'uraninite dans les marbres provenant des lames minces de CAGE. (114024-CA06-F28-PlancheMicrophotographique-Figure 10.2.1-10Mai2007)

Figure 10.2.2 : Planche microphotographique (a à f) montrant des associations minéralogiques et des microstructures. (114024-CA06-F29-PlancheMicrophotographique-Figure 10.2.2-10Mai2007)

Figure 11.1 : Diagrammes binaires : a) Th-U, b) U-Ba, c) U-Zr et d) Th-Zr, montrant la distribution des échantillons de pegmatite associée à du paragneiss, de l'orthogneiss ou au contact avec du marbre dans les zones d'anomalies régionales, et de pegmatite associée à du marbre et des roches calco-silicatées de la zone indicielle CAGE. (114024-CA06-F30-DiagrammeBinaire-Th-U-Ba-Zr-Pegmatite-ZonesAnomaliquesCAGE-11Mai2007)

Figure 11.2 : Diagramme binaire Na2O-K2O montrant la distribution des échantillons de pegmatite associée à du paragneiss, de l'orthogneiss ou au contact avec du marbre dans les zones d'anomalies régionales, et de pegmatite associée à du marbre et des roches calco-silicatées de la zone indicielle CAGE. (114024-CA06-F31-DiagrammeBinaire-Na2O-K2O-Pegmatite-Gneiss-Marbre-ZonesAnomaliques-11Mai2007)

Figure 11.1.1 : Marbre dolomitique massif fortement fracturé. (114024-CA06-F32-F33-PhotosMarbreDolomitiqueChaotique-Figure11.1.1-11.1.2-11Mai2007)

Figure 11.1.2 : Roche calco-silicatée de type « chaotique » où les litages et pegmatites sont discontinus et sans relation avec les morceaux voisins (114024-CA06-F32-F33-PhotosMarbreDolomitiqueChaotique-Figure11.1.1-11.1.2-11Mai2007)

Figure 11.1.3 : Marbre lité et folié à la décharge du lac Cage. (114024-CA06-F34-F35-PhotosMarbreFoliéMarbreDiopside-Figure11.1.3-11.1.4-11Mai2007)

Figure 11.1.4 : Pods de roche calco-silicatée riche en diopside à l'interface de roches calco-silicatées et de marbre dolomitique (affleurement CA06-1002-02). (114024-CA06-F34-F35-PhotosMarbreFoliéMarbreDiopside-Figure11.1.3-11.1.4-11Mai2007)

Figure 11.1.5 : Unité de grès à grain fin à moyen métamorphisé avec une texture de surface en balle de golf (affleurement CA06-1002-01) (114024-CA06-F36-F37-PhotosGrèsTextureGolfVerdâtre-Figure11.1.5-11.1.6-11Mai2007)

Figure 11.1.6 : Unité de grès verdâtre à grain fin et légèrement magnétique métamorphisé (affleurement CA06-1005-15) (114024-CA06-F36-F37-PhotosGrèsTextureGolfVerdâtre-Figure11.1.5-11.1.6-11Mai2007)

Figure 13.1.1 : Rainurage CA06-T-01 (114024-CA06-F38-Rainurage-CA06-T-01-22Mai2007)

Figure 13.1.2 : Rainurage CA06-T-02 (114024-CA06-F39-Rainurage-CA06-T-02-22Mai2007)

Figure 13.1.3 : Rainurage CA06-T-03 (114024-CA06-F40-Rainurage-CA06-T-03-22Mai2007)

Figure 13.1.4 : Rainurage CA06-T-04 (114024-CA06-F41-Rainurage-CA06-T-04-22Mai2007)

Figure 13.1.5 : Rainurage CA06-T-05 (114024-CA06-F42-Rainurage-CA06-T-05-22Mai2007)

Figure 13.1.6 : Rainurage CA06-T-06 (114024-CA06-F43-Rainurage-CA06-T-06-22Mai2007)

Figure 13.2.1 : Diagramme binaire U-CaO et U-(CaO+MgO/Al2O3) des échantillons de marbre et de roche calco-silicatée prélevés sur les affleurements et dans les rainurages de la zone indicielle de CAGE. (114024-CA06-F44-Lithogéochimie RainureMarbre-Figure13.2.1-23Mai2007)

Figure 13.2.2 : Diagramme binaire U-Pb, U-Cu, U-Mo et U-Ba des échantillons de marbre et de roche calco-silicatée prélevés sur les affleurements et dans les rainurages de la zone indicielle de CAGE. (114024-CA06-F45-LithogéochimieRainure Marbre-Figure13.2.2-23Mai2007)

Figure 13.2.3 : Diagramme binaire U-V des échantillons de marbre et les roches calco-silicatées prélevés dans les rainurages de la zone indicielle de CAGE et diagrammes binaires U-V, U-Y et U-Bi des échantillons de marbre et de roche calco-silicatée prélevés sur les affleurements et dans les rainurages de la même zone indicielle. (114024-CA06-F46-LithogéochimieRainureMarbre-Figure13.2.3-23Mai2007)

ANNEXE B
(Volume 2 de 8)

TABLEAU DES STATIONS

Tableau 12.1 : Tableau synoptiques des stations (114024-CA06-T07-TableauSynoptiqueStations-31Mai2007)

ANNEXE C
(Volume 3 de 8)

LISTE DES TABLEAUX

Tableau 4.1 : Liste des géologues, des prospecteurs, des techniciens, des consultants et du personnel du soutien logistique du projet CAGE 2006 (114024-CA06-T02-ListeGéologuesConsultantsTechniciens-07Mai2007)

Tableau 6.1 : Tableau descriptif des claims actifs et en demande d'Uranor Inc. du projet CAGE 2006 (114024-CA06-T01-ClaimsActifsEtEnDemande Uranor-Cage 2006)

Tableau 8.6.1 : Tableau synoptique des travaux statutaires - PROJET 114024 (114024-CA06-T03-TravauxStatutaires24I24P-07Mai2007)

Tableau 9.3.2.1:Analyses lithogéochimiques des échantillons choisis et de rainurage classées par unités lithologiques (114024-CA06-T08- Analyses GéochimiquesPartiellesFiltrées-Lithologie-Diagramme-24Mai2007)

Tableau 10.1 : Caractéristiques physiques, minéralogiques et structurales de l'indice minéralisé de type Cage par rapport au gisement Namibien de Rossing (114024-CA06-T09-TableauComparaisonTypeCageRossing-24Mai2007)

Tableau 10.1.1 :Séquence paragénétique des principaux minéraux observés en lame mince par rapport à la déformation (114024-CA06-T05-SéquenceParagénétiqueMinéraux Déformation-11Mai2007)

Tableau 11.1 : Analyses lithogéochimiques des échantillons choisis et de rainurage (114024-CA06-T04-AnalysesLithogéochimiques-09Mai2007)

Tableau 11.2 : Tableau synoptique des anomalies scintillométriques au sol (114024-CA06-T10-AnomaliesScintillométriques-31Mai2007)

ANNEXE D
(Volume 4 de 8)

LISTE DES CARTES

Carte 1 : Topographie 3D du secteur de la propriété CAGE (1 :100 000) (114024-CA06-C07 – Topographie3DSecteurPropriétéCage)

Carte 2 : Topographie 3D du secteur Davis-Kéglo (1 : 1 500) (114024-CA06-C08-Topographie3DSecteurDavisKéglo)

Carte 3 : Géologique régionale SNRC 24I-24P d'après Taylor (1979) et Verpaelst (2000) (1 :100 000) (114024-CA06-C09- GéologieRégionale24I24PSigéom)

Carte 4 : Champs magnétique total (Sigéom) de la propriété CAGE (1 :100 000) (114024-CA06-C20 – ChampMagnétiqueTotalSigéom)

Carte 5 : Localisation des travaux statutaires SNRC 24I-24P (1 :250 000) (114024-CA06-C27 – CompilationTravauxStatutaires24I24P)

Carte 6 : Géologie et localisation des stations de la propriété CAGE (1 :100 000) (114024-CA06-C13-GéologieStations-PropriétésCage)

Carte 7 : Géologie et localisation des stations de la partie NE du secteur Davis-Kéglo (1 :25 000) (114024-CA06-C15-GéologieStations-SecteurDavisKéglo-partieNE)

Carte 8 : Géologie et localisation des stations de la partie SE du secteur Davis-Kéglo (1 :25 000) (114024-CA06-C16-GéologieStations-SecteurDavisKéglo-partieSE)

ANNEXE E
(Volume 5 de 8)

LISTE DES CARTES

Carte 9 : Géologie et localisation des stations de la partie SW du secteur Davis-Kéglo (1 :25 000) (114024-CA06-C17-GéologieStations-SecteurDavisKeglo-partieSW)

Carte 10 : Géologie et localisation des stations de la partie NW du secteur Davis-Kéglo (1 :25 000) (114024-CA06-C18-GéologieStations-SecteurDavisKéglo-partieNW)

Carte 11 : Géologie et localisation des stations du secteur CAGE-A à F (1 :6500) (114024-CA06-C19-GéologieStations-SecteurCAGE-AF)

Carte 12 : Localisation des échantillons et rapports spectrométriques U/Th de la propriété CAGE (1 :100 000) (114024-CA06-C24-LocalisationÉchantillonsRapports SpectroUTh-PropriétéCAGE)

Carte 13 : Localisation des échantillons et rapports spectrométriques U/Th du secteur Davis-Kéglo (1 :40 000) (114024-CA06-C25 - LocalisationÉchantillons RapportsSpectroUTh-SecteurDavisKéglo)

Carte 14 : Localisation des échantillons et rapports spectrométriques U/Th des secteurs CAGE-A à F (1 :6500) (114024-CA06-C26- LocalisationÉchantillonsRapports SpectroUTh -CAGE-AF)

Carte 15 : Teneurs U et Th des échantillons analysés en 2006 sur la propriété CAGE (1 :100 000) (114024-CA06-C28- ÉchantillonsAnalysésRapportSpectroUTh-PropriétéCAGE)

Carte 16 : Teneurs U et Th des échantillons analysés en 2006 sur la propriété CAGE (secteur Davis-Kéglo)(1 :40000)(114024-CA06-C29-ÉchantillonsAnalysésRapportSpectro UTh-SecteurDavisKéglo)

ANNEXE F
(Volume 6 de 8)

LISTE DES CARTES

Carte 17 : Teneurs U et Th des échantillons analysés en 2006 (secteur Cage A-F) (1 :6 500) (114024-CA06-C30- ÉchantillonsAnalysésRapportSpectroUTh-SecteursCageAF)

Carte 18 : Plan compteur avec valeurs radiométriques et résultats analytiques des rainurages – Indice CAGE B (1 :50) (114024-CA06-C22 – PlanCompteur RadiométrieAnalyseRainurage-IndiceCageB)

Carte 19 : Plan compteur avec valeurs radiométriques et résultats analytiques des rainurages – Indice CAGE D (1 :50) (114024-CA06-C23 – PlanCompteur RadiométrieAnalyseRainurage-IndiceCageD)

Carte 20 : Géologie et localisation des anomalies scintillométriques de la propriété CAGE (1 : 100 000) (114024-CA06-C10- GéologieAnomaliesPropriétéCAGE)

Carte 21 : Géologie et localisation des anomalies scintillométriques du secteur Davis-Kéglo (1 :40 000) (114024-CA06-C11- GéologieAnomaliesSecteurDavis-Kéglo)

Carte 22 : Géologie et localisation des anomalies scintillométriques du secteur CAGE-A à F (1 :6500) (114024-CA06-C12-GéologieAnomaliesSecteurCAGE-AF)

Carte 23 : Teneurs en U et Th des sédiments de fonds de lacs et correspondances aux critères de CAGE (1 :100 000) (114024-CA06-C21- TeneurUThSédiments FondDeLacCorrespondanceCritèreCAGE)

ANNEXE G
(Volume 7 de 8)

« Interprétation des données magnétiques et radiométriques de la campagne aérienne de Août 2006 » par Yoann Richard (AREVA NCB/BUM/DEX/GT)

ANNEXE H
(Volume 7 de 8)

« Étude structurale du secteur de l'indice Cage, Nunavik, Québec » par Nicolas Flotté (AREVA NCB/BUM/DEX/GT)

ANNEXE I
(Volume 7 de 8)

« CAGE : Analyse sommaire des linéaments en photosatellite » rapport interne par Jean Beaudin (Omegalpha Inc.)

ANNEXE J
(Volume 8 de 8)

« Final Report on a Helicopter-borne Magnetic & Radiometric Survey, Centre Cage Zone, Kangiqsualujjuaq, Québec, Canada » par McPhar Geosurveys Ltd

ANNEXE K
(Volume 8 de 8)

CERTIFICATS D'ANALYSE

Certificats d'analyse du Saskatchewan Research Council (SRC)

ANNEXE L
(Volume 8 de 8)

PRODUITS NUMÉRIQUES EN DVD

Produits numériques en DVD

3.0 RÉSUMÉ

En 2005, un levé héliporté de reconnaissance des anomalies de fonds de lacs a conduit à la découverte de l'indice CAGE par C.Caillat et S. Genest. Les travaux de terrain 2006 (prospection, levé spectrométrique héliporté, levé géologique, etc.) ont été conduits sur l'ensemble de la propriété mais plus spécifiquement dans le secteur de la découverte de 2005, au NW des claims, entre les baies de Davis Inlet et de Kéglo.

La propriété CAGE est située à environ 1600 km au NE de Montréal, à 200 km à ENE de Kuujjuaq et à 50 km au NE de Kangiqsualujjuaq (George River) du côté est de la Baie d'Ungava, entre les longitudes 64°45' et 66°00' et les latitudes 58°30' et 59°30'. Elle couvre en partie les feuillets SNRC 24I et 24P. En 2006, elle était composée de 4097 claims désignés sur carte (CDC) couvrant une superficie totale de 1800 km^2 et détenus à 100% par Uranor Inc (actuellement 4396 claims, 1941 km^2).

Le modèle métallogénique CAGE est unique : des minéralisations uranifères dans des marbres, proche d'un décrochement. Un autre modèle du type Rossing dans des pegmatites a immédiatement été suggéré dès le début de la prospection au sol, avant le levé spectrométrique héliporté. Au sud, la concurrence mentionne des échantillons choisis avec de l'uraninite dans des pegmatites pour une teneur maximale de 0,56% U3O8 et est aussi dite du type Rossing. Sur la propriété CAGE, le rapport U/Th des anomalies des pegmatites est variable et parfois plus favorable en Thorium.

Les travaux de prospection par scintillométrie au sol ont permis de définir 14 zones anomaliques basées sur des valeurs > 15000 cps sur l'ensemble de la propriété CAGE : les zones CAGE-A à F du secteur indiciel de CAGE, la zone Davis Inlet, la zone de la presqu'île, la zone Aquiarussuk, la zone Kéglo Sud, la zone Tasiujaaluk, la zone CAGE Extension Sud, la zone Tasiujaaluk NW et la zone du Lac en Croissant.

Le secteur indiciel de CAGE donne le plus de résultats exclusivement uranifères, sa meilleure valeur est 68900 ppm U et la meilleure rainure CA06-T-01 (1m à 3850ppm). La zone CAGE Extension Sud a la meilleure valeur 77100 ppm U, mais cette zone n'a été étudiée que par deux visites. La zone Tasiujaaluk a une valeur de 25300 ppm dans un marbre mais les pegmatites proches sont thorifères. La zone Kéglo Sud (8300 ppm U) est une étroite bande de marbre (largeur 20m). La zone Aqiarussuk (610 ppm, 1420 Th) est un secteur peu visité où la minéralisation est contenue dans un marbre avec des sulfures. Les secteurs CAGE-A, CAGE-B, CAGE-C et CAGE-E semblent avoir le plus grand potentiel pour un volume minéralisé.

Une anomalie radiométrique est une lecture ponctuelle de plus de 1000 cps SPP2. Les 268 anomalies de CAGE sont alignées dans plusieurs plans distincts de la foliation, et suivent les plis de celles-ci. Certaines anomalies se suivent dans des plans sur quelques mètres, mais la plupart sont ponctuelles, comme avec un « effet pépite ». Chaque anomalie se trouve sur une fissure, sur la bordure d'un grain ou d'une enclave. L'uraninite (environ 200 μ) n'est pas observable à l'œil nu, mais il y a souvent des produits jaunes. Les surfaces ou les volumes minéralisés de chaque feuillet anomal sont minces mais riches (1m).

Les 767 autres anomalies ont été trouvées surtout dans les pegmatites associées au paragneiss du Groupe de Lake Harbour, le plus souvent très près du contact avec les marbres. Le nombre de 767 anomalies est relatif, car il en existe bien plus. Les rapports U/Th dans les pegmatites sont très variables. Le levé magnétique et spectrométrique héliporté a confirmé que le fond spectrométrique très anomal en eU et eTh des pegmatites est beaucoup plus large que les anomalies reconnues au sol. Dans les zones autres que CAGE, les anomalies dans les marbres ont un potentiel plus uranifère que thorifère. Même le socle archéen a des valeurs élevées en U et Th, avec un fond radiométrique souvent au-dessus des 200cps.

La région est connue pour les « rusty schist » du Groupe du Lake Harbour (Taylor, 1979), mais il n'y a pas de liens entre ces métapélites « sulfurées » et les anomalies. La séquence sédimentaire quartzitique

du Groupe du Lake Harbour décrite dans la littérature n'est pas proche de la minéralisation. La relation entre les grandes limites lithotectoniques et la minéralisation n'est pas connue.

La remobilisation au paléoprotérozoique du Groupe du Lake Harbour avec le socle pourrait avoir joué un rôle dans la concentration des pegmatites proches du contact avec les marbres et dans la mobilisation de l'U. Le marbre encaissant les anomalies est déformé, plissé. La déformation mylonitique du décrochement a été observée dans les paragneiss.

Nous recommandons de poursuivre la prospection régionale utilisant les modèles de type Rossing et CAGE et de la prospection détaillée sur les indices du type CAGE. Nous disposons de suffisamment d'informations en surface pour débuter une campagne de forages (4000m) pour appréhender la troisième dimension de CAGE.

4.0 INTRODUCTION

Le projet CAGE (#114024) s'inscrit à l'intérieur d'un programme de cartographie et de prospection du potentiel uranifère de la partie nord du Québec pour le compte de la compagnie Uranor Inc. Le présent rapport porte sur la campagne de prospection au sol exécutée de juin à août 2006.

En 2005, un levé héliporté de reconnaissance des anomalies de fonds de lacs a conduit à la découverte des indices CAGE par C.Caillat et S.Genest. De nombreux indices minéralisés indiqués par des produits jaunes ont immédiatement été reconnus comme ayant un excellent potentiel uranifère. Les dits indices sont dans des marbres, à proximité des pegmatites et paragneiss du Groupe du Lake Harbour. Les objectifs principaux de prospection était de suivre ces bandes de marbres, assez peu nombreuses, dans les secteurs du 24I et 24P.

Les travaux de terrain 2006 visaient deux objectifs soit de définir et élargir la zone indicielle de CAGE reconnue en 2005 (cartes 1 et 2, annexe D) et d'expliquer et de reconnaître le contexte de la minéralisation uranifère de type CAGE sur l'ensemble de la propriété par de la prospection et de la cartographie géologique. À cette campagne de cartographie et de prospection au sol, s'est greffé un levé spectrométrique héliporté qui a couvert environ 40% de la superficie initialement prévue.

Les sources de toutes les données obtenues par la compilation sont citées dans le texte et indiquées dans la bibliographie. Les données obtenues par la compilation faite entre janvier et juin 2006 ont été en partie vérifiées sur le terrain lors de la campagne de prospection de l'été 2006. Les données de terrain 2006, principalement des données de prospection, ont été cueillies sous notre responsabilité et ont été vérifiées personnellement ou sous la supervision directe de l'auteur. Les échantillons pour analyses chimiques ont été reçus à nos bureaux à la fin du mois de novembre 2006 par transport maritime sécuritaire et expédiés au laboratoire du Saskatchewan Research Council à Saskatoon en janvier 2007.

Les interprétations géologiques sont parfois différentes de celles de nos prédécesseurs car nous avons accordé une grande importance aux caractéristiques radiométriques et magnétiques des diverses unités lithostratigraphiques, telles que nous les avons observé à partir du levé héliporté.

Lors des travaux de terrain 2006, plusieurs géologues, assistants-géologues et techniciens d'Omégalpha ont été requis pour effectuer les travaux de prospection et de cartographie géologique d'après les objectifs visés. Le tableau 4.1 (annexe C) dresse une liste de tous les géologues, assistants-géologues, techniciens et spécialistes qui ont travaillé sur le projet CAGE.

5.0 RECOURS À D'AUTRES SPÉCIALISTES

Une partie des données quantitatives et descriptives (ex : géologie, géophysique, sédiments de fonds de lacs) provient des banques de données gouvernementales. La majorité de ces données a été obtenue par des travaux faits par une des agences gouvernementales fédérales ou provinciales.

Les données provenant des travaux statutaires rapportés par les compagnies ont été recueillies de la banque de données Sigéom du Ministère des Ressources Naturelles du Québec après une vérification sommaire du respect des normes, mais sans contrôle de la qualité des données. De plus, ces documents de compagnies peuvent parfois faire partie des documents déposés auprès de l'autorité des marchés financiers qui impose de respecter des contraintes sévères sur la qualité de l'information fournies aux investisseurs.

La compagnie McPhar Geosurveys Ltd mandatée par Uranor Inc pour effectuer un levé magnétique et spectrométrique héliporté sur l'ensemble de la propriété CAGE, a utilisé les services d'un pilote d'hélicoptère, d'un mécanicien, d'un technicien en géophysique et d'un géophysicien. Le géophysicien employé par McPhar Geosurveys Ltd recevait et traitait les données spectrométriques et

magnétiques. Monsieur Yoann Richard, géophysicien du Groupe AREVA France, fut intégré à l'équipe de géologues pour vérifier le respect du contrat du levé géophysique par McPhar Geosurveys Ltd et valider le traitement des données du levé héliporté et des anomalies géophysiques reconnues. Ce dernier a complété un rapport intitulé « Interprétation des données magnétiques et radiométriques de la campagne aérienne de Août 2006 » retrouvé en annexe G). De plus, une étude structurale détaillée du secteur de l'indice CAGE, principalement entre les lignes 2+00S et 2+00N, fut complétée par monsieur Nicolas Flotté du Groupe AREVA France (annexe H).

En annexe de ce rapport, deux rapports d'expertise sont disponibles soient un rapport interne sur l'étude des linéaments par photosatellite (annexe I) et le rapport du levé magnétique et spectrométrique héliporté par McPhar Geosurveys Ltd (annexe J).

Les opinions des experts et consultants leur appartiennent et sont résumées et commentées dans les parties de ce rapport qui discutent des données, hypothèses et interprétations relatives à ces rapports. Nous certifions dans ce rapport la qualité de ces données mais les hypothèses et interprétations restent toujours discutables.

6.0 DESCRIPTION ET EMPLACEMENT DU TERRAIN

La propriété CAGE se situe entre les longitudes 64°45' et 66°00' et les latitudes 58°30' et 59°30' et couvre les feuillets SNRC 24I et 24P. Elle se trouve à l'ouest des monts Torngat et au nord du projet de parc Kuururjuaq.

Le centre de la propriété CAGE est situé à environ 1600 km au NE de Montréal, à 200 km à l'ENE de Kuujjuaq et à 50 km au NE de Kangiqsualujjuaq (George River) du côté est de la Baie d'Ungava (figure 6.1, annexe A).

Le nom CAGE désignant la propriété et le projet ne réfère à aucun nom géographique reconnu par la Commission de toponymie. Ce nom fut également attribué à un petit lac situé à environ 6 km au SE de la Baie de Davis Inlet, près de l'indice minéralisé du même nom découvert en 2005.

La propriété CAGE est composée de 4097 claims désignés sur carte (CDC) couvrant une superficie totale de 1800 km^2 (figure 6.2, annexe A). Ces claims sont détenus à 100% par Uranor Inc. Les premiers et derniers claims actifs enregistrés expirent respectivement le 27 septembre 2007 et le 17 octobre 2008. Le tableau 6.1 (annexe C) dresse la liste de tous les claims appartenant à la propriété CAGE indiquant entre autres le type de titre, le numéro du titre (claim), le statut du titre, la date d'expiration, la superficie, les travaux requis et le ou les détenteurs.

Les claims de la propriété CAGE sont localisés en partie dans des terres de catégorie II, qui imposent des contraintes de respect de l'environnement et de respect des activités des communautés inuits. De même, une aire de mise à bas des caribous recoupe une partie de ces claims vers le SE. Au sud de la propriété se trouve le projet de parc Kuururjuaq qui est totalement soustrait à l'activité minière. De même dans la grande région, on retrouve des terres de catégorie I réservées aux inuits.

Il est parfois difficile de citer des repères géographiques dans ce rapport, en l'absence de toponyme. Les différentes zones anomaliques du secteur de CAGE indiciel sont identifiées par ordre alphabétique. Il ne faut pas non plus s'étonner de retrouver des points de mesure apparemment dans des lacs alors qu'ils sont sur le sol car la précision des divers tracés hydrographiques des cartes est inférieure à celle de nos levés au sol.

Les travaux de terrain 2006 (levé géologique, prospection, levé géophysique héliporté, etc.) furent conduits sur l'ensemble de la propriété et spécifiquement sur le secteur de l'indice CAGE, découvert en 2005. Certaines informations scientifiques ont été relevées en dehors de nos claims pour fin de comparaison ou de compréhension de la géologie régionale.

Tous nos travaux au sol ont été localisés par GPS avec une précision variant de 5 à 10m, ce qui occasionna des erreurs de positionnement pour les anomalies rapprochées à des distances inférieures à la précision du GPS.

6.1 Grille de repérage

Dans le secteur indiciel de CAGE, des travaux de construction de grilles de repérage furent effectués du 6 juillet au 9 août 2006. Comme il n'y a pas de couvert forestier, il s'agissait de mettre en place des bornes et des marqueurs permanents facilement repérables. Ces travaux de construction visaient à mettre en place quatre grilles devant servir de repérage et/ou à effectuer des levés scintillométriques systématiques au sol (plan compteur) à l'aide de scintillomètres SPP2 et SPP Gamma. Les travaux réalisés jusqu'à maintenant sur ces grilles furent effectués sur les claims CDC400099416, CDC400099417, CDC400099418, CDC400099419, CDC400099447, CDC400099448 et CDC400099449, tous localisés dans le feuillet SNRC 024P04. Ces travaux ont été effectués à l'intérieur d'un périmètre de 1,5 km x 1 km qui comprend l'indice CAGE-A.

Ces travaux d'installation de grille ont été conduits à des fins scientifiques et de prospection. Ils n'ont pas de valeur légale et n'ont pas été érigé par un arpenteur géomètre qualifié. La méthodologie d'installation des grilles est décrite plus en détails à la section 14.1 de ce rapport.

Le projet de construction de grille (maille 25m et 100m) a été établi dès le départ mais, sur le terrain, seulement une partie de la grille a fait l'objet d'implantation de bornes dans les délais prévus. Dans certains cas, les géologues ont travaillé sur une grille virtuelle (la grille projetée), en utilisant le GPS.

7.0 ACCESSIBILITÉ, CLIMAT, RESSOURCES LOCALES, INFRASTRUCTURES ET GÉOGRAPHIE PHYSIQUE

7.1 Accès

Le camp de base de l'indice CAGE est situé près de la côte est de la baie d'Ungava, à 55 km au NNE de Kangiqsualujjuaq. Les coordonnées géographiques du camp sont N59°08' et W65°32'. Le camp est accessible en hydravion ou en hélicoptère à partir de Kuujjuak ou Kangiqsuallujjuaq. De Montréal, deux compagnies aériennes (Air Inuit et First Air) offrent chaque jour des vols directs jusqu'à Kuujjuak, qui est le centre administratif de la région du Nunavik. Cette municipalité est située à environ 1500 km au nord de Montréal, et la durée du vol est de 2 heures 30 minutes. Pour atteindre Kangiqsuallujjuaq, petite municipalité Inuit située sur la rive est de la baie d'Ungava, à l'embouchure de la rivière George, on doit prendre un Twin Otter de la compagnie First Air.

La majorité des équipes de géologues d'Omégalpha et de consultants, des équipes de la compagnie McPhar Geosurveys et des pilotes d'hélicoptère des levés de prospection et de géologie et du levé de géophysique ont été hébergés à la pourvoirie de la rivière Koroc. La pourvoirie de la rivière Koroc située à 20 km au nord de Kangigsualujjuak et 38km au sud du camp de base de l'indice CAGE, fut l'emplacement du camp de base pour le projet CAGE Régional d'où les principaux travaux de terrain étaient dirigés. Toutefois, les travaux de construction de grille, de décapage, d'exploration sous-marine et d'exploration et prospection du secteur indiciel de CAGE fut pilotés à partir du camp de l'indice CAGE.

Pour la prospection le long des côtes de la baie Kéglo et de la rivière Baudan, un camp volant fut installé. L'équipe du camp volant fut constituée de deux géologues, d'un prospecteur inuit et d'un homme de camp inuit.

La circulation vers la propriété CAGE se fait en été par bateau pour la zone côtière, et en hiver par les motoneiges sur la glace. Les puissantes marées dérangent fortement le débarquement soit en

traversant une large zone intertidale, soit par des falaises abruptes. Il est fortement recommandé d'utiliser des inuits connaissant bien les lieux. Autrement, l'accès se fait par hydravion et hélicoptère.

7.2 Climat

Le climat est de type sub-arctique avec des demi-saisons brèves, le printemps et l'automne sont de courte durée. Les températures moyennes durant les mois de janvier et de juillet sont de -23°C et 11°C. Dû à la proximité de l'océan Arctique, la côte de la baie d'Ungava est souvent recouverte de brouillard durant la saison estivale.

Les marées peuvent atteindre une amplitude de 15 mètres. Les lacs se libèrent habituellement durant le mois de juin, ce qui permet la prospection jusqu'à la fin du mois de septembre.

7.3 Ressources locales

La pourvoirie de la rivière Koroc située à l'embouchure de la rivière portant le même nom, offre l'hébergement et la nourriture normalement pour les pêcheurs et les chasseurs. Elle nous a offert le service de camp de base, principalement pour les secteurs situés au sud de la propriété CAGE.

Une autre pourvoirie à Abloviak était inactive lors de nos travaux. Il n'existe pas d'autres camps même saisonniers qui étaient occupés pendant nos travaux.

Nous n'avons pas eu connaissance de la présence d'autres compagnies d'exploration minière sauf au sud du parc.

Il y a eu passage d'avions et d'hélicoptères, possiblement des touristes ou des équipes de chercheurs non identifiés.

7.4 Infrastructures

À Kangiqsualujjuaq, on y retrouve plusieurs services gouvernementaux et privés tels qu'un bureau de poste, une clinique médicale, des téléphones publiques, des services de pourvoyeurs, un aéroport et un port de mer qui est opérationnel du mois de mai à la fin du mois d'octobre.

Ce village a servi de point de services pour le départ et l'arrivée du matériel, principalement pour le carburant pour les hélicoptères. Cependant l'approvisionnement par bateau n'est arrivé que le 27 juillet. De même, le retour du matériel incluant les échantillons radioactifs, fut effectué par bateau durant la période du mois d'octobre.

7.5- Géographie physique

Dans le sud de la propriété on retrouve des sommets culminant à plus de 600 mètres d'altitude, avec de nombreux lacs encaissés. Le paysage est typiquement d'origine glaciaire avec ses vallées en U. C'est le pays des monts Torngats. La zone intermédiaire, entre 600 et 200m est connue sous le nom du plateau des rivières Koroc et Baudan. Le plateau rocheux avec ses lacs perchés est disséqué par les grandes rivières NW. Dans le nord de la propriété, les sommets ne dépassent pas 200 mètres et s'abaissent vers la mer. Il s'agit des basses terres cotières, avec de nombreuses îles. On trouve de nombreux fjords tel qu'entre autres les baies de Kéglo et de Davis Inlet qui permettent un accès en bateau à partir de la mer.

Les eaux s'écoulent en général du SE vers NW. Les sous-bassins hydrographiques sont allongés en treillis, plus ou moins rectangulaire, tantôt NW et se joignant par de courts raccords NE.

La flore de la région couverte par la propriété CAGE est typique de la toundra. Elle est caractérisée par des lichens et des mousses. Occasionnellement, on rencontre des mélèzes et des épinettes noires dans les vallées et le long des grandes rivières.

La faune est caractérisée par la surabondance de poissons d'eau douce. Les animaux terrestres que l'on retrouve dans la région sont surtout des ours noirs à l'intérieur des terres et des ours blancs le long de la côte de la baie d'Ungava, des caribous, des loups, des renards, des lièvres, des rats musqués et des lagopèdes.

8.0 HISTORIQUE

8.1 Géologie et géophysique

Low (1896, 1899) fut le premier professionnel à visiter la côte. Par la suite, plusieurs époques de recherches géologiques ont donné lieu à des publications portant sur l'interprétation lithotectonique, dans la poursuite de la compréhension de la Province du Churchill et de l'orogène transhudsonien.

Le groupe du Lake Harbour a été défini sur l'île de Baffin (Davidson, 1959), et le nom a été appliqué à nos roches sur la base d'une corrélation à grande échelle à travers la baie d'Ungava (Scott 1997). L'ensemble de nos claims se situe à la bordure est du craton du Grand-Nord sur la limite approximatives des Torngat. Ce secteur du craton est connu sous les noms de province de Rae, de « Core zone de la South Eastern Churchill Province (SECP)» ou zone du noyau, selon les auteurs qu'on lit et l'époque des articles. Dans la plupart des articles, le groupe du Lake Harbour englobe tout ce qui est métasédiment (marbre, calcsilicate, quartzite et paragneiss) dans le noyau central et dans le secteur des monts Torngat.

La partie au Nord du 59ième parallèle qui est celle qui a le plus d'importance pour nous, a fait l'objet de beaucoup d'interprétations géophysiques, mais avec peu de travaux de terrain récents, pour appuyer les diverses interprétations de l'orogénie transhudsonienne. Ces limites lithotectoniques ont été définies par Wardle (1990) et adoptées par la plupart des auteurs (figure 8.1.1, annexe A) principalement sur la base de la géophysique.

La première époque de cartographie géologique, effectuée par Taylor (Commission géologique du Canada, publication de 1979), résume la phase de reconnaissance du NE du Québec, dite Opération Torngat (168,000 km2) pour des travaux effectués entre 1967 à 1971 dans le feuillet SNRC 24 P (carte 3, annexe D).

Avant 1990, plusieurs autres chercheurs se sont intéressés à la côte de la baie d'Ungava, mais sans y mener des projets sur le terrain autre que d'y diriger des études ou des thèses ponctuelles et des programmes de géochronologie. Leurs objectifs étaient de compléter la compréhension de la province de Churchill du bouclier canadien et l'orogénie trans-hudsonienne. Des synthèses de ces travaux sont présentées par Géoscience (Goulet (1990)) et par le Canadian Journal of Earth Sciences (Wardle (2002)).

Le projet géophysique Lithoprobe ECSOOT (1991-2002) s'est intéressé au secteur allant de la Fosse du Labrador à l'est des monts Torngat et même à l'île de Baffin, en réinterprétant les unités par la géophysique (magnétique et gravimétrique) et en compilant la géochronologie. Les zircons détritiques ont déterminé un âge entre 2,2 et 1,9 Ga pour le groupe du Lake Harbour de l'Île de Baffin, mais sont de provenance incertaine et le dépôt est présumé plus jeune que 1,9 Ga sur une croûte archéenne. Le métamorphisme et la déformation débutent vers 1,87 Ga et se poursuit jusqu'à 1,77 Ga. L'intrusion de De Pas est datée à 1,84-1,81Ga.

Un projet de la Commission Géologique du Canada nommé le transect North–River Nutak, date du début des années 90. Les travaux d'exploration effectués lors de ce projet, localisé au SE de notre

secteur, sont ceux qui ont redéfini l'orogène des monts Torngat. L'érosion intense des Torngats a découvert les roches profondes du faciès granulitique et les mylonites.

En 1999, la carte du secteur 24I (incluant la partie au sud du 59ième parallèle de nos claims) a fait l'objet d'une cartographie par Verpaelst et al. (2000) (carte 3, annexe D). Certains secteurs non cartographiables ainsi que certaines lithologies furent interprétés d'après le levé du champ magnétique total du Sigéom (carte 4, annexe D).

Le Ministère des Ressources Naturelles du Québec (MRNF) a donc été impliqué dans le levé Lithoprobe, le levé de sédiments de fonds de lacs en 1998 et pour la cartographie du secteur 24I. Le gouvernement fédéral (Commission Géologique du Canada) et celui de la province de Terre-Neuve et Labrador ont travaillé de leur côté de la frontière pour attirer les entreprises minières suite notamment aux découvertes des gisements de Voisey Bay (Cu-Ni) et du lac De Gras (diamant).

8.2 Géologie structurale

Les différentes phases de déformation et de plissements du secteur proche d'Abloviak ont été décrites par Goulet (1990) de la manière suivante;

a) Déposition des marbres et sédiments clastiques : il ne subsiste plus de traces de la sédimentation primaire (S0);

b) Première phase de déformation produisant une schistosité S1 qui deviendra isoclinale lors des phases subséquentes de déformation, avec des rubanements et laminations syn-métamorphiques;

c) Deuxième phase produisant les dômes, la schistosité dominante (S2) de direction NW, la linéation minérale (L2) et des doubles plongées des plis;

d) Selon Goulet (1990), les dômes peuvent être remplacés (dans le secteur CAGE) par des alternances d'écailles NW de socle et d'unités métasédimentaires (principalement des paragneiss avec mylonitisation) (S2 axial). Ces dômes sont interprétés comme étant tardifs à la déformation (D1) et les mylonites sont interprétées comme senestres à plans verticaux;

e) Les pegmatites en unité cartographiable ne sont mentionnées que par les travaux de cartographie du ministère avec une abondance, près du contact du Groupe du Lake Harbour et des autres unités.

Verpaelst et al. (2000) et Wardle (2002) suggèrent une phase précoce de chevauchement de l'est vers l'ouest ainsi que du métamorphisme rétrograde tardif. Dans les grandes lignes de l'orogénie transhudsonienne, cela reste en accord avec ce qui a été décrit sur l'île de Baffin (St-Onge (2003), Scott (2002)).

Ermanovics et Van Kranedonk (1998) ont décrit en détails la géologie structurale d'une section allant de la côte du Labrador jusqu'au cisaillement de Falcoz (partie est du feuillet SNRC 14), à l'ouest du feuillet SNRC 24H et au SE de notre zone d'exploration. Leur description est en conformité avec celle de Goulet (1990), appuyée par une étude géochronologie.

8.3 Géologie du quaternaire

Selon Parent et Paradis (1999), trois direction d'écoulement glaciaire sont observées soient du plus ancien au plus récent : vers le NE, vers l'ENE et vers le NW.

8.4 Géochimie de sédiments de fonds des lacs

Le levé de géochimie de fonds de lacs (1998) du ministère des Ressources Naturelles du Québec et des partenaires de l'industrie permet d'observer la distribution des anomalies uranifères (U) et des autres éléments dans les sédiments de lacs à l'intérieur et l'extérieur de notre bloc de claims.

Ce levé constituait la base de données la plus pertinente pour l'exploration uranifère. En 2005, un programme d'exploration héliporté combinant notre modélisation stratégique des gîtes uranifères, appuyé en partie sur des critères géochimiques, a conduit à la découverte de l'indice CAGE par Claude Caillat (Areva) et Serge Genest (Omegalpha).

Depuis, la concurrence s'est intéressée à ces fortes anomalies en acquérant des propriétés, et en négligeant le fait que les anomalies les plus fortes se trouvent dans des roches granitiques ou tonalitiques archéennes ayant un fond géochimique thorifère et uranifère élevé.

8.5 Gîtologie U, Cu, Ni

Avant 1998, il n'y a pas eu d'exploration spécifiquement pour l'uranium dans les feuillets 24P et 24I.

Aucun levé spectrométrique aéroporté ou héliporté ou au sol n'est rapporté. Il est possible que des prospecteurs aient utilisé des instruments de mesure de la radioactivité ou de la fluorescence, mais nous n'avons pas recherché spécifiquement cette information dans les rapports faits pour les autres éléments tels que l'or (Au), le nickel (Ni), le cuivre (Cu) et le diamant.

Le levé de géochimie de fonds de lacs a été crucial pour lancer l'exploration Cu-Ni-Co. Les compagnies ont alors procédé en visitant des cibles ponctuelles par de la prospection héliportée. Leur cartographie se faisait sur le pourtour des zones volcanogéniques ou plutoniques mafiques, ce qui n'est guère pertinent relativement à l'uranium. L'ouverture de la région par des projets de cartographie du Ministère de Ressources Naturelles (ex : Projet Grand Nord) a donné lieu à de l'exploration pour le diamant (anomalies magnétiques circulaires, faisceaux de dykes, minéraux indicateurs des kimberlites diamantifères, etc.). Encore une fois, certains géologues ont pu utiliser des spectromètres de façon ponctuelle pour l'identification lithologique ou la prospection, mais nous n'avons pas noté d'identification d'indices uranifères (U) sur cette base sauf par les équipes géologiques du Ministère des Ressources Naturelles. Dans le feuillet 24I, le ministère interprète que certaines anomalies uranifères (U) des sédiments de fonds de lacs ont un plus grand potentiel et a tenté de les expliquer. Verpaelst et al. (2000) suggèrent une corrélation entre l'arsenic et les sédiments du groupe du Lake Harbour.

8.6 Travaux rapportés par d'autres compagnies d'exploration

La région a été longtemps négligée par les compagnies d'exploration pour plusieurs raisons :

1) La région est difficile d'accès, coûteuse pour la mobilisation du personnel et des équipements;

2) L'absence de travaux détaillés préalables par les agences gouvernementales;

3) L'absence d'indices rapportés pour l'or et les métaux de base par les premiers visiteurs scientifiques;

4) La nature monotone très granitique et migmatitique du secteur, considérée comme une masse de gneiss gris ou rouillé archéen ayant peu de potentiel;

5) L'attrait élevé de la Fosse du Labrador comparé aux socles adjacents;

Un examen des travaux statutaires récents (tableau 8.6.1, annexe C) montre que les découvertes faites ailleurs au Canada influent sur les priorités des compagnies d'exploration pour les recherches en métaux de base (Cu-Ni) et sur le diamant dans le secteur des feuillets 24I et 24P (carte 5, annexe D). De plus, la méthode de prospection, par sauts de mouton en hélicoptère, ne favorise pas la compréhension géologique en détails d'une région.

La prospection des compagnies minières a initialement porté sur les métaux de base suite au levé géochimique. La géochimie de sédiments de fonds de lacs, et un peu de photogéologie en appui aux levés régionaux de géophysique ne permettent pas d'identifier les secteurs potentiellement volcanogéniques ou de roches mafiques. Les compagnies ont rapidement abandonné parce que les massifs mafiques sont rares et ces minéralisations de métaux de base également. Les recommandations des géologues rédigeant les rapports des travaux étaient plutôt négatives sur le potentiel des métaux de base et ils ne recommandaient aucune poursuite des activités.

Par la suite, la prospection a porté sur le diamant dans le secteur Burwell–Abloviak (Diamond Discoveries International, Twin Mining). Même avec la découverte de diamants, les compagnies sont peu présentes sur le terrain. Les dykes de lamprophyre possiblement diamantifères sont minces, et non repérables en photogéologie.

Quelques compagnies, dont Azimut Exploration, explorent présentement pour l'U au sud de la propriété CAGE et près de nos blocs de claims (propriétés) Amaujaq et Brumath. Leurs travaux ont fait l'objet de divers communiqués de presse mentionnant des échantillons choisis avec des teneurs de 0,56%, 0,37% et 0,33% U3O8 sur 10 indices uranifères distincts. Leurs minéralisations sont de l'uraninite dans des pegmatites. Le président d'Azimut Exploration suggère un modèle Rossing aux journalistes. Le secteur au sud est reconnu pour les mylonites de St-Daniel et de Falcoz ainsi que d'autres failles, ce qui pourraient générer d'autres modèles de minéralisation.

9.0 CONTEXTE GÉOLOGIQUE

9.1 Géologie Régionale

Dans le bouclier canadien, la Province de Churchill borde au N, à l'E et à l'W, le craton archéen de la Province du Supérieur et la sépare d'autres cratons archéens tel que le craton nord-atlantique qui comprend la Province de Nain. Au sud de la baie d'Ungava, dans la partie terrestre du NE du Québec et du Labrador, la Province de Churchill comprend toutes les roches archéennes et paléoprotérozoïques situées entre les provinces du Supérieur et du Nain. La propriété CAGE couvre la forte majorité d'une unité sédimentaire carbonatée paléoprotérozoïque du Groupe du Lake Harbour, qui appartient la partie orientale québécoise de la Province de Churchill. Le paroxysme du métamorphisme et de la déformation s'établit aux alentours de 1,8 Ga. Les données géochronologiques sont à l'extérieur de notre secteur, mais elles ont servi aux auteurs des modèles transhudsoniens.

Pour le NE du Québec, les grandes subdivisons lithotectoniques proposées par différents auteurs s'appuient sur les datations, la géophysique et le style de déformation. Ces subdivisions lithotectoniques sont:

a) La province du Supérieur d'âge archéen, à l'ouest de Kuujjuak qui est une des sources possibles des sédiments uranifères;

b) La fosse linéaire du Labrador de l'orogénie du Nouveau-Québec, d'âge paléoprotérozoique, à l'ouest de Kuujjuak, possédant de nombreuses zones uranifères;

c) La zone paléoprotérozoique « centrale » de la Province de Churchill qui s'étend du secteur de Kuujjuak au fjord d' Abloviak. Les claims d'Uranor sont situés à la bordure NE de cette zone, enclavant la quasi-totalité des marbres du Groupe du Lake Harbour.

d) L'orogène linéaire des Monts Torngats au NE et à l'E. D'après la géochimie de fonds de lacs, ce secteur n'est pas une province uranifère;

e) Le bloc de Burwell (pointe Nord), le décrochement senestre d'Abloviak (avec une composante de chevauchement vers l'W), le cisaillement Komaktorvik et la zone de Saglek, du coté est-terreneuvien.

Dans l'orogène des monts Torngat, vers l'est, le Groupe de Tasiyuak a été décrit comme un gneiss gris blanc avec un protolithe de méta-sédiments et de méta-roches ignées mafiques (semblable au Groupe du Lake Harbour), recoupé par des tonalites à orthopyroxène et des orthogneiss granitiques (archéen remobilisé?). Le signal magnétique du Groupe de Tasiyuak est faible tandis qu'à l'ouest, le Complexe de Lomier s'exprime par une forte signature magnétique homogène. Le Complexe de Lomier est décrit comme des ensembles de roches méta-basiques, de roches méta-sédimentaires et d'anorthosites foliées. Les subdivisions géologiques du Groupe de Lomier sont différentes d'un auteur à l'autre mais tous s'accordent sur sa limite est marquées par sa signature magnétique. La limite ouest des monts Torngat, nommée par les géologues du Ministère des Ressources Naturelles comme la « zone de Brumath », est à la fois un front structural (chevauchements de l'est vers l'ouest et décrochements senestres?) et métamorphique (faciès des granulites à l'E). Cette limite est placée par Verpaelst (2000) plus à l'ouest que la limite proposée par Wardle (2002), ce que semble confirmer la géophysique et la photogéologie. Verpaelst (2000) introduit un nouveau terme, le Complexe de Sukaliuk, distinct du Complexe de Lomier. Le Complexe de Lomier décrit plus au sud de nos claims, recouperait le Groupe du Lake Harbour et encore plus au S serait recoupé par la suite intrusive de Courdon (Girard 1990). Ces deux complexes (Lomier et Sukaliuk) contiennent des lambeaux de paragneiss du Groupe du Lake Harbour. Les paragneiss au NE de Weymouth Inlet, derrière le front des Torngats, mais normalement considérés comme faisant partie du Groupe du Lake Harbour, sont dans le prolongement direct des Complexes de Lomier et de Sukaliuk. On ne les a pas tracé sur nos cartes.

Dans la zone « centrale » de la province de Churchill, on retrouve des granitoïdes archéens remobilisés au paléoprotérozoique selon tous les auteurs. Cette remobilisation thermique (métamorphisme rétrograde, effet sur les minéraux servant pour les datations) est aussi présumément tectonique (les leucosomes, les foliations, les plissements, archéens repris par les Torngats) mais dans les secteurs sans couverture sédimentaire, tonalitique, migmatitique ou granitique comme à George River, il est difficile d'identifier ce qui appartient à l'orogénie Kénoréenne. C'est le secteur le plus méconnu pour nous, car seulement le feuillet SNRC 24I a été cartographié récemment. De grandes parties sont recouvertes de dépôts glaciaires, cachant le roc. Les gneiss tonalitiques ou granitiques, et les migmatites avec des lambeaux ou enclaves d'amphibolite, de paragneiss, et de marbre, dominent. Les structures prennent une direction NNW pour le secteur NE de la zone centrale (24P), et NW et NE pour le secteur sud (24I). Ces traits structuraux s'observent en photogéologie, en géologie, en gravimétrie et en magnétisme. Les limites des sous-zones lithotectoniques proposées par différents auteurs sont basées sur l'interprétation aéromagnétique et gravimétrique, en sus de la reconnaissance géologique. Les cisaillements majeurs connus sont ceux de George River, de Falcoz, et du lac Daniel (24I).

Au SW de la propriété CAGE, une unité magnétique inhomogène archéenne orientée NW côtoie la limite SW du Groupe du Lake Harbour (disparition des unités cartographiables de marbre). Verpaelst et al (2000) proposent de diviser cette unité archéenne en un complexe granitique et tonalitique (Complexe de la rivière Baudan) en transition vers le complexe migmatitique de Kangiqsualujjuak plus au SW. Toutefois, Verpaelst (2000) décrit le Complexe de Baudan de façon brève et nuancée. Sur la carte 24I, les deux complexes sont étroitement interdigités. Cette proposition de division est peu appuyée par le magnétisme et concorde difficilement avec la photogéologie. Or, nous disposons de

très peu de données autres que la photogéologie et le magnétisme, nos travaux ayant été centrés sur les marbres et un peu sur les paragneiss. Nous n'avons pas utilisé ces limites sur nos cartes.

Au SSE de la propriété CAGE, en partie dans le projet de parc écologique de Kuururjuaq et près des claims de la propriété Brumath, une imposante masse de quartzite attribuée au Groupe du Lake Harbour (1200m d'épaisseur (?), bas gravimétrique) repose sur du métabasalte. Cette masse de quartzite est recoupée par des dykes de métagabbro orientés N-S sur sa bordure E et forme une séquence homoclinale chevauchante (?) vers l'W.

Du NW au SSE, le Groupe du Lake Harbour présente donc des faciès distincts entre les carbonates du secteur Cage-Kéglo, les paragneiss de la rivière Abrat et les quartzites de la Montagne de quartzite. La vallée glaciaire E-W de la rivière Koroc, cache en partie la transition entre les carbonates et les quartzites.

Quelques auteurs ont proposé une colonne stratigraphique hypothétique composée de marbre, de quartzite et de paragneiss, de la base vers le sommet. Ceux-ci ont également postulé que le marbre, plus ductile, a facilité le cisaillement à la base du Groupe du Lake Harbour. Vu la répartition géographique mentionnée, et vu que nous n'avons pas étudié ce secteur, on ne peut confirmer cette hypothèse. Personne n'a pu identifier des structures primaires (stromatolithes, évaporites) dans ces roches.

Les paragneiss sont très hétérogènes en minéralogie (quartz, feldspath, biotite) et en texture. Ils présentent des variétés à biotite et grenat almandin, parfois rouillés, et des paragneiss gris riches en quartz et feldspath (quasi-quartzite) dans des proportions variables. Ils n'ont pas été séparés et cartographiés. Nous avons préféré présenter les variations des oxydes (magnétites) et nous pouvons nous appuyer sur le levé magnétique héliporté.

Le mobilisat, d'épaisseur millimétrique, centimétrique ou métrique, reflète en plus grossier, la minéralogie adjacente, incluant parfois du grenat mais est pauvre en mica. Les mobilisats sont souvent défaits en schlierens, allant jusqu'à des augens sur des zones d'épaisseur plurimétrique. La distinction mobilisat-pegmatite est structurale (concordance) et dimensionnelle. Il est possible de qualifier certains paragneiss à augen ou laminés, avec une quasi absence de mobilisat comme des mylonites (déformation ductile). Avec les données dont on dispose, leur répartition dans une séquence donnée est cependant difficile à corréler avec des linéaments ou cisaillements cartographiables.

9.1.1 Métamorphisme et pétrologie

Le métamorphisme régional du Groupe du Lake Harbour est principalement au faciès amphibolite avec quelques zones mal délimitées granulitiques.

- Le marbre est principalement composé de diopside, de forstérite, de calcite et de rutile.

- Dans les paragneiss, l'assemblage est principalement de sillimanite-grenat-biotite-plagioclase-microcline quartz- graphite et dans ceux affectés par le métamorphisme rétrograde s'y ajoute albite-épidote-muscovite-chlorite.

- Les orthogneiss, tonalitiques ou granitiques, présentent un assemblage d'orthopyroxène-palgioclase-microperthite-grenat altéré avec remplacement par la hornblende ou des clinopyroxènes, la magnétite et les oxydes de fer. Texturalement le cœur des massifs est avec une texture linéaire, la bordure avec une foliation frustre ou marquée, sauf s'il y a migmatisation. .

Les leucosomes ou phases pegmatitiques seraient plus potassiques dans les orthogneiss que dans les paragneiss.

Les massifs de granite non folié sont rares et mal délimités sauf le lointain granite de De Pas à l'ouest, appartenant à l'orogène du Nouveau-Québec.

9.1.2 Géochronologie des groupes lithologiques

Les données géochronologiques font l'objet de discussion tant par Wardle (2002) que par Verpaeslt (2000) mais ces données proviennent à l'extérieur de nos claims. Par la méthode Sm-Nd, Verpaeslt (2000) suggère un âge et une provenance archéenne entre 2,7-3,1 Ma.

Scott (2002) propose un âge de sédimentation paléoprotérozoique entre 2,2-1,9Ma pour le Groupe du Lake Harbour du secteur de la Terre de Baffin, associée à des dépôts de l'érosion de l'orogène Thélon-Talston antérieur à 1,93Ma. L'âge 2,7-3,1 Ma est l'âge de la source des sédiments plutôt que l'âge des sédiments.

Les âges métamorphiques des monts Torngat et de la Province du Churchill vont de 1860 à 1820 Ma (Bertrand, 1993).

9.2 Géologie régionale du quaternaire

L'Inlandsis Laurentidien a couvert entièrement le Québec lors de la dernière glaciation du Wisconsinien. Les dernières calottes glaciaires subsistèrent au Québec-Labrador jusqu'à environ 7000 « Before Present » (B.P.) (Dyke et Moore, 2003) (figure 9.2.1, annexe A). La direction répertoriée la plus ancienne du mouvement des masses glaciaires est vers le NNE. Ce mouvement fut suivi par un autre de direction NE datant du dernier maximum glaciaire et d'un troisième en direction NW lors de la déglaciation (Parent et Paradis, 1999).

La déglaciation a permis l'ouverture du détroit d'Hudson entre la Terre de Baffin et le Québec vers 8500 B.P. et se poursuivit en dégageant les eaux nordiques de la Baie d'Ungava vers 8000 B.P (Dyke et Moore, 2003). Une accélération de la déglaciation se fit entre 8000 et 7000 B.P., ce qui a permis de dégager presque entièrement la Baie d'Ungava ainsi que la majorité de la pointe NE du Québec-Labrador (figure 9.2.1, annexe A). Seule une calotte glaciaire restreinte a subsistée pendant quelques centaines d'années sur les monts Torngat au Labrador (Dyke et Moore, 2003). La distance de recul du front glaciaire a été de 70 à 170 km en mer et de 40 à 70 km sur terre lors de cette période (figure 9.2.1, annexe A).

La perte des grandes masses glaciaires sur le Québec a permis au socle, qui avait été enfoncé sous le poids de l'Inlandsis Laurentidien, de remonter plus ou moins régulièrement par isostasie depuis la déglaciation. Le rebond du socle dans le nord du Québec peut atteindre jusqu'à plus de 300 m de hauteur dans certaines régions (Andrews et Tyler, 1977). Il a connu une vitesse de remontée de 5 à 10 m par siècle lors des 2000 à 4000 premières années après la déglaciation (Elson, 1969) et a ralenti à environ 90 à 140 cm par siècle de nos jours (Pienitz et al., 1991; Gray et al., 1993).

L'affaissement du socle provoqué par la masse glaciaire a permis l'envahissement des terres par les eaux de la Mer d'Iberville (Baie d'Ungava). Les niveaux marins maximums mesurés à l'ouest et au sud de la Baie d'Ungava varient de 120 m « at sea level » (a.s.l.) à 180 m a.s.l. avec des âges entre 8000 et 6000 B.P. (Gray et al., 1980). Un niveau marin de 148 m a.s.l. (481 pieds) a été daté à 7350 B.P. à Aupaluk à l'ouest de la Baie d'Ungava (Lauriol et al., 1979). Cette mesure a été utilisée pour déterminer le niveau d'envahissement marin dans la figure 9.2.2 (annexe A) pour le côté est de la Baie d'Ungava. Dans cette dernière région, il existe peu de données, mais Auger et Allard (2004) mentionnent que la rivière Ford (SNRC 24I04) a été envahie par la Mer d'Iberville en 7650 B.P. D'autres niveaux ont été mesurés entre 40 et 60 m a.s.l. avec des âges de 5000 et 6000 B.P. et 25 m a.s.l. avec des âges de 2000 et 3000 B.P. sur les cotés ouest et sud de la Baie d'Ungava (Lauriol et Gray, 1980). Ces derniers niveaux représenteraient des pauses lors de la remontée isostatique du socle (Lauriol et Gray, 1980).

9.3 Géologie locale

Les travaux antérieurs de géologie couvrant nos claims sont ceux de Taylor (1979) pour le feuillet SNRC 24P et ceux de Verpaelst et al. (2000) pour le feuillet SNRC 24I (carte 3, en annexe D). La description de Taylor (1979), autre que ses cartes des feuillets 24P et 24I, est régionale (18 feuillets SNRC à l'échelle 1 :250 000). Verpaelst et al. (2000) ont décrit la géologie, la stratigraphie, le métamorphisme, la structure, la lithogéochimie, la géochronologie, les sédiments de fonds de lacs et la géologie économique du secteur couvrant le feuillet 24I.

Les roches carbonatées du Groupe du Lake Harbour ont été reconnues sur le terrain d'après la cartographie géologique de Taylor (1979) et de Verpaelst et al. (2000), d'après la photogéologie (karst entre autre), d'après la signature magnétique (faible magnétisme), d'après la spectrométrie (faible en eK, eU, eTh sauf pour les pegmatites et les roches du secteur CAGE), d'après la géochimie des sédiments de fonds de lacs utilisant les valeurs en U et Th et d'après les critères de corrélation de CAGE.

La limite SW du marbre du Groupe de Lake Harbour n'est donc pas connue avec certitude mais elle frôle la limite SW de la propriété CAGE.

Il y a des divergences entre les auteurs sur l'interprétation de la position du front des monts Torngat, possiblement à la limite NE de la propriété CAGE. Le complexe de Sukaliuk constitué de lambeaux du Groupe du Lake Harbour est défini par Verpaelst et al (2000) comme faisant partie des monts Torngat et du Groupe de Lomier au sens large plutôt que du « core zone » décrit par Wardle (2002). Le front des monts Torngat, sur la base de la géologie et du magnétisme, est bien à la limite ouest de nos claims.

La distribution quartzite-paragneiss-marbre est différente dans le secteur NW de la propriété CAGE de celle habituellement décrite pour le Lake Harbour. Le paragneiss ou le marbre y sont dominants et le quartzite pur est rare. Dans le secteur SE, les unités de quartzite pur, de paragneiss et de roches mafiques sont fréquentes et les unités de marbre sont rarissimes. L'interdigitation des faciès n'a presque pas été observée sur nos claims. Cela est certainement influencé par la dislocation par les déformations et écaillages, les contacts n'étant pas primaires.

Tels qu'observés sur la propriété Brumath, les quartzites purs ont peu de minéraux lourds et leur litage est préservé. Le métamorphisme cache l'état d'oxydoréduction initial de ces quartzites. Leur origine pourrait être éolienne. Aucune unité de conglomérat n'a été reconnue.

De même, les paragneiss souvent rouillés (sulfures et graphite) forment un milieu à la fois réducteur et plus argileux que les quartzites, mais encore souvent riche en quartz.

Des unités de magnétitite (50-80% de magnétite) ont été reconnues sur la rivière Koroc (10km2).

Les « marbres » de CAGE sont des marbres ou dolomies riches en Ba, à rubanement d'échelle cm-dm, de calcsilicate, actuellement foliés. Les rubanements qui sont possiblement des litages primaires, sont d'échelle plurimétrique. On ne voit aucune indication de mat algaires, de rythmites sédimentaires ou de quelques textures primaires. Nous n'avons peu d'indications sur le terrain d'apport détritique grèseux, argileux (marnes) dans les « marbres » sauf par l'abondance des minéraux métamorphiques. Les calcsilicates sont constitués d'un peu plus de minéraux métamorphiques autres que les carbonates et leur nature primaire est difficile à établir. De même, leur appartenance à une séquence évaporitique est aussi questionnable.

Les principales distinctions « lithologiques » dans les marbres s'appuient sur l'apport en silice (calcsilicate) ou la variation dolomie-calcite (diagramme ternaire CaO-MgO-SiO2). La plus grande partie des minéraux des calcsilicates sont des minéraux métamorphiques magnésiens (olivine serpentinisée-diopside-trémolite-phlogopite) qui se présentent actuellement sous la forme de

rubanements métamorphiques. Ces derniers peuvent s'apparenter aux leucosomes des paragneiss. Les variations minéralogiques (olivine-diopside) et chimiques pourraient provenir de différents faciès sédimentologiques primaires, mais cela est difficile à démontrer en pétrographie ou en lithogéochimie.

Les évaporites se retrouvent souvent dans des bassins avec des alternances de dolomie et de faciès pélitique. Les évaporites actuelles se forment à l'interface eaux-air, entre 10cm et 20m de tranche d'eau. Or, il est difficile de démontrer l'existence d'évaporites anciennes car les minéraux caractéristiques (halite, sulfates, et.) s'autodétruisent souvent dès la diagénèse même dans les roches plus récentes. De plus, le métamorphisme achève de détruire la texture et les minéraux typiques de cet environnement et leur pseudomorphes. Certains minéraux typiques du métamorhisme des évaporites (barytine, tourmaline) sont absents du marbre du Groupe du Lake Harbour.

Les sédiments détritiques proviennent vraisemblablement des socles adjacents de la province du Supérieur (Taylor 1979), du craton de Nain ou d'une partie du craton du Grand-Nord sur lequel repose les sédiments. Selon ce qui est connu sur la Terre de Baffin, la source des sédiments proviendrait d'un socle de la province du Supérieure, mais les zircons détritiques de Baffin ont un âge entre 2,35 et 1,95Ma. Selon Verpaelst (2000), les zircons du SE (24I) ont un âge typique entre 2600Ma et 3031Ma. Dans tous les cas, le socle archéen, au moment de la sédimentation du Groupe du Lake Harbour, est tonalitique, granodioritique (migmatite) et granitique (feldpaths potassiques, biotite, hornblende) avec des lambeaux de roches mafiques et ultramafiques. Pour contenir l'U et le Th, on y trouve de l'allanite, du zircon (excroissance), des minéraux lourds (titanite) et de la monazite.

Taylor (1979) suggère un milieu d'eau peu profonde pour les marbres. L'étendue (incluant l'île de Baffin), l'épaisseur présumée, la présence de sulfures et graphite ont amené Jackson à suggérer un bassin peu profond, en partie euxinique. Il suggère une parenté lithologique avec les sédiments de la Fosse du Labrador. Verpaeslt (2000) propose un bassin d'arrière-arc mais basé sur la lithogéochimie des roches volcaniques.

L'âge probable des sédiments (2,2-1,9Ma). On peut présumer un bassin épicontinental, d'eaux peu profondes. Pour les marbres dolomitiques, un environnement de sebkha, évaporitique est possible. Nous ignorons si les marbres ont suivi ou précédé les détritiques (paragneiss, quartzite). Les paragneiss à biotite et sulfures sont possiblement d'un milieu euxinique, mais la transition carbonates-détritiques est actuellement brutale.

L'une des hypothèses métallogéniques à envisager est celle d'un piège sédimentaire évaporitique pour l'U. On devrait alors retrouver de la minéralisation syngénétique maintenant remobilisée. Or. la distribution actuelle de l'uranium est très étroite sur les pics minéralisés des différentes zones (rainurages et zone A-F) sans halo uranifère dans les sédiments. En lame mince, l'uraninite est lus souvent disséminée en bordure des grains d'olivine, de phlogopite ou de molybdénite ou se retrouve fréquemment en amas irréguliers dans la foliation ou dans les fractures bien qu'elle soit parfois dans les fissures de certains grains de pyrite.

Une autre hypothèse est celle d'un piège tectonique dans certains plans de foliation de la dolomie. Comme mentionné précédemment, la distribution finale et tardive de l'uranium en affleurement ou en lames minces est très irrégulière, genre effet pépite dans le plan de foliation, souvent associée a des boudins isolés. Deux autres facteurs peuvent en influencer la distribution soit le plissement (minéralisation dans un nez de pli; d'après N. Flotté en annexe B) et la présence de pegmatite.

Indépendamment de l'hypothèse choisie, au point de vue régional, la position des anomalies de part et d'autre du contact (marbre et pegmatite dans les paragneiss) se voit bien en cartographie et nous a amené à concentrer la prospection sur les contacts marbre-paragneiss avec de la pegmatite.

9.3.1 Lithologie

Les descriptions qui suivent résument principalement la description des indices du secteur 24P, pour lequel le levé héliporté a été fait. Les unités lithologiques du Groupe du Lake Harbour reconnues à l'intérieur de nos claims sont formées de marbre, de rare quartzite, de paragneiss et de pegmatite. Le socle, de l'archéen remanié, est formé d'orthogneiss et de pegmatite.

9.3.1.1 *Marbre et roche calco-silicatée*

Le marbre, souvent indissociable des roches calco-silicatées, est principalement dolomitique (50-70% de dolomie) avec quelques veinules de calcite ou de quartz. Il est à grain moyen ou grossier, avec des secteurs à foliation timide à peine visible ou déformé avec une foliation nette. La patine d'altération est tantôt brune (dolomitique, souvent moins folié), blanche (faible réaction au HCl, texture granoblastique centimétrique) ou grise (les plus calcitiques qui s'altèrent vite). Les minéraux ferromagnésiens dans la foliation sont souvent peu alignés, indiquant ainsi une recristallisation post déformation. La déformation ou la densité des veines n'augmentent pas en progressant vers le contact avec le paragneiss.

Les niveaux calco-silicatés ou les rubanements à grain très fin sont le plus souvent boudinés montrant généralement des plissottements intraformationnels. La minéralogie est hétérogène dans les calcsilicates et elle est caractérisée par du diopside. Le fond radiométrique normal se situe entre 40 et 60 cps et augmente à 80 cps les niveaux calco-silicatés plus épais.

Du marbre très similaire peut se retrouver en enclaves dans les pegmatites, les paragneiss et les granitoïdes.

9.3.1.2 *Quartzite*

Les bancs de quartzite (sauf sur la propriété Brumath et plus loin au SSE) forment des lits décimétriques, très discontinus. Il n'y a pas de grès transitionnel, carbonaté ou à tendance paragneissique dans les roches carbonatées. Il n'y a que quelques veinules de quartz. Le bruit de fond radiométrique atteint difficilement 40 cps. Certaines pegmatites peuvent devenir très riches en quartz mais ne sont pas des quartzites au sens usuel de ce terme.

9.3.1.3 *Paragneiss*

La minéralogie des paragneiss est très hétérogène (quartz, feldspath, biotite). Les paragneiss montrent des variétés à biotite et grenat almandin, parfois rouillés, et des paragneiss gris riches en quartz et feldspath (quasi-quartzite) dans des proportions variables. Ils n'ont pas été séparés en unités cartographiables.

Certains auteurs (Taylor, 1978; Ermanovics, 1998) ont séparé en unités distinctes les paragneiss des paragneiss dits rouillés. Aucune distinction de ces types de paragneiss n'a été fait lors de nos travaux 2006. La rouille, par ailleurs, très caractéristique et souvent visible de loin, dissimule bien son origine.

Selon nos prédécesseurs (Ermanovics, 1998), cette rouille se forme par l'altération météoritique de la manière suivante :

- La pyrrothine à grain très fin (moins de 1mm) est présente dans des paragneiss plus riches en biotite, mais ayant une géochimie normale en Cu, Ni, Mo pour des roches d'origine pélitique;
- Elle a parfois été remplacée par de la pyrite;
- Elle est altérée en goethite, sur fractures et en lépidocrocite qui est un hydroxyde facilement remobilisable;
- Les eaux météoritiques remobilisent ces oxydes facilement en les dispersant sur une grande surface.

La pyrrothine ne semble pas responsable du magnétisme d'après l'étude de nos échantillons mais la susceptibilité magnétique y sera vérifiée. Ailleurs dans la littérature, on mentionne du graphite, mais ce minéral semble rarissime. Par contre, nous avons observé à plusieurs reprises, la présence de molybdénite.

Le paragneiss donne des valeurs scintillométriques de 90 à 130 cps. Toutefois, le mobilisat et les pegmatites révèlent un bruit de fond entre 120 et 200 cps. Les pseudo-mylonites ont un bruit de fond radiométrique plus bas que la moyenne (80-90 cps).

9.3.1.4 *Pegmatite*

Sur le plan structural et textural, on distingue ici deux types de pegmatites : les pegmatites situées dans les marbres et celles situées dans les paragneiss.

Les pegmatites situées dans les marbres ont apparemment une composition très similaire à celles des paragneiss, avec moins d'éléments ferromagnésien. Dans les marbres, elles sont discontinues et lenticulaires (échelle métrique à hectométrique), plutôt discordantes ou subconcordantes et plissées. Vu les différences chimiques marquées entre le marbre (sans passée nettement phyllitique ou détritique) et la pegmatite, il est difficile de présumer une origine par anatexie locale. La relation entre les pegmatites des marbres versus celles des paragneiss n'a pas été observée ni par la géophysique héliportée, ni par la cartographie au sol. Leurs valeurs de fond radiométrique varient entre 80 à 200 cps, avec des anomalies spectrométriques plutôt thorifères.

Régionalement, les pegmatites sont fréquentes et suffisamment massives dans le paragneiss au contact des marbres pour constituer des unités cartographiables généralement concordantes. Elles contiennent des enclaves de marbre et de paragneiss. Ces pegmatites quartzo-feldspathiques, de minéralogie grossière, ont une texture hétérogène. On note par endroit la présence du grenat et des micas (biotite, phlogopite). Ce sont vraisemblablement le résultat d'anatexie plus locale que distale. Ces pegmatites sont à simple minéralogie, non zonée. Celles qui se rapprochent des mobilisats sont plus minces (centimétrique à décimétrique), discontinues dès qu'on parcourt quelques mètres. On y trouve des passées très riches en quartz (légère teinte rosée) et d'autres sont presque exclusivement du feldspath, avec parfois une texture graphique ou parfois granoblastique à grains fins. Cette dernière observation a conduit certains géologues à les nommer « granite ». La signature en eK, eU, eTh du levé géophysique héliporté indique une grande continuité de ces pegmatites cartographiables. Celles-ci sont d'épaisseur métrique, plutôt concordante, et déformée, de longueur hectométrique. Il est rarissime qu'on puisse suivre des pegmatites nettement discordantes sur plus de dix mètres.

Dans certains cas (lac du Croissant, Cage), elles sont si continues, massives et en alternance avec des paragneiss, qu'elles donnent l'impression d'être une alternance de niveaux de métagrès (plutôt arkosiques) et de métapélites (paragneiss rouillé à biotite) fortement recristallisés et possiblement remobilisés localement. Les pegmatites forment alors des filons blancs, visibles en hélicoptère, qui malheureusement ont été interprétée en photogéologie, comme des quartzites ou confondus avec des marbres blancs. Leur fond radiométrique (120 à 200 cps) expliquent mieux les contours en eK, eU et eTh du levé spectrométrique que la présence des anomalies ponctuelles repérées au sol. La vérification spectrométrique au sol confirme la forte variabilité du rapport U/Th.

9.3.1.5 *Orthogneiss, granite et pegmatite*

Les gneiss granitiques et/ou les gneiss tonalitiques forment la lithologie dominante de ce qui a généralement été qualifié de socle archéen remobilisé. La remobilisation est si puissante que les rares granites dits plus massifs sont allongés selon la foliation et alternent continuellement avec les gneiss. La présence de hornblende aide à les distinguer des paragneiss. Parfois, les orthogneiss se distinguent en photogéologie et sur le terrain par leur style de fracturation en réseau à angle de 120, 60 et 30 degrés. Ils ont peu de rouille. Les pegmatites, présentes dans les unités plus massives, sont zonées,

avec le feldspath orange en bordure et un coeur de quartz blanc. Les teintes orangées et rosées (hématisation microscopique?) sont plus fréquentes dans la pegmatite et le gneiss granitique. Le passage à des textures nettement migmatitiques avec des enclaves variés (marbre, amphibolite, pyroxénite) est graduel et inconstant. Des variétés de granite ou gneiss à augen ou mylonitique existent. Il n'y a pas de dyke aplitique tardif. Une interdigitation paragneiss-orthogneiss est fréquente à l'échelle hectométrique. Le fond radiométrique est assez constant entre 80 et100cps.

9.3.1.6 *Roches mafiques*

Les unités mafiques telles que les unités anorthositiques, charnockitiques ou granulitiques n'ont pas été visitées par nos équipes et ne sont pas décrites. Nous n'avons pas rencontré de roches de provenance felsique recristallisée.

9.3.2 Lithogéochimie

Les 129 échantillons prélevés pour analyses géochimiques sont des échantillons choisis à partir des anomalies spectrométriques (tableau 9.3.2.1, annexe C). Ils sont, en grande majorité minéralisés en U et parfois en Th. Ces échantillons analysés sont dispersés dans différentes unités lithologiques de la zone indicielle minéralisée de CAGE ou des zones d'anomalies radiométriques régionales. L'encaissant stérile des unités minéralisées n'ayant pas fait l'objet d'une campagne d'échantillonnage systématique, il est difficile, à partir des données géochimiques prélevés pour leur valeurs uranifères, de distinguer les changements chimiques liés à l'épisode minéralisateur de ceux métamorphiques ou primaires et de déterminer les moyennes du fond géochimique des lithologies non minéralisées. Ces dernières moyennes ne peuvent être calculées qu'en éliminant les plus hautes valeurs ce qui revient à éliminer presque tous les échantillons. Les chiffres que nous citerons par la suite sont donc peu nombreux pour une étude statistique valable et sujets à être modifiés lorsque nous aurons plus d'analyses notamment par les futurs sondages.

Nos échantillons de marbre peuvent renfermer des copeaux de roche calco-silicatée ou des boudins de pegmatites. De même, notre échantillonnage des granitoïdes a un biais envers les pegmatites. Il peut aussi y avoir des enclaves de gneiss ou de marbre dans les pegmatites. Pour contrer ces problèmes d'échantillonnage, les analyses utilisées dans cette étude lithogéochimique ont été filtrées sur la base de la description géologique afin d'éliminer celles provenant d'échantillons hétérogènes provenant de plusieurs lithologies.

Au total, 54 éléments incluant des éléments majeurs (Al, Fe, Mg, Ca, K, Na, Mn, Ti, P) et traces (principalement les métaux et les lanthanides) ont été analysés par le laboratoire SRC (Saskatchewan Research Council), en utilisant les méthodes ICP-MS et AA pour l'or. Cette série d'éléments, qui était proposée par le laboratoire spécifiquement pour l'analyse d'échantillons uranifères, n'inclut pas le Si. Cela limite le choix des diagrammes permettant de discriminer les unités siliceuses et felsiques (quartzite, pegmatite, gneiss).

La présence de rubanement métamorphique a été interprétée comme indiquant possiblement des processus de fusion partielle. Ces processus peuvent modifier la composition des roches, en particulier pour le K, Na, Ca et les LFSE (Cs, Rb, Ba, Pb, U et Th) qui sont considérés comme les éléments les plus mobiles lors du métamorphisme.

La présence de barytine, galène, allanite et monazite en lame mince, dans les unités uranifères, suggère que le Ba, Pb et Th ont pu être mobile lors de l'événement minéralisateur syn-à post métamorphique. De ce fait, seuls les échantillons les moins minéralisés ont été pris en compte pour évaluer la mobilité des éléments lors du métamorphisme. Ces échantillons sont représentés principalement par des marbres et roches calco-silicatées de la zone indicielle CAGE. Pour ces échantillons peu minéralisés, le comportement du Ca a été comparé à celui de Al et du Li, c'est-à-dire à des éléments considérés comme peu mobiles lors du métamorphisme. Dans les diagrammes Al et Li vs CaO, les analyses sont peu dispersées indiquant que le Ca est probablement peu mobile lors du

métamorphisme. La faible mobilité de cet élément, pourtant considéré comme un des éléments les plus mobiles lors du métamorphisme, suggère que le métamorphisme serait relativement isochimique, du moins dans le secteur de CAGE (figure 9.3.2.1, annexe A). Le comportement du K et Na lors du métamorphisme n'a pas pu être caractérisé puisque ces éléments sont très peu abondants dans les marbres et les roches calco-silicatées.

9.3.2.1 *Marbres et roches calco-silicatées*

Les marbres ont été prélevés uniquement dans les zones indicielles de CAGE et CAGE extension sud. Deux types de marbre sont différenciés sur la base de leur composition en éléments majeurs : les marbres dolomitiques et les marbres calcitiques (figures 9.3.2.2 et 9.3.2.4a-d, annexe A). Les marbres dolomitiques sont composés principalement de CaO (27,00-34,70 % pds) et de MgO (17,00-25,10 % pds). Leurs teneurs en Fe_2O_3 (<0,79 % pds) et en Al_2O_3 (<0,85 % pds) sont faibles. Les marbres plus alumineux ont des teneurs en calcium et magnésium plus faibles que les marbres dolomitiques (CaO = 21,50-31,30 % pds ; MgO = 13,20-23,80 % pds) mais ils sont plus enrichis en fer et en aluminum (Fe_2O_3 = 0,43-3,22 % pds ; Al_2O_3 = 1,07-3,82 % pds). Ces changements de composition se traduisent par des variations de la proportion modale des carbonates (dolomite, calcite), des silicates calciques et magnésiens (olivine, pyroxène, trémolite, épidote) et des phyllosilicates (phlogopite). Le K_2O (<0,88 % pds), Na_2O (<0,41 % pds) et MnO (<0,07 % pds) de l'ensemble des marbres sont peu abondants (figure 9.3.2.4c, annexe A). En terme d'éléments traces, les marbres présentent de fortes teneurs en Ba (Ba = 282-25600 ppm) traduisant la présence de barytine (figure 9.3.2.4d et Figure 9.3.2.5a, annexe A). Les teneurs en métaux, en particulier le Zn, Pb et le Mo peuvent aussi être élevées dans certains échantillons. Les marbres sont pauvres en Th (Th = 1-21 ppm), REE (ΣREE excepté Tm et Lu = 14,60-64,90 ppm), Li (Li = 1-23 ppm) (figure 9.3.2.5a-c, annexe A). Ces faibles teneurs en Li traduisent l'abondance de dolomite dans les marbres magnésiens, Li^+ se substituant difficilement au Mg^{2+} dans le réseau cristallin de ce minéral.

Les roches calco-silicatées proviennent de la zone indicielle CAGE (14 échantillons) et du secteur régional (10 échantillons dont 3 localisés dans la zone Davis Inlet sud). La composition des roches calco-silicatées se différencie de celle des marbres par des teneurs plus importantes en Al_2O_3 (1,09-9,93 % pds), Fe_2O_3 (0,59-5,67 % pds), K_2O (0,39-2,46 % pds), Na_2O (0,05-2,52 % pds) mais plus faible en MgO (11,10-20,60 % pds) et CaO (17,00-26,90 % pds) (figure 9.3.2.3 et Figure 9.3.2.4a-c, annexe A). Trois échantillons, décrits sur le terrain comme des roches calco-silicatées, présentent une composition différente des roches calco-silicatée précédemment décrites de part leur composition essentiellement dominée par Al_2O_3 (17,10-26,70 % pds) et CaO (20,30 à 24,70% pds). Ces échantillons ont de faibles teneurs en fer, magnésium et alcalins (figure 9.3.2.4a-c, annexe A). En lame-mince, ils sont composés essentiellement de pyroxène avec des proportions variable d'olivine et épidote. Deux échantillons de roches calco-silicatées présentent des teneurs en Au et Cu au-dessus de la moyenne (Au = 158, 422 ppm ; Cu =344, 135 ppm). Les teneurs en Pb et Mo sont aussi élevées dans la majorité des échantillons (Pb = 101-12100 ppm ; Mo = 1,7-6590 ppm). Les roches calco-silicatées présentent des rapports U/Th et Li/Mg ainsi que des teneurs en Ba et Li variables suivant que les échantillons proviennent de la zone indicielle CAGE ou du secteur régional (figure 9.3.2.5a-c, annexe A). Les roches calco-silicatées de la zone indicielle CAGE ont des rapports U/Th (401 ± 332) élevés et Li/Mg (6 ± 3) moyens, ainsi que des teneurs importantes en Ba (3010 ± 1023) et Li (103 ± 58). Par contre, les roches calco-silicatées de la zone régionale ont des rapports U/Th (65 ± 95) et Li/Mg (2 ± 1) ainsi que des teneurs moyennes à faibles en Ba (259 ± 80) et Li (25 ± 14). Sur le diagramme MgO vs Li de la figure 9.3.2.5c (annexe A), les roches calco-silicatées de la zone indicielle se repartissent entre les champs de la dolomite et celui de la saponite, un minéral communément décrit dans les séquences évaporitiques. Dans les roches métamorphiques, le Li s'accommode principalement dans le réseau cristallin des micas et de la tourmaline. Toutefois, jusqu'à présent la tourmaline n'a pas été observée dans les roches calco-silicatées.

9.3.2.2 *Pegmatites*

À l'exception de quatre échantillons potentiellement très siliceux (somme des éléments analysés < 16 % pds), les pegmatites présentent des teneurs variables en aluminium (Al_2O_3 = 7,69-19,60 % pds), potassium (K_2O = 0,14-10,50 % pds), sodium (Na_2O = 0,29-8,28 % pds), calcium (CaO = 0,17-12,70 % pds), fer (Fe2O3 = 0,54-9,10 % pds) et magnésium (MgO = 0,09-4,97 % pds) (figure 9.3.2.3 et figure 9.3.2.6a-c, annexe A). Ces variations chimiques se traduisent par une diversité des proportions modales en quartz, microcline, plagioclase et minéraux ferro-magnésiens. Le MnO, TiO_2 et P_2O_5 sont peu abondants (MnO <0,12 ; TiO_2 <0,89; P_2O_5 <0,69) pour la plupart des échantillons ; quelques-uns présentent toutefois des teneurs anormalement élevées en TiO_2 (1,22-1,47 % pds) et P_2O_5 (2,73-5,68 % pds). Pour la majorité des pegmatites, TiO_2 se corrèle très bien avec Fe_2O_3+MgO ; une tendance qui suggère l'incorporation du titane dans le réseau cristallin des minéraux ferro-magnésiens (figure 9.3.2.6d, annexe A). Les fortes teneurs en TiO_2 dans certains échantillons pauvres en Fe_2O_3+MgO peuvent être attribuées directement à la présence de minéraux titanifère (titanite). De même, des échantillons sont riches Fe_2O_3 et pauvres en TiO_2, suggérant la présence de sulfure ou d'oxydes de fer. Les fortes teneurs en P_2O_5 pourraient être compatibles avec la présence de monazite, laquelle a été observée en lame mince, dans certaines pegmatites. Les teneurs en métaux, comme le Pb et la Mo, peuvent être élevées dans certains échantillons (Pb = 2-3200 ppm ; Mo = 1-3210 ppm). L'or et le cuivre sont aussi présent (Au = DL-15 ppm ; Cu = DL-326 ppm). Les teneurs en Ba, Zr, Th et terres-rares (REE), sont aussi importantes dans plusieurs échantillons (Ba = 16-12300 ppm ; Zr = 8-17400 ppm ; Th = 1-5580 ppm ; ΣREE excepté Tm et Lu = 14-7780 ppm), traduisant la présence de barytine, zircon et allanite.

En terme d'éléments majeurs et traces, il est difficile de différencier clairement les pegmatites prélevées au contact du marbre ou associées au marbre de la zone indicielle de celles associées aux paragneiss ou orthogneiss. Toutefois, il semble que les pegmatites associées aux marbres sont plus riches en éléments alcalins et en aluminium mais pauvre en fer contrairement à celles associées aux roches gneissiques (figure 9.3.2.6a-c, annexe A). Par contre, aucune différence dans les teneurs Ca, Mg, Ba, Zr, U, Th n'est observée.

Les recoupements observés sur le terrain suggèrent que les pegmatites soient issues d'une anatexie locale. Cette hypothèse ne peut pas être vérifiée avec les données de géochimie car les gneiss adjacents aux pegmatites n'ont pas été échantillonnés.

9.3.2.3 *Paragneiss et orthogneiss*

Avec l'absence de SiO2, il est impossible de bien évaluer les gneiss sur la base des éléments majeurs. A l'œil nu, les roches gneissiques (paragneiss et orthogneiss) sont localement plus psammitiques (quartzeux) et/ou plus riches en biotite. La rouille (altération de sulfures) est souvent présente ainsi qu'un peu de graphite.

Trop peu d'orthogneiss ont été échantillonnés pour des analyses et la distinction granite – tonalite n'est pas facile ni sur l'affleurement, ni en pétrographie. Les valeurs spectrométriques signalées sur les roches gneissiques (rarement au-dessus de 200cps) ont donné des rapports U/Th nettement thorifère.

9.4 Géologie locale du quaternaire

Dans le secteur de la propriété CAGE, le couvert de dépôts d'âge Quaternaire est relativement mince (<30cm) et le roc est généralement bien exposé. Même sur les pentes, les affleurements sont souvent visibles. Ce n'est qu'au fond des vallées que les affleurements peuvent être peu communs, l'épaisseur des dépôts meubles est suffisante pour camoufler le roc.

Le type de dépôts meubles qui a été noté par les géologues de Omégalpha est principalement composé de sable et de blocs épars. Il a été noté qu'en certains endroits, notamment dans les marbres, ce sol sablonneux est parfois exclusivement composé de grains de dolomie/calcite provenant de ces marbres.

Il est possible que ce type de sol soit du marbre désagrégé sur place (un type de saprolite?) par le gel/dégel depuis la déglaciation. Ceci est corroboré par l'état du roc sur un indice (CAGE-B) après qu'il eu été décapé où la surface dégagée composée de marbre était inégale avec des creux de 60 à 90 cm. Seule la pegmatite voisine a conservé une surface relativement plate (roche très compétente). Le marbre était friable et se débitait facilement en petits morceaux lors du lavage aux jets d'eau sous pression de l'affleurement. Certains endroits du marbre étaient un peu plus compétents et ont résisté aux jets d'eau sous pression. Ce marbre était malgré tout fortement fracturé sur une épaisseur d'environ 60 cm (type felsenmeer). Par comparaison, au décapage de l'indice CAGE-D, la surface du marbre est relativement plate avec quelques stries parallèles d'origine glaciaire qui ont un azimut de N315°, ce qui correspondrait au dernier mouvement glaciaire dans la région (Parent et Paradis, 1999).

Peu de formes d'origine glaciaire ou post-glaciaire (bourrelets morainiques, eskers, dunes, etc.) ont été observées sur le terrain. Seuls, au sud du secteur indiciel de CAGE dans la Baie Keglo, des bourrelets morainiques orientés NE-SW sont observés au fond d'un bras de la baie. Ils représentent une poussée d'un glacier vers le NW dans ce bras de la Baie Keglo.

La faible épaisseur des dépôts d'origine glaciaire peut être expliquée en partie par l'altitude atteinte par la mer d'Iberville qui a envahit le tiers nord de la propriété en 7350 B.P. Tout dépôt meuble aura été lessivé par l'action des vagues et des marées. Il est possible de supposer que les marées étaient aussi importantes à cette époque que celles d'aujourd'hui avec une amplitude de 12 à 16 mètres. Ce lessivage peut avoir éliminé les argiles et les silts des dépôts meubles ne laissant que les sables et les blocs qui auraient résistés à l'érosion. Les formes d'origine glaciaire et post-glaciaire ont probablement été lessivées et les blocs transportés et/ou érodés par l'action des vagues et des marées, ce qui aurait oblitéré une grande partie des formes d'origine glaciaire et post-glaciaire dans ce secteur.

Un deuxième facteur est le type de base du glacier dans la région; un glacier à base froide laisse souvent peu de dépôts car la glace est collée à la surface rocheuse et très peu d'érosion est effectuée par le mouvement de la glace, tandis qu'un glacier à base chaude est très actif, érode le socle et dépose de grandes quantités de matériel au front glaciaire. Auger et Allard (2004) suggèrent que les déversements des eaux des lacs glaciaires Ojibway et Agassiz dans l'Atlantique nord vers 8200 B.P. aient causé un refroidissement global qui aurait fait passer le dôme de l'Inlandsis Laurentidien d'une base chaude à une base froide. Il est à noter que le front de l'Inlandsis entre 8000 et 7000 B.P. dans le secteur est de la Baie d'Ungava reculait en moyenne de 40 à 70 m par année. En tenant compte de la topographie accidentée de cette région, il est fort probable que les sommets aient été dégagés beaucoup plus rapidement que les vallées.

Parmi les anomalies, nous avons 145 blocs et 27 anomalies non affleurantes (sols). Sur le terrain, nous n'avons pas entrepris de recherche de train de blocs. En effet, la plupart des blocs proviennent de talus d'éboulis et on estimait en connaître la provenance locale. Il est possible que dans le futur nous ayons à retracer l'origine de certains blocs.

On a parfois observé des blocs exotiques sur des collines et montagnes (pegmatite sur marbre, amphibolite, granite) ainsi que dans la zone intertidale.

Dans les vallées loin de l'indice CAGE, des vallées topographiquement plus élevées, lorsque les traverses passaient entre les crêtes, nous observions des blocs glaciaires arrondis dont la provenance est plus complexe. Fréquemment, le bruit de fond était plus élevé, autour de 150-200cps sur des blocs de pegmatite arrondis. Aucune recherche n'a été faite.

10.0 TYPES DE GÎTES MINÉRAUX

Lors des travaux de terrain 2006, les minéralisations uranifères ont été classées en deux types de modèle soient le modèle de type Rossing (pegmatite) et le modèle de type CAGE (marbre et roche calco-silicatée) (tableau 10.1, annexe C).

Les principales minéralisations (Zones de Davis Inlet et de CAGE) sont situées de part et d'autre d'un contact paragneiss/pegmatite/marbre fortement déformé de façon ductile par une zone de transpression dextre. Sur la zone Davis Inlet, les marbres affleurent peu souvent. Sur la zone indicielle de CAGE, les pegmatites et les paragneiss adjacents sont anomaux en U et en Th à une échelle kilométrique (d'après le levé spectrométrique héliporté) mais avec peu d'anomalies ponctuelles. Des les zones anomaliques autres que Davis Inlet et CAGE (ex. : Tasiujaaluk), les pegmatites dans les marbres sont généralement thorifères. On ne dispose pas de datations.

10.1 Modèle de type Rossing (zone de Davis Inlet)

La minéralisation uranifère reconnue sur le gisement de Rossing en Namibie est encaissée dans des pegmatites appelées alaskites. Pétrographiquement, les alaskites sont un assemblage grenu de quartz, de feldspath alcalin, de biotite avec des traces de muscovite, de chlorite et de calcite et elles possèdent une minéralogie simple.

À l'exemple du type Rossing, la minéralisation dans certains secteurs de la propriété (ex : zones Davis Inlet et Tasiujaaluk) est également encaissée dans des pegmatites plus riches en K2O associées à des amas de biotite, de phlogopite et de quartz fumé au contact avec des marbres et des paragneiss.

L'observation microscopique des lames minces montre que les principaux minéraux porteurs d'uranium dans les pegmatites et les paragneiss sont : *l'allanite, le zircon, la monazite, et les minéraux titanifères (titanites)*. Ces minéraux sont le plus souvent associés à de la biotite, de l'hématite, du quartz, des sulfures et à des phyllosilicates.

L' *allanite* est parfois automorphe et de couleur brunâtre, ou bien sous forme de baguette allongée, associée à la biotite et au zircon. Elle est associée à du quartz partiellement déformé et à de l'hématite (figure 10.1.1a, annexe A).

Le *zircon* est relativement abondant dans les lames minces. Il est souvent automorphe et entouré par une auréole paléochroïque noire ou brunâtre dans les biotites et les amphiboles. Il est parfois zoné et viens se greffer par endroit sur l'allanite, avec qui il a une association paragénétique simple (figure 10.1.1b, annexe A).

Les *titanites* sont assez fréquents et de petite taille. Elles se présentent en cristaux aplatis et parfois losangiques et sont souvent associées à de la biotite et à la muscovite. La calcite semble séricitisée par endroit, surtout au contact avec les titanites (figure 10.1.1c, annexe A).

La *monazite* est souvent associée à des zones riches en biotite et des minéraux opaques. Elle est caractérisée par des fractures radiales formant un point triple autour du minéral. La monazite est entourée par une auréole constituée de muscovite et de biotite. On y observe également quelques sulfures (figure 10.1.1d et e, annexe A).

Le tableau 10.1.1 (annexe C) montre la séquence paragénétique entre les minéraux observés et la déformation.

L'uraninite fut observée dans certaines lames minces. Elle se trouve souvent dans des enclaves de marbres ou des roches calco-silicatées situées dans les pegmatites. Les observations microscopiques de ces uraninites montrent qu'elles possèdent les mêmes textures et les mêmes caractéristiques que les uraninites observées sur l'indice CAGE.

10.2 Modèle de type CAGE

La minéralisation uranifère de type CAGE est encaissée dans des roches carbonatées à dominance dolomitique (50-70%) pouvant contenir du diopside, de l'olivine et de la phlogopite. Des lambeaux de

calcsilicates boudinés et plissés sont aussi présents, et parfois minéralisés (indice CAGE-D). Toutefois, l'étude pétrographique des lames minces et à l'aide du microscope électronique montre que le minéral porteur de l'uranium dans le secteur indiciel de CAGE est l'uraninite. Cette dernière se présente, soit sous forme d'amas (pechblende?) associé à la calcite et à la dolomie (figure 10.2.1a, annexe A), soit sous forme d'inclusions disséminées dans les espaces interstitiels des minéraux métamorphiques (figures 10.2.1b et c, annexe A). Elle est également associée par endroit à des oxydes de fer dans des veines tardives qui recoupent toute la séquence (figure 10.2.1d, annexe A).

L'uraninite est souvent de petite taille (entre 50 et 150 µm) et peut atteindre 300 µm par endroit. Elle se localise dans des endroits fortement dolomitisés et serpentinisés riches en biotite. Les observations microscopiques, montrent que l'uraninite est souvent entourée d'une couronne d'oxyde de fer. Elle est également associée à des sulfures comme la pyrite, la pyrrhotite, la chalcopyrite, la galène et la phlogopite (figure 10.2.1^{e}, annexe A).

La phlogopite se présente sous forme de microcristaux automorphes, ou bien sous forme de baguettes allongées, localement associées à l'apatite poecilitique, ce qui en fait une phase tardive. Certaines lames minces d'échantillons de roche provenant de l'extension sud du secteur indiciel de CAGE, montrent des textures mylonitiques très prononcées, décrites par N. Flotté, comme étant une foliation mylonitique S3 (N.Flotté, 2006). Ces lames montrent des évidences de cisaillement ductiles, comme des étirements, des ombres de pressions autour des grains de quartz, et des rotations des porphyroclastes (figure 10.2.2d, annexe A).

L'uraninite se trouve sous forme d'inclusion dans plusieurs minéraux porteurs comme l'olivine (souvent serpentinisée; figure 10.2.1f en annexe A), la phlogopite (amphibole calcique et magnésien), la biotite, les carbonates (dolomie) et le diopside (clinopyroxène).

Contrairement a ce qui a été décrit dans la littérature, nous n'avons pas observé de sphène ni de scapolite dans les marbres.

Les roches calco-silicatées sont caractérisées en lame mince, par des veines tardives de calcite recoupant par endroit des olivines altérées, associées à de la phlogopite et du diopside. Les uraninites sont par endroit incluses dans le ciment des calcites interstitielles qui séparent les grains d'olivine. Elle est aussi associée par endroit à des sulfures (figure 10.2.2a, annexe A).

Les lames minces provenant des rainurages, montrent un enrichissement progressif en barytine et sillimanite (figure 10.2.2b, annexe A). La barytine est souvent associée à des amas minéralisés à uraninite, molybdénite et sulfures. On observe des sulfures associés à de l'uraninite dans ces lames, ces sulfures étant constitués de pyrite, de pyrrhotine, de galène, de chalcopyrite et parfois de la bornite (figure 10.2.2c, annexe A).

D'autres minéraux sont également observés dans les marbres et dans les roches calco-silicatées dont le rutile (minéral titanifère associé à de l'hématite et de l'oxyde de fer (figure 10.2.2e, annexe A), la trémolite, le hornblende, la chlorite (figure 10.2.2f, annexe A), le plagioclase et le quartz.

Des échantillons ont également étaient prélevés au fond du lac CAGE, par les plongeurs de Omegalpha. Ces échantillons ont été analysés au microscope électronique. L'observation de ces lames minces, montre que l'uraninite se présente sous forme massive avec une texture mamelonnée, probablement de la pechblende et parfois disséminée. Cette uraninite possède les mêmes caractéristiques que celles observées dans les lames minces provenant de la zone indicielle de CAGE.

L'uraninite est pauvre en Th et REE. Elle est accompagnée par endroit par la molybdénite ployée. Elle est en inclusions dans les olivines, la serpentine, la calcite et parfois en veinules. La préconcentration d'U pourrait venir des métasédiments, avec un faciès évaporitique. Dans les rainurages, le marbre encaissant la minéralisation est nettement au-dessus du clark, à 44 ppm U.

L'extraction de l'uranium dans les marbres ne devrait pas poser de problème étant donné que celui-ci est sous forme d'uraninite. Les méthodes par lixivation devront prendre en compte la calcicité de l'encaissant.

Le modèle de minéralisation du type CAGE est très peu documenté. Le seul cas canadien qui aurait des ressemblances avec la minéralisation de type CAGE serait celui de McLean Bay du Stark Lake dans les Territoires du Nord-Ouest. La minéralisation à thorium-uranium de l'indice McLean Bay est sous forme de monazite et d'uraninite dans des zones hématitisées rouge-brunâtre (2 et 3 mètres d'épaisseur) dans un lit de dolomie (13 mètres d'épaisseur) interlité avec des unités de quartzite. On ne dispose pas d'informations structurales sur cet indice. Nous mentionnons ce modèle sans prétendre que ce soit celui de CAGE.

11.0 MINÉRALISATIONS

Les minéralisations uranifères dans les marbres sont principalement de l'uraninite. Cette observation est confirmée par les analyses chimiques. L'uraninite se présente sous la forme de grains isolés souvent dans l'olivine métamorphique entourés d'un halo de métamictisation ou alignés en amas accompagnés de minéraux opaques dans la foliation métamorphique ou dans les fractures. Par contre, dans les pegmatites des paragneiss, l'uranium détecté chimiquement peut se retrouver dans l'allanite, les zircons et les minéraux titanifères.

Les analyses chimiques des échantillons choisis (tableau 11.1, annexe C; cartes 12 à 17, annexes E et F) sont représentatives des anomalies mais évidemment incomplètes car les 1035 anomalies (tableau 11.2, annexe C; cartes 20 à 22, annexe F) n'ont pas été toutes analysées. Ces échantillons choisis confirment la valeur des anomalies radiométriques qui se répartissent sur plusieurs zones dites zones anomaliques (ex : Zone Davis Inlet, Zones CAGE-A à F, etc.) associées principalement à des niveaux ou lentilles (cartes 15 à 17, annexes E et F).

Les résultats du levé de prospection effectué sur l'ensemble de la propriété permettent d'expliquer que les anomalies radiométriques associées aux paragneiss et orthogneiss sont généralement thorifères tandis que celles associées aux pegmatites sont uranifères, thorifères ou urano-thorifères. Les pegmatites uranifères présentent des rapports U/Th compris entre 8,36 et 22,02 avec des teneurs en U allant de 1670 à 11700 ppm. Ces pegmatites ont été prélevées essentiellement au contact du marbre et du paragneiss. Les pegmatites thorifères présentent des rapports U/Th inférieur à 0,18 avec des teneurs en Th et U comprises respectivement entre 595-4040 ppm et 2-243 ppm. Les pegmatites urano-thorifères présentent des U/Th intermédiaires (U/Th = 0,26-3,60) et des teneurs en U pouvant atteindre 1820 ppm.

Les teneurs en certains métaux tels que le plomb (Pb), le molybdène (Mo), le cuivre (Cu) et l'or (Au) ainsi qu'en éléments traces tels que le barium (Ba) et le zirconium (Zr) dans les pegmatites minéralisées peuvent être élevées dans certains échantillons (tableau 11.1, annexe C). Toutefois, aucune corrélation n'est clairement observée entre l'U, les métaux (Pb, Mo, Cu, Au), le Ba et le Zr. Par contre, le Th se corrèle très bien avec le Zr (Figure 11.1a-d, annexe A).

Le diagramme Na2O *vs* K2O (Figure 11.2, annexe A) permet de différencier deux familles de pegmatite soient une famille de composition sodique (K2O/Na2O <0,5) à feldspath, dominé par le plagioclase et une famille de composition potassique (K2O/Na2O >2) à feldspath dominé par le microcline. Les pegmatites uranifères ont principalement une composition potassique alors que les pegmatites thorifères ont une composition plus sodique. Ces dernières sont aussi souvent plus riches en Th et Zr. Les pegmatites peuvent donc être classées en 2 grandes familles : les pegmatites potassiques uranifères et les pegmatites plus sodiques à Th-Zr. Les pegmatites uranifères se distribuent préférentiellement dans les zones de CAGE extension sud, Davis Inlet (secteur sud) et Keglo Sud.

Les résultats analytiques confirment ce qui a été postulé dès la découverte de l'indice en 2005 et justifie la stratégie d'exploration qui a été utilisée jusqu'à maintenant.

Les résultats analytiques font ressortir trois zones prépondérantes parmi les zones radiométriques soient les zones de CAGE (CAGE-A à F), de Davis Inlet et de CAGE Extension Sud. Cette dernière zone est une nouvelle zone et non une extension directe de la zone indicielle de CAGE. L'indice CAGE, découvert en 2005, a été étudié intensivement tandis que les deux autres zones sont des découvertes de 2006 beaucoup moins étudiées: La zone de Davis Inlet a été découvert lors de la recherche du prolongement NW des marbres de la zone indicielle CAGE. La prospection effectuée sur la zone CAGE Extension sud fut intégrée au secteur de la baie de Keglo qui inclut la zone Kéglo Sud. Ces deux dernières zones n'ont pas fait l'objet d'un suivi intensif, seulement d'une vérification. Sur la zone indicielle CAGE (Zones CAGE-A à F), nous disposons d'échantillons choisis et provenant de six rainurages effectués sur les zones CAGE-B et CAGE-D.

Les échantillons de rainurage (éch. : CA06-T-01 à 06) sont représentatifs de deux feuillets minéralisés (tableaux 9.3.2.1 et 11.1 en annexe C). Les rainurages T-01 à T-05 se localisent le long de la même zone de l'indice CAGE-D composée des deux feuillets minéralisés (longueur minimale de 110 m) alignés dans une foliation NW-SE. Cette zone montre une extension dans le lac CAGE d'après les travaux de prospection sous-marine. Sur le flanc étiré d'un pli de l'indice CAGE-B, le rainurage T06 recoupe l'un des trois feuillets minéralisés (16 m ouvert aux deux extrémités) reconnus sur l'indice CAGE-B. En plus d'être déformé par une lentille de pegmatite, ce dernier feuillet minéralisé se perd dans du mort terrain qui sera difficile de décaper même mécaniquement.

Avec nos données, il est très difficile d'établir la valeur du fond géochimique par lithologie car nous n'avons pas d'analyses de l'encaissant éloigné des zones minéralisées. La signature radiométrique des marbres de la zone CAGE-D, éloignés de la minéralisation, donne près de 38ppm. Les valeurs radiométriques signalées par Verpaelst et al (2000) ont retourné 3,9 ppm U (15 ppm Th, 169ppm Zr) pour un paragneiss, 1,2ppm U (9,9 ppm Th) pour 3 tonalites, et 9,2 ppm U sur des granites du complexe de Baudan. On n'a aucune donnée historique pour les marbres, les quartzites ou les pegmatites du Groupe du Lake Harbour.

Les anomalies radiométriques résultant de la campagne de prospection au sol, ont été confirmées par le levé spectrométrique héliporté, par des mesures ponctuelles au sol de spectrométrie et par les analyses. La campagne de prospection 2006 effectuée avant le levé héliporté visait à découvrir des anomalies radiométriques. Suite à la visite de reconnaissance de 2005, cette campagne a été planifiée avec très peu de données lithogéochimiques, des anomalies avec des produits jaunes, et avec quelques point radiométriques (CAGE-A), mais en considérant le rôle important de l'unité de marbre. Le Thorium (Th) ne joue pas de rôle significatif dans les marbres comme le montre les rapports U/Th et les analyses. Sur le terrain, avant qu'on connaisse les analyses, un spectromètre a été utilisé pour vérifier si ces anomalies étaient nettement uranifères ce qui est le cas.

Par contre, la spectrométrie au sol a rapidement indiqué que les rapports U/Th étaient beaucoup plus variables dans les pegmatites des paragneiss du Groupe du Lake Harbour. Ce rapport U/Th du spectromètre est assez conforme a celui qu'on obtient par la chimie (tableau 11.1, annexe ?). Le spectromètre au sol a donné des rapports U/Th erronés lorsque la radioactivité était trop faible, en dessous de 250cps. Les valeurs U et Th à l'analyse chimique sont systématiquement plus élevée que celles du spectromètre tant pour le eTh que pour l'eU. Les levés héliportés et les analyses confirment la grande extension de la plupart des zones anomales de l'ensemble de la propriété à la fois en U et en Th.

Au début de la campagne, une entente fut conclue pour fixer le seuil anomalique à 1000cps (mesure au scintillomètre Spp2) pour les roches intrusives felsiques à intermédiaires et les roches métamorphiques et à 300cps pour les roches sédimentaires. Ce seuil n'est pas appuyé par une analyse géostatistique. Il n'a pas été modifié sur le terrain par la suite pour les raisons suivantes :

a) Les géologues et les prospecteurs qui les accompagnaient se déplaçaient avec le scintillomètre (Spp2) ouvert en tout temps et ne focalisaient que si l'instrument se mettait subitement à excéder quelques centaines de coup par seconde (cps);

b) Les prospecteurs ont rapidement découvert qu'en suivant la foliation, on découvrait de nouvelles anomalies;

c) Les fonds radiométriques continus, les plus élevés, n'ont jamais dépassé 300 cps dans des granites rouges ou des pegmatites;

d) Lorsqu'une zone d'affleurement atteignait plus de 250 cps, on y découvrait généralement des anomalies;

e) Pour élargir la zone d'investigation, et pour éviter de piétiner sur le même mètre carré, l'anomalie suivante devait être à au moins 100m;

f) Les blocs provenaient souvent de façon triviale du talus ou de près de la source pour les carbonates et aucun traçage de bloc (boulder tracing) n'a été nécessaire;

g) Le succès (au sens de la découverte de nombreuses anomalies) de la prospection a été instantané.

On ne peut bien comprendre les cartes des anomalies (cartes 20 à 22, annexe F) et les fiches d'anomalies qu'en se référant aux seuils anomaliques décrits ci-haut et du critère de distance de 100m. Par exemple, une zone est continue si plusieurs anomalies se suivent, espacées de plus de 100m. Nos anomalies se distribuent en parallèle, en échelon, le long de joints à angle, circulaires ou elliptiques. De plus, lorsque des carbonates sont proches (alignement N140), le prospecteur avait le mandat de les prospecter même si le fond radiométrique était faible.

Selon les critères mentionnés ci-haut, plusieurs zones radiométriques ont été identifiées sur l'ensemble de la propriété CAGE et divisées selon leur type de minéralisation reconnue selon une mesure spectrométrique ou par reconnaissance directe de la minéralisation sur le terrain.

La division en plusieurs zones anomales portant des noms spécifiques est arbitraire et ne doit pas laisser présumer qu'on lui attribue un sens génétique. Il s'agit d'une simple commodité descriptive, rattachée à un lieu géographique lorsque cela est possible (cartes 6 à 17 et 20 à 22, annexe ?).

11.1 Zone CAGE (Indices CAGE-A à CAGE-F)

La zone indicielle de CAGE est localisée à l'intérieur d'une large péninsule qui est bordée au sud et à l'ouest par la baie Keglo, au nord par la baie d'Ungava et à l'est par les baies Davis et Gregson (cartes 11, 14, 17 et 22, annexes E et F). Elle suit une vallée de 900 mètres de large qui est dans le prolongement SE de la baie Davis Inlet et la longueur de la zone anomale est de 5,4 kilomètres (résultat 2006). Elle est caractérisée par de très nombreuses anomalies radiométriques supérieures à 1000 cps qui sont principalement situées dans les marbres dans une zone large d'environ 500 mètres du côté NE de la vallée, entre les lignes 2+00S et 3+00N de la grille projetée (carte 22, annexe F). Les roches dans la vallée de la zone indicielle de CAGE sont principalement composées de marbres qui sont bordées par des unités de paragneiss à l'est et à l'ouest de la vallée. Vers l'est, les paragneiss laissent la place à une roche d'origine ignée et à l'ouest, seuls des paragneiss ont été identifiés sur les bords supérieurs de la vallée.

Les échantillons minéralisés retrouvés dans la zone indicielle de CAGE sont situés exclusivement dans les marbres et les roches calco-silicatées (18 échantillons présentant des teneurs en U>500 ppm); dans des unités siliceuses mylonitisées (failles) (2 échantillons) et dans les pegmatites au contact avec les marbres (1 échantillon).

Les minéralisations dans les marbres et les roches calco-silicatées de la zone indicielle de CAGE sont exclusivement uranifères (uraninite). La majorité des anomalies en uranium sont associées aux roches calco-silicatées (15 échantillons). Ces dernières ont des teneurs en U comprises entre 974 et 18500 ppm (U >10000 ppm pour 2 échantillons ; U = 2000 à 10000 ppm pour 8 échantillons ; U = 500 à 2000 ppm pour 5 échantillons) et des rapports U/Th compris entre 3 et 1028). À l'exception d'un échantillon provenant de l'indice CAGE-D, les marbres de la zone indicielle de CAGE ont des rapports U/Th compris entre 16 et 78 avec des teneurs en U variant de 16 à 1948 ppm (U >2000 ppm pour 2 échantillons), donc plus faibles que celles des roches calco-silicatées. Le marbre provenant de l'indice CAGE-D a un rapport U/Th élevé de 1940 et une teneur en U de 3880 ppm. Les teneurs en métaux, en particulier le Pb, Mo, Cu et Au peuvent être élevées dans certains échantillons minéralisés. La majorité des échantillons minéralisés présentent des teneurs élevées en Ba (Ba > 1000 ppm) mais aucune corrélation n'est clairement observée entre U et Ba.

Les minéralisations dans les unités siliceuses mylonitisées sont uranifères (U = 17200-21700 ppm; Th = 37-39 ppm). Ces unités sont riches en Ba (1780-2880 ppm) et présentent aussi des teneurs plus importantes que la moyenne en Au (20-58 ppm), Mo (36-132 ppm) et Pb (5750-6300 ppm).

Un échantillon de pegmatite prélevé proche du contact avec les marbres présente une teneur élevée en U (1510 ppm). Cet échantillon présente, tout comme les autres unités minéralisées de la zone indicielle de CAGE, une faible teneur en Th (11 ppm) et, de ce fait, un rapport U/Th élevé (137). Cet échantillon présente aussi des teneurs élevées en Ba (12300 ppm) et Cu (264 ppm).

Les unités principales observées sur le terrain sont : 1) des marbres massifs, 2) des marbres dits « chaotiques », 3) des marbres dits « foliés ou lités », 4) des calcsilicates (roches calco-silicatées) associés aux marbres précédents, 5) des pegmatites blanches dans les marbres, 6) des grès ou quartzite, 7) des paragneiss et 8) des « granites » à feldspath et grenat.

Le marbre massif est à dominance dolomitique et est peu folié et très souvent fracturé (figure 11.1.1, annexe A). Sa couleur en surface altérée varie de chamois pâle à brun orangé et en cassure fraîche, elle varie de blanc cassé à blanc verdâtre ou jaunâtre, parfois rosé. La granulométrie varie de grain moyen à très grossier et est de texture saccharoïdale. Les minéraux observés dans ce marbre sont la dolomie, la calcite, la trémolite, le diopside et l'olivine. La dolomie est le minéral dominant à plus de 50% (50%-70%) de la roche. La calcite n'est détectée que par sa réaction rapide avec l'acide chlorhydrique (30-50%) et se trouvent parfois en veinule. Le diopside est quelquefois observé disséminé sous forme anhédrale dans le marbre et est de couleur vert pâle. La trémolite se présente sous forme de lamelles beiges à blanches plus résistantes à l'érosion que le marbre et montrant rarement une orientation préférentielle quant à leur disposition spatiale dans le marbre. L'olivine est de forme anhédrale et est disséminée dans le marbre dans certaines zones.

Le marbre dit « chaotique » est folié et montre des morceaux de roches calco-silicatées et de pegmatites dispersées dans sa masse. Ces morceaux sont souvent boudinés et replissés, mais il n'est pas possible de suivre un lit ou un banc sur plus d'un mètre dans ce type de marbre (figure 11.1.2, annexe A). Sa couleur est généralement grise avec des variations dues aux morceaux de pegmatites (gris pâle à blanc) et des calcsilicates (vert à brun-roux) présents. En cassure fraîche, il est souvent blanchâtre à brunâtre avec des zones colorées en vert, jaune ou gris selon les inclusions trouvées. La granulométrie varie de moyenne à grossière et est fortement inégale. Les minéraux rencontrés sont la dolomie, la calcite, le quartz, le feldspath blanc, le diopside, la trémolite et les micas blancs à vert ou brun pâle. Ils sont souvent concentrés en de petites zones centimétriques correspondant aux types des fragments trouvés dans le marbre. Leur forme cristalline est variable selon le minéral observé; de type saccharoïdal pour la dolomie et la calcite, anhédral pour le quartz et le feldspath et de euhédral à anhédral pour le diopside, la trémolite et les micas.

Le marbre dit « folié » ou « lité » montre une foliation minérale qui forme fréquemment de minces bancs de ségrégation minérale. Il montre souvent des plissements intrafoliaires dans ces bancs (figure

11.1.3, annexe A) qui sont presque tous composés de calcsilicates. De larges enclaves de pegmatite pouvant être d'ordre métrique sont retrouvés boudinés dans le marbre folié. La couleur de ces marbres est généralement grise en surface altérée et blanchâtre en surface fraîche avec les variations de couleur imposées par les minéraux colorés des calcsilicates tel que le diopside, la trémolite et les micas. La granulométrie varie de moyenne à grossière et est fortement inégale. Les minéraux rencontrés sont la dolomie, la calcite, le quartz, le feldspath blanc, le diopside, la trémolite et des micas.

Les calcsilicates (ou roches calco-silicatées) sont souvent finement intercalés dans les marbres et forment parfois des bancs d'épaisseur métrique qui peuvent être foliés. Ils sont souvent boudinés et démembrés dans les marbres dits « chaotiques » et « foliés/lités ». Sous cette forme, ils peuvent représenter des ségrégations minérales. Ils sont parfois observés sous forme de « pods » entre des unités de marbre (figure 11.1.4, annexe A). La granulométrie est variable et passe de fine à grossière et est fortement inégale. Les minéraux observés sont le diopside vert, la trémolite blanche à jaunâtre, l'actinote, du spinel noir, des micas pâles dont la phlogopite, le quartz, le feldspath et du graphite. Leur forme est variable passant de l'anhédrale à l'euhédrale.

Les pegmatites se trouvent sous forme de dykes, veines, veinules et amas dans les marbres. Elles sont souvent plissées et boudinées selon la foliation des marbres. Certaines pegmatites sont reprises dans la déformation des marbres (amas roulés et boudinés) tandis que d'autres semble s'injecter le long de la foliation ou dans les nez de plis. Leur taille est variable et passe du centimétrique au métrique en largeur. Elles peuvent faire quelques centaines de mètres de long dans le cas des plus gros. Leur couleur est blanchâtre à gris très pâle en surface altérée selon les proportions de quartz et de feldspath présents et de blanc grisâtre à verdâtre en surface fraîche. La granulométrie est généralement de taille centimétrique et plus ou moins égale. Les minéraux observés sont le quartz grisâtre et le feldspath blanc. Les minéraux accessoires et mafiques sont rarement notés et leur forme est anhédrale.

Quelques bancs de grès métamorphisés ont été notés dans le secteur de CAGE, ils sont massifs et modérément foliés. Ces bancs sont d'épaisseur métrique et de longueur décamétrique. Aucune continuité n'a pu être observé aux extrémités de ces bancs. Ils sont intercalés entre les marbres et souvent bordés par des calcsilicates avant de passer au marbre pur. Leur couleur est variable de blanc-gris à verdâtre en surface altérée et grise en surface fraîche. La granulométrie varie de fine à moyenne et est relativement égale. Les minéraux rencontrés sont le quartz, la phlogopite, le feldspath blanc et un peu de pyrite ou de la magnétite à l'occasion. Le quartz compte pour plus de 90% de la roche. Le ciment est généralement silicieux mais peut contenir de la calcite. Près du lac CAGE, deux bancs montrent des matrices différentes; le premier a une matrice silicieuse (aucune réaction à l'acide chlorhydrique 5%) avec des nodules centimétriques cimentés de matériel blanchâtre avec un peu de pyrite. Ces nodules sont peu résistants à l'érosion donnant un aspect en boule à l'affleurement (figure 11.1.5, annexe A). Le second banc est relativement massif et blanchâtre avec une matrice parcourue d'albite et de calcite avec des zones centimétriques d'hématite en filet. Un autre banc, localisé à environ 550 mètres au NO du lac CAGE, est à grain fin, de couleur verdâtre et légèrement magnétique classifié comme arénite (figure 11.1.6, annexe A).

Le paragneiss est rencontré aux bordures est et ouest de la bande principale des marbres. Il est sous forme de bancs rubanés et foliés orientés parallèles à la foliation générale des roches de la vallée (environ N140°). Sa couleur est généralement grise avec des zones de couleur brun-rouille. La granulométrie varie de fine à moyenne et la taille des grains est inégale. Les minéraux principaux sont le quartz, le feldspath, la biotite, l'amphibole ou pyroxène, le grenat et la pyrite. Le quartz, feldspath et les minéraux mafiques forment 95% des paragneiss. Ils sont parfois bien distribués dans la roche avec un rubanement qui varie de léger à moyen. Le grenat est de type almandin de couleur rouge foncé et forme de large porphyroblastes décimétriques. La présence de la pyrite est déduite par la présence de rouille sur certaines zones des affleurements. La forme des minéraux est généralement anhédrale.

La pegmatite à feldspath et grenat (parfois qualifiée de granite) forme la colline juste à l'est du lac CAGE. Il est massif et ne montre de faible foliation que près du contact avec les paragneiss. Il est d'épaisseur et longueur kilométrique et son contact avec les paragneiss est graduel avec les bancs de

paragneiss devenant de moins en moins abondant en montant la colline. Sa couleur est blanchâtre en surface altérée et gris pâle en surface fraîche. La granulométrie varie de moyenne à pegmatitique (centimétrique) et la taille des grains est inégale. Le surnom de granite vient de la granulométrie car ailleurs, il est appelé pegmatite. Les minéraux observés sont le quartz, le feldspath blanc, la biotite brune et le grenat rose. Le quartz et le feldspath forment de 85 à 90% de la roche. Le quartz est grisâtre et de forme anhédrale, le feldspath est automorphe ainsi que le grenat et la biotite. Le grenat perd sa forme cristalline à la bordure du massif et devient de forme anhédrale près des bancs de paragneiss.

Une roche mafique a été observée dans un affleurement à environ 730 mètres au NW du lac de CAGE. Elle se présente sous forme de dyke altéré qui est près d'une pegmatite. Il est à grain très fin et sa couleur est verdâtre en surface altérée et gris foncé en surface fraîche. Les minéraux observés sont la biotite et la molybdénite.

11.1.1 Indice CAGE-A

L'*indice CAGE-A* est localisé au SW du lac Cage dans un secteur de transition entre les faciès chaotique et un faciès folié. Il y a un virage des anomalies lié à un pli serré, avec des lambeaux de pegmatoïdes, et des brèches très locales. Aucun décapage, grille ou plan compteur n'a été fait dans cette zone à cause de l'escarpement et du recouvrement. L'anomalie ponctuelle du levé spectrométrique provient de ce secteur. Les analyses de 2005 et de 2006 confirment le potentiel de cette zone.

11.1.2 Indice CAGE-B

L'*indice CAGE-B* est localisé au sud du lac Cage. Il fut décapé en partie et nous avons procédé à un plan compteur (carte 18, annexe F). Lors de la réalisation du plan compteur, certaines données radiométriques importantes n'ont pas été vérifiées dues à un épais recouvrement végétal ou à la présence d'un affleurement de pegmatite (cps faible), cerné par le marbre. Ce lambeau de pegmatite se termine dans la rainure TR-06 comme un dyke centimétrique de quartz, dans un des secteurs fortement minéralisés. Une deuxième zone a fait l'objet de décapage avec un instrument éclateur, le DARDA. Il semble certain qu'il existe un pli à l'E et un pli serré au SE du décapage. Plusieurs anomalies sont alignées en parallèle vers le lac et dans le lac. La zone est structuralement complexe, avec plusieurs feuillets en dehors du décapage, et des plis (rapport de N. Flotté en annexe H).

11.1.3 Indice CAGE-C

L'*indice CAGE-C* est dans un secteur développé en fin de la campagne : cette zone devra être retravaillée par le décapage à la pelle mécanique. Les minéralisations se suivent dans la foliation et il y en au moins trois en parallèle. Ce secteur a un très fort potentiel, le SPP2 pointé presque au hasard excède le 1000cps sur de larges zones. Du décapage mécanique y est prévu pour 2007, avec un plan compteur.

11.1.4 Indice CAGE-D

L'*indice CAGE-D* est localisé sur la presqu'île située au NE du lac Cage, dans un secteur naturellement découvert et facile à décaper manuellement. La minéralisation se divise en deux feuillets sur le plan compteur (carte 19, annexe F) et en quatre avec les autres anomalies, à l'extrémité NW. La longue zone principale se poursuit dans le lac Cage et possiblement entrainée par les plis de l'indice CAGE-B. Les rainurages T01-à T05 la décrivent bien, des points anomaux dans une foliation, d'épaisseur de moins de 1m, avec un puissant pic sur un œil métrique de calc-silicate. Il s'agit d'un flanc très étiré et les lambeaux de calcsilicate sont boudinés. L'anomalie de T01 est sur l'un de ces boudins. La pegmatite est présente à l'E et au SE mais son contact n'est pas décapé (arbustres).

11.1.5 Indice CAGE-E

L'indice CAGE-E est localisé sur une autre presqu'île avec un couvert végétal important composé d'arbustres. Pour des raisons environnementales et pratiques, le décapage manuel n'a pas été fait. La zone semble unique et dans le prolongement de la zone principale de l'indice CAGE-D (zone de 600m entre CAGE-D et CAGE-E).

11.1.6 Indice CAGE-F

L'*indice CAGE-F* est représenté par des anomalies dans un talus, localisé au S et SW de l'indice CAGE-B. Peu d'anomalies ont été reconnues sur la crête adjacente, situé à l'W de la plupart des anomalies. Des travaux de décapage à la pelle mécanique seront effectués sur cet indice à l'été 2007.

Les autres échantillons prélevés dans le secteur CAGE indiciel (cartes 14 et 17 en annexes E et F, tableau 11.1 en annexe C) nous permettent de confirmer par les analyses que la zone anomale définie par les anomalies s'étends sur plus de 5,4 km.

En résumé, il y a un contrôle de la disposition actuelle de l'U par des plis. Ce ne sont pas les microplis intrafoliaires très apparents, mais le plissement régional de la foliation S2 ou d'un S0-S1-S2 (contacts lithologiques). La bréchification reconnue sur l'indice CAGE-A et sur la zone de la presqu'île dans la baie de Davis Inlet pouvant contenir la minéralisation uranifère, est probablement tardive. Les pegmatites constituent des indicateurs de la déformation (injectés dans des nez de plis?) et les lambeaux de calcsilicates aussi (délitage structural, boudinage). On n'a pas observé de S3 ou de fractures majeures liés aux alignements d'anomalies.

11.2 Zone Davis Inlet

La zone Davis Inlet a été définie suite à la découverte d'une série d'anomalies linéaires dans des pegmatites. La zone Davis Inlet est située du côté ouest de la baie Davis Inlet et à environ 9 à 10 km au nord de l'indice CAGE (cartes 16 et 21, annexes E et F). Elle s'étend sur une longueur de 10 à 12 km et une largeur de 100 à 200 m d'après une estimation faite à partir des données de terrain. Cette zone est très visible sur les levés héliportés de McPhar, elle est linéaire, symétrique et étroite. Selon nos observations sur le terrain, cette zone peut être divisée en deux parties, nord et sud.

11.2.1 Partie nord de la zone Davis Inlet:

La partie nord de la zone Davis Inlet est délimitée par les coordonnées UTM Nad 83 suivantes : 347419E/6572410N et 348618E/6571534N. C'est une zone marécageuse associée à un cimetière de blocs parfois anomaux. Ces blocs sont constitués de pegmatite, de marbre, de paragneiss et de quartzite, et seul les blocs de pegmatite sont anomaux. Les pegmatites ont un faciès grenu, et sont souvent associées à des amas de biotite et/ou de phlogopite. La radiométrie enregistrée sur ces blocs montre des valeurs qui varient entre 1400 et 4000 cps et le bruit de fond est de 40 à 150 cps. Ces blocs ont des formes arrondies. Selon le sens de l'écoulement glaciaire interprété par Parent et Paradis (1999), et la topographie du secteur, on peut supposer que l'origine de ces blocs proviendrait du SE de leurs positions actuelles, donc de la zone affleurante.

11.2.2 Partie sud de la zone Davis Inlet:

La partie sud de la zone Davis Inlet couvre plus de 90 % de la zone anomalique de Davis Inlet. Cette zone anomalique a également été confirmée par les résultats du levé héliporté spectrométrique de McPhar Geosurveys (rapport en annexe J).

Les anomalies se retrouvent dans des pegmatites associées à des amas de biotite, de phlogopite et de quartz fumé au contact avec des marbres et des paragneiss. On les retrouve également dans des enclaves de carbonates associés à du diopside et de la molybdénite. Les anomalies semblent suivre la

foliation S2 par endroit. Topographiquement, les marbres se situent le long de la côte de la Baie Davis Inlet passant progressivement à des paragneiss et le socle granitique vers l'ouest. Elles sont altérées et rouillées dans cette zone. Les pegmatites se présentent en petites lentilles quartzo-feldspathiques injectées dans les paragneiss et en de larges intrusions, changeant considérablement de texture et de couleur.

Les anomalies sont situées par endroit dans des charnières de plis des paragneiss, ce qui nous fait croire qu'elles pourraient être contrôlées par la structure. Il n'y a pas de déformation cassante visible dans les trois unités. Les mesures radiométriques enregistrées sur cette bande, montrent des valeurs qui varient entre 1000 cps à plus de 40000 cps et le bruit de fond varie entre 150 et 1500 cps. Les rapports U/Th mesurés sur affleurement, montrent des valeurs de 0,09 à 6,71 dans les pegmatites jusqu'à 17,86 dans les enclaves de carbonates.

Les pegmatites proches du contact avec le marbre sont tantôt thorifères, tantôt uranifères, confirmé par deux analyses. L'échantillon uranifère est plus calcitique et contient des teneurs significatives en Ba, Na, K, et Fe2O3 (pyrite?).

D'après les résultats du levé héliporté spectrométrique de McPhar Geosurveys, la bande anomale, partiellement discontinue par endroit, se poursuit et s'élargit jusqu'à l'extrémité Est de l'indice CAGE. Les travaux qui ont été effectués dans ce secteur lors du levé géologique et de prospection de l'été 2006 n'ont pas identifié d'anomalies.

La minéralisation de la zone anomalique de Davis Inlet suit la foliation, qui est parallèle au contact. Elle semble associée aux pegmatites le long des contacts des paragneiss et marbres. Toutefois, à ce stade de nos travaux, il est difficile de déterminer s'il s'agit bien d'un modèle Rossing sensu stricto. Le lien avec les anomalies du secteur indiciel de CAGE (CAGE-A à F) n'est pas encore établi malgré la continuité apparente dans le levé héliporté.

Deux échantillons de roches calco-silicatées, échantillonnés dans la zone indicielle Davis Inlet, sont minéralisés et présentent des teneurs élevées en U (1080 -2390 ppm). Leurs teneurs en Th sont plus importantes que celles des roches calco-silicatées minéralisées de la zone CAGE (Th =166-278 ppm), conduisant à des rapports U/Th de l'ordre de 4 à 6. Un des échantillons présentent une teneur anormalement élevée en Mo (1450 ppm). Contrairement aux roches calco-silicatées minéralisées de la zone CAGE, les teneurs en Ba de ces deux échantillons sont faibles (Ba< 48 ppm).

11.3 Zone Aqiarussuk

La zone Aqiarussuk est localisée au nord de l'extrémité est de la baie Aqiarussuk et à 3 km à l'ouest de la zone Davis Inlet (cartes 16 et 21, annexes E et F). Elle s'étends sur 3 km dans une direction NO-SE, entre les coordonnées (UTM Nad83) 344947E/ 6570345N et 348161E/6566810N. La zone Aqiarussuk fut découverte par des anomalies scintillométriques au sol, dans des masses ou lentilles de pegmatite. Toutefois, les dernières prospections dans le secteur ont permis de reconnaître une minéralisation de type CAGE avec des valeurs de 8000 à 9200 cps dans les unités de marbre et de roche calco-silicatée. Les anomalies sont comprises dans un niveau de marbre recoupé localement de petites veinules de sulfures. Des études plus poussées permettront peut-être de faire le lien entre les anomalies pegmatite-marbre (Davis–Cage). Il en est de même ici pour les sulfures, moins présents ailleurs. Le style des anomalies en eU du levé héliporté est en partie similaire à celui de Davis Inlet.

La minéralisation de la zone Aqiarussuk est principalement associée à des masses de pegmatite rose massive à très peu fracturée ou foliée (associée à des amas de biotite?), au contact avec des bandes de marbre à grain moyen, rubané et verdâtre (diopside?) et de marbre altéré, brunâtre, d'aspect bréchique. Les anomalies reconnues sont ponctuelles et varient entre 3000 et 4000 cps dans la pegmatite (bruit de fond à 600 cps). Localement la pegmatite contient des méga-enclaves de paragneiss à biotite. Quelques anomalies à 1500 cps sont associées à *un paragneiss à biotite contenant des passées pegmatitiques (bruit de fond à 140-160 cps).

Plus au nord de la zone, les anomalies de 1000 à 3000 cps sont associées à des pegmatites (rose) légèrement foliées et altérées riches en biotite (minéralisation uranifère?) avec localement des zones rouillées donnant un bruit de fond de 150 à 500 cps. On observe la présence de quartz fumé dans certaines pegmatites (minéralisation uranifère?). Les pegmatites sont au contact avec des paragneiss ayant des passées pegmatitiques et/ou des marbres. Des anomalies de 1200 à 2500 cps ont été reconnues dans de nombreuses pegmatites riches en quartz avec un bruit de fond à 150 à 200 cps.

Les lacs situés dans la zone même ne sont pas anomaux et les lacs anomaux les plus proches avec des valeurs de 7,2 à 18 ppm U sont dans un environnement de roche granitique à gneissique.

11.4 Zone Kéglo Sud

La zone Kéglo Sud a été définie à partir d'un regroupement de trois zones d'anomalies (500m) qui suivent une très étroite bande de carbonates (moins de 20m de large) dans les paragneiss, entre deux lacs (cartes 16 et 21, annexes E et F). La zone semble fermée vers le sud à moins d'un changement de direction. Vers le nord, on a pu suivre les affleurements de marbre en creux entre deux crêtes de paragneiss. Cette bande de marbre se situe dans le haut plateau, plongeant vers la baie à son extrémité N, mais encore topographiquement autour de 200m d'altitude. Son alignement N140 ne se démarque pas en photogéologie.

Elle est discontinue parce que les affleurements de carbonates le sont. Les paragneiss adjacents ont bien moins de pegmatoïdes que les zones de CAGE, de Davis Inlet ou la zone du lac en Croissant. Comme elle était étroite, elle a été intensément prospectée et la découverte de nouvelles anomalies passe par du décapage ou du forage sauf au Sud.

L'anomalie la plus au nord est dans une pegmatite à biotite, collée sur des marbres, avec des produits jaunes (6500cps). L'anomalie principale (27000cps) est comprise dans un nœud ou une poche de calcsilicate dans le marbre associée à des minéraux aciculaires en rosace et des produits jaunes. Celle-ci montre un rapport U/Th spectrométrique de 3,3, proche des paragneiss protomylonitiques situées à 15m. La zone se poursuit au sud dans des pegmatites blanches avec une enclave de marbre à 2cm d'un 7100cps, et la zone se perd dans un lac comme à l'indice CAGE. Lorsque les pegmatites disparaissent sur le contact, les nombreux paragneiss rouillés proches ne sont pas minéralisés. Le marbre est plissé mais n'est pas déformé ni cisaillé. Selon la spectrométrie du levé McPhar, qui ne couvre que la moitié de la zone, on se trouve en bordure d'une zone uranifère, mais non dans son cœur. Les autres éléments de ce levé ne permettent pas d'identifier les carbonates ou une zone anomale si mince.

Les seuls lacs proches sont à 1,5km à l'ouest et l'est, sans anomalies de fonds de lacs, sauf sur le grand lac orienté N140 à 4,0 km au S, pour 110 U ppb dans un sédiment riche en fer. Le levé spectrométrique actuel ne permet pas d'identifier ou de suivre cette zone. Dans ce levé, cette mince zone semble en bordure ouest d'une masse de paragneiss (eK, eU) plurikilométrique et centré sur un haut magnétisme relatif de 2km ou plus. Vers l'ouest, après des affleurements de paragneiss, on retrouve une bande de pegmatite minéralisée, semblable à celle de la zone Davis Inlet, en contact avec une autre bande de marbre. Le lac au sud de ce secteur est anomal. Une reconnaissance détaillée est recommandée pour le secteur de la zone Kéglo sud, car la prospection a été centrée vers la baie de Kéglo.

Sur affleurement, il ne semble pas y avoir de déformation particulière ni dans le marbre, ni dans le paragneiss encaissant. Ces marbres semblent être une sous-unité mince, sans mylonitisation ou déformation dans une mer de paragneiss. Il peut s'agir d'un synforme fermant vers le sud comme la majorité des carbonates adjacents, mais il existe d'autres carbonates plus loin au SSE (non minéralisé).

11.5 Zone Tasiujaaluk

La zone Tasiujaaluk a été définie à la suite de la découverte par prospection d'une série d'anomalies scintillométriques au sol sur la rive E de la Baie Tasiujaaluk, au nord de la Baie Kéglo (cartes 16 et 21, annexes E et F). La zone Tasiujaaluk est grossièrement orientée NW-SE sur plus de 4,5 km et d'une largeur approximative de 670 m.

Les anomalies (1500 à 7500 cps avec produits jaunes) sont principalement associées à des amas de biotite dans les pegmatites avec parfois des enclaves de gneiss, injectées en grandes masses dans un gneiss rouillé et/ou dans un marbre. Ce secteur est particulièrement rouillé (pyrite oxydée microscopique? et biotite) et l'encaissant est plus quartzeux que d'habitude.

D'autres anomalies sont associées à un réseau de fractures chloritisées (sur 1,5 m) près d'enclaves mafiques dans la pegmatite ou d'enclave de gneiss dans du marbre fortement plissé. Les anomalies radiométriques sont plus intenses proches de la biotite ou phlogopite et des veinules de minéraux verdâtres inconnus. Le contact pegmatite/marbre ou gneiss/marbre est marqué localement par une bande de « skarn à diopside ». Localement, la minéralisation est retrouvée en petits minéraux jaunes arrondis dans le marbre ou dans les lambeaux de gneiss quartzitique dans le marbre. Le magnétisme local pourrait servir de marqueur structural dans les zones non-affleurantes.

À l'intérieur de cette zone, des anomalies uranifères de plus de 15 000 cps ont été trouvées sur des affleurements près de la baie (traverse CG06-096), associées à des lentilles de pegmatite, de paragneiss et calcsilicate rouillée, fortement altérés, plus près de la zone Tasiujaaluk NW. Il est probable selon la géophysique que ces anomalies s'étendent sur 3km, en conjonction avec celles de la traverse CG06-2005 décrite ci-dessus.

Nous avons trouvés de vieux rubans bleus (travaux historique en métaux de base) identifiant des gneiss riches en magnétite (35%) avec zones fortement rouillées (20m x 20m) mais non anomales.

Cette zone présente plusieurs caractéristiques actuellement inusitées comparés à nos autres indices: des pegmatites fortement anomales mais thorifères dans les marbres, des anomalies uranifères mais dans des pegmatites et paragneiss possiblement cisaillée et très rouillées, avec à proximité de la magnétite, le tout dans un nez de pli comme à Rossing.

11.6 Zone CAGE Extension Sud

La zone CAGE Extension Sud est séparée de la zone indicielle de CAGE (CAGE-A à F) parce que les anomalies ne sont plus dans le marbre de CAGE même si celui-ci s'y poursuit (cartes 16 et 21, annexes E et F). Le secteur nord et le secteur sud sont deux regroupements d'anomalies de style différent séparées par une zone moins prospectée.

11.6.1 Secteur Nord (zone CAGE extension sud)

Le secteur nord comprend les anomalies localisées dans les paragneiss à l'est d'une méga flexure (appelée « l'œil ») dans la bande de marbre qui passe dans l'indice CAGE. Ces anomalies « significatives » sont dispersées et se situe principalement au contact de roches calco-silicatées et des paragneiss. Cette portion s'étend grossièrement sur environ 2km en direction NNW et est d'une largeur de 500m.

Quelques anomalies de 1200 à 1500 cps sont associées à des blocs qui semblent provenir des alentours et d'un affleurement de pegmatite contenant de rare tourmaline au contact avec des grès quartzitiques avec une présence de sulfures disséminés. Les autres anomalies variant de 2000 à 11000 cps sont ponctuelles et associées à des passées pegmatitiques dans les paragneiss ou à des passées de paragneiss dans l'orthogneiss granitique.

Le style structural folié et courbé de ces paragneiss est assez unique, et n'a pas été étudié. Les minces lambeaux de marbre (type Kéglo Sud) y seraient plus fréquents. Les anomalies dans les pegmatites sont en partie liées à ces lambeaux.

11.6.2 Secteur sud (zone CAGE extension sud)

Le secteur sud comprend des anomalies qui s'étendent sur environ 1,4 km de longueur par 400 m de largeur. La zone anomalique de ce secteur est caractérisée par une « sous-zone » d'environ 200 mètres de long avec des valeurs scintillométriques maximales supérieures à 37000 cps dans une pegmatite près du contact avec du marbre. Ces valeurs (plus de 37000 cps, U/Th favorable) sont associées à des minéraux noirs métalliques dans des veines de quartz fumé avec présence de molybdénite et produits jaunes recoupant la pegmatite au contact des marbres. Les autres anomalies reconnues en affleurement varient de 1200 à 10000 cps et sont associées à des niveaux de quartz gris et/ou des passées pegmatitiques dans les paragneiss ou gneiss riches en biotite, parfois rouillés.

Toutefois, il y a aussi des anomalies sur des blocs de pegmatite recoupant le gneiss riche en biotite. Les anomalies sur ces blocs varient de 1100 à 1500 cps.

L'interprétation géologique a fait disparaître les grandes étendues de marbre de la carte géologique de Taylor (1979). À la suite des levés spectrométriques, tous les paramètres (magnétisme, TC, eK, eU, eTh) convergent vers une interprétation de paragneiss et pegmatite plutôt que du marbre d'échelle hectométrique comme dans le secteur CAGE-A à F ou dans « l'œil » (secteur nord de la zone CAGE Extension sud). Selon la spectrométrie, les anomalies du secteur sud se trouvent dans le prolongement du secteur des minces lambeaux de marbre et paragneiss (secteur nord) mais les affleurements de marbres y sont rares. Il serait recommandé d'effectuer une étude structurale détaillée dans ce secteur « linéaire ».

11.7 Zone de la Presqu'Île

La zone anomalique de la Presqu'Île est localisée au nord du secteur indiciel de CAGE, dans la partie sud de la baie Davis Inlet (cartes 16 et 21, annexes E et F). La zone se trouve sur un promontoire rocheux définissant une île lors des hautes marées. Les anomalies sont associées à une brèche verticale. Les affleurements ont été intensément prospectés, sans y trouver d'alignements d'anomalies. L'intérêt principal de cette zone est le prolongement possible vers le N de la zone CAGE. Même avec le levé spectrométrique héliporté, il est difficile de présumer ce prolongement due à l'interférence par l'eau et les sédiments.

11.8 Zone Tasiujaaluk NW

La zone Tasiujaaluk NW est localisée dans le nez de pli de la bande ouest de roche calco-silicatée et marbre, à l'ouest du secteur de l'indice CAGE (cartes 16 et 21, annexes E et F). Les analyses chimiques, la spectrométrie au sol et la signature eTh du levé spectrométrique héliporté classifie ces anomalies comme ayant un rapport U/Th nettement thorifère. Il s'agit de la zone la plus anomale dans les pegmatites à l'intérieur des marbres. La zone caractérisée par une série d'anomalies supérieures à 1000 cps s'étend sur près de 2 km en direction NW-SE par 700 mètres de largeur environ. La minéralisation est généralement associée à des amas de biotite et allanite dans la pegmatite recoupant un paragneiss ou le long de petites fissures ou fractures irrégulières dans la pegmatite ou rarement dans le marbre calcitique à dolomitique.

Les anomalies de 1200 à >15000 cps sont principalement associées à une pegmatite près ou en contact avec un marbre à grains grossiers (saccharroïdal) et localement dans une roche carbonatée jaune-verdâtre fortement altérée au contact des marbres et de la pegmatite.

11.9 Zone du Lac en Croissant

Ce secteur est une anomalie géologique représentant une structure circulaire bloquant un linéament NW important (cartes 15 et 20, annexes E et F). Cette structure contrevient au style des diverses phases de déformation qui ont conduit partout ailleurs à un style très linéaire. Son âge est synchrone à la mise en place des pegmatites. Le secteur n'a pas encore été assez étudié, mais on observe un granite plus massif dans son coeur. Certains auteurs (Ermanovics, 1998) ont mentionné l'existence de masses intrusives granitiques à foliation plus frustre recoupant les orthogneiss. Du côté est, on retrouve les paragneiss, parfois très riches en quartz.

Une analyse (CG06-13-18) a donné un rapport U|Th de 3,61 avec une teneur en U de 830 ppm. Bien qu'il y ait plusieurs autres anomalies et qu'il aurait été possible d'en obtenir bien plus, les ratios U/Th sont nettement thorifères par spectrométrie au sol pour le même style usuel d'anomalies ponctuelles. On ne dispose pas de signature significative du levé spectrométrique héliporté pour confirmer. Une recherche reste à faire sur les minéraux uranothorifères de nos pegmatites. Les variations lithologiques dans les paragneiss adjacents aux pegmatites influençent peut-être la distribution U/Th. Les variations granulométriques et minéralogiques (enrichissement en quartz, en micas) sont fréquentes mais irrégulières et leur signification reste inconnue.

11.10 Autres anomalies

11.10.1 Occurrence Mo-U

C'est une anomalie située dans une mince veine de pegmatite à phénocristaux de feldspath épidotisé associée à une quantité importante de molybdénite (>5% par endroit) (CG-06-33-06). L'encaissant est un orthogneiss à grain moyen, lité, avec des traces de molybdénite. La pegmatite est injectée dans des fractures de l'encaissant avec des contacts très nets. Certaines de ces fractures sont orientées nord-sud. De nombreux phénocristaux verts (épidote ou/et chlorite) très lessivés et fissurés sont visibles, probablement de gros cristaux de feldspaths altérés (saussuritisés). On note la présence d'une altération hématitique de couleur rougeâtre remplissant les microfissures des phénocristaux de feldspath ainsi que les grains de quartz fracturés. De plus, on observe de la molybdénite (>5% par endroit) dans de minces veines de pegmatite en proportion moindre dans l'encaissant.

Ce type d'occurrence a également été observé sur un affleurement le long de la baie de Davis Inlet avec une association de molybdénite et d'amphibolite au contact avec des roches carbonatées. Cet affleurement se situe dans une charnière de plis.

11.10.2 Autres anomalies uranothorifères

La région de la rivière Baudan a été peu vérifiée après sa découverte et fait partie des autres anomalies qu'on n'a pas jugé bon de qualifier de zones. La cohérence des résultats de la région n'est pas claire : les anomalies, plusieurs autour de 1000cps, se retrouvent dans toutes les lithologies. Les anomalies se trouvent souvent à proximité de lambeaux de marbres d'échelle hectométrique, dans des falaises, et qui ont de faibles pendages plongeant sous les paragneiss, ce qui n'a pas facilité la prospection. Le contrôle structural est donc aussi variable que la disposition des lambeaux de marbre. Les rares analyses indiquent un rapport U/Th plutôt thorifère.

Cinq facteurs particuliers sont présents: une limite lithotectonique dite de Baudan visible sur les levés héliportés (U/Th), des anomalies de fonds de lacs qui longent la zone de son coté W (mais dans le projet de parc), un magnétisme très élevé mal expliqué, des gossans de sulfures (non uranifère) et un bruit de fond plus élevé que la normale (uranothorifère ?).

11.10.2.1 En affleurement

Même si nous avons beaucoup d'anomalies en dehors des zones déjà décrites, il en reste quelques milliers à découvrir. En effet, il suffit de trouver des pegmatites pour trouver des anomalies surtout les pegmatites qui sont proches des marbres. En plus, nous avons des zones de granitoïdes avec un fond radiométrique élevé qui contiennent d'autres pegmatites. Les analyses chimiques et la pétrographie montrent cependant que plusieurs de ces anomalies sont thorifères. Notre compréhension de la répartition de l'uranium et du thorium dans les pegmatites n'est pas encore suffisante pour élaborer un plan de prospection qui nous éviterait de perdre du temps dans les pegmatites exclusivement thorifères.

Notre prospection a été centrée tôt dans la campagne sur les anomalies dans les carbonates, car elles sont nettement uranifères. Plusieurs des anomalies dans les unités éloignées se retrouvent de fait dans les pegmatites et plus rarement dans les marbres ou les calcsilicates. On ne peut juger d'une zone par le seul critère du nombre d'anomalies ou de leur intensité. Pour le moment, aucune priorité n'a été accordée aux « sous-ensemble » d'anomalies avec des valeurs n'excédant rarement 2000cps ou n'ayant peu d'unités carbonatées d'exposer ou situées dans les secteurs sans données spectrométrique (spectrométrie au sol ou héliportée). Ce sont des cibles éventuelles, même si aucune d'elles ne semblent valoir celles de l'indice CAGE.

11.10.2.2 En blocs

Les marbres sont fragiles, et ils forment peu de blocs minéralisés. Toutefois, les blocs minéralisés de pegmatite ou de granite, peuvent certes provenir d'une centaine de mètres (talus) à quelques kilomètres. Comme nous trouvons facilement des pegmatites minéralisées en affleurement, nous n'avons pas entrepris de recherche d'origine des blocs anomaux de pegmatite. Avant d'entreprendre une telle recherche, il faudra vérifier si ces blocs sont uranifères.

11.10.2.3 Dans le sol

Les sols minéralisés sont le plus souvent associés à des marbres en débris (érodés), à proximité des indices.

12.0 TRAVAUX D'EXPLORATION

Lors des travaux de terrain 2006, plus de 161 traverses ont été réalisées sur toute la propriété CAGE (tableau 12.1, annexe B; carte 6, annexe D) incluant les secteurs de l'indice CAGE avec 36 traverses (tableau 12.1, annexe B; carte 11, annexe E) et de la Baie Kéglo avec 25 traverses (tableau 12.1, annexe B; cartes 7 à 10, annexes D et E). Les traverses avaient comme premier objectif, la prospection et la cartographie géologique principalement à l'intérieur du Groupe du Lake Harbour.

Une certaine priorité a aussi été accordée aux anomalies plus uranifères que thorifères d'après les rapports U/Th de la spectrométrie au sol et du levé spectrométrique héliporté de la compagnie McPhar Geosurveys Ltd. Comme décrit dans le chapitre précédent, les anomalies radiométriques dans les pegmatites et les granites ont attiré l'attention par leur fréquence et leur intensité, même si nous ne recherchions pas spécifiquement un modèle uranium de type syn-magmatique ou de type Rossing.

Dans le secteur indiciel de CAGE, les travaux de terrain 2006 consistaient principalement en un levé géologique et de prospection à l'échelle 1:6500. Un total de 36 traverses (CA06-1000 à CA06-1036) fut complété pour ce levé (carte 11, annexe E). Les autres travaux consistaient en un décapage manuel, à l'échelle 1:2000, sur les indices CAGE-B et CAGE-D avec un levé géologique détaillé et un plan compteur à une maille de 5m et 1m respectivement. Une analyse structurale fut réalisée principalement dans le secteur de l'indice CAGE-B par Nicolas Flotté d'AREVA (rapport en annexe H).

En tant que projet pilote, nous avons conduit un programme de prospection sous-marine dans le lac de CAGE en utilisant des plongeurs et en adaptant un SPP2. Les résultats de ce projet ont été 1) la reconnaissance sous l'eau des zones anomales de surface, 2) la prospection entre les îles et presqu'îles, 3) l'échantillonnage des anomalies identifiées et 4) l'observation de la flore (rare) et les ressources halieutiques (non significative). La méthode fut efficace dans les parties des affleurements sous-marins qui ne sont pas trop recouverts de sédiments, généralement localisés dans les pentes fortes.

12.1 Géologie

L'interprétation géologique régionale (hors claims), locale (claims) ou indicielle (secteur Davis Inlet-CAGE-Kéglo) fut faite à partir des données spectrométriques, magnétiques, photogéologiques, géochimiques (sédiments de fonds de lacs) ainsi que sur les affleurements visités (cartes 6 à 11, annexe D et E). Les auteurs qui nous ont précédé avaient à leur disposition moins d'observations que nous, particulièrement pour la géophysique. Par exemple, les lithologies ont chacune leur signature caractéristique en radiométrie ou en magnétisme.

Nous avons choisi de modifier les interprétations antérieures sur la base de ces nouvelles données même dans des secteurs ou nous avions peu d'affleurements. Dans les meilleures circonstances, nous arrivions à obtenir une bonne concordance avec les relevés de terrain, le fond radiométrique, le magnétisme détaillé et la photogéologie.

Lorsque nous disposions des levés spectrométriques en équivalent uranium (eU), ceux-ci confirment dans l'ordre que les pegmatites (rarement cartographiable au-delà de la centaine de mètres), les paragneiss et les granitoïdes plus anciens, puis les marbres vont du plus fort au plus faible (comptes totaux et levés radiométriques au sol). Les teneurs en équivalent potassium (eK) suivent assez bien les pegmatites, les gneiss, les granitoïdes, et de façon négative, les marbres. Les teneurs en eK sont dominantes autour du Groupe du Lake Harbour, et diminuent vers l'est, vers les Torngat. Les teneurs en eU et eTh sont aussi plus intenses dans les roches du Groupe du Lake Harbour avec un plus fort contraste pour l'uranium (eU).

Comme le démontre en détail les styles du magnétisme (linéaire asymétrique, linéaire symétrique, curvilinéaire, effet dômes et bassins), fort ou faible mais avec un alignement moins marqué, la répartition de la magnétite semble plus influencée par le métamorphisme ou par les styles structuraux que par la seule lithologie.

Contrairement à Taylor (1979), nous n'avons pu confirmer sur le terrain la distribution de l'altération « rouillée » dans le paragneiss comme pouvant correspondre à une unité lithologique spécifique (« rusty schist », Taylor (1979)). Une proportion croissante de biotite conduit souvent à un faciès plus rouillé. Les sulfures qui provoquent cette altération sont à une granulométrie si fine qu'ils sont peu visibles à l'œil nu. Le magnétisme ne semble pas lié à de la pyrrothine disséminée.

Les différences en photogéologie sont débattues plus loin mais ont été prises en considération lors de l'interprétation.

Même la géochimie de sédiments de fonds de lacs qui est contrôlée par les dépôts glaciaires et l'hydrographie, aide à identifier le secteur granulitique, pour ainsi dire sans anomalie et le secteur dominé par les granitoïdes remobilisés souvent trop thorifères (autour des claims de la propriété Amaujaq et des claims de la concurrence).

Les travaux de géologie régionale qui vont se poursuivre en 2007 préciseront l'interprétation actuelle. Dans les zones indicielles, les décapages, les tranchées et les forages à venir permettront une interprétation plus détaillée.

Dans cette campagne, les principales difficultés rencontrées lors des travaux de cartographie géologique furent:

a) d'établir une colonne stratigraphique, qui reste pour le moment inconnue;
b) la reconnaissance du Groupe du Lake Harbour, décrit comme une interdigitation d'unités de marbre, de quartzite, et de paragneiss plus ou moins rouillés. Cette interdigitation fut absente lors de nos travaux 2006 et de très rares unités de quartzite furent reconnues sauf dans le secteur de la propriété Brumath (24I);
c) la disposition des pegmatites et particulièrement celles dans les marbres;
d) les unités de pegmatites sont plus épaisses proches des marbres;
e) les pegmatites sont généralement plus thorifères qu'uranifères;
f) la déformation dans son résultat final dans les marbres et dans les pegmatites tend à effilocher les unités et à les verticaliser;
g) que certains auteurs avaient postulé que le marbre, plus ductile, servait de plan de glissement. Or, nous ne pouvons aucunement confirmer cette hypothèse;
h) d'expliquer l'association de lambeaux de marbre ou de quartzite, le plus souvent d'échelle métrique, dans les granitoïdes, avec le Groupe du Lake Harbour.

Plusieurs auteurs ont proposés des modèles tectoniques pour les monts Torngat et le cœur transhudsonien. La plupart de ces modèles, sur des bases géophysiques, suggèrent que les principaux contacts entre les unités, sont faillés avec une composante en décrochement (senestre) et en chevauchement de l'est vers l'ouest. Les contacts ont été observés comme verticaux et la composante de chevauchement n'est pas aisément démontrable. Le levé magnétique détaillé ne montre pas d'asymétrie marquée dans les profils perpendiculaires aux contacts, qui pourraient confirmer des chevauchements.

Aucune des lithologies n'a conservé de texture primaire et le rubanement est certainement métamorphique (S1 ou S2). Jusqu'à présent, nous en sommes réduit à des hypothèses pour l'interprétation sédimentologique.

12.2 Géophysique

12.2.1 Interprétation des données géophysiques régionales

Deux rapports doivent être pris en considération : le rapport du sous-contractant McPhar Geosurveys Ltd (annexe J) et celui du géophysicien expert (annexe G). En ce qui concerne la qualité des données, l'hélicoptère volait à environ 140 km/h, sur des lignes NE-SW espacées de 150m, pour des lectures à 2m pour la magnétométrie et 39 m pour la spectrométrie, avec une hauteur nominale de 50m. Un handicap du projet a été que le levé héliporté a suivi les levés au sol plutôt que de les précéder.

La carte géologique antérieure était imprécise, mais une nouvelle carte prenant en considération la géophysique et les relevés de prospection a été produite pour le secteur du levé. La carte d'interprétation des marbres confirme très bien les levés au sol. Malheureusement, le marbre est souvent sous l'eau, ou en bordure des nappes d'eau ce qui oblige à interpoler proches de l'eau, alors qu'on ne dispose pas de données spectrométriques.

Les cartes présentant les anomalies uranifères sont celles U/Th et U2/Th, mais en éliminant les valeurs de Th inférieures à 2 pour éviter la division par zéro, qui rendrait les mesures aberrantes. Sur ces cartes, on observe, en plus des anomalies, la sous-province uranifère centrée sur le Groupe du Lake Harbour. Toutes les anomalies spectrométriques qui n'ont pas été prospectées en 2006 le seront en 2007.

La carte du champ magnétique résiduel fourni par McPhar (rapport en annexe J) est déjà corrigée d'un certain nombre de paramètres, soient 1) la correction de la variation diurne du champ magnétique, 2)

le nivellement des lignes de vol et des lignes transverses, 3) la soustraction du champ magnétique régional, également appelée correction IGRF et 4) le micro nivellement.

On peut affirmer que maintenant, pour une zone donnée, on dispose du magnétisme, de plusieurs signatures spectrométriques, de la photogéologie 1 /60,000, et parfois de levés géologiques au sol. La grande qualité provient du fait que la région affleure très bien, sans interférence du glaciaire.

L'interprétation de la carte du champ magnétique total du Sigéom (carte 4 en annexe D) est précisée par le levé de Mc Phar Geosurveys Ltd. Elle fait ressortir une structure plissée majeure, centrée sur le secteur E de la baie de Gregson. Cette structure plissée est définie par un bas magnétique correspondant aux unités sédimentaires carbonatées (flanc W) et d'un haut magnétique en son centre (entre les baies Gregson et Weymouth) qui pourrait correspondre à une remontée (ou fenêtre) du socle archéen.

Toutefois, le bas magnétique linéaire reconnu à l'E du haut magnétique central correspond au front des Torngats qui coupe le flanc E du dôme. Les travaux de prospection et de levé géologique dans ce secteur identifient des paragneiss plus ou moins rouillés, avec de minces lambeaux de marbre (dizaine de mètres).

Vers le SW, on dispose de moins de données relativement au projet de parc mais nous restons dans la province cratonique de Rae, et la transition de la rivière Baudan est beaucoup plus transitionnelle et floue.

En résumé, la série de hauts magnétiques orientée NW située à l'ouest de la propriété CAGE est associée au socle archéen (avec la limite SW du groupe du Lake Harbour). En se déplaçant vers l'est, on retrouve une structure plissée majeure (avec le pli fermé au SE) d'une envergure de plus de 40 km de long par environ 20 km de large résultant de la signature du bas magnétique. Le centre de cette structure représentée par un haut magnétique pourrait être interprétée par la remontée du socle archéen. Toutefois, le flanc E de cette structure majeure a été tronquée par le front des Torngats et a été identifié sur le terrain par des unités de paragneiss avec localement des « lentilles » de marbre.

12.2.2 Interprétation des données géophysiques locales, secteur indiciel de CAGE

En appliquant les mêmes méthodes mais pour le seul secteur de CAGE, on obtient une carte du marbre et une carte des anomalies qui confirment nos données au sol.

Le marbre en géophysique est plus restreint dans la bande de CAGE et plus large sur les baies de Davis Inlet et Tasiyuak que ce que nous avons observé sur le terrain. Deux explications sont possibles : une interférence du mort terrain vers les baies de Kéglo, ou un amincissement plus ou moins visible du marbre. Nous estimons la première explication valide.

Une forte anomalie uranifère ponctuelle d'environ 500m x 300m est parfaitement visible au SW du lac CAGE et correspond à l'indice CAGE.

La résolution étant meilleure (2m), la carte magnétique (rapport en annexe J) permet de nuancer surtout dans le socle, le marbre étant peu magnétique. Lorsque dans la bande de marbre on observe un signal magnétique même faible, on devra vérifier sur le terrain s'il ne s'agit pas d'une remontée (ou lentille) de paragneiss magnétique suite à un plissement D2 ou D3. Dans tous les cas, on ignore toujours quelles sont les origines de la magnétite et quelles sont les susceptibilités magnétiques de chaque type de roches. On pourrait obtenir cette information par les échantillons de sondage.

D'après ce levé magnétique du secteur indiciel de CAGE, les hautes anomalies magnétiques linéaires longeant la rive NE du lac CAGE ainsi que celles localisées à quelques centaines de mètres à l'ouest du lac Laurence et qui se continuent vers le SE, définissent le contact des unités sédimentaires carbonatées et des paragneiss à passées pegmatitiques. Le linéament de haut magnétisme situé à

l'extrême E du secteur semble définir un contact entre des unités de paragneiss non altérés et des paragneiss rouillés.

12.3 Géochimie de sédiments de fonds de lacs

12.3.1 Données uranium

Les données de géochimie de sédiments de fonds de lacs sont tirées de la banque du Ministère des Ressources Naturelles et de la Faune du gouvernement du Québec (SIGÉOM). Sur la propriété CAGE, on dénombre 65 anomalies supérieures à 11 ppm U (les anomalies inférieures à 11 ppm U n'ayant pas été retenues) (carte 23 en annexe F). Quatre classes y ont été attribuées dont la classe faible de 11 à 24 ppm U (indiquée en bleu sur la carte), la classe moyenne de 25 à 49 ppm (indiquée en vert sur la carte), la classe forte de 50 à 99 ppm U (indiquée en jaune sur la carte) et la classe très forte à >99 ppm U (indiqué en rouge sur la carte). Ainsi nous dénombrons 40 anomalies faibles, 21 anomalies moyennes, 2 anomalies fortes et 2 anomalies très fortes. La teneur géochimique en sédiment de fonds de lacs du lac CAGE a donné 44 ppm U. Cette teneur est l'anomalie de référence qui a servi à calculer le cortège du critère de corrélation de CAGE.

12.3.2 Corrélation avec d'autres éléments (critère CAGE)

Le calcul du cortège de CAGE a été effectué à partir de 11 éléments soit : l'arsenic, le bore, le calcium, le cadmium, le césium, le lithium, le plomb, l'antimoine, le strontium, l'uranium et le zinc. Sur la carte (carte 23, annexe F), à chaque anomalie de sédiments de fonds de lacs correspond une valeur du cortège de CAGE. Le calcul de la valeur du cortège est expliqué par la valeur analytique de chaque élément qui est supérieure à la moyenne arithmétique (=1). La somme de ces valeurs pour chaque anomalie de sédiments de fonds de lacs varie entre <5 et 11 et est dite cortège de CAGE.

12.3.3 Utilisation des données géochimiques

La planification de la prospection à l'intérieur des claims n'a pas été basée sur la vérification des anomalies de fonds de lacs. Nous avions à prospecter les bandes de marbre et les pegmatites proches du contact. Toutefois, la planification des traverses pour la prospection tenait compte des anomalies significatives de fonds de lacs dans les secteurs où il n'y avait pas d'unités de marbre ou très peu.

12.3.4 Interprétation

Le drainage et la sédimentation des lacs à l'intérieur de la propriété CAGE sont atomisés, en un réseau dendritique, en treillis avec un écoulement en nappe, en une multitude de ruisseaux, accentué par le pergélisol. Beaucoup de lacs sont peu profonds et rocailleux. L'eau ne pénètre pas, le sol est gelé ou rocheux, les lacs et les rivières réagissent par une remontée des eaux quelques heures après la pluie, chargées de boues arrachées aux sols. Nous parlons de bassins versants atomisés dans les hauteurs (ceux qui ont été échantillonnés) car les grandes rivières qui drainent les grands ensembles n'ont pas de lacs et une grande partie du bassin n'est donc pas vérifiée (ex. : baie de Weymouth Inlet).

Il ne semble pas que le quaternaire soit une nuisance significative. Cela s'explique par le fait que les lacs sont sur la roche, dans des microbassins de drainage, plutôt que sur des dépôts meubles. Les dépôts de quaternaire sont abondants dans les fjords et les vallées de rivières qui les prolongent (ex : rivière Baudan, rivière Abrat et rivière Weymouth), mais avec peu de lacs échantillonnés.

La maille d'échantillonnage est trop large pour être performante pour les minuscules bandes de marbre sans réseau karstique. Les lacs échantillonnés sont alors le plus souvent loin du drainage de ces marbres, dans les paragneiss, avec un effet de dilution.

Les zones sans anomalie (moins de 10 ppm U) peuvent appuyer l'interprétation de la limite du front des monts Torngat. Les granulites des monts Torngat sont un milieu peu uranifère.

C'est dans le socle granitique hors des monts Torngat qu'on trouve les zones à fortes anomalies, par exemple dans le projet de Parc (au sud de la propriété CAGE), ou chez la concurrence dans le sud. Les paragneiss du Groupe du Lake Harbour ne montrent pas de zones anomales sauf au nord du lac en Croissant.

Nous avons peu d'explications pour les anomalies uranifères des lacs, là ou nos équipes ont fait des traverses. Nous avons donc des anomalies de lacs sans explication et des anomalies radiométriques d'affleurements sans lacs anomaux. Les anomalies radiométriques (parfois uranothorifères) se distribuent indépendamment de la position des lacs anomaux en uranium. La distribution du thorium des lacs suit de près celle de l'uranium, tout en étant moins contrastée. Le plomb radiogénique ou autre est en dessous de 4 ppm et n'est pas un traceur. Le molybdène (Mo) se trouve en anomalie isolée, sans continuité.

Les autres éléments chimiques n'ont pas fait l'objet de recherche avancée sauf par le critère CAGE. Au sud, Verpaelst et al. (2000) suggère que l'arsenic, le plomb et le zinc corrèlent partiellement avec les paragneiss et les marbres. Comme nous avons choisi de prospecter tous les marbres, le critère CAGE ou la corrélation suggérée par Verpaelst et al. (2000) étaient redondants à l'échelle des claims. Le critère CAGE avait cependant été créé pour l'évaluation régionale.

Nous prévoyons réviser toute notre approche en géochimie de fonds de lacs, de ruisseaux et de minéraux lourds pour la prospection régionale du modèle de minéralisation dans les pegmatites (type Rossing), à contrôle structural (type Beaverlodge) et des marbres (type CAGE).

12.4 Structure

12.4.1 Linéaments par photo-satellite

Le rapport interne intitulé « CAGE : analyse sommaire des linéaments en photosatellite » (annexe I) résume une étude photo-satellite des linéaments qui a été effectuée avant le terrain de façon sommaire. Notre région affleure bien, l'interférence glaciaire est quasi absente, et les linéaments sont bien visibles. Il s'agit d'une donnée peu dispendieuse à prendre en compte, et utile pour tout géologue déposé pour faire une traverse.

Cette étude visait principalement à attirer l'attention des géologues sur les possibilités de repérer des zones d'affleurements sur des zones de mylonite, de cisaillements, de failles cassantes ou de plissements lorsqu'ils feraient leurs traverses. Le mandat des géologues mettait cependant en priorité la prospection.

Faire le lien entre la minéralisation uranifère et la structure régionale est un mandat clef pour les géologues, mais l'échelle de la photo-satellite et même de la photogéologie disponible (1 :60 000) est trop large pour obtenir des résultats. Nous postulions que les minéralisations uranifères ont un certain contrôle structural, et que l'étude des linéaments peut fournir une aide à l'interprétation.

Nous avions des difficultés à intégrer dans une région vierge de travaux géologiques détaillés, les hypothèses et interprétations lithotectoniques déjà publiées dans la littérature scientifique. Les anciennes cartes géologiques de base (Taylor, 1979) sont simplifiées et précèdent les modèles suggérés. Elles étaient peu utilisables sur le terrain et rendaient problématique la vérification des interprétations et hypothèses à l'aide des traverses.

L'identification des zones de marbre est possible lorsque celles–ci sont d'une épaisseur cartographiable (texture karstique hectométrique). Comme les auteurs signalaient du marbre épars dans les unités de granitoïdes, nous avons postulé qu'il peut exister des unités minces (dizaine de mètres, plissées mais continues) de marbre, ce qui est effectivement le cas, surtout que le marbre affleure mal. Cependant, la photogéologie ne permet pas de les identifier.

Parmi les résultats obtenus qui reposent en partie sur la photogéologie, l'interprétation des limites lithotectoniques au sens large (hors claim) s'appuie aussi sur le levé aéromagnétique régional disponible avant le terrain.

Le secteur des quartzites (propriété Brumath, 24I) n'a pas été étudié en photogéologie, et on ne peut extrapoler sur le lien quartzite-carbonate par leur style respectif. En effet le secteur des quartzites (propriété Brumath, 24I) a un style qui lui est propre fortement contrôlé par la foliation, en fort relief, à opposer aux lacs des vallées karstiques. On ne voit pas en photogéologie le lien entre ces quartzites du 24I et les marbres du 24P.

La limite NE des monts Torngat semble mieux marquée par l'érosion dans le fjord Weymouth Inlet avec des copeaux tectoniques de marbre (photogéologie) alors que les levés géophysiques indiquent une limite parallèle plus à l'ouest d'environ 5,0 km, possiblement mylonitisée.

La zone anomale de CAGE-A à F proprement dite se trouve dans une zone de karst complexe (lacs typiques, peu de linéaments) avec un plissement (appelé « l'œil ») et un dôme (limite nette et joints conjugués) qui s'observe bien en photogéologie. On observe également l'unité de paragneiss (style linéaire) mais ses limites sont floues, et certaines passées d'orthogneiss ou de « mylonite » ont un style apparenté.

Une structure circulaire dans le coin SE des claims (lac en Croissant) se voie en photogéologie mais n'a pas de signature magnétique. Son origine reste inexpliquée.

La limite lithotectonique de Baudan (limite SW du Groupe du Lake Harbour avec orthogneiss ou granite ou migmatite) au sud de la baie Kéglo, présente un changement de style diffus mais doublé par une interférence glaciaire croissante. Le changement est net en aéromagnétisme. C'est dans ce secteur que Verpaelst et al (2000) proposent une subdivision en deux complexes archéens remobilisés et une suite mafique. La photogéologie ne permet pas de les distinguer et le magnétisme ne suit pas les limites proposées.

Pour une région aussi granitique, l'alignement dominant de fractures est linéaire (foliation) plutôt que concentrique ou isotrope (dômes et bassins), ce qui démontre l'importance de la déformation transpressive NW mentionnée dans la littérature.

Nos travaux ont été concentrés sur le Groupe du Lake Harbour. Nous disposons de peu de nouvelles données pour confirmer ou raffiner le modèle de Wardle (2002), de Scott (2002), de Verpaelst (2000) et de Goulet (1990) qui ont été présentés précédemment. Ces auteurs ont basé et intégré dans leurs modèles surtout les données des roches volcaniques mafiques, et des granitoides archéens.

Selon ces auteurs, les sédiments carbonatés et psammitiques du Groupe du Lake Harbour de Baffin se sont déposés dans un milieu péricontinental (back arc basin, continental arc) paléoprotérozoique (2,2Ma à 1,9Ma.) avec ou sans apport détritique archéen. Sur la Terre de Baffin, la séquence sédimentaire carbonatée varie en épaisseur de 200m à plus de 2000m par 5 à 40 km de longueur (les lambeaux actuels), représentant une séquence étendue et d'épaisseur significative. L'épaisseur des semi-pélites, psammites (paragneiss) et quartzites n'est pas précisée dans les rapports. On mentionne que des zones sont plus carbonatées et d'autres plus pélitiques, ce qui correspond bien à notre situation. Wardle donne un âge plus jeune entre 1,96 et 1,86Ma pour le Groupe du Lake Harbour de notre secteur. La préconcentration uranothorifère des paragneiss (spectrométrie plus élevée) et possiblement des marbres (non observable en spectrométrie, mais les marbres affleurent mal) pourrait dater de cette époque et elle proviendrait de l'érosion ou de l'altération d'une source archéenne ou autre.

Une phase de chevauchement et d'imbrication des copeaux de socle du NE vers le SW est considérée comme les premières manifestation de la déformation orogénique notamment par Goulet (1990) et Wardle (2002), et elle serait synchrone au métamorphisme prograde amphibolite à granulite (Torngat).

Personne ne date l'anatexie partielle et la formation des pegmatites, mais nous pouvons postuler qu'elles sont tardi-métamorphiques entre 1,85 et 1,75Ma. Si une phase a concentré à nouveau de l'uranium syngénétique dans les marbres ou dans les paragneiss, cela devrait se situer à ce moment. Une phase de mise en place de l'uraninite dans nos pegmatites (Davis Inlet) et dans nos marbres (Cage) pourrait aussi dater de cette époque.

La phase de transpression qui a généré les décrochements et laissé le style tectonique si bien marqué NW (CAGE) ou N-S (Torngat) pourrait être tardi-métamorphique ou postérieur au métamorphisme. Selon ce qu'on observe à CAGE, les plissements à axes verticaux et la foliation S2 dans les marbres sont des structures dans lesquelles l'uranium a été remobilisé à la suite d'épisode ductile et mylonitique de cette transpression. Comme on observe que certains des minéraux métamorphiques des marbres ont souvent recristallisé sans orientation, une dernière phase thermique avec peu de déformation est probable.

En lames minces, on observe des calcites tardives ainsi que de l'hématitisation dans les zones minéralisées. Les auteurs ont décrit régionalement du métamorphisme rétrograde dans les zones mylonitiques. Ces altérations et possiblement une phase de déformation moins ductile ont pu suivre.

12.4.2 Zone indiciel

Quatre sources de données distinctes permettent de comprendre le contrôle structural de la minéralisation uranifère des principaux indices dans les marbres. On peut observer les analyses chimiques choisies (carte 17, annexe F), les plans compteurs scintillométriques sur les zones anomales (cartes 18 et 19, annexe F), les descriptions géologiques et des anomalies (carte 22, annexe F), et une étude par un expert en structure (rapport en annexe ?).

Nous n'avons pas disposé de la grille de repérage suffisamment tôt pour dresser un plan compteur de toutes les zones anomales. Les lectures dans ces plans compteur ne sont pas totalement représentatives. De très larges anomalies provoquées par une forte valeur ponctuelle peuvent donner une fausse impression de diffusion de l'U dans les roches encaissantes. À quelques décimètres d'une anomalie très intense, mais en dehors de son prolongement dans la foliation, on obtient une valeur faible non représentative directement sur le point de lecture de la maille. Des levés radiométriques effectués le long des rainurages sur les zones CAGE-B et CAGE-D confirment que les zones anomales sont ponctuelles ou le long de microfissures millimétriques ou micrométriques ou sur des discontinuités lithologiques (enclaves) ou minéralogiques (biotite, autres minéraux à identifier). Il n'y a pas de graphite ou d'autres traces de matières organiques visibles à l'œil nu.

Le dernier levé scintillométrique au sol de CAGE-D a été fait directement sur la roche plutôt qu'à une hauteur fixe d'environ 1m comme le montre la partie SE du plan compteur (signal plus étroit).

Les zones anomales sont anisotropes et contrôlées par la foliation S2. Lorsque celle-ci est plissée, les anomalies suivent le plissement. Certaines zones anomales sont en parallèle et pas exactement sur le même plan de foliation. Les anomalies se suivent facilement sur des dizaines de mètres, aussi longtemps qu'il y a de l'affleurement. On les retrouve même sous l'eau des lacs d'après les résultats de l'exploration sous-marine. On constate que les anomalies dans les carbonates sont souvent proches de zones injectées de pegmatite. On n'a très peu d'indications visuelles de rétromorphose, d'altération hydrothermale, de déformation plus intense (mylonite ou déformation cassante), ni de veines de calcite, de quartz ou d'autres minéraux. Il n'y a pas de sulfure en quantité significative. Il n'y a pas d'indicateur de mouvement autre que les plis intrafoliaires très déformés.

En ce qui concerne les anomalies dans les pegmatites (ex. : zones de Davis Inlet, du lac en Croissant et de Tasiujaaluk), nous constatons qu'il y a un contrôle de la mise en place des pegmatites minéralisées, toujours proche d'un contact avec les marbres (excepté pour le lac en Croissant). Les pegmatites sont généralement subconcordantes, déformées, tarditectoniques.

D'après les observations et résultats de Nicolas Flotté d'AREVA **(rapport en annexe H)**:

- Toute la déformation polyphasée relève de l'orogène Torngat, un épisode transhudsonien, même dans la province cratonique de Rae, incluant sa couverture sédimentaire paragneiss-marbre calcsilicate du Groupe du Lake Harbour;
- Le contact NW/SE du paragneiss et du marbre dans le secteur indiciel de CAGE, est un décrochement ductile dextre, en phase D3;
- Les plis d'entraînement parallèles sont eux aussi orientés NW/SE avec des axes verticaux, en phase D2;
- Un réseau de fractures N20-N50 dans un étroit couloir se met en place tardivement, en phase tardi D3;
- Les indices uranifères observés dans les marbres et calcsilicates correspondent à des concentrations en U d'origine sédimentaire recristallisé;
- Dans les marbres (secteur indiciel de CAGE), il existe trois niveaux enrichis et plissés lors des déformations D2 et D3;
- Ces plis sont d'échelle métrique à métrique (dizaine de mètre), à plongée verticale ;
- L'épaisseur des niveaux va de quelques cm à moins de 1 m;
- Les pegmatites intraparagneiss proviennent de la fusion partielle au cœur du cisaillement ductile, et sont enrichis en éléments incompatibles (150-200cps);
- L'ouverture tardive du système est attestée par les fractures N20-N50 confirmée au microscope;
- Les dykes de dolérite N50-N70 sont postérieurs (1300-1200ma).

Le grand nombre d'anomalies laisse espérer plus de trois niveaux minéralisés. Dans ces niveaux, les charnières s'épaississent. Les pegmatites intramarbres peuvent perturber la minéralisation. Dans les flancs étirés des plis, il existe des boudins en domino qui peuvent être porteurs de la minéralisation. L'information dont on dispose vient de deux décapages (indices CAGE-B et CAGE-D) et de la colline (indice CAGE-A) et est bien incomplète (le lac, absence des marbres collés sur le paragneiss, les karsts).

Les décapages et la géophysique au sol prévus en 2007 pourront permettre de préciser le dessin des plis, les charnières, la disposition des pegmatites et s'il y a lieu la densité des fractures tardives. Les sondages géologiques permettront de compléter le portrait structural, de vérifier l'existence de minéralisations syngénétiques et d'identifier les zones tectonisées largement minéralisées.

13.0 FORAGES (rainurages)

Il n'y a aucun forage, seulement quelques rainurages sur les décapages des zones CAGE-B (carte 18, annexe F) et CAGE-D (carte 19, annexe F). Nos échantillons d'anomalies radiométriques sont choisis et ponctuels. Seul le rainurage est représentatif d'une deuxième dimension.

Nous avons modifié la méthodologie du plan compteur pour la partie isolée SE de la grille : le scintillomètre était placé directement sur la roche pour atténuer les effets latéraux des hautes valeurs proches lors de la lecture. Les profils sont alors avec des pentes plus accentuées, un profil presque aussi représentatif que les lectures à tous les 10 centimètres le long des rainurages.

Toutefois, les zones anomales très radioactives et très ponctuelles influencent à distance la lecture des scintillomètres. Par exemple, dans certaines zones excessivement anomales (>40,000cps), le

scintillomètre, pointé vers le ciel, affichait encore hors échelle. Même avec des gaines de plomb sur le scintillomètre, il aurait été difficile d'obtenir des lectures représentatives. Les profils SPP2 présentent donc à notre avis des pentes amorties alors que les points anomaux sont si précis que de déplacer le scintillomètre de quelques millimètres, change complètement la valeur. Nous authentifions donc les valeurs, mais les lectures radiométriques ne sont pas aussi représentatives de la distribution réelle de la minéralisation.

D'après les mesures spectrométriques effectuées sur les rainurages, le rapport U/Th est systématiquement uranifère. L'influence du thorium peut être considérée comme négligeable sur la radioactivité. Les minéraux uranifères (uraninite, etc.) sont généralement non visibles à l'œil nu et à la loupe. Cependant, leurs produits d'altération (produits jaunes) sont observés. Les autres minéraux reconnus sont les sulfures tels que la pyrite, la pyrrhotite et la chalcopyrite souvent en veinules, et localement la galène, la molybdénite et le graphite, associés aux minéralisations uranifères.

13.1 Description des rainurages

Les rainures T-01 à T-05 sont localisées sur l'indice CAGE-D (carte 19, annexe F) et la rainure T-06 est située sur l'indice CAGE-B (carte 18, annexe F). Les rainures font 4 à 8 mètres de long x 3-6 centimètres de large et environ 3-6 centimètres de profondeur. Elles recoupent les unités de marbre, de calcsilicate et de pegmatoïde perpendiculairement à la foliation principale (S1) et/ou le litage (S0) de direction NW-SE.

On observe plusieurs zones minéralisées en parallèle sur l'indice CAGE-B, et que les minéralisations sur l'indice CAGE-D se suivent sur des dizaines de mètres horizontalement (on ne dispose pas de coupe verticale). Les rainurages confirment que la distribution de la radioactivité se présente comme un ensemble de points (amas d'uraninite?) nettement alignés dans certains plans de foliation, comme pour l'ensemble des anomalies de la zone indicielle.

13.1.1 Rainurage CA06-T-01, indice CAGE-D (figure 13.1.1, annexe A)

La rainure CA06-T-01 est localisée sur la ligne 41 selon la grille locale. L'échantillon T-01-02 (entre 1,2 et 2,0m) fut prélevé dans la zone minéralisée (40 000cps au SPP-Gamma; mesures spectrométriques à 1498 ppm eU, 37 ppm eTh et un rapport U/Th de 38,7) contenue dans un « nœud » ou « poche » de calcsilicate, déformé et vraisemblablement recristallisé post D2. Il y a dans ce nœud plusieurs points radioactifs dispersés et d'intensité variable. Les minéraux radioactifs n'ont pas été encore identifiés. Avec la loupe, on identifie des produits jaunes, de la chalcopyrite et de la galène.

La légère remontée à la fin de l'échantillon T-01-04 peut provenir du sol adjacent (les sols sur les affleurements radioactifs sont souvent des sables de calcite radioactifs par décomposition de l'affleurement).

Les analyses géochimiques de l'échantillon T-01-02 indiquent une teneur en U de l'ordre de 5600 ppm. Par contre, les échantillons T-01-01, T-01-03 et T-01-04, prélevés en dehors de la zone minéralisée, ont des teneurs en U beaucoup plus faibles et comprises entre 19 et 93 ppm.
L'échantillon minéralisé T-01-02 présente aussi des anomalies en Au (180 ppm), Cu (348 ppm), Pb (11300 ppm), Zn (408 ppm). Le Th (1-6 ppm) est faible dans tous les échantillons.

13.1.2 Rainurage CA06-T-02, indice CAGE-D (figure 13.1.2, annexe A)

La rainure CA06-T-02 est localisée sur la ligne 20 selon la grille locale. Le levé scintillométrique le long de la rainure a retourné des valeurs maximales de 1500cps et 1100 cps correspondant aux échantillons T-02-02 et T-02-08, respectivement. L'anomalie à 1500 cps est en continuité avec la zone principale de la rainure CA06-T-01, environ 20m plus à l'ouest. L'anomalie à 1100 cps correspondant à l'échantillon T02-08 pourrait être en continuité avec celui de CA06-T-04 ou être isolé. Le plan compteur de la ligne 20, indique une deuxième zone.

Les analyses géochimiques des échantillons prélevés dans la rainure CA06-T-02 ne présentent pas d'anomalies importantes en uranium (U = 24-53 ppm), à l'exception de l'échantillon T-02-02 renfermant 96 ppm d'uranium. Le Th (1-6 ppm) est faible dans tous les échantillons.

13.1.3 Rainurage CA06-T-03, indice CAGE-D (figure 13.1.3, annexe A)

La rainure CA06-T-03 est localisée sur la ligne 10 selon la grille locale. Une valeur scintillométrique de 2500 cps fut retournée dans la zone minéralisée, toujours en continuité avec T-02-02, située sur un plan de foliation en creux (plus calcitique, érodé) entre du marbre plus massif. En dehors du décapage, il y a une zone d'érosion et de blocs glaciaires, avec de très rares affleurements, qui empêchent de bien voir si la zone principale se poursuit de façon continue.

Les analyses géochimiques n'indiquent aucune teneur en uranium anormale pour les quatre échantillons prélevés dans cette rainure (U = 4-29 ppm).

13.1.4 Rainurage CA06-T-04, indice CAGE-D (figure 13.1.4, annexe A)

La rainure CA06-T-04 est localisée sur la ligne 5 selon la grille locale. La valeur maximale de 17800 cps est associée à une structure secondaire, non foliée, dans ce qui semble un joint, dans du marbre plus massif. Ce point n'a pas la même continuité apparente que celle de la zone principale. Par contre, cette zone secondaire semble se poursuivre dans le lac au sud.

Les analyses géochimiques de l'échantillon T-04-02 indiquent une teneur en U de l'ordre de 1310 ppm. Par contre, les échantillons T-04-01 et T-04-03 prélevés en dehors de la structure minéralisée ont des teneurs en U beaucoup plus faibles (U = 24 et 28 ppm). L'échantillon minéralisé présente aussi des anomalies en V (349 ppm), Pb (1030 ppm). La teneur en Th (1-6 ppm) est faible dans tous les échantillons.

13.1.5 Rainurage CA06-T-05, indice CAGE-D (figure 13.1.5, annexe A)

La rainure CA06-T-05 est localisée sur la ligne 107 selon la grille locale. Une valeur scintillométrique de 3000 cps reconnue à la pointe de la presqu'île, semble correspondre à un horizon en continuité avec CA06-T-01, CA06-T-02 et CA06-T-03, malgré une couverture d'arbustres entre les deux zones et qui nuit au suivi de l'indice (plan compteur). Le niveau finement folié se retrouve entre deux lambeaux de pegmatoïdes.

Les analyses géochimiques des trois échantillons de la rainure CA06-T-05 ne montrent pas d'anomalies importantes en U. La teneur en U la plus élevée est observée dans l'échantillon T-05-02 (U = 118 ppm). Les deux autres échantillons ont des teneurs en U faibles (U = 8,5 – 22,4 ppm). Les teneurs en Th (1 ppm) sont faibles dans tous les échantillons. L'échantillon minéralisé présente aussi des anomalies en Zn (690 ppm), Pb (590 ppm), V (38 ppm). Des teneurs élevées en Pb et Zn sont aussi observées dans les échantillons moins uranifères.

Comme on le voit sur le plan compteur, la principale zone minéralisée CAGE-D est continue, mince et associée à une zone finement foliée. Elle se perd sous le couvert végétal mais se poursuit probablement vers le SE et possiblement le NW. La zone secondaire W (CA06-T-04) se prolonge dans le lac, en dehors du décapage.

13.1.6 Rainurage CA06-T-06, indice CAGE B (figure 13.1.6, annexe A)

Le levé scintillométrique effectué le long du rainurage a donné une valeur maximale de 40000cps. La zone minéralisée fut difficile à scier à cause de la dureté différente dans la pegmatite et dans le marbre et à un effet d'érosion karstique, en partie en blocs sub-en-place. À certains endroits, la roche n'a pu

être échantillonnée due à un effet de relief non visible sur la photo. L'échantillon T-06-06 (entre 2,0 et 3,0 m) n'a pu être scié, l'échantillon T-06-02 (entre 5,7 et 6,5), il lui manque de 5,7 à 5,9. Les échantillons T-06-03 et T-06-04 sont entièrement dans la pegmatite. Le sol aux deux extrémités est contaminé. La continuité des minéralisations hors de cette rainure n'est pas démontrable, même si la minéralisation à l'indice CAGE-B dans son décapage a au moins deux horizons distincts qui se suivent sur plusieurs mètres comme le montre le plan compteur.

Les échantillons T-06-03 et T-06-04 prélevés dans la pegmatite présentent de faibles teneurs en U (U ~8 ppm). Par contre, les échantillons de marbre et de roche calco-silicatée prélevés au contact avec les pegmatites sont plus uranifères, en particulier les échantillons T-06-01 et T-06-02 (U = 3850-3690 ppm). Ces deux échantillons présentent aussi des anomalies en V (1140-1370 ppm), Mo (127-160 ppm), Zn (1310-499 ppm), Pb (3860-2370 ppm). Les autres échantillons de marbre et de roche calco-silicatée sont moins riches en U (20 à 161 ppm) et certains présentent des teneurs élevées en Au (40-46 ppm), Cu (66-91 ppm), Mo (304 ppm), Zn (2370 ppm) et Pb (2700-4100 ppm).

13.2 Lithogéochimie des rainurages

L'ensemble des échantillons prélevés dans les rainurages a été reporté dans les diagrammes U–CaO et U–(CaO+MgO)/Al_2O_3 (figure 13.2.1, annexe A). Ces diagrammes montrent une corrélation entre le CaO ou le rapport (CaO+MgO)/Al_2O_3 et l'U: les échantillons les plus uranifères seraient aussi les moins riches en calcium et les plus calco-silicatées. Cette corrélation est aussi observée pour les échantillons de la zone indicielle de CAGE. Pour l'ensemble des marbres et des roches calco-silicatées de la zone indicielle de CAGE (rainurage et affleurement), l'uranium se corrèle avec Bi, Y, Cu, Pb (figures 13.2.2 et 13.2.3, annexe A). La corrélation U-V est plus ambiguë : elle apparaît bien pour les échantillons des rainurages mais elle devient beaucoup plus floue pour les échantillons prélevés sur les affleurements (figure 13.2.3, annexe A). Aucune corrélation n'est observée entre U et Mo, Ba (figure 13.2.2, annexe A).

14.0 MÉTHODOLOGIE DE LA GRILLE DE REPÉRAGE SUR L'INDICE CAGE ET DE L'ÉCHANTILLONNAGE SUR L'ENSEMBLE DE LA PROPRIÉTÉ CAGE

14.1 Grilles de repérage

14.1.1 Équipe et matériel

Le personnel attitré à ce travail d'arpentage était Louis-Pierre Barrette, technologue en géologie, et Patrick Landry, technologue en minéralurgie, tous deux employés de Omégalpha Inc. Des géologues (Bocar Diagana et Matthieu Picarello) et des assistant-géologues (Dominique Bousquet et Marie-Josée Comeau) ont également participé aux travaux d'implantation des grilles.

Le matériel utilisé lors des travaux comprend : un théodolite de marque FUJI-KOH (SUNRAY), TR 303, NO, une mire graduée rétractable de 5 mètres, un GPS SX Blue précis à ± 1 mètre, un galon à mesurer de 30 mètres, un câble d'acier de 30 mètres gradué au mètre, des cordes de 5 mètres, des bornes métalliques préalablement poinçonnées à leur position sur la grille principale (voir description plus bas) et une foreuse à main accompagnée d'une petite génératrice.

14.1.2 Grilles de repérage

La grille principale se trouve dans le secteur du lac CAGE (UTM, 355568m E / 6557975m N, NAD 83, zone 20). La ligne de base de cette grille passe à l'ouest de l'indice CAGE-A selon un azimut de N321°. Le point BL0+00N / 0+00E de cette ligne se retrouve aux coordonnées 355617m E / 6557199m N (UTM NAD 83, zone 20). La ligne est construite avec des bornes métalliques ancrées dans le sol ou dans des blocs à tous les 100 mètres. Des bornes temporaires, faites d'amoncellement de petits blocs, ont été disposées à tous les 25 mètres entre les bornes métalliques. Chacune de ces bornes

est référencée à l'aide d'un GPS SX Blue. Une portion de la ligne de base fut complétée sur 1,5 km à l'été 2006, soit entre les bornes BL0+00N et BL15+00N. Les lignes transversales aux bornes BL0+00 nord et BL5+00N suivent un azimut de N051°, de 0+00E à 8+50E sur la ligne L0+00N et de 0+00E à 10+00E sur la ligne L5+00N. Les bornes sont disposées de la même manière que sur la ligne de base, soit des bornes métalliques à chaque 100 mètres et des bornes temporaires aux 25 mètres. Certaines bornes n'ont pu être installées car elles étaient positionnées dans des plans d'eau.

La seconde grille est un plan compteur scintillométrique au sol mesuré aux 5 mètres, complété du 2 au 9 août 2006, qui inclus l'indice CAGE-B. Ce plan compteur construit le long de la ligne L4+00 E, entre les lignes L0+00N et L5+00N, est rattaché à la grille principale. Des lignes transversales perpendiculaires à la ligne L4+00 E, ont un azimut de N051°. Une lecture au scintillomètre SPPGamma fut prise à tous les 5 mètres sur ces lignes transversales. Le plan compteur a été complété des lignes L1+20N à L1+85N avec des lignes transversales s'étendant de 200m vers l'est (L6+00E) ou jusqu'à la rive du lac CAGE et jusqu'à 90m vers l'ouest (L3+10E). Ce plan compteur incomplet et perturbé par le recouvrement n'est pas édité et sera repris en 2007.

Les troisième et quatrième grilles se trouvent respectivement sur le décapage de l'indice CAGE-B et sur le décapage de l'indice CAGE-D. Elles ont servi de plan compteur et de grille de référence pour la cartographie géologique détaillée et sont graduées au mètre. Les points ont été positionnés à l'aide d'un câble d'acier en guise de chaîne, aligné à l'aide d'une boussole selon un azimut de N321°. La grille CAGE-B a été géoréférencée à l'aide d'un appareil GPS SX Blue et la grille CAGE-D grâce à un appareil Garmin. Le comptage au SPP-Gamma placé à la hanche (environ 1m du sol) sauf pour le coin SE de CAGE-D (au sol), sur les grilles a été complété.

14.1.3 Obstacles

Les conditions météorologiques ont été les obstacles majeurs lors de l'arpentage de la grille principale. La température allait du temps ensoleillé à nuageux avec de fréquentes pluies accompagnées de forts vents ou sinon, de brouillard, parfois lors de la même journée. Les précipitations ont eu pour conséquence d'embuer la lunette du théodolite lorsque exposée à la pluie et le brouillard causa des difficultés de visibilité lors des travaux. Les pluies ont fait augmenter le volume des lacs et rivières, rendant parfois le positionnement des bornes difficile lorsque les lignes passaient par ces étendues d'eau. De forts vents ont causé de l'instabilité lors de la mise au niveau du théodolite, générant des problèmes de précision dans les visées. Sur la ligne de base, les différences de chaleur et d'humidité entre le point BL0+00N et le point BL5+00N, ont engendré une distorsion dans la visée du théodolite. Cette distorsion donnait l'illusion que les bornes n'étaient pas alignées, ce qui a causé des déviations lors du positionnement des bornes suivantes sur la ligne de base. Cette déviation de la ligne de base a été corrigée et la ligne de base réalignée. La forte dénivellation du terrain obstruait la visibilité pour la visée sur les bornes, ce qui augmentait la difficulté du travail puisqu'il fallait déplacer fréquemment le théodolite.

La difficulté d'accès à certains secteurs des grilles et la quantité de matériel à transporter de borne en borne ont été des éléments de ralentissement dans la construction de la grille principale. De plus, la mise au niveau du théodolite fut difficile sur certains terrains particulièrement ceux très accidentés ou marécageux. Des tests sur les types de mesures en plan compteur sur la grille de 5 mètres ont été faits et seules les mesures basées sur une visée d'un théodolite ont pu être correctement orthogonales. Les autres types de mesures, basées sur des câbles de 5m, ont eu trop de déviation due au dénivellement du terrain. Il est possible que les bornes temporaires, faites de petits blocs, ainsi que les bornes métalliques ancrées dans des blocs risquent de se déplacer lors du gel et dégel du sol au printemps et de la solifluxion des pentes terreuses.

14.2 Échantillonnage

14.2.1 Cueillette sur le terrain

Lors des travaux de prospection et de levé géologique, chaque équipe de géologue et assistant-géologue a recueilli un échantillon choisi de roche ≥ 5cm sur affleurement ou bloc afin d'effectuer des études pétrographiques (lames minces) et des analyses lithogéochimiques et de conserver une collection de référence pour consultation (échantillon témoin). La localisation des échantillons ainsi que la demande en analyse lithogéochimiques, lames minces ou témoin de ces échantillons sont listées dans le tableau 14.2.1.1 (annexe C) et montrées sur les cartes 12 à 14 (Annexe E).

Les échantillons de roche sont recueillis à l'aide d'un marteau de géologue, d'une masse ou d'un ciseau à froid. Le géologue ou l'assistant s'assure de porter des lunettes de sécurité et des gants lors de l'échantillonnage. Chaque échantillon est entouré d'un ruban (masking tape) et/ou déposé dans un sac à échantillon en plastique avec inscription du numéro d'échantillon (ex : CA06-1001-01) et/ou de coupon (ex : 0001) sur le ruban et/ou le sac. Le sac est scellé à l'aide de ruban. Le numéro d'échantillon est retranscrit par le géologue dans le carnet de terrain et sur la fiche d'affleurement avec les coordonnées du site d'échantillonnage.

L'utilisation d'une scie à roche est requise à l'occasion pour obtenir un échantillon de roche sur des affleurements ou blocs à surface plane et pour l'échantillonnage par rainurage sur des sections spécifiques.

Malheureusement, notre spectromètre Exploranium GR-130 utilisé sur le terrain s'est avéré défectueux au sens qu'il nous a systématiquement donné des valeurs eU et eTh trop faibles, malgré une calibration faite par le fabricant quelques semaines avant le terrain. Heureusement, le rapport U|Th est resté assez fidèle à la réalité.

Les anomalies radiométriques ou spectrométriques sont parfois très ponctuelles. Cette situation occasionne parfois une différence entre la lecture radiométrique sur affleurement de celle obtenue sur l'échantillon choisi. Dans un cas concret, il est probable qu'une valeur radiométrique sur un échantillon prélevé ne reflète pas une valeur radiométrique détectée sur la roche en place (ex : basse teneur sur l'échantillon versus haute teneur sur l'affleurement). De plus, un échantillon réduit en plusieurs morceaux (ex : un morceau pour l'analyse, un morceau pour lame mince et un morceau pour témoin) peut retourner une signature radiométrique distincte pour chaque morceau. Lors du broyage, il y a homogénéisation du morceau expédié au laboratoire mais ce résultat n'est pas toujours représentatif de l'affleurement ou parfois même de l'échantillon.

Le laboratoire a utilisé deux méthodes d'analyse (voir le chapitre méthodologie) et nous avons présenté sur les cartes l'analyse par digestion totale.

14.2.2 Sélection et préparation des échantillons pour analyse ou étude pétrographique et métallogénique

Les échantillons choisis de roche sont transportés au camp de base pour leur sélection. La sélection des échantillons pour chaque type d'analyse est contrôlée en déposant dans chaque sac un coupon numéroté correspondant au type d'analyse demandé soit une lame mince, une analyse géochimique ou un témoin. Un double du coupon (coupon de référence) est conservé dans un bordereau afin de compléter une mesure de contrôle des échantillons. Le coupon de référence et le coupon déposé dans le sac contiennent en plus du numéro de projet, le numéro de l'échantillon et le type d'analyse ou d'étude.

Par la suite, les échantillons non radioactifs sont transférés dans des contenants de plastiques numérotés selon leur envoi pour lame mince, pour analyse ou pour témoin. Une liste de chaque contenant numéroté avec les échantillons inclus est dressée dans un tableau numérique de format

Microsoft Excel. Les échantillons radioactifs sont transférés dans des contenants noirs en métal (avec attestation IP3 pour envoi de matériel radioactif) avec scellant en métal et identifiés à l'aide d'un placard de radioactivité de type I, II ou III (basé sur des mesures spectrométriques en micro-sievert).

14.2.3 Transport des échantillons

Les contenants de plastique et de métal sont scellés avec du ruban adhésif résistant. Ces contenants sont transportés par hydravion du camp de base jusqu'au village de Kangiqsualujjuaq pour être entreposés dans un conteneur de métal pour ensuite être expédié par bateau (Desgagnés Transarctik Inc.) jusqu'au quai de Sainte-Catherine près de Montréal.

La même procédure est suivie pour l'envoi au laboratoire des échantillons, à partir de nos bureaux, après la réception du conteneur.

15.0 PRÉPARATION, ANALYSE ET SÉCURITÉ DES ÉCHANTILLONS

Les échantillons de roche prélevés lors des travaux de prospection réalisés sur la propriété CAGE ont d'abord été emballés par les géologues et leurs assistants, dans des seaux de métal de type IP-3 spécialement conçus à cet effet. Pour l'ensemble des échantillons radioactifs prélevés, 14 seaux ont été utilisés.

Par la suite, la procédure suivante a été suivie afin de préparer l'expédition de ces échantillons radioactifs.

1)- numérotation et pesage des seaux

2)- mesure (ppm) de la teneur en uranium avec le spectromètre Exploranium GR-130

3)- calcul de l'activité totale avec la formule :
At (en kBq) = 14 x 12.35kBq/g x masse (en grammes) x teneur en U (en %)/100

4)- mesure de l'intensité de rayonnement maximale en milliSievert par heure (mSv/h) à une distance de 1 m des surfaces externes du colis ainsi qu'au contact avec le spectromètre Exploranium GR-130

5)- détermination de l'indice de transport avec la formule :
IT = 100 x intensité de rayonnement à 1 m exprimé en mSv/h

6)- marquage des seaux avec des étiquettes de classe 7 de différentes catégories, selon l'indice de transport et l'intensité de rayonnement maximale en tout point au contact de la surface externe du colis:

Indice de transport	**Intensité de rayonnement maximale au contact**	**Catégorie ÉTIQUETTES**
0 (si IT n'est pas supérieur à 0,05)	< 0,005 mSv/h	**I**-Blanche (7A)
0 à 1	0,005 => 0,5 mSv/h	**II**-Jaune (7B)
1 à 10	0,5 => 2 mSv/h	**III**-Jaune (7C)

Note : Aucun des seaux contenant les échantillons de CAGE-2006 n'a nécessité une étiquette de catégorie III.

7)- notation sur chacune des étiquettes (2 par seau) de l'activité en kBq et de l'indice de transport des colis

8)- déclaration écrite de l'expédition de matières dangereuses (voir document *IMO Dangerous Goods Declaration* de 4 pages en annexe)

9)- dépôt des 14 colis dans un conteneur destiné au transport par bateau

10)- apposition de 4 placards de classe 7 (RADIOACTIF) sur les surfaces extérieures du conteneur.

Tous les échantillons sont numérotés. Le contenu de chaque chaudière est connu par le bon d'expédition. Les compagnies de transport sont dûment avisées qu'il s'agit de matières dangereuses à manipuler avec soins.

16.0 VÉRIFICATION DES DONNÉES

Le chef de projet, l'expert structuraliste et d'autres géologues séniors ont revisité sur les traverses. Les anomalies eU et eU/eTh du levé héliporté ont été supervisées par un géophysicien expert présent sur le terrain et qui accompagnait les prospecteurs lors des vérifications au sol. Les plans compteurs n'avaient pas comme objectifs de vérifier les anomalies héliportées mais de préciser le contexte des décapages. Il y a eu une double vérification des anomalies par SPPgamma (au lieu du SPP2) surtout pour les valeurs supérieures à 15,000 cps. Un spectromètre disponible dans l'hélicoptère a servi pour la vérification des valeurs spectrométriques U, Th et K. Des équipes sont retournées sur certains points anomaliques pour échantillonner (plusieurs anomalies étaient difficiles à échantillonner sans scie) et pour les vérifier. Un retour sur les lieux permet souvent de trouver d'autres anomalies que celles précisément décrites : il faut comprendre qu'elles sont très ponctuelles, mais rarement seules, car entourées de zones avec de nombreux points entre 300cps et 1000cps.

Tout géologue externe voulant effectuer une vérification des anomalies pourrait le faire avec le tableau GPS en annexe. Nous laissions des rubans marqueurs mais les ours et autres animaux, ainsi que la météo inclémentes les détruisent rapidement.

Nous attestons de la véracité des anomalies radiométriques, même lorsque le levé héliporté ne les indique pas car la prospection fut effectuée antérieurement au levé.

17.0 TERRAINS ADJACENTS

Pour obtenir de l'information sur les groupes de claims (propriétés) Amaujaq et Brumath, nous vous référerons aux rapports correspondants.

Immédiatement au sud, nous n'avons aucune information géologique ou de prospection autre que celles des gouvernements car nous sommes dans un projet de parc.

Au sud du projet de parc, les claims sont détenus principalement par la compagnie Exploration Azimut qui n'a pas encore produit un rapport technique public. Cette compagnie informe cependant les investisseurs par des communiqués de presse donnant des résultats analytiques sur l'uranium avec aucune précision sur le thorium (échantillons choisis). Les communiqués de presse font aussi mention de la présence d'uraninite confirmée à la microsonde et des anomalies radiométriques (spectres de l'uranium et thorium non mentionnés). Il s'agit d'anomalies dans des pegmatites granitiques selon leur

PDG. Leur levé en équivalent U est d'un style similaire à celui de nos levés spectrométriques héliportés par McPhar Geosurveys Ltd.

La plupart des claims détenus par Exploration Azimut entoure notre propriété Amaujaq, qui elle contient une bande isolée de marbre et quartzite du Groupe du Lake Harbour. Il est possible que ces anomalies soient similaires aux centaines d'anomalies dans les pegmatites et granites que nous avons reconnues, sauf que leur position stratigraphique est différente car elles sont localisées plus loin du paléoprotérozoique (Groupe du Lake Harbour) dans de l'archéen remobilisé.

18.0 ESSAIS DE TRAITEMENT ET ESSAIS MÉTALLURGIQUES

Ce chapitre ne s'applique aux travaux réalisés sur la propriété CAGE 2006.

19.0 ESTIMATION DES RESSOURCES MINÉRALES ET DES RÉSERVES MINÉRALES

Ce chapitre ne s'applique aux travaux réalisés sur la propriété CAGE 2006.

20.0 AUTRES DONNÉES ET RENSEIGNEMENTS PERTINENTS

Ce projet se développe en territoire inuit, près du village de Kangiqsualujjuaq. Dans le groupe de claims de la propriété CAGE, il n'y a pas d'habitation permanente mais ça ne signifie pas pour autant qu'il n'y a pas une occupation inuit du territoire. On retrouve des bâtiments de type « refuge saisonnier» pour la communauté inuit surtout le long de la côte de la baie d'Ungava et des rivières. Nous avons engagé des inuits (hommes et femmes) en tant que prospecteurs et nous continuerons à le faire. Il existe donc un réservoir de main d'œuvre adopté au climat et à la culture locale tout près.

Il existe deux pourvoiries dans un rayon de quelques dizaines de kilomètre, au sud de la propriété, dont la pourvoirie de la rivière Koroc d'où nous avons établi notre camp de base 2006. Le secteur est fréquenté pour la pêche et la chasse, générant des revenus récréo-touristiques. À l'occasion, quelques alpinistes ou autres randonneurs viennent dans le secteur, attirés par le Mont d'Iberville.

Dans sa partie terrestre, le secteur est plus accessible en hiver par motoneige qu'en été par véhicule tout-terrain. Toutefois, l'accès s'effectue surtout par bateau (embarcation légère). Les moyens de transport effectifs sont l'hélicoptère, l'avion sur flotteur et le bateau pour le matériel.

Le secteur est vierge d'infrastructure : aucune route, aucun port, aucun débarcadère, aucun barrage, aucune installation énergétique, ni de communication. Toute construction doit prendre en compte les contraintes du milieu nordique et du pergélisol. De plus, aucun site ou trace archéologique ou historique n'a été trouvé.

20.1 Environnement

Le milieu naturel a été décrit précédemment. La situation spécifique radiométrique du camp et des indices est différente selon qu'on travaille sur les marbres (40 cps) ou les granitoïdes et pegmatites (80-300 cps). Le milieu naturel a donc une radioactivité naturelle mais qui ne représente aucun danger pour les personnes. Dans une mine d'uranium en Saskatchewan (teneur beaucoup plus importantes) la dose maximale annuelle est de 4.5 µS/année. Sur notre projet, un employé n'atteindra même pas la dose annuelle d'un examen dentaire annuel.

Nos travaux de 2006 sont des travaux faits manuellement, sans équipement ou véhicule pouvant endommager les sols et principalement opérés par hélicoptère à partir de la pourvoirie Koroc et du camp du lac CAGE.

Le choix de l'emplacement du camp du lac CAGE a été fait après une vérification minutieuse de la radioactivité qui était autour de 40cps. À cause du pergélisol, les planchers sont surélevés et aérés, ce qui empêche l'accumulation de gaz.

À la pourvoirie Koroc, nous avons respecté les règles de santé et sécurité qui leurs sont régis dont la récupération des déchets (retour en avion vers Kuujjuaq). Au lac CAGE, nous avons respecté les règles de la CSST pour les camps en milieu isolés (réf. : Permis de construction d'un campement temporaire).

Dans ce milieu, les principaux risques environnementaux sont ceux habituels d'un camp isolé. Ce sont donc notamment ceux liés à la manipulation des produits énergétiques (pétroliers) pour les transports ou le camp. Deux VTT ont été utilisés pour le transport (barils, bois, épicerie) principalement entre le quai et le camp. Les falaises et le terrain sont trop rugueux pour se balader au-delà de la vallée du camp. Pour respecter les normes usuelles de la CSST pour un camp isolé, nous avons construit un bâtiment comprenant une cuisine et une douche et servant aussi de bureau. Le lac CAGE est un lac avec un courant significatif, comme on a pu le vérifier lors des pluies (variation journalière du niveau d'eau). L'eau potable du lac est traitée par osmose inversée.

Il y a eu également des travaux non mécanisés d'échantillonnage. Ces travaux manuels sont ceux qu'il est normal de conduire dans n'importe quel projet d'exploration. Sur l'indice principal CAGE, nous avons commencé à implanter une grille de repérage (voir description à la section 14.1).

Nos levés de spectrométrie au sol ou héliporté permettent donc d'établir où sont les zones plus radioactives sur affleurements, sur blocs, ou sur les sols. Nos cartes de géochimie permettront de connaître la distribution des éléments radioactifs naturels dans les sédiments de fonds de lacs. Notre personnel ne séjourne pas dans un lieu clos à forte radioactivité, mais dans le milieu naturel existant. Un échantillon prélevé est souvent moins radioactif que la zone où il a été prélevé. Dès son prélèvement, les échantillons sont sélectionnés et authentifiés par le chef de projet et prêt pour l'expédition (voir les sections 14.2.1 à 14.2.3). En aucun cas, ils peuvent menacer la santé ou la sécurité des employés.

21.0 INTERPRÉTATIONS ET CONCLUSIONS

21.1 Atteinte des objectifs

Le projet CAGE (#114024) qui comprend les propriétés de CAGE, d'Amaujaq et de Brumath, s'inscrit à l'intérieur d'un programme de cartographie et de prospection du potentiel uranifère de la partie nord du Québec pour le compte de la compagnie Uranor Inc. Les objectifs visés par les travaux de terrain 2006 furent de définir et d'élargir la zone indicielle de CAGE reconnue en 2005 (par Claude Caillat et Serge Genest) et d'expliquer et de reconnaître le contexte de la minéralisation uranifère de type CAGE sur l'ensemble des propriétés par la prospection et accessoirement par la cartographie géologique. Pour fin de travaux statutaires, les propriétés Amaujaq et Brumath feront l'objet de rapports spécifiques autres que celui-ci.

Considérant la courte saison (du 3 juillet au 20 août 2006) et le couvert nuageux fréquent ainsi que le brouillard, les objectifs de prospection ont été amplement atteints avec la découverte de plus de 1035 anomalies scintillométriques de plus de 1000 cps. À cause de cette priorité et des très nombreuses anomalies, la cartographie géologique est passé au second plan, les géologues creusant avec les prospecteurs ou passaient leur temps à vérifier les anomalies. Le décapage manuel est peu productif, nécessitant trop de personnels (géologues et assistants) pour des résultats mitigés. Le positionnement

par GPS est efficace en autant que les anomalies ne se retrouvent pas à quelques mètres l'une de l'autre (précision environ 10m au GPS) ce qui est la règle plutôt que l'exception. Le positionnement sur une grille à maille de 100m est peu efficace, les structures devant être décrites à 1m et moins.

21.2 Travaux de terrain 2006

Nos travaux de cartographie et de prospection 2006 se sont surtout concentrés dans la partie nord de la propriété CAGE. Les quelques traverses effectuées dans le secteur sud ne sont que des profils de vérification pour retrouver les unités de marbre, calcsilicate et quartzite de la cartographie géologique du ministère (Verpaelst et al., 2000).

Ce rapport porte sur la prospection de l'été 2006. Il est très préliminaire en ce qui concerne la lithogéochimie, la géologie et la géophysique.

21.3 Résultats 2006

21.3.1 Anomalies radiométriques et zones anomaliques

Les travaux de prospection 2006 sur les propriétés CAGE, Amaujaq et Brumath ont permis d'identifier plus de 1035 anomalies radiométriques supérieures à 1000 coups par seconde (cps) dont plus de 268 de ces anomalies proviennent du secteur indiciel de CAGE. Les quatorze (14) zones anomaliques précédemment décrites ont été basées sur des regroupements naturels d'anomalies radiométriques: les zones CAGE-A à F du secteur indiciel de CAGE, la zone Davis Inlet, la zone de la presqu'île, la zone Aquiarussuk, la zone Kéglo Sud, la zone Tasiujaaluk, la zone CAGE Extension Sud, la zone Tasiujaaluk NW et la zone du Lac en Croissant. Chacune de ces zones a été validée par des analyses lithogéochimiques. Le plus grand intérêt porté à ces zones est lié à la présence de nombreuses anomalies radiométriques supérieures à 15000 cps.

Les levés spectrométriques confirment que les teneurs en eU et eTh sont significatives dans les roches du Groupe du Lake Harbour avec un plus fort contraste pour l'uranium (eU) que le thorium (eTh). Ces levés indiquent la présence d'une province uranothorifère importante.

La minéralisation uranifère de type CAGE est reconnue dans les zones CAGE-A à F, CAGE Extension Sud, Kéglo Sud et Aquiarussuk. La zone indicielle de CAGE regroupant les zones anomaliques CAGE-A à CAGE-F est localisée à l'intérieur d'une large péninsule qui est bordée au sud et à l'ouest par la baie Keglo, au nord par la baie d'Ungava et à l'est par les baies Davis et Gregson. Elle suit une vallée de 900 mètres de large qui est dans le prolongement sud-est de la baie Davis Inlet et sa longueur actuelle est d'environ 5,4 kilomètres. La minéralisation visible de type CAGE est généralement sous forme de produits jaunes (oxydation des minéraux uranifères) dans les enclaves ou poches de matériel pegmatoïde et/ou calco-silicaté encaissés dans des roches carbonatées à dominance dolomitique (50-70%) pouvant contenir du diopside et de la phlogopite. Les anomalies sont le résultat de la présence d'uraninite disséminée et d'amas (pechblende?) de 1000 microns par plus de 5000 microns.

Les minéralisations uranifères (et thorifères) reconnues sur les zones de Davis Inlet, de Aquiarussuk, de Tasiujaaluk, de CAGE Extension Sud (partie sud) et de Tasiujaaluk NW sont associées au type Rossing. La minéralisation sous forme de monazite et/ou d'allanite et/ou de titanite et/ou de zircon se trouve généralement dans des amas de biotite et /ou phlogopite et de quartz fumé dans les pegmatites déformées et concordantes au contact des unités de marbre et de paragneiss. Les enclaves ou lentilles de marbre ou de calcsilicate dans les pegmatites de la zone Davis Inlet contiennent de l'uraninite et des produits jaunes. C'est principalement une minéralisation ponctuelle i.e. de petites concentrations dispersées dans la roche. Le même type de minéralisation fut observé sur la zone du Lac en Croissant mais cette dernière zone est plus riche en thorium et se retrouve dans une pegmatite riche en quartz ou une méta-arkose avec des passées pegmatitiques près ou au contact de paragneiss.

On a aussi observé quelques anomalies radiométriques isolées dans les paragneiss encaissants, en dehors des pegmatites. Les anomalies plus régionales, (autres anomalies, anomalies U-Mo) ont déçu pour le moment: les unités de marbres y sont minces, rares, difficiles à repérer en hélicoptère et les anomalies se sont avérées le plus souvent fortement thorifères. Cela est confirmé par la partie des levés spectrométriques de McPhar Geosurveys sur le « socle » et par la géochimie des sédiments de fonds de lacs. La cartographie géologique, sauf dans la Baie Kéglo, s'est faite surtout sur les crêtes alors que les structures mylonitiques et cassantes du socle sont possiblement cachées par les blocs dans le talus d'éboulis et dans les replats des vallées.

Dans la partie sud de la propriété, bien qu'il y ait plusieurs anomalies reconnues et qu'il aurait été possible d'en obtenir bien plus, les ratios U/Th sont nettement thorifères pour un style usuel d'anomalies ponctuelles. Nous avons rapidement ralenti la prospection du secteur pour nous concentrer dans les secteurs plus probables.

21.3.2 Type de minéralisation

21.3.2.1 Synthèse du contexte des anomalies et de la minéralisation

Notre modèle interprétatif de la minéralisation prend en considération que les anomalies se trouvent indistinctement dans les gneiss (Complexe de Baudan), les pegmatites (Zone Davis Inlet) et les marbres (Zone indicielle de CAGE). Le contexte global des anomalies et de la minéralisation permet d'expliquer que :

- Les anomalies nettement uranifères (rapport U/Th favorable) se trouvent dans les marbres (confirmé par les analyses);
- La minéralisation constituée d'uraninite et de produits jaunes est généralement disséminée ou en amas (possiblement pechblende?) plus ou moins dans la foliation, constituant souvent d'innombrables anomalies ponctuelles souvent intenses, parfois très rapprochées à l'échelle métrique (non visible sur les cartes) et alignées à l'échelle kilométrique (sur toutes les cartes d'anomalies) dans les marbres et les roches calco-silicatées;
- La direction préférentielle est celle de la foliation régionale S2 même si des fractures ou veinules peuvent parfois jouer un rôle; lorsque le S2 plisse, les anomalies suivent et se concentrent dans les nez de plis;
- La granulométrie (texture cataclastique ou mylonitique, peu d'évidences de recristallisation) ou la minéralogie (olivine, carbonate, diopside) ne semble pas avoir une influence marquée;
- Aucune veine sécante majeure ne contrôle la minéralisation en affleurement, même si en lames minces, on observe à l'occasion des veines sécantes.
- Les pegmatites, lorsqu'elles sont proches des marbres sont plus uranifères que thorifères sauf le cas actuellement inexpliqué de Tasiujaaluk NW;
- Dans les pegmatites, les enclaves, les lambeaux de marbre ou la biotite piègent l'U;
- Le plissement et la déformation D2-D3 jouent un rôle à l'échelle de l'affleurement, mais en lames minces, l'historique des déformations est apparemment plus complexes que ce qu'on voit sur l'affleurement;
- Les pegmatites et les marbres sont affectés par les fracturations et altérations tarditectoniques (U dans la calcite);
- La bréchification dans les marbres conduit à des anomalies plus intenses (CAGE-A, la presqu'île de Davis Inlet) mais elle est peu répandue;
- Les sulfures, la magnétite ne corrèlent pas avec les anomalies;
- D'autres éléments chimiques (V, Mo, Cu) ont un lien occasionnel avec l'U;
- La pyrite, la pyrrhotite et la galène sont plus fréquentes avec l'U;
- L'abondance des pegmatites est partiellement contrôlée par les contacts avec les marbres;
- La répartition de l'U et du Th de ces pegmatites est variable et devra faire l'objet d'études plus poussées;
- La source primitive de l'U est vraisemblablement dans les granitoïdes thorano-uranifères;

- La remobilisation au paléoprotérozoique a joué un rôle (S2, pegmatite), mais à quel moment (datation de la minéralisation à venir).

Dans les marbres ou les pegmatites, il y a plusieurs zones minéralisées en parallèle, et celles associées aux carbonates se suivent sur des centaines de mètres horizontalement (on ne dispose pas de coupe verticale). La distribution de la radioactivité se présente comme un ensemble de points nettement confinés dans certains plans de la foliation S2.

Avec les données actuelles, on ne dispose d'aucune explication pour les variations brutales du rapport U/Th dans les pegmatites. Avec nos données, on ne peut rien conclure sur la mise en place des pegmatites (anatexie ou juvénile) et de leur cortège uranothorifère (allanite, monazite, titanite, zircon).

21.3.3 Stations et traverses

Plus de 2968 stations distribuées sur 161 traverses ont été visitées lors du levé géologique et des travaux de prospection 2006. De ce nombre, 915 stations (37 traverses) furent visitées dans le secteur de la zone indicielle de CAGE et 456 stations (26 traverses), dans le secteur de la baie Kéglo. L'objectif principal visé par les traverses fut la prospection des unités méta-sédimentaires (marbre, roche calco-silicatée, quartzite et grès) à l'intérieur du Groupe du Lake Harbour d'après la cartographie de Taylor (1979) et de Verpaelst et al (2000) dans le secteur des feuillets 24P et 24I, respectivement.

21.3.4 Géologie

L'interprétation géologique fut faite à partir des données spectrométriques, magnétiques, photogéologiques, géochimiques (sédiments de fonds de lacs) ainsi que sur les affleurements visités. Les lithologies ont chacune une signature caractéristique en radiométrie au sol ou en magnétisme.

Les unités sédimentaires de la propriété CAGE, constituées de marbre, calcsilicate, ou roche calco-silicatée, quartzite et paragneiss, appartenant au Groupe du Lake Harbour, furent remobilisées en même temps que l'ensemble de blocs cratoniques archéens (granite, orthogneiss, pegmatite, etc.) au Paléoprotérozoïque. Le Groupe du Lake Harbour constitue une sous-zone tectonique orientée NNW, située à la bordure E du noyau central (Province de Rae) de la Province de Churchill. Cette sous-zone tectonique est enclavée entre les cratons archéens des provinces du Supérieur et du Nain. Elle est souvent décrite comme se terminant sur la faille NW d'Abloviak. Le coeur carbonaté du Groupe du Lake Harbour est dans nos claims entre les baies de Weymouth Inlet, de Davis Inlet et de Kéglo. Les limites entre les paragneiss avec un peu de marbre, d'amphibolite et de quartzite du Groupe du Lake Harbour et les gneiss et autres roches granitiques remobilisées restent ambiguës surtout lorsque la quantité de sédiments diminue drastiquement.

Notre propriété peut se diviser en sous-domaines aux styles structuraux suffisamment distincts pour nous obliger à modifier nos méthodes de prospection : le secteur NE Weymouth, très linéaire orienté NW-subverticaux (style Torngat); le secteur transitionnel CAGE, de dômes et de bassins d'axe NW-subverticaux avec ses karsts; le secteur Baudan avec ses minces lambeaux de marbres faiblement pentés orientés NE du cœur orthogneissique du craton (incluant le lac en Croissant) et qui a largement été décrit dans le 24I par Verpaelst(2000). Nous estimons que le « Front des Torngat » doit se situer à 5km à l'Ouest du linéament de la baie Weymouth Inlet sur la base de la spectrométrie, du magnétisme et de l'interprétation photogéologique.

Le Groupe du Lake Harbour est une couverture sédimentaire paléoprotérozoique remobilisé avec son socle archéen. Les marbres, bien que moins abondants que les paragneiss, distinguent le secteur Keglo-Davis Inlet ainsi que la quasi absence des quartzites et des roches mafiques comparativement au secteur du projet de parc au SE (24I). Les rubanements calco-silicatés dans les marbres, les pegmatites et les leucosomes ont oblitéré toute traces de structures primaires. La plupart des contacts du marbre sont vraisemblablement tectoniques (ductiles), suivi par les plissements et la déformation

polyphasée. L'écaillage par les failles inverses et les décrochements lors de la remobilisation ductile s'observe mieux par la magnétisme ou la spectrométrie que sur les affleurements. La séparation en deux complexes proposés par Verpaelst (2000), l'un tonalitique et migmatisé, avec des 10-30% de lambeaux mafiques et l'autre plus granitique, sans granite juvénile non folié tardi-kénoréen ou tardi-Torngat, avec des copeaux du Groupe du Lake Harbour s'effectue au sud ou au SE de nos travaux de 2006. Mis à part quelques grands dyke de diabase ou de lamprophyres (kimberlite?) post tectonniques, principalement NE et ENE, il n'y a pas d'indices de remobilisation post-Torngat (1790-1858 Ma).

La géochronologie détaillée est présentée par Verpaelst (2000). L'interprétation d'un arc insulaire dans un bassin marginal est proposé par le même auteur sur la base de la lithogéochimie des roches mafiques (tholéiites enrichies en élément traces) du 24I.

Le métamorphisme régional du Groupe du Lake Harbour est principalement au faciès amphibolite. Le paroxysme du métamorphisme et de la déformation s'établit aux alentours de 1,8 Ga.

21.3.5 Géophysique

Le levé magnétique confirme le puissant style structural linéaire NW de certains secteurs, et les dômes et bassins ailleurs. La minceur et la continuité des zones magnétiques sont remarquables selon le reflet du changement des oxides de fer ou de la répartition des zones dites rouillées. Les dykes tardifs se distinguent aisément.

Les levés spectrométriques définissent bien les secteurs à fond radiométriques élevés, mais les anomalies ponctuelles ont été identifiées par la prospection au sol. Ces levés fournissent des données en continu eU et eTh mieux distribuées que les mesures ponctuelles faites au sol ou sur les échantillons.

21.3.6 Géochimie des sédiments de fonds de lacs

Sur la propriété CAGE, on dénombre 65 anomalies de sédiments de fonds de lacs supérieures à 11 ppm U (les anomalies inférieures à 11 ppm U n'ayant pas été retenues). C'est dans le socle granitique hors des monts Torngat qu'on trouve les zones à fortes anomalies, comme dans le projet de Parc au sud de la propriété CAGE ou chez la concurrence au sud du projet de parc. Les roches du Groupe du Lake Harbour montrent des zones anomales de moindre puissance. Nous avons donc des anomalies U de sédiments de fonds de lacs peu étudiées pour le moment et des anomalies à U et Th sur affleurements avec peu de lac anomal proche.

21.3.7 Rainurages

D'après les mesures spectrométriques effectuées sur les rainurages, le rapport U/Th dans les marbres est systématiquement uranifère. L'influence du thorium peut être considérée comme négligeable sur la radioactivité. Les minéraux uranifères (uraninite, etc.) sont généralement non visibles à l'œil nu et à la loupe; cependant leurs produits d'altération (produits jaunes) sont observés. Les autres minéraux reconnus sont les sulfures tels que la pyrite, la pyrrhotite et la chalcopyrite souvent en veinules, et localement la galène, la molybdénite et le graphite, irrégulièrement associés aux minéralisations uranifères.

Les parties décapées (et les rainures) ne sont pas localisées sur les plus belles anomalies mais sur les anomalies qui pouvaient être décapées manuellement.

Cinq (5) rainures effectuées sur l'indice CAGE-D ont entre 4 et 8 mètres de long et 1 rainure sur l'indice CAGE-B a une longueur de 8 mètres. Les échantillons pris sur chaque rainure ont en moyenne 1 mètre. Les analyses chimiques corrèlent parfaitement avec le levé radiométrique et les valeurs uranifères sont étroites (1m).

21.3.8 Autres renseignements

Les activités actuelles s'inscrivent dans une phase d'exploration, sans construction ou développement permanent. Notre devoir d'informer passe en priorité par la communauté inuit de Kangiqsualujjuaq, en sus des obligations légales. Nous ne devons pas créer des attentes disproportionnées (exploitation minière et nombreux emplois inuits) avant que des ressources soient calculées et une étude de faisabilité faite. Nous espérons participer accessoirement à la compréhension que le développement du potentiel minéral du Nunavik se fait avec des inuits formés à la prospection et au développement minéral.

22.0 RECOMMANDATIONS

Dans le secteur indiciel de CAGE, nous recommandons:

- de compléter la grille d'arpentage principale de 5 km x 2 km située à l'ouest du lac CAGE par des professionnels en arpentage avec une extension de la grille vers le NE de quelques centaines de mètres jusqu'aux unités de pegmatite/granite et d'environ 1 km vers le NW;
- d'effectuer des plans compteurs de scintillométrie au sol à la maille de 1 mètre sur les zones anomales CAGE-A à CAGE-F après les décapages; y compris la zone Davis Inlet et au 25 mètres sur toute la grille avec un échantillonnage systématique au 5 mètres sur les zones anomales CAGE-A à CAGE-F;
- d'effectuer des plans compteurs de scintillométrie au sol à la maille la plus serrée possible sur la zone Davis Inlet, et sur toutes les anomalies lorsqu'il y a de l'affleurement;
- d'effectuer des travaux de décapage à l'aide d'une pelle mécanique principalement sur la zone CAGE-A, et procéder à l'agrandissement des décapages de la zone CAGE-B vers le NW et NNE et de CAGE-D vers le NW;
- une cartographie géologique et structurale détaillée des zones de décapages (CAGE-A, CAGE-B et CAGE-D) avec plan compteur au 1 mètre;
- de prêter une attention soutenue à la stratigraphie et à la sédimentologie des marbres;
- de faire un levé de résistivité au sol pour distinguer les marbres, les calcsilicates, les pegmatites dans les marbres, les contacts avant la campagne de forage.
- d'effectuer une campagne de forage de 10 à 12 trous d'une moyenne de 100 m de profondeur par trou total de 1200m) sur les zones anomales CAGE-A (2-3 sondages), CAGE-B (2-3 sondages), CAGE-C (2 sondages), CAGE-D (2 sondages) et CAGE-F (2 sondages), afin de vérifier l'extension de la minéralisation en profondeur et latéralement, de comprendre la structure de détail et la disposition des pegmatites dans les carbonates, les contacts et d'évaluer des volumes minéralisés.
- Selon nos prédécesseurs, s'il y a un pendage (nos observations sont plutôt verticales), il est vers l'Est (chevauchement vers l'ouest), donc les forages seront inclinés à 45 degrés vers l'ouest (N320). Il faut garder à l'esprit que les forages se feront sur la base des résultats analytiques de 2006; nous ne croyons pas possible d'expédier et d'obtenir les résultats analytiques des décapages avant fin 2007; cela signifie que les forages se font sur la base radiométrique et spectrométrique, ou au visuel (identification de minéraux jaunes, l'uraninite étant microscopique);
- une étude environnementale (point zéro, « bareline study) le long de la vallée depuis la Baie Davis Inlet incluant la côte ouest de cette baie jusqu'à la Baie Kéglo au SE, incluant les bassins versants aux limites est et ouest de la vallée et un contrôle sophistiqué du milieu physique (port, aéroport, chemin pour équipement mécanisés, chemin VTT, grille et arpentage, logement). Cette étude devra analyser le till, les sols actuels, les zones de sphaignes, herbacées et des végétaux attachés directement à l'affleurement incluant une étude des moules, dans la zone en aval des minéralisations (les inuits en consomment).

Sur la propriété CAGE (CAGE régional), nous recommandons:

- de compléter le levé magnétique et spectrométrique héliporté au sud de la propriété CAGE (sud de la baie Kéglo);
- de cartographier les bandes de marbres qui sont étroites, souvent orientées NE, sous-jacentes aux gneiss qui forment le toit des montagnes (rivière Baudan);
- de vérifier au sol, les anomalies spectrométriques significatives reconnues par le levé géophysique héliporté partiellement complété et à venir;
- de poursuivre la prospection et le levé géologique par hélicoptère pour l'ensemble de la propriété CAGE et surtout dans la partie sud de la propriété;
- de reprendre l'exploration des zones anomales reconnues en 2006 et effectuer un levé géologique et structural approfondi ainsi qu'une prospection détaillée, particulièrement sur les zones Davis Inlet, Aquiarussuk (détail des niveaux de marbre minéralisés), Kéglo Sud et CAGE Extension Sud;
- des levés géochimiques de ruisseaux, en deux volets, classique et minéraux lourds surtout le long des rivières. En effet, même si la surface non affleurante n'est pas très grande, elle se localise directement sur les zones présumées de chevauchement et de décrochement. Cela pourrait permettre de repérer des cibles à contrôle structural, sans oublier le fait que le marbre est la lithologie qui affleure le moins; les vallées des rivières n'ont pas fait l'objet de prélèvements de fonds de lacs, car il n'y a pas de lacs et elles sont en aval du drainage;
- d'exécuter un complément régional de l'étude environnementale détaillée, notamment pour fin de comparaison.

30 mai 2007

30 mai 2007

Mario Joly, géo., M.Sc.

GÉOLOGUE / GEOLOGIST
MARIO JOLY # 531
QUÉBEC

23.0 RÉFÉRENCES

Andrews, J. T. et Tyler, K., 1977. The observed postglacial recovery of Quebec and Nouveau-Quebec since 12,000 BP. Géographie physique et Quaternaire, vol. 31, no. 3-4, p. 389-400.

Auger, C. et Allard, M., 2004. Reconstitution des différentes phases et modalités de la vidange finale du lac Naskaupi, vallée du fleuve George, baie d'Ungava, Nouveau-Québec. Résumé de l'AQQUA et CGRG, 14 au 16 mai 2004, Université Laval, Québec. 61 p.

Bertrand, J-M., Roddick J-C, Van Kranendonck M.J., Ermanovics I. 1993. U-Pb geochronology of deformation and metamorphism across a transect of the Early Proterozoic Torngat Orogen, North River map area, Labrador. Revue canadienne des Sciences de la Terre, vol.30 p. 1470-1489.

Davidson, W-L. 1959. Lake Harbour, Northwest Territories, Geological Survey of Canada, map 29-1958.

Dyke, A. S., Moore, A. and Robertson, L., 2003. Deglaciation of North America, Geological Survey of Canada, Open File 1574.

Elson, J. A., 1969. Late Quaternary marine submergence of Quebec. Revue de géographie de Montréal, vol. 23, p. 247-250.

Ermanovics I., Van Kranendonk M., 1998. Geology of the Archean Nain Province and Paleoproterozoic Torngat Orogen in a transect of the North River –Nutak map areas, Newfoundland (labrador) and Quebec.

Goulet, N., Ciesielski A.1990. The Abloviak shear zone and the NW Torngat Orogen eastern Ungava Bay, quebec, Geoscience Canada Vol 17 n. 4 p.269-272

Girard R.1990. Évidences d'un magamtisme d'arc protrérozoique inférieur (2,3 Ga) sur le palteau de la rivièere George, Geoscience Canada vol 17, n.4 p.265-268.

Gray, J. T., Boutray, B., Hillaire-Marcel, C. et Lauriol, B., 1980. Postglacial emergence of the west coast of Ungava Bay, Quebec. Arctic and Alpine Research, vol. 12, no. 1, p. 19-30.

Gray, J. T., Lauriol, B., Bruneau, D. et Ricard, J., 1993. Postglacial emergence of Ungava Peninsula and its relationship to glacial history, Canadian Journal of Earth Sciences, vol. 30, no. 8, p.1676-1696.

Jackson G.D., Taylor F.C., 1972. Correlation of Major Aphebian Rocks Units in the Northeastern Canadian Shield, Canadian Journal of Earth sciences v9, p.1650-1690

Lauriol, B, et Gray, J. T., 1980. Processes responsible for the concentration of boulders in the intertidal zone in Leaf basin, Ungava. Geological Survey of Canada Paper, vol. 90-10, p.79-89.

Lauriol, B. Gray, J. T., Hétu, B. et Cyr, A., 1979. Chronology and paleogeography of the sea since deglaciation in the Aupaluk area, Nouveau-Quebec. Géographie physique et Quaternaire, vol. 33, no. 2, p. 189-203.

Low, A.P. 1896. Report of explorations in the Labrador Peninsula along the East Main Koksoak Hamilton Manicouagan And portions of otehr rivers in 1892-3-4-5. Geological Survey of Canada Annual report 1895, vol. VIII part L.

Low, A.P. 1899. Explorations of part of the south shore of Hudson Strait and of Ungava Bay, Geological Survey of Canada Annual report 1898, vol. XI p.26-44.

Parent, M. et Paradis, S. J., 1999. Dynamique polyphasée de l'Inlandsis laurentidien dans la région de la rivière Koroc (24I) - Implication pour l'exploration géochimique. *In* Projet de cartographie du Grand-Nord, Rapport d'atelier, 7-8 Avril 1999, Charlesbourg, Québec. Rapport no1.

Pienitz, R., Lortie, G. et Allard, M., 1991. Isolation of lacustrine basins and marine regression in the Kuujjuak area, northern Quebec, as inferred from diatom analysis. Géographie physique et Quaternaire, vol. 45, no. 2, p.155-174.

St-Onge, M.R., Scott D.J., Wodicka N. 2002. Review of crustal architecture and evolution in the Ungava Peninsula – Baffin Island area: connection to the Lithoprobe transect, Canadian Journal of Earth Sciences, vol. 39, no. 5, p.589-610.

Scott, D.J. Stern R.A. St-Onge M.R., McMullen M.S 2002. U-Pb geochronology of detrital zircons in metasedimentary rocks from southern Baffin Insland : implications for the Paleoproterozoic tectonic evolution of Northeastern Laurentia, Canadian Journal of Earth Sciences, vol. 39, no. 5, p.611-623.

Taylor, F.C. 1979. Reconnaissance geology of a part of the Precambian Shield, Northeastern Quebec, Northtern Labrador and Northwest Territories, Geological Survey of Canada Memoir 393 99 p.

Verpaelst, P., Brisebois, D., Perreault, S., Sharma, K. N. M. et David, J., 2000. Géologie de la région de la rivière Koroc (24I) et d'une partie de la région d'Hebron (14L). Ministère des Ressources Naturelles du Québec, rapport géologique RG99-08, 62p.

Wardle R.J., James D.T., Scott D.J., Hall J. , 2002. The southeastern Churchill Province : synthesis of a Paleoproterozoic transpessional orogen Canadian Journal of Earth Sciences, vol. 39, no. 5, p.639-663.

MRNFP SECTEUR DES MINES
9 NOV 2007
705544
Régional - Montréal

AREVA

AFFIDAVIT

Je, soussigné, Mario Joly, résident et domicilié au Québec, ayant place d'affaires au 539 route 131 Joliette, J6E 7Y8, Québec, déclare solennellement :

1. Je suis membre en règle de l'Ordre des géologues du Québec, #581;

2. Je suis diplômé en géologie à titre de Bachelier en Sciences de l'Université Laval 1985 et avec une Maitrise en Sciences de l'Université de Montréal , en 1992;

3. J'ai 18 ans d'expérience professionnelle en exploration minérale, dont 7 ans spécifiquement en exploration pour l'uranium;

4. J'ai travaillé en exploration minérale dans plusieurs projets distincts en Abitibi, dans les Territoires du Nord-Ouest, en Saskatchewan, dans les monts Otish, dans l'Ungava, ect;

5. J'ai participé à des conférences, à des excursions géologiques et à des formations à l'interne comme à l'externe selon ce que mes employeurs successifs suggéraient et autorisaient;

6. J'ai lu la définition de « personne qualifiée » NI43-101 et j'atteste qu'en vertu de ma formation et de mon expérience, ainsi que de mon affiliation à l'Ordre des géologues, je remplis les conditions pour être identifié comme « personne qualifiée » NI 43-101;

7. En ce qui concerne le projet Cage 2006, j'ai participé aux travaux de compilation, de préparation, d'évaluation et aux travaux géologiques de terrain, au travaux d'interprétation et de vérification des travaux de géophysique, de supervision sur le terrain, de contrôle, d'échantillonnage et de présentation du dit rapport;

8. En ce qui concerne le projet Cage, j'étais membre de l'équipe qui a travaillé sur le terrain du 14 juin au 2 septembre 2006 et ait participé à la planification et à la rédaction et supervision des travaux et du rapport après la campagne de terrain ; à ce moment, j'étais membre de l'Ordre des Géologues du Québec.

9. Les échantillons dont il est fait mention dans le rapport ont été prélevés aux coordonnées qui y apparaissent et les analyses affichées sont celles de ces

AREVA QUEBEC INC.
539, Route 131, Joliette (Québec) Canada J6E 7Y8
Tél. : 450.753.3800 - Fax : 450.753.3808

AREVA

échantillons, à moins d'une erreur par le laboratoire d'analyse hors de notre contrôle; notre compagnie possède certains témoins de ces échantillons, mais après cinq ans, il est possible que la compagnie ait disposé de certains échantillons;

10. Le dit rapport a été rédigé conjointement par l'équipe du projet, supervisé par Serge Genest, et j'ai été un membre actif de l'équipe de rédaction;

11. Au meilleur de ma connaissance, les données de ce dit rapport sous forme électronique ou en présentation sur cartes, figures, tableaux et rapports écrits décrivent les observations que j'ai personnellement faites ou qui ont été faites sous ma supervision, et sont exactes;

12. Je me réserve le droit d'avoir pu exprimer verbalement ou par écrit d'autres opinions que celles prévalant dans ce rapport, avant ou après la dite rédaction conjointe avec les coauteurs membres de l'équipe du projet, mais ces différences d'opinion font partie de la méthodologie scientifique, et ne changent pas le fait que j'atteste que le dit rapport est conforme à l'opinion de l'équipe du projet, incluant celles des superviseurs, à l'époque ou il a été rédigé;

13. Au meilleur de ma connaissance, ce rapport contient les données scientifiques et techniques, ainsi que les opinions à titre de géologues, de géophysiciens ou d'experts qui sont émises de bonne foi et aucune ne vise à induire en erreur n'importe quelle personne prenant connaissance du dit rapport;

14. Je fais cette déclaration librement et en aucun cas, je n'ai subi quelque pression ou tentative ou incitation pour modifier erronément les données ou biaiser mon jugement de façon à induire en erreur n'importe quelle personne prenant connaissance du dit rapport.

Le 16 novembre 2007

Signé à Joliette

Mario Joly, géo. M.Sc.

Mario Joly
Ordre des Géologues no 581

AREVA QUEBEC INC.
539, Route 131, Joliette (Québec) Canada J6E 7Y8
Tél. : 450.753.3800 - Fax : 450.753.3808

AREVA

AFFIDAVIT

Je, soussigné, Jean Beaudin, résident et domicilié au Québec, ayant place d'affaires au 539 route 131 Joliette, J6E 7Y8, Québec, déclare solennellement :

1. Je suis membre en règle du Barreau du Québec depuis 1992;

2. Je suis aussi membre en règle de l'Ordre des géologues du Québec, #328;

3. Je suis diplômé en géologie à titre de Bachelier en Sciences de l'Université de Montréal 1974 et Ph.D. en géologie de l'Université Laval 1983;

4. J'ai 19 ans d'expérience professionnelle en exploration minérale, dont 7 ans spécifiquement en exploration pour l'uranium;

5. J'ai travaillé en exploration minérale dans plusieurs projets distincts en Afrique, en Saskatchewan, en Abitibi, dans les monts Otish, dans l'Ungava, ect;

6. J'ai participé à des conférences, à des excursions géologiques et à des formations à l'interne comme à l'externe selon ce que mes employeurs successifs suggéraient et autorisaient;

7. J'ai lu la définition de « personne qualifiée » NI43-101 et j'atteste qu'en vertu de ma formation et de mon expérience, ainsi que de mon affiliation à l'Ordre des géologues, je remplis les conditions pour être identifié comme « personne qualifiée » NI 43-101;

8. En ce qui concerne le projet Cage 2006, j'ai participé aux travaux de compilation, de préparation, d'évaluation et de prise des claims, aux travaux géologiques de terrain, au travaux d'interprétation et de vérification des travaux de géophysique, de supervision sur le terrain, de contrôle, d'échantillonnage et de présentation du dit rapport;

9. En ce qui concerne le projet Cage 2006, j'étais responsable du contrôle qualité et superviseur des rapports;

10. Les échantillons dont il est fait mention dans le rapport ont été prélevés aux coordonnées qui y apparaissent et les analyses affichées sont celles de ces échantillons, à moins d'une erreur par le laboratoire d'analyse hors de notre contrôle; notre compagnie possède certains témoins de ces échantillons, mais il est possible que la compagnie ait disposé de certains échantillons;

11. Le dit rapport a été rédigé conjointement par l'équipe du projet, supervisé par Serge Genest, géologue et par moi-même et j'ai été un membre actif de l'équipe de rédaction;

12. Au meilleur de ma connaissance, les données de ce dit rapport sous forme électronique ou en présentation sur cartes, figures, tableaux et rapports écrits décrivent les observations que j'ai personnellement faites ou qui ont été faites sous ma supervision, et sont exactes;

13. Au meilleur de ma connaissance, ce rapport contient les données scientifiques et techniques, ainsi que les opinions à titre de géologues, de géophysiciens ou d'experts qui sont émises de bonne foi et aucune ne vise à induire en erreur n'importe quelle personne prenant connaissance du dit rapport;

14. Je fais cette déclaration librement et en aucun cas, je n'ai subi quelque pression ou tentative ou incitation pour modifier erronément les données ou biaiser mon jugement de façon à induire en erreur n'importe quelle personne prenant connaissance du dit rapport.

Le 29/02/2008

Signé à Joliette

Jean Beaudin, Ph.D. Et B.Sc.
Ordre des Géologues no 328

705544

ANNEXE A

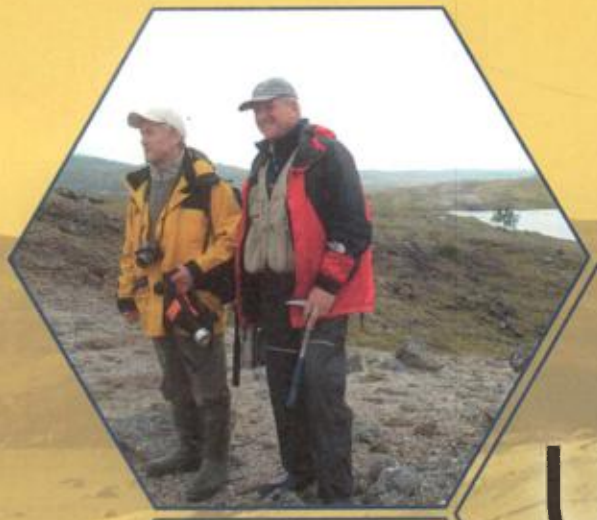

URANOR

FIGURES

OMÉGALPHA

Figure 6.1 - Localisation du projet CAGE 2006 dans la province du Québec, Canada.

NUMÉRIQUE

PAGE DE DIMENSION HORS STANDARD
NUMÉRISÉE ET POSITIONNÉE À LA SUITE DES
PRÉSENTES PAGES STANDARDS.

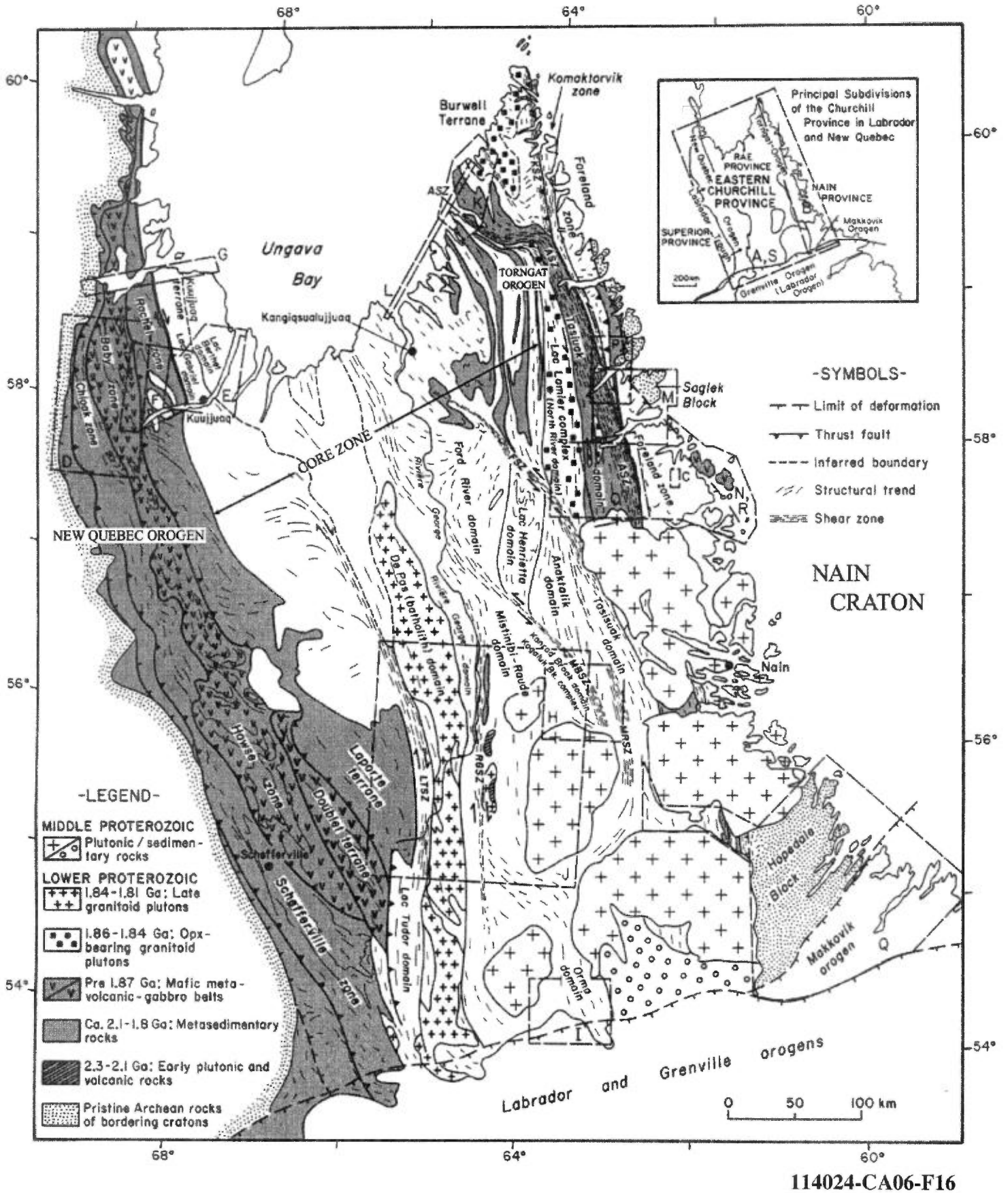

Fig. 8.1.1- Contexte lithotectonique de la partie SE de la province de Churchill (tirée de Wardle (2002) et modifiée par Omégalpha (2006)).

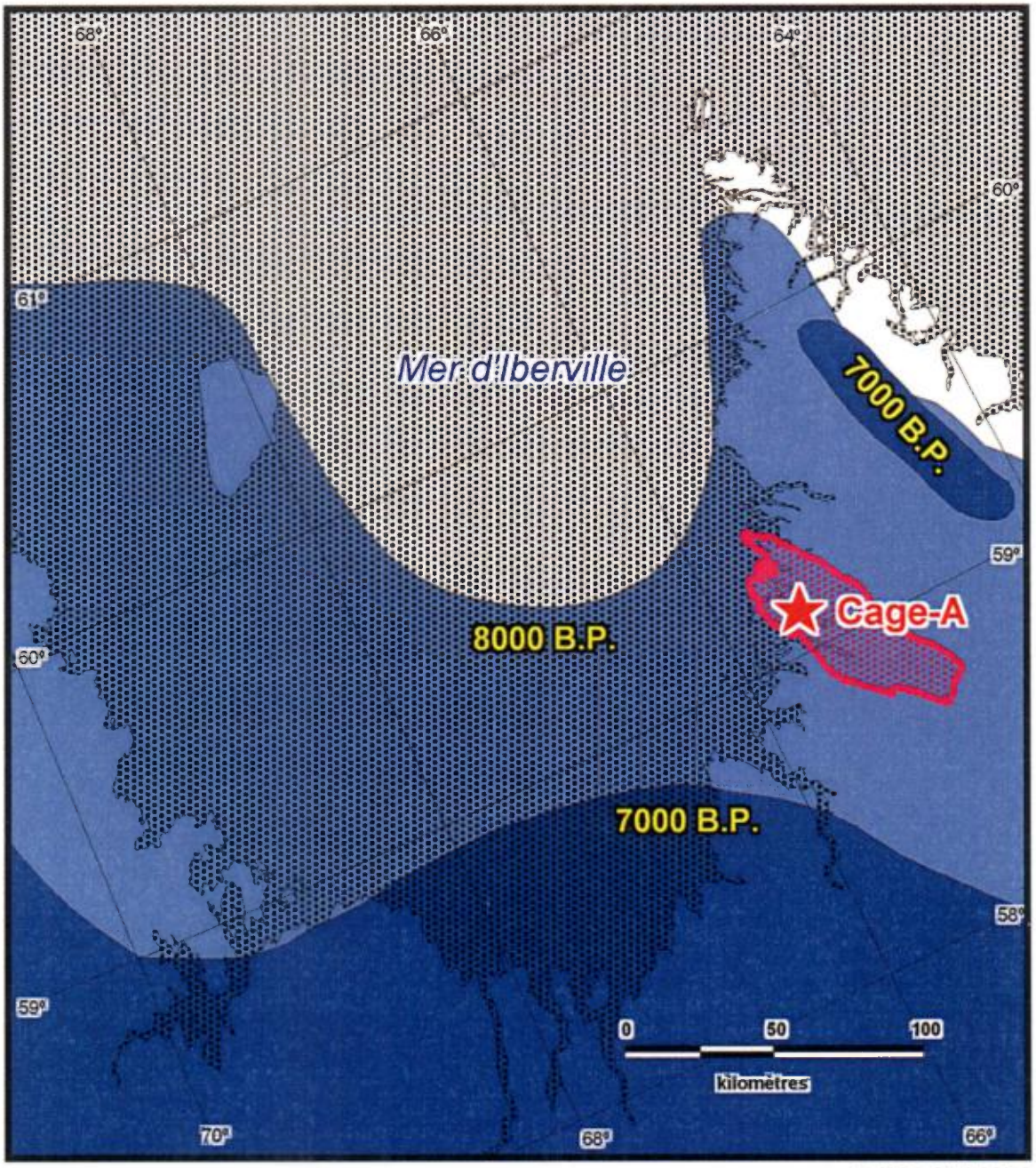

114024-CA06-F19

Figure 9.2.1- Limites du front glaciaire sur la Baie d'Ungava de 8000 B.P. selon Dykes et al., 2003.

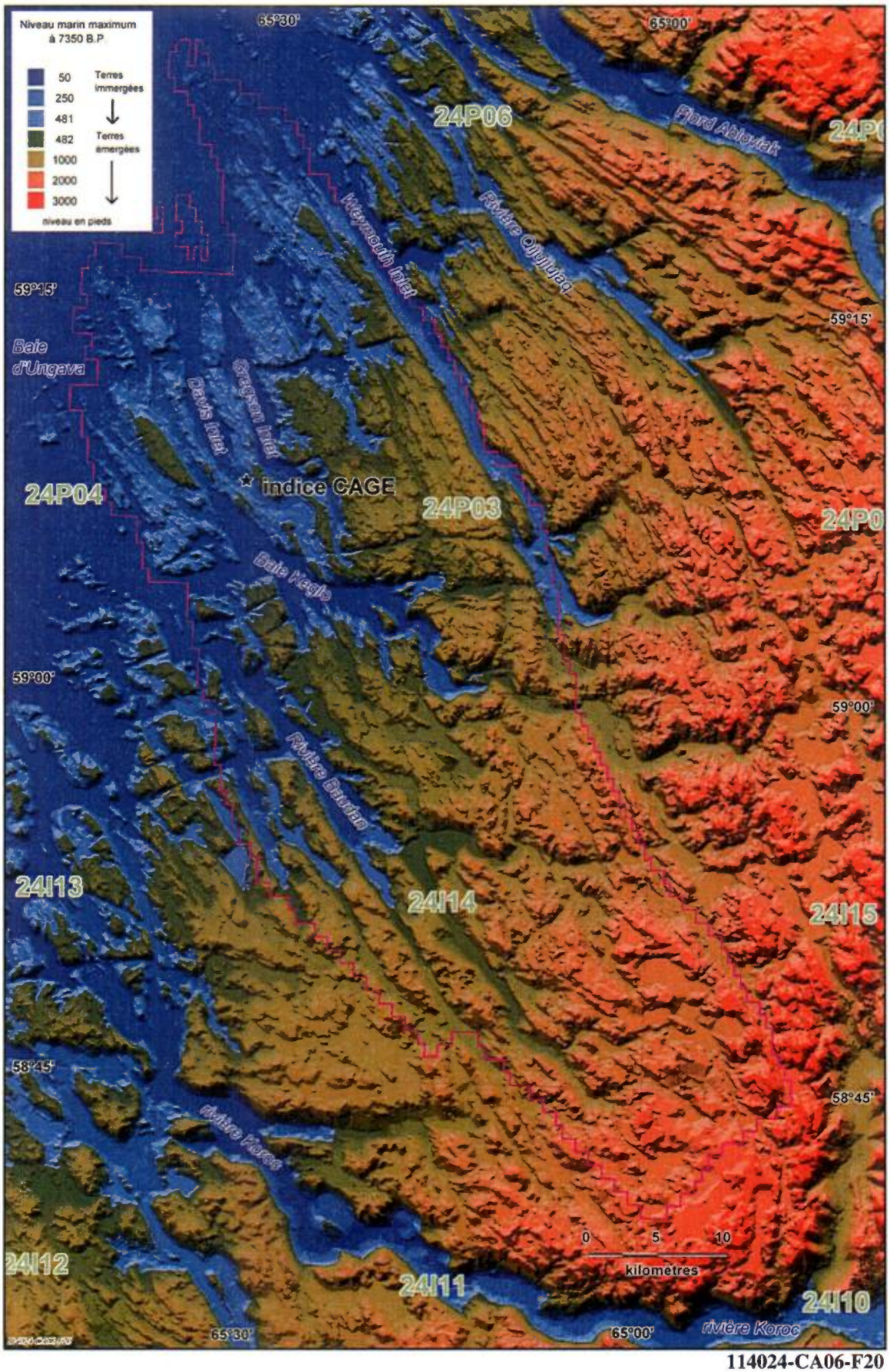

114024-CA06-F20

Figure 9.2.2- Application du niveau marin de 481 pieds (148 mètres) vers 730 B.P. d'après Lauriol et al. (1979) sur un modèle numérique d'élévation de la côte Est de la Baie d'Ungava dans le secteur de CAGE.

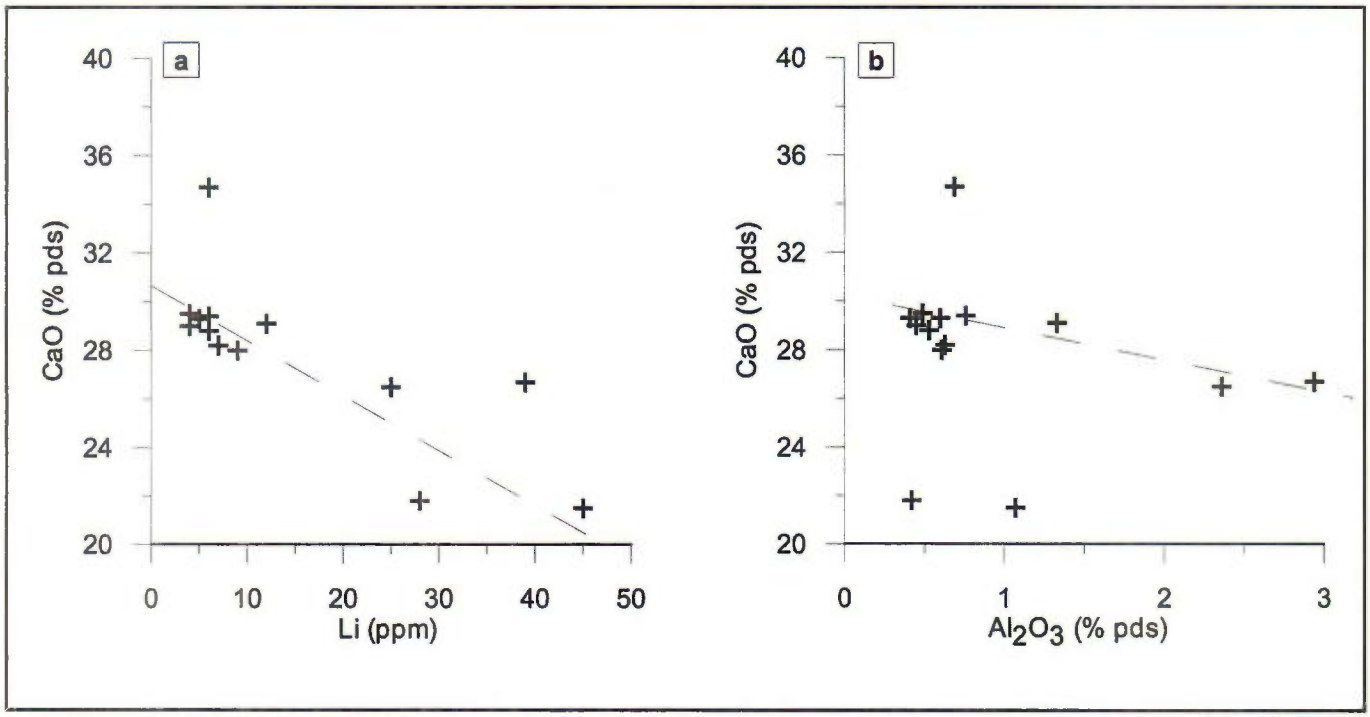

Figure 9.3.2.1- Distribution des analyses de marbre et de roches calco-silicatées peu minéralisées (U <67 ppm) dans des diagrammes Li – CaO et Al2O3 – CaO montrant la faible mobilité du calcium lors du métamorphisme.

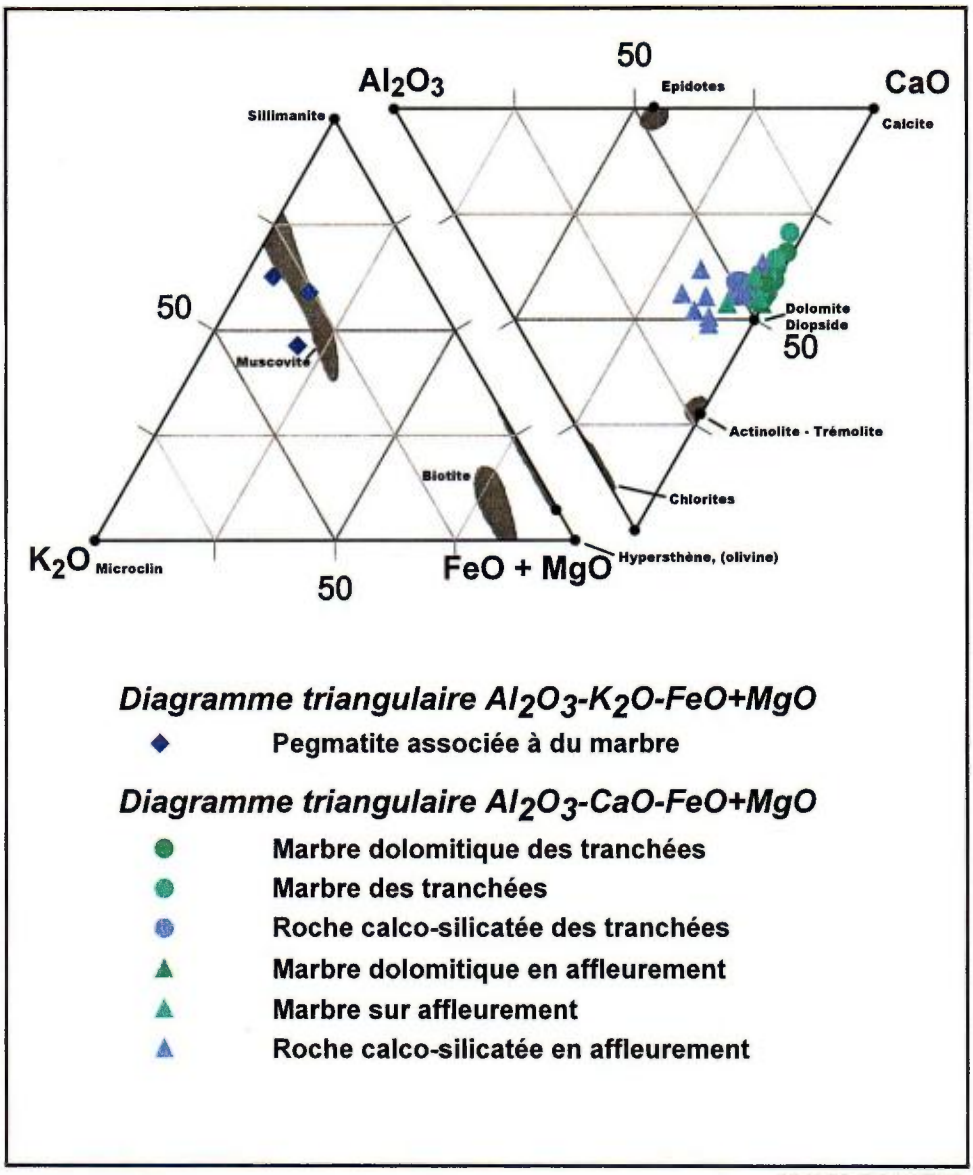

Figure 9.3.2.2- Diagrammes triangulaires: Al2O3 – K2O – FeO+MgO pour les échantillons de pegmatite et Al2O3 – CaO – FeO+MgO pour les échantillons de marbre et de roches calco-silicatées, de la zone indicielle de CAGE. Les principaux pôles minéralogiques observés dans les échantillons sont représentés en gris

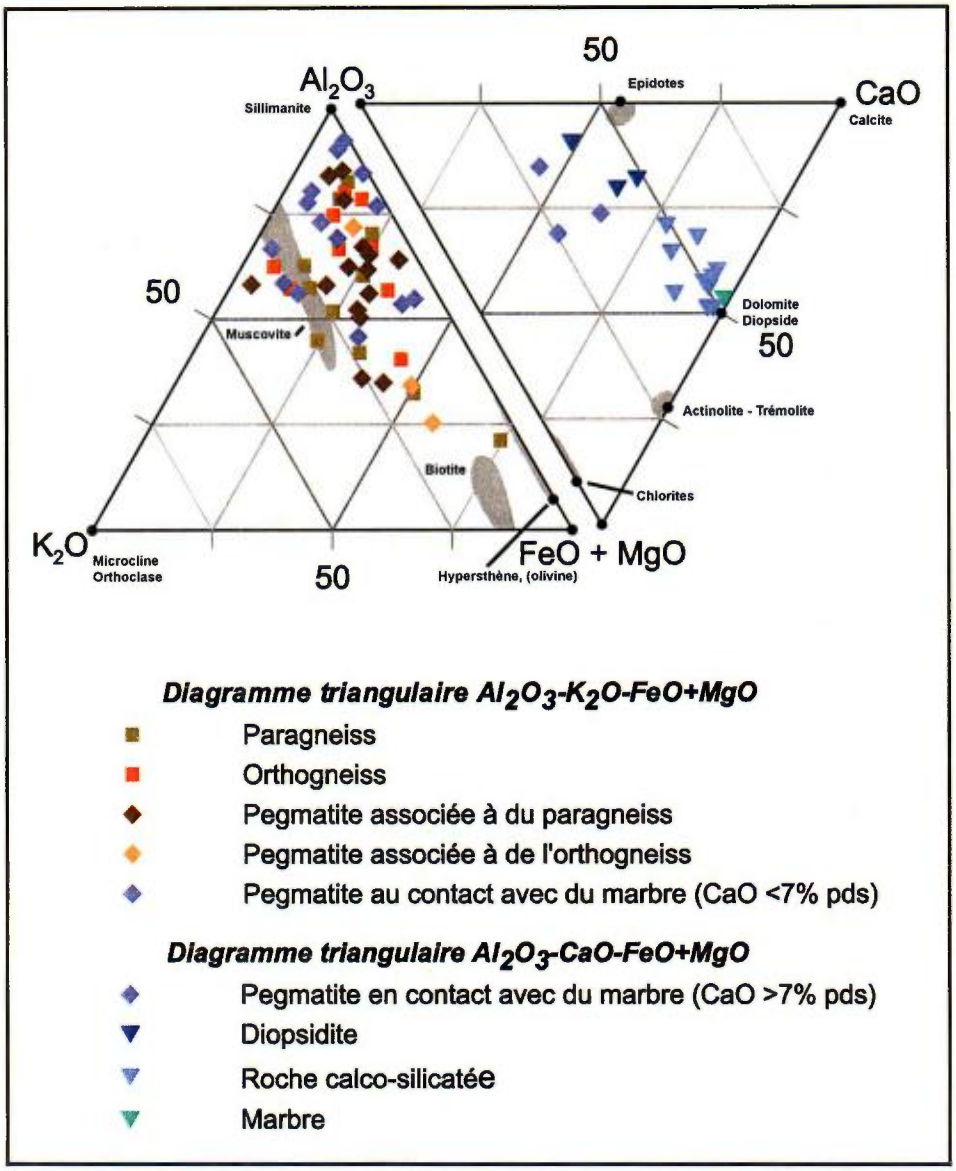

Figure 9.3.2.3- Diagrammes triangulaires Al2O3 – K2O – FeO+MgO pour les échantillons de pegmatite, paragneiss, orthogneiss et Al2O3 – CaO – FeO+MgO pour les échantillons de marbre, de roches calco-silicatées et de diopsidite des zones anomaliques régionales. Les principaux pôles minéralogiques observés dans les échantillons sont représentés en gris.

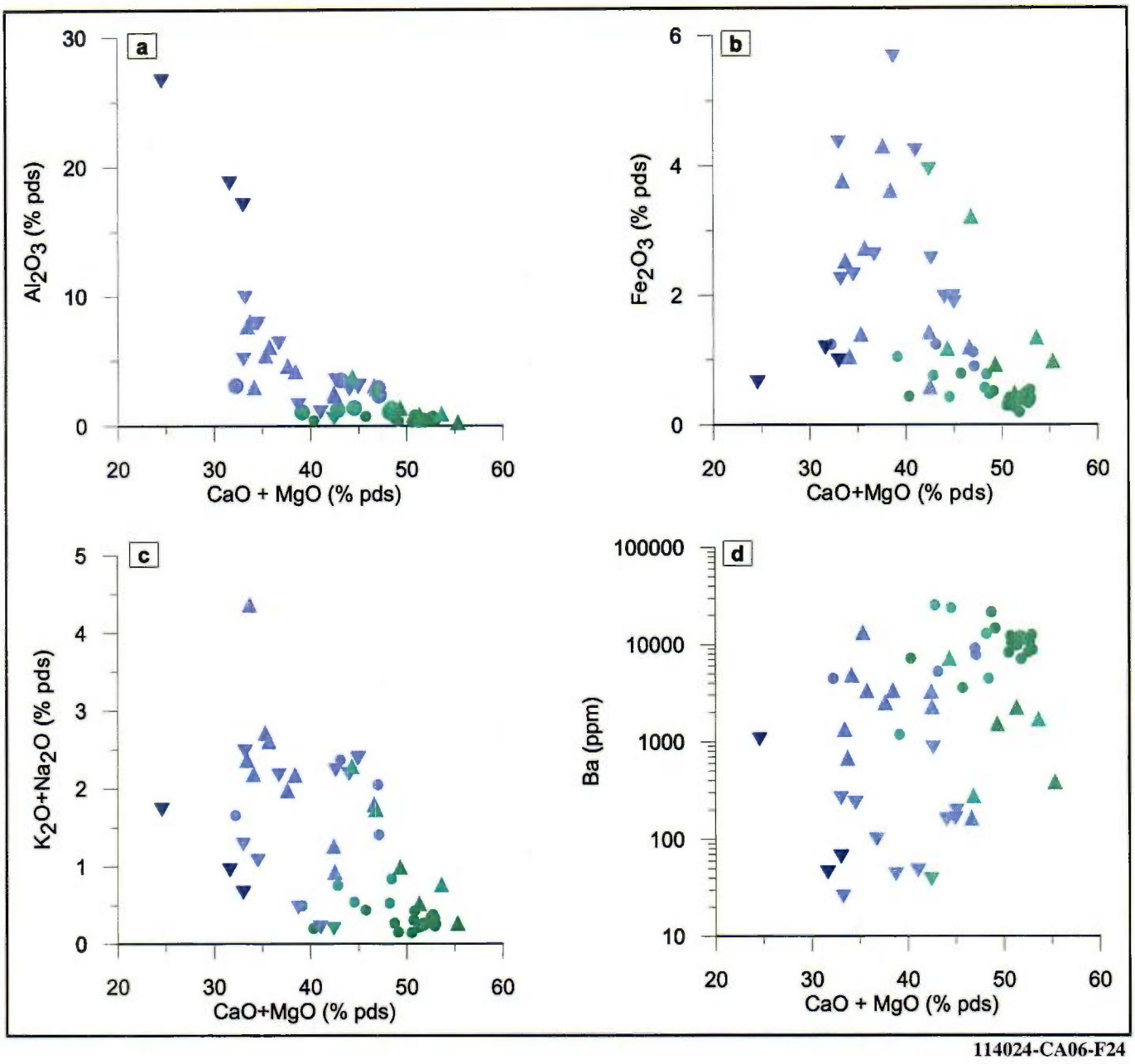

Figure 9.3.2.4- Diagrammes binaires: a) CaO+MgO – Al2O3, b) CaO+MgO – Fe2O3 , c) CaO+MgO – K2O+Na2O et d) CaO+MgO – Ba, montrant la distribution des échantillons de marbre, de roches calco-silicatées et de diopsidite de la zone indicielle de CAGE et des zones d'anomalies régionales.

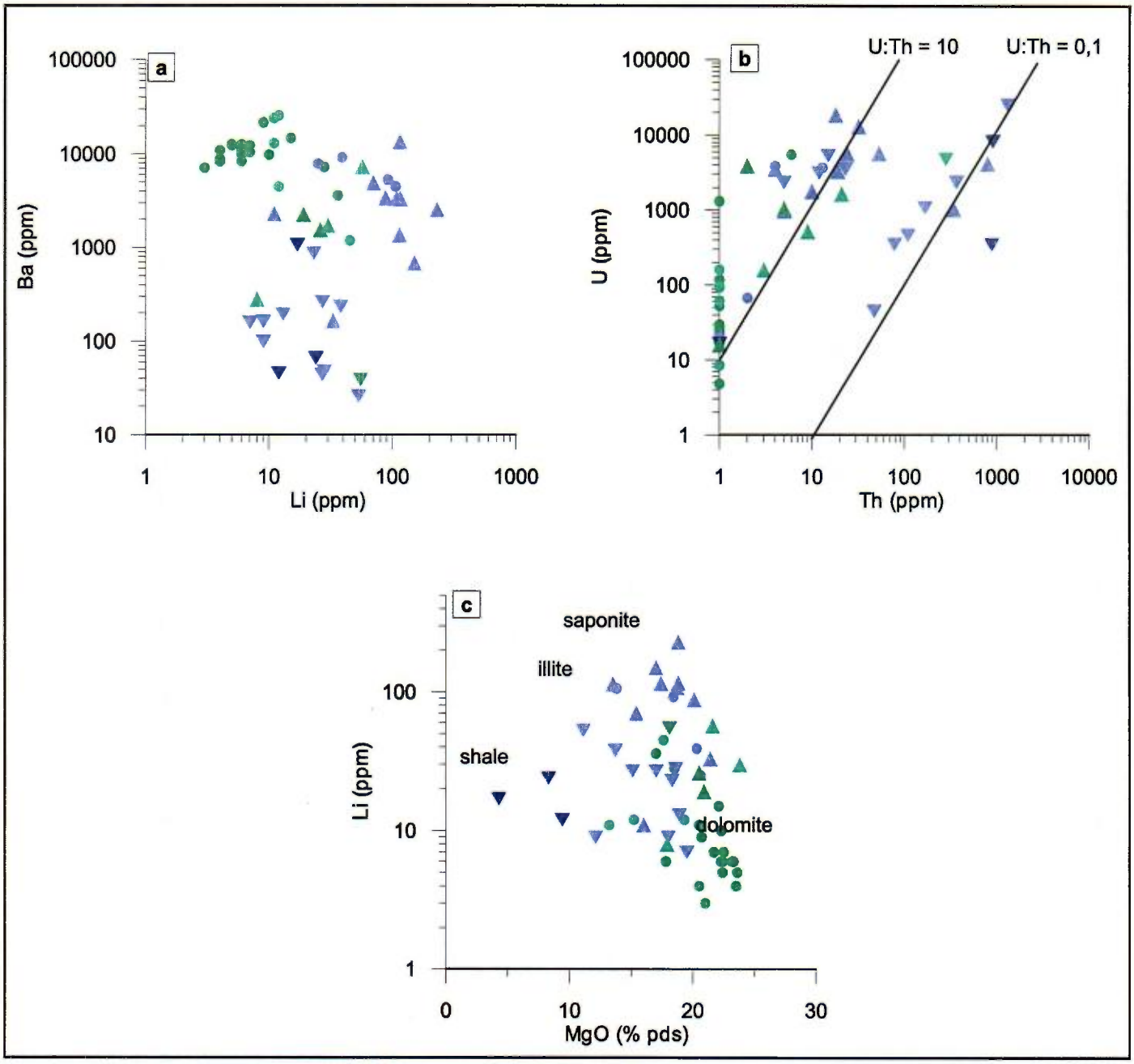

114024-CA06-F25

- Marbre dolomitique dans rainurage (zone Cage)
- Marbre dolomitique sur affleurement (zone Cage)
- Marbre alumineux dans rainurage (zone Cage)
- Marbre alumineux sur affleurement (zone Cage)
- Marbre alumineux de la zone régionale
- Roche calco-silicatée dans rainurage (zone cage)
- Roche calco-silicatée sur affleurement (zone cage)
- Roche calco-silicatée de la zone régionale
- Diopsidite de la zone régionale

Figure 9.3.2.5- Diagrammes binaires : a) Li – Ba, b) Th – U et c) MgO – Li montrant la distribution des échantillons de marbre, de roches calco-silicatées et de diopsidite de la zone indicielle de Cage et des zones d'anomalies régionales.

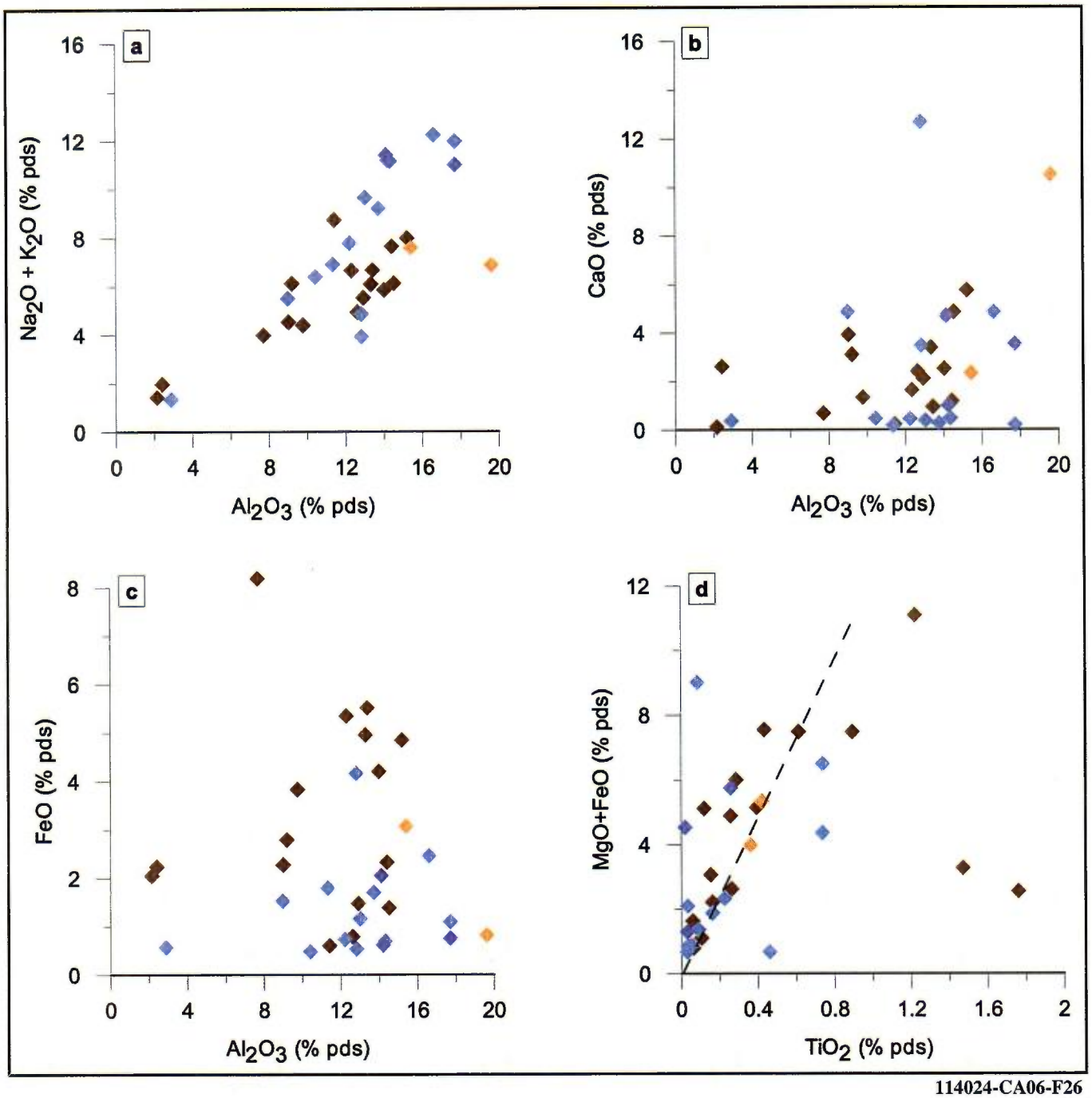

Figure 9.3.2.6- Diagrammes binaires : a) Al2O3 – Na2O +K2O, b) Al2O3 – CaO, c) Al2O3 – FeO et d) TiO2 – MgO+FeO montrant la distribution des échantillons de pegmatite associée à du paragneiss, de l'orthogneiss ou au contact avec du marbre dans les zones d'anomalies régionales, et de pegmatite associée à du marbre et des roches calco-silicatées de la zone indicielle CAGE.

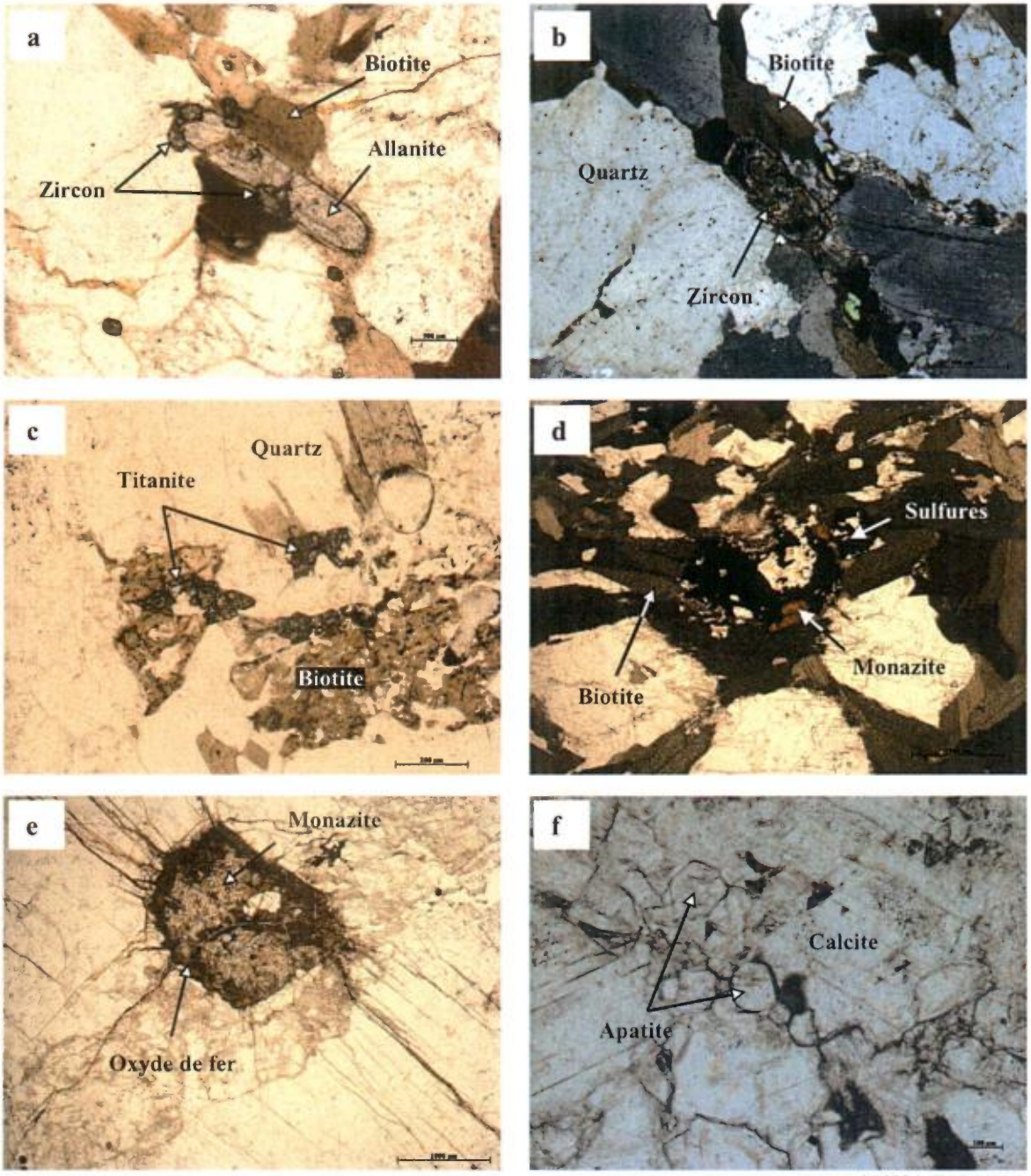

114024-CA06-F27

Figure 10.1.1- **a)** Baguette d'allanite associée à des zircons, le tout associé à des biotites (LN). **b)** : Zircon zoné associé à de la biotite, dans lequel on trouve des minéraux opaques (LP). **c)**: Cristaux losangiques de titanite pris dans une plage à biotite (LN). **d)** : Cristaux de monazite entourée par une couronne de phyllosilicates, le tout associé à des sulfures et de la biotite (LN). **e)** : Grain de monazite entouré par une couronne d'oxyde de fer, le tout affecté par des fractures radiales (LN). **f)** : Apatite associé à du quartz et de la dolomie (LN).

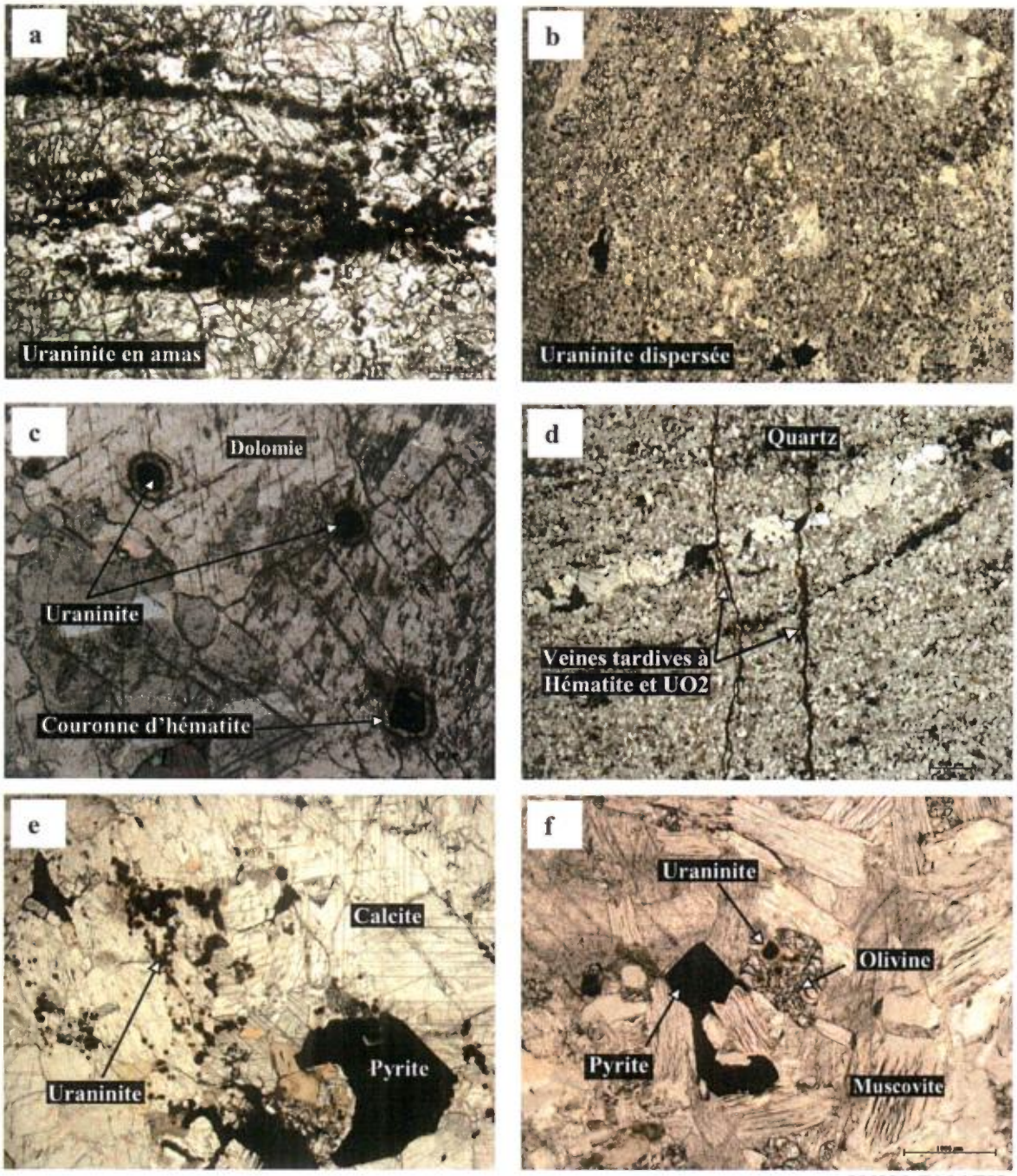

114024-CA06-F28

Figure 10.2.1- : Comportement de l'uraninite dans les marbres provenant des lames minces de CAGE ; **a)** : Amas d'uraninite dans une matrice de dolomie, et de calcite (LN). **b)** : Uraninites en inclusions dispersées dans une matrice de dolomie et de calcite associées à des sulfures (LN). **c)** : Détail des uraninites automorphes entourées d'un halo d'oxyde de fer, le tout dans une matrice de calcite et de dolomie (LN). **d)** : Veinules tardives, à hématite et uraninite recoupant toute la séquence (LN). **e)** : Uraninite associée à des sulfures (pyrite et pyrrhotite) probablement tardif (LN). **f)** : Inclusions d'uraninite dans une olivine partiellement séricitisée au contact avec des sulfures (LN).

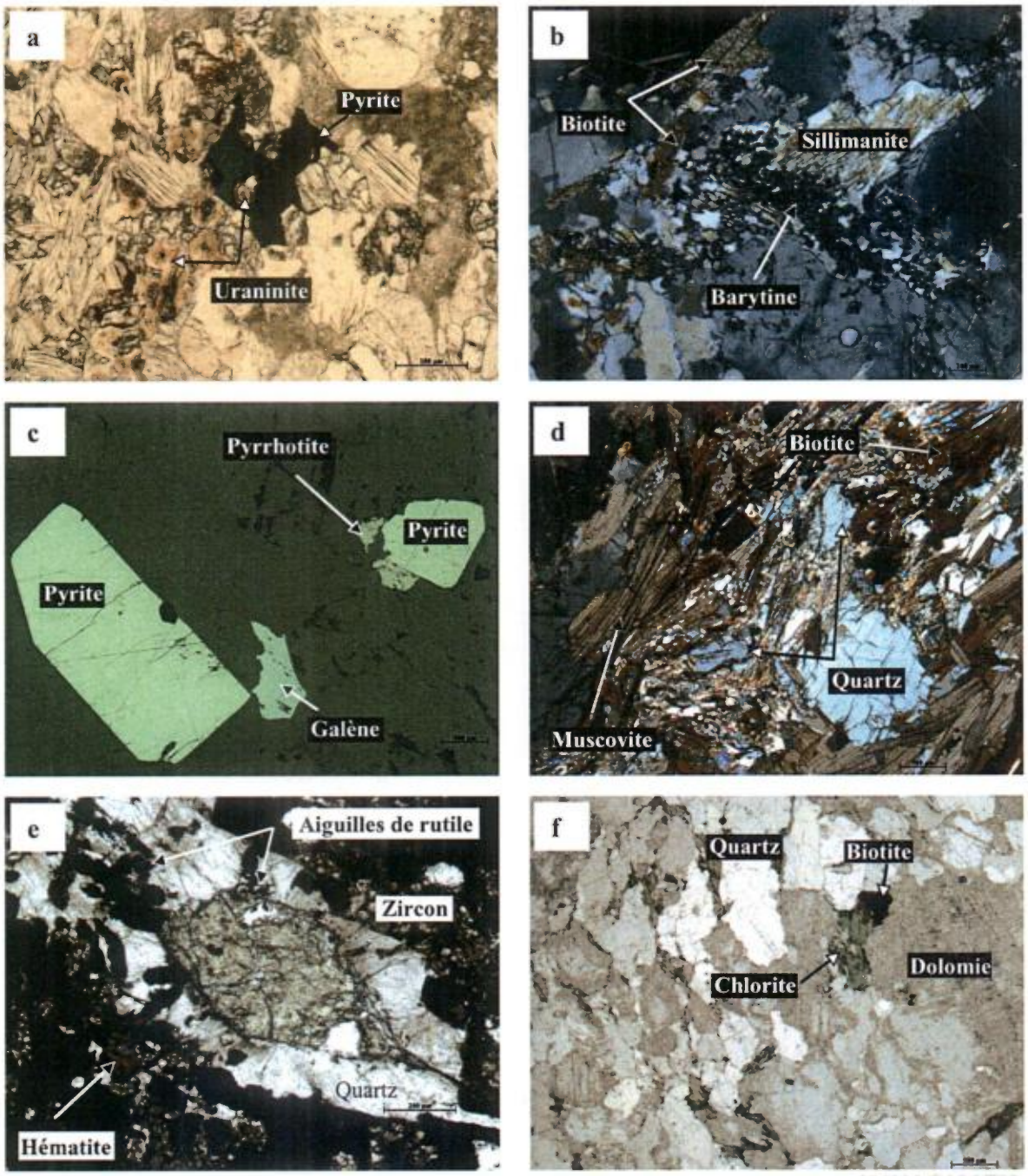

Figure 10.2.2- **a)** : Grain d'uraninite dans une pyrite associé aux muscovites (LN). **b)** : Trend de sillimanite, recoupé par des agrégats de barytine associée à de la biotite et du quartz (LP). **c)** : Pyrite, pyrrhotite, et galène automorphes non zonées, postérieures à la déformation (LP). **d)** : Lame montrant des évidences de cisaillement ductile comme des étirements, des ombres de pression autour des grains de quartz et des rotations des prophyroclastes (LP). **e)** : Aiguilles de rutiles associées à du zircon (LN). **f)** : Chlorite associée à de la biotite et du quartz (LN).

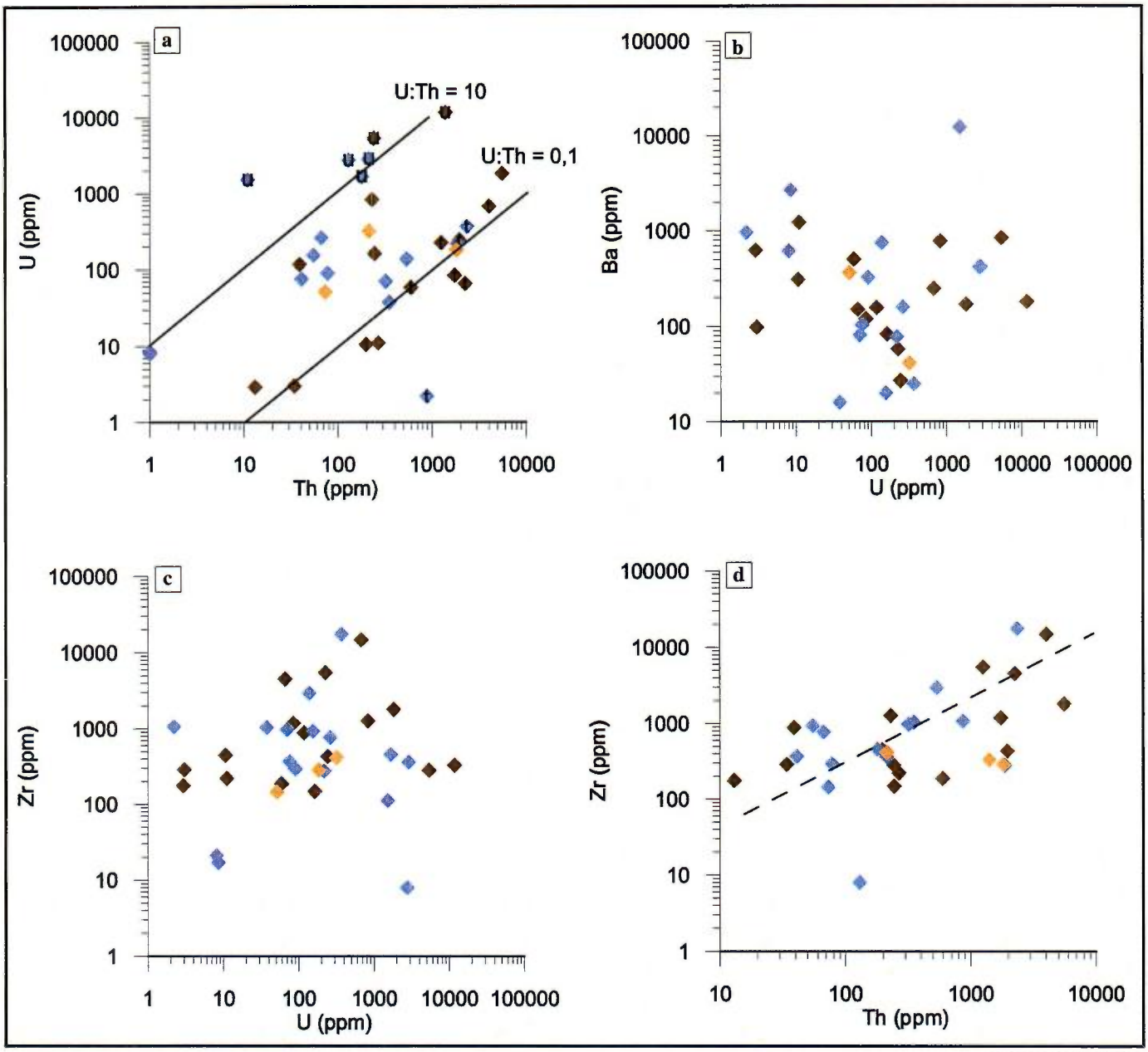

Figure 11.1- Diagrammes binaires : a) Th – U, b) U – Ba, c) U – Zr, d) Th – Zr montrant la distribution des échantillons de pegmatite associée à du paragneiss, de l'orthogneiss ou au contact avec du marbre dans les zones d'anomalies régionales, et de pegmatite associée à du marbre et des roches calco-silicatées de la zone indicielle Cage.

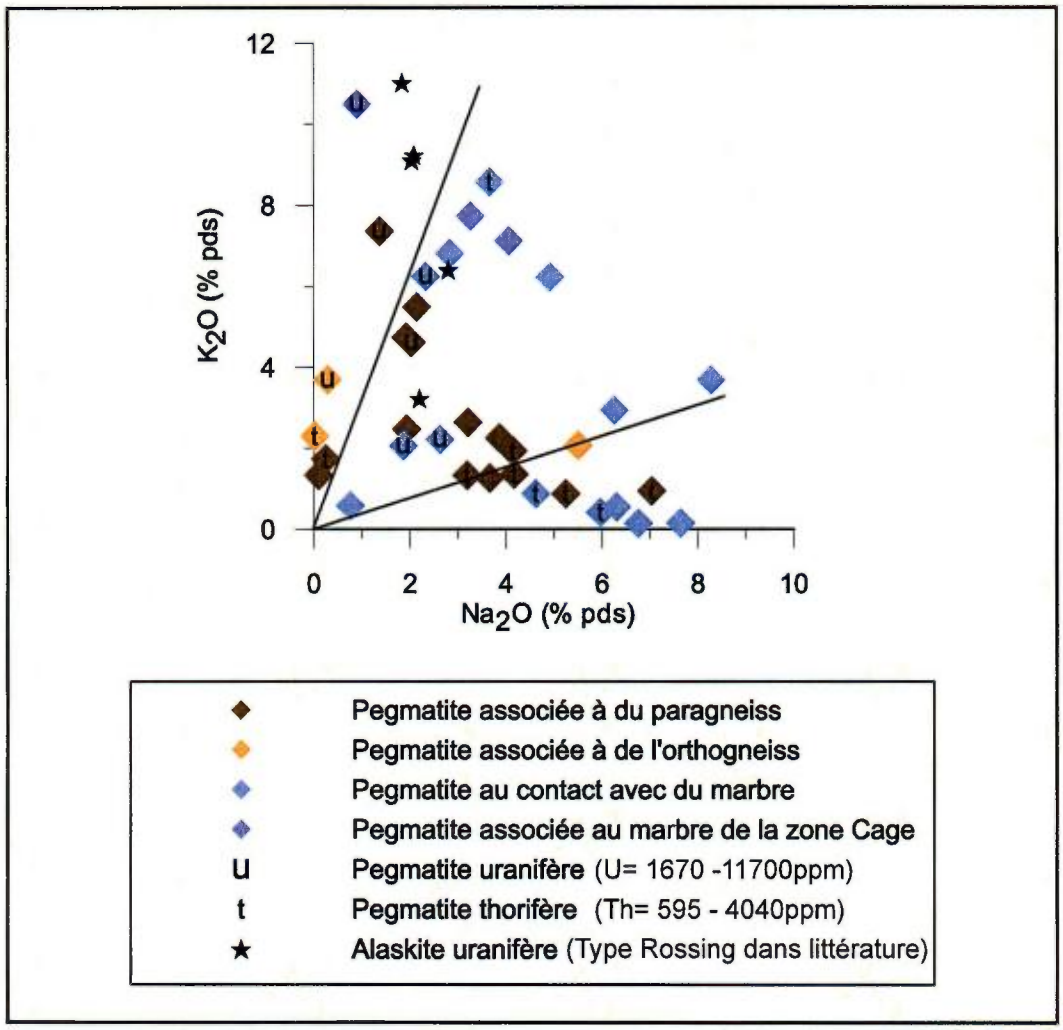

Figure 11.2- Diagramme binaire Na2O – K2O montrant la distribution des échantillons de pegmatite associée à du paragneiss, de l'orthogneiss ou au contact avec du marbre dans les zones d'anomalies régionales, et de pegmatite associée à du marbre et des roches calco-silicatées de la zone indicielle Cage.

114024-CA06-F32

Figure 11.1.1 - Marbre dolomitique massif fortement fracturé. Cet affleurement (CA06-1006-08) est localisé au nord de la zone CAGE- A à F.

114024-CA06-F33

Figure 11.1.2 - Roche calco-silicatée de type 'choatique' où les litages et pegmatites sont discontinus et sans relation avec les morceaux voisins. Une foliation bien définie est souvent présente dans ces roches (affleurement CA06-1002-01).

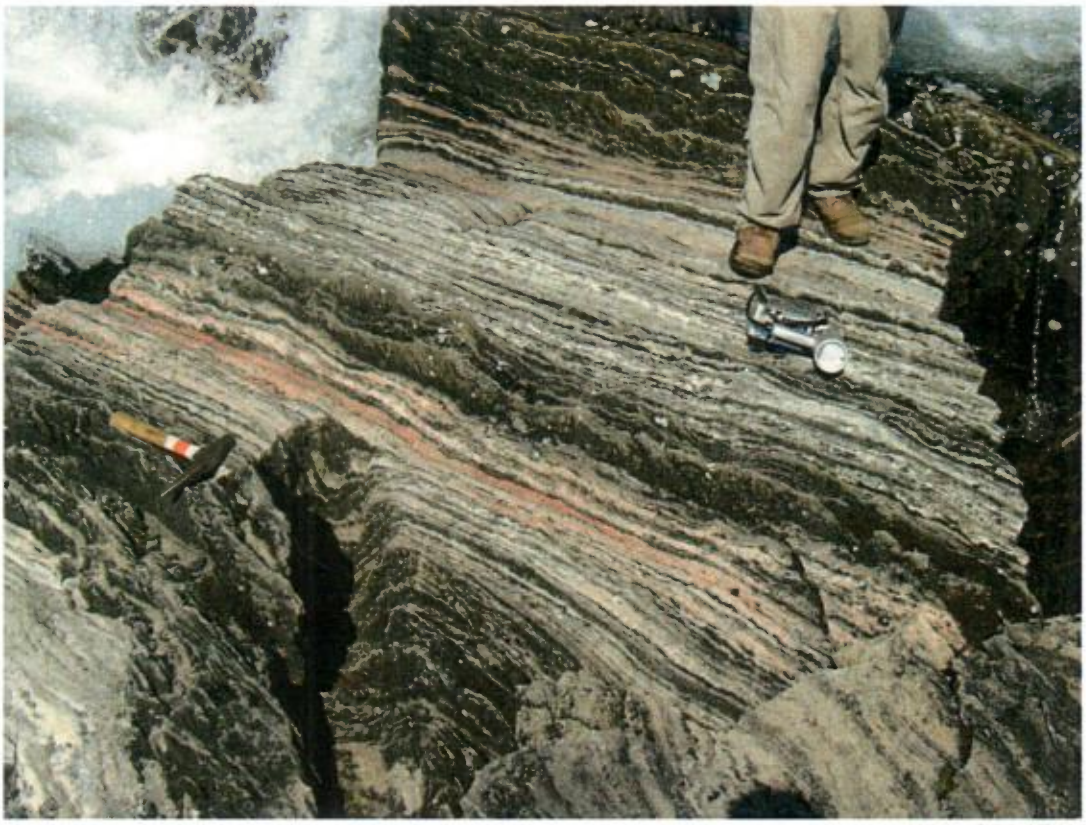

114024-CA06-F34

Figure 11.1.3 - Marbre lité et folié à la décharge du lac Cage. Ce type de marbre montre une continuation des litages sur plusieurs dizaines de mètres.

114024-CA06-F35

Figure 11.1.4 - Pods de roche calco-silicatée riche en diopside à l'interface de roches calco-silicatées et de marbre dolomitique (affleurement CA06-1002-02).

114024-CA06-F36

Figure 11.1.5 - Unité de grès à grain fin à moyen métamorphisé avec une texture de surface en balle de golf (affleurement CA06-1002-01).

114024-CA06-F37

Figure 11.1.6 - Unité de grès verdâtre à grain fin et légèrement magnétique métamorphisé (affleurement CA06-1005-15).

NUMÉRIQUE

PAGE DE DIMENSION HORS STANDARD
NUMÉRISÉE ET POSITIONNÉE À LA SUITE DES
PRÉSENTES PAGES STANDARDS.

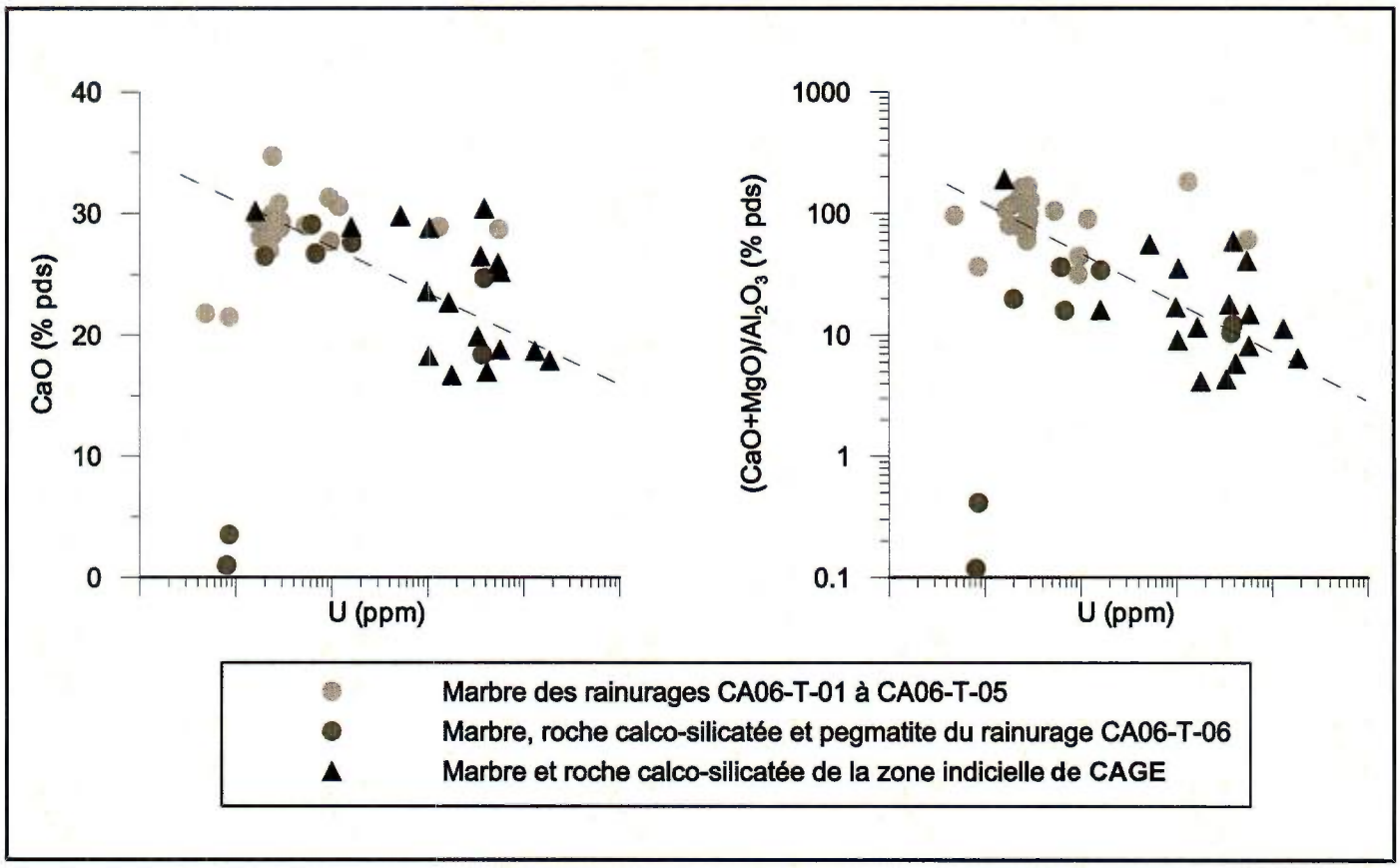

Figure 13.2.1- Diagramme binaire U - CaO et U - (CaO+MgO/Al2O3) des échantillons de marbre et de roche calco-silicatée prélevés sur les affleurements et dans les rainurages de la zone indicielle de CAGE.

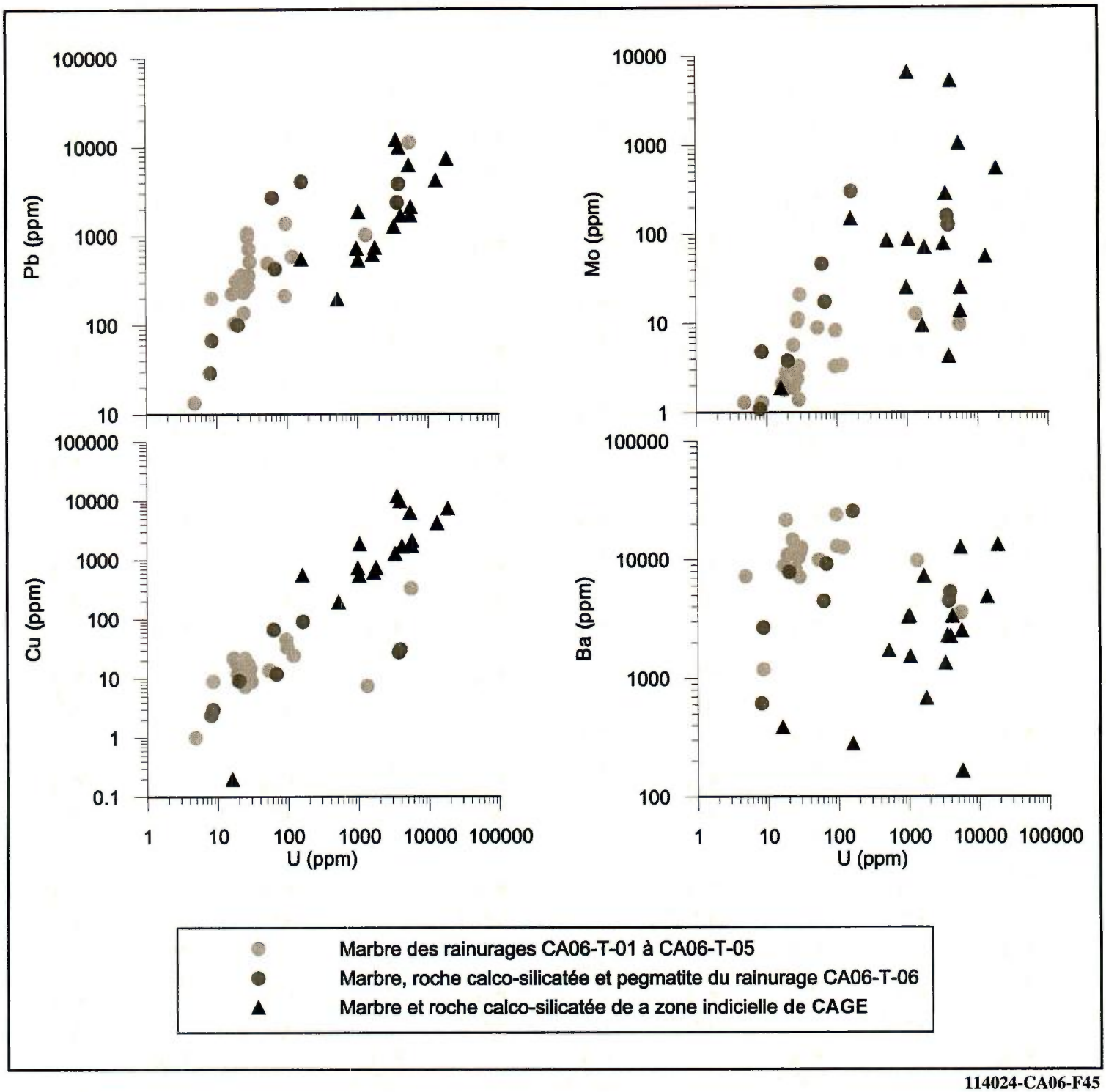

Figure 13.2.2- Diagramme binaire U – Pb, U – Cu, U – Mo, et U – Ba des échantillons de marbre et de roche calco-silicatée prélevés sur les affleurements et dans les rainurages de la zone indicielle de CAGE.

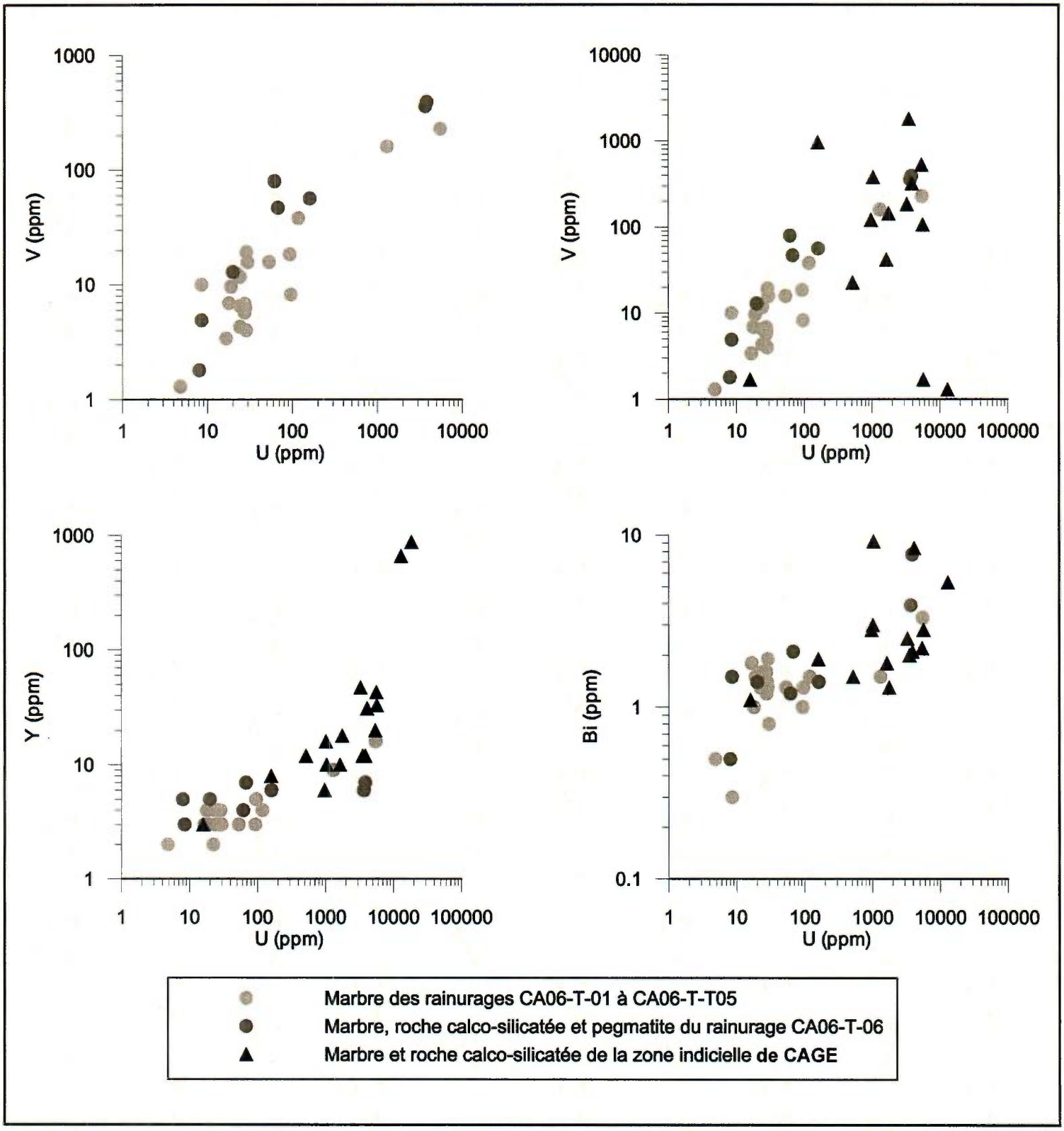

114024-CA06-F46

Figure 13.2.3- Diagramme binaire U – V des échantillons de marbre et les roche calco-silicatée prélevés dans les rainurages de la zone indicielle de CAGE, et diagrammes binaires U – V, U – Y, et U – Bi des échantillons de marbre et de roche calco-silicatée prélevés sur les affleurements et dans les rainurages de la même zone indicielle.

CAGE

MRNFP - SECTEUR DES MINES
REÇU LE
24 SEP. 2007
705544
Bureau régional - Montréal

1.0 ÉVALUATION PRÉLIMINAIRE DU POTENTIEL URANIFÈRE

*PROPRIÉTÉ **CAGE**, NUNAVIK, QUÉBEC*

PROJET 114024

URANOR

COPIE CONFORME
GÉOLOGUE / GEOLOGIST
SERGE GENEST #577
QUÉBEC

TRAVAUX 2006

RAPPORT
- ANNEXE B

Vol. 2 de 8

Juin 2007

OMÉGALPHA

2.0 TABLE DES MATIÈRES

		Page
1.0	TITRE	1
2.0	TABLE DES MATIÈRES	3
3.0	RÉSUMÉ	13
4.0	INTRODUCTION	15
5.0	RECOURS À D'AUTRES SPÉCIALISTES	15
6.0	DESCRIPTION ET EMPLACEMENT DU TERRAIN	16
	6.1 Grille de repérage	17
7.0	ACCESSIBILITÉ, CLIMAT, RESSOURCES LOCALES, INFRASTRUCTURES ET GÉOGRAPHIE PHYSIQUE	17
	7.1 Accès	17
	7.2 Climat	18
	7.3 Ressources locales	18
	7.4 Infrastructures	18
	7.5 Géographie physique	18
8.0	HISTORIQUE	19
	8.1 Géologie et géophysique	19
	8.2 Géologie structurale	20
	8.3 Géologie du quaternaire	20
	8.4 Géochimie de sédiments de fonds de lacs	21
	8.5 Gîtologie U, Cu, Ni	21
	8.6 Travaux rapportés par d'autres compagnies d'exploration	21
9.0	CONTEXTE GÉOLOGIQUE	22
	9.1 Géologie régionale	22
	9.1.1 Métamorphisme et pétrologie	24
	9.1.2 Géochronologie des groupes lithologiques	25
	9.2 Géologie régionale du quaternaire	25
	9.3 Géologie locale	26
	9.3.1 Lithologie	28
	9.3.1.1 *Marbre et roche calco-silicatée*	28
	9.3.1.2 *Quartzite*	28
	9.3.1.3 *Paragneiss*	28
	9.3.1.4 *Pegmatite*	29
	9.3.1.5 *Orthogneiss, granite et pegmatite*	29
	9.3.1.6 *Roches mafiques*	30
	9.3.2 Lithogéochimie	30
	9.3.2.1 *Marbres et roches calco-silicatées*	31
	9.3.2.2 *Pegmatites*	32
	9.3.2.3 *Paragneiss et orthogneiss*	32
	9.4 Géologie locale du quaternaire	32
10.0	TYPES DE GÎTES MINÉRAUX	33
	10.1 Modèle de type Rossing (zone de Davis Inlet)	34
	10.2 Modèle de type CAGE	34

11.0 MINÉRALISATIONS 36
11.1 Zone CAGE (Indices CAGE-A à CAGE-F 38
11.1.1 Indice CAGE-A 41
11.1.2 Indice CAGE-B 41
11.1.3 Indice CAGE-C 41
11.1.4 Indice CAGE-D 41
11.1.5 Indice CAGE-E 42
11.1.6 Indice CAGE-F 42
11.2 Zone Davis Inlet 42
11.2.1 Partie nord de la zone Davis Inlet 42
11.2.2 Partie sud de la zone Davis Inlet 42
11.3 Zone Aqiarussuk 43
11.4 Zone Kéglo Sud 44
11.5 Zone Tasiujaaluk 45
11.6 Zone CAGE Extension Sud 45
11.6.1 *Secteur Nord (zone CAGE extension sud)* 45
11.6.2 *Secteur Sud (zone CAGE extension sud)* 46
11.7 Zone de la Presqu'île 46
11.8 Zone Tasiujaaluk NW 46
11.9 Zone du Lac en Croissant 47
11.10 Autres anomalies 47
11.10.1 *Occurrence Mo-U* 47
11.10.2 *Autres anomalies uranothorifères* 47
11.10.2.1 *En affleurement* 48
11.10.2.2 *En blocs* 48
11.10.2.3 *Dans le sol* 48

12.0 TRAVAUXD'EXPLORATION 48
12.1 Géologie 49
12.2 Géophysique 50
12.2.1 *Interprétation des données géophysiques régionales* 50
12.2.2 *Interprétation des données géophysiques locales (secteur indiciel de CAGE)* 51
12.3 Géochimie de sédiments de fonds de lacs 52
12.3.1 *Données uranium* 52
12.3.2 *Corrélation avec d'autres éléments (critère CAGE)* 52
12.3.3 *Utilisation des données géochimiques* 52
12.3.4 *Interprétation* 52
12.4 Structure 53
12.4.1 *Linéaments par photo-satellite* 53
12.4.2 *Zone indiciel* 55

13.0 FORAGES (rainurages) 56
13.1 Description des rainurages 57
13.1.1 *Rainurage CA06-T-01, indice CAGE-D* 57
13.1.2 *Rainurage CA06-T-02, indice CAGE-D* 57
13.1.3 *Rainurage CA06-T-03, indice CAGE-D* 58
13.1.4 *Rainurage CA06-T-04, indice CAGE-D* 58
13.1.5 *Rainurage CA06-T-05, indice CAGE-D* 58
13.1.6 *Rainurage CA06-T-06, indice CAGE B* 58
13.2 Lithogéochimie des rainurages 59

14.0 MÉTHODOLOGIE DE LA GRILLE DE REPÉRAGE SUR L'INDICE CAGE ET DE L'ÉCHANTILLONNAGE SUR L'ENSEMBLE DE LA PROPRIÉTÉ CAGE 59
14.1 Grilles de repérage 59
14.1.1 *Équipe et matériel* 59
14.1.2 *Grilles de repérage* 59
14.1.3 *Obstacles* 60
14.2 Échantillonnage 61
14.2.1 *Cueillette sur le terrain* 61
14.2.2 *Sélection et préparation des échantillons pour analyse ou étude pétrographique et métallogénique* 61
14.2.3 *Transport des échantillons* 62

15.0 PRÉPARATION, ANALYSE ET SÉCURITÉ DES ÉCHANTILLONS 62

16.0 VÉRIFICATION DES DONNÉES 63

17.0 TERRAINS ADJACENTS 63

18.0 ESSAIS DE TRAITEMENT ET ESSAIS MÉTALLURGIQUES 64

19.0 ESTIMATION DES RESSOURCES MINÉRALES ET DES RÉSERVES MINÉRALES 64

20.0 AUTRES DONNÉES ET RENSEIGNEMENTS PERTINENTS 64
20.1 Environnement 64

21.0 INTERPRÉTATIONS ET CONCLUSIONS 65
21.1 Atteinte des objectifs 65
21.2 Travaux de terrain 2006 66
21.3 Résultats 2006 66
21.3.1 *Anomalies radiométriques et zones anomaliques* 66
21.3.2 *Type de minéralisation* 67
21.3.2.1 *Synthèse du contexte des anomalies et de la minéralisation* 67
21.3.3 *Stations et traverses* 68
21.3.4 *Géologie* 68
21.3.5 *Géophysique* 69
21.3.6 *Géochimie des sédiments de fonds de lacs* 69
21.3.7 *Rainurages* 69
21.3.8 *Autres renseignements* 70

22.0 RECOMMANDATIONS 70

23.0 RÉFÉRENCES 72

ANNEXE A
(Volume 1 de 8)

LISTE DES FIGURES

Figure 6.1 : Localisation du projet CAGE 2006 dans la province du Québec, Canada (114024-CA06-F14-LocalisationCageQuébec8x11-07Déc2006)

Figure 6.2 : Localisation de la propriété CAGE, des claims d'Uranor et de la concurrence (114024-CA06-F18-LocalisationProjetCAGEClaimsUranorEtConcurrence-11Mai2007).

Figure 8.1.1 : - Contexte lithotectonique de la partie SE de la province de Churchill (tirée de Wardle (2002) et modifiée par Omégalpha (2006)) (114024-CA06-F16-ContexteLithotectoniquePartieSEProvinceChurchill-07Mai2007)

Figure 9.2.1 : Limites du front glaciaire sur la Baie d'Ungava de 8000 B.P. selon Dykes et al., 2003. (114024-CA06-F19-LimiteFrontGlaciaireBaieUngava-09Mai2007)

Figure 9.2.2 : Application du niveau marin de 481 pieds (148 mètres) vers 730B.P. d'après Lauriol et al. (1979) sur un modèle numérique d'élévation de la côte Est de la Baie d'Ungava dans le secteur de CAGE. (114024-CA06-F20-Application NiveauMarin481Pied-735BP-CAGE-09Mai2007).

Figure 9.3.2.1 : Distribution des analyses de marbre et de roches calco-silicatées peu minéralisées (U<67ppm) dans des diagrammes Li-CaO et Al2O3-CaO montrant la faible mobilité du calcium lors du métamorphisme (114024-CA06-F21-DistributionAnalysesMarbreCalco-silicatées-Li-CaO-Al2O3-CaO-11Mai2007).

Figure 9.3.2.2 : Diagrammes triangulaires : Al2O3-K2O-FeO+MgO pour les échantillons de pegmatite et Al2O3-CaO-FeO+MgO pour les échantillons de marbre et de roches calco-silicatées, de la zone indicielle de CAGE. (114024-CA06-F22-DiagrammeTriangulaire-AlO3-CaO-FeO+MgO-K2O-ZoneCAGE-11Mai2007)

Figure 9.3.2.3 : Diagrammes triangulaires : Al2O3-K2O-FeO+MgO pour les échantillons de pegmatite, paragneiss, orthogneiss et Al2O3-CaO-FeO+MgO pour les échantillons de marbre, de roches calco-silicatées et de diopsidite des zones anomaliques régionales. (114024-CA06-F23-DiagrammeTriangulaire-Al2O3-CaO-FeO+MgO-K2O-ZonesAnomaliques-11Mai2007)

Figure 9.3.2.4 : Diagrammes binaires : a) CaO+MgO-Al2O3, b) CaO+MgO-Fe2O3, c) CaO+MgO-K2O+Na2O et d) CaO+MgO-Ba, montrant la distribution des échantillons de marbre, de roches calco-silicatées et de diopsidite de la zone indicielle de CAGE et des zones d'anomalies régionales. (114024-CA06-F24-DiagrammeBinaire-Al2O3-CaO+MgO-Fe2O3-K2O+Na2O-Marbre-11Mai2007)

Figure 9.3.2.5 : Diagrammes binaires : a) Li-Ba, b) Th-U et c) MgO-Li, montrant la distribution des échantillons de marbre, de roches calco-silicatées et de

diopsidite de la zone indicielle de CAGE et des zones d'anomalies régionales. (114024-CA06-F25-DiagrammeBinaire-Ba-Li-U-Th-MgO-Marbre-11Mai2007)

Figure 9.3.2.6 : Diagrammes binaires : a) Al2O3-Na2O+K2O, b) Al2O3-CaO, c) Al2O3-FeO et d) TiO2-MgO+FeO, montrant la distribution des échantillons de pegmatite associée à du paragneiss, de l'orthogneiss ou au contact avec du marbre dans les zones d'anomalies régionales, et de pegmatite associée à du marbre et des roches calco-silicatées de la zone indicielle CAGE. (114024-CA06-F26-DiagrammeBinaire-Al2O3-Na2O-K2O-TiO2-Pegmatite-11Mai2007)

Figure 10.1.1 : Planche microphotographique (a à f) des minéraux accessoires (allanite, zircon, titanite, monazite, apatite) contenant de l'uranium et des éléments de terres rares. (114024-CA06-F27-PlancheMicrophotographique-Figure 10.1.1-10Mai2007)

Figure 10.2.1 : Planche microphotographique (a à f) du comportement de l'uraninite dans les marbres provenant des lames minces de CAGE. (114024-CA06-F28-PlancheMicrophotographique-Figure 10.2.1-10Mai2007)

Figure 10.2.2 : Planche microphotographique (a à f) montrant des associations minéralogiques et des microstructures. (114024-CA06-F29-PlancheMicrophotographique-Figure 10.2.2-10Mai2007)

Figure 11.1 : Diagrammes binaires : a) Th-U, b) U-Ba, c) U-Zr et d) Th-Zr, montrant la distribution des échantillons de pegmatite associée à du paragneiss, de l'orthogneiss ou au contact avec du marbre dans les zones d'anomalies régionales, et de pegmatite associée à du marbre et des roches calco-silicatées de la zone indicielle CAGE. (114024-CA06-F30-DiagrammeBinaire-Th-U-Ba-Zr-Pegmatite-ZonesAnomaliquesCAGE-11Mai2007)

Figure 11.2 : Diagramme binaire Na2O-K2O montrant la distribution des échantillons de pegmatite associée à du paragneiss, de l'orthogneiss ou au contact avec du marbre dans les zones d'anomalies régionales, et de pegmatite associée à du marbre et des roches calco-silicatées de la zone indicielle CAGE. (114024-CA06-F31-DiagrammeBinaire-Na2O-K2O-Pegmatite-Gneiss-Marbre-ZonesAnomaliques-11Mai2007)

Figure 11.1.1 : Marbre dolomitique massif fortement fracturé. (114024-CA06-F32-F33-PhotosMarbreDolomitiqueChaotique-Figure11.1.1-11.1.2-11Mai2007)

Figure 11.1.2 : Roche calco-silicatée de type « chaotique » où les litages et pegmatites sont discontinus et sans relation avec les morceaux voisins (114024-CA06-F32-F33-PhotosMarbreDolomitiqueChaotique-Figure11.1.1-11.1.2-11Mai2007)

Figure 11.1.3 : Marbre lité et folié à la décharge du lac Cage. (114024-CA06-F34-F35-PhotosMarbreFoliéMarbreDiopside-Figure11.1.3-11.1.4-11Mai2007)

Figure 11.1.4 : Pods de roche calco-silicatée riche en diopside à l'interface de roches calco-silicatées et de marbre dolomitique (affleurement CA06-1002-02). (114024-CA06-F34-F35-PhotosMarbreFoliéMarbreDiopside-Figure11.1.3-11.1.4-11Mai2007)

Figure 11.1.5 : Unité de grès à grain fin à moyen métamorphisé avec une texture de surface en balle de golf (affleurement CA06-1002-01) (114024-CA06-F36-F37-PhotosGrèsTextureGolfVerdâtre-Figure11.1.5-11.1.6-11Mai2007)

Figure 11.1.6 : Unité de grès verdâtre à grain fin et légèrement magnétique métamorphisé (affleurement CA06-1005-15) (114024-CA06-F36-F37-PhotosGrèsTextureGolfVerdâtre-Figure11.1.5-11.1.6-11Mai2007)

Figure 13.1.1 : Rainurage CA06-T-01 (114024-CA06-F38-Rainurage-CA06-T-01-22Mai2007)

Figure 13.1.2 : Rainurage CA06-T-02 (114024-CA06-F39-Rainurage-CA06-T-02-22Mai2007)

Figure 13.1.3 : Rainurage CA06-T-03 (114024-CA06-F40-Rainurage-CA06-T-03-22Mai2007)

Figure 13.1.4 : Rainurage CA06-T-04 (114024-CA06-F41-Rainurage-CA06-T-04-22Mai2007)

Figure 13.1.5 : Rainurage CA06-T-05 (114024-CA06-F42-Rainurage-CA06-T-05-22Mai2007)

Figure 13.1.6 : Rainurage CA06-T-06 (114024-CA06-F43-Rainurage-CA06-T-06-22Mai2007)

Figure 13.2.1 : Diagramme binaire U-CaO et U-(CaO+MgO/Al2O3) des échantillons de marbre et de roche calco-silicatée prélevés sur les affleurements et dans les rainurages de la zone indicielle de CAGE. (114024-CA06-F44-Lithogéochimie RainureMarbre-Figure13.2.1-23Mai2007)

Figure 13.2.2 : Diagramme binaire U-Pb, U-Cu, U-Mo et U-Ba des échantillons de marbre et de roche calco-silicatée prélevés sur les affleurements et dans les rainurages de la zone indicielle de CAGE. (114024-CA06-F45-LithogéochimieRainure Marbre-Figure13.2.2-23Mai2007)

Figure 13.2.3 : Diagramme binaire U-V des échantillons de marbre et les roches calco-silicatées prélevés dans les rainurages de la zone indicielle de CAGE et diagrammes binaires U-V, U-Y et U-Bi des échantillons de marbre et de roche calco-silicatée prélevés sur les affleurements et dans les rainurages de la même zone indicielle. (114024-CA06-F46-LithogéochimieRainureMarbre-Figure13.2.3-23Mai2007)

ANNEXE B
(Volume 2 de 8)

TABLEAU DES STATIONS

Tableau 12.1 : Tableau synoptiques des stations (114024-CA06-T07-TableauSynoptiqueStations-31Mai2007)

ANNEXE C
(Volume 3 de 8)

LISTE DES TABLEAUX

Tableau 4.1 : Liste des géologues, des prospecteurs, des techniciens, des consultants et du personnel du soutien logistique du projet CAGE 2006 (114024-CA06-T02-ListeGéologuesConsultantsTechniciens-07Mai2007)

Tableau 6.1 : Tableau descriptif des claims actifs et en demande d'Uranor Inc. du projet CAGE 2006 (114024-CA06-T01-ClaimsActifsEtEnDemande Uranor-Cage 2006)

Tableau 8.6.1 : Tableau synoptique des travaux statutaires - PROJET 114024 (114024-CA06-T03-TravauxStatutaires24I24P-07Mai2007)

Tableau 9.3.2.1:Analyses lithogéochimiques des échantillons choisis et de rainurage classées par unités lithologiques (114024-CA06-T08- Analyses GéochimiquesPartiellesFiltrées-Lithologie-Diagramme-24Mai2007)

Tableau 10.1 : Caractéristiques physiques, minéralogiques et structurales de l'indice minéralisé de type Cage par rapport au gisement Namibien de Rossing (114024-CA06-T09-TableauComparaisonTypeCageRossing-24Mai2007)

Tableau 10.1.1 :Séquence paragénétique des principaux minéraux observés en lame mince par rapport à la déformation (114024-CA06-T05-SéquenceParagénétiqueMinéraux Déformation-11Mai2007)

Tableau 11.1 : Analyses lithogéochimiques des échantillons choisis et de rainurage (114024-CA06-T04-AnalysesLithogéochimiques-09Mai2007)

Tableau 11.2 : Tableau synoptique des anomalies scintillométriques au sol (114024-CA06-T10-AnomaliesScintillométriques-31Mai2007)

ANNEXE D
(Volume 4 de 8)

LISTE DES CARTES

Carte 1 : Topographie 3D du secteur de la propriété CAGE (1 :100 000) (114024-CA06-C07 – Topographie3DSecteurPropriétéCage)

Carte 2 : Topographie 3D du secteur Davis-Kéglo (1 : 1 500) (114024-CA06-C08-Topographie3DSecteurDavisKéglo)

Carte 3 : Géologique régionale SNRC 24I-24P d'après Taylor (1979) et Verpaelst (2000) (1 :100 000) (114024-CA06-C09- GéologieRégionale24I24PSigéom)

Carte 4 : Champs magnétique total (Sigéom) de la propriété CAGE (1 :100 000) (114024-CA06-C20 – ChampMagnétiqueTotalSigéom)

Carte 5 : Localisation des travaux statutaires SNRC 24I-24P (1 :250 000) (114024-CA06-C27 – CompilationTravauxStatutaires24I24P)

Carte 6 : Géologie et localisation des stations de la propriété CAGE (1 :100 000) (114024-CA06-C13-GéologieStations-PropriétésCage)

Carte 7 : Géologie et localisation des stations de la partie NE du secteur Davis-Kéglo (1 :25 000) (114024-CA06-C15-GéologieStations-SecteurDavisKéglo-partieNE)

Carte 8 : Géologie et localisation des stations de la partie SE du secteur Davis-Kéglo (1 :25 000) (114024-CA06-C16-GéologieStations-SecteurDavisKéglo-partieSE)

ANNEXE E
(Volume 5 de 8)

LISTE DES CARTES

Carte 9 : Géologie et localisation des stations de la partie SW du secteur Davis-Kéglo (1 :25 000) (114024-CA06-C17-GéologieStations-SecteurDavisKeglo-partieSW)

Carte 10 : Géologie et localisation des stations de la partie NW du secteur Davis-Kéglo (1 :25 000) (114024-CA06-C18-GéologieStations-SecteurDavisKéglo-partieNW)

Carte 11 : Géologie et localisation des stations du secteur CAGE-A à F (1 :6500) (114024-CA06-C19-GéologieStations-SecteurCAGE-AF)

Carte 12 : Localisation des échantillons et rapports spectrométriques U/Th de la propriété CAGE (1 :100 000) (114024-CA06-C24-LocalisationÉchantillonsRapports SpectroUTh-PropriétéCAGE)

Carte 13 : Localisation des échantillons et rapports spectrométriques U/Th du secteur Davis-Kéglo (1 :40 000) (114024-CA06-C25 - LocalisationÉchantillons RapportsSpectroUTh-SecteurDavisKéglo)

Carte 14 : Localisation des échantillons et rapports spectrométriques U/Th des secteurs CAGE-A à F (1 :6500) (114024-CA06-C26- LocalisationÉchantillonsRapports SpectroUTh -CAGE-AF)

Carte 15 : Teneurs U et Th des échantillons analysés en 2006 sur la propriété CAGE (1 :100 000) (114024-CA06-C28- ÉchantillonsAnalysésRapportSpectroUTh-PropriétéCAGE)

Carte 16 : Teneurs U et Th des échantillons analysés en 2006 sur la propriété CAGE (secteur Davis-Kéglo)(1 :40000)(114024-CA06-C29-ÉchantillonsAnalysésRapportSpectro UTh-SecteurDavisKéglo)

ANNEXE F
(Volume 6 de 8)

LISTE DES CARTES

Carte 17 : Teneurs U et Th des échantillons analysés en 2006 (secteur Cage A-F) (1 :6 500) (114024-CA06-C30- ÉchantillonsAnalysésRapportSpectroUTh-SecteursCageAF)

Carte 18 : Plan compteur avec valeurs radiométriques et résultats analytiques des rainurages – Indice CAGE B (1 :50) (114024-CA06-C22 – PlanCompteur RadiométrieAnalyseRainurage-IndiceCageB)

Carte 19 : Plan compteur avec valeurs radiométriques et résultats analytiques des rainurages – Indice CAGE D (1 :50) (114024-CA06-C23 – PlanCompteur RadiométrieAnalyseRainurage-IndiceCageD)

Carte 20 : Géologie et localisation des anomalies scintillométriques de la propriété CAGE (1 : 100 000) (114024-CA06-C10- GéologieAnomaliesPropriétéCAGE)

Carte 21 : Géologie et localisation des anomalies scintillométriques du secteur Davis-Kéglo (1 :40 000) (114024-CA06-C11- GéologieAnomaliesSecteurDavis-Kéglo)

Carte 22 : Géologie et localisation des anomalies scintillométriques du secteur CAGE-A à F (1 :6500) (114024-CA06-C12-GéologieAnomaliesSecteurCAGE-AF)

Carte 23 : Teneurs en U et Th des sédiments de fonds de lacs et correspondances aux critères de CAGE (1 :100 000) (114024-CA06-C21- TeneurUThSédiments FondDeLacCorrespondanceCritèreCAGE)

ANNEXE G
(Volume 7 de 8)

« Interprétation des données magnétiques et radiométriques de la campagne aérienne de Août 2006 » par Yoann Richard (AREVA NCB/BUM/DEX/GT)

ANNEXE H
(Volume 7 de 8)

« Étude structurale du secteur de l'indice Cage, Nunavik, Québec » par Nicolas Flotté (AREVA NCB/BUM/DEX/GT)

ANNEXE I
(Volume 7 de 8)

« CAGE : Analyse sommaire des linéaments en photosatellite » rapport interne par Jean Beaudin (Omegalpha Inc.)

ANNEXE J
(Volume 8 de 8)

« Final Report on a Helicopter-borne Magnetic & Radiometric Survey, Centre Cage Zone, Kangiqsualujjuaq, Québec, Canada » par McPhar Geosurveys Ltd

ANNEXE K
(Volume 8 de 8)

CERTIFICATS D'ANALYSE

Certificats d'analyse du Saskatchewan Research Council (SRC)

ANNEXE L
(Volume 8 de 8)

PRODUITS NUMÉRIQUES EN DVD

Produits numériques en DVD

ANNEXE B

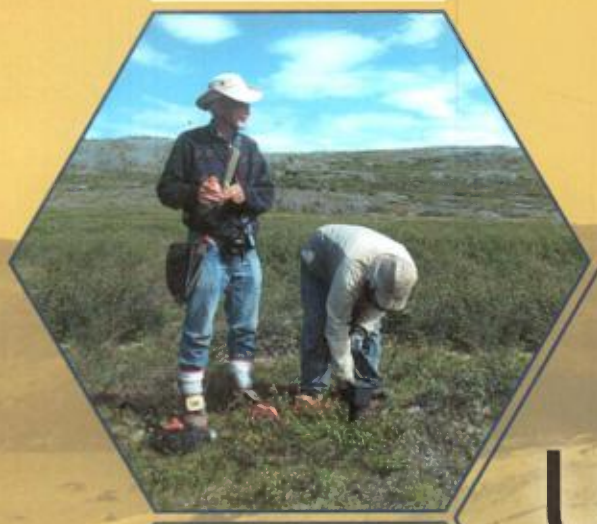

URANOR

TABLEAU DES STATIONS

OMÉGALPHA

No station	Estant (Nad83 - Zone 20)	Nordant (Nad83 - Zone 20)	Bloc ou Affleurement	Description lithologique	Lithologie A	Couleur A	Lithologie B	CouleurB	Lithologie C	CouleurC	Radiométrie Bruit de fond (cps)	Radiométrie maximum (cps)	Radiométrie anomalie (cps)	Photo	Échantillon	Lames minces: Petite (P) et Polie (Po)	Analyses chimiques	Témoin	Structure	Azimuth	Pendage	Caractéristiques
CG-06-01-01	346619	6560067	Affleurement	Affleurement de > 3000m² formant une colline. Pegmatite massive blanche a quartz-feldspath-biotite (<10%) avec enclave ou recoupant des gneiss quartzo-feldspatiques à grains fins, rubané ou paragneiss avec 20% molybdénite en feuillets argentés. Paragneiss modérément à fortement altéré (rouillé).	Paragneiss	rouille	Pegmatite	blanc					2000			CG-06-01-01		CG-06-01-01					Paragneiss avec 20% molybdénite
CG-06-01-02	346625	6560002	Affleurement	Affleurement > 3000m² (idem à CG-06-01-01) flanc ouest. B) Pegmatite à quartz-feldspath-biotite, massive en contact avec A) roche (gneiss) quartzofeldspathique à grains fins, riche en molybdénite (10-15%) avec biotite (≤ 10%) et sulfure (pyrite) (< 5%)	Paragneiss		Pegmatite									CG-06-01-02A-A'-B	CG-06-01-02A' (P)	CG-06-01-02A-B	CG-06-01-02A-B				Paragneiss avec molybdénite (10-15%), biotite (≤ 10%) et sulfure (pyrite) (< 5%)
CG-06-01-03	346845	6559778	Affleurement	Roche à quartz-feldspath à grains fins modérément rouillé (altération). Bandes ou niveaux rouillés selon S0 ou S1 à 120°. Roche idem à CG-06-01-02; paragneiss à molybdénite (15%) et sulfure (< 5%), très altéré et schisteux.	Paragneiss	rouille						600							S0/S1; S1	120; 128	ND; 90	Paragneiss à molybdénite (15%) et sulfure (< 5%)
CG-06-01-04	346998	6559735	Affleurement	Affleurement de 7m x 30m x 7m de haut. Marbre calcitique à grains grossiers riche en biotite (>15%), marbre rubané gris pâle à moyen en surface altérée.	Marbre calcitique	gris moyen					75	120			CG-06-01-04			CG-06-01-04				Marbre calcitique riche en biotite (>15%)
CG-06-01-05	347118	6559607	Affleurement	Affleurement de 15m x 30m, de marbre massif à grains grossiers avec mica (phlogopite), oxyde de fer (?) en boule et 10% minéral blanc prismatique (diopside ?).	Marbre						60	90			CG-06-01-05			CG-06-01-05				Marbre avec mica (phlogopite), oxyde de fer (?) et 10% diopside (?).
CG-06-01-06	347266	6559434	Affleurement	Affleurement de 6m x 4m dans aire d'affleurement. Gneiss ou paragneiss à quartz-feldspath avec zones rouillées selon le rubanement.	Paragneiss	rouille					110	140										Gneiss ou paragneiss avec zones rouillées
CG-06-02-01	348424	6558856	Affleurement	Affleurement dégagé de 15m x 2m formant une petite crête allongée à 127°. Marbre calcitique massif à grains grossiers avec ≤ 5% molybdénite, 15-20% diopside prismatique et autre minéral noir non magnétique (oxyde de fer) ; marbre modérément altéré, orange rouille.	Marbre calcitique	orangé					60	80			CG-06-02-01			CG-06-02-01				Marbre calcitique avec ≤ 5% molybdénite, 15-20% diopside et oxyde de fer, orange-rouille.
CG-06-02-02	348509	6558857	Affleurement	Affleurement dégagé de 1,5m x 2,5m. Marbre calcitique à grains grossiers idem à CG-06-02-01. Pas échantillonnable.	Marbre calcitique							1300										
CG-06-02-03	348404	6558591	Affleurement	Affleurement de 10m x 4m de roche calco-silicatée à grains moyens à quartz-feldspath-carbonate (calcite)(20-25%). Roche calco-silicatée verte pâle à moyen en cassure fraîche; fracturée; structure microbréchique (ressemble à de petites boules).	Roche calco-silicatée	vert pâle					60	75			CG-06-02-03			CG-06-02-03				Roche calco-silicatée verte pâle à moyen; structure microbréchique.
CG-06-02-04	348492	6558650	Affleurement	Affleurement de 6m x 10m. Paragneiss (métagrès) à quartz-feldspath à grains fins, rubané. Petite zone rouillée (10cm) dans paragneiss. Pas échantillonnable.	Paragneiss						110	130										Petite zone rouillée (10cm) dans paragneiss.
CG-06-02-05	348517	6558769	Affleurement	Affleurement sur butte de 10m x 2m. b) Quartzite avec veinules de quartz en contact avec a) roche calco-silicatée (idem à CG-06-02-03) et c) marbre calcitique à grains grossiers, schistosé.	Roche calco-silicatée		Quartzite		Marbre		B)200 C)75											
CG-06-02-06	348560	6558769	Affleurement	Affleurement de 4m x 2,5m. Zone rouillée et/ou hématisée avec graphite et/ou molybdénite et riche en biotite (aspect cuivrée) à >20%. Roche fortement altérée, rouge brique, disséminée altération. Roche hôte de la zone et minéralisation paragneiss ou métagrès à quartz-feldspath (fortement altéré) à grains fins à moyens.	Paragneiss	rouille					150	3000			CG-06-02-06A	CG-06-02-06A" (Po)	CG-06-02-06A	CG-06-02-06A				Roche fortement altérée, rouge brique. Zone rouillée et/ou hématisée avec graphite et/ou molybdénite et riche en biotite (aspect cuivrée) à >20%.
CG-06-02-07	348585	6558781	Affleurement	Affleurement de 5m x 2m. Métagrès ou grès quartzitique avec petite zone (2-3cm) graphiteuse ou paragneiss (car rubané), très siliceux modérément à fortement altéré (rouille), sulfure.	Paragneiss	rouille					100	3500			CG-06-02-07A	CG-06-02-07A (P)	CG-06-02-07A'	CG-06-02-07A				Paragneiss (métagrès quartzitique) avec zone graphiteuse, très siliceux, altéré (rouille), sulfure.
CG-06-02-08	348762	6558481	Affleurement	Affleurement de 10m x 2m, sur le flanc nord de la crête (aire d'affleurement). Alternance de lits de 1 à 25cm de A) roche calco-silicatée (quartz-feldspath-carbonate) massive et de banc (15 à 60cm) B) de marbre à grains grossiers massif. Cette séquence d'aspect bréchique a 2m d'épais. Séquence en contact vers le sud, vers le sommet de la crête, avec le marbre calcitique massif à grains grossiers (idem à CG-06-02-01); S0 = 64°/56°; 2 systèmes de veinules de quartz d'où 1) 25°/43° est recoupé par 2) 328°/?.	Roche calco-silicatée		Marbre					A)110 B)60	A) 130 B) 75		1					S0; Fract; Fract	64; 25; 328	56; 43; ND	
CG-06-02-09	348719	6558443	Affleurement	Affleurement de 6m x 15m, sur le sommet de la butte. A) Marbre calcitique massif à lité, à grains grossiers, avec surface altérée beige, en contact avec B) gneiss leuco à mésocrate à quartz-feldspath-amphibole (30-35%) à grains fins, rubané. Présence d'enclaves centimétriques de gneiss dans le marbre.	Marbre calcitique	beige	Gneiss					A)60 B)110	A)75 B)125		2								Gneiss leuco à mésocrate à quartz-feldspath-amphibole (30-35%), présence d'enclaves centimétriques de gneiss dans le marbre.
CG-06-02-10	348877	6558385	Affleurement	Affleurement de 15m à 4m (direction N-S), bord sud du lac. A) paragneiss quartz-feldspath à grains fins, ≤ 5%biotite et/ou hornblende, de 2m d'épaisseur vers B) marbre calcitique à grains grossiers vers le sommet.	Paragneiss		Marbre calcitique				B)65	A)150 B)75										
CG-06-03-01	351201	6556218	Affleurement	Affleurement de 8m x 10m, en pente. A) Marbre calcitique à grains grossiers, massif, avec niveaux ou enclaves de B) roche à quartz-feldspath (siliceuse) rosée, légèrement rubanée pas calcitique (< 15% affleurement).	Marbre calcitique		roche calco-silicatée	rose			A)50 B)75											
CG-06-03-02	351295	6556246	Affleurement	Affleurement de 8m x 10m. A) marbre calcitique massif à grains grossiers, localement lité (S0) avec des poches de dimension métrique (≤ 1m) de B) matériel calcosilicaté (roche à feldspath-quartz et matrice carbonatée), fracturé (fractures irrégulières), formant des petites boules (2 à 4cm). S0 = 112°/72°.	Marbre calcitique		roche calco-silicatée				A)30 B)75	A)50 B)110							S0	112°	72°	
CG-06-03-03	351500	6556196	Affleurement	Affleurement de 10m x 15m. A) marbre calcitique à grains grossiers massif, cristaux de calcite rose et autres cristaux primatiques rosés (10%); présence de poche ou bloc de B) roche calcosilicatée rosée de 10 à 30cm avec cristaux verdâtres foncés prismatiques (tourmaline ou hornblende) au pourtour. S1 (alignement des cristaux) = 94°/74°	Marbre calcitique	rose	roche calco-silicatée	rose			A)50 B)75	A)65			CG-06-03-03			CG-06-03-03	S1	94	74	
CG-06-03-04	351619	6556289	Affleurement	Affleurement de 9m x 2m. Pegmatite rosée à 45% quartz et 55% feldspath. Trace biotite?, massive.	Pegmatite	rose						3000										
CG-06-03-04-A1	351645	6556276	Bloc	Anomalie à 1200 cps découverte pas William Annanack sur bloc de 40cm x 20cm, de granite rosé à rougeâtre massif à quartz-feldspath biotite à grains moyens à fins.	Granite	rose					150	1200										
CG-06-03-05	351707	6556270	Affleurement	Affleurement de 1m² de pegmatite idem CG-06-03-04. Pegmatite rosée.	Pegmatite	rose					250	1200										

705544

No station	Estant (Nad83 - Zone 20)	Nordant (Nad83 - Zone 20)	Bloc ou Affleurement	Description lithologique	Lithologie A	Couleur A	Lithologie B	CouleurB	Lithologie C	CouleurC	Radiométrie Bruit de fond (cps)	Radiométrie maximum (cps)	Radiométrie anomalie (cps)	Photo	Échantillon	Lames minces: Petite (P) et Polie (Po)	Analyses chimiques	Témoin	Structure	Azimuth	Pendage	Caractéristiques
CG-06-03-06	351766	6556281	Affleurement	Affleurement >1000m² sur butte (ou colline). Marbre calcitique, schistosé avec des niveaux centimétriques composés de 15-20% diopside prismatique non-orienté. S1 = 344°/44°.	Marbre calcitique						40	60							S1	344	44	Marbre calcitique, schistosé avec des niveaux centimétriques composés de 15-20% diopside prismatique
CG-06-03-07	351801	6556275	Affleurement	Affleurement > 1000m², sur flanc nord de la butte de marbre. Pegmatite rose idem à CG-06-03-05 en contact avec le marbre à grains grossiers. Présence d'une roche très altérée jaune-verdâtre, très effritable (>15 000cps). La zone altérée et minéralisée semble se poursuivre vers l'est sous épaisseur de mort-terrain (bruit de fond à 400cps).	Pegmatite	rose	Marbre				A) 150	>15000			CG-06-03-07		CG-06-03-07					Roche très altérée (marbre ?) jaune-verdâtre, très effritable (>15 000cps).
CG-06-03-08	351765	6556314	Affleurement	Affleurement de > 1000m² sur flanc nord. Pegmatite (dyke?) rose massive, en contact avec marbre calcitique à diopside massif à grains grossiers.	Pegmatite	rose	Marbre calcitique															Marbre calcitique à diopside massif
CG-06-03-09	351838	6556273	Affleurement	Affleurement > 1000m² (idem à précédent) sur flanc ouest. Pegmatite à quartz-feldspath très grossière, massive. À l'est, butte de marbre massif à grains grossiers et pegmatite massive.	Pegmatite		Marbre				A)150	16000										
CG-06-04-01	351580	6556511	Affleurement	Affleurement de 7m x 10m, partie d'une aire d'affleurement. Pegmatite blanche à quartz-feldspath-biotite (10%), recoupant un paragneiss (ou métagrès) à quartz-feldspath-biotite (20-25%), légèrement rubané à grains fins à moyens, avec grenats (≤ 1cm) à 5-10%. Anomalie à 1500cps dans pegmatite associée à concentration (accumulation) en biotite. Non échantillonnable.	Paragneiss		Pegmatite	blanc			A)250	1500										
CG-06-04-01-A1	351582	6556515	Affleurement	Anomalie à 2000 cps découverte par C. Désorcy dans la pegmatite recoupant le paragneiss. Anomalie associée à des concentrations de biotite. Affleurement de 8m x 30m (crête de direction N-S, anommiaie au sud de l'affleurement.Non échnatillonnable.	Paragneiss		Pegmatite				200	2000										
CG-06-04-02	351600	6556518	Affleurement	Affleurement de 2,5m x 4m. Paragneiss légèrement rubané à quartz feldspath-biotite-grenat (< 5%) en bandes, à grains fins, légèrement à modérément altéré (rouillé). Rubanement à 10°. Anomalie ponctuelle dans le paragneiss.	Paragneiss	rouille					150	5000										
CG-06-04-03	351879	6556266	Affleurement	Affleurement de >1000m² sur sommet d'une colline. A) Pegmatite rosée à biotite (< 5%) massive, en contact vers l'ouest avec B) marbre calcitique, gris pâle à chamois en surface altérée, schistosé et à certains endroits, masses de dolomie. Anomalie à > 15000 cps dans la pegmatite.	Pegmatite	rose	Marbre calcitique	gris pâle			A)150 B)50	>15000										
CG-06-04-04	351890	6556273	Affleurement	Affleurement de >1000m² (continuité de CG-06-04-03) A) Pegmatite rosée, massive plus biotite (5%) en contact avec B) marbre. Anomalie dans la pegmatite.	Pegmatite	rose	Marbre				A)150	6000			CG-06-04-04		CG-06-04-04					
CG-06-04-04-A1	351897	6556277	Affleurement	Anomalie à 2000 cps découverte par William Annanack près d'un petit affleurement de pegmatite à 1m2 dans un trou creusé le long du côté de l'affleurement. Bruit de fond = 300 cps	Pegmatite						300	2000										
CG-06-04-04-A2	351908	6556282	Affleurement	Anomalie à 2000 cps découverte par William Annanack dans un trou creusé à 10 cm de profondeur sur roc; pegmatite idem à précédent	Pegmatite							2000										
CG-06-04-05	351918	6556288	Affleurement	Affleurement de 1m x 8m. Pegmatite massive, localement rouillée. Anomalie ponctuelle dans pegmatite.	Pegmatite	rouille					250	2000										
CG-06-04-06	351912	6556224	Affleurement	Affleurement continu sur la colline. Pegmatite rosée, massive. Pas de fracture ou altération. Pas échantillonnable.	Pegmatite	rose					90	5500										
CG-06-04-07	351929	6556232	Affleurement	Affleurement continu sur le sommet de la butte. Pegmatite rosée à quartz-feldspath-biotite (< 2%), cristaux de 2cm, peu à pas de fracture. Anomalie à 7000 cps associée à pegmatite; anomalies ponctuelles. Pas échantillonnable.	Pegmatite	rose					75	7000										
CG-06-04-07-A1	351936	6556223	Affleurement	Anomalie >15000 cps très ponctuelle découverte par Bobby Annanack dans une pegmatite idem à CG-06-04-02. Pas échantillonnable.	Pegmatite							15001										
CG-06-04-08	351957	6556213	Affleurement	Affleurement continu de pegmatite (idem à CG-06-04-07), massive, peu fracturée. Anomalie à 7000 cps dans pegmatite. Présence de 2 petites fractures locales parallèles à 64°/S.V. : anomalie associée à l'une de ces fractures? Pas échantillonnable.	Pegmatite	rose					100	7000							Fract	64	90	
CG-06-04-08-A1	351952	6556213	Affleurement	Anomalie >15000 cps découverte par Bobby Annanack sur affleurement de pegmatite. Pas échantillonnable.	Pegmatite							15001										
CG-06-04-08-A2	351960	6556216	Affleurement	Anomalie à 2600 cps découverte par William Annanack le long d'une fracture à 170/S.V., anomalie très ponctuelle. Pas échantillonnable.	Pegmatite							2600							Fract	170	90	
CG-06-04-08-A3	351964	6556204	Affleurement	Anomalie à 12000 cps découverte par William Annanack sur petit affleurement de pegmatite idem à précédent, massif. Affleurement de 6m x 3m. Présence de cristaux (1 à 3 cm) d'amphibole. Pas échantillonnable.	Pegmatite							1200										
CG-06-04-09	351977	6556213	Affleurement	Affleurement continu (idem CG-06-04-08). Pegmatite rosée à quartz-feldspath-biotite, massive, série de fractures parallèles à 110°. Anomalie associée à pegmatite.	Pegmatite	rose						2000			CG-06-04-09		CG-06-04-09		Fract	110		
CG-06-04-09-A1	351978	6556199	Affleurement	Anomalie à 1800 cps découverte par William Annanack dans pegmatite sur affleurement de 1,5m x 5m, même pegmatite que précédent. Bruit de fond = 100 cps.	Pegmatite						100	1800										
CG-06-04-10	351972	6556188	Affleurement	Affleurement de 6m x 3m. Pegmatite massive, peu fracturée (idem CG-06-04-09). Anomalie à 12000 cps sur pegmatite. Pas échantillonnable.	Pegmatite						75	12000										
CG-06-04-10-A1	351912	6556159	Affleurement	Anomalie à 3200 cps découverte par Bobby Annanack près d'un affleurement de pegmatite côté sud. Trou creusé à 20 cm profond le long d'une face de la pegmatite idem à précédent.	Pegmatite							3200										
CG-06-04-11	351938	6556127	Affleurement	Affleurement de > 500m², formant une butte sur coté ouest du petit lac. Pegmatite rosée, massive, à quartz-feldspath (cristaux à 3cm). Anomalie ponctuelle à 10000 cps associée à une altération jaune-brunâtre. Pas échantillonnable.	Pegmatite	rose					80	10000										
CG-06-04-11-A1	351945	6556124	Affleurement	À 5m au nord du bord de l'eau, autre anomalie dans même pegmatite à 1200 cps découverte par Bobby Annanack.	Pegmatite							1200										
CG-06-04-11-A2	351981	6556178	Affleurement	Anomalie à 1200 cps découverte par Bobby Annanack sur affleurement de >400m2 de pegmatite. Idem à précédent. Pas échantillonnable. Bruit de fond à 90 cps.	Pegmatite						90	1200										

No station	Estant (Nad83 - Zone 20)	Nordant (Nad83 - Zone 20)	Bloc ou Affleurement	Description lithologique	Lithologie A	Couleur A	Lithologie B	CouleurB	Lithologie C	CouleurC	Radiométrie Bruit de fond (cps)	Radiométrie maximum (cps)	Radiométrie anomalie (cps)	Photo	Échantillon	Lames minces: Petite (P) et Polie (Po)	Analyses chimiques	Témoin	Structure	Azimuth	Pendage	Caractéristiques
CG-06-04-11-A3	351977	6556154	Affleurement	Anomalie à 1200 cps découverte par Bobby Annanack sur affleurement de >2m2 de pegmatite.	Pegmatite							1200										
CG-06-04-11-A4	352032	6556184	Affleurement	Anomalie à 2100 cps découverte par William Annanack sur affleurement de 4m de pegmatite près de marbre.	Pegmatite		Marbre					2100										
CG-06-04-11-A5	352035	6556180	Affleurement	Anomalie à 3000 cps découverte par William Annanack.	Pegmatite							3000										
CG-06-04-11-A6	352086	6556335	Affleurement	Anomalie à 5000 cps découverte par Claude Désorcy dans un trou creusé à 10 cm de profondeur sur roc de pegmatite massive près d'un affleurement de pegmatite. Bruit de fond à 150 cps.	Pegmatite						150	5000										
CG-06-05-01-A1	352503	6556170	Affleurement	Anomalie à 2000 cps sur petit affleurement (1,5m x 3m) de pegmatite rose à quartz-feldspath rose (cristaux ≥ 5cm) biotite (5%). Anomalie associée à biotite.	Pegmatite	rose					100	2000										
CG-06-05-01	352504	6556165	Affleurement	Affleurement de 2,5m x 8m, pegmatite rosée à quartz-feldspath rose-biotite (≤ 5%), (gros cristaux feldspath (≥4cm)) massif. Anomalie ponctuelle découverte par William Annanack à 6500 cps.	Pegmatite	rose					100	6500										
CG-06-05-02	352448	6556210	Affleurement	Affleurement de > 1000m² formant une butte. Pegmatite rosée à cristaux très grossiers (≥ 3cm) de quartz-feldspath potassique-biotite (≤ 5%), massive. Anomalies ponctuelles aux 2 coordonnées à 5500 cps et 5000 cps, respectivement. Anomalie à 5000 cps associée à une zone modérément altérée, jaune-brunâtre, pas de sulfure (non-visible).	Pegmatite	rose					150	5500			CG-06-05-02		CG-06-05-02					
CG-06-05-02-A1	352454	6556203	Affleurement	Anomalie à 5000 cps associée à une zone modérément altérée, jaune-brunâtre, pas de sulfure (non visible). Bruit de fond à 150 cps	Pegmatite	rose					150	5000										
CG-06-05-02-A2	352440	6556177	Affleurement	Anomalie à 6000 cps découverte par Bobby Annanack sur même affleurement que CG-06-05-02; côté sud (presqu'au sommet). Pegmatite rosée massive; anomalie ponctuelle; trou creusé mais anomalie sur côté de la pegmatite.	Pegmatite	rose					150	6000										
CG-06-05-02-A3	352438	6556161	Affleurement	Anomalie à 2000 cps découverte pas Bobby Annanack sur affleurement de 6m x 5m. En pente de la butte, flanc sud; affleurement continu de CG-06-05-02. Anomalie dans trou creusé jusqu'au roc (pegmatite rosée massive), idem à précédent.	Pegmatite	rose						2000										
CG-06-05-03	352411	6556199	Affleurement	Affleurement continu de CG-06-05-02; en bordure SO de l'affleurement. Pegmatite rosée à quartz-feldspath potassique (rose) biotite (< 5%) très massive. Présence d'anomalies ponctuelles dans la pegmatite associées à de petites zones altérées.	Pegmatite	rose					150				CG-06-05-03		CG-06-05-03					
CG-06-05-03-A1	352411	6556196	Affleurement	Anomalie à 3000 cps découvert par Bobby Annanack (zone altérée). Autres anomalies découvertes par Bobby Annanack à 1700 cps et 5000 cps au nord.	Pegmatite	rose					150	3000										
CG-06-05-03-A2	352419	6556198	Affleurement	Anomalie à1700 cps découvert par Bobby Annanack (zone altérée).	Pegmatite	rose					150	1700										
CG-06-05-03-A3	352429	6556204	Affleurement	Anomalie à 9000 cps découverte par Bobby Annanack sur butte d'affleurement, CG-06-05-03. Pegmatite rose massive, modérément altérée.	Pegmatite	rose						9000										
CG-06-05-04	352400	6556171	Affleurement	Affleurement continu de CG-06-05-02 vers le sud partie limite sud. Pegmatite rosée massive localement fracturée (série de fractures à 28°/S.V.). Anomalie à 1400 cps (Bobby Annanack) dans petite zone rouillée, brunâtre.	Pegmatite	rose					150	1400							Fract	28	90	
CG-06-05-04-A1	352396	6556148	Affleurement	Anomalie à 1700 cps découverte par Bobby Annanack; trou creusé de 5cm, sur bloc ou affleurement de pegmatite (idem à précédent).	Pegmatite	rose					150	1700										
CG-06-05-04-A2	352394	6556161	Affleurement	Anomalie à 15000 cps (découverte par Bobby Annanack). Trou creusé de 20cm, anomalie près d'un affleurement continu de pegmatite.	Pegmatite	rose					150	15000										
CG-06-05-04-A3	352437	6556237	Bloc	Anomalie à 10000 cps découverte par William Annanack. Trou creusé de 15cm; anomalie associée à face de bloc de pegmatite de 1m x 70cm x 40cm, même composition que la pegmatite des affleurements précédents. À 6m à l'ouest (NO), anomalie de 3500 découverte pas William Annanack associée à des blocs de pegmatite dans un trou creusé de 20cm de profondeur (bloc de 10cm x 20cm x 10cm).	Pegmatite	rose						10000										
CG-06-05-05	352511	6558328	Affleurement	Affleurement de 5m x 1m, parmi d'autres petits affleurements avec grand aire d'affleurement. Pegmatite rosée à quartz-feldspath potassique rose-biotite (< 5%), massive, contenant des enclaves centimétriques de paragneiss à biotite. Anomalie à > 15000 cps découverte par William Annanack dans la pegmatite près d'une enclave de paragneiss. Pas échantillonnable. Autres anomalies à 8000 cps et 13000 cps dans la pegmatite à 4m (NO) et 4m (NE) de CG-06-05-05.	Pegmatite	rose	Paragneiss				200	15000			CG-06-05-05	CG-06-05-05 (Po)	CG-06-05-05					
CG-06-06-01-A1	349047	6558112	Bloc	Anomalie à 3000 cps découverte par William Annanack sur bloc (2m x 1,5m x 1m) de pegmatite rosée massive à grains grossiers.	Pegmatite	rose						3000										
CG-06-06-01	349155	6557941	Affleurement	Affleurement près d'un ruisseau dans bas relief; 8m x 5m. A) Marbre lité / rubané calcitique avec 10-15% de minéraux prismatiques (non orientés) (diopside?) et de mica (biotite ou phlogopite) à 10%. Présence de niveaux centimétriques (≥ 300m) de B) matériel carbonaté (cristaux de calcite) plus grossier avec des poches ou fragments? de matériel calcosilicaté blanc-gris (surface altérée) avec mica. Rubanement ou S0 = 305°/80°. Rares fractures à 62°/S.V.	Marbre calcitique		Roche calco-silicatée	blanc-gris			A)50 B)70	A)60		1					S0; Fract	305; 62	80; 90	Marbre lité / rubané calcitique avec 10-15% de minéraux prismatiques (diopside?) et de mica (biotite ou phlogopite) à 10%.
CG-06-06-02	349218	6557736	Affleurement	Affleurement 4m x 7m, à l'intérieur d'une aire d'affleurement. Marbre calcitique à grains grossiers avec 5-10% diopside (?) et autre minéral vert moyen prismatique. Modérément shistosé S1 = 108°/68°. Homogène (non lité, rubané).	Marbre calcitique						60								S1	108	68	
CG-06-06-03	349305	6557806	Affleurement	Affleurement de 10m x 6m, sur le flanc nord d'une crête. A) Marbre calcitique gris moyen (surface altérée) à grains moyens, lité/rubané avec des poches centimétriques de B) matériel calcosilicaté à quartz-feldspath et petites zones rouillées idem à CG-06-06-01.	Marbre calcitique	gris moyen	Roche calco-silicatée				A)60 B)100											matériel calcosilicaté à quartz-feldspath et petites zones rouillées

705544

No station	Estant (Nad83 - Zone 20)	Nordant (Nad83 - Zone 20)	Bloc ou Affleurement	Description lithologique	Lithologie A	Couleur A	Lithologie B	CouleurB	Lithologie C	CouleurC	Radiométrie Bruit de fond (cps)	Radiométrie maximum (cps)	Radiométrie anomalie (cps)	Photo	Échantillon	Lames minces: Petite (P) et Polie (Po)	Analyses chimiques	Témoin	Structure	Azimuth	Pendage	Caractéristiques
CG-06-06-04	349346	6557889	Affleurement	Affleurement de 5m x 6m, A) Marbre calcitique à grains fins à moyens + 10% minéral vert émeraude?; rubanéité finement avec des lits de 4 à 10cm de B) grès quartzitique à arkosique à grains fins. Rubanement ou litage (Fol) = 90°/S.V.	Marbre calcitique		grès quartzitique				A)70 B) 100	A)85 B)110			CG-06-06-04			CG-06-06-04	Fol	90	90	
CG-06-06-05	349413	6557916	Affleurement	Affleurement de 20m x >30m, sur flanc nord d'une butte. Paragneiss à quartz-feldspath-biotite (≤ 20%) fortement rubané, modérément roullé. Rubanement = 140°/70°. Très peu fracturé.	Paragneiss	rouille					140	160							Fol	140	70	
CG-06-06-06	349440	6557856	Affleurement	Affleurement de 10m x 4m, pegmatite légèrement rosée, massive, dyke? ou poche. Direction affleurement = 140°. Quelques zones rouillées concentriques.	Pegmatite	rose					80	100										Quelques zones rouillées concentriques.
CG-06-06-07	349738	6557576	Affleurement	Affleurement de 15m x 8m, marbre calcitique massif à diopside shistosé par endroits. S1= 115°/45°.	Marbre calcitique						60								S1	115	45	
CG-06-06-07-A	349737	6557603	Bloc	Anomalie à 3000 cps découverte par Bobby Annanack; trou creusé dans le sol à 20cm de profondeur. Présence de petits blocs de pegmatite fortement altérée (rouillée) ou terreux (goethite). Anomalie ponctuelle.	Pegmatite	rouille						3000			CG-06-06-07A		CG-06-06-07A	CG-06-06-07A				
CG-06-06-07-A1	349711	6557626	Bloc	Anomalie à 1500 cps découverte par Bobby Annanack; trou creusé dans le sol, 15cm de profond, présence de petits blocs de pegmatite altérée.	Pegmatite							1500										
CG-06-06-07-A2	349731	6557608	Affleurement	Anomalie à 5000 c/s découverte par Mario Joly; trou creusé à 15cm de profondeur; pegmatite rose fracturée. Anomalie associée à la pegmatite. Affleurement < 1m². CG-06-06-07-A à CG-06-06-07-A2 suit une zone restreinte avec plusieurs points anomaliques dans une pegmatite; zone 270° (E-O).	Pegmatite	rose						5000										
CG-06-06-07-A3	352625	6556242	Affleurement	Anomalie à 1200 cps découverte par William Annanack sur une pegmatite, pas d'altération ou fracture particulière (anomalie ponctuelle).	Pegmatite							1200										
CG-06-06-07-A4	352623	6556247	Affleurement	Anomalie à 2000 cps découverte par William Annanack sur une pegmatite rose, pas d'altération ou fracture particulière (anomalie ponctuelle), extension ouest de l'affleurement précédent.	Pegmatite	rose						2000										
CG-06-06-07-A5	352536	6556290	Affleurement	Affleurement de 7m x 1,5m parmi un grand aire d'affleurement, pegmatite rosée à quartz-feldspath-biotite(<5%) idem à précédent, modérément fracturé par endroit. Série de fractures à 75/S.V.; anomalie à 5000 cps découverte par William Annanack sur pegmatite fracturée. Bruit de fond à 170-190 cps.	Pegmatite						180	5000							Fract	75	90	
CG-06-06-07-A6	352528	6556383	Affleurement	Affleurement de 15m x 8m, pegmatite rosée à gros cristaux (>2cm) de quartz-feldspath K, massive. Anomalie à 2000 cps découverte par Claude Désorcy sur pegmatite (anomalie ponctuelle), pas d'altération. Bruit de fond à 90-110 cps.	Pegmatite	rose					100	2000										
CG-06-06-07-A7	352536	6556394	Affleurement	Affleurement dégagé de 3m x <1m, mais continue d'une aire d'affleurement sur butte. Pegmatite rosée à gros cristaux idem à précédent. Anomalie ponctuelle dans pegmatite à 3000 cps découverte par Claude Désorcy. Bruit de fond à 100 cps.	Pegmatite	rose					100	3000										
CG-06-06-07-A8	352574	6556376	Affleurement	Affleurement de >500m2, à la limite sud du flanc sud d'une butte de pegmatite rosée massive à cristaux centimétriques de quartz-feldspath, idem à précédent, recoupant des unités de marbre calcitiques à grains grossiers. Anomalie ponctuelle à >15000 cps découverte par Claude Désorcy dans la pegmatite. Pegmatite=150-200cps, marbre=45-60cps.	Pegmatite	rose	Marbre calcitique				a) 150, b) 45	15001										
CG-06-06-07-A9	352492	6556366	Affleurement	Anomalie ponctuelle de 2000 cps trouvée par Claude Désorcy sur pegmatite en affleurement de >500m2. Anomalie associée à amas de biotite. Bruit de fond=150cps	Pegmatite						150	2000										
CG-06-06-07-A10	352520	6556363	Affleurement	Anomalie ponctuelle de 4200 cps trouvée par Claude Désorcy sur pegmatite en affleurement continu. Bruit de fond=170cps	Pegmatite						170	4200										
CG-06-06-07-A11	352487	6556315	Affleurement	Anomalie à 1700 cps découverte par Claude Désorcy associée à une pegmatite. Anomalie ponctuelle. Bruit de fond=150cps	Pegmatite						150	1700										
CG-06-06-07-A12	352450	6556285	Affleurement	Anomalie à 1200 cps découverte par Claude Désorcy dans un trou creusé à 15cm jusqu'au roc (affleurement) composé d'une pegmatite. Bruit de fond=150cps	Pegmatite						150	1200										
CG-06-06-07-A13	352679	6556575	Bloc	Anomalie à 5000 cps découverte par Bobby Annanack sur un bloc de pegmatite rose. Bloc de >30cm x 10cm x 20cm.. Bruit de fond=100cps	Pegmatite	rose					100	5000										
CG-06-06-07-A14	352831	6556939	Affleurement	Affleurement de >40m x 15m, formant une crête de direction N120 composé de marbre dolomitique à grains moyens, lité ou rubané avec des bandes de 5cm à 40cm d'épaisseur au contact avec gneiss quartz-feldspath-biotite à grains fins fortement rubané (paragneiss) avec foliation à 163/78. Anomalie à 6000 cps découverte par Bobby Annanack dans le paragneiss près d'une fracture à 250/40. Marbre=50-60cps, paragneiss=100-130cps.	Marbre dolomitique		Paragneiss				a) 50 b) 100	6000							Fol; Fract	163; 250	78; 40	Anomalie près d'une fracture à 250/40
CG-06-06-07-A15	352734	6557080	Bloc	Anomalie à 1500 cps découverte par Bobby Annanack sur un bloc de quartzite gris pâle à blanc. Anomalie retrouvée dans une fracture ouverte. Bloc de 30cm x 40cm x 40cm. Bruit de fond=70-75cps	Quartzite	gris pâle					70	1500										
CG-06-06-07-A16	352930	6556800																				
CG-06-06-07-A17	352814	6556974	Affleurement	Affleurement de >1000m2, continu sur une crête de direction N132 composé de paragneiss à grains fins à moyens à feldspath rose-quartz, finement rubané, mod. à faiblement fracturé. 2 systèmes de fractures à N202/78 et N128/80. Le long des fractures à N202 forte hématitisation rougeâtre. Anomalie à 12000 cps découverte par William Annanack associée à un système de fractures. Paragneiss=135-160cps.	Paragneiss						135	12000							Fract; Fract	202; 128	78; 80	

No station	Estant (Nad83 - Zone 20)	Nordant (Nad83 - Zone 20)	Bloc ou Affleurement	Description lithologique	Lithologie A	Couleur A	Lithologie B	CouleurB	Lithologie C	CouleurC	Radiométrie Bruit de fond (cps)	Radiométrie maximum (cps)	Radiométrie anomalie (cps)	Photo	Échantillon	Lames minces: Petite (P) et Polie (Po)	Analyses chimiques	Témoin	Structure	Azimuth	Pendage	Caractéristiques
CG-06-07-01	357747	6567469	Affleurement	Bord du lac au NE, lac à 7,8 ppm par géochimie de fond lac. Affleurement de 8m x 4m; marbre calcitique massif avec > 90% calcite, < 10% minéral gris-vert pâle prismatique automorphe (diopside?) de > 1cm de long + 5% biotite. À 2,5m au nord, marbre légèrement rubané / lité; S0/S1 = 346°/80°.	Marbre calcitique		Marbre rubané				50	60							S0/S1	346	80	
CG-06-07-02	357734	6567561	Affleurement	Affleurement de 25 m x 15m, sur flanc sud de la butte. Marbre calcitique massif à légèrement rubané / lité; idem à CG-06-07-01 à cristaux de diopside.	Marbre calcitique						45	60										
CG-06-07-03	357785	6567624	Affleurement	Affleurement de > 20m x 20m, sur le flanc NE de la butte et au NE de l'affleurement dégagé. Marbre calcitique massif à grains grossiers idem à CG-06-07-01. Anomalie ponctuelle à 2000 cps découverte par Bobby Annanack dans le marbre sans altération ou trait particulier.	Marbre calcitique						50	2000			CG-06-07-03A	CG-06-07-03A (P)	CG-06-07-03A					Anomalie ponctuelle à 2000 cps découverte par Bobby Annanack dans le marbre sans altération ou trait particulier.
CG-06-07-04	357864	6567707	Affleurement	Affleurement de 7m x 2m; A) marbre calcitique massif à légèrement rubané/lité à grains grossiers idem à CG-06-07-01, avec des poches ou lits boudinés de B) roche calco-silicatée à quartz-feldspath-biotite (55%) en gros cristaux (> 1cm) dans la matrice carbonatée. Rubanement dans le marbre qui contourne la poche de roche calco-silicatée; orientation de la roche à 110°.	Marbre calcitique		Roche calco-silicatée				A)55 B)110	A)70 B)130		1								
CG-06-07-05	357958	6567850	Affleurement	Affleurement de 6m x 6m; A) marbre calcitique faiblement à modérément schistosé par endroit. S1 = 113°/18° Avec des bandes (5cm d'épaisseur) et B) poche de matériel pegmatitique, plissé (bandes), axe de pli vertical.	Marbre calcitique		Pegmatite				A)50 B)130	B)150		1					S1	113	18	Marbre calcitique modérément schistosé avec bandes et poche d matériel pegmatitique.
CG-06-07-06	358029	6567833	Affleurement	Affleurement de 3m x 1,5m, A) pegmatite blanche à quartz-feldspath-biotite (< 5%) très grossière et massive. Anomalies ponctuelles à 2500 cps et 1500 cps, sur pegmatite, découverte par Bobby Annanack, trou creusé de 30cm, localement altération brunâtre expliquant l'anomalie. Masse de A) pegmatite = 25m x 25m entourée de B) marbre.	Pegmatite	blanche	Marbre				A) 150	2500										Anomalies ponctuelles à 2500 cps et 1500 cps, sur pegmatite, découverte par Bobby Annanack, trou creusé de 30cm, localement altération brunâtre expliquant l'anomalie. Masse de pegmatite (25m x 25m) entourée de marbre.
CG-06-07-07	358156	6567961	Affleurement	Affleurement de 40m x 20m, direction axe à 110°. A) marbre calcitique modérément shistosé à massif à grains grossiers idem à précédent avec roches ou amas de matériels pegmatitiques qui ont une direction générale à 140°. B) le matériel pegmatitique est localement, fortement altéré (rouillé), altération en fer des biotites et peut constituer parfois de grosses masses de plusieurs dizaines de mètres.	Marbre calcitique		Pegmatite				A) 50 B) 110	A)65 B)140										marbre calcitique modérément shistosé avec roches ou amas de matériel pegmatitique à direction générale à 140°.
CG-06-07-08	358112	6568087	Affleurement	Affleurement de 7m x 6m, A) marbre calcitique rubané / lité et shistosé, plissé, avec "cumulat" ou agglomération (bande ou poche) de B) matériel pegmatitique idem à CG-06-07-07. S0? ou rubanement = 91°/29°. S1= 101°/43°. Axe de pli = 113°/10°.	Marbre calcitique		Pegmatite				A) 70 B)110	A)85 B)160		1					S0(ou rubannement); S1; Axe de pli	91; 101; 113	29; 43; 10	marbre calcitique rubané / lité et shistosé, plissé, avec agglomération matériel pegmatitique
CG-06-07-09	358152	6568018	Affleurement	Affleurement 17m x 12m, épaisse (9m) unité de A) marbre calcitique gris moyen (surface altérée) à grossier, massif à très légèrement rubané (idem à précédent) avec ≤ 5% diopside; surmonté?? (polarité?) d'une alternance de lits de B) marbre à grains très grossiers de 30cm à 1,5m d'épaisseur et de C) roche calcosilicatée à grains fins (quartz-feldspath-minéraux verts moyens dans matrice carbonatée) en lits de 20cm à 60cm. Quelques minces lits ou rubanements rouillés dans le marbre très grossier (< 5cm). Dans marbre A), présence de 10% poche ou accumulation pegmatitique quartz-feldspath idem à précédent, rubanement ou S0 = 307°/82°. Anomalie ponctuelle dans roche calco-silicatée à 4000 cps découverte par Mario Joly. Non échantillonnable.	Marbre calcitique	gris moyen	Marbre		Roche calco-silicatée		A) 55 B)85 C)100	4000		1				S0(ou rubannement)	307	82	Anomalie ponctuelle dans roche calco-silicatée à 4000 cps découverte par Mario Joly. Non échantillonnable.
CG-06-07-09-A1	358102	6568295	Affleurement	Anomalie à 2000 cps découverte par Bobby Annanack dans un trou creusé de 20cm jusqu'au roc composé de pegmatite. Légère altération brunâtre sur pegmatite, anomalie ponctuelle; pas échantillonnable.	Pegmatite							2000										Légère altération brunâtre sur pegmatite, anomalie ponctuelle.
CG-06-07-10	358419	6568045	Affleurement	Affleurement de 8m x 1,5m, paragneiss à quartz-feldspath-biotite; modérément à fortement altéré (rouillé), (rusty schist) paragneiss finement rubané.	Paragneiss	rouille					80	110			CG-06-07-10	CG-06-07-10 (P)		CG-06-07-10				Rusty schist = paragneiss finement rubané
CG-06-07-10-A1	358628	6568143	Bloc	Anomalie découverte par William Annanack à 2000 cps sur un bloc de 70cm x 35cm x 20cm. Pegmatite à quartz-feldspath massive.	Pegmatite						150	2000										
CG-06-07-11	358801	6568213	Affleurement	Affleurement continu sur la crête d'une immense butte idem à CG-06-07-10. Paragneiss à grains fins à quartz-feldspath-biotite (15-20%), modérément à fortement altéré (rouillé) (altération de biotite). Passées à grains grossiers à pegmatitiques (cumulats?), rubanement à 140°. Présence de zones de ≤ 1,5m d'épaisseur fortement à extrêmement rouillées avec ≤ 3% pyrite finement disséminée.	Paragneiss	rouille	Pegmatite				110	120			CG-06-07-11		CG-06-07-11	CG-06-07-11				Passées pegmatitiques (cumulats?) dans paragneiss à grains fins à quartz-feldspath-biotite (15-20%), modérément à fortement altéré (rouillé) (altération de biotite).
CG-06-08-01	364447	6569623	Affleurement	Orthogneiss granitique orange/rose noir (amphibole, mafique) avec rubanement, enclave décimétrique leucosome feldspathique. Biotite plus rare que amphibole. Rubanement 5-20cm. Texture plus intrafoliaires, bréchiforme S2: 330-90. Pegmatite rose épaisseur 5-20cm. Point ponctuel 150 et 200.	Orthogneiss granitique	rose	Pegmatite	rose			50	200							S2	330	90	Enclave décimétrique leucosome feldspathique dans l'orthogneiss.
CG-06-08-02	364541	6569747	Affleurement	Amphibolite (diorite?) massive noire tacheté de blanc recoupée de pegmatite rose blanchie. S1 320-90. Épaisseur environ 150m.	Amphibolite	noir	Pegmatite	rose			40								S1	320	90	
CG-06-08-03	364623	6569823	Affleurement	Passée de "rusty" paragneiss à biotite texture rubanée 1cm très régulière épaisseur 3m (petit affleurement). Les pegmatites rosées décevantes, souvent 50 c/s. Point au nord d'un lac de 100m.	Paragneiss	rouille	Pegmatite	rose			50	400										
CG-06-08-04	364623	6569822	Affleurement	Orthogneiss granitique texture bréchiforme. Début vague linéament = N50. Joints 235-70 linéament >10 m, fréq faible 0,2/m.	Orthogneiss granitique						50			1					Joint; linéament	235; 50	70; ND	

705544

No station	Estant (Nad83 - Zone 20)	Nordant (Nad83 - Zone 20)	Bloc ou Affleurement	Description lithologique	Lithologie A	Couleur A	Lithologie B	CouleurB	Lithologie C	CouleurC	Radiométrie Bruit de fond (cps)	Radiométrie maximum (cps)	Radiométrie anomalie (cps)	Photo	Échantillon	Lames minces; Petite (P) et Polie (Po)	Analyses chimiques	Témoin	Structure	Azimuth	Pendage	Caractéristiques
CG-06-08-05	364788	6569925	Affleurement	Orthogneiss. Pegmatite rose sur falaise, du linéament, mais joint sécant pas injection, pas faille, pas dyke - pur joint. Joint 230-85. Falaise au-dessus neige (cf. photo) Linéation - > 150m mais fréquence 0,5/m.	Orthogneiss		Pegmatite	rose			50	125		1					Joint	230	85	
CG-06-08-06	364923	6570050	Affleurement	Orthogneiss riche en quartz, quasi granite, mais encore bien folié. Plis intrafoliation. Mesure côté nord du linéament S2 N310-80.	Orthogneiss						50								S2	310	80	
CG-06-08-07	365308	6570228	Affleurement	Toujours orthogneiss moins folié, granitique. Une veine de quartz-feldspath simili pegmatite	Orthogneiss granitique		Pegmatite				50			1								
CG-06-08-08	365462	6570188	Affleurement	Orthogneiss très granitique quartz-feldspath-biotite, isoclinal, plissé mais S2 régulier. Traverse suit toujours le linéament. La crête créé par augmentation quartz-feldspath recoupé orthogonalement par joint mais ni dyke ni veine ni faille.	Orthogneiss granitique						50											
CG-06-08-09	365622	6570228	Affleurement	Orthogneiss granitique rubané, laminé fortement plissoté, S2 non constant, petit lac au nord. Franchit la ligne de partage d'eau, commence à descendre.	Orthogneiss granitique																	
CG-06-08-10	365680	6570223	Affleurement	Orthogneiss rubané, centimétrique, mafiques, environ 35%. S2 300-75. Pegmatite rose environ 10%. Aucun indice de faille.	Orthogneiss		Pegmatite	rose			50	200							S2	300	75	
CG-06-08-11	365878	6570185	Affleurement	Orthogneiss rubané très plissé, hétérogène, passée augen (décimétrique) et environ 20% pegmatite irrégulière, épaisseur 10-30cm. Le pendage vers la baie Weymouth Inlet constitue apparemment le contrôle de faille??	Orthogneiss		Pegmatite				50											
CG-06-08-12	365875	6570188	Affleurement	Orthogneiss orange (enclave mafique), S2= 320-50.	Orthogneiss	orange					50								S2	320	50	
CG-06-08-13	365950	6570067	Affleurement	Orthogneiss, S2=315-80, puissance axe N320.	Orthogneiss						50								S2; Axe de pli	315; 320	80	
CG-06-08-14	366041	6570093	Affleurement	Orthogneiss presque à la base de la falaise.	Orthogneiss						50											
CG-06-08-15	366120	6570047	Affleurement	Orthogneiss granitique protomylonite (augen gneiss). Affleurement petit 2m x 5m. Plusieurs points à 700 cps, max 900 cps.	Orthogneiss granitique						50	900										
CG-06-08-16	366155	6570049	Affleurement	Granite rose (parfois blanc) verdâtre à grain moyen et fin (zone pegmatoïdale rare) en lentille > 50m dans orthogneiss (sus-jacent) au pied d'escapement. S2=125-70 frustre.	Granite	rose	Orthogneiss				300								S2	125	70	
CG-06-08-17	366226	6570074	Affleurement	Affleurement 1 x 10m en plaine. Amphibolite (pas de calcosilicate). S2=320-80. Passé de "mylonite" apparence tuf rhyolitique vert clair grisâtre lime, épaisseur 2-5cm, alternant avec paragneiss à biotite rouille (20%).	Amphibolite		Mylonite	vert clair	Paragneiss	rouille	40								S2	320	80	
CG-06-08-18	366247	6569855	Affleurement	Affleurement-clef pour visite. En bas de la pente ruisseau large lessivé. Granite rose folié. Pics anomaux sur niveaux noirs (amphibole) non magnétique. S2=130-65 à 75. La base plus radioactive que le haut (1er 30 m). Anomalie 2000 cps cf. Bocar. Plusieurs points 800-950 cps. En remontant vers le sommet, orthogneiss à enclave amphibole 200 cps et moins.	Granite	rose	Orthogneiss				200	2000							S2	130	70	Pics anomaux sur niveaux noirs (amphibole) non magnétique.
CG-06-08-19	366278	6569775	Affleurement	Granite suite. Anomalie Jean Beaudin, 2 points 1100 et 1000 dans pegmatoïde dans granite.	Granite	rose	Pegmatite				300	1100										
CG-06-08-20	366465	6569573	Affleurement	Marbre + calcosilicate en bande étroite < 5m. S2/S1/S0=315-65, pas cisaillement.	Marbre		Roche calco-silicatée												S2/S1/S0	315	65	
CG-06-08-21	364510	6569549	Affleurement	Banc de paragneiss à biotite rubané contenant des grenats de nature rouillée. Peu de quartz visible, mais présence de veinules à feldspath et micas.	Paragneiss																	
CG-06-08-22	364574	6569624	Affleurement	Banc de pegmatite à grain moyen de couleur rose et souvent rouillée au contact avec une bande de gneiss à biotite altéré. Présence de quartz et de gros cristaux de feldspath.	Pegmatite	rose	Gneiss à biotite															
CG-06-08-23	364610	6569626	Affleurement	Gros affleurement de pegmatite rose à grain moyen associée à des gros cristaux de feldspath et phlogopite. Présence de biotite et peu de quartz. Présence de traces de sulfures.	Pegmatite	rose						1100										Présence de traces de sulfures.
CG-06-08-24	364801	6569735	Affleurement	Roches calcosilicatées à grain moyen parcourue par des lambeaux de pegmatite au contact avec des gneiss rubanés. La structure a une direction N120.	Roche calco-silicatée		Pegmatite		Gneiss rubané										S0/S1	120		
CG-06-08-25	365244	6569957	Affleurement	Gneiss à biotite au contact avec des roches calcosilicatées.	Gneiss à biotite		Roche calco-silicatée				75											
CG-06-08-26	365475	6570059	Affleurement	Bande de gneiss à biotite rubané associé à des grenats rouillés. Présence de petits grains de quartz.	Gneiss à biotite																	Bande de gneiss à biotite rubané associé à des grenats rouillés.
CG-06-08-27	365742	6569816	Bloc	Boulder de pegmatite rose a grain moyen constituée de quartz clair au contact avec des gneiss à biotite.	Pegmatite	rose	Gneiss à biotite					450										
CG-06-08-28	365787	6569980	Affleurement	Pegmatite rose à grain moyen au contact avec un banc de carbonate. Présence de magnétite en petite quantité. Présence aussi de biotite et des traces de sulfures.	Pegmatite	rose	Marbre															Présence de magnétite en petite quantité. Présence aussi de biotite et des traces de sulfures.
CG-06-08-29	365942	6570071	Bloc	Bloc de quartzite au contact avec des gneiss à biotite altérés. Le gneiss est associé à des petits cristaux de quartz et de feldspath.	Gneiss à biotite		Quartzite						1250									
CG-06-08-30	366105	6569996	Affleurement	Granite rose a grain moyen associé à du quartz et du feldspath. Le granite est légèrement folié avec une direction de foliation N125.	Granite	rose													S2	125		
CG-06-08-31	366242	6569908	Affleurement	Granite rose a grain moyen situé à la base de la série à gneiss. Peu de minéraux sombres, mais présence de beaucoup de feldspath.	Granite	rose	Gneiss à biotite						1100									
CG-06-08-32	366262	6569858	Affleurement	Granite rose à grain moyen dans une zone de faille. Présence de texture mylonitique. Pas de foliation visible. Présence de taches rouilles et de petits lambeaux d'amphibole.	Granite	rose							2000									Présence de texture mylonitique. Présence de taches rouilles et de petits lambeaux d'amphibole.
CG-06-08-33	366444	6569550	Affleurement	Granite rose au contact avec des marbres calcosilicatés à grain grossier. Absence de minéraux opaques.	Granite	rose	Marbre						1000									
CG-06-08-34	366562	6569410	Affleurement	Granite rose au contact avec des marbres, présence de cristaux de feldspath et de quartz.	Granite	rose	Marbre															
CG-06-08-35	366638	6569293	Affleurement	Granite rose à grain moyen avec des enclaves de carbonates. Présence d'épidote et/ou de diopside.	Granite	rose	Roche calco-silicatée						1500									
CG-06-08-40	366526	6569651	Affleurement	Paragneiss ± leucosome centimétrique à biotite rouillée (20%) s'approchant de calcosilicate, S2=315-80.	Paragneiss		Roche calco-silicatée				100								S2	315	80	

No station	Estant (Nad83 - Zone 20)	Nordant (Nad83 - Zone 20)	Bloc ou Affleurement	Description lithologique	Lithologie A	Couleur A	Lithologie B	CouleurB	Lithologie C	CouleurC	Radiométrie Bruit de fond (cps)	Radiométrie maximum (cps)	Radiométrie anomalie (cps)	Photo	Échantillon	Lames minces: Petite (P) et Polie (Po)	Analyses chimiques	Témoin	Structure	Azimuth	Pendage	Caractéristiques
CG-06-08-41	366686	6569424	Affleurement	Unité de paragneiss. Près du lac (Boite de survie) S2=330-90. Aucun indice de faille majeure ou autre structure malgré linéament visible, même collé à la paroi entre lac et rupture pente.	Paragneiss						160								S2	330	90	
CG-06-08-42	366739	6569315	Affleurement	Paragneiss, S2=340-70	Paragneiss						100								S2	340	70	
CG-06-08-43	366747	6569228	Affleurement	Paragneiss, S2=315-70	Paragneiss						100								S2	315	70	
CG-06-08-44	366815	6569274	Affleurement	Othogneiss granitique, grain rouge. 1er affleurement S2=315-80.	Orthogneiss granitique	rouge					50								S2	315	80	
CG-06-08-45	366923	6569415	Affleurement	Orthogneiss, grain moyen S2=315-75. Amphibole rubané 15%.	Orthogneiss						50								S2	315	75	
CG-06-09-01	361405	6566789	Bloc	Anomalie à 1200 cps découverte pas William Annanack sur bloc enterré de 15cm x 30cm x 30cm, bloc de pegmatite rose. Pas d'altération, pas d'échantillon. Près d'un affleurement de 7m x 4m de gneiss granitique à quartz-feldspath-biotite, fortement rubané à 138°, non fracturé.	Pegmatite	rose					100	120	1200									Bloc enterré de 15cm x 30cm x 30cm
CG-06-09-02	361646	6566762	Affleurement	Affleurement de > 1000m², continu sur butte, flanc NE. Gneiss granitique à quartz-feldspath rose-biotite avec deux systèmes de fractures à fréquence de 1-2/m; 1) 284°/80° 2) 250°/82°. Présence de gneiss à hornblende mésocrate à leucocrate; métagabbro recoupant à 158°.	Gneiss granitique		Gneiss à hornblende				A)100 B)50	A)120 B)60							Fract; Fract	284; 250	80; 82	
CG-06-09-03	361907	6566698	Bloc	Bloc de 30cm x 30cm x 40cm. Anomalie à 1500 cps découverte pas Marie-Josée Comeau dans une pegmatite blanche à quartz-feldspath.	Pegmatite	blanche					50	60	1500									Bloc de 30cm x 30cm x 40cm.
CG-06-09-04	362203	6566492	Affleurement	Affleurement de > 40m x 15m sur butte à l'ouest du lac. Gneiss granitique à grains fins à quartz-feldspath potassique (rose) et biotite (< 5%). Peu fracturé; 1) système fracture (joint) = 108°/S.V. (1/m). 2) système joint = 88°/60° (1/m).	Gneiss granitique	rose					45	60							Joint; Joint	108; 88	90; 60	
CG-06-09-05	362680	6566653	Affleurement	Affleurement de 30m x 20m; gneiss granitique à quartz-feldspath potassique (rose)-biotite (< 5%) avec passées pegmatitiques, gneiss peu fracturé mais plusieurs systèmes de diaclases.	Gneiss granitique	rose	Pegmatite				50	60										
CG-06-09-06	362787	6566850	Affleurement	Affleurement à > 30 x 30m, en pente côté est de la montagne. Gneiss granitique à grains fins à quartz-feldspath rose-biotite (< 15%), finement rubané avec passées granitiques plus grossières et massif, non rubané.	Gneiss granitique	rose					60				CG-06-09-06			CG-06-09-06				
CG-06-09-07	363247	6567160	Affleurement	Affleurement de 8m x 5m; paragneiss à biotite (20-25%) et grenat (5-10%) avec petites zones rouillées, surtout autour des amas de biotite. Matériel pegmatitique concordant dans le paragneiss, selon le rubanement, coincé, bouliné. Anomalie à 1100 cps découverte par William Annanack sur pegmatite (phase pegmatitique). Alternance de pegmatite et paragneiss rubanement (S2) = 124°/68°. Système de fracture = 40°/S.V.	Paragneiss		Pegmatite				120	150	1100						S2; Fract	124; 40	68; 90	
CG-06-09-08	363247	6567221	Affleurement	Anomalie à 1500 cps découverte par William Annanack sur affleurement de 6m x 20m, crête parallèle aux autres. Paragneiss à biotite et grenat (15-20%) rouillé (sulfure disséminé).	Paragneiss	rouille					120		1500									
CG-06-09-09	363256	6567223	Affleurement	Anomalie à 1100 cps découverte par Marie-Josée Comeau sur paragneiss riche en grenat, légèrement à modérément rouillé. Non échantillonnable. Fracture = 45°/S.V. (< 1/m)	Paragneiss	rouille					110	125	1100						Fract	45	90	
CG-06-09-10	363427	6567110	Affleurement	Affleurement de > 20m x 10m; pegmatite blanche à quartz-feldspath-biotite (10%) concordante avec paragneiss à biotite et grenat (10%); foliation (S2) = 115°. Paragneiss légèrement à modérément rouillé (altéré). Anomalie à 1500 cps découverte par William Annanack dans la pegmatite. Anomalie partielle dans amas de biotite.	Pegmatite	blanche	Paragneiss	rouille			250		1500						S2	115		
CG-06-09-11	363328	6567203	Affleurement	Affleurement continu (> 1000m²) sur flanc sud de la colline (montagne). Paragneiss à quartz-feldspath-biotite et grenat (≥ 5mm, 15%). Rubanement fin marqué par la biotite, foliation (S2?) = 122°/80°. Fracture à 1/m = 36°/88°.	Paragneiss						200				CG-06-09-11			CG-06-09-11	S2; Fract	122; 38	80; 88	
CG-06-09-12	363714	6567204	Affleurement	Affleurement de > 900m², sur flanc de montagne. Masse de pegmatite (dyke) concordante avec la foliation (S2?) à 120°. Anomalie à 1500 cps découverte par Marie-Josée Comeau dans pegmatite.	Pegmatite						250		1500						S2	120		
CG-06-09-13	364143	6567279	Affleurement	Affleurement de 20m x 7m; idem à CG-06-09-12. Alternance de paragneiss à biotite et grenat et pegmatite blanche.	Paragneiss		Pegmatite	blanche			200											
CG-06-09-14	364357	6567458	Affleurement	Affleurement de > 30m x 30m, sur flanc SO de la colline. Marbre calcitique à grains grossiers rubané / lité, rubanement = 296°/42° (S2?), contact avec pegmatite blanche fracturée. Anomalie à 5000 cps par Mario Joly et Marie-Josée Comeau et William Annanack dans la pegmatite et associée à des amas de biotite. Autres anomalies à 1300 et 1500 cps dans un rayon de 25m dans la pegmatite; anomalie ponctuelle.	Marbre calcitique		Pegmatite	blanche			50	60	5000						S2	296	42	Marbre calcitique à grains grossiers rubané / lité, rubanement = 296°/42° (S2?), contact avec pegmatite blanche fracturée.
CG-06-10-01	344941	6561442	Affleurement	Gneiss granitique avec des enclaves à pegmatite prise dans une diaclase N45°. Le bruit de fond est élevé dans le secteur > 500.	Gneiss granitique		Pegmatite				500		8500						Joint	45		
CG-06-10-02	345403	6561598	Affleurement	Banc de marbre au contact avec des paragneiss à biotite. Le marbre est pâle et présente des taches de rouille.	Marbre	rouille	Paragneiss															
CG-06-10-03	345766	6561764	Affleurement	Banc de quartzite au contact avec des marbres. Les quartzites sont parcourus par des veinules d'épidote. Présence de traces de sulfures disséminés.	Quartzite		Marbre															Les quartzites sont parcourus par des veinules d'épidote. Présence de traces de sulfures disséminés.
CG-06-10-04	345774	6561766	Affleurement	Banc de quartzite chloritisé de direction N120°, au contact avec des marbres. Le marbre est par endroit parcouru par des veinules de quartz fumé.	Quartzite		Marbre						1300									Quartzite chloritisé au contact des marbres parcourus par des veinules de quartz fumé.
CG-06-10-05	345862	6561809	Affleurement	Photo de veine de pegmatite dans un dôme de marbre.	Marbre		Pegmatite							x								
CG-06-10-06	345977	6561893	Bloc	Assemblage de boulders constitués de pegmatite, de gneiss et de quartzite. Les pegmatites sont à grain moyen avec de gros cristaux de feldspath et de quartz avec un bruit de fond 700 cps.	Pegmatite		Gneiss		quartzite		700											
CG-06-10-07	346447	6561908	Affleurement	Banc de marbre sale au contact avec des gneiss à biotite très altérés et rouillés. Présence de petite enclave à pegmatite rose à grain fin associée à du quartz blanc.	Marbre	sale	Gneiss à biotite	rouille	Pegmatite	rose												

705544

No station	Estard (Nad83 - Zone 20)	Nordant (Nad83 - Zone 20)	Bloc ou Affleurement	Description lithologique	Lithologie A	Couleur A	Lithologie B	CouleurB	Lithologie C	CouleurC	Radiométrie Bruit de fond (cps)	Radiométrie maximum (cps)	Radiométrie anomalie (cps)	Photo	Échantillon	Lames minces; Petite (P) et Polie (Po)	Analyses chimiques	Témoin	Structure	Azimuth	Pendage	Caractéristiques
CG-06-10-08	346868	6561883	Affleurement	Paragneiss à grenat et biotite parcouru par des veines centimétriques à quartz et feldspath. Paragneiss rouille et très altéré.	Paragneiss	rouille																Paragneiss à grenat et biotite parcouru par des veines centimétriques à quartz et feldspath.
CG-06-10-09	346868	6562203	Affleurement	Paragneiss à grenat et biotite pareil CG-06-10-08.	Paragneiss																	
CG-06-10-10	346650	6562511	Affleurement	Affleurement de gneiss à biotite avec des enclaves d'amphibolite. Présence également de petites poches de pegmatite légèrement magnétique, peu de quartz et feldspath.	Gneiss à biotite		Amphibolite		Pegmatite													Présence de petites poches de pegmatite légèrement magnétique.
CG-06-10-11	346739	6562768	Affleurement	Banc de marbre sale au contact avec des paragneiss à biotite rubané, présence de grenat et un peu de quartz.	Marbre	sale	Paragneiss															
CG-06-10-12	346982	6563161	Bloc	Anticlinal constitué de plusieurs blocs de quartzite à des pegmatites en passant par des gneiss à biotite. Quelques affleurements en place. Le gneiss est rubané et folié souvent altéré et/ou rouillé et contient beaucoup de grenat. La structure à une direction N140°/50°. À 20m, même bloc à pegmatite et des paragneiss rouillé. N132°/62°.	Quartzite		Pegmatite		Gneiss à biotite	rouille												
CG-06-10-13	347034	6562946	Affleurement	Banc de paragneiss à biotite avec des lambeaux de pegmatite et des blocs de marbre.	Paragneiss		Pegmatite															
CG-06-10-14	347095	6562723	Affleurement	Paragneiss rubané très altéré et rouillé, présence de sulfures disséminés. À la base, on retrouve une bande de marbre. N130°/60°.	Paragneiss	rouille	Marbre												S0	130	80	Paragneiss rubané très altéré et rouillé, présence de sulfures disséminés.
CG-06-10-15	346991	6562399	Affleurement	Même bande de paragneiss rubané et rouillé au contact avec des enclaves de pegmatite. La pegmatite est à grain fin, max 150 cps. Présence de grenat dans les paragneiss.	Paragneiss	rouille	Pegmatite					150										
CG-06-11-01	349974	6556507	Affleurement	Contact pegmatite rose mais surtout granite et marbre. Crête parallèle au bord du lac similaire à affleurement CG-06-08-18 mais marbre plus épais. S2/S1/S0 = 305-80. Granite rose folié 40% quartz 50% feldspath 10% biotite, 4-10mm, homogène. Pegmatite rose à cristaux > 2cm-10cm de feldspath rose, quartz gris-blanc. Muscovite, phlogopite > 5cm en amas direct sur le contact. Points innombrables de 500-700 sur une zone d'épaisseur d'environ 1m du contact sur fissures ou sur biotite, pas de magnétite, pas de sulfure. Marbre rubané, lamine (HCl haut) à diopside 1-3mm, bien laminé, recristallisé saccaroïde. Peu diversité type de marbre. Anomalie 1100 cps. Point sur fracture N35-90. Linéation > 3m dans pegmatite, pas dans granite. Lithologie: le granite passe progressivement à du gneiss granitique - orthogneiss, épaisseur environ ici 75cm. Fracturation du granite / gneiss, pegmatite. Fracture N295-60 (cisaillement chevauchant sur marbre?) Fracture N180-06 (sub-horizontale, décompression). Fracture à angle N195-85, miroir, fréquence 5/m sur 1m irrégulièrement. Fracture 230-85, fréquence 0,25/m (important systè	Granite	rose	Marbre		Pegmatite	rose	A)275 B)60	125	1100							S0; S1; S2	305; 305; 305	80; 80; 80	
CG-06-11-02	349860	6556311	Affleurement	Diorite quartzifère massive noire à grise foncée, faiaise (cf. carte + photos aériennes) Linéation > 200m, largeur > 50m. Magnétisme? à voir lors interprétation. Fractures: 190-80, 180-90 fréq. 0,5/m sur 3m. 2e système 230-80 freq. 0,25/m sur 5m. 3e système 120-30 (sub-horizontal, décompression) fréq. 0,1/m sur 3m.	Diorite quartzifère	noir					40								Fract; Fract; Fract	190; 230; 120	80; 80; 30	
CG-06-11-03	349986	6556321	Affleurement	Orthogneiss très granitique < 10% mafique rubané. S2=300-80.	Orthogneiss granitique						125								S2	300	80	
CG-06-11-04	350162	6556384	Affleurement	Retour vers contact. Anomalie pegmatite rose à cristaux centimétriques sur fissures et biotite. 6500 cps à 6m du contact avec marbre N290-90 et granite pegmatite. Fracture (cf. photo) Joint N45-23 sur 20m. Joint N30-90 sur 3m. Le contact n'est pas linéaire mais une suite de courbes. 0 à 22.5m = 125-80, 22.5m à 37.5m = 110-80, 37.5m à 42.5m = 110-80. Inflexion brusque à 120-80 et on recommence. S2 cisaillé granite pegmatitique 125-65, S2 cisaillé marbre 115-45.	Pegmatite	rose	Marbre		Granite pegmatitique		200		6500						S2(granite); S2(marbre); Joint; Joint	125; 115; 45; 30	65; 45; 23; 90	
CG-06-11-05	350265	6556326	Affleurement	A) Granite ± 20% pegmatoïde et beaucoup de joints. Anomalie dans B) pegmatite sur cristal magnétite. 1500 cps avec biotite. C) Marbre rubané laminé décimétrique, en écaille lentille copeaux définissant rubanement (5-10cm) S2=105-70. Vu vers N, contact à E à environ 5m, joints.	Granite		Pegmatite		Marbre		A)125 C)50		1500						S2	105	70	Granite pegmatoïde et beaucoup de joints, anomalie dans pegmatite sur cristal magnétite.
CG-06-11-06	350248	6556516	Affleurement	Marbre podiforme décimétrique de "pegmatite" riche en quartz. Passée moins calcitique HCl moyen (ancienne marne, copeau beige peu réactif).	Marbre		Pegmatite	rose			40	80										
CG-06-11-07	350240	6556676	Affleurement	Pegmatite totalement blanche environ 5m x 5m dans marbre, peu radioactive. En amas et en schlierens étroit de quartz-feldspath blanc (plagioclase, albitisation). Marbre laminé contour et plissé. Lambeaux centimétriques-décimétriques de quartz-feldspath sub-concordant. Photo. Brillant au soleil = feldspath gros cristaux. Semble être dans coeur d'un synforme plongeant N130 à flanc étiré.	Marbre		Pegmatite	blanche			75			x					Axe de pli syn	130		
CG-06-11-08	350314	6556631	Affleurement	30% Marbre blanc gris (altéré) calcitique. Marbre impur dolomitique beige en altération ± silice. Massif avec aiguille, non orienté, 2m x 2m 5%. S2=120-30. 30% Faciès gris clair frais grain < 0.1mm, extrêmement dur, simili quartzite peu réaction HCl mais "poreux". Dolomie massive, calcosilicate sans diopside, ≈ quartzite?	Marbre calcitique	blanc-gris	Marbre dolomitique	beige	quartzite		40	50							S2	120	30	
CG-06-11-09	350389	6556908	Affleurement	Idem (CG-06-11-08), Marbre gris (altéré) clair (frais). S2/S1/S0 115-30.	Marbre calcitique	gris clair													S0-S1-S2	115	30	
CG-06-11-10	350420	6556962	Affleurement	Marbre laminé et plissé. Échantillon centimétrique et décimétrique, texture goutte de pluie. S2/S1/S0=145-90.	Marbre						50								S0-S1-S2	145	90	
CG-06-11-11	350555	6557068	Affleurement	Lentille paragneiss dans marbre. Affleurement < 10m. S2=125-80, au N, S2=95-65.	Marbre		Paragneiss				120								S2; S2	125; 95	80; 65	
CG-06-11-12	350525	6557256	Affleurement	Paragneiss rouillé environ 15% rouille bien folié, marbre disparu. Le contact de ce côté (plis probables) alors qu'entre CG-06-11-11 et CG-06-11-12. Ce n'est que du marbre. S2 85-85.	Paragneiss	rouille					100								S2	85	85	
CG-06-11-13	350676	6557210	Affleurement	Paragneiss rouillé. Paragneiss à lits centimétriques quartzite. Paragneiss riche en quartz. S2=100-67.	Paragneiss	rouille	Quartzite				125								S2	100	67	
CG-06-11-14	350995	6557082	Affleurement	Orthogneiss basique ± biotite simili paragneiss mais possiblement archéen remobilisé. S2=110-60.	Orthogneiss		Simili paragneiss				80								S2	110	60	

No station	Estant (Nad83 - Zone 20)	Nordant (Nad83 - Zone 20)	Bloc ou Affleurement	Description lithologique	Lithologie A	Couleur A	Lithologie B	CouleurB	Lithologie C	CouleurC	Radiométrie Bruit de fond (cps)	Radiométrie maximum (cps)	Radiométrie anomalie (cps)	Photo	Échantillon	Lames minces: Petite (P) et Polie (Po)	Analyses chimiques	Témoin	Structure	Azimuth	Pendage	Caractéristiques
CG-06-11-15	351230	6557092	Affleurement	Paragneiss rouille (15%) et non rouillé. S2=130-61.	Paragneiss	rouille					125								S2	130	61	Paragneiss rouille (15%) et non rouillé
CG-06-11-16	351393	6557003	Affleurement	Gneiss ± (20%) rouille, sommet. S2=145-80.	Gneiss	rouille					100								S2	145	80	
CG-06-11-17	351389	6556590	Affleurement	Gneiss. S2=140-90.	Gneiss						100								S2	140	90	
CG-06-11-18	351429	6556307	Affleurement	Marbre laminé et massif. Paragneiss avec lentille de marbre dans paragneiss au sommet. S2=180-60.	Marbre		Paragneiss				60	120							S2	180	60	
CG-06-11-19	351587	6556129	Affleurement	Marbre massif.	Marbre						60											
CG-06-11-20	351591	6556036	Affleurement	Entre CG-06-11-18, CG-06-11-19, CG-06-11-20, montée dans montagne de marbre, mais une lentille de paragneiss rouillé environ 10m x 10m dans le marbre, plissoté. S2=60-50.	Marbre		Paragneiss	rouille			40								S2	60	50	
CG-06-11-21	351820	6556183	Affleurement	Plaine de marbre beige.	Marbre	beige					40											
CG-06-11-22	351889	6556247	Affleurement	Apparition nombreuses pegmatites dans le marbre. Zone des anomalies de William et Mario enfin retrouvée. Les pegmatites (tout type de contact) dans marbre concordant discordant et pegmatite plissée. Ici assez massif, la pegmatite blanc-rosé. "Flags" des anomalies non vérifiés.	Marbre		Pegmatite	blanc rosé			150											
CG-06-11-23	351873	6556265	Affleurement	Retour dans marbre, pegmatite disparue.	Marbre						40											
CG-06-11-24	352036	6556246	Affleurement	Marbre, mais on voit au loin sur sommet pegmatite.	Marbre		Pegmatite				40											
CG-06-11-25	352118	6556288	Bloc	Pegmatite rose grossière (suite des anomalies de Mario et William). Une nouvelle anomalie à moins de 15m d'une anomalie de William Annanack sous un bloc erratique non déplaçable, beaucoup plus de 2000 cps.	Pegmatite	rose							>2000									
CG-06-11-26	352285	6556390	Affleurement	Retour dans marbre, revenir pour comprendre disparition de la pegmatite dans le marbre. S2 130-45.	Marbre														S2	130	45	
CG-06-11-27	352445	6556478	Affleurement	Marbre bien rubané avec lentille petite, quartz-feldspath, pas véritable pegmatite. S2 350-32. Noter pendage faible dans marbre.	Marbre rubanné		lentille qtz-fds				40								S2	350	32	
CG-06-11-28	352534	6556486	Affleurement	Marbre.	Marbre						60											
CG-06-11-29	352537	6556487	Affleurement	Affleurement-clef pour visite avec Serge Genest et structuraliste sommet (mais descendre aussi en bas falaise). Marbre (70%) et pegmatite (30%). De tous les types de contact. Plusieurs photos dont photo en hélicoptère. S2 variable. Contact variable (revenir trop tard pour détail).	Marbre		Pegmatite							X								
CG-06-11-30	352608	6556536	Affleurement	Affleurement-clef - bas falaise. Anomalie 1900 cps dans un bloc (éboulis de falaise) à plus de 100m (si on tient compte vertical). Pegmatite rose tectonisée avec une texture en boule en relief et cisaillement. Simili apparence de conglomérat à revoir.	Pegmatite	rose	Conglomérat				150		1900(bloc)									
CG-06-11-31	352668	6556498	Affleurement	Sur replat au pied de la falaise vers le lac, anomalie 1600 cps dans pegmatite rose.	Pegmatite	rose					200		1600									
CG-06-11-32	352678	6556496	Affleurement	Affleurement de pegmatite rosé. Anomalie > 15000 sur enclave de 1cm x 20cm orienté N10-75 et fissures. Anomalie à 1m à 1900 cps. Anomalie > 15000 ponctuelle dans pegmatite feldspathique à 1.5m de l'autre. Anomalie de 4000 dans sol creusé, retire un petit bloc 2cm x 2cm vallant 3000 cps. (2 feldspaths collés ensemble + minéral noir non identifié. Ramené au camp. Idem ci-dessus.	Pegmatite	rose					200		>15000		CG-06-11-32			CG-06-11-32				
CG-06-12-01	388973	6512243	Affleurement	Paragneiss rouillé 3% (biotite). Pegmatite à feldspath blanc neige (plagioclase), beaucoup de quartz (albitisation?). S2 280-25.	Paragneiss	rouille	pegmatite				100	125							S2	280	25	
CG-06-12-02	388920	6512077	Affleurement	Idem à CG-06-12-01. S2 345-75.	Paragneiss	rouille	pegmatite				100	125							S2	345	75	
CG-06-12-03	388920	6512058	Affleurement	Paragneiss rouillé idem à CG-06-12-01 mais en plus un banc isolé de quartzite dans paragneiss. Longueur > 10m, épaisseur 1m. Quartzite: 60% quartz - feldspath blanc mais sauf recristallisation, grain < 0,5cm.	Paragneiss	rouille	quartzite				125	160										
CG-06-12-04	388927	6512024	Affleurement	Paragneiss anormalement riche en quartz, biotite disparaît (originellement méta-grauwacke) S2 305-10. Pegmatite blanche de paragneiss. S2 305-50.	Paragneiss		pegmatite	blanche			125	150							S2; S2	305; 305	10; 50	
CG-06-12-05	388716	6511962	Affleurement	Séquence de paragneiss riche en quartz et pegmatite blanche, alternance simili lit et schiste à biotite mince. S2 340-60 à 100m au sud en amont. S2S1S0 290-35.	Paragneiss		pegmatite	blanche	Schiste à biotite					1					S2S1S0; S2(à 100m au sud)	290; 340	35; 60	
CG-06-12-06	388576	6511951	Affleurement	Entre CG-06-12-05 et CG-06-12-06, même lithologie. Paragneiss à biotite, parfois riche en quartz sans être quartzitique. S2S1S0 310-20.	Paragneiss		pegmatite				100								S2S1S0	310	20	
CG-06-12-07	388315	6512025	Affleurement	Paragneiss à biotite 10% rouillé, 5% pegmatite blanche. S2S1S0 310-10.	Paragneiss	rouille	pegmatite	blanche			125								S2S1S0	310	10	
CG-06-12-08	388136	6512221	Affleurement	Idem CG-06-12-07. S2S1 315-40.	Paragneiss	rouille	pegmatite	blanche			125								S2S1	315	40	
CG-06-12-09	387638	6512515	Affleurement	Idem CG-06-12-07. S2S1 300-30.	Paragneiss	rouille	pegmatite	blanche			125								S2S1	300	30	
CG-06-12-10	387372	6512440	Affleurement	Quartzite rubané décimétrique dans paragneiss à biotite. S2S1 310-45.	Paragneiss		quartzite rubanée				125	150			CG-06-12-10			CG-06-12-10	S2S1	310	45	
CG-06-12-11	387257	6512449	Affleurement	Paragneiss ± rouillé + pegmatite blanche, affleurement moins de 20m². S2S1 295-25.	Paragneiss	rouille	pegmatite	blanche			100								S2S1	295	25	
CG-06-12-12	387071	6512270	Affleurement	Idem CG-06-12-11. S2S1 30-20	Paragneiss	rouille	pegmatite	blanche			100								S2S1	30	20	
CG-06-12-13	387049	6512077	Affleurement	S2S1 35-10	Paragneiss		pegmatite	blanche			100								S2S1	35	10	
CG-06-12-14	387006	6511924	Affleurement	Méga-affleurement (10 km²) lavé par l'eau le long de ruisseaux. Bel affleurement pour étudier le paragneiss rusty, minéral ou structure. Plutôt monstre. S2 80-35 mais très variable.	Paragneiss						125								S2	80	35	
CG-06-12-15	386829	6511944	Affleurement	Entre CG-06-12-14 et CG-06-12-15, même affleurement. S2 340-25 (région de foliation ± faible pendage).	Paragneiss						125								S2	340	25	
CG-06-12-16	386814	6512148	Affleurement	Idem ci-dessus (CG-06-12-15), en suite continue. S2 65-20.	Paragneiss						125								S2	65	20	
CG-06-12-17	386800	6512390	Affleurement	Paragneiss. Pegmatite blanche parfois rosée, grain très variable. Une belle lentille 4m x 10m, anomalie 2750 cps, fond à 400 cps plusieurs points plus 700. Anomalie 1500 cps à 2m. Pegmatite blanche quartz-feldspath < 1% mica noir < 1cm. Très riche en quartz → remobilisation locale, à portée d'une arkose. Les autres "pegmatite" parfois très concordante. Existe des pegmatites dans une "quartzite" et dans paragneiss associés. Anomalie 2750 cps, ci-dessus.	Paragneiss		pegmatite	blanche, parfois rosée	Arkose		125	200	2750									
CG-06-12-18	386764	6512537	Affleurement	Idem (CG-06-12-17) S2 50-20.	Paragneiss		pegmatite	blanche, parfois rosée	Arkose		125								S2	50	20	
CG-06-12-19	386726	6512631	Affleurement	Quartzite (15%) dans paragneiss. S2 40-23.	Paragneiss		quartzite				150								S2	40	23	

705544

No station	Estant (Nad83 - Zone 20)	Nordant (Nad83 - Zone 20)	Bloc ou Affleurement	Description lithologique	Lithologie A	Couleur A	Lithologie B	CouleurB	Lithologie C	CouleurC	Radiométrie Bruit de fond (cps)	Radiométrie maximum (cps)	Radiométrie anomalie (cps)	Photo	Échantillon	Lames minces: Petite (P) et Polie (Po)	Analyses chimiques	Témoin	Structure	Azimuth	Pendage	Caractéristiques
CG-06-12-20	386515	6512860	Bloc	Bloc erratique 2m x 2m dans pegmatite blanche. Anomalie 1000 cps dans bloc.	pegmatite	blanche					200		1000									
CG-06-12-21	386381	6512842	Bloc	Quartzite 70%. Paragneiss 20%. Pegmatite blanche 10%. Blocs innombrables de quartzite dans champ de blocs. Quartzite = contient des feldspaths blancs comme la pegmatite. Anomalie de 5500 sur affleurement. S2 60-35.	quartzite		Paragneiss		pegmatite	blanche	200		5500		CG-06-12-21		CG-06-12-21		S2	60	35	
CG-06-12-22	386324	6513066	Affleurement	Quartzite ± 25% de paragneiss.	quartzite		Paragneiss				200											
CG-06-12-23	386313	6513109	Affleurement	Anomalie 1100 dans quartzite, bloc erratique < 1m. Anomalie 2500 sur affleurement dans quartzite.	quartzite						200		2500									
CG-06-12-24	386173	6513502	Affleurement	Paragneiss, moins de quartzite vers la base.	Paragneiss		Quartzite				125											
CG-06-12-25	386045	6513845	Affleurement	Rusty paragneiss 85%. Quartzite moins fréquent. Pegmatite blanche. Bancs de quartzite isolé épaisseur constante 1.5m. S2S1 70-85.	Paragneiss		pegmatite	blanche	quartzite		200								S2S1	70	85	
CG-06-12-26	386025	6513946	Affleurement	Paragneiss et amphibolite (diopside?) massif, noir, épaisseur apparente plus de 20m. S2 290-90.	Paragneiss	noir	amphibolite	noir											S2	290	90	
CG-06-12-27	385670	6514152	Affleurement	Paragneiss à biotite bien folié, débit en frites de la biotite. "bancs" habituels 20cm - 1m incluant pseudo-pegmatite (leucosome).	Paragneiss		pegmatite															
CG-06-12-28	385690	6513994	Affleurement	Paragneiss rusty, S2 280-80.	Paragneiss						125								S2	280	80	
CG-06-12-29	383281	6513100	Bloc	Près du point de récupération, vu bloc environ 1m x 50cm de quartzite rouillé. Anomalie 5500 cps.	quartzite	rouille							5500									
CG-06-13-01	385271	6509508	Affleurement	Pegmatite ou quartzite continue, orientation E-W. Bruit de fond 200 c/s. Pics à 2000 c/s, ponctuel. Les grains sont grossiers 0,5 a 1cm, légèrement altéré. Quartz=70%; Feldspath= 20%; Biotite= 10% orientée. On a d'autres pics a 1500 et 2000 c/s. Le bruit de fond est entre 100 et 500 c/s. Au point 385283E-6509502N, anomalies ponctuelles sur 3 m 1500 et 2000c/s.	Pegmatite ou Quartzite						200		2000	2								
CG-06-13-02	385118	6509556	Affleurement	Quartzite, CG-06-13-01. Affleurement de plus de 300m, orienté E-W.	Quartzite						200		1200									
CG-06-13-03	385046	6509613	Affleurement	Quartzite: bruit de fond 200 c/s. Recoupée par une pegmatite N260 de 10cm d'épaisseur. Bruit de fond 400 c/s.	Quartzite		Pegmatite				400		3000	2						N260		
CG-06-13-04	385020	6509637	Affleurement	Contact entre quartzite et paragneiss. Au contact le bruit de fond = 200 c/s. Le contact est N100° concordant dans les quartzites, on atteint ponctuellement 5000 c/s pour un bruit de fond de 600 c/s.	Quartzite-paragneiss						200	600	5000	1					contact	N100		
CG-06-13-05	384962	6509657	Affleurement	Pegmatite dans quartzite à 50m du contact avec le paragneiss.	Quartzite		Pegmatite						1000	1								
CG-06-13-06	384802	6509647	Affleurement	Pegmatite ou quartzite.	Pegmatite ou Quartzite								1200									
CG-06-13-07	384775	6509662	Affleurement	Quartzite	Quartzite								2200									
CG-06-13-08	384715	6509708	Affleurement	Alternance de quartzites et de pegmatites de 10 à 20 cm.	Quartzite		Pegmatite							1								
CG-06-13-09	384628	6509711	Affleurement	Pegmatite. Anomalie ponctuelle sur 5 m: Direction E-W (± N100). Bruit de fond 300 a 400 c/s.	Pegmatite						300	400	2000							N100		
CG-06-13-10	384546	6509769	Affleurement	Idem a CG-06-13-09	Pegmatite						300	400	1500									
CG-06-13-11	384442	6509880	Affleurement	Pegmatite. Bruit de fond 300 a 400 c/s	Pegmatite						300	400	1300									
CG-06-13-12	384321	6509883	Affleurement	Schiste très rouillé entre deux pegmatites: Épaisseur ± 15m, orienté E-W	Pegmatite		Schiste	rouille						3								
CG-06-13-13	384321	6509883	Affleurement	Pegmatite dans quartzite, N260°. Pegmatite = N280°/90°. Plis dans les gneiss, axe N095°/55°.	Quartzite		Pegmatite							1					Plis	N095	55	
CG-06-13-14	384096	6509917	Affleurement	Pegmatite très folié, riche en quartz et feldspath. Fo = N260°/90°.	Pegmatite														Foliation	N260	90	
CG-06-13-15	383725	6509940	Affleurement	Quartzite, feldspath = 2 à 4 cm. Quartzite, estimation du banc ± 100 m nord-sud.	Quartzite								1300									
CG-06-13-16	383708	6509891	Affleurement	Quartzite, zone rouillée, fracturée, à 5m à l'ouest.	Quartzite	Rouille							1500									
CG-06-13-17	383551	6509972	Affleurement	Pegmatite dans gneiss. Axe de plis N075°/90°.	gneiss		Pegmatite												Plis	N075	90	
CG-06-13-18	383477	6510004	Affleurement	Pegmatite au sommet de la montagne, deux anomalies sur 3m de distance.	Pegmatite								5000		CG-06-13-18		CG-06-13-18					
CG-06-13-19	383438	6510017	Affleurement	Pegmatite.	Pegmatite								3500									
CG-06-13-20	383222	6510140	Affleurement	Quartzite rubanée N274°/90°.	Quartzite rubannée														S2	N274	90	
CG-06-13-21	383209	6510178	Affleurement	Quartzite fracturé, schisteux N295°/55°	Quartzite shcisteux		schiste							1					Fract	N295	55	
CG-06-13-22	383207	6510222	Affleurement	Pegmatite.	Pegmatite								1250									
CG-06-13-23	383167	6510291	Affleurement	Pegmatite, bruit de fond 300 c/s.	Pegmatite						300		1250									
CG-06-13-24	382927	6510477	Bloc	Bloc de pegmatite 1m³.	Pegmatite								1000									
CG-06-13-25	382854	6510484	Affleurement	Quartzite, deux anomalie sur 1m.	Quartzite								2000									
CG-06-13-26	382700	6510548	Affleurement	Quartzite grèseux à grain fin, on peux appercevoir du bedding N005° — S0 ou S1. Affleurement dans la rivière, quelques passées de pegmatites centimétriques dont les grains sont de 0,5 a 1cm. Alignement des pegmatites N280°.	Quartzite greseuse		Pegmatite							2					S0 ou S1	005; 280		
CG-06-13-27	382743	6511043	Affleurement	Quartzite, en remontant la pente.	Quartzite								1250									
CG-06-13-28	382784	6511189	Affleurement	Quartzite, couleur brune.	Quartzite	brune							1500									
CG-06-13-29	382800	6511232	Affleurement	Pegmatite, méga cristaux de feldspath. Feldspath= 70%; quartz= 30%.	Pegmatite								1500									
CG-06-13-30	382856	6511536	Bloc	Méga bloc de pegmatite 2m x 2m dans une zone affleurante.	Pegmatite								3500									
CG-06-13-31	382989	6511807	Affleurement	Quartzite, foliation N295°/50°.	Quartzite									1					Foli	N295	50	
CG-06-13-32	383125	6512034	Affleurement	Quartzite. Bruit de fond 200 c/s, anomalie ponctuelle.	Quartzite						200		1100									
CG-06-14-01	352021	6561131	Affleurement	Contact franc entre les marbres et les paragneiss à grenat et biotite. Marbre sale et grenu avec des enclaves de pegmatite rose.	Pegmatite	Rose	Marbre	Sale	Paragneiss a grenat et Bo													
CG-06-14-02	351988	6561332	Affleurement	Paragneiss à biotite au contact avec des marbres. Présence de gros blocs à pegmatite rose à grain moyen, parcouru par des petites veinules de quartz.	Marbre		Paragneiss à grenat et Bo		pegmatite (blocs)	rose	400											
CG-06-14-03	351860	6561258	Affleurement	Bande centimétrique à métrique de pegmatite rose à grain moyen au contact avec des paragneiss et des marbres. Bande de direction N-N-W parcourue par une lentille de quartz blanc d'épaisseur de 20cm associée à des cristaux de feldspath.	Marbre		Paragneiss		pegmatite				1800									
CG-06-14-04	351847	6561276	Affleurement	Banc centimétrique à métrique de pegmatite rose à grain moyen associée à des petits cristaux de feldspath. Pegmatite au contact avec des bancs métriques de gneiss à biotite et des marbres.	Pegmatite	rose	Marbre		paragneiss				2500									
CG-06-14-05	351439	6561758	Bloc	Bloc de pegmatite et de paragneiss ainsi que des blocs de marbres enchevêtrés les uns des autres. Le bruit de fond est à 500.	Pegmatite		Paragneiss		Marbre		500											
CG-06-14-06	351004	6561970	Affleurement	Gneiss granitique au contact avec de la pegmatite rose à grain moyen.	Pegmatite	Rose	Gneiss granitique															

No station	Estant (Nad83 - Zone 20)	Nordant (Nad83 - Zone 20)	Bloc ou Affleurement	Description lithologique	Lithologie A	Couleur A	Lithologie B	CouleurB	Lithologie C	CouleurC	Radiométrie Bruit de fond (cps)	Radiométrie maximum (cps)	Radiométrie anomalie (cps)	Photo	Échantillon	Lames minces; Petite (P) et Polie (Po)	Analyses chimiques	Témoin	Structure	Azimuth	Pendage	Caractéristiques
CG-06-14-07	350979	6562697	Bloc	Bloc angulaire de pegmatite rose à grain légèrement grossier associé à d'autres blocs de gneiss à biotite et de marbre. Le bloc est parcouru par des petites veinules de feldspath, pas de quartz visible.	Pegmatite	rose	gneiss à Bo		Marbre				1100									
CG-06-14-08	350772	6562921	Bloc	Bloc de granite rose à grain fin avec des enclaves de pegmatite rose à grain moyen. Présence de petites plages de magnétite, de quartz et feldspath.	Granite	rose	Pegmatite	rose														
CG-06-14-09	350807	6563060	Bloc	Bloc de 20m³ de pegmatite à grain grossier associée à de la magnétite en quantité massive. Présence de gros cristaux de quartz blanc et de feldspath. À 30m, présence d'une autre anomalie à 1000 cps.	Pegmatite								1500									
CG-06-14-10	350763	6563118	Affleurement	Bande de pegmatite au contact avec des gneiss et des marbres. Anomalie ponctuelle se situant entre deux lithologies.	Pegmatite		Marbre		gneiss				1000									
CG-06-14-11	350677	6563714	Bloc	Bloc de pegmatite à grain fin au contact avec des blocs de quartzite et des marbres. Présence de gneiss altéré. Bruit de fond assez élevé.	Pegmatite		Quartzite		Marbre													
CG-06-14-12	350571	6564195	Bloc	Bloc de 1m³ de volume constitué de pegmatite au contact avec des gneiss à biotite. Présence d'autres blocs à marbre et quartzite. Pas de magnétite mais taches noires qui ressemblent à de la biotite. Présence de gros cristaux de feldspath.	Pegmatite		gneiss à Bo		Marbre				1500									
CG-06-14-13	350387	6564579	Affleurement	Granite rose avec des lambeaux de pegmatite rose à grain moyen parcouru par des veinules de quartz blanc. Présence de gneiss à biotite.	Granite	rose	Pegmatite	rose	Gneiss à biotite													
CG-06-15-01	347419	6566879	Affleurement	Affleurement de 17m x 8m; granite rouge à grains grossiers à quartz-feldspath-biotite (≤ 5%) massif à légèrement folié (140-200 cps). Foliation (S2)= 352°/78°. Peu fracturé: 3 systèmes de fracturation 1) 142°/ sub-vertical (2/m), 2) 232°/60° (1/m), 3) 30°/62° (1/m) (1 recoupé par 2 et 3). Anomalie à 1400 cps découvert pas Sonny Annanack à 8m au nord du point GPS; anomalie le long d'une fracture à 123°/65°. Passées ou bandes de gneiss granitiques (zones + foliées) ou granite gneissique.	Granite	rouge	gneiss granitique				140	200	1400		CG-06-15-01			CG-06-15-01	S2; Fract; Fract; Fract	352; 142; 232; 30	78; ND; 60; 62	
CG-06-15-02	347640	6566617	Affleurement	Affleurement de > 40m x 20m, avec petit lac au centre (7m x 7m) a) granite rouge-rosé ± gneissique à grains grossiers idem à CG06-15-01 avec phases pegmatitiques (de ≈ 3m de large) concordante à S2. En contact avec b) marbre dolomitique à grains grossiers, modérément à légèrement schistosé par endroit, aussi localement rubané. Rubanement / litage (S2) = 324°/88°. Système de fractures à 216°/80° dans marbre et pegmatite (2/m). Anomalie à 1500 cps découverte pas Sonny Annanack / Mario Joly dans granite; croisée de fractures (347 631E / 6 566 553N).	Granite	route-rosé	Marbre dolomitique				A)200 B)55	A)250 B)65								S2; S2	324; 216	68; 80	
CG-06-15-03	347757	6566671	Affleurement	Affleurement de 20m x 10m, sur pente d'un affleurement. Schiste à quartz-biotite (15-20%) d'une épaisseur totale de < 20m en contact avec marbre ; modérément à fortement rouillé. S2? (Foliation) = 136°/76°.	schiste à qtz-Bo		Marbre	rouille			140	165			CG-06-15-03			CG-06-15-03	S2?	136	76	
CG-06-15-04	347871	6566723	Affleurement	Affleurement sur bord de la baie. a) marbre calcitique à grains grossiers rubané avec 10% de magnétite selon S2? (Foliation) ou rubanement; marbre constitue une large bande (lit) ou enclave de 6m d'épaisseur. En contact vers l'ouest avec b) schiste à biotite; et à l'est, c) grès quartzitique riche en biotite (10-15%), laminé; < 2% pyrite. Lamination: 342°/72° (S0/S1) 1 système de fractures dans grès à 32°/84°. Marbre contient des enclaves de matériel pegmatitique (poche) contenant des amphiboles (10%) et pyrite (5-10%). (Radiométrie: a) 90-110 cps, b) 150 cps, c) 150 cps).	Marbre calcitique		schiste à Bo		gres quartzitique		A)90 B)150 C)150	A)110			CG-06-15-04C	CG-06-15-04C (P)		CG-06-15-04C	S0-S1; Fract	342; 32	72; 84	
CG-06-15-05	347923	6566753	Affleurement	Affleurement continu vers le NE: grès à grains fins à moyens quartzitique, modérément calcareux 10-15% calcite dans matrice plus 2-3% pyrite disséminée. Présence de veines centimétriques (5-15cm) de calcite avec 20-25% pyrite et/ou pyrrhotine automorphes grossières. Les veines sont irrégulières, quelques veines = 000°/78° (Échantillon: roche hôte + veine pyrite).	grès quartzitique		calcite (veines)								CG-06-15-05A		CG06-15-05A	CG-06-15-05A				
CG-06-15-06	347807	6567010	Affleurement	Affleurement de 20m x 20m; grès finement laminé à quartz et carbonate (grès carbonaté (calcosilicaté)). S0(S2?) = 120°/78° rubanement. Veine de calcite à 30°/70° dans roche calcosilicatée.	grès laminé à qtzite et carbonate (ca-si)		Roches calcosilicatées				110	130		1					S0 (S2?); rubanement	120; 30	78; 70	
CG-06-15-07	347584	6567086	Affleurement	Affleurement continu (> 1000m²) formant une crête de ≈ 25m de large. Paragneiss à quartz-feldspath-biotite (< 5%)- grenat (< 3%): rubanement prononcé de lamine de leucosome (quartz-feldspath). Foliation (S2?) = 120°/80°. 1 système fractures (3/m): 224°/80°.	Paragneiss						150	200							S2?; Fract	120; 224	80; 80	
CG-06-15-08	347588	6567192	Affleurement	Affleurement continu vers le NO de > 1000m². Contact paragneiss / roche calcosilicatée blanchâtre à grise pâle carbonatée (quartzite → matrice carbonatée). Nombreuses fractures dans calcosilicate à 200°/62° (12/m). (Radiométrie: paragneiss 150-180 cps, roche calcosilicatée 75-90 cps).	Paragneiss		calc-silicate	blanchâtre-gris pâle			A)150 B)75	A)180 B)90							Fract	200	62	
CG-06-15-09	347666	6567361	Affleurement	Affleurement en pente de colline (côté nord) de > 30m x 25m. Marbre calcitique à grains moyens rubané / lité de couleur gris à vert moyen. Présence de lits centimétriques (≥ 5cm) de roche verdâtre à quartz-feldspath-carbonate de couleur verdâtre massive - lits plissés, axe de pli = 143°/20°.	Marbre calcitique	gris-vert	Carbonate	gris-vert			50	65		1					Plis	143	20	

705544

No station	Estant (Nad83 - Zone 20)	Nordant (Nad83 - Zone 20)	Bloc ou Affleurement	Description lithologique	Lithologie A	Couleur A	Lithologie B	CouleurB	Lithologie C	CouleurC	Radiométrie Bruit de fond (cps)	Radiométrie maximum (cps)	Radiométrie anomalie (cps)	Photo	Échantillon	Lames minces: Petite (P) et Polie (Po)	Analyses chimiques	Témoin	Structure	Azimuth	Pendage	Caractéristiques
CG-06-15-10	347654	6567448	Affleurement	Affleurement continu de > 1000m^2 sur le côté sud de la chaîne de lac. a) masse de pegmatite rosée à biotite concordante avec le marbre à grains moyens rubané verdâtre avec minéraux verts moyens (≤ 3m) diopside. Présence de lits de > 2cm de roche calcosilicatée verdâtre. b) Marbre altéré et présence de fragments arrondis: orienté à 230°→ brèche calcilitique . Litage / rubanement = 143°/84°. Anomalie à 3 000 cps découverte par Sonny Annanack / Mario Joly dans pegmatite, anomalie ponctuelle. Bruit de fond = 600 cps. Autre anomalie trouvée par Sonny Annanack à environ 4m au nord à 2200 cps dans pegmatite. À 6m à l'ouest, anomalie, roche très verdâtre à grain moyen (diopsidite?) dans les bancs de marbre au contact avec pegmatite. Pegmatite non-fracturée, modérément rouillée. Axe de pli = 143°/44°. (Radiométrie: Pegmatite 450-600 cps, marbre 70-80 cps, anomalie 2200 à 3000 cps).	Pegmatite à Bo	rose	Marbre	Vert	calc-silicate	verdâtre	A)450 B)70	A)600 B)80	3000	4	CG-06-15-10, CG-06-15-10A-B-C		CG-06-15-10A	CG-06-15-10A-B-C	Litage; Plis	143; 143	84; 44	
CG-06-15-11	347291	6567523	Affleurement	Affleurement de 15m x 7m, près des falaises de granite rouge au OSO de la baie. a) marbre typique calcitique rubané à patine grise moyenne à pâle, grain fin à grain moyen avec biotite (≤ 8%) et diopside ou minéral prismatique vert. Très pâle non orienté. S2 ou rubanement à 144°/76°. b) pegmatite concordante à S2, pegmatite blanche ≤ 4m d'épaisseur mais boudinée (pitch and swell).	Marbre calcitique	patine grise moy pâle	Pegmatite	blanche			A)60 B)110	A)75 B)150							S2	144	76	
CG-06-15-12	347333	6567562	Affleurement	Affleurement de > 30m x 15m (direction 130°), pegmatite rose grossière massive à peu fracturée. Anomalie de 4 000 cps découverte par Sonny Annanack sur pegmatite (anomalie ponctuelle). Peu fracturée, 1 système à 84°/sub-verticale (2/m). Méga-enclaves de paragneiss à biotite.	Pegmatite	rose	Paragneiss à Bo				100	120	4000									
CG-06-15-13	347362	6567592	Affleurement	Affleurement de 10m x 4m; a) paragneiss à biotite, modérément à fortement altéré avec passées pegmatitiques peu fracturées. Anomalie à 1500 cps découverte par Sonny Annanack dans paragneiss, bruit de fond = 140-160 cps.	Paragneiss						140	160	1500		CG-06-15-13A	CG-06-15-13A (P)		CG-06-15-13				
CG-06-15-14	347405	6567614	Affleurement	Affleurement de 17m x 10m, petite butte de pegmatite rosée légèrement foliée (S2/Foliation = 150°) Très peu fracturée. Anomalie à 4 500 cps découverte par Sonny Annanack et Mario Joly sur toute la butte de pegmatite, autres anomalies à 2800 cps et 3000 cps à ≈ 10m au sud.	Pegmatite	rose					300	350	4500						S2	150		
CG-06-15-15	347456	6567555	Affleurement	Affleurement constituant une butte de > 1000m^2, anomalie de > 1500 cps découverte par Sonny Annanack et Mario Joly sur flanc NE, bruit de fond = 300 cps.							300	>15000										
CG-06-16-01	355982	6568412	Affleurement	Paragneiss à biotite légèrement rouillé 5%, leucosome millimétrique à décimétrique. Ouest S2 120°/70°, Est S2 120°/35° sur la falaise près du lac.	Paragneiss						120								S2; S2(sur falaise)	120; 120	70; 35	
CG-06-16-02	356145	6568428	Affleurement	Paragneiss idem. S2 110-70.	Paragneiss						120								S2	110	70	
CG-06-16-03	356194	6568486	Affleurement	Paragneiss. S2 110°/55°	Paragneiss						120								S2	110	55	
CG-06-16-04	356250	6568532	Affleurement	Marbre apparaissant en lentille dans la séquence de paragneiss. Contact transitionnel et progressif en forme de lentille de marbre plongeant vers l'ouest. Exemple: Lentille 100m par 5m. Axe de pli : 280°/18° et 280°/20°.	Marbre		Paragneiss												Pli	280	18	
CG-06-16-05	356318	6568523	Affleurement	Marbre laminé rubané boudiné, échelle centimétrique à décimétrique. S2 130°/65°. Axe de pli 285°/35°	Marbre									4					S2; Pli	130; 285	65; 35	
CG-06-16-06	356396	6568645	Affleurement	Lentille de pegmatite blanche rosée, forme visible sur l'affleurement.	Pegmatite	blanche					120											
CG-06-16-07	356385	6568674	Sol	Anomalie de 3250 cps dans un trou de sol, non observable (en surface 350cps) pegmatite?.	sol (Pegmatite ?)								3250		CG-06-16-07			CG-06-16-07				
CG-06-16-08	356453	6568650	Bloc	Anomalie de 4800 cps dans la terre, en déterrant baisse, emporte un bloc minuscule de 3cm x 3cm (3000cps spp2 et 2200 gamma) composé de fragments de pegmatite.	Pegmatite																	
CG-06-16-09	356511	6568677	Affleurement	Marbre ± orange, peu de copeaux définissant S2. S2 100°/30°.	Marbre	orange							4800(2200gamma)						S2	100	30	
CG-06-16-10	356513	6568696	Affleurement	Lentille de pegmatite et quartzite vert, affleurement de moins de 1m².	Pegmatite		Quartzite	vert														
CG-06-16-11	356543	6568728	Affleurement	Zone d'alternance entre marbre et paragneiss à l'échelle métrique. S2 95°/40°	Marbre		Paragneiss				60								S2	95	40	
CG-06-16-12	356612	6568728	Affleurement	Lit centimétrique de quartzite dans un paragneiss. Lentille métrique de marbre dans le paragneiss (pas de contact franc mais graduel). S2-S1-S0 125°/45°. Alternance 20cm à 2m; paragneiss/pegmatite/marbre, marbre plus épais > 2m.	Paragneiss		Marbre		Quartzite		A)120 B)70								S2	125	45	
CG-06-16-13	356855	6568830	Affleurement	Paragneiss rouillé, autre coté du contact principal. S2 110°/45°.	Paragneiss	rouille													S2	110	45	
CG-06-16-14	356915	6568508	Affleurement	Marbre sus-jacent à la pegmatite rose (points 350) plonge du pli vers l'ouest. S2-S1-S0 135°/40°	Marbre		Pegmatite	rose			A)70 B)150								S2	135	40	
CG-06-16-15	356983	6568409	Affleurement	Marbre sur un paragneiss avec 20% de quartzite et 20% de pegmatite. Contact S2-S1-S0 90°/25°.	Marbre		Paragneiss				70								S2	90	25	
CG-06-16-16	357001	6568329	Affleurement	Pegmatite rose et blanche très riche en quartz, lentille environ 100m à 20m dans le marbre.	Marbre	rose et blanche	Pegmatite				80											
CG-06-16-17	357028	6568285	Affleurement	Anomalies: microfissures dans la pegmatite alignée N140° parallèle au contact. Le long du contact avec le marbre: (spp2/gamma) 5000/4100, 2500/2700, 4000/3400, 1000/rien, 2500/2300, 1100/900.	Marbre		Pegmatite						5000(4100gamma)									
CG-06-16-18	357142	6568157	Affleurement	2e lentille de pegmatite blanche dans le marbre, séparée de la précédente. Anomalie 2000cps spp2 1550cps gamma.	Marbre		Pegmatite	Blanche					2000(1550gamma)									
CG-06-16-19	357079	6568084	Affleurement	Dans marbre, autre lentille de 100m² plutôt quartzitique que pegmatoïdale. Plusieurs points à plus de 600 cps mais pas d'anomalie.	Marbre		Quartzite				135	600										
CG-06-16-20	357058	6568048	Affleurement	Lentille de paragneiss et pegmatite d'environ 1m d'épaisseur. S2 115°/42°. Contact avec le marbre 100°/53°. Anomalie de 1050cps dans une fissure d'une pegmatite épaisse de 30cm, 2e anomalie 1100 cps.	Marbre		Paragneiss		Pegmatite		250	750	1100						S2	115	42	
CG-06-16-21	357060	6567987	Affleurement	Lentille concordante de paragneiss rouillé dans le marbre, environ 30m par 200m. S2 110°/80°	mabre	rouille	Paragneiss												S2	110	80	
CG-06-16-22	357040	6567928	Affleurement	Cœur de la montagne en marbre saccaroïde. S2 185°/45°	Marbre saccaroïde														S2	185	45	
CG-06-16-23	356946	6567761	Affleurement	Marbre à copeaux en boudins formant S2. S2 130-40.	Marbre						70								S2	130	40	
CG-06-16-24	356898	6567709	Affleurement	Paragneiss riche en quartz, lit centimétrique de quartzite. S2 115-55. Le côté W du lac forme le contact.	Paragneiss		Quartzite				120								S2	115	55	

No station	Estant (Nad83 - Zone 20)	Nordant (Nad83 - Zone 20)	Bloc ou Affleurement	Description lithologique	Lithologie A	Couleur A	Lithologie B	CouleurB	Lithologie C	CouleurC	Radiométrie Bruit de fond (cps)	Radiométrie maximum (cps)	Radiométrie anomalie (cps)	Photo	Échantillon	Lames minces: Petite (P) et Polie (Po)	Analyses chimiques	Témoin	Structure	Azimuth	Pendage	Caractéristiques
CG-06-16-25	357211	6567762	Affleurement	Marbre saccaroïde massif. S2 non mesurable. Linéation au 300-10 mais paragneiss côté E de la montagne (à vérifier la falaise). L'isthme du lac (entre 2) fait partie d'une longue bande de paragneiss se poursuivant dans vallée du ruisseau. S2 130-52.	Marbre saccaroide		Paragneiss				70								S2	130	52	
CG-06-16-26	357288	6567812	Affleurement	Paragneiss riche en quartz. S2 115-53. À l'est du ruisseau = marbre.	Paragneiss		Marbre à proximité				150								S2	115	53	
CG-06-16-27	357353	6568053	Affleurement	Montagne + flanc W, 80% marbre saccaroïde. Flanc E 15% paragneiss à biotite, 1% quartzite centimétrique. S2S1S0 165-75	Marbre saccaroide		Paragneiss à Bo												S0-S1-S2	165	75	
CG-06-16-28	357460	6568245	Affleurement	10% paragneiss ± quartzite lentille. 90% Marbre massif. S2 130-74. Fracture millimétrique de quartz N35-90. Linéation = 1m épaisseur 10cm.	Paragneiss ± quatzitique		Marbre												S2; Fract	130; 35	74; 90	
CG-06-16-29	357528	6568216	Affleurement	Flanc est de la montagne, bas pente dans des pegmatites blanches discordantes dans paragneiss rouille. S2 trop variable. Anomalie 1500 gamma.	Paragneiss	Rouille	Pegmatite	Blanche			125	350	1500(1200gamma)									
CG-06-16-30	357507	6568503	Affleurement	70% marbre, 30% paragneiss. S2 130-45.	Marbre		Paragneiss				A)60 B)120								S2	130	45	
CG-06-16-31	357568	6568546	Affleurement	Paragneiss a biotite entouré de marbre. Anomalie 2500 gamma 2100 sur pegmatite. S2 135-70.	Marbre		Paragneiss à Bo				2500(2100gamma)								S2	135	70	
CG-06-16-32	357689	6568891	Affleurement	Pegmatite rose clair plus de 30m x 3m dans paragneiss. Anomalie 5000 gamma, 4000, 1250 à 3m, 1000 à 5m.	Paragneiss		Pegmatite	rose claire					5000(4000gamma)									
CG-06-16-34	357764	6568793	Affleurement	Paragneiss moins 10m affleurement. S2 315-70.	Paragneiss														S2	315	70	
CG-06-17-01	350437	6569809	Bloc	Bloc de pegmatite blanche avec des niveaux de diopside de couleur verdâtre. Les blocs sont associés à d'autres blocs de granite rose, et de gneiss à biotite. Présence de gros cristaux de feldspath.	Pegmatite	blanche	granite	rose	gneiss				2000									
CG-06-17-02	350514	6569844	Bloc	Gros blocs de pegmatite associée à du quartz fumé en grande quantité et de la phlogopite. Présence de gros cristaux de feldsapth. Présence d'autres blocs de marbre et de gneiss.	Pegmatite		Marbre		gneiss				2000									
CG-06-17-03	350533	6569795	affleurement	Une autre anomalie près du point CG-06-17-02 à 2000 c/s dans des pegmatites blanches au contact avec des marbres et des gneiss.	Pegmatite	blanche	Marbre		gneiss				2000									
CG-06-17-04	350545	6569759	affleurement	Enclave de pegmatite associée à des gros cristaux de quartz et feldspath dans des paragneiss à biotite. Les paragneiss sont rouillés et sont au contact avec des marbres. Le bruit de fond est élevé dans ce coin du monde.	Paragneiss		Pegmatite		Marbre				5000									
CG-06-17-05	350553	6569750		Une autre anomalie se trouvant à 17m de CG-06-17-04 est également dans des pegmatites.	Pegmatite								9000									
CG-06-17-06	350519	6569393	Bloc	Bloc de pegmatite dans un ruisseau, associé à d'autres blocs à gneiss, à marbre. Présence de grenat dans les gneiss rouillés.	Pegmatite		gneiss		Marbre				1000									
CG-06-17-07	350494	6569338	affleurement	Enclave de pegmatite rose associée à de la biotite, au contact avec des gneiss. L'enclave est dans une structure de direction N70. Présence de quartz fumé et de phlogopite.	Pegmatite		Gneiss	rose					1500		CG-06-17-07A	CG-06-17-07A (Po)	CG-06-17-07A	CG-06-17-07A	enclave de pegmatite	70		
CG-06-17-08	350500	6569290	affleurement	À 50m de CG-06-17-07, une bande de pegmatite rose longue de 3m dans une matrice à gneiss à biotite. La bande a la même direction que le point CG-06-17-07.	Pegamtite	Rose	Gneiss							3					enclave de pegmatite	70		
CG-06-17-09	350662	6569118	affleurement	Bande de carbonate rouillé associé à du diopside au contact avec des bandes de marbres. Bande se situant dans une sorte d'anticlinal où la charnière contrôle la minéralisation. Présence de calcosilicate, de quartzite, et de molybdénite et d'amphibole. À 40m de CG-06-17-09, présence d'autres anomalies à 3000 c/s.	carbonate/Marbre	rouille	calc-silicate		Quartzite				>15000		CG-06-17-09A	CG-06-17-09A''' (Po)	CG-06-17-09A	CG-06-17-09A				
CG-06-17-10	350653	6569078	affleurement	Pegmatite blanche à grain grossier associée à des produits jaunes. Affleurement à peau de fesses au contact avec des paragneiss à biotite.	Pegmatite	blanche	Paragneiss						5000									
CG-06-17-11	350645	6568477	affleurement	Bande de pegmatite blanche à grain grossier au contact avec des paragneiss rubanés. Présence de calcosilicates rouillés et probablement du grès.	Pegmatite	blanche	Paragneiss		calc-silicates/grès				1500		CG-06-17-11D			CG-06-17-11D				
CG-06-17-12	350539	6568348	Bloc	Bloc de pegmatite au contact avec des calcosilicates et des marbres.	Pegmatite		calc-silicate		Marbre				1000									
CG-06-17-13	350492	6568248	affleurement	Structure anticlinaire, dont la charnière contrôle la minéralisation. Structure constituée de calcosilicates au contact avec des marbres. Présence d'enclave de pegmatite associée à de gros cristaux de quartz et feldspath. Présence massive de phlogopite et de diopside ou/et de chlorite, et du grès quartzitique. Le bruit de fond est très élevé dans cette région ≥ 1500 c/s.	calc-silicates		Marbre		Pegmatite		≥1500		5200		CG-06-17-13A			CG-06-17-13A	?	12	60	
CG-06-17-14	350460	6568039	affleurement	Pegmatite rose au contact avec des marbres et des calcosilicates. Présence de quartz fumé et des carbonates au contact avec des gneiss rouillés.	Pegmatite	Rose	Marbre/ calc-silicates		gneiss				5000									
CG-06-17-15	350423	6567973	affleurement	Enclave de pegmatite associée aux calcosilicates. Pegmatite au contact des marbres calcitiques. Présence de diopside.	Pegmatite		calc-silicate		Marbre				>15000									
CG-06-17-16	350359	6567679	affleurement	Structure en forme d'anticlinal, constituée de carbonate au contact avec des roches calcosilicatées. Présence de diopside, de molybdénite et d'amphibolite.	carbonates		calc-silicate						>15000		CG-06-17-16A	CG-06-17-16A (Po) x 2	CG-06-17-16A (x2)	CG-06-17-16A				
CG-06-18-01	345923	6569753	affleurement	Paragneiss, affleurement de 100m x 50m à grain fin. Quartz 50%, feldspath 39%, biotite 10%, grenats almandins 1%.	Paragneiss						100											
CG-06-18-02	345906	6569794	affleurement	Pegmatite, grains 2 à 4mm. Les feldspaths peuvent atteindres 5mm. Bruit de fond 150 à 200 c/s. Légèrement foliée et altérée, non magnétique, non minéralisé, localement, les quartz, feldspath et biotite sont centimétriques. Localement, les zones sont fortement rouillées, légère foliation: N105°/70°.	Pegmatite						150	200	1500						foliation	105	70	
CG-06-18-03	346009	6569717	Bloc	Bloc de pegmatite au pied de l'affleurement CG-06-18-02, à 3m N056°. Bruit de fond 200 c/s.	Pegmatite						200		1500									
CG-06-18-04	346073	6569647	Affleurement	Pegmatite. Quartz légèrement fumé, back ground 200 à 500 c/s.	Pegmatite						200	500	1300		CG-06-18-04		CG-06-18-04					
CG-06-18-05	346121	6569563	Affleurement	Pegmatite riche en biotite. À 3m N285°, autre anomalie à 2500 cps.	Pegmatite								3000									

705544

No station	Estant (Nad83 - Zone 20)	Nordant (Nad83 - Zone 20)	Bloc ou Affleurement	Description lithologique	Lithologie A	Couleur A	Lithologie B	CouleurB	Lithologie C	CouleurC	Radiométrie Bruit de fond (cps)	Radiométrie maximum (cps)	Radiométrie anomalie (cps)	Photo	Échantillon	Lames minces: Petite (P) et Polie (Po)	Analyses chimiques	Témoin	Structure	Azimuth	Pendage	Caractéristiques
CG-06-18-06	346152	6569349	affleurement	Paragneiss. Contact entre pegmatite et quartzite et paragneiss concordant, N120°/67°. Grains fins avec passées grossières 1mm à 5 mm: feldspath 60%, quartz:35%, biotite 5%. En s'éloignant du contact, le paragneiss s'enrichit en quartz. En cassure fraîche, la roche est grise claire. Bruit de fond 150 c/s.	Paragneiss		Pegmatite ou quartzite				150								contact	120	67	
CG-06-18-07	346179	6569252	Affleurement	Marbre. Au contact, les grains sont botryoïdaux. Réaction HCl.	Marbre						70			2	CG-06-18-07			CG-06-18-07				
CG-06-18-08	346233	6569212	Affleurement	Pegmatite. Grains centimétriques, feldspath 65%, quartz 30%, biotite 5%, peut-être diopside.	Pegmatite								2500									
CG-06-18-09	346287	6569041	Affleurement	Pegmatite rose légèrement foliée. Bruit de fond 200 à 400 c/s.	Pegmatite	rose					200	400										
CG-06-18-10	346303	6569031	Affleurement	Pegmatite rose, légèrement folié N120°.	Pegmatite	rose							1500						foliation	120		
CG-06-18-11	346421	6568948	affleurement	Contact entre pegmatite et marbre au bas de la montagne. N140°. Bruit de fond 100 à 200 c/s.	Pegmatite		Marbre				100	200							contact	140		
CG-06-18-12	346467	6568918	affleurement	Contact entre carbonate et quartzite. Bruit de fond 100 à 200 c/s.	carbonate		Quartzite				100	200										
CG-06-18-13	346442	6568674	Affleurement	Quartzite. Bruit de fond 200 c/s. Deux anomalies ponctuelles espacées de 5m.	Quartzite						200		2500									
CG-06-18-14	346600	6568884	Affleurement	Quartzite, anomalie ponctuelle.	Quartzite								2200									
CG-06-18-15	346660	6568908	affleurement	Marbre, contact N160°.	Marbre						100								contact	160		
CG-06-18-16	346893	6568971	affleurement	Paragneiss à grenats 1cm, quartz 20%, feldspath 40%, biotite 40%. Grain fin, impossible de déterminer le contact dû au marécage. Foliation = 150°/90°, zones rouillées.	Paragneiss						150			7					foliation	150	90	
CG-06-18-17	346997	6568435	Affleurement	Quartzite.	Quartzite						150											
CG-06-18-18	346996	6568429	Affleurement	Marbre contact.	Marbre																	
CG-06-18-19	346980	6568413	affleurement	Quartzite, passée schisteuse sur 1m, à 50m à l'ouest du point GPS.	Quartzite						220											
CG-06-18-20	346905	6568327	affleurement	Quartzite altéré. Les anomalies sont sur deux mètres, orientées N130°.	Quartzite								2000							130		
CG-06-18-21	346901	6568310	Affleurement	Quartzite à 25 mètres de l'affleurement, 20, même direction N130°.	Quartzite								1200							130		
CG-06-18-22	346881	6568293	affleurement	Pegmatite, SPP2 sur 1-5 mètres.	Pegmatite								2500									
CG-06-18-23	346793	6568188	Affleurement	Pegmatite, anomalie ponctuelle.	Pegmatite								2000									
CG-06-18-24	346894	6567906	Affleurement	Pegmatite rose, anomalie ponctuelle. Bruit de fond 200 à 400 c/s.	Pegmatite	rose					200	400	1250									
CG-06-18-25	347338	6567320	affleurement	Pegmatite rose, affleurement continu. Bruit de fond 150 à 200 c/s.	Pegmatite	rose					150	200										
CG-06-18-26	347332	6567301	Affleurement	Pegmatite rose.	Pegmatite	rose							1000									
CG-06-19-01	345532	6563862	affleurement	Affleurement de gneiss à biotite, lité (paroi) rouillé. Débit en plaquettes. Veine quartzofeldspathique. S2 320°/80°.	gneiss à biotite	rouille	veine de quartz				200								foliation	320	80	
CG-06-19-02	345910	6563882	affleurement	Dyke de pegmatite blanche lessivée, démembrée. Surtout des feldspaths plagioclases blancs et du quartz.	dyke de Pegmatite	blanche					150											
CG-06-19-03	345662	6564354	affleurement	Contact entre marbre calcitique et paragneiss. Altération superficielle verdâtre du marbre.	Marbre calcitique	Rose	Paragneiss				100											
CG-06-19-04	345545	6564870	affleurement	Granite, pegmatitique par endroit, stratifié localement. Veines et veinules de quartz, petits lits de biotite et en amas pour la partie pegmatitique. 1250 c/s max localement, proche d'un contact gneiss/marbre.	Granite un peu pegmatitique	rose	Pegmatite				300		1000-1250	1								
CG-06-19-05	345689	6565040	affleurement	Contact marbre calcitique blanc/ gneiss avec des enclaves et boudins de granite avec des portions pegmatitiques. Genre de placage : sur le marbre repose une strate peu épaisse de granite riche en quartz , à grain fin. Des minéraux verdâtres tapissent le marbre blanc (possiblement des cristaux de diopside). De petits boudins de paragneiss rouillés et démembrés, riches en biotite altérée. Texture à trou du marbre. À quelques mètres en contrebas(proche d'un ruisseau) : marbre calcitique plissé à biotite altérée, montrant une charnière de pli qui contient une amphiboite d'environ 1 mètre de diamètre (avec des traces de pyrite altérée et biotite aussi.).	Marbre calcitique	blanc	gneiss		Paragneiss		25-50			4	CG-06-19-05, CG-06-19-05B	CG-06-19-05B (P)		CG-06-19-05				
CG-06-19-06	346009	6565236	affleurement	Contact marbre/gneiss altéré rouillé. Proche du contact, un bloc de marbre montre des cristaux oranges vitreux, cristallins et translucides.	Marbre	Rouille	gneiss	rouillé			50				CG-06-19-06			CG-06-19-06				
CG-06-19-07	346274	6564848	affleurement	Au sommet d'une colline : affleurement de paragneiss rouillé, lessivé, folié, de grande dimension. Nombreuses fractures et fissures remplies parfois d'altérations jaunâtres.	Paragneiss	rouille					150											
CG-06-20-01	350688	6567518	affleurement	Mousse							500		1500									
CG-06-20-02	350411	6567611	affleurement	Pegmatite blanchâtre au contact avec une bande de marbre. La pegmatite est grenue, associée à du quartz fumé et des feldspaths.	Pegmatite	Blanche	Marbre				500		2000									
CG-06-20-03	350422	6567574	affleurement	Pegmatite rose à grain moyen au contact avec un banc de marbre. Présence de produits jaunes, et surtout de l'amphibole et de la biotite.	Pegmatite	rose	Marbre				1500		11000									
CG-06-20-04	350450	6567512	affleurement	Marbre grenu et altéré au contact avec des gneiss altérés. Présence également de biotite. À 40 m, présence d'une enclave de pegmatite au contact avec des gneiss.	Marbre		gneiss à biotite				500		3500									
CG-06-20-05	350458	6567450	affleurement	Marbre détritique au contact avec des calcosilicates. Présence d'enclaves de pegmatite parcourue par des petites veines de quartz et de feldspath.	Marbre		Roche calco-silicatée		Pegmatite		500		4000									
CG-06-20-06	350477	6567420	affleurement	Banc de quartzite ou de grès quartzitique, au contact avec des marbres associés à des sulfures (pyrite et/ou pyrrhotite) et de calcosilicates.	Quartzite ou grès quartzifère		Marbre		calsilicate		500		5500									
CG-06-20-07	350477	6567368	affleurement	Enclave de pegmatite rose à grain relativement gros au contact avec des calcosilicates et des marbres. Présence probable de fluorine et de carbonate.	calsilicate		Marbre		Pegmatite		1500		14000		CG-06-20-07			CG-06-20-07				
CG-06-20-08	350475	6567340	affleurement	Enclave de quartzite ou grès quartzitique pegmatisé au contact avec des marbres. Présence de produits jaunes: (conséquence de l'altération) et beaucoup de biotite.	Marbre		Quartzite ou grès quartzitique				1500		18000		CG-06-20-08		CG-06-20-08	CG-06-20-08				
CG-06-20-09	350495	6567304	affleurement	Quartzite ou grès quartzitique au contact avec des marbres et des grenats. Présence de taches rouilles et beaucoup de phlogopite.	Quartzite ou grès quartzifère		Marbre		Quartzite		500		9000									
CG-06-20-10	350583	6567317	affleurement	Banc de calcosilicate au contact avec des marbres stériles. Présence de paragneiss à biotite.	Marbre		Roche calco-silicatée				500		7000									

No station	Estant (Nad83 - Zone 20)	Nordant (Nad83 - Zone 20)	Bloc ou Affleurement	Description lithologique	Lithologie A	Couleur A	Lithologie B	CouleurB	Lithologie C	CouleurC	Radiométrie Bruit de fond (cps)	Radiométrie maximum (cps)	Radiométrie anomalie (cps)	Photo	Échantillon	Lames minces: Petite (P) et Polie (Po)	Analyses chimiques	Témoin	Structure	Azimuth	Pendage	Caractéristiques
CG-06-20-11	350494	6567317	affleurement	Banc de granite rose à grain moyen au contact avec des marbres. Granite associé à de la biotite, du quartz et du feldspath.	Granite	Rose	Marbre				700		11000									
CG-06-20-12	350563	6567106	affleurement	Banc de marbre au contact avec des calcosilicates parcourus par une veine métrique constituée de gros cristaux de feldspath et de quartz.	Marbre		Roche calco-silicatée				500		3500									
CG-06-20-13	350429	6566965	affleurement	Contact entre un granite rose situé à la base de la stratigraphie et des paragneiss rubanés, migmatisés et plissés. Présence massive de biotite.	Granite	Rose	Paragneiss				500		1000									
CG-06-20-14	350585	6566948	affleurement	Enclave de pegmatite blanche dans des paragneiss à biotite au contact avec des marbres. Affleurement tout rouillé autour. Présence probable de sulfures disséminés.	Paragneiss à biotite		Pegmatite	Blanche	Marbre		500		5000									
CG-06-20-15	350672	6566949	affleurement	Pegmatite rose à gros grains au contact avec des paragneiss. Présence de feldspath et de quartz.	Pegamtite	Rose	Paragneiss				500		8000									
CG-06-20-16	350595	6566922	affleurement	Pegmatite rose associée à du quartz fumé et beaucoup de biotite au contact avec un banc de marbre et de paragneiss.	Pegamatite	Rose	Marbre		Paragneiss		700		14000									
CG-06-20-17	350620	6566901	affleurement	Enclave de grès et/ou de marbre quartzitique au contact avec des gneiss à biotite associés à des veines de quartz et feldspath.	gneiss à biotite		Marbre ou grès quartzifique		quartz et feldspath		1500		12000									
CG-06-20-18	350753	6566844	affleurement	Banc de marbre détritique au contact avec des calcosilicates. Présence de veine de quartz.	Marbre		calsilicate				500		7000									
CG-06-20-19	350762	6566821	affleurement	Enclave de pegmatite dans des marbres, au contact avec des paragneiss à biotite. Présence de veines constituées de quartz et de feldspath.	Marbre		Pegmatite		Pargeiss à biotite		1500		11000									
CG-06-20-20	350763	6566797	affleurement	Veine de quartzite dans un marbre au contact avec des calcosilicates. Présence de paragneiss à biotite rubané parcouru par de grosses veines de quartz et de feldspath.	Marbre		Quartzite		Calcosilicates		500		1000									
CG-06-20-21	350910	6566722	affleurement	Gros blocs de pegmatite rose à grain moyen au contact avec du marbre et des calcosilicates.	Pegmatite	Rose	Marbre		Pegmatite	rose	500		3000									
CG-06-20-22	350943	6566632	affleurement	Pegmatite rose de contact avec du marbre. Présence de gneiss rouillés sûrement à cause de sulfures disséminés.	Pegmatite	Rose	gneiss	rouillé	Pegmatite	rose	500		5000									
CG-06-20-23	350962	6566497	affleurement	Enclaves de pegmatite rose à grains moyens au contact avec des gneiss à biotite. Présence de petites enclaves à feldspath et du quartz. Bruit de fond ≥ 500.	gneiss à biotite		Pegmatite	rose			500		4000									
CG-06-20-24	350676	6566493	point de repérage		gneiss granitique						100	500										
CG-06-21-01	352466	6479423	affleurement	Granite au sommet de la montage. Fortement folié, grain fin. Gneiss granitique. SPP2 de 100 cps à 500 cps.	gneiss granitique								1500-2000									
CG-06-21-02	352309	6479593	affleurement	Gneiss granitique. Sur un mètre, il y a 3 anomalies ponctuelles.	gneiss granitique						200-400		1200-1600									
CG-06-21-03	352201	6479559	affleurement	Gneiss granitique. 3 anomalies ponctuelles sur 10m, orientées N80°. Bruit de fond entre 200cps et 400cps.	gneiss granitique						200		2000									
CG-06-21-04	352143	6479468	affleurement	Gneiss granitique. Anomalie ponctuelle (2000), bruit de fond de 200cps.	gneiss granitique								2000 à 2800									
CG-06-21-05	352053	6479358	affleurement	Gneiss granitique. Sur 50cm on a 2000cps à 2800cps.	Granite pegmatitique	rose					150-200		1100-1200									
CG-06-21-06	351962	6479273	affleurement	Granite avec passées pegmatitiques roses. Anomalies ponctuelles distantes de 50cm. Bruit de fond de 150cps à 200cps et quelques spots à 500cps.	Quartzite impure	grise et noire					100											
CG-06-21-07	351714	6479080	affleurement	Quartzite impur : quartz 60%, feldspath 30%, biotite 10%. Couleur grise en surface altérée et crème à noirâtre en cassure fraîche dûe à la biotite. Bruit de fond de 100cps. Le contact doit être sous les blocs prêt du lac.	Quartzite impure						500		1500-1500-3000 1200									
CG-06-21-08	351556	6479087	affleurement	Quartzite impur. Bruit de fond 500cps. 4 anomalies ponctuelles sur 25m, orientées N160°.	Quartzite		Pegmatite				200	900										
CG-06-21-09	351677	6478761	affleurement	Contact ouest entre quartzite et pegmatite. Bruit de fond 200cps.	Pegmatite	blanche					500		1500-2000-3000									
CG-06-21-10	351671	6478777	affleurement	Pegmatite blanche. Grains grossiers : quartz + feldspath + biotite. 3 anomalies (1500, 2000, 3000 cps) ponctuelles sur 12m. Bruit de fond de 500cps. Sur 10 à 15cm, on a 1000cps. Direction des alignements anomales N110°	Pegmatite	blanche							1000						anomalie	110		
CG-06-21-11	351686	6478743	affleurement	Pegmatite blanche.	Pegmatite	blanche																
CG-06-21-12	351700	6478720	affleurement	Pegmatite blanche. Grains supérieurs à 1cm. Les anomalies sont sur 3m. L'échantillon de l'anomalie de 4000cps donne 600cps.	Pegmatite	blanche							1000-4000-7500	1	CG-06-21-12			CG-06-21-12				
CG-06-21-13	351703	6478712	affleurement	Pegmatite blanche. Anomalie située à 5m de la station 12, direction N110°. L'échantillon donne 2000cps.	Paragneiss						70		8000									
CG-06-21-14	351739	6478632	affleurement	Paragneiss, bruit de fond de 70cps.	Granite						150											
CG-06-21-15	351821	6478539	affleurement	Gneiss granitique à grain fin.	Paragneiss																	
CG-06-21-16	351833	6478413	affleurement	Paragneiss, bande de ± 20m, orientation N130°.	Pegmatite		Quartzite						3200						foliation	130		
CG-06-21-17	351813	6478160	Bloc	Bloc de pegmatite de 50cm par 50cm. Champ de blocs hétérogènes : quartzite, pegmatite et granite.	Pegmatite	blanche					100-500		1500-2000-3000 5000-8000-10000-11500									
CG-06-21-18	351792	6478044	affleurement	Pegmatite blanche. Plusieurs anomalies de plus ou moins 30cm. 1500cps, 2000cps, 3000cps, 5000cps sur 5m orientées N130°. L'anomalie se poursuit à 10m avec 8000cps. À 351800E / 6478028N l'anomalie atteint 10000cps. À 351795E / 6478023N, sur 50cm, 4000cps et on atteint 11500cps. À 10m plus loin, on a 5000cps et 8000cps. Bruit de fond de 100cps à 500cps.	Quartzite		Pegmatite				100								anomalies	130		
CG-06-21-19	351776	6477800	affleurement	Quartzite. Quelques pegmatites de 10cm d'épaisseur orientées N130°. Bruit de fond 100cps.	Granite						150								foliation	130		
CG-06-21-20	352358	6477466	affleurement	Granite à grain fin. Bruit de fond 150cps.	Quartzite						150											
CG-06-21-21	352370	6477317	affleurement	Quartzite.	Granite		Paragneiss	gris beige			120											
CG-06-22-01	349826	6479109	affleurement	Granite folié transitionnel à paragneiss. Frais = gris beige clair et altération blanchâtre-grisâtre. Très bien folié par biotite de < 0,5cm, un peu laminé mais pas rubané. Les passées paragneissiques demeurent laminées, rubanées centimétriques à décimétriques. Probablement 70% quartz , 25% feldspath et 5% biotite.	Granite		Paragneiss	gris beige			80											
CG-06-22-02	349814	6479265	affleurement	Idem CG-06-22-01. Noter absence de pegmatite même blanche.	Granite		Paragneiss	gris beige			100											
CG-06-22-03	349982	6479215	affleurement	Idem mais de plus en plus de paragneiss. S2 315-18.	Paragneiss	un peu rouille					80								S2	315	18	
CG-06-22-04	350077	6479245	affleurement	Paragneiss dominant très graduel, un peu de rouille provoquée par le ruisseau. S2 310°/35°. Toute la région assez faible pendage.	pegmatite	blanche					140-200								S2	310	35	

705544

No station	Estant (Nad83 - Zone 20)	Nordant (Nad83 - Zone 20)	Bloc ou Affleurement	Description lithologique	Lithologie A	Couleur A	Lithologie B	CouleurB	Lithologie C	CouleurC	Radiométrie Bruit de fond (cps)	Radiométrie maximum (cps)	Radiométrie anomalie (cps)	Photo	Échantillon	Lames minces: Petite (P) et Polie (Po)	Analyses chimiques	Témoin	Structure	Azimuth	Pendage	Caractéristiques
CG-06-22-05	350082	6479163	affleurement	Pegmatite blanche, affleurement < 1m dans la mousse.	Paragneiss						100											
CG-06-22-06	350138	6479180	affleurement	Paragneiss MAIS lits centimétriques et décimétriques (5%) dans le paragneiss de quartzite.	Quartzite		pegmatite				100											
CG-06-22-07	350339	6479216	affleurement	Quartzite riche en quartz lité centimétrique à décimétrique 75%. Quartzite avec feldspath et pegmatite 20%. Paragneiss gris - biotite riche en quartz. Passage très graduel.	Paragneiss	rouille					115		1000									
CG-06-22-08	350348	6479228	affleurement	Anomalie découverte par Sonny, 1000cps SPP2 et 800cps au Gamma. Passée de feldspath rouillée.	Paragneiss						120											
CG-06-22-09	350385	6479222	affleurement	Passée de paragneiss bien folié riche en quartz similaire à CG-06-22-03 (transition). S2 340°/45° et S2 320°/42°.	Paragneiss	rouille					150								S2; S2	340; 320	45; 42	
CG-06-22-10	350630	6479235	affleurement	Toujours paragneiss rouillé entre CG-06-22-09 et cette affleurement CG-06-22-10. S2 345°/35°	Paragneiss	rouille	amphibolite				40								S2	345	35	
CG-06-22-11	350748	6479216	affleurement	Amphibolite massive vaguement litée (lit 10cm). Affleurement 50m par 20m. Un lit de 10cm de paragneiss et pyrite (3-4%) rouillé et non résistant à l'érosion. Séquence de calcosilicate?????. S2 325°/43°. Ailleur en dehors → paragneiss.	Paragneiss	un peu rouille					100								S2	325	43	
CG-06-22-12	350925	6478913	affleurement	Paragneiss riche en quartz et biotite (10% rouillé).	Paragneiss						110											
CG-06-22-13	350921	6478974	affleurement	Paragneiss déformé. Foliation très irrégulière. Plis centimétriques à décimétriques à métriques. Forme en écailles de poisson 10-50cm. Passée style augen/copeau. S2 25°/40°.	Paragneiss						110								S2	25	40	
CG-06-22-14	351278	6478974	affleurement	Idem à CG-06-22-13. S2 320°/35°	Paragneiss		quartzite				250		1250						S2	320	35	
CG-06-22-15	351277	6478946	affleurement	Quartzite en lentille plus abondante que paragneiss. Anomalie Marie Josée Comeau / Jean Beaudin ≠ Sonny, dans quartzite, aucun contrôle visible. 1250cps SPP2.	quartzite feldspathique						950		1250									
CG-06-22-16	351186	6478083	Bloc	Anomalie Marie-Josée Comeau / Jean Beaudin. Bloc (20cm x 20cm) de quartzite feldspathique dans méga champ de blocs transportés loin. 1250cps SPP2 et 950cps au Gamma.	Paragneiss						100											
CG-06-22-17	350740	6478412	affleurement	Paragneiss idem à CG-06-22-13. S2 315°/45°	Paragneiss						80								S2	315	45	
CG-06-22-18	350697	6478131	affleurement	Paragneiss. S2 310°/45°	Paragneiss		pegmatite		quartzite		100-70								S2	310	45	
CG-06-22-19	350679	6477911	affleurement	Paragneiss. Lentille de quartzite (centimétrique). Pegmatite. S2 80°/60°	quartzite feldspathique								1100						S2	80	60	
CG-06-22-20	350680	6477860	Bloc	Anomalie de 1100cps gamma de Jean Beaudin / Marie-Josée Comeau. Bloc erratique proximal de 2m x 2m augen, anguleux, proximal, de quartzite feldspathique.	pegmatite	blanche							2400-1900									
CG-06-22-21	350706	6477780	affleurement	Anomalie de 2400cps au SPP2 (Sonny Annanack) et 1600cps gamma mais trop proche? (moins de 100m de la précédente). Belle pegmatite blanche.	pegmatite	blanche	Paragneiss															
CG-06-22-22	350754	6477664	Bloc	Anomalie de 1250cps au SPP2 et 850cps gamma de Marie-Josée Comeau / Jean Beaudin. Bloc de pegmatite + paragneiss. Anomalie dans la partie pegmatite blanche.	quartzite						300		3900									
CG-06-22-23	350842	6477443	affleurement	Bel affleurement à revoir. Quartzite avec litage ± pegmatoïdale (25% feldspath blanc). Anomalie Jean Beaudin / Marie-Josée Comeau 4100cps SPP2 et 3900cps gamma. S2 300°/60°.	quartzite	gris clair					150								S2	300	60	
CG-06-22-24	350748	6477385	affleurement	Quartzite massif gris clair. S2 320°/40°	Paragneiss								1400						S2	320	40	
CG-06-22-25	350899	6477299	affleurement	Paragneiss à lamine en augen, copeau déformé similaire à l'affleurement CG-06-22-19. Proche contact? S2 300°/50°. Anomalie sur bloc Marie-Josée Comeau / Jean Beaudin 1400cps SPP2.	quartzite						160								S2	300	50	
CG-06-22-26	350968	6477169	affleurement	Quartzite lité sur un bel affleurement. S2 310°/45°	quartzite		Paragneiss				180		1100	1					S2	310	45	
CG-06-22-27	350997	6477100	affleurement	Quartzite en lit centimétrique et décimétrique séparé par un paragneiss. Photos. S2 330°/50°. Anomalie Marie-Josée Comeau / Jean Beaudin 1400cps SPP2 et 1100cps gamma.	quartzite								1000						S2	330	50	
CG-06-22-28	351019	6476946	affleurement	Anomalie 1000cps SPP2 et 850cps gamma. Bloc de quartzite feldspathique de 20cm x 20cm Marie-Josée Comeau / Jean Beaudin.	Paragneiss	rouille					110											
CG-06-22-29	351040	6476946	affleurement	Paragneiss riche en quartz, 20% rouillé. Reste peu de pegmatite.	Marbre		quartzite				200											
CG-06-22-30	351106	6476665	affleurement	Marbre. Quartzite par-dessus le marbre. S2S1S0 180°/70°. Plusieurs blocs de marbre sub en place. Passée maximale épaisseur de 10m. Pli??.	Paragneiss						160								S2 S1 S0	180	70	
CG-06-22-31	351139	6476537	affleurement	Paragneiss augen/copeau centimétrique. Zone de contact cisaillé. S2 255°/20°.	Paragneiss						160								S2	255	20	
CG-06-22-32	351278	6476416	affleurement	Idem à CG-06-22-31. S2 280°/35°.	quartzite feldspathique								1500						S2	280	35	
CG-06-22-33	351268	6476519	affleurement	Quartzite feldspathique de 2m x 2m. Anomalie de 1500cps SPP2.	Paragneiss		amphibolite	noire			40											
CG-06-22-34	351812	6476468	affleurement	Paragneiss avec lits réguliers. S2 320°/40° et amphibolite (diopsidite) massive noire et laminée (sommet petite colline) 30m x 200m.	Granite	gris clair					120								S2	320	40	
CG-06-22-35	352265	6477534	affleurement	Après transport en hélicoptère. Granite folié gris clair riche en quartz et très bien folié par feuille. Grain fin, biotite 2-4mm. S2 320°/45°.	Paragneiss		Quartzite												S2	320	45	
CG-06-22-36	352087	6477459	affleurement	Paragneiss très riche en quartz, passée locale de pegmatite et de quartzite centimétrique à décimétrique. Photos. Le granite de l'affleurement CG-06-22-35 repose dessus.	Marbre oxydé		enclave Pegmatite		veine de quartz		500		6000									
CG-06-23-01	351021	6566146	affleurement	Enclave de pegmatite au contact avec du marbre oxydé (impur). Présence de veine de quartz, de biotite et de feldspath.	Marbre oxydé		veine de quartz	blanche			500		3500									
CG-06-23-02	351077	6565988	affleurement	Veine de quartz blanchâtre au contact avec du marbre oxydé. Présence également de feldspath dans la veine.	Paragneiss à biotite		Marbre impur	Impur	enclave Pegmatite		1500		5000									
CG-06-23-03	351081	6565939	affleurement	Enclave de pegmatite dans un paragneiss à biotite au contact avec des marbres impurs	Marbre impur		Pegmatite				500		1500									
CG-06-23-04	351132	6565699	affleurement	Banc de pegmatite au contact avec un banc de marbre impur. Présence d'un autre banc de marbre pur au confin des deux.	Marbre impur		Paragneiss à biotite		Pegmatite		200		2500									
CG-06-23-05	351079	6565582	affleurement	Pegmatite à grain moyen à biotite au contact avec un banc de marbre impur, oxydé et du paragneiss à biotite, quartz et feldspath.	Paragneiss à biotite	rouille	enclave Pegmatite		veine de quartz		500		5000									
CG-06-23-06	351093	6565470	affleurement	Veine de quartz dans une enclave de pegmatite au contact avec des paragneiss à biotite et quartz. Les paragneiss sont rouillés et rubanés.	Paragneiss à biotite et quartz		Pegmatite	rose			75	150										
CG-06-23-07	350985	6565183	affleurement	Banc de pegmatite rosâtre à grain moyen au contact avec des paragneiss rubanés à biotite et quartz.	Pegmatite	blanche					75											

No station	Estant (Nad83 - Zone 20)	Nordant (Nad83 - Zone 20)	Bloc ou Affleurement	Description lithologique	Lithologie A	Couleur A	Lithologie B	CouleurB	Lithologie C	CouleurC	Radiométrie Bruit de fond (cps)	Radiométrie maximum (cps)	Radiométrie anomalie (cps)	Photo	Échantillon	Lames minces: Petite (P) et Polie (Po)	Analyses chimiques	Témoin	Structure	Azimuth	Pendage	Caractéristiques
CG-06-23-08	350657	6565122	Bloc	Bloc de pegmatite blanchâtre à grain moyen, résultat d'un éboulement.	Pegmatite						150	700										
CG-06-23-09	350529	6565058	Bloc	Ensemble de bloc de pegmatite au contact les uns des autres, probablement le produit d'un éboulement.	Pegmatite	rose					150		1100									
CG-06-23-10	350438	6564975	Bloc	Bloc de pegmatite rose à grain moyen au contact avec d'autres blocs, présence de quartz fumé.	Pegmatite	rose					750		1000									
CG-06-23-11	349945	6564827	Bloc	Bloc de 2m³ de volume constitué de pegmatite rose à grain moyen associée à du quartz et du feldspath.	Pegmatite	blanche					150	500										
CG-06-23-12	349836	6564777	Bloc	Bloc de pegmatite blanchâtre associée à d'autres blocs de pegmatite à grain moyen constituée de quartz et de feldspath.	Paragneiss à biotite et quartz						150	800										
CG-06-23-13	349235	6564937	affleurement	Banc de pegmatite blanche au contact avec des paragneiss à biotite et quartz.	Pegmatite	blanche					150		1100									
CG-06-23-14	349094	6564948	Bloc	Bloc de pegmatite blanche à grain moyen constitué de quartz et de feldspath se trouvant dans un ruisseau.	Marbre		calsilicate		Pegmatite	blanche	500		2000									
CG-06-23-15	349049	6564965	affleurement	Pegmatite blanche à faciès grenu constituée de biotite, de quartz et de feldspath.	Paragneiss	rouille	veine quartz				200											
CG-06-24-01	346442	6564898	affleurement	Paragneiss rouillé, à grain fin, lité, déformé et fracturé, riche en grenats formant des amas de petits cristaux ou des plus grossiers individuels ou encore de courts filonnets. Aussi quelques veines de quartz. De petits lits de biotite, les foliations du paragneiss sont légèrement plissées.	Paragneiss	rouille	amphibolite				50											
CG-06-24-02	346540	6564675	affleurement	Au milieu des paragneiss plissés et rouillés, une enclave avec aussi des blocs mafiques, possiblement d'amphibolite, dense (40% plagioclases, 60% amphiboles) aux contours non définis.	Granite						200-250				CG-06-24-03			24-03				
CG-06-24-03	346590	6564710	affleurement	Dyke de granite de 2 mètres de large, non homogène, riche en biotite disséminée, contenant des grenats (< 2%), quartz et feldspath à grain fin à moyen, en proportion variable.	gneiss quartzo-feldspathique						150											
CG-06-24-04	346823	6564803	affleurement	Affleurement de grande dimension de gneiss quartzofeldspathique lité: Orthogneiss avec des lits de feldspath-quartz de dimensions variables et concordants. Foliations avec des lits de biotite rouillés et peu déformés. Possiblement des contacts diffus entre deux types de gneiss: quartzofeldspathique et paragneiss rouillé lité déformé (tous deux à grain fin).	Orthogneiss		Paragneiss		Marbre		500		1000-1250	1	CG-06-24-05			24-05				
CG-06-24-05	346695	6564885	affleurement	Contact orthogneiss/marbre/paragneiss (< 10%). Nombreux cristaux de feldspath en amas, aussi des phénocristaux maclés enchevêtrés avec de la biotite en feuillets formant des amas. Pour la partie marbre, on observe de très nombreux phénocristaux maclés verdâtres à éclat vitreux, des amas de biotite, parfois altérée. La biotite s'observe aussi sous forme de veines et de plus large lits anastomosés dans une roche de couleur rosâtre, à grain fin à moyen. Les grains ressemblant à du quartz rose-violacé, amorphe. On observe aussi des cristaux oranges, à éclat vitreux, en petits amas. Un cristal de quartz fumé.	Paragneiss à biotite	rouille	Pegmatite	rose			200		1000									
CG-06-24-06	347037	6565027	affleurement	Anomalie très locale dans ce qui semble être une enclave pegmatitique dans du paragneiss lité, à grain fin. Altération rouille. Feldspaths potassiques roses, plagioclases et quartz imbriqués.	gneiss	rouille	Marbre calcitique	blanc			50-150			1								
CG-06-24-07	347203	6565179	affleurement	Contact gneiss rouillé lité avec marbre blanc calcitique plissé. Contact net.	Marbre calcitique						150			2	CG-06-24-08			CG-06-24-08				
CG-06-24-08	347227	6565213	affleurement	Presqu'île de marbre calcitique plissé, lité (débit ardoisier), à grain fin, montrant des minéraux blanchâtre et allongés, étirés. Nombreux . Aussi des veines avec un minéral bleuâtre translucide ressemblant au quartz. Le marbre est aussi très riche en biotite disséminée, se débite en plaquettes, est à grain fin et la biotite est altérée couleur rouille.	Orthogneiss						200				CG-06-24-09							
CG-06-24-09	347196	6565001	affleurement	Orthogneiss montrant des cristaux oranges formant des lits peu épais et pas très longs (quelques centimètres). Également des cristaux de quartz disséminé et de feldspaths, à grain moyen à fin. Riche en biotite disséminée. Également quelques petits grenats.	Pegmatite	rose					200-500											
CG-06-24-10	347403	6564746	affleurement	Affleurement au sommet d'une colline de grande dimension (50m par 50m) de pegmatite rose, riche en feldspath et quartz imbriqués. Phénocristaux. Quartz gris, cristallin, feldspaths roses maclés, bien cristallisés, montrant parfois des facettes. Le background est assez élevé (au moins 200 c/s au SPP2). Semble être assez homogène en composition comme pour la granulométrie.	Marbre		pegmatite	rose			150											
CG-06-24-11	347449	6564705	affleurement	Contact pegmatite rose et marbre. Gros amas de biotite noire en feuillet. Localement, la roche (marbre) est très riche en biotite (> 50%), sous forme de gros amas, de nodules et aussi disséminée. Background élévé pour le marbre (≤ 150 c/s).	gneiss	rouille	Pegmatite				300		2500									
CG-06-24-12	347813	6564534	affleurement	Pegmatite au milieu d'un gneiss lité, rouillé. Enclave de pegmatite lessivée, rouille, riche en quartz gris microfracturé. Un peu de biotite noire en amas. Aussi des feldspaths plagioclases blancs maclés (possiblement albite). Aspect général rouillé (couleur rouille orangée à rouille brunâtre marronâtre). Des microfissures, des grains remplis par de l'hématite diagénétique.	gneiss	rouille	Pegmatite				200	1100										
CG-06-24-13	348037	6564529	affleurement	Petite enclave de pegmatite, recouverte de mousse, recoupant des gneiss altérés couleur rouille. Quartz gris amorphe et feldspaths altérés. Des grains désolidarisés de leur gangue. Quelques grains de quartz fumé, légèrement teintés grisâtre. Background ~200 chocs/seconde.	Pegmatite	blanche	Marbre à biotite				100		1400									
CG-06-25-02	347419	6572410	Bloc	Bloc de pegmatite blanche à grain moyen sur un banc de marbre à biotite (beaucoup de blocs dans ce coin).	Pegmatite à biotite						40		1500									
CG-06-25-03	347360	6572318	affleurement	Micro-bloc de pegmatite à grain grossier avec de la biotite en grande quantité et du quartz fumé.	Pegmatite à biotite		Marbre		gneiss				4000		CG-06-25-03			CG-06-25-03				
CG-06-25-04	347749	6571940	Bloc	Cimetière de blocs, constitué de pegmatite, de marbre et de gneiss. Les blocs à pegmatites à biotite sont anomaliques et sont associées à du quartz fumé.	Pegmatite à biotite						125	1700										

705544

No station	Estant (Nad83 - Zone 20)	Nordant (Nad83 - Zone 20)	Bloc ou Affleurement	Description lithologique	Lithologie A	Couleur A	Lithologie B	CouleurB	Lithologie C	CouleurC	Radiométrie Bruit de fond (cps)	Radiométrie maximum (cps)	Radiométrie anomalie (cps)	Photo	Échantillon	Lames minces: Petite (P) et Polie (Po)	Analyses chimiques	Témoin	Structure	Azimuth	Pendage	Caractéristiques
CG-06-25-05	347857	6571923	Bloc	Bloc de pegmatite blanchâtre à biotite au contact avec d'autres blocs à quartz et feldspath dans une grande étendue d'eau.	Pegmatite à biotite	blanche					125		1500									
CG-06-25-06	347974	6571874	Bloc	Bloc de pegmatite blanche à biotite, beaucoup de biotite associée à d'autres blocs.	Pegmatite	blanche					150		3000									
CG-06-25-07	348132	6571774	Bloc	Bloc de pegmatite blanche à biotite associée à du quartz fumé.	Quartzite		Pegmatite		Marbre pur		150		1800									
CG-06-25-08	348216	6571732	Bloc	Blocs de quartz avec des enclaves de pegmatite le tout au contact avec un banc de marbre pur. Présence de la biotite associée à ce marbre.	Marbre		Pegmatite	rose			150		1500									
CG-06-25-09	348293	6571638	Bloc	Bloc de pegmatite rose à grain moyen associée à de la biotite, au contact avec des marbres. Présence massive de biotite.	Granite	rose	Pegmatite	rose			100		1500									
CG-06-25-10	348618	6571534	affleurement	Granite rose à grain moyen associé à du quartz et du feldspath au contact avec des pegmatites rosâtres à grains moyens.	Granite	rose	Pegmatite	blanche			150		1100									
CG-06-25-11	349105	6571182	affleurement	Enclaves de pegmatite blanche à grain grossier au contact avec des granites roses à grain moyen.	Granite	rose					150		2000									
CG-06-25-12	349493	6571183	affleurement	Granite rose à grain moyen associé à de la biotite, et un peu de quartz fumé.	Pegmatite	blanche	Paragneiss				500		5000									
CG-06-25-13	349611	6571201	affleurement	Pegmatite blanche à grain moyen associée à du quartz au contact avec des paragneiss à biotite et du quartz.	Marbre pur		Pegmatite	blanche			500		6000									
CG-06-25-14	349707	6571156	affleurement	Veine ou enclave de pegmatite blanche associée à de la biotite au contact avec des marbres purs. Présence de quartz fumé associé à des cristaux de feldspath.	Marbre pur		Pegmatite	rose	veine de quartz		1500		11000									
CG-06-25-15	349791	6571077	affleurement	Pegmatite blanche à grain grossier avec une enclave de quartz, le tout dans un granite rose au contact avec des marbres purs. Présence de beacoup de biotite.	Marbre pur		Pegmatite	rouillé														
CG-06-25-16	349928	6571008	affleurement	Pegmatite rouillée et oxydée à grain moyen au contact avec un banc de marbre.	Marbre pur		Pegmatite		veine de quartz		1500		7000									
CG-06-25-17	349979	6570897	affleurement	Veine de quartz très fumé, est rouillée, dans une enclave à pegmatite au contact avec des marbres purs.	Marbre à diopside et phlogopite		Pegmatite		quartz		1500		12500									
CG-06-25-18	350010	6570822	affleurement	Pegmatite à grain grossier avec une enclave à quartz fin et fumé le tout au contact avec des marbres. Présence de diopside et de phlogopite.	Marbre		Pegmatite	blanche			1500		3500		CG-06-25-18	CG-06-25-18	CG-06-25-18					
CG-06-25-19	350098	6570574	affleurement	Pegmatite blanche à grain grossier associée à de la biotite, phlogopite et de la diopside, au contact avec du marbre.	Marbre		Pegmatite		quartz		1500		8000									
CG-06-25-20	350153	6570459	affleurement	Enclave de quartz dans une pegmatite à grain moyen, au contact avec du marbre, présence de grenats aussi.	Pegmatite	rose	Gneiss qutzofeldspathique				100-200	750										
CG-06-26-01	364984	6567646	affleurement	Sur la crête d'une colline, un affleurement de pegmatite rose de grande dimension (plusieurs dizaines de mètres de coté). Surtout des feldspaths potassiques et du quartz en cristaux grossiers (+ phénocristaux) et en veines peu épaisses. Pegmatite fracturée et altérée, avec des feldspaths et du quartz imbriqués. Pas de contact visible avec l'encaissant (constitué de gneiss quartzofeldspathique lité).	gneiss quartzo-feldspathique		Pegmatite				100			1									
CG-06-26-02	365228	6567661	affleurement	Gneiss quartzofeldspathique lité (orthogneiss), plissé légèrement localement avec des petites enclaves pegmatitiques à phénocristaux. Des lits de quartz-feldspath lessivés et altérés. De fin lits de biotite peu espacés. Concordants (tous les lits quartz-feldspath et biotite) avec les foliations.	Orthogneiss		Pegmatite	rose			100	400		1									
CG-06-26-03	365729	6567799	affleurement	Zone de contact, orthogneiss lité plissé, rouillé à grain moyen (lits) et pegmatite rose à phénocristaux de feldspath potassique et quartz. Le contact est net, le gneiss est rouillé et plissé au niveau du contact avec la pegmatite.	Orthogneiss		Pegmatite	rose			50											
CG-06-26-04	366100	6567864	affleurement	Orthogneiss lité avec quelques petites enclaves de pegmatite rose. Lits de quartz-feldspath et filonnets de biotite.	Pegmatite	rose					200-300		1050									
CG-06-26-05	366123	6567886	Bloc	Pegmatite rose (dimension 70cm par 50) recouverte de mousses. Riche en feldspath potassiques rosés. Biotite en filonnets (de quelques cm de long, 1cm d'épaisseur max, ± parallèles). La pegmatite est à grain grossier (mais généralement inférieur à 1cm).	Pegmatite	rose					200											
CG-06-26-06	366744	6567967	affleurement	Série d'affleurements de grandes tailles de pegmatite rose accompagnés de blocs erratiques. Situés sur une crête de colline. Parfois des contacts nets visibles pegmatite/gneiss quartzofeldspathique. Phénocristaux roses mats maclés, surtout des feldspaths potassiques rosés pour les pegmatites. Certains cristaux altérés de couleur rose-orangée.	Pegmatite	rose					450		1100									
CG-06-26-07	366974	6568645	affleurement	Pegmatite rose à feldspath potassique et quartz en cristaux moyens (< cm) imbriqués. Grande dimension.Composition: environ 65% de feldspath et 35% de quartz. Assez homogène. Zone peu étendue avec 3 anomalies autour de 1000 chocs par seconde.	Orthogneiss		Pegmatite	rose					1500		CG-06-26-06							
CG-06-26-08	366931	6568673	affleurement	Contact (dyke de) pegmatite rose/ orthogneiss lité. Contact franc. Background élevé le long du contact, dans la pegmatite. La granulométrie passe de grossière (pegmatitique) à moyenne-fine avec du granite rose à filonnets diffus et courts de biotite.	Granite	rose							1200		CG-06-26-09B							
CG-06-26-09	366802	6568972	affleurement	Granite rose, avec des portions pegmatitiques, (granulométrie fine à moyenne), cristaux de biotite un peu allongés. Légèrement métamorphisé, riche en quartz (grains gris) et feldspaths potassiques, biotite surtout en filonnets.	Marbre dolomitique		granite	rose			25											
CG-06-26-10	366832	6568972	affleurement	Contact marbre dolomitique blanc bien cristallisé (dolomie) et granite rose à grain moyen légèrement folié (courts et très fins filonnets de biotite).	Marbre		Pegmatite	blanche			500											
CG-06-26-11	366836	6568982	affleurement	Contact marbre / pegmatite blanchâtre-rosâtre à cristaux de feldspaths plagioclases et potassiques rosés. Amas de biotite noire (centimétrique) et feldspaths altérés dans la pegmatite. Marbre rempli de cristaux bruns (> 20%) S1: 308°/24°: Marbre stratifié. De gros amas de biotite déformés entourent des feldspaths épidotisés et/ou chloritisés dans la pegmatite.	Orthogneiss		Pegmatite		quartz		60								foliation	308	24	

No station	Estant (Nad83 - Zone 20)	Nordant (Nad83 - Zone 20)	Bloc ou Affleurement	Description lithologique	Lithologie A	Couleur A	Lithologie B	CouleurB	Lithologie C	CouleurC	Radiométrie Bruit de fond (cps)	Radiométrie maximum (cps)	Radiométrie anomalie (cps)	Photo	Échantillon	Lames minces: Petite (P) et Polie (Po)	Analyses chimiques	Témoin	Structure	Azimuth	Pendage	Caractéristiques
CG-06-26-12	366850	6569010	affleurement	Orthogneiss lité avec petits nodules pegmatitiques (de quelques centimètres). Des veinules de quartz et quartz-feldspath.	Pegmatite	blanche	quartz fumé				75	800							foliation	310	40	
CG-06-27-01	382212	6510642	affleurement	Pegmatite blanche avec une matrice carbonatée à grain moyen parcourue par une enclave à quartz fumé associé à de la biotite. Présence d'enclave rouillée associée à du sulfure disséminé. Bruit de fond: 75 cps.	Paragneiss	rouille	Pegmatite	jaune			250		1300									
CG-06-27-02	382141	6510604	affleurement	Pegmatite à faciès grenu avec des plagioclases de couleur jaunâtre prise entre deux bandes de paragneiss rouillés et rubanés.	Pegmatite		Paragneiss à biotite				25											
CG-06-27-03	382100	6510867	affleurement	Bande de paragneiss à biotite rubané au contact avec des pegmatites.	Pegmatite	blanche					150		2000									
CG-06-27-04	382344	6511144	affleurement	Enclave de pegmatite blanchâtre à grain moyen, constituée de plagioclase de couleur jaunâtre, le tout cimenté par une matrice carbonatée. Présence de biotite et de taches rouilles.	gneiss à biotite et grenat		Pegmatite				75											
CG-06-27-05	382632	6511225	affleurement	Gneiss à biotite et grenat au contact avec des pegmatites.	gneiss		Quartzite				150		7000									
CG-06-27-06	382674	6511263	affleurement	Bande de quartzite constitué de plages à biotite massives et de quartz légèrement fumé. La bande est au contact avec une bande de gneiss rubané.	Paragneiss		Quartzite				150		3500		CG-06-27-06		CG-06-27-06					
CG-06-27-07	382719	6511355	affleurement	Bande de quartzite associé à des gros cristaux de feldspath au contact avec une bande de paragneiss.	Quartzite		Pegmatite		gneiss		150		1500									
CG-06-27-08	382742	6511450	affleurement	Bande de quartzite minéralisé constitué de biotite au contact avec une bande de pegmatite et de gneiss.	Paragneiss		Quartzite		Pegmatite	blanche	150		4000		CG-06-27-08	CG-06-27-08(P)	CG-06-27-08	CG-06-27-08				
CG-06-27-09	382912	6511693	affleurement	Enclave de pegmatite blanche à grain moyen au contact avec des paragneiss et des quartzites.	Pegmatite	blanche	Paragneiss				250		2750									
CG-06-28-01	385863	6512988	affleurement	Pegmatite blanche simili méta-arkose / quartzite avec passée pegmatoïdale à gros cristaux centimétriques de feldspath, très très rare biotite et passée de quartz. Enclave de paragneiss. Anomalie 2750 cps. Spectro: 1) U: 118,6 / Th: 509,8 / K: 2,2 / Total: 170,8, 2) U: 133,8 / Th: 487,6 / K: 1,9 / Total: 177,6, 3) U: 128,8 / Th: 530,0 / K: 1,5 / Total: 178,8. Nombreux: 500cps - 700cps - 900cps. S2S1 120-04.	Paragneiss à biotite		Pegmatite				200		1100						S2 S1	120	4	
CG-06-28-02	385882	6513295	affleurement	Anomalie. Fissure dans pegmatite, proche enclave de paragneiss à biotite - quartz. 1100 cps.	Paragneiss à biotite		Pegmatite				200		1100									
CG-06-28-03	385917	6513259	affleurement	Anomalie 1100 cps / 1200 Gamma, fracture N05-90. Fissure, riche en quartz, pas de biotite. S2 290-25. 75% passée très riche en quartz rose. 25% paragneiss.	Quartzite	rose	Paragneiss				250		1250						S2	290	25	
CG-06-28-04	385834	6513375	affleurement	Anomalie 1250 cps dans passée quartzitique rose à 10cm d'une enclave de paragneiss.	Quartzite	rose	Paragneiss				200		1900									
CG-06-28-05	385718	6513427	affleurement	Anomalie 1900 SPP2, idem (CG-06-28-04?) très riche en quartz. Spectro: 1) U: 75.2 / Th: 471.9 / K: 0.0 / Total: 133.1, 2) U: 79 / Th: 469.6 / K: 0.0 / Total: 132.0, 3) U: 75 / Th: 434.5 / K: 0.0 / Total: 122.1.	Pegmatite		amphibolite				150-60											
CG-06-28-06	385539	6513509	affleurement	Sommet: Pegmatite riche en quartz, fracturation subhorizontale. Base: Amphibolite litée ≈ 30m par > 300m mais massive, noire, calcosilicate? Genre diopsidite finement laminée. S2 295-50 (amphibolite).	Paragneiss	rouille	Pegmatite Quartzite												S2	295	50	
CG-06-28-07	385144	6513599	affleurement	Le banc d'amphibolite se poursuit puis disparait (le long du lac jusqu'à la chute) dans le paragneiss rouillé. Anatexie partielle. Cf. photo. Les pegmatites quartzite ont été remobilisées dans le paragneiss en dyke discordant alors que 98% de l'unité est concordante. La foliation dans le paragneiss (angle fort, pendage) semble recouper les pegmatites (quartzite qui sont subhorizontale). Donc, S2 paragneiss, axial 280-85, S1 quartzite et fracturation 205-03 (ce plan est le plus apparent).	Pegmatite	rose							1950						S2; S1	280; 205	85; 03	
CG-06-28-08	385064	6513642	Bloc	Anomalie: 1950 cps. Bloc de 2m x 2m. Point sur contact pegmatoïdal. Zone de quartz rosé. Proximal dans talus d'éboulis.	Paragneiss		Pegmatite		amphibolite													
CG-06-28-09	385601	6513603	affleurement	Anomalie 1000 cps Gamma. Bloc 1m x 1m talus d'éboulis proximaux. Sur affleurement, S1 (fracture) pegmatite 00-00. S2 290 75 dans amphibolite paragneiss (110).	Pegmatite		Paragneiss						1100						S1; S2	0; 290	0; 75	
CG-06-28-10	384949	6513668	affleurement	Anomalie 1100 cps (bloc / talus) sur contact entre la pegmatite feldspathique et une enclave de paragneiss. Bloc 20 x 50cm.	Pegmatite								1200									
CG-06-28-11	384947	6513650	affleurement	Anomalie 1200cps. Pegmatite (feldspath > 3cm) mais très riche en quartz.	Paragneiss	gris					150											
CG-06-28-12	384840	6513650	affleurement	Paragneiss gris très riche en quartz bien folié avec feldspath, orthogneiss? Mais rouillé. Chute du ruisseau. Bel affleurement. Quelques leucosomes parallèles à la foliation.	Granite		Paragneiss		amphibolite		70											
CG-06-28-13	384015	6512502	affleurement	Par hélicoptère. Immense plateau au sommet d'une falaise. Granite quartz-feldspath-biotite < 0,5cm, extrêmement bien folié. Localement, ressemble à orthogneiss avec enclaves d'amphibolite et de paragneiss. S2 260-65.	Granite		Paragneiss				70	450							S2	260	65	
CG-06-28-14	384077	6512519	affleurement	Idem (CG-06-28-13) mais test spectro 450 cps. Spectro: 1) U: 3.9 / Th: 74.8 / K: 3.5 / Total: 5.5, 2) U: 0.5 / Th: 74.2 / K: 4.0 / Total: 5.1, 3) U: 4.5 / Th: 66.5 / K: 3.7 / Total: 4.5. Cet espèce de granite très folié à enclave de paragneiss et amphibolite, recoupé par < 1% pasée pegmatoïdale, peu de franche pegmatite. Foliation omniprésente, composition similaire aux quartzites feldspathiques.	Granite		Paragneiss				70											
CG-06-28-15	384077	6512519	affleurement	Fracturation, dans lithologie idem (CG-06-28-14). Mégadiaclase (150m) 65-90, contrôle la forme du sommet. Aucun miroir, aucune strie ni fréquence de diaclasage (joint).																		
CG-06-28-16	384006	6512533	affleurement	Test spectro sur 450 cps. Spectro: 1) U: 5.5 / Th: 88.2 / K: 3.6 / Total: 10.7, 2) U: 0.6 / Th: 107.9 / K: 2.8 / Total: 11.1, 3) U: 7.5 / Th: 86.6 / K: 2.7 / Total: 9.5.	Paragneiss à biotite	rouille					50											
CG-06-29-01	357499	6553618	affleurement	Paragneiss à biotite rouillé.	Paragneiss à biotite		Pegmatite	blanche	Marbre		120	300										
CG-06-29-02	357606	6553672	affleurement	Affleurement constitué d'enclaves à pegmatite blanche à grain moyen au contact avec des paragneiss à biotite rubanés. Présence d'un banc de marbre, situé à la base de la séquence avec une schistosité subverticale.	Pegmatite						200	1250										
CG-06-29-03	357755	6553737	Bloc	Bloc de pegmatite de 50 cm³ de volume à faciès grenu, associé à d'autre blocs à marbre, gneiss et biotite.	Pegmatite						75											

705544

No station	Estant (Nad83 - Zone 20)	Nordant (Nad83 - Zone 20)	Bloc ou Affleurement	Description lithologique	Lithologie A	Couleur A	Lithologie B	CouleurB	Lithologie C	CouleurC	Radiométrie Bruit de fond (cps)	Radiométrie maximum (cps)	Radiométrie anomalie (cps)	Photo	Échantillon	Lames minces: Petite (P) et Polie (Po)	Analyses chimiques	Témoin	Structure	Azimuth	Pendage	Caractéristiques
CG-06-29-04	357972	6553875	Bloc	Ensemble de blocs constitué de pegmatite au contact avec d'autres blocs à gneiss et marbre, dans une sorte de vallée.	Paragneiss	rouille					75											
CG-06-29-05	358147	6554010	affleurement	Paragneiss rubané et rouillé avec des enclaves à grenat. Présence de biotite massive et d'une schistosité de direction N120°.	grès quartzitique		Paragneiss à biotite	rouillé			75								schistosité	120		
CG-06-29-06	358399	6554271	affleurement	Grès quartzitique à grain fin, au contact avec des paragneiss à biotite rouillés. Présence de sulfures disséminés.	Pegmatite	blanche	grès quartzitique				125											
CG-06-29-07	358406	6554456	affleurement	Pegmatite blanche avec beaucoup de quartz, au contact avec des grès quartzitiques.	grès quartzitique		Pegmatite		amphibolite		75											
CG-06-29-08	358639	6554415	affleurement	Grès quartzitique amphibolitisé avec des enclaves de pegmatite associé à quelques veines de quartz rose et de gros cristaux de feldspath.	Pegmatite	blanche	gneiss		grès quartzitique				1500									
CG-06-29-09	358773	6554474	affleurement	Pegmatite blanche au contact avec des gneiss à biotite et du grès quartzitique.	Pegmatite	rose	grès quartzitique															
CG-06-29-10	358900	6554630	Bloc	Bloc de pegmatite rose associée à de la tourmaline au contact avec des grès quartzitique. Présence de sulfures disséminés dans le grès.	Paragneiss	rouille	pegmatite	blanche			100											
CG-06-30-01	357059	6554309	affleurement	Paragneiss riche en quartz ± biotite ± amphibolite ± grenats, rouillé. Pegmatite blanche riche en quartz en forme de goutte - œil. Linéation 10m x 3m. S2 (paragneiss) 120-80.	Paragneiss à amphibolite						100								S2	120	80	
CG-06-30-02	357257	6554301	affleurement	Paragneiss à amphibole, grenats, bien leucosome, passée décimétrique irrégulière. S2 320-80.	Paragneiss à amphibolite						120			plusieurs					S2	320	80	
CG-06-30-03	357477	6554451	affleurement	Idem (CG-06-30-02), 4% grenat almandin. S2 330-90. Plusieurs photos car les pegmatites, riches en quartz ne constituent que des lambeaux et non une unité cartographiable. Certaines pegmatites centimétriques - décimétriques sont des leucosomes.	pegmatite	blanche					120-150								S2	330	90	
CG-06-30-04	357571	6554561	affleurement	Idem (CG-06-30-03) Lentille de pegmatite blanche à grenat = 20m à 50m épaisseur 5-10m. S2 315-90. Les lentilles pegmatitiques sont boudinées mais concordantes.	pegmatite	blanche					150-170								S2	315	90	
CG-06-30-05	357640	6554602	affleurement	Idem (CG-06-30-04) Pegmatite. Photo mini-pegmatite, style des plus grosses. S2 322-90. Le lac allonge.	pegmatite	blanche					150								S2	322	90	
CG-06-30-06	357582	6554716	affleurement	Idem (CG-06-30-05) mais 100% pegmatite à pendage sur le contact, falaise au-dessus du lac. S2 300-65 (fracture) contact.	Marbre calcitique	blanc					30								S2	300	65	
CG-06-30-07	357716	6554869	affleurement	Marbre blanc très calcitique et disséminé, karstique. S2 315-80.	Paragneiss						150								S2	315	80	
CG-06-30-08	357777	6554904	affleurement	Paragneiss mais sans pegmatite. S 305-80. Plis selon dessin de carte.	Paragneiss		quartzite		marbre		125	150							S2	305	80	
CG-06-30-09	358001	6554928	affleurement	Interdigitation étroite de paragneiss / quartzite / lit silicaté mince gris / marbre, échelle 5-15cm, même pegmatite mince tant plus ou moins fort pendage. Plis à axes verticaux (recline) très fortement plissé. 1/2 crête en marbre, 1/2 paragneiss. S2S1S0 315-80. Les plis sont boudinés à petite échelle, mais banc plus épais moins déformé. Dessin du contact sur carte. Marbre sur contact.	Marbre	blanc					50-90								S2 S1 S0	315	80	
CG-06-30-10	358189	6555065	affleurement	Marbre blanc, patine orange, peu ou sans foliation observable avec marbre (blanc) visible de l'hélicoptère, se défaisant par altération en fragments centimétriques. Lentille de quartz-feldspath 5m x 5m. S2 non observable.	Marbre		pegmatite	blanche	paragneiss	rouillé	40-125-110											
CG-06-30-11	358286	6555187	affleurement	Marbre patine orange. Pegmatite blanche (5%). Lambeaux à axes verticaux de paragneiss rouillé. Orienté = N50 parallèle à la traverse. L axe 85-50. S2 310-83, très variable et non fiable dans le paragneiss (vraisemblablement verticaux). Photo: marbre blanc, noir / pegmatite blanche / paragneiss rouillé.	Paragneiss						125								S2	310	83	
CG-06-30-12	358322	6555208	affleurement	Paragneiss une bande N90 de longueur > 150m et épaisseur de 30m. S2 paragneiss. Linéation axe 75-75.	Marbre		Paragneiss				30								S2	75	75	
CG-06-30-13	358352	6555241	affleurement	Contact avec marbre (30 cps) 75-90 avec paragneiss (125 cps), bande se poursuit. 80-90 marbre, faciès blanc (gris en fragments en surface).	Marbre	orange					30			1					S2; S2	75; 80	90; 90	
CG-06-30-14	358396	6555292	affleurement	Revient à du marbre, patine orange mais laminée. (cf. photo).	Marbre	rose					30											
CG-06-30-15	358470	6555373	affleurement	Marbre rose, patine grise, karst. S2 265-85.	Marbre	rose	pegmatite	blanche			60-100								S2	265	85	
CG-06-30-16	358553	6555446	affleurement	Marbre rosé et S2 280-90. Contact concordant pegmatite blanche 20cm dans marbre. Pegmatite blanche / pegmatite rose, lentille 3m. S2 285-85.	pegmatite	rose					250								S2; S2	280; 285	90; 85	
CG-06-30-17	358708	6555639	affleurement	Pegmatite rose-rougeâtre, riche en quartz, affleure très mal. S?	pegmatite	rose																
CG-06-30-18	358844	6555645	affleurement	Pegmatite rose (parfois blanche). Coin de lac.	Marbre						100			1								
CG-06-30-19	359049	6555729	affleurement	Marbre laminé. Coin du lac. S2 266-85. Linéation axe: 250-55. Photo verticale, axe de pli et lithologie.	Marbre						100								S2	250	55	
CG-06-30-20	359147	6555791	affleurement	Marbre avec rubanement centimétrique et laminé. S2 variable pli.	Granite	rose	pegmatite	blanche			90-200											
CG-06-30-21	359335	6555941	affleurement	Mégalentille de granite, pegmatite rose et blanche. Largeur 100m, longueur > 200m, épaisseur ? Marbre S2 270-90.	Paragneiss		pegmatite				65-70								S2	270	90	
CG-06-30-22	359411	6556093	affleurement	Paragneiss ± la même pegmatite injectée dans le contact? S2 115-80 dans marbre. La pegmatite discordante, apparence à plat (fictif).	Paragneiss		pegmatite				150			1					S2	115	82	
CG-06-30-23	359530	6556188	affleurement	Paragneiss laminé et rubané (cf. photo) avec pegmatite de 10-30cm, contact dans les lacs. S2 315-80. Photo.	Paragneiss														S2	315	80	
CG-06-30-24	359618	6556243	affleurement	Idem (CG-06-30-23). Paragneiss de la photo. S2 290-80, paragneiss au pied de la falaise (incapable de la monter).	Paragneiss						140								S2	290	80	
CG-06-31-01	360480	6556249	affleurement	Paragneiss à leucosome feldspath très régulier nodulaire, ± amphibole. S2 120-50. Idem traverse du 17 juillet.	paragneis à biotite	rouille	pegmatite	blanche			110								S2	120-50		
CG-06-31-02	360369	6556087	affleurement	Paragneiss à biotite rouillé, passée lentille concordante de pegmatite blanche 10m x 30m. S2 120-50.	paragneis à biotite	rouille	pegmatite	blanche			150								S2	120	50	
CG-06-31-03	360313	6555990	affleurement	Idem CG-06-31-02 même séquence. S2 110-70. (Traversée et proximité du ruisseau).	Paragneiss		pegmatite		marbre		150-100-100								S2	110	70	
CG-06-31-04	360247	6555859	affleurement	Zone du contact en bas de pente. 1- Paregneiss 2- Contact injecté de pegmatite (dans le marbre plutôt que dans les paragneiss). La lentille de marbre plonge vers le nord, suivant la coulée vers le lac. S2S1S0 140-80. Linéation axe 305-45.	Paragneiss		pegmatite				100-150								S2/S1/S0; S2/S1/S0	140; 305	80; 45	

No station	Estant (Nad83 - Zone 20)	Nordant (Nad83 - Zone 20)	Bloc ou Affleurement	Description lithologique	Lithologie A	Couleur A	Lithologie B	CouleurB	Lithologie C	CouleurC	Radiométrie Bruit de fond (cps)	Radiométrie maximum (cps)	Radiométrie anomalie (cps)	Photo	Échantillon	Lames minces: Petite (P) et Polie (Po)	Analyses chimiques	Témoin	Structure	Azimuth	Pendage	Caractéristiques
CG-06-31-05	360145	6555773	affleurement	On sort enfin de la séquence de paragneiss, au pied de l'escarpement. Pegmatite sur le contact. Le marbre est érodé ou n'affleure pas.	Marbre	orange	pegmatite	rose			40-80											
CG-06-31-06	360043	6555682	affleurement	Le marbre (80%) antidérapant, teinte altérée orange. Pegmatite rose (20%) à quartz et gros cristaux de feldspath. S2 168-70.	pegmatite	rose					110								S2	168	70	
CG-06-31-07	359870	6555722	affleurement	Pegmatite rose-orangée passant localement à blanche. Cette pegmatite protège le sommet de la crête.	Paragneiss		calcosilicate				60											
CG-06-31-08	359631	6555668	affleurement	Paragneiss (texture usuelle) et paragneiss à amphibole trapue noire verte, calcosilicaté. Ce secteur est plissé à l'échelle > 10m. S2 290-90.	Marbre	blanc					40								S2	290	90	
CG-06-31-09	359627	6555482	affleurement	Marbre blanc, patine noire, massif, se poursuit depuis le dernier affleurement en crête. Pas de S2.	Marbre	blanc					45											
CG-06-31-10	359523	6555344	affleurement	Marbre blanc à cristaux centimétriques blancs qui s'effritent, ou patine noire, massif. Pas de S2 visible, fracturation karstique, dissolution.	Marbre	blanc	pegmatite	blanche			40-70											
CG-06-31-11	359688	6555192	affleurement	Marbre massif blanc. Pegmatite blanche protégeant (5%) en partie la crête. Patine noire, fracturation karstique.	Marbre						40											
CG-06-31-12	359117	6555490	affleurement	Marbre (90%). Partie supérieure de la crête, un paragneiss riche en amphibole ou amphibolite (± verdâtre) plissé, unité calcosilicatée. Dans marbre, lamination locale difficile à voir. S2 140-90.	Marbre	blanc					35								S2	140	90	
CG-06-31-13	359102	6554987	affleurement	Marbre avec zone de micropli décamétrique et affleurement lavé blanc-rose sous l'eau du ruisseau. S2 290-80. Ce marbre karstique apparaît en creux entre les affleurements CG-06-31-11, CG-06-31-12 et CG-06-31-13, altération karstique sans faire de véritable affleurement plurimétrique jusqu'à la pointe du lac sur cette ligne de traverse, dans la plaine.	Pegmatite	blanche					100-150			2					S2	290	80	
CG-06-32-01	362853	6541553	affleurement	Pegmatite blanche, s'étendant sur 3 mètres de longueur, recouverte de mousse partiellement. Cristaux de feldspath plagioclase blanc, granulométrie grossière à moyenne. Quartz gris opaque amorphe. Veines de quelques centimètres de large de biotite altérée, noire en feuillets. Taches rouilles au contact avec la veine de biotite. Les cristaux sont altérés, microfissurés. La roche semble très altérée et lessivée (les cristaux ont tendance à quitter leur gangue).	Pegmatite	blanche	gneiss à biotite	rouillé			100-150			2								
CG-06-32-02	362818	6541470	affleurement	Contact pegmatite blanche et paragneiss lité, rouillé. Contact diffus. Pegmatite blanche à feldspaths plagioclases blancs et quartz imbriqués. Structure pegmatitique typique à gros cristaux maclés. Des enclaves gneissiques au sein des pegmatites. Gneiss très riche en biotite altérée, aspect très rouillé. Lité, fins feuillets lits de biotite. Remarque : de petits lits parallèles au contact paragneiss / pegmatite, composés de feldspath + quartz imbriqués.	gneiss à biotite		Pegmatite				125			1								
CG-06-32-03	362726	6541391	affleurement	Affleurement de très grande dimension de gneiss à grain fin à biotite, lité, localement plissé, altéré (couleur rouille principalement) avec un faible pourcentage de veines pegmatitiques et de quartz surtout concordantes avec le litage du gneiss. Les veines forment des contacts plus ou moins nets, elles ne sont pas très longues. On note aussi des genres de boudins ou enclaves de petites dimensions et aux formes allongées suivant systématiquement le litage du paragneiss.	gneiss	rouille	Pegmatite	blanche			500-700											
CG-06-32-04	362294	6540855	affleurement	Gneiss lité déformé rouillé avec environ 10% de pegmatite blanche sous forme de veines, lambeaux et veinules litées.	Paragneiss		Pegmatite	blanche					2500	1								
CG-06-32-05	362205	6540841	affleurement	Paragneiss/pegmatite blanche enchevêtrés. Contacts diffus. Riche en quartz gris + veines. Lambeaux de pegmatite et de gneiss. Sur un contact net entre une veine pegmatitique et encaissant de gneiss : une anomalie très locale à environ 2000 c/s. La pegmatite est riche en quartz gris.	Paragneiss	rouille	Pegmatite	blanche					1250									
CG-06-32-06	362252	6540729	affleurement	Contact concordant entre du paragneiss lité, rouillé et un dyke de pegmatite blanche à cristaux de feldspaths plagioclases blancs et quartz amorphe à bien cristallisé imbriqués. Le scintillomètre monte à 1250 chocs (SPPGamma) très localement dans la pegmatite blanche. Remarque: des veines de quartz gris, amorphe à cristallin.	Pegmatite	blanche	gneiss				500		2100	1								
CG-06-32-07	362289	6540687	affleurement	Le long d'un dyke ou d'une veine large de 2-3 mètres et longue d'une centaine de mètres de pegmatite blanche riche en quartz (disséminé, en petites ou grandes veines, imbriqué en phénocristaux avec des feldspaths plagioclases blancs surtout). Plusieurs endroits mais très locaux, au dessus de 1000 cps le long de la pegmatite,qui est sous forme de veine concordante avec les gneiss plissés. Les veines, nodules et veinules de quartz-feldspath sont nombreux (>20%). Le background est élevé.	Pegmatite	blanche					200		1250									
CG-06-32-08	362299	6540620	affleurement	Affleurements montrant des séries de veines et de filons concordants (avec le litage des paragneiss environnants) de pegmatite blanche à légèrement rosée, à phénocristaux imbriqués de feldspaths potassiques rosâtres et plagioclases blanchâtres et de quartz généralement gris, nombreuses fractures et fissures, y compris des cristaux eux-mêmes (microfissures des grains de quartz et de feldspath plagioclase suivant les macles). Altération des feldspaths (superficielle) et possiblement hématisation du quartz (couleur rougâtre) par circulation de fluides dans les microfissures. Kick très localement à 1250 cps maximum. Remarque: il subsiste parfois de petites enclaves de paragneiss déformées, litées, rouillées au sein des bancs de pegmatite. Elles sont souvent elles-mêmes litées et des veines de quartz-feldspath composent ces litages. Ces veinules et veines concordantes et parallèles bien que déformées, sont riche en grenats de toutes tailles (de quelques mm à 2-3cm).	Pegmatite	blanche	gneiss à biotite	rouillé					1000									

7055447

No station	Estant (Nad83 - Zone 20)	Nordant (Nad83 - Zone 20)	Bloc ou Affleurement	Description lithologique	Lithologie A	Couleur A	Lithologie B	CouleurB	Lithologie C	CouleurC	Radiométrie Bruit de fond (cps)	Radiométrie maximum (cps)	Radiométrie anomalie (cps)	Photo	Échantillon	Lames minces: Petite (P) et Polie (Po)	Analyses chimiques	Témoin	Structure	Azimuth	Pendage	Caractéristiques
CG-06-32-09	362484	6539449	affleurement	Contact entre de la pegmatite blanche à teneur variée en quartz (gris à blanchâtre) et des gneiss lités fins, plissés, altérés (rouille), riche en biotite (formant des feuillets ou bien disséminée). Contact diffus: les veines et filons (grandes veines ± concordantes) de pegmatite se perdent dans les gneiss en genre de ramifications, semblent s'effilocher et se rétrécir pour finalement disparaître.	Marbre calcitique	brunâtre					50-100											
CG-06-32-10	362474	6538780	affleurement	Marbre calcitique altéré couleur brunâtre-chamois. Granulométrie moyenne des cristaux de calcite. Texture granulaire: amoncellement de cristaux de moyenne taille montrant souvent des facettes. Semble assez homogène. Végétation recouvrante. Semble aussi suivre l'orientation des bancs stratifiés du paragneiss.	gneiss à biotite		Pegmatite	rose			75	700										
CG-06-33-01	349735	6551777	affleurement	Gneiss à bitoite rubané associé à des blocs de pegmatite rose à grain moyen. Présence de feldspath et peu de quartz.	Granite	rose	Paragneiss à biotite				150	700										
CG-06-33-02	350029	6551798	affleurement	Affleurement de granite rose à grain moyen associé à du quartz et feldspath au contact avec des paragneiss à biotite et des pegmatites roses à grain moyen.	Pegmatite	rose	gneiss à biotite				150		1200									
CG-06-33-03	350285	6551858	Bloc	Bloc de pegmatite rose à grain moyen associée à du feldspath et un peu de quartz au contact avec des gneiss à biotite situés au sommet.	Granite	rose	Pegmatite	rose	paragneiss à biotite		200		2000									
CG-06-33-04	350370	6551905	affleurement	Granite rose à grain moyen au contact avec une pegmatite rose à grain grossier blanchâtre. Présence de blocs de paragneiss rubané à biotite.	Granite	rose	gneiss à biotite				150		1350									
CG-06-33-05	350536	6551915	affleurement	Granite rose à grain moyen au contact avec des gneiss rubanés à bitoite et des pegmatites roses à grains grossiers.	Granite	rose	Pegmatite	rose			200		1000									
CG-06-33-06	350851	6551732	affleurement	Granite rose à grain fin avec beaucoup de feldspath, au contact avec des pegmatites. Présence de veines de quartz et quelques minéraux allongés de couleur noire.	Granite	blanche	gneiss		Pegmatite		150											
CG-06-33-07	351330	6551855	affleurement	Banc de granite blanc ou arkose au contact avec des pegmatites et des gneiss rubanés.	Granite	rose	gneiss à biotite		quartz		200	500										
CG-06-33-08	352174	6552280	affleurement	Granite rose fracturé et parcouru par des veines à quartz au contact avec des gneiss à biotite.	Granite	rose	Pegmatite	rose			200											
CG-06-33-09	352380	6552464	affleurement	Granite rose au contact avec des pegmatites roses.	Pegmatite	blanche	Paragneiss à biotite				150											
CG-06-33-10	352672	6552342	affleurement	Pegmatite blanche à grain grossier au contact avec des paragneiss à biotite rubanés et plissés par endroit.	Granite	rose	gneiss à biotite				200	500										
CG-06-33-11	352879	6552678	affleurement	Granite rose à grain moyen avec beaucoup de feldspath, au contact avec des gneiss à biotite.	Pegmatite		gneiss à biotite				75											
CG-06-33-12	353269	6552560	Bloc	Bloc de pegmatite au bord du lac associé à d'autres blocs à gneiss et biotite.	Granite	rouille	Paragneiss à biotite	rouillé			250		1250									
CG-06-33-13	353259	6552845	affleurement	Granite rouillé au contact avec des paragneiss rouillés à biotite et des sulfures disséminés. Présence de petites veines de quartz et des enclaves de pegmatites.	Marbre calcitique		Paragneiss	rouillé			50-150			1								
CG-06-34-01	360518	6561806	affleurement	Contact entre du marbre calcitique et du paragneiss lité rouillé, déformé, très riche en grenats de toutes tailles (quelques millimètres à plusieurs centimètres, > 20% par endroit). Le gneiss kick à au moins 100 cps en background, et le marbre à environ 50 coups/seconde. Le marbre calcitique est à texture granulaire (grains de calcite à granulométrie moyenne), de couleur grise à brune, chamois (pour l'altération superficielle du marbre). L'affleurement mesure quelques mètres de long, le marbre s'étend et se perd au profit des gneiss à filonnets de biotite et à grenat. Pas de contact net, le marbre est lité, la calcite qui le compose est blanche à translucide (grise quand elle est altérée). Des nodules de quartz gris cristallin et fracturé, étirés ou allongés suivant le litage du marbre. On observe de la biotite altérée avec des reflets parfois métalliques, de la muscovite.	Marbre calcitique	gris-chamois	Paragneiss	rouillé					1500	1									
CG-06-34-02	360562	6561819	affleurement	Une anomalie sous 20cm de mousse juste au contact entre marbre calcitique altéré gris chamois et le paragneiss lité rouillé, riche en grenats. Contact non visible. La roche semble résulter de la fusion du marbre, elle est riche en quartz aussi, disséminé mais surtout sous la forme de veines et de nodules de petite dimension. Quartz gris cristallin principalement. L'anomalie est très locale.	Paragneiss		Pegmatite		quartz		75			1								
CG-06-34-03	360746	6561975	affleurement	Enclaves de paragneiss et de matériel pegmatitique démembré avec veine de quartz et nodules déformés imbriquées. Altération du quartz: celui-ci est microfissuré et rempli de matériel fin brun-orangeâtre. Du quartz fumé (plus rare).	quartz-biotite		Marbre calcitique	blanc			200			1	CG-06-34-04			CG-06-34-04				
CG-06-34-04	360823	6562183	affleurement	Enclave (2m de long par 1m de large) de roche riche en quartz avec de gros amas de biotite noire en feuillets lessivés (quartz gris cristallin) dans un encaissant de marbre calcitique blanc altéré rosâtre-chamois. Proche: du paragneiss rouillé, en contact diffus avec le marbre.	Marbre calcitique	blanc					75-100			1								
CG-06-34-05	360970	6562396	affleurement	Marbre calcitique montrant de très nombreux cristaux allongés, en baguettes de plusieurs centimètres de long (au moins 30% dans la roche). Altération de ces minéraux couleur blanchâtre-grisâtre.	Marbre calcitique		gneiss	rouillé	Pegmatite				1500									
CG-06-34-06	360995	6562471	affleurement	Anomalie sous la mousse, locale. Toujours suivant un contact entre un marbre calcitique lité, plissé avec des enclaves de gneiss et de matériel pegmatitique riche en quartz, et du paragneiss rouillé et lité.	Pegmatite	rose	Paragneiss	rouillé			200	500			CG-06-34-07			CG-06-34-07				
CG-06-34-07	361072	6562725	affleurement	Pegmatite rose, à cristaux de quartz gris et de feldspaths potassiques imbriqués. Proportion de quartz > 20%. Affleurement situé au sommet d'une petite colline, autour de celle-ci: du paragneiss lité, déformé et rouillé.	gneiss quatzo-feldspathique	rose et blanc					75											
CG-06-34-08	361248	6563446	affleurement	Gneiss quartzofeldspathique lité avec des feldspaths roses et du quartz en veinules. Granulométrie fine à moyenne. Aussi matrice fine de feldspaths plagioclases blancs avec des filonnets de biotite.	Granite gneissique à biotite	rose					100				CG-06-34-09			CG-06-34-09				

No station	Estant (Nad83 - Zone 20)	Nordant (Nad83 - Zone 20)	Bloc ou Affleurement	Description lithologique	Lithologie A	Couleur A	Lithologie B	CouleurB	Lithologie C	CouleurC	Radiométrie Bruit de fond (cps)	Radiométrie maximum (cps)	Radiométrie anomalie (cps)	Photo	Échantillon	Lames minces: Petite (P) et Polie (Po)	Analyses chimiques	Témoin	Structure	Azimuth	Pendage	Caractéristiques
CG-06-34-09	361210	6564280	affleurement	Granite gneissique riche en biotite. Quartzofeldspathique à grain fin, assez homogène. Parfois des lits de feldspaths rosés, de biotite noire.	Paragneiss à biotite	brun rouille					200											
CG-06-35-01	360304	6556777	affleurement	Paragneiss, grains fins, fortement altéré, couleur brune, rouille en surface. La roche est riche en biotite. On remarque les alignements des feldspaths blancs dans le sens de la structure. Grains varient de 0.5 à 1cm pour les feldspaths. Structure S2 = 200 cps.	Marbre	gris	Paragneiss		Pegmatite		40-100-200			1					S2	120	75	
CG-06-35-02	360263	6556636	affleurement	Marbre, couleur grise, contact concordant avec le paragneiss N112°/60°. L'épaisseur est de 15m. Présence de dykes de pegmatites qui recoupent les marbres et les paragneiss de 10 à 100 mètres, ont peut les suivre. Bruit de fond: Marbre = 40 cps, pegmatite = 100 cps, paragneiss = 200 cps. Les dykes sont soit concordants, soit N220°, ± 1.5m d'épaisseur.	Paragneiss														contact; dyke	112; 220	60; ND	
CG-06-35-03	360238	6556553	affleurement	Paragneiss, passées pegmatitiques (feldspaths) dans les paragneiss.	Paragneiss		Pegmatite															
CG-06-35-04	360189	6556451	affleurement	Paragneiss, rubannement pegmattique des feldspaths. N110°/65°.	Paragneiss						150-200								S2	110	65	
CG-06-35-05	360228	6556160	affleurement	Paragneiss, idem à CG-06-35-04. S2 = N120°/60°. Bruit de fond = 150 cps à 200 cps.	Paragneiss						200		7000-10000-11000-2000						S2	120	60	
CG-06-35-06	360234	6556126	affleurement	Paragneiss, 1ère anomalie ponctuelle de 7000 cps. Autour, sur 20cm, on à une variation entre 1000 et 5000 cps. Sur 20cm, on à 10000 et 11000 cps, à 20 mètres 2000 cps. Localement, on retrouve des rubannements pegmatitiques. La roche semble vouloir devenir arkosique. Impossible d'échantillonner. Bruit de fond = 200 cps.	Paragneiss								7500									
CG-06-35-07	360266	6556122	affleurement	Paragneiss, Non échantillonné. Anomalie de 7500 cps. Même description que CG-06-35-06.	Paragneiss à biotite		Pegmatite							1								
CG-06-35-08	360283	6555952	affleurement	Paragneiss, rubannement pegmatitique. Dans le rubannement pegmatitique: quartz: 65%, feldspath: 30%, biotite 5%. Les grains varient de 0.5cm à 1cm. Le reste de la lithologie est riche en biotite. Les grains varient entre 1mm et 3mm. S2 = N120°/80°.	Paragneiss à biotite		Pegmatite				150-200	500							S2	120	80	
CG-06-35-09	360698	6555406	affleurement	Paragneiss, idem à CG-06-35-08. Bruit de fond = 150 cps à 200 cps. Localement, on a des pointes à 500 cps.	Paragneiss à biotite		Pegmatite															
CG-06-35-10	360671	6555092	affleurement	Paragneiss, idem à CG-06-35-09. Présence de plis. Axe = N155°/62°.	Orthogneiss granitique						250-300								axe de pli	155	62	
CG-06-35-11	360599	6555001	affleurement	Orthogneiss granitique. Quartz: 30% → 0.2 à 0.5cm, feldspath: 60% → 0.5cm, biotite: 10% → 1cm. Trace à 1% de grenat. Texture massive, non magnétique. Bruit de fond = 250 à 300 cps.	Granite		Paragneiss							1								
CG-06-35-12	360465	6554771	affleurement	Contact entre granite et paragneiss. Contact N065°/90°, franc.	Orthogneiss granitique	blanc	Paragneiss						1200-1000	2					contact	65	90	
CG-06-35-13	360515	6554787	affleurement	Orthogneiss granitique, grains grossiers, blanchâtre. Les quartz et feldspaths = 90%, biotite = 10%. À 25m N025° de l'anomalie 1200 cps on à 1000 cps. On remarque des passées de paragneiss dans le granite, la zone de contact est proche. Photo A = paragneiss de 10m. Photo B = paragneiss de 50cm.	Orthogneiss granitique	blanc	Paragneiss						2500									
CG-06-35-14	360550	6554636	affleurement	Zone de contact entre paragneiss et orthogneiss. L'anomalie se trouve dans le paragneiss. Bruit de fond à 200 cps. Couleur blanchâtre des granites, quartz: 30%, feldspath: 45%, biotite: 25%, grains 0,5cm.	calcosilicate		Paragneiss							1	CG-06-35-15			CG-06-35-15	contact; S2	170; 165	ND; 90	
CG-06-35-15	360519	6554505	affleurement	Contact entre calcosilicate et paragneiss. Les calcosilicates sont fortement plissés. Réaction locale au HCl, nombreux plis. Plan axial = N237°/72°, axe de pli = N237°/47°. Semble être des plans en Z. Les calcosilicates ont une couleur bleutée. Alignement de l'affleurement N190°. Contact avec des paragneiss N170°. S2 des marbres = N165°/90°.	Paragneiss		Pegmatite						2000						plan axiale; axe de pli	237; 237	72; 47	
CG-06-35-16	360470	6554420	affleurement	Paragneiss, possibilité de pegmatite ou rubannement des feldspaths ou enclaves de pegmatites.	Orthogneiss																	
CG-06-35-17	360413	6554326	affleurement	Orthogneiss, caractérisé par des passées fines et grossières.	Orthogneiss pegmatitique	blanc					100	500		1								
CG-06-35-18	360409	6554287	affleurement	Orthogneiss, texture pegmatitique, grains en moyenne ont 0,5cm mais peuvent atteindre plus 1cm pour les feldspaths. Couleur blanchâtre, quartz: 50%, feldspath: 45%, biotite: 5%. Autour de l'anomalie, on a 500 cps sur 20cm. Bruit de fond = 100 cps. Bandes de calcosilicate plissées de ± 3 mètres.	Orthogneiss pegmatitique	blanc								1	CG-06-35-19			CG-06-35-19				
CG-06-35-19	360298	6554012	affleurement	Orthogneiss, texture pegmatitique, quartz: 40% (20 à 30% fumé) 0.5cm, feldspath: 40% = 0.5cm à 1cm, biotite: 20% = 1cm.	Orthogneiss pegmatitique	blanc																
CG-06-35-20	360197	6553888	affleurement	Orthogneiss, même description (CG-06-35-19).	Orthogneiss		Paragneiss à biotite	rouillé			110											
CG-06-35-21	360174	6553833	affleurement	Contact orthogneiss / paragneiss, contact diffus N210°. Le paragneiss à les grains fins, riches en biotite, avec forte altération rouille. Les 2 unités ont un bruit de fond de 110 cps.	Paragneiss														contact	210		
CG-06-35-22	360359	6553748	affleurement	Paragneiss, foliation pegmatitique des feldspaths parallèle à S2 = N230°/53°.	Paragneiss														S2	230	53	
CG-06-35-23	360255	6553413	affleurement	Paragneiss, même description (CG-06-35-22). S2 = N352°/70°.	Pegmatite	blanche					500		1500-2000	1					S2	352	70	
CG-06-36-01	364129	6559243	Bloc	Bloc de pegmatite blanche altérée. Bloc arrondi. Phénocristaux de feldspath blanc et quartz imbriqués. Microfissures dans les cristaux. Roche très altérée, les cristaux sont lessivés et désolidarisés de leur gangue. Couleur brune orangée due à l'altération. Globule noir de quelques centimètres de long. Le bloc repose sur de l'orthogneiss fin, lité avec des lits plus grossiers, de quartz-feldspath imbriqués, parfois pegmatitique et toujours concordant au litage et avec les filonnets de biotite. Bloc extrêmement altéré, fracturé et fissuré jusqu'au coeur, complètement lessivé. Couleur rouille orangeâtre-brunâtre. Environ 1m³.	Granite	rose					100-150	200		1	CG-06-36-01		CG-06-36-01					

705544

No station	Extant (Nad83 - Zone 20)	Nordant (Nad83 - Zone 20)	Bloc ou Affleurement	Description lithologique	Lithologie A	Couleur A	Lithologie B	CouleurB	Lithologie C	CouleurC	Radiométrie Bruit de fond (cps)	Radiométrie maximum (cps)	Radiométrie anomalie (cps)	Photo	Échantillon	Lames minces: Petite (P) et Polie (Po)	Analyses chimiques	Témoin	Structure	Azimuth	Pendage	Caractéristiques
CG-06-36-02	363864	6559206	affleurement	Granite rose à grain fin, localement pegmatitique, riche en biotite. Quartz et feldspath à grain fin à moyen. Grande dimension (plusieurs dizaines de mètres). Quelques spots où la granulométrie est plus grossière, des portions pegmatitiques à cristaux de feldspaths potassiques principalement et quartz grisâtre à blanchâtre à translucide, imbriqués avec les feldspaths.	Granite pegmatitique	rose							500		1000	1	CG-06-36-02			CG-06-36-02				
CG-06-36-03	363519	6559138	affleurement	Granite pegmatitique rosé à cristaux de feldspaths roses potassiques et plagioclases blancs. Quartz gris à translucide imbriqué avec les feldspaths. Anomalie locale. Sur une surface de 1m² autour du pic d'anomalie, le background est à 500 chocs (SPP2). Il s'agit peut-être d'une enclave pegmatitique au sein du granite rose à grain moyen à fin. Semble assez homogène. (composition et granulométrie).	Pegmatite	rose							250		1100	1								
CG-06-36-04	363497	6559143	affleurement	Filon de pegmatite rose à phénocristaux de feldspath potassique et quartz gris bien cristallisé. Surtout des feldspaths rosés, parfois mâclés imbriqués avec des grains et cristaux de quartz gris à translucide, légèrement teintés et altérés en surface, parfois fissurés. Anomalie très locale proche d'une diaclase ou des cristaux ont quitté leur matrice.	gneiss quartzo-feldspathique	blanc							500		1400	1								
CG-06-36-05	362931	6558854	affleurement	Gneiss quartzofeldspathique lité et altéré blanchâtre, recouvert de mousses et lichens. Anomalie locale dans une zone de 4m² dont le background dépasse 500 chocs partout. Le gneiss est lité avec des filonnets de biotite bien parallèles, parfois légèrement plissés. Cristaux de feldspath altérés, avec des microfissures et diaclases. Granulométrie grossière (limite pegmatitique ≤ 1cm).	gneiss quartzo-feldspathique		Pegmatite						500		10000		CG-06-36-06	CG-06-36-06	CG-06-36-06	CG-06-36-06				
CG-06-36-06	362926	6558848	affleurement	Minces veines pegmatitiques à phénocristaux de feldspath, épidotisées, pluricentimétriques, dans un encaissant d'orthogneiss à grain moyen, lité. La pegmatite semble injectée dans des fractures de l'encaissant (les contacts sont très nets). Une de ces fractures (orientée Nord-Sud) se prolonge sur un affleurement horizontal et recoupe une paroi verticale: de nombreux phénocristaux verts (épidote et chlorite) très lessivés (matériel mou) et fissurés sont visibles. Il pourrait s'agir de gros cristaux de feldspath transformés et altérés: les minéraux n'existant plus qu'à l'état de reliques (saussuritisation des plagioclases). Également de l'hématite (altération hématitique) de couleur rougâtre remplissant les microfissures des phénocristaux de feldspath et aussi les grains de quartz fracturés et microfissurés. Molybdénite en grande proportion dans les veines de pegmatite (localement > 5%), en proportion moindre dans l'encaissant (aussi sous forme d'amas). Plusieurs spots montrent des pics d'anomalies > 3000cps, dans une zone restreinte (incluant l'encaissant et l	gneiss quartzo-feldspathique		Pegmatite	rose					200		1000									
CG-06-36-07	362612	6558902	affleurement	Anomalie sous un tapis de mousse. La roche environnante est du gneiss quartzofeldspathique lité riche en biotite avec localement des enclaves de pegmatite rosée à phénocristaux de feldspaths potassiques et plagioclases. Un pic à 1000 chocs très localement.	Pegmatite	rose	granite pegmatitique	rose					500		3100									
CG-06-36-08	362571	6558897	affleurement	Anomalie locale > 3000 cps dans une pegmatite rose à cristaux de feldspath rosé et quartz grisâtre enchevêtrés. La roche environnante est du granite rose, localement pegmatitique et du gneiss lité quartzofeldspathique. Le gneiss est riche en biotite sous forme de filonnets et montre des lits de quartz-feldspath assez fins de quelques centimètres de long. L'orthogneiss s'étend sur de larges superficies, plusieurs centaines de mètres de long, plusieurs dizaines de mètres de large.	Pegmatite	rose	orthogneiss						200		1500	1								
CG-06-36-09	361503	6558791	affleurement	Affleurement au sommet d'une colline de pegmatite rose, à phénocristaux de feldspaths potassiques rosés et quartz gris à blanc laiteux, translucide à opaque. Anomalie locale. De l'orthogneiss constitue l'encaissant avec des lits et des veines, par endroit des filons de pegmatite rose à granulométrie variable.	Paragneiss	rouille							50-100											
CG-06-37-01	360723	6545031	affleurement	Paragneiss, affleurement rouillé. Background = 50 à 100 cps. Structure S0 = N155°/80°. Grains fins.	gneiss granitique	brunâtre							100	500			CG-06-37-02				S0	155	80	
CG-06-37-02	360659	6544915	affleurement	Gneiss granitique, légèrement folié à massif. Quartz: 40%, feldspath: 3%, biotite: 30%. Grains fins à 1 à 2mm. Surface altérée brunâtre. Surface fraîche brunâtre à noirâtre. S2 = N340°/75°. Bruit de fond = 100 cps avec localement des pics à 500 cps.	Paragneiss								150								S2	340	75	
CG-06-37-03	360577	6544793	affleurement	Paragneiss. S2 = N155°/43°. Bruit de fond = 150 cps.	Paragneiss à biotite																S2	155	43	
CG-06-37-04	360488	6544710	affleurement	Paragneiss à biotite, les grains sont fins 1 à 2mm, fortement folié. Localement très riche en biotite. Localement, on peut penser à un gneiss granitique avec feldspath rose. S2 = N160°/67°.	méta arkose	blanc							250		2000						S2	160	67	
CG-06-37-05	360490	6544686	affleurement	Méta-arkose, texture pegmatitique, les feldspaths blancs sont centimétriques. Quartz: 30%, feldspath: 50%, biotite: 20%. Bruit de fond 250 cps, anomalie ponctuelle de 2000 cps.	Marbre		calco silicate		amphibolite				50			1	CG-06-37-06			CG-06-37-06				
CG-06-37-06	360489	6544671	affleurement	Marbre et calcosilicate. Petit affleurement de 2m x 5m de long, on y retrouve les deux lithologies. La roche est très altérée. Matrice carbonatée, amphibole 10% localement 5mm. Bruit de fond = 50 cps.	méta arkose		Paragneiss						200		3000									
CG-06-37-07	360478	6544651	affleurement	Méta-arkose, texture pegmatitique, les feldspaths peuvent atteindre 2 à 4cm. Contact concordant avec les paragneiss ou passées plus altérées dans les arkoses. S2 = N155°/65°. Bruit de fond = 200 cps.	Paragneiss	rouille							100								S2	155	65	
CG-06-37-08	360436	6544511	affleurement	Paragneiss, rouillé. S2 = N155°/60°. Bruit de fond = 100 cps.	Paragneiss																S2	155	60	
CG-06-37-09	360295	6544481	affleurement	Paragneiss, 3 à 5% grenats rougeâtres (almandin). S2 = N340°/75°.	Paragneiss		Pegmatite								1000-5000-10000	1	CG-06-37-10				S2	340	75	

No station	Estant (Nad83 - Zone 20)	Nordant (Nad83 - Zone 20)	Bloc ou Affleurement	Description lithologique	Lithologie A	Couleur A	Lithologie B	CouleurB	Lithologie C	CouleurC	Radiométrie Bruit de fond (cps)	Radiométrie maximum (cps)	Radiométrie anomalie (cps)	Photo	Échantillon	Lames minces: Petite (P) et Polie (Po)	Analyses chimiques	Témoin	Structure	Azimuth	Pendage	Caractéristiques
CG-06-37-10	360241	6544508	affleurement	Pegmatite, dyke de 75cm de large, N015°/50°, recoupant un paragneiss dont S2 = N350°/60°. Le paragneiss peut-être aussi une méta-arkose. Sur 25cm, on a une zone anomale de 1000 cps - 5000 cps et 10000 cps. Les grains sont bruns.	calcosilicate								1000	1	CG-06-37-11			CG-06-37-11	dyke; S2	15; 350	50; 60	
CG-06-37-11	360207	6544501	affleurement	Calcosilicate, réaction HCl. Affleurement de 10m x 20m. Structure N340°.	gneiss granitique	rose-orangé					150									N340		
CG-06-37-12	360141	6544616	affleurement	Gneiss granitique, grains fins, couleur rose à orangée. Quartz: 20%, feldspath: 60%, biotite: 20%. S2 = N350°/75°. Bruit de fond = 150 cps.	Marbre						40								S2	350	75	
CG-06-37-13	359934	6544834	affleurement	Marbre. Bruit de fond: 40 cps.	calcosilicate						150											
CG-06-37-14	359848	6544859	affleurement	Calcosilicate, grains fins, 1% diopside. Bruit de fond = 150 cps.	Marbre						40											
CG-06-37-15	359670	6544926	affleurement	Marbre, affleurement 10m x 3m. Bruit de fond = 40 cps.	Paragneiss	rouille							1300									
CG-06-37-16	359614	6544919	affleurement	Paragneiss, fortement rouillé. Anomalie de 1300 cps.	calcosilicate	brun-vert					100-150											
CG-06-37-17	359557	6544952	affleurement	Calcosilicate, couleur brunâtre à verdâtre. Bruit de fond: 100 à 150 cps.	Granite						100			1	CG-06-37-18			CG-06-37-18				
CG-06-37-18	359473	6544902	affleurement	Granite, massif à légèrement folié, grains moyens, feldspaths. Passée migmatisée ± 50cm. Grains moyens à grossiers. Quartz: 50%, feldspath: 30%, biotite: 20%. Bruit de fond = 100 cps.	gneiss granitique																	
CG-06-37-19	359150	6544763	affleurement	Gneiss granitique avec passées pegmatitiques.	gneiss granitique						75				CG-06-37-20			CG-06-37-20				
CG-06-37-20	358388	6544555	affleurement	Gneiss granitique, grains moyens, riche en quartz. Bruit de fond = 75 cps. S2 = N043°/75°.	Paragneiss														S2	43	75	
CG-06-37-21	358020	6544481	affleurement	Paragneiss.	gneiss granitique																	
CG-06-37-22	357877	6544415	affleurement	Gneiss granitique.	gneiss granitique																	
CG-06-37-23	357777	6544365	affleurement	Gneiss granitique.	Orthogneiss		Pegmatite	rose			125-150			1								
CG-06-38-01	369576	6560922	affleurement	Orthogneiss lité avec des lits de quartz-feldspath et des filonnets fins de biotite. Quelques plissements. Quelques enclaves de pegmatite rose à feldspath potassique et plagioclase mâclé et quartz gris à translucide cristallin imbriqués.	Orthogneiss		Pegmatite	rose			75-100			1								
CG-06-38-02	369225	6560810	affleurement	Des veines pegmatitiques déformées au sein d'orthogneiss. Phénocristaux de feldspaths rosés et blanchâtres imbriqués. Quartz gris clair à un peu plus foncé. Quelques amas de biotite noire en feuillets.	Pegmatite	blanc-vert					200-500		1600		CG-06-38-03			CG-06-38-03				
CG-06-38-03	368808	6560829	affleurement	Système de veines très nombreuses injectées dans les fractures et fissures. Veines de pegmatite riche en feldspaths blancs et verdâtres (épidotisés) et en quartz. Les veines forment un réseau. La roche est lessivée, semble être très fracturée. Des diaclases de quelques millimètres d'épaisseur renfermant du matériel quartzofeldspathique. Aspect général rosé à rose saumon. De petits lits de quartz-feldspath rose dans un encaissant constitué par de l'orthogneiss lité et localement du granite gneissique.	Marbre calcitique		Pegmatite	blanc			50-150	500		1								
CG-06-38-04	368745	6560822	affleurement	Enclaves de quelques mètres de long de marbre calcitique dans des pegmatites en veines très nombreuses blanchâtres riche en quartz gris à blanchâtre, opaque à translucide. Marbre pur, parfois lité avec des minéraux altérés jaunâtres formant des bandes de minéraux brunâtre-jaunâtres (> 10% dans la roche).	gneiss pegmatitique						500		1000									
CG-06-38-05	367866	6560908	Bloc	Blocs de gneiss à grain moyen avec de fins litages. Aussi bloc de granite, pegmatitique localement, couleur rose saumon. Anomalie très locale. Blocs de 1m³ chaque. Les lits des granites gneissiques sont plissés. Des filonnets fins de biotite noire bien parallèles parfois plissés légèrement. Les roches environnantes ressemblent à des gneiss quartzofeldspathiques lités avec des lits, des veinules et des veines concordantes de matériel pegmatitique et granitique, quartz-feldspath et biotite en proportion variable.	Pegmatite	blanche					100-150										
CG-06-38-06	367459	6561090	affleurement	Granite blanc à granulométrie moyenne très riche en feldspaths plagioclases blancs (60-70%). Quartz gris. Roche très altérée, cristaux désolidarisés et libérés de leur matrice.	Paragneiss						100											
CG-06-39-01	351004	6558600	affleurement	Paragneiss massif (affleurement au bord du lac) riche en quartz, très peu de biotite, peu rouillé. S2 135-75.	Paragneiss à grenat et biotite						120								S2	135	78	
CG-06-39-02	351088	6558663	affleurement	Paragneiss à grenat biotite (15%), foliation assez frustre, très résistant à l'érosion à cause du contenu en quartz. S2 138-85.	Paragneiss à grenat et biotite						120								S2	138	85	
CG-06-39-03	351180	6558798	affleurement	Idem à CG-06-39-02	Paragneiss à grenat et biotite						120											
CG-06-39-04	351180	6558796	affleurement	Idem à CG-06-39-02	Paragneiss à grenat et biotite						120											
CG-06-39-05	351182	6558799	affleurement	Paragneiss idem à précédent (CG-06-39-04) mais 10% leucosome centimétrique-décimétrique blanc, plus déformé, plus en poisson et plissoté. Déformation plus intense. S2 180-65.	Paragneiss à grenat et biotite						115								S2	180	65	
CG-06-39-06	351223	6558867	affleurement	Paragneiss idem (CG-06-39-05). S2 120-75.	Marbre						40								S2	120	75	
CG-06-39-07	351295	6558932	affleurement	Depuis dernier affleurement, marbre. Marbre, variété antidérapante / lité. Toute la vallée du lac sans la topographie, bande de marbre. S2 125-65.	Paragneiss						120								S2	125	65	
CG-06-39-08	351350	6559021	affleurement	Paragneiss, la couverture de marbre peu épaisse, fond synforme plongeant sous le lac, discordance. Pas de pegmatite. Linéation de axe sur falaise 130-15. S2 165-75.	Paragneiss		pegmatite	orange			125-900								axe; S2	130; 165	15; 75	
CG-06-39-09	351438	6559055	affleurement	Paragneiss avec 25% pegmatite orange. Colline (en paragneiss), vallée (bloc + marbre). S2 325-78.	pegmatite	rose					200		1500-1650-1250		CG-06-39-10A-B			39-10A-B	S2	325	78	
CG-06-39-10	351435	6559035	affleurement	Dans granite rose, grain 1-2cm. Anomalie, passée de pegmatite rosé - point. 1300 SSPGamma, blocs 2m³ 1500 SSPGamma, 1650 SSPGamma, 1250 SSPGamma. Tous les blocs sub en place de 2m x 2m. Les fractures irrégulières, fond 400 → 1650. Le granite rose-rouge parfois folié, parfois pegmatitique, parfois veinules de quartz.	pegmatite						200											

705544

No station	Estant (Nad83 - Zone 20)	Nordant (Nad83 - Zone 20)	Bloc ou Affleurement	Description lithologique	Lithologie A	Couleur A	Lithologie B	CouleurB	Lithologie C	CouleurC	Radiométrie Bruit de fond (cps)	Radiométrie maximum (cps)	Radiométrie anomalie (cps)	Photo	Échantillon	Lames minces: Petite (P) et Polie (Po)	Analyses chimiques	Témoin	Structure	Azimuth	Pendage	Caractéristiques
CG-06-39-11	351524	6559021	affleurement	Affleurement idem aux blocs ci-dessus (CG-06-39-10). Foliation rare et frustre. Fracture 85-75, longueur > 10m, fréquence < 0,2. Fracture 50-25, longueur ?, fréquence 2/m. Fracture 320-90, longueur > 5m, vert, fréquence 3/m. Fracture 30-78, longueur > 5m, fréquence 4/m.	Granite	rose					95			1					fract; fract; fract; fract	85; 50; 320; 30	75; 25; 90; 78	
CG-06-39-12	351638	6559001	affleurement	Le granite rose passe à du granite folié (cf. photo) où la foliation est marquée parfois pas de la biotite et souvent par des bandes centimétriques riches en quartz, simili quartzite. Localement très fracturé mais ailleur assez massif comme sur la photo. Inombrable point à 500 cps.	Orthogneiss granitique						100											
CG-06-39-13	351848	6559026	affleurement	Même composition, même couleur mais très folié. Orthogneiss granitique à biotite et amphibole. S2 = 340-80. Passage graduel du granite vers du granite folié puis de l'orthogneiss granitique.	Orthogneiss		amphibolite				90								S2	340	80	
CG-06-39-14	352006	6559010	affleurement	Orthogneiss, enclave d'amphibolite. S2 = 180-40.	Orthogneiss						90								S2	180	40	
CG-06-39-15	352050	6559031	affleurement	Orthogneiss (falaise et montée) S2 = 345-70.	Orthogneiss						120								S2	345	70	
CG-06-39-16	352371	6559058	affleurement	Redevient plus massif, colline. Pas de S2.	Orthogneiss						90											
CG-06-39-17	352743	6558967	affleurement	Orthogneiss à nouveau au top et de ce côté de colline.	pegmatite	blanche					150											
CG-06-39-18	352847	6559153	affleurement	Orthogneiss S2 = 320-80. Anomalie 1600. Pegmatite blanche, bloc 3m x 3m, ne vient pas de loin. Point isolé.	Orthogneiss granitique						70			1					S2	320	80	
CG-06-39-19	352961	6559007	affleurement	Orthogneiss très granitique. S2 135-80.	Paragneiss	rouille	granite pegmatitique	blanche			250								S2	135	80	
CG-06-40-01	364096	6545618	affleurement	Paragneiss rouillé avec un background élevé. Des enclaves de granite pegmatitique blanchâtre, à cristaux de feldspath-quartz imbriqués. 150 c/s en background pour les enclaves de granite blanchâtre riches en quartz gris avec aussi quelques grenats. Les granites s'étendent sur le sommet d'une colline. Ils forment des filons plus compétents que les roches environnantes.	Paragneiss	rouille	granite pegmatitique	blanche			150			1								
CG-06-40-02	363335	6545580	affleurement	Paragneiss rouillé lité, à grain fin contenant des enclaves de granite pegmatitique blanc, sous forme de petits nodules. Le paragneiss renferme des grenats.	Paragneiss	rouille					200											
CG-06-40-03	363020	6545753	affleurement	Affleurements de grandes dimensions, de paragneiss lité, fin, légèrement déformé et riche en grenats. Des veines déformées aux contacts diffus, pas très longues, très riche en quartz de différentes sortes: gris, blanchâtre, laiteux à opaque. Nombreux filonnets de biotite plissés. Enclaves étirées surtout composées de quartz, veinules, boudins (< 1m étirés).	Paragneiss		quartz				150			1								
CG-06-40-04	362519	6546022	affleurement	Affleurement de paragneiss lité, fin et déformé, avec de fins lits et filonnets de biotite. De petites veines de quartz sporadiques. Veinules avec des grenats, parfois centimétriques Nombreux blocs de gneiss lité, très rouillé, débit en strates, en plaquettes, aussi des blocs de granite rose (rose saumon) riche surtout en cristaux de feldspath, parfois légèrement pegmatitique (< 5% des granites). Aussi des blocs de granite gneissique quartzofeldspathique lité.	Granite	rose					75			1								
CG-06-40-05	362301	6546163	Bloc	Bloc de granite rose avec des pépites de magnétite. Faible activité. Bloc arrondi, constitué de feldspaths roses, potassiques et plagioclases et quartz mal cristallisé à amorphe, imbriqués ensembles. Aspect rosâtre blanchâtre.	Paragneiss	rouille	quartz				200											
CG-06-40-06	362164	6546166	affleurement	Affleurement de paragneiss rouillé, lité de grande dimension. Des veines de quartz nombreuses. Surtout quartz amorphe blanchâtre laiteux constitue les veines. Nombreux grenats, dont un de plus de 3cm de diamètre. Aussi filonnets de biotite altérée. Des veinules blanchâtres très fines aux contacts diffus.	gneiss	rouille					150			1								
CG-06-40-07	361803	6545948	Bloc	Gros blocs de gneiss rouillé lité, décrochés d'une paroi. Un bloc montre au moins 50% de grenats (~1cm de diamètre). Blocs de quartz à grenats (méta-arkose ?). Petites enclaves de granite pegmatitique riche en feldspath plagioclase et quartz blanc-laiteux.	Granite pegmatitique	rose-blanc					100			1								
CG-06-40-08	361630	6545911	affleurement	Au sommet d'une petite colline: affleurement de 20 mètres de long de granite pegmatitique rosé à blanchâtre, à phénocristaux de feldspath rosé et blanchâtre montrant des facettes. Surtout riche en feldspaths lessivés et désolidarisés de leur matrice. Pourrait être une veine ou un filon qui intrude des paragneiss lités et déformés d'aspect rouillé, rougeâtre-orangé. Le filon de granite pegmatitique est altéré, les cristaux sont blancs sur leur face la plus exposée. La couleur des mousses et de la matière organique donne un aspect gris foncé. On aperçoit parfois des phénocristaux : quartz gris cristallin et feldspath grossier rose saumon. Enclaves (petites) de granite rose à grain fin.	Paragneiss	rouille	quartz	blanc			150-200			1								
CG-06-40-09	361471	6545770	affleurement	Affleurement de paragneiss lité, lits plissés riches en biotite rouillée, altérée et aussi des lits de quartz blanc amorphe à bien cristallisé. Nombreux filonnets de quartz blanc formant des ondulations et des plis avec les lits et filonnets très fins de biotite rouillée. Aussi de plus larges veines (1 mètre de large au maximum) de quelques mètres de long qui sont toutes concordantes avec le litage et les foliations du paragneiss.	gneiss	rouille	Pegmatite	rose-blanc			125											
CG-06-40-10	361110	6545761	affleurement	Affleurement de gneiss lité rouillé, avec de légers plissements. Des veines ou lits de cristaux à granulométrie moyenne à grossière blanchâtre, rosâtre (limite pegmatitique < 1cm) avec aussi de nombreux et fins filonnets de biotite. Aussi des grains moyens de quartz blanc opaque à gris translucide et des feldspaths altérés.	gneiss		quartz	blanc			125			1								
CG-06-40-11	361030	6546392	affleurement	Affleurement de paragneiss lité. Lits mafiques très fin de biotite, plus des veines de quartz et des lits felsiques en alternance. Nombreux grenats dans les veines et nodules, les lits de quartz sont à granulométrie plus grossière et accompagnés de cristaux de feldspaths altérés, blanchâtres, grisâtres parfois microfissurés et hématisés (altération hématitique).	gneiss	rouille	quartzo-feldspathique	blanc			150			1								

No station	Estant (Nad83 - Zone 20)	Nordant (Nad83 - Zone 20)	Bloc ou Affleurement	Description lithologique	Lithologie A	Couleur A	Lithologie B	CouleurB	Lithologie C	CouleurC	Radiométrie Bruit de fond (cps)	Radiométrie maximum (cps)	Radiométrie anomalie (cps)	Photo	Échantillon	Lames minces: Petite (P) et Poile (Po)	Analyses chimiques	Témoin	Structure	Azimuth	Pendage	Caractéristiques
CG-06-40-12	360826	6546755	affleurement	Affleurement en haut d'une crête (suivant la foliation depuis CG-06-40-11) de gneiss lité, rouillé avec des veines de toutes les dimensions concordantes et très nombreuses de quartz et/ou feldspaths altérés blancs et des lits de biotite rouillés alternant avec des lits felsiques surtout composés de quartz-feldspath imbriqués, cristallin à granulométrie moyenne. Remarque: en allant vers la baie de Keglo le long des crêtes, on aperçoit d'autres réseaux de lits et veines larges concordantes, de minéraux felsiques et toujours parallèles et au sommet des crêtes.	Orthogneiss granitique	gris-noir						20-250			1							
CG-06-41-01	367488	6565897	affleurement	Orthogneiss granitique, grains moyens à fins, couleur grise à noirâtre. Quartz: 40%, feldspath: 30%, biotite: 30% (0,2mm en moyenne pour quartz-feldspath-biotite). Rubannement de la biotite. Non magnétique. S2 = N150°/75°. Petit boudin de pegmatite de 20cm, rose, 1cm les feldspaths. Back ground à 50 cps et 250 cps dans les passées pegmatitiques.	Orthogneiss granitique	gris-noir	amphibolite	noir			40				CG-06-41-02			CG-06-41-02	S2	150	75	
CG-06-41-02	367572	6565835	affleurement	Dyke d'amphibolite (sill), grains fins 1 à 2mm. Amphiboles noires = 80%, feldspath = 20%. Légèrement à moyennement magnétique, non minéralisé. Direction N140°/90°, sub-concordante. SPP2 = 40 cps, épaisseur 75cm.	Orthogneiss granitique	rose					500		1000								
CG-06-41-03	367677	6565727	affleurement	Orthogneiss granitique, texture pegmatitique. Feldspaths roses 2cm, anomalie ponctuelle. Bruit de fond = 500 cps.	Orthogneiss granitique	rose-gris					100			1								
CG-06-41-04	367695	6565695	affleurement	Orthogneiss granitique, localement migmatisé et plissé. Passées pegmatitiques, couleur rose / gris. S0 = N323°/72°. Bruit de fond = 100 cps.	Orthogneiss granitique	rose-gris					120								S2	323	72	
CG-06-41-05	367727	6565763	affleurement	Orthogneiss granitique, texture pegmatitique, couleur rose. Feldspath: 60% (1 à 2 cm), quartz: 20% (0.5cm ou moins), biotite 20% (1mm à 1cm). Bruit de fond: 120 cps.	Orthogneiss granitique	rose-orange								1								
CG-06-41-06	368042	6565567	affleurement	Orthogneiss granitique, texture pegmatitique. feldspaths rosés à orangés, les plus gros atteignent 5cm.	Orthogneiss granitique																	
CG-06-41-07	368171	6565466	affleurement	Orthogneiss granitique, quelques passées pegmatitiques.	Orthogneiss granitique	rose-orange					300-400		1000-2500		CG-06-41-08	CG-06-41-08(P)	CG-06-41-08	CG-06-41-08				
CG-06-41-08	368504	6565378	affleurement	Orthogneiss granitique, texture pegmatitique, couleur rosé à orangée sur 10cm. Le bruit de fond varie entre 500 et 1000 cps. S2 = N324°/60°. Bruit de fond = 300 à 400 cps.	Orthogneiss granitique	rose-orange					500		2700						S2	324	60	
CG-06-41-09	368616	6565326	affleurement	Orthogneiss granitique à texture pegmatitique. Rosé / orangé. Bruit de fond: 500 cps.	Pegmatite		quartz															
CG-06-41-10	368683	6565160	affleurement	Veine de quartz, 10cm de large, recoupant pegmatite. N270°/90°. Non minéralisée.	Orthogneiss granitique						500		1000-3500-5000						contact	270	90	
CG-06-41-11	368677	6565212	affleurement	Orthogneiss granitique, texture pegmatitique, sur 50cm = 1000 cps, à 3 mètres = 3500 cps dans le sens de la foliation.	Orthogneiss granitique																	
CG-06-41-12	368701	6565172	affleurement	Orthogneiss granitique, variation des faciès pegmatitiques et grains moyens.	Orthogneiss granitique						150		1000									
CG-06-41-13	368715	6565136	affleurement	Orthogneiss granitique, texture pegmatitique. Bruit de fond = 150 cps.	Orthogneiss granitique						300-500		1500		CG-06-41-14			41-14				
CG-06-41-14	368770	6565043	affleurement	Orthogneiss granitique, variation des faciès, grains moyens et pegmatitiques. Sur 5m, on a 2 anomalies de 1500 cps. Bruit de fond = 300 à 500 cps.	Orthogneiss granitique								1500									
CG-06-41-15	368804	6565025	affleurement	Orthogneiss granitique, texture pegmatitique.	Granite																	
CG-06-42-01	371313	6561036	affleurement	Granite rose massif à gris sans foliation nette mais frustre. S2 140-45. Fracture N50-85.	Granite	rose					175	300							S2; fract	140; 50	45; 85	
CG-06-42-02	371247	6561028	affleurement	Plus folié mais même granite sans pegmatite. Fracture entre 250-300 cps. Fracture N180-90, fracture N60-90 conjuguée. S2 135-45. Fracture quartz, épaisseur 10cm N48-90.	Granite	rose					250	400		1					fract; fract; S2; S2	180; 48; 340; 270	90; 90; 45; 90	
CG-06-42-03	371159	6561230	affleurement	Ruisseau. Idem (CG-06-42-02) S2 80-90, 350-70, 340-45. 270-90 fréquence - 10/m. Photo vers W. Radiométrie: 400 cps sur fracture.	Granite	orange					300								S2; S2	80; 350	90; 70	
CG-06-42-04	371177	6561265	affleurement	Idem (CG-06-42-03), Mais hématisation pénétrative orange. S2 145 65.	Granite	orange													S2	145	65	
CG-06-42-05	371095	6561428	affleurement	Idem (CG-06-42-04) folié et massif, toujours orange.	Granite		orthogneiss				175											
CG-06-42-06	370918	6561721	affleurement	Granite et orthogneiss (foliation). Aucune enclave, aucune pegmatite. S2 120-40. Fracture faille ici.	Orthogneiss						170		1000						S2	120	40	
CG-06-42-07	370734	6562042	affleurement	Orthogneiss, sur fracture 400-1000 cps, fracture N330-60. Anomalie 1000 au SPP2, 950 au SPPGamma.	Orthogneiss						300								fracture	330	60	
CG-06-42-08	370538	6562386	affleurement	Orthogneiss, hématisation et riche en quartz. S2 ?	Paragneiss à biotite		orthogneiss				60											
CG-06-42-09	370592	6562477	affleurement	Mélange de paragneiss à biotite dans orthogneiss en lits décimétrique très plissés. Puissante hématisation orange, quartz très blanc mais radioactivité très basse.	Paragneiss à biotite		orthogneiss				60											
CG-06-42-10	370481	6562741	affleurement	Idem à CG-06-42-09, hématisation puissante mais plissoté. Aucune veine, fracture faible.	Marbre		Paragneiss à biotite		orthogneiss		50	70										
CG-06-42-11	370409	6562806	affleurement	Marbre, mince affleurement, ± en place. Le paragneiss / orthogneiss hématisé est tout près en dessous. Dans paragneiss, S2 145-45, très net. Pegmatite blanche 5m x 5m, perturbant la foliation.	Orthogneiss	orange	marbre				60								S2	145	45	
CG-06-42-12	370421	6562924	affleurement	Orthogneiss orange déjà de retour, le marbre est pelliculaire.	Marbre		orthogneiss				60			1								
CG-06-42-13	370392	6563046	affleurement	Marbre pelliculaire. Photo en avant plan du marbre et en arrière plan de l'orthogneiss orange. Contact non observable. On traverse des paragneiss à pegmatite.	Marbre						50											
CG-06-42-14	370233	6563128	affleurement	Marbre, toujours petite lentille (< 30m de large) de marbre entre les paragneiss.	Granite						200		1250-1000									
CG-06-42-15	370062	6563262	affleurement	Granite de CG-06-42-01 à CG-06-42-04, folié. Sur fracture 375 cps à 700 cps. 2 anomalies 1250 cps et 1000 cps sur fissure irrégulière, ponctuelle. Spetromètre (1er test) = 1) U: 22.4, Th: 300.3, K: 4.4, 2) U: 26.7, Th: 318.3, K: 3.4, 3) U: 17.2, Th: 322.9, K: 4.5.	Granite						250		1000-1000									
CG-06-42-16	369972	6563347	affleurement	Granite, anomalie 2 fois 1000 cps. Spetromètre (2e test) (CG-06-42-16) = 1) U: 19.3, Th: 363.9, K: 1.9, 2) U: 19.3, Th: 380.6, K: 3.0, 3) U: 19.0, Th: 378.9, K: 2.0. Spetromètre (CG-06-42-16-A1) = 1) U: 12.6, Th: 460.8, K: 2.7, 2) U: 6.6, Th: 509, K: 3.9, 3) U: 12.6, Th: 507.8, K: 1.9.	Paragneiss		Marbre															
CG-06-42-17	370080	6563597	affleurement	Plus belle bande de marbre encavée entre paragneiss à pegmatite blanche en lentille et granite rougeâtre (thorifère) massif. Les marbres ont peu de pegmatite blanche. S2 = 300-45. Conclusion: Lambeaux de marbre sur le flanc, probable que le fond de la vallée glaciaire était du marbre.	Paragneiss à biotite						70											

705544

No station	Estant (Nad83 - Zone 20)	Nordant (Nad83 - Zone 20)	Bloc ou Affleurement	Description lithologique	Lithologie A	Couleur A	Lithologie B	CouleurB	Lithologie C	CouleurC	Radiométrie Bruit de fond (cps)	Radiométrie maximum (cps)	Radiométrie anomalie (cps)	Photo	Échantillon	Lames minces: Petite (P) et Polie (Po)	Analyses chimiques	Témoin	Structure	Azimuth	Pendage	Caractéristiques
CG-06-43-01	353049	6476247	affleurement	Paragneiss, très altéré, très riche en biotite, grains fins. Bruit de fond = 70 cps.	Paragneiss à biotite	rouille					70											
CG-06-43-02	353079	6476219	affleurement	Paragneiss, fortement rouillé, grains fins. Biotite 50% (1mm), feldspath 30% (1mm), quartz 20% (1mm à 3mm). Non magnétique, non minéralisé. S2 = 300°/52°. Bruit de fond = 700 cps.	Paragneiss		Pegmatite				150-200			1	CG-06-43-03			CG-06-43-03	S2	300	52	
CG-06-43-03	353016	6476117	affleurement	Dyke de pegmatite, recoupant le paragneiss, 3 mètres de large. Situé sur le côté est de la rivière. Contact est incertain N170°. La pegmatite est caractérisée par de la muscovite de 0.5mm à 1cm (rare). Bruit de fond = 150 cps à 200 cps.	Paragneiss		méta arkose						1300									
CG-06-43-04	348532	6473290	affleurement	Prêt de la faille Daniel, contact entre les paragneiss à l'ouest et les méta-arkoses à l'est. Anomalie de 1300 cps dans les méta-arkoses à 2m du contact N010°/40°.	Quartzite	blanc					80								contact	10	40	
CG-06-43-05	348621	6473620	affleurement	Quartzite, 90% de quartz, blanchâtre. Bruit de fond = 80 cps.	méta arkose																	
CG-06-43-06	348611	6473649	affleurement	Méta-arkose, foliation dure à prendre car la texture de la roche est comme massive? (S2 = N170°/33°).	méta arkose														S2	170	33	
CG-06-43-07	348783	6474013	affleurement	Méta-arkose, 100m du lac.	méta arkose						100-200		2100									
CG-06-43-08	348683	6474028	affleurement	Méta-arkose, anomalie ponctuelle. Bruit de fond 100 à 200 cps.	méta arkose								1350									
CG-06-43-09	348657	6474159	affleurement	Méta-arkose, structure parait massive.	Granite						300											
CG-06-43-10	348749	6474266	affleurement	Granite à grains fins, 1mm à 3mm, quartz: 40%, feldspath: 40%, biotite: 20%. Passées gneissiques semblent être une fenêtre sur l'Archéen. S2 = N315°/65°. Traversé par des dykes d'aplite. N240°/90°. Bruit de fond = 300 cps.	Quartzite						110								S2; contact	315; 240	65; 90	
CG-06-43-11	348787	6474295	affleurement	Quartzite. Bruit de fond = 110 cps.	méta arkose						150											
CG-06-43-12	348817	6474345	affleurement	Méta-arkose. Bruit de fond = 150 cps.	Quartzite						100											
CG-06-43-13	348828	6474398	affleurement	Quartzite, bord du lac. Bruit de fond = 100 cps.	Granite																	
CG-06-43-14	348724	6474439	affleurement	Granite, idem à la station CG-06-43-10.	méta arkose								1400									
CG-06-43-15	348686	6474391	affleurement	Méta-arkose, 2 anomalies de 1400 cps et 1050 cps sur 1.5 mètres.	gneiss à biotite		Pegmatite	rose			200-300		1250-2000-2500									
CG-06-44-01	350018	6476293	affleurement	Veine pegmatitique déformée, altérée. Phénocristaux imbriqués de feldspaths rosés et quartz. Microfissures. Forme un relief par rapport à l'encaissant recouvert de végétation. Plusieurs zones > 1000 cps le long de la veine. L'encaissant pourrait être du gneiss lité : on aperçoit proche du contact de fins filonnets et lits parallèles rouillés, possiblement des lits de biotite. Nombreux blocs aux alentours : du gneiss quartzofeldspathique lité, déformé, fin, un autre type de gneiss lité rouillé et riche en biotite altérée. Les veines pegmatitiques semblent concordantes avec les foliations de l'encaissant.	Paragneiss	rouille					200-400		1250						S2	286	60-70	
CG-06-44-02	349381	6476540	affleurement	Affleurement de paragneiss rouillé, lité avec des veines blanchâtres concordantes au litage. L'aspect général est rouillé, lessivé, la roche est fracturée. Anomalie ponctuelle impossible de discerner si elle est dans les veines ou dans l'encaissant (soit le paragneiss lité, rouillé).	gneiss		granite pegmatitique	rose			500		2000	1										
CG-06-44-03	349296	6476589	affleurement	Veine de granite pegmatitique rose dans des gneiss lités, plissés, altérés. Veine fracturée. L'anomalie est locale, la plus forte au niveau de la rencontre de 2 diaclases altérées noires à mates à grises foncées. Autres veines pegmatitiques altérées aux alentours.	gneiss à biotite	rouille	Pegmatite	rose	quartz	gris	400		1250		CG-06-44-04							
CG-06-44-04	348942	6476416	affleurement	Veines pegmatitiques globules et amas riches en quartz. Grande dimension. Quartz gris translucide à gris verdâtre. Grains moyens à grossiers, parfois amorphe. Des enclaves litées de gneiss à biotite altéré, rouillé. Fracture. Altération de surface grise-noirâtre mate. Quelques enclaves et nodules avec une plus grande proportion de feldspaths. Échantillon riche en amas de biotite. Grains de taille pegmatitique.	Quartzite ou méta arkose		gneiss	rouillé			100-300		1500-4000	1										
CG-06-44-05	348857	6476280	affleurement	Affleurement de quartzite ou méta-arkose à grain fin à moyen. Large système de veines, fracturées, altérées, plissées. Quartz amorphe gris clair à cristallin, grisâtre, blanchâtre. Affleurement de plusieurs dizaines de mètres. Peu homogène, des enclaves de gneiss rouillées à biotite.	Quartzite ou méta arkose								1000-9000		CG-06-44-06							
CG-06-44-06	348852	6476215	affleurement	Affleurement de méta-arkose très riche en quartz. Cristaux grossiers à moyens, gris fumés, éclat terne, cristaux translucides, blanchâtres. Aussi cristaux rosés altérés jaunâtres, peut-être des feldspaths. Nombreuses fractures assez rectilignes.	Quartzite ou méta arkose						500		2000											
CG-06-44-07	348929	6475896	affleurement	Quartzite finement grenue. Altération en hématite dans les fissures. Genre de veines de différentes couleurs. Structure fluidale. Très fracturée. Diaclases et cassures rectilignes nettes.	méta arkose	blanc					200-500		1000	x								
CG-06-44-08	348908	6475786	affleurement	Affleurement de méta-arkose remplie de diaclases et traversée par de nombreuses fractures. Blanchâtre, rougeâtre-rosâtre, jaunâtre. Les fractures et diaclases forment des patrons rectilignes et parallèles, elles sont assez rapprochées les unes des autres. Anomalie très locale, bruit de fond assez élevé sur des zones étendues. Granulométrie très fine (quartz aphanitique localement)	Paragneiss	rouille	pegmatite	blanche			A)125 B)100			x								
CG-06-45-01	362014	6546217	affleurement	Paragneiss rouillé à biotite (grenat, boudiné). Pegmatite blanche en lentille irrégulière et discordante, boudinée < 15%. S2 145-35.	Paragneiss	rouille	pegmatite	blanche			A)130 B)110			x					S2	145	35	
CG-06-45-02	362049	6545904	affleurement	Idem (CG-06-45-01) Paragneiss. Pegmatite blanche (< 15%) boudinée. S2 160-50.	Paragneiss	rouille	pegmatite	blanche			A)130 B)110								S2	160	50	
CG-06-45-03	361894	6545770	affleurement	Idem (CG-06-45-02) Pegmatite blanche < 10%. S2 = 160-80.	Paragneiss	rouille	pegmatite	blanche			A)130 B)110			x					S2	160	80	
CG-06-45-04	361793	6545795	affleurement	Idem (CG-06-45-03) S2 165-80.	Paragneiss	rouille	pegmatite	blanche			A)130 B)110								S2	165	80	
CG-06-45-05	361740	6545455	affleurement	Idem (CG-06-45-04) S2 000-80.	pegmatite	blanche	Paragneiss				100								S2	0	80	
CG-06-45-06	361572	6545503	affleurement	Pegmatite blanche formant un sommet de colline, longueur > 100m, largeur > 30m, épaisseur ? S2 340-80. Dans l'unité de paragneiss. Autrement forte majorité paragneiss.	pegmatite	blanche													S2	340	80	
CG-06-45-07	361429	6545380	affleurement	Les affleurements sont sur les pegmatites blanches, longueur 30m, largeur 10m, épaisseur ?	Marbre		pegmatite	blanche			A)80 B)500		6500									

No station	Estant (Nad83 - Zone 20)	Nordant (Nad83 - Zone 20)	Bloc ou Affleurement	Description lithologique	Lithologie A	Couleur A	Lithologie B	CouleurB	Lithologie C	CouleurC	Radiométrie Bruit de fond (cps)	Radiométrie maximum (cps)	Radiométrie anomalie (cps)	Photo	Échantillon	Lames minces: Petite (P) et Polie (Po)	Analyses chimiques	Témoin	Structure	Azimuth	Pendage	Caractéristiques
CG-06-45-08	361412	6545354	affleurement	Marbre, longueur ?, largeur ?, épaisseur 4m. S2S1S0 145-65. Pegmatite blanche à biotite > 3cm, anomalie 6500 (SPPGamma) dans la pegmatite coiffée sur le marbre. Produits jaunes autour de 4 grains isolés noirs, style magnétite. La lentille de pegmatite est d'une longueur de 10m x 5m.	Marbre						150								S2-S1-S0	145	65	
CG-06-45-09	361459	6545166	affleurement	Marbre, épaisseur > 10m (sub-affleurement se perd dans glaciaire, blocs) incluant passée dolomitique ± calcosilicatée. S0S1S2 N360°/90°.	Marbre		pegmatite	blanche			150								S2-S1-S0	360	90	
CG-06-45-10	361468	6545092	affleurement	Marbre dans pegmatite blanche en copeau ± paragneiss à texture quasi mylonitique. Épaisseur < 2m mais affleure mal.	Marbre						90			x								
CG-06-45-11	361506	6544967	affleurement	Marbre, épaisseur < 2m. Affleure mal. Attention, plusieurs copeaux < 2m séparés par pegmatite. S2 000-90.	Marbre		pegmatite				150		27000						S2	0	90	
CG-06-45-12	361545	6544854	affleurement	Pegmatite. Marbre en 3 lentilles. Anomalie 27000 (SPPGamma). Produits jaunes, sur cristaux en rosace. Spectromètre: 1) U: 5370.1, Th: 1742.7, K: 51.4, 2) U: 5405.9, Th: 1648.0, K: 49.0, 3) U: 5312.0, Th: 1503.0, K: 49.1. À environ 15m à l'ouest, paragneiss.	Marbre						100			x	CG-06-45-12, CG-06-45-12A-C	CG-06-45-12(Po)	45-12, 45-12A	45-12C				
CG-06-45-13	361588	6544750	affleurement	Caverne dans marbre. Sol à > 100 cps, rappelé le secteur en bas de Sing sing.	pegmatite						90	120	1260									
CG-06-45-14	361605	6544686	affleurement	Anomalie 1260 dans pegmatite. On suit les cavernes de marbre.	pegmatite						110		1500									
CG-06-45-15	361652	6544585	affleurement	Anomalie 1500 (SPPGamma) (sur un bloc 2m x 0.5m de pegmatite déformée). Sur le bord d'un lac qui ressemble à CAGE, en plus petit.	Marbre		pegmatite	blanche			100		7100									
CG-06-45-16	361660	6544445	affleurement	Anomalie 1800 (SPPGamma) point (sur enclave de 4cm x 4cm de marbre dans pegmatite) sur affleurement de pegmatite blanche à 20cm du marbre. Anomalie 7100 (SPPGamma) (à 15m) enclave et marbre à 2cm. S2 335-75. Remarque de fin de traverse: les paragneiss côté W ont une texture protomylonitique à vérifier.	méta arkose		Pegmatite				150								S2	335	75	
CG-06-46-01	362441	6543674	affleurement	Alternance de paragneiss et méta-arkose. S2 = N360°/57°. Contact semble N340°. Bruit de fond = 150 cps.	Paragneiss						125								S2	360	57	
CG-06-46-02	362481	6543599	affleurement	Paragneiss. Bruit de fond = 125 cps. S2 = N335°/ ?	Paragneiss	noirâtre-grisâtre								3	CG-06-46-03			CG-06-46-03	S2	335	?	
CG-06-46-03	362631	6543544	affleurement	Paragneiss, grains fins (± 1mm), biotite: 40%, feldspath: 30%, quartz: 30%. Localement 1% grenats. Couleur noirâtre à grisâtre. La roche alterne souvent entre des passées de méta-arkose.	méta arkose		Pegmatite				A)100 B)150											
CG-06-46-04	362778	6543341	affleurement	Mélange paragneiss et méta-arkose. Paragneiss = 60%, méta-arkose = 40%. On observe des bancs distincts des deux lithologies sans orientation préférentielle. Bruit de fond: méta-arkose = 100 cps, paragneiss = 150 cps. S2 = N130°/80° dans paragneiss.	méta arkose		Pegmatite												S2	130	80	
CG-06-46-05	363080	6543327	affleurement	Mélange paragneiss et méta-arkose. Paragneiss = 70%, localement rouillés, méta-arkose = 30%.	méta arkose						150			1								
CG-06-46-06	363167	6543284	affleurement	Méta-arkose, fortement foliée, N310°/80°. Bruit de fond = 150 cps. 3% grenats.	méta arkose									1								
CG-06-46-07	362923	6543073	affleurement	Méta-arkose, plissées, 3% grenats.	Marbre		Pegmatite		paragneiss		A)60 B)150			1								
CG-06-46-08	362677	6542864	affleurement	Affleurement dans une falaise ± 15 mètres par 25 mètres. Banc de marbre 3 mètres. Pegmatite 2 à 3 mètres. Paragneiss. Contacts marbre-pegmatite-paragneiss orientés N320°. Marbre = 60 cps, pegmatite = 150 cps.	méta arkose						120											
CG-06-46-09	362699	6542807	affleurement	Méta-arkose rubannée, sur le sommet de la montagne. Bruit de fond = 120 cps.	méta arkose						120											
CG-06-46-10	362513	6542431	affleurement	Méta-arkose. Bruit de fond = 120 cps.	Paragneiss																	
CG-06-46-11	362239	6542196	affleurement	Paragneiss, prêt d'un ruisseau, on remarque une forte zone de déformation de 2 à 3 mètres, orientée N345°/60°.	Paragneiss						100											
CG-06-46-12	361975	6541923	affleurement	Paragneiss rouillé, même structure. Bruit de fond = 100 cps.	méta arkose						200		3500									
CG-06-46-13	361707	6541745	affleurement	Méta-arkose, anomalie de 3500 cps. Bruit de fond = 200 cps.	méta arkose		Paragneiss						1500									
CG-06-46-14	361552	6541636	affleurement	Anomalie dans les méta-arkoses avec alternance des paragneiss. 2 anomalies sur 10 mètres.	Paragneiss						150											
CG-06-46-15	361254	6541521	affleurement	Paragneiss, bruit de fond = 150 cps. Conclusion: Les méta-arkoses peuvent représenter un début de migmatisation des paragneiss. Ils pourraient être le mobilisat...?	Granite pegmatitique	rose					500		1500	1	CG-06-47-01			CG-06-47-01				
CG-06-47-01	367028	6557224	affleurement	Granite pegmatitique rose à phénocristaux de feldspaths rosés et quartz imbriqués. Nombreux blocs proches de l'anomalie: de granite rose à grain moyen, de granite blanc à feldspath plagioclase blanchâtre et quartz. Aussi, un affleurement proche de granite légèrement gneissique, quartzofeldspathique. Anomalie locale, au milieu de blocs. Les portions pegmatitiques sont riches en biotite, généralement en amas.	Pegmatite	rose	orthogneiss				A)250 B)50		1500	1								
CG-06-47-02	367009	6557207	affleurement	Affleurement de pegmatite rose injectée dans de l'orthogneiss lité avec de fins lits de biotite noire. La pegmatite est lessivée et altérée, elle ne montre pas de contact net avec l'encaissant. Probablement des veines pegmatitiques ou des nodules de quelques mètres de large.	gneiss qtzo feld						100			1								
CG-06-47-03	366524	6557075	affleurement	Affleurement de gneiss quartzofeldspathique lité, plissé, à grain fin à moyen. Biotite disséminée. Cristaux de quartz, feldspaths altérés. Fractures et microfissures des grains. La roche est aussi lessivée et de nombreux cristaux ont quitté leur matrice.	Granite gneissique à biotite		Pegmatite				200		1500	1								
CG-06-47-04	365924	6556951	Bloc	Bloc de granite gneissique (80%) et pegmatitique (~10%). De petits lits de biotite noire plus ou moins parallèles dans le gneiss quartzofeldspathique. Des phénocristaux imbriqués de quartz-feldspath rosés. Quartz gris amorphe à cristallin, parfois fumé légèrement.	Pegmatite	altéré rosâtre + blanchâtre	granite gneissique				300		≤6000		CG-06-47-04	CG-06-47-04(Po)	CG-06-47-04					

705544

No station	Estant (Nad83 - Zone 20)	Nordant (Nad83 - Zone 20)	Bloc ou Affleurement	Description lithologique	Lithologie A	Couleur A	Lithologie B	CouleurB	Lithologie C	CouleurC	Radiométrie Bruit du fond (cps)	Radiométrie maximum (cps)	Radiométrie anomalie (cps)	Photo	Échantillon	Lames minces: Petite (P) et Polie (Po)	Analyses chimiques	Témoin	Structure	Azimuth	Pendage	Caractéristiques
CG-06-47-05	365785	6556888	affleurement	Pegmatite altérée, rosâtre et blanchâtre, partiellement recouverte de mousses. Zone de contact avec du granite gneissique à grain moyen, très riche en biotite, en amas (pas de filonnet). Le contact entre pegmatite et gneiss est diffus, recouvert de mousse. Le pic d'anomalie est situé sur ou proche du contact. La pegmatite montre un enchevêtrement de cristaux grossiers, imbriqués, de feldspaths roses et blancs, de quartz gris parfois fumé. Un échantillon montre de la chalcopyrite en trace dans un minéral rose-rougeâtre. La pegmatite est très fracturée avec des microfissures dans les cristaux de feldspath. L'affleurement est d'assez grande dimension, on aperçoit plus loin des réseaux de veines pegmatitiques déformées aux contacts diffus, dans un encaissant à grain fin à moyen, qui semble être de même composition. Les feldspaths ont une couleur rouge brique. Hématisation possible dans les microfissures des grains de quartz.	Pegmatite	rose	gneiss					A)200 B)50	A)250	1250	2	CG-06-47-05	CG-06-47-05(P)	CG-06-47-05					
CG-06-47-06	365698	6556760	Bloc	Gros bloc de pegmatite rose ou de granite pegmatitique rosé, à phénocristaux de feldspath et quartz imbriqués. Gneissique sur au moins 50% de sa surface, difficile de discerner les lits. Amas de magnétite (~1cm). Nombreux blocs de pegmatite rose à phénocristaux de feldspath-quartz. Quelques grenats dans certains blocs plus riches en quartz.	Granite pegmatitique	rose blanchâtre					300		≤1000	1								
CG-06-47-07	365454	6556632	affleurement	Granite pegmatitique rose à grain moyen riche en feldspath-quartz.Couleur rose, blanchâtre lessivée, délavée. Zones étendues, peut-être de large systèmes de veines et de filons de plusieurs centaines de mètres de long. Assez homogène.	Granite pegmatitique à magnétite		gneiss qtzo-feld				A)300 B)50		2000	1	CG-06-47-07							
CG-06-47-08	365339	6556635	affleurement	Veine de granite pegmatitique à magnétite en contact concordant à du gneiss quartzofeldspathique lité et plissé à grain fin. La veine pegmatitique est plissée aussi au contact avec le gneiss. Ce contact est visible mais diffus. L'encaissant contient des nodules et d'autres veines pegmatitiques. Plusieurs pics anomaux le long d'une veine de plusieurs mètres.	Granite	rose					400		1000									
CG-06-47-09	365280	6556594	affleurement	Granite rose à grain moyen recouvert de mousse. Feldspaths potassiques roses saumon, quartz grisâtre. Zone à background élevé (≥ 400cps) même au dessus des mousses, assez étendue d'une dizaine de mètres de long.	Granite pegmatitique						250		1250									
CG-06-47-10	365263	6556590	affleurement	Affleurement recouvert de terre et de mousse humides, très proche du dernier arrêt. Roche de couleur rose, à grain grossier, possiblement un granite à granulométrie grossière (pegmatitique).	Granite presque pegmatitique	rose	gneiss				200		1200									
CG-06-47-11	365236	6556585	affleurement	Affleurement type veine de granite rose, limite pegmatitique (quelques grains supérieurs au centimètre). Très proche du dernier arrêt, peut-être la même veine ou le même filon. Sur le même affleurement : du gneiss quartzofeldspathique lité, très fin.	Granite pegmatitique	rose					150		1000	1								
CG-06-47-12	365097	6556442	affleurement	Veines diffuses de granite pegmatitique rose à cristaux de feldspath et quartz dans un encaissant de gneiss quartzofeldspathique lité, plissé, à grain fin. Très légèrement plissé de fins filonnets de minéraux mafiques: biotite dans une matrice fine felsique, claire. À quelques mètres, un cristal de magnétite kick à 500 cps avec un background à 150-200cps, plus un pic à 1000 chocs à quelques mètres dans de la pegmatite rose riche en amas de magnétite. Background à 250cps sur 1m² autour du pic.	Granite pegmatitique	rose					200		2500									
CG-06-47-13	364993	6556353	affleurement	Filon de grande dimension de granite pegmatitique rose saumon riche en cristaux de feldspath rose saumon imbriqués avec du quartz gris clair à foncé, parfois fumé. Anomalie locale, le background est élevé autour du pic(> 500cps sur plus d'un m²).	gneiss qtzo feld						150		1000									
CG-06-47-14	364487	6556208	affleurement	Affleurement de gneiss quartzofeldspathique lité et plissé, à grain fin. Fins filonnets mafiques dans une matrice felsique à grain fin blanchâtre. Possiblement une veine ou un genre de nodule de pegmatite isolé (recouvert de mousse sale).	Granite pegmatitique	rose					100		1500									
CG-06-47-15	363944	6556139	affleurement	Affleurement de granite, partiellement pegmatitique, rose. Au moins 20% de pegmatite dans la roche, le reste étant du granite rose à grain moyen, fracturé, légèrement gneissique localement. La majorité des affleurements aux alentours sont du gneiss quartzofeldspathique lité, plissé, à grain fin. Sur de larges zones, on aperçoit aussi des blocs, la plupart sont lités et plissés légèrement.	Granite pegmatitique		gneiss qtzo fds				200											
CG-06-47-16	363322	6555707	affleurement	Affleurement de granite pegmatitique, type veine pegmatitique dans du gneiss quartzofeldspathique lité, légèrement déformé. Il s'agirait d'une enclave, ou d'une veine. Des phénocristaux imbriqués de quartz-feldspath rosés. Les feldspaths sont mâclés, microfissurés, les quartz opaques à grisâtres, éclat vitreux. Pas de contact net entre les gneiss et les veines de pegmatite rose.	Orthogneiss granitique	rose					160											
CG-06-48-01	368245	6516708	affleurement	Orthogneiss granitique rose clair. S2 320°/70°. Grain fin, foliation régulière millimétrique à centimétrique, homogène, sans pegmatite.	Orthogneiss granitique	rose	pegmatite				150			x					S2	320	70	
CG-06-48-02	368208	6516809	affleurement	Idem (CG-06-48-01), 3% de pegmatite leucocrate < 3cm. S2 345°/70°.	migmatites		orthogneiss				120								S2	345	70	
CG-06-48-03	368121	6516642	affleurement	Passe à des migmatites sans pegmatite, enclaves plissotés très irrégulières. Un peu d'orthogneiss. S2 130°/90° (contact perturbé?). Linéation minérale 130°/14°. Passée amphibolite-tonalite, migmatite. S2 15°/20° (plissé et roulité). S2 35°/10° dominant.	pegmatite	blanche					120			x					S2	130	90	
CG-06-48-04	367993	6516684	affleurement	"Pegmatite" blanche = méta-arkose, riche en quartz interdigité. Très local dans la tonalite-migmatite (30m x 30m). S2 90°/35°.	tonalite ± amphibolite						150			x					S2	90	35	

No station	Estant (Nad83 - Zone 20)	Nordant (Nad83 - Zone 20)	Bloc ou Affleurement	Description lithologique	Lithologie A	Couleur A	Lithologie B	CouleurB	Lithologie C	CouleurC	Radiométrie Bruit de fond (cps)	Radiométrie maximum (cps)	Radiométrie anomalie (cps)	Photo	Échantillon	Lames minces: Petite (P) et Polie (Po)	Analyses chimiques	Témoin	Structure	Azimuth	Pendage	Caractéristiques
CG-06-48-05	367959	6516787	affleurement	Tonalite ± amphibolite en bancs d'épaisseur métrique bien lité, simili lithologie sédimentaire mais plus probablement leucosome. S2 90°/30°	tonalite ± amphibolite						125								S2	90	30	
CG-06-48-06	368084	6516837	affleurement	Idem (CG-06-48-06). S2 320°/25°.	Paragneiss	rouille					210								S2	320	25	
CG-06-48-07	368077	6516954	affleurement	Paragneiss rouillé depuis le dernier affleurement. Relation structurale peu claire. S2 350°/30°.	Orthogneiss granitique	rose orangé					120								S2	350	30	
CG-06-48-08	368362	6517170	Bloc	Éboulis de blocs arrondis glaciaires. Sur le bord du lac, orthogneiss granitique rose orangé. Aucun soupçon de marbre ni de quartzite. S2 60°/45°.	Orthogneiss granitique	rose					95			x					S2	60	45	
CG-06-48-09	368845	6517179	affleurement	Orthogneiss granitique. Aucune trace de marbre ou autre.	Orthogneiss granitique	rose					100											
CG-06-48-10	368960	6517110	affleurement	Idem (CG-06-48-09)	Orthogneiss granitique	rose					120											
CG-06-48-11	369127	6517166	affleurement	Idem (CG-06-48-09)	Orthogneiss granitique	rose					100											
CG-06-48-12	369206	6517177	affleurement	Idem (CG-06-48-09)	Orthogneiss granitique	rose					100											
CG-06-48-13	369245	6517260	affleurement	Idem (CG-06-48-09)	Orthogneiss granitique	rose					125											
CG-06-48-14	369229	6517325	affleurement	Idem (CG-06-48-09)	Orthogneiss granitique	rose					125											
CG-06-48-15	369027	6517690	affleurement	S2 15°/75°. Début S2 + fort.	Orthogneiss granitique	rose					125								S2	15	75	
CG-06-48-16	368937	6517988	affleurement	Idem (CG-06-48-15). S2 bien développé.	orhogneiss														S2	350	78	
CG-06-48-17	368747	6518109	affleurement	Orthogneiss. Très rares passées de tonalite migmatisée ± foliée. S2 00°/25° (variables). La foliation varie très rapidement. Aucun paragneiss, quartzite ou marbre, rien. Sur le ruisseau entre les 2 lacs.	tonalite ± migmatisée	blanche					80								S2	0	25	
CG-06-48-18	368537	6518179	affleurement	Depuis la traversée du ruisseau. Tonalite (± migmatisée), fluage. Couleur blanche (feldspath) et noire (amphibole, un peu de biotite, rouillée (3%)). S2 325°/50°.	tonalite						75								S2	325	50	
CG-06-48-19	368904	6518605	Bloc	Champ de blocs glaciaires. Tonalite. Trop plissée, non mesurable. Belle visite de l'Archéen.	Orthogneiss granitique						150											
CG-06-48-20	369111	6518499	affleurement	200m de chaque côté du ruisseau. Orthogneiss granitique. S2 N50°/45° (parfois presque plat)	Orthogneiss granitique						125								S2	50	45	
CG-06-48-21	369446	6518400	affleurement	Idem (CG-06-48-20)	Orthogneiss folié						150								S2	50	45	
CG-06-48-22	369373	6518559	affleurement	Orthogneiss folié.	Orthogneiss folié						175								S2	315	15	
CG-06-48-23	369281	6518696	affleurement	Idem (CG-06-48-22)	Orthogneiss folié						175								S2	315	15	
CG-06-48-24	369283	6518744	affleurement	Idem (CG-06-48-22)	Orthogneiss folié						150								S2	325	70	
CG-06-48-25	369353	6518842	affleurement	Idem (CG-06-48-22)	gneiss granitique	rose orangé					150											
CG-06-48-26	369461	6519082	affleurement	Gneiss granitique à granite rose orangé massif. Peu folié.	gneiss tonalitique ± migmatique						100											
CG-06-48-27	369483	6519319	affleurement	Gneiss tonalitique ± migmatisé. S2 N110°/60°.	gneiss granitique						100								S2	110	60	
CG-06-48-28	369415	6519507	affleurement	Gneiss granitique (je suis sur une crête et je suis toujours sur le même faciès) (passée tonalitique migmatisée <10%).	gneiss granitique						125											
CG-06-48-29	369351	6519579	affleurement	Idem (CG-06-48-28)	gneiss granitique						125											
CG-06-48-30	369309	6519626	affleurement	Idem (CG-06-48-28)	gneiss granitique						125											
CG-06-48-31	368986	6519927	affleurement	Idem (CG-06-48-28)	gneiss granitique						125											
CG-06-48-32	368925	6519955	affleurement	Idem (CG-06-48-28)	gneiss granitique	rouge orangé	pegmatite				150											
CG-06-48-33	368659	6520006	affleurement	Gneiss granitique plutôt homogène, rouge orangé, très folié, millimétrique à centimétrique. S2 335°/10°. Test spectrométrique ≈ 150 SPPGamma = 1) U: 1.1, Th: 14.0, K: 5.0%, 2) U: 1.9, Th: 9.5, K: 4.3%, 3) U: 2.1, Th: 14.9, K: 4.8%. Test spectrométrique sur pegmatite ≈ 100 SPPGamma = 1) U: 2.8, Th: 24.8, K: 5.5, 2) U: 2.9, Th: 17.1, K: 5.5, 3) U: 2.7, Th: 17.6, K: 5.8.	Granite folié		pegmatite				100								S2	335	10	
CG-06-48-34	368621	6520153	affleurement	Granite folié (orthogneiss du test spectro). Petite passée pegmatoïdale.	Paragneiss																	
CG-06-49-01	368473	6522731	affleurement	Paragneiss, affleurement continue dans la rivière. 40% feldspath, 30% biotite et 30% de quartz (grain fin à moyen). Localement rouillé, passées migmatisées. S2 N280°/58°.	tonalite										CG-06-49-02			CG-06-49-02	S2	280	58	
CG-06-49-02	368195	6522618	affleurement	Tonalite. Dans le flanc de la montagne, grain moyen de 3 à 5mm, 50% de quartz bien cristallisé, 30% de feldspath légèrement altéré et 20% de biotite ± altérée. Texture apparente massive, couleur grise en cassure fraîche et noirâtre à blanchâtre en surface altérée. Localement les feldspaths peuvent atteindre 1cm. Non magnétique et non minéralisé. Veine de quartz de 3cm direction N160°/75°. Foliation N290°/90°. Bruit de fond 150 cps.	tonalite																
CG-06-49-03	368089	6522371	affleurement	Tonalite. Près du sommet, idem à CG-06-49-02.	Granite																	
CG-06-49-04	367926	6523369	affleurement	Granite au sommet de la montagne, on passe du faciès tonalitique à celui des granites. Les feldspaths sont plus roses. La déformation est beaucoup plus marquée. S2 N130°/?	Granite														S2	130	?	
CG-06-49-05	367803	6522436	affleurement	Granite à grain grossier de 0,5 à 1cm. Feldspath rose 15%, 30% de feldspath blanc, 25% de quartz et 30% de biotite. Non magnétique et non minéralisé.	Granite						100	150										
CG-06-49-06	367688	6521742	affleurement	Granite très folié et localement migmatisé. S2 290°/70°. Bruit de fond 100-150cps.	Granite		Paragneiss	rouille						x					S2	290	70	
CG-06-49-07	367721	6521649	affleurement	Contact entre granite et paragneiss. Près du contact, le quartz et le feldspath du granite ont une texture pegmatitique de 1-3cm. Le paragneiss est rouillé, contact franc N095°/50°.	Pegmatite	rose					150											
CG-06-49-08	367727	6521430	affleurement	Pegmatite rose avec 30% de quartz, 60% de feldspath rosé et 10% de biotite. Bruit de fond 150cps. S2 N280°/45°.	Paragneiss						50								S2	280	45	
CG-06-49-09	367660	6521310	affleurement	Paragneiss, mobilisat arkosique. S2 N135°/90°. Bruit de fond 50cps.	gneiss granitique														S2	135	90	
CG-06-49-10	367690	6521048	affleurement	Gneiss granitique avec 40% de quartz, 40% de feldspath et 20% de biotite (granulométrie variable de 2-4mm). Les biotites sont alignées dans le plan de foliation. Légèrement magnétique. (Probablement une fenêtre dans l'Archéen).	gneiss granitique																	
CG-06-49-11	367778	6520996	affleurement	Gneiss granitique. Sommet de l'affleurement CG-06-49-10.	gneiss granitique																	
CG-06-49-12	367347	6520774	affleurement	Gneiss granitique, grain moyen, légèrement magnétique.	Pegmatite						300		1500									
CG-06-49-13	367035	6520680	Bloc	Bloc de pegmatite dans une zone granitique de 0,6m x 0,3m. Bruit de fond 300cps.	Paragneiss	rouille					60											
CG-06-49-14	366990	6520685	affleurement	Paragneiss rouillé. Bruit de fond 60 cps.	Granite folié						80											
CG-06-49-15	366912	6520678	affleurement	Granite folié. Bruit de fond 80 cps.	Paragneiss	rouille					50											
CG-06-49-16	366530	6520825	affleurement	Paragneiss rouillé, grain fin ± 1mm, 50% de biotite, 30% de feldspath et 20% de quartz. S2 N350°/62°. Bruit de fond 50 cps.	Paragneiss								1000						S2	350	62	
CG-06-49-17	366511	6520826	affleurement	Paragneiss. Spetromètre = 1) U: 0.9, Th: 319.8, K: 1.3, 2) U: 8.1, Th: 312.5, K: 0.3, 3) U: 8.1, Th: 299.9, K: 1.2.	Pegmatite à biotite						150		1500									

705544

No station	Estant (Nad83 - Zone 20)	Nordant (Nad83 - Zone 20)	Bloc ou Affleurement	Description lithologique	Lithologie A	Couleur A	Lithologie B	CouleurB	Lithologie C	CouleurC	Radiométrie Bruit de fond (cps)	Radiométrie maximum (cps)	Radiométrie anomalie (cps)	Photo	Échantillon	Lames minces: Petite (P) et Polie (Po)	Analyses chimiques	Témoin	Structure	Azimuth	Pendage	Caractéristiques
CG-06-50-01	370163	6520992	affleurement	Petit affleurement (ou bloc) recouvert de mousses, rosé,à cristaux grossiers, lessivé, altéré. Possiblement une pegmatite riche en lits et amas de biotite.	gneiss quartzo-feldspathique		gneiss granitique				200											
CG-06-50-02	370815	6520533	affleurement	Gneiss quartzofeldspathique à grain fin lité, légèrement plissé. Gneiss de composition granitique avec feldspath-quartz. Des lits de feldspath rosé alternent avec des lits blanchâtres à grain plus fin.	gneiss granitique						100											
CG-06-50-03	371022	6520792	affleurement	Gneiss ou granite à grain moyen, localement gneissique. Bonne proportion de quartz: localement >40%. Surtout composé de feldspaths potassiques et plagioclases altérés. Parfois microfissuré.	Granite gneissique						200											
CG-06-50-04	371448	6520996	affleurement	Affleurements et nombreux blocs de granite gneissique quartzofeldspathique, blanchâtre à rosâtre. Filonnets et lits à grain moyen : des feldspaths avec du quartz gris et de fins filonnets légèrement plissés de biotite.	Granite gneissique rouillé		granite pegmatitique	rose			150											
CG-06-50-05	371712	6521130	Bloc	Nombreux blocs de granite gneissique rosé à grain fin à moyen et des blocs de gneiss lité, très altérés (couleur rouille). Champ de blocs de toutes tailles, aussi des blocs de granite rose à grain grossier.	Granite pegmatitique	blanchâtre					125											
CG-06-50-06	372144	6521180	affleurement	Granite à grain grossier lessivé et altéré (gris sombre à noir). Cassure fraîche: couleur blanchâtre. Une dizaine de mètres de long. Nombreux cristaux fissurés blanchâtres-rosâtres.	Granite pegmatitique	blanchâtre	gneiss				150			1								
CG-06-50-07	372389	6521252	affleurement	Granite pegmatitique blanchâtre, localement gneissique (granulométrie plus fine, cristaux <1cm) avec de fins filonnets de biotite. Couleur blanche, éclat terne (feldspaths) à vitreux grisâtre (quartz). À quelques mètres: du gneiss lité fin à lits de biotite noire bien parallèles.	Granite gneissique et pegmatitique						500		1000									
CG-06-50-08	372444	6521291	Bloc	Champ de blocs de granite gneissique et pegmatitique altérés. Aspect blanchâtre-rosâtre. Plusieurs zones anomales au milieu des blocs. Zones anomales hétérogènes, le background oscille entre 500 et 750 cps. Plusieurs zones très localisées à 1000 cps.	Granite pegmatitique	rose et blanc	gneiss à biotite		Pegmatite à biotite		150		1000	1								
CG-06-50-09	372685	6521463	affleurement	Granite pegmatitique rose et blanc, nombreuses fissures altérées, feldspaths mâclés, microfissurés, tâches orangées au niveau des microfissures. Quartz gris imbriqué avec ou dans les feldspaths. Une zone de contact avec du gneiss lité à grain fin, nombreux lits très fins de biotite, et aussi disséminée. La pegmatite montre des phénocristaux microfissurés, en cours de transformation (altération) ou fumés et teintés (altération des grains par les microfissures) parfois de couleur gris-verte. De la biotite en amas dans une portion pegmatitique très altérée, fissurée et rouillée. Des nodules de pegmatite et de gneiss éparses (altération rouille).	gneiss à biotite		Pegmatite	rose					4000	1								
CG-06-50-10	372561	6521611	Bloc	Blocs de toutes tailles au bord du lac. De la pegmatite rose litée par endroit. Des gneiss riches en biotite, altérés et de couleur sombre, à granulométrie fine. Des phénocristaux rosés aplatis de feldspath-quartz.	Granite pegmatitique	blanchâtre/rosâtre	gneiss à biotite	rouillé			500		2500		CG-06-50-11			CG-06-50-11				
CG-06-50-11	372469	6521679	Bloc	Série de blocs de granite pegmatitique, au bord du lac, altérés, lessivés, feldspaths altérés couleur verte. Aspect très altéré, des blocs de gneiss à biotite altérés rouille. Les feldspaths des pegmatites sont blanchis, ont un éclat terne et sont microfissurés.	Granite pegmatitique	blanchâtre/rosâtre	granite à biotite		gneiss à biotite		150		1500									
CG-06-50-12	372300	6521698	affleurement	Affleurement très altéré de pegmatite, riche en feldspaths de grandes tailles blanchâtres et rosâtres altérés. Des enclaves de granite à grain plus fin, lité avec de la biotite, gneissique à grain moyen aussi riche en biotite en filonnets ou en amas et petits lits. Anomalies locales, aussi proche de blocs en bordure de lac. Un pic d'anomalie à 1500 cps maximum, un autre à 1000 cps à quelques mètres de distance du premier pic.	Granite pegmatitique	blanchâtre/rosâtre	Marbre	blanchâtre	Pegmatite	blanchâtre	150		5000									
CG-06-50-13	372300	6521710	affleurement	Enclave de marbre calcitique (de quelques mètres de long) à grain fin à moyen (cristaux de calcite). Des contacts avec des pegmatites blanchâtres fracturées à phénocristaux imbriqués rosâtres-blanchâtres, microfissurés. Les anomalies se trouvent toutes proche de contacts marbre/ granite pegmatitique. Remarque: dans une fracture, localement dans une pegmatite altérée. À quelques mètres, contact diffus entre une veine pegmatitique et du gneiss lité, plissé à grain fin. Plusieurs pics d'anomalies à quelques mètres de distance dont un qui atteint 5000 chocs (SPP2), une autre à 2000 cps max.	gneiss		Pegmatite				200		3000									
CG-06-50-14	372235	6521686	affleurement	Veine de pegmatite à phénocristaux délavés au bord d'un ruisseau très près du lac. Contact sur moins de un mètre de long avec du gneiss lité à grain fin. Fins filonnets de biotite bien parallèles et peu déformés. Phénocristaux fissurés de couleur verdâtre.	Pegmatite	blanchâtre	Marbre		gneiss	rouillé	500		6000		CG-06-50-15							
CG-06-50-15	372154	6521659	affleurement	Veines pegmatitiques blanchâtres et enclaves de marbre. Les enclaves de marbre sont litées avec des lits de minéraux plus compétents. Quelques enclaves de petites dimensions de gneiss lité avec de l'altération rouille. Deux pics d'anomalies à 5000 et 6000 cps (SPP2) proches.	Granite pegmatitique								9000									
CG-06-50-16	372120	6521661	affleurement	Veine de granite rose (localement pegmatitique) fracturée, lessivée, altération de surface grise foncée. Anomalie locale. Un pic d'anomalie à 9000 cps avec un background légèrement inférieur à 1000 cps sur 1m² autour du pic d'anomalie.	gneiss quartzo-feldspathique		granite pegmatitique	rose			250		1500									
CG-06-50-17	371668	6521807	affleurement	Granite pegmatitique rose formant de larges veines et filons dans un encaissant de gneiss quartzofeldspathique à granulométrie variable, parfois légèrement lité.	Granite pegmatitique	rose	gneiss quartzo-feldspathique		paragneiss à biotite	rouillé	150		1400									

No station	Estant (Nad83 - Zone 20)	Nordant (Nad83 - Zone 20)	Bloc ou Affleurement	Description lithologique	Lithologie A	Couleur A	Lithologie B	CouleurB	Lithologie C	CouleurC	Radiométrie Bruit de fond (cps)	Radiométrie maximum (cps)	Radiométrie anomalie (cps)	Photo	Échantillon	Lames minces: Petite (P) et Polie (Po)	Analyses chimiques	Témoin	Structure	Azimuth	Pendage	Caractéristiques
CG-06-50-18	371430	6521925	affleurement	Granite pegmatitique rose à phénocristaux de feldspaths altérés, lessivés et microfissurés. Peu de l'encaissant est visible, les contacts sont diffus, il y a des nodules de gneiss quartzofeldspathique et de paragneiss lité altéré rouillé à biotite de petite dimension, parfois eux-mêmes traversés par de plus petites veines de granite (quartz et feldspaths rosés).	Granite gneissique		granite pegmatitique	rose			250		5000										
CG-06-50-19	371419	6521943	affleurement	Affleurement de grande dimension de granite pegmatitique rose en veines de grandes dimensions, concordantes bien que déformées aux foliations de l'encaissant de granite gneissique à granulométrie variable (du très fin au grossier).	Pegmatite	rose					500		5500										
CG-06-50-20	371415	6521957	affleurement	Affleurement de pegmatite rosée, lessivée. Aspect blanchâtre dû à l'altération superficielle. Pas de contacts ni de nodule ou enclave de l'encaissant. De larges systèmes de veines et filons concordants. Contacts non visibles.	Granite	rose	Pegmatite	rose			200		1900										
CG-06-50-21	371336	6521997	affleurement	Pegmatite rose sous forme de filons ou veines de grandes dimensions, altération superficielle. Phénocristaux mais aussi du granite de même couleur et composition mais à grain moyen à grossier, de couleur rose, riche en feldspath mâclé, quartz et biotite.	Paragneiss à biotite	rouille	gneiss		Pegmatite		150		1000										
CG-06-50-22	370967	6522038	affleurement	Paragneiss rouillé, lité, à filonnets de biotite altérés. Contient aussi des enclaves de gneiss à feldspath et quartz. Des veines avec du matériel pegmatitique.	Granite pegmatitique	blanchâtre					200		1100										
CG-06-50-23	370558	6522089	affleurement	Affleurement de type veine de granite pegmatitique à grain grossier, phénocristaux. Très altéré, surtout en surface. Pas de contact net. Grande dimension. Aspect blanchâtre avec des cristaux de grandes tailles fracturés et microfissurés. Altération des minéraux dans les fractures des cristaux mâclés de feldspath, de quartz gris (sous forme d'hématite remplissant les microfissures).	Granite gneissique		granite pegmatitique	rose			100												
CG-06-50-24	369379	6522457	affleurement	Granite (pegmatitique sur 50% de la surface de l'affleurement) rose, altéré, couleur blanchâtre. Des veines de grandes dimensions. L'encaissant est du granite gneissique (légèrement métamorphisé) à grain fin à moyen, riche en feldspath et avec aussi des veines de quartz bien cristallisé.	Paragneiss	rouille					120												
CG-06-51-01	361797	6543120	affleurement	Paragneiss riche en quartz avec leucosomes étirés, boudins blancs (5%) et rouillés < 5%. S2 00°/85°.	Paragneiss	rouille					110								S2	0	85	
CG-06-51-02	361868	6543240	affleurement	Idem à CG-06-51-01 sauf, 15% de rouille et plus de biotite. S2 00°/28°.	Paragneiss	rouille					100								S2	0	28	
CG-06-51-03	361880	6543415	affleurement	Idem (CG-06-51-01), 15-20% de rouille, biotite. Leucosomes très étirés et boudinés. S2 330°/85°.	Paragneiss	rouille	pegmatite	blanche			100								S2	330	85	
CG-06-51-04	361915	6543482	affleurement	Idem (CG-06-51-01), 15% de rouille, 10% de pegmatite blanche sub-concordante. Un bloc de marbre. S2 335°/75°.	Paragneiss	rouille	pegmatite	blanche			100								S2	335	75	
CG-06-51-05	361928	6543715	affleurement	Idem (CG-06-51-04), 15% de pegmatite concordante et discordante. Augmentation graduelle de la pegmatite blanche et de ses contorsions en allant vers le marbre.	Marbre		Paragneiss				80											
CG-06-51-06	361888	6543822	affleurement	Affleurement de marbre < 1m², pas de contact observable dans petite vallée et microlac. Dans paragneiss en général, 90% affleurement mais point GPS sur marbre.	Paragneiss		marbre				100											
CG-06-51-07	361882	6543865	affleurement	Enclave de marbre plissé. Contact et fracture 150°/30° mais pas d'anomalie. Marbre < 5%. L'axe de pli 125°/35° (synforme, se voit dans le lac).	Paragneiss		marbre		pegmatite		90											
CG-06-51-08	361882	6543928	affleurement	Marbre, lentille d'environ 15m d'épaisseur en largeur apparente. Recoupé de 10% de pegmatite.	Paragneiss		marbre				90											
CG-06-51-09	361831	6543947	affleurement	Marbre > 15m? Lentille s'en allant sous l'eau dans le grand lac. Bord du lac.	Paragneiss		marbre		pegmatite		80											
CG-06-51-10	361808	6543996	affleurement	Mega bombement de paragneiss lenticulaire de 10m x 30m. Marbre et pegmatite très contorsionnés. Dans la pegmatite sur la fracture et le long du contact 150-450cps mais aucunne anomalie. S2 marbre 165°/80°.	Paragneiss		marbre		pegmatite		80-110-100								S2	165	80	
CG-06-51-11	361735	6544156	affleurement	Marbre, paragneiss et pegmatite, 100-275 cps sur fracture. La presqu'île à une armature de paragneiss résistant et de pegmatite, côté est, le marbre est dans l'eau, toute cette baie E, du marbre?. S2 335°/70°	Paragneiss	rouille	marbre		pegmatite		100								S2	335	70	
CG-06-51-12	361825	6544119	affleurement	Paragneiss rouillé à 95%. Quasi disparition du marbre < 5%. Peu de pegmatite. S2 355°/90°.	Paragneiss						110								S2	355	90	
CG-06-51-13	361688	6544481	affleurement	Paragneiss. Les vallées de marbre??	Paragneiss	rouille	marbre		pegmatite		80											
CG-06-51-14	361660	6544575	affleurement	Le côté Est du lac. Marbre et pegmatite mais radioactivité sans anomalie. Principal contact entre marbre/paragneiss à l'est. Lac avec un bloc de marbre (eau claire). S2/S1/S0 350°/90°.	Paragneiss	rouille	marbre				130								S2 S1 S0	350	90	
CG-06-51-15	361561	6544489	affleurement	Côté ouest du lac, toutes les hauteurs sont en paragneiss plus étiré et boudiné, rouillé mais sans pegmatite, à grenats centimétriques < 1%. S2 340°/90°.	Paragneiss	rouille					125								S2	340	90	
CG-06-51-16	361619	6544293	affleurement	Paragneiss rouillé très déformé mais marbre absent. S2 320°/80°.	Paragneiss	rouille					130								S2	320	80	
CG-06-51-17	361358	6544211	affleurement	Idem(CG-06-51-16) (entre les 2 idem).	Paragneiss	rouille					120											
CG-06-51-18	361337	6544048	affleurement	Paragneiss. Aucune trace de bloc de marbre. Part une autre direction S2.	Paragneiss						150											
CG-06-51-19	361149	6544116	affleurement	Paragneiss déformé leucosome centimétrique-décimétrique en schlieren et boudins, grenat. S2 180°/90°	Paragneiss		marbre		pegmatite		60											
CG-06-51-20	360914	6544240	affleurement	Marbre épaisseur > 30-50m, axe N140°. Semble bloqué par paragneiss au sud du petit lac. Avec pegmatite blanche. Variété à cristaux centimétriques, effritant en débris centimétriques.	Paragneiss		marbre		pegmatite	blanche	60			1					axe	N140		
CG-06-51-21	360846	6544221	affleurement	Enclave de marbre dans pegmatite blanche, feldspath > 2cm et micas. Injection complexe.	Paragneiss		marbre				90											
CG-06-51-22	360728	6544255	affleurement	Contact entre marbre/paragneiss rouillé sur 5m > 400cps? S2 170°/50°.	Paragneiss		marbre		pegmatite	blanche	90-120								S2	170	50	
CG-06-51-23	360883	6544406	affleurement	Marbre bien lité et en banc métrique. Pegmatite blanche. Les 2 forment un antiforme local plongeant vers Baie Keglo. S2 340°/50°. Fait partie d'une large bande mais avec bosse de paragneiss et pegmatite.	Marbre						67								S2	340	50	
CG-06-51-24	360883	6544523	affleurement	Marbre avec une passée dolomitique et minéral vert poreux mais ne réagit pas au HCl. S2?	Paragneiss à biotite	rouille	marbre				125		1500-1200									

705544

No station	Estant (Nad83 - Zone 20)	Nordant (Nad83 - Zone 20)	Bloc ou Affleurement	Description lithologique	Lithologie A	Couleur A	Lithologie B	CouleurB	Lithologie C	CouleurC	Radiométrie Bruit de fond (cps)	Radiométrie maximum (cps)	Radiométrie anomalie (cps)	Photo	Échantillon	Lames minces: Petite (P) et Polie (Po)	Analyses chimiques	Témoin	Structure	Azimuth	Pendage	Caractéristiques
CG-06-51-25	360954	6544609	affleurement	Anomalie de 1500 cps SPPGamma. Grains de biotite, feldspath altéré rouge sur 1cm. Anomalie de 1200 cps SPPGamma à 10m. Dans le cap de montagne de pegmatite blanche. Anomalie de 1700 cps SPPGamma à 10m dans un trou dans la mousse mais affleurement au fond.	Paragneiss		pegmatite		marbre				2000										
CG-06-51-26	360972	6544632	affleurement	Anomalie de 2000 cps SPP2. Toujours dans cette pegmatite. Les paragneiss sont à 30m et le marbre de l'autre côté.	Paragneiss		pegmatite				125			1								
CG-06-51-27	360956	6544708	affleurement	Pegmatite de > 200m de long par > 30m de large. Un lambeau de marbre contenant lui-même un fragment de feldspath grossier. Mise en place?? Point à 250-500 cps sur les fractures sont très nombreux.	Paragneiss		pegmatite				125		1050									
CG-06-51-28	360934	6544841	affleurement	Pegmatite, elle assimile les marbres et en partie les paragneiss devenant quasi folié. Anomalie à 1050 cps SPPGamma. Point sur un bloc sub en place de pegmatite ± cisaillée.	Paragneiss		pegmatite				80		1050									
CG-06-51-29	360867	6545024	affleurement	Anomalie de 1050 cps SPPGamma sur une fissure dans une pegmatite fracturée ± rouillée (paragneiss très proche).	Paragneiss	rouille	pegmatite				110		1300-1500-1050									
CG-06-51-30	360884	6545048	affleurement	Anomalie de 1300 cps SPPGamma-1500 cps SPP2. Ponctuelle dans une zone très rouillée en surface mais effet de pente, pegmatite. (distance insuffisante) anomalie de 1050 cps SPPGamma -1200 cps SPP2 à 20m selon N340°.	Paragneiss		marbre				80									N340		
CG-06-51-31	360820	6545144	affleurement	Marbre. Grand affleuremen. Le marbre est très plissé mais la pegmatite est disparue depuis la dernière anomalie. Échantillon : mélande calcosilicate et marbre.	Marbre		pegmatite							1								
CG-06-51-32	360825	6545201	affleurement	Marbre et pegmatite tout près du contact. S2 345°/40° et pegmatite concordante.	Paragneiss						120								S2	345	40	
CG-06-51-33	361012	6545301	affleurement	Depuis la dernière anomalie et tout le sud de ce lac est du paragneiss. S2 N330°/60°	Marbre						80								S2	330	60	
CG-06-51-34	361372	6545467	affleurement	Marbre, l'autre bande très étroite < 10m. S2 340°/90°?	Marbre						80								S2	340	90	
CG-06-51-35	361345	6545538	affleurement	Marbre dans la très étroite vallée.	Marbre						60											
CG-06-51-36	361330	6545623	affleurement	Marbre bordé de chaque coté de pegmatite blanche épaisse et large de < 5m. S2 N340°/90°	Marbre						60								S2	340	90	
CG-06-51-37	361294	6545801	affleurement	Marbre	Marbre						60											
CG-06-51-38	361235	6545895	affleurement	Idem (CG-06-51-37)	Marbre						60											
CG-06-51-39	361213	6545962	affleurement	Idem (CG-06-51-37) avec bord de pegmatite	pegmatite						120											
CG-06-51-40	361193	6546064	affleurement	Pegmatite massive, longueur > 50m et largeur > 30m sur le contact.	Paragneiss						130											
CG-06-51-41	361307	6546035	affleurement	Paragneiss leucosome millimétrique à centimétrique étiré et plissoté, 15% pegmatite. Pas de marbre. S2 N160°/80°.	Marbre						80			1					S2	160	80	
CG-06-51-42	361167	6546085	affleurement	Tout le marbre du secteur. S2 N320°/90°	Paragneiss						110								S2	320	90	
CG-06-51-43	361116	6546103	affleurement	Paragneiss leucosome millimétrique-centimétrique étiré. S2 N170°/50°	Paragneiss	rouille					110								S2	170	50	
CG-06-51-44	360914	6546051	affleurement	Paragneiss rouillé	Paragneiss	rouille					100											
CG-06-51-45	360963	6545947	affleurement	Paragneiss rouillé	Paragneiss	rouille					110											
CG-06-51-46	360958	6545823	affleurement	Sur le ruisseau, paragneiss usuel. S2 N170°/80°. Paragneiss étiré massif, leucosome millimétrique-centimétrique.	Paragneiss	rouille					110			1	CG-06-51-47				S2	170	80	
CG-06-51-47	361168	6545652	affleurement	Paragneiss à grenat, gris, centimétrique. S2 N160°/80°.	Granite	rose	Pegmatite		gneiss		125	150							S2	160	80	
CG-06-52-01	368848	6559188	affleurement	Affleurement d'une dizaine de mètres de long de granite à grain grossier, de couleur rose, altération de surface grise foncée. Aussi des phénocristaux imbriqués de feldspaths roses avec du quartz. Portions pegmatitiques et gneissiques du granite: environ 30-40% pegmatitique, 20% gneissique à grain moyen. Biotite disséminée.	Granite pegmatitique		gneiss quartzo-feldspathique				400	700		1								
CG-06-52-02	368776	6559167	affleurement	Contact entre une veine de granite à grain grossier, pegmatitique (à 80%) et du gneiss quartzofeldspathique lité, plissé, à grain très fin. On aperçoit de petits lits très fins de biotite, déformés. Le background est élevé en traversant les larges veines de pegmatite (400-500cps). Au contact, le gneiss kick à 600 cps (SPP2) maximum.	Paragneiss à biotite	rouille	granite pegmatitique				125	175										
CG-06-52-03	368581	6559318	affleurement	Paragneiss rouillé, lité de grande dimension. Riche en biotite altérée. Des enclaves ou poches granitiques au background à 200 cps. Des genres de veines ou nodules à cristaux grossiers, déformés, fissurés et altérés, de granite pegmatitique.	gneiss quartzo-feldspathique		granite pegmatitique				200	250										
CG-06-52-04	368472	6559194	affleurement	Gneiss quartzofeldspathique avec des veines concordantes de granite à grain grossier. Altération blanchâtre.Veines et lits de feldspath-quartz. Des nodules déformés et aplatis de granite à gros grain riche en feldspaths.	gneiss à biotite		granite pegmatitique				175											
CG-06-52-05	369019	6558094	affleurement	Veines de granite pegmatitique concordantes avec du gneiss lité, déformé, à grain fin, riche en biotite. Les veines et filons sont aussi lités. Des lits et nodules étirés riches en quartz-feldspath blanchâtre lessivés, fissures des grains et quelques grenats (< 1cm Ø) dans les lits quartzofeldspathiques.	gneiss quartzo-feldspathique		veines de feldspaths		veines de quartz		140			3								
CG-06-52-06	369075	6557961	affleurement	Veine de quartz discordante (largueur du stylo) recoupant d'autres veines, qui, elles, sont concordantes avec les foliations du gneiss quartzofeldspathique. Les veines concordantes (de pegmatite le plus souvent) sont constituées de feldspaths blanchâtres, des phénocristaux mâclés et fissurés de 4-5cm de long de forme ovale montrent une face réfléchissante. Il y a aussi du quartz blanc à éclat vitreux, fissuré et formant des cristaux de plus petites tailles, jusqu'à aphanitique. Du quartz amorphe également.	Granite	blanchâtre					100											
CG-06-52-07	370076	6557556	affleurement	Granite blanchâtre, limite pegmatitique (cristaux de presque 1cm Ø). Cristaux grossiers de feldspaths blanchâtres et quartz imbriqués. Amas de biotite et aussi fins cristaux enchevêtrés, hétérogènes.	Granite gneissique		granite pegmatitique à biotite				75											

No station	Estant (Nad83 - Zone 20)	Nordant (Nad83 - Zone 20)	Bloc ou Affleurement	Description lithologique	Lithologie A	Couleur A	Lithologie B	CouleurB	Lithologie C	CouleurC	Radiométrie Bruit de fond (cps)	Radiométrie maximum (cps)	Radiométrie anomalie (cps)	Photo	Échantillon	Lames minces: Petite (P) et Polie (Po)	Analyses chimiques	Témoin	Structure	Azimuth	Pendage	Caractéristiques
CG-06-52-08	370463	6556948	affleurement	Granite gneissique (légèrement métamorphisé) et pegmatitique à biotite en amas (pour les portions pegmatitiques) et en filonnets (pour les portions gneissiques). Riche en feldspaths potassiques et plagioclases blanchâtres (altérés superficiellement), blancs et roses (feldspaths potassiques) mâclés. Le granite est à grain fin à moyen, souvent en enclaves de petites dimensions avec des filonnets de biotite plissés.	gneiss granitique à biotite		granite				100			1								
CG-06-52-09	370588	6557146	affleurement	Gneiss granitique ou quartzofeldspathique lité, plissé et riche en biotite. Deux diaclases rectilignes et sécantes (formant un angle de 100°) dans un granite à grain grossier.	Granite pegmatitique à biotite		Pegmatite à biotite	rose	gneiss quartzo-feldspathique		275	600	1000	4								
CG-06-52-10	370720	6557616	affleurement	Veine ou nodule de granite pegmatitique rose riche en biotite et enclaves de gneiss à grain moyen, quartzofeldspathique. Anomalie locale dans une pegmatite. Phénocristaux rosés de feldspaths montrant des facettes réfléchissantes, des microfissures et de l'altération superficielle. Le pic d'anomalie correspond à une zone de pegmatite rose très riche en biotite, avec des enclaves gneissiques litées, plissées et à grain fin. Deux pics d'anomalies à 1000cps à quelques mètres de distance, le background se situe aux alentours de 600cps entre les deux pics.	Granite	rose					400	450										
CG-06-52-11	370980	6557575	affleurement	Granite rose à grain moyen, parfois légèrement lité, riche en feldspaths rosés et quartz imbriqués. Couleur rose saumon, quelques cristaux grossiers (limite pegmatitique). De petites portions gneissiques avec des lits de feldspaths un peu aplatis et étirés. Background assez élevé.	Granite folié						70	120			CG-06-53-01			CG-06-53-01			
CG-06-53-01	372529	6554188	affleurement	Granite folié, roche hétérogène, foliation marquée par schlirens (< 1cm) de biotite, composition à tendance granodioritique, phénocristaux de feldspath potassique, présence d'allanite, plagioclases séricitisés(?) souvent de couleur saumonnée, foliation ondulante (en plan et en coupe) tendance N130°.	gneiss à biotite						200	500		1	CG-06-53-02			CG-06-53-02	S2	130		
CG-06-53-02	372522	6554586	affleurement	Gneiss à biotite, rubanné et généralement droit rubannement compositionnel, mélange: granite hololeucocrate, minéraux mafiques et plagioclases. Passées lenticulaires décimétriques à plurí décimétriques (épaisseur) de granite ou granite pegmatitique homogène. Foliation localement légèrement ondulante, tendance N323°.	gneiss à biotite		monzonite à hornblende	rose			200	420			CG-06-53-03			CG-06-53-03	S2	323		
CG-06-53-03	372041	6554771	affleurement	Monzonite à hornblende ou syénite(??), environ 15% de hornblende grossière, rare biotite, roche rose (hématitisation?) ou feldspath potassique? Massive et homogène, encaissée dans un gneiss similaire à CG06-53-02 avec passées de granite à grain moyen jusqu'à pegmatitique. Depuis CG06-53-02 , granite massif, radioactivité max de 100cps.	Orthogneiss à biotite	rougâtre	pegmatite				400		1000									
CG-06-53-04	371820	6554643	affleurement	Orthogneiss à biotite, granite ou granodiorite folliéé. Roche semblabe à CG06-53-01. Assez pauvre en quartz. Rougeâtre (hematisation?), quelques pegmatites associées au granite, foliation quasi horizontale. *1000cps dans un creux (anomalie non valide!).	gneiss granitique						750		1050									
CG-06-53-05	371643	6554656	Bloc	BLOC. Gneiss granitique, minces lits de biotite (millimétriques) rarement pluri-millimétriques (20-40%). Foliation assez planaire, pauvre en quartz, anomalie ponctuelle.	gneiss granitique		granite pegmatitique		schiste à biotite		100	200										
CG-06-53-06	370932	6555077	affleurement	A-Gneiss tonalitique, B-Gneiss granitique, C-Schiste intermédiaire à biotite, D-Granite pegmatitique, E-Monzonite quartzifère. Très folié (sauf monzonite), arrangement hétérogène des lithologies. Peu ou pas de quartz dans la monzonite. Monzonite hololeucocrate: grain grossier, porphyrique à pegmatitique, massif hétérogène, peu ou pas de biotite. Foliation à N142°. Radioactivité minimum dans le gneiss et radioactivité maximum dans le granite-monzonite.	Granite		granite pegmatitique				100		1400	1					S2	142		
CG-06-53-07	370581	6555595	affleurement	Granite, avec phases pegmatitique associées, phase à grain moyen dominante, couleur rose à rougeâtre, environ 10% de gneiss à biotite. Multiples injections de quartz désordonnées ± linéaires. Granite à aspect bréchique, foliation à N330°. Anomalie ponctuelle dans la phase pegmatitique.	Paragneiss à biotite	rouille	granite pegmatitique				150			4	CG-06-53-08				S2	330		
CG-06-53-08	370255	6555819	affleurement	Paragneiss, biotite et sillimanite, patine rouille en altéré, granite + phase pegmatitique concordante en dykes ou lentilles.*Les paragneiss affleurent 50m après CG06-53-07 jusqu'à la position de CG06-53-08.	Granite		Paragneiss à biotite	rouillé			150	200										
CG-06-53-09	370276	6556425	affleurement	Granite à grain grossier, ± paragneiss à biotite-quartz-feldspath plagioclase (patine rouillée). Foliation anarchique.	Orthogneiss tonalitique						50	75		2								
CG-06-53-10	370818	6556952	affleurement	Orthogneiss tonalitique, foliation très anarchique, bandes discontinues de matériel mafique (enclaves), équigranulaire (grain moyen).	gneiss tonalitique						50	60										
CG-06-53-11	371359	6557072	affleurement	Gneiss tonalitique, schlirens de biotite (millimétrique), enclaves mafiques (< 1%), hornblende locale mais jamais associée à la biotite lorsque présente. Foliation: ondulante mais régulière N140°.	Paragneiss à biotite		granite		Pegmatite		150	200			CG-06-54-01			CG-06-54-01	S2	140		
CG-06-54-01	358379	6553088	affleurement	Paragneiss, biotite en microlits (millimétriques), 5-10% granite et pegmatite blanche concordante en niveaux (max 1dm). Patine brune rouille, sillimanite(??), foliation planaire et régulaire. N140°/74°.	Paragneiss à biotite		Pegmatite		blocs de Marbre		100	150							S2	140	74	
CG-06-54-02	358558	6553185	affleurement	Pegmatite, au moins 30m de large, semble concordante avec l'encaissant. Presque exclusivement à granulométrie pegmatitique. Peu ou pas de biotite. Paragneiss, biotite mais pas excessivement abondante, patine brune-rouille, bien folié, foliation planaire, foliation légèrement ondulante. Horizons plus arkosiques. Mobilisats granitiques interfoliaires. *Quelques blocs de marbre. Foliation N319°/84°. *Paragneiss à radiométrie 150cps à l'approche des marbres. * La vallée entre CG-06-54-01 et CG-06-54-02 semble être constituée de paragneiss mais on retrouve beaucoup de blocs de marbre.	Marbre		Paragneiss		Pegmatite		40	200		3	CG-06-54-03			CG-06-54-03	S2	319	84	

705544

No station	Estant (Nad83 - Zone 20)	Nordant (Nad83 - Zone 20)	Bloc ou Affleurement	Description lithologique	Lithologie A	Couleur A	Lithologie B	CouleurB	Lithologie C	CouleurC	Radiométrie Bruit de fond (cps)	Radiométrie maximum (cps)	Radiométrie anomalie (cps)	Photo	Échantillon	Lames minces: Petite (P) et Polie (Po)	Analyses chimiques	Témoin	Structure	Azimuth	Pendage	Caractéristiques
CG-06-54-03	358625	6553218	affleurement	Marbre, relativement grossier et homogène, très réactif au HCl, boudins pluricentimétriques de matériel carbonaté moins réactif. Pegmatite, paragneiss, contacts concordants. Foliation: N152°.	Paragneiss	rouille	schiste		granite	blanc	100	200			CG-06-54-04A-B			CG-06-54-04A-B	foliation	152		
CG-06-54-04	358962	6553579	affleurement	Paragneiss, schiste quartz-mica, granite pegmatitique. Paragneiss = "schistes rouillés", très rouillé, très peu de biotite, beaucoup de quartz-plagioclase, roche pourrie (pourquoi?). Schiste à quartz-micas, protolite?, contient plagioclase, traces de dissolution et micas pâles en paquets. *Depuis CG-06-54-03, que du paragneiss, granite blanc hétérogène (granulométrie et composition) pas de minéraux mafiques, grenats.	Marbre						50	150			CG-06-54-05			CG-06-54-05				
CG-06-54-05	359312	6553877	affleurement	Marbre, 2 phases interlitées, lithologies très plissées. Un horizon moins plissé, moins résistant à l'érosion, moins radioactif et plus réactif au HCl. Un autre horizon très plissé, plus résistant à l'érosion, plus radioactif et moins réactif au HCl.	Marbre à diopside	saumoné	calco-silicate à diopside				40	60		4	CG-06-54-06A-B			54-06A-B				
CG-06-54-06	359713	6554242	affleurement	A-Marbre à diopside, couleur saumonée, diopside entre 1-5% (variété plus blanche (marbre)), granulométrie hétérogène, composition hétérogène. B-Roche calcosilicatée, quartz-diopside (30-40%) ± biotite, bandes à relief positif, boudins 1cm à 2dm. Structure, foliation complètement désorientée par rapport aux autres stations, abondance de plis (fluage), foliation N060°.	Granite										CG-06-54-07			CG-06-54-07	foliation	60		
CG-06-54-07	360102	6554440	affleurement	Granite hololeucocrate, granulométrie hétérogène, composition relativement homogène, grenats très automorphes.	Marbre		granite pegmatitique	chamois	paragneiss	rouillé				5								
CG-06-54-08	360349	6554535	affleurement	Marbre, pegmatite granitique, plissements anarchiques avec aucune logique → pâte à modeler, couleur chamois (moins compétent), alternance de bandes compétentes et moins compétentes (peu abondantes), marbres tous les deux. Granite pegmatitique concordant, bancs à épaisseurs variables. Veines de quartz ici et là → intrusion dans marbre et granite. Granite hololeucocrate beigeâtre à l'image de celui décrit à CG06-54-07, évidence de recouvrement dans le marbre. Paragneiss, quartz-plagioclase-biotite, patine brune-orange-rouille, granites interlits. *Fins des marbres-début des paragneiss.	Paragneiss		granite pegmatitique														
CG-06-54-09	360855	6554720	affleurement	Paragneiss, alternance avec granite souvent à phase pegmatitique.	Paragneiss		Pegmatite	blanche			150	300	1250									
CG-06-55-01	378663	6511164	affleurement	Paragneiss bien folié à lits centimétriques-décimétriques peu rouillé (10% pegmatite blanche = méta-arkose) S2 N50°/40°. Très lenticulaire en nœuds et ventre, échantillon 5m-50m, discontinue, boudiné. Sur le bord du microlac, si bien lité que ça ressemble à une séquence sédimentaire flyschique. Anomalie de 1250cps (SPP2), ponctuelle sur une fissure. Toutes les fissures 300-550cps.	Paragneiss		Pegmatite	blanche			100	200	1000	x					S2	50	40	
CG-06-55-02	378469	6511221	affleurement	Pegmatite (méta-arkose) très lenticulaire. Paragneiss bien lité centimétrique-décimétrique, S2. Anomalie à 1000cps (SPP2) ponctuelle dans la pegmatite blanche. Très gros cristaux, peu de mica. Sur le ruisseau.	Paragneiss		Pegmatite	blanche			300											
CG-06-55-03	378263	6511387	affleurement	Idem (CG-06-55-02). Pegmatite méta-arkose = 40% local >100m (sous unité cartographique). S2 130°/50°.	Paragneiss		Pegmatite	blanche			150								S2	130	50	
CG-06-55-04	378195	6511579	affleurement	Idem (CG-06-55-03). 70% méta-arkose / pegmatite, comme la carte mais en plus large et augmentation progressive.	Quartzite						150											
CG-06-55-05	378184	6511622	affleurement	Quartzite 70% / méta-arkose 30%, bien lité, la bande cartographiée, début à CG-06-55-04. S0S1S2 = 70°/30°.	Paragneiss		Quartzite				100								S2	70	30	
CG-06-55-06	378142	6511716	affleurement	Idem (CG-06-55-05?). Quartzite, crête dans paragneiss (20%) creux. S0/S1/S2 60°/35°	Paragneiss		Quartzite				250		2800						S2	60	35	
CG-06-55-07	378162	6511786	affleurement et Bloc	Idem (CG-06-55-06?). Mais 60% de paragneiss et 40% de quartzite. Dans un bloc d'éboulis, anomalie de 2800cps (SPP2) et 2600cps (SPPGamma) instable(Th?). S0/S1/S2 = 65°/55°.															S2	110	50	
CG-06-55-08	378092	6511921	affleurement	Idem à CG-06-55-01, S2S1S0 = N110°/50°.	Paragneiss						100				CG-06-55-09			CG-06-55-09				
CG-06-55-09	378052	6512060	affleurement	La méta-arkose devient rosé et ressemble à un "granite" à très gros cristaux de feldspath. Son aspect en bancs la trahit dans le paragneiss et passée blanche. S0/S1/S2 = N100°/45°.	Orthogneiss	rose					150				CG-06-55-10B			CG-08-55-10B	S2	100	45	
CG-06-55-10	378060	6512154	affleurement	A-Granite lit par lit (orthogneiss) à la base de la falaise mais Lake Harbour. Granitisation de sédiments. S2 N70°/35°. B-(3%)→Pyroxénite. Dunite, très schisteuse, magnétique. Fracture de quartz 270°/82° de 10cm d'épaisseur. Miroir de faille-non plan usé par glacier, stries horizontale, stries glaciaire dans le quartz. Stries horizontales.	Orthogneiss	rose					100								S2	70	35	
CG-06-55-11	377872	6512384	affleurement	Granite lit par lit (rose) passant à orthogneiss folié. S2 70°/30°. La déformation foliation à affecté l'ensemble. Destruction Lake Harbour ↔ Archean différent.	Granite						110								S2	70	30	
CG-06-55-12	377898	6512413	affleurement	Granite (très riche en quartz) S2 100°/35°. Canyon.	Granite						90								S2	100	35	
CG-06-55-13	377979	6512529	affleurement	Granite folié facile à confondre avec Archéen sauf foliation très planaire et pas migmatisé. S2 = N88°/35°.	gneiss rubané	rose					90								S2	88	35	
CG-06-55-14	378198	6512642	affleurement	Gneiss rubané lit par lit avec bande de quartz-feldspath rose, décimétrique, bande noire de biotite, banc épais de granite plurimétrique. Depuis CG-06-55-11, monotone, même unité. S2 85°/50°.	gneiss rubané	rose					90								S2	85	50	
CG-06-55-15	378495	6512858	affleurement	Idem (CG-06-55-14). S2 40°/15°	Granite	rose	migmatite				200								S2	40	15	
CG-06-55-16	378651	6512968	affleurement	Granite rose fusionné, enclave de biotite, migmatisé, plissoté irrégulière. S2 00°/20°.	Granite	rose	migmatite				120								S2	0	20	
CG-06-55-17	378830	6513419	affleurement	Idem (CG-06-55-16). S2 325°/20°	Orthogneiss granitique		migmatite				120			1								
CG-06-55-18	378788	6513530	affleurement	Orthogneiss granitique ± migmatisation, bande riche en quartz (rose), bande riche en feldspath potassique (rouge), bande biotitique, bande à grain fin quartz-feldspath blanc simili arkose patine blanche, très résistant à l'érosion → montagne, Lake Harbour sur le point de disparaître dans les roches sous-jacentes.	Orthogneiss granitique		migmatite		Pegmatite	rouge	200		1250									

No station	Estant (Nad83 - Zone 20)	Nordant (Nad83 - Zone 20)	Bloc ou Affleurement	Description lithologique	Lithologie A	Couleur A	Lithologie B	CouleurB	Lithologie C	CouleurC	Radiométrie Bruit de fond (cps)	Radiométrie maximum (cps)	Radiométrie anomalie (cps)	Photo	Échantillon	Lames minces: Petite (P) et Polie (Po)	Analyses chimiques	Témoin	Structure	Azimuth	Pendage	Caractéristiques
CG-06-55-19	378718	6513618	affleurement	Idem. Anomalie de 1250cps SPP2 et 900cps SPPGamma. Dans la pegmatite à feldspath > 5cm rouge dans le faciès précédent. Aucunne mesure spectrométrique sur l'anomalie. S2 N35°/18°.	Orthogneiss granitique		migmatite				120								S2	35	18	
CG-06-55-20	378647	6513840	affleurement	Idem (CG-06-55-19). Migmatite ± orthogneiss grain. S2 10°/15°.	Orthogneiss granitique		migmatite		Pegmatite	rouge	150			1					S2	10	15	
CG-06-55-21	378634	6513915	affleurement	Idem (CG-06-55-20). Plus granitique. Pegmatite rouge à coeur de quartz blanc d'épaisseur de 20cm et long de > 100m. Fracture N60°/90° - dyke. Fracture N60°/90° - vallée. On semble aller de plus en plus dans le coeur de la zone d'anatexie avec maintenant des dykes de feldspath potassique et quartz recoupant. Les fluides s'échappent et recristallisent dans les cassures.	Orthogneiss granitique		migmatite				200		4600		CG-06-55-22	CG-06-55-22(P)			fracture	60	90	
CG-06-55-22	378604	6514097	affleurement	Idem (CG-06-55-21). Anomalie de 4600cps dans une fissure (4200cps SPPGamma) sur passée brechifiée ± biotite du granite, sans pegmatite. Spectrométrie: 1) U: 67.7, Th: 1346.1, K: 3.6, 2) U: 61.2, Th: 1259.7, K: 3.3, 3) U: 48.9, Th: 1334.3, K: 3.7.	Granite		Pegmatite				500		2000									
CG-06-55-23	378392	6514229	affleurement	Anomalie 2000cps SPP2 / 1600cps SPPGamma sur l'intersection de 3 fissures dans une passée pegmatoïdale de granite. S2 340°/30°.	Granite						700		1300						S2	340	30	
CG-06-55-24	378525	6514405	affleurement	Idem (CG-06-55-23) jusqu'à ce point. Anomalie de 1300cps sur une fracture 170°/80° dans le matériel granitique. La falaise devant nous, passée riche en biotite ≈ tonalite ± biotite (matériel sédimentaire?). S2 régulière 305°/30°. Revient à un mélange hétérogène de migmatite et pegmatite rose et veine de quartz.	Orthogneiss		Pegmatite		migmatite		50			1					S2; Fract	305; 170	30; 80	
CG-06-55-25	378558	6514811	affleurement	Orthogneiss genre rubané en lits décimétriques-métriques recoupés de dyke. S2 60°/45°	Orthogneiss		Pegmatite		migmatite		100								S2	60	45	
CG-06-55-26	378564	6515011	affleurement	Idem (CG-06-55-25). S2 40°/45°	Orthogneiss		Pegmatite		migmatite		100								S2	40	45	
CG-06-55-27	378520	6515126	affleurement	Idem (CG-06-55-25). S2 45°/45°	Paragneiss à biotite	rouille					175								S2	45	45	
CG-06-56-01	380870	6518842	affleurement	Paragneiss rouillé très riche en biotite.Champ de blocs autour. Des blocs à phénocristaux blanchâtres, des blocs traversés de veines de quartz, à granulométrie très grossière. Cristaux de feldspaths plagioclases blancs fracturés.	Pegmatite	blanche					300			1								
CG-06-56-02	380736	6518868	affleurement	Pegmatite blanche. Phénocristaux de felspaths blancs et quartz imbriqués. Très altéré et fracturé. Microfissures et amas de biotite. Une veine de quartz à la fois blanche (laiteuse) et grise (légèrement bleutée à fumée noire).	Paragneiss à biotite	rouille	Pegmatite	blanche			200											
CG-06-56-03	380536	6518837	affleurement	Pegmatite blanche en contact avec des paragneiss rouillés riche en biotite. Phénocristaux de feldspaths blancs, à éclats vitreux, fracturés, tâches orangées, biotite en petits amas à grain fin. Quartz imbriqué avec les feldspaths ou enchevêtré. Différentes teintes d'altérations rouilles pour les paragneiss déformés. Possiblement un gros nodule de pegmatite ou une veine aux contacts diffus prise avec l'encaissant de gneiss riche en biotite altérée.	Paragneiss à biotite	rouille	Pegmatite	blanche et rose			200											
CG-06-56-04	380256	6518731	affleurement	Affleurement de grande dimension de paragneiss altéré rouille, stratifié et localement très déformé. Des veines et enclaves de pegmatite blanche et rosâtre, de petites dimensions avec parfois un "coeur" de quartz pur, gris, cristallin. Les veines et nodules pegmatitiques montrent des phénocristaux de grandes tailles avec des facettes réfléchissantes, fracturés et mâclés pour les feldspaths. Microfissures irrégulières pour les cristaux de quartz. Aussi du quartz en amas amorphe blanchâtre à gris.	Paragneiss à biotite	rouille	Pegmatite	blanche et rose	Quartzite				2500								
CG-06-56-05	380171	6518678	affleurement	Contact entre du paragneiss rouillé, riche en biotite et des veines pegmatitiques et quartzitiques. Pourcentage de quartzite à grain fin, gris translucide fissuré (altération par remplissage couleur orangée-rouille) supérieur au pourcentage de pegmatite blanche à phénocristaux blancs, fracturés. De la biotite disséminée surtout dans des paragneiss déformés rouillés, un peu dans la pegmatite.Pas du tout dans les quartzites. Plusieurs zones anomales > 1000cps le long du contact plissé veines/encaissant de paragneiss. Veines et nodules aplatis, plissés, souvent concordantes avec les foliations du paragneiss. Localement, le paragneiss est altéré très rouillé.	Pegmatite						300		2000	1								
CG-06-56-06	380110	6518737	Bloc	Bloc de pegmatite altérée à phénocristaux enchevêtrés, texture typique pegmatitique. Toujours proche du contact paragneiss./ veines de granite pegmatitique, veines et nodules quartzitiques. La pegmatite est riche en quartz gris (phénocristaux) et en cristaux de feldspaths légèrement rosés à blanchâtres.	Granite pegmatitique	rose					200		2000	1								
CG-06-56-07	380012	6518688	affleurement	Veine de granite pegmatitique rosâtre à phénocristaux rosés de feldspaths, riche en quartz gris amorphe. Deux fractures parallèles, espacées de 20cm très proches d'un pic d'anomalie. Cristaux de feldspaths nombreux, mâclés et imbriqués avec le quartz ou injection de quartz gris amorphe autour des grains grossiers de feldspath.	Marbre calcitique	chamois					75				CG-06-56-08			CG-06-56-08				
CG-06-56-08	379930	6518654	affleurement	Affleurement de plusieurs dizaines de mètres de longeur de marbre calcitique blanc à cristaux moyens à grossiers. Altéré couleur brune (chamois). Fractures nombreuses remplies par de la sillimanite. Fines diaclases remplies par des amas de roche verdâtre felsique avec beaucoup de cristaux de sillimanite.	Granite pegmatitique	blanc					300		1250									
CG-06-56-09	379863	6518667	affleurement	Affleurement de granite pegmatitique blanchâtre, altéré couleur jaunâtre en surface, fracturé. Riche en phénocristaux de feldspaths plagioclases blancs microfissurés, quartz gris imbriqués avec les feldspaths. Pic à 1250cps à la rencontre de fractures profondes, des blocs désolidarisés et des cristaux sortis de leur matrice. Anomalie très locale.	Granite pegmatitique	rose					200											

7055443

No station	Estant (Nad83 - Zone 20)	Nordant (Nad83 - Zone 20)	Bloc ou Affleurement	Description lithologique	Lithologie A	Couleur A	Lithologie B	CouleurB	Lithologie C	CouleurC	Radiométrie Bruit de fond (cps)	Radiométrie maximum (cps)	Radiométrie anomalie (cps)	Photo	Échantillon	Lames minces: Petite (P) et Polie (Po)	Analyses chimiques	Témoin	Structure	Azimuth	Pendage	Caractéristiques
CG-06-56-10	379476	6518634	affleurement	Affleurement de granite pegmatitique rose à phénocristaux de feldspath imbriqués avec du quartz. Nombreuses fractures et microfissures des cristaux de feldspath.	Granite	rose					250											
CG-06-56-11	379474	6518638	affleurement	Affleurement de granite rose à grain moyen à grossier, cristaux de feldspaths potassiques et plagioclases rosâtres et blanchâtre, fracturés. Quartz gris translucide à transparent, microfissures.	gneiss lité		granite	rose			300	400										
CG-06-56-12	379426	6518612	affleurement	Contact gneiss rubanné et granite rose à grain moyen à grossier. Background élevé. Cristaux de feldspaths potassiques et plagioclases, quartz gris et amas de biotite (pour les portions à grain très grossier ou pegmatitique). Les feldspaths sont roses et blancs, maclés et fissurés.	Quartzite						50											
CG-06-56-13	379294	6518517	affleurement	Enclave ou nodule de quartzite blanc d'une dizaine de mètres, homogène, à grain fin à moyen, amorphe et très fracturé. Possiblement une grosse veine de quartz blanc.	Pegmatite	rose	gneiss Qz-Fd				200											
CG-06-56-14	379074	6518334	affleurement	Veine de pegmatite rose ou dyke de granite pegmatitique discordant dans du gneiss déformé plissé (ondulations) quartzofeldspathique de couleur claire.	gneiss Qz-Fd		granite pegmatitique				250											
CG-06-56-15	378858	6518146	affleurement	Affleurements montrant des ondulations en surface de gneiss quartzofeldspathique lité, à grain fin et déformé. Traversés par des dykes discordants de granite pegmatitique à feldspath-quartz de un ou deux mètres de largeur. Biotite en amas dans les pegmatites, en filonnets ou disséminée dans les gneiss.	gneiss Qz-Fd						500		1000										
CG-06-56-16	378682	6517931	affleurement	Gneiss quartzofeldspathique lité, à grain fin avec des lits de feldspaths et quartz, des lits de biotite avec des grenats. Des veines concordantes et discordantes de granite rose et blanc.	Granite	rose	gneiss Qz-Fd				250	300	1500									
CG-06-56-17	378528	6517802	affleurement	Veines de granite rosâtre, quartz-feldspath, discordantes et concordantes dans un encaissant très fracturé de gneiss quartzofeldspathique à grain moyen, riche en biotite. Très altéré superficiellement, des lits sont très plissés. Tous les contacts des veines avec l'encaissant sont diffus.	Granite gneissique		Quartzite				100	150										
CG-06-56-18	378453	6517718	affleurement	Affleurement de gneiss granitique à grain moyen et à lits de quartz-feldspaths blancs et enclaves de quartzite à grain fin à moyen, grisâtre translucide à opaque. Lits déformés.	Marbre calcitique	chamois					75	100										
CG-06-56-19	378412	6517646	affleurement	Petites enclaves de marbre calcitique lité, déformé, couleur chamois (altération de surface). Marbre riche en amas de muscovite, et en lits plissés de minéraux plus compétents. 5 à 8 mètres de long, 3 mètres de large. Nombreuses diaclases.	Marbre calcitique		Quartzite				75											
CG-06-56-20	378430	6517592	affleurement	Enclave de marbre plissé (10m par 15m max) de composition calcitique et en contact avec du quartzite amorphe, à grain très fin, gris-bleu translucide à opaque. Pas de contact net. Des veines très déformées, plus compétentes, de feldspaths blancs - quartz, à granulométrie grossière. Les marbres sont altérés superficiellement couleur rosâtre, chamois à grise claire. Trous et fractures.	Marbre calcitique		Marbre dolomitique				40	60										
CG-06-57-01	354437	6558945	affleurement	Marbre dolomitique et marbre calcitique. Alternance de bandes parallèles métriques à pluricentimétriques. Dolomitique: couleur chamois en altéré et frais. Roche grenue. S0 = N132°.	Marbre calcitique		Marbre dolomitique		Marbre à diopside		50	60							S0	N132		
CG-06-57-02	354161	6558572	affleurement	Alternance de marbre dolomitique et calcitique. Quelques minces horizons de marbre à diopside. Rien à signaler depuis CG06-57-01…roche similaire.	Paragneiss à biotite	rouille	Marbre	blanc/chamois			150-200	300			CG-06-57-03			CG-06-57-03				
CG-06-57-03	353523	6558606	affleurement	Paragneiss, texture oeillée, assez riche en biotite, bon rubannement compositionnel. Feldspaths arrondis, voire sygmoïdaux…entourés de minéraux mafiques (biotite). Rappele la texture mylonitique de part l'isolement de certains cristaux et la foliation pénétrative. Cisaillement possible. Entre CG-06-57-02 et CG-06-57-03… Paragneiss rubané 150-200 cps. Dans la falaise (éboulement) (plurimétrique). Interlité de marbre blanc et chamois (plurimétriques) Radioactivité < 150 cps. Foliation planaire, légèrement ondulante (en coupe) N330°/78°.	Paragneiss	rouille	granite												foliation	330	78	
CG-06-57-04	353225	6558717	affleurement	Paragneiss, granite hololeucocrate. Paragneiss relativement pauvre en biotite, mais patine très rouillée. Granite sans ou presque, minéraux mafiques, phases pegmatitiques observées. Contact franc et concordant avec paragneiss… Foliation: N117/90 (?).	Marbre	blanc/chamois					50								foliation	117	90	
CG-06-57-05	353396	6559136	affleurement	Marbre, couleur chamois, massif et homogène, minéral vert pomme en baguette (épidote?). Fabrique non visible.	Marbre	grise/chamois					50-60	100										
CG-06-57-06	353325	6559901	affleurement	Marbre, couleur grise, chamois ou blanche. Bancs massifs et homogènes alternant avec des bancs très schistosés, et finement laminés (marbre aussi). Plus radioactifs que ceux observés	Paragneiss		Marbre	grise/chamois	granite		50-150	50-300							S2	128	85	
CG-06-57-07	352773	6559961	affleurement	Paragneiss, très déformé, les leucosomes sont isolés en nodules aplatis et étirés dans la foliation. Ils sont entourés par de la biotite. Ils forment une foliation relativement régulière, mais un peu ondulante. Certains leucosomes sont plus gros et forment de grandes poches concordantes. Les mobilisats forment parfois des bancs plurimétriques de granite hololeucocrate. Marbre, identique à celui de la station précédente.	Quartzite	gris					75	75			CG-06-57-08			x				
CG-06-57-08	353740	6560428	affleurement	Quartzite, beigeâtre (altéré), gris (frais), très massif, lité, alternant avec bandes max 10cm de quartzite gris. Foliation très planaire et régulière. Plis locaux d'aspect kinks (mais ce n'en sont pas!!) N50°/70°.	Marbre		Quartzite				50-100	75-125							foliation	150	75	
CG-06-57-09	353666	6560781	affleurement	Marbre. Quartzite. Du point GPS jusqu'au rivage NE: quartzite laminé (identique à CG-06-57-08), puis à 20m au NE commencent les marbres très massifs, sans foliation et très blancs. S0 N160°/75°.	Marbre	grise					1000		15000						S0	160	75	

No station	Estant (Nad83 - Zone 20)	Nordant (Nad83 - Zone 20)	Bloc ou Affleurement	Description lithologique	Lithologie A	Couleur A	Lithologie B	CouleurB	Lithologie C	CouleurC	Radiométrie Bruit de fond (cps)	Radiométrie maximum (cps)	Radiométrie anomalie (cps)	Photo	Échantillon	Lames minces: Petite (P) et Polie (Po)	Analyses chimiques	Témoin	Structure	Azimuth	Pendage	Caractéristiques
CG-06-57-10	353490	6560594	affleurement	Marbre, aspect magnésien, cassés arrondis monogranique (semble être carbonatés). Brèche ? Trace de dissolution. Roche grise. Roche très fracturée. Le marbre semble être en contact avec une roche plus foncée (nature inconnue!). Minéralisation importante sur 1.5m x 1.5m (façade) au contact stratigraphique. Minéralisation en poches pluricentimétriques, disséminée, dans des microfractures. Plusieurs points > 15000 cps. Bruit de fond = 1000	Paragneiss	rouille						100-125				CG-06-57-10A-B	CG06-57-10A(P)	57-10A-B	57-10A				
CG-06-58-01	348327	6559238	affleurement	Paragneiss, très rouillé, grains fins. S2 = N150°/80°. Localement on remarque des passées pegmatitiques boudinées probablement dues à la fusion. Présence de mobilisat 5 à 10% de grenats associés aux zones migmatisées. Bruit de fond = 100 à 125 cps.	Paragneiss	rouille													S2	150	90	
CG-06-58-02	348473	6559405	affleurement	Paragneiss, idem à l'affleurement (CG-06-58-01), passées migmatisées moins intenses.	Paragneiss ou gneiss granitique																	
CG-06-58-03	348622	6559476	affleurement	Paragneiss au gneiss granitique très altéré.	Paragneiss		Pegmatite	blanc			50											
CG-06-58-04	348751	6559463	affleurement	Dyke de pegmatite, 60cm de large. 60% quartz, 40% feldspath blanc. Pas de mica présent. Les grains sont ± 0.5cm. Orientation N340°/80°. Très fracturée, très altérée. Bruit de fond = 50 cps.	gneiss granitique						100								S2	340	80	
CG-06-58-05	348782	6559467	affleurement	Gneiss, granite, très folié à début de migmatisation. Quelques mobilisats de 1 à 4cm, composé de quartz + feldspath. Même structure N150°. Bruit de fond = 100 cps.	Granite gneissique à biotite															N150		
CG-06-58-06	349039	6559563	affleurement	Granite folié (gneissique), grains très fins (1mm), très altéré. S2 = N140°/60°. Feldspath = 40%, quartz = 35%, biotite = 15%, grenat = 10%. La biotite est concentrée dans les plans de foliation. Les grains sont moyens (1mm à 3mm). Les grenats peuvent atteindre 5mm. La foliation est bien développée, non magnétique, non minéralisé.	gneiss granitique	rouille					80								S2	140	60	
CG-06-58-07	349414	6559699	affleurement	Gneiss granitique, fortement altéré, biotite rouillée, feldspath brunâtre. Bruit de fond = 80 cps.	gneiss granitique						100											
CG-06-58-08	349573	6559746	affleurement	Gneiss granitique, très altéré, ressemble à un paragneiss. Bruit de fond = 100 cps.	gneiss granitique	rouille					110											
CG-06-58-09	349894	6559840	affleurement	Gneiss granitique, rouille, idem (CG-06-58-08), légèrement magnétique. Bruit de fond = 110 cps.	gneiss granitique	rouille																
CG-06-58-10	350289	6559892	affleurement	Gneiss granitique, rouillé.	Granite gneissique	rouille					110											
CG-06-58-11	350379	6559929	affleurement	Granite gneissique, rouillé, non magnétique, non minéralisé. Grains fins ± 2mm. Feldspath jaunâtre à brunâtre. Bruit de fond = 110 cps.	Granite						200											
CG-06-58-12	350411	6559868	affleurement	Granite, descendant la montagne. Grenats 3 à 5%, granulométrie de 1 à 3mm, très altéré. On remarque quelques blocs de marbre de 100 cps. Bruit de fond = 200 cps.	Paragneiss						150-200			1								
CG-06-58-13	350422	6559860	affleurement	Paragneiss, peu altéré, face de 4m dans la montagne. Passées pegmatitiques de 10cm. Riche en grenat 2 à 5%. En général, les grains sont fins. Bruit de fond = 150 à 200 cps.	Granite																	
CG-06-58-14	350438	6559839	affleurement	Granite, grains moyens, grenats 15%.	Granite																	
CG-06-58-15	350625	6559931	affleurement	Granite altéré, grains fins à moyens, 1 à 3mm.	tonalite	gris clair																
CG-06-58-16	350684	6559961	affleurement	Tonalite, grise claire, grains moyens, moyenne 2 à 3mm. Quartz = 30%, feldspath = 40%, biotite = 25%, grenat = 5%. Texture plus massive.	Granite	rose																
CG-06-58-17	351033	6560055	affleurement	Granite rosé, composition plus granodioritique, la couleur est peut-être due à l'altération des feldspaths. Grains moyens 2 à 3mm: quartz = 40%, feldspath = 40%, biotite = 15%, grenat = 5%. Moyennement magnétique par endroit.	gneiss granitique		Quartzite				80				CG-06-58-17			58-17				
CG-06-58-18	351340	6560153	affleurement	Gneiss granitique, grains fins, 1 à 2 mm, très altéré. Veine de quartz boudinée N120°/80°. S2 = N127°/84°. Bruit de fond = 80 cps.	gneiss granitique									1					veine; S2	120; 127	80; 84	
CG-06-58-19	351419	6560194	affleurement	Gneiss granitique.	Granite						100											
CG-06-58-20	351663	6560411	affleurement	Petit affleurement de granite dans un champ de blocs granitiques. Bruit de fond = 100 cps.	Granite						100											
CG-06-58-21	351694	6560554	affleurement	Granite, idem (CG-06-58-20) altéré. Bruit de fond = 100 cps.	Granite																	
CG-06-58-22	351768	6560638	affleurement	Granite, texture schisteuse, ressemble à la structure des schistes rouillés mais la composition des grains semble granitique.	calcasilicate		Marbre				50											
CG-06-58-23	351818	6560681	affleurement	Contact entre calcosilicate et marbre. Banc de marbre = 1.5m. Calcosilicate = 1m. On peut suivre ce banc sur 5m de large et on le perd. Bruit de fond = 50 cps. Le contact et la foliation = N320°/70°.	gneiss granitique	rouille					150				CG-06-58-23			58-23	foliation	320	70	
CG-06-58-24	351821	6560867	affleurement	Gneiss granitique, très rouillé, comme schiste rouillé. Bruit de fond = 150 cps.	Marbre						30											
CG-06-58-25	351921	6561161	affleurement	Marbre, texture saccharoïde. Bruit de fond = 30 cps.	Marbre		Pegmatite				300			1								
CG-06-58-26	351890	6561197	affleurement	Pegmatite, recoupe le marbre. Bruit de fond = 300 cps.	calcasilicate		Marbre	bleuté			40											
CG-06-58-27	351886	6561242	affleurement	Calcosilicate ou marbre, couleur d'altération bleutée, cassure fraîche blanche, 1% dioxside. Réaction forte au HCl. Bruit de fond =	gneiss quartzo-feldspathique		granite	rose			50											
CG-06-59-01	360737	6558947	affleurement	Granite lité à grain fin à moyen et gneiss quartzofeldspathique lité et plissé à grain fin. Petites veines quartz-granite rose à grain grossier, discordantes, peut-être tardives (car non plissées, assez rectilignes). Veine avec coeur en quartz blanc laiteux, éponte (proche de l'encaissant) en feldspaths rosés. (2-3cm) de large. Très faible activité (~ 50 cps gneiss et veines granitiques roses).	Orthogneiss		granite	rose			50											
CG-06-59-02	360621	6558964	affleurement	Affleurement de granite rose à grain grossier, riche en feldspath rose et encaissant d'orthogneiss lité et déformé, à grain fin avec de la biotite en petits lits et/ou filonnets. Le granite est parfois pegmatitique (< 10%) les veines et nodules ont des contacts très diffus avec l'encaissant.	gneiss quartzo-feldspathique		granite	rose			500		1000										
CG-06-59-03	360510	6558915	affleurement	Granite rose à grain moyen, très fracturé. Anomalie très locale dans une partie gneissique: alignement et minéraux écrasés et aplatis formant des genres de lits discontinus, un peu des genres de stratifications. Le granite encaissant semble être à grain moyen, lité ou légèrement métamorphisé, blanc et riche en feldspaths. Gneiss quartzofeldspathique blanc lité, petites taches rouille. (Radiométrie: 1000, 500 background rouille cristaux roses foncés aplatis)	gneiss quartzo-feldspathique		granite	rose	quartz		100		1000										

705544

No station	Estant (Nad83 - Zone 20)	Nordant (Nad83 - Zone 20)	Bloc ou Affleurement	Description lithologique	Lithologie A	Couleur A	Lithologie B	CouleurB	Lithologie C	CouleurC	Radiométrie Bruit de fond (cps)	Radiométrie maximum (cps)	Radiométrie anomalie (cps)	Photo	Échantillon	Lames minces: Petite (P) et Polie (Po)	Analyses chimiques	Témoin	Structure	Azimuth	Pendage	Caractéristiques
CG-06-59-04	360221	6558651	affleurement	Granite rose à grain moyen à grossier rose saumon. Riche en feldspaths roses. Quartz gris translucide à gris légèrement bleuté. L'encaissant est du gneiss quartzofeldspathique lité, (filonnets de biotite parfois plissés) à grain fin, avec parfois des plis, de couleur blanche à grisâtre.	gneiss quartzo-feldspathique		granite	rose			200-250												
CG-06-59-05	359984	6558409	affleurement	Gneiss quartzofeldspathique à grain fin, lité traversé par du granite rose à grain moyen à grossier, couleur rose saumon. Riche en feldspaths. Quartz-biotite disséminé dans le granite, enchevêtré ou en amas pour la biotite. Parfois des lits de feldspaths roses-quartz (2-3cm d'épaisseur) concordants avec la gneissosité. (Radiométrie: 200-250 dans les granites, 50 dans l'encaissant).	Granite	rose/blanc					150												
CG-06-59-06	359787	6558207	affleurement	Affleurement de grande dimension au sommet d'une petite colline de granite rose à grain moyen. Feldspaths blancs et roses saumon, quartz gris cristallin, translucide. De nombreux blocs dont de marbre dolomitique à trous, de quartzite fracturé. Le granite rose est lité par endroit, il s'agit surtout de veines et veinules aplaties et déformées parfois.	gneiss granitique						150												
CG-06-59-07	359411	6557740	affleurement	Affleurement de gneiss granitique à grain moyen, au bord de la rivière. Nombreux plissements. Fracturation et altération type "tache rouille". Nombreuses petites veines et injections, litées ou suivant les foliations du gneiss quand il est par trop déformé. Réseau de fines diaclases.	Paragneiss à biotite	rouille	quartz				100												
CG-06-59-08	359227	6557691	affleurement	Affleurement de paragneiss lité rouillé à grain fin, au background constant sur de larges étendues. Très fracturé, semble aussi déformé. Des veines concordantes parfois déformées de quartz. Paragneiss riche en biotite, aspect très rouillé, sombre, avec des parties noirâtres, fissurées.	Paragneiss		granite	rose/blanc			125												
CG-06-59-09	359027	6557607	affleurement	Affleurement de grande dimension de paragneiss lité à grain fin altéré rouille, foncé, noirâtre, avec des poches et des veines ou petits lits concordants parfois étirés ou aplatis de granite à grain grossier à pegmatitique, rosâtre à blanchâtre. Cristaux feldspath-quartz et grenats dans les veines blanches surtout feldspaths blancs - quartz.	Paragneiss	rouille					125												
CG-06-59-10	358879	6557584	affleurement	Affleurement de paragneiss lité rouillé, veinules blanches et veines concordantes au sommet de collines suivant les crêtes. Grenats souvent dans les veinules blanchâtres. Aspect sombre rouillé. Bloc de granite lessivé, blanc avec des veines déformées de quartz gris .	gneiss felsique		granite	blanc			100												
CG-06-59-11	358695	6557584	affleurement	Affleurements de grandes dimensions, plats ou en ondulations de gneiss felsique lité, très fin, avec des grenats. Des veines peu nombreuses, concordantes, de granite blanc à gros grain riche en feldspaths blancs et quartz en veinules associées avec des feldspaths blancs.	Granite gneissique						150												
CG-06-59-12	358777	6557322	affleurement	Affleurement, au bord d'un lac, de granite gneissique à grain très fin, altéré couleur brune. Autour, des gros blocs de granite à grain grossier blanc avec des feldspaths plagioclases blancs imbriqués avec du quartz cristallin gris translucide. Nombreuses diaclases parallèles dans le gneiss. Assez homogène (composition comme pour la granulométrie). Faible activité SPP2. En direction du sud: vue paroi d'aspect très altérée couleur rouille.	Paragneiss	rouille	quartz				125												
CG-06-59-13	358686	6557373	affleurement	Paragneiss, lité, rouillé, déformé s'étend sur des centaines de mètres. Des veinules et veines de quartz feldspath, biotite rouillée, grenats en filonnets.	gneiss quartzo-feldspathique		Pegmatite	blanche			150												
CG-06-59-14	358476	6557422	affleurement	Grosse veine de pegmatite blanche en contact avec du gneiss quartzofeldspathique à grain très fin, altéré. La pegmatite est surtout composée de phénocristaux de feldspaths blancs. Aussi des nodules de petite dimension de quartz presque pur, cristallin, de couleur grisâtre.	gneiss quartzo-feldspathique		Marbre calcitique	gris/blanc	quartz	gris	40-50												
CG-06-59-15	358417	6557414	affleurement	Affleurement de petite dimension de marbre calcitique gris-blanc altéré chamois, en contact avec du granite blanc à grain grossier à moyen riche en feldspaths blanchis et quartz gris imbriqués ensembles. Le marbre est "enclavé" entre 2 veines de granite ± parallèles et de grande dimension, semblant concordantes avec la direction des foliations du gneiss (300°/ ?) (Radiométrie: 50 c/s granite, 40 c/s marbre)	gneiss ou Granite gneissique		Marbre				50												
CG-06-59-16	358366	6557400	affleurement	Contact entre une poche de marbre et du gneiss fragmenté, démembré. Le marbre est couleur chamois, stratifié, et ondulé perpendiculairement aux stratifications. Le gneiss ou granite gneissique est très fracturé et aussi troué et injecté dans les diaclases. Des minéraux compétents forment des plaquettes sur les plans formés au contact marbre / granite. Cristaux verdâtres, avec éclat mat. Quelques mètres de distance; enclave de marbre quelques mètres de large, stratifiée, en contact avec du paragneiss rouillé.	Paragneiss	rouille	granite	blanche			100-200		1500										
CG-06-59-17	358321	6557363	affleurement	Une anomalie sous les mousses et les arbustes > 1000 cps, locale, semble être une veine de granite blanc, à granulométrie grossière, injectée dans du paragneiss stratifié lité à grain fin et rouillé. (Radiométrie: 1500 → 100-200 background, 2500 max → 4000 max)	Paragneiss		granite	rose			125												
CG-06-59-18	357930	6557163	affleurement	Affleurement de paragneiss injecté par de nombreuses veines de granite rosâtre, blanchâtre, de petite dimension. Encaissant à grain fin, lité, stratifié et déformé.	gneiss à biotite		granite pegmatitique	blanc	quartz	gris	100-125												
CG-06-59-19	357688	6557163	affleurement	Veines et filons de granite pegmatitique blanc à feldspaths plagioclases blancs et veines de quartz grisâtre (éclat terne, translucide) dans un encaissant à grain fin de gneiss déformé lité à biotite. Des amas de biotite de plusieurs centimètres de long dans le granite pegmatitique blanc, de la biotite en filonnets dans le gneiss. Quelques enclaves seulement persistent de l'encaissant. Les veines et filons sont au sommet d'une colline de grande dimension (Plusieurs centaines de mètres).	Paragneiss	rouille	granite pegmatitique	blanc			100												

No station	Estant (Nad83 - Zone 20)	Nordant (Nad83 - Zone 20)	Bloc ou Affleurement	Description lithologique	Lithologie A	Couleur A	Lithologie B	CouleurB	Lithologie C	CouleurC	Radiométrie Bruit de fond (cps)	Radiométrie maximum (cps)	Radiométrie anomalie (cps)	Photo	Échantillon	Lames minces: Petite (P) et Polie (Po)	Analyses chimiques	Témoin	Structure	Azimuth	Pendage	Caractéristiques
CG-06-59-20	357429	6557015	affleurement	Affleurement de granite blanc pegmatitique à phénocristaux de feldspaths plagioclases blancs de type filons ou veines concordantes. Pas de contact net mais plutôt des parties isolées de l'encaissant étant du paragneiss lité déformé, altéré couleur rouille.	Paragneiss		granite	blanc			100											
CG-06-59-21	357260	6556873	affleurement	Affleurement de paragneiss lité fin, plissé avec quelques veinules blanchâtres de granite à gros grain. Un bloc de marbre isolé. Des blocs de granite pegmatitique blanc à phénocristaux de feldspaths plagioclases blancs, quartz grisâtre translucide diffus, parfois entourant les feldspaths et/ou imbriqués.	gneiss quartzo-feldspathique						100-150											
CG-06-59-22	357148	6556755	affleurement	Affleurement de gneiss lité à grain fin, avec des lits blanchâtres de minéraux felsiques à grain moyen (feldspath plagioclase surtout). Gneiss peu déformé, quartzofeldspathique à grain fin à très fin. Lits de 1cm d'épaisseur maximum parfois longs de 30 à 40cm lorsque le gneiss n'est pas trop déformé. Des blocs de granite pegmatitique rosâtre et blanchâtre, des blocs de marbre et de quartzite gris bleuté, à grain fin. Le gneiss est plissé par endroit, mais sa granulométrie est homogène: fine.	gneiss		Marbre				100											
CG-06-59-23	357068	6556530	affleurement	Enclaves de quelques mètres de long de marbre stratifié, débit en plaquettes fines. Enclave dans du gneiss lité à grain fin. Les foliations du gneiss et du marbre ont la même direction: 283°/80-90.	Marbre	brun chamois					50								foliation	283	80-90	
CG-06-59-24	356950	6556481	affleurement	Affleurement de marbre lité, altéré couleur brune chamois. Les stratifications sont visibles, les trous, de la farine de calcite et dolomie.	Marbre dolomitique	blanc					30-50											
CG-06-59-25	356902	6556435	affleurement	Affleurement de marbre dolomitique lité, blanc, altéré superficiellement couleur terre, brune chamois.	Marbre dolomitique	blanc					25											
CG-06-59-26	356840	6556403	affleurement	Même type que le précédent (CG-06-59-25). Pas de litage visible, affleurement plat, très peu radioactif, pas de contact visible.	Marbre dolomitique	blanc					25-40											
CG-06-59-27	356756	6556359	affleurement	Marbre dolomitique lité, faiblement radioactif. Très altéré, troué. Couleur grise à brun terreux, chamois.	Marbre dolomitique	blanc					25-50											
CG-06-59-28	356714	6556367	affleurement	Marbre au bord d'une rivière. Mêmes caractéristiques que l'affleurement précédent (CG-06-59-27).	Granite pegmatitique	blanc					100											
CG-06-59-29	356704	6556314	affleurement	Affleurement de granite pegmatitique blanc, phénocristaux feldspaths blancs fracturés. Dimension: une vingtaine de mètres de long, 4-5m de large.	Quartzite	gris					85	150										
CG-06-60-01	388088	6525298	affleurement	Quartzite, finement laminé, massif et homogène, aussi 100% quartz, couleur grise, roche plissée, mais tendance générale de la foliation vers N140°. À l'approche de CG06-60-02, les quartzites deviennent très plissés.	Paragneiss		Quartzite		mylonite		50-75	150-200			CG-06-60-01			CG-06-60-01				
CG-06-60-02	387889	6525291	affleurement	Quartzite, paragneiss, lamprophyre ultramafique (?), veine de quartz et mylonite. Variation progressive des contacts entre quartzite et paragneiss à l'approche de CG06-60-02, plissements intenses. Roches généralement mal exposées (lichens). Présence d'une roche à fragments siliceux et matrice noire-verdâtre, lamprophyre? Quelques spécimens réagissent un peu au HCl. Contact [illegible]	Paragneiss à biotite	brun					75	120			CG-06-60-02A-B			60-02A	foliation	N140		
CG-06-60-03	387413	6524989	affleurement	Paragneiss, depuis CG06-60-02, quartz-feldspath-biotite, homogène, folié, rubanné, patine brune. Rares granites hololeucocrates interfoliaires. Foliation: N320°, légèrement variable, tout comme le pendage.	Paragneiss migmatitisé						100	200							foliation	N320		
CG-06-60-04	386993	6525016	affleurement	Paragneiss migmatitisé (métatexite). Lits à texture cataclastique. 50% granite hololeucocrate, 50% paragneiss à biotite. Foliation à N334°.	méta grès à biotite		Quartzite				150	200							foliation	N334		
CG-06-60-05	386698	6524913	affleurement	Métagrès à biotite (schiste). Granodiorite ou granite, injecté dans quartzite ou schiste à biotite, puis devient concordant.	gneiss quartzo-feldspathique		granite	blanc			100	125			CG-06-60-05			CG-06-60-05				
CG-06-61-01	381696	6520498	affleurement	Gneiss quartzofeldspathique, lité fin, traversé par du granite blanc. Petite dimension. Biotite rouillée dans l'enclave de granite. Feldspaths potassiques et plagioclases blancs en gros cristaux localement. Gneiss localement très rouillé.	Orthogneiss	blanc					100											
CG-06-61-02	381988	6520702	affleurement	Orthogneiss lité à grain fin, blanc à blanchâtre, altéré en surface (cristaux lessivés). Des plis, surtout visibles avec des filonnets de biotite, fins, déformés dans plusieurs directions.	gneiss quartzo-feldspathique		granite pegmatitique	blanc			100											
CG-06-61-03	382308	6520924	affleurement	Gneiss quartzofeldspathique traversé par de nombreuses veines de granite blanc, pegmatitique localement, à grain fin et déformé.	Paragneiss	rouille	granite pegmatitique	blanc			125											
CG-06-61-04	382552	6521103	affleurement	Paragneiss altéré rouillé, à grain fin, traversé par des veines et des filons de granite pegmatitique blanchâtre aux cristaux fissurés et lessivés (altération de type kaolinisation).	Paragneiss		orthogneiss		granite	blanc	100											
CG-06-61-05	382885	6521115	affleurement	Paragneiss et orthogneiss à grain fin, plissé, altéré. Des veines de granite à grain grossier, surtout composées de feldspaths blancs, traversent l'encaissant surtout le paragneiss avec des systèmes de veines ou de filons de plus grande dimension. Des lits ou veines quartzofeldspathiques plus épais que les filonnets de biotite mais moins nombreux.	Granite pegmatitique	blanc					500		1000									
CG-06-61-06	383232	6521033	Bloc	Granite pegmatitique blanchâtre lessivé et altéré, riche en feldspaths blancs mâclés et microfissurés. Un peu de biotite en amas, altérée. Minéralisé, autour de 500cps en background, avec un pic à 1000cps sur une veinule de quartz déformée.	Orthogneiss	blanc					50											
CG-06-61-07	383711	6521136	affleurement	Orthogneiss lité, très fin. Déformé et plissé. Des filonnets très fins et très courts de quartz-feldspath à grain fin, de couleur blanchâtre. Faible activité (background faible).	gneiss quartzo-feldspathique		granite pegmatitique	blanc/rose			75											
CG-06-61-08	383607	6522251	affleurement	Dyke de granite blanchâtre et rosâtre, rectiligne sur 3 ou 4 mètres, à cristaux de feldspaths rosés et blancs, fissurés, parfois imbriqués ou avec des inclusions de quartz gris, à grain moyen. Contact franc avec l'encaissant de gneiss quartzofeldspathique.	gneiss quartzo-feldspathique		granite pegmatitique	rose			100											

705544

No station	Estant (Nad83 - Zone 20)	Nordant (Nad83 - Zone 20)	Bloc ou Affleurement	Description lithologique	Lithologie A	Couleur A	Lithologie B	CouleurB	Lithologie C	CouleurC	Radiométrie Bruit de fond (cps)	Radiométrie maximum (cps)	Radiométrie anomalie (cps)	Photo	Échantillon	Lames minces : Petite (P) et Polie (Po)	Analyses chimiques	Témoin	Structure	Azimuth	Pendage	Caractéristiques
CG-06-61-09	383694	6522597	affleurement	Des veines ou petits dykes de granite pegmatitique rose dans du gneiss quartzofeldspathique lité, à grain fin. Rectilignes, contacts nets, petite dimension. Surtout constitués de feldspaths mâclés et fissurés avec du quartz en inclusion dans les phénocristaux de feldspaths.	gneiss quartzo-feldspathique		Paragneiss	rouillé			75											
CG-06-61-10	383771	6522799	affleurement	Gneiss quartzofeldspathique lité, plissé avec de fins lits de biotite déformés. De petites enclaves de paragneiss lité à grain fin, altéré couleur rouille, brunâtre foncée à noire.	gneiss		quartz				50-75											
CG-06-61-11	383863	6522954	affleurement	Petit affleurement très altéré de gneiss lité, à grain fin. Des veines et veinules de quartz à grain plus grossier. Des enclaves de gneiss lité et plissé, avec une altération sombre noirâtre et de couleur rouille.	Orthogneiss à biotite						140	300										
CG-06-62-01	358171	6537400	affleurement	Orthogneiss à biotite, grain fin, bandes compositionnelles, quartz-feldspath et minéraux mafiques (biotite). Foliation très planaire (échelle de l'échantillon), petits plis (échelle affleurement). Foliation: N148°.	Orthogneiss à biotite						80	500							foliation	N148		
CG-06-62-02	357878	6537138	affleurement	Orthogneiss à biotite, lithologie identique à CG06-62-01. Foliation très variable, plissements plus intenses qu'à CG06-62-01.	Orthogneiss						200	500										
CG-06-62-03	357547	6537029	affleurement	Orthogneiss. Roche très hétérogène: en composition (plus minéraux mafiques), en déformation et en granulométrie. Dominante compositionnelle de tonalite et granodiorite. Roche bien rubannée en général. Rares passées pegmatitiques massives. Récristallisation certaine des minéraux.	Orthogneiss						200	300			CG-06-62-03			62-03				
CG-06-62-04	357248	6537040	affleurement	Orthogneiss, très homogène, folié, voire rubanné. Enclaves ultramafiques bréchifiées (ou restites?), passées moins foliées avec moins de minéraux mafiques. Roche de composition granodioritique.	Orthogneiss		granite				140		2500									
CG-06-62-05	357675	6536766	affleurement	Granite et orthogneiss. Granite très hématisé (local?). Amas de biotite. Hornblende grossière locale, mélange incohérent de phases à grain fin à grain grossier. Foliation: N190 (?). Anomalie: 3m de long, 0.5m de large, concordant à sub-concordant.	Orthogneiss à biotite		Paragneiss				100	150			CG-06-62-05	CG-06-62-05(P)	CG-06-62-05	CG-06-62-05	foliation	N190		
CG-06-62-06	358318	6536048	affleurement	Orthogneiss à biotite, lithologie identique à celle observée à CG06-62-01 et CG06-62-02. Roche très rubannée (rubannement compositionnel), fines bandes. En route, bandes de paragneiss non cartographiables (max 150 cps). Foliation: N350°/48°.	Orthogneiss						90	140							foliation	350	48	
CG-06-62-07	358313	6534968	affleurement	Orthogneiss, paragneiss, métatufs ? Roches très rubannées, souvent avec quartz fumé et étiré dans la formation. Présence possible de métatufs, lentilles de feldspaths (?) très blancs, très étirés, composition à tendance felsique. Gneiss à composition granodioritique et tonalitique. Présence de lits riches en hornblende grossière. Foliation planaire et régulière N268°/77°.	Orthogneiss à biotite		granite à biotite				80	100							foliation	268	77	
CG-06-62-08	358845	6535270	affleurement	Orthogneiss et granite. Foliation bien développée. Roche à biotite / hornblende (local). Foliation planaire et régulière. Les orthogneiss ne sont peut-être pas tous des roches intrusives métamorphisées, mais des roches volcaniques métamorphisées? Quelques horizons rouillés (biotite), paragneiss? Foliation: N328°/70°.	Granite		diabase		monzodiorite à hornblende		80	100							foliation	328	70	
CG-06-62-09	359037	6535256	affleurement	Granite hololeucocrate, diabase, monzodiorite à hornblende. Sill de diabase > 10m d'épaisseur recoupant le granite peu déformé, voire massif et la monzodiorite à hornblende massive à grain grossier. Diabase, grain fin à aphanitique, texture sub-ophitique typique, contacts nets. ≠ foliation, relation inconnue entre granite et monzodiorite.	gneiss quartzo-feldspathique						75	100			CG-06-62-09A-B			62-09A-B				
CG-06-63-01	361215	6533390	affleurement	Gneiss quartzofeldspathique plissé, déformé, rosâtre. Granulométrie fine, filonnets de biotite déformés. Feldspaths potassiques et plagioclases rosés et blancs. Fractures et diaclases nombreuses, altération de surface grise.	gneiss quartzo-feldspathique		granite	rose			150-175			4								
CG-06-63-02	360869	6533509	affleurement	Gneiss quartzofeldspathique lité, très fin, riche en biotite. Fin filonnets et petits lits de feldspath-quartz à grain plus grossier, de couleur rosâtre-orangée. Nombreux cristaux moyens de quartz gris et feldspath imbriqués, inclusions de quartz dans les feldspaths. Quartz parfois fumé. Fissures dans les cristaux de feldspath. Assez homogène. Quelques veines de granite rose, discordantes, à grain moyen. Nombreux petits lits de biotite, parfois plissés.	gneiss quartzo-feldspathique		granite	rose/orange			100											
CG-06-63-03	360644	6533503	affleurement	Gneiss quartzofeldspathique lité, à grain très fin, riche en biotite. Des veines ou des filons de granite rose-orangé, à grain moyen, traversent l'encaissant de gneiss de façon discordante ou en lits plus petits, toujours parallèles aux foliations du gneiss.	Orthogneiss	blanc	granite	rose			100-125											
CG-06-63-04	360442	6533393	affleurement	Orthogneiss lité, très fin, blanchâtre, avec des veines concordantes à grain moyen, riche en feldspaths roses saumon. Des enclaves de granite dans l'encaissant de gneiss lité peu déformé, très riche en filonnets de biotite noire.	gneiss quartzo-feldspathique		granite	rose			150											
CG-06-63-05	360194	6533337	affleurement	Gneiss quartzofeldspathique lité, à grain fin. Veines et lits concordants de granite rose à feldspaths saumon. Quartz gris translucide en inclusion dans les feldspaths. Gneiss parfois avec des lits de quartz-feldspath blanchâtre, de petite dimension (1 à 2 cm d'épaisseur pour moins de un mètre de long généralement).	Paragneiss	rouille	granite	blanc			100-125											
CG-06-63-06	360139	6533324	affleurement	Affleurement de paragneiss à grain fin, rouillé. Des enclaves de granite à grain moyen, blanchâtre, altéré brunâtre. Fracturé. Tâches rouilles. Quartz gris en inclusions dans les feldspaths blancs. Aussi, du granite rose, à grain moyen, en enclaves ou en veines et lits concordants. Biotite en amas (petits) dans les granites à gros grain, en filonnets dans le paragneiss et dans le gneiss quartzofeldspathique.	Granite	rose					200		1000		CG-06-63-07			63-07				

No station	Estant (Nad83 - Zone 20)	Nordant (Nad83 - Zone 20)	Bloc ou Affleurement	Description lithologique	Lithologie A	Couleur A	Lithologie B	CouleurB	Lithologie C	CouleurC	Radiométrie Bruit de fond (cps)	Radiométrie maximum (cps)	Radiométrie anomalie (cps)	Photo	Échantillon	Lames minces: Petite (P) et Polie (Po)	Analyses chimiques	Témoin	Structure	Azimuth	Pendage	Caractéristiques
CG-06-63-07	360028	6533297	affleurement	Granite rose à grain moyen. Fracturé et altéré, rose saumon, assez homogène. Feldspaths rosés en gros cristaux mâclés et fissurés. Quartz gris, cristaux grisâtres translucides imbriqués ou en inclusions dans les feldspaths. Anomalie locale.	Granite gneissique	rose					100-150		1250									
CG-06-63-08	359762	6533268	affleurement	Gneiss granitique ou quartzofeldspathique à grain fin à moyen avec des lits plus grossiers de granite légèrement folié, de granite rose saumon à grain moyen à grossier formant des lits et des veines parfois concordantes avec les foliations. Fracturé. Altération de surface grise sombre. Nombreux lits de feldspaths rosés avec quartz.	Paragneiss	rouille	quartz				125											
CG-06-63-09	359673	6533234	affleurement	Paragneiss à grain fin, lité, très altéré, noirâtre et couleur rouille. Des nodules et des lits granitiques à grain moyen à grossier. Quelques veines de quartz.	Paragneiss	rouille	granite				100											
CG-06-63-10	359613	6533321	affleurement	Paragneiss lité, rouillé et déformé. Des contacts diffus entre du paragneiss et de l'orthogneiss, à grain fin, riche en minéraux felsiques (sous forme de lits concordants). Des enclaves granitiques, des lits de quartz, de quartz-feldspath. Des nodules de quartz fracturés.	Paragneiss	rouille	quartz	blanc			100											
CG-06-63-11	359628	6533521	affleurement	Paragneiss lité, fin, altéré couleur rouille avec des lits concordants de quartz blanc laiteux. Très riche en biotite altérée. Quartz dans les lits ou les veines fracturées, microfissures des grains, teintes grises, grisâtre parfois fumé ou légèrement bleuté. Tâches rouilles, rouge brique à orangée.	Orthogneiss		quartz	blanc	granite	blanc	75-175	500		1								
CG-06-63-12	359539	6533624	affleurement	Orthogneiss lité à grain fin, traversé par des veines de quartz blanches parallèles et discordantes, aussi par des veines et filons de granite blanc et rose, à grain moyen à grossier, riche en feldspaths blancs et roses saumon. Altération des cristaux de feldspaths. Microfissure et fracture des roches et des minéraux.	gneiss quartzo-feldspathique		granite	rose/blanc			60											
CG-06-63-13	359506	6533816	affleurement	Affleurements au sommet d'une colline. Principalement du gneiss quartzofeldspathique traversé par des veines et des filons de granite rose saumon et blanc, à grain moyen à grossier, fracturé et altéré. Des enclaves et affleurements de plus petite taille de paragneiss, stratifié, lité, couleur rouille, foncée, noirâtre. Veine de quartz blanc et gris, translucide à opaque, cristallin (et fissuré) à amorphe.	Orthogneiss		Paragneiss à biotite	rouillé	granite	blanc	150			1								
CG-06-63-14	359504	6533959	affleurement	Orthogneiss lité fin avec des enclaves de paragneiss à biotite, rouillé. Des veines de granite blanc-rosâtre traversent l'encaissant de gneiss quartzofeldspathique à grain fin. Nombreuses et fracturées. Une veine de quartz.	Granite		Paragneiss à biotite		granite	rose	150		1000	1								
CG-06-63-15	359513	6533971	affleurement	Contact entre une veine de granite à grain grossier, rose, à feldspath rose saumon et quartz gris clair à blanc laiteux, feldspaths blancs moins nombreux (5-10%) et du paragneiss à biotite (en enclave au sein de l'orthogneiss). Pas de contact net visible. Paragneiss très rouillé (très riche en biotite).	gneiss quatzo-feldspathique						75			1							
CG-06-63-16	359501	6534284	affleurement	Affleurements de grande dimension de gneiss quartzofeldspathique à grain fin, lité et déformé. Feldspaths blanchâtres et lits de feldspaths. Quartz rosâtre. Localement des phénocristaux et amas quartzeux gris parfois bleutés, fracturés.	Marbre dolomitique		gneiss granitique				75											
CG-06-63-17	359358	6534238	affleurement	Affleurement de marbre dolomitique chamois, de petite dimension. Réagit faiblement à HCl. Pas de contact visible avec les gneiss ou les veines de granite.	Marbre dolomitique	brun/chamois	granite	blanc			75-100			3								
CG-06-63-18	359293	6534243	affleurement	Affleurement d'au moins 100 mètres de long de marbre dolomitique brun chamois altéré en surface (couleur grise claire), lité, à grain moyen. Réagit très peu à HCl. Traversé par des veines de petite taille de granite blanchâtre à feldspaths blancs, quartz gris légèrement bleuté, le plus souvent discordantes. Nodules de granite concordants (feldspath-quartz), plissés et déformés (cristaux très fracturés et microfissurés).	Marbre calcitique						50											
CG-06-63-19	359395	6534411	affleurement	Marbre calcitique, de grande dimension (>10m par 10m), possiblement la continuité du précédent affleurement. Blanc, altéré couleur grisâtre superficiellement. À grain moyen à fin. Réagit vivement à HCl. N'est pas lité ni déformé.	Marbre calcitique	blanc					40											
CG-06-63-20	359424	6534459	affleurement	Marbre calcitique blanc, à trous. Bandes ou lits de minéraux grossiers, altérés jaune-orangés, éclat mat, peu déformés. Des enclaves ou petites poches avec de gros cristaux de feldspaths maclés, fissurés, lessivés, partiellement détruits.	gneiss granitique		granite	blanc			50-100											
CG-06-63-21	359490	6534727	affleurement	Granite gneissique à grain fin traversé par de nombreuses veines de granite blanchâtre à rosâtre, à grain moyen à grossier, de toute dimension. Réseau de veines et filons très dense: peu de l'encaissant est visible, parfois persistent des enclaves de gneiss à biotite altérée ou quartzofeldspathique lité.	gneiss quatzo-feldspathique		granite	rose			100											
CG-06-63-22	359559	6534921	affleurement	Gneiss quartzofeldspathique lité, peu déformé à grain fin, traversé par des veines de toutess tailles de granite rose (saumon) à grain moyen, riche en feldspaths potassiques rosés. Environ 10% de quartz. Nombreux lits de feldspath-quartz dans l'encaissant.	Granite gneissique	rose/blanc					100		1000									
CG-06-63-23	359593	6535042	affleurement	Granite rose saumon à blanchâtre. Lits de feldspaths roses et quartz pour des enclaves gneissiques, à grain fin. Cristaux de feldspaths roses et localement blancs avec du quartz et granulométrie moyenne pour le granite rose.	Granite	rose/blanc					100											
CG-06-63-24	359583	6535223	affleurement	Granite rosâtre à blanchâtre, à grain fin à moyen, partiellement gneissique (de très fins lits), déformé localement. Peu homogène et fracturé. Altération superficielle noirâtre.	Granite pegmatitique	rose/blanc					150		1500									
CG-06-63-25	359600	6535247	Bloc	Bloc de granite pegmatitique rosé, à phénocristaux de feldspath mâclés et fissurés, lessivés. Au 3/4 recouvert de mousse. Remarque: autre bloc à 1mètre de distance avec un contact granite / paragneiss rouillé, lité très fin. Un pic très local à 1500 chocs (SPP2).	Orthogneiss	rose	monzogranite	rose	granite	blanc	100											

705544

No station	Estant (Nad83 - Zone 20)	Nordant (Nad83 - Zone 20)	Bloc ou Affleurement	Description lithologique	Lithologie A	Couleur A	Lithologie B	CouleurB	Lithologie C	CouleurC	Radiométrie Bruit de fond (cps)	Radiométrie maximum (cps)	Radiométrie anomalie (cps)	Photo	Échantillon	Lames minces: Petite (P) et Polie (Po)	Analyses chimiques	Témoin	Structure	Azimuth	Pendage	Caractéristiques
CG-06-63-26	359805	6535405	affleurement	Orthogneiss lité à grain fin. Lits de feldspaths rosés, roses saumon. Quartz gris, inclusions dans les feldspaths. Des portions moins métamorphisées avec du granite rose très riche en feldspath possiblement un monzogranite rose à grain fin à moyen. Peu déformé. Aussi des enclaves de granite blanc à grain moyen à fin 10-15% de quartz gris.	Paragneiss	rouille	granite	rose/blanc			75											
CG-06-63-27	359807	6535527	affleurement	Affleurement de paragneiss rouillé : petite enclave au sein des gneiss quartzofeldspathiques à lits de feldspaths roses et filonnets de biotite. Le gneiss quartzofeldspathique est de couleur blanchâtre (nombreux minéraux felsiques), parfois du granite rose à blanchâtre le traverse (généralement sous forme de veines ou lits concordants).	Orthogneiss		quartzo-feldspathique				100											
CG-06-64-01	363073	6561233	affleurement	Orthogneiss à grain fin lité et avec des lits et veinules quartzofeldspathiques roses. Fins filonnets de biotite.	Granite	rose/blanc					100											
CG-06-64-02	362903	6561186	affleurement	Granite folié, légèrement rosâtre et blanchâtre, à grain moyen à fin. Feldspaths roses et quartz gris en inclusion.	Granite	rose					100											
CG-06-64-03	362523	6561278	affleurement	Granite rosé, folié avec de fins lits de biotite. Feldspath-quartz, biotite localement en filonnets. Alignements de minéraux.	gneiss quartzo-feldspathique		granite	rose/blanc			120											
CG-06-64-04	362393	6561162	affleurement	Gneiss quartzofeldspathique lité à biotite, traversé par des veines de granite blanc et rose à grain moyen.	Granite	rose/blanc					120											
CG-06-64-05	362259	6560987	affleurement	Granite blanchâtre et rosâtre, rose saumon, granulométrie moyenne. Feldspaths roses saumon. Des quartz gris à noirs (gris très foncé) fumés.	gneiss quartzo-feldspathique	blanc	granite	rose			100											
CG-06-64-06	362188	6560834	affleurement	Affleurement de gneiss blanc quartzofeldspathique lité avec des veines ou des poches granitiques, surtout du granite rose saumon à grain moyen-fin. Le gneiss est plissé et déformé.	gneiss quartzo-feldspathique	rose					125											
CG-06-64-07	361859	6560659	affleurement	Affleurement de gneiss quartzofeldspathique à grain fin, lité (filonnets de biotite), localement plissé et avec des lits de feldspaths rosés.	Orthogneiss		quartz				100											
CG-06-64-08	361500	6560559	affleurement	Orthogneiss blanc. Quelques veines de quartz. Enclaves de granite à grain moyen de couleur blanche ou rose saumon.	gneiss à biotite	rouille					100											
CG-06-64-09	361225	6560319	affleurement	Gneiss lité très fin, blanc, avec des filonnets de biotite altérée couleur rouille. Quartz gris et feldspaths alplatis. Les foliations sont visibles, les filonnets de biotite courts et fins (1 mm).	Granite pegmatitique	rose					200-300											
CG-06-64-10	360900	6560132	affleurement	Granite rose pegmatitique à phénocristaux de feldspaths roses fissurés altérés. Background plus élevé que l'encaissant de gneiss quartzofeldspathique.	Marbre dolomitique	blanc					50			1								
CG-06-64-11	360665	6560058	Bloc	Marbre dolomitique blanc altéré en surface. Cristaux orangés. Couleur noirâtre superficielle. Gros cristaux mâclés très fissurés.	Granite	rose					100											
CG-06-64-12	360485	6559933	affleurement	Granite rose à grain moyen avec localement des foliations. Granulométrie variable. Quartz gris translucide et feldspaths roses saumon. Texture foliaire (sur 20% de la surface de l'affleurement).	Marbre	blanc					40-50			1								
CG-06-64-13	360436	6559929	Bloc	Bloc de marbre montrant des cristaux en baguettes blanches translucides, éclat vitreux. Lits plissés. Cristaux grossiers fissurés.	Granite	rose	gneiss				100											
CG-06-64-14	359990	6559853	affleurement	Affleurement de granite rosé à grain moyen et des enclaves de gneiss à grain fin quartzofeldspathique lité, localement plissé et déformé. Altération sombre de surface. Grains et cristaux altérés (hématisation et possiblement argilisation) et fissurés.	Granite ± gneissique	rose					100											
CG-06-64-15	359702	6559751	affleurement	Granite localement gneissique ou légèrement folié et montrant des alignements de minéraux un peu étirés. Rosâtre clair à rose saumon, éclat mat. Filonnets très fins de biotite.	Granite	rose					70											
CG-06-64-16	359621	6559755	affleurement	Granite rosâtre à grain moyen. Feldspaths rosés, quartz gris à grisâtre clair. Très légèrement folié avec de la biotite en fins filonnets courts et millimétriques.	Marbre dolomitique	blanc					40-50											
CG-06-64-17	359341	6559647	Bloc	Marbre dolomitique à grain fin, blanc, éclat vitreux. Réagit très peu à HCl. Quelques minéraux transparents comme la muscovite (< 2%). Assez homogène (tant granulométrie que la composition). Mesure un mètre de long maximum.	gneiss quartzo-feldspathique	rose/blanc					75-125											
CG-06-64-18	359115	6559448	affleurement	Affleurement de gneiss quartzofeldspathique à grain fin, blanchâtre et rosâtre avec des lits de biotite, localement plissé. Des lits généralement roses de feldspath-quartz imbriqués, à grain plus grossier.	Orthogneiss	blanc	quartz		granite	rose/blanc	100											
CG-06-64-19	358994	6559434	affleurement	Orthogneiss folié, à grain fin, de couleur claire, blanchâtre avec de l'altération de surface grisâtre à noirâtre, sombre. Des veines de quartz gris à blanc laiteux, opaque, translucide. Des lits déformés blancs ou rosâtres de feldspath et quartz à grain moyen. Des veines parallèles de granite à grain fin à moyen, blanche et rose, de petite dimension et surtout concordantes aux foliations du gneiss lorsque celui-ci n'est pas trop déformé ou trop plissé. Constituées principalement par des feldspaths potassiques roses saumon, du quartz gris (clair à sombre) et de la biotite.	gneiss quartzo-feldspathique							80-120											
CG-06-64-20	358420	6559171	affleurement	Gneiss quartzofeldspathique folié (filonnets courts de biotite noire et parfois altérée couleur rouille), à grain fin avec un pourcentage de granite rosé à feldspath rose saumon et quartz gris translucide. Localement quelques petits amas de biotite.	Marbre		Quartzite															
CG-06-65-01	353263	6560799	affleurement	Quartzite, marbre. Roche à grain très fin équigranulaire, homogène, grise alongement rose-rouge. Marbre = mêmes caractéristiques que quartzite mais réagit passablement à l'acide. En altéré, les marbres décrivent des contrastes d'érosions typiques. Apparence de plis complexes. Quartzite, fentes de tension, disposées selon un système de veines en échelons, espacement 1dm (minimum). Veines sub-concordantes à concordantes au litage, varient de N302° à N316°. Possibilité de cisaillement à proximité ?	Marbre	blanc					40	40							veine; veine	302; 316		

No station	Estant (Nad83 - Zone 20)	Nordant (Nad83 - Zone 20)	Bloc ou Affleurement	Description lithologique	Lithologie A	Couleur A	Lithologie B	CouleurB	Lithologie C	CouleurC	Radiométrie Bruit de fond (cps)	Radiométrie maximum (cps)	Radiométrie anomalie (cps)	Photo	Échantillon	Lames minces: Petite (P) et Polie (Po)	Analyses chimiques	Témoin	Structure	Azimuth	Pendage	Caractéristiques
CG-06-65-02	353126	6561723	affleurement	Marbre, blanc, toujours grain fin, grossier hétérogène, lité. Foliation: N143°/86°.	Marbre						50	50							foliation	143	86	
CG-06-65-03	353122	6561448	affleurement	Marbre, grain fin, homogène, lité. Présence de bandes plus massives, métriques (maximum) ~ 5% de la roche. Variation latérale de faciès, lits obliques (photo), polarité vers le nord-est. Foliation — S0 = N328°/87°. Semble y avoir de petites injections de matériel carbonaté, relief positif, compétent.	Marbre	blanc					20	850	1350						S0	328	87	
CG-06-65-04	353405	6561430	affleurement	Marbre, bien lité, textures très variables, passant de très massif à feuilleté. Couleurs: blanche, grise, brune. Plis locaux au sein des lits (interlits). Souvent, même aspect de quartzite mais très réactif. Foliation (S0) = N320°/84° (anomalie ponctuelle).	Marbre	blanc/miel					40	50							S0	320	84	
CG-06-65-05	353234	6561228	affleurement	Marbre, 2 phases distinctes: carbonates blancs, carbonates miels. Phlogopite - couleur tirant sur la biotite. Litage planaire et régulier. S0 = N329°/83°.	Marbre	beige/rose					40	50							S0	329	83	
CG-06-65-06	353390	6560942	affleurement	Marbre, beige, rosé, hétérogène, plans de phlogopite dans les clivages. Roche grenue (porphyrique), phénocristaux. S0 =	roche carbonaté						variable		21000						S0	320	82	
CG-06-65-07	353494	6560829	affleurement	Indice. Séquence des faciès carbonatés divers. Minéralisation, accompagnée de produits jaunes, surtout incluse dans un faciès fragmentaire. Anomalies répertoriées sur toute la hauteur de la paroi. Anomalies dispersées sur quelques mètres de large. Produits jaunes également visibles dans un nodule métrique (similaire à CAGE-D). Unités (arrangement) verticales puis plissement au sommet. Les roches carbonatées chapautent les roches bréchifiées et les quantités.	grano diorite ou tonalite						60	100			CG-06-65-07 A-B-C	CG-06-65-07 A(Po), CG-06-65-07 B(P)	CG-06-65-07 A	65-07A-B-C				
CG-06-66-01	365808	6550951	affleurement	Granodiorite (ou tonalite) foliée, composition variable. Amas rond de biotite ou allongé; lorsque folié. Hornblende grossière locale. Rares passées granitiques. Roches non altérées (séricitisation très locale). Foliation irrégulière.	tonalite		amphibolite		granite porphyrique		60-100	125										
CG-06-66-02	366712	6551182	affleurement	Tonalite foliée, amphibolite, granite porphyrique. Contacts francs entre toutes les unités. Granite non déformé. Phénocristaux de feldspath potassique. Amas de biotite, faible séricitisation. Amphibolite ~ 20m de large. Granite injecté dans l'amphibolite ? la tonalite. Dykes visibles, corps déformés. Foliation diffuse; impossible de prendre de mesure.	tonalite		granite	rose			160	500			CG-06-66-02			66-02				
CG-06-66-03	367125	6551399	affleurement	Tonalite et granite foliés. Lithologies mélangées, roche foliée mais pas intensément, la roche parfois rubannée, bandes diffuses (granitisation?). Injections de granite (surtout pegmatitique) rose, dimension des corps inconnue.	granitoide						100	300										
CG-06-66-04	367654	6551114	affleurement	Granitoïdes foliés et rubanés. Rubannement compositionnel fréquent (bandes fines ~ 1mm de biotite). Sinon, la roche est bien foliée, schlierens planaires mais discontinus. Foliation irrégulière. Granite à biotite massif en recoupement.	gneiss quatzo-feldspathique						90-140	130-170										
CG-06-66-05	367796	6550922	affleurement	Gneiss quartzofeldspathique (probablement paragneiss). 60% de mobilsat granitique assez concordant. Présence de peu de biotite dans chacune des lithologies. Roche bien foliée ≠ rubannée. Roche souvent d'aspect migmatitique. Foliation irrégulière; pas vraiment de tendance générale.	Paragneiss		granite				100	125										
CG-06-66-06	368858	6551161	affleurement	Paragneiss et granite. Paragneiss à patine brune intercalé de façon concordante avec des granites à grain grossier à pegmatitique (rare). Bancs 1m x > 1m. Paragneiss = folié et non rubané. Foliation quasi horizontale depuis CG06-66-05. En route: paragneiss et granite. Foliation = N032°/22°	Paragneiss		granite	rose			100	150							Foliation	32	22	
CG-06-66-07	369815	6550905	affleurement	Paragneiss, granite. Composition de tonalite, possibilité de grenats (ou quartz rose?), peu de biotite < 5%. Paragneiss intercalé avec granite hololeucocrate rosé et massif. Aucune trace de mobilisat.	Paragneiss	rouille	Marbre				120				CG-06-66-07			66-07				
CG-06-66-08	370338	6550811	affleurement	Paragneiss rouillé. Lentille ridicule de marbre. Mobilisats abondants. Aspect schisteux. Contacts francs avec autres paragneiss (aspect tonalite).	Paragneiss	rouille					120	180										
CG-06-66-09	370687	6550461	affleurement	Paragneiss rouillé, patine rouille intense, roche pourrie. Mobilisat pas toujours concordant avec la foliation (maximum 20% de mobilisat).	Granite	rose/blanc					200-350				CG-06-66-09	CG-06-66-09(P)	CG-06-66-09					
CG-06-67-01	373700	6547767	affleurement	Granite rose à feldspath rose et blanchâtre. Grain moyen. Surtout des feldspaths rosés, quelques blancs, du quartz surtout gris clair, translucide. Hématisation des grains microfissurés, particulièrement des grains de quartz.	Granite	rose					300-400											
CG-06-67-02	373578	6548087	affleurement	Granite rosé, à grain fin à moyen, riche en hornblende. Nodules de quartz blanc fracturés et hématisés. La hornblende forme des filonnets courts, aplatis et plissés localement. Veines et veinules de quartz associées à des feldspaths rosés. Veines discordantes, parfois rectilignes. Le background est élevé (≥ 200 chocs de background en continu depuis le dernier arrêt).	Granite	rose	gneiss quartzo-feldspathique		orthogneiss		75-100											
CG-06-67-03	373437	6548535	affleurement	Granite à grain moyen à grossier localement pegmatitique et de couleur rose claire à rose saumon, aussi blanchâtre. Fractures multiples. Fissures dans les grains de feldspath et de quartz. Blocs lessivés. On aperçoit des enclaves de gneiss quartzofeldspathique lité à grain fin. Quelques enclaves de l'encaissant (gneiss) au milieu de nombreuses veines de granite de toutes dimensions.	gneiss quatzo-feldspathique	blanc	granite	rose			100											
CG-06-67-04	373156	6548742	affleurement	Affleurement au bord d'une rivière, de grande dimension, de gneiss à grain fin, folié, quartzofeldspathique, blanchâtre. Fins filonnets de biotite localement altérée. Des enclaves de granite (localement rose à feldsapth-quartz) à grain moyen le plus souvent.	Paragneiss à biotite		gneiss quartzo-feldspathique		Quartzite		500		1500-1000-3000										
CG-06-67-05	373031	6548859	affleurement	Granite rose folié à grain moyen. Foliations déformées. Des enclaves à granulométries plus fines de gneiss quartzofeldspathique rosâtre, fins filonnets localement altérés de biotite. Plissement local des foliations. Background > 500cps sur 4m² autour du pic d'anomalie. Un pic à 3000cps, deux autres à 1500 chocs à environ un mètre de distance du pic principal.	Paragneiss à biotite		Quartzite				75-100											

705544

No station	Estant (Nad83 - Zone 20)	Nordant (Nad83 - Zone 20)	Bloc ou Affleurement	Description lithologique	Lithologie A	Couleur A	Lithologie B	CouleurB	Lithologie C	CouleurC	Radiométrie Bruit de fond (cps)	Radiométrie maximum (cps)	Radiométrie anomalie (cps)	Photo	Échantillon	Lames minces: Petite (P) et Polie (Po)	Analyses chimiques	Témoin	Structure	Azimuth	Pendage	Caractéristiques
CG-06-67-06	372826	6548845	affleurement	Grosse veine de quartz dans du paragneiss riche en biotite, veines de quartz secondaires et déformées. Contacts diffus. Grenats de toutes tailles. Quartz blanc, amorphe, légèrement rosé, à grisâtre, très fracturé. De gros feldspaths blancs au contact avec l'encaissant, à granulométrie moyenne. Possiblement du métamorphisme de contact.	Granite	rose/blanc	Quartzite	blanc			150-200											
CG-06-67-07	372415	6548999	affleurement	Granite blanc et rose, localement pegmatitique. Riche en feldspaths roses et blancs. Veines et veinules de quartz gris, blanc, translucide. Nombreux cristaux très fissurés. Background >150cps, comprenant les blocs.	Granite	blanc	Paragneiss à biotite				250	500										
CG-06-67-08	372225	6548950	Bloc	Champ de blocs de granite de toutes tailles. Généralement blanc, à grain moyen avec un background toujours supérieur à 200cps. Aussi quelques blocs de paragneiss, riches en biotite altérée.	Granite	rose/blanc					80											
CG-06-67-09	371920	6549150	affleurement	Granite rose à grain grossier à pegmatitique. Des veines de quartz grises translucides. Des cristaux de quartz et feldspath rosés imbriqués. Des portions de granite rose à cristaux moyens, roses saumon à clairs.	Granite	rose					75-80											
CG-06-67-10	371861	6549349	affleurement	Granite rose à grain moyen, feldspaths rosés, nombreux. Courts et minces filonnets de biotite. Foliations plissées et petits lits de minéraux mafiques. Portions de granite rose à grain fin avec des blocs de toutes les dimensions.	Granite	blanc/rose					80											
CG-06-67-11	371704	6549396	affleurement	Granite blanc et rose à grain moyen et riche en feldspaths mâclés fissurés, blancs et roses.	Granite	rose/blanc					100											
CG-06-67-12	371444	6549159	affleurement	Granite rose à blanc, localement folié, à grain moyen à fin. Feldspaths potassiques et plagioclases, rosés, blancs, lessivés. Microfissures des cristaux les plus grossiers. Fractures nombreuses et profondes.	Granite	rose/blanc					100											
CG-06-67-13	371298	6549331	affleurement	Granite rose et blanc à grain moyen à grossier. Surtout des feldspaths rosés et blancs, lessivés.	Granite	rose					250			1								
CG-06-67-14	371227	6549305	affleurement	Granite rose à grain grossier. Background plus élevé que le granite à grain moyen-fin. Cristaux de quartz en inclusion dans des feldspaths fissurés plus grossiers. Lessivage de la roche et des cristaux. Fractures et fissures. Riche en quartz gris bien cristallisé.	Granite	rose					350											
CG-06-67-15	371102	6549309	affleurement	Granite rose saumon à grain moyen à grossier. Background élavé.	Granite	rose					400		1000									
CG-06-67-16	371087	6549319	affleurement	Affleurement de grande dimension de granite rose à grain moyen très fracturé. Feldspaths roses saumon avec du quartz, imbriqués.	Granite	rose	Marbre	brun			75-100			1								
CG-06-67-17	371018	6549336	affleurement	Petite enclave de marbre brun altéré rose-pêche, blanchâtre, grisâtre. Au sommet d'une paroi de cinq mètres de long maximum. Lité légèrement. Des lits de minéraux altérés couleur verdâtre. Trous, émietté (marbre). Déformations du granite encaissant.	Granite	rose/blanc					500		2000									
CG-06-67-18	370980	6549330	affleurement	Granite rosâtre et blanc à grain moyen, minéralisé. Des portions de granite felsique à grain fin, localement folié et plissé légèrement. Aspect très altéré. Fractures. Au bord d'une très haute paroi.	Granite	rose/blanc					300-400											
CG-06-67-19	370851	6549341	affleurement	Granite rose et blanc à granulométrie variable : de moyen à grossier. Des veines de quartz, des cristaux de hornblende étirés et allongés. Des parties plus fines, roses saumon, montrent des foliations fines.	Granite pegmatitique	rose					500											
CG-06-67-20	370780	6549315	affleurement	Granite rose, pegmatitique à phénocristaux de feldspath rose saumon à pâle, mâclés, clivages et microfissures. Background assez élevé mais sur une faible superficie (< 1m²). Cristaux de quartz gris clair, localement en inclusion dans les phénocristaux de feldspaths roses.	Granite	rose saumon					150-200											
CG-06-67-21	370481	6549401	affleurement	Granite à grain fin à moyen rose saumon foncé. Éclat mat avec des foliations fines et courtes de minéraux mafiques.	Granite	rose	Quartzite				150											
CG-06-67-22	370354	6549551	Bloc	Rivière avec de nombreux blocs de granite rose à granulométrie variable (du fin au grossier). Des veines de quartz, des lits de quartz-feldspath de petite dimension (fin et pas très long).	Granite pegmatitique	rose	granite	blanc			350											
CG-06-67-23	370589	6549750	affleurement	Granite pegmatitique rose à phénocristaux de feldspath rose clair et mâclé, clivages et microfissures des grains. Des enclaves de granite blanc à grain moyen. Cristaux très ablmés, semblent lessivés et altérés en profondeur. Pas de foliation mais des minéraux mafiques étirés, parfois légèrement plissés.	Granite	rose					200											
CG-06-67-24	370767	6549921	affleurement	Granite rose à grain fin, traversé par des veines de quartz grises, possiblement de petites fractures de tension remplies postérieurement.	gneiss		Quartzite	blanc			140											
CG-06-67-25	370882	6550039	Bloc	Gneiss à grain fin, légèrement folié et déformé. Des veinules de quartz blanchâtre, des grenats(< cm), des filonnets de biotite courts et altérés couleur rouille. Très fracturé.	Paragneiss	rouille					110											
CG-06-67-26	370953	6550310	affleurement	Paragneiss lité, rouillé, à grain fin, contenant des grenats, des filonnets de biotite très fins et très nombreux. Des veines et veinules de quartz concordantes pour la plupart. De petits lits rougeâtre-rouille, plissés avec des veinules blanches de quartz et/ou feldspath-quartz combinés.	gneiss à bt-hb-grenat						100	500										
CG-06-68-01	357199	6539656	affleurement	Gneiss à biotite-hornblende-grenat, roche très feldspathique riche en grenats(?) ± biotite ± hornblende (selon l'endroit). Roche foliée, faible rubannement compositionnel défini par lits de minéraux mafiques et/ou grenats. Rares dykes sécants de granite pegmatitiques d'environ 1dm. Foliation N158°.	Orthogneiss						80	120			CG-06-68-01			68-01	foliation	N158		
CG-06-68-02	356721	6539605	affleurement	Orthogneiss, roche foliée à rubannée, composition de tonalite à granite, foliation marquée par les lits de biotite, quelques granites tardifs à grain grossier à pegmatitique, rarement concordants, granites parfois rouges, foliation irrégulière.	Paragneiss	rouille	granite		Quartzite		variable		8000-4500-1500									

No station	Estant (Nad83 - Zone 20)	Nordant (Nad83 - Zone 20)	Bloc ou Affleurement	Description lithologique	Lithologie A	Couleur A	Lithologie B	CouleurB	Lithologie C	CouleurC	Radiométrie Bruit de fond (cps)	Radiométrie maximum (cps)	Radiométrie anomalie (cps)	Photo	Échantillon	Lames minces: Petite (P) et Polie (Po)	Analyses chimiques	Témoin	Structure	Azimuth	Pendage	Caractéristiques
CG-06-68-03	356112	6540211	affleurement	Paragneiss, assez riche en biotite, patine brun-rouille typique, fabrique assez régulière, dykes de granite concordants à texture hololeucocrate jusqu'à pegmatitique à grosses biotites, veine de quartz (1m-2m) concordante. Anomalie en trois sites distincts mais sur le même horizon, dans un dyke de granite (phase pegmatitique) à biotite concordant avec le paragneiss, anomalie localisée au coeur du dyke.	Paragneiss	rouille	Marbre					200-300		1250		CG-06-68-03	CG-06-68-03(Po)	CG-06-68-03		foliation	N170		
CG-06-68-04	356114	6540084	affleurement	Paragneiss et niveaux de marbre. Niveaux plurimétriques (jusqu'à 10m d'épais) de marbre grenu et homogène, pas de fabrique visible. Alternance assez régulière avec bandes de paragneiss. Tous les deux ont des patines d'altération rouille.	Paragneiss		granite					150		3500									
CG-06-68-05	356031	6540021	affleurement	Paragneiss et granite. Paragneiss avec micas de couleur argentée (ont résistés à l'altération) ou graphite. Granite (peut-être car sous terre!) anomal. Foliation incertaine.	Granite hololeucocrate		granite					100		1000		CG-06-68-05			x				
CG-06-68-06	356045	6539837	affleurement	Granite hololeucocrate. Passées à biotite. Granulométrie variable mais surtout grains grossiers à pegmatitiques. Anomalie ponctuelle. Paragneiss sans patine rouille observé à proximité. Granite recoupe le paragneiss. Aucune foliation visible.	métawack		granite					300		5000-4000									
CG-06-68-07	355768	6539812	affleurement	Métawacke. Feldspaths-quartz-biotite. Granoblastique et équigranulaire. Foliation variable mais toujours quasi-horizontale. Dyke de granite. Recoupe les métasédiments, 1-1.5m d'épais. Quartz fumé, biotite (peu), quelques gros grenats, roche très foncée. Anomalie sur bordure de dyke.	Pegmatite granitique	blanche							1000		CG-06-68-07	CG-06-68-07(Po)	CG-06-68-07	x				
CG-06-68-08	355628	6539724	Bloc	Pegmatite granitique (bloc), couleur blanche, homogène et massive, anomalie ponctuelle.	Granite	rose					200		5000									
CG-06-68-09	355592	6540097	affleurement	Granite, grain grossier à très grossier (dominantes), couleur rose, très hétérogène en terme de granulométrie, contacts de nature incertaine avec le métawacke, foliation variable, anomalie ponctuelle.	Granite	blanc					200		1600									
CG-06-68-10	355602	6540354	affleurement	Granite, phase grossière à pegmatitique, couleur blanche, anomalie ponctuelle.	Marbre	gris/blanc	granite pegmatitique	blanc			100-150	900										
CG-06-68-11	355379	6540244	affleurement	Marbres, granite pegmatitique blanc. Granites concordants avec les marbres. Tout est gris-blanc. Style structural très complexe. Marbre grenus, assez homogènes dans l'ensemble.	Orthogneiss																	
CG-06-68-12	354842	6539729	affleurement	Orthogneiss, composition granitique dans l'ensemble. Roche foliée et non rubanée. Foliation planaire, mais pas de mesure car hélico arrive.	Paragneiss à biotite	rouille	Quartzite															
CG-06-69-01	360852	6542879	affleurement	Affleurement de paragneiss à biotite, rouillé, parcouru par des veines centimétriques à quartz, feldspath et biotite. Les veines de quartz ont la même foliation générale. (Foliation = N164°/86°)	Paragneiss à biotite	rouille	Marbre													Foliation	164	86	
CG-06-69-02	360607	6542779	affleurement	Banc de marbre de direction N350° avec des taches de rouille pris entre deux bancs de paragneiss à biotite. Le banc de marbre à une puissance de 2m et long de 3,5m associé à des veines de quartz et biotite.	Paragneiss à biotite		orthogneiss														N350		
CG-06-69-03	360530	6542752	affleurement	Banc d'orthogneiss à molybdénite et grenat pris entre deux bancs de paragneiss à biotite. S0 = N162°/70°. Présence de petites veines de quartz fumé et de biotite.	Paragneiss à biotite		Marbre		Quartzite				2050						S0	162	70	
CG-06-69-04	360384	6542709	affleurement	Banc de marbre à faciès grenu au contact avec du paragneiss à biotite, parcouru par une veine de quartz et feldspath. Le banc à une dimension de 5m de large et 10 à 15m de long.	Marbre		granite	blanc	Pegmatite	blanc												
CG-06-69-05	360229	6542666	affleurement	Banc de granite blanc à grain moyen au contact avec du marbre pur légèrement altéré. Granite parcouru par des enclaves de pegmatite blanche à phénocristaux allongés de biotite et de quartz. Présence de petites veines millimétriques de quartz plus ou moins fumé et d'enclaves de diopside.	Paragneiss à biotite	rouille	Marbre						1100									
CG-06-69-06	359984	6542614	affleurement	Contact entre marbre pur et grenu surmonté par un second type de marbre plus compétant et moins altéré, associé à des roches calcosilicatées. Présence de diopside associé au marbre compétant. Entre les deux bancs de marbres, se trouve un banc de paragneiss de 1.5m de large associé à de la biotite et du quartz très rouillé et très altéré. Présence aussi de sulfures (pyrite) associés aux veines de quartz. Rubannement (paragneiss): N70°/12°.	Orthogneiss		Pegmatite	rose				300		1500						Rubannement	70	12	
CG-06-69-07	359883	6542593	affleurement	Pegmatite rose à grain moyen associée à du quartz laiteux au contact avec de l'orthogneiss et du paragneiss. L'orthogneiss est à grain fin avec peu de feldspath et beaucoup de quartz associé à de la biotite, tandis que le paragneiss est riche en biotite et peu de quartz, beaucoup de feldspaths. Toutes les structures sont recoupées par des diaclases.	Paragneiss à biotite	rouille	Pegmatite						1700									
CG-06-69-08	359465	6542059	affleurement	Banc de pegmatite à faciès grenu au contact avec des paragneiss à biotite altérée.	Pegmatite		Quartzite				350											
CG-06-69-09	359437	6541945	Bloc	Bloc de pegmatite au contact avec une veine de quartz.	Marbre		granite	blanc	calcosilicate													
CG-06-69-10	359277	6541425	affleurement	Banc de marbre à grain fin au contact avec du granite blanc à grain grossier. Présence de veines associées aux roches calcosilicatées qui parcourent le granite.	Granite		Marbre		calcosilicate													
CG-06-69-11	359124	6541369	affleurement	Banc de marbre grenu parcouru par des veines constituées de roches calcosilicatées au contact avec du granite à grain fin constitué de quartz de biotite et feldspath. Marbre à N96°/50°. On trouve des paragneiss à biotite au sommet de la stratigraphie.	Granite		amphibolite													96	50	
CG-06-69-12	358929	6541236	affleurement	Banc d'amphibolite pris entre deux bancs de granites. Bancs d'amphibolite de 30 cm de large N62°/42°.	Marbre	blanc	granite				40-100	100-500								62	42	

705544

No station	Estant (Nad83 - Zone 20)	Nordant (Nad83 - Zone 20)	Bloc ou Affleurement	Description lithologique	Lithologie A	Couleur A	Lithologie B	CouleurB	Lithologie C	CouleurC	Radiométrie Bruit de fond (cps)	Radiométrie maximum (cps)	Radiométrie anomalie (cps)	Photo	Échantillon	Lames minces: Patite (P) et Polie (Po)	Analyses chimiques	Témoin	Structure	Azimuth	Pendage	Caractéristiques
CG-06-70-01	363344	6546828	affleurement	Cheminement planifié d'après les rapports U/Th élevés obtenus lors du levé de spectrométrie aérienne en cours. Marbre, injection de dykes de granite hololeucocrate (en général) de manière concordante, toujours. Granite boudiné, épaisseur de quelques centimètres à 10 mètres maximum. Marbre toujours même aspect soit: blanc, homogène, litage régulièrement planaire. Rares niveaux carbonatés, aphanitiques à grains fins (relief positif). Boudins démembrés. Foliation N315°.	Marbre		granite	blanc			40-100	100-150							foliation	N315		
CG-06-70-02	363265	6547022	affleurement	Marbre, prolongement latéral de CG-06-70-01. Similaire à celui de CG06-70-01, grain fin à grain grossier (selon les lits), homogène. Foliation grossièrement définie par lits à tendance calcosilicatés (boudins ou lits démembrés). Injections multiples de granite blanc, grain grossier à pegmatitique, boudins. L'affleurement décrit un grand pli en Z. Les granites sont plissés...ils étaient là avant le tectonisme.*Les évènements tardifs se font rares dans la région.	Marbre		Paragneiss	rouillé			40-100-140										
CG-06-70-03	363108	6547089	affleurement	Marbre. Niveau décamétrique de paragneiss à patine rouille. Présence de bandes positives et négatives. Caractéristiques semblables aux stations précédentes. Foliation = N337°.	Marbre	gris/beige	granite				120-60		1000						foliation	N337		
CG-06-70-04	363151	6547143	affleurement	Marbre et granite. Granite hololeucocrate, sans niveaux mafiques. Grain grossier à pegmatitique. Grenats. Marbre, gris ou beige plissé avec alternance de bandes positives et négatives. Anomalie ponctuelle de 1000cps. 50% marbre et 50% granite.	Marbre	beige	granite				80	150-180										
CG-06-70-05	363093	6547405	affleurement	Marbre et granite. Point GPS entre 3 anomalies. Marbre de plus en plus grenu vers la baie Keglo, devient plus beigeâtre aussi. La proportion de granite augmente aussi et diminue vers la baie. Grenats observés (quelques millimètres de diamètre). Foliation: tendance générale car légèrement ondulante N328°.	Marbre		granite								CG-06-70-05A-B	CG-06-70-05B(P)		70-05A				
CG-06-70-06	362941	6547141	affleurement	Marbre et granite. Similaire à tous les autres rencontrés depuis le début du cheminement. Présence de grenats dans les granites.	Paragneiss	rouille	granite	blanc														
CG-06-70-07	361830	6547204	affleurement	Paragneiss. Grenats, peu de biotite riche en quartz. Patine rouille dominante. Très peu de mobilisat. Foliation régulière et planaire. Rares granites blancs (en boudin ou non) interfoliaires et à grain grossier-pegmatitique. Foliation N354°.	Paragneiss	rouille													foliation	354		
CG-06-70-08	361857	6546590	affleurement	En route depuis CG-06-70-07. Paragneiss passant progressivement à une métatexite (50% bandes riches en biotite et 50% mobilisat), puis à une roche très déformée à texture mylonitique (fond de vallée). Paragneiss patine rouille, aspect bleu métallique. Similaire à celui de CG06-70-07.	Paragneiss à biotite	rouille	Marbre		granite arkosé		100			3								
CG-06-71-01	365065	6548739	affleurement	À 5m de l'anomalie radiométrique à vérifier, une falaise abrupte se dresse devant nous. Falaise constituée de paragneiss à biotite très rouillé et très altéré avec un pendage de 82° et une direction de 222°N. La falaise à une puissance de 50 à 100m de hauteur. Au bas de la falaise se trouve un banc de marbre où l'anomalie dont il est question pourrait se trouver au contact. Au sommet des paragneiss, se trouve des granites arkosés à grain moyen, présence de grenats associés au gneiss. Bruit de fond 100cps.	Granite arkosé		orthogneiss		Pegmatite	blanche	120		1000		CG-06-71-01			71-01		222	82	
CG-06-71-02	365014	6548646	affleurement	Granite arkosé à grain moyen au sommet de la stratification, au contact avec de l'orthogneiss à grenat et biotite. Le granite arkosé est parsemé d'enclaves à pegmatite blanche à phénocristaux de feldspath et quartz. Présence de grenat dans le granite. Bruit de fond >120cps.	Granite arkosé		Pegmatite	blanche			150				CG-06-71-02			71-02				
CG-06-71-03	365034	6548569	affleurement	Enclave de pegmatite blanche à phénocristaux allongés associés à des plages rouillées et oxydées dans du granite arkosé à grain moyen, associé à de la biotite, du quartz et du grenat. Bruit de fond à 150cps. Présence de bloc de gneiss à biotite altéré dans le coin.	Paragneiss	rouille	quartzo-feldspathique		granite arkosé	blanc				2	CG-06-71-03			71-03				
CG-06-71-04	364990	6548558	affleurement	Zone de paragneiss rouillé et très altéré et plissé par endroit, parcouru par des veines à quartz et feldspath. Le paragneiss se débite par feuillet par endroit et présente des enclaves à granite ou arkose et des plages à pegmatite blanche à phénocristaux. Présence également d'intrusion constituée de grès à grain fin et altéré de même direction et même pendage que le paragneiss 140°/51°.	Paragneiss à biotite	grès					700				CG-06-71-04			71-04		140	51	
CG-06-71-05	365262	6548295	affleurement	Paragneiss à biotite très, altéré et très rouillé. Paragneiss à biotite associé à du grès très fin avec des plages oxydées à forte teneur de biotite 124°/52°. Le paragneiss est intercallé par des lits à grès de même pendage et de même direction. Bruit de fond >120cps.	Paragneiss		Marbre/calcosilicate		granite arkosé					3	CG-06-71-05			71-05		124	52	
CG-06-71-06	365318	6548102	affleurement	Paragneiss associé à du grès de même type que le CG-06-71-05 avec des veines métriques, constituées de marbre plissé et bouliné par endroit. Présence de roches calcosilicatées associées à du marbre dans les veines. Présence de molybdénite associée au marbre altéré, présence de diopside aussi. À un niveau supérieur de la série, on retrouve un orthogneiss rubané et parcouru par des veines à quartz, feldspath et grenat.	Granite arkosé		Marbre		paragneiss	rouillé					CG-06-71-06			71-06				
CG-06-71-07	365415	6548087	affleurement	Granite arkosé à grain moyen au contact avec un banc métrique de marbre détritique et du paragneiss rouillé à biotite. Le marbre est associé à des roches calcosilicatées à diopside. Le contact entre le marbre et le granite est franc.	Marbre/calcosilicate		Paragneiss à biotite	rouillé	granite arkosé						CG-06-71-07							
CG-06-71-08	365632	6548183	affleurement	Contact entre un banc de marbre détritique et plissé avec du paragneiss rouillé et très altéré à biotite. Présence aussi de granite arkosé et de bloc de pegmatite au sommet de la stratigraphie. Le marbre est associé à des roches calcosilicatées et du diopside de couleur verdâtre.	Paragneiss	Rouille	Granite		Pegmatite													

No station	Estant (Nad83 - Zone 20)	Nordant (Nad83 - Zone 20)	Bloc ou Affleurement	Description lithologique	Lithologie A	Couleur A	Lithologie B	CouleurB	Lithologie C	CouleurC	Radiométrie Bruit de fond (cps)	Radiométrie maximum (cps)	Radiométrie anomalie (cps)	Photo	Échantillon	Lames minces: Petite (P) et Polie (Po)	Analyses chimiques	Témoin	Structure	Azimuth	Pendage	Caractéristiques
CG-06-72-01	359806	6548865	affleurement	Paragneiss 100%, patine rouille/cassonade typique, riche en quartz et feldspaths mais pauvre en biotite, graphite et magnétite. Folié à rubanné, 5-10% de mobilisat granitique à grain grossier à pegmatitique. Foliation N140°/80°, légèrement ondulante localement. Bruit de fond 120cps (paragneiss) et 90cps (granite), maximum 200cps dans le paragneiss (rare).	Paragneiss														Foliation	140	80	
CG-06-72-02	360039	6548267	affleurement	Prolongement latéral de CG06-72-01 donc caractéristiques similaires. Paragneiss, riche en quartz et feldspaths, ± grenats.	Paragneiss																	
CG-06-72-03	360032	6547757	affleurement	Paragneiss à sillimanite, quartz-feldspath-biotite (plus de biotite que les stations précédentes), roche rubanée, mobilisat en nodules et veines intermédiaires de couleur rose.	Paragneiss										CG-06-72-03			72-03				
CG-06-72-04	360629	6547952	affleurement	Paragneiss à biotite (et muscovite?), bandes pluricentimétriques de métatexite (migmatite), granite et marbre. Marbre = une bande (3m de large seulement) homogène et grain grossier. Granite hololeucocrate, grain grossier à pegmatitique, bandes métriques à décamétriques.	Granite		Paragneiss															
CG-06-72-05	360682	6547604	affleurement	Granite 90% et paragneiss 10%. Granite hololeucocrate concordant, blanc, homogène grain grossier à pegmatitique. Foliation N154° (légèrement variable). Paragneiss rubané, minces bandes de mobilisat.	Paragneiss														Foliation	154		
CG-06-72-06	360368	6547437	affleurement	Paragneiss à biotite, similaire à celui de la station CG06-72-04.	Paragneiss à biotite		granite arkosé		quartz-feldspath		125	400										
CG-06-73-01	372593	6556403	affleurement	Paragneiss à biotite moyennement altéré, parsemé par des mobilisats qui sont les produits d'une fusion partielle. Paragneiss parcouru par des grosses veines de granite arkosé, et de biotite associée à des grenats rosâtres. Présence également de petites veines centimétriques de quartz et de feldspath qui semble être tardives par rapport aux autres unités.	Granite arkosé	blanc	Paragneiss à biotite		Pegmatite	rose												
CG-06-73-02	372469	6556687	affleurement	Granite arkosé blanchâtre à grain moyen au contact avec des paragneiss à biotite et des veines de quartz et feldspath. Présence d'un banc de pegmatite rose à grain moyen associée à des veines centimétriques à quartz avec un pendage subvertical. Le banc de pegmatite à un pendage de 60°, et une direction de N200°.	Paragneiss à biotite		granite arkosé		Pegmatite	rose					CG-06-73-02C				dyke?	200	61	
CG-06-73-03	372818	6556949	affleurement	Paragneiss à biotite, rouillé, se présentant sous forme de banc arkosé sur lequel se trouve un banc de granite arkosé. Le paragneiss est associé à des grenats. Présence d'enclaves de pegmatite rose à grain grossier.	Pegmatite	rose	amphibolite ou diabase													200	60	
CG-06-73-04	372182	6557685	affleurement	Banc de pegmatite rose à grain grossier associée à une sorte de diaclase de direction E-W avec une largeur de 10 m. Pegmatite injectée par des roches volcaniques (amphibole ou diabase) qui sont synchrones à la pegmatite. Présence de biotite et de quartz associés à la pegmatite.	Paragneiss à grenat										CG-06-73-04			73-04				
CG-06-74-01	366889	6541870	affleurement	Paragneiss à grenat, S1 160°/45°	Paragneiss à grenat		Pegmatite	blanche			100	150							S1	160	45	
CG-06-74-02	365970	6541757	affleurement	Depuis le point précédent, toujours le même gneiss à grenat, avec parfois des niveaux plus riches en biotite. Il est parfois recoupé par des pegmatites blanches à 150cps. La bande de pegmatite à 30m de long.	Paragneiss à grenat																	
CG-06-74-03	365543	6542039	affleurement	Toujours gneiss à grenat avec mobilisats de quartz boudinés parallèles à S1 avec parfois petits plis en chevrons.	gneiss feldspathique		Pegmatite				100											
CG-06-74-04	365087	6541832	affleurement	Gneiss feldspathique avec un peu de biotite et injection de pegmatites blanches de masse diffuse légèrement schistosée. S1 = N140°, quelques fractures sèches N60°	Paragneiss à grenat														S1; fract	14; 60		
CG-06-74-05	364801	6541374	affleurement	Paragneiss à grenat S1 = N140°.	Paragneiss rouillé														S1	140		
CG-06-74-06	364644	6541001	affleurement	À partir de cette vallée, la butte est constituée de paragneiss rouillé.	Paragneiss rouillé																	
CG-06-74-07	363731	6540877	affleurement	Paragneiss rouillé. S1 = N140°.															S1	140		
CG-06-75-01	359509	6527150	affleurement	Granodiorite et granite folié, 5% d'enclaves d'amphibolite. Roche relativement homogène (composition quartz-plagioclase-feldspath potassique) mais contenu variable en biotite. Foliation montrée par schlierens de biotite, sinon bandes plurimillimétriques de matériel granitique. Foliation irrégulière et discontinue.	Granodiorite		Amphibolite															
CG-06-75-02	359917	6527742	affleurement	Granite, massif, hétérogène en termes de granulométrie (grain moyen à pegmatitique), homogène en composition, biotite en amas ou en distribution homogène, rose-rouge, schlierens locaux.	Granite																	
CG-06-75-03	360395	6528016	affleurement	Granite folié, hornblende, rubannement compositionnel précoce, lits diffus de minéraux mafiques, granite similaire à celui de CG06-75-02, localement porphyrique et rose.	Granite																	
CG-06-75-04	361270	6528384	affleurement	Granite hololeucocrate massif, très potassique par endroits, hétérogénéité granulométrique (grain grossier-pegmatitique), rose (altéré et frais). 5% niveaux (5m d'épaisseur) d'amphibolite, 5% niveaux (5m d'épaisseur) de paragneiss rouillé. Texture granitique mal développée, drôle d'aspect en altéré, 0% de minéraux mafiques.	Granite	hololeucocrate	Amphibolite		Paragneiss						CG-06-75-04			75-04				
CG-06-75-05	360890	6528795	affleurement	Granite pegmatitique, hololeucocrate (0% minéraux mafiques), massif: n'a pas de fabrique. Phase à grain grossier associée, anomalies ponctuelles.	Granite pegmatitique	hololeucocrate																
CG-06-75-06	360887	6528864	Bloc	Anomalie sous gravier, mousse et blocs, granite rosé, homogène et folié. *À proximité - blocs de même nature.	Granite																	
CG-06-75-07	360873	6528960	affleurement	Diopsidite, marbre, couleur verte-brune en altéré; verte en frais. Concordant avec roche calcosilicatée, veines perpendiculaires (au contact) de calcite mais parallèles les unes avec les autres. Présence de lentilles de marbre.	Marbre										CG-06-75-07A-B			75-07A-B				

705544

No station	Estant (Nad83 - Zone 20)	Nordant (Nad83 - Zone 20)	Bloc ou Affleurement	Description lithologique	Lithologie A	Couleur A	Lithologie B	CouleurB	Lithologie C	CouleurC	Radiométrie Bruit de fond (cps)	Radiométrie maximum (cps)	Radiométrie anomalie (cps)	Photo	Échantillon	Lames minces: Petite (P) et Polie (Po)	Analyses chimiques	Témoin	Structure	Azimuth	Pendage	Caractéristiques
CG-06-75-08	360922	6528884	affleurement	Série d'anomalies N320° dans granite hololeucocrate de grain grossier à pegmatitique, interfoliaire avec une roche calcosilicatée, un gneiss quartzofeldspathique et un marbre et un paragneiss. *Marbre à 5m au nord-est, anomalies au sud-ouest de roche calcosilicatée. Abondance de diopsidite au contact calcosilicate/granite. Anomalies: alignement sur 25m. * Marbre 2-3m de large, bordé par diopsidite 40-50cm de large de part et d'autres. Foliation N302°/82°.	Granite		Roche calcosilicatées												Foliation	302	82	
CG-06-75-09	361124	6528676	affleurement	Granite grossier à biotite, passées blanches hololeucocrates, 10-15m d'épais, concordant entre un quartzite (SW) et un gneiss quartzofeldspathique (NE), variations latérales (NW) en roche calcosilicatée / nodule de diopsidite et marbre. Zone anomalique, multitude (une vingtaine) de points >1000cps. Valeurs ponctuelles mais bruit de fond souvent >200cps, 10 mesures >3000cps, 2 mesures à 6500cps et maximum à 10000cps. Zone de 20m x 5m selon ~ N140°.	Granite	Blanche	Gneis quartzofeldspathique				>200	10000			CG-06-75-09A-B-C			75-09A-B-C		140		
CG-06-76-01	365291	6531087	affleurement	Enclave de pegmatite rose à grain moyen associée à des petites veinules anastomosées de biotite et de quartz. L'enclave se trouve dans un paragneiss à biotite et feldspath rouillé parcouru par des petites veines de carbonates et des blocs de quartz. Présence aussi de bancs de pegmatite blanche.	Paragneiss à biotite	rouille	Pegmatite	rose	carbonate		100		1300									
CG-06-76-02	365242	6531094	affleurement	Granite blanc rouillé au contact avec des paragneiss rouillés à biotite et quartz. Présence de petites veines de quartz fumé par endroit associées à ce granite.	Paragneiss à biotite	rouille	granite	blanc			120		3500									
CG-06-76-03	365223	6531014	affleurement	Paragneiss rouillé et altéré au contact avec des granites arkosés a grain moyen à fin. Présence de petites enclaves à biotite dont le nombre de coup par second semble plus élevé. Présence de grenat dans le gneiss.	Paragneiss	rouille	granite arkosé				150		1500									
CG-06-76-04	365122	6530996	affleurement	Pegmatite rose à grain moyen associée à des veines de quartz mauve, pris en sandwich entre deux bancs de paragneiss à biotite, rouillés et altérés. Le contact entre les deux unités est franc et les paragneiss contiennent des grenats par endroit. Les paragneiss à un pendage de 35° et une direction de N280°.	Paragneiss à biotite	rouille	Pegmatite	rose	Quartzite		125		3000		CG-06-76-04					280	35	
CG-06-76-05	365083	6530915	affleurement	Gneiss granitique rouillé et altéré au contact avec du granite à grain moyen associé à des veines centimétriques de quartz et feldspath. Les paragneiss contiennent beaucoup de grenats qui sont de grosse taille par endroit et se présentent sous forme de grosses plages.	gneiss granitique	rouille	granite				120		1500									
CG-06-76-06	364904	6530784	affleurement	Gneiss granitique à biotite très rouillé et très altéré, dans lequel on trouve des enclaves à pegmatite rose à grain moyen associée à de la biotite. Présence également de petites veines à quartz hyalin légèrement altéré, associé à du quartz fumé et de gros cristaux de feldspath.	Paragneiss granitique à biotite		Pegmatite	rose	Quartzite		120		2200		CG-06-76-06			x				
CG-06-76-07	364817	6530672	affleurement	Bande mince de pegmatite rose de 30 à 40 cm de large, prise entre deux bancs de paragneiss à biotite, rouillés parsemés par des petites enclaves de granite rose. Les bancs sont par endroit fissurés et associés à des veines centimétriques de quartz légèrement fumé et par endroit de couleur rosâtre.	Paragneiss à biotite		Pegmatite	rose	granite	rose	120		1500									
CG-06-76-08	364740	6530600	affleurement	Pegmatite rose à grain moyen associée à de la phologopite et beaucoup de biotite. Pegmatite interlitée avec des bandes de paragneiss à biotite et feldspath. Présence de veines centimétriques de quartz et surtout de phénocristaux de feldspath et biotite. La pegmatite est rosée est fraturée aussi par endroit.	Pegmatite	rose	Paragneiss à biotite		Quartzite		500		5200		CG-06-76-08A-B	CG-06-76-08A(Po)	CG-06-76-08A	76-08B				
CG-06-76-09	364718	6530702	affleurement	Pegmatite rose à grain grossier, associée à des veines de quartz très fumé et à de la biotite. Pegmatite au contact avec des paragneiss rouillés à biotite et feldspath cisaillés par endroit.	Paragneiss à biotite	rouille	Pegmatite	rose	Quartzite		120		1500									
CG-06-76-10	364658	6530788	affleurement	Veine large de 1,5 m de direction N-S, constituée de pegmatite rose à grain grossier, de quartzite et surtout de biotite. Veine coincée entre deux bancs de paragneiss à biotite et au contact par endroit avec du granite arkosé associé à des veinules de carbonates.	Paragneiss à biotite	rouille	Pegmatite	rose	Quartzite		1500		5000							320	10	
CG-06-76-11	364410	6530887	affleurement	Enclave de pegmatite rose très altérée et rouillée dans un paragneiss à biotite et grenat très altéré aussi. Présence de veines de quartz associées par endroit à du granite blanc arkosé à grain moyen.	Paragneiss à biotite	rouille	Pegmatite	rose	Quartzite		150		2250									
CG-06-76-12	364270	6530897	affleurement	Petite veine de quartzite large de 50 à 60cm associé à de la biotite et au quartz fumé, au contact avec deux bancs de paragneiss à quartz et feldspath. La veine à une direction N-S et les paragneiss ont un pendage de 12° et une direction N150°.	Paragneiss à biotite	rouille	Quartzite				100		1500		CG-06-76-12			76-12		150	12	
CG-06-76-13	364078	6531024	Bloc	Bloc de pegmatite rose à grain grossier au milieu de plusieurs blocs associée à de la biotite et du feldspath.	Pegmatite	rose					100		1500									
CG-06-76-14	364181	6530946	Bloc	Bloc de granite arkosé associé à du feldspath à grain moyen, du quartz et de la biotite. Le bloc est large de 5m³ au contact avec d'autres blocs à paragneiss et bitotite.	Granite arkosé	blanc							1150									
CG-06-76-15	364359	6530900	affleurement	Enclave de granite arkosé associé à de la pegmatite blanche, au contact avec du paragneiss rouillé à biotite. Les deux unités sont cisaillées et fracturées par endroit avec des plages plus riches en quartz et feldspath que d'autres.	Paragneiss à biotite	rouille	Pegmatite	rose	Quartzite		120		1500									
CG-06-76-16	364433	6530827	affleurement	Veine de quartzite associé à de la pegmatite au contact avec un paragneiss à biotite rouillé et altéré. La pegmatite est à grain moyen, elle est fracturée par endroit et contient beaucoup de quartz fumé.	Paragneiss à biotite	rouille	Pegmatite	rose	Quartzite		120		5000									
CG-06-76-17	364450	6530778	affleurement	Granite au contact avec de la pegmatite.	Granite		Pegmatite															

No station	Estant (Nad83 - Zone 20)	Nordant (Nad83 - Zone 20)	Bloc ou Affleurement	Description lithologique	Lithologie A	Couleur A	Lithologie B	CouleurB	Lithologie C	CouleurC	Radiométrie Bruit de fond (cps)	Radiométrie maximum (cps)	Radiométrie anomalie (cps)	Photo	Échantillon	Lames minces: Petite (P) et Polie (Po)	Analyses chimiques	Témoin	Structure	Azimuth	Pendage	Caractéristiques
CG-06-77-01	369973	6527491	affleurement	Affleurement de >40m x 20m sur sommet d'une butte; granite gneissique à folié à quartz-feldspath rose-biotite; la biotite forme parfois des mélanosomes à grains grossiers, peu fracturé. 1- système de fractures 297°/18° (2/m) 2- système de fractures 212°/88° (1/m). Anomalie à 2000cps associée à une très légère altération brunâtre avec concentration de biotite dans le granite et fracture.	Granite gneissique						90	120	2000						fract; fract	297; 212	78; 88	
CG-06-77-02	370250	6527411	affleurement	Affleurement de >10m x 6m; gneiss granitique ou zone plus gneissique dans le granite gneissique (CG-06-77-01), petites bandes de < 2cm en relief positif de quartz-feldspath rose (leucosome). Gneiss granitique à quartz-feldspath-biotite ± hornblende (< 5%), gneissosité (foliation) = 124°/77° semble constitué une bande de > 7m.	gneiss granitique						90	130			CG-06-77-02			77-02	foliation	124	77	
CG-06-77-03	370539	6527433	affleurement	Affleurement de 7m x 7m de granite à grain grossier à pegmatitique parfois gneissique à quartz-feldspath-biotite massif, très peu fracturé.	Granite gneissique						220	260										
CG-06-77-04	370634	6527470	affleurement	Affleurement de 30m x 40m , granite gneissique, idem à CG-06-77-01, grossier à pegmatitique, rosé à rouge.* En 3-D, petit escarpement de 2m de haut avec des fractures subhorizontales.	Granite gneissique	rose					250	400										
CG-06-77-05	370857	6527382	affleurement	Affleurement de >2000m² constitué de a) marbre gris à grain grossier, b) de niveau ou horizon de roche verdâtre (diopsidite) à cristaux moyens montrant des bancs de 20cm à 1m et c) avec plusieurs passées pegmatitiques. Dans la roche calcosilicatée verte, système de fractures orthogonales à 68° et 158°/subverticale ; dans fractures à 158°, matériel de quartz-feldspath.	Marbre		diopsidite	vert	Pegmatite		70	180			CG-06-77-05B			77-05B	fract; fract	68; 158	90; 90	
CG-06-77-06	370959	6527331	affleurement	Affleurement de paragneiss à grain moyen à grossier avec zones rouillées centimétriques et des passées pegmatitiques. *Rubanement dans paragneiss à 140°. Anomalie de 1200cps dans pegmatite blanche massive au contact du paragneiss.	Paragneiss		Pegmatite				250	400	1200						rubanement	140		
CG-06-77-07	371229	6527144	affleurement	Affleurement de >2000m² sur flanc nord de petites buttes. Paragneiss à orthogneiss à grain moyen à grossier à quartz-feldspath-biotite avec passées pegmatitiques, rubanement à 140° (foliation).	Paragneiss/Orthogneiss		Pegmatite				125	140							rubanement	140		
CG-06-77-08	371510	6527443	affleurement	Affleurement de 30m x 30m, butte dans vallée entre les 2 petits lacs, gneiss quartz-feldspath-biotite avec bandes ou zones pegmatoïdes, présence de cristaux arrondis de feldspath (1-6cm). Rubanement 60°	gneiss		Pegmatite				150	180			CG-06-77-08			77-08	rubanement	60		
CG-06-77-09	371715	6527964	affleurement	Affleurement sur flanc de montage (flanc sud). A) paragneiss à quartz-feldspath-biotite (méta-arkose?) avec cristaux de feldspath arrondis idem à CG-06-77-08. En contact ou recoupé par des masses de B) pegmatite blanche, massive. Anomalie à 1000cps, ponctuelle sur pegmatite. Pas d'échantillon.	Paragneiss		Pegmatite	blanche			130	250	1000									
CG-06-77-10	371782	6527998	affleurement	Affleurement en pente de la montagne, 30m x 30m. A) Paragneiss quartz-feldspath-biotite rouillé avec B) passées pegmatitiques. C) Niveau de 3m d'épaisseur de marbre à grain grossier, massif. Anomalie ponctuelle à 1000cps dans pegmatite.	Paragneiss		Pegmatite		Marbre		70	250	1000									
CG-06-77-11	372064	6528140	affleurement	Depuis CG-06-77-10, gneiss granitique blanc. Affleurement sur pente > 2000m² (continu). Gneiss granitique à quartz-feldspath blanc à grain moyen à grossier avec passées pegmatitiques, massif et peu fracturé.	gneiss granitique	blanc	Pegmatite				90	130										
CG-06-77-12	371850	6528584	affleurement	Affleurement continu sur butte à l'ouest du lac. Gneiss granitique à grain grossier ou granite gneissique, blanc à rosé. Idem à précédent (CG-06-77-11), massif.	gneiss granitique	blanc à rose					90	130										
CG-06-77-13	371648	6528914	affleurement	Affleurement continu sur le sommet de la butte (ouest du lac). Idem à CG-06-77-12 avec des passées pegmatitiques et enclaves de paragneiss à quartz-feldspath-biotite ou schiste à biotite? Rubanement à 140°.	gneiss granitique		Pegmatite		paragneiss		130	160							rubanement	140		
CG-06-77-14	371775	6529227	affleurement	Affleurement de 20m x 15m dans la vallée, côté nord du ruisseau. Gneiss granitique à quartz-feldspath-biotite-grenat(5%) avec passées massives de pegmatite.	gneiss granitique		Pegmatite				120	250										
CG-06-77-15	371753	6529731	affleurement	Affleurement en pente sur coté sud de la montagne, affleurement continu. Paragneiss à grain moyen à quartz-feldspath-biotite*, parfois schiste à biotite avec bandes de quartz-feldspath (leucosome). Recoupé de dyke? de pegmatite rose de 9m à 260°/30°. Rubanement = 140°. Anomalie à 1500cps dans pegmatite à environ 10m du waypoint; anomalie associée à concentration en biotite.	Paragneiss/schiste à biotite		Pegmatite				60	200	1500						rubanement; dyke	140; 260	ND; 30	
CG-06-77-16	371600	6530097	affleurement	Granite gneissique à grain grossier à pegmatitique rosé à quartz-feldspath-biotite, massif et peu fracturé.	Granite gneissique						140	170										
CG-06-78-01	373267	6535398	affleurement	Butte d'orthogneiss et pegmatite contenant quelques enclaves mafiques, S1 N002°/85°, quelques fractures N120°, légèrement oxydées.	Orthogneiss		pegmatite				100								S1; fract	2; 120	85; ND	
CG-06-78-02	373169	6535273	affleurement	Orthogneiss granitique, S1 N10°.	Orthogneiss granitique						200								S1	10		
CG-06-78-03	372748	6534892	affleurement	Gneiss à feldspath-quartz-grenat légèrement rouillé à patine orangée. Les bandes blanches au milieu de gneiss semblent toutes être des pegmatites blanches, S1 168°/35°. Environ 10m au sud, faille N120° formant une brèche d'environ 20m de large dans la falaise, dans cette zone fracturé pegmatite blanche à 500cps de bruit de fond.	gneiss		pegmatite				500				CG-06-78-03			78-03	S1; faille	168; 120	35; ND	
CG-06-78-04	373377	6534203	affleurement	Gneiss à quartz-feldspath-biotite, blanc, assez homogène avec quelques niveaux pegmatitiques. Nombreuses fractures apparemment sèches N120° formant des vallées de quelques mètres de profondeur sur environ 5m de large. S1 à peu près constant N15°/20°.	gneiss	blanc					200	750							S1; fract	15; 120	20; ND	
CG-06-78-05	373735	6533976	affleurement	Orthogneiss rose à biotite-quartz-feldspath potassique. Foliation N10°/40°.	Orthogneiss	rose					200	750			CG-06-78-05			78-05	foliation	10	40	
CG-06-78-06	373912	6533774	affleurement	Près passage d'une vallée cartographiée comme une bande de marbre, on retrouve les paragneiss à grenat-feldspath-biotite rouillés à débit en plaquettes centimétriques. Foliation 20°/20°.	Paragneiss à grenat	rouille					120								foliation	200	20	

705544

No station	Estant. (Nad83 - Zone 20)	Nordant (Nad83 - Zone 20)	Bloc ou Affleurement	Description lithologique	Lithologie A	Couleur A	Lithologie B	CouleurB	Lithologie C	CouleurC	Radiométrie Bruit de fond (cps)	Radiométrie maximum (cps)	Radiométrie anomalie (cps)	Photo	Échantillon	Lames minces: Petite (P) et Polie (Po)	Analyses chimiques	Témoin	Structure	Azimuth	Pendage	Caractéristiques
CG-06-78-07	374093	6533568	affleurement	Banc de roche blanche compacte, homogène, grenue (méta-arkose?) Au dessus desquels on retrouve les paragneiss rouillés à grenat, forte fracturation N120°, S1 N000°/40°.	meta-arkose?	blanche	Paragneiss à grenat	rouillé											fract; S1	120; 0	90; 40	
CG-06-78-08	374115	6533408	affleurement	1500cps ponctuel dans un granite blanc formant une bande d'environ 50m de large dans des paragneiss riches en biotite contenant parfois des grenats, foliation 140°/30°, à environ 5m d'une bande de marbre dolomitique d'environ 10m de large sans continuité visible.	Granite	blanc	Paragneiss à biotite						1500		CG-06-78-08			78-08	foliation	140	30	
CG-06-78-09	374132	6533303	affleurement	2000cps ponctuels et plusieurs points entre 500 et 800cps dans des paragneiss rouillés recoupés par des petites veines de pegmatite silicieuse parallèle à S1.	Paragneiss	rouille	pegmatites siliceuses				500	800	2000									
CG-06-78-10	374216	6533038	affleurement	Plusieurs anomalies entre 1000 et 2500cps sur environ 2m de long de schlierens biotitiques dans une pegmatite blanche recoupant le paragneiss.	pegmatite	blanche	Paragneiss						2500									
CG-06-78-11	374167	6533095	affleurement	Depuis le point précédent (CG-06-78-10), le bruit de fond est élevé à environ 300cps. Plusieurs points à 2800cps dans les gneiss et ici 2000cps sur environ 2m. S1 N150°. Les gneiss sont riches en feldspath et biotite.	gneiss à biotite						300	800	2000						S1	150	0	
CG-06-78-12	374203	6532990	affleurement	3500cps max, >1000cps sur environ 1m. Dans une masse de granitoïde blanc plurimétrique recoupant des gneiss fins homogènes et gris riches en biotite. CG-06-78-12A est de la pegmatite gneiss à biotite-feldspath. La pegmatite a des contours irréguliers mais est globalement parallèle à S1.	granitoide	blanc	gneiss	gris	pegmatite				3500		CG-06-78-12A-B		78-12A	78-12B				
CG-06-78-13	374255	6532403	affleurement	Grosse masse de pegmatite blanche dans des gneiss rouillés. 1m x 0,2m >1000cps avec zone à 3000cps. Foliation 150°/70°. Depuis le point précédent, les gneiss semblent légèrement cisaillés avec des feldspaths "roulés" dans la biotite.	gneiss	rouille	pegmatite	blanc			250		3000		CG-06-78-13	CG-06-78-13(P)	78-13	78-13	foliation	150	70	
CG-06-78-14	374282	6532162	affleurement	1000cps ponctuel dans une pegmatite riche en biotite. Les pegmatites contiennent des fragments de gneiss à biotite, étirés et légèrement plissés, les contacts sont diffus.	pegmatite								1000		CG-06-78-14			78-14				
CG-06-78-15	374553	6531833	affleurement	3500cps dans une pegmatite blanche recoupant des gneiss. Les pegmatites contiennent des enclaves métriques de gneiss.	pegmatite	blanc	gneiss						3500		CG-06-78-15	CG-06-78-15(Po)	78-15					
CG-06-78-15B	374554	6531841	affleurement	Gneiss très fin à biotite. Foliation 110°/80°. 5000cps dans un amas de biotite.	gneiss à biotite								5000		CG-06-78-15B				foliation	110	80	
CG-06-78-16	374427	6531347	affleurement	Paragneiss à biotite à patine rouge, grossier à débit en plaquettes recoupé de veines de quartz blanc massif d'environ 20cm de large parallèles à la foliation.	Paragneiss à biotite	rouge	quartz	blanc														
CG-06-79-01	362956	6551046	affleurement	Pegmatite rose à grain moyen associée à du quartz fumé et des grains plus carbonnatés. La pegmatite est au contact avec un banc de marbre à grain moyen et des blocs de paragneiss.	Pegmatite	rose	Marbre				100		1200									
CG-06-79-02	362872	6551117	affleurement	Contact entre marbre et une pegmatite rose à grain grossier. La minéralisation se trouve dans des veines centimétriques associées à du quartz très fumé. Mais la zone très anomalique se trouve dans un minéral métallique très noir associé à du quartz fumé. Présence de molybdénite et des produits jaunes.	Marbre		Pegmatite	rose			200		over		CG-06-79-02, CG-06-79-02B	CG-06-79-02(Po), CG-06-79-02B(P)	79-02, 79-02B					
CG-06-79-03	362826	6551198	affleurement	Affleurement de pegmatite à faible puissance au contact avec un marbre détritique à grain moyen. La pegmatite est parcourue par des petites veines centimétriques à produits jaunes, de la molybdénite et un quartz rose. Présence aussi de quartz fumé et quelques bancs de paragneiss rouillé à biotite.	Marbre		Pegmatite	rose			500		37000									
CG-06-79-04	362799	6551222	affleurement	Affleurement à 37m à vol d'oiseau de CG-06-79-03 toujours au contact entre une pegmatite et un marbre.	Marbre		Pegmatite	rose			500				CG-06-79-04		CG-06-79-04					
CG-06-79-05	362478	6551387	affleurement	Paragneiss à biotite et grenat au contact avec un granite à grain moyen partiellement altéré.	Paragneiss à biotite		granite				220											
CG-06-79-06	362229	6551550	affleurement	Paragneiss à biotite au contact avec des granites à arkose associés à des grenats.	Paragneiss à biotite		granite arkosé															
CG-06-79-07	362253	6551905	affleurement	Contact entre marbre et paragneiss à biotite. Présence de blocs de pegmatite rose à grain moyen.	Paragneiss à biotite		Marbre															
CG-06-79-08	361889	6552205	affleurement	Paragneiss à biotite altéré et rouillé au contact d'un petit banc centimétrique de marbre associé à des roches calcosilicatées. Au sommet de la stratigraphie se trouve une mince couche de granite arkosé. Les gneiss ont une direction N324° et un pendage de 42°.	Paragneiss à biotite	rouille	Marbre		granite arkosé											324	42	
CG-06-79-09	361497	6552380	affleurement	Gneiss granitique altéré associé à du granite blanc à grain moyen associé à de la biotite, du feldspath et du quartz. Les gneiss sont aussi parcourus par des petites veines à quartz et pegmatite associée à de la phologopite. Présence également de grenat associé à du gneiss.	gneiss granitique		granite	blanc	Quartzite						CG06-79-09		CG06-79-09					
CG-06-79-10	360890	6552695	affleurement	Contact entre un banc de marbre et les paragneiss à biotite et grenat. Le contact est diffus. Banc de marbre mince de 2m à 3m de large.	Paragneiss à biotite		Marbre															
CG-06-79-11	360621	6553267	affleurement	Marbre au contact avec du granite situé dans une unité inférieure, surplombé par des paragneiss à biotite et grenat. Présence également de grenat dans le granite.	Marbre		granite															
CG-06-79-12	360358	6553138	affleurement	Paragneiss à biotite rubané et rouillé parcouru par des veines de granite arkosé associé à de la biotite. Présence de bloc de marbre au-dessus de cette unité.	Paragneiss à biotite	rouille	granite arkosé															
CG-06-79-13	360329	6552904	affleurement	Paragneiss très altéré à biotite au contact avec un granite arkosé. Présence de biotite associée au gneiss et au granite. Présence également d'enclaves à pegmatite blanche à grain moyen associée à de la biotite.	Paragneiss à biotite	rouille	granite arkosé		Pegmatite	blanche												
CG-06-79-14	360470	6552823	affleurement	Paragneiss à biotite, rouillé au contact avec du granite arkosé. Présence de grenat et de biotite qui constituent la plupart du matériel des veines.	Paragneiss à biotite	rouille	granite arkosé															
CG-06-79-15	360580	6552637	affleurement	Gneiss à biotite rouillé au contact avec du granite arkosé avec beaucoup de grenat.	gneiss à biotite		granite arkosé															
CG-06-79-16	360728	6552548	affleurement	Granite arkosé à grain moyen légèrement altéré au contact avec des orthogneiss et paragneiss à biotite et feldspath. Présence également de grenat dans les deux unités.	Granite arkosé		orthogneiss		paragneiss													

No station	Estant (Nad83 - Zone 20)	Nordant (Nad83 - Zone 20)	Bloc ou Affleurement	Description lithologique	Lithologie A	Couleur A	Lithologie B	CouleurB	Lithologie C	CouleurC	Radiométrie Bruit de fond (cps)	Radiométrie maximum (cps)	Radiométrie anomalie (cps)	Photo	Échantillon	Lames minces: Petite (P) et Polie (Po)	Analyses chimiques	Témoin	Structure	Azimuth	Pendage	Caractéristiques
CG-06-79-17	360685	6552742	affleurement	Marbre pur à grain moyen au contact avec des granites arkosés. Le marbre est associé à des roches calcosilicatées et de diopside. Présence d'enclaves de sulfures associés au marbre.	Marbre		granite arkosé		calcosilicate													
CG-06-79-18	360719	6552995	affleurement	Contact entre marbre et granite à arkose. Le marbre est oblitéré et se présente sous forme de gros blocs apparement sur place au contact avec des paragneiss à biotite. Le marbre est associé à des roches calcosilicatées et de diopside. Présence également d'enclaves à sulfures dans des marbres.	Marbre		granite arkosé		calcosilicate													
CG-06-79-19	360862	6553129	affleurement	Contact entre marbre et gneiss à biotite et des granites. Le marbre est associé à des roches calcosilicatées, du diopside et beaucoup de micas.	Marbre		gneiss à biotite		calcosilicate													
CG-06-80-01	352795	6569240	affleurement	Orthogneiss? ou gneiss quartzofeldspathique à biotite, composition granitique, 10% de biotite, rubané et hétérogène, injections multiples de granite rose (frais; blanc en altéré) 30% de l'affleurement, foliation montrée par lits de biotite très irrégulière.	Gneiss																	
CG-06-80-02	353411	6569237	affleurement	Gneiss quartzofeldspathique à biotite, plus un aspect de paragneiss que la station précédente (CG-06-80-01), zone de composition tonalitique, d'autres légèrement rouillées avec nodules étirés de mobilisat, granite discordant avec le gneiss (moins abondant que CG06-80-01), foliation irrégulière.	Gneiss quartzofeldspathique		Granite															
CG-06-80-03	353793	6569387	affleurement	Paragneiss, très riche en quartz; quelques feldspaths et peu de biotite, pyrite en trace, patine très rouillée par endroits selon bandes, le granite est également rouillé, granite interfoliaire, dykes d'épaisseurs variables. Foliation N149°.	Paragneiss		Quartzite															
CG-06-80-04	353582	6570618	affleurement	Quartzite, équigranulaire et quelques % de biotite, massif et gris foncé. Paragneiss, toute la partie ouest de l'affleurement, alternance avec granite hololeucocrate et paragneiss très rouillé, présence de pyrite, peu de biotite, pas de mobilisat. *Minéral brun observé dans un horizon très rouillé, peut-être grunérite? (indicateur de formation de fer métamorphisée, faciès silicaté). Granite, rose, très potassique, quartz fumé très foncé, S0 N150°.	Quartzite		Paragneiss															
CG-06-80-05	353730	6570307	affleurement	Sill de gabbro horizontal recoupant la foliation de gneiss quartzeux à biotite, très pauvre en feldspath avec mobilisat granitique (grain grossier à pegmatitique), unité puissante.	Gneiss		Gabro								CG-06-80-05			80-05				
CG-06-80-06	354063	6569576	affleurement	Marbre, granite mégaporphyrique, migmatite. Début de lentille de marbre (15-20m d'épais), encaissée dans une migmatite à l'est et un paragneiss migmatisé à l'ouest. Marbre très blanc, homogène et grenu. Dyke de granite mégaporphyrique, concordant, discontinu litéralement, 3m d'épais (apparent). Très anomal. *Plusieurs points > 1000cps	Marbre																	
CG-06-80-07	354083	6569297	affleurement	Niveau carbonaté à molybdénite très grossière. Roche probablement calcosilicatée, aphanitique et modérément réactive au HCl. *Ressemble aux minces bandes, grain fin et compétentes, que l'on retrouve en boudins dans les marbres. 12500 cps entre blocs, environ 4000cps sur une surface plane.	Carbonate										CG-06-80-07	CG-06-80-07(P)	CG-06-80-07					
CG-06-80-08	354011	6568791	affleurement	Contact supérieur des marbres, avec paragneiss. Foliation N163°/68°.	Marbre																	
CG-06-81-01	352762	6566401	affleurement	Gneiss très compétent, blanc, à foliation peu marquée contenant de gros porphyroblastes de grenats de 5cm essentiellement quartzofeldspathique.	gneiss	blanc																
CG-06-81-02	353369	6566032	affleurement	Toujours le même gneiss à grenat à quantité de biotite variable parfois texture presque mylonitique. Nombreux mobilisats de quartz, parfois petites bandes cisaillées.	gneiss à grenat		quartz				100				CG-06-82-02			82-02				
CG-06-81-03	354258	6565994	affleurement	Contact entre paragneiss à grenat et marbre. Les marbres sont assez grossiers à patine beige claire. La bande est parallèle au rivage et fait 20 mètres de large, elle se perd sous la végétation et se continue peut-être dans les collines plus au sud. Le contact est subvertical sous la pegmatite.	Paragneiss à grenat		Marbre	beige			25											
CG-06-81-04	354680	6566062	affleurement	Depuis la bande de marbre, essentiellement orthogneiss à feldspath potassique et granite rose.	Marbre		orthogneiss à feldspath		granite	rose	150				CG-06-81-04			81-04				
CG-06-81-05	354229	6566892	affleurement	À nouveau, gneiss à grenat, très peu d'affleurement entre le rivage et ici.	gneiss à grenat																	
CG-06-81-06	353961	6567862	affleurement	Toujours le même gneiss à grenat.	gneiss à grenat																	
CG-06-81-07	354354	6567860	affleurement	Moraine et till remplissent toute la vallée le long du rivage. C'est probablement ça qui à été cartographié comme marbre.	moraine																	
CG-06-81-08	353987	6568172	affleurement	Toujours gneiss à grenat. S1 = NS	gneiss à grenat														S1	180		
CG-06-81-09	352562	6567870	affleurement	Paragneiss à grenat.	Paragneiss à grenat																	
CG-06-82-01	360268	6546412	affleurement	À l'ouest du petit lac dans une aire d'affleurement. Affleurement de 12m x 5m ; gneiss granitique à grain moyen à quartz-feldspath rose (potassique?)-biotite-grenat? (< 3%). Foliation à ≈ 140°/faiblement penté (30°).	gneiss granitique	rose					80	190							foliation	140	30	
CG-06-82-02	360200	6546191	affleurement	Affleurement sur crête, côté sud-sud-ouest. A) gneiss granitique ou paragneiss; pas ou peu de grenat avec B) passées pegmatitiques concordantes à la foliation. Foliation subhorizontale.	gneiss granitique		Pegmatite				80	150			CG-06-82-02			82-02	foliation		0	
CG-06-82-03	360118	6546085	affleurement	Affleurement continu sur crête au sud de baie Keglo plus à l'ouest que CG-06-82-02, flanc ouest. A) pegmatite à cristaux de quartz-feldspath rose ou granite grossier (cristaux ≤ 1cm), massif. Pas de contact franc avec le gneiss granitique, peut-être un dyke concordant.	Pegmatite	rose	granite		gneiss granitique		160	480										
CG-06-82-04	360098	6546076	affleurement	Affleurement de 10m x 2m de pegmatite à quartz (> 60%) et feldspath blanc avec enclaves? de roches granitiques à grain moyen à feldspath-quartz (< 10%) et hornblende (prisme vert). Anomalie à 1500cps trouvée par William Annanack + Mario Joly dans la pegmatite, anomalie ponctuelle près de petites zones rouillées locales dans la pegmatite.	Pegmatite	blanc	granite				160		1500		CG-06-82-04		CG-06-82-04					

705544

No station	Estant (Nad83 - Zone 20)	Nordant (Nad83 - Zone 20)	Bloc ou Affleurement	Description lithologique	Lithologie A	Couleur A	Lithologie B	CouleurB	Lithologie C	CouleurC	Radiométrie Bruit de fond (cps)	Radiométrie maximum (cps)	Radiométrie anomalie (cps)	Photo	Échantillon	Lames minces: Petite (P) et Polie (Po)	Analyses chimiques	Témoin	Structure	Azimuth	Pendage	Caractéristiques
CG-06-82-05	360157	6545987	affleurement	Affleurement de 8m x 5m de A) roche calcosilicatée verdâtre pâle à cristaux de quartz dans matrice carbonatée → skarn? faisant environ 1 à 5m d'épaisseur au contact. B) Des pegmatites à l'est et C) des marbres à l'ouest, la roche est massive, foliation moyenne à 140° et quelques fractures perpendiculaires à la foliation. *La roche calcosilicatée montre localement des passées pegmatoïdes riches en muscovite (≥ 35%)(gros cristaux de muscovite). Anomalie à 1000cps associée à système de fractures N50° dans roche calcosilicatée. Anomalie à 6m au NO et NE du waypoint.	calco-silicate	verdatre	Pegmatite		Marbre		70	400	1000		CG-06-82-05A			82-05A	foliation	140		
CG-06-82-06	360111	6545885	affleurement	Affleurement continue sur crête constituée de A) marbre dolomitique à grain grossier avec B) des horizons ou bancs de quartzite coincés et boudinés dans les plans du marbre (sens de la foliation à environ 140°). Les bancs ou horizons de quartzite sont de 1 à 2 m d'épais. Anomalie à 2800cps au contact des marbres et de quartzite.	Marbre dolomitique		Quartzite				50	70	2800		CG-06-82-06B			82-06B	foliation	140		
CG-06-82-07	360146	6545782	affleurement	Affleurement de 15m x 4m de roche calcosilicatée à cristaux de muscovite (≤ 5cm). Anomalie à 3300cps associée à concentration de muscovite dans roche calcosilicatée. Anomalie ponctuelle non échantillonable.	calco-silicate						90	120	3300									
CG-06-82-08	360131	6545711	affleurement	Affleurement de 20m x 20m formant une butte de A) gneiss ou paragneiss à quartz-feldspath-biotite-muscovite (≤ 5%). Localement, modérément à fortement rouillé. Foliation 140°/80° vers l'est. Recoupé par B) granite quartzofeldspathique.	gneiss	rouille	granite				60	100							foliation	140	80	
CG-06-82-09	360175	6545690	affleurement	Affleurement de 10m x 4m, composé d'un granite gneissique à quartz-feldspath-biotite (< 5%) blanc avec passées pegmatitiques de < 10cm au NO en contact avec marbre dolomitique massif. Anomalie à 3100cps dans une passée pegmatitique à quartz-feldspath-hornblende-biotite.	Granite gneissique	blanc	Pegmatites		Marbre dolomitique				3100		CG-06-82-09	CG-06-82-09(P)	CG-06-82-09					
CG-06-82-10	360045	6545511	affleurement	Affleurement de > 35m x 30m, gneiss granitique rosé idem à CG06-82-01 à grain moyen. *Modérément magnétique. Foliation régionale = 140°/60°.	gneiss granitique	rose					80	95							foliation	140	60	
CG-06-82-11	360234	6545387	affleurement	Affleurement de 40m x 25m de gneiss granitique à grain fin ou paragneiss (grenat), fortement rubané, présence de fractures subhorizontales et linéation à plongée à environ 15° vers le sud.	gneiss granitique						90	100							linéation	90	15	
CG-06-82-12	360038	6544738	affleurement	Affleurement continu >2000m² ; gneiss granitique à grain moyen rosé; idem à précédent (CG-06-82-11).	gneiss granitique	rose					80	90										
CG-06-83-01	361287	6528640	affleurement	Affleurement d'orthogneiss à paragneiss associé à une veine de 2 à 3 m de large, constitué de 50 à 60 % de biotite et de diopside. La veine est aussi constituée de pegmatite rose à grain moyen, associée à de la phlogopite et du quartz. Présence de roches carbonatées et de magnétite abondante.	Orthogneiss à Paragneiss		Pegmatite	rose							CG-06-83-01			83-01				
CG-06-83-02	361476	6528474	Bloc	Gneiss granitique au contact avec des orthogneiss à biotite. Bloc de quelques mètres³ de volume. Présence de feldspath et de quartz associés à ce granite. Présence également d'enclaves de pegmatite associée à du quartz fumé.	gneiss granitique		orthogneiss				300		1250									
CG-06-83-03	361529	6528428	Bloc	Idem que CG-06-83-02	gneiss granitique						300		7500									
CG-06-83-04	361575	6528413	Bloc	Gneiss granitique à grain moyen avec une enclave de pegmatite associée à des roches carbonatées. Présence massive de magnétite et de biotite.	gneiss granitique		Pegmatite				200		3000		CG-06-83-04		83-04					
CG-06-83-05	361763	6528372	affleurement	Marbre pur au contact avec du granite et des quartzites. Marbre parcouru par des veines calcosilicatées avec du diopside.	Marbre		granite		Quartzite													
CG-06-83-06	362138	6528476	Bloc	Bloc de gneiss granitique au contact avec des orthogneiss. Présence de biotite en abondance.	gneiss granitique		orthogneiss				200		1000									
CG-06-83-07	362212	6528545	affleurement	Affleurement de granite parcouru par des veines de pegmatite rose anastomosées, recoupées par des fractures tardives, de direction NE-SW. La pegmatite est à grain grossier dans les veines, grenue, associée à beaucoup de biotite, de feldspath et de quartz.	Granite		Pegmatite				50		4500									
CG-06-83-08	362574	6528684	affleurement	Granite rose à grain moyen associé à des veinules de quartz millimétriques, très magnétiques et de biotite. Présence de petites enclaves pegmatitiques. Le granite est au contact avec des gneiss à biotite.	Granite	rose	Pegmatite				200		9000		CG-06-83-08	CG-06-83-08(Po)	CG-06-83-08					
CG-06-83-09	362472	6528810	affleurement	Granite rose altéré avec des enclaves de pegmatite rose à magnétite et biotite.	Granite	rose	Pegmatite	rose														
CG-06-83-10	362631	6528967	affleurement	Pegmatite rose au contact avec du granite rose à grain fin. La pegmatite est associée à de la magnétite, de gros cristaux de feldspath et du quartz blanc. Peu de biotite visible.	Pegmatite	rose	granite	rose			250		1300		CG-06-83-10			83-10				
CG-06-83-11	362835	6529138	affleurement	Gneiss granitique parcouru par des veines centimétriques à métriques de pegmatite à grain grossier dont la paroi des veines est tapissée par du matériel carbonaté.	gneiss granitique		Pegmatite															
CG-06-83-12	363046	6529462	affleurement	Gneiss granitique folié et stratifié avec des plages rouillées. Le gneiss est parcouru par des veines centimétriques de pegmatite. Peu ou pas de biotite et beaucoup de feldspath et de quartz.	gneiss granitique	rouille	Pegmatite															
CG-06-83-13	363180	6529791	affleurement	Gneiss granitique rubané avec peu ou pas de biotite.	gneiss granitique																	
CG-06-83-14	363189	6529814	affleurement	Gneiss granitique à grain moyen avec des bandes rubanées de gneiss à biotite. Présence d'enclaves à pegmatite à grain moyen de couleur blanche.	gneiss granitique		gneiss		Pegmatite	blanchatre	200		2000									
CG-06-83-15	363311	6529944	affleurement	Petit banc de marbre mince au contact avec du gneiss à biotite. Le marbre est associé à des roches calcosilicatées. Le paragneiss est rouillé à cause de la biotite. Bruit de fond à 150 cps.	Marbre		gneiss à biotite		paragneiss	rouillé	150		1400									
CG-06-83-16	363445	6530038	Bloc	Bloc de gneiss à biotite rouillé et très altéré. Présence de beaucoup de biotite de 5 à 10 % de la roche. Bruit de fond à 120 cps.	gneiss à biotite	rouille					120		1100									
CG-06-83-17	363514	6530090	affleurement	Paragneiss à biotite rouillé et altéré au contact avec une veine de quartzite altéré. La pegmatite recoupe toute la séquence. Présence également de granite arkosé.	Paragneiss à biotite	rouille	Quartzite		Pegmatite													

No station	Estant (Nad83 - Zone 20)	Nordant (Nad83 - Zone 20)	Bloc ou Affleurement	Description lithologique	Lithologie A	Couleur A	Lithologie B	CouleurB	Lithologie C	CouleurC	Radiométrie Bruit de fond (cps)	Radiométrie maximum (cps)	Radiométrie anomalie (cps)	Photo	Échantillon	Lames minces: Petite (P) et Polie (Po)	Analyses chimiques	Témoin	Structure	Azimuth	Pendage	Caractéristiques
CG-06-84-01	361308	6577489	affleurement	Gneiss granitique (tonalitique?) à niveaux plus gris biotitiques et niveaux granitiques roses à quartz et biotites orientées. Foliation	gneiss granitique		granite	rose			150				CG-06-84-01			84-01	foliation	137	80	
CG-06-84-02	361663	6577879	affleurement	Bloc de gneiss granitique.	gneiss granitique						500											
CG-06-84-03	361656	6577719	affleurement	Gneiss granitique à bruit de fond très élevé (500cps max 1100cps). Là sont de gros blocs anguleux sub-en-places. Gneiss granitique rose à grain fin et à fins niveaux plus biotitiques.	gneiss granitique	rose					500		1100		CG-06-84-03			84-03				
CG-06-84-04	361650	6577794	affleurement	Contact subvertical entre gneiss granitique et marbre (N140°). Le gneiss est plus sombre que précédemment avec des niveaux de pegmatite rose boudinée. Contact sous l'eau à marée haute.	gneiss granitique				Pegmatite		400								contact	140	90	
CG-06-84-05	361774	6577593	affleurement	Contact gneiss granitique/marbre 152°/85°. Foliation 154°/80°.	gneiss granitique		Marbre												contact; foliation	152; 154	85; 80	
CG-06-84-06	361852	6577476	affleurement	Niveau de gneiss fortement rouillé à croûte de goethite d'environ 5-6m de large, riche en biotite et environ 50% de quartz, parallèle à S1, dans les marbres.	gneiss	rouille	Marbre															
CG-06-84-07	361906	6577473	affleurement	Pegmatite blanche d'environ 5m de large à quartz orienté et feldspaths blancs. S1 140°/80°, S2 70°/30° dans pegmatite. La pegmatite est parallèle à S1 dans les marbres.	Pegmatite	blanc					200		1500						S1; S2	140; 70	80; 30	
CG-06-84-08	362096	6577234	affleurement	1000cps dans une pegmatite blanche recoupant les marbres. Elle fait environ 10cm de large et est concordante (140°/70°).	Pegmatite	blanc	Marbre						1600						S1	140	70	
CG-06-84-09	362114	6577211	affleurement	1500cps ponctuel dans une pegmatite proche dans les gneiss, proche du contact avec les marbres. La pegmatite semble rouillée.	Pegmatite	rouille	gneiss						1500		CG-06-84-09				contact			
CG-06-84-10	362130	6577126	affleurement	Idem (CG-06-84-09)	Pegmatite	rouille	gneiss						1500						contact			
CG-06-84-11	362505	6577121	affleurement	Anomalie à 1500cps dans une pegmatite blanche riche en biotite, recoupant des paragneiss à biotite et localement à grenat. L'anomalie est proche d'une fracture N30°, S1 = N130°.	Pegmatite	blanc	Paragneiss						1500		CG-06-84-11	CG-06-84-11(P)	CG-06-84-11	x	fracture; foliation	30; 130	ND; 90	
CG-06-84-12	362598	6577138	affleurement	Paragneiss, S1 150°/20°.	Paragneiss						100								S1	150	20	
CG-06-84-13	362666	6577057	affleurement	Contact gneiss/marbre 150°/30°. Contact "propre" pas de pegmatite.	gneiss		Marbre												contact	150	30	
CG-06-84-14	362751	6577010	affleurement	Au pied de la falaise, contact entre un orthogneiss tonalitique fortement rubané sur lequel "rayonnent" les marbres. Bruit de fond 100cps.	Orthogneiss tonalitique		Marbre				100								contact	320	14	
CG-06-84-15	362860	6576754	affleurement	Toujours orthogneiss, se poursuivent jusqu'au rivage. S1 150°/30°.	Orthogneiss tonalitique														S1	150	30	
CG-06-84-16	362565	6576655	affleurement	Contact paragneiss/marbre 140°/30°. Fin niveau de pegmatite.	Paragneiss		Marbre		Pegmatite		200								contact	320	30	
CG-06-84-17	362502	6576577	affleurement	Petite vallée d'environ 70m x 10m bordée de gneiss très rouge. S1 = 136°/74°. Le gneiss à grain fin à feldspath-biotite-quartz et petits grenats roses.	gneiss	rouge													S1	136	74	
CG-06-84-18	362503	6576479	affleurement	Contact orthogneiss/marbre N140°. Orthogneiss rose rubanné à bruit de fond élevé.	Orthogneiss	rose	Marbre				500								contact	140	90	
CG-06-84-19	362580	6576316	affleurement	Toujours orthogneiss rose, proche du contact avec une bande de marbre d'environ 10m de large.	Orthogneiss	rose	Marbre				400		1200						contact			
CG-06-84-20	362478	6576249	affleurement	1500cps (SPPGamma) toujours des orthogneiss rose. S1 140°, débit 140°/20°.	Orthogneiss	rose							1500						S1	140	90	
CG-06-84-21	362315	6576099	affleurement	Orthogneiss gris à foliation bien marquée, contient des veinules de quartz et pegmatite blanche plissée. Le bruit de fond est tombé à 100cps au pied de la foliation. S1 127°/82°.	Orthogneiss	gris	Pegmatite	blanc			100								S1	127	82	
CG-06-84-22	362507	6576015	affleurement	Orthogneiss rose. Anomalie ponctuelle à 1500cps. À environ 50m direction N240° le bruit de fond tombe à 100cps.	Orthogneiss	rose					100	500	1500						S1	240	90	
CG-06-84-23	362801	6575982	affleurement	Contact orthogneiss/marbre 140°, net, pas de pegmatite.	Orthogneiss		Marbre												contact	140	90	
CG-06-84-24	363016	6575952	affleurement	Paragneiss à quartz-feldspath-biotite avec quelques mobilisats de quartz, S1 140°/25° reposant sur les marbres.	Paragneiss		Marbre												contact	140	25	
CG-06-84-25	363069	6575982	affleurement	Contact marbre/gneiss.	Paragneiss		Marbre												contact			
CG-06-84-26	362868	6575747	affleurement	Gneiss granitique rose avec des enclaves de pegmatite rose, direction N144°.	gneiss granitique	rose	Pegmatite	rose			500	1000							S1	144		
CG-06-85-01	369320	6537937	affleurement	Gneiss granitique rose bien folié à petits lits de magnétite avec injection de pegmatite rose (hématisation) en bancs de 1-2mm de large subparallèle à S1 130°/85°.	gneiss granitique	rose	Pegmatite	rose			350		1500		CG-06-85-01			85-01	S1	130	85	
CG-06-85-02	368791	6537878	affleurement	Depuis le point précédent (CG-06-85-01), toujours le même orthogneiss mais bruit de fond tombe à 150-200cps après 50m. Les gneiss deviennent plus riches en biotite. La direction reste similaire mais le pendage varie. S1 130°/80°.	Orthogneiss						150	200							S1	130	80	
CG-06-85-03	368845	6537786	affleurement	Contact directe non visible pour passage du gneiss granitique puis fins niveaux de paragneiss alternenent avec des niveaux de marbres dioritiques puis marbre massif.	gneiss granitique		Paragneiss		Marbre		150								contact			
CG-06-85-04	368664	6537765	affleurement	Contact gneiss/marbre N130°. Le contact est net et propre. Les marbres n'affleurent que ponctuellement. Ils contiennent des bancs de paragneiss et de pegmatite blanche. Quelques points à 700cps. S1 130°/30°. Échantillon de paragneiss fin massif à 50% biotite, feldspath blanc et quartz.	gneiss		Marbre		Pegmatite		100	700			CG-06-85-04			85-04	S1	130	30	
CG-06-85-05	368561	6537697	affleurement	Réapparition des marbres contenant de nombreuses enclaves de pegmatite blanche boudinées et plissées. Le marbre disparaît vers le sud, semble être sur le flanc est d'un anticlinal à axe plongeant vers le sud.	Marbre		Pegmatite	blanc			100											
CG-06-85-06	368439	6537679	affleurement	Passage des marbres aux paragneiss avec petits niveaux de pegmatites blanches, plusieurs anomalies >1000cps, max 7500cps sur 10m. Le gneiss est à grain fin très silicieux avec de la biotite. Foliation 115°N, petits plis métriques (axe de pli = 125°/20°). Le point est à environ 15m direction N210° du contact avec les marbres. Les pegmatites sont riches en feldspath blanc, quartz ± biotite, elles font quelques décimètres à quelques mètres de larges et sont concordantes à S1, à couleurs irrégulières.	Marbre		Paragneiss		Pegmatite	blanc			2500		CG-06-85-06				foliation	115	90	
CG-06-85-07	368069	6537320	affleurement	Après passage de la rive d'un lac allongé. Gneiss à grenats centimétriques et nombreux mobilisats de quartz en amande. S1 160°N.	gneiss à grenat		quartz				150			1					S1	160	90	

705544

No station	Estant (Nad83 - Zone 20)	Nordant (Nad83 - Zone 20)	Bloc ou Affleurement	Description lithologique	Lithologie A	Couleur A	Lithologie B	CouleurB	Lithologie C	CouleurC	Radiométrie Bruit de fond (cps)	Radiométrie maximum (cps)	Radiométrie anomalie (cps)	Photo	Échantillon	Lames minces: Petite (P) et Polie (Po)	Analyses chimiques	Témoin	Structure	Azimuth	Pendage	Caractéristiques
CG-06-85-08	367835	6537280	affleurement	Gneiss très compétent à grain moyen à quartz-feldspath-biotite recoupé par de grandes masses de pegmatites blanches > 10m de large, riche en quartz et feldspath. Les pegmatites forment également des niveaux décimétriques boudinés. Foliation 120°N.	gneiss		Pegmatite	blanc			120			1	CG-06-85-08			85-08	foliation	120	90	
CG-06-85-09	367763	6537219	affleurement	Grosse masse de pegmatite blanche à 70% feldspath, 25% quartz et 5% biotite, environ 50m de large, contact parallèle à S1.	Pegmatite	blanc									CG-06-85-09			85-09				
CG-06-85-10	367512	6537133	affleurement	Anomalie à 1100cps dans une pegmatite injectée dans les paragneiss à proximité d'une zone de 5m de large à forte densité de fractures N60°, en bordure de laquelle la pegmatite est microfracturée et légèrement hématisée. Depuis le point précédent (CG-06-85-09), paragneiss rouillé avec beaucoup de leucosomes. S1 = 168°.	Paragneiss	rouille	Pegmatite						1100							S1	168	90	
CG-06-85-11	366580	6536783	affleurement	Depuis le point précédent (CG-06-85-10), diverses espèces de paragneiss avec ± de pegmatites. Le gneiss est particulièrement riche en grenat. S1 100°/35°.	Paragneiss à grenat		Pegmatite				150								S1	100	35	
CG-06-85-12	366650	6536429	affleurement	Toujours paragneiss à grenat avec mobilisat de quartz. S1 120°/40°	Paragneiss à grenat		quartz												S1	120	40	
CG-06-85-13	365707	6536390	affleurement	Une anomalie à 5000cps et plusieurs à 1000cps dans un niveau de pegmatite grise à 50% de quartz recoupent des gneiss, fins, à patine ocre riches en feldspath et biotite.	gneiss	ocre	Pegmatite	grise				1000	5000		CG-06-85-13		CG-06-85-13					
CG-06-85-14	365654	6536316	affleurement	Fine bande de marbre d'environ 1m d'épaisseur N117°/35°.	Marbre														S1	117	35	
CG-06-85-15	365540	6536250	affleurement	Contact gneiss/marbre. Les marbres occupent le lit de la rivière, le contact est net sans pegmatite ni calcosilicate. S0 130°/45°.	gneiss		Marbre												S0	130	45	
CG-06-85-16	366639	6535840	affleurement	Pegmatite anomale sur 75m, 15 points >1000cps, concordant dans les gneiss, pas au le temps de décrire à cause de l'hélico.	gneiss		Pegmatite						1000		CG-06-85-16							
CG-06-86-01	363780	6574113	affleurement	Pegmatite rose à phénocristaux au contact avec des blocs de gneiss à biotite. Peu ou pas de déformation dans les pegmatites.	Pegmatite	rose	gneiss				125		1200									
CG-06-86-02	363700	6574080	Bloc	Bloc de pegmatite rose à grain moyen associée à du gneiss granitique. Bloc de 10m³ de volume associé à de la biotite, du feldspath et du quartz.	Pegmatite	rose	gneiss granitique						1500									
CG-06-86-03	363840	6574150	affleurement	Pegmatite rose à faciès grenu associée à des petites veines à matériel carbonaté. Peu ou pas de biotite, et beaucoup de feldspaths. Présence de blocs de gneiss au contact de l'affleurement.	gneiss		Pegmatite	rose	roche carbonaté		125		1200									
CG-06-86-04	363786	6574261	affleurement	Pegmatite rose à grain moyen au contact avec du marbre. Présence de roches calcosilicatées associées à ce marbre et du diopside qui constitue l'essentiel du matériel des veines associées au marbre.	Marbre		Pegmatite	rose	calcosilcate		125		2200									
CG-06-86-05	363668	6574494	affleurement	Pegmatite rose à grain moyen au contact avec du marbre. La pegmatite est parcourue par endroit par des petites veines de granite à grain fin.	Marbre		Pegmatite	rose	calcosilcate		125		1000									
CG-06-86-06	363538	6574570	affleurement	Pegmatite rose à grain relativement grossier au contact avec du marbre.	Marbre		Pegmatite	rose			500		1000									
CG-06-86-07	363460	6574632	affleurement	Pegmatite rose à grain moyen avec des enclaves de gneiss granitique légèrement altéré à biotite, quartz et feldspath.	gneiss granitique		Pegmatite	rose					1200		CG-06-86-07							
CG-06-86-08	363371	6574789	affleurement	Enclaves de gneiss granitique à grain moyen au contact avec des pegmatites roses à grain grossier. Présence d'une mince bande de marbre associé à des roches calcosilicatées.	gneiss granitique		Pegmatite	rose	Marbre/calcosilicat é				1250									
CG-06-86-09	363408	6574870	affleurement	Pegmatite rose à faciès phénocristal au contact avec des marbres et des roches calcosilicatées. Le marbre est plissé par endroit, est associé à de la biotite et des plages de diopside.	Marbre/calcosilicate		Pegmatite	rose			150		4200									
CG-06-86-10	363241	6575116	affleurement	Contact entre marbre et pegmatite. Le contact est net. Le marbre est associé à des roches calcosilicatées et de la diopside. La pegmatite quant à elle est a grain grossier avec des taches de rouille et des phénocristaux à feldspath et quartz. Présence aussi de biotite.	Marbre/calcosilicate		Pegmatite				150		2000									
CG-06-86-11	363208	6575042	affleurement	Pegmatite rose a grain moyen associée à des enclaves à gneiss granitique. La pegmatite est associée à des gros cristaux de feldspath et quartz. Présence de biotite massive dans les gneiss granitiques.	Pegmatite	rose	gneiss granitique				125											
CG-06-86-12	363052	6575036	affleurement	Contact entre pegmatite et gneiss granitique.	Pegmatite		gneiss granitique															
CG-06-86-13	363043	6575162	affleurement	Pegmatite rose au contact avec des gneiss granitiques associés à de la biotite rubanée. Peu de quartz visible.	Pegmatite	rose	gneiss granitique				125		1000									
CG-06-86-14	363036	6575253	affleurement	Gneiss granitique associé à de la biotite rubanée au contact avec des pegmatites roses à grain moyen. Peu de quartz visible.	gneiss granitique		Pegmatite	rose			250		1500									
CG-06-86-15	363147	6575338	affleurement	Contact marbre et paragneiss à biotite rouillée.	Marbre		Paragneiss à biotite	rouillé											contact			
CG-06-86-16	363051	6575594	affleurement	Contact marbre et paragneiss à biotite rouillée.	Marbre		Paragneiss à biotite	rouillé											contact			
CG-06-86-17	362928	6575761	affleurement	Faille?															faille?			
CG-06-87-01	356042	6568808	affleurement	La cartographie des marbres semble être bonne ici. La bande de marbre contient des niveaux métriques de paragneiss à patine beige à feldspath-biotite. S1 dans le gneiss N140°/80°, S1 dans les marbres N128°.	Marbre		Paragneiss	beige			60								S1 (gneiss); S1 (marbre)	140; 128	80; 90	
CG-06-87-02	355774	6569057	affleurement	Contact entre paragneiss (N122°/75°) et marbre. Le contact est progressif avec alternance de fines bandes de marbre et de	Marbre		Paragneiss				70	100							contact	122	75	
CG-06-87-03	355563	6569438	affleurement	Contact (140°/55°) entre marbre et gneiss. Contact stratification?, ni pegmatite, ni calcosilicate. Le marbre contient quelques niveaux de pegmatite blanche, boudinée et plissée. Grande zone de fractures de 60m de large, de direction N30°, recoupe les foliations à l'ouest.	Marbre		Paragneiss		Pegmatite										contact; fract	140; 60	55; ND	
CG-06-87-04	355373	6569711	affleurement	Toujours contact entre marbre et paragneiss 120°/55°. Fractures 60°/70°. Témoin des paragneiss.	Marbre		Paragneiss				50				CG-06-87-04			87-04	contact; fract	120; 60	55; 70	

No station	Estant (Nad83 - Zone 20)	Nordant (Nad83 - Zone 20)	Bloc ou Affleurement	Description lithologique	Lithologie A	Couleur A	Lithologie B	CouleurB	Lithologie C	CouleurC	Radiométrie Bruit de fond (cps)	Radiométrie maximum (cps)	Radiométrie anomalie (cps)	Photo	Échantillon	Lames minces: Petite (P) et Polie (Po)	Analyses chimiques	Témoin	Structure	Azimuth	Pendage	Caractéristiques
CG-06-87-05	355485	6569768	affleurement	Zone d'anomalie dans des paragneiss gris en bordure d'une petite vallée. Les biotites sont chloritisées, bloc des anomalies à 3000cps est situé dans un fin niveau rouillé à graphite et contient un sulfure à altération violette et de petites cavités centimétriques. Les anomalies se suivent de façon discontinue sur environ 80m. Peut-être faille parallèle à S1 = N140°/50°, fractures N50°. On observe localement une deuxième schistosité N140°. Les anomalies sont généralement associées à de la pegmatite mais parfois à des taches rouillées.	Paragneiss	gris	Pegmatite						3000		CG-06-87-05		CG-06-87-05		S1; fract; schistosité	140; 50; 140	50; 90; 90	
CG-06-87-06	355838	6570015	affleurement	Depuis le point précédent (CG-06-87-05), les gneiss semblent granitiques contrairement à ce qui a été cartographié. Ils sont à grains de quartz orientés, riches en feldspaths sont avec lits plus biotitiques. Localement rubanné. Ici feldspath niveau de marbre (environ 1m) contact 152°/25° dans gneiss granitique. Bruit de fond à 100cps dans orthogneiss. Foliation 130°/20°.	gneiss granitique		Marbre				100				CG-06-87-06			87-06	contact; foliation	152; 130	25; 20	
CG-06-87-07	356756	6570079	affleurement	Les gneiss deviennent plus biotitiques. 2 schistes N100°/40° et l'autre N000°. Les gneiss ont une patine jaunâtre et une altération sableuse. Précédamment, le gneiss est plus compétent avec injection de granite rose parallèle à S1.	gneiss à biotite	jaunatre	granite	rose											S1; S2	100; 0	40; 90	
CG-06-87-08	356841	6570080	affleurement	Passage à des gneiss rouillés contenant peut-être un peu de graphite. Foliation N110°. Surface des affleurements et débit subhorizontal possiblement S0.	gneiss	rouille									CG-06-87-08			x	foliation	110	90	
CG-06-87-09	357189	6570204	affleurement	Fin du gneiss rouillé rouge, passage à des gneiss à patine ocre. 1100cps ponctuel dans pegmatite blanche à grain moyen, environ 60% de feldspath / 25% de quartz et 5% de biotite. S1 140°, schiste 140°/30°.	gneiss	ocre	Pegmatite	blanc			150		1100						S1; S1	140; 140	90; 30	
CG-06-87-10	357264	6570275	affleurement	1100cps ponctuel dans une pegmatite blanche d'environ 8m de large injecté dans gneiss très silicieux, affleure mal.	gneiss		Pegmatite	blanc					1100									
CG-06-87-11	357294	6570362	affleurement	Veine d'environ 10cm d'injection de quartz légèrement rosé en remplissage et diopside comme éjecté recoupant une diopsidite affleurement de 5m x 5m. Le contact entre diopsidite et marbre est plissé (échelle métrique) mais à globalement une direction N110°. Le marbre contient de petits cristaux de diopside et phlogopite.	Marbre		diopsidite		quartz		50								contact	110		
CG-06-87-12	357421	6570445	affleurement	Fin du marbre. Passage à des paragneiss à grenat. Contact marbre/paragneiss N140°.	Marbre		Paragneiss à grenat												contact	140	90	
CG-06-87-13	357528	6570533	affleurement	Petite vallée d'environ 20m de large emplie de marbre, contact marbre/gneiss N140°/70°, gneiss fin feldspathique à grenat, débit en plaquettes.	Marbre		gneiss à grenat				150								contact	140	70	
CG-06-87-14	357747	6570662	affleurement	Fine bande de marbre d'environ 10m de large.	Marbre						100											
CG-06-87-15	357300	6571019	affleurement	Contact marbre/gneiss N140°.Il semble être le contact de la bande de marbre rencontrée en CG-06-87-12.	Marbre		gneiss												contact	140	90	
CG-06-87-16	357035	6571423	affleurement	Toujours contact marbre/gneiss (N140°). 2 petites bandes de marbre d'environ 2-3m d'épaisseur plus à l'est, puis falaise de gneiss rouillé.	Marbre		gneiss												contact	140	90	
CG-06-87-17	356489	6571635		Voir croquis de CG-06-87-16.																		
CG-06-87-18	356335	6571576	affleurement	La roche environnante est une pegmatite rose très riche en feldspath et quartz légèrement allongé, la biotite n'est pas répartie de façon homogène. Elle est parfois présente en cristaux pluricentimétriques. L'anomalie est le long d'une zone de faille d'environ 5-10cm de large, très rouillé à altération jaune rouge, horizontale avec fine lamines noirs (biotite?), parallèle à la formation N60°. Anomalie >15000cps sur environ 70cm (échantillon minéralisé, échantillon pegmatite, échantillon de gneiss environnant). La faille et fracture? est anomale sur 20m >1000cps. Une deuxièmee zone atteint 12500cps à environ 15m de la précédente. Pas eu le temps de décrire plus pour cause d'arrivée imminente de l'hélico. Mériterait d'y passer un peu plus de temps si uranifère!	Pegmatite	rose							15000	18A	CG-06-87-18 A-B-C-D	CG-06-87-18D	CG-06-87-18 A-B	87-18C	fracture	60		
CG-06-88-01	355114	6573647	affleurement	Marbre détritique avec des enclaves à quartz translucide et du chert. Marbre bréchifié par endroit et minéralisé en sulfure. Présence aussi de minéraux de forme cristalline, probablement du zircon. Le marbre contient du diopside.	Marbre		Quartzite				75				CG-06-88-01			88-01				
CG-06-88-02	355212	6573616	affleurement	Contact marbre et paragneiss rouillé à grenat.	Marbre		Paragneiss à biotite				75											
CG-06-88-03	355282	6573531	affleurement	Marbre au contact des roches calcosilicatées à diopside, molybdénite et des enclaves de quartz fumé.	Marbre		Quartzite				70											
CG-06-88-04	355444	6573505	affleurement	Gneiss à biotite très rouillé et très altéré au contact avec des pegmatites roses à grain moyen.	gneiss à biotite		Pegmatite	rose			125											
CG-06-88-05	355436	6573336	affleurement	Contact entre marbre et paragneiss rouillé et altéré. Le marbre est détritique avec des enclaves de quartz à diopside minéralisé en sulfure. Présence également de structure en relief.	Marbre		Paragneiss à biotite	rouillé			125											
CG-06-88-06	355325	6573241	affleurement	Banc de marbre associé à des plages en relief constitués de roches calcosilicatées, de gros cristaux de quartz et de feldspath. Le quartz est translucide et se présente par endroit dans des veinules tardives.	Marbre/calcosilicate		quartz-feldspath				75		11000		CG-06-88-06			88-06				
CG-06-88-07	355320	6573078	affleurement	Contact entre un marbre détritique et des paragneiss à biotite très rouillés. Le marbre est associé à des roches calcosilictées à diopside et phlogopite, avec des enclaves à quartz et sulfures. Présence également d'épidote associé à des phénocristaux feldspath et de plagioclase. Présence aussi de cavités dans le marbre constituées de gros cristaux de calcite, de molybdénite et de fluorine.	Marbre/calcosilicate		Paragneiss à biotite	rouillé			75		2500		CG-06-88-07			88-07				
CG-06-88-08	355369	6572988	affleurement	Contact entre un banc de pegmatite roséâtre à grain grossier avec un marbre détritique à grain moyen. Au-dessus de la séquence. On trouve un orthogneiss légèrement rouillé sous forme d'intrusion dans le marbre. L'orthogneiss est associé à du grenat et de la biotite en grande quantité.	Marbre		Pegmatite	rose	orthogneiss		75		2500											
CG-06-88-09	355447	6572902	affleurement	Contact marbre et paragneiss à biotite.	Marbre		Paragneiss à biotite				100											
CG-06-88-10	355514	6572819	affleurement	Veine de pegmatite large de 1m au contact avec de l'orthogneiss à biotite et grenat. La pegmatite est associée à de la biotite, de la phlogopite, et du quartz fumé.	Orthogneiss		Pegmatite	rose			125		1400									

705544

No station	Estant (Nad83 - Zone 20)	Nordant (Nad83 - Zone 20)	Bloc ou Affleurement	Description lithologique	Lithologie A	Couleur A	Lithologie B	CouleurB	Lithologie C	CouleurC	Radiométrie Bruit de fond (cps)	Radiométrie maximum (cps)	Radiométrie anomalie (cps)	Photo	Échantillon	Lames minces: Petite (P) et Polie (Po)	Analyses chimiques	Témoin	Structure	Azimuth	Pendage	Caractéristiques
CG-06-90-10	388658	6514875	affleurement	Paragneiss à biotite avec des intrusions de pegmatite blanche.	Paragneiss à biotite		Pegmatite	blanc														
CG-06-90-11	388703	6515130	affleurement	Paragneiss à biotite avec des intrusions de pegmatite blanche.	Paragneiss à biotite		Pegmatite	blanc														
CG-06-90-12	388782	6515228	affleurement	Paragneiss à biotite avec des intrusions de pegmatite blanche.	Paragneiss à biotite		Pegmatite	blanc														
CG-06-90-13	388964	6515661	affleurement	Paragneiss à biotite au contact avec des petites bandes d'orthogneiss rubané.	Paragneiss à biotite		orthogneiss rubané															
CG-06-90-14	389078	6515626	affleurement	Bande d'orthogneiss à biotite au contact avec de la pegmatite blanche. Présence de niveaux de paragneiss à biotite.	Orthogneiss		Pegmatite	blanc	paragneiss à biotite													
CG-06-91-01	357351	6491119	affleurement	Paragneiss fin, gris, à grenat avec plis métriques. Le gneiss semble silicifié avec bancs de 5 à 50cm de silice fine contenant des résidus de gneiss. Échantillons de gneiss et de niveau de quartz. S1 N130°/75°. Anomalie ponctuelle à 1300cps dans une pegmatite à feldspath et quartz contenant très peu de biotite. La pegmatite est un niveau parallèle à S1.	Paragneiss à grenat	gris	Pegmatite		quartz		150	400	1300		CG-06-91-01A-B			91-01A-B	S1	130	75	
CG-06-91-02	357491	6491273	affleurement	Depuis le point précédent (CG-06-91-01), gneiss finement lité avec nombreux mobilisats de quartz centimétriques. On retrouve toujours les mêmes pegmatites parallèles à S1. Très nombreux blocs de gneiss silicifié rouge. Anomalie à 1100cps dans une pegmatite à bords diffus, zonée avec environ 10-15cm de quartz avec épontes. Le gneiss est fin, siliceux avec alternance de niveaux centimétriques gris clairs et gris foncés.	gneiss	rouge	Pegmatite								CG-06-91-02, CG-06-91-02B			91-02, 91-02B				
CG-06-91-03	357573	6491238	affleurement	On suit le niveau de pegmatite à bords diffus à patine orange "digérant" de fins niveaux de gneiss. 11000cps sur 30cm x 30cm, nombreux points à 2000-3000cps dans un rayon de 20m. Échantillon de pegmatite pris dans une zone à 5000cps. Toutes les pegmatites sont anomales dans le secteur. Elles font en générale 50cm de large et quelques mètres de long et sont boudinées. S1 N140°/85°.	Pegmatite	orange	gneiss				200		11000	1	CG-06-91-03		CG-06-91-03		S1	140	85	
CG-06-91-04	357631	6491148	affleurement	Depuis le point précédent (CG-06-91-03), on suit le niveau de pegmatite siliceuse à patine orange et biotites orientées. Nombreux points > 5000cps depuis le précédent, bruit de fond >1000cps. La pegmatite fait environ 1m de large. Zone d'environ 1m de long > 15000cps en bordure de la pegmatite avec épontes riches en biotite fortement orientées. >4000cps sur environ 3m x 1m. S1 140°/70°. Échantillon à 7500cps.	Pegmatite	orange					1000		15000	1	CG-06-91-04	CG-06-91-04(Po)	CG-06-91-04		S1	140	70	
CG-06-91-05	357714	6491032	affleurement	Depuis le point précédent (CG-06-91-04), le bruit de fond diminue entre 400-500cps dans la pegmatite qui est beaucoup moins continue. Quelques points à 1000cps. Ici, masse de pegmatite blanche d'environ 10m de large à 50% feldspath blanc légèrement teinté d'hématite + quartz. Max 7500cps sur 30cm x 30cm, autre point à 6000cps dans une zone à biotite rouillée.	Pegmatite	blanc					400	500	7500									
CG-06-91-06	357865	6490998	affleurement	En traversant vers l'est, passage à un granite très faiblement orienté, homogène, gris, à grain fin. 1500cps ponctuel dans zone plus grossière.	Granite	gris					250		1500		CG-06-91-06			91-06				
CG-06-91-07	358015	6491013	affleurement	Toujours même granite fin, gris, anomalie ponctuelle à 1300cps.	Granite	gris							1300									
CG-06-91-08	358264	6490973	affleurement	Gneiss à plis métriques d'une foliation N140°. Quelques niveaux de quartz subconcordants d'environ 10cm de large.	gneiss		quartz				120								foliation	140	90	
CG-06-91-09	358224	6490629	affleurement	On repasse à des gneiss rubanés riches en biotite, quelques pegmatites orange à bruit de fond entre 300-400cps. Foliation	gneiss à biotite		Pegmatite	orange			120	300-400 pegmatite							foliation	290	45	
CG-06-91-10	358226	6490417	affleurement	Large pegmatite d'environ 4m de long dans des paragneiss localement rouillés. Les marbres sont une pure invention.	Paragneiss	rouille	Pegmatite		Marbre		100											
CG-06-91-11	358265	6490260	affleurement	Gneiss très fin, noir, à débit en plaquettes, très riche en biotite, recoupé par une pegmatite blanche à feldspath et quartz de quelques mètres de large. Anomalies ponctuelles à 1500cps et 1000cps.	gneiss à biotite		Pegmatite	blanc			75	300 pegmatite	1500		CG-06-91-11			91-11				
CG-06-91-12	358317	6490181	affleurement	Alternance de "schistes" à biotite et gneiss totalement siliceux. Ici, veine de quartz d'environ 30cm de large. Axe de pli à N124° et S1 N128°/70°.	schiste à biotite		gneiss siliceux		quartz		70								S1	128	70	
CG-06-91-13	358393	6490142	affleurement	Petite zone à 2000cps dans pegmatite à grain moyen à patine orange. Dans un banc de pegmatite d'environ 4m de large, plissée à l'échelle décimétrique. Le grain est silicifié en bordure de la pegmatite. S1 N140°/65°.	gneiss		Pegmatite	orange			300								S1	140	65	
CG-06-91-14	358924	6489918	affleurement	Depuis point précédent (CG-06-91-13), schistes à biotites et très nombreux bancs de gneiss silicifié puis passage à des paragneiss rubanés à nombreux mobilisats de quartz microplissés. Fini les pegmatites.	schiste à biotite		gneiss siliceux		paragneiss		100											
CG-06-91-15	359351	6489319	affleurement	Toujours des gneiss, ici, gris sombres plus feldspathiques que précédement, moins de mobilisat de quartz, très frais + grenu.	gneiss	gris									CG-06-91-15			91-15				
CG-06-91-16	359601	6489300	affleurement	Toujours des gneiss, il n'y a vraiment pas de marbre!...et il pleut.	gneiss						70											
CG-06-91-17	359599	6488745	affleurement	Gneiss siliceux à biotite, gris en surface. N124°/85°.	gneiss siliceux														S1	124	85	
CG-06-92-01	356355	6490554	affleurement	Orthogneiss à biotite moyennement altéré associé à des gneiss granitiques. Présence de petites enclaves à amphibolite par endroit associées à l'orthogneiss.	Orthogneiss à biotite		gneiss granitique				120				CG-06-92-01			92-01				
CG-06-92-02	356386	6490491	Bloc	Bloc de granite à grain moyen au contact avec des gneiss granitiques à biotite. Présence de biotite massive dans ce granite qui est légèrement altéré par endroit. Le granite possède des enclaves de pegmatite rose à grain moyen.	Granite	rose	gneiss granitique à biotite		Pegmatite	rose	125											
CG-06-92-03	356570	6490317	affleurement	Gneiss granitique rubané parcouru par des veines centimétriques de pegmatites roses à grain moyen. La pegmatite est constituée de gros cristaux de feldspath.	gneiss granitique		Pegmatite	rose			120											
CG-06-92-04	356589	6490279	affleurement	Gneiss granitique rubané et folié parcouru par des veines centimétriques à pegmatite rose à grain grossier. La pegmatite est associée par endroit à des petites plages de quartz blanc et des petites veines à quartz parallèles à cette dernière.	gneiss granitique		Pegmatite	rose	quartz		125				CG-06-92-04			92-04				

705544

No station	Estant (Nad83 - Zone 20)	Nordant (Nad83 - Zone 20)	Bloc ou Affleurement	Description lithologique	Lithologie A	Couleur A	Lithologie B	CouleurB	Lithologie C	CouleurC	Radiométrie Bruit de fond (cps)	Radiométrie maximum (cps)	Radiométrie anomalie (cps)	Photo	Échantillon	Lames minces: Petite (P) et Polie (Po)	Analyses chimiques	Témoin	Structure	Azimuth	Pendage	Caractéristiques
CG-06-92-05	356642	6490192	affleurement	Gneiss granitique avec des enclaves de pegmatite blanche à grain moyen. Le granite est parcouru par endroit par des petites veines en relief constituées de roches carbonatées et de la biotite.	gneiss granitique		Pegmatite	blanc	carbonate à biotite		100		2050									
CG-06-92-06	356792	6490014	affleurement	Veine de pegmatite rosâtre de 1m de large prise dans du gneiss granitique. La pegmatite est constituée de phénocristaux à quartz et feldspath. Présence de petites enclaves à quartz hyalin dans une matrice carbonatée. Présence également de magnétite associée à cette pegmatite.	gneiss granitique		Pegmatite	rose					2000		CG-06-92-06			92-06				
CG-06-92-07	356947	6489657	affleurement	Gneiss granitique parcouru par des veines centimétriques de pegmatite rose à grain moyen. Les veines de pegmatites ont une direction préférentielle E-W et viennent recoupées toute la séquence. Présence de petites veines de quartz qui sont parallèles à la foliation.	gneiss granitique		Pegmatite	rose											S1	145	30	
CG-06-92-08	357448	6489077	affleurement	Mince bande de paragneiss à biotite rouillé avec des pendages sud. Paragneiss au contact avec des quartzites et du granite. Le paragneiss est associé par endroit à des pyrites et beaucoup de biotite.	Paragneiss à biotite	rouille	Quartzite		granite		100				CG-06-92-08			92-08	S1	90	30	
CG-06-92-09	357767	6489084	affleurement	Orthogneiss à biotite associé à des petites veines à quartz et feldspath et par endroit à des enclaves. Les veines suivent la même direction que la foliation. Les bancs d'orthogneiss N142°/32°.	Orthogneiss à biotite										CG-06-92-09			92-09	S1	142	32	
CG-06-92-10	357925	6488973	affleurement	Pegmatite blanche à grain grossier au contact avec de l'orthogneiss folié rubané. La pegmatite se constitue par mince couche au-dessus de l'orthogneiss. Elle est souvent associée à des enclaves à quartz et des taches rouilles.	Orthogneiss à biotite		Pegmatite	blanc			100				CG-06-92-10			92-10				
CG-06-92-11	358185	6488787	affleurement	Pegmatite blanche à grain moyen avec des niveaux quartzitiques. Pegmatite prise entre deux bandes d'orthogneiss folié associées à des petites veines de quartz qui se trouve dans le plan de la foliation. Pegmatite associée à beaucoup de biotite avec des niveaux plus ou moins altérés. Anomalie ponctuelle sur une distance de 5 à 10m	Orthogneiss		Pegmatite à biotite	blanc	Quartzite		150		1300		CG-06-92-11			92-11				
CG-06-92-12	358201	6488652	affleurement	Pegmatite blanche à grain moyen au contact avec des orthogneiss. La pegmatite est parcourue par des petites veines de quartz légèrement fumé et à texture laiteuse par endroit. Présence également d'enclaves de quartzite.	Orthogneiss		Pegmatite	blanc	Quartzite		125		1400									
CG-06-92-13	358221	6488553	affleurement	Pegmatite blanche au contact avec des orthogneiss. La pegmatite est une mince bande de 2m de large à grain moyen associée à des niveaux carbonatés et parcourue par des petites veines à phlogopite. Présence aussi d'enclaves de quartz à gros cristaux dans la pegmatite.	Orthogneiss		Pegmatite	blanc	quartz		150		3000		CG-06-92-13		CG-06-92-13	x				
CG-06-92-14	358424	6488422	affleurement	Orthogneiss à texture "phylteuse" associé à de la pegmatite blanche et des veines de quartz et de feldspath. Orthogneiss légèrement altéré avec des petites enclaves de roches carbonatées.	Orthogneiss		Pegmatite	blanc	quartz		100											
CG-06-92-15	358511	6488289	affleurement	Contact entre paragneiss rouillé et altéré à biotite avec un gneiss granitique à foliation subverticale. L'anomalie se trouve dans une enclave à pegmatite associée à des veines de quartz légèrement fumé et bleuté. Présence d'une veine de diopside et molybdénite au contact avec des paragneiss et orthogneiss.	Paragneiss à biotite	rouille	gneiss granitique		Pegmatite		150		2000		CG-06-92-15			92-15				
CG-06-92-16	358721	6488034	affleurement	Veine constituée de roches calcosilicatées à diopside, quartz et du matériel carbonaté. Veine centimétrique parcourant un gneiss granitique à grain fin. Le calcosilicate se présente par endroit sous forme d'enclave dans le gneiss granitique. Présence aussi de petites veinules à quartz.	gneiss granitique		calco-silicate		carbonate						CG-06-92-16			92-16				
CG-06-92-17	358976	6487489	affleurement	Gneiss granitique avec des enclaves de pegmatite blanche à grain grossier parcouru par endroit par des petites veines de quartz bleuté. Présence de tache rouilles associées au gneiss granitique.	gneiss granitique		Pegmatite	blanc														
CG-06-92-18	358969	6487475	affleurement	Pegmatite blanche à grain moyen associée à des petites veines centimétriques à quartz, au contact avec de l'orthogneiss. Pegmatite associée à des petites enclaves à quartz de couleur bleu, et des taches rouillées. Pegmatite associée à des minéraux verts (diopside) qui se présentent sous forme de plages caractéristiques de la zone anomalique.	Orthogneiss		Pegmatite	blanc	quartz		120		4000									
CG-06-93-01	354164	6487762	Bloc	Champ de blocs constitués de paragneiss rouillés aux contacts avec d'autres blocs de pegmatites, de granite rose.	Paragneiss	rouille	Pegmatite	rose			100											
CG-06-93-02	354196	6487966	affleurement	Contact entre un paragneiss à biotite rouillé, et altéré, et un gneiss granitique avec des taches de rouille associées à des enclaves de pegmatite blanche.	Paragneiss à biotite	rouille	gneiss granitique	blanche	Pegmatite	blanc												
CG-06-93-03	354070	6488082	affleurement	Contact entre orthogneiss et granite rose avec des enclaves de pegmatite.	Orthogneiss		granite	rose	Pegmatite		100		2500									
CG-06-93-04	354090	6488245	affleurement	Orthogneiss rouillé et altéré au contact avec des granites à biotite. Le granite est associé à des enclaves de pegmatite blanche à faciès grenu associée à de la biotite massive par endroit.	Orthogneiss	rouille	granite à biotite		Pegmatite	blanche					CG-06-93-04	CG-06-93-04(P)	CG-06-93-04	93-04				
CG-06-93-05	354106	6488255	Bloc	Bloc de pegmatite rose à faciès grenu associée à d'autres blocs de paragneiss et granite.	Pegmatite	rose					100		1100									
CG-06-93-06	354102	6488309	affleurement	Petit banc de quartz "chertifié" de 50cm de large pris entre deux bancs de paragneiss. Le chert est parcouru par des petites veinules de quartz associé à un matériel carbonaté.	Paragneiss		Quartzite				100				CG-06-93-06			x				
CG-06-93-07	354110	6488384	affleurement	Enclave de pegmatite blanche dans un gneiss rouillé à biotite avec des niveaux plus ou moins argileux. Présence de beaucoup de biotite associée à des veines de quartz.	gneiss à biotite	rouille	Pegmatite	blanche			120								foliation	343	40	
CG-06-93-08	354127	6488577	affleurement	Contact entre un granite riche en biotite, et un paragneiss rouillé et altéré. Présence d'enclaves de pegmatite associée aux granites. À 20m du point CG-06-93-03, se trouve d'autres anomalies s'étendant sur une longueur de 15 à 20m. Présence également d'un petit banc de marbre large de 2 à 3m associé à des roches calcosilicatées.	Granite à biotite		Paragneiss		Pegmatite		120		2000									
CG-06-93-09	353859	6488565	affleurement	Gneiss granitique avec des veines de pegmatite rose.	gneiss granitique		Pegmatite	rose														

No station	Estant (Nad83 - Zone 20)	Nordant (Nad83 - Zone 20)	Bloc ou Affleurement	Description lithologique	Lithologie A	Couleur A	Lithologie B	CouleurB	Lithologie C	CouleurC	Radiométrie Bruit de fond (cps)	Radiométrie maximum (cps)	Radiométrie anomalie (cps)	Photo	Échantillon	Lames minces: Petite (P) et Polie (Po)	Analyses chimiques	Témoin	Structure	Azimuth	Pendage	Caractéristiques
CG-06-93-10	353981	6488724	affleurement	Enclave de pegmatite blanche dans un gneiss granitique folié par endroit et riche en biotite. La pegmatite est à faciès grenu et associée à une biotite massive.	gneiss granitique à biotite		Pegmatite	blanche			100		1500		CG-06-93-10							
CG-06-93-11	354119	6488778	affleurement	Veine de pegmatite blanche large de 2m prise entre deux bancs de paragneiss à biotite associé à des petites veines de granite rose.	Paragneiss à biotite		granite		Pegmatite	blanche	120		3500									
CG-06-93-12	354192	6488850	affleurement	Anomalie sous la mousse à 1400 c/s. L'anomalie est dans la direction de foliation d'un autre affleurement de paragneiss à biotite rouillé situé pas très loin. Ce qui nous fait croire que nous avons à faire à un même type de roche. Présence de gneiss granitique au contact.	Paragneiss à biotite	rouille	gneiss granitique				150		1400									
CG-06-93-13	354204	6489100	affleurement	Enclave de pegmatite rose dans du paragneiss à biotite au contact avec du granite à biotite.	Paragneiss à biotite	rouille	granite à biotite				100											
CG-06-93-14	354233	6489170	Bloc	Bloc de pegmatite à faciès grenu associé à d'autres blocs de quartzite, de paragneiss et granite.	Pegmatite		Quartzite		paragneiss				1500									
CG-06-94-01	351741	6483472	affleurement	Affleurement de 20m x 8m, horizon de grès quartzitique laminé de 1 2m et de quartzite grise pâle. Lamination (S0?) =140°. S1=16°/16°	grès quartzitique		Quartzite	gris pâle			45	70			CG-06-94-01			94-01	S1; lamination (S0)	16; 140	16; ND	
CG-06-94-02	351821	6483464	affleurement	Affleurement de 5m x 3m, de roche pegmatoïde à quartz-feldspath, rouillé par endroit, massif. Zone altérée rouillée. Quartzite depuis CG-06-94-01.	roche pegmatoïde à Qz-Fd						220	290										
CG-06-94-03	351904	6483455	affleurement	Affleurement de 15m x 8m de A) quartzite idem à précédent (CG-06-94-02) et B) d'une unité de méta-arkose, roche à grain moyen de quartz-feldspath blanc.	Quartzite		méta-arkose				50	170			CG-06-94-03B			94-03B				
CG-06-94-04	352061	6483327	affleurement	Affleurement de 10m x 6m, roche métasédimentaire, riche en biotite (schiste à biotite) passées pegmatitiques concordantes. S1 150°/12°. * Entre CG-06-94-03 et CG-06-94-04 paragneiss rouillé.	schiste à biotite		Pegmatite				30	800							S1	150	12	
CG-06-94-05	352096	6483233	affleurement	Affleurement de 2m x 10m; pegmatite foliée. Anomalie ponctuelle à 1500cps près de petites failles / fractures dans pegmatite.	Pegmatite						250		1500									
CG-06-94-06	348522	6483744	affleurement	Affleurement de 10m x 4m; gneiss granitique à grain moyen à quartz-feldspath-biotite.	gneiss granitique						80											
CG-06-94-07	349760	6481254	affleurement	Aire d'affleurement de 4 à 100m² de paragneiss rouillé. Très schisteux (schiste à biotite).	Paragneiss rouillé						50	70										
CG-06-94-08	349900	6481294	affleurement	Affleurement de 8m x 2,5m de roche métasédimentaire riche en biotite; schiste à biotite. S1 338°/10°.	schiste à biotite						40	50							S1	336	10	
CG-06-94-09	349962	6481175	affleurement	Affleurement de 2m² dans aire d'affleurement. Pegmatite blanche à quartz-feldspath formant un dyke d'environ 5m d'épaisseur massif. Anomalie à 850cps par Robert Proulx.	Pegmatite	blanche					120	160	850		CG-06-94-09			94-09				
CG-06-94-10	349667	6481137	affleurement	Paragneiss à gneiss granitique blanc à grain moyen à quartz-feldspath, folié à gneissique, affleurement de >20m x 8m.	Paragneiss/gneiss granitique	blanc					60	75										
CG-06-95-01	351664	6483482	affleurement	Quartzite blanc en surface, gris en cassure fraîche, litage peu observable, massif. Linéation sur passée de paragneiss à biotite centimétrique-décimétrique et passée plus feldspathique, irrégulière en distribution.	Quartzite	blanche	Paragneiss à biotite				60-100-120											
CG-06-95-02	351656	6483583	affleurement	Idem (CG-06-95-01). Linéation 158°/10°. Plusieurs photos.	Quartzite	blanche	Paragneiss à biotite				60-100-120			plusieurs					Linéation	158	10	
CG-06-95-03	351705	6483593	affleurement	Quartzite idem (CG-06-95-02). Anomalie à 750cps sur un point oxydé. S0 345°/50°, linéation 155°/10°.	Quartzite	blanche	Paragneiss à biotite				60-100-120	750							S0; L	345; 155	50; 10	
CG-06-95-04	351740	6483644	affleurement	Anomalie de 750cps sur un point oxydé à feldspath dans quartzite.	Quartzite	blanche	Paragneiss à biotite															
CG-06-95-05	351940	6483860	affleurement	Quartzite gris massif. Entre CG-06-95-03 et CG-06-95-04, plaine de blocs glaciaires + moraine pouvant être paragneiss. S0 lit centimétrique à décimétrique 320°/55°. Linéation 125°/65° (paragneiss dans quartzite).	Quartzite	grise	Paragneiss												S0; L	320; 125	55; 65	
CG-06-95-06	352003	6483935	affleurement	Quartzite à nouveau vers le bord du lac, blanc et massif. S2 150°/25°	Quartzite	blanche					70								S2	150	25	
CG-06-95-07	351928	6483938	affleurement	Paragneiss en lentille 25%, quartzite 75%. S2 295°/50°.	Quartzite		Paragneiss				100-70								S2	295	50	
CG-06-95-08	351577	6483993	affleurement	Quartzite massif, sans paragneiss, éboulis. Entre CG-06-95-06 et CG-06-95-07, plaine de blocs glaciaires. S2 impossible.	Quartzite massif						70											
CG-06-95-09	351528	6483981	affleurement	Contact supérieur. Paragneiss (rouillé) riche en quartz, biotite par-dessus (sommet). Quartzite. S2 155°/40°.	Paragneiss à biotite						120-60								S2	155	40	
CG-06-95-10	351516	6483972	affleurement	Retour sur le quartzite lité dans paragneiss rouillé. S0 145°/40°.	Quartzite lité		Paragneiss				60								S0	145	40	
CG-06-95-11	351512	6483853	affleurement	Quartzite massif.	Quartzite massif						60											
CG-06-95-12	349774	6481182	affleurement	Quartzite en banc de 10 à 30cm dans paragneiss rouillé avec biotite, riche en quartz. S0 340°/55°.	Paragneiss à biotite		Quartzite				60								S0	340	55	
CG-06-95-13	349913	6481110	affleurement	Quartzite lité centimétrique à décimétrique dans forte majorité de paragneiss. S0 N195°/15°.	Paragneiss		Quartzite				60								S0	195	15	
CG-06-95-14	349966	6481124	affleurement	Un seul banc de 1m d'épaisseur dans du paragneiss. S0 330°/35°.	Paragneiss						60								S0	330	35	
CG-06-95-15	350042	6481074	affleurement	Séquence monoclinale de paragneiss à faible pendage avec quelques très rares bancs centimétrique à décimétrique de quartzite (5%). S0 10°/35°.	Paragneiss		Quartzite				100								S0	10	35	
CG-06-95-16	350107	6480980	affleurement	Paragneiss 90% et 10% de pegmatite ou quartzite boudiné au maximum décimétrique. S0 = N340°/50°.	Paragneiss		Pegmatite				100								S0	340	50	
CG-06-95-17	350040	6480883	affleurement	Paragneiss idem (CG-06-95-16). S2S0 = 355°/60°.	Paragneiss		Pegmatite				90								S2S0	355	60	
CG-06-95-18	349949	6480901	affleurement	Paragneiss idem à l'affleurement CG-06-95-15. S0 = 340°/30°.	Paragneiss		Pegmatite				90								S0	340	30	
CG-06-95-19	349884	6480926	affleurement	Paragneiss "rouillé". Linéament très net contrôlant la topographie mais sans strie, sans altération. S2 N330°/40°. Les diaclases N150°/65°.	Paragneiss rusty						90								S2S0; diaclase	330; 150	40; 65	
CG-06-95-20	349834	6480926	affleurement	Marbre gris calcitique et bien folié mais peu déformé. Est un lambeau car il disparaît plus au nord dans le paragneiss et s'en va dans le lac de l'autre coté (peut-être?). Épaisseur 4m, longueur > 50m. S0 350°/35°.	Marbre calcitique	gris	Paragneiss												S0	350	35	
CG-06-95-21	349703	6481089	affleurement	Orthogneiss (Mario) au paragneiss très riche en quartz, peu de mica, foliation régulière, sans oxydation biotitique. Constitue une micropéninsule sur l'île. S2 355°/55°.	Orthogneiss						75								S2S0	355	55	
CG-06-95-22	350259	6487999	affleurement	Orthogneiss "granitique" à pegmatite rose sécante. Absence totale de pegmatite blanche. Grand plat, ayant apparence, vu de l'hélico, de quartzite mais n'en est pas. J'estime qu'on a été déposé au mauvais endroit mais l'hélico, reparti dans la pluie, ne peut nous déplacer. Impossible de prendre mesure de S2.	Orthogneiss granitique	blanc	Pegmatite	rose			65											

705544

No station	Estant (Nad83 - Zone 20)	Nordant (Nad83 - Zone 20)	Bloc ou Affleurement	Description lithologique	Lithologie A	Couleur A	Lithologie B	CouleurB	Lithologie C	CouleurC	Radiométrie Bruit de fond (cps)	Radiométrie maximum (cps)	Radiométrie anomalie (cps)	Photo	Échantillon	Lames minces: Petite (P) et Polie (Po)	Analyses chimiques	Témoin	Structure	Azimuth	Pendage	Caractéristiques
CG-06-95-23	350307	6488108	affleurement	Orthogneiss granitique homogène, riche en quartz. Simili affleurement CG-06-95-21 et s'y corrèle possiblement. Choisissons de monter la montagne.	Orthogneiss granitique	blanc					65											
CG-06-95-24	350109	6488512	affleurement	Orthogneiss granitique. Entre CG-06-95-23 et CG-06-95-24, champ de blocs. S2 355°/90°.	Orthogneiss granitique	blanc					65								S2	355	90	
CG-06-95-25	349772	6488636	affleurement	Orthogneiss idem (CG-06-95-24). Pied de falaise et talus d'éboulis. Teinte orangée plutôt que blanche confirmant orthogneiss.	Orthogneiss	orange					70											
CG-06-95-26	349861	6488746	affleurement	Orthogneiss (déluge). Une anomalie à 350cps ponctuelle sur un bloc de provenance inconnue.	Orthogneiss						70	350										
CG-06-95-27	349901	6488753	affleurement	Orthogneiss dans un autre éboulis. Quelques passées riches en quartz (blocs de falaise).	Orthogneiss						70											
CG-06-95-28	349785	6488742	affleurement	Falaise et orthogneiss. Ce secteur est sans intérêt. À vue d'œil, aucune falaise ou affleurement semblant être le quartzite censé être dans ce secteur. Ou nous avons raté la cible ou la carte à fait l'objet de photo interprétation erronée.	Orthogneiss						80											
CG-06-96-01	352584	6555786	affleurement	Anomalie dans une pegmatite ± quartzifère affectée par un cisaillement qui semble régional et qui affecte les marbres adjacents.	Pegmatite quartzifère		Marbre				180		1500									
CG-06-96-02	353117	6555848	affleurement	Deux anomalies à 15000cps et >15000cps, distantes de 4m, dans une méta-arkose à pélite, mylonitisée et hématitisée. La roche semble affectée par un cisaillement régional qui a transposé l'unité de marbre adjacente. **IMPORTANT: la minéralisation, probablement de la pechblende, est associée à une hématitisation importante. Également, il semble y avoir un début d'albitisation (à confirmer). Échantillonnage: CG-06-96-02A (gangue), CG-06-96-02B (minéralisé), CG-06-96-02C (albite? au voisinage).	méta-arkose		Marbre				200		15001		CG-06-96-02A-B-C	CG-06-96-02B(Po)-CG06-96-02C(P)	CG-06-96-02B					
CG-06-96-03	353137	6555760	affleurement	Correspond au centre d'une zone anomale >15m x 20m dans une pegmatite affectée par un cisaillement. La zone contient de nombreux points anomaux. Yves Rougerie a obtenu >5000cps. Serge Perreault a observé une anomalie de 1500cps dans un quartzite enclavé dans la pegmatite.	Pegmatite						300		5000									
CG-06-97-01	354633	6547275	affleurement	Affleurement de 8m x 5m; marbre dolomitique à calcitique à cristaux grossiers, lité; localement bréchique (brèche de roche calcosilicatée) et de niveaux de calcosilicates de 10cm d'épaisseur.	Marbre dolomitique																	
CG-06-97-02	354685	6547178	affleurement	Affleurement de >2000m² formant une butte, un "pic". A) paragneiss (schiste à biotite); fortement rouillé avec sulfure (< 8%); B) aspect complètement rouillé (altéré) et sulfuré. Foliation 248°/62°.	Paragneiss										CG-06-97-02A	CG06-98-02B(P)	CG-06-97-02A	97-02A				
CG-06-97-03	354862	6547397	affleurement	Affleurement le long d'une paroi de 5m de haut par >40m de long. Marbre dolomitique, lité (S0/S1? = subhorizontal), léger pendage à environ 20° vers sud-ouest recoupé par pegmatite. Anomalie à 1700cps dans pegmatite; petite cavité.	Marbre dolomitique		Pegmatite															
CG-06-97-04	354842	6547411	affleurement	Affleurement continu, idem à CG-06-97-03, quartzite? ou pegmatite avec biotite modérément altérée. Anomalie à 1500cps dans pegmatite.	Quartzite										CG-06-97-04							
CG-06-97-05	354821	6547405	affleurement	Affleurement continu le long de la falaise; idem à CG-06-97-03. Anomalie à 1500cps dans pegmatite rouillée qui recoupe le marbre.	Pegmatite												CG06-97-05					
CA06-1000-01	355116	6557495	Affleurement	Gneiss carbonaté et/ou calcétique plissé, très déformé avec de fins filonets (quelques mm d'épaisseur) plus compétent que l'encaissant. Les filonets forment des motifs oeillé, ovale ou ovaïde. 150cps max. background à 50cps. Réagit au HCl dans et autour des fissures et des fractures.	Gneiss carbonaté		Gneiss calcitique				50	150										
CA06-1000-02	355080	6557225	Affleurement	Horizon ou banc de quartzite de grande dimension. Très altéré (peut être du au fait que l'affleurement se trouve au sommet d'une colline) principalement sombre (gris à noir). Aussi altération jaunâtre verdâtre. Quartz sous différentes formes : incolore, gris et blanc laiteux, amorphe et cristallisé, parfois translucide. Grenats (principalement non altéré) 150-200cps en background	Quartzite	gris-noir	Grenats				150-200											
CA06-1000-03	354820	6557140	Affleurement	Gneiss lité, rouillé (biotite altérée), altéré avec des nodules (métrique) de pegmatite blanche à feldspaths plagioclase blancs et quartz translucide (en cristaux). 150cps en background, 200 localement au max.	Gneiss lité	rouille	Pegmatite	blanche	Quartz		150	200										
CA06-1000-04	354620	6556770	Affleurement-Bloc	Affleurement de pegmatite rose et blanche à phénocristaux de feldspath potassiques et de quartz translucide imbriqués. Environ 100cps à l'échelle de l'affleurement (background). Grenats (surtout < 1cm). 1 bloc de marbre à diopside, riche en biotite.	Pegmatite	rose-blanche	Marbre à diopside				100											
CA06-1000-05	354390	6557360	Affleurement	Affleurement de gneiss recoupé par des veines et des filons de pegmatite blanche et rose (grenats bien visibles dans la pegmatite blanche) de grande dimension. La pegmatite s'étend sur plus d'une centaine de mètre de long, elle mesure quelques mètres de large. Contact franc entre le gneiss et la pegmatite. Le dyke et les filons adjacents sont concordants par rapport au litage du gneiss orienté 290°. 4000cpas dans la pegmatite rose proche du contact avec le gneiss, elle contient des grenats.	Gneiss		Pegmatite	Blanche-rose	Grenats			4000	4000						Litage	290		
CA06-1000-06	354300	6557440	Affleurement	Continuité du dyke de pegmatite (depuis CA06-1000-05). Tout le long du dyke, on a au moins 200cps en continue dans les pegmatites blanches comme pour les roses. Ça et là des petites enclaves ou nodules de gneiss lité altéré noirâtre. Des grenats dans la pegmatite blanche. Des alignements ou lits de feldspaths dans certaines des pegmatites (litage ou fluage).	Pegmatite	blanche-rose	Gneiss	noirâtre	Feldspath		200											
CA06-1000-07	354790	6557670	Affleurement-Bloc	Des pegmatites roses à cristaux de feldspath rose et de quartz imbriqués. Background à 300cps. Quelques blocs de pegmatite le long du petit ruisseau.	Pegmatite	rose					300											
CA06-1001-01	355292	6557420	Affleurement	Affleurement de marbre altéré, non plissé ni fracturé. Minéraux montrant des facettes : calcite et ou dolomite, muscovite et biotite disséminée ou en agrégat.	Marbre		Calcite-dolomite		Muscovite-biotite		50			CA06-1001-01								

No station	Estant (Nad83 - Zone 20)	Nordant (Nad83 - Zone 20)	Bloc ou Affleurement	Description lithologique	Lithologie A	Couleur A	Lithologie B	CouleurB	Lithologie C	CouleurC	Radiométrie Bruit de fond (cps)	Radiométrie maximum (cps)	Radiométrie anomalie (cps)	Photo	Échantillon	Lames minces: Petite (P) et Polie (Po)	Analyses chimiques	Témoin	Structure	Azimuth	Pendage	Caractéristiques
CA06-1001-02	355262	6557416	Affleurement	Affleurement de gneiss lité avec des filonnets bien parallèles, peu déformés, plus compétent que l'encaissant. Orientation des foliation : 200°. Aucune réaction au HCl. Riche en biotite, noire par endroit. Kick à 100cps en background	Gneiss		Biotite	noir			100								Foliation	200		
CA06-1001-03	355339	6557331	Affleurement	Gneiss lité altéré, série de strates peu épaisse et subverticales. Direction 124°/80° pendage.	Gneiss						100								Stratification	124	80	
CA06-1001-04	355218	6557252	Affleurement	Affleurement de marbre dolomitique, peu altéré et relativement pur.	Marbre dolomitique						25-40											
CA06-1001-05	355212	6557240	Affleurement	Marbre dolomitique. Direction 290°. Affleurement de grande dimension, +/- 100m (longueur). Hauteur d'au moins 5-6m falaise et affleurement verticaux. Cristaux (quelques cm de long) en baguettes dans le marbre : biotite phlogopite?	Marbre dolomitique						50				CA06-1001-05					290		
CA06-1001-06	355086	6557281	Affleurement	Gneiss lité à biotite, 150cps en background, à grains fins montrant de fins filonnets de biotite parallèles noire ou altérée couleur rouille. Direction des foliations 270°/80° pendage.	Gneiss		Biotite	noir			150	300							Foliation	270	80	
CA06-1001-07	354993	6557254	Affleurement	Gneiss à biotite très altéré (paroi verticale). Altération rouille. Muscovite et biotite. Direction 290°/80° pendage.	Gneiss		Biotite		Muscovite		75									290	80	
CA06-1001-08	355062	6557098	Affleurement	Gneiss à biotite altérée peu déformée. Paroi avec des stries le long de la pente à la base.	Gneiss		Biotite				75								Stries			
CA06-1001-09	355114	6557045	Affleurement	Gneiss à biotite avec de petits nodules de matériel quartzitique renfermant des grenats. Couleur grise translucide à blanc laiteux. Cristallin.	Gneiss		Quartzite															
CA06-1001-10	355125	6557038	Affleurement	Nodule de quartzite avec des amas de grenats. Ces amas sont pluri centimétriques et formés de petits cristaux imbriqués et formant des ronds ou des cercles. Là où les cristaux se sont désolidarisés, la quartzite montre des trous circulaires. Nodule de gneiss et petits lambeaux proche des nodules de quartzite. Nodule de quartz de petite dimension.	Quartzite		Gneiss		Grenat		200											
CA06-1001-11	355029	6556893	Affleurement	Migmatite et lambeaux de quartz et nodules. Fluage. Depuis la dernière station : 150cps de background. Nombreux lambeaux et nodules pegmatitiques.	Migmatite		Pegmatite				150-200				CA06-1001-11							
CA06-1001-12	354996	6556866	Affleurement	Dyke de pegmatite blanche riche en quartz. Contact avec gneiss lité diffus. Nombreux nodules. Grenats (> 1cm). Grande dimension en longueur (>150m) et largeur (>20m). Sommet de la colline. 150cps en background. Phase plus quartzitique. Quelques blocs de pegmatite rose. (le long du sommet de la colline.)	Pegmatite	blanche	Gneiss		Quartzite		150	300										
CA06-1001-13	355229	6556819	Affleurement	Plateau au sommet de la colline de gneiss, persistent quelques lambeaux de pegmatite et quelques lits fins blanchâtres, quelques taches rouille. Lits peu plissés blanchâtre de feldspaths, quartz et grenats.	Gneiss		Pegmatite	blanc			175											
CA06-1001-14	355250	6556870	Affleurement	Gneiss lité fin, taches rouilles, altéré, quelques lits fins.	Gneiss						200											
CA06-1001-15	355338	6556904	Affleurement	Lambeaux de pegmatite blanche plissés dans du gneiss lité fin peu plissé. Background à 150cps depuis CA06-1001-14. Contact diffus direction 292°/90°.	Pegmatite	blanche	Gneiss				150								Contact	292	90	
CA06-1001-16	355673	6557051	Affleurement	Marbre avec de fins lits non continu, banc dolomitique direction 320°. Altéré superficiellement rose, texture gneissique litée. Toujours en descendant, autres crêtes de marbre rosâtre de grande dimension. Un affleurement fracturé (réseau) 2 fractures principales rectilignes forment un angle de 45°.	Marbre		Gneiss				50-75				CA06-1001-16				Banc dolomie	320		
CA06-1001-17	355858	6557125	Bloc	Bloc de pegmatite rose arrondi kick à 1000cps localement et 500cps de background	Pegmatite	rose					500	1000	1000									
CA06-1001-18	355905	6557143	Affleurement	Gneiss lité très finement 294°/90°.	Gneiss						100								Litage	294	90	
CA06-1001-19	355914	6557147	Affleurement	Marbre dolomitique légèrement lité et fracturé. 1 fracture orienté 270°. Affleurement petit en plat. À 3m sous 30cm de mousse +/- 7500cps marbre altéré rosâtre. Zone de 5-6m de long 1-2m de large + petit spots environ 1000cps.	Marbre dolomitique		Marbre	rosâtre				3600-7500	3600-7500						Fracture	270		
CA06-1001-20	355937	6557182	Affleurement	Marbre lité +/- 1600cps 285°/90°.	Marbre							1600	1600		CA06-1001-21							
CA06-1001-21	355869	6557182	Affleurement	Marbre dolomitique recouvert de mousses. Kick à plus de 1000cps.	Marbre dolomitique							1000	1000									
CA06-1001-22	355867	6557254	Bloc	Anomalie de plus de 15000cps provenant d'un bloc de marbre dolomitique, background entre 1000 et 2000cps sur 4m² environ. 29000cps avec spp2 gamma.	Marbre dolomitique						1000-2000	29000	29000		CA06-1001-22							
CA06-1001-23	355876	6557290	Bloc	Petit bloc de marbre altéré radioactif plus de 3000cps.	Marbre							3000	3000		CA06-1001-23	lame polie	CA06-1001-23					
CA06-1001-24	355872	6557324	Affleurement-Bloc	Affleurement de marbre lité noir altéré, background environ 1000cps, + de nombreux blocs autour. Background élevé sur des zones étendues. Juste en deçà à quelques mètres : petits blocs kick plus que 3000cps.	Marbre						1000	3000	1000-3000		CA06-1001-24		CA06-1001-24					
CA06-1002-01	355512	6557823	Affleurement	8x4m. Unité grise en surface altérée qui est toute trouée, elle est large de 1,5mx30m long. Grès à grain fin (<0,3mm) composé de quartz (90%), biotite pâle (5%) et morceaux blancs(5%) qui sont granuleux (feldspaths) et qui forment des lentilles étirées (parallèles aux biotites) de 2-3mm large x 10-20mm long. Certaines lentilles sont + larges et vont 1cm x 2-4cm long, ce sont elles qui forment les trous de la roche, quelques rares pyrite dedans. Ne réagit pas au HCl, non magnétique.// A l'ouest, 2,5m de calcosilicate à cristaux de diopside vert olive à vert gris (gros cristaux) jusqu'à 3mm x 10mm long. Contact trouvé. Bonne réaction au HCl, non magnétique.// À l'ouest (montant la colline) on a un marbre dolomitique beige chamois (très peu réactif au HCl) sur 4m de large. Grain grossier à moyen blanchâtre en frais, avec cristaux de diopside vert pâle (environ 2%).	Grès		Calcosilicate		Marbre dolomitique		25			3	CA06-1002-01A CA06-1002-01B CA06-1002-01C				So (calcosilicate); allongement des fragments; fract; fract; fract	113; 118; 16; 228; 120	75; 80; 70; 46; 70	
CA06-1002-OBS1	355526	6557822	Affleurement	Premier contact entre calcosilicate et marbre dolomitique.																		
CA06-1002-OBS2	355534	6557834	Affleurement	Contact avec marbre juste 1m + à l'ouest. Calcosilicate fortement rubané avec enclaves de marbre dolomitique pris en dessous (vers l'ouest).							20-25			1								

705544

No station	Estant (Nad83 - Zone 20)	Nordant (Nad83 - Zone 20)	Bloc ou Affleurement	Description lithologique	Lithologie A	Couleur A	Lithologie B	CouleurB	Lithologie C	CouleurC	Radiométrie Bruit de fond (cps)	Radiométrie maximum (cps)	Radiométrie anomalie (cps)	Photo	Échantillon	Lames minces: Petite (P) et Polie (Po)	Analyses chimiques	Témoin	Structure	Azimuth	Pendage	Caractéristiques
CA06-1002-02	355551	6557832	Affleurement	Zone contact Est du calcosilicate rubané et pegmatoïde avec le marbre dolomitique. Pods de calcosilicate sous le contact (en descendant (est) intrudant le marbre dolomitique. Pods riche en diopside et de couleur beige comme si riche en Mg. Non magnétique et bonne réaction au HCl. Calcite présente 40-50% et diopside 40-50%.	Calcosilicate rubané		Pegmatite		Marbre dolomitique		20			1	CA06-1002-02							
CA06-1002-03	355572	6557858	Affleurement	Contact marbre dolomitique/calcosilicate rubané. Ce dernier contient des pods pegmatoïde + bancs de calcosilicate+résistants. Photos des extensions nord et sud.	Marbre dolomitique		Calcosilicate rubané		Pegmatoïde		20			2								
CA06-1002-04	355578	6557883	Affleurement	Passe sur un banc avec rubanement + régulier qui est 2m du bord du lac CAGE, puis spp2 monte à 60cps sur la plage.	Calcosilicate rubané						20-60											
CA06-1002-05	355580	6557896	Affleurement	Petite anomalie dans calcosilicate démanchés 10 x 20cm.	Calcosilicate						250	300			CA06-1002-05		CA06-1002-05					
CA06-1002-06	355571	6557906	Affleurement	10x5x1,3m. Anomalie de 1700cps 15x30cm dans grès à grain fin avec ciment calcitique+albitisation; quartz >95%, dans une zone hématisée en filonnets.	Grès						100	1700	1700		CA06-1002-06							
CA06-1003-01	355435	6557237	Affleurement	Marbre dolomitique altéré, sombre et noirâtre.Placage ou lits de minéraux verts texture granuleuse. Phlogopite? Diopside. Riche en minéraux verts, parfois en baguettes.	Marbre dolomitique	sombre					50			CA06-1003-01	CA06-1003-01							
CA06-1003-02	355338	6557079	Affleurement-Bloc	Affleurement de grande dimension de marbre altéré. Paroi verticale et de nombreux blocs. Marbre est altéré sombre noir et aussi chamois, lité, peu déformé. Quelques cristaux en baguette verdâtre imbriqués. Nodules de feldspaths démembrés, fracturés avec de l'altération jaunâtre remplissant les micro fractures.	Marbre	sombre-noir					50											
CA06-1003-03	355318	6557087	Affleurement - Bloc	Gneiss lité, fin, rouillé avec beaucoup de biotite et/ou muscovite altérée, rouille en placage ou en filonnets très fins. Zone de contact entre le marbre (plus bas) et le paragneiss. Kick à 200 en background. Nombreux blocs.	Gneiss		Marbre		Paragneiss		200											
CA06-1003-04	355354	6557009	Affleurement	Contact entre le marbre dolomitique et le gneiss lité, rouillé à grains fins riche en biotite. Le gneiss est plissé, le litage est très fin. Le marbre est aussi altéré (couleur chamois, rosée), des réseaux de diaclases le traverse. 100cps sur la zone de contact.	Marbre dolomitique	chamois-rosé	Gneiss	rouille	Diaclase		100				CA06-1003-04							
CA06-1003-05	355315	6556910	Affleurement	Depuis arrêt CA06-1003-04 100cps background, continuité de gneiss. Dyke de pegmatoïde riche en quartz, aussi phénocristaux de feldspath blancs altérés. 2m de large contact flou, le gneiss est plissé et le pegmatoïde est altérée couleur sombre. Dyke s'étend sur plus de 10m.	Pegmatoïde	sombre	Gneiss				175											
CA06-1003-06	355342	6556704	Affleurement	Affleurement, une paroi de calcosilicate et de gneiss à biotite.	Calcosilicate		Gneiss				100-200				CA06-1003-06							
CA06-1003-07	355356	6556606	Affleurement	Affleurement au top de la colline de gneiss quartzo-feldspathique lité avec des lits de biotite.	Gneiss Qz-Fd																	
CA06-1003-08	355411	6556300	Affleurement	Gneiss lité avec des lits de pegmatite blanche, des nodules oeillés, étirés et des veines blanches, peu épaisses. Plissé, migmatisé.	Pegmatite	Blanche					200											
CA06-1003-09	355285	6556317	Affleurement	Affleurement de pegmatite blanche et rose, rosâtre Cristaux de feldspath roses et blancs enchevêtrés avec des cristaux gris de quartz. Très altéré, nombreux diaclases. Parfois quartz légèrement bleuté à gris fumé.	Pegmatite	Blanche-rose	Diaclase				250											
CA06-1003-10	355326	6556199	Affleurement	Affleurement de grande dimension de gneiss et pegmatite blanche, phases avec des bancs de pegmatite rose et enclaves de gneiss lité altéré.	Gneiss		Pegmatite	blanche	Pegmatite	rose	300											
CA06-1003-11	355400	6556060	Affleurement	Gneiss quartzo-feldspathique lité plissé et altéré.	Gneiss Qz-Fd						150											
CA06-1003-12	355521	6556081	Affleurement	Affleurement de pegmatite blanche. Gros cristaux de feldspath plagioclase et quartz imbriqués, fracturé altéré et microfissuré dans les phénocristaux.	Pegmatite	blanche					250											
CA06-1003-13	355684	6556163	Affleurement	Banc de quartzite à grenats. Grande dimension.	Quartzite						100				CA06-1003-13							
CA06-1003-14	355861	6556117	Affleurement	Affleurement de gneiss lité, foliations très rapprochées et lits de biotite rouillée. Kick entre 100 et 150cps.	Gneiss						100											
CA06-1003-15	356038	6556107	Affleurement	Gneiss avec des veines de quartz concordantes. Lits blancs avec du quartz et grenats écrasés ovoïdes 120°.	Gneiss						100								Litage	120		
CA06-1003-16	356289	6556267	Affleurement-Bloc	Continuité du marbre dolomitique rose chamois. Grande dimension. Quelques blocs de pegmatite rose et aussi de la blanche en bloc avec du quartz.	Marbre dolomitique	rose-chamois	Pegmatite	rose			50											
CA06-1003-17	356202	6556515	Affleurement	Quartzite top colline.	Quartzite						75											
CA06-1003-18	356190	6556900	Affleurement	En descendant la colline jusqu'au bord du lac, grande dimension falaise et affleurement de marbre dolomitique à grain fin fracturé, très altéré.	Marbre dolomitique						50											
CA06-1003-19	355877	6557392	Affleurement-Bloc	Nodules pegmatitiques rose et blocs arrondis, contact entre du marbre lité rose chamois fin et plissé et des veines de pegmatites blanches rosées. Background faible.	Marbre	rose-chamois	Pegmatite	blanche			100											
CA06-1003-20	355873	6557398	Affleurement	Affleurement au bord du lac , marbre dolomitique recouvert de mousse. À grains fins très altérés semblent formés des lits plissés et très fins.	Marbre dolomitique							7500	5000-7500		CA06-1003-20		CA06-1003-20					
CA06-1004-01	355495	6557996	Affleurement	20x30x3m. Foliation N136°/90° (S2) dans calcosilicate démanchés près du bord du lac CAGE. Calcosilicate gris en surface altéré. Gris-verdâtre en surface fraîche. Non magnétique et faible réaction au HCl. Avec boudinage de pegmatoïde et autres calcosilicate plus résistants.Foliation principale N136°/90° (2). Fracture sèche N100°/22°	Calcosilicate	gris-verdâtre	Pegmatoïde				20								Foliation; fract	136; 100	90; 22	
CA06-1004-02	355601	6557861	Affleurement	60x7x3m. Calcosilicate démanché avec pods de diopside. Fracture sèche M030°/88° 4/m. Fracture sèche N285°/20° 7/m. Pods 100x60cm.	Calcosilicate		Diopside				20								Fract; fract	30; 285	88; 20	
CA06-1004-03	355668	6557754	Affleurement	Gros pod 4x2x1m dans calcosilicate démanché-ressemble à CA06-1004-02 mylonitisé?	Calcosilicate						20											
CA06-1004-04	355690	6557724	Affleurement	20x10x4m.Gros pods(10x5x1m) pris dans calcosilicate démanché, à l'air mylonitisé. Réaction faible à moyenne au HCl selon les pods. Graphite de 0 à 10% dans les pods et les calcosilicate, il est relativement local. Roche est patiné beige en surface et est verdâtre	Calcosilicate	verdâtre					25	40		3	CA06-1004-04A CA06-1004-04B							

No station	Estant (Nad83 - Zone 20)	Nordant (Nad83 - Zone 20)	Bloc ou Affleurement	Description lithologique	Lithologie A	Couleur A	Lithologie B	CouleurB	Lithologie C	CouleurC	Radiométrie Bruit de fond (cps)	Radiométrie maximum (cps)	Radiométrie anomalie (cps)	Photo	Échantillon	Lames minces: Petite (P) et Polie (Po)	Analyses chimiques	Témoin	Structure	Azimuth	Pendage	Caractéristiques
CA06-1004-05	355703	6557702	Affleurement-Bloc	Bloc 1mx80cmx40cm. Juste en bas de l'indice CAGE. 4m + à l'ouest, le calcosilicate démanché avec morceaux de mylonite semble se buter ici contre les marbres dolomitiques. Les zones de calcosilicate démanché ont l'air plus horizontale ici et semble s'amincir et contenir de plus en plus de pods mylonitisés. Fracture remplie de calcite qui recoupe le calcosilicate démanché, environ 6cm large jusqu'au 30cm large quand il intersecte un pod (ou le pod est le même que la veine?). Mesures de fractures dans un pod métrique résistant : N240°/90° 18/m , N095°/90° 2/m, N120°/30° 6/m. Échantillon du bloc de 2100cps à coté de la veinule radioactive. Le marbre dolomitique est relativement anormal avec 75 à 150cps dans les autre blocs. 1m au SO de la première anomalie une nouvelle anomalie de 1500cps. Dans un grès fin au contact du calcosilicate coté ouest. Environ 50cmx80cm où cps > 200 direction anomalie N130°. Échantillon en chips environ 350cps. La roche ici n'a pas de grains gréseux mais est plutôt massive. Réaction faible au HCl-mylonite?. La zone de 200 à 400cps est environ 3x2m vers le lac.	Calcosilicate		Marbre dolomitique				75-150	2100	1500-2100		CA06-1004-05 CA06-1002-05				Fract; fract; fract	240; 95; 120	90; 90; 30	
CA06-1004-06	355749	6557637	Affleurement	30x40x6m. Bordure NE de l'affleurement. Zones avec anomalies trouvées +creusées par Mario Joly, Samuel Genest et Serge Genest. Grande zone de marbre dolomitique fortement + anomal avec de petits secteurs de 2000 à 6500cps. Ces secteurs sont de 30 à 60cm de diamètre et fortement anomaux et plusieurs ne touche que du sol, les autres touchent le roc. Marbre dolomitique à patine beige à beige verdâtre à chamois et de couleur gris verdâtre quand frais. Granulométrie moyenne à grossière. Semble y avoir des simil-plis (photos) qui n'ont pas de terminaisons, ni axe de pli on dirait des restants de chenaux. Direction de la foliation principale N152°/+/-90°. Une partie de l'affleurement est fracassé fenselmeer en place. 3 échantillons : A-morceaux de mylonite(?) environ 20m au nord de l'affleurement au pied de la colline de CAGE, pas de réaction au HCl B-marbre dolomitique anomal 600cps sur affleurement réaction au HCl légère C-marbre dolomitique à coté anomalie de 6500cps, quelques pyrite, réaction légère au HCl. Tout l'affleurement est au minimum 35	Marbre dolomitique	gris verdâtre					350	6500	2000-6500	3	CA06-1004-06A CA06-1004-06B CA06-1004-06C				Foliation	152	90	
CA06-1004-07	355798	6557579	Affleurement	Calcosilicate démanché avec beaucoup de fracture en réseau veinulés extra-serré à plus de 100/m. Gris foncé altéré, blanc en surface. Granulométrie très grossière. Pas d'échantillon.	Calcosilicate	Gris foncé																
CA06-1004-08	355867	6557575	Affleurement	Série des anomalies découvertes par Mario Joly, Samuel Genest et Serge Genest. Valeurs des cps avec SPPy: (1) 355867/6557575 29500cps, (2) 355873/6557570 38000cps, (3) 355881/6557558 1310cps, (4) 655859/6557582 12400cps, (5) 355856/6557582 21700cps, (6) 355845/6557586 21300cps, (7) 355839/6557586 15800cps, (8) 355802/6557586 9500cps, (9) 355842/6557585 17700cps. Le tout donne une zone de 4 à 14m de large x 80m long x 10m haut (anomalie la + basse est la + élevée) qui est bordé à l'ouest par de la pegmatite blanche+rose(feldspaths) et à l'est par du calcosilicate (+/- démanché). Direction générale de l'allongement des anomalies N106°. La zone se fait pincer par les pegmatites au sud.	Pegmatite	rose-blanche					160	38000	38000	2	CA06-1004-08A CA06-1004-08B	08B-lame polie	CA06-1004-08A		Allongement	106		
CA06-1005-01	355107	6558215	Affleurement	Affleurement de calcosilicate rubané, succession de lits calcitiques et silicatés. Bien parallèles et non déformés. Lits légèrement plissés de calcite blanche et rose pur alternement avec des lits mafiques (les plus compétents) aussi légèrement plissés altéré au débit ardoisier. Siltstone, argilite schisteux. À coté : un bloc désolidarisé laisse apparaitre un nodule de pegmatite rosâtre de 1m de long avec des cristaux de feldspath potassique rosés, du quartz gris, fumé, des minéraux d'altération verdâtre (chlorite épidote?). Des grains de quartz sont noirs. Nodule </= 1000cps.	Calcosilicate		Siltstone		Argilite shisteuse		75	750	750	CA06-1005-01 CA06-1005-01	CA06-1005-01						
CA06-1005-02	355135	6558382	Affleurement	Affleurement de grande dimension de marbre calcitique blanc relativement pur, altéré superficiellement (rose). Plusieurs dizaines de mètres de long comme de large. Réagit fortement au HCl. Marbre proche d'une anomalie à 7500cps max de petits nodules de pegmatite blanche, fissurés et démanbrés. Anomalie ponctuelle (30cm x 30cm). Très locale : chute à 300-400cps à moins de 1m de distance 1m²<500cps.	Marbre calcitique	blanc	Pegmatite	blanche				7500	300-7500									
CA06-1005-03	355219	6558526	Affleurement	En commençant à monter, presque au pied de lac CAGE. Affleurement de grande dimension. Quartzo feldspathique avec des filonnets et des lits de biotite peu épais et long de queiques cm, aussi des mas rouillés. Minéraux gris bonne proportion quartz gris. Probablement un gneiss quartzo feldspathique à biotite, lité très légèrement et altéré couleur rouille. Peu ou pas fracturé. Quelques veinules quartzeuse semblent litées et suivant les quelques foliations.	Gneiss quartzo feldspathique	rouille					150				CA06-1005-03							
CA06-1005-04	355274	6558589	Bloc	Bloc anguleux, partiellement recouvert de mousse < 1m², de pegmatite rose à grain moyen, légèrement lité. Feldspath potassique rosé avec quartz gris imbriqué. Granulométrie moyenne : des cristaux sont désagrégés et désolodarisé de leur gangue.	Pegmatite	rose					750											
CA06-1005-05	355387	6558620	Affleurement	Dyke de pegmatite blanche riche en quartz et grenats. Dyke 2m large, + d'une dizaine de m de long, au top de la colline à coté du lac. Dyke plissé altéré, (il serpente). Il est accompagné d'autres veines et dyke plus petits (au top aussi) les contact sont diffus : la pegmatite ressort (+compétent).	Pegmatite	blanche					75											

705544

No station	Estant (Nad83 - Zone 20)	Nordant (Nad83 - Zone 20)	Bloc ou Affleurement	Description lithologique	Lithologie A	Couleur A	Lithologie B	CouleurB	Lithologie C	CouleurC	Radiométrie Bruit de fond (cps)	Radiométrie maximum (cps)	Radiométrie anomalie (cps)	Photo	Échantillon	Lames minces: Petite (P) et Polie (Po)	Analyses chimiques	Témoin	Structure	Azimuth	Pendage	Caractéristiques
CA06-1005-06	354958	6558542	Affleurement	Redescendu de la colline sur des gneiss lités avec des veines et veinules blanches plissées ou non rencontre un affleurement de marbre extrêmement altéré, dolomitique. Grande dimension, pas de contact visible gneiss/marbre. Bruit de fond d'au moins 150cps en descendant la colline avec les gneiss. Une fois dans le marbre background de 250-300cps, (anomalies flaguée), anomalie à 1750cps max très locale. Séries d'anomalies déja flaguées suivant 102° : semblent suivre une ligne d'axe (dir) 102°.	Gneiss		Marbre dolomitique				150-300	1750	1750									
CA06-1005-07	354998	6558518	Sol	Anomalie </= 9000cps sous les mousses, roche complètement désagrégée Transformée en sable et petits grains. Semble plus forte à quelques cm sous la mousse puis redescend en profondeur max creusé à 40cm sous le sol. Les clastes et petits framents montrent des facettes brillantes (possiblement de la calcite). Sable calcitique (réaction vive sur un fragment petit bloc). Zone très locale <50cm² et ponctuelle (quelques cm + loin que chute).	Sable calcitique						250	12500	9000-12500		CA06-1005-07		CA06-1005-07					
CA06-1005-08	354900	6558424	Affleurement	Affleurement stratifié (strates semblent subverticales) riche en biotite. Gneiss quartzo-feldspathique riche en biotite et calcosilicate : petites veinules de calcite parallèle aux lits. Direction 282°/80°.	Gneiss quartzo feldspathique						150											
CA06-1005-09	354573	6558020	Affleurement	Au bord du lac (coude). Affleurement de calcosilicate à grain fin, légèrement lité, réagissant au HCl. Couleur verdâtre brunâtre, altération de la biotite (couleur parfois dorée), autres minéraux mafiques.	Calcosilicate	verdâtre-brunâtre					50											
CA06-1005-10	354601	6558149	Affleurement	Affleurement de calcosilicate altéré. Texture granulaire due à des minéraux bruns en plaquette direction 190°. Possiblement diopside (verte) altérée, série d'affleurements orientés de la même façon (190°). Autres affleurements non stratifiés montrant des foliations plissées (marbre lité plissé) en gneiss calcosilicaté plissé.	Calcosilicate		Marbre				75											
CA06-1005-11	354930	6558487	Affleurement	Affleurement de grande dimension (plus d'une centaines de mètres de long, plus d'une dizaine de mètres de large) de marbre dolomitique blanc altéré rosâtre, pur, bien cristallisé (cristaux de dolomie montrant des facettes) et filonnets de dolomie pur parfois concordants au litage lorsque le marbre est lité. Les lits sont peu ou pas plissé. La roche est démanbrée, fracturée, remplie de diaclases altérés. Certaines surfaces montrent des évidences du passage des glaciers (stries glaciaires).	Marbre dolomitique	blanc-rosâtre	Dolomie				25											
CA06-1005-12	354941	6558541	Affleurement	Affleurement de marbre calcitique blanc altéré. Background à 250cps. 2 anomalies à quelques mètres de distance une à 2100cps très locale et une autre à 1200cps. Texture granuleuse, nombreux cristaux blancs, queiques veines de matériel pegmatitique très diffuses parfois en relief (plus compétent que l'encaissant de marbre). Pas de litage ni de texture foliée.	Marbre calcitique	blanc	Pegmatite				250	2100	1200-2100									
CA06-1005-13	354958	6558627	Affleurement	Affleurement de pegmatite à phénocristaux roses, quartz gris, feldspath potassique imbriqué. Dyke long de 10-15m, quelques mètres de large. Grande proportion de feldspath rosé mâclé, microfissuré, quartz fumé à translucide. Contact avec des calcosilicates.	Pegmatite		Calcosilicate				75	1000	1000	CA06-1005-13								
CA06-1005-14	355129	6558795	Affleurement-Bloc	Dyke de pegmatite blanche de 15m de longueur par 2m de large, altéré noir. Un bloc de quartzite à graphite. Contact (x2) avec des calcosilicates plissés à débit schisteux et/ou gneiss lité stratifié débit ardoisier.	Pegmatite	blanche	Quartzite à graphite		Calcosilicate		150											
CA06-1005-15	354662	6558683	Affleurement	2 lithologies: une de marbre à diopside oranger, un peu de biotite. L'autre possiblement une arénite métamorphosée ou une arénite quartzifère ou encore un siltstone métamorphisé (schiste?). Couleur verdâtre. Marbre kick à 75cps et quartz-arénite à 100cps.	Marbre à diopside	oranger	Arénite	verdâtre			75	100										
CA06-1006-01	354841	6558735	Affleurement	Petit affleurement de quartzite blanche avec plusieurs type de quartz : gris, laiteux, blanc, blanc opaque. Phénocristaux parfois fumé striés ou microfisaurés. La roche est altérée, l'affleurement surplombe des marbres roses altérés. La roche est plus compétente et l'intrusion; le gros nodule de quartzite ressort. (Top colline).	Quartzite	blanche	Marbre	rose			50-75											
CA06-1006-02	354714	6558967	Affleurement	Top d'une butte. Affleurement de grande dimension presque tout le sommet de la colline, de pegmatite rose à phénocristaux de quartz et feldspath potassique rosé. Aussi quelques lambeaux de marbre persistant, des enclaves au sein des pegmatites, le marbre est altéré et réagit fortement au HCl par endroit. La pegmatite rose exposée est fracturée, la météorisation décompose et désagrège les affleurements.	Pegmatite	rose	Marbre				100-150											
CA06-1006-03	354672	6558990	Affleurement-Bloc	Contact (invisible) entre la pegmatite rose et une roche à grain très fin verdâtre riche en biotite. Une anomalie à 4000cps dans des petits blocs. Blocs de biotite et biotite dissiminée et en amas. Aspect rouillé, lessivée. Calcosilicates?. Molybdénite "chunk" dans certains blocs à grains fins brun-chamois, des veines de roche à grain fin mafique, possiblement de la biotite aussi. Background autour de la zone d'anomalie de 1000-2000cps. <1m² (zone assez locale). En descendant va vers les marbres chamois dolomitique.	Pegmatite	rose	Marbre dolomitque	chamois				15000	4000->15000		CA06-1006-03 CA06-1006-03-Bloc	Lame polie(A et B)	CA06-1006-03A et 03B					
CA06-1006-04	354612	6558907	Affleurement	Série d'affleurement de marbre blanc dolomitique bien cristallisé, toujours en descendant la butte, différentes parois verticales altérées, fracturées et lessivées. La roche riche en dolomie se désagrège et libère des blocs et des cristaux fins (sable et farine) elle est altérée généralementen rose, jaune chamois.	Marbre dolomitque	blanc	Dolomie				25											

No station	Estant (Nad83 - Zone 20)	Nordant (Nad83 - Zone 20)	Bloc ou Affleurement	Description lithologique	Lithologie A	Couleur A	Lithologie B	CouleurB	Lithologie C	CouleurC	Radiométrie Bruit de fond (cps)	Radiométrie maximum (cps)	Radiométrie anomalie (cps)	Photo	Échantillon	Lames minces: Petite (P) et Polie (Po)	Analyses chimiques	Témoin	Structure	Azimuth	Pendage	Caractéristiques
CA06-1006-05	354478	6558739	Affleurement	Paroi de marbre blanc, affleurement de grande dimension ou montrant des plans de stratification (sub vertical) direction 313°/62°. Réagit au HCl , calcitique ou dolomitique (altéré-farine-réagit aussi). Des minéraux verts (>10% superficiel) bruns (altérés même minéraux) ressemblant à des floccons, disséminés et aussi formant des petites veines de quelques mm de large et quelque cm de long. Très lessivé, aspect verdâtre dut probablement aux minéraux verts, parfois en grande proportion.	Marbre	blanc					125								Stratification	313	62	
CA06-1006-06	354222	6558569	Affleurement	Affleurement plissé, stratifié de marbre calcitique lité gris vert. Débit ardoisier.Des lits sombres gris vert foncé alternent avec des lits felsiques clair verdâtre.Sur une strate (sub verticale) : nombreux minéraux verts donnant une texture de "flocon" brune-verdâtre. Forment possiblement les lits plissés à l'intérieur du marbre. Tache de rouille et chalcopyrite ou pyrite en trace.	Marbre calcitique	gris vert					100				CA06-1006-06							
CA06-1006-07	354498	6559346	Affleurement	Affleurement de marbre dolomitique blanc lessivé et altéré couleur rose chamois. Top d'une colline. Fracturé réseau de diaclases et stries.	Marbre dolomitique	blanc-rose					50											
CA06-1006-08	354585	6559069	Affleurement	Affleurement top de colline de marbre altéré, lité couleur blanche à rose chamois (altération). Très fracturé réseau de diaclases désordonnées.	Marbre	blanc-rose					50				CA06-1006-08							
CA06-1007-01	356230	6557366	Affleurement	Contact entre les pegmatites et les marbres. Entre les 2 unités une pegmatite blanche à contact concordant. Pegmatite à 70% feldspath 1-3cm, épaisseur 2m, 120cps. Paragneiss 100-120cps. Marbre 20-50cps. La pegmatite est dans les paragneiss contact N330°/76°. Contact entre le paragneiss et le marbre N140°/75°.	Pegmatite	blanche	Marbre		Paragneiss		20-120	200		1								
CA06-1007-02	356372	6557304	Affleurement	Pegmatite dans paragneiss	Pegmatite		Paragneiss				210											
CA06-1007-03	356300	6557142	Affleurement	Dolomie, altération surface brunâtre. Légère réaction au HCl. Background 50cps. Les bandes sont entre 10-15cm.	Dolomie	brunâtre					50											
CA06-1007-04	356299	6557112	Affleurement	Calcosilicate, 1-2% diopside, anomalie connue.	Calcosilicate								4500									
CA06-1007-05	356380	6557067	Affleurement	Paragneiss rouillé, pegmatite intrusive (dyke N120°/85°), épaisseur de 1m.	Paragneiss	rouille	Pegmatite												Dyke	120	85	
CA06-1007-06	356358	6557045	Affleurement	Marbre. Nombreux indices connus dans la bande orienté +/- N130°																		
CA06-1007-07	356235	6557055	Affleurement	Calcosilicate, texture sacaroïde, grain moyen, bande schisteuse sur 3m. S2 N117°/80°. Trace à 2% diopside. Background 60cps.	Calcosilicate						60			2					S2	117	80	
CA06-1007-08	356257	6557079	Affleurement	Marbre, texture sacaroïde situé à 30m de l'affleurement 07, le long de la ligne 5 sud. Couleur bleutée. Contact incertain +/- N100°. On ne peut déterminer le pendage.	Marbre	bleuté								1					Contact	100		
CA06-1007-09	356278	6557083	Affleurement	Calcosilicate à 20m de l'affleurement 08 sur la ligne 5 sud.	Calcosilicate									1								
CA06-1007-10	356300	6557106	Affleurement	Marbre à 30m de l'affleurement 09, indice connue.	Marbre									1								
CA06-1007-11	356307	6557088	Affleurement	Calcosilicate ou dolomie. Légère réaction au HCl, trace à 2% diopside. À 20m de l'affleurement 10 sur la même ligne 5 sud altération surface brune. Grain fin à moyens 1-3mm. Les minéraux sont blanchâtre en cassure fraiche.	Calcosilicate																	
CA06-1007-12	356335	6557134	Affleurement	Paragneiss recoupé par une pegmatite à 70% quartz, 20% feldspath, 10% biotite. Foliation du paragneiss N130°/77°	Paragneiss		Pegmatite												Foliation	130	77	
CA06-1007-13	356396	6557164	Affleurement	Pegmatite dans paragneiss. 5m d'épaisseur, direction N130°, background 150cps.	Pegmatite		Paragneiss				150											
CA06-1007-14	356454	6557225	Affleurement	Pegmatite dans paragneiss, 10m d'épaisseur, direction N130°, background 100cps.	Pegmatite		Paragneiss				100											
CA06-1007-15	356477	6557252	Affleurement	Pegmatite dans paragneiss, 2m d'épaisseur, contact N112°.	Pegmatite		Paragneiss												Contact	112		
CA06-1007-16	356482	6557261	Affleurement	Paragneiss à grenats	Paragneiss														S2	112		
CA06-1007-17	356494	6557268	Affleurement	Pegmatite, couleur blanche, 3m d'épaisseur.	Pegmatite	blanche																
CA06-1007-18	356516	6556805	Affleurement	Marbre, background 40cps.	Marbre																	
CA06-1007-19	356636	6556623	Affleurement	Carbonate, affleurement au bord du lac.	Carbonate																	
CA06-1007-20	356349	6556602	Affleurement	Carbonate, background 40cps.	Carbonate						40											
CA06-1007-21	356194	6556552	Affleurement	Calcosilicate. En cassure fraiche gris à blanchâtre. Grain fin à moyens. Dans le flanc de la montagne on ne peut déterminer l'épaisseur. Background 120cps.	Calcosilicate	gris-blanchâtre					120											
CA06-1007-22	356186	6556553	Affleurement	Marbre plus haut dans la montagne, background 40cps.	Marbre						40											
CA06-1007-23	356093	6556630	Affleurement	Calcosilicate, background 25cps.	Calcosilicate						25											
CA06-1007-24	355935	6557021	Affleurement	Marbre, background 100cps.	Marbre						100											
CA06-1007-25	355643	6557373	Affleurement	Calcosilicate ou dolomie, faible réaction au HCl, grains clairs et bleutés.	Calcosilicate																	
CA06-1008-01	356091	6557558	Affleurement	Marbre (forte réaction au HCl), saccaroïde blanc vert en cassure fraiche et noir en altération, finement lité et "antidérapant". S2 320°/50°. Semble fortement plissé recliné avec blocs pluricentimétriques sub en place. Coté NE plissé revient à N235°/75° coté NE du ruisseau, marbre gris patine douce avec amas irrégulier décimétrique en relief.	Marbre	blanc-vert					90								S2; pli	320; 235	50; 75	
CA06-1008-02	356090	6557592	Affleurement	Une lentille de pegmatite blanc rosé épaisseur 3m et plus de 10m de long.	Pegmatite	blanc-rosé					90											
CA06-1008-03	356119	6557617	Affleurement	Paragneiss hétérogène rouillé à biotite . Mega affleurement. S2 130°/75°	Paragneiss	rouille					115								S2	130	75	
CA06-1008-04	356146	6557623	Affleurement	Pegmatite rose blanche. Plus de 30m de long et 1,5m d'épaisseur. Paragneiss idem à 03	Pegmatite	rose-blanc	Paragneiss	rouille			90-105											
CA06-1008-05	356189	6557653	Affleurement	Lentille de pegmatite de 1m d'épaisseur par moins de 20m de long dans un paragneiss. S2 130°/70°	Pegmatite		Paragneiss				80								S2	130	70	
CA06-1008-06	356265	6557673	Affleurement	Au tier de la pente. S2 140°/75°. Paragneiss très dur riche en quartz feldspath 85% et en biotite 15%. Le ruisseau, belle coupe dans ces paragneiss.	Paragneiss						130											
CA06-1008-07	356358	6557720	Affleurement	Pegmatite blanche forme la paroi, long de plus de 100m par plus de 30m de large. S2 140°-65°	Pegmatite	blanche					120								S2	140	65	
CA06-1008-08	356050	6557552	Affleurement	Marbre gris blanc vert (frais) et beige gris (antidérapant). Coté SO 140°-68°	Marbre	gris-blanc-vert					40											
CA06-1008-09	356020	6557417	Affleurement	Anomalie de 750cps au gamma et spp2 sur une fissure dans les marbres dans la zone plissée.	Marbre							750										
CA06-1008-10	356019	6557475	Affleurement	Zone de pegmatite du bord du lac, ayant perturbé l'orientation. La principale pegmatite 5m par plus de 30m, N215°/90° mais plusieurs autres pegmatite en lambeaux décimétriques à métriques. S2 du marbre N225°/70°	Pegmatite		Marbre				105								Allongement; S2	215; 225	90; 70	

705544

No station	Estant (Nad83 - Zone 20)	Nordant (Nad83 - Zone 20)	Bloc ou Affleurement	Description lithologique	Lithologie A	Couleur A	Lithologie B	CouleurB	Lithologie C	CouleurC	Radiométrie Bruit de fond (cps)	Radiométrie maximum (cps)	Radiométrie anomalie (cps)	Photo	Échantillon	Lames minces: Petite (P) et Polie (Po)	Analyses chimiques	Témoin	Structure	Azimuth	Pendage	Caractéristiques
CA06-1008-11	355940	6557484	Affleurement	Marbre à amas de cristaux nodulaire 3cm x 15cm, fissuré (calcosilicate calcite phlogopite) sur le bord du petit lac. S2 280°-80°.	Marbre						40								S2	280	80	
CA06-1008-12	355861	6557447	Affleurement	Marbre laminé saccaroïde très régulier. Pod lenticulaire de pegmatite à feldspath 2-5cm. Fracturation N00° fréquence 3/m.	Marbre		Pegmatite				90								Fracturation	0		
CA06-1008-13	355811	6557404	Affleurement	Marbre saccaroïde gris sale. S2 100°/90°. De 12 à 13 aucun affleurement. Au fond d'un microlac.	Marbre	gris													S2	100	90	
CA06-1008-14	355761	6557336	Affleurement	Anomalie dans la mousse, 1250cps au gamma et 1450cps au spp2. Impossible de creuser. À 5m du précédent anomalie 1300cps à 500cps et sur une fissure N280°. 2e fissure même orientation N290° et 500cps. Anomalie de 1100cps gamma dans le marbre, anomalie de 1300cps gamma dans le marbre	Marbre							1450	500-1450						Fissures	290		
CA06-1008-15	355700	6557263	Affleurement	Marbre à lambeaux de 3-15cm boudiné, restant de pli. S2 145°/90°	Marbre						40								S2	145	90	
CA06-1008-16	355619	6557200	Affleurement	Borne 00+00. Marbre beige orange antidérapant massif, saccaroïde. Pli recliné à des axes verticaux. S2 345°/90°	Marbre	beige-orange					30								S2	345	90	
CA06-1008-17	355549	6557135	Affleurement	Marbre beige rougeâtre et marbre à lamines siliceuse (photo) et contact avec paragneiss. S2 215°/80°. Paragneiss, lentille de 30 m orientées perpendiculaire à la crête mais ne se poursuit pas sous son axe ni d'un coté ni de l'autre.Copeau lié à un pli recliné.	Marbre	Beige-rougeâtre	Paragneiss				30	200		1					S2	215	80	
CA06-1008-18	355456	6557069	Affleurement	Marbre saccaroïde brun orange massif + dolomie en cristaux blanc lait (réaction au HCl en poudre). Plug d'une patate de 5m x 5m vertival de pegmatite blanche.	Marbre	Brun-orange	Pegmatite	blanche	Dolomie	blanc	40			1								
CA06-1008-19	355429	6557025	Affleurement	Marbre saccaroïde. Au pied de la falaise le contact est plus haut, joint orthogonale horizon + vert.	Marbre																	
CA06-1008-20	355382	6557002	Affleurement	Haut de la falaise. Marbre beige 90% et dolomie en lentille 10%. S2 345°/90°	Marbre	beige	Dolomie							1					S2	345	90	
CA06-1008-21	355354	6557005	Affleurement	Contact avec le paragneiss rouillé. Le marbre est sous le paragneiss. S2 contact 165°/85°.	Paragneiss	rouille	Marbre				90	130							S2	165	85	
CA06-1008-22	355402	6556838	Affleurement	Paragneiss rouillé. S2 305°/90°	Paragneiss	rouille					125								S2	305	90	
CA06-1008-23	355454	6556878	Affleurement	Paragneiss rouillé et marbre, gris, surface douce. S2 S1 S0 156°/85°	Paragneiss	rouille	Marbre	gris			150								S2 S1 S0	156	85	
CA06-1008-24	355505	6556935	Affleurement	Marbre beige, retour au pied de la falaise. S2 140°/85°	Marbre	beige					40								S2	140	85	
CA06-1008-25	355587	6556974	Affleurement	Pegmatite blanche en lentille de 2m par 20m dans le marbre. Coin de lac avec lentille de paragneiss 20m de largeur, longueur. Marbre brèchique blanc et tacheté vert et rouge en cassure fraîche.	Pegmatite	blanche	Marbre	blanc	Paragneiss		240	270										
CA06-1008-26	355703	6557073	Affleurement	Marbre bien folié gris clair s'effritant comme des ongles, beiges. S2 345°/90°	Marbre	gris clair					60								S2	345	90	
CA06-1008-27	355676	6557640	Affleurement	Anomalie de 7600cps gamma. Chemin trois mélèzes. Marbre très déformé gris blanc.																		
CA06-1009-01	355351	6558338	Affleurement	Marbre à texture sacaroïde.	Marbre						40											
CA06-1009-02	355373	6558406	Affleurement	Paragneiss. Contact progressif vers les meta arkose, passe de 10cm le contact est parallèle au paragneiss. Structure et contact = N128°.	Paragneiss		Meta arkose				100								Contact	128	61	
CA06-1009-03	355372	6558385	Affleurement	Contact marbre et paragneiss. Le paragneiss est fortement altéré.	Paragneiss		Marbre				90											
CA06-1009-04	355421	6558474	Affleurement	Méta arkose d'épaisseur métrique. Le contact avec les paragneiss et les méta arkoses est progressif. S2 N128°.	Méta arkose		Paragneiss				150											
CA06-1009-05	355432	6558499	Affleurement	Idem à 04, alternance de paragneiss et méta arkose. Pas d'orientation précise, bonne texture diffuse.	Paragneiss		Méta arkose							1								
CA06-1009-06	355544	6558598	Affleurement	Méta arkose, quartz 60% feldspath 30% biotite 7% grenats mauves à rouges 3%. Grain grossier à moyens 2mm à 1cm. Ponctuellement le spp2 donne 500cps à 700cps.	Méta arkose						100	700	500-700		CA06-1009-06							
CA06-1009-07	355549	6558623	Affleurement	Paragneiss altéré.	Paragneiss						90											
CA06-1009-08	355702	6558687	Affleurement	Paragneiss rouillé. Passé de 25 à 30m dans les méta arkoses. S2 N142°/72°	Paragneiss	rouille	Méta arkose												S2	142	72	
CA06-1009-09	355680	6558472	Affleurement	Paragneiss, passée de 5m dans les méta arkoses.	Paragneiss		Méta arkose															
CA06-1009-10	355629	6558426	Affleurement	Paragneiss, passée de 5m dans les méta arkoses. S2 N120°/77°	Paragneiss		Méta arkose															
CA06-1009-11	355555	6558318	Affleurement	Paragneiss, passée de 20m dans les méta arkoses.	Paragneiss		Méta arkose															
CA06-1009-12	355486	6558276	Affleurement	Marbre à grain moyen 1 à 3mm. Contact non visible.	Marbre						65											
CA06-1009-13	355604	6558167	Affleurement	Paragneiss rouillé.	Paragneiss	rouille					100											
CA06-1009-14	355663	6558242	Affleurement	Méta arkose riche en feldspath blanchâtre. Texture pegmatitique, 3-5% grenats.	Méta arkose																	
CA06-1009-15	355729	6558283	Affleurement	Paragneiss, passé de 10m dans la méta arkose.	Paragneiss		Méta arkose				150											
CA06-1009-16	355743	6558293	Affleurement	Méta arkose. Ponctuelle à 500cps.	Méta arkose						200	500	500									
CA06-1009-17	355772	6558312	Affleurement	Paragneiss idem.	Paragneiss		Arkose															
CA06-1009-18	355792	6558323	Affleurement	Méta arkose au contact avec paragneiss de l'affleurement 17, 3-5% grenats.	Méta arkose		Paragneiss															
CA06-1009-19	355916	6558427	Affleurement	Méta arkose.	Méta arkose						200	500										
CA06-1009-20	355770	6558100	Affleurement	Paragneiss près du lac de CAGE.S2 N112°/85°. Contact avec les arkoses et parallèle à S2.	Paragneiss		Arkose												S2	112	85	
CA06-1010-01	355803	6558258	Affleurement	Paragneiss rubané à biotite au contact avec des méta arkose, grain moyen de couleur blanchâtre. Le gneiss est rouillé par endroit probablement à cause de la présence de sulfures disséminés ou de l'altération de la biotite. Bruit de fond 150cps.	Paragneiss	blanchâtre	Méta arkose				150				CA06-1010-01							
CA06-1010-02	355817	6558321	Affleurement	Méta arkose au sommet d'une séquence stratigraphique dont la base est constituée d'une bande mince de granite rosâtre à grain fin. La meta arkose est associée à des grenats et quelques veines de quartz. Péresence également de paragneiss au contact avec les deux unités précédentes. Bruit de fond 200cps.	Méta arkose		Granite	rosâtre	Paragneiss		200			1240 1241	CA06-1010-02							
CA06-1010-03	356068	6558364	Affleurement	Méta arkose à grain moyen parcouru par des veines de quartz relativement fumé et des grenats rosâtres, présence également plagioclases et quelques plages à biotite.	Méta arkose						150				CA06-1010-03							
CA06-1010-04	356440	6558402	Affleurement	Paragneiss à biotite, rubané et rouillé associé à des grenats roses. Contact avec des arkoses à grain moyen. Présence d'enclaves à pegmatite rose et grenue à biotite dans les arkoses.	Paragneiss		Arkose		Pegmatite						CA06-1010-04							
CA06-1010-05	356668	6558492	Affleurement	Enclave à arkose dans des paragneiss à biotite rouillée. Arkose à faciès grenues avec une matrice siliceuse.	Arkose		Paragneiss								CA06-1010-05							

No station	Estant (Nad83 - Zone 20)	Nordant (Nad83 - Zone 20)	Bloc ou Affleurement	Description lithologique	Lithologie A	Couleur A	Lithologie B	CouleurB	Lithologie C	CouleurC	Radiométrie Bruit de fond (cps)	Radiométrie maximum (cps)	Radiométrie anomalie (cps)	Photo	Échantillon	Lames minces: Petite (P) et Polie (Po)	Analyses chimiques	Témoin	Structure	Azimuth	Pendage	Caractéristiques
CA06-1010-06	356881	6558646	Affleurement	Bande d'arkose de direction E-O à faciès grenue associé à des amphibolites et des sulfures qui se cristallisent au confins des grains d'amphibolite. La bande d'arkose est au contact avec une bande de quartzite et de marbre de même direction.	Arkose		Quartzite								CA06-1010-06							
CA06-1010-07	356995	6558567	Bloc	Bloc de granite rose à grain moyen, de puissance moyen, constitué de petits cristaux allongés de quartz.	Granite	rose					100	1500	1500									
CA06-1010-08	357185	6558451	Affleurement	Bande de marbre pure à grain moyen, au contact avec une autre bande de marbre altéré et rouillée. Présence d'enclaves de roches calcosilicatés dans les marbres et probablement de la diopsidite.	Marbre		Calcosilicate							1242 1243	CA06-1010-08							
CA06-1010-09	357304	6558404	Affleurement	Marbres impurs au contact avec des paragneiss à biotite rouillés, présence d'enclave de roches calcosilicatées à diopsides et biotite.	Marbre		Paragneiss		Calcosilicate			5000	5000									
CA06-1010-10	357340	6557985	Affleurement	Grès quartzitique fin au contact avec des paragneiss à biotite avec des enclaves de pegmatite rose à grain moyen associé à des grenats roses.	Grès quartzitique		Paragneiss		Pegmatite	rose	120											
CA06-1010-11	357340	6557877	Bloc	Bloc de pegmatite rose à grain grossié, constitué de biotite de quartz..	Pegmatite	rose					125	1750	1750		CA06-1010-11							
CA06-1010-12	356958	6557977	Affleurement-Bloc	Gneiss non altéré à biotite et grenat au contact avec des gneiss altérés et rouillés à biotite. Présence de bloc de marbre à coté.	Gneiss		Marbre								CA06-1010-12							
CA06-1010-13	356832	6557928	Affleurement	Méta arkose à grain moyen au contact avec des gneiss rubanés à biotite et quartz.	Méta arkose		Gneiss															
CA06-1010-14	356533	6557764	Affleurement	Paragneiss à biotite massive rouillé et altéré au sommet d'une sequence stratigraphique, avec des méta arkoses au contact. Présence d'enclaves à pegmatite rose à grain moyen associée à des grenats et du granite rose à grain moyen	Paragneiss	rouille	Méta arkose		Pegmatite	rose					CA06-1010-14							
CA06-1010-15	356210	6557733	Affleurement-Bloc	Contact, gneiss à biotite rubané avec arkose et des enclaves à pegmatite, présence également de bloc de granite rose à grain moyen.	Gneiss		Arkose		Pegmatite													
CA06-1011-01	355790	6558188	Affleurement	Banc constitué d'arkose à faciès grenue avec 25-30% de feldspath au contact avec des paragneiss à biotite rubané et rouillé.	Arkose		Paragneiss															
CA06-1011-02	356148	6558090	Affleurement	Méta arkose, à grain moyen de couleur blanchâtre associé à des grenats roses, au contact avec des paragneiss rouillés à biotite.	Méta arkose	blanchâtre	Paragneiss															
CA06-1011-03	356656	6558393	Affleurement	Arkose à grain moyen à grossier, constituer de 25 à 35% de feldspath et peu de quartz avec une enclave à pegmatite rose à grain moyen. Présence de paragneiss rouillé et folié.	Arkose		Pegmatite	rose	Paragneiss	rouille									Foliation	130	30	
CA06-1011-04	357427	6558413	Affleurement	Bande de pegmatite rouillée à biotite, sulfures et grenat ao contact avec des bandes de marbre impur et de marbre pure. Bande de direction NO-SE avec un pendage diffus.	Pegmatite	rouille	Marbre							1246								
CA06-1011-05	357557	6558093	Affleurement	Paragneiss à biotite oxydé et altéré au contact avec des arkoses à grenat et biotite.	Paragneiss		Arkose															
CA06-1011-06	357588	6557935	Affleurement	Bande de marbre d'une puissance métrique (50m) alterné avec une autre bande de marbre impur parcourue par des veines remplies de matériel calcisilicatés. Les bandes de marbre sont aux contact avec du paragneiss rubané et rouillé et une bande d'arkose au sommet.	Marbre		Paragneiss	rouille			125			1247 1248					Contact	120	43	
CA06-1011-07	357841	6557788	Affleurement	Marbre plissé et riche en biotite au contact avec du marbre pure et non plissé.	Marbre																	
CA06-1011-08	358159	6557571	Affleurement	Marbre pur au contact avec du marbre impur associé à de la biotite. Présence d'intrusion d'arkose à la base de la stratification.	Marbre		Arkose															
CA06-1011-09	358228	6557348	Affleurement	Bande de paragneiss rouillé et rubanné parcourue par des veines centimétriques à millimétriques de quartz et de feldspath de direction Est-Ouest. Présence de beaucoup de biotite associé au grès.	Paragneiss		Grès															
CA06-1011-10	357377	6557036	Affleurement	Paragneiss à biotite	Paragneiss																	
CA06-1011-11	356833	6556730	Affleurement	Banc de marbre pure avec des enclaves de roche calcosilicaté au contact avec des paragneiss à biotite rouillée et altérée. Présence d'une autre bande de marbre impur au contact avec les premiers. Le marbre est plissé avec un pendage sub vertical.	Marbre		Paragneiss		Calcosilicate					1256 1257 1258								
CA06-1012-01	356434	6556972	Affleurement	Bande de marbre pur au contact avec des roches calcosilicatés présence de carbonate en petite quantité.	Marbre		Calcosilicate				150	5000	5000									
CA06-1012-02	357456	6556349	Affleurement	Bande de marbre pur constitué de grain moyen, au dessus duquel se trouve un banc d'arkose à grain moyen à grossier avec 25-35% de feldspath et à la base de la stratigraphie se trouve une bande de roche calcosilicaté.	Marbre		Arkose		Calcosilicate					1	CA06-1012-02							
CA06-1012-03	357673	6556294	Affleurement	Affleurement de paragneiss à biotite rouillé, au contact avec des arkoses à grain moyen.	Paragneiss		Arkose															
CA06-1012-04	357861	6556301	Affleurement	Banc de marbre impur au contact avec des arkoses à grain moyen. Présence d'une bande de roche calcosilicaté, plissée et associé à du diopside. Présence de grès quartzitique à la base de la séquence.	Marbre		Arkose		Grès quartzitique					1	CA06-1012-04				Contact	280	25	
CA06-1012-05	357894	6556533	Affleurement	Paragneiss à grenat parcouru par des veines de quartz et feldspath au contact avec des arkoses. Présence d'enclave de pegmatite blanche grenue à quartz et feldspath.	Paragneiss		Pegmatite	blanche														
CA06-1012-06	358107	6556639	Affleurement	Paragneiss à grenat et biotite, affecté par une altération en surface. Le paragneiss est rouillé et rubané avec des petites enclaves de pegmatite à feldspath et quartz. Pas de structure mesurable visible.	Paragneiss		Pegmatite															
CA06-1012-07	358663	6556610	Affleurement	Banc de pegmatite blanche à grain moyen avec beaucoup de feldspath et peu de quartz. Au contact avec des paragneiss à biotite et grenat. Présence d'arkose au sommet de la stratigraphie.	Pegmatite	blanche	Paragneiss		Arkose					1	CA06-1012-07							
CA06-1012-08	358684	6556414	Bloc	Bloc de gneiss, de pegmatite et de marbre au bord du lac.	Gneiss		Pegmatite		Marbre													
CA06-1012-09	358543	6556308	Affleurement	Banc de marbre pur au contact avec des roches calcosilicatés plissées et du diopside. Présence d'amphibolite au contact avec du paragneiss à biotite rouillé et altéré associé à du grenat rose.	Marbre		Calcosilicate		Paragneiss	rouille				1	CA06-1012-09							

705544

No station	Estant (Nad83 - Zone 20)	Nordant (Nad83 - Zone 20)	Bloc ou Affleurement	Description lithologique	Lithologie A	Couleur A	Lithologie B	CouleurB	Lithologie C	CouleurC	Radiométrie Bruit de fond (cps)	Radiométrie maximum (cps)	Radiométrie anomalie (cps)	Photo	Échantillon	Lames minces: Petite (P) et Polie (Po)	Analyses chimiques	Témoin	Structure	Azimuth	Pendage	Caractéristiques
CA06-1012-10	358211	6555976	Affleurement-Bloc	Même banc de marbre que le précédent, associé à des roches calcosilicatés et des diopsides. Présence de blocs de granite rose et de gneiss rouillé à coté.	Marbre		Calcosilicate		Granite													
CA06-1012-11	357961	6556006	Affleurement	Marbre détritique et pur au contact avec du paragneiss, parcourue par des roches calcosilicatées. Le paragneiss est associé à des grenats roses et biotite.	Marbre		Calcosilicate		Paragneiss													
CA06-1012-12	357739	6556108	Affleurement	Banc de marbre métrique fracturé avec des veines parallèles à la direction principale et des veines secondaire remplie par du quartz mauve. Marbre au contact avec du gneiss rouillé et rubané.	Marbre		Gneiss	rouille						1	CA06-1012-12							
CA06-1013-01	355758	6557252	Affleurement	Lithologie traversée pour se rendre au début de notre traverse. Marbre pur par endroit intercalé avec du marbre rouillé de couleur grisâtre orienté souvent NO-SE. Par endroit, le marbre est surmonté par des bandes de roches calcosilicatés. Au point CA-1013-03, le marbre parrait plus détritique que les précédents.	Marbre	grisâtre	Calcosilicate															
CA06-1013-02	356006	6556785	Affleurement	Voir CA06-1013-01																		
CA06-1013-03	356190	6556514	Affleurement	Voir CA06-1013-01																		
CA06-1013-04	356772	6556213	Affleurement	Marbre pur à allure stratifiée avec une alternance de bande plus silicieuse et de bande plus carbonatisée, bande de marbre associé à du grenat et un peu de biotite. Présence d'enclave chertifiée sous forme de lamelle. Le pendage visible est 40° ouest. Bruit de fond 75cps.	Marbre		Chert				75								S0; S0	290; 280	40; 35	
CA06-1013-05	356822	6556207	Affleurement	Marbre rouillé à biotite au contact avec des roches calcosilicatés dy style CAGE qui se situe au sommet de la séquence.	Marbre	rouille	Calcosilicate				150	> 15000	> 15000		CA06-1013-05		CA06-1013-05					
CA06-1013-06	356743	6556273	Affleurement	Marbre rouillé associé à de la biotite en grande quantité, au contact avec des roches calcosilcaté qui se situent au sommet de la séquence.	Marbre	rouille	Calcosilicate				75	5000	5000									
CA06-1013-07	356920	6556217	Affleurement	Bande de marbre non altéré au contact avec des roches calcosilicatés. Présence de diopside sous forme d'enclave associé au marbre et des veines centimétrique remplies de quartz et de feldspath et biotite qui parcours le marbre. Le marbre est plissé par endroit.	Marbre		Calcosilicate				75											
CA06-1013-08	357096	6556265	Affleurement-Bloc	Bande de marbre pur non déformé au contact avec des roches calcosilicatées et des diopsides. Présence d'enclave à phlogopite associé à du diopside. Présence également de bloc de pegmatite rose grenue.	Marbre		Calcosilicate		Pegmatite													
CA06-1013-09	357191	6556389	Affleurement	Bande de marbre au contact avec des arkoses. Présence de veines centimétriques dans le marbre, remplies par du quartz mauve, le marbre est plissé par endroit et folié.	Marbre		Arkose												Foliation	110	20	
CA06-1013-10	357263	6556500	Affleurement	Paragneiss à biotite rouillé et folié au contact avec des arkoses à grain moyen. Le paragneiss est plissé par endroit et parcouru par des petites veines de quartz et feldspath et biotite.	Paragneiss		Arkose								CA06-1013-10							
CA06-1013-11	357198	6556648	Affleurement	Banc de pegmatite rose à grain moyen à grossier au contact avec un banc de marbre rouillé et altéré et plissé par endroit. Le paragneiss est folié , la foliation est de direction N110.	Pegmatite	rose	Marbre	rouille	Paragneiss										Foliation	110		
CA06-1013-12	356800	6556575	Affleurement-Bloc	Banc de marbre pur et plissé au contact avec du marbre rouillé. Présence de roche calcosilicaté et des blocs de paragneiss à biotite.	Marbre		Calcosilicate		Paragneiss													
CA06-1013-13	356461	6556489	Affleurement	Marbre pur à pendage subvertical au contact avec des roches calcosilicaté. Marbre boudiné par endroit. Présence de biotite en grande quantité et quelques enclaves de diopside.	Marbre		Calcosilicate															
CA06-1013-14	355877	6557240	Affleurement	Marbre rouillé à biotite associé à des roches calcosilicaté au contact avec des roches calcosilicatées.	Marbre	rouille	Calcosilicate				500	1450	500-1450									
CA06-1013-15	355868	6557255	Affleurement	Anomalie à 10-20m de CA06-1013-14 dans du marbre impur associé à des roches calcosilicatées avec un échantillon à plus de 15000cps, présence de produit jaune.	Marbre		Calcosilicate				>1500	>15000	1500->15000		CA06-1013-15	Lame polie	CA06-1013-15					
CA06-1013-16	355861	6557291	Affleurement	Même contact que le CA06-1013-15 avec une valeur de plus de 15000cps.									>15000									
CA06-1014-01	356844	6556136	Affleurement	Marbre orangé de couleur rouillé déboulant une falaise au contact avec du marbre pur non altéré de couleur grise. Présence de roches calcosilicatées au contact avec les deux unités.	Marbre	orangé	Calcosilicate				75											
CA06-1014-02	356982	6556103	Affleurement	Marbre chertifié qui se débite en lamelles, marbre plissé et rubané avec une alternance de bandes plus silicieuses et de bandes plus carbonatées. Présence de roches calcosilicaté associé à ce marbre.	Marbre chertifié		Calcosilicate				75			1270 1271 1272	CA06-1014-02							
CA06-1014-03	357193	6555896	Bloc	Association de blocs constitués de pegmatites rose grenue à biotite, de blocs à gneiss rouillé et rubané et de bloc de marbre.	Pegmatite	rose	Gneiss	rouille	Marbre		100											
CA06-1014-04	357426	6555651	Affleurement	Banc de pegmatite blanche avec beaucoup de quartz au contact avec un banc de marbre pure de direction N90°. Banc de marbre à pendage subvertical associé à de petites veines de quartzite.	Pegmatite	blanche	Marbre		Quartzite													
CA06-1014-05	357488	6555787	Affleurement	Banc de marbre à texture hétérogranulaire avec une altération supergène. Marbre microfissuré à faciès grenue au contact avec un autre type de marbre moins altéré. Le banc est de direction NS est associé à des roches calcosilicatées.	Marbre		Calcosilicate				150	5000	5000		CA06-1014-05	Lame polie	CA06-1014-05					
CA06-1014-06	357691	6555686	Affleurement	Banc de marbre pur à faciès grenu au contact avec des roches calcosilicatés à quartz et feldspath. Banc de direction N102° et pendage 50° vers Est.	Marbre														Banc	102	50	
CA06-1014-07	357528	6555368	Affleurement	Marbre de couleur orangé au contact avec du marbre pur moins déformé au contact avec des roches calcosilicatées. Marbre à pendage sub vertical. À 50m, présence d'un autre banc de marbre orangé parcouru par une veine centimétrique de pegmatite et une autre veine de quartzite de couleur mauve et bleu.	Marbre	orangé	Calcosilicate		Pegmatite						CA06-1014-07							

No station	Estant (Nad83 - Zone 20)	Nordant (Nad83 - Zone 20)	Bloc ou Affleurement	Description lithologique	Lithologie A	Couleur A	Lithologie B	CouleurB	Lithologie C	CouleurC	Radiométrie Bruit de fond (cps)	Radiométrie maximum (cps)	Radiométrie anomalie (cps)	Photo	Échantillon	Lames minces: Petite (P) et Polie (Po)	Analyses chimiques	Témoin	Structure	Azimuth	Pendage	Caractéristiques
CA06-1014-08	357378	6555259	Affleurement-Bloc	Marbre lité à faciès grenu légèrement altéré associé à des blocs de pegmatite grenu de couleur rosâtre associée à de la biotite et du diopside de couleur gris jaune. Présence de veines centimétriques tapissées par un matériel carbonaté le long des veines associées à du diopside et le coeur de la veine est occupé par du quartz mauve.	Marbre		Pegmatite	rosâtre														
CA06-1014-09	357144	6555393	Affleurement	Contact entre le marbre et les paragneiss à biotite rouillé. Présence de bancs d'arkose et de grès quartzitique au centre de la séquence.	Marbre		Paragneiss		Arkose													
CA06-1014-10	356909	6555500	Affleurement	Contact entre marbre et gneiss à biotite et quartz.	Marbre		Gneiss															
CA06-1014-11	356526	6555761	Affleurement	Contact entre marbre et paragneiss rouillé à biotite et grenat	Marbre		Paragneiss	rouille														
CA06-1014-12	356388	6556162	Affleurement	Contact entre marbre pur légèrement altéré avec du paragneiss à biotite et quartz. Présence de roches calcosilicatées.	Marbre		Paragneiss		Calcosilicate													
CA06-1015-01	355044	6559056	Affleurement-Bloc	Affleurement de paragneiss rouillé et altéré au contact du granite rose à grain moyen associé à du grenat rosâtre. Paragneiss parcouru par des veines centimétriques de quartz et feldspath, présence également d'amphibolite sous forme de petites plages	Paragneiss	rouille	Granite	rose	Pegmatite	blanche												
CA06-1015-02	355157	6559205	Affleurement	Granite blanc à grain moyen à grossier associé à beaucoup de grenat mauve à éclat vitreux. Présence de gros cristaux de plagioclase et de feldspath associé à de la biotite et du quartz fumé. Le granite est au contact avec des paragneiss rubanné et plissé par endroit.	Granite	blanc	Paragneiss								CA06-1015-02							
CA06-1015-03	355135	6559387	Affleurement	Granite blanc à texture granoblastique associé à du grenat rose à grain moyen. Présence de petits grains de quartz fumé associé à la matrice. Granite associé à des sulfures (galène) de couleur argentée dont le coeur parait plus jaunâtre, probablement à cause de l'altération ou bien de la présence de pyrhotite.	Granite	blanc									CA06-1015-03							
CA06-1015-04	354822	6559984	Affleurement	Paragneiss rouillé à biotite et beaucoup de quartz et grenat partiellement rouillé. Les grenats sont associés à des feldspath le plus souvent dans des cavités, présence d'enclave de marbre à diopside.	Paragneiss	rouille	Marbre															
CA06-1015-05	354655	6559786	Affleurement-Bloc	Banc de paragneiss à biotite très allongé de direction N310°/20°. Le paragneiss est associé à du grenat. Présence de bloc de pegmatite rose et de quartzite.	Paragneiss		Pegmatite	rose											Allongement	310	20	
CA06-1015-06	354547	6559574	Affleurement	Contact marbre et paragneiss à biotite. Marbre saint et peu altéré avec des taches de rouille, présence de quelques roches calcosilicatées.	Marbre		Paragneiss		Calcosilicate													
CA06-1015-07	354411	6559272	Affleurement	Marbre rougeâtre et altéré au contact avec du marbre pur associé à des roches calcosilicatées. Présence de biotite et de veines de quartz associés à ce marbre.	Marbre	rougeâtre	Calcosilicate															
CA06-1015-08	354347	6559204	Affleurement	Banc de calcite à grain fin de couleur verdâtre à blanc au contact avec des marbres. Banc plissé à pendage sub vertical. Présence de biotite.	Calcite		Marbre								CA06-1015-08							
CA06-1015-09	354116	6558762	Affleurement	Marbre altéré au contact avec des calcosilicates à diopside de couleur verdâtre, présence de minéraux à paillette (diopside) et de la biotite.	Marbre		Calcosilicate				50	1400	1400									
CA06-1015-10	354116	6558762	Affleurement	Marbre rouillé et altéré au contact avec des roches calcosilicatées et des calcosilicates. Présence de veines de quartz associé à de la chalcopyrite ou de la pyrhotine.	Marbre																	
CA06-1016-01	355406	6558004	Affleurement	Banc de marbre brun à faciès grenu surmonté par des roches calcosilicatées à gros grain. Présence de petites veines à diopside et de biotite. Un peu plus loin, le marbre devient plus dolomitique à grain fin et associé à des minéraux allongés dans le sens de la foliation.	Marbre	brun	Calcosilicate								CA06-1016-01				Foliation	322	50	
CA06-1016-02	354960	6557523	Affleurement	Marbre pur au contact avec du marbre à relief positif constitué de roches calcosilicatés à biotite. Présence aussi de marbre associé à des petits batonnets allongés dans le sens de la foliation.	Marbre		Calcosilicate							1281 1284								
CA06-1016-03	355167	6557528	Affleurement	Marbre de type pur avec des veines de calcosilicates en relief de direction N50° avec un pendage de 70°. Marbre au contact avec le marbre pur à gros grain de couleur rouille plissé par endroit.	Marbre		Calcosilicate												Veine	50	70	
CA06-1016-04	355390	6557509	Affleurement-Bloc	Marbre grenu à texture granoblastique de type (4) selon ma classification. Marbre au contact avec des blocs de granite rose et de paragneiss à biotite et quartz. Présence de beaucoup de biotite associé au marbre. Présence d'un banc de quartzite.	Marbre		Granite	rose	Paragneiss					1285	CA06-1016-04							
CA06-1016-05	355534	6557413	Affleurement	Contact entre le marbre pur de type (1) selon ma classification et le marbre de type (3) avec des veines de calcosilicate en relief. Au sommet de la stratification, on trouve le marbre de type (4) à grain grossier et très faible.	Marbre																	
CA06-1016-06	355433	6557081	Bloc	Bloc de granite rose à grain fin associé à des paragneiss à biotite, le tout en contact avec le marbre pur qui se trouve en bas de la séquence stratigraphique, au sommet se trouve le marbre.	Granite	rose	Paragneiss		Marbre													
CA06-1016-07	355660	6557053	Affleurement-Bloc	Contact entre un marbre pur et un marbre détritique, présence de bloc granitique et de paragneiss au contact avec les marbres. Les pendages sont sub verticaux à cet endroit et les marbres sont parcourus par des veines centimétriques remplis par du matériel calcosilicatées associé à du diopside.	Marbre		Granite		Paragneiss													
CA06-1016-08	355661	6556888	Affleurement	Mince bande de marbre à grain fin associé à des grains de diopside et biotite. Marbre diopsidique au contact avec des marbres purs à frais et grenus. Présence de petits sulfures disséminés dans le marbre.	Marbre		Marbre diopsidique								CA06-1016-08							
CA06-1016-09	355751	6556807	Affleurement	Contact entre marbre pure à grain grossier et très détritique. Avec du marbre pur à grain moyen de compétence plus élevé. Présence de roches calcosilicatées sous forme de veinules dans le marbre pur.	Marbre		Calcosilicate															
CA06-1016-10	355718	6557433	Affleurement-Bloc	Contact entre le marbre pur à faciès grenu et le marbre détritique à faciès granoblastique. Présence de roches calcosilicatées le long de micros veines associées à ces deux marbres. Présence également de blocs de pyrite et de granite rose à grain moyen.	Marbre		Calcosilicate		Granite	rose												

705544

No station	Estant (Nad83 - Zone 20)	Nordant (Nad83 - Zone 20)	Bloc ou Affleurement	Description lithologique	Lithologie A	Couleur A	Lithologie B	CouleurB	Lithologie C	CouleurC	Radiométrie Bruit de fond (cps)	Radiométrie maximum (cps)	Radiométrie anomalie (cps)	Photo	Échantillon	Lames minces: Petite (P) et Polie (Po)	Analyses chimiques	Témoin	Structure	Azimuth	Pendage	Caractéristiques
CA06-1017-01	355278	6558688	Affleurement	Paragneiss à biotite parcouru par des veines millimétrique à quartz et feldspath. Présence de grenat de couleur rose. L'affleurement est folié avec une direction de 138°/72°.	Paragneiss														Foliation	138	72	
CA06-1017-02	355486	6558933	Affleurement-Bloc	Arkose ou granite avec 30-50% de feldspath, peu de quartz et beaucoup de grenat rosâtre de petite taille. Le banc d'arkose ou de granite est au contact avec des bancs de paragneiss à biotite, d'une petite veine de quartzite et de blocs de pegmatite rose à grain fin. Présence de petits grains de quartz fumé associé au grenat. Présence de petits blocs de marbre.	Arkose		Paragneiss		Pegmatite	rose					CA06-1017-02							
CA06-1017-03	355769	6559193	Affleurement-Bloc	Affleurement de paragneiss avec beaucoup de biotite et d'enclaves à arkose ou de granite. Paragneiss rouillé associé à des blocs de granite rose par endroit.	Paragneiss	rouille	Arkose		Granite	rose												
CA06-1017-04	356138	6559371	Affleurement-Bloc	Contact entre paragneiss roullé à biotite avec des arkoses ou des granites blanchâtres à granulométrie fine à moyenne. Présence de bloc de pegmatite rose à grain moyen et d'enclave de grès quartzitique à grain fin avec des minéraux ferromagnésien.	Paragneiss	rouille	Arkose	blanchâtre	Pegmatite	rose												
CA06-1017-05	356304	6559398	Affleurement	Enclave de grès amphibolitique associé à du grenat et parcouru par des petites veines à feldspath et quartz, au contact avec du paragneiss à biotite et grenat. Les veines sont centimétriques à millimétrique de direction NO-SE et plissées par endroit.	Grès amphibolitique		Paragneiss								CA06-1017-05							
CA06-1017-06	356435	6559458	Affleurement	Affleurement de paragneiss à biotite rouillée avec des veines centimétriques à biotite plissé. Présence d'autres veines de 2-5cm de large, rempli par un matériel quartzitique à grain fumé et rouillé. Banc de pegmatite de direction NS avec des anomalies ponctuels de 2000cps.	Paragneiss	rouille	Quartzite	fumé-rouille	Pegmatite			2000	2000		CA06-1017-06							
CA06-1017-07	356579	6559485	Affleurement	Contact entre marbre pur à grain moyen avec des paragneiss à biotite roullé et oxydé.Présence d'enclaves de pegmatite à phénocristaux arrondis associé à de petites veines de quartz. Présence de veines d'arkose et de roches calcosilicatées associées à des diopsides.	Marbre		Paragneiss	rouille	Pegmatite													
CA06-1017-08	356524	6559717	Affleurement	Paragneiss à biotite rouillé et altéré parcouru par des veines à quartz et biotite parallèle au litage. Paragneiss folié avec une direction de foliation N-S. Présence d'enclave d'arkose associé à des grenats. Le paragneiss est au contact avec du marbre pur à faciès grenu.	Paragneiss	rouille	Arkose		Marbre													
CA06-1017-09	356266	6559663	Affleurement-Bloc	Bloc de granite blanc à phénocristaux associé à du quartz fumé à du feldspath associé à d'autres blocs de pegmatite rose à grain moyen. Les blocs sont sur un affleurement à paragneiss rouillé à biotite	Granite	blanc	Pegmatite	rose	Paragneiss	rouille		3000	3000		CA06-1017-09							
CA06-1017-10	355997	6559642	Affleurement-Bloc	Bloc de granite arkosé à grain grossier au contact avec les blocs de pegmatites roses à grain grossier. Les blocs sont sur un affleurement de paragneiss à biotite plissé et folié.	Granite arkosé		Pegmatite	rose	Paragneiss		150	1800	1800									
CA06-1017-11	355807	6559518	Affleurement	Granite arkosé à grain moyen de couleur blanche au contact avec des paragneiss à biotite rubané et plissé par endroit. Présence de grenats roses dans les deux unités.	Granite arkosé	blanc	Paragneiss															
CA06-1017-12	355568	6559362	Affleurement	Paragneiss à biotite parcouru par des veines centimétriques de quartz blanc associé à du quartz fumé. Le paragneiss est plissé par endroit. Présence de grenat rose associé à du paragneiss. Présence d'enclave de grès amphibolitisé.	Paragneiss		Grès amphibolitisé															
CA06-1017-13	355373	6559109	Affleurement-Bloc	Banc de paragneiss à biotite avec des veines centimétriques à millimétriques parallèles et remplies de quartz et feldspath. Présence aussi de grenat dans les veines. Le banc de paragneiss est moins déformé par rapport au banc du niveau supérieur. Présence de bloc de granite rose à grain fin.	Paragneiss		Granite	rose											Veine	138	74	
CA06-1017-14	355137	6558497	Affleurement	Contact entre un banc de marbre plissé surmonté par des roches calcosilicatées à diopside. Le marbre à une direction de 136°/68°.	Marbre		Calcosilicate												Banc marbre	136	68	
CA06-1018-01	355793	6557970	Affleurement	Paragneiss à biotite sous l'eau dans le lac.	Paragneiss														S2	128	65	
CA06-1018-02	355806	6557998	Affleurement	Paragneiss à biotite sous l'eau dans le lac.	Paragneiss																	
CA06-1018-03	355848	6557990	Affleurement	Pegmatite blanche à grenat. L- 20m au S N140 L- 34m au N N140 L Total = 54m, épaisseur: 2m, cristaux 2-10cm feldspath	Pegmatite	blanc																
CA06-1018-04	355804	6558040	Affleurement	Fin au N décrit ci-dessus	Pegmatite	blanc																
CA06-1018-05	355811	6558077	Affleurement	Début en montant importante zone de méta-arkose = 95% pegmatite, rares lambeaux de paragneiss, S2 (para) 295-80 (perturbé par la méta-arkose) S2 (para) 270-90, le paragneiss avec rubanementen étire boudiné, plissé et gros grenat	Méta-arkose / Pegmatite		Paragneiss												S2	295	80	
CA06-1018-06	355908	6558033	Affleurement	La grande bande de méta-arkose (pegmatite blanche à grenat constitue tout le flanc de la montagne) Vraisemblablement à pendage vers le lac selon la topographie N140	Méta-arkose / Pegmatite	blanc																
CA06-1018-07	355931	6558020	Affleurement	Pegmatite blanche - On suit sur ce flanc littéralement le même banc qui doit être relativement épais. Présence de grenat rouge dans la pegmatite (≈ 1cm rond) Biotite noire en petit amas irrégulier ≈ 1cm. Mais il y a grande variation dans la taille des feldspaths le plus souvent 5-10mm mais variété pluvicentimétrique fréquente. Les seules mesures structurales possible sont des joints comme ici: 220-80 fréquemment irrégulier, 110-35 fréquemment irrégulier - les à plats vu de loin, 240-40 1/m, 120-80 0,5/m accentue et distorsionne la pente.	Pegmatite	blanc												Joint1; Joint 2; Joint 3; Joint 4	220; 110; 240; 120	80; 35; 40; 80	
CA06-1018-08	355947	6558021	Affleurement	Pegmatite disparait (a 125m selon N290- de 675) S2-110-80 (à angle) Paragneiss gris (altéré) - noir (frais) très riche en quartz avec grenats centimétriques et schlierens de quartz-feldspath blanc boudinés centimétriques. Presque aussi résistant que la pegmatite et apparenté mais avec foliation.	Pegmatite	noir-gris													S2	110	80	
CA06-1018-09	355972	6558030	Affleurement	Paragneiss gris, S2 115-80	Paragneiss	gris					110								S2	115	80	
CA06-1018-10	355947	6558048	Affleurement	Terminaison Sud d'une des lentilles principales de pegmatite. Vers le S, dominance des paragneiss gris. Vers le N.	Pegmatite		Paragneiss	gris			95											

No station	Estant (Nad83 - Zone 20)	Nordant (Nad83 - Zone 20)	Bloc ou Affleurement	Description lithologique	Lithologie A	Couleur A	Lithologie B	CouleurB	Lithologie C	CouleurC	Radiométrie Bruit de fond (cps)	Radiométrie maximum (cps)	Radiométrie anomalie (cps)	Photo	Échantillon	Lames minces: Petite (P) et Polie (Po)	Analyses chimiques	Témoin	Structure	Azimuth	Pendage	Caractéristiques
CA06-1018-11	355920	6558095	Affleurement	La pegmatite vers 7+90 plus grosses lentilles (= station 8+00) Paragneiss vers 8+00, S2 (pg) 130-78, quelques lentilles de pegmatite mineure L > 10m épaisseur 1m, sur ce segments vers S, Peg 50-50 Para, Peg 80-20 vers N. Ex: la lentille 8+05 fait 15m x (3m → 0)	Pegmatite		Paragneiss				95-110								S2	130	78	
CA06-1018-12	355902	6558164	Affleurement	Pegmatite blanche 72m N190 de 8+00N, la lentille ici fait de 12 à 13 à 14 par épaisseur apparente au moins 5m avec enclave métrique de paragneiss local et flamme entre.	Pegmatite	blanc	Paragneiss															
CA06-1018-13	355945	6558143	Affleurement	Pegmatite blanche 72m N190 de 8+00N, la lentille ici fait de 12 à 13 à 14 par épaisseur apparente au moins 5m avec enclave métrique de paragneiss local et flamme entre.	Pegmatite	blanc	Paragneiss															
CA06-1018-14	355872	6558187	Affleurement	Même lentille, contact NW - 135/65	Pegmatite	blanc																
CA06-1018-15	355921	6558172	Affleurement	Paragneiss avec lentille < 1m très boudiné dominant le style, S2 135 80	Paragneiss						125								S2	135	80	
CA06-1018-16	355959	6558127	Affleurement	Station 7+50, lentille pegmatite S2 125-85	Pegmatite						90								S2	125	85	
CA06-1018-17	356056	6558047	Affleurement	Deux lentilles de la station 7+50 se fusionnent en une seule de grande épaisseur > 10m. L. (entre 16 et 17 soit au moins 110m et se poursuit au sud) N135-80, grain plutôt grossier, aucun point anormaux.	Pegmatite						90											
CA06-1018-18	356011	6558132	Affleurement	Lentille de paragneiss dans dominante pegmatite (70%) S2 130-80 (paragneiss)	Pegmatite		Paragneiss												S2	130	80	
CA06-1018-19	355644	6558097	Affleurement	Paragneiss S2 128-75, proche du contact bord du lac	Paragneiss														S2	128	75	
CA06-1018-20	355825	6558085	Affleurement-Bloc	Marbre (entre les 2 - blocs arrondis glaciaires) courbé, S2S1S0 - 118 à 130-75	Marbre														S2	125	75	
CA06-1018-21	355598	6558034	Affleurement	Point a 700 gamma - Flag rouge dans mousse sur marbre probable	Marbre								700									
CA06-1018-22	355610	6558015	Affleurement	Pegmatite blanche du marbre < 1m^2 sur flanc broussaille	Marbre		Pegmatite	blanc			90											
CA06-1018-23	355615	6558015	Bloc	Bloc (fond trou mousse) 3950 anc (?? Marbre?)	Marbre?								3950									
CA06-1018-24	355672	6557895	Affleurement	Affleurement de la pointe de la presqu'île, S0S1S2 140-80, Marbre lité (rubané) centimétrique en lambeaux (relief) et creux calcitique blanc espacement 1cm-10cm boudiné, schlieren	Marbre						90								S2	140	80	
CA06-1018-25	355632	6557933	Affleurement	Marbre lité (rubané) centimétrique en lambeaux (relief) et creux calcitique blanc espacement 1cm-10cm boudiné, schlieren, S0S1S2 150-90	Marbre														S2	150	90	
CA06-1018-26	355638	6557940	Affleurement	Marbre lité (rubané) centimétrique en lambeaux (relief) et creux calcitique blanc espacement 1cm-10cm boudiné, schlieren, Anc 1100 gamma dans mousse sur bord de l'eau entouré d'un mètre de plus de 200 à déterrer.	Marbre						200		1100									
CA06-1018-27	355651	6557948	Affleurement	Marbre lité (rubané) centimétrique en lambeaux (relief) et creux calcitique blanc espacement 1cm-10cm boudiné, schlieren, affleurement < 1m, S2 340-90	Marbre						90								S2	340	90	
CA06-1018-28	355685	6557971	Affleurement	Marbre lité (rubané) centimétrique en lambeaux (relief) et creux calcitique blanc espacement 1cm-10cm boudiné, schlieren, sub en place, dans la pointe de la presqu'île, S2 135-65	Marbre						45								S2	135	65	
CA06-1018-29	355653	6557999	Affleurement	Marbre lité (rubané) centimétrique se suit en lambeaux (relief) et creux calcitique blanc espacement 1cm-10cm boudiné, schlieren, long affleurement sur bord de l'eau, S2S0S1 130-75	Marbre						45			1					S2	130	75	
CA06-1018-30	355613	6557861	Affleurement	Station 4+00E Sur ma carte ce point est dans l'eau. Ici, il est sur affleurement à 15m du bord du lac.	Marbre						40											
CA06-1018-31	355596	6557825	Affleurement	Marbre blanc rubané en relief couleur altéré gris parfois blanc débris en boule centimétrique. Entre l'eau et station, quelques boudins pluricentimétriques, S2S1S0 130-80. Une lentille de "pegmatite" quartz + feldspath de 11m par (1m → 0) à 3+95 N130, Entouré = zone de réaction autour de le pegmatite beige claire fracturée. Contact entre 2 types de marbre par la texture (S2 disparaît presque) Marbre antidérapant altéré beige frais blanc. Le faciès vers le lac a plusieurs zones apparemment chaotiques qui ressemblent à ce qui entoure la même lentille de pegmatite.	Marbre	gris-beige-blanc	Pegmatite	beige			20-25			1				S2	130	80	
CA06-1018-32	355582	6557849	Affleurement	Même contact avec antidérapant causant colline, autre genre plateau bas.	Marbre	gris-beige-blanc																
CA06-1018-33	355591	6557867	Affleurement	Zone où il y a injection en bancs métriques de pegmatite avec lambeaux de marbre décimétriques le tout fracturer perpendiculairement au S2. L-15m l-5m	Pegmatite		Marbre							1								
CA06-1018-34	355620	6557804	Affleurement	Contact même avec antidérapant, suite. Vue vers N140 - vers Sud (photo)	Marbre	gris-beige-blanc								1								
CA06-1018-35	355595	6557818	Affleurement	Pegmatite blanche 1m épaisseur x 20m - concordante.	Pegmatite	blanc					75											
CA06-1018-36	355582	6557828	Affleurement	Même pegmatite entre 35 fin et 36 fin. Contact fracture 140-65, pegmatite	Pegmatite	blanc					75								Fract	140	65	
CA06-1018-37	355587	6557816	Affleurement	Entre 35 et 37, autre pegmatite largeur > 2m mais contact	Pegmatite																	
CA06-1018-38	355575	6557823	Affleurement	Dans le marbre beige antidérapant, étude de fracturation: -128/80 (parallèle foliation?) -35/80 freq 3/m -15/90 freq 0.2/m -190/45 long mais rare	Marbre	beige					20								Fract; fract; fract; fract	128; 35; 15; 190	80; 80; 90; 45	
CA06-1018-39	355572	6557812	Affleurement	Marbre antidérapant gris beige folié et fracturé. Les cristaux de calcite sont très brillant 1-3cm / par 1cm avec face au soleil. S2 - fracture parallèle: 140-80 Station: 3+50?	Marbre	gris-beige					15								S2; fract	140; 140	80; 80	
CA06-1018-40	355558	6557797	Affleurement	Contact. Marbre beige antidérapant se termine sur ce point.	Marbre	beige					20											
CA06-1018-41	355549	6557815	Affleurement	Contact. Se termine en pointe, fin de lentille écaillée.	Marbre						20											
CA06-1018-42	355588	6557778	Affleurement	En bas (vers lac) de 40-41-42 Marbre beige antidérapant apparemment peu déformé. En haut et vers le sommet marbre simili bord du lac, patine grise S2 très net mais boudiné et étirement.	Marbre	beige					20											
CA06-1018-43	355555	6557796	Affleurement	Station 3+25. La lentille du marbre gris est peu épaisse et se termine vers le sommet presque sur cette station. Ce marbre chaotique et plissoté pourrait-il être susjacent au pegmatite?	Marbre	gris																
CA06-1018-44	355538	6557827	Affleurement	Vers lac au bas = Marbre chaotique S2 140-80	Marbre														S2	140	80	
CA06-1018-45	355559	6557779	Affleurement	Lentille très déformée de pegmatite blanche riche en feldspath, contact trop irrégulié. L-3m x 2(→ 0) Dans beige antidérapant.	Marbre	beige	Pegmatite	blanc			30											
CA06-1018-46	355576	6557783	Affleurement	Marbre patine blanche (simili gris très plissé) S2 130-75	Marbre	blanc													S2	130	75	

705544

No station	Estant (Nad83 - Zone 20)	Nordant (Nad83 - Zone 20)	Bloc ou Affleurement	Description lithologique	Lithologie A	Couleur A	Lithologie B	CouleurB	Lithologie C	CouleurC	Radiométrie Bruit de fond (cps)	Radiométrie maximum (cps)	Radiométrie anomalie (cps)	Photo	Échantillon	Lames minces: Petite (P) et Polie (Po)	Analyses chimiques	Témoin	Structure	Azimuth	Pendage	Caractéristiques
CA06-1018-47	355593	6557760	Affleurement	Le contact entre (46-47-48) le faciès beige antidérapant et ce faciès blanc semble nettement discordant (effet de faille locale sous forme de bréchification et plissettement très irrégulier. Contact. 190-90	Marbre	blanc-beige													S0	190	90	
CA06-1018-48	355586	6557749	Affleurement	Contact	Marbre	blanc-beige																
CA06-1018-49	355581	6557738	Affleurement	Contact	Marbre	blanc-beige																
CA06-1018-50	355569	6557734	Affleurement	Contact	Marbre	blanc-beige																
CA06-1018-51	355549	6557719	Affleurement	Contact	Marbre	blanc-beige																
CA06-1018-52	355558	6557706	Affleurement	Contact avec beige moins déformé. Contact S2 75-90	Marbre	blanc-beige													S0/S2	75	90	
CA06-1018-53	355479	6557714	Affleurement	Contact. S2 80-90	Marbre	blanc-beige													S2	80	90	
CA06-1018-54	355600	6557740	Affleurement	Contact flou - se perd dans mort-terrain. Ce faciès blanc (surf. et frais a une texture - structure très déformé) ne constitue pas un effet d'altération superficielle seulement même si radiation = 20 comme ailleur. Le dessin sans grille et sans repère autre que GPS (l'ordi n'est pas portable et sur place) est difficile.	Marbre	blanc-beige					25											
CA06-1018-55	355535	6557780	Affleurement	Station 3+00E. Contact à N330 - 65m. Contact N300 - 50m. Contact N350 - 57m. Contact N10 - 73m. Contact N10 - 78m. Contact N5 - 83m. Contact N320 - 80m.	Marbre						25								S0	330; 300; 350; 10; 5	ND	
CA06-1018-56	355807	6557744	Affleurement	Passé accompagné de calcosilicate donnant un virage et un axe de pli controlent possiblement la zone de brèche blanche. L'axe de pli est vertical à l'intersection de ces 2 plans moyens N10-90 N30-90. Le contact de ce côté est accompagné de calcosilicate (rubanement à minéraux Diopside + autre) beige mince. Photo: Virage du contact blanc bréchiforme et faciès beige.	Marbre	blanc-beige					25			1					S1	10; 30	90	
CA06-1018-57	355581	6557703	Affleurement	Bel affleurement montrant a petite échelle ce que je pense être le phénomène de bréchification blanc dans le faciès beige N70-90 largeur 10cm à 1m. Le phénomène précédent est en plus large la même chose. Photo à contre-jour difficile.	Marbre	blanc-beige								1					B	70	90	
CA06-1018-60	355535	6557777	Point de repérage	Station 3+00 L 5+00N. Repère pour Go to																		
CA06-1018-61	355511	6557757	Affleurement-Bloc	Dans la ligne à 7m (2+93m). Faciès beige massif antidérapant semble remplacer par nouveau faciès mais ici mousse et bloc. Vrai contact 2+73m sur la ligne. S2 120-90	Marbre	beige					50								S2	120	90	
CA06-1018-62	355524	6557752	Affleurement-Bloc	Faciès beige massif antidérapant semble remplacer par nouveau faciès mais ici mousse et bloc.Brèche à lambeaux de quartz-feldspath épaisseur 20cm Longueur 1m, N90-90	Marbre	beige					50											
CA06-1018-63	355493	6557767	Affleurement	Zone de changement lithologique vers 2+00, ligne 63-64-65 contact. Le faciès beige devient avec des rubans centimétriques de calcosilicate gris en lambeaux = plissés.	Marbre	beige	Calcosilicate	gris			50											
CA06-1018-64	355486	6557772	Affleurement	Contact et ruban à angle étrange. S2 135-80. S2 (local, pli) 230-80	Marbre	beige					50								S2	135; 230	80	
CA06-1018-65	355503	6557786	Affleurement	Le faciès beige devient avec des rubans centimétriques de calcosilicate gris en lambeaux = plissés. S2 125-90	Marbre	beige	Calcosilicate												S2	125	90	
CA06-1018-66	355482	6557761	Affleurement	Le faciès marbre beige et calcosilicate. S2 125-90	Marbre	beige	Calcosilicate				50	100							S2	125	90	
CA06-1018-67	355485	6557763	Affleurement	Le faciès marbre beige et calcosilicate. Plis à axes verticaux, très serrés et boudinés. Cf. photos	Marbre	beige	Calcosilicate				50	100		1								
CA06-1018-68	355488	6557740	Affleurement	Zone de pli serré grande ondulation sur la ligne. L2 axe 280-80. S2 150-90. Plissé ondulation et plis opposés.	Marbre	beige	Calcosilicate							1					S2; P	150; 280	90; 80	
CA06-1018-69	355495	6557699	Affleurement	Le faciès marbre beige et calcosilicate. Contact avec passé calcosilicate	Marbre	beige	Calcosilicate															
CA06-1018-70	355504	6557673	Affleurement	Le faciès marbre beige et calcosilicate. Contact avec passé calcosilicate	Marbre	beige	Calcosilicate															
CA06-1018-71	355467	6557782	Affleurement	Le faciès marbre beige et calcosilicate.	Marbre	beige	Calcosilicate				50	100										
CA06-1018-72	355507	6557724	Affleurement	Calcosilicate. Affleurement < 2m. Plis, calcosilicate: S2 150-90, S2 45-90	Marbre		Calcosilicate				125											
CA06-1018-73	355477	6557731	Affleurement	Station 2+25, Haut falaise, marbre beige avec calcosilicate. Vue plan vertical disloqué S2 150-70 dominant	Marbre	beige	Calcosilicate				150											
CA06-1018-74	355459	6557731	Affleurement	cf 76 - contact et unité	Marbre																	
CA06-1018-75	355457	6557764	Affleurement	cf 76																		
CA06-1018-76	355471	6557705	Affleurement	Unité de paragneiss à amphibole très bien lité, faible réaction HCl, calcosilicate, bonne unité repère pour carto et sondage. Laminé finement. S2 150-90 Photo contraste avec marbre.	Marbre		Paragneiss		Calcosilicate					1					S2	150	90	
CA06-1018-77	355459	6557716	Affleurement	Station 2+00N. S2 150-82. Lamine dans paragneiss gris grain très fin, ≠ réaction HCl	Marbre		Paragneiss	gris											S2	150	82	
CA06-1018-78	355435	6557693	Affleurement	Entre 77 et 78. Marbre laminé à copeau. Station 1+70N. Près falaise. S2 150-80	Marbre														S2	150	80	
CA06-1018-79	355417	6557684	Bloc	Station 1+50N. Milieu plaine de blocs.																		
CA06-1018-80	355380	6557652	Affleurement	Station 1+00N. Ilot crête dans la plaine. Marbre finement laminé sur la station mais majorité marbre beige à saccaroïde blanc foliation difficile à voir. S2 140-85. Érosion karstique.	Marbre	beige-blanc					50								S2	140	85	
CA06-1018-81	355354	6557686	Affleurement	Marbre finement laminé mais majorité marbre beige à saccaroïde blanc. Même unité cartographiée.	Marbre	beige-blanc																
CA06-1018-82	355272	6557680	Affleurement	Marbre finement laminé mais majorité marbre beige à saccaroïde blanc. Mais au point x lambeau de marbre laminé à lamine centimétrique (genre plissé, copeaux) virent brutalement, S2 (local pli) 60-78, L. axe 350-78	Marbre	beige-blanc					50								S2; P	60; 350	78; 78	
CA06-1018-83	355409	6557592	Affleurement	Marbre saccaroïde dans la plaine, à cristaux > 2cm. 2 affleurements serpentant vers le lac. S2 140-82	Marbre														S2	140	82	
CA06-1018-84	355385	6557786	Affleurement	Marbre saccaroïde mais réapparition	Marbre																	
CA06-1018-85	355306	6557590	Affleurement	Réapparition marbre à copeau et litage - lamination	Marbre																	
CA06-1018-86	355352	6557531		Station 00 L-5+00N																		
CA06-1018-87	355365	6557511	Affleurement	Station BL00 L4+25N. S2 350-80. Marbre lité-laminé à copeau	Marbre						50								S2	350	80	
CA06-1018-88	355365	6557511	Affleurement	Station BL L4+00																		
CA06-1018-89	355431	6557547	Affleurement	Petite unité de calcosilicate domine idem déjà vu mais affleurement ponctuel - Majorité marbre à copeau. S2 145-85. Station 4+00 0+75m	Marbre		Calcosilicate				100								S2	145	85	
CA06-1018-90	355455	6557560	Affleurement	Station fictive L 4+00 St 1+00N. Marbre à copeau rubané laminé. S2 180-85 (large pli)	Marbre														S2	180	85	
CA06-1018-91	355504	6557588	Affleurement	L 4+00 St 1+00N Début monté et début affleurement marbre a copeau.	Marbre																	
CA06-1018-92	355526	6557599	Affleurement	L 4+00 station 1+78 buisson. Calcosilicate lamine très étroit < 3m épaisseur. Puis sur la station L4 st 1+83 S2 170-85	Marbre		Calcosilicate												S2	170	85	

No station	Estant (Nad83 - Zone 20)	Nordant (Nad83 - Zone 20)	Bloc ou Affleurement	Description lithologique	Lithologie A	Couleur A	Lithologie B	CouleurB	Lithologie C	CouleurC	Radiométrie Bruit de fond (cps)	Radiométrie maximum (cps)	Radiométrie anomalie (cps)	Photo	Échantillon	Lames minces: Petite (P) et Polie (Po)	Analyses chimiques	Témoin	Structure	Azimuth	Pendage	Caractéristiques
CA06-1018-93	355532	6557583	Affleurement	Le marbre a copeau disparait vers le sud. S2	Marbre																	
CA06-1018-94	355536	6557598	Affleurement	L. 4+00N Station 1+62. marbre beige folié passant à une masse plurimétrique de marbre blanc saccaroïde.	Marbre	beige-blanc					30											
CA06-1018-95	355555	6557615	Affleurement	Station fictive 2+00N. Marbre saccaroïde blanc effet érosion peut-être très semblable sauf granulo + grosseur et foliation plus ondulante.	Marbre	blanc																
CA06-1018-96	355587	6557634	Affleurement	L 400 st 2+30. Marbre antidérapant foliation fracturé. S2 130-85. Zone caractérisé par puissant diaclasage. D 35-55 freq 4/m. Photo vers E. Se poursuit L400 st 2+50.	Marbre														S2	130	85	
CA06-1018-97	355580	6557626	Affleurement	Station 2+50. Marbre antidérapant mal folié mais échelle ici en genre d'ondulation. Assez monotone.	Marbre																	
CA06-1018-98	355629	6557657	Bloc	La radioactivité a augmenté régulièrement depuis l'affl. 97, effet de masse à partir de la zone anomale? Marbre antidérapant fracture bloc 20 x 30cm. S2 110-90. Plusieurs points radioactifs mais vers le lac.	Marbre						50	70							S2	110	90	
CA06-1018-99	355630	6557655	Bloc	Marbre antidérapant fracture bloc 20 x 30cm, mort-terrain. Station fictive 3+00N. Radioactivité > 100	Marbre						100											
CA06-1018-100	355644	6557669	Bloc	Marbre antidérapant fracture bloc 20 x 30cm.	Marbre						50											
CA06-1018-101	355663	6557683		Repasse la barre du 100 St 3+40N							50											
CA06-1018-102	355682	6557696	Affleurement	Contact, fin des blocs. St 3+65N. S2 Marbre lité à copeau du camp Cage. Radioactivité > 100	Marbre						100											
CA06-1018-103	355683	6557699	Affleurement	Marbre à copeaux (cm-dm) même très irrégulier plissoté S2 non-mesurable. St 403m Bord du lac. NB 104 à 109 n'existe pas. Repris à 1018-110.	Marbre																	
CA06-1018-110	355533	6557802	Point de repérage	Station 3+00E L. 5+00N Repère pour calcul distance.																		
CA06-1018-111	355666	6557652	Affleurement	Station fictive 3+00E L. 3+00N. Côté N, marbre beige (antidérapant) massif foliation frustre (2600c/s sur mousse, effet ano., 200-300 influence ano sur SPP2). Côté S et sur la ligne à environ 2+95N. Contact flou N60-70. Faciès, Marbre gris blanc en altération avec vert lime clair en frais très irrégulier, quasi brèchiforme (60c/s). Passé irrégulier en apparence pegmatoïdale mais calco-silicate + dolomie grain fin + quartz, mesure impossible. Fracture local intra-banc pseudo pegmatoïde. N10-83 freq 5/m. Radioactivité? non lié aux fractures (250c/s).	Marbre	beige-gris-blanc-vert	Calcosilicate		Dolomie		60	300	2600						S0; fract	60; 10	70; 83	
CA06-1018-112	355676	6557661	Affleurement-Bloc	St 3+13N Marbre gris chaotique folié sur affleurement, blocs épars gris et beige. S2 60-90. Fracture 150-10 fréq 2/m fracture 20-90 fréq. irrégulier plan irrégulier.	Marbre	gris-beige													S2; fract; fract	60; 150; 20	90; 10; 90	
CA06-1018-113	355687	6557669	Affleurement	Ano 9000 (nouvelle, fiche) a quelques mètres d'autre anomalie faciès gris, laminé. S2 (radiométrie lié?) N80-90 et affleurement. À 1m de l'anomalie, lentille très irrégulière de "pseudo-pegmatite" très irrégulière ou "stockwerk" a feldspath blanc (> 3cm), quartz, trace de calcite intergrain. Placage de phlogopite dans marbre adjacent. (450c/s (influencé par 15 000, gaine de Pb?))	Marbre	gris	Pseudo-pegmatite						9000					S2	80	90	
CA06-1018-114	355683	6557669	Bloc	Bloc de 20 x 30cm saturé de produits jaunes au-dessus de 15 000									15001									
CA06-1018-115	355690	6557675	Affleurement	Contact avec le faciès moins folié beige (antidérapant) marbre. S2 N55-80? (les blocs déplacés par le gel) recoupé par dyke secant de pseudo-pegmatite N90-80 sur 2m. (250c/s (hord influence 15 000))	Marbre	beige	Pseudo-pegmatite				250								S2; dyke	55; 90	80; 80	
CA06-1018-116	355684	6557659	Bloc	Éch. d'un faciès de carbonate vert (genre couleur malachite) pour lame mince et minéraligraphie	Marbre		Carbonate	vert							CA06-1018-116							
CA06-1018-117	355698	6557680	Affleurement	Anomalie non signalée à 3500, ponctuelle, nouveau flag. Dans fracture le S2 N55-80. À ce contact d'une lentille plurimétrique de cette pseudo-pegmatite (photo vue ensemble et détails de l'anomalie) Vue vers W - Subconcordant. Ici, fin de l'affleurement	Marbre		Pseudo-pegmatite							1					S2	55	80	
CA06-1018-118	355700	6557703	Affleurement	Contact entre marbre beige et une lentille de marbre gris à foliation et à lambeaux de pseudo-pegmatite mais qui semble discordante à la foliation régulière. Vue vers le N du faciès toutes les photos sur le bord du lac (pourrait se perdre dans le lac cf. plongée et forage) Fracture 290-20	Marbre	beige-gris	Pseudo-pegmatite							1					Fr	290	20	
CA06-1018-119	355705	6557724	Affleurement	Contact entre marbre beige et une lentille de marbre gris à foliation et à lambeaux de pseudo-pegmatite mais qui semble discordante à la foliation régulière. (pour tracer unité)	Marbre	beige-gris	Pseudo-pegmatite															
CA06-1018-120	355671	6557747	Affleurement	Contact entre marbre beige et une lentille de marbre gris à foliation et à lambeaux de pseudo-pegmatite mais qui semble discordante à la foliation régulière. (pour tracer unité marbre gris "du camp")	Marbre	beige-gris	Pseudo-pegmatite															
CA06-1018-121	355698	6557653	Affleurement	Anomalie 5000 cps, flag nouveau. Contact marbre gris blanc saccaroïde / pseudo-pegmatite épaisseur 20cm. Tout près de l'enveloppe à 200cps gamma. En fait, je peux prédire la position des anomalies sur des axes N50 proche de cette pseudo-pegmatite. C'est comme ça que je l'ai trouvé.	Marbre	gris-blanc	Pseudo-pegmatite				200		5000						P	50		
CA06-1018-122	355694	6557651	Affleurement	Prédit et trouvée > 2000	Marbre		Pseudo-pegmatite						2000									
CA06-1018-123	355690	6557652	Affleurement	Prédit et trouvée > 2800			Pseudo-pegmatite						2800									
CA06-1018-124	355679	6557644	Affleurement	Prédit et trouvée mousse > 2000. Côté N des pegmatoïdes.	Marbre		Pegmatoïde						2000									
CA06-1018-125	355679	6557644	Affleurement	Non prédit mais trouvé par Yoanne selon une autre zone. Anomalie 11 500 SPP2 - 10 500 SPPGamma et une autre à 7500 SPP2 10cm au-dessus.	Marbre		Pseudo-pegmatite						11500									
CA06-1018-126	355674	6557644	Affleurement	Prédit et trouvé > 6500 SPP2 cette fois sans la pseudo-pegmatite. Prédit et je tombe dans un paquet d'anciennes anomalies dans la zone de la pseudo-pegmatoïde de l'affleurement. Station fictive 3+00E - ligne 3+00N	Marbre		Pseudo-pegmatoïde						6500									
CA06-1018-127	355651	6557645	Affleurement	Anomalie 1000 dans sable de cristaux calcite mais affleurement proche. Imprévue lors balade.	Marbre								1000									
CA06-1018-128	355597	6557582	Affleurement	Station fictive 2+00NE L. 3+00N																		
CA06-1018-129	355663	6557640	Affleurement	Anomalie prévue - dans sol côté W de la lentille de pegmatoïde > 2500 cps sol sableux carbonaté. Tout près de la lentille de pseudo-pegmatoïde. La station 3+00E déjà décrite. Vers le sud, marbre gris blanc chaotique mais foliation régulière.	Marbre	gris-blanc	Pseudo-pegmatoïde						2500									

705544

No station	Estant (Nad83 - Zone 20)	Nordant (Nad83 - Zone 20)	Bloc ou Affleurement	Description lithologique	Lithologie A	Couleur A	Lithologie B	CouleurB	Lithologie C	CouleurC	Radiométrie Bruit de fond (cps)	Radiométrie maximum (cps)	Radiométrie anomalie (cps)	Photo	Échantillon	Lames minces: Petite (P) et Polie (Po)	Analyses chimiques	Témoin	Structure	Azimuth	Pendage	Caractéristiques
CA06-1018-130	355644	6557626	Affleurement	> 1500 cps. Nouvelle dans marbre. Dans une série alignée selon la foliation. S2 140-80. Trois alignements d'anomalies: 1er N50 - surtout côté N des pegmatoïdes, 2e ≈ N50 côté S des pegmatoïdes (moins nombreuses, moins puissantes), 3e Selon la foliation régionale ≈ N140 mais moins persistante et beaucoup moins puissante genre > 500 local →2000. Ce point constitue sur cette ligne le passage sur le sommet du faciès chaotique au faciès antidérapant beige régulièrement folié, environ 2+40E. Ce faciès beige antidérapant # folié se poursuit au moins jusqu'à la station L3+00N St 2+00E	Marbre	beige	Pegmatoïde				60		2000							S2	140	80	
CA06-1018-131	355577	6557572	Affleurement	Station 1+80E, fin de l'affleurement principal de marbre beige. S2 ???	Marbre	beige					60											
CA06-1018-132	355520	6557533	Affleurement	≈ St 1+10E, marbre gris chaotique, S2 130-80 assez régulier. Radioactivité faible, pris à cet unité beige à copeaux et plis. S2 140-80, déjà photographié et vu.	Marbre	gris-beige					60								S2	130	80	
CA06-1018-133	355412	6557433	Affleurement-Bloc	Marbre antidérapant entre 1+10 et 00+E. Chaos de blocs. S2?	Marbre						50											
CA06-1018-134	355493	6557358	Point de repérage	Stat 0+00E - L 2+00N																		
CA06-1018-135	355520	6557393	Affleurement	Marbre beige assez massif. S2 180-80	Marbre	beige					50								S2	180	80	
CA06-1018-136	355561	6557409	Affleurement	Marbre chaotique, pseudo-pegmatite < 3%, S2 160-80	Marbre		Pseudo-pegmatite												S2	160	80	
CA06-1018-137	355688	6557511	Affleurement	St 2+45E Marbre chaotique, passés de calcosilicate brunâtre. S2-	Marbre		Calcosilicate	brun														
CA06-1018-138	355706	6557522	Affleurement	Station 2+70E, Anomalie nouvelle 8500 SPP2, anomalie à 2 mètres à côté 3500 SPP2, >2200 SPP2, >5000 SPP2. Dans le faciès gris blanc ± chaotique mais alignement de l'ensemble des anomalies (trouvé en suivant cette direction) Selon N140±. Contact sur grain grossier.	Marbre	gris-blanc																
CA06-1018-139	355705	6557543	Affleurement	Anomalie 1250 ponctuelle dans passés calcosilicate très très fracturés.	Marbre		Calcosilicate						1250									
CA06-1018-140	355693	6557560	Affleurement	Anomalie 3000. Anomalie 2000. Alignement dans S2 N50									3000						S2	50		
CA06-1018-141	355619	6557803	Bloc	Bloc de pegmatite rose à magnétite (sur le grain noir très magnétique) Anomalie > 5000, rien à voir avec les marbres oxydation rouille. Photo - grain de magnétite.	Marbre		Pegmatite	rose					5000	1								
CA06-1018-142	355728	6557544	Affleurement	Station L 2+00N St 3+00E. S2 180-70. Plusieurs lambeaux boudinés de pseudo-pegmatoïde (blanc) et calcosilicate (brun) dans faciès blanc ± copeaux chaotique (pointe de la butte) avant descente du lac.	Marbre	blanc	Pseudo-pegmatite	blanc	Calcosilicate	brun				1					S2	180	70	
CA06-1018-143	355723	6557533	Affleurement	Nouvelle anomalie 1000 dans mousse à creuser	Marbre								1000									
CA06-1018-144	355709	6557500	Affleurement	Nouvelle anomalie 1700 dans fissure proche lambeaux de pegmatite. Nouveau 9600. Nouveau 1200. Tous autour passés de pegmatoïde.	Marbre		Pegmatite		Pegmatoïde				9600									
CA06-1018-145	355697	6557478	Affleurement	Sur petit affleurement mal visible. > 1200 Non visible. > 1200 Dans la pseudo-pegmatoïde. > 3000 mousse, roche.	Marbre		Pseudo-pegmatoïde						3000									
CA06-1018-146	355716	6557502	Affleurement	Zone d'anomalie contrôlée, très très nombreuses, par la foliation et l'alignement des pseudo-pegmatoïde (avec enclave copeau de marbre beige et gris) S2 N205-80. Photo à flag rouge dans l'axe.	Marbre	beige-gris	Pseudo-pegmatoïde							1					S2	205	80	
CA06-1018-147	355714	6557505	Affleurement	Contact pegmatoïde/marbre dans la suite des autres	Marbre		Pegmatoïde															
CA06-1018-148	355729	6557541		Station fictive L2+00N 3+00E																		
CA06-1018-149	355747	6557569	Affleurement	Pied de la falaise, après éboulis de marbre chaotique. Contact avec les marbres antidérapants et foliés, fin de la zone à haute radioactivité contrôlée par le faciès chaotique. S2 175-80.	Marbre						60	112							S2	175	80	
CA06-1018-150	355762	6557575	Bloc	Anomalies 2 x > 1000 dans mousse mais marbre beige antidérapant en blocs.	Marbre	beige							1000									
CA06-1018-151	355768	6557582	Affleurement-Bloc	Anomalie > 1050 dans mousse. Contact au zone de "pegmatoïde" et marbre chaotique mais blocs et mousse. (Photo: série d'objets, alignement d'anomalies N165)	Marbre		Pegmatoïde						1050	1								
CA06-1018-152	355796	6557602	Affleurement	Le contact d'une passée beige et gris (radioactivité élevé > 200 → 500) S2 255-65 contact inférieur dans ruisseau.	Marbre	beige-gris					200		500						S2	255	65	
CA06-1018-153	355806	6557607	Affleurement	Borne de repérage du plan compteur de zone décapée. L2+00N St 4+03E?																		
CA06-1018-154	355826	6557630	Affleurement	Contact microaffleurement de marbre chaotique, la radioactivité 200 700, aligné N350 - directement vers le décapage.	Marbre						200		700									
CA06-1018-155	355843	6557637	Affleurement	Plusieurs anomalies + autre encore: > 1200 > 2000 > 1500 >1200 > 5000 > 3000 dans 8m². Marbre gris chaotique et lentille plurimétrique de pseudo-pegmatite. Alignement multiple dans foliation ou autre?	Marbre	gris	Pseudo-pegmatite						5000									
CA06-1018-156	355858	6557642	Affleurement	Anomalie > 3000, dans la mousse mais pointement d'affleurement à marbre chaotique assez près du bord du lac, à 3m de affleurement anomalie suivante.	Marbre								3000									
CA06-1018-157	355855	6557635	Affleurement	Anomalie > 32 000 SPPGamma encore partiellement déterré. Alignement de ce point avec d'autre déjà décrits.	Marbre								32000									
CA06-1018-158	355855	6557635	Affleurement	Anomalie > 18500 marbre ± brisé affleure très mal. Photo de l'alignement N145 incluant le 32 000c/s, un 15 000 et d'autres > 2000, photo	Marbre								18500	1								
CA06-1018-159	355891	6558471	Affleurement	Vérification au spectro de l'unité dite méta-arkose adjacente au lac. Méta-arkose blanche - texture graphique et pegmatite - à grenat almandin rare phlogopite cristaux taille variable. Quasi anomalie à 550 / 350 / 375. Voir résultat spectro.	Méta-arkose / Pegmatite	blanc							550									
CA06-1018-160	355834	6558434	Affleurement	Anomalie: 375 (voir spectro) U/Th ≈ 0,9, Méta-arkose blanche - texture graphique et pegmatite - à grenat almandin rare phlogopite cristaux taille variable	Méta-arkose / Pegmatite	blanc							375									
CA06-1018-161	355777	6558494	Affleurement	Anomalie: 300 (voir spectro) Méta-arkose blanche - texture graphique et pegmatite - à grenat almandin rare phlogopite cristaux taille variable	Méta-arkose / Pegmatite	blanc							300									
CA06-1018-162	355708	6558509	Affleurement	Anomalie: 450/380 (voir spectro) Méta-arkose blanche - texture graphique et pegmatite - à grenat almandin rare phlogopite cristaux taille variable	Méta-arkose / Pegmatite	blanc							450									
CA06-1019-01	355200	6557587	Affleurement	Affleurement de marbre, lité, à grain fin. Stratifications. Orienté 116°/60	Marbre						40-50								S0	116	60	

No station	Estant (Nad83 - Zone 20)	Nordant (Nad83 - Zone 20)	Bloc ou Affleurement	Description lithologique	Lithologie A	Couleur A	Lithologie B	CouleurB	Lithologie C	CouleurC	Radiométrie Bruit de fond (cps)	Radiométrie maximum (cps)	Radiométrie anomalie (cps)	Photo	Échantillon	Lames minces: Petite (P) et Polie (Po)	Analyses chimiques	Témoin	Structure	Azimuth	Pendage	Caractéristiques
CA06-1019-02	355191	6557601	Affleurement	Marbre à grain fin stratifié. S0: 120/60°	Marbre						40								S0	120	60	
CA06-1019-03	355169	6557585	Affleurement	S1: 130°/65° Marbre de couleur clair brun chamois, à grain fin, déformé, plissé.	Marbre	brun-chamois					50								S1	130	65	
CA06-1019-04	355171	6557569	Affleurement	Marbre lité à grain fin couleur brunâtre altéré en surface grisâtre, 135/68 S1	Marbre	brunâtre-grisâtre					45								S1	135	68	
CA06-1019-05	355152	6557563	Affleurement	Marbre à grain fin à moyen, lité, plissé localement. 116/70° S1	Marbre						88								S1	116	70	
CA06-1019-06	355120	6557373	Affleurement	Marbre stratifié lité, à grain fin, beige chamois, fracture, altération grise superficielle, 060/88 S1	Marbre	beige-chamois					53								S1	60	88	
CA06-1019-07	355219	6557229	Affleurement	Marbre blanc, à grain fin. Fin minéraux en baguettes et aiguilles. (~5%) Trous et fissures. 310°/89 S1 130/85 S1	Marbre	blanc					21								S1; S1	310; 130	88; 85	
CA06-1019-08	354932	6557281	Affleurement	Paragneiss (paroi de grande dimension) rouillé, à grain fin, riche en muscovite et biotite altérée. 292°/90 S2	Paragneiss	rouille					200								S2	292	90	
CA06-1019-09	354920	6557512	Affleurement	Affleurement de marbre à trous, granulométrie fine, couleur brune-beige chamois. Nombreuses fissures. Altération superficielle. 000°/90 S0	Marbre	beige-chamois					52								S0	90	90	
CA06-1020-01	355556	6557282		Station 1+00N BL 0+00																		
CA06-1020-02	355581	6557302	Affleurement	Marbre beige massif, passée saccaroïde blanche, très rare niveaux de calcosilicate riche en quartz plissoté. S2 190-75. St 027	Marbre	beige-blanc	Calcosilicate				35								S2	190	75	
CA06-1020-03	355659	6557297	Affleurement	Marbre massif beige antidérapant folié. S2 170-85. St 0+90 355655 / 6557332	Marbre	beige					35								S2	170	85	
CA06-1020-04	355668	6557362	Affleurement	Marbre gris saccaroïde, S27 Fissure colmatée 190-90. Petit niveau calcosilicate S2 200-90	Marbre	gris	Calcosilicate				35								S2	200	90	
CA06-1020-05	355743	6557378	Affleurement	Anomalie 1000 SPPGamma, N160, dans mousse mais marbre très près. Bande de 5m de long - > 500 avec ce point. Tentative pour suivre selon S2 non réussie. Marbre beige massif ± altéré gris, S2 non mesurable	Marbre	beige-gris							1000									
CA06-1020-06	355813	6557449	Affleurement	Marbre beige à cristaux aciculaires massif. Pas d'anomalie mais nombreux points à 200-350 sur des fractures. Pas de pegmatoïde, pas de foliation. S2 140-85.	Marbre	beige					60	370							S2	140	85	
CA06-1020-07	355792	6557497	Affleurement	Autre anomalie > 1500, enterré dans marbre à phlogopite beige. Échantillon 900	Marbre	beige							1500		CA06-1020-07	CA06-1020-07(Po)	CA06-1020-07					
CA06-1020-08	355842	6557468	Affleurement	Marbre beige, base escarpement et éboulis. S2 340-65, contact. Pseudo-pegmatite à quartz et amphibolite (calcosilicate) épaisseur > 70cm, l > 10m	Marbre	beige	Calcosilicate												S2	340	65	
CA06-1020-09	355919	6557526	Affleurement	Pegmatoïde proche mais sable de marbre. Nouvelle anomalie à 1350 SPPGamma. Plusieurs autres anomalies, 5000 sur contact pegmatoïde + calcosilicate, 5000 dans sol, 3300 dans la pegmatoïde. Tous sur une courbé de contact S2-contact 265-85 et anomalie.	Marbre		Pegmatoïde		Calcosilicate		125		5000						S2	265	65	
CA06-1020-10	355938	6557520	Affleurement	Marbre beige folié. Pegmatoïde en contact avec le marbre, côté opposé à Sing sing et dans le quadrillage radiométrique orange. S2-contact: 250-55	Marbre	beige	Pegmatoïde				200								S2	250	55	
CA06-1020-11	355932	6557549	Affleurement	Marbre gris chaotique mais S2 tournant 200-70 (plis)	Marbre	gris													S2	200	70	
CA06-1020-12	355946	6557569	Affleurement	Marbre à phlogopite. Anomalie 8500 SPPGamma, à 20cm d'un point de la grille. L'anomalie 8500 SPPGamma en suivant le contact tournant du marbre chaotique. S2 175-55.	Marbre								8500						S2	175	55	
CA06-1020-13	355952	6557571	Affleurement	Marbre à phlogopite. Anomalie > 15 500. Zone brèchique directement sur le bord du lac et plongeant dans le lac. Plusieurs points à 2000, 3000, > 5400 (dans l'eau du lac) S2 brèche 170-50 (contrôlant les anomalies) Zone de chevauchement ??	Marbre		Brèche tectonique (marbre)						15500						S2	170	50	
CA06-1020-14	355954	6557553	Affleurement	Anomalie > 3000 sur marbre, Zone brèchique directement sur le bord du lac et plongeant dans le lac, même zone. Ai envoyé Danny à la pêche et il l'a trouvé.	Marbre		Brèche tectonique (marbre)				200		3000									
CA06-1020-15	355930	6557607	Affleurement-Bloc	Peninsule, constitué surtout de blocs sauf marbre à copeaux bien lité. S2 155-60 (déjà décrit dans la traverse sur Ligne 0+00)	Marbre						40								S2	155	60	
CA06-1020-16	355925	6557612	Bloc	Anomalie > 5000 et échantillon, sur bloc de marbre et cailloutis dans l'eau du lac.	Marbre						100		5000		CA06-1020-16							
CA06-1020-17	355901	6557628	Bloc	Anomalie sur bloc échantillonné = 1000							100		1000		CA06-1020-17							
CA06-1020-18	355902	6557630	Bloc	Anomalie sur un autre bloc à 1 mètre du précédent dans l'eau = 2000 sur le bloc échantillonné.							100		2000		CA06-1020-18							
CA06-1020-19	355887	6557619	Bloc	Anomalie 3000 sur bloc dans talus se jettant dans le lac.							100		3000		CA06-1020-19							
CA06-1021-01	355648	6557640	Affleurement	Marbre à long minéraux de + de 5cm de style spinifex. Associé à la pyrite (0.5%) et de la galène.	Marbre						200											
CA-06-1022-03	355481	6557774	Affleurement		Marbre		Roche calco-silicatée								CA-06-1022-03		CA-06-1022-03		S0/S1	137	72	
CA-06-1022-04	355522	6557751	Affleurement		Marbre												CA06-1022-04		S0/S1; S2; S3; fract	275; 140; 55; 25	90; 90; 90; 90	
CA-06-1022-05	355560	6557710			CA-06-1022-011	CA-06-1022-012	CA-06-1022-014	CA-06-1022-015	CA-06-1022-017	CA-06-1022-018	CA-06-1022-020	CA-06-1022-021			CA06-1022-05				S0/S1	70	90	
CA-06-1022-08	355580	6557688	Affleurement		Marbre														S0/S1; S2	70; 140	90; 90	
CA-06-1022-09	355620	6557594	Affleurement		Marbre														S0/S1; S2	20; 130	90; 90	
CA-06-1022-010	355660	6557650	Affleurement		Marbre														S0/S1	55	74	
CA-06-1022-011	355612	6557682	Affleurement		Marbre														S0/S1	235	85	
CA-06-1022-012	355614	6557670	Affleurement		Marbre														S2	110	90	
CA-06-1022-013	355617	6557662	Affleurement		Marbre														S0/S1; S2	80; 130	90; 90	
CA-06-1022-014	355623	6557632	Affleurement		Marbre														S2	110	90	
CA-06-1022-015	355681	6557652	Affleurement		Marbre														S0/S1	53	90	
CA-06-1022-016	355666	6557639	Affleurement		Marbre														S0/S1	78	90	
CA-06-1022-017	355684	6557632	Affleurement		Marbre														S0/S1	100	90	
CA-06-1022-018	355717	6557587	Affleurement		Marbre														S0/S1	145	75	
CA-06-1022-019	355720	6557546	Affleurement		Marbre														S0/S1	160	78	
CA-06-1022-020	355729	6557522	Affleurement		Marbre														S0/S1	135	90	
CA-06-1022-021	355725	6557503	Affleurement		Marbre														S0/S1	40	90	
CA-06-1022-022	355693	6557500	Affleurement		Marbre														S0/S1	25	90	
CA-06-1022-023	355677	6557453	Affleurement		Marbre														S0/S1	60	90	
CA-06-1022-024	355650	6557427	Affleurement		Marbre														S0/S1	3	90	
CA-06-1022-025	355615	6557791	Affleurement		Marbre														S0/S1; S2; fract	130; 130; 205	90; 90; 80	
CA-06-1022-026	355671	6557720	Affleurement		Marbre														S2	135	75	

705544

No station	Estant (Nad83 - Zone 20)	Nordant (Nad83 - Zone 20)	Bloc ou Affleurement	Description lithologique	Lithologie A	Couleur A	Lithologie B	CouleurB	Lithologie C	CouleurC	Radiométrie Bruit de fond (cps)	Radiométrie maximum (cps)	Radiométrie anomalie (cps)	Photo	Échantillon	Lames minces: Petite (P) et Polie (Po)	Analyses chimiques	Témoin	Structure	Azimuth	Pendage	Caractéristiques
CA-06-1022-027	355664	6557708	Affleurement		Marbre														S2	135	80	
CA-06-1022-028	355612	6557763	Affleurement		Marbre														S0/S1	165	65	
CA-06-1022-029	355606	6557769	Affleurement		Marbre														S0/S1; fract	128; 25	72; 90	
CA-06-1022-030	355621	6557739	Affleurement		Marbre														S0/S1; S2	45; 135	90; 90	
CA-06-1022-032	355607	6557688	Affleurement		Marbre														S0/S1	40	90	
CA-06-1022-033	355634	6557669	Affleurement		Marbre														S0/S1	45	90	
CA-06-1022-034	355668	6557651	Affleurement		Marbre														S0/S1	55	90	
CA-06-1022-035	355697	6557671	Affleurement		Marbre														S0/S1	95	75	
CA-06-1022-036	355714	6557670	Affleurement		Marbre														S0/S1	120	70	
CA-06-1022-037	355757	6557618	Affleurement		Marbre														S0/S1	110	90	
CA-06-1022-038	355809	6557512	Affleurement		Marbre														S0/S1	140	90	
CA-06-1022-039	355809	6557521	Affleurement		Marbre														S0/S1	95	90	
CA-06-1022-040	355827	6557520	Affleurement		Marbre														S0/S1	125	90	
CA-06-1022-041	355829	6557521	Affleurement		Marbre														S0/S1	25	90	
CA-06-1022-042	355821	6557553	Affleurement		Marbre														S0/S1	130	90	
CA-06-1022-043	355781	6557495	Affleurement		Marbre														S0/S1	100	85	
CA-06-1022-044	355744	6557485	Affleurement		Marbre														S0/S1	130	90	
CA-06-1022-045	355765	6557470	Affleurement		Marbre														S0/S1	48	90	
CA-06-1022-046	355693	6557496	Affleurement		Marbre														S0/S1	20	90	
CA-06-1022-047	355680	6557447	Affleurement		Marbre														S0/S1	65	90	
CA-06-1022-048	355651	6557424	Affleurement		Marbre														S0/S1	3	90	
CA-06-1022-049	355607	6557384	Affleurement		Marbre														S2	130	90	
CA-06-1022-050	355531	6557401	Affleurement		Marbre		Roche calco-silicatée												S0/S1	165	90	
CA-06-1022-052	355640	6557533	Affleurement		Marbre														S0/S1	45	90	
CA-06-1022-053	355675	6557534	Affleurement		Marbre														S0/S1	155	73	
CA-06-1022-054	355725	6557541	Affleurement		Marbre														S0/S1	163	65	
CA-06-1022-055	355927	6557554	Affleurement		Marbre														S0/S1	17	90	
CA-06-1022-056	355886	6557561	Affleurement		Marbre														S0/S1	130	90	
CA-06-1022-057	355900	6557549	Affleurement		Marbre														S0/S1	95	90	
CA-06-1022-058	355910	6557539	Affleurement		Marbre														S0/S1	73	90	
CA-06-1022-059	355946	6557574	Affleurement		Marbre														S0/S1	160	52	
CA-06-1022-060	355921	6557615	Affleurement		Marbre														S0/S1	134	54	
CA-06-1022-061	355875	6557655	Affleurement		Marbre														S0/S1	315	70	
CA-06-1022-062	356023	6557557	Affleurement		Marbre														S0/S1	170	60	
CA-06-1022-064	356027	6557432	Affleurement		Marbre														S0/S1	85	90	
CA-06-1022-065	355987	6557435	Affleurement		Marbre														S0/S1	65	90	
CA-06-1022-066	355950	6557437	Affleurement		Marbre														S0/S1	100	90	
CA-06-1022-067	355886	6557450	Affleurement		Marbre														S0/S1	155	62	
CA-06-1022-068	355942	6557525	Affleurement		Marbre														S0/S1	235	62	
CA-06-1022-069	355747	6557504	Affleurement		Marbre														S0/S1	200	80	
CA-06-1022-070	355879	6557365	Affleurement		Marbre														S0/S1	290	77	
CA-06-1022-071	355915	6557361	Affleurement		Marbre														S0/S1	120	90	
CA-06-1022-072	355913	6557394	Affleurement		Marbre														S0/S1	55	90	
CA-06-1022-073	355691	6557556	Affleurement		Marbre														S0/S1	60	90	
CA-06-1022-074	355699	6557577	Affleurement		Marbre														S0/S1	165	90	
CA-06-1022-076	355701	6557574	Affleurement		Marbre														S0/S1	165	90	
CA-06-1022-077	355707	6557553	Affleurement		Marbre														S0/S1	50	90	
CA-06-1022-078	355691	6557554	Affleurement		Marbre														S0/S1	80	90	
CA-06-1022-079	355704	6557526	Affleurement		Marbre														S0/S1	160	90	
CA-06-1022-080	355659	6557622	Affleurement		Marbre														S0/S1	130	90	
CA-06-1022-082	355388	6557925	Affleurement		Marbre														S0/S1	155	90	
CA-06-1022-083	355435	6557920	Affleurement		Marbre														S0/S1; S3	140; 30	90; 90	
CA-06-1022-084	355110	6558276	Affleurement		Marbres chaotiques														S0/S1	115	90	
CA-06-1022-085	355118	6558296	Affleurement		Marbres chaotiques														S0/S1	135	90	
CA-06-1022-086	355116	6558356	Affleurement		Marbre														S0/S1	135	90	
CA-06-1022-087	355321	6558307	Affleurement		Pegmatite														S0/S1	120	90	
CA-06-1022-089	355809	6557302	Affleurement		Marbre														S0/S1	17	90	
CA-06-1022-090	355779	6557354	Affleurement		Marbre														S0/S1	325	85	
CA-06-1022-091	355840	6557231	Affleurement		Marbre														S0/S1	140	90	
CA-06-1022-092	355944	6557148	Affleurement		Marbre														S0/S1	300	88	
CA-06-1022-093	355982	6557150	Affleurement		Marbres chaotiques														S0/S1	110	90	
CA-06-1022-094	355961	6556982	Affleurement		Marbre														S0/S1	120	90	
CA-06-1022-095	356020	6557295	Affleurement		Marbre														S0/S1	95	90	
CA06-1022-97	356286	6557121	Affleurement	Marbre massif gris moyen patine rugueuse, 5m. du contact avec patine rose S0/S1 = N130,90°	Marbre	gris-rose							11000						S1	130	90	
CA-06-1022-098	356289	6557137			Marbre														S0/S1	130	90	
CA06-1022-99	356272	6557142	Affleurement	Marbre massif gris moyen patine rugueuse, 5m. du contact avec patine rose (même que 97) situé 25m au Nord ouest de 97 parallèlement à S0/S1	Marbre	gris-rose							15000									
CA-06-1022-100	356111	6557225	Affleurement		Marbre		Roche calco-silicatée												S0/S1	315	80	
CA-06-1022-101	356123	6557258	Affleurement		Marbre		Roche calco-silicatée												S0/S1	140	90	
CA-06-1022-102	356122	6557256	Affleurement		Marbre														S0/S1	115	90	
CA-06-1022-104	356046	6557313	Affleurement		Marbre														S0/S1	10	90	
CA-06-1022-105	356038	6557298	Affleurement		Marbre														S0/S1	85	65	
CA-06-1022-106	356023	6557295	Affleurement		Marbre														S0/S1	130	90	
CA-06-1022-107	356061	6557492	Affleurement		Marbre														S0/S1	100	90	
CA-06-1022-108	356028	6557532	Affleurement		Marbre														S0/S1	150	90	
CA-06-1022-109	356023	6557557	Affleurement		Marbre														S0/S1	175	82	
CA-06-1022-110	355956	6557438	Affleurement		Marbre														S0/S1	260	75	
CA-06-1022-111	355606	6557398	Affleurement		Marbre														S0/S1	155	90	
CA-06-1022-113	354919	6558368	Affleurement		Marbre		Roche calco-silicatée												S0/S1	135	85	
CA06-1022-119	354645	6559141	Affleurement	Marbre moyen situé à 8m de pegmatite S0/S1 N160,90°	Marbre		Pegmatite						1500						S1	160	90	
CA-06-1022-123	354817	6558808	Affleurement		Marbre														S0/S1	140	70	
CA-06-1022-124	354976	6558599	Affleurement		Marbre														S0/S1	130	90	
CA-06-1022-125	355046	6558484	Affleurement		Marbre														S0/S1	130	90	
CA-06-1022-127	355172	6557778	Affleurement		Marbre														S0/S1	127	80	
CA-06-1022-129	354689	6557578	Affleurement		Marbre														S0/S1	90	90	
CA-06-1022-132	355466	6557780	Affleurement		Marbre		Roche calco-silicatée												S0/S1	145	75	
CA-06-1022-134	355606	6557823	Affleurement		Marbre														Fract	232	83	
CA-06-1022-135	355607	6557771	Affleurement		Marbre														S0/S1	130	72	

No station	Estant (Nad83 - Zone 20)	Nordant (Nad83 - Zone 20)	Bloc ou Affleurement	Description lithologique	Lithologie A	Couleur A	Lithologie B	CouleurB	Lithologie C	CouleurC	Radiométrie Bruit de fond (cps)	Radiométrie maximum (cps)	Radiométrie anomalie (cps)	Photo	Échantillon	Lames minces: Petite (P) et Polie (Po)	Analyses chimiques	Témoin	Structure	Azimuth	Pendage	Caractéristiques
CA-06-1022-137	355604	6557744	Affleurement		Marbre														S0/S1	20	90	
CA-06-1022-138	355603	6557406	Affleurement		Marbre														S0/S1	328	84	
CA-06-1022-139	355610	6557390	Affleurement		Marbre														S0/S1	150	85	
CA-06-1022-141	355924	6557026	Affleurement		Marbre														S0/S1	130	82	
CA-06-1022-142	355985	6556998	Affleurement		Marbre														S0/S1	125	80	
CA-06-1022-143	356066	6556913	Affleurement		Marbre														S0/S1	138	85	
S52	356206	6556863	Affleurement																S0/S1	160	55	
CA-06-1022-144	356246	6556938	Affleurement		Marbre														S0/S1	150	90	
CA-06-1022-145	356196	6556932	Affleurement		Marbre														S0/S1	147	90	
CA-06-1022-146	356705	6556486	Affleurement		Marbre														S0/S1	102	60	
CA-06-1022-147	356765	6556435	Affleurement		Marbre														S0/S1	110	90	
CA-06-1022-148	356955	6556280	Affleurement		Marbre														S0/S1	110	90	
CA-06-1022-149	357050	6556227	Affleurement		Marbre														S0/S1	115	68	
CA-06-1022-150	357121	6556180	Affleurement		Marbre														S0/S1	118	75	
CA-06-1022-151	356980	6556595	Affleurement		Marbre														S0/S1	113	87	
CA-06-1022-152	356889	6556645	Affleurement		Marbre														S0/S1	137	85	
CA-06-1022-153	356849	6556690	Affleurement		Marbre														S0/S1	120	75	
CA-06-1022-154	356808	6556684	Affleurement		Marbre														S0/S1	112	80	
CA-06-1022-155	356715	6556648	Affleurement		Marbre														S0/S1	126	85	
CA-06-1022-158	356221	6557376	Affleurement		Marbre														S0/S1	145	68	
CA-06-1022-159	356155	6557388	Affleurement		Marbre														S0/S1	110	77	
CA-06-1022-160	356106	6557403	Affleurement		Marbre														S0/S1	105	80	
CA-06-1022-161	356097	6557403	Affleurement		Marbre														S0/S1	90	81	
CA-06-1022-164	356030	6557525	Affleurement		Marbre														S0/S1	115	90	
CA-06-1022-165	356023	6557536	Affleurement		Marbre														S0/S1	190	80	
CA-06-1022-175	358492	6552767	Affleurement		Paragneiss														S0/S1	155	90	
CA-06-1022-176	358673	6553163	Affleurement		Marbre														S0/S1	145	65	
CA-06-1022-177	358614	6553120	Affleurement		Paragneiss														S0/S1	327	84	
CA-06-1022-178	358562	6553106	Affleurement		Paragneiss														S0/S1	160	84	
CA-06-1022-179	358739	6553174	Affleurement		Paragneiss														S0/S1	315	87	
CA-06-1022-182	359210	6553535	Affleurement		Marbre														S0/S1	333	65	
CA-06-1022-183	359205	6553464	Affleurement		Paragneiss														S0/S1	335	77	
CA-06-1022-186	359284	6553573	Affleurement		Marbre														S0/S1	137	86	
CA-06-1022-188	359728	6554162	Affleurement		Marbre														S0/S1	240	75	
CA-06-1022-189	359750	6554136	Affleurement		Marbre														S0/S1	249	40	
CA-06-1022-190	359866	6554202	Affleurement		Marbre														S0/S1	197	76	
CA-06-1022-191	359888	6554355	Affleurement		Marbre														S0/S1	265	82	
CA-06-1022-192	359907	6554410	Affleurement		Marbre														S0/S1	215	78	
CA-06-1022-193	359812	6554373	Affleurement		Marbre														S0/S1	220	64	
CA-06-1022-194	359735	6554259	Affleurement		Marbre														S0/S1	45	90	
CA-06-1022-195	359691	6554368	Affleurement		Marbre														S0/S1	215	72	
CA-06-1022-196	360140	6554454	Affleurement		Marbre														S0/S1	220	64	
CA-06-1022-197	360221	6554473	Affleurement		Marbre														S0/S1	322	80	
CA-06-1022-198	360277	6554532	Affleurement		Marbre		Roche calco-silicatée												S0/S1	160	75	
CA-06-1022-199	360349	6554551	Affleurement		Marbre														S0/S1	145	80	
CA-06-1022-200	360683	6554635	Affleurement		Paragneiss														S0/S1	160	80	
CA-06-1022-209	349997	6570883	Affleurement		Paragneiss														S0/S1	320	80	
CA-06-1022-210	350008	6570872	Affleurement		Marbre														S0/S1	137	76	
CA-06-1022-212	350743	6569148	Affleurement		Marbre														S0/S1	230	85	
CA-06-1022-213	350586	6567316	Affleurement		Paragneiss														Fol (mylonite)	120	85	
CA-06-1022-214	352836	6558374	Affleurement		gneiss														S2	125	80	
CA-06-1022-215	353009	6558524	Affleurement		gneiss														S2	334	85	
CA-06-1022-216	353334	6558640	Affleurement		gneiss														S2	320	85	
CA-06-1022-217	353390	6558674	Affleurement		Paragneiss														S0/S1	132	90	
CA-06-1022-218	353426	6558719	Affleurement		Paragneiss														S0/S1	144	88	
CA-06-1022-219	353528	6558713	Affleurement		Paragneiss														S2	317	85	
CA-06-1022-220	353941	6559035	Affleurement		Marbre														S0/S1	180	88	
CA-06-1022-221	353950	6559123	Affleurement		Marbre														S0/S1	140	75	
CA-06-1022-224	354065	6559145	Affleurement		Marbre														S0/S1; S2	185; 135	80; 90	
CA-06-1022-225	354216	6559171	Affleurement		Marbre														S0/S1	183	66	
CA-06-1022-226	354457	6559201	Affleurement		Marbre														S0/S1	160	88	
CA-06-1022-227	354504	6559256	Affleurement		Marbre														S0/S1	160	90	
CA-06-1022-228	354500	6559283	Affleurement		Marbre														S0/S1; S2	20; 310	90; 46	
CA-06-1022-229	354544	6559360	Affleurement		Marbre														S0/S1	5	90	
CA-06-1022-230	354571	6559442	Affleurement		Marbre														S0/S1	150	80	
CA-06-1022-232	360264	6556648	Affleurement		Marbre														S0/S1	110	65	
CA-06-1022-233	360243	6556636	Affleurement		Marbre														S0/S1	110	57	
CA-06-1022-234	360055	6556393	Affleurement		Paragneiss														S2	105	90	
CA-06-1022-242	359742	6556156	Affleurement		Paragneiss														S0	110	80	
CA-06-1022-244	359707	6556054	Affleurement		gneiss														S2	117	87	
CA-06-1022-245	359670	6555948	Affleurement		Marbre														S0/S1	272	80	
CA-06-1022-248	359728	6555812	Affleurement		Marbre														S0/S1	95	90	
CA-06-1022-247	359779	6555779	Affleurement		Pegmatite														S2	112	90	
CA-06-1022-249	359861	6555706	Affleurement		Marbre														S0/S1	140	75	
CA-06-1022-250	359915	6555750	Affleurement		Marbre														S0/S1	120	82	
CA-06-1022-251	359854	6555613	Affleurement		Marbre														S0/S1	145	80	
CA-06-1022-252	359630	6555667	Affleurement		Quartzite														S2	93	85	
CA-06-1022-253	359621	6555677	Affleurement		Quartzite														S0/S1	125	86	
CA-06-1022-254	359583	6555502	Affleurement		Marbre														S0/S1	145	90	
CA-06-1022-255	359410	6555767	Affleurement		Marbre														S0/S1	69	90	
CA-06-1022-256	359454	6555772	Affleurement		Marbre														S0/S1	100	90	
CA-06-1022-258	359355	6555730	Affleurement		Marbre														S0/S1	62	90	
CA-06-1022-259	359376	6555764	Affleurement		Marbre														S0/S1	255	85	
CA-06-1022-260	359330	6555689	Affleurement		Marbre														S0/S1	260	83	
CA-06-1022-261	359250	6555711	Affleurement		Marbre														S0/S1	235	75	
CA-06-1022-263	359049	6555633	Affleurement		Marbre														S0/S1	188	88	
CA-06-1022-264	359020	6555660	Affleurement		Marbre														S0/S1	240	65	
CA-06-1022-265	358977	6555584	Affleurement		Marbre														S0/S1	240	88	
CA-06-1022-266	358913	6555546	Affleurement		Marbre														S0/S1	87	90	
CA-06-1022-267	358898	6555520	Affleurement		Marbre														S0/S1	160	90	
CA-06-1022-268	358893	6555507	Affleurement		Paragneiss														S0/S1	70	90	
CA-06-1022-269	358871	6555502	Affleurement		Marbre														S0/S1	290	80	
CA-06-1022-270	358782	6555490	Affleurement		Marbre														S0/S1	90	86	
CA-06-1022-271	358720	6555422	Affleurement		Marbre														S0/S1	80	90	

705544

No station	Estant (Nad83 - Zone 20)	Nordant (Nad83 - Zone 20)	Bloc ou Affleurement	Description lithologique	Lithologie A	Couleur A	Lithologie B	CouleurB	Lithologie C	CouleurC	Radiométrie Bruit de fond (cps)	Radiométrie maximum (cps)	Radiométrie anomalie (cps)	Photo	Échantillon	Lames minces: Petite (P) et Polie (Po)	Analyses chimiques	Témoin	Structure	Azimuth	Pendage	Caractéristiques
CA-06-1022-272	358669	6555303	Affleurement		Marbre														S0/S1	84	90	
CA-06-1022-273	358687	6555292	Affleurement		Paragneiss														S0/S1	100	86	
CA-06-1022-274	358678	6555250	Affleurement		Marbre		Roche calco-silicatée												S0/S1	155	62	
CA-06-1022-276	358633	6555268	Affleurement		Marbre														S0/S1	128	88	
CA-06-1022-277	358656	6555223	Affleurement		Marbre														S0/S1	108	90	
CA-06-1022-278	358568	6555173	Affleurement		Marbre														S0/S1	70	90	
CA-06-1022-286	350141	6551523	Affleurement		gneiss														S2	165	90	
CA-06-1022-287	350142	6551575	Affleurement		gneiss														S2	220	12	
CA-06-1022-290	350167	6551595	Affleurement		gneiss														S2	303	79	
CA-06-1022-291	350195	6551614	Affleurement		gneiss														S0/S1	132	65	
CA-06-1022-292	350364	6551855	Affleurement		Pegmatite														S2	323	75	
CA-06-1022-294	350408	6551964	Affleurement		gneiss														S2	320	25	
CA-06-1022-295	350300	6552092	Affleurement		gneiss														S2	280	80	
CA-06-1022-297	350559	6552318	Affleurement		gneiss														S2	90	25	
CA-06-1022-298	350857	6552333	Affleurement		gneiss														S2	320	70	
CA-06-1022-299	350727	6552433	Affleurement		Marbre		Roche calco-silicatée												S2	309	85	
CA-06-1022-300	351357	6552534	Affleurement		Marbre		Roche calco-silicatée												S2	144	87	
CA-06-1022-301	351417	6552553	Affleurement		gneiss														S2	356	15	
CA-06-1022-302	351504	6552593	Affleurement		gneiss														S2	140	82	
CA-06-1022-303	351764	6553015	Affleurement		gneiss														S2	122	77	
CA-06-1022-304	352041	6553271	Affleurement		gneiss														S2	137	82	
CA-06-1022-306	353029	6554303	Affleurement		Paragneiss														S0/S1	322	78	
CA-06-1022-311	352924	6554511	Affleurement		Marbre														S0/S1	120	80	
CA-06-1022-313	352947	6554599	Affleurement		Marbre														S0/S1	327	60	
CA-06-1022-315	353073	6554786	Affleurement		Paragneiss														S2	330	75	
CA-06-1022-318	353067	6554795	Affleurement		Paragneiss														S2	324	60	
CA-06-1022-320	353301	6554698	Affleurement		Marbre														S2	130	90	
CA-06-1022-321	353308	6554703	Affleurement		Marbre														S2	125	55	
CA-06-1022-323	353241	6554769	Affleurement		Marbre														S2	110	31	
CA-06-1022-330	353005	6555121	Affleurement		Marbre														S0/S1	350	84	
CA-06-1022-331	353031	6555325	Affleurement		Marbre		Roche calco-silicatée												S0/S1	73	50	
CA-06-1022-332	353070	6555194	Affleurement		Marbre														S0/S1	160	90	
CA-06-1022-333	353145	6555200	Affleurement		Paragneiss														S2	158	83	
CA-06-1022-334	353140	6555197	Affleurement		Paragneiss														S2	338	10	
CA-06-1022-335	353210	6555235	Affleurement		Paragneiss														S2	2	10	
CA-06-1022-336	353245	6555233	Affleurement		Paragneiss														S2	350	28	
CA-06-1022-337	353256	6555229	Affleurement		Paragneiss														S2	340	60	
CA-06-1022-338	353289	6555247	Affleurement		Paragneiss														S2	328	58	
CA-06-1022-339	353381	6555340	Affleurement		Paragneiss														S2	312	50	
CA-06-1022-340	353388	6555366	Affleurement		Paragneiss														S2	0	55	
CA-06-1022-341	353407	6555431	Affleurement		Paragneiss														S2	318	82	
CA-06-1022-342	353418	6555479	Affleurement		Paragneiss														S2	136	73	
CA-06-1022-344	353555	6555826	Affleurement		Marbre														S0/S1	45	90	
CA-06-1022-345	353526	6555855	Affleurement		Marbre														S0/S1	75	90	
CA-06-1022-346	353504	6555853	Affleurement		Marbre														S0/S1	108	90	
CA-06-1022-347	353419	6555739	Affleurement		Marbre														S0/S1	295	88	
CA-06-1022-349	353372	6556423	Affleurement		Marbre														S0/S1	135	80	
CA-06-1022-350	353388	6556453	Affleurement		Paragneiss														S2	330	80	
CA-06-1022-351	353381	6556443	Affleurement		Paragneiss														S2	115	70	
CA-06-1022-353	354560	6556781	Affleurement		Paragneiss														S2	137	75	
CA-06-1022-354	354624	6557111	Affleurement		Paragneiss														S2	136	88	
CA-06-1022-355	354693	6557219	Affleurement		Paragneiss														S2	134	90	
CA-06-1022-356	354810	6557276	Affleurement		Paragneiss														S2	112	85	
CA-06-1022-358	354839	6557319	Affleurement		Paragneiss														S2	122	85	
CA-06-1022-359	354811	6557381	Affleurement		Marbre														S0/S1	280	83	
CA-06-1022-360	354873	6557506	Affleurement		Marbre														S0/S1	80	80	
CA-06-1022-361	354874	6557677	Affleurement		Marbre														S0/S1	130	80	
CA-06-1022-362	354898	6557707	Affleurement		Marbre														S0/S1	115	75	
CA-06-1022-363	354895	6557787	Affleurement		Marbre														S0/S1	85	84	
CA-06-1022-364	354927	6557807	Affleurement		Marbre														S0/S1	118	77	
CA-06-1022-365	354958	6557836	Affleurement		Marbre														S0/S1	282	85	
CA-06-1022-366	354580	6558057	Affleurement		Marbre														S0/S1	254	86	
CA-06-1022-367	354603	6558115	Affleurement		Marbre														S0/S1	210	78	
CA-06-1022-368	354644	6558424	Affleurement		Marbre														S0/S1	188	88	
CA-06-1022-369	354680	6558403	Affleurement		Marbre														S0/S1	140	62	
CA-06-1022-370	354840	6558262	Affleurement		Marbre														S0/S1	120	74	
CA-06-1022-371	355168	6558090	Affleurement		Marbre														S0/S1	110	90	
CA-06-1022-373	359051	6556816	Affleurement		Paragneiss														Fol (mylonite)	110	90	
CA-06-1022-375	359073	6556915	Affleurement		Paragneiss														S2	113	72	
CA-06-1022-376	359050	6556898	Affleurement																Fol (mylonite)	108	72	
CA-06-1022-380	359082	6556548	Affleurement		Paragneiss														Fol (mylonite)	100	90	
CA-06-1022-383	358564	6556841	Affleurement		Paragneiss														Fol (mylonite)	110	90	
CA-06-1022-385	358138	6556795	Affleurement		Paragneiss														Fol (mylonite)	100	90	
CA-06-1022-388	357542	6556958	Affleurement		Paragneiss														Fol (mylonite)	96	81	
CA-06-1022-390	357412	6556957	Affleurement		Paragneiss														Fol (mylonite)	102	85	
CA-06-1022-391	356956	6557083	Affleurement		Paragneiss														Fol (mylonite)	305	83	
CA-06-1022-393	356885	6557131	Affleurement		Paragneiss														Fol (mylonite)	120	90	
CA-06-1022-394	356616	6557255	Affleurement		Paragneiss														Fol (mylonite)	128	75	
CA-06-1022-396	356443	6557449	Affleurement		Paragneiss														Fol (mylonite)	132	80	
CA-06-1022-398	356420	6557472	Affleurement		Paragneiss														Fol (mylonite)	130	65	
CA-06-1022-401	356037	6558005	Affleurement		Paragneiss														Fol (mylonite)	125	75	
CA-06-1022-404	356053	6558175	Affleurement		Paragneiss														S2	120	85	
CA-06-1022-202	360598	6554762	Affleurement		Diabase (dyke)														Vein, Dyke	60	90	
CA-06-1022-203	360870	6554803	Affleurement		Diabase (dyke)														Vein, Dyke	0	0	
CA-06-1022-348	353410	6555798	Affleurement		Marbre														S0/S1	130	80	
CA06-1023-01	355330	6558253	Affleurement	Anomalie 5200, marbre beige sur affleurement dans la mousse. Cette anomalie est sur l'axe principal de la zone anomale Marie-Curie, la tranchée Cage04-étant elle sur un axe secondaire.	Marbre	beige							5200										

No station	Estant (Nad83 - Zone 20)	Nordant (Nad83 - Zone 20)	Bloc ou Affleurement	Description lithologique	Lithologie A	Couleur A	Lithologie B	CouleurB	Lithologie C	CouleurC	Radiométrie Bruit de fond (cps)	Radiométrie maximum (cps)	Radiométrie anomalie (cps)	Photo	Échantillon	Lames minces: Petite (P) et Polie (Po)	Analyses chimiques	Témoin	Structure	Azimuth	Pendage	Caractéristiques
CA06-1023-02	355345	6558244	Affleurement	Anomalie 5700, sur le marbre beige, affleurement après avoir enlevé la mousse. Hors de la grille. Si le cisaillement principal passe là, il n'est pas observable vu la mauvaise qualité de l'affleurement, mais dans l'axe principal. A- 1m à /W, autre anomalie à 1100cps. Station (-) 5.00 / 9+00 sur ligne donc en bordure grille et dessin.	Marbre	beige							5700										
CA06-1023-03				Journée Cage consacrée plan compteur pointe de l'île non faite.																		
CA06-1023-04	355167	6558423	Affleurement	Anomalie (SPP2) 1000, (Danny + JB) dans le secteur du Nord du lac, en théorie dans le prolongement de la zone Marie-Curie. Paragneiss (calcosilicaté?) au contact d'une petite pegmatite blanche (affleure mal, pointement) mais l'unité de paragneiss bordé de marbre de part et d'autre plongeant apparemment vers et sous le lac, a plus de 100m de large. La continuation de la zone principale de Marie-Curie est douteuse, érodée. Cela indiquerait une faible épaisseur de cette zone. S2 130-80.	Marbre		Paragneiss		pegmatite	blanc			1000							S2	130	80	
CA06-1023-05	355151	6558457	Affleurement	Marbre beige massif, folié, parfois chaotique, dans le creux entre deux crêtes mais sans radioactivité significative.	Marbre	beige					40											
CA06-1023-06	355183	6558515	Affleurement	Dernier copeau vers le NE de marbre gris chaotique reposant sur le paragneiss. Le contact principal n'est pas complètement N140, mais ici N110	Marbre	gris	Paragneiss				40								S0	110		
CA06-1023-07	355523	6558227	Affleurement	Paragneiss à grenat, riche en quartz, passée biotitique N115. La forme influencée par une remontée des paragneiss, courbé. Le contact passe dans ce secteur à l'ENE du petit lac au pied de la remontée topographique.	Paragneiss						100											
CA06-1023-08	355253	6558488	Affleurement	Paragneiss et pegmatite lenticulaire au NE, lambeaux de marbre au SE.	Paragneiss		Pegmatite		Marbre		120											
CA06-1023-09	355305	6558441	Affleurement	Paragneiss et pegmatite lenticulaire au NE, lambeaux de marbre au SE. Suite de zone d'effondrement karstique, incluant une caverne d'ours.	Paragneiss		Pegmatite		Marbre		120											
CA06-1023-10	355416	6558175	Affleurement	Anomalie 8500 gamma JB + Sonny. Sur la mousse (épaisseur 30cm) ≈ 850. Après l'avoir déterré 8500 gamma. Marbre beige folié, vraisemblablement l'axe principal à travers le bois. Anomalie plus significative que la dernière de la pointe de l'île	Marbre	beige					200		8500										
CA06-1023-11	355404	6558184	Affleurement	Ancienne anomalie > 18 200 gamma reprise pour comprendre l'axe principal de la minéralisation. Produits verts, produits jaunes. Nouvelle anomalie.	Marbre						50		18200									
CA06-1023-12	355120	6558217	Affleurement	Anomalie 1200 gamma sur une pegmatite blanche, long transport glaciaire dans le lac, mini barrage permettant de traverser le ruisseau.	Pegmatite	blanc					7											
CA06-1023-13	355884	6557590	Affleurement	Anomalie de 8200 gamma, marbre très fracturé en fragments tout brisé, lors d'une tentative de repérage de la grille radiométrique. Point direct sur une ligne de 5m x 5m, dans l'axe de plusieurs autres anomalies et permettant d'en préciser le tracé.	Marbre						170		8200									
CA06-1023-14	355894	6558606	Bloc	Bloc. Nouvelle anomalie de 4000 gamma. Le bloc de marbre, très folié, cassé lors de l'extraction est en galette mais alignement fictif car selon le transport glaciaire.	Marbre								4000									
CA06-1023-15	355885	6558611	Bloc	Bloc glaciaire. Nouvelle anomalie 4200 gamma. Le bloc de marbre, très folié, cassé lors de l'extraction.	Marbre								4200									
CA06-1024-01	355375	6558388	Affleurement	Marbre gris vaguement folié, plissé et lenticulaire. Contact N115° (côté NE du petit lac). Paragneiss rouillé à grenat, pegmatite plus loin et non sur le contact.	Marbre	gris	Paragneiss	rouille			40	100										
CA06-1024-02	355477	6558310	Affleurement	Contact. Marbre S2 N115°/65°.	Marbre						50								S2	115	65	
CA06-1024-03	355545	6558225	Affleurement	Contact 5m au SO. Ici paragneiss bien folié, lentille en augen de pegmatite leucosome blanc. S2 (paragneiss) 140°/60°. Arrivée petit ruisseau. Angle entre S2 paragneiss et S2 marbre est ?.	Paragneiss		Pegmatite leucossome	blanche			100								S2(para)	140	60	
CA06-1024-04	355580	6558178	Affleurement	Toujours paragneiss se jetant dans le lac. Le contact sur ce point puis s'en va sous l'eau dans le lac. S2 130°/75. S'il y a mylonite ou faille de cisaillement cela ne peut être que dans une partie du marbre, avec importante recristallisation.	Paragneiss		Marbre				100											
CA06-1024-05	355657	6558088	Affleurement	Paragneiss au point de mesure plus à l'ouest sur l'autre pointe marbre (déjà décrite dans précédente traverse).	Paragneiss		Marbre				40	110										
CA06-1024-06	355939	6557905	Affleurement	Paragneiss à pegmatite et leucosome blanc (pegmatite 0,5 à 1,5m et large de plus de 4m) avec des grenats almandins.	Paragneiss leucosome	blanc	Pegmatite				120								S2	135	75	
CA06-1024-07	355775	6557327	Point de repérage	Station L00+00 2+00E.																		
CA06-1024-08	355829	6557312	Affleurement-Bloc	Anomalie 2000cps spp2 et 1850cps gamma. Marbre beige (altération de surface) avec cristaux d'amphibole et phlogopite d'environ 2mm. Anomalie sur une fracture 170°/54°. Plusieurs blocs anomaux d'environ 400cps.	Marbre	beige						2000	2000						Fracture	170	54	
CA06-1024-09	355809	6557276	Affleurement	Bande anomale dans la mousse peu épaisse reposant sur un affleurement de marbre beige massif. Anomalie N170° longue de plus de 5m à plus de 350cps.	Marbre	beige						>350	>350						Anomalie	170		
CA06-1024-10	355810	6557244	Affleurement	Anomalie 1000cps spp2. Marbre à phlogopite (2-4mm) massif beige et foliation frustre S2 200°/80°.	Marbre	beige					60	1000	1000						S2	200	80	
CA06-1024-11	355619	6557202	Affleurement	Station 00+00.										1								
CA06-1024-12	355641	6557172	Affleurement	Marbre beige massif avec foliation frustre asser verticale. S2 335°/80°	Marbre	beige					40								S2	335	80	
CA06-1024-13	355684	6557124	Affleurement	Station fictive 1+00S. Virage à N50° pour faire une ligne. Marbre beige, foliation frustre asser nette. S2 342-80. Crenulation S3 avec fractures remplies d'un placage genre serpentine. S3 310°/82°.	Marbre	beige					30								S2; S3	342; 310	80; 82	
CA06-1024-14	355728	6557104	Affleurement	Marbre dit chaotique idem au camp CAGE, avec en plus des cristaux aciculaires en lamines mais de disposition aléatoire (non orientés). La réaction est post-déformation, s'il y a eu déformation. S3 45°/75°	Marbre						30			1					S3	45	75	
CA06-1024-15	355714	6557138	Affleurement	Idem ci-dessus. Autre point pour localiser contact et suivre l'unité.	Marbre						40											
CA06-1024-16	355735	6557157	Affleurement	Idem précédent. Approximativement L1+00S, station 64E.	Marbre																	
CA06-1024-17	355797	6557210	Affleurement	Le marbre gris très boudiné et déformé passe à un marbre gris à foliation plus laminaire (transition au beige frustre) S2 130°/80°.	Marbre						40								S2	130	80	

705544

No station	Estant (Nad83 - Zone 20)	Nordant (Nad83 - Zone 20)	Bloc ou Affleurement	Description lithologique	Lithologie A	Couleur A	Lithologie B	CouleurB	Lithologie C	CouleurC	Radiométrie Bruit de fond (cps)	Radiométrie maximum (cps)	Radiométrie anomalie (cps)	Photo	Échantillon	Lames minces: Petite (P) et Polie (Po)	Analyses chimiques	Témoin	Structure	Azimuth	Pendage	Caractéristiques
CA06-1024-18	355801	6557221	Affleurement	Marbre beige plus massif (coté E et O). Intersection de la ligne 1+00S. Bordure du petit lac.	Marbre	beige					50											
CA06-1024-19	355854	6557347	Bloc	Bloc anomalique supérieur à 9000cps dans du marbre beige. La zone (avec toutes les anomalies reste ouverte aux deux extrémités). Cette nouvelle zone est proche de la zone découverte par Samuel mais n'en fait pas partie.	Marbre	beige						>9000	>9000									
CA06-1024-20	355857	6557345	Affleurement	Anomalie >2300cps. Affleurement de marbre beige folié sub en place, foliation alignement.	Marbre	beige						>2300	>2300									
CA06-1024-21	355867	6557338	Sol	Mousse de tourbe non creusée (1m à coté). Anomalie de >1700cps.								>1700	>1700									
CA06-1024-22	355868	6557338	Affleurement	Même marbre folié, point. Anomalie >5200.	Marbre							>5200	>5200									
CA06-1024-23	355876	6557337	Affleurement	Anomalie sur affleurement >4000cps. Marbre folié.	Marbre							>4000	>4000									
CA06-1024-24	355876	6557334	Affleurement	Anomalie sur affleurement >3500cps. Marbre bien folié.	Marbre							>3500	>3500									
CA06-1024-25	355871	6557331	Sol	Sur mousse de tourbe et sable. Anomalie >3900cps.								>3900	>3900									
CA06-1024-26	355874	6557328	Affleurement	Anomalie sur affleurement >5500. Marbre beige folié, référé au suivant axe de foliation et à 2m >4000cps et proche d'un flag rose(ca06-1001-25).	Marbre	beige						>5500	>4000									
CA06-1024-27	355880	6557325	Affleurement	Anomalie sur affleurement? >5900cps. Marbre beige.	Marbre	beige						>5900	>5900									
CA06-1024-28	355857	6557294	Affleurement-Bloc	Anomalie sur affleurement mais bloc détaché transportable, placage de calcosilicate, >22500cps.	Calcosilicate							>22500	>22500									
CA06-1024-29	355835	6557297	Bloc	Bloc en place >2900cps. Le sol autour très élevé >300cps.								>2900	>2900									
CA06-1024-30	355851	6557290	Bloc	Mousse de tourbe, bloc au fond du trou >3000cps								>3000	>3000									
CA06-1024-31	355855	6557270	Sol	Dans la terre, dans un éboulis avec transport glaciaire , source inconnue, ne pas utiliser pour alignement. Anomalie >5000cps								>5000	>5000									
CA06-1024-32	355853	6557259	Sol	Dans la terre, même secteur non observable directement, effet de masse potentiel. >40000cps over sur le gamma.																		
CA06-1024-33	355856	6557240	Bloc	Blocs (2) un >5000cps et l'autre >5000cps emporté comme échantillon. Reste dans la terre >3000cps après enlèvement des blocs.								>5000	>5000		CA06-1024-33	CA06-1024-33(Po)	CA06-1024-33					
CA06-1024-34	355851	6557245	Affleurement	Plusieurs anomalies sur affleurement. Marbre lité folié qui se suit bien N115°/90°. 1x 7400cps , 1x 7000cps(2m à coté) , 1x 5000cps (1m à coté mais dans la mousse).	Marbre							7400	5000-7400						Foliation	115	90	
CA06-1024-35	355854	6557245	Affleurement	Encore marbre folié. Anomalie >11300cps. Point sur le coté.	Marbre							>11300	>11300									
CA06-1024-36	355913	6557203	Bloc	Bloc >5000cps dans la terre et sable mais à 2m de l'affleurement et en provient probablement.								>5000										
CA06-1024-37	355953	6557201	Affleurement	Anomalie >10700cps gamma, 1x 1800cps à 2m, 1x 1700cps. Plus une étroite zone de 1000cps se suivant entre les 2.								>10700	1700-10700									
CA06-1024-38	355937	6557206	Affleurement	Marbre folié beige. Fracturation/S2? 105°/80°. Faisant partir de l'alignement.	Marbre	beige													Fracturation/S2	105	80	
CA06-1024-39	355868	6557275	Sol	Anomalie >12000cps dans la terre, talus d'éboulis.								>12000	>12000									
CA06-1024-40	355884	6557624	Affleurement	Affleurement de calcosilicate + dolomie dans le marbre (affleurement <1m). 15700cps.	Calcosilicate		Marbre dolomitique					15700	15700									
CA06-1024-41	355873	6557631	Affleurement	Dans l'axe de la foliation, pointement de calcosilicate, point dans la terre, effet de masse. 10050cps spp2. (situé à 11m de la précédente indépendamment du GPS).	Calcosilicate							>10050	>10050									
CA06-1025-01	355237	6557672	Point de repérage	Traverse perpendiculaire à la ligne de base. Départ sur la ligne de base à 6+00N.																		
CA06-1025-02	355175	6557593	Affleurement	Marbre gris à couleur terne avec des structures, en relief, parcouru par des petites veines à diopside. Marbre gris au contact avec un marbre massif plus calcitique.	Marbre	gris	Marbre calcitique				75											
CA06-1025-03	355141	6557529	Affleurement	Marbre à structure en relief plissé avec un pendage de 52° et une direction de N270°. Marbre associé à des roches calcosilicaté. Plongeon de l'axe de pli 270°. Au contact avec du marbre massif	Marbre		Calcosilicate												Pli	270	52	
CA06-1025-04	355065	6557481	Affleurement-Bloc	Marbre à structure en relief à pendage sub vertical associé par endroit à un autre type de marbre à écaille constitué de petits minéraux allongé qui tapissent la surface. Marbre qui commence à être dolomitisé, présence de bloc de paragneiss.	Marbre		Marbre dolomitique		Paragneiss													
CA06-1025-05	355264	6557693	Affleurement	Marbre grenu rouillé par endroit à cause de la présence de sulfures disséminés, contact avec du marbre dolomitique à matrice fine. Présence de la diopside dans ce marbre et des roches calcosilicatées.	Marbre	rouille	Calcosilicate															
CA06-1025-06	355325	6557739	Affleurement	Marbre se débitant en feuillet avec des niveaux plus argileux associés à de la biotite. Au contact de ce marbre se trouve un autre type de marbre plus massif associé à des niveaux de calcosilicates. Présence aussi de niveaux diopsidiques dans le marbre massif.	Marbre		Calcosilicate															
CA06-1025-07	355421	6557785	Affleurement	Marbre massif avec des niveaux de calcosilicate. Marbre associé à des structures en reliefs et par endroit associé à de la diopside. Marbre lité par endroit un pendage de 19° et une direction de 16°. Présence de niveaux carbonatés associés.	Marbre		Calcosilicate												Litage	16	19	
CA06-1025-08	355454	6557811	Affleurement	Marbre à la texture saccaroïde à grain fin et claire au contact avec un marbre détritique qui se débite en lamelles. Présence aussi de calcosilicates avec des niveaux compétents.	Marbre		Marbre détritique		Calcosilicate													
CA06-1025-09	355519	6557872	Affleurement	Marbre à texture saccaroïde à grain fin et blanchâtre. Marbre our au contact avec des roches calcosilicatées à diopside.	Marbre		Calcosilicate															
CA06-1025-10	355549	6557897	Affleurement	Marbre semi pur à texture saccaroïde ancré à des roches calcosilicatées à diopside. Présence de niveau carbonaté qui sont plissés aussi.	Marbre		Calcosilicate															
CA06-1025-11	355112	6557819	Point de repérage	Traverse perpendiculaire à la ligne de base. Départ sur la ligne de base à 8+00N.																		
CA06-1025-12	355084	6557747	Affleurement	Marbre dolomitique associé à de la diopside et par endroit à du quartz rosâtre. Marbre à grain fin au contact avec des roches carbonatées timidement minéralisé à sulfure et par endroit riche en biotite et légèrement chloritisé par endroit.	Marbre dolomitique		Marbre		Roche carbonatée													
CA06-1025-13	355007	6557698	Affleurement	Marbre semi massif associé à des minéraux allongés tapissant sa surface. Les minéraux se prolongent à l'intérieur et forment des petites lamelles parallèles entre elles et par endroit sans orientation préférentielles. Marbre associé à des minéraux blanc à forme cristalline. Présence de la diopside associé à ce marbre.	Marbre																	

No station	Estant (Nad83 - Zone 20)	Nordant (Nad83 - Zone 20)	Bloc ou Affleurement	Description lithologique	Lithologie A	Couleur A	Lithologie B	CouleurB	Lithologie C	CouleurC	Radiométrie Bruit de fond (cps)	Radiométrie maximum (cps)	Radiométrie anomalie (cps)	Photo	Échantillon	Lames minces: Petite (P) et Polie (Po)	Analyses chimiques	Témoin	Structure	Azimuth	Pendage	Caractéristiques
CA06-1025-14	355224	6557933	Affleurement	Marbre semi massif de couleur gris-jaune s'allongeant en lamelles. Marbre impur de nature détritique sans foliation visible.	Marbre																	
CA06-1025-15	355262	6557957	Affleurement	Marbre pur à texture saccaroïde avec une foliation sub-verticale. Au sommet de la séquence on trouve un marbre plus détritique et altéré, présence de roche calcosilicatée par endroit associé à ce marbre.	Marbre		Calcosilicate															
CA06-1025-16	355333	6558002	Affleurement	Mince banc de paragneiss pris entre deux bancs de marbre gris-jaunâtre. Marbre à texture saccaroïde moins altéré. Le paragneiss est finement rubané avec de petites veines de quartz parallèles au litage. Foliation sub-verticale et le banc à une direction SE-NW.	Paragneiss		Marbre															
CA06-1026-01	355154	6557720	Affleurement	Calcosilicates en lits blanchâtre à verdâtre centimétriques contenant des cristaux de phlogopite. Foliation 142°/82°, débit de la roche en bancs 130°/20°.	Calcosilicate	blanc-vert					65								S; fract	142; 130	82; 20	
CA06-1026-02	355091	6557709	Affleurement	Calcosilicate fin homogène recoupé de fines veinules < cm de calcite. Foliation N114°/78° fracture N40°, affleurement d'environ 1 x 2m.	Calcosilicate						60								S; fract	114; 40	78; ND	
CA06-1026-03	355058	6557700	Affleurement	Marbre homogène gris à grains moyens à petits cristaux jaunâtre en relief sur les surfaces altérées. Foliation peu marquée N131°/82°	Marbre	gris					40								S	131	82	
CA06-1026-04	355063	6557659	Affleurement	Marbre dolomitique très fin à patine jaune. (2) banc métrique de marbre grossier contenant quelques cristaux inframillimétriques orangés. Calcosilicate. Débite bancs métriques N110°/10°. Fracturation NS avec légèrement sénestre.	Marbre	jaune	Calcosilicate				50								S; fract	110; 110	80; 10	
CA06-1026-05	355021	6557633	Affleurement	Depuis le point précédent, marbre fin à patine jaune avec parfois de très fin niveaux de calcosilicates. (Croquis) Dolomicrite! (50cm épaisseur, N72°), Marbre grossier à petits cristaux oranges, niveau de calcosilicate millimétrique en relief dans les marbres.	Marbre	jaune	Calcosilicate		Dolomicrite		50											
CA06-1026-07	355226	6557760	Affleurement	Foliation N132°/77°, roche micritique grise à petits niveaux de teintes différentes. Réagit très faiblement à l'acide. Certains niveaux contiennent de petits minéraux blancs blancs aciculaires visible en surface altérée.															S	132	77	
CA06-1026-08	355318	6557833	Affleurement	Marbre saccharoïde à cristaux jaunes, foliation très faiblement marquée N146°/80°, débit en bancs N160°/10°	Marbre	jaune					60								S; fract	146; 180	80; 10	
CA06-1026-09	355330	6557839	Affleurement	Marbre saccharoïde gris à grain fin, massif. Pas de cristaux jaunes, foliation N154°/62°, petites fractures N40° et bancs N20°/4°	Marbre	gris													S; fract; fract	154; 20; 40	62; 4; ND	
CA06-1026-10	355356	6557866	Affleurement	Marbre saccharoïde à grain fin à petits cristaux jaunes (< 2%) débit en bancs subhorizontaux, foliation N130°. Quelques niveaux centimétriques très riches en minéraux jaunes.	Marbre														S	130		
CA06-1026-11	355372	6557878	Affleurement	Quelques fins niveaux de calcosilicates parallèles à la foliation N160° près niveau d'environ 1m de large de calcosilicate puis marbre gris puis à nouveau calcosilicate	Marbre		Calcosilicate												S	160		
CA06-1026-12	355390	6557893	Affleurement	Marbre "détritique", très altéré se débitant en granule contenant quelques minéraux vert. Foliation N140°	Marbre														S	140		
CA06-1026-13	355410	6557898	Affleurement	Niveau de calcosilicate très fin, rubané gris et verdâtre en alternance de niveaux centimétriques. Le niveau fait environ 5m de large. Contact plissé vertical avec des marbres oranges, près marbres à banc centimétriques de calcosilicate complètement démembrés, étiré et plissé. Anticlinal, axe de pli N127° 5m de large	Marbre	gris-vert-orange	Calcosilicate				130								P	127		
CA06-1026-14	355424	6557913	Affleurement	Marbres à niveaux de calcosilicate, passage dans marbres gris avec plis à différentes échelles (cm, dm, m) de direction très variable. Ligne g 9+00 0+00.	Marbre	gris	Calcosilicate				75											
CA06-1026-15	355038	6557875	Affleurement	De 9+00 à 9-01 marbre grossier homogène gris avec quelques cristaux millimétriques oranges. La petite butte est constituée d'un banc de marbre "détritique" blanc d'environ 3m de large pris entre des calcosilicates en lits centimétriques de couleur verdâtre. Bande NE font environ 4m de long.(voir croquis: S2 N110°/75°, S2? N130°)	Marbre	gris-blanc	Calcosilicate	vert			50								S2; S2	110; 130	75; ND	
CA06-1026-16	354974	6557833	Affleurement	Contact (marbre-calcosilicate) légèrement plissé subvertical orienté N90°. Marbres gris à petits niveaux et légers reliefs positifs donne boudinés et plissés. Calcosilicates peu rubanés de couleur vert jaune, la surface de l'affleurement est lisse, réaction à l'acide faible mais variable. Le niveau de marbre fait environ 5m de large, il disparait à l'est de ce point. Environ 30m vers la direction N100°. Nombreuses veinules de quartz recoupent les calcosilicates, elles font environ 30cm x 5mm et sont orientés préférentiellement N40° et N90°/50°.	Marbre	gris-blanc	Calcosilicate	vert-jaune									S0; veine; veine	90; 40; 50	ND	
CA06-1026-17	354925	6557807	Affleurement	Petite butte de calcosilicates bien lités avec alternance de lits centimétriques verts et blancs et roses. (croquis: lit blanc ne réagissent pas à l'acide. 30cm épaisseur, S2? N110°/70°)	Calcosilicate	vert-blanc-rose													S2	110	70	
CA06-1026-18	354899	6557784	Affleurement	Toujours calcosilicates microcristallins rose et vertrecoupé de veines de quartz N0°/80°	Calcosilicate	vert-rose													V	0	80	
CA06-1026-19	355070	6557917	Affleurement	Marbre grossier à patine grise à rares niveaux fins de calcosilicates, contient de petits minéraux beiges allongés. Foliation N110°.	Marbre	gris	Calcosilicate												S	110		
CA06-1026-20	355103	6557902	Affleurement	Marbre grossier à patine grise à rares niveaux fins de calcosilicates, contient de petits minéraux beiges allongés. Foliation N110°.	Marbre	gris	Calcosilicate												S	110		
CA06-1026-21	355171	6557968	Affleurement	Marbre très fin à patine ocre clair, réagit fortement à l'acide, affleure assez mal. Débit en plaques, N170°.	Marbre	ocre													Fr	170		
CA06-1026-22	355194	6558003	Affleurement	Calcosilicate très fin à niveaux centimétriques verdâtres et autres gris sombres, réagit légèrement à l'acide. Foliation N132°/72° Fracture N40°/80°. Les calcosilicates affleurent environ 2m puis passage à des marbres jaunâtres rubanés à petits cristaux plats jaunes en relief, jusqu'au point 9.	Calcosilicate	vert-gris	Marbre	jaune			120								S; fract	132; 40; 80		

705544

No station	Estant (Nad83 - Zone 20)	Nordant (Nad83 - Zone 20)	Bloc ou Affleurement	Description lithologique	Lithologie A	Couleur A	Lithologie B	CouleurB	Lithologie C	CouleurC	Radiométrie Bruit de fond (cps)	Radiométrie maximum (cps)	Radiométrie anomalie (cps)	Photo	Échantillon	Lames minces: Petite (P) et Polie (Po)	Analyses chimiques	Témoin	Structure	Azimuth	Pendage	Caractéristiques
CA06-1026-23	355208	6558020	Affleurement	Bande métrique de marbre blanc à grain fin à moyen, homogène et compétent à aspect un peu sableux puis dans des marbres fins rubanés en bancs centimétriques gris. Puis environ 50cm de calcosilicates en lits centimétriques puis marbre à bancs millimétriques de calcosilicates plissotés.	Marbre	blanc-gris	Calcosilicate																
CA06-1026-24	355234	6558029	Affleurement	Marbre grossier, compétent et homogène à patine orange, massif contenant quelques bancs décimétriques de calcosilicates. Cette unité fait environ 8m de large.	Marbre	orange	Calcosilicate																
CA06-1026-25	355232	6558048	Affleurement	Contact, marbre grossier orange. (2) Marbre fin jaunâtre à fins lits millimétriques plissés en relief.	Marbre	orange-jaune													S0	128		
CA06-1026-27	355240	6558052	Affleurement	(2) calcosilicates massif gris à grain fin environ 2m. (3) Marbre gris à grains jaunes (Voir croquis: (1) marbre?)																		
CA06-1026-28	355258	6558058	Affleurement	Affleurement de 2m de large. De marbre beige grossier, réagit fortement à l'acide avec quelques petits cristaux un peu rouillés. Puis même marbre avec niveaux centimétriques à décimétriques, rectiligne et continus de calcosilicates.	Marbre	gris	Calcosilicate				50								S	132	74	
CA06-1026-29	355275	6558068	Affleurement	Affleurement d'environ 1m de large de calcosilicates très fins avec alternance centimétrique de bancs gris clairs et gris foncés, puis marbre orangé à petits cristaux oranges, affleure très mal. Dans calcosilicates.	Marbre	beige	Calcosilicate				25								S	140	70	
CA06-1026-30	355300	6558080	Affleurement	(Voir croquis) Alternance cm à dm de niveaux de calcosilicate et de marbre (2m). Marbre dolomitique beige avec quelques cristaux oranges (3m). Marbre gris bien orienté. Foliation N124°/82°.	Calcosilicate	gris	Marbre	orange											S	124	82	
CA06-1026-31	355303	6558088	Affleurement	Bord de lac (Voir croquis) Marbre dolomitique fin. Marbre gris pur avec petits lits étirés en relief léger altération moins en bord de lac.	Marbre	beige-gris	Calcosilicate															
CA06-1029-01	355780	6557494	Affleurement	Anomalie 1200 ponctuelle. Bande de marbre beige à cristaux avec passée en relief de calcosilicate cm à 10cm. S2 N95-90.	Marbre	gris													S2	95	90	
CA06-1029-02	355893	6557277	Affleurement	Marbre beige massif et folié (+ rose). Autour du lac pied de l'escarpement. S2 120-90	Marbre	beige	Calcosilicate				65		1200						S2	120	90	
CA06-1029-03	355852	6557285	Affleurement-sol	Anomalie 40 000 over, dans du sable brun de calcaire mais fond au roche jamais atteint, proche d'un ancien 15 000 connu. Même secteur, anomalie 13 500, marbre rubané (calcosilicate) alternant avec marbre beige massif. S2 150-80.	Marbre	beige-rose					65								S2	150	80	
CA06-1029-04	355976	6557295	Affleurement	Marbre gris folié à ruban centimétrique plus résistant à l'érosion, pas chaotique, pas boudiné (sauf fins niveaux) organisé en plis sur l'autre côté du lac. L'axe pli 120-75. La zone anomale est étroite secteur marécage et buissons, affleure mal apparemment peu plissé. La zone en relief entre les 2 lacs plus déformée et plissée. Quelques lentilles de pseudo-pegmatoïdes irrégulières schlieren et lenticulaires. Plis photographie. Le pli semble local, la S2 reste régulière N110-80 (Photos typique du faciès)	Marbre	beige	Calcosilicate				70		40001						S2; axe	110; 120	80; 75	
CA06-1029-05	356031	6557318	Affleurement	Idem précédent (CA06-1029-04) Voir photo, zone de falaise le long du lac, faciès à lit résistants. S2 110-80.	Marbre	gris								1					S2	110	80	
CA06-1029-06	356051	6557363	Affleurement	Passe fréquemment du massif folié aux marbres interlits cm-dm de "calcosilicate" avec S2S1S0, avec plusieurs plis. S2S1S0 N95-85.	Marbre	gris								1					S2	95	85	
CA06-1029-07	356104	6557406	Affleurement	Idem (CA06-1029-06) mais alternance de calcosilicate assez régulier. S2S1S0 N90-85 (bord de lac à contourner pour se rendre au contact paragneiss-marbre). Photo lithologie typique. Photo réseau de fractures karstiques.	Marbre		Calcosilicate												S2	90	85	
CA06-1029-08	356159	6557392	Affleurement	Plis sur le bord du lac, plan axial N105-90. L'axe vertical S2S1S0 N110-85. Antiforme vers le SE. Marbre bien lité et plissé mais calcosilicate disparaissent.	Marbre		Paragneiss		Calcosilicate					2					S2; plan axial	110; 105	85; 90	
CA06-1029-09	356218	6557387	Affleurement	Contact, paragneiss-rusty, un peu de pegmatite. Marbre gris lité régulier, un peu boudiné, très kastique. S2 145-75	Marbre														S2	145	75	
CA06-1029-10	356252	6557319	Affleurement	Affleurement - clef pour la géologie. Contact entre paragneiss et marbre. Marbre avec lits centimétriques, plis intrafoliaire peu déformé, foliation régulière mais replissé comme sur le bord du lac, avec un faciès plus massif et foliation frustre (vers le S) Le faciès massif plie différemment des faciès laminés et rubanés. (cf photo avant-plan). Paragneiss rusty, lambeaux de leucosome / pegmatoïde et pegmatite blanche (épaisseur métrique) sur le contact. Photos.	Marbre	gris	Paragneiss	rouille	Pegmatite		40	110				CA06-1029-10(Po)	CA06-1029-10					
CA06-1029-11	356174	6557308	Affleurement-Bloc	Anomalie 16 000, bloc enterré (en place?) avec bande de calcosilicate dans marbre gris. Zone d'anomalies, anomalie 1100 dans sol à 5 mètres de la précédente. (échantillon pour spectro pour analyse)	Marbre		Paragneiss	rouille	Pegmatite	blanc	40	125		2								
CA06-1029-12	356183	6557290	Affleurement-Bloc-sol	Même série d'anomalies, > 2500 brousaille et terre. > 4000 affleurement à fleur d'eau, marbre gris chaotique. > 6700 (emporté comme échantillon) marbre gris chaotique, le bloc appartient aux affleurements proches. > 2200 Bloc 40 x 20cm, fleur d'eau. > 3400 Bloc sur la pointe dans le lac 2m x 1m, marbre chaotique. > 2100 pas un marbre mais passée calcosilicate riche en dolomie (gris clair aphanitique faible réaction HCl sur poudre) Point anomal sur tâche limonitisée. > 1200 marbre gris. (échantillon massif tout l'anomalie)	Marbre	gris	Calcosilicate						16000		CA06-1029-11							
CA08-1029-13	356152	6557327	Affleurement-sol	Anomalie > 11 000 sur marbre dolomitique beige, gris. Bloc dans sol à l'autre extrémité de la zone d'anomalie. Peu d'affleurement réel à proximité de blocs de pegmatite blanche. Affleurement de marbre de gris, chaotique moins minéralisé. S2 N100-80. Anomalie > 4 800 à 5m.	Marbre	gris	Calcosilicate		Dolomie				6700		CA06-1029-12				S2	100	80	
CA08-1029-14	356138	6557333	Affleurement-sol	Anomalie > 1 200 à 10m. Idem (CA06-1029-13). L'alignement des anomalies est N120, avec marbre chaotique stérile entre deux extrémités.	Marbre	beige-gris	Pegmatite	blanc					11000									
CA08-1029-15	356114	6557332	Sol	Ancienne anomalie de Sam 1200. Anomalie 1300 (2m à côté) à déterrer.	Marbre	beige-gris	Pegmatite	blanc					1200									

No station	Estant (Nad83 - Zone 20)	Nordant (Nad83 - Zone 20)	Bloc ou Affleurement	Description lithologique	Lithologie A	Couleur A	Lithologie B	CouleurB	Lithologie C	CouleurC	Radiométrie Bruit de fond (cps)	Radiométrie maximum (cps)	Radiométrie anomalie (cps)	Photo	Échantillon	Lames minces: Petite (P) et Polie (Po)	Analyses chimiques	Témoin	Structure	Azimuth	Pendage	Caractéristiques
CA06-1029-16	356114	6557283	Affleurement-sol	Fait partie d'un autre alignement N120 à plus de 200cps. Anomalie > 2000 (10m à côté). Ancienne anomalie MJ 1900 proche des affleurements de marbre dont une lentille de pegmatite blanche.									1300									
CA06-1029-17	356109	6557264	Affleurement	Bel et grand affleurement de marbre avec des foliations plissées. S2 variable. L axe plis 105-75. L axe plis 125-75. L axa plis 120-70.	Marbre		Pegmatite	blanc				200	2000						Plan axial	105	75	
CA06-1029-18	356176	6557212	Sol	Anomalie dans eau du lac, > 1500 dans boues et un point à 450 sous 30cm d'eau.	Marbre																	
CA06-1029-19	356201	6557220	Affleurement	Poursuite de la zone anomale de l'autre côté du lac. > 4600 marbre beige, l'ensemble de la surface décapé 20 x 20cm donnant 2000 partout. > 9400 zone déterrée 20 x 50cm, minimum de la zone 2750. > 6100 sur un affleurement dans l'eau. >4900 sur une enclave noirâtre non magnétique de 2 x 10cm.									1500									
CA06-1029-20	356220	6557239	Sol	> 4000 dans un terrier creusé par Danny dans sol sablonneux.	Marbre	beige							9400									
CA06-1029-21	356202	6557182	Affleurement	Marbre mais passée significative à majorité de calcosilicate gris L > 5m l > 2m. S2 140-90.									4000						S2	140	90	
CA06-1029-22	356200	6557203	Affleurement	Dernière anomalie la plus éloignée de la zone, mais se poursuit peut être encore au S, dans secteur il y a une anomalie de Samuel, a relocaliser ensemble. Anomalie > 1500.	Marbre		Calcosilicate	gris				120										
CA06-1029-23	356113	6557311	Affleurement	Marbre beige, foliation frustre**** S2 110-90?, anomalie 1700 ponctuelle, anomalie 2000 (2m plus loin), ithologie de l'affleurement.									1500						S2	110	90	
CA06-1029-24	356093	6557302	Sol	Anomalie 3300 sous la mousse, terre noire.	Marbre	beige							2000									
CA06-1029-25	356093	6557335	Sol	Anomalie > 5000 dans terre et tourbe. Anomalie > 1500 sur sol dans racine d'arbre, non déterrée, absence de hache.									3300									
CA06-1029-26	356096	6557347	Sol-Bloc	Plusieurs anomalies sous la tourbe, > 10 150, > 4 500, > 6 000, la roche sous-jacente (bloc ou affleurement?) est un marbre beige ± massif.									5000									
CA06-1029-27	356069	6557264	Affleurement	Affleurement, marbre et calcosilicate (cm, dm) bien rubané, plissé. (voir photos)	Marbre	beige							10150									
CA06-1029-28	356124	6557191	Affleurement	Affleurement. Marbre et calcosilicate avec rubanement très régulier. S2 135-90	Marbre		Calcosilicate					100		2					S2	135	90	
CA06-1029-29	356079	6557120	Affleurement	Affleurement. Marbre beige massif ou à foliation frustre, bord du lac. S2 140-80.	Marbre		Calcosilicate					100							S2	140	80	
CA06-1029-30	356060	6557072	Affleurement	Marbre chaotique avec passée boudinée. Sur l'île entre deux lacs S2 130-70. Se poursuit de façon évidente sur la colline de l'autre côté du lac.	Marbre	beige						45	70						S2	130	70	
CA06-1029-31	356033	6557047	Affleurement	Falaise linéaire (parallèle foliation). Marbre beige bien lité, très régulier. S2 (puissant et long) 125-90	Marbre							45							S2	125	90	
CA06-1029-32	355988	6557146	Affleurement	Marbre boudiné et chaotique pour toute cette colline N110 et en jonction avec l'île. S2 280-80 (conduit dans son prolongement à quelques anomalies au sommet)	Marbre	beige						70							S2	280	80	
CA06-1029-33	355886	6557162	Affleurement	Marbre beige bien folié sans calcosilicate. S2 300-80. Proche ancienne anomalie 7500 de ???	Marbre							70							S2	300	80	
CA06-1029-34	355886	6557205	Affleurement	Chemin retour. Anomalie ponctuelle > 1200. Marbre beige, fond radioactivité élevé à revoir.	Marbre	beige							7500									
CA06-1030-01	355951	6557139	Affleurement	1 point à 7500 cps dans marbre dolomitique se perd dans la zone d'étirement, alignement à N109, nombreux points de 4000 à 5000 cps.	Marbre	beige						120		1200								
CA06-1030-02					Marbre dolomitique									7500								
CA06-1030-03	356603	6556870	Affleurement	Dans ligne anomalie, anomalie à >15000 cps, échantillon pour analyse, anomalie orientée N50.																		
CA06-1030-04	356656	6556858		Anomalie >15000 cps									15001									
CA06-1030-05	356722	6556840	Affleurement	Marbre au contact des gneiss									15001									
CA06-1030-06	356055	6557012	Affleurement	Anomalie à 15000 cps dans marbre dolomitique avec ? De calcsilicate	Marbre		Gneiss															
CA06-1031-01	355806	6556955	Affleurement	Affleurement de 4m x 3m, marbre dolomitique lité et/ou folié avec cristaux orange en altération (15-20%) diopside? Fol.= 130°/74°. "Poche" de 70cm d'épaisseur x 15m de long de matériel pegmatitique, riche en feldspath.	Marbre dolomitique		Roche calco-silicatée						15000						S2	130	74	
CA06-1031-02	355736	6556671	Affleurement	Affleurement de 8m x 2m, de marbre dolomitique à grains grossiers avec plages de muscovite, massive.	Marbre							35	50									
CA06-1031-03	355662	6556663	Affleurement	Grid 2+00W L 3+00S. Affleurement de 4m^2 dans une aire d'affleurement de > 2000m^2 a) marbre dolomitique à calcitique à grains moyens avec 20% petits cristaux blancs, massif à folié., foliation = 146°/80°. À 18m à l'est du point (waypoint) anomalie ponctuelle de 1500 cps dans le marbre le long d'une fracture à 137°/60°.	Marbre							25	40						S2	148	80	
CA06-1031-04	355888	6557020	Affleurement	Affleurement de 10m x 4m, le long d'une crête, grès quartzitique modérément altéré. S2=148°/82°	Marbre							40	50	1500					S2	148	82	
CA06-1031-05	355967	6557075	Affleurement	Affleurement de 8m x 6m, de marbre dolomitique chamois à grains fins à moyens, massif à légèrement folié ou lité, foliation= 112°/88°.	Grès							70	120			CA06-1031-04			S2	112	88	
CA06-1032-01	356820	6556209	Affleurement	Anomalie dans du marbre associé à des produits jaunes et des roches calcosilicatées. Les marbres sont schistosés avec BF = 150	Marbre	chamois						30	50				CA06-1032-01					
CA06-1032-02	356744	6556272	Affleurement	Anomalie dans le même prolongement de 1032-02 associé à des marbres riches en biotite. BF=150	Marbre							150		32000								
CA06-1032-03	356681	6556330	Affleurement	Pegmatite rose associée à des veines de calcosilicates au contact avec des marbres. BF=75.	Marbre							150		2000								
CA06-1032-04	356681	6556279	Sol	Anomalie de 520 c/s sur un mort-terrain épais de 1m environ, mélange de la boue et des infiltrations d'eau venant du lac juste à côté. BF=120	Pegmatite	rose	Marbre		Calcosilicate			75		700								
CA06-1032-05	356423	6556424	Affleurement	Banc de pegmatite rose pris en 2 bancs de marbres. La pegmatite est associée par endroit à des roches carbonatées et du quartz rose qui pourrait être de la fluorine. BF = 125.								120		520								
CA06-1032-06	356399	6556450	Bloc	Bloc de marbre associé à d'autres blocs. Le gamma nous donne 1600 c/s, sur des blocs se situant dans l'eau.	Pegmatite	rose						125					CA06-1032-06(P)	CA06-1032-06				
CA06-1032-07	356337	6556490	Bloc	Bloc de pegmatite rose au contact avec des marbres.	Marbre									2500		CA06-1032-06						
CA06-1032-08	356340	6556550	Affleurement	Marbre au contact avec des roches calcosilicatées.	Pegmatite	rose	Marbre							1000								

705544

No station	Estant (Nad83 - Zone 20)	Nordant (Nad83 - Zone 20)	Bloc ou Affleurement	Description lithologique	Lithologie A	Couleur A	Lithologie B	CouleurB	Lithologie C	CouleurC	Radiométrie Bruit de fond (cps)	Radiométrie maximum (cps)	Radiométrie anomalie (cps)	Photo	Échantillon	Lames minces: Petite (P) et Polie (Po)	Analyses chimiques	Témoin	Structure	Azimuth	Pendage	Caractéristiques
CA06-1032-09	356255	6556636	Point de repérage	J'ai perdu la trend anomalique.	Marbre		Calcosilicate						1000									
CA06-1032-10	356187	6556696	Bloc	Bloc de marbre.							100											
CA06-1033-01	356057	6557010	Affleurement	Bruit de fond à 400 cps. Bloc de pegmatite à 1000 cps. Marbre dolomitique à patine beige à fins lits de calcsilicates. S0=124/SV.	Marbre								1000						S0	124	90	
CA06-1033-02	357188	6555787	Affleurement	Autour de l'indice "Bocar", pas d'extension repéré. Niveaux de calcsilicates recoupés de veines de quartz pouvant atteindre 5cm de large et orientés N90.	Marbre dolomitique	beige	Roche calco-silicatée				400 (blocs)		100 (bloc de pegmatite)						Veine	90		
CA06-1033-02B	357806	6555904	Affleurement	Affleurement de pegmatite rose de 30 x 20 m. Bruit de fond à 150 cps et max à 200 cps.	Roche calco-silicatée		Veine de quartz															
CA06-1033-03	358264	6555774	Affleurement	Depuis le point précédent, alternance de marbres calcitiques et dolomitiques. S0=150/SV. Présence de pegmatite à 120 cps.	Pegmatite	rose					150	200							S0	150	90	
CA06-1033-04	358184	6555908	Affleurement	Marbre dolomitique. S1=N60	Marbre calcitique		Marbre dolomitique		Pegmatite										S1	60		
CA06-1033-05	357470	6556387	Affleurement	Contact entre A) gneiss et B) pegmatite blanche à proximité du C) marbre. Marbre=80 cps. Pegmatite=110 cps.	Marbre dolomitique																	
CA06-1035-01	355110	6558402	Affleurement	Marbre calsitique avec des niveaux plus dolomitiques que d'autre anomalie dans une sorte de foliation de direction N-S associée à des surfaces de graphite. Marbre à faciès grenu à texture saccharoïde. BF = 200	Gneiss		Pegmatite	blanc	Marbre			B) 110 C) 80										
CA06-1035-02	355163	6558422	Affleurement	Marbre gris altéré par endroit et se débitant en feuillet. Marbre associé à des roches calcosilicatées. Anomalie associée à une foliation NS dans le marbre. BF = 150	Marbre						200		1200									
CA06-1035-03	355041	6558473	Affleurement	Marbre gris en surface et plus dolomitisé à l'intérieur. Marbre associé à des roches calcosilicatées en relief. BF = 200	Marbre	gris	Calcosilicate				150		2000									
CA06-1035-04	355003	6558510	Affleurement	Idem que 1035-03. Les anomalies semblent suivre un certain trend ou foliation.	Marbre	gris	Calcosilicate				200		4000									
CA06-1035-05	354959	6558538	Affleurement	Marbre calsitique à texture amorphe en relief sur le marbre pure. BF = 300	Marbre	gris	Calcosilicate						5000									
CA06-1035-06	354807	6558695	Affleurement	Marbre gris associé à des calcosilicates au contact avec des roches calcosilicatées. BF = 100.	Marbre								4000									
CA06-1035-07	354756	6558778	Affleurement	Marbre associé à de la biotite et de la phlogopite au contact avec des roches calcosilicatées. BF = 100	Marbre	gris	Calcosilicate				100		1000									
CA06-1035-08	354735	6558824	Affleurement-Bloc	Marbre dolomitique associé à des blocs de granite.	Marbre						100		1000									
CA06-1035-09	354623	6559096	Bloc	Bloc enfoui dans un mort-terrain avec un bruit de fond de 150 à 200.	Marbre		Granite						2500									
CA06-1035-10	354666	6559123	Affleurement	Contact entre marbre et pegmatite.							150	200	1200		CA06-1035-09							
CA06-1035-11	354837	6558840	Affleurement	Marbre détritique en contact avec des roches calcosilicatées, présence de petits cristaux de diopside et de biotite. N146°/68° BF = 200	Marbre		Pegmatite												S	146	68	
CA06-1035-12	354865	6558791	Affleurement	Marbre détritique au contact avec des calcosilicates riche en biotite et quartz. Le banc est épais et de la même direction que le Nord 164.	Marbre		Calcosilicate				200		1500		CA06-1035-12	CA06-1035-12(Po)	CA06-1035-12		S	164		
CA06-1036-01	355868	6557261	Affleurement	Anomalie 10 000 trouvée par Serge Genest sur affleurement. Marbre gris chaotique.	Marbre	gris							4500									
CA06-1036-02	356018	6557384	Bloc	Anomalie par Yves R. Bloc 10 x 20cm. Anomalie 2300. Pyrite en traces.									2300				CA06-1036-02					
CA06-1036-03	356019	6557381	Affleurement	Anomalie OVER > 40 000. A 1m d'un point de 15 000 déjà répertorié. Marbre chaotique. Plusieurs photos prises avec gamma dans le trou.	Marbre								40001									
CA06-1036-04	356096	6557343	Affleurement-Bloc	Anomalie OVER 40 000. Photos. Dans le fond, sur un affleurement ou bloc en place. Échantillon d'un bloc de marbre avec fuchsite et sulfures mais non minéralisé. Impossible d'avoir échantillon de 40 000.	Marbre								40001	>1	CA06-1036-04	CA06-1036-04 (P)	CA06-1036-04	CA06-1036-04				
CA06-1036-05	356242	6557192	Affleurement	Anomalie > 22 000, sur affleurement, calcosilicate	Roche calco-silicatée								22001									
CA06-1036-06	356268	6557149	Affleurement	Anomalie > 10 000. Très proche d'un 15 500. Sur affleurement marbre beige.	Marbre	beige							15500									
CA06-1036-07	356233	6557175	Affleurement	Anomalie de 1400. Affleurement en fond de trou. Marbre beige.	Marbre	beige							1400									
CA06-1036-08	355304	6558260	Affleurement	Anomalie de 1630. Sous 30cm d'eau dans le lac à faire suivre par les plongeurs. Marbre beige orange massif foliation frustre.	Marbre	beige					80		1630									
CA06-1036-09	355131	6558380	Affleurement	Reprise d'un échantillon déjà connu. CA06-1005-02 7500	Marbre	beige-orange					60		1630									
CG06-2000-01	357673	6552848	Affleurement	Paragneiss localement rouillé et riche en biotite, parfois à grenat ils sont injecté de pegmatite essentiellement quartzo-feldspathique la plupart se mettent en place le long de la foliation mais sont parfois sécantes.	Paragneiss	rouille	Pegmatite				150	600										
CG06-2000-02	357537	6553834	Affleurement	Zone très rouge oxydée de 10m x 5m dans des gneiss à quartz+biotite, pas de sulfures visibles, la roche est fortement fracturée. Petite vallée direction 65° correspond probablement à une faille.	Gneiss																	
CG06-2000-03	357097	6553538	Affleurement	Petit dyke de gabbro d'environ 10m à contact parfaitement rectiligne. Recoupe du gneiss migmatitique injectés de pegmatite.	Gneiss migmatitique		Pegmatite		Gabbro													
CG06-2000-04	356845	6553423	Affleurement	Dans la plaine on trouve de nombreux blocs de marbre, certains contiennent du graphite et de petits minéraux noirs rouillés.À l'Ouest de la plaine on trouve des gneiss migmatitiques avec ségrégation des feldspaths.	Gneiss migmatitique						100											
CG06-2000-05	356562	6553200	Affleurement	1100cps dans une pegmatite rose sous la mousse, plusieurs points >500cps dans un rayon de quelques mètres. Le contact avec le marbre se trouve environ 10m à l'Ouest.	Pegmatite	rose	Marbre					500	1100									
CG06-2000-06	356517	6553148	Affleurement	Marbre plissé avec gneiss à diopside, plusieurs fentes contiennent de grandes calcites et des diopsides automorphes.	Marbre		Gneiss à diopside															
CG06-2001-01	357743	6552589	Bloc	Bloc arrondi de 1.5m x 1m de pegmatite atteint ponctuellement 2000cps.	Pegmatite								2000									
CG06-2001-02	357417	6552870	Affleurement	Pegmatite de plusieurs dizaine de mètres de long sur quelques mètres de large parallèle à la foliation, 70% feldspath, 10% quartz + muscovite et quartz rose. Recoupé de veines de quartz d'environ 2cm de large.	Pegmatite	rose					125											
CG06-2001-03	357303	6552957	Bloc	Bloc arrondi de pegmatite rose très riche en feldspath potassique.	Pegmatite	rose							1500									

No station	Estant (Nad83 - Zone 20)	Nordant (Nad83 - Zone 20)	Bloc ou Affleurement	Description lithologique	Lithologie A	Couleur A	Lithologie B	CouleurB	Lithologie C	CouleurC	Radiométrie Bruit de fond (cps)	Radiométrie maximum (cps)	Radiométrie anomalie (cps)	Photo	Échantillon	Lames minces: Petite (P) et Polie (Po)	Analyses chimiques	Témoin	Structure	Azimuth	Pendage	Caractéristiques
CG06-2001-04	357135	6553022	Affleurement	Après une zone d'?ultra? Passage à un niveau de marbre très pur, plissé d'orientation principale N130°/140° et plis secondaires d'amplitude métrique et de direction aléatoire. Le marbre contient des bancs de gneiss boudinés.	Marbre		Gneiss												S0	130	140	
CG06-2001-05	357041	6553163	Affleurement	Contact entre les gneiss et les marbres. Les gneiss sont injectés de pegmatite au contact. Anomalie ponctuelle à 1500cps. La pegmatite qui recoupe les gneiss est très quartzeuse, zone d'environ 20m x 20m avec nombreuse anomalies > 1000cps et maximum à 7500cps associées à une taches de rouille. Veine de quartz d'environ 15cm non rectiligne à proximité.	Gneiss		Marbre		Pegmatite				7500		CG06-2001-05	CG06-2001-05 (P)	CG06-2001-05	CG06-2001-05				
CG06-2001-06	356909	6553144	Affleurement	Contact entre gneiss à pegmatite et marbre. La bande de marbre fait environ 20m de large.	Gneiss		Marbre		Pegmatite													
CG06-2001-07	356875	6552948	Affleurement	Contact marbre/gneiss orienté 150°/50°, le marbre forme la butte à l'Ouest. Le contact bordé d'un mètre de skarn à diopside, les gneiss sont recoupés de nombreuses pegmatites. Les pegmatites s'injectent parfois le long de petites bandes de cisaillement dans les gneiss. 1500cps ponctuel dans la pegmatite.	Gneiss		Marbre		Pegmatite		150		1500						S0	150	50	
CG06-2001-08	356619	6552948	Affleurement	2000cps ponctuel sur une tache rouillée dans le marbre à petits minéraux jaunes arrondis.	Marbre								2000									
CG06-2001-09	356529	6552904	Affleurement	Lambeau de gneiss quartzitique dans les marbres sont localement à 900cps. Quelques mètres à l'Ouest important réseau de fracture N30° dans un gneiss à amphibole.	Marbre		Gneiss quartzitique					900							Fracture	30		
CG06-2001-10	356523	6552880	Affleurement	Le sommet de la butte est ?armée? de pegmatite et d'enclaves de gneiss. La pegmatite à une teinte rose jaunâtre en surface altérée, elle est composé de 80% de feldspath potassique, d'amphibole et contient très peu de quartz, quartz syénite?, elle forme de grandes masses s'injectant dans du marbre rosé, au contact on observe des skarns à sulfure. Fin niveau de gneiss mafique plissé pris dans le marbre. Plusieurs anomalies ponctuelles à 1000cps entre 10 et 11, affleurement continu entre les deux.	Marbre	rose	Pegmatite	rose	Gneiss				1000									
CG06-2001-12	356450	6552907	Affleurement	Dyke de gabbro dans le gneiss environ 15m de large orienté 20°. Grande zone rouillée riche en sulfures dans les gneiss, bloc d'environ 1m x 50cm de sulfure massif au pied de la falaise.	Gneiss		Gabbro						7500		CG06-2001-12							
CG06-2001-13	356459	6553085	Affleurement	Pegmatite riche en quartz atteignant localement 3500cps en contact avec des gneiss quartzeuse orientés 150°/60° passage à des marbres vers l'Orient. Plusieurs points à 2500cps à proximité de zones rouillées dans la pegmatite à proximité de fracture 26°/65°. La petite vallée au Sud du point contient des marbres juste dans le prolongement du dyke de gabbro...	Gneiss quarzitique		Pegmatite		Marbre				3500						Fracture	150	60	
CG06-2001-14	356456	6553225	Affleurement	Contact granite/gneiss à l'Ouest et marbre à l'Est.	Granite		Gneiss		Marbre													
CG06-2001-15	356544	6553226	Affleurement	Contact entre des gneiss quartzo-feldspathique et dyke de gabbro à grain fin parfaitement rectiligne de 8m de large orienté 60°.	Gneiss quartzo-feldspathique		Gabbro															
CG06-2001-17	356380	6553550	Affleurement	Contact ??? À l'Est et marbre à l'Ouest. Le contact est très riche en diopside. Quelques veines à diopside aux épontes et remplissage de quartz et calcite recoupent les marbres mais sans direction préférentielle.	Marbre																	
CG06-2001-18	356247	6553488	Affleurement	Contact marbre à l'Est et gneiss à l'Ouest.	Marbre		Gneiss															
CG06-2001-19	356223	6553387	Affleurement	Anciens flags bleus des gneiss riches en magnétite (environ 35%). L'affleurement à été rainuré. Zone d'environ 20m x 20m fortement rouillée, nombreux flags bleus sur la masse, probablement zones magnétiques. Environ 20m à l'Ouest on repasse à des marbres.	Gneiss à magnétite	rouille	Marbre								CG06-2001-19							
CG06-2001-20	356372	6553151	Affleurement	Gneiss rouillé, plusieurs points >1000cps max 1500cps.	Gneiss	rouille							1500									
CG06-2001-21	356250	6553250	Affleurement	Pegmatite blanche 75% feldspath, 20% quartz avec enclaves de marbre. Plusieurs points >1000cps.	Pegmatite	blanche	Marbre				150		3000									
CG06-2001-22	356300	6553210	Affleurement	Pegmatite 55% feldspath potassique, 40% quartz + minéraux verts. Marbre à proximité.	Pegmatite		Marbre						12000		CG06-2001-22							
CG06-2001-23	356175	6553359	Affleurement	Niveau de magnétite massive rainurée.	Magnétitite								1500		CG06-2001-23							
CG06-2001-24	356208	6553409	Affleurement	Anomalie à 2000cps à proximité de diopsidite.	Diopsidite								2000									
CG06-2001-25	356214	6553519	Affleurement	Réseau de fractures chloritisées sur 1,5m de large. 1200cps ponctuel dans enclave mafique dans la pegmatite. 2000cps au contact gneiss-marbre, le gneiss est en enclave dans le marbre et est fortement plissé.	Marbre		Pegmatite		Gneiss				2000									
CG06-2001-26	356239	6553726	Affleurement	Marbre/gneiss 128°/70°.	Marbre		Gneiss					500							S0	128	70	
CG06-2002-01	356051	6553972	Affleurement	Mélange de marbre et de gneiss granitique recoupé de pegmatite à longs minéraux verts. Un spot à 7500cps dans un appendice de la pegmatite riche en biotite. Échantillon non minéralisé.	Marbre		Gneiss granitique		Pegmatite				7500		CG06-2002-01							
CG06-2002-02	355984	6553996	Affleurement	Plusieurs anomalies de 2000cps à 3000cps. Pegmatite rose à grain fin essentiellement a.f à bruit de fond à 1000cps. Petit échantillon avec veinules de sulfures qui atteignent localement 5000cps. Certains gneiss semblent silicifiés avec nombreuses veinules irrégulières et rouillées à remplissage de Q-cc et parfois sulfures. Série de petits minéraux noirs 150°/60°. Sur 10m x 20m stockwork de petites veines de quartz diffus dans granite rose? complètement silicifié.	Granite	rose	Gneiss		Pegmatite	rose		1000	5000		CG06-2002-02							
CG06-2002-03	355860	6554136	Affleurement	3000cps dans pegmatites à quartz-feldspath grossière encaissée dans les gneiss. Contact 120°/60°.	Gneiss		Pegmatite						3000						S0	120	60	
CG06-2002-04	355970	6554218	Affleurement	Depuis point précédent on est dans gneiss migmatitiques rosés boudinés cisaillés avec nombreuses injections de pegmatites. La strati change, probablement nez de pli.	Gneiss migmatitique	rose	Pegmatite															
CG06-2002-05	355882	6554251	Affleurement	Dyke de granite à grain moyen légèrement orienté parallèle au dyke. Recoupent gneiss bien rubanés avec minéraux mafiques. Fines fractures oxydées parallèle au dyke.	Gneiss		Granite															
CG06-2002-06	355767	6554295	Affleurement	Contact pegmatite à feldspath al amphibole et marbre atteint local 1200cps. La roche est fracturée et à une teinte verdâtre.	Marbre		Pegmatite						1200		CG06-2002-06							

705544

No station	Estant (Nad83 - Zone 20)	Nordant (Nad83 - Zone 20)	Bloc ou Affleurement	Description lithologique	Lithologie A	Couleur A	Lithologie B	CouleurB	Lithologie C	CouleurC	Radiométrie Bruit de fond (cps)	Radiométrie maximum (cps)	Radiométrie anomalie (cps)	Photo	Échantillon	Lames minces: Petite (P) et Polie (Po)	Analyses chimiques	Témoin	Structure	Azimuth	Pendage	Caractéristiques
CG06-2002-07	355687	6554377	Affleurement	2500cps ponctuel dans pegmatite blanche. Depuis affleurement précédent bande de marbre impur avec enclaves de gneiss. Quartzite fortement graduée avec veines à amphibole. Q. cc.	Marbre		Pegmatite	blanche	Quartzite				2500									
CG06-2002-08	355686	6554390	Affleurement	Marbre/gneiss	Marbre		Gneiss						1000									
CG06-2002-09	355584	6554476	Affleurement	Contact marbre/gneiss. 3000cps à 2 endroits distants de 3m. Le gneiss est migmatisé avec bande de cisaillement ductile 65°.	Marbre		Gneiss migmatitique						3000						Cisaillement	65		
CG06-2002-10	355469	6554578	Affleurement	Le contact entre le marbre et les gneiss zone 20m x 20m constituée de roche grise silicifiée recoupée par un stockwork de veinules à biotite-diopside+minéral alumineux avec pas de direction préférentielles.	Marbre		Gneiss		Roche silicifiée	grise			1500									
CG06-2002-11	355376	6554651	Affleurement	Dans gneiss migmatitique nombreuses injections de pegmatites grossières à patine rose à bords verts mais formes circonvoluées, elles contiennent de la pyrite. 1 zone à 2000cps sur 30cm et 1 à part à 4000cps sur 10cm au sud-ouest dans la bande de marbre les pegmatites font entre 50cm et 1m de large et contiennent de la magnetite liée. Échantillon de la zone à 4500cps. Au contact entre les gneiss et la pegmatite agrégat de magnetite + covelline?.	Gneiss migmatitique		Pegmatite	rose	Marbre				4500		CG06-2002-11		CG06-2002-11					
CG06-2002-12	355305	6554768	Affleurement	Marbre/gneiss	Marbre		Gneiss															
CG06-2002-13	355215	6554692	Affleurement	Contact sud-ouest des marbres avec niveaux de gneiss à biotite recoupé de nombreuses veines de pyrite massive de 1cm x 40cm orientées 0° et 120° sur une bande de 2m de large en bordure des marbres. Plusieurs points anomaux entre 2000cps et 4000cps associés à la pyrite. Quelques injections de pegmatites à minéraux verts recoupés de veines de quartz. Échantillon de zone à sulfure à proximité d'une anomalie à 3000cps.	Marbre		Gneiss à biotite		Pegmatite				4000		CG06-2002-13				Veine de pyrite; veine de pyrite	360; 120	ND	
CG06-2002-14	355405	6554924	Affleurement	Gneiss/marbre. Pegmatite rose au contact.	Gneiss		Marbre		Pegmatite	rose												
CG06-2002-15	355550	6554837	Affleurement	Zone bréchifiée, fortement rouillée et fracturée dans les marbres localement riche en pyrite. Roche avec minéraux verts pâles en gerbe, échantillon pour identification.	Marbre										CG06-2002-15							Zone bréchifiée, fortement rouillée et fracturée dans les marbres localement riche en pyrite.
CG06-2002-16A	355561	6554990	Affleurement	Limite nord de la zone anomale.	Marbre						100		1500		CG06-2002-16A							
CG06-2002-16B	355677	6554924	Affleurement	Série d'anomalies comprises entre 2000 et 15000cps quasiment continues. Elles se situent à 2-3dm du contact entre les marbres et les gneiss (les marbres sont dans la vallée). Elles suivent une veine de quartz (ou pegmatite essentiellement composée de quartz) à contact irrégulier. Nombreuses zones rouillées. Échantillon du point à 12000cps dans granitoïde très riche en biotite fortement oxydé.	Marbre		Gneiss		Granitoïde				21000									
CG06-2003-01	355528	6555208	Affleurement	Paragneiss, nombreuses fractures 30°.	Paragneiss														Fracture	30		
CG06-2003-02	355401	6555160	Affleurement	Contact marbre-gneiss avec injection de pegmatite blanche. La bande de marbre fait environ 40m de large.	Marbre		Gneiss		Pegmatite	blanche												
CG06-2003-03	355289	6555240	Affleurement	Contact sud-ouest de la bande de marbre avec des gneiss quartzitiques. À proximité du contact le marbre contient des zones rouillées et des enclaves de pegmatite plissée.	Marbre		Gneiss quartzitique		Pegmatite													
CG06-2003-04	355219	6555380	Affleurement	Anomalie en bordure d'une pegmatite dans le marbre. Anomalie sur environ 8m de longueur (>1500cps) orienté 120°. Échantillon contient minéraux noir dans grès? Échantillon à 15000cps. Un point à 5000cps le long d'une fracture avec minéraux verts. Le contact nord-est de la bande de marbre est très proche, elle s'élargit et descend presque jusqu'au rivage. Spot à 15000cps dans essentiellement quartzite à grain fin au contact avec une pegmatite homogène à 80% quartz et 10% feldspath.	Marbre		Pegmatite		Quartzite				21000		CG06-2003-04	CG06-2003-04 (Po)	CG06-2003-04					
CG06-2003-08	355090	6555571	Affleurement	Pegmatite rouillée à proximité du marbre. Plusieurs points >1000cps.	Pegmatite		Marbre				200		2000									
CG06-2003-09	354926	6555630	Affleurement	2000cps ponctuel lié à des amas de biotite dans une pegmatite blanche. Mélange de marbre-gneiss et pegmatite. En descendant la crête autre anomalie 3000cps dans pegmatite à biotite.	Marbre		Gneiss		Pegmatite	blanche	250		3000									
CG06-2003-09B	354650	6555783	Affleurement	Pegmatite.	Pegmatite						150	1250										
CG06-2003-10B	354669	6555824	Affleurement	Pegmatite.	Pegmatite							1500			CG06-2003-10B							
CG06-2003-11	354573	6555716	Affleurement	En bordure d'Estran contact gneiss/marbre 140°. Les gneiss sont migmatitiques aux injections de pegmatite blanche à grosses biotites. Les quelques affleurements au bout de la baie sont composés de gneiss.	Gneiss migmatitique		Marbre		Pegmatite	blanche	200	700							S0	140		
CG06-2003-11B	354313	6555939	Affleurement	Anomalie dans un lit riche en biotite d'un paragneiss.	Paragneiss						100		2000		CG06-2003-11B							
CG06-2003-12	354378	6555979	Affleurement	Gneiss 100cps.	Gneiss						100											
CG06-2003-12B	353492	6556969	Affleurement	Pegmatite recoupé par une veine de quartz à proximité du marbre.	Pegmatite		Marbre				200		1500									
CG06-2003-13	354675	6556015	Affleurement	Petit niveaux de marbre d'environ 10m.	Marbre																	
CG06-2003-13B	353392	6556445	Affleurement	Pegmatite dans un gneiss rouillé, max 3000cps plusieurs points >1000cps sur une ligne d'environ 50m orienté 140°.	Gneiss	rouille	Pegmatite						3000									
CG06-2003-14	354522	6556278	Affleurement	Marbre au sommet de la butte dans les gneiss, sans trop d'affleurements, petite bande de marbre avec nombreuses cavités et dolines proche du contact avec les paragneiss.	Gneiss		Marbre		Paragneiss		100											
CG06-2003-15	354469	6556406	Affleurement	Environ 20m direction N310° point à 1500cps dans pegmatite à enclaves anguleuses de roche mafique.	Pegmatite		Roche mafique						1500									
CG06-2003-16	354384	6556546	Affleurement	Contact marbre /pegmatite. Depuis affleurement précédent essentiellement pegmatite.	Marbre		Pegmatite															
CG06-2003-17	353834	6556876	Affleurement	Dans le petit col passe une bande de marbre.	Marbre																	
CG06-2003-18	353290	6556628	Affleurement	2 points à 1000cps et 1200cps. Celui à 1000cps sur environ 1m dans pegmatite jaune rosés à grain moyen très riche en biotite et quartz, la roche encaissante semble être un gneiss riche en quartz pas très visible à cause du lichen. Nombreuse fractures 28°. La falaise de l'autre côté de la vallée est constituée de gneiss toujours de même orientation recoupé par un dyke de gabbro horizontal d'environ 2-3m sur toute la longueur, probablement le même que 203-15.	Gneiss		Pegmatite		Gabbro				1200						Fracture	28		
CG06-2003-19	353250	6556526	Affleurement	Depuis point précédent bande de marbre direction 120° avec pendage fluctuant entre 80° Est et Ouest recoupé par pegmatite blanche essentiellement feldspathique.	Marbre		Pegmatite	blanche											S0	120	80	

No station	Estant (Nad83 - Zone 20)	Nordant (Nad83 - Zone 20)	Bloc ou Affleurement	Description lithologique	Lithologie A	Couleur A	Lithologie B	CouleurB	Lithologie C	CouleurC	Radiométrie Bruit de fond (cps)	Radiométrie maximum (cps)	Radiométrie anomalie (cps)	Photo	Échantillon	Lames minces: Petite (P) et Polie (Po)	Analyses chimiques	Témoin	Structure	Azimuth	Pendage	Caractéristiques
CG06-2003-20	353041	6556121	Affleurement	Affleurement de marbre avec enclaves anguleuses de pegmatite feldspathique blanche, nombreuses fentes à remplissage de calcite 20°/80°. Grande zone au sud-ouest d'environ 100m de large de marbre avec quelques zones de quartzite et beaucoup de pegmatite blanche. Pas d'anomalie. Le pli dominé semble être local.	Marbre		Pegmatite	blanche	Quartzite		50	150							Fracture	20	80	
CG06-2004-01	358426	6552587	Affleurement	Depuis le camp, paragneiss. Ici bruit de fond entre 200cps et 300cps dans pegmatite avec max à 750cps à proximité d'un petit banc de marbre d'environ 1m (visible).	Paragneiss		Marbre		Pegmatite		200	750										
CG06-2004-01B	358518	6552573	Affleurement	Paragneiss et pegmatite sur sommet de la colline.	Paragneiss		Pegmatite				200											
CG06-2004-02	358824	6552864	Affleurement	Depuis précédent, pegmatite blanche à grenat et maintenant gneiss à quartz et lits de biotite.	Gneiss		Pegmatite				140											
CG06-2004-02B	358797	6552526	Affleurement	Pegmatite massive au sommet 50% quartz et 50% feldspath. Paragneiss à grenat alentour	Paragneiss		Pegmatite															
CG06-2004-03	358858	6552754	Affleurement	Affleurement de marbre à débit horizontal et fortement fracturé.	Marbre						50											
CG06-2004-03B	359061	6552720	Affleurement	Début d'une bande de paragneiss rouillé.	Paragneiss	rouille																
CG06-2004-04	358937	6552814	Affleurement	Fin du marbre et passage à gneiss. La bande de marbre se prolonge sur au moins 200 à 300m au nord-ouest. Quelques fines fractures rouillées.	Gneiss		Marbre															
CG06-2004-04B	359497	6552752	Affleurement	Début d'une bande de marbre vers l'Est, une lentille de pegmatite.	Marbre		Pegmatite				60											
CG06-2004-05	359222	6552615	Affleurement	Gneiss fortement rouillé riche en biotite à débit en plaquettes (prolongement de la faisse rouillée au bord de la baie). Contact avec paragneiss à grenat du sud-ouest.	Gneiss	rouille	Paragneiss		Paragneiss													
CG06-2004-06	359562	6552550	Affleurement	Contact gneiss/marbre 140°/80°. Contact sans skarn ni pegmatite.	Gneiss		Marbre												S0	140	80	
CG06-2004-07	359998	6551958	Affleurement	Toujours des marbres, parfois calcosilicatés fortement microplissés mais globalement 134°/0°.	Marbre		Roche calco-silicatée				100								S0	134		
CG06-2006-01B	359487	6546580	Affleurement	Marbre recoupé de pegmatite.	Marbre		Pegmatite															
CG06-2006-02B	359602	6546541	Affleurement	Contact marbre/paragneiss et pegmatite rose.	Marbre		Paragneiss		Pegmatite	rose												
CG06-2006-03B	359868	6546380	Affleurement	Marbre qui continue jusqu'au ruisseau plus à l'Ouest et semble couvrir sur la colline vers l'Est	Marbre																	
CG06-2006-04B	359822	6546282	Affleurement	Contact marbre/gneiss	Marbre		Gneiss															
CG06-2006-05B	359690	6546200	Affleurement	Marbre à phlogopite.	Marbre à phlogopite						60											
CG06-2006-06B	359522	6546417	Affleurement	Contact marbre à phlogopite/pegmatite blanche rouillée (à l'Ouest), la pegmatite est dans du paragneiss rouillé. Contact N010°/35°.	Marbre à phlogopite		Paragneiss	rouille	Pegmatite			500							S0	10	35	
CG06-2006-07B	359482	6546596	Affleurement	Contact marbre/paragneiss pegmatite.	Marbre		Paragneiss		Pegmatite													
CG06-2006-08B	359432	6546729	Affleurement	Contact marbre à phlogopite et paragneiss à pegmatite.	Marbre à phlogopite		Paragneiss		Pegmatite			500										
CG06-2006-09B	359031	6549061	Affleurement	Pegmatite blanche quartz/feldspath en contact avec une bande de 2m de largeur de marbre vers l'Est. Ensuite gneiss rouillé encore plus à l'Est.	Pegmatite	Blanche	Marbre		Gneiss	rouille	200	1020										
CG06-2006-10B	359194	6548994	Affleurement	Mélange marbre/gneiss/pegmatite blanche. Les contact sont désordonnés. Anomalies dans les pegmatites, plusieurs points à >1000cps.	Marbre		Gneiss		Pegmatite	blanche		4000										
CG06-2006-11B	359225	6548957	Affleurement	Quartzite à minéraux verts-oranges. Contient des minéraux noirs à éclat brillant. Super radioactif (pechblende), plusieurs anomalies >2000cps alignées N130°.	Quarzite							11000										
CG06-2006-12B	359198	6548918	Affleurement	Pegmatite blanche près de marbre. Aussi plusieurs anomalies >1000cps	Pegmatite	blanche	Marbre						1000									
CG06-2006-13B	359335	6548669	Affleurement	Pegmatite blanche près de marbre, aussi un point à 3000cps.	Pegmatite	blanche	Marbre						3000									
CG06-2006-14B	359320	6548627	Affleurement	Pegmatite rouillé riche en biotite, plusieurs points >1000cps.	Pegmatite	rouille							2000									
CG06-2007-01B	362174	6547994	Affleurement	Contact gneiss/marbre (à l'Est).	Gneiss		Marbre															
CG06-2007-02B	362184	6548162	Affleurement	Paragneiss	Paragneiss						150											
CG06-2007-03B	362282	6548253	Affleurement	Charnière de pli, pas de marbre.	Paragneiss						150	200										
CG06-2007-04B	362308	6548253	Affleurement	Contact gneiss/marbre (à l'Est)	Gneiss		Marbre															
CG06-2008-01B	365033	6547293	Affleurement	Stries glaciaires sur marbres.	Marbre																	
CG06-2008-02B	364976	6548362	Affleurement	Contact gneiss/marbre. La bande de marbre à seulement 60cm de large. Le gneiss contient des veines et bandes de pegmatite blanche. La pegmatite est recoupé de veines de quarzt blanc et rose.	Gneiss		Marbre		Pegmatite	blanche		750										
CG06-2005-01	354088	6555030	Affleurement	Stockwork de fentes à cc et pyroxène + minéral blanc en baguettes à section rhomboédrique + minéral bleu semble à section hexagonal très brillant (apatite?) dans des marbres, proche du contact avec les gneiss.	Marbre		Gneiss															
CG06-2005-02	354500	6554627	Affleurement	Marbre à pyroxène contenant de nombreux fragment de gneiss quartzitique. Contact avec des gneiss rouillés disloqués injectés de marbre.	Marbre		Gneiss quartzitique		Gneiss	rouille	70											
CG06-2005-03	354411	6554627	Affleurement	Anomalie à 3000cps dans pegmatite rose, >1000cps sur environ 5m. Dans cette zone le marbre est broyé et la strati change rapidement atteignant presque l'horizontale. La pegmatite contient 75% feldspath potassique, 25% quartz. Elle est fortement fracturé et contient des sulfures rouillés. Également nombreuses pegmatites blanches à environ 100cps. Échantillon de pegmatite rose + roche silicifiée.	Pegmatite	rose	Marbre				100	1000	3000		CG06-2005-03	CG06-2005-03 (P)	CG06-2005-03					
CG06-2005-04	354409	6554629	Affleurement	Dans le prolongement de la petite baie, pegmatite rose à 1200cps ponctuel.	Pegmatite	rose							1200									
CG06-2005-05	354016	6554381	Affleurement	1000cps dans gneiss rouillé à feldspath et biotite, anomalie sur environ 1m >500cps. Pas très visible car couvert de terre mais il s'agit probablement d'un leucosome. Fracture importante se prolonge dans falaise à l'Est et semble être un important couloir de faille. On retrouve le marbre environ 20m du nord-est.	Gneiss	rouille	Marbre						1000									
CG06-2005-06	353949	6554433	Affleurement	Affleurement de pegmatite blanche riche en quartz formant une petite butte.	Pegmatite	blanche																
CG06-2005-07	353929	6554310	Affleurement	Gneiss rouillé. Fin niveaux pegmatitique, bruit de fond à 500cps max à 1000cps.	Gneiss	rouille	Pegmatite				500		1000									
CG06-2005-08	353865	6554340	Affleurement	Bande de pegmatite d'environ 50cm de large dans les gneiss, essentiellement quartzeux avec parfois un peu de feldspath rose aux épontes, + feldspathique quand la taille des cristaux diverse. Anomalies alignées 140°. Sur 30m plusieurs points entre 1000 et 3000cps, se perd dans l'herbe À l'ouest petite bande de marbre d'environ 5m.	Gneiss		Pegmatite		Marbre		200	1000	3000									

705544

No station	Estant (Nad83 - Zone 20)	Nordant (Nad83 - Zone 20)	Bloc ou Affleurement	Description lithologique	Lithologie A	Couleur A	Lithologie B	CouleurB	Lithologie C	CouleurC	Radiométrie Bruit du fond (cps)	Radiométrie maximum (cps)	Radiométrie anomalie (cps)	Photo	Échantillon	Lames minces: Petite (P) et Polie (Po)	Analyses chimiques	Témoin	Structure	Azimuth	Pendage	Caractéristiques
CG06-2005-09	353904	6554265	Affleurement	Prolongement de la zone anomale précédente, anomalie à 3000cps dans pegmatite quartzitique recoupant des gneiss rouillés fortement fracturés, probablement prolongement de la faille du 03.	Gneiss	rouille	Pegmatite						3000									
CG06-2005-10	354073	6554209	Affleurement	Toujours même gneiss rouillé à quartz-feldspath-biotite recoupé par pegmatite quartzeuse, plusieurs anomalies >1000cps max 2000cps. Les anomalies sont alignées 148°. Échantillon de la pegmatite à quartz-biotite.	Gneiss	rouille	Pegmatite						2500		CG06-2005-10							
CG06-2005-11	354101	6554181	Affleurement	Toujours bandes de gneiss rouillé mais plus rouillé ici. Pegmatite très rouillée > 3000cps sur environ 1m, plusieurs points > 1000cps alentour. Échantillon pour analyse et lame mince. Toute cette bande de gneiss rouillés dans les marbre est intéressante, à reprendre pour exploration.	Marbre		Gneiss	rouille	Pegmatite	rouille			3500		CG06-2005-11		CG06-2005-11					
CG06-2005-12	354149	6554057	Affleurement	Toujours bande de gneiss rouillé. 1800cps sur terre, 1 autre point à 2000cps. Bande s'orienté à 20m du rivage.	Gneiss	rouille							2000									
CG06-2005-13	354262	6553910	Affleurement	Petite falaise composé de marbre sale à pyroxène + phlogopite. Max 750cps, bruit de fond à 150cps. Contact semble faillé entre marbre et grenat 30°/60°.	Marbre						150	750							S0	30	60	
CG06-2005-15	354170	6553909	Affleurement	Anomalie à 1200cps dans pegmatite blanche quartzeuse cisaillée injectée dans les gneiss, cisaillement 104°/80°.	Gneiss		Pegmatite	blanche					1200						Cisaillement	104	80	
CG06-2005-16	353988	6553857	Affleurement	Butte de pegmatite rose, bruit de fond à 200cps, quelques points à 500-600cps.	Pegmatite	rose					200	600										
CG06-2005-17	353806	6554134	Affleurement	Pegmatite dans marbre à wollastonite? Échantillon pour confirmation de la wollastonite. 1350 cps ponctuel.	Marbre		Pegmatite						1350		CG06-2005-17							
CG06-2005-18	353826	6554052	Affleurement	Niveau de gneiss dans les marbres recoupé par pegmatite rose sur place 60°/85°, 5000cps ponctuel. Cette zone est dans l'alignement d'une grande faille qui traverse la baie en étant légèrement décalé et recoupe la zone d'anomalie à 12000cps de l'autre côté.	Marbre		Gneiss		Pegmatite	rose			5000						S0	60	85	
CG06-2005-20	353869	6553809	Affleurement	Même A) othogneiss mais fortement fracturé, rouge brique à proximité d'un réseau de fractures dense. Recoupé par un dyke de B) roche mafique aphanitique 145°/10° d'environ 2m de large. Échantillon de granite et du dyke.	Orthogneiss	rouge brique	Roche mafique				200	300			CG06-2005-20A,B				Dyke	145	10	
CG06-2005-22	354101	6553687	Point de repérage																			
CG06-2005-23	354191	6553573	Affleurement	Butte d'orthogneiss potassique. 1100cps dans des agrégats de biotite dans des pegmatites.	Orthogneiss		Pegmatite						1100									
CG06-2005-24	354342	6553438	Affleurement	Contact orthogneiss/marbre injecté de pegmatite blanche. Le contact est irrégulier à petit échelle mais globalement avec de petits niveaux de gneiss.	Orthogneiss		Marbre		Pegmatite	Blanche	200											
CG06-2005-25	354609	6553527	Affleurement	En descendant vers la baie, le contact des orthogneiss ne semble pas avoir d'intérêt. Contact marbre/gneiss rouillé 128°/80°. 1500cps ponctuel dans pegmatite s'injectant dans les gneiss.	Marbre		Gneiss	rouille	Pegmatite				1500						S0	128	80	
CG06-2005-26	354674	6553465	Affleurement	Pegmatite d'environ 30m de large sécante dans les gneiss rouillé, très riche en biotite, la pegmatite s'injecte à environ 5m du contact entre gneiss et marbre. Veines à grands cristaux automorphe feldspathique, diopside?, quartz?, ce? Orientées 30°. On retrouve ces veines tous les 3m sur environ 30m.	Gneiss	rouille	Pegmatite		Marbre													
CG06-2005-27	354531	6553690	Affleurement	3000cps, ponctuel dans marbre.	Marbre								3000									
CG06-2005-28	354800	6553266	Affleurement	La bande de gneiss rouillé semble diminuer d'épaisseur et se perd sous ???	Gneiss	rouille																
CG06-2005-29	354936	6553087	Affleurement	Niveau de gneiss rouillé disparaît ici. Quelques bandes de gneiss boudinées dans les marbres.	Marbre		Gneiss	rouille														
CG06-2005-30	354963	6552959	Affleurement	Banc de 20m x 5m de gneiss rouillé dans les marbres, veine à cc+graphite.	Gneiss	rouille	Veine à calcite-graphite				150											
CG06-2005-31	355119	6552628	Affleurement	Anomalie ponctuelle dans pegmatite blanche. Depuis point précédent, marbre avec nombreux blocs de gneiss plissés dans lesquels on observe des injections de pegmatite.	Marbre		Pegmatite	blanche				2000										
CG06-2005-32	355127	6552603	Affleurement	Nouvelle pegmatite dans marbre, plusieurs points entre 500cps et 1500cps sur environ 5m de long. Nombreuses fractures 140° et 65° à remplissage de diopside?	Marbre		Pegmatite					500	1500						Fract; fract	140; 65	ND	
CG06-2005-33	355224	6552574	Affleurement	Anomalie à 1500cps dans pegmatite injectée dans les gneiss qui forment une butte dans la zone d'estrant. Autre point à 3000cps.	Gneiss		Pegmatite					1500	3000									
CG06-2005-34	355180	6552529	Affleurement	Anomalie à 1500cps dans zone rouillée d'environ 30m de direction N110°. Dyke mafique d'environ 10m de large orienté 60°, pas tout à fait rectiligne.	Dyke mafique	rouille							1500									
CG06-2005-35	355263	6552399	Affleurement	7000cps ponctuel le long d'une fracture N70°, sous un peu d'eau à proximité d'une pegmatite anomale d'environ 1,5m de large et en tenant plusieurs points à 2000cps à feldspath, quartz fumé et amphibolite? noire.	Pegmatite								7000						Fracture	70		
CG06-2005-36	355305	6552208	Affleurement	Contact orthogneiss/marbre. Plusieurs anomalies une à 2000cps et une à 6000cps le long d'une petite fracture dans un skarn à wollastonite?, diopside?, une autre anomalie à 1500cps de pegmatite +muscovite? Quelques veines > 1m de large de pegmatite à 95% quartz +feldspath potassique.	Orthogneiss		Marbre		Skarn				6000									
CG06-2005-37	355404	6552116	Affleurement	1100cps dans granite ou orthogneiss très similaire.	Granite						300		1100									
CG06-2005-38	355188	6551731	Affleurement	Orthogneiss devient plus mafique. Bruit de fond passe de 300cps à 150cps.	Orthogneiss						150	3000										
CG06-2005-39	354992	6551685	Point de repérage																			
CG06-2009-01B	361845	6551206	Affleurement	Paragneiss rouillé	Paragneiss	rouille																
CG06-2009-02B	362813	6550940	Affleurement	Paragneiss rouillé	Paragneiss	rouille																
CG06-2009-03B	362973	6550987	Affleurement	Marbre à phlogopite superposé de pegmatite blanche à biotite et molybdénite et paragneiss rouillé. Minéraux verts foncé automorphe sur contact. Plusieurs anomalies au dessous de 5000cps le long du contact.	Marbre à phlogopite		Pegmatite	blanche	Paragneiss	rouille	500		10000									
CG06-2009-04B	363304	6550947	Affleurement	Mélange paragneiss rouillé, calcsilicates, pegmatite blanche. Anomalie dans le marbre au contact avec pegmatite.	Paragneiss	rouille	Roche calco-silicatée		Pegmatite	Blanche	60	2000										
CG06-2009-05B	363465	6550916	Affleurement	Pegmatite blanche dans paragneiss rouillé. Plusieurs points >1000cps.	Paragneiss	rouille	Pegmatite	blanche					2000									
CG06-2009-06B	363585	6550841	Affleurement	Idem	Paragneiss	rouille	Pegmatite	blanche					2000									
CG06-2009-07B	363676	6550752	Affleurement	Idem	Paragneiss	rouille	Pegmatite	blanche					1100									
CG06-2012-02B	364524	6549963	Affleurement	Contact marbre/gneiss	Marbre		Gneiss															

No station	Estant (Nad83 - Zone 20)	Nordant (Nad83 - Zone 20)	Bloc ou Affleurement	Description lithologique	Lithologie A	Couleur A	Lithologie B	CouleurB	Lithologie C	CouleurC	Radiométrie Bruit de fond (cps)	Radiométrie maximum (cps)	Radiométrie anomalie (cps)	Photo	Échantillon	Lames minces: Petite (P) et Polie (Po)	Analyses chimiques	Témoin	Structure	Azimuth	Pendage	Caractéristiques
CG06-2012-01B	357636	6550962	Affleurement	Anomalie à 3600cps dans amas de biotite dans une pegmatite ;à quartz-feldspath-biotite.	Pegmatite								3600									
CG06-2015-04B	356278	6545512	Affleurement	Pegmatite blanche au contact de marbre sur une falaise face au Nord. Sous la pegmatite, gneiss rouillé à graphite. Plusieurs anomalies à 1500cps le long du contact.	Marbre		Pegmatite	blanche	Gneiss à graphite	rouille			1500									
CG06-2015-01B	355855	6543860	Affleurement	Pegmatite blanche dans marbre	Marbre		Pegmatite	blanche				375										
CG06-2015-02B	355936	6543934	Affleurement	Gneiss rouillé en contact avec marbre	Gneiss	rouille	Marbre					140										
CG06-2015-03B	356164	6545546	Affleurement	Contact marbre/gneiss très silicieux.	Marbre		Gneiss					120										
CG06-2018-03B	361619	6534810	Affleurement	Contact marbre/gneiss rouillée. Pegmatite blanche au contact, contact N070°/20°	Marbre		Gneiss	rouille	Pegmatite	blanche									S0	70	20	
CG06-2018-04B	362004	6534836	Affleurement	Contact paragneiss rouillé et marbre blanc, le contact est très irrégulier et très plissé, parfois subhorizontal (marbre sous le gneiss), contact approximatif N070°/20°. Pegmatite recoupant les gneiss.	Paragneiss	rouille	Marbre	blanc	Pegmatite			300							S0	70	20	
CG06-2021-01B	355144	6546596	Affleurement	Pegmatite recoupant gneiss rouillé au contact de marbre	Gneiss	rouille	Marbre		Pegmatite													
CG06-2021-02B	355155	6546505	Affleurement	Idem	Gneiss	rouille	Marbre		Pegmatite													
CG06-2021-03B	355459	6546110	Affleurement	Gneiss très rouillé. Foliation et axe de pli N140°/18°	Gneiss	rouille													Foliation/axe de pli	140	18	
CG06-2021-04B	354676	6547469	Affleurement	Pegmatite recoupant gneiss rouillé, contact avec marbre, plusieurs points >1000cps.	Gneiss	rouille	Marbre		Pegmatite				1000									
CG06-2022-01B	354425	6546257	Affleurement	Pegmatite blanche recoupant paragneiss rouillé à graphite en contact avec marbre.	Paragneiss	rouille	Marbre		Pegmatite	blanche												
CG06-2022-02B	354465	6546145	Affleurement	Idem	Paragneiss	rouille	Marbre		Pegmatite	blanche												
CG06-2022-03B	354541	6546004	Affleurement	Idem	Paragneiss	rouille	Marbre		Pegmatite	blanche												
CG06-2022-04B	354628	6545890	Affleurement	Quartzite dans gneiss rouillé à graphite en contact avec marbre.	Gneiss à graphite	rouille	Quartzite		Marbre													
CG06-2024-01B	345346	6563154	Affleurement	Gneiss granitique recoupé de veines de quartz et feldspath potassique.	Gneiss granitique																	
CG06-2025-01B	344630	6562468	Affleurement	Pegmatite blanche rouillée et marbre vert pâle (réaction au HCl en poudre, dolomie?), anomalie dans la dolomie, plusieurs points >1000cps sur une surface de quelques mètres seulement.	Marbre dolomitique	vert pâle	Pegmatite	blanche					1000									
CG06-2025-02B	344247	6562593	Affleurement	Pegmatite rouillée à minéraux vert et rose? recoupé de veines de quartz et de calcite à cordiérites centimétriques. Au contact gneiss granitique rose et marbre.	Gneiss granitique	rose	Marbre		Pegmatite	rouille												
CG06-2006-01	359556	6547057	Affleurement	Marbre riche en minéraux verts	Marbre																	
CG06-2006-02	359564	6546321	Affleurement	Toujours marbre.	Marbre																	
CG06-2006-03	359497	6546391	Affleurement	Toujours marbre, bruit de fond passe de 50cps à 100cps.	Marbre						50	100										
CG06-2006-04	359487	6546580	Affleurement	Niveau de gneiss à environ 20% de magnétite. Échantillon à environ 60% de magnétite pour analyse Au.	Gneiss à magnétite							400			CG06-2006-04							
CG06-2006-05	359432	6546816	Affleurement	Contact gneiss à l'Ouest et marbre à l'Est.	Gneiss		Marbre															
CG06-2006-06	359405	6546851	Affleurement	Contact gneiss-marbre injecté de pegmatites blanches. Le gneiss est à feldspath-biotite essentiellement. Anomalie dans une pegmatite rose. 2500cps dans la pegmatite rose à un bruit de fond élevé à 500cps et nombreux points à 1000cps.	Gneiss		Marbre		Pegmatite	rose	500	1000	2500		CG06-2006-06							
CG06-2006-07	359331	6547021	Affleurement	Pegmatite rose à l'Ouest anomalie à 1200cps.	Pegmatite	rose							1200									
CG06-2006-08	359245	6547347	Affleurement	Au sommet d'une petite butte de gneiss à environ 15% de magnétite injecté de pegmatite rose à bruit de fond élevé à 300-400cps à proximité du contact avec les marbres.	Gneiss à magnétite		pegmatite	rose	Marbre		300	400										
CG06-2006-09	359138	6547385	Affleurement	Contact gneiss+skarns à diopside? épidote?/marbre.	Gneiss		Skarn		Marbre			50										
CG06-2006-10	359125	6547519	Affleurement	Gneiss à magnétite d'environ 10m de puissance. S1 horizontale légèrement plissée possiblement axe de pli N80°. Échantillon pour analyse.	Gneiss à magnétite							100			CG06-2006-10				Axe de pli	60		
CG06-2006-11	359140	6547607	Affleurement	Je perd les gneiss à magnétite et passage à des gneiss quartzofeldspathique. Le sommet de la butte est composé de marbres.	Gneiss quartzo-feldspathique		Gneiss à magnétite		Marbre			100					CG06-2005-11					
CG06-2006-12	359009	6549039	Affleurement	Marbre forme un petit anticlinal sur environ 10m de large.	Marbre																	
CG06-2006-13	359227	6548886	Affleurement	Gneiss à quartz-feldspath-biotite migmatisé avec petites shear zones ductile, petit anticlinal avec coeur de roche à amphibolite-olivine.	Gneiss migmatitique		Roche à amphibole-olivine					200										
CG06-2006-14	359269	6548784	Affleurement	Contact gneiss-marbre avec pegmatite.	Gneiss		Marbre		Pegmatite													
CG06-2006-15	359224	6548953	Affleurement	Toujours le même contact 148°/60° gneiss/marbre	Gneiss		Marbre												S0	148	60	
CG06-2006-16	359153	6549056	Affleurement	Anomalie à 12000cps dans roche quartzitique avec quelques minéraux verdâtres et peut-être uraninite ou pechblende, quelques minéraux millimétriques orange vif. Perte du contact marbre/gneiss. Échantillon radio-actif.	Quartzite								12000		CG06-2006-16	CG06-2006-16 (Po)	CG06-2006-16					
CG06-2006-17	359335	6548692	Affleurement	1400cps ponctuel dans pegmatite blanche parallèle à S1 dans les gneiss 140°.	Pegmatite	blanche							1400						S1	140		
CG06-2006-18	359311	6548660	Affleurement	Pegmatite blanche > 30m x 5m. Une zone à 1200cps très petite, un point à 1000cps, nombreuse petite anomalie.	Pegmatite	blanche							1200									
CG06-2006-19	361482	6548848	Affleurement	Contact sud du marbre avec gneiss rouillé avec bruit de fond à 400cps.	Marbre		Gneiss	rouille				400										
CG06-2007-01	361637	6548698	Affleurement	Gneiss probablement flanc Est d'un anticlinal.	Gneiss							150										
CG06-2007-02	361735	6548549	Affleurement	Contact gneiss/marbre. Faille d'environ 1m de large 50° avec petites lentilles à remplissage de quartz.	Gneiss							150										
CG06-2007-03	361920	6548264	Affleurement	La bande de marbre semble s'élargir et fais environ 20-30m. S1 140°/40° semble suivre la charnière d'un anticlinal	Marbre							140							S1	140	40	
CG06-2007-04	362077	6548314	Affleurement	Marbre impur, stratification à pendage variable mais toujours direction 140°. Le gneiss affleure parfois au centre de l'anticlinal.	Marbre		Gneiss					124							S0	140		
CG06-2007-05	362053	6548449	Affleurement	Toujours marbre impur et calcosilicaté.	Marbre		Roche calco-silicatée					150										
CG06-2007-06	362145	6548577	Point de repérage									200										
CG06-2007-07	362228	6548688	Point de repérage									200										
CG06-2007-08	362288	6548596	Affleurement	Fine bande de marbre d'environ 2m de puissance dans les gneiss à 200cps de bruit de fond, toujours successions de petits synclinaux et anticlinaux N140°.	Gneiss		Marbre					200							S0	140		
CG06-2007-09	362602	6548384	Affleurement	Marbres avec nombreuses enclaves fortement plissés.	Marbre							100										
CG06-2007-10	363044	6548201	Affleurement	Dyke de pegmatite à patine jaune à bords parfaitement nets et sécants dans marbres de bonne qualité (purs), le dyke fait 50cm de large orienté 13°, minéral bleu présent en bordure des pegmatites.	Marbre		Pegmatite	jaune				100							Dyke	12		

705544

No station	Estant (Nad83 - Zone 20)	Nordant (Nad83 - Zone 20)	Bloc ou Affleurement	Description lithologique	Lithologie A	Couleur A	Lithologie B	CouleurB	Lithologie C	CouleurC	Radiométrie Bruit de fond (cps)	Radiométrie maximum (cps)	Radiométrie anomalie (cps)	Photo	Échantillon	Lames minces: Petite (P) et Polie (Po)	Analyses chimiques	Témoin	Structure	Azimuth	Pendage	Caractéristiques
CG06-2007-11	363166	6548108	Affleurement	Plusieurs points >1000cps dans pegmatite de 10m x 5m, max à 3000cps, 85% feldspath et 10% biotite. Les anomalies sont toujours ponctuelles.	Pegmatite								3000									
CG06-2007-12	363441	6548065	Affleurement	Contact marbre à l'Ouest et gneiss à l'Est.	Marbre		Gneiss					150										
CG06-2007-13	364054	6547876	Affleurement	Très grande zone de sable et gravier. Gneiss à patine rouille, paragneiss à grenat et cordiérite? légèrement bleuté. Un peu plus loin anticlinal à 140°/20°.	Gneiss	rouille	Paragneiss	bleuté				300							Axe de pli	140	20	
CG06-2007-14	364163	6547861	Affleurement	Toujours les gneiss dont la composition varie localement, ici fortement rouillé avec débit en plaquettes.	Gneiss	rouille						200										
CG06-2007-15	364302	6547755	Affleurement	Assez grande zone de pegmatite blanche, probablement dans une charnière de pli.	Pegmatite																	
CG06-2007-16	358222	6552122	Affleurement	Depuis point précédent gneiss plissé 140° et 60° avec nombreuses injections de pegmatite blanche rouillée. **Les marbres couvrent beaucoup moins de surface que ce qui a été cartographié, les roches sont fortement plissées à une échelle de quelques dizaines de mètres. Présence de plis d'ordre 2 N60°. Il est possible qu'il y ait une plus grande étendu de marbre à l'intérieur des terres. L'absence d'anomalie peut-être due au fait que la coupe est perpendiculaire aux contacts entre marbre et gneiss.	Gneiss		Pegmatite	blanche	Marbre									Axe de pli	60		
CG06-2008-01	365066	6547260	Affleurement	Au fond de la baie, affleurement en dos de baleine d'environ 50m de marbre pas homogène, pas de pegmatite. Anticlinal. Grande faille N40° à l'Ouest de ce point.	Marbre							150							Faille	40		
CG06-2008-02	365083	6547594	Affleurement	Pegmatite rose de 20m x 10m orienté N140° au milieu des marbres.	Marbre		Pegmatite	rose				100							S0	140		
CG06-2008-03	365036	6547729	Affleurement	Bordure Est de la baie sur l'axe de l'anticlinal. Marbre un peu plus impur à phlogopite. 365021/6547786, 2e famille de pli visible de la baie + sills mafiques plissés recoupent la base de la colline.	Marbre à phlogopite							100										
CG06-2008-04	365021	6547786	Affleurement	Le flanc de la butte, quelques pegmatites à tourmalines injectés dans niveaux+ciments dans les marbres.	Marbre		Pegmatite					100										quelques pegmatites à tourmalines
CG06-2008-05	365071	6547884	Affleurement	Faille dans gneiss recoupe également les marbres, environ 1m de large direction N10°.	Gneiss		Marbre					150							Faille	10		
CG06-2008-06	365142	6547960	Affleurement	Marbre impur alternant avec niveaux+pur.	Marbre							200										
CG06-2008-07	365018	6548187	Affleurement	Gneiss rouillé au pied d'une colline direction 24°/80 d'environ 4m de large. Quelques mètres plus loin direction N120°, petit sill d'environ 30cm de large de roche mafique aphanitique légèrement plissé subhorizontal.	Gneiss	rouille	Roche mafique					200							S0	24	80	
CG06-2008-08	364976	6548289	Affleurement	Pied de foliation, toujours gneiss rouillé.	Gneiss	rouille																
CG06-2008-09	364826	6548428	Affleurement	Gneiss rouillé avec très peu de pegmatite. 1000cps ponctuel dans pegmatite blanche.	Gneiss	rouille	Pegmatite	blanche				150	1000									
CG06-2008-10	364830	6548550	Affleurement	Marbre alterne avec gneiss en niveaux centimétriques.	Marbre		Gneiss					100										
CG06-2008-11	364944	6548524	Affleurement	Quelques fins bancs de marbres mais ??? Gneiss+pegmatite blanche à 100cps, localement S1 ???	Marbre		Gneiss		Pegmatite	blanche		100										
CG06-2008-12	365097	6548318	Affleurement	La partie de la butte est constitué de gneiss avec quelques petits lits de marbre de quelques millimètres. Paragneiss à sillimanite? et quelques injections de pegmatites blanches qui atteignent 700-800cps. Gneiss est sur le sommet de l'anticlinal, le marbre à du se faire raboter.	Gneiss		Marbre		Pegmatite		200	800										
CG06-2008-13	365261	6548078	Affleurement	Anticlinal dans gneiss rouillé.	Gneiss	rouille						150										
CG06-2008-14	365480	6548093	Affleurement	Fins niveaux de marbre fortement plissé d'environ 2m d'épaisseur dans des gneiss.	Gneiss		Marbre					900										
CG06-2008-15	365647	6547953	Affleurement	Principalement paragneiss à grenat et pegmatite blanche atteignent localement 700-800cps. Quelques bandes de marbres très fins <5mm avec localement présence de skarn au contact avec les pegmatites.	Paragneiss		Pegmatite	blanche	Marbre		100	800										
CG06-2008-16	366894	6547759	Affleurement	Bande de marbre impur s'élargit vers l'Est, elle est recoupé de pegmatite blanche à 100cps et par quelques veines de quartz blancs.	Marbre		Pegmatite	blanche	Veine de quartz			150										
CG06-2008-17	366412	6547648	Affleurement	Depuis point précédent S1 dans les gneiss 140°/60°, ici contact gneiss/marbre 120°/70°.	Gneiss		Marbre					200							S1; S0	140; 120	60; 70	
CG06-2008-18	366726	6547614	Affleurement	Sur flanc de colline et descendant vers la baie S1 140°/40°. Marbres, plus au sud les marbres sont recouverts par un niveaux de gneiss.	Marbre		Gneiss					200							S1	140	40	
CG06-2008-19	366661	6547884	Affleurement	Contact marbre/gneiss 140°/30°.	Marbre		Gneiss												S0	140	30	
CG06-2008-20	359000	6552227	Affleurement	Contact gneiss/marbre.	Gneiss		Marbre					100										
CG06-2009-01	359346	6551772	Affleurement	Contact gneiss/marbre à phlogopite fortement lité S1 dans les marbres 140°/85°. 500cps dans zone de skarn à biotite+chlorite+minéral rose.	Gneiss		Marbre à phlogopite		Skarn		200	500							S1	140	85	
CG06-2009-02	359767	6551396	Affleurement	Paragneiss rouillé, légèrement migmatisé.	Paragneiss	rouille						250										
CG06-2009-03	360006	6551343	Affleurement	Gneiss rouillé injecté de pegmatite blanche.	Gneiss	rouille	Pegmatite	blanche				100										
CG06-2009-04	360338	6551152	Affleurement	Affleurement de marbre impur alternant avec petits bancs calcosilicatés réagissant faiblement au HCl. Grand affleurement de pegmatite blanche sur la colline à l'Est.	Marbre		Roche calco-silicatée		Pegmatite			100										
CG06-2009-05	360609	6551198	Affleurement	Toujours les marbres.	Marbre							100										
CG06-2009-06	360765	6550914	Affleurement	Gneiss réagissant très faiblement au HCl.	Gneiss							100										
CG06-2009-07	360885	6550742	Affleurement	Marbres et calcosilicate.	Marbre		Roche calco-silicatée					200										
CG06-2009-08	361182	6550542	Affleurement	Gneiss à petits cristaux de quartz allongés en relief.	Gneiss								1500									
CG06-2009-09	361673	6551271	Bloc	1500cps dans un bloc de pegmatite blanche anguleuse d'environ 1m x 0.5m, la pegmatite est orientée et riche en quartz. La zone anomale est constitué de quartz gris. L'encaissant est constitué de gneiss. La pente de la butte direction N120° est riche en pegmatite.	Gneiss		Pegmatite	blanche				150	1500		CG06-2009-09							
CG06-2009-10	362108	6551088	Affleurement	Paragneiss à grenat 110°.	Paragneiss							150							S0	110		
CG06-2009-11	362202	6550995	Affleurement	Paragneiss qui semble cisaillé.	Paragneiss							150										
CG06-2009-12	362744	6550909	Affleurement	Contact gneiss/marbre 120°/50° à phlogopite. Le niveau de marbre ne fait que 5m de large.	Gneiss		Marbre						1500						S0	120	50	
CG06-2009-13	362901	6550781	Bloc	Bloc de pegmatite subanguleux dans le lit d'un petit ruisseau, partie grossière 50% feldspath-50% quartz, partie anomale + fine et + riche en biotite.	Pegmatite								1200									
CG06-2009-14	363585	6550500	Bloc	Bloc de pegmatite.	Pegmatite							100										
CG06-2009-15	363687	6550641	Affleurement	Butte constituée de marbre.	Marbre								6000									

No station	Estant. (Nad83 - Zone 20)	Nordant. (Nad83 - Zone 20)	Bloc ou Affleurement	Description lithologique	Lithologie A	Couleur A	Lithologie B	CouleurB	Lithologie C	CouleurC	Radiométrie Bruit de fond (cps)	Radiométrie maximum (cps)	Radiométrie anomalie (cps)	Photo	Échantillon	Lames minces: Petite (P) et Polie (Po)	Analyses chimiques	Témoin	Structure	Azimuth	Pendage	Caractéristiques
CG06-2009-16	363744	6550617	Affleurement	Niveau de quartz gris dans des paragneiss à grenat, la zone anomalie est ponctuelle et sous la terre. Plusieurs fractures à quartz orientées N140°. Échantillon à 1000cps pour spectro.	Paragneiss		Quartzite						1000		CG06-2009-16		CG06-2009-16		Fracture	140		
CG06-2009-17	363848	6550468	Affleurement	Proche du précédent. Dans pegmatite blanche recoupant des paragneiss roullées. S1 très variable car le gneiss est migmatisé et injecté de pegmatites.	Paragneiss	rouille	Pegmatite	blanche														
CG06-2009-18	363864	6550446	Affleurement	Pegmatite blanche recoupant les gneiss. La zone est riche en pegmatites, pas de S1 remarquable.	Gneiss		Pegmatite	blanche														
CG06-2009-19	363949	6550420	Affleurement	Contact entre pegmatites et gneiss très riches en biotites oxydés, de couleur rouge, anomalie ponctuelle. Échantillon pour spectro.	Gneiss	rouge	Pegmatite								CG06-2009-19		CG06-2009-19					
CG06-2009-20	361048	6548385	Affleurement	Bande de pegmatite blanche angueuse de 1m x 0,8m, quelques pegmatites à 1000cps ponctuel depuis précédent affleurement, nombreuses pegmatite dans ce gneiss.	Gneiss		Pegmatite					150	1000									
CG06-2009-21	360988	6548041	Affleurement	Bord de plage. Marbre à phlogopite. Il semble y avoir des plis d'ordre 2 Nord/Sud. Le marbre contient des pegmatites à patine saumon boudinées de plusieurs dizaines de mètres mais à 100cps.	Marbre à phlogopite		Pegmatite	saumon				100										
CG06-2009-22	360738	6548273	Affleurement	Marbre/gneiss 148°/80° à biotite. Anticlinal. Ni pegmatite ni skarn au contact.	Marbre		Gneiss					200							S0	148	80	
CG06-2009-23	360646	6548422	Affleurement	Pegmatite recoupe le marbre. Fentes de 20cm de large à biotite avec épontes et remplissage de calcite recoupent pegmatite et marbre, elles sont orientées 70° parfois légèrement plissées.	Marbre		Pegmatite					1500										
CG06-2009-24	360517	6548527	Affleurement	Pegmatite à patine saumon longeant le contact gneiss/marbre. Atteint 1500cps en plusieurs endroits, toujours ponctuel.	Gneiss		Marbre		Pegmatite	saumon			1500									
CG06-2009-25	360987	6548108	Affleurement	Contact gneiss/marbre 134°/70°. Contact normal avec quelques pegmatite à proximité, 2000cps ponctuel.	Gneiss		Marbre		Pegmatite				2000						S0	134	70	
CG06-2010-01	366803	6548347	Affleurement	Contact gneiss/pegmatite 190°/50°. Pegmatite fait environ 30m d'épaisseur. Les gneiss sont sombres, siliceux avec une patine rouillée. Pas de marbre depuis le fond de la baie. 366800/6548327, environ 30m à l'Ouest du point précédent. Contact marbre/gneiss 170°/35° légèrement replissé par plis d'axe 70°/30°. Le contact est normal, sans pegmatite ni skarn.	Gneiss	rouille	Pegmatite					50							S0; axe de pli	190; 70	50; 30	
CG06-2010-02	366800	6548327	Affleurement	Approximativement 30 m à l'ouest du point précédent. Contact marbre et gneiss à N170/35 légèrement replis par plis d'axe à N79/30. Le contact est normal sans polarité ni skarn.	Marbre		Gneiss												S0; axe de pli	170; 70	35; 30	
CG06-2010-03	366809	6548503	Affleurement	Marbre assez massif, parfois de couleur orangée.	Marbre	orange						50										
CG06-2010-04	366877	6548980	Affleurement	Toujours marbre S1 passe à 90°. Quelques pegmatites à quartz rose? parallèle à S1	Marbre		Pegmatite	rose				400							S1	90		
CG06-2010-05	366627	6549200	Affleurement	Depuis le point précédent les marbres deviennent de plus en plus riches en calcosilicates et fortement plissés avec des directions 70° et 180°. Contact gneiss/marbre 70°.	Gneiss		Marbre		Roche calco-silicatée			400							S0	70		
CG06-2010-06	366535	6549371	Affleurement	Contact marbre/gneiss 70°/51° dans l'alignement de la petite île qui contient un peu de marbre également. Max de 400cps dans pegmatite au contact. La bande de marbre fait une quarantaine de mètres de large.	Marbre		Gneiss		Pegmatite		200	400										
CG06-2010-07	366386	6549387	Affleurement	Voir la base du dernier point litho.	Marbre							200										
CG06-2010-08	367252	6547206	Affleurement	Paragneiss rouillé à débit en fines plaquettes.	Paragneiss	rouille						150										
CG06-2010-09	367122	6547266	Affleurement	Quelques pegmatites s'injectent dans les gneiss parallèle à S1 mais max 150cps. Le marbre est très linéaire et localement orange.	Gneiss		Marbre	orange	Pegmatite			150										
CG06-2010-10	366160	6549473	Affleurement	Contact gneiss/marbre 140°/85° avec fins niveaux de pegmatite au contact.	Gneiss		Marbre		Pegmatite			200							S0	140	85	
CG06-2011-01	366017	6549656	Affleurement	Pegmatite à patine saumon, riche en grenat, en masses irrégulières dans les paragneiss. elle fait environ 30m de large à quartz-feldspath et contient très peu de biotite.	Paragneiss		Pegmatite	saumon				1500										
CG06-2011-02	366107	6549776	Affleurement	Depuis point précédent paragneiss à grenat, contact marbre/gneiss. Le contact est irrégulier avec enclaves de marbre dans les pegmatites. Max de 1400cps dans les gneiss, plusieurs points à 1500cps dans la pegmatite rose à quartz-feldspath à contours diffus dans les gneiss. 2000cps dans pegmatites à 90% de quartz à contact net mais non rectiligne.	Paragneiss		Marbre		Pegmatite	rose			1500									
CG06-2011-03	366064	6549844	Affleurement	Le marbre contient des enclaves de pegmatites déformées et est recoupée localement par des veines à remplissage de cc-pyrite et contient des agrégats de diopside? Le contact est bordé par une pegmatite avec localement 1200cps et plus, points à 800cps.	Marbre		Pegmatite					800	1200									Le marbre contient des enclaves de pegmatites déformées et est recoupée localement par des veines à remplissage de cc-pyrite et contient des agrégats de diopside?
CG06-2011-04	366202	6549873	Affleurement	Anomalie ponctuelle à 1500cps dans une pegmatite, nombreux points au dessus de 1000cps.	Pegmatite								1500									
CG06-2011-05	366183	6549974	Affleurement	1500cps ponctuel dans pegmatite recoupant les gneiss roullés.	Gneiss	rouille	Pegmatite					150	1500									
CG06-2011-06	365373	6550102	Affleurement	Autour du ruisseau grande zone de gneiss migmatitique.	Gneiss migmatitique							100										
CG06-2011-07	364832	6550077	Affleurement	Gneiss migmatitique avec injection de pegmatite rose contenant des enclaves de paragneiss. S1 très variable. Peut-être zone de cisaillement, ce qui expliquerait le changement de S1 de 140° à 70-80° dans cette zone?	Gneiss migmatitique	$	Pegmatite	rose				2500							S1	140; 75		
CG06-2011-08	358403	6549262	Affleurement	Toujours gneiss migmatitique et pegmatite rose, plusieurs points à 1000cps et 2000cps dans des pegmatites roses à feldspath et quartz essentiellement.	Gneiss migmatitique		Pegmatite	rose				100	2000									
CG06-2011-09	358489	6549103	Affleurement	Petit niveau de marbre de quelques mètre d'épaisseur au contact avec des gneiss roullées.	Gneiss	rouille	Marbre															
CG06-2011-10	358504	6549046	Affleurement	Anomalie à 1500cps dans une pegmatite à feldspath+quartz recoupant le fin niveau de marbre. Nombreuses zones de skarns dont certains contenant un minéral bleu vif. Également présence d'un minéral violet dans zone de skarn auquel est associé quelques anomalies.	Pegmatite		Marbre		Skarn				1500									

705544

No station	Estant (Nad83 - Zone 20)	Nordant (Nad83 - Zone 20)	Bloc ou Affleurement	Description lithologique	Lithologie A	Couleur A	Lithologie B	CouleurB	Lithologie C	CouleurC	Radiométrie Bruit de fond (cps)	Radiométrie maximum (cps)	Radiométrie anomalie (cps)	Photo	Échantillon	Lames minces: Petite (P) et Polie (Po)	Analyses chimiques	Témoin	Structure	Azimuth	Pendage	Caractéristiques
CG06-2011-11	358632	6548629	Affleurement	Anomalie à 1500cps dans les pegmatites proches du contact entre gneiss et marbre. Anomalies environ tout le 20m mais toujours ponctuelles. Niveaux de pegmatite à minéraux à section rhomboédrique, amphibole?	Gneiss		Marbre		Pegmatite				1500									
CG06-2011-12	358960	6548327	Affleurement	Contact supérieur entre les marbres et les gneiss.	Marbre		Gneiss															
CG06-2011-13	358051	6550144	Affleurement	1500cps dans zone de skarn, ponctuel dans une zone rouillée. Nombreuses veines d'environ 2cm de large remplies de calcite fumée+minéral vert à la bordure des marbres.	Skarn	rouille	Marbre						1500									Nombreuses veines d'environ 2cm de large remplies de calcite fumée+minéral vert à la bordure des marbres.
CG06-2011-14	358033	6550162	Affleurement	Gneiss/marbre/niveaux silicifiés S1 toujours 140°/80°. Quelques shams contenant toujours le mineral violet.1150cps dans le banc de gneiss silicieux pris dans les marbres et fortement fracturé, toujours ponctuel.	Gneiss		Marbre		Skarn				1150						S1	140	80	
CG06-2011-15	358018	6550179	Bloc	Bloc de BIF (Banded Iron Formation) à chert rouge et magnétite anguleuse d'environ 30cm. ??? toujours marbres avec plis d'axe N30°.	Chert	rouge																
CG06-2011-16	358004	6550257	Affleurement	2200cps ponctuel dans skarn au contact marbre/gneiss.	Marbre		Gneiss		Skarn				2200									
CG06-2011-17	357988	6550303	Affleurement	1500cps ponctuel dans pegmatite blanche, toujours au contact gneiss/marbre.	Gneiss		Marbre		Pegmatite				1500									
CG06-2011-18	357913	6550439	Affleurement	Pegmatite de 4m x 3m, max à 3000cps, 5-6 points >1000cps.	Pegmatite								3000									
CG06-2011-19	364830	6550010	Affleurement	Toujours au contact et ponctuel.	Pegmatite																	
CG06-2011-20	357860	6550566	Point de repérage	Point de repérage																		
CG06-2011-21	357781	6550668	Point de repérage	Point de repérage. S1= N138/50															S1	138	50	
CG06-2012-01	364702	6549959	Affleurement	Nombreuses anomalies entre 1000 et 2000cps sur zone de 20m x 20m. Dans une B) pegmatite blanche à quartz-feldspath (leucosome?) s'injecte dans des A)gneiss migmatisés avec cisaillement à environ 30m du contact avec les marbres. Les anomalies sont souvent sur des petites zones rouillées. S1 devient 72°.	Gneiss migmatitique		Marbre		Pegmatite	blanche		150	2000		CG06-2012-01B				S1	72		
CG06-2012-02	364540	6550076	Affleurement	Gneiss/marbre 70°. Zone rouillée d'environ 15m de large. Contact gneiss/marbre sans skarn. La zone anomale n'est pas au contact immédiat mais dans la zone rouillée des gneiss.	Gneiss	rouille	Marbre															La zone anomale n'est pas au contact immédiat mais dans la zone rouillée des gneiss.
CG06-2012-03	364445	6549834	Affleurement	1400cps dans pegmatite blanche à quartz-feldspath-biotite injectée dans toujours les même gneiss. 5000cps ponctuel toujours des amas de biotite.	Gneiss		Pegmatite	blanche					5000		CG06-2012-03							
CG06-2012-04	356073	6542249	Affleurement	Contact marbre/gneiss 90°/80°. Le marbre contient des niveaux indurés en relief, à patine chamois recoupé par de nombreuses fractures à remplissage verdâtre. Quelques fractures à pyrite +cc. Le gneiss forme une bande d'environ 50m, après on repasse dans marbre jusqu'a la pointe, plusieurs poches à cc >10cm.	Marbre	chamois	Gneiss												S0	90	80	Le marbre contient des niveaux indurés en relief, à patine chamois recoupé par de nombreuses fractures à remplissage verdâtre. Quelques fractures à pyrite +cc.
CG06-2012-05	356165	6542245	Affleurement	Contact gneiss/marbre	Gneiss		Marbre															
CG06-2013-01	356314	6542217	Affleurement	À proximité de la cabane, contact gneiss/marbre. contact est rectiligne, quelques leucosomes dans les gneiss, pas de skarn.	Gneiss		Marbre					200										
CG06-2013-02	356411	6542058	Affleurement	Marbre devient + rare, interlité avec des gneiss. Il contient de nombreux niveaux plus indurés à patine chamois et des pegmatites boudinées et plissés. Le contact marbre/gneiss est orienté N130°. La strati est toujours environ 140° mais le pendage est variable. Les marbres contiennent quelques zones fortement rouillées et les niveaux indurés sont parfois recoupés de veines à calcite et pyrite. Pegmatite contient des minéraux roses.	Gneiss		Marbre	chamois	Pegmatite			100							S0	140		
CG06-2013-03	356294	6541683	Bloc	Fin des affleurement plus au Sud-Est, zone de boulders.								100										
CG06-2013-04	356294	6541538	Affleurement	Petit affleurement horizontale d'environ 1m de haut composé de marbre à phlogopite.	Marbre à phlogopite							70										
CG06-2013-05	356346	6541380	Affleurement	Affleurement de gneiss quartzo-feldspathique.	Gneiss quartzo-feldspathique							150										
CG06-2013-06	356432	6541232	Affleurement	Depuis 05, quelques petits affleurements avec une alternance de grès et de marbres. Ici falaise de gneiss rouillé. le contact doit être proche mais n'affleure pas.	Gneiss	rouille	Grès		Marbre			150										
CG06-2013-07	355744	6540690	Bloc	Sommet de la butte, pas d'affleurement ne semble être dans le gneiss bien que l'on observe également quelques blocs de marbre.	Marbre																	
CG06-2013-08	355571	6540373	Affleurement	Entre ce point et le point 2B, toujours des gneiss granitiques roses puis blocs avec S1 variable entre 130° et 160°.	Gneiss granitique	rose													S1	145		
CG06-2013-09	355291	6540406	Affleurement	1300cps ponctuel dans un granite à quartz, feldspath +/- biotite injecté dans les gneiss à niveaux + mafiques (migmatite). L'autre point à 1600cps.	Granite		Gneiss migmatitique					70	1600									
CG06-2013-10	354882	6541023	Affleurement	Enfin trouvé le marbre, pas très pur, forme une grande butte au fond de vallée. S1 semble être 148°.	Marbre							70							S1	148		
CG06-2013-11	354630	6541356	Affleurement	Petit affleurement de marbre dans une swamp.	Marbre							100										
CG06-2013-12	354809	6541672	Affleurement	Alternance de gneiss et de marbre au fond de la vallée.	Gneiss		Marbre					70										
CG06-2013-13	355001	6541587	Affleurement	Niveau de marbre fortement plissé et injecté de pegmatite blanche. Localement très riche en phlogopite. En contact avec des gneiss. Les marbres semblent se continuer à l'Ouest de la petite baie?	Marbre		Pegmatite	blanche	Gneiss													
CG06-2013-13B	354971	6541589	Affleurement	Niveau + important de marbre avec de nombreuses injections de pegmatite blanche. Entre ce point et le précédent important niveau de gneiss migmatitique rose et de granite rose avec sommet propre à 200cps et plusieurs points à 500cps. S1 150°-160° recoupé par quelques veines de quartz. Parfois les pegmatites contiennent un minéral rose et sont alors plus radioactives.	Gneiss migmatitique	rose	Marbre		Pegmatite	blanche	200	500							S1	155		
CG06-2013-14	358181	6541401	Affleurement	4000cps très ponctuel dans un granite fortement rouillé à feldspath+quartz+ un minéral noir non identifié très proche du contact avec les marbres.	Granite	rouille	Marbre						4000		CG06-2013-14							

No station	Estant (Nad83 - Zone 20)	Nordant (Nad83 - Zone 20)	Bloc ou Affleurement	Description lithologique	Lithologie A	Couleur A	Lithologie B	CouleurB	Lithologie C	CouleurC	Radiométrie Bruit de fond (cps)	Radiométrie maximum (cps)	Radiométrie anomalie (cps)	Photo	Échantillon	Lames minces: Petite (P) et Polie (Po)	Analyses chimiques	Témoin	Structure	Azimuth	Pendage	Caractéristiques
CG06-2014-01	358221	6541534	Affleurement	La butte est composé d'une alternance de niveaux de marbres assez pur avec un débit en bandes et de niveaux plus indurés et plus compact qui sont souvent fracturé et au contact desquels on trouve des minéraux verts en gerbes. S1 assez variable à cause de plis secondaires de faible amplitudes. 3000cps dans pegmatite blanche à cristaux bleus grisâtre fortement fracturée et contient des petites cavités de quelques cm fortement rouillées dans une desquelles se trouve l'anomalie.	Marbre		Pegmatite	blanche				100	3000										3000cps dans pegmatite blanche à cristaux bleus grisâtre fortement fracturée et contient des petites cavités de quelques cm fortement rouillées dans une desquelles se trouve l'anomalie.
CG06-2014-02	358314	6541708	Affleurement	Toujours alternance de marbres et niveaux plus indurés similaire à patine saumon. Bandes verticale d'environ 2,5m de large fortement rouillées de roche grenue à grain fin fortement altérée, recoupée de veinules millimétriques à magnétite et sulfures. Échantillon rouillé.	Marbre	saumon	Roche grenue	rouille														Bandes verticale d'environ 2,5m de large fortement rouillées de roche grenue à grain fin fortement altérée, recoupée de veinules millimétriques à magnétite et sulfures.
CG06-2014-03	358449	6541793	Affleurement	En remontant le long de la chute, beaucoup de granite et gneiss, la roche est fortement fracturé et S1 difficilement identifiable, on retrouve parfois de fins niveaux de marbres. Probablement zone de faille.	Granite		Gneiss		Marbre													
CG06-2014-04	358648	6542053	Affleurement	Au sommet de la colline, le marbre est dominant, il est parfois recoupé par des pegmatites roses qui atteignent localement 600cps. Le marbre semble se prolonger au Nord du ruisseau certainement à ce qui est cartographié.	Marbre		Pegmatite	rose				600										
CG06-2014-05	358628	6542276	Affleurement	Toujours marbre avec parfois injections de pegmatite rose ou blanche <1000cps. S1 est rarement mesurable mais semble quasi horizontale avec peut-être un léger pendage vers le sud.	Marbre		Pegmatite	rose					1000									
CG06-2014-06	358248	6542580	Affleurement	Bancs de quartzite d'environ 15m de haut 100°/20°. Traces d'azurite + chalcopyrite, ces bancs reposent sur un niveau de marbre. Depuis le point précédent, essentiellement des gneiss blancs à quartz et feldspath.	Gneiss		Quartzite		Marbre			70							S0	100	20	Traces d'azurite + chalcopyrite, ces bancs reposent sur un niveau de marbre.
CG06-2014-07	358222	6542659	Affleurement	Depuis le point précédent, gneiss quartzo-feldspathique et pegmatite ainsi que quelques patchs de marbre. La strati semble subhorizontale.	Gneiss quartzo-feldspathique		Pegmatite		Marbre													
CG06-2014-08	358168	6542605	Bloc	Anomalie à 4000cps dans un éboulis contenant des blocs de pegmatite fortement rouillée à minéraux noir brillants centimétriques. Autre point à 2500cps, anomalie sur environ 1m. Au sommet de la butte, cristaux d'amphibole verte de plusieurs centimètres.	Pegmatite	rouille							4000		CG06-2014-08							
CG06-2014-09	357983	6542568	Affleurement	Anomalie à 6000cps dans une pegmatite blanche à feldspath+quartz au contact avec du marbre. À proximité d'une zone de skarn à amphibole+minéraux noirs rouillés.	Pegmatite	blanche	Marbre		Skarn			200	6000									
CG06-2014-10	358237	6542748	Affleurement	Un gneiss quartzitique forme l'essentiel de la butte, il est recoupé par de nombreuses veines de quartz d'environ 30cm de large. Pas de S1 mesurable. Sur la petite butte qui se sépare de la baie il semble y avoir du marbre.	Gneiss quartzitique		Veine de quartz		Marbre			150										
CG06-2014-11	358841	6542748	Affleurement	Depuis point précédent, ici gneiss quartzo-feldspathique.	Gneiss quartzo-feldspathique							200										
CG06-2014-12	358952	6542499	Affleurement	Marbre avec pegmatite blanche. Sur la butte au Nord de la vallée, les marbres forment le coeur d'un grand anticlinal et sont recouvert de gneiss rouillés.	Marbre		Pegmatite	blanche	Gneiss	rouille		150										
CG06-2014-13	359205	6542166	Affleurement	Zone de gneiss fortement rouillé sous un niveau de marbre.	Gneiss	rouille	Marbre															
CG06-2014-14	359290	6541673	Affleurement	Anomalie ponctuelle à 1300cps dans une pegmatite rose à 85% feldspath et 15% quartz, l'anomalie est située dans une facheé rouillée.	Pegmatite	rose						70	1300									
CG06-2014-15	359293	6541427	Affleurement	Quartzite	Quartzite							70										
CG06-2014-16	358992	6541394	Affleurement	Traversée d'un petit ruisseau dont le lit est constitué de marbre	Marbre							150										
CG06-2014-17	355776	6543664	Affleurement	Contact avec les gneiss au sommet du niveau de marbre.	Gneiss		Marbre					100										
CG06-2015-01	355748	6544011	Affleurement	Marbre grossier, bien lité reposant sur un niveau de gneiss fortement rouillé. 400cps max dans zone rouillée dans le marbre	Marbre		Gneiss	rouille				400										
CG06-2015-02	355971	6543980	Affleurement	Depuis point précédent au sommet, le contact gneiss rouillé/marbre est à peu près rectiligne. Le point est sur le sommet de la colline de marbre. Peu de pegmatite. 40cps dans les marbres.	Gneiss	rouille	Marbre		Pegmatite		40	150										
CG06-2015-03	356110	6544454	Affleurement	Gneiss rouillé	Gneiss	rouille						100										
CG06-2015-04	356059	6544823	Affleurement	Depuis le point précédent, très peu d'affleurement, quelques pegmatites blanches, non anomales. Ici on est dans les marbres.	Marbre		Pegmatite	blanche														
CG06-2015-04B	356278	6545512	Affleurement	Zone fortement fracturée et rouillée dans un mélange de gneiss, marbre et pegmatite blanche quelques anomalies ponctuelles à 1000cps. Le gneiss contient du graphite.	Gneiss		Marbre		Pegmatite	blanche			1000		CG06-2015-04B							Zone fortement fracturée et rouillée dans un mélange de gneiss, marbre et pegmatite blanche.
CG06-2015-05	355983	6545050	Affleurement	1100cps ponctuel dans les gneiss rouillés, on est proche du contact avec les marbres.	Gneiss	rouille	Marbre						1100									
CG06-2015-06	355949	6545207	Affleurement	Marbre avec pegmatite blanche concordante.	Marbre		Pegmatite	blanche				900										
CG06-2015-07	355672	6545485	Affleurement	Pegmatite blanche à grain moyen à feldspath et quartz fumé atteint 900cps le long d'une fracture oxydée rouge, ligne d'environ 10cm de large. Depuis le point précédent alternance de marbre et de pegmatite blanche.	Pegmatite	blanche	Marbre					900			CG06-2015-07							
CG06-2015-08	356098	6545525	Affleurement	Butte de gneiss.	Gneiss							150										
CG06-2015-09	356243	6545542	Affleurement	Contact gneiss/marbre. Faille d'environ 3m de large de direction 140°/80°. S1 et contact 10°/30°.	Gneiss		Marbre					70							Faille; S1	140	80	
CG06-2015-10	356419	6545345	Affleurement	Marbre. Le marbre est fortement plissé à l'échelle locale.	Marbre																	
CG06-2015-11	356459	6545177	Affleurement	Gneiss à graphite orienté N135°. la vallée semble suivre une faille. Bruit de fond à 200cps, quelques points à 400cps et max à 700cps.	Gneiss à graphite						200	700										
CG06-2015-12	356531	6545107	Affleurement	Sommet d'un petit anticlinal dans les gneiss rouillés injectés de pegmatite et recoupés de veines de quartz.	Gneiss	rouille	Pegmatite		Veine de quartz			800										
CG06-2015-13	356793	6544284	Affleurement	Gneiss et pegmatite à graphite localement 20-30%. 6m de large une faille N120° bien visible dans la falaise au Sud, >1m de long(la faille).	Gneiss		Pegmatite					150			CG06-2015-13				Faille	120		Gneiss et pegmatite à graphite localement 20-30%.
CG06-2015-14	356715	6544175	Affleurement	Depuis point précédent uniquement des gneiss.	Gneiss								2000									

705544

No station	Extent (Nad83 - Zone 20)	Nordant (Nad83 - Zone 20)	Bloc ou Affleurement	Description lithologique	Lithologie A	Couleur A	Lithologie B	CouleurB	Lithologie C	CouleurC	Radiométrie Bruit de fond (cps)	Radiométrie maximum (cps)	Radiométrie anomalie (cps)	Photo	Échantillon	Lames minces: Petite (P) et Polie [Po)	Analyses chimiques	Témoin	Structure	Azimuth	Pendage	Caractéristiques
CG06-2015-15	356933	6544022	Bloc	Bloc anguleux de 80 cm x 50cm x 30cm à patine fortement rouillée, tout le bloc >1000cps avec maximum 1500cps. Quartz et biotite orienté localement pegmatitique et semble recoupé de veines à sulfures. À proximité, plusieurs points à 700cps et 1000cps dans des pegmatites riches en quartz et biotite.	Pegmatite	rouille							1500		CG06-2015-15							
CG06-2015-16	357013	6543863	Affleurement	Le marbre commence environ 20m en dessous de ce point et environ 100m à l'Est on repasse à des gneiss.	Marbre		Gneiss					400										
CG06-2015-17	357031	6543718	Affleurement	La bande de marbre est fine et forme le lit de la falaise, ici gneiss granitique.	Gneiss granitique		Marbre						1200									
CG06-2015-18	357091	6543637	Affleurement	1300cps ponctuel dans une pegmatite au contact marbre/gneiss.	Marbre		Gneiss		Pegmatite	blanche			1300									
CG06-2015-19	357148	6543468	Affleurement	1100cps dans une pegmatite blanche à contour nets mais non rectilignes s'injectant au contact gneiss/marbre.	Gneiss		Marbre		Pegmatite	blanche			1100									
CG06-2015-20	356893	6543255	Affleurement	1200cps dans pegmatite blanche au contact marbre/gneiss.	Marbre		Gneiss		Pegmatite	blanche		70	1200									
CG06-2015-21	356067	6542238	Affleurement	Marbre	Marbre																	
CG06-2016-01	357997	6538599	Affleurement	Depuis la côte, légèrement au Nord de la petite baie, alternance de gneiss à biotite et de gneiss rose. Anomalie à 1300cps dans une pegmatite rose à 80% feldspath hématisée, proche du contact imaginé sur la carte (mais jamais observé sur le terrain). L'anomalie est ponctuelle et bruit de fond est à 150cps.	Gneiss à biotite		Gneiss	rose	Pegmatite	rose	150	400	1300		CG06-2016-01	CG06-2016-01 (P)	CG06-2016-01					
CG06-2016-02	358040	6538353	Affleurement	Depuis point précédent gneiss granitique rose à bruit de fond à 350cps.	Gneiss granitique	rose						350										
CG06-2016-03	358321	6539891	Affleurement	Gneiss à quartz+feldspath+biotite, pas de marbre dans le secteur. Le sommet de la butte située N200° derrière le lac est peut-être constitué de marbre, à aller vérifier en hélico.	Gneiss		Marbre					400										
CG06-2016-04	358238	6539984	Bloc	Nombreux blocs arrondis >1m de granite migmatitique.	Granite migmatitique																	
CG06-2016-05	357892	6540409	Bloc	Bloc de 70cm x 70cm sur la berge, sous la terre, de pegmatite blanche très riche en biotite, atteint localement 2500cps.	Pegmatite	blanche							2500									
CG06-2016-06	357535	6540255	Point de repérage	Point de repérage																		
CG06-2016-07	357492	6540190	Bloc	Bloc subanguleux de gneiss migmatitique avec leucosomes atteignant localement 1500cps.	Gneiss migmatitique								1500									
CG06-2016-08	357239	6540188	Affleurement	Contact gneiss. Marbre au pied de la falaise.	Gneiss		Marbre					200										
CG06-2016-09	356997	6540342	Affleurement	Gneiss granitique, ne correspond pas à la carte, juste vue un bloc très arrondi de marbre. La butte semble former un gros anticlinal.	Gneiss granitique							200										
CG06-2016-10	356805	6540115	Point de repérage									150										
CG06-2016-11	356570	6539834	Affleurement	Toujours gneiss granitique.	Gneiss granitique							200										
CG06-2016-12	361345	6535167	Affleurement	Encore du gneiss. La vallée à l'Ouest où sont cartographiés les...???.	Gneiss granitique																	
CG06-2017-01	355901	6542301	Affleurement	Paragneiss à (quartz-feldspath-biotite) à taches de rouille, possiblement des sulfures. Plusieurs anomalies >1000cps ponctuelles mais aligné le long du contact avec les marbres.	Paragneiss	rouille	Marbre					1000			CG06-2017-01		CG06-2017-01					
CG06-2017-02	355935	6542334	Affleurement	Gneiss à magnétite, rouillé avec minéral vert, quartz, magnétite et minéral noir brillant à reflet bleuâtre et biotite. Quelques fins lits de quartz.	Gneiss à magnétite	rouille									CG06-2017-02A, 02B, 02C							
CG06-2017-03	355733	6542472	Affleurement	Pegmatite blanche rouillée recoupant le contact marbre/gneiss. Minéraux verts au contact. Le tout recoupé par une petite faille.	Marbre		Gneiss		Pegmatite	blanche												
CG06-2017-04	355633	6542568	Affleurement	Gneiss à sulfures massifs, graphite, biotite, quartz et grenat. S1 140° recoupé par une pegmatite rouillée atteignant ponctuellement 1100cps.	Gneiss à Sulfures Massifs		Pegmatite	rouille					1100						S1	140		
CG06-2017-05	355300	6542849	Affleurement	Gneiss à sulfures et magnetite.	Gneiss à Sulfures Massifs																	
CG06-2017-06	355182	6542951	Affleurement	A) Gneiss à sulfures massifs (même que 04 et 05). Anomalie dans un horizon à pyrite-graphite près d'un niveau de B) marbre à graphite.	Gneiss à Sulfures Massifs		Marbre à graphite								CG06-2017-06, 06B							
CG06-2018-01	361423	6535086	Affleurement	Migmatite rose à quartz-feldspath-biotite avec nombreuses enclaves métriques de roche mafique chloritisées à cristaux arrondis. Nombreux petits niveaux granitique rose.	Migmatite	rose	Granite	rose					2500									
CG06-2018-02	361691	6534865	Affleurement	Gneiss sombre à quartz-biotite recoupé par une pegmatite rose à quartz-feldspath-biotite à bord diffus d'environ 30cm de large. Anomalie à 2200cps le long d'un amas de biotite dans la pegmatite.	Gneiss	sombre	Pegmatite	rose				100	2200		CG06-2018-02							Anomalie à 2200cps le long d'un amas de biotite dans la pegmatite.
CG06-2018-03	361810	6534794	Affleurement	Contact gneiss/marbre 70°/30°, la bande de marbre fait environ 30m d'épaisseur.	Gneiss		Marbre					70							S0	70	30	
CG06-2018-04	362029	6534485	Affleurement	Depuis le point précédent alternance de marbre, marbre dolomitique et parfois gneiss migmatitique déformé, la shisto est très variable. La bande de marbre se poursuit de l'autre côté de l'embouchure de la rivière. Quelques zones à biotite-cristaux verts chloritisés au contact marbre/gneiss, quelques pegmatites également mais non anomales.	Marbre		Marbre dolomtique		Gneiss migmatitique			650										
CG06-2018-05	362549	6534678	Affleurement	Après traversée de la rivière, niveau de gneiss granitique gris à grain fin.	Gneiss granitique	gris						70			CG06-2018-05							
CG06-2018-06	362707	6534595	Affleurement	Contact gneiss/marbre, depuis le point précédent toujours du gneiss, est riche en biotite, parfois injecté de pegmatite. Quelques niveaux ont un bruit de fond à 200-300cps, quelques plis.	Gneiss à biotite		Marbre		Pegmatite		200	300										
CG06-2018-07	363450	6534100	Affleurement	Bande de marbre à diopside et pegmatite blanche. 250cps au contact.	Marbre		Pegmatite	blanche				250										
CG06-2018-08	363615	6534027	Affleurement	Contact gneiss/marbre 50°/20° à biotite et diopside. Depuis le point précédent les éboulis au pied de la falaise contiennent quelques blocs de marbre mais principalement ce sont des gneiss à biotite, parfois migmatitique injectés de pegmatite blanche à 70cps et parfois pegmatite rose.	Gneiss		Marbre		Pegmatite	blanche		70							S0	50	20	Les éboulis au pied de la falaise contiennent quelques blocs de marbre mais principalement ce sont des gneiss à biotite, parfois migmatitique injectés de pegmatite blanche à 70cps et parfois pegmatite rose.
CG06-2018-09	363943	6534350	Affleurement	Contact gneiss/marbre 100°/10°, bande de marbre au bord de l'eau depuis le point précédent.	Gneiss		Marbre						1200						S0	100	10	
CG06-2018-10	360996	6538122	Affleurement	Gneiss gris migmatitique recoupé par des pegmatites roses à feldspath potassique aux épontes et coeur de quartz d'environ 50cm de large. 1 point à 1100cps.	Gneiss migmatitique	gris	Pegmatite					100	1100									
CG06-2018-11	360837	6538796	Affleurement	Gneiss migmatitique.	Gneiss migmatitique							100										

No station	Estant (Nad83 - Zone 20)	Nordant (Nad83 - Zone 20)	Bloc ou Affleurement	Description lithologique	Lithologie A	Couleur A	Lithologie B	CouleurB	Lithologie C	CouleurC	Radiométrie Bruit de fond (cps)	Radiométrie maximum (cps)	Radiométrie anomalie (cps)	Photo	Échantillon	Lames minces: Petite (P) et Polie (Po)	Analyses chimiques	Témoin	Structure	Azimuth	Pendage	Caractéristiques
CG06-2018-12	360615	6539195	Affleurement	Depuis le point précédent toujours gneiss migmatitique avec figures de cisaillement. Un dyke de diabase d'environ 70cm de large orienté 60° le recoupe. La roche est fortement fracturée dans la baie. Il s'agit probablement d'une grande faille sèche.	Gneiss migmatitique		Diabase						1500						Dyke	60		La roche est fortement fracturée dans la baie, il s'agit probablement d'une grande faille sèche.
CG06-2018-13	359976	6539652	Affleurement/bloc	Toujours gneiss granitique. Un bloc contient des gneiss et pegmatite à feldspath potassique-biotite atteint 1100cps.	Gneiss granitique/gneiss+pegmatite							150	bloc (1100)									
CG06-2018-14	358013	6541196	Affleurement	Pegmatite blanche.	Pegmatite	blanche							1100									
CG06-2019-01	358138	6541013	Affleurement	Roche verte siliceuse à grain très fin en enclave dans les marbres, fortement fracturée et recoupée par un réseau de fractures à pegmatite blanche à feldspath-biotite et quartz fumé.	Marbre		Roche verte siliceuse		Pegmatite	blanche		70			CG06-2019-01							
CG06-2019-02	358181	6540933	Affleurement	Passage progressif à de la quartzite d'abord en bancs fracturés pris dans les marbres puis massive.	Quartzite		Marbre						1200									
CG06-2019-03	358209	6540899	Bloc	1100cps dans un bloc de quartzite recoupé par de fines veines à remplissage de calcite et sulfures de 3-4cm d'épaisseur.	Quartzite		Veines de calcite-sulfure						1100									
CG06-2019-04	358465	6540855	Affleurement	Début de la bande de gneiss rouillé. 1 bloc anomale à 1100cps. Le gneiss rouillé contient localement du graphite.	Gneiss	rouille							1100									Le gneiss rouillé contient localement du graphite.
CG06-2019-05	358558	6540540	Affleurement	Passage à des gneiss à quartz-feldspath-biotite.	Gneiss							150			CG06-2019-05							
CG06-2019-06	358579	6540473	Bloc	Plusieurs points >1000cps dont deux à 1900cps dans un bloc de plusieurs mètres de pegmatites rouillées. Contact gneiss migmatitique/gneiss rouillé.	Pegmatite	rouille	Gneiss migmatitique		Gneiss	rouille			1900		CG06-2019-06							
CG06-2019-07	358692	6540569	Affleurement	Contact gneiss/marbre,. Grosse pegmatite à quartz et feldspath au contact 15m avant ce point, faille 140°/70° d'environ 1m de large. Photo de S2 dans les gneiss migmatitique.	Gneiss migmatitique		Marbre		Pegmatite			150		1					Faille	140	70	
CG06-2019-08	358721	6540343	Affleurement	Fin du marbre, on repasse aux gneiss à grenat S1 100°/20°. Une anomalie à 6000cps dans un niveau riche en grenats. 1500cps dans une pegmatite, plusieurs point >1000cps. Les points anomaux sont dans les zones rouillées et associées aux leucosomes.	Gneiss à grenat		Pegmatite						6000		CG06-2019-08		CG06-2019-08		S1	100	20	Une anomalie à 6000cps dans un niveau riche en grenats. 1500cps dans une pegmatite, plusieurs point >1000cps. Les points anomaux sont dans les zones rouillées et associées aux leucosomes.
CG06-2019-09	358755	6541057	Affleurement	Gneiss rouillé.	Gneiss	rouille						1100										
CG06-2019-10	358874	6541142	Affleurement	Depuis le point précédent, toujours du paragneiss rouillé. Plusieurs points à 1000cps dans de petites pegmatites roses, à l'Est à environ 20m du contact avec les marbres.	Paragneiss	rouille	Pegmatite	rose	Marbre			100	1000									
CG06-2019-11	351718	6547865	Affleurement	Contact gneiss/marbre(50°/30°)/gneiss(50°/15°), quelques pegmatite à 200-300cps. La bande de marbre n'est pas très large (environ 20m).	Gneiss		Marbre		Pegmatite		150	300							S0	50	30	
CG06-2020-01	351756	6547819	Affleurement	Gneiss migmatitique rose. Dyke de pegmatite rectligne à bords diffus orienté N120°.	Gneiss migmatitique	rose	Pegmatite					1200							Dyke	120		
CG06-2020-02	352552	6547454	Affleurement	1200cps sur 20cm x 20cm dans une pegmatite rose riche en biotite. Nombreuses petites failles cassantes 40°.	Pegmatite	rose						400	1200		CG06-2020-02				Faille	40		
CG06-2020-03	352913	6547440	Affleurement	Toujours la même chose, la composition des gneiss varie légèrement, S1 globalement 130°-140°. Quelques dykes de pegmatite et opilites roses N40°.	Gneiss		Pegmatite	rose				1060							S1; dyke	130; 40		
CG06-2020-04	353113	6547544	Affleurement	Toujours gneiss migmatitique avec injection de pegmatites roses. S1 semble s'horizontaliser 130°/30°. Fentes de tension à remplissage de quartz de 2m x 03,m orientés N30° et N70°. Un point >500cps environ 50cm avec max à 1100cps dans une pegmatite riche en biotite, parallele à S1.	Gneiss migmatitique		Pegmatite	rose				500	1100						S1	130	30	
CG06-2020-05	353525	6547060	Affleurement	1050cps dans une fine veine de pegmatite. Contient des minéraux noirs brillants à clivage bien marquée et section losangique et patine noire verdâtre. Les feldspath y sont fortement fracturés.	Pegmatite							900	1050									
CG06-2020-06	353513	6547038	Affleurement	Toujours dans les gneiss migmatitiques. Zone de granite rose à grain moyen assez étendu, parallèle à S1, environ à 20m de large.	Gneiss migmatitique		Granite	rose					1200		CG06-2020-06							
CG06-2020-07	352514	6546475	Affleurement	Même granite rose, 1 point à 1200cps.	Gneiss migmatitique		Granite	rose				150	1200									
CG06-2020-08	352427	6546433	Affleurement	Gneiss migmatitique.	Gneiss migmatitique								1200									
CG06-2020-09	352534	6546095	Affleurement	1100cps ponctuel dans un granite rose à grain moyen dans les gneiss migmatitique.	Gneiss migmatitique		Granite	rose				200	1100									
CG06-2020-10	353374	6546107	Affleurement	Le gneiss est plus riche en biotite, localement rouillé avec strati bien marquée.	Gneiss							400										
CG06-2020-11	353464	6546204	Affleurement	De nouveaux gneiss migmatitiques roses avec des niveaux de pegmatite rose à migmatite. Bande mylonitique de plusieurs mètres orientée N130°.	Gneiss migmatitique	rose	Pegmatite	rose				900			CG06-2020-11							
CG06-2020-12	353545	6546295	Affleurement	Grosse pegmatite rose recoupant des gneiss mylonitisés par des pegmatites zonées, nombreux points à 500cps.	Gneiss mylonitisé		Pegmatite	rose				500										
CG06-2021-01	354753	6546868	Affleurement	Sommet de la butte. Paragneiss recoupé par des pegmatites blanches.	Paragneiss		Pegmatite	blanche				60										
CG06-2021-02	354790	6546934	Affleurement	Petite bande de marbre.	Marbre																	
CG06-2021-03	354911	6546952	Bloc	1200cps dans un bloc de pegmatite épidotisée à proximité du contact entre marbre et gneiss rouillés. L'anomalie est ponctuelle.	Marbre		Gneiss	rouille	Pegmatite				1200		CG06-2021-03							
CG06-2021-04	355086	6547023	Affleurement	Paragneiss.	Paragneiss																	
CG06-2021-05	355025	6546925	Affleurement	Niveau de paragneiss rouillé à environ 2% de graphite, strati à faible pendage et légèrement folliée. Le plateau est essentiellement gneissique. 1300cps ponctuel dans pegmatite.	Paragneiss	rouille	Pegmatite						1300									
CG06-2021-06	355032	6546813	Point de repérage																			
CG06-2021-07	355028	6546691	Affleurement	Contact gneiss/gneiss à graphite 80°/20°.	Gneiss		Gneiss à graphite												S0	60	20	
CG06-2021-08	355087	6546588	Affleurement	Contact gneiss/marbre 40°/38°. Max à 400cps dans pegmatite blanche au contact.	Gneiss		Marbre		Pegmatite	blanche		400							S0	40	38	
CG06-2021-12	355217	6546227	Affleurement	Le contact marbre/gneiss 164°/40°. Le contact traverse le petit lac à cet endroit. Contact marbre/gneiss 140°/25° à grenat. On est dans la première bande de marbre sous les grandes falaises rouillées qui forment le cœur d'un grand synclinal très ouvert dont l'axe plonge vers le sud à environ 30°.	Marbre		Gneiss												S0; axe de pli	164; 180	40; 30	
CG06-2021-13	355177	6546072	Affleurement	Contact marbre/gneiss 80°/30°.	Marbre		Gneiss												S0	80	30	
CG06-2021-15	355611	6546323	Affleurement	4800cps ponctuel dans une pegmatite feldspathique à 60 dans les marbre.	Marbre		Pegmatite															

705544

No station	Estant (Nad83 - Zone 20)	Nordant (Nad83 - Zone 20)	Bloc ou Affleurement	Description lithologique	Lithologie A	Couleur A	Lithologie B	CouleurB	Lithologie C	CouleurC	Radiométrie Bruit de fond (cps)	Radiométrie maximum (cps)	Radiométrie anomalie (cps)	Photo	Échantillon	Lames minces: Petite (P) et Polie (Po)	Analyses chimiques	Témoin	Structure	Azimuth	Pendage	Caractéristiques
CG06-2021-16	355534	6546549	Affleurement	Petite butte de gneiss.	Gneiss																	
CG06-2021-17	355651	6546768	Affleurement	Anomalie ponctuelle dans une pegmatite recoupant les gneiss au contact avec les marbres. Contact marbre/gneiss 70°/25°.	Gneiss		Marbre		Pegmatite				2000						S0	70	25	
CG06-2021-18	355763	6546852	Affleurement	Contact marbre/gneiss 140°, à environ 150m de gneiss roses migmatitiques.	Marbre		Gneiss		Gneiss migmatitique	rose		250							S0	140		
CG06-2021-19	355643	6546857	Affleurement	Pegmatite blanche dans les marbres proche du contact avec les gneiss. La pegmatite est massive avec des contact nets mais non rectilignes. Plusieurs points à 1000cps le long du contact.	Marbre		Gneiss		Pegmatite	blanche			1000									
CG06-2021-20	355516	6546984	Affleurement	Anomalie à 1200cps dans une pegmatite blanche proche du contact marbre/gneiss.	Marbre		Gneiss		Pegmatite	blanche			1200									
CG06-2021-21	355427	6547077	Affleurement	Fine bande de marbre d'environ 7-8m de large, beaucoup de pegmatite blanche, peu d'affleurement.	Marbre		Pegmatite	blanche														
CG06-2021-22	355293	6547171	Affleurement	1300cps dans pegmatite blanche à contact marbre/gneiss, le marbre semble se continuer jusqu'au pied des falaises.	Marbre		Gneiss		Pegmatite	blanche			1300									
CG06-2021-23	355164	6547265	Affleurement	Pegmatite au contact marbre/gneiss	Marbre		Gneiss		Pegmatite				1500									
CG06-2021-24	355007	6547349	Affleurement	Idem. Strati quasi horizontale.	Marbre		Gneiss		Pegmatite				1050									
CG06-2021-25	354905	6547710	Affleurement	Marbre jusqu'à la baie	Marbre																	
CG06-2022-01	354304	6546685	Affleurement	Contact gneiss migmatitique/marbre(pendage 50°). Le contact est souvent injecté de pegmatites et contient des minéraux calcosilicatés+cristaux roses. 1050cps ponctuel.	Gneiss migmatitique		Marbre		Pegmatite				1050									
CG06-2022-02	354387	6546626	Affleurement	Toujours le long du contact, nombreuses anomalies entre 500cps et 1500cps.								2000										
CG06-2022-03	354455	6546579	Affleurement	Deux anomalies dans des pegmatites recoupant les gneiss à 1500cps et 1200cps. Les pegmatites forment de fins lits parallèle à S1 dans des paragneiss à quartz-feldspath-biotite légèrement oxydés.	Paragneiss		Pegmatite					1200	1500									
CG06-2022-04	354515	6546510	Affleurement	Contact gneiss/marbre 140°/10°.	Gneiss		Marbre												S0	140	10	
CG06-2022-05	354532	6546342	Affleurement	Plusieurs points à 1500cps dans des pegmatites dans les gneiss, proche du contact avec les marbres. La ? sont des pegmatites blanches de quelques mètres d'épaisseurs mais qui ne sont que ponctuellement anomales.	Gneiss		Pegmatite		Marbre				1500									
CG06-2022-07	354604	6545982	Affleurement	Très nombreuses anomalies, max à 3700cps dans des pegmatites très riches en quartz (graphite) dans les marbres, formant un niveau orienté N140° et recoupé par des fractures verticales N100°(Le point est proche du contact avec les gneiss).	Marbre		Pegmatite						3700		CG06-2022-07	CG06-2022-07 (P)	CG06-2022-07		S0; fract	140; 100		
CG06-2022-08	354701	6545800	Affleurement	Anomalie à 3000cps dans un lit de gneiss graphitique à biotite injecté de pegmatite quartzeuse parallèle à S1. La bande de gneiss fait environ 2m de large et est prise entre les marbres.	Marbre		Gneiss à graphite		Pegmatite				3000									
CG06-2022-09	354721	6545733	Affleurement	Contact marbre/gneiss	Marbre		Gneiss															
CG06-2022-10	354753	6545663	Affleurement	Contact gneiss/graphite à 60°/70°. Le contact est faille dextre 160°/70°-45°. La butte à l'Ouest an direction de la baie semble être un anticlinal de gneiss dont l'axe plonge d'environ 30° vers le sud. Depuis point précédent, uniquement des gneiss.	Gneiss														Faille; axe de pli	160; 30	70; NO	
CG06-2022-11	355262	6544721	Affleurement	Pegmatite blanche d'assez grande extention dans les gneiss rouillées.	Gneiss	rouille	Pegmatite															
CG06-2022-12	355178	6546282	Affleurement	Contact paragneiss/paragneiss rouillés 140°/35°.	Paragneiss		Paragneiss	rouille											S0	140	35	
CG06-2022-13	354893	6545113	Affleurement	Petite bande de marbre d'environ 15m entre les paragneiss rouillés et non rouillés. Quelques anomalie à 1500cps dans une pegmatite blanche.	Paragneiss	rouille	Marbre		Pegmatite				1500									
CG06-2022-14	354889	6545300	Affleurement	Gneiss à 1-2% de graphite à débit en plaquettes. Photo du panorama vers le Nord. Contact avec les marbres environ 20m à l'Ouest.	Gneiss à graphite		Marbre															
CG06-2022-15	354645	6545535	Affleurement	Anomalie à 1200cps dans marbre et marbre dolomitique.	Marbre		M13, DM						1200									
CG06-2023-01	345483	6563819	Affleurement	Le corps est situé dans des marbres contenant de nombreux bancs dolomitiques recoupé de veines de calcite. Le filon est composé de roche aphanitique noir recoupé de fines veinules (environ 5mm) à pyrite et graphite. Le dyke est orienté 60°/30°.	Marbre		Roche aphanitique noire								CG06-2023-01				Dyke	60	30	Le filon est composé de roche aphentique noir recoupé de fines veinules (environ 5mm) à pyrite et graphite.
CG06-2023-02	345402	6563933	Affleurement	Sill de diabase d'environ 2m de large à contact très net et rectiligne recoupant des marbres de composition variable.	Diabase		Marbre															
CG06-2023-03	345449	6564099	Affleurement	Contact gneiss/marbre. Fin niveau de gneiss d'environ 10cm.	Gneiss		Marbre															
CG06-2023-04	345348	6564129	Affleurement	Contact granitoïde rose à amphiboles chloritisées recoupé par de nombreuses veines de 5-10cm de large, rectilignes avec altération blanche et principalement remplissage à biotite + autre minéral noir. Contact environ Nord-Sud.	Granitoïde	rose									CG06-2023-04							Recoupé par de nombreuses veines de 5-10cm de large, rectilignes avec altération blanche et principalement remplissage à biotite + autre minéral noir.
CG06-2023-05	345047	6564204	Affleurement	Toujours orthogneiss granitique, les fractures étaient limitées au contact.	Orthogneiss granitique																	
CG06-2023-06	345370	6564403	Affleurement	Contact gneiss granitique/marbre à environ 10m à l'Ouest. Le contact semble irrégulier avec des enclaves de gneiss prises dans un granite rose.	Gneiss granitique		Marbre		Granite	rose												
CG06-2023-07	345470	6564633	Affleurement	7000cps dans granite rose très proche du contact avec les marbres. 70% feldspath potassique, 30% quartz, +/- biotite et magnetite. Les quartz sont légèrement mobilisés et la roche microfracturée. Plusieurs anomalies ponctuelles >1000cps sur environ 20m.	Granite	rose	Marbre						7000		CG06-2023-07		CG06-2023-07					Les quartz sont légèrement mobilisés et la roche microfracturée. Plusieurs anomalies ponctuelles >1000cps sur environ 20m.
CG06-2023-08	345575	6564807	Affleurement	Bande de gneiss rouillé d'environ 15m de large, pas d'anomalies.	Gneiss	rouille																
CG06-2023-09	345545	6564777	Affleurement	Idem à CG06-2023-08	Gneiss	rouille																
CG06-2023-10	345988	6565415	Affleurement	Paragneiss à grenat, marbre, paragneiss rouillé, gneiss rouillé. gneiss.	Paragneiss		Marbre		Paragneiss	rouille												

No station	Estant (Nad83 - Zone 20)	Nordant (Nad83 - Zone 20)	Bloc ou Affleurement	Description lithologique	Lithologie A	Couleur A	Lithologie B	CouleurB	Lithologie C	CouleurC	Radiométrie Bruit de fond (cps)	Radiométrie maximum (cps)	Radiométrie anomalie (cps)	Photo	Échantillon	Lames minces: Petite (P) et Polie (Po)	Analyses chimiques	Témoin	Structure	Azimuth	Pendage	Caractéristiques
CG06-2023-11	345844	6565253	Affleurement	Zone avec alternance hydrothermal de 20m x 150m proche du contact entre gneiss et marbre. Roche fortement silicifiée avec alternance de lits de silice et gneiss? Gneiss fortement rouillé. Roche grenue rose et verte à aspect poreux argillitisé + altération potassique + silicification. Roche grenue à grain fin silicifié. Poche d'environ 4-5m de calcite massive pure + dryzy quartz fine remplissage dans cavités. Roche grenue altérée à pyrite. Poche de calcite avec graphite *Altération verte (chlorite à amphibole?). Altération potassique+désilisification+argilisation forme des cavités dans la roche. Cristaux de druzy quartz+graphite. Remplissage de calcite. En périphérie de la zone d'altération pervasive à quartz+stockwork de veines de quartz. Échantillons 2-4 et 6 méritent une analyse.	Gneiss	rouille	Marbre									CG06-2023-11-01 à 08							Roche grenue rose et verte à aspect poreux argillitisé + altération potassique + silicification. Roche grenue à grain fin silicifié. Poche d'environ 4-5m de calcite massive pure + dryzy quartz fine remplissage dans cavités.
CG06-2024-01	345832	6563534	Affleurement	Contact marbre/gneiss à 120°. Les gneiss sont très silicieux et recoupés par de fines veines de quartz orientées N130°.	Gneiss		Marbre												S0; VQ	120; 130	ND	
CG06-2024-02	345804	6563404	Affleurement	Sill de gabbro d'environ 1m d'épaisseur recoupant marbre et gneiss. Le sill est subhorizontale.	Gabbro		Marbre		Gneiss													
CG06-2024-03	345920	6563165	Affleurement	Contact marbre/gneiss avec banc dolomitique dans les marbres. 1100cps dans une fracture remplie de pegmatite.	Marbre		Gneiss		Pegmatite				1100									
CG06-2024-04	345861	6563123	Affleurement	Marbres avec de fins fragments + gneissique étirés et plissés, mamocalcaire métamorphisé?	Marbre		Gneiss															
CG06-2024-05	345750	6563072	Affleurement	Niveau de A) marbre impur + compétent et fortement fracturé avec B) cavités à remplissage de druzy quartz fumé centimétrique + calcite + pyrite + apatite bleue dans fentes font jusqu'à 30cm de large.	Marbre								8000		CG06-2024-05B							
CG06-2024-06	345588	6563023	Affleurement	Contact entre marbre et granite rose à 70% feldspath potassique + quartz légèrement remobilisé. Plusieurs points >1000cps.	Marbre		Granite	rose					1200									
CG06-2024-07	345572	6562912	Affleurement	Quelques anomalies ponctuelles dans granite rose.	Granite	rose																
CG06-2024-08	345419	6562976	Affleurement	Niveau de gneiss migmatitique avec nombreuses intrusions de granite rose.	Gneiss migmatitique		Granite	rose														
CG06-2024-09	345220	6562826	Affleurement	Contact entre gneiss granitique et important niveau de dolomite verte.	Gneiss granitique		Dolomite	verte														
CG06-2024-10	345008	6562402	Affleurement	Depuis le point précédent uniquement du marbre. Une zone de gneiss rouillé d'environ 20m de large à S1 = 130°, peut-être le coeur d'un anticlinal. Ici, importante poche de calcite massive d'environ 15m x 3m avec roche à altération rose et verte en périphérie. La poche de calcite est recoupée par un miroir de faille 40°/70°.	Marbre		Gneiss	rouille											S1; Faille	130; 40	ND; 70	Ici, importante poche de calcite massive d'environ 15m x 3m avec roche à altération rose et verte en périphérie.
CG06-2025-01	345024	6562098	Affleurement	Contact entre paragneiss rouillé et marbre. S0= 155°/70°. Le marbre contient des niveaux siliceux à biotite.	Paragneiss	rouille	Marbre												S0	155	70	Le marbre contient des niveaux siliceux à biotite.
CG06-2025-02	344881	6562093	Affleurement	Butte de marbre, S0 non visible. On retrouve des niveaux métriques de gneiss dans le marbre. Dans les marbres, la surface des affleurements est orientée à N50°/25° peut-être S0? mais semble être à pendage S dans le gneiss.	Marbre		Gneiss												S0(?)	50	25	
CG06-2025-03	344866	6562160	Affleurement	1000cps sous la terre dans des gneiss à graphite fortement altérés de couleur rouge, pas réussit à atteindre la roche saine. Le point est proche du contact avec les marbres.	Gneiss	rouge	Marbre						1000									
CG06-2025-04	344754	6562343	Affleurement	Gros sill (>10m) de roche mafique à grain moyen, légèrement mafique <15% de feldspath. Le point est au contact. Anticlinal très ouvert. Sill de gabbro? à 140°.	Gabbro										CG06-2025-04							Gros sill (>10m) de roche mafique à grain moyen.
CG06-2025-05	344207	6562421	Affleurement	Contact entre le gneiss granitique avec nombreuses intrusions de granite rose à grain moyen. Au contact, niveau d'environ 10m de roche + compétente, siliceuse et dolomitique avec nombreuses fractures à remplissage de cordiérite, dolomie, sphène, amphibole d'environ 10cm de large et fractures sèches. 0°/30° et 110°.	Gneiss granitique		Granite	rose											Fract; fract	0; 110	30; ND	Au contact, niveau d'environ 10m de roche + compétente, siliceuse et dolomitique avec nombreuses fractures à remplissage de cordiérite, dolomie, sphène, amphibole d'environ 10cm de large.
CG06-2025-06	344263	6562653	Affleurement	Fin du niveau de marbre vers le Nord, la foliation est subvertical. Le contact avec les gneiss granitiques est irrégulier et les gneiss contiennent localement des bandes de marbres métriques subhorizontales. Les gneiss ont un débit en bancs métriques horizontaux. Pas de faciès observables au contact ici. Fin des marbres.	Gneiss granitique		Marbre												Fol		90	
CG06-2025-07	343899	6563136	Affleurement	Ici la butte et toutes les îles semblent être constituées du même gneiss granitique rose.	Gneiss granitique	rose						150										
CG06-2025-08	343952	6562889	Affleurement	1500cps ponctuel dans petits niveaux de granite rose concordant dans les gneiss.	Gneiss		Granite	rose					1500									
CG06-2025-09	344008	6562719	Affleurement	1100cps ponctuel, toujours dans niveau granitique dans les gneiss.	Gneiss		Granite						1100									
CG06-2025-10	344087	6562560	Affleurement	Toujours pareil 1400cps. Le sill mafique recoupe la base de la falaise, il fait ici près de 20m de puissance. Plusieurs points >1000cps dans un rayon de 20m, le gneiss est recoupé par des microfractures oxydées. Les anomalies semblent limitées à la proximité d'une enclave mafique d'environ 5m x 2m fortement altéré.	Gneiss		Roche intrusive mafique						1400									Plusieurs points >1000cps dans un rayon de 20m, le gneiss est recoupé par des microfractures oxydées.
CG06-2025-11	344124	6562347	Affleurement	1100cps dans granite rose dans gneiss.	Gneiss		Granite	rose					1100									

ND: non disponible

705544

CAGE

1.0 ÉVALUATION PRÉLIMINAIRE DU POTENTIEL URANIFÈRE

*PROPRIÉTÉ **CAGE**, NUNAVIK, QUÉBEC*

PROJET 114024

MRNFP - SECTEUR DES MINES
REÇU LE
24 SEP. 2007
705544
Bureau régional - Montréal

URANOR

COPIE CONFORME

GÉOLOGUE / GÉOLOGIST
SERGE GENEST #577
QUÉBEC

TRAVAUX 2006

RAPPORT

- ANNEXE C

Vol. 3 de 8

Juin 2007

OMÉGALPHA

2.0 TABLE DES MATIÈRES

		Page
1.0	TITRE	1
2.0	TABLE DES MATIÈRES	3
3.0	RÉSUMÉ	13
4.0	INTRODUCTION	15
5.0	RECOURS À D'AUTRES SPÉCIALISTES	15
6.0	DESCRIPTION ET EMPLACEMENT DU TERRAIN	16
	6.1 Grille de repérage	17
7.0	ACCESSIBILITÉ, CLIMAT, RESSOURCES LOCALES, INFRASTRUCTURES ET GÉOGRAPHIE PHYSIQUE	17
	7.1 Accès	17
	7.2 Climat	18
	7.3 Ressources locales	18
	7.4 Infrastructures	18
	7.5 Géographie physique	18
8.0	HISTORIQUE	19
	8.1 Géologie et géophysique	19
	8.2 Géologie structurale	20
	8.3 Géologie du quaternaire	20
	8.4 Géochimie de sédiments de fonds de lacs	21
	8.5 Gîtologie U, Cu, Ni	21
	8.6 Travaux rapportés par d'autres compagnies d'exploration	21
9.0	CONTEXTE GÉOLOGIQUE	22
	9.1 Géologie régionale	22
	9.1.1 Métamorphisme et pétrologie	24
	9.1.2 Géochronologie des groupes lithologiques	25
	9.2 Géologie régionale du quaternaire	25
	9.3 Géologie locale	26
	9.3.1 Lithologie	28
	9.3.1.1 *Marbre et roche calco-silicatée*	28
	9.3.1.2 *Quartzite*	28
	9.3.1.3 *Paragneiss*	28
	9.3.1.4 *Pegmatite*	29
	9.3.1.5 *Orthogneiss, granite et pegmatite*	29
	9.3.1.6 *Roches mafiques*	30
	9.3.2 Lithogéochimie	30
	9.3.2.1 *Marbres et roches calco-silicatées*	31
	9.3.2.2 *Pegmatites*	32
	9.3.2.3 *Paragneiss et orthogneiss*	32
	9.4 Géologie locale du quaternaire	32
10.0	TYPES DE GÎTES MINÉRAUX	33
	10.1 Modèle de type Rossing (zone de Davis Inlet)	34
	10.2 Modèle de type CAGE	34

11.0 MINÉRALISATIONS 36
11.1 Zone CAGE (Indices CAGE-A à CAGE-F 38
11.1.1 Indice CAGE-A 41
11.1.2 Indice CAGE-B 41
11.1.3 Indice CAGE-C 41
11.1.4 Indice CAGE-D 41
11.1.5 Indice CAGE-E 42
11.1.6 Indice CAGE-F 42
11.2 Zone Davis Inlet 42
11.2.1 Partie nord de la zone Davis Inlet 42
11.2.2 Partie sud de la zone Davis Inlet 42
11.3 Zone Aqiarussuk 43
11.4 Zone Kéglo Sud 44
11.5 Zone Tasiujaaluk 45
11.6 Zone CAGE Extension Sud 45
11.6.1 *Secteur Nord (zone CAGE extension sud)* 45
11.6.2 *Secteur Sud (zone CAGE extension sud)* 46
11.7 Zone de la Presqu'île 46
11.8 Zone Tasiujaaluk NW 46
11.9 Zone du Lac en Croissant 47
11.10 Autres anomalies 47
11.10.1 *Occurrence Mo-U* 47
11.10.2 *Autres anomalies uranothorifères* 47
11.10.2.1 *En affleurement* 48
11.10.2.2 *En blocs* 48
11.10.2.3 *Dans le sol* 48

12.0 TRAVAUXD'EXPLORATION 48
12.1 Géologie 49
12.2 Géophysique 50
12.2.1 *Interprétation des données géophysiques régionales* 50
12.2.2 *Interprétation des données géophysiques locales (secteur indiciel de CAGE)* 51
12.3 Géochimie de sédiments de fonds de lacs 52
12.3.1 *Données uranium* 52
12.3.2 *Corrélation avec d'autres éléments (critère CAGE)* 52
12.3.3 *Utilisation des données géochimiques* 52
12.3.4 *Interprétation* 52
12.4 Structure 53
12.4.1 *Linéaments par photo-satellite* 53
12.4.2 *Zone indiciel* 55

13.0 FORAGES (rainurages) 56
13.1 Description des rainurages 57
13.1.1 *Rainurage CA06-T-01, indice CAGE-D* 57
13.1.2 *Rainurage CA06-T-02, indice CAGE-D* 57
13.1.3 *Rainurage CA06-T-03, indice CAGE-D* 58
13.1.4 *Rainurage CA06-T-04, indice CAGE-D* 58
13.1.5 *Rainurage CA06-T-05, indice CAGE-D* 58
13.1.6 *Rainurage CA06-T-06, indice CAGE B* 58
13.2 Lithogéochimie des rainurages 59

14.0 MÉTHODOLOGIE DE LA GRILLE DE REPÉRAGE SUR L'INDICE CAGE ET DE L'ÉCHANTILLONNAGE SUR L'ENSEMBLE DE LA PROPRIÉTÉ CAGE 59
14.1 Grilles de repérage 59
14.1.1 *Équipe et matériel* 59
14.1.2 *Grilles de repérage* 59
14.1.3 *Obstacles* 60
14.2 Échantillonnage 61
14.2.1 *Cueillette sur le terrain* 61
14.2.2 *Sélection et préparation des échantillons pour analyse ou étude pétrographique et métallogénique* 61
14.2.3 *Transport des échantillons* 62

15.0 PRÉPARATION, ANALYSE ET SÉCURITÉ DES ÉCHANTILLONS 62

16.0 VÉRIFICATION DES DONNÉES 63

17.0 TERRAINS ADJACENTS 63

18.0 ESSAIS DE TRAITEMENT ET ESSAIS MÉTALLURGIQUES 64

19.0 ESTIMATION DES RESSOURCES MINÉRALES ET DES RÉSERVES MINÉRALES 64

20.0 AUTRES DONNÉES ET RENSEIGNEMENTS PERTINENTS 64
20.1 Environnement 64

21.0 INTERPRÉTATIONS ET CONCLUSIONS 65
21.1 Atteinte des objectifs 65
21.2 Travaux de terrain 2006 66
21.3 Résultats 2006 66
21.3.1 *Anomalies radiométriques et zones anomaliques* 66
21.3.2 *Type de minéralisation* 67
21.3.2.1 *Synthèse du contexte des anomalies et de la minéralisation* 67
21.3.3 *Stations et traverses* 68
21.3.4 *Géologie* 68
21.3.5 *Géophysique* 69
21.3.6 *Géochimie des sédiments de fonds de lacs* 69
21.3.7 *Rainurages* 69
21.3.8 *Autres renseignements* 70

22.0 RECOMMANDATIONS 70

23.0 RÉFÉRENCES 72

ANNEXE A
(Volume 1 de 8)

LISTE DES FIGURES

Figure 6.1 : Localisation du projet CAGE 2006 dans la province du Québec, Canada (114024-CA06-F14-LocalisationCageQuébec8x11-07Déc2006)

Figure 6.2 : Localisation de la propriété CAGE, des claims d'Uranor et de la concurrence (114024-CA06-F18-LocalisationProjetCAGEClaimsUranorEtConcurrence-11Mai2007).

Figure 8.1.1 : - Contexte lithotectonique de la partie SE de la province de Churchill (tirée de Wardle (2002) et modifiée par Omégalpha (2006)) (114024-CA06-F16-ContexteLithotectoniquePartieSEProvinceChurchill-07Mai2007)

Figure 9.2.1 : Limites du front glaciaire sur la Baie d'Ungava de 8000 B.P. selon Dykes et al., 2003. (114024-CA06-F19-LimiteFrontGlaciaireBaieUngava-09Mai2007)

Figure 9.2.2 : Application du niveau marin de 481 pieds (148 mètres) vers 730B.P. d'après Lauriol et al. (1979) sur un modèle numérique d'élévation de la côte Est de la Baie d'Ungava dans le secteur de CAGE. (114024-CA06-F20-Application NiveauMarin481Pied-735BP-CAGE-09Mai2007).

Figure 9.3.2.1 : Distribution des analyses de marbre et de roches calco-silicatées peu minéralisées (U<67ppm) dans des diagrammes Li-CaO et Al2O3-CaO montrant la faible mobilité du calcium lors du métamorphisme (114024-CA06-F21-DistributionAnalysesMarbreCalco-silicatées-Li-CaO-Al2O3-CaO-11Mai2007).

Figure 9.3.2.2 : Diagrammes triangulaires : Al2O3-K2O-FeO+MgO pour les échantillons de pegmatite et Al2O3-CaO-FeO+MgO pour les échantillons de marbre et de roches calco-silicatées, de la zone indicielle de CAGE. (114024-CA06-F22-DiagrammeTriangulaire-AlO3-CaO-FeO+MgO-K2O-ZoneCAGE-11Mai2007)

Figure 9.3.2.3 : Diagrammes triangulaires : Al2O3-K2O-FeO+MgO pour les échantillons de pegmatite, paragneiss, orthogneiss et Al2O3-CaO-FeO+MgO pour les échantillons de marbre, de roches calco-silicatées et de diopsidite des zones anomaliques régionales. (114024-CA06-F23-DiagrammeTriangulaire-Al2O3-CaO-FeO+MgO-K2O-ZonesAnomaliques-11Mai2007)

Figure 9.3.2.4 : Diagrammes binaires : a) CaO+MgO-Al2O3, b) CaO+MgO-Fe2O3, c) CaO+MgO-K2O+Na2O et d) CaO+MgO-Ba, montrant la distribution des échantillons de marbre, de roches calco-silicatées et de diopsidite de la zone indicielle de CAGE et des zones d'anomalies régionales. (114024-CA06-F24-DiagrammeBinaire-Al2O3-CaO+MgO-Fe2O3-K2O+Na2O-Marbre-11Mai2007)

Figure 9.3.2.5 : Diagrammes binaires : a) Li-Ba, b) Th-U et c) MgO-Li, montrant la distribution des échantillons de marbre, de roches calco-silicatées et de

diopsidite de la zone indicielle de CAGE et des zones d'anomalies régionales. (114024-CA06-F25-DiagrammeBinaire-Ba-Li-U-Th-MgO-Marbre-11Mai2007)

Figure 9.3.2.6 : Diagrammes binaires : a) Al2O3-Na2O+K2O, b) Al2O3-CaO, c) Al2O3-FeO et d) TiO2-MgO+FeO, montrant la distribution des échantillons de pegmatite associée à du paragneiss, de l'orthogneiss ou au contact avec du marbre dans les zones d'anomalies régionales, et de pegmatite associée à du marbre et des roches calco-silicatées de la zone indicielle CAGE. (114024-CA06-F26-DiagrammeBinaire-Al2O3-Na2O-K2O-TiO2-Pegmatite-11Mai2007)

Figure 10.1.1 : Planche microphotographique (a à f) des minéraux accessoires (allanite, zircon, titanite, monazite, apatite) contenant de l'uranium et des éléments de terres rares. (114024-CA06-F27-PlancheMicrophotographique-Figure 10.1.1-10Mai2007)

Figure 10.2.1 : Planche microphotographique (a à f) du comportement de l'uraninite dans les marbres provenant des lames minces de CAGE. (114024-CA06-F28-PlancheMicrophotographique-Figure 10.2.1-10Mai2007)

Figure 10.2.2 : Planche microphotographique (a à f) montrant des associations minéralogiques et des microstructures. (114024-CA06-F29-PlancheMicrophotographique-Figure 10.2.2-10Mai2007)

Figure 11.1 : Diagrammes binaires : a) Th-U, b) U-Ba, c) U-Zr et d) Th-Zr, montrant la distribution des échantillons de pegmatite associée à du paragneiss, de l'orthogneiss ou au contact avec du marbre dans les zones d'anomalies régionales, et de pegmatite associée à du marbre et des roches calco-silicatées de la zone indicielle CAGE. (114024-CA06-F30-DiagrammeBinaire-Th-U-Ba-Zr-Pegmatite-ZonesAnomaliquesCAGE-11Mai2007)

Figure 11.2 : Diagramme binaire Na2O-K2O montrant la distribution des échantillons de pegmatite associée à du paragneiss, de l'orthogneiss ou au contact avec du marbre dans les zones d'anomalies régionales, et de pegmatite associée à du marbre et des roches calco-silicatées de la zone indicielle CAGE. (114024-CA06-F31-DiagrammeBinaire-Na2O-K2O-Pegmatite-Gneiss-Marbre-ZonesAnomaliques-11Mai2007)

Figure 11.1.1 : Marbre dolomitique massif fortement fracturé. (114024-CA06-F32-F33-PhotosMarbreDolomitiqueChaotique-Figure11.1.1-11.1.2-11Mai2007)

Figure 11.1.2 : Roche calco-silicatée de type « chaotique » où les litages et pegmatites sont discontinus et sans relation avec les morceaux voisins (114024-CA06-F32-F33-PhotosMarbreDolomitiqueChaotique-Figure11.1.1-11.1.2-11Mai2007)

Figure 11.1.3 : Marbre lité et folié à la décharge du lac Cage. (114024-CA06-F34-F35-PhotosMarbreFoliéMarbreDiopside-Figure11.1.3-11.1.4-11Mai2007)

Figure 11.1.4 : Pods de roche calco-silicatée riche en diopside à l'interface de roches calco-silicatées et de marbre dolomitique (affleurement CA06-1002-02). (114024-CA06-F34-F35-PhotosMarbreFoliéMarbreDiopside-Figure11.1.3-11.1.4-11Mai2007)

Figure 11.1.5 : Unité de grès à grain fin à moyen métamorphisé avec une texture de surface en balle de golf (affleurement CA06-1002-01) (114024-CA06-F36-F37-PhotosGrèsTextureGolfVerdâtre-Figure11.1.5-11.1.6-11Mai2007)

Figure 11.1.6 : Unité de grès verdâtre à grain fin et légèrement magnétique métamorphisé (affleurement CA06-1005-15) (114024-CA06-F36-F37-PhotosGrèsTextureGolfVerdâtre-Figure11.1.5-11.1.6-11Mai2007)

Figure 13.1.1 : Rainurage CA06-T-01 (114024-CA06-F38-Rainurage-CA06-T-01-22Mai2007)

Figure 13.1.2 : Rainurage CA06-T-02 (114024-CA06-F39-Rainurage-CA06-T-02-22Mai2007)

Figure 13.1.3 : Rainurage CA06-T-03 (114024-CA06-F40-Rainurage-CA06-T-03-22Mai2007)

Figure 13.1.4 : Rainurage CA06-T-04 (114024-CA06-F41-Rainurage-CA06-T-04-22Mai2007)

Figure 13.1.5 : Rainurage CA06-T-05 (114024-CA06-F42-Rainurage-CA06-T-05-22Mai2007)

Figure 13.1.6 : Rainurage CA06-T-06 (114024-CA06-F43-Rainurage-CA06-T-06-22Mai2007)

Figure 13.2.1 : Diagramme binaire U-CaO et U-(CaO+MgO/Al2O3) des échantillons de marbre et de roche calco-silicatée prélevés sur les affleurements et dans les rainurages de la zone indicielle de CAGE. (114024-CA06-F44-LithogéochimieRainureMarbre-Figure13.2.1-23Mai2007)

Figure 13.2.2 : Diagramme binaire U-Pb, U-Cu, U-Mo et U-Ba des échantillons de marbre et de roche calco-silicatée prélevés sur les affleurements et dans les rainurages de la zone indicielle de CAGE. (114024-CA06-F45-LithogéochimieRainure Marbre-Figure13.2.2-23Mai2007)

Figure 13.2.3 : Diagramme binaire U-V des échantillons de marbre et les roches calco-silicatées prélevés dans les rainurages de la zone indicielle de CAGE et diagrammes binaires U-V, U-Y et U-Bi des échantillons de marbre et de roche calco-silicatée prélevés sur les affleurements et dans les rainurages de la même zone indicielle. (114024-CA06-F46-LithogéochimieRainureMarbre-Figure13.2.3-23Mai2007)

ANNEXE B
(Volume 2 de 8)

TABLEAU DES STATIONS

Tableau 12.1 : Tableau synoptiques des stations (114024-CA06-T07-TableauSynoptiqueStations-31Mai2007)

ANNEXE C
(Volume 3 de 8)

LISTE DES TABLEAUX

Tableau 4.1 : Liste des géologues, des prospecteurs, des techniciens, des consultants et du personnel du soutien logistique du projet CAGE 2006 (114024-CA06-T02-ListeGéologuesConsultantsTechniciens-07Mai2007)

Tableau 6.1 : Tableau descriptif des claims actifs et en demande d'Uranor Inc. du projet CAGE 2006 (114024-CA06-T01-ClaimsActifsEtEnDemande Uranor-Cage 2006)

Tableau 8.6.1 : Tableau synoptique des travaux statutaires - PROJET 114024 (114024-CA06-T03-TravauxStatutaires24I24P-07Mai2007)

Tableau 9.3.2.1: Analyses lithogéochimiques des échantillons choisis et de rainurage classées par unités lithologiques (114024-CA06-T08- Analyses GéochimiquesPartiellesFiltrées-Lithologie-Diagramme-24Mai2007)

Tableau 10.1 : Caractéristiques physiques, minéralogiques et structurales de l'indice minéralisé de type Cage par rapport au gisement Namibien de Rossing (114024-CA06-T09-TableauComparaisonTypeCageRossing-24Mai2007)

Tableau 10.1.1 : Séquence paragénétique des principaux minéraux observés en lame mince par rapport à la déformation (114024-CA06-T05-SéquenceParagénétiqueMinéraux Déformation-11Mai2007)

Tableau 11.1 : Analyses lithogéochimiques des échantillons choisis et de rainurage (114024-CA06-T04-AnalysesLithogéochimiques-09Mai2007)

Tableau 11.2 : Tableau synoptique des anomalies scintillométriques au sol (114024-CA06-T10-AnomaliesScintillométriques-31Mai2007)

ANNEXE D
(Volume 4 de 8)

LISTE DES CARTES

Carte 1 : Topographie 3D du secteur de la propriété CAGE (1 :100 000) (114024-CA06-C07 – Topographie3DSecteurPropriétéCage)

Carte 2 : Topographie 3D du secteur Davis-Kéglo (1 : 1 500) (114024-CA06-C08-Topographie3DSecteurDavisKéglo)

Carte 3 : Géologique régionale SNRC 24I-24P d'après Taylor (1979) et Verpaelst (2000) (1 :100 000) (114024-CA06-C09- GéologieRégionale24I24PSigéom)

Carte 4 : Champs magnétique total (Sigéom) de la propriété CAGE (1 :100 000) (114024-CA06-C20 – ChampMagnétiqueTotalSigéom)

Carte 5 : Localisation des travaux statutaires SNRC 24I-24P (1 :250 000) (114024-CA06-C27 – CompilationTravauxStatutaires24I24P)

Carte 6 : Géologie et localisation des stations de la propriété CAGE (1 :100 000) (114024-CA06-C13-GéologieStations-PropriétésCage)

Carte 7 : Géologie et localisation des stations de la partie NE du secteur Davis-Kéglo (1 :25 000) (114024-CA06-C15-GéologieStations-SecteurDavisKéglo-partieNE)

Carte 8 : Géologie et localisation des stations de la partie SE du secteur Davis-Kéglo (1 :25 000) (114024-CA06-C16-GéologieStations-SecteurDavisKéglo-partieSE)

ANNEXE E
(Volume 5 de 8)

LISTE DES CARTES

Carte 9 : Géologie et localisation des stations de la partie SW du secteur Davis-Kéglo (1 :25 000) (114024-CA06-C17-GéologieStations-SecteurDavisKeglo-partieSW)

Carte 10 : Géologie et localisation des stations de la partie NW du secteur Davis-Kéglo (1 :25 000) (114024-CA06-C18-GéologieStations-SecteurDavisKéglo-partieNW)

Carte 11 : Géologie et localisation des stations du secteur CAGE-A à F (1 :6500) (114024-CA06-C19-GéologieStations-SecteurCAGE-AF)

Carte 12 : Localisation des échantillons et rapports spectrométriques U/Th de la propriété CAGE (1 :100 000) (114024-CA06-C24-LocalisationÉchantillonsRapports SpectroUTh-PropriétéCAGE)

Carte 13 : Localisation des échantillons et rapports spectrométriques U/Th du secteur Davis-Kéglo (1 :40 000) (114024-CA06-C25 - LocalisationÉchantillons RapportsSpectroUTh-SecteurDavisKéglo)

Carte 14 : Localisation des échantillons et rapports spectrométriques U/Th des secteurs CAGE-A à F (1 :6500) (114024-CA06-C26- LocalisationÉchantillonsRapports SpectroUTh -CAGE-AF)

Carte 15 : Teneurs U et Th des échantillons analysés en 2006 sur la propriété CAGE (1 :100 000) (114024-CA06-C28- ÉchantillonsAnalysésRapportSpectroUTh-PropriétéCAGE)

Carte 16 : Teneurs U et Th des échantillons analysés en 2006 sur la propriété CAGE (secteur Davis-Kéglo)(1 :40000)(114024-CA06-C29-ÉchantillonsAnalysésRapportSpectro UTh-SecteurDavisKéglo)

ANNEXE F
(Volume 6 de 8)

LISTE DES CARTES

Carte 17 : Teneurs U et Th des échantillons analysés en 2006 (secteur Cage A-F) (1 :6 500) (114024-CA06-C30- ÉchantillonsAnalysésRapportSpectroUTh-SecteursCageAF)

Carte 18 : Plan compteur avec valeurs radiométriques et résultats analytiques des rainurages – Indice CAGE B (1 :50) (114024-CA06-C22 – PlanCompteur RadiométrieAnalyseRainurage-IndiceCageB)

Carte 19 : Plan compteur avec valeurs radiométriques et résultats analytiques des rainurages – Indice CAGE D (1 :50) (114024-CA06-C23 – PlanCompteur RadiométrieAnalyseRainurage-IndiceCageD)

Carte 20 : Géologie et localisation des anomalies scintillométriques de la propriété CAGE (1 : 100 000) (114024-CA06-C10- GéologieAnomaliesPropriétéCAGE)

Carte 21 : Géologie et localisation des anomalies scintillométriques du secteur Davis-Kéglo (1 :40 000) (114024-CA06-C11- GéologieAnomaliesSecteurDavis-Kéglo)

Carte 22 : Géologie et localisation des anomalies scintillométriques du secteur CAGE-A à F (1 :6500) (114024-CA06-C12-GéologieAnomaliesSecteurCAGE-AF)

Carte 23 : Teneurs en U et Th des sédiments de fonds de lacs et correspondances aux critères de CAGE (1 :100 000) (114024-CA06-C21- TeneurUThSédiments FondDeLacCorrespondanceCritèreCAGE)

ANNEXE G
(Volume 7 de 8)

« Interprétation des données magnétiques et radiométriques de la campagne aérienne de Août 2006 » par Yoann Richard (AREVA NCB/BUM/DEX/GT)

ANNEXE H
(Volume 7 de 8)

« Étude structurale du secteur de l'indice Cage, Nunavik, Québec » par Nicolas Flotté (AREVA NCB/BUM/DEX/GT)

ANNEXE I
(Volume 7 de 8)

« CAGE : Analyse sommaire des linéaments en photosatellite » rapport interne par Jean Beaudin (Omegalpha Inc.)

ANNEXE J
(Volume 8 de 8)

« Final Report on a Helicopter-borne Magnetic & Radiometric Survey, Centre Cage Zone, Kangiqsualujjuaq, Québec, Canada » par McPhar Geosurveys Ltd

ANNEXE K
(Volume 8 de 8)

CERTIFICATS D'ANALYSE

Certificats d'analyse du Saskatchewan Research Council (SRC)

ANNEXE L
(Volume 8 de 8)

PRODUITS NUMÉRIQUES EN DVD

Produits numériques en DVD

ANNEXE C

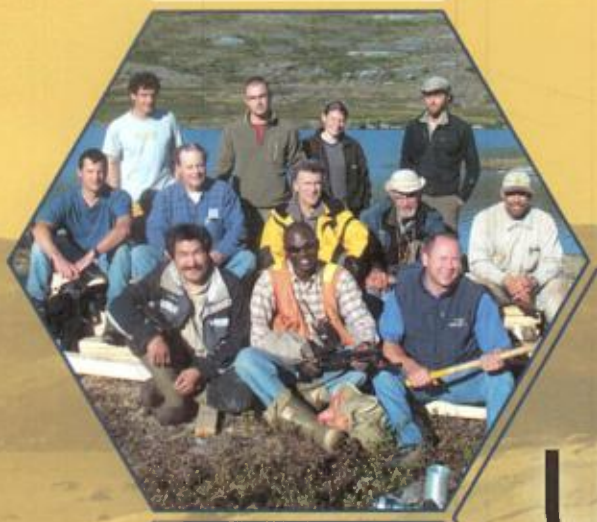

URANOR

TABLEAUX

OMÉGALPHA

Tableau 4.1 - Liste des géologues, des prospecteurs, des techniciens, des consultants et du personnel du soutien logistique du projet CAGE 2006

Géologues (OMÉGALPHA)	**Consultants**	**Techniciens** (OMÉGALPHA)
Jean Beaudin	Claude Caillat (AREVA)	Louis-Pierre Barrette
Carl Bilodeau	Nicolas Flotté (AREVA)	Patrick Landry
Anne-Laure Bonnet*	Benoît Magrina (AREVA)	Robert Proulx
Robert Corbeil	Yoann Richard (AREVA)	**Personnel administratif** (OMÉGALPHA)
Bocar Diagana		Céline Lachance
Serge Genest	Ramesh Acharya (McPHAR)	Josée Genest
Mario Joly	Paul Beaubien (McPHAR)	**Manoeuvres** (OMÉGALPHA)
Matthieu Picarello	John Currie (McPHAR)	Julien Chevrelle
Francine Robert		Claude Desorcy
		Samuel Genest
		Mario Saint-Martin

Plongeurs	**Soutien logistique**	**Hélicoptère (Hélimax)**
Patrick Dubeau	Daniel Annanack	Louis C Boudreault
Guillaume Genest	David Annanack	Jean-Marc Gagnon
	Claude Leclerc (Aide cuisinier)	Sylvain Leclerc
Étudiants en géologie	Diane Drouin (cuisinière)	Fabien Lemieux
Dominique Bousquet		Yannick Martin
Marie-Josée Comeau	Yvon Bonenfant (Pourv. Koroc)	
Philip Dumont	Roger Vital (Pourv. Koroc)	**Hélicoptère (Géophysique)**
Dominique Richard		Mark Greenen
	Prospecteurs Inuits	David Kesser
Représentant du MRNF	Bobby Tommy Annanack	Bob Rogers
Serge Perreault	Mary-Ann Annanack	
	Sonny Boy Annanack	
	William Annanack	

114024- CA06-T02

* Participation au rapport CAGE 2006

Tableau 6.1 - Tableau descriptif des claims actifs et en demande d'Uranor Inc. du projet CAGE 2006

Feuillet	Type de titre	No titre	Statut du titre	Date d'inscription	Date d'expiration	Superficie (Ha)	Excédent ($)	No détenteur	Nom du détenteur	Pourcentage (%)
24I10	CDC	2013592	Actif	2006-05-29	2008-05-28	44.86	0	20652	Uranor Inc	100.00
24I10	CDC	2012540	Actif	2006-05-24	2008-05-23	44.86	0	20652	Uranor Inc	100.00
24I10	CDC	2012541	Actif	2006-05-24	2008-05-23	44.86	0	20652	Uranor Inc	100.00
24I10	CDC	2012542	Actif	2006-05-24	2008-05-23	44.86	0	20652	Uranor Inc	100.00
24I10	CDC	2012543	Actif	2006-05-24	2008-05-23	44.85	0	20652	Uranor Inc	100.00
24I10	CDC	2012544	Actif	2006-05-24	2008-05-23	44.85	0	20652	Uranor Inc	100.00
24I10	CDC	2012545	Actif	2006-05-24	2008-05-23	44.85	0	20652	Uranor Inc	100.00
24I10	CDC	2012546	Actif	2006-05-24	2008-05-23	44.85	0	20652	Uranor Inc	100.00
24I10	CDC	2012547	Actif	2006-05-24	2008-05-23	44.85	0	20652	Uranor Inc	100.00
24I10	CDC	2012548	Actif	2006-05-24	2008-05-23	44.85	0	20652	Uranor Inc	100.00
24I10	CDC	2012555	Actif	2006-05-24	2008-05-23	44.84	0	20652	Uranor Inc	100.00
24I10	CDC	2012549	Actif	2006-05-24	2008-05-23	44.84	0	20652	Uranor Inc	100.00
24I10	CDC	2012550	Actif	2006-05-24	2008-05-23	44.84	0	20652	Uranor Inc	100.00
24I10	CDC	2012551	Actif	2006-05-24	2008-05-23	44.84	0	20652	Uranor Inc	100.00
24I10	CDC	2012552	Actif	2006-05-24	2008-05-23	44.84	0	20652	Uranor Inc	100.00
24I10	CDC	2012553	Actif	2006-05-24	2008-05-23	44.84	0	20652	Uranor Inc	100.00
24I10	CDC	2012554	Actif	2006-05-24	2008-05-23	44.84	0	20652	Uranor Inc	100.00
24I10	CDC	2012556	Actif	2006-05-24	2008-05-23	44.84	0	20652	Uranor Inc	100.00
24I10	CDC	2007541	Actif	2006-05-11	2008-05-10	44.83	0	20652	Uranor Inc	100.00
24I10	CDC	2007542	Actif	2006-05-11	2008-05-10	44.83	0	20652	Uranor Inc	100.00
24I10	CDC	2007543	Actif	2006-05-11	2008-05-10	44.83	0	20652	Uranor Inc	100.00
24I10	CDC	2007544	Actif	2006-05-11	2008-05-10	44.83	0	20652	Uranor Inc	100.00
24I10	CDC	2007545	Actif	2006-05-11	2008-05-10	44.83	0	20652	Uranor Inc	100.00
24I10	CDC	2012557	Actif	2006-05-24	2008-05-23	44.83	0	20652	Uranor Inc	100.00
24I10	CDC	2012558	Actif	2006-05-24	2008-05-23	44.83	0	20652	Uranor Inc	100.00
24I10	CDC	2012559	Actif	2006-05-24	2008-05-23	44.83	0	20652	Uranor Inc	100.00
24I10	CDC	2012560	Actif	2006-05-24	2008-05-23	44.83	0	20652	Uranor Inc	100.00
24I10	CDC	2007546	Actif	2006-05-11	2008-05-10	44.82	0	20652	Uranor Inc	100.00
24I10	CDC	2007547	Actif	2006-05-11	2008-05-10	44.82	0	20652	Uranor Inc	100.00
24I10	CDC	2007548	Actif	2006-05-11	2008-05-10	44.82	0	20652	Uranor Inc	100.00
24I10	CDC	2007549	Actif	2006-05-11	2008-05-10	44.82	0	20652	Uranor Inc	100.00
24I10	CDC	2012561	Actif	2006-05-24	2008-05-23	44.82	0	20652	Uranor Inc	100.00
24I10	CDC	2012562	Actif	2006-05-24	2008-05-23	44.82	0	20652	Uranor Inc	100.00
24I10	CDC	2012563	Actif	2006-05-24	2008-05-23	44.82	0	20652	Uranor Inc	100.00
24I10	CDC	2012564	Actif	2006-05-24	2008-05-23	44.82	0	20652	Uranor Inc	100.00
24I10	CDC	2012565	Actif	2006-05-24	2008-05-23	44.82	0	20652	Uranor Inc	100.00
24I10	CDC	2012566	Actif	2006-05-24	2008-05-23	44.82	0	20652	Uranor Inc	100.00
24I10	CDC	2007550	Actif	2006-05-11	2008-05-10	44.81	0	20652	Uranor Inc	100.00
24I10	CDC	2007551	Actif	2006-05-11	2008-05-10	44.81	0	20652	Uranor Inc	100.00
24I10	CDC	2007552	Actif	2006-05-11	2008-05-10	44.81	0	20652	Uranor Inc	100.00
24I10	CDC	2007553	Actif	2006-05-11	2008-05-10	44.81	0	20652	Uranor Inc	100.00
24I10	CDC	2007554	Actif	2006-05-11	2008-05-10	44.81	0	20652	Uranor Inc	100.00

Tableau 6.1 - Tableau descriptif des claims actifs et en demande d'Uranor Inc. du projet CAGE 2006

Feuillet	Type de titre	No titre	Statut du titre	Date d'inscription	Date d'expiration	Superficie (Ha)	Excédent ($)	No détenteur	Nom du détenteur	Pourcentage (%)
24I10	CDC	2007555	Actif	2006-05-11	2008-05-10	44.81	0	20652	Uranor Inc	100.00
24I10	CDC	2007556	Actif	2006-05-11	2008-05-10	44.81	0	20652	Uranor Inc	100.00
24I10	CDC	2012567	Actif	2006-05-24	2008-05-23	44.81	0	20652	Uranor Inc	100.00
24I10	CDC	2012568	Actif	2006-05-24	2008-05-23	44.81	0	20652	Uranor Inc	100.00
24I10	CDC	2012569	Actif	2006-05-24	2008-05-23	44.81	0	20652	Uranor Inc	100.00
24I10	CDC	2012570	Actif	2006-05-24	2008-05-23	44.81	0	20652	Uranor Inc	100.00
24I10	CDC	2012571	Actif	2006-05-24	2008-05-23	44.81	0	20652	Uranor Inc	100.00
24I10	CDC	2007557	Actif	2006-05-11	2008-05-10	44.8	0	20652	Uranor Inc	100.00
24I10	CDC	2007558	Actif	2006-05-11	2008-05-10	44.8	0	20652	Uranor Inc	100.00
24I10	CDC	2007559	Actif	2006-05-11	2008-05-10	44.8	0	20652	Uranor Inc	100.00
24I10	CDC	2007560	Actif	2006-05-11	2008-05-10	44.8	0	20652	Uranor Inc	100.00
24I10	CDC	2007561	Actif	2006-05-11	2008-05-10	44.8	0	20652	Uranor Inc	100.00
24I10	CDC	2007562	Actif	2006-05-11	2008-05-10	44.8	0	20652	Uranor Inc	100.00
24I10	CDC	2007564	Actif	2006-05-11	2008-05-10	44.8	0	20652	Uranor Inc	100.00
24I10	CDC	2007563	Actif	2006-05-11	2008-05-10	44.8	0	20652	Uranor Inc	100.00
24I10	CDC	2012572	Actif	2006-05-24	2008-05-23	44.8	0	20652	Uranor Inc	100.00
24I10	CDC	2012573	Actif	2006-05-24	2008-05-23	44.8	0	20652	Uranor Inc	100.00
24I10	CDC	2012574	Actif	2006-05-24	2008-05-23	44.8	0	20652	Uranor Inc	100.00
24I10	CDC	2012575	Actif	2006-05-24	2008-05-23	44.8	0	20652	Uranor Inc	100.00
24I10	CDC	2012578	Actif	2006-05-24	2008-05-23	44.8	0	20652	Uranor Inc	100.00
24I10	CDC	2012576	Actif	2006-05-24	2008-05-23	44.8	0	20652	Uranor Inc	100.00
24I10	CDC	2012577	Actif	2006-05-24	2008-05-23	44.8	0	20652	Uranor Inc	100.00
24I10	CDC	2007565	Actif	2006-05-11	2008-05-10	44.79	0	20652	Uranor Inc	100.00
24I10	CDC	2007566	Actif	2006-05-11	2008-05-10	44.79	0	20652	Uranor Inc	100.00
24I10	CDC	2007567	Actif	2006-05-11	2008-05-10	44.79	0	20652	Uranor Inc	100.00
24I10	CDC	2007568	Actif	2006-05-11	2008-05-10	44.79	0	20652	Uranor Inc	100.00
24I10	CDC	2007569	Actif	2006-05-11	2008-05-10	44.79	0	20652	Uranor Inc	100.00
24I10	CDC	2007570	Actif	2006-05-11	2008-05-10	44.79	0	20652	Uranor Inc	100.00
24I10	CDC	2007571	Actif	2006-05-11	2008-05-10	44.79	0	20652	Uranor Inc	100.00
24I10	CDC	2007572	Actif	2006-05-11	2008-05-10	44.79	0	20652	Uranor Inc	100.00
24I10	CDC	2007573	Actif	2006-05-11	2008-05-10	44.79	0	20652	Uranor Inc	100.00
24I10	CDC	2012579	Actif	2006-05-24	2008-05-23	44.79	0	20652	Uranor Inc	100.00
24I10	CDC	2012580	Actif	2006-05-24	2008-05-23	44.79	0	20652	Uranor Inc	100.00
24I10	CDC	2012581	Actif	2006-05-24	2008-05-23	44.79	0	20652	Uranor Inc	100.00
24I10	CDC	2012582	Actif	2006-05-24	2008-05-23	44.79	0	20652	Uranor Inc	100.00
24I10	CDC	2012583	Actif	2006-05-24	2008-05-23	44.79	0	20652	Uranor Inc	100.00
24I10	CDC	2012584	Actif	2006-05-24	2008-05-23	44.79	0	20652	Uranor Inc	100.00
24I10	CDC	2012585	Actif	2006-05-24	2008-05-23	44.79	0	20652	Uranor Inc	100.00
24I10	CDC	2012586	Actif	2006-05-24	2008-05-23	44.79	0	20652	Uranor Inc	100.00
24I10	CDC	2007574	Actif	2006-05-11	2008-05-10	44.78	0	20652	Uranor Inc	100.00
24I10	CDC	2007575	Actif	2006-05-11	2008-05-10	44.78	0	20652	Uranor Inc	100.00
24I10	CDC	2007576	Actif	2006-05-11	2008-05-10	44.78	0	20652	Uranor Inc	100.00

Tableau 6.1 - Tableau descriptif des claims actifs et en demande d'Uranor Inc. du projet CAGE 2006

Feuillet	Type de titre	No titre	Statut du titre	Date d'inscription	Date d'expiration	Superficie (Ha)	Excédent ($)	No détenteur	Nom du détenteur	Pourcentage (%)
24I10	CDC	2007577	Actif	2006-05-11	2008-05-10	44.78	0	20652	Uranor Inc	100.00
24I10	CDC	2007578	Actif	2006-05-11	2008-05-10	44.78	0	20652	Uranor Inc	100.00
24I10	CDC	2007579	Actif	2006-05-11	2008-05-10	44.78	0	20652	Uranor Inc	100.00
24I10	CDC	2007580	Actif	2006-05-11	2008-05-10	44.78	0	20652	Uranor Inc	100.00
24I10	CDC	2007581	Actif	2006-05-11	2008-05-10	44.78	0	20652	Uranor Inc	100.00
24I10	CDC	2007582	Actif	2006-05-11	2008-05-10	44.78	0	20652	Uranor Inc	100.00
24I10	CDC	2012587	Actif	2006-05-24	2008-05-23	44.78	0	20652	Uranor Inc	100.00
24I10	CDC	2012588	Actif	2006-05-24	2008-05-23	44.78	0	20652	Uranor Inc	100.00
24I10	CDC	2012589	Actif	2006-05-24	2008-05-23	44.78	0	20652	Uranor Inc	100.00
24I10	CDC	2012590	Actif	2006-05-24	2008-05-23	44.78	0	20652	Uranor Inc	100.00
24I10	CDC	2012591	Actif	2006-05-24	2008-05-23	44.77	0	20652	Uranor Inc	100.00
24I10	CDC	2012592	Actif	2006-05-24	2008-05-23	44.77	0	20652	Uranor Inc	100.00
24I10	CDC	2012593	Actif	2006-05-24	2008-05-23	44.77	0	20652	Uranor Inc	100.00
24I10	CDC	2012594	Actif	2006-05-24	2008-05-23	44.77	0	20652	Uranor Inc	100.00
24I10	CDC	2012595	Actif	2006-05-24	2008-05-23	44.77	0	20652	Uranor Inc	100.00
24I10	CDC	2012596	Actif	2006-05-24	2008-05-23	44.77	0	20652	Uranor Inc	100.00
24I10	CDC	2012597	Actif	2006-05-24	2008-05-23	44.77	0	20652	Uranor Inc	100.00
24I10	CDC	2007583	Actif	2006-05-11	2008-05-10	44.77	0	20652	Uranor Inc	100.00
24I10	CDC	2007584	Actif	2006-05-11	2008-05-10	44.77	0	20652	Uranor Inc	100.00
24I10	CDC	2007585	Actif	2006-05-11	2008-05-10	44.77	0	20652	Uranor Inc	100.00
24I10	CDC	2007586	Actif	2006-05-11	2008-05-10	44.77	0	20652	Uranor Inc	100.00
24I10	CDC	2007587	Actif	2006-05-11	2008-05-10	44.77	0	20652	Uranor Inc	100.00
24I10	CDC	2007588	Actif	2006-05-11	2008-05-10	44.77	0	20652	Uranor Inc	100.00
24I10	CDC	2007589	Actif	2006-05-11	2008-05-10	44.77	0	20652	Uranor Inc	100.00
24I10	CDC	2012598	Actif	2006-05-24	2008-05-23	44.77	0	20652	Uranor Inc	100.00
24I10	CDC	2012599	Actif	2006-05-24	2008-05-23	44.76	0	20652	Uranor Inc	100.00
24I10	CDC	2012610	Actif	2006-05-24	2008-05-23	44.76	0	20652	Uranor Inc	100.00
24I10	CDC	2012600	Actif	2006-05-24	2008-05-23	44.76	0	20652	Uranor Inc	100.00
24I10	CDC	2012601	Actif	2006-05-24	2008-05-23	44.76	0	20652	Uranor Inc	100.00
24I10	CDC	2012602	Actif	2006-05-24	2008-05-23	44.76	0	20652	Uranor Inc	100.00
24I10	CDC	2012603	Actif	2006-05-24	2008-05-23	44.76	0	20652	Uranor Inc	100.00
24I10	CDC	2012604	Actif	2006-05-24	2008-05-23	44.76	0	20652	Uranor Inc	100.00
24I10	CDC	2012611	Actif	2006-05-24	2008-05-23	44.76	0	20652	Uranor Inc	100.00
24I10	CDC	2012605	Actif	2006-05-24	2008-05-23	44.76	0	20652	Uranor Inc	100.00
24I10	CDC	2012606	Actif	2006-05-24	2008-05-23	44.76	0	20652	Uranor Inc	100.00
24I10	CDC	2012607	Actif	2006-05-24	2008-05-23	44.76	0	20652	Uranor Inc	100.00
24I10	CDC	2012608	Actif	2006-05-24	2008-05-23	44.76	0	20652	Uranor Inc	100.00
24I10	CDC	2012609	Actif	2006-05-24	2008-05-23	44.76	0	20652	Uranor Inc	100.00
24I10	CDC	2012612	Actif	2006-05-24	2008-05-23	44.76	0	20652	Uranor Inc	100.00
24I11	CDC	2013593	Actif	2006-05-29	2008-05-28	44.85	0	20652	Uranor Inc	100.00
24I11	CDC	2013594	Actif	2006-05-29	2008-05-28	44.85	0	20652	Uranor Inc	100.00
24I11	CDC	2013595	Actif	2006-05-29	2008-05-28	44.84	0	20652	Uranor Inc	100.00

Tableau 6.1 - Tableau descriptif des claims actifs et en demande d'Uranor Inc. du projet CAGE 2006

Feuillet	Type de titre	No titre	Statut du titre	Date d'inscription	Date d'expiration	Superficie (Ha)	Excédent ($)	No détenteur	Nom du détenteur	Pourcentage (%)
24I11	CDC	2013596	Actif	2006-05-29	2008-05-28	44.84	0	20652	Uranor Inc	100.00
24I11	CDC	2012613	Actif	2006-05-24	2008-05-23	44.84	0	20652	Uranor Inc	100.00
24I11	CDC	2012614	Actif	2006-05-24	2008-05-23	44.84	0	20652	Uranor Inc	100.00
24I11	CDC	2013597	Actif	2006-05-29	2008-05-28	44.83	0	20652	Uranor Inc	100.00
24I11	CDC	2013598	Actif	2006-05-29	2008-05-28	44.83	0	20652	Uranor Inc	100.00
24I11	CDC	2012615	Actif	2006-05-24	2008-05-23	44.83	0	20652	Uranor Inc	100.00
24I11	CDC	2012616	Actif	2006-05-24	2008-05-23	44.83	0	20652	Uranor Inc	100.00
24I11	CDC	2012617	Actif	2006-05-24	2008-05-23	44.83	0	20652	Uranor Inc	100.00
24I11	CDC	2012618	Actif	2006-05-24	2008-05-23	44.83	0	20652	Uranor Inc	100.00
24I11	CDC	2013599	Actif	2006-05-29	2008-05-28	44.82	0	20652	Uranor Inc	100.00
24I11	CDC	2013600	Actif	2006-05-29	2008-05-28	44.82	0	20652	Uranor Inc	100.00
24I11	CDC	2013601	Actif	2006-05-29	2008-05-28	44.82	0	20652	Uranor Inc	100.00
24I11	CDC	2012619	Actif	2006-05-24	2008-05-23	44.82	0	20652	Uranor Inc	100.00
24I11	CDC	2012620	Actif	2006-05-24	2008-05-23	44.82	0	20652	Uranor Inc	100.00
24I11	CDC	2007590	Actif	2006-05-11	2008-05-10	44.82	0	20652	Uranor Inc	100.00
24I11	CDC	2007591	Actif	2006-05-11	2008-05-10	44.82	0	20652	Uranor Inc	100.00
24I11	CDC	2007592	Actif	2006-05-11	2008-05-10	44.82	0	20652	Uranor Inc	100.00
24I11	CDC	2013602	Actif	2006-05-29	2008-05-28	44.81	0	20652	Uranor Inc	100.00
24I11	CDC	2013603	Actif	2006-05-29	2008-05-28	44.81	0	20652	Uranor Inc	100.00
24I11	CDC	2013605	Actif	2006-05-29	2008-05-28	44.81	0	20652	Uranor Inc	100.00
24I11	CDC	2013604	Actif	2006-05-29	2008-05-28	44.81	0	20652	Uranor Inc	100.00
24I11	CDC	2012621	Actif	2006-05-24	2008-05-23	44.81	0	20652	Uranor Inc	100.00
24I11	CDC	2012622	Actif	2006-05-24	2008-05-23	44.81	0	20652	Uranor Inc	100.00
24I11	CDC	2007593	Actif	2006-05-11	2008-05-10	44.81	0	20652	Uranor Inc	100.00
24I11	CDC	2007594	Actif	2006-05-11	2008-05-10	44.81	0	20652	Uranor Inc	100.00
24I11	CDC	2007596	Actif	2006-05-11	2008-05-10	44.81	0	20652	Uranor Inc	100.00
24I11	CDC	2007595	Actif	2006-05-11	2008-05-10	44.81	0	20652	Uranor Inc	100.00
24I11	CDC	2013606	Actif	2006-05-29	2008-05-28	44.8	0	20652	Uranor Inc	100.00
24I11	CDC	2013607	Actif	2006-05-29	2008-05-28	44.8	0	20652	Uranor Inc	100.00
24I11	CDC	2013611	Actif	2006-05-29	2008-05-28	44.8	0	20652	Uranor Inc	100.00
24I11	CDC	2013608	Actif	2006-05-29	2008-05-28	44.8	0	20652	Uranor Inc	100.00
24I11	CDC	2013609	Actif	2006-05-29	2008-05-28	44.8	0	20652	Uranor Inc	100.00
24I11	CDC	2013610	Actif	2006-05-29	2008-05-28	44.8	0	20652	Uranor Inc	100.00
24I11	CDC	2012623	Actif	2006-05-24	2008-05-23	44.8	0	20652	Uranor Inc	100.00
24I11	CDC	2012624	Actif	2006-05-24	2008-05-23	44.8	0	20652	Uranor Inc	100.00
24I11	CDC	2007597	Actif	2006-05-11	2008-05-10	44.8	0	20652	Uranor Inc	100.00
24I11	CDC	2007598	Actif	2006-05-11	2008-05-10	44.8	0	20652	Uranor Inc	100.00
24I11	CDC	2007599	Actif	2006-05-11	2008-05-10	44.8	0	20652	Uranor Inc	100.00
24I11	CDC	2007600	Actif	2006-05-11	2008-05-10	44.8	0	20652	Uranor Inc	100.00
24I11	CDC	2013612	Actif	2006-05-29	2008-05-28	44.79	0	20652	Uranor Inc	100.00
24I11	CDC	2013613	Actif	2006-05-29	2008-05-28	44.79	0	20652	Uranor Inc	100.00
24I11	CDC	2013614	Actif	2006-05-29	2008-05-28	44.79	0	20652	Uranor Inc	100.00

Tableau 6.1 - Tableau descriptif des claims actifs et en demande d'Uranor Inc. du projet CAGE 2006

Feuillet	Type de titre	No titre	Statut du titre	Date d'inscription	Date d'expiration	Superficie (Ha)	Excédent ($)	No détenteur	Nom du détenteur	Pourcentage (%)
24I11	CDC	2013615	Actif	2006-05-29	2008-05-28	44.79	0	20652	Uranor Inc	100.00
24I11	CDC	2013616	Actif	2006-05-29	2008-05-28	44.79	0	20652	Uranor Inc	100.00
24I11	CDC	2013617	Actif	2006-05-29	2008-05-28	44.79	0	20652	Uranor Inc	100.00
24I11	CDC	2012625	Actif	2006-05-24	2008-05-23	44.79	0	20652	Uranor Inc	100.00
24I11	CDC	2012626	Actif	2006-05-24	2008-05-23	44.79	0	20652	Uranor Inc	100.00
24I11	CDC	2007601	Actif	2006-05-11	2008-05-10	44.79	0	20652	Uranor Inc	100.00
24I11	CDC	2007602	Actif	2006-05-11	2008-05-10	44.79	0	20652	Uranor Inc	100.00
24I11	CDC	2007603	Actif	2006-05-11	2008-05-10	44.79	0	20652	Uranor Inc	100.00
24I11	CDC	2007604	Actif	2006-05-11	2008-05-10	44.79	0	20652	Uranor Inc	100.00
24I11	CDC	2007605	Actif	2006-05-11	2008-05-10	44.79	0	20652	Uranor Inc	100.00
24I11	CDC	2013618	Actif	2006-05-29	2008-05-28	44.78	0	20652	Uranor Inc	100.00
24I11	CDC	2013619	Actif	2006-05-29	2008-05-28	44.78	0	20652	Uranor Inc	100.00
24I11	CDC	2013620	Actif	2006-05-29	2008-05-28	44.78	0	20652	Uranor Inc	100.00
24I11	CDC	2013621	Actif	2006-05-29	2008-05-28	44.78	0	20652	Uranor Inc	100.00
24I11	CDC	2013622	Actif	2006-05-29	2008-05-28	44.78	0	20652	Uranor Inc	100.00
24I11	CDC	2013623	Actif	2006-05-29	2008-05-28	44.78	0	20652	Uranor Inc	100.00
24I11	CDC	2013624	Actif	2006-05-29	2008-05-28	44.78	0	20652	Uranor Inc	100.00
24I11	CDC	2013625	Actif	2006-05-29	2008-05-28	44.78	0	20652	Uranor Inc	100.00
24I11	CDC	2012627	Actif	2006-05-24	2008-05-23	44.78	0	20652	Uranor Inc	100.00
24I11	CDC	2012628	Actif	2006-05-24	2008-05-23	44.78	0	20652	Uranor Inc	100.00
24I11	CDC	2007606	Actif	2006-05-11	2008-05-10	44.78	0	20652	Uranor Inc	100.00
24I11	CDC	2007607	Actif	2006-05-11	2008-05-10	44.78	0	20652	Uranor Inc	100.00
24I11	CDC	2007608	Actif	2006-05-11	2008-05-10	44.78	0	20652	Uranor Inc	100.00
24I11	CDC	2007609	Actif	2006-05-11	2008-05-10	44.78	0	20652	Uranor Inc	100.00
24I11	CDC	2007610	Actif	2006-05-11	2008-05-10	44.78	0	20652	Uranor Inc	100.00
24I11	CDC	2013626	Actif	2006-05-29	2008-05-28	44.77	0	20652	Uranor Inc	100.00
24I11	CDC	2013627	Actif	2006-05-29	2008-05-28	44.77	0	20652	Uranor Inc	100.00
24I11	CDC	2013628	Actif	2006-05-29	2008-05-28	44.77	0	20652	Uranor Inc	100.00
24I11	CDC	2013634	Actif	2006-05-29	2008-05-28	44.77	0	20652	Uranor Inc	100.00
24I11	CDC	2013629	Actif	2006-05-29	2008-05-28	44.77	0	20652	Uranor Inc	100.00
24I11	CDC	2013630	Actif	2006-05-29	2008-05-28	44.77	0	20652	Uranor Inc	100.00
24I11	CDC	2013631	Actif	2006-05-29	2008-05-28	44.77	0	20652	Uranor Inc	100.00
24I11	CDC	2013632	Actif	2006-05-29	2008-05-28	44.77	0	20652	Uranor Inc	100.00
24I11	CDC	2013633	Actif	2006-05-29	2008-05-28	44.77	0	20652	Uranor Inc	100.00
24I11	CDC	2013635	Actif	2006-05-29	2008-05-28	44.77	0	20652	Uranor Inc	100.00
24I11	CDC	2012629	Actif	2006-05-24	2008-05-23	44.77	0	20652	Uranor Inc	100.00
24I11	CDC	2007611	Actif	2006-05-11	2008-05-10	44.77	0	20652	Uranor Inc	100.00
24I11	CDC	2007612	Actif	2006-05-11	2008-05-10	44.77	0	20652	Uranor Inc	100.00
24I11	CDC	2007613	Actif	2006-05-11	2008-05-10	44.77	0	20652	Uranor Inc	100.00
24I11	CDC	2007614	Actif	2006-05-11	2008-05-10	44.77	0	20652	Uranor Inc	100.00
24I11	CDC	2007616	Actif	2006-05-11	2008-05-10	44.77	0	20652	Uranor Inc	100.00
24I11	CDC	2007615	Actif	2006-05-11	2008-05-10	44.77	0	20652	Uranor Inc	100.00

Tableau 6.1 - Tableau descriptif des claims actifs et en demande d'Uranor Inc. du projet CAGE 2006

Feuillet	Type de titre	No titre	Statut du titre	Date d'inscription	Date d'expiration	Superficie (Ha)	Excédent ($)	No détenteur	Nom du détenteur	Pourcentage (%)
24I13	CDC	2013636	Actif	2006-05-29	2008-05-28	44.57	0	20652	Uranor Inc	100.00
24I13	CDC	2013637	Actif	2006-05-29	2008-05-28	44.57	0	20652	Uranor Inc	100.00
24I13	CDC	2013638	Actif	2006-05-29	2008-05-28	44.56	0	20652	Uranor Inc	100.00
24I13	CDC	2013639	Actif	2006-05-29	2008-05-28	44.56	0	20652	Uranor Inc	100.00
24I13	CDC	2013640	Actif	2006-05-29	2008-05-28	44.56	0	20652	Uranor Inc	100.00
24I13	CDC	2013641	Actif	2006-05-29	2008-05-28	44.55	0	20652	Uranor Inc	100.00
24I13	CDC	2013642	Actif	2006-05-29	2008-05-28	44.55	0	20652	Uranor Inc	100.00
24I13	CDC	98366	Actif	2005-10-12	2007-10-11	44.55	0	20652	Uranor Inc	100.00
24I13	CDC	2013644	Actif	2006-05-29	2008-05-28	44.54	0	20652	Uranor Inc	100.00
24I13	CDC	2013643	Actif	2006-05-29	2008-05-28	44.54	0	20652	Uranor Inc	100.00
24I13	CDC	98367	Actif	2005-10-12	2007-10-11	44.54	0	20652	Uranor Inc	100.00
24I13	CDC	98368	Actif	2005-10-12	2007-10-11	44.54	0	20652	Uranor Inc	100.00
24I13	CDC	2013645	Actif	2006-05-29	2008-05-28	44.53	0	20652	Uranor Inc	100.00
24I13	CDC	2013646	Actif	2006-05-29	2008-05-28	44.53	0	20652	Uranor Inc	100.00
24I13	CDC	98369	Actif	2005-10-12	2007-10-11	44.53	0	20652	Uranor Inc	100.00
24I13	CDC	98370	Actif	2005-10-12	2007-10-11	44.53	0	20652	Uranor Inc	100.00
24I13	CDC	98371	Actif	2005-10-12	2007-10-11	44.53	0	20652	Uranor Inc	100.00
24I13	CDC	2013647	Actif	2006-05-29	2008-05-28	44.52	0	20652	Uranor Inc	100.00
24I13	CDC	98372	Actif	2005-10-12	2007-10-11	44.52	0	20652	Uranor Inc	100.00
24I13	CDC	98373	Actif	2005-10-12	2007-10-11	44.52	0	20652	Uranor Inc	100.00
24I13	CDC	98374	Actif	2005-10-12	2007-10-11	44.52	0	20652	Uranor Inc	100.00
24I13	CDC	98375	Actif	2005-10-12	2007-10-11	44.52	0	20652	Uranor Inc	100.00
24I13	CDC	2013648	Actif	2006-05-29	2008-05-28	44.51	0	20652	Uranor Inc	100.00
24I13	CDC	98376	Actif	2005-10-12	2007-10-11	44.51	0	20652	Uranor Inc	100.00
24I13	CDC	98377	Actif	2005-10-12	2007-10-11	44.51	0	20652	Uranor Inc	100.00
24I13	CDC	98378	Actif	2005-10-12	2007-10-11	44.51	0	20652	Uranor Inc	100.00
24I13	CDC	98379	Actif	2005-10-12	2007-10-11	44.51	0	20652	Uranor Inc	100.00
24I13	CDC	98380	Actif	2005-10-12	2007-10-11	44.51	0	20652	Uranor Inc	100.00
24I13	CDC	98381	Actif	2005-10-12	2007-10-11	44.5	0	20652	Uranor Inc	100.00
24I13	CDC	98382	Actif	2005-10-12	2007-10-11	44.5	0	20652	Uranor Inc	100.00
24I13	CDC	98383	Actif	2005-10-12	2007-10-11	44.5	0	20652	Uranor Inc	100.00
24I13	CDC	98384	Actif	2005-10-12	2007-10-11	44.5	0	20652	Uranor Inc	100.00
24I13	CDC	98385	Actif	2005-10-12	2007-10-11	44.5	0	20652	Uranor Inc	100.00
24I13	CDC	98386	Actif	2005-10-12	2007-10-11	44.5	0	20652	Uranor Inc	100.00
24I13	CDC	2010946	Actif	2006-05-19	2008-05-18	44.49	0	20652	Uranor Inc	100.00
24I13	CDC	2010947	Actif	2006-05-19	2008-05-18	44.49	0	20652	Uranor Inc	100.00
24I13	CDC	2010944	Actif	2006-05-19	2008-05-18	44.49	0	20652	Uranor Inc	100.00
24I13	CDC	2010945	Actif	2006-05-19	2008-05-18	44.49	0	20652	Uranor Inc	100.00
24I13	CDC	2008234	Actif	2006-05-12	2008-05-11	44.49	0	20652	Uranor Inc	100.00
24I13	CDC	2010950	Actif	2006-05-19	2008-05-18	44.48	0	20652	Uranor Inc	100.00
24I13	CDC	2010951	Actif	2006-05-19	2008-05-18	44.48	0	20652	Uranor Inc	100.00
24I13	CDC	2010948	Actif	2006-05-19	2008-05-18	44.48	0	20652	Uranor Inc	100.00

Tableau 6.1 - Tableau descriptif des claims actifs et en demande d'Uranor Inc. du projet CAGE 2006

Feuillet	Type de titre	No titre	Statut du titre	Date d'inscription	Date d'expiration	Superficie (Ha)	Excédent ($)	No détenteur	Nom du détenteur	Pourcentage (%)
24I13	CDC	2010949	Actif	2006-05-19	2008-05-18	44.48	0	20652	Uranor Inc	100.00
24I13	CDC	2008235	Actif	2006-05-12	2008-05-11	44.48	0	20652	Uranor Inc	100.00
24I13	CDC	2013649	Actif	2006-05-29	2008-05-28	44.47	0	20652	Uranor Inc	100.00
24I13	CDC	2010952	Actif	2006-05-19	2008-05-18	44.47	0	20652	Uranor Inc	100.00
24I13	CDC	2010953	Actif	2006-05-19	2008-05-18	44.47	0	20652	Uranor Inc	100.00
24I13	CDC	2010954	Actif	2006-05-19	2008-05-18	44.47	0	20652	Uranor Inc	100.00
24I13	CDC	2010955	Actif	2006-05-19	2008-05-18	44.46	0	20652	Uranor Inc	100.00
24I13	CDC	2010956	Actif	2006-05-19	2008-05-18	44.46	0	20652	Uranor Inc	100.00
24I13	CDC	2010957	Actif	2006-05-19	2008-05-18	44.46	0	20652	Uranor Inc	100.00
24I13	CDC	2013650	Actif	2006-05-29	2008-05-28	44.46	0	20652	Uranor Inc	100.00
24I13	CDC	2013651	Actif	2006-05-29	2008-05-28	44.45	0	20652	Uranor Inc	100.00
24I13	CDC	2010961	Actif	2006-05-19	2008-05-18	44.45	0	20652	Uranor Inc	100.00
24I13	CDC	2010962	Actif	2006-05-19	2008-05-18	44.45	0	20652	Uranor Inc	100.00
24I13	CDC	2010963	Actif	2006-05-19	2008-05-18	44.45	0	20652	Uranor Inc	100.00
24I13	CDC	2010958	Actif	2006-05-19	2008-05-18	44.45	0	20652	Uranor Inc	100.00
24I13	CDC	2010959	Actif	2006-05-19	2008-05-18	44.45	0	20652	Uranor Inc	100.00
24I13	CDC	2010960	Actif	2006-05-19	2008-05-18	44.45	0	20652	Uranor Inc	100.00
24I14	CDC	2013652	Actif	2006-05-29	2008-05-28	44.76	0	20652	Uranor Inc	100.00
24I14	CDC	2013653	Actif	2006-05-29	2008-05-28	44.76	0	20652	Uranor Inc	100.00
24I14	CDC	2013654	Actif	2006-05-29	2008-05-28	44.76	0	20652	Uranor Inc	100.00
24I14	CDC	2013655	Actif	2006-05-29	2008-05-28	44.76	0	20652	Uranor Inc	100.00
24I14	CDC	2013656	Actif	2006-05-29	2008-05-28	44.76	0	20652	Uranor Inc	100.00
24I14	CDC	2013657	Actif	2006-05-29	2008-05-28	44.76	0	20652	Uranor Inc	100.00
24I14	CDC	2013658	Actif	2006-05-29	2008-05-28	44.76	0	20652	Uranor Inc	100.00
24I14	CDC	2013659	Actif	2006-05-29	2008-05-28	44.76	0	20652	Uranor Inc	100.00
24I14	CDC	2013660	Actif	2006-05-29	2008-05-28	44.76	0	20652	Uranor Inc	100.00
24I14	CDC	2013661	Actif	2006-05-29	2008-05-28	44.76	0	20652	Uranor Inc	100.00
24I14	CDC	2013662	Actif	2006-05-29	2008-05-28	44.76	0	20652	Uranor Inc	100.00
24I14	CDC	2013663	Actif	2006-05-29	2008-05-28	44.76	0	20652	Uranor Inc	100.00
24I14	CDC	2013664	Actif	2006-05-29	2008-05-28	44.76	0	20652	Uranor Inc	100.00
24I14	CDC	2007617	Actif	2006-05-11	2008-05-10	44.76	0	20652	Uranor Inc	100.00
24I14	CDC	2007618	Actif	2006-05-11	2008-05-10	44.76	0	20652	Uranor Inc	100.00
24I14	CDC	2007619	Actif	2006-05-11	2008-05-10	44.76	0	20652	Uranor Inc	100.00
24I14	CDC	2007620	Actif	2006-05-11	2008-05-10	44.76	0	20652	Uranor Inc	100.00
24I14	CDC	2007621	Actif	2006-05-11	2008-05-10	44.76	0	20652	Uranor Inc	100.00
24I14	CDC	2007622	Actif	2006-05-11	2008-05-10	44.76	0	20652	Uranor Inc	100.00
24I14	CDC	2007623	Actif	2006-05-11	2008-05-10	44.76	0	20652	Uranor Inc	100.00
24I14	CDC	2013665	Actif	2006-05-29	2008-05-28	44.75	0	20652	Uranor Inc	100.00
24I14	CDC	2013666	Actif	2006-05-29	2008-05-28	44.75	0	20652	Uranor Inc	100.00
24I14	CDC	2013667	Actif	2006-05-29	2008-05-28	44.75	0	20652	Uranor Inc	100.00
24I14	CDC	2013668	Actif	2006-05-29	2008-05-28	44.75	0	20652	Uranor Inc	100.00
24I14	CDC	2013669	Actif	2006-05-29	2008-05-28	44.75	0	20652	Uranor Inc	100.00

Tableau 6.1 - Tableau descriptif des claims actifs et en demande d'Uranor Inc. du projet CAGE 2006

Feuillet	Type de titre	No titre	Statut du titre	Date d'inscription	Date d'expiration	Superficie (Ha)	Excédent ($)	No détenteur	Nom du détenteur	Pourcentage (%)
24I14	CDC	2013670	Actif	2006-05-29	2008-05-28	44.75	0	20652	Uranor Inc	100.00
24I14	CDC	2013671	Actif	2006-05-29	2008-05-28	44.75	0	20652	Uranor Inc	100.00
24I14	CDC	2013672	Actif	2006-05-29	2008-05-28	44.75	0	20652	Uranor Inc	100.00
24I14	CDC	2013673	Actif	2006-05-29	2008-05-28	44.75	0	20652	Uranor Inc	100.00
24I14	CDC	2013674	Actif	2006-05-29	2008-05-28	44.75	0	20652	Uranor Inc	100.00
24I14	CDC	2013675	Actif	2006-05-29	2008-05-28	44.75	0	20652	Uranor Inc	100.00
24I14	CDC	2013676	Actif	2006-05-29	2008-05-28	44.75	0	20652	Uranor Inc	100.00
24I14	CDC	2007668	Actif	2006-05-11	2008-05-10	44.75	0	20652	Uranor Inc	100.00
24I14	CDC	2007669	Actif	2006-05-11	2008-05-10	44.75	0	20652	Uranor Inc	100.00
24I14	CDC	2007670	Actif	2006-05-11	2008-05-10	44.75	0	20652	Uranor Inc	100.00
24I14	CDC	2007671	Actif	2006-05-11	2008-05-10	44.75	0	20652	Uranor Inc	100.00
24I14	CDC	2007672	Actif	2006-05-11	2008-05-10	44.75	0	20652	Uranor Inc	100.00
24I14	CDC	2007673	Actif	2006-05-11	2008-05-10	44.75	0	20652	Uranor Inc	100.00
24I14	CDC	2007674	Actif	2006-05-11	2008-05-10	44.74	0	20652	Uranor Inc	100.00
24I14	CDC	2007675	Actif	2006-05-11	2008-05-10	44.74	0	20652	Uranor Inc	100.00
24I14	CDC	2011328	Actif	2006-05-23	2008-05-22	44.74	0	20652	Uranor Inc	100.00
24I14	CDC	2010797	Actif	2006-05-19	2008-05-18	44.74	0	20652	Uranor Inc	100.00
24I14	CDC	2010798	Actif	2006-05-19	2008-05-18	44.74	0	20652	Uranor Inc	100.00
24I14	CDC	2011050	Actif	2006-05-23	2008-05-22	44.74	0	20652	Uranor Inc	100.00
24I14	CDC	2011200	Actif	2006-05-23	2008-05-22	44.74	0	20652	Uranor Inc	100.00
24I14	CDC	2011201	Actif	2006-05-23	2008-05-22	44.74	0	20652	Uranor Inc	100.00
24I14	CDC	2011202	Actif	2006-05-23	2008-05-22	44.74	0	20652	Uranor Inc	100.00
24I14	CDC	2011203	Actif	2006-05-23	2008-05-22	44.74	0	20652	Uranor Inc	100.00
24I14	CDC	2011204	Actif	2006-05-23	2008-05-22	44.74	0	20652	Uranor Inc	100.00
24I14	CDC	2011205	Actif	2006-05-23	2008-05-22	44.74	0	20652	Uranor Inc	100.00
24I14	CDC	2011206	Actif	2006-05-23	2008-05-22	44.74	0	20652	Uranor Inc	100.00
24I14	CDC	2011207	Actif	2006-05-23	2008-05-22	44.74	0	20652	Uranor Inc	100.00
24I14	CDC	2011208	Actif	2006-05-23	2008-05-22	44.74	0	20652	Uranor Inc	100.00
24I14	CDC	2011209	Actif	2006-05-23	2008-05-22	44.74	0	20652	Uranor Inc	100.00
24I14	CDC	2011210	Actif	2006-05-23	2008-05-22	44.74	0	20652	Uranor Inc	100.00
24I14	CDC	2011211	Actif	2006-05-23	2008-05-22	44.74	0	20652	Uranor Inc	100.00
24I14	CDC	2007676	Actif	2006-05-11	2008-05-10	44.74	0	20652	Uranor Inc	100.00
24I14	CDC	2007677	Actif	2006-05-11	2008-05-10	44.74	0	20652	Uranor Inc	100.00
24I14	CDC	2007678	Actif	2006-05-11	2008-05-10	44.73	0	20652	Uranor Inc	100.00
24I14	CDC	2007679	Actif	2006-05-11	2008-05-10	44.73	0	20652	Uranor Inc	100.00
24I14	CDC	2007680	Actif	2006-05-11	2008-05-10	44.73	0	20652	Uranor Inc	100.00
24I14	CDC	2007681	Actif	2006-05-11	2008-05-10	44.73	0	20652	Uranor Inc	100.00
24I14	CDC	2007682	Actif	2006-05-11	2008-05-10	44.73	0	20652	Uranor Inc	100.00
24I14	CDC	2007683	Actif	2006-05-11	2008-05-10	44.73	0	20652	Uranor Inc	100.00
24I14	CDC	2011329	Actif	2006-05-23	2008-05-22	44.73	0	20652	Uranor Inc	100.00
24I14	CDC	2011330	Actif	2006-05-23	2008-05-22	44.73	0	20652	Uranor Inc	100.00
24I14	CDC	2011331	Actif	2006-05-23	2008-05-22	44.73	0	20652	Uranor Inc	100.00

Tableau 6.1 - Tableau descriptif des claims actifs et en demande d'Uranor Inc. du projet CAGE 2006

Feuillet	Type de titre	No titre	Statut du titre	Date d'inscription	Date d'expiration	Superficie (Ha)	Excédent ($)	No détenteur	Nom du détenteur	Pourcentage (%)
24I14	CDC	2010800	Actif	2006-05-19	2008-05-18	44.73	0	20652	Uranor Inc	100.00
24I14	CDC	2010801	Actif	2006-05-19	2008-05-18	44.73	0	20652	Uranor Inc	100.00
24I14	CDC	2010802	Actif	2006-05-19	2008-05-18	44.73	0	20652	Uranor Inc	100.00
24I14	CDC	2010803	Actif	2006-05-19	2008-05-18	44.73	0	20652	Uranor Inc	100.00
24I14	CDC	2010799	Actif	2006-05-19	2008-05-18	44.73	0	20652	Uranor Inc	100.00
24I14	CDC	2011051	Actif	2006-05-23	2008-05-22	44.73	0	20652	Uranor Inc	100.00
24I14	CDC	2011052	Actif	2006-05-23	2008-05-22	44.73	0	20652	Uranor Inc	100.00
24I14	CDC	2011212	Actif	2006-05-23	2008-05-22	44.73	0	20652	Uranor Inc	100.00
24I14	CDC	2011213	Actif	2006-05-23	2008-05-22	44.73	0	20652	Uranor Inc	100.00
24I14	CDC	2011214	Actif	2006-05-23	2008-05-22	44.73	0	20652	Uranor Inc	100.00
24I14	CDC	2011215	Actif	2006-05-23	2008-05-22	44.73	0	20652	Uranor Inc	100.00
24I14	CDC	2011216	Actif	2006-05-23	2008-05-22	44.73	0	20652	Uranor Inc	100.00
24I14	CDC	2011217	Actif	2006-05-23	2008-05-22	44.73	0	20652	Uranor Inc	100.00
24I14	CDC	2011218	Actif	2006-05-23	2008-05-22	44.73	0	20652	Uranor Inc	100.00
24I14	CDC	2011220	Actif	2006-05-23	2008-05-22	44.73	0	20652	Uranor Inc	100.00
24I14	CDC	2011219	Actif	2006-05-23	2008-05-22	44.73	0	20652	Uranor Inc	100.00
24I14	CDC	2007684	Actif	2006-05-11	2008-05-10	44.72	0	20652	Uranor Inc	100.00
24I14	CDC	2007685	Actif	2006-05-11	2008-05-10	44.72	0	20652	Uranor Inc	100.00
24I14	CDC	2007686	Actif	2006-05-11	2008-05-10	44.72	0	20652	Uranor Inc	100.00
24I14	CDC	2007687	Actif	2006-05-11	2008-05-10	44.72	0	20652	Uranor Inc	100.00
24I14	CDC	2007692	Actif	2006-05-11	2008-05-10	44.72	0	20652	Uranor Inc	100.00
24I14	CDC	2007688	Actif	2006-05-11	2008-05-10	44.72	0	20652	Uranor Inc	100.00
24I14	CDC	2007689	Actif	2006-05-11	2008-05-10	44.72	0	20652	Uranor Inc	100.00
24I14	CDC	2007690	Actif	2006-05-11	2008-05-10	44.72	0	20652	Uranor Inc	100.00
24I14	CDC	2007691	Actif	2006-05-11	2008-05-10	44.72	0	20652	Uranor Inc	100.00
24I14	CDC	2011332	Actif	2006-05-23	2008-05-22	44.72	0	20652	Uranor Inc	100.00
24I14	CDC	2011333	Actif	2006-05-23	2008-05-22	44.72	0	20652	Uranor Inc	100.00
24I14	CDC	2011334	Actif	2006-05-23	2008-05-22	44.72	0	20652	Uranor Inc	100.00
24I14	CDC	2011335	Actif	2006-05-23	2008-05-22	44.72	0	20652	Uranor Inc	100.00
24I14	CDC	2011336	Actif	2006-05-23	2008-05-22	44.72	0	20652	Uranor Inc	100.00
24I14	CDC	2010807	Actif	2006-05-19	2008-05-18	44.72	0	20652	Uranor Inc	100.00
24I14	CDC	2010808	Actif	2006-05-19	2008-05-18	44.72	0	20652	Uranor Inc	100.00
24I14	CDC	2010809	Actif	2006-05-19	2008-05-18	44.72	0	20652	Uranor Inc	100.00
24I14	CDC	2010810	Actif	2006-05-19	2008-05-18	44.72	0	20652	Uranor Inc	100.00
24I14	CDC	2010811	Actif	2006-05-19	2008-05-18	44.72	0	20652	Uranor Inc	100.00
24I14	CDC	2010812	Actif	2006-05-19	2008-05-18	44.72	0	20652	Uranor Inc	100.00
24I14	CDC	2010804	Actif	2006-05-19	2008-05-18	44.72	0	20652	Uranor Inc	100.00
24I14	CDC	2010805	Actif	2006-05-19	2008-05-18	44.72	0	20652	Uranor Inc	100.00
24I14	CDC	2010806	Actif	2006-05-19	2008-05-18	44.72	0	20652	Uranor Inc	100.00
24I14	CDC	2011053	Actif	2006-05-23	2008-05-22	44.72	0	20652	Uranor Inc	100.00
24I14	CDC	2011054	Actif	2006-05-23	2008-05-22	44.72	0	20652	Uranor Inc	100.00
24I14	CDC	2011055	Actif	2006-05-23	2008-05-22	44.72	0	20652	Uranor Inc	100.00

Tableau 6.1 - Tableau descriptif des claims actifs et en demande d'Uranor Inc. du projet CAGE 2006

Feuillet	Type de titre	No titre	Statut du titre	Date d'inscription	Date d'expiration	Superficie (Ha)	Excédent ($)	No détenteur	Nom du détenteur	Pourcentage (%)
24I14	CDC	2011221	Actif	2006-05-23	2008-05-22	44.72	0	20652	Uranor Inc	100.00
24I14	CDC	2011222	Actif	2006-05-23	2008-05-22	44.72	0	20652	Uranor Inc	100.00
24I14	CDC	2011223	Actif	2006-05-23	2008-05-22	44.72	0	20652	Uranor Inc	100.00
24I14	CDC	2011224	Actif	2006-05-23	2008-05-22	44.72	0	20652	Uranor Inc	100.00
24I14	CDC	2011225	Actif	2006-05-23	2008-05-22	44.72	0	20652	Uranor Inc	100.00
24I14	CDC	2011227	Actif	2006-05-23	2008-05-22	44.71	0	20652	Uranor Inc	100.00
24I14	CDC	2011228	Actif	2006-05-23	2008-05-22	44.71	0	20652	Uranor Inc	100.00
24I14	CDC	2011229	Actif	2006-05-23	2008-05-22	44.71	0	20652	Uranor Inc	100.00
24I14	CDC	2007693	Actif	2006-05-11	2008-05-10	44.71	0	20652	Uranor Inc	100.00
24I14	CDC	2007694	Actif	2006-05-11	2008-05-10	44.71	0	20652	Uranor Inc	100.00
24I14	CDC	2007695	Actif	2006-05-11	2008-05-10	44.71	0	20652	Uranor Inc	100.00
24I14	CDC	2007696	Actif	2006-05-11	2008-05-10	44.71	0	20652	Uranor Inc	100.00
24I14	CDC	2007697	Actif	2006-05-11	2008-05-10	44.71	0	20652	Uranor Inc	100.00
24I14	CDC	2007698	Actif	2006-05-11	2008-05-10	44.71	0	20652	Uranor Inc	100.00
24I14	CDC	2007699	Actif	2006-05-11	2008-05-10	44.71	0	20652	Uranor Inc	100.00
24I14	CDC	2007700	Actif	2006-05-11	2008-05-10	44.71	0	20652	Uranor Inc	100.00
24I14	CDC	2007701	Actif	2006-05-11	2008-05-10	44.71	0	20652	Uranor Inc	100.00
24I14	CDC	2011337	Actif	2006-05-23	2008-05-22	44.71	0	20652	Uranor Inc	100.00
24I14	CDC	2011338	Actif	2006-05-23	2008-05-22	44.71	0	20652	Uranor Inc	100.00
24I14	CDC	2011339	Actif	2006-05-23	2008-05-22	44.71	0	20652	Uranor Inc	100.00
24I14	CDC	2011340	Actif	2006-05-23	2008-05-22	44.71	0	20652	Uranor Inc	100.00
24I14	CDC	2011341	Actif	2006-05-23	2008-05-22	44.71	0	20652	Uranor Inc	100.00
24I14	CDC	2011342	Actif	2006-05-23	2008-05-22	44.71	0	20652	Uranor Inc	100.00
24I14	CDC	2011343	Actif	2006-05-23	2008-05-22	44.71	0	20652	Uranor Inc	100.00
24I14	CDC	2013677	Actif	2006-05-29	2008-05-28	44.71	0	20652	Uranor Inc	100.00
24I14	CDC	2010816	Actif	2006-05-19	2008-05-18	44.71	0	20652	Uranor Inc	100.00
24I14	CDC	2010817	Actif	2006-05-19	2008-05-18	44.71	0	20652	Uranor Inc	100.00
24I14	CDC	2010818	Actif	2006-05-19	2008-05-18	44.71	0	20652	Uranor Inc	100.00
24I14	CDC	2010819	Actif	2006-05-19	2008-05-18	44.71	0	20652	Uranor Inc	100.00
24I14	CDC	2010820	Actif	2006-05-19	2008-05-18	44.71	0	20652	Uranor Inc	100.00
24I14	CDC	2010821	Actif	2006-05-19	2008-05-18	44.71	0	20652	Uranor Inc	100.00
24I14	CDC	2010822	Actif	2006-05-19	2008-05-18	44.71	0	20652	Uranor Inc	100.00
24I14	CDC	2010813	Actif	2006-05-19	2008-05-18	44.71	0	20652	Uranor Inc	100.00
24I14	CDC	2010814	Actif	2006-05-19	2008-05-18	44.71	0	20652	Uranor Inc	100.00
24I14	CDC	2010815	Actif	2006-05-19	2008-05-18	44.71	0	20652	Uranor Inc	100.00
24I14	CDC	2011056	Actif	2006-05-23	2008-05-22	44.71	0	20652	Uranor Inc	100.00
24I14	CDC	2011057	Actif	2006-05-23	2008-05-22	44.71	0	20652	Uranor Inc	100.00
24I14	CDC	2011226	Actif	2006-05-23	2008-05-22	44.71	0	20652	Uranor Inc	100.00
24I14	CDC	2011230	Actif	2006-05-23	2008-05-22	44.7	0	20652	Uranor Inc	100.00
24I14	CDC	2011231	Actif	2006-05-23	2008-05-22	44.7	0	20652	Uranor Inc	100.00
24I14	CDC	2011232	Actif	2006-05-23	2008-05-22	44.7	0	20652	Uranor Inc	100.00
24I14	CDC	2011233	Actif	2006-05-23	2008-05-22	44.7	0	20652	Uranor Inc	100.00

Tableau 6.1 - Tableau descriptif des claims actifs et en demande d'Uranor Inc. du projet CAGE 2006

Feuillet	Type de titre	No titre	Statut du titre	Date d'inscription	Date d'expiration	Superficie (Ha)	Excédent ($)	No détenteur	Nom du détenteur	Pourcentage (%)
24I14	CDC	2011234	Actif	2006-05-23	2008-05-22	44.7	0	20652	Uranor Inc	100.00
24I14	CDC	2011235	Actif	2006-05-23	2008-05-22	44.7	0	20652	Uranor Inc	100.00
24I14	CDC	2011236	Actif	2006-05-23	2008-05-22	44.7	0	20652	Uranor Inc	100.00
24I14	CDC	2007702	Actif	2006-05-11	2008-05-10	44.7	0	20652	Uranor Inc	100.00
24I14	CDC	2007703	Actif	2006-05-11	2008-05-10	44.7	0	20652	Uranor Inc	100.00
24I14	CDC	2007704	Actif	2006-05-11	2008-05-10	44.7	0	20652	Uranor Inc	100.00
24I14	CDC	2007705	Actif	2006-05-11	2008-05-10	44.7	0	20652	Uranor Inc	100.00
24I14	CDC	2007706	Actif	2006-05-11	2008-05-10	44.7	0	20652	Uranor Inc	100.00
24I14	CDC	2007707	Actif	2006-05-11	2008-05-10	44.7	0	20652	Uranor Inc	100.00
24I14	CDC	2007708	Actif	2006-05-11	2008-05-10	44.7	0	20652	Uranor Inc	100.00
24I14	CDC	2007709	Actif	2006-05-11	2008-05-10	44.7	0	20652	Uranor Inc	100.00
24I14	CDC	2007710	Actif	2006-05-11	2008-05-10	44.7	0	20652	Uranor Inc	100.00
24I14	CDC	2011344	Actif	2006-05-23	2008-05-22	44.7	0	20652	Uranor Inc	100.00
24I14	CDC	2011345	Actif	2006-05-23	2008-05-22	44.7	0	20652	Uranor Inc	100.00
24I14	CDC	2011346	Actif	2006-05-23	2008-05-22	44.7	0	20652	Uranor Inc	100.00
24I14	CDC	2011347	Actif	2006-05-23	2008-05-22	44.7	0	20652	Uranor Inc	100.00
24I14	CDC	2011790	Actif	2006-05-24	2008-05-23	44.7	0	20652	Uranor Inc	100.00
24I14	CDC	2011791	Actif	2006-05-24	2008-05-23	44.7	0	20652	Uranor Inc	100.00
24I14	CDC	2011792	Actif	2006-05-24	2008-05-23	44.7	0	20652	Uranor Inc	100.00
24I14	CDC	2011793	Actif	2006-05-24	2008-05-23	44.7	0	20652	Uranor Inc	100.00
24I14	CDC	2013678	Actif	2006-05-29	2008-05-28	44.7	0	20652	Uranor Inc	100.00
24I14	CDC	2010824	Actif	2006-05-19	2008-05-18	44.7	0	20652	Uranor Inc	100.00
24I14	CDC	2010825	Actif	2006-05-19	2008-05-18	44.7	0	20652	Uranor Inc	100.00
24I14	CDC	2010826	Actif	2006-05-19	2008-05-18	44.7	0	20652	Uranor Inc	100.00
24I14	CDC	2010827	Actif	2006-05-19	2008-05-18	44.7	0	20652	Uranor Inc	100.00
24I14	CDC	2010828	Actif	2006-05-19	2008-05-18	44.7	0	20652	Uranor Inc	100.00
24I14	CDC	2010829	Actif	2006-05-19	2008-05-18	44.7	0	20652	Uranor Inc	100.00
24I14	CDC	2010830	Actif	2006-05-19	2008-05-18	44.7	0	20652	Uranor Inc	100.00
24I14	CDC	2010831	Actif	2006-05-19	2008-05-18	44.7	0	20652	Uranor Inc	100.00
24I14	CDC	2010832	Actif	2006-05-19	2008-05-18	44.7	0	20652	Uranor Inc	100.00
24I14	CDC	2010823	Actif	2006-05-19	2008-05-18	44.7	0	20652	Uranor Inc	100.00
24I14	CDC	2010833	Actif	2006-05-19	2008-05-18	44.69	0	20652	Uranor Inc	100.00
24I14	CDC	2010834	Actif	2006-05-19	2008-05-18	44.69	0	20652	Uranor Inc	100.00
24I14	CDC	2011058	Actif	2006-05-23	2008-05-22	44.69	0	20652	Uranor Inc	100.00
24I14	CDC	2011237	Actif	2006-05-23	2008-05-22	44.69	0	20652	Uranor Inc	100.00
24I14	CDC	2011238	Actif	2006-05-23	2008-05-22	44.69	0	20652	Uranor Inc	100.00
24I14	CDC	2011239	Actif	2006-05-23	2008-05-22	44.69	0	20652	Uranor Inc	100.00
24I14	CDC	2011240	Actif	2006-05-23	2008-05-22	44.69	0	20652	Uranor Inc	100.00
24I14	CDC	2011241	Actif	2006-05-23	2008-05-22	44.69	0	20652	Uranor Inc	100.00
24I14	CDC	2011242	Actif	2006-05-23	2008-05-22	44.69	0	20652	Uranor Inc	100.00
24I14	CDC	2011243	Actif	2006-05-23	2008-05-22	44.69	0	20652	Uranor Inc	100.00
24I14	CDC	2011244	Actif	2006-05-23	2008-05-22	44.69	0	20652	Uranor Inc	100.00

Tableau 6.1 - Tableau descriptif des claims actifs et en demande d'Uranor Inc. du projet CAGE 2006

Feuillet	Type de titre	No titre	Statut du titre	Date d'inscription	Date d'expiration	Superficie (Ha)	Excédent ($)	No détenteur	Nom du détenteur	Pourcentage (%)
24I14	CDC	2007711	Actif	2006-05-11	2008-05-10	44.69	0	20652	Uranor Inc	100.00
24I14	CDC	2007712	Actif	2006-05-11	2008-05-10	44.69	0	20652	Uranor Inc	100.00
24I14	CDC	2007713	Actif	2006-05-11	2008-05-10	44.69	0	20652	Uranor Inc	100.00
24I14	CDC	2007714	Actif	2006-05-11	2008-05-10	44.69	0	20652	Uranor Inc	100.00
24I14	CDC	2007715	Actif	2006-05-11	2008-05-10	44.69	0	20652	Uranor Inc	100.00
24I14	CDC	2007716	Actif	2006-05-11	2008-05-10	44.69	0	20652	Uranor Inc	100.00
24I14	CDC	2007717	Actif	2006-05-11	2008-05-10	44.69	0	20652	Uranor Inc	100.00
24I14	CDC	2007718	Actif	2006-05-11	2008-05-10	44.69	0	20652	Uranor Inc	100.00
24I14	CDC	2011348	Actif	2006-05-23	2008-05-22	44.69	0	20652	Uranor Inc	100.00
24I14	CDC	2011351	Actif	2006-05-23	2008-05-22	44.69	0	20652	Uranor Inc	100.00
24I14	CDC	2011349	Actif	2006-05-23	2008-05-22	44.69	0	20652	Uranor Inc	100.00
24I14	CDC	2011350	Actif	2006-05-23	2008-05-22	44.69	0	20652	Uranor Inc	100.00
24I14	CDC	2011794	Actif	2006-05-24	2008-05-23	44.69	0	20652	Uranor Inc	100.00
24I14	CDC	2011795	Actif	2006-05-24	2008-05-23	44.69	0	20652	Uranor Inc	100.00
24I14	CDC	2011796	Actif	2006-05-24	2008-05-23	44.69	0	20652	Uranor Inc	100.00
24I14	CDC	2011799	Actif	2006-05-24	2008-05-23	44.69	0	20652	Uranor Inc	100.00
24I14	CDC	2011797	Actif	2006-05-24	2008-05-23	44.69	0	20652	Uranor Inc	100.00
24I14	CDC	2011798	Actif	2006-05-24	2008-05-23	44.69	0	20652	Uranor Inc	100.00
24I14	CDC	2013679	Actif	2006-05-29	2008-05-28	44.69	0	20652	Uranor Inc	100.00
24I14	CDC	2010835	Actif	2006-05-19	2008-05-18	44.69	0	20652	Uranor Inc	100.00
24I14	CDC	2010836	Actif	2006-05-19	2008-05-18	44.69	0	20652	Uranor Inc	100.00
24I14	CDC	2010837	Actif	2006-05-19	2008-05-18	44.69	0	20652	Uranor Inc	100.00
24I14	CDC	2010838	Actif	2006-05-19	2008-05-18	44.69	0	20652	Uranor Inc	100.00
24I14	CDC	2010839	Actif	2006-05-19	2008-05-18	44.69	0	20652	Uranor Inc	100.00
24I14	CDC	2010840	Actif	2006-05-19	2008-05-18	44.69	0	20652	Uranor Inc	100.00
24I14	CDC	2010841	Actif	2006-05-19	2008-05-18	44.69	0	20652	Uranor Inc	100.00
24I14	CDC	2010845	Actif	2006-05-19	2008-05-18	44.68	0	20652	Uranor Inc	100.00
24I14	CDC	2010846	Actif	2006-05-19	2008-05-18	44.68	0	20652	Uranor Inc	100.00
24I14	CDC	2010847	Actif	2006-05-19	2008-05-18	44.68	0	20652	Uranor Inc	100.00
24I14	CDC	2010848	Actif	2006-05-19	2008-05-18	44.68	0	20652	Uranor Inc	100.00
24I14	CDC	2010842	Actif	2006-05-19	2008-05-18	44.68	0	20652	Uranor Inc	100.00
24I14	CDC	2010843	Actif	2006-05-19	2008-05-18	44.68	0	20652	Uranor Inc	100.00
24I14	CDC	2010844	Actif	2006-05-19	2008-05-18	44.68	0	20652	Uranor Inc	100.00
24I14	CDC	2011245	Actif	2006-05-23	2008-05-22	44.68	0	20652	Uranor Inc	100.00
24I14	CDC	2011246	Actif	2006-05-23	2008-05-22	44.68	0	20652	Uranor Inc	100.00
24I14	CDC	2011247	Actif	2006-05-23	2008-05-22	44.68	0	20652	Uranor Inc	100.00
24I14	CDC	2011248	Actif	2006-05-23	2008-05-22	44.68	0	20652	Uranor Inc	100.00
24I14	CDC	2011249	Actif	2006-05-23	2008-05-22	44.68	0	20652	Uranor Inc	100.00
24I14	CDC	2011250	Actif	2006-05-23	2008-05-22	44.68	0	20652	Uranor Inc	100.00
24I14	CDC	2011251	Actif	2006-05-23	2008-05-22	44.68	0	20652	Uranor Inc	100.00
24I14	CDC	2011252	Actif	2006-05-23	2008-05-22	44.68	0	20652	Uranor Inc	100.00
24I14	CDC	2007719	Actif	2006-05-11	2008-05-10	44.68	0	20652	Uranor Inc	100.00

Tableau 6.1 - Tableau descriptif des claims actifs et en demande d'Uranor Inc. du projet CAGE 2006

Feuillet	Type de titre	No titre	Statut du titre	Date d'inscription	Date d'expiration	Superficie (Ha)	Excédent ($)	No détenteur	Nom du détenteur	Pourcentage (%)
24I14	CDC	2007725	Actif	2006-05-11	2008-05-10	44.68	0	20652	Uranor Inc	100.00
24I14	CDC	2007720	Actif	2006-05-11	2008-05-10	44.68	0	20652	Uranor Inc	100.00
24I14	CDC	2007721	Actif	2006-05-11	2008-05-10	44.68	0	20652	Uranor Inc	100.00
24I14	CDC	2007722	Actif	2006-05-11	2008-05-10	44.68	0	20652	Uranor Inc	100.00
24I14	CDC	2007723	Actif	2006-05-11	2008-05-10	44.68	0	20652	Uranor Inc	100.00
24I14	CDC	2007724	Actif	2006-05-11	2008-05-10	44.68	0	20652	Uranor Inc	100.00
24I14	CDC	2011352	Actif	2006-05-23	2008-05-22	44.68	0	20652	Uranor Inc	100.00
24I14	CDC	2011353	Actif	2006-05-23	2008-05-22	44.68	0	20652	Uranor Inc	100.00
24I14	CDC	2011354	Actif	2006-05-23	2008-05-22	44.68	0	20652	Uranor Inc	100.00
24I14	CDC	2011355	Actif	2006-05-23	2008-05-22	44.68	0	20652	Uranor Inc	100.00
24I14	CDC	2011800	Actif	2006-05-24	2008-05-23	44.68	0	20652	Uranor Inc	100.00
24I14	CDC	2011801	Actif	2006-05-24	2008-05-23	44.68	0	20652	Uranor Inc	100.00
24I14	CDC	2011802	Actif	2006-05-24	2008-05-23	44.68	0	20652	Uranor Inc	100.00
24I14	CDC	2011803	Actif	2006-05-24	2008-05-23	44.68	0	20652	Uranor Inc	100.00
24I14	CDC	2011804	Actif	2006-05-24	2008-05-23	44.68	0	20652	Uranor Inc	100.00
24I14	CDC	2011805	Actif	2006-05-24	2008-05-23	44.68	0	20652	Uranor Inc	100.00
24I14	CDC	2011806	Actif	2006-05-24	2008-05-23	44.68	0	20652	Uranor Inc	100.00
24I14	CDC	2011807	Actif	2006-05-24	2008-05-23	44.68	0	20652	Uranor Inc	100.00
24I14	CDC	2013680	Actif	2006-05-29	2008-05-28	44.68	0	20652	Uranor Inc	100.00
24I14	CDC	2010849	Actif	2006-05-19	2008-05-18	44.68	0	20652	Uranor Inc	100.00
24I14	CDC	2010853	Actif	2006-05-19	2008-05-18	44.68	0	20652	Uranor Inc	100.00
24I14	CDC	2010850	Actif	2006-05-19	2008-05-18	44.68	0	20652	Uranor Inc	100.00
24I14	CDC	2010851	Actif	2006-05-19	2008-05-18	44.68	0	20652	Uranor Inc	100.00
24I14	CDC	2010852	Actif	2006-05-19	2008-05-18	44.68	0	20652	Uranor Inc	100.00
24I14	CDC	2010857	Actif	2006-05-19	2008-05-18	44.67	0	20652	Uranor Inc	100.00
24I14	CDC	2010858	Actif	2006-05-19	2008-05-18	44.67	0	20652	Uranor Inc	100.00
24I14	CDC	2010866	Actif	2006-05-19	2008-05-18	44.67	0	20652	Uranor Inc	100.00
24I14	CDC	2010859	Actif	2006-05-19	2008-05-18	44.67	0	20652	Uranor Inc	100.00
24I14	CDC	2010860	Actif	2006-05-19	2008-05-18	44.67	0	20652	Uranor Inc	100.00
24I14	CDC	2010861	Actif	2006-05-19	2008-05-18	44.67	0	20652	Uranor Inc	100.00
24I14	CDC	2010862	Actif	2006-05-19	2008-05-18	44.67	0	20652	Uranor Inc	100.00
24I14	CDC	2010863	Actif	2006-05-19	2008-05-18	44.67	0	20652	Uranor Inc	100.00
24I14	CDC	2010854	Actif	2006-05-19	2008-05-18	44.67	0	20652	Uranor Inc	100.00
24I14	CDC	2010855	Actif	2006-05-19	2008-05-18	44.67	0	20652	Uranor Inc	100.00
24I14	CDC	2010856	Actif	2006-05-19	2008-05-18	44.67	0	20652	Uranor Inc	100.00
24I14	CDC	2011253	Actif	2006-05-23	2008-05-22	44.67	0	20652	Uranor Inc	100.00
24I14	CDC	2011254	Actif	2006-05-23	2008-05-22	44.67	0	20652	Uranor Inc	100.00
24I14	CDC	2011255	Actif	2006-05-23	2008-05-22	44.67	0	20652	Uranor Inc	100.00
24I14	CDC	2011256	Actif	2006-05-23	2008-05-22	44.67	0	20652	Uranor Inc	100.00
24I14	CDC	2011257	Actif	2006-05-23	2008-05-22	44.67	0	20652	Uranor Inc	100.00
24I14	CDC	2011258	Actif	2006-05-23	2008-05-22	44.67	0	20652	Uranor Inc	100.00
24I14	CDC	2011259	Actif	2006-05-23	2008-05-22	44.67	0	20652	Uranor Inc	100.00

Tableau 6.1 - Tableau descriptif des claims actifs et en demande d'Uranor Inc. du projet CAGE 2006

Feuillet	Type de titre	No titre	Statut du titre	Date d'inscription	Date d'expiration	Superficie (Ha)	Excédent ($)	No détenteur	Nom du détenteur	Pourcentage (%)
24I14	CDC	2007726	Actif	2006-05-11	2008-05-10	44.67	0	20652	Uranor Inc	100.00
24I14	CDC	2007727	Actif	2006-05-11	2008-05-10	44.67	0	20652	Uranor Inc	100.00
24I14	CDC	2007728	Actif	2006-05-11	2008-05-10	44.67	0	20652	Uranor Inc	100.00
24I14	CDC	2007729	Actif	2006-05-11	2008-05-10	44.67	0	20652	Uranor Inc	100.00
24I14	CDC	2007730	Actif	2006-05-11	2008-05-10	44.67	0	20652	Uranor Inc	100.00
24I14	CDC	2007731	Actif	2006-05-11	2008-05-10	44.67	0	20652	Uranor Inc	100.00
24I14	CDC	2011356	Actif	2006-05-23	2008-05-22	44.67	0	20652	Uranor Inc	100.00
24I14	CDC	2011357	Actif	2006-05-23	2008-05-22	44.67	0	20652	Uranor Inc	100.00
24I14	CDC	2011358	Actif	2006-05-23	2008-05-22	44.67	0	20652	Uranor Inc	100.00
24I14	CDC	2011359	Actif	2006-05-23	2008-05-22	44.67	0	20652	Uranor Inc	100.00
24I14	CDC	2011360	Actif	2006-05-23	2008-05-22	44.67	0	20652	Uranor Inc	100.00
24I14	CDC	2011808	Actif	2006-05-24	2008-05-23	44.67	0	20652	Uranor Inc	100.00
24I14	CDC	2011809	Actif	2006-05-24	2008-05-23	44.67	0	20652	Uranor Inc	100.00
24I14	CDC	2011810	Actif	2006-05-24	2008-05-23	44.67	0	20652	Uranor Inc	100.00
24I14	CDC	2011811	Actif	2006-05-24	2008-05-23	44.67	0	20652	Uranor Inc	100.00
24I14	CDC	2011812	Actif	2006-05-24	2008-05-23	44.67	0	20652	Uranor Inc	100.00
24I14	CDC	2011813	Actif	2006-05-24	2008-05-23	44.67	0	20652	Uranor Inc	100.00
24I14	CDC	2011814	Actif	2006-05-24	2008-05-23	44.67	0	20652	Uranor Inc	100.00
24I14	CDC	2011815	Actif	2006-05-24	2008-05-23	44.67	0	20652	Uranor Inc	100.00
24I14	CDC	2012277	Actif	2006-05-24	2008-05-23	44.67	0	20652	Uranor Inc	100.00
24I14	CDC	2013681	Actif	2006-05-29	2008-05-28	44.67	0	20652	Uranor Inc	100.00
24I14	CDC	2010864	Actif	2006-05-19	2008-05-18	44.67	0	20652	Uranor Inc	100.00
24I14	CDC	2010865	Actif	2006-05-19	2008-05-18	44.67	0	20652	Uranor Inc	100.00
24I14	CDC	2010870	Actif	2006-05-19	2008-05-18	44.66	0	20652	Uranor Inc	100.00
24I14	CDC	2010871	Actif	2006-05-19	2008-05-18	44.66	0	20652	Uranor Inc	100.00
24I14	CDC	2010872	Actif	2006-05-19	2008-05-18	44.66	0	20652	Uranor Inc	100.00
24I14	CDC	2010873	Actif	2006-05-19	2008-05-18	44.66	0	20652	Uranor Inc	100.00
24I14	CDC	2010874	Actif	2006-05-19	2008-05-18	44.66	0	20652	Uranor Inc	100.00
24I14	CDC	2010875	Actif	2006-05-19	2008-05-18	44.66	0	20652	Uranor Inc	100.00
24I14	CDC	2010876	Actif	2006-05-19	2008-05-18	44.66	0	20652	Uranor Inc	100.00
24I14	CDC	2010877	Actif	2006-05-19	2008-05-18	44.66	0	20652	Uranor Inc	100.00
24I14	CDC	2010878	Actif	2006-05-19	2008-05-18	44.66	0	20652	Uranor Inc	100.00
24I14	CDC	2010879	Actif	2006-05-19	2008-05-18	44.66	0	20652	Uranor Inc	100.00
24I14	CDC	2010880	Actif	2006-05-19	2008-05-18	44.66	0	20652	Uranor Inc	100.00
24I14	CDC	2010881	Actif	2006-05-19	2008-05-18	44.66	0	20652	Uranor Inc	100.00
24I14	CDC	2010882	Actif	2006-05-19	2008-05-18	44.66	0	20652	Uranor Inc	100.00
24I14	CDC	2010867	Actif	2006-05-19	2008-05-18	44.66	0	20652	Uranor Inc	100.00
24I14	CDC	2010868	Actif	2006-05-19	2008-05-18	44.66	0	20652	Uranor Inc	100.00
24I14	CDC	2010869	Actif	2006-05-19	2008-05-18	44.66	0	20652	Uranor Inc	100.00
24I14	CDC	2011059	Actif	2006-05-23	2008-05-22	44.66	0	20652	Uranor Inc	100.00
24I14	CDC	2011060	Actif	2006-05-23	2008-05-22	44.66	0	20652	Uranor Inc	100.00
24I14	CDC	2011061	Actif	2006-05-23	2008-05-22	44.66	0	20652	Uranor Inc	100.00

Tableau 6.1 - Tableau descriptif des claims actifs et en demande d'Uranor Inc. du projet CAGE 2006

Feuillet	Type de titre	No titre	Statut du titre	Date d'inscription	Date d'expiration	Superficie (Ha)	Excédent ($)	No détenteur	Nom du détenteur	Pourcentage (%)
24I14	CDC	2011062	Actif	2006-05-23	2008-05-22	44.66	0	20652	Uranor Inc	100.00
24I14	CDC	2011063	Actif	2006-05-23	2008-05-22	44.66	0	20652	Uranor Inc	100.00
24I14	CDC	2011064	Actif	2006-05-23	2008-05-22	44.66	0	20652	Uranor Inc	100.00
24I14	CDC	2007732	Actif	2006-05-11	2008-05-10	44.66	0	20652	Uranor Inc	100.00
24I14	CDC	2007733	Actif	2006-05-11	2008-05-10	44.66	0	20652	Uranor Inc	100.00
24I14	CDC	2007734	Actif	2006-05-11	2008-05-10	44.66	0	20652	Uranor Inc	100.00
24I14	CDC	2007735	Actif	2006-05-11	2008-05-10	44.66	0	20652	Uranor Inc	100.00
24I14	CDC	2007736	Actif	2006-05-11	2008-05-10	44.66	0	20652	Uranor Inc	100.00
24I14	CDC	2007737	Actif	2006-05-11	2008-05-10	44.66	0	20652	Uranor Inc	100.00
24I14	CDC	2011361	Actif	2006-05-23	2008-05-22	44.66	0	20652	Uranor Inc	100.00
24I14	CDC	2011362	Actif	2006-05-23	2008-05-22	44.66	0	20652	Uranor Inc	100.00
24I14	CDC	2011363	Actif	2006-05-23	2008-05-22	44.66	0	20652	Uranor Inc	100.00
24I14	CDC	2011364	Actif	2006-05-23	2008-05-22	44.66	0	20652	Uranor Inc	100.00
24I14	CDC	2011365	Actif	2006-05-23	2008-05-22	44.66	0	20652	Uranor Inc	100.00
24I14	CDC	2011816	Actif	2006-05-24	2008-05-23	44.66	0	20652	Uranor Inc	100.00
24I14	CDC	2011817	Actif	2006-05-24	2008-05-23	44.66	0	20652	Uranor Inc	100.00
24I14	CDC	2011818	Actif	2006-05-24	2008-05-23	44.66	0	20652	Uranor Inc	100.00
24I14	CDC	2011819	Actif	2006-05-24	2008-05-23	44.66	0	20652	Uranor Inc	100.00
24I14	CDC	2011820	Actif	2006-05-24	2008-05-23	44.66	0	20652	Uranor Inc	100.00
24I14	CDC	2011821	Actif	2006-05-24	2008-05-23	44.66	0	20652	Uranor Inc	100.00
24I14	CDC	2011822	Actif	2006-05-24	2008-05-23	44.66	0	20652	Uranor Inc	100.00
24I14	CDC	2011823	Actif	2006-05-24	2008-05-23	44.66	0	20652	Uranor Inc	100.00
24I14	CDC	2012278	Actif	2006-05-24	2008-05-23	44.66	0	20652	Uranor Inc	100.00
24I14	CDC	2012279	Actif	2006-05-24	2008-05-23	44.66	0	20652	Uranor Inc	100.00
24I14	CDC	2013682	Actif	2006-05-29	2008-05-28	44.65	0	20652	Uranor Inc	100.00
24I14	CDC	2013683	Actif	2006-05-29	2008-05-28	44.65	0	20652	Uranor Inc	100.00
24I14	CDC	2010883	Actif	2006-05-19	2008-05-18	44.65	0	20652	Uranor Inc	100.00
24I14	CDC	2010884	Actif	2006-05-19	2008-05-18	44.65	0	20652	Uranor Inc	100.00
24I14	CDC	2010892	Actif	2006-05-19	2008-05-18	44.65	0	20652	Uranor Inc	100.00
24I14	CDC	2010885	Actif	2006-05-19	2008-05-18	44.65	0	20652	Uranor Inc	100.00
24I14	CDC	2010886	Actif	2006-05-19	2008-05-18	44.65	0	20652	Uranor Inc	100.00
24I14	CDC	2010887	Actif	2006-05-19	2008-05-18	44.65	0	20652	Uranor Inc	100.00
24I14	CDC	2010888	Actif	2006-05-19	2008-05-18	44.65	0	20652	Uranor Inc	100.00
24I14	CDC	2010889	Actif	2006-05-19	2008-05-18	44.65	0	20652	Uranor Inc	100.00
24I14	CDC	2010893	Actif	2006-05-19	2008-05-18	44.65	0	20652	Uranor Inc	100.00
24I14	CDC	2010890	Actif	2006-05-19	2008-05-18	44.65	0	20652	Uranor Inc	100.00
24I14	CDC	2010891	Actif	2006-05-19	2008-05-18	44.65	0	20652	Uranor Inc	100.00
24I14	CDC	2010637	Actif	2006-05-18	2008-05-17	44.65	0	20652	Uranor Inc	100.00
24I14	CDC	2011072	Actif	2006-05-23	2008-05-22	44.65	0	20652	Uranor Inc	100.00
24I14	CDC	2011073	Actif	2006-05-23	2008-05-22	44.65	0	20652	Uranor Inc	100.00
24I14	CDC	2011075	Actif	2006-05-23	2008-05-22	44.65	0	20652	Uranor Inc	100.00
24I14	CDC	2011074	Actif	2006-05-23	2008-05-22	44.65	0	20652	Uranor Inc	100.00

Tableau 6.1 - Tableau descriptif des claims actifs et en demande d'Uranor Inc. du projet CAGE 2006

Feuillet	Type de titre	No titre	Statut du titre	Date d'inscription	Date d'expiration	Superficie (Ha)	Excédent ($)	No détenteur	Nom du détenteur	Pourcentage (%)
24I14	CDC	2011065	Actif	2006-05-23	2008-05-22	44.65	0	20652	Uranor Inc	100.00
24I14	CDC	2011066	Actif	2006-05-23	2008-05-22	44.65	0	20652	Uranor Inc	100.00
24I14	CDC	2011067	Actif	2006-05-23	2008-05-22	44.65	0	20652	Uranor Inc	100.00
24I14	CDC	2011068	Actif	2006-05-23	2008-05-22	44.65	0	20652	Uranor Inc	100.00
24I14	CDC	2011069	Actif	2006-05-23	2008-05-22	44.65	0	20652	Uranor Inc	100.00
24I14	CDC	2011070	Actif	2006-05-23	2008-05-22	44.65	0	20652	Uranor Inc	100.00
24I14	CDC	2011071	Actif	2006-05-23	2008-05-22	44.65	0	20652	Uranor Inc	100.00
24I14	CDC	2007738	Actif	2006-05-11	2008-05-10	44.65	0	20652	Uranor Inc	100.00
24I14	CDC	2007739	Actif	2006-05-11	2008-05-10	44.65	0	20652	Uranor Inc	100.00
24I14	CDC	2007740	Actif	2006-05-11	2008-05-10	44.65	0	20652	Uranor Inc	100.00
24I14	CDC	2007741	Actif	2006-05-11	2008-05-10	44.65	0	20652	Uranor Inc	100.00
24I14	CDC	2007742	Actif	2006-05-11	2008-05-10	44.65	0	20652	Uranor Inc	100.00
24I14	CDC	2007743	Actif	2006-05-11	2008-05-10	44.65	0	20652	Uranor Inc	100.00
24I14	CDC	2007744	Actif	2006-05-11	2008-05-10	44.65	0	20652	Uranor Inc	100.00
24I14	CDC	2011366	Actif	2006-05-23	2008-05-22	44.65	0	20652	Uranor Inc	100.00
24I14	CDC	2011367	Actif	2006-05-23	2008-05-22	44.65	0	20652	Uranor Inc	100.00
24I14	CDC	2011368	Actif	2006-05-23	2008-05-22	44.65	0	20652	Uranor Inc	100.00
24I14	CDC	2011369	Actif	2006-05-23	2008-05-22	44.65	0	20652	Uranor Inc	100.00
24I14	CDC	2011370	Actif	2006-05-23	2008-05-22	44.65	0	20652	Uranor Inc	100.00
24I14	CDC	2011830	Actif	2006-05-24	2008-05-23	44.65	0	20652	Uranor Inc	100.00
24I14	CDC	2011824	Actif	2006-05-24	2008-05-23	44.65	0	20652	Uranor Inc	100.00
24I14	CDC	2011825	Actif	2006-05-24	2008-05-23	44.65	0	20652	Uranor Inc	100.00
24I14	CDC	2011826	Actif	2006-05-24	2008-05-23	44.65	0	20652	Uranor Inc	100.00
24I14	CDC	2011827	Actif	2006-05-24	2008-05-23	44.65	0	20652	Uranor Inc	100.00
24I14	CDC	2011828	Actif	2006-05-24	2008-05-23	44.65	0	20652	Uranor Inc	100.00
24I14	CDC	2011831	Actif	2006-05-24	2008-05-23	44.65	0	20652	Uranor Inc	100.00
24I14	CDC	2011829	Actif	2006-05-24	2008-05-23	44.65	0	20652	Uranor Inc	100.00
24I14	CDC	2012280	Actif	2006-05-24	2008-05-23	44.65	0	20652	Uranor Inc	100.00
24I14	CDC	2012281	Actif	2006-05-24	2008-05-23	44.65	0	20652	Uranor Inc	100.00
24I14	CDC	2012282	Actif	2006-05-24	2008-05-23	44.65	0	20652	Uranor Inc	100.00
24I14	CDC	2013684	Actif	2006-05-29	2008-05-28	44.64	0	20652	Uranor Inc	100.00
24I14	CDC	2013685	Actif	2006-05-29	2008-05-28	44.64	0	20652	Uranor Inc	100.00
24I14	CDC	2010894	Actif	2006-05-19	2008-05-18	44.64	0	20652	Uranor Inc	100.00
24I14	CDC	2010895	Actif	2006-05-19	2008-05-18	44.64	0	20652	Uranor Inc	100.00
24I14	CDC	2010896	Actif	2006-05-19	2008-05-18	44.64	0	20652	Uranor Inc	100.00
24I14	CDC	2010897	Actif	2006-05-19	2008-05-18	44.64	0	20652	Uranor Inc	100.00
24I14	CDC	2010898	Actif	2006-05-19	2008-05-18	44.64	0	20652	Uranor Inc	100.00
24I14	CDC	2010899	Actif	2006-05-19	2008-05-18	44.64	0	20652	Uranor Inc	100.00
24I14	CDC	2010900	Actif	2006-05-19	2008-05-18	44.64	0	20652	Uranor Inc	100.00
24I14	CDC	2010901	Actif	2006-05-19	2008-05-18	44.64	0	20652	Uranor Inc	100.00
24I14	CDC	2010902	Actif	2006-05-19	2008-05-18	44.64	0	20652	Uranor Inc	100.00
24I14	CDC	2010903	Actif	2006-05-19	2008-05-18	44.64	0	20652	Uranor Inc	100.00

Tableau 6.1 - Tableau descriptif des claims actifs et en demande d'Uranor Inc. du projet CAGE 2006

Feuillet	Type de titre	No titre	Statut du titre	Date d'inscription	Date d'expiration	Superficie (Ha)	Excédent ($)	No détenteur	Nom du détenteur	Pourcentage (%)
24I14	CDC	2010904	Actif	2006-05-19	2008-05-18	44.64	0	20652	Uranor Inc	100.00
24I14	CDC	2010905	Actif	2006-05-19	2008-05-18	44.64	0	20652	Uranor Inc	100.00
24I14	CDC	2010638	Actif	2006-05-18	2008-05-17	44.64	0	20652	Uranor Inc	100.00
24I14	CDC	2010639	Actif	2006-05-18	2008-05-17	44.64	0	20652	Uranor Inc	100.00
24I14	CDC	2011076	Actif	2006-05-23	2008-05-22	44.64	0	20652	Uranor Inc	100.00
24I14	CDC	2011077	Actif	2006-05-23	2008-05-22	44.64	0	20652	Uranor Inc	100.00
24I14	CDC	2011078	Actif	2006-05-23	2008-05-22	44.64	0	20652	Uranor Inc	100.00
24I14	CDC	2011079	Actif	2006-05-23	2008-05-22	44.64	0	20652	Uranor Inc	100.00
24I14	CDC	2011080	Actif	2006-05-23	2008-05-22	44.64	0	20652	Uranor Inc	100.00
24I14	CDC	2011081	Actif	2006-05-23	2008-05-22	44.64	0	20652	Uranor Inc	100.00
24I14	CDC	2011082	Actif	2006-05-23	2008-05-22	44.64	0	20652	Uranor Inc	100.00
24I14	CDC	2011083	Actif	2006-05-23	2008-05-22	44.64	0	20652	Uranor Inc	100.00
24I14	CDC	2011084	Actif	2006-05-23	2008-05-22	44.64	0	20652	Uranor Inc	100.00
24I14	CDC	2011085	Actif	2006-05-23	2008-05-22	44.64	0	20652	Uranor Inc	100.00
24I14	CDC	2007745	Actif	2006-05-11	2008-05-10	44.64	0	20652	Uranor Inc	100.00
24I14	CDC	2007746	Actif	2006-05-11	2008-05-10	44.64	0	20652	Uranor Inc	100.00
24I14	CDC	2007747	Actif	2006-05-11	2008-05-10	44.64	0	20652	Uranor Inc	100.00
24I14	CDC	2007748	Actif	2006-05-11	2008-05-10	44.64	0	20652	Uranor Inc	100.00
24I14	CDC	2007749	Actif	2006-05-11	2008-05-10	44.64	0	20652	Uranor Inc	100.00
24I14	CDC	2007750	Actif	2006-05-11	2008-05-10	44.64	0	20652	Uranor Inc	100.00
24I14	CDC	2011371	Actif	2006-05-23	2008-05-22	44.64	0	20652	Uranor Inc	100.00
24I14	CDC	2011372	Actif	2006-05-23	2008-05-22	44.64	0	20652	Uranor Inc	100.00
24I14	CDC	2011373	Actif	2006-05-23	2008-05-22	44.64	0	20652	Uranor Inc	100.00
24I14	CDC	2011374	Actif	2006-05-23	2008-05-22	44.64	0	20652	Uranor Inc	100.00
24I14	CDC	2011375	Actif	2006-05-23	2008-05-22	44.64	0	20652	Uranor Inc	100.00
24I14	CDC	2011376	Actif	2006-05-23	2008-05-22	44.64	0	20652	Uranor Inc	100.00
24I14	CDC	2011832	Actif	2006-05-24	2008-05-23	44.64	0	20652	Uranor Inc	100.00
24I14	CDC	2011833	Actif	2006-05-24	2008-05-23	44.64	0	20652	Uranor Inc	100.00
24I14	CDC	2011834	Actif	2006-05-24	2008-05-23	44.64	0	20652	Uranor Inc	100.00
24I14	CDC	2011835	Actif	2006-05-24	2008-05-23	44.64	0	20652	Uranor Inc	100.00
24I14	CDC	2011836	Actif	2006-05-24	2008-05-23	44.64	0	20652	Uranor Inc	100.00
24I14	CDC	2011837	Actif	2006-05-24	2008-05-23	44.64	0	20652	Uranor Inc	100.00
24I14	CDC	2011838	Actif	2006-05-24	2008-05-23	44.64	0	20652	Uranor Inc	100.00
24I14	CDC	2011839	Actif	2006-05-24	2008-05-23	44.64	0	20652	Uranor Inc	100.00
24I14	CDC	2012283	Actif	2006-05-24	2008-05-23	44.64	0	20652	Uranor Inc	100.00
24I14	CDC	2012284	Actif	2006-05-24	2008-05-23	44.64	0	20652	Uranor Inc	100.00
24I14	CDC	2012285	Actif	2006-05-24	2008-05-23	44.64	0	20652	Uranor Inc	100.00
24I14	CDC	2012286	Actif	2006-05-24	2008-05-23	44.64	0	20652	Uranor Inc	100.00
24I14	CDC	2013686	Actif	2006-05-29	2008-05-28	44.63	0	20652	Uranor Inc	100.00
24I14	CDC	2013687	Actif	2006-05-29	2008-05-28	44.63	0	20652	Uranor Inc	100.00
24I14	CDC	2013688	Actif	2006-05-29	2008-05-28	44.63	0	20652	Uranor Inc	100.00
24I14	CDC	2013689	Actif	2006-05-29	2008-05-28	44.63	0	20652	Uranor Inc	100.00

Tableau 6.1 - Tableau descriptif des claims actifs et en demande d'Uranor Inc. du projet CAGE 2006

Feuillet	Type de titre	No titre	Statut du titre	Date d'inscription	Date d'expiration	Superficie (Ha)	Excédent ($)	No détenteur	Nom du détenteur	Pourcentage (%)
24I14	CDC	2010906	Actif	2006-05-19	2008-05-18	44.63	0	20652	Uranor Inc	100.00
24I14	CDC	2010907	Actif	2006-05-19	2008-05-18	44.63	0	20652	Uranor Inc	100.00
24I14	CDC	2010908	Actif	2006-05-19	2008-05-18	44.63	0	20652	Uranor Inc	100.00
24I14	CDC	2010909	Actif	2006-05-19	2008-05-18	44.63	0	20652	Uranor Inc	100.00
24I14	CDC	2010910	Actif	2006-05-19	2008-05-18	44.63	0	20652	Uranor Inc	100.00
24I14	CDC	2010911	Actif	2006-05-19	2008-05-18	44.63	0	20652	Uranor Inc	100.00
24I14	CDC	2010912	Actif	2006-05-19	2008-05-18	44.63	0	20652	Uranor Inc	100.00
24I14	CDC	2010913	Actif	2006-05-19	2008-05-18	44.63	0	20652	Uranor Inc	100.00
24I14	CDC	2010914	Actif	2006-05-19	2008-05-18	44.63	0	20652	Uranor Inc	100.00
24I14	CDC	2010915	Actif	2006-05-19	2008-05-18	44.63	0	20652	Uranor Inc	100.00
24I14	CDC	2010916	Actif	2006-05-19	2008-05-18	44.63	0	20652	Uranor Inc	100.00
24I14	CDC	2010917	Actif	2006-05-19	2008-05-18	44.63	0	20652	Uranor Inc	100.00
24I14	CDC	2010640	Actif	2006-05-18	2008-05-17	44.63	0	20652	Uranor Inc	100.00
24I14	CDC	2010641	Actif	2006-05-18	2008-05-17	44.63	0	20652	Uranor Inc	100.00
24I14	CDC	2010642	Actif	2006-05-18	2008-05-17	44.63	0	20652	Uranor Inc	100.00
24I14	CDC	2011086	Actif	2006-05-23	2008-05-22	44.63	0	20652	Uranor Inc	100.00
24I14	CDC	2011087	Actif	2006-05-23	2008-05-22	44.63	0	20652	Uranor Inc	100.00
24I14	CDC	2011088	Actif	2006-05-23	2008-05-22	44.63	0	20652	Uranor Inc	100.00
24I14	CDC	2011089	Actif	2006-05-23	2008-05-22	44.63	0	20652	Uranor Inc	100.00
24I14	CDC	2011090	Actif	2006-05-23	2008-05-22	44.63	0	20652	Uranor Inc	100.00
24I14	CDC	2011091	Actif	2006-05-23	2008-05-22	44.63	0	20652	Uranor Inc	100.00
24I14	CDC	2011092	Actif	2006-05-23	2008-05-22	44.63	0	20652	Uranor Inc	100.00
24I14	CDC	2011093	Actif	2006-05-23	2008-05-22	44.63	0	20652	Uranor Inc	100.00
24I14	CDC	2011094	Actif	2006-05-23	2008-05-22	44.63	0	20652	Uranor Inc	100.00
24I14	CDC	2011260	Actif	2006-05-23	2008-05-22	44.63	0	20652	Uranor Inc	100.00
24I14	CDC	2011261	Actif	2006-05-23	2008-05-22	44.63	0	20652	Uranor Inc	100.00
24I14	CDC	2011262	Actif	2006-05-23	2008-05-22	44.63	0	20652	Uranor Inc	100.00
24I14	CDC	2011263	Actif	2006-05-23	2008-05-22	44.63	0	20652	Uranor Inc	100.00
24I14	CDC	2011264	Actif	2006-05-23	2008-05-22	44.63	0	20652	Uranor Inc	100.00
24I14	CDC	2011265	Actif	2006-05-23	2008-05-22	44.63	0	20652	Uranor Inc	100.00
24I14	CDC	2011840	Actif	2006-05-24	2008-05-23	44.63	0	20652	Uranor Inc	100.00
24I14	CDC	2011841	Actif	2006-05-24	2008-05-23	44.63	0	20652	Uranor Inc	100.00
24I14	CDC	2011842	Actif	2006-05-24	2008-05-23	44.63	0	20652	Uranor Inc	100.00
24I14	CDC	2011843	Actif	2006-05-24	2008-05-23	44.63	0	20652	Uranor Inc	100.00
24I14	CDC	2011844	Actif	2006-05-24	2008-05-23	44.63	0	20652	Uranor Inc	100.00
24I14	CDC	2011845	Actif	2006-05-24	2008-05-23	44.63	0	20652	Uranor Inc	100.00
24I14	CDC	2011846	Actif	2006-05-24	2008-05-23	44.63	0	20652	Uranor Inc	100.00
24I14	CDC	2011847	Actif	2006-05-24	2008-05-23	44.63	0	20652	Uranor Inc	100.00
24I14	CDC	2011848	Actif	2006-05-24	2008-05-23	44.63	0	20652	Uranor Inc	100.00
24I14	CDC	2011849	Actif	2006-05-24	2008-05-23	44.63	0	20652	Uranor Inc	100.00
24I14	CDC	2011850	Actif	2006-05-24	2008-05-23	44.63	0	20652	Uranor Inc	100.00
24I14	CDC	2011851	Actif	2006-05-24	2008-05-23	44.63	0	20652	Uranor Inc	100.00

Tableau 6.1 - Tableau descriptif des claims actifs et en demande d'Uranor Inc. du projet CAGE 2006

Feuillet	Type de titre	No titre	Statut du titre	Date d'inscription	Date d'expiration	Superficie (Ha)	Excédent ($)	No détenteur	Nom du détenteur	Pourcentage (%)
24I14	CDC	2011852	Actif	2006-05-24	2008-05-23	44.63	0	20652	Uranor Inc	100.00
24I14	CDC	2012287	Actif	2006-05-24	2008-05-23	44.63	0	20652	Uranor Inc	100.00
24I14	CDC	2012288	Actif	2006-05-24	2008-05-23	44.63	0	20652	Uranor Inc	100.00
24I14	CDC	2012289	Actif	2006-05-24	2008-05-23	44.63	0	20652	Uranor Inc	100.00
24I14	CDC	2012290	Actif	2006-05-24	2008-05-23	44.63	0	20652	Uranor Inc	100.00
24I14	CDC	2012291	Actif	2006-05-24	2008-05-23	44.63	0	20652	Uranor Inc	100.00
24I14	CDC	2012292	Actif	2006-05-24	2008-05-23	44.63	0	20652	Uranor Inc	100.00
24I14	CDC	2013690	Actif	2006-05-29	2008-05-28	44.62	0	20652	Uranor Inc	100.00
24I14	CDC	2013691	Actif	2006-05-29	2008-05-28	44.62	0	20652	Uranor Inc	100.00
24I14	CDC	2013692	Actif	2006-05-29	2008-05-28	44.62	0	20652	Uranor Inc	100.00
24I14	CDC	2010918	Actif	2006-05-19	2008-05-18	44.62	0	20652	Uranor Inc	100.00
24I14	CDC	2010919	Actif	2006-05-19	2008-05-18	44.62	0	20652	Uranor Inc	100.00
24I14	CDC	2010920	Actif	2006-05-19	2008-05-18	44.62	0	20652	Uranor Inc	100.00
24I14	CDC	2008238	Actif	2006-05-12	2008-05-11	44.62	0	20652	Uranor Inc	100.00
24I14	CDC	2008236	Actif	2006-05-12	2008-05-11	44.62	0	20652	Uranor Inc	100.00
24I14	CDC	2008237	Actif	2006-05-12	2008-05-11	44.62	0	20652	Uranor Inc	100.00
24I14	CDC	2010921	Actif	2006-05-19	2008-05-18	44.62	0	20652	Uranor Inc	100.00
24I14	CDC	2010922	Actif	2006-05-19	2008-05-18	44.62	0	20652	Uranor Inc	100.00
24I14	CDC	2010923	Actif	2006-05-19	2008-05-18	44.62	0	20652	Uranor Inc	100.00
24I14	CDC	2010927	Actif	2006-05-19	2008-05-18	44.62	0	20652	Uranor Inc	100.00
24I14	CDC	2010924	Actif	2006-05-19	2008-05-18	44.62	0	20652	Uranor Inc	100.00
24I14	CDC	2010925	Actif	2006-05-19	2008-05-18	44.62	0	20652	Uranor Inc	100.00
24I14	CDC	2010926	Actif	2006-05-19	2008-05-18	44.62	0	20652	Uranor Inc	100.00
24I14	CDC	2010643	Actif	2006-05-18	2008-05-17	44.62	0	20652	Uranor Inc	100.00
24I14	CDC	2010644	Actif	2006-05-18	2008-05-17	44.62	0	20652	Uranor Inc	100.00
24I14	CDC	2010646	Actif	2006-05-18	2008-05-17	44.62	0	20652	Uranor Inc	100.00
24I14	CDC	2010645	Actif	2006-05-18	2008-05-17	44.62	0	20652	Uranor Inc	100.00
24I14	CDC	2011095	Actif	2006-05-23	2008-05-22	44.62	0	20652	Uranor Inc	100.00
24I14	CDC	2011096	Actif	2006-05-23	2008-05-22	44.62	0	20652	Uranor Inc	100.00
24I14	CDC	2011097	Actif	2006-05-23	2008-05-22	44.62	0	20652	Uranor Inc	100.00
24I14	CDC	2011098	Actif	2006-05-23	2008-05-22	44.62	0	20652	Uranor Inc	100.00
24I14	CDC	2011099	Actif	2006-05-23	2008-05-22	44.62	0	20652	Uranor Inc	100.00
24I14	CDC	2011100	Actif	2006-05-23	2008-05-22	44.62	0	20652	Uranor Inc	100.00
24I14	CDC	2011101	Actif	2006-05-23	2008-05-22	44.62	0	20652	Uranor Inc	100.00
24I14	CDC	2011102	Actif	2006-05-23	2008-05-22	44.62	0	20652	Uranor Inc	100.00
24I14	CDC	2011103	Actif	2006-05-23	2008-05-22	44.62	0	20652	Uranor Inc	100.00
24I14	CDC	2011270	Actif	2006-05-23	2008-05-22	44.62	0	20652	Uranor Inc	100.00
24I14	CDC	2011266	Actif	2006-05-23	2008-05-22	44.62	0	20652	Uranor Inc	100.00
24I14	CDC	2011267	Actif	2006-05-23	2008-05-22	44.62	0	20652	Uranor Inc	100.00
24I14	CDC	2011268	Actif	2006-05-23	2008-05-22	44.62	0	20652	Uranor Inc	100.00
24I14	CDC	2011269	Actif	2006-05-23	2008-05-22	44.62	0	20652	Uranor Inc	100.00
24I14	CDC	2011853	Actif	2006-05-24	2008-05-23	44.62	0	20652	Uranor Inc	100.00

Tableau 6.1 - Tableau descriptif des claims actifs et en demande d'Uranor Inc. du projet CAGE 2006

Feuillet	Type de titre	No titre	Statut du titre	Date d'inscription	Date d'expiration	Superficie (Ha)	Excédent ($)	No détenteur	Nom du détenteur	Pourcentage (%)
24I14	CDC	2011865	Actif	2006-05-24	2008-05-23	44.62	0	20652	Uranor Inc	100.00
24I14	CDC	2011854	Actif	2006-05-24	2008-05-23	44.62	0	20652	Uranor Inc	100.00
24I14	CDC	2011855	Actif	2006-05-24	2008-05-23	44.62	0	20652	Uranor Inc	100.00
24I14	CDC	2011856	Actif	2006-05-24	2008-05-23	44.62	0	20652	Uranor Inc	100.00
24I14	CDC	2011857	Actif	2006-05-24	2008-05-23	44.62	0	20652	Uranor Inc	100.00
24I14	CDC	2011858	Actif	2006-05-24	2008-05-23	44.62	0	20652	Uranor Inc	100.00
24I14	CDC	2011859	Actif	2006-05-24	2008-05-23	44.62	0	20652	Uranor Inc	100.00
24I14	CDC	2011860	Actif	2006-05-24	2008-05-23	44.62	0	20652	Uranor Inc	100.00
24I14	CDC	2011861	Actif	2006-05-24	2008-05-23	44.62	0	20652	Uranor Inc	100.00
24I14	CDC	2011862	Actif	2006-05-24	2008-05-23	44.62	0	20652	Uranor Inc	100.00
24I14	CDC	2011863	Actif	2006-05-24	2008-05-23	44.62	0	20652	Uranor Inc	100.00
24I14	CDC	2011864	Actif	2006-05-24	2008-05-23	44.62	0	20652	Uranor Inc	100.00
24I14	CDC	2012293	Actif	2006-05-24	2008-05-23	44.62	0	20652	Uranor Inc	100.00
24I14	CDC	2012294	Actif	2006-05-24	2008-05-23	44.62	0	20652	Uranor Inc	100.00
24I14	CDC	2012295	Actif	2006-05-24	2008-05-23	44.62	0	20652	Uranor Inc	100.00
24I14	CDC	2012296	Actif	2006-05-24	2008-05-23	44.62	0	20652	Uranor Inc	100.00
24I14	CDC	2012297	Actif	2006-05-24	2008-05-23	44.62	0	20652	Uranor Inc	100.00
24I14	CDC	2012298	Actif	2006-05-24	2008-05-23	44.62	0	20652	Uranor Inc	100.00
24I14	CDC	2012299	Actif	2006-05-24	2008-05-23	44.62	0	20652	Uranor Inc	100.00
24I14	CDC	2013694	Actif	2006-05-29	2008-05-28	44.61	0	20652	Uranor Inc	100.00
24I14	CDC	2013695	Actif	2006-05-29	2008-05-28	44.61	0	20652	Uranor Inc	100.00
24I14	CDC	2013696	Actif	2006-05-29	2008-05-28	44.61	0	20652	Uranor Inc	100.00
24I14	CDC	2013697	Actif	2006-05-29	2008-05-28	44.61	0	20652	Uranor Inc	100.00
24I14	CDC	2010928	Actif	2006-05-19	2008-05-18	44.61	0	20652	Uranor Inc	100.00
24I14	CDC	2010929	Actif	2006-05-19	2008-05-18	44.61	0	20652	Uranor Inc	100.00
24I14	CDC	2010930	Actif	2006-05-19	2008-05-18	44.61	0	20652	Uranor Inc	100.00
24I14	CDC	2008239	Actif	2006-05-12	2008-05-11	44.61	0	20652	Uranor Inc	100.00
24I14	CDC	2008240	Actif	2006-05-12	2008-05-11	44.61	0	20652	Uranor Inc	100.00
24I14	CDC	2008241	Actif	2006-05-12	2008-05-11	44.61	0	20652	Uranor Inc	100.00
24I14	CDC	2008242	Actif	2006-05-12	2008-05-11	44.61	0	20652	Uranor Inc	100.00
24I14	CDC	2008243	Actif	2006-05-12	2008-05-11	44.61	0	20652	Uranor Inc	100.00
24I14	CDC	2010931	Actif	2006-05-19	2008-05-18	44.61	0	20652	Uranor Inc	100.00
24I14	CDC	2010933	Actif	2006-05-19	2008-05-18	44.61	0	20652	Uranor Inc	100.00
24I14	CDC	2010932	Actif	2006-05-19	2008-05-18	44.61	0	20652	Uranor Inc	100.00
24I14	CDC	2010647	Actif	2006-05-18	2008-05-17	44.61	0	20652	Uranor Inc	100.00
24I14	CDC	2010648	Actif	2006-05-18	2008-05-17	44.61	0	20652	Uranor Inc	100.00
24I14	CDC	2010649	Actif	2006-05-18	2008-05-17	44.61	0	20652	Uranor Inc	100.00
24I14	CDC	2010650	Actif	2006-05-18	2008-05-17	44.61	0	20652	Uranor Inc	100.00
24I14	CDC	2010654	Actif	2006-05-18	2008-05-17	44.61	0	20652	Uranor Inc	100.00
24I14	CDC	2010651	Actif	2006-05-18	2008-05-17	44.61	0	20652	Uranor Inc	100.00
24I14	CDC	2010652	Actif	2006-05-18	2008-05-17	44.61	0	20652	Uranor Inc	100.00
24I14	CDC	2010653	Actif	2006-05-18	2008-05-17	44.61	0	20652	Uranor Inc	100.00

Tableau 6.1 - Tableau descriptif des claims actifs et en demande d'Uranor Inc. du projet CAGE 2006

Feuillet	Type de titre	No titre	Statut du titre	Date d'inscription	Date d'expiration	Superficie (Ha)	Excédent ($)	No détenteur	Nom du détenteur	Pourcentage (%)
24I14	CDC	2011104	Actif	2006-05-23	2008-05-22	44.61	0	20652	Uranor Inc	100.00
24I14	CDC	2011105	Actif	2006-05-23	2008-05-22	44.61	0	20652	Uranor Inc	100.00
24I14	CDC	2011112	Actif	2006-05-23	2008-05-22	44.61	0	20652	Uranor Inc	100.00
24I14	CDC	2011106	Actif	2006-05-23	2008-05-22	44.61	0	20652	Uranor Inc	100.00
24I14	CDC	2011107	Actif	2006-05-23	2008-05-22	44.61	0	20652	Uranor Inc	100.00
24I14	CDC	2011108	Actif	2006-05-23	2008-05-22	44.61	0	20652	Uranor Inc	100.00
24I14	CDC	2011109	Actif	2006-05-23	2008-05-22	44.61	0	20652	Uranor Inc	100.00
24I14	CDC	2011110	Actif	2006-05-23	2008-05-22	44.61	0	20652	Uranor Inc	100.00
24I14	CDC	2011111	Actif	2006-05-23	2008-05-22	44.61	0	20652	Uranor Inc	100.00
24I14	CDC	2011271	Actif	2006-05-23	2008-05-22	44.61	0	20652	Uranor Inc	100.00
24I14	CDC	2011272	Actif	2006-05-23	2008-05-22	44.61	0	20652	Uranor Inc	100.00
24I14	CDC	2011273	Actif	2006-05-23	2008-05-22	44.61	0	20652	Uranor Inc	100.00
24I14	CDC	2011274	Actif	2006-05-23	2008-05-22	44.61	0	20652	Uranor Inc	100.00
24I14	CDC	2011275	Actif	2006-05-23	2008-05-22	44.61	0	20652	Uranor Inc	100.00
24I14	CDC	2011866	Actif	2006-05-24	2008-05-23	44.61	0	20652	Uranor Inc	100.00
24I14	CDC	2011867	Actif	2006-05-24	2008-05-23	44.61	0	20652	Uranor Inc	100.00
24I14	CDC	2011868	Actif	2006-05-24	2008-05-23	44.61	0	20652	Uranor Inc	100.00
24I14	CDC	2011869	Actif	2006-05-24	2008-05-23	44.61	0	20652	Uranor Inc	100.00
24I14	CDC	2011870	Actif	2006-05-24	2008-05-23	44.61	0	20652	Uranor Inc	100.00
24I14	CDC	2011871	Actif	2006-05-24	2008-05-23	44.61	0	20652	Uranor Inc	100.00
24I14	CDC	2011877	Actif	2006-05-24	2008-05-23	44.61	0	20652	Uranor Inc	100.00
24I14	CDC	2011872	Actif	2006-05-24	2008-05-23	44.61	0	20652	Uranor Inc	100.00
24I14	CDC	2011873	Actif	2006-05-24	2008-05-23	44.61	0	20652	Uranor Inc	100.00
24I14	CDC	2011874	Actif	2006-05-24	2008-05-23	44.61	0	20652	Uranor Inc	100.00
24I14	CDC	2011875	Actif	2006-05-24	2008-05-23	44.61	0	20652	Uranor Inc	100.00
24I14	CDC	2011876	Actif	2006-05-24	2008-05-23	44.61	0	20652	Uranor Inc	100.00
24I14	CDC	2012305	Actif	2006-05-24	2008-05-23	44.61	0	20652	Uranor Inc	100.00
24I14	CDC	2012300	Actif	2006-05-24	2008-05-23	44.61	0	20652	Uranor Inc	100.00
24I14	CDC	2012301	Actif	2006-05-24	2008-05-23	44.61	0	20652	Uranor Inc	100.00
24I14	CDC	2012302	Actif	2006-05-24	2008-05-23	44.61	0	20652	Uranor Inc	100.00
24I14	CDC	2012303	Actif	2006-05-24	2008-05-23	44.61	0	20652	Uranor Inc	100.00
24I14	CDC	2012304	Actif	2006-05-24	2008-05-23	44.61	0	20652	Uranor Inc	100.00
24I14	CDC	2012306	Actif	2006-05-24	2008-05-23	44.61	0	20652	Uranor Inc	100.00
24I14	CDC	2013693	Actif	2006-05-29	2008-05-28	44.61	0	20652	Uranor Inc	100.00
24I14	CDC	2013698	Actif	2006-05-29	2008-05-28	44.6	0	20652	Uranor Inc	100.00
24I14	CDC	2013699	Actif	2006-05-29	2008-05-28	44.6	0	20652	Uranor Inc	100.00
24I14	CDC	2013700	Actif	2006-05-29	2008-05-28	44.6	0	20652	Uranor Inc	100.00
24I14	CDC	2013701	Actif	2006-05-29	2008-05-28	44.6	0	20652	Uranor Inc	100.00
24I14	CDC	2010934	Actif	2006-05-19	2008-05-18	44.6	0	20652	Uranor Inc	100.00
24I14	CDC	2010935	Actif	2006-05-19	2008-05-18	44.6	0	20652	Uranor Inc	100.00
24I14	CDC	2010936	Actif	2006-05-19	2008-05-18	44.6	0	20652	Uranor Inc	100.00
24I14	CDC	2008244	Actif	2006-05-12	2008-05-11	44.6	0	20652	Uranor Inc	100.00

Tableau 6.1 - Tableau descriptif des claims actifs et en demande d'Uranor Inc. du projet CAGE 2006

Feuillet	Type de titre	No titre	Statut du titre	Date d'inscription	Date d'expiration	Superficie (Ha)	Excédent ($)	No détenteur	Nom du détenteur	Pourcentage (%)
24I14	CDC	2008245	Actif	2006-05-12	2008-05-11	44.6	0	20652	Uranor Inc	100.00
24I14	CDC	2008246	Actif	2006-05-12	2008-05-11	44.6	0	20652	Uranor Inc	100.00
24I14	CDC	2008249	Actif	2006-05-12	2008-05-11	44.6	0	20652	Uranor Inc	100.00
24I14	CDC	2008247	Actif	2006-05-12	2008-05-11	44.6	0	20652	Uranor Inc	100.00
24I14	CDC	2008248	Actif	2006-05-12	2008-05-11	44.6	0	20652	Uranor Inc	100.00
24I14	CDC	2010937	Actif	2006-05-19	2008-05-18	44.6	0	20652	Uranor Inc	100.00
24I14	CDC	2010938	Actif	2006-05-19	2008-05-18	44.6	0	20652	Uranor Inc	100.00
24I14	CDC	2010939	Actif	2006-05-19	2008-05-18	44.6	0	20652	Uranor Inc	100.00
24I14	CDC	2010940	Actif	2006-05-19	2008-05-18	44.6	0	20652	Uranor Inc	100.00
24I14	CDC	2010655	Actif	2006-05-18	2008-05-17	44.6	0	20652	Uranor Inc	100.00
24I14	CDC	2010656	Actif	2006-05-18	2008-05-17	44.6	0	20652	Uranor Inc	100.00
24I14	CDC	2010657	Actif	2006-05-18	2008-05-17	44.6	0	20652	Uranor Inc	100.00
24I14	CDC	2010658	Actif	2006-05-18	2008-05-17	44.6	0	20652	Uranor Inc	100.00
24I14	CDC	2010659	Actif	2006-05-18	2008-05-17	44.6	0	20652	Uranor Inc	100.00
24I14	CDC	2010662	Actif	2006-05-18	2008-05-17	44.6	0	20652	Uranor Inc	100.00
24I14	CDC	2010660	Actif	2006-05-18	2008-05-17	44.6	0	20652	Uranor Inc	100.00
24I14	CDC	2010661	Actif	2006-05-18	2008-05-17	44.6	0	20652	Uranor Inc	100.00
24I14	CDC	2011113	Actif	2006-05-23	2008-05-22	44.6	0	20652	Uranor Inc	100.00
24I14	CDC	2011114	Actif	2006-05-23	2008-05-22	44.6	0	20652	Uranor Inc	100.00
24I14	CDC	2011115	Actif	2006-05-23	2008-05-22	44.6	0	20652	Uranor Inc	100.00
24I14	CDC	2011116	Actif	2006-05-23	2008-05-22	44.6	0	20652	Uranor Inc	100.00
24I14	CDC	2011117	Actif	2006-05-23	2008-05-22	44.6	0	20652	Uranor Inc	100.00
24I14	CDC	2011118	Actif	2006-05-23	2008-05-22	44.6	0	20652	Uranor Inc	100.00
24I14	CDC	2011119	Actif	2006-05-23	2008-05-22	44.6	0	20652	Uranor Inc	100.00
24I14	CDC	2011120	Actif	2006-05-23	2008-05-22	44.6	0	20652	Uranor Inc	100.00
24I14	CDC	2011121	Actif	2006-05-23	2008-05-22	44.6	0	20652	Uranor Inc	100.00
24I14	CDC	2011276	Actif	2006-05-23	2008-05-22	44.6	0	20652	Uranor Inc	100.00
24I14	CDC	2011277	Actif	2006-05-23	2008-05-22	44.6	0	20652	Uranor Inc	100.00
24I14	CDC	2011278	Actif	2006-05-23	2008-05-22	44.6	0	20652	Uranor Inc	100.00
24I14	CDC	2011279	Actif	2006-05-23	2008-05-22	44.6	0	20652	Uranor Inc	100.00
24I14	CDC	2011280	Actif	2006-05-23	2008-05-22	44.6	0	20652	Uranor Inc	100.00
24I14	CDC	2011878	Actif	2006-05-24	2008-05-23	44.6	0	20652	Uranor Inc	100.00
24I14	CDC	2011879	Actif	2006-05-24	2008-05-23	44.6	0	20652	Uranor Inc	100.00
24I14	CDC	2011880	Actif	2006-05-24	2008-05-23	44.6	0	20652	Uranor Inc	100.00
24I14	CDC	2011881	Actif	2006-05-24	2008-05-23	44.6	0	20652	Uranor Inc	100.00
24I14	CDC	2011882	Actif	2006-05-24	2008-05-23	44.6	0	20652	Uranor Inc	100.00
24I14	CDC	2011883	Actif	2006-05-24	2008-05-23	44.6	0	20652	Uranor Inc	100.00
24I14	CDC	2011884	Actif	2006-05-24	2008-05-23	44.6	0	20652	Uranor Inc	100.00
24I14	CDC	2011885	Actif	2006-05-24	2008-05-23	44.6	0	20652	Uranor Inc	100.00
24I14	CDC	2011886	Actif	2006-05-24	2008-05-23	44.6	0	20652	Uranor Inc	100.00
24I14	CDC	2011887	Actif	2006-05-24	2008-05-23	44.6	0	20652	Uranor Inc	100.00
24I14	CDC	2012307	Actif	2006-05-24	2008-05-23	44.6	0	20652	Uranor Inc	100.00

Tableau 6.1 - Tableau descriptif des claims actifs et en demande d'Uranor Inc. du projet CAGE 2006

Feuillet	Type de titre	No titre	Statut du titre	Date d'inscription	Date d'expiration	Superficie (Ha)	Excédent ($)	No détenteur	Nom du détenteur	Pourcentage (%)
24I14	CDC	2012308	Actif	2006-05-24	2008-05-23	44.6	0	20652	Uranor Inc	100.00
24I14	CDC	2012309	Actif	2006-05-24	2008-05-23	44.6	0	20652	Uranor Inc	100.00
24I14	CDC	2012310	Actif	2006-05-24	2008-05-23	44.6	0	20652	Uranor Inc	100.00
24I14	CDC	2012311	Actif	2006-05-24	2008-05-23	44.6	0	20652	Uranor Inc	100.00
24I14	CDC	2012312	Actif	2006-05-24	2008-05-23	44.6	0	20652	Uranor Inc	100.00
24I14	CDC	2012313	Actif	2006-05-24	2008-05-23	44.6	0	20652	Uranor Inc	100.00
24I14	CDC	2012314	Actif	2006-05-24	2008-05-23	44.6	0	20652	Uranor Inc	100.00
24I14	CDC	2012866	Actif	2006-05-25	2008-05-24	44.6	0	20652	Uranor Inc	100.00
24I14	CDC	2013702	Actif	2006-05-29	2008-05-28	44.6	0	20652	Uranor Inc	100.00
24I14	CDC	2013703	Actif	2006-05-29	2008-05-28	44.59	0	20652	Uranor Inc	100.00
24I14	CDC	2013704	Actif	2006-05-29	2008-05-28	44.59	0	20652	Uranor Inc	100.00
24I14	CDC	2013705	Actif	2006-05-29	2008-05-28	44.59	0	20652	Uranor Inc	100.00
24I14	CDC	2010941	Actif	2006-05-19	2008-05-18	44.59	0	20652	Uranor Inc	100.00
24I14	CDC	2010942	Actif	2006-05-19	2008-05-18	44.59	0	20652	Uranor Inc	100.00
24I14	CDC	2010943	Actif	2006-05-19	2008-05-18	44.59	0	20652	Uranor Inc	100.00
24I14	CDC	2008250	Actif	2006-05-12	2008-05-11	44.59	0	20652	Uranor Inc	100.00
24I14	CDC	2008251	Actif	2006-05-12	2008-05-11	44.59	0	20652	Uranor Inc	100.00
24I14	CDC	2008252	Actif	2006-05-12	2008-05-11	44.59	0	20652	Uranor Inc	100.00
24I14	CDC	2008253	Actif	2006-05-12	2008-05-11	44.59	0	20652	Uranor Inc	100.00
24I14	CDC	2008254	Actif	2006-05-12	2008-05-11	44.59	0	20652	Uranor Inc	100.00
24I14	CDC	2010663	Actif	2006-05-18	2008-05-17	44.59	0	20652	Uranor Inc	100.00
24I14	CDC	2010664	Actif	2006-05-18	2008-05-17	44.59	0	20652	Uranor Inc	100.00
24I14	CDC	2010665	Actif	2006-05-18	2008-05-17	44.59	0	20652	Uranor Inc	100.00
24I14	CDC	2010666	Actif	2006-05-18	2008-05-17	44.59	0	20652	Uranor Inc	100.00
24I14	CDC	2010667	Actif	2006-05-18	2008-05-17	44.59	0	20652	Uranor Inc	100.00
24I14	CDC	2010668	Actif	2006-05-18	2008-05-17	44.59	0	20652	Uranor Inc	100.00
24I14	CDC	2010669	Actif	2006-05-18	2008-05-17	44.59	0	20652	Uranor Inc	100.00
24I14	CDC	2010670	Actif	2006-05-18	2008-05-17	44.59	0	20652	Uranor Inc	100.00
24I14	CDC	2010671	Actif	2006-05-18	2008-05-17	44.59	0	20652	Uranor Inc	100.00
24I14	CDC	2010672	Actif	2006-05-18	2008-05-17	44.59	0	20652	Uranor Inc	100.00
24I14	CDC	2010673	Actif	2006-05-18	2008-05-17	44.59	0	20652	Uranor Inc	100.00
24I14	CDC	2010674	Actif	2006-05-18	2008-05-17	44.59	0	20652	Uranor Inc	100.00
24I14	CDC	2011122	Actif	2006-05-23	2008-05-22	44.59	0	20652	Uranor Inc	100.00
24I14	CDC	2011123	Actif	2006-05-23	2008-05-22	44.59	0	20652	Uranor Inc	100.00
24I14	CDC	2011124	Actif	2006-05-23	2008-05-22	44.59	0	20652	Uranor Inc	100.00
24I14	CDC	2011125	Actif	2006-05-23	2008-05-22	44.59	0	20652	Uranor Inc	100.00
24I14	CDC	2011126	Actif	2006-05-23	2008-05-22	44.59	0	20652	Uranor Inc	100.00
24I14	CDC	2011127	Actif	2006-05-23	2008-05-22	44.59	0	20652	Uranor Inc	100.00
24I14	CDC	2011128	Actif	2006-05-23	2008-05-22	44.59	0	20652	Uranor Inc	100.00
24I14	CDC	2011129	Actif	2006-05-23	2008-05-22	44.59	0	20652	Uranor Inc	100.00
24I14	CDC	2011130	Actif	2006-05-23	2008-05-22	44.59	0	20652	Uranor Inc	100.00
24I14	CDC	2011131	Actif	2006-05-23	2008-05-22	44.59	0	20652	Uranor Inc	100.00

Tableau 6.1 - Tableau descriptif des claims actifs et en demande d'Uranor Inc. du projet CAGE 2006

Feuillet	Type de titre	No titre	Statut du titre	Date d'inscription	Date d'expiration	Superficie (Ha)	Excédent ($)	No détenteur	Nom du détenteur	Pourcentage (%)
24I14	CDC	2011132	Actif	2006-05-23	2008-05-22	44.59	0	20652	Uranor Inc	100.00
24I14	CDC	2011281	Actif	2006-05-23	2008-05-22	44.59	0	20652	Uranor Inc	100.00
24I14	CDC	2011282	Actif	2006-05-23	2008-05-22	44.59	0	20652	Uranor Inc	100.00
24I14	CDC	2011283	Actif	2006-05-23	2008-05-22	44.59	0	20652	Uranor Inc	100.00
24I14	CDC	2011888	Actif	2006-05-24	2008-05-23	44.59	0	20652	Uranor Inc	100.00
24I14	CDC	2011889	Actif	2006-05-24	2008-05-23	44.59	0	20652	Uranor Inc	100.00
24I14	CDC	2011890	Actif	2006-05-24	2008-05-23	44.59	0	20652	Uranor Inc	100.00
24I14	CDC	2011891	Actif	2006-05-24	2008-05-23	44.59	0	20652	Uranor Inc	100.00
24I14	CDC	2011892	Actif	2006-05-24	2008-05-23	44.59	0	20652	Uranor Inc	100.00
24I14	CDC	2011893	Actif	2006-05-24	2008-05-23	44.59	0	20652	Uranor Inc	100.00
24I14	CDC	2011894	Actif	2006-05-24	2008-05-23	44.59	0	20652	Uranor Inc	100.00
24I14	CDC	2011895	Actif	2006-05-24	2008-05-23	44.59	0	20652	Uranor Inc	100.00
24I14	CDC	2011896	Actif	2006-05-24	2008-05-23	44.59	0	20652	Uranor Inc	100.00
24I14	CDC	2011897	Actif	2006-05-24	2008-05-23	44.59	0	20652	Uranor Inc	100.00
24I14	CDC	2012315	Actif	2006-05-24	2008-05-23	44.59	0	20652	Uranor Inc	100.00
24I14	CDC	2012316	Actif	2006-05-24	2008-05-23	44.59	0	20652	Uranor Inc	100.00
24I14	CDC	2012317	Actif	2006-05-24	2008-05-23	44.59	0	20652	Uranor Inc	100.00
24I14	CDC	2012318	Actif	2006-05-24	2008-05-23	44.59	0	20652	Uranor Inc	100.00
24I14	CDC	2012319	Actif	2006-05-24	2008-05-23	44.59	0	20652	Uranor Inc	100.00
24I14	CDC	2012320	Actif	2006-05-24	2008-05-23	44.59	0	20652	Uranor Inc	100.00
24I14	CDC	2012321	Actif	2006-05-24	2008-05-23	44.59	0	20652	Uranor Inc	100.00
24I14	CDC	2012322	Actif	2006-05-24	2008-05-23	44.59	0	20652	Uranor Inc	100.00
24I14	CDC	2012323	Actif	2006-05-24	2008-05-23	44.59	0	20652	Uranor Inc	100.00
24I14	CDC	2012867	Actif	2006-05-25	2008-05-24	44.58	0	20652	Uranor Inc	100.00
24I14	CDC	2012868	Actif	2006-05-25	2008-05-24	44.58	0	20652	Uranor Inc	100.00
24I14	CDC	2013708	Actif	2006-05-29	2008-05-28	44.58	0	20652	Uranor Inc	100.00
24I14	CDC	2013706	Actif	2006-05-29	2008-05-28	44.58	0	20652	Uranor Inc	100.00
24I14	CDC	2013707	Actif	2006-05-29	2008-05-28	44.58	0	20652	Uranor Inc	100.00
24I14	CDC	98240	Actif	2005-10-12	2007-10-11	44.58	0	20652	Uranor Inc	100.00
24I14	CDC	98241	Actif	2005-10-12	2007-10-11	44.58	0	20652	Uranor Inc	100.00
24I14	CDC	98242	Actif	2005-10-12	2007-10-11	44.58	0	20652	Uranor Inc	100.00
24I14	CDC	98243	Actif	2005-10-12	2007-10-11	44.58	0	20652	Uranor Inc	100.00
24I14	CDC	98244	Actif	2005-10-12	2007-10-11	44.58	0	20652	Uranor Inc	100.00
24I14	CDC	98245	Actif	2005-10-12	2007-10-11	44.58	0	20652	Uranor Inc	100.00
24I14	CDC	98246	Actif	2005-10-12	2007-10-11	44.58	0	20652	Uranor Inc	100.00
24I14	CDC	98247	Actif	2005-10-12	2007-10-11	44.58	0	20652	Uranor Inc	100.00
24I14	CDC	2008255	Actif	2006-05-12	2008-05-11	44.58	0	20652	Uranor Inc	100.00
24I14	CDC	2010675	Actif	2006-05-18	2008-05-17	44.58	0	20652	Uranor Inc	100.00
24I14	CDC	2010676	Actif	2006-05-18	2008-05-17	44.58	0	20652	Uranor Inc	100.00
24I14	CDC	2010677	Actif	2006-05-18	2008-05-17	44.58	0	20652	Uranor Inc	100.00
24I14	CDC	2010678	Actif	2006-05-18	2008-05-17	44.58	0	20652	Uranor Inc	100.00
24I14	CDC	2010679	Actif	2006-05-18	2008-05-17	44.58	0	20652	Uranor Inc	100.00

Tableau 6.1 - Tableau descriptif des claims actifs et en demande d'Uranor Inc. du projet CAGE 2006

Feuillet	Type de titre	No titre	Statut du titre	Date d'inscription	Date d'expiration	Superficie (Ha)	Excédent ($)	No détenteur	Nom du détenteur	Pourcentage (%)
24I14	CDC	2010680	Actif	2006-05-18	2008-05-17	44.58	0	20652	Uranor Inc	100.00
24I14	CDC	2010681	Actif	2006-05-18	2008-05-17	44.58	0	20652	Uranor Inc	100.00
24I14	CDC	2010682	Actif	2006-05-18	2008-05-17	44.58	0	20652	Uranor Inc	100.00
24I14	CDC	2010683	Actif	2006-05-18	2008-05-17	44.58	0	20652	Uranor Inc	100.00
24I14	CDC	2010684	Actif	2006-05-18	2008-05-17	44.58	0	20652	Uranor Inc	100.00
24I14	CDC	2010685	Actif	2006-05-18	2008-05-17	44.58	0	20652	Uranor Inc	100.00
24I14	CDC	2010686	Actif	2006-05-18	2008-05-17	44.58	0	20652	Uranor Inc	100.00
24I14	CDC	2010687	Actif	2006-05-18	2008-05-17	44.58	0	20652	Uranor Inc	100.00
24I14	CDC	2011133	Actif	2006-05-23	2008-05-22	44.58	0	20652	Uranor Inc	100.00
24I14	CDC	2011134	Actif	2006-05-23	2008-05-22	44.58	0	20652	Uranor Inc	100.00
24I14	CDC	2011135	Actif	2006-05-23	2008-05-22	44.58	0	20652	Uranor Inc	100.00
24I14	CDC	2011143	Actif	2006-05-23	2008-05-22	44.58	0	20652	Uranor Inc	100.00
24I14	CDC	2011136	Actif	2006-05-23	2008-05-22	44.58	0	20652	Uranor Inc	100.00
24I14	CDC	2011137	Actif	2006-05-23	2008-05-22	44.58	0	20652	Uranor Inc	100.00
24I14	CDC	2011138	Actif	2006-05-23	2008-05-22	44.58	0	20652	Uranor Inc	100.00
24I14	CDC	2011139	Actif	2006-05-23	2008-05-22	44.58	0	20652	Uranor Inc	100.00
24I14	CDC	2011140	Actif	2006-05-23	2008-05-22	44.58	0	20652	Uranor Inc	100.00
24I14	CDC	2011141	Actif	2006-05-23	2008-05-22	44.58	0	20652	Uranor Inc	100.00
24I14	CDC	2011142	Actif	2006-05-23	2008-05-22	44.58	0	20652	Uranor Inc	100.00
24I14	CDC	2011284	Actif	2006-05-23	2008-05-22	44.58	0	20652	Uranor Inc	100.00
24I14	CDC	2011285	Actif	2006-05-23	2008-05-22	44.58	0	20652	Uranor Inc	100.00
24I14	CDC	2011898	Actif	2006-05-24	2008-05-23	44.58	0	20652	Uranor Inc	100.00
24I14	CDC	2011899	Actif	2006-05-24	2008-05-23	44.58	0	20652	Uranor Inc	100.00
24I14	CDC	2011900	Actif	2006-05-24	2008-05-23	44.58	0	20652	Uranor Inc	100.00
24I14	CDC	2011901	Actif	2006-05-24	2008-05-23	44.58	0	20652	Uranor Inc	100.00
24I14	CDC	2011902	Actif	2006-05-24	2008-05-23	44.58	0	20652	Uranor Inc	100.00
24I14	CDC	2011903	Actif	2006-05-24	2008-05-23	44.58	0	20652	Uranor Inc	100.00
24I14	CDC	2011904	Actif	2006-05-24	2008-05-23	44.58	0	20652	Uranor Inc	100.00
24I14	CDC	2011905	Actif	2006-05-24	2008-05-23	44.58	0	20652	Uranor Inc	100.00
24I14	CDC	2011906	Actif	2006-05-24	2008-05-23	44.58	0	20652	Uranor Inc	100.00
24I14	CDC	2011907	Actif	2006-05-24	2008-05-23	44.58	0	20652	Uranor Inc	100.00
24I14	CDC	2012324	Actif	2006-05-24	2008-05-23	44.58	0	20652	Uranor Inc	100.00
24I14	CDC	2012325	Actif	2006-05-24	2008-05-23	44.58	0	20652	Uranor Inc	100.00
24I14	CDC	2012326	Actif	2006-05-24	2008-05-23	44.58	0	20652	Uranor Inc	100.00
24I14	CDC	2012327	Actif	2006-05-24	2008-05-23	44.58	0	20652	Uranor Inc	100.00
24I14	CDC	2012328	Actif	2006-05-24	2008-05-23	44.57	0	20652	Uranor Inc	100.00
24I14	CDC	2012329	Actif	2006-05-24	2008-05-23	44.57	0	20652	Uranor Inc	100.00
24I14	CDC	2012869	Actif	2006-05-25	2008-05-24	44.57	0	20652	Uranor Inc	100.00
24I14	CDC	2012870	Actif	2006-05-25	2008-05-24	44.57	0	20652	Uranor Inc	100.00
24I14	CDC	2012871	Actif	2006-05-25	2008-05-24	44.57	0	20652	Uranor Inc	100.00
24I14	CDC	2012872	Actif	2006-05-25	2008-05-24	44.57	0	20652	Uranor Inc	100.00
24I14	CDC	2012873	Actif	2006-05-25	2008-05-24	44.57	0	20652	Uranor Inc	100.00

Tableau 6.1 - Tableau descriptif des claims actifs et en demande d'Uranor Inc. du projet CAGE 2006

Feuillet	Type de titre	No titre	Statut du titre	Date d'inscription	Date d'expiration	Superficie (Ha)	Excédent ($)	No détenteur	Nom du détenteur	Pourcentage (%)
24I14	CDC	2012874	Actif	2006-05-25	2008-05-24	44.57	0	20652	Uranor Inc	100.00
24I14	CDC	2013710	Actif	2006-05-29	2008-05-28	44.57	0	20652	Uranor Inc	100.00
24I14	CDC	2013709	Actif	2006-05-29	2008-05-28	44.57	0	20652	Uranor Inc	100.00
24I14	CDC	98248	Actif	2005-10-12	2007-10-11	44.57	0	20652	Uranor Inc	100.00
24I14	CDC	98249	Actif	2005-10-12	2007-10-11	44.57	0	20652	Uranor Inc	100.00
24I14	CDC	98250	Actif	2005-10-12	2007-10-11	44.57	0	20652	Uranor Inc	100.00
24I14	CDC	98251	Actif	2005-10-12	2007-10-11	44.57	0	20652	Uranor Inc	100.00
24I14	CDC	98252	Actif	2005-10-12	2007-10-11	44.57	0	20652	Uranor Inc	100.00
24I14	CDC	98253	Actif	2005-10-12	2007-10-11	44.57	0	20652	Uranor Inc	100.00
24I14	CDC	98254	Actif	2005-10-12	2007-10-11	44.57	0	20652	Uranor Inc	100.00
24I14	CDC	98255	Actif	2005-10-12	2007-10-11	44.57	0	20652	Uranor Inc	100.00
24I14	CDC	2008257	Actif	2006-05-12	2008-05-11	44.57	0	20652	Uranor Inc	100.00
24I14	CDC	2008256	Actif	2006-05-12	2008-05-11	44.57	0	20652	Uranor Inc	100.00
24I14	CDC	2010688	Actif	2006-05-18	2008-05-17	44.57	0	20652	Uranor Inc	100.00
24I14	CDC	2010689	Actif	2006-05-18	2008-05-17	44.57	0	20652	Uranor Inc	100.00
24I14	CDC	2010690	Actif	2006-05-18	2008-05-17	44.57	0	20652	Uranor Inc	100.00
24I14	CDC	2010691	Actif	2006-05-18	2008-05-17	44.57	0	20652	Uranor Inc	100.00
24I14	CDC	2010692	Actif	2006-05-18	2008-05-17	44.57	0	20652	Uranor Inc	100.00
24I14	CDC	2010693	Actif	2006-05-18	2008-05-17	44.57	0	20652	Uranor Inc	100.00
24I14	CDC	2010694	Actif	2006-05-18	2008-05-17	44.57	0	20652	Uranor Inc	100.00
24I14	CDC	2010695	Actif	2006-05-18	2008-05-17	44.57	0	20652	Uranor Inc	100.00
24I14	CDC	2010696	Actif	2006-05-18	2008-05-17	44.57	0	20652	Uranor Inc	100.00
24I14	CDC	2010697	Actif	2006-05-18	2008-05-17	44.57	0	20652	Uranor Inc	100.00
24I14	CDC	2010698	Actif	2006-05-18	2008-05-17	44.57	0	20652	Uranor Inc	100.00
24I14	CDC	2010699	Actif	2006-05-18	2008-05-17	44.57	0	20652	Uranor Inc	100.00
24I14	CDC	2010700	Actif	2006-05-18	2008-05-17	44.57	0	20652	Uranor Inc	100.00
24I14	CDC	2011144	Actif	2006-05-23	2008-05-22	44.57	0	20652	Uranor Inc	100.00
24I14	CDC	2011145	Actif	2006-05-23	2008-05-22	44.57	0	20652	Uranor Inc	100.00
24I14	CDC	2011146	Actif	2006-05-23	2008-05-22	44.57	0	20652	Uranor Inc	100.00
24I14	CDC	2011147	Actif	2006-05-23	2008-05-22	44.57	0	20652	Uranor Inc	100.00
24I14	CDC	2011148	Actif	2006-05-23	2008-05-22	44.57	0	20652	Uranor Inc	100.00
24I14	CDC	2011149	Actif	2006-05-23	2008-05-22	44.57	0	20652	Uranor Inc	100.00
24I14	CDC	2011150	Actif	2006-05-23	2008-05-22	44.57	0	20652	Uranor Inc	100.00
24I14	CDC	2011151	Actif	2006-05-23	2008-05-22	44.57	0	20652	Uranor Inc	100.00
24I14	CDC	2011152	Actif	2006-05-23	2008-05-22	44.57	0	20652	Uranor Inc	100.00
24I14	CDC	2011154	Actif	2006-05-23	2008-05-22	44.57	0	20652	Uranor Inc	100.00
24I14	CDC	2011153	Actif	2006-05-23	2008-05-22	44.57	0	20652	Uranor Inc	100.00
24I14	CDC	2011286	Actif	2006-05-23	2008-05-22	44.57	0	20652	Uranor Inc	100.00
24I14	CDC	2011287	Actif	2006-05-23	2008-05-22	44.57	0	20652	Uranor Inc	100.00
24I14	CDC	2011908	Actif	2006-05-24	2008-05-23	44.57	0	20652	Uranor Inc	100.00
24I14	CDC	2011909	Actif	2006-05-24	2008-05-23	44.57	0	20652	Uranor Inc	100.00
24I14	CDC	2011915	Actif	2006-05-24	2008-05-23	44.57	0	20652	Uranor Inc	100.00

Tableau 6.1 - Tableau descriptif des claims actifs et en demande d'Uranor Inc. du projet CAGE 2006

Feuillet	Type de titre	No titre	Statut du titre	Date d'inscription	Date d'expiration	Superficie (Ha)	Excédent ($)	No détenteur	Nom du détenteur	Pourcentage (%)
24I14	CDC	2011910	Actif	2006-05-24	2008-05-23	44.57	0	20652	Uranor Inc	100.00
24I14	CDC	2011911	Actif	2006-05-24	2008-05-23	44.57	0	20652	Uranor Inc	100.00
24I14	CDC	2011912	Actif	2006-05-24	2008-05-23	44.57	0	20652	Uranor Inc	100.00
24I14	CDC	2011913	Actif	2006-05-24	2008-05-23	44.57	0	20652	Uranor Inc	100.00
24I14	CDC	2011914	Actif	2006-05-24	2008-05-23	44.57	0	20652	Uranor Inc	100.00
24I14	CDC	2011916	Actif	2006-05-24	2008-05-23	44.57	0	20652	Uranor Inc	100.00
24I14	CDC	2012330	Actif	2006-05-24	2008-05-23	44.56	0	20652	Uranor Inc	100.00
24I14	CDC	2012331	Actif	2006-05-24	2008-05-23	44.56	0	20652	Uranor Inc	100.00
24I14	CDC	2012332	Actif	2006-05-24	2008-05-23	44.56	0	20652	Uranor Inc	100.00
24I14	CDC	2012875	Actif	2006-05-25	2008-05-24	44.56	0	20652	Uranor Inc	100.00
24I14	CDC	2012876	Actif	2006-05-25	2008-05-24	44.56	0	20652	Uranor Inc	100.00
24I14	CDC	2012877	Actif	2006-05-25	2008-05-24	44.56	0	20652	Uranor Inc	100.00
24I14	CDC	2012878	Actif	2006-05-25	2008-05-24	44.56	0	20652	Uranor Inc	100.00
24I14	CDC	2012879	Actif	2006-05-25	2008-05-24	44.56	0	20652	Uranor Inc	100.00
24I14	CDC	2012880	Actif	2006-05-25	2008-05-24	44.56	0	20652	Uranor Inc	100.00
24I14	CDC	2012881	Actif	2006-05-25	2008-05-24	44.56	0	20652	Uranor Inc	100.00
24I14	CDC	2012882	Actif	2006-05-25	2008-05-24	44.56	0	20652	Uranor Inc	100.00
24I14	CDC	2012883	Actif	2006-05-25	2008-05-24	44.56	0	20652	Uranor Inc	100.00
24I14	CDC	2012884	Actif	2006-05-25	2008-05-24	44.56	0	20652	Uranor Inc	100.00
24I14	CDC	98256	Actif	2005-10-12	2007-10-11	44.56	0	20652	Uranor Inc	100.00
24I14	CDC	98257	Actif	2005-10-12	2007-10-11	44.56	0	20652	Uranor Inc	100.00
24I14	CDC	98258	Actif	2005-10-12	2007-10-11	44.56	0	20652	Uranor Inc	100.00
24I14	CDC	98259	Actif	2005-10-12	2007-10-11	44.56	0	20652	Uranor Inc	100.00
24I14	CDC	98260	Actif	2005-10-12	2007-10-11	44.56	0	20652	Uranor Inc	100.00
24I14	CDC	98261	Actif	2005-10-12	2007-10-11	44.56	0	20652	Uranor Inc	100.00
24I14	CDC	98262	Actif	2005-10-12	2007-10-11	44.56	0	20652	Uranor Inc	100.00
24I14	CDC	98263	Actif	2005-10-12	2007-10-11	44.56	0	20652	Uranor Inc	100.00
24I14	CDC	2008258	Actif	2006-05-12	2008-05-11	44.56	0	20652	Uranor Inc	100.00
24I14	CDC	2008259	Actif	2006-05-12	2008-05-11	44.56	0	20652	Uranor Inc	100.00
24I14	CDC	2010701	Actif	2006-05-18	2008-05-17	44.56	0	20652	Uranor Inc	100.00
24I14	CDC	2010702	Actif	2006-05-18	2008-05-17	44.56	0	20652	Uranor Inc	100.00
24I14	CDC	2010703	Actif	2006-05-18	2008-05-17	44.56	0	20652	Uranor Inc	100.00
24I14	CDC	2010704	Actif	2006-05-18	2008-05-17	44.56	0	20652	Uranor Inc	100.00
24I14	CDC	2010705	Actif	2006-05-18	2008-05-17	44.56	0	20652	Uranor Inc	100.00
24I14	CDC	2010706	Actif	2006-05-18	2008-05-17	44.56	0	20652	Uranor Inc	100.00
24I14	CDC	2010707	Actif	2006-05-18	2008-05-17	44.56	0	20652	Uranor Inc	100.00
24I14	CDC	2010708	Actif	2006-05-18	2008-05-17	44.56	0	20652	Uranor Inc	100.00
24I14	CDC	2010709	Actif	2006-05-18	2008-05-17	44.56	0	20652	Uranor Inc	100.00
24I14	CDC	2010710	Actif	2006-05-18	2008-05-17	44.56	0	20652	Uranor Inc	100.00
24I14	CDC	2010711	Actif	2006-05-18	2008-05-17	44.56	0	20652	Uranor Inc	100.00
24I14	CDC	2010712	Actif	2006-05-18	2008-05-17	44.56	0	20652	Uranor Inc	100.00
24I14	CDC	2010713	Actif	2006-05-18	2008-05-17	44.56	0	20652	Uranor Inc	100.00

Tableau 6.1 - Tableau descriptif des claims actifs et en demande d'Uranor Inc. du projet CAGE 2006

Feuillet	Type de titre	No titre	Statut du titre	Date d'inscription	Date d'expiration	Superficie (Ha)	Excédent ($)	No détenteur	Nom du détenteur	Pourcentage (%)
24I14	CDC	2010714	Actif	2006-05-18	2008-05-17	44.56	0	20652	Uranor Inc	100.00
24I14	CDC	2011155	Actif	2006-05-23	2008-05-22	44.56	0	20652	Uranor Inc	100.00
24I14	CDC	2011156	Actif	2006-05-23	2008-05-22	44.56	0	20652	Uranor Inc	100.00
24I14	CDC	2011157	Actif	2006-05-23	2008-05-22	44.56	0	20652	Uranor Inc	100.00
24I14	CDC	2011158	Actif	2006-05-23	2008-05-22	44.56	0	20652	Uranor Inc	100.00
24I14	CDC	2011159	Actif	2006-05-23	2008-05-22	44.56	0	20652	Uranor Inc	100.00
24I14	CDC	2011160	Actif	2006-05-23	2008-05-22	44.56	0	20652	Uranor Inc	100.00
24I14	CDC	2011161	Actif	2006-05-23	2008-05-22	44.56	0	20652	Uranor Inc	100.00
24I14	CDC	2011162	Actif	2006-05-23	2008-05-22	44.56	0	20652	Uranor Inc	100.00
24I14	CDC	2011163	Actif	2006-05-23	2008-05-22	44.56	0	20652	Uranor Inc	100.00
24I14	CDC	2011164	Actif	2006-05-23	2008-05-22	44.56	0	20652	Uranor Inc	100.00
24I14	CDC	2011165	Actif	2006-05-23	2008-05-22	44.56	0	20652	Uranor Inc	100.00
24I14	CDC	2011917	Actif	2006-05-24	2008-05-23	44.56	0	20652	Uranor Inc	100.00
24I14	CDC	2011918	Actif	2006-05-24	2008-05-23	44.56	0	20652	Uranor Inc	100.00
24I14	CDC	2011919	Actif	2006-05-24	2008-05-23	44.56	0	20652	Uranor Inc	100.00
24I14	CDC	2011920	Actif	2006-05-24	2008-05-23	44.56	0	20652	Uranor Inc	100.00
24I14	CDC	2011921	Actif	2006-05-24	2008-05-23	44.56	0	20652	Uranor Inc	100.00
24I14	CDC	2011922	Actif	2006-05-24	2008-05-23	44.56	0	20652	Uranor Inc	100.00
24I14	CDC	2011923	Actif	2006-05-24	2008-05-23	44.55	0	20652	Uranor Inc	100.00
24I14	CDC	2011924	Actif	2006-05-24	2008-05-23	44.55	0	20652	Uranor Inc	100.00
24I14	CDC	2012333	Actif	2006-05-24	2008-05-23	44.55	0	20652	Uranor Inc	100.00
24I14	CDC	2012334	Actif	2006-05-24	2008-05-23	44.55	0	20652	Uranor Inc	100.00
24I14	CDC	2012335	Actif	2006-05-24	2008-05-23	44.55	0	20652	Uranor Inc	100.00
24I14	CDC	2012336	Actif	2006-05-24	2008-05-23	44.55	0	20652	Uranor Inc	100.00
24I14	CDC	2012885	Actif	2006-05-25	2008-05-24	44.55	0	20652	Uranor Inc	100.00
24I14	CDC	2012886	Actif	2006-05-25	2008-05-24	44.55	0	20652	Uranor Inc	100.00
24I14	CDC	2012887	Actif	2006-05-25	2008-05-24	44.55	0	20652	Uranor Inc	100.00
24I14	CDC	2012888	Actif	2006-05-25	2008-05-24	44.55	0	20652	Uranor Inc	100.00
24I14	CDC	2012889	Actif	2006-05-25	2008-05-24	44.55	0	20652	Uranor Inc	100.00
24I14	CDC	2012890	Actif	2006-05-25	2008-05-24	44.55	0	20652	Uranor Inc	100.00
24I14	CDC	2012891	Actif	2006-05-25	2008-05-24	44.55	0	20652	Uranor Inc	100.00
24I14	CDC	2012892	Actif	2006-05-25	2008-05-24	44.55	0	20652	Uranor Inc	100.00
24I14	CDC	2012893	Actif	2006-05-25	2008-05-24	44.55	0	20652	Uranor Inc	100.00
24I14	CDC	2012894	Actif	2006-05-25	2008-05-24	44.55	0	20652	Uranor Inc	100.00
24I14	CDC	2012895	Actif	2006-05-25	2008-05-24	44.55	0	20652	Uranor Inc	100.00
24I14	CDC	98264	Actif	2005-10-12	2007-10-11	44.55	0	20652	Uranor Inc	100.00
24I14	CDC	98265	Actif	2005-10-12	2007-10-11	44.55	0	20652	Uranor Inc	100.00
24I14	CDC	98266	Actif	2005-10-12	2007-10-11	44.55	0	20652	Uranor Inc	100.00
24I14	CDC	98267	Actif	2005-10-12	2007-10-11	44.55	0	20652	Uranor Inc	100.00
24I14	CDC	98268	Actif	2005-10-12	2007-10-11	44.55	0	20652	Uranor Inc	100.00
24I14	CDC	98269	Actif	2005-10-12	2007-10-11	44.55	0	20652	Uranor Inc	100.00
24I14	CDC	98270	Actif	2005-10-12	2007-10-11	44.55	0	20652	Uranor Inc	100.00

Tableau 6.1 - Tableau descriptif des claims actifs et en demande d'Uranor Inc. du projet CAGE 2006

Feuillet	Type de titre	No titre	Statut du titre	Date d'inscription	Date d'expiration	Superficie (Ha)	Excédent ($)	No détenteur	Nom du détenteur	Pourcentage (%)
24I14	CDC	2008260	Actif	2006-05-12	2008-05-11	44.55	0	20652	Uranor Inc	100.00
24I14	CDC	2008261	Actif	2006-05-12	2008-05-11	44.55	0	20652	Uranor Inc	100.00
24I14	CDC	2008262	Actif	2006-05-12	2008-05-11	44.55	0	20652	Uranor Inc	100.00
24I14	CDC	2010715	Actif	2006-05-18	2008-05-17	44.55	0	20652	Uranor Inc	100.00
24I14	CDC	2010716	Actif	2006-05-18	2008-05-17	44.55	0	20652	Uranor Inc	100.00
24I14	CDC	2010717	Actif	2006-05-18	2008-05-17	44.55	0	20652	Uranor Inc	100.00
24I14	CDC	2010727	Actif	2006-05-18	2008-05-17	44.55	0	20652	Uranor Inc	100.00
24I14	CDC	2010718	Actif	2006-05-18	2008-05-17	44.55	0	20652	Uranor Inc	100.00
24I14	CDC	2010719	Actif	2006-05-18	2008-05-17	44.55	0	20652	Uranor Inc	100.00
24I14	CDC	2010720	Actif	2006-05-18	2008-05-17	44.55	0	20652	Uranor Inc	100.00
24I14	CDC	2010721	Actif	2006-05-18	2008-05-17	44.55	0	20652	Uranor Inc	100.00
24I14	CDC	2010722	Actif	2006-05-18	2008-05-17	44.55	0	20652	Uranor Inc	100.00
24I14	CDC	2010728	Actif	2006-05-18	2008-05-17	44.55	0	20652	Uranor Inc	100.00
24I14	CDC	2010723	Actif	2006-05-18	2008-05-17	44.55	0	20652	Uranor Inc	100.00
24I14	CDC	2010724	Actif	2006-05-18	2008-05-17	44.55	0	20652	Uranor Inc	100.00
24I14	CDC	2010725	Actif	2006-05-18	2008-05-17	44.55	0	20652	Uranor Inc	100.00
24I14	CDC	2010726	Actif	2006-05-18	2008-05-17	44.55	0	20652	Uranor Inc	100.00
24I14	CDC	2011166	Actif	2006-05-23	2008-05-22	44.55	0	20652	Uranor Inc	100.00
24I14	CDC	2011175	Actif	2006-05-23	2008-05-22	44.55	0	20652	Uranor Inc	100.00
24I14	CDC	2011167	Actif	2006-05-23	2008-05-22	44.55	0	20652	Uranor Inc	100.00
24I14	CDC	2011168	Actif	2006-05-23	2008-05-22	44.55	0	20652	Uranor Inc	100.00
24I14	CDC	2011169	Actif	2006-05-23	2008-05-22	44.55	0	20652	Uranor Inc	100.00
24I14	CDC	2011170	Actif	2006-05-23	2008-05-22	44.55	0	20652	Uranor Inc	100.00
24I14	CDC	2011171	Actif	2006-05-23	2008-05-22	44.55	0	20652	Uranor Inc	100.00
24I14	CDC	2011172	Actif	2006-05-23	2008-05-22	44.55	0	20652	Uranor Inc	100.00
24I14	CDC	2011173	Actif	2006-05-23	2008-05-22	44.55	0	20652	Uranor Inc	100.00
24I14	CDC	2011174	Actif	2006-05-23	2008-05-22	44.55	0	20652	Uranor Inc	100.00
24I14	CDC	2011925	Actif	2006-05-24	2008-05-23	44.55	0	20652	Uranor Inc	100.00
24I14	CDC	2011926	Actif	2006-05-24	2008-05-23	44.55	0	20652	Uranor Inc	100.00
24I14	CDC	2011927	Actif	2006-05-24	2008-05-23	44.54	0	20652	Uranor Inc	100.00
24I14	CDC	2011928	Actif	2006-05-24	2008-05-23	44.54	0	20652	Uranor Inc	100.00
24I14	CDC	2011929	Actif	2006-05-24	2008-05-23	44.54	0	20652	Uranor Inc	100.00
24I14	CDC	2011930	Actif	2006-05-24	2008-05-23	44.54	0	20652	Uranor Inc	100.00
24I14	CDC	2011931	Actif	2006-05-24	2008-05-23	44.54	0	20652	Uranor Inc	100.00
24I14	CDC	2011932	Actif	2006-05-24	2008-05-23	44.54	0	20652	Uranor Inc	100.00
24I14	CDC	2012337	Actif	2006-05-24	2008-05-23	44.54	0	20652	Uranor Inc	100.00
24I14	CDC	2012338	Actif	2006-05-24	2008-05-23	44.54	0	20652	Uranor Inc	100.00
24I14	CDC	2012339	Actif	2006-05-24	2008-05-23	44.54	0	20652	Uranor Inc	100.00
24I14	CDC	2012896	Actif	2006-05-25	2008-05-24	44.54	0	20652	Uranor Inc	100.00
24I14	CDC	2012897	Actif	2006-05-25	2008-05-24	44.54	0	20652	Uranor Inc	100.00
24I14	CDC	2012898	Actif	2006-05-25	2008-05-24	44.54	0	20652	Uranor Inc	100.00
24I14	CDC	2012899	Actif	2006-05-25	2008-05-24	44.54	0	20652	Uranor Inc	100.00

Tableau 6.1 - Tableau descriptif des claims actifs et en demande d'Uranor Inc. du projet CAGE 2006

Feuillet	Type de titre	No titre	Statut du titre	Date d'inscription	Date d'expiration	Superficie (Ha)	Excédent ($)	No détenteur	Nom du détenteur	Pourcentage (%)
24I14	CDC	2012906	Actif	2006-05-25	2008-05-24	44.54	0	20652	Uranor Inc	100.00
24I14	CDC	2012900	Actif	2006-05-25	2008-05-24	44.54	0	20652	Uranor Inc	100.00
24I14	CDC	2012901	Actif	2006-05-25	2008-05-24	44.54	0	20652	Uranor Inc	100.00
24I14	CDC	2012902	Actif	2006-05-25	2008-05-24	44.54	0	20652	Uranor Inc	100.00
24I14	CDC	2012903	Actif	2006-05-25	2008-05-24	44.54	0	20652	Uranor Inc	100.00
24I14	CDC	2012904	Actif	2006-05-25	2008-05-24	44.54	0	20652	Uranor Inc	100.00
24I14	CDC	2012907	Actif	2006-05-25	2008-05-24	44.54	0	20652	Uranor Inc	100.00
24I14	CDC	2012905	Actif	2006-05-25	2008-05-24	44.54	0	20652	Uranor Inc	100.00
24I14	CDC	98271	Actif	2005-10-12	2007-10-11	44.54	0	20652	Uranor Inc	100.00
24I14	CDC	98272	Actif	2005-10-12	2007-10-11	44.54	0	20652	Uranor Inc	100.00
24I14	CDC	98273	Actif	2005-10-12	2007-10-11	44.54	0	20652	Uranor Inc	100.00
24I14	CDC	98274	Actif	2005-10-12	2007-10-11	44.54	0	20652	Uranor Inc	100.00
24I14	CDC	98275	Actif	2005-10-12	2007-10-11	44.54	0	20652	Uranor Inc	100.00
24I14	CDC	98276	Actif	2005-10-12	2007-10-11	44.54	0	20652	Uranor Inc	100.00
24I14	CDC	2008263	Actif	2006-05-12	2008-05-11	44.54	0	20652	Uranor Inc	100.00
24I14	CDC	2008264	Actif	2006-05-12	2008-05-11	44.54	0	20652	Uranor Inc	100.00
24I14	CDC	2008265	Actif	2006-05-12	2008-05-11	44.54	0	20652	Uranor Inc	100.00
24I14	CDC	2008266	Actif	2006-05-12	2008-05-11	44.54	0	20652	Uranor Inc	100.00
24I14	CDC	2010729	Actif	2006-05-18	2008-05-17	44.54	0	20652	Uranor Inc	100.00
24I14	CDC	2010730	Actif	2006-05-18	2008-05-17	44.54	0	20652	Uranor Inc	100.00
24I14	CDC	2010731	Actif	2006-05-18	2008-05-17	44.54	0	20652	Uranor Inc	100.00
24I14	CDC	2010732	Actif	2006-05-18	2008-05-17	44.54	0	20652	Uranor Inc	100.00
24I14	CDC	2010733	Actif	2006-05-18	2008-05-17	44.54	0	20652	Uranor Inc	100.00
24I14	CDC	2010734	Actif	2006-05-18	2008-05-17	44.54	0	20652	Uranor Inc	100.00
24I14	CDC	2010735	Actif	2006-05-18	2008-05-17	44.54	0	20652	Uranor Inc	100.00
24I14	CDC	2010736	Actif	2006-05-18	2008-05-17	44.54	0	20652	Uranor Inc	100.00
24I14	CDC	2010737	Actif	2006-05-18	2008-05-17	44.54	0	20652	Uranor Inc	100.00
24I14	CDC	2010738	Actif	2006-05-18	2008-05-17	44.54	0	20652	Uranor Inc	100.00
24I14	CDC	2010739	Actif	2006-05-18	2008-05-17	44.54	0	20652	Uranor Inc	100.00
24I14	CDC	2010740	Actif	2006-05-18	2008-05-17	44.54	0	20652	Uranor Inc	100.00
24I14	CDC	2010741	Actif	2006-05-18	2008-05-17	44.54	0	20652	Uranor Inc	100.00
24I14	CDC	2010742	Actif	2006-05-18	2008-05-17	44.54	0	20652	Uranor Inc	100.00
24I14	CDC	2011176	Actif	2006-05-23	2008-05-22	44.54	0	20652	Uranor Inc	100.00
24I14	CDC	2011177	Actif	2006-05-23	2008-05-22	44.54	0	20652	Uranor Inc	100.00
24I14	CDC	2011178	Actif	2006-05-23	2008-05-22	44.54	0	20652	Uranor Inc	100.00
24I14	CDC	2011179	Actif	2006-05-23	2008-05-22	44.54	0	20652	Uranor Inc	100.00
24I14	CDC	2011180	Actif	2006-05-23	2008-05-22	44.54	0	20652	Uranor Inc	100.00
24I14	CDC	2011181	Actif	2006-05-23	2008-05-22	44.54	0	20652	Uranor Inc	100.00
24I14	CDC	2011182	Actif	2006-05-23	2008-05-22	44.54	0	20652	Uranor Inc	100.00
24I14	CDC	2011185	Actif	2006-05-23	2008-05-22	44.53	0	20652	Uranor Inc	100.00
24I14	CDC	2011184	Actif	2006-05-23	2008-05-22	44.53	0	20652	Uranor Inc	100.00
24I14	CDC	2011933	Actif	2006-05-24	2008-05-23	44.53	0	20652	Uranor Inc	100.00

Tableau 6.1 - Tableau descriptif des claims actifs et en demande d'Uranor Inc. du projet CAGE 2006

Feuillet	Type de titre	No titre	Statut du titre	Date d'inscription	Date d'expiration	Superficie (Ha)	Excédent ($)	No détenteur	Nom du détenteur	Pourcentage (%)
24I14	CDC	2011934	Actif	2006-05-24	2008-05-23	44.53	0	20652	Uranor Inc	100.00
24I14	CDC	2011935	Actif	2006-05-24	2008-05-23	44.53	0	20652	Uranor Inc	100.00
24I14	CDC	2011936	Actif	2006-05-24	2008-05-23	44.53	0	20652	Uranor Inc	100.00
24I14	CDC	2012340	Actif	2006-05-24	2008-05-23	44.53	0	20652	Uranor Inc	100.00
24I14	CDC	2012341	Actif	2006-05-24	2008-05-23	44.53	0	20652	Uranor Inc	100.00
24I14	CDC	2012342	Actif	2006-05-24	2008-05-23	44.53	0	20652	Uranor Inc	100.00
24I14	CDC	2012343	Actif	2006-05-24	2008-05-23	44.53	0	20652	Uranor Inc	100.00
24I14	CDC	2012344	Actif	2006-05-24	2008-05-23	44.53	0	20652	Uranor Inc	100.00
24I14	CDC	2012345	Actif	2006-05-24	2008-05-23	44.53	0	20652	Uranor Inc	100.00
24I14	CDC	2012346	Actif	2006-05-24	2008-05-23	44.53	0	20652	Uranor Inc	100.00
24I14	CDC	2012908	Actif	2006-05-25	2008-05-24	44.53	0	20652	Uranor Inc	100.00
24I14	CDC	2012909	Actif	2006-05-25	2008-05-24	44.53	0	20652	Uranor Inc	100.00
24I14	CDC	2012910	Actif	2006-05-25	2008-05-24	44.53	0	20652	Uranor Inc	100.00
24I14	CDC	2012911	Actif	2006-05-25	2008-05-24	44.53	0	20652	Uranor Inc	100.00
24I14	CDC	2012912	Actif	2006-05-25	2008-05-24	44.53	0	20652	Uranor Inc	100.00
24I14	CDC	2012913	Actif	2006-05-25	2008-05-24	44.53	0	20652	Uranor Inc	100.00
24I14	CDC	2012914	Actif	2006-05-25	2008-05-24	44.53	0	20652	Uranor Inc	100.00
24I14	CDC	2012915	Actif	2006-05-25	2008-05-24	44.53	0	20652	Uranor Inc	100.00
24I14	CDC	2012916	Actif	2006-05-25	2008-05-24	44.53	0	20652	Uranor Inc	100.00
24I14	CDC	2012917	Actif	2006-05-25	2008-05-24	44.53	0	20652	Uranor Inc	100.00
24I14	CDC	2012918	Actif	2006-05-25	2008-05-24	44.53	0	20652	Uranor Inc	100.00
24I14	CDC	2012919	Actif	2006-05-25	2008-05-24	44.53	0	20652	Uranor Inc	100.00
24I14	CDC	98277	Actif	2005-10-12	2007-10-11	44.53	0	20652	Uranor Inc	100.00
24I14	CDC	98278	Actif	2005-10-12	2007-10-11	44.53	0	20652	Uranor Inc	100.00
24I14	CDC	98279	Actif	2005-10-12	2007-10-11	44.53	0	20652	Uranor Inc	100.00
24I14	CDC	98280	Actif	2005-10-12	2007-10-11	44.53	0	20652	Uranor Inc	100.00
24I14	CDC	98281	Actif	2005-10-12	2007-10-11	44.53	0	20652	Uranor Inc	100.00
24I14	CDC	2008267	Actif	2006-05-12	2008-05-11	44.53	0	20652	Uranor Inc	100.00
24I14	CDC	2008268	Actif	2006-05-12	2008-05-11	44.53	0	20652	Uranor Inc	100.00
24I14	CDC	2008269	Actif	2006-05-12	2008-05-11	44.53	0	20652	Uranor Inc	100.00
24I14	CDC	2008270	Actif	2006-05-12	2008-05-11	44.53	0	20652	Uranor Inc	100.00
24I14	CDC	2010743	Actif	2006-05-18	2008-05-17	44.53	0	20652	Uranor Inc	100.00
24I14	CDC	2010744	Actif	2006-05-18	2008-05-17	44.53	0	20652	Uranor Inc	100.00
24I14	CDC	2010745	Actif	2006-05-18	2008-05-17	44.53	0	20652	Uranor Inc	100.00
24I14	CDC	2010746	Actif	2006-05-18	2008-05-17	44.53	0	20652	Uranor Inc	100.00
24I14	CDC	2010747	Actif	2006-05-18	2008-05-17	44.53	0	20652	Uranor Inc	100.00
24I14	CDC	2010748	Actif	2006-05-18	2008-05-17	44.53	0	20652	Uranor Inc	100.00
24I14	CDC	2010749	Actif	2006-05-18	2008-05-17	44.53	0	20652	Uranor Inc	100.00
24I14	CDC	2010750	Actif	2006-05-18	2008-05-17	44.53	0	20652	Uranor Inc	100.00
24I14	CDC	2010751	Actif	2006-05-18	2008-05-17	44.53	0	20652	Uranor Inc	100.00
24I14	CDC	2010752	Actif	2006-05-18	2008-05-17	44.53	0	20652	Uranor Inc	100.00
24I14	CDC	2010753	Actif	2006-05-18	2008-05-17	44.53	0	20652	Uranor Inc	100.00

Tableau 6.1 - Tableau descriptif des claims actifs et en demande d'Uranor Inc. du projet CAGE 2006

Feuillet	Type de titre	No titre	Statut du titre	Date d'inscription	Date d'expiration	Superficie (Ha)	Excédent ($)	No détenteur	Nom du détenteur	Pourcentage (%)
24I14	CDC	2010754	Actif	2006-05-18	2008-05-17	44.53	0	20652	Uranor Inc	100.00
24I14	CDC	2010755	Actif	2006-05-18	2008-05-17	44.53	0	20652	Uranor Inc	100.00
24I14	CDC	2010756	Actif	2006-05-18	2008-05-17	44.53	0	20652	Uranor Inc	100.00
24I14	CDC	2010757	Actif	2006-05-18	2008-05-17	44.53	0	20652	Uranor Inc	100.00
24I14	CDC	2011183	Actif	2006-05-23	2008-05-22	44.53	0	20652	Uranor Inc	100.00
24I14	CDC	2011186	Actif	2006-05-23	2008-05-22	44.52	0	20652	Uranor Inc	100.00
24I14	CDC	2011187	Actif	2006-05-23	2008-05-22	44.52	0	20652	Uranor Inc	100.00
24I14	CDC	2011188	Actif	2006-05-23	2008-05-22	44.52	0	20652	Uranor Inc	100.00
24I14	CDC	2011189	Actif	2006-05-23	2008-05-22	44.52	0	20652	Uranor Inc	100.00
24I14	CDC	2011192	Actif	2006-05-23	2008-05-22	44.52	0	20652	Uranor Inc	100.00
24I14	CDC	2011190	Actif	2006-05-23	2008-05-22	44.52	0	20652	Uranor Inc	100.00
24I14	CDC	2011191	Actif	2006-05-23	2008-05-22	44.52	0	20652	Uranor Inc	100.00
24I14	CDC	2011937	Actif	2006-05-24	2008-05-23	44.52	0	20652	Uranor Inc	100.00
24I14	CDC	2011938	Actif	2006-05-24	2008-05-23	44.52	0	20652	Uranor Inc	100.00
24I14	CDC	2011939	Actif	2006-05-24	2008-05-23	44.52	0	20652	Uranor Inc	100.00
24I14	CDC	2012347	Actif	2006-05-24	2008-05-23	44.52	0	20652	Uranor Inc	100.00
24I14	CDC	2012348	Actif	2006-05-24	2008-05-23	44.52	0	20652	Uranor Inc	100.00
24I14	CDC	2012349	Actif	2006-05-24	2008-05-23	44.52	0	20652	Uranor Inc	100.00
24I14	CDC	2012350	Actif	2006-05-24	2008-05-23	44.52	0	20652	Uranor Inc	100.00
24I14	CDC	2012351	Actif	2006-05-24	2008-05-23	44.52	0	20652	Uranor Inc	100.00
24I14	CDC	2012352	Actif	2006-05-24	2008-05-23	44.52	0	20652	Uranor Inc	100.00
24I14	CDC	2012353	Actif	2006-05-24	2008-05-23	44.52	0	20652	Uranor Inc	100.00
24I14	CDC	2012354	Actif	2006-05-24	2008-05-23	44.52	0	20652	Uranor Inc	100.00
24I14	CDC	2012920	Actif	2006-05-25	2008-05-24	44.52	0	20652	Uranor Inc	100.00
24I14	CDC	2012921	Actif	2006-05-25	2008-05-24	44.52	0	20652	Uranor Inc	100.00
24I14	CDC	2012922	Actif	2006-05-25	2008-05-24	44.52	0	20652	Uranor Inc	100.00
24I14	CDC	2012923	Actif	2006-05-25	2008-05-24	44.52	0	20652	Uranor Inc	100.00
24I14	CDC	2012924	Actif	2006-05-25	2008-05-24	44.52	0	20652	Uranor Inc	100.00
24I14	CDC	2012925	Actif	2006-05-25	2008-05-24	44.52	0	20652	Uranor Inc	100.00
24I14	CDC	2012926	Actif	2006-05-25	2008-05-24	44.52	0	20652	Uranor Inc	100.00
24I14	CDC	2012927	Actif	2006-05-25	2008-05-24	44.52	0	20652	Uranor Inc	100.00
24I14	CDC	2012928	Actif	2006-05-25	2008-05-24	44.52	0	20652	Uranor Inc	100.00
24I14	CDC	2012929	Actif	2006-05-25	2008-05-24	44.52	0	20652	Uranor Inc	100.00
24I14	CDC	2012930	Actif	2006-05-25	2008-05-24	44.52	0	20652	Uranor Inc	100.00
24I14	CDC	2012931	Actif	2006-05-25	2008-05-24	44.52	0	20652	Uranor Inc	100.00
24I14	CDC	98282	Actif	2005-10-12	2007-10-11	44.52	0	20652	Uranor Inc	100.00
24I14	CDC	98283	Actif	2005-10-12	2007-10-11	44.52	0	20652	Uranor Inc	100.00
24I14	CDC	98284	Actif	2005-10-12	2007-10-11	44.52	0	20652	Uranor Inc	100.00
24I14	CDC	98285	Actif	2005-10-12	2007-10-11	44.52	0	20652	Uranor Inc	100.00
24I14	CDC	2008271	Actif	2006-05-12	2008-05-11	44.52	0	20652	Uranor Inc	100.00
24I14	CDC	2008275	Actif	2006-05-12	2008-05-11	44.52	0	20652	Uranor Inc	100.00
24I14	CDC	2008272	Actif	2006-05-12	2008-05-11	44.52	0	20652	Uranor Inc	100.00

Tableau 6.1 - Tableau descriptif des claims actifs et en demande d'Uranor Inc. du projet CAGE 2006

Feuillet	Type de titre	No titre	Statut du titre	Date d'inscription	Date d'expiration	Superficie (Ha)	Excédent ($)	No détenteur	Nom du détenteur	Pourcentage (%)
24I14	CDC	2008273	Actif	2006-05-12	2008-05-11	44.52	0	20652	Uranor Inc	100.00
24I14	CDC	2008274	Actif	2006-05-12	2008-05-11	44.52	0	20652	Uranor Inc	100.00
24I14	CDC	2010758	Actif	2006-05-18	2008-05-17	44.52	0	20652	Uranor Inc	100.00
24I14	CDC	2010759	Actif	2006-05-18	2008-05-17	44.52	0	20652	Uranor Inc	100.00
24I14	CDC	2010768	Actif	2006-05-18	2008-05-17	44.52	0	20652	Uranor Inc	100.00
24I14	CDC	2010760	Actif	2006-05-18	2008-05-17	44.52	0	20652	Uranor Inc	100.00
24I14	CDC	2010761	Actif	2006-05-18	2008-05-17	44.52	0	20652	Uranor Inc	100.00
24I14	CDC	2010762	Actif	2006-05-18	2008-05-17	44.52	0	20652	Uranor Inc	100.00
24I14	CDC	2010763	Actif	2006-05-18	2008-05-17	44.52	0	20652	Uranor Inc	100.00
24I14	CDC	2010764	Actif	2006-05-18	2008-05-17	44.52	0	20652	Uranor Inc	100.00
24I14	CDC	2010765	Actif	2006-05-18	2008-05-17	44.52	0	20652	Uranor Inc	100.00
24I14	CDC	2010766	Actif	2006-05-18	2008-05-17	44.52	0	20652	Uranor Inc	100.00
24I14	CDC	2010767	Actif	2006-05-18	2008-05-17	44.52	0	20652	Uranor Inc	100.00
24I14	CDC	2010769	Actif	2006-05-18	2008-05-17	44.51	0	20652	Uranor Inc	100.00
24I14	CDC	2010770	Actif	2006-05-18	2008-05-17	44.51	0	20652	Uranor Inc	100.00
24I14	CDC	2010771	Actif	2006-05-18	2008-05-17	44.51	0	20652	Uranor Inc	100.00
24I14	CDC	2010772	Actif	2006-05-18	2008-05-17	44.51	0	20652	Uranor Inc	100.00
24I14	CDC	2011193	Actif	2006-05-23	2008-05-22	44.51	0	20652	Uranor Inc	100.00
24I14	CDC	2011194	Actif	2006-05-23	2008-05-22	44.51	0	20652	Uranor Inc	100.00
24I14	CDC	2011195	Actif	2006-05-23	2008-05-22	44.51	0	20652	Uranor Inc	100.00
24I14	CDC	2011196	Actif	2006-05-23	2008-05-22	44.51	0	20652	Uranor Inc	100.00
24I14	CDC	2011197	Actif	2006-05-23	2008-05-22	44.51	0	20652	Uranor Inc	100.00
24I14	CDC	2011198	Actif	2006-05-23	2008-05-22	44.51	0	20652	Uranor Inc	100.00
24I14	CDC	2011199	Actif	2006-05-23	2008-05-22	44.51	0	20652	Uranor Inc	100.00
24I14	CDC	2012355	Actif	2006-05-24	2008-05-23	44.51	0	20652	Uranor Inc	100.00
24I14	CDC	2012356	Actif	2006-05-24	2008-05-23	44.51	0	20652	Uranor Inc	100.00
24I14	CDC	2012357	Actif	2006-05-24	2008-05-23	44.51	0	20652	Uranor Inc	100.00
24I14	CDC	2012358	Actif	2006-05-24	2008-05-23	44.51	0	20652	Uranor Inc	100.00
24I14	CDC	2012364	Actif	2006-05-24	2008-05-23	44.51	0	20652	Uranor Inc	100.00
24I14	CDC	2012359	Actif	2006-05-24	2008-05-23	44.51	0	20652	Uranor Inc	100.00
24I14	CDC	2012360	Actif	2006-05-24	2008-05-23	44.51	0	20652	Uranor Inc	100.00
24I14	CDC	2012361	Actif	2006-05-24	2008-05-23	44.51	0	20652	Uranor Inc	100.00
24I14	CDC	2012362	Actif	2006-05-24	2008-05-23	44.51	0	20652	Uranor Inc	100.00
24I14	CDC	2012363	Actif	2006-05-24	2008-05-23	44.51	0	20652	Uranor Inc	100.00
24I14	CDC	2012365	Actif	2006-05-24	2008-05-23	44.51	0	20652	Uranor Inc	100.00
24I14	CDC	2012932	Actif	2006-05-25	2008-05-24	44.51	0	20652	Uranor Inc	100.00
24I14	CDC	2012933	Actif	2006-05-25	2008-05-24	44.51	0	20652	Uranor Inc	100.00
24I14	CDC	2012934	Actif	2006-05-25	2008-05-24	44.51	0	20652	Uranor Inc	100.00
24I14	CDC	2012935	Actif	2006-05-25	2008-05-24	44.51	0	20652	Uranor Inc	100.00
24I14	CDC	2012936	Actif	2006-05-25	2008-05-24	44.51	0	20652	Uranor Inc	100.00
24I14	CDC	2012943	Actif	2006-05-25	2008-05-24	44.51	0	20652	Uranor Inc	100.00
24I14	CDC	2012937	Actif	2006-05-25	2008-05-24	44.51	0	20652	Uranor Inc	100.00

Tableau 6.1 - Tableau descriptif des claims actifs et en demande d'Uranor Inc. du projet CAGE 2006

Feuillet	Type de titre	No titre	Statut du titre	Date d'inscription	Date d'expiration	Superficie (Ha)	Excédent ($)	No détenteur	Nom du détenteur	Pourcentage (%)
24I14	CDC	2012938	Actif	2006-05-25	2008-05-24	44.51	0	20652	Uranor Inc	100.00
24I14	CDC	2012939	Actif	2006-05-25	2008-05-24	44.51	0	20652	Uranor Inc	100.00
24I14	CDC	2012940	Actif	2006-05-25	2008-05-24	44.51	0	20652	Uranor Inc	100.00
24I14	CDC	2012941	Actif	2006-05-25	2008-05-24	44.51	0	20652	Uranor Inc	100.00
24I14	CDC	2012942	Actif	2006-05-25	2008-05-24	44.51	0	20652	Uranor Inc	100.00
24I14	CDC	98286	Actif	2005-10-12	2007-10-11	44.51	0	20652	Uranor Inc	100.00
24I14	CDC	98287	Actif	2005-10-12	2007-10-11	44.51	0	20652	Uranor Inc	100.00
24I14	CDC	98288	Actif	2005-10-12	2007-10-11	44.51	0	20652	Uranor Inc	100.00
24I14	CDC	2008276	Actif	2006-05-12	2008-05-11	44.51	0	20652	Uranor Inc	100.00
24I14	CDC	2008277	Actif	2006-05-12	2008-05-11	44.51	0	20652	Uranor Inc	100.00
24I14	CDC	2008278	Actif	2006-05-12	2008-05-11	44.51	0	20652	Uranor Inc	100.00
24I14	CDC	2008279	Actif	2006-05-12	2008-05-11	44.51	0	20652	Uranor Inc	100.00
24I14	CDC	2008280	Actif	2006-05-12	2008-05-11	44.51	0	20652	Uranor Inc	100.00
24I14	CDC	2008281	Actif	2006-05-12	2008-05-11	44.51	0	20652	Uranor Inc	100.00
24I14	CDC	2010773	Actif	2006-05-18	2008-05-17	44.51	0	20652	Uranor Inc	100.00
24I14	CDC	2010774	Actif	2006-05-18	2008-05-17	44.51	0	20652	Uranor Inc	100.00
24I14	CDC	2010775	Actif	2006-05-18	2008-05-17	44.51	0	20652	Uranor Inc	100.00
24I14	CDC	2010776	Actif	2006-05-18	2008-05-17	44.51	0	20652	Uranor Inc	100.00
24I14	CDC	2010777	Actif	2006-05-18	2008-05-17	44.51	0	20652	Uranor Inc	100.00
24I14	CDC	2010778	Actif	2006-05-18	2008-05-17	44.51	0	20652	Uranor Inc	100.00
24I14	CDC	2010779	Actif	2006-05-18	2008-05-17	44.51	0	20652	Uranor Inc	100.00
24I14	CDC	2010780	Actif	2006-05-18	2008-05-17	44.5	0	20652	Uranor Inc	100.00
24I14	CDC	2010781	Actif	2006-05-18	2008-05-17	44.5	0	20652	Uranor Inc	100.00
24I14	CDC	2010782	Actif	2006-05-18	2008-05-17	44.5	0	20652	Uranor Inc	100.00
24I14	CDC	2010783	Actif	2006-05-18	2008-05-17	44.5	0	20652	Uranor Inc	100.00
24I14	CDC	2010784	Actif	2006-05-18	2008-05-17	44.5	0	20652	Uranor Inc	100.00
24I14	CDC	2010785	Actif	2006-05-18	2008-05-17	44.5	0	20652	Uranor Inc	100.00
24I14	CDC	2010786	Actif	2006-05-18	2008-05-17	44.5	0	20652	Uranor Inc	100.00
24I14	CDC	2008282	Actif	2006-05-12	2008-05-11	44.5	0	20652	Uranor Inc	100.00
24I14	CDC	2008283	Actif	2006-05-12	2008-05-11	44.5	0	20652	Uranor Inc	100.00
24I14	CDC	2008284	Actif	2006-05-12	2008-05-11	44.5	0	20652	Uranor Inc	100.00
24I14	CDC	2008285	Actif	2006-05-12	2008-05-11	44.5	0	20652	Uranor Inc	100.00
24I14	CDC	2008286	Actif	2006-05-12	2008-05-11	44.5	0	20652	Uranor Inc	100.00
24I14	CDC	2008287	Actif	2006-05-12	2008-05-11	44.5	0	20652	Uranor Inc	100.00
24I14	CDC	2008288	Actif	2006-05-12	2008-05-11	44.5	0	20652	Uranor Inc	100.00
24I14	CDC	2008296	Actif	2006-05-12	2008-05-11	44.5	0	20652	Uranor Inc	100.00
24I14	CDC	2012366	Actif	2006-05-24	2008-05-23	44.5	0	20652	Uranor Inc	100.00
24I14	CDC	2012367	Actif	2006-05-24	2008-05-23	44.5	0	20652	Uranor Inc	100.00
24I14	CDC	2012368	Actif	2006-05-24	2008-05-23	44.5	0	20652	Uranor Inc	100.00
24I14	CDC	2012369	Actif	2006-05-24	2008-05-23	44.5	0	20652	Uranor Inc	100.00
24I14	CDC	2012370	Actif	2006-05-24	2008-05-23	44.5	0	20652	Uranor Inc	100.00
24I14	CDC	2012371	Actif	2006-05-24	2008-05-23	44.5	0	20652	Uranor Inc	100.00

Tableau 6.1 - Tableau descriptif des claims actifs et en demande d'Uranor Inc. du projet CAGE 2006

Feuillet	Type de titre	No titre	Statut du titre	Date d'inscription	Date d'expiration	Superficie (Ha)	Excédent ($)	No détenteur	Nom du détenteur	Pourcentage (%)
24I14	CDC	2012372	Actif	2006-05-24	2008-05-23	44.5	0	20652	Uranor Inc	100.00
24I14	CDC	2012373	Actif	2006-05-24	2008-05-23	44.5	0	20652	Uranor Inc	100.00
24I14	CDC	2012374	Actif	2006-05-24	2008-05-23	44.5	0	20652	Uranor Inc	100.00
24I14	CDC	2012375	Actif	2006-05-24	2008-05-23	44.5	0	20652	Uranor Inc	100.00
24I14	CDC	2012944	Actif	2006-05-25	2008-05-24	44.5	0	20652	Uranor Inc	100.00
24I14	CDC	2012945	Actif	2006-05-25	2008-05-24	44.5	0	20652	Uranor Inc	100.00
24I14	CDC	2012946	Actif	2006-05-25	2008-05-24	44.5	0	20652	Uranor Inc	100.00
24I14	CDC	2012947	Actif	2006-05-25	2008-05-24	44.5	0	20652	Uranor Inc	100.00
24I14	CDC	2012948	Actif	2006-05-25	2008-05-24	44.5	0	20652	Uranor Inc	100.00
24I14	CDC	2012949	Actif	2006-05-25	2008-05-24	44.5	0	20652	Uranor Inc	100.00
24I14	CDC	2012950	Actif	2006-05-25	2008-05-24	44.5	0	20652	Uranor Inc	100.00
24I14	CDC	2012951	Actif	2006-05-25	2008-05-24	44.5	0	20652	Uranor Inc	100.00
24I14	CDC	2012952	Actif	2006-05-25	2008-05-24	44.5	0	20652	Uranor Inc	100.00
24I14	CDC	2012953	Actif	2006-05-25	2008-05-24	44.5	0	20652	Uranor Inc	100.00
24I14	CDC	2012954	Actif	2006-05-25	2008-05-24	44.5	0	20652	Uranor Inc	100.00
24I14	CDC	2012955	Actif	2006-05-25	2008-05-24	44.5	0	20652	Uranor Inc	100.00
24I14	CDC	98289	Actif	2005-10-12	2007-10-11	44.5	0	20652	Uranor Inc	100.00
24I14	CDC	98290	Actif	2005-10-12	2007-10-11	44.5	0	20652	Uranor Inc	100.00
24I14	CDC	2008289	Actif	2006-05-12	2008-05-11	44.5	0	20652	Uranor Inc	100.00
24I14	CDC	2008290	Actif	2006-05-12	2008-05-11	44.5	0	20652	Uranor Inc	100.00
24I14	CDC	2008291	Actif	2006-05-12	2008-05-11	44.5	0	20652	Uranor Inc	100.00
24I14	CDC	2008292	Actif	2006-05-12	2008-05-11	44.5	0	20652	Uranor Inc	100.00
24I14	CDC	2008293	Actif	2006-05-12	2008-05-11	44.5	0	20652	Uranor Inc	100.00
24I14	CDC	2008294	Actif	2006-05-12	2008-05-11	44.5	0	20652	Uranor Inc	100.00
24I14	CDC	2008295	Actif	2006-05-12	2008-05-11	44.5	0	20652	Uranor Inc	100.00
24I14	CDC	98291	Actif	2005-10-12	2007-10-11	44.5	0	20652	Uranor Inc	100.00
24I14	CDC	98292	Actif	2005-10-12	2007-10-11	44.5	0	20652	Uranor Inc	100.00
24I14	CDC	98293	Actif	2005-10-12	2007-10-11	44.49	0	20652	Uranor Inc	100.00
24I14	CDC	98294	Actif	2005-10-12	2007-10-11	44.49	0	20652	Uranor Inc	100.00
24I14	CDC	98295	Actif	2005-10-12	2007-10-11	44.49	0	20652	Uranor Inc	100.00
24I14	CDC	98296	Actif	2005-10-12	2007-10-11	44.49	0	20652	Uranor Inc	100.00
24I14	CDC	98297	Actif	2005-10-12	2007-10-11	44.49	0	20652	Uranor Inc	100.00
24I14	CDC	98298	Actif	2005-10-12	2007-10-11	44.49	0	20652	Uranor Inc	100.00
24I14	CDC	98299	Actif	2005-10-12	2007-10-11	44.49	0	20652	Uranor Inc	100.00
24I14	CDC	98300	Actif	2005-10-12	2007-10-11	44.49	0	20652	Uranor Inc	100.00
24I14	CDC	98301	Actif	2005-10-12	2007-10-11	44.49	0	20652	Uranor Inc	100.00
24I14	CDC	98302	Actif	2005-10-12	2007-10-11	44.49	0	20652	Uranor Inc	100.00
24I14	CDC	98303	Actif	2005-10-12	2007-10-11	44.49	0	20652	Uranor Inc	100.00
24I14	CDC	98304	Actif	2005-10-12	2007-10-11	44.49	0	20652	Uranor Inc	100.00
24I14	CDC	2008297	Actif	2006-05-12	2008-05-11	44.49	0	20652	Uranor Inc	100.00
24I14	CDC	2008298	Actif	2006-05-12	2008-05-11	44.49	0	20652	Uranor Inc	100.00
24I14	CDC	2008299	Actif	2006-05-12	2008-05-11	44.49	0	20652	Uranor Inc	100.00

Tableau 6.1 - Tableau descriptif des claims actifs et en demande d'Uranor Inc. du projet CAGE 2006

Feuillet	Type de titre	No titre	Statut du titre	Date d'inscription	Date d'expiration	Superficie (Ha)	Excédent ($)	No détenteur	Nom du détenteur	Pourcentage (%)
24I14	CDC	2008300	Actif	2006-05-12	2008-05-11	44.49	0	20652	Uranor Inc	100.00
24I14	CDC	2008310	Actif	2006-05-12	2008-05-11	44.49	0	20652	Uranor Inc	100.00
24I14	CDC	2008301	Actif	2006-05-12	2008-05-11	44.49	0	20652	Uranor Inc	100.00
24I14	CDC	2008302	Actif	2006-05-12	2008-05-11	44.49	0	20652	Uranor Inc	100.00
24I14	CDC	2008309	Actif	2006-05-12	2008-05-11	44.49	0	20652	Uranor Inc	100.00
24I14	CDC	2012376	Actif	2006-05-24	2008-05-23	44.49	0	20652	Uranor Inc	100.00
24I14	CDC	2012377	Actif	2006-05-24	2008-05-23	44.49	0	20652	Uranor Inc	100.00
24I14	CDC	2012378	Actif	2006-05-24	2008-05-23	44.49	0	20652	Uranor Inc	100.00
24I14	CDC	2012379	Actif	2006-05-24	2008-05-23	44.49	0	20652	Uranor Inc	100.00
24I14	CDC	2012380	Actif	2006-05-24	2008-05-23	44.49	0	20652	Uranor Inc	100.00
24I14	CDC	2012381	Actif	2006-05-24	2008-05-23	44.49	0	20652	Uranor Inc	100.00
24I14	CDC	2012382	Actif	2006-05-24	2008-05-23	44.49	0	20652	Uranor Inc	100.00
24I14	CDC	2012383	Actif	2006-05-24	2008-05-23	44.49	0	20652	Uranor Inc	100.00
24I14	CDC	2012384	Actif	2006-05-24	2008-05-23	44.49	0	20652	Uranor Inc	100.00
24I14	CDC	2012956	Actif	2006-05-25	2008-05-24	44.49	0	20652	Uranor Inc	100.00
24I14	CDC	2012957	Actif	2006-05-25	2008-05-24	44.49	0	20652	Uranor Inc	100.00
24I14	CDC	2012958	Actif	2006-05-25	2008-05-24	44.49	0	20652	Uranor Inc	100.00
24I14	CDC	2012959	Actif	2006-05-25	2008-05-24	44.49	0	20652	Uranor Inc	100.00
24I14	CDC	2012960	Actif	2006-05-25	2008-05-24	44.49	0	20652	Uranor Inc	100.00
24I14	CDC	2012961	Actif	2006-05-25	2008-05-24	44.49	0	20652	Uranor Inc	100.00
24I14	CDC	2012962	Actif	2006-05-25	2008-05-24	44.49	0	20652	Uranor Inc	100.00
24I14	CDC	2012963	Actif	2006-05-25	2008-05-24	44.49	0	20652	Uranor Inc	100.00
24I14	CDC	2012964	Actif	2006-05-25	2008-05-24	44.49	0	20652	Uranor Inc	100.00
24I14	CDC	2012965	Actif	2006-05-25	2008-05-24	44.49	0	20652	Uranor Inc	100.00
24I14	CDC	2012966	Actif	2006-05-25	2008-05-24	44.49	0	20652	Uranor Inc	100.00
24I14	CDC	2012967	Actif	2006-05-25	2008-05-24	44.49	0	20652	Uranor Inc	100.00
24I14	CDC	2008303	Actif	2006-05-12	2008-05-11	44.49	0	20652	Uranor Inc	100.00
24I14	CDC	2008304	Actif	2006-05-12	2008-05-11	44.49	0	20652	Uranor Inc	100.00
24I14	CDC	2008305	Actif	2006-05-12	2008-05-11	44.49	0	20652	Uranor Inc	100.00
24I14	CDC	2008306	Actif	2006-05-12	2008-05-11	44.49	0	20652	Uranor Inc	100.00
24I14	CDC	2008307	Actif	2006-05-12	2008-05-11	44.49	0	20652	Uranor Inc	100.00
24I14	CDC	2008308	Actif	2006-05-12	2008-05-11	44.49	0	20652	Uranor Inc	100.00
24I14	CDC	2008311	Actif	2006-05-12	2008-05-11	44.48	0	20652	Uranor Inc	100.00
24I14	CDC	98305	Actif	2005-10-12	2007-10-11	44.48	0	20652	Uranor Inc	100.00
24I14	CDC	98306	Actif	2005-10-12	2007-10-11	44.48	0	20652	Uranor Inc	100.00
24I14	CDC	98307	Actif	2005-10-12	2007-10-11	44.48	0	20652	Uranor Inc	100.00
24I14	CDC	98308	Actif	2005-10-12	2007-10-11	44.48	0	20652	Uranor Inc	100.00
24I14	CDC	98309	Actif	2005-10-12	2007-10-11	44.48	0	20652	Uranor Inc	100.00
24I14	CDC	98310	Actif	2005-10-12	2007-10-11	44.48	0	20652	Uranor Inc	100.00
24I14	CDC	98311	Actif	2005-10-12	2007-10-11	44.48	0	20652	Uranor Inc	100.00
24I14	CDC	98312	Actif	2005-10-12	2007-10-11	44.48	0	20652	Uranor Inc	100.00
24I14	CDC	98313	Actif	2005-10-12	2007-10-11	44.48	0	20652	Uranor Inc	100.00

Tableau 6.1 - Tableau descriptif des claims actifs et en demande d'Uranor Inc. du projet CAGE 2006

Feuillet	Type de titre	No titre	Statut du titre	Date d'inscription	Date d'expiration	Superficie (Ha)	Excédent ($)	No détenteur	Nom du détenteur	Pourcentage (%)
24I14	CDC	98314	Actif	2005-10-12	2007-10-11	44.48	0	20652	Uranor Inc	100.00
24I14	CDC	98315	Actif	2005-10-12	2007-10-11	44.48	0	20652	Uranor Inc	100.00
24I14	CDC	98316	Actif	2005-10-12	2007-10-11	44.48	0	20652	Uranor Inc	100.00
24I14	CDC	98317	Actif	2005-10-12	2007-10-11	44.48	0	20652	Uranor Inc	100.00
24I14	CDC	98318	Actif	2005-10-12	2007-10-11	44.48	0	20652	Uranor Inc	100.00
24I14	CDC	98319	Actif	2005-10-12	2007-10-11	44.48	0	20652	Uranor Inc	100.00
24I14	CDC	98320	Actif	2005-10-12	2007-10-11	44.48	0	20652	Uranor Inc	100.00
24I14	CDC	2008312	Actif	2006-05-12	2008-05-11	44.48	0	20652	Uranor Inc	100.00
24I14	CDC	2008313	Actif	2006-05-12	2008-05-11	44.48	0	20652	Uranor Inc	100.00
24I14	CDC	2008314	Actif	2006-05-12	2008-05-11	44.48	0	20652	Uranor Inc	100.00
24I14	CDC	2008315	Actif	2006-05-12	2008-05-11	44.48	0	20652	Uranor Inc	100.00
24I14	CDC	2008316	Actif	2006-05-12	2008-05-11	44.48	0	20652	Uranor Inc	100.00
24I14	CDC	2008317	Actif	2006-05-12	2008-05-11	44.48	0	20652	Uranor Inc	100.00
24I14	CDC	2012385	Actif	2006-05-24	2008-05-23	44.48	0	20652	Uranor Inc	100.00
24I14	CDC	2012386	Actif	2006-05-24	2008-05-23	44.48	0	20652	Uranor Inc	100.00
24I14	CDC	2012387	Actif	2006-05-24	2008-05-23	44.48	0	20652	Uranor Inc	100.00
24I14	CDC	2012388	Actif	2006-05-24	2008-05-23	44.48	0	20652	Uranor Inc	100.00
24I14	CDC	2012394	Actif	2006-05-24	2008-05-23	44.48	0	20652	Uranor Inc	100.00
24I14	CDC	2012389	Actif	2006-05-24	2008-05-23	44.48	0	20652	Uranor Inc	100.00
24I14	CDC	2012390	Actif	2006-05-24	2008-05-23	44.48	0	20652	Uranor Inc	100.00
24I14	CDC	2012391	Actif	2006-05-24	2008-05-23	44.48	0	20652	Uranor Inc	100.00
24I14	CDC	2012392	Actif	2006-05-24	2008-05-23	44.48	0	20652	Uranor Inc	100.00
24I14	CDC	2012393	Actif	2006-05-24	2008-05-23	44.48	0	20652	Uranor Inc	100.00
24I14	CDC	2012968	Actif	2006-05-25	2008-05-24	44.48	0	20652	Uranor Inc	100.00
24I14	CDC	2012969	Actif	2006-05-25	2008-05-24	44.48	0	20652	Uranor Inc	100.00
24I14	CDC	2012970	Actif	2006-05-25	2008-05-24	44.48	0	20652	Uranor Inc	100.00
24I14	CDC	2012971	Actif	2006-05-25	2008-05-24	44.48	0	20652	Uranor Inc	100.00
24I14	CDC	2012972	Actif	2006-05-25	2008-05-24	44.48	0	20652	Uranor Inc	100.00
24I14	CDC	2012973	Actif	2006-05-25	2008-05-24	44.48	0	20652	Uranor Inc	100.00
24I14	CDC	2012974	Actif	2006-05-25	2008-05-24	44.48	0	20652	Uranor Inc	100.00
24I14	CDC	2012975	Actif	2006-05-25	2008-05-24	44.48	0	20652	Uranor Inc	100.00
24I14	CDC	2012976	Actif	2006-05-25	2008-05-24	44.48	0	20652	Uranor Inc	100.00
24I14	CDC	2012977	Actif	2006-05-25	2008-05-24	44.48	0	20652	Uranor Inc	100.00
24I14	CDC	2012978	Actif	2006-05-25	2008-05-24	44.48	0	20652	Uranor Inc	100.00
24I14	CDC	2012979	Actif	2006-05-25	2008-05-24	44.48	0	20652	Uranor Inc	100.00
24I14	CDC	2008318	Actif	2006-05-12	2008-05-11	44.48	0	20652	Uranor Inc	100.00
24I14	CDC	2008319	Actif	2006-05-12	2008-05-11	44.47	0	20652	Uranor Inc	100.00
24I14	CDC	2008320	Actif	2006-05-12	2008-05-11	44.47	0	20652	Uranor Inc	100.00
24I14	CDC	2008321	Actif	2006-05-12	2008-05-11	44.47	0	20652	Uranor Inc	100.00
24I14	CDC	2008322	Actif	2006-05-12	2008-05-11	44.47	0	20652	Uranor Inc	100.00
24I14	CDC	2008323	Actif	2006-05-12	2008-05-11	44.47	0	20652	Uranor Inc	100.00
24I14	CDC	98321	Actif	2005-10-12	2007-10-11	44.47	0	20652	Uranor Inc	100.00

Tableau 6.1 - Tableau descriptif des claims actifs et en demande d'Uranor Inc. du projet CAGE 2006

Feuillet	Type de titre	No titre	Statut du titre	Date d'inscription	Date d'expiration	Superficie (Ha)	Excédent ($)	No détenteur	Nom du détenteur	Pourcentage (%)
24I14	CDC	98322	Actif	2005-10-12	2007-10-11	44.47	0	20652	Uranor Inc	100.00
24I14	CDC	98323	Actif	2005-10-12	2007-10-11	44.47	0	20652	Uranor Inc	100.00
24I14	CDC	98324	Actif	2005-10-12	2007-10-11	44.47	0	20652	Uranor Inc	100.00
24I14	CDC	98325	Actif	2005-10-12	2007-10-11	44.47	0	20652	Uranor Inc	100.00
24I14	CDC	98326	Actif	2005-10-12	2007-10-11	44.47	0	20652	Uranor Inc	100.00
24I14	CDC	98327	Actif	2005-10-12	2007-10-11	44.47	0	20652	Uranor Inc	100.00
24I14	CDC	98328	Actif	2005-10-12	2007-10-11	44.47	0	20652	Uranor Inc	100.00
24I14	CDC	98329	Actif	2005-10-12	2007-10-11	44.47	0	20652	Uranor Inc	100.00
24I14	CDC	98330	Actif	2005-10-12	2007-10-11	44.47	0	20652	Uranor Inc	100.00
24I14	CDC	98331	Actif	2005-10-12	2007-10-11	44.47	0	20652	Uranor Inc	100.00
24I14	CDC	98332	Actif	2005-10-12	2007-10-11	44.47	0	20652	Uranor Inc	100.00
24I14	CDC	98333	Actif	2005-10-12	2007-10-11	44.47	0	20652	Uranor Inc	100.00
24I14	CDC	98334	Actif	2005-10-12	2007-10-11	44.47	0	20652	Uranor Inc	100.00
24I14	CDC	98335	Actif	2005-10-12	2007-10-11	44.47	0	20652	Uranor Inc	100.00
24I14	CDC	98336	Actif	2005-10-12	2007-10-11	44.47	0	20652	Uranor Inc	100.00
24I14	CDC	2008324	Actif	2006-05-12	2008-05-11	44.47	0	20652	Uranor Inc	100.00
24I14	CDC	2008325	Actif	2006-05-12	2008-05-11	44.47	0	20652	Uranor Inc	100.00
24I14	CDC	2008326	Actif	2006-05-12	2008-05-11	44.47	0	20652	Uranor Inc	100.00
24I14	CDC	2008327	Actif	2006-05-12	2008-05-11	44.47	0	20652	Uranor Inc	100.00
24I14	CDC	2008328	Actif	2006-05-12	2008-05-11	44.47	0	20652	Uranor Inc	100.00
24I14	CDC	2012395	Actif	2006-05-24	2008-05-23	44.47	0	20652	Uranor Inc	100.00
24I14	CDC	2012396	Actif	2006-05-24	2008-05-23	44.47	0	20652	Uranor Inc	100.00
24I14	CDC	2012397	Actif	2006-05-24	2008-05-23	44.47	0	20652	Uranor Inc	100.00
24I14	CDC	2012398	Actif	2006-05-24	2008-05-23	44.47	0	20652	Uranor Inc	100.00
24I14	CDC	2012399	Actif	2006-05-24	2008-05-23	44.47	0	20652	Uranor Inc	100.00
24I14	CDC	2012400	Actif	2006-05-24	2008-05-23	44.47	0	20652	Uranor Inc	100.00
24I14	CDC	2012401	Actif	2006-05-24	2008-05-23	44.47	0	20652	Uranor Inc	100.00
24I14	CDC	2012402	Actif	2006-05-24	2008-05-23	44.47	0	20652	Uranor Inc	100.00
24I14	CDC	2012403	Actif	2006-05-24	2008-05-23	44.47	0	20652	Uranor Inc	100.00
24I14	CDC	2012404	Actif	2006-05-24	2008-05-23	44.47	0	20652	Uranor Inc	100.00
24I14	CDC	2012405	Actif	2006-05-24	2008-05-23	44.47	0	20652	Uranor Inc	100.00
24I14	CDC	2012980	Actif	2006-05-25	2008-05-24	44.47	0	20652	Uranor Inc	100.00
24I14	CDC	2012981	Actif	2006-05-25	2008-05-24	44.47	0	20652	Uranor Inc	100.00
24I14	CDC	2012982	Actif	2006-05-25	2008-05-24	44.47	0	20652	Uranor Inc	100.00
24I14	CDC	2012983	Actif	2006-05-25	2008-05-24	44.47	0	20652	Uranor Inc	100.00
24I14	CDC	2012984	Actif	2006-05-25	2008-05-24	44.47	0	20652	Uranor Inc	100.00
24I14	CDC	2012985	Actif	2006-05-25	2008-05-24	44.47	0	20652	Uranor Inc	100.00
24I14	CDC	2012986	Actif	2006-05-25	2008-05-24	44.47	0	20652	Uranor Inc	100.00
24I14	CDC	2012987	Actif	2006-05-25	2008-05-24	44.47	0	20652	Uranor Inc	100.00
24I14	CDC	2012988	Actif	2006-05-25	2008-05-24	44.47	0	20652	Uranor Inc	100.00
24I14	CDC	2012989	Actif	2006-05-25	2008-05-24	44.47	0	20652	Uranor Inc	100.00
24I14	CDC	2012990	Actif	2006-05-25	2008-05-24	44.47	0	20652	Uranor Inc	100.00

Tableau 6.1 - Tableau descriptif des claims actifs et en demande d'Uranor Inc. du projet CAGE 2006

Feuillet	Type de titre	No titre	Statut du titre	Date d'inscription	Date d'expiration	Superficie (Ha)	Excédent ($)	No détenteur	Nom du détenteur	Pourcentage (%)
24I14	CDC	2012991	Actif	2006-05-25	2008-05-24	44.47	0	20652	Uranor Inc	100.00
24I14	CDC	2010964	Actif	2006-05-19	2008-05-18	44.46	0	20652	Uranor Inc	100.00
24I14	CDC	2010965	Actif	2006-05-19	2008-05-18	44.46	0	20652	Uranor Inc	100.00
24I14	CDC	2015013	Actif	2006-06-06	2008-06-05	44.46	0	20652	Uranor Inc	100.00
24I14	CDC	2008329	Actif	2006-05-12	2008-05-11	44.46	0	20652	Uranor Inc	100.00
24I14	CDC	2008330	Actif	2006-05-12	2008-05-11	44.46	0	20652	Uranor Inc	100.00
24I14	CDC	98337	Actif	2005-10-12	2007-10-11	44.46	0	20652	Uranor Inc	100.00
24I14	CDC	98338	Actif	2005-10-12	2007-10-11	44.46	0	20652	Uranor Inc	100.00
24I14	CDC	98339	Actif	2005-10-12	2007-10-11	44.46	0	20652	Uranor Inc	100.00
24I14	CDC	98340	Actif	2005-10-12	2007-10-11	44.46	0	20652	Uranor Inc	100.00
24I14	CDC	98341	Actif	2005-10-12	2007-10-11	44.46	0	20652	Uranor Inc	100.00
24I14	CDC	98342	Actif	2005-10-12	2007-10-11	44.46	0	20652	Uranor Inc	100.00
24I14	CDC	98343	Actif	2005-10-12	2007-10-11	44.46	0	20652	Uranor Inc	100.00
24I14	CDC	98344	Actif	2005-10-12	2007-10-11	44.46	0	20652	Uranor Inc	100.00
24I14	CDC	98345	Actif	2005-10-12	2007-10-11	44.46	0	20652	Uranor Inc	100.00
24I14	CDC	98346	Actif	2005-10-12	2007-10-11	44.46	0	20652	Uranor Inc	100.00
24I14	CDC	98347	Actif	2005-10-12	2007-10-11	44.46	0	20652	Uranor Inc	100.00
24I14	CDC	98348	Actif	2005-10-12	2007-10-11	44.46	0	20652	Uranor Inc	100.00
24I14	CDC	98349	Actif	2005-10-12	2007-10-11	44.46	0	20652	Uranor Inc	100.00
24I14	CDC	98350	Actif	2005-10-12	2007-10-11	44.46	0	20652	Uranor Inc	100.00
24I14	CDC	98351	Actif	2005-10-12	2007-10-11	44.46	0	20652	Uranor Inc	100.00
24I14	CDC	98352	Actif	2005-10-12	2007-10-11	44.46	0	20652	Uranor Inc	100.00
24I14	CDC	2008331	Actif	2006-05-12	2008-05-11	44.46	0	20652	Uranor Inc	100.00
24I14	CDC	2008332	Actif	2006-05-12	2008-05-11	44.46	0	20652	Uranor Inc	100.00
24I14	CDC	2008333	Actif	2006-05-12	2008-05-11	44.46	0	20652	Uranor Inc	100.00
24I14	CDC	2008334	Actif	2006-05-12	2008-05-11	44.46	0	20652	Uranor Inc	100.00
24I14	CDC	2008335	Actif	2006-05-12	2008-05-11	44.46	0	20652	Uranor Inc	100.00
24I14	CDC	2012406	Actif	2006-05-24	2008-05-23	44.46	0	20652	Uranor Inc	100.00
24I14	CDC	2012407	Actif	2006-05-24	2008-05-23	44.46	0	20652	Uranor Inc	100.00
24I14	CDC	2012408	Actif	2006-05-24	2008-05-23	44.46	0	20652	Uranor Inc	100.00
24I14	CDC	2012409	Actif	2006-05-24	2008-05-23	44.46	0	20652	Uranor Inc	100.00
24I14	CDC	2012410	Actif	2006-05-24	2008-05-23	44.46	0	20652	Uranor Inc	100.00
24I14	CDC	2012411	Actif	2006-05-24	2008-05-23	44.46	0	20652	Uranor Inc	100.00
24I14	CDC	2012412	Actif	2006-05-24	2008-05-23	44.46	0	20652	Uranor Inc	100.00
24I14	CDC	2012413	Actif	2006-05-24	2008-05-23	44.46	0	20652	Uranor Inc	100.00
24I14	CDC	2012414	Actif	2006-05-24	2008-05-23	44.46	0	20652	Uranor Inc	100.00
24I14	CDC	2012415	Actif	2006-05-24	2008-05-23	44.46	0	20652	Uranor Inc	100.00
24I14	CDC	2012416	Actif	2006-05-24	2008-05-23	44.46	0	20652	Uranor Inc	100.00
24I14	CDC	2013002	Actif	2006-05-25	2008-05-24	44.46	0	20652	Uranor Inc	100.00
24I14	CDC	2012992	Actif	2006-05-25	2008-05-24	44.46	0	20652	Uranor Inc	100.00
24I14	CDC	2012993	Actif	2006-05-25	2008-05-24	44.46	0	20652	Uranor Inc	100.00
24I14	CDC	2012994	Actif	2006-05-25	2008-05-24	44.46	0	20652	Uranor Inc	100.00

Tableau 6.1 - Tableau descriptif des claims actifs et en demande d'Uranor Inc. du projet CAGE 2006

Feuillet	Type de titre	No titre	Statut du titre	Date d'inscription	Date d'expiration	Superficie (Ha)	Excédent ($)	No détenteur	Nom du détenteur	Pourcentage (%)
24I14	CDC	2012995	Actif	2006-05-25	2008-05-24	44.46	0	20652	Uranor Inc	100.00
24I14	CDC	2012996	Actif	2006-05-25	2008-05-24	44.46	0	20652	Uranor Inc	100.00
24I14	CDC	2013003	Actif	2006-05-25	2008-05-24	44.46	0	20652	Uranor Inc	100.00
24I14	CDC	2012997	Actif	2006-05-25	2008-05-24	44.46	0	20652	Uranor Inc	100.00
24I14	CDC	2012998	Actif	2006-05-25	2008-05-24	44.46	0	20652	Uranor Inc	100.00
24I14	CDC	2012999	Actif	2006-05-25	2008-05-24	44.46	0	20652	Uranor Inc	100.00
24I14	CDC	2013000	Actif	2006-05-25	2008-05-24	44.46	0	20652	Uranor Inc	100.00
24I14	CDC	2013001	Actif	2006-05-25	2008-05-24	44.46	0	20652	Uranor Inc	100.00
24I14	CDC	2010966	Actif	2006-05-19	2008-05-18	44.45	0	20652	Uranor Inc	100.00
24I14	CDC	2015014	Actif	2006-06-06	2008-06-05	44.45	0	20652	Uranor Inc	100.00
24I14	CDC	2010976	Actif	2006-05-23	2008-05-22	44.45	0	20652	Uranor Inc	100.00
24I14	CDC	2010977	Actif	2006-05-23	2008-05-22	44.45	0	20652	Uranor Inc	100.00
24I14	CDC	98353	Actif	2005-10-12	2007-10-11	44.45	0	20652	Uranor Inc	100.00
24I14	CDC	98354	Actif	2005-10-12	2007-10-11	44.45	0	20652	Uranor Inc	100.00
24I14	CDC	98355	Actif	2005-10-12	2007-10-11	44.45	0	20652	Uranor Inc	100.00
24I14	CDC	98356	Actif	2005-10-12	2007-10-11	44.45	0	20652	Uranor Inc	100.00
24I14	CDC	98357	Actif	2005-10-12	2007-10-11	44.45	0	20652	Uranor Inc	100.00
24I14	CDC	98358	Actif	2005-10-12	2007-10-11	44.45	0	20652	Uranor Inc	100.00
24I14	CDC	98359	Actif	2005-10-12	2007-10-11	44.45	0	20652	Uranor Inc	100.00
24I14	CDC	98360	Actif	2005-10-12	2007-10-11	44.45	0	20652	Uranor Inc	100.00
24I14	CDC	98361	Actif	2005-10-12	2007-10-11	44.45	0	20652	Uranor Inc	100.00
24I14	CDC	98000	Actif	2005-10-06	2007-10-05	44.45	0	20652	Uranor Inc	100.00
24I14	CDC	98001	Actif	2005-10-06	2007-10-05	44.45	0	20652	Uranor Inc	100.00
24I14	CDC	98002	Actif	2005-10-06	2007-10-05	44.45	0	20652	Uranor Inc	100.00
24I14	CDC	98003	Actif	2005-10-06	2007-10-05	44.45	0	20652	Uranor Inc	100.00
24I14	CDC	98362	Actif	2005-10-12	2007-10-11	44.45	0	20652	Uranor Inc	100.00
24I14	CDC	98363	Actif	2005-10-12	2007-10-11	44.45	0	20652	Uranor Inc	100.00
24I14	CDC	98364	Actif	2005-10-12	2007-10-11	44.45	0	20652	Uranor Inc	100.00
24I14	CDC	98365	Actif	2005-10-12	2007-10-11	44.45	0	20652	Uranor Inc	100.00
24I14	CDC	2008336	Actif	2006-05-12	2008-05-11	44.45	0	20652	Uranor Inc	100.00
24I14	CDC	2008340	Actif	2006-05-12	2008-05-11	44.45	0	20652	Uranor Inc	100.00
24I14	CDC	2008337	Actif	2006-05-12	2008-05-11	44.45	0	20652	Uranor Inc	100.00
24I14	CDC	2008338	Actif	2006-05-12	2008-05-11	44.45	0	20652	Uranor Inc	100.00
24I14	CDC	2008339	Actif	2006-05-12	2008-05-11	44.45	0	20652	Uranor Inc	100.00
24I14	CDC	2012417	Actif	2006-05-24	2008-05-23	44.45	0	20652	Uranor Inc	100.00
24I14	CDC	2012418	Actif	2006-05-24	2008-05-23	44.45	0	20652	Uranor Inc	100.00
24I14	CDC	2012426	Actif	2006-05-24	2008-05-23	44.45	0	20652	Uranor Inc	100.00
24I14	CDC	2012419	Actif	2006-05-24	2008-05-23	44.45	0	20652	Uranor Inc	100.00
24I14	CDC	2012420	Actif	2006-05-24	2008-05-23	44.45	0	20652	Uranor Inc	100.00
24I14	CDC	2012421	Actif	2006-05-24	2008-05-23	44.45	0	20652	Uranor Inc	100.00
24I14	CDC	2012422	Actif	2006-05-24	2008-05-23	44.45	0	20652	Uranor Inc	100.00
24I14	CDC	2012423	Actif	2006-05-24	2008-05-23	44.45	0	20652	Uranor Inc	100.00

Tableau 6.1 - Tableau descriptif des claims actifs et en demande d'Uranor Inc. du projet CAGE 2006

Feuillet	Type de titre	No titre	Statut du titre	Date d'inscription	Date d'expiration	Superficie (Ha)	Excédent ($)	No détenteur	Nom du détenteur	Pourcentage (%)
24I14	CDC	2012424	Actif	2006-05-24	2008-05-23	44.45	0	20652	Uranor Inc	100.00
24I14	CDC	2012425	Actif	2006-05-24	2008-05-23	44.45	0	20652	Uranor Inc	100.00
24I14	CDC	2013004	Actif	2006-05-25	2008-05-24	44.45	0	20652	Uranor Inc	100.00
24I14	CDC	2013005	Actif	2006-05-25	2008-05-24	44.45	0	20652	Uranor Inc	100.00
24I14	CDC	2013006	Actif	2006-05-25	2008-05-24	44.45	0	20652	Uranor Inc	100.00
24I14	CDC	2013007	Actif	2006-05-25	2008-05-24	44.45	0	20652	Uranor Inc	100.00
24I14	CDC	2013008	Actif	2006-05-25	2008-05-24	44.45	0	20652	Uranor Inc	100.00
24I14	CDC	2013009	Actif	2006-05-25	2008-05-24	44.45	0	20652	Uranor Inc	100.00
24I14	CDC	2013010	Actif	2006-05-25	2008-05-24	44.45	0	20652	Uranor Inc	100.00
24I14	CDC	2013011	Actif	2006-05-25	2008-05-24	44.45	0	20652	Uranor Inc	100.00
24I14	CDC	2013012	Actif	2006-05-25	2008-05-24	44.45	0	20652	Uranor Inc	100.00
24I14	CDC	2013013	Actif	2006-05-25	2008-05-24	44.45	0	20652	Uranor Inc	100.00
24I14	CDC	2013014	Actif	2006-05-25	2008-05-24	44.45	0	20652	Uranor Inc	100.00
24I14	CDC	2013015	Actif	2006-05-25	2008-05-24	44.45	0	20652	Uranor Inc	100.00
24I15	CDC	2007624	Actif	2006-05-11	2008-05-10	44.76	0	20652	Uranor Inc	100.00
24I15	CDC	2007625	Actif	2006-05-11	2008-05-10	44.76	0	20652	Uranor Inc	100.00
24I15	CDC	2007626	Actif	2006-05-11	2008-05-10	44.75	0	20652	Uranor Inc	100.00
24I15	CDC	2007627	Actif	2006-05-11	2008-05-10	44.75	0	20652	Uranor Inc	100.00
24I15	CDC	2011959	Actif	2006-05-24	2008-05-23	44.75	0	20652	Uranor Inc	100.00
24I15	CDC	2011960	Actif	2006-05-24	2008-05-23	44.75	0	20652	Uranor Inc	100.00
24I15	CDC	2011961	Actif	2006-05-24	2008-05-23	44.75	0	20652	Uranor Inc	100.00
24I15	CDC	2011962	Actif	2006-05-24	2008-05-23	44.75	0	20652	Uranor Inc	100.00
24I15	CDC	2011963	Actif	2006-05-24	2008-05-23	44.75	0	20652	Uranor Inc	100.00
24I15	CDC	2011964	Actif	2006-05-24	2008-05-23	44.75	0	20652	Uranor Inc	100.00
24I15	CDC	2011965	Actif	2006-05-24	2008-05-23	44.75	0	20652	Uranor Inc	100.00
24I15	CDC	2011966	Actif	2006-05-24	2008-05-23	44.75	0	20652	Uranor Inc	100.00
24I15	CDC	2011952	Actif	2006-05-24	2008-05-23	44.75	0	20652	Uranor Inc	100.00
24I15	CDC	2011953	Actif	2006-05-24	2008-05-23	44.75	0	20652	Uranor Inc	100.00
24I15	CDC	2011954	Actif	2006-05-24	2008-05-23	44.75	0	20652	Uranor Inc	100.00
24I15	CDC	2011955	Actif	2006-05-24	2008-05-23	44.75	0	20652	Uranor Inc	100.00
24I15	CDC	2011956	Actif	2006-05-24	2008-05-23	44.75	0	20652	Uranor Inc	100.00
24I15	CDC	2011957	Actif	2006-05-24	2008-05-23	44.75	0	20652	Uranor Inc	100.00
24I15	CDC	2011958	Actif	2006-05-24	2008-05-23	44.75	0	20652	Uranor Inc	100.00
24I15	CDC	2012427	Actif	2006-05-24	2008-05-23	44.75	0	20652	Uranor Inc	100.00
24I15	CDC	2012428	Actif	2006-05-24	2008-05-23	44.75	0	20652	Uranor Inc	100.00
24I15	CDC	2012429	Actif	2006-05-24	2008-05-23	44.75	0	20652	Uranor Inc	100.00
24I15	CDC	2011974	Actif	2006-05-24	2008-05-23	44.74	0	20652	Uranor Inc	100.00
24I15	CDC	2011975	Actif	2006-05-24	2008-05-23	44.74	0	20652	Uranor Inc	100.00
24I15	CDC	2011976	Actif	2006-05-24	2008-05-23	44.74	0	20652	Uranor Inc	100.00
24I15	CDC	2011977	Actif	2006-05-24	2008-05-23	44.74	0	20652	Uranor Inc	100.00
24I15	CDC	2011978	Actif	2006-05-24	2008-05-23	44.74	0	20652	Uranor Inc	100.00
24I15	CDC	2011979	Actif	2006-05-24	2008-05-23	44.74	0	20652	Uranor Inc	100.00

Tableau 6.1 - Tableau descriptif des claims actifs et en demande d'Uranor Inc. du projet CAGE 2006

Feuillet	Type de titre	No titre	Statut du titre	Date d'inscription	Date d'expiration	Superficie (Ha)	Excédent ($)	No détenteur	Nom du détenteur	Pourcentage (%)
24I15	CDC	2011980	Actif	2006-05-24	2008-05-23	44.74	0	20652	Uranor Inc	100.00
24I15	CDC	2011981	Actif	2006-05-24	2008-05-23	44.74	0	20652	Uranor Inc	100.00
24I15	CDC	2011982	Actif	2006-05-24	2008-05-23	44.74	0	20652	Uranor Inc	100.00
24I15	CDC	2011983	Actif	2006-05-24	2008-05-23	44.74	0	20652	Uranor Inc	100.00
24I15	CDC	2011984	Actif	2006-05-24	2008-05-23	44.74	0	20652	Uranor Inc	100.00
24I15	CDC	2011985	Actif	2006-05-24	2008-05-23	44.74	0	20652	Uranor Inc	100.00
24I15	CDC	2011967	Actif	2006-05-24	2008-05-23	44.74	0	20652	Uranor Inc	100.00
24I15	CDC	2011968	Actif	2006-05-24	2008-05-23	44.74	0	20652	Uranor Inc	100.00
24I15	CDC	2011969	Actif	2006-05-24	2008-05-23	44.74	0	20652	Uranor Inc	100.00
24I15	CDC	2011970	Actif	2006-05-24	2008-05-23	44.74	0	20652	Uranor Inc	100.00
24I15	CDC	2011971	Actif	2006-05-24	2008-05-23	44.74	0	20652	Uranor Inc	100.00
24I15	CDC	2011972	Actif	2006-05-24	2008-05-23	44.74	0	20652	Uranor Inc	100.00
24I15	CDC	2011973	Actif	2006-05-24	2008-05-23	44.74	0	20652	Uranor Inc	100.00
24I15	CDC	2012430	Actif	2006-05-24	2008-05-23	44.74	0	20652	Uranor Inc	100.00
24I15	CDC	2012431	Actif	2006-05-24	2008-05-23	44.74	0	20652	Uranor Inc	100.00
24I15	CDC	2011992	Actif	2006-05-24	2008-05-23	44.73	0	20652	Uranor Inc	100.00
24I15	CDC	2011993	Actif	2006-05-24	2008-05-23	44.73	0	20652	Uranor Inc	100.00
24I15	CDC	2011994	Actif	2006-05-24	2008-05-23	44.73	0	20652	Uranor Inc	100.00
24I15	CDC	2011995	Actif	2006-05-24	2008-05-23	44.73	0	20652	Uranor Inc	100.00
24I15	CDC	2011996	Actif	2006-05-24	2008-05-23	44.73	0	20652	Uranor Inc	100.00
24I15	CDC	2011997	Actif	2006-05-24	2008-05-23	44.73	0	20652	Uranor Inc	100.00
24I15	CDC	2011998	Actif	2006-05-24	2008-05-23	44.73	0	20652	Uranor Inc	100.00
24I15	CDC	2011999	Actif	2006-05-24	2008-05-23	44.73	0	20652	Uranor Inc	100.00
24I15	CDC	2012000	Actif	2006-05-24	2008-05-23	44.73	0	20652	Uranor Inc	100.00
24I15	CDC	2012001	Actif	2006-05-24	2008-05-23	44.73	0	20652	Uranor Inc	100.00
24I15	CDC	2012002	Actif	2006-05-24	2008-05-23	44.73	0	20652	Uranor Inc	100.00
24I15	CDC	2012003	Actif	2006-05-24	2008-05-23	44.73	0	20652	Uranor Inc	100.00
24I15	CDC	2011986	Actif	2006-05-24	2008-05-23	44.73	0	20652	Uranor Inc	100.00
24I15	CDC	2011987	Actif	2006-05-24	2008-05-23	44.73	0	20652	Uranor Inc	100.00
24I15	CDC	2011988	Actif	2006-05-24	2008-05-23	44.73	0	20652	Uranor Inc	100.00
24I15	CDC	2011989	Actif	2006-05-24	2008-05-23	44.73	0	20652	Uranor Inc	100.00
24I15	CDC	2011990	Actif	2006-05-24	2008-05-23	44.73	0	20652	Uranor Inc	100.00
24I15	CDC	2011991	Actif	2006-05-24	2008-05-23	44.73	0	20652	Uranor Inc	100.00
24I15	CDC	2012432	Actif	2006-05-24	2008-05-23	44.73	0	20652	Uranor Inc	100.00
24I15	CDC	2012433	Actif	2006-05-24	2008-05-23	44.73	0	20652	Uranor Inc	100.00
24I15	CDC	2012010	Actif	2006-05-24	2008-05-23	44.72	0	20652	Uranor Inc	100.00
24I15	CDC	2012011	Actif	2006-05-24	2008-05-23	44.72	0	20652	Uranor Inc	100.00
24I15	CDC	2012012	Actif	2006-05-24	2008-05-23	44.72	0	20652	Uranor Inc	100.00
24I15	CDC	2012013	Actif	2006-05-24	2008-05-23	44.72	0	20652	Uranor Inc	100.00
24I15	CDC	2012014	Actif	2006-05-24	2008-05-23	44.72	0	20652	Uranor Inc	100.00
24I15	CDC	2012015	Actif	2006-05-24	2008-05-23	44.72	0	20652	Uranor Inc	100.00
24I15	CDC	2012016	Actif	2006-05-24	2008-05-23	44.72	0	20652	Uranor Inc	100.00

Tableau 6.1 - Tableau descriptif des claims actifs et en demande d'Uranor Inc. du projet CAGE 2006

Feuillet	Type de titre	No titre	Statut du titre	Date d'inscription	Date d'expiration	Superficie (Ha)	Excédent ($)	No détenteur	Nom du détenteur	Pourcentage (%)
24I15	CDC	2012017	Actif	2006-05-24	2008-05-23	44.72	0	20652	Uranor Inc	100.00
24I15	CDC	2012018	Actif	2006-05-24	2008-05-23	44.72	0	20652	Uranor Inc	100.00
24I15	CDC	2012019	Actif	2006-05-24	2008-05-23	44.72	0	20652	Uranor Inc	100.00
24I15	CDC	2012020	Actif	2006-05-24	2008-05-23	44.72	0	20652	Uranor Inc	100.00
24I15	CDC	2012021	Actif	2006-05-24	2008-05-23	44.72	0	20652	Uranor Inc	100.00
24I15	CDC	2012004	Actif	2006-05-24	2008-05-23	44.72	0	20652	Uranor Inc	100.00
24I15	CDC	2012005	Actif	2006-05-24	2008-05-23	44.72	0	20652	Uranor Inc	100.00
24I15	CDC	2012006	Actif	2006-05-24	2008-05-23	44.72	0	20652	Uranor Inc	100.00
24I15	CDC	2012007	Actif	2006-05-24	2008-05-23	44.72	0	20652	Uranor Inc	100.00
24I15	CDC	2012008	Actif	2006-05-24	2008-05-23	44.72	0	20652	Uranor Inc	100.00
24I15	CDC	2012009	Actif	2006-05-24	2008-05-23	44.72	0	20652	Uranor Inc	100.00
24I15	CDC	2012434	Actif	2006-05-24	2008-05-23	44.72	0	20652	Uranor Inc	100.00
24I15	CDC	2012022	Actif	2006-05-24	2008-05-23	44.71	0	20652	Uranor Inc	100.00
24I15	CDC	2012023	Actif	2006-05-24	2008-05-23	44.71	0	20652	Uranor Inc	100.00
24I15	CDC	2012024	Actif	2006-05-24	2008-05-23	44.71	0	20652	Uranor Inc	100.00
24I15	CDC	2012025	Actif	2006-05-24	2008-05-23	44.71	0	20652	Uranor Inc	100.00
24I15	CDC	2012026	Actif	2006-05-24	2008-05-23	44.71	0	20652	Uranor Inc	100.00
24I15	CDC	2012027	Actif	2006-05-24	2008-05-23	44.71	0	20652	Uranor Inc	100.00
24I15	CDC	2012028	Actif	2006-05-24	2008-05-23	44.71	0	20652	Uranor Inc	100.00
24I15	CDC	2012029	Actif	2006-05-24	2008-05-23	44.71	0	20652	Uranor Inc	100.00
24I15	CDC	2012030	Actif	2006-05-24	2008-05-23	44.71	0	20652	Uranor Inc	100.00
24I15	CDC	2012031	Actif	2006-05-24	2008-05-23	44.71	0	20652	Uranor Inc	100.00
24I15	CDC	2012032	Actif	2006-05-24	2008-05-23	44.71	0	20652	Uranor Inc	100.00
24I15	CDC	2012033	Actif	2006-05-24	2008-05-23	44.71	0	20652	Uranor Inc	100.00
24I15	CDC	2012435	Actif	2006-05-24	2008-05-23	44.71	0	20652	Uranor Inc	100.00
24I15	CDC	2012436	Actif	2006-05-24	2008-05-23	44.71	0	20652	Uranor Inc	100.00
24I15	CDC	2012437	Actif	2006-05-24	2008-05-23	44.71	0	20652	Uranor Inc	100.00
24I15	CDC	2012438	Actif	2006-05-24	2008-05-23	44.71	0	20652	Uranor Inc	100.00
24I15	CDC	2012439	Actif	2006-05-24	2008-05-23	44.71	0	20652	Uranor Inc	100.00
24I15	CDC	2012440	Actif	2006-05-24	2008-05-23	44.71	0	20652	Uranor Inc	100.00
24I15	CDC	2012441	Actif	2006-05-24	2008-05-23	44.71	0	20652	Uranor Inc	100.00
24I15	CDC	2012034	Actif	2006-05-24	2008-05-23	44.7	0	20652	Uranor Inc	100.00
24I15	CDC	2012035	Actif	2006-05-24	2008-05-23	44.7	0	20652	Uranor Inc	100.00
24I15	CDC	2012036	Actif	2006-05-24	2008-05-23	44.7	0	20652	Uranor Inc	100.00
24I15	CDC	2012037	Actif	2006-05-24	2008-05-23	44.7	0	20652	Uranor Inc	100.00
24I15	CDC	2012038	Actif	2006-05-24	2008-05-23	44.7	0	20652	Uranor Inc	100.00
24I15	CDC	2012039	Actif	2006-05-24	2008-05-23	44.7	0	20652	Uranor Inc	100.00
24I15	CDC	2012040	Actif	2006-05-24	2008-05-23	44.7	0	20652	Uranor Inc	100.00
24I15	CDC	2012041	Actif	2006-05-24	2008-05-23	44.7	0	20652	Uranor Inc	100.00
24I15	CDC	2012448	Actif	2006-05-24	2008-05-23	44.7	0	20652	Uranor Inc	100.00
24I15	CDC	2012449	Actif	2006-05-24	2008-05-23	44.7	0	20652	Uranor Inc	100.00
24I15	CDC	2012450	Actif	2006-05-24	2008-05-23	44.7	0	20652	Uranor Inc	100.00

Tableau 6.1 - Tableau descriptif des claims actifs et en demande d'Uranor Inc. du projet CAGE 2006

Feuillet	Type de titre	No titre	Statut du titre	Date d'inscription	Date d'expiration	Superficie (Ha)	Excédent ($)	No détenteur	Nom du détenteur	Pourcentage (%)
24I15	CDC	2012451	Actif	2006-05-24	2008-05-23	44.7	0	20652	Uranor Inc	100.00
24I15	CDC	2012442	Actif	2006-05-24	2008-05-23	44.7	0	20652	Uranor Inc	100.00
24I15	CDC	2012443	Actif	2006-05-24	2008-05-23	44.7	0	20652	Uranor Inc	100.00
24I15	CDC	2012444	Actif	2006-05-24	2008-05-23	44.7	0	20652	Uranor Inc	100.00
24I15	CDC	2012445	Actif	2006-05-24	2008-05-23	44.7	0	20652	Uranor Inc	100.00
24I15	CDC	2012446	Actif	2006-05-24	2008-05-23	44.7	0	20652	Uranor Inc	100.00
24I15	CDC	2012447	Actif	2006-05-24	2008-05-23	44.7	0	20652	Uranor Inc	100.00
24I15	CDC	2012042	Actif	2006-05-24	2008-05-23	44.69	0	20652	Uranor Inc	100.00
24I15	CDC	2012043	Actif	2006-05-24	2008-05-23	44.69	0	20652	Uranor Inc	100.00
24I15	CDC	2012044	Actif	2006-05-24	2008-05-23	44.69	0	20652	Uranor Inc	100.00
24I15	CDC	2012045	Actif	2006-05-24	2008-05-23	44.69	0	20652	Uranor Inc	100.00
24I15	CDC	2012046	Actif	2006-05-24	2008-05-23	44.69	0	20652	Uranor Inc	100.00
24I15	CDC	2012047	Actif	2006-05-24	2008-05-23	44.69	0	20652	Uranor Inc	100.00
24I15	CDC	2012048	Actif	2006-05-24	2008-05-23	44.69	0	20652	Uranor Inc	100.00
24I15	CDC	2012457	Actif	2006-05-24	2008-05-23	44.69	0	20652	Uranor Inc	100.00
24I15	CDC	2012461	Actif	2006-05-24	2008-05-23	44.69	0	20652	Uranor Inc	100.00
24I15	CDC	2012458	Actif	2006-05-24	2008-05-23	44.69	0	20652	Uranor Inc	100.00
24I15	CDC	2012459	Actif	2006-05-24	2008-05-23	44.69	0	20652	Uranor Inc	100.00
24I15	CDC	2012460	Actif	2006-05-24	2008-05-23	44.69	0	20652	Uranor Inc	100.00
24I15	CDC	2012452	Actif	2006-05-24	2008-05-23	44.69	0	20652	Uranor Inc	100.00
24I15	CDC	2012453	Actif	2006-05-24	2008-05-23	44.69	0	20652	Uranor Inc	100.00
24I15	CDC	2012454	Actif	2006-05-24	2008-05-23	44.69	0	20652	Uranor Inc	100.00
24I15	CDC	2012455	Actif	2006-05-24	2008-05-23	44.69	0	20652	Uranor Inc	100.00
24I15	CDC	2012456	Actif	2006-05-24	2008-05-23	44.69	0	20652	Uranor Inc	100.00
24I15	CDC	2012049	Actif	2006-05-24	2008-05-23	44.68	0	20652	Uranor Inc	100.00
24I15	CDC	2012050	Actif	2006-05-24	2008-05-23	44.68	0	20652	Uranor Inc	100.00
24I15	CDC	2012051	Actif	2006-05-24	2008-05-23	44.68	0	20652	Uranor Inc	100.00
24I15	CDC	2012465	Actif	2006-05-24	2008-05-23	44.68	0	20652	Uranor Inc	100.00
24I15	CDC	2012466	Actif	2006-05-24	2008-05-23	44.68	0	20652	Uranor Inc	100.00
24I15	CDC	2012467	Actif	2006-05-24	2008-05-23	44.68	0	20652	Uranor Inc	100.00
24I15	CDC	2012468	Actif	2006-05-24	2008-05-23	44.68	0	20652	Uranor Inc	100.00
24I15	CDC	2012469	Actif	2006-05-24	2008-05-23	44.68	0	20652	Uranor Inc	100.00
24I15	CDC	2012472	Actif	2006-05-24	2008-05-23	44.68	0	20652	Uranor Inc	100.00
24I15	CDC	2012470	Actif	2006-05-24	2008-05-23	44.68	0	20652	Uranor Inc	100.00
24I15	CDC	2012471	Actif	2006-05-24	2008-05-23	44.68	0	20652	Uranor Inc	100.00
24I15	CDC	2012473	Actif	2006-05-24	2008-05-23	44.68	0	20652	Uranor Inc	100.00
24I15	CDC	2012462	Actif	2006-05-24	2008-05-23	44.68	0	20652	Uranor Inc	100.00
24I15	CDC	2012463	Actif	2006-05-24	2008-05-23	44.68	0	20652	Uranor Inc	100.00
24I15	CDC	2012464	Actif	2006-05-24	2008-05-23	44.68	0	20652	Uranor Inc	100.00
24I15	CDC	2012479	Actif	2006-05-24	2008-05-23	44.67	0	20652	Uranor Inc	100.00
24I15	CDC	2012480	Actif	2006-05-24	2008-05-23	44.67	0	20652	Uranor Inc	100.00
24I15	CDC	2012481	Actif	2006-05-24	2008-05-23	44.67	0	20652	Uranor Inc	100.00

Tableau 6.1 - Tableau descriptif des claims actifs et en demande d'Uranor Inc. du projet CAGE 2006

Feuillet	Type de titre	No titre	Statut du titre	Date d'inscription	Date d'expiration	Superficie (Ha)	Excédent ($)	No détenteur	Nom du détenteur	Pourcentage (%)
24I15	CDC	2012482	Actif	2006-05-24	2008-05-23	44.67	0	20652	Uranor Inc	100.00
24I15	CDC	2012483	Actif	2006-05-24	2008-05-23	44.67	0	20652	Uranor Inc	100.00
24I15	CDC	2012484	Actif	2006-05-24	2008-05-23	44.67	0	20652	Uranor Inc	100.00
24I15	CDC	2012474	Actif	2006-05-24	2008-05-23	44.67	0	20652	Uranor Inc	100.00
24I15	CDC	2012475	Actif	2006-05-24	2008-05-23	44.67	0	20652	Uranor Inc	100.00
24I15	CDC	2012476	Actif	2006-05-24	2008-05-23	44.67	0	20652	Uranor Inc	100.00
24I15	CDC	2012477	Actif	2006-05-24	2008-05-23	44.67	0	20652	Uranor Inc	100.00
24I15	CDC	2012478	Actif	2006-05-24	2008-05-23	44.67	0	20652	Uranor Inc	100.00
24I15	CDC	2012485	Actif	2006-05-24	2008-05-23	44.67	0	20652	Uranor Inc	100.00
24I15	CDC	2012486	Actif	2006-05-24	2008-05-23	44.67	0	20652	Uranor Inc	100.00
24I15	CDC	2012487	Actif	2006-05-24	2008-05-23	44.67	0	20652	Uranor Inc	100.00
24I15	CDC	2012488	Actif	2006-05-24	2008-05-23	44.66	0	20652	Uranor Inc	100.00
24I15	CDC	2012489	Actif	2006-05-24	2008-05-23	44.66	0	20652	Uranor Inc	100.00
24I15	CDC	2012490	Actif	2006-05-24	2008-05-23	44.66	0	20652	Uranor Inc	100.00
24I15	CDC	2012491	Actif	2006-05-24	2008-05-23	44.66	0	20652	Uranor Inc	100.00
24I15	CDC	2012492	Actif	2006-05-24	2008-05-23	44.66	0	20652	Uranor Inc	100.00
24I15	CDC	2012493	Actif	2006-05-24	2008-05-23	44.66	0	20652	Uranor Inc	100.00
24I15	CDC	2012494	Actif	2006-05-24	2008-05-23	44.66	0	20652	Uranor Inc	100.00
24I15	CDC	2012495	Actif	2006-05-24	2008-05-23	44.66	0	20652	Uranor Inc	100.00
24I15	CDC	2012496	Actif	2006-05-24	2008-05-23	44.66	0	20652	Uranor Inc	100.00
24I15	CDC	2012497	Actif	2006-05-24	2008-05-23	44.66	0	20652	Uranor Inc	100.00
24I15	CDC	2012498	Actif	2006-05-24	2008-05-23	44.66	0	20652	Uranor Inc	100.00
24I15	CDC	2012499	Actif	2006-05-24	2008-05-23	44.66	0	20652	Uranor Inc	100.00
24I15	CDC	2012500	Actif	2006-05-24	2008-05-23	44.66	0	20652	Uranor Inc	100.00
24I15	CDC	2012501	Actif	2006-05-24	2008-05-23	44.65	0	20652	Uranor Inc	100.00
24I15	CDC	2012502	Actif	2006-05-24	2008-05-23	44.65	0	20652	Uranor Inc	100.00
24I15	CDC	2012503	Actif	2006-05-24	2008-05-23	44.65	0	20652	Uranor Inc	100.00
24I15	CDC	2012504	Actif	2006-05-24	2008-05-23	44.65	0	20652	Uranor Inc	100.00
24I15	CDC	2012505	Actif	2006-05-24	2008-05-23	44.65	0	20652	Uranor Inc	100.00
24I15	CDC	2012506	Actif	2006-05-24	2008-05-23	44.65	0	20652	Uranor Inc	100.00
24I15	CDC	2012507	Actif	2006-05-24	2008-05-23	44.65	0	20652	Uranor Inc	100.00
24I15	CDC	2012508	Actif	2006-05-24	2008-05-23	44.65	0	20652	Uranor Inc	100.00
24I15	CDC	2012509	Actif	2006-05-24	2008-05-23	44.65	0	20652	Uranor Inc	100.00
24I15	CDC	2012510	Actif	2006-05-24	2008-05-23	44.65	0	20652	Uranor Inc	100.00
24I15	CDC	2012511	Actif	2006-05-24	2008-05-23	44.65	0	20652	Uranor Inc	100.00
24I15	CDC	2012512	Actif	2006-05-24	2008-05-23	44.65	0	20652	Uranor Inc	100.00
24I15	CDC	2012513	Actif	2006-05-24	2008-05-23	44.64	0	20652	Uranor Inc	100.00
24I15	CDC	2012514	Actif	2006-05-24	2008-05-23	44.64	0	20652	Uranor Inc	100.00
24I15	CDC	2012515	Actif	2006-05-24	2008-05-23	44.64	0	20652	Uranor Inc	100.00
24I15	CDC	2012516	Actif	2006-05-24	2008-05-23	44.64	0	20652	Uranor Inc	100.00
24I15	CDC	2012517	Actif	2006-05-24	2008-05-23	44.64	0	20652	Uranor Inc	100.00
24I15	CDC	2012518	Actif	2006-05-24	2008-05-23	44.64	0	20652	Uranor Inc	100.00

Tableau 6.1 - Tableau descriptif des claims actifs et en demande d'Uranor Inc. du projet CAGE 2006

Feuillet	Type de titre	No titre	Statut du titre	Date d'inscription	Date d'expiration	Superficie (Ha)	Excédent ($)	No détenteur	Nom du détenteur	Pourcentage (%)
24I15	CDC	2012519	Actif	2006-05-24	2008-05-23	44.64	0	20652	Uranor Inc	100.00
24I15	CDC	2012520	Actif	2006-05-24	2008-05-23	44.64	0	20652	Uranor Inc	100.00
24I15	CDC	2012521	Actif	2006-05-24	2008-05-23	44.64	0	20652	Uranor Inc	100.00
24I15	CDC	2012522	Actif	2006-05-24	2008-05-23	44.64	0	20652	Uranor Inc	100.00
24I15	CDC	2012523	Actif	2006-05-24	2008-05-23	44.64	0	20652	Uranor Inc	100.00
24I15	CDC	2012524	Actif	2006-05-24	2008-05-23	44.63	0	20652	Uranor Inc	100.00
24I15	CDC	2012525	Actif	2006-05-24	2008-05-23	44.63	0	20652	Uranor Inc	100.00
24I15	CDC	2012526	Actif	2006-05-24	2008-05-23	44.63	0	20652	Uranor Inc	100.00
24I15	CDC	2012527	Actif	2006-05-24	2008-05-23	44.63	0	20652	Uranor Inc	100.00
24I15	CDC	2012528	Actif	2006-05-24	2008-05-23	44.63	0	20652	Uranor Inc	100.00
24I15	CDC	2012529	Actif	2006-05-24	2008-05-23	44.63	0	20652	Uranor Inc	100.00
24I15	CDC	2012530	Actif	2006-05-24	2008-05-23	44.63	0	20652	Uranor Inc	100.00
24I15	CDC	2012531	Actif	2006-05-24	2008-05-23	44.63	0	20652	Uranor Inc	100.00
24I15	CDC	2012532	Actif	2006-05-24	2008-05-23	44.63	0	20652	Uranor Inc	100.00
24I15	CDC	2012533	Actif	2006-05-24	2008-05-23	44.62	0	20652	Uranor Inc	100.00
24I15	CDC	2012534	Actif	2006-05-24	2008-05-23	44.62	0	20652	Uranor Inc	100.00
24I15	CDC	2012535	Actif	2006-05-24	2008-05-23	44.62	0	20652	Uranor Inc	100.00
24I15	CDC	2012536	Actif	2006-05-24	2008-05-23	44.62	0	20652	Uranor Inc	100.00
24I15	CDC	2012537	Actif	2006-05-24	2008-05-23	44.62	0	20652	Uranor Inc	100.00
24I15	CDC	2012538	Actif	2006-05-24	2008-05-23	44.62	0	20652	Uranor Inc	100.00
24I15	CDC	2012539	Actif	2006-05-24	2008-05-23	44.62	0	20652	Uranor Inc	100.00
24I15	CDC	2013711	Actif	2006-05-29	2008-05-28	44.61	0	20652	Uranor Inc	100.00
24I15	CDC	2013715	Actif	2006-05-29	2008-05-28	44.61	0	20652	Uranor Inc	100.00
24I15	CDC	2013712	Actif	2006-05-29	2008-05-28	44.61	0	20652	Uranor Inc	100.00
24I15	CDC	2013713	Actif	2006-05-29	2008-05-28	44.61	0	20652	Uranor Inc	100.00
24I15	CDC	2013714	Actif	2006-05-29	2008-05-28	44.61	0	20652	Uranor Inc	100.00
24I15	CDC	2013716	Actif	2006-05-29	2008-05-28	44.6	0	20652	Uranor Inc	100.00
24I15	CDC	2013717	Actif	2006-05-29	2008-05-28	44.6	0	20652	Uranor Inc	100.00
24I15	CDC	2013718	Actif	2006-05-29	2008-05-28	44.6	0	20652	Uranor Inc	100.00
24I15	CDC	2013719	Actif	2006-05-29	2008-05-28	44.58	0	20652	Uranor Inc	100.00
24I15	CDC	2013720	Actif	2006-05-29	2008-05-28	44.58	0	20652	Uranor Inc	100.00
24P03	CDC	2015015	Actif	2006-06-06	2008-06-05	44.44	0	20652	Uranor Inc	100.00
24P03	CDC	2010978	Actif	2006-05-23	2008-05-22	44.44	0	20652	Uranor Inc	100.00
24P03	CDC	2010979	Actif	2006-05-23	2008-05-22	44.44	0	20652	Uranor Inc	100.00
24P03	CDC	2010980	Actif	2006-05-23	2008-05-22	44.44	0	20652	Uranor Inc	100.00
24P03	CDC	98110	Actif	2005-10-12	2007-10-11	44.44	0	20652	Uranor Inc	100.00
24P03	CDC	98111	Actif	2005-10-12	2007-10-11	44.44	0	20652	Uranor Inc	100.00
24P03	CDC	98112	Actif	2005-10-12	2007-10-11	44.44	0	20652	Uranor Inc	100.00
24P03	CDC	98113	Actif	2005-10-12	2007-10-11	44.44	0	20652	Uranor Inc	100.00
24P03	CDC	98114	Actif	2005-10-12	2007-10-11	44.44	0	20652	Uranor Inc	100.00
24P03	CDC	98115	Actif	2005-10-12	2007-10-11	44.44	0	20652	Uranor Inc	100.00
24P03	CDC	98116	Actif	2005-10-12	2007-10-11	44.44	0	20652	Uranor Inc	100.00

Tableau 6.1 - Tableau descriptif des claims actifs et en demande d'Uranor Inc. du projet CAGE 2006

Feuillet	Type de titre	No titre	Statut du titre	Date d'inscription	Date d'expiration	Superficie (Ha)	Excédent ($)	No détenteur	Nom du détenteur	Pourcentage (%)
24P03	CDC	98117	Actif	2005-10-12	2007-10-11	44.44	0	20652	Uranor Inc	100.00
24P03	CDC	98118	Actif	2005-10-12	2007-10-11	44.44	0	20652	Uranor Inc	100.00
24P03	CDC	98726	Actif	2005-10-19	2007-10-18	44.44	0	20652	Uranor Inc	100.00
24P03	CDC	98727	Actif	2005-10-19	2007-10-18	44.44	0	20652	Uranor Inc	100.00
24P03	CDC	98728	Actif	2005-10-19	2007-10-18	44.44	0	20652	Uranor Inc	100.00
24P03	CDC	98729	Actif	2005-10-19	2007-10-18	44.44	0	20652	Uranor Inc	100.00
24P03	CDC	98119	Actif	2005-10-12	2007-10-11	44.44	0	20652	Uranor Inc	100.00
24P03	CDC	98120	Actif	2005-10-12	2007-10-11	44.44	0	20652	Uranor Inc	100.00
24P03	CDC	98121	Actif	2005-10-12	2007-10-11	44.44	0	20652	Uranor Inc	100.00
24P03	CDC	98122	Actif	2005-10-12	2007-10-11	44.44	0	20652	Uranor Inc	100.00
24P03	CDC	2008341	Actif	2006-05-12	2008-05-11	44.44	0	20652	Uranor Inc	100.00
24P03	CDC	2008342	Actif	2006-05-12	2008-05-11	44.44	0	20652	Uranor Inc	100.00
24P03	CDC	2008343	Actif	2006-05-12	2008-05-11	44.44	0	20652	Uranor Inc	100.00
24P03	CDC	2008344	Actif	2006-05-12	2008-05-11	44.44	0	20652	Uranor Inc	100.00
24P03	CDC	2008345	Actif	2006-05-12	2008-05-11	44.44	0	20652	Uranor Inc	100.00
24P03	CDC	2011377	Actif	2006-05-23	2008-05-22	44.44	0	20652	Uranor Inc	100.00
24P03	CDC	2012052	Actif	2006-05-24	2008-05-23	44.44	0	20652	Uranor Inc	100.00
24P03	CDC	2012053	Actif	2006-05-24	2008-05-23	44.44	0	20652	Uranor Inc	100.00
24P03	CDC	2012054	Actif	2006-05-24	2008-05-23	44.44	0	20652	Uranor Inc	100.00
24P03	CDC	2012055	Actif	2006-05-24	2008-05-23	44.44	0	20652	Uranor Inc	100.00
24P03	CDC	2012056	Actif	2006-05-24	2008-05-23	44.44	0	20652	Uranor Inc	100.00
24P03	CDC	2012057	Actif	2006-05-24	2008-05-23	44.44	0	20652	Uranor Inc	100.00
24P03	CDC	2012058	Actif	2006-05-24	2008-05-23	44.44	0	20652	Uranor Inc	100.00
24P03	CDC	2012059	Actif	2006-05-24	2008-05-23	44.44	0	20652	Uranor Inc	100.00
24P03	CDC	2012060	Actif	2006-05-24	2008-05-23	44.44	0	20652	Uranor Inc	100.00
24P03	CDC	2013016	Actif	2006-05-25	2008-05-24	44.44	0	20652	Uranor Inc	100.00
24P03	CDC	2013017	Actif	2006-05-25	2008-05-24	44.44	0	20652	Uranor Inc	100.00
24P03	CDC	2013018	Actif	2006-05-25	2008-05-24	44.44	0	20652	Uranor Inc	100.00
24P03	CDC	2013019	Actif	2006-05-25	2008-05-24	44.44	0	20652	Uranor Inc	100.00
24P03	CDC	2013020	Actif	2006-05-25	2008-05-24	44.44	0	20652	Uranor Inc	100.00
24P03	CDC	2013021	Actif	2006-05-25	2008-05-24	44.44	0	20652	Uranor Inc	100.00
24P03	CDC	2013022	Actif	2006-05-25	2008-05-24	44.44	0	20652	Uranor Inc	100.00
24P03	CDC	2013023	Actif	2006-05-25	2008-05-24	44.44	0	20652	Uranor Inc	100.00
24P03	CDC	2013024	Actif	2006-05-25	2008-05-24	44.44	0	20652	Uranor Inc	100.00
24P03	CDC	2013025	Actif	2006-05-25	2008-05-24	44.44	0	20652	Uranor Inc	100.00
24P03	CDC	2013026	Actif	2006-05-25	2008-05-24	44.44	0	20652	Uranor Inc	100.00
24P03	CDC	2013027	Actif	2006-05-25	2008-05-24	44.44	0	20652	Uranor Inc	100.00
24P03	CDC	2010981	Actif	2006-05-23	2008-05-22	44.43	0	20652	Uranor Inc	100.00
24P03	CDC	2010982	Actif	2006-05-23	2008-05-22	44.43	0	20652	Uranor Inc	100.00
24P03	CDC	2010983	Actif	2006-05-23	2008-05-22	44.43	0	20652	Uranor Inc	100.00
24P03	CDC	2010984	Actif	2006-05-23	2008-05-22	44.43	0	20652	Uranor Inc	100.00
24P03	CDC	98123	Actif	2005-10-12	2007-10-11	44.43	0	20652	Uranor Inc	100.00

Tableau 6.1 - Tableau descriptif des claims actifs et en demande d'Uranor Inc. du projet CAGE 2006

Feuillet	Type de titre	No titre	Statut du titre	Date d'inscription	Date d'expiration	Superficie (Ha)	Excédent ($)	No détenteur	Nom du détenteur	Pourcentage (%)
24P03	CDC	98124	Actif	2005-10-12	2007-10-11	44.43	0	20652	Uranor Inc	100.00
24P03	CDC	98125	Actif	2005-10-12	2007-10-11	44.43	0	20652	Uranor Inc	100.00
24P03	CDC	98126	Actif	2005-10-12	2007-10-11	44.43	0	20652	Uranor Inc	100.00
24P03	CDC	98082	Actif	2005-10-12	2007-10-11	44.43	0	20652	Uranor Inc	100.00
24P03	CDC	98083	Actif	2005-10-12	2007-10-11	44.43	0	20652	Uranor Inc	100.00
24P03	CDC	98084	Actif	2005-10-12	2007-10-11	44.43	0	20652	Uranor Inc	100.00
24P03	CDC	98085	Actif	2005-10-12	2007-10-11	44.43	0	20652	Uranor Inc	100.00
24P03	CDC	98730	Actif	2005-10-19	2007-10-18	44.43	0	20652	Uranor Inc	100.00
24P03	CDC	98731	Actif	2005-10-19	2007-10-18	44.43	0	20652	Uranor Inc	100.00
24P03	CDC	98732	Actif	2005-10-19	2007-10-18	44.43	0	20652	Uranor Inc	100.00
24P03	CDC	98733	Actif	2005-10-19	2007-10-18	44.43	0	20652	Uranor Inc	100.00
24P03	CDC	98086	Actif	2005-10-12	2007-10-11	44.43	0	20652	Uranor Inc	100.00
24P03	CDC	98087	Actif	2005-10-12	2007-10-11	44.43	0	20652	Uranor Inc	100.00
24P03	CDC	98088	Actif	2005-10-12	2007-10-11	44.43	0	20652	Uranor Inc	100.00
24P03	CDC	98089	Actif	2005-10-12	2007-10-11	44.43	0	20652	Uranor Inc	100.00
24P03	CDC	2008346	Actif	2006-05-12	2008-05-11	44.43	0	20652	Uranor Inc	100.00
24P03	CDC	2008347	Actif	2006-05-12	2008-05-11	44.43	0	20652	Uranor Inc	100.00
24P03	CDC	2008348	Actif	2006-05-12	2008-05-11	44.43	0	20652	Uranor Inc	100.00
24P03	CDC	2008349	Actif	2006-05-12	2008-05-11	44.43	0	20652	Uranor Inc	100.00
24P03	CDC	2008350	Actif	2006-05-12	2008-05-11	44.43	0	20652	Uranor Inc	100.00
24P03	CDC	2008351	Actif	2006-05-12	2008-05-11	44.43	0	20652	Uranor Inc	100.00
24P03	CDC	2011378	Actif	2006-05-23	2008-05-22	44.43	0	20652	Uranor Inc	100.00
24P03	CDC	2012061	Actif	2006-05-24	2008-05-23	44.43	0	20652	Uranor Inc	100.00
24P03	CDC	2012062	Actif	2006-05-24	2008-05-23	44.43	0	20652	Uranor Inc	100.00
24P03	CDC	2012063	Actif	2006-05-24	2008-05-23	44.43	0	20652	Uranor Inc	100.00
24P03	CDC	2012064	Actif	2006-05-24	2008-05-23	44.43	0	20652	Uranor Inc	100.00
24P03	CDC	2012065	Actif	2006-05-24	2008-05-23	44.43	0	20652	Uranor Inc	100.00
24P03	CDC	2012066	Actif	2006-05-24	2008-05-23	44.43	0	20652	Uranor Inc	100.00
24P03	CDC	2012067	Actif	2006-05-24	2008-05-23	44.43	0	20652	Uranor Inc	100.00
24P03	CDC	2012068	Actif	2006-05-24	2008-05-23	44.43	0	20652	Uranor Inc	100.00
24P03	CDC	2012069	Actif	2006-05-24	2008-05-23	44.43	0	20652	Uranor Inc	100.00
24P03	CDC	2012070	Actif	2006-05-24	2008-05-23	44.43	0	20652	Uranor Inc	100.00
24P03	CDC	2012071	Actif	2006-05-24	2008-05-23	44.43	0	20652	Uranor Inc	100.00
24P03	CDC	2012072	Actif	2006-05-24	2008-05-23	44.43	0	20652	Uranor Inc	100.00
24P03	CDC	2012073	Actif	2006-05-24	2008-05-23	44.43	0	20652	Uranor Inc	100.00
24P03	CDC	2012074	Actif	2006-05-24	2008-05-23	44.43	0	20652	Uranor Inc	100.00
24P03	CDC	2012075	Actif	2006-05-24	2008-05-23	44.43	0	20652	Uranor Inc	100.00
24P03	CDC	2013028	Actif	2006-05-25	2008-05-24	44.43	0	20652	Uranor Inc	100.00
24P03	CDC	2013029	Actif	2006-05-25	2008-05-24	44.43	0	20652	Uranor Inc	100.00
24P03	CDC	2013030	Actif	2006-05-25	2008-05-24	44.43	0	20652	Uranor Inc	100.00
24P03	CDC	2013031	Actif	2006-05-25	2008-05-24	44.43	0	20652	Uranor Inc	100.00
24P03	CDC	2013032	Actif	2006-05-25	2008-05-24	44.43	0	20652	Uranor Inc	100.00

Tableau 6.1 - Tableau descriptif des claims actifs et en demande d'Uranor Inc. du projet CAGE 2006

Feuillet	Type de titre	No titre	Statut du titre	Date d'inscription	Date d'expiration	Superficie (Ha)	Excédent ($)	No détenteur	Nom du détenteur	Pourcentage (%)
24P03	CDC	2013033	Actif	2006-05-25	2008-05-24	44.43	0	20652	Uranor Inc	100.00
24P03	CDC	2010985	Actif	2006-05-23	2008-05-22	44.42	0	20652	Uranor Inc	100.00
24P03	CDC	2010986	Actif	2006-05-23	2008-05-22	44.42	0	20652	Uranor Inc	100.00
24P03	CDC	2010987	Actif	2006-05-23	2008-05-22	44.42	0	20652	Uranor Inc	100.00
24P03	CDC	2010988	Actif	2006-05-23	2008-05-22	44.42	0	20652	Uranor Inc	100.00
24P03	CDC	98090	Actif	2005-10-12	2007-10-11	44.42	0	20652	Uranor Inc	100.00
24P03	CDC	98091	Actif	2005-10-12	2007-10-11	44.42	0	20652	Uranor Inc	100.00
24P03	CDC	98092	Actif	2005-10-12	2007-10-11	44.42	0	20652	Uranor Inc	100.00
24P03	CDC	98093	Actif	2005-10-12	2007-10-11	44.42	0	20652	Uranor Inc	100.00
24P03	CDC	98094	Actif	2005-10-12	2007-10-11	44.42	0	20652	Uranor Inc	100.00
24P03	CDC	98095	Actif	2005-10-12	2007-10-11	44.42	0	20652	Uranor Inc	100.00
24P03	CDC	98734	Actif	2005-10-19	2007-10-18	44.42	0	20652	Uranor Inc	100.00
24P03	CDC	98735	Actif	2005-10-19	2007-10-18	44.42	0	20652	Uranor Inc	100.00
24P03	CDC	98736	Actif	2005-10-19	2007-10-18	44.42	0	20652	Uranor Inc	100.00
24P03	CDC	98737	Actif	2005-10-19	2007-10-18	44.42	0	20652	Uranor Inc	100.00
24P03	CDC	98738	Actif	2005-10-19	2007-10-18	44.42	0	20652	Uranor Inc	100.00
24P03	CDC	98739	Actif	2005-10-19	2007-10-18	44.42	0	20652	Uranor Inc	100.00
24P03	CDC	98096	Actif	2005-10-12	2007-10-11	44.42	0	20652	Uranor Inc	100.00
24P03	CDC	98097	Actif	2005-10-12	2007-10-11	44.42	0	20652	Uranor Inc	100.00
24P03	CDC	2008352	Actif	2006-05-12	2008-05-11	44.42	0	20652	Uranor Inc	100.00
24P03	CDC	2008353	Actif	2006-05-12	2008-05-11	44.42	0	20652	Uranor Inc	100.00
24P03	CDC	2008354	Actif	2006-05-12	2008-05-11	44.42	0	20652	Uranor Inc	100.00
24P03	CDC	2008355	Actif	2006-05-12	2008-05-11	44.42	0	20652	Uranor Inc	100.00
24P03	CDC	2008356	Actif	2006-05-12	2008-05-11	44.42	0	20652	Uranor Inc	100.00
24P03	CDC	2008357	Actif	2006-05-12	2008-05-11	44.42	0	20652	Uranor Inc	100.00
24P03	CDC	2008358	Actif	2006-05-12	2008-05-11	44.42	0	20652	Uranor Inc	100.00
24P03	CDC	2011379	Actif	2006-05-23	2008-05-22	44.42	0	20652	Uranor Inc	100.00
24P03	CDC	2011380	Actif	2006-05-23	2008-05-22	44.42	0	20652	Uranor Inc	100.00
24P03	CDC	2011381	Actif	2006-05-23	2008-05-22	44.42	0	20652	Uranor Inc	100.00
24P03	CDC	2012076	Actif	2006-05-24	2008-05-23	44.42	0	20652	Uranor Inc	100.00
24P03	CDC	2012077	Actif	2006-05-24	2008-05-23	44.42	0	20652	Uranor Inc	100.00
24P03	CDC	2012078	Actif	2006-05-24	2008-05-23	44.42	0	20652	Uranor Inc	100.00
24P03	CDC	2012079	Actif	2006-05-24	2008-05-23	44.42	0	20652	Uranor Inc	100.00
24P03	CDC	2012080	Actif	2006-05-24	2008-05-23	44.42	0	20652	Uranor Inc	100.00
24P03	CDC	2012081	Actif	2006-05-24	2008-05-23	44.42	0	20652	Uranor Inc	100.00
24P03	CDC	2012082	Actif	2006-05-24	2008-05-23	44.42	0	20652	Uranor Inc	100.00
24P03	CDC	2012083	Actif	2006-05-24	2008-05-23	44.42	0	20652	Uranor Inc	100.00
24P03	CDC	2012084	Actif	2006-05-24	2008-05-23	44.42	0	20652	Uranor Inc	100.00
24P03	CDC	2012085	Actif	2006-05-24	2008-05-23	44.42	0	20652	Uranor Inc	100.00
24P03	CDC	2012086	Actif	2006-05-24	2008-05-23	44.42	0	20652	Uranor Inc	100.00
24P03	CDC	2012087	Actif	2006-05-24	2008-05-23	44.42	0	20652	Uranor Inc	100.00
24P03	CDC	2012088	Actif	2006-05-24	2008-05-23	44.42	0	20652	Uranor Inc	100.00

Tableau 6.1 - Tableau descriptif des claims actifs et en demande d'Uranor Inc. du projet CAGE 2006

Feuillet	Type de titre	No titre	Statut du titre	Date d'inscription	Date d'expiration	Superficie (Ha)	Excédent ($)	No détenteur	Nom du détenteur	Pourcentage (%)
24P03	CDC	2012089	Actif	2006-05-24	2008-05-23	44.42	0	20652	Uranor Inc	100.00
24P03	CDC	2012090	Actif	2006-05-24	2008-05-23	44.42	0	20652	Uranor Inc	100.00
24P03	CDC	2012091	Actif	2006-05-24	2008-05-23	44.42	0	20652	Uranor Inc	100.00
24P03	CDC	2012092	Actif	2006-05-24	2008-05-23	44.42	0	20652	Uranor Inc	100.00
24P03	CDC	2012093	Actif	2006-05-24	2008-05-23	44.42	0	20652	Uranor Inc	100.00
24P03	CDC	2012094	Actif	2006-05-24	2008-05-23	44.42	0	20652	Uranor Inc	100.00
24P03	CDC	2010989	Actif	2006-05-23	2008-05-22	44.41	0	20652	Uranor Inc	100.00
24P03	CDC	2010990	Actif	2006-05-23	2008-05-22	44.41	0	20652	Uranor Inc	100.00
24P03	CDC	2010991	Actif	2006-05-23	2008-05-22	44.41	0	20652	Uranor Inc	100.00
24P03	CDC	2010992	Actif	2006-05-23	2008-05-22	44.41	0	20652	Uranor Inc	100.00
24P03	CDC	98098	Actif	2005-10-12	2007-10-11	44.41	0	20652	Uranor Inc	100.00
24P03	CDC	98099	Actif	2005-10-12	2007-10-11	44.41	0	20652	Uranor Inc	100.00
24P03	CDC	98100	Actif	2005-10-12	2007-10-11	44.41	0	20652	Uranor Inc	100.00
24P03	CDC	98101	Actif	2005-10-12	2007-10-11	44.41	0	20652	Uranor Inc	100.00
24P03	CDC	98102	Actif	2005-10-12	2007-10-11	44.41	0	20652	Uranor Inc	100.00
24P03	CDC	98103	Actif	2005-10-12	2007-10-11	44.41	0	20652	Uranor Inc	100.00
24P03	CDC	98740	Actif	2005-10-19	2007-10-18	44.41	0	20652	Uranor Inc	100.00
24P03	CDC	98741	Actif	2005-10-19	2007-10-18	44.41	0	20652	Uranor Inc	100.00
24P03	CDC	98742	Actif	2005-10-19	2007-10-18	44.41	0	20652	Uranor Inc	100.00
24P03	CDC	98743	Actif	2005-10-19	2007-10-18	44.41	0	20652	Uranor Inc	100.00
24P03	CDC	98744	Actif	2005-10-19	2007-10-18	44.41	0	20652	Uranor Inc	100.00
24P03	CDC	98745	Actif	2005-10-19	2007-10-18	44.41	0	20652	Uranor Inc	100.00
24P03	CDC	98746	Actif	2005-10-19	2007-10-18	44.41	0	20652	Uranor Inc	100.00
24P03	CDC	2008359	Actif	2006-05-12	2008-05-11	44.41	0	20652	Uranor Inc	100.00
24P03	CDC	2008360	Actif	2006-05-12	2008-05-11	44.41	0	20652	Uranor Inc	100.00
24P03	CDC	2008361	Actif	2006-05-12	2008-05-11	44.41	0	20652	Uranor Inc	100.00
24P03	CDC	2008362	Actif	2006-05-12	2008-05-11	44.41	0	20652	Uranor Inc	100.00
24P03	CDC	2008363	Actif	2006-05-12	2008-05-11	44.41	0	20652	Uranor Inc	100.00
24P03	CDC	2008364	Actif	2006-05-12	2008-05-11	44.41	0	20652	Uranor Inc	100.00
24P03	CDC	2008365	Actif	2006-05-12	2008-05-11	44.41	0	20652	Uranor Inc	100.00
24P03	CDC	2011382	Actif	2006-05-23	2008-05-22	44.41	0	20652	Uranor Inc	100.00
24P03	CDC	2011383	Actif	2006-05-23	2008-05-22	44.41	0	20652	Uranor Inc	100.00
24P03	CDC	2011384	Actif	2006-05-23	2008-05-22	44.41	0	20652	Uranor Inc	100.00
24P03	CDC	2011385	Actif	2006-05-23	2008-05-22	44.41	0	20652	Uranor Inc	100.00
24P03	CDC	2012095	Actif	2006-05-24	2008-05-23	44.41	0	20652	Uranor Inc	100.00
24P03	CDC	2012096	Actif	2006-05-24	2008-05-23	44.41	0	20652	Uranor Inc	100.00
24P03	CDC	2012097	Actif	2006-05-24	2008-05-23	44.41	0	20652	Uranor Inc	100.00
24P03	CDC	2012098	Actif	2006-05-24	2008-05-23	44.41	0	20652	Uranor Inc	100.00
24P03	CDC	2012099	Actif	2006-05-24	2008-05-23	44.41	0	20652	Uranor Inc	100.00
24P03	CDC	2012100	Actif	2006-05-24	2008-05-23	44.41	0	20652	Uranor Inc	100.00
24P03	CDC	2012101	Actif	2006-05-24	2008-05-23	44.41	0	20652	Uranor Inc	100.00
24P03	CDC	2012102	Actif	2006-05-24	2008-05-23	44.41	0	20652	Uranor Inc	100.00

Tableau 6.1 - Tableau descriptif des claims actifs et en demande d'Uranor Inc. du projet CAGE 2006

Feuillet	Type de titre	No titre	Statut du titre	Date d'inscription	Date d'expiration	Superficie (Ha)	Excédent ($)	No détenteur	Nom du détenteur	Pourcentage (%)
24P03	CDC	2012103	Actif	2006-05-24	2008-05-23	44.41	0	20652	Uranor Inc	100.00
24P03	CDC	2012104	Actif	2006-05-24	2008-05-23	44.41	0	20652	Uranor Inc	100.00
24P03	CDC	2012105	Actif	2006-05-24	2008-05-23	44.41	0	20652	Uranor Inc	100.00
24P03	CDC	2012106	Actif	2006-05-24	2008-05-23	44.41	0	20652	Uranor Inc	100.00
24P03	CDC	2012107	Actif	2006-05-24	2008-05-23	44.41	0	20652	Uranor Inc	100.00
24P03	CDC	2012108	Actif	2006-05-24	2008-05-23	44.41	0	20652	Uranor Inc	100.00
24P03	CDC	2012109	Actif	2006-05-24	2008-05-23	44.41	0	20652	Uranor Inc	100.00
24P03	CDC	2012110	Actif	2006-05-24	2008-05-23	44.41	0	20652	Uranor Inc	100.00
24P03	CDC	2012112	Actif	2006-05-24	2008-05-23	44.4	0	20652	Uranor Inc	100.00
24P03	CDC	2012113	Actif	2006-05-24	2008-05-23	44.4	0	20652	Uranor Inc	100.00
24P03	CDC	2010993	Actif	2006-05-23	2008-05-22	44.4	0	20652	Uranor Inc	100.00
24P03	CDC	2010994	Actif	2006-05-23	2008-05-22	44.4	0	20652	Uranor Inc	100.00
24P03	CDC	2010995	Actif	2006-05-23	2008-05-22	44.4	0	20652	Uranor Inc	100.00
24P03	CDC	2010996	Actif	2006-05-23	2008-05-22	44.4	0	20652	Uranor Inc	100.00
24P03	CDC	98104	Actif	2005-10-12	2007-10-11	44.4	0	20652	Uranor Inc	100.00
24P03	CDC	98105	Actif	2005-10-12	2007-10-11	44.4	0	20652	Uranor Inc	100.00
24P03	CDC	98106	Actif	2005-10-12	2007-10-11	44.4	0	20652	Uranor Inc	100.00
24P03	CDC	98107	Actif	2005-10-12	2007-10-11	44.4	0	20652	Uranor Inc	100.00
24P03	CDC	98108	Actif	2005-10-12	2007-10-11	44.4	0	20652	Uranor Inc	100.00
24P03	CDC	98109	Actif	2005-10-12	2007-10-11	44.4	0	20652	Uranor Inc	100.00
24P03	CDC	98747	Actif	2005-10-19	2007-10-18	44.4	0	20652	Uranor Inc	100.00
24P03	CDC	98748	Actif	2005-10-19	2007-10-18	44.4	0	20652	Uranor Inc	100.00
24P03	CDC	98749	Actif	2005-10-19	2007-10-18	44.4	0	20652	Uranor Inc	100.00
24P03	CDC	98750	Actif	2005-10-19	2007-10-18	44.4	0	20652	Uranor Inc	100.00
24P03	CDC	98751	Actif	2005-10-19	2007-10-18	44.4	0	20652	Uranor Inc	100.00
24P03	CDC	98752	Actif	2005-10-19	2007-10-18	44.4	0	20652	Uranor Inc	100.00
24P03	CDC	98753	Actif	2005-10-19	2007-10-18	44.4	0	20652	Uranor Inc	100.00
24P03	CDC	98754	Actif	2005-10-19	2007-10-18	44.4	0	20652	Uranor Inc	100.00
24P03	CDC	98755	Actif	2005-10-19	2007-10-18	44.4	0	20652	Uranor Inc	100.00
24P03	CDC	98756	Actif	2005-10-19	2007-10-18	44.4	0	20652	Uranor Inc	100.00
24P03	CDC	98757	Actif	2005-10-19	2007-10-18	44.4	0	20652	Uranor Inc	100.00
24P03	CDC	98758	Actif	2005-10-19	2007-10-18	44.4	0	20652	Uranor Inc	100.00
24P03	CDC	98759	Actif	2005-10-19	2007-10-18	44.4	0	20652	Uranor Inc	100.00
24P03	CDC	2011386	Actif	2006-05-23	2008-05-22	44.4	0	20652	Uranor Inc	100.00
24P03	CDC	2011387	Actif	2006-05-23	2008-05-22	44.4	0	20652	Uranor Inc	100.00
24P03	CDC	2011388	Actif	2006-05-23	2008-05-22	44.4	0	20652	Uranor Inc	100.00
24P03	CDC	2011389	Actif	2006-05-23	2008-05-22	44.4	0	20652	Uranor Inc	100.00
24P03	CDC	2011390	Actif	2006-05-23	2008-05-22	44.4	0	20652	Uranor Inc	100.00
24P03	CDC	2011391	Actif	2006-05-23	2008-05-22	44.4	0	20652	Uranor Inc	100.00
24P03	CDC	2012111	Actif	2006-05-24	2008-05-23	44.4	0	20652	Uranor Inc	100.00
24P03	CDC	2012114	Actif	2006-05-24	2008-05-23	44.4	0	20652	Uranor Inc	100.00
24P03	CDC	2012115	Actif	2006-05-24	2008-05-23	44.4	0	20652	Uranor Inc	100.00

Tableau 6.1 - Tableau descriptif des claims actifs et en demande d'Uranor Inc. du projet CAGE 2006

Feuillet	Type de titre	No titre	Statut du titre	Date d'inscription	Date d'expiration	Superficie (Ha)	Excédent ($)	No détenteur	Nom du détenteur	Pourcentage (%)
24P03	CDC	2012116	Actif	2006-05-24	2008-05-23	44.4	0	20652	Uranor Inc	100.00
24P03	CDC	2012117	Actif	2006-05-24	2008-05-23	44.4	0	20652	Uranor Inc	100.00
24P03	CDC	2012118	Actif	2006-05-24	2008-05-23	44.4	0	20652	Uranor Inc	100.00
24P03	CDC	2012119	Actif	2006-05-24	2008-05-23	44.4	0	20652	Uranor Inc	100.00
24P03	CDC	2012120	Actif	2006-05-24	2008-05-23	44.4	0	20652	Uranor Inc	100.00
24P03	CDC	2012121	Actif	2006-05-24	2008-05-23	44.4	0	20652	Uranor Inc	100.00
24P03	CDC	2012122	Actif	2006-05-24	2008-05-23	44.4	0	20652	Uranor Inc	100.00
24P03	CDC	2012124	Actif	2006-05-24	2008-05-23	44.39	0	20652	Uranor Inc	100.00
24P03	CDC	2012125	Actif	2006-05-24	2008-05-23	44.39	0	20652	Uranor Inc	100.00
24P03	CDC	2012126	Actif	2006-05-24	2008-05-23	44.39	0	20652	Uranor Inc	100.00
24P03	CDC	2012127	Actif	2006-05-24	2008-05-23	44.39	0	20652	Uranor Inc	100.00
24P03	CDC	2012128	Actif	2006-05-24	2008-05-23	44.39	0	20652	Uranor Inc	100.00
24P03	CDC	2012129	Actif	2006-05-24	2008-05-23	44.39	0	20652	Uranor Inc	100.00
24P03	CDC	2012130	Actif	2006-05-24	2008-05-23	44.39	0	20652	Uranor Inc	100.00
24P03	CDC	2010997	Actif	2006-05-23	2008-05-22	44.39	0	20652	Uranor Inc	100.00
24P03	CDC	2010998	Actif	2006-05-23	2008-05-22	44.39	0	20652	Uranor Inc	100.00
24P03	CDC	2010999	Actif	2006-05-23	2008-05-22	44.39	0	20652	Uranor Inc	100.00
24P03	CDC	2011000	Actif	2006-05-23	2008-05-22	44.39	0	20652	Uranor Inc	100.00
24P03	CDC	98760	Actif	2005-10-19	2007-10-18	44.39	0	20652	Uranor Inc	100.00
24P03	CDC	98761	Actif	2005-10-19	2007-10-18	44.39	0	20652	Uranor Inc	100.00
24P03	CDC	98762	Actif	2005-10-19	2007-10-18	44.39	0	20652	Uranor Inc	100.00
24P03	CDC	98763	Actif	2005-10-19	2007-10-18	44.39	0	20652	Uranor Inc	100.00
24P03	CDC	98764	Actif	2005-10-19	2007-10-18	44.39	0	20652	Uranor Inc	100.00
24P03	CDC	98765	Actif	2005-10-19	2007-10-18	44.39	0	20652	Uranor Inc	100.00
24P03	CDC	98766	Actif	2005-10-19	2007-10-18	44.39	0	20652	Uranor Inc	100.00
24P03	CDC	98767	Actif	2005-10-19	2007-10-18	44.39	0	20652	Uranor Inc	100.00
24P03	CDC	98768	Actif	2005-10-19	2007-10-18	44.39	0	20652	Uranor Inc	100.00
24P03	CDC	98769	Actif	2005-10-19	2007-10-18	44.39	0	20652	Uranor Inc	100.00
24P03	CDC	98770	Actif	2005-10-19	2007-10-18	44.39	0	20652	Uranor Inc	100.00
24P03	CDC	98771	Actif	2005-10-19	2007-10-18	44.39	0	20652	Uranor Inc	100.00
24P03	CDC	98772	Actif	2005-10-19	2007-10-18	44.39	0	20652	Uranor Inc	100.00
24P03	CDC	98773	Actif	2005-10-19	2007-10-18	44.39	0	20652	Uranor Inc	100.00
24P03	CDC	98774	Actif	2005-10-19	2007-10-18	44.39	0	20652	Uranor Inc	100.00
24P03	CDC	98775	Actif	2005-10-19	2007-10-18	44.39	0	20652	Uranor Inc	100.00
24P03	CDC	98776	Actif	2005-10-19	2007-10-18	44.39	0	20652	Uranor Inc	100.00
24P03	CDC	98777	Actif	2005-10-19	2007-10-18	44.39	0	20652	Uranor Inc	100.00
24P03	CDC	98778	Actif	2005-10-19	2007-10-18	44.39	0	20652	Uranor Inc	100.00
24P03	CDC	2011392	Actif	2006-05-23	2008-05-22	44.39	0	20652	Uranor Inc	100.00
24P03	CDC	2011393	Actif	2006-05-23	2008-05-22	44.39	0	20652	Uranor Inc	100.00
24P03	CDC	2011394	Actif	2006-05-23	2008-05-22	44.39	0	20652	Uranor Inc	100.00
24P03	CDC	2011395	Actif	2006-05-23	2008-05-22	44.39	0	20652	Uranor Inc	100.00
24P03	CDC	2011396	Actif	2006-05-23	2008-05-22	44.39	0	20652	Uranor Inc	100.00

Tableau 6.1 - Tableau descriptif des claims actifs et en demande d'Uranor Inc. du projet CAGE 2006

Feuillet	Type de titre	No titre	Statut du titre	Date d'inscription	Date d'expiration	Superficie (Ha)	Excédent ($)	No détenteur	Nom du détenteur	Pourcentage (%)
24P03	CDC	2011397	Actif	2006-05-23	2008-05-22	44.39	0	20652	Uranor Inc	100.00
24P03	CDC	2012123	Actif	2006-05-24	2008-05-23	44.39	0	20652	Uranor Inc	100.00
24P03	CDC	2012131	Actif	2006-05-24	2008-05-23	44.39	0	20652	Uranor Inc	100.00
24P03	CDC	2012132	Actif	2006-05-24	2008-05-23	44.39	0	20652	Uranor Inc	100.00
24P03	CDC	2012133	Actif	2006-05-24	2008-05-23	44.39	0	20652	Uranor Inc	100.00
24P03	CDC	2012134	Actif	2006-05-24	2008-05-23	44.38	0	20652	Uranor Inc	100.00
24P03	CDC	2012135	Actif	2006-05-24	2008-05-23	44.38	0	20652	Uranor Inc	100.00
24P03	CDC	2012136	Actif	2006-05-24	2008-05-23	44.38	0	20652	Uranor Inc	100.00
24P03	CDC	2012137	Actif	2006-05-24	2008-05-23	44.38	0	20652	Uranor Inc	100.00
24P03	CDC	2012138	Actif	2006-05-24	2008-05-23	44.38	0	20652	Uranor Inc	100.00
24P03	CDC	2012139	Actif	2006-05-24	2008-05-23	44.38	0	20652	Uranor Inc	100.00
24P03	CDC	2012140	Actif	2006-05-24	2008-05-23	44.38	0	20652	Uranor Inc	100.00
24P03	CDC	2012141	Actif	2006-05-24	2008-05-23	44.38	0	20652	Uranor Inc	100.00
24P03	CDC	2012142	Actif	2006-05-24	2008-05-23	44.38	0	20652	Uranor Inc	100.00
24P03	CDC	2012143	Actif	2006-05-24	2008-05-23	44.38	0	20652	Uranor Inc	100.00
24P03	CDC	2012144	Actif	2006-05-24	2008-05-23	44.38	0	20652	Uranor Inc	100.00
24P03	CDC	2012145	Actif	2006-05-24	2008-05-23	44.38	0	20652	Uranor Inc	100.00
24P03	CDC	2011001	Actif	2006-05-23	2008-05-22	44.38	0	20652	Uranor Inc	100.00
24P03	CDC	2011002	Actif	2006-05-23	2008-05-22	44.38	0	20652	Uranor Inc	100.00
24P03	CDC	2011003	Actif	2006-05-23	2008-05-22	44.38	0	20652	Uranor Inc	100.00
24P03	CDC	98779	Actif	2005-10-19	2007-10-18	44.38	0	20652	Uranor Inc	100.00
24P03	CDC	98780	Actif	2005-10-19	2007-10-18	44.38	0	20652	Uranor Inc	100.00
24P03	CDC	98781	Actif	2005-10-19	2007-10-18	44.38	0	20652	Uranor Inc	100.00
24P03	CDC	98782	Actif	2005-10-19	2007-10-18	44.38	0	20652	Uranor Inc	100.00
24P03	CDC	98783	Actif	2005-10-19	2007-10-18	44.38	0	20652	Uranor Inc	100.00
24P03	CDC	98784	Actif	2005-10-19	2007-10-18	44.38	0	20652	Uranor Inc	100.00
24P03	CDC	98785	Actif	2005-10-19	2007-10-18	44.38	0	20652	Uranor Inc	100.00
24P03	CDC	98786	Actif	2005-10-19	2007-10-18	44.38	0	20652	Uranor Inc	100.00
24P03	CDC	98787	Actif	2005-10-19	2007-10-18	44.38	0	20652	Uranor Inc	100.00
24P03	CDC	98788	Actif	2005-10-19	2007-10-18	44.38	0	20652	Uranor Inc	100.00
24P03	CDC	98789	Actif	2005-10-19	2007-10-18	44.38	0	20652	Uranor Inc	100.00
24P03	CDC	98790	Actif	2005-10-19	2007-10-18	44.38	0	20652	Uranor Inc	100.00
24P03	CDC	98791	Actif	2005-10-19	2007-10-18	44.38	0	20652	Uranor Inc	100.00
24P03	CDC	98792	Actif	2005-10-19	2007-10-18	44.38	0	20652	Uranor Inc	100.00
24P03	CDC	98793	Actif	2005-10-19	2007-10-18	44.38	0	20652	Uranor Inc	100.00
24P03	CDC	98794	Actif	2005-10-19	2007-10-18	44.38	0	20652	Uranor Inc	100.00
24P03	CDC	98795	Actif	2005-10-19	2007-10-18	44.38	0	20652	Uranor Inc	100.00
24P03	CDC	98796	Actif	2005-10-19	2007-10-18	44.38	0	20652	Uranor Inc	100.00
24P03	CDC	98797	Actif	2005-10-19	2007-10-18	44.38	0	20652	Uranor Inc	100.00
24P03	CDC	98798	Actif	2005-10-19	2007-10-18	44.38	0	20652	Uranor Inc	100.00
24P03	CDC	2011398	Actif	2006-05-23	2008-05-22	44.38	0	20652	Uranor Inc	100.00
24P03	CDC	2011399	Actif	2006-05-23	2008-05-22	44.38	0	20652	Uranor Inc	100.00

Tableau 6.1 - Tableau descriptif des claims actifs et en demande d'Uranor Inc. du projet CAGE 2006

Feuillet	Type de titre	No titre	Statut du titre	Date d'inscription	Date d'expiration	Superficie (Ha)	Excédent ($)	No détenteur	Nom du détenteur	Pourcentage (%)
24P03	CDC	2011400	Actif	2006-05-23	2008-05-22	44.38	0	20652	Uranor Inc	100.00
24P03	CDC	2011401	Actif	2006-05-23	2008-05-22	44.38	0	20652	Uranor Inc	100.00
24P03	CDC	2011402	Actif	2006-05-23	2008-05-22	44.38	0	20652	Uranor Inc	100.00
24P03	CDC	2011403	Actif	2006-05-23	2008-05-22	44.37	0	20652	Uranor Inc	100.00
24P03	CDC	2011528	Actif	2006-05-23	2008-05-22	44.37	0	20652	Uranor Inc	100.00
24P03	CDC	2012146	Actif	2006-05-24	2008-05-23	44.37	0	20652	Uranor Inc	100.00
24P03	CDC	2012147	Actif	2006-05-24	2008-05-23	44.37	0	20652	Uranor Inc	100.00
24P03	CDC	2012148	Actif	2006-05-24	2008-05-23	44.37	0	20652	Uranor Inc	100.00
24P03	CDC	2012149	Actif	2006-05-24	2008-05-23	44.37	0	20652	Uranor Inc	100.00
24P03	CDC	2012150	Actif	2006-05-24	2008-05-23	44.37	0	20652	Uranor Inc	100.00
24P03	CDC	2012151	Actif	2006-05-24	2008-05-23	44.37	0	20652	Uranor Inc	100.00
24P03	CDC	2012152	Actif	2006-05-24	2008-05-23	44.37	0	20652	Uranor Inc	100.00
24P03	CDC	2012153	Actif	2006-05-24	2008-05-23	44.37	0	20652	Uranor Inc	100.00
24P03	CDC	2012154	Actif	2006-05-24	2008-05-23	44.37	0	20652	Uranor Inc	100.00
24P03	CDC	2012155	Actif	2006-05-24	2008-05-23	44.37	0	20652	Uranor Inc	100.00
24P03	CDC	2012156	Actif	2006-05-24	2008-05-23	44.37	0	20652	Uranor Inc	100.00
24P03	CDC	2012157	Actif	2006-05-24	2008-05-23	44.37	0	20652	Uranor Inc	100.00
24P03	CDC	2012158	Actif	2006-05-24	2008-05-23	44.37	0	20652	Uranor Inc	100.00
24P03	CDC	2012159	Actif	2006-05-24	2008-05-23	44.37	0	20652	Uranor Inc	100.00
24P03	CDC	2027581	Actif	2006-10-03	2008-10-02	44.37	0	20652	Uranor Inc	100.00
24P03	CDC	2011004	Actif	2006-05-23	2008-05-22	44.37	0	20652	Uranor Inc	100.00
24P03	CDC	2011005	Actif	2006-05-23	2008-05-22	44.37	0	20652	Uranor Inc	100.00
24P03	CDC	98799	Actif	2005-10-19	2007-10-18	44.37	0	20652	Uranor Inc	100.00
24P03	CDC	98800	Actif	2005-10-19	2007-10-18	44.37	0	20652	Uranor Inc	100.00
24P03	CDC	98801	Actif	2005-10-19	2007-10-18	44.37	0	20652	Uranor Inc	100.00
24P03	CDC	98802	Actif	2005-10-19	2007-10-18	44.37	0	20652	Uranor Inc	100.00
24P03	CDC	98803	Actif	2005-10-19	2007-10-18	44.37	0	20652	Uranor Inc	100.00
24P03	CDC	98804	Actif	2005-10-19	2007-10-18	44.37	0	20652	Uranor Inc	100.00
24P03	CDC	98805	Actif	2005-10-19	2007-10-18	44.37	0	20652	Uranor Inc	100.00
24P03	CDC	98806	Actif	2005-10-19	2007-10-18	44.37	0	20652	Uranor Inc	100.00
24P03	CDC	98807	Actif	2005-10-19	2007-10-18	44.37	0	20652	Uranor Inc	100.00
24P03	CDC	98808	Actif	2005-10-19	2007-10-18	44.37	0	20652	Uranor Inc	100.00
24P03	CDC	98809	Actif	2005-10-19	2007-10-18	44.37	0	20652	Uranor Inc	100.00
24P03	CDC	98810	Actif	2005-10-19	2007-10-18	44.37	0	20652	Uranor Inc	100.00
24P03	CDC	98811	Actif	2005-10-19	2007-10-18	44.37	0	20652	Uranor Inc	100.00
24P03	CDC	98812	Actif	2005-10-19	2007-10-18	44.37	0	20652	Uranor Inc	100.00
24P03	CDC	98813	Actif	2005-10-19	2007-10-18	44.37	0	20652	Uranor Inc	100.00
24P03	CDC	98814	Actif	2005-10-19	2007-10-18	44.37	0	20652	Uranor Inc	100.00
24P03	CDC	98815	Actif	2005-10-19	2007-10-18	44.37	0	20652	Uranor Inc	100.00
24P03	CDC	98816	Actif	2005-10-19	2007-10-18	44.37	0	20652	Uranor Inc	100.00
24P03	CDC	98817	Actif	2005-10-19	2007-10-18	44.37	0	20652	Uranor Inc	100.00
24P03	CDC	98818	Actif	2005-10-19	2007-10-18	44.37	0	20652	Uranor Inc	100.00

Tableau 6.1 - Tableau descriptif des claims actifs et en demande d'Uranor Inc. du projet CAGE 2006

Feuillet	Type de titre	No titre	Statut du titre	Date d'inscription	Date d'expiration	Superficie (Ha)	Excédent ($)	No détenteur	Nom du détenteur	Pourcentage (%)
24P03	CDC	98819	Actif	2005-10-19	2007-10-18	44.37	0	20652	Uranor Inc	100.00
24P03	CDC	2011404	Actif	2006-05-23	2008-05-22	44.36	0	20652	Uranor Inc	100.00
24P03	CDC	2011405	Actif	2006-05-23	2008-05-22	44.36	0	20652	Uranor Inc	100.00
24P03	CDC	2011406	Actif	2006-05-23	2008-05-22	44.36	0	20652	Uranor Inc	100.00
24P03	CDC	2011407	Actif	2006-05-23	2008-05-22	44.36	0	20652	Uranor Inc	100.00
24P03	CDC	2011408	Actif	2006-05-23	2008-05-22	44.36	0	20652	Uranor Inc	100.00
24P03	CDC	2011529	Actif	2006-05-23	2008-05-22	44.36	0	20652	Uranor Inc	100.00
24P03	CDC	2011530	Actif	2006-05-23	2008-05-22	44.36	0	20652	Uranor Inc	100.00
24P03	CDC	2011531	Actif	2006-05-23	2008-05-22	44.36	0	20652	Uranor Inc	100.00
24P03	CDC	2011532	Actif	2006-05-23	2008-05-22	44.36	0	20652	Uranor Inc	100.00
24P03	CDC	2012160	Actif	2006-05-24	2008-05-23	44.36	0	20652	Uranor Inc	100.00
24P03	CDC	2012161	Actif	2006-05-24	2008-05-23	44.36	0	20652	Uranor Inc	100.00
24P03	CDC	2012162	Actif	2006-05-24	2008-05-23	44.36	0	20652	Uranor Inc	100.00
24P03	CDC	2012163	Actif	2006-05-24	2008-05-23	44.36	0	20652	Uranor Inc	100.00
24P03	CDC	2012164	Actif	2006-05-24	2008-05-23	44.36	0	20652	Uranor Inc	100.00
24P03	CDC	2012165	Actif	2006-05-24	2008-05-23	44.36	0	20652	Uranor Inc	100.00
24P03	CDC	2012166	Actif	2006-05-24	2008-05-23	44.36	0	20652	Uranor Inc	100.00
24P03	CDC	2012167	Actif	2006-05-24	2008-05-23	44.36	0	20652	Uranor Inc	100.00
24P03	CDC	2012168	Actif	2006-05-24	2008-05-23	44.36	0	20652	Uranor Inc	100.00
24P03	CDC	2012169	Actif	2006-05-24	2008-05-23	44.36	0	20652	Uranor Inc	100.00
24P03	CDC	2012170	Actif	2006-05-24	2008-05-23	44.36	0	20652	Uranor Inc	100.00
24P03	CDC	2027582	Actif	2006-10-03	2008-10-02	44.36	0	20652	Uranor Inc	100.00
24P03	CDC	2027583	Actif	2006-10-03	2008-10-02	44.36	0	20652	Uranor Inc	100.00
24P03	CDC	98820	Actif	2005-10-19	2007-10-18	44.36	0	20652	Uranor Inc	100.00
24P03	CDC	98821	Actif	2005-10-19	2007-10-18	44.36	0	20652	Uranor Inc	100.00
24P03	CDC	98822	Actif	2005-10-19	2007-10-18	44.36	0	20652	Uranor Inc	100.00
24P03	CDC	98823	Actif	2005-10-19	2007-10-18	44.36	0	20652	Uranor Inc	100.00
24P03	CDC	98824	Actif	2005-10-19	2007-10-18	44.36	0	20652	Uranor Inc	100.00
24P03	CDC	98825	Actif	2005-10-19	2007-10-18	44.36	0	20652	Uranor Inc	100.00
24P03	CDC	98826	Actif	2005-10-19	2007-10-18	44.36	0	20652	Uranor Inc	100.00
24P03	CDC	96355	Actif	2005-09-28	2007-09-27	44.36	0	20652	Uranor Inc	100.00
24P03	CDC	96356	Actif	2005-09-28	2007-09-27	44.36	0	20652	Uranor Inc	100.00
24P03	CDC	96357	Actif	2005-09-28	2007-09-27	44.36	0	20652	Uranor Inc	100.00
24P03	CDC	96358	Actif	2005-09-28	2007-09-27	44.36	0	20652	Uranor Inc	100.00
24P03	CDC	98827	Actif	2005-10-19	2007-10-18	44.36	0	20652	Uranor Inc	100.00
24P03	CDC	98828	Actif	2005-10-19	2007-10-18	44.36	0	20652	Uranor Inc	100.00
24P03	CDC	98829	Actif	2005-10-19	2007-10-18	44.36	0	20652	Uranor Inc	100.00
24P03	CDC	98830	Actif	2005-10-19	2007-10-18	44.36	0	20652	Uranor Inc	100.00
24P03	CDC	98831	Actif	2005-10-19	2007-10-18	44.36	0	20652	Uranor Inc	100.00
24P03	CDC	98832	Actif	2005-10-19	2007-10-18	44.36	0	20652	Uranor Inc	100.00
24P03	CDC	98833	Actif	2005-10-19	2007-10-18	44.36	0	20652	Uranor Inc	100.00
24P03	CDC	98834	Actif	2005-10-19	2007-10-18	44.35	0	20652	Uranor Inc	100.00

Tableau 6.1 - Tableau descriptif des claims actifs et en demande d'Uranor Inc. du projet CAGE 2006

Feuillet	Type de titre	No titre	Statut du titre	Date d'inscription	Date d'expiration	Superficie (Ha)	Excédent ($)	No détenteur	Nom du détenteur	Pourcentage (%)
24P03	CDC	98835	Actif	2005-10-19	2007-10-18	44.35	0	20652	Uranor Inc	100.00
24P03	CDC	2011409	Actif	2006-05-23	2008-05-22	44.35	0	20652	Uranor Inc	100.00
24P03	CDC	2011410	Actif	2006-05-23	2008-05-22	44.35	0	20652	Uranor Inc	100.00
24P03	CDC	2011411	Actif	2006-05-23	2008-05-22	44.35	0	20652	Uranor Inc	100.00
24P03	CDC	2011412	Actif	2006-05-23	2008-05-22	44.35	0	20652	Uranor Inc	100.00
24P03	CDC	2011413	Actif	2006-05-23	2008-05-22	44.35	0	20652	Uranor Inc	100.00
24P03	CDC	2011414	Actif	2006-05-23	2008-05-22	44.35	0	20652	Uranor Inc	100.00
24P03	CDC	2011533	Actif	2006-05-23	2008-05-22	44.35	0	20652	Uranor Inc	100.00
24P03	CDC	2011534	Actif	2006-05-23	2008-05-22	44.35	0	20652	Uranor Inc	100.00
24P03	CDC	2011535	Actif	2006-05-23	2008-05-22	44.35	0	20652	Uranor Inc	100.00
24P03	CDC	2011536	Actif	2006-05-23	2008-05-22	44.35	0	20652	Uranor Inc	100.00
24P03	CDC	2011537	Actif	2006-05-23	2008-05-22	44.35	0	20652	Uranor Inc	100.00
24P03	CDC	2011538	Actif	2006-05-23	2008-05-22	44.35	0	20652	Uranor Inc	100.00
24P03	CDC	2011539	Actif	2006-05-23	2008-05-22	44.35	0	20652	Uranor Inc	100.00
24P03	CDC	2011540	Actif	2006-05-23	2008-05-22	44.35	0	20652	Uranor Inc	100.00
24P03	CDC	2011541	Actif	2006-05-23	2008-05-22	44.35	0	20652	Uranor Inc	100.00
24P03	CDC	2012171	Actif	2006-05-24	2008-05-23	44.35	0	20652	Uranor Inc	100.00
24P03	CDC	2012172	Actif	2006-05-24	2008-05-23	44.35	0	20652	Uranor Inc	100.00
24P03	CDC	2012173	Actif	2006-05-24	2008-05-23	44.35	0	20652	Uranor Inc	100.00
24P03	CDC	2012174	Actif	2006-05-24	2008-05-23	44.35	0	20652	Uranor Inc	100.00
24P03	CDC	2012175	Actif	2006-05-24	2008-05-23	44.35	0	20652	Uranor Inc	100.00
24P03	CDC	2012176	Actif	2006-05-24	2008-05-23	44.35	0	20652	Uranor Inc	100.00
24P03	CDC	2012177	Actif	2006-05-24	2008-05-23	44.35	0	20652	Uranor Inc	100.00
24P03	CDC	2027584	Actif	2006-10-03	2008-10-02	44.35	0	20652	Uranor Inc	100.00
24P03	CDC	2027585	Actif	2006-10-03	2008-10-02	44.35	0	20652	Uranor Inc	100.00
24P03	CDC	2027586	Actif	2006-10-03	2008-10-02	44.35	0	20652	Uranor Inc	100.00
24P03	CDC	98836	Actif	2005-10-19	2007-10-18	44.35	0	20652	Uranor Inc	100.00
24P03	CDC	98837	Actif	2005-10-19	2007-10-18	44.35	0	20652	Uranor Inc	100.00
24P03	CDC	98838	Actif	2005-10-19	2007-10-18	44.35	0	20652	Uranor Inc	100.00
24P03	CDC	98839	Actif	2005-10-19	2007-10-18	44.35	0	20652	Uranor Inc	100.00
24P03	CDC	98840	Actif	2005-10-19	2007-10-18	44.35	0	20652	Uranor Inc	100.00
24P03	CDC	96359	Actif	2005-09-28	2007-09-27	44.35	0	20652	Uranor Inc	100.00
24P03	CDC	96360	Actif	2005-09-28	2007-09-27	44.35	0	20652	Uranor Inc	100.00
24P03	CDC	96361	Actif	2005-09-28	2007-09-27	44.35	0	20652	Uranor Inc	100.00
24P03	CDC	96362	Actif	2005-09-28	2007-09-27	44.35	0	20652	Uranor Inc	100.00
24P03	CDC	96363	Actif	2005-09-28	2007-09-27	44.35	0	20652	Uranor Inc	100.00
24P03	CDC	96364	Actif	2005-09-28	2007-09-27	44.35	0	20652	Uranor Inc	100.00
24P03	CDC	98841	Actif	2005-10-19	2007-10-18	44.35	0	20652	Uranor Inc	100.00
24P03	CDC	98842	Actif	2005-10-19	2007-10-18	44.35	0	20652	Uranor Inc	100.00
24P03	CDC	98843	Actif	2005-10-19	2007-10-18	44.34	0	20652	Uranor Inc	100.00
24P03	CDC	98844	Actif	2005-10-19	2007-10-18	44.34	0	20652	Uranor Inc	100.00
24P03	CDC	98845	Actif	2005-10-19	2007-10-18	44.34	0	20652	Uranor Inc	100.00

Tableau 6.1 - Tableau descriptif des claims actifs et en demande d'Uranor Inc. du projet CAGE 2006

Feuillet	Type de titre	No titre	Statut du titre	Date d'inscription	Date d'expiration	Superficie (Ha)	Excédent ($)	No détenteur	Nom du détenteur	Pourcentage (%)
24P03	CDC	2011415	Actif	2006-05-23	2008-05-22	44.34	0	20652	Uranor Inc	100.00
24P03	CDC	2011416	Actif	2006-05-23	2008-05-22	44.34	0	20652	Uranor Inc	100.00
24P03	CDC	2011417	Actif	2006-05-23	2008-05-22	44.34	0	20652	Uranor Inc	100.00
24P03	CDC	2011418	Actif	2006-05-23	2008-05-22	44.34	0	20652	Uranor Inc	100.00
24P03	CDC	2011419	Actif	2006-05-23	2008-05-22	44.34	0	20652	Uranor Inc	100.00
24P03	CDC	2011420	Actif	2006-05-23	2008-05-22	44.34	0	20652	Uranor Inc	100.00
24P03	CDC	2011421	Actif	2006-05-23	2008-05-22	44.34	0	20652	Uranor Inc	100.00
24P03	CDC	2011422	Actif	2006-05-23	2008-05-22	44.34	0	20652	Uranor Inc	100.00
24P03	CDC	2011423	Actif	2006-05-23	2008-05-22	44.34	0	20652	Uranor Inc	100.00
24P03	CDC	2011542	Actif	2006-05-23	2008-05-22	44.34	0	20652	Uranor Inc	100.00
24P03	CDC	2011543	Actif	2006-05-23	2008-05-22	44.34	0	20652	Uranor Inc	100.00
24P03	CDC	2011544	Actif	2006-05-23	2008-05-22	44.34	0	20652	Uranor Inc	100.00
24P03	CDC	2011545	Actif	2006-05-23	2008-05-22	44.34	0	20652	Uranor Inc	100.00
24P03	CDC	2011546	Actif	2006-05-23	2008-05-22	44.34	0	20652	Uranor Inc	100.00
24P03	CDC	2011547	Actif	2006-05-23	2008-05-22	44.34	0	20652	Uranor Inc	100.00
24P03	CDC	2011548	Actif	2006-05-23	2008-05-22	44.34	0	20652	Uranor Inc	100.00
24P03	CDC	2011549	Actif	2006-05-23	2008-05-22	44.34	0	20652	Uranor Inc	100.00
24P03	CDC	2011550	Actif	2006-05-23	2008-05-22	44.34	0	20652	Uranor Inc	100.00
24P03	CDC	2012178	Actif	2006-05-24	2008-05-23	44.34	0	20652	Uranor Inc	100.00
24P03	CDC	2012179	Actif	2006-05-24	2008-05-23	44.34	0	20652	Uranor Inc	100.00
24P03	CDC	2012180	Actif	2006-05-24	2008-05-23	44.34	0	20652	Uranor Inc	100.00
24P03	CDC	2012181	Actif	2006-05-24	2008-05-23	44.34	0	20652	Uranor Inc	100.00
24P03	CDC	2012182	Actif	2006-05-24	2008-05-23	44.34	0	20652	Uranor Inc	100.00
24P03	CDC	2012183	Actif	2006-05-24	2008-05-23	44.34	0	20652	Uranor Inc	100.00
24P03	CDC	2012184	Actif	2006-05-24	2008-05-23	44.34	0	20652	Uranor Inc	100.00
24P03	CDC	2027587	Actif	2006-10-03	2008-10-02	44.34	0	20652	Uranor Inc	100.00
24P03	CDC	2027588	Actif	2006-10-03	2008-10-02	44.34	0	20652	Uranor Inc	100.00
24P03	CDC	2027589	Actif	2006-10-03	2008-10-02	44.34	0	20652	Uranor Inc	100.00
24P03	CDC	96365	Actif	2005-09-28	2007-09-27	44.34	0	20652	Uranor Inc	100.00
24P03	CDC	96366	Actif	2005-09-28	2007-09-27	44.34	0	20652	Uranor Inc	100.00
24P03	CDC	96367	Actif	2005-09-28	2007-09-27	44.34	0	20652	Uranor Inc	100.00
24P03	CDC	96368	Actif	2005-09-28	2007-09-27	44.34	0	20652	Uranor Inc	100.00
24P03	CDC	96369	Actif	2005-09-28	2007-09-27	44.34	0	20652	Uranor Inc	100.00
24P03	CDC	96370	Actif	2005-09-28	2007-09-27	44.34	0	20652	Uranor Inc	100.00
24P03	CDC	96371	Actif	2005-09-28	2007-09-27	44.34	0	20652	Uranor Inc	100.00
24P03	CDC	96372	Actif	2005-09-28	2007-09-27	44.34	0	20652	Uranor Inc	100.00
24P03	CDC	96373	Actif	2005-09-28	2007-09-27	44.33	0	20652	Uranor Inc	100.00
24P03	CDC	96374	Actif	2005-09-28	2007-09-27	44.33	0	20652	Uranor Inc	100.00
24P03	CDC	96375	Actif	2005-09-28	2007-09-27	44.33	0	20652	Uranor Inc	100.00
24P03	CDC	98846	Actif	2005-10-19	2007-10-18	44.33	0	20652	Uranor Inc	100.00
24P03	CDC	98847	Actif	2005-10-19	2007-10-18	44.33	0	20652	Uranor Inc	100.00
24P03	CDC	98848	Actif	2005-10-19	2007-10-18	44.33	0	20652	Uranor Inc	100.00

Tableau 6.1 - Tableau descriptif des claims actifs et en demande d'Uranor Inc. du projet CAGE 2006

Feuillet	Type de titre	No titre	Statut du titre	Date d'inscription	Date d'expiration	Superficie (Ha)	Excédent ($)	No détenteur	Nom du détenteur	Pourcentage (%)
24P03	CDC	2011424	Actif	2006-05-23	2008-05-22	44.33	0	20652	Uranor Inc	100.00
24P03	CDC	2011425	Actif	2006-05-23	2008-05-22	44.33	0	20652	Uranor Inc	100.00
24P03	CDC	2011426	Actif	2006-05-23	2008-05-22	44.33	0	20652	Uranor Inc	100.00
24P03	CDC	2011427	Actif	2006-05-23	2008-05-22	44.33	0	20652	Uranor Inc	100.00
24P03	CDC	2011428	Actif	2006-05-23	2008-05-22	44.33	0	20652	Uranor Inc	100.00
24P03	CDC	2011429	Actif	2006-05-23	2008-05-22	44.33	0	20652	Uranor Inc	100.00
24P03	CDC	2011430	Actif	2006-05-23	2008-05-22	44.33	0	20652	Uranor Inc	100.00
24P03	CDC	2011431	Actif	2006-05-23	2008-05-22	44.33	0	20652	Uranor Inc	100.00
24P03	CDC	2011432	Actif	2006-05-23	2008-05-22	44.33	0	20652	Uranor Inc	100.00
24P03	CDC	2011433	Actif	2006-05-23	2008-05-22	44.33	0	20652	Uranor Inc	100.00
24P03	CDC	2011551	Actif	2006-05-23	2008-05-22	44.33	0	20652	Uranor Inc	100.00
24P03	CDC	2011552	Actif	2006-05-23	2008-05-22	44.33	0	20652	Uranor Inc	100.00
24P03	CDC	2011553	Actif	2006-05-23	2008-05-22	44.33	0	20652	Uranor Inc	100.00
24P03	CDC	2011554	Actif	2006-05-23	2008-05-22	44.33	0	20652	Uranor Inc	100.00
24P03	CDC	2011555	Actif	2006-05-23	2008-05-22	44.33	0	20652	Uranor Inc	100.00
24P03	CDC	2011556	Actif	2006-05-23	2008-05-22	44.33	0	20652	Uranor Inc	100.00
24P03	CDC	2011557	Actif	2006-05-23	2008-05-22	44.33	0	20652	Uranor Inc	100.00
24P03	CDC	2011558	Actif	2006-05-23	2008-05-22	44.33	0	20652	Uranor Inc	100.00
24P03	CDC	2011559	Actif	2006-05-23	2008-05-22	44.33	0	20652	Uranor Inc	100.00
24P03	CDC	2011560	Actif	2006-05-23	2008-05-22	44.33	0	20652	Uranor Inc	100.00
24P03	CDC	2012185	Actif	2006-05-24	2008-05-23	44.33	0	20652	Uranor Inc	100.00
24P03	CDC	2012186	Actif	2006-05-24	2008-05-23	44.33	0	20652	Uranor Inc	100.00
24P03	CDC	2012187	Actif	2006-05-24	2008-05-23	44.33	0	20652	Uranor Inc	100.00
24P03	CDC	2012188	Actif	2006-05-24	2008-05-23	44.33	0	20652	Uranor Inc	100.00
24P03	CDC	2012189	Actif	2006-05-24	2008-05-23	44.33	0	20652	Uranor Inc	100.00
24P03	CDC	2012190	Actif	2006-05-24	2008-05-23	44.33	0	20652	Uranor Inc	100.00
24P03	CDC	2012191	Actif	2006-05-24	2008-05-23	44.33	0	20652	Uranor Inc	100.00
24P03	CDC	2027590	Actif	2006-10-03	2008-10-02	44.33	0	20652	Uranor Inc	100.00
24P03	CDC	2027591	Actif	2006-10-03	2008-10-02	44.33	0	20652	Uranor Inc	100.00
24P03	CDC	2027592	Actif	2006-10-03	2008-10-02	44.33	0	20652	Uranor Inc	100.00
24P03	CDC	96376	Actif	2005-09-28	2007-09-27	44.33	0	20652	Uranor Inc	100.00
24P03	CDC	96377	Actif	2005-09-28	2007-09-27	44.33	0	20652	Uranor Inc	100.00
24P03	CDC	96378	Actif	2005-09-28	2007-09-27	44.33	0	20652	Uranor Inc	100.00
24P03	CDC	96379	Actif	2005-09-28	2007-09-27	44.32	0	20652	Uranor Inc	100.00
24P03	CDC	96380	Actif	2005-09-28	2007-09-27	44.32	0	20652	Uranor Inc	100.00
24P03	CDC	96381	Actif	2005-09-28	2007-09-27	44.32	0	20652	Uranor Inc	100.00
24P03	CDC	96382	Actif	2005-09-28	2007-09-27	44.32	0	20652	Uranor Inc	100.00
24P03	CDC	96383	Actif	2005-09-28	2007-09-27	44.32	0	20652	Uranor Inc	100.00
24P03	CDC	96384	Actif	2005-09-28	2007-09-27	44.32	0	20652	Uranor Inc	100.00
24P03	CDC	96385	Actif	2005-09-28	2007-09-27	44.32	0	20652	Uranor Inc	100.00
24P03	CDC	96386	Actif	2005-09-28	2007-09-27	44.32	0	20652	Uranor Inc	100.00
24P03	CDC	98849	Actif	2005-10-19	2007-10-18	44.32	0	20652	Uranor Inc	100.00

Tableau 6.1 - Tableau descriptif des claims actifs et en demande d'Uranor Inc. du projet CAGE 2006

Feuillet	Type de titre	No titre	Statut du titre	Date d'inscription	Date d'expiration	Superficie (Ha)	Excédent ($)	No détenteur	Nom du détenteur	Pourcentage (%)
24P03	CDC	98850	Actif	2005-10-19	2007-10-18	44.32	0	20652	Uranor Inc	100.00
24P03	CDC	2011434	Actif	2006-05-23	2008-05-22	44.32	0	20652	Uranor Inc	100.00
24P03	CDC	2011435	Actif	2006-05-23	2008-05-22	44.32	0	20652	Uranor Inc	100.00
24P03	CDC	2011436	Actif	2006-05-23	2008-05-22	44.32	0	20652	Uranor Inc	100.00
24P03	CDC	2011437	Actif	2006-05-23	2008-05-22	44.32	0	20652	Uranor Inc	100.00
24P03	CDC	2011438	Actif	2006-05-23	2008-05-22	44.32	0	20652	Uranor Inc	100.00
24P03	CDC	2011439	Actif	2006-05-23	2008-05-22	44.32	0	20652	Uranor Inc	100.00
24P03	CDC	2011440	Actif	2006-05-23	2008-05-22	44.32	0	20652	Uranor Inc	100.00
24P03	CDC	2011441	Actif	2006-05-23	2008-05-22	44.32	0	20652	Uranor Inc	100.00
24P03	CDC	2011442	Actif	2006-05-23	2008-05-22	44.32	0	20652	Uranor Inc	100.00
24P03	CDC	2011443	Actif	2006-05-23	2008-05-22	44.32	0	20652	Uranor Inc	100.00
24P03	CDC	2011561	Actif	2006-05-23	2008-05-22	44.32	0	20652	Uranor Inc	100.00
24P03	CDC	2011562	Actif	2006-05-23	2008-05-22	44.32	0	20652	Uranor Inc	100.00
24P03	CDC	2011563	Actif	2006-05-23	2008-05-22	44.32	0	20652	Uranor Inc	100.00
24P03	CDC	2011564	Actif	2006-05-23	2008-05-22	44.32	0	20652	Uranor Inc	100.00
24P03	CDC	2011565	Actif	2006-05-23	2008-05-22	44.32	0	20652	Uranor Inc	100.00
24P03	CDC	2011566	Actif	2006-05-23	2008-05-22	44.32	0	20652	Uranor Inc	100.00
24P03	CDC	2011567	Actif	2006-05-23	2008-05-22	44.32	0	20652	Uranor Inc	100.00
24P03	CDC	2011568	Actif	2006-05-23	2008-05-22	44.32	0	20652	Uranor Inc	100.00
24P03	CDC	2011569	Actif	2006-05-23	2008-05-22	44.32	0	20652	Uranor Inc	100.00
24P03	CDC	2011570	Actif	2006-05-23	2008-05-22	44.32	0	20652	Uranor Inc	100.00
24P03	CDC	2011571	Actif	2006-05-23	2008-05-22	44.32	0	20652	Uranor Inc	100.00
24P03	CDC	2012192	Actif	2006-05-24	2008-05-23	44.32	0	20652	Uranor Inc	100.00
24P03	CDC	2012193	Actif	2006-05-24	2008-05-23	44.32	0	20652	Uranor Inc	100.00
24P03	CDC	2012194	Actif	2006-05-24	2008-05-23	44.32	0	20652	Uranor Inc	100.00
24P03	CDC	2012195	Actif	2006-05-24	2008-05-23	44.32	0	20652	Uranor Inc	100.00
24P03	CDC	2012196	Actif	2006-05-24	2008-05-23	44.32	0	20652	Uranor Inc	100.00
24P03	CDC	2012197	Actif	2006-05-24	2008-05-23	44.32	0	20652	Uranor Inc	100.00
24P03	CDC	2027593	Actif	2006-10-03	2008-10-02	44.32	0	20652	Uranor Inc	100.00
24P03	CDC	2027594	Actif	2006-10-03	2008-10-02	44.32	0	20652	Uranor Inc	100.00
24P03	CDC	2027595	Actif	2006-10-03	2008-10-02	44.32	0	20652	Uranor Inc	100.00
24P03	CDC	96387	Actif	2005-09-28	2007-09-27	44.31	0	20652	Uranor Inc	100.00
24P03	CDC	96388	Actif	2005-09-28	2007-09-27	44.31	0	20652	Uranor Inc	100.00
24P03	CDC	96389	Actif	2005-09-28	2007-09-27	44.31	0	20652	Uranor Inc	100.00
24P03	CDC	96390	Actif	2005-09-28	2007-09-27	44.31	0	20652	Uranor Inc	100.00
24P03	CDC	96391	Actif	2005-09-28	2007-09-27	44.31	0	20652	Uranor Inc	100.00
24P03	CDC	96392	Actif	2005-09-28	2007-09-27	44.31	0	20652	Uranor Inc	100.00
24P03	CDC	96393	Actif	2005-09-28	2007-09-27	44.31	0	20652	Uranor Inc	100.00
24P03	CDC	96394	Actif	2005-09-28	2007-09-27	44.31	0	20652	Uranor Inc	100.00
24P03	CDC	96395	Actif	2005-09-28	2007-09-27	44.31	0	20652	Uranor Inc	100.00
24P03	CDC	96396	Actif	2005-09-28	2007-09-27	44.31	0	20652	Uranor Inc	100.00
24P03	CDC	96397	Actif	2005-09-28	2007-09-27	44.31	0	20652	Uranor Inc	100.00

Tableau 6.1 - Tableau descriptif des claims actifs et en demande d'Uranor Inc. du projet CAGE 2006

Feuillet	Type de titre	No titre	Statut du titre	Date d'inscription	Date d'expiration	Superficie (Ha)	Excédent ($)	No détenteur	Nom du détenteur	Pourcentage (%)
24P03	CDC	2011444	Actif	2006-05-23	2008-05-22	44.31	0	20652	Uranor Inc	100.00
24P03	CDC	2011445	Actif	2006-05-23	2008-05-22	44.31	0	20652	Uranor Inc	100.00
24P03	CDC	2011446	Actif	2006-05-23	2008-05-22	44.31	0	20652	Uranor Inc	100.00
24P03	CDC	2011447	Actif	2006-05-23	2008-05-22	44.31	0	20652	Uranor Inc	100.00
24P03	CDC	2011448	Actif	2006-05-23	2008-05-22	44.31	0	20652	Uranor Inc	100.00
24P03	CDC	2011449	Actif	2006-05-23	2008-05-22	44.31	0	20652	Uranor Inc	100.00
24P03	CDC	2011450	Actif	2006-05-23	2008-05-22	44.31	0	20652	Uranor Inc	100.00
24P03	CDC	2011451	Actif	2006-05-23	2008-05-22	44.31	0	20652	Uranor Inc	100.00
24P03	CDC	2011452	Actif	2006-05-23	2008-05-22	44.31	0	20652	Uranor Inc	100.00
24P03	CDC	2011453	Actif	2006-05-23	2008-05-22	44.31	0	20652	Uranor Inc	100.00
24P03	CDC	2011454	Actif	2006-05-23	2008-05-22	44.31	0	20652	Uranor Inc	100.00
24P03	CDC	2011572	Actif	2006-05-23	2008-05-22	44.31	0	20652	Uranor Inc	100.00
24P03	CDC	2011573	Actif	2006-05-23	2008-05-22	44.31	0	20652	Uranor Inc	100.00
24P03	CDC	2011574	Actif	2006-05-23	2008-05-22	44.31	0	20652	Uranor Inc	100.00
24P03	CDC	2011575	Actif	2006-05-23	2008-05-22	44.31	0	20652	Uranor Inc	100.00
24P03	CDC	2011576	Actif	2006-05-23	2008-05-22	44.31	0	20652	Uranor Inc	100.00
24P03	CDC	2011577	Actif	2006-05-23	2008-05-22	44.31	0	20652	Uranor Inc	100.00
24P03	CDC	2011578	Actif	2006-05-23	2008-05-22	44.31	0	20652	Uranor Inc	100.00
24P03	CDC	2011579	Actif	2006-05-23	2008-05-22	44.31	0	20652	Uranor Inc	100.00
24P03	CDC	2011580	Actif	2006-05-23	2008-05-22	44.31	0	20652	Uranor Inc	100.00
24P03	CDC	2011581	Actif	2006-05-23	2008-05-22	44.31	0	20652	Uranor Inc	100.00
24P03	CDC	2011582	Actif	2006-05-23	2008-05-22	44.31	0	20652	Uranor Inc	100.00
24P03	CDC	2011583	Actif	2006-05-23	2008-05-22	44.31	0	20652	Uranor Inc	100.00
24P03	CDC	2011584	Actif	2006-05-23	2008-05-22	44.31	0	20652	Uranor Inc	100.00
24P03	CDC	2011585	Actif	2006-05-23	2008-05-22	44.31	0	20652	Uranor Inc	100.00
24P03	CDC	2012198	Actif	2006-05-24	2008-05-23	44.31	0	20652	Uranor Inc	100.00
24P03	CDC	2013721	Actif	2006-05-29	2008-05-28	44.31	0	20652	Uranor Inc	100.00
24P03	CDC	2027596	Actif	2006-10-03	2008-10-02	44.31	0	20652	Uranor Inc	100.00
24P03	CDC	2027597	Actif	2006-10-03	2008-10-02	44.31	0	20652	Uranor Inc	100.00
24P03	CDC	2027598	Actif	2006-10-03	2008-10-02	44.31	0	20652	Uranor Inc	100.00
24P03	CDC	2027599	Actif	2006-10-03	2008-10-02	44.31	0	20652	Uranor Inc	100.00
24P03	CDC	2027600	Actif	2006-10-03	2008-10-02	44.31	0	20652	Uranor Inc	100.00
24P03	CDC	96398	Actif	2005-09-28	2007-09-27	44.3	0	20652	Uranor Inc	100.00
24P03	CDC	96399	Actif	2005-09-28	2007-09-27	44.3	0	20652	Uranor Inc	100.00
24P03	CDC	96400	Actif	2005-09-28	2007-09-27	44.3	0	20652	Uranor Inc	100.00
24P03	CDC	96401	Actif	2005-09-28	2007-09-27	44.3	0	20652	Uranor Inc	100.00
24P03	CDC	96402	Actif	2005-09-28	2007-09-27	44.3	0	20652	Uranor Inc	100.00
24P03	CDC	96403	Actif	2005-09-28	2007-09-27	44.3	0	20652	Uranor Inc	100.00
24P03	CDC	96404	Actif	2005-09-28	2007-09-27	44.3	0	20652	Uranor Inc	100.00
24P03	CDC	96405	Actif	2005-09-28	2007-09-27	44.3	0	20652	Uranor Inc	100.00
24P03	CDC	96406	Actif	2005-09-28	2007-09-27	44.3	0	20652	Uranor Inc	100.00
24P03	CDC	96407	Actif	2005-09-28	2007-09-27	44.3	0	20652	Uranor Inc	100.00

Tableau 6.1 - Tableau descriptif des claims actifs et en demande d'Uranor Inc. du projet CAGE 2006

Feuillet	Type de titre	No titre	Statut du titre	Date d'inscription	Date d'expiration	Superficie (Ha)	Excédent ($)	No détenteur	Nom du détenteur	Pourcentage (%)
24P03	CDC	96408	Actif	2005-09-28	2007-09-27	44.3	0	20652	Uranor Inc	100.00
24P03	CDC	2011455	Actif	2006-05-23	2008-05-22	44.3	0	20652	Uranor Inc	100.00
24P03	CDC	2011456	Actif	2006-05-23	2008-05-22	44.3	0	20652	Uranor Inc	100.00
24P03	CDC	2011457	Actif	2006-05-23	2008-05-22	44.3	0	20652	Uranor Inc	100.00
24P03	CDC	2011458	Actif	2006-05-23	2008-05-22	44.3	0	20652	Uranor Inc	100.00
24P03	CDC	2011459	Actif	2006-05-23	2008-05-22	44.3	0	20652	Uranor Inc	100.00
24P03	CDC	2011460	Actif	2006-05-23	2008-05-22	44.3	0	20652	Uranor Inc	100.00
24P03	CDC	2011461	Actif	2006-05-23	2008-05-22	44.3	0	20652	Uranor Inc	100.00
24P03	CDC	2011462	Actif	2006-05-23	2008-05-22	44.3	0	20652	Uranor Inc	100.00
24P03	CDC	2011463	Actif	2006-05-23	2008-05-22	44.3	0	20652	Uranor Inc	100.00
24P03	CDC	2011464	Actif	2006-05-23	2008-05-22	44.3	0	20652	Uranor Inc	100.00
24P03	CDC	2011465	Actif	2006-05-23	2008-05-22	44.3	0	20652	Uranor Inc	100.00
24P03	CDC	2011586	Actif	2006-05-23	2008-05-22	44.3	0	20652	Uranor Inc	100.00
24P03	CDC	2011587	Actif	2006-05-23	2008-05-22	44.3	0	20652	Uranor Inc	100.00
24P03	CDC	2011588	Actif	2006-05-23	2008-05-22	44.3	0	20652	Uranor Inc	100.00
24P03	CDC	2011589	Actif	2006-05-23	2008-05-22	44.3	0	20652	Uranor Inc	100.00
24P03	CDC	2011590	Actif	2006-05-23	2008-05-22	44.3	0	20652	Uranor Inc	100.00
24P03	CDC	2011591	Actif	2006-05-23	2008-05-22	44.3	0	20652	Uranor Inc	100.00
24P03	CDC	2011592	Actif	2006-05-23	2008-05-22	44.3	0	20652	Uranor Inc	100.00
24P03	CDC	2011593	Actif	2006-05-23	2008-05-22	44.3	0	20652	Uranor Inc	100.00
24P03	CDC	2011594	Actif	2006-05-23	2008-05-22	44.3	0	20652	Uranor Inc	100.00
24P03	CDC	2011595	Actif	2006-05-23	2008-05-22	44.3	0	20652	Uranor Inc	100.00
24P03	CDC	2011596	Actif	2006-05-23	2008-05-22	44.3	0	20652	Uranor Inc	100.00
24P03	CDC	2011597	Actif	2006-05-23	2008-05-22	44.3	0	20652	Uranor Inc	100.00
24P03	CDC	2011598	Actif	2006-05-23	2008-05-22	44.3	0	20652	Uranor Inc	100.00
24P03	CDC	2011599	Actif	2006-05-23	2008-05-22	44.3	0	20652	Uranor Inc	100.00
24P03	CDC	2027601	Actif	2006-10-03	2008-10-02	44.3	0	20652	Uranor Inc	100.00
24P03	CDC	2027602	Actif	2006-10-03	2008-10-02	44.3	0	20652	Uranor Inc	100.00
24P03	CDC	2027603	Actif	2006-10-03	2008-10-02	44.3	0	20652	Uranor Inc	100.00
24P03	CDC	2027604	Actif	2006-10-03	2008-10-02	44.3	0	20652	Uranor Inc	100.00
24P03	CDC	2027605	Actif	2006-10-03	2008-10-02	44.3	0	20652	Uranor Inc	100.00
24P03	CDC	2027606	Actif	2006-10-03	2008-10-02	44.3	0	20652	Uranor Inc	100.00
24P03	CDC	96409	Actif	2005-09-28	2007-09-27	44.29	0	20652	Uranor Inc	100.00
24P03	CDC	96410	Actif	2005-09-28	2007-09-27	44.29	0	20652	Uranor Inc	100.00
24P03	CDC	96411	Actif	2005-09-28	2007-09-27	44.29	0	20652	Uranor Inc	100.00
24P03	CDC	96412	Actif	2005-09-28	2007-09-27	44.29	0	20652	Uranor Inc	100.00
24P03	CDC	96413	Actif	2005-09-28	2007-09-27	44.29	0	20652	Uranor Inc	100.00
24P03	CDC	96414	Actif	2005-09-28	2007-09-27	44.29	0	20652	Uranor Inc	100.00
24P03	CDC	96415	Actif	2005-09-28	2007-09-27	44.29	0	20652	Uranor Inc	100.00
24P03	CDC	96416	Actif	2005-09-28	2007-09-27	44.29	0	20652	Uranor Inc	100.00
24P03	CDC	96417	Actif	2005-09-28	2007-09-27	44.29	0	20652	Uranor Inc	100.00
24P03	CDC	96418	Actif	2005-09-28	2007-09-27	44.29	0	20652	Uranor Inc	100.00

Tableau 6.1 - Tableau descriptif des claims actifs et en demande d'Uranor Inc. du projet CAGE 2006

Feuillet	Type de titre	No titre	Statut du titre	Date d'inscription	Date d'expiration	Superficie (Ha)	Excédent ($)	No détenteur	Nom du détenteur	Pourcentage (%)
24P03	CDC	96419	Actif	2005-09-28	2007-09-27	44.29	0	20652	Uranor Inc	100.00
24P03	CDC	2011466	Actif	2006-05-23	2008-05-22	44.29	0	20652	Uranor Inc	100.00
24P03	CDC	2011467	Actif	2006-05-23	2008-05-22	44.29	0	20652	Uranor Inc	100.00
24P03	CDC	2011468	Actif	2006-05-23	2008-05-22	44.29	0	20652	Uranor Inc	100.00
24P03	CDC	2011469	Actif	2006-05-23	2008-05-22	44.29	0	20652	Uranor Inc	100.00
24P03	CDC	2011470	Actif	2006-05-23	2008-05-22	44.29	0	20652	Uranor Inc	100.00
24P03	CDC	2011471	Actif	2006-05-23	2008-05-22	44.29	0	20652	Uranor Inc	100.00
24P03	CDC	2011472	Actif	2006-05-23	2008-05-22	44.29	0	20652	Uranor Inc	100.00
24P03	CDC	2011473	Actif	2006-05-23	2008-05-22	44.29	0	20652	Uranor Inc	100.00
24P03	CDC	2011474	Actif	2006-05-23	2008-05-22	44.29	0	20652	Uranor Inc	100.00
24P03	CDC	2011475	Actif	2006-05-23	2008-05-22	44.29	0	20652	Uranor Inc	100.00
24P03	CDC	2011476	Actif	2006-05-23	2008-05-22	44.29	0	20652	Uranor Inc	100.00
24P03	CDC	2011600	Actif	2006-05-23	2008-05-22	44.29	0	20652	Uranor Inc	100.00
24P03	CDC	2011601	Actif	2006-05-23	2008-05-22	44.29	0	20652	Uranor Inc	100.00
24P03	CDC	2011602	Actif	2006-05-23	2008-05-22	44.29	0	20652	Uranor Inc	100.00
24P03	CDC	2011603	Actif	2006-05-23	2008-05-22	44.29	0	20652	Uranor Inc	100.00
24P03	CDC	2011604	Actif	2006-05-23	2008-05-22	44.29	0	20652	Uranor Inc	100.00
24P03	CDC	2011605	Actif	2006-05-23	2008-05-22	44.29	0	20652	Uranor Inc	100.00
24P03	CDC	2011606	Actif	2006-05-23	2008-05-22	44.29	0	20652	Uranor Inc	100.00
24P03	CDC	2011607	Actif	2006-05-23	2008-05-22	44.29	0	20652	Uranor Inc	100.00
24P03	CDC	2011608	Actif	2006-05-23	2008-05-22	44.29	0	20652	Uranor Inc	100.00
24P03	CDC	2012199	Actif	2006-05-24	2008-05-23	44.29	0	20652	Uranor Inc	100.00
24P03	CDC	2012200	Actif	2006-05-24	2008-05-23	44.29	0	20652	Uranor Inc	100.00
24P03	CDC	2013722	Actif	2006-05-29	2008-05-28	44.29	0	20652	Uranor Inc	100.00
24P03	CDC	2027607	Actif	2006-10-03	2008-10-02	44.29	0	20652	Uranor Inc	100.00
24P03	CDC	2027608	Actif	2006-10-03	2008-10-02	44.29	0	20652	Uranor Inc	100.00
24P03	CDC	2027609	Actif	2006-10-03	2008-10-02	44.29	0	20652	Uranor Inc	100.00
24P03	CDC	2027610	Actif	2006-10-03	2008-10-02	44.29	0	20652	Uranor Inc	100.00
24P03	CDC	2027611	Actif	2006-10-03	2008-10-02	44.29	0	20652	Uranor Inc	100.00
24P03	CDC	2027612	Actif	2006-10-03	2008-10-02	44.29	0	20652	Uranor Inc	100.00
24P03	CDC	2027613	Actif	2006-10-03	2008-10-02	44.29	0	20652	Uranor Inc	100.00
24P03	CDC	2027614	Actif	2006-10-03	2008-10-02	44.29	0	20652	Uranor Inc	100.00
24P03	CDC	96420	Actif	2005-09-28	2007-09-27	44.28	0	20652	Uranor Inc	100.00
24P03	CDC	96421	Actif	2005-09-28	2007-09-27	44.28	0	20652	Uranor Inc	100.00
24P03	CDC	96422	Actif	2005-09-28	2007-09-27	44.28	0	20652	Uranor Inc	100.00
24P03	CDC	96423	Actif	2005-09-28	2007-09-27	44.28	0	20652	Uranor Inc	100.00
24P03	CDC	96424	Actif	2005-09-28	2007-09-27	44.28	0	20652	Uranor Inc	100.00
24P03	CDC	96425	Actif	2005-09-28	2007-09-27	44.28	0	20652	Uranor Inc	100.00
24P03	CDC	96426	Actif	2005-09-28	2007-09-27	44.28	0	20652	Uranor Inc	100.00
24P03	CDC	96427	Actif	2005-09-28	2007-09-27	44.28	0	20652	Uranor Inc	100.00
24P03	CDC	96428	Actif	2005-09-28	2007-09-27	44.28	0	20652	Uranor Inc	100.00
24P03	CDC	96429	Actif	2005-09-28	2007-09-27	44.28	0	20652	Uranor Inc	100.00

Tableau 6.1 - Tableau descriptif des claims actifs et en demande d'Uranor Inc. du projet CAGE 2006

Feuillet	Type de titre	No titre	Statut du titre	Date d'inscription	Date d'expiration	Superficie (Ha)	Excédent ($)	No détenteur	Nom du détenteur	Pourcentage (%)
24P03	CDC	2011480	Actif	2006-05-23	2008-05-22	44.28	0	20652	Uranor Inc	100.00
24P03	CDC	2011481	Actif	2006-05-23	2008-05-22	44.28	0	20652	Uranor Inc	100.00
24P03	CDC	2011482	Actif	2006-05-23	2008-05-22	44.28	0	20652	Uranor Inc	100.00
24P03	CDC	2011483	Actif	2006-05-23	2008-05-22	44.28	0	20652	Uranor Inc	100.00
24P03	CDC	2011484	Actif	2006-05-23	2008-05-22	44.28	0	20652	Uranor Inc	100.00
24P03	CDC	2011485	Actif	2006-05-23	2008-05-22	44.28	0	20652	Uranor Inc	100.00
24P03	CDC	2011486	Actif	2006-05-23	2008-05-22	44.28	0	20652	Uranor Inc	100.00
24P03	CDC	2011487	Actif	2006-05-23	2008-05-22	44.28	0	20652	Uranor Inc	100.00
24P03	CDC	2011488	Actif	2006-05-23	2008-05-22	44.28	0	20652	Uranor Inc	100.00
24P03	CDC	2011477	Actif	2006-05-23	2008-05-22	44.28	0	20652	Uranor Inc	100.00
24P03	CDC	2011478	Actif	2006-05-23	2008-05-22	44.28	0	20652	Uranor Inc	100.00
24P03	CDC	2011479	Actif	2006-05-23	2008-05-22	44.28	0	20652	Uranor Inc	100.00
24P03	CDC	2011609	Actif	2006-05-23	2008-05-22	44.28	0	20652	Uranor Inc	100.00
24P03	CDC	2011610	Actif	2006-05-23	2008-05-22	44.28	0	20652	Uranor Inc	100.00
24P03	CDC	2011611	Actif	2006-05-23	2008-05-22	44.28	0	20652	Uranor Inc	100.00
24P03	CDC	2011612	Actif	2006-05-23	2008-05-22	44.28	0	20652	Uranor Inc	100.00
24P03	CDC	2011613	Actif	2006-05-23	2008-05-22	44.28	0	20652	Uranor Inc	100.00
24P03	CDC	2011614	Actif	2006-05-23	2008-05-22	44.28	0	20652	Uranor Inc	100.00
24P03	CDC	2011615	Actif	2006-05-23	2008-05-22	44.28	0	20652	Uranor Inc	100.00
24P03	CDC	2012201	Actif	2006-05-24	2008-05-23	44.28	0	20652	Uranor Inc	100.00
24P03	CDC	2013723	Actif	2006-05-29	2008-05-28	44.28	0	20652	Uranor Inc	100.00
24P03	CDC	2013724	Actif	2006-05-29	2008-05-28	44.28	0	20652	Uranor Inc	100.00
24P03	CDC	2013725	Actif	2006-05-29	2008-05-28	44.28	0	20652	Uranor Inc	100.00
24P03	CDC	2027615	Actif	2006-10-03	2008-10-02	44.28	0	20652	Uranor Inc	100.00
24P03	CDC	2027616	Actif	2006-10-03	2008-10-02	44.28	0	20652	Uranor Inc	100.00
24P03	CDC	2027617	Actif	2006-10-03	2008-10-02	44.28	0	20652	Uranor Inc	100.00
24P03	CDC	2027618	Actif	2006-10-03	2008-10-02	44.28	0	20652	Uranor Inc	100.00
24P03	CDC	2027619	Actif	2006-10-03	2008-10-02	44.28	0	20652	Uranor Inc	100.00
24P03	CDC	2027620	Actif	2006-10-03	2008-10-02	44.28	0	20652	Uranor Inc	100.00
24P03	CDC	2027621	Actif	2006-10-03	2008-10-02	44.28	0	20652	Uranor Inc	100.00
24P03	CDC	96430	Actif	2005-09-28	2007-09-27	44.27	0	20652	Uranor Inc	100.00
24P03	CDC	96431	Actif	2005-09-28	2007-09-27	44.27	0	20652	Uranor Inc	100.00
24P03	CDC	96432	Actif	2005-09-28	2007-09-27	44.27	0	20652	Uranor Inc	100.00
24P03	CDC	96433	Actif	2005-09-28	2007-09-27	44.27	0	20652	Uranor Inc	100.00
24P03	CDC	96434	Actif	2005-09-28	2007-09-27	44.27	0	20652	Uranor Inc	100.00
24P03	CDC	96435	Actif	2005-09-28	2007-09-27	44.27	0	20652	Uranor Inc	100.00
24P03	CDC	96436	Actif	2005-09-28	2007-09-27	44.27	0	20652	Uranor Inc	100.00
24P03	CDC	2006991	Actif	2006-05-10	2008-05-09	44.27	0	20652	Uranor Inc	100.00
24P03	CDC	2006992	Actif	2006-05-10	2008-05-09	44.27	0	20652	Uranor Inc	100.00
24P03	CDC	2006993	Actif	2006-05-10	2008-05-09	44.27	0	20652	Uranor Inc	100.00
24P03	CDC	2006994	Actif	2006-05-10	2008-05-09	44.27	0	20652	Uranor Inc	100.00
24P03	CDC	2006995	Actif	2006-05-10	2008-05-09	44.27	0	20652	Uranor Inc	100.00

Tableau 6.1 - Tableau descriptif des claims actifs et en demande d'Uranor Inc. du projet CAGE 2006

Feuillet	Type de titre	No titre	Statut du titre	Date d'inscription	Date d'expiration	Superficie (Ha)	Excédent ($)	No détenteur	Nom du détenteur	Pourcentage (%)
24P03	CDC	2011489	Actif	2006-05-23	2008-05-22	44.27	0	20652	Uranor Inc	100.00
24P03	CDC	2011490	Actif	2006-05-23	2008-05-22	44.27	0	20652	Uranor Inc	100.00
24P03	CDC	2011491	Actif	2006-05-23	2008-05-22	44.27	0	20652	Uranor Inc	100.00
24P03	CDC	2011492	Actif	2006-05-23	2008-05-22	44.27	0	20652	Uranor Inc	100.00
24P03	CDC	2011493	Actif	2006-05-23	2008-05-22	44.27	0	20652	Uranor Inc	100.00
24P03	CDC	2011494	Actif	2006-05-23	2008-05-22	44.27	0	20652	Uranor Inc	100.00
24P03	CDC	2011495	Actif	2006-05-23	2008-05-22	44.27	0	20652	Uranor Inc	100.00
24P03	CDC	2011496	Actif	2006-05-23	2008-05-22	44.27	0	20652	Uranor Inc	100.00
24P03	CDC	2011497	Actif	2006-05-23	2008-05-22	44.27	0	20652	Uranor Inc	100.00
24P03	CDC	2011616	Actif	2006-05-23	2008-05-22	44.27	0	20652	Uranor Inc	100.00
24P03	CDC	2011617	Actif	2006-05-23	2008-05-22	44.27	0	20652	Uranor Inc	100.00
24P03	CDC	2011618	Actif	2006-05-23	2008-05-22	44.27	0	20652	Uranor Inc	100.00
24P03	CDC	2011619	Actif	2006-05-23	2008-05-22	44.27	0	20652	Uranor Inc	100.00
24P03	CDC	2011620	Actif	2006-05-23	2008-05-22	44.27	0	20652	Uranor Inc	100.00
24P03	CDC	2011621	Actif	2006-05-23	2008-05-22	44.27	0	20652	Uranor Inc	100.00
24P03	CDC	2011622	Actif	2006-05-23	2008-05-22	44.27	0	20652	Uranor Inc	100.00
24P03	CDC	2013726	Actif	2006-05-29	2008-05-28	44.27	0	20652	Uranor Inc	100.00
24P03	CDC	2013727	Actif	2006-05-29	2008-05-28	44.27	0	20652	Uranor Inc	100.00
24P03	CDC	2026869	Actif	2006-09-29	2008-09-28	44.27	0	20652	Uranor Inc	100.00
24P03	CDC	2026870	Actif	2006-09-29	2008-09-28	44.27	0	20652	Uranor Inc	100.00
24P03	CDC	2026871	Actif	2006-09-29	2008-09-28	44.27	0	20652	Uranor Inc	100.00
24P03	CDC	2027622	Actif	2006-10-03	2008-10-02	44.27	0	20652	Uranor Inc	100.00
24P03	CDC	2027623	Actif	2006-10-03	2008-10-02	44.27	0	20652	Uranor Inc	100.00
24P03	CDC	2027624	Actif	2006-10-03	2008-10-02	44.27	0	20652	Uranor Inc	100.00
24P03	CDC	2027625	Actif	2006-10-03	2008-10-02	44.27	0	20652	Uranor Inc	100.00
24P03	CDC	2027626	Actif	2006-10-03	2008-10-02	44.27	0	20652	Uranor Inc	100.00
24P03	CDC	2027627	Actif	2006-10-03	2008-10-02	44.27	0	20652	Uranor Inc	100.00
24P03	CDC	96437	Actif	2005-09-28	2007-09-27	44.26	0	20652	Uranor Inc	100.00
24P03	CDC	96438	Actif	2005-09-28	2007-09-27	44.26	0	20652	Uranor Inc	100.00
24P03	CDC	96439	Actif	2005-09-28	2007-09-27	44.26	0	20652	Uranor Inc	100.00
24P03	CDC	96440	Actif	2005-09-28	2007-09-27	44.26	0	20652	Uranor Inc	100.00
24P03	CDC	2006996	Actif	2006-05-10	2008-05-09	44.26	0	20652	Uranor Inc	100.00
24P03	CDC	2006997	Actif	2006-05-10	2008-05-09	44.26	0	20652	Uranor Inc	100.00
24P03	CDC	2006998	Actif	2006-05-10	2008-05-09	44.26	0	20652	Uranor Inc	100.00
24P03	CDC	2006999	Actif	2006-05-10	2008-05-09	44.26	0	20652	Uranor Inc	100.00
24P03	CDC	2007000	Actif	2006-05-10	2008-05-09	44.26	0	20652	Uranor Inc	100.00
24P03	CDC	2007001	Actif	2006-05-10	2008-05-09	44.26	0	20652	Uranor Inc	100.00
24P03	CDC	2007002	Actif	2006-05-10	2008-05-09	44.26	0	20652	Uranor Inc	100.00
24P03	CDC	2007003	Actif	2006-05-10	2008-05-09	44.26	0	20652	Uranor Inc	100.00
24P03	CDC	2011498	Actif	2006-05-23	2008-05-22	44.26	0	20652	Uranor Inc	100.00
24P03	CDC	2011499	Actif	2006-05-23	2008-05-22	44.26	0	20652	Uranor Inc	100.00
24P03	CDC	2011500	Actif	2006-05-23	2008-05-22	44.26	0	20652	Uranor Inc	100.00

Tableau 6.1 - Tableau descriptif des claims actifs et en demande d'Uranor Inc. du projet CAGE 2006

Feuillet	Type de titre	No titre	Statut du titre	Date d'inscription	Date d'expiration	Superficie (Ha)	Excédent ($)	No détenteur	Nom du détenteur	Pourcentage (%)
24P03	CDC	2011501	Actif	2006-05-23	2008-05-22	44.26	0	20652	Uranor Inc	100.00
24P03	CDC	2011502	Actif	2006-05-23	2008-05-22	44.26	0	20652	Uranor Inc	100.00
24P03	CDC	2011503	Actif	2006-05-23	2008-05-22	44.26	0	20652	Uranor Inc	100.00
24P03	CDC	2011504	Actif	2006-05-23	2008-05-22	44.26	0	20652	Uranor Inc	100.00
24P03	CDC	2011505	Actif	2006-05-23	2008-05-22	44.26	0	20652	Uranor Inc	100.00
24P03	CDC	2011623	Actif	2006-05-23	2008-05-22	44.26	0	20652	Uranor Inc	100.00
24P03	CDC	2011624	Actif	2006-05-23	2008-05-22	44.26	0	20652	Uranor Inc	100.00
24P03	CDC	2011625	Actif	2006-05-23	2008-05-22	44.26	0	20652	Uranor Inc	100.00
24P03	CDC	2011626	Actif	2006-05-23	2008-05-22	44.26	0	20652	Uranor Inc	100.00
24P03	CDC	2011627	Actif	2006-05-23	2008-05-22	44.26	0	20652	Uranor Inc	100.00
24P03	CDC	2011628	Actif	2006-05-23	2008-05-22	44.26	0	20652	Uranor Inc	100.00
24P03	CDC	2011629	Actif	2006-05-23	2008-05-22	44.26	0	20652	Uranor Inc	100.00
24P03	CDC	2013728	Actif	2006-05-29	2008-05-28	44.26	0	20652	Uranor Inc	100.00
24P03	CDC	2013729	Actif	2006-05-29	2008-05-28	44.26	0	20652	Uranor Inc	100.00
24P03	CDC	2026872	Actif	2006-09-29	2008-09-28	44.26	0	20652	Uranor Inc	100.00
24P03	CDC	2026873	Actif	2006-09-29	2008-09-28	44.26	0	20652	Uranor Inc	100.00
24P03	CDC	2026874	Actif	2006-09-29	2008-09-28	44.26	0	20652	Uranor Inc	100.00
24P03	CDC	2026875	Actif	2006-09-29	2008-09-28	44.26	0	20652	Uranor Inc	100.00
24P03	CDC	2027628	Actif	2006-10-03	2008-10-02	44.26	0	20652	Uranor Inc	100.00
24P03	CDC	2027629	Actif	2006-10-03	2008-10-02	44.26	0	20652	Uranor Inc	100.00
24P03	CDC	2027630	Actif	2006-10-03	2008-10-02	44.26	0	20652	Uranor Inc	100.00
24P03	CDC	2027631	Actif	2006-10-03	2008-10-02	44.26	0	20652	Uranor Inc	100.00
24P03	CDC	2027632	Actif	2006-10-03	2008-10-02	44.26	0	20652	Uranor Inc	100.00
24P03	CDC	96441	Actif	2005-09-28	2007-09-27	44.25	0	20652	Uranor Inc	100.00
24P03	CDC	2007004	Actif	2006-05-10	2008-05-09	44.25	0	20652	Uranor Inc	100.00
24P03	CDC	2007005	Actif	2006-05-10	2008-05-09	44.25	0	20652	Uranor Inc	100.00
24P03	CDC	2007006	Actif	2006-05-10	2008-05-09	44.25	0	20652	Uranor Inc	100.00
24P03	CDC	2007007	Actif	2006-05-10	2008-05-09	44.25	0	20652	Uranor Inc	100.00
24P03	CDC	2007008	Actif	2006-05-10	2008-05-09	44.25	0	20652	Uranor Inc	100.00
24P03	CDC	2007009	Actif	2006-05-10	2008-05-09	44.25	0	20652	Uranor Inc	100.00
24P03	CDC	2007010	Actif	2006-05-10	2008-05-09	44.25	0	20652	Uranor Inc	100.00
24P03	CDC	2007011	Actif	2006-05-10	2008-05-09	44.25	0	20652	Uranor Inc	100.00
24P03	CDC	2007012	Actif	2006-05-10	2008-05-09	44.25	0	20652	Uranor Inc	100.00
24P03	CDC	2007013	Actif	2006-05-10	2008-05-09	44.25	0	20652	Uranor Inc	100.00
24P03	CDC	2007014	Actif	2006-05-10	2008-05-09	44.25	0	20652	Uranor Inc	100.00
24P03	CDC	2007015	Actif	2006-05-10	2008-05-09	44.25	0	20652	Uranor Inc	100.00
24P03	CDC	2011506	Actif	2006-05-23	2008-05-22	44.25	0	20652	Uranor Inc	100.00
24P03	CDC	2011507	Actif	2006-05-23	2008-05-22	44.25	0	20652	Uranor Inc	100.00
24P03	CDC	2011508	Actif	2006-05-23	2008-05-22	44.25	0	20652	Uranor Inc	100.00
24P03	CDC	2011509	Actif	2006-05-23	2008-05-22	44.25	0	20652	Uranor Inc	100.00
24P03	CDC	2011510	Actif	2006-05-23	2008-05-22	44.25	0	20652	Uranor Inc	100.00
24P03	CDC	2011511	Actif	2006-05-23	2008-05-22	44.25	0	20652	Uranor Inc	100.00

Tableau 6.1 - Tableau descriptif des claims actifs et en demande d'Uranor Inc. du projet CAGE 2006

Feuillet	Type de titre	No titre	Statut du titre	Date d'inscription	Date d'expiration	Superficie (Ha)	Excédent ($)	No détenteur	Nom du détenteur	Pourcentage (%)
24P03	CDC	2011630	Actif	2006-05-23	2008-05-22	44.25	0	20652	Uranor Inc	100.00
24P03	CDC	2011631	Actif	2006-05-23	2008-05-22	44.25	0	20652	Uranor Inc	100.00
24P03	CDC	2011632	Actif	2006-05-23	2008-05-22	44.25	0	20652	Uranor Inc	100.00
24P03	CDC	2011633	Actif	2006-05-23	2008-05-22	44.25	0	20652	Uranor Inc	100.00
24P03	CDC	2011634	Actif	2006-05-23	2008-05-22	44.25	0	20652	Uranor Inc	100.00
24P03	CDC	2011635	Actif	2006-05-23	2008-05-22	44.25	0	20652	Uranor Inc	100.00
24P03	CDC	2011636	Actif	2006-05-23	2008-05-22	44.25	0	20652	Uranor Inc	100.00
24P03	CDC	2013730	Actif	2006-05-29	2008-05-28	44.25	0	20652	Uranor Inc	100.00
24P03	CDC	2026876	Actif	2006-09-29	2008-09-28	44.25	0	20652	Uranor Inc	100.00
24P03	CDC	2026877	Actif	2006-09-29	2008-09-28	44.25	0	20652	Uranor Inc	100.00
24P03	CDC	2026878	Actif	2006-09-29	2008-09-28	44.25	0	20652	Uranor Inc	100.00
24P03	CDC	2026879	Actif	2006-09-29	2008-09-28	44.25	0	20652	Uranor Inc	100.00
24P03	CDC	2026880	Actif	2006-09-29	2008-09-28	44.25	0	20652	Uranor Inc	100.00
24P03	CDC	2026881	Actif	2006-09-29	2008-09-28	44.25	0	20652	Uranor Inc	100.00
24P03	CDC	2027633	Actif	2006-10-03	2008-10-02	44.25	0	20652	Uranor Inc	100.00
24P03	CDC	2027634	Actif	2006-10-03	2008-10-02	44.25	0	20652	Uranor Inc	100.00
24P03	CDC	2007016	Actif	2006-05-10	2008-05-09	44.24	0	20652	Uranor Inc	100.00
24P03	CDC	2007017	Actif	2006-05-10	2008-05-09	44.24	0	20652	Uranor Inc	100.00
24P03	CDC	2007018	Actif	2006-05-10	2008-05-09	44.24	0	20652	Uranor Inc	100.00
24P03	CDC	2007019	Actif	2006-05-10	2008-05-09	44.24	0	20652	Uranor Inc	100.00
24P03	CDC	2007020	Actif	2006-05-10	2008-05-09	44.24	0	20652	Uranor Inc	100.00
24P03	CDC	2007021	Actif	2006-05-10	2008-05-09	44.24	0	20652	Uranor Inc	100.00
24P03	CDC	2007022	Actif	2006-05-10	2008-05-09	44.24	0	20652	Uranor Inc	100.00
24P03	CDC	2007023	Actif	2006-05-10	2008-05-09	44.24	0	20652	Uranor Inc	100.00
24P03	CDC	2007024	Actif	2006-05-10	2008-05-09	44.24	0	20652	Uranor Inc	100.00
24P03	CDC	2007025	Actif	2006-05-10	2008-05-09	44.24	0	20652	Uranor Inc	100.00
24P03	CDC	2007026	Actif	2006-05-10	2008-05-09	44.24	0	20652	Uranor Inc	100.00
24P03	CDC	2007027	Actif	2006-05-10	2008-05-09	44.24	0	20652	Uranor Inc	100.00
24P03	CDC	2007028	Actif	2006-05-10	2008-05-09	44.24	0	20652	Uranor Inc	100.00
24P03	CDC	2011512	Actif	2006-05-23	2008-05-22	44.24	0	20652	Uranor Inc	100.00
24P03	CDC	2011513	Actif	2006-05-23	2008-05-22	44.24	0	20652	Uranor Inc	100.00
24P03	CDC	2011514	Actif	2006-05-23	2008-05-22	44.24	0	20652	Uranor Inc	100.00
24P03	CDC	2011515	Actif	2006-05-23	2008-05-22	44.24	0	20652	Uranor Inc	100.00
24P03	CDC	2011516	Actif	2006-05-23	2008-05-22	44.24	0	20652	Uranor Inc	100.00
24P03	CDC	2011637	Actif	2006-05-23	2008-05-22	44.24	0	20652	Uranor Inc	100.00
24P03	CDC	2011638	Actif	2006-05-23	2008-05-22	44.24	0	20652	Uranor Inc	100.00
24P03	CDC	2011639	Actif	2006-05-23	2008-05-22	44.24	0	20652	Uranor Inc	100.00
24P03	CDC	2011640	Actif	2006-05-23	2008-05-22	44.24	0	20652	Uranor Inc	100.00
24P03	CDC	2011641	Actif	2006-05-23	2008-05-22	44.24	0	20652	Uranor Inc	100.00
24P03	CDC	2011642	Actif	2006-05-23	2008-05-22	44.24	0	20652	Uranor Inc	100.00
24P03	CDC	2011643	Actif	2006-05-23	2008-05-22	44.24	0	20652	Uranor Inc	100.00
24P03	CDC	2013731	Actif	2006-05-29	2008-05-28	44.24	0	20652	Uranor Inc	100.00

Tableau 6.1 - Tableau descriptif des claims actifs et en demande d'Uranor Inc. du projet CAGE 2006

Feuillet	Type de titre	No titre	Statut du titre	Date d'inscription	Date d'expiration	Superficie (Ha)	Excédent ($)	No détenteur	Nom du détenteur	Pourcentage (%)
24P03	CDC	2026882	Actif	2006-09-29	2008-09-28	44.24	0	20652	Uranor Inc	100.00
24P03	CDC	2026883	Actif	2006-09-29	2008-09-28	44.24	0	20652	Uranor Inc	100.00
24P03	CDC	2026884	Actif	2006-09-29	2008-09-28	44.24	0	20652	Uranor Inc	100.00
24P03	CDC	2026885	Actif	2006-09-29	2008-09-28	44.24	0	20652	Uranor Inc	100.00
24P03	CDC	2026886	Actif	2006-09-29	2008-09-28	44.24	0	20652	Uranor Inc	100.00
24P03	CDC	2026887	Actif	2006-09-29	2008-09-28	44.24	0	20652	Uranor Inc	100.00
24P03	CDC	2026888	Actif	2006-09-29	2008-09-28	44.24	0	20652	Uranor Inc	100.00
24P03	CDC	2007029	Actif	2006-05-10	2008-05-09	44.23	0	20652	Uranor Inc	100.00
24P03	CDC	2007030	Actif	2006-05-10	2008-05-09	44.23	0	20652	Uranor Inc	100.00
24P03	CDC	2007031	Actif	2006-05-10	2008-05-09	44.23	0	20652	Uranor Inc	100.00
24P03	CDC	2007032	Actif	2006-05-10	2008-05-09	44.23	0	20652	Uranor Inc	100.00
24P03	CDC	2007033	Actif	2006-05-10	2008-05-09	44.23	0	20652	Uranor Inc	100.00
24P03	CDC	2007034	Actif	2006-05-10	2008-05-09	44.23	0	20652	Uranor Inc	100.00
24P03	CDC	2007035	Actif	2006-05-10	2008-05-09	44.23	0	20652	Uranor Inc	100.00
24P03	CDC	2007036	Actif	2006-05-10	2008-05-09	44.23	0	20652	Uranor Inc	100.00
24P03	CDC	2007037	Actif	2006-05-10	2008-05-09	44.23	0	20652	Uranor Inc	100.00
24P03	CDC	2007038	Actif	2006-05-10	2008-05-09	44.23	0	20652	Uranor Inc	100.00
24P03	CDC	2007039	Actif	2006-05-10	2008-05-09	44.23	0	20652	Uranor Inc	100.00
24P03	CDC	2007040	Actif	2006-05-10	2008-05-09	44.23	0	20652	Uranor Inc	100.00
24P03	CDC	2007041	Actif	2006-05-10	2008-05-09	44.23	0	20652	Uranor Inc	100.00
24P03	CDC	2011517	Actif	2006-05-23	2008-05-22	44.23	0	20652	Uranor Inc	100.00
24P03	CDC	2011518	Actif	2006-05-23	2008-05-22	44.23	0	20652	Uranor Inc	100.00
24P03	CDC	2011519	Actif	2006-05-23	2008-05-22	44.23	0	20652	Uranor Inc	100.00
24P03	CDC	2011520	Actif	2006-05-23	2008-05-22	44.23	0	20652	Uranor Inc	100.00
24P03	CDC	2011644	Actif	2006-05-23	2008-05-22	44.23	0	20652	Uranor Inc	100.00
24P03	CDC	2011645	Actif	2006-05-23	2008-05-22	44.23	0	20652	Uranor Inc	100.00
24P03	CDC	2011646	Actif	2006-05-23	2008-05-22	44.23	0	20652	Uranor Inc	100.00
24P03	CDC	2011647	Actif	2006-05-23	2008-05-22	44.23	0	20652	Uranor Inc	100.00
24P03	CDC	2011648	Actif	2006-05-23	2008-05-22	44.23	0	20652	Uranor Inc	100.00
24P03	CDC	2011649	Actif	2006-05-23	2008-05-22	44.23	0	20652	Uranor Inc	100.00
24P03	CDC	2011650	Actif	2006-05-23	2008-05-22	44.23	0	20652	Uranor Inc	100.00
24P03	CDC	2026889	Actif	2006-09-29	2008-09-28	44.23	0	20652	Uranor Inc	100.00
24P03	CDC	2026890	Actif	2006-09-29	2008-09-28	44.23	0	20652	Uranor Inc	100.00
24P03	CDC	2026891	Actif	2006-09-29	2008-09-28	44.23	0	20652	Uranor Inc	100.00
24P03	CDC	2026892	Actif	2006-09-29	2008-09-28	44.23	0	20652	Uranor Inc	100.00
24P03	CDC	2026893	Actif	2006-09-29	2008-09-28	44.23	0	20652	Uranor Inc	100.00
24P03	CDC	2026894	Actif	2006-09-29	2008-09-28	44.22	0	20652	Uranor Inc	100.00
24P03	CDC	2026896	Actif	2006-09-29	2008-09-28	44.22	0	20652	Uranor Inc	100.00
24P03	CDC	2026897	Actif	2006-09-29	2008-09-28	44.22	0	20652	Uranor Inc	100.00
24P03	CDC	2026898	Actif	2006-09-29	2008-09-28	44.22	0	20652	Uranor Inc	100.00
24P03	CDC	2007042	Actif	2006-05-10	2008-05-09	44.22	0	20652	Uranor Inc	100.00
24P03	CDC	2007043	Actif	2006-05-10	2008-05-09	44.22	0	20652	Uranor Inc	100.00

Tableau 6.1 - Tableau descriptif des claims actifs et en demande d'Uranor Inc. du projet CAGE 2006

Feuillet	Type de titre	No titre	Statut du titre	Date d'inscription	Date d'expiration	Superficie (Ha)	Excédent ($)	No détenteur	Nom du détenteur	Pourcentage (%)
24P03	CDC	2007044	Actif	2006-05-10	2008-05-09	44.22	0	20652	Uranor Inc	100.00
24P03	CDC	2007045	Actif	2006-05-10	2008-05-09	44.22	0	20652	Uranor Inc	100.00
24P03	CDC	2007046	Actif	2006-05-10	2008-05-09	44.22	0	20652	Uranor Inc	100.00
24P03	CDC	2007047	Actif	2006-05-10	2008-05-09	44.22	0	20652	Uranor Inc	100.00
24P03	CDC	2007048	Actif	2006-05-10	2008-05-09	44.22	0	20652	Uranor Inc	100.00
24P03	CDC	2007049	Actif	2006-05-10	2008-05-09	44.22	0	20652	Uranor Inc	100.00
24P03	CDC	2007050	Actif	2006-05-10	2008-05-09	44.22	0	20652	Uranor Inc	100.00
24P03	CDC	2007051	Actif	2006-05-10	2008-05-09	44.22	0	20652	Uranor Inc	100.00
24P03	CDC	2007052	Actif	2006-05-10	2008-05-09	44.22	0	20652	Uranor Inc	100.00
24P03	CDC	2007053	Actif	2006-05-10	2008-05-09	44.22	0	20652	Uranor Inc	100.00
24P03	CDC	2007054	Actif	2006-05-10	2008-05-09	44.22	0	20652	Uranor Inc	100.00
24P03	CDC	2011521	Actif	2006-05-23	2008-05-22	44.22	0	20652	Uranor Inc	100.00
24P03	CDC	2011522	Actif	2006-05-23	2008-05-22	44.22	0	20652	Uranor Inc	100.00
24P03	CDC	2011523	Actif	2006-05-23	2008-05-22	44.22	0	20652	Uranor Inc	100.00
24P03	CDC	2011651	Actif	2006-05-23	2008-05-22	44.22	0	20652	Uranor Inc	100.00
24P03	CDC	2011652	Actif	2006-05-23	2008-05-22	44.22	0	20652	Uranor Inc	100.00
24P03	CDC	2011653	Actif	2006-05-23	2008-05-22	44.22	0	20652	Uranor Inc	100.00
24P03	CDC	2011654	Actif	2006-05-23	2008-05-22	44.22	0	20652	Uranor Inc	100.00
24P03	CDC	2011655	Actif	2006-05-23	2008-05-22	44.22	0	20652	Uranor Inc	100.00
24P03	CDC	2011656	Actif	2006-05-23	2008-05-22	44.22	0	20652	Uranor Inc	100.00
24P03	CDC	2013732	Actif	2006-05-29	2008-05-28	44.22	0	20652	Uranor Inc	100.00
24P03	CDC	2026895	Actif	2006-09-29	2008-09-28	44.22	0	20652	Uranor Inc	100.00
24P03	CDC	2026899	Actif	2006-09-29	2008-09-28	44.21	0	20652	Uranor Inc	100.00
24P03	CDC	2026900	Actif	2006-09-29	2008-09-28	44.21	0	20652	Uranor Inc	100.00
24P03	CDC	2026901	Actif	2006-09-29	2008-09-28	44.21	0	20652	Uranor Inc	100.00
24P03	CDC	2026902	Actif	2006-09-29	2008-09-28	44.21	0	20652	Uranor Inc	100.00
24P03	CDC	2026903	Actif	2006-09-29	2008-09-28	44.21	0	20652	Uranor Inc	100.00
24P03	CDC	2026904	Actif	2006-09-29	2008-09-28	44.21	0	20652	Uranor Inc	100.00
24P03	CDC	2026905	Actif	2006-09-29	2008-09-28	44.21	0	20652	Uranor Inc	100.00
24P03	CDC	2026906	Actif	2006-09-29	2008-09-28	44.21	0	20652	Uranor Inc	100.00
24P03	CDC	2007055	Actif	2006-05-10	2008-05-09	44.21	0	20652	Uranor Inc	100.00
24P03	CDC	2007056	Actif	2006-05-10	2008-05-09	44.21	0	20652	Uranor Inc	100.00
24P03	CDC	2007057	Actif	2006-05-10	2008-05-09	44.21	0	20652	Uranor Inc	100.00
24P03	CDC	2007058	Actif	2006-05-10	2008-05-09	44.21	0	20652	Uranor Inc	100.00
24P03	CDC	2007059	Actif	2006-05-10	2008-05-09	44.21	0	20652	Uranor Inc	100.00
24P03	CDC	2007060	Actif	2006-05-10	2008-05-09	44.21	0	20652	Uranor Inc	100.00
24P03	CDC	2007061	Actif	2006-05-10	2008-05-09	44.21	0	20652	Uranor Inc	100.00
24P03	CDC	2007062	Actif	2006-05-10	2008-05-09	44.21	0	20652	Uranor Inc	100.00
24P03	CDC	2007063	Actif	2006-05-10	2008-05-09	44.21	0	20652	Uranor Inc	100.00
24P03	CDC	2007064	Actif	2006-05-10	2008-05-09	44.21	0	20652	Uranor Inc	100.00
24P03	CDC	2007065	Actif	2006-05-10	2008-05-09	44.21	0	20652	Uranor Inc	100.00
24P03	CDC	2007066	Actif	2006-05-10	2008-05-09	44.21	0	20652	Uranor Inc	100.00

Tableau 6.1 - Tableau descriptif des claims actifs et en demande d'Uranor Inc. du projet CAGE 2006

Feuillet	Type de titre	No titre	Statut du titre	Date d'inscription	Date d'expiration	Superficie (Ha)	Excédent ($)	No détenteur	Nom du détenteur	Pourcentage (%)
24P03	CDC	2007067	Actif	2006-05-10	2008-05-09	44.21	0	20652	Uranor Inc	100.00
24P03	CDC	2011524	Actif	2006-05-23	2008-05-22	44.21	0	20652	Uranor Inc	100.00
24P03	CDC	2011525	Actif	2006-05-23	2008-05-22	44.21	0	20652	Uranor Inc	100.00
24P03	CDC	2011657	Actif	2006-05-23	2008-05-22	44.21	0	20652	Uranor Inc	100.00
24P03	CDC	2011658	Actif	2006-05-23	2008-05-22	44.21	0	20652	Uranor Inc	100.00
24P03	CDC	2011659	Actif	2006-05-23	2008-05-22	44.21	0	20652	Uranor Inc	100.00
24P03	CDC	2011660	Actif	2006-05-23	2008-05-22	44.2	0	20652	Uranor Inc	100.00
24P03	CDC	2011661	Actif	2006-05-23	2008-05-22	44.2	0	20652	Uranor Inc	100.00
24P03	CDC	2013733	Actif	2006-05-29	2008-05-28	44.2	0	20652	Uranor Inc	100.00
24P03	CDC	2026907	Actif	2006-09-29	2008-09-28	44.2	0	20652	Uranor Inc	100.00
24P03	CDC	2026908	Actif	2006-09-29	2008-09-28	44.2	0	20652	Uranor Inc	100.00
24P03	CDC	2026909	Actif	2006-09-29	2008-09-28	44.2	0	20652	Uranor Inc	100.00
24P03	CDC	2026910	Actif	2006-09-29	2008-09-28	44.2	0	20652	Uranor Inc	100.00
24P03	CDC	2026911	Actif	2006-09-29	2008-09-28	44.2	0	20652	Uranor Inc	100.00
24P03	CDC	2026912	Actif	2006-09-29	2008-09-28	44.2	0	20652	Uranor Inc	100.00
24P03	CDC	2026913	Actif	2006-09-29	2008-09-28	44.2	0	20652	Uranor Inc	100.00
24P03	CDC	2026914	Actif	2006-09-29	2008-09-28	44.2	0	20652	Uranor Inc	100.00
24P03	CDC	2026915	Actif	2006-09-29	2008-09-28	44.2	0	20652	Uranor Inc	100.00
24P03	CDC	2026916	Actif	2006-09-29	2008-09-28	44.2	0	20652	Uranor Inc	100.00
24P03	CDC	2007068	Actif	2006-05-10	2008-05-09	44.2	0	20652	Uranor Inc	100.00
24P03	CDC	2007069	Actif	2006-05-10	2008-05-09	44.2	0	20652	Uranor Inc	100.00
24P03	CDC	2007070	Actif	2006-05-10	2008-05-09	44.2	0	20652	Uranor Inc	100.00
24P03	CDC	2007071	Actif	2006-05-10	2008-05-09	44.2	0	20652	Uranor Inc	100.00
24P03	CDC	2007072	Actif	2006-05-10	2008-05-09	44.2	0	20652	Uranor Inc	100.00
24P03	CDC	2007073	Actif	2006-05-10	2008-05-09	44.2	0	20652	Uranor Inc	100.00
24P03	CDC	2007074	Actif	2006-05-10	2008-05-09	44.2	0	20652	Uranor Inc	100.00
24P03	CDC	2007075	Actif	2006-05-10	2008-05-09	44.2	0	20652	Uranor Inc	100.00
24P03	CDC	2007076	Actif	2006-05-10	2008-05-09	44.2	0	20652	Uranor Inc	100.00
24P03	CDC	2007077	Actif	2006-05-10	2008-05-09	44.2	0	20652	Uranor Inc	100.00
24P03	CDC	2007078	Actif	2006-05-10	2008-05-09	44.2	0	20652	Uranor Inc	100.00
24P03	CDC	2007079	Actif	2006-05-10	2008-05-09	44.2	0	20652	Uranor Inc	100.00
24P03	CDC	2007080	Actif	2006-05-10	2008-05-09	44.2	0	20652	Uranor Inc	100.00
24P03	CDC	2011526	Actif	2006-05-23	2008-05-22	44.19	0	20652	Uranor Inc	100.00
24P03	CDC	2011662	Actif	2006-05-23	2008-05-22	44.19	0	20652	Uranor Inc	100.00
24P03	CDC	2011663	Actif	2006-05-23	2008-05-22	44.19	0	20652	Uranor Inc	100.00
24P03	CDC	2011664	Actif	2006-05-23	2008-05-22	44.19	0	20652	Uranor Inc	100.00
24P03	CDC	2011665	Actif	2006-05-23	2008-05-22	44.19	0	20652	Uranor Inc	100.00
24P03	CDC	2011666	Actif	2006-05-23	2008-05-22	44.19	0	20652	Uranor Inc	100.00
24P03	CDC	2026917	Actif	2006-09-29	2008-09-28	44.19	0	20652	Uranor Inc	100.00
24P03	CDC	2026918	Actif	2006-09-29	2008-09-28	44.19	0	20652	Uranor Inc	100.00
24P03	CDC	2026919	Actif	2006-09-29	2008-09-28	44.19	0	20652	Uranor Inc	100.00
24P03	CDC	2026920	Actif	2006-09-29	2008-09-28	44.19	0	20652	Uranor Inc	100.00

Tableau 6.1 - Tableau descriptif des claims actifs et en demande d'Uranor Inc. du projet CAGE 2006

Feuillet	Type de titre	No titre	Statut du titre	Date d'inscription	Date d'expiration	Superficie (Ha)	Excédent ($)	No détenteur	Nom du détenteur	Pourcentage (%)
24P03	CDC	2026921	Actif	2006-09-29	2008-09-28	44.19	0	20652	Uranor Inc	100.00
24P03	CDC	2026922	Actif	2006-09-29	2008-09-28	44.19	0	20652	Uranor Inc	100.00
24P03	CDC	2026923	Actif	2006-09-29	2008-09-28	44.19	0	20652	Uranor Inc	100.00
24P03	CDC	2026924	Actif	2006-09-29	2008-09-28	44.19	0	20652	Uranor Inc	100.00
24P03	CDC	2026925	Actif	2006-09-29	2008-09-28	44.19	0	20652	Uranor Inc	100.00
24P03	CDC	2026926	Actif	2006-09-29	2008-09-28	44.19	0	20652	Uranor Inc	100.00
24P03	CDC	2026927	Actif	2006-09-29	2008-09-28	44.19	0	20652	Uranor Inc	100.00
24P03	CDC	2007081	Actif	2006-05-10	2008-05-09	44.19	0	20652	Uranor Inc	100.00
24P03	CDC	2007082	Actif	2006-05-10	2008-05-09	44.19	0	20652	Uranor Inc	100.00
24P03	CDC	2007083	Actif	2006-05-10	2008-05-09	44.19	0	20652	Uranor Inc	100.00
24P03	CDC	2007084	Actif	2006-05-10	2008-05-09	44.19	0	20652	Uranor Inc	100.00
24P03	CDC	2007085	Actif	2006-05-10	2008-05-09	44.19	0	20652	Uranor Inc	100.00
24P03	CDC	2007086	Actif	2006-05-10	2008-05-09	44.19	0	20652	Uranor Inc	100.00
24P03	CDC	2007087	Actif	2006-05-10	2008-05-09	44.19	0	20652	Uranor Inc	100.00
24P03	CDC	2007088	Actif	2006-05-10	2008-05-09	44.19	0	20652	Uranor Inc	100.00
24P03	CDC	2007089	Actif	2006-05-10	2008-05-09	44.19	0	20652	Uranor Inc	100.00
24P03	CDC	2007090	Actif	2006-05-10	2008-05-09	44.18	0	20652	Uranor Inc	100.00
24P03	CDC	2007091	Actif	2006-05-10	2008-05-09	44.18	0	20652	Uranor Inc	100.00
24P03	CDC	2007092	Actif	2006-05-10	2008-05-09	44.18	0	20652	Uranor Inc	100.00
24P03	CDC	2007093	Actif	2006-05-10	2008-05-09	44.18	0	20652	Uranor Inc	100.00
24P03	CDC	2011667	Actif	2006-05-23	2008-05-22	44.18	0	20652	Uranor Inc	100.00
24P03	CDC	2011668	Actif	2006-05-23	2008-05-22	44.18	0	20652	Uranor Inc	100.00
24P03	CDC	2011669	Actif	2006-05-23	2008-05-22	44.18	0	20652	Uranor Inc	100.00
24P03	CDC	2011670	Actif	2006-05-23	2008-05-22	44.18	0	20652	Uranor Inc	100.00
24P03	CDC	2011671	Actif	2006-05-23	2008-05-22	44.18	0	20652	Uranor Inc	100.00
24P03	CDC	2029730	Actif	2006-10-18	2008-10-17	44.18		20652	Uranor Inc	100.00
24P03	CDC	2026928	Actif	2006-09-29	2008-09-28	44.18	0	20652	Uranor Inc	100.00
24P03	CDC	2026929	Actif	2006-09-29	2008-09-28	44.18	0	20652	Uranor Inc	100.00
24P03	CDC	2026930	Actif	2006-09-29	2008-09-28	44.18	0	20652	Uranor Inc	100.00
24P03	CDC	2026931	Actif	2006-09-29	2008-09-28	44.18	0	20652	Uranor Inc	100.00
24P03	CDC	2026932	Actif	2006-09-29	2008-09-28	44.18	0	20652	Uranor Inc	100.00
24P03	CDC	2026933	Actif	2006-09-29	2008-09-28	44.18	0	20652	Uranor Inc	100.00
24P03	CDC	2026934	Actif	2006-09-29	2008-09-28	44.18	0	20652	Uranor Inc	100.00
24P03	CDC	2026935	Actif	2006-09-29	2008-09-28	44.18	0	20652	Uranor Inc	100.00
24P03	CDC	2026936	Actif	2006-09-29	2008-09-28	44.18	0	20652	Uranor Inc	100.00
24P03	CDC	2026937	Actif	2006-09-29	2008-09-28	44.18	0	20652	Uranor Inc	100.00
24P03	CDC	2007094	Actif	2006-05-10	2008-05-09	44.18	0	20652	Uranor Inc	100.00
24P03	CDC	2007095	Actif	2006-05-10	2008-05-09	44.18	0	20652	Uranor Inc	100.00
24P03	CDC	2007096	Actif	2006-05-10	2008-05-09	44.18	0	20652	Uranor Inc	100.00
24P03	CDC	2007097	Actif	2006-05-10	2008-05-09	44.17	0	20652	Uranor Inc	100.00
24P03	CDC	2007098	Actif	2006-05-10	2008-05-09	44.17	0	20652	Uranor Inc	100.00
24P03	CDC	2007099	Actif	2006-05-10	2008-05-09	44.17	0	20652	Uranor Inc	100.00

Tableau 6.1 - Tableau descriptif des claims actifs et en demande d'Uranor Inc. du projet CAGE 2006

Feuillet	Type de titre	No titre	Statut du titre	Date d'inscription	Date d'expiration	Superficie (Ha)	Excédent ($)	No détenteur	Nom du détenteur	Pourcentage (%)
24P03	CDC	2007100	Actif	2006-05-10	2008-05-09	44.17	0	20652	Uranor Inc	100.00
24P03	CDC	2007101	Actif	2006-05-10	2008-05-09	44.17	0	20652	Uranor Inc	100.00
24P03	CDC	2007102	Actif	2006-05-10	2008-05-09	44.17	0	20652	Uranor Inc	100.00
24P03	CDC	2007103	Actif	2006-05-10	2008-05-09	44.17	0	20652	Uranor Inc	100.00
24P03	CDC	2007104	Actif	2006-05-10	2008-05-09	44.17	0	20652	Uranor Inc	100.00
24P03	CDC	2007105	Actif	2006-05-10	2008-05-09	44.17	0	20652	Uranor Inc	100.00
24P03	CDC	2007106	Actif	2006-05-10	2008-05-09	44.17	0	20652	Uranor Inc	100.00
24P03	CDC	2011672	Actif	2006-05-23	2008-05-22	44.17	0	20652	Uranor Inc	100.00
24P03	CDC	2011673	Actif	2006-05-23	2008-05-22	44.17	0	20652	Uranor Inc	100.00
24P03	CDC	2011674	Actif	2006-05-23	2008-05-22	44.17	0	20652	Uranor Inc	100.00
24P03	CDC	2026938	Actif	2006-09-29	2008-09-28	44.17	0	20652	Uranor Inc	100.00
24P03	CDC	2026939	Actif	2006-09-29	2008-09-28	44.17	0	20652	Uranor Inc	100.00
24P03	CDC	2026940	Actif	2006-09-29	2008-09-28	44.17	0	20652	Uranor Inc	100.00
24P03	CDC	2026941	Actif	2006-09-29	2008-09-28	44.17	0	20652	Uranor Inc	100.00
24P03	CDC	2026942	Actif	2006-09-29	2008-09-28	44.17	0	20652	Uranor Inc	100.00
24P03	CDC	2026943	Actif	2006-09-29	2008-09-28	44.17	0	20652	Uranor Inc	100.00
24P03	CDC	2026944	Actif	2006-09-29	2008-09-28	44.17	0	20652	Uranor Inc	100.00
24P03	CDC	2026945	Actif	2006-09-29	2008-09-28	44.17	0	20652	Uranor Inc	100.00
24P03	CDC	2026946	Actif	2006-09-29	2008-09-28	44.17	0	20652	Uranor Inc	100.00
24P03	CDC	2026947	Actif	2006-09-29	2008-09-28	44.17	0	20652	Uranor Inc	100.00
24P03	CDC	2026948	Actif	2006-09-29	2008-09-28	44.17	0	20652	Uranor Inc	100.00
24P03	CDC	2026949	Actif	2006-09-29	2008-09-28	44.17	0	20652	Uranor Inc	100.00
24P03	CDC	2007107	Actif	2006-05-10	2008-05-09	44.16	0	20652	Uranor Inc	100.00
24P03	CDC	2007108	Actif	2006-05-10	2008-05-09	44.16	0	20652	Uranor Inc	100.00
24P03	CDC	2007109	Actif	2006-05-10	2008-05-09	44.16	0	20652	Uranor Inc	100.00
24P03	CDC	2007110	Actif	2006-05-10	2008-05-09	44.16	0	20652	Uranor Inc	100.00
24P03	CDC	2007111	Actif	2006-05-10	2008-05-09	44.16	0	20652	Uranor Inc	100.00
24P03	CDC	2007112	Actif	2006-05-10	2008-05-09	44.16	0	20652	Uranor Inc	100.00
24P03	CDC	2007113	Actif	2006-05-10	2008-05-09	44.16	0	20652	Uranor Inc	100.00
24P03	CDC	2007114	Actif	2006-05-10	2008-05-09	44.16	0	20652	Uranor Inc	100.00
24P03	CDC	2007115	Actif	2006-05-10	2008-05-09	44.16	0	20652	Uranor Inc	100.00
24P03	CDC	2007116	Actif	2006-05-10	2008-05-09	44.16	0	20652	Uranor Inc	100.00
24P03	CDC	2007117	Actif	2006-05-10	2008-05-09	44.16	0	20652	Uranor Inc	100.00
24P03	CDC	2011675	Actif	2006-05-23	2008-05-22	44.16	0	20652	Uranor Inc	100.00
24P03	CDC	2011676	Actif	2006-05-23	2008-05-22	44.16	0	20652	Uranor Inc	100.00
24P03	CDC	2011677	Actif	2006-05-23	2008-05-22	44.16	0	20652	Uranor Inc	100.00
24P03	CDC	2026950	Actif	2006-09-29	2008-09-28	44.16	0	20652	Uranor Inc	100.00
24P03	CDC	2026951	Actif	2006-09-29	2008-09-28	44.16	0	20652	Uranor Inc	100.00
24P03	CDC	2026952	Actif	2006-09-29	2008-09-28	44.16	0	20652	Uranor Inc	100.00
24P03	CDC	2026953	Actif	2006-09-29	2008-09-28	44.16	0	20652	Uranor Inc	100.00
24P03	CDC	2026954	Actif	2006-09-29	2008-09-28	44.16	0	20652	Uranor Inc	100.00
24P03	CDC	2026955	Actif	2006-09-29	2008-09-28	44.16	0	20652	Uranor Inc	100.00

Tableau 6.1 - Tableau descriptif des claims actifs et en demande d'Uranor Inc. du projet CAGE 2006

Feuillet	Type de titre	No titre	Statut du titre	Date d'inscription	Date d'expiration	Superficie (Ha)	Excédent ($)	No détenteur	Nom du détenteur	Pourcentage (%)
24P03	CDC	2026956	Actif	2006-09-29	2008-09-28	44.16	0	20652	Uranor Inc	100.00
24P03	CDC	2026957	Actif	2006-09-29	2008-09-28	44.16	0	20652	Uranor Inc	100.00
24P03	CDC	2026958	Actif	2006-09-29	2008-09-28	44.16	0	20652	Uranor Inc	100.00
24P03	CDC	2026959	Actif	2006-09-29	2008-09-28	44.16	0	20652	Uranor Inc	100.00
24P03	CDC	2026960	Actif	2006-09-29	2008-09-28	44.16	0	20652	Uranor Inc	100.00
24P03	CDC	2026961	Actif	2006-09-29	2008-09-28	44.16	0	20652	Uranor Inc	100.00
24P03	CDC	2026962	Actif	2006-09-29	2008-09-28	44.16	0	20652	Uranor Inc	100.00
24P03	CDC	2007118	Actif	2006-05-10	2008-05-09	44.15	0	20652	Uranor Inc	100.00
24P03	CDC	2007119	Actif	2006-05-10	2008-05-09	44.15	0	20652	Uranor Inc	100.00
24P03	CDC	2007120	Actif	2006-05-10	2008-05-09	44.15	0	20652	Uranor Inc	100.00
24P03	CDC	2007121	Actif	2006-05-10	2008-05-09	44.15	0	20652	Uranor Inc	100.00
24P03	CDC	2007122	Actif	2006-05-10	2008-05-09	44.15	0	20652	Uranor Inc	100.00
24P03	CDC	2007123	Actif	2006-05-10	2008-05-09	44.15	0	20652	Uranor Inc	100.00
24P03	CDC	2007124	Actif	2006-05-10	2008-05-09	44.15	0	20652	Uranor Inc	100.00
24P03	CDC	2007360	Actif	2006-05-11	2008-05-10	44.15	0	20652	Uranor Inc	100.00
24P03	CDC	2007361	Actif	2006-05-11	2008-05-10	44.15	0	20652	Uranor Inc	100.00
24P03	CDC	2013734	Actif	2006-05-29	2008-05-28	44.15	0	20652	Uranor Inc	100.00
24P03	CDC	2013735	Actif	2006-05-29	2008-05-28	44.15	0	20652	Uranor Inc	100.00
24P03	CDC	2013736	Actif	2006-05-29	2008-05-28	44.15	0	20652	Uranor Inc	100.00
24P03	CDC	2026963	Actif	2006-09-29	2008-09-28	44.15	0	20652	Uranor Inc	100.00
24P03	CDC	2026964	Actif	2006-09-29	2008-09-28	44.15	0	20652	Uranor Inc	100.00
24P03	CDC	2026965	Actif	2006-09-29	2008-09-28	44.15	0	20652	Uranor Inc	100.00
24P03	CDC	2026966	Actif	2006-09-29	2008-09-28	44.15	0	20652	Uranor Inc	100.00
24P03	CDC	2026967	Actif	2006-09-29	2008-09-28	44.15	0	20652	Uranor Inc	100.00
24P03	CDC	2026968	Actif	2006-09-29	2008-09-28	44.15	0	20652	Uranor Inc	100.00
24P03	CDC	2026969	Actif	2006-09-29	2008-09-28	44.15	0	20652	Uranor Inc	100.00
24P03	CDC	2026970	Actif	2006-09-29	2008-09-28	44.15	0	20652	Uranor Inc	100.00
24P03	CDC	2026971	Actif	2006-09-29	2008-09-28	44.15	0	20652	Uranor Inc	100.00
24P03	CDC	2026972	Actif	2006-09-29	2008-09-28	44.15	0	20652	Uranor Inc	100.00
24P03	CDC	2026973	Actif	2006-09-29	2008-09-28	44.15	0	20652	Uranor Inc	100.00
24P03	CDC	2026974	Actif	2006-09-29	2008-09-28	44.15	0	20652	Uranor Inc	100.00
24P03	CDC	2026975	Actif	2006-09-29	2008-09-28	44.15	0	20652	Uranor Inc	100.00
24P03	CDC	2026976	Actif	2006-09-29	2008-09-28	44.15	0	20652	Uranor Inc	100.00
24P03	CDC	2006755	Actif	2006-05-10	2008-05-09	44.14	0	20652	Uranor Inc	100.00
24P03	CDC	2006756	Actif	2006-05-10	2008-05-09	44.14	0	20652	Uranor Inc	100.00
24P03	CDC	2006757	Actif	2006-05-10	2008-05-09	44.14	0	20652	Uranor Inc	100.00
24P03	CDC	2006758	Actif	2006-05-10	2008-05-09	44.14	0	20652	Uranor Inc	100.00
24P03	CDC	2006759	Actif	2006-05-10	2008-05-09	44.14	0	20652	Uranor Inc	100.00
24P03	CDC	2006760	Actif	2006-05-10	2008-05-09	44.14	0	20652	Uranor Inc	100.00
24P03	CDC	2007362	Actif	2006-05-11	2008-05-10	44.14	0	20652	Uranor Inc	100.00
24P03	CDC	2013737	Actif	2006-05-29	2008-05-28	44.14	0	20652	Uranor Inc	100.00
24P03	CDC	2013738	Actif	2006-05-29	2008-05-28	44.14	0	20652	Uranor Inc	100.00

Tableau 6.1 - Tableau descriptif des claims actifs et en demande d'Uranor Inc. du projet CAGE 2006

Feuillet	Type de titre	No titre	Statut du titre	Date d'inscription	Date d'expiration	Superficie (Ha)	Excédent ($)	No détenteur	Nom du détenteur	Pourcentage (%)
24P03	CDC	2013739	Actif	2006-05-29	2008-05-28	44.14	0	20652	Uranor Inc	100.00
24P03	CDC	2026977	Actif	2006-09-29	2008-09-28	44.14	0	20652	Uranor Inc	100.00
24P03	CDC	2026978	Actif	2006-09-29	2008-09-28	44.14	0	20652	Uranor Inc	100.00
24P03	CDC	2026979	Actif	2006-09-29	2008-09-28	44.14	0	20652	Uranor Inc	100.00
24P03	CDC	2026980	Actif	2006-09-29	2008-09-28	44.14	0	20652	Uranor Inc	100.00
24P03	CDC	2026981	Actif	2006-09-29	2008-09-28	44.14	0	20652	Uranor Inc	100.00
24P03	CDC	2026982	Actif	2006-09-29	2008-09-28	44.14	0	20652	Uranor Inc	100.00
24P03	CDC	2026983	Actif	2006-09-29	2008-09-28	44.14	0	20652	Uranor Inc	100.00
24P03	CDC	2026984	Actif	2006-09-29	2008-09-28	44.14	0	20652	Uranor Inc	100.00
24P03	CDC	2026985	Actif	2006-09-29	2008-09-28	44.14	0	20652	Uranor Inc	100.00
24P03	CDC	2026986	Actif	2006-09-29	2008-09-28	44.14	0	20652	Uranor Inc	100.00
24P03	CDC	2026987	Actif	2006-09-29	2008-09-28	44.14	0	20652	Uranor Inc	100.00
24P03	CDC	2026988	Actif	2006-09-29	2008-09-28	44.14	0	20652	Uranor Inc	100.00
24P03	CDC	2026989	Actif	2006-09-29	2008-09-28	44.14	0	20652	Uranor Inc	100.00
24P03	CDC	2026990	Actif	2006-09-29	2008-09-28	44.14	0	20652	Uranor Inc	100.00
24P03	CDC	2026991	Actif	2006-09-29	2008-09-28	44.14	0	20652	Uranor Inc	100.00
24P03	CDC	2006761	Actif	2006-05-10	2008-05-09	44.13	0	20652	Uranor Inc	100.00
24P03	CDC	2006762	Actif	2006-05-10	2008-05-09	44.13	0	20652	Uranor Inc	100.00
24P03	CDC	2006763	Actif	2006-05-10	2008-05-09	44.13	0	20652	Uranor Inc	100.00
24P03	CDC	2006764	Actif	2006-05-10	2008-05-09	44.13	0	20652	Uranor Inc	100.00
24P03	CDC	2006765	Actif	2006-05-10	2008-05-09	44.13	0	20652	Uranor Inc	100.00
24P03	CDC	2006766	Actif	2006-05-10	2008-05-09	44.13	0	20652	Uranor Inc	100.00
24P03	CDC	2007363	Actif	2006-05-11	2008-05-10	44.13	0	20652	Uranor Inc	100.00
24P03	CDC	2013740	Actif	2006-05-29	2008-05-28	44.13	0	20652	Uranor Inc	100.00
24P03	CDC	2013741	Actif	2006-05-29	2008-05-28	44.13	0	20652	Uranor Inc	100.00
24P03	CDC	2026992	Actif	2006-09-29	2008-09-28	44.13	0	20652	Uranor Inc	100.00
24P03	CDC	2026993	Actif	2006-09-29	2008-09-28	44.13	0	20652	Uranor Inc	100.00
24P03	CDC	2026994	Actif	2006-09-29	2008-09-28	44.13	0	20652	Uranor Inc	100.00
24P03	CDC	2026995	Actif	2006-09-29	2008-09-28	44.13	0	20652	Uranor Inc	100.00
24P03	CDC	2026996	Actif	2006-09-29	2008-09-28	44.13	0	20652	Uranor Inc	100.00
24P03	CDC	2026997	Actif	2006-09-29	2008-09-28	44.13	0	20652	Uranor Inc	100.00
24P03	CDC	2026998	Actif	2006-09-29	2008-09-28	44.13	0	20652	Uranor Inc	100.00
24P03	CDC	2026999	Actif	2006-09-29	2008-09-28	44.13	0	20652	Uranor Inc	100.00
24P03	CDC	2027000	Actif	2006-09-29	2008-09-28	44.13	0	20652	Uranor Inc	100.00
24P03	CDC	2027001	Actif	2006-09-29	2008-09-28	44.13	0	20652	Uranor Inc	100.00
24P03	CDC	2027002	Actif	2006-09-29	2008-09-28	44.13	0	20652	Uranor Inc	100.00
24P03	CDC	2027004	Actif	2006-09-29	2008-09-28	44.13	0	20652	Uranor Inc	100.00
24P03	CDC	2027006	Actif	2006-09-29	2008-09-28	44.13	0	20652	Uranor Inc	100.00
24P03	CDC	2027008	Actif	2006-09-29	2008-09-28	44.13	0	20652	Uranor Inc	100.00
24P03	47 titres en demande			Date de la demande : 2007-03-07						
24P04	CDC	2012202	Actif	2006-05-24	2008-05-23	44.44	0	20652	Uranor Inc	100.00
24P04	CDC	2012203	Actif	2006-05-24	2008-05-23	44.44	0	20652	Uranor Inc	100.00

Tableau 6.1 - Tableau descriptif des claims actifs et en demande d'Uranor Inc. du projet CAGE 2006

Feuillet	Type de titre	No titre	Statut du titre	Date d'inscription	Date d'expiration	Superficie (Ha)	Excédent ($)	No détenteur	Nom du détenteur	Pourcentage (%)
24P04	CDC	2012204	Actif	2006-05-24	2008-05-23	44.44	0	20652	Uranor Inc	100.00
24P04	CDC	2010967	Actif	2006-05-19	2008-05-18	44.44	0	20652	Uranor Inc	100.00
24P04	CDC	2010968	Actif	2006-05-19	2008-05-18	44.44	0	20652	Uranor Inc	100.00
24P04	CDC	2010969	Actif	2006-05-19	2008-05-18	44.44	0	20652	Uranor Inc	100.00
24P04	CDC	2010970	Actif	2006-05-19	2008-05-18	44.44	0	20652	Uranor Inc	100.00
24P04	CDC	2015016	Actif	2006-06-06	2008-06-05	44.44	0	20652	Uranor Inc	100.00
24P04	CDC	2012205	Actif	2006-05-24	2008-05-23	44.44	0	20652	Uranor Inc	100.00
24P04	CDC	2012206	Actif	2006-05-24	2008-05-23	44.43	0	20652	Uranor Inc	100.00
24P04	CDC	2012207	Actif	2006-05-24	2008-05-23	44.43	0	20652	Uranor Inc	100.00
24P04	CDC	2015017	Actif	2006-06-06	2008-06-05	44.43	0	20652	Uranor Inc	100.00
24P04	CDC	2010971	Actif	2006-05-19	2008-05-18	44.43	0	20652	Uranor Inc	100.00
24P04	CDC	2012208	Actif	2006-05-24	2008-05-23	44.43	0	20652	Uranor Inc	100.00
24P04	CDC	2012209	Actif	2006-05-24	2008-05-23	44.43	0	20652	Uranor Inc	100.00
24P04	CDC	2011006	Actif	2006-05-23	2008-05-22	44.43	0	20652	Uranor Inc	100.00
24P04	CDC	2011007	Actif	2006-05-23	2008-05-22	44.43	0	20652	Uranor Inc	100.00
24P04	CDC	2011008	Actif	2006-05-23	2008-05-22	44.43	0	20652	Uranor Inc	100.00
24P04	CDC	2012210	Actif	2006-05-24	2008-05-23	44.42	0	20652	Uranor Inc	100.00
24P04	CDC	2012211	Actif	2006-05-24	2008-05-23	44.42	0	20652	Uranor Inc	100.00
24P04	CDC	2012212	Actif	2006-05-24	2008-05-23	44.42	0	20652	Uranor Inc	100.00
24P04	CDC	2012213	Actif	2006-05-24	2008-05-23	44.42	0	20652	Uranor Inc	100.00
24P04	CDC	2012214	Actif	2006-05-24	2008-05-23	44.42	0	20652	Uranor Inc	100.00
24P04	CDC	2011009	Actif	2006-05-23	2008-05-22	44.42	0	20652	Uranor Inc	100.00
24P04	CDC	2011010	Actif	2006-05-23	2008-05-22	44.42	0	20652	Uranor Inc	100.00
24P04	CDC	2011011	Actif	2006-05-23	2008-05-22	44.42	0	20652	Uranor Inc	100.00
24P04	CDC	2011012	Actif	2006-05-23	2008-05-22	44.42	0	20652	Uranor Inc	100.00
24P04	CDC	2012215	Actif	2006-05-24	2008-05-23	44.41	0	20652	Uranor Inc	100.00
24P04	CDC	2012216	Actif	2006-05-24	2008-05-23	44.41	0	20652	Uranor Inc	100.00
24P04	CDC	2012217	Actif	2006-05-24	2008-05-23	44.41	0	20652	Uranor Inc	100.00
24P04	CDC	2012218	Actif	2006-05-24	2008-05-23	44.41	0	20652	Uranor Inc	100.00
24P04	CDC	2012219	Actif	2006-05-24	2008-05-23	44.41	0	20652	Uranor Inc	100.00
24P04	CDC	2012220	Actif	2006-05-24	2008-05-23	44.41	0	20652	Uranor Inc	100.00
24P04	CDC	2011013	Actif	2006-05-23	2008-05-22	44.41	0	20652	Uranor Inc	100.00
24P04	CDC	2011014	Actif	2006-05-23	2008-05-22	44.41	0	20652	Uranor Inc	100.00
24P04	CDC	2011015	Actif	2006-05-23	2008-05-22	44.41	0	20652	Uranor Inc	100.00
24P04	CDC	2011016	Actif	2006-05-23	2008-05-22	44.41	0	20652	Uranor Inc	100.00
24P04	CDC	2013742	Actif	2006-05-29	2008-05-28	44.4	0	20652	Uranor Inc	100.00
24P04	CDC	2013743	Actif	2006-05-29	2008-05-28	44.4	0	20652	Uranor Inc	100.00
24P04	CDC	2012221	Actif	2006-05-24	2008-05-23	44.4	0	20652	Uranor Inc	100.00
24P04	CDC	2012222	Actif	2006-05-24	2008-05-23	44.4	0	20652	Uranor Inc	100.00
24P04	CDC	2011017	Actif	2006-05-23	2008-05-22	44.4	0	20652	Uranor Inc	100.00
24P04	CDC	2011018	Actif	2006-05-23	2008-05-22	44.4	0	20652	Uranor Inc	100.00
24P04	CDC	2011019	Actif	2006-05-23	2008-05-22	44.4	0	20652	Uranor Inc	100.00

Tableau 6.1 - Tableau descriptif des claims actifs et en demande d'Uranor Inc. du projet CAGE 2006

Feuillet	Type de titre	No titre	Statut du titre	Date d'inscription	Date d'expiration	Superficie (Ha)	Excédent ($)	No détenteur	Nom du détenteur	Pourcentage (%)
24P04	CDC	2011020	Actif	2006-05-23	2008-05-22	44.4	0	20652	Uranor Inc	100.00
24P04	CDC	2011021	Actif	2006-05-23	2008-05-22	44.4	0	20652	Uranor Inc	100.00
24P04	CDC	2011022	Actif	2006-05-23	2008-05-22	44.4	0	20652	Uranor Inc	100.00
24P04	CDC	2012223	Actif	2006-05-24	2008-05-23	44.39	0	20652	Uranor Inc	100.00
24P04	CDC	2012224	Actif	2006-05-24	2008-05-23	44.39	0	20652	Uranor Inc	100.00
24P04	CDC	2012225	Actif	2006-05-24	2008-05-23	44.39	0	20652	Uranor Inc	100.00
24P04	CDC	2012226	Actif	2006-05-24	2008-05-23	44.39	0	20652	Uranor Inc	100.00
24P04	CDC	2012227	Actif	2006-05-24	2008-05-23	44.39	0	20652	Uranor Inc	100.00
24P04	CDC	2011023	Actif	2006-05-23	2008-05-22	44.39	0	20652	Uranor Inc	100.00
24P04	CDC	2011024	Actif	2006-05-23	2008-05-22	44.39	0	20652	Uranor Inc	100.00
24P04	CDC	2011025	Actif	2006-05-23	2008-05-22	44.39	0	20652	Uranor Inc	100.00
24P04	CDC	2011026	Actif	2006-05-23	2008-05-22	44.39	0	20652	Uranor Inc	100.00
24P04	CDC	2011027	Actif	2006-05-23	2008-05-22	44.39	0	20652	Uranor Inc	100.00
24P04	CDC	2011028	Actif	2006-05-23	2008-05-22	44.39	0	20652	Uranor Inc	100.00
24P04	CDC	2012228	Actif	2006-05-24	2008-05-23	44.38	0	20652	Uranor Inc	100.00
24P04	CDC	2012229	Actif	2006-05-24	2008-05-23	44.38	0	20652	Uranor Inc	100.00
24P04	CDC	2012230	Actif	2006-05-24	2008-05-23	44.38	0	20652	Uranor Inc	100.00
24P04	CDC	2015018	Actif	2006-06-06	2008-06-05	44.38	0	20652	Uranor Inc	100.00
24P04	CDC	2011029	Actif	2006-05-23	2008-05-22	44.38	0	20652	Uranor Inc	100.00
24P04	CDC	2011030	Actif	2006-05-23	2008-05-22	44.38	0	20652	Uranor Inc	100.00
24P04	CDC	2011031	Actif	2006-05-23	2008-05-22	44.38	0	20652	Uranor Inc	100.00
24P04	CDC	2011032	Actif	2006-05-23	2008-05-22	44.38	0	20652	Uranor Inc	100.00
24P04	CDC	2011033	Actif	2006-05-23	2008-05-22	44.38	0	20652	Uranor Inc	100.00
24P04	CDC	2011034	Actif	2006-05-23	2008-05-22	44.38	0	20652	Uranor Inc	100.00
24P04	CDC	2011035	Actif	2006-05-23	2008-05-22	44.38	0	20652	Uranor Inc	100.00
24P04	CDC	2012231	Actif	2006-05-24	2008-05-23	44.37	0	20652	Uranor Inc	100.00
24P04	CDC	2012232	Actif	2006-05-24	2008-05-23	44.37	0	20652	Uranor Inc	100.00
24P04	CDC	2012233	Actif	2006-05-24	2008-05-23	44.37	0	20652	Uranor Inc	100.00
24P04	CDC	2012234	Actif	2006-05-24	2008-05-23	44.37	0	20652	Uranor Inc	100.00
24P04	CDC	2015019	Actif	2006-06-06	2008-06-05	44.37	0	20652	Uranor Inc	100.00
24P04	CDC	2011036	Actif	2006-05-23	2008-05-22	44.37	0	20652	Uranor Inc	100.00
24P04	CDC	2011037	Actif	2006-05-23	2008-05-22	44.37	0	20652	Uranor Inc	100.00
24P04	CDC	2011038	Actif	2006-05-23	2008-05-22	44.37	0	20652	Uranor Inc	100.00
24P04	CDC	2011039	Actif	2006-05-23	2008-05-22	44.37	0	20652	Uranor Inc	100.00
24P04	CDC	2011040	Actif	2006-05-23	2008-05-22	44.37	0	20652	Uranor Inc	100.00
24P04	CDC	2011041	Actif	2006-05-23	2008-05-22	44.37	0	20652	Uranor Inc	100.00
24P04	CDC	2012235	Actif	2006-05-24	2008-05-23	44.36	0	20652	Uranor Inc	100.00
24P04	CDC	2012236	Actif	2006-05-24	2008-05-23	44.36	0	20652	Uranor Inc	100.00
24P04	CDC	2012237	Actif	2006-05-24	2008-05-23	44.36	0	20652	Uranor Inc	100.00
24P04	CDC	2012238	Actif	2006-05-24	2008-05-23	44.36	0	20652	Uranor Inc	100.00
24P04	CDC	2012239	Actif	2006-05-24	2008-05-23	44.36	0	20652	Uranor Inc	100.00
24P04	CDC	2012240	Actif	2006-05-24	2008-05-23	44.36	0	20652	Uranor Inc	100.00

Tableau 6.1 - Tableau descriptif des claims actifs et en demande d'Uranor Inc. du projet CAGE 2006

Feuillet	Type de titre	No titre	Statut du titre	Date d'inscription	Date d'expiration	Superficie (Ha)	Excédent ($)	No détenteur	Nom du détenteur	Pourcentage (%)
24P04	CDC	2012241	Actif	2006-05-24	2008-05-23	44.36	0	20652	Uranor Inc	100.00
24P04	CDC	2012242	Actif	2006-05-24	2008-05-23	44.36	0	20652	Uranor Inc	100.00
24P04	CDC	2012243	Actif	2006-05-24	2008-05-23	44.36	0	20652	Uranor Inc	100.00
24P04	CDC	2012244	Actif	2006-05-24	2008-05-23	44.36	0	20652	Uranor Inc	100.00
24P04	CDC	2012245	Actif	2006-05-24	2008-05-23	44.36	0	20652	Uranor Inc	100.00
24P04	CDC	2013744	Actif	2006-05-29	2008-05-28	44.36	0	20652	Uranor Inc	100.00
24P04	CDC	2011042	Actif	2006-05-23	2008-05-22	44.36	0	20652	Uranor Inc	100.00
24P04	CDC	2011043	Actif	2006-05-23	2008-05-22	44.36	0	20652	Uranor Inc	100.00
24P04	CDC	2011044	Actif	2006-05-23	2008-05-22	44.36	0	20652	Uranor Inc	100.00
24P04	CDC	2011045	Actif	2006-05-23	2008-05-22	44.36	0	20652	Uranor Inc	100.00
24P04	CDC	98476	Actif	2005-10-12	2007-10-11	44.36	0	20652	Uranor Inc	100.00
24P04	CDC	2012246	Actif	2006-05-24	2008-05-23	44.35	0	20652	Uranor Inc	100.00
24P04	CDC	99514	Actif	2005-10-25	2007-10-24	44.35	0	20652	Uranor Inc	100.00
24P04	CDC	99515	Actif	2005-10-25	2007-10-24	44.35	0	20652	Uranor Inc	100.00
24P04	CDC	99516	Actif	2005-10-25	2007-10-24	44.35	0	20652	Uranor Inc	100.00
24P04	CDC	99517	Actif	2005-10-25	2007-10-24	44.35	0	20652	Uranor Inc	100.00
24P04	CDC	99518	Actif	2005-10-25	2007-10-24	44.35	0	20652	Uranor Inc	100.00
24P04	CDC	99519	Actif	2005-10-25	2007-10-24	44.35	0	20652	Uranor Inc	100.00
24P04	CDC	99520	Actif	2005-10-25	2007-10-24	44.35	0	20652	Uranor Inc	100.00
24P04	CDC	99521	Actif	2005-10-25	2007-10-24	44.35	0	20652	Uranor Inc	100.00
24P04	CDC	99522	Actif	2005-10-25	2007-10-24	44.35	0	20652	Uranor Inc	100.00
24P04	CDC	99523	Actif	2005-10-25	2007-10-24	44.35	0	20652	Uranor Inc	100.00
24P04	CDC	99524	Actif	2005-10-25	2007-10-24	44.35	0	20652	Uranor Inc	100.00
24P04	CDC	99525	Actif	2005-10-25	2007-10-24	44.35	0	20652	Uranor Inc	100.00
24P04	CDC	2011046	Actif	2006-05-23	2008-05-22	44.35	0	20652	Uranor Inc	100.00
24P04	CDC	2011047	Actif	2006-05-23	2008-05-22	44.35	0	20652	Uranor Inc	100.00
24P04	CDC	2011048	Actif	2006-05-23	2008-05-22	44.35	0	20652	Uranor Inc	100.00
24P04	CDC	98474	Actif	2005-10-12	2007-10-11	44.35	0	20652	Uranor Inc	100.00
24P04	CDC	98475	Actif	2005-10-12	2007-10-11	44.35	0	20652	Uranor Inc	100.00
24P04	CDC	99564	Actif	2005-10-25	2007-10-24	44.34	0	20652	Uranor Inc	100.00
24P04	CDC	99565	Actif	2005-10-25	2007-10-24	44.34	0	20652	Uranor Inc	100.00
24P04	CDC	99566	Actif	2005-10-25	2007-10-24	44.34	0	20652	Uranor Inc	100.00
24P04	CDC	99567	Actif	2005-10-25	2007-10-24	44.34	0	20652	Uranor Inc	100.00
24P04	CDC	99505	Actif	2005-10-25	2007-10-24	44.34	0	20652	Uranor Inc	100.00
24P04	CDC	99506	Actif	2005-10-25	2007-10-24	44.34	0	20652	Uranor Inc	100.00
24P04	CDC	99507	Actif	2005-10-25	2007-10-24	44.34	0	20652	Uranor Inc	100.00
24P04	CDC	99508	Actif	2005-10-25	2007-10-24	44.34	0	20652	Uranor Inc	100.00
24P04	CDC	99509	Actif	2005-10-25	2007-10-24	44.34	0	20652	Uranor Inc	100.00
24P04	CDC	99510	Actif	2005-10-25	2007-10-24	44.34	0	20652	Uranor Inc	100.00
24P04	CDC	99511	Actif	2005-10-25	2007-10-24	44.34	0	20652	Uranor Inc	100.00
24P04	CDC	99512	Actif	2005-10-25	2007-10-24	44.34	0	20652	Uranor Inc	100.00
24P04	CDC	99513	Actif	2005-10-25	2007-10-24	44.34	0	20652	Uranor Inc	100.00

Tableau 6.1 - Tableau descriptif des claims actifs et en demande d'Uranor Inc. du projet CAGE 2006

Feuillet	Type de titre	No titre	Statut du titre	Date d'inscription	Date d'expiration	Superficie (Ha)	Excédent ($)	No détenteur	Nom du détenteur	Pourcentage (%)
24P04	CDC	98470	Actif	2005-10-12	2007-10-11	44.34	0	20652	Uranor Inc	100.00
24P04	CDC	98471	Actif	2005-10-12	2007-10-11	44.34	0	20652	Uranor Inc	100.00
24P04	CDC	98472	Actif	2005-10-12	2007-10-11	44.34	0	20652	Uranor Inc	100.00
24P04	CDC	98473	Actif	2005-10-12	2007-10-11	44.34	0	20652	Uranor Inc	100.00
24P04	CDC	96475	Actif	2005-09-28	2007-09-27	44.34	0	20652	Uranor Inc	100.00
24P04	CDC	2012247	Actif	2006-05-24	2008-05-23	44.33	0	20652	Uranor Inc	100.00
24P04	CDC	99552	Actif	2005-10-25	2007-10-24	44.33	0	20652	Uranor Inc	100.00
24P04	CDC	99553	Actif	2005-10-25	2007-10-24	44.33	0	20652	Uranor Inc	100.00
24P04	CDC	99554	Actif	2005-10-25	2007-10-24	44.33	0	20652	Uranor Inc	100.00
24P04	CDC	99555	Actif	2005-10-25	2007-10-24	44.33	0	20652	Uranor Inc	100.00
24P04	CDC	99556	Actif	2005-10-25	2007-10-24	44.33	0	20652	Uranor Inc	100.00
24P04	CDC	99557	Actif	2005-10-25	2007-10-24	44.33	0	20652	Uranor Inc	100.00
24P04	CDC	99558	Actif	2005-10-25	2007-10-24	44.33	0	20652	Uranor Inc	100.00
24P04	CDC	99559	Actif	2005-10-25	2007-10-24	44.33	0	20652	Uranor Inc	100.00
24P04	CDC	99560	Actif	2005-10-25	2007-10-24	44.33	0	20652	Uranor Inc	100.00
24P04	CDC	99561	Actif	2005-10-25	2007-10-24	44.33	0	20652	Uranor Inc	100.00
24P04	CDC	99562	Actif	2005-10-25	2007-10-24	44.33	0	20652	Uranor Inc	100.00
24P04	CDC	99563	Actif	2005-10-25	2007-10-24	44.33	0	20652	Uranor Inc	100.00
24P04	CDC	98466	Actif	2005-10-12	2007-10-11	44.33	0	20652	Uranor Inc	100.00
24P04	CDC	98467	Actif	2005-10-12	2007-10-11	44.33	0	20652	Uranor Inc	100.00
24P04	CDC	98468	Actif	2005-10-12	2007-10-11	44.33	0	20652	Uranor Inc	100.00
24P04	CDC	98469	Actif	2005-10-12	2007-10-11	44.33	0	20652	Uranor Inc	100.00
24P04	CDC	96473	Actif	2005-09-28	2007-09-27	44.33	0	20652	Uranor Inc	100.00
24P04	CDC	96474	Actif	2005-09-28	2007-09-27	44.33	0	20652	Uranor Inc	100.00
24P04	CDC	2012248	Actif	2006-05-24	2008-05-23	44.32	0	20652	Uranor Inc	100.00
24P04	CDC	99543	Actif	2005-10-25	2007-10-24	44.32	0	20652	Uranor Inc	100.00
24P04	CDC	99544	Actif	2005-10-25	2007-10-24	44.32	0	20652	Uranor Inc	100.00
24P04	CDC	99545	Actif	2005-10-25	2007-10-24	44.32	0	20652	Uranor Inc	100.00
24P04	CDC	99546	Actif	2005-10-25	2007-10-24	44.32	0	20652	Uranor Inc	100.00
24P04	CDC	99547	Actif	2005-10-25	2007-10-24	44.32	0	20652	Uranor Inc	100.00
24P04	CDC	99548	Actif	2005-10-25	2007-10-24	44.32	0	20652	Uranor Inc	100.00
24P04	CDC	99549	Actif	2005-10-25	2007-10-24	44.32	0	20652	Uranor Inc	100.00
24P04	CDC	99550	Actif	2005-10-25	2007-10-24	44.32	0	20652	Uranor Inc	100.00
24P04	CDC	99551	Actif	2005-10-25	2007-10-24	44.32	0	20652	Uranor Inc	100.00
24P04	CDC	98461	Actif	2005-10-12	2007-10-11	44.32	0	20652	Uranor Inc	100.00
24P04	CDC	98462	Actif	2005-10-12	2007-10-11	44.32	0	20652	Uranor Inc	100.00
24P04	CDC	98463	Actif	2005-10-12	2007-10-11	44.32	0	20652	Uranor Inc	100.00
24P04	CDC	98464	Actif	2005-10-12	2007-10-11	44.32	0	20652	Uranor Inc	100.00
24P04	CDC	98465	Actif	2005-10-12	2007-10-11	44.32	0	20652	Uranor Inc	100.00
24P04	CDC	96469	Actif	2005-09-28	2007-09-27	44.32	0	20652	Uranor Inc	100.00
24P04	CDC	96470	Actif	2005-09-28	2007-09-27	44.32	0	20652	Uranor Inc	100.00
24P04	CDC	96471	Actif	2005-09-28	2007-09-27	44.31	0	20652	Uranor Inc	100.00

Tableau 6.1 - Tableau descriptif des claims actifs et en demande d'Uranor Inc. du projet CAGE 2006

Feuillet	Type de titre	No titre	Statut du titre	Date d'inscription	Date d'expiration	Superficie (Ha)	Excédent ($)	No détenteur	Nom du détenteur	Pourcentage (%)
24P04	CDC	96472	Actif	2005-09-28	2007-09-27	44.31	0	20652	Uranor Inc	100.00
24P04	CDC	2012249	Actif	2006-05-24	2008-05-23	44.31	0	20652	Uranor Inc	100.00
24P04	CDC	2012250	Actif	2006-05-24	2008-05-23	44.31	0	20652	Uranor Inc	100.00
24P04	CDC	2012251	Actif	2006-05-24	2008-05-23	44.31	0	20652	Uranor Inc	100.00
24P04	CDC	2012252	Actif	2006-05-24	2008-05-23	44.31	0	20652	Uranor Inc	100.00
24P04	CDC	99537	Actif	2005-10-25	2007-10-24	44.31	0	20652	Uranor Inc	100.00
24P04	CDC	99538	Actif	2005-10-25	2007-10-24	44.31	0	20652	Uranor Inc	100.00
24P04	CDC	99539	Actif	2005-10-25	2007-10-24	44.31	0	20652	Uranor Inc	100.00
24P04	CDC	99540	Actif	2005-10-25	2007-10-24	44.31	0	20652	Uranor Inc	100.00
24P04	CDC	99541	Actif	2005-10-25	2007-10-24	44.31	0	20652	Uranor Inc	100.00
24P04	CDC	99542	Actif	2005-10-25	2007-10-24	44.31	0	20652	Uranor Inc	100.00
24P04	CDC	98454	Actif	2005-10-12	2007-10-11	44.31	0	20652	Uranor Inc	100.00
24P04	CDC	98455	Actif	2005-10-12	2007-10-11	44.31	0	20652	Uranor Inc	100.00
24P04	CDC	98456	Actif	2005-10-12	2007-10-11	44.31	0	20652	Uranor Inc	100.00
24P04	CDC	98457	Actif	2005-10-12	2007-10-11	44.31	0	20652	Uranor Inc	100.00
24P04	CDC	98458	Actif	2005-10-12	2007-10-11	44.31	0	20652	Uranor Inc	100.00
24P04	CDC	98459	Actif	2005-10-12	2007-10-11	44.31	0	20652	Uranor Inc	100.00
24P04	CDC	98460	Actif	2005-10-12	2007-10-11	44.31	0	20652	Uranor Inc	100.00
24P04	CDC	96463	Actif	2005-09-28	2007-09-27	44.3	0	20652	Uranor Inc	100.00
24P04	CDC	96464	Actif	2005-09-28	2007-09-27	44.3	0	20652	Uranor Inc	100.00
24P04	CDC	96465	Actif	2005-09-28	2007-09-27	44.3	0	20652	Uranor Inc	100.00
24P04	CDC	96466	Actif	2005-09-28	2007-09-27	44.3	0	20652	Uranor Inc	100.00
24P04	CDC	96467	Actif	2005-09-28	2007-09-27	44.3	0	20652	Uranor Inc	100.00
24P04	CDC	96468	Actif	2005-09-28	2007-09-27	44.3	0	20652	Uranor Inc	100.00
24P04	CDC	2012253	Actif	2006-05-24	2008-05-23	44.3	0	20652	Uranor Inc	100.00
24P04	CDC	2012254	Actif	2006-05-24	2008-05-23	44.3	0	20652	Uranor Inc	100.00
24P04	CDC	2012255	Actif	2006-05-24	2008-05-23	44.3	0	20652	Uranor Inc	100.00
24P04	CDC	2012256	Actif	2006-05-24	2008-05-23	44.3	0	20652	Uranor Inc	100.00
24P04	CDC	99532	Actif	2005-10-25	2007-10-24	44.3	0	20652	Uranor Inc	100.00
24P04	CDC	99533	Actif	2005-10-25	2007-10-24	44.3	0	20652	Uranor Inc	100.00
24P04	CDC	99534	Actif	2005-10-25	2007-10-24	44.3	0	20652	Uranor Inc	100.00
24P04	CDC	99535	Actif	2005-10-25	2007-10-24	44.3	0	20652	Uranor Inc	100.00
24P04	CDC	99536	Actif	2005-10-25	2007-10-24	44.3	0	20652	Uranor Inc	100.00
24P04	CDC	98447	Actif	2005-10-12	2007-10-11	44.3	0	20652	Uranor Inc	100.00
24P04	CDC	98448	Actif	2005-10-12	2007-10-11	44.3	0	20652	Uranor Inc	100.00
24P04	CDC	98449	Actif	2005-10-12	2007-10-11	44.3	0	20652	Uranor Inc	100.00
24P04	CDC	98450	Actif	2005-10-12	2007-10-11	44.3	0	20652	Uranor Inc	100.00
24P04	CDC	98451	Actif	2005-10-12	2007-10-11	44.29	0	20652	Uranor Inc	100.00
24P04	CDC	98452	Actif	2005-10-12	2007-10-11	44.29	0	20652	Uranor Inc	100.00
24P04	CDC	98453	Actif	2005-10-12	2007-10-11	44.29	0	20652	Uranor Inc	100.00
24P04	CDC	96455	Actif	2005-09-28	2007-09-27	44.29	0	20652	Uranor Inc	100.00
24P04	CDC	96456	Actif	2005-09-28	2007-09-27	44.29	0	20652	Uranor Inc	100.00

Tableau 6.1 - Tableau descriptif des claims actifs et en demande d'Uranor Inc. du projet CAGE 2006

Feuillet	Type de titre	No titre	Statut du titre	Date d'inscription	Date d'expiration	Superficie (Ha)	Excédent ($)	No détenteur	Nom du détenteur	Pourcentage (%)
24P04	CDC	96457	Actif	2005-09-28	2007-09-27	44.29	0	20652	Uranor Inc	100.00
24P04	CDC	96458	Actif	2005-09-28	2007-09-27	44.29	0	20652	Uranor Inc	100.00
24P04	CDC	96459	Actif	2005-09-28	2007-09-27	44.29	0	20652	Uranor Inc	100.00
24P04	CDC	96460	Actif	2005-09-28	2007-09-27	44.29	0	20652	Uranor Inc	100.00
24P04	CDC	96461	Actif	2005-09-28	2007-09-27	44.29	0	20652	Uranor Inc	100.00
24P04	CDC	96462	Actif	2005-09-28	2007-09-27	44.29	0	20652	Uranor Inc	100.00
24P04	CDC	2012257	Actif	2006-05-24	2008-05-23	44.29	0	20652	Uranor Inc	100.00
24P04	CDC	2012258	Actif	2006-05-24	2008-05-23	44.29	0	20652	Uranor Inc	100.00
24P04	CDC	2012259	Actif	2006-05-24	2008-05-23	44.29	0	20652	Uranor Inc	100.00
24P04	CDC	2012260	Actif	2006-05-24	2008-05-23	44.29	0	20652	Uranor Inc	100.00
24P04	CDC	2012261	Actif	2006-05-24	2008-05-23	44.29	0	20652	Uranor Inc	100.00
24P04	CDC	99529	Actif	2005-10-25	2007-10-24	44.29	0	20652	Uranor Inc	100.00
24P04	CDC	99530	Actif	2005-10-25	2007-10-24	44.29	0	20652	Uranor Inc	100.00
24P04	CDC	99531	Actif	2005-10-25	2007-10-24	44.29	0	20652	Uranor Inc	100.00
24P04	CDC	98239	Actif	2005-10-12	2007-10-11	44.29	0	20652	Uranor Inc	100.00
24P04	CDC	98555	Actif	2005-10-12	2007-10-11	44.29	0	20652	Uranor Inc	100.00
24P04	CDC	98556	Actif	2005-10-12	2007-10-11	44.29	0	20652	Uranor Inc	100.00
24P04	CDC	98557	Actif	2005-10-12	2007-10-11	44.28	0	20652	Uranor Inc	100.00
24P04	CDC	98558	Actif	2005-10-12	2007-10-11	44.28	0	20652	Uranor Inc	100.00
24P04	CDC	98559	Actif	2005-10-12	2007-10-11	44.28	0	20652	Uranor Inc	100.00
24P04	CDC	98560	Actif	2005-10-12	2007-10-11	44.28	0	20652	Uranor Inc	100.00
24P04	CDC	98445	Actif	2005-10-12	2007-10-11	44.28	0	20652	Uranor Inc	100.00
24P04	CDC	98446	Actif	2005-10-12	2007-10-11	44.28	0	20652	Uranor Inc	100.00
24P04	CDC	96446	Actif	2005-09-28	2007-09-27	44.28	0	20652	Uranor Inc	100.00
24P04	CDC	96447	Actif	2005-09-28	2007-09-27	44.28	0	20652	Uranor Inc	100.00
24P04	CDC	96448	Actif	2005-09-28	2007-09-27	44.28	0	20652	Uranor Inc	100.00
24P04	CDC	96449	Actif	2005-09-28	2007-09-27	44.28	0	20652	Uranor Inc	100.00
24P04	CDC	96450	Actif	2005-09-28	2007-09-27	44.28	0	20652	Uranor Inc	100.00
24P04	CDC	96451	Actif	2005-09-28	2007-09-27	44.28	0	20652	Uranor Inc	100.00
24P04	CDC	96452	Actif	2005-09-28	2007-09-27	44.28	0	20652	Uranor Inc	100.00
24P04	CDC	96453	Actif	2005-09-28	2007-09-27	44.28	0	20652	Uranor Inc	100.00
24P04	CDC	96454	Actif	2005-09-28	2007-09-27	44.28	0	20652	Uranor Inc	100.00
24P04	CDC	2012262	Actif	2006-05-24	2008-05-23	44.28	0	20652	Uranor Inc	100.00
24P04	CDC	2012263	Actif	2006-05-24	2008-05-23	44.28	0	20652	Uranor Inc	100.00
24P04	CDC	2015020	Actif	2006-06-06	2008-06-05	44.28	0	20652	Uranor Inc	100.00
24P04	CDC	2012264	Actif	2006-05-24	2008-05-23	44.28	0	20652	Uranor Inc	100.00
24P04	CDC	99528	Actif	2005-10-25	2007-10-24	44.28	0	20652	Uranor Inc	100.00
24P04	CDC	98235	Actif	2005-10-12	2007-10-11	44.28	0	20652	Uranor Inc	100.00
24P04	CDC	98236	Actif	2005-10-12	2007-10-11	44.27	0	20652	Uranor Inc	100.00
24P04	CDC	98237	Actif	2005-10-12	2007-10-11	44.27	0	20652	Uranor Inc	100.00
24P04	CDC	98238	Actif	2005-10-12	2007-10-11	44.27	0	20652	Uranor Inc	100.00
24P04	CDC	98547	Actif	2005-10-12	2007-10-11	44.27	0	20652	Uranor Inc	100.00

Tableau 6.1 - Tableau descriptif des claims actifs et en demande d'Uranor Inc. du projet CAGE 2006

Feuillet	Type de titre	No titre	Statut du titre	Date d'inscription	Date d'expiration	Superficie (Ha)	Excédent ($)	No détenteur	Nom du détenteur	Pourcentage (%)
24P04	CDC	98548	Actif	2005-10-12	2007-10-11	44.27	0	20652	Uranor Inc	100.00
24P04	CDC	98549	Actif	2005-10-12	2007-10-11	44.27	0	20652	Uranor Inc	100.00
24P04	CDC	98550	Actif	2005-10-12	2007-10-11	44.27	0	20652	Uranor Inc	100.00
24P04	CDC	98551	Actif	2005-10-12	2007-10-11	44.27	0	20652	Uranor Inc	100.00
24P04	CDC	98552	Actif	2005-10-12	2007-10-11	44.27	0	20652	Uranor Inc	100.00
24P04	CDC	98553	Actif	2005-10-12	2007-10-11	44.27	0	20652	Uranor Inc	100.00
24P04	CDC	98554	Actif	2005-10-12	2007-10-11	44.27	0	20652	Uranor Inc	100.00
24P04	CDC	96494	Actif	2005-09-28	2007-09-27	44.27	0	20652	Uranor Inc	100.00
24P04	CDC	96495	Actif	2005-09-28	2007-09-27	44.27	0	20652	Uranor Inc	100.00
24P04	CDC	96496	Actif	2005-09-28	2007-09-27	44.27	0	20652	Uranor Inc	100.00
24P04	CDC	96497	Actif	2005-09-28	2007-09-27	44.27	0	20652	Uranor Inc	100.00
24P04	CDC	96498	Actif	2005-09-28	2007-09-27	44.27	0	20652	Uranor Inc	100.00
24P04	CDC	96442	Actif	2005-09-28	2007-09-27	44.27	0	20652	Uranor Inc	100.00
24P04	CDC	96443	Actif	2005-09-28	2007-09-27	44.27	0	20652	Uranor Inc	100.00
24P04	CDC	96444	Actif	2005-09-28	2007-09-27	44.27	0	20652	Uranor Inc	100.00
24P04	CDC	96445	Actif	2005-09-28	2007-09-27	44.27	0	20652	Uranor Inc	100.00
24P04	CDC	2012265	Actif	2006-05-24	2008-05-23	44.27	0	20652	Uranor Inc	100.00
24P04	CDC	2012266	Actif	2006-05-24	2008-05-23	44.27	0	20652	Uranor Inc	100.00
24P04	CDC	99526	Actif	2005-10-25	2007-10-24	44.26	0	20652	Uranor Inc	100.00
24P04	CDC	99527	Actif	2005-10-25	2007-10-24	44.26	0	20652	Uranor Inc	100.00
24P04	CDC	98229	Actif	2005-10-12	2007-10-11	44.26	0	20652	Uranor Inc	100.00
24P04	CDC	98230	Actif	2005-10-12	2007-10-11	44.26	0	20652	Uranor Inc	100.00
24P04	CDC	98231	Actif	2005-10-12	2007-10-11	44.26	0	20652	Uranor Inc	100.00
24P04	CDC	98232	Actif	2005-10-12	2007-10-11	44.26	0	20652	Uranor Inc	100.00
24P04	CDC	98233	Actif	2005-10-12	2007-10-11	44.26	0	20652	Uranor Inc	100.00
24P04	CDC	98234	Actif	2005-10-12	2007-10-11	44.26	0	20652	Uranor Inc	100.00
24P04	CDC	98539	Actif	2005-10-12	2007-10-11	44.26	0	20652	Uranor Inc	100.00
24P04	CDC	98540	Actif	2005-10-12	2007-10-11	44.26	0	20652	Uranor Inc	100.00
24P04	CDC	98541	Actif	2005-10-12	2007-10-11	44.26	0	20652	Uranor Inc	100.00
24P04	CDC	98542	Actif	2005-10-12	2007-10-11	44.26	0	20652	Uranor Inc	100.00
24P04	CDC	98543	Actif	2005-10-12	2007-10-11	44.26	0	20652	Uranor Inc	100.00
24P04	CDC	98544	Actif	2005-10-12	2007-10-11	44.26	0	20652	Uranor Inc	100.00
24P04	CDC	98545	Actif	2005-10-12	2007-10-11	44.26	0	20652	Uranor Inc	100.00
24P04	CDC	98546	Actif	2005-10-12	2007-10-11	44.26	0	20652	Uranor Inc	100.00
24P04	CDC	96485	Actif	2005-09-28	2007-09-27	44.26	0	20652	Uranor Inc	100.00
24P04	CDC	96486	Actif	2005-09-28	2007-09-27	44.26	0	20652	Uranor Inc	100.00
24P04	CDC	96487	Actif	2005-09-28	2007-09-27	44.26	0	20652	Uranor Inc	100.00
24P04	CDC	96488	Actif	2005-09-28	2007-09-27	44.26	0	20652	Uranor Inc	100.00
24P04	CDC	96489	Actif	2005-09-28	2007-09-27	44.26	0	20652	Uranor Inc	100.00
24P04	CDC	96490	Actif	2005-09-28	2007-09-27	44.26	0	20652	Uranor Inc	100.00
24P04	CDC	96491	Actif	2005-09-28	2007-09-27	44.26	0	20652	Uranor Inc	100.00
24P04	CDC	96492	Actif	2005-09-28	2007-09-27	44.26	0	20652	Uranor Inc	100.00

Tableau 6.1 - Tableau descriptif des claims actifs et en demande d'Uranor Inc. du projet CAGE 2006

Feuillet	Type de titre	No titre	Statut du titre	Date d'inscription	Date d'expiration	Superficie (Ha)	Excédent ($)	No détenteur	Nom du détenteur	Pourcentage (%)
24P04	CDC	96493	Actif	2005-09-28	2007-09-27	44.26	0	20652	Uranor Inc	100.00
24P04	CDC	2012267	Actif	2006-05-24	2008-05-23	44.25	0	20652	Uranor Inc	100.00
24P04	CDC	2012268	Actif	2006-05-24	2008-05-23	44.25	0	20652	Uranor Inc	100.00
24P04	CDC	98221	Actif	2005-10-12	2007-10-11	44.25	0	20652	Uranor Inc	100.00
24P04	CDC	98222	Actif	2005-10-12	2007-10-11	44.25	0	20652	Uranor Inc	100.00
24P04	CDC	98223	Actif	2005-10-12	2007-10-11	44.25	0	20652	Uranor Inc	100.00
24P04	CDC	98224	Actif	2005-10-12	2007-10-11	44.25	0	20652	Uranor Inc	100.00
24P04	CDC	98225	Actif	2005-10-12	2007-10-11	44.25	0	20652	Uranor Inc	100.00
24P04	CDC	98226	Actif	2005-10-12	2007-10-11	44.25	0	20652	Uranor Inc	100.00
24P04	CDC	98227	Actif	2005-10-12	2007-10-11	44.25	0	20652	Uranor Inc	100.00
24P04	CDC	98228	Actif	2005-10-12	2007-10-11	44.25	0	20652	Uranor Inc	100.00
24P04	CDC	98531	Actif	2005-10-12	2007-10-11	44.25	0	20652	Uranor Inc	100.00
24P04	CDC	98532	Actif	2005-10-12	2007-10-11	44.25	0	20652	Uranor Inc	100.00
24P04	CDC	98533	Actif	2005-10-12	2007-10-11	44.25	0	20652	Uranor Inc	100.00
24P04	CDC	98534	Actif	2005-10-12	2007-10-11	44.25	0	20652	Uranor Inc	100.00
24P04	CDC	98535	Actif	2005-10-12	2007-10-11	44.25	0	20652	Uranor Inc	100.00
24P04	CDC	98536	Actif	2005-10-12	2007-10-11	44.25	0	20652	Uranor Inc	100.00
24P04	CDC	98537	Actif	2005-10-12	2007-10-11	44.25	0	20652	Uranor Inc	100.00
24P04	CDC	98538	Actif	2005-10-12	2007-10-11	44.25	0	20652	Uranor Inc	100.00
24P04	CDC	96476	Actif	2005-09-28	2007-09-27	44.25	0	20652	Uranor Inc	100.00
24P04	CDC	96477	Actif	2005-09-28	2007-09-27	44.25	0	20652	Uranor Inc	100.00
24P04	CDC	96478	Actif	2005-09-28	2007-09-27	44.25	0	20652	Uranor Inc	100.00
24P04	CDC	96479	Actif	2005-09-28	2007-09-27	44.25	0	20652	Uranor Inc	100.00
24P04	CDC	96480	Actif	2005-09-28	2007-09-27	44.25	0	20652	Uranor Inc	100.00
24P04	CDC	96481	Actif	2005-09-28	2007-09-27	44.25	0	20652	Uranor Inc	100.00
24P04	CDC	96482	Actif	2005-09-28	2007-09-27	44.25	0	20652	Uranor Inc	100.00
24P04	CDC	96483	Actif	2005-09-28	2007-09-27	44.25	0	20652	Uranor Inc	100.00
24P04	CDC	96484	Actif	2005-09-28	2007-09-27	44.25	0	20652	Uranor Inc	100.00
24P04	CDC	2012269	Actif	2006-05-24	2008-05-23	44.24	0	20652	Uranor Inc	100.00
24P04	CDC	98211	Actif	2005-10-12	2007-10-11	44.24	0	20652	Uranor Inc	100.00
24P04	CDC	98212	Actif	2005-10-12	2007-10-11	44.24	0	20652	Uranor Inc	100.00
24P04	CDC	98213	Actif	2005-10-12	2007-10-11	44.24	0	20652	Uranor Inc	100.00
24P04	CDC	98214	Actif	2005-10-12	2007-10-11	44.24	0	20652	Uranor Inc	100.00
24P04	CDC	98215	Actif	2005-10-12	2007-10-11	44.24	0	20652	Uranor Inc	100.00
24P04	CDC	98216	Actif	2005-10-12	2007-10-11	44.24	0	20652	Uranor Inc	100.00
24P04	CDC	98217	Actif	2005-10-12	2007-10-11	44.24	0	20652	Uranor Inc	100.00
24P04	CDC	98218	Actif	2005-10-12	2007-10-11	44.24	0	20652	Uranor Inc	100.00
24P04	CDC	98219	Actif	2005-10-12	2007-10-11	44.24	0	20652	Uranor Inc	100.00
24P04	CDC	98220	Actif	2005-10-12	2007-10-11	44.24	0	20652	Uranor Inc	100.00
24P04	CDC	98516	Actif	2005-10-12	2007-10-11	44.24	0	20652	Uranor Inc	100.00
24P04	CDC	98517	Actif	2005-10-12	2007-10-11	44.24	0	20652	Uranor Inc	100.00
24P04	CDC	98518	Actif	2005-10-12	2007-10-11	44.24	0	20652	Uranor Inc	100.00

Tableau 6.1 - Tableau descriptif des claims actifs et en demande d'Uranor Inc. du projet CAGE 2006

Feuillet	Type de titre	No titre	Statut du titre	Date d'inscription	Date d'expiration	Superficie (Ha)	Excédent ($)	No détenteur	Nom du détenteur	Pourcentage (%)
24P04	CDC	98519	Actif	2005-10-12	2007-10-11	44.24	0	20652	Uranor Inc	100.00
24P04	CDC	98520	Actif	2005-10-12	2007-10-11	44.24	0	20652	Uranor Inc	100.00
24P04	CDC	98521	Actif	2005-10-12	2007-10-11	44.24	0	20652	Uranor Inc	100.00
24P04	CDC	98522	Actif	2005-10-12	2007-10-11	44.24	0	20652	Uranor Inc	100.00
24P04	CDC	98523	Actif	2005-10-12	2007-10-11	44.24	0	20652	Uranor Inc	100.00
24P04	CDC	98524	Actif	2005-10-12	2007-10-11	44.24	0	20652	Uranor Inc	100.00
24P04	CDC	98525	Actif	2005-10-12	2007-10-11	44.24	0	20652	Uranor Inc	100.00
24P04	CDC	98526	Actif	2005-10-12	2007-10-11	44.24	0	20652	Uranor Inc	100.00
24P04	CDC	98527	Actif	2005-10-12	2007-10-11	44.24	0	20652	Uranor Inc	100.00
24P04	CDC	98528	Actif	2005-10-12	2007-10-11	44.24	0	20652	Uranor Inc	100.00
24P04	CDC	98529	Actif	2005-10-12	2007-10-11	44.24	0	20652	Uranor Inc	100.00
24P04	CDC	98530	Actif	2005-10-12	2007-10-11	44.24	0	20652	Uranor Inc	100.00
24P04	CDC	2007125	Actif	2006-05-10	2008-05-09	44.24	0	20652	Uranor Inc	100.00
24P04	CDC	2007126	Actif	2006-05-10	2008-05-09	44.24	0	20652	Uranor Inc	100.00
24P04	CDC	98200	Actif	2005-10-12	2007-10-11	44.23	0	20652	Uranor Inc	100.00
24P04	CDC	98201	Actif	2005-10-12	2007-10-11	44.23	0	20652	Uranor Inc	100.00
24P04	CDC	98202	Actif	2005-10-12	2007-10-11	44.23	0	20652	Uranor Inc	100.00
24P04	CDC	98203	Actif	2005-10-12	2007-10-11	44.23	0	20652	Uranor Inc	100.00
24P04	CDC	98204	Actif	2005-10-12	2007-10-11	44.23	0	20652	Uranor Inc	100.00
24P04	CDC	98205	Actif	2005-10-12	2007-10-11	44.23	0	20652	Uranor Inc	100.00
24P04	CDC	98206	Actif	2005-10-12	2007-10-11	44.23	0	20652	Uranor Inc	100.00
24P04	CDC	98207	Actif	2005-10-12	2007-10-11	44.23	0	20652	Uranor Inc	100.00
24P04	CDC	98208	Actif	2005-10-12	2007-10-11	44.23	0	20652	Uranor Inc	100.00
24P04	CDC	98209	Actif	2005-10-12	2007-10-11	44.23	0	20652	Uranor Inc	100.00
24P04	CDC	98210	Actif	2005-10-12	2007-10-11	44.23	0	20652	Uranor Inc	100.00
24P04	CDC	98503	Actif	2005-10-12	2007-10-11	44.23	0	20652	Uranor Inc	100.00
24P04	CDC	98504	Actif	2005-10-12	2007-10-11	44.23	0	20652	Uranor Inc	100.00
24P04	CDC	98505	Actif	2005-10-12	2007-10-11	44.23	0	20652	Uranor Inc	100.00
24P04	CDC	98506	Actif	2005-10-12	2007-10-11	44.23	0	20652	Uranor Inc	100.00
24P04	CDC	98507	Actif	2005-10-12	2007-10-11	44.23	0	20652	Uranor Inc	100.00
24P04	CDC	98508	Actif	2005-10-12	2007-10-11	44.23	0	20652	Uranor Inc	100.00
24P04	CDC	98509	Actif	2005-10-12	2007-10-11	44.23	0	20652	Uranor Inc	100.00
24P04	CDC	98510	Actif	2005-10-12	2007-10-11	44.23	0	20652	Uranor Inc	100.00
24P04	CDC	98511	Actif	2005-10-12	2007-10-11	44.23	0	20652	Uranor Inc	100.00
24P04	CDC	98512	Actif	2005-10-12	2007-10-11	44.23	0	20652	Uranor Inc	100.00
24P04	CDC	98513	Actif	2005-10-12	2007-10-11	44.23	0	20652	Uranor Inc	100.00
24P04	CDC	98514	Actif	2005-10-12	2007-10-11	44.23	0	20652	Uranor Inc	100.00
24P04	CDC	98515	Actif	2005-10-12	2007-10-11	44.23	0	20652	Uranor Inc	100.00
24P04	CDC	2007127	Actif	2006-05-10	2008-05-09	44.23	0	20652	Uranor Inc	100.00
24P04	CDC	2007128	Actif	2006-05-10	2008-05-09	44.23	0	20652	Uranor Inc	100.00
24P04	CDC	2007129	Actif	2006-05-10	2008-05-09	44.23	0	20652	Uranor Inc	100.00
24P04	CDC	2007130	Actif	2006-05-10	2008-05-09	44.23	0	20652	Uranor Inc	100.00

Tableau 6.1 - Tableau descriptif des claims actifs et en demande d'Uranor Inc. du projet CAGE 2006

Feuillet	Type de titre	No titre	Statut du titre	Date d'inscription	Date d'expiration	Superficie (Ha)	Excédent ($)	No détenteur	Nom du détenteur	Pourcentage (%)
24P04	CDC	98187	Actif	2005-10-12	2007-10-11	44.22	0	20652	Uranor Inc	100.00
24P04	CDC	98188	Actif	2005-10-12	2007-10-11	44.22	0	20652	Uranor Inc	100.00
24P04	CDC	98189	Actif	2005-10-12	2007-10-11	44.22	0	20652	Uranor Inc	100.00
24P04	CDC	98190	Actif	2005-10-12	2007-10-11	44.22	0	20652	Uranor Inc	100.00
24P04	CDC	98191	Actif	2005-10-12	2007-10-11	44.22	0	20652	Uranor Inc	100.00
24P04	CDC	98192	Actif	2005-10-12	2007-10-11	44.22	0	20652	Uranor Inc	100.00
24P04	CDC	98193	Actif	2005-10-12	2007-10-11	44.22	0	20652	Uranor Inc	100.00
24P04	CDC	98194	Actif	2005-10-12	2007-10-11	44.22	0	20652	Uranor Inc	100.00
24P04	CDC	98195	Actif	2005-10-12	2007-10-11	44.22	0	20652	Uranor Inc	100.00
24P04	CDC	98196	Actif	2005-10-12	2007-10-11	44.22	0	20652	Uranor Inc	100.00
24P04	CDC	98197	Actif	2005-10-12	2007-10-11	44.22	0	20652	Uranor Inc	100.00
24P04	CDC	98198	Actif	2005-10-12	2007-10-11	44.22	0	20652	Uranor Inc	100.00
24P04	CDC	98199	Actif	2005-10-12	2007-10-11	44.22	0	20652	Uranor Inc	100.00
24P04	CDC	98492	Actif	2005-10-12	2007-10-11	44.22	0	20652	Uranor Inc	100.00
24P04	CDC	98493	Actif	2005-10-12	2007-10-11	44.22	0	20652	Uranor Inc	100.00
24P04	CDC	98494	Actif	2005-10-12	2007-10-11	44.22	0	20652	Uranor Inc	100.00
24P04	CDC	98495	Actif	2005-10-12	2007-10-11	44.22	0	20652	Uranor Inc	100.00
24P04	CDC	98496	Actif	2005-10-12	2007-10-11	44.22	0	20652	Uranor Inc	100.00
24P04	CDC	98497	Actif	2005-10-12	2007-10-11	44.22	0	20652	Uranor Inc	100.00
24P04	CDC	98498	Actif	2005-10-12	2007-10-11	44.22	0	20652	Uranor Inc	100.00
24P04	CDC	98499	Actif	2005-10-12	2007-10-11	44.22	0	20652	Uranor Inc	100.00
24P04	CDC	98500	Actif	2005-10-12	2007-10-11	44.22	0	20652	Uranor Inc	100.00
24P04	CDC	98501	Actif	2005-10-12	2007-10-11	44.22	0	20652	Uranor Inc	100.00
24P04	CDC	98502	Actif	2005-10-12	2007-10-11	44.22	0	20652	Uranor Inc	100.00
24P04	CDC	2007131	Actif	2006-05-10	2008-05-09	44.22	0	20652	Uranor Inc	100.00
24P04	CDC	2007132	Actif	2006-05-10	2008-05-09	44.22	0	20652	Uranor Inc	100.00
24P04	CDC	2007133	Actif	2006-05-10	2008-05-09	44.22	0	20652	Uranor Inc	100.00
24P04	CDC	2007134	Actif	2006-05-10	2008-05-09	44.22	0	20652	Uranor Inc	100.00
24P04	CDC	2007135	Actif	2006-05-10	2008-05-09	44.22	0	20652	Uranor Inc	100.00
24P04	CDC	2007136	Actif	2006-05-10	2008-05-09	44.22	0	20652	Uranor Inc	100.00
24P04	CDC	98174	Actif	2005-10-12	2007-10-11	44.21	0	20652	Uranor Inc	100.00
24P04	CDC	98175	Actif	2005-10-12	2007-10-11	44.21	0	20652	Uranor Inc	100.00
24P04	CDC	98176	Actif	2005-10-12	2007-10-11	44.21	0	20652	Uranor Inc	100.00
24P04	CDC	98177	Actif	2005-10-12	2007-10-11	44.21	0	20652	Uranor Inc	100.00
24P04	CDC	98178	Actif	2005-10-12	2007-10-11	44.21	0	20652	Uranor Inc	100.00
24P04	CDC	98179	Actif	2005-10-12	2007-10-11	44.21	0	20652	Uranor Inc	100.00
24P04	CDC	98180	Actif	2005-10-12	2007-10-11	44.21	0	20652	Uranor Inc	100.00
24P04	CDC	98181	Actif	2005-10-12	2007-10-11	44.21	0	20652	Uranor Inc	100.00
24P04	CDC	98182	Actif	2005-10-12	2007-10-11	44.21	0	20652	Uranor Inc	100.00
24P04	CDC	98183	Actif	2005-10-12	2007-10-11	44.21	0	20652	Uranor Inc	100.00
24P04	CDC	98184	Actif	2005-10-12	2007-10-11	44.21	0	20652	Uranor Inc	100.00
24P04	CDC	98185	Actif	2005-10-12	2007-10-11	44.21	0	20652	Uranor Inc	100.00

Tableau 6.1 - Tableau descriptif des claims actifs et en demande d'Uranor Inc. du projet CAGE 2006

Feuillet	Type de titre	No titre	Statut du titre	Date d'inscription	Date d'expiration	Superficie (Ha)	Excédent ($)	No détenteur	Nom du détenteur	Pourcentage (%)
24P04	CDC	98186	Actif	2005-10-12	2007-10-11	44.21	0	20652	Uranor Inc	100.00
24P04	CDC	98482	Actif	2005-10-12	2007-10-11	44.21	0	20652	Uranor Inc	100.00
24P04	CDC	98483	Actif	2005-10-12	2007-10-11	44.21	0	20652	Uranor Inc	100.00
24P04	CDC	98484	Actif	2005-10-12	2007-10-11	44.21	0	20652	Uranor Inc	100.00
24P04	CDC	98485	Actif	2005-10-12	2007-10-11	44.21	0	20652	Uranor Inc	100.00
24P04	CDC	98486	Actif	2005-10-12	2007-10-11	44.21	0	20652	Uranor Inc	100.00
24P04	CDC	98487	Actif	2005-10-12	2007-10-11	44.21	0	20652	Uranor Inc	100.00
24P04	CDC	98488	Actif	2005-10-12	2007-10-11	44.21	0	20652	Uranor Inc	100.00
24P04	CDC	98489	Actif	2005-10-12	2007-10-11	44.21	0	20652	Uranor Inc	100.00
24P04	CDC	98490	Actif	2005-10-12	2007-10-11	44.21	0	20652	Uranor Inc	100.00
24P04	CDC	98491	Actif	2005-10-12	2007-10-11	44.21	0	20652	Uranor Inc	100.00
24P04	CDC	2006767	Actif	2006-05-10	2008-05-09	44.21	0	20652	Uranor Inc	100.00
24P04	CDC	2007137	Actif	2006-05-10	2008-05-09	44.21	0	20652	Uranor Inc	100.00
24P04	CDC	2007138	Actif	2006-05-10	2008-05-09	44.21	0	20652	Uranor Inc	100.00
24P04	CDC	2007139	Actif	2006-05-10	2008-05-09	44.21	0	20652	Uranor Inc	100.00
24P04	CDC	2007140	Actif	2006-05-10	2008-05-09	44.21	0	20652	Uranor Inc	100.00
24P04	CDC	2007141	Actif	2006-05-10	2008-05-09	44.21	0	20652	Uranor Inc	100.00
24P04	CDC	2007142	Actif	2006-05-10	2008-05-09	44.21	0	20652	Uranor Inc	100.00
24P04	CDC	2012270	Actif	2006-05-24	2008-05-23	44.2	0	20652	Uranor Inc	100.00
24P04	CDC	98166	Actif	2005-10-12	2007-10-11	44.2	0	20652	Uranor Inc	100.00
24P04	CDC	98167	Actif	2005-10-12	2007-10-11	44.2	0	20652	Uranor Inc	100.00
24P04	CDC	98168	Actif	2005-10-12	2007-10-11	44.2	0	20652	Uranor Inc	100.00
24P04	CDC	98169	Actif	2005-10-12	2007-10-11	44.2	0	20652	Uranor Inc	100.00
24P04	CDC	98170	Actif	2005-10-12	2007-10-11	44.2	0	20652	Uranor Inc	100.00
24P04	CDC	98171	Actif	2005-10-12	2007-10-11	44.2	0	20652	Uranor Inc	100.00
24P04	CDC	98172	Actif	2005-10-12	2007-10-11	44.2	0	20652	Uranor Inc	100.00
24P04	CDC	98173	Actif	2005-10-12	2007-10-11	44.2	0	20652	Uranor Inc	100.00
24P04	CDC	98442	Actif	2005-10-12	2007-10-11	44.2	0	20652	Uranor Inc	100.00
24P04	CDC	98443	Actif	2005-10-12	2007-10-11	44.2	0	20652	Uranor Inc	100.00
24P04	CDC	98444	Actif	2005-10-12	2007-10-11	44.2	0	20652	Uranor Inc	100.00
24P04	CDC	98477	Actif	2005-10-12	2007-10-11	44.2	0	20652	Uranor Inc	100.00
24P04	CDC	98478	Actif	2005-10-12	2007-10-11	44.2	0	20652	Uranor Inc	100.00
24P04	CDC	98479	Actif	2005-10-12	2007-10-11	44.2	0	20652	Uranor Inc	100.00
24P04	CDC	98480	Actif	2005-10-12	2007-10-11	44.2	0	20652	Uranor Inc	100.00
24P04	CDC	98481	Actif	2005-10-12	2007-10-11	44.2	0	20652	Uranor Inc	100.00
24P04	CDC	2006768	Actif	2006-05-10	2008-05-09	44.2	0	20652	Uranor Inc	100.00
24P04	CDC	2006769	Actif	2006-05-10	2008-05-09	44.2	0	20652	Uranor Inc	100.00
24P04	CDC	2006770	Actif	2006-05-10	2008-05-09	44.2	0	20652	Uranor Inc	100.00
24P04	CDC	2007143	Actif	2006-05-10	2008-05-09	44.2	0	20652	Uranor Inc	100.00
24P04	CDC	2007144	Actif	2006-05-10	2008-05-09	44.2	0	20652	Uranor Inc	100.00
24P04	CDC	2007145	Actif	2006-05-10	2008-05-09	44.2	0	20652	Uranor Inc	100.00
24P04	CDC	2007146	Actif	2006-05-10	2008-05-09	44.2	0	20652	Uranor Inc	100.00

Tableau 6.1 - Tableau descriptif des claims actifs et en demande d'Uranor Inc. du projet CAGE 2006

Feuillet	Type de titre	No titre	Statut du titre	Date d'inscription	Date d'expiration	Superficie (Ha)	Excédent ($)	No détenteur	Nom du détenteur	Pourcentage (%)
24P04	CDC	2007147	Actif	2006-05-10	2008-05-09	44.2	0	20652	Uranor Inc	100.00
24P04	CDC	2007148	Actif	2006-05-10	2008-05-09	44.2	0	20652	Uranor Inc	100.00
24P04	CDC	2012271	Actif	2006-05-24	2008-05-23	44.19	0	20652	Uranor Inc	100.00
24P04	CDC	2012272	Actif	2006-05-24	2008-05-23	44.19	0	20652	Uranor Inc	100.00
24P04	CDC	98159	Actif	2005-10-12	2007-10-11	44.19	0	20652	Uranor Inc	100.00
24P04	CDC	98160	Actif	2005-10-12	2007-10-11	44.19	0	20652	Uranor Inc	100.00
24P04	CDC	98161	Actif	2005-10-12	2007-10-11	44.19	0	20652	Uranor Inc	100.00
24P04	CDC	98162	Actif	2005-10-12	2007-10-11	44.19	0	20652	Uranor Inc	100.00
24P04	CDC	98163	Actif	2005-10-12	2007-10-11	44.19	0	20652	Uranor Inc	100.00
24P04	CDC	98164	Actif	2005-10-12	2007-10-11	44.19	0	20652	Uranor Inc	100.00
24P04	CDC	98165	Actif	2005-10-12	2007-10-11	44.19	0	20652	Uranor Inc	100.00
24P04	CDC	98437	Actif	2005-10-12	2007-10-11	44.19	0	20652	Uranor Inc	100.00
24P04	CDC	98438	Actif	2005-10-12	2007-10-11	44.19	0	20652	Uranor Inc	100.00
24P04	CDC	98439	Actif	2005-10-12	2007-10-11	44.19	0	20652	Uranor Inc	100.00
24P04	CDC	98440	Actif	2005-10-12	2007-10-11	44.19	0	20652	Uranor Inc	100.00
24P04	CDC	98441	Actif	2005-10-12	2007-10-11	44.19	0	20652	Uranor Inc	100.00
24P04	CDC	2006771	Actif	2006-05-10	2008-05-09	44.19	0	20652	Uranor Inc	100.00
24P04	CDC	2006772	Actif	2006-05-10	2008-05-09	44.19	0	20652	Uranor Inc	100.00
24P04	CDC	2006773	Actif	2006-05-10	2008-05-09	44.19	0	20652	Uranor Inc	100.00
24P04	CDC	2006774	Actif	2006-05-10	2008-05-09	44.19	0	20652	Uranor Inc	100.00
24P04	CDC	2006775	Actif	2006-05-10	2008-05-09	44.19	0	20652	Uranor Inc	100.00
24P04	CDC	2006776	Actif	2006-05-10	2008-05-09	44.19	0	20652	Uranor Inc	100.00
24P04	CDC	2007149	Actif	2006-05-10	2008-05-09	44.19	0	20652	Uranor Inc	100.00
24P04	CDC	2007150	Actif	2006-05-10	2008-05-09	44.19	0	20652	Uranor Inc	100.00
24P04	CDC	2007151	Actif	2006-05-10	2008-05-09	44.19	0	20652	Uranor Inc	100.00
24P04	CDC	2007152	Actif	2006-05-10	2008-05-09	44.19	0	20652	Uranor Inc	100.00
24P04	CDC	2007153	Actif	2006-05-10	2008-05-09	44.19	0	20652	Uranor Inc	100.00
24P04	CDC	2007154	Actif	2006-05-10	2008-05-09	44.19	0	20652	Uranor Inc	100.00
24P04	CDC	2006777	Actif	2006-05-10	2008-05-09	44.18	0	20652	Uranor Inc	100.00
24P04	CDC	2006778	Actif	2006-05-10	2008-05-09	44.18	0	20652	Uranor Inc	100.00
24P04	CDC	2006779	Actif	2006-05-10	2008-05-09	44.18	0	20652	Uranor Inc	100.00
24P04	CDC	2006780	Actif	2006-05-10	2008-05-09	44.18	0	20652	Uranor Inc	100.00
24P04	CDC	2006781	Actif	2006-05-10	2008-05-09	44.18	0	20652	Uranor Inc	100.00
24P04	CDC	2006782	Actif	2006-05-10	2008-05-09	44.18	0	20652	Uranor Inc	100.00
24P04	CDC	2006783	Actif	2006-05-10	2008-05-09	44.18	0	20652	Uranor Inc	100.00
24P04	CDC	98156	Actif	2005-10-12	2007-10-11	44.18	0	20652	Uranor Inc	100.00
24P04	CDC	98157	Actif	2005-10-12	2007-10-11	44.18	0	20652	Uranor Inc	100.00
24P04	CDC	98158	Actif	2005-10-12	2007-10-11	44.18	0	20652	Uranor Inc	100.00
24P04	CDC	98431	Actif	2005-10-12	2007-10-11	44.18	0	20652	Uranor Inc	100.00
24P04	CDC	98432	Actif	2005-10-12	2007-10-11	44.18	0	20652	Uranor Inc	100.00
24P04	CDC	98433	Actif	2005-10-12	2007-10-11	44.18	0	20652	Uranor Inc	100.00
24P04	CDC	98434	Actif	2005-10-12	2007-10-11	44.18	0	20652	Uranor Inc	100.00

Tableau 6.1 - Tableau descriptif des claims actifs et en demande d'Uranor Inc. du projet CAGE 2006

Feuillet	Type de titre	No titre	Statut du titre	Date d'inscription	Date d'expiration	Superficie (Ha)	Excédent ($)	No détenteur	Nom du détenteur	Pourcentage (%)
24P04	CDC	98435	Actif	2005-10-12	2007-10-11	44.18	0	20652	Uranor Inc	100.00
24P04	CDC	98436	Actif	2005-10-12	2007-10-11	44.18	0	20652	Uranor Inc	100.00
24P04	CDC	2006784	Actif	2006-05-10	2008-05-09	44.18	0	20652	Uranor Inc	100.00
24P04	CDC	2006785	Actif	2006-05-10	2008-05-09	44.18	0	20652	Uranor Inc	100.00
24P04	CDC	2006786	Actif	2006-05-10	2008-05-09	44.18	0	20652	Uranor Inc	100.00
24P04	CDC	2006787	Actif	2006-05-10	2008-05-09	44.18	0	20652	Uranor Inc	100.00
24P04	CDC	2006788	Actif	2006-05-10	2008-05-09	44.18	0	20652	Uranor Inc	100.00
24P04	CDC	2006789	Actif	2006-05-10	2008-05-09	44.18	0	20652	Uranor Inc	100.00
24P04	CDC	2007155	Actif	2006-05-10	2008-05-09	44.18	0	20652	Uranor Inc	100.00
24P04	CDC	2007156	Actif	2006-05-10	2008-05-09	44.18	0	20652	Uranor Inc	100.00
24P04	CDC	2007157	Actif	2006-05-10	2008-05-09	44.18	0	20652	Uranor Inc	100.00
24P04	CDC	2007158	Actif	2006-05-10	2008-05-09	44.18	0	20652	Uranor Inc	100.00
24P04	CDC	2007159	Actif	2006-05-10	2008-05-09	44.18	0	20652	Uranor Inc	100.00
24P04	CDC	2007160	Actif	2006-05-10	2008-05-09	44.18	0	20652	Uranor Inc	100.00
24P04	CDC	2006790	Actif	2006-05-10	2008-05-09	44.17	0	20652	Uranor Inc	100.00
24P04	CDC	2006791	Actif	2006-05-10	2008-05-09	44.17	0	20652	Uranor Inc	100.00
24P04	CDC	2006792	Actif	2006-05-10	2008-05-09	44.17	0	20652	Uranor Inc	100.00
24P04	CDC	2006793	Actif	2006-05-10	2008-05-09	44.17	0	20652	Uranor Inc	100.00
24P04	CDC	98151	Actif	2005-10-12	2007-10-11	44.17	0	20652	Uranor Inc	100.00
24P04	CDC	98152	Actif	2005-10-12	2007-10-11	44.17	0	20652	Uranor Inc	100.00
24P04	CDC	98153	Actif	2005-10-12	2007-10-11	44.17	0	20652	Uranor Inc	100.00
24P04	CDC	98154	Actif	2005-10-12	2007-10-11	44.17	0	20652	Uranor Inc	100.00
24P04	CDC	98155	Actif	2005-10-12	2007-10-11	44.17	0	20652	Uranor Inc	100.00
24P04	CDC	98425	Actif	2005-10-12	2007-10-11	44.17	0	20652	Uranor Inc	100.00
24P04	CDC	98426	Actif	2005-10-12	2007-10-11	44.17	0	20652	Uranor Inc	100.00
24P04	CDC	98427	Actif	2005-10-12	2007-10-11	44.17	0	20652	Uranor Inc	100.00
24P04	CDC	98428	Actif	2005-10-12	2007-10-11	44.17	0	20652	Uranor Inc	100.00
24P04	CDC	98429	Actif	2005-10-12	2007-10-11	44.17	0	20652	Uranor Inc	100.00
24P04	CDC	98430	Actif	2005-10-12	2007-10-11	44.17	0	20652	Uranor Inc	100.00
24P04	CDC	2006794	Actif	2006-05-10	2008-05-09	44.17	0	20652	Uranor Inc	100.00
24P04	CDC	2006795	Actif	2006-05-10	2008-05-09	44.17	0	20652	Uranor Inc	100.00
24P04	CDC	2006796	Actif	2006-05-10	2008-05-09	44.17	0	20652	Uranor Inc	100.00
24P04	CDC	2006797	Actif	2006-05-10	2008-05-09	44.17	0	20652	Uranor Inc	100.00
24P04	CDC	2006798	Actif	2006-05-10	2008-05-09	44.17	0	20652	Uranor Inc	100.00
24P04	CDC	2006799	Actif	2006-05-10	2008-05-09	44.17	0	20652	Uranor Inc	100.00
24P04	CDC	2007161	Actif	2006-05-10	2008-05-09	44.17	0	20652	Uranor Inc	100.00
24P04	CDC	2007162	Actif	2006-05-10	2008-05-09	44.17	0	20652	Uranor Inc	100.00
24P04	CDC	2007163	Actif	2006-05-10	2008-05-09	44.17	0	20652	Uranor Inc	100.00
24P04	CDC	2007164	Actif	2006-05-10	2008-05-09	44.17	0	20652	Uranor Inc	100.00
24P04	CDC	2007165	Actif	2006-05-10	2008-05-09	44.16	0	20652	Uranor Inc	100.00
24P04	CDC	2007166	Actif	2006-05-10	2008-05-09	44.16	0	20652	Uranor Inc	100.00
24P04	CDC	2006800	Actif	2006-05-10	2008-05-09	44.16	0	20652	Uranor Inc	100.00

Tableau 6.1 - Tableau descriptif des claims actifs et en demande d'Uranor Inc. du projet CAGE 2006

Feuillet	Type de titre	No titre	Statut du titre	Date d'inscription	Date d'expiration	Superficie (Ha)	Excédent ($)	No détenteur	Nom du détenteur	Pourcentage (%)
24P04	CDC	2006801	Actif	2006-05-10	2008-05-09	44.16	0	20652	Uranor Inc	100.00
24P04	CDC	2006802	Actif	2006-05-10	2008-05-09	44.16	0	20652	Uranor Inc	100.00
24P04	CDC	2006803	Actif	2006-05-10	2008-05-09	44.16	0	20652	Uranor Inc	100.00
24P04	CDC	2006804	Actif	2006-05-10	2008-05-09	44.16	0	20652	Uranor Inc	100.00
24P04	CDC	98144	Actif	2005-10-12	2007-10-11	44.16	0	20652	Uranor Inc	100.00
24P04	CDC	98145	Actif	2005-10-12	2007-10-11	44.16	0	20652	Uranor Inc	100.00
24P04	CDC	98146	Actif	2005-10-12	2007-10-11	44.16	0	20652	Uranor Inc	100.00
24P04	CDC	98147	Actif	2005-10-12	2007-10-11	44.16	0	20652	Uranor Inc	100.00
24P04	CDC	98148	Actif	2005-10-12	2007-10-11	44.16	0	20652	Uranor Inc	100.00
24P04	CDC	98149	Actif	2005-10-12	2007-10-11	44.16	0	20652	Uranor Inc	100.00
24P04	CDC	98150	Actif	2005-10-12	2007-10-11	44.16	0	20652	Uranor Inc	100.00
24P04	CDC	98420	Actif	2005-10-12	2007-10-11	44.16	0	20652	Uranor Inc	100.00
24P04	CDC	98421	Actif	2005-10-12	2007-10-11	44.16	0	20652	Uranor Inc	100.00
24P04	CDC	98422	Actif	2005-10-12	2007-10-11	44.16	0	20652	Uranor Inc	100.00
24P04	CDC	98423	Actif	2005-10-12	2007-10-11	44.16	0	20652	Uranor Inc	100.00
24P04	CDC	98424	Actif	2005-10-12	2007-10-11	44.16	0	20652	Uranor Inc	100.00
24P04	CDC	2006805	Actif	2006-05-10	2008-05-09	44.16	0	20652	Uranor Inc	100.00
24P04	CDC	2006806	Actif	2006-05-10	2008-05-09	44.16	0	20652	Uranor Inc	100.00
24P04	CDC	2006807	Actif	2006-05-10	2008-05-09	44.16	0	20652	Uranor Inc	100.00
24P04	CDC	2006808	Actif	2006-05-10	2008-05-09	44.16	0	20652	Uranor Inc	100.00
24P04	CDC	2006809	Actif	2006-05-10	2008-05-09	44.16	0	20652	Uranor Inc	100.00
24P04	CDC	2006810	Actif	2006-05-10	2008-05-09	44.16	0	20652	Uranor Inc	100.00
24P04	CDC	2006811	Actif	2006-05-10	2008-05-09	44.16	0	20652	Uranor Inc	100.00
24P04	CDC	2007167	Actif	2006-05-10	2008-05-09	44.15	0	20652	Uranor Inc	100.00
24P04	CDC	2007168	Actif	2006-05-10	2008-05-09	44.15	0	20652	Uranor Inc	100.00
24P04	CDC	2007169	Actif	2006-05-10	2008-05-09	44.15	0	20652	Uranor Inc	100.00
24P04	CDC	2007170	Actif	2006-05-10	2008-05-09	44.15	0	20652	Uranor Inc	100.00
24P04	CDC	2007171	Actif	2006-05-10	2008-05-09	44.15	0	20652	Uranor Inc	100.00
24P04	CDC	2007172	Actif	2006-05-10	2008-05-09	44.15	0	20652	Uranor Inc	100.00
24P04	CDC	2012273	Actif	2006-05-24	2008-05-23	44.15	0	20652	Uranor Inc	100.00
24P04	CDC	2012274	Actif	2006-05-24	2008-05-23	44.15	0	20652	Uranor Inc	100.00
24P04	CDC	2012275	Actif	2006-05-24	2008-05-23	44.15	0	20652	Uranor Inc	100.00
24P04	CDC	2012276	Actif	2006-05-24	2008-05-23	44.15	0	20652	Uranor Inc	100.00
24P04	CDC	98136	Actif	2005-10-12	2007-10-11	44.15	0	20652	Uranor Inc	100.00
24P04	CDC	98137	Actif	2005-10-12	2007-10-11	44.15	0	20652	Uranor Inc	100.00
24P04	CDC	98138	Actif	2005-10-12	2007-10-11	44.15	0	20652	Uranor Inc	100.00
24P04	CDC	98139	Actif	2005-10-12	2007-10-11	44.15	0	20652	Uranor Inc	100.00
24P04	CDC	98140	Actif	2005-10-12	2007-10-11	44.15	0	20652	Uranor Inc	100.00
24P04	CDC	98141	Actif	2005-10-12	2007-10-11	44.15	0	20652	Uranor Inc	100.00
24P04	CDC	98142	Actif	2005-10-12	2007-10-11	44.15	0	20652	Uranor Inc	100.00
24P04	CDC	98143	Actif	2005-10-12	2007-10-11	44.15	0	20652	Uranor Inc	100.00
24P04	CDC	98415	Actif	2005-10-12	2007-10-11	44.15	0	20652	Uranor Inc	100.00

Tableau 6.1 - Tableau descriptif des claims actifs et en demande d'Uranor Inc. du projet CAGE 2006

Feuillet	Type de titre	No titre	Statut du titre	Date d'inscription	Date d'expiration	Superficie (Ha)	Excédent ($)	No détenteur	Nom du détenteur	Pourcentage (%)
24P04	CDC	98416	Actif	2005-10-12	2007-10-11	44.15	0	20652	Uranor Inc	100.00
24P04	CDC	98417	Actif	2005-10-12	2007-10-11	44.15	0	20652	Uranor Inc	100.00
24P04	CDC	98418	Actif	2005-10-12	2007-10-11	44.15	0	20652	Uranor Inc	100.00
24P04	CDC	98419	Actif	2005-10-12	2007-10-11	44.15	0	20652	Uranor Inc	100.00
24P04	CDC	2006812	Actif	2006-05-10	2008-05-09	44.15	0	20652	Uranor Inc	100.00
24P04	CDC	2006813	Actif	2006-05-10	2008-05-09	44.15	0	20652	Uranor Inc	100.00
24P04	CDC	2006815	Actif	2006-05-10	2008-05-09	44.14	0	20652	Uranor Inc	100.00
24P04	CDC	2006816	Actif	2006-05-10	2008-05-09	44.14	0	20652	Uranor Inc	100.00
24P04	CDC	2006817	Actif	2006-05-10	2008-05-09	44.14	0	20652	Uranor Inc	100.00
24P04	CDC	2006818	Actif	2006-05-10	2008-05-09	44.14	0	20652	Uranor Inc	100.00
24P04	CDC	2006819	Actif	2006-05-10	2008-05-09	44.14	0	20652	Uranor Inc	100.00
24P04	CDC	2006820	Actif	2006-05-10	2008-05-09	44.14	0	20652	Uranor Inc	100.00
24P04	CDC	2006821	Actif	2006-05-10	2008-05-09	44.14	0	20652	Uranor Inc	100.00
24P04	CDC	2006822	Actif	2006-05-10	2008-05-09	44.14	0	20652	Uranor Inc	100.00
24P04	CDC	2006823	Actif	2006-05-10	2008-05-09	44.14	0	20652	Uranor Inc	100.00
24P04	CDC	2006824	Actif	2006-05-10	2008-05-09	44.14	0	20652	Uranor Inc	100.00
24P04	CDC	2006825	Actif	2006-05-10	2008-05-09	44.14	0	20652	Uranor Inc	100.00
24P04	CDC	2006814	Actif	2006-05-10	2008-05-09	44.14	0	20652	Uranor Inc	100.00
24P04	CDC	98127	Actif	2005-10-12	2007-10-11	44.14	0	20652	Uranor Inc	100.00
24P04	CDC	98128	Actif	2005-10-12	2007-10-11	44.14	0	20652	Uranor Inc	100.00
24P04	CDC	98129	Actif	2005-10-12	2007-10-11	44.14	0	20652	Uranor Inc	100.00
24P04	CDC	98130	Actif	2005-10-12	2007-10-11	44.14	0	20652	Uranor Inc	100.00
24P04	CDC	98131	Actif	2005-10-12	2007-10-11	44.14	0	20652	Uranor Inc	100.00
24P04	CDC	98132	Actif	2005-10-12	2007-10-11	44.14	0	20652	Uranor Inc	100.00
24P04	CDC	98133	Actif	2005-10-12	2007-10-11	44.14	0	20652	Uranor Inc	100.00
24P04	CDC	98134	Actif	2005-10-12	2007-10-11	44.14	0	20652	Uranor Inc	100.00
24P04	CDC	98135	Actif	2005-10-12	2007-10-11	44.14	0	20652	Uranor Inc	100.00
24P04	CDC	98411	Actif	2005-10-12	2007-10-11	44.14	0	20652	Uranor Inc	100.00
24P04	CDC	98412	Actif	2005-10-12	2007-10-11	44.14	0	20652	Uranor Inc	100.00
24P04	CDC	98413	Actif	2005-10-12	2007-10-11	44.14	0	20652	Uranor Inc	100.00
24P04	CDC	98414	Actif	2005-10-12	2007-10-11	44.13	0	20652	Uranor Inc	100.00
24P04	CDC	2006826	Actif	2006-05-10	2008-05-09	44.13	0	20652	Uranor Inc	100.00
24P04	CDC	2006827	Actif	2006-05-10	2008-05-09	44.13	0	20652	Uranor Inc	100.00
24P04	CDC	2006828	Actif	2006-05-10	2008-05-09	44.13	0	20652	Uranor Inc	100.00
24P04	CDC	2006829	Actif	2006-05-10	2008-05-09	44.13	0	20652	Uranor Inc	100.00
24P04	CDC	2006830	Actif	2006-05-10	2008-05-09	44.13	0	20652	Uranor Inc	100.00
24P04	CDC	2006831	Actif	2006-05-10	2008-05-09	44.13	0	20652	Uranor Inc	100.00
24P04	CDC	2006832	Actif	2006-05-10	2008-05-09	44.13	0	20652	Uranor Inc	100.00
24P04	CDC	2006833	Actif	2006-05-10	2008-05-09	44.13	0	20652	Uranor Inc	100.00
24P04	CDC	2006834	Actif	2006-05-10	2008-05-09	44.13	0	20652	Uranor Inc	100.00
24P04	CDC	2006835	Actif	2006-05-10	2008-05-09	44.13	0	20652	Uranor Inc	100.00
24P04	CDC	2006836	Actif	2006-05-10	2008-05-09	44.13	0	20652	Uranor Inc	100.00

Tableau 6.1 - Tableau descriptif des claims actifs et en demande d'Uranor Inc. du projet CAGE 2006

Feuillet	Type de titre	No titre	Statut du titre	Date d'inscription	Date d'expiration	Superficie (Ha)	Excédent ($)	No détenteur	Nom du détenteur	Pourcentage (%)
24P04	CDC	2006837	Actif	2006-05-10	2008-05-09	44.13	0	20652	Uranor Inc	100.00
24P04	CDC	2006838	Actif	2006-05-10	2008-05-09	44.13	0	20652	Uranor Inc	100.00
24P04	CDC	2006839	Actif	2006-05-10	2008-05-09	44.13	0	20652	Uranor Inc	100.00
24P05	CDC	2006840	Actif	2006-05-10	2008-05-09	44.13	0	20652	Uranor Inc	100.00
24P05	CDC	2006841	Actif	2006-05-10	2008-05-09	44.13	0	20652	Uranor Inc	100.00
24P05	CDC	2006842	Actif	2006-05-10	2008-05-09	44.13	0	20652	Uranor Inc	100.00
24P05	CDC	2006843	Actif	2006-05-10	2008-05-09	44.13	0	20652	Uranor Inc	100.00
24P05	CDC	2006844	Actif	2006-05-10	2008-05-09	44.13	0	20652	Uranor Inc	100.00
24P05	CDC	2006845	Actif	2006-05-10	2008-05-09	44.13	0	20652	Uranor Inc	100.00
24P05	CDC	2006846	Actif	2006-05-10	2008-05-09	44.13	0	20652	Uranor Inc	100.00
24P05	CDC	2006847	Actif	2006-05-10	2008-05-09	44.13	0	20652	Uranor Inc	100.00
24P05	CDC	2006848	Actif	2006-05-10	2008-05-09	44.12	0	20652	Uranor Inc	100.00
24P05	CDC	97991	Actif	2005-10-06	2007-10-05	44.12	0	20652	Uranor Inc	100.00
24P05	CDC	97992	Actif	2005-10-06	2007-10-05	44.12	0	20652	Uranor Inc	100.00
24P05	CDC	97993	Actif	2005-10-06	2007-10-05	44.12	0	20652	Uranor Inc	100.00
24P05	CDC	97994	Actif	2005-10-06	2007-10-05	44.12	0	20652	Uranor Inc	100.00
24P05	CDC	97995	Actif	2005-10-06	2007-10-05	44.12	0	20652	Uranor Inc	100.00
24P05	CDC	2006849	Actif	2006-05-10	2008-05-09	44.12	0	20652	Uranor Inc	100.00
24P05	CDC	2006850	Actif	2006-05-10	2008-05-09	44.12	0	20652	Uranor Inc	100.00
24P05	CDC	2006851	Actif	2006-05-10	2008-05-09	44.12	0	20652	Uranor Inc	100.00
24P05	CDC	2006852	Actif	2006-05-10	2008-05-09	44.12	0	20652	Uranor Inc	100.00
24P05	CDC	2006853	Actif	2006-05-10	2008-05-09	44.12	0	20652	Uranor Inc	100.00
24P05	CDC	2006854	Actif	2006-05-10	2008-05-09	44.12	0	20652	Uranor Inc	100.00
24P05	CDC	2006855	Actif	2006-05-10	2008-05-09	44.12	0	20652	Uranor Inc	100.00
24P05	CDC	2006856	Actif	2006-05-10	2008-05-09	44.12	0	20652	Uranor Inc	100.00
24P05	CDC	2006857	Actif	2006-05-10	2008-05-09	44.12	0	20652	Uranor Inc	100.00
24P05	CDC	2006858	Actif	2006-05-10	2008-05-09	44.12	0	20652	Uranor Inc	100.00
24P05	CDC	2006859	Actif	2006-05-10	2008-05-09	44.12	0	20652	Uranor Inc	100.00
24P05	CDC	2006860	Actif	2006-05-10	2008-05-09	44.12	0	20652	Uranor Inc	100.00
24P05	CDC	2006861	Actif	2006-05-10	2008-05-09	44.12	0	20652	Uranor Inc	100.00
24P05	CDC	2006862	Actif	2006-05-10	2008-05-09	44.12	0	20652	Uranor Inc	100.00
24P05	CDC	2006863	Actif	2006-05-10	2008-05-09	44.12	0	20652	Uranor Inc	100.00
24P05	CDC	2006864	Actif	2006-05-10	2008-05-09	44.12	0	20652	Uranor Inc	100.00
24P05	CDC	2006865	Actif	2006-05-10	2008-05-09	44.12	0	20652	Uranor Inc	100.00
24P05	CDC	2006866	Actif	2006-05-10	2008-05-09	44.12	0	20652	Uranor Inc	100.00
24P05	CDC	2006867	Actif	2006-05-10	2008-05-09	44.12	0	20652	Uranor Inc	100.00
24P05	CDC	2006868	Actif	2006-05-10	2008-05-09	44.11	0	20652	Uranor Inc	100.00
24P05	CDC	2006869	Actif	2006-05-10	2008-05-09	44.11	0	20652	Uranor Inc	100.00
24P05	CDC	2006870	Actif	2006-05-10	2008-05-09	44.11	0	20652	Uranor Inc	100.00
24P05	CDC	2006871	Actif	2006-05-10	2008-05-09	44.11	0	20652	Uranor Inc	100.00
24P05	CDC	2006872	Actif	2006-05-10	2008-05-09	44.11	0	20652	Uranor Inc	100.00
24P05	CDC	97996	Actif	2005-10-06	2007-10-05	44.11	0	20652	Uranor Inc	100.00

Tableau 6.1 - Tableau descriptif des claims actifs et en demande d'Uranor Inc. du projet CAGE 2006

Feuillet	Type de titre	No titre	Statut du titre	Date d'inscription	Date d'expiration	Superficie (Ha)	Excédent ($)	No détenteur	Nom du détenteur	Pourcentage (%)
24P05	CDC	97997	Actif	2005-10-06	2007-10-05	44.11	0	20652	Uranor Inc	100.00
24P05	CDC	97998	Actif	2005-10-06	2007-10-05	44.11	0	20652	Uranor Inc	100.00
24P05	CDC	97999	Actif	2005-10-06	2007-10-05	44.11	0	20652	Uranor Inc	100.00
24P05	CDC	2006873	Actif	2006-05-10	2008-05-09	44.11	0	20652	Uranor Inc	100.00
24P05	CDC	2006874	Actif	2006-05-10	2008-05-09	44.11	0	20652	Uranor Inc	100.00
24P05	CDC	2006875	Actif	2006-05-10	2008-05-09	44.11	0	20652	Uranor Inc	100.00
24P05	CDC	2006876	Actif	2006-05-10	2008-05-09	44.11	0	20652	Uranor Inc	100.00
24P05	CDC	2006877	Actif	2006-05-10	2008-05-09	44.11	0	20652	Uranor Inc	100.00
24P05	CDC	2006878	Actif	2006-05-10	2008-05-09	44.11	0	20652	Uranor Inc	100.00
24P05	CDC	2006879	Actif	2006-05-10	2008-05-09	44.11	0	20652	Uranor Inc	100.00
24P05	CDC	2006880	Actif	2006-05-10	2008-05-09	44.11	0	20652	Uranor Inc	100.00
24P05	CDC	2006881	Actif	2006-05-10	2008-05-09	44.11	0	20652	Uranor Inc	100.00
24P05	CDC	2006882	Actif	2006-05-10	2008-05-09	44.11	0	20652	Uranor Inc	100.00
24P05	CDC	2006883	Actif	2006-05-10	2008-05-09	44.11	0	20652	Uranor Inc	100.00
24P05	CDC	2006884	Actif	2006-05-10	2008-05-09	44.11	0	20652	Uranor Inc	100.00
24P05	CDC	2006885	Actif	2006-05-10	2008-05-09	44.11	0	20652	Uranor Inc	100.00
24P05	CDC	2006886	Actif	2006-05-10	2008-05-09	44.11	0	20652	Uranor Inc	100.00
24P05	CDC	2006887	Actif	2006-05-10	2008-05-09	44.11	0	20652	Uranor Inc	100.00
24P05	CDC	2006888	Actif	2006-05-10	2008-05-09	44.11	0	20652	Uranor Inc	100.00
24P05	CDC	2006889	Actif	2006-05-10	2008-05-09	44.1	0	20652	Uranor Inc	100.00
24P05	CDC	2006890	Actif	2006-05-10	2008-05-09	44.1	0	20652	Uranor Inc	100.00
24P05	CDC	2006891	Actif	2006-05-10	2008-05-09	44.1	0	20652	Uranor Inc	100.00
24P05	CDC	2006892	Actif	2006-05-10	2008-05-09	44.1	0	20652	Uranor Inc	100.00
24P05	CDC	2006893	Actif	2006-05-10	2008-05-09	44.1	0	20652	Uranor Inc	100.00
24P05	CDC	2006894	Actif	2006-05-10	2008-05-09	44.1	0	20652	Uranor Inc	100.00
24P05	CDC	2006895	Actif	2006-05-10	2008-05-09	44.1	0	20652	Uranor Inc	100.00
24P05	CDC	2006896	Actif	2006-05-10	2008-05-09	44.1	0	20652	Uranor Inc	100.00
24P05	CDC	2026546	Actif	2006-09-29	2008-09-28	44.1	0	20652	Uranor Inc	100.00
24P05	CDC	2026547	Actif	2006-09-29	2008-09-28	44.1	0	20652	Uranor Inc	100.00
24P05	CDC	2026548	Actif	2006-09-29	2008-09-28	44.1	0	20652	Uranor Inc	100.00
24P05	CDC	2026549	Actif	2006-09-29	2008-09-28	44.1	0	20652	Uranor Inc	100.00
24P05	CDC	2026550	Actif	2006-09-29	2008-09-28	44.1	0	20652	Uranor Inc	100.00
24P05	CDC	2026551	Actif	2006-09-29	2008-09-28	44.1	0	20652	Uranor Inc	100.00
24P05	CDC	2006897	Actif	2006-05-10	2008-05-09	44.09	0	20652	Uranor Inc	100.00
24P05	CDC	2006898	Actif	2006-05-10	2008-05-09	44.09	0	20652	Uranor Inc	100.00
24P05	CDC	2006899	Actif	2006-05-10	2008-05-09	44.09	0	20652	Uranor Inc	100.00
24P05	CDC	2006900	Actif	2006-05-10	2008-05-09	44.09	0	20652	Uranor Inc	100.00
24P05	CDC	2027635	Actif	2006-10-03	2008-10-02	44.09	0	20652	Uranor Inc	100.00
24P05	CDC	2027636	Actif	2006-10-03	2008-10-02	44.09	0	20652	Uranor Inc	100.00
24P05	CDC	2026552	Actif	2006-09-29	2008-09-28	44.09	0	20652	Uranor Inc	100.00
24P05	CDC	2026553	Actif	2006-09-29	2008-09-28	44.09	0	20652	Uranor Inc	100.00
24P05	CDC	2026554	Actif	2006-09-29	2008-09-28	44.09	0	20652	Uranor Inc	100.00

Tableau 6.1 - Tableau descriptif des claims actifs et en demande d'Uranor Inc. du projet CAGE 2006

Feuillet	Type de titre	No titre	Statut du titre	Date d'inscription	Date d'expiration	Superficie (Ha)	Excédent ($)	No détenteur	Nom du détenteur	Pourcentage (%)
24P05	CDC	2026555	Actif	2006-09-29	2008-09-28	44.09	0	20652	Uranor Inc	100.00
24P05	CDC	2026556	Actif	2006-09-29	2008-09-28	44.09	0	20652	Uranor Inc	100.00
24P05	CDC	2026557	Actif	2006-09-29	2008-09-28	44.09	0	20652	Uranor Inc	100.00
24P05	CDC	2027637	Actif	2006-10-03	2008-10-02	44.08	0	20652	Uranor Inc	100.00
24P05	CDC	2027638	Actif	2006-10-03	2008-10-02	44.08	0	20652	Uranor Inc	100.00
24P05	CDC	2027639	Actif	2006-10-03	2008-10-02	44.08	0	20652	Uranor Inc	100.00
24P05	CDC	2027640	Actif	2006-10-03	2008-10-02	44.08	0	20652	Uranor Inc	100.00
24P05	CDC	2027641	Actif	2006-10-03	2008-10-02	44.08	0	20652	Uranor Inc	100.00
24P05	CDC	2026558	Actif	2006-09-29	2008-09-28	44.08	0	20652	Uranor Inc	100.00
24P05	CDC	2026559	Actif	2006-09-29	2008-09-28	44.08	0	20652	Uranor Inc	100.00
24P05	CDC	2026560	Actif	2006-09-29	2008-09-28	44.08	0	20652	Uranor Inc	100.00
24P05	CDC	2026561	Actif	2006-09-29	2008-09-28	44.08	0	20652	Uranor Inc	100.00
24P05	CDC	2026562	Actif	2006-09-29	2008-09-28	44.08	0	20652	Uranor Inc	100.00
24P05	CDC	2026563	Actif	2006-09-29	2008-09-28	44.08	0	20652	Uranor Inc	100.00
24P05	CDC	2027642	Actif	2006-10-03	2008-10-02	44.07	0	20652	Uranor Inc	100.00
24P05	CDC	2027643	Actif	2006-10-03	2008-10-02	44.07	0	20652	Uranor Inc	100.00
24P05	CDC	2027644	Actif	2006-10-03	2008-10-02	44.07	0	20652	Uranor Inc	100.00
24P05	CDC	2027645	Actif	2006-10-03	2008-10-02	44.07	0	20652	Uranor Inc	100.00
24P05	CDC	2027646	Actif	2006-10-03	2008-10-02	44.07	0	20652	Uranor Inc	100.00
24P05	CDC	2026564	Actif	2006-09-29	2008-09-28	44.07	0	20652	Uranor Inc	100.00
24P05	CDC	2026565	Actif	2006-09-29	2008-09-28	44.07	0	20652	Uranor Inc	100.00
24P05	CDC	2026566	Actif	2006-09-29	2008-09-28	44.07	0	20652	Uranor Inc	100.00
24P05	CDC	2026567	Actif	2006-09-29	2008-09-28	44.07	0	20652	Uranor Inc	100.00
24P05	CDC	2026568	Actif	2006-09-29	2008-09-28	44.07	0	20652	Uranor Inc	100.00
24P05	CDC	2026569	Actif	2006-09-29	2008-09-28	44.07	0	20652	Uranor Inc	100.00
24P05	CDC	2026570	Actif	2006-09-29	2008-09-28	44.07	0	20652	Uranor Inc	100.00
24P05	CDC	2027647	Actif	2006-10-03	2008-10-02	44.06	0	20652	Uranor Inc	100.00
24P05	CDC	2027648	Actif	2006-10-03	2008-10-02	44.06	0	20652	Uranor Inc	100.00
24P05	CDC	2027649	Actif	2006-10-03	2008-10-02	44.06	0	20652	Uranor Inc	100.00
24P05	CDC	2027650	Actif	2006-10-03	2008-10-02	44.06	0	20652	Uranor Inc	100.00
24P05	CDC	2026571	Actif	2006-09-29	2008-09-28	44.06	0	20652	Uranor Inc	100.00
24P05	CDC	2026572	Actif	2006-09-29	2008-09-28	44.06	0	20652	Uranor Inc	100.00
24P05	CDC	2026573	Actif	2006-09-29	2008-09-28	44.06	0	20652	Uranor Inc	100.00
24P05	CDC	2026574	Actif	2006-09-29	2008-09-28	44.06	0	20652	Uranor Inc	100.00
24P05	CDC	2026575	Actif	2006-09-29	2008-09-28	44.06	0	20652	Uranor Inc	100.00
24P05	CDC	2026576	Actif	2006-09-29	2008-09-28	44.06	0	20652	Uranor Inc	100.00
24P05	CDC	2026577	Actif	2006-09-29	2008-09-28	44.06	0	20652	Uranor Inc	100.00
24P05	CDC	2026578	Actif	2006-09-29	2008-09-28	44.06	0	20652	Uranor Inc	100.00
24P05	CDC	2027651	Actif	2006-10-03	2008-10-02	44.05	0	20652	Uranor Inc	100.00
24P05	CDC	2027652	Actif	2006-10-03	2008-10-02	44.05	0	20652	Uranor Inc	100.00
24P05	CDC	2026579	Actif	2006-09-29	2008-09-28	44.05	0	20652	Uranor Inc	100.00
24P05	CDC	2026580	Actif	2006-09-29	2008-09-28	44.05	0	20652	Uranor Inc	100.00

Tableau 6.1 - Tableau descriptif des claims actifs et en demande d'Uranor Inc. du projet CAGE 2006

Feuillet	Type de titre	No titre	Statut du titre	Date d'inscription	Date d'expiration	Superficie (Ha)	Excédent ($)	No détenteur	Nom du détenteur	Pourcentage (%)
24P05	CDC	2026581	Actif	2006-09-29	2008-09-28	44.05	0	20652	Uranor Inc	100.00
24P05	CDC	2026582	Actif	2006-09-29	2008-09-28	44.05	0	20652	Uranor Inc	100.00
24P05	CDC	2026583	Actif	2006-09-29	2008-09-28	44.05	0	20652	Uranor Inc	100.00
24P05	CDC	2026584	Actif	2006-09-29	2008-09-28	44.05	0	20652	Uranor Inc	100.00
24P05	CDC	2026585	Actif	2006-09-29	2008-09-28	44.05	0	20652	Uranor Inc	100.00
24P05	CDC	2026586	Actif	2006-09-29	2008-09-28	44.05	0	20652	Uranor Inc	100.00
24P05	CDC	2026587	Actif	2006-09-29	2008-09-28	44.04	0	20652	Uranor Inc	100.00
24P05	CDC	2026588	Actif	2006-09-29	2008-09-28	44.04	0	20652	Uranor Inc	100.00
24P05	CDC	2026589	Actif	2006-09-29	2008-09-28	44.04	0	20652	Uranor Inc	100.00
24P05	CDC	2026590	Actif	2006-09-29	2008-09-28	44.04	0	20652	Uranor Inc	100.00
24P05	CDC	2026591	Actif	2006-09-29	2008-09-28	44.04	0	20652	Uranor Inc	100.00
24P05	CDC	2026592	Actif	2006-09-29	2008-09-28	44.04	0	20652	Uranor Inc	100.00
24P05	CDC	2026593	Actif	2006-09-29	2008-09-28	44.04	0	20652	Uranor Inc	100.00
24P05	CDC	2026594	Actif	2006-09-29	2008-09-28	44.04	0	20652	Uranor Inc	100.00
24P05	CDC	2026595	Actif	2006-09-29	2008-09-28	44.03	0	20652	Uranor Inc	100.00
24P05	CDC	2026596	Actif	2006-09-29	2008-09-28	44.03	0	20652	Uranor Inc	100.00
24P05	CDC	2026597	Actif	2006-09-29	2008-09-28	44.03	0	20652	Uranor Inc	100.00
24P05	CDC	2026598	Actif	2006-09-29	2008-09-28	44.03	0	20652	Uranor Inc	100.00
24P05	CDC	2026599	Actif	2006-09-29	2008-09-28	44.03	0	20652	Uranor Inc	100.00
24P05	CDC	2026600	Actif	2006-09-29	2008-09-28	44.03	0	20652	Uranor Inc	100.00
24P05	CDC	2026601	Actif	2006-09-29	2008-09-28	44.03	0	20652	Uranor Inc	100.00
24P05	CDC	2026602	Actif	2006-09-29	2008-09-28	44.03	0	20652	Uranor Inc	100.00
24P05	CDC	2026603	Actif	2006-09-29	2008-09-28	44.02	0	20652	Uranor Inc	100.00
24P05	CDC	2026604	Actif	2006-09-29	2008-09-28	44.02	0	20652	Uranor Inc	100.00
24P05	CDC	2026605	Actif	2006-09-29	2008-09-28	44.02	0	20652	Uranor Inc	100.00
24P05	CDC	2026606	Actif	2006-09-29	2008-09-28	44.02	0	20652	Uranor Inc	100.00
24P05	CDC	2026607	Actif	2006-09-29	2008-09-28	44.02	0	20652	Uranor Inc	100.00
24P05	CDC	2026608	Actif	2006-09-29	2008-09-28	44.02	0	20652	Uranor Inc	100.00
24P05	CDC	2026609	Actif	2006-09-29	2008-09-28	44.01	0	20652	Uranor Inc	100.00
24P05	CDC	2026610	Actif	2006-09-29	2008-09-28	44.01	0	20652	Uranor Inc	100.00
24P05	CDC	2026611	Actif	2006-09-29	2008-09-28	44.01	0	20652	Uranor Inc	100.00
24P05	CDC	2026612	Actif	2006-09-29	2008-09-28	44.01	0	20652	Uranor Inc	100.00
24P05	CDC	2026613	Actif	2006-09-29	2008-09-28	44.01	0	20652	Uranor Inc	100.00
24P05	CDC	2026614	Actif	2006-09-29	2008-09-28	44	0	20652	Uranor Inc	100.00
24P05	CDC	2026615	Actif	2006-09-29	2008-09-28	44	0	20652	Uranor Inc	100.00
24P05	CDC	2026616	Actif	2006-09-29	2008-09-28	44	0	20652	Uranor Inc	100.00
24P05	CDC	2026617	Actif	2006-09-29	2008-09-28	44	0	20652	Uranor Inc	100.00
24P05	CDC	2026618	Actif	2006-09-29	2008-09-28	44	0	20652	Uranor Inc	100.00
24P05	CDC	2026619	Actif	2006-09-29	2008-09-28	44	0	20652	Uranor Inc	100.00
24P05	CDC	2026620	Actif	2006-09-29	2008-09-28	44	0	20652	Uranor Inc	100.00
24P05	CDC	2026621	Actif	2006-09-29	2008-09-28	44	0	20652	Uranor Inc	100.00
24P05	CDC	2026622	Actif	2006-09-29	2008-09-28	43.99	0	20652	Uranor Inc	100.00

Tableau 6.1 - Tableau descriptif des claims actifs et en demande d'Uranor Inc. du projet CAGE 2006

Feuillet	Type de titre	No titre	Statut du titre	Date d'inscription	Date d'expiration	Superficie (Ha)	Excédent ($)	No détenteur	Nom du détenteur	Pourcentage (%)
24P05	CDC	2026623	Actif	2006-09-29	2008-09-28	43.99	0	20652	Uranor Inc	100.00
24P05	CDC	2026624	Actif	2006-09-29	2008-09-28	43.99	0	20652	Uranor Inc	100.00
24P05	CDC	2026625	Actif	2006-09-29	2008-09-28	43.99	0	20652	Uranor Inc	100.00
24P05	CDC	2026626	Actif	2006-09-29	2008-09-28	43.99	0	20652	Uranor Inc	100.00
24P05	CDC	2026627	Actif	2006-09-29	2008-09-28	43.99	0	20652	Uranor Inc	100.00
24P05	CDC	2026628	Actif	2006-09-29	2008-09-28	43.99	0	20652	Uranor Inc	100.00
24P05	CDC	2026629	Actif	2006-09-29	2008-09-28	43.99	0	20652	Uranor Inc	100.00
24P05	CDC	2026630	Actif	2006-09-29	2008-09-28	43.99	0	20652	Uranor Inc	100.00
24P05	CDC	2026631	Actif	2006-09-29	2008-09-28	43.99	0	20652	Uranor Inc	100.00
24P05	CDC	2026632	Actif	2006-09-29	2008-09-28	43.99	0	20652	Uranor Inc	100.00
24P05	CDC	2026633	Actif	2006-09-29	2008-09-28	43.99	0	20652	Uranor Inc	100.00
24P05	CDC	2026634	Actif	2006-09-29	2008-09-28	43.98	0	20652	Uranor Inc	100.00
24P05	CDC	2026635	Actif	2006-09-29	2008-09-28	43.98	0	20652	Uranor Inc	100.00
24P05	CDC	2026636	Actif	2006-09-29	2008-09-28	43.98	0	20652	Uranor Inc	100.00
24P05	CDC	2026637	Actif	2006-09-29	2008-09-28	43.98	0	20652	Uranor Inc	100.00
24P05	CDC	2026638	Actif	2006-09-29	2008-09-28	43.98	0	20652	Uranor Inc	100.00
24P05	CDC	2026639	Actif	2006-09-29	2008-09-28	43.98	0	20652	Uranor Inc	100.00
24P05	CDC	2026640	Actif	2006-09-29	2008-09-28	43.98	0	20652	Uranor Inc	100.00
24P05	CDC	2026641	Actif	2006-09-29	2008-09-28	43.98	0	20652	Uranor Inc	100.00
24P05	CDC	2026642	Actif	2006-09-29	2008-09-28	43.98	0	20652	Uranor Inc	100.00
24P05	CDC	2026643	Actif	2006-09-29	2008-09-28	43.98	0	20652	Uranor Inc	100.00
24P05	CDC	2026644	Actif	2006-09-29	2008-09-28	43.98	0	20652	Uranor Inc	100.00
24P05	CDC	2026645	Actif	2006-09-29	2008-09-28	43.98	0	20652	Uranor Inc	100.00
24P05	CDC	2026646	Actif	2006-09-29	2008-09-28	43.97	0	20652	Uranor Inc	100.00
24P05	CDC	2026647	Actif	2006-09-29	2008-09-28	43.97	0	20652	Uranor Inc	100.00
24P05	CDC	2026648	Actif	2006-09-29	2008-09-28	43.97	0	20652	Uranor Inc	100.00
24P05	CDC	2026649	Actif	2006-09-29	2008-09-28	43.97	0	20652	Uranor Inc	100.00
24P05	CDC	2026650	Actif	2006-09-29	2008-09-28	43.97	0	20652	Uranor Inc	100.00
24P05	CDC	2026651	Actif	2006-09-29	2008-09-28	43.97	0	20652	Uranor Inc	100.00
24P05	CDC	2026652	Actif	2006-09-29	2008-09-28	43.97	0	20652	Uranor Inc	100.00
24P05	CDC	2026653	Actif	2006-09-29	2008-09-28	43.97	0	20652	Uranor Inc	100.00
24P05	CDC	2026654	Actif	2006-09-29	2008-09-28	43.97	0	20652	Uranor Inc	100.00
24P05	CDC	2026655	Actif	2006-09-29	2008-09-28	43.97	0	20652	Uranor Inc	100.00
24P05	CDC	2026656	Actif	2006-09-29	2008-09-28	43.97	0	20652	Uranor Inc	100.00
24P05	CDC	2026657	Actif	2006-09-29	2008-09-28	43.97	0	20652	Uranor Inc	100.00
24P05	CDC	2026658	Actif	2006-09-29	2008-09-28	43.97	0	20652	Uranor Inc	100.00
24P05	CDC	2026659	Actif	2006-09-29	2008-09-28	43.96	0	20652	Uranor Inc	100.00
24P05	CDC	2026660	Actif	2006-09-29	2008-09-28	43.96	0	20652	Uranor Inc	100.00
24P05	CDC	2026661	Actif	2006-09-29	2008-09-28	43.96	0	20652	Uranor Inc	100.00
24P05	CDC	2026662	Actif	2006-09-29	2008-09-28	43.96	0	20652	Uranor Inc	100.00
24P05	CDC	2026663	Actif	2006-09-29	2008-09-28	43.96	0	20652	Uranor Inc	100.00
24P05	CDC	2026664	Actif	2006-09-29	2008-09-28	43.96	0	20652	Uranor Inc	100.00

Tableau 6.1 - Tableau descriptif des claims actifs et en demande d'Uranor Inc. du projet CAGE 2006

Feuillet	Type de titre	No titre	Statut du titre	Date d'inscription	Date d'expiration	Superficie (Ha)	Excédent ($)	No détenteur	Nom du détenteur	Pourcentage (%)
24P05	CDC	2026665	Actif	2006-09-29	2008-09-28	43.96	0	20652	Uranor Inc	100.00
24P05	CDC	2026666	Actif	2006-09-29	2008-09-28	43.96	0	20652	Uranor Inc	100.00
24P05	CDC	2026667	Actif	2006-09-29	2008-09-28	43.96	0	20652	Uranor Inc	100.00
24P05	CDC	2026668	Actif	2006-09-29	2008-09-28	43.96	0	20652	Uranor Inc	100.00
24P05	CDC	2026669	Actif	2006-09-29	2008-09-28	43.96	0	20652	Uranor Inc	100.00
24P05	CDC	2026670	Actif	2006-09-29	2008-09-28	43.95	0	20652	Uranor Inc	100.00
24P05	CDC	2026671	Actif	2006-09-29	2008-09-28	43.95	0	20652	Uranor Inc	100.00
24P05	CDC	2026672	Actif	2006-09-29	2008-09-28	43.95	0	20652	Uranor Inc	100.00
24P05	CDC	2026673	Actif	2006-09-29	2008-09-28	43.95	0	20652	Uranor Inc	100.00
24P05	CDC	2026674	Actif	2006-09-29	2008-09-28	43.95	0	20652	Uranor Inc	100.00
24P05	CDC	2026675	Actif	2006-09-29	2008-09-28	43.95	0	20652	Uranor Inc	100.00
24P05	CDC	2026676	Actif	2006-09-29	2008-09-28	43.95	0	20652	Uranor Inc	100.00
24P05	CDC	2026677	Actif	2006-09-29	2008-09-28	43.95	0	20652	Uranor Inc	100.00
24P05	CDC	2026678	Actif	2006-09-29	2008-09-28	43.95	0	20652	Uranor Inc	100.00
24P05	CDC	2026679	Actif	2006-09-29	2008-09-28	43.95	0	20652	Uranor Inc	100.00
24P05	CDC	2026680	Actif	2006-09-29	2008-09-28	43.94	0	20652	Uranor Inc	100.00
24P05	CDC	2026681	Actif	2006-09-29	2008-09-28	43.94	0	20652	Uranor Inc	100.00
24P05	CDC	2026682	Actif	2006-09-29	2008-09-28	43.94	0	20652	Uranor Inc	100.00
24P05	CDC	2026683	Actif	2006-09-29	2008-09-28	43.94	0	20652	Uranor Inc	100.00
24P05	CDC	2026684	Actif	2006-09-29	2008-09-28	43.94	0	20652	Uranor Inc	100.00
24P05	CDC	2026685	Actif	2006-09-29	2008-09-28	43.94	0	20652	Uranor Inc	100.00
24P05	CDC	2026686	Actif	2006-09-29	2008-09-28	43.94	0	20652	Uranor Inc	100.00
24P05	CDC	2026687	Actif	2006-09-29	2008-09-28	43.93	0	20652	Uranor Inc	100.00
24P05	CDC	2026688	Actif	2006-09-29	2008-09-28	43.93	0	20652	Uranor Inc	100.00
24P05	CDC	2026689	Actif	2006-09-29	2008-09-28	43.93	0	20652	Uranor Inc	100.00
24P05	CDC	2026690	Actif	2006-09-29	2008-09-28	43.93	0	20652	Uranor Inc	100.00
24P05	CDC	2026691	Actif	2006-09-29	2008-09-28	43.93	0	20652	Uranor Inc	100.00
24P05	CDC	2026694	Actif	2006-09-29	2008-09-28	37.88	0	20652	Uranor Inc	100.00
24P05	CDC	2026692	Actif	2006-09-29	2008-09-28	43.92	0	20652	Uranor Inc	100.00
24P05	CDC	2026693	Actif	2006-09-29	2008-09-28	43.92	0	20652	Uranor Inc	100.00
24P06	CDC	2006901	Actif	2006-05-10	2008-05-09	44.12	0	20652	Uranor Inc	100.00
24P06	CDC	2006902	Actif	2006-05-10	2008-05-09	44.12	0	20652	Uranor Inc	100.00
24P06	CDC	2006903	Actif	2006-05-10	2008-05-09	44.12	0	20652	Uranor Inc	100.00
24P06	CDC	2006904	Actif	2006-05-10	2008-05-09	44.12	0	20652	Uranor Inc	100.00
24P06	CDC	2006905	Actif	2006-05-10	2008-05-09	44.12	0	20652	Uranor Inc	100.00
24P06	CDC	2013745	Actif	2006-05-29	2008-05-28	44.12	0	20652	Uranor Inc	100.00
24P06	CDC	2013746	Actif	2006-05-29	2008-05-28	44.12	0	20652	Uranor Inc	100.00
24P06	CDC	2026695	Actif	2006-09-29	2008-09-28	44.12	0	20652	Uranor Inc	100.00
24P06	CDC	2026696	Actif	2006-09-29	2008-09-28	44.12	0	20652	Uranor Inc	100.00
24P06	CDC	2026697	Actif	2006-09-29	2008-09-28	44.12	0	20652	Uranor Inc	100.00
24P06	CDC	2026698	Actif	2006-09-29	2008-09-28	44.12	0	20652	Uranor Inc	100.00
24P06	CDC	2026699	Actif	2006-09-29	2008-09-28	44.12	0	20652	Uranor Inc	100.00

Tableau 6.1 - Tableau descriptif des claims actifs et en demande d'Uranor Inc. du projet CAGE 2006

Feuillet	Type de titre	No titre	Statut du titre	Date d'inscription	Date d'expiration	Superficie (Ha)	Excédent ($)	No détenteur	Nom du détenteur	Pourcentage (%)
24P06	CDC	2026700	Actif	2006-09-29	2008-09-28	44.12	0	20652	Uranor Inc	100.00
24P06	CDC	2026701	Actif	2006-09-29	2008-09-28	44.12	0	20652	Uranor Inc	100.00
24P06	CDC	2026702	Actif	2006-09-29	2008-09-28	44.12	0	20652	Uranor Inc	100.00
24P06	CDC	2026703	Actif	2006-09-29	2008-09-28	44.12	0	20652	Uranor Inc	100.00
24P06	CDC	2026704	Actif	2006-09-29	2008-09-28	44.12	0	20652	Uranor Inc	100.00
24P06	CDC	2026705	Actif	2006-09-29	2008-09-28	44.12	0	20652	Uranor Inc	100.00
24P06	CDC	2026706	Actif	2006-09-29	2008-09-28	44.12	0	20652	Uranor Inc	100.00
24P06	CDC	2026707	Actif	2006-09-29	2008-09-28	44.12	0	20652	Uranor Inc	100.00
24P06	CDC	2026708	Actif	2006-09-29	2008-09-28	44.12	0	20652	Uranor Inc	100.00
24P06	CDC	2006906	Actif	2006-05-10	2008-05-09	44.11	0	20652	Uranor Inc	100.00
24P06	CDC	2006907	Actif	2006-05-10	2008-05-09	44.11	0	20652	Uranor Inc	100.00
24P06	CDC	2006908	Actif	2006-05-10	2008-05-09	44.11	0	20652	Uranor Inc	100.00
24P06	CDC	2006909	Actif	2006-05-10	2008-05-09	44.11	0	20652	Uranor Inc	100.00
24P06	CDC	2006910	Actif	2006-05-10	2008-05-09	44.11	0	20652	Uranor Inc	100.00
24P06	CDC	2026709	Actif	2006-09-29	2008-09-28	44.11	0	20652	Uranor Inc	100.00
24P06	CDC	2026710	Actif	2006-09-29	2008-09-28	44.11	0	20652	Uranor Inc	100.00
24P06	CDC	2026711	Actif	2006-09-29	2008-09-28	44.11	0	20652	Uranor Inc	100.00
24P06	CDC	2026712	Actif	2006-09-29	2008-09-28	44.11	0	20652	Uranor Inc	100.00
24P06	CDC	2026713	Actif	2006-09-29	2008-09-28	44.11	0	20652	Uranor Inc	100.00
24P06	CDC	2026714	Actif	2006-09-29	2008-09-28	44.11	0	20652	Uranor Inc	100.00
24P06	CDC	2026715	Actif	2006-09-29	2008-09-28	44.11	0	20652	Uranor Inc	100.00
24P06	CDC	2026716	Actif	2006-09-29	2008-09-28	44.11	0	20652	Uranor Inc	100.00
24P06	CDC	2026717	Actif	2006-09-29	2008-09-28	44.11	0	20652	Uranor Inc	100.00
24P06	CDC	2026718	Actif	2006-09-29	2008-09-28	44.11	0	20652	Uranor Inc	100.00
24P06	CDC	2026719	Actif	2006-09-29	2008-09-28	44.11	0	20652	Uranor Inc	100.00
24P06	CDC	2026720	Actif	2006-09-29	2008-09-28	44.11	0	20652	Uranor Inc	100.00
24P06	CDC	2026721	Actif	2006-09-29	2008-09-28	44.11	0	20652	Uranor Inc	100.00
24P06	CDC	2026722	Actif	2006-09-29	2008-09-28	44.11	0	20652	Uranor Inc	100.00
24P06	CDC	2026723	Actif	2006-09-29	2008-09-28	44.1	0	20652	Uranor Inc	100.00
24P06	CDC	2026724	Actif	2006-09-29	2008-09-28	44.1	0	20652	Uranor Inc	100.00
24P06	CDC	2026725	Actif	2006-09-29	2008-09-28	44.1	0	20652	Uranor Inc	100.00
24P06	CDC	2026726	Actif	2006-09-29	2008-09-28	44.1	0	20652	Uranor Inc	100.00
24P06	CDC	2026727	Actif	2006-09-29	2008-09-28	44.1	0	20652	Uranor Inc	100.00
24P06	CDC	2026728	Actif	2006-09-29	2008-09-28	44.1	0	20652	Uranor Inc	100.00
24P06	CDC	2026729	Actif	2006-09-29	2008-09-28	44.1	0	20652	Uranor Inc	100.00
24P06	CDC	2026730	Actif	2006-09-29	2008-09-28	44.1	0	20652	Uranor Inc	100.00
24P06	CDC	2026731	Actif	2006-09-29	2008-09-28	44.1	0	20652	Uranor Inc	100.00
24P06	CDC	2026732	Actif	2006-09-29	2008-09-28	44.1	0	20652	Uranor Inc	100.00
24P06	CDC	2026733	Actif	2006-09-29	2008-09-28	44.1	0	20652	Uranor Inc	100.00
24P06	CDC	2026734	Actif	2006-09-29	2008-09-28	44.1	0	20652	Uranor Inc	100.00
24P06	CDC	2026735	Actif	2006-09-29	2008-09-28	44.1	0	20652	Uranor Inc	100.00
24P06	CDC	2026736	Actif	2006-09-29	2008-09-28	44.1	0	20652	Uranor Inc	100.00

Tableau 6.1 - Tableau descriptif des claims actifs et en demande d'Uranor Inc. du projet CAGE 2006

Feuillet	Type de titre	No titre	Statut du titre	Date d'inscription	Date d'expiration	Superficie (Ha)	Excédent ($)	No détenteur	Nom du détenteur	Pourcentage (%)
24P06	CDC	2026737	Actif	2006-09-29	2008-09-28	44.1	0	20652	Uranor Inc	100.00
24P06	CDC	2026738	Actif	2006-09-29	2008-09-28	44.1	0	20652	Uranor Inc	100.00
24P06	CDC	2026739	Actif	2006-09-29	2008-09-28	44.1	0	20652	Uranor Inc	100.00
24P06	CDC	2026740	Actif	2006-09-29	2008-09-28	44.1	0	20652	Uranor Inc	100.00
24P06	CDC	2026741	Actif	2006-09-29	2008-09-28	44.09	0	20652	Uranor Inc	100.00
24P06	CDC	2026742	Actif	2006-09-29	2008-09-28	44.09	0	20652	Uranor Inc	100.00
24P06	CDC	2026743	Actif	2006-09-29	2008-09-28	44.09	0	20652	Uranor Inc	100.00
24P06	CDC	2026744	Actif	2006-09-29	2008-09-28	44.09	0	20652	Uranor Inc	100.00
24P06	CDC	2026745	Actif	2006-09-29	2008-09-28	44.09	0	20652	Uranor Inc	100.00
24P06	CDC	2026746	Actif	2006-09-29	2008-09-28	44.09	0	20652	Uranor Inc	100.00
24P06	CDC	2026747	Actif	2006-09-29	2008-09-28	44.09	0	20652	Uranor Inc	100.00
24P06	CDC	2026748	Actif	2006-09-29	2008-09-28	44.09	0	20652	Uranor Inc	100.00
24P06	CDC	2026749	Actif	2006-09-29	2008-09-28	44.09	0	20652	Uranor Inc	100.00
24P06	CDC	2026750	Actif	2006-09-29	2008-09-28	44.09	0	20652	Uranor Inc	100.00
24P06	CDC	2026751	Actif	2006-09-29	2008-09-28	44.09	0	20652	Uranor Inc	100.00
24P06	CDC	2026752	Actif	2006-09-29	2008-09-28	44.09	0	20652	Uranor Inc	100.00
24P06	CDC	2026753	Actif	2006-09-29	2008-09-28	44.09	0	20652	Uranor Inc	100.00
24P06	CDC	2026754	Actif	2006-09-29	2008-09-28	44.09	0	20652	Uranor Inc	100.00
24P06	CDC	2026755	Actif	2006-09-29	2008-09-28	44.09	0	20652	Uranor Inc	100.00
24P06	CDC	2026756	Actif	2006-09-29	2008-09-28	44.09	0	20652	Uranor Inc	100.00
24P06	CDC	2026757	Actif	2006-09-29	2008-09-28	44.08	0	20652	Uranor Inc	100.00
24P06	CDC	2026758	Actif	2006-09-29	2008-09-28	44.08	0	20652	Uranor Inc	100.00
24P06	CDC	2026759	Actif	2006-09-29	2008-09-28	44.08	0	20652	Uranor Inc	100.00
24P06	CDC	2026760	Actif	2006-09-29	2008-09-28	44.08	0	20652	Uranor Inc	100.00
24P06	CDC	2026761	Actif	2006-09-29	2008-09-28	44.08	0	20652	Uranor Inc	100.00
24P06	CDC	2026762	Actif	2006-09-29	2008-09-28	44.08	0	20652	Uranor Inc	100.00
24P06	CDC	2026763	Actif	2006-09-29	2008-09-28	44.08	0	20652	Uranor Inc	100.00
24P06	CDC	2026764	Actif	2006-09-29	2008-09-28	44.08	0	20652	Uranor Inc	100.00
24P06	CDC	2026765	Actif	2006-09-29	2008-09-28	44.08	0	20652	Uranor Inc	100.00
24P06	CDC	2026766	Actif	2006-09-29	2008-09-28	44.08	0	20652	Uranor Inc	100.00
24P06	CDC	2026767	Actif	2006-09-29	2008-09-28	44.08	0	20652	Uranor Inc	100.00
24P06	CDC	2026768	Actif	2006-09-29	2008-09-28	44.08	0	20652	Uranor Inc	100.00
24P06	CDC	2026769	Actif	2006-09-29	2008-09-28	44.08	0	20652	Uranor Inc	100.00
24P06	CDC	2026770	Actif	2006-09-29	2008-09-28	44.08	0	20652	Uranor Inc	100.00
24P06	CDC	2026771	Actif	2006-09-29	2008-09-28	44.08	0	20652	Uranor Inc	100.00
24P06	CDC	2026772	Actif	2006-09-29	2008-09-28	44.07	0	20652	Uranor Inc	100.00
24P06	CDC	2026773	Actif	2006-09-29	2008-09-28	44.07	0	20652	Uranor Inc	100.00
24P06	CDC	2026774	Actif	2006-09-29	2008-09-28	44.07	0	20652	Uranor Inc	100.00
24P06	CDC	2026775	Actif	2006-09-29	2008-09-28	44.07	0	20652	Uranor Inc	100.00
24P06	CDC	2026776	Actif	2006-09-29	2008-09-28	44.07	0	20652	Uranor Inc	100.00
24P06	CDC	2026777	Actif	2006-09-29	2008-09-28	44.07	0	20652	Uranor Inc	100.00
24P06	CDC	2026778	Actif	2006-09-29	2008-09-28	44.07	0	20652	Uranor Inc	100.00

Tableau 6.1 - Tableau descriptif des claims actifs et en demande d'Uranor Inc. du projet CAGE 2006

Feuillet	Type de titre	No titre	Statut du titre	Date d'inscription	Date d'expiration	Superficie (Ha)	Excédent ($)	No détenteur	Nom du détenteur	Pourcentage (%)
24P06	CDC	2026779	Actif	2006-09-29	2008-09-28	44.07	0	20652	Uranor Inc	100.00
24P06	CDC	2026780	Actif	2006-09-29	2008-09-28	44.07	0	20652	Uranor Inc	100.00
24P06	CDC	2026781	Actif	2006-09-29	2008-09-28	44.07	0	20652	Uranor Inc	100.00
24P06	CDC	2026782	Actif	2006-09-29	2008-09-28	44.07	0	20652	Uranor Inc	100.00
24P06	CDC	2026783	Actif	2006-09-29	2008-09-28	44.07	0	20652	Uranor Inc	100.00
24P06	CDC	2026784	Actif	2006-09-29	2008-09-28	44.07	0	20652	Uranor Inc	100.00
24P06	CDC	2026785	Actif	2006-09-29	2008-09-28	44.07	0	20652	Uranor Inc	100.00
24P06	CDC	2026786	Actif	2006-09-29	2008-09-28	44.06	0	20652	Uranor Inc	100.00
24P06	CDC	2026787	Actif	2006-09-29	2008-09-28	44.06	0	20652	Uranor Inc	100.00
24P06	CDC	2026788	Actif	2006-09-29	2008-09-28	44.06	0	20652	Uranor Inc	100.00
24P06	CDC	2026789	Actif	2006-09-29	2008-09-28	44.06	0	20652	Uranor Inc	100.00
24P06	CDC	2026790	Actif	2006-09-29	2008-09-28	44.06	0	20652	Uranor Inc	100.00
24P06	CDC	2026791	Actif	2006-09-29	2008-09-28	44.06	0	20652	Uranor Inc	100.00
24P06	CDC	2026792	Actif	2006-09-29	2008-09-28	44.06	0	20652	Uranor Inc	100.00
24P06	CDC	2026793	Actif	2006-09-29	2008-09-28	44.06	0	20652	Uranor Inc	100.00
24P06	CDC	2026794	Actif	2006-09-29	2008-09-28	44.06	0	20652	Uranor Inc	100.00
24P06	CDC	2026795	Actif	2006-09-29	2008-09-28	44.06	0	20652	Uranor Inc	100.00
24P06	CDC	2026796	Actif	2006-09-29	2008-09-28	44.06	0	20652	Uranor Inc	100.00
24P06	CDC	2026797	Actif	2006-09-29	2008-09-28	44.06	0	20652	Uranor Inc	100.00
24P06	CDC	2026798	Actif	2006-09-29	2008-09-28	44.06	0	20652	Uranor Inc	100.00
24P06	CDC	2026799	Actif	2006-09-29	2008-09-28	44.05	0	20652	Uranor Inc	100.00
24P06	CDC	2026800	Actif	2006-09-29	2008-09-28	44.05	0	20652	Uranor Inc	100.00
24P06	CDC	2026801	Actif	2006-09-29	2008-09-28	44.05	0	20652	Uranor Inc	100.00
24P06	CDC	2026802	Actif	2006-09-29	2008-09-28	44.05	0	20652	Uranor Inc	100.00
24P06	CDC	2026803	Actif	2006-09-29	2008-09-28	44.05	0	20652	Uranor Inc	100.00
24P06	CDC	2026804	Actif	2006-09-29	2008-09-28	44.05	0	20652	Uranor Inc	100.00
24P06	CDC	2026805	Actif	2006-09-29	2008-09-28	44.05	0	20652	Uranor Inc	100.00
24P06	CDC	2026806	Actif	2006-09-29	2008-09-28	44.05	0	20652	Uranor Inc	100.00
24P06	CDC	2026807	Actif	2006-09-29	2008-09-28	44.05	0	20652	Uranor Inc	100.00
24P06	CDC	2026808	Actif	2006-09-29	2008-09-28	44.05	0	20652	Uranor Inc	100.00
24P06	CDC	2026809	Actif	2006-09-29	2008-09-28	44.05	0	20652	Uranor Inc	100.00
24P06	CDC	2026810	Actif	2006-09-29	2008-09-28	44.04	0	20652	Uranor Inc	100.00
24P06	CDC	2026811	Actif	2006-09-29	2008-09-28	44.04	0	20652	Uranor Inc	100.00
24P06	CDC	2026812	Actif	2006-09-29	2008-09-28	44.04	0	20652	Uranor Inc	100.00
24P06	CDC	2026813	Actif	2006-09-29	2008-09-28	44.04	0	20652	Uranor Inc	100.00
24P06	CDC	2026814	Actif	2006-09-29	2008-09-28	44.04	0	20652	Uranor Inc	100.00
24P06	CDC	2026815	Actif	2006-09-29	2008-09-28	44.04	0	20652	Uranor Inc	100.00
24P06	CDC	2026816	Actif	2006-09-29	2008-09-28	44.04	0	20652	Uranor Inc	100.00
24P06	CDC	2026817	Actif	2006-09-29	2008-09-28	44.03	0	20652	Uranor Inc	100.00
24P06	CDC	2026818	Actif	2006-09-29	2008-09-28	44.03	0	20652	Uranor Inc	100.00
24P06	CDC	2026819	Actif	2006-09-29	2008-09-28	44.03	0	20652	Uranor Inc	100.00
24P06	CDC	2026820	Actif	2006-09-29	2008-09-28	44.03	0	20652	Uranor Inc	100.00

Tableau 6.1 - Tableau descriptif des claims actifs et en demande d'Uranor Inc. du projet CAGE 2006

Feuillet	Type de titre	No titre	Statut du titre	Date d'inscription	Date d'expiration	Superficie (Ha)	Excédent ($)	No détenteur	Nom du détenteur	Pourcentage (%)
24P06	CDC	2026821	Actif	2006-09-29	2008-09-28	44.03	0	20652	Uranor Inc	100.00
24P06	CDC	2026822	Actif	2006-09-29	2008-09-28	44.02	0	20652	Uranor Inc	100.00
24P06	CDC	2026823	Actif	2006-09-29	2008-09-28	44.02	0	20652	Uranor Inc	100.00
24P06	CDC	2026824	Actif	2006-09-29	2008-09-28	44.02	0	20652	Uranor Inc	100.00
24P06	CDC	2026825	Actif	2006-09-29	2008-09-28	44.02	0	20652	Uranor Inc	100.00
24P06	CDC	2026826	Actif	2006-09-29	2008-09-28	44.02	0	20652	Uranor Inc	100.00
24P06	CDC	2026827	Actif	2006-09-29	2008-09-28	44.01	0	20652	Uranor Inc	100.00
24P06	CDC	2026828	Actif	2006-09-29	2008-09-28	44.01	0	20652	Uranor Inc	100.00
24P06	CDC	2026829	Actif	2006-09-29	2008-09-28	44.01	0	20652	Uranor Inc	100.00
24P06	CDC	2026830	Actif	2006-09-29	2008-09-28	44.01	0	20652	Uranor Inc	100.00
24P06	CDC	2026831	Actif	2006-09-29	2008-09-28	44.01	0	20652	Uranor Inc	100.00
24P06	CDC	2026832	Actif	2006-09-29	2008-09-28	44	0	20652	Uranor Inc	100.00
24P06	CDC	2026833	Actif	2006-09-29	2008-09-28	44	0	20652	Uranor Inc	100.00
24P06	CDC	2026834	Actif	2006-09-29	2008-09-28	44	0	20652	Uranor Inc	100.00
24P06	CDC	2026835	Actif	2006-09-29	2008-09-28	44	0	20652	Uranor Inc	100.00
24P06	CDC	2026836	Actif	2006-09-29	2008-09-28	44	0	20652	Uranor Inc	100.00
24P06	CDC	2026837	Actif	2006-09-29	2008-09-28	43.99	0	20652	Uranor Inc	100.00
24P06	CDC	2026838	Actif	2006-09-29	2008-09-28	43.99	0	20652	Uranor Inc	100.00
24P06	CDC	2026839	Actif	2006-09-29	2008-09-28	43.99	0	20652	Uranor Inc	100.00
24P06	CDC	2026840	Actif	2006-09-29	2008-09-28	43.99	0	20652	Uranor Inc	100.00
24P06	CDC	2026841	Actif	2006-09-29	2008-09-28	43.98	0	20652	Uranor Inc	100.00
24P06	CDC	2026842	Actif	2006-09-29	2008-09-28	43.98	0	20652	Uranor Inc	100.00
24P06	CDC	2026843	Actif	2006-09-29	2008-09-28	43.98	0	20652	Uranor Inc	100.00
24P06	CDC	2026844	Actif	2006-09-29	2008-09-28	43.97	0	20652	Uranor Inc	100.00
24P06	CDC	2067367	Actif	2007-01-03	2009-03-18	43.93	0	20652	Uranor Inc	100.00
24P06	CDC	2067368	Actif	2007-01-03	2009-03-18	43.93	0	20652	Uranor Inc	100.00
24P06	CDC	2067369	Actif	2007-01-03	2009-03-18	43.93	0	20652	Uranor Inc	100.00
24P06	CDC	2067370	Actif	2007-01-03	2009-03-18	43.93	0	20652	Uranor Inc	100.00
24P06	CDC	2067634	Actif	2007-01-03	2009-03-18	43.94	0	20652	Uranor Inc	100.00
24P06	CDC	2067365	Actif	2007-01-03	2009-03-18	43.94	0	20652	Uranor Inc	100.00
24P06	CDC	2067366	Actif	2007-01-03	2009-03-18	43.94	0	20652	Uranor Inc	100.00
24P06	CDC	2067361	Actif	2007-01-03	2009-03-18	43.95	0	20652	Uranor Inc	100.00
24P06	CDC	2067362	Actif	2007-01-03	2009-03-18	43.95	0	20652	Uranor Inc	100.00
24P06	CDC	2067363	Actif	2007-01-03	2009-03-18	43.95	0	20652	Uranor Inc	100.00
24P06	CDC	2067359	Actif	2007-01-03	2009-03-18	43.96	0	20652	Uranor Inc	100.00
24P06	CDC	2067360	Actif	2007-01-03	2009-03-18	43.96	0	20652	Uranor Inc	100.00
24P06	224 titres en demandes			Date de la demande : 2007-03-07						
24P07	CDC	2067382	Actif	2007-01-03	2009-03-18	43.93	0	20652	Uranor Inc	100.00
24P07	CDC	2067383	Actif	2007-01-03	2009-03-18	43.93	0	20652	Uranor Inc	100.00
24P07	CDC	2067384	Actif	2007-01-03	2009-03-18	43.93	0	20652	Uranor Inc	100.00
24P07	CDC	2067376	Actif	2007-01-03	2009-03-18	43.94	0	20652	Uranor Inc	100.00
24P07	CDC	2067377	Actif	2007-01-03	2009-03-18	43.94	0	20652	Uranor Inc	100.00

Tableau 6.1 - Tableau descriptif des claims actifs et en demande d'Uranor Inc. du projet CAGE 2006

Feuillet	Type de titre	No titre	Statut du titre	Date d'inscription	Date d'expiration	Superficie (Ha)	Excédent ($)	No détenteur	Nom du détenteur	Pourcentage (%)
24P07	CDC	2067378	Actif	2007-01-03	2009-03-18	43.94	0	20652	Uranor Inc	100.00
24P07	CDC	2067379	Actif	2007-01-03	2009-03-18	43.94	0	20652	Uranor Inc	100.00
24P07	CDC	2067380	Actif	2007-01-03	2009-03-18	43.88	0	20652	Uranor Inc	100.00
24P07	CDC	2067381	Actif	2007-01-03	2009-03-18	28.62	0	20652	Uranor Inc	100.00
24P07	CDC	2067373	Actif	2007-01-03	2009-03-18	43.95	0	20652	Uranor Inc	100.00
24P07	CDC	2067374	Actif	2007-01-03	2009-03-18	43.95	0	20652	Uranor Inc	100.00
24P07	CDC	2067375	Actif	2007-01-03	2009-03-18	43.95	0	20652	Uranor Inc	100.00
24P07	CDC	2067385	Actif	2007-01-03	2009-03-18	37.38	0	20652	Uranor Inc	100.00
24P07	CDC	2067371	Actif	2007-01-03	2009-03-18	43.96	0	20652	Uranor Inc	100.00
24P07	CDC	2067372	Actif	2007-01-03	2009-03-18	43.96	0	20652	Uranor Inc	100.00
24P07	CDC	2067386	Actif	2007-01-03	2009-03-18	38.76	0	20652	Uranor Inc	100.00

114024-CA06-T01

Tableau 8.6.1 - Tableau synoptique des travaux statutaires - PROJET 114024

SNRC	NO RAP	COMPAGNIE	GÉOPHYSIQUE													GÉOCHIMIE						CARTO			FORAGE	ANALYSE					MINÉRA	STRUCTURE	ROCHE			REMARQUE
			AÉRIEN						SOL																											
			MG	EM	VLF	RÉSIS	SP	GV	MG	EM	RÉSIS	SP	SCINT	GV	EAU	HM	SL	SR	SO	LT	PR	DÉ	RÉ		Au/Ag	Cu/Ni/Co	Cu/Zn/Pb	PGE	U/Th			IGNEE	SÉDI	MÉTA	
24I/01	RG2000-02	MRN																					X												
	GM58346	VIRGINIA 1998	X	X																					X							UM			
24I/02	GM58346	VIRGINIA 1998	X	X																					X							UM			
	GM56597	VIRGINIA 1999	X	X																	X				X							UM			
24I/03	GM56597	VIRGINIA 1998	X	X																	X				X							UM			
	GM58331	NORANDA 1998																			X				X		X			Gp,Py,Po,Cp	Cisaillement	Andé	Détri	Gneiss	
24I/04		NIL																																	
24I/05	GM58331	NORANDA 1998																			X				X		X			Gp,Py,Po,Cp	Cisaillement	Andé	Détri	Gneiss	
24I/06	GM60310	CAMBIOR 1999																			X					X						UM			Abandon
24I/07		VIRGINIA 1998	X	X			X														X				X	X				Gp,Po		Ma/Fel	Méta		Abandon, anomalies Gp
24I/08	RG2000-02	MRN																					X												
24I/09																																			
24I/10																																			
24I/11																																			
24I/12	GM60310	CAMBIOR 1999																			X					X						UM			Abandon
24I/13																																			
24I/14																																			
24I/15		VIRGINIA 1998	X	X																	X					X						UM			
	RG99-08	MRN																					X												
24I/16																																			
24P01																																			
24P02	GM58452	FO. EXP. NUNAVIX 01																X	X		X									DIAMANT					
	GM59271	DUMONT NI 2000																			X									DIAMANT					
	GM59273	TOWER HILL2000	X																											DIAMANT					1 PICRO ILMÉNITE
	GM58329	FALCONB 1998															X	X							X					MET. BASES		MAF			
24P03	GM58349	TOWER HILL2000	X														X	X			X									DIAMANT		D. KIM			CONCENTRATIONS MINÉRAUX LOURDS
	GM58437	BAND-ORE 2000																												DIAMANT					
24P03	GM58329	FALCONB 1998	X	X																					X					MET. BASES		MAF			
	DP2000-04	MRN 2000	X														X	X																	COMPILATION DES LEVES AÉRIEN
24P04	GM59273	TOWER HILL2000																												DIAMANT					
	GM58329	FALCONB 1998	X																						X					MET. BASES		MAF			
24P05	GM59273	TOWER HILL2000																X	X											DIAMANT					
24P06	GM60769	TWIN MIN. 2002																			X									DIAMANT					CONCENTRATIONS MINÉRAUX LOURDS
	GM58451	FO. EXP. NUNAVIX 01	X	X																	X									DIAMANT					CONCENTRATIONS MINÉRAUX LOURDS
	GM58115	TWIN MIN. 2000																		X										DIAMANT					
	GM58252	CARIBGOLD 2000																			X									DIAMANT					CONCENTRATIONS MINÉRAUX LOURDS
	GM58270	DUMONT NI 2000																			X									DIAMANT		UM			NORMES
	GM58349	TOWER HILL2000	X																		X									DIAMANT		D. KIM			CONCENTRATIONS MINÉRAUX LOURDS
	GM58437	BAND-ORE 2000																												DIAMANT					
	GM58749	TWIN MIN. 2000																		X	X									DIAMANT					
	GM58750	TWIN MIN. 2000							X																					DIAMANT					
	GM59209	TWIN MIN. 2000																												DIAMANT		D. KIM			BULK SAMPLING 10 TONNES
	GM59271	DUMONT NI 2000																			X									DIAMANT					
	GM59272	BAND-ORE 2000	X														X	X												DIAMANT					ÉVALUATION TECHNIQUE
	GM59273	TOWER HILL2000																												DIAMANT					
	GM58329	FALCONB 1998																							X					MET. BASES		MAF			
	GM55257	170364 CDN 1997	X	X														X	X			X			X	X						MAF			MULTI ÉLÉMENTS ET NORMES
	DP2000-04	MRN 2000																																	COMPILATION DES LEVES AÉRIEN
24P07	GM60874	FREDEBER 2003							X																					DIAMANT		D. KIM			CONCENTRATIONS MINÉRAUX LOURDS
	GM60875	FREDEBER 2003																X	X											DIAMANT					ANALYSES MINÉRAUX INDICATEURS
	GM60876	FREDEBER 2003																X	X											PICROILMÉN					
	GM59665	DIAMOND DISC. 02																X	X											DIAMANT					CONCENTRATIONS MINÉRAUX LOURDS
	GM60871	FREDEBER 2002							X																					DIAMANT					CONCENTRATIONS MINÉRAUX LOURDS
	GM60872	FREDEBER 2002							X										X											DIAMANT					CONCENTRATIONS MINÉRAUX LOURDS
	GM60877	FREDEBER 2002																												DIAMANT					ANALYSES MINÉRAUX INDICATEURS
	GM59139	FREDEBER 2001																												DIAMANT					CONCENTRATIONS MINÉRAUX LOURDS
24P07	GM59140	FREDEBER 2001																	X											DIAMANT					CONCENTRATIONS MINÉRAUX LOURDS
	GM59141	FREDEBER 2001																												DIAMANT					CONCENTRATIONS MINÉRAUX LOURDS
	GM59142	FREDEBER 2001	X						X										X											DIAMANT		D.KIM			CONCENTRATIONS MINÉRAUX LOURDS
24P07	GM59486	DIAMOND DISC. 01																												DIAMANT					CONCENTRATIONS MINÉRAUX LOURDS
	GM60873	FREDEBER 2001																X	X											DIAMANT					CONCENTRATIONS MINÉRAUX LOURDS
	GM58115	TWIN GOLD 2000	X	X																															
	GM58270	DUMONT NICKEL 00																		X										DIAMANT		UM			MULTI ÉLÉMENTS ET NORMES

705544

Tableau 8.6.1 - Tableau synoptique des travaux statutaires - PROJET 114024

SNRC	NO RAP	COMPAGNIE	GÉOPHYSIQUE															GÉOCHIMIE						CARTO			FORAGE	ANALYSE					MINÉRA	STRUCTURE	ROCHE			REMARQUE
	GM58349	INT. TOWER HILL 00																				X											DIAMANT		D.KIM			8 DYKES DE KIMBERLITES
	GM58749	TWIN GOLD 2000																					X										DIAMANT					
	GM58931	FREDEBER 2000	X																																			
	GM59271	DUMONT NICKEL 00																					X										DIAMANT					
	GM59273	INT. TOWER HILL 00	X																																			
	GM59138	FREDEBER 1999																					X										DIAMANT					
	GM58329	FALCONBRIDGE 98																	X	X												X						MULTI ÉLÉMENTS
24P08	GM59661	DIAMOND DISC. 02																		X	X											DIAMANT					CONCENTRATIONS MINÉRAUX LOURDS
	GM59666	DIAMOND DISC 02																		X	X		X									DIAMANT					ANALYSES MINÉRAUX INDICATEURS
	GM59139	FREDEBER 2001																			X											DIAMANT					CONCENTRATIONS MINÉRAUX LOURDS
	GM59140	FREDEBER 2001																			X											DIAMANT					CONCENTRATIONS MINÉRAUX LOURDS
	GM59141	FREDEBER 2001																														DIAMANT					ANALYSES MINÉRAUX INDICATEURS
	GM59142	FREDEBER 2001	X																		X											DIAMANT		D.KIM			CONCENTRATIONS MINÉRAUX LOURDS
	GM59138	FREDEBER 1999																					X									DIAMANT					
24P09	GM59142	FREDEBER 2001	X																		X											DIAMANT		D.KIM			CONCENTRATIONS MINÉRAUX LOURDS
24P10	GM59661	DIAMOND DISC. 02																		X	X											DIAMANT					CONCENTRATIONS MINÉRAUX LOURDS
	GM59663	AYREX RESSO. 2002																		X	X											DIAMANT					CONCENTRATIONS MINÉRAUX LOURDS
	GM59664	DIAMOND DISC. 02																		X	X											DIAMANT					ANALYSES MINÉRAUX INDICATEURS
	GM60980	INT. TOWER HILL 02	X																																			
	GM59174	INT. TOWER HILL 01																														DIAMANT		D.KIM			CONCENTRATIONS MINÉRAUX LOURDS
	GM59416	AYREX RESSO. 01																		X	X		X									DIAMANT					CONCENTRATIONS MINÉRAUX LOURDS
	GM59486	DIAMOND DISC. 01																					X															CONCENTRATIONS MINÉRAUX LOURDS
	GM58115	TWIN GOLD 2000	X	X																																		
	GM58749	TWIN GOLD 2000																					X									DIAMANT					
24P11	GM59485	DIAMAON DISC.02																		X	X	X										DIAMANT		BLOCS			CONCENTRATIONS MINÉRAUX LOURDS
	GM60769	TWIN MIN. 2002																					X									DIAMANT					CONCENTRATIONS MINÉRAUX LOURDS
	GM59661	DIAMOND DISC. 02																		X	X											DIAMANT					CONCENTRATIONS MINÉRAUX LOURDS
	GM59662	DIAMOND DISC.02																		X	X		X									DIAMANT					ANALYSES MINÉ INDICATEURS
24P11	GM59663	AYREX RESSO. 2002																		X	X											DIAMANT					CONCENTRATIONS MINÉRAUX LOURDS
	GM60980	INT. TOWER HILL 02	X																																			
	GM59139	FREDEBER 2001																			X											DIAMANT					CONCENTRATIONS MINÉRAUX LOURDS
	GM59140	FREDEBER 2001																			X											DIAMANT					CONCENTRATIONS MINÉRAUX LOURDS
	GM59141	FREDEBER 2001																														DIAMANT					ANALYSES MINÉRAUX INDICATEURS
	GM59142	FREDEBER 2001	X																		X											DIAMANT		D.KIM			CONCENTRATIONS MINÉRAUX LOURDS
	GM59174	INT. TOWER HILL 01																														DIAMANT		D.KIM			CONCENTRATIONS MINÉRAUX LOURDS
	GM59416	AYREX RESSO. 01																		X	X		X									DIAMANT					CONCENTRATIONS MINÉRAUX LOURDS
	GM59486	DIAMOND DISC. 01																					X															CONCENTRATIONS MINÉRAUX LOURDS
	GM58115	TWIN GOLD 2000	X	X																																		
	GM58252	CARIBGOLD 2000																					X									DIAMANT					CONCENTRATIONS MINÉRAUX LOURDS
	GM58349	INT. TOWER HILL 00																				X										DIAMANT		D.KIM			8 DYKES DE KIMBERLITES
	GM58749	TWIN GOLD 2000																					X									DIAMANT					
	GM58931	FREDEBER 2000	X																																			
	GM59272	BAND-ORE 2000																														DIAMANT					ÉVALUATION TECHNIQUE
	GM59273	INT. TOWER HILL 00	X																																			
	GM59138	FREDEBER 1999																					X									DIAMANT					
	GM56596	CAMBIOR/VI/SO 98																					X									X		MÉTAUX					PROSPEC. A PARTIR CONDUCTEUR
	GM56597	CAMBIOR/VI/SO 98																					X									X		MÉTAUX		MAF			FAIBLE POTENTIEL
	GM58329	FALCONBRIDGE 98																	X	X												X						MULTI ÉLÉMENTS
	GM58346	CAMBIOR/VI/SO 98	X	X																	X	X										X		MÉTAUX					MULTI ÉLÉMENTS
	GM55257	170364 CDN 1997																					X									X	X			MAF			MULTI ÉLÉMENTS ET NORMES
	DP2000-04	MRN 2000	X	X																																		COMPILATION DES LEVES AÉRIEN
24P12																																						
24P13																																						
24P14	GM59273	INT. TOWER HILL 00	X																																			
24P14	GM59273																																					
	GM56596	CAMBIOR/VI/SO 98																					X									X		MÉTAUX					PROSPEC. A PARTIR CONDUCTEUR
	GM56597	CAMBIOR/VI/SO 98																					X									X		MÉTAUX		MAF			FAIBLE POTENTIEL
	GM58346	CAMBIOR/VI/SO 98	X	X																	X	X										X		MÉTAUX					MULTI ÉLÉMENTS
	DP2000-04	MRN 2000	X	X																																		COMPILATION DES LEVES AÉRIEN
24P15																																						
24P16																																						

114024-CA06-T03

705544

Tableau 9.3.2.1 - Analyses lithogéochimiques des échantillons choisis et de rainurage classées par unités lithologiques

No Échantillon	Lithologie	TiO_2	Al_2O_3	Fe_2O_3	FeO	MnO	MgO	CaO	Na_2O	K_2O	P_2O_5
Marbre et roche calco-silicatée dans rainurage											
CA06-T-01-01	MD	0.02	0.45	0.50	0.45	0.03	23.50	29.00	0.05	0.24	0.03
CA06-T-01-02	MD	0.02	0.75	0.79	0.71	0.04	17.00	28.70	0.18	0.26	0.03
CA06-T-01-03	M	0.04	1.40	0.43	0.39	0.04	13.20	31.30	0.30	0.25	0.07
CA06-T-01-04	MD	0.01	0.41	0.37	0.33	0.03	23.60	29.30	0.04	0.19	0.02
CA06-T-02-01	MD	0.02	0.69	0.48	0.43	0.04	17.80	34.70	0.11	0.24	0.03
CA06-T-02-02	M	0.04	1.08	0.57	0.51	0.03	20.50	27.70	0.14	0.39	0.02
CA06-T-02-03	MD	0.03	0.76	0.34	0.31	0.03	23.30	29.40	0.11	0.27	0.05
CA06-T-02-04	MD	0.03	0.85	0.42	0.38	0.04	21.70	29.10	0.08	0.35	0.02
CA06-T-02-05	MD	0.03	0.63	0.39	0.35	0.03	22.50	28.20	0.05	0.26	0.03
CA06-T-02-06	MD	0.02	0.60	0.44	0.40	0.03	22.40	29.30	0.07	0.20	0.03
CA06-T-02-07	MD	0.02	0.49	0.36	0.32	0.03	22.40	29.00	0.03	0.19	0.05
CA06-T-03-01	MD	0.02	0.49	0.41	0.37	0.03	23.50	29.50	0.05	0.21	0.01
CA06-T-03-02	MD	0.02	0.42	0.44	0.40	0.03	18.50	21.80	0.19	0.01	0.01
CA06-T-03-03	MD	0.02	0.53	0.38	0.34	0.03	23.20	28.80	0.05	0.23	0.02
CA06-T-03-04	MD	0.02	0.61	0.48	0.43	0.04	20.70	28.00	0.09	0.18	0.03
CA06-T-04-01	MD	0.01	0.31	0.30	0.27	0.03	20.50	30.00	0.02	0.13	0.04
CA06-T-04-02	MD	0.01	0.28	0.28	0.25	0.03	22.30	28.90	0.03	0.19	0.04
CA06-T-04-03	MD	0.01	0.31	0.20	0.18	0.03	21.00	30.80	0.01	0.24	0.03
CA06-T-05-01	M	0.04	1.07	1.05	0.94	0.04	17.60	21.50	0.41	0.09	0.02
CA06-T-05-02	MD	0.02	0.59	0.54	0.49	0.04	22.30	30.60	0.04	0.30	0.03
CA06-T-05-03	MD	0.02	0.38	0.52	0.47	0.04	22.10	27.00	0.07	0.09	0.03
CA06-T-06-01	R. CS	0.14	3.53	1.24	1.12	0.06	18.40	24.70	0.17	2.20	0.05
CA06-T-06-02	R. CS	0.13	3.10	1.24	1.12	0.05	13.80	18.40	0.32	1.34	0.05
CA06-T-06-05	R. CS	0.12	2.94	1.12	1.01	0.07	20.30	26.70	0.13	1.92	0.05
CA06-T-06-06	R. CS	0.09	2.36	0.90	0.81	0.05	20.60	26.50	0.22	1.19	0.02
CA06-T-06-07	M	0.05	1.33	0.78	0.70	0.06	19.30	29.10	0.15	0.70	0.02
CA06-T-06-08	M	0.05	1.25	0.76	0.68	0.05	15.20	27.60	0.17	0.59	0.01
Marbre et roche calco-silicatée de la zone indicielle Cage (affleurement)											
CA06-1004-08A	R. CS	0.08	2.36	0.59	0.53	0.05	16.00	26.50	0.45	0.48	0.03
CA06-1004-08B	R. CS	0.10	2.50	1.43	1.29	0.06	18.80	23.60	0.22	1.05	0.04
CA06-1013-05	R. CS	0.13	3.00	1.05	0.94	0.02	15.40	18.70	0.11	2.08	0.10
CA06-1014-05	R. CS	0.13	3.11	1.20	1.08	0.05	21.40	25.20	0.05	1.75	0.04
CA06-1006-03A	R. CS	0.26	4.23	3.62	3.26	0.07	20.10	18.30	0.14	2.04	0.00
CA06-1024-33	R. CS	0.38	8.07	2.53	2.28	0.04	17.00	16.70	2.52	1.85	0.11
CA06-1032-01	R. CS	0.20	5.45	1.40	1.26	0.03	17.40	17.90	0.30	2.42	0.16
CA06-1036-02	R. CS	0.23	7.70	3.77	3.39	0.05	13.50	19.90	1.21	1.16	0.07
CA06-1006-03B	R. CS	0.30	6.10	2.73	2.46	0.07	18.70	17.00	0.15	2.46	<0,002
CA06-1029-10	R. CS	0.18	4.63	4.30	3.87	0.19	18.80	18.80	0.26	1.72	0.06
CA06-1005-07	SC	0.03	1.15	0.56	0.50	0.04	21.20	25.90	0.14	0.31	0.01
CA06-1000-00	MD	0.02	0.87	0.49	0.44	0.04	20.90	30.40	0.07	0.46	0.02
CA06-1003-20	MD	0.06	1.39	0.93	0.84	0.06	20.50	28.80	0.12	0.88	0.03
CA06-1002-05	MD	0.01	0.29	0.98	0.88	0.07	25.10	30.20	0.02	0.25	0.07
CA06-1032-06	MO	0.05	0.96	1.35	1.21	0.05	23.80	29.80	0.03	0.74	0.02
CA06-1020-07	MO	0.17	3.82	1.18	1.06	0.04	21.60	22.70	0.21	2.08	0.04
CA06-1036-04	MO	0.12	2.90	3.22	2.90	0.07	17.90	28.90	0.33	1.41	0.05
Marbre et roche calco-silicatée de la zone régionale											
CG06-2006-16	D	0.06	18.80	1.19	1.07	0.04	9.41	22.20	0.72	0.24	0.26
CG-06-45-12	D	0.04	17.10	0.99	0.89	0.04	8.30	24.70	0.32	0.35	4.92
CG06-80-07	D	0.02	26.70	0.66	0.59	0.04	4.25	20.30	0.94	0.80	0.18
CG06-57-10A	R. CS	0.07	3.12	1.89	1.70	0.05	18.90	26.10	0.06	2.34	0.04
CG06-57-10B	R. CS	0.19	2.85	1.97	1.77	0.05	19.50	24.50	0.06	2.13	0.04
CG06-65-07A	R. CS	0.11	3.56	2.57	2.31	0.04	18.30	24.30	0.18	2.06	0.05
CG06-57-10B	R. CS	0.08	3.01	1.98	1.78	0.05	18.00	26.90	0.05	2.34	0.05
CG-06-17-16A	R. CS	0.06	1.09	4.23	3.81	0.12	18.60	22.40	0.16	0.06	0.00
CG06-07-03	R. CS	0.20	9.93	2.25	2.02	0.03	11.10	22.10	1.92	0.56	0.13
CG06-2003-04	R. CS	0.11	7.93	2.32	2.09	0.08	13.70	20.80	0.33	0.75	0.03
CG06-17-16A	R. CS	0.05	5.15	4.36	3.92	0.12	15.10	17.90	0.87	0.42	0.01
CG-06-36-06	R. CS	0.09	6.41	2.63	2.37	0.08	12.10	24.60	1.79	0.39	6.64
CG06-17-09A'''	R. CS	0.07	1.64	5.67	5.10	0.14	17.00	21.70	0.39	0.09	0.00
CG06-79-02B	M	0.06	0.58	3.94	3.55	0.07	18.10	24.30	0.16	0.04	0.01
Pegmatite associée à du paragneiss											
CG06-01-02B	PG	0.26	14.40	2.59	2.33	0.02	2.56	1.18	2.14	5.50	0.09
CG06-2002-11	PG	0.43	15.20	5.39	4.85	0.07	2.70	5.75	7.04	0.95	0.23
GG06-84-11	PG	0.61	13.40	6.13	5.52	0.10	1.97	0.94	1.92	4.75	0.16
CG06-91-04	PG	1.22	7.69	9.10	8.19	0.12	2.90	0.68	0.29	3.69	0.41
CG06-85-13	PG	0.39	9.75	4.26	3.83	0.02	1.32	1.33	1.93	2.47	0.06
CG06-25-18	PG	0.87	13.30	7.35	6.61	0.12	2.80	7.79	2.33	6.26	5.68
CG06-01-01	PG	0.29	14.00	4.67	4.20	0.02	1.80	2.52	3.21	2.64	0.05
CG06-87-18A	PG	0.12	13.30	5.51	4.96	0.01	0.16	3.39	4.14	1.94	0.23
CG06-2009-19	PG	0.89	12.30	5.94	5.34	0.07	2.14	1.63	2.03	4.62	3.22
CG06-18-04	PG	0.11	12.60	0.88	0.79	0.01	0.32	2.41	3.66	1.27	0.06
CG06-88-12	PG	0.16	12.90	1.64	1.48	0.01	0.74	2.11	4.17	1.36	0.54
CG06-87-18B	PG	0.06	14.50	1.54	1.39	0.01	0.25	4.86	5.25	0.87	0.43
CG06-13-18	PG	0.06	11.40	0.67	0.60	0.01	0.20	0.23	1.37	7.37	0.11
CG06-05-05	PG	1.47	9.18	3.10	2.79	0.10	0.49	3.10	3.86	2.25	0.02
CG06-91-03	PG	0.26	2.13	2.28	2.05	0.03	0.58	0.12	0.10	1.33	0.08
CG06-07-11-A6	PG	1.76	2.40	2.49	2.24	0.09	0.31	2.61	0.25	1.73	0.01

No Échantillon	U*	Th	Li	Be	Sr	Ba	V*	Cr	Co*	Ni*	Cu*	Zn*	Ga*	As*	Y	Hf	Zr
Marbre et roche calco-silicatée dans rainurage																	
CA06-T-01-01	19	1	4	<0,2	155	10900	10	21	1.3	5.1	12.1	20.1	<1	3.2	3	<0,5	5
CA06-T-01-02	5520	6	36	1.0	151	3590	228	36	5.4	10.9	328	408	<1	331	16	<0,5	3
CA06-T-01-03	93	1	11	0.6	423	24000	19	17	0.9	5.5	45.3	66.9	2	15	3	<0,5	17
CA06-T-01-04	30	1	5	<0,2	178	12600	16	10	0.5	7.2	8.9	25.6	2	5	3	<0,5	5
CA06-T-02-01	24	1	6	<0,2	204	8350	12	17	0.8	7.2	21.9	16.2	3	6.3	4	<0,5	7
CA06-T-02-02	96	1	11	<0,2	219	13000	8	24	0.9	6.3	33.6	13.7	3	10.7	5	<0,5	15
CA06-T-02-03	27	1	6	0.3	154	10800	7	12	0.8	5	9.8	75.6	2	2.8	3	<0,5	9
CA06-T-02-04	27	1	7	<0,2	209	10500	6	17	1	6.3	17.1	28.7	2	4.6	4	<0,5	16
CA06-T-02-05	24	1	7	<0,2	205	12300	4	11	1.1	6.5	7.4	21.3	2	3.7	3	<0,5	8
CA06-T-02-06	29	1	5	<0,2	219	12400	4	16	1	6.4	14.9	30.4	<1	4.2	4	<0,5	10
CA06-T-02-07	53	1	6	<0,2	198	9900	16	24	1	7.2	13.8	1120	<1	4.2	3	<0,5	6
CA06-T-03-01	17	1	4	<0,2	195	8860	3	13	0.6	5.5	22.1	24.5	2	9.2	3	<0,5	8
CA06-T-03-02	5	1	28	<0,2	51	7230	1	28	0.1	2.8	1	26.2	2	2.6	2	<0,5	6
CA06-T-03-03	29	1	6	<0,2	192	11700	19	14	0.7	6.5	9	31.4	2	5	3	<0,5	7
CA06-T-03-04	18	1	9	<0,2	204	21600	7	16	1.1	4.6	18.4	22	2	4.6	4	<0,5	8
CA06-T-04-01	24	1	4	<0,2	158	8320	7	12	0.8	5.7	10.7	608	2	5.8	3	<0,5	4
CA06-T-04-02	1310	1	10	0.3	187	9810	160	7	1	6	7.5	530	<1	4.2	9	<0,5	3
CA06-T-04-03	28	1	3	<0,2	137	7110	6	12	0.5	4.9	10.9	1350	<1	5.6	3	<0,5	2
CA06-T-05-01	9	1	45	0.6	39	1190	10	44	2.3	3.4	9	27.2	4	8.7	3	<0,5	17
CA06-T-05-02	118	1	6	<0,2	205	12600	38	16	1.9	7.2	24.4	690	2	6.4	4	<0,5	9
CA06-T-05-03	22	1	15	<0,2	200	14700	12	17	1.1	6.6	18.6	1170	2	5.9	2	<0,5	4
CA06-T-06-01	3850	4	92	1.4	100	5300	392	19	4.7	9.2	30.6	1310	<1	7.8	7	<0,5	21
CA06-T-06-02	3690	13	106	2.4	74	4480	358	92	3.7	6.8	27.6	499	<1	11.3	6	<0,5	34
CA06-T-06-05	68	2	39	0.6	183	9190	47	25	1.6	8.5	11.9	115	5	9.5	7	<0,5	25
CA06-T-06-06	20	1	25	0.5	248	7860	13	31	0.9	6.3	9.2	39.5	4	6.6	5	<0,5	21
CA06-T-06-07	62	1	12	0.4	228	4480	80	28	1.7	8.7	66.3	40.2	3	58.7	4	<0,5	9
CA06-T-06-08	161	1	12	0.4	685	25600	57	88	3.4	8.9	91.2	2370	<1	89.7	6	<0,5	14
Marbre et roche calco-silicatée de la zone indicielle Cage (affleurement)																	
CA06-1004-08A	3530	4	11	2.3	215	2290	1800	32	1.5	15.8	135	40.9	<1	200	12	<0,5	5
CA06-1004-08B	974	5	116	1.5	74	3300	122	21	1.3	4.3	7.7	106	<1	6.1	6	<0,5	19
CA06-1013-05	13000	32	70	0.4	219	4880	1	90	0.3	13.2	<0,1	0.2	<1	8.4	660	<0,5	29
CA06-1014-05	5730	53	33	0.8	56	166	2	33	0.9	6	<0,1	2.1	<1	1.6	33	<0,5	22
CA06-1006-03A	1020	341	88	3.2	16	3370	<0,1	91	0.1	2.9	24.5	36.8	<1	28.2	16	<0,5	38
CA06-1024-33	1770	10	150	2.1	61	683	145	54	3.6	12.5	12.2	10.9	2	0.4	18	<0,5	111
CA06-1032-01	18500	18	115	1.5	254	13400	0	82	1.8	11.8	0.2	2.1	<1	16.2	876	<0,5	49
CA06-1036-02	3290	19	114	3.4	99	1350	185	64	13.6	25.3	13.7	6.7	<1	9.5	47	<0,5	129
CA06-1006-03B	4130	794	108	3.3	53	3350	<0,1	68	<0,1	1	<0,1	28.9	<1	22.9	31	<0,5	73
CA06-1029-10	5640	24	229	1.5	111	2530	108	79	11.1	24	69.7	8.8	<1	3.6	43	<0,5	56
CA06-1005-07	5410	2	9	0.9	313	12700	532	6	4	23.9	137	18.9	<1	33.1	20	<0,5	4
CA06-1000-00	3880	2	19	0.6	161	2260	324	11	2.4	8	17.1	23.1	<1	11.2	12	<0,5	5
CA06-1003-20	1040	5	26	0.5	77	1540	381	23	3.1	11.7	41.5	1050	<1	4.6	10	<0,5	8
CA06-1002-05	16	1	<1	<0,2	32	389	2	13	0.2	5.4	<0,1	30.9	<1	3.5	3	<0,5	3
CA06-1032-06	519	9	30	<0,2	158	1720	23	35	5.1	12	<0,1	15.7	<1	12.7	12	<0,5	17
CA06-1020-07	1640	21	57	0.8	79	7280	42	35	1.8	10.6	<0,1	5.8	<1	7.4	10	<0,5	29
CA06-1036-04	159	3	8	1.3	40	282	965	9	7.5	24	35.5	44.2	7	92.8	8	<0,5	15
Marbre et roche calco-silicatée de la zone régionale																	
CG06-2006-16	349	885	12	4.2	165	46	1	54	0.5	2.3	<0,1	0.6	17	0.3	11	<0,5	34
CG-06-45-12	8300	906	24	3.8	107	67	<0,1	48	0.1	4.6	<0,1	1.4	<1	5.8	162	<0,5	26
CG06-80-07	17	1	17	8.8	290	1070	0	70	0.2	3.5	1.6	17.4	29	3.7	5	<0,5	30
CG06-57-10A	3150	12	13	0.6	46	196	37	22	2.9	8.3	<0,1	24	<1	8.8	37	<0,5	46
CG06-57-10B	3560	23	7	0.8	49	160	66	36	7.8	15.3	344	299	<1	9.9	52	<0,5	68
CG06-65-07A	2350	5	23	1.1	68	870	132	39	9	11.8	25.1	94.6	<1	6.7	20	<0,5	55
CG06-57-10B	5390	15	9	0.5	50	164	37	32	3	7.1	<0,1	21.8	<1	11.2	69	<0,5	50
CG-06-17-16A	2390	366	28	1.2	8	48	<0,1	35	2.1	1.1	8.5	4.1	<1	3.7	33	<0,5	17
CG06-07-03	464	109	53	2.4	99	26	1	74	0.3	4.5	<0,1	0.1	11	1	5	<0,5	186
CG06-2003-04	25300	1310	38	1.9	68	237	<0,1	52	0.2	3.1	88.7	1.9	<1	<0,2	112	<0,5	44
CG06-17-16A	351	78	27	3.3	44	265	<0,1	44	0.6	1.7	2.6	2.7	6	2	22	<0,5	43
CG-06-36-06	46	47	9	2.7	86	100	<0,1	56	0.3	4.3	0.4	2.9	<1	4.8	105	<0,5	8
CG06-17-09A'''	1080	166	27	1.6	14	44	<0,1	73	0.6	1.2	<0,1	21	<1	2.7	15	<0,5	8
CG06-79-02B	4840	278	55	0.3	6	39	<0,1	33	0.3	2.6	<0,1	11.2	<1	1.5	24	<0,5	27
Pegmatite associée à du paragneiss																	
CG06-01-02B	3	13	49	1.4	65	626	134	250	0.8	6	5.1	8.9	21	1.7	11	4.7	176
CG06-2002-11	59	595	38	4.3	145	504	19	130	4.5	16.3	109	15.9	31	1.3	28	5.6	187
GG06-84-11	11	268	26	0.4	123	1220	86	191	3.5	10.2	14.1	58.3	23	1.7	45	5.9	220
CG06-91-04	11700	1400	106	0.8	16	181	63	154	5.7	6.1	<0,1	97.5	<1	5	200	<0,5	327
CG06-85-13	11	198	24	0.6	106	310	131	235	0.8	5.7	8.1	62.8	18	0.4	11	11.9	446
CG06-25-18	1670	180	95	0.5	179	818	75	100	8.6	15	<0,1	124	16	<0,2	361	<0,5	457
CG06-01-01	117	39	55	5.0	57	157	92	192	6.9	23.9	23.3	35.7	27	2.1	21	23.6	883
CG06-87-18A	677	4040	26	9.4	119	248	11	121	6.3	12	<0,1	22	22	<0,2	42	431	14700
CG06-2009-19	5350	243	60	1.1	129	841	79	209	5.3	15.9	3	71	<1	<0,2	663	<0,5	281
CG06-18-04	3	34	17	1.6	177	98	10	182	1.1	4	1.2	13	17	<0,2	5	7.8	288
CG06-88-12	85	1740	18	1.6	127	120	63	191	1	5.2	<0,1	31.9	37	<0,2	72	31.2	1180
CG06-87-18B	225	1250	14	23.0	138	58	2	164	1.6	5.1	<0,1	8	37	1.2	49	182	5500
CG06-13-18	827	230	19	0.3	113	777	2	177	1	2.2	<0,1	9.8	7	0.4	80	22.6	1270
CG06-05-05	1820	5580	6	18.5	55	169	15	122	0.1	4.1	326	8.2	19	<0,2	405	26.8	1800
CG06-91-03	162	245	22	<0,2	10	83	16	233	1.3	4.7	<0,1	30.6	<1	1.1	13	1	148
CG06-07-11-A6	243	1960	3	15.3	28	27	3	327	0.1	4.3	<0,1	5.5	16	<0,2	277	14.7	431

No Échantillon	Mo*	Au	Ag*	Pb*	Bi*	La	Ce	Pr	Nd	Sm	Eu	Gd	Tb	Dy	Ho	Er	Yb
Marbre et roche calco-silicatée dans rainurage																	
CA06-T-01-01	2.8	5	<0,1	314	1.5	10	4	<1	<1	<0,5	<0,2	<0,5	0.8	0.7	<0,4	<0,2	0.2
CA06-T-01-02	9.7	180	0.2	11300	3.3	<1	10	4	18	<0,5	0.7	<0,5	0.3	1.7	<0,4	<0,2	0.8
CA06-T-01-03	3.3	8	<0,1	212	1	10	7	<1	<1	<0,5	<0,2	<0,5	0.6	0.9	<0,4	<0,2	0.2
CA06-T-01-04	21	7	<0,1	517	0.8	8	3	<1	<1	<0,5	<0,2	<0,5	0.6	0.9	<0,4	<0,2	0.2
CA06-T-02-01	5.7	5	<0,1	233	1.6	13	9	<1	<1	<0,5	<0,2	<0,5	1.1	1	<0,4	<0,2	0.3
CA06-T-02-02	8.3	11	<0,1	1380	1.3	11	6	<1	<1	<0,5	<0,2	<0,5	0.6	1.2	<0,4	0.3	0.4
CA06-T-02-03	10.5	7	<0,1	987	1.6	10	3	<1	<1	<0,5	<0,2	<0,5	0.7	0.8	<0,4	<0,2	0.2
CA06-T-02-04	2.4	5864	2.3	1080	1.2	13	6	<1	<1	<0,5	<0,2	<0,5	0.5	1.1	<0,4	0.4	0.3
CA06-T-02-05	3	2	<0,1	359	1.5	13	3	<1	<1	<0,5	<0,2	<0,5	0.6	0.8	<0,4	<0,2	0.3
CA06-T-02-06	1.4	29	<0,1	360	1.3	13	5	<1	<1	<0,5	<0,2	<0,5	<0,3	1	<0,4	<0,2	0.2
CA06-T-02-07	8.9	10	1.6	498	1.3	13	4	<1	<1	<0,5	<0,2	<0,5	0.7	0.9	<0,4	<0,2	0.2
CA06-T-03-01	2.1	7	<0,1	225	1.8	12	3	<1	<1	<0,5	<0,2	<0,5	0.6	0.7	<0,4	<0,2	0.2
CA06-T-03-02	1.3	13	<0,1	14	0.5	8	1	<1	<1	<0,5	<0,2	<0,5	0.6	0.6	<0,4	<0,2	0.2
CA06-T-03-03	3.3	<2	0.2	720	1.9	11	4	<1	<1	<0,5	<0,2	<0,5	0.7	0.8	<0,4	0.3	0.2
CA06-T-03-04	1.8	9	<0,1	105	1	9	5	<1	<1	<0,5	<0,2	<0,5	0.4	0.9	<0,4	0.3	0.3
CA06-T-04-01	1.9	16	<0,1	137	1.4	8	2	<1	<1	<0,5	<0,2	<0,5	0.6	0.7	<0,4	<0,2	0.2
CA06-T-04-02	12.7	<2	1.8	1030	1.5	4	4	<1	5	<0,5	0.3	<0,5	<0,3	1.7	<0,4	<0,2	0.3
CA06-T-04-03	11.3	7	<0,1	273	1.4	9	1	<1	<1	<0,5	<0,2	<0,5	0.6	0.7	<0,4	<0,2	0.1
CA06-T-05-01	1.3	3	0.4	200	0.3	8	1	<1	<1	<0,5	<0,2	<0,5	0.8	0.7	<0,4	<0,2	0.3
CA06-T-05-02	3.4	18	<0,1	590	1.5	11	6	<1	<1	<0,5	<0,2	<0,5	0.6	1	<0,4	<0,2	0.2
CA06-T-05-03	2.2	9	<0,1	365	1.3	11	2	<1	<1	<0,5	<0,2	<0,5	0.4	0.7	<0,4	<0,2	0.2
CA06-T-06-01	127	38	4.7	3860	7.7	<1	21	4	12	<0,5	0.4	<0,5	<0,3	1	<0,4	<0,2	0.8
CA06-T-06-02	160	24	2.5	2370	3.9	3	29	4	15	<0,5	0.4	<0,5	<0,3	0.8	<0,4	<0,2	0.9
CA06-T-06-05	17.4	17	1.7	430	2.1	22	26	2	7	<0,5	0.3	1.1	0.6	1.7	<0,4	0.6	0.7
CA06-T-06-06	3.8	5	<0,1	101	1.4	14	13	<1	3	<0,5	<0,2	0.7	0.7	1.3	<0,4	0.5	0.5
CA06-T-06-07	46.5	46	0.2	2700	1.2	16	15	<1	3	<0,5	<0,2	0.7	1.1	1.2	<0,4	0.4	0.4
CA06-T-06-08	304	40	<0,1	4100	1.4	15	15	<1	4	<0,5	0.3	0.9	0.5	1.5	<0,4	0.7	0.5
Marbre et roche calco-silicatée de la zone indicielle Cage (affleurement)																	
CA06-1004-08A	289	158	8.1	12100	2	<1	21	5	17	<0,5	0.8	<0,5	6.1	1.1	<0,4	<0,2	2.4
CA06-1004-08B	25.4	19	0.2	735	2.8	10	16	2	6	<0,5	0.4	<0,5	0.5	1.2	<0,4	<0,2	0.8
CA06-1013-05	56.6	<2	0.2	4230	5.3	<1	173	29	227	117	20	138	9.5	113	15.9	38.6	19.7
CA06-1014-05	25.3	3	0.2	2130	2.8	<1	48	8	40	4.1	1.5	<0,5	<0,3	11.6	<0,4	1.9	3.8
CA06-1006-03A	6590	11	<0,1	544	3	5	9	6	7	<0,5	<0,2	<0,5	<0,3	3.4	<0,4	8.9	1.9
CA06-1024-33	72.1	<2	<0,1	745	1.3	12	46	6	23	0.7	1.1	0.6	<0,3	2.8	<0,4	1	1.9
CA06-1032-01	554	<2	0.2	7460	0.2	35	400	61	431	202	34.1	213	12.7	142	18.9	41.5	21.3
CA06-1036-02	79.3	5	<0,1	1280	2.5	<1	37	6	35	5.2	2.2	4.5	1	9.8	<0,4	3.4	4.6
CA06-1006-03B	5310	4	<0,1	1710	8.4	<1	20	8	19	1.2	0.3	<0,5	<0,3	7.2	<0,4	8.4	3.8
CA06-1029-10	13.9	10	<0,1	1720	2.8	<1	33	6	36	4.3	1.7	<0,5	<0,3	8.5	<0,4	0.3	2.9
CA06-1005-07	1060	9	17.7	6300	2.2	<1	2	3	16	<0,5	0.9	0.5	<0,3	4.9	<0,4	<0,2	1.2
CA06-1000-00	4.3	<2	10.3	9950	2.1	<1	10	3	14	<0,5	0.5	<0,5	<0,3	1.5	<0,4	<0,2	0.6
CA06-1003-20	88.9	34	5.1	1870	9.2	14	25	2	11	<0,5	0.6	0.7	0.9	2.3	<0,4	0.6	0.8
CA06-1002-05	1.9	<2	<0,1	0	1.1	11	1	<1	<1	<0,5	<0,2	<0,5	0.7	0.9	<0,4	<0,2	0.1
CA06-1032-06	85.7	<2	<0,1	197	1.5	19	26	2	11	<0,5	0.6	1.5	0.4	2.4	<0,4	0.4	0.7
CA06-1020-07	9.5	<2	0.2	616	1.8	2	11	2	8	<0,5	0.4	<0,5	<0,3	2	<0,4	<0,2	0.8
CA06-1036-04	151	43	0.2	561	1.9	23	21	2	4	<0,5	0.3	0.6	5.9	0.2	<0,4	0.6	1.7
Marbre et roche calco-silicatée de la zone régionale																	
CG06-2006-16	2.8	<2	0.2	144	4.2	25	55	6	17	<0,5	<0,2	2.2	1.2	2.8	<0,4	1.2	1
CG-06-45-12	5.3	14	<0,1	2490	11.3	111	299	34	115	15.9	1	9.9	<0,3	28.6	2.6	9.2	8.8
CG06-80-07	65.7	9	<0,1	28	1.3	18	18	<1	3	<0,5	0.4	0.8	<0,3	1	<0,4	0.4	0.5
CG06-57-10A	2	22	0.2	968	2.9	3	50	6	30	<0,5	2	1.1	<0,3	6.1	<0,4	0.7	2.1
CG06-57-10B	1.8	422	8.3	1660	95	6	52	7	31	<0,5	1.5	0.6	<0,3	7.9	<0,4	2.7	4.1
CG06-65-07A	2.1	52	0.2	979	2.5	12	50	5	19	<0,5	0.8	0.5	<0,3	2.7	<0,4	<0,2	1.2
CG06-57-10B	3.7	9	0.2	1640	3	<1	50	8	46	6.1	3.5	4.9	<0,3	13.9	0.6	3.4	4.4
CG-06-17-16A	1430	<2	1.5	692	3.2	<1	12	4	14	0.5	0.3	<0,5	<0,3	6.3	<0,4	4	4.1
CG06-07-03	1.7	3	<0,1	138	1.3	6	6	<1	<1	<0,5	<0,2	<0,5	<0,3	0.9	<0,4	<0,2	0.5
CG06-2003-04	2	13	0.2	7600	0.2	<1	107	29	140	24.2	1.3	<0,5	<0,3	24.8	<0,4	<0,2	11.3
CG06-17-16A	126	<2	<0,1	118	1	4	8	<1	5	0.5	0.3	1.1	0.4	3.4	<0,4	2	3
CG-06-36-06	1450	<2	<0,1	17	1	200	500	57	220	30.8	1.4	28.1	4.5	18.1	3.7	11.5	7
CG06-17-09A'''	432	5	<0,1	398	1.7	<1	5	<1	5	<0,5	0.4	<0,5	<0,3	3.2	<0,4	1.1	1.4
CG06-79-02B	1.8	12	0.2	1460	3.6	<1	1	2	11	<0,5	<0,2	<0,5	<0,3	7.8	<0,4	<0,2	1
Pegmatite associée à du paragneiss																	
CG06-01-02B	10.4	2	0.2	2	1.2	43	78	8	31	5.8	1.6	4.6	0.6	2.1	<0,4	1.2	0.8
CG06-2002-11	6.3	2	<0,1	296	6	183	395	42	144	20.1	<0,2	12.6	2.3	6.3	0.6	3.8	2.3
GG06-84-11	1.3	2	<0,1	8	2.5	495	1010	107	388	57.4	1.1	33.3	4.2	11.3	3.4	6.6	4.2
CG06-91-04	1720	2	0.2	3200	14.8	<1	31	12	60	22.1	1.4	11.1	<0,3	43.7	5.5	24.6	21.8
CG06-85-13	3.3	2	<0,1	14	1.9	100	196	21	73	11.2	0.7	6.9	1.3	2.4	<0,4	1.5	0.9
CG06-25-18	129	2	<0,1	588	1.1	80	247	32	144	43.5	1.4	49.5	9.8	71.1	12.1	32.7	18.7
CG06-01-01	14	3	0.2	38	0.7	47	85	9	28	5.3	0.7	3.6	<0,3	2.7	<0,4	2.8	4.4
CG06-87-18A	18.3	2	<0,1	435	0.2	77	164	18	10	7.2	<0,2	6.7	8.6	7	<0,4	9.9	9.6
CG06-2009-19	3.6	2	<0,1	1830	3.7	7100	13500	1400	4600	667	3.4	405	42.4	179	45.6	62.8	30.9
CG06-18-04	3.2	9	<0,1	4	0.6	39	63	6	19	3.1	1	2.6	<0,3	1.2	<0,4	0.6	0.4
CG06-88-12	43	2	<0,1	63	5.6	1890	3920	399	1250	169	<0,2	89.1	13	25.7	8.2	13	2.7
CG06-87-18B	37.5	5	<0,1	162	9.6	41	86	10	20	6.8	0.3	7.7	3.1	7.3	<0,4	7.1	7.7
CG06-13-18	2.4	2	<0,1	419	2.6	129	295	34	119	28.6	0.7	22.2	3	17.3	0.5	8.2	8.5
CG06-05-05	15.7	7	<0,1	703	0.2	552	1250	134	394	81.1	18.1	70	23.1	75.1	10.2	46.8	34.5
CG06-91-03	424	2	<0,1	94	2.4	5	6	<1	3	1.4	0.3	2.1	0.9	2.7	<0,4	2.1	1.4
CG06-07-11-A6	13.4	2	<0,1	160	14.8	628	1450	146	442	87.1	1.1	68.8	15.6	63	13.7	32.7	18

105544

Tableau 9.3.2.1 - Analyses lithogéochimiques des échantillons choisis et de rainurage classées par unités lithologiques

No Échantillon	Lithologie	TiO_2	Al_2O_3	Fe_2O_3	FeO	MnO	MgO	CaO	Na_2O	K_2O	P_2O_5	U*	Th	Li	Be	Sr	Ba	V*	Cr	Co*	Ni*	Cu*	Zn*	Ga*	As*	Y	Hf	Zr	Mo*	Au	Ag*	Pb*	Bi*	La	Ce	Pr	Nd	Sm	Eu	Gd	Tb	Dy	Ho	Er	Yb
Pegmatite associée à de l'orthogneiss																																														
CG06-2005-11	PG	0.15	9.00	2.53	2.28	0.03	0.79	3.93	3.19	1.33	2.85	66	2250	12	1.5	75	151	69	101	0.3	4.3	<0,1	13.4	22	<0,2	96	117	4510	27	4	<0,1	151	16.8	836	1630	159	438	58.6	<0,2	36.8	9.3	19.6	<0,4	13.8	9
CG06-82-04	PG	0.42	19.60	0.91	0.82	0.03	4.52	10.50	6.31	0.55	0.22	51	73	16	6.5	185	360	4	112	2.5	7.6	14.7	2	24	1	14	2.8	144	42.4	11	<0,1	26	0.8	25	60	6	24	2.3	0.5	3.5	<0,3	2.6	0.6	1.7	1.3
CG06-92-13	PG	0.36	15.40	3.41	3.07	0.07	0.91	2.33	5.50	2.07	0.11	318	214	53	3.3	92	41	9	88	2.4	4.5	<0,1	65.7	27	<0,2	110	8	414	8.8	2	<0,1	165	2.8	141	293	32	115	24.9	0.3	20.2	3.2	19.1	3.1	13.1	15
CG06-17-07A	PG	0.91	3.53	5.85	5.26	0.04	2.84	0.05	0.02	2.30	0.00	182	1820	82	<0,2	3	308	42	160	7	19.3	<0,1	41.6	4	2.3	11	3.6	284	498	3	<0,1	81	10.9	6	7	2	<1	0.6	<0,2	1.8	4.1	2.2	<0,4	2.7	1.3
Pegmatite au contact avec du marbre																																													
CG06-79-04	PG	0.09	12.80	4.63	4.17	0.03	4.85	12.70	1.86	2.06	0.47	2860	214	59	4.0	38	420	<0,1	115	2.5	3	244	23.1	<1	13.2	38	0.5	361	3210	6	<0,1	1340	3.2	<1	17	6	14	3	<0,2	2.8	<0,3	9.7	<0,4	5.7	1.9
CG06-03-07	PG	0.74	8.96	1.70	1.53	0.03	4.97	4.87	4.62	0.88	0.03	218	1880	10	9.7	22	78	3	122	1.1	4.1	<0,1	1.9	33	1.4	55	7.1	277	1.7	5	<0,1	214	11.8	30	96	14	53	12.9	0.7	13.2	5.9	13.6	1.1	7.5	6.4
CG06-15-10A	PG	0.74	16.60	2.74	2.47	0.02	1.90	4.85	3.66	8.58	2.73	2	872	77	1.1	177	968	13	75	1.9	4.8	<0,1	12.8	35	<0,2	225	26.3	1070	3.3	4	<0,1	82	5.9	1380	2700	274	861	145	0.5	103	15.4	55	12.2	22.4	8
CG06-2001-05	PG	0.03	2.86	0.64	0.58	0.00	0.11	0.37	0.76	0.59	0.02	70	320	2	0.3	36	81	6	261	1.2	3.8	<0,1	2.4	2	0.5	5	23.8	978	17.6	2	<0,1	46	2.4	2	4	<1	<1	<0,5	<0,2	1.2	0.7	0.9	<0,4	0.9	1
CG06-04-04	PG	0.46	10.40	0.54	0.49	0.01	0.20	0.47	5.97	0.42	0.03	369	2360	4	19.7	11	25	<0,1	157	0.6	4.1	<0,1	4.5	32	0.6	136	463	17400	1.6	2	<0,1	172	17.9	36	123	16	5	11.7	<0,2	13.2	6.2	18.5	<0,4	19.5	19.7
CG06-97-05	PG	0.22	13.00	1.29	1.16	0.01	1.18	0.39	2.83	6.82	0.04	90	78	18	2.5	87	324	5	135	1.2	3.3	0.3	17.4	28	3.6	19	7.6	294	1.3	2	<0,1	48	1	98	183	18	51	8.3	<0,2	4.9	<0,3	3.2	0.5	2.4	2.9
CG06-2016-01	PG	0.03	14.30	0.78	0.70	0.01	0.17	0.48	4.92	6.24	0.02	138	538	9	3.7	125	747	2	165	0.5	3.2	<0,1	5.4	28	1.1	14	70	2940	2.4	2	<0,1	111	5.7	5	8	<1	<1	0.8	<0,2	1.1	0.4	1.5	<0,4	2.9	4.4
CG06-05-02	PG	0.03	13.70	1.90	1.71	0.02	0.39	0.27	6.26	2.95	0.01	76	41	1	70.8	11	104	1	132	0.5	4	1	9.5	79	0.6	99	18.1	368	1.2	2	<0,1	39	0.7	29	53	6	19	6.1	0.4	7.9	1.4	12.3	1.7	9.7	9.9
CG06-04-09	PG	0.16	11.30	2.00	1.80	0.00	0.09	0.17	6.76	0.15	0.02	38	352	<1	14.6	4	16	2	155	2.2	15.8	7.6	34.8	27	1.4	16	33.1	1040	1.2	2	<0,1	68	3.2	8	18	2	5	2.2	<0,2	2.1	0.8	2.2	<0,4	2.1	2.1
CG06-2005-03	PG	0.04	12.20	0.82	0.74	0.00	0.10	0.46	7.64	0.15	0.01	155	55	<1	43.5	15	20	1	116	0.9	2.4	11.5	0.4	59	1	350	36.9	935	4.3	2	<0,1	61	1.4	7	38	6	27	14.1	2.9	22.6	5.4	44.8	8.1	37.5	43.3
CG-06-79-02	PG	0.05	12.80	0.60	0.54	0.01	0.34	3.48	2.63	2.22	0.20	2750	130	50	2.0	35	417	<0,1	166	0.6	2.1	<0,1	15.7	<1	2.5	25	<0,5	8	412	2	<0,1	849	2.2	<1	6	2	8	2.4	<0,2	0.7	<0,3	6.4	<0,4	0.7	0.9
CG06-05-03A	PG	0.09	17.70	1.22	1.10	0.01	0.28	0.20	8.28	3.69	0.02	263	67	<1	65.9	14	160	2	76	0.5	2.1	<0,1	6.7	71	<0,2	113	32.5	771	1.5	5	<0,1	111	0.7	12	50	6	24	9.5	0.4	10.4	1.7	17.1	1.8	12.5	9.9
Pegmatite associée au marbre de la zone indicielle Cage																																													
CA06-T-06-03	PG	0.03	14.20	0.69	0.62	0.02	0.68	1.00	4.06	7.13	0.29	8	1	81	3.7	17	615	2	127	0.6	2	2.4	22.1	25	4	5	0.8	21	1.1	15	<0,1	29	0.5	2	4	<1	<1	0.7	<0,2	0.8	<0,3	0.9	<0,4	0.3	0.7
CA06-T-06-04	PG	0.02	17.70	0.84	0.76	0.02	3.78	3.54	3.26	7.74	0.16	9	1	259	11.7	66	2680	5	71	0.6	1.4	3	22.6	25	5.3	3	1.1	17	4.8	4	0.7	68	1.5	8	7	<1	<1	<0,5	<0,2	<0,5	<0,3	0.4	<0,4	<0,2	0.3
CA06-1035-12	PG	0.26	14.10	2.28	2.05	0.07	3.70	4.70	0.90	10.50	0.69	1510	11	117	25.5	174	12300	151	85	21	23.9	264	15.8	21	16.5	60	<0,5	111	15.2	5	<0,1	565	1.4	13	46	6	30	8.2	2	7.8	<0,3	9	0.8	3.7	3.6
Quartzite					0.00																																								
CG-06-20-08	Qz	0.60	4.11	4.80	4.32	0.04	1.82	0.14	0.12	2.65	0.25	1570	1290	33	0.4	23	288	56	276	5.6	12.4	<0,1	57.9	<1	7.8	90	30.7	2410	301	2	0.8	786	7.4	479	1040	110	379	67.9	<0,2	43.9	7.3	24.5	<0,4	11.2	6.3
CG-06-27-06	Qz	0.12	11.70	1.41	1.27	0.02	0.40	1.41	3.40	1.82	0.03	216	699	28	1.5	164	273	10	189	1.5	3.8	<0,1	18.7	12	1	12	15.7	807	53.4	7	<0,1	121	5	12	17	2	5	1.6	0.7	2.1	1	2	<0,4	1.7	1.4
CG-06-27-08	Qz	0.16	1.50	1.80	1.62	0.02	0.40	0.08	0.16	0.66	0.01	145	1210	22	<0,2	7	110	15	250	1.3	5.4	<0,1	15.1	<1	0.3	8	46.4	1860	69.7	2	<0,1	60	8.9	3	3	<1	<1	<0,5	<0,2	1.6	2.8	1.7	<0,4	2.1	2
CG06-12-21	Qz	0.07	6.42	0.92	0.83	0.01	0.20	0.63	1.47	2.18	0.02	493	2920	19	0.7	66	191	2	180	1.4	4.7	<0,1	7.2	2	<0,2	38	25.2	1290	40.9	2	<0,1	246	19	37	88	12	35	8.3	<0,2	10	7.5	9.9	<0,4	5.8	3.8
CG06-2009-16	Qz	0.05	3.77	0.70	0.63	0.01	0.05	0.21	0.37	2.35	2.80	196	5310	14	<0,2	58	448	10	217	1	3.7	<0,1	7.2	69	<0,2	694	<0,5	141	8.4	<2	<0,1	209	17.3	6340	14600	1560	5720	1000	<0,2	665	96.5	257	57.4	72.4	9.3
Orthogneiss																																													
CG-06-2019-08	OG	1.13	9.70	7.63	6.87	0.06	3.69	0.83	0.99	3.69	1.18	19	3020	45	<0,2	61	470	102	214	5.1	18.7	13.1	95.5	65	1.9	270	10.5	564	11.9	<2	0.2	17	2.8	4230	8680	933	3190	510	<0,2	317	45.2	102	28.7	34.7	7.1
CG06-62-05	GR	0.17	20.70	8.33	7.50	0.03	0.19	3.85	6.65	2.52	0.34	2	743	19	2.7	445	709	13	90	2.1	5.7	<0,1	13.2	39	<0,2	25	1.5	31	1	<2	<0,1	46	4.2	775	1530	140	413	52.8	0.6	27.3	4.1	7.1	2.3	3.8	0.9
CG06-68-07	GR	0.61	10.80	2.25	2.02	0.03	0.92	1.91	2.47	2.46	0.07	30	1710	41	1.9	134	579	33	232	4	11.4	<0,1	14.7	24	<0,2	61	1.9	156	1	<2	<0,1	142	11	1070	2110	211	628	83.9	<0,2	43.1	8.5	16.8	6.1	10.2	5.3
CG06-83-08	GR	0.12	16.40	3.80	3.42	0.02	0.13	3.15	5.83	0.94	0.10	25	1180	12	2.9	253	132	24	131	1.3	4.5	<0,1	10	27	<0,2	22	55.9	2080	0.9	<2	<0,1	61	9.6	208	469	50	160	25.1	0.3	13.7	3.8	5.4	<0,4	3.9	2.6
CG06-2023-07	GR	0.02	9.57	0.91	0.82	0.00	0.21	0.12	3.90	4.72	0.01	118	18	<1	5.8	15	56	2	195	0.7	2.5	0.7	1.9	29	<0,2	3	<0,5	49	2.3	<2	<0,1	42	0.5	5	7	<1	2	0.7	<0,2	0.7	<0,3	0.5	<0,4	0.4	0.6
CG06-82-09	GR	0.19	16.00	1.55	1.39	0.02	2.12	4.26	2.89	8.41	0.03	45	669	7	1.3	190	2350	3	83	1.2	2.4	4.8	3.6	23	0.3	15	25.5	1160	3.1	<2	<0,1	59	5.2	44	94	10	32	5.4	0.4	4.6	1.5	3.3	<0,4	2.3	1.7
CG-06-47-05	GR	0.57	16.80	7.11	6.40	0.09	3.40	2.65	4.41	2.94	0.04	2	6	33	2.2	195	221	74	229	14.5	39.4	57.2	74.8	25	0.9	10	2.7	61	0.9	7	<0,1	0	0.3	27	25	3	13	1.9	0.8	1.3	<0,3	1	<0,4	1.2	1.2
CG-06-41-08	OG	0.19	14.90	1.79	1.61	0.02	0.75	2.50	4.87	1.35	0.04	27	598	23	3.5	285	225	17	165	4	7.6	3	14.5	23	0.4	4	11.5	500	1.7	<2	<0,1	33	4.5	79	140	14	41	5.2	0.5	3.1	0.9	1.1	<0,4	1	0.4
CG06-93-04	GGR	0.11	8.60	1.26	1.13	0.01	0.36	1.25	1.72	1.42	0.04	16	805	27	1.0	89	149	3	221	2.5	5.8	<0,1	22.4	11	0.6	19	67.4	2590	10.9	<2	<0,1	21	5	30	61	7	19	4.7	0.4	4.1	2.2	3	<0,4	3.5	5.1
CG06-79-09	GGR	0.08	9.89	5.76	5.18	0.03	4.66	11.70	1.62	0.75	0.18	77100	2910	52	0.8	28	173	<0,1	96	<0,1	7.5	120	12.2	<1	12.3	295	<0,5	88	6550	18	<0,1	22900	50.6	334	428	<1	<1	12.3	0.9	124	163	94.6	<0,4	<0,2	9.4
CG-06-47-04	GGR	0.18	5.45	2.41	2.17	0.06	13.00	18.70	1.52	0.62	2.47	6470	859	27	2.4	76	62	9	93	3.3	7.5	<0,1	22.9	<1	0.9	103	<0,5	46	1.2	<2	<0,1	2060	7.3	87	229	26	83	10.7	0.7	4.3	<0,3	20.1	1.2	5.7	6.3
Paragneiss																																													
CG06-07-11	PA	0.74	17.20	6.68	6.01	0.03	2.04	1.01	3.15	7.94	0.11	4	16	33	0.5	238	1830	98	184	2.7	9.8	6.8	68.8	27	2.5	16	4.9	184	1.2	17	0.2	3	0.6	51	85	8	31	5.5	1.6	3.5	<0,3	1.9	<0,4	1.7	1.8
CG06-66-09	PA	0.55	11.40	3.83	3.45	0.01	1.50	1.49	2.44	2.52	0.08	1	13	22	0.3	114	521	69	160	1.9	5.9	11.1	55.8	16	2.6	12	4.1	149	0.5	3	0.2	0	0.9	45	88	9	35	6.2	1.3	4.6	<0,3	2.4	<0,4	1.3	0.8
CG06-68-03	PA	0.28	17.20	2.21	1.99	0.01	0.72	2.60	5.77	1.98	0.18	22	1280	20	2.2	175	321	25	155	1.3	5.2	<0,1	32.6	30	<0,2	25	9.9	391	5	<2	<0,1	86	8.1	578	1160	119	366	47.9	<0,2	26.2	5	8.6	1.8	4.4	1
CG06-76-08A	PA	0.25	20.00	2.43	2.19	0.03	0.71	3.79	6.46	1.29	0.47	184	2340	23	5.0	261	93	19	113	2.2	8	<0,1	26.9	33	<0,2	214	165	5690	1.7	<2	<0,1	241	15	870	1810	199	696	130	4.2	99	18.5	58.7	<0,4	25.5	14.7
CG06-97-02B	PA	0.20	13.00	2.42	2.18	0.02	1.58	1.26	2.04	5.87	0.09	3	16	23	0.4	118	849	223	270	0.5	4.7	8.2	4.5	11	3.8	15	3.9	172	29.3	<2	0.2	1	0.6	55	98	11	41	7.3	1.2	5.8	1.1	2.8	<0,4	1.4	1.1
CG06-2017-01	PA	0.25	16.30	2.50	2.25	0.03	1.07	1.13	4.40	6.33	0.14	21	279	26	1.9	151	843	18	91	2.2	4.6	20	29.9	27	1	22	<0,5	15	3.9	7	<0,1	32	2.6	212	418	44	145	23.5	0.3	14.9	2	6.1	1.3	2.6	1.1
CA06-1013-15	PA	0.48	12.40	3.67	3.30	0.01	3.45	0.92	0.71	8.46	0.20	17200	37	83	3.8	209	1780	594	86	4.6	11.6	<0,1	51	<1	7.3	21	<0,5	160	132	20	<0,1	5750	11.4	<1	48	14	44	4.8	1.8	0.5	<0,3	1.3	<0,4	<0,2	0.9
CA06-1001-23	PA	0.42	10.80	5.02	4.52	0.01	4.40	1.84	1.45	5.96	0.19	21000	39	70	3.9	99	2880	521	91	5.9	16.9	<0,1	21.4	<1	10	49	<0,5	154	35.9	58	<0,1	6300	15.8	<1	124	27	99	14	3.5	0.5	<0,3	6.5	<0,4	0.2	2.9
CG06-78-15	PA	1.90	17.10	22.70	20.43	0.34	6.33	0.03	0.16	8.89	0.12	36	379	238	2.7	11	63	179	495	17	46.3	16.5	262	89	3	63	10.9	375	<0,1	<2	0.2	32	0.5	379	785	82	281	50.9	0.8	34.4	5.8	16.9	2.6	6.4	2.7
CG06-96-02B	MA	0.39	12.90	3.78	3.40	0.01	0.86	0.69	6.04	1.19	0.12	1430	170	10	2.9	86	342	32	185	5.5	13	17.1	3.1	9	1	15	0.5	175	13.2	4	0.2	501	2.3	22	52	6	22	4.1	0.7	1	<0,3	2.3	<0,4	1.1	1.7
CG06-01-02A	GB	0.16	7.81	22.60	20.34	0.07	7.06	3.90	0.61	1.61	0.07	17	23	48	9.6	30	393	59	115	37.2	154	151	6.8	18	3.2	33	4.4	156	59.9	12	<0,1	23	0.2	10	13	<1	11	3.3	1.4	1.6	1.6	1.5	<0,4	2.5	4.4

114024-CA06-T08

* analyse ICP-MS partial digestion,
RCS = Roches calco silicatées
MD = Marbre dolomitique
MO = Marbre à olivine
M = Marbre
SC = Sable calsitique
D = Diopsidite
PG = Pegmatite
Qz = Quartzite
GR = Granite
PA = Paragneiss
GGR = Gneiss granitique
OG = Orthogneiss
MA = Méta-arkose
GB = Gneiss à biotite

114024-CA06-T08

705544

Gîtes ou indices	Pegmatites minéralisées	Pegmatites stériles	Minéralisation.	Roches encaissantes.	Contrôle structural	Intrusions	Altération marbres	Radiométrie géochimie	Degrés de Métamorphisme	Déformation	Age (Ma)	Association Minéral
Modèle Rossing	Grenu, aux contacts entre les calco-silicates et les schistes associés à des veines dequartz	Sub-concordant. plissée	Uraninites Dans pegmatites	Gneiss à biotite, amphibolite. marbre, cordiérite schiste	L'uranium post cinématique, remobilisé	?	?	Exploités U : 350 ppm	Amphibolite sup. à granulite	Minces plis avec une foliation axiale planaire S4	510±3	Quartz, feldspath, Biotite, Muscovites Chlorites
Davis Inlet	Grenu aux contacts avec des marbres, des calc-silicates, dans paragneiss a biotite	Idem aux minéralisés	P. jaunes Uraninite? Zircon Allanite Monazite Titanite	Pegmatite	Dykes concordants Foliation	Remobilisation	?	Pegmatite U : 351-2390ppm Th : 78-366 ppm	Amphibolite sup à granulite?	Pegmatite. peu déformée		Biotite, Enclaves
Indice Cage	Absente	Grossières et grain fin, parfois exclusivement quartz	P. jaunes Uraninite dans le marbre	Marbre Cal silicates.	L'uranium syn à post déformation Filons parallèles À foliation Pegmatite sécante	Pegmatite	Veinules de calcite, Hématite	Marbre U : 17-68900 ppm Th: 1-13 ppm	Amphibolite sup à granulite?	Plis intra-foliaires Plis régionaux		Ga, Py, Po Mo, Cpy Calcite, Phlogopite
Aqiarussuk	Moins minéralisée que les marbres		P. jaunes U Marbres Pegmatite	Marbre Pegmatite	Pegmatite. dans marbre? Foliation	?	?	?	Amphibolite sup à granulite?	?		Biotite pegmatite Enclaves de gneiss
Kéglo Sud	Non minéralisée		P. jaunes U Dans marbres	Marbre Étroit	Écaille de marbre? Foliation	?	?	Marbre U : 8300ppm Th : 906ppm	Amphibolite sup à granulite?	Augen dans paragneiss adjacents		Calcsilicates
Tasiujaaluk Est	Pegmatite riche en quartz		U et Th	Pegmatite Proches marbres	Zone large et diffuse Longues enclaves dans pegmatite	?	Veinules Chlorite.	?	Amphibolite sup à granulite?	?		Py oxyd.ées Magnétite proche
Cage Extension sud	Blocs proximaux		P. jaunes U et Th Molybdénite.	Pegmatite mais proches marbres	Contact? Foliation	?	?	?	Amphibolite sup à granulite?	?		Veines quartz fumé Paragneiss rouillé
Tasiujaaluk NW	Pegmatite grenue		Ra élevée Th >>U	Pegmatite Marbre	Écaille de marbre Foliation	?	?	?	Amphibolite sup à granulite?	?		Biotite dans pegmatite. Enclaves
Lac du Croissant	Pegmatite massive et épaisse	Pegmatite Massive riche quartz, rosé	Th>>U	Pegmatite. Sans marbre	Microfissures	Granite adjacent	?	?	Amphibolite sup à granulite?	Circulai.		Partie Fds des pegm

114024-CA06-T09

Tableau 10.1 - Caractéristiques physiques, minéralogiques et structurales de l'indice minéralisé de type CAGE par rapport au gisement Namibien de Rossing

Minéraux	Anté déformation	Syn déformation	Post déformation
Pyrite	———		———
Pyrrhotite	———		
Chalcopyrite			———
Galène	- - - - - -	———	———
Bornite			———
Uraninite	- - - - - -	———	———
Zircon	———		———
Apatite			———
Allanite	- - - - - -		———
Monazite			———
Titanite	- - - - - -		
Grenat	———		
Sillimanite		———	
Barytine			———
Hématite			———
Olivine	———		———
Serpentine		———	———
Séricite			———
Biotite	———	———	
Phlogopite			———
Muscovite			———
Chlorite			———
Calcite			———
Dolomie		———	———
Quartz	———		———
Feldspath	———	———	———

114024-CA06-T05

Tableau 10.1.1- Séquence paragénétique des principaux minéraux observés en lame mince par rapport à la déformation.

Tableau 11.1 - Analyses lithogéochimiques des échantillons choisis et de rainurage

No Station	No Coupon	No Échantillon	Type de station	Date	Estant	Nordant	NAD	Zone	Lithologie	RA Échantillon c/s	U (ppm)*	Th (ppm)*	U-Th	Al2O3 (% pds)*	Fe2O3 (% pds)*	MgO (% pds)*	MnO (% pds)*	K2O (% pds)*	Na2O (% pds)*	P2O5 (% pds)*	TiO2 (% pds)*	CaO (% pds)*	Ag (ppm)&
CA06-1000-00 (indice Mario)	51	CA06-1000-00 (indice Mario)(ANA)	Affleurement	02-01-2007	355370	6558219	83	20	Marbre dolomitique	8000	4410	2	2205.00	0.87	0.49	20.9	0.038	0.458	0.07	0.022	0.024	30.4	10.3
CA06-1001-23	384	CA06-1001-23 (LP, ANA)	Bloc	02-01-2007	355876	6557290	83	20	Paragneiss mylonitisé	30000	21700	39	556.41	10.8	5.02	4.4	0.01	5.96	1.45	0.193	0.422	1.84	0.1
CA06-1001-24	385	CA06-1001-24 (LM, ANA)	Affleurement-Bloc	02-01-2007	355872	6557324	83	20	Marbre?	3000	5010	31	161.61	16.1	5.19	13.9	0.036	2.14	2.23	0.087	0.526	7.49	6.6
CA06-1002-05(suite)	386	CA06-1002-05(suite)(ANA)	Affleurement	02-01-2007	355580	6557896	83	20	Marbre dolomitique	310	17	<1	17.00	0.29	0.98	25.1	0.067	0.254	0.02	0.071	0.007	30.2	<0.1
CA06-1003-20	387	CA06-1003-20 (ANA)	Affleurement	02-01-2007	355873	6557396	83	20	Marbre dolomitique	550	1100	5	220.00	1.39	0.93	20.5	0.056	0.878	0.12	0.026	0.056	28.8	5.1
CA06-1004-08A	388	CA06-1004-08A (ANA)	Affleurement	02-01-2007	355867	6557575	83	20	Roche calco-silicatée	2500	3580	4	895.00	2.36	0.59	16	0.049	0.483	0.45	0.025	0.081	26.5	8.1
CA06-1004-08B	389	CA06-1004-08B (LP)	Affleurement	02-01-2007	355867	6557575	83	20	Roche calco-silicatée	6000	1050	5	210.00	2.5	1.43	18.8	0.057	1.05	0.22	0.037	0.104	23.6	0.2
CA06-1005-07	390	CA06-1005-07 (ANA)	Affleurement	02-01-2007	354998	6558518	83	20	Sable calcitique	3000	5790	2	2895.00	1.15	0.56	21.2	0.043	0.308	0.14	0.01	0.027	25.9	17.7
CA06-1006-03A	391	CA06-1006-03A (LP, ANA)	Affleurement	02-01-2007	354672	6558990	83	20	Roche calco-silicatée	2020	1190	341	3.49	4.23	3.62	20.1	0.071	2.04	0.14	<0.002	0.259	18.3	<0.1
CA06-1006-03B	392	CA06-1006-03B (LP, ANA)	Affleurement-bloc	02-01-2007	354672	6558990	83	20	Roche calco-silicatée	13500	4200	794	5.29	6.1	2.73	18.7	0.065	2.46	0.15	<0.002	0.304	17	0.1
CA06-1013-05	393	CA06-1013-05 (ANA,LM)	Affleurement	02-01-2007	356822	6556207	83	20	Roche calco-silicatée	11000	13300	32	415.63	3	1.05	15.4	0.021	2.08	0.11	0.098	0.125	18.7	0.2
CA06-1013-15	394	CA06-1013-15 (LP, ANA)	Affleurement	02-01-2007	355868	6557255	83	20	Grès à sulfures	14000	17800	37	481.08	12.4	3.67	3.45	0.005	8.46	0.71	0.204	0.481	0.92	0.1
CA06-1014-05	395	CA06-1014-05 (LP, ANA)	Affleurement	02-01-2007	357488	6555787	83	20	Roche calco-silicatée	4000	6350	53	119.81	3.11	1.2	21.4	0.048	1.75	0.05	0.039	0.131	25.2	0.2
CA06-1020-07	396	CA06-1020-07 (LP, ANA)	Affleurement	02-01-2007	355792	6557497	83	20	Marbre à olivine	850	1770	21	84.29	3.82	1.18	21.6	0.041	2.08	0.21	0.038	0.174	22.7	0.2
CA06-1022-03	398	CA06-1022-03 (ANA)	Affleurement	02-01-2007	355481	6557774	83	20	Marbre?	210	270	17	15.88	8.71	3.99	1.08	0.013	1.64	4.92	0.344	0.425	1.11	<0.1
CA06-1022-04	399	CA06-1022-04 (ANA)	Affleurement	02-01-2007	355522	6557751	83	20	Marbre	13000	68900	5230	13.17	0.71	1.59	3.82	0.023	0.074	0.32	5.21	0.247	12.7	0.2
CA06-1024-33	400	CA06-1024-33 (LP, ANA)	Bloc	02-01-2007	355856	6557240	83	20	Roche calco-silicatée	5000	1960	10	196.00	8.07	2.53	17	0.037	1.85	2.52	0.106	0.377	16.7	0.1
CA06-1029-10	401	CA06-1029-10 (LP, ANA)	Affleurement	02-01-2007	356252	6557319	83	20	Roche calco-silicatée	5100	5700	24	237.50	4.63	4.3	18.8	0.193	1.72	0.26	0.062	0.183	18.8	0.1
CA06-1032-01	404	CA06-1032-01 (ANA)	Affleurement	02-01-2007	356820	6556209	83	20	Roche calco-silicatée	5700	19200	18	1066.67	5.45	1.4	17.4	0.032	2.42	0.3	0.163	0.199	17.9	0.2
CA06-1032-06	405	CA06-1032-06 (LM, ANA)	Bloc	02-01-2007	356399	6556450	83	20	Marbre à olivine	600	631	9	70.11	0.96	1.35	23.8	0.054	0.744	0.03	0.023	0.054	29.8	<0.1
CA06-1035-12	408	CA06-1035-12 (LP, ANA)	Affleurement	02-01-2007	354865	6558791	83	20	pegmatite à graphite	2002	1520	11	138.18	14.1	2.28	3.7	0.071	10.5	0.9	0.69	0.256	4.7	0.1
CA06-1036-02	409	CA06-1036-02 (ANA)	Bloc	02-01-2007	356018	6557384	83	20	Roche calco-silicatée	1750	3480	19	183.16	7.7	3.77	13.5	0.051	1.16	1.21	0.074	0.23	19.9	0.1
CA06-1036-04	410	CA06-1036-04 (LM, ANA)	Affleurement-Bloc	02-01-2007	356096	6557343	83	20	Marbre à olivine	240	165	3	55.00	2.9	3.22	17.9	0.067	1.41	0.33	0.047	0.123	28.9	0.2
CG06-01-01	1	CG06-01-01 (ANA)	Affleurement	02-01-2007	346619	6560067	83	20	Pegmatite	150	124	39	3.18	14	4.67	1.8	0.019	2.64	3.21	0.05	0.286	2.52	0.2
CG06-01-02A	2	CG06-01-02A (LM, ANA)	Affleurement	02-01-2007	346625	6560002	83	20	gneiss à biotite et sulfures	130	27	23	1.17	7.81	22.6	7.06	0.072	1.61	0.61	0.073	0.164	3.9	0.1
CG06-01-02B	3	CG06-01-02B (ANA)	Affleurement	02-01-2007	346625	6560002	83	20	Pegmatite	55	3	13	0.23	14.4	2.59	2.56	0.015	5.5	2.14	0.093	0.256	1.18	0.2
CG06-02-06A	7	CG06-02-06A (ANA)	Affleurement	02-01-2007	348560	6558769	83	20	Gneiss hématisé	625	1100	67	16.42	3.93	11.3	6.57	0.038	2.14	0.05	21.3	0.605	25.6	<0.1
CG06-02-07A'	11	CG06-02-07A' (ANA)	Affleurement	02-01-2007	348585	6558781	83	20	Gneiss calco-silicaté hématisé	250	530	23	23.04	1.86	9.4	1.43	0.027	0.408	0.32	11.6	0.096	13.9	<0.1
CG06-03-07	14	CG06-03-07 (ANA)	Affleurement	02-01-2007	351801	6556275	83	20	Pegmatite	725	220	1880	0.12	8.96	1.7	4.97	0.026	0.879	4.62	0.026	0.736	4.87	<0.1
CG06-04-04	15	CG06-04-04 (ANA)	Affleurement	02-01-2007	351890	6556273	83	20	Pegmatite	675	522	2360	0.22	10.4	0.54	0.204	0.008	0.42	5.97	0.033	0.459	0.47	<0.1
CG06-04-09	16	CG06-04-09 (ANA)	Affleurement	02-01-2007	351977	6556213	83	20	Pegmatite	210	42	352	0.12	11.3	2	0.091	0.004	0.145	6.76	0.016	0.162	0.17	<0.1
CG06-05-02	17	CG06-05-02 (ANA)	Affleurement	02-01-2007	352448	6556210	83	20	Pegmatite	100	84	41	2.05	13.7	1.9	0.392	0.024	2.95	6.26	0.012	0.031	0.27	<0.1
CG06-05-03A	18	CG06-05-03A (ANA)	Affleurement	02-01-2007	352411	6556199	83	20	Pegmatite	225	278	67	4.15	17.7	1.22	0.282	0.01	3.69	8.28	0.017	0.089	0.2	<0.1
CG06-05-05	375	CG06-05-05(ANA,LP)	Affleurement	02-01-2007	352511	6556328	83	20	Pegmatite	38000	1870	5580	0.34	9.18	3.1	0.487	0.095	2.25	3.86	0.016	1.47	3.1	<0.1
CG06-06-07A	20	CG06-06-07A (ANA)	Affleurement	02-01-2007	349737	6557603	83	20	Gneiss à pyrite	880	9	372	0.02	3.82	16.9	11	0.021	0.471	2.11	0.01	0.202	13.7	<0.1
CG06-07-03	22	CG06-07-03 (LM, ANA)	Affleurement	02-01-2007	357785	6567624	83	20	Roche calco-silicatée	325	489	109	4.49	9.93	2.25	11.1	0.028	0.564	1.92	0.132	0.202	22.1	<0.1
CG06-07-11	24	CG06-07-11 (ANA)	Affleurement	02-01-2007	358801	6568213	83	20	Paragneiss à biotite	660	15	16	0.94	17.2	6.68	2.04	0.03	7.94	3.15	0.112	0.741	1.01	0.2
CG06-12-21	378	CG06-12-21 (ANA)	Bloc	02-01-2007	386381	6512842	83	20	Quartzite	2000	507	2920	0.17	6.42	0.92	0.203	0.011	2.18	1.47	0.024	0.073	0.63	<0.1
CG06-13-18	379	CG06-13-18 (ANA)	Affleurement	02-01-2007	383477	6510004	83	20	Pegmatite	260	830	230	3.61	11.4	0.67	0.195	0.008	7.37	1.37	0.106	0.062	0.23	<0.1
CG06-15-10A	31	CG06-15-10A	Affleurement	02-01-2007	347654	6567448	83	20	Pegmatite	1700	<2	872	0.00	16.6	2.74	1.9	0.017	8.58	3.66	2.73	0.735	4.85	<0.1
CG06-15-10A	382	CG06-15-10A (ANA)	Affleurement	02-01-2007	347654	6567448	83	20	Marbre?	1300	610	1420	0.43	10.2	1.17	5.31	0.025	4.91	2.14	0.378	0.206	10.5	<0.1
CG06-17-07A	34	CG06-17-07A (LP, ANA)	Affleurement	02-01-2007	350494	6569338	83	20	Pegmatite	1675	194	1820	0.11	3.53	5.85	2.84	0.043	2.3	0.02	0.004	0.906	0.05	<0.1
CG06-17-09A'''	35	CG06-17-09A''' (LP, ANA)	Affleurement	02-01-2007	350662	6569118	83	20	Roche calco-silicatée	3900	1410	166	8.49	1.64	5.67	17	0.135	0.086	0.39	<0.002	0.067	21.7	0.1
CG06-17-16A	38	CG-06-17-16A	Affleurement	02-01-2007	350359	6567680	83	20	Roche calco-silicatée	2200	431	78	5.53	5.15	4.36	15.1	0.115	0.422	0.87	0.008	0.054	17.9	<0.1
CG-06-17-16A	381	CG06-17-16A (LP, ANA)	Affleurement	02-01-2007	350359	6567680	83	20	Roche calco-silicatée	15001	2530	366	6.91	1.09	4.23	18.6	0.124	0.06	0.16	<0.002	0.06	22.4	1.5
CG06-18-04	39	CG06-18-04 (ANA)	Affleurement	02-01-2007	346073	6569647	83	20	Pegmatite	65	4	34	0.12	12.6	0.88	0.318	0.005	1.27	3.66	0.057	0.105	2.41	<0.1
CG06-2001-05	411	CG06-2001-05 (LM, ANA)	Affleurement	02-01-2007	357041	6553163	83	20	Pegmatite	350	72	320	0.23	2.86	0.64	0.105	0.004	0.586	0.76	0.017	0.028	0.37	<0.1
CG06-2002-11	412	CG06-2002-11 (ANA)	Affleurement	02-01-2007	355376	6554551	83	20	Pegmatite	140	62	595	0.10	15.2	5.39	2.7	0.072	0.945	7.04	0.225	0.434	5.75	<0.1
CG06-2003-04	413	CG06-2003-04 (LP, ANA)	Affleurement	02-01-2007	355219	6555380	83	20	Roche calco-silicatée	13200	25300	1310	19.31	7.93	2.32	13.7	0.076	0.752	0.33	0.027	0.109	20.8	0.2
CG06-2005-03	414	CG06-2005-03 (LM, ANA)	Affleurement	02-01-2007	354411	6554627	83	20	Pegmatite	210	206	55	3.75	12.2	0.82	0.103	0.004	0.152	7.64	0.011	0.036	0.46	<0.1
CG06-2005-11	415	CG06-2005-11 (ANA,LM)	Affleurement	02-01-2007	354101	6554181	83	20	Pegmatite	1030	67	2250	0.03	9	2.53	0.793	0.029	1.33	3.19	2.85	0.153	3.93	<0.1
CG06-2006-16	416	CG06-2006-16 (LP, ANA)	Affleurement	02-01-2007	359153	6549056	83	20	Diopsidite	2600	578	885	0.65	18.8	1.19	9.41	0.039	0.24	0.72	0.262	0.057	22.2	0.2
CG-06-20-08	45	CG-06-20-08 (ANA)	Affleurement	02-01-2007	350475	6567340	83	20	Quartzite	18000	1660	1290	1.29	4.11	4.8	1.82	0.039	2.65	0.12	0.247	0.598	0.14	0.8
CG06-2009-16	417	CG06-2009-16 (ANA)	Affleurement	02-01-2007	363744	6550617	83	20	Quartzite	1050	210	5310	0.04	3.77	0.7	0.052	0.005	2.35	0.37	2.8	0.051	0.21	<0.1
CG06-2009-19	418	CG06-2009-19 (ANA)	Affleurement	02-01-2007	363949	6550420	83	20	Pegmatite	3500	5500	243	22.63	12.3	5.94	2.14	0.065	4.62	2.03	3.22	0.893	1.63	0.1
CG06-2016-01	419	CG06-2016-01 (LM, ANA)	Affleurement	02-01-2007	357997	6538599	83	20	Pegmatite	330	140	538	0.26	14.3	0.78	0.172	0.007	6.24	4.92	0.02	0.033	0.48	<0.1
CG06-2017-01	420	CG06-2017-01 (ANA)	Affleurement	02-01-2007	355901	6542301	83	20	Paragneiss à biotite	150	22	279	0.08	16.3	2.5	1.07	0.025	6.33	4.4	0.142	0.25	1.13	<0.1
CG-06-2019-08	421	CG-06-2019-08 (ANA)	Affleurement	02-01-2007	358721	6540343	83	20	Gneiss	6000	24	3020	0.01	9.7	7.63	3.69	0.056	3.69	0.99	1.18	1.13	0.83	0.2
CG06-2022-07	422	CG06-2022-07 (LM, ANA)	Affleurement	02-01-2007	354604	6545982	83	20	Pegmatite	235	183	52	3.52	0.2	0.89	0.003	0.002	0.076	0.03	0.004	0.01	0.01	<0.1
CG06-2023-07	423	CG06-2023-07 (ANA)	Affleurement	02-01-2007	345470	6564633	83	20	Granite	140	121	18	6.72	9.57	0.91	0.207	0.003	4.72	3.9	0.008	0.023	0.12	<0.1
CG06-25-18	83	CG06-25-18 (LM, ANA)	Affleurement	02-01-2007	350010	6570822	83	20	Pegmatite	1600	1780	180	9.89	13.3	7.35	2.8	0.117	6.26	2.33	5.68	0.867	7.79	<0.1
CG-06-27-06	90	CG-06-27-06 (ANA)	Affleurement	02-01-2007	382674	6511263	83	20	Quartzite	425	221	699	0.32	11.7	1.41	0.404	0.018	1.82	3.4	0.028	0.115	1.41	<0.1
CG-06-27-08	91	CG-06-27-08 (LM, ANA)	Affleurement	02-01-2007	382742	6511450	83	20	Quartzite	1500	162	1210	0.13	1.5	1.8	0.401	0.016	0.658	0.16	0.005	0.155	0.08	<0.1
CG-06-36-06	99	CG-06-36-06 (LP, ANA)	Affleurement	02-01-2007	362926	6558848	83	20	Roche calco-silicatée	10001	47	47	1.00	6.41	2.63	12.1	0.076	0.386	1.79	6.64	0.091	24.6	<0.1
CG-06-41-08	210	CG-06-41-08 (LM, ANA)	Affleurement	02-01-2007	361630	6545911	83	20	Orthogneiss pegmatitique	2500	31	598	0.05	14.9	1.79	0.747	0.015	1.35	4.87	0.039	0.188	2.5	<0.1
CG-06-45-12	215	CG-06-45-12 (LP, ANA)	Affleurement	02-01-2007	361545	6544854	83	20	Diopsidite	27000	8500	906	9.38	17.1	0.99	8.3	0.041	0.35	0.32	4.92	0.035	24.7	0.1
CG-06-47-04	218	CG-06-47-04 (LP, ANA)	Bloc	02-01-2007	365924	6556951	83	20	Granite gneissique	3100	6930	859	8.07	5.45	2.41	13	0.063	0.621	1.52	2.47	0.184	18.7	0.1
CG-06-47-05	220	CG-06-47-05 (LM, ANA)	Affleurement	02-01-2007	365785	6556888	83	20	Granite pegmatitique	6000	2	6	0.33	16.8	7.11	3.4	0.086	2.94	4.41	0.043	0.571	2.65	0.1
CG06-57-10A	243	CG06-57-10A (LM, ANA)	Affleurement	02-01-2007	379476	6518634	83	20	Roche calco-silicatée	1600	3470	12	289.17	3.12	1.89	18.9	0.048	2.34	0.06	0.042	0.074	26.1	0.2
CG06-57-10B	244	CG06-57-10B (ANA,LP)	Affleurement	02-01-2007	379476	6518634	83	20	Roche calco-silicatée	4900	4010	23	174.35	2.85	1.97	19.5	0.045	2.13	0.06	0.044	0.19	24.5	8.3
CG06-57-10B	383	CG06-57-10B (LP, ANA)	Affleurement	02-01-2007	347654	6567448	83	20	Roche calco-silicatée	5400	5400	15	360.00	3.01	1.98	18	0.046	2.34	0.05	0.049	0.081	26.9	0.2
CG06-62-05	252	CG06-62-05 (LM, ANA)	Affleurement	02-01-2007	357675	6536766	83	20	Granite	140	<2	743	0.00	20.7	8.33	0.188	0.026	2.52	6.65	0.337	0.17	3.85	0.1
CG06-65-07A	256	CG06-65-07A (LP, ANA)	Affleurement	02-01-2007	353494	6560629	83	20	Roche calco-silicatée	1800	2610	5	522.00	3.56	2.57	18.3	0.041	2.06	0.18	0.046	0.106	24.3	0.2
CG06-66-09	262	CG06-66-09 (LM, ANA)	Affleurement	02-01-2007	370687	6550461	83	20	Paragneiss à biotite		2	13	0.15	11.4	3.83	1.5	0.014	2.52	2.44	0.075	0.552	1.49	0.2
CG06-68-03	264	CG06-68-03 (LP, ANA)	Affleurement	02-01-2007	356112	6540211	83	20	Paragneiss à biotite	420	27	1280	0.02	17.2	2.21	0.717	0.014	1.98	5.77	0.178	0.282	2.6	<0.1
CG06-68-07	266	CG06-68-07 (LP, ANA)	Affleurement	02-01-2007	355768	6539812	83	20	Granite à allanite	650	36	1710	0.02	10.8	2.25	0.915	0.033	2.46	2.47	0.068	0.614	1.91	<0.1
CG06-76-08A	286	CG06-76-08A (LP, ANA)	Affleurement	02-01-2007	364740	6530600	83	20	Paragneiss à biotite	1100	170	2340	0.07	20	2.43	0.711	0.029	1.29	6.46	0.469	0.254	3.79	<0.1
CG06-78-15	299	CG06-78-15 (LP, ANA)	Affleurement	02-01-2007	374553	6531833	83	20	paragneiss biotitisé	1300	41	379	0.11	17.1	22.7	6.33	0.338	8.89	0.16	0.118	1.9	0.03	0.2
CG-06-79-02	300	CG-06-79-02 (LP, ANA)	Affleurement	02-01-2007	362872	6551117	83	20	Pegmatite	40001	2800	130	21.54	12.8	0.6	0.344	0.006	2.22	2.63	0.201	0.053	3.48	0.1
CG06-79-02B	301	CG06-79-02B (ANA,LM)	Affleurement	02-01-2007	362872	6551117	83	20	Marbre	6100	5230	278	18.81	0.58	3.94	18.1	0.072	0.042	0.16	0.005	0.055	24.3	0.2
CG06-79-04	302	CG06-79-04 (ANA)	Affleurement	02-01-2007	362799	6551222	83	20	Pegmatite	40001	3030	214	14.16	12.8	4.63	4.85	0.027	2.06	1.86	0.468	0.085	12.7	0.1
CG06-79-09	303	CG06-79-09 (ANA)	Affleurement	02-01-2007	361497	6552380	83	20	Gneiss granitique	18700	79500	2910	27.32	9.89	5.76	4.66	0.025	0.747	1.62	0.178	0.08	11.7	0.1
CG06-80-07	305	CG06-80-07 (LM, ANA)	Affleurement	02-01-2007	354063	6569297	83	20	Diopsidite	115	19	<1	19.00	26.7	0.66	4.25	0.038	0.797	0.94	0.176	0.02	20.3	<0.1
CG06-82-04	309	CG06-82-04 (ANA)	Affleurement	02-01-2007	360098	6546076	83	20	Pegmatite	102	67	73	0.92	19.6	0.91	4.52	0.025	0.554	6.31	0.222	0.421	10.5	<0.1
CG06-82-09	312	CG06-82-09 (LM, ANA)	Affleurement	02-01-2007	360175	6545690	83	20	Granite gneissique	225	46	669	0.07	16	1.55	2.12	0.024	8.41	2.89	0.026	0.19	4.26	<0.1
CG06-83-08	315	CG06-83-08 (LP, ANA)	Affleurement	02-01-2007	362574	6528684	83	20	Granite pegmatitique	430	27	1180	0.02	16.4	3.8	0.125	0.021	0.942	5.83	0.102	0.118	3.15	<0.1

114024-CA06-T04
7055444

Tableau 11.1 - Analyses lithogéochimiques des échantillons choisis et de rainurage

No Station	No Coupon	No Echantillon	Type de station	Date	Estant	Nordant	NAD	Zone	Lithologie	RA Echantillon c/s	U (ppm)*	Th (ppm)*	U-Th	Al2O3 (% pds)*	Fe2O3 (% pds)*	MgO (% pds)*	MnO (% pds)*	K2O (% pds)*	Na2O (% pds)*	P2O5 (% pds)*	TiO2 (% pds)*	CaO (% pds)*	Ag (ppm)&
CG06-84-11	319	GG06-84-11(ANA)	Affleurement	02-01-2007	362505	6577121	83	20	Pegmatite	220	13	268	0.05	13.4	6.13	1.97	0.101	4.75	1.92	0.161	0.612	0.94	0.1
CG06-85-13	326	CG06-85-13 (ANA,LM)	Affleurement	02-01-2007	365707	6536390	83	20	Pegmatite	120	12	198	0.06	9.75	4.26	1.32	0.022	2.47	1.93	0.055	0.393	1.33	<0.1
CG06-87-05	328	CG06-87-05 (ANA)	Affleurement	02-01-2007	355485	6569768	83	20	Paragneiss?	330	89	1230	0.07	12	8.71	5.31	0.059	1.08	4.99	0.173	0.324	11.3	<0.1
CG06-87-18A	331	CG06-87-18A (ANA)	Affleurement	02-01-2007	356335	6571576	83	20	Pegmatite	2100	707	4040	0.18	13.3	5.51	0.161	0.014	1.94	4.14	0.229	0.119	3.39	<0.1
CG06-87-18B	332	CG06-87-18B (ANA)	Affleurement	02-01-2007	356335	6571576	83	20	Pegmatite	740	230	1250	0.18	14.5	1.54	0.246	0.011	0.871	5.25	0.429	0.059	4.86	<0.1
CG06-88-12	338	CG06-88-12 (LP, ANA)	Affleurement	02-01-2007	355452	6572553	83	20	Pegmatite	1300	92	1740	0.05	12.9	1.64	0.741	0.01	1.36	4.17	0.536	0.162	2.11	<0.1
CG06-91-03	348	CG06-91-03 (ANA)	Affleurement	02-01-2007	357573	6491238	83	20	Pegmatite	380	162	245	0.66	2.13	2.28	0.58	0.033	1.33	0.1	0.082	0.262	0.12	<0.1
CG06-91-04	349	CG06-91-04 (LP, ANA)	Affleurement	02-01-2007	357631	6491148	83	20	Pegmatite	7700	12000	1400	8.57	7.69	9.1	2.9	0.12	3.69	0.29	0.413	1.22	0.68	0.2
CG06-92-13	360	CG06-92-13 (ANA)	Affleurement	02-01-2007	358221	6488553	83	20	Pegmatite	370	330	214	1.54	15.4	3.41	0.909	0.071	2.07	5.5	0.109	0.361	2.33	<0.1
CG06-93-04	363	CG06-93-04 (LM, ANA)	Affleurement	02-01-2007	354090	6488245	83	20	Orthogneiss granitique	350	34	805	0.04	8.6	1.26	0.363	0.01	1.42	1.72	0.042	0.111	1.25	<0.1
CG06-96-02B	369	CG06-96-02B (LP, ANA)	Affleurement	02-01-2007	353117	6555848	83	20	méta-arkose minéralisée	15000	1500	170	8.82	12.9	3.78	0.862	0.009	1.19	6.04	0.121	0.385	0.69	0.2
CG06-97-02B	372	CG06-97-02B (LM, ANA)	Affleurement	02-01-2007	354685	6547178	83	20	Paragneiss à biotite		5	16	0.31	13	2.42	1.58	0.02	5.87	2.04	0.085	0.199	1.26	0.2
CG06-97-05	374	CG06-97-05 (ANA)	Affleurement	02-01-2007	354821	6547405	83	20	Pegmatite	1500	96	78	1.23	13	1.29	1.18	0.008	6.82	2.83	0.037	0.223	0.39	<0.1
CA06-T-01-01	52	CA06-T-01-01 (ANA)	Rainurage	02-01-2007	355380.49	6558211.98	83	20	Marbre dolomitique	<100	20	<1	20.00	0.45	0.5	23.5	0.031	0.235	0.05	0.028	0.016	29	<0.1
CA06-T-01-02	53	CA06-T-01-02 (LP, ANA)	Rainurage	02-01-2007	355379.63	6558211.4	83	20	Marbre dolomitique	5000	5600	6	933.33	0.75	0.79	17	0.035	0.263	0.18	0.026	0.021	28.7	0.2
CA06-T-01-03	54	CA06-T-01-03 (ANA)	Rainurage	02-01-2007	355378.82	6558210.84	83	20	Marbre	120	95	<1	95.00	1.4	0.43	13.2	0.037	0.247	0.3	0.067	0.04	31.3	<0.1
CA06-T-01-04	55	CA06-T-01-04 (ANA)	Rainurage	02-01-2007	355377.95	6558210.25	83	20	Marbre dolomitique	<100	32	<1	32.00	0.41	0.37	23.6	0.032	0.194	0.04	0.022	0.01	29.3	<0.1
CA06-T-02-01	56	CA06-T-02-01 (ANA)	Rainurage	02-01-2007	355367.48	6558228.37	83	20	Marbre dolomitique	<100	27	<1	27.00	0.69	0.48	17.8	0.038	0.24	0.11	0.029	0.022	34.7	<0.1
CA06-T-02-02	57	CA06-T-02-02 (LP, ANA))	Rainurage	02-01-2007	355366.73	6558227.75	83	20	Marbre	150	101	<1	101.00	1.08	0.57	20.5	0.032	0.393	0.14	0.024	0.041	27.7	<0.1
CA06-T-02-03	58	CA06-T-02-03 (ANA)	Rainurage	02-01-2007	355366	6558227	83	20	Marbre dolomitique	<100	30	<1	30.00	0.76	0.34	23.3	0.029	0.273	0.11	0.046	0.025	29.4	<0.1
CA06-T-02-04	59	CA06-T-02-04 (ANA)	Rainurage	02-01-2007	355365.21	6558226.58	83	20	Marbre dolomitique	<100	29	<1	29.00	0.85	0.42	21.7	0.036	0.352	0.08	0.024	0.026	29.1	2.3
CA06-T-02-05	60	CA06-T-02-05 (ANA)	Rainurage	02-01-2007	355364.49	6558226	83	20	Marbre dolomitique	<100	26	<1	26.00	0.63	0.39	22.5	0.031	0.262	0.05	0.033	0.025	28.2	<0.1
CA06-T-02-06	61	CA06-T-02-06 (ANA)	Rainurage	02-01-2007	355363.77	6558225.4	83	20	Marbre dolomitique	<100	30	<1	30.00	0.6	0.44	22.4	0.033	0.198	0.07	0.029	0.015	29.3	<0.1
CA06-T-02-07	62	CA06-T-02-07 (ANA)	Rainurage	02-01-2007	355362.89	6558224.69	83	20	Marbre dolomitique	<100	57	<1	57.00	0.49	0.36	22.4	0.03	0.193	0.03	0.047	0.018	29	1.6
CA06-T-03-01	63	CA06-T-03-01 (ANA)	Rainurage	02-01-2007	355361.78	6558236.35	83	20	Marbre dolomitique	<100	19	<1	19.00	0.49	0.41	23.5	0.032	0.213	0.05	0.014	0.018	29.5	<0.1
CA06-T-03-02	64	CA06-T-03-02 (ANA)	Rainurage	02-01-2007	355361.29	6558235.9	83	20	Marbre dolomitique	<100	6	<1	6.00	0.42	0.44	18.5	0.026	0.014	0.19	0.007	0.019	21.8	<0.1
CA06-T-03-03	65	CA06-T-03-03 (LP, ANA)	Rainurage	02-01-2007	355360.56	6558235.28	83	20	Marbre dolomitique	550	31	<1	31.00	0.53	0.38	23.2	0.033	0.226	0.05	0.019	0.023	28.8	0.2
CA06-T-03-04	66	CA06-T-03-04 (ANA)	Rainurage	02-01-2007	355359.98	6558234.75	83	20	Marbre dolomitique	<100	20	<1	20.00	0.61	0.48	20.7	0.035	0.183	0.09	0.028	0.02	28	<0.1
CA06-T-04-01	67	CA06-T-04-01 (ANA)	Rainurage	02-01-2007	355353	6558235.59	83	20	Marbre dolomitique	<100	24	<1	24.00	0.31	0.3	20.5	0.029	0.128	0.02	0.035	0.009	30	<0.1
CA06-T-04-02	68	CA06-T-04-02 (LP, ANA)	Rainurage	02-01-2007	355352.22	6558234.91	83	20	Marbre dolomitique	5300	1560	<1	1560.00	0.28	0.28	22.3	0.029	0.187	0.03	0.041	0.009	28.9	1.8
CA06-T-04-03	69	CA06-T-04-03 (ANA)	Rainurage	02-01-2007	355351.51	6558234.29	83	20	Marbre dolomitique	<100	30	<1	30.00	0.31	0.2	21	0.03	0.236	0.01	0.031	0.011	30.8	<0.1
CA06-T-05-01	70	CA06-T-05-01 (ANA)	Rainurage	02-01-2007	355426	6558162.22	83	20	Marbre	<100	10	<1	10.00	1.07	1.05	17.6	0.035	0.088	0.41	0.015	0.036	21.5	0.4
CA06-T-05-02	71	CA06-T-05-02 (LP, ANA)	Rainurage	02-01-2007	355425.58	6558161.87	83	20	Marbre dolomitique	280	122	<1	122.00	0.59	0.54	22.3	0.042	0.296	0.04	0.028	0.022	30.6	<0.1
CA06-T-05-03	72	CA06-T-05-03 (ANA)	Rainurage	02-01-2007	355424.89	6558161.29	83	20	Marbre dolomitique	<100	24	<1	24.00	0.38	0.52	22.1	0.039	0.085	0.07	0.025	0.015	27	<0.1
CA06-T-06-01	73	CA06-T-06-01 (LP, ANA)	Rainurage	02-01-2007	355843.28	6557582.5	83	20	Roche calco-silicatée	6500	4180	4	1045.00	3.53	1.24	18.4	0.055	2.2	0.17	0.047	0.142	24.7	4.7
CA06-T-06-02	74	CA06-T-06-02 (LP, ANA)	Rainurage	02-01-2007	355843.99	6557583.12	83	20	Roche calco-silicatée	3500	3700	13	284.62	3.1	1.24	13.8	0.048	1.34	0.32	0.051	0.131	18.4	2.5
CA06-T-06-03	75	CA06-T-06-03 (ANA)	Rainurage	02-01-2007	355844.64	6557583.67	83	20	Pegmatite	<100	10	<1	10.00	14.2	0.69	0.681	0.019	7.13	4.06	0.294	0.03	1	0.1
CA06-T-06-04	76	CA06-T-06-04 (ANA)	Rainurage	02-01-2007	355845.28	6557584.21	83	20	Pegmatite	<100	10	<1	10.00	17.7	0.84	3.78	0.023	7.74	3.26	0.16	0.019	3.54	0.7
CA06-T-06-05	77	CA06-T-06-05 (LP, ANA)	Rainurage	02-01-2007	355845.87	6557584.73	83	20	Roche calco-silicatée	190	70	2	35.00	2.94	1.12	20.3	0.067	1.92	0.13	0.05	0.12	26.7	1.7
CA06-T-06-06	78	CA06-T-06-06 (ANA)	Rainurage	02-01-2007	355846.78	6557585.49	83	20	Roche calco-silicatée	<100	21	<1	21.00	2.36	0.9	20.6	0.053	1.19	0.22	0.023	0.093	26.5	<0.1
CA06-T-06-07	79	CA06-T-06-07 (ANA)	Rainurage	02-01-2007	355847.57	6557586.17	83	20	Marbre	200	64	<1	64.00	1.33	0.78	19.3	0.061	0.695	0.15	0.017	0.05	29.1	0.2
CA06-T-06-08	80	CA06-T-06-08 (ANA)	Rainurage	02-01-2007	355848.35	6557586.87	83	20	Marbre	150	170	<1	170.00	1.25	0.76	15.2	0.053	0.593	0.17	0.009	0.05	27.6	<0.1

* = ICP4,3 Total Digestion
& = ICP4,3R Partial Digestion
# = FA (fire assay) + AA (Atomic Absorption)

Tableau 11.1 - Analyses lithogéochimiques des échantillons choisis et de rainurage

No Station	Ag (ppm)*	As (ppm)&	Ba (ppm)*	Be (ppm)*	Bi (ppm)&	Cd (ppm)*	Ce (ppm)*	Co (ppm)&	Co (ppm)*	Cr (ppm)*	Cu (ppm)&	Cu (ppm)*	Dy (ppm)*	Er (ppm)*	Eu (ppm)*	Ga (ppm)*	Gd (ppm)*	Ge (ppm)&	Hf (ppm)*	Hg (ppm)&	Ho (ppm)*	La (ppm)*	Li (ppm)*	Mo (ppm)&	Mo (ppm)*	Nb (ppm)*	Nd (ppm)*	Ni (ppm)&	Ni (ppm)*	Pb (ppm)&	Pb (ppm)*
CA06-1000-00 (indice Mario)	14.5	11.2	2260	0.6	2.1	5.1	10	2.4	2	11	17.1	20	1.5	<0.2	0.5	<1	<0.5	<0.2	<0.5	<0.2	<0.4	<1	19	4.3	4	<1	14	8	10	9950	10000
CA06-1001-23	1.3	10	2880	3.9	15.8	0.8	124	5.9	5	91	<0.1	<1	6.5	<0.2	3.5	<1	<0.5	<0.2	<0.5	<0.2	<0.4	<1	70	35.9	39	2	99	16.9	17	6300	6370
CA06-1001-24	10.6	8.2	2880	4.9	3.3	3.4	52	2.9	3	48	56.9	67	6.2	1.7	2	<1	<0.5	<0.2	<0.5	<0.2	<0.4	<1	255	509	668	10	38	15	16	2440	2510
CA06-1002-05(suite)	<0.2	3.5	389	<0.2	1.1	<0.2	1	0.2	<1	13	<0.1	2	0.9	<0.2	<0.2	1	<0.5	<0.2	<0.5	<0.2	<0.4	11	<1	1.9	1	<1	<1	5.4	5	0.2	1
CA06-1003-20	6.9	4.6	1540	0.5	9.2	6.6	25	3.1	2	23	41.5	41	2.3	0.6	0.6	<1	0.7	<0.2	<0.5	<0.2	<0.4	14	26	88.9	90	1	11	11.7	12	1870	1900
CA06-1004-08A	34.2	200	2290	2.3	2	4.1	21	1.5	1	32	135	140	1.1	<0.2	0.8	<1	<0.5	<0.2	<0.5	<0.2	<0.4	<1	11	289	290	<1	17	15.8	17	12100	12500
CA06-1004-08B	<0.2	6.1	3300	1.5	2.8	1.6	16	1.3	3	21	7.7	10	1.2	<0.2	0.4	<1	<0.5	<0.2	<0.5	<0.2	<0.4	10	116	25.4	26	<1	6	4.3	6	735	740
CA06-1005-07	61.8	33.1	12700	0.9	2.2	4.6	2	4	<1	6	137	167	4.9	<0.2	0.9	<1	<0.5	<0.2	<0.5	<0.2	<0.4	<1	9	1060	1160	<1	16	23.9	24	6300	6600
CA06-1006-03A	<0.2	28.2	3370	3.2	3	1.3	9	<0.1	<1	91	24.5	33	3.4	8.9	0.2	<1	<0.5	<0.2	<0.5	0.3	<0.4	5	88	6590	6600	36	7	2.9	5	544	643
CA06-1006-03B	<0.2	22.9	3350	3.3	8.4	1.3	20	<0.1	<1	68	<0.1	<1	7.2	8.4	0.3	<1	<0.5	<0.2	<0.5	0.2	<0.4	<1	108	5310	5370	37	19	1	4	1710	1770
CA06-1013-05	<0.2	8.4	4880	0.4	5.3	1.1	173	0.3	1	90	<0.1	<1	113	38.6	20	<1	138	<0.2	<0.5	<0.2	15.9	<1	70	56.6	58	<1	227	13.2	33	4230	4300
CA06-1013-15	<0.2	7.3	1780	3.8	11.4	0.7	48	4.6	4	86	<0.1	2	1.3	<0.2	1.8	<1	<0.5	<0.2	<0.5	<0.2	<0.4	<1	83	132	145	4	44	11.6	12	5750	5790
CA06-1014-05	<0.2	1.6	166	0.8	2.8	<0.2	48	0.9	<1	33	<0.1	<1	11.6	1.9	1.5	<1	<0.5	<0.2	<0.5	<0.2	<0.4	<1	33	25.3	27	<1	40	6	4	2130	2200
CA06-1020-07	<0.2	7.4	7280	0.8	1.8	2.1	11	1.8	<1	35	<0.1	2	2	<0.2	0.4	<1	<0.5	<0.2	<0.5	<0.2	<0.4	2	57	9.5	6	<1	8	10.6	6	616	620
CA06-1022-03	<0.2	18.9	368	1.5	1.1	0.6	38	1.9	3	199	8.6	9	1.6	11.7	0.4	<1	1.6	0.5	<0.5	0.3	<0.4	21	15	7600	8390	19	17	11	11	201	210
CA06-1022-04	<0.2	124	12	<0.2	51.9	1.3	992	<0.1	<1	290	45	53	56.2	<0.2	2.3	<1	93.6	<0.2	<0.5	1.8	<0.4	568	10	18900	50800	33	10	<0.1	2	20200	24200
CA06-1024-33	<0.2	0.4	683	2.1	1.3	0.4	46	3.6	3	54	12.2	16	2.8	1	1.1	2	0.6	<0.2	<0.5	<0.2	<0.4	12	150	72.1	77	2	23	12.5	12	745	750
CA06-1029-10	<0.2	3.6	2530	1.5	2.8	0.7	33	11.1	12	79	69.7	85	8.5	0.3	1.7	<1	<0.5	<0.2	<0.5	<0.2	<0.4	<1	229	13.9	16	<1	36	24	28	1720	1760
CA06-1032-01	<0.2	16.2	13400	1.5	<0.2	3.2	400	1.8	1	82	0.2	<1	142	41.5	34.1	<1	213	<0.2	<0.5	0.9	18.9	35	115	554	589	<1	431	11.8	28	7460	750
CA06-1032-06	<0.2	12.7	1720	0.2	1.5	0.5	26	5.1	4	35	<0.1	2	2.4	0.4	0.6	<1	1.5	<0.2	<0.5	<0.2	<0.4	19	30	85.7	98	<1	11	12	12	197	212
CA06-1035-12	<0.2	16.5	12300	25.5	1.4	4.1	46	21	24	85	264	290	9	3.7	2	21	7.8	<0.2	<0.5	<0.2	0.8	13	117	15.2	13	38	30	23.9	35	565	570
CA06-1036-02	<0.2	9.5	1350	3.4	2.5	0.6	37	13.6	13	64	13.7	18	9.8	3.4	2.2	<1	4.5	<0.2	<0.5	<0.2	0.4	<1	114	79.3	86	4	35	25.3	28	1280	1300
CA06-1036-04	<0.2	92.8	282	1.3	1.9	0.5	21	7.5	7	9	35.5	35	<0.2	0.6	0.3	7	0.6	0.8	<0.5	<0.2	<0.4	23	8	151	187	3	4	24	25	561	570
CG06-01-01	0.8	2.1	157	5	0.7	0.4	85	6.9	7	192	23.3	24	2.7	2.8	0.7	27	3.6	0.6	23.6	<0.2	<0.4	47	55	14	14	3	28	23.9	23	38.1	43
CG06-01-02A	<0.2	3.2	393	9.6	0.2	<0.2	13	37.2	38	115	151	155	1.5	2.5	1.4	18	1.6	3.8	4.4	<0.2	<0.4	10	48	59.9	61	<1	11	154	172	23.3	34
CG06-01-02B	<0.2	1.7	626	1.4	1.2	0.7	78	0.8	<1	250	5.1	5	2.1	1.2	1.6	21	4.6	0.4	4.7	<0.2	<0.4	43	49	10.4	10	<1	31	6	7	1.8	7
CG06-02-06A	<0.2	<0.2	177	0.4	1.5	<0.2	1590	0.4	1	97	43.9	44	48.9	32.8	3.2	20	65.3	<0.2	<0.5	<0.2	12.6	855	16	117	120	11	582	24.1	15	377	380
CG06-02-07A'	<0.2	4.3	21	0.4	1.6	<0.2	807	56.5	61	267	151	152	76.5	39.4	2.7	3	91.3	0.4	<0.5	<0.2	14.1	313	7	85.4	89	<1	450	149	187	51.5	51
CG06-03-07	0.9	1.4	78	9.7	11.8	0.3	96	1.1	1	122	<0.1	<1	13.6	7.5	0.7	33	13.2	<0.2	7.1	<0.2	1.1	30	10	1.7	2	171	53	4.1	3	214	220
CG06-04-04	25.8	0.6	25	19.7	17.9	<0.2	123	0.6	<1	157	<0.1	<1	18.5	19.5	<0.2	32	13.2	<0.2	463	<0.2	<0.4	36	4	1.6	<1	291	5	4.1	4	172	190
CG06-04-09	1.5	1.4	16	14.6	3.2	0.4	18	2.2	1	155	7.6	8	2.2	2.1	<0.2	27	2.1	<0.2	33.1	<0.2	<0.4	8	<1	1.2	<1	59	5	15.8	16	67.5	68
CG06-05-02	0.4	0.6	104	70.8	0.7	0.5	53	0.5	<1	132	1	<1	12.3	9.7	0.4	79	7.9	<0.2	18.1	<0.2	1.7	29	1	1.2	<1	91	19	4	5	39.3	41
CG06-05-03A	0.7	<0.2	160	65.9	0.7	0.7	50	0.5	<1	76	<0.1	<1	17.1	12.5	0.4	71	10.4	<0.2	32.5	<0.2	1.8	12	1	1.5	<1	168	24	2.1	3	111	114
CG06-05-05	2.3	<0.2	169	18.5	<0.2	<0.2	1250	0.1	<1	122	326	330	75.1	46.8	18.1	19	70	<0.2	26.8	<0.2	10.2	552	6	15.7	17	454	394	4.1	6	703	710
CG06-06-07A	<0.2	4.3	38	1.4	3	<0.2	2	4.4	5	66	68.4	79	<0.2	0.3	0.8	11	<0.5	2.4	2.9	<0.2	<0.4	8	5	2.7	6	<1	<1	24.9	26	17.1	19
CG06-07-03	<0.2	1	26	2.4	1.3	0.3	6	0.3	2	74	<0.1	<1	0.9	<0.2	<0.2	11	<0.5	<0.2	<0.5	<0.2	<0.4	6	53	1.7	<1	10	1	4.5	4	138	140
CG06-07-11	<0.2	2.5	1830	0.5	0.6	1	85	2.7	3	184	6.8	8	1.9	1.7	1.6	27	3.5	1.4	4.9	<0.2	<0.4	51	33	1.2	1	22	31	9.8	11	2.62	35
CG06-12-21	3.1	<0.2	191	0.7	19	0.2	88	1.4	1	180	<0.1	<1	9.9	5.8	<0.2	2	10	<0.2	25.2	<0.2	<0.4	37	19	40.9	44	2	35	4.7	5	246	263
CG06-13-18	1	0.4	777	0.3	2.6	0.6	295	1	1	177	<0.1	<1	17.3	8.2	0.7	7	22.2	<0.2	22.6	<0.2	0.5	129	19	2.4	2	1	119	2.2	3	419	456
CG06-15-10A	<0.2	<0.2	968	1.1	5.9	0.5	2700	1.9	1	75	<0.1	<1	55	22.4	0.5	35	103	<0.2	26.3	<0.2	12.2	1380	77	3.3	2	18	861	4.8	6	82.2	92
CG06-15-10A	0.8	3.1	766	0.6	9.5	0.5	183	1.5	1	112	<0.1	<1	7.5	3.7	0.3	13	10.1	<0.2	3.1	<0.2	<0.4	87	11	11.2	7	4	72	3.1	3	275	280
CG06-17-07A	1.1	2.3	308	<0.2	10.9	<0.2	7	7	18	160	<0.1	<1	2.2	2.7	<0.2	4	1.8	<0.2	3.6	<0.2	<0.4	6	82	498	510	17	1	19.3	42	81.4	81
CG06-17-09A'''	<0.2	2.7	44	1.6	1.7	0.3	5	0.6	3	73	<0.1	<1	3.2	1.1	0.4	<1	<0.5	<0.2	<0.5	<0.2	<0.4	<1	27	432	440	<1	5	1.2	3	398	436
CG06-17-16A	<0.2	2	265	3.3	1	<0.2	8	0.6	4	44	2.6	6	3.4	2	0.3	6	1.1	<0.2	<0.5	<0.2	<0.4	4	27	126	151	3	5	1.7	1	118	124
CG-06-17-16A	<0.2	3.7	48	1.2	3.2	<0.2	12	2.1	6	35	8.5	15	6.3	4	0.3	<1	<0.5	<0.2	<0.5	<0.2	<0.4	<1	28	1430	1490	<1	14	1.1	2	692	700
CG06-18-04	0.3	<0.2	98	1.6	0.6	0.6	63	1.1	<1	182	1.2	1	1.2	0.6	1	17	2.6	<0.2	7.8	<0.2	<0.4	39	17	3.2	2	3	19	4	5	3.67	19
CG06-2001-05	1.6	0.5	81	0.3	2.4	<0.2	4	1.2	1	261	<0.1	<1	0.9	0.9	0.2	2	1.2	<0.2	23.8	<0.2	<0.4	2	2	17.6	18	<1	<1	3.8	5	45.6	48
CG06-2002-11	<0.2	1.3	504	4.3	6	0.6	395	4.5	6	130	109	127	6.3	3.8	0.2	31	12.6	<0.2	5.6	<0.2	0.6	183	38	6.3	6	16	144	16.3	18	296	300
CG06-2003-04	<0.2	<0.2	237	1.9	<0.2	<0.2	107	0.2	3	52	88.7	<1	24.8	<0.2	1.3	<1	<0.5	<0.2	<0.5	<0.2	<0.4	<1	38	2	5	<1	140	3.1	6	7600	7700
CG06-2005-03	0.5	1	20	43.5	1.4	0.4	38	0.9	<1	116	11.5	13	44.8	37.5	2.9	59	22.6	<0.2	36.9	<0.2	8.1	7	<1	4.3	4	334	27	2.4	2	61.3	51
CG06-2005-11	5.7	<0.2	151	1.5	16.8	<0.2	1630	0.3	<1	101	<0.1	<1	19.6	13.8	<0.2	22	36.8	<0.2	117	<0.2	<0.4	836	12	27	28	<1	438	4.3	6	151	153
CG06-2006-16	<0.2	0.3	46	4.2	4.2	0.7	55	0.5	1	54	<0.1	<1	2.8	1.2	<0.2	17	2.2	<0.2	<0.5	<0.2	<0.4	25	12	2.8	3	<1	17	2.3	6	144	212
CG-06-20-08	2.2	7.8	288	0.4	7.4	<0.2	1040	5.6	7	276	<0.1	<1	24.5	11.2	<0.2	1	43.9	<0.2	30.7	<0.2	<0.4	479	33	301	310	24	379	12.4	14	786	810
CG06-2009-16	<0.2	<0.2	448	<0.2	17.3	<0.2	14600	1	<1	217	<0.1	<1	257	72.4	<0.2	69	665	<0.2	<0.5	<0.2	57.4	6340	14	8.4	11	<1	5720	3.7	5	209	611
CG06-2009-19	<0.2	<0.2	841	1.1	3.7	<0.2	13500	5.3	9	209	3	27	179	62.8	3.4	<1	405	<0.2	<0.5	<0.2	45.6	7100	60	3.6	6	19	4600	15.9	17	1830	2040
CG06-2016-01	4	1.1	747	3.7	5.7	0.7	8	0.5	<1	165	<0.1	<1	1.5	2.9	0.2	28	1.1	<0.2	70	<0.2	<0.4	5	9	2.4	3	1	<1	3.2	3	111	112
CG06-2017-01	0.2	1	843	1.9	2.6	0.7	418	2.2	3	91	20	22	6.1	2.6	0.3	27	14.9	<0.2	0.5	<0.2	1.3	212	26	3.9	4	10	145	4.6	4	31.7	48
CG-06-2019-08	<0.2	1.9	470	0.2	2.8	<0.2	8680	5.1	8	214	13.1	<1	102	34.7	<0.2	65	317	<0.2	10.5	<0.2	28.7	4230	45	11.9	12	41	3190	18.7	19	16.9	297
CG06-2022-07	2	0.4	5	<0.2	0.8	<0.2	5	2.1	1	317	5	6	0.7	1	<0.2	<1	1	<0.2	40.9	<0.2	<0.4	4	4	8	18	<1	<1	6	7	42.1	47
CG06-2023-07	<0.2	<0.2	56	5.8	0.5	0.4	7	0.7	<1	195	0.7	<1	0.5	0.4	<0.2	29	0.7	<0.2	<0.5	<0.2	<0.4	5	<1	2.3	3	3	2	2.5	2	42.3	44
CG06-25-18	<0.2	<0.2	818	0.5	1.1	0.8	247	8.6	12	100	<0.1	<1	71.1	32.7	1.4	16	49.5	<0.2	<0.5	<0.2	12.1	80	95	129	131	33	144	15	17	588	600
CG-06-27-06	1.1	1	273	1.5	5	0.6	17	1.5	1	189	<0.1	<1	2	1.7	0.7	12	2.1	<0.2	15.7	<0.2	<0.4	12	28	53.4	54	3	5	3.8	4	121	133
CG-06-27-08	3.1	0.3	110	<0.2	8.9	<0.2	3	1.3	1	250	<0.1	<1	1.7	2.1	<0.2	1	1.6	<0.2	46.4	<0.2	<0.4	3	22	69.7	71	5	<1	5.4	6	59.9	66
CG-06-36-06	<0.2	4.8	100	2.7	1	0.2	500	0.3	3	56	0.4	1	18.1	11.5	1.4	<1	28.1	<0.2	<0.5	<0.2	3.7	200	9	1450	1500	3	220	4.3	12	16.7	24
CG-06-41-08	0.8	0.4	225	3.5	4.5	0.6	140	4	4	165	3	6	1.1	1	0.5	23	3.1	<0.2	11.5	<0.2	<0.4	79	23	1.7	1	4	41	7.6	7	32.7	45
CG-06-45-12	<0.2	5.8	67	3.8	11.3	0.5	299	<0.1	<1	48	<0.1	<1	28.6	9.2	1	<1	9.9	<0.2	<0.5	<0.2	2.6	111	24	5.3	6	<1	115	4.6	5	2490	2500
CG-06-47-04	<0.2	0.9	62	2.4	7.3	<0.2	229	3.3	3	93	<0.1	<1	20.1	5.7	0.7	<1	4.3	<0.2	<0.5	<0.2	1.2	87	27	1.2	1	<1	83	7.5	8	2060	2100
CG-06-47-05	<0.2	0.9	221	2.2	0.3	0.5	25	14.5	18	229	57.2	60	1	1.2	0.8	25	1.3	0.9	2.7	<0.2	<0.4	27	33	0.9	<1	11	13	39.4	48	0.44	8
CG06-57-10A	<0.2	8.8	196	0.6	2.9	0.3	50	2.9	5	22	<0.1	1	6.1	0.7	2	<1	1.1	<0.2	<0.5	0.6	<0.4	3	13	2	2	<1	30	8.3	11	968	970
CG06-57-10B	15.9	9.9	160	0.8	95	18.7	52	7.8	11	36	344	375	7.9	2.7	1.5	<1	0.6	<0.2	<0.5	<0.2	<0.4	6	7	1.8	1	<1	31	15.3	20	1660	1700
CG06-57-10B	<0.2	11.2	164	0.5	3	<0.2	50	3	5	32	<0.1	2	13.9	3.4	3.5	<1	4.9	<0.2	<0.5	0.5	0.6	<1	9	3.7	4	<1	46	7.1	11	1640	1700
CG06-62-05	<0.2	<0.2	709	2.7	4.2	0.5	1530	2.1	4	90	<0.1	<1	7.1	3.8	0.6	39	27.3	<0.2	1.5	<0.2	2.3	775	19	1	1	<1	413	5.7	5	45.6	72
CG06-65-07A	<0.2	6.7	870	1.1	2.5	3.5	50	9	26	39	25.1	34	2.7	<0.2	0.8	<1	<0.5	<0.2	<0.5	<0.2	<0.4	12	23	2.1	1	<1	19	11.8	22	979	990
CG06-66-09	<0.2	2.6	521	0.3	0.9	0.6	88	1.9	2	160	11.1	12	2.4	1.3	1.3	16	4.6	0.8	4.1	<0.2	<0.4	45	22	0.5	<1	10	35	5.9	6	0.25	14
CG06-68-03	0.4	<0.2	321	2.2	8.1	0.6	1160	1.3	<1	155	<0.1	<1	8.6	4.4	<0.2	30	26.2	<0.2	9.9	<0.2	1.8	578	20	5	4	9	366	5.2	4	85.8	114
CG06-68-07	<0.2	<0.2	579	1.9	11	<0.2	2110	4	3	232	<0.1	<1	16.8	10.2	<0.2	24	43.1	<0.2	1.9	<0.2	6.1	1070	41	1	<1	48	628	11.4	12	142	149
CG06-76-08A	7.3	<0.2	93	5	15	0.4	1810	2.2	2	113	<0.1	<1	58.7	25.5	4.2	33	99	<0.2	165	<0.2	<0.4	870	23	1.7	2	7	696	8	9	241	313
CG06-78-15	<0.2	3	63	2.7	0.5	<0.2	785	17	34	495	16.5	17	16.9	6.4	0.8	89	34.4	1.7	10.9	<0.2	2.6	379	238	<0.1	2	147	281	46.3	73	31.9	63
CG-06-79-02	<0.2	2.5	417	2	2.2	0.7	6	0.6	<1	166	<0.1	<1	6.4	0.7	<0.2	<1	0.7	<0.2	<0.5	<0.2	<0.4	<1	50	412	420	7	8	2.1	3	849	850
CG06-79-02B	<0.2	1.5	39	0.3	3.6	<0.2	1	0.3	2	33	<0.1	<1	7.8	<0.2	<0.2	<1	<0.5	<0.2	<0.5	<0.2	<0.4	<1	55	1.8	2	<1	11	2.6	4	1460	1500
CG06-79-04	<0.2	13.2	420	4	3.2	0.8	17	2.5	4	115	244	291	9.7	5.7	<0.2	<1	2.8	<0.2	<0.5	<0.2	<0.4	<1	59	3210	3670	12	14	3	5	1340	1400
CG06-79-09	<0.2	12.3	173	0.8	50.6	<0.2	428	<0.1	2	96	120	128	94.6	<0.2	0.9	<1	124	<0.2	<0.5	<0.2	<0.4	334	52	6550	9380	14	<1	7.5	9	22900	28900
CG06-80-07	0.5	3.7	1070	8.8	1.3	1.7	18	0.2	<1	70	1.6	3	1	0.4	0.4	29	0.8	<0.2	0.5	<0.2	<0.4	18	17	65.7	67	<1	3	3.5	5	27.9	41
CG06-82-04	<0.2	1	360	6.5	0.8	0.8	60	2.5	2	112	14.7	19	2.6	1.7	0.5	24	3.5	<0.2	2.8	<0.2	0.6	25	16	42.4	43	20	24	7.6	9	25.9	36
CG06-82-09	1.9	0.3	2350	1.3	5.2	1.2	94	1.2	1	83	4.8	5	3.3	2.3	0.4	23	4.6	<0.2	25.5	<0.2	<0.4	44	7	3.1	3	7	32	2.4	2	58.6	60
CG06-83-08	3	<0.2	132	2.9	9.6	0.5	469	1.3	1	131	<0.1	<1	5.4	3.9	0.3	27	13.7	<0.2	55.9	<0.2	<0.4	208	12	0.9	1	<1	160	4.5	5	61.2	68

7055544

Tableau 11.1 - Analyses lithogéochimiques des échantillons choisis et de rainurage

No Station	Ag (ppm)*	As (ppm)&	Ba (ppm)*	Be (ppm)*	Bi (ppm)&	Cd (ppm)*	Ce (ppm)*	Co (ppm)&	Co (ppm)*	Cr (ppm)*	Cu (ppm)&	Cu (ppm)*	Dy (ppm)*	Er (ppm)*	Eu (ppm)*	Ga (ppm)*	Gd (ppm)*	Ge (ppm)&	Hf (ppm)*	Hg (ppm)&	Ho (ppm)*	La (ppm)*	Li (ppm)*	Mo (ppm)&	Mo (ppm)*	Nb (ppm)*	Nd (ppm)*	Ni (ppm)&	Ni (ppm)*	Pb (ppm)&	Pb (ppm)*
CG06-84-11																															
CG06-85-13	<0.2	0.4	310	0.6	1.9	0.4	196	0.8	1	235	8.1	8	2.4	1.5	0.7	18	6.9	0.2	11.9	<0.2	<0.4	100	24	3.3	3	2	73	5.7	6	14.4	33
CG06-87-05	0.5	0.3	102	3.7	8.1	0.3	27	3.2	8	97	18.5	28	1.9	1.6	0.4	25	2	0.2	2.8	<0.2	<0.4	17	12	2.3	2	10	12	11.3	15	131	137
CG06-87-18A	20.1	<0.2	248	9.4	<0.2	0.2	164	6.3	6	121	<0.1	<1	7	9.9	<0.2	22	6.7	<0.2	431	<0.2	<0.4	77	26	18.3	20	7	10	12	14	435	450
CG06-87-18B	7.5	1.2	58	23	9.6	0.4	86	1.6	2	164	<0.1	<1	7.3	7.1	0.3	37	7.7	<0.2	182	<0.2	<0.4	41	14	37.5	40	31	20	5.1	6	162	166
CG06-88-12	<0.2	<0.2	120	1.6	5.6	<0.2	3920	1	<1	191	<0.1	<1	25.7	13	<0.2	37	89.1	<0.2	31.2	<0.2	8.2	1890	18	43	47	<1	1250	5.2	6	63	158
CG06-91-03	31.8	1.1	83	<0.2	2.4	<0.2	6	1.3	2	233	<0.1	<1	2.7	2.1	0.3	<1	2.1	<0.2	1	<0.2	<0.4	5	22	424	430	14	3	4.7	6	93.7	102
CG06-91-04	<0.2	5	181	0.8	14.8	<0.2	31	5.7	13	154	<0.1	<1	43.7	24.6	1.4	<1	11.1	<0.2	<0.5	<0.2	5.5	<1	106	1720	1800	44	60	6.1	7	3200	3300
CG06-92-13	<0.2	<0.2	41	3.3	2.8	0.5	293	2.4	2	88	<0.1	<1	19.1	13.1	0.3	27	20.2	<0.2	8	<0.2	3.1	141	53	8.8	9	18	115	4.5	5	165	170
CG06-93-04	4	0.6	149	1	5	0.3	61	2.5	2	221	<0.1	<1	3	3.5	0.4	11	4.1	<0.2	67.4	<0.2	<0.4	30	27	10.9	14	3	19	5.8	7	21	36
CG06-96-02B	<0.2	1	342	2.9	2.3	0.4	52	5.5	5	185	17.1	21	2.3	1.1	0.7	9	1	<0.2	<0.5	<0.2	<0.4	22	10	13.2	15	9	22	13	15	501	510
CG06-97-02B	<0.2	3.8	849	0.4	0.6	0.8	98	0.5	<1	270	8.2	7	2.8	1.4	1.2	11	5.8	0.7	3.9	<0.2	<0.4	55	23	29.3	30	3	41	4.7	6	1.38	11
CG06-97-05	<0.2	3.6	324	2.5	1	0.5	183	1.2	1	135	0.3	<1	3.2	2.4	0.2	28	4.9	<0.2	7.6	<0.2	0.5	98	18	1.3	1	22	51	3.3	3	47.5	52
CA06-T-01-01	1	3.2	10900	<0.2	1.5	3.1	4	1.3	<1	21	12.1	13	0.7	<0.2	<0.2	1	<0.5	<0.2	<0.5	<0.2	<0.4	10	4	2.8	<1	<1	<1	5.1	4	314	320
CA06-T-01-02	48.5	331	3590	1	3.3	7.5	10	5.4	4	36	328	348	1.7	<0.2	0.7	<1	<0.5	<0.2	<0.5	0.7	<0.4	<1	36	9.7	10	<1	18	10.9	10	11300	11500
CA06-T-01-03	1	15	24000	0.6	1	6	7	0.9	<1	17	45.3	47	0.9	<0.2	<0.2	2	<0.5	<0.2	<0.5	<0.2	<0.4	10	11	3.3	5	<1	<1	5.5	5	212	220
CA06-T-01-04	1.4	5	12600	<0.2	0.8	3.4	3	0.5	<1	10	8.9	11	0.9	<0.2	<0.2	2	<0.5	<0.2	<0.5	<0.2	<0.4	8	5	21	21	<1	<1	7.2	8	517	533
CA06-T-02-01	0.6	6.3	8350	0.2	1.6	2.5	9	0.8	<1	17	21.9	30	1	0.2	<0.2	3	0.6	<0.2	<0.5	<0.2	<0.4	13	6	5.7	7	<1	<1	7.2	7	233	240
CA06-T-02-02	5.2	10.7	13000	0.2	1.3	3.9	6	0.9	<1	24	33.6	38	1.2	0.3	<0.2	3	0.5	<0.2	<0.5	<0.2	<0.4	11	11	8.3	8	<1	1	6.3	6	1380	1400
CA06-T-02-03	2.7	2.8	10800	0.3	1.6	3.4	3	0.8	<1	12	9.8	12	0.8	<0.2	<0.2	2	<0.5	<0.2	<0.5	<0.2	<0.4	10	6	10.5	8	<1	<1	5	6	987	1100
CA06-T-02-04	3.9	4.6	10500	0.2	1.2	3.3	6	1	<1	17	17.1	17	1.1	0.4	<0.2	2	0.5	<0.2	<0.5	<0.2	<0.4	13	7	2.4	2	<1	1	6.3	7	1080	1100
CA06-T-02-05	1	3.7	12300	<0.2	1.5	3.3	3	1.1	<1	11	7.4	9	0.8	<0.2	<0.2	2	<0.5	<0.2	<0.5	<0.2	<0.4	13	7	3	4	<1	<1	6.5	7	359	360
CA06-T-02-06	1.2	4.2	12400	<0.2	1.3	3.4	5	1	<1	16	14.9	15	1	0.2	<0.2	1	<0.5	<0.2	<0.5	<0.2	<0.4	13	5	1.4	1	<1	<1	6.4	7	360	370
CA06-T-02-07	2.3	4.2	9900	<0.2	1.3	7.4	4	1	<1	24	13.8	14	0.9	0.2	<0.2	1	<0.5	<0.2	<0.5	0.4	<0.4	13	6	8.9	10	<1	<1	7.2	8	498	500
CA06-T-03-01	1.6	9.2	8860	<0.2	1.8	2.5	3	0.6	<1	13	22.1	23	0.7	<0.2	<0.2	2	<0.5	<0.2	<0.5	<0.2	<0.4	12	4	2.1	2	<1	<1	5.5	6	225	228
CA06-T-03-02	0.2	2.6	7230	<0.2	0.5	2.1	1	<0.1	<1	28	1	3	0.6	<0.2	<0.2	2	<0.5	<0.2	<0.5	<0.2	<0.4	8	28	1.3	1	<1	<1	2.8	2	13.5	16
CA06-T-03-03	2.1	5	11700	<0.2	1.9	3.3	4	0.7	<1	14	9	11	0.8	0.3	<0.2	2	<0.5	<0.2	<0.5	<0.2	<0.4	11	6	3.3	<1	<1	<1	6.5	2	720	730
CA06-T-03-04	0.4	4.6	21600	0.2	1	5.2	5	1.1	<1	16	18.4	20	0.9	0.3	<0.2	2	<0.5	<0.2	<0.5	<0.2	<0.4	9	9	1.8	1	<1	<1	4.6	5	105	110
CA06-T-04-01	0.9	5.8	8320	<0.2	1.4	4.9	2	0.8	<1	12	10.7	11	0.7	<0.2	<0.2	2	<0.5	<0.2	<0.5	0.2	<0.4	8	4	1.9	1	<1	<1	5.7	6	137	149
CA06-T-04-02	0.3	4.2	9810	0.3	1.5	4.7	4	1	1	7	7.5	11	1.7	<0.2	0.3	<1	<0.5	<0.2	<0.5	<0.2	<0.4	4	10	12.7	13	<1	5	6	7	1030	1100
CA06-T-04-03	1.5	5.6	7110	<0.2	1.4	7.5	1	0.5	<1	12	10.9	12	0.7	<0.2	<0.2	1	<0.5	<0.2	<0.5	0.5	<0.4	9	3	11.3	12	<1	<1	4.9	5	273	280
CA06-T-05-01	0.5	8.7	1190	0.6	0.3	0.6	1	2.3	2	44	9	10	0.7	0.2	<0.2	4	<0.5	<0.2	<0.5	<0.2	<0.4	8	45	1.3	1	<1	<1	3.4	5	200	210
CA06-T-05-02	1.6	6.4	12600	<0.2	1.5	7.4	6	1.9	<1	16	24.4	27	1	<0.2	<0.2	2	<0.5	<0.2	<0.5	<0.2	<0.4	11	6	3.4	3	<1	<1	7.2	7	590	640
CA06-T-05-03	1.1	5.9	14700	0.2	1.3	9.8	2	1.1	<1	17	18.6	21	0.7	<0.2	<0.2	2	<0.5	<0.2	<0.5	0.4	<0.4	11	15	2.2	2	<1	<1	6.6	7	365	370
CA06-T-06-01	8.7	7.8	5300	1.4	7.7	11	21	4.7	4	19	30.6	35	1	<0.2	0.4	<1	<0.5	<0.2	<0.5	<0.2	<0.4	<1	92	127	130	<1	12	9.2	10	3860	3900
CA06-T-06-02	2.9	11.3	4480	2.4	3.9	4.7	29	3.7	4	92	27.6	34	0.8	<0.2	0.4	<1	<0.5	0.6	<0.5	<0.2	<0.4	3	106	160	170	<1	15	6.8	8	2370	2400
CA06-T-06-03	0.2	4	615	3.7	0.5	0.9	4	0.6	<1	127	2.4	3	0.9	0.3	<0.2	25	0.8	<0.2	0.8	<0.2	<0.4	2	81	1.1	<1	9	<1	2	2	29	93
CA06-T-06-04	0.7	5.3	2680	11.7	1.5	1.6	7	0.6	<1	71	3	4	0.4	<0.2	<0.2	25	<0.5	<0.2	1.1	<0.2	<0.4	8	259	4.8	5	3	1	1.4	2	67.5	158
CA06-T-06-05	2.1	9.5	9190	0.6	2.1	3.2	26	1.6	1	25	11.9	12	1.7	0.6	0.3	5	1.1	<0.2	<0.5	<0.2	<0.4	22	39	17.4	17	1	7	8.5	9	430	459
CA06-T-06-06	0.4	6.6	7860	0.5	1.4	2.5	13	0.9	<1	31	9.2	11	1.3	0.5	0.2	4	0.7	<0.2	<0.5	<0.2	<0.4	14	25	3.8	4	<1	3	6.3	7	101	104
CA06-T-06-07	13.3	58.7	4480	0.4	1.2	2.7	15	1.7	1	28	66.3	70	1.2	0.4	0.2	3	0.7	<0.2	<0.5	<0.2	<0.4	16	12	46.5	49	<1	3	8.7	9	2700	2800
CA06-T-06-08	24.1	89.7	25600	0.4	1.4	16.5	15	3.4	<1	88	91.2	93	1.5	0.7	0.3	<1	0.9	<0.2	<0.5	0.6	<0.4	15	12	304	345	<1	4	8.9	10	4100	4300

* = ICP4,3 Total Digestion
& = ICP4,3R Partial Digestion
# = FA (fire assay) + AA (Atomic Absorption)

Tableau 11.1 - Analyses lithogéochimiques des échantillons choisis et de rainurage

No Station	Pr (ppm)*	Sb (ppm)&	Sc (ppm)*	Se (ppm)&	Sm (ppm)*	Sn (ppm)*	Sr (ppm)*	Ta (ppm)*	Tb (ppm)*	Te (ppm)&	Th (ppm)*	U, ICP (ppm)&	U, ICP (ppm)*	V (ppm)&	V (ppm)*	W (ppm)*	Y (ppm)*	Yb (ppm)*	Zn (ppm)&	Zn (ppm)*	Zr (ppm)*	Au (ppb)#	Au R (ppb)#
CA06-1000-00 (indice Mario)	3	7	<1	33.4	<0.5	<1	161	<1	<0.3	3	2	3880	4410	324	1340	<1	12	0.6	23.1	44	5	<2	
CA06-1001-23	27	<0.2	8	140	14	18	99	<1	<0.3	4.8	39	21000	21700	521	869	4	49	2.9	21.4	42	154	58	
CA06-1001-24	9	<0.2	9	86.5	6.5	<1	245	<1	<0.3	3.9	31	4400	5010	562	1000	<1	38	3.5	272	363	278	36	
CA06-1002-05(suite)	<1	<0.2	<1	<0.2	<0.5	<1	32	<1	0.7	0.9	<1	15.9	17	1.7	1	<1	3	0.1	30.9	35	3	<2	
CA06-1003-20	2	<0.2	<1	38.1	<0.5	<1	77	<1	0.9	4.4	5	1040	1100	381	491	<1	10	0.8	1050	1120	8	34	
CA06-1004-08A	5	22.1	<1	143	<0.5	<1	215	<1	6.1	22.2	4	3530	3580	1800	5100	<1	12	2.4	40.9	60	5	158	
CA06-1004-08B	2	<0.2	1	21.2	<0.5	<1	74	<1	0.5	<0.2	5	974	1050	122	694	<1	6	0.8	106	320	19	19	
CA06-1005-07	3	44.2	<1	9.8	<0.5	<1	313	<1	<0.3	6.5	2	5410	5790	532	1760	<1	20	1.2	18.9	30	4	9	
CA06-1006-03A	6	<0.2	2	5.1	<0.5	12	16	7	<0.3	<0.2	341	1020	1190	<0.1	<1	54	16	1.9	36.8	114	38	11	
CA06-1006-03B	8	<0.2	3	1.5	1.2	15	53	6	<0.3	<0.2	794	4130	4200	<0.1	<1	50	31	3.8	28.9	103	73	4	
CA06-1013-05	29	<0.2	1	<0.2	117	<1	219	<1	9.5	0.7	32	13000	13300	1.3	34	<1	660	19.7	0.2	10	29	2	
CA06-1013-15	14	<0.2	9	54.6	4.8	14	209	<1	<0.3	5.9	37	17200	17800	594	914	12	21	0.9	51	62	160	20	
CA06-1014-05	8	<0.2	1	<0.2	4.1	<1	56	<1	<0.3	<0.2	53	5730	6350	1.7	28	1	33	3.8	2.1	8	22	3	
CA06-1020-07	2	<0.2	2	8.3	<0.5	<1	79	<1	<0.3	<0.2	21	1640	1770	42.1	108	<1	10	0.8	5.8	18	29	<2	
CA06-1022-03	10	<0.2	3	<0.2	3.3	<1	66	1	<0.3	<0.2	17	284	270	<0.1	<1	4	9	1.4	13.2	17	171	5	
CA06-1022-04	<1	<0.2	16	<0.2	34.4	<1	22	51	136	<0.2	5230	68900	68900	<0.1	<1	33	245	<0.1	0.2	5	194	37	
CA06-1024-33	6	<0.2	6	9.2	0.7	<1	61	<1	<0.3	0.3	10	1770	1960	145	629	<1	18	1.9	10.9	38	111	<2	
CA06-1029-10	6	<0.2	4	19.7	4.3	<1	111	1	<0.3	0.7	24	5640	5700	108	467	<1	43	2.9	8.8	32	56	10	
CA06-1032-01	61	28.5	2	<0.2	202	<1	254	<1	12.7	<0.2	18	18500	19200	<0.1	40	1	876	21.3	2.1	13	49	2	
CA06-1032-06	2	<0.2	<1	2	<0.5	<1	158	<1	0.4	<0.2	9	519	631	22.6	76	<1	12	0.7	15.7	22	17	2	
CA06-1035-12	6	<0.2	7	16.1	8.2	27	174	9	<0.3	0.8	11	1510	1520	151	453	46	60	3.6	15.8	45	111	5	
CA06-1036-02	6	<0.2	4	97	5.2	<1	99	<1	1	<0.2	19	3290	3480	185	1450	1	47	4.6	6.7	42	129	5	
CA06-1036-04	2	1.9	<1	129	<0.5	<1	40	<1	5.9	11	3	159	165	965	3040	2	8	1.7	44.2	59	15	43	
CG06-01-01	9	<0.2	14	<0.2	5.3	<1	57	<1	<0.3	<0.2	39	117	124	92.3	100	1	21	4.4	35.7	42	883	3	
CG06-01-02A	1	<0.2	10	2.6	3.3	<1	30	15	1.6	<0.2	23	17.2	27	59.2	211	1	33	4.4	6.8	27	156	12	
CG06-01-02B	8	0.3	11	1.3	5.8	<1	65	<1	0.6	0.4	13	2.9	3	134	139	1	11	0.8	8.9	14	176	2	
CG06-02-06A	169	<0.2	<1	2.7	79	<1	104	7	11.5	7.9	67	1020	1100	754	1050	5	366	25.4	21.6	30	20	2	
CG06-02-07A'	100	<0.2	10	2.8	97.3	<1	13	6	15.9	1.1	23	522	530	157	214	6	454	25.9	27.4	33	36	4	
CG06-03-07	14	0.9	4	<0.2	12.9	2	22	29	5.9	0.3	1880	218	220	2.6	19	<1	55	6.4	1.9	8	277	5	
CG06-04-04	16	0.3	<1	<0.2	11.7	21	11	36	6.2	1	2360	369	522	<0.1	5	2	136	19.7	4.5	6	17400	<2	
CG06-04-09	2	<0.2	<1	0.9	2.2	<1	4	6	0.8	<0.2	352	37.5	42	1.6	2	<1	16	2.1	34.8	40	1040	<2	
CG06-05-02	6	<0.2	<1	0.2	6.1	9	11	6	1.4	<0.2	41	75.6	84	1.1	1	1	99	9.9	9.5	13	368	<2	
CG06-05-03A	6	<0.2	<1	<0.2	9.5	4	14	4	1.7	<0.2	67	263	278	2.2	2	2	113	9.9	6.7	9	771	5	
CG06-05-05	134	<0.2	2	<0.2	81.1	39	55	49	23.1	16.8	5580	1820	1870	14.7	13	2	405	34.5	8.2	13	1800	7	
CG06-06-07A	<1	<0.2	18	<0.2	<0.5	<1	36	11	2.1	<0.2	372	7.7	9	68.7	263	<1	8	1.6	2.4	8	55	<2	
CG06-07-03	<1	<0.2	7	<0.2	<0.5	<1	99	<1	<0.3	<0.2	109	464	489	1.4	18	1	5	0.5	<0.1	4	186	3	
CG06-07-11	8	<0.2	16	<0.2	5.5	<1	238	<1	<0.3	<0.2	16	3.9	15	97.8	109	<1	16	1.8	68.8	88	184	17	
CG06-12-21	12	<0.2	2	<0.2	8.3	<1	66	<1	7.5	1.3	2920	493	507	2.2	11	1	38	3.8	7.2	13	1290	<2	
CG06-13-18	34	<0.2	4	<0.2	28.6	<1	113	<1	3	0.4	230	827	830	1.5	3	1	80	8.5	9.8	13	1270	<2	
CG06-15-10A	274	<0.2	11	0.9	145	<1	177	<1	15.4	1.9	872	2.2	<2	12.6	29	2	225	8	12.8	22	1070	4	
CG06-15-10A	21	<0.2	2	<0.2	11.2	<1	90	<1	3.7	<0.2	1420	603	610	2	24	1	30	2.3	1.6	9	557	<2	
CG06-17-07A	2	<0.2	6	<0.2	0.6	<1	3	2	4.1	<0.2	1820	182	194	42.1	103	<1	11	1.3	41.6	102	284	3	
CG06-17-09A'''	1	<0.2	2	<0.2	<0.5	<1	14	3	<0.3	<0.2	166	1080	1410	<0.1	27	<1	15	1.4	21	169	8	5	
CG06-17-16A	<1	<0.2	1	0.2	<0.5	<1	44	7	0.4	<0.2	78	351	431	<0.1	14	<1	22	3	2.7	69	43	<2	
CG-06-17-16A	4	<0.2	<1	<0.2	<0.5	<1	8	2	<0.3	<0.2	366	2390	2530	<0.1	3	<1	33	4.1	4.1	59	17	<2	
CG06-18-04	6	0.3	1	0.4	3.1	<1	177	<1	<0.3	<0.2	34	3	4	10	11	1	5	0.4	13	16	288	9	
CG06-2001-05	<1	<0.2	<1	0.6	<0.5	<1	36	<1	0.7	<0.2	320	70.1	72	5.9	8	<1	5	1	2.4	4	978	<2	
CG06-2002-11	42	<0.2	7	<0.2	20.1	<1	145	<1	2.3	<0.2	595	58.6	62	18.7	45	<1	28	2.3	15.9	33	187	2	
CG06-2003-04	29	<0.2	<1	<0.2	24.2	<1	68	<1	<0.3	5.6	1310	25300	25300	<0.1	30	<1	112	11.3	1.9	16	44	13	
CG06-2005-03	6	1.2	<1	0.2	14.1	2	15	68	5.4	<0.2	55	155	206	0.7	1	6	350	43.3	0.4	2	935	<2	
CG06-2005-11	159	<0.2	5	<0.2	58.6	<1	75	<1	9.3	2.7	2250	65.8	67	68.8	86	<1	96	9	13.4	21	4510	4	
CG06-2006-16	6	<0.2	5	<0.2	<0.5	<1	165	<1	1.2	<0.2	885	349	578	0.5	17	2	11	1	0.6	13	34	<2	
CG-06-20-08	110	<0.2	10	<0.2	67.9	<1	23	3	7.3	<0.2	1290	1570	1660	55.5	79	<1	90	6.3	57.9	88	2410	<2	
CG06-2009-16	1560	1.4	<1	2.8	1000	<1	58	<1	96.5	10.7	5310	196	210	9.7	13	<1	694	9.3	7.2	9	141	<2	
CG06-2009-19	1400	<0.2	8	<0.2	667	1	129	3	42.4	<0.2	243	5350	5500	79.1	131	<1	663	30.9	71	120	281	<2	
CG06-2016-01	1	0.7	<1	0.5	0.8	<1	125	<1	0.4	<0.2	538	138	140	1.6	3	2	14	4.4	5.4	29	2940	2	
CG06-2017-01	44	<0.2	5	<0.2	23.5	<1	151	<1	2	<0.2	279	20.8	22	17.5	18	<1	22	1.1	29.9	34	15	7	
CG-06-2019-08	933	<0.2	16	<0.2	510	<1	61	4	45.2	<0.2	3020	19	24	102	162	<1	270	7.1	95.5	162	564	2	
CG06-2022-07	<1	<0.2	<1	0.7	0.9	<1	2	<1	<0.3	<0.2	52	167	183	1	1	<1	5	1.6	1.3	4	1410	<2	
CG06-2023-07	<1	0.5	<1	0.5	0.7	<1	15	<1	<0.3	<0.2	18	118	121	1.6	2	1	3	0.6	1.9	4	49	<2	
CG06-25-18	32	<0.2	18	<0.2	43.5	<1	179	4	9.8	<0.2	180	1670	1780	75.4	110	<1	361	18.7	124	195	457	<2	
CG-06-27-06	2	<0.2	1	<0.2	1.6	<1	164	<1	1	<0.2	699	216	221	9.6	17	1	12	1.4	18.7	23	807	7	
CG-06-27-08	1	<0.2	2	<0.2	<0.5	<1	7	1	2.8	0.4	1210	145	162	15.3	25	<1	8	2	15.1	22	1860	<2	
CG-06-36-06	57	<0.2	2	<0.2	30.8	<1	86	<1	4.5	<0.2	47	45.6	47	<0.1	11	1	105	7	2.9	19	8	<2	
CG-06-41-08	14	<0.2	1	0.6	5.2	<1	285	<1	0.9	<0.2	598	27.3	31	17	22	<1	4	0.4	14.5	20	500	<2	
CG-06-45-12	34	<0.2	3	<0.2	15.9	<1	107	<1	<0.3	<0.2	906	8300	8500	<0.1	6	2	162	8.8	1.4	30	26	14	
CG-06-47-04	26	<0.2	5	<0.2	10.7	<1	76	<1	<0.3	<0.2	859	6470	6930	8.6	25	<1	103	6.3	22.9	63	46	<2	
CG-06-47-05	3	<0.2	15	<0.2	1.9	<1	195	<1	<0.3	<0.2	6	2	2	73.5	116	<1	10	1.2	74.8	104	61	7	
CG06-57-10A	6	<0.2	<1	8.5	<0.5	<1	46	<1	<0.3	<0.2	12	3150	3470	37.2	106	<1	37	2.1	24	60	46	22	
CG06-57-10B	7	7.4	<1	756	<0.5	<1	49	<1	<0.3	0.4	23	3560	4010	66.4	146	<1	52	4.1	299	385	68	422	
CG06-57-10B	8	<0.2	<1	5.1	6.1	<1	50	<1	<0.3	0.3	15	5390	5400	36.7	87	<1	69	4.4	21.8	48	50	9	
CG06-62-05	140	1.6	<1	1	52.8	<1	445	<1	4.1	0.5	743	1.5	<2	12.8	35	1	25	0.9	13.2	22	31	<2	
CG06-65-07A	5	<0.2	<1	4.3	<0.5	<1	68	<1	<0.3	<0.2	5	2350	2610	132	394	<1	20	1.2	94.6	170	55	52	
CG06-66-09	9	<0.2	12	<0.2	6.2	<1	114	<1	0.3	<0.2	13	1.3	2	69.3	74	<1	12	0.8	55.8	71	149	3	
CG06-68-03	119	0.3	1	0.2	47.9	<1	175	<1	5	1.4	1280	22.4	27	24.6	34	<1	25	1	32.6	47	391	<2	
CG06-68-07	211	1.3	4	1.1	83.9	<1	134	<1	8.5	2.6	1710	30.1	36	33.4	43	<1	61	5.3	14.7	20	156	<2	
CG06-76-08A	199	<0.2	5	<0.2	130	<1	261	<1	18.5	2.1	2340	184	170	19	31	1	214	14.7	26.9	45	5690	<2	
CG06-78-15	82	<0.2	49	<0.2	50.9	16	11	26	5.8	<0.2	379	36.4	41	179	325	<1	63	2.7	262	467	375	2	
CG-06-79-02	2	<0.2	<1	<0.2	2.4	<1	35	<1	<0.3	<0.2	130	2750	2800	<0.1	<1	1	25	0.9	15.7	27	8	<2	
CG06-79-02B	2	<0.2	3	0.4	<0.5	<1	6	3	<0.3	<0.2	278	4840	5230	<0.1	6	<1	24	1	11.2	219	27	12	
CG06-79-04	6	<0.2	<1	<0.2	3	<1	38	<1	<0.3	<0.2	214	2860	3030	<0.1	<1	4	38	1.9	23.1	122	361	6	
CG06-79-09	<1	<0.2	<1	<0.2	12.3	<1	28	23	163	<0.2	2910	77100	79500	<0.1	<1	3	295	9.4	12.2	101	88	18	
CG06-80-07	1	<0.2	<1	<0.2	<0.5	<1	290	<1	<0.3	<0.2	<1	16.7	19	0.3	4	3	5	0.5	17.4	33	30	9	
CG06-82-04	6	1.1	4	0.5	2.3	<1	185	<1	<0.3	<0.2	73	50.7	67	3.7	47	1	14	1.3	2	11	144	11	
CG06-82-09	10	<0.2	4	<0.2	5.4	<1	190	<1	1.5	<0.2	669	45.1	46	2.6	17	1	15	1.7	3.6	14	1160	<2	
CG06-83-08	50	0.8	1	<0.2	25.1	<1	253	<1	3.8	1.1	1180	25	27	24.4	41	1	22	2.6	10	19	2080	<2	

705544

Tableau 11.1 - Analyses lithogéochimiques des échantillons choisis et de rainurage

No Station	Pr (ppm)*	Sb (ppm)&	Sc (ppm)*	Se (ppm)&	Sm (ppm)*	Sn (ppm)*	Sr (ppm)*	Ta (ppm)*	Tb (ppm)*	Te (ppm)&	Th (ppm)*	U, ICP (ppm)&	U, ICP (ppm)*	V (ppm)&	V (ppm)*	W (ppm)*	Y (ppm)*	Yb (ppm)*	Zn (ppm)&	Zn (ppm)*	Zr (ppm)*	Au (ppb)#	Au R (ppb)#
CG06-84-11	107	<0.2	18	<0.2	57.4	<1	123	<1	4.2	<0.2	268	11	13	86.2	91	<1	45	4.2	58.3	76	220	<2	
CG06-85-13	21	<0.2	7	<0.2	11.2	<1	106	<1	1.3	<0.2	198	10.6	12	131	136	<1	11	0.9	62.8	73	446	<2	
CG06-87-05	3	0.6	12	<0.2	<0.5	<1	64	2	3.2	<0.2	1230	84.2	89	7.5	94	1	14	2	2.5	18	147	<2	
CG06-87-18A	18	<0.2	5	<0.2	7.2	<1	119	<1	8.6	4.4	4040	677	707	10.8	12	1	42	9.6	22	29	14700	2	
CG06-87-18B	10	1.5	1	<0.2	6.8	<1	138	2	3.1	<0.2	1250	225	230	1.7	5	2	49	7.7	8	14	5500	5	
CG06-88-12	399	0.3	1	0.6	169	<1	127	<1	13	2	1740	84.5	92	62.9	56	1	72	2.7	31.9	31	1180	<2	
CG06-91-03	1	<0.2	7	<0.2	1.4	<1	10	1	0.9	<0.2	245	162	162	16.3	21	<1	13	1.4	30.6	41	148	<2	
CG06-91-04	12	<0.2	29	<0.2	22.1	<1	16	7	<0.3	<0.2	1400	11700	12000	62.6	167	<1	200	21.8	97.5	190	327	<2	
CG06-92-13	32	<0.2	8	<0.2	24.9	<1	92	<1	3.2	<0.2	214	318	330	9.1	8	<1	110	15	65.7	73	414	<2	
CG06-93-04	7	<0.2	2	<0.2	4.7	<1	89	<1	2.2	<0.2	805	15.9	34	2.7	8	<1	19	5.1	22.4	31	2590	<2	
CG06-96-02B	6	<0.2	7	0.3	4.1	<1	86	<1	<0.3	<0.2	170	1430	1500	32	47	1	15	1.7	3.1	6	175	4	
CG06-97-02B	11	<0.2	15	1	7.3	<1	118	<1	1.1	2.2	16	2.6	5	223	369	3	15	1.1	4.5	8	172	<2	
CG06-97-05	18	0.4	1	0.5	8.3	3	87	<1	<0.3	<0.2	78	90.4	96	4.5	5	2	19	2.9	17.4	23	294	<2	
CA06-T-01-01	<1	<0.2	<1	0.5	<0.5	<1	155	<1	0.8	<0.2	<1	18.9	20	9.6	29	<1	3	0.2	20.1	30	5	5	
CA06-T-01-02	4	70.5	<1	49.3	<0.5	<1	151	<1	<0.3	3.4	6	5520	5600	228	1690	<1	16	0.8	408	457	3	180	
CA06-T-01-03	<1	<0.2	<1	2.2	<0.5	<1	423	<1	0.6	<0.2	<1	93.3	95	18.5	87	<1	3	0.2	66.9	76	17	8	
CA06-T-01-04	<1	<0.2	<1	1.6	<0.5	<1	178	<1	0.6	<0.2	<1	29.7	32	15.7	41	<1	3	0.2	25.6	35	5	7	
CA06-T-02-01	<1	<0.2	<1	3.9	<0.5	<1	204	<1	1.1	<0.2	<1	24.1	27	11.7	75	<1	4	0.3	16.2	28	7	5	
CA06-T-02-02	<1	<0.2	<1	21.4	<0.5	<1	219	<1	0.6	<0.2	<1	95.6	101	8.2	53	<1	5	0.4	13.7	32	15	11	
CA06-T-02-03	<1	<0.2	<1	7.6	<0.5	<1	154	<1	0.7	<0.2	<1	27.4	30	6.8	24	<1	3	0.2	75.6	91	9	7	
CA06-T-02-04	<1	<0.2	<1	6	<0.5	<1	209	<1	0.5	0.5	<1	27.4	29	5.7	15	<1	4	0.3	28.7	37	16	5864	4947
CA06-T-02-05	<1	<0.2	<1	0.4	<0.5	<1	205	<1	0.6	<0.2	<1	24.1	26	4.3	10	<1	3	0.3	21.3	29	8	<2	
CA06-T-02-06	<1	<0.2	<1	<0.2	<0.5	<1	219	<1	<0.3	0.6	<1	28.6	30	4	12	<1	4	0.2	30.4	39	10	29	
CA06-T-02-07	<1	<0.2	<1	2.2	<0.5	<1	198	<1	0.7	1.3	<1	53.1	57	15.8	41	<1	3	0.2	1120	1200	6	10	
CA06-T-03-01	<1	<0.2	<1	<0.2	<0.5	<1	195	<1	0.6	0.9	<1	16.6	19	3.4	11	<1	3	0.2	24.5	34	8	7	
CA06-T-03-02	<1	<0.2	<1	0.6	<0.5	<1	51	<1	0.6	<0.2	<1	4.8	6	1.3	13	<1	2	0.2	26.2	95	6	13	
CA06-T-03-03	<1	<0.2	<1	2.6	<0.5	<1	192	<1	0.7	0.6	<1	28.8	31	19.3	52	<1	3	0.2	31.4	42	7	2	
CA06-T-03-04	<1	<0.2	<1	2	<0.5	<1	204	<1	0.4	0.5	<1	17.9	20	6.9	27	<1	4	0.3	22	41	8	9	
CA06-T-04-01	<1	<0.2	<1	0.4	<0.5	<1	158	<1	0.6	1	<1	24.3	24	6.5	13	<1	3	0.2	608	656	4	16	
CA06-T-04-02	1	<0.2	<1	2.5	<0.5	<1	187	<1	<0.3	1.5	<1	1310	1560	160	349	<1	9	0.3	530	548	3	<2	
CA06-T-04-03	<1	<0.2	<1	2.2	<0.5	<1	137	<1	0.6	0.6	<1	28	30	6.3	22	<1	3	0.1	1350	1400	2	7	
CA06-T-05-01	<1	<0.2	<1	2.7	<0.5	<1	39	<1	0.8	<0.2	<1	8.5	10	10	116	<1	3	0.3	27.2	128	17	3	
CA06-T-05-02	<1	<0.2	<1	3.7	<0.5	<1	205	<1	0.6	1.3	<1	118	122	38.1	126	<1	4	0.2	690	748	9	18	
CA06-T-05-03	<1	<0.2	<1	5.2	<0.5	<1	200	<1	0.4	0.7	<1	22.4	24	12.4	48	<1	2	0.2	1170	1240	4	9	
CA06-T-06-01	4	<0.2	1	215	<0.5	<1	100	<1	<0.3	3.7	4	3850	4180	392	1140	<1	7	0.8	1310	1600	21	38	
CA06-T-06-02	4	<0.2	1	119	<0.5	<1	74	<1	<0.3	3.5	13	3690	3700	358	1370	<1	6	0.9	499	689	34	24	
CA06-T-06-03	<1	1.1	2	3.1	0.7	4	17	<1	<0.3	<0.2	<1	8	10	1.8	2	1	5	0.7	22.1	27	21	15	
CA06-T-06-04	<1	0.8	1	4	<0.5	<1	66	<1	<0.3	<0.2	<1	8.5	10	4.9	15	61	3	0.3	22.6	40	17	4	
CA06-T-06-05	2	<0.2	1	19.2	<0.5	<1	183	<1	0.6	0.2	2	67.7	70	46.9	87	2	7	0.7	115	134	25	17	
CA06-T-06-06	<1	<0.2	1	5.7	<0.5	<1	248	<1	0.7	<0.2	<1	19.9	21	12.9	41	<1	5	0.5	39.5	77	21	5	
CA06-T-06-07	1	<0.2	<1	36.5	<0.5	<1	228	<1	1.1	<0.2	<1	61.8	64	79.9	263	<1	4	0.4	40.2	71	9	46	
CA06-T-06-08	1	<0.2	<1	55.6	<0.5	<1	685	<1	0.5	<0.2	<1	161	170	56.5	155	<1	6	0.5	2370	2590	14	40	

* = ICP4,3 Total Digestion
& = ICP4,3R Partial Digestion
# = FA (fire assay) + AA (Atomic Absorption)

Tableau 11.2 - Tableau synoptique des anomalies scintillométriques au sol

No Anomalie	Traverse	Type de Station	Feuillet	Easting (NAD 83)	Northing (NAD 83)	RA bruit de fond	RA max c/s	Lithologie-A	Lithologie-B	U/Th	Commentaires
A-CG-01		Aff	24P04	355661	6557620	150	15001	Roche calco-silicatée			Altération verdâtre
A-CG-02		Aff	24P04	355681	6557566	150	15001	Marbre	Quartzite		Altération brunâtre; trou creusé jusqu'à l'affleurement
A-CG-03		Aff	24P04	355677	6557450	150	4500	Marbre calcitique			Altération beige; affleurement avec blocs détachés
A-CG-04		Aff	24P04	355713	6557499	150	15001	Marbre dolomitique			produits jaunes le long d'une fracure à N50°
A-CG-05		Aff	24P04	355718	6557505	150	15001	Marbre calcitique	Marbre dolomitique		produits jaunes le long d'une fracure à N100°/60°
A-CG-06		Aff	24P04	355699	6557566	150	9500	Marbre calcitique			
A-CG-07(2)		Aff	24P04	355695	6557573	150	14900	Marbre			2 anomalies: 1) 14900cps(marbre), 2) 10000cps(marbre)
A-CG-08(2)		Aff	24P04	355679	6557586	150	15001	Marbre			2 anomalies distantes de 2,5m dans trou creusé à l'affleurement, altération brunâtre: 1) >15000cps(marbre), 2) >15000cps(marbre)
A-CG-11		Aff	24P04	353443	6554203	250	1600	Gneiss granitique	Pegmatite		Altération brunâtre associée à anomalie à structure radiale
A-CG-12		Aff	24P04	351100	6562135	90	3000	Grès quartzitique			Altération rouille à jaunâtre; trou creusé à l'affleurement
A-CG-13		Aff	24P04	355660	6557648	200	15001	Marbre			Produits jaunes à verdâtres
A-CG-15		Aff	24P04	355678	6557654	250	15001	Marbre calcitique			Produits jaunes le long d'un plan S0
A-CG-19		Aff	24P04	355654	6557601		4000	Marbre calcitique			
A-CG-20		Aff	24P04	355672	6557602	150	15001	Marbre calcitique			
A-CG-21		Aff	24P04	355690	6557561		7500	Grès quartzitique	Marbre		Trou creusé jusqu'au roc (affleurement);
A-CG-22		Aff	24P04	355704	6557526	150	4500	Marbre calcitique			Minéralisation disséminée associée à altération brunâtre à jaune
A-CG-23		Aff	24P04	355705	6557498	150	5000	Marbre			Trou creusé jusqu'à l'affleurement; minéralisation le long d'une fracture
A-CG-24		Aff	24P04	355712	6557567	100	2000	Marbre	Quartzite		Trou creusé jusqu'à l'affleurement
A-CG-25(>)		Aff	24P04	354915	6558575	100	1200	Marbre bréchique			Marbre altéré bréchique
A-CG-26(2)		Aff	24P04	354965	6558541	100	4000	Marbre bréchique			2 anomalies dans marbre altéré bréchique: 1) 4000cps sur affleurement, 2) à 5m au SE, bloc de marbre bréchique à 6000 cps
A-CG-27		Aff	24P04	354978	6558527	100	7000	Marbre bréchique			Marbre altéré bréchique
A-CG-29		Aff	24P04	355324	6558243	75	1100	Marbre rubané			
A-CG-30		Aff	24P04	355348	6558232	150	15001	Marbre rubané			
A-CG-31		Aff	24P04	355358	6558236	150	2300	Marbre rubané			Marbre rubané et folié
A-CG-32		Aff	24P04	355365	6558228	150	4000	Marbre rubané			Produits jaunes dans un niveau parallèle au rubanement du marbre
A-CG-33		Aff	24P04	355378	6558211	150	15001	Brèche calco-silicatée	Marbre		Lentille de forme oeillée avec produits jaunes dans rubanement du marbre
A-CG-34		Aff	24P04	355395	6558194	150	4500	Marbre rubané			Produits jaunes dans un niveau parallèle au rubanement du marbre
A-CG-35		Aff	24P04	355423	6558167	100	1500	Marbre rubané			
A-CG-36		Aff	24P04	355669	6557895	100	15001	Marbre rubané			
A-CG-37		Aff	24P04	355673	6557918	100	1950	Marbre			Marbre altéré et schisteux
A-CG-38		Aff	24P04	355651	6557929	100	3000				Anomalie à environ 15 cm sous la mousse, trou creusé
A-CG-39		Aff	24P04	355630	6557993	100	3000				Anomalie à environ 35 cm sous la mousse, trou creusé
A-CG-40		Aff	24P04	355564	6558053	100	1000	Marbre rubané			Anomalie à environ 35 cm sous la mousse, trou creusé
A-CG-41		Aff	24P04	355548	6558068	100	5000	Marbre			
A-CG-42		Aff	24P04	355534	6558079	150	15001	Marbre			
A-CG-43(2)		Aff	24P04	355533	6558085	150	10000				2 anomalies sous la mousse; trous creusés: 1) à environ 15 cm sous la mousse, 8000cps, 2) à 2,5m au SO sous la mousse, 10000cps
A-CG-44		Aff	24P04	355518	6558101	100	2000				Anomalie à environ 10 cm sous la mousse, trou creusé
A-CG-46		Aff	24P04	356504	6556921	150	15001	Marbre			Trou creusé dans le sol sur butte d'affleurement
A-CG-47		Aff	24P04	356498	6556923	150	2600	Marbre			Trou creusé à 10 cm dans le sol sur butte d'affleurement

Tableau 11.2 - Tableau synoptique des anomalies scintillométriques au sol

No Anomalie	Traverse	Type de Station	Feuillet	Easting (NAD 83)	Northing (NAD 83)	RA bruit de fond	RA max c/s	Lithologie-A	Lithologie-B	U/Th	Commentaires
A-CG-48		Aff	24P04	356494	6556928	150	2500	Marbre			Trou creusé à 10 cm dans le sol sur butte d'affleurement
A-CG-49		Aff	24P04	356475	6556941	250	3000	Marbre bréchique			Trou creusé à 5 cm dans le sol sur butte d'affleurement; marbre rubané et bréchique
A-CG-50		Aff	24P04	356405	6557008	250	5000	Marbre calcitique			Trou creusé à 5 cm dans le sol sur butte d'affleurement
A-CG-51		Aff	24P04	356377	6557027	200	6000	Marbre rubané			
A-CG-52		Aff	24P04	356439	6556957	200	3000	Marbre rubané bréchique			Anomalie le long d'une fracture à N223°/80°
A-CG-54		Aff	24P04	356320	6557075	250	4600	Marbre calcitique bréchique			
A-CG-55		Aff	24P04	356314	6557088	250	4500	Marbre calcitique bréchique			légère altération brunâtre
A-CG-56		Aff	24P04	356308	6557090		6500	Marbre calcitique bréchique			légère altération brunâtre
A-CG-57		Aff	24P04	356281	6557143	200	5000	Marbre calcitique rubané			
A-CG-59		Aff	24P04	356360	6557048		5000	Marbre rubané			
A-CG-60		Aff	24P04	356340	6557074		1250	Marbre rubané			légère altération brunâtre
A-CG-62		Aff	24P04	356245	6557185		1900	Marbre rubané			
A-CG-63		Aff	24P04	356327	6557091		5300	Marbre bréchique			
A-CG-64		Aff	24P04	356332	6557086		4900	Marbre rubané			
A-CG-71		Aff	24P04	355847	6557656	200	15001	Marbre			10cm sous la mousse, marbre avec galène et graphite
A-CG-72(3)		Aff	24P04	355854	6557663	500	15001				3 anomalies à >15000cps trouvées sur 5m en direction N300°
A-CG-73		Aff	24P04	355858	6557655	200	15001	Marbre bréchique			Sous 10 cm de mousse; produits jaunes
A-CG-74		Aff	24P04	355852	6557647	300	15001	Marbre bréchique			Sous 10 cm de mousse
A-CG-75		Aff	24P04	355879	6557617	300	15001	Marbre bréchique			Sous 15 cm de mousse
A-CG-76		Aff	24P04	355889	6557570	200	15001	Marbre bréchique			Sous 25 cm de mousse
A-CG-77(3)		Aff	24P04	355898	6557561	1000	15001				3 anomalies à >15000cps trouvées sous la mousse en direction N306°
A-CG-78(>)		Aff	24P04	355907	6557533	120	15001	Marbre	Pegmatite quartzifère		
A-CG-81(3)		Aff	24P04	356000	6557380	400	15001	Marbre			3 anomalies dans une structure orientée plus ou moins N068°: 1) 7000cps plus à l'ouest, 2) >15000cps à 5m plus à l'est et 3) 13000cps à 6m plus à l'est
A-CG-84(3)		Aff	24P04	355747	6557614	120	6000	Marbre rubané			3 anomalies sosu la mousse: 1) 6000cps , 2) 2000cps à 7m plus au SE, 3) 4500cps à 4m à l'est
A-CG-85		Aff	24P04	355773	6557601	120	3500	Roche calco-silicatée	Pegmatite		
A-CG-86(2)		Aff	24P04	355829	6557599	150	15001	Marbre bréchique			2 anomalies: 1) >15000cps à 20cm sous la mousse, 2) >5000cps à 7m au NE
A-CG-87		Aff	24P04	355836	6557599	150	15001	Brèche calco-silicatée			2 anomalies à >15000cps; deuxième à 3m au SE
A-CG-88		Aff	24P04	355840	6557587	150	15001	Roche calco-silicatée bréchifiée			
A-CG-89(>)		Aff	24P04	355849	6557585	500	15001	Brèche calco-silicatée	Pegmatite		crête d'affleurement de 7mx12m avec plusieurs anomalies à >15000cps
A-CG-90		Aff	24P04	355861	6557583	150	12000	Roche calco-silicatée	Pegmatite		
A-CG-91(2)		Aff	24P04	355869	6557573	150	15001				2 anomalies à >15000cps sous mousse; deuxième à 3m au sud
A-CG-92(2)	CG-06-01-01	Aff	24P04	346619	6560067		2000	Pegmatite	Gneiss Quartzo feldspathique		2 anomalies: 1) 2000cps, 2) 1400cps à 6m en direction N148°
A-CG-93	CG-06-01-02	Aff	24P04	346625	6560002		1900	Pegmatite	Paragneiss		
A-CG-94	CG-06-02-02	Aff	24P04	348509	6558657		1300	Marbre calcitique			
A-CG-95	CG-06-02-04	Aff	24P04	348492	6558650	120	1000	Paragneiss			zone rouillée dans paragneiss

Tableau 11.2 - Tableau synoptique des anomalies scintillométriques au sol

No Anomalie	Traverse	Type de Station	Feuillet	Easting (NAD 83)	Northing (NAD 83)	RA bruit de fond	RA max c/s	Lithologie-A	Lithologie-B	U/Th	Commentaires
A-CG-96	CG-06-02-06	Aff	24P04	348560	6558769	150	3000	Paragneiss			zone rouillée et/ou hématitisée avec graphite et/ou molybdénite
A-CG-97	CG-06-02-07	Aff	24P04	348585	6558781	120	3500	Paragneiss			petite zone graphiteuse, modérément altéré(rouille), sulfure?
A-CG-98	CG-06-03-04	Aff	24P04	351619	6556289		3000	Pegmatite			anomalie ponctuelle
A-CG-100	CG-06-03-05	Aff	24P04	351707	6556270	250	1200	Pegmatite			
A-CG-101(2)	CG-06-03-07	Aff	24P04	351801	6556275	150	15001	Diopsidite	Marbre calcitique		2 anomalies: 1) >15000cps, 2) 5000cps à 1 m à l'ouest
A-CG-102(>)	CG-06-03-08	Aff	24P04	351765	6556314		4000	Pegmatite	Marbre calcitique		série d'anomalies >1000cps le long d'un dyke de pegmatite rose
A-CG-103	CG-06-03-09	Aff	24P04	351838	6556273	250	15000	Pegmatite			
A-CG-104	CG-06-04-01	Aff	24P04	351580	6556511	250	1500	Pegmatite	Paragneiss rubané		anomalie associée à amas de biotite dans pegmatite
A-CG-105	CG-06-04-01-A1	Aff	24P04	351582	6556515	200	2000	Pegmatite	Paragneiss		anomalie associée à amas de biotite dans pegmatite
A-CG-106	CG-06-04-02	Aff	24P04	351600	6556518	150	5000	Paragneiss			
A-CG-107	CG-06-04-03	Aff	24P04	351879	6556266	100	15001	Pegmatite	Marbre calcitique		anomalie ponctuelle
A-CG-108	CG-06-04-04	Aff	24P04	351890	6556273	150	6000	Pegmatite	Marbre calcitique		anomalie ponctuelle
A-CG-109	CG-06-04-04-A1	Aff	24P04	351897	6556277	300	2000	Pegmatite			trou creusé de 15cm de profond
A-CG-110	CG-06-04-04-A2	Aff	24P04	351908	6556282	300	2000	Pegmatite			trou creusé de 10cm de profond
A-CG-111(2)	CG-06-04-05	Aff	24P04	351918	6556288	250	2000	Pegmatite			2 anomalies ponctuelles: 1) 2000cps, 2) 1000cps à 4m au nord
A-CG-112	CG-06-04-06	Aff	24P04	351912	6556224	100	5500	Pegmatite			anomalie ponctuelle
A-CG-113(2)	CG-06-04-07	Aff	24P04	351929	6556232	80	7000	Pegmatite			2 anomalies ponctuelles: 1) 7000cps, 2) 5000cps à 2m au nord
A-CG-114	CG-06-04-07-A1	Aff	24P04	351936	6556223	80	15001	Pegmatite			anomalie ponctuelle
A-CG-115	CG-06-04-08	Aff	24P04	351957	6556213	100	7000	Pegmatite			le long d'une fracture à N64° dans pegmatite
A-CG-116	CG-06-04-08-A1	Aff	24P04	351952	6556213		15001	Pegmatite			anomalie ponctuelle
A-CG-117	CG-06-04-08-A2	Aff	24P04	351960	6556216	100	2600	Pegmatite			le long d'une fracture à N170° dans pegmatite
A-CG-118	CG-06-04-08-A3	Aff	24P04	351964	6556204		1200	Pegmatite			
A-CG-119	CG-06-04-09	Aff	24P04	351977	6556213		2000	Pegmatite			
A-CG-120	CG-06-04-09-A1	Aff	24P04	351978	6556199	100	1800	Pegmatite			
A-CG-121	CG-06-04-10	Aff	24P04	351972	6556188	75	12000	Pegmatite			
A-CG-122	CG-06-04-10-A1	Aff	24P04	351912	6556159	75	3200	Pegmatite			trou creusé à 20 cm de profond
A-CG-123	CG-06-04-11	Aff	24P04	351938	6556127	80	10000	Pegmatite			anomalie ponctuelle; altération jaune-brunâtre
A-CG-124	CG-06-04-11-A1	Aff	24P04	351945	6556124	90	1200	Pegmatite			anomalie ponctuelle
A-CG-125	CG-06-04-11-A2	Aff	24P04	351961	6556178	90	1200	Pegmatite			anomalie ponctuelle
A-CG-126	CG-06-04-11-A3	Aff	24P04	351977	6556154		1200	Pegmatite			anomalie ponctuelle
A-CG-127	CG-06-04-11-A4	Aff	24P04	352032	6556184		2100	Pegmatite	Marbre		
A-CG-128	CG-06-04-11-A5	Aff	24P04	352035	6556180		3000	Pegmatite			
A-CG-129	CG-06-04-11-A6	Aff	24P04	352086	6556335	150	5000	Pegmatite			trou creusé à 10 cm de profondeur sur roc; anomalie ponctuelle sur pegmatite
A-CG-130	CG-06-05-01-A1	Aff	24P04	352503	6556170	100	2000	Pegmatite			anomalie associée à petit amas de biotite
A-CG-131	CG-06-05-01	Aff	24P04	352504	6556165	100	6500	Pegmatite			Anomalie ponctuelle
A-CG-132	CG-06-05-02	Aff	24P04	352448	6556210	150	5500	Pegmatite			Anomalie ponctuelle; altération jaune-bruâtre
A-CG-133	CG-06-05-02-A1	Aff	24P04	352448	6556203	150	5000	Pegmatite			Anomalie ponctuelle; altération jaune-bruâtre
A-CG-134	CG-06-05-02-A2	Aff	24P04	352440	6556177	150	6000	Pegmatite			Anomalie ponctuelle
A-CG-135	CG-06-05-02-A3	Aff	24P04	352438	6556161	150	2000	Pegmatite			Anomalie ponctuelle
A-CG-136	CG-06-05-03-A1	Aff	24P04	352411	6556199	150	3000	Pegmatite			Anomalie ponctuelle
A-CG-137	CG-06-05-03-A2	Aff	24P04	352419	6556198	150	1700	Pegmatite			Anomalie ponctuelle
A-CG-138	CG-06-05-03-A3	Aff	24P04	352429	6556204	150	9000	Pegmatite			
A-CG-139	CG-06-05-04	Aff	24P04	352400	6556171	140	1400	Pegmatite			zone brunâtre
A-CG-140	CG-06-05-04-A1	Aff	24P04	352396	6556148		1700	Pegmatite			trou creusé à 5 cm de profond
A-CG-141	CG-06-05-04-A2	Aff	24P04	352394	6556161	150	15000	Pegmatite			trou creusé à 20 cm de profond; anomalie ponctuelle
A-CG-143	CG-06-05-05	Aff	24P04	352511	6556328	200	15001	Pegmatite	Paragneiss		anomalie ponctuelle
A-CG-147	CG-06-06-07-A2	Aff	24P04	349731	6557608		5000	Pegmatite			Trou creusé dans le sol jusqu'au roc de pegmatite rose; anomalie ponctuelle
A-CG-148	CG-06-07-03	Aff	24P03	357785	6567624	50	2000	Marbre			anomalie ponctuelle
A-CG-149(2)	CG-06-07-06	Aff	24P03	358029	6567833	150	2500	Pegmatite			2 anomalies ponctuelle: 1)2500cps, 2) 1500cps; altération brunâtre
A-CG-150	CG-06-07-09	Aff	24P03	358152	6568018	100	4000	Roche calco-silicatée			anomalie ponctuelle
A-CG-151	CG-06-07-09-A1	Aff	24P03	358102	6568295		2000	Pegmatite			trou creusé à 20cm jusqu'au roc de pegmatite, altération brunâtre
A-CG-153	CG-06-06-07-A3	Aff	24P04	352625	6556242		1200	Pegmatite			anomalie ponctuelle

Tableau 11.2 - Tableau synoptique des anomalies scintillométriques au sol

No Anomalie	Traverse	Type de Station	Feuillet	Easting (NAD 83)	Northing (NAD 83)	RA bruit de fond	RA max c/s	Lithologie-A	Lithologie-B	U/Th	Commentaires
A-CG-154	CG-06-06-07-A4	Aff	24P04	352623	6556247		2000	Pegmatite			anomalie ponctuelle
A-CG-155	CG-06-06-07-A5	Aff	24P04	352536	6556290	170	5000	Pegmatite			le long d'une fracture à N73°
A-CG-156	CG-06-06-07-A6	Aff	24P04	352528	6556383	90	2000	Pegmatite			anomalie ponctuelle
A-CG-157	CG-06-06-07-A7	Aff	24P04	352536	6556394	100	3000	Pegmatite			anomalie ponctuelle
A-CG-158	CG-06-06-07-A8	Aff	24P04	352574	6556376	150	15001	Pegmatite			anomalie ponctuelle
A-CG-159	CG-06-06-07-A9	Aff	24P04	352492	6556366	150	2000	Pegmatite			amas de biotite dans pegmatite; anomalie ponctuelle
A-CG-160	CG-06-06-07-A10	Aff	24P04	352520	6556363	170	4200	Pegmatite			anomalie ponctuelle
A-CG-161	CG-06-06-07-A11	Aff	24P04	352467	6556315	150	1700	Pegmatite			anomalie ponctuelle
A-CG-162	CG-06-06-07-A12	Aff	24P04	352450	6556285	150	1200	Pegmatite			trou creusé à 15cm jusqu'au roc de pegmatite, anomalie ponctuelle
A-CG-164	CG-06-06-07-A14	Aff	24P04	352831	6556939	100	6000	Paragneiss			fracture à N250°/40°
A-CG-166	CG-06-06-07-A16	Aff	24P04	352930	6556800	100	2500	Pegmatite			masse pegmatitique près du contact des marbres, anomalie ponctuelle
A-CG-167	CG-06-06-07-A17	Aff	24P04	352814	6556974	135	12000	Paragneiss			anomalie associée à un système de fracture avec forte altération en hématite le long des fractures
A-CG-170	CG-06-09-07	Aff	24P03	363247	6567160	120	1100	Pegmatite	Paragneiss		
A-CG-171	CG-06-09-09	Aff	24P03	363256	6567223	110	1100	Paragneiss			modérément rouillé
A-CG-172	CG-06-09-10	Aff	24P03	363427	6567110	250	1500	Pegmatite	Paragneiss		amas de biotite, anomalie ponctuelle
A-CG-173	CG-06-09-12	Aff	24P03	363714	6567204	250	1500	Pegmatite			anomalie ponctuelle
A-CG-174	CG-06-09-14	Aff	24P03	364357	6567458		5000	Pegmatite	Marbre		amas de biotite, anomalie ponctuelle
A-CG-175	CG-06-15-01	Aff	24P04	347419	6566679	140	1400	Gneiss granitique			le long d'une fracture
A-CG-176	CG-06-15-02	Aff	24P04	347631	6566553	200	1500	Granite	Pegmatite		système de fractures
A-CG-177(>)	CG-06-15-10	Aff	24P04	347654	6567448	600	3000	Pegmatite	Marbre		autres anomalies à <5m au contact avec marbre
A-CG-178	CG-06-15-12	Aff	24P04	347333	6567562	100	4000	Pegmatite			anomalie ponctuelle
A-CG-179	CG-06-15-13	Aff	24P04	347362	6567592	140	1500	Paragneiss	Pegmatite		
A-CG-180(>)	CG-06-15-14	Aff	24P04	347405	6567614	300	4500	Pegmatite			autres anomalies de 2000 à 3000 cps
A-CG-181	CG-06-15-15	Aff	24P04	347456	6567555	300	1500	Pegmatite			
A-CG-182(2)	CG06-08-18	Aff	24P03	366252	6570064	300	1200	Granite	Pegmatite		2 anomalies: 1) 1200cps, 2) 1050cps à 3 m
A-CG-183(2)	CG06-08-19	Aff	24P03	366284	6569983	300	1100	Pegmatite	Granite		2 anomalies: 1) 1100cps, 2) 1000cps; dans passées pegmatoïdes dans granite
A-CG-184	CG06-08-23	Aff	24P03	364610	6569626	500	1100	Pegmatite			amas de biotite et phlogopite
A-CG-186	CG06-08-31	Aff	24P03	366242	6569908	500	1100	Granite			
A-CG-187	CG06-08-32	Aff	24P03	366262	6569858	500	2000	Granite			
A-CG-188	CG06-08-33	Aff	24P03	366444	6569550	500	1000	Granite	Marbre		
A-CG-189	CG06-08-35	Aff	24P03	366638	6569293	500	1500	Roche calco-silicatée	Granite rose		
A-CG-190	CG06-10-01	Aff	24P04	344941	6561442	250	8500	Gneiss granitique	Pegmatite		diaclase à N45°, anomalie ponctuelle
A-CG-191	CG06-10-04	Aff	24P04	345774	6561766	250	1300	Quartzite	Marbre		structure de quartzite chloritisée à N120° au contact des marbres
A-CG-192	CG06-11-01	Aff	24P04	349981	6556715	300	1100	Pegmatite			anomalie ponctuelle sur une fissure
A-CG-193(2)	CG06-11-04	Aff	24P04	350168	6556592	300	6500	Pegmatite			2 anomalies: 1)6500cps, 2) 1100cps
A-CG-194	CG06-11-05	Aff	24P04	350271	6556533	200	1500	Granite pegmatitique			
A-CG-195	CG06-11-25	Aff	24P04	352061	6556276	150	2000				2 blocs erratiques sur affleurement
A-CG-197	CG06-11-31	Aff	24P04	352622	6556487	150	1600	Pegmatite			
A-CG-198(3)	CG06-11-32	Aff	24P04	352622	6556484	200	15000	Pegmatite		0.01	3 anomalies: 1) 15000cps, 2) 15000cps à 1,5m, 3) 1900cps à 1,0m; dans pegmatite blanc rosé sur enclave
A-CG-199(2)	CG06-12-17	Aff	24I10	386800	6512390	400	2750	Pegmatite			2 anomalies: 1) 2750cps, 2) 1500cps à 2m
A-CG-201	CG06-12-21	Aff	24I10	386381	6512842	200	5500	Quartzite	Paragneiss		anomalie ponctuelle
A-CG-202	CG06-12-23	Aff	24I10	386313	6513109		2500	Quartzite			anomalie ponctuelle
A-CG-204	CG06-13-01	Aff	24I10	385213	6509500	200	2000	Pegmatite			
A-CG-205	CG06-13-01-A	Aff	24I10	385224	6509492	100-500	1500	Pegmatite			anomalie ponctuelle
A-CG-206	CG06-13-02	Aff	24I10	385059	6509546	250	1200	Pegmatite			
A-CG-207(>)	CG06-13-03	Aff	24I10	384987	6509603	200	3000	Pegmatite	Quartzite		un nombre indéterminé d'anomalie entre 1000 et 3000 cps dans la pegmatite recoupant une quartzite
A-CG-208	CG06-13-04	Aff	24I10	384962	6509626	200-600	5000	Pegmatite	Paragneiss		anomalie au contact des paragneiss et des pegmatites
A-CG-209	CG06-13-05	Aff	24I10	384912	6509648	200	1000	Pegmatite	Quartzite		
A-CG-210	CG06-13-06	Aff	24I10	384746	6509640	200	1200	Pegmatite	Quartzite		
A-CG-211	CG06-13-07	Aff	24I10	384716	6509652	200	2200	Pegmatite			
A-CG-212	CG06-13-08	Aff	24I10	384655	6509696	200-300	2250	Pegmatite	Quartzite		
A-CG-213(>)	CG06-13-09	Aff	24I10	384564	6509705	300-400	2000	Pegmatite			sur 5 m, on retrouve des anomalies de 1000 à 2000 cps

Tableau 11.2 - Tableau synoptique des anomalies scintillométriques au sol

No Anomalie	Traverse	Type de Station	Feuillet	Easting (NAD 83)	Northing (NAD 83)	RA bruit de fond	RA max c/s	Lithologie-A	Lithologie-B	U/Th	Commentaires
A-CG-214(2)	CG06-13-10	Aff	24I10	384487	6509759	200-400	1500	Pegmatite			2 anomalies: 1) 1050cps, 2) 1500cps
A-CG-215	CG06-13-11	Aff	24I10	384386	6509869	300-400	1300	Pegmatite			
A-CG-216	CG06-13-15	Aff	24I11	383666	6509929	200	1300	Pegmatite			
A-CG-217(2)	CG06-13-16	Aff	24I11	383498	6509953	200-400	1500	Pegmatite			2 anomalies: 1) 1250cps, 2) 1500cps; les deux anomalies sont séparées de 5 m selon une orientation E-O
A-CG-218(2)	CG06-13-18	Aff	24I11	383417	6509994	200-500	5000	Pegmatite			2 anomalies: 1) 1500cps, 2) 5000cps; les deux anomalies sont séparées de 3 m
A-CG-219	CG06-13-19	Aff	24I11	383380	6510007		3500	Pegmatite			
A-CG-220	CG06-13-22	Aff	24I11	383149	6510212		1250	Pegmatite			
A-CG-221	CG06-13-23	Aff	24I11	383108	6510280	300	1250	Pegmatite			
A-CG-223(2)	CG06-13-25	Aff	24I11	382796	6510473		2000	Pegmatite	Quartzite		2 anomalies: 1) 1500cps, 2) 2000cps; sur 2 m
A-CG-224	CG06-13-27	Aff	24I11	382684	6511032		1250	Pegmatite			
A-CG-225	CG06-13-28	Aff	24I11	382726	6511158		1500	Pegmatite	Quartzite		
A-CG-226	CG06-13-29	Aff	24I11	382742	6511221		1500	Pegmatite			
A-CG-228	CG06-13-32	Aff	24I11	383067	6512024	200	1100	Quartzite			
A-CG-229	CG06-14-03	Aff	24P04	351860	6561258	150	1800	Pegmatite	Marbre		Pegmatite entre le marbre et le paragneiss
A-CG-230	CG06-14-04	Aff	24P04	351847	6561276	150	2500	Pegmatite	Marbre		Pegmatite entre le marbre et le paragneiss
A-CG-233	CG06-14-10	Aff	24P04	350763	6563118	150	1000	Pegmatite	Marbre		Pegmatite entre les bandes de marbre et de gneiss
A-CG-237(>)	CG06-16-17	Aff	24P04	356970	6568273		5000	Pegmatite	Marbre		Anomalies ponctuelles dans des microfractures dans la pegmatite, alignées à N140, à 2 m du contact du marbre
A-CG-238	CG06-16-18	Aff	24P04	357085	6568145		2000	Pegmatite	Marbre		Anomalie ponctuelle dans lentille de pegmatite
A-CG-239	CG06-16-20	Aff	24P04	357002	6568036	250	1100	Pegmatite			Anomalie ponctuelle dans une pegmatite
A-CG-240	CG06-16-29	Aff	24P03	357471	6568205		1500	Pegmatite	Paragneiss		Anomalie ponctuelle dans une pegmatite
A-CG-241	CG06-16-32	Aff	24P03	357631	6568678		5000	Pegmatite	Paragneiss		Anomalie ponctuelle dans une pegmatite
A-CG-245	CG06-17-04	Aff	24P04	350545	6569759	500	5000	Pegmatite	Paragneiss		
A-CG-246	CG06-17-05	Aff	24P04	350553	6569750	500	9000	Pegmatite	Paragneiss		
A-CG-248	CG06-17-07	Aff	24P04	350494	6569337	500	1500	Pegmatite	Paragneiss	0.10	
A-CG-249	CG06-17-08	Aff	24P04	350500	6569290	1500	2000	Pegmatite	Paragneiss		
A-CG-250	CG06-17-09	Aff	24P04	350662	6569117	1500	15000	Roche calco-silicatée	Marbre	6.62	Bande de roche calco-silicatée (carbonate) rouillée au contact de marbre, avec diopside, quartzite et molybdénite
A-CG-251	CG06-17-10	Aff	24P04	350652	6569079	1500	5000	Pegmatite	Gneiss		Anomalie ponctuele dans enclave de pegmatite dans gneiss avec produits jaunes
A-CG-252	CG06-17-11	Aff	24P04	350645	6568477	500	1500	Pegmatite	Paragneiss		
A-CG-253	CG06-17-15	Aff	24P04	350423	6567973	1500	15001	Pegmatite	Marbre calcitique		
A-CG-254	CG06-17-16	Aff	24P04	350359	6566779	1500	15001	Roche calco-silicatée	Marbre	17.86	Roche calco-silicatée ou carbonate au contact avec des marbres; diopside, molybdénite et amphibole
A-CG-255	CG06-18-02	Aff	24P04	345906	6569794		1500	Pegmatite			
A-CG-257	CG06-18-04	Aff	24P04	346073	6569647	200	1300	Pegmatite			
A-CG-258(>)	CG06-18-05	Aff	24P04	346121	6569563	200	3000	Pegmatite			Anomalie associée à des zones riches en biotite; anomalies de 1400 à 3000 cps
A-CG-259(3)	CG06-18-08	Aff	24P04	346233	6569212		2500	Pegmatite			3 anomalies associées à une pegmatite: 1500, 2000 et 2500 cps
A-CG-260	CG06-18-10	Aff	24P04	346303	6569031		1500	Pegmatite			
A-CG-261(2)	CG06-18-13	Aff	24P04	346442	6568674		2500	Quartzite			2 anomalies ponctuelles à 1200 et 2500 cps dans une quartzite espacée de 5 m
A-CG-262	CG06-18-14	Aff	24P04	346600	6568884		2200	Quartzite			Anomalie ponctuelle
A-CG-263(3)	CG06-18-20	Aff	24P04	346905	6568327		2000	Quartzite			3 anomalies ponctuelles sur 3 mètres orientées N130 à 1000, 2000 et 2000 cps
A-CG-264	CG06-18-21	Aff	24P04	346901	6568310		1200	Quartzite			
A-CG-265(2)	CG06-18-22	Aff	24P04	346881	6568293		2500	Pegmatite			2 anomalies ponctuelles sur 1,5 mètres à 1200 et 2500 cps
A-CG-266	CG06-18-23	Aff	24P04	346793	6568186		2000	Pegmatite			Anomalie ponctuelle dans pegmatite
A-CG-267	CG06-18-24	Aff	24P04	346894	6567906	200	1250	Pegmatite			Anomalie ponctuelle dans pegmatite rose

Tableau 11.2 - Tableau synoptique des anomalies scintillométriques au sol

No Anomalie	Traverse	Type de Station	Feuillet	Easting (NAD 83)	Northing (NAD 83)	RA bruit de fond	RA max c/s	Lithologie-A	Lithologie-B	U/Th	Commentaires
A-CG-268	CG06-18-26	Aff	24P04	347322	6567301		1000	Pegmatite			Anomalie ponctuelle dans pegmatite rose
A-CG-269	CG06-19-04	Aff	24P04	345545	6564870	300	1250	Granite			Anomalie ponctuelle dans granite rose pegmatitique
A-CG-271	CG06-20-02	Aff	24P04	350411	6567610	500	2000	Pegmatite	Marbre		
A-CG-272	CG06-20-03	Aff	24P04	350422	6567574	500	11000	Pegmatite	Marbre		Anomalie ponctuelle dans pegmatite rose au contact avec bande de marbre avec présence de produits jaunes
A-CG-273	CG06-20-04	Aff	24P04	350450	6567512	500	3500	Marbre	Gneiss à biotite		Anomalie ponctuelle dans un marbre
A-CG-274	CG06-20-05	Aff	24P04	350458	6567450	500	4000	Marbre	Roche calco-silicatée		Anomalie ponctuelle dans un marbre altéré
A-CG-275	CG06-20-06	Aff	24P04	350477	6567420	500	5500	Quartzite	Marbre		Banc de quartzite au contact des marbres associés à des sulfures (pyrite et/ou pyrrhotite) et calco-silicatée
A-CG-276	CG06-20-07	Aff	24P04	350477	6567368	1500	14000	Pegmatite	Roche calco-silicatée		Anomalie ponctuelle dans enclave de pegmatite rose au contact de roche silicatée et de marbre
A-CG-277	CG06-20-08	Aff	24P04	350475	6567335	1500	18000	Quartzite	Marbre	1.59	Anomalie ponctuelle dans enclave de quartzite au contact de marbre
A-CG-278	CG06-20-09	Aff	24P04	350495	6567304	1500	9000	Quartzite	Marbre	6.62	Anomalie ponctuelle dans quartzite au contact de marbre
A-CG-279	CG06-20-10	Aff	24P04	350563	6567106	500	7000	Roche calco-silicatée			Anomalie ponctuelle dans roche calco-silicatée au contact de marbre
A-CG-280	CG06-20-11	Aff	24P04	350494	6567317	700	11000	Granite	Marbre		Anomalie ponctuelle dans granite rose au contact de marbre
A-CG-281	CG06-20-12	Aff	24P04	350563	6567106	500	3500	Marbre	Roche calco-silicatée		Anomalie ponctuelle dans les marbres
A-CG-282	CG06-20-13	Aff	24P04	350429	6566965	500	1000	Granite	Paragneiss		Anomalie ponctuelle dans un granite rose
A-CG-283	CG06-20-14	Aff	24P04	350585	6566948	500	5000	Pegmatite	Paragneiss		Anomalie ponctuelle dans une enclave de pegmatite blanche
A-CG-284	CG06-20-15	Aff	24P04	350672	6566949	500	8000	Pegmatite	Paragneiss		Anomalie ponctuelle dans pegmatite rose
A-CG-285	CG06-20-16	Aff	24P04	350590	6566922	700	14000	Pegmatite	Marbre		Anomalie ponctuelle dans pegmatite rose
A-CG-286	CG06-20-17	Aff	24P04	350620	6566901	1500	12000	Grès quartzitique	Gneiss à biotite		Anomalie ponctuelle
A-CG-287	CG06-20-18	Aff	24P04	350620	6566901	500	7000	Marbre	Roche calco-silicatée		Anomalie ponctuelle
A-CG-288	CG06-20-19	Aff	24P04	350762	6566821	1500	11000	Pegmatite	Marbre		Anomalie ponctuelle dans enclave de pegmatite dans un marbre
A-CG-289	CG06-20-20	Aff	24P04	350763	6566797	500	1000	Quartzite	Marbre		Anomalie ponctuelle dans une veine de quartzite recoupant un marbre
A-CG-291	CG06-20-22	Aff	24P04	350943	6566632	500	5000	Pegmatite	Marbre		Anomalie ponctuelle
A-CG-292	CG06-20-23	Aff	24P04	350962	6566497	500	4000	Pegmatite	Gneiss à biotite		Anomalie ponctuelle
A-CG-315	CG06-23-01	Aff	24P04	351021	6566146	500	6000	Pegmatite	Marbre		
A-CG-316	CG06-23-02	Aff	24P04	351077	6565988	500	3500	Pegmatite	Marbre		
A-CG-317	CG06-23-03	Aff	24P04	351081	6565939	1500	5000	Pegmatite	Paragneiss		
A-CG-318	CG06-23-04	Aff	24P04	351132	6565699	500	1500	Pegmatite	Marbre		
A-CG-319	CG06-23-05	Aff	24P04	351079	6565582	200	2500	Pegmatite	Marbre		
A-CG-320	CG06-23-06	Aff	24P04	351093	6565470	500	5000	Pegmatite	Marbre		Veine de quartz dans enclave de pegmatite en contact avec marbre oxydé
A-CG-324	CG06-23-15	Aff	24P04	349049	6564965	500	2000	Pegmatite	Roche calco-silicatée		
A-CG-325	CG06-24-05	Aff	24P04	346695	6564885	500	1250	Pegmatite	Marbre	0.30	
A-CG-326	CG06-24-06	Aff	24P04	347037	6565027	175	1000	Pegmatite	Paragneiss		
A-CG-327	CG06-24-12	Aff	24P04	347813	6564534	300	2500	Pegmatite	Gneiss		
A-CG-328	CG06-24-13	Aff	24P04	348037	6564529	200	1100	Pegmatite	Gneiss		
A-CG-338	CG06-25-11	Aff	24P05	349105	6571182	150	1100	Pegmatite	Granite		Anomalie ponctuelle
A-CG-340	CG06-25-13	Aff	24P05	349611	6571201	500	5000	Pegmatite			Anomalie ponctuelle
A-CG-341	CG06-25-14	Aff	24P05	349707	6571156	500	6000	Pegmatite	Marbre		
A-CG-342(>)	CG06-25-15	Aff	24P05	349791	6571077	1500	11 000	Pegmatite			Anomalies ponctuelles sur une grande distance
A-CG-343	CG06-25-16	Aff	24P05	349928	6571008	1500	4000	Pegmatite	Marbre		
A-CG-344	CG06-25-17	Aff	24P05	349979	6570897	1500	7000	Pegmatite	Marbre		Veine de quartz fumé et rouillée dans pegmatite au contact des marbres
A-CG-345	CG06-25-18	Aff	24P04	350010	6570822	1500	12 500	Pegmatite	Marbre		
A-CG-346	CG06-25-19	Aff	24P04	350098	6570574	1500	3500	Pegmatite	Marbre		Anomalie ponctuelle dans pegmatite blanche à biotite et phlogopite avec de la diopside au contact du marbre

Tableau 11.2 - Tableau synoptique des anomalies scintillométriques au sol

No Anomalie	Traverse	Type de Station	Feuillet	Easting (NAD 83)	Northing (NAD 83)	RA bruit de fond	RA max c/s	Lithologie-A	Lithologie-B	U/Th	Commentaires
A-CG-347	CG06-25-20	Aff	24P04	350153	6570459	1500	8000	Pegmatite			
A-CG-349	CG06-26-07	Aff	24P03	366974	6568645	450	1100	Pegmatite			
A-CG-350	CG06-26-08	Aff	24P03	366931	6568673	400	1500	Pegmatite	Gneiss	0.17	
A-CG-351	CG06-26-09	Aff	24P03	366802	6568972	500	1200	Granite		0.24	
A-CG-352	CG06-27-02	Aff	24I11	382141	6510604	250	1300	Pegmatite	Gneiss		
A-CG-353	CG06-27-04	Aff	24I11	382344	6511144	150	2000	Pegmatite			
A-CG-354	CG06-27-06	Aff	24I11	382674	6511263	150	7000	Quartzite	Gneiss		
A-CG-355	CG06-27-07	Aff	24I11	382719	6511355	150	3500	Quartzite	Paragneiss		
A-CG-356	CG06-27-08	Aff	24I11	382742	6511450	150	1500	Quartzite		0.10	
A-CG-357	CG06-27-09	Aff	24I11	382912	6511693	150	4000	Pegmatite	Paragneiss		
A-CG-358	CG06-28-01	Aff	24I10	385863	6512988	250	2750	Pegmatite		0.25	
A-CG-359	CG06-28-02	Aff	24I10	385882	6513295	250	1100	Pegmatite			
A-CG-360	CG06-28-03	Aff	24I10	385917	6513219	200	1100	Pegmatite			
A-CG-361	CG06-28-04	Aff	24I10	385837	6513375	250	1250	Pegmatite	Quartzite		
A-CG-362	CG06-28-05	Aff	24I10	385718	6513427	250	1900	Pegmatite	Quartzite	0.17	
A-CG-366	CG06-28-11	Aff	24I10	384947	6513650	200	1200	Pegmatite			
A-CG-368	CG06-29-09	Aff	24P03	358773	6554474		1500	Pegmatite	Gneiss		
A-CG-370	CG06-32-05	Aff	24I14	362205	6540841		2500	Pegmatite	Gneiss		
A-CG-371	CG06-32-06	Aff	24I14	362252	6540729		1250	Pegmatite	Paragneiss		
A-CG-372	CG06-32-07	Aff	24I14	362289	6540687	500	2100	Pegmatite	Gneiss		
A-CG-373(>)	CG06-32-08	Aff	24I14	362229	6540620	200	1250	Pegmatite	Paragneiss		localement au-dessus de 1000 cps sur des zones relativement étendues
A-CG-374	CG06-32-09	Aff	24I14	362484	6539449		1000	Pegmatite	Gneiss		
A-CG-376	CG06-33-04	Aff	24P04	350370	6551905	200	2000	Granite	Pegmatite		
A-CG-377	CG06-33-05	Aff	24P04	350536	6551915	150	1350	Granite	Paragneiss		
A-CG-378	CG06-33-06	Aff	24P04	350851	6551732	200	1000	Granite	Gneiss		
A-CG-379	CG06-33-13	Aff	24P04	353259	6552845	250	1250	Granite	Gneiss		
A-CG-380	CG06-34-02	Aff	24P03	360562	6561819		1500	Paragneiss	Marbre calcitique		
A-CG-381	CG06-34-06	Aff	24P03	360995	6562471		1500	Gneiss	Marbre		
A-CG-382(4)	CG06-35-06	Aff	24P03	360234	6556126	200	11 000	Paragneiss pegmatitique			Sur 20 cm on a 10000 et 11000 cps, 1000 et 5000 cps. À 20 m, 2000 cps. 4 anomalies à 2000, 3000, 7500 et 11000 cps.
A-CG-383	CG06-35-07	Aff	24P03	360266	6556122	200	7 500	Pegmatite	Paragneiss		
A-CG-384(2)	CG06-35-13	Aff	24P03	360515	6554787	250	1200	Orthogneiss pegmatitique	Paragneiss		2 anomalies à 1000 et 1200 cps distantes de 25 m
A-CG-385	CG06-35-14	Aff	24P03	360544	6554635	250	2500	Paragneiss	Orthogneiss		
A-CG-386	CG06-35-16	Aff	24P03	360470	6554420	200	2000	Orthogneiss	Roche calco-silicatée		
A-CG-387	CG06-35-18	Aff	24P03	360409	6554287	200	1000	Orthogneiss	Roche calco-silicatée		
A-CG-389	CG06-36-03	Aff	24P03	363519	6559138	500	1000	Granite pegmatitique			
A-CG-390	CG06-36-04	Aff	24P03	363497	6559143	250	1100	Pegmatite			
A-CG-391	CG06-36-05	Aff	24P03	362931	6558854	500	1400	Pegmatite	Gneiss quartzo-feldspathique		
A-CG-392(>)	CG06-36-06	Aff	24P03	362926	6558848	500	10001	Pegmatite	Gneiss quartzo-feldspathique	1.48	Séries d'anomalies > 3000 cps associées à une veine de pegmatite altérée injectée dans une fracture du gneiss qz-fd
A-CG-393(>)	CG06-36-06-A1	Aff	24P03	362926	6558848		7100	Pegmatite	Granite gneissique	1.62	Anomalies ponctuelles associées à une veine de pegmatite altérée injectée dans une fracture du granite gneissique
A-CG-395	CG06-36-08	Aff	24P03	362571	6558897	500	3100	Pegmatite	Orthogneiss		
A-CG-396	CG06-36-09	Aff	24P03	361503	6558791	200	1500	Pegmatite	Gneiss quartzo-feldspathique		
A-CG-397	CG06-37-05	Aff	24P03	360490	6544686	250	2000	Méta-arkose pegmatitique			
A-CG-398	CG06-37-07	Aff	24P03	360478	6544651	200	3000	Méta-arkose pegmatitique			
A-CG-399	CG06-37-10	Aff	24P03	360241	6544508	1000	10000	Pegmatite	Paragneiss	0.06	
A-CG-400	CG06-37-11	Aff	24P03	360207	6544501		1000	Marbre	Roche calco-silicatée	0.68	
A-CG-401	CG06-37-16	Aff	24P03	359614	6544919		1300	Paragneiss			
A-CG-402	CG06-38-03	Aff	24P03	368808	6560829	300	1500	Pegmatite		0.17	
A-CG-404	CG06-38-07	Aff	24P03	362757	6558926	200	1200	Granite			Anomalie ponctuelle dans un plan de fracture dans la pegmatite
A-CG-405(2)	CG06-38-08	Aff	24P03	362694	6558965	500	2000	Granite		0.33	2 anomalies ponctuelles à 2000 et 1200 cps distantes de 2 m dans granite Qz-Fd

Tableau 11.2 - Tableau synoptique des anomalies scintillométriques au sol

No Anomalie	Traverse	Type de Station	Feuillet	Easting (NAD 83)	Northing (NAD 83)	RA bruit de fond	RA max c/s	Lithologie-A	Lithologie-B	U/Th	Commentaires
A-CG-406	CG06-38-09	Aff	24P03	362840	6558905	200	1220	Granite		0.02	Anomalie ponctuelle dans un plan de fracture dans le granite
A-CG-407(4)	CG06-39-10	Aff	24P04	351435	6559035	200	1650	Granite	Pegmatite		4 anomalies à 1250, 1300, 1500 et 1650 cps: point isolé sur fissure.
A-CG-409	CG06-41-03	Aff	24P03	367677	6565727	500	1000	Orthogneiss pegmatitique			
A-CG-410	CG06-41-08	Aff	24P03	368504	6565378	350	2500	Orthogneiss pegmatitique		0.10	
A-CG-411	CG06-41-09	Aff	24P03	368616	6565326	500	2700	Orthogneiss pegmatitique			
A-CG-412(3)	CG06-41-11	Aff	24P03	368677	6565212	500	5000	Orthogneiss pegmatitique			3 anomalies à 1000, 3500 et 5000 cps dans l'orthogneiss granitique avec passées pegmatitiques
A-CG-413	CG06-41-13	Aff	24P03	368715	6565136	150	1000	Orthogneiss pegmatitique			
A-CG-414	CG06-41-14	Aff	24P03	368770	6565043	400	1500	Orthogneiss pegmatitique		0.16	
A-CG-415	CG06-41-15	Aff	24P03	368804	6565025	400	1500	Orthogneiss granitique			
A-CG-416	CG06-42-07	Aff	24P03	370672	6561822	400	1000	Orthogneiss granitique			Fissure recoupant l'orthogneiss à N330 avec lambeaux de marbre
A-CG-417(2)	CG06-42-15	Aff	24P03	370000	6563042	200	1250	Orthogneiss granitique		0.07	2 anomalies à 1000 et 1250 cps sur des fissures
A-CG-418	CG06-42-16	Aff	24P03	369909	6563127	250	1000	Orthogneiss granitique		0.05	
A-CG-419(2)	CG06-42-16-A1	Aff	24P03	369910	6563127	250	1000	Granite		0.02	2 anomalies à 1000 cps sur des fissures
A-CG-432	CG06-45-08	Aff	24P03	361412	6545354	500	6500	Pegmatite	Marbre		Produits jaunes autour de 4 grains isolés noirs dans lentille de pegmatite de 10m x 5m
A-CG-433	CG06-45-12	Aff	24P03	361545	6544854	150	27000	Marbre		3.29	Produits jaunes autour d'une tache ocre de 3 cm
A-CG-434	CG06-45-14	Aff	24P03	361605	6544686	110	1260	Pegmatite			
A-CG-436(2)	CG06-45-16	Aff	24P03	361660	6544445	100	7100	Marbre	Pegmatite		Sur de petites enclaves de marbre dans la pegmatite
A-CG-437	CG06-46-13	Aff	24I14	361707	6541745	200	3500	Méta-arkose			
A-CG-438(2)	CG06-46-14	Aff	24I14	361552	6541635	200	2200	Méta-arkose	Paragneiss		2 anomalies à 2200 et 1500 cps distantes de 10m
A-CG-439(3)	CG06-47-01	Aff	24P03	367028	6557224	250	1500	Granite pegmatitique	Orthogneiss	0.07	3 anomalies à 1000, 1250 et 1500 cps dans granite pegmatitique rose en contact avec orthogneiss
A-CG-440	CG06-47-02	Aff	24P03	367009	6557207	250	1500	Pegmatite	Orthogneiss		
A-CG-442	CG06-47-05	Aff	24P03	365785	6556888	300	6000	Granite pegmatitique	Orthogneiss	0.17	
A-CG-444	CG06-47-07	Aff	24P03	365454	6556632	300	1000	Granite pegmatitique	Orthogneiss		
A-CG-445(3)	CG06-47-08	Aff	24P03	365339	6556635	300	2000	Granite pegmatitique	Orthogneiss		3 anomalies à 1000, 1250 et 2000 cps
A-CG-446	CG06-47-09	Aff	24P03	365280	6556594	400-500	1250	Granite pegmatitique	Orthogneiss		
A-CG-447	CG06-47-10	Aff	24P03	365263	6556590	250	1250	Granite pegmatitique			
A-CG-448	CG06-47-11	Aff	24P03	365236	6556585	200	1200	Granite pegmatitique			
A-CG-449(2)	CG06-47-12	Aff	24P03	365097	6556442	250	1000	Granite pegmatitique	Orthogneiss		2 anomalies à 1000 cps dans nodule de granite rose pegmatitique
A-CG-450	CG06-47-13	Aff	24P03	364993	6556353	200	2100	Granite pegmatitique	Orthogneiss		
A-CG-451	CG06-47-14	Aff	24P03	364487	6556208	150	1000	Granite pegmatitique	Gneiss		
A-CG-452	CG06-47-15	Aff	24P03	363944	6556139	100	1500	Granite pegmatitique	Orthogneiss		
A-CG-454	CG06-49-17	Aff	24I14	366511	6520826		1000	Paragneiss		0.02	
A-CG-457	CG06-50-09	Aff	24I14	372685	6521463	500	1500	Pegmatite			Pegmatite rose et blanc avec plusieurs fractures
A-CG-460	CG06-50-12	Aff	24I14	372300	6521698	150	1500	Granite pegmatitique			
A-CG-461(>)	CG06-50-13	Aff	24I14	372300	6521710	50	5000	Marbre calcitique	Pegmatite blanche		Plusieurs anomalies près de la zones contact avec les marbres de 1500 à 5000 cps
A-CG-462(2)	CG06-50-14	Aff	24I14	372235	6521686	200	3000	Pegmatite			2 anomalies ponctuelles à 3000 et 2000 cps
A-CG-463(>)	CG06-50-15	Aff	24I14	372154	6521659	500	6000	Pegmatite			Plusieurs autres anomalies à proximité jusqu'à 5000 cps
A-CG-464	CG06-50-16	Aff	24I14	372120	6521661	1000	9000	Granite pegmatitique			

Tableau 11.2 - Tableau synoptique des anomalies scintillométriques au sol

No Anomalie	Traverse	Type de Station	Feuillet	Easting (NAD 83)	Northing (NAD 83)	RA bruit de fond	RA max c/s	Lithologie-A	Lithologie-B	U/Th	Commentaires
A-CG-465	CG06-50-17	Aff	24I14	371668	6521807	250	1500	Granite pegmatitique			
A-CG-466	CG06-50-18	Aff	24I14	371430	6521925	150-250	1400	Granite pegmatitique			
A-CG-467	CG06-50-19	Aff	24I14	371419	6521943	250	5000	Granite pegmatitique			
A-CG-468	CG06-50-20	Aff	24I14	371415	6521957	500	5500	Pegmatite			
A-CG-469	CG06-50-21	Aff	24I14	371336	6521997	200	1900	Pegmatite			
A-CG-470	CG06-50-22	Aff	24I14	370967	6522038	150-200	1000	Paragneiss			
A-CG-471	CG06-50-23	Aff	24I14	370558	6522089	200	1100	Granite pegmatitique			
A-CG-472(3)	CG06-51-25	Aff	24P03	360954	6544609	100	1700	Pegmatite	Marbre		Zones de pegmatite blanche dans le marbre proche du contact avec 3 anomalies à 1200, 1500 et 1700 cps. Anomalie associée à la biotite dans la pegmatite.
A-CG-473	CG06-51-26	Aff	24P03	360972	6544632	125	2000	Pegmatite	Paragneiss		Point anomalique sur un microfissure dans la pegmatite.
A-CG-475	CG06-51-29	Aff	24P03	360867	6545024	120	1050	Pegmatite			Fissure dans une pegmatite rouillée au contact avec le paragneiss.
A-CG-476(2)	CG06-51-30	Aff	24P03	360864	6545048	130	1300	Pegmatite			Anomalies à 1300 et 1200 cps dans une pegmatite fracturée
A-CG-477(2)	CG06-52-10	Aff	24P03	370720	6557616	250	1000	Pegmatite	Orthogneiss		2 anomalies à 1000 cps sur 1 m et 650 cps entre les deux
A-CG-479	CG06-53-07	Aff	24P03	370581	6555595	100	1400	Granite pegmatitique			Anomalie ponctuelle localisée dans les phases pegmatitiques
A-CG-480	CG06-55-01	Aff	24I11	378663	6511164	300	1250	Pegmatite			
A-CG-481	CG06-55-02	Aff	24I11	378469	6511221	200	1000	Pegmatite			
A-CG-483	CG06-55-19	Aff	24I11	378718	6513618	200	1250	Pegmatite	Orthogneiss		
A-CG-484	CG06-55-22	Aff	24I11	378604	6514097	200	4200	Granite		0.04	Anomalie dans une fissure double avec point anomal sur amas de biotite
A-CG-485	CG06-55-23	Aff	24I14	378392	6514229	500	2000	Granite			Anomalie à l'intersection de fractures
A-CG-486	CG06-55-24	Aff	24I14	378525	6514405	300	1300	Granite			Point anomalique sur un microfracture dans une passée de granite
A-CG-487(>)	CG06-56-05	Aff	24I14	380171	6518678	500	2500	Granite pegmatitique	Paragneiss		Anomalie ponctuelle avec d'autres pics > 1000 cps
A-CG-489	CG06-56-07	Aff	24I14	380012	6518688	200	2000	Granite pegmatitique			
A-CG-490	CG06-56-09	Aff	24I14	379863	6518667	300	1250	Granite pegmatitique			Pic à 1250 cps à la rencontre de fractures profondes.
A-CG-491	CG06-56-16	Aff	24I14	378682	6517931	500	1000	Gneiss quartzo-feldspathique	Granite		
A-CG-492	CG06-56-17	Aff	24I14	378528	6517802	250-300	1500	Granite	Gneiss		
A-CG-493	CG06-57-10	Aff	24P04	353488	6560579		18000	Roche carbonatée	Quartzite	10.84	Minéralisation visible sous forme de produits jaunes disséminés et en remplissage de micro-fractures
A-CG-494(>)	CG06-57-10-A1	Aff	24P04	353490	6560594	1500	15001	Roche carbonatée		12.07	Produits jaunes sur façade de 1,5m x 1,5m; minéralisation disséminée et dans les micro-fractures avec plusieurs points à 15000 cps
A-CG-495	CG06-59-03	Aff	24P03	360510	6558915	500	1000	Granite			
A-CG-496	CG06-59-04	Aff	24P03	360221	6558651	100	1000	Granite			
A-CG-497	CG06-59-17	Aff	24P03	358321	6557363	200	4000	Granite	Paragneiss		
A-CG-499	CG06-62-05	Aff	24I14	357675	6536766	140	2500	Granite			Granite très hématitisé avec amas de biotite
A-CG-500	CG06-63-07	Aff	24I14	360028	6533297	200	1000	Granite			
A-CG-501	CG06-63-08	Aff	24I14	359762	6533268	100	1250	Granite gneissique			
A-CG-502	CG06-63-15	Aff	24I14	359504	6533959	150	1000	Paragneiss	Granite		Anomalie locale proche d'un contact entre une enclave de paragneiss et une veine de granite rose, très fracturé
A-CG-503	CG06-63-23	Aff	24I14	359559	6534921	100	1000	Granite gneissique			
A-CG-505(>)	CG06-65-07	Aff	24P04	353494	6560629		21000	Roche carbonatée	Marbre		Minéralisation observée dans une nodule métrique de matériel carbonaté sous forme de produits jaunes disséminés avec marbre encaissant; maximum à 21000 cps mais autres points à 20000 et d'autres entre 15000 et 18000 cps

Tableau 11.2 - Tableau synoptique des anomalies scintillométriques au sol

No Anomalie	Traverse	Type de Station	Feuillet	Easting (NAD 83)	Northing (NAD 83)	RA bruit de fond	RA max c/s	Lithologie-A	Lithologie-B	U/Th	Commentaires
A-CG-506(>)	CG06-67-05	Aff	24P03	373031	6548859	750	3000	Granite			Plusieurs anomalies (au moins trois) dans un rayon de plusieurs mètres
A-CG-507	CG06-67-16	Aff	24P03	371087	6549309	400	1000	Granite			Anomalie proche de la rencontre entre plusieurs fractures
A-CG-508	CG06-67-18	Aff	24P03	370980	6549330	500	2000	Granite			
A-CG-509(3)	CG06-68-03	Aff	24I13	356112	6540211		8000	Granite pegmatitique			Anomalies sur trois sites distincts: 8000, 4500 et 1500 cps, mais sur le même horizon stratigraphique
A-CG-510	CG06-68-04	Aff	24I13	356114	6540084	200-300	1250	Marbre	Paragneiss		Anomalie ponctuelle dans le marbre au contact de paragneiss
A-CG-511	CG06-68-05	Aff	24I13	356031	6540021	150	3500	Granite	Paragneiss		Anomalie ponctuelle dans le granite au ontact avec paragneiss graphiteux
A-CG-512	CG06-68-06	Aff	24I13	356045	6539837	100	1000	Granite	Paragneiss		
A-CG-513(2)	CG06-68-07	Aff	24I13	355768	6539812	300	5000	Granite	Méta-wacke		Anomalies de 5000 et 4000 cps en bordure des méta-wackes (paragneiss)
A-CG-515	CG06-68-09	Aff	24I13	355592	6540097	200	5000	Granite	Méta-wacke		
A-CG-516	CG06-68-10	Aff	24I13	355602	6540354	200	1600	Granite pegmatitique			
A-CG-517	CG06-69-04	Aff	24P03	360384	6542709	250	2000	Marbre	Paragneiss		
A-CG-518	CG06-69-05	Aff	24P03	360229	6542666	150	2500	Pegmatite	Granite		Granite blanc avec enclaves de pegmatite blanc en contact avec du marbre pur
A-CG-519	CG06-69-06	Aff	24I14	359984	6542614	250	1100	Marbre	Paragneiss		
A-CG-520	CG06-69-07	Aff	24I14	359883	6542593	300	1500	Pegmatite	Orthogneiss		
A-CG-522	CG06-70-04	Aff	24P03	361835	6547413	120	1000	Granite			
A-CG-523	CG06-71-02	Aff	24P03	365014	6548646	100	1000	Granite	Orthogneiss		Anomalie dans un granite "arkosé" au contact avec de l'orthogneiss à grenat et biotite
A-CG-524	CG06-71-07	Aff	24P03	365415	6548087	150	1250	Granite	Marbre à diopside		Anomalie dans un granite "arkosé" au contact avec du marbre associé à des roches calco-silicatées
A-CG-525	CG06-74-07	Aff	24I14	362300	6540300	150-200	1250	Paragneiss	Pegmatite		
A-CG-526(3)	CG06-75-05	Aff	24I14	360890	6528794	150	2000	Granite pegmatitique			Anomalies ponctuelles à 2000, 1500 et 1300 cps
A-CG-528(>)	CG06-75-08	Aff	24I14	360922	6528884	100	4500	Granite pegmatitique			Série d'anomalies de 1500 à 4500 cps alignées sur 25m à N320
A-CG-529(>)	CG06-75-09	Aff	24I14	361124	6528676	200	10000	Granite			Zone anomale de 20m x 5m à N140; multitude de points à >1000 cps avec plusieurs à 10000 cps
A-CG-530	CG06-76-01	Aff	24I14	365291	6531087	100	1300	Pegmatite	Paragneiss		
A-CG-531	CG06-76-02	Aff	24I14	365242	6531094	120	3500	Granite	Paragneiss		
A-CG-532	CG06-76-03	Aff	24I14	365223	6531014	150	1500	Paragneiss	Granite		
A-CG-533	CG-06-76-04	Aff	24I14	365122	6530996	125	3000	Pegmatite	Paragneiss		
A-CG-534	CG-06-76-05	Aff	24I14	365063	6530915	120	1500	Gneiss granitique			
A-CG-535	CG-06-76-06	Aff	24I14	364904	6530784	120	2200	Gneiss granitique		0.05	
A-CG-536	CG-06-76-07	Aff	24I14	364817	6530672	500	1500	Pegmatite	Paragneiss		
A-CG-537	CG-06-76-08	Aff	24I14	364740	6530600	125	5200	Pegmatite			
A-CG-538	CG-06-76-09	Aff	24I14	364718	6530702	120	1500	Pegmatite	Paragneiss		
A-CG-539	CG-06-76-10	Aff	24I14	364658	6530788	1000	5000	Pegmatite	Gneiss		
A-CG-540	CG-06-76-11	Aff	24I14	364410	6530887	150	2250	Pegmatite	Paragneiss		
A-CG-541	CG-06-76-12	Aff	24I14	364271	6530898	100	1500	Granite	Paragneiss	0.22	
A-CG-544	CG-06-76-15	Aff	24I14	364359	6530900	120	1500	Granite	Paragneiss		
A-CG-545	CG-06-76-16	Aff	24I14	364433	6530827	120	5000	Quartzite	Paragneiss		
A-CG-546	CG-06-76-17	Aff	24I14	364450	6530778	500	2000	Granite	Pegmatite		
A-CG-547	CG-06-77-01	Aff	24I14	369973	6527491	120	2000	Granite			Anomalie associée à un amas de biotite avec légère altération brunâtre avec micro-fracture à N297
A-CG-548	CG-06-77-06	Aff	24I14	370959	6527331	250	1200	Pegmatite	Paragneiss rouillé		
A-CG-549	CG-06-77-09	Aff	24I14	371715	6527964	170	1000	Pegmatite			
A-CG-550	CG-06-77-10	Aff	24I14	371782	6527998	220	1000	Pegmatite	Paragneiss		
A-CG-551	CG-06-77-15	Aff	24I14	371753	6529731	110	1500	Pegmatite			Anomalie de 1500 cps dans pegmatite rose associée à cocentration en biotite
A-CG-552	CG-06-78-08	Aff	24I14	374115	6533408		1500	Granite	Paragneiss		
A-CG-553	CG-06-78-09	Aff	24I14	374132	6533303		2000	Pegmatite	Paragneiss		Anomalie ponctuelle avec différents points entre 500 et 800 cps
A-CG-554	CG-06-78-10	Aff	24I14	374216	6533038		2500	Pegmatite	Paragneiss		Plusieurs anomalies ponctuells entre 1000 et 2500 cps sur 2m
A-CG-555	CG-06-78-11	Aff	24I14	374167	6533095	300	2000	Gneiss			Anomalie de 2000 cps sur environ 2m

Tableau 11.2 - Tableau synoptique des anomalies scintillométriques au sol

No Anomalie	Traverse	Type de Station	Feuillet	Easting (NAD 83)	Northing (NAD 83)	RA bruit de fond	RA max c/s	Lithologie-A	Lithologie-B	U/Th	Commentaires
A-CG-556(>)	CG-06-78-12	Aff	24I14	374203	6532990		3500	Granitoïde	Gneiss à biotite		Anomalies > 1000 cps sur 1m
A-CG-557 (>)	CG-06-78-13	Aff	24I14	374255	6532403	250	3000	Pegmatite	Gneiss rouillé		1m x 0,2m >1000 cps
A-CG-558	CG-06-78-14	Aff	24I14	374282	6532162		1000	Pegmatite	Gneiss à biotite		
A-CG-559	CG-06-78-15	Aff	24I14	374553	6531833	175	3500	Pegmatite	Gneiss		
A-CG-561	CG-06-79-01	Aff	24P03	362956	6551046	100	1200	Pegmatite	Marbre		
A-CG-562	CG-06-79-02	Aff	24P03	362872	6551117	200	40001	Pegmatite	Marbre	7.22	Anomalie asociée à des minéraux métalliques dans des veines centimétriques de quartz fumé avec présence de molybdénite et produits jaunes.
A-CG-563	CG-06-79-03	Aff	24P03	362826	6551193	500	37000	Pegmatite	Marbre		Anomalie asociée à des minéraux noirs métalliques dans des veines de quartz rose avec présence de molybdénite et produits jaunes.
A-CG-564	CG-06-79-04	Aff	24P03	362799	6551222	200	40001	Pegmatite	Marbre	4.26	Anomalie dans la pegmatite et dans les veines de quartz fumé également dans des bancs de paragneiss rouillé avec présnce de molybdénite et minéraux noirs anomaux
A-CG-565(>)	CG06-80-06	Aff	24P04	354063	6569576	40	4000	Granite porphyrique	Marbre		Granite très anomal avec plusieurs points >1000 cps
A-CG-566	CG06-80-07	Aff	24P04	354063	6569297		12500	Roche calco-silicatée			
A-CG-567	CG-06-82-04	Aff	24P03	360098	6546076	160	1500	Pegmatite			Anomalie ponctuelle dans la pegmatite près de petites zones rouillées sans sulfures.
A-CG-568	CG-06-82-05	Aff	24P03	360157	6545987	70	1000	Roche calco-silicatée			Anomalie associée à un système de fractures à N50 dans une roche calco-silicatée
A-CG-569	CG-06-82-06	Aff	24P03	360111	6545885	80	2800	Marbre	Quartzite		Anomalie au contact des marbres et d'un horizon de quartzite coincé dans le marbre et boudiné
A-CG-570	CG-06-82-07	Aff	24P03	360146	6545762	90	3300	Roche calco-silicatée			Anomalie ponctuelle associée à concentration de muscovite dans une roche calco-silicatée
A-CG-571	CG-06-82-09	Aff	24P03	360175	6545690	100	3000	Pegmatite	Granite gneissique		Anomalie associée à une passée pegmatitique dans granite gneissique
A-CG-575	CG-06-83-07	Aff	24I14	362212	6528545	150	4500	Pegmatite	Gneiss granitique		
A-CG-576	CG-06-83-08	Aff	24I14	362574	6528684	200	2000	Granite			Granite rose avec de la magnétite
A-CG-577	CG-06-83-10	Aff	24I14	362631	6528967	100	1300	Pegmatite	Gneiss granitique		Gneiss granitique rose avec de la magnétite
A-CG-578	CG-06-83-14	Aff	24I14	363189	6529814	200	2000	Pegmatite	Gneiss granitique		
A-CG-579	CG-06-83-15	Aff	24I14	363311	6529944	150	1700	Gneiss granitique	Marbre		
A-CG-581	CG-06-83-17	Aff	24I14	363514	6530090	120	1100	Paragneiss			Anomalie associée à l'amas de biotite dans le paragneiss
A-CG-582	CG-06-84-01	Aff	24P06	361308	6577489	350	1500	Pegmatite	Gneiss granitique		
A-CG-583	CG-06-84-03	Aff	24P06	361656	6577719	500	1000	Orthogneiss granitique			
A-CG-584	CG-06-84-07	Aff	24P06	361906	6577473	150	1250	Pegmatite			Bloc anguleux de 1m x 30cm
A-CG-585	CG-06-84-08	Aff	24P06	362096	6577234	150	1600	Pegmatite	Marbre		
A-CG-586	CG-06-84-09	Aff	24P06	362114	6577211	150	1500	Pegmatite	Gneiss		
A-CG-587	CG-06-84-10	Aff	24P06	362130	6577126	150	1500	Pegmatite			
A-CG-588	CG-06-84-11	Aff	24P06	362505	6577121	150	1500	Pegmatite	Paragneiss		Anomalie associée à l'amas de biotite dans la pegmatite
A-CG-589	CG-06-84-20	Aff	24P06	362478	6576249	150	1500	Granite	orthogneiss		
A-CG-590	CG-06-84-22	Aff	24P06	362607	6576015	500	1500	Orthogneiss			
A-CG-591	CG-06-84-26	Aff	24P06	362868	6575747	500	1000	Pegmatite	Gneiss granitique		
A-CG-592	CG-06-85-01	Aff	24I14	369320	6537937	350	1500	Gneiss granitique	Pegmatite		Anomalie ponctuelle dans gneiss granitique à magnétite injecté de pegmatite
A-CG-593(>)	CG-06-85-06	Aff	24I14	368439	6537679		7500	Pegmatite	Marbre		Anomalie associée au contact du marbre et du paragneiss recoupé de pegmatite; plusieurs points à >1000 cps dans la pegmatite
A-CG-594	CG-06-85-10	Aff	24I14	367512	6537133		1100	Pegmatite	Paragneiss		Anomalie ponctuelle dans pegmatite injecte dans le paragneiss
A-CG-595	CG-06-85-13	Aff	24I14	365707	6536390		5000	Pegmatite	Gneiss		

Tableau 11.2 - Tableau synoptique des anomalies scintillométriques au sol

No Anomalie	Traverse	Type de Station	Feuillet	Easting (NAD 83)	Northing (NAD 83)	RA bruit de fond	RA max c/s	Lithologie-A	Lithologie-B	U/Th	Commentaires
A-CG-596(>)	CG-06-85-16	Aff	24I14	366639	6535840		3000	Pegmatite	Gneiss		Plusieurs points anomaux >1000 cps
A-CG-597	CG-06-86-01	Aff	24P06	363780	6574113	125	1200	Pegmatite	Gneiss à biotite		
A-CG-599	CG-06-86-03	Aff	24P06	363840	6574150	125	1200	Pegmatite			
A-CG-600	CG-06-86-04	Aff	24P06	363756	6574261	125	2200	Pegmatite	Marbre		
A-CG-601	CG-06-86-05	Aff	24P06	363668	6574494	125	1000	Pegmatite	Marbre		
A-CG-602	CG-06-86-06	Aff	24P06	363538	6574570	500	1000	Pegmatite	Marbre		
A-CG-603	CG-06-86-07	Aff	24P06	363460	6574632		1200	Pegmatite	Gneiss granitique		
A-CG-604	CG-06-86-08	Aff	24P06	363371	6574769		1250	Gneiss granitique	Marbre		Anomalie dans des enclaves de gneiss granitique au contact avec une mince bande de marbre
A-CG-605	CG-06-86-09	Aff	24P06	363408	6574870	150	4200	Pegmatite	Marbre		
A-CG-606	CG-06-86-10	Aff	24P06	363241	6575116	150	2000	Pegmatite	Marbre		
A-CG-607	CG-06-86-13	Aff	24P06	363043	6575162	125	1000	Pegmatite	Gneiss granitique		
A-CG-608	CG-06-86-14	Aff	24P06	363036	6575253	250	1500	Gneiss granitique	Pegmatite		
A-CG-609	CG-06-87-05	Aff	24P04	355485	6569767	200	3000	Gneiss à biotite	Paragneiss		
A-CG-610	CG-06-87-09	Aff	24P04	357188	6570203	150	1100	Pegmatite	Gneiss		
A-CG-611	CG-06-87-10	Aff	24P04	357263	6570275	150	1100	Pegmatite	Gneiss		
A-CG-612	CG-06-87-18A	Aff	24P05	356335	6571576	500	15001	Pegmatite	Orthogneiss		
A-CG-613	CG-06-87-18B	Aff	24P05	356314	6571570	500	12500	Pegmatite	Orthogneiss		
A-CG-614	CG-06-88-06	Aff	24P05	355325	6573241	75	11000	Roche calco-silicatée	Marbre		
A-CG-615	CG-06-88-07	Aff	24P05	355320	6573078	75	2500	Paragneiss	Marbre		Anomalie ponctuelle située au contact entre les paragneiss et les marbres
A-CG-616	CG-06-88-08	Aff	24P05	355369	6572988	75	2500	Pegmatite	Marbre		
A-CG-617	CG-06-88-10	Aff	24P05	355514	6572819	125	1400	Pegmatite	Marbre		
A-CG-618	CG-06-88-12	Aff	24P05	355452	6572553	125	4500	Pegmatite	Gneiss granitique		
A-CG-619	CG-06-88-15	Aff	24P05	355163	6572098	120	1500	Pegmatite	Gneiss granitique		
A-CG-620	CG06-89-02	Aff	24I15	384790	6525129		1200	Pegmatite			
A-CG-621	CG06-89-04	Aff	24I15	386040	6524562	125	1000	Pegmatite	Gneiss quartzo-feldspathique		
A-CG-622	CG-06-90-04	Aff	24I15	387936	6513908	100	1500	Pegmatite	Paragneiss		
A-CG-623	CG-06-90-05	Aff	24I15	387945	6514034	100	1100	Pegmatite	Paragneiss		
A-CG-624	CG-06-90-07	Aff	24I15	388118	6514392	150	1000	Pegmatite			
A-CG-651	CG-06-96-01	Aff	24P04	352584	6555786	180	1400	Pegmatite	Marbre		Anomalie ponctuelle associée à une pegmatite affectée par un cisaillement en bordure des marbres
A-CG-652(2)	CG-06-96-02	Aff	24P04	353117	6555848	200	15001	Méta-arkose	Marbre	5.80	Première anomalie à 15000 cps et 4 mètres plus loin à >15000 cps dans une méta-arkose cisaillée et hématitisée en bordure d'une unité de marbre cisaillée
A-CG-653(>)	CG-06-96-03	Aff	24P04	353137	6555760	300	5001	Pegmatite	Marbre		Nombreux points anomaux de 1000 à >5000 cps sur une zone de plus de 15 x 20 m dans une pegmaite cisaillée en bordure d'un marbre cisaillé.
A-CG-654	CG-06-97-03	Aff	24P04	354862	6547397	100	1700	Pegmatite			
A-CG-655	CG-06-97-04	Aff	24P04	354842	6547411	100	1500	Pegmatite		1.14	Anomalie associée à zone fracturée et altérée sur paroi dans pegmatite
A-CG-656	CG-06-97-05	Aff	24P04	354821	6547405	200	1500	Pegmatite	Marbre	1.27	
A-CG-657	CG-06-98	Aff	24P04	355561	6553305	200	5000	Pegmatite	Paragneiss		
A-CG-658	CG-06-99-01	Aff	24P04	350768	6567123		6000				
A-CG-659	CG-06-99-02	Aff	24P04	350786	6567040		5500				
A-CG-660	CG-06-99-03	Aff	24P04	350667	6567049		4800				
A-CG-661	CG-06-100-01	Aff	24P04	347696	6567639		9200				
A-CG-662	CG-06-100-02	Aff	24P04	347640	6567690		8000				
A-CG-662	CA06-1000-05	Aff	24P04	354390	6557360		4000	Pegmatite	Gneiss		
A-CG-664	CA06-1001-19	Aff	24P04	355914	6557147	500	7500	Marbre dolomitique			
A-CG-665	CA06-1001-20	Aff	24P04	355937	6557182	200	1600	Marbre dolomitique			
A-CG-666	CA06-1001-21	Aff	24P04	355869	6557182		1300	Marbre dolomitique			
A-CG-669	CA06-1001-24	Aff	24P04	355872	6557324	1000	4700	Marbre dolomitique			

Tableau 11.2 - Tableau synoptique des anomalies scintillométriques au sol

No Anomalie	Traverse	Type de Station	Feuillet	Easting (NAD 83)	Northing (NAD 83)	RA bruit de fond	RA max c/s	Lithologie-A	Lithologie-B	U/Th	Commentaires
A-CG-670(2)	CA06-1002-06	Aff	24P04	355571	6557906	100	1700	Grès			Anomalie à 1700 cps de 10cm x 30cm sur tache avec filonnets rougeâtres et anomalie à 1500 cps à 1m au SO.
A-CG-671	CA06-1003-20	Aff	24P04	355873	6557396	500	7500	Marbre dolomitique			
A-CG-673	CA06-1004-08	Aff	24P04	355802	6557586	250	9500	Marbre			
A-CG-674	CA06-1005-02	Aff	24P04	355135	6558381	400	7500	Marbre calcitique			
A-CG-675	CA06-1005-06	Aff	24P04	354958	6558542	250	1750	Marbre dolomitique	Gneiss		
A-CG-677(2)	CA06-1005-12	Aff	24P04	354941	6558541	250	2100	Marbre calcitique			2 anomalies à 1200 et 2100 cps
A-CG-678(4)	CA06-1006-03	Aff	24P04	354672	6558990	200	15001	Pegmatite	Marbre		Poche de pegmatite très riche en biotite avec 2% molybdénite, aspect rouillé; anomalies à 4000, 4500, 7500 et >15000 cps.
A-CG-679(4)	CA06-1008-14	Aff	24P04	355761	6557336		1300	Marbre			Fissure dans le marbre beige; 4 anomalies à 1100, 1250, 1300 et 1300 cps et tous dans un rayon de 10m.
A-CG-680	CA06-1008-27	Aff	24P04	355676	6557640	1200	7600	Marbre			
A-CG-682	CA06-1010-09	Aff	24P03	357304	6558404	200	5000	Gneiss à biotite	Marbre		
A-CG-684	CA06-1011-06	Aff	24P03	357588	6557935	150	1000	Marbre	Roche calco-silicatée		
A-CG-685	CA06-1012-01	Aff	24P04	356434	6556972	150	5000	Marbre	Roche calco-silicatée		
A-CG-686	CA06-1013-05	Aff	24P04	356822	6556207	150	15001	Marbre	Roche calco-silicatée		
A-CG-687	CA06-1013-06	Aff	24P04	356743	6556273	100	5000	Marbre	Roche calco-silicatée		
A-CG-688	CA06-1013-14	Aff	24P04	355877	6557240	500	1450	Marbre	Roche calco-silicatée		
A-CG-690	CA06-1013-16	Aff	24P04	355861	6557291		15001	Marbre			
A-CG-691	CA06-1014-05	Aff	24P03	357488	6555787	150	5000	Roche calco-silicatée	Marbre		
A-CG-692	CA06-1015-09	Aff	24P04	354116	6558762	50	1400	Marbre	Roche calco-silicatée		
A-CG-693	CA06-1017-06	Aff	24P04	356435	6559458	150	2000	Paragneiss			
A-CG-697	CA06-1018-26	Aff	24P04	355638	6557940	200	1100	Marbre			
A-CG-699	CA06-1018-113	Aff	24P04	355687	6557669	450	9000	Marbre	Pegmatite		
A-CG-701	CA06-1018-117	Aff	24P04	355698	6557680		3500	Marbre	Pegmatite		
A-CG-702	CA06-1018-121	Aff	24P04	355698	6557653	200	5000	Marbre	Pegmatite		
A-CG-703	CA06-1018-122	Aff	24P04	355694	6557651	200	2000	Marbre			
A-CG-704	CA06-1018-123	Aff	24P04	355690	6557652	200	2800	Marbre	Pegmatite		
A-CG-706(2)	CA06-1018-125	Aff	24P04	355679	6557644	300	11500	Marbre			2 anomalies à 7500 et 11500 cps dans le marbre
A-CG-707	CA06-1018-126	Aff	24P04	355674	6557644	300	6500	Pegmatite			Seulement quelques fissures pour expliquer l'anomalie
A-CG-710(>)	CA06-1018-130	Aff	24P04	355644	6557626	200	1500	Marbre			Plusieurs anomalies de 500 à 750 cps dans les marbres
A-CG-711(4)	CA06-1018-138	Aff	24P04	355706	6557522	300	8500	Marbre			4 anomalies à 2200, 3500, 5000 et 8500 cps dans les marbres cahotiques, alignement selon N140
A-CG-712	CA06-1018-139	Aff	24P04	355705	6557543	300	1250	Roche calco-silicatée			
A-CG-713(2)	CA06-1018-140	Aff	24P04	355693	6557560	200	3000	Marbre			2 anomalies à 2000 et 3000 cps dans le marbre alignées selon N50
A-CG-716(3)	CA06-1018-144	Aff	24P04	355709	6557500		9600	Marbre	Pegmatite		3 anomalies à 1200, 1700 et 9600 cps dans fissure de marbre avec lambeaux de pegmatite
A-CG-717(3)	CA06-1018-145	Aff	24P04	355697	6557478		3000	Pegmatite			3 anomalies à 1200, 1200 et 3000 cps dans la pseudo pegmatoïde sous la mousse
A-CG-720(6)	CA06-1018-155	Aff	24P04	355843	6557637		5000	Marbre	Pegmatite		Plusieurs anomalies de 1200 à 3000 cps sur 8m2 dans un marbre gris et lentille pseudo pegmatite
A-CG-721	CA06-1018-156	Aff	24P04	355858	6557642		3000	Marbre			
A-CG-722	CA06-1018-157	Aff	24P04	355855	6557635		32000	Marbre			
A-CG-723	CA06-1018-158	Aff	24P04	355855	6557640		18500	Marbre			
A-CG-725	CA06-1020-07	Aff	24P04	355792	6557497		1500	Marbre			
A-CG-727	CA06-1020-12	Aff	24P04	355946	6557569	225	8500	Marbre			Marbre à phlogopite rubané

Tableau 11.2 - Tableau synoptique des anomalies scintillométriques au sol

No Anomalie	Traverse	Type de Station	Feuillet	Easting (NAD 83)	Northing (NAD 83)	RA bruit de fond	RA max c/s	Lithologie-A	Lithologie-B	U/Th	Commentaires
A-CG-728(4)	CA06-1020-13	Aff	24P04	355952	6557571	225	15500	Marbre			4 anomalies à 2000, 3000, 5400 et 15500 cps dans le marbre à phlogopite le long d'une zone bréchique
A-CG-729	CA06-1020-14	Aff	24P04	355954	6557553	200	3000	Marbre			Marbre bréchique
A-CG-734	CA06-1021-01	Aff	24P04	355648	6557640	500	35000	Marbre			
A-CG-736	CA06-1022-97	Aff	24P04	356286	6557121		11000	Marbre			
A-CG-737	CA06-1022-99	Aff	24P04	356272	6557142		15000	Marbre			
A-CG-738	CA06-1022-119	Aff	24P04	354645	6559141		1500	Marbre	Pegmatite		
A-CG-739	CA06-1023-01	Aff	24P04	355330	6558253	60	5200	Marbre			
A-CG-740(2)	CA06-1023-02	Aff	24P04	355345	6558244	100	5700	Marbre			2 anomalies à 1100 et 5700 cps distantes de 1m dans marbre beige
A-CG-741	CA06-1023-04	Aff	24P04	355167	6558423		1000	Roche calco-silicatée	Marbre		
A-CG-742	CA06-1023-10	Aff	24P04	355416	6558175		8500	Marbre			
A-CG-744	CA06-1023-13	Aff	24P04	355884	6557590	170	8200	Marbre			marbre bréchique
A-CG-747	CA06-1024-08	Aff	24P04	355829	6557312		2000	Marbre			
A-CG-748	CA06-1024-10	Aff	24P04	355810	6557244	60	1000	Marbre			marbre à phlogopite
A-CG-749	CA06-1024-19	Aff	24P04	355854	6557347	60	9000	Marbre			
A-CG-750	CA06-1024-20	Aff	24P04	355857	6557345		2300	Marbre			
A-CG-752	CA06-1024-22	Aff	24P04	355868	6557338		5200	Marbre			
A-CG-753	CA06-1024-23	Aff	24P04	355876	6557338		4000	Marbre			
A-CG-754	CA06-1024-24	Aff	24P04	355870	6557334		3500	Marbre			
A-CG-756(2)	CA06-1024-26	Aff	24P04	355874	6557320		5500	Marbre			2 anomalies à 4000 et 5500 cps distantes de 2m
A-CG-757	CA06-1024-27	Aff	24P04	355880	6557325		5900	Marbre			
A-CG-758	CA06-1024-28	Aff	24P04	355857	6557294		22500	Roche calco-silicatée			
A-CG-764(3)	CA06-1024-34	Aff	24P04	355851	6557245		7400	Marbre			3 anomalies à 5000, 7000 et 7400 cps dans marbre lité folié
A-CG-765	CA06-1024-35	Aff	24P04	355854	6557245		11300	Marbre			
A-CG-767(2)	CA06-1024-37	Aff	24P04	355953	6557201		10700	Marbre			2 anomalies à 1700 et 10700 cps à 2m de distance
A-CG-769	CA06-1024-40	Aff	24P04	355884	6557624		15700	Roche calco-silicatée	Marbre		
A-CG-771	CA06-1029-01	Aff	24P04	355780	6557494	65	1200	Marbre	Roche calco-silicatée		
A-CG-774(7)	CA06-1029-12	Aff	24P04	356183	6557290		6700	Marbre			Série de 7 anomalies de 1200 à 6700 cps dans le marbre gris cahotique
A-CG-775	CA06-1029-13	Aff	24P04	356152	6557327		11000	Marbre dolomitique			
A-CG-776	CA06-1029-14	Aff	24P04	356138	6557333		1200	Marbre dolomitique			
A-CG-777	CA06-1029-15	Aff	24P04	356114	6557332		1300	Marbre			
A-CG-778	CA06-1029-16	Aff	24P04	356114	6557283		2000	Marbre	Pegmatite		
A-CG-780(4)	CA06-1029-19	Aff	24P04	356201	6557220		9400	marbre			4 anomalies à 4600, 4900, 6100 et 9400 cps dans marbre beige
A-CG-782	CA06-1029-22	Aff	24P04	356200	6557203		1500	Marbre			
A-CG-783(2)	CA06-1029-23	Aff	24P04	356113	6557311		2000	Marbre			2 anomalies de 1700 et 2000 cps dans un marbre beige
A-CG-786(3)	CA06-1029-26	Aff	24P04	356096	6557347		6000	Marbre			3 anomalies à 4500, 6000 et 10150 cps dans marbre beige
A-CG-787	CA06-1029-34	Aff	24P04	356886	6557205	120	1200	Marbre			
A-CG-788(>)	CA06-1030-01	Aff	24P04	355951	6557139		7500	Marbre			nombreux points anomaux de 4000 à 5000 cps dans le marbre
A-CG-789	CA06-1030-03	Aff	24P04	356603	6556870		15001	Roche calco-silicatée	Marbre		Anomalie de >15000 cps dans une roche noire et très rouillée, aphanitique dans le marbre
A-CG-790	CA06-1030-04	Aff	24P04	356656	6556858		15001	Roche calco-silicatée	Marbre		Anomalie de >15000 cps dans une roche noire et très rouillée, aphanitique dans le marbre
A-CG-791	CA06-1030-07	Aff	24P04	356055	6557012		15001	Marbre dolomitique			
A-CG-792	CA06-1031-03	Aff	24P04	355600	6556644	40	1500	Marbre			Anomalie ponctuelle à 1500 cps dans le marbre le long d'une fracture à N137/60
A-CG-793	CA06-1032-01	Aff	24P04	356820	6556209	150	32000	Marbre			
A-CG-794	CA06-1032-02	Aff	24P04	356744	6556272	150	2000	Marbre			
A-CG-797	CA06-1032-08	Aff	24P04	356340	6556550		1000	Marbre	Roche calco-silicatée		
A-CG-800	CA06-1033-02B	Aff	24P04	356175	6557336		17000	Roche calco-silicatée	Marbre		Anomalie à 17000 cps dans une roche siliceuse, rouillée et très altérée de couleur noire en enclave dans des marbres gris foliés.

Tableau 11.2 - Tableau synoptique des anomalies scintillométriques au sol

No Anomalie	Traverse	Type de Station	Feuillet	Easting (NAD 83)	Northing (NAD 83)	RA bruit de fond	RA max c/s	Lithologie-A	Lithologie-B	U/Th	Commentaires
A-CG-803	CA06-1035-01	Aff	24P04	355110	6558402	200	1200	Marbre calcitique			Anomalie située dans un marbre calcitique avec des niveaux dolomitiques associés à des sulfures et du graphite.
A-CG-804	CA06-1035-02	Aff	24P04	355163	6558422	150	2000	Marbre	Roche calco-silicatée		
A-CG-805	CA06-1035-03	Aff	24P04	355041	6558473	200	4000	Marbre dolomitique	Roche calco-silicatée		
A-CG-806	CA06-1035-04	Aff	24P04	355003	6558510	200	5000	Marbre dolomitique	Roche calco-silicatée		
A-CG-807	CA06-1035-05	Aff	24P04	354959	6558538	300	4000	Marbre dolomitique	Marbre calcitique		
A-CG-808	CA06-1035-06	Aff	24P04	354807	6558695	100	1000	Marbre dolomitique	Roche calco-silicatée		
A-CG-809	CA06-1035-08	Aff	24P04	354735	6558824	200	2500	Marbre dolomitique	Granite		
A-CG-811	CA06-1035-11	Aff	24P04	354837	6558840	150	1500	Marbre calcitique	Marbre		
A-CG-812	CA06-1035-12	Aff	24P04	354865	6558791	200	4500	Marbre	Roche calco-silicatée		
A-CG-813	CA06-1036-01	Aff	24P04	355805	6557042		10000	Marbre			
A-CG-814	CA06-1036-02	Aff	24P04	355956	6557165		2300	Marbre			
A-CG-815	CA06-1036-03	Aff	24P04	355957	6557162		40001	Marbre			
A-CG-816	CA06-1036-04	Aff	24P04	356033	6557124		40001	Marbre			Marbre avec fuschite et sulfures
A-CG-817	CA06-1036-05	Aff	24P04	356179	6556972		22000	Roche calco-silicatée			
A-CG-818	CA06-1036-06	Aff	24P04	356205	6557124		10000	Marbre			
A-CG-819	CA06-1036-07	Aff	24P04	356171	6556956	80	1400	Marbre			
A-CG-820	CA06-1036-08	Aff	24P04	355242	6558040	60	1630	Marbre			
A-CG-821	CA06-1022-169	Aff	24P04	353117	6555850	150	40001	Paragneiss	Pegmatite		Fracture tardive à graphite orientée N20 conjuguée à des fractures N50 et recoupant l'ancien cisaillement ductile dans les paragneiss et une pegmatite.
A-CG-822	CA06-1022-170	Aff	24P04	353174	6555703		1500	Pegmatite	Paragneiss		
A-CG-823	CA06-1022-171	Aff	24P04	353188	6555690	150	2500	Pegmatite	Paragneiss		
A-CG-824	CA06-1022-172	Aff	24P04	353236	6555603	150	1300	Pegmatite	Paragneiss		
A-CG-825	CA06-1022-174	Aff	24P04	353295	6555611		3200	Pegmatite	Paragneiss		
A-CG-826	CA06-1022-204	Aff	24P03	360734	6554716	300	1100	Pegmatite	Paragneiss		
A-CG-827	CA06-1022-235	Aff	24P03	359897	6556304		1200	Pegmatite	Paragneiss		
A-CG-830	CA06-1022-288	Aff	24P04	350145	6551570		1200	Pegmatite	Paragneiss		
A-CG-831	CA06-1022-289	Aff	24P04	350137	6551581	300	2000	Pegmatite	Paragneiss		
A-CG-833	CA06-1022-308	Aff	24P04	353057	6554394		1000	Pegmatite	Paragneiss		
A-CG-834	CA06-1022-312	Aff	24P04	352939	6554578	200	3000	Marbre dolomitique			Marbre dolomitique à diopside, molybdénite et calcite
A-CG-835	CA06-1022-314	Aff	24P04	352931	6554621		1000	Marbre dolomitique			Marbre dolomitique à diopside
A-CG-836	CA06-1022-317	Aff	24P04	353050	6554791		1100	Pegmatite	Paragneiss		
A-CG-837	CA06-1022-318	Aff	24P04	353176	6554784		1300	Pegmatite			
A-CG-838	CA06-1022-319	Aff	24P04	353212	6554752		1500	Pegmatite			Cisaillement
A-CG-839	CA06-1022-322	Aff	24P04	353294	6554716		1300	Pegmatite			Cisaillement
A-CG-840	CA06-1022-348	Aff	24P04	353410	6555798		1400	Marbre			Anomalie associée à des fractures N178/75
A-CG-841	CA06-1022-389	Aff	24P03	357805	6556948	200	1200	Pegmatite			Cisaillement
A-CG-842(>)	CG06-2000-05	Aff	24P04	356562	6553200		1100	Pegmatite	Marbre		Plusieurs points anomaux de >500 cps
A-CG-845(>)	CG06-2001-05	Aff	24P03	357041	6553163		7500	Pegmatite	Gneiss		Plusieurs anomalies >1000 cps dans la pegmatite recoupant le gneiss avec taches de rouille
A-CG-846	CG06-2001-07	Aff	24P04	356675	6552948	150	1500	Pegmatite	Gneiss		
A-CG-847	CG06-2001-08	Aff	24P04	356619	6552948		2000	Marbre			Anomalie ponctuelle sur tache rouillée dans le marbre à minéraux jaunes
A-CG-848(>)	CG06-2001-10	Aff	24P04	356525	6552860		1100	Pegmatite	Marbre		Plusieurs points à 1000 cps dans pegmatite avec enclave de gneiss au contact avec des marbres
A-CG-849	CG06-2001-12	Aff	24P04	356450	6552907		2500	Gneiss	Gabbro		
A-CG-850(>)	CG06-2001-13	Aff	24P04	356459	6553085		3500	Pegmatite	Gneiss quartzitique		Plusieurs points à 2500 cps dans la pegmatite
A-CG-851(>)	CG06-2001-20	Aff	24P04	356372	6553151	150	1500	Paragneiss			Plusieurs points à 1000 cps dans le paragneiss
A-CG-852(>)	CG06-2001-21	Aff	24P04	356250	6553250	150	3000	Pegmatite	Marbre		Plusieurs points à 1000 cps dans la pegmatite avec enclave de marbre
A-CG-853	CG06-2001-22	Aff	24P04	356300	6553210	150	12000	Pegmatite	Marbre		
A-CG-854	CG06-2001-23	Aff	24P04	356175	6553359		1500	Magnétitite			
A-CG-855	CG06-2001-24	Aff	24P04	356208	6553409		2000	Pegmatite	Diopsidite		

Tableau 11.2 - Tableau synoptique des anomalies scintillométriques au sol

No Anomalie	Traverse	Type de Station	Feuillet	Easting (NAD 83)	Northing (NAD 83)	RA bruit de fond	RA max c/s	Lithologie-A	Lithologie-B	U/Th	Commentaires
A-CG-856(2)	CG06-2001-25	Aff	24P04	356214	6553519		2000	Gneiss	Marbre		2000 cps au contact gneiss/marbre et 1200cps dans pegmatite
A-CG-857	CG06-2002-01	Aff	24P04	356051	6553972		7500	Pegmatite	Gneiss		
A-CG-858(>)	CG06-2002-02	Aff	24P04	355984	6553996		5000	Pegmatite			Plusieurs points de 2000 à 3000 cps dans la pegmatite
A-CG-859	CG06-2002-03	Aff	24P04	355860	6554136		3000	Pegmatite	Gneiss		
A-CG-860	CG06-2002-06	Aff	24P04	355767	6554295		1200	Pegmatite	Marbre		
A-CG-861	CG06-2002-07	Aff	24P04	355687	6554377		2500	Pegmatite	Marbre		
A-CG-862	CG06-2002-08	Aff	24P04	355686	6554390		1000	Marbre	Gneiss		
A-CG-863(2)	CG06-2002-09	Aff	24P04	355584	6554476		3000	Marbre	Gneiss migmatitique		2 anomalies ponctuelles de 3000 cps
A-CG-864	CG06-2002-10	Aff	24P04	355469	6554578		1500	Marbre	Gneiss		
A-CG-865(>)	CG06-2002-11	Aff	24P04	355376	6554551		4500	Pegmatite	Gneiss		Autres anomalies à >1000 cps (4000 cps) dans pegmatite au contact avec gneiss; aggrégat de covellite
A-CG-866	CG06-2002-13	Aff	24P04	355215	6554692		4000	Pegmatite	Gneiss à biotite		
A-CG-867	CG06-2002-16A	Aff	24P04	355561	6554990	100	1500	Pegmatite	Marbre		
A-CG-868(>)	CG06-2002-16B	Aff	24P04	355677	6554924		21000	Gneiss	Marbre		Plusieurs anomalies entre 2000 et 15000 cps dans une veine de quartz au contact des marbres et du gneiss
A-CG-869(>)	CG06-2003-04	Aff	24P04	355219	6555380		21500	Pegmatite	Marbre		Plusieurs anomalies entre 5000 et 15000 cps dans un quartzeux au contact des marbres et de la pegmatite
A-CG-870(>)	CG06-2003-08	Aff	24P04	355090	6555571	200	2000	Pegmatite	Marbre		Plusieurs anomalies à 1000 cps dans une pegmatite rouillée
A-CG-871	CG06-2003-09	Aff	24P04	354926	6555630	250	2000	Pegmatite	Marbre		Anomalie associée à un amas de biotite dans la pegmatite
A-CG-872	CG06-2003-09B	Aff	24P04	354650	6555783	150	1250	Pegmatite	Marbre		
A-CG-873	CG06-2003-10B	Aff	24P04	354669	6555824	150	1500	Pegmatite	Marbre		
A-CG-874	CG06-2003-11B	Aff	24P04	354313	6555939	100	2000	Pegmatite			
A-CG-875	CG06-2003-12B	Aff	24P04	353492	6556969	200	1500	Pegmatite	Marbre		
A-CG-876(>)	CG06-2003-13B	Aff	24P04	353392	6556445	150	3000	Pegmatite	Paragneiss		Anomalies ponctuelles à >1000 cps sur une cinquantaine de mètres le long d'une foliation riche en quartz et présence de sulfures
A-CG-877	CG06-2003-15	Aff	24P04	354469	6556406	250	1500	Pegmatite			
A-CG-878	CG06-2003-18	Aff	24P04	353290	6556628		1200	Pegmatite			
A-CG-879(>)	CG06-2005-03	Aff	24P04	354411	6554627	100	3000	Pegmatite	Marbre		Anomalies >1000 cps sur 5 m dans pegmatite ave sulfures
A-CG-880	CG06-2005-04	Aff	24P04	354409	6554629		1200	Pegmatite			
A-CG-881	CG06-2005-05	Aff	24P04	354016	6554381		1000	Gneiss			
A-CG-882	CG06-2005-06	Aff	24P04	353949	6554433		1250	Pegmatite			
A-CG-883	CG06-2005-07	Aff	24P04	353929	6554310	200	1000	Pegmatite	Gneiss		
A-CG-884(>)	CG06-2005-08	Aff	24P04	353865	6554340	200	3000	Pegmatite	Gneiss		Plusieurs points anomaux entre 1000 et 3000 cps dans la pegmatite
A-CG-885	CG06-2005-09	Aff	24P04	353904	6554265		3000	Pegmatite	Gneiss		
A-CG-886(>)	CG06-2005-10	Aff	24P04	354073	6554209		2000	Pegmatite	Gneiss		Plusieurs anomalies alignées à >1000 cps dans la pegmatite
A-CG-887(>)	CG06-2005-11	Aff	24P04	354101	6554181		3000	Pegmatite	Gneiss		Plusieurs anomalies à >1000 cps dans la pegmatite
A-CG-888(2)	CG06-2005-12	Aff	24P04	354149	6554057		2000	Gneiss			2 anomalies à 1800 et 2000 cps dans le gneiss
A-CG-889	CG06-2005-15	Aff	24P04	354170	6553909		1200	Pegmatite	Gneiss		
A-CG-890	CG06-2005-17	Aff	24P04	353806	6554134		1250	Pegmatite	Marbre		
A-CG-891	CG06-2005-18	Aff	24P04	353826	6554052		5000	Gneiss	Marbre		Gneiss dans marbre recoupé de pegmatite rose
A-CG-892	CG06-2005-23	Aff	24P04	354191	6553573		1100	Pegmatite	Orthogneiss		
A-CG-893	CG06-2005-25	Aff	24P04	354609	6553527		1500	Pegmatite	Gneiss		
A-CG-894	CG06-2005-26	Aff	24P04	354674	6553465		3000	Pegmatite	Gneiss		
A-CG-895	CG06-2005-27	Aff	24P04	354531	6553690		3000	Pegmatite	Marbre		
A-CG-896	CG06-2005-31	Aff	24P04	355119	6552628		2000	Pegmatite	Gneiss		
A-CG-897(>)	CG06-2005-32	Aff	24P04	355127	6552603		1500	Pegmatite	Marbre		Plusieurs points entre 500 et 1500 cpssur 5m de long
A-CG-898(2)	CG06-2005-33	Aff	24P04	355224	6552574		3000	Pegmatite	Gneiss		2 anomalies à 1500 et 3000 cps dans la pegmatite
A-CG-899	CG06-2005-34	Aff	24P04	355180	6552529		1500	Dyke mafique	Marbre		
A-CG-900(>)	CG06-2005-35	Aff	24P04	355263	6552399		7000	Pegmatite			Plusieurs points à 2000 cps dans la pegmatite
A-CG-901(>)	CG06-2005-36	Aff	24P04	355305	6552208		6000	Pegmatite	Orthogneiss		Anomalies à >1000 cps dans la pegmatite
A-CG-902	CG06-2005-37	Aff	24P04	355404	6552116	300	1100	Orthogneiss			

Tableau 11.2 - Tableau synoptique des anomalies scintillométriques au sol

No Anomalie	Traverse	Type de Station	Feuillet	Easting (NAD 83)	Northing (NAD 83)	RA bruit de fond	RA max c/s	Lithologie-A	Lithologie-B	U/Th	Commentaires
A-CG-903(>)	CG06-2006-06	Aff	24P03	359405	6546851	500	2500	Pegmatite	Gneiss		Plusieurs points à 1000 cps dans la pegmatite
A-CG-904	CG06-2006-07	Aff	24P03	359331	6547021		1200	Pegmatite			
A-CG-905	CG06-2006-09B	Aff	24P03	359031	6549061	200	1200	Pegmatite	Marbre		
A-CG-906(>)	CG06-2006-10B	Aff	24P03	359194	6548994		4000	Pegmatite	Marbre		Plusieurs points à 1000 cps dans la pegmatite
A-CG-907(>)	CG06-2006-12B	Aff	24P03	359198	6548918		3000	Pegmatite	Marbre		Plusieurs points à 1000 cps dans la pegmatite
A-CG-908(2)	CG06-2006-13B	Aff	24P03	359335	6548669		5000	Pegmatite			2 anomalies à 3000 et 5000 cps dans la pegmatite
A-CG-909(>)	CG06-2006-14B	Aff	24P03	359320	6548627		2000	Pegmatite			Plusieurs points à 1000 cps dans la pegmatite
A-CG-910(>)	CG06-2006-16	Aff	24P03	359225	6548957		12000	Quartzite	Marbre		Anomalie associée à petits minéraux noirs (pechblende?); plusieurs points >1000 cps dans quartzite alignés à N130
A-CG-911	CG06-2006-17	Aff	24P03	359335	6548692		1400	Pegmatite	Gneiss		
A-CG-912(>)	CG06-2007-11	Aff	24P03	363166	6548108		3000	Pegmatite			Plusieurs points à 1000 cps dans la pegmatite
A-CG-913	CG06-2008-09	Aff	24P03	364826	6548428	200	1000	Gneiss	Pegmatite		
A-CG-914(>)	CG06-2009-03B	Aff	24P03	362973	6550987	500	10000	Pegmatite	Marbre		Plusieurs points à >5000 cps le long du contact de pegmatite et de marbre à phlogopite
A-CG-915	CG06-2009-04B	Aff	24P03	363304	6550947	60	2000	Pegmatite	Paragneiss		
A-CG-916	CG06-2009-05B	Aff	24P03	363465	6550916		2000	Pegmatite	Paragneiss		
A-CG-917(>)	CG06-2009-06B	Aff	24P03	363585	6550841		2000	Pegmatite	Paragneiss		Plusieurs points à 1000 cps dans la pegmatite
A-CG-918	CG06-2009-07B	Aff	24P03	363676	6550752		1100	Pegmatite	Paragneiss		
A-CG-922	CG06-2009-16	Aff	24P03	363744	6550617		6000	Quartzite	Paragneiss		
A-CG-923	CG06-2009-17	Aff	24P03	363848	6550468		1200	Pegmatite	Paragneiss		
A-CG-924	CG06-2009-18	Aff	24P03	363864	6550446	200	1500	Pegmatite	Gneiss		
A-CG-925	CG06-2009-19	Aff	24P03	363949	6550420		10000	Pegmatite	Gneiss à biotite		
A-CG-926	CG06-2009-20	Aff	24P03	361046	6548385		2000	Pegmatite	Gneiss		
A-CG-927	CG06-2009-24	Aff	24P03	360517	6548527		1500	Pegmatite	Gneiss		
A-CG-928	CG06-2009-25	Aff	24P03	366967	6548108		2000	Pegmatite	Gneiss		
A-CG-929(>)	CG06-2011-02	Aff	24P03	366107	6549776		2200	Pegmatite	Paragneiss		Plusieurs points à 1500 cps
A-CG-930	CG06-2011-03	Aff	24P03	366064	6549844		1200	Pegmatite	Marbre		
A-CG-931	CG06-2011-04	Aff	24P03	366202	6549873		1500	Pegmatite			
A-CG-932	CG06-2011-05	Aff	24P03	366183	6549974		1500	Pegmatite	Gneiss		
A-CG-933(>)	CG06-2011-08	Aff	24P03	358403	6549262	100	2000	Pegmatite	Gneiss migmatitique		Plusieurs points à >1000 cps
A-CG-934	CG06-2011-10	Aff	24P03	358504	6549046		1500	Pegmatite	Marbre		
A-CG-935	CG06-2011-11	Aff	24P03	358632	6548629		1500	Pegmatite	Marbre		
A-CG-936	CG06-2011-13	Aff	24P03	358051	6550144		1500	Marbre	Gneiss		Zone de skarn dans le marbre rouillé au contact des gneiss; nombreuses veines de calcite et minéraux verts à la bordure du marbre.
A-CG-937	CG06-2011-14	Aff	24P03	358033	6550162		1150	Gneiss	Marbre		fortement fracturé
A-CG-938	CG06-2011-16	Aff	24P03	358004	6550257		2200	Marbre	Gneiss		
A-CG-939	CG06-2011-17	Aff	24P03	357988	6550303		1500	Pegmatite	Gneiss		
A-CG-940(6)	CG06-2011-18	Aff	24P03	357913	6550439		3000	Pegmatite			6 points anomaux à >1000 cps
A-CG-941	CG06-2011-19	Aff	24P03	364830	6550010		1400	Pegmatite	Marbre		
A-CG-942	CG06-2011-20	Aff	24P03	357860	6550566		2000	Pegmatite			
A-CG-943	CG06-2011-21	Aff	24P03	357781	6550668		1200	Pegmatite			
A-CG-944	CG06-2012-01B	Aff	24P03	357636	6550962		3600	Pegmatite	Marbre		Anomalie associée à amas de biotite dans pegmatite
A-CG-945	CG06-2012-03	Aff	24P03	364445	6549834		5000	Pegmatite	Gneiss		Anomalie associée à amas de biotite dans pegmatite
A-CG-946	CG06-2013-09	Aff	24I13	355291	6540406		1600	Granite	Gneiss		
A-CG-947	CG06-2013-14	Aff	24I14	358181	6541401		2000	Granite	Marbre		
A-CG-948	CG06-2014-01	Aff	24I14	358221	6541534		3000	Gneiss			fortement fracturé
A-CG-950	CG06-2014-09	Aff	24I14	357983	6542568		6000	Pegmatite	Marbre		
A-CG-951	CG06-2014-14	Aff	24I14	359290	6541673		1300	Pegmatite			
A-CG-952	CG06-2015-05	Aff	24P04	355983	6545050		1100	Gneiss	Marbre		
A-CG-953(>)	CG06-2015-04B	Aff	24P04	356278	6545512	150	2500	Pegmatite	Marbre		Quelques anomalies ponctuelles à >1000 cps et 2500 cps dans une pegmatite blanche au contact avec des marbres.
A-CG-954	CG06-2015-12	Aff	24P04	356531	6545107	150	1500	Gneiss	Pegmatite		
A-CG-956	CG06-2015-18	Aff	24P03	357091	6543637		1300	Pegmatite	Marbre		
A-CG-957	CG06-2015-19	Aff	24P03	357148	6543468		1100	Pegmatite	Gneiss		
A-CG-958	CG06-2015-20	Aff	24P03	356893	6543255		1200	Pegmatite	Gneiss		
A-CG-959	CG06-2016-01	Aff	24I14	357997	6538599	150	1300	Pegmatite	Gneiss à biotite		

Tableau 11.2 - Tableau synoptique des anomalies scintillométriques au sol

No Anomalie	Traverse	Type de Station	Feuillet	Easting (NAD 83)	Northing (NAD 83)	RA bruit de fond	RA max c/s	Lithologie-A	Lithologie-B	U/Th	Commentaires
A-CG-962(>)	CG06-2017-01	Aff	24I13	355901	6542301	150	1500	Paragneiss	Marbre		Plusieurs anomalies à >1000 cps le long du contact
A-CG-963	CG06-2017-03	Aff	24I13	355733	6542472	500	1000	Pegmatite	Marbre		
A-CG-964	CG06-2017-04	Aff	24I13	355633	6542548	140	1100	Pegmatite	Gneiss		Gneiss à sulfures massifs et graphite recoupé par une pegmatite rouillée atteignant ponctuellement 1100 cps
A-CG-965	CG06-2017-06	Aff	24P04	355182	6542951		1200	Gneiss	Marbre		Gneiss à sulfures massifs; anomalie dans un horizon à pyrite et graphite près d'un niveau de marbre à graphite.
A-CG-966	CG06-2018-01	Aff	24I14	361423	6535086	150	1400	Migmatite			Migmatite rose à enclaves de roches mafiques chloritisées
A-CG-967	CG06-2018-02	Aff	24I14	361691	6534865		2200	Pegmatite	Gneiss		Anomalie ponctuelle le long d'un amas de biotite dans une pegmatite recoupant un gneiss
A-CG-968	CG06-2018-10	Aff	24I14	360996	6538122		1100	Pegmatite	Gneiss migmatitique		
A-CG-970	CG06-2019-01	Aff	24I14	358138	6541013	100	1100	Pegmatite	Marbre		Pegmatite blanche recoupant une roche verte siliceuse en enclaves dans les marbres
A-CG-974(>)	CG06-2019-08	Aff	24I14	358721	6540343		6000	Gneiss	Marbre	0.26	Plusieurs anomalies à >1000 cps dans une pegmatite
A-CG-975(>)	CG06-2019-10	Aff	24I14	358874	6541142		1000	Pegmatite	Paragneiss		Plusieurs anomalies à >1000 cps
A-CG-976	CG06-2020-02	Aff	24P04	352552	6547454		1200	Pegmatite	Gneiss migmatitique		
A-CG-977	CG06-2020-04	Aff	24P04	353113	6547544	90	1100	Pegmatite	Gneiss migmatitique		
A-CG-978	CG06-2020-05	Aff	24P04	353525	6547060		1050	Pegmatite	Gneiss migmatitique		
A-CG-979	CG06-2020-07	Aff	24P04	352514	6546475		1200	Granite	Gneiss migmatitique		
A-CG-980	CG06-2020-09	Aff	24P04	352534	6546095		1100	Granite	Gneiss migmatitique		
A-CG-981	CG06-2021-01B	Aff	24P04	355144	6546596	250	1050	Pegmatite	Gneiss		
A-CG-982	CG06-2021-02B	Aff	24P04	355155	6546505		1100	Pegmatite	Gneiss		
A-CG-983	CG06-2021-03B	Aff	24P04	355459	6546110	125	1100	Paragneiss			
A-CG-984(>)	CG06-2021-04B	Aff	24P04	354676	6547469		2600	Pegmatite	Gneiss		Plusieurs points >1000 cps
A-CG-986	CG06-2021-05	Aff	24P04	355024	6546927	100	1300	Pegmatite	Paragneiss		Paragneiss rouillé à graphite
A-CG-987	CG06-2021-17	Aff	24P04	355651	6546768		2000	Pegmatite	Gneiss		
A-CG-988	CG06-2021-18	Aff	24P04	355643	6546857		1000	Pegmatite	Marbre		Plusieurs points >1000 cps dans pegmatite blanche dans des marbres près d'un contact avec des gneiss
A-CG-989	CG06-2021-20	Aff	24P04	355516	6546984		1200	Pegmatite	Marbre		
A-CG-990	CG06-2021-22	Aff	24P04	355293	6547171		1300	Pegmatite	Marbre		
A-CG-991	CG06-2021-23	Aff	24P04	355164	6547265		1500	Pegmatite	Marbre		
A-CG-992	CG06-2021-24	Aff	24P04	355007	6547349		1050	Pegmatite	Marbre		
A-CG-993	CG06-2022-01	Aff	24P04	354304	6546685		1050	Pegmatite	Gneiss migmatitique		
A-CG-994(>)	CG06-2022-02	Aff	24P04	354387	6546626		2000	Pegmatite	Gneiss migmatitique		Nombreuses anomalies entre 500 et 1500 cps
A-CG-995(2)	CG06-2022-03	Aff	24P04	354455	6546579		1500	Pegmatite	Paragneiss		2 anomalies à 1200 et 1500 cps dans la pegmatite
A-CG-996(>)	CG06-2022-05	Aff	24P04	354532	6546342		1500	Pegmatite	Gneiss		Nombreuses anomalies à 1500 cps dans les pegmatites
A-CG-997(>)	CG06-2022-07	Aff	24P04	354604	6545982		3700	Pegmatite	Marbre		Nombreuses anomalies dans les pegmatites
A-CG-998	CG06-2022-08	Aff	24P04	354701	6545800		3000	Pegmatite	Gneiss		Pegmatites quartzeuses dans du gneiss à graphite et biotite qui sont dans du marbre.
A-CG-999(>)	CG06-2022-13	Aff	24P04	354897	6545113		1600	Pegmatite	Gneiss		Quelques anomalies dans pegmatite
A-CG-1000	CG06-2022-15	Aff	24P04	354645	6545535	100	1200	Pegmatite	Marbre dolomitique		
A-CG-1001	CG06-2022-01B	Aff	24P04	354425	6546257	170	2300	Pegmatite	Paragneiss		Pegmatite blanche recoupant paragneiss à graphite en contact avec des marbres.
A-CG-1002	CG06-2022-02B	Aff	24P04	354465	6546145	120	1600	Pegmatite	Paragneiss		
A-CG-1003	CG06-2022-03B	Aff	24P04	354541	6546004		1040	Pegmatite	Paragneiss		
A-CG-1004	CG06-2022-04B	Aff	24P04	354628	6545890		1200	Quartzite	Gneiss		Anomalie dans la quartzite en amas concordant dans un gneiss rouillé à graphite au contact des marbres
A-CG-1005(>)	CG06-2023-07	Aff	24P04	345470	6564633		7000	Granite	Marbre		Plusieurs anomalies ponctuelles >1000 cps sur 20m dans granite rose

Tableau 11.2 - Tableau synoptique des anomalies scintillométriques au sol

No Anomalie	Traverse	Type de Station	Feuillet	Easting (NAD 83)	Northing (NAD 83)	RA bruit de fond	RA max c/s	Lithologie-A	Lithologie-B	U/Th	Commentaires
A-CG-1006	CG06-2024-03	Aff	24P04	345920	6563165		1100	Pegmatite	Marbre		Anomalie dans pegmatite qui rempli une fracture recoupant un contact marbre/gneiss
A-CG-1007	CG06-2024-05	Aff	24P04	345750	6563072		8000	Marbre			Amas de minéraux noirs rouillés dans un niveau de marbre impur, compétent et fortement fracturé avec cavités remplies de quartz fumé/calcite/pyrite
A-CG-1008(>)	CG06-2024-06	Aff	24P04	345588	6563023	200	1200	Marbre	Granite		Plusieurs anomalies ponctuelles >1000 cps
A-CG-1009	CG06-2024-01B	Aff	24P04	345346	6563154	300	1100	Gneiss granitique			
A-CG-1010	CG06-2025-03	Aff	24P04	344866	6562160		1000	Gneiss	Marbre		
A-CG-1011	CG06-2025-08	Aff	24P04	343952	6562889		1500	Granite	Gneiss		
A-CG-1012	CG06-2025-09	Aff	24P04	344008	6562719		1100	Granite	Gneiss		
A-CG-1013(>)	CG06-2025-10	Aff	24P04	344087	6562560		1400	Granite	Gneiss		Plusieurs anomalies ponctuelles >1000 cps
A-CG-1014	CG06-2025-11	Aff	24P04	344124	6562347		1100	Granite	Gneiss		
A-CG-1015(>)	CG06-2025-01B	Aff	24P04	344630	6562468		3100	Pegmatite			Plusieurs anomalies ponctuelles >1000 cps
A-CG-1016	CG06-2025-02B	Aff	24P04	344247	6562593		1200	Pegmatite	Gneiss granitique		Pegmatite rouillée à minéraux roses et verts recoupée de veines de quartz et calcite à cordiérite au contact gneiss granitique et marbre
A-CG-1018	Point#2	Aff		355817	6557695		8000				anomalie sous l'eau
A-CG-1020	Point#4	Aff		355622	6557929		500				anomalie sous l'eau
A-CG-1021	Point#5	Aff		355623	6557932		900				anomalie sous l'eau
A-CG-1022	Point#6	Aff		355623	6557935		7500				anomalie sous l'eau
A-CG-1030	Point#14	Aff		355899	6557636		7500				anomalie sous l'eau
A-CG-1033	Point#17	Aff		355801	6557693		4000				anomalie sous l'eau
A-CG-09		Bloc	24P04	355665	6557600	150	4200	Marbre calcitique			Altération brunâtre le long d'un plan S0
A-CG-14		Bloc	24P04	355673	6557655	150	15001	Marbre calcitique			Produits jaunes disséminés dans le marbre
A-CG-16		Bloc	24P04	355674	6557653	250	15001	Marbre calcitique			Produits jaunes le long d'un plan S0
A-CG-17		Bloc	24P04	355685	6557653	300		Marbre calcitique			
A-CG-18		Bloc	24P04	355684	6557671	150	15001	Marbre calcitique			produits jaunes le long d'une fracure
A-CG-28		Bloc	24P04	355303	6558260	100	1200	Marbre			
A-CG-45		Bloc	24P04	355527	6558096	100	4500	Marbre bréchique			
A-CG-65		Bloc	24P04	356327	6557110		1500	Pegmatite	Marbre		
A-CG-66		Bloc	24P04	356115	6557334		1200	Marbre			Trou creusé à 5 cm dans le sol
A-CG-68(2)		Bloc	24P04	355823	6557681	150	5000	Marbre			2 anomalies sur bloc de marbre: 1) 5000cps, 2) 1500cps
A-CG-80(2)		Bloc	24P04	355968	6557373	150	15001				2 anomalies à >15000cps sur blocs basculés; 1) sous 20 cm de mousse, 2) à 8m plus à l'est.
A-CG-83		Bloc	24P04	355747	6557636	120	5000	Marbre			Sous 25 cm de mousse
A-CG-99	CG-06-03-04-A1	Bloc	24P04	351645	6556276	150	1200	Granite			
A-CG-142	CG-06-05-04-A3	Bloc	24P04	352437	6556237	150	10000	Pegmatite			trou creusé à 15 cm de profond; anomalie ponctuelle
A-CG-144	CG-06-06-01-A1	Bloc	24P04	349047	6558112		3000	Pegmatite			
A-CG-145	CG-06-06-07A	Bloc	24P04	349737	6557603		3000	Pegmatite			Trou creusé dans le sol jusqu'à un bloc de pegmatite fortement rouillé
A-CG-146	CG-06-06-07-A1	Bloc	24P04	349711	6557626		1500	Pegmatite			Trou creusé dans le sol jusqu'à un bloc de pegmatite fortement rouillé
A-CG-152	CG-06-07-10-A1	Bloc	24P03	358628	6568143	150	2000	Pegmatite			anomalie ponctuelle
A-CG-163	CG-06-06-07-A13	Bloc	24P04	352879	6556575	100	5000	Pegmatite			
A-CG-165	CG-06-06-07-A15	Bloc	24P04	352734	6557080	70	1500	Quartzite			fracture ouverte du bloc
A-CG-168	CG-06-09-01	Bloc	24P03	361405	6566789	100	1200	Pegmatite			
A-CG-169	CG-06-09-03	Bloc	24P03	361907	6566698	50	1500	Pegmatite			anomalie ponctuelle
A-CG-185	CG06-08-29	Bloc	24P03	365942	6570071	500	1250	Quartzite	Gneiss à biotite		
A-CG-196	CG06-11-30	Bloc	24P04	352552	6556525	150	1900	Pegmatite			
A-CG-200	CG06-12-20	Bloc	24I10	386515	6512860		1000	Pegmatite			anomalie ponctuelle
A-CG-203	CG06-12-29	Bloc	24I11	383261	6513100		5500	Quartzite			anomalie ponctuelle
A-CG-222	CG06-13-24	Bloc	24I11	382869	6510467		1000	Pegmatite			
A-CG-227	CG06-13-30	Bloc	24I11	382797	6511526		3500	Pegmatite			Bloc de 2 m x 2 m de pegmatite près d'une zone affleurante
A-CG-231	CG06-14-07	Bloc	24P04	350979	6562697	150	1100	Pegmatite			
A-CG-232	CG06-14-09	Bloc	24P04	350807	6563060	500	1500	Pegmatite			Bloc de pegmatite de 20 m3; anomalie associée à des plages de magnétite

Tableau 11.2 - Tableau synoptique des anomalies scintillométriques au sol

No Anomalie	Traverse	Type de Station	Feuillet	Easting (NAD 83)	Northing (NAD 83)	RA bruit de fond	RA max c/s	Lithologie-A	Lithologie-B	U/Th	Commentaires
A-CG-234	CG06-14-12	Bloc	24P04	350571	6564195	150	1500	Pegmatite			Bloc de 1 m3 de pegmatite rose
A-CG-242	CG06-17-01	Bloc	24P04	350473	6569808	500	200	Pegmatite			Bloc de pegmatite avec diopside
A-CG-243	CG06-17-02	Bloc	24P04	350514	6569844	500	2000	Pegmatite			Bloc de 12 m3 de pegmatite et anomalie assoicée au quartz fumé
A-CG-244	CG06-17-03	Bloc	24P04	350533	6569795	500	2000	Pegmatite			
A-CG-247	CG06-17-06	Bloc	24P04	350519	6569392	250	1000	Pegmatite			
A-CG-256	CG06-18-03	Bloc	24P04	346009	6569717	200	1500	Pegmatite			Blocs de pegmatite à 1000 et 1500 cps
A-CG-290	CG06-20-21	Bloc	24P04	350910	6566722		3000	Pegmatite			
A-CG-321	CG06-23-10	Bloc	24P04	350438	6564975	150	1100	Pegmatite			
A-CG-322	CG06-23-11	Bloc	24P04	349945	6564827	100-150	1000	Pegmatite			
A-CG-323	CG06-23-14	Bloc	24P04	349094	6564948	150	1100	Pegmatite			
A-CG-329	CG06-25-02	Bloc	24P05	347419	6572410	100	1400	Pegmatite			
A-CG-330	CG06-25-03	Bloc	24P05	347360	6572318	40	1500	Pegmatite		2.47	
A-CG-331	CG06-25-04	Bloc	24P05	347749	6571940	125	4000	Pegmatite			Anomalie ponctuelle
A-CG-332	CG06-25-05	Bloc	24P05	347857	6571923	75	5000	Pegmatite			Anomalie ponctuelle
A-CG-333	CG06-25-06	Bloc	24P05	347974	6571874	175	1500	Pegmatite			Anomalie ponctuelle
A-CG-334	CG06-25-07	Bloc	24P05	348132	6571774	100	3000	Pegmatite			Anomalie ponctuelle
A-CG-335	CG06-25-08	Bloc	24P05	348216	6571732	150	1800	Pegmatite	Quartzite		Anomalie ponctuelle dans enclave de pegmatite dans une quartzite
A-CG-336	CG06-25-09	Bloc	24P05	348293	6571638	125	1500	Pegmatite			Anomalie ponctuelle
A-CG-337	CG06-25-10	Bloc	24P05	348618	6571534	100	1400	Granite			Anomalie ponctuelle
A-CG-339	CG06-25-12	Bloc	24P05	349493	6571183	150	2000	Granite			Anomalie ponctuelle
A-CG-348	CG06-26-05	Bloc	24P03	366123	6567886	200	1050	Pegmatite			
A-CG-363	CG06-28-08	Bloc	24I10	385064	6513641	200	1950	Pegmatite	Quartzite		Bloc de 2 m x 2 m
A-CG-364	CG06-28-09	Bloc	24I10	385001	6513663	200	1000	Pegmatite	Quartzite		Bloc de 1 m x 1 m dans talus d'éboulis
A-CG-365	CG06-28-10	Bloc	24I10	384949	6513668	200	1100	Pegmatite	Paragneiss		Bloc de 20 x 50 cm dans talus d'éboulis
A-CG-367	CG06-29-03	Bloc	24P03	357755	6553737	200	1250	Pegmatite			
A-CG-369	CG06-29-10	Bloc	24P03	358900	6554630	120	1200	Pegmatite			
A-CG-375	CG06-33-03	Bloc	24P04	350285	6551858	150	1200	Pegmatite			
A-CG-388	CG06-36-01	Bloc	24P03	364129	6559243	500	2000	Pegmatite		0.05	
A-CG-403	CG06-38-05	Bloc	24P03	367866	6560908	500	1000	Gneiss pegmatitique			
A-CG-408	CG06-39-18	Bloc	24P04	352847	6559153	150	1600	Pegmatite			Bloc de 3 m x 3 m
A-CG-435	CG06-45-15	Bloc	24P03	361652	6544585	110	1500	Pegmatite	Marbre		
A-CG-441	CG06-47-04	Bloc	24P03	365924	6556951	200	1250	Gneiss pegmatitique		4.98	
A-CG-443	CG06-47-06	Bloc	24P03	365698	6556760	250	1250	Granite gneissique	Granite pegmatitique		
A-CG-453	CG06-49-13	Bloc	24I14	367035	6520680	300	1500	Granite			
A-CG-455	CG06-50-01	Bloc	24I14	370163	6520992	200-500	1500	Pegmatite			
A-CG-456(>)	CG06-50-08	Bloc	24I14	372444	6521291	100-200	1050	Gneiss pegmatitique			Plusieurs anomalies >1000cps à <5m
A-CG-458	CG06-50-10	Bloc	24I14	372561	6521611	500	4000	Pegmatite gneissique			
A-CG-459	CG06-50-11	Bloc	24I14	372469	6521679	500	2500	Pegmatite		0.28	
A-CG-474	CG06-51-28	Bloc	24P03	360934	6544841	150	1050	Pegmatite			Pegmatite très fracturée avec un peu de rouille.
A-CG-478	CG06-53-05	Bloc	24P03	371643	6554656	750	1050	Gneiss granitique			
A-CG-482	CG06-55-07	Bloc	24I11	378162	6511786	250	2600	Pegmatite		1.33	
A-CG-488	CG06-56-06	Bloc	24I14	380110	6518737	300	2000	Pegmatite			
A-CG-498	CG06-61-06	Bloc	24I14	383232	6521033	500	1000	Pegmatite			
A-CG-504	CG06-63-25	Bloc	24I14	359600	6535247	150	1500	Granite pegmatitique			
A-CG-514	CG06-68-08	Bloc	24I13	355628	6539724		1000	Granite pegmatitique			
A-CG-521	CG06-69-09	Bloc	24I14	359437	6541945	350	1700	Pegmatite			
A-CG-527	CG06-75-06	Bloc	24I14	360887	6528864		2000	Granite			
A-CG-542	CG-06-76-13	Bloc	24I14	364079	6531024	100	1000	Pegmatite			
A-CG-543	CG-06-76-14	Bloc	24I14	364181	6530946	100	1150	Granite			Granite "arkosé"
A-CG-560	CG-06-78-15B	Bloc	24I14	374554	6531841		5000	Biotitite			
A-CG-572	CG-06-83-02	Bloc	24I14	361476	6528474	300	1250	Gneiss granitique	Pegmatite		Quartz fumé
A-CG-573	CG-06-83-04	Bloc	24I14	361575	6528413	200	3000	Gneiss granitique	Pegmatite		Gneiss granitique avec enclaves de pegmatite rose avec de la magnétite et biotite
A-CG-574	CG-06-83-06	Bloc	24I14	362136	6528476	200	1000	Gneiss granitique			
A-CG-580	CG-06-83-16	Bloc	24I14	363445	6530038	150	1100	Gneiss à biotite			
A-CG-598	CG-06-86-02	Bloc	24P06	363700	6574080		1500	Pegmatite	Gneiss granitique		

Tableau 11.2 - Tableau synoptique des anomalies scintillométriques au sol

No Anomalie	Traverse	Type de Station	Feuillet	Easting (NAD 83)	Northing (NAD 83)	RA bruit de fond	RA max c/s	Lithologie-A	Lithologie-B	U/Th	Commentaires
A-CG-634	CG-06-92-02	Bloc	24I11	356386	6490491	125	1400	Granite	Gneiss granitique		
A-CG-663	CA06-1001-17	Bloc	24P04	355858	6557125	500	1000	Pegmatite			
A-CG-667	CA06-1001-22	Bloc	24P04	355867	6557254	2000	29000	Marbre dolomitique			
A-CG-668	CA06-1001-23	Bloc	24P04	355876	6557290		3000	Marbre			Anomalie locale limitée aux fissures dans un bloc de marbre altéré et fracturé
A-CG-672	CA06-1004-05	Bloc	24P04	355703	6557702	150	2100	Marbre			
A-CG-681	CA06-1010-07	Bloc	24P04	356995	6558567	100	1500	Granite			
A-CG-683	CA06-1010-11	Bloc	24P03	357340	6557877	125	1750	Pegmatite			
A-CG-689(>)	CA06-1013-15	Bloc	24P04	355868	6557255	1500	15001	Marbre			Beaucoup d'anomalies ponctuelles dans des blocs de marbre avec produits jaunes
A-CG-694	CA06-1017-09	Bloc	24P04	356266	6559663	150	3000	Granite	Pegmatite		
A-CG-695	CA06-1017-10	Bloc	24P04	355997	6559642	150	1800	Granite			
A-CG-696	CA06-1018-23	Bloc	24P04	355615	6558015		3950	Marbre			
A-CG-700	CA06-1018-114	Bloc	24P04	355683	6557669	200	15001	Marbre			Bloc de marbre saturé de produits jaunes
A-CG-714	CA06-1018-141	Bloc	24P04	355619	6557603		5000	Pegmatite			Anomalie sur cristal de magnétite de 1cm x 1cm
A-CG-715	CA06-1018-143	Bloc	24P04	355723	6557533		1000	Marbre			
A-CG-718(2)	CA06-1018-150	Bloc	24P04	355672	6557575		1000	Marbre			2 anomalies à >1000 cps sous la mousse dans le marbre beige
A-CG-719	CA06-1018-151	Bloc	24P04	355768	6557582		1050	Marbre			
A-CG-730	CA06-1020-16	Bloc	24P04	355925	6557612	100	5000	Marbre			
A-CG-731	CA06-1020-17	Bloc	24P04	355901	6557628	125	1000	Marbre			
A-CG-732	CA06-1020-18	Bloc	24P04	355902	6557630	100	2000	Marbre			Marbre à phlogopite
A-CG-733	CA06-1020-19	Bloc	24P04	355887	6557619	125	3000	Marbre			Marbre à phlogopite
A-CG-743	CA06-1023-12	Bloc	24P04	355120	6558217		1200	Pegmatite			
A-CG-745	CA06-1023-14	Bloc	24P04	355894	6558606		4000	Marbre			marbe fracturé
A-CG-746	CA06-1023-15	Bloc	24P04	355885	6558611		4200	Marbre			
A-CG-759	CA06-1024-29	Bloc	24P04	355835	6557297	300	2900				
A-CG-761	CA06-1024-31	Bloc	24P04	355855	6557265		5000				
A-CG-766	CA06-1024-36	Bloc	24P04	355913	6557203		5000	Sol			
A-CG-768	CA06-1024-39	Bloc	24P04	355868	6557275		12000	Marbre			
A-CG-773	CA06-1029-11	Bloc	24P04	350174	6557308		16000	Roche calco-silicatée	Marbre		
A-CG-795	CA06-1032-06	Bloc	24P04	356399	6556450		2500	Marbre			
A-CG-796	CA06-1032-07	Bloc	24P04	356337	6556490		1000	Pegmatite			
A-CG-798	CA06-1032-10	Bloc	24P04	356187	6556696		1000	Marbre			
A-CG-799	CA06-1033-01	Bloc	24P04	356057	6557010	400	1000	Pegmatite			
A-CG-801	CA06-1033-03B	Bloc	24P04	356066	6557400		5000	Roche calco-silicatée			Roche riche en quartz, feldspath, noire et rouillée avec cavités (marbre lessivé)
A-CG-810	CA06-1035-09	Bloc	24P04	354561	6558877	150	1200	Marbre			
A-CG-828	CA06-1022-243	Bloc	24P03	359710	6556055		1500	Pegmatite			
A-CG-829	CA06-1022-262	Bloc	24P03	359146	6555665		5000	Marbre dolomitique			
A-CG-832	CA06-1022-296	Bloc	24P04	350299	6552092		2000	Pegmatite			
A-CG-843	CG06-2001-01	Bloc	24P03	357743	6552589		2000	Pegmatite			
A-CG-844	CG06-2001-03	Bloc	24P03	357303	6552957		1500	Pegmatite			
A-CG-919	CG06-2009-09	Bloc	24P03	361673	6551271		1500	Pegmatite			
A-CG-920	CG06-2009-13	Bloc	24P03	362901	6550781		1100	Pegmatite			
A-CG-921	CG06-2009-14	Bloc	24P03	363585	6550500		1200	Pegmatite			
A-CG-949(2)	CG06-2014-08	Bloc	24I14	358168	6542605		4000	Pegmatite			2 anomalies à 2500 et 4000 cps sur bloc de pegmatite
A-CG-955	CG06-2015-15	Bloc	24P03	356933	6544022		1500	Pegmatite		0.46	
A-CG-960	CG06-2016-05	Bloc	24I14	357892	6540409		2500	Pegmatite			
A-CG-961	CG06-2016-07	Bloc	24I14	357492	6540190		1500	Gneiss migmatitique			
A-CG-969	CG06-2018-13	Bloc	24I14	359976	6539652		1600	Gneiss	Pegmatite		
A-CG-971	CG06-2019-03	Bloc	24I14	358209	6540899		1100	Quartzite			
A-CG-972	CG06-2019-04	Bloc	24I14	358465	6540655		1100	Gneiss			
A-CG-973(>)	CG06-2019-06	Bloc	24I14	358579	6540473	500	2400	Pegmatite			Plusieurs anomalies à >1000 cps
A-CG-985	CG06-2021-03	Bloc	24P04	354911	6546952	100	1200	Pegmatite		2.16	
A-CG-1017	Point#1	Bloc		355930	6557610		4200				anomalie sous l'eau
A-CG-1019	Point#3	Bloc		355626	6557912		5700				anomalie sous l'eau
A-CG-1023	Point#7	Bloc		355530	6558071		1500				anomalie sous l'eau
A-CG-1024	Point#8	Bloc		355736	6557681		2000				anomalie sous l'eau
A-CG-1025	Point#9	Bloc		355905	6557636		3000				anomalie sous l'eau
A-CG-1026	Point#10	Bloc		355907	6557636		4500				anomalie sous l'eau
A-CG-1027	Point#11	Bloc		355215	6558339		750				anomalie sous l'eau
A-CG-1028	Point#12	Bloc		355886	6557644		1200				anomalie sous l'eau
A-CG-1029	Point#13	Bloc		355898	6557637		5200				anomalie sous l'eau
A-CG-1031	Point#15	Bloc		355913	6557634		3500				anomalie sous l'eau

Tableau 11.2 - Tableau synoptique des anomalies scintillométriques au sol

No Anomalie	Traverse	Type de Station	Feuillet	Easting (NAD 83)	Northing (NAD 83)	RA bruit de fond	RA max c/s	Lithologie-A	Lithologie-B	U/Th	Commentaires
A-CG-1032	Point#16	Bloc		355880	6557653		2000				anomalie sous l'eau
A-CG-1034	Point#18	Bloc		355801	6557694		3000				anomalie sous l'eau
A-CG-10		Inc	24P04	355661	6557650		15001				
A-CG-69		Inc	24P04	355830	6557678		15001				Trou creusé à 15 cm dans le sol jusqu'au roc (affleurement ou bloc), marbre?
A-CG-70		Inc	24P04	355840	6557665	200	15001				Trou creusé à 15 cm dans le sol
A-CG-79		Inc	24P04	355817	6557503	120	1250	Marbre bréchique			Sous 15 cm de mousse
A-CG-82(2)		Inc	24P04	356019	6557380	400	15001				2 anomalies au pied d'un escarpement; 1) >15000cps, 2) 2000cps à 6m à l'est.
A-CG-735	CA06-1022-01	Inc	24P04	355621	6557711	100	15000				
A-CG-53		10	24P04	356340	6557059	250	7000				Trou creusé à 20 cm dans le sol sur butte d'affleurement, marbre rubané
A-CG-58		Sol	24P04	356259	6557165	250	15001				Trou creusé à 20 cm dans le sol avec blocs de pegmatite
A-CG-61		Sol	24P04	356231	6557170		1100				Trou creusé à 20 cm dans le sol
A-CG-67		Sol	24P04	356116	6557283		1900				Trou creusé à 10 cm dans le sol
A-CG-235	CG06-16-06	Sol	24P04	356328	6568662	350	3250	sol			Anomalie ponctuelle dans un trou creusé
A-CG-236	CG06-16-08	Sol	24P04	356397	6568638		4800	sol			Anomalie ponctuelle dans un trou creusé
A-CG-270	CG06-20-01	Sol	24P04	350688	6567518	500	1500	sol			
A-CG-394	CG06-36-07	Sol	24P03	362612	6558902	150	1000	sol			Sous 20 cm de mousse
A-CG-676	CA06-1005-07	Sol	24P04	354998	6558518	200	12500	Sol			Anomalie à 5000 cps en surface et à 12500 cps à 10 cm sous le sol
A-CG-698	CA06-1018-111	Sol	24P04	355666	6557652	300	2600	Pegmatite	Marbre		
A-CG-705	CA06-1018-124	Sol	24P04	355679	6557644	200	2000	Marbre	Pegmatite		
A-CG-708	CA06-1018-127	Sol	24P04	355651	6557645	200	1000	Sol			
A-CG-709	CA06-1018-129	Sol	24P04	355663	6557640		2500	Sol			
A-CG-724	CA06-1020-05	Sol	24P04	355743	6557378	60	1000	Sol			
A-CG-726(4)	CA06-1020-09	Sol	24P04	355919	6557526	125	5000	Sol			4 anomalies à 1350, 3300, 5000 et 5000 cps dans un rayon de 7m dans la mousse sur du sable de marbre
A-CG-751	CA06-1024-21	Sol	24P04	355867	6557338		1700	Sol			
A-CG-755	CA06-1024-25	Sol	24P04	355871	6557331		3900	Sol			
A-CG-760	CA06-1024-30	Sol	24P04	355851	6557290		3000	Sol			
A-CG-762	CA06-1024-32	Sol	24P04	355853	6557259		40001	Sol			
A-CG-763(2)	CA06-1024-33	Sol	24P04	355856	6557240		5000	Sol			2 anomlaies à 5000 cps dans le sol de carbonate
A-CG-770	CA06-1024-41	Sol	24P04	355873	6557631		10050	Sol			
A-CG-772(2)	CA06-1029-03	Sol	24P04	355852	6557285	70	40001	Sol			Anomalie à >40000 cps dans le sol et 13500 cps dans marbre rubané
A-CG-779	CA06-1029-18	Sol	24P04	356176	6557212		1500	Sol			
A-CG-781	CA06-1029-20	Sol	24P04	356220	6557239		4000	Sol			
A-CG-784	CA06-1029-24	Sol	24P04	356093	6557302		3300	Sol			
A-CG-785(2)	CA06-1029-25	Sol	24P04	356093	6557335		5000	Sol			2 anomalies de 1500 et 5000 cps dans la terre et la tourbe
A-CG-802	CA06-1033-04B	Sol	24P04	355771	6557602		10500	Sol	Pegmatite		

114024-CA06-T10

CAGE

1.0 ÉVALUATION PRÉLIMINAIRE DU POTENTIEL URANIFÈRE

*PROPRIÉTÉ **CAGE**, NUNAVIK, QUÉBEC*

PROJET 114024

MRNFP - SECTEUR DES MINES
24 SEP. 2007
705544
Bureau régional - Montréal

URANOR

COPIE CONFORME
GÉOLOGUE / GEOLOGIST
SERGE GENEST #577
QUÉBEC

TRAVAUX 2006

RAPPORT

- ANNEXE D

Vol. 4 de 8

Juin 2007

OMÉGALPHA

2.0 TABLE DES MATIÈRES

		Page
1.0	TITRE	1
2.0	TABLE DES MATIÈRES	3
3.0	RÉSUMÉ	13
4.0	INTRODUCTION	15
5.0	RECOURS À D'AUTRES SPÉCIALISTES	15
6.0	DESCRIPTION ET EMPLACEMENT DU TERRAIN	16
	6.1 Grille de repérage	17
7.0	ACCESSIBILITÉ, CLIMAT, RESSOURCES LOCALES, INFRASTRUCTURES ET GÉOGRAPHIE PHYSIQUE	17
	7.1 Accès	17
	7.2 Climat	18
	7.3 Ressources locales	18
	7.4 Infrastructures	18
	7.5 Géographie physique	18
8.0	HISTORIQUE	19
	8.1 Géologie et géophysique	19
	8.2 Géologie structurale	20
	8.3 Géologie du quaternaire	20
	8.4 Géochimie de sédiments de fonds de lacs	21
	8.5 Gîtologie U, Cu, Ni	21
	8.6 Travaux rapportés par d'autres compagnies d'exploration	21
9.0	CONTEXTE GÉOLOGIQUE	22
	9.1 Géologie régionale	22
	9.1.1 Métamorphisme et pétrologie	24
	9.1.2 Géochronologie des groupes lithologiques	25
	9.2 Géologie régionale du quaternaire	25
	9.3 Géologie locale	26
	9.3.1 Lithologie	28
	9.3.1.1 *Marbre et roche calco-silicatée*	28
	9.3.1.2 *Quartzite*	28
	9.3.1.3 *Paragneiss*	28
	9.3.1.4 *Pegmatite*	29
	9.3.1.5 *Orthogneiss, granite et pegmatite*	29
	9.3.1.6 *Roches mafiques*	30
	9.3.2 Lithogéochimie	30
	9.3.2.1 *Marbres et roches calco-silicatées*	31
	9.3.2.2 *Pegmatites*	32
	9.3.2.3 *Paragneiss et orthogneiss*	32
	9.4 Géologie locale du quaternaire	32
10.0	TYPES DE GÎTES MINÉRAUX	33
	10.1 Modèle de type Rossing (zone de Davis Inlet)	34
	10.2 Modèle de type CAGE	34

11.0 MINÉRALISATIONS 36
11.1 Zone CAGE (Indices CAGE-A à CAGE-F 38
11.1.1 Indice CAGE-A 41
11.1.2 Indice CAGE-B 41
11.1.3 Indice CAGE-C 41
11.1.4 Indice CAGE-D 41
11.1.5 Indice CAGE-E 42
11.1.6 Indice CAGE-F 42
11.2 Zone Davis Inlet 42
11.2.1 Partie nord de la zone Davis Inlet 42
11.2.2 Partie sud de la zone Davis Inlet 42
11.3 Zone Aqiarussuk 43
11.4 Zone Kéglo Sud 44
11.5 Zone Tasiujaaluk 45
11.6 Zone CAGE Extension Sud 45
11.6.1 *Secteur Nord (zone CAGE extension sud)* 45
11.6.2 *Secteur Sud (zone CAGE extension sud)* 46
11.7 Zone de la Presqu'île 46
11.8 Zone Tasiujaaluk NW 46
11.9 Zone du Lac en Croissant 47
11.10 Autres anomalies 47
11.10.1 *Occurrence Mo-U* 47
11.10.2 *Autres anomalies uranothorifères* 47
11.10.2.1 *En affleurement* 48
11.10.2.2 *En blocs* 48
11.10.2.3 *Dans le sol* 48

12.0 TRAVAUXD'EXPLORATION 48
12.1 Géologie 49
12.2 Géophysique 50
12.2.1 *Interprétation des données géophysiques régionales* 50
12.2.2 *Interprétation des données géophysiques locales (secteur indiciel de CAGE)* 51
12.3 Géochimie de sédiments de fonds de lacs 52
12.3.1 *Données uranium* 52
12.3.2 *Corrélation avec d'autres éléments (critère CAGE)* 52
12.3.3 *Utilisation des données géochimiques* 52
12.3.4 *Interprétation* 52
12.4 Structure 53
12.4.1 *Linéaments par photo-satellite* 53
12.4.2 *Zone indiciel* 55

13.0 FORAGES (rainurages) 56
13.1 Description des rainurages 57
13.1.1 *Rainurage CA06-T-01, indice CAGE-D* 57
13.1.2 *Rainurage CA06-T-02, indice CAGE-D* 57
13.1.3 *Rainurage CA06-T-03, indice CAGE-D* 58
13.1.4 *Rainurage CA06-T-04, indice CAGE-D* 58
13.1.5 *Rainurage CA06-T-05, indice CAGE-D* 58
13.1.6 *Rainurage CA06-T-06, indice CAGE B* 58
13.2 Lithogéochimie des rainurages 59

14.0 MÉTHODOLOGIE DE LA GRILLE DE REPÉRAGE SUR L'INDICE CAGE ET DE L'ÉCHANTILLONNAGE SUR L'ENSEMBLE DE LA PROPRIÉTÉ CAGE 59
14.1 Grilles de repérage 59
14.1.1 *Équipe et matériel* 59
14.1.2 *Grilles de repérage* 59
14.1.3 *Obstacles* 60
14.2 Échantillonnage 61
14.2.1 *Cueillette sur le terrain* 61
14.2.2 *Sélection et préparation des échantillons pour analyse ou étude pétrographique et métallogénique* 61
14.2.3 *Transport des échantillons* 62

15.0 PRÉPARATION, ANALYSE ET SÉCURITÉ DES ÉCHANTILLONS 62

16.0 VÉRIFICATION DES DONNÉES 63

17.0 TERRAINS ADJACENTS 63

18.0 ESSAIS DE TRAITEMENT ET ESSAIS MÉTALLURGIQUES 64

19.0 ESTIMATION DES RESSOURCES MINÉRALES ET DES RÉSERVES MINÉRALES 64

20.0 AUTRES DONNÉES ET RENSEIGNEMENTS PERTINENTS 64
20.1 Environnement 64

21.0 INTERPRÉTATIONS ET CONCLUSIONS 65
21.1 Atteinte des objectifs 65
21.2 Travaux de terrain 2006 66
21.3 Résultats 2006 66
21.3.1 *Anomalies radiométriques et zones anomaliques* 66
21.3.2 *Type de minéralisation* 67
21.3.2.1 *Synthèse du contexte des anomalies et de la minéralisation* 67
21.3.3 *Stations et traverses* 68
21.3.4 *Géologie* 68
21.3.5 *Géophysique* 69
21.3.6 *Géochimie des sédiments de fonds de lacs* 69
21.3.7 *Rainurages* 69
21.3.8 *Autres renseignements* 70

22.0 RECOMMANDATIONS 70

23.0 RÉFÉRENCES 72

ANNEXE A
(Volume 1 de 8)

LISTE DES FIGURES

Figure 6.1 : Localisation du projet CAGE 2006 dans la province du Québec, Canada (114024-CA06-F14-LocalisationCageQuébec8x11-07Déc2006)

Figure 6.2 : Localisation de la propriété CAGE, des claims d'Uranor et de la concurrence (114024-CA06-F18-LocalisationProjetCAGEClaimsUranorEtConcurrence-11Mai2007).

Figure 8.1.1 : - Contexte lithotectonique de la partie SE de la province de Churchill (tirée de Wardle (2002) et modifiée par Omégalpha (2006)) (114024-CA06-F16-ContexteLithotectoniquePartieSEProvinceChurchill-07Mai2007)

Figure 9.2.1 : Limites du front glaciaire sur la Baie d'Ungava de 8000 B.P. selon Dykes et al., 2003. (114024-CA06-F19-LimiteFrontGlaciaireBaieUngava-09Mai2007)

Figure 9.2.2 : Application du niveau marin de 481 pieds (148 mètres) vers 730B.P. d'après Lauriol et al. (1979) sur un modèle numérique d'élévation de la côte Est de la Baie d'Ungava dans le secteur de CAGE. (114024-CA06-F20-Application NiveauMarin481Pied-735BP-CAGE-09Mai2007).

Figure 9.3.2.1 : Distribution des analyses de marbre et de roches calco-silicatées peu minéralisées (U<67ppm) dans des diagrammes Li-CaO et Al2O3-CaO montrant la faible mobilité du calcium lors du métamorphisme (114024-CA06-F21-DistributionAnalysesMarbreCalco-silicatées-Li-CaO-Al2O3-CaO-11Mai2007).

Figure 9.3.2.2 : Diagrammes triangulaires : Al2O3-K2O-FeO+MgO pour les échantillons de pegmatite et Al2O3-CaO-FeO+MgO pour les échantillons de marbre et de roches calco-silicatées, de la zone indicielle de CAGE. (114024-CA06-F22-DiagrammeTriangulaire-AlO3-CaO-FeO+MgO-K2O-ZoneCAGE-11Mai2007)

Figure 9.3.2.3 : Diagrammes triangulaires : Al2O3-K2O-FeO+MgO pour les échantillons de pegmatite, paragneiss, orthogneiss et Al2O3-CaO-FeO+MgO pour les échantillons de marbre, de roches calco-silicatées et de diopsidite des zones anomaliques régionales. (114024-CA06-F23-DiagrammeTriangulaire-Al2O3-CaO-FeO+MgO-K2O-ZonesAnomaliques-11Mai2007)

Figure 9.3.2.4 : Diagrammes binaires : a) CaO+MgO-Al2O3, b) CaO+MgO-Fe2O3, c) CaO+MgO-K2O+Na2O et d) CaO+MgO-Ba, montrant la distribution des échantillons de marbre, de roches calco-silicatées et de diopsidite de la zone indicielle de CAGE et des zones d'anomalies régionales. (114024-CA06-F24-DiagrammeBinaire-Al2O3-CaO+MgO-Fe2O3-K2O+Na2O-Marbre-11Mai2007)

Figure 9.3.2.5 : Diagrammes binaires : a) Li-Ba, b) Th-U et c) MgO-Li, montrant la distribution des échantillons de marbre, de roches calco-silicatées et de

diopsidite de la zone indicielle de CAGE et des zones d'anomalies régionales. (114024-CA06-F25-DiagrammeBinaire-Ba-Li-U-Th-MgO-Marbre-11Mai2007)

Figure 9.3.2.6 : Diagrammes binaires : a) Al2O3-Na2O+K2O, b) Al2O3-CaO, c) Al2O3-FeO et d) TiO2-MgO+FeO, montrant la distribution des échantillons de pegmatite associée à du paragneiss, de l'orthogneiss ou au contact avec du marbre dans les zones d'anomalies régionales, et de pegmatite associée à du marbre et des roches calco-silicatées de la zone indicielle CAGE. (114024-CA06-F26-DiagrammeBinaire-Al2O3-Na2O-K2O-TiO2-Pegmatite-11Mai2007)

Figure 10.1.1 : Planche microphotographique (a à f) des minéraux accessoires (allanite, zircon, titanite, monazite, apatite) contenant de l'uranium et des éléments de terres rares. (114024-CA06-F27-PlancheMicrophotographique-Figure 10.1.1-10Mai2007)

Figure 10.2.1 : Planche microphotographique (a à f) du comportement de l'uraninite dans les marbres provenant des lames minces de CAGE. (114024-CA06-F28-PlancheMicrophotographique-Figure 10.2.1-10Mai2007)

Figure 10.2.2 : Planche microphotographique (a à f) montrant des associations minéralogiques et des microstructures. (114024-CA06-F29-PlancheMicrophotographique-Figure 10.2.2-10Mai2007)

Figure 11.1 : Diagrammes binaires : a) Th-U, b) U-Ba, c) U-Zr et d) Th-Zr, montrant la distribution des échantillons de pegmatite associée à du paragneiss, de l'orthogneiss ou au contact avec du marbre dans les zones d'anomalies régionales, et de pegmatite associée à du marbre et des roches calco-silicatées de la zone indicielle CAGE. (114024-CA06-F30-DiagrammeBinaire-Th-U-Ba-Zr-Pegmatite-ZonesAnomaliquesCAGE-11Mai2007)

Figure 11.2 : Diagramme binaire Na2O-K2O montrant la distribution des échantillons de pegmatite associée à du paragneiss, de l'orthogneiss ou au contact avec du marbre dans les zones d'anomalies régionales, et de pegmatite associée à du marbre et des roches calco-silicatées de la zone indicielle CAGE. (114024-CA06-F31-DiagrammeBinaire-Na2O-K2O-Pegmatite-Gneiss-Marbre-ZonesAnomaliques-11Mai2007)

Figure 11.1.1 : Marbre dolomitique massif fortement fracturé. (114024-CA06-F32-F33-PhotosMarbreDolomitiqueChaotique-Figure11.1.1-11.1.2-11Mai2007)

Figure 11.1.2 : Roche calco-silicatée de type « chaotique » où les litages et pegmatites sont discontinus et sans relation avec les morceaux voisins (114024-CA06-F32-F33-PhotosMarbreDolomitiqueChaotique-Figure11.1.1-11.1.2-11Mai2007)

Figure 11.1.3 : Marbre lité et folié à la décharge du lac Cage. (114024-CA06-F34-F35-PhotosMarbreFoliéMarbreDiopside-Figure11.1.3-11.1.4-11Mai2007)

Figure 11.1.4 : Pods de roche calco-silicatée riche en diopside à l'interface de roches calco-silicatées et de marbre dolomitique (affleurement CA06-1002-02). (114024-CA06-F34-F35-PhotosMarbreFoliéMarbreDiopside-Figure11.1.3-11.1.4-11Mai2007)

Figure 11.1.5 : Unité de grès à grain fin à moyen métamorphisé avec une texture de surface en balle de golf (affleurement CA06-1002-01) (114024-CA06-F36-F37-PhotosGrèsTextureGolfVerdâtre-Figure11.1.5-11.1.6-11Mai2007)

Figure 11.1.6 : Unité de grès verdâtre à grain fin et légèrement magnétique métamorphisé (affleurement CA06-1005-15) (114024-CA06-F36-F37-PhotosGrèsTextureGolfVerdâtre-Figure11.1.5-11.1.6-11Mai2007)

Figure 13.1.1 : Rainurage CA06-T-01 (114024-CA06-F38-Rainurage-CA06-T-01-22Mai2007)

Figure 13.1.2 : Rainurage CA06-T-02 (114024-CA06-F39-Rainurage-CA06-T-02-22Mai2007)

Figure 13.1.3 : Rainurage CA06-T-03 (114024-CA06-F40-Rainurage-CA06-T-03-22Mai2007)

Figure 13.1.4 : Rainurage CA06-T-04 (114024-CA06-F41-Rainurage-CA06-T-04-22Mai2007)

Figure 13.1.5 : Rainurage CA06-T-05 (114024-CA06-F42-Rainurage-CA06-T-05-22Mai2007)

Figure 13.1.6 : Rainurage CA06-T-06 (114024-CA06-F43-Rainurage-CA06-T-06-22Mai2007)

Figure 13.2.1 : Diagramme binaire U-CaO et U-(CaO+MgO/Al2O3) des échantillons de marbre et de roche calco-silicatée prélevés sur les affleurements et dans les rainurages de la zone indicielle de CAGE. (114024-CA06-F44-Lithogéochimie RainureMarbre-Figure13.2.1-23Mai2007)

Figure 13.2.2 : Diagramme binaire U-Pb, U-Cu, U-Mo et U-Ba des échantillons de marbre et de roche calco-silicatée prélevés sur les affleurements et dans les rainurages de la zone indicielle de CAGE. (114024-CA06-F45-LithogéochimieRainure Marbre-Figure13.2.2-23Mai2007)

Figure 13.2.3 : Diagramme binaire U-V des échantillons de marbre et les roches calco-silicatées prélevés dans les rainurages de la zone indicielle de CAGE et diagrammes binaires U-V, U-Y et U-Bi des échantillons de marbre et de roche calco-silicatée prélevés sur les affleurements et dans les rainurages de la même zone indicielle. (114024-CA06-F46-LithogéochimieRainureMarbre-Figure13.2.3-23Mai2007)

ANNEXE B
(Volume 2 de 8)

TABLEAU DES STATIONS

Tableau 12.1 : Tableau synoptiques des stations (114024-CA06-T07-TableauSynoptiqueStations-31Mai2007)

ANNEXE C
(Volume 3 de 8)

LISTE DES TABLEAUX

Tableau 4.1 : Liste des géologues, des prospecteurs, des techniciens, des consultants et du personnel du soutien logistique du projet CAGE 2006 (114024-CA06-T02-ListeGéologuesConsultantsTechniciens-07Mai2007)

Tableau 6.1 : Tableau descriptif des claims actifs et en demande d'Uranor Inc. du projet CAGE 2006 (114024-CA06-T01-ClaimsActifsEtEnDemande Uranor-Cage 2006)

Tableau 8.6.1 : Tableau synoptique des travaux statutaires - PROJET 114024 (114024-CA06-T03-TravauxStatutaires24I24P-07Mai2007)

Tableau 9.3.2.1: Analyses lithogéochimiques des échantillons choisis et de rainurage classées par unités lithologiques (114024-CA06-T08- Analyses GéochimiquesPartiellesFiltrées-Lithologie-Diagramme-24Mai2007)

Tableau 10.1 : Caractéristiques physiques, minéralogiques et structurales de l'indice minéralisé de type Cage par rapport au gisement Namibien de Rossing (114024-CA06-T09-TableauComparaisonTypeCageRossing-24Mai2007)

Tableau 10.1.1 : Séquence paragénétique des principaux minéraux observés en lame mince par rapport à la déformation (114024-CA06-T05-SéquenceParagénétiqueMinéraux Déformation-11Mai2007)

Tableau 11.1 : Analyses lithogéochimiques des échantillons choisis et de rainurage (114024-CA06-T04-AnalysesLithogéochimiques-09Mai2007)

Tableau 11.2 : Tableau synoptique des anomalies scintillométriques au sol (114024-CA06-T10-AnomaliesScintillométriques-31Mai2007)

ANNEXE D
(Volume 4 de 8)

LISTE DES CARTES

Carte 1 : Topographie 3D du secteur de la propriété CAGE (1 :100 000) (114024-CA06-C07 – Topographie3DSecteurPropriétéCage)

Carte 2 : Topographie 3D du secteur Davis-Kéglo (1 : 1 500) (114024-CA06-C08-Topographie3DSecteurDavisKéglo)

Carte 3 : Géologique régionale SNRC 24I-24P d'après Taylor (1979) et Verpaelst (2000) (1 :100 000) (114024-CA06-C09- GéologieRégionale24I24PSigéom)

Carte 4 : Champs magnétique total (Sigéom) de la propriété CAGE (1 :100 000) (114024-CA06-C20 – ChampMagnétiqueTotalSigéom)

Carte 5 : Localisation des travaux statutaires SNRC 24I-24P (1 :250 000) (114024-CA06-C27 – CompilationTravauxStatutaires24I24P)

Carte 6 : Géologie et localisation des stations de la propriété CAGE (1 :100 000) (114024-CA06-C13-GéologieStations-PropriétésCage)

Carte 7 : Géologie et localisation des stations de la partie NE du secteur Davis-Kéglo (1 :25 000) (114024-CA06-C15-GéologieStations-SecteurDavisKéglo-partieNE)

Carte 8 : Géologie et localisation des stations de la partie SE du secteur Davis-Kéglo (1 :25 000) (114024-CA06-C16-GéologieStations-SecteurDavisKéglo-partieSE)

ANNEXE E
(Volume 5 de 8)

LISTE DES CARTES

Carte 9 : Géologie et localisation des stations de la partie SW du secteur Davis-Kéglo (1 :25 000) (114024-CA06-C17-GéologieStations-SecteurDavisKeglo-partieSW)

Carte 10 : Géologie et localisation des stations de la partie NW du secteur Davis-Kéglo (1 :25 000) (114024-CA06-C18-GéologieStations-SecteurDavisKéglo-partieNW)

Carte 11 : Géologie et localisation des stations du secteur CAGE-A à F (1 :6500) (114024-CA06-C19-GéologieStations-SecteurCAGE-AF)

Carte 12 : Localisation des échantillons et rapports spectrométriques U/Th de la propriété CAGE (1 :100 000) (114024-CA06-C24-LocalisationÉchantillonsRapports SpectroUTh-PropriétéCAGE)

Carte 13 : Localisation des échantillons et rapports spectrométriques U/Th du secteur Davis-Kéglo (1 :40 000) (114024-CA06-C25 - LocalisationÉchantillons RapportsSpectroUTh-SecteurDavisKéglo)

Carte 14 : Localisation des échantillons et rapports spectrométriques U/Th des secteurs CAGE-A à F (1 :6500) (114024-CA06-C26- LocalisationÉchantillonsRapports SpectroUTh -CAGE-AF)

Carte 15 : Teneurs U et Th des échantillons analysés en 2006 sur la propriété CAGE (1 :100 000) (114024-CA06-C28- ÉchantillonsAnalysésRapportSpectroUTh-PropriétéCAGE)

Carte 16 : Teneurs U et Th des échantillons analysés en 2006 sur la propriété CAGE (secteur Davis-Kéglo)(1 :40000)(114024-CA06-C29-ÉchantillonsAnalysésRapportSpectro UTh-SecteurDavisKéglo)

ANNEXE F
(Volume 6 de 8)

LISTE DES CARTES

Carte 17 : Teneurs U et Th des échantillons analysés en 2006 (secteur Cage A-F) (1 :6 500) (114024-CA06-C30- ÉchantillonsAnalysésRapportSpectroUTh-SecteursCageAF)

Carte 18 : Plan compteur avec valeurs radiométriques et résultats analytiques des rainurages – Indice CAGE B (1 :50) (114024-CA06-C22 – PlanCompteur RadiométrieAnalyseRainurage-IndiceCageB)

Carte 19 : Plan compteur avec valeurs radiométriques et résultats analytiques des rainurages – Indice CAGE D (1 :50) (114024-CA06-C23 – PlanCompteur RadiométrieAnalyseRainurage-IndiceCageD)

Carte 20 : Géologie et localisation des anomalies scintillométriques de la propriété CAGE (1 : 100 000) (114024-CA06-C10- GéologieAnomaliesPropriétéCAGE)

Carte 21 : Géologie et localisation des anomalies scintillométriques du secteur Davis-Kéglo (1 :40 000) (114024-CA06-C11- GéologieAnomaliesSecteurDavis-Kéglo)

Carte 22 : Géologie et localisation des anomalies scintillométriques du secteur CAGE-A à F (1 :6500) (114024-CA06-C12-GéologieAnomaliesSecteurCAGE-AF)

Carte 23 : Teneurs en U et Th des sédiments de fonds de lacs et correspondances aux critères de CAGE (1 :100 000) (114024-CA06-C21- TeneurUThSédiments FondDeLacCorrespondanceCritèreCAGE)

ANNEXE G
(Volume 7 de 8)

« Interprétation des données magnétiques et radiométriques de la campagne aérienne de Août 2006 » par Yoann Richard (AREVA NCB/BUM/DEX/GT)

ANNEXE H
(Volume 7 de 8)

« Étude structurale du secteur de l'indice Cage, Nunavik, Québec » par Nicolas Flotté (AREVA NCB/BUM/DEX/GT)

ANNEXE I
(Volume 7 de 8)

« CAGE : Analyse sommaire des linéaments en photosatellite » rapport interne par Jean Beaudin (Omegalpha Inc.)

ANNEXE J
(Volume 8 de 8)

« Final Report on a Helicopter-borne Magnetic & Radiometric Survey, Centre Cage Zone, Kangiqsualujjuaq, Québec, Canada » par McPhar Geosurveys Ltd

ANNEXE K
(Volume 8 de 8)

CERTIFICATS D'ANALYSE

Certificats d'analyse du Saskatchewan Research Council (SRC)

ANNEXE L
(Volume 8 de 8)

PRODUITS NUMÉRIQUES EN DVD

Produits numériques en DVD

ANNEXE D

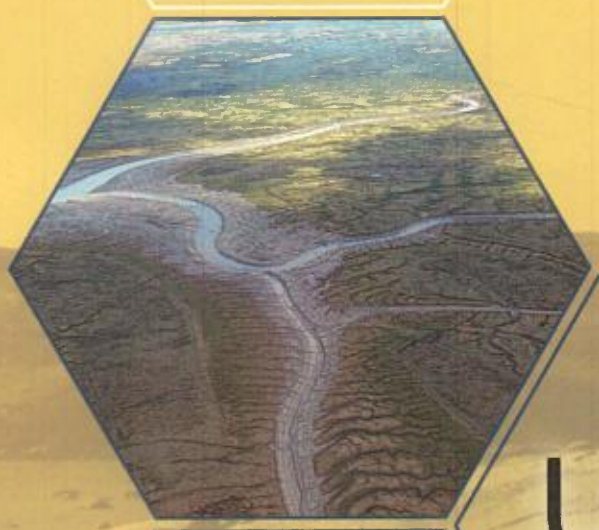

URANOR

CARTES

NO. 1 À 8

OMÉGALPHA

CAGE

MRNF MINES
24 SEP. 2007
705514
Bureau régional - Montréal

1.0 ÉVALUATION PRÉLIMINAIRE DU POTENTIEL URANIFÈRE

*PROPRIÉTÉ **CAGE**, NUNAVIK, QUÉBEC*

PROJET 114024

URANOR

COPIE CONFORME
GÉOLOGUE / GEOLOGIST
SERGE GENEST #577
QUÉBEC

TRAVAUX 2006

RAPPORT
- ANNEXE E

Vol. 5 de 8

Juin 2007

OMÉGALPHA

2.0 TABLE DES MATIÈRES

		Page
1.0	TITRE	1
2.0	TABLE DES MATIÈRES	3
3.0	RÉSUMÉ	13
4.0	INTRODUCTION	15
5.0	RECOURS À D'AUTRES SPÉCIALISTES	15
6.0	DESCRIPTION ET EMPLACEMENT DU TERRAIN	16
	6.1 Grille de repérage	17
7.0	ACCESSIBILITÉ, CLIMAT, RESSOURCES LOCALES, INFRASTRUCTURES ET GÉOGRAPHIE PHYSIQUE	17
	7.1 Accès	17
	7.2 Climat	18
	7.3 Ressources locales	18
	7.4 Infrastructures	18
	7.5 Géographie physique	18
8.0	HISTORIQUE	19
	8.1 Géologie et géophysique	19
	8.2 Géologie structurale	20
	8.3 Géologie du quaternaire	20
	8.4 Géochimie de sédiments de fonds de lacs	21
	8.5 Gîtologie U, Cu, Ni	21
	8.6 Travaux rapportés par d'autres compagnies d'exploration	21
9.0	CONTEXTE GÉOLOGIQUE	22
	9.1 Géologie régionale	22
	9.1.1 Métamorphisme et pétrologie	24
	9.1.2 Géochronologie des groupes lithologiques	25
	9.2 Géologie régionale du quaternaire	25
	9.3 Géologie locale	26
	9.3.1 Lithologie	28
	9.3.1.1 *Marbre et roche calco-silicatée*	28
	9.3.1.2 *Quartzite*	28
	9.3.1.3 *Paragneiss*	28
	9.3.1.4 *Pegmatite*	29
	9.3.1.5 *Orthogneiss, granite et pegmatite*	29
	9.3.1.6 *Roches mafiques*	30
	9.3.2 Lithogéochimie	30
	9.3.2.1 *Marbres et roches calco-silicatées*	31
	9.3.2.2 *Pegmatites*	32
	9.3.2.3 *Paragneiss et orthogneiss*	32
	9.4 Géologie locale du quaternaire	32
10.0	TYPES DE GÎTES MINÉRAUX	33
	10.1 Modèle de type Rossing (zone de Davis Inlet)	34
	10.2 Modèle de type CAGE	34

11.0 MINÉRALISATIONS 36
11.1 Zone CAGE (Indices CAGE-A à CAGE-F 38
11.1.1 Indice CAGE-A 41
11.1.2 Indice CAGE-B 41
11.1.3 Indice CAGE-C 41
11.1.4 Indice CAGE-D 41
11.1.5 Indice CAGE-E 42
11.1.6 Indice CAGE-F 42
11.2 Zone Davis Inlet 42
11.2.1 Partie nord de la zone Davis Inlet 42
11.2.2 Partie sud de la zone Davis Inlet 42
11.3 Zone Aqiarussuk 43
11.4 Zone Kéglo Sud 44
11.5 Zone Tasiujaaluk 45
11.6 Zone CAGE Extension Sud 45
11.6.1 *Secteur Nord (zone CAGE extension sud)* 45
11.6.2 *Secteur Sud (zone CAGE extension sud)* 46
11.7 Zone de la Presqu'île 46
11.8 Zone Tasiujaaluk NW 46
11.9 Zone du Lac en Croissant 47
11.10 Autres anomalies 47
11.10.1 *Occurrence Mo-U* 47
11.10.2 *Autres anomalies uranothorifères* 47
11.10.2.1 *En affleurement* 48
11.10.2.2 *En blocs* 48
11.10.2.3 *Dans le sol* 48

12.0 TRAVAUXD'EXPLORATION 48
12.1 Géologie 49
12.2 Géophysique 50
12.2.1 *Interprétation des données géophysiques régionales* 50
12.2.2 *Interprétation des données géophysiques locales (secteur indiciel de CAGE)* 51
12.3 Géochimie de sédiments de fonds de lacs 52
12.3.1 *Données uranium* 52
12.3.2 *Corrélation avec d'autres éléments (critère CAGE)* 52
12.3.3 *Utilisation des données géochimiques* 52
12.3.4 *Interprétation* 52
12.4 Structure 53
12.4.1 *Linéaments par photo-satellite* 53
12.4.2 *Zone indiciel* 55

13.0 FORAGES (rainurages) 56
13.1 Description des rainurages 57
13.1.1 *Rainurage CA06-T-01, indice CAGE-D* 57
13.1.2 *Rainurage CA06-T-02, indice CAGE-D* 57
13.1.3 *Rainurage CA06-T-03, indice CAGE-D* 58
13.1.4 *Rainurage CA06-T-04, indice CAGE-D* 58
13.1.5 *Rainurage CA06-T-05, indice CAGE-D* 58
13.1.6 *Rainurage CA06-T-06, indice CAGE B* 58
13.2 Lithogéochimie des rainurages 59

14.0 MÉTHODOLOGIE DE LA GRILLE DE REPÉRAGE SUR L'INDICE CAGE ET DE L'ÉCHANTILLONNAGE SUR L'ENSEMBLE DE LA PROPRIÉTÉ CAGE 59
14.1 Grilles de repérage 59
14.1.1 *Équipe et matériel* 59
14.1.2 *Grilles de repérage* 59
14.1.3 *Obstacles* 60
14.2 Échantillonnage 61
14.2.1 *Cueillette sur le terrain* 61
14.2.2 *Sélection et préparation des échantillons pour analyse ou étude pétrographique et métallogénique* 61
14.2.3 *Transport des échantillons* 62

15.0 PRÉPARATION, ANALYSE ET SÉCURITÉ DES ÉCHANTILLONS 62

16.0 VÉRIFICATION DES DONNÉES 63

17.0 TERRAINS ADJACENTS 63

18.0 ESSAIS DE TRAITEMENT ET ESSAIS MÉTALLURGIQUES 64

19.0 ESTIMATION DES RESSOURCES MINÉRALES ET DES RÉSERVES MINÉRALES 64

20.0 AUTRES DONNÉES ET RENSEIGNEMENTS PERTINENTS 64
20.1 Environnement 64

21.0 INTERPRÉTATIONS ET CONCLUSIONS 65
21.1 Atteinte des objectifs 65
21.2 Travaux de terrain 2006 66
21.3 Résultats 2006 66
21.3.1 *Anomalies radiométriques et zones anomaliques* 66
21.3.2 *Type de minéralisation* 67
21.3.2.1 *Synthèse du contexte des anomalies et de la minéralisation* 67
21.3.3 *Stations et traverses* 68
21.3.4 *Géologie* 68
21.3.5 *Géophysique* 69
21.3.6 *Géochimie des sédiments de fonds de lacs* 69
21.3.7 *Rainurages* 69
21.3.8 *Autres renseignements* 70

22.0 RECOMMANDATIONS 70

23.0 RÉFÉRENCES 72

ANNEXE A
(Volume 1 de 8)

LISTE DES FIGURES

Figure 6.1 : Localisation du projet CAGE 2006 dans la province du Québec, Canada (114024-CA06-F14-LocalisationCageQuébec8x11-07Déc2006)

Figure 6.2 : Localisation de la propriété CAGE, des claims d'Uranor et de la concurrence (114024-CA06-F18-LocalisationProjetCAGEClaimsUranorEtConcurrence-11Mai2007).

Figure 8.1.1 : - Contexte lithotectonique de la partie SE de la province de Churchill (tirée de Wardle (2002) et modifiée par Omégalpha (2006)) (114024-CA06-F16-ContexteLithotectoniquePartieSEProvinceChurchill-07Mai2007)

Figure 9.2.1 : Limites du front glaciaire sur la Baie d'Ungava de 8000 B.P. selon Dykes et al., 2003. (114024-CA06-F19-LimiteFrontGlaciaireBaieUngava-09Mai2007)

Figure 9.2.2 : Application du niveau marin de 481 pieds (148 mètres) vers 730B.P. d'après Lauriol et al. (1979) sur un modèle numérique d'élévation de la côte Est de la Baie d'Ungava dans le secteur de CAGE. (114024-CA06-F20-Application NiveauMarin481Pied-735BP-CAGE-09Mai2007).

Figure 9.3.2.1 : Distribution des analyses de marbre et de roches calco-silicatées peu minéralisées (U<67ppm) dans des diagrammes Li-CaO et Al2O3-CaO montrant la faible mobilité du calcium lors du métamorphisme (114024-CA06-F21-DistributionAnalysesMarbreCalco-silicatées-Li-CaO-Al2O3-CaO-11Mai2007).

Figure 9.3.2.2 : Diagrammes triangulaires : Al2O3-K2O-FeO+MgO pour les échantillons de pegmatite et Al2O3-CaO-FeO+MgO pour les échantillons de marbre et de roches calco-silicatées, de la zone indicielle de CAGE. (114024-CA06-F22-DiagrammeTriangulaire-AlO3-CaO-FeO+MgO-K2O-ZoneCAGE-11Mai2007)

Figure 9.3.2.3 : Diagrammes triangulaires : Al2O3-K2O-FeO+MgO pour les échantillons de pegmatite, paragneiss, orthogneiss et Al2O3-CaO-FeO+MgO pour les échantillons de marbre, de roches calco-silicatées et de diopsidite des zones anomaliques régionales. (114024-CA06-F23-DiagrammeTriangulaire-Al2O3-CaO-FeO+MgO-K2O-ZonesAnomaliques-11Mai2007)

Figure 9.3.2.4 : Diagrammes binaires : a) CaO+MgO-Al2O3, b) CaO+MgO-Fe2O3, c) CaO+MgO-K2O+Na2O et d) CaO+MgO-Ba, montrant la distribution des échantillons de marbre, de roches calco-silicatées et de diopsidite de la zone indicielle de CAGE et des zones d'anomalies régionales. (114024-CA06-F24-DiagrammeBinaire-Al2O3-CaO+MgO-Fe2O3-K2O+Na2O-Marbre-11Mai2007)

Figure 9.3.2.5 : Diagrammes binaires : a) Li-Ba, b) Th-U et c) MgO-Li, montrant la distribution des échantillons de marbre, de roches calco-silicatées et de

diopsidite de la zone indicielle de CAGE et des zones d'anomalies régionales. (114024-CA06-F25-DiagrammeBinaire-Ba-Li-U-Th-MgO-Marbre-11Mai2007)

Figure 9.3.2.6 : Diagrammes binaires : a) Al2O3-Na2O+K2O, b) Al2O3-CaO, c) Al2O3-FeO et d) TiO2-MgO+FeO, montrant la distribution des échantillons de pegmatite associée à du paragneiss, de l'orthogneiss ou au contact avec du marbre dans les zones d'anomalies régionales, et de pegmatite associée à du marbre et des roches calco-silicatées de la zone indicielle CAGE. (114024-CA06-F26-DiagrammeBinaire-Al2O3-Na2O-K2O-TiO2-Pegmatite-11Mai2007)

Figure 10.1.1 : Planche microphotographique (a à f) des minéraux accessoires (allanite, zircon, titanite, monazite, apatite) contenant de l'uranium et des éléments de terres rares. (114024-CA06-F27-PlancheMicrophotographique-Figure 10.1.1-10Mai2007)

Figure 10.2.1 : Planche microphotographique (a à f) du comportement de l'uraninite dans les marbres provenant des lames minces de CAGE. (114024-CA06-F28-PlancheMicrophotographique-Figure 10.2.1-10Mai2007)

Figure 10.2.2 : Planche microphotographique (a à f) montrant des associations minéralogiques et des microstructures. (114024-CA06-F29-PlancheMicrophotographique-Figure 10.2.2-10Mai2007)

Figure 11.1 : Diagrammes binaires : a) Th-U, b) U-Ba, c) U-Zr et d) Th-Zr, montrant la distribution des échantillons de pegmatite associée à du paragneiss, de l'orthogneiss ou au contact avec du marbre dans les zones d'anomalies régionales, et de pegmatite associée à du marbre et des roches calco-silicatées de la zone indicielle CAGE. (114024-CA06-F30-DiagrammeBinaire-Th-U-Ba-Zr-Pegmatite-ZonesAnomaliquesCAGE-11Mai2007)

Figure 11.2 : Diagramme binaire Na2O-K2O montrant la distribution des échantillons de pegmatite associée à du paragneiss, de l'orthogneiss ou au contact avec du marbre dans les zones d'anomalies régionales, et de pegmatite associée à du marbre et des roches calco-silicatées de la zone indicielle CAGE. (114024-CA06-F31-DiagrammeBinaire-Na2O-K2O-Pegmatite-Gneiss-Marbre-ZonesAnomaliques-11Mai2007)

Figure 11.1.1 : Marbre dolomitique massif fortement fracturé. (114024-CA06-F32-F33-PhotosMarbreDolomitiqueChaotique-Figure11.1.1-11.1.2-11Mai2007)

Figure 11.1.2 : Roche calco-silicatée de type « chaotique » où les litages et pegmatites sont discontinus et sans relation avec les morceaux voisins (114024-CA06-F32-F33-PhotosMarbreDolomitiqueChaotique-Figure11.1.1-11.1.2-11Mai2007)

Figure 11.1.3 : Marbre lité et folié à la décharge du lac Cage. (114024-CA06-F34-F35-PhotosMarbreFoliéMarbreDiopside-Figure11.1.3-11.1.4-11Mai2007)

Figure 11.1.4 : Pods de roche calco-silicatée riche en diopside à l'interface de roches calco-silicatées et de marbre dolomitique (affleurement CA06-1002-02). (114024-CA06-F34-F35-PhotosMarbreFoliéMarbreDiopside-Figure11.1.3-11.1.4-11Mai2007)

Figure 11.1.5 : Unité de grès à grain fin à moyen métamorphisé avec une texture de surface en balle de golf (affleurement CA06-1002-01) (114024-CA06-F36-F37-PhotosGrèsTextureGolfVerdâtre-Figure11.1.5-11.1.6-11Mai2007)

Figure 11.1.6 : Unité de grès verdâtre à grain fin et légèrement magnétique métamorphisé (affleurement CA06-1005-15) (114024-CA06-F36-F37-PhotosGrèsTextureGolfVerdâtre-Figure11.1.5-11.1.6-11Mai2007)

Figure 13.1.1 : Rainurage CA06-T-01 (114024-CA06-F38-Rainurage-CA06-T-01-22Mai2007)

Figure 13.1.2 : Rainurage CA06-T-02 (114024-CA06-F39-Rainurage-CA06-T-02-22Mai2007)

Figure 13.1.3 : Rainurage CA06-T-03 (114024-CA06-F40-Rainurage-CA06-T-03-22Mai2007)

Figure 13.1.4 : Rainurage CA06-T-04 (114024-CA06-F41-Rainurage-CA06-T-04-22Mai2007)

Figure 13.1.5 : Rainurage CA06-T-05 (114024-CA06-F42-Rainurage-CA06-T-05-22Mai2007)

Figure 13.1.6 : Rainurage CA06-T-06 (114024-CA06-F43-Rainurage-CA06-T-06-22Mai2007)

Figure 13.2.1 : Diagramme binaire U-CaO et U-(CaO+MgO/Al2O3) des échantillons de marbre et de roche calco-silicatée prélevés sur les affleurements et dans les rainurages de la zone indicielle de CAGE. (114024-CA06-F44-Lithogéochimie RainureMarbre-Figure13.2.1-23Mai2007)

Figure 13.2.2 : Diagramme binaire U-Pb, U-Cu, U-Mo et U-Ba des échantillons de marbre et de roche calco-silicatée prélevés sur les affleurements et dans les rainurages de la zone indicielle de CAGE. (114024-CA06-F45-LithogéochimieRainure Marbre-Figure13.2.2-23Mai2007)

Figure 13.2.3 : Diagramme binaire U-V des échantillons de marbre et les roches calco-silicatées prélevés dans les rainurages de la zone indicielle de CAGE et diagrammes binaires U-V, U-Y et U-Bi des échantillons de marbre et de roche calco-silicatée prélevés sur les affleurements et dans les rainurages de la même zone indicielle. (114024-CA06-F46-LithogéochimieRainureMarbre-Figure13.2.3-23Mai2007)

ANNEXE B
(Volume 2 de 8)

TABLEAU DES STATIONS

Tableau 12.1 : Tableau synoptiques des stations (114024-CA06-T07-TableauSynoptiqueStations-31Mai2007)

ANNEXE C
(Volume 3 de 8)

LISTE DES TABLEAUX

Tableau 4.1 : Liste des géologues, des prospecteurs, des techniciens, des consultants et du personnel du soutien logistique du projet CAGE 2006 (114024-CA06-T02-ListeGéologuesConsultantsTechniciens-07Mai2007)

Tableau 6.1 : Tableau descriptif des claims actifs et en demande d'Uranor Inc. du projet CAGE 2006 (114024-CA06-T01-ClaimsActifsEtEnDemande Uranor-Cage 2006)

Tableau 8.6.1 : Tableau synoptique des travaux statutaires - PROJET 114024 (114024-CA06-T03-TravauxStatutaires24I24P-07Mai2007)

Tableau 9.3.2.1:Analyses lithogéochimiques des échantillons choisis et de rainurage classées par unités lithologiques (114024-CA06-T08- Analyses GéochimiquesPartiellesFiltrées-Lithologie-Diagramme-24Mai2007)

Tableau 10.1 : Caractéristiques physiques, minéralogiques et structurales de l'indice minéralisé de type Cage par rapport au gisement Namibien de Rossing (114024-CA06-T09-TableauComparaisonTypeCageRossing-24Mai2007)

Tableau 10.1.1 :Séquence paragénétique des principaux minéraux observés en lame mince par rapport à la déformation (114024-CA06-T05-SéquenceParagénétiqueMinéraux Déformation-11Mai2007)

Tableau 11.1 : Analyses lithogéochimiques des échantillons choisis et de rainurage (114024-CA06-T04-AnalysesLithogéochimiques-09Mai2007)

Tableau 11.2 : Tableau synoptique des anomalies scintillométriques au sol (114024-CA06-T10-AnomaliesScintillométriques-31Mai2007)

ANNEXE D
(Volume 4 de 8)

LISTE DES CARTES

Carte 1 : Topographie 3D du secteur de la propriété CAGE (1 :100 000) (114024-CA06-C07 – Topographie3DSecteurPropriétéCage)

Carte 2 : Topographie 3D du secteur Davis-Kéglo (1 : 1 500) (114024-CA06-C08-Topographie3DSecteurDavisKéglo)

Carte 3 : Géologique régionale SNRC 24I-24P d'après Taylor (1979) et Verpaelst (2000) (1 :100 000) (114024-CA06-C09- GéologieRégionale24I24PSigéom)

Carte 4 : Champs magnétique total (Sigéom) de la propriété CAGE (1 :100 000) (114024-CA06-C20 – ChampMagnétiqueTotalSigéom)

Carte 5 : Localisation des travaux statutaires SNRC 24I-24P (1 :250 000) (114024-CA06-C27 – CompilationTravauxStatutaires24I24P)

Carte 6 : Géologie et localisation des stations de la propriété CAGE (1 :100 000) (114024-CA06-C13-GéologieStations-PropriétésCage)

Carte 7 : Géologie et localisation des stations de la partie NE du secteur Davis-Kéglo (1 :25 000) (114024-CA06-C15-GéologieStations-SecteurDavisKéglo-partieNE)

Carte 8 : Géologie et localisation des stations de la partie SE du secteur Davis-Kéglo (1 :25 000) (114024-CA06-C16-GéologieStations-SecteurDavisKéglo-partieSE)

ANNEXE E
(Volume 5 de 8)

LISTE DES CARTES

Carte 9 : Géologie et localisation des stations de la partie SW du secteur Davis-Kéglo (1 :25 000) (114024-CA06-C17-GéologieStations-SecteurDavisKeglo-partieSW)

Carte 10 : Géologie et localisation des stations de la partie NW du secteur Davis-Kéglo (1 :25 000) (114024-CA06-C18-GéologieStations-SecteurDavisKéglo-partieNW)

Carte 11 : Géologie et localisation des stations du secteur CAGE-A à F (1 :6500) (114024-CA06-C19-GéologieStations-SecteurCAGE-AF)

Carte 12 : Localisation des échantillons et rapports spectrométriques U/Th de la propriété CAGE (1 :100 000) (114024-CA06-C24-LocalisationÉchantillonsRapports SpectroUTh-PropriétéCAGE)

Carte 13 : Localisation des échantillons et rapports spectrométriques U/Th du secteur Davis-Kéglo (1 :40 000) (114024-CA06-C25 - LocalisationÉchantillons RapportsSpectroUTh-SecteurDavisKéglo)

Carte 14 : Localisation des échantillons et rapports spectrométriques U/Th des secteurs CAGE-A à F (1 :6500) (114024-CA06-C26- LocalisationÉchantillonsRapports SpectroUTh -CAGE-AF)

Carte 15 : Teneurs U et Th des échantillons analysés en 2006 sur la propriété CAGE (1 :100 000) (114024-CA06-C28- ÉchantillonsAnalysésRapportSpectroUTh-PropriétéCAGE)

Carte 16 : Teneurs U et Th des échantillons analysés en 2006 sur la propriété CAGE (secteur Davis-Kéglo)(1 :40000)(114024-CA06-C29-ÉchantillonsAnalysésRapportSpectro UTh-SecteurDavisKéglo)

ANNEXE F
(Volume 6 de 8)

LISTE DES CARTES

Carte 17 : Teneurs U et Th des échantillons analysés en 2006 (secteur Cage A-F) (1 :6 500) (114024-CA06-C30- ÉchantillonsAnalysésRapportSpectroUTh-SecteursCageAF)

Carte 18 : Plan compteur avec valeurs radiométriques et résultats analytiques des rainurages – Indice CAGE B (1 :50) (114024-CA06-C22 – PlanCompteur RadiométrieAnalyseRainurage-IndiceCageB)

Carte 19 : Plan compteur avec valeurs radiométriques et résultats analytiques des rainurages – Indice CAGE D (1 :50) (114024-CA06-C23 – PlanCompteur RadiométrieAnalyseRainurage-IndiceCageD)

Carte 20 : Géologie et localisation des anomalies scintillométriques de la propriété CAGE (1 : 100 000) (114024-CA06-C10- GéologieAnomaliesPropriétéCAGE)

Carte 21 : Géologie et localisation des anomalies scintillométriques du secteur Davis-Kéglo (1 :40 000) (114024-CA06-C11- GéologieAnomaliesSecteurDavis-Kéglo)

Carte 22 : Géologie et localisation des anomalies scintillométriques du secteur CAGE-A à F (1 :6500) (114024-CA06-C12-GéologieAnomaliesSecteurCAGE-AF)

Carte 23 : Teneurs en U et Th des sédiments de fonds de lacs et correspondances aux critères de CAGE (1 :100 000) (114024-CA06-C21- TeneurUThSédiments FondDeLacCorrespondanceCritèreCAGE)

ANNEXE G
(Volume 7 de 8)

« Interprétation des données magnétiques et radiométriques de la campagne aérienne de Août 2006 » par Yoann Richard (AREVA NCB/BUM/DEX/GT)

ANNEXE H
(Volume 7 de 8)

« Étude structurale du secteur de l'indice Cage, Nunavik, Québec » par Nicolas Flotté (AREVA NCB/BUM/DEX/GT)

ANNEXE I
(Volume 7 de 8)

« CAGE : Analyse sommaire des linéaments en photosatellite » rapport interne par Jean Beaudin (Omegalpha Inc.)

ANNEXE J
(Volume 8 de 8)

« Final Report on a Helicopter-borne Magnetic & Radiometric Survey, Centre Cage Zone, Kangiqsualujjuaq, Québec, Canada » par McPhar Geosurveys Ltd

ANNEXE K
(Volume 8 de 8)

CERTIFICATS D'ANALYSE

Certificats d'analyse du Saskatchewan Research Council (SRC)

ANNEXE L
(Volume 8 de 8)

PRODUITS NUMÉRIQUES EN DVD

Produits numériques en DVD

ANNEXE E

URANOR

CARTES
NO. 9 À 16

OMÉGALPHA

CAGE

1.0 ÉVALUATION PRÉLIMINAIRE DU POTENTIEL URANIFÈRE

*PROPRIÉTÉ **CAGE**, NUNAVIK, QUÉBEC*

PROJET 114024

MRNFP - SECTEUR DES MINES
REÇU LE
24 SEP. 2007
705544
Bureau régional - Montréal

URANOR

COPIE CONFORME

TRAVAUX 2006

RAPPORT

- ANNEXE F

Vol. 6 de 8

Juin 2007

OMÉGALPHA

2.0 TABLE DES MATIÈRES

		Page
1.0	TITRE	1
2.0	TABLE DES MATIÈRES	3
3.0	RÉSUMÉ	13
4.0	INTRODUCTION	15
5.0	RECOURS À D'AUTRES SPÉCIALISTES	15
6.0	DESCRIPTION ET EMPLACEMENT DU TERRAIN	16
	6.1 Grille de repérage	17
7.0	ACCESSIBILITÉ, CLIMAT, RESSOURCES LOCALES, INFRASTRUCTURES ET GÉOGRAPHIE PHYSIQUE	17
	7.1 Accès	17
	7.2 Climat	18
	7.3 Ressources locales	18
	7.4 Infrastructures	18
	7.5 Géographie physique	18
8.0	HISTORIQUE	19
	8.1 Géologie et géophysique	19
	8.2 Géologie structurale	20
	8.3 Géologie du quaternaire	20
	8.4 Géochimie de sédiments de fonds de lacs	21
	8.5 Gîtologie U, Cu, Ni	21
	8.6 Travaux rapportés par d'autres compagnies d'exploration	21
9.0	CONTEXTE GÉOLOGIQUE	22
	9.1 Géologie régionale	22
	9.1.1 Métamorphisme et pétrologie	24
	9.1.2 Géochronologie des groupes lithologiques	25
	9.2 Géologie régionale du quaternaire	25
	9.3 Géologie locale	26
	9.3.1 Lithologie	28
	9.3.1.1 *Marbre et roche calco-silicatée*	28
	9.3.1.2 *Quartzite*	28
	9.3.1.3 *Paragneiss*	28
	9.3.1.4 *Pegmatite*	29
	9.3.1.5 *Orthogneiss, granite et pegmatite*	29
	9.3.1.6 *Roches mafiques*	30
	9.3.2 Lithogéochimie	30
	9.3.2.1 *Marbres et roches calco-silicatées*	31
	9.3.2.2 *Pegmatites*	32
	9.3.2.3 *Paragneiss et orthogneiss*	32
	9.4 Géologie locale du quaternaire	32
10.0	TYPES DE GÎTES MINÉRAUX	33
	10.1 Modèle de type Rossing (zone de Davis Inlet)	34
	10.2 Modèle de type CAGE	34

11.0 MINÉRALISATIONS 36
11.1 Zone CAGE (Indices CAGE-A à CAGE-F 38
11.1.1 Indice CAGE-A 41
11.1.2 Indice CAGE-B 41
11.1.3 Indice CAGE-C 41
11.1.4 Indice CAGE-D 41
11.1.5 Indice CAGE-E 42
11.1.6 Indice CAGE-F 42
11.2 Zone Davis Inlet 42
11.2.1 Partie nord de la zone Davis Inlet 42
11.2.2 Partie sud de la zone Davis Inlet 42
11.3 Zone Aqiarussuk 43
11.4 Zone Kéglo Sud 44
11.5 Zone Tasiujaaluk 45
11.6 Zone CAGE Extension Sud 45
11.6.1 *Secteur Nord (zone CAGE extension sud)* 45
11.6.2 *Secteur Sud (zone CAGE extension sud)* 46
11.7 Zone de la Presqu'île 46
11.8 Zone Tasiujaaluk NW 46
11.9 Zone du Lac en Croissant 47
11.10 Autres anomalies 47
11.10.1 *Occurrence Mo-U* 47
11.10.2 *Autres anomalies uranothorifères* 47
11.10.2.1 *En affleurement* 48
11.10.2.2 *En blocs* 48
11.10.2.3 *Dans le sol* 48

12.0 TRAVAUXD'EXPLORATION 48
12.1 Géologie 49
12.2 Géophysique 50
12.2.1 *Interprétation des données géophysiques régionales* 50
12.2.2 *Interprétation des données géophysiques locales (secteur indiciel de CAGE)* 51
12.3 Géochimie de sédiments de fonds de lacs 52
12.3.1 *Données uranium* 52
12.3.2 *Corrélation avec d'autres éléments (critère CAGE)* 52
12.3.3 *Utilisation des données géochimiques* 52
12.3.4 *Interprétation* 52
12.4 Structure 53
12.4.1 *Linéaments par photo-satellite* 53
12.4.2 *Zone indiciel* 55

13.0 FORAGES (rainurages) 56
13.1 Description des rainurages 57
13.1.1 *Rainurage CA06-T-01, indice CAGE-D* 57
13.1.2 *Rainurage CA06-T-02, indice CAGE-D* 57
13.1.3 *Rainurage CA06-T-03, indice CAGE-D* 58
13.1.4 *Rainurage CA06-T-04, indice CAGE-D* 58
13.1.5 *Rainurage CA06-T-05, indice CAGE-D* 58
13.1.6 *Rainurage CA06-T-06, indice CAGE B* 58
13.2 Lithogéochimie des rainurages 59

14.0 MÉTHODOLOGIE DE LA GRILLE DE REPÉRAGE SUR L'INDICE CAGE ET DE L'ÉCHANTILLONNAGE SUR L'ENSEMBLE DE LA PROPRIÉTÉ CAGE 59
14.1 Grilles de repérage 59
14.1.1 *Équipe et matériel* 59
14.1.2 *Grilles de repérage* 59
14.1.3 *Obstacles* 60
14.2 Échantillonnage 61
14.2.1 *Cueillette sur le terrain* 61
14.2.2 *Sélection et préparation des échantillons pour analyse ou étude pétrographique et métallogénique* 61
14.2.3 *Transport des échantillons* 62

15.0 PRÉPARATION, ANALYSE ET SÉCURITÉ DES ÉCHANTILLONS 62

16.0 VÉRIFICATION DES DONNÉES 63

17.0 TERRAINS ADJACENTS 63

18.0 ESSAIS DE TRAITEMENT ET ESSAIS MÉTALLURGIQUES 64

19.0 ESTIMATION DES RESSOURCES MINÉRALES ET DES RÉSERVES MINÉRALES 64

20.0 AUTRES DONNÉES ET RENSEIGNEMENTS PERTINENTS 64
20.1 Environnement 64

21.0 INTERPRÉTATIONS ET CONCLUSIONS 65
21.1 Atteinte des objectifs 65
21.2 Travaux de terrain 2006 66
21.3 Résultats 2006 66
21.3.1 *Anomalies radiométriques et zones anomaliques* 66
21.3.2 *Type de minéralisation* 67
21.3.2.1 *Synthèse du contexte des anomalies et de la minéralisation* 67
21.3.3 *Stations et traverses* 68
21.3.4 *Géologie* 68
21.3.5 *Géophysique* 69
21.3.6 *Géochimie des sédiments de fonds de lacs* 69
21.3.7 *Rainurages* 69
21.3.8 *Autres renseignements* 70

22.0 RECOMMANDATIONS 70

23.0 RÉFÉRENCES 72

ANNEXE A
(Volume 1 de 8)

LISTE DES FIGURES

Figure 6.1 : Localisation du projet CAGE 2006 dans la province du Québec, Canada (114024-CA06-F14-LocalisationCageQuébec8x11-07Déc2006)

Figure 6.2 : Localisation de la propriété CAGE, des claims d'Uranor et de la concurrence (114024-CA06-F18-LocalisationProjetCAGEClaimsUranorEtConcurrence-11Mai2007).

Figure 8.1.1 : - Contexte lithotectonique de la partie SE de la province de Churchill (tirée de Wardle (2002) et modifiée par Omégalpha (2006)) (114024-CA06-F16-ContexteLithotectoniquePartieSEProvinceChurchill-07Mai2007)

Figure 9.2.1 : Limites du front glaciaire sur la Baie d'Ungava de 8000 B.P. selon Dykes et al., 2003. (114024-CA06-F19-LimiteFrontGlaciaireBaieUngava-09Mai2007)

Figure 9.2.2 : Application du niveau marin de 481 pieds (148 mètres) vers 730B.P. d'après Lauriol et al. (1979) sur un modèle numérique d'élévation de la côte Est de la Baie d'Ungava dans le secteur de CAGE. (114024-CA06-F20-Application NiveauMarin481Pied-735BP-CAGE-09Mai2007).

Figure 9.3.2.1 : Distribution des analyses de marbre et de roches calco-silicatées peu minéralisées (U<67ppm) dans des diagrammes Li-CaO et Al2O3-CaO montrant la faible mobilité du calcium lors du métamorphisme (114024-CA06-F21-DistributionAnalysesMarbreCalco-silicatées-Li-CaO-Al2O3-CaO-11Mai2007).

Figure 9.3.2.2 : Diagrammes triangulaires : Al2O3-K2O-FeO+MgO pour les échantillons de pegmatite et Al2O3-CaO-FeO+MgO pour les échantillons de marbre et de roches calco-silicatées, de la zone indicielle de CAGE. (114024-CA06-F22-DiagrammeTriangulaire-AlO3-CaO-FeO+MgO-K2O-ZoneCAGE-11Mai2007)

Figure 9.3.2.3 : Diagrammes triangulaires : Al2O3-K2O-FeO+MgO pour les échantillons de pegmatite, paragneiss, orthogneiss et Al2O3-CaO-FeO+MgO pour les échantillons de marbre, de roches calco-silicatées et de diopsidite des zones anomaliques régionales. (114024-CA06-F23-DiagrammeTriangulaire-Al2O3-CaO-FeO+MgO-K2O-ZonesAnomaliques-11Mai2007)

Figure 9.3.2.4 : Diagrammes binaires : a) CaO+MgO-Al2O3, b) CaO+MgO-Fe2O3, c) CaO+MgO-K2O+Na2O et d) CaO+MgO-Ba, montrant la distribution des échantillons de marbre, de roches calco-silicatées et de diopsidite de la zone indicielle de CAGE et des zones d'anomalies régionales. (114024-CA06-F24-DiagrammeBinaire-Al2O3-CaO+MgO-Fe2O3-K2O+Na2O-Marbre-11Mai2007)

Figure 9.3.2.5 : Diagrammes binaires : a) Li-Ba, b) Th-U et c) MgO-Li, montrant la distribution des échantillons de marbre, de roches calco-silicatées et de

diopsidite de la zone indicielle de CAGE et des zones d'anomalies régionales. (114024-CA06-F25-DiagrammeBinaire-Ba-Li-U-Th-MgO-Marbre-11Mai2007)

Figure 9.3.2.6 : Diagrammes binaires : a) Al2O3-Na2O+K2O, b) Al2O3-CaO, c) Al2O3-FeO et d) TiO2-MgO+FeO, montrant la distribution des échantillons de pegmatite associée à du paragneiss, de l'orthogneiss ou au contact avec du marbre dans les zones d'anomalies régionales, et de pegmatite associée à du marbre et des roches calco-silicatées de la zone indicielle CAGE. (114024-CA06-F26-DiagrammeBinaire-Al2O3-Na2O-K2O-TiO2-Pegmatite-11Mai2007)

Figure 10.1.1 : Planche microphotographique (a à f) des minéraux accessoires (allanite, zircon, titanite, monazite, apatite) contenant de l'uranium et des éléments de terres rares. (114024-CA06-F27-PlancheMicrophotographique-Figure 10.1.1-10Mai2007)

Figure 10.2.1 : Planche microphotographique (a à f) du comportement de l'uraninite dans les marbres provenant des lames minces de CAGE. (114024-CA06-F28-PlancheMicrophotographique-Figure 10.2.1-10Mai2007)

Figure 10.2.2 : Planche microphotographique (a à f) montrant des associations minéralogiques et des microstructures. (114024-CA06-F29-PlancheMicrophotographique-Figure 10.2.2-10Mai2007)

Figure 11.1 : Diagrammes binaires : a) Th-U, b) U-Ba, c) U-Zr et d) Th-Zr, montrant la distribution des échantillons de pegmatite associée à du paragneiss, de l'orthogneiss ou au contact avec du marbre dans les zones d'anomalies régionales, et de pegmatite associée à du marbre et des roches calco-silicatées de la zone indicielle CAGE. (114024-CA06-F30-DiagrammeBinaire-Th-U-Ba-Zr-Pegmatite-ZonesAnomaliquesCAGE-11Mai2007)

Figure 11.2 : Diagramme binaire Na2O-K2O montrant la distribution des échantillons de pegmatite associée à du paragneiss, de l'orthogneiss ou au contact avec du marbre dans les zones d'anomalies régionales, et de pegmatite associée à du marbre et des roches calco-silicatées de la zone indicielle CAGE. (114024-CA06-F31-DiagrammeBinaire-Na2O-K2O-Pegmatite-Gneiss-Marbre-ZonesAnomaliques-11Mai2007)

Figure 11.1.1 : Marbre dolomitique massif fortement fracturé. (114024-CA06-F32-F33-PhotosMarbreDolomitiqueChaotique-Figure11.1.1-11.1.2-11Mai2007)

Figure 11.1.2 : Roche calco-silicatée de type « chaotique » où les litages et pegmatites sont discontinus et sans relation avec les morceaux voisins (114024-CA06-F32-F33-PhotosMarbreDolomitiqueChaotique-Figure11.1.1-11.1.2-11Mai2007)

Figure 11.1.3 : Marbre lité et folié à la décharge du lac Cage. (114024-CA06-F34-F35-PhotosMarbreFoliéMarbreDiopside-Figure11.1.3-11.1.4-11Mai2007)

Figure 11.1.4 : Pods de roche calco-silicatée riche en diopside à l'interface de roches calco-silicatées et de marbre dolomitique (affleurement CA06-1002-02). (114024-CA06-F34-F35-PhotosMarbreFoliéMarbreDiopside-Figure11.1.3-11.1.4-11Mai2007)

Figure 11.1.5 : Unité de grès à grain fin à moyen métamorphisé avec une texture de surface en balle de golf (affleurement CA06-1002-01) (114024-CA06-F36-F37-PhotosGrèsTextureGolfVerdâtre-Figure11.1.5-11.1.6-11Mai2007)

Figure 11.1.6 : Unité de grès verdâtre à grain fin et légèrement magnétique métamorphisé (affleurement CA06-1005-15) (114024-CA06-F36-F37-PhotosGrèsTextureGolfVerdâtre-Figure11.1.5-11.1.6-11Mai2007)

Figure 13.1.1 : Rainurage CA06-T-01 (114024-CA06-F38-Rainurage-CA06-T-01-22Mai2007)

Figure 13.1.2 : Rainurage CA06-T-02 (114024-CA06-F39-Rainurage-CA06-T-02-22Mai2007)

Figure 13.1.3 : Rainurage CA06-T-03 (114024-CA06-F40-Rainurage-CA06-T-03-22Mai2007)

Figure 13.1.4 : Rainurage CA06-T-04 (114024-CA06-F41-Rainurage-CA06-T-04-22Mai2007)

Figure 13.1.5 : Rainurage CA06-T-05 (114024-CA06-F42-Rainurage-CA06-T-05-22Mai2007)

Figure 13.1.6 : Rainurage CA06-T-06 (114024-CA06-F43-Rainurage-CA06-T-06-22Mai2007)

Figure 13.2.1 : Diagramme binaire U-CaO et U-(CaO+MgO/Al2O3) des échantillons de marbre et de roche calco-silicatée prélevés sur les affleurements et dans les rainurages de la zone indicielle de CAGE. (114024-CA06-F44-Lithogéochimie RainureMarbre-Figure13.2.1-23Mai2007)

Figure 13.2.2 : Diagramme binaire U-Pb, U-Cu, U-Mo et U-Ba des échantillons de marbre et de roche calco-silicatée prélevés sur les affleurements et dans les rainurages de la zone indicielle de CAGE. (114024-CA06-F45-LithogéochimieRainure Marbre-Figure13.2.2-23Mai2007)

Figure 13.2.3 : Diagramme binaire U-V des échantillons de marbre et les roches calco-silicatées prélevés dans les rainurages de la zone indicielle de CAGE et diagrammes binaires U-V, U-Y et U-Bi des échantillons de marbre et de roche calco-silicatée prélevés sur les affleurements et dans les rainurages de la même zone indicielle. (114024-CA06-F46-LithogéochimieRainureMarbre-Figure13.2.3-23Mai2007)

ANNEXE B
(Volume 2 de 8)

TABLEAU DES STATIONS

Tableau 12.1 : Tableau synoptiques des stations (114024-CA06-T07-TableauSynoptiqueStations-31Mai2007)

ANNEXE C
(Volume 3 de 8)

LISTE DES TABLEAUX

Tableau 4.1 : Liste des géologues, des prospecteurs, des techniciens, des consultants et du personnel du soutien logistique du projet CAGE 2006 (114024-CA06-T02-ListeGéologuesConsultantsTechniciens-07Mai2007)

Tableau 6.1 : Tableau descriptif des claims actifs et en demande d'Uranor Inc. du projet CAGE 2006 (114024-CA06-T01-ClaimsActifsEtEnDemande Uranor-Cage 2006)

Tableau 8.6.1 : Tableau synoptique des travaux statutaires - PROJET 114024 (114024-CA06-T03-TravauxStatutaires24I24P-07Mai2007)

Tableau 9.3.2.1: Analyses lithogéochimiques des échantillons choisis et de rainurage classées par unités lithologiques (114024-CA06-T08- Analyses GéochimiquesPartiellesFiltrées-Lithologie-Diagramme-24Mai2007)

Tableau 10.1 : Caractéristiques physiques, minéralogiques et structurales de l'indice minéralisé de type Cage par rapport au gisement Namibien de Rossing (114024-CA06-T09-TableauComparaisonTypeCageRossing-24Mai2007)

Tableau 10.1.1 : Séquence paragénétique des principaux minéraux observés en lame mince par rapport à la déformation (114024-CA06-T05-SéquenceParagénétiqueMinéraux Déformation-11Mai2007)

Tableau 11.1 : Analyses lithogéochimiques des échantillons choisis et de rainurage (114024-CA06-T04-AnalysesLithogéochimiques-09Mai2007)

Tableau 11.2 : Tableau synoptique des anomalies scintillométriques au sol (114024-CA06-T10-AnomaliesScintillométriques-31Mai2007)

ANNEXE D
(Volume 4 de 8)

LISTE DES CARTES

Carte 1 : Topographie 3D du secteur de la propriété CAGE (1 :100 000) (114024-CA06-C07 – Topographie3DSecteurPropriétéCage)

Carte 2 : Topographie 3D du secteur Davis-Kéglo (1 : 1 500) (114024-CA06-C08-Topographie3DSecteurDavisKéglo)

Carte 3 : Géologique régionale SNRC 24I-24P d'après Taylor (1979) et Verpaelst (2000) (1 :100 000) (114024-CA06-C09- GéologieRégionale24I24PSigéom)

Carte 4 : Champs magnétique total (Sigéom) de la propriété CAGE (1 :100 000) (114024-CA06-C20 – ChampMagnétiqueTotalSigéom)

Carte 5 : Localisation des travaux statutaires SNRC 24I-24P (1 :250 000) (114024-CA06-C27 – CompilationTravauxStatutaires24I24P)

Carte 6 : Géologie et localisation des stations de la propriété CAGE (1 :100 000) (114024-CA06-C13-GéologieStations-PropriétésCage)

Carte 7 : Géologie et localisation des stations de la partie NE du secteur Davis-Kéglo (1 :25 000) (114024-CA06-C15-GéologieStations-SecteurDavisKéglo-partieNE)

Carte 8 : Géologie et localisation des stations de la partie SE du secteur Davis-Kéglo (1 :25 000) (114024-CA06-C16-GéologieStations-SecteurDavisKéglo-partieSE)

ANNEXE E
(Volume 5 de 8)

LISTE DES CARTES

Carte 9 : Géologie et localisation des stations de la partie SW du secteur Davis-Kéglo (1 :25 000) (114024-CA06-C17-GéologieStations-SecteurDavisKeglo-partieSW)

Carte 10 : Géologie et localisation des stations de la partie NW du secteur Davis-Kéglo (1 :25 000) (114024-CA06-C18-GéologieStations-SecteurDavisKéglo-partieNW)

Carte 11 : Géologie et localisation des stations du secteur CAGE-A à F (1 :6500) (114024-CA06-C19-GéologieStations-SecteurCAGE-AF)

Carte 12 : Localisation des échantillons et rapports spectrométriques U/Th de la propriété CAGE (1 :100 000) (114024-CA06-C24-LocalisationÉchantillonsRapports SpectroUTh-PropriétéCAGE)

Carte 13 : Localisation des échantillons et rapports spectrométriques U/Th du secteur Davis-Kéglo (1 :40 000) (114024-CA06-C25 - LocalisationÉchantillons RapportsSpectroUTh-SecteurDavisKéglo)

Carte 14 : Localisation des échantillons et rapports spectrométriques U/Th des secteurs CAGE-A à F (1 :6500) (114024-CA06-C26- LocalisationÉchantillonsRapports SpectroUTh -CAGE-AF)

Carte 15 : Teneurs U et Th des échantillons analysés en 2006 sur la propriété CAGE (1 :100 000) (114024-CA06-C28- ÉchantillonsAnalysésRapportSpectroUTh-PropriétéCAGE)

Carte 16 : Teneurs U et Th des échantillons analysés en 2006 sur la propriété CAGE (secteur Davis-Kéglo)(1 :40000)(114024-CA06-C29-ÉchantillonsAnalysésRapportSpectro UTh-SecteurDavisKéglo)

ANNEXE F
(Volume 6 de 8)

LISTE DES CARTES

Carte 17 : Teneurs U et Th des échantillons analysés en 2006 (secteur Cage A-F) (1 :6 500) (114024-CA06-C30- ÉchantillonsAnalysésRapportSpectroUTh-SecteursCageAF)

Carte 18 : Plan compteur avec valeurs radiométriques et résultats analytiques des rainurages – Indice CAGE B (1 :50) (114024-CA06-C22 – PlanCompteur RadiométrieAnalyseRainurage-IndiceCageB)

Carte 19 : Plan compteur avec valeurs radiométriques et résultats analytiques des rainurages – Indice CAGE D (1 :50) (114024-CA06-C23 – PlanCompteur RadiométrieAnalyseRainurage-IndiceCageD)

Carte 20 : Géologie et localisation des anomalies scintillométriques de la propriété CAGE (1 : 100 000) (114024-CA06-C10- GéologieAnomaliesPropriétéCAGE)

Carte 21 : Géologie et localisation des anomalies scintillométriques du secteur Davis-Kéglo (1 :40 000) (114024-CA06-C11- GéologieAnomaliesSecteurDavis-Kéglo)

Carte 22 : Géologie et localisation des anomalies scintillométriques du secteur CAGE-A à F (1 :6500) (114024-CA06-C12-GéologieAnomaliesSecteurCAGE-AF)

Carte 23 : Teneurs en U et Th des sédiments de fonds de lacs et correspondances aux critères de CAGE (1 :100 000) (114024-CA06-C21- TeneurUThSédiments FondDeLacCorrespondanceCritèreCAGE)

ANNEXE G
(Volume 7 de 8)

« Interprétation des données magnétiques et radiométriques de la campagne aérienne de Août 2006 » par Yoann Richard (AREVA NCB/BUM/DEX/GT)

ANNEXE H
(Volume 7 de 8)

« Étude structurale du secteur de l'indice Cage, Nunavik, Québec » par Nicolas Flotté (AREVA NCB/BUM/DEX/GT)

ANNEXE I
(Volume 7 de 8)

« CAGE : Analyse sommaire des linéaments en photosatellite » rapport interne par Jean Beaudin (Omegalpha Inc.)

ANNEXE J
(Volume 8 de 8)

« Final Report on a Helicopter-borne Magnetic & Radiometric Survey, Centre Cage Zone, Kangiqsualujjuaq, Québec, Canada » par McPhar Geosurveys Ltd

ANNEXE K
(Volume 8 de 8)

CERTIFICATS D'ANALYSE

Certificats d'analyse du Saskatchewan Research Council (SRC)

ANNEXE L
(Volume 8 de 8)

PRODUITS NUMÉRIQUES EN DVD

Produits numériques en DVD

ANNEXE F

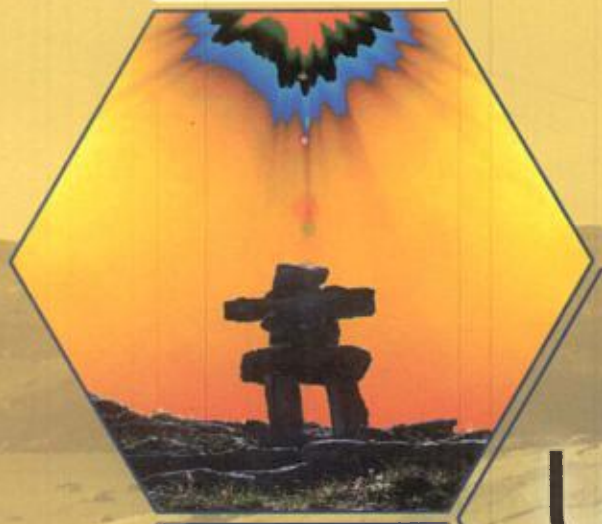

URANOR

CARTES
NO. 17 À 23

OMÉGALPHA

CAGE

MRNFP - SECTEUR DES MINES
REÇU LE
2 4 SEP. 2007
705544
Bureau régional - Montréal

1.0 ÉVALUATION PRÉLIMINAIRE DU POTENTIEL URANIFÈRE

*PROPRIÉTÉ **CAGE**, NUNAVIK, QUÉBEC*

PROJET 114024

URANOR

COPIE CONFORME

TRAVAUX 2006

RAPPORT
- ANNEXES G-H-I

Vol. 7 de 8

Juin 2007

OMÉGALPHA

2.0 TABLE DES MATIÈRES

		Page
1.0	TITRE	1
2.0	TABLE DES MATIÈRES	3
3.0	RÉSUMÉ	13
4.0	INTRODUCTION	15
5.0	RECOURS À D'AUTRES SPÉCIALISTES	15
6.0	DESCRIPTION ET EMPLACEMENT DU TERRAIN	16
	6.1 Grille de repérage	17
7.0	ACCESSIBILITÉ, CLIMAT, RESSOURCES LOCALES, INFRASTRUCTURES ET GÉOGRAPHIE PHYSIQUE	17
	7.1 Accès	17
	7.2 Climat	18
	7.3 Ressources locales	18
	7.4 Infrastructures	18
	7.5 Géographie physique	18
8.0	HISTORIQUE	19
	8.1 Géologie et géophysique	19
	8.2 Géologie structurale	20
	8.3 Géologie du quaternaire	20
	8.4 Géochimie de sédiments de fonds de lacs	21
	8.5 Gîtologie U, Cu, Ni	21
	8.6 Travaux rapportés par d'autres compagnies d'exploration	21
9.0	CONTEXTE GÉOLOGIQUE	22
	9.1 Géologie régionale	22
	9.1.1 Métamorphisme et pétrologie	24
	9.1.2 Géochronologie des groupes lithologiques	25
	9.2 Géologie régionale du quaternaire	25
	9.3 Géologie locale	26
	9.3.1 Lithologie	28
	9.3.1.1 *Marbre et roche calco-silicatée*	28
	9.3.1.2 *Quartzite*	28
	9.3.1.3 *Paragneiss*	28
	9.3.1.4 *Pegmatite*	29
	9.3.1.5 *Orthogneiss, granite et pegmatite*	29
	9.3.1.6 *Roches mafiques*	30
	9.3.2 Lithogéochimie	30
	9.3.2.1 *Marbres et roches calco-silicatées*	31
	9.3.2.2 *Pegmatites*	32
	9.3.2.3 *Paragneiss et orthogneiss*	32
	9.4 Géologie locale du quaternaire	32
10.0	TYPES DE GÎTES MINÉRAUX	33
	10.1 Modèle de type Rossing (zone de Davis Inlet)	34
	10.2 Modèle de type CAGE	34

11.0 MINÉRALISATIONS 36
11.1 Zone CAGE (Indices CAGE-A à CAGE-F 38
11.1.1 Indice CAGE-A 41
11.1.2 Indice CAGE-B 41
11.1.3 Indice CAGE-C 41
11.1.4 Indice CAGE-D 41
11.1.5 Indice CAGE-E 42
11.1.6 Indice CAGE-F 42
11.2 Zone Davis Inlet 42
11.2.1 Partie nord de la zone Davis Inlet 42
11.2.2 Partie sud de la zone Davis Inlet 42
11.3 Zone Aqiarussuk 43
11.4 Zone Kéglo Sud 44
11.5 Zone Tasiujaaluk 45
11.6 Zone CAGE Extension Sud 45
11.6.1 *Secteur Nord (zone CAGE extension sud)* 45
11.6.2 *Secteur Sud (zone CAGE extension sud)* 46
11.7 Zone de la Presqu'île 46
11.8 Zone Tasiujaaluk NW 46
11.9 Zone du Lac en Croissant 47
11.10 Autres anomalies 47
11.10.1 *Occurrence Mo-U* 47
11.10.2 *Autres anomalies uranothorifères* 47
11.10.2.1 *En affleurement* 48
11.10.2.2 *En blocs* 48
11.10.2.3 *Dans le sol* 48

12.0 TRAVAUXD'EXPLORATION 48
12.1 Géologie 49
12.2 Géophysique 50
12.2.1 *Interprétation des données géophysiques régionales* 50
12.2.2 *Interprétation des données géophysiques locales (secteur indiciel de CAGE)* 51
12.3 Géochimie de sédiments de fonds de lacs 52
12.3.1 *Données uranium* 52
12.3.2 *Corrélation avec d'autres éléments (critère CAGE)* 52
12.3.3 *Utilisation des données géochimiques* 52
12.3.4 *Interprétation* 52
12.4 Structure 53
12.4.1 *Linéaments par photo-satellite* 53
12.4.2 *Zone indiciel* 55

13.0 FORAGES (rainurages) 56
13.1 Description des rainurages 57
13.1.1 *Rainurage CA06-T-01, indice CAGE-D* 57
13.1.2 *Rainurage CA06-T-02, indice CAGE-D* 57
13.1.3 *Rainurage CA06-T-03, indice CAGE-D* 58
13.1.4 *Rainurage CA06-T-04, indice CAGE-D* 58
13.1.5 *Rainurage CA06-T-05, indice CAGE-D* 58
13.1.6 *Rainurage CA06-T-06, indice CAGE B* 58
13.2 Lithogéochimie des rainurages 59

14.0 MÉTHODOLOGIE DE LA GRILLE DE REPÉRAGE SUR L'INDICE CAGE ET DE L'ÉCHANTILLONNAGE SUR L'ENSEMBLE DE LA PROPRIÉTÉ CAGE 59
14.1 Grilles de repérage 59
14.1.1 *Équipe et matériel* 59
14.1.2 *Grilles de repérage* 59
14.1.3 *Obstacles* 60
14.2 Échantillonnage 61
14.2.1 *Cueillette sur le terrain* 61
14.2.2 *Sélection et préparation des échantillons pour analyse ou étude pétrographique et métallogénique* 61
14.2.3 *Transport des échantillons* 62

15.0 PRÉPARATION, ANALYSE ET SÉCURITÉ DES ÉCHANTILLONS 62

16.0 VÉRIFICATION DES DONNÉES 63

17.0 TERRAINS ADJACENTS 63

18.0 ESSAIS DE TRAITEMENT ET ESSAIS MÉTALLURGIQUES 64

19.0 ESTIMATION DES RESSOURCES MINÉRALES ET DES RÉSERVES MINÉRALES 64

20.0 AUTRES DONNÉES ET RENSEIGNEMENTS PERTINENTS 64
20.1 Environnement 64

21.0 INTERPRÉTATIONS ET CONCLUSIONS 65
21.1 Atteinte des objectifs 65
21.2 Travaux de terrain 2006 66
21.3 Résultats 2006 66
21.3.1 *Anomalies radiométriques et zones anomaliques* 66
21.3.2 *Type de minéralisation* 67
21.3.2.1 *Synthèse du contexte des anomalies et de la minéralisation* 67
21.3.3 *Stations et traverses* 68
21.3.4 *Géologie* 68
21.3.5 *Géophysique* 69
21.3.6 *Géochimie des sédiments de fonds de lacs* 69
21.3.7 *Rainurages* 69
21.3.8 *Autres renseignements* 70

22.0 RECOMMANDATIONS 70

23.0 RÉFÉRENCES 72

ANNEXE A
(Volume 1 de 8)

LISTE DES FIGURES

Figure 6.1 : Localisation du projet CAGE 2006 dans la province du Québec, Canada (114024-CA06-F14-LocalisationCageQuébec8x11-07Déc2006)

Figure 6.2 : Localisation de la propriété CAGE, des claims d'Uranor et de la concurrence (114024-CA06-F18-LocalisationProjetCAGEClaimsUranorEtConcurrence-11Mai2007).

Figure 8.1.1 : - Contexte lithotectonique de la partie SE de la province de Churchill (tirée de Wardle (2002) et modifiée par Omégalpha (2006)) (114024-CA06-F16-ContexteLithotectoniquePartieSEProvinceChurchill-07Mai2007)

Figure 9.2.1 : Limites du front glaciaire sur la Baie d'Ungava de 8000 B.P. selon Dykes et al., 2003. (114024-CA06-F19-LimiteFrontGlaciaireBaieUngava-09Mai2007)

Figure 9.2.2 : Application du niveau marin de 481 pieds (148 mètres) vers 730B.P. d'après Lauriol et al. (1979) sur un modèle numérique d'élévation de la côte Est de la Baie d'Ungava dans le secteur de CAGE. (114024-CA06-F20-Application NiveauMarin481Pied-735BP-CAGE-09Mai2007).

Figure 9.3.2.1 : Distribution des analyses de marbre et de roches calco-silicatées peu minéralisées (U<67ppm) dans des diagrammes Li-CaO et Al2O3-CaO montrant la faible mobilité du calcium lors du métamorphisme (114024-CA06-F21-DistributionAnalysesMarbreCalco-silicatées-Li-CaO-Al2O3-CaO-11Mai2007).

Figure 9.3.2.2 : Diagrammes triangulaires : Al2O3-K2O-FeO+MgO pour les échantillons de pegmatite et Al2O3-CaO-FeO+MgO pour les échantillons de marbre et de roches calco-silicatées, de la zone indicielle de CAGE. (114024-CA06-F22-DiagrammeTriangulaire-AlO3-CaO-FeO+MgO-K2O-ZoneCAGE-11Mai2007)

Figure 9.3.2.3 : Diagrammes triangulaires : Al2O3-K2O-FeO+MgO pour les échantillons de pegmatite, paragneiss, orthogneiss et Al2O3-CaO-FeO+MgO pour les échantillons de marbre, de roches calco-silicatées et de diopsidite des zones anomaliques régionales. (114024-CA06-F23-DiagrammeTriangulaire-Al2O3-CaO-FeO+MgO-K2O-ZonesAnomaliques-11Mai2007)

Figure 9.3.2.4 : Diagrammes binaires : a) CaO+MgO-Al2O3, b) CaO+MgO-Fe2O3, c) CaO+MgO-K2O+Na2O et d) CaO+MgO-Ba, montrant la distribution des échantillons de marbre, de roches calco-silicatées et de diopsidite de la zone indicielle de CAGE et des zones d'anomalies régionales. (114024-CA06-F24-DiagrammeBinaire-Al2O3-CaO+MgO-Fe2O3-K2O+Na2O-Marbre-11Mai2007)

Figure 9.3.2.5 : Diagrammes binaires : a) Li-Ba, b) Th-U et c) MgO-Li, montrant la distribution des échantillons de marbre, de roches calco-silicatées et de

diopsidite de la zone indicielle de CAGE et des zones d'anomalies régionales. (114024-CA06-F25-DiagrammeBinaire-Ba-Li-U-Th-MgO-Marbre-11Mai2007)

Figure 9.3.2.6 : Diagrammes binaires : a) Al2O3-Na2O+K2O, b) Al2O3-CaO, c) Al2O3-FeO et d) TiO2-MgO+FeO, montrant la distribution des échantillons de pegmatite associée à du paragneiss, de l'orthogneiss ou au contact avec du marbre dans les zones d'anomalies régionales, et de pegmatite associée à du marbre et des roches calco-silicatées de la zone indicielle CAGE. (114024-CA06-F26-DiagrammeBinaire-Al2O3-Na2O-K2O-TiO2-Pegmatite-11Mai2007)

Figure 10.1.1 : Planche microphotographique (a à f) des minéraux accessoires (allanite, zircon, titanite, monazite, apatite) contenant de l'uranium et des éléments de terres rares. (114024-CA06-F27-PlancheMicrophotographique-Figure 10.1.1-10Mai2007)

Figure 10.2.1 : Planche microphotographique (a à f) du comportement de l'uraninite dans les marbres provenant des lames minces de CAGE. (114024-CA06-F28-PlancheMicrophotographique-Figure 10.2.1-10Mai2007)

Figure 10.2.2 : Planche microphotographique (a à f) montrant des associations minéralogiques et des microstructures. (114024-CA06-F29-PlancheMicrophotographique-Figure 10.2.2-10Mai2007)

Figure 11.1 : Diagrammes binaires : a) Th-U, b) U-Ba, c) U-Zr et d) Th-Zr, montrant la distribution des échantillons de pegmatite associée à du paragneiss, de l'orthogneiss ou au contact avec du marbre dans les zones d'anomalies régionales, et de pegmatite associée à du marbre et des roches calco-silicatées de la zone indicielle CAGE. (114024-CA06-F30-DiagrammeBinaire-Th-U-Ba-Zr-Pegmatite-ZonesAnomaliquesCAGE-11Mai2007)

Figure 11.2 : Diagramme binaire Na2O-K2O montrant la distribution des échantillons de pegmatite associée à du paragneiss, de l'orthogneiss ou au contact avec du marbre dans les zones d'anomalies régionales, et de pegmatite associée à du marbre et des roches calco-silicatées de la zone indicielle CAGE. (114024-CA06-F31-DiagrammeBinaire-Na2O-K2O-Pegmatite-Gneiss-Marbre-ZonesAnomaliques-11Mai2007)

Figure 11.1.1 : Marbre dolomitique massif fortement fracturé. (114024-CA06-F32-F33-PhotosMarbreDolomitiqueChaotique-Figure11.1.1-11.1.2-11Mai2007)

Figure 11.1.2 : Roche calco-silicatée de type « chaotique » où les litages et pegmatites sont discontinus et sans relation avec les morceaux voisins (114024-CA06-F32-F33-PhotosMarbreDolomitiqueChaotique-Figure11.1.1-11.1.2-11Mai2007)

Figure 11.1.3 : Marbre lité et folié à la décharge du lac Cage. (114024-CA06-F34-F35-PhotosMarbreFoliéMarbreDiopside-Figure11.1.3-11.1.4-11Mai2007)

Figure 11.1.4 : Pods de roche calco-silicatée riche en diopside à l'interface de roches calco-silicatées et de marbre dolomitique (affleurement CA06-1002-02). (114024-CA06-F34-F35-PhotosMarbreFoliéMarbreDiopside-Figure11.1.3-11.1.4-11Mai2007)

Figure 11.1.5 : Unité de grès à grain fin à moyen métamorphisé avec une texture de surface en balle de golf (affleurement CA06-1002-01) (114024-CA06-F36-F37-PhotosGrèsTextureGolfVerdâtre-Figure11.1.5-11.1.6-11Mai2007)

Figure 11.1.6 : Unité de grès verdâtre à grain fin et légèrement magnétique métamorphisé (affleurement CA06-1005-15) (114024-CA06-F36-F37-PhotosGrèsTextureGolfVerdâtre-Figure11.1.5-11.1.6-11Mai2007)

Figure 13.1.1 : Rainurage CA06-T-01 (114024-CA06-F38-Rainurage-CA06-T-01-22Mai2007)

Figure 13.1.2 : Rainurage CA06-T-02 (114024-CA06-F39-Rainurage-CA06-T-02-22Mai2007)

Figure 13.1.3 : Rainurage CA06-T-03 (114024-CA06-F40-Rainurage-CA06-T-03-22Mai2007)

Figure 13.1.4 : Rainurage CA06-T-04 (114024-CA06-F41-Rainurage-CA06-T-04-22Mai2007)

Figure 13.1.5 : Rainurage CA06-T-05 (114024-CA06-F42-Rainurage-CA06-T-05-22Mai2007)

Figure 13.1.6 : Rainurage CA06-T-06 (114024-CA06-F43-Rainurage-CA06-T-06-22Mai2007)

Figure 13.2.1 : Diagramme binaire U-CaO et U-(CaO+MgO/Al2O3) des échantillons de marbre et de roche calco-silicatée prélevés sur les affleurements et dans les rainurages de la zone indicielle de CAGE. (114024-CA06-F44-Lithogéochimie RainureMarbre-Figure13.2.1-23Mai2007)

Figure 13.2.2 : Diagramme binaire U-Pb, U-Cu, U-Mo et U-Ba des échantillons de marbre et de roche calco-silicatée prélevés sur les affleurements et dans les rainurages de la zone indicielle de CAGE. (114024-CA06-F45-LithogéochimieRainure Marbre-Figure13.2.2-23Mai2007)

Figure 13.2.3 : Diagramme binaire U-V des échantillons de marbre et les roches calco-silicatées prélevés dans les rainurages de la zone indicielle de CAGE et diagrammes binaires U-V, U-Y et U-Bi des échantillons de marbre et de roche calco-silicatée prélevés sur les affleurements et dans les rainurages de la même zone indicielle. (114024-CA06-F46-LithogéochimieRainureMarbre-Figure13.2.3-23Mai2007)

ANNEXE B
(Volume 2 de 8)

TABLEAU DES STATIONS

Tableau 12.1 : Tableau synoptiques des stations (114024-CA06-T07-TableauSynoptiqueStations-31Mai2007)

ANNEXE C
(Volume 3 de 8)

LISTE DES TABLEAUX

Tableau 4.1 : Liste des géologues, des prospecteurs, des techniciens, des consultants et du personnel du soutien logistique du projet CAGE 2006 (114024-CA06-T02-ListeGéologuesConsultantsTechniciens-07Mai2007)

Tableau 6.1 : Tableau descriptif des claims actifs et en demande d'Uranor Inc. du projet CAGE 2006 (114024-CA06-T01-ClaimsActifsEtEnDemande Uranor-Cage 2006)

Tableau 8.6.1 : Tableau synoptique des travaux statutaires - PROJET 114024 (114024-CA06-T03-TravauxStatutaires24I24P-07Mai2007)

Tableau 9.3.2.1:Analyses lithogéochimiques des échantillons choisis et de rainurage classées par unités lithologiques (114024-CA06-T08- Analyses GéochimiquesPartiellesFiltrées-Lithologie-Diagramme-24Mai2007)

Tableau 10.1 : Caractéristiques physiques, minéralogiques et structurales de l'indice minéralisé de type Cage par rapport au gisement Namibien de Rossing (114024-CA06-T09-TableauComparaisonTypeCageRossing-24Mai2007)

Tableau 10.1.1 :Séquence paragénétique des principaux minéraux observés en lame mince par rapport à la déformation (114024-CA06-T05-SéquenceParagénétiqueMinéraux Déformation-11Mai2007)

Tableau 11.1 : Analyses lithogéochimiques des échantillons choisis et de rainurage (114024-CA06-T04-AnalysesLithogéochimiques-09Mai2007)

Tableau 11.2 : Tableau synoptique des anomalies scintillométriques au sol (114024-CA06-T10-AnomaliesScintillométriques-31Mai2007)

ANNEXE D
(Volume 4 de 8)

LISTE DES CARTES

Carte 1 : Topographie 3D du secteur de la propriété CAGE (1 :100 000) (114024-CA06-C07 – Topographie3DSecteurPropriétéCage)

Carte 2 : Topographie 3D du secteur Davis-Kéglo (1 : 1 500) (114024-CA06-C08-Topographie3DSecteurDavisKéglo)

Carte 3 : Géologique régionale SNRC 24I-24P d'après Taylor (1979) et Verpaelst (2000) (1 :100 000) (114024-CA06-C09- GéologieRégionale24I24PSigéom)

Carte 4 : Champs magnétique total (Sigéom) de la propriété CAGE (1 :100 000) (114024-CA06-C20 – ChampMagnétiqueTotalSigéom)

Carte 5 : Localisation des travaux statutaires SNRC 24I-24P (1 :250 000) (114024-CA06-C27 – CompilationTravauxStatutaires24I24P)

Carte 6 : Géologie et localisation des stations de la propriété CAGE (1 :100 000) (114024-CA06-C13-GéologieStations-PropriétésCage)

Carte 7 : Géologie et localisation des stations de la partie NE du secteur Davis-Kéglo (1 :25 000) (114024-CA06-C15-GéologieStations-SecteurDavisKéglo-partieNE)

Carte 8 : Géologie et localisation des stations de la partie SE du secteur Davis-Kéglo (1 :25 000) (114024-CA06-C16-GéologieStations-SecteurDavisKéglo-partieSE)

ANNEXE E
(Volume 5 de 8)

LISTE DES CARTES

Carte 9 : Géologie et localisation des stations de la partie SW du secteur Davis-Kéglo (1 :25 000) (114024-CA06-C17-GéologieStations-SecteurDavisKeglo-partieSW)

Carte 10 : Géologie et localisation des stations de la partie NW du secteur Davis-Kéglo (1 :25 000) (114024-CA06-C18-GéologieStations-SecteurDavisKéglo-partieNW)

Carte 11 : Géologie et localisation des stations du secteur CAGE-A à F (1 :6500) (114024-CA06-C19-GéologieStations-SecteurCAGE-AF)

Carte 12 : Localisation des échantillons et rapports spectrométriques U/Th de la propriété CAGE (1 :100 000) (114024-CA06-C24-LocalisationÉchantillonsRapports SpectroUTh-PropriétéCAGE)

Carte 13 : Localisation des échantillons et rapports spectrométriques U/Th du secteur Davis-Kéglo (1 :40 000) (114024-CA06-C25 - LocalisationÉchantillons RapportsSpectroUTh-SecteurDavisKéglo)

Carte 14 : Localisation des échantillons et rapports spectrométriques U/Th des secteurs CAGE-A à F (1 :6500) (114024-CA06-C26- LocalisationÉchantillonsRapports SpectroUTh -CAGE-AF)

Carte 15 : Teneurs U et Th des échantillons analysés en 2006 sur la propriété CAGE (1 :100 000) (114024-CA06-C28- ÉchantillonsAnalysésRapportSpectroUTh-PropriétéCAGE)

Carte 16 : Teneurs U et Th des échantillons analysés en 2006 sur la propriété CAGE (secteur Davis-Kéglo)(1 :40000)(114024-CA06-C29-ÉchantillonsAnalysésRapportSpectro UTh-SecteurDavisKéglo)

ANNEXE F
(Volume 6 de 8)

LISTE DES CARTES

Carte 17 : Teneurs U et Th des échantillons analysés en 2006 (secteur Cage A-F) (1 :6 500) (114024-CA06-C30- ÉchantillonsAnalysésRapportSpectroUTh-SecteursCageAF)

Carte 18 : Plan compteur avec valeurs radiométriques et résultats analytiques des rainurages – Indice CAGE B (1 :50) (114024-CA06-C22 – PlanCompteur RadiométrieAnalyseRainurage-IndiceCageB)

Carte 19 : Plan compteur avec valeurs radiométriques et résultats analytiques des rainurages – Indice CAGE D (1 :50) (114024-CA06-C23 – PlanCompteur RadiométrieAnalyseRainurage-IndiceCageD)

Carte 20 : Géologie et localisation des anomalies scintillométriques de la propriété CAGE (1 : 100 000) (114024-CA06-C10- GéologieAnomaliesPropriétéCAGE)

Carte 21 : Géologie et localisation des anomalies scintillométriques du secteur Davis-Kéglo (1 :40 000) (114024-CA06-C11- GéologieAnomaliesSecteurDavis-Kéglo)

Carte 22 : Géologie et localisation des anomalies scintillométriques du secteur CAGE-A à F (1 :6500) (114024-CA06-C12-GéologieAnomaliesSecteurCAGE-AF)

Carte 23 : Teneurs en U et Th des sédiments de fonds de lacs et correspondances aux critères de CAGE (1 :100 000) (114024-CA06-C21- TeneurUThSédiments FondDeLacCorrespondanceCritèreCAGE)

ANNEXE G
(Volume 7 de 8)

« Interprétation des données magnétiques et radiométriques de la campagne aérienne de Août 2006 » par Yoann Richard (AREVA NCB/BUM/DEX/GT)

ANNEXE H
(Volume 7 de 8)

« Étude structurale du secteur de l'indice Cage, Nunavik, Québec » par Nicolas Flotté (AREVA NCB/BUM/DEX/GT)

ANNEXE I
(Volume 7 de 8)

« CAGE : Analyse sommaire des linéaments en photosatellite » rapport interne par Jean Beaudin (Omegalpha Inc.)

ANNEXE J
(Volume 8 de 8)

« Final Report on a Helicopter-borne Magnetic & Radiometric Survey, Centre Cage Zone, Kangiqsualujjuaq, Québec, Canada » par McPhar Geosurveys Ltd

ANNEXE K
(Volume 8 de 8)

CERTIFICATS D'ANALYSE

Certificats d'analyse du Saskatchewan Research Council (SRC)

ANNEXE L
(Volume 8 de 8)

PRODUITS NUMÉRIQUES EN DVD

Produits numériques en DVD

ANNEXE G

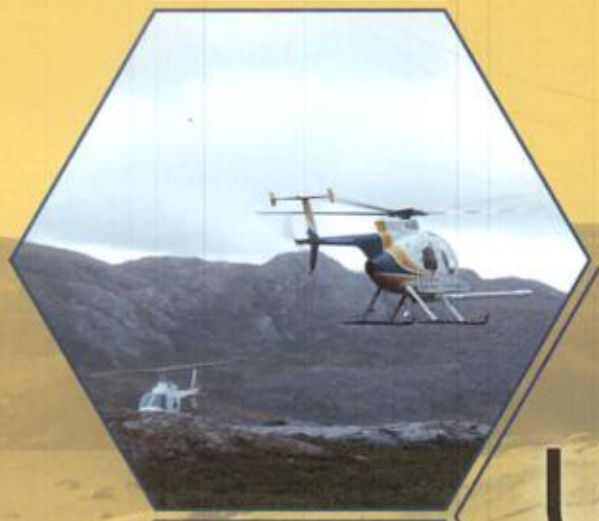

URANOR

INTERPRÉTATION DES DONNÉES MAGNÉTIQUES ET RADIOMÉTRIQUES DE LA CAMPAGNE AÉRIENNE DE AOÛT 2006

Par Yoann Richard (AREVA NCB/BUM/DEX/GT)

OMÉGALPHA

Interprétation des données magnétiques et radiométriques de la campagne aérienne de Août 2006

Cage – Nunavik – Québec

Réalisé par

RICHARD Yoann
AREVA NC/BUM/DEX/GT
08/03/07

COPIE CONFORME

En dossier par

GÉOLOGUE / GEOLOGIST
SERGE GENEST #577
QUÉBEC

Ressources naturelles et Faune, Québec
17 MARS 2008
Service de la Géoinformation

Business Unit Mines
Direction de l'Exploration
Groupe Technique

AREVA

Vélizy, le 9 Mars 2007

Réf : BUM/DEX/GT RI 07/2

Interprétation des données magnétiques et radiométriques de la campagne aérienne de Août 2006

Cage – Nunavik – Québec

08/03/07

Vélizy

Nom		Signature
Rédacteur	Y. RICHARD	
Correcteur	J. ROUX	
Approbateur	J. ROUX	

DIFFUSION : **AREVA NC VELIZY:** J. ROUX
C. CAILLAT
N. FLOTTE

OMEGALPHA: S. GENEST

Table des matières

Résumé **6**

1. Campagne de géophysique héliportée 2006 ..... **7**

2. Caractéristiques du levé héliporté **9**

3. Interprétation des données radiométriques **9**

3.1 Données de l'ensemble de la zone survolée 9

3.1.1 Comptage Total et Concentrations Apparentes *9*

3.1.2 Carte Ternaire *14*

3.1.3 Rapports Radiométriques *20*

3.2 Focalisation sur l'indice Cage 25

3.2.1 Comptage Total et Concentrations Apparentes *25*

3.2.2 Carte Ternaire *29*

3.2.3 Rapports Radiométriques *32*

4. Interprétation des données magnétiques **35**

4.1 Données de l'ensemble de la zone survolée 35

4.1.1 Traitement du signal – Interprétation qualitative *37*

4.1.2 Interprétation quantitative *48*

4.2 Focalisation sur l'indice Cage 51

5. Synthèse **62**

5.1 Spectrométrie Gamma 62

5.2 Magnétométrie 62

Table des illustrations

Figure 1 : Localisation de l'indice Cage – Grand Nord Québec 7
Figure 2 : Indice Cage et contour du levé géophysique (jaune) sur fond de carte géologique 8
Figure 3 : Contour du permis et zone de levé effectif 8
Figure 4 : Comptage Radiométrique Total (cps) 10
Figure 5 : Concentration apparente en Uranium (eppm) 11
Figure 6 : Concentration apparente en Thorium (eppm) 12
Figure 7 : Concentration apparente en Potassium (%) 13
Figure 8 : Carte Ternaire des différents comptages U, K et Th 15
Figure 9 : Carte géologique de la région de Cage 17
Figure 10 : Carte d'occurrence des marbres déduite de la carte ternaire 18
Figure 11 : Comparaison entre la carte d'occurrence des marbres et la carte géologique 19
Figure 12 : Carte du rapport U/Th 21
Figure 13 : Rapport U/Th dans les marbres sur fond de carte géologique 22
Figure 14 : Carte du rapport U^2/Th 23
Figure 15 : Rapport U^2/Th sur fond de carte géologique 24
Figure 16 : Comptage Total dans la zone de Cage 25
Figure 17 : Concentration apparente en Uranium dans la zone de Cage (eppm) 26
Figure 18 : Concentration apparente en Thorium dans la zone de Cage (eppm) 27
Figure 19 : Concentration apparente en Potassium dans la zone de Cage (%) 28
Figure 20 : Carte Ternaire des différents éléments U, K et Th dans la zone de Cage 29
Figure 21 : Carte géologique de la zone de Cage 30
Figure 22 : Comparaison entre la carte d'occurrence des marbres et la carte géologique 31
Figure 23 : Occurrence des Marbres sur fond de carte géologique sans extrapolation au niveau des étendues d'eaux 32
Figure 24 : Carte du rapport U/Th dans la zone de Cage 33
Figure 25 : Carte du rapport U^2/Th dans la zone de Cage 34
Figure 26 : Champ Magnétique Total corrigé de l'IGRF 36
Figure 27 : Interprétation des principaux domaines et structures (Flotté, 2007) 37
Figure 28 : Champ magnétique résiduel Réduit au Pôle 39
Figure 29 : Dérivée selon l'axe X du champ magnétique réduit au pôle 40

Figure 30 : Dérivée selon l'axe Y du champ magnétique réduit au pôle 41
Figure 31 : Dérivée selon l'axe Z du champ magnétique réduit au pôle 42
Figure 32 : Dérivée Horizontale Totale du champ magnétique réduit au pôle 43
Figure 33 : Carte du Signal Analytique 44
Figure 34 : Tilt Dérivatif du champ magnétique réduit au pôle 45
Figure 35 : Modèle de la localisation des linéations principales 46
Figure 36 : Modèle des linéationss sur fond de carte géologique 47
Figure 37 : Profil de modélisation pour un marbre d'épaisseur finie 49
Figure 38 : Profil de modélisation pour un marbre d'épaisseur infinie 50
Figure 39 : Champ Magnétique Total corrigé de l'IGRF dans la zone de Cage 52
Figure 40 : Champ magnétique Réduit au Pôle, zone de Cage 53
Figure 41 : Dérivée selon l'axe X du champ magnétique réduit au pôle, zone de Cage 54
Figure 42 : Dérivée selon l'axe Y du champ magnétique réduit au pôle, zone de Cage 55
Figure 43 : Dérivée selon l'axe Z du champ magnétique réduit au pôle, zone de Cage 56
Figure 44 : Dérivée Horizontale Totale du champ magnétique réduit au pôle, zone de Cage 57
Figure 45 : Carte du Signal Analytique, zone de Cage 58
Figure 46 : Tilt Dérivatif du champ magnétique réduit au pôle, zone de Cage 59
Figure 47 : Modèle de la localisation des linéations principales dans la zone de Cage 60
Figure 48 : Modèle des linéations sur fond de carte géologique, zone de Cage 61

Résumé

L'interprétation des données magnétiques et radiométriques proposée ici fait suite à la campagne aérienne réalisée durant les mois de Juillet, Août et Septembre 2006 dans la région du Grand Nord Québec.

La couverture de la zone initialement prévue n'ayant pas été réalisée en totalité pour cause de retard du prestataire de services géophysiques et de la mince fenêtre climatique à cette latitude, elle sera complétée cet été, probablement à partir de la fin du mois de juin 2007. Pour information, 8726 km linéaires ont pu être volés en 2006 sur les 21836 km initialement prévus.

La campagne d'exploration de 2006 avait pour but de reconnaître les limites de l'indice Cage, découvert en 2005 et situé dans le Nunavik, à une centaine de kilomètres au Nord-est de Kangiqsualujjuaq.

Le résultat de cette interprétation est une définition ainsi qu'une localisation des principales structures géologiques à signatures magnétiques affectant la région, à l'aide de la combinaison de différentes méthodes de calculs (réduction au pôle, gradients du champ magnétique, signal analytique...).

Elle a également permis une délimitation des unités principales constituées de marbres à partir de l'interprétation combinée des données radiométriques et magnétiques.

L'interprétation des données radiométriques a, de plus, permis la mise en évidence des principales anomalies radiométriques à l'intérieur de celles-ci mais également à travers l'ensemble de la zone survolée.

Dans un souci de précision, il est à noter ici que dans les écrits qui vont suivre, sera qualifiée de « région ; régionale » la zone du levé héliportée et de « locale » toute sous zone située à l'intérieur de la région.

1. Campagne de géophysique héliportée 2006

Durant la période de fin Juillet à début Septembre 2006, une campagne de géophysique héliportée (magnétométrie et radiométrie) a été réalisée dans le Grand Nord Québec, non loin de Kangiqsualujjuaq, dans les environs de l'indice Cage découvert en 2005 (Caillat, 2005) (cf. figure1 et 2).

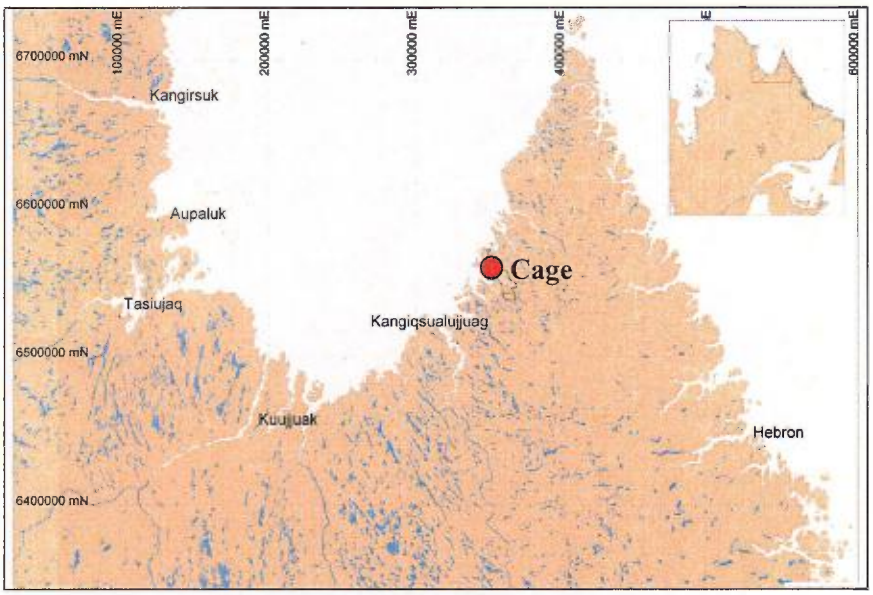

Figure 1 : Localisation de l'indice Cage – Grand Nord Québec

La zone du levé initialement prévu, qui représente plus de 21000 km linéaires, n'a pas pu être volée entièrement lors de cette période. En effet, comme le montre la figure 3, seulement 40% de la zone a été couverte pour cause d'un retard de mobilisation de la part du prestataire de services géophysiques – McPhar Geosurveys – et du climat difficile à cette latitude après le mois d'Août.

Néanmoins, l'interprétation de ces données obtenues en 2006 a pour but d'obtenir une image des différentes structures géologiques à signatures magnétiques présentes dans la région de Cage en utilisant différentes méthodes de calculs géophysiques.

Il s'agit également d'obtenir une carte radiométrique permettant de localiser et/ou de délimiter les zones anomales en uranium ainsi que de cartographier les différentes lithologies présentes à partir des mesures de spectrométrie gamma.

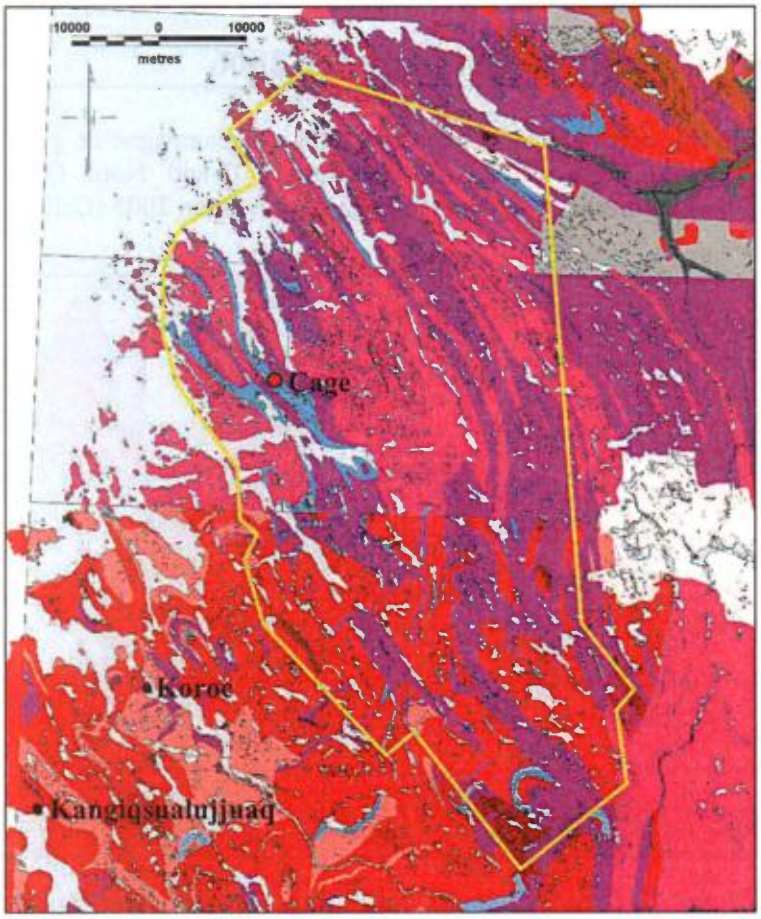

Figure 2 : Indice Cage et contour du levé géophysique (jaune) sur fond de carte géologique

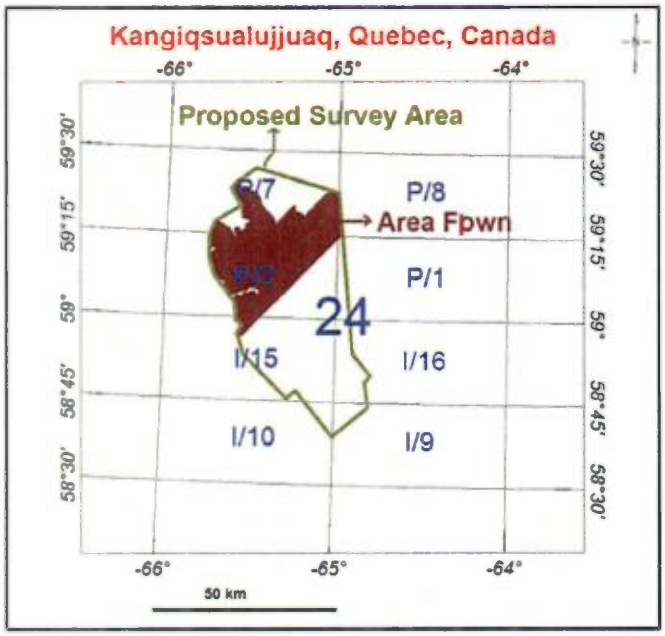

Figure 3 : Contour du permis et zone de levé effectif

2. Caractéristiques du levé héliporté

La campagne de radiométrie et de magnétométrie haute résolution a été volée selon une direction principale N45E et un espacement entre les lignes de vol de 150 mètres. Les lignes transverses, perpendiculaires aux précédentes, étaient espacées de 1500 mètres.

La vitesse de l'hélicoptère était d'environ 140 km/h, ce qui correspond à une distance moyenne entre deux points de mesures successifs :

- de l'ordre de 2 mètres pour la magnétométrie,
- de l'ordre de 39 mètres pour la spectrométrie gamma.

La hauteur de vol nominale de l'appareil par rapport au sol était de 50 mètres.

Il est à préciser qu'aucun orage magnétique n'est venu perturber les mesures magnétiques lors de cette campagne.

En ce qui concerne les mesures radiométriques, plusieurs journées de mauvais temps (brouillard et/ou pluie) ont par moment empêché toute acquisition de données.

3. Interprétation des données radiométriques

3.1 Données de l'ensemble de la zone survolée

3.1.1 Comptage Total et Concentrations Apparentes

Les cartes suivantes présentent successivement :

- le comptage total exprimé en coups par secondes (cps ; figure 4),
- la concentration apparente en Uranium de la zone, exprimé en équivalent ppm (eppm ; figure 5),
- la concentration apparente en Thorium (eppm ; figure 6),
- la concentration apparente en Potassium exprimé en % (figure 7).

Pour information, la valeur moyenne du Comptage Total mesuré sur cette zone est de 1415 cps avec un écart type de 642, soit en équivalent Débit de Dose : 66,97 nGy/h et un écart type de 30,37.

Le Comptage Total maximum mesuré est de 11306 cps, soit en équivalent Débit de Dose : 534,96 nGy/h. Cette mesure est située au Nord-ouest de l'indice Bocar, et selon la carte géologique au niveau du contact entre les unités de marbres et le socle Archéen. Elle est localisée par une flèche sur la figure 4. Sa composante Uranifère correspond à une concentration apparente de 72,83 eppm. La concentration apparente en Thorium de ce point est de 55,52 eppm ; soit un rapport U/Th égal à 1,31.

La valeur moyenne de la concentration apparente en Uranium sur l'ensemble de la zone survolée est de 3,86 eppm avec un écart type de 2,00.

Celle de la concentration apparente en Thorium est de 13,95 eppm avec un écart type de 8,05.

Celle de la concentration apparente en Potassium est de 2,52 % avec un écart type de 1,00.

A titre de comparaison, le clarke – teneur moyenne d'un élément chimique dans la croûte terrestre – de l'Uranium est de 2,7 ppm, celui du Thorium est de 10,8 ppm et celui du Potassium est de 2,25 %.

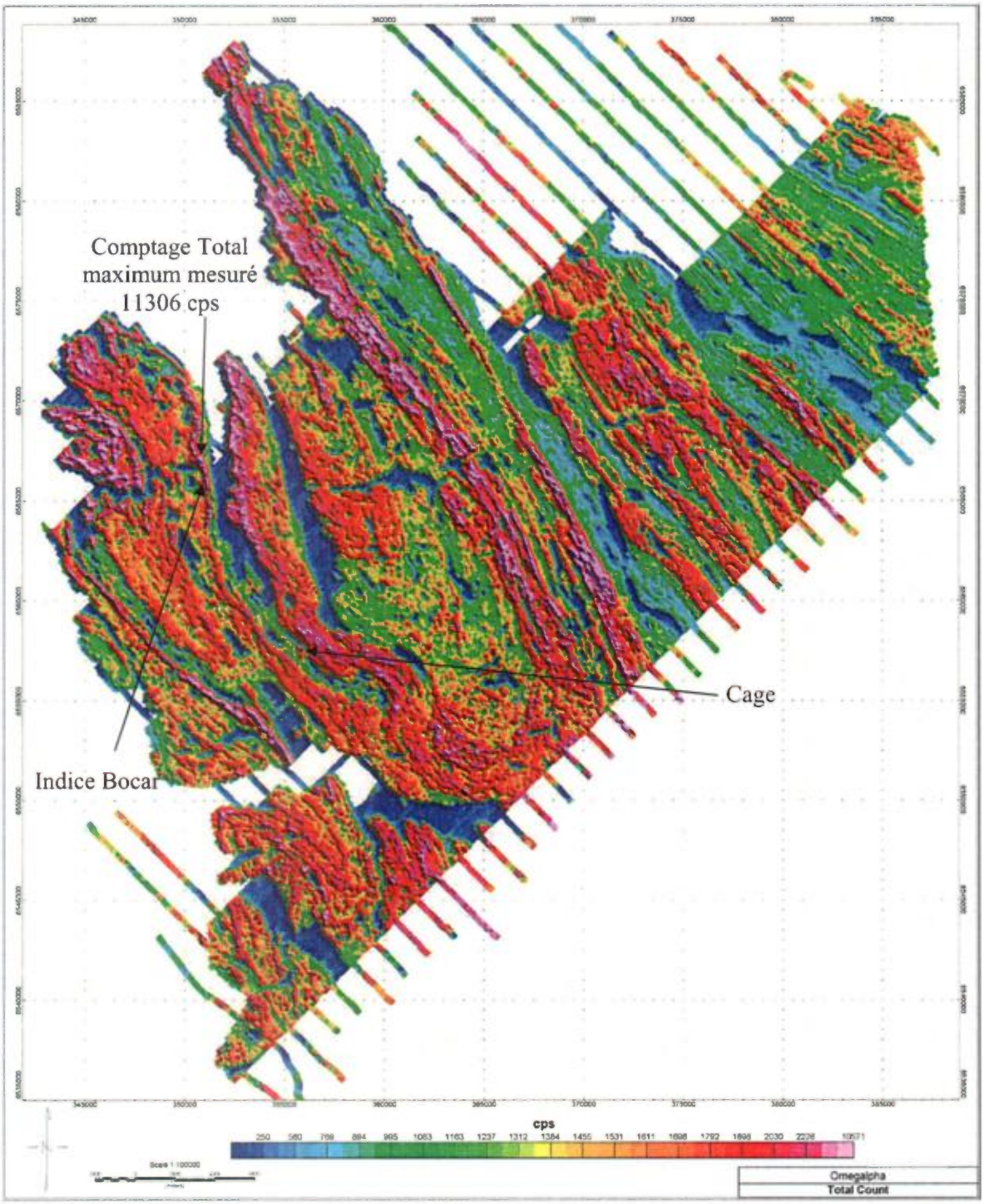

Figure 4 : Comptage Radiométrique Total (cps)

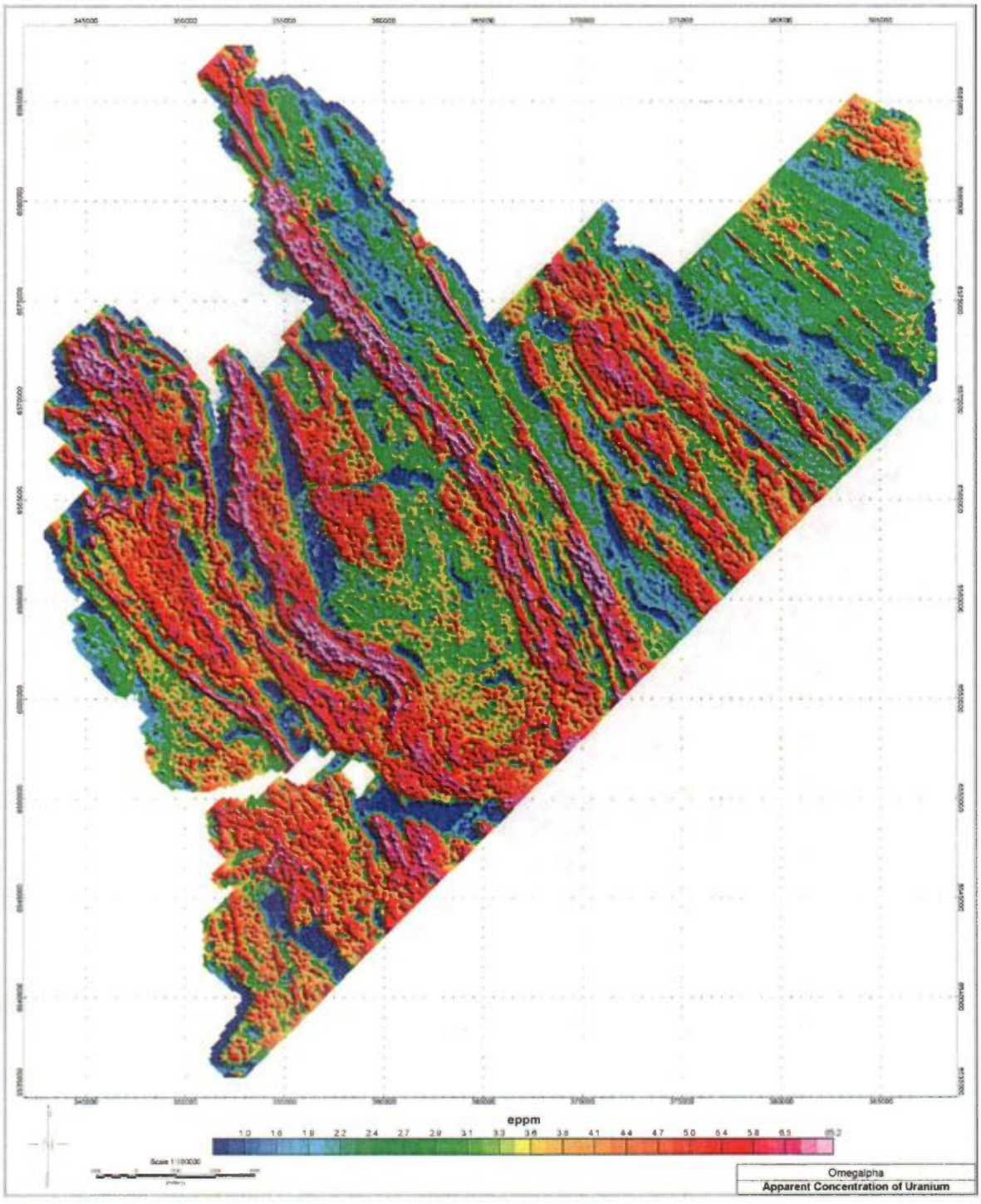

Figure 5 : Concentration apparente en Uranium (eppm)

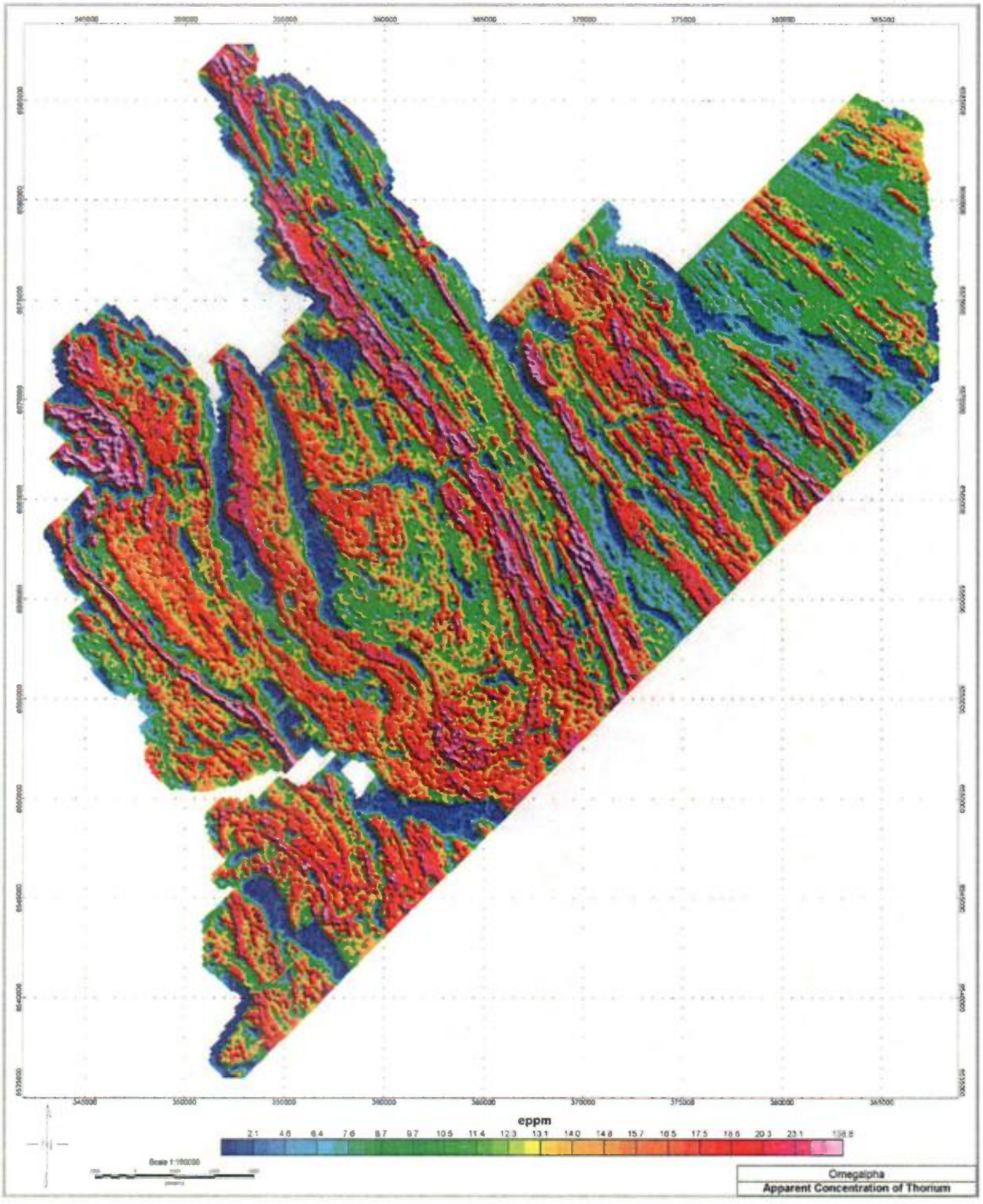

Figure 6 : Concentration apparente en Thorium (eppm)

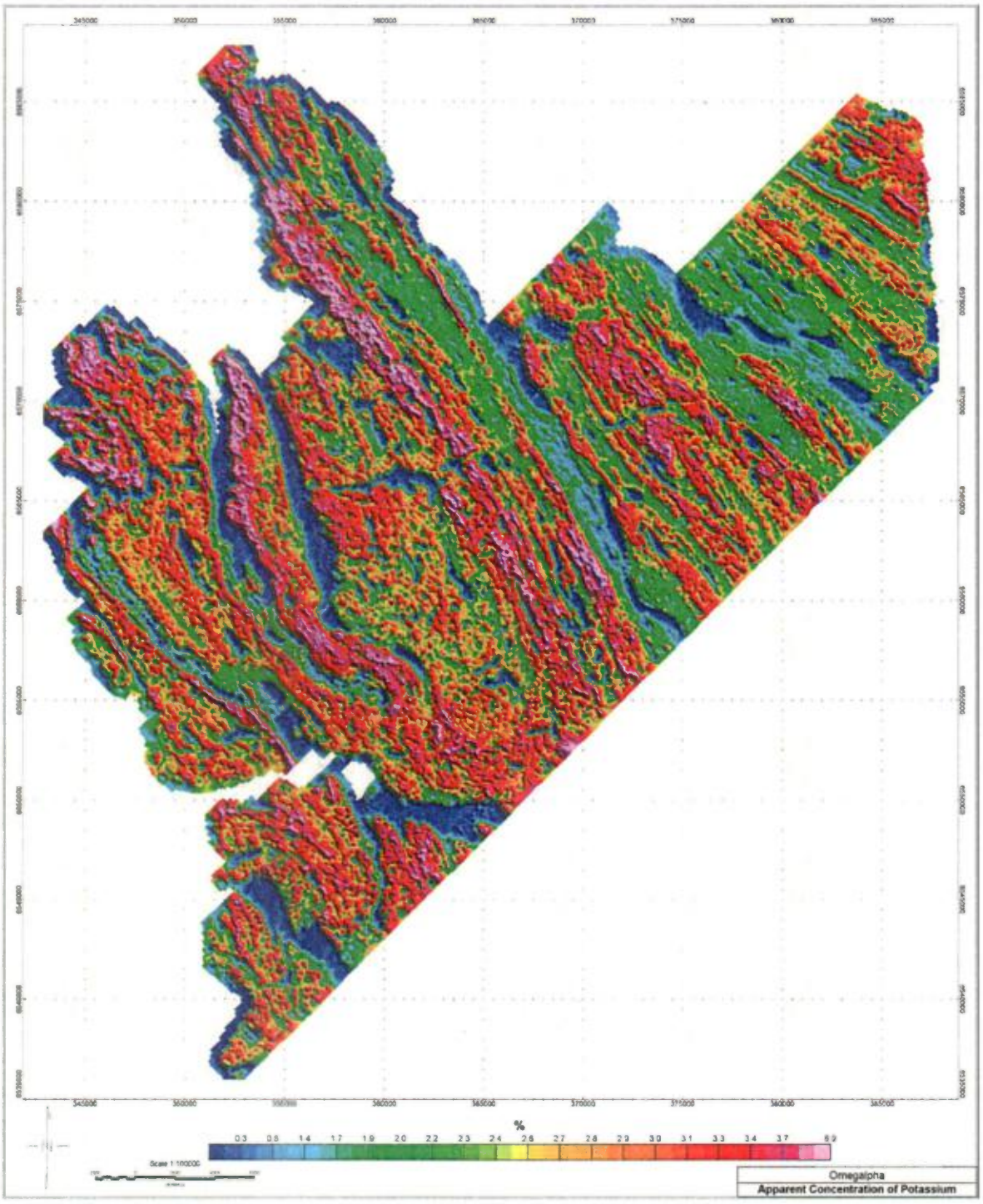

Figure 7 : Concentration apparente en Potassium (%)

3.1.2 Carte Ternaire

La combinaison des trois cartes Uranium, Thorium et Potassium, sous la forme d'une carte ternaire, permet d'obtenir une vision globale de la répartition géographique des radioéléments. De ce fait, cette carte permet de mettre en évidence les différentes lithologies selon que ces radioéléments sont plus ou moins concentrés dans les divers types de roches qui constituent l'environnement géologique local. Cette combinaison n'est pas réalisée en utilisant les cartes de concentration apparente car il y aurait un problème d'échelle en associant l'Uranium et le Thorium exprimés en eppm avec le Potassium exprimé en %. Ce sont les cartes des différents comptages, après corrections, qui sont utilisées.

La figure 8 illustre cette combinaison.

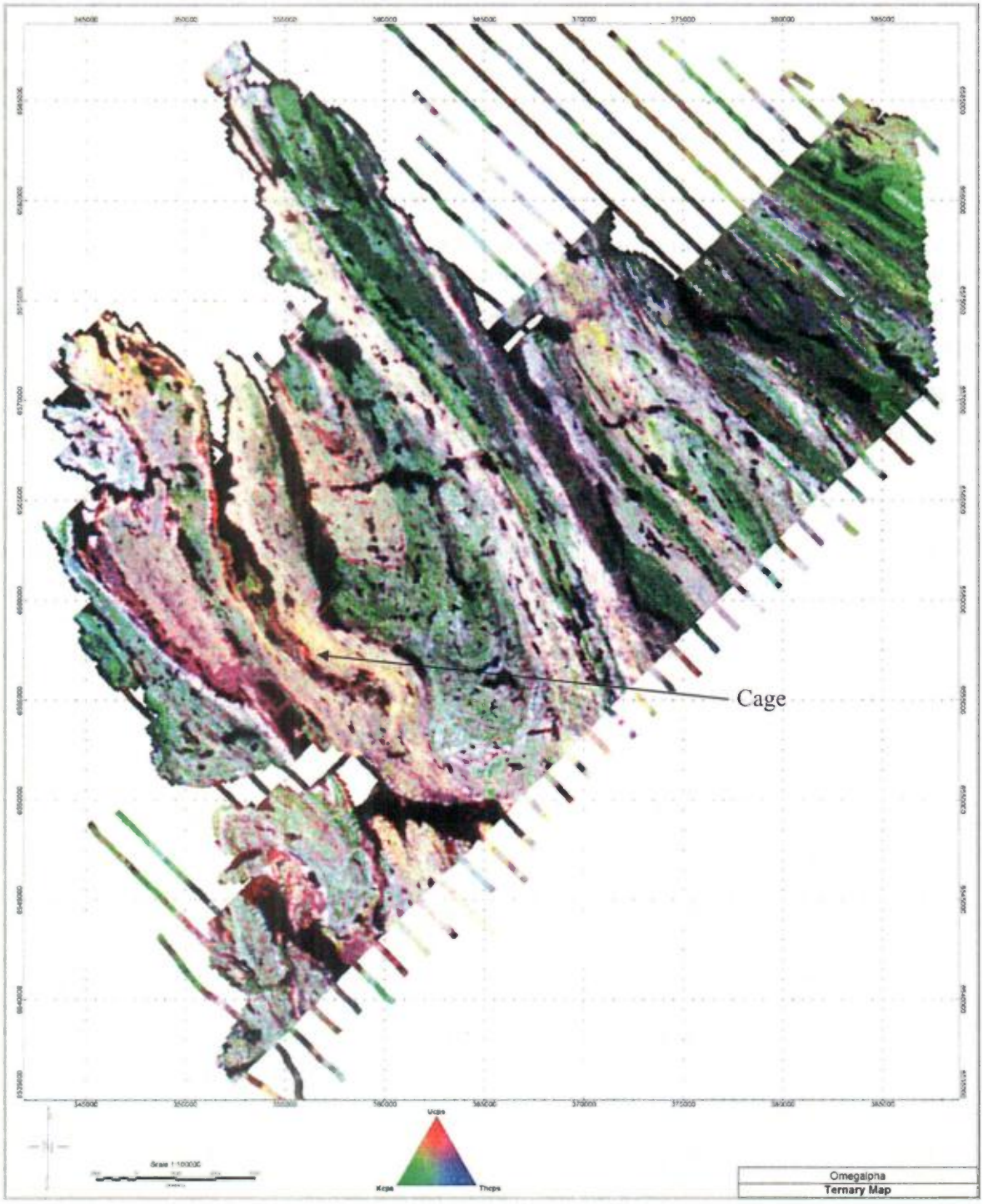

Figure 8 : Carte Ternaire des différents comptages U, K et Th

L'objectif de la campagne héliportée, tout comme la campagne géologique de terrain qui a été réalisée au même moment, était de reconnaître toutes les unités de marbres et de roches calcosilicatées présentes dans cette zone.

En comparant la carte géologique suivante (cf. figure 9), qui n'est pas très précise (après comparaison sur le terrain), et la carte ternaire obtenue précédemment, on peut remarquer qu'à priori les marbres ont une signature, pour l'essentielle, uranifère. Ils ne sont pas ou très peu potassiques, conformément aux analyses pétrographiques réalisées sur des échantillons prélevés sur l'indice même, et très pauvres en Thorium (Mathieu, 2006).

Ainsi, d'après cela et conformément au code de couleur utilisé pour cette représentation ternaire (U : rouge ; K : vert ; Th : bleu), les marbres ressortiront plutôt en rouge-rosé.

La figure 10 représente la carte d'occurrence des marbres de la zone, obtenue manuellement en pointant le contour de ces zones rouge-rosés, en accord avec la réflexion précédente.

La figure 11 est une superposition de cette carte d'occurrence des marbres à la carte géologique régionale.

Remarque concernant la répartition des marbres au niveau des zones immergées :

La mesure radiométrique n'est pas efficace au dessus des étendues d'eau car une faible tranche d'eau empêche toute émission de rayonnements.

De ce fait, ces zones apparaissent en noir sur la carte ternaire.

Toutefois, de fortes marées ont eu lieu dans cette région durant la campagne héliportée, et ce phénomène a permis de mettre à l'air libre des zones non définies comme étant immergées de façon permanente.

Ceci explique alors la présence d'anomalies radiométriques ponctuelles au niveau des « zones immergées ».

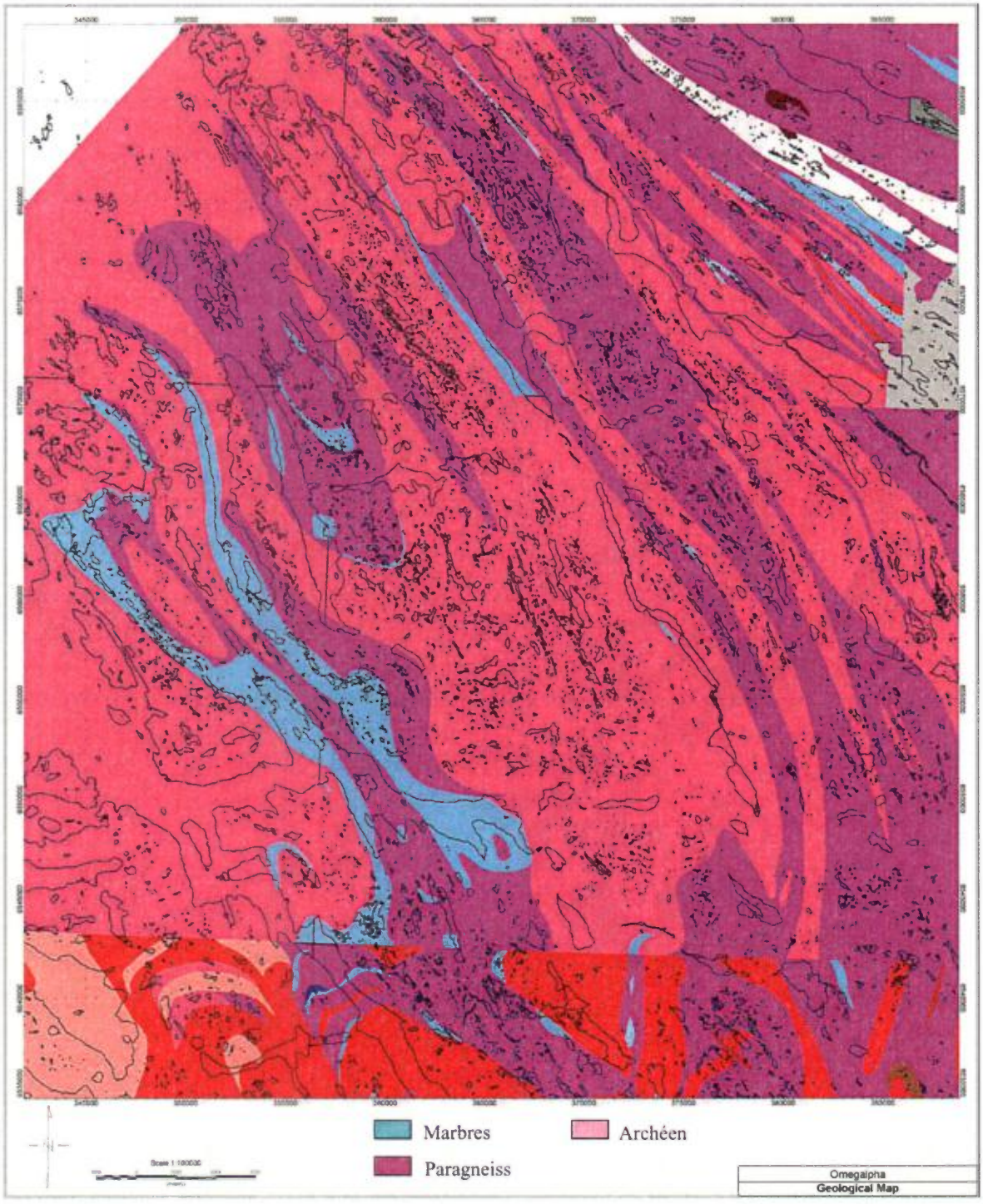

Figure 9 : Carte géologique de la région de Cage

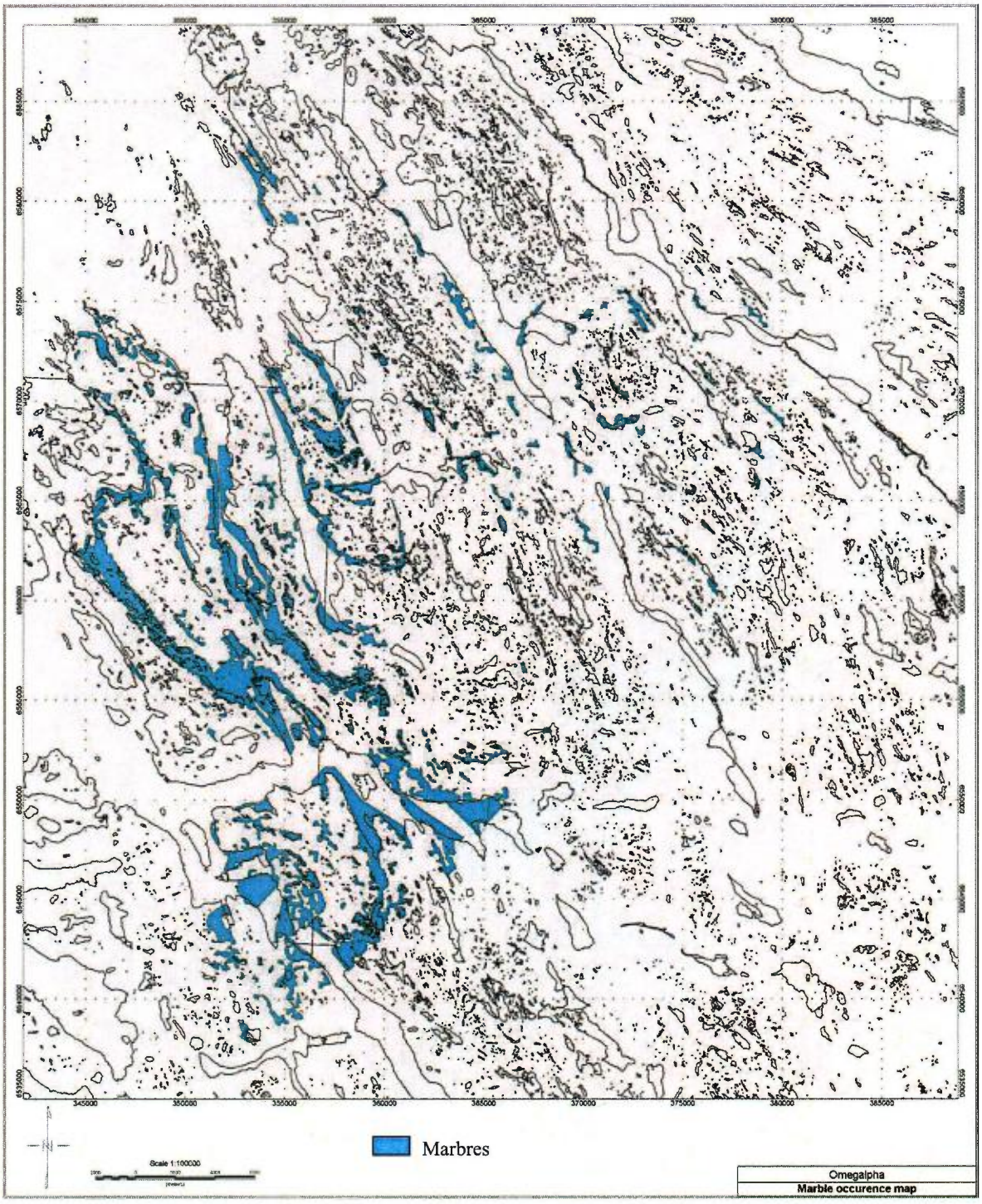

Figure 10 : Carte d'occurrence des marbres déduite de la carte ternaire

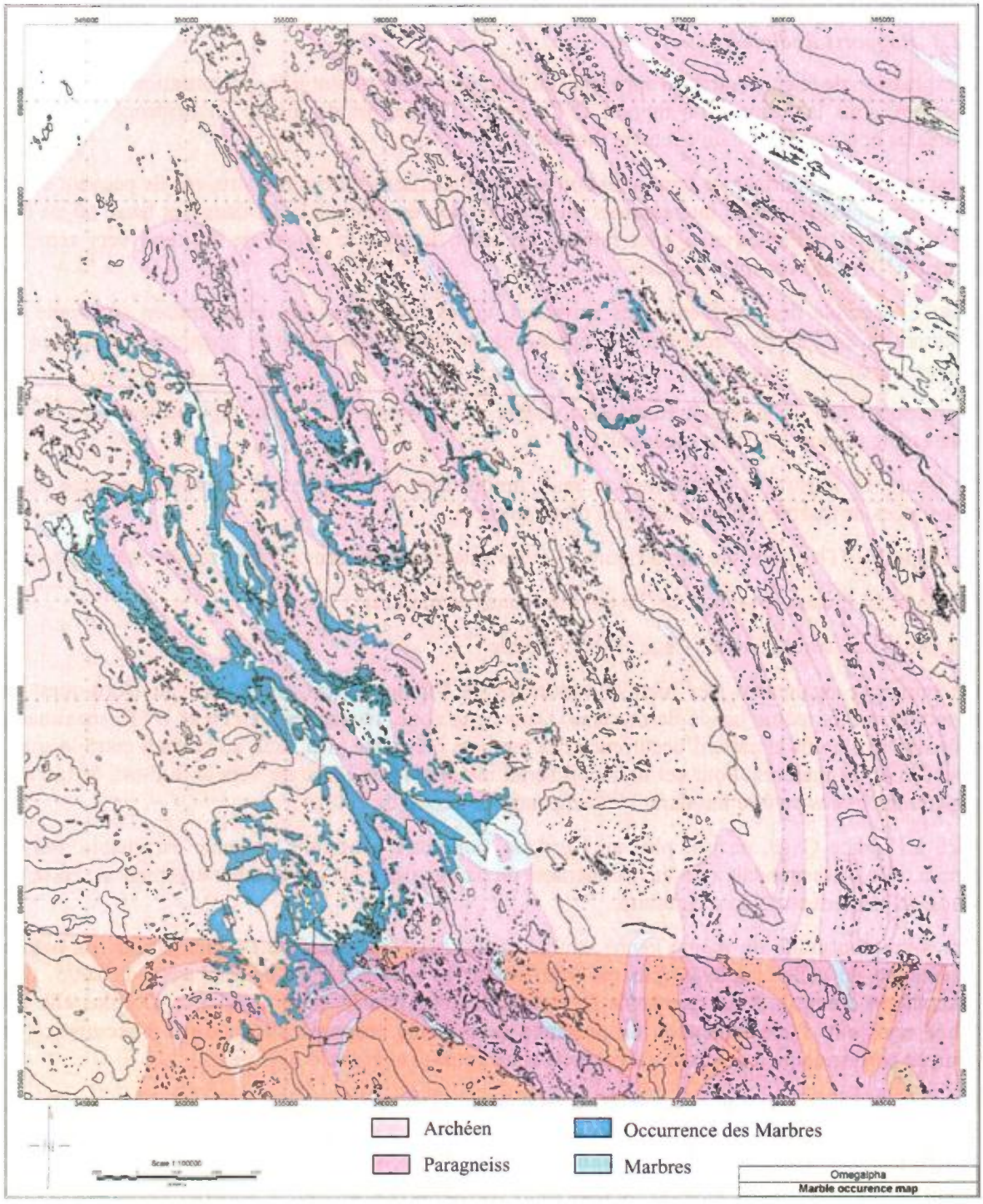

Figure 11 : Comparaison entre la carte d'occurrence des marbres et la carte géologique

3.1.3 Rapports Radiométriques

L'expression de la concentration apparente en Uranium relativement à la concentration apparente en Thorium, sous la forme d'un rapport U/Th ou U^2/Th, permet de mettre en évidence des zones anomales non associées à un contexte thorifère.

Il est toutefois important de faire attention aux résultats issus de ces rapports car ils peuvent créer des zones potentiellement intéressantes du point de vue du rapport U/Th dans des lieux où en fait les comptages radiométriques sont faibles. En effet, lorsque le valeur de Th tend vers zéro, le rapport U/Th tend vers plus l'infini.

Dans l'ensemble des représentations suivantes, toutes les valeurs de concentration apparente en Uranium et en Thorium inférieur à 2 eppm ont été ôtées pour palier le phénomène expliqué ci dessus.

Le rapport U/Th de la région étudiée est visible sur la figure 12. Y sont représentées en noir les zones où le rapport U/Th est supérieur à 1.

La figure 13 illustre ce même rapport mais uniquement pour les zones supposées comme étant constituées de marbres (d'après la carte d'occurrence).

Le rapport U^2/Th est visible sur la figure 14 et les valeurs supérieures à 8 sont représentées en noir.

La figure 15 illustre le rapport U^2/Th dans les zones de marbres.

Sur toutes ces cartes, l'indice Cage est bien visible.

On remarque également très bien la continuité de l'indice Bocar, situé plus au Nord-ouest et appartenant à la même bande de marbres. Dans cette zone, les rapports U/Th et U^2/Th maximaux sont situés, d'après la carte d'occurrence des marbres présentée plus haut, au contact entre le socle Archéen et les marbres. Pour cet indice, il serait intéressant de le suivre vers le Sud-est, ce qui n'a apparemment pas pu être fait durant la campagne de terrain de 2006.

Face à l'indice Cage, un peu plus au Nord-est, une autre continuité anomale est visible. Sur le terrain, elle correspondait à un environnement de paragneiss mais qui comparativement au reste de la région seraient enrichi en Uranium.

Une autre continuité du même genre semble visible au Nord-ouest de l'indice Bocar. La nature géologique de celle-ci n'ayant pas été vérifiée sur le terrain durant la campagne de 2006, une observation durant la futur campagne de terrain de 2007 pourrait être judicieuse. De plus elle est située non loin d'une indication de présence de marbres proposée sur la carte d'occurrence et pourrait correspondre à une zone de contacts entre ceux-ci et le socle Archéen.

Une dernière anomalie plus ponctuelle est repérée sur la carte du rapport U^2/Th, dans la zone Ouest. Si l'on regarde la carte d'occurrence des marbres, elle ne semble pas associée à ceux-ci mais une vérification sur le terrain pourrait être utile.

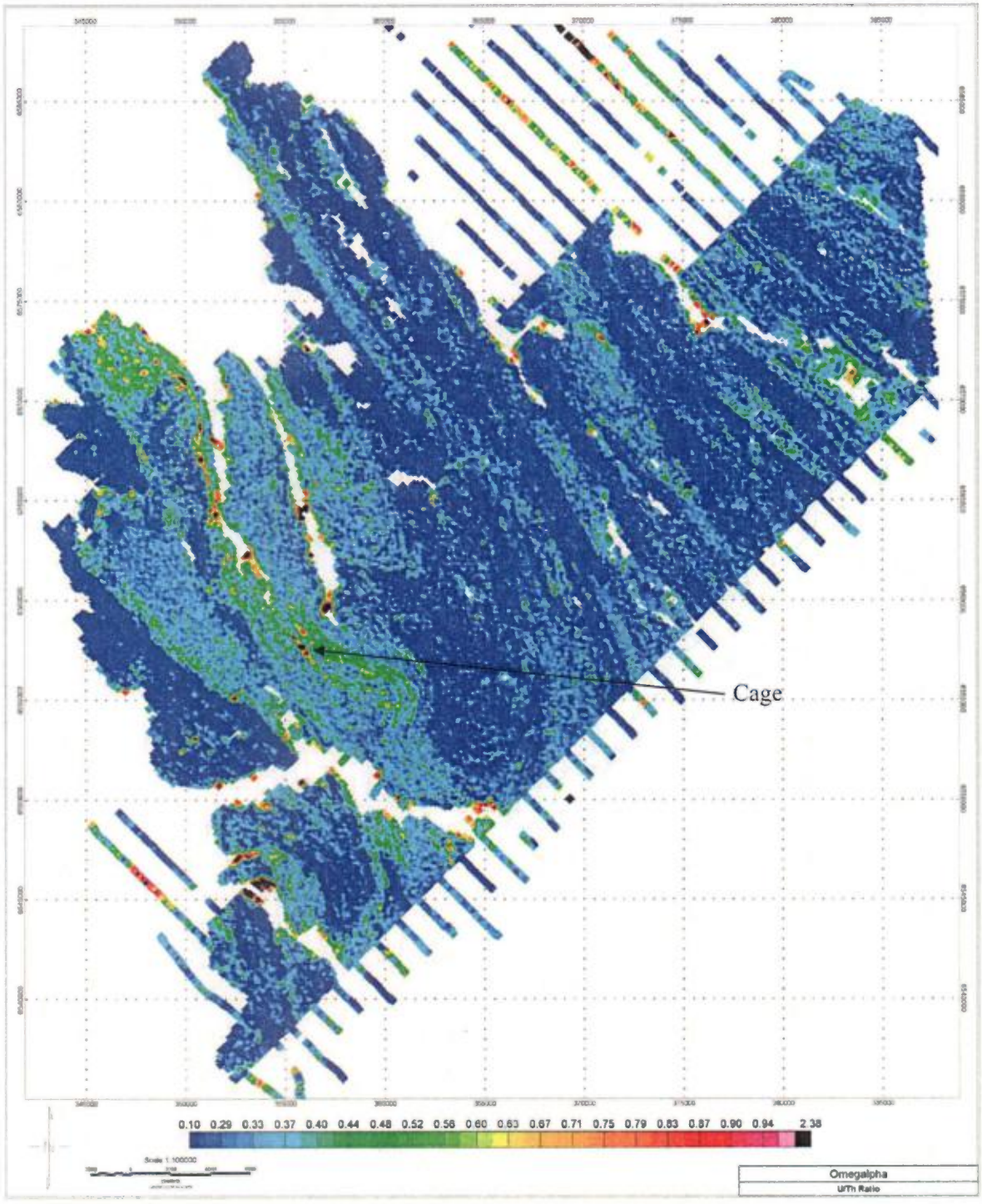

Figure 12 : Carte du rapport U/Th

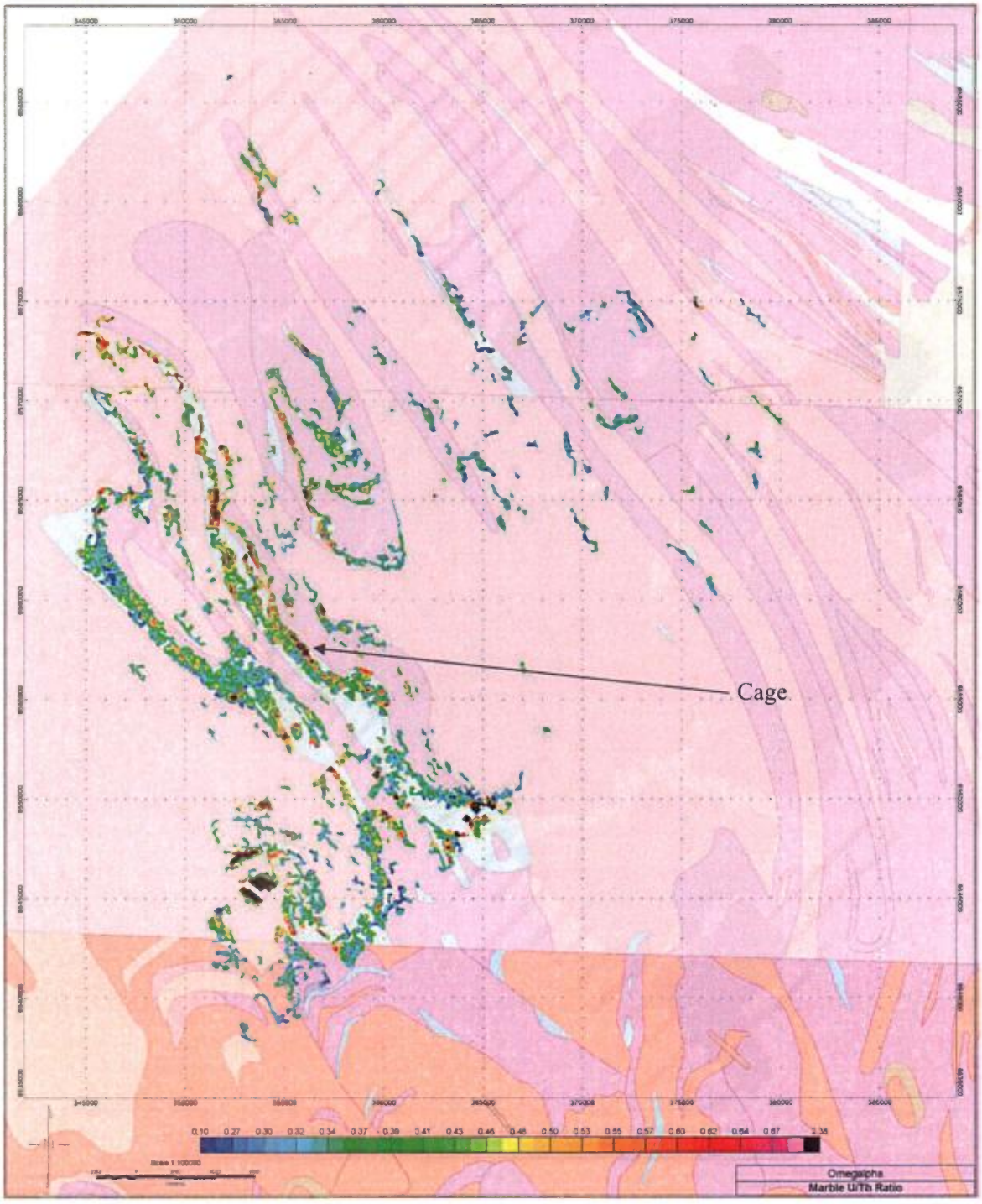

Figure 13 : Rapport U/Th dans les marbres sur fond de carte géologique

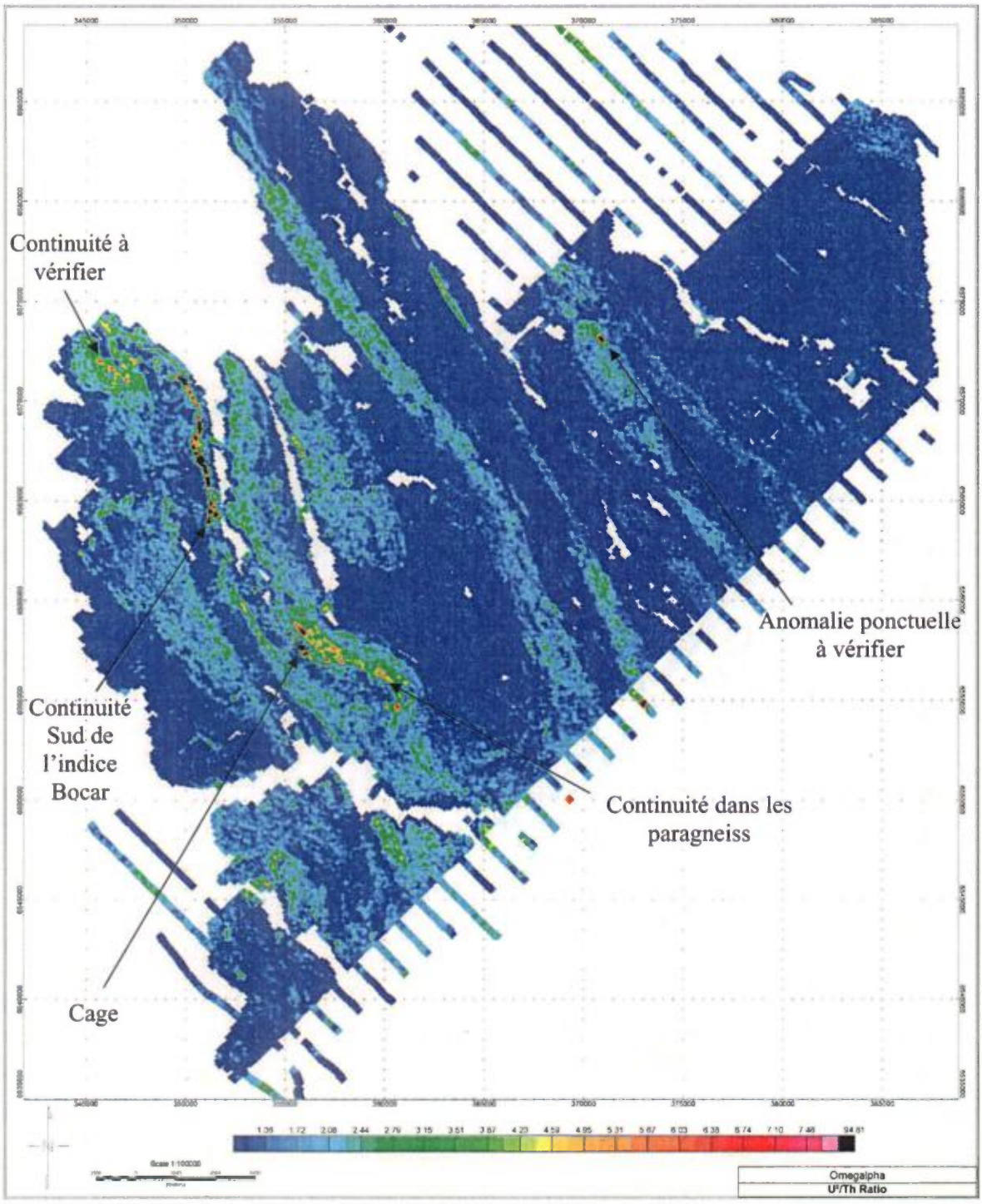

Figure 14 : Carte du rapport U²/Th

Figure 15 : Rapport U²/Th sur fond de carte géologique

3.2 Focalisation sur l'indice Cage

Les cartes suivantes représentent les mêmes informations que précédemment mais centrées sur l'indice Cage.

3.2.1 Comptage Total et Concentrations Apparentes

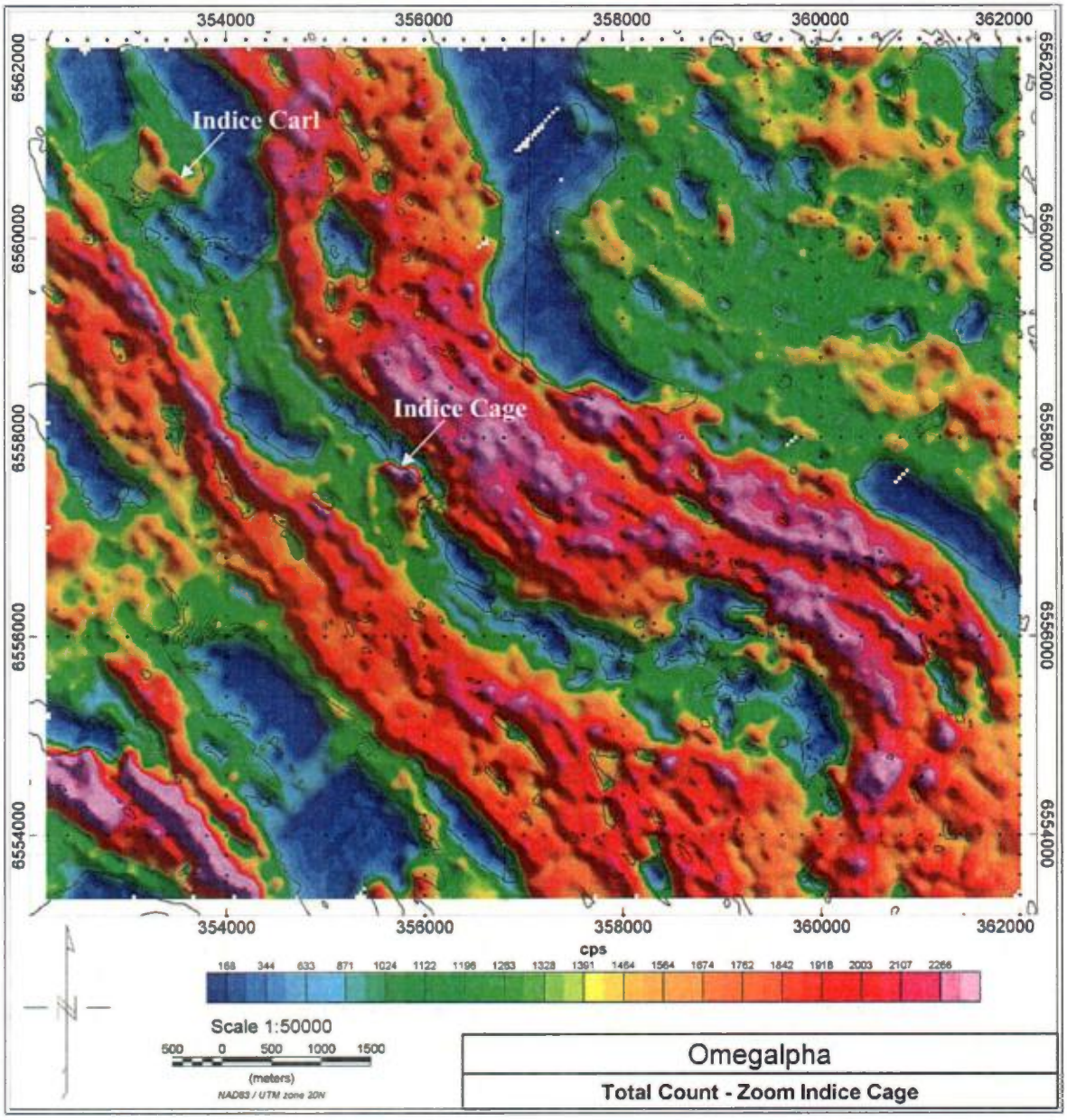

Figure 16 : Comptage Total dans la zone de Cage

Pour information, l'indice Cage présente le Comptage Total le plus important de cette zone focalisée, avec une valeur de 5233 cps ; soit un Débit de Dose de 247,62 nGy/h.

L'indice Carl, lui, présente un Comptage Total de 2783 cps et un Débit de Dose de 131,70 nGy/h.

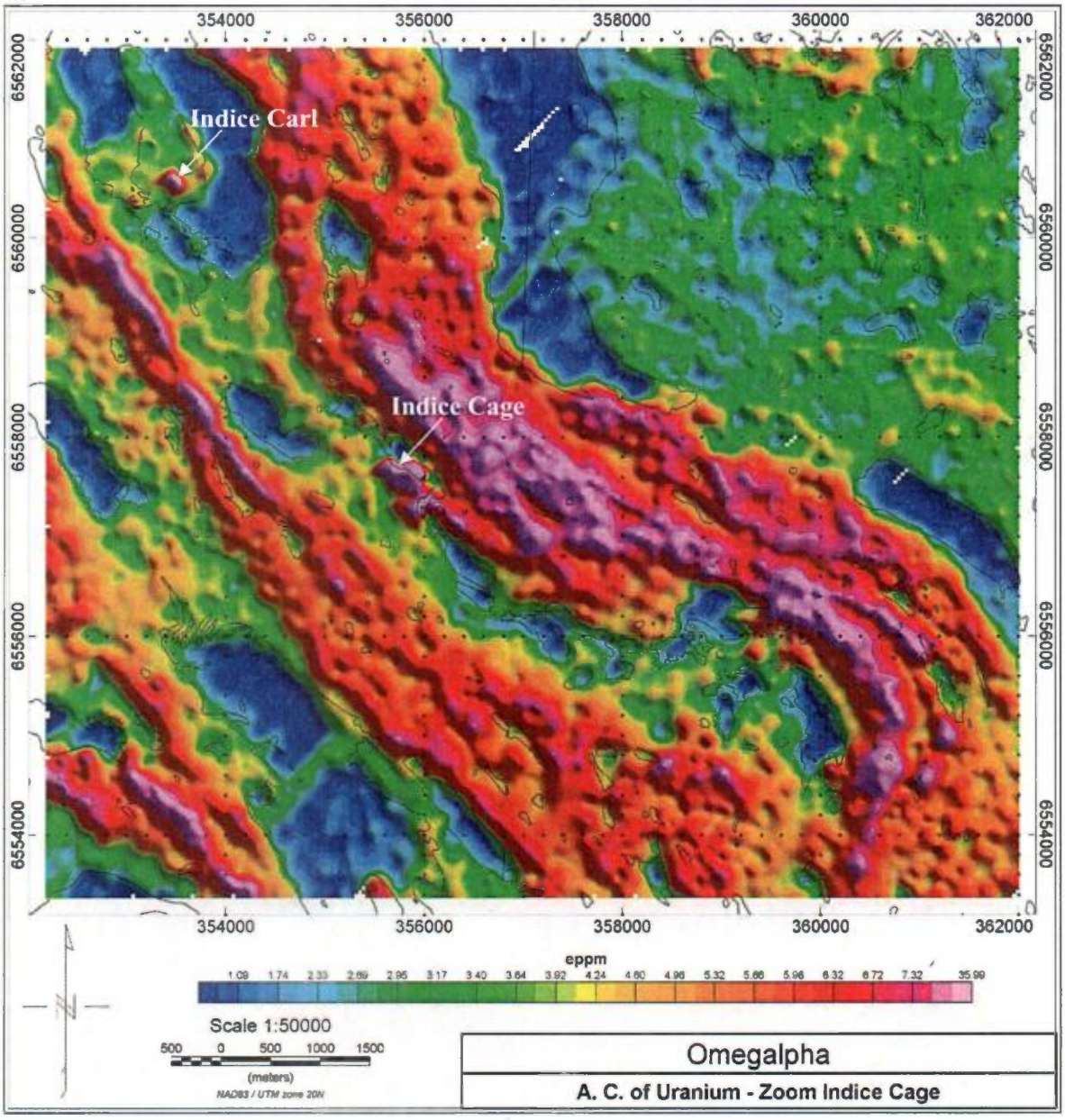

Figure 17 : Concentration apparente en Uranium dans la zone de Cage (eppm)

La valeur de la concentration apparente en Uranium de l'indice Cage est de 38,32 eppm. La concentration apparente en Thorium est de 16,17 eppm. Ceci représente un rapport U/Th de 2,37.

L'indice Carl possède une concentration apparente en Uranium de 16,72 eppm et une concentration apparente en Thorium de 10,70 eppm ; soit un rapport U/Th de 1,56.

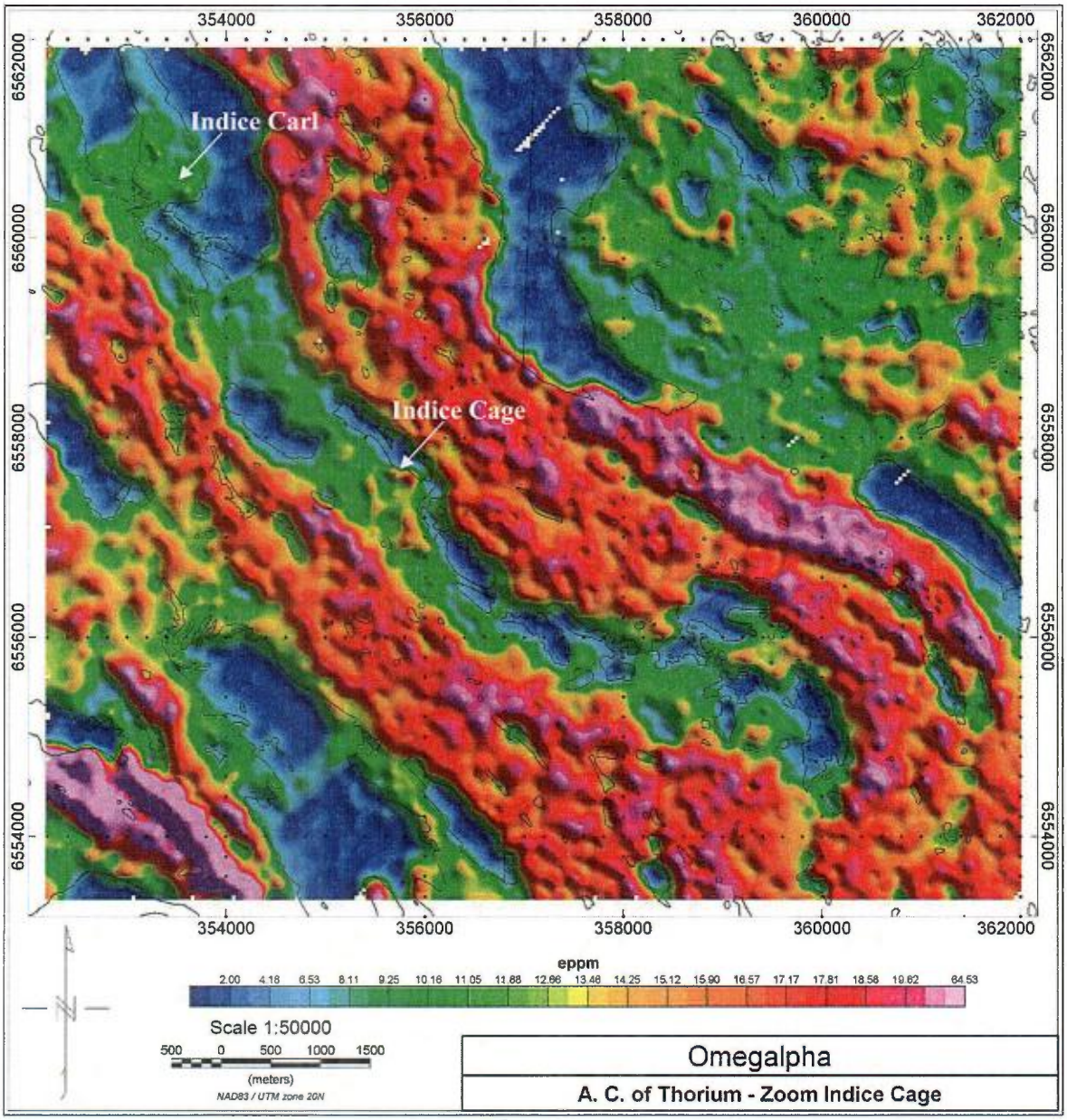

Figure 18 : Concentration apparente en Thorium dans la zone de Cage (eppm)

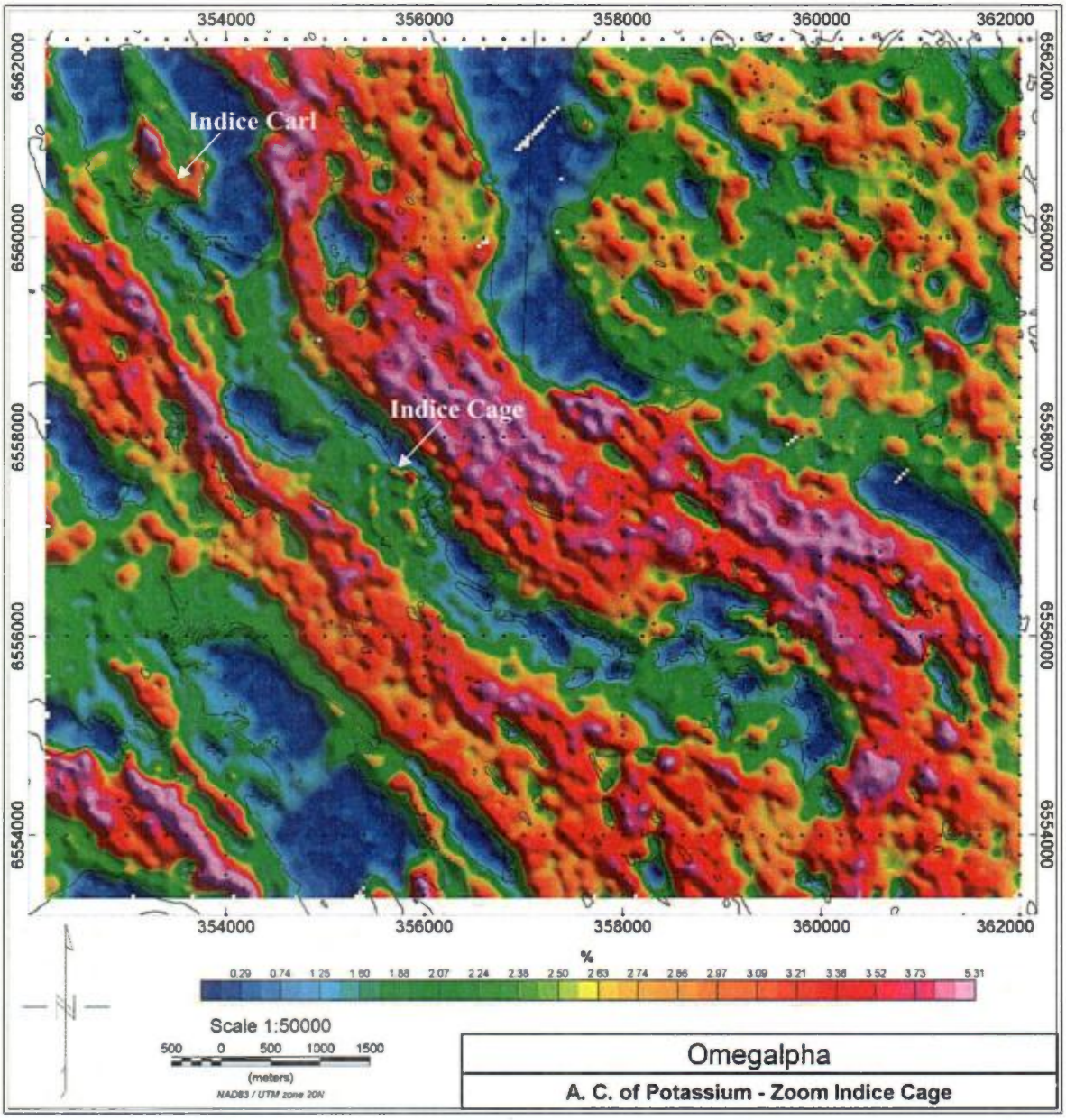

Figure 19 : Concentration apparente en Potassium dans la zone de Cage (%)

3.2.2 Carte Ternaire

La figure 20 est le résultat de la combinaison des trois cartes de comptage Uranium, Thorium et Potassium centrées sur la zone de Cage.

L'indice Cage est très bien visible et apparaît nettement en rouge sur la carte ternaire, conformément aux analyses pétrochimiques et à sa forte composante uranifère (Mathieu, 2006).

L'indice Carl est, lui, de couleur un peu plus orangé, ce qui correspondrait à une composante potassique qui était inexistante sur l'indice Cage.

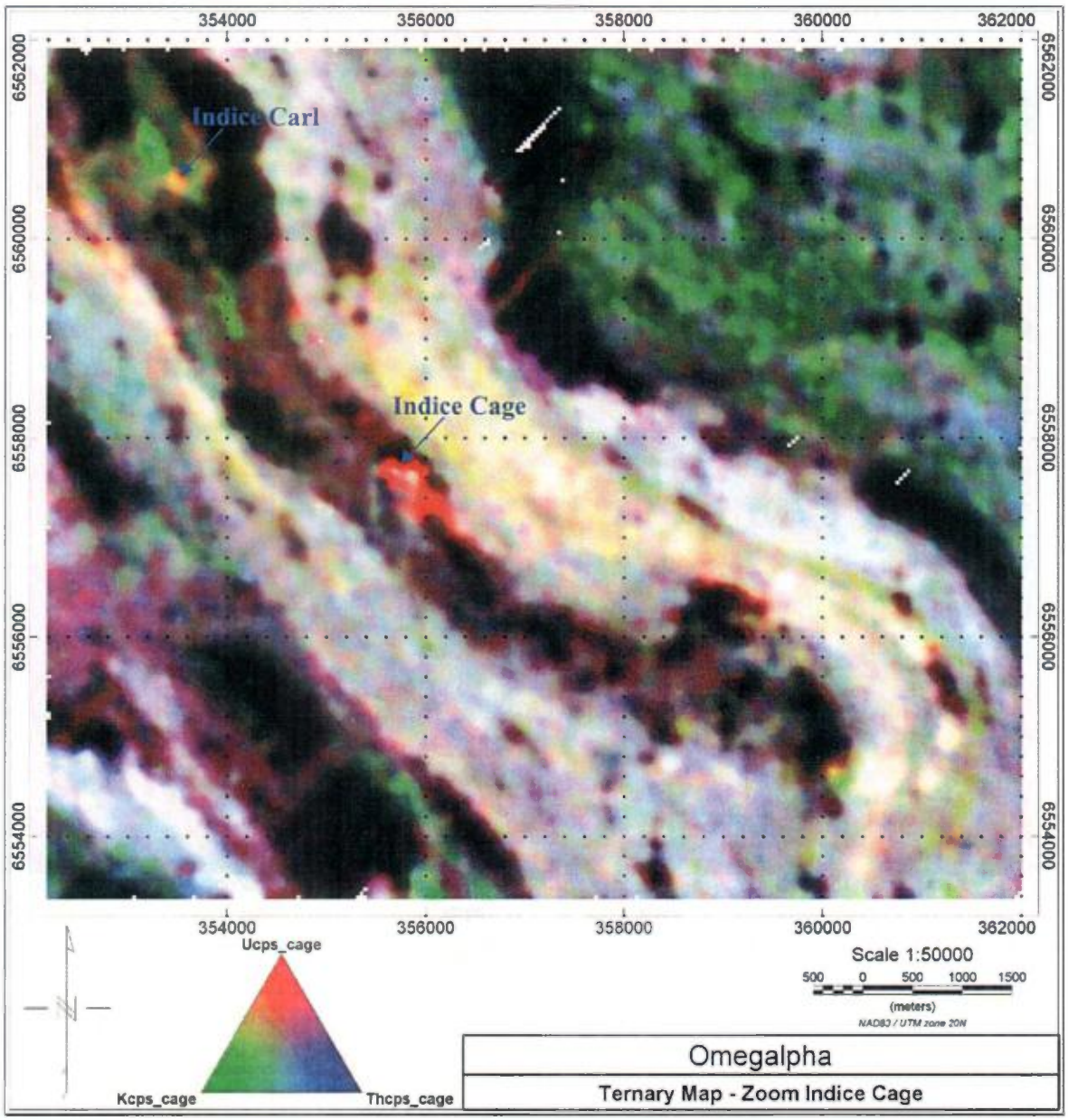

Figure 20 : Carte Ternaire des différents éléments U, K et Th dans la zone de Cage

Tout comme pour la carte régionale, à partir de cette composition ternaire, il est possible de cartographier les unités de marbres. Le fait que la zone située au Sud-est de Cage comporte de nombreux lacs et/ou marécages, explique la réponse radiométrique plutôt faible.

Néanmoins, en comparant le résultat (cf. figure 22) à la carte géologique (cf. figure 21), l'interprétation ne semble pas irréaliste.

La figure 23 est équivalente à la figure 22 mais sans les extrapolations au niveau des étendues d'eau.

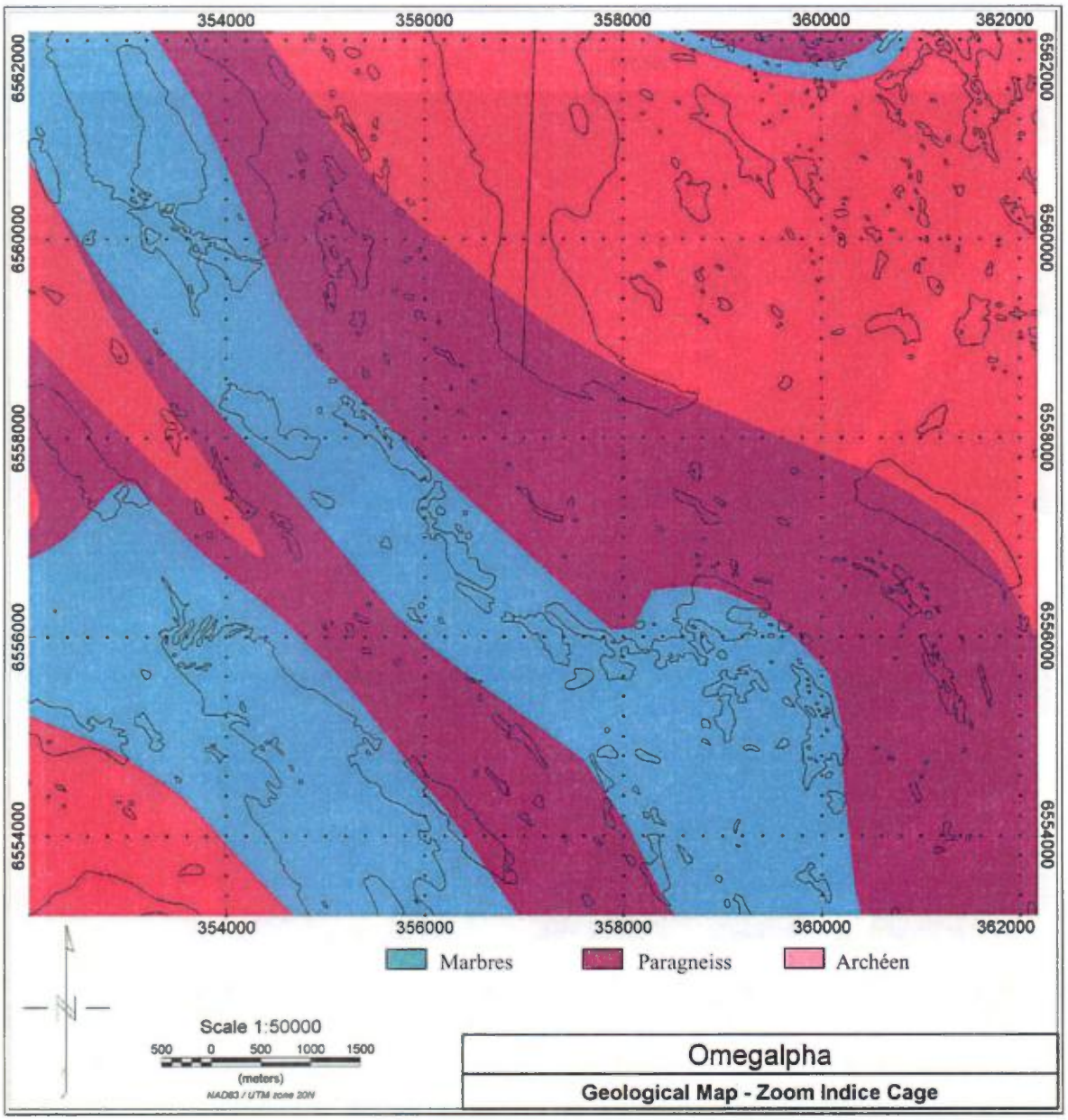

Figure 21 : Carte géologique de la zone de Cage

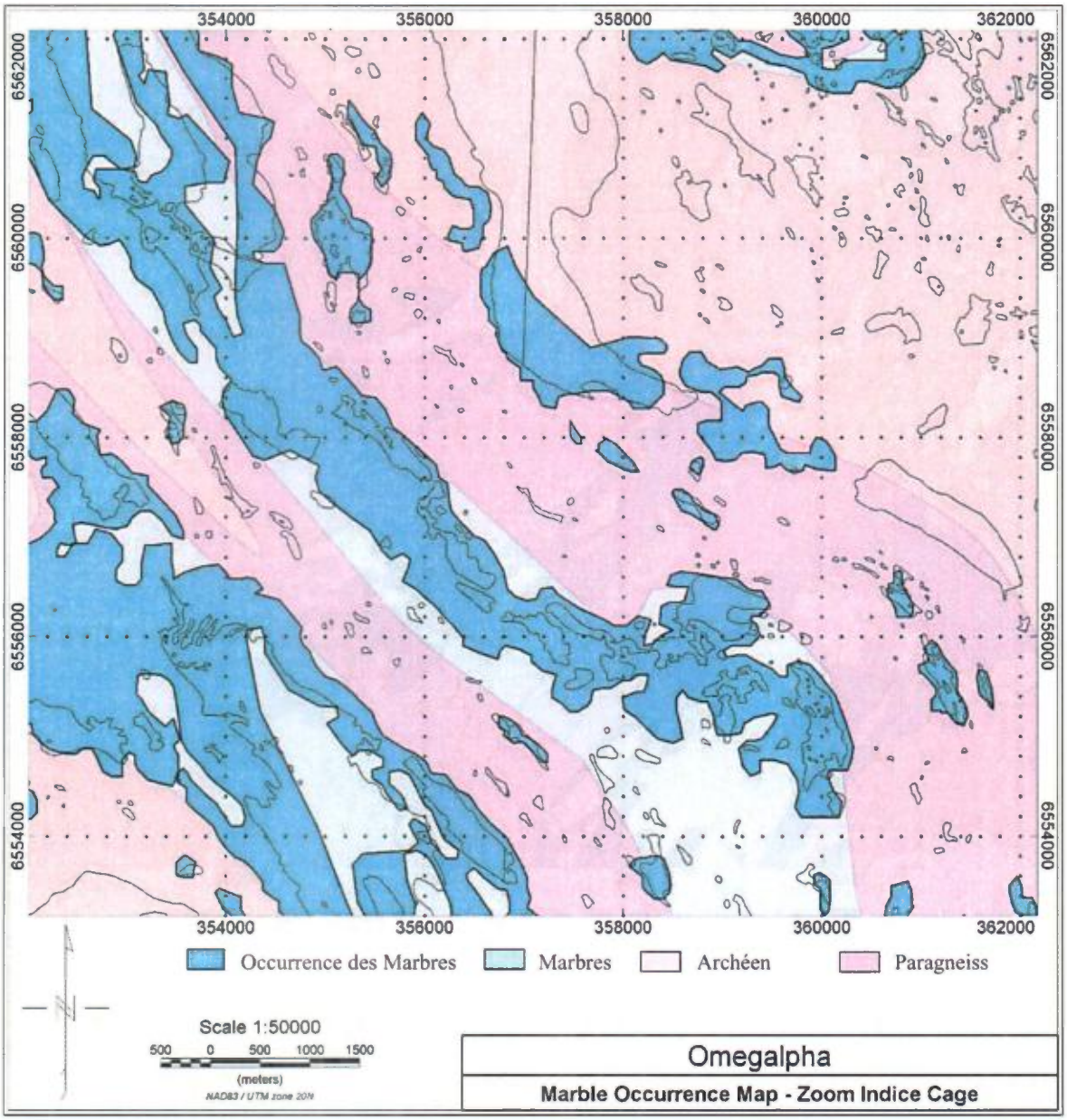

Figure 22 : Comparaison entre la carte d'occurrence des marbres et la carte géologique

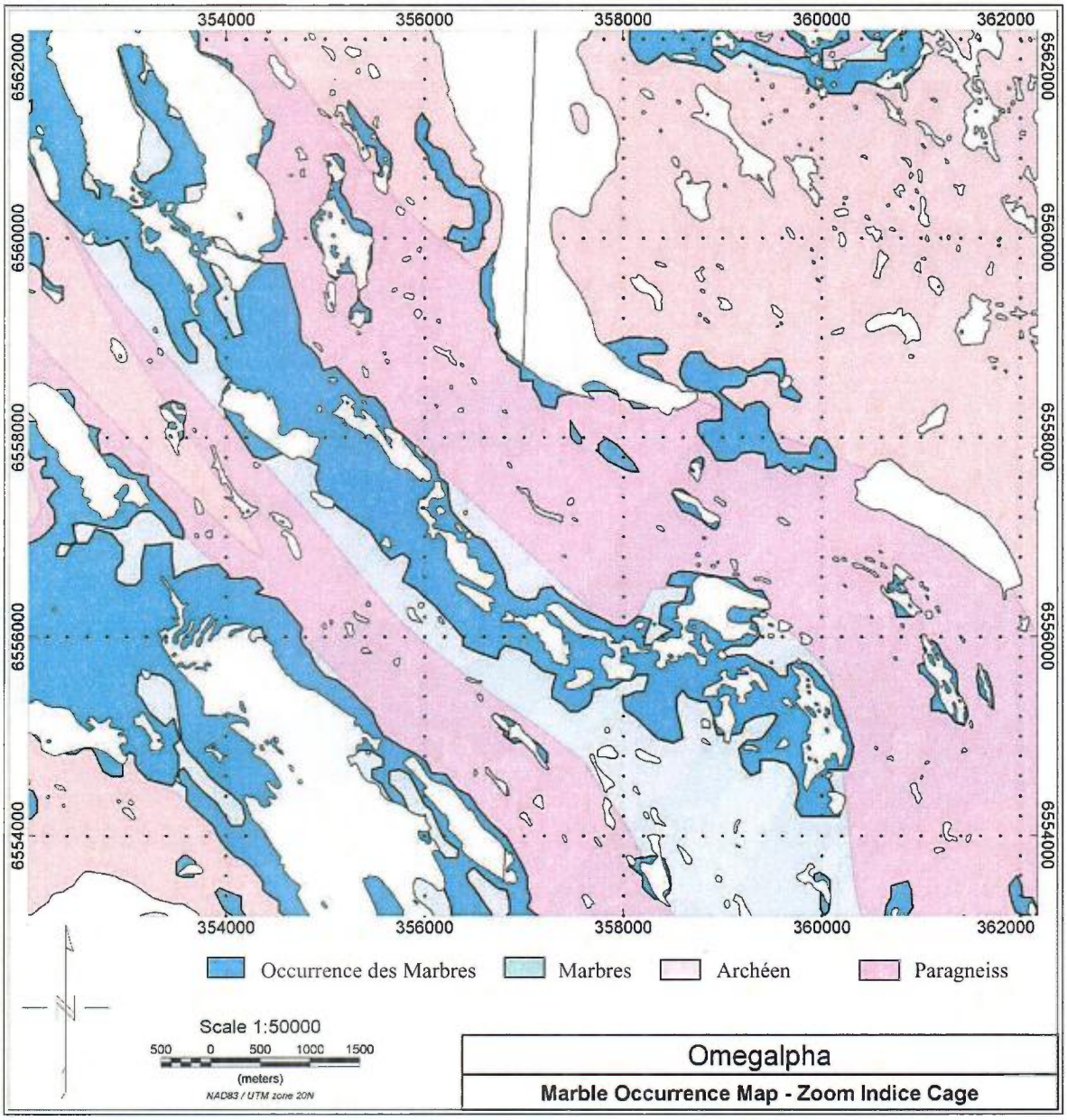

Figure 23 : Occurrence des Marbres sur fond de carte géologique sans extrapolation au niveau des étendues d'eaux.

3.2.3 Rapports Radiométriques

Tout comme pour les cartes régionales des rapports radiométriques U/Th et U^2/Th, les valeurs de concentrations apparentes en Uranium et en Thorium inférieures à 2 eppm n'ont pas été intégrées aux calculs.

La figure 24 illustre le rapport U/Th dans la zone de Cage. Les rapports U/Th supérieurs à 1 sont représentés en noir.

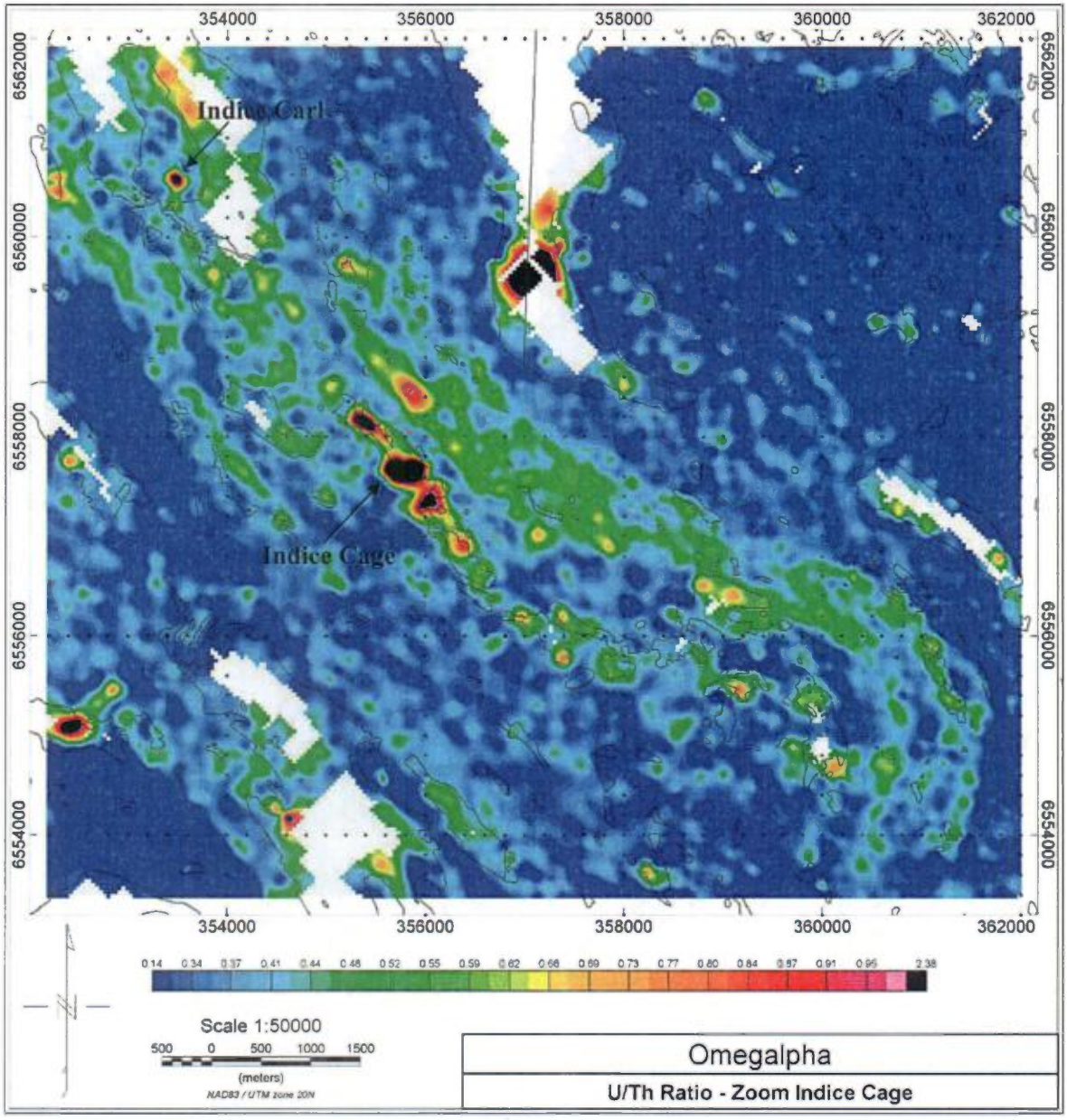

Figure 24 : Carte du rapport U/Th dans la zone de Cage

Le rapport U^2/Th est présenté sur la figure suivante avec en noir les valeurs supérieures à 8 eppm.

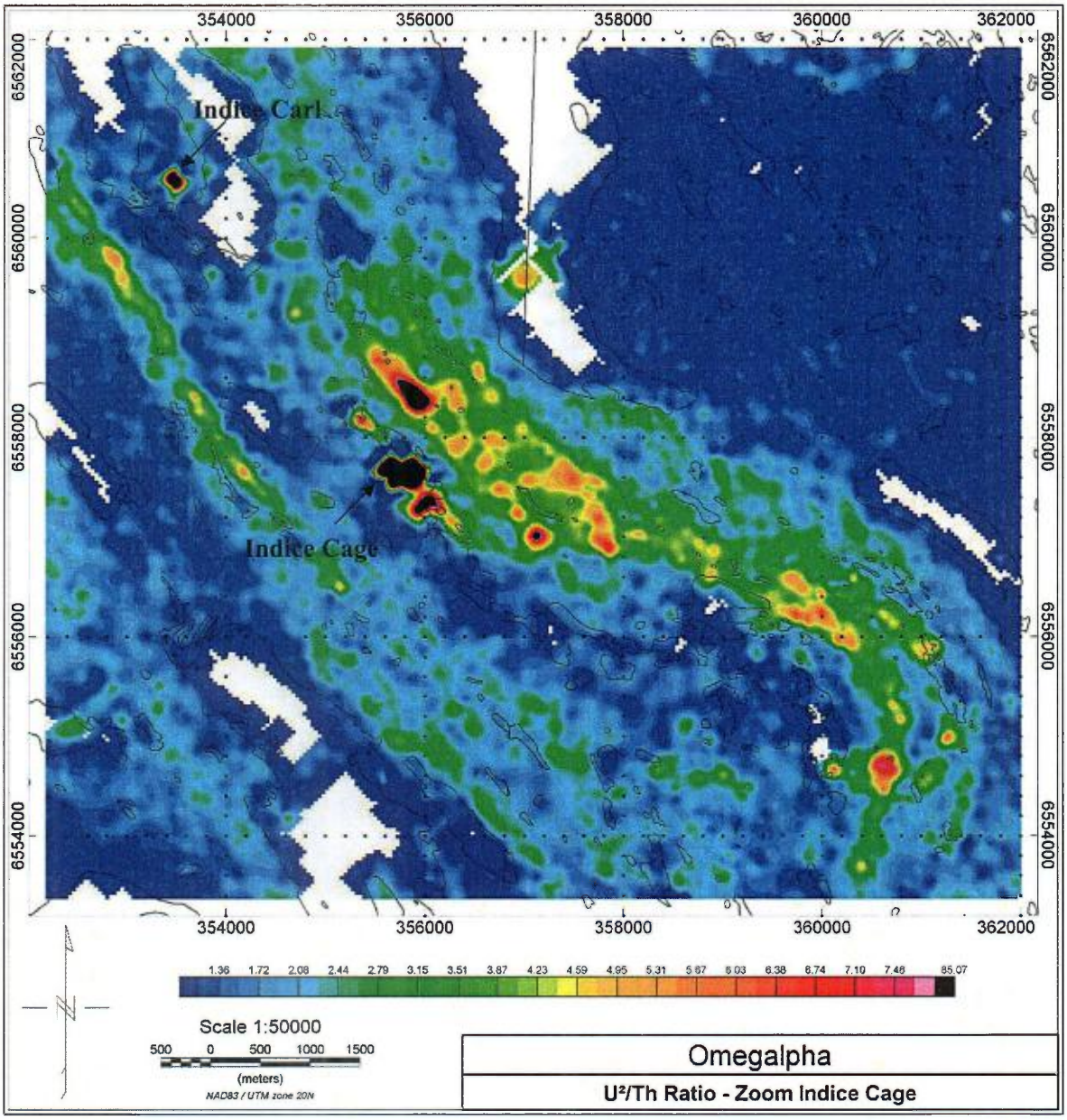

Figure 25 : Carte du rapport U²/Th dans la zone de Cage

4. Interprétation des données magnétiques

4.1 Données de l'ensemble de la zone survolée

La carte du **Champ Magnétique Résiduel** fourni par McPhar (cf. figure 26) est déjà corrigée d'un certain nombre de paramètres, à savoir :

- correction de la variation diurne du champ magnétique,
- nivellement des lignes de vol et des lignes transverses,
- soustraction du champ magnétique régional, également appelée correction IGRF,
- micro nivellement.

A première vue, la région semble constituée d'une alternance de zones à anomalies magnétiques positives et de zones à anomalies négatives. La longueur d'onde de cette variation, orientée selon un axe Sud-ouest / Nord-est, n'est pas constante mais est d'échelle régionale.

Les 3 premières oscillations d'échelle régionale, en partant du Sud-ouest, font partie du craton Far North (cf. Figure 27 ; Flotté, 2007). Elles semblent de plus présenter un plissement dont le plan axial serait N150E.

Après cela vient une zone avec une valeur du champ magnétique résiduel négative qui correspond géographiquement au contact entre le craton Far North et le complexe de Sukaliuk. Ce dernier ne montre par de variations magnétiques majeures, toujours à l'échelle régionale.

Vient ensuite le complexe de Lomier avec une valeur du champ résiduel très forte, puis le domaine de Tasiuyak avec au contraire un valeur du champ fortement négative.

Toujours à l'échelle régionale, on distingue très bien un dyke d'orientation moyenne N85E traverser toute la zone. D'autres dykes sont présents plus au Sud mais leur signature magnétique est plus discrète.

Si l'on regarde à l'intérieur même de chacune de ces zones, on observe des variations plus hautes fréquences, de plus courtes longueurs d'ondes, témoins d'anomalies plus superficielles.

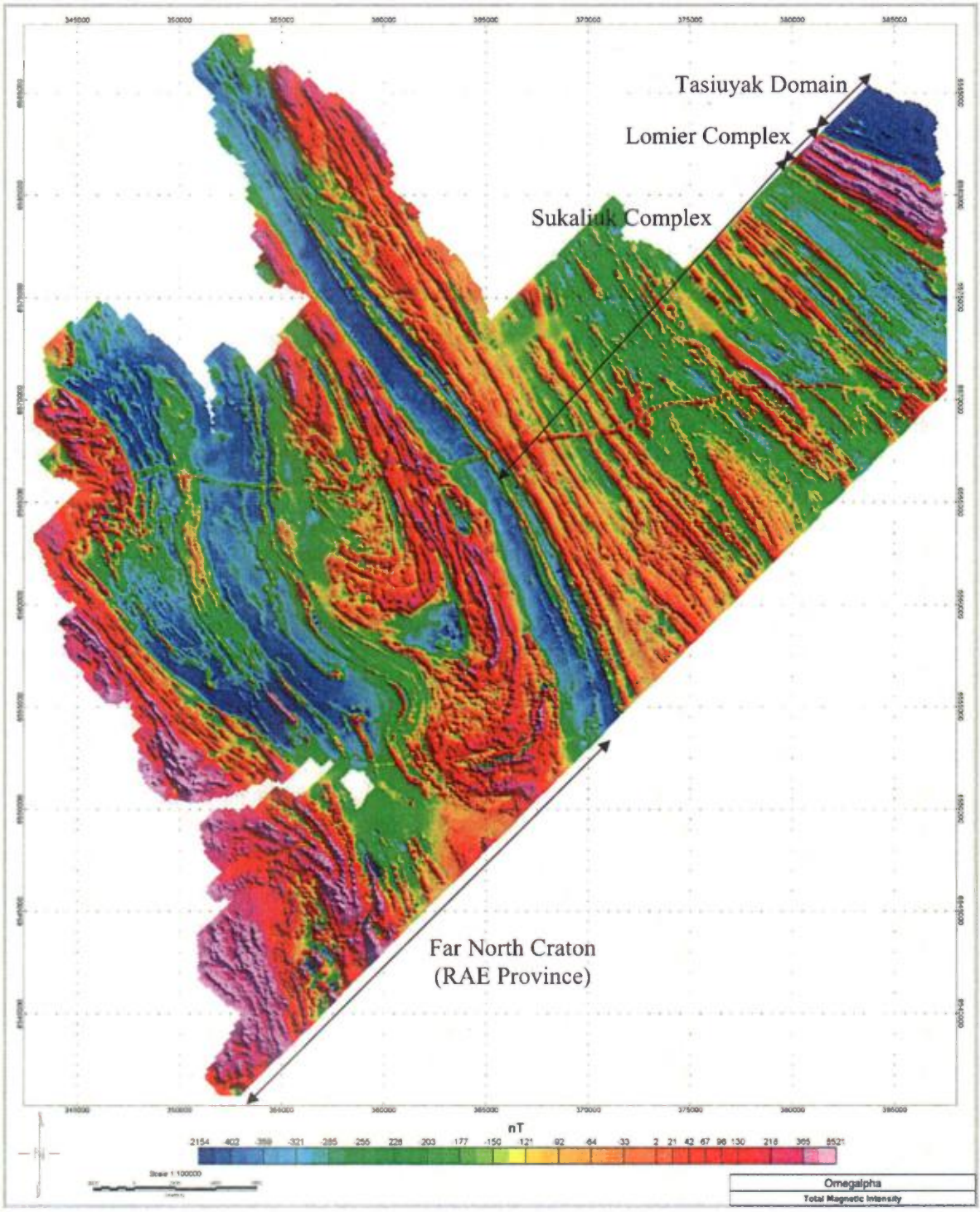

Figure 26 : Champ Magnétique Total corrigé de l'IGRF

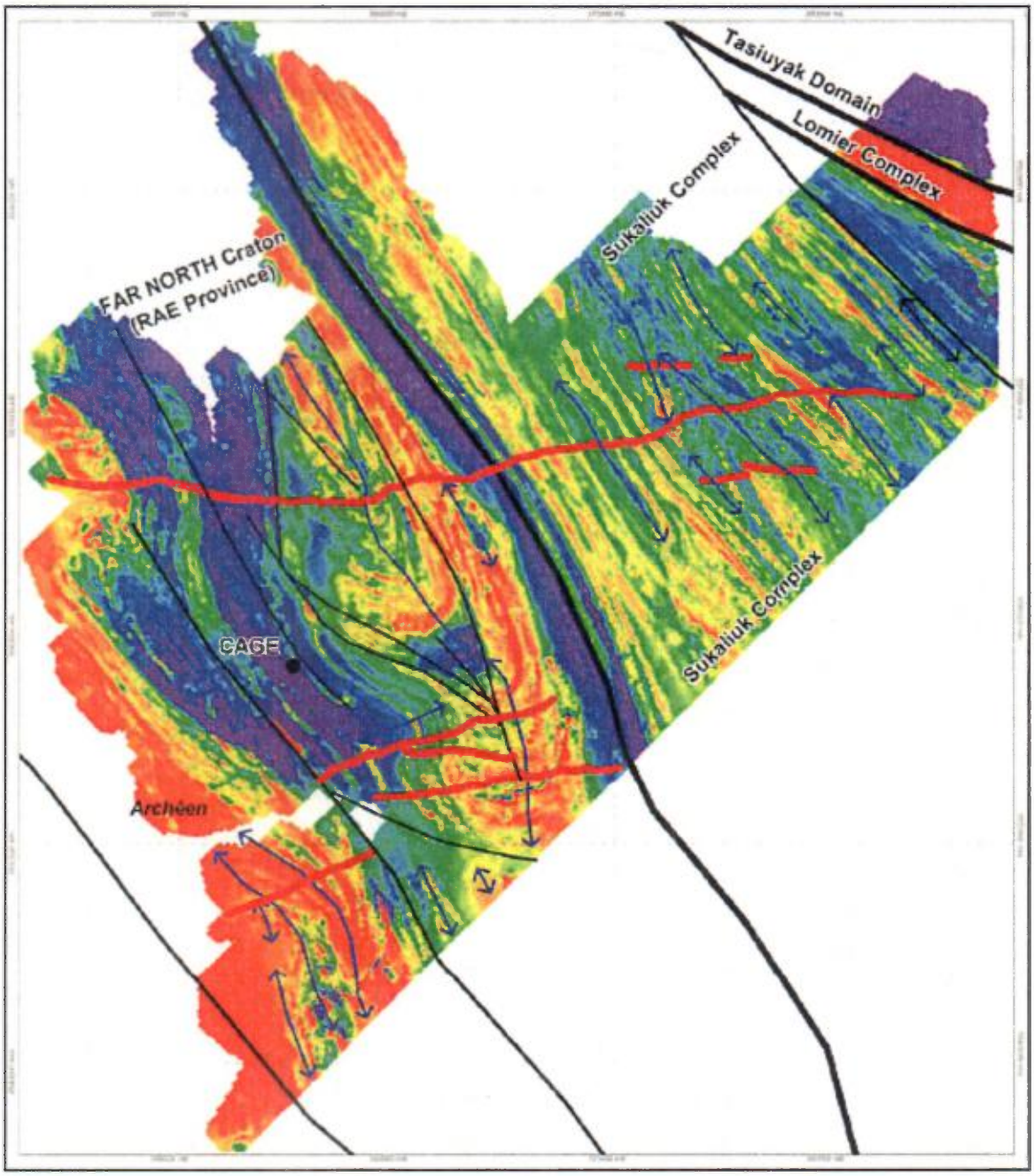

Figure 27 : Interprétation des principaux domaines et structures (Flotté, 2007)

4.1.1 Traitement du signal – Interprétation qualitative

Le traitement du signal magnétique, pour permettre son interprétation, peut se faire à l'aide de nombreuses transformations. Les plus courantes sont la réduction des données (au pôle dans notre cas), le calcul des gradients du champ magnétique, le calcul du signal analytique…

La figure 28 représente la **Réduction au Pôle** des données magnétiques. Il s'agit d'un processus qui permet de recentrer les pics d'anomalies magnétiques à l'aplomb de leur source, pour une

localisation simplifiée de celles-ci. Pour ce faire, il faut connaître les caractéristiques du champ magnétique (F - intensité, I - inclinaison et D - déclinaison) données par le modèle IGRF.

Dans notre cas, les valeurs données par le modèle IGRF pour la région de Cage sont les suivantes :

- F = 56919 nT
- I = 78,3°
- D = -27,6°

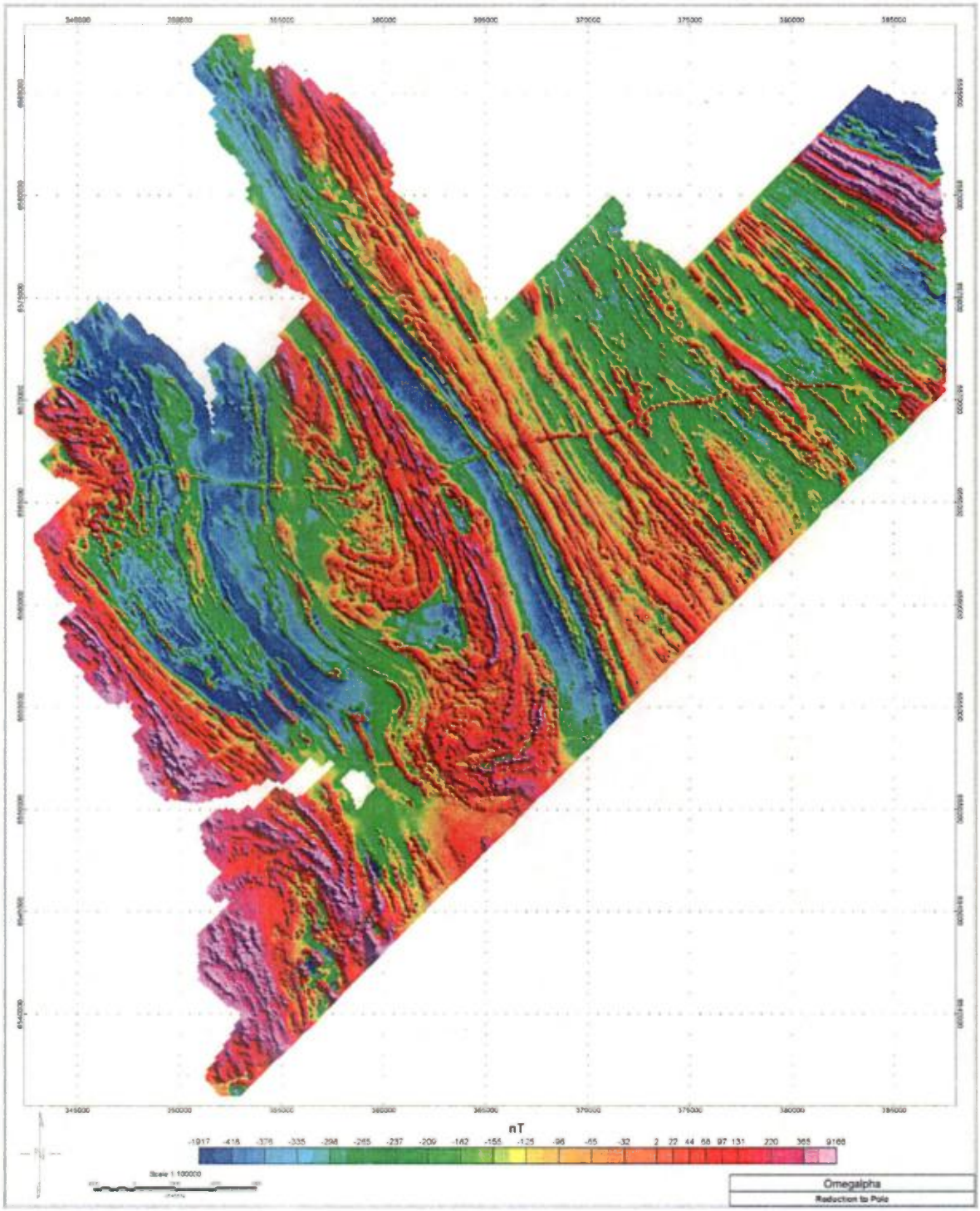

Figure 28 : Champ magnétique résiduel Réduit au Pôle

Les figures 29 à 32 illustrent les résultats issus du calcul des **Gradients Horizontaux et Verticaux** du champ magnétique résiduel. Ils permettent d'étudier plus particulièrement les courtes longueurs d'onde et de ce fait les anomalies plus proches de la surface.

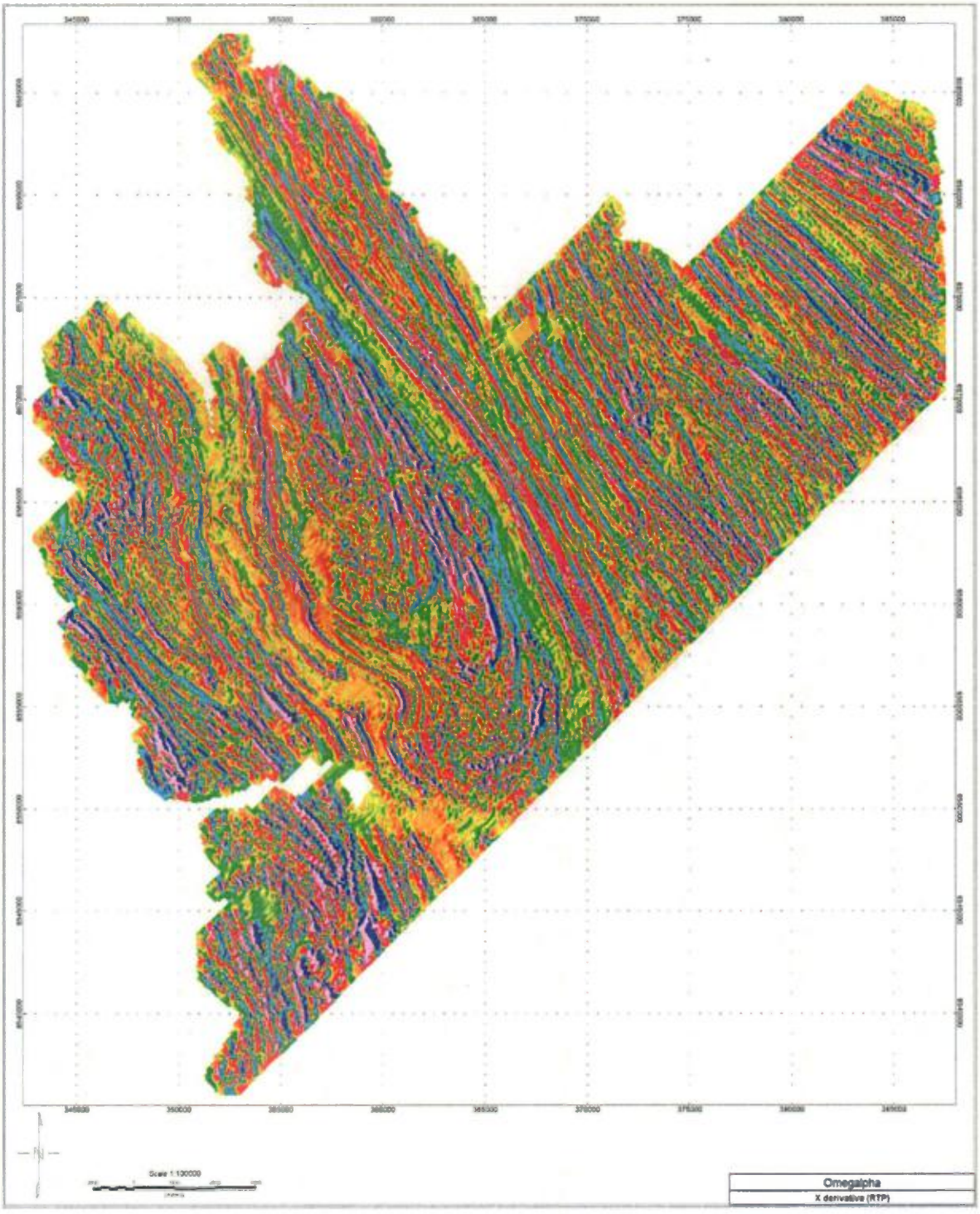

Figure 29 : Dérivée selon l'axe X du champ magnétique réduit au pôle

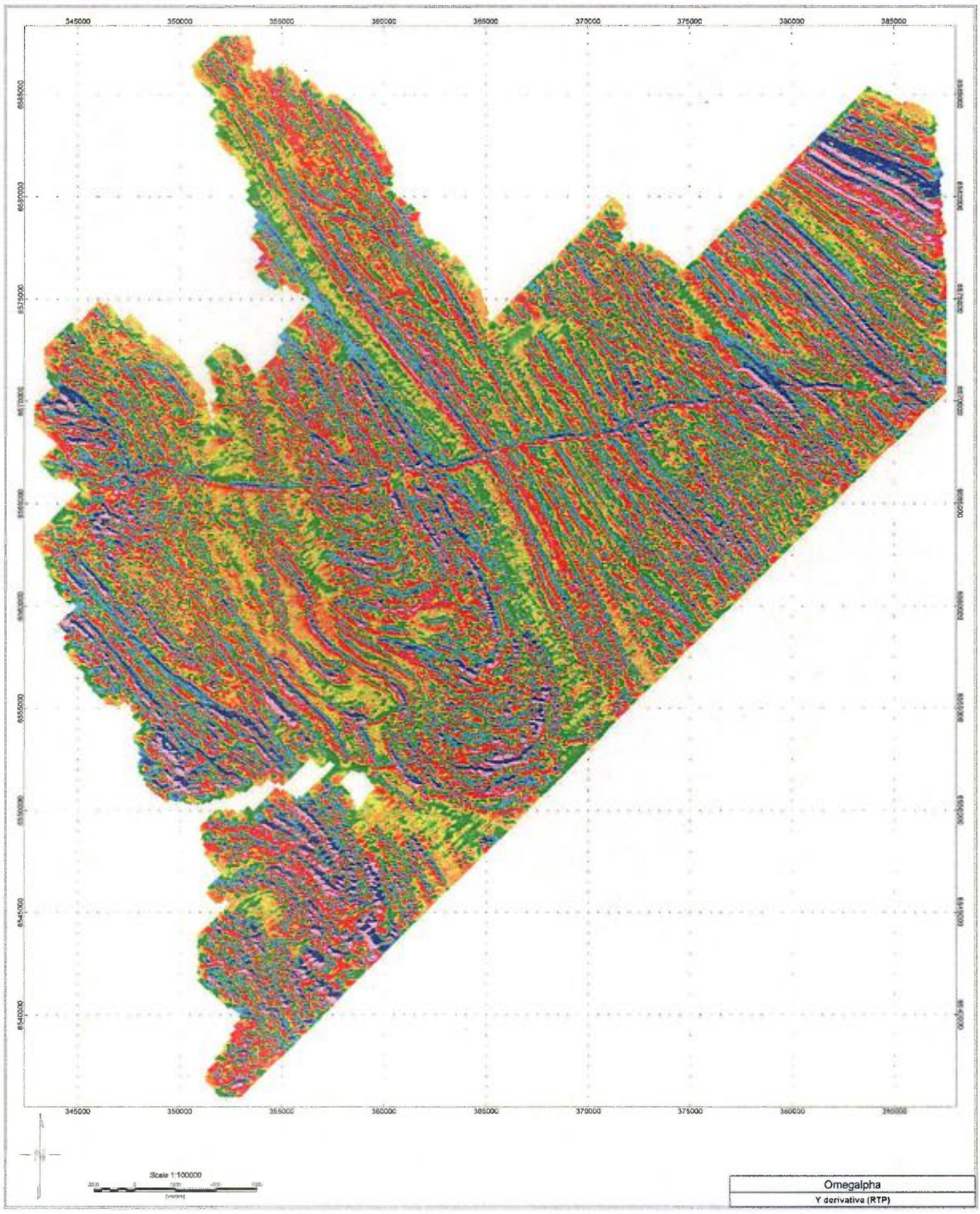

Figure 30 : Dérivée selon l'axe Y du champ magnétique réduit au pôle

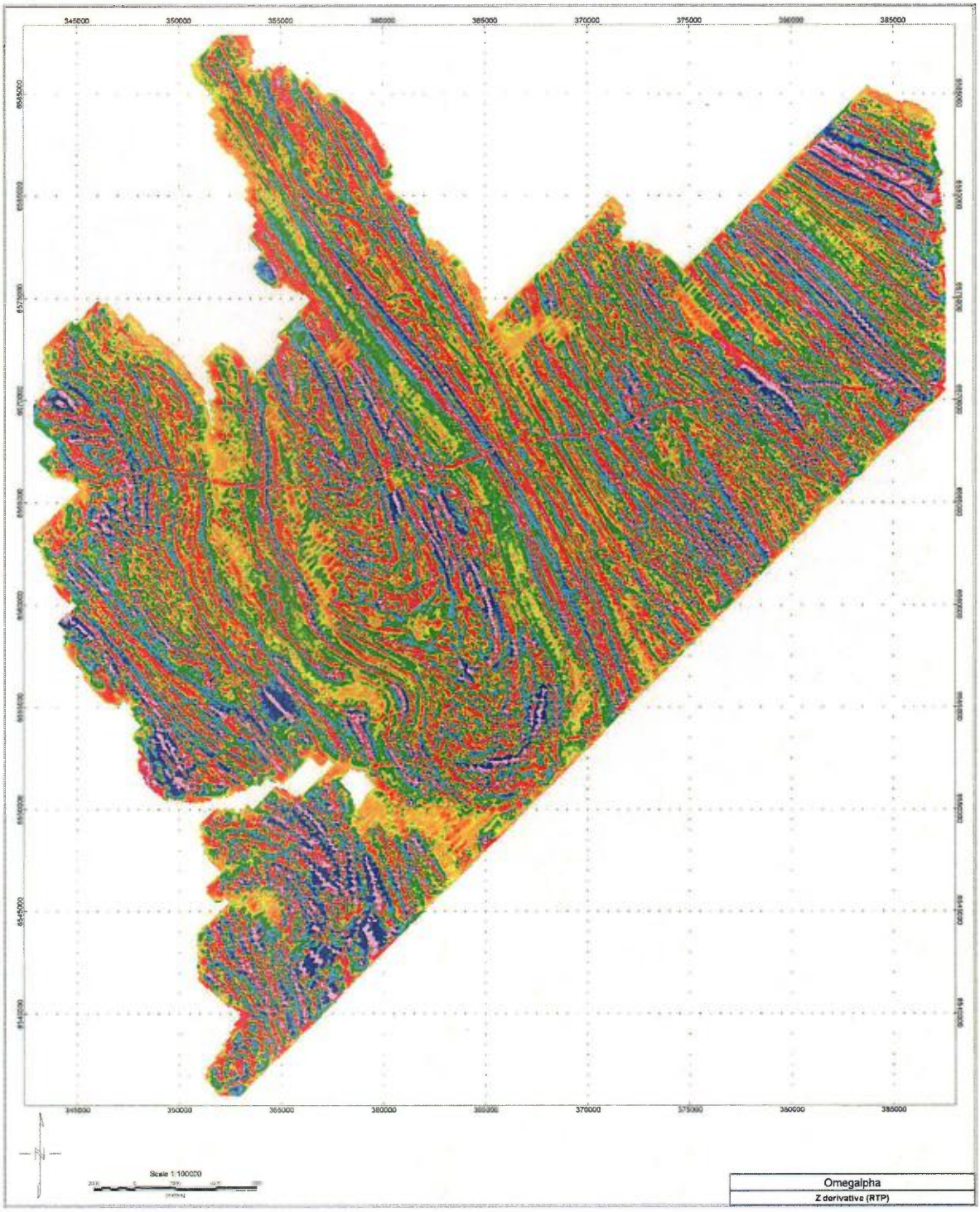

Figure 31 : Dérivée selon l'axe Z du champ magnétique réduit au pôle

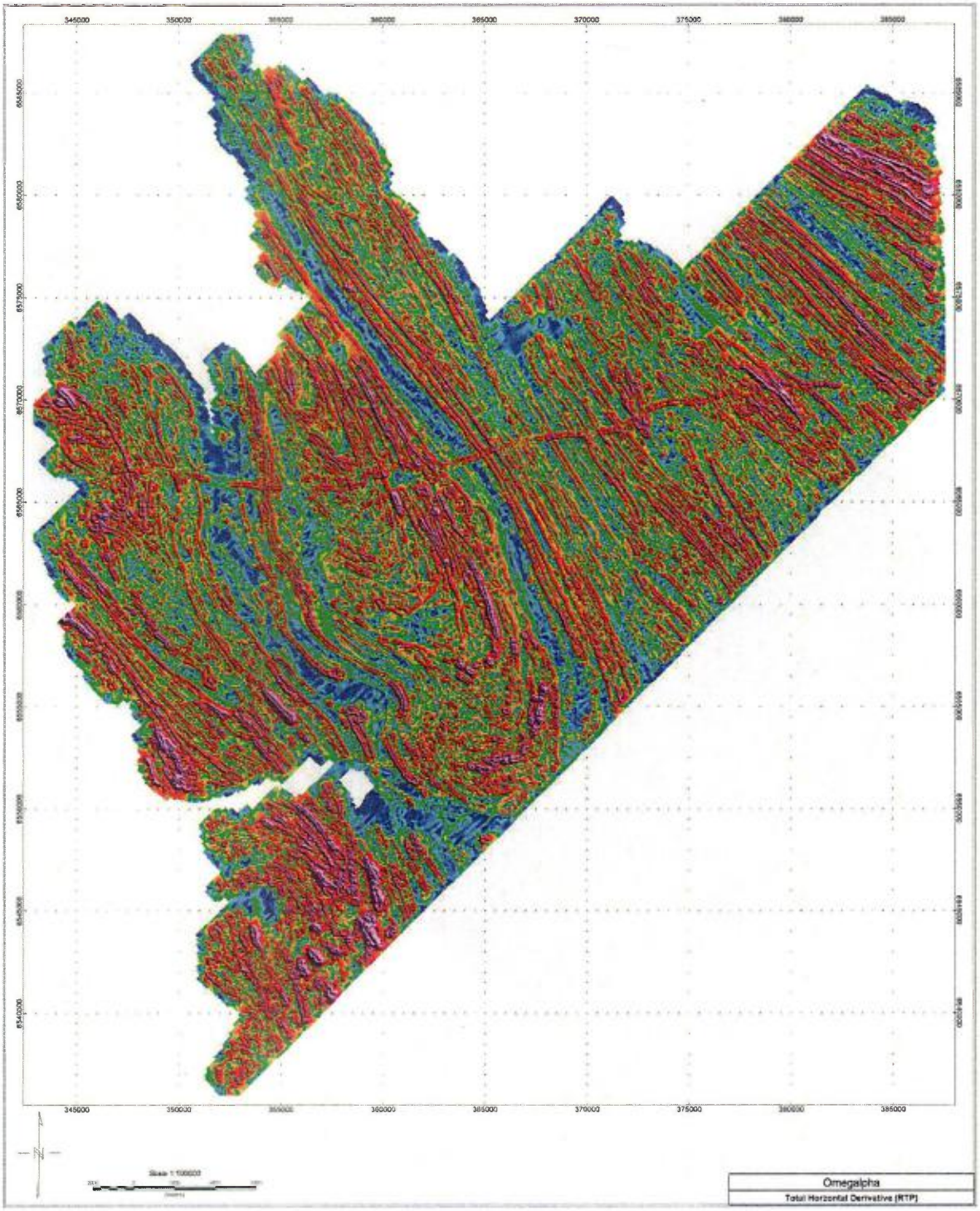

Figure 32 : Dérivée Horizontale Totale du champ magnétique réduit au pôle

Le calcul du **Signal Analytique** (cf. figure 33) permet de localiser, par ses maximums d'amplitude, la position des contacts structuraux, et ce, sans être affecté par l'inclinaison ou la déclinaison magnétique du champ magnétique résiduel.

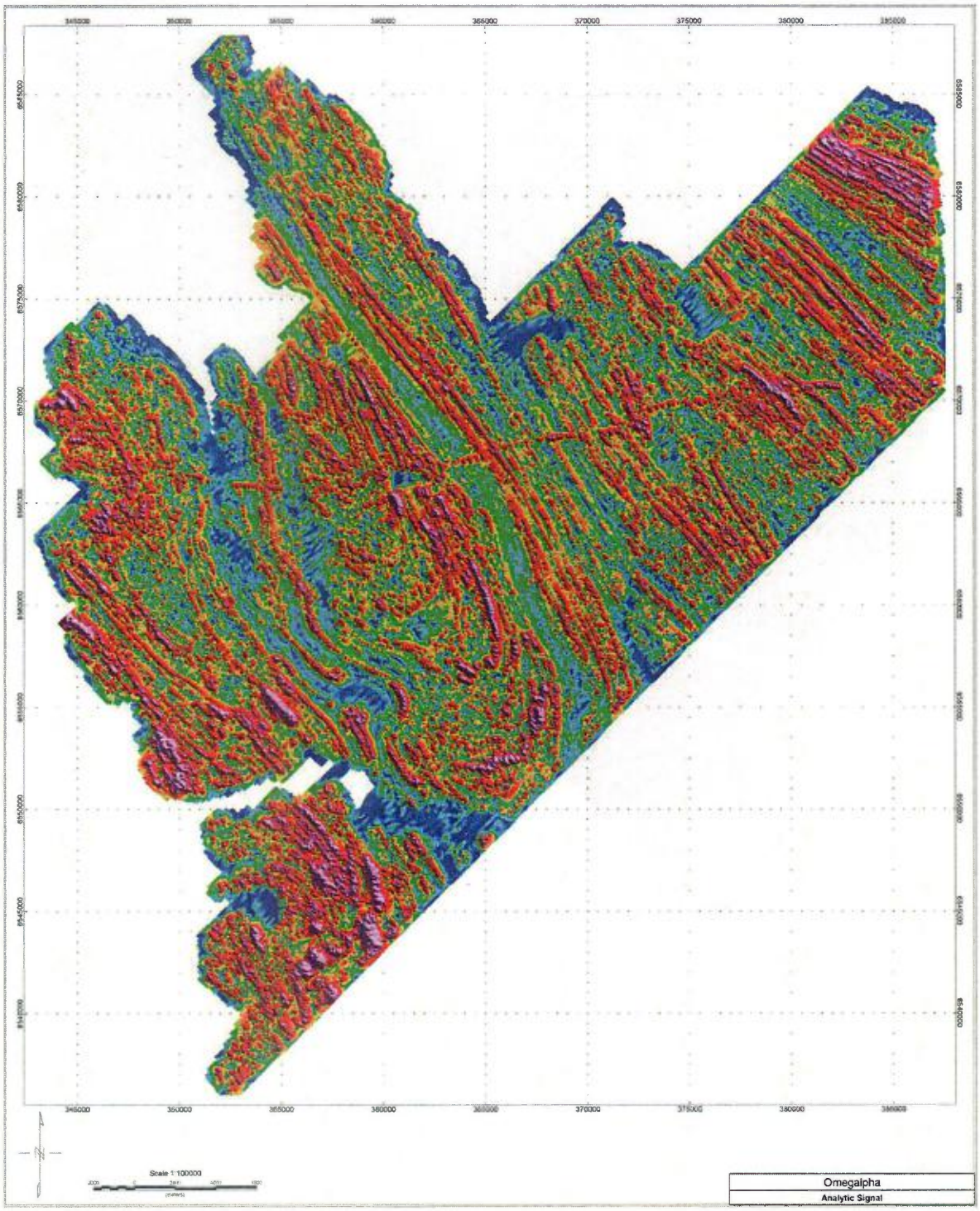

Figure 33 : Carte du Signal Analytique

Enfin, la dernière méthode d'interprétation qualitative utilisée ici est la méthode du **Tilt Dérivatif** (cf. figure 34). Il permet également de localiser les sources d'anomalies magnétiques mais plus particulièrement lorsqu'elles sont proches de la surface. Etant influencé par l'inclinaison et la déclinaison magnétique des sources d'anomalies, il est calculé à partir des données magnétiques réduites au pôle.

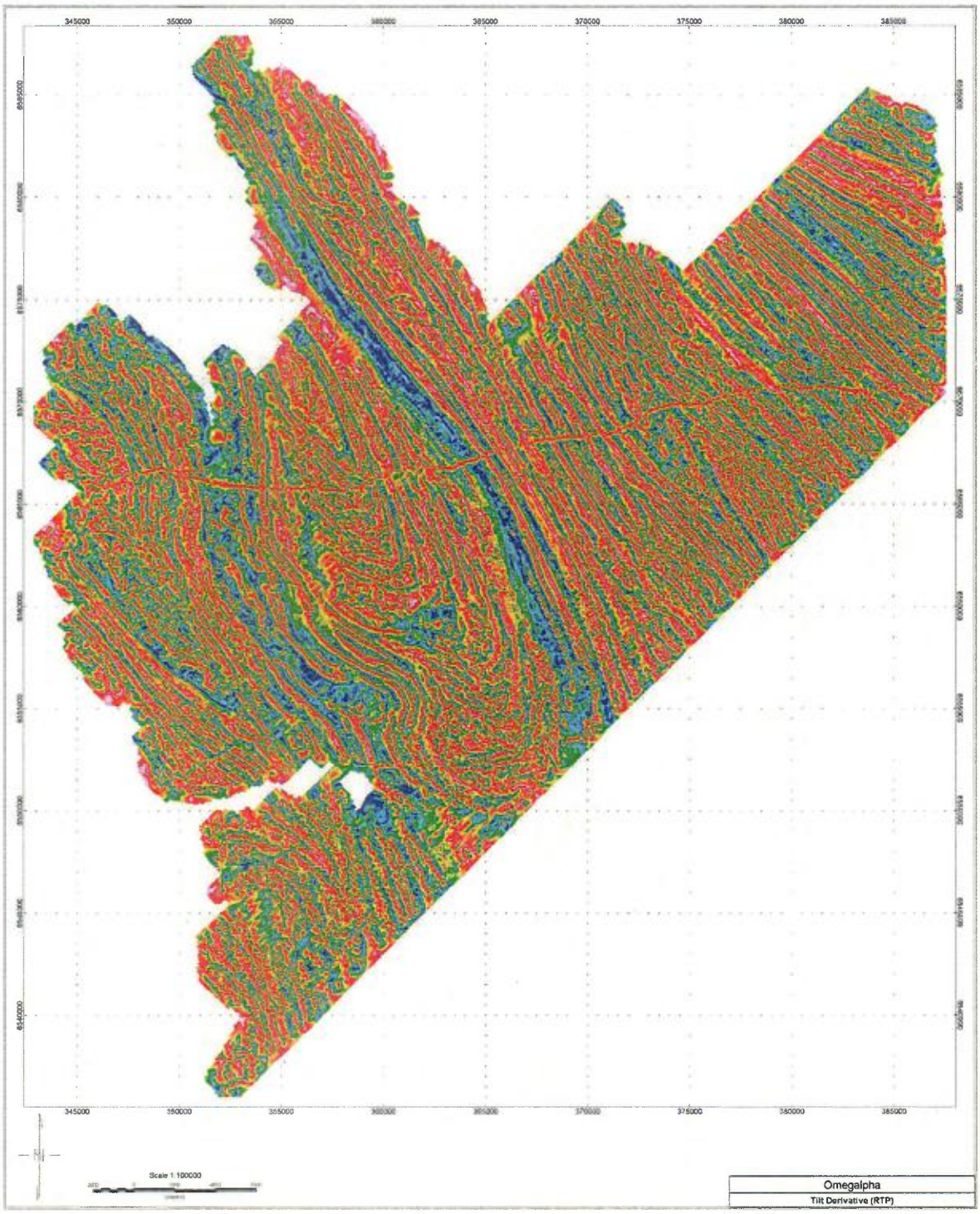

Figure 34 : Tilt Dérivatif du champ magnétique réduit au pôle

Le résultat de la combinaison de l'ensemble des cartes précédentes est représenté sur les figures 35 et 36. Il s'agit d'une définition de tous les linéations observables grâce aux données magnétiques.

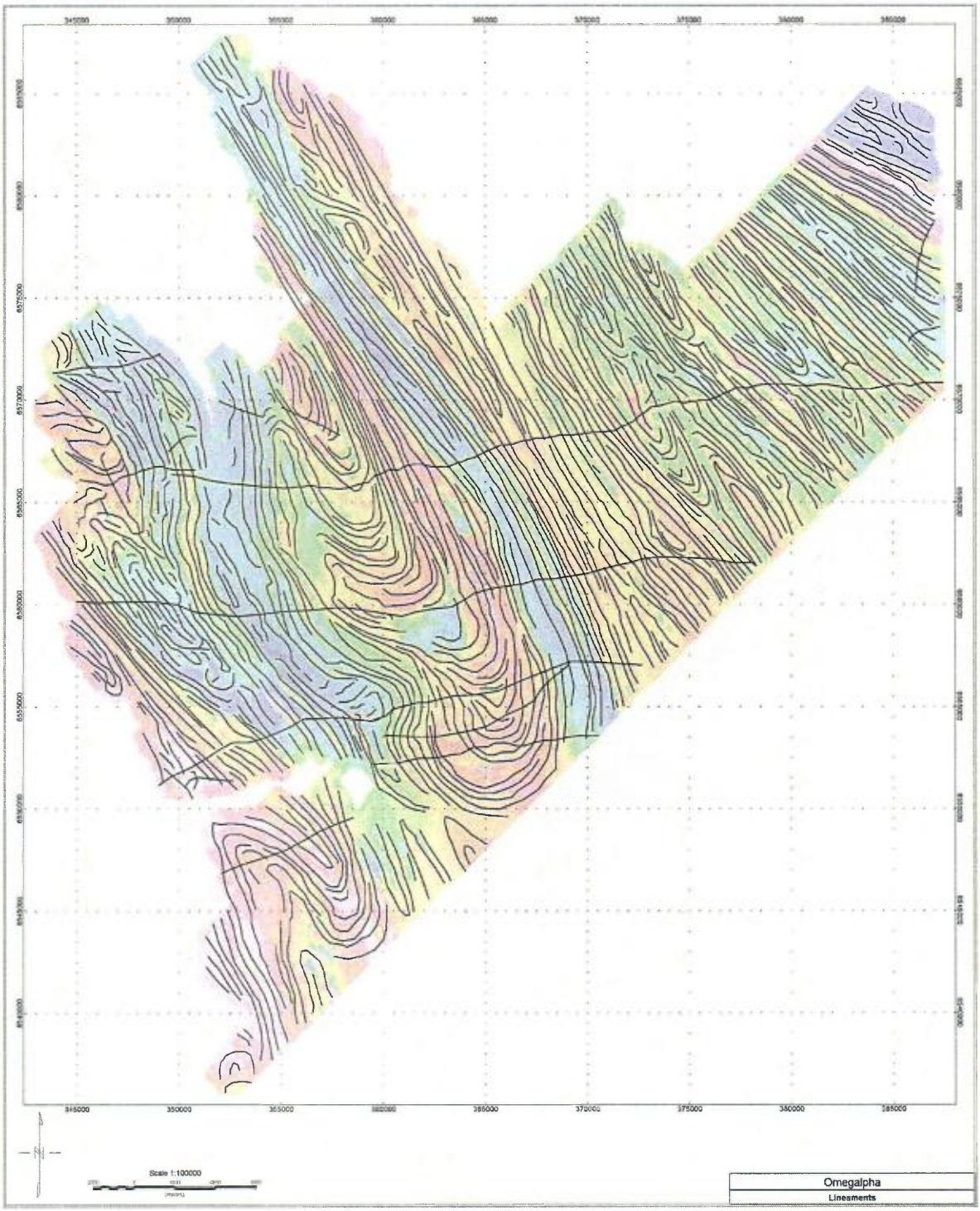

Figure 35 : Modèle de la localisation des linéations principales

Figure 36 : Modèle des linéationss sur fond de carte géologique

En considérant ces résultats, on peut remarquer tout d'abord que les mouvements observés ne semblent pas refléter une tectonique cassante mais au contraire ils semblent associés à de la tectonique plutôt ductile.

En effet, on peut observer de nombreux plissements dont les plans axiaux ont une orientation moyenne N150E, ce qui vient confirmer les premières propositions faites à propos de l'organisation régionale des données magnétiques. La géométrie de ces plis est variable mais l'emplacement de l'indice Cage est associé à celui dont l'amplitude est la plus grande sur cette zone, et plus précisément sur son flanc Ouest.

Si l'interprétation de la géométrie de ce pli, auquel est associée la bande de marbre qui contient l'indice Cage est correcte, on pourrait s'attendre à retrouver cette même bande de marbres sur le flanc Est du pli. En effet la bordure Sud de la zone couverte par le levé héliportée semble correspondre au nez de ce pli. Cependant, les sorties géologiques sur le terrain n'ont pas permis de confirmer cette hypothèse. Les rares bandes de marbres rencontrées n'étaient pas aussi continues que celle située plus à l'Ouest.

En regardant la carte du champ magnétique résiduel, on remarquera que la signature de la bande de marbre de Cage est globalement comparable à l'anomalie négative observée sur le flanc Est du pli. Toutefois, cette zone correspond également au contact entre deux provinces géologiques différentes : le craton Far North et le complexe de Sukaliuk (Flotté, 2007). De ce fait, il est possible que la bande de marbre soit présente à ce niveau, peut-être plus en profondeur ; ou bien qu'elle ait été plus ou moins broyée et disséminée lors du jeu de cette faille, lui conférant alors une signature magnétique négative.

Plusieurs dykes sont également visibles. Ils traversent la région selon un axe compris entre N70E et N90E. Ils ne sont pas affectés par les plis présents dans la zone ; on peut donc dire que leur mise en place est postérieure au plissement régional.

4.1.2 Interprétation quantitative

L'interprétation quantitative de données magnétiques consiste à utiliser des méthodes de calcul tels que la Déconvolution d'Euler, de Werner ou la méthode du Signal Analytique, afin d'obtenir une localisation dans les 3 dimensions de l'espace des sources d'anomalies magnétiques.

Dans le cas qui nous intéresse, la nature géologique de la région, constituée pour l'essentiel de gneiss, de paragneiss ou de pegmatites, ne s'est pas révélée favorable à l'application de cette méthode de calcul. En effet il est ressorti de celle-ci un nombre très important de solutions, rendant totalement illisible la moindre carte synthétique. Ceci étant dû aux fortes valeurs de susceptibilité de ces types de roches. Les marbres étaient caractérisés, quand à eux, par une absence de solution liée à leur caractère non magnétique.

Les figures 37 et 38 illustrent deux résultats d'un même profil de modélisation passant à l'aplomb de l'indice Cage et démontrant le problème posé ci-dessus.

Le premier cas est le résultat obtenu si l'on considère que l'épaisseur des marbres est finie, et dans ce cas leur épaisseur maximale est d'environ 150m.

Le deuxième cas, en considérant que l'épaisseur des marbres est infinie.

On voit très bien ici le problème de non unicité des modèles magnétique, c'est-à-dire que plusieurs modèles géologiques peuvent produire la même réponse magnétique.

Sans informations géologiques a priori supplémentaires (par le biais de forages par exemple) cette méthode ne peut être poursuivie.

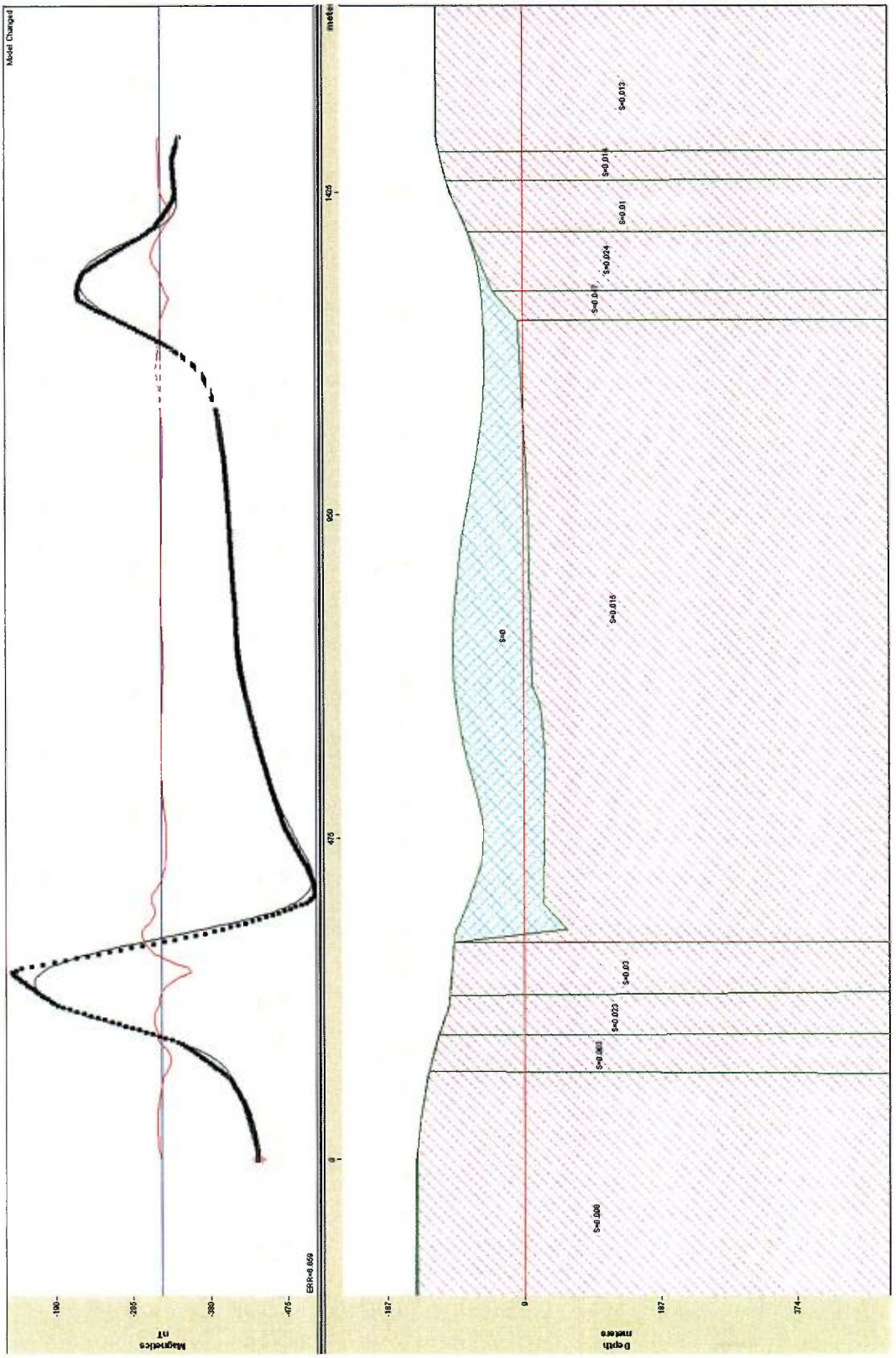

Figure 37 : Profil de modélisation pour un marbre d'épaisseur finie

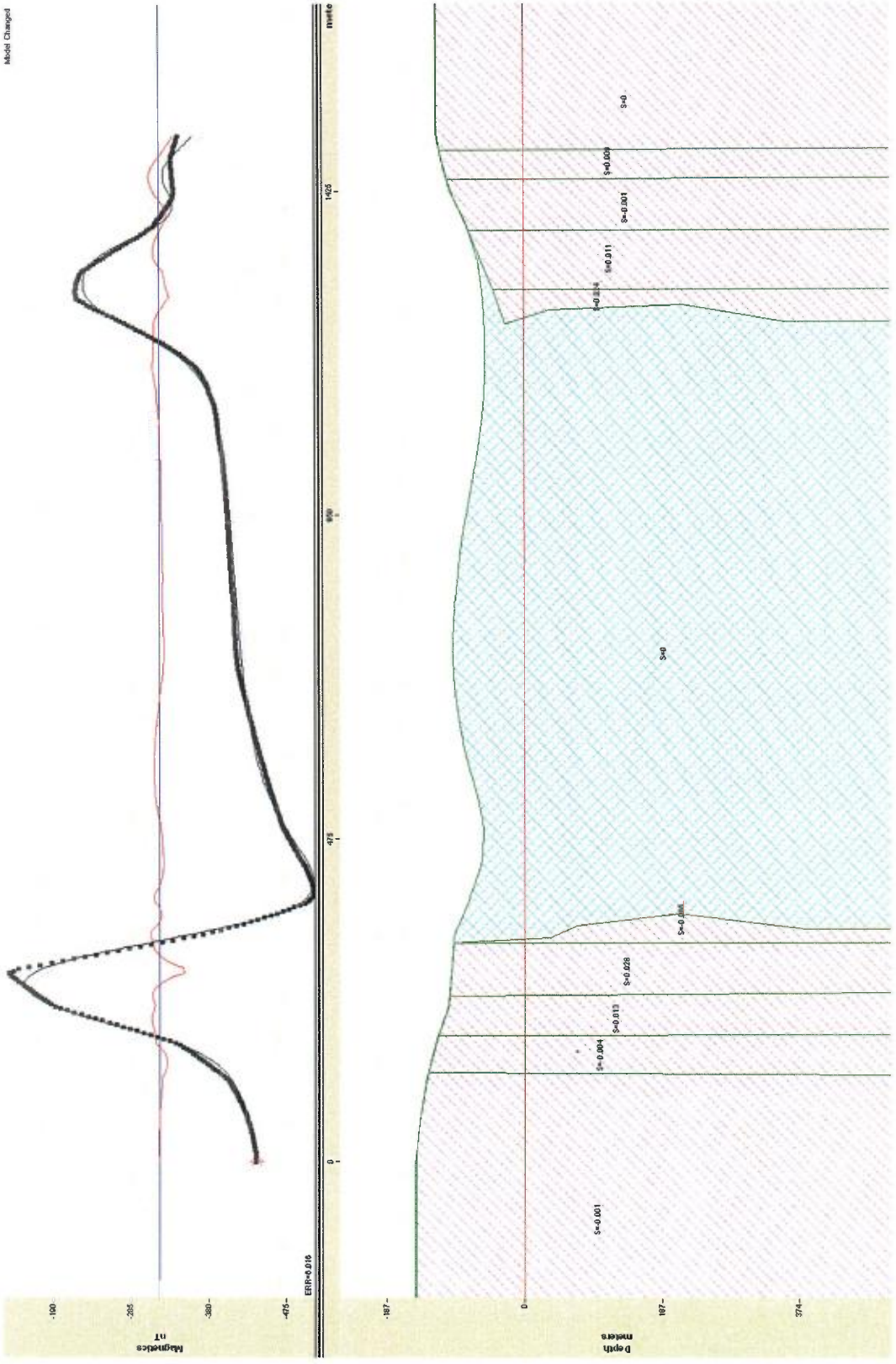

Figure 38 : Profil de modélisation pour un marbre d'épaisseur infinie

4.2 Focalisation sur l'indice Cage

Tout comme pour les cartes radiométriques, les cartes suivantes représentent l'information magnétique localisée sur l'indice Cage.

La figure 39 représente le **Champ Magnétique Résiduel** mesuré dans la région de Cage.

Là aussi plusieurs domaines sont observables. Le premier d'entre eux, au Nord-est de la carte, présente un fort champ magnétique positif. Il correspond au cœur du pli dont il a été question précédemment.

Vers le Sud-ouest, le champ magnétique diminue progressivement jusqu'à devenir négatif au niveau de la bande de marbre de Cage.

Le dernier tiers Sud-ouest de la carte se subdivise en deux parties. Au nord, une anomalie positive qui correspond, d'après la carte géologique, au socle archéen et aux paragneiss. Au Sud, une anomalie négative qui correspond à une autre zone de marbre, celle du Nord de la baie de Kegloo.

Ces 3 zones sont constituées d'anomalies plus ponctuelles, très linéaires et très bien visibles en ce qui concerne les paragneiss et le socle archéen.

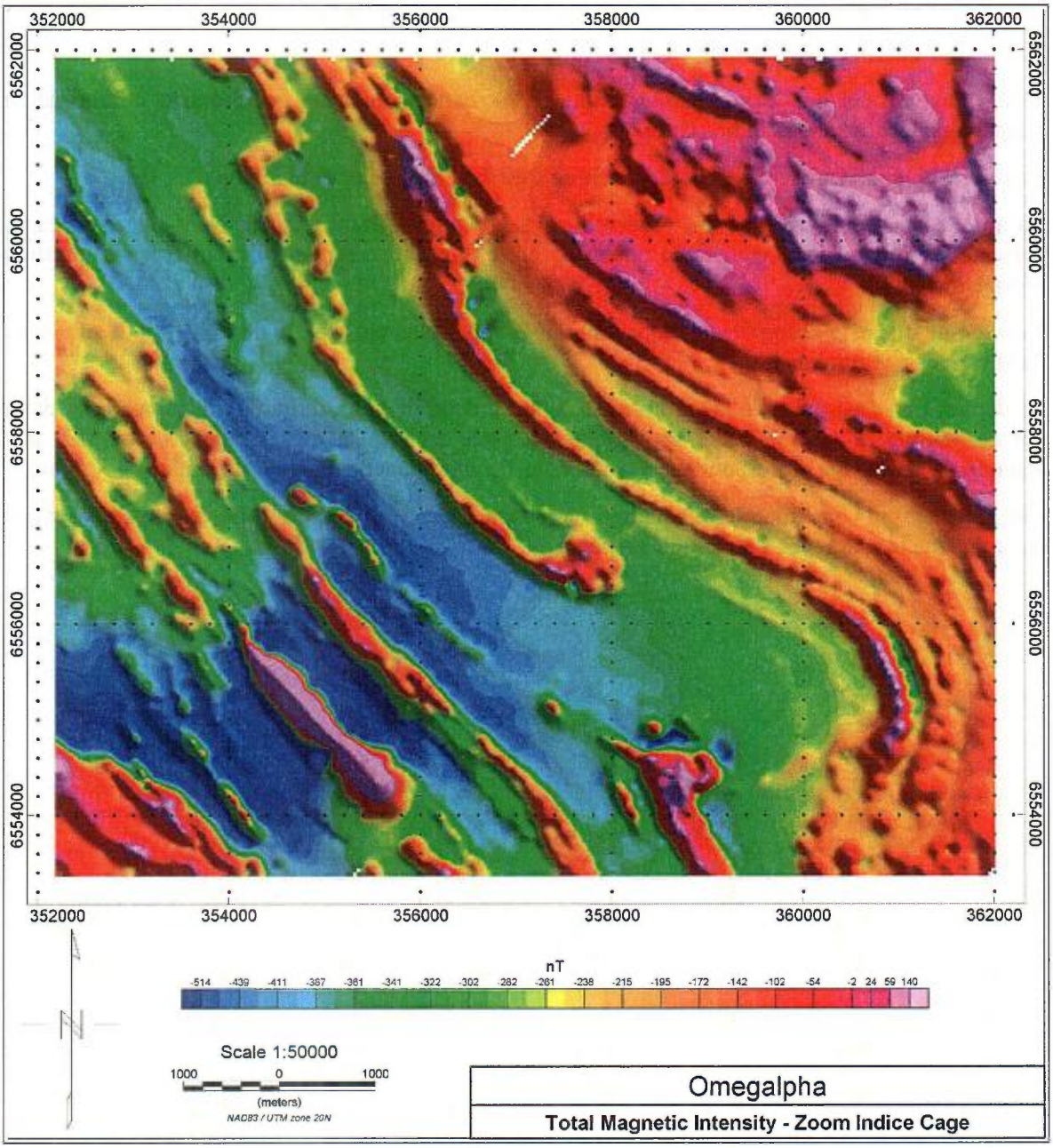

Figure 39 : Champ Magnétique Total corrigé de l'IGRF dans la zone de Cage

La figure suivante illustre le **champ magnétique résiduel Réduit au Pôle**. Les variations par rapport à la carte précédente sont infimes mais comme dit plus haut, cela permet de recentrer les anomalies magnétiques à l'aplomb de leurs sources.

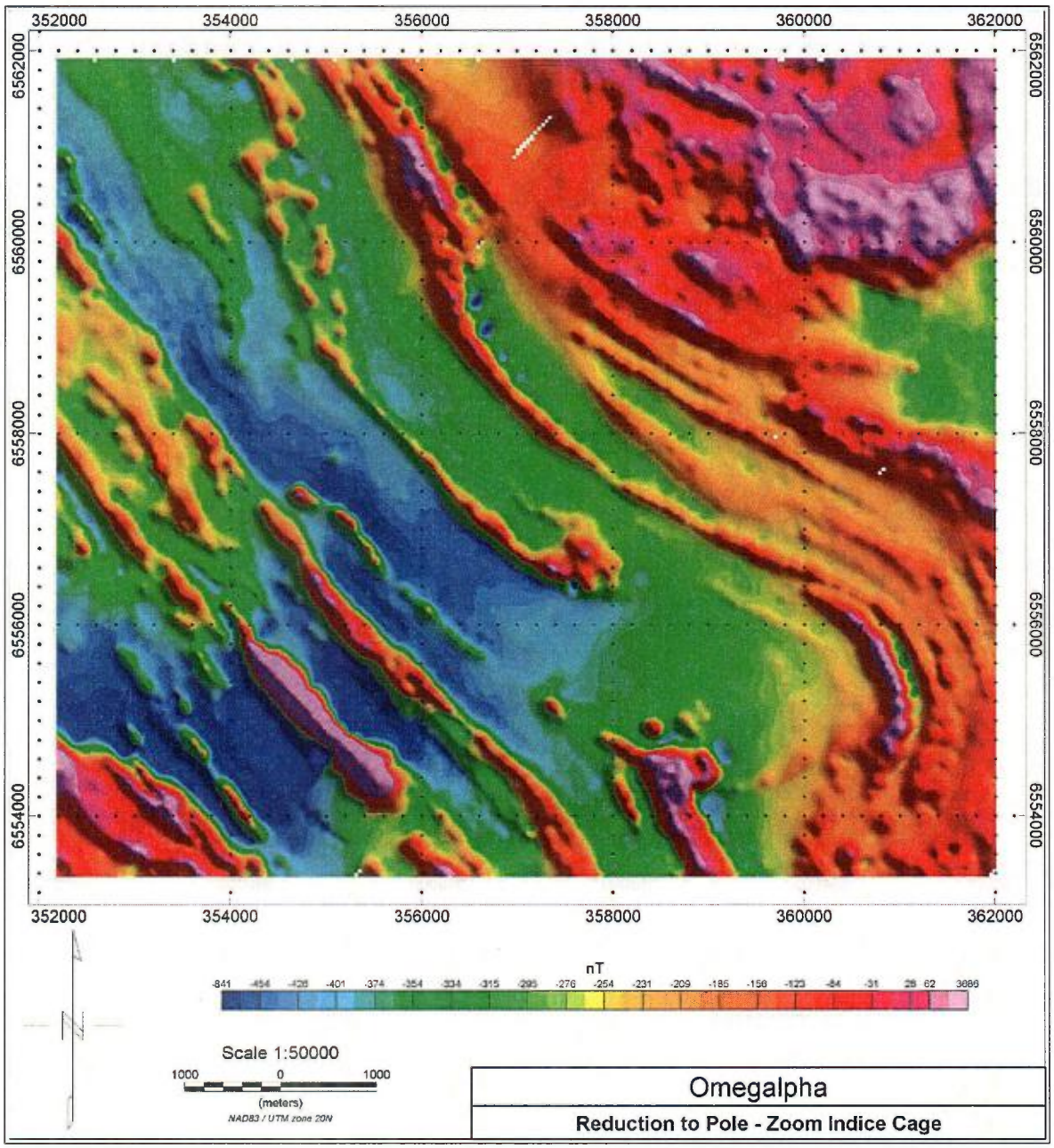

Figure 40 : Champ magnétique Réduit au Pôle, zone de Cage

Les figures 41 à 44 sont le résultat des calculs des **Gradients Horizontaux et Verticaux** du champ magnétique résiduel réduit au pôle.

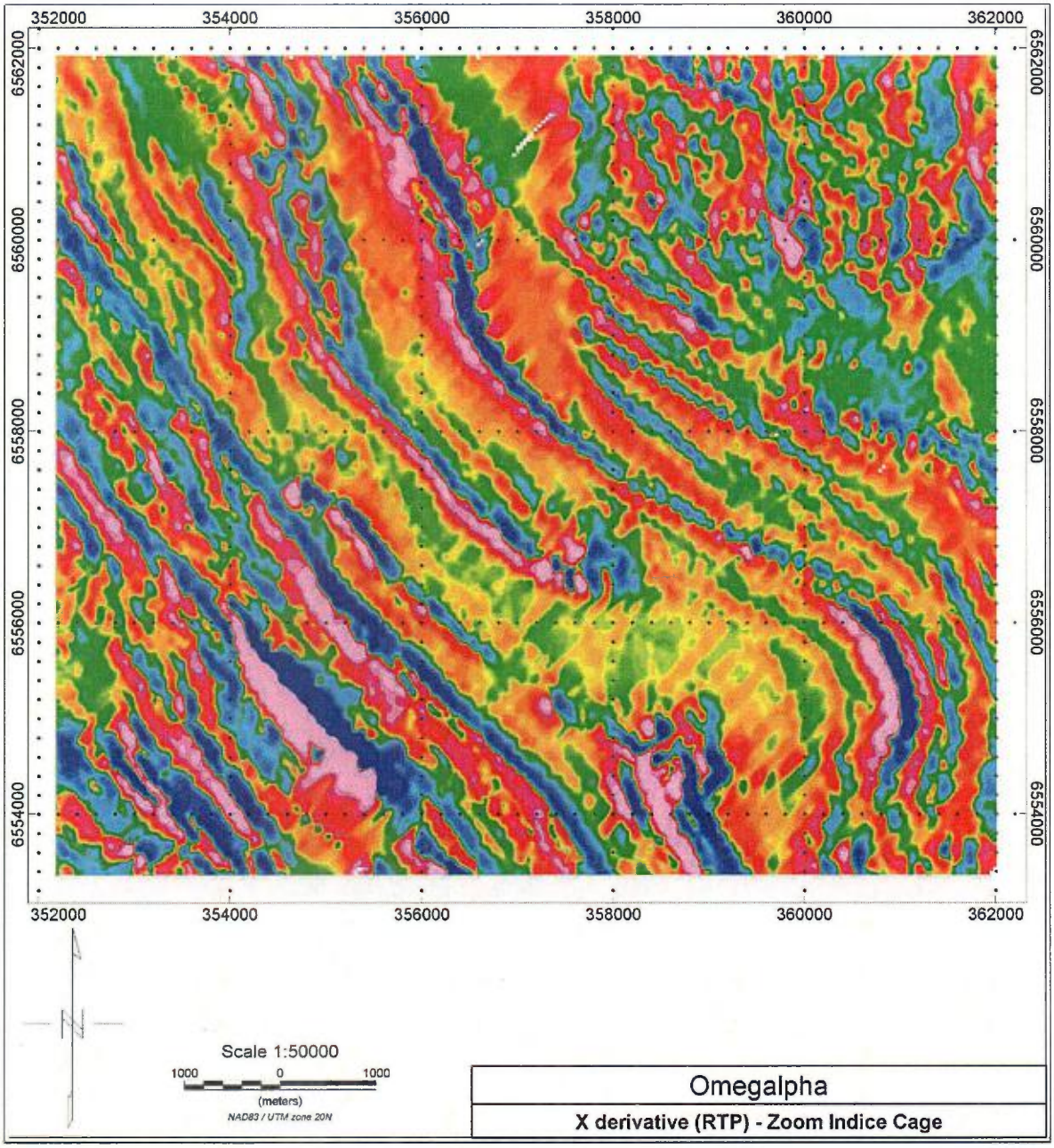

Figure 41 : Dérivée selon l'axe X du champ magnétique réduit au pôle, zone de Cage

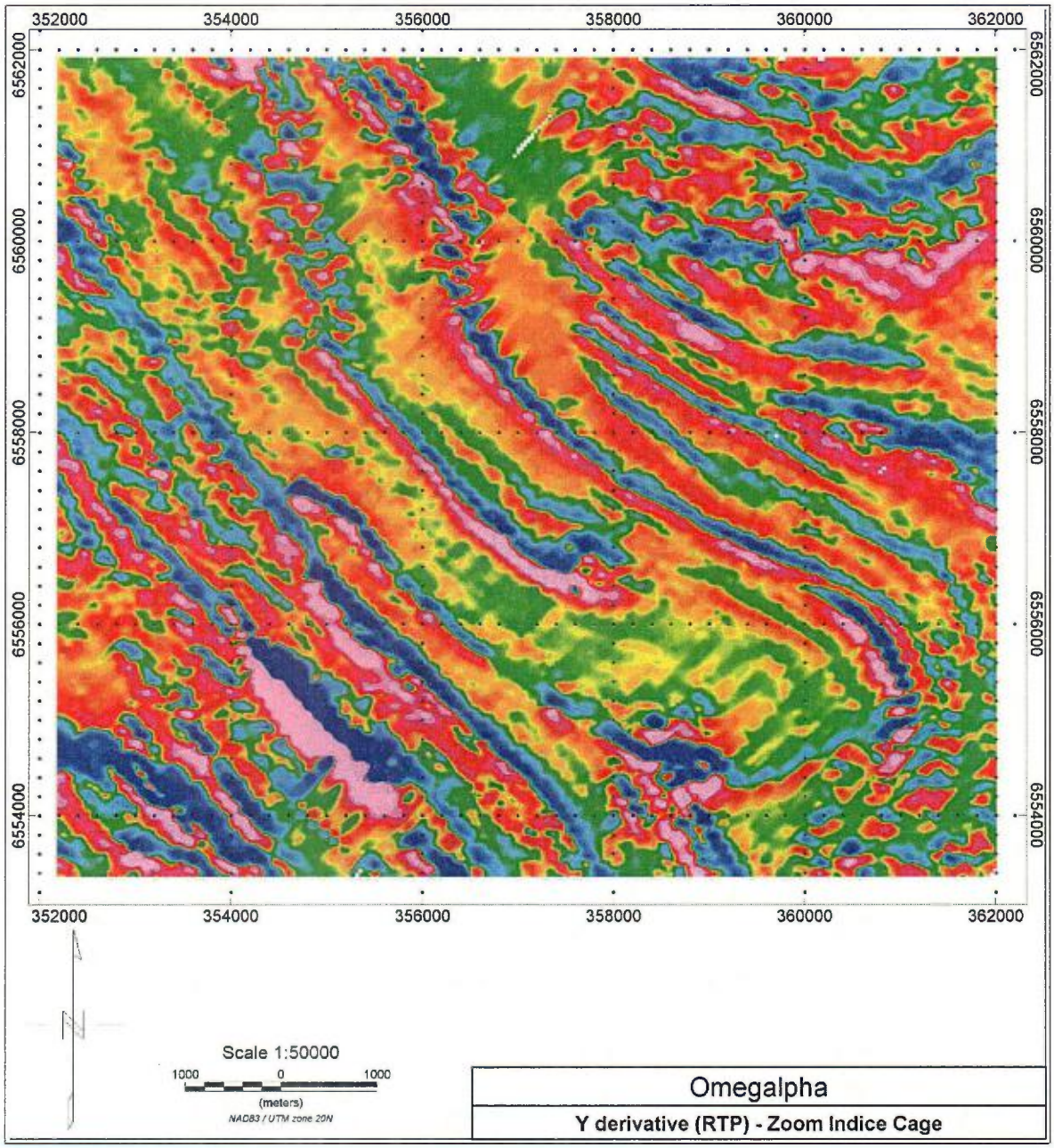

Figure 42 : Dérivée selon l'axe Y du champ magnétique réduit au pôle, zone de Cage

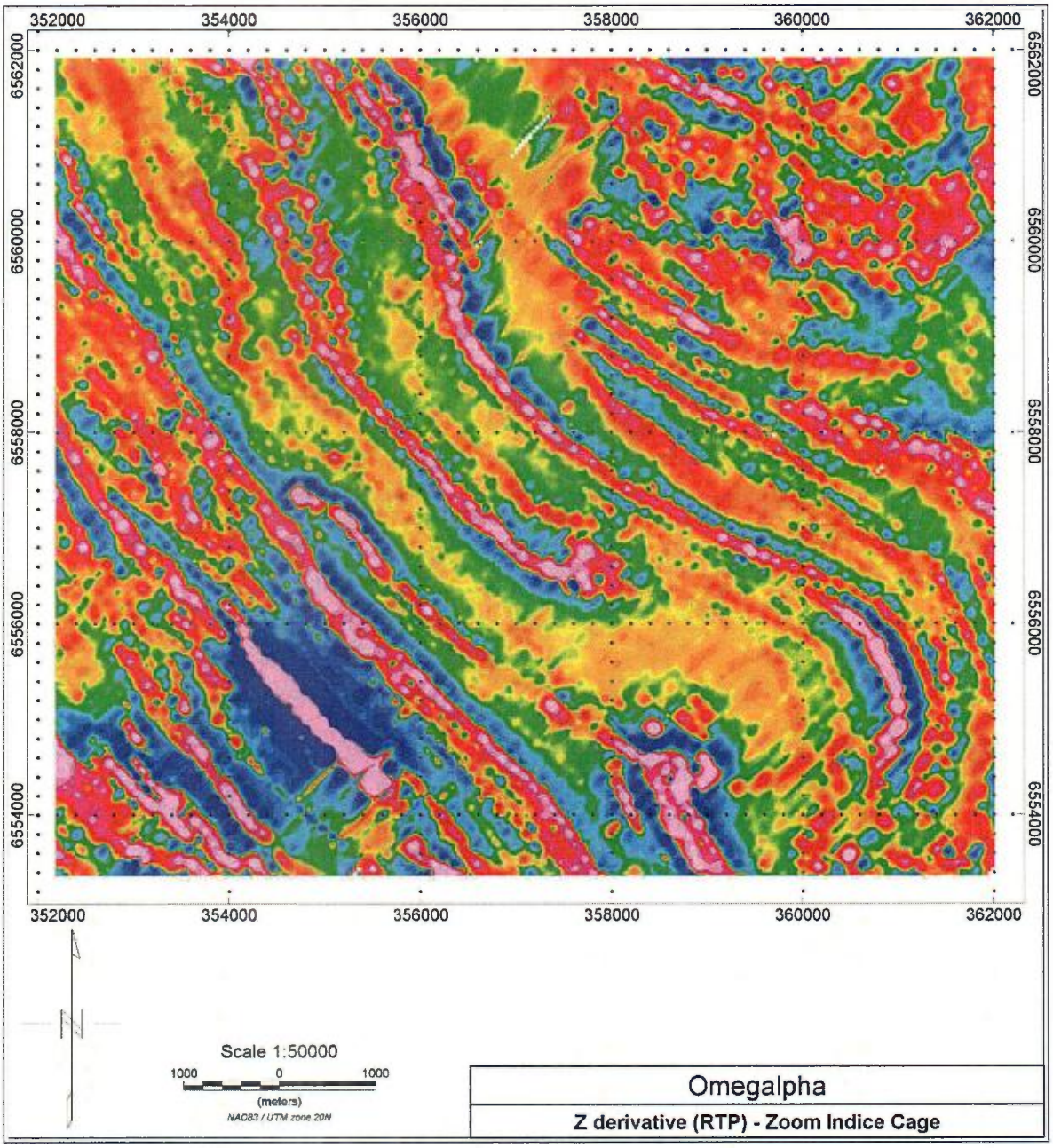

Figure 43 : Dérivée selon l'axe Z du champ magnétique réduit au pôle, zone de Cage

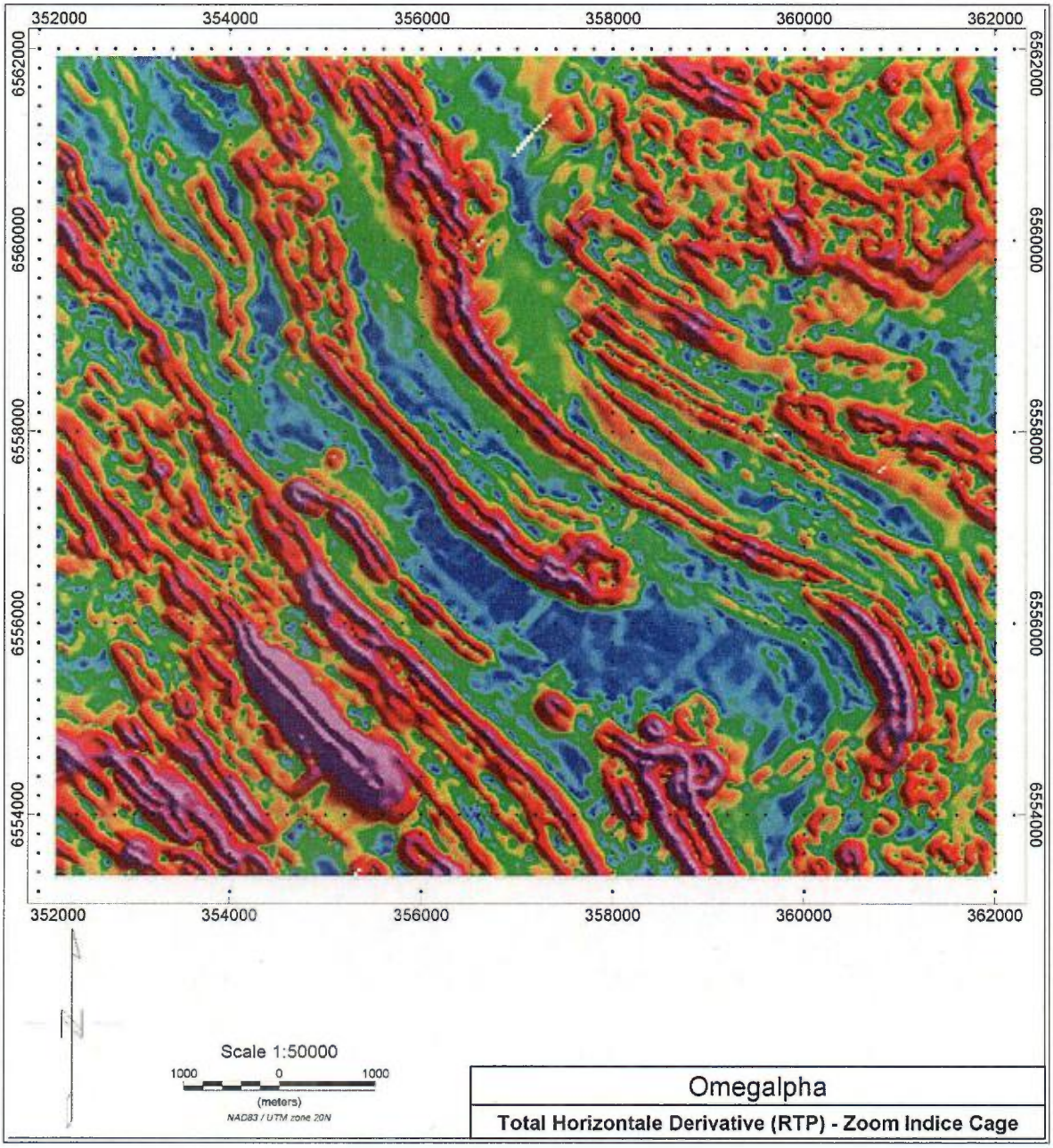

Figure 44 : Dérivée Horizontale Totale du champ magnétique réduit au pôle, zone de Cage

Le **Signal Analytique** est illustré sur la figure 45. On peut remarquer que des effets de lignes sont visibles sur l'ensemble de la carte, peut-être à cause d'un pas de mise en grille trop contraignant.

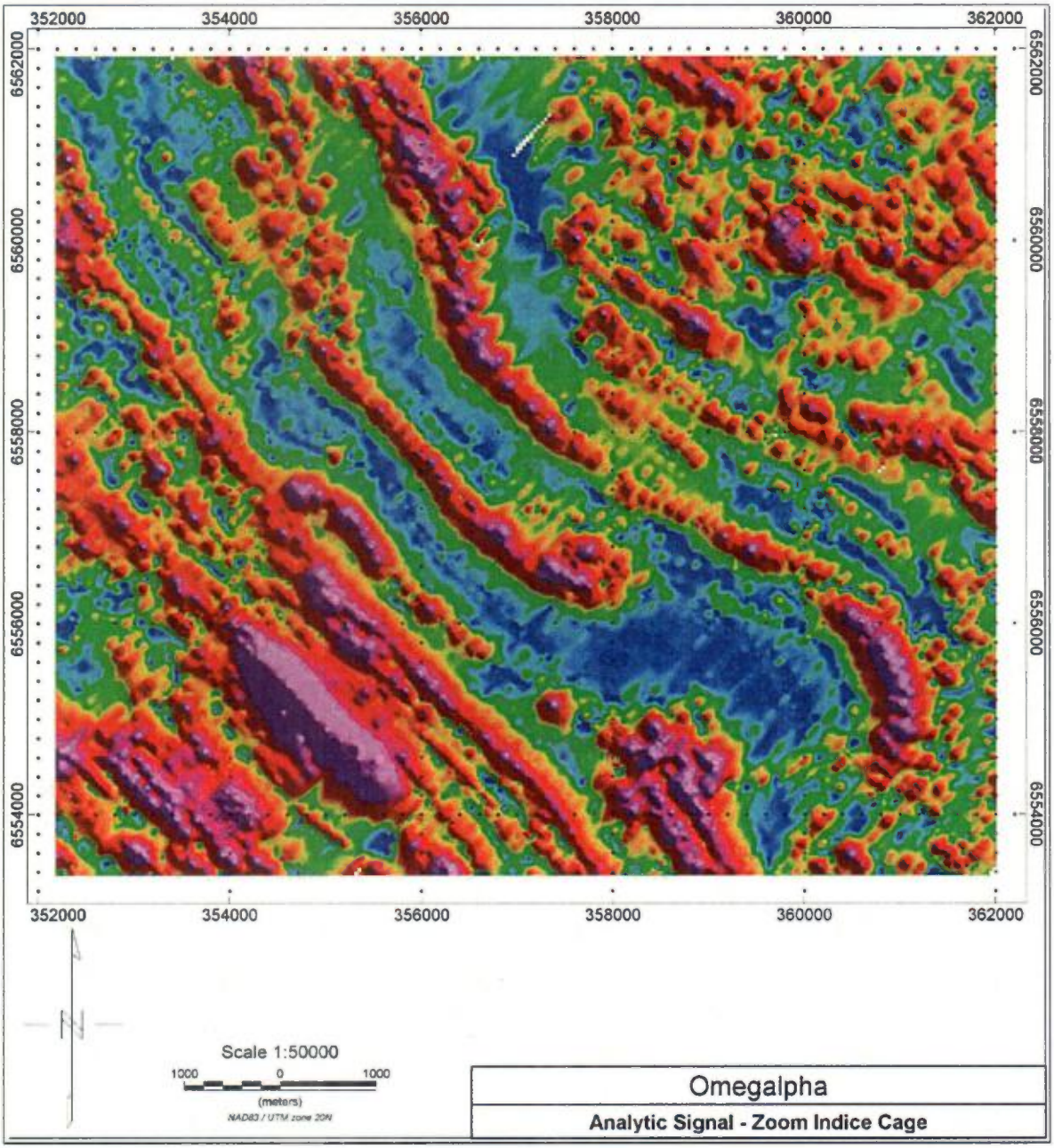

Figure 45 : Carte du Signal Analytique, zone de Cage

Enfin, la figure 46 illustre le résultat du calcul du **Tilt Dérivatif**.

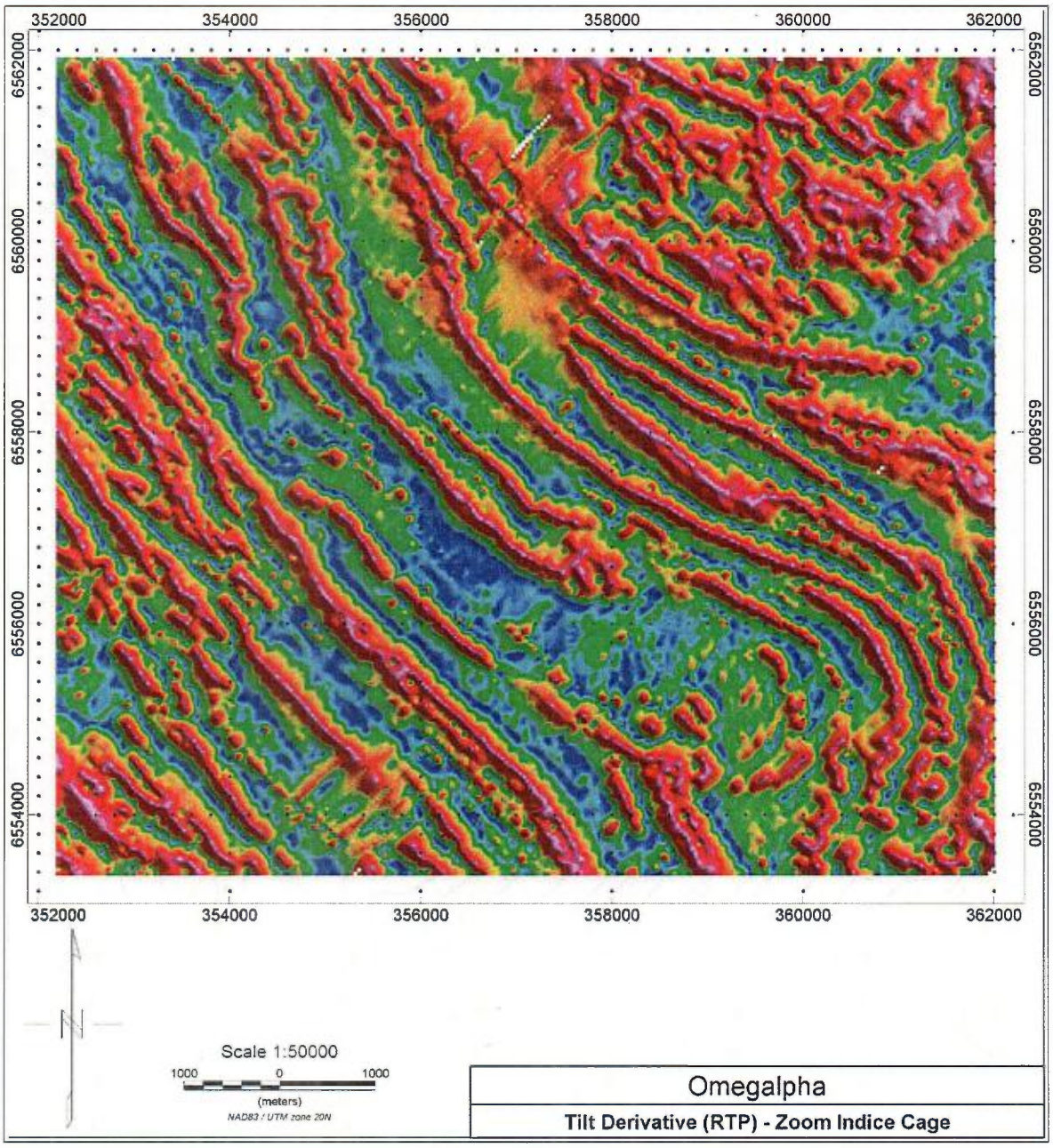

Figure 46 : Tilt Dérivatif du champ magnétique réduit au pôle, zone de Cage

L'interprétation de l'ensemble des cartes magnétiques précédentes recentrées sur la zone de Cage a permis de proposer un second modèle de localisation des linéations magnétiques. En effet, le modèle proposé sur la figure 47 est plus fin que celui, plus global, visible sur les figures 35 et 36.

Il permet d'observer plus nettement le plissement de la bande de marbres au Sud-est de l'indice Cage.

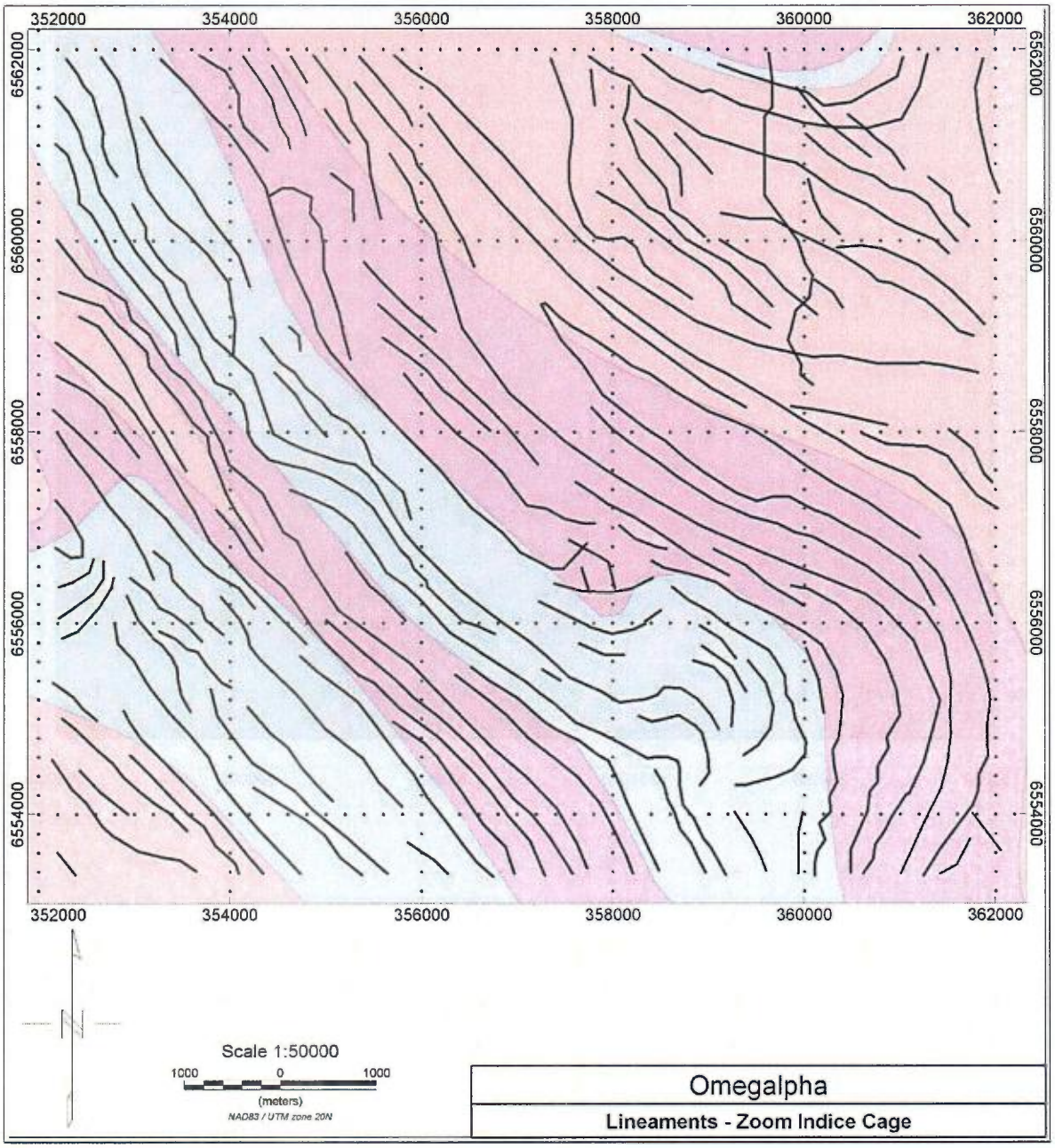

Figure 47 : Modèle de la localisation des linéations principales dans la zone de Cage

La figure 48 superpose le modèle des linéaments à la carte géologique régionale.

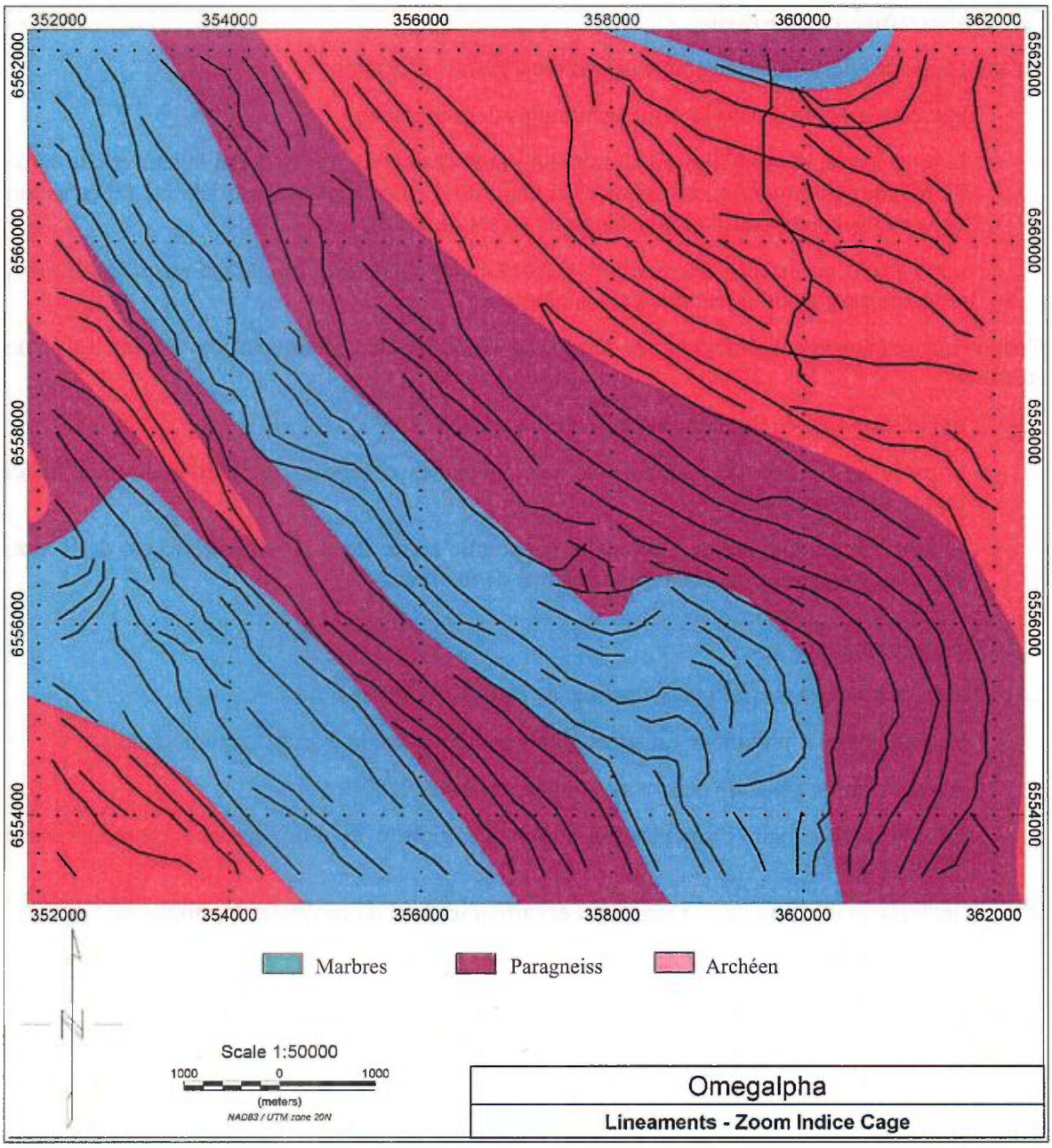

Figure 48 : Modèle des linéations sur fond de carte géologique, zone de Cage

5. Synthèse

5.1 Spectrométrie Gamma

La campagne de spectrométrie gamma héliportée a permis d'obtenir :

- une cartographie des radioéléments présents dans la région,
- la localisation d'anomalies en Uranium à partir des cartes d'équivalent teneur et des cartes de rapports radiométriques (même si la majorité d'entre elles avaient déjà été repérées lors de la campagne d'exploration géologique au sol de 2006),
- une carte d'occurrence des marbres permettant de relativiser les anomalies précédemment repérées par rapport à leur contexte géologique.

Concernant la campagne géologique de terrain de 2007, il serait intéressant de vérifier les points suivants :

- l'extension Sud de l'indice Bocar,
- la présence ou non de marbres liés aux anomalies observées au Nord-ouest de l'indice Bocar, sur la pointe,
- le contexte géologique de l'anomalie ponctuelle située dans la partie Nord-est de la zone survolée, qui a priori ne serait pas constitué de marbres.

5.2 Magnétométrie

La méthode de mesures magnétiques a permis de mettre en évidence :

- les principales « provinces » magnétiques qui constituent la région, au nombre de 4,
- la structuration générale de la zone étudiée, orientée N150E,
- les dykes recoupant l'organisation structurale globale et d'orientations comprises entre N70E et N90E.

Il serait intéressant du point de vue structural et cartographique de confirmer les points suivants :

- la fermeture Sud du pli majeur observable dans la région et qui n'a pas pu être couverte lors de la campagne héliportée de 2006,
- vérifier si la bande de marbres, dont font partis les indice Cage, Carl et Bocar, disparaît effectivement vers le Sud, et comment,
- dans le cas où cette bande de marbres se prolonge, définir comment elle réagit structuralement par rapport au pli précédent et à la zone de contact entre le craton Far North et le Complexe de Sukaliuk.

ANNEXE H

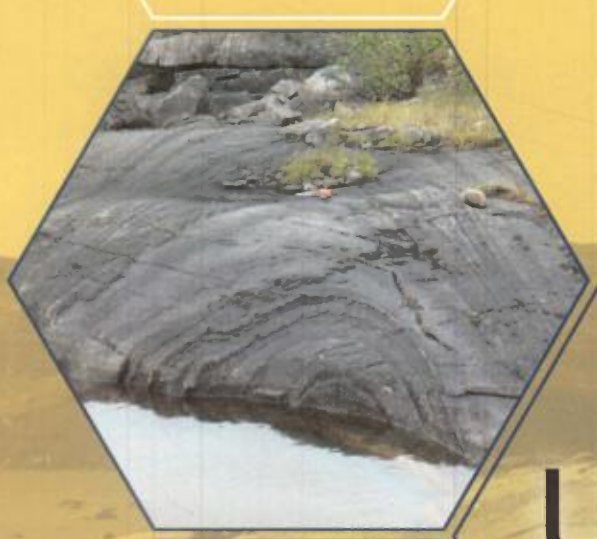

URANOR

ÉTUDE STRUCTURALE DU SECTEUR DE L'INDICE CAGE

Nunavik, Québec

Par Nicolas Flotté (AREVA NCB/BUM/DEX/GT)

OMÉGALPHA

AREVA

Etude structurale du secteur de l'indice Cage, Nunavik, Québec

COPIE CONFORME

Endossé par :

GÉOLOGUE / GÉOLOGIST
SERGE GENEST #577
QUÉBEC

Ressources naturelles et Faune, Québec
17 MARS 2008
Service de la Géoinformation

Secteur Mines Chimie Enrichissement
Business Unit Mines
Direction de l'Exploration

COGEMA

Secteur Mines Chimie Enrichissement
Business Unit Mines
Direction de l'Exploration

Vélizy, le 01 Décembre 2006

Etude structurale du secteur de l'indice Cage, Nunavik, Québec

Réf :

Nom		Signature
Rédacteur	**N.FLOTTÉ**	
Correcteur	**C.CAILLAT**	
Approbateur	**C.CAILLAT**	

DESTINATAIRES

AREVA-NC: C.CAILLAT

OMEGALPHA: S.GENEST

1 Sommaire

1 Sommaire 3

2 Liste des Figures 4

3 Synthèse 7

4 Cadre géologique 8

5 Géologie du groupe Lake Harbour 13

5.1 Les paragneiss 13

5.2 Les marbres et les roches calco-silicatées associées 13

6 Géologie structurale 14

6.1 Les marqueurs de la déformation 14

6.2 Les plis NE/SW à axe sub-horizontal et la foliation régionale 16

6.3 Les cisaillements ductiles et les plis NW/SE à axe vertical 18

6.3.1 Rappel : les indicateurs cinématiques 18

6.3.1.1 Mylonite 18

6.3.1.2 Boudins asymétriques 19

6.3.1.3 Cisaillement ductile et formation de plis syn-cinématiques 20

6.3.2 La déformation cisaillante ductile dans les paragneiss. 20

6.3.3 La déformation cisaillante ductile dans les marbres 27

6.4 La déformation tardive – Fractures N20/N50° 34

6.5 Dykes N50-N70° tardifs 37

6.6 Synthèse de l'histoire géologique du secteur de l'indice CAGE 39

7 Localisation des minéralisations uranifères 41

7.1 L'uranium dans les marbres 41

7.1.1 Uranium syn-sédimentaire 41

7.1.2 Uranium syn-cinématique 41

7.2 L'uranium dans les paragneiss 45

7.3 L'uranium dans les pegmatoïdes 45

7.4 Remobilisations tardives 46

8 Références 47

2 Liste des Figures

Figure 1. Principales composantes tectoniques précambriennes du craton de l'Amérique du nord (Laurentia) et du bouclier baltique (modifié d'après Hoffman, 1987). La position du bouclier baltique est celle précédant l'ouverture de l'océan Iapetus ; la position du Groenland est restaurée avant sa séparation de l'Amérique du nord (ouverture de l'océan Atlantique). La couverture phanérozoïque est enlevée ; les orogènes protérozoïques et phanérozoïques sont en minuscules, et les provinces archéennes, en majuscules 9

Figure 2. Carte lithotectonique (adaptée de Wardle *et al.*, 1990). La section AB indique la localisation de la coupe de la Figure 3 10

Figure 3. Champ magnétique total et interprétation des grandes structures régionales 11

Figure 4. D'après Verpaelst *et al.* (2000). Coupe géologique simplifiée du nord de la province de Churchill. La coupe est interprétée à partir de données sismiques, gravimétriques et géologiques. Localisation sur la Figure 2 12

Figure 5. Coupe à l'échelle crustale de l'orogène Torngat réalisée à partir de données de sismique réfraction grand-angle (Funck *et al.*, 1999). ASZ : Abloviak shear zone, LHG : Groupe Lake Harbour, LLC : Complexe du Lac Lomier, MCB : Limite inférieure de la croûte moyenne, NFT : chevauchement du Nachvak Fiord, RG : groupe Ramah, TD : domaine Tasiuyak, TFZ : avant-pays de l'orogène Torngat. 12

Figure 6. Variations de la composition chimiques des marbres entraînant des forts contrastes de couleur de la patine et permettant de mettre en évidence et de suivre la stratification sédimentaire initiale... 14

Figure 7. Contact normal subvertical entre les paragneiss (à gauche) et la série des marbres (à droite) au sud-ouest du secteur Cage. 15

Figure 8. D'après Passchier et Trouw (2005). a : Réfraction de la foliation dans des niveaux compétents. b : Orientation variable de la foliation dans une séquence de roches contenant de forts contrastes de compétences. 15

Figure 9. Carte magnétique du secteur de Cage. Interprétation des principaux domaines et des structures. Double flèche bleue= plis ; trait noir fin =cisaillement ductile ; trait noir gras=limite de domaine ; trait rouge=dyke tardif 16

Figure 10. Interprétation des principaux domaines et des structures à partir des données magnétiques. Double flèche bleue= plis ; trait noir fin =cisaillement ductile ; trait noir gras=limite de domaine ; trait rouge=dyke tardif 17

Figure 11. D'après Passchier et Trouw (2005). Diagramme schématique montrant la géométrie d'une zone mylonitique. 18

Figure 12. D'après Passchier et Trouw (2005). Indicateurs de sens de cisaillement les plus couramment observés dans les cisaillements ductiles. Les indicateurs sont observés sur des sections normales à la foliation et parallèles à la linéation. 19

Figure 13. D'après Passchier et Trouw (2005). Représentation schématique du développement de boudins asymétriques. 19

Figure 14. Exemple d'une séquence d'événements dans un cisaillement ductile durant une seule phase de déformation qui montre l'apparition progressive d'un pli qui se nuclée sur une hétérogénéité. 20

Figure 15. Apparition des mobilisats quartzo-feldspathiques dans les paragneiss. Le paléosome est encore clairement observable (metatexite) 21

Figure 16. Diatexite dans les paragneiss. Boudinage des leucosomes, apparition de plans de cisaillement C' 21

Figure 17. Détail de la Figure 16. Boudinage du leucosome, apparition de plan C' (milieu droite), de plans C marqués par l'alternance leucosome/mélanosome et de plans de foliation S (en haut à droite) marqués par des minéraux du mélanosome. On observe localement des porphyroclastes de grenats. 22

Figure 18. Zone mylonitique mise en évidence par l'intense boudinage des mobilisats quartzo-feldspathiques au sein d'une matrice à grains fins. 22

Figure 19. Plan C' recoupant et décalant le leucosome (centre de la photo). Les plans C' sont toujours synthétiques de la cinématique de l'accident et indiquent une cinématique décrochante dextre sur ce cisaillement ductile. La foliation mylonitique (plans C) apparaît bien en haut de la photo (quasiment parallèle au bord). En bas à gauche de la photo, on observe un boudin symétrique déformant le leucosome. 23

Figure 20. Micropli d'un niveau quartzo-feldspathique. Le plan axial est parallèle à la foliation mylonitique et l'axe est orthogonal à la linéation. Ce micropli est contemporain du cisaillement ductile et indique un cisaillement dextre. Présence de porphyroclastes de grenats dans le leucosome (bas de la photo). 23

Figure 21. Porphyroclastes de grenats dans la diatexite. Le leucosome est boudiné indiquant une intense déformation. La rotation des porphyroclastes de grenats indique le sens du cisaillement (détail sur la Figure 22). 24

Figure 22. Détail de la Figure 21. Rotation horaire d'un porphyroclaste de grenat indiquant une cinématique dextre du cisaillement ductile. 24

Figure 23. Boudinage symétrique d'un niveau quartzo-feldspathique mettant en évidence la cinématique cisaillante. La symétrie du boudinage ne permet pas de déterminer le sens du cisaillement. 25

Figure 24. Lentille de quartz dont l'asymétrie indique un sens de cisaillement dextre. 25

Figure 25. Porphyroclaste de grenat. Un fin niveau de restite est déformé autour du grenat et indique un sens de cisaillement dextre (voir le δ-object de la Figure 12). Le leucosome constitue la majorité de cette roche. 26

Figure 26. Carte géologique et structurale du secteur des indices CAGE. Mise en évidence de la déformation plicative de la stratification sédimentaire (S0) des marbres. 28

Figure 27. A gauche : boudinage symétrique dans les marbres dits "chaotiques". L'alternance des niveaux à patine gris moyen et à patine gris foncé est associée à une modification de la géochimie de la roche. Le boudinage est parallèle à la S0/S1 des marbres orientée N130. Il démontre le caractère cisaillant de ce secteur. A droite : Boudinage en dominos sur l'indice décapé de CAGE-D. La disposition et la rotation des boudins indiquent un cisaillement dextre sur la direction N140 (détail sur la Figure 28). 29

Figure 28. Détail sur les boudins en dominos sur l'indice CAGE-D. Le déplacement antithétique le long des plans inter-boudins à fort pendage (par rapport à la direction du cisaillement) et la rotation horaire des boudins indiquent un cisaillement dextre sur ce secteur, parallèle à la foliation N140. 29

Figure 29. Niveau pegmatoïde injecté parallèlement à la stratification sédimentaire des marbres et boudiné postérieurement à sa mise en place. 30

Figure 30. Boudinage symétrique d'un banc de roche calco-silicatée dans les marbres massifs de l'indice CAGE-D situé dans la calcite-mylonite. 30

Figure 31. Rotation horaire d'un reliquat (boudin) de roche calco-silicatée dans les marbres massifs de l'indice CAGE-D situés dans la calcite-mylonite. Le sens de rotation implique un cisaillement dextre sur la direction N140, parallèle au bord supérieur de la photo. 31

Figure 32. Rotation horaire d'un reliquat boudiné de pegmatite intra-marbre dans la zone de la calcite-mylonite (sud de l'indice CAGE). Le sens de rotation implique un cisaillement dextre sur la direction N140, parallèle au bord supérieur de la photo. 31

Figure 33. Plis d'entraînement dans les marbres illustrant l'importante déformation cisaillante dans les marbres à proximité du cisaillement ductile observé dans les paragneiss. 32

Figure 34. Plissement de bancs compétents de roches calco-silicatées dans des marbres massifs à déformation plastique. Les plis sont clairement anisopaques avec étirement des flancs. Les plis sont orientés parallèlement à la foliation et au cisaillement. La géométrie des plis indique un cisaillement ductile senestre. 33

Figure 35. Plis formés lors de la première phase de compression Φ2 et repris lors de la mise en place des grands cisaillements ductiles (Φ3) et des plis d'entraînement associés. Géométrie en fourreau. 33

Figure 36. Relation géométrique entre les microplis de première génération (2) repris dans un pli d'entraînement associé au fonctionnement des grands cisaillements ductiles (3). Mise en évidence des deux générations de foliations S2 et S3. S2 n'est pas observée sur le terrain, cachetée par la phase 3 et la formation de la foliation S3. 34

Figure 37. Diagramme stéréographique (plans et pôles) représentant le système des fractures N20 à N50 mesurées sur le secteur de l'indice CAGE..... 34

Figure 38. Rosette représentant la répartition statistique des plans de fractures N20 à N50 mesurés sur le secteur de l'indice CAGE. 35

Figure 39. Vue sur le réseau des fractures N20/N50 sur le secteur de l'indice CAGE 35

Figure 40. Relation géométrique entre la foliation S3 et le réseau des fractures N20/N50. La dissolution des carbonates met en relief les deux systèmes de structures. 36

Figure 41. Relation géométrique entre la foliation S3 et le réseau des fractures ouvertes N20/N50 comaltées par de la calcite..... 36

Figure 42. Vue de détail sur le colmatage millimétrique d'une fracture N35 par de la calcite. 37

Figure 43. Exemple d'un dyke de diabase tardif non métamorphisé recoupant les paragneiss..... 38

Figure 44. Exemple d'un dyke de diabase tardif non métamorphisé recoupant les paragneiss et des pegmatoïdes associés..... 38

Figure 45. Blocs diagrammes schématiques illustrant l'évolution structurale et cinématique du secteur de l'indice CAGE. A : Compression E/W à NE/SW (phase de déformation Φ2). Développement des plis régionaux N130 à axes subhorizontaux. B : Transpression (phase de déformation Φ3) résultant de la rotation des contraintes. Mise en place des grands cisaillements ductiles et formation synchrone des plis N130 à axes verticaux. C : Fracturation tardive (fractures N20 à N50)..... 39

Figure 46. Carte géologique et structurale du secteur de l'indice CAGE et localisation des anomalies uranifères identifiées sur le terain durant la campagne de prospection 2006. 42

Figure 47. Produits jaunes associés à la S0 des marbres parallèle aux foliations S2 et S3. 42

Figure 48. Minéralisation uranifère parallèle à la stratification S0 et à la foliation S3 héritée de la phase de décrochement ductile dextre. 43

Figure 49. Minéralisation uranifère parallèle à la stratification S0 et à la foliation S3 héritée de la phase de décrochement ductile dextre caractérisée dans le secteur. Remobilisation et cristallisation syn-cinématiques. Epaisseur approximative de 3-4 cm..... 43

Figure 50. Schéma de la structure observée dans les marbres sur le décapage CAGE-B. Système de coordonnées locales métrique. 44

Figure 51. Schéma de la structure observée dans les marbres sur le décapage CAGE-B et plan compteur à la maille 1m. Système de coordonnées locales métrique..... 44

Figure 52. Fracturation tardive N20° associée à une anomalie radiométrique (>40000cps sppγ) et à du graphite..... 45

3 Synthèse

Le secteur de l'indice Cage est localisé sur la bordure orientale de la province de Churchill dans le nord-est du bouclier canadien. Les marbres, calc-silicates et paragneiss qui portent les indices radiométriques appartiennent au groupe **Lake Harbour** d'âge **paléoprotérozoïque** (~2.0-1.8 Ga) qui repose en discordance sur le socle archéen. L'ensemble est métamorphisé (faciès amphibolite) et structuré durant l'**orogenèse trans-hudsonienne** (~1.8 Ga).

L'épisode de déformation trans-hudsonien est complexe et polyphasé. **Trois phases de déformation** ont été observées sur le terrain :

1. **Compression** NE/SW mettant en place régionalement des grands plis orientés NW/SE à axes sub-horizontaux (phase Φ2) et une foliation S2
2. **Transpression** (phase Φ3) mettant en place de grands cisaillements ductiles (+ foliation mylonitique S3) dextres parallèles à l'axe des plis formés lors de la phase Φ2. Des plis d'entraînement d'échelle centimétrique à pluri-hectométrique sont associés aux cisaillements. Ils sont orientés NW/SE avec des axes verticaux
3. **Phase de déformation cassante tardi- à post-hudsonienne** mettant en place un réseau de fractures N20° à N50°

Les **indices uranifères** observés dans les **marbres et calc-silicates** du groupe Lake Harbour correspondent à des concentrations en uranium d'origine sédimentaire recristallisé au cours de l'épisode tectono-métamorphique trans-hudsonien. Ces indices sont structuralement corrélés à l'ancienne stratification dans les marbres et les calc-silicates. Les anomalies relevées s'associent systématiquement à l'un des trois niveaux enrichis qui sont plissés lors des phases de déformation Φ2 et Φ3. L'épaisseur des niveaux enrichis est faible, variant de quelques centimètres à quelques décimètres, rarement au-delà du mètre, en fonction de la quantité d'étirement ductile subit localement parallèlement à la S0.
Il existe dans les marbres quelques remobilisations syn-cinématiques de l'uranium contemporaines de la phase de déformation Φ2. Ces remobilisations associent une S0 étirée parallèlement à la foliation S3.

De nombreux indices uranifères ont également été relevés dans des **pegmatoïdes intra-paragneiss** ou intra-marbres. Dans la zone mylonitique intra-paragneiss formée lors de la phase de déformation Φ3 et située au NE du secteur Cage, les pegmatoïdes correspondent à un début de **fusion partielle** des paragneiss avec ou sans migration. La fusion partielle est favorisée au cœur du cisaillement ductile par localisation des contraintes et augmentation de température. Les mobilisats ainsi formés s'enrichissent en éléments incompatibles et notamment en uranium dont la présence dans les paragneiss est certifiée par un fond radiométrique de 150-200 cps (sppγ).

Des évidences de remobilisations tardives de l'uranium existent localement en association avec des fractures N20-50° formées lors de la phase de déformation cassante tardi- à post-hudsonienne. Du graphite est associé à ces remobilisations. De telles évidences ont été précédemment proposées à l'échelle microscopique attestant de phénomènes d'ouverture tardive du système.

4 Cadre géologique

Le secteur de l'indice Cage est localisé sur la bordure orientale de la **province de Churchill** dans le nord-est du bouclier canadien (Figure 1).
La province de Churchill a été formée par des collisions obliques entre les cratons archéens de **Nain** et du **Supérieur** et un troisième bloc archéen intermédiaire, la « zone noyau », qui correspond à l'extension sud-est de la **province de Rae** (Wardle *et al.*, 2002). La province de Churchill comprend l'**orogène Torngat**, formé par la collision entre la « zone noyau » (également appelée **craton Far North**) et le craton de Nain, à l'est, la « zone noyau » au centre et l'**orogène du Nouveau-Québec** (ou fosse du Labrador), formé par la collision entre la « zone noyau » et le craton du Supérieur, à l'ouest (Figure 2, Figure 3, Figure 4, Figure 5). L'orogène Torngat et l'orogène du Nouveau Québec appartiennent à l'**orogène Trans-Hudson s.l.** qui définit l'ensemble des orogènes de l'Amérique du Nord et du bouclier baltique formés entre 2.0 et 1.8 Ga.

Dans le secteur de Cage, le craton Far North est lui-même divisé en quatre unités lithostratigraphiques (Verpaelst *et al.*, 2000):

- le **complexe de Kangiqsualujjuaq** structuré pendant le Paléoprotérozoïque et composé de séries d'orthogneiss tonalitiques et granitiques recoupés par des plutons et des dykes archéens.
- le **complexe Baudan**, également structuré au Paléoprotérozoïque, composé de gneiss granitiques archéens et de migmatites.
- le **groupe de Lake Harbour**, séquence paléoprotérozoïque de paragneiss, quartzites, marbres calcitiques et dolomitiques, roches calco-silicatées et métabasaltes dans laquelle se situe l'indice Cage.
- la **suite mafique Nuvulialuk** composée de gabbros métamorphisés, de dykes ultramafiques intrusifs dans le groupe de Lake Harbour.

Les principaux épisodes de l'histoire tectonique de la région sont :

1. A l'**Archéen**, formation d'un socle tonalitique et de roches supra-crustales (amphibolites) entre 2.92 et 2.76Ga
2. Emplacement de granitoïdes (2.60–2.62Ga) accompagné par un métamorphisme (faciès granulite) et d'une déformation ductile (**épisode tectono-métamorphique de l'Archéen supérieur**)
3. Dérive crustale des cratons de Nain et du Supérieur (2,2–2,1 Ga);
4. **Subduction** du craton de Nain sous l'est du craton Far North vers 1,9 Ga et injection de granitoïdes dans la marge du craton Far North
5. Erosion d'un **arc magmatique** et emplacement des sédiments et laves du groupe **Lake Harbour**, et emplacement de la suite intrusive Nuvulialuk (1.90-1.85Ga) dans le bassin d'arrière-arc
6. **Collision** (orogenèse Trans-hudsonienne) entre le craton de Nain et le craton Far North qui forme l'**orogène Torngat** (1,87–1,85 Ga). La collision est associée à une compression E-W qui engendre des plis N-S et des chevauchements d'est en ouest, à un métamorphisme régional (faciès amphibolite dans le craton Far North) et à une remobilisation du socle et des roches supracrustales pour former les complexes Baudan et Kangiqsualujjuaq (1.82-1.828Ga). Le métamorphisme atteint le faciès granulite dans l'orogène Torngat (complexes Sukaliuk, Lomier et gneiss de Tasiuyak)

7. Passage de la compression à la **transpression** dans l'orogène Torngat (1,845–1,82 Ga) générant des cisaillements N-S et NW-SE qui recoupent et replissent les plis N-S antérieurs. Emplacement de granites et de dykes pegmatitiques syn- à post-transpression. **Subduction** de la province du Supérieur sous l'ouest du craton Far North;
8. **Collision** entre le craton du Supérieur et le craton Far North (1,82–1,77 Ga) qui forme l'**orogène du Nouveau-Québec**
9. Intrusion tardive des dykes de Falcoz

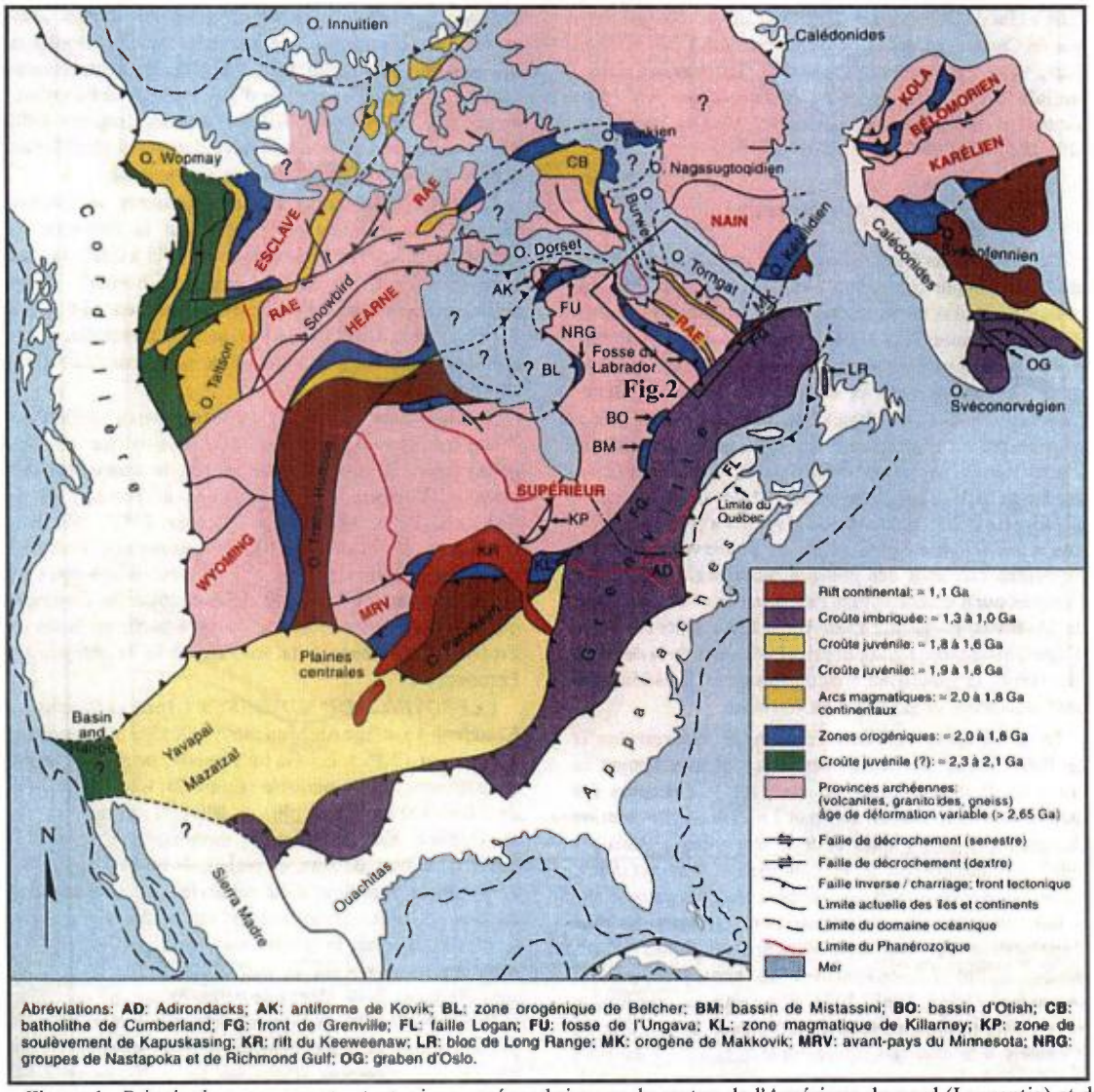

Abréviations: **AD**: Adirondacks; **AK**: antiforme de Kovik; **BL**: zone orogénique de Belcher; **BM**: bassin de Mistassini; **BO**: bassin d'Otish; **CB**: batholithe de Cumberland; **FG**: front de Grenville; **FL**: faille Logan; **FU**: fosse de l'Ungava; **KL**: zone magmatique de Killarney; **KP**: zone de soulèvement de Kapuskasing; **KR**: rift du Keeweenaw; **LR**: bloc de Long Range; **MK**: orogène de Makkovik; **MRV**: avant-pays du Minnesota; **NRG**: groupes de Nastapoka et de Richmond Gulf; **OG**: graben d'Oslo.

Figure 1. Principales composantes tectoniques précambriennes du craton de l'Amérique du nord (Laurentia) et du bouclier baltique (modifié d'après Hoffman, 1987). La position du bouclier baltique est celle précédant l'ouverture de l'océan Iapetus ; la position du Groenland est restaurée avant sa séparation de l'Amérique du nord (ouverture de l'océan Atlantique). La couverture phanérozoïque est enlevée ; les orogènes protérozoïques et phanérozoïques sont en minuscules, et les provinces archéennes, en majuscules.

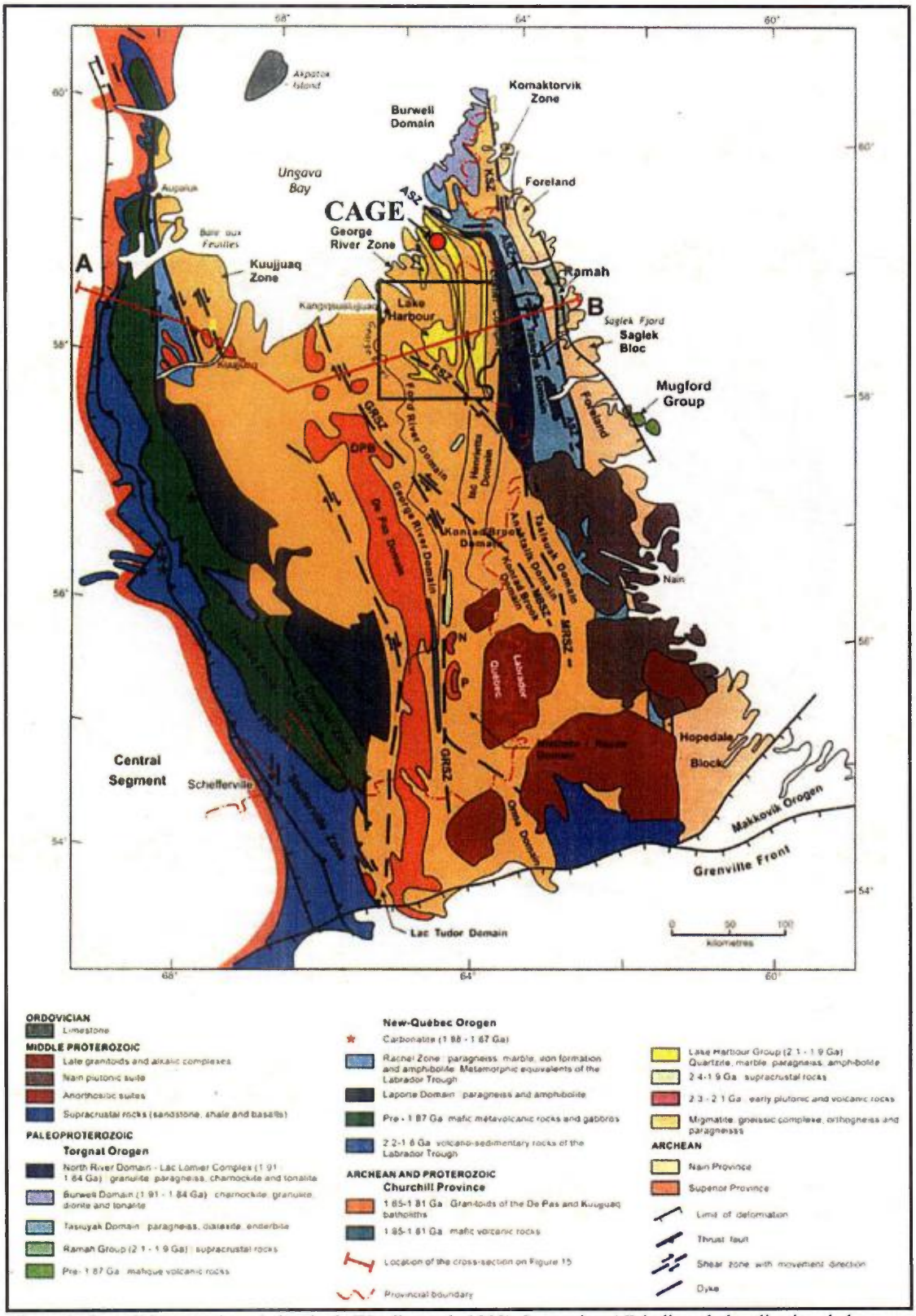

Figure 2. Carte lithotectonique (adaptée de Wardle *et al.*, 1990). La section AB indique la localisation de la coupe de la Figure 4.

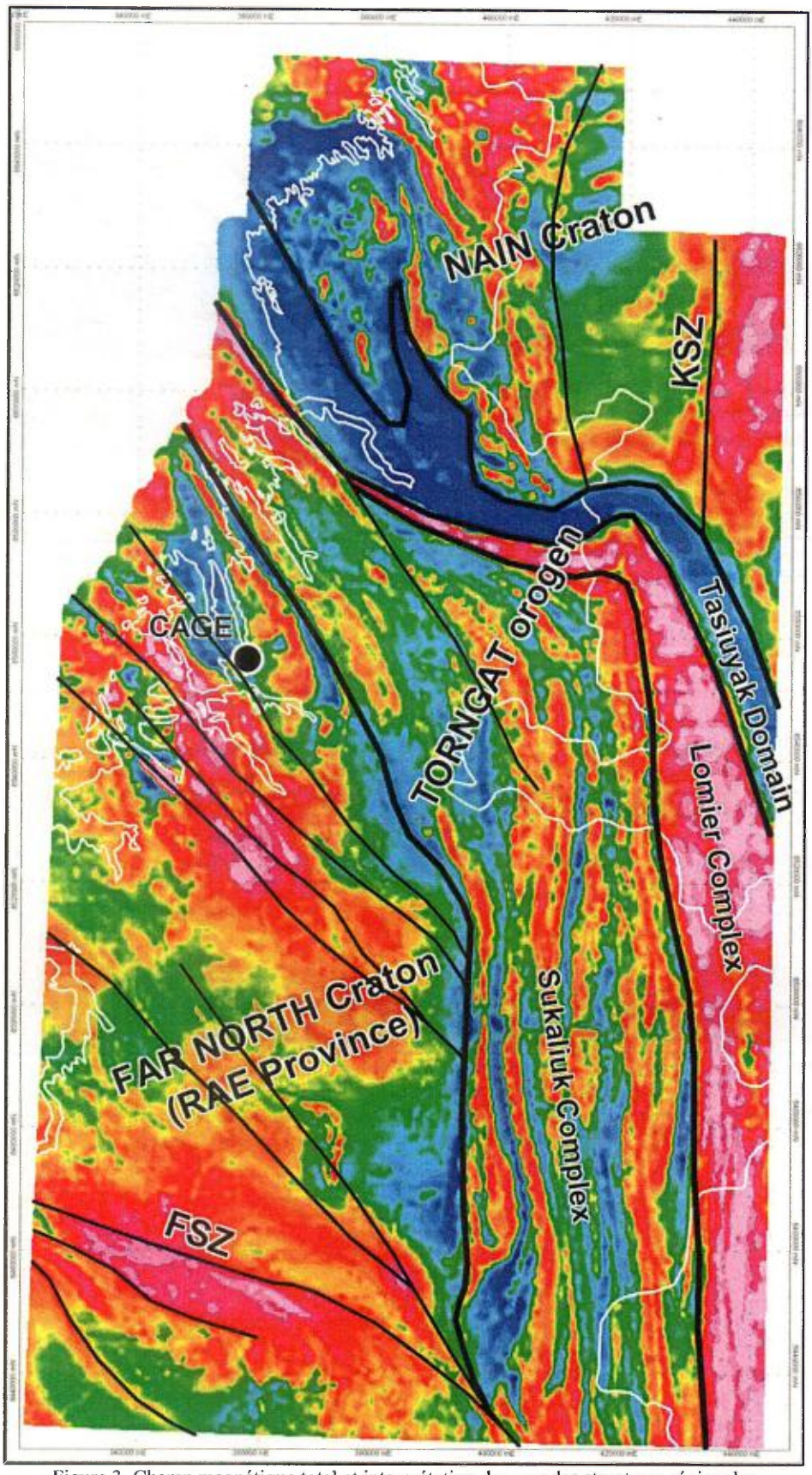

Figure 3. Champ magnétique total et interprétation des grandes structures régionales

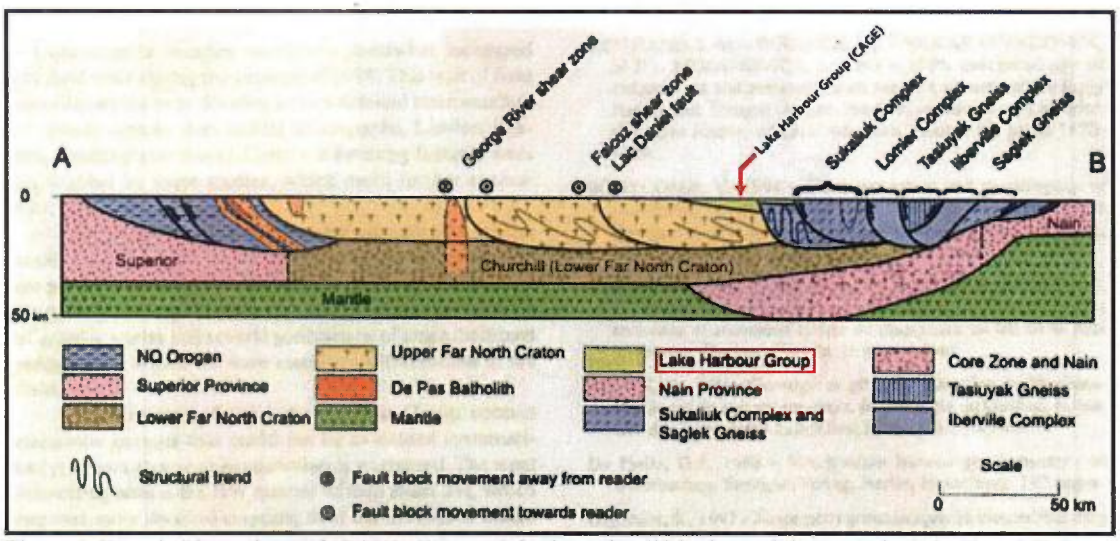

Figure 4. D'après Verpaelst *et al.* (2000). Coupe géologique simplifiée du nord de la province de Churchill. La coupe est interprétée à partir de données sismiques, gravimétriques et géologiques. Localisation sur la Figure 2.

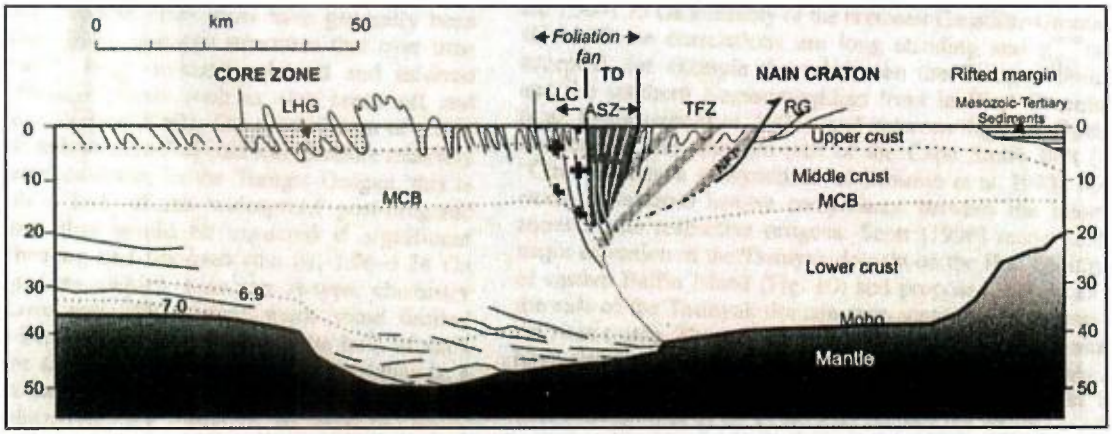

Figure 5. Coupe à l'échelle crustale de l'orogène Torngat réalisée à partir de données de sismique réfraction grand-angle (Funck *et al.*, 1999). ASZ : Abloviak shear zone, LHG : Groupe Lake Harbour, LLC : Complexe du Lac Lomier, MCB : Limite inférieure de la croûte moyenne, NFT : chevauchement du Nachvak Fiord, RG : groupe Ramah, TD : domaine Tasiuyak, TFZ : avant-pays de l'orogène Torngat.

5 Géologie du groupe Lake Harbour

Le groupe Lake Harbour est constitué d'une séquence de quartzites, paragneiss, marbres calcitiques et dolomitiques, roches calco-silicatées et métabasaltes d'une épaisseur apparente de 1km (Verpaelst *et al.*, 2000). La séquence complète n'a pas été observée et même sa polarité reste incertaine. Il s'agit de faciès métasédimentaires déposés initialement dans un environnement de type plateforme continentale. Des faciès évaporitiques sont aussi supposés. La séquence s'est déposée il y a environ 2.0-1.8 Ga.

5.1 Les paragneiss

Il s'agit de gneiss à Quartz + Biotite + plagioclases ± grenat ± sillimanite issus du métamorphisme d'une série détritique paléoprotérozoïque. Les paragneiss contiennent souvent des niveaux millimétriques à centimétriques de mobilisats quartzo-feldspathiques (microcline et orthoclase + plagioclase + quartz ± grenat ± sillimanite ± muscovite ± biotite ± graphite) qui remplacent le protolithe en proportion variable. Les mobilisats ont été affectés par une degré de déformation variable en plusieurs endroits et ont été transformés en protomylonite ou même mylonite (CF Chapitre shear zone ductiele).
A l'affleurement, les paragneiss s'altèrent en une couleur brun-rouille caractéristique.

5.2 Les marbres et les roches calco-silicatées associées

Les marbres sont généralement **calcitiques** et parfois **dolomitiques**. Ils sont aussi associés avec des roches calco-silicatées et peuvent contenir des bancs de quartzites. Ils sont parfois observés en intercalation vers le sommet des paragneiss (**faciès de transition**). Les marbres et les roches calco-silicatées sont fortement déformées et montrent une **texture granoblastique**. Les marbres sont constitués de carbonates ± phlogopite ± trémolite ± olivine ± diopside ± scapolite. Les roches calco-silicatées contiennent en plus des épidotes, plagioclases, quartz et sphènes.
Les roches calco-silicatées sont issues du **métamorphisme d'une roche carbonatée dolomitique ou de marn**es et les marbres magnésiens uranifères du secteur Cage sont issus du **métamorphisme d'une roche carbonatée dolomitique**. Il s'agit probablement d'un **uranium sédimentair**e ancien (faibles teneurs en Th et REE) concentré dans des faciès réducteurs à sulfures et recristallisé au cours du métamorphisme sous forme d'uraninite à environ **1,8 Ga** (Mathieu, 2006).
Les assemblages de minéraux observés indiquent que le groupe Lake Harbour a subi un seul événement métamorphique durant le Paléoprotérozoïque dans le faciès amphibolite moyen à supérieur (T = 550-600 °C et P < 6 kb). Les datations des uraninites du secteur Cage montrent un âge de **1.75 et 1.87 Ga** (orogène Trans-Hudson).

6 Géologie structurale

6.1 Les marqueurs de la déformation

Sur le terrain, plusieurs foliations successives peuvent être observées. Pour correctement interpréter l'évolution structurale du secteur depuis la sédimentation, il est primordial de bien hiérarchiser les différentes foliations observées et notamment d'identifier les marqueurs antérieurs à cette déformation. Ces derniers marqueurs correspondent aux **foliations primaires** dont la formation est associée aux processus sédimentaires (stratification sédimentaire, stratification magmatique ou foliation diagénétique formée lors de la compaction). Dans le secteur de Cage, les marbres ne sont pas homogènes mais présentent des variations de composition (marbres calcitiques, marbres dolomitiques, marbres dolomitiques à diopsides ou trémolites, intercalation de roches calco-silicatées…) qui influent directement sur la couleur de la roche et/ou de la patine (Figure 6). Ces contrastes de composition permettent de repérer sur le terrain l'ancienne stratification sédimentaire et de mettre en évidence les déformations postérieures, notamment la déformation plicative. Le contact des marbres avec les paragneiss, quand il n'est pas anormal est également un bon repère (Figure 7).

Figure 6. Variations de la composition chimiques des marbres entraînant des forts contrastes de couleur de la patine et permettant de mettre en évidence et de suivre la stratification sédimentaire initiale.

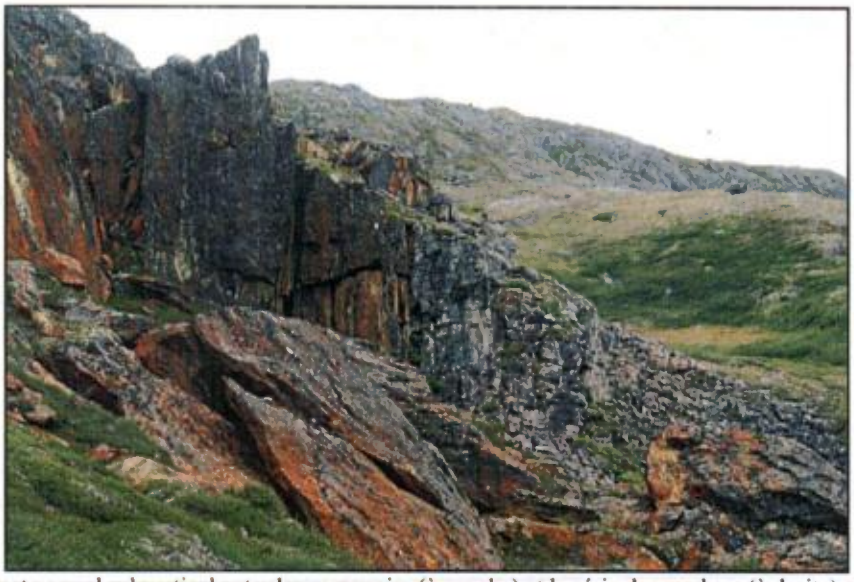

Figure 7. Contact normal subvertical entre les paragneiss (à gauche) et la série des marbres (à droite) au sud-ouest du secteur Cage.

Les **foliations secondaires** se forment postérieurement (post-lithification) et sont le résultat de processus de déformation généralement ductiles et/ou du métamorphisme (schistosité, foliation mylonitique). La foliation secondaire décrit communément la foliation de plan axial, c'est-à-dire qu'elle possède une relation géométrique avec le plan axial des plis. Cette relation indique que les plis et la foliation se développent pendant la même phase de déformation. Généralement la foliation n'est pas strictement parallèle aux plans axiaux des plis (Figure 8) mais peut s'arranger symétriquement par rapport à celui-ci (foliation en éventail). La foliation peut également se réfracter quand les contrastes des lithologies sont importants.

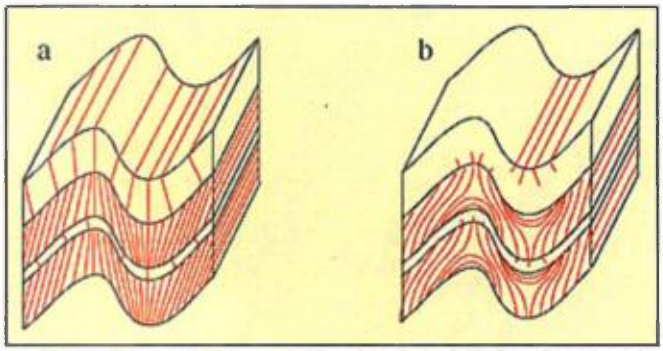

Figure 8. D'après Passchier et Trouw (2005). a : Réfraction de la foliation dans des niveaux compétents. b : Orientation variable de la foliation dans une séquence de roches contenant de forts contrastes de compétences.

La relation géométrique entre la foliation et le plan axial des plis montre que la foliation secondaire se superpose approximativement sur le plan XY de l'ellipsoïde des déformations.

6.2 Les plis NE/SW à axe sub-horizontal et la foliation régionale

Cartographiquement, la région d'étude est caractérisée par une succession NW/SE de bandes de paragneiss et de bandes de marbres avec localement l'apparition de dômes archéens correspondant au socle du groupe de Lake Harbour. Le contact du bassin paléoprotérozoïque sur son socle archéen est généralement de nature indéterminée mais peut aussi localement être clairement tectonique (Verpailst *et al.*, 2000). L'ensemble socle archéen / bassin paléoprotérozoïque est structuré par des plis dont le **plan axial est orienté NW/SE** et dont les **axes sont sub-horizontaux** (Figure 9 et Figure 10). La présence d'une unité de marbres tectonisés au contact du socle archéen en plusieurs endroits (Wardle *et al.*, 2002) suggère la possibilité de l'existence d'un décollement qui serait antérieur à la phase de plissement impliquant le socle et sa couverture.

La structuration de la région de CAGE par des décollements sur les marbres puis des plis à axes sub-horizontaux doit se corréler avec la première phase de compression décrite dans l'orogène Torngat et associée à la collision entre le craton de Nain et la province de Churchill entre 1.87 et 1.85 Ga (Verpaelst *et al.*, 2000).

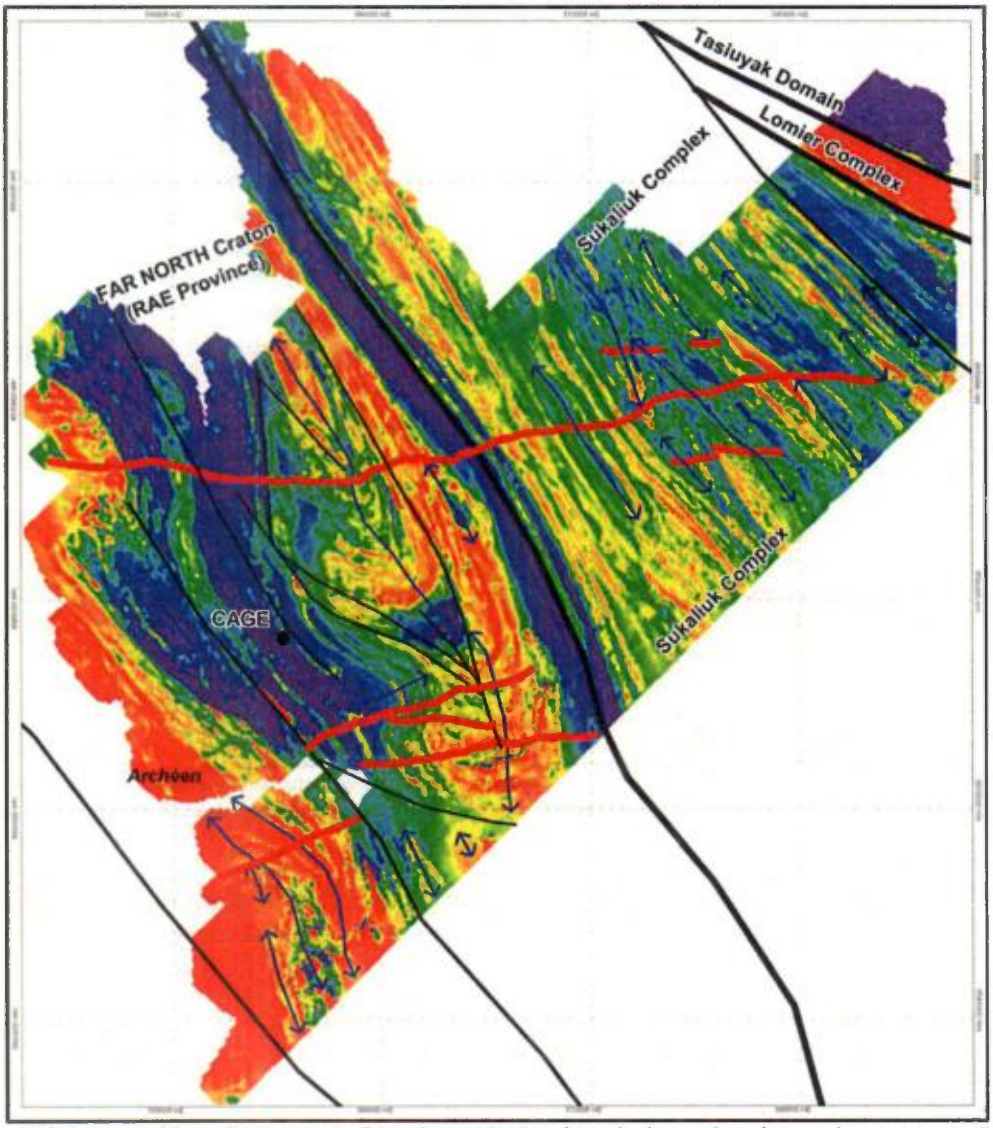

Figure 9. Carte magnétique du secteur de Cage. Interprétation des principaux domaines et des structures. Double flèche bleue= plis ; trait noir fin =cisaillement ductile ; trait noir gras=limite de domaine ; trait rouge=dyke tardif.

Durant cette première phase de déformation, une foliation régionale NW/SE se développe dans les différentes unités (socle archéen, paragneiss et marbres du groupe Lake Harbour). Comme par endroit une foliation primaire S1 est soupçonnée (parallèle à la stratification S0), **la foliation régionale associée à la première phase de compression est nommée S2.**

La carte magnétique montre les plis à axes horizontaux qui structurent le secteur (Figure 9 et Figure 10) : CAGE se situe sur l'extrémité NE du craton Far North et de grands plis de longueur d'onde pluri-kilométrique à axes horizontaux sont clairement mis en évidence. L'ensemble est affectés par des cisaillements ductiles dont le plan axial a une direction sub-parallèle aux plis. Dans le complexe de Sukaliuk, on note de nombreux plis et des cisaillements ductiles sont soupçonnés. La suture entre le craton Far North et le complexe de Sukaliuk est marquée par un bas magnétique que l'on retrouve à l'échelle régionale (Figure 3).

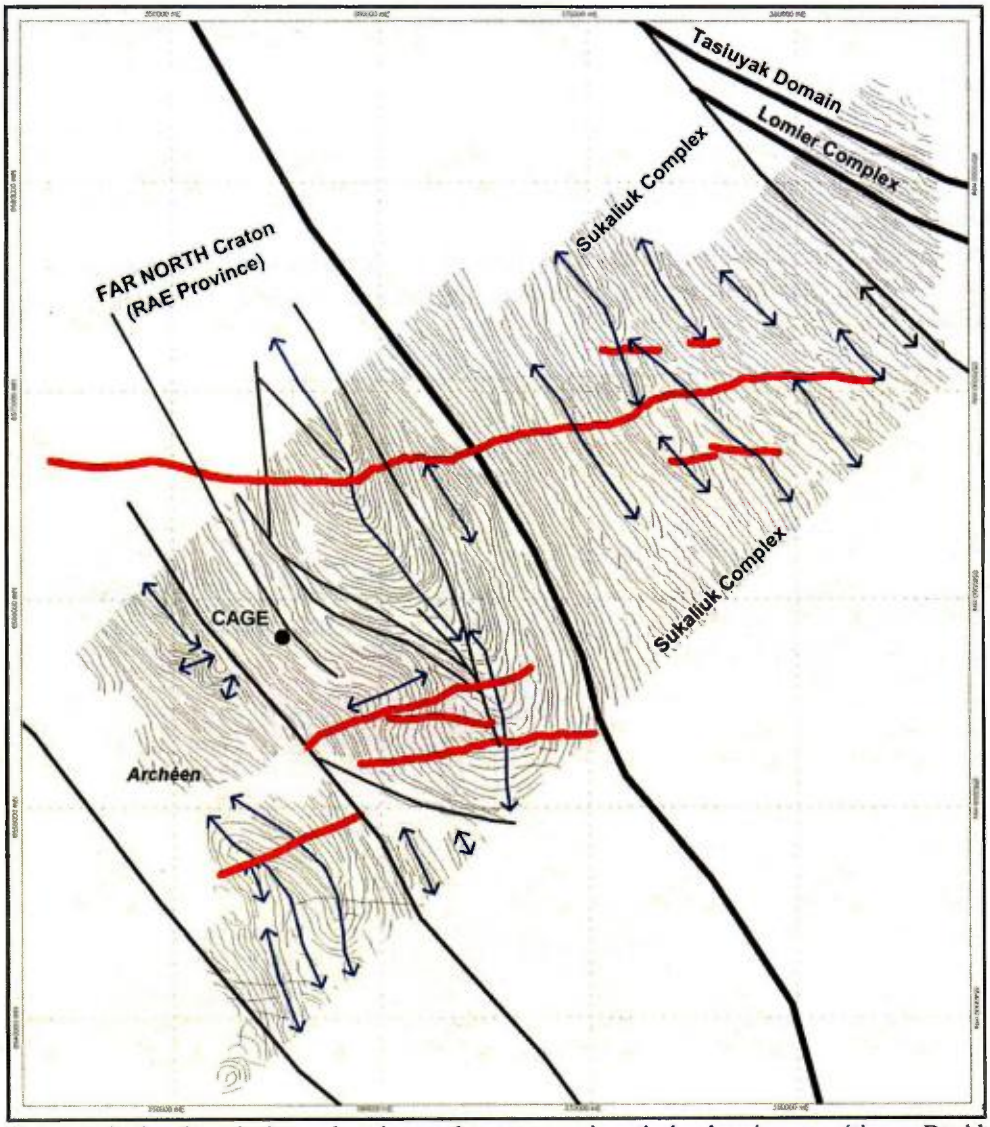

Figure 10. Interprétation des principaux domaines et des structures à partir des données magnétiques. Double flèche bleue= plis ; trait noir fin =cisaillement ductile ; trait noir gras=limite de domaine ; trait rouge=dyke tardif.

6.3 Les cisaillements ductiles et les plis NW/SE à axe vertical

Dans le secteur de Cage, on observe la réactivation de la schistosité NW/SE. Des cisaillements ductiles généralement dextres sont largement observés sur la bordure NE du secteur de Cage. Des plis syn-cinématiques sont associés aux cisaillements ductiles et sont caractérisés par des axes sub-verticaux qui contrastes avec les plis à axes sub-horizontaux régionaux décrits précédemment.

6.3.1 Rappel : les indicateurs cinématiques

6.3.1.1 Mylonite

Une mylonite est une roche foliée qui montre des évidences de déformation ductile (Figure 11). La taille des grains dans la mylonite est généralement plus petite que dans l'encaissant non déformé. L'épaisseur d'une mylonite peut varier du millimètre jusqu'à plusieurs kilomètres. Les mylonites se reconnaissent sur le terrain par la taille réduite des grains, une foliation régulière et planaire très développée. Beaucoup de mylonites contiennent des **porphyroclastes** qui se développent en raison d'une différence de rhéologie entre les différents minéraux constituant la roche (les minéraux "durs" vont former des porphyroclastes tandis que les minéraux moins compétents forment la matrice). Les porphyroclastes peuvent être utilisés pour déterminer le **sens du cisaillement** (Figure 12).

La disposition du plan d'aplatissement S (foliation) et des plans de cisaillement **C** et **C'** (synthétique à C) est également un bon indicateur de la cinématique le long des cisaillements ductiles (Figure 12).

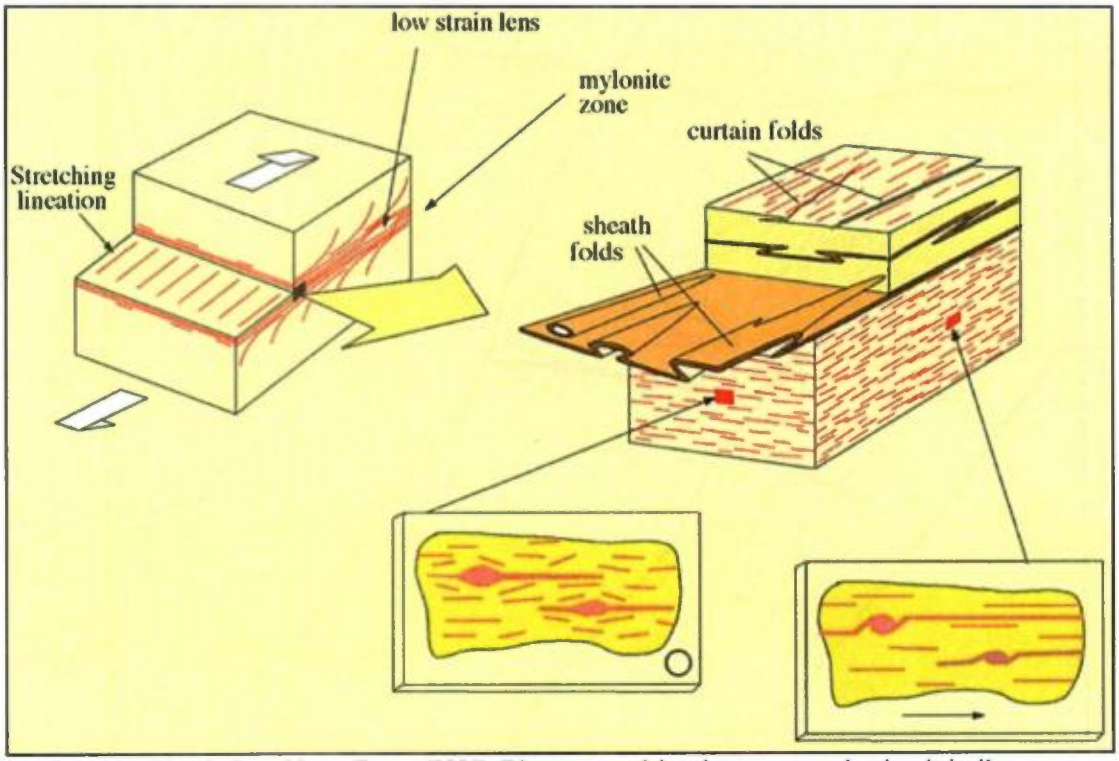

Figure 11. D'après Passchier et Trouw (2005). Diagramme schématique montrant la géométrie d'une zone mylonitique.

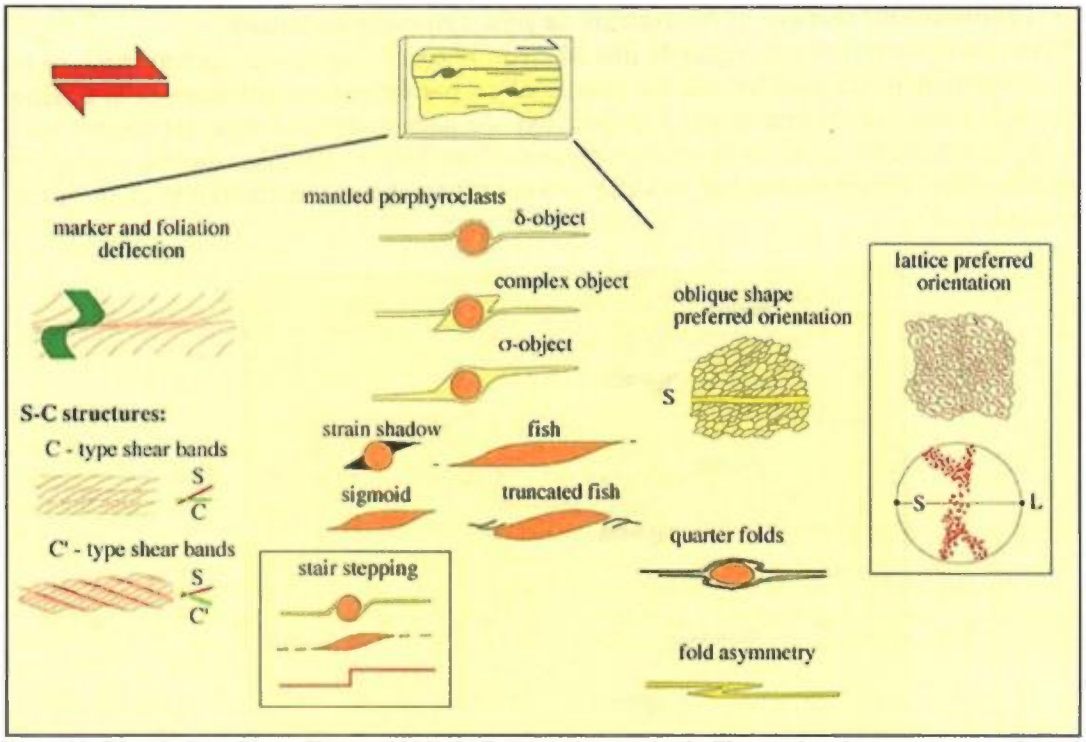

Figure 12. D'après Passchier et Trouw (2005). Indicateurs de sens de cisaillement les plus couramment observés dans les cisaillements ductiles. Les indicateurs sont observés sur des sections normales à la foliation et parallèles à la linéation.

6.3.1.2 Boudins asymétriques

Deux types de boudins asymétriques peuvent être rencontrés. Les boudins cisaillant et les boudins en dominos.

Les boudins cisaillants ont une forme longue en lentille, un déplacement relativement important et de la déformation synthétique (plis d'entraînement) sur les surfaces inter-boudins.

Les boudins en dominos ont une forme anguleuse, une surface inter-boudins fortement inclinée avec un faible déplacement antithétique.

Il est à noter qu'il existe des boudins symétriques mais leur intérêt est limité pour la détermination du sens du cisaillement au cœur des zones mylonitiques.

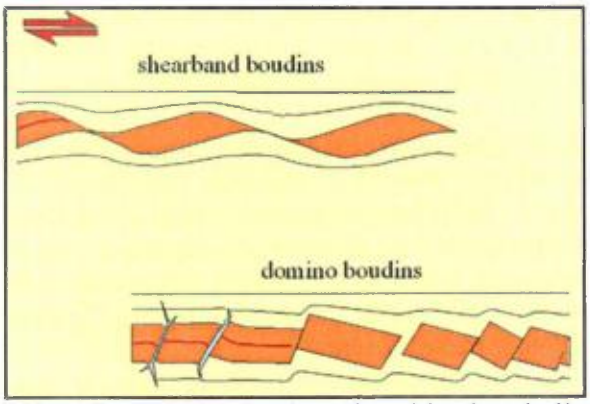

Figure 13. D'après Passchier et Trouw (2005). Représentation schématique du développement de boudins asymétriques.

6.3.1.3 Cisaillement ductile et formation de plis syn-cinématiques

Il n'est pas rare d'observer l'apparition de **plis** au cœur de zones cisaillantes. La formation de ces plis est contemporaine du cisaillement. Le plan axial est parallèle au cisaillement (à la foliation mylonitique) et son axe est orthogonal à la linéation. Ce phénomène classique est illustré sur la Figure 14. La nucléation d'un pli de ce type au sein d'une bande cisaillante ductile implique la préexistence d'une hétérogénéité qui modifie localement le champ de contrainte et le flux de déformation.

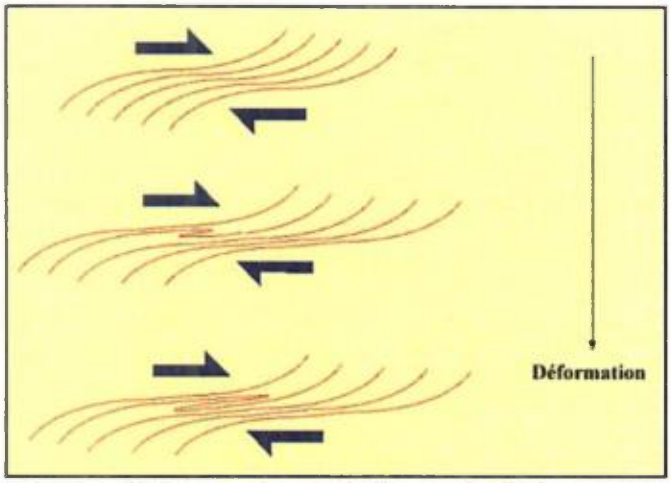

Figure 14. Exemple d'une séquence d'événements dans un cisaillement ductile durant une seule phase de déformation qui montre l'apparition progressive d'un pli qui se nuclée sur une hétérogénéité.

6.3.2 La déformation cisaillante ductile dans les paragneiss.

Au NE de l'indice Cage, les marbres du groupe Lake Harbour sont en contact avec les paragneiss du même groupe. Il s'agit d'un contact anormal (absence de la zone de transition). Les paragneiss sont fortement déformés. De la fusion partielle s'associe à cette déformation et s'exprime sous forme de **mobilisats quartzo-feldspathiques** de quelques millimètres à quelques dizaines de centimètres pouvant même atteindre le stade "pegmatoïde" dont l'épaisseur peut atteindre la centaine de mètres.

Cette zone est associée avec le développement d'une **foliation mylonitique S3** le long de laquelle se mettent en place les mobilisats quartzo-feldspatiques. Les évidences de cisaillement ductile (mylonite) sont nombreux : étirements, boudinages, rotations de porphyroclastes, sigmoïdes, ombres de pression, plans S, C, C' et plis d'entraînement. L'ensemble des indicateurs microtectoniques relevés sur le terrain indiquent un **cisaillement ductile dextre** le long de cet accident.

Au sud du secteur Cage, la zone mylonitique peut atteindre près de 350m d'épaisseur. Depuis des paragneiss non déformés au NE, on observe l'apparition progressive de mobilisats quartzo-feldspathiques dans le paléosome (faible taux de fusion partielle ; métatexites) voire l'apparition de diatexites (disparition du paléosome). La déformation augmente vers le SW. Par endroit le paléosome a complètement disparu et seul le leucosome est observable ; cette roche correspond à la fusion complète du protolithe. Cette roche qui correspond à un granite d'anatexie et a été appelée pegmatite ou "pegmatoïde" sur le terrain.

L'apparition de fusion partielle dans les paragneiss impliqués dans le cisaillement ductile peut s'expliquer par l'augmentation de la température le long de l'accident (déplacement = perte de chaleur) ou par l'apport de fluides (principalement H20) dans la zone de faille qui abaissent la température du solidus et donc permettent la production plus rapide de liquides anatectiques.

L'ensemble de ces observations est illustré de la Figure 15 à la Figure 25.

Les accidents ductiles de la Φ3 s'observent à l'échelle régionale sur les données magnétiques (Figure 3, Figure 9 et Figure 10).

Figure 15. Apparition des mobilisats quartzo-feldspathiques dans les paragneiss. Le paléosome est encore clairement observable (metatexite)

Figure 16. Diatexite dans les paragneiss. Boudinage des leucosomes, apparition de plans de cisaillement C'

Figure 17. Détail de la Figure 16. Boudinage du leucosome, apparition de plan C' (milieu droite), de plans C marqués par l'alternance leucosome/mélanosome et de plans de foliation S (en haut à droite) marqués par des minéraux du mélanosome. On observe localement des porphyroclastes de grenats.

Figure 18. Zone mylonitique mise en évidence par l'intense boudinage des mobilisats quartzo-feldspathiques au sein d'une matrice à grains fins.

Figure 19. Plan C' recoupant et décalant le leucosome (centre de la photo). Les plans C' sont toujours synthétiques de la cinématique de l'accident et indiquent une cinématique décrochante dextre sur ce cisaillement ductile. La foliation mylonitique (plans C) apparaît bien en haut de la photo (quasiment parallèle au bord). En bas à gauche de la photo, on observe un boudin symétrique déformant le leucosome.

Figure 20. Micropli d'un niveau quartzo-feldspathique. Le plan axial est parallèle à la foliation mylonitique et l'axe est orthogonal à la linéation. Ce micropli est contemporain du cisaillement ductile et indique un cisaillement dextre. Présence de porphyroclastes de grenats dans le leucosome (bas de la photo).

Figure 21. Porphyroclastes de grenats dans la diatexite. Le leucosome est boudiné indiquant une intense déformation. La rotation des porphyroclastes de grenats indique le sens du cisaillement (détail sur la Figure 22).

Figure 22. Détail de la Figure 21. Rotation horaire d'un porphyroclaste de grenat indiquant une cinématique dextre du cisaillement ductile.

Figure 23. Boudinage symétrique d'un niveau quartzo-feldspathique mettant en évidence la cinématique cisaillante. La symétrie du boudinage ne permet pas de déterminer le sens du cisaillement.

Figure 24. Lentille de quartz dont l'asymétrie indique un sens de cisaillement dextre.

Figure 25. Porphyroclaste de grenat. Un fin niveau de restite est déformé autour du grenat et indique un sens de cisaillement dextre (voir le δ-object de la Figure 12). Le leucosome constitue la majorité de cette roche.

6.3.3 La déformation cisaillante ductile dans les marbres

Dans le secteur de CAGE, les marbres antérieurement plissés sont repris lors d'une phase de transpression Φ3 par ailleurs décrite dans l'orogène Torngat (§ 4). La foliation S2 NW/SE est reprise par des cisaillements dont l'étude approfondie montre une **cinématique décrochante dextre**. Une **foliation mylonitique S3** se superpose à la foliation S2. A proximité de la zone mylonitique développée dans les paragneiss, les marbres montrent des évidences de cisaillements dextres à partir de critères de rotation de l'ancienne stratification sédimentaire ou de boudins asymétriques (boudins en dominos ou boudins lenticulaires). La quantité de déplacement ne peut pas être quantifiée mais doit être importante compte tenu de l'étirement observé. Le décapage de l'indice CAGE-D offre de bonnes conditions d'affleurement et d'observations. D'anciens bancs de roches calco-silicatées plus compétents sont étirés et boudinés le long de la foliation mylonitique reprenant la foliation S2 formée lors de la phase de compression. L'étirement est tel que de nombreux niveaux compétents disparaissent totalement.
L'ensemble de ces observations sont illustrées de la Figure 27 à la Figure 34.
A l'échelle cartographique, la stratification sédimentaire S0 dans les marbres présente des plis anisopaques, parfois isoclinaux (Figure 26). Le plan axial de ces plis est orienté N120/140 parallèlement à l'ancienne foliation S2 et parallèlement à la foliation mylonitique S3. L'axe des plis est généralement proche de la verticale ce qui les différencie des plis N120/140 à axes sub-horizontaux formés lors de la phase de compression antérieure (Φ2). Ces plis d'axes verticaux que l'on observe en de nombreux endroits sur le secteur CAGE sont contemporains du cisaillement ductile dextre observé dans la zone mylonitique dans les paragneiss (bordure NE du secteur CAGE) et du cisaillement dextre observé sur le décapage de l'indice CAGE-D. La géométrie des plis à l'échelle de la carte indique également une cinématique décrochante dextre (comparer avec la Figure 14). Il est à noter que l'on peut rencontrer localement dans les marbres des indices de cisaillements senestres de même orientation que les cisaillements dextres (Figure 34).
La relation entre les deux générations de plis est bien illustrée sur le terrain (Figure 35 et Figure 36). Des microplis à axes horizontaux, parallèles à la foliation S2 sont repris lors de la formation des plis d'entraînement associés aux cisaillement ductiles. Les microplis de dimension décimétrique sont associés à un ancien niveau sédimentaire qui est replissé par un pli (plan axial N90) à axe vertical de dimension pluri-hectométrique. Le polyphasage observé est responsable de la géométrie en fourreau des microplis.

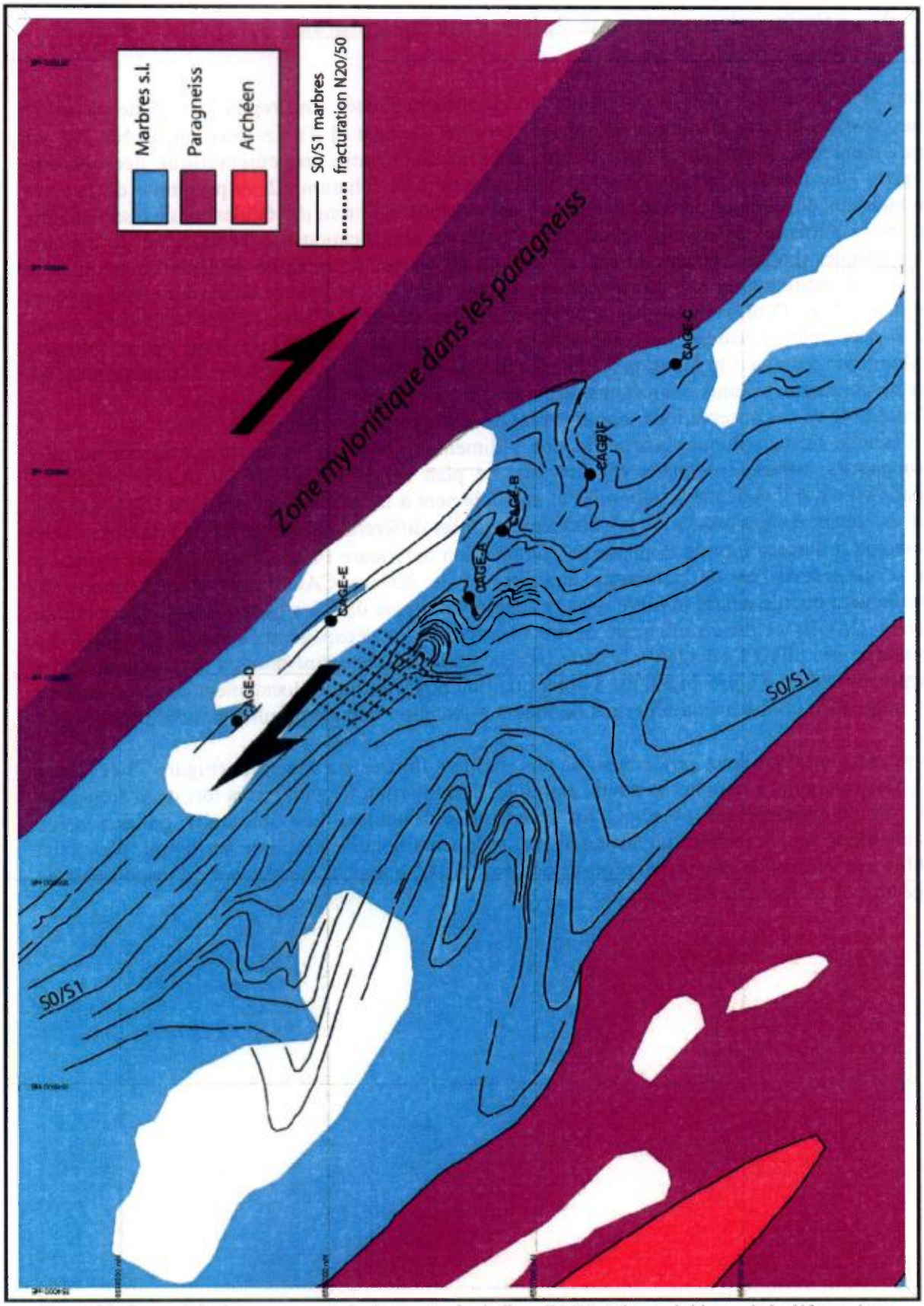

Figure 26. Carte géologique et structurale du secteur des indices CAGE. Mise en évidence de la déformation plicative de la stratification sédimentaire (S0) des marbres.

Figure 27. A gauche : boudinage symétrique dans les marbres dits "chaotiques". L'alternance des niveaux à patine gris moyen et à patine gris foncé est associée à une modification de la géochimie de la roche. Le boudinage est parallèle à la S0/S1 des marbres orientée N130. Il démontre le caractère cisaillant de ce secteur. A droite : Boudinage en dominos sur l'indice décapé de CAGE-D. La disposition et la rotation des boudins indiquent un cisaillement dextre sur la direction N140 (détail sur la Figure 28).

Figure 28. Détail sur les boudins en dominos sur l'indice CAGE-D. Le déplacement antithétique le long des plans inter-boudins à fort pendage (par rapport à la direction du cisaillement) et la rotation horaire des boudins indiquent un cisaillement dextre sur ce secteur, parallèle à la foliation N140.

Figure 29. Niveau pegmatoïde injecté parallèlement à la stratification sédimentaire des marbres et boudiné postérieurement à sa mise en place.

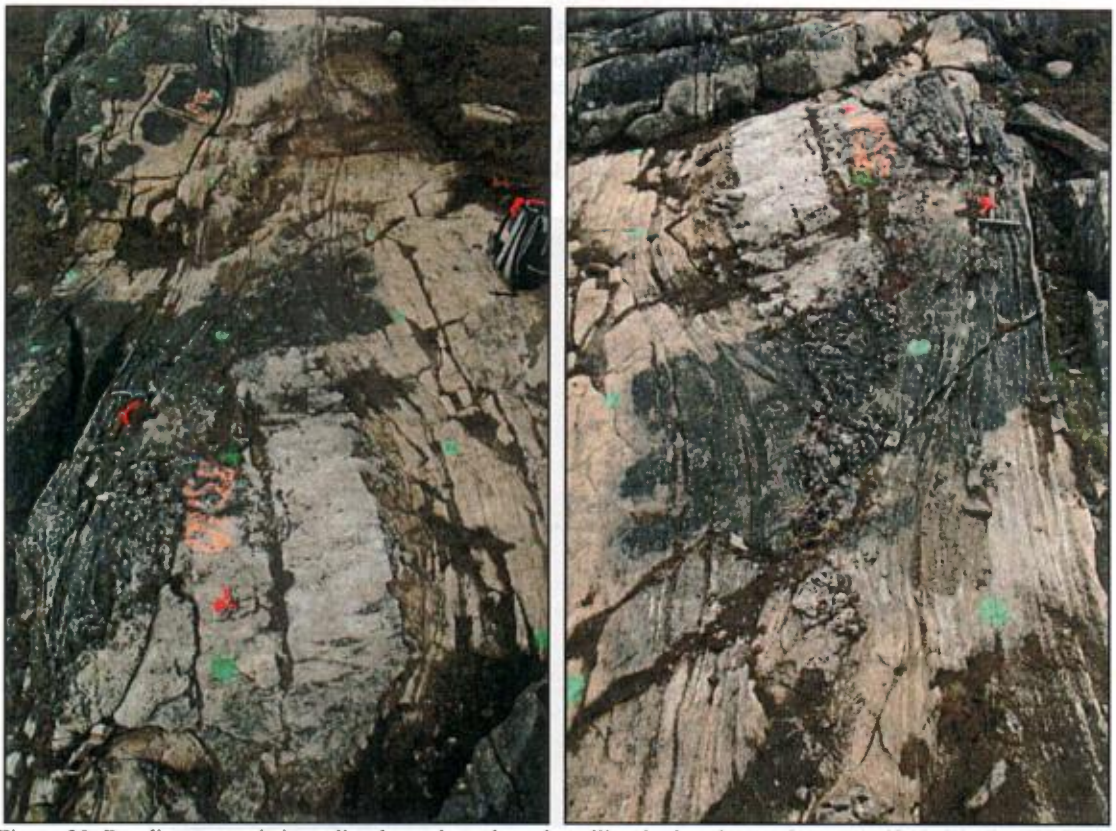

Figure 30. Boudinage symétrique d'un banc de roche calco-silicatée dans les marbres massifs de l'indice CAGE-D situé dans la calcite-mylonite.

Figure 31. Rotation horaire d'un reliquat (boudin) de roche calco-silicatée dans les marbres massifs de l'indice CAGE-D situés dans la calcite-mylonite. Le sens de rotation implique un cisaillement dextre sur la direction N140, parallèle au bord supérieur de la photo.

Figure 32. Rotation horaire d'un reliquat boudiné de pegmatite intra-marbre dans la zone de la calcite-mylonite (sud de l'indice CAGE). Le sens de rotation implique un cisaillement dextre sur la direction N140, parallèle au bord supérieur de la photo.

Figure 33. Plis d'entraînement dans les marbres illustrant l'importante déformation cisaillante dans les marbres à proximité du cisaillement ductile observé dans les paragneiss.

Figure 34. Plissement de bancs compétents de roches calco-silicatées dans des marbres massifs à déformation plastique. Les plis sont clairement anisopaques avec étirement des flancs. Les plis sont orientés parallèlement à la foliation et au cisaillement. La géométrie des plis indique un cisaillement ductile senestre.

Figure 35. Plis formés lors de la première phase de compression Φ2 et repris lors de la mise en place des grands cisaillements ductiles (Φ3) et des plis d'entraînement associés. Géométrie en fourreau.

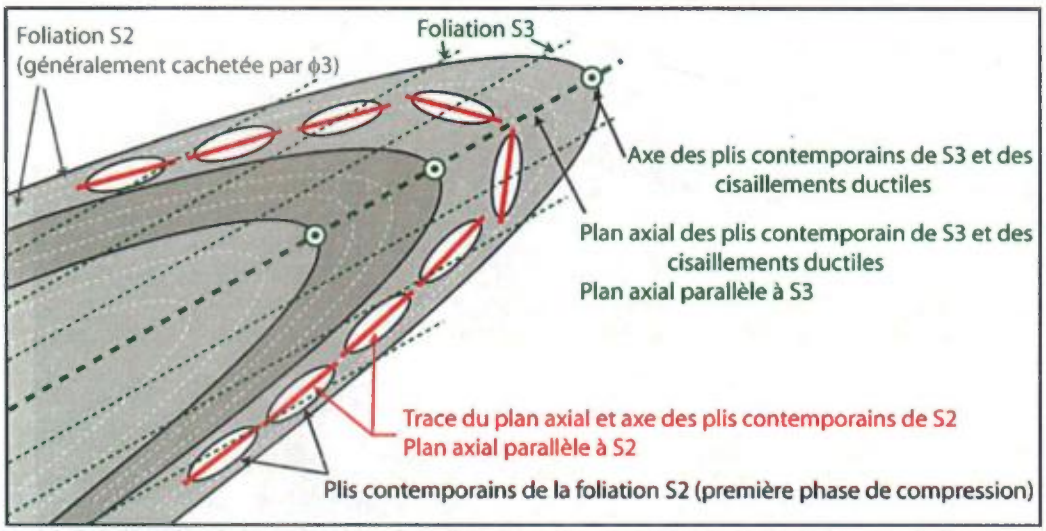

Figure 36. Relation géométrique entre les microplis de première génération (2) repris dans un pli d'entraînement associé au fonctionnement des grands cisaillements ductiles (3). Mise en évidence des deux générations de foliations S2 et S3. S2 n'est pas observée sur le terrain, cachetée par la phase 3 et la formation de la foliation S3.

6.4 La déformation tardive – Fractures N20/N50°

Dans le secteur de l'indice CAGE, une troisième phase de déformation, tardive, est mise en évidence. Il s'agit d'un réseau de fractures orienté N20 à N50 (Figure 37, Figure 38 et Figure 39) et sécant à toutes les foliations précédemment décrites (Figure 40 et Figure 41). Ces fractures ne présentent généralement pas de décalage apparent. Elles sont généralement colmatées par de la **calcite** (Figure 41 et Figure 42). Par endroit du graphite a été observé associé à ces fractures (§ 7.4).

Sur le secteur de l'indice CAGE la répartition de ces fractures n'est pas isotrope. Elles se localisent sur un secteur particulier de quelques centaines de mètres de large qui forme un couloir de fracturation de même orientation que les fractures (Figure 26).

L'âge de ces structures n'est pas déterminé mais peut être associé à un épisode tardi-hudsonien.

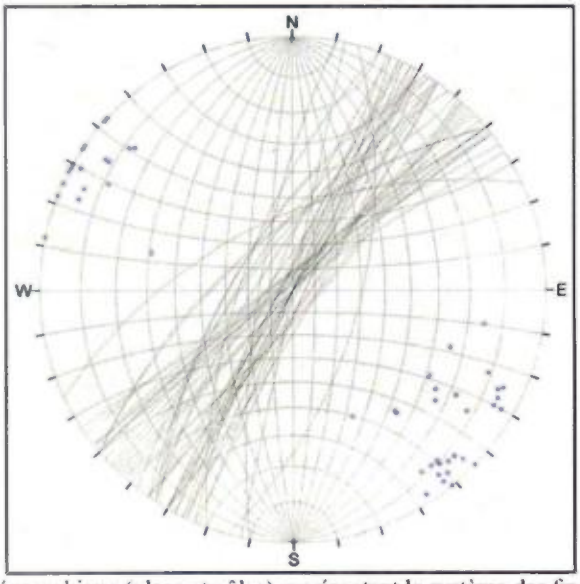

Figure 37. Diagramme stéréographique (plans et pôles) représentant le système des fractures N20 à N50 mesurées sur le secteur de l'indice CAGE.

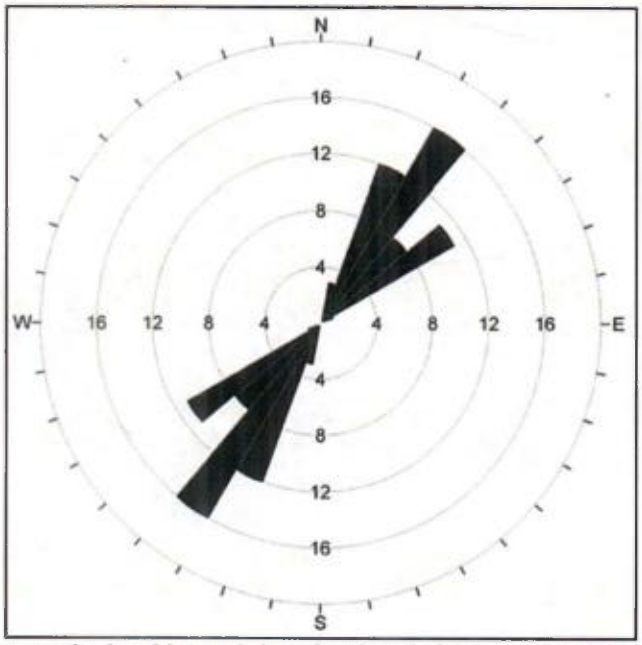

Figure 38. Rosette représentant la répartition statistique des plans de fractures N20 à N50 mesurés sur le secteur de l'indice CAGE.

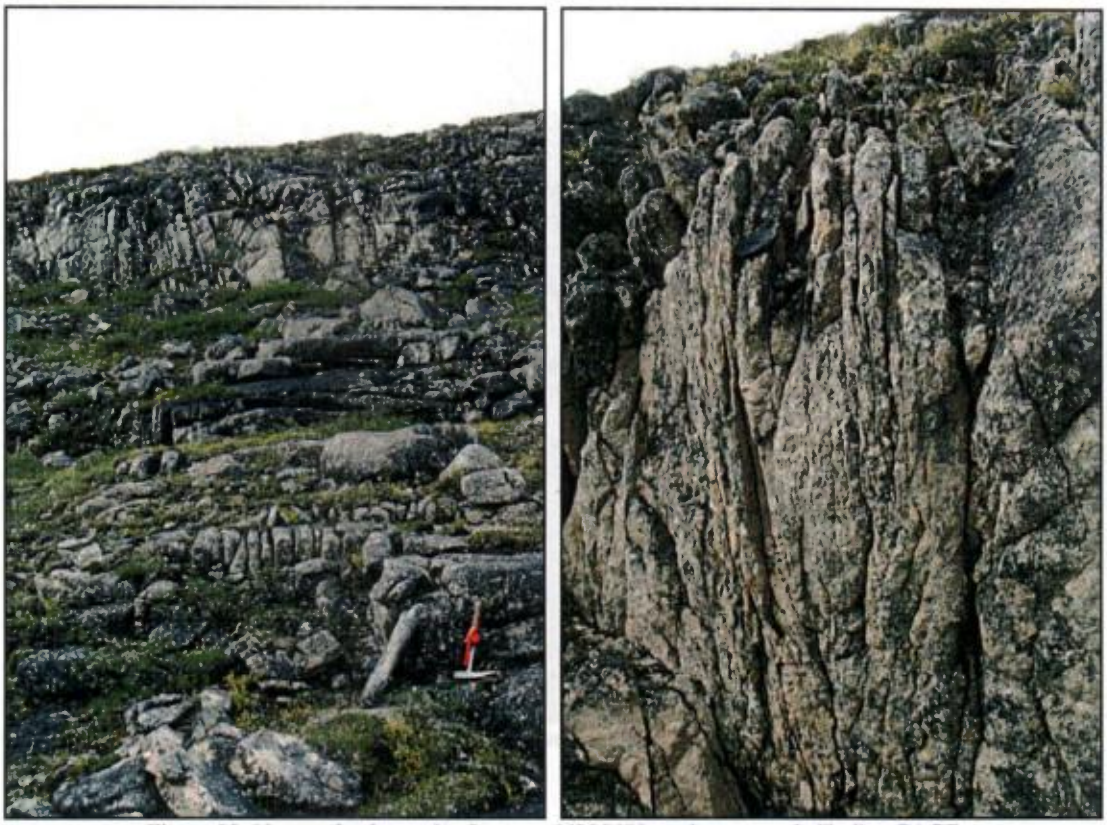

Figure 39. Vue sur le réseau des fractures N20/N50 sur le secteur de l'indice CAGE

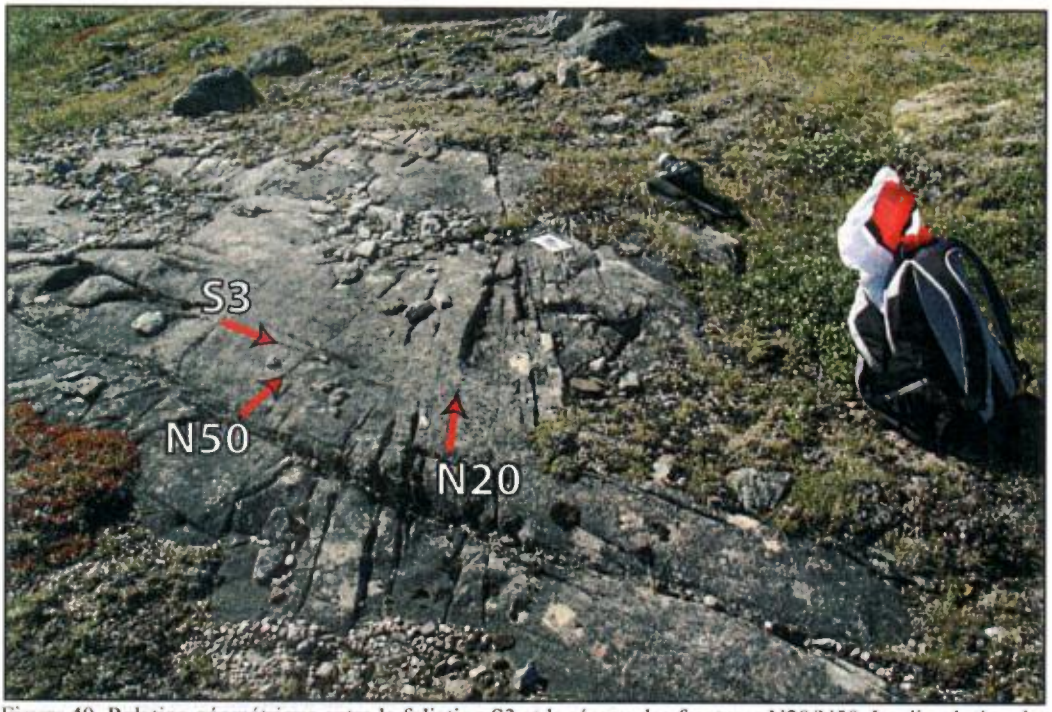

Figure 40. Relation géométrique entre la foliation S3 et le réseau des fractures N20/N50. La dissolution des carbonates met en relief les deux systèmes de structures.

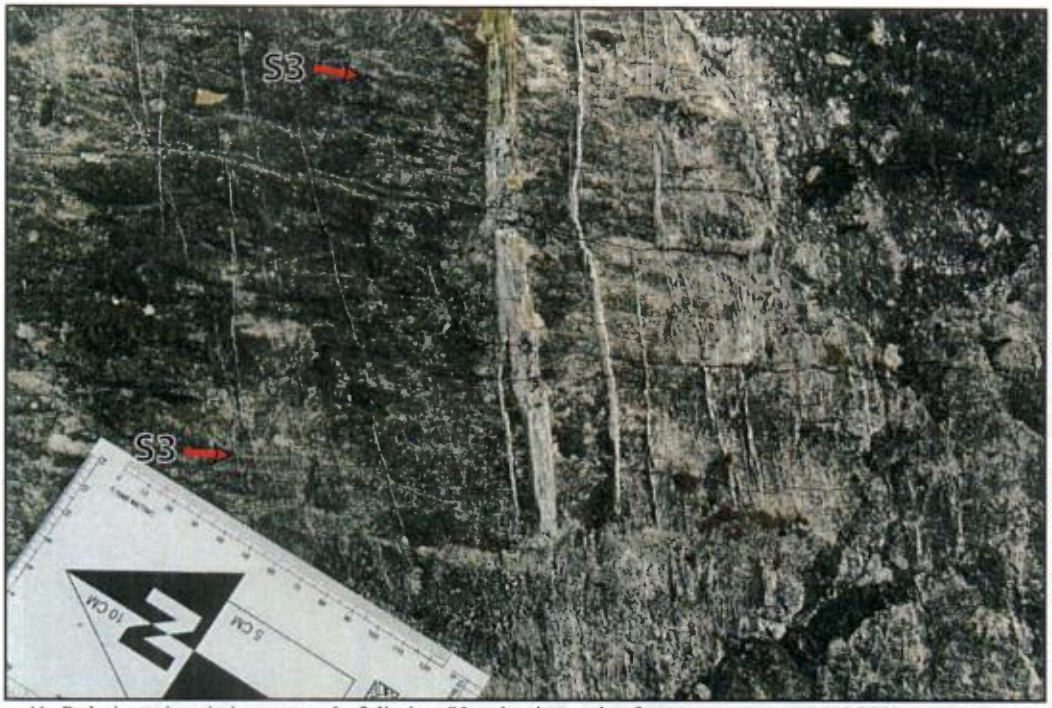

Figure 41. Relation géométrique entre la foliation S3 et le réseau des fractures ouvertes N20/N50 comaltées par de la calcite.

Figure 42. Vue de détail sur le colmatage millimétrique d'une fracture N35 par de la calcite.

6.5 Dykes N50-N70° tardifs

Sur le terrain, des **dykes tardifs** ont été rencontrés (Figure 43 et Figure 44). Ils s'observent à l'échelle régionale soit topographiquement soit à partir des données magnétiques (Figure 9).
Il s'agit de **dykes de dolérite non-déformés et non-métamorphisés** qui recoupent toutes les séries antérieures. Ils sont systématiquement orientés N50° à N70° dans la région de Cage. Leur chronologie relative avec le système des fractures N20° à N50° n'a pas pu être établie car ces deux systèmes n'ont jamais été observés sur le même affleurement.
Cet épisode d'injection magmatique observé dans le secteur de Cage peut être corrélé à la mise en place régionale des **dykes de Falcoz** vers 1300-1200 Ma.

Figure 43. Exemple d'un dyke de diabase tardif non métamorphisé recoupant les paragneiss

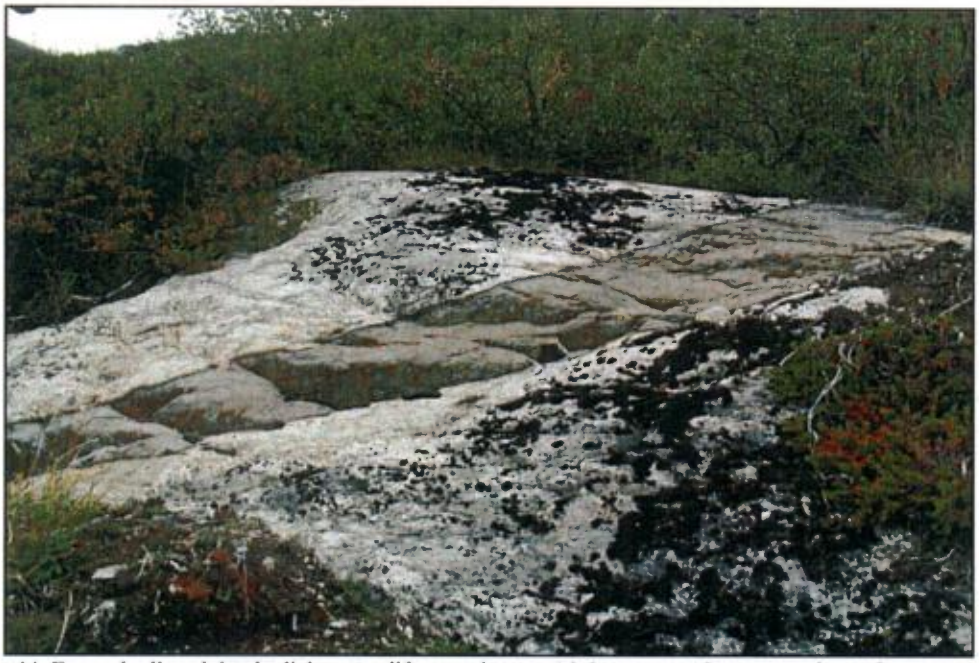

Figure 44. Exemple d'un dyke de diabase tardif non métamorphisé recoupant les paragneiss et des pegmatoïdes associés.

6.6 Synthèse de l'histoire géologique du secteur de l'indice CAGE

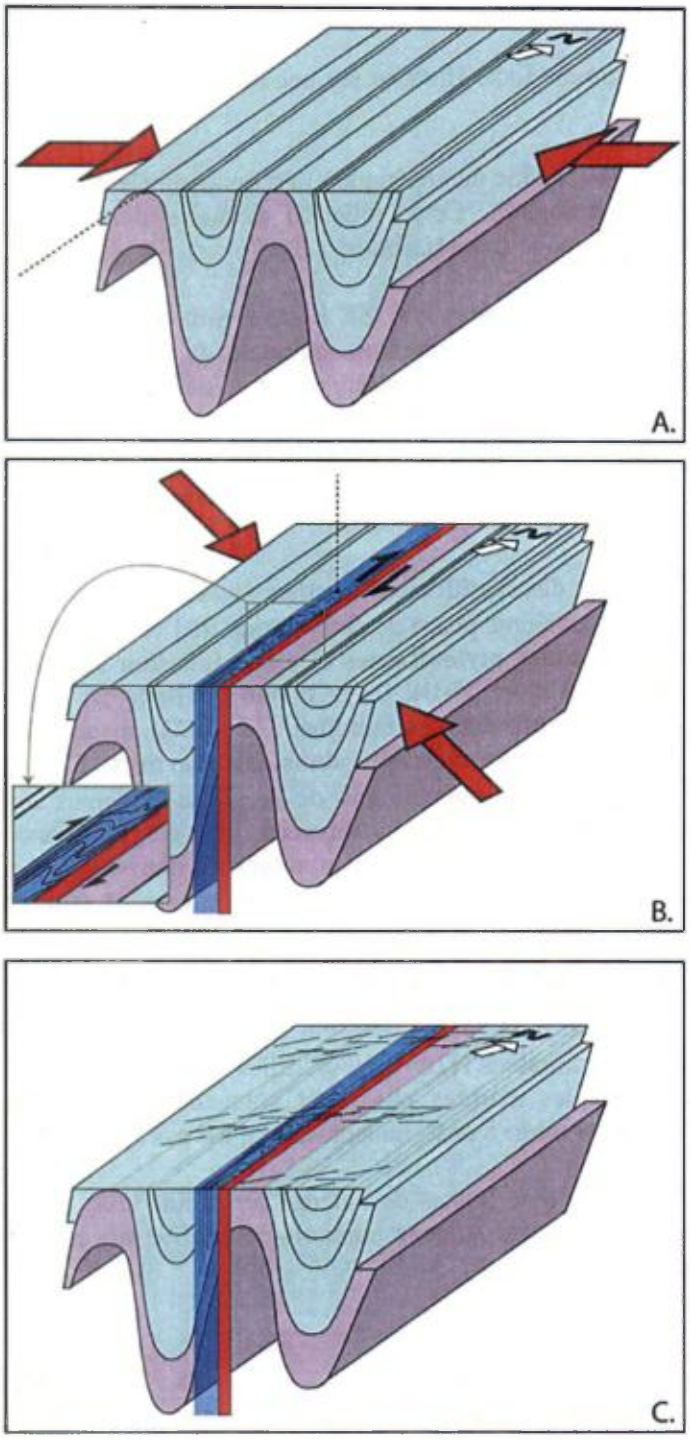

Figure 45. Blocs diagrammes schématiques illustrant l'évolution structurale et cinématique du secteur de l'indice CAGE. A : Compression E/W à NE/SW (phase de déformation Φ2). Développement des plis régionaux N130 à axes subhorizontaux. B : Transpression (phase de déformation Φ3) résultant de la rotation des contraintes. Mise en place des grands cisaillements ductiles et formation synchrone des plis N130 à axes verticaux. C : Fracturation tardive (fractures N20 à N50)

L'histoire géologique dans le secteur de l'indice CAGE est polyphasée. Cette histoire ne prend pas en compte les événements qui ont eu lieu durant l'Archéen. Elle est synthétisée sur la Figure 45.

1/ **Dépôt** des sédiments du groupe Lake Harbour sur une plateforme continentale discordante sur le socle archéen.

2/ Une **foliation primaire S1** (origine diagénétique ?) est soupçonnée dans les marbres même si elle n'est pas clairement démontrée. Cette foliation primaire doit être contemporaine de l'enfouissement des séries du groupe Lake Harbour.

3/ Formation des **plis régionaux orientés NW/SE à axes sub-horizontaux** et de la **foliation secondaire régionale S2** lors de la compression régionale de la **phase de déformation Φ2** (Figure 45-A). Cette phase correspond à la première phase de déformation de l'orogène Torngat. Ces plis s'observent largement à petite échelle. La résurgence des dômes archéens est associée à cette phase de déformation Φ2. Des **décollements de la couverture paléoprotérozoïque** sur le socle archéen, antérieurs ou synchrones à la phase Φ2, sont localement observés (décollement des marbres qui reposent directement sur le socle archéen).

4/ Reprise de la foliation S2 par des **cisaillement ductiles** associés à une transpression régionale (**phase Φ3** correspondant à la deuxième phase de déformation de l'orogène Torngat). Cette phase est associée à la formation de **zones mylonitiques** et d'une **foliation mylonitique S3** dans les paragneiss et dans les marbres (Figure 45-B). De la **fusion partielle** est observée au cœur des grandes structures. Les cisaillements ductiles entraînent la formation de **plis d'entraînement d'échelle centimétrique à pluri-hectométrique dans les marbres**. Ces plis sont orientés NW/SE comme les plis régionaux contemporains de la phase Φ2 mais ont des **axes sub-verticaux** qui permet de clairement les différencier de ces derniers. Les évidences microtectoniques de ces cisaillements ductiles sont nombreuses dans les paragneiss et dans les marbres (plis d'entraînement, étirement, boudinage, rotation de niveaux compétents, rotation de porphyroclastes, ombres de pression...). Dans le secteur de l'indice CAGE, les critères microtectoniques indiquent un **cisaillement ductile dextre**.

5/ Mise en place d'un réseau de fractures tardif selon des couloirs de fracturation (répartition anisotrope). Ces fractures sont orientées N20° à N50°. Elles ne présentent généralement pas de déplacement significatif. Dans les marbres elles sont colmatées par de la calcite ou de la dolomite. L'âge de ces structures tardi- à post- hudsonienne n'est pas déterminé.

6/ Mise en place de dykes de dolérite (dykes de Falcoz) vers 1300-1200 Ma sur des directions N50° à N70° dans le secteur de Cage. Aucune chronologie relative n'a pu être établie avec le système des fractures N20° à N50°.

7 Localisation des minéralisations uranifères

7.1 L'uranium dans les marbres

7.1.1 Uranium syn-sédimentaire

L'étude structurale du secteur de l'indice CAGE montre que les anomalies uranifères sont majoritairement corrélées à la S0/S1 des marbres (Figure 46, Figure 47). L'alignement des anomalies se corrèle parfaitement aux plis observés dans les marbres. La largeur des bandes minéralisées n'excède jamais 1m et la largeur moyenne se situe plutôt autour de 10cm. Localement, l'étirement ductile de la S0 parallèlement à la S3 réduit l'épaisseur minéralisée à quelques millimètres (Figure 48).
Le décapage CAGE-B permet également de montrer la relation entre structure et minéralisation (Figure 50 et Figure 51). Structuralement CAGE-B est caractérisé par un pli anisopaque à axe sub-vertical contemporain de la phase de déformation Φ2. Le pli est bordé au SW par une intrusion pegmatitique qui déformation la trace du plan axial du pli. La pegmatite est syn- à post-déformation Φ2. Dans cette structure l'uranium se situe à la charnière du pli, au niveau de la tranchée. C'est à la charnière que l'étirement des marbres est minimal, le maximum étant généralement atteint dans les flancs des plis où l'étirement ductile peut être extrême. L'uranium associé à la stratification a donc plus de chance d'être préservé dans la charnière et non dans les flancs. Une seconde anomalie se situe au SW de la première. Le plan compteur n'a pas une maille suffisante pour comprendre la relation entre la structure et les marbres. Cependant l'étude détaillée de l'affleurement montre que l'anomalie est associée à un niveau stratigraphique des marbres (S0/S1) et peut se suivre sur quelques mètres. Son épaisseur varie du centimètre au décimètre.
La corrélation entre les indices minéralisés et la S0 des marbres suggère que l'uranium été piégé dans les marbres antérieurement aux deux phases de déformation successives. L'uranium serait donc d'origine sédimentaire et n'aurait pas été remobilisé durant les deux phases de l'orogenèse trans-hudsonienne sur ce secteur.
Cette hypothèse est en accord avec les résultats des analyses géochimiques réalisées en 2006 (Mathieu, 2006) qui proposent qu'il agit très probablement de concentrations en uranium dans des faciès métasédimentaires déposés initialement dans un environnement de type plateforme continentale ; environnement dans lequel sont également supposés des faciès évaporitiques (teneurs en B importantes). L'autoradiographie α des échantillons démontre qu'il existe des concentrations litées d'uranium. De plus l'uraninite est pauvre en Th et REE, et riche Pb démontrant qu'il s'agit le plus probablement d'un uranium sédimentaire ancien concentré dans des faciès réducteurs à sulfures et recristallisé au cours du métamorphisme sous forme d'uraninite à environ 1,8 Ga.

7.1.2 Uranium syn-cinématique

Sur l'indice CAGE-D, des **recristallisations syn-cinématiques** d'uraninite (?) ont pu être mises en évidence (Figure 49). Elles sont associées à un ancien niveau sédimentaire minéralisé impliqué dans la déformation ductile décrochante dextre, parallèlement à la foliation S3 (§ 6.3.3). La largeur du niveau minéralisé étiré ductilement varie du centimètre à quelques décimètres.
La remobilisation observée se fait sur de courtes distances et n'implique **pas de transport de fluides minéralisés majeurs**.

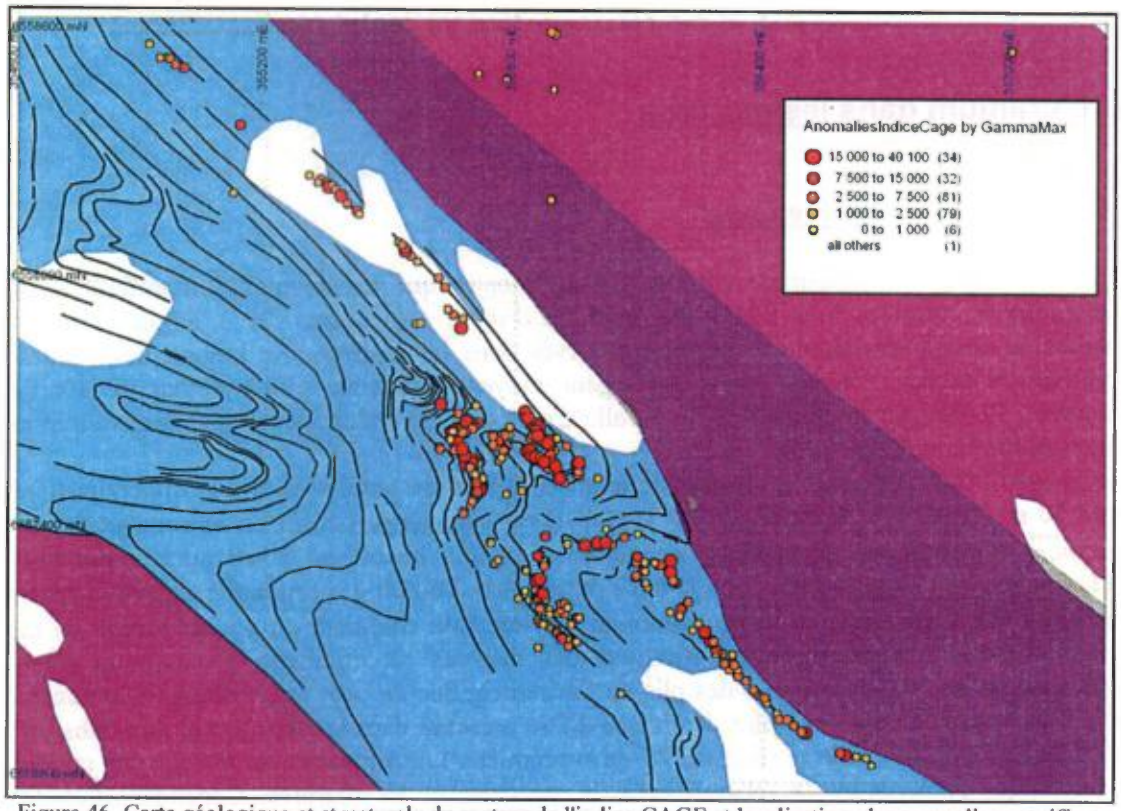

Figure 46. Carte géologique et structurale du secteur de l'indice CAGE et localisation des anomalies uranifères identifiées sur le terain durant la campagne de prospection 2006.

Figure 47. Produits jaunes associés à la S0 des marbres parallèle aux foliations S2 et S3.

Figure 48. Minéralisation uranifère parallèle à la stratification S0 et à la foliation S3 héritée de la phase de décrochement ductile dextre.

Figure 49. Minéralisation uranifère parallèle à la stratification S0 et à la foliation S3 héritée de la phase de décrochement ductile dextre caractérisée dans le secteur. Remobilisation et cristallisation syn-cinématiques. Epaisseur approximative de 3-4 cm.

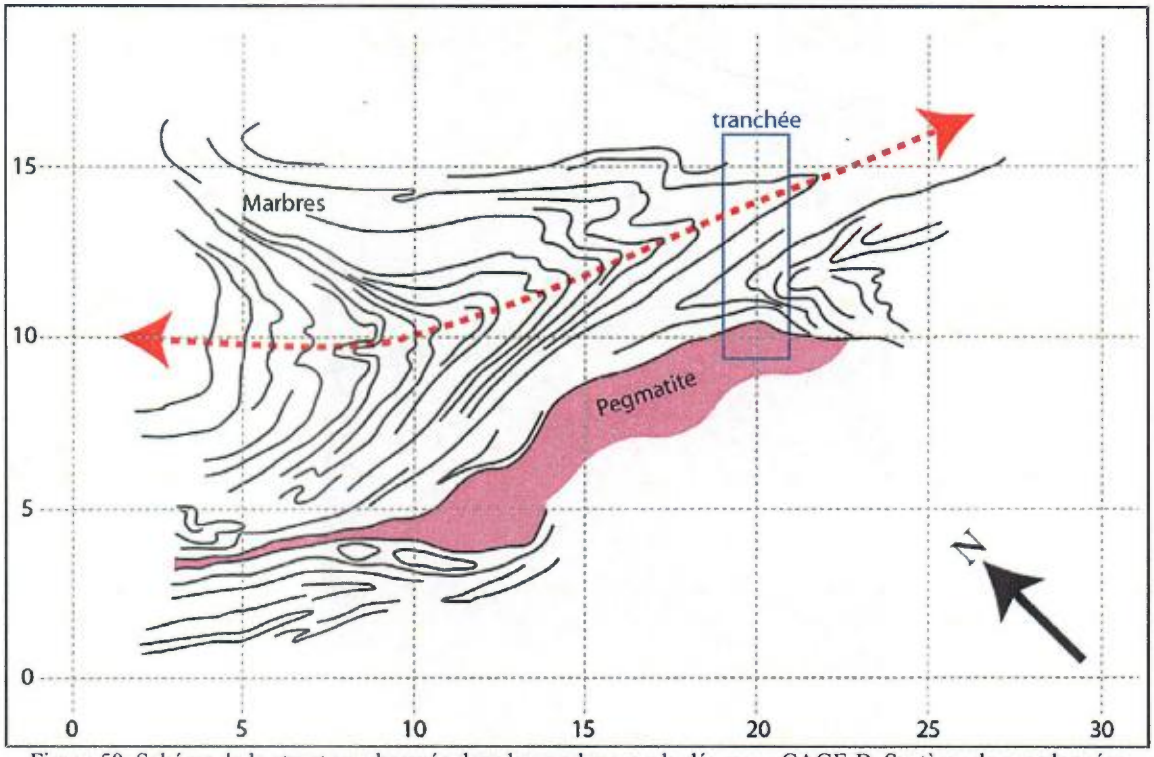

Figure 50. Schéma de la structure observée dans les marbres sur le décapage CAGE-B. Système de coordonnées locales métrique.

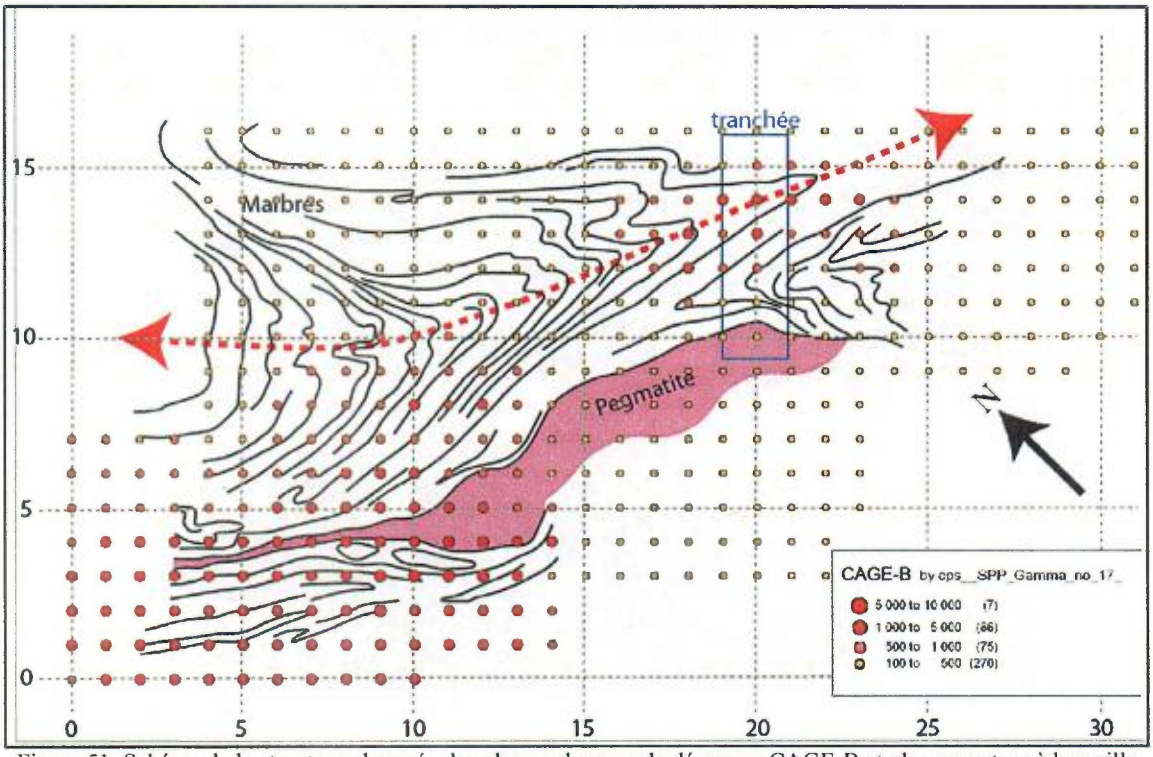

Figure 51. Schéma de la structure observée dans les marbres sur le décapage CAGE-B et plan compteur à la maille 1m. Système de coordonnées locales métrique.

7.2 L'uranium dans les paragneiss

A l'échelle régionale, les paragneiss du groupe Lake Harbour présentent un fond radiométrique assez élevé variant de 150 à 300 cps (sppγ). La fusion partielle de ce matériel est susceptible de fournir des mobilisats enrichis en incompatibles, tels le potassium, le thorium ou l'uranium (§ 7.3).

7.3 L'uranium dans les pegmatoïdes

Dans le secteur de l'indice CAGE, de nombreuses anomalies ont été relevées dans des pegmatoïdes intra-marbres ou intra-paragneiss, notamment au cœur de la zone mylonitique dans les paragneiss (Figure 26 et Figure 15 à Figure 24). Les anomalies dépassent fréquemment 1000 cps (sppγ) et peuvent atteindre 3000-4000 cps (sppγ). La relation à l'affleurement entre pegmatoïdes et paragneiss encaissants montre que les pegmatoïdes sont issus principalement de la fusion partielle quasi in situ des paragneiss. Les anomalies uranifères observées sont associées à la concentration des éléments incompatibles (K, U, Th...) dans le leucosome lors de la fusion partielle qui a lieu dans la zone mylonitique active durant la phase de décrochements ductiles de la phase de déformation Φ3.

Figure 52. Fracturation tardive N20° associée à une anomalie radiométrique (>40000cps sppγ) et à du graphite.

7.4 Remobilisations tardives

Sur le terrain, une phase de déformation cassante tardive a pu être mise en évidence (§ 6.4). Il s'agit de fractures orientées N20° à N50° et généralement colmatées par de la calcite.
Sur le secteur de Cage, aucun indice de remobilisation de l'uranium n'a pu être mis en évidence à l'affleurement sur cette direction. Cependant l'analyse microscopique précédemment réalisée (Mathieu, 2006) a montré de nombreuses veines à calcite ou veinules à calcite « en peigne » et des remplacements coffinitiques des uraninites attestant de phénomènes d'ouverture du système, d'altération et de remobilisation d'uranium dans les calc-silicates et les marbres.
En dehors de CAGE, un seul affleurement a démontré le potentiel remobilisateur de la fracturation tardive N20/N50°. Il s'agit d'un affleurement situé au nord de la baie de Kegloo (X=353117m, Y=6555850m, syst.coord. UTM20-NAD83). Un système de fractures tardives orientées N20° à N55° recoupe la foliation S2/S3 (?) des paragneiss orientée N170°. Une anomalie radiométrique >40000 cps sppγ a été relevée et du graphite est associé à la fracture (Figure 52).

8 Références

Funck, T., Louden, K.E., 1999. Wide-angle seismic transect across the Torngat Orogen, northern Labrador: evidence for a Proterozoic crustal root. Journal of Geophysical Research, 104 (B4), 7463-7480.

Funck, T., Louden, K.E., Wardle, R.J., Hall, J., Hobro, J.W., Salisbury, M.H., Muzzatti, A., 2000. Three-dimensional structure of the Torngat Orogen (NE Canada) from active seismic tomography. Journal of Geophysical Research, 105 (B10), 23403-23420.

Hoffman, P.F., 1987. Early Proterozoic foredeeps, foredeep magmatism, and Superior-type iron-formations of the Canadian Shield. Proterozoic lithospheric evolution (A. Kröner, editor). American Geophysical Union, Geodynamic Series, 17, 85-98.

Mathieu, R., 2006. Etude pétrographique et lithogéochimique 9335. Rapport Areva-NC 06-CAN-PET-01.

Passchier, C.W., Trouw, R.A.J., 2005. Microtectonics. Seconde edition. Edité par Springer. 366p.

Verpaelst, P., Brisebois, D., Perreault, S., Sharma, K.N.M., David, J., 2000. Geology of the Koroc River area and part of the Hébron area. Rapport RG 2000-2 du Ministère des Ressources naturelles du Québec.

Wardle, R.J., Ryan, B., Ermanovics, I., 1990. The Eastern Churchill Province, Torngat and New Quebec orogens: an overview. Geoscience Canada, 14-4, 217-226.

Wardle, R.J., James, D.T., Scott, D.J., Hall, J., 2002. The southeastern Churchill Province: synthesis of a Paleoproterozoic transpressional orogen. Can. J. Earth Sci., 39, 639-663.

ANNEXE I

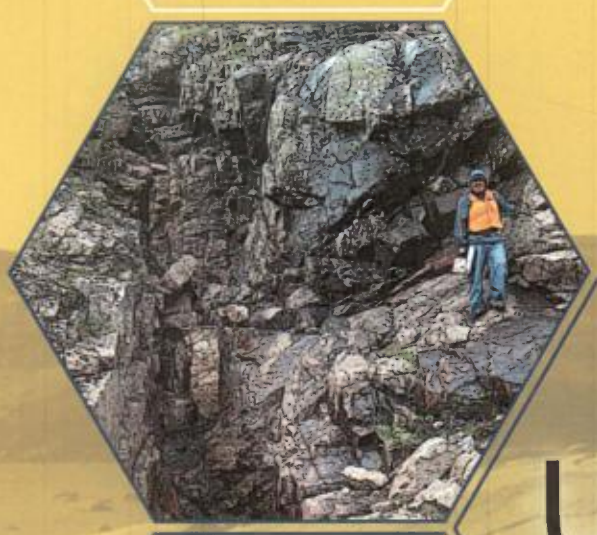

URANOR

CAGE : ANALYSE SOMMAIRE DES LINÉAMENTS EN PHOTOSATELLITE

Par Jean Beaudin (Omégalpha Inc.)

OMÉGALPHA

CAGE: Analyse sommaire des linéaments en photosatellite

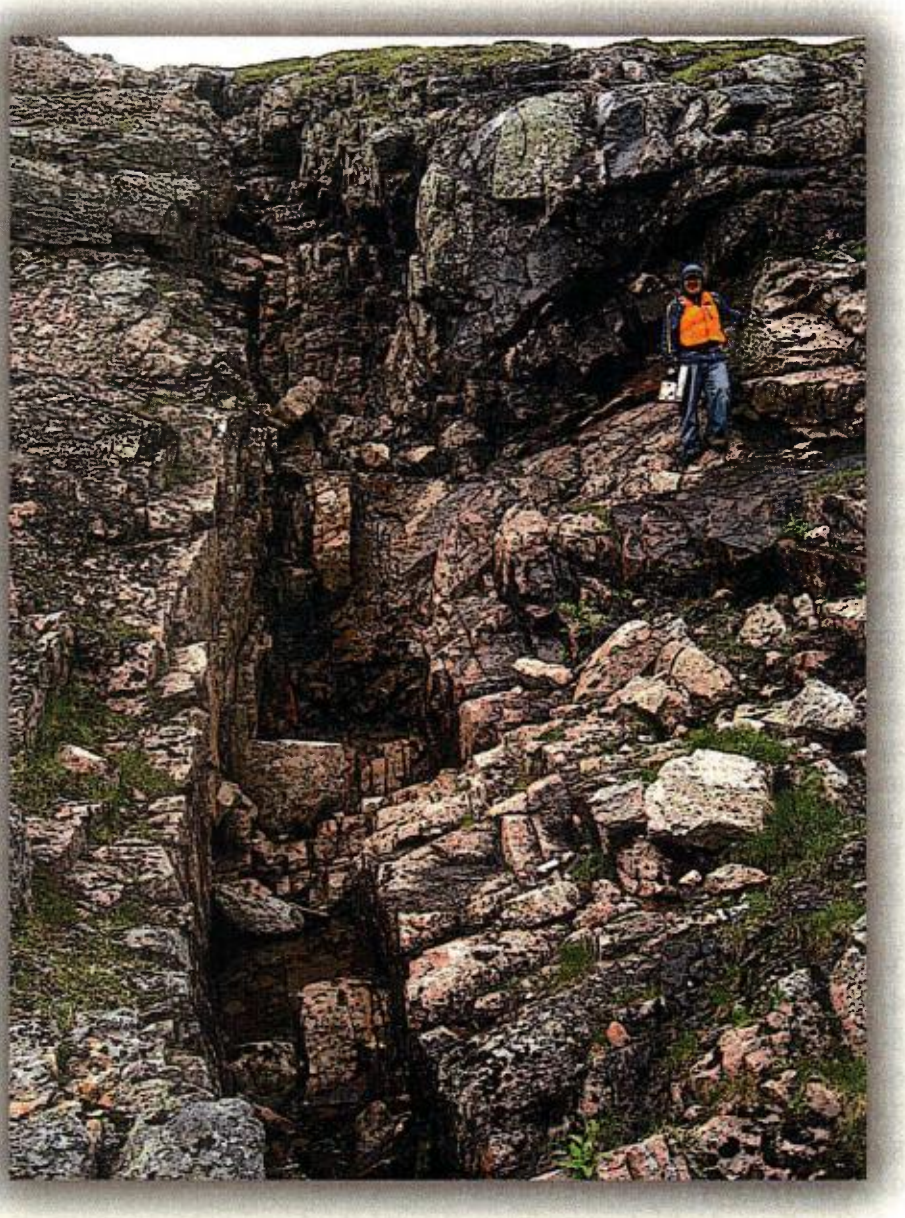

2.0 Table des matières

1.0 Page titre 1
2.0 Table des matières 2
3.0 Résumé; Un puissant réseau de linéaments 3
4.0 Introduction 3
5.0 Recours à d'autres spécialistes 4
6.0 Description et emplacement du terrain 4
7.0 Accessibilité, climat, ressources locales, infrastructures et géographie physique 4
8.0 Historique 4
9.0 Contexte géologique 5
10.0 Types de gîtes minéraux 6
11.0 Minéralisation 7
12.0 Travaux exécutés, discussion et interprétation 7
13.0 Forages 10
14.0 Méthodologie d'échantillonnage et approche 10
15.0 Préparation, analyse et sécurité des échantillons 10
16.0 Vérification des données 10
17.0 Terrains adjacents 10
18.0 Essais de traitement et essais métallurgiques 11
19.0 Estimation des ressources minérales et des réserves minérales 11
20.0 Autres données et renseignements pertinents 11
21.0 Interprétation et conclusions 11
22.0 Recommandations 12
23.0 Références 12
24.0 Date et page signature 23
25.0 Règles supplémentaires pour les rapports techniques sur les terrains au stade de l'amémagement et sur les terrains en production 12
26.0 Illustrations 12
Figure 1- Localisation des claims 13
Figure 2- Contexte lithotectonique de la partie SE de la province de Churchill (tirée de Wardle (2002) et modifiée par Omégalpha (2006)). 14
Figure 3- Carte aéromagnétique (Wardle 2002) 15
Figure 4- Carte de gravité du programme ECSOOT (Wardle 2002) 16
Figure 5- Photo satellite tirée de GoogleMap 17
Figure 6- Agrandissement 1/60,000 du secteur CAGE West 18
Figure 7- Analyse des linéaments du Lac du Croissant, secteur 24P-24I 19
Figure 8- Exemple de linéaments NS, style Torngat 20
Figure 9- Un dyke EW, érodé et en creux 21
Figure 10- Un réseau de diaclase, avec une densité élevée controlant un petit ruisseau 22

3.0 Résumé; Un puissant réseau de linéaments

La région des claims CAGE, Amaujaq et Brumath montre en photosatellite et par les photos au 1/60,000 des linéaments très nets. Le recouvrement glaciaire est mince, ce qui permet de bien voir l'alignement NW en dômes, en séquence homoclinale ou en zones plus isotropes des affleurements.

La principale limite lithotectonique au NE, le cisaillement d'Abloviak, sépare la zone centrale du Churchill (nos claims) des granulites de Torngat à l'E et du Burwell plus au NE. Le linéament de Weymouth Inlet, bordé de carbonates, ou un autre linéament magnétique parallèle 5 km à l'W, définit la limite W des Torngat. Les linéaments de Gregson et de la rivière Baudan constituent les autres divisions de sous-domaines linéamentaires dans la zone centrale. Le synforme du Lake Harbour, avec un style de linéaments en dômes étirés, est entièrement dans nos claims. Cette interprétation s'appuie aussi sur l'aéromagnétisme régional du gouvernement.

Les linéaments NW et NS observables à l'échelle de la photosatellite se présentent en dômes et en synformes très étirés (ratio de plus de 5 pour 1) d'axe NW. Les mêmes linéaments, observés au 1/60,000, ont en plus un style propre à chaque type de roche, karstique dans les marbres, une foliation linéaire dans les paragneiss, des joints conjugués dans les orthogneiss.

L'interprétation des linéaments est destiné à être intégrée dans l'interprétation géologique et géophysique. Cette étude des linéaments n'est pas un outil de prospection en soi. Aucune interprétation structurale ne peut être concluante sur la seule base de cette interprétation sommaire des linéaments.

4.0 Introduction

Deux études photogéologiques différentes ont été conduites avant la campagne de terrain de l'été 2006. L'une portait sur les carbonates (document de travail, utilisant aussi le balayage radar, aucun rapport), l'autre sur les linéaments (ce rapport). L'étude des linéaments a été très sommaire, ne représentant que quelques jours de travail avant le terrain, et pourrait être revue par une étude systématique qui n'a pas encore été faite à ce jour. Un nouveau levé photogéologique au 1/15,000 pourrait être obtenu avant celle-ci.

Dès le premier coup d'œil photogéologique sur la région, et parce que les affleurements sont dominants, il est évident qu'il existe des réseaux de linéaments puissants et bien marqués. La couverture végétale ne cache la roche que dans les vallées ou dans certains secteurs où la morphologie glaciaire, fluvioglaciaire ou côtière devient dominante.

Cette interprétation a servi d'appoint à l'interprétation géologique préalablement au terrain. Ces linéaments peuvent représenter des contacts lithologiques, des failles, des joints, des traces de la morphologie glaciaire; mais, prises lors des traverses les descriptions des

anomalies doivent confirmer la nature des linéaments. Le tracé actuel des linéaments a été fait sans chercher à interpréter selon un style structural, mais simplement en traçant les structures au premier coup d'œil. En jouant avec les possibilités d'agrandissement possibles pour l'ordinateur, on a travaillé à l'échelle entre 1/300,000 et 1/50,000 (au-delà, les pixels sont trop gros), et au 1/ 60,000 pour les photos classiques.

Le seul document utilisable lors de la campagne de terrain était donc une carte des données brutes. L'objectif initial de l'étude était d'aider à la planification des travaux de terrain. Le présent rapport a été rédigé après la campagne de terrain.

5.0 Recours à d'autres spécialistes

Aucun autre spécialiste n'a été consulté, aucun traitement numérique n'a été appliqué aux photosatellites. M. Robert Proulx a utilisé des techniques de rehaussement d'image pour les photos aériennes et a géoréférencé les figures jointes.

Lorsqu'il est fait mention de la géologie du secteur, on réfère aux cartes de Taylor (1979) pour le nord du 59ème (24P) et au rapport RG-99-08 du ministère pour le sud (24 I).

6.0 Description et emplacement du terrain

Le secteur examiné en photogéologie va du fjord d'Abloviak à la rivière George pour situer le contexte régional des claims des propriétés CAGE, Amaujaq et Brumath, indépendamment des limites des terres de catégorie II, du projet de parc ou des claims de la concurrence (fig1). Par contre, aucune traverse n'ayant comme objectif de connaître la géologie du futur parc, cette zone est et restera inconnue.

7.0 Accessibilité, climat, ressources locales, infrastructures et géographie physique

Les informations sur les accès, le climat, la topographie et l'hydrographie sont disponibles dans le rapport principal.

Le secteur a des noms d'origines linguistiques variées (personnalité anglophone, francophone, et noms inuits) mais un grand nombre de montagnes, de lacs ou d'affluents ne sont pas identifiés. Certains noms ont changé selon l'époque des cartes, d'autres ne sont pas répertoriés sur celles-ci.

8.0 Historique

L'interprétation photogéologique a toujours fait partie des outils utilisés en reconnaissance géologique dans ces vastes régions peu cartographiées en détails.

La carte géologique de Taylor identifie aussi des linéaments. Le rapport du ministère mentionne l'utilisation de la photogéologie comme méthode d'appoint surtout pour les

secteurs plus difficilement accessibles lors d'une campagne de terrain.

Dans tous les cas, on aurait pu tirer plus d'informations de la photogéologie pour localiser sur le terrain les interprétations régionales en géophysique et en géochimie que ce que l'on retrouve dans la littérature. Par exemple, les failles Falcoz, Rivière Georges qu'on trouve sur les figures (Wardle 2002) sont positionnées par les seuls linéaments géophysiques sans possibilité de les réparer en photogéologie.

Plusieurs grandes époques de recherches géologiques ont donné lieu à des publications portant partiellement sur l'interprétation lithotectonique. Taylor 1979 résume la phase de cartographie de reconnaissance du NE du Québec dite Opération Torngat (168,000 km2) pour des travaux de 1967 à 1971. Les cartes montrent de rares alignements structuraux (linéaments) interprétés comme des joints, mais font état de la nuisance de la couverture glaciaire. Ils utilisaient probablement les mêmes photos aériennes que nous.

Avant 1990, plusieurs chercheurs se sont intéressés à la côte de l'Ungava, toutefois sans y mener des projets sur le terrain, en ayant pour objectif de comprendre le « Churchill », l'orogénie trans-hudsonienne. Goulet (1990), et Wardle (2002) pour le Labrador terre-neuvien s'intéressent au côté E des Torngat, mais le plus souvent hors de notre secteur. En 1999, la carte du secteur 24 I (incluant la partie au sud du 59ème de nos claims) est refaite par une équipe du ministère.

Selon Parent et Paradis (1999), trois phases d'écoulements glaciaires sont observées : vers l'ENE et NE (ancien), vers l'ENE et le dernier vers le NW. Il nous est impossible de bien distinguer les linéaments résultant d'un seul écoulement glaciaire, car il y a de l'interférence causée par l'érosion et les dépôts côtiers ou fluviatiles (secteur Koroc).

Le levé de géochimie de fond de lac (1998) permettait d'observer la distribution des anomalies U en relations avec les linéaments.

9.0 Contexte géologique

Le Lake Harbour a été défini sur l'île de Baffin, et le nom a été appliqué à nos roches sur la base d'une hypothétique corrélation à très grande échelle à travers la baie d'Ungava. L'ensemble de nos claims fait partie du craton du Grand-Nord, connu sous les noms de province de Rae, « core zone de la South Eastern Churchill Province (SECP)» selon les différents auteurs qu'on lit et l'époque des articles.

Pour l'ensemble de la pointe de l'Ungava (hors claims, échelle plurikilométrique), la zone lithotectonique au Nord d'Abloviak (domaine de Burwell) et la zone à dominance NS de « l'orogène des Torngat » (principalement le Tasiuyak, environ la longitude 65W) sont aisément distinguables par leurs linéaments NS au sud-est et à l'est d'Abloviak (longitude 64 et au Québec latitude 58) et sur le cisaillement Komaktorvik. Les limites plutôt nettes que graduelles de ces zones lithotectoniques proposées par différents auteurs sont basées sur l'interprétation aéromagnétique, gravimétrique en sus de la « reconnaissance » géologique. Par contre les subdivisions en Lomier, Sukaliuk (RG-99-08), tous NS, ne

sont pas distinguables en photogéologie. La direction NNW est normale pour l'ensemble transhudsonien allant de l'orogénèse du Nouveau Québec. Tous nos claims d'orientation NNW appartiennent à la zone lithotectonique de bordure est du cœur central (« core zone ») du Churchill, à l'ouest de 64 degrés 50. L'interférence glaciaire en bas du niveau 150m en vient à cacher toutes les roches vers la mer, rendant l'interprétation des linéaments moins performante en bord de mer.

Cette zone lithotectonique, aussi la limite NE du Lake Harbour, se trouve sur la faille NW Abloviak. Entre Weymouth Inlet et Abloviak (Sukaliuk et Lomier?), hors claims, on trouve des paragneiss. Le coeur carbonaté est dans notre propriété entre Weymouth Inlet et Kéglo sud. Au SW, une unité magnétique NW inhomogène côtoie la disparition des unités de marbre et selon le ministère, se bloque sur le Complexe granitique et tonalitique de la rivière Baudan en transition vers le complexe migmatitique de Kangiqsualujjuaq. Plus au SE, hors claims et en partie dans le projet de parc, proche de nos claims de Brumath, une imposante masse de quartzite (1200m d'épaisseur) repose sur des métabasaltes et est recoupé par des dykes de métagabbro, avec une orientation NS typique des Torngat sur le coté W.

Par la photo-interprétation, on observe que le Lake Harbour contient les marbres, mais aussi les paragneiss et les quartzites. Selon les auteurs, ce contact est faillé, et à pendage variable.

Personne ne s'est risqué à établir une colonne stratigraphique. Quelques auteurs ont postulé que le marbre, plus ductile, a facilité le cisaillement à la base du Lake Harbour.

Le ministère suggère une subdivision entre les tonalites et lambeaux d'amphibolite (Kangiqsualujjuaq), et les gneiss granitiques très foliés (Baudan) : en photogéologie, ces deux sous-unités sont plutôt « massives » avec des joints conjugués et une foliation, mais elles ne se traduisent pas par une signature distincte identifiable. Ce secteur ne fait pas partie de notre carte des linéaments.

10.0 Types de gîtes minéraux

Voir le rapport principal

11.0 Minéralisation

La photogéologie est un outil d'appui à la cartographie et n'apporte pour le moment rien aux études de détails des minéralisations uranifères. Ni les pegmatites de Davis Inlet, ni les minéralisations dans les carbonates ne sont observables à cette échelle. De plus, les photos 1/60,000 du lac CAGE sont de trop faible précision. En ce moment, il est impossible de tirer des conclusions sur le rôle de la structure pour les minéralisations sauf pour constater que celles–ci sont souvent concordantes à la foliation NNW (observations de terrain) et aux contacts lithologiques.

A grande échelle, les anomalies U de fonds de lacs s'alignent NW surtout au sud de la faille du lac Daniel (24I). Dans les secteurs Amudjak et Brumath, les fortes anomalies sont trop nombreuses pour qu'on puisse déterminer un alignement. Il y a abondance de pegmatites et de granites avec un fond radiométrique élevé dans ce secteur. A l'est de Brumath (Torngat), les anomalies supérieures à 10 ppm sont absentes.

Le long du linéament de Davis Inlet, on rencontre au moins deux types de zones anomales, le secteur des pegmatites de Davis Inlet et l'indice CAGE.

12.0 Travaux exécutés, discussion et interprétation

Nous avons fait une interprétation rapide sur la base des photosatellites disponibles en moins d'une semaine, incluant un report manuel des linéaments de la photo satellite à la carte topographique. La révision de contrôle a repris les linéaments reportés en les vérifiant avec les cartes topographiques et les photosatellites géoréférencées avec le logiciel Map-info.

En photogéologie, la topographie habituelle est celle de hauts plateaux relativement plats, de parois à forte pente, de talus et de vallées recouvertes de dépôts. Les linéaments sont observés surtout sur les hauts plateaux et sur leurs limites. Les zones de dépôts glaciaires ou fluvioglaciaires s'observent surtout dans le secteur sud de la rivière Koroc (hors claims et hors carte, fig. 1).

Les limites des domaines de linéaments (échelle kilométrique) sont plus graduelles que les limites lithotectoniques. En particulier, le cisaillement d'Abloviak (ASZ) large d'au moins 10 km selon les auteurs, ne se voit pas en photogéologie car il est perdu dans le fjord.

Pour un structuraliste, le style NNW et NS (Torngat) est très puissant : l'influence glaciaire est faible car les linéaments sont sur des affleurements. Certes, le mouvement glaciaire peut avoir accentué cette direction NNW plus que les autres, mais elle reste dominante relativement aux autres directions.

Le paragneiss rouillé (125 cps) avec des pegmatites est l'unité principale près d'Abloviak selon Taylor, mais l'orthogneiss (sur le terrain, 80 cps, archéen remanié) ou les granulites se distinguent difficilement du paragneiss en photogéologie. On observe simplement un style très linéaire entre Weymouth et Abloviak. De même, la distinction faite par Taylor en deux unités, les paragneiss et les paragneiss rouillés, ne se voit pas par le style des linéaments. Les pegmatites par leurs linéaments plus massives ne se distinguent pas des paragneiss même lorsqu'elles sont dites plus massives.

À CAGE, le marbre dominant est karstique, mais le paragneiss qui le borde est en relief, avec un réseau linéaire net (la foliation). Tout ce qui n'est pas du marbre se présente en deux styles : le linéaire, probablement du paragneiss, et le style isotrope, plus massif, qui

se voit mieux en photogéologie 1/ 60,000 (fig. 6).

Au sud vers Kéglo, en l'absence du marbre, la distinction paragneiss, orthogneiss est difficile à observer. Dans l'orthogneiss, il est impossible de discerner par photogéologie la composition tonalitique (migmatite foliée) ou granitique (massive?). Certains sous-domaines isotropes de linéaments sont plus massifs et moins foliés, mais de là à être des batholites, il y a une marge. Donc si le paragneiss est en contact direct avec les orthogneiss et les granitoïdes, il devient difficile de l'observer en photogéologie. Aucune zone de quartzite n'a été identifiée par ses linéaments dans le 24P. La montagne de quartzite du 24I possède son style plissé qui lui est propre.

Les longs linéaments NW de type « joints ou failles » sont généralement plurikilométriques, et ils se combinent parfois à des linéaments NS. Les linéaments plus denses du type « foliation » dans les paragneiss sont homoclinaux, souvent courbés par le plissement. Les linéaments autres que NW, parfois conjugués, sont des joints kilométriques à fort pendage qui ne déplacent pas souvent les linéaments NW. On n'observe évidemment pas les joints à faible pendage qui sont omniprésents dans les falaises.

A grande échelle, on note donc que la morphologie est contrôlée par les lithologies et que la plupart des systèmes de linéaments, particulièrement ceux NW, se suivent sur des kilomètres. De rares secteurs (ex : lac en C, colline dite de l'oeil) recoupent cet alignement. Dans nos claims, sauf dans le fond des vallées et des baies, la glaciation interfère peu. Le profil géomorphologique type d'un linéament NW, est un fond de vallée avec du recouvrement récent, un talus d'éboulis, une paroi abrupte (le linéament), un plateau. Dans les Torngat proprement dits, l'alignement est tout aussi marqué NS (fig 7, fig. 8).

À une échelle plus rapprochée, on observe immédiatement des domaines plus homogènes de linéaments définissant des dômes et bassins, faisant ressortir les dômes allongés NW dans une séquence autrement homoclinale très contrôlée NNW. Les photos aériennes permettent de mieux préciser ces domaines en dômes et bassins que les photosatellites. Évidemment, les domaines homogènes à l'échelle des photos aériennes sont plus restreints NNW mais aussi NS. Les linéaments NS sont plus rares et sont souvent des courbes joignant ceux NNW. Discriminer entre les familles de linéaments est difficile car ils sont tous assez denses (fréquence régulière) et pour le groupe orienté NNW, leur continuité (longueur) est d'ordre plurikilométrique.

Le linéament de la rivière Abrat est interrompu par une structure circulaire, avec un des rares granites massifs. Cette structure semble post-tectonique.

Le long linéament de Weymouth (plus de 45 km) est bordé par une bande de carbonates possiblement en contact tectonique, rejoignant le cisaillement de Brumath. Selon le levé magnétique régional, ce linéament constitue la limite W des Torngat, du lac Lomier.

Le secteur de CAGE entre Gregson Inlet et Kéglo est un sous-domaine différent des autres à cause de l'abondance des carbonates, donnant notamment des karsts, sans linéament

hectométrique dans ceux-ci. À l'est du linéament courbe de Gregson, la fracturation est en réseau dans des unités plus isotropes, plus ou moins conjuguées, surtout pour les dômes étirés. A l'ouest, les linéaments suivent la foliation et les joints conjugués ont quasi-disparu. Cela se voit mieux sur les photos aériennes 1/60,000 qu'en photosatellite.

En résumé et en première approximation, les carbonates sont karstiques s'ils sont plus larges que quelques centaines de mètres, les paragneiss ont un style folié dense avec peu de joints, et les orthogneiss, plus massifs et isotropes, présentent surtout des joints conjugués. La photogéologie ne permet pas de tracer le contact Lake Harbour avec le socle.

La carte présente les linéaments pour définir le style et les sous-domaines, mais sans être exhaustive. Elle avait comme objectif de rappeler aux géologues de prêter attention aux failles et plissements. Un coup d'œil aux photos sans l'interprétation des linéaments, permet de voir le style global. Un coup d'œil sur le levé magnétique confirme les grandes divisions lithotectoniques et le style de déformation.

Deux illustrations sur le terrain de linéaments EW sont présentés en photos. L'un est un dyke (fig 9), l'autre du diaclasage intensif (fig 10). Par leur style, ils sont tardifs.

Les linéaments ENE et ESE (fig 9, 10) ont été vérifiés spécifiquement par quelques traverses. Comme en photogéologie, on n'a aucune preuve de mouvement. On a observé un dyke injecté dans l'un d'eux.

Les géologues, même avisés de prêter attention aux linéaments, n'ont pas identifié de traces de failles, d'altération liée aux linéaments, d'hématisation, de sulfures disséminés, ou d'indicateurs cinématiques.

Les géologues qui ont décrit le contact des marbres avec les paragneiss, même lorsqu'il est très marqué, abrupt, suivi comme un linéament, n'ont pas interprété celui-ci comme une faille cassante, un cisaillement ou une mylonite dans le marbre. Le marbre a son système de joints, avec des karsts. Lorsque les lentilles de marbres sont minces dans les paragneiss, elles sont décrites comme des enclaves boudinées, ou de minces lits sans référence à du cisaillement. Le dit contact est souvent décrit comme lié à des plis.

À part quelques dômes étirés et d'une structure circulaire, les granites ne forment pas de batholite identifiables selon nos traverses. Les failles et les zones de cisaillement mylonitisées décrites par nos prédécesseurs (voir historique) ne sont pas observables autrement que par l'importance de la continuité des linéaments. Les phases de plissements régionaux antérieurs à la transpression générant le système NNW sont peu apparents.

13.0 Forage

L'analyse des linéaments ne permet pas en ce moment d'établir un modèle structural utile pour appuyer le choix de cibles de forage.

14.0 Méthodologie d'échantillonnage et approche

L'examen des photos aériennes 1/ 60,000 (fig 6, 7, 8) n'a pas été fait sauf très localement pour vérifier certains linéaments vus en photosatellite. On voit mieux les différences de style des linéaments.

L'interprétation est basée sur des photosatellites numériques disponibles dans le public sur Internet (fig 5 Google), sur une photo Landsat (fig 7). Pour l'étude des linéaments, la qualité des agrandissements possibles est en fonction de la dimension des pixels, et la photo Landsat est la plus détaillée. L'interprétation a cependant été faite sur des versions papiers des photos Google, sans effet stéréographique, avec un report manuel des linéaments. Nous disposions lors du contrôle d'une version numérisée et géoréférencée de la photo Landsat et de certaines photos 1 /60,000. La précision du géoréférencement est approximativement 100m selon ce qu'on peut mesurer en Mapinfo.

Nous disposions aussi de photos aériennes 1/ 60,000 provenant du gouvernement du Canada datant d'avant 1964. Il n'y a pas de couverture plus récente pour des fins forestières ou d'aménagement urbain.

Toutes les photos satellitaires ou aériennes ont été prises en été, en juillet ou août (aucune couverture de neige). Il y a très peu d'interférence par les nuages.

La photo satellite à balayage radar ne permettait pas un agrandissement intéressant car les pixels y devenaient nuisibles. Elle permet une vue d'ensemble. Elle n'est pas jointe à ce rapport.

15.0 Préparation, analyse et sécurité des échantillons

Voir le rapport principal.

16.0 Vérification des données

En interprétation aéromagnétique et gravimétrique, aucune limite lithotectonique majeure ne traverse nos claims. On peut difficilement utiliser ces levés à large maille pour fin de vérification.

En examinant les domaines de linéaments, le changement graduel de style du NE (fjord Weymount) en style NS vers le SE des claims, donc vers l'amont de la rivière Baudan (lac du Croissant), est confirmé par la géologie déjà connue. Le bassin versant de la rivière Koroc (hors claims) est un domaine distinct pour les linéaments mais cela vient de l'interférence du couvert glaciaire, fluvioglaciaire, fluviatile et côtier.

Lorsque cette étude a été faite, nous ne disposions que des levés magnétiques publics à maille large. Ces levés ne permettent pas d'établir des sous-unités lithotectoniques. La véritable vérification se fera par l'interprétation géologique dans le cadre du projet.

17.0 Terrains adjacents

Les anomalies de fonds de lacs s'alignant sur des axes NNW, les claims des concurrents se retrouvent souvent alignés selon cet axe et parfois limités par les cisaillements majeurs comme ceux de St-Daniel et de George River. Le lien entre les cisaillements majeurs et les uraninites des pegmatites reste ténu. De plus, les concurrents ne font pas mention dans leurs communiqués de la stratigraphie du Lake Harbour, des quartzites ou des marbres.

L'exploration faite pour vérifier les anomalies de géochimie visait des cibles de métaux de base ou la découverte de diamants. Elle a été faite par des vérifications héliportées ponctuelles et des hypothèses ont été émises sur le rôle des structures mais sans étude photogéologique ou structurale. Vu leurs conclusions négatives (Cu ou diamants), les rapports et cartes ne nous fournissent que peu d'informations structurales.

18.0 Essais de traitement des minerais et essais métallurgiques

Non pertinent.

19.0 Estimation des ressources minérales et des réserves minérales

Non pertinent.

20.0 Autres données et renseignements pertinents

Non pertinent.

21.0 Interprétation et conclusions

L'interprétation sommaire des linéaments est un moyen d'aider à interpréter la géologie. En aucun cas ce n'est un moyen direct de prospection, un moyen de faire de l'interprétation structurale sur cette seule base, ou un moyen d'interpréter la métallogénie uranifère.

La région est remarquable par la puissance des réseaux NNW de linéaments. Cependant, les premières vérifications sur le terrain pour confirmer que certains linéaments corrèlent avec la densité des joints, des failles cassantes, ou la mylonitisation, ont eu peu de succès.

Les limites lithotectoniques majeures d'Abloviak (bordure interne des Torngat), de Weymouth Inlet (limites du Lac Lomier) se voient en photogéologie. La limite du Lake Harbour, du moins pour les unités cartographiables de marbres d'échelle kilométrique, se reconnaît généralement assez bien. Dans les gneiss, les paragneiss du Lake Harbour et les orthogneiss tonalitiques ou granitiques ne se distinguent pas facilement : il en est de même des limites majeures, des indices de migmatisation. On ne peut confirmer l'interprétation du ministère de deux sous-unités de remobilisation paléoprotérozoique sur la base photogéologique.

À première vue, la continuité entre les marbres (24P) et les quartzites et amphibolites (24I) n'est pas prouvée, les paragneiss qui les unissent pour Taylor étant surtout dans les Torngat (donc séparés par une limite lithotectonique). Le contact Sud des carbonates du Lake Harbour est net mais si on cherche la limite des paragneiss et du socle gneissique, cela devient difficile. Un linéament majeur NNW bordé par une anomalie magnétique sépare ces deux sous-unités.

Les photos au 1 / 60,000 viennent préciser le détail des linéaments en photosatellite. On y voit mieux les dômes, les plis, les linéaments passant de NW à NS, les systèmes conjugués de joints qui seront utiles pour l'interprétation géologique. Avec les informations disponibles, il est prématuré de tirer des conclusions structurales sur nos claims autres que de confirmer le modèle de Goulet (1990).

Avec les informations photogéologiques, il n'est pas possible de confirmer ou d'infirmer l'existence d'un contrôle régional ou local de la minéralisation uranifère autrement que par son contrôle sur la disposition des carbonates et des pegmatites.

22.0 Recommandations

- Utiliser la photogéologie 1/60,000 pour appuyer l'interprétation géologique, en tenant compte de la géophysique détaillée et de la géochimie;
- Vérifier les linéaments majeurs avec le levé magnétique pour interpréter les limites lithotectoniques;
- Tenter de vérifier les hypothèses stratigraphiques et structurales des auteurs historiques lors de la campagne de terrain;
- Vérifier sur le terrain le lien entre linéaments, joints et failles;
- Combiner l'interprétation régionale des linéaments avec l'étude structurale de l'expert M. Nicolas Flotté (dans un rapport à recevoir);
- Élaborer un modèle structural pour la région et pour les occurrences uranifères lorsqu'on disposera de plus d'informations.

23.0 Références

Voir le rapport principal.

24.0 Date et page signature

Voir à la page 23.

25.0 Règles supplémentaires pour les rapports techniques sur les terrains au stade de l'amémagement et sur les terrains en production.

Non pertinent.

26.0 Illustrations

De la page 13 à la page 22.

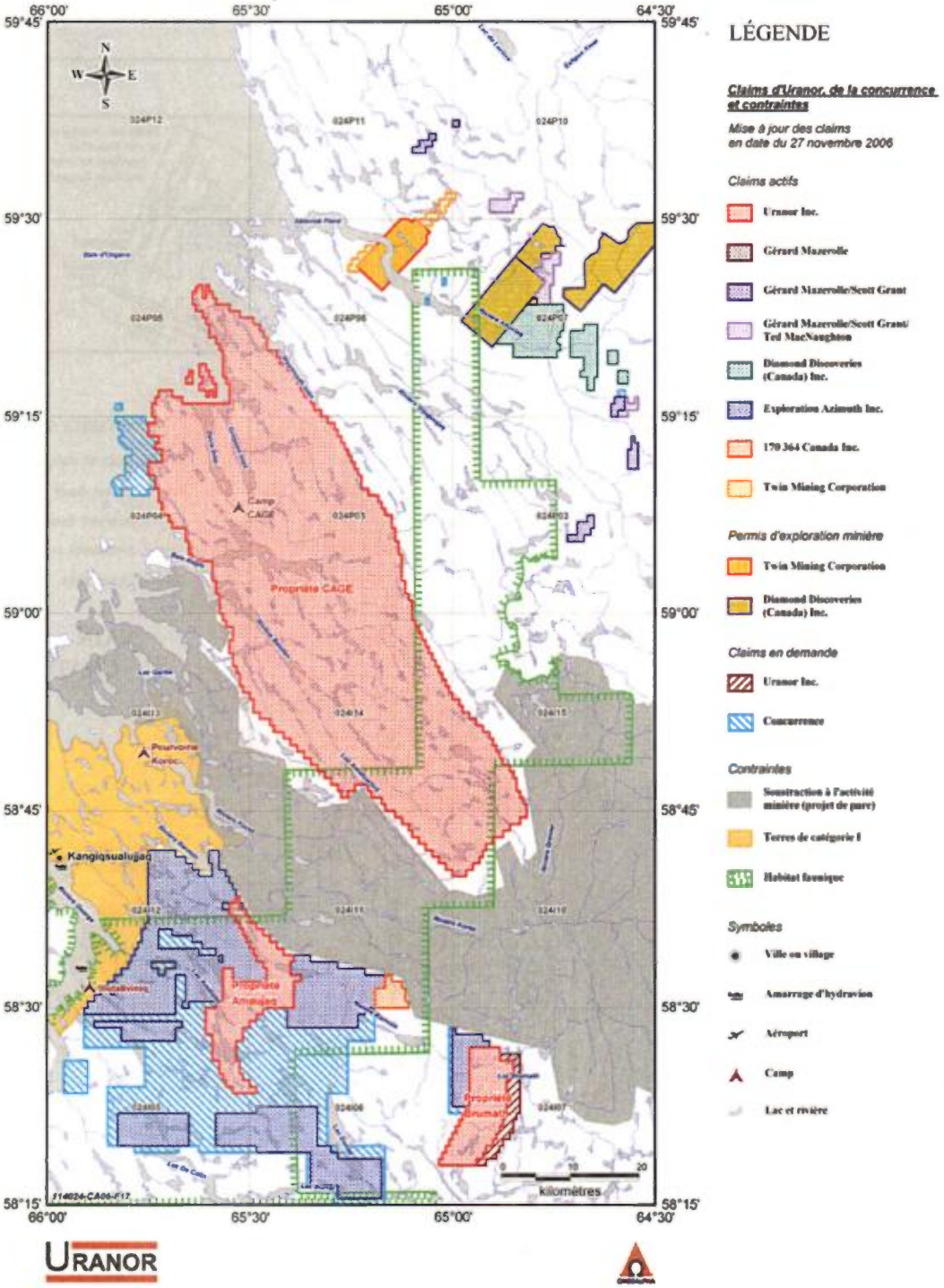

Fig.1- Localisation du projet CAGE, des claims d'Uranor et de la concurence.

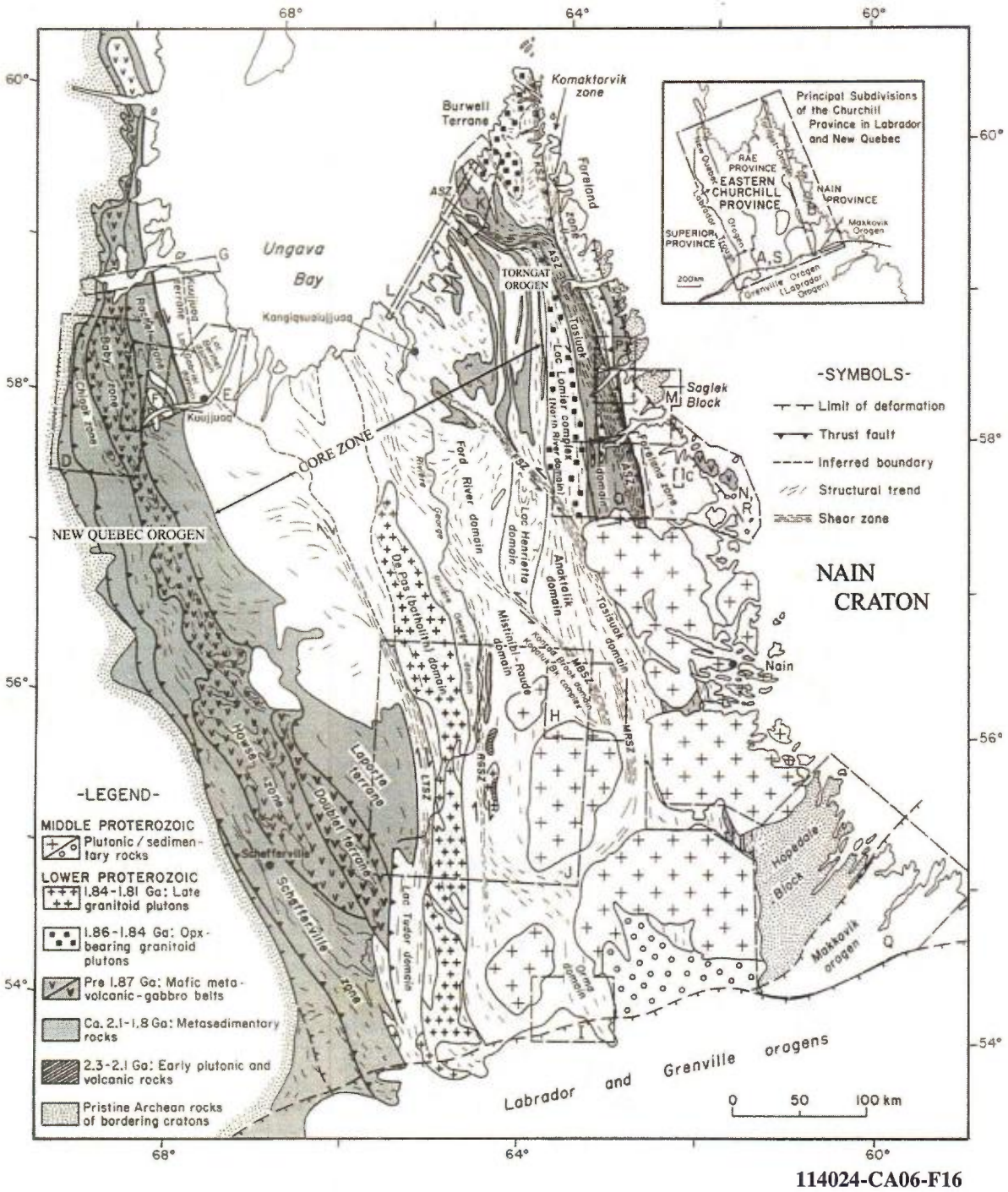

Fig. 2- Contexte lithotectonique de la partie SE de la province de Churchill (tirée de Wardle (2002) et modifiée par Omégalpha (2006)).

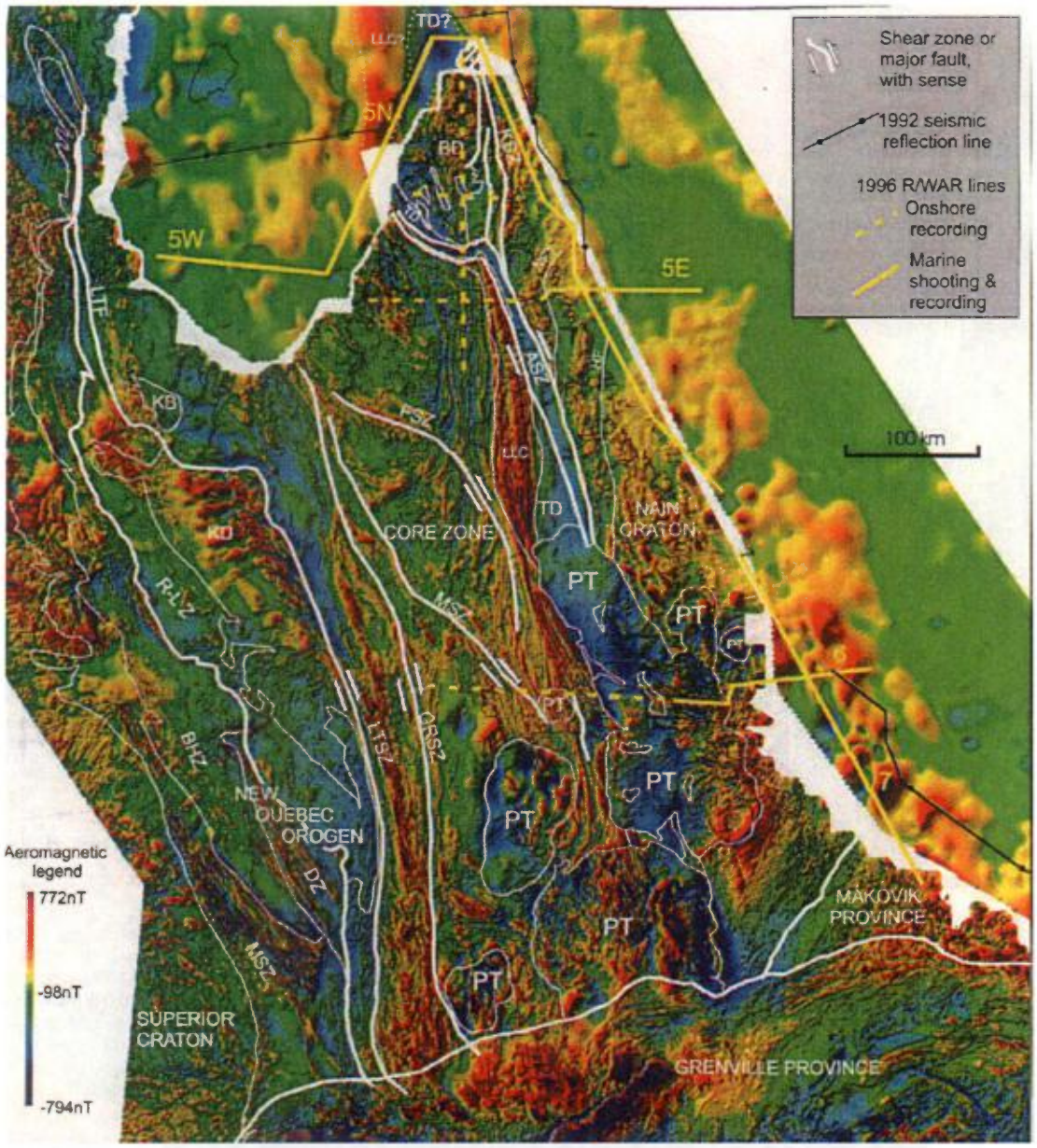

Fig. 3- Carte aéromagnétique de la région d'ECSOOT. Banque de données de la Commission géologique du Canada. .ASZ, zone de cisaillement d'Abloviak; BD, domaine de Burwell; BHZ, zone de Baby-Howse; DZ, zone de Doublet; FSZ, zone de cisaillement de Falcoz; GRSZ, zone de cisaillement de George River; HF, anomalie Handy; KB, batholite de Kuujjuaq, KD, domaine de Kuujjuaq; KSZ, zone de cisaillement Komaktorvik; LLC, complexe du Lac Lomier; LTF, anomalie du Lac Turcotte; LTSZ, zone de cisaillement du Lac Tudor; MBSZ, zone de cisaillement de Moonbase; MSZ, zone de Melezes-Schefferville; PT, pluton Mesoproterozoique d'anorthosite et de granite; R-LZ, zone de Rachel-Laporte; TD, domaine de Tasiuyak (tirée de Wardle 2002, notre traduction).

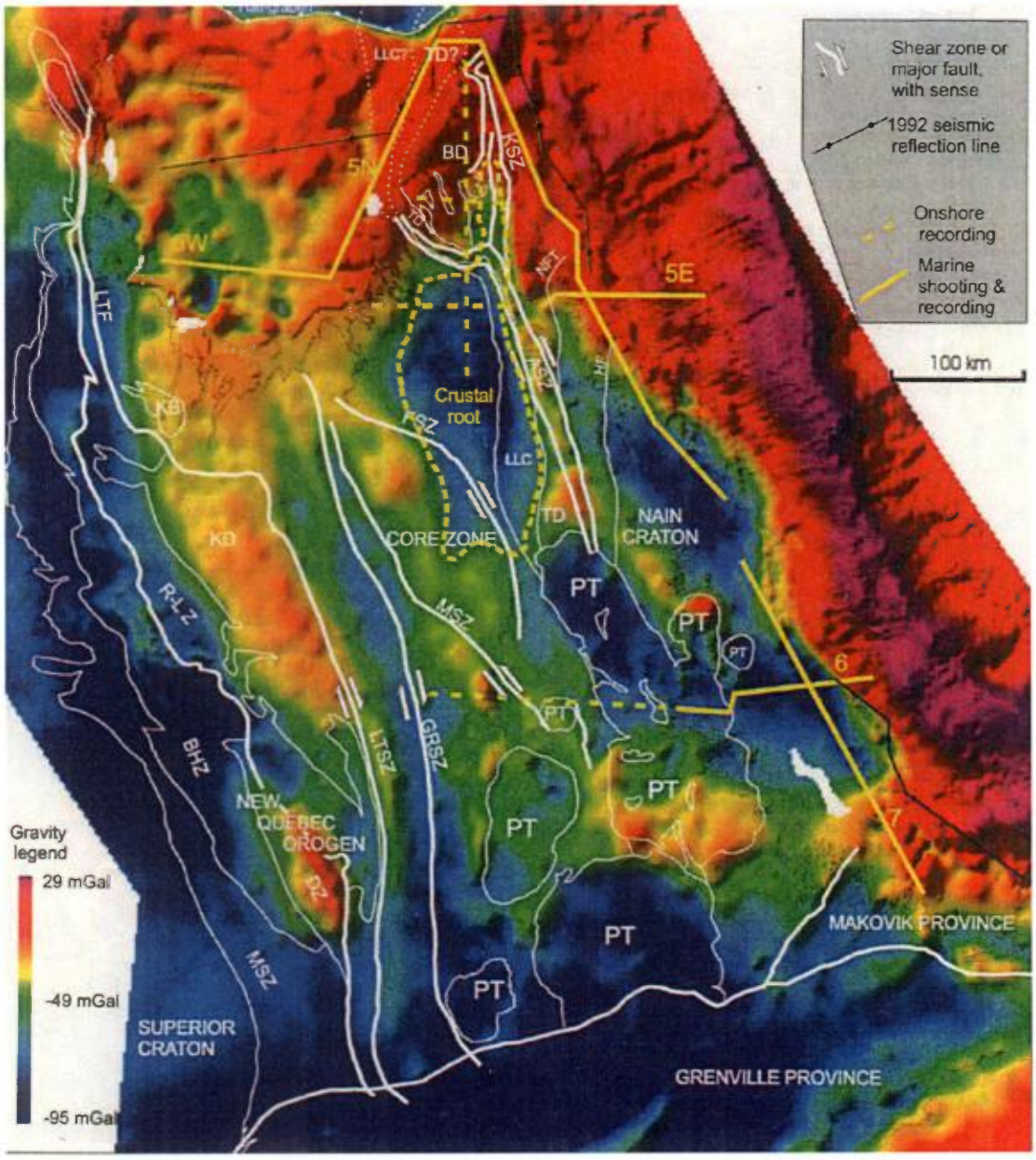

Fig. 4- Carte de gravité du programme ECSOOT. Carte de gravité Bouguer (sur terre) et gravité air libre(en mer) provenant de la Banque de données de la Commission géologique du Canada. .ASZ, zone de cisaillement d'Abloviak; BD, domaine de Burwell; BHZ, zone de Baby-Howse; DZ, zone de Doublet; FSZ, zone de cisaillement de Falcoz; GRSZ, zone de cisaillement de George River; HF, Faille Handy; KB, batholite de Kuujjuaq, KD, domaine de Kuujjuaq; KSZ, zone de cisaillement Komaktorvik; LLC, complexe du Lac Lomier; LTF, anomalie du Lac Turcotte; LTSZ, zone de cisaillement du Lac Tudor; MBSZ, zone de cisaillement de Moonbase; MSZ, zone de Melezes-Schefferville; PT, pluton Mesoproterozoique d'anorthosite et de granite; R-LZ, zone de Rachel-Laporte; TD, domaine de Tasiuyak (tirée de Wardle 2002, notre traduction).

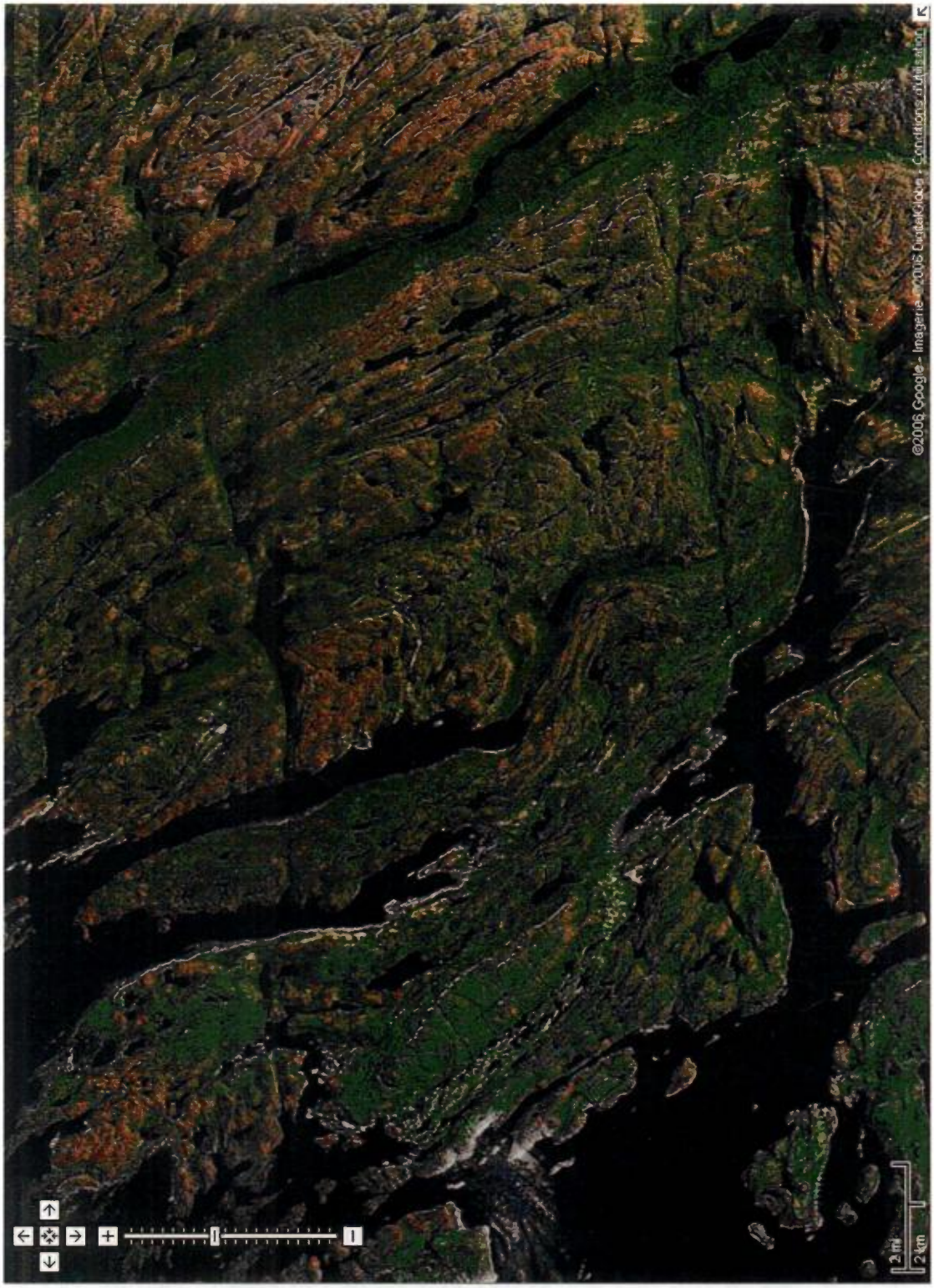

Fig. 5- Photo satellite tirée de GoogleMap ayant servi à l'interprétation du rapport.

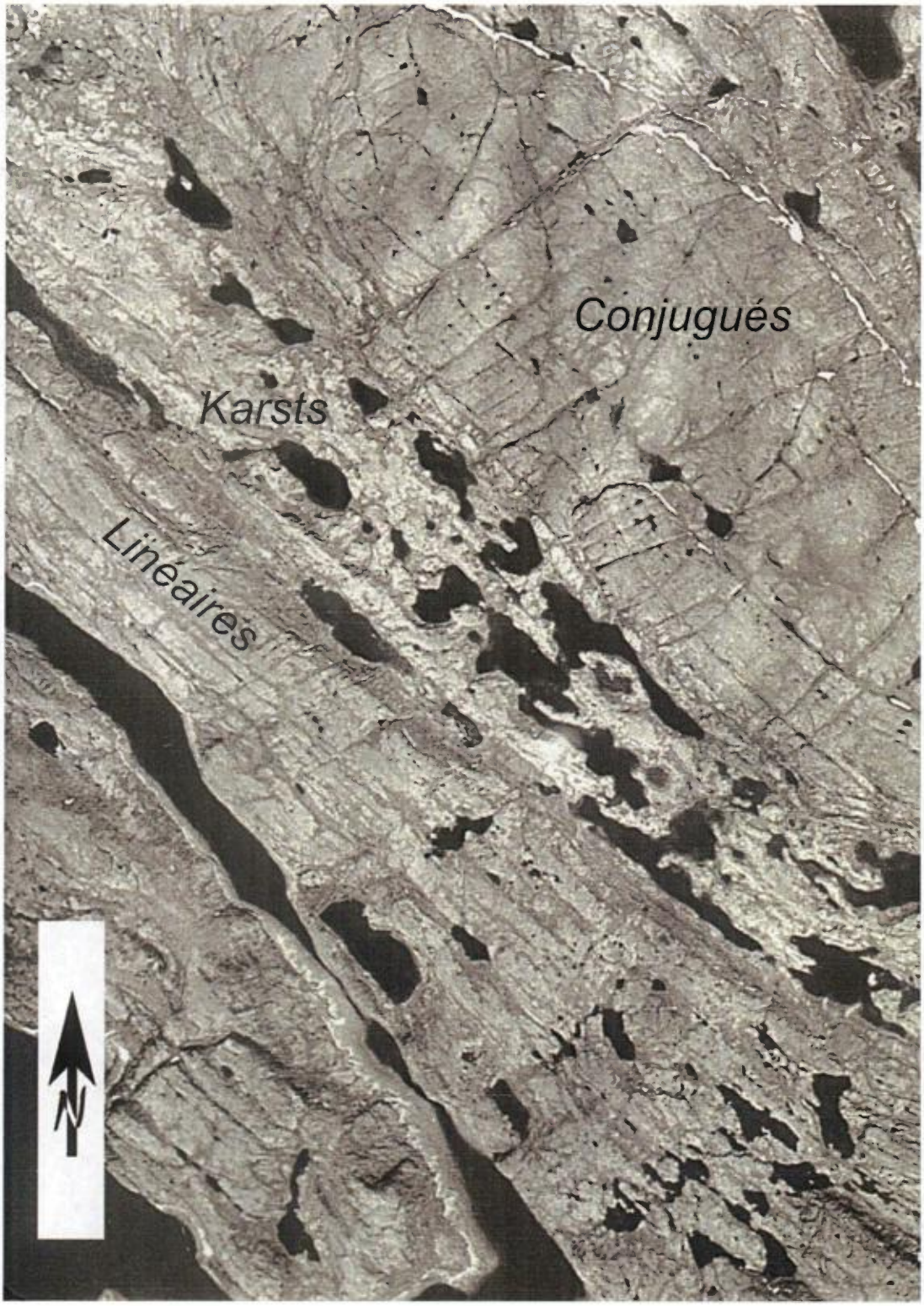

Fig. 6- Agrandissement 1/60,000 du secteur CAGE W.

NUMÉRIQUE

PAGE DE DIMENSION HORS STANDARD
NUMÉRISÉE ET POSITIONNÉE À LA SUITE DES
PRÉSENTES PAGES STANDARDS.

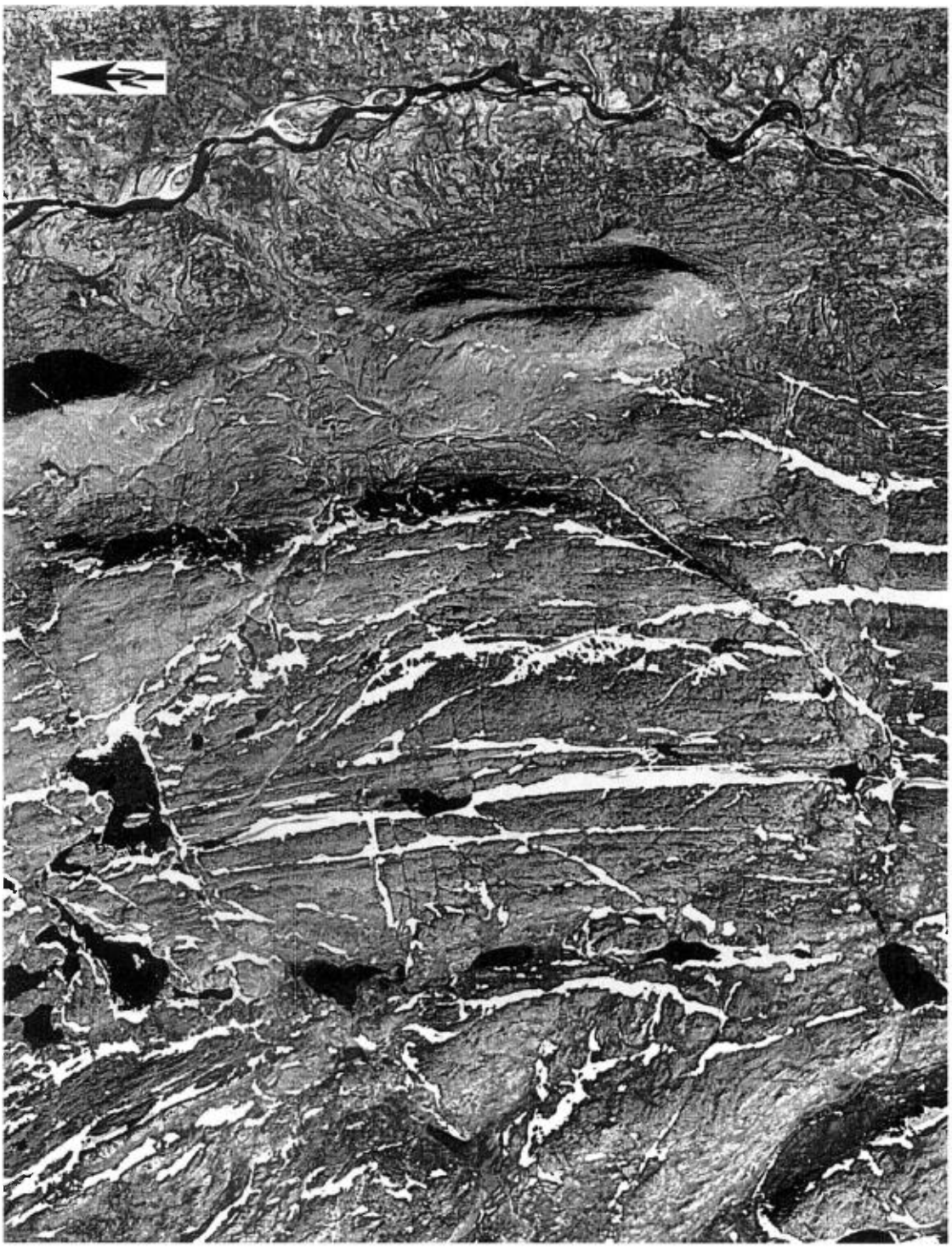

Fig. 8- Exemple de linéaments NS à partir de photos 1/60,000, style Torngat.

Fig. 9- Un dyke EW, érodé et en creux.

Fig. 10- Un réseau de diaclase, avec une densité élevée, contrôlant un petit ruisseau.

19 février 2007

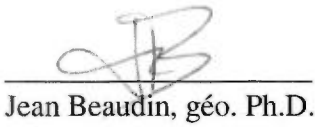

Jean Beaudin, géo. Ph.D.

Fig. 10- Un réseau de diaclase, avec une densité élevée, contrôlant un petit ruisseau.

CAGE

MRNF - DES MINES
24 SEP. 2007
705514
Bureau régional - Montréal

1.0 ÉVALUATION PRÉLIMINAIRE DU POTENTIEL URANIFÈRE

*PROPRIÉTÉ **CAGE**, NUNAVIK, QUÉBEC*

PROJET 114024

URANOR

COPIE CONFORME

TRAVAUX 2006

RAPPORT

- ANNEXES J-K-L

GÉOLOGUE
SERGE GENEST #577
QUÉBEC

Vol. 8 de 8

Juin 2007

OMÉGALPHA

2.0 TABLE DES MATIÈRES

		Page
1.0	TITRE	1
2.0	TABLE DES MATIÈRES	3
3.0	RÉSUMÉ	13
4.0	INTRODUCTION	15
5.0	RECOURS À D'AUTRES SPÉCIALISTES	15
6.0	DESCRIPTION ET EMPLACEMENT DU TERRAIN	16
	6.1 Grille de repérage	17
7.0	ACCESSIBILITÉ, CLIMAT, RESSOURCES LOCALES, INFRASTRUCTURES ET GÉOGRAPHIE PHYSIQUE	17
	7.1 Accès	17
	7.2 Climat	18
	7.3 Ressources locales	18
	7.4 Infrastructures	18
	7.5 Géographie physique	18
8.0	HISTORIQUE	19
	8.1 Géologie et géophysique	19
	8.2 Géologie structurale	20
	8.3 Géologie du quaternaire	20
	8.4 Géochimie de sédiments de fonds de lacs	21
	8.5 Gîtologie U, Cu, Ni	21
	8.6 Travaux rapportés par d'autres compagnies d'exploration	21
9.0	CONTEXTE GÉOLOGIQUE	22
	9.1 Géologie régionale	22
	9.1.1 Métamorphisme et pétrologie	24
	9.1.2 Géochronologie des groupes lithologiques	25
	9.2 Géologie régionale du quaternaire	25
	9.3 Géologie locale	26
	9.3.1 Lithologie	28
	9.3.1.1 *Marbre et roche calco-silicatée*	28
	9.3.1.2 *Quartzite*	28
	9.3.1.3 *Paragneiss*	28
	9.3.1.4 *Pegmatite*	29
	9.3.1.5 *Orthogneiss, granite et pegmatite*	29
	9.3.1.6 *Roches mafiques*	30
	9.3.2 Lithogéochimie	30
	9.3.2.1 *Marbres et roches calco-silicatées*	31
	9.3.2.2 *Pegmatites*	32
	9.3.2.3 *Paragneiss et orthogneiss*	32
	9.4 Géologie locale du quaternaire	32
10.0	TYPES DE GÎTES MINÉRAUX	33
	10.1 Modèle de type Rossing (zone de Davis Inlet)	34
	10.2 Modèle de type CAGE	34

11.0 MINÉRALISATIONS 36
11.1 Zone CAGE (Indices CAGE-A à CAGE-F 38
11.1.1 Indice CAGE-A 41
11.1.2 Indice CAGE-B 41
11.1.3 Indice CAGE-C 41
11.1.4 Indice CAGE-D 41
11.1.5 Indice CAGE-E 42
11.1.6 Indice CAGE-F 42
11.2 Zone Davis Inlet 42
11.2.1 Partie nord de la zone Davis Inlet 42
11.2.2 Partie sud de la zone Davis Inlet 42
11.3 Zone Aqiarussuk 43
11.4 Zone Kéglo Sud 44
11.5 Zone Tasiujaaluk 45
11.6 Zone CAGE Extension Sud 45
11.6.1 *Secteur Nord (zone CAGE extension sud)* 45
11.6.2 *Secteur Sud (zone CAGE extension sud)* 46
11.7 Zone de la Presqu'île 46
11.8 Zone Tasiujaaluk NW 46
11.9 Zone du Lac en Croissant 47
11.10 Autres anomalies 47
11.10.1 *Occurrence Mo-U* 47
11.10.2 *Autres anomalies uranothorifères* 47
11.10.2.1 *En affleurement* 48
11.10.2.2 *En blocs* 48
11.10.2.3 *Dans le sol* 48

12.0 TRAVAUXD'EXPLORATION 48
12.1 Géologie 49
12.2 Géophysique 50
12.2.1 *Interprétation des données géophysiques régionales* 50
12.2.2 *Interprétation des données géophysiques locales (secteur indiciel de CAGE)* 51
12.3 Géochimie de sédiments de fonds de lacs 52
12.3.1 *Données uranium* 52
12.3.2 *Corrélation avec d'autres éléments (critère CAGE)* 52
12.3.3 *Utilisation des données géochimiques* 52
12.3.4 *Interprétation* 52
12.4 Structure 53
12.4.1 *Linéaments par photo-satellite* 53
12.4.2 *Zone indiciel* 55

13.0 FORAGES (rainurages) 56
13.1 Description des rainurages 57
13.1.1 *Rainurage CA06-T-01, indice CAGE-D* 57
13.1.2 *Rainurage CA06-T-02, indice CAGE-D* 57
13.1.3 *Rainurage CA06-T-03, indice CAGE-D* 58
13.1.4 *Rainurage CA06-T-04, indice CAGE-D* 58
13.1.5 *Rainurage CA06-T-05, indice CAGE-D* 58
13.1.6 *Rainurage CA06-T-06, indice CAGE B* 58
13.2 Lithogéochimie des rainurages 59

14.0 MÉTHODOLOGIE DE LA GRILLE DE REPÉRAGE SUR L'INDICE CAGE ET DE L'ÉCHANTILLONNAGE SUR L'ENSEMBLE DE LA PROPRIÉTÉ CAGE 59
14.1 Grilles de repérage 59
14.1.1 *Équipe et matériel* 59
14.1.2 *Grilles de repérage* 59
14.1.3 *Obstacles* 60
14.2 Échantillonnage 61
14.2.1 *Cueillette sur le terrain* 61
14.2.2 *Sélection et préparation des échantillons pour analyse ou étude pétrographique et métallogénique* 61
14.2.3 *Transport des échantillons* 62

15.0 PRÉPARATION, ANALYSE ET SÉCURITÉ DES ÉCHANTILLONS 62

16.0 VÉRIFICATION DES DONNÉES 63

17.0 TERRAINS ADJACENTS 63

18.0 ESSAIS DE TRAITEMENT ET ESSAIS MÉTALLURGIQUES 64

19.0 ESTIMATION DES RESSOURCES MINÉRALES ET DES RÉSERVES MINÉRALES 64

20.0 AUTRES DONNÉES ET RENSEIGNEMENTS PERTINENTS 64
20.1 Environnement 64

21.0 INTERPRÉTATIONS ET CONCLUSIONS 65
21.1 Atteinte des objectifs 65
21.2 Travaux de terrain 2006 66
21.3 Résultats 2006 66
21.3.1 *Anomalies radiométriques et zones anomaliques* 66
21.3.2 *Type de minéralisation* 67
21.3.2.1 *Synthèse du contexte des anomalies et de la minéralisation* 67
21.3.3 *Stations et traverses* 68
21.3.4 *Géologie* 68
21.3.5 *Géophysique* 69
21.3.6 *Géochimie des sédiments de fonds de lacs* 69
21.3.7 *Rainurages* 69
21.3.8 *Autres renseignements* 70

22.0 RECOMMANDATIONS 70

23.0 RÉFÉRENCES 72

ANNEXE A
(Volume 1 de 8)

LISTE DES FIGURES

Figure 6.1 : Localisation du projet CAGE 2006 dans la province du Québec, Canada (114024-CA06-F14-LocalisationCageQuébec8x11-07Déc2006)

Figure 6.2 : Localisation de la propriété CAGE, des claims d'Uranor et de la concurrence (114024-CA06-F18-LocalisationProjetCAGEClaimsUranorEtConcurrence-11Mai2007).

Figure 8.1.1 : - Contexte lithotectonique de la partie SE de la province de Churchill (tirée de Wardle (2002) et modifiée par Omégalpha (2006)) (114024-CA06-F16-ContexteLithotectoniquePartieSEProvinceChurchill-07Mai2007)

Figure 9.2.1 : Limites du front glaciaire sur la Baie d'Ungava de 8000 B.P. selon Dykes et al., 2003. (114024-CA06-F19-LimiteFrontGlaciaireBaieUngava-09Mai2007)

Figure 9.2.2 : Application du niveau marin de 481 pieds (148 mètres) vers 730B.P. d'après Lauriol et al. (1979) sur un modèle numérique d'élévation de la côte Est de la Baie d'Ungava dans le secteur de CAGE. (114024-CA06-F20-Application NiveauMarin481Pied-735BP-CAGE-09Mai2007).

Figure 9.3.2.1 : Distribution des analyses de marbre et de roches calco-silicatées peu minéralisées (U<67ppm) dans des diagrammes Li-CaO et Al2O3-CaO montrant la faible mobilité du calcium lors du métamorphisme (114024-CA06-F21-DistributionAnalysesMarbreCalco-silicatées-Li-CaO-Al2O3-CaO-11Mai2007).

Figure 9.3.2.2 : Diagrammes triangulaires : Al2O3-K2O-FeO+MgO pour les échantillons de pegmatite et Al2O3-CaO-FeO+MgO pour les échantillons de marbre et de roches calco-silicatées, de la zone indicielle de CAGE. (114024-CA06-F22-DiagrammeTriangulaire-AlO3-CaO-FeO+MgO-K2O-ZoneCAGE-11Mai2007)

Figure 9.3.2.3 : Diagrammes triangulaires : Al2O3-K2O-FeO+MgO pour les échantillons de pegmatite, paragneiss, orthogneiss et Al2O3-CaO-FeO+MgO pour les échantillons de marbre, de roches calco-silicatées et de diopsidite des zones anomaliques régionales. (114024-CA06-F23-DiagrammeTriangulaire-Al2O3-CaO-FeO+MgO-K2O-ZonesAnomaliques-11Mai2007)

Figure 9.3.2.4 : Diagrammes binaires : a) CaO+MgO-Al2O3, b) CaO+MgO-Fe2O3, c) CaO+MgO-K2O+Na2O et d) CaO+MgO-Ba, montrant la distribution des échantillons de marbre, de roches calco-silicatées et de diopsidite de la zone indicielle de CAGE et des zones d'anomalies régionales. (114024-CA06-F24-DiagrammeBinaire-Al2O3-CaO+MgO-Fe2O3-K2O+Na2O-Marbre-11Mai2007)

Figure 9.3.2.5 : Diagrammes binaires : a) Li-Ba, b) Th-U et c) MgO-Li, montrant la distribution des échantillons de marbre, de roches calco-silicatées et de

diopsidite de la zone indicielle de CAGE et des zones d'anomalies régionales. (114024-CA06-F25-DiagrammeBinaire-Ba-Li-U-Th-MgO-Marbre-11Mai2007)

Figure 9.3.2.6 : Diagrammes binaires : a) Al2O3-Na2O+K2O, b) Al2O3-CaO, c) Al2O3-FeO et d) TiO2-MgO+FeO, montrant la distribution des échantillons de pegmatite associée à du paragneiss, de l'orthogneiss ou au contact avec du marbre dans les zones d'anomalies régionales, et de pegmatite associée à du marbre et des roches calco-silicatées de la zone indicielle CAGE. (114024-CA06-F26-DiagrammeBinaire-Al2O3-Na2O-K2O-TiO2-Pegmatite-11Mai2007)

Figure 10.1.1 : Planche microphotographique (a à f) des minéraux accessoires (allanite, zircon, titanite, monazite, apatite) contenant de l'uranium et des éléments de terres rares. (114024-CA06-F27-PlancheMicrophotographique-Figure 10.1.1-10Mai2007)

Figure 10.2.1 : Planche microphotographique (a à f) du comportement de l'uraninite dans les marbres provenant des lames minces de CAGE. (114024-CA06-F28-PlancheMicrophotographique-Figure 10.2.1-10Mai2007)

Figure 10.2.2 : Planche microphotographique (a à f) montrant des associations minéralogiques et des microstructures. (114024-CA06-F29-PlancheMicrophotographique-Figure 10.2.2-10Mai2007)

Figure 11.1 : Diagrammes binaires : a) Th-U, b) U-Ba, c) U-Zr et d) Th-Zr, montrant la distribution des échantillons de pegmatite associée à du paragneiss, de l'orthogneiss ou au contact avec du marbre dans les zones d'anomalies régionales, et de pegmatite associée à du marbre et des roches calco-silicatées de la zone indicielle CAGE. (114024-CA06-F30-DiagrammeBinaire-Th-U-Ba-Zr-Pegmatite-ZonesAnomaliquesCAGE-11Mai2007)

Figure 11.2 : Diagramme binaire Na2O-K2O montrant la distribution des échantillons de pegmatite associée à du paragneiss, de l'orthogneiss ou au contact avec du marbre dans les zones d'anomalies régionales, et de pegmatite associée à du marbre et des roches calco-silicatées de la zone indicielle CAGE. (114024-CA06-F31-DiagrammeBinaire-Na2O-K2O-Pegmatite-Gneiss-Marbre-ZonesAnomaliques-11Mai2007)

Figure 11.1.1 : Marbre dolomitique massif fortement fracturé. (114024-CA06-F32-F33-PhotosMarbreDolomitiqueChaotique-Figure11.1.1-11.1.2-11Mai2007)

Figure 11.1.2 : Roche calco-silicatée de type « chaotique » où les litages et pegmatites sont discontinus et sans relation avec les morceaux voisins (114024-CA06-F32-F33-PhotosMarbreDolomitiqueChaotique-Figure11.1.1-11.1.2-11Mai2007)

Figure 11.1.3 : Marbre lité et folié à la décharge du lac Cage. (114024-CA06-F34-F35-PhotosMarbreFoliéMarbreDiopside-Figure11.1.3-11.1.4-11Mai2007)

Figure 11.1.4 : Pods de roche calco-silicatée riche en diopside à l'interface de roches calco-silicatées et de marbre dolomitique (affleurement CA06-1002-02). (114024-CA06-F34-F35-PhotosMarbreFoliéMarbreDiopside-Figure11.1.3-11.1.4-11Mai2007)

Figure 11.1.5 : Unité de grès à grain fin à moyen métamorphisé avec une texture de surface en balle de golf (affleurement CA06-1002-01) (114024-CA06-F36-F37-PhotosGrèsTextureGolfVerdâtre-Figure11.1.5-11.1.6-11Mai2007)

Figure 11.1.6 : Unité de grès verdâtre à grain fin et légèrement magnétique métamorphisé (affleurement CA06-1005-15) (114024-CA06-F36-F37-PhotosGrèsTextureGolfVerdâtre-Figure11.1.5-11.1.6-11Mai2007)

Figure 13.1.1 : Rainurage CA06-T-01 (114024-CA06-F38-Rainurage-CA06-T-01-22Mai2007)

Figure 13.1.2 : Rainurage CA06-T-02 (114024-CA06-F39-Rainurage-CA06-T-02-22Mai2007)

Figure 13.1.3 : Rainurage CA06-T-03 (114024-CA06-F40-Rainurage-CA06-T-03-22Mai2007)

Figure 13.1.4 : Rainurage CA06-T-04 (114024-CA06-F41-Rainurage-CA06-T-04-22Mai2007)

Figure 13.1.5 : Rainurage CA06-T-05 (114024-CA06-F42-Rainurage-CA06-T-05-22Mai2007)

Figure 13.1.6 : Rainurage CA06-T-06 (114024-CA06-F43-Rainurage-CA06-T-06-22Mai2007)

Figure 13.2.1 : Diagramme binaire U-CaO et U-(CaO+MgO/Al2O3) des échantillons de marbre et de roche calco-silicatée prélevés sur les affleurements et dans les rainurages de la zone indicielle de CAGE. (114024-CA06-F44-Lithogéochimie RainureMarbre-Figure13.2.1-23Mai2007)

Figure 13.2.2 : Diagramme binaire U-Pb, U-Cu, U-Mo et U-Ba des échantillons de marbre et de roche calco-silicatée prélevés sur les affleurements et dans les rainurages de la zone indicielle de CAGE. (114024-CA06-F45-LithogéochimieRainure Marbre-Figure13.2.2-23Mai2007)

Figure 13.2.3 : Diagramme binaire U-V des échantillons de marbre et les roches calco-silicatées prélevés dans les rainurages de la zone indicielle de CAGE et diagrammes binaires U-V, U-Y et U-Bi des échantillons de marbre et de roche calco-silicatée prélevés sur les affleurements et dans les rainurages de la même zone indicielle. (114024-CA06-F46-LithogéochimieRainureMarbre-Figure13.2.3-23Mai2007)

ANNEXE B
(Volume 2 de 8)

TABLEAU DES STATIONS

Tableau 12.1 : Tableau synoptiques des stations (114024-CA06-T07-TableauSynoptiqueStations-31Mai2007)

ANNEXE C
(Volume 3 de 8)

LISTE DES TABLEAUX

Tableau 4.1 : Liste des géologues, des prospecteurs, des techniciens, des consultants et du personnel du soutien logistique du projet CAGE 2006 (114024-CA06-T02-ListeGéologuesConsultantsTechniciens-07Mai2007)

Tableau 6.1 : Tableau descriptif des claims actifs et en demande d'Uranor Inc. du projet CAGE 2006 (114024-CA06-T01-ClaimsActifsEtEnDemande Uranor-Cage 2006)

Tableau 8.6.1 : Tableau synoptique des travaux statutaires - PROJET 114024 (114024-CA06-T03-TravauxStatutaires24I24P-07Mai2007)

Tableau 9.3.2.1:Analyses lithogéochimiques des échantillons choisis et de rainurage classées par unités lithologiques (114024-CA06-T08- Analyses GéochimiquesPartiellesFiltrées-Lithologie-Diagramme-24Mai2007)

Tableau 10.1 : Caractéristiques physiques, minéralogiques et structurales de l'indice minéralisé de type Cage par rapport au gisement Namibien de Rossing (114024-CA06-T09-TableauComparaisonTypeCageRossing-24Mai2007)

Tableau 10.1.1 :Séquence paragénétique des principaux minéraux observés en lame mince par rapport à la déformation (114024-CA06-T05-SéquenceParagénétiqueMinéraux Déformation-11Mai2007)

Tableau 11.1 : Analyses lithogéochimiques des échantillons choisis et de rainurage (114024-CA06-T04-AnalysesLithogéochimiques-09Mai2007)

Tableau 11.2 : Tableau synoptique des anomalies scintillométriques au sol (114024-CA06-T10-AnomaliesScintillométriques-31Mai2007)

ANNEXE D
(Volume 4 de 8)

LISTE DES CARTES

Carte 1 : Topographie 3D du secteur de la propriété CAGE (1 :100 000) (114024-CA06-C07 – Topographie3DSecteurPropriétéCage)

Carte 2 : Topographie 3D du secteur Davis-Kéglo (1 : 1 500) (114024-CA06-C08-Topographie3DSecteurDavisKéglo)

Carte 3 : Géologique régionale SNRC 24I-24P d'après Taylor (1979) et Verpaelst (2000) (1 :100 000) (114024-CA06-C09- GéologieRégionale24I24PSigéom)

Carte 4 : Champs magnétique total (Sigéom) de la propriété CAGE (1 :100 000) (114024-CA06-C20 – ChampMagnétiqueTotalSigéom)

Carte 5 : Localisation des travaux statutaires SNRC 24I-24P (1 :250 000) (114024-CA06-C27 – CompilationTravauxStatutaires24I24P)

Carte 6 : Géologie et localisation des stations de la propriété CAGE (1 :100 000) (114024-CA06-C13-GéologieStations-PropriétésCage)

Carte 7 : Géologie et localisation des stations de la partie NE du secteur Davis-Kéglo (1 :25 000) (114024-CA06-C15-GéologieStations-SecteurDavisKéglo-partieNE)

Carte 8 : Géologie et localisation des stations de la partie SE du secteur Davis-Kéglo (1 :25 000) (114024-CA06-C16-GéologieStations-SecteurDavisKéglo-partieSE)

ANNEXE E
(Volume 5 de 8)

LISTE DES CARTES

Carte 9 : Géologie et localisation des stations de la partie SW du secteur Davis-Kéglo (1 :25 000) (114024-CA06-C17-GéologieStations-SecteurDavisKeglo-partieSW)

Carte 10 : Géologie et localisation des stations de la partie NW du secteur Davis-Kéglo (1 :25 000) (114024-CA06-C18-GéologieStations-SecteurDavisKéglo-partieNW)

Carte 11 : Géologie et localisation des stations du secteur CAGE-A à F (1 :6500) (114024-CA06-C19-GéologieStations-SecteurCAGE-AF)

Carte 12 : Localisation des échantillons et rapports spectrométriques U/Th de la propriété CAGE (1 :100 000) (114024-CA06-C24-LocalisationÉchantillonsRapports SpectroUTh-PropriétéCAGE)

Carte 13 : Localisation des échantillons et rapports spectrométriques U/Th du secteur Davis-Kéglo (1 :40 000) (114024-CA06-C25 - LocalisationÉchantillons RapportsSpectroUTh-SecteurDavisKéglo)

Carte 14 : Localisation des échantillons et rapports spectrométriques U/Th des secteurs CAGE-A à F (1 :6500) (114024-CA06-C26- LocalisationÉchantillonsRapports SpectroUTh -CAGE-AF)

Carte 15 : Teneurs U et Th des échantillons analysés en 2006 sur la propriété CAGE (1 :100 000) (114024-CA06-C28- ÉchantillonsAnalysésRapportSpectroUTh-PropriétéCAGE)

Carte 16 : Teneurs U et Th des échantillons analysés en 2006 sur la propriété CAGE (secteur Davis-Kéglo)(1 :40000)(114024-CA06-C29-ÉchantillonsAnalysésRapportSpectro UTh-SecteurDavisKéglo)

ANNEXE F
(Volume 6 de 8)

LISTE DES CARTES

Carte 17 : Teneurs U et Th des échantillons analysés en 2006 (secteur Cage A-F) (1 :6 500) (114024-CA06-C30- ÉchantillonsAnalysésRapportSpectroUTh-SecteursCageAF)

Carte 18 : Plan compteur avec valeurs radiométriques et résultats analytiques des rainurages – Indice CAGE B (1 :50) (114024-CA06-C22 – PlanCompteur RadiométrieAnalyseRainurage-IndiceCageB)

Carte 19 : Plan compteur avec valeurs radiométriques et résultats analytiques des rainurages – Indice CAGE D (1 :50) (114024-CA06-C23 – PlanCompteur RadiométrieAnalyseRainurage-IndiceCageD)

Carte 20 : Géologie et localisation des anomalies scintillométriques de la propriété CAGE (1 : 100 000) (114024-CA06-C10- GéologieAnomaliesPropriétéCAGE)

Carte 21 : Géologie et localisation des anomalies scintillométriques du secteur Davis-Kéglo (1 :40 000) (114024-CA06-C11- GéologieAnomaliesSecteurDavis-Kéglo)

Carte 22 : Géologie et localisation des anomalies scintillométriques du secteur CAGE-A à F (1 :6500) (114024-CA06-C12-GéologieAnomaliesSecteurCAGE-AF)

Carte 23 : Teneurs en U et Th des sédiments de fonds de lacs et correspondances aux critères de CAGE (1 :100 000) (114024-CA06-C21- TeneurUThSédiments FondDeLacCorrespondanceCritèreCAGE)

ANNEXE G
(Volume 7 de 8)

« Interprétation des données magnétiques et radiométriques de la campagne aérienne de Août 2006 » par Yoann Richard (AREVA NCB/BUM/DEX/GT)

ANNEXE H
(Volume 7 de 8)

« Étude structurale du secteur de l'indice Cage, Nunavik, Québec » par Nicolas Flotté (AREVA NCB/BUM/DEX/GT)

ANNEXE I
(Volume 7 de 8)

« CAGE : Analyse sommaire des linéaments en photosatellite » rapport interne par Jean Beaudin (Omegalpha Inc.)

ANNEXE J
(Volume 8 de 8)

« Final Report on a Helicopter-borne Magnetic & Radiometric Survey, Centre Cage Zone, Kangiqsualujjuaq, Québec, Canada » par McPhar Geosurveys Ltd

ANNEXE K
(Volume 8 de 8)

CERTIFICATS D'ANALYSE

Certificats d'analyse du Saskatchewan Research Council (SRC)

ANNEXE L
(Volume 8 de 8)

PRODUITS NUMÉRIQUES EN DVD

Produits numériques en DVD

ANNEXE J

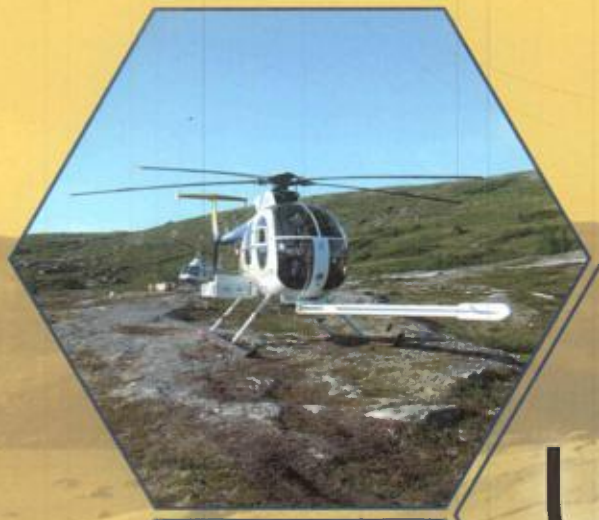

URANOR

FINAL REPORT ON A HELICOPTER-BORNE MAGNETIC & RADIOMETRIC SURVEY,

Centre Cage Zone, Kangiqsualujjuaq, Québec, Canada

Par McPhar Geosurveys Ltd

OMÉGALPHA

Final Report on a Helicopter-borne Magnetic & Radiometric Survey Centre Cage Zone, Kangiqsualujjuaq, Québec, Canada

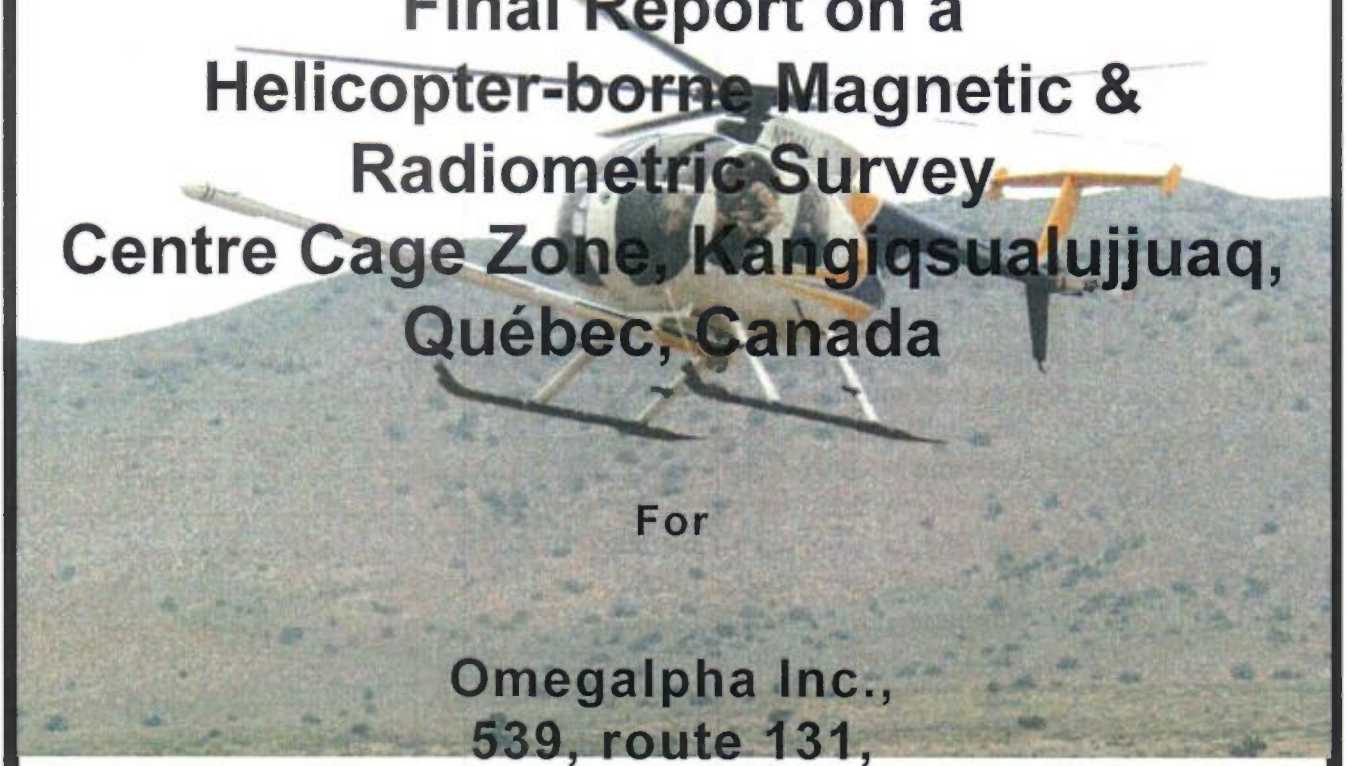

For

Omegalpha Inc.,
539, route 131,
Joliette, Québec,
Canada, J6E 7Y8

By

McPhar Geosurveys Ltd.,
1256B Kerrisdale Blvd.,
Newmarket, Ontario,
Canada, L3Y 8Z9

January, 2007
McPhar 0609

Endossé par

GÉOLOGUE / GEOLOGIST
SERGE GENEST #577
QUÉBEC

McPHAR

TABLE OF CONTENTS

Page #

SUMMARY 6
1. INTRODUCTION 7
2. SURVEY AREA 9
3. SURVEY OPERATIONS 13
3.1 Operations Base 13
3.2 Survey Conditions 13
3.3 Navigation 13
3.4 Field Processing & Quality Control 14
3.5 Survey Statistics and Project Diary 14
4. HELICOPTER AND EQUIPMENT 17
4.1 The Helicopter 17
4.2 The Survey Instrumentation 18
4.2.1 Survey System Overview 18
4.2.2 Airborne Magnetometer 18
4.2.3 Gamma-ray Spectrometer System 19
4.2.4 The Stinger Mounted Magnetometer 19
4.2.5 The Base Station Magnetometer 20
4.2.6 Altimeter 20
4.2.7 The GPS Satellite Navigation System 20
4.2.8 Data Acquisition/Recording System 21
4.2.9 Field Computer Workstations 22
4.2.10 Spares 23
5. INSTRUMENT CHECKS AND CALIBRATIONS 24
5.1 Airborne Magnetic System Tests and Calibrations 24
5.1.1 Manoeuvre Noise 24
5.1.2 Magnetic Heading Effect 24
5.1.3 Lag Test 25
5.1.4 GPS Checks and Tests 25
5.2 Airborne Gamma-ray Spectrometer System Tests and Calibrations 26
5.2.1 Test Line 26
5.2.2 Altitude Attenuation Coefficients 26
5.2.3 Cosmic Window Calibrations 26
5.2.4 Spectral Resolution Test 27
5.2.5 Daily Source Checks 27
5.2.6 Spectrometer Calibration on Transportable Pad – Stripping Ratios 27
5.2.7 Spectrometer System Sensitivitiy 28
5.3 Altimeter Calibration Checks 28
5.4 GPS Static Test 29
6. QC AND DATA PROCESSING 30
6.1 Flight Path Compilation 30
6.2 Base Station Magnetic Data 31
6.3 Corrections to the Magnetic Data 31
6.3.1 Additional Corrections Applied to Profile Data 32
6.3.2 IGRF Removal 32

6.3.3 Gridding....33
6.4 Corrections to Radiometric Data....33
6.4.1 Background to Corrections and Processing....33
6.4.2 Processing Applied Using PRAGA3/GEOSOFT Radiometric Processing System....34
6.5 Digital Terrain Model....38
7. DELIVERABLE PRODUCTS....39
7.1 Maps....39
7.2 Digital Data....39
7.3 Report....39

LIST of FIGURES

Figure 1: MD 500D helicopter and rigid-boom string mounted magnetometer....6
Figure 2a: Location of the survey area....9
Figure 2b: Location of the survey area – 3D view....10
Figure 3: Survey area with flight path....10
Figure 4: Aerial view of the survey area Topography....12
Figure 5: Helicopter MD500D used for the survey....17
Figure 6: Geometrics G-822A cesium magnetometer....18
Figure 7: Geometrics G-822A cesium magnetometer mounted in stinger....19
Figure 8: Pilot steering indicator (PSI)- A, moving map display - B, and radar altimeter indicator - C....21
Figure 9: Pico-Envirotec AGIS Data Acquisition System....22
Figure 10: Magnetic Compensation of Aircraft Manoeuvre Noise....24
Figure 11: Lag Effect....25
Figure 12: Altitude Dependence of Spectrometric Data....26
Figure 13: Spectrometric Data Dependence on Cosmic Window....27
Figure 14: Radar Stack Test....28
Figure 15: Data Processing Flow Chart....30
Figure 16: Total Magnetic Field Variation at the base magnetic station....31
Figure 17: International Geomagnetic Reference Field in the Survey Block....32
Figure 18: Raw and NASVD smoothed spectra....35

LIST of TABLES

Table 1a: Survey Area Description – Proposed Target....7
Table 1b: Survey Area Description – Achieved Target....7
Table 2: Survey Area Coordinates....11
Table 3: Project Diary....14
Table 4: Field Personnel....16
Table 5: Standard Gamma-ray Spectrometer Data Acquisition Windows....19
Table 6: Aircraft Background and Cosmic Stripping Factors....36
Table 7: Compton Stripping Ratios....36
Table 8: Altitude Attenuation Coefficients....37
Table 9: Sensitivity Factors....37

APPENDICES

APPENDIX 1 **System Tests and Reports**

- Lag Test
- Heading Correction
- Altimeter Test
- FOM
- Altitude Attenuation Coefficient Calibration
- Cosmic Attenuation Coefficient Calibration
- Daily Sample Checks
- Spectrometer Test Line Statistics
- Summary of coefficients used in spectrometric data processing
- Flight Logs
- Daily Reports

APPENDIX 2 **Equipment Documentation**

- Geometrics G-822A Cesium Magnetometer
- Billingsly TFM-100 Tri-axial Fluxgate Magnetometer
- Pico-Envirotec GRS-10 Gamma Spectrometer
- Pico-Envirotec AGIS-100 Data Acquisition System
- Terra TRA-3000 / TRI-30 Radar Altimeter
- SETRA Model 276 digital barometric altmeter/pressure transducer
- CSI-Wireless DGPS Max positioning system
- Geo-iMAGe Colour Digital Imaging System
- Pico-Envirotec GMAG Magnetometer Base Station
- NovAtel Millennium dual-frequency GPS receiver
- GEM GSM-19 Proton Base Station Magnetometer
- CCMag Magnetic Compensation Software
- Geosoft Montaj Processing Software
- Field Data Processing Workstations

APPENDIX 3 **Personnel Resumes**

- Dr. Tomas Grand
- John Currie
- Ramesh Acharya
- Paul Beaubien
- Asif Mirza

APPENDIX 4 **Digital Data Specifications**

APPENDIX 5 Page Size Maps

- Flight Path with Topography
- Digital Terrain Model Calculated from survey data (DTM)
- Total Magnetic Intensity (IGRF Removed)
- Calculated Dose rate from Total Count Data
- Apparent Concentration of Uranium
- Apparent Concentration of Thorium
- Apparent Concentration of Potassium

SUMMARY

A helicopter-borne magnetic and gamma ray spectrometer survey was undertaken by McPhar Geosurveys Ltd. of Newmarket, Ontario over the Centre Cage Zone, Kangiqsualujjuaq situated in the Province of Quebec on behalf of Omegalpha Inc. One block comprising of 2962 sq. km was proposed for the survey and part of the area was completed under the present project. The survey block is located approximately 50 km NNE of Kangiqsualujjuaq airport.

The McPhar crew was mobilised from Newmarket, Ontario and arrived in the survey area on July 25, 2006. Test and calibrations flights were completed on July 28, 2006. The first production flight was initiated on July 28, 2006 (Flight 6) and the data collection was completed on Sep 05, 2006. A total of 7991.4 **line-km** of data were acquired on the **Centre Cage Zone block**.

This report provides detailed information about the acquisition, processing and presentation of the magnetic and gamma ray spectrometer survey data.

Figure 1: MD500 helicopter and rigid-boom stinger mounted magnetometer

1. INTRODUCTION

A detailed high-resolution helicopter-borne magnetic and gamma ray spectrometric survey was conducted during the period July 25, 2006 and Sep 05, 2006 on behalf of Omegalpha Inc. (hereinafter referred to as "Omegalpha") by McPhar Geosurveys Ltd., (hereinafter referred to as "McPhar"), over Centre Cage Zone located close to Kangiqsualujjuaq in the Province of Quebec, Canada.

The purpose of the survey was to acquire high resolution gamma ray spectrometric and magnetic data over the area to map the magnetic and radiometric anomalies and geophysical characteristics of the geology and structure in an effort to provide an insight into geologic and geophysical settings conducive to locating potential economic Uranium mineralization.

The geophysical system was mounted on an MD500D helicopter. Data acquisition utilized precision differential GPS positioning. A high sensitivity magnetometer was installed in a rigid-boom "stinger" mounted in front of the helicopter. A Pico-Envirotec GRS-10 multi channel gamma-ray spectrometer with 16.8 litres "downward looking" and 4.2 litres "upward looking" NaI(Tl) sensor was mounted in the cargo rack on the side of the helicopter. Ancillary equipment included a GPS navigation system, a radar altimeter, a digital imaging system, a base station magnetometer and a GPS base station.
Data was acquired along NE - SW oriented traverse lines and tie lines oriented NW - SE for the survey block. The traverse line separation was 150 metres and the tie line separation was 1,500 metres. The helicopter mean terrain clearance over the survey area was 50 metres. The proposed target of 21,824 line kilometres couldn't be achieved and the survey produced a total of 7,991 line kilometres of data acquisition. Table 1 and Table 1A show the details of proposed and achieved targets.

Table 1a: Survey Area Description – Proposed Target

AREA NAME	APPROX AREA KM²	LINE /T.L. SPACING	FLIGHT LINE-KM	TIE LINE-KM	TOTAL LINE-KM	PRIMARY FLIGHT DIRECTION
Centre Cage Zone	2,962	150 m x 1,500 m	19,839.6	1,984.9	21,824.5	45° / 135°
Totals	**2,962**		**19,839.6**	**1,984.9**	**21,824.5**	

Table 1b: Survey Area Description – Achieved Target

AREA NAME	APPROX AREA KM²	LINE /T.L. SPACING	FLIGHT LINE-KM	TIE LINE-KM	TOTAL LINE-KM	PRIMARY FLIGHT DIRECTION
Centre Cage Zone	1,621	150 m x 1,500 m	7,042.3	949.1	7,991.4	45° / 135°
Totals	**1,621**		**7042.3**	**949.1**	**7,991.4**	

Mobilization of the helicopter equipment and personnel from Newmarket to Kangiqsualujjuaq was completed on July 25, 2006. Pre-survey test and calibration flights were completed over the period from July 25-27, 2006. The data acquisition was undertaken between July 27, 2006 and Sep 05, 2006. Demobilization was completed on Sep 08, 2006.

The helicopter and crew operated from a camp near to Kangiqsualujjuaq airport. The field data QC and data processing centre was set up in the George River Co-Op hotel in Kangiqsualujjuaq. Fuel caches were established in the vicinity of the survey area to optimize helicopter usage. All fuel drums and waste products were removed from the area on completion of the survey.

The final data processing, map compilation and report was completed by McPhar at its Newmarket, Ontario office.

2. SURVEY AREA

The survey consisted of one block identified in the contract as:

- Centre Cage Zone

The survey block is located close to Kangiqsualujjuaq in the Province of Quebec, Canada.

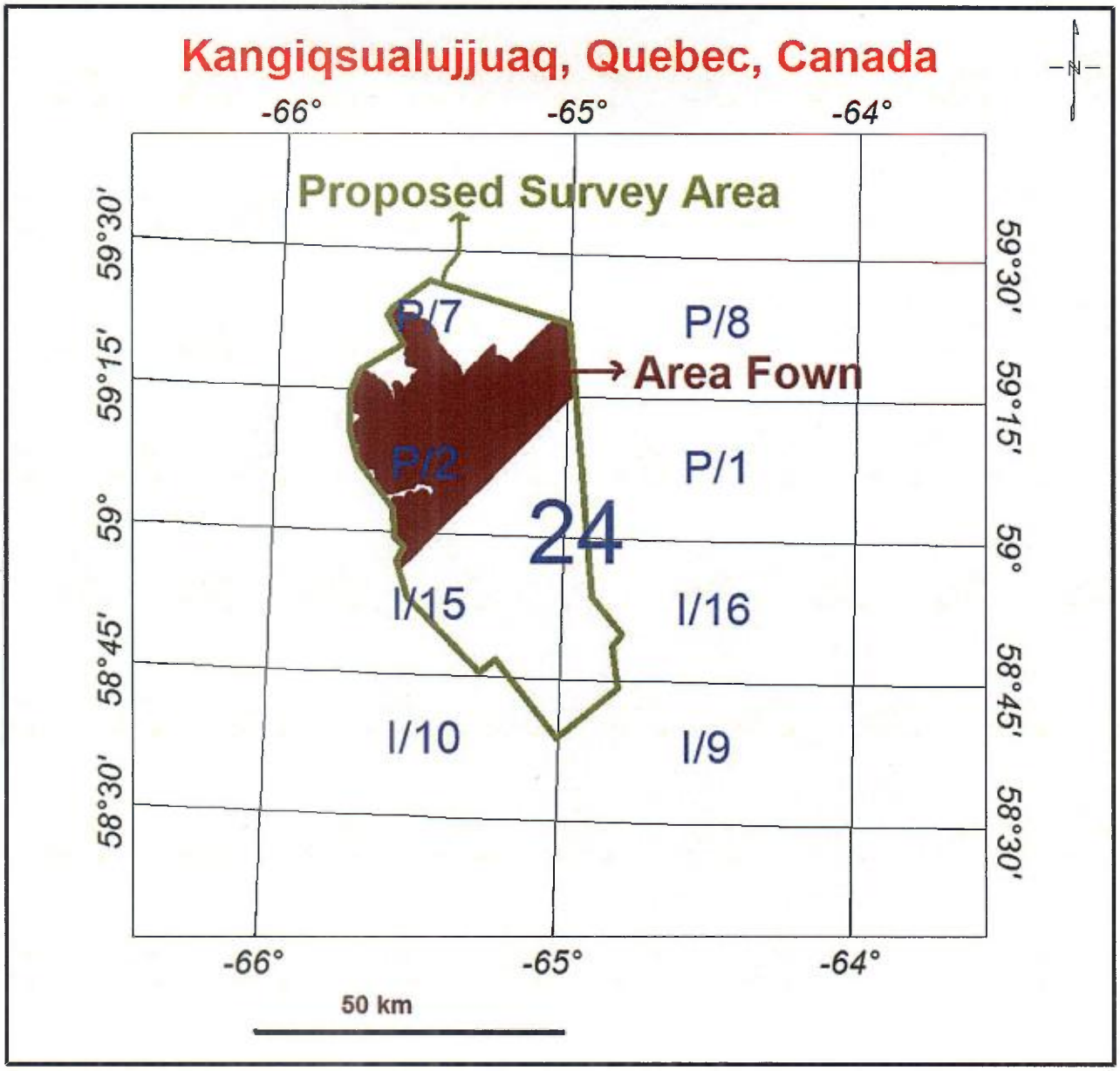

Figure 2a: Location of the survey area

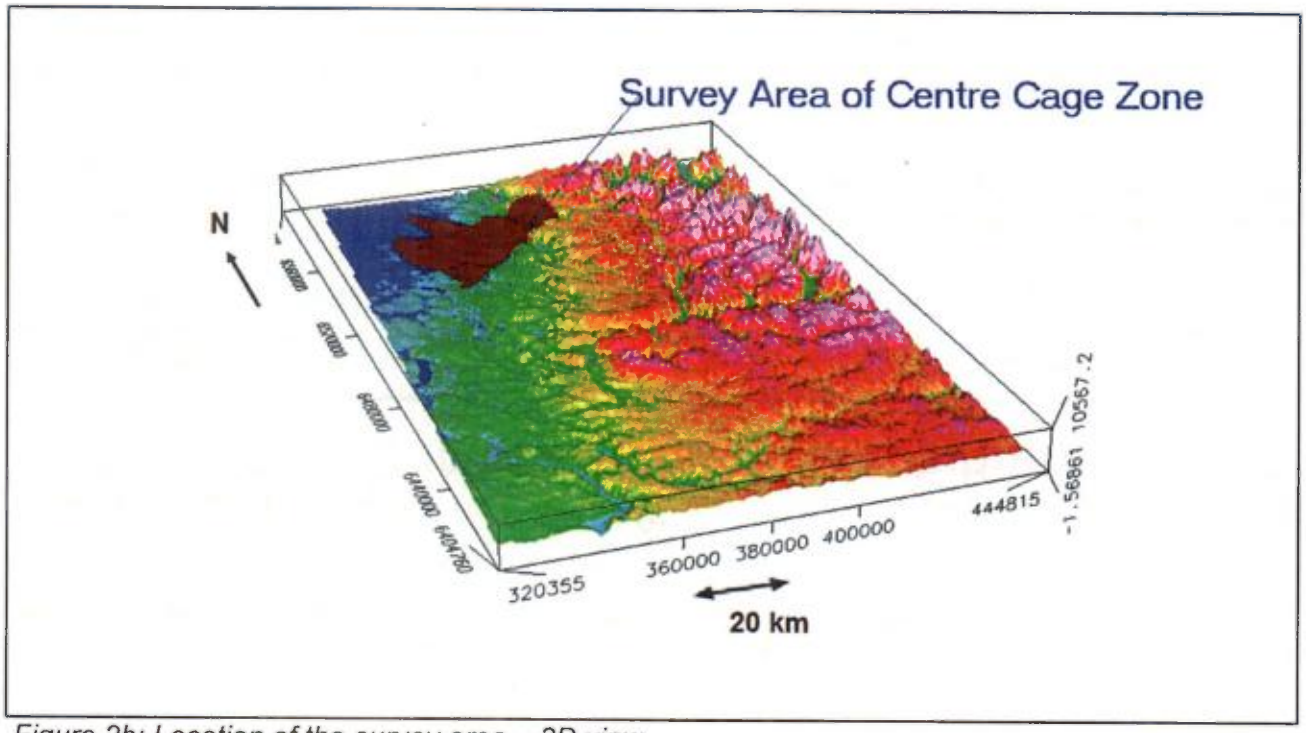

Figure 2b: Location of the survey area – 3D view

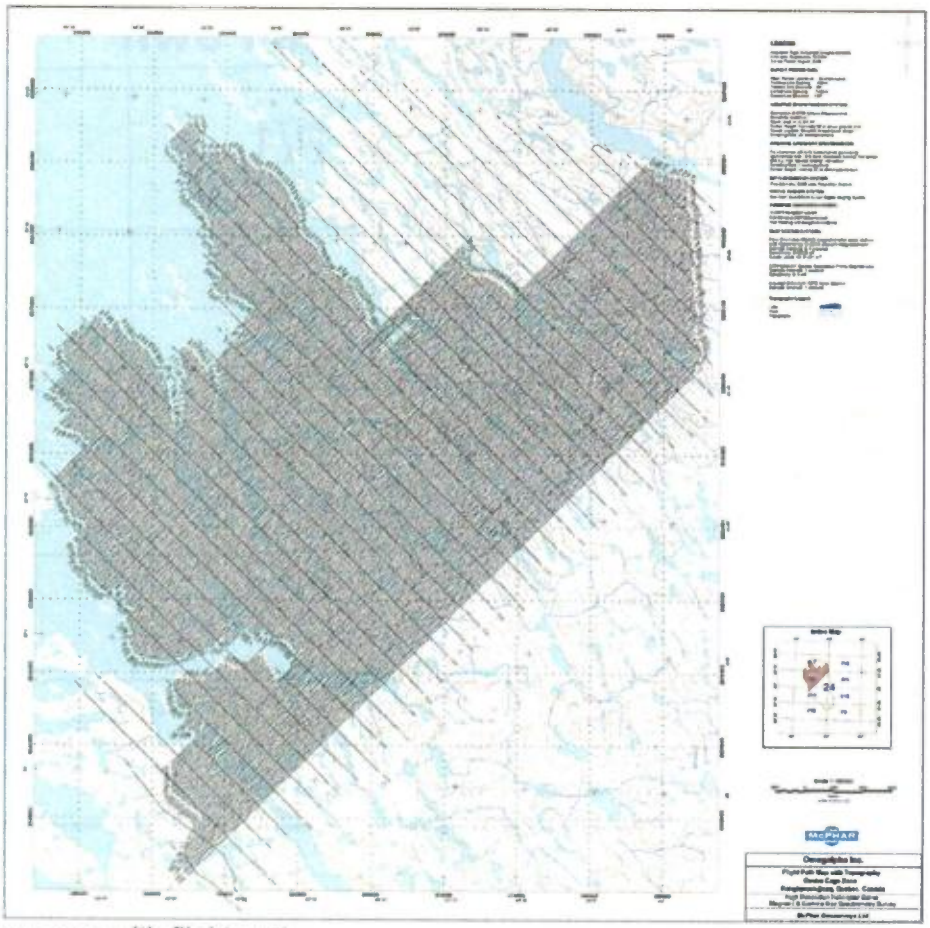

Figure 3: Survey area with flight path

The projected survey block corner coordinates were provided by Omegalpha in NAD83 zone 20 N UTM easting and northing. The following table contains the survey block corner coordinates.

Table 2: Survey Area Coordinates

Centre Cage Zone, Kangiqsualujjuaq NAD83 / UTM ZONE 20N				
Corner	Lon	Lat	Easting	Northing
1	-65.4894	59.4469	358856	6592455
2	-65.0004	59.3786	386347	6583915
3	-64.8995	58.8978	390557	6530225
4	-64.7919	58.832	396557	6522725
5	-64.8255	58.8113	394557	6520475
6	-64.8012	58.7367	395735	6512136
7	-65.0065	58.6469	383557	6502476
8	-65.2241	58.7825	371430	6517968
9	-65.2775	58.7577	368250	6515309
10	-65.529	58.8859	354245	6530103
11	-65.5718	58.9513	352057	6537475
12	-65.5476	58.9765	353557	6540225
13	-65.5835	58.9915	351557	6541975
14	-65.5916	59.0416	351308	6547572
15	-65.7166	59.125	344517	6557131
16	-65.75	59.175	342839	6562774
17	-65.7542	59.2417	342902	6570207
18	-65.7251	59.2832	344751	6574763
19	-65.575	59.3333	353516	6580002
20	-65.6333	59.3833	350419	6585697

The topography of the survey varies from low to moderate relief with rolling hills, covered by lakes, ponds and rivers.

Figure 4: Aerial view of the survey area Topography

The high-resolution magnetic and radiometric survey lines were flown in a NE - SW direction with flight-line spacing of 150 metres. Tie lines were flown perpendicular to the main survey lines, with spacing of 1,500 metres.

3. SURVEY OPERATIONS

3.1 Operations Base

Survey operations were based out of the Kangiqsualujjuaq airport. Permission was obtained to park and operate the helicopter, to locate and operate the magnetometer base station and the GPS base station in the area of airport. Fuel caches were established in the vicinity of the survey area to optimize helicopter usage. All fuel drums and waste products were removed from the area on completion of the survey.

Quality control and preliminary data processing was undertaken in the field by the McPhar geophysicist at the George River Co-Op hotel in Kangiqsualujjuaq.

3.2 Survey Conditions

Weather conditions during the survey were, for the most part, satisfactory, with sunny and dry days. Average temperature was close to 13^0 Celsius. Afternoons were often windy and there were several bad weather days hampered the production rate and resulted in stand by days. Sunspot activity, and hence diurnal geomagnetic activity, was quiet during the entire data acquisition period. No survey days were lost due to the geomagnetic activity being out of specifications.

3.3 Navigation

The nominal data acquisition speed was 140 kilometres per hour. The scan rate for magnetic data acquisition was 0.05 seconds (20 Hz), and 1.0 second for the gamma ray spectrometer, radar, and barometric altimeters and for the GPS navigation/positioning system. This corresponds to an approximate spatial sampling for magnetic data is 2 metres and GPS positional data is 39 metres along the flight path.

Navigation was assisted by a differential GPS receiver system that reports the real-time differentially WAAS corrected GPS co-ordinates in WGS-84 latitude / longitude and directs the pilot over the pre-programmed two-dimensional (2-D) survey grid. The x-y position of the aircraft, as reported by the GPS system, is recorded together with the terrain clearance as reported by the radar altimeter.

Vertical navigation along flight lines was accomplished using the radar altimeter. The nominal terrain clearance during normal survey flying was 50 metres for the helicopter, the stinger-mounted magnetometer and the gamma ray spectrometer sensor. However, due to rugged terrain in some areas, and the pilot's judgment of safe flying conditions in these areas, these terrain clearances were not possible 100% of the time.

3.4 Field Processing & Quality Control

The survey data was transferred to portable media on a flight-by-flight basis, and then copied to the field data processing workstation. In-field data processing included reduction of the data to GEOSOFT GDB database format and inspection of the magnetic, radiometric, radar and GPS data for adherence to contract specifications. Survey lines that exhibited excessive deviation after differential correction, or that were considered to be of inferior quality, were flagged for re flights.

3.5 Survey Statistics and Project Diary

The survey was completed with a total of 49 flights; of which 42 were production flights. The first production flight was Flt 06 on July 27, 2006, with the last production flight, Flt 49 on Sep 05, 2006. Flights 01, 02, 03, 04, 05, 46, 47 were test and/or system calibration flights and flight 25 was aborted due to bad weather in the area. The following table (Table 3: Project Diary) summarises the progress of the survey.

Table 3: Project Diary

Date	Flt #	Hours Flown	Line-Km Accepted	Comments
July 25		6:36		Crew mobilized by helicopter with equipment to the survey area. Helicopter ferried from Kujjuaq to George River. 6 round trips to cache fuel near the survey area.
July 26		1:00		System installation
July 27	1 2 3	0:20 1:35 0:40		Calibration flights. Radar stack, Cosmic and altitude attenuation tests.
July 28	4 5 6 7	0:50 0:15 5:15 1:40	 374 99	Altitude attenuation test Lag test Production Production
July 29				Bad weather - Standby
July 30				Bad weather - Standby
July 31	8	4:45 0:45	304	Production ferry
Aug 01	9 10	3:20 3:10	172 142	Production Production
Aug 02	11 12	5:40 4:30	295 300	Production Production
Aug 03	13 14	3:35 3:25	161 115	Production Production. Helicopter passed through a rain storm after the second flight and spectrometer developed a problem
Aug 04				Spectrometer shipped to Newmarket. No survey
Aug 05				No survey - standby
Aug 06				No survey - standby
Aug 07				No survey - standby
Aug 08				No survey - standby
Aug 09				No survey - standby
Aug 10				No survey - standby

Date	Flt #	Hours Flown	Line-Km Accepted	Comments
Aug 11	15 ferry	4:00 0:36	154	Production. Spectrometer arrived in the morning. Survey resumed after the pad calibration.
Aug 12	16 17	7:23 2:13	316 81	Production Production
Aug 13	18	4:42	164	Production. Due to bad weather only one flight was possibe
Aug 14	19 20	5:36 3:18	212 13	Production Production. Spectrometric data in flight 20 was not present hence marked for reflight.
Aug 15	21 22	5:08 3:04	275 195	Production Production
Aug 16	23	2:36	77	Production
Aug 17	24	5:48	287	Production
Aug 18				No Production. Bad weather. Standby
Aug 19				No Production. Bad weather. Standby
Aug 20	25	2:48		No Production. Survey attempted but was not possible due to bad weather.
Aug 21	26 27	6:27 3:45	427 274	Production Production
Aug 22	28 29	6:02 1:22	262 132	Production Production
Aug 23	30 31	3:17 3:49	153 315	Production Production
Aug 24				No Production due to bad weather. Low ceiling, drizzle and heavy winds. Standby.
Aug 25	32	4:48	158	Production
Aug 26	33 34	5:54 4:00	295 231	Production Production
Aug 27	35 36	6:48 3:42	312 170	Production Production
Aug 28	37 38	6:34 3:02	280 180	Production Production
Aug 29	39 40	5:39 2:33	216 119	Production Production
Aug 30	41 42	6:05 0:13	355 --	Production No Production. Aborted due to bad weather
Aug 31				No Production due to bad weather. Thick fog. Standby
Sep 01	43 44	6:25 2:41	331 92	Production Production
Sep 02	45	6:12	217	Production. Cloudy and low ceiling afternoon
Sep 03	46 47	2:04 0:20	-- --	Tests and calibrations. Lag, Cosmic, FOM and Radar Stack. Production was not possible due to bad weather
Sep 04	48	5:54	187	Production and heading test. Bad weather
Sep 05	49		26	Production. More production was not possible due to bad weather
Sep 06				Survey Closed. Equipment packed and shipped. Demob.
Totals		**194:30**	**8,468***	

(*) indicates the approximate calculation of line kilometres flown including re-flights

The following personnel were the onsite crew on the project:

Table4: Field Personnel

Title	Name	Days on Site
Project Manager	John Currie	8
Quality Control Geophysicist	Ramesh Acharya	45
Operator	Paul Beaubien	46
Helicopter Pilot	David Kresser	44
Helicopter Pilot	Bob Rogers	3
Helicopter Engineer	Mark Greenen	44

McPhar Geosurveys Ltd. of Newmarket, Ontario, Canada, was responsible for the field operations, all geophysical matters and the overall coordination and management of the survey.

4. HELICOPTER AND EQUIPMENT

4.1 The Helicopter

The survey was flown using a MD500D helicopter, with US registration N124AL provided by Air Lift Helicopters, Inc of Reno, Nevada. This helicopter features up to 3.0 hours flight duration with the geophysical system and a crew of 2 persons onboard.

The installation of the geophysical and ancillary equipment was carried out by McPhar Geosurveys Ltd. personnel in Newmarket and the helicopter then ferried to Kangiqsualujjuaq. Final adjustments, calibration and testing were completed prior to production survey flights.

Aircraft Registration:	U.S.A., N124AL
Engine:	Roll-Royce 250-C20B – 420 HP
Empty weight:	1,528 lbs
Gross weight:	3,000 lbs
Max cruise:	80 knots with equipment installed
Service ceiling:	12,500 ft
Standard fuel:	62.1 US gals usable plus 23 gals extended range tank
Helicopter duration:	3.0 hours

Figure 5: Helicopter MD500D used for the survey

4.2 The Survey Instrumentation

4.2.1 Survey System Overview

The equipment installed in the helicopter included:

- A Geometrics G-822A high-sensitivity Cesium magnetometer mounted in a rigid boom stinger
- A Billingsly TFM100 Tri-axial Fluxgate Magnetometer
- A Pico-Envirotec GRS-10 self-stabilizing multi-channel gamma-ray spectrometer with 16.8 litres "downward looking" and 4.2 litres "upward looking" NaI(Tl) sensor.
- A Geo-iMAGe Lite Colour Digital Imaging System
- A navigation system, comprising a CSI-Wireless DGPS-MAX receiver and a AGNAV GPS computer with pilot steering indicator (PSI)
- A Pico-Envirotec AGIS Data Acquisition System
- A Terra TRA-3000/TRI-30 Radar Altimeter
- A SETRA Model 276 digital barometric altmeter/pressure transducer
- A Campbell Scientific Model-CS500 Temperature and Relative Humidity Probe

The processing and base stations included:

- A Field Workstation, consisting of a portable Pentium PC, printer and full data processing software
- A Magnetometer / GPS Base Station, consisting of a Pico-Envirotec GMAG system with Geometrics G-822A high-sensitivity Cesium magnetometer and NovAtel Millenium GPS system.

A supply of spare parts and test equipment were maintained at the survey site.

4.2.2 Airborne Magnetometer

A Geometrics 822-A cesium split-beam total-field magnetometer was employed, installed in the rigid boom stinger in the front of helicopter. Sampling rate was twenty (20) times per second with an in-flight sensitivity of 0.01 nT. Aerodynamic magnetometer noise was 0.25 nT or less. The sensitivity of the magnetometer is documented at 0.001 nT when operated at a sampling rate of 0.1 second.

The Geometrics 822-A magnetometer is described in Appendix 2.

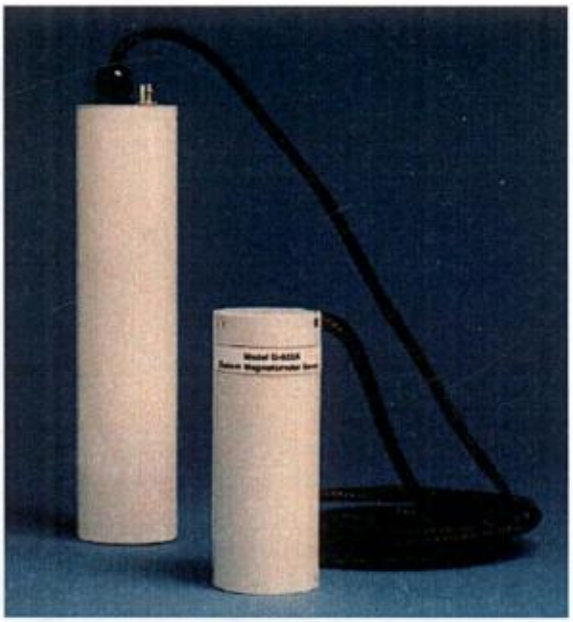

Figure 6: Geometrics G822-A cesium magnetometer

4.2.3 Gamma-ray Spectrometer System

The gamma ray system included a Pico-Envirotec GRS-10 multi-channel gamma-ray spectrometer with 16.8 litres of "downward looking" and 4.2 litres of "upward looking" NaI(Tl) sensor with a sampling rate of 1 second. The thermally isolated NaI(Tl) crystal sensors were installed in the cargo rack of the helicopter.

The GRS-10 is a 256 channel, self-stabilizing spectrometer that tracks and corrects for the spectral drift of the system by following a Thorium spectral peak. The standard regions of interest for Total Count (TC), Potassium (K), Uranium (U), Thorium (Th) and Cosmic radiation were recorded for post survey processing. The averages recorded with window limits in MeV are shown in the following table:

Table 5: Standard Gamma-ray Spectrometer Data Acquisition Windows

Standard Gamma-ray Spectrometer Data Acquisition Windows		
Element	**Lower Boundary (MeV)**	**Upper Boundary (MeV)**
Total Count	0.41	2.81
Potassium	1.37	1.57
Uranium	1.66	1.86
Thorium	2.41	2.81
Cosmic	3.00	∞

The spectrometer was calibrated on a daily basis using standard calibration sources for Thorium (Th), Cesium (Cs) and Uranium (U).

The recommendations in the International Atomic Energy Agency – IAEA – TECDOC-1363 – *Guidelines for radioelement mapping using gamma ray spectrometry* were followed throughout the survey.

4.2.4 The Stinger Mounted Magnetometer

The rigid boom stinger comprises a 7.2 m hollow carbon-fibre tube with a bulbous nose into which the cesium magnetometer sensor is mounted. The compensation fluxgate magnetometer sensors are also mounted in the middle of the stinger

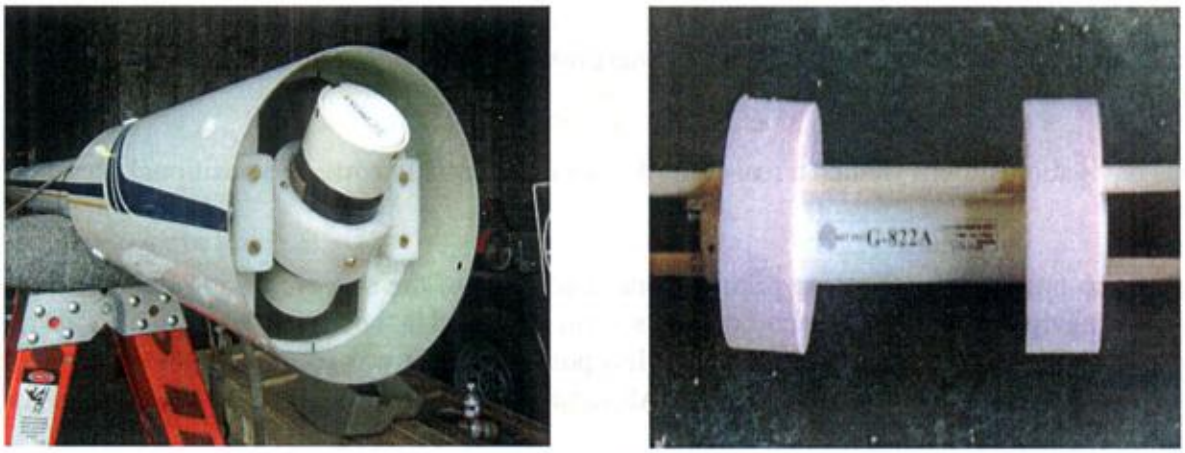

Figure 7: Geometrics G-822A cesium magnetometer mounted in the stinger

4.2.5 The Base Station Magnetometer

The magnetometer base station was a Pico-Envirotec GMAG System using a Geometrics G-822A high-sensitivity Cesium magnetometer to monitor and record diurnal variations in the Earth's magnetic field. The base station magnetometer was set up at the airport of Kangiqsualujjuaq. Every effort was made to ensure that the magnetometer sensor was placed in a location where there is a low magnetic gradient and sited away from power lines, as well as moving objects, such as motor vehicles and aircraft.

The base-station magnetometer, with digital recording, was operated continuously throughout the airborne data acquisition work with a sensitivity of 0.01 nT. The ground and airborne system clocks were synchronised using GPS time, to an accuracy of 1 second or better. The sample rate was ten (10) times per second. A continuously updated profile plot of the base station values was presented on the base station screen. At the end of the day, the digital data was transferred from the base station's data-logger to the fieldwork station.

A GEM GSM-19T magnetometer was used as a back up system, in case the GMAG/Geometrics G-822A magnetometer failed.

Specifications are included in Appendix 2.

4.2.6 Altimeter

A Terra TRA-3000/TRI-30 radar altimeter was used to record terrain clearance to an accuracy of about 1 ft (30 cm), over a range of 12 metres to 762 metres. The antenna was mounted on the bottom of the helicopter below the front passenger seat. The altimeter was interfaced to the data acquisition system with an output repetition rate of 1 second, and digitally recorded.

The altimeter specifications are further described in Appendix 2.

4.2.7 The GPS Satellite Navigation System

A navigation system, comprising a CSI-Wireless DGPS-MAX receiver and a AGNAV GPS computer with pilot steering indicator (PSI) provided in-flight real-time navigation control. A pilot steering indicator (PSI) installed on top of the cockpit dashboard, in front of the pilot provided steering and cross-track guidance to the pilot. The pilot was provided with GPS, and altimeter data to aid in flying the helicopter.

This navigation system yielded a real-time WAAS differentially corrected positional accuracy of ± 2 metre.

Survey co-ordinates were set-up prior to commencement of the survey, the information fed into the airborne navigation system. The co-ordinate system employed in the survey design and digital recording was WGS-84 latitude and longitude. The GPS positional data was recorded at one-second intervals real-time differentially corrected using WAAS signal.The GPS receiver is fully described in Appendix 2.

Figure 8: Pilot steering indicator (PSI)- A, moving map display - B, and radar altimeter indicator - C

4.2.8 Data Acquisition/Recording System

A PC-based Pico-Envirotec AGIS data acquisition system (DAS) was used to record the geophysical and navigation survey data on an internal hard disk drive. Data is displayed on an LCD screen as traces to allow the operator to monitor the integrity of the system. The Pico-Envirotec AGIS provides for the:

- System control and monitoring
- Data acquisition recording
- Real-time data processing
- Navigation processing, and
- Post flight data playback and analysis

All data collection routines, checking and verification, buffering, and recording are software controlled for maximum flexibility both during and after the survey flight. The Pico-Envirotec AGIS is fully described in Appendix 2.

Figure 9: Pico-Envirotec AGIS data acquisition system

4.2.9 Field Computer Workstations

A Data Processing Field Workstation (FWS) comprised of a dedicated PC-based notebook computer for use at the technical base in the field, was used on this project. The FWS is designed for use with Geosoft OASIS/Montaj Data Processing Software. The FWS has a data replot capability, and may be used to produce pseudo-analogue charts from the recorded digital data within less than 12 hours after the completion of a survey flight, if this is necessary. It is also capable of processing and imaging all the geophysical and navigation data acquired during the survey, producing semi-final, preliminary-levelled maps.

The FWS was used to accomplish the following:

- **Quality Control/Digital Data Verification** - flight data quality and completeness were assured by both statistical and graphical means on a daily basis
- **Flight Path Plots** - flight path plots were generated from the GPS satellite data to verify the completeness and accuracy of each day's flying
- **Preliminary Maps** - the Geosoft software system permitted preliminary maps to be quickly and efficiently created for noise and coherency checks.

The FWS is fully described in Appendix 2.
The Geosoft Oasis Montaj software is designed for airborne data editing, compilation, processing and plotting. The software reads the portable data media from the airborne system, checks them for gaps, spikes or other defects and permits the data to be edited where necessary. The base station GPS/magnetometer data is checked, edited, processed and then merged with the airborne data. GPS flight path plots are created and plotted for both flight planning and flight path verification.

4.2.10 Spares

A normal compliment of spare parts, tools, back-up software, and necessary test instrumentation was available in the office at the airport.

5. INSTRUMENT CHECKS AND CALIBRATIONS

5.1 Airborne Magnetic System Tests and Calibrations

5.1.1 Manoeuvre Noise

For this survey the magnetometer sensor was installed in a rigid boom stinger cantilevered forward from below the helicopter. Since the helicopter structure creates proximal spurious magnetic fields, the magnetic data needs to be corrected for this effect.

A test-calibration was conducted (Flight 46 on Sep 03, 2006) to determine the magnetic effects of roll, pitch and yaw manoeuvres, so that the magnetic data could be compensated for them. These tests were completed at high altitude over an area of low magnetic gradient by performing ±10° rolls, ±5° pitches and ±5° yaw manoeuvres flown over periods of 4-5 seconds in the same direction as the survey flight and tie lines.

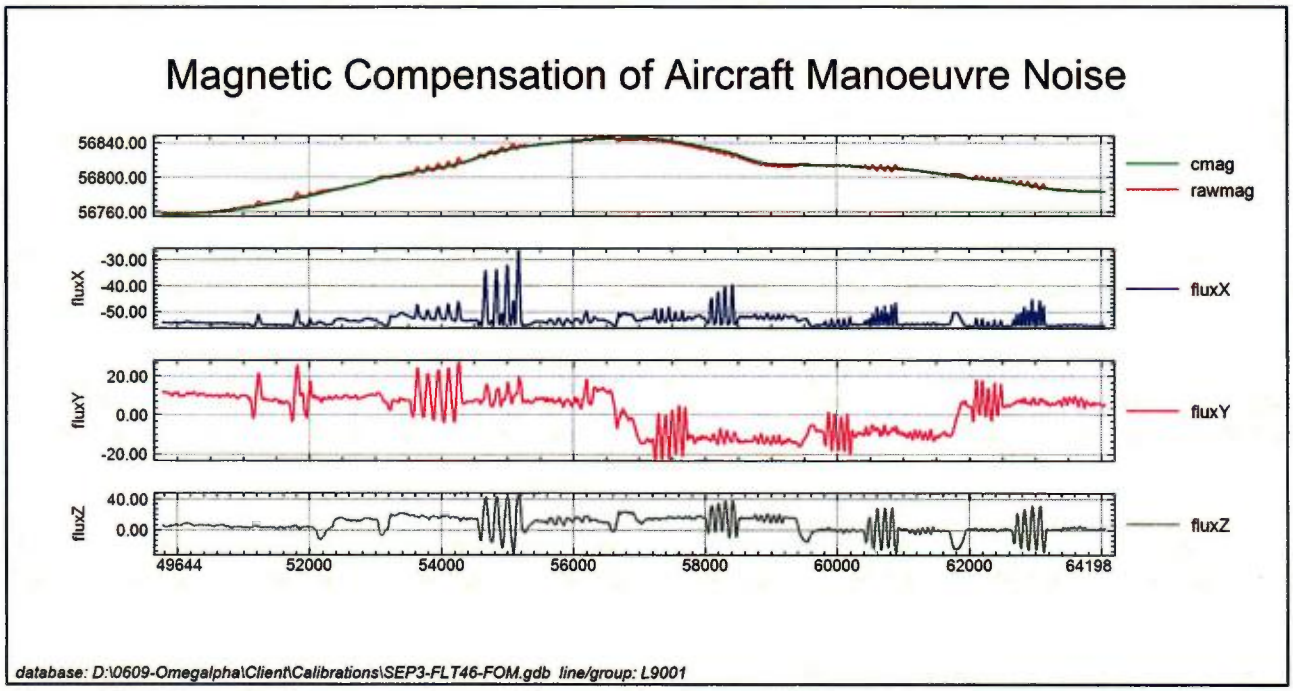

Figure 10: Magnetic Compensation of Aircraft Manoeuvre Noise

A Figure-of-Merit (FOM) was calculated by summing the peak-to-peak amplitudes of the twelve magnetic manoeuvres. The FOM was measured before survey production commenced, and was determined to be 0.98 nT for the stinger sensor. The results of the FOM calibration and other information about the FOM test are provided in Appendix 1.

5.1.2 Magnetic Heading Effect

The magnetic heading effect was determined by flying a cloverleaf pattern oriented in the same direction as the survey lines and tie lines. Two passes in each direction were flown over the selected

lines in the survey area in order to obtain sufficient statistical information to estimate the heading error. The heading error was determined from a test completed on Sep 03, 2006. As the area has a complex high magnetic intensity distribution and the magnetometer sensor is installed in a long stinger boom at a sufficient distance away from the helicopter, the low amplitude heading error couldn't be estimated from the heading test data. Heading error, if any, is automatically taken care in tie line levelling.

5.1.3 Lag Test

A Lag Test was performed on July 27, 2006 and Sep 03, 2006 to ascertain the time difference between the magnetometer readings and the operation of the GPS System. The test was flown over an identifiable magnetic anomaly by flying the same line in opposite directions at survey altitude. The lag test is included in Appendix 1.

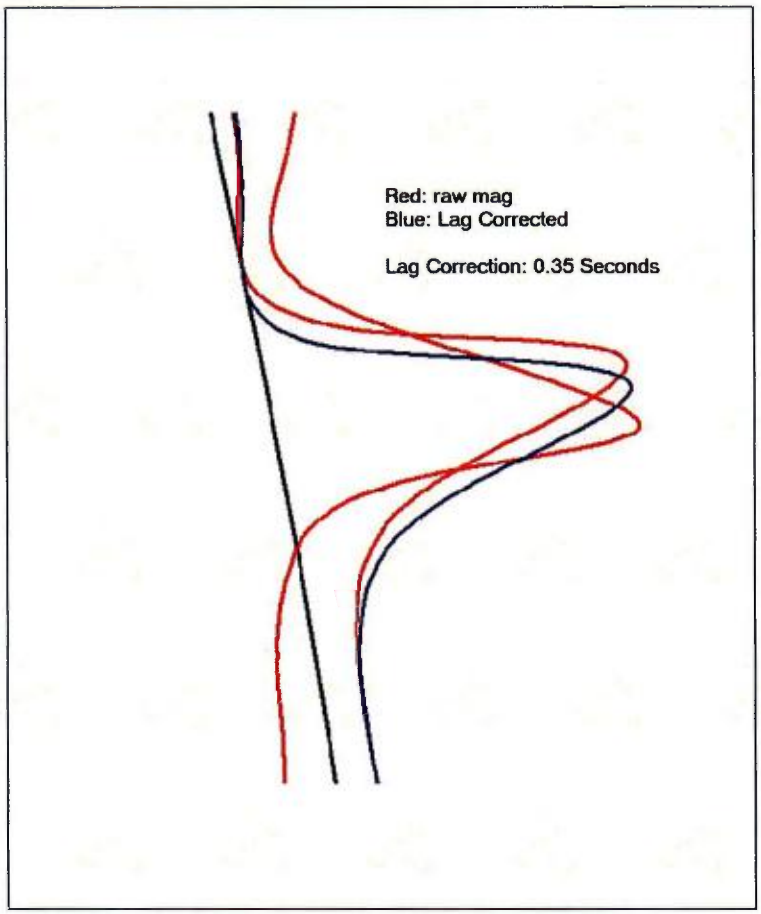

Figure 11: Lag Effect

5.1.4 GPS Checks and Tests

In addition to carefully selecting a suitable area for the positioning of the base station, care was also taken to ensure that the base station GPS antenna maintained a maximum field-of-view to the GPS satellites, and was not obstructed due to movement and placement of airport equipment.

5.2 *Airborne Gamma-ray Spectrometer System Tests and Calibrations*

5.2.1 Test Line

A test line was flown and recorded at survey altitude at the start and end of each survey day to test the repeatability of the gamma-ray spectrometer system and monitor the effects of soil moisture. The statistics and average deviation of radiometric data was calculated and inspected for repeatability. After live time, background, and height correction, the average Th window count rate over the test line should be within 10% of the mean Th window count rate for all previous flights. No flights were suspended following the criteria of this test.
The statistic of data acquired on test line is included in Appendix 1.

5.2.2 Altitude Attenuation Coefficients

The altitude attenuation coefficients were derived from test flights conducted on July 28, 2006, Sep 03, 2006 in the survey area and on Sep 26, 2006 in Holland Landing airport, Newmarket. This was accomplished by flying a test line at various altitudes such as 50', 100', 150', 200', 250' and 300' feet. The exponential dependence of spectrometric data versus height is illustrated in below figure. The coefficients obtained from regression analysis are included in Appendix 1.

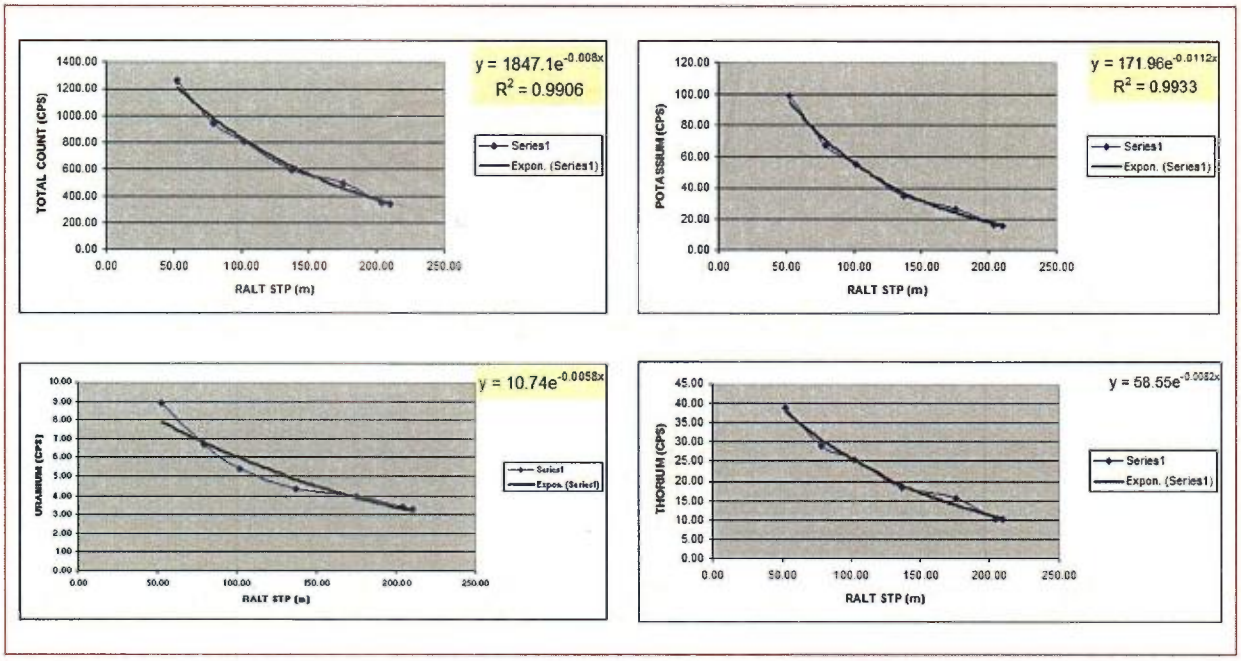

Figure 12: Altitude Dependence of Spectrometric Data

5.2.3 Cosmic Window Calibrations

Cosmic Window Calibrations (Aircraft Background Cosmic Stripping Coefficients) were measured and calculated for the gamma ray spectrometer sensor on July 27, 2006 and Sep 03, 2006. The coefficients were calculated from a sequence of passes flown at various altitudes above the ground (altitudes of approximately 1275 m, 1600 m, 1875 m, 2200 m and 2500 m) with each altitude flown for a minimum

of 2 minutes.

The average values of the counts measured in each of the 4 windows (TC, U, Th and K) are compared against the average counts for the cosmic window at each of the altitudes flown. The linear dependence of spectrometric data versus cosmic data at different altitudes is illustrated in below figure. The results of the calibration are presented in Appendix 1.

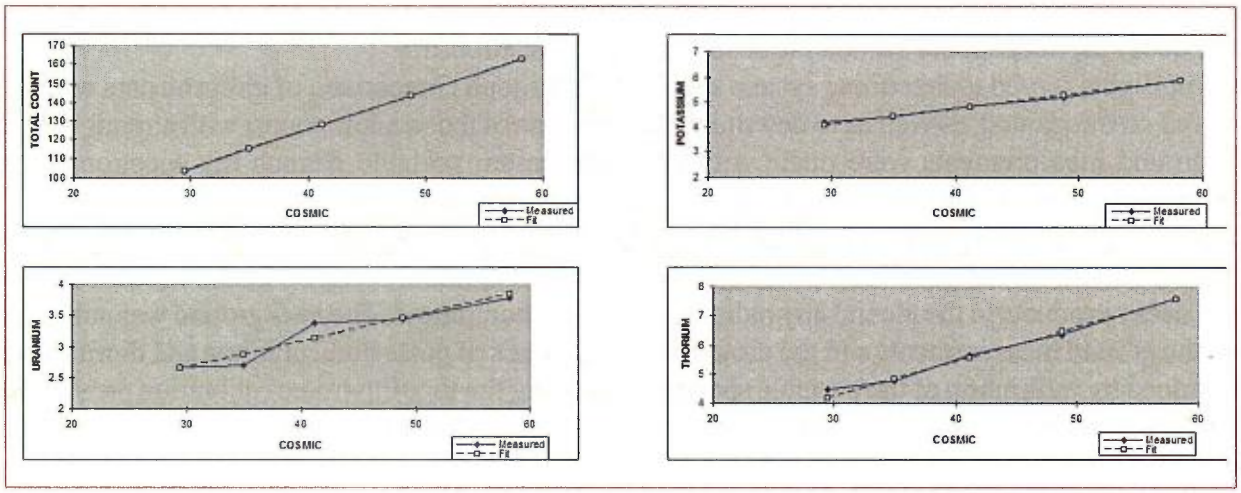

Figure 13: Spectrometric Data Dependence on Cosmic Window

5.2.4 Spectral Resolution Test

The resolution of the spectrometer was determined before and after each survey flight, using the 662 keV gamma rays from a Cs^{137} source. The pre flight measurements were to be completed after any detector gain adjustments had been applied. The post flight measurement was to be completed without any gain adjustment being made.

5.2.5 Daily Source Checks

The spectrometer was calibrated before the first survey flight of the day and after the last survey flight of the day using standard calibration sources, comprised of Cesium (Cs^{137}), Uranium (Bi^{214}) and Thorium (Th^{208}). A background measurement was recorded, then data from each of the sources individually recorded, followed by a final background measurement. Each measurement was for duration of 60 seconds. The sources were placed in exactly the same position relative to the gamma-ray sensors each time the source checks were completed. The results of this test are included in Appendix 1.

5.2.6 Spectrometer Calibration on Transportable Pad – Stripping Ratios

The stripping ratios for the gamma-ray spectrometer were determined before the aircraft departed for the survey using the PicoEnvirotec calibration pads which are stored at the Holland Landig Airpark nearby Newmarket, Ontario. The tests were performed with the crystal box placed on U, Th, K and background pads.

The results of this calibration are included in Appendix 1.

5.2.7 Spectrometer System Sensitivitiy

Sensitivities were determined during the post-survey test hovering flights over the McPhar's calibration spot at Holland Landing Airpark, Ontario on Sep 26th 2006. A series of background measurements were made at different altitudes over the Simco Lake to determine the background due to cosmic radiation, radon decay products in the air and the radioactivity of the aircraft.
The test flights served to determine system sensitivities through comparison of airborne data with data acquired on the ground, as well as to determine the variation of the window counts with aircraft altitude. The ground measurements were made with an Exploranium portable gamma ray spectrometer by Geological Survey of Canada. Measurements were acquired at 37 stations along 2 diagonal lines crossing the 300 x 300 m calibration spot. Measurements were also made with the portable spectrometer on the lake located nearby Holland Landing to determine background radiation due to cosmic radiation, radon decay products in the air and any radioactivity of the equipment. The background was subtracted from the ground measurements and the ground concentrations of potassium, uranium and thorium were determined by calibration of the portable spectrometer using the PicoEnvirotec calibration pads located at Holland Landing Airport. The sensitivities of the airborne system to potassium, equivalent uranium, and equivalent thorium were calculated by dividing the average count rates corrected to an effective height of 50 m above ground by the ground concentrations of the test spot. The results of this calibration are included in Appendix 1.

5.3 Altimeter Calibration Checks

The altimeter test was performed during the survey on July 27, 2006 and Sep 03, 2006. The radar altimeter was calibrated by comparing the radar altitudes with suitable readings from the GPS navigation system during a radar "stack" flown over the airport runway. The ellipsoidal height of the runway was determined by GPS. The procedure employed involved having the helicopter fly over the runway at various altitudes above the ground (15, 30, 45, 60, 76 and 91 metres) recording the values of the radar altimeter and GPS altimeter, which were then plotted and compared. The result of the test is included in Appendix 1.

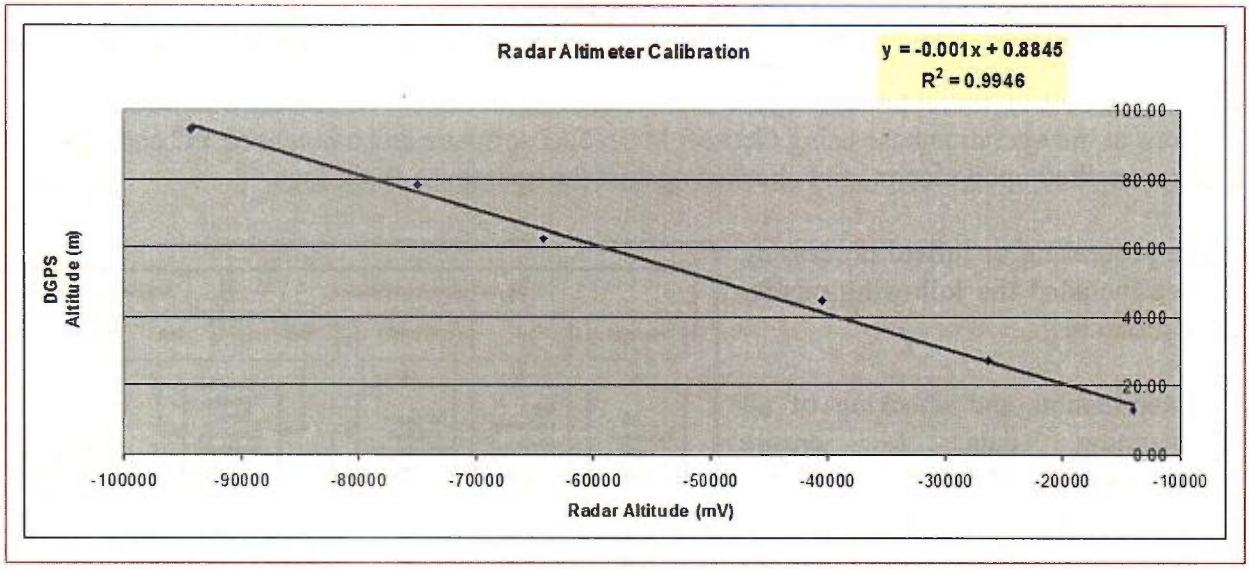

Figure 14: Radar Stack Test

The radar calibration was checked on a daily basis by completing a vertical calibration test flight during take off and landing.

5.4 GPS Static Test

Base GPS station was run for approximately 24 hours on July 27, 2006 to estimate the base GPS coordinates accurately for post differential GPS processing purposes. Base GPS station coordinates estimated from 24 hours data are given below.

WGS 84 Latitude: N 58^0 42' 26.34681"
WGS 84 Longitude: W 65^0 59' 14.77411"
Ellipsoidal Height: 60.666 metres

6. QC AND DATA PROCESSING

Daily quality control, initial processing and archiving of the data were completed on-site at the base of operations at the operation base using Geosoft MONTAJ software and a notebook PC computer. All data were verified upon receipt, and checked against the operator's flight logs.

The pre-processing or infield processing sequence included the following quality control measures:

a) Examination and checking of all incoming data to ensure completeness of data sets.
b) The production of preliminary flight path maps, speed checks, terrain clearance checks.
c) Full profile quality control of all acquired traces for noise levels, data completeness, spike editing, and adherence to contract specifications.

The final data processing, map generation and report was completed by McPhar at the Newmarket, Ontario office.

6.1 Flight Path Compilation

The flight path was derived from differentially corrected GPS positions using the real-time airborne GPS data. A position was calculated each 1.0 second (approx. each 39 meters along the flight path) to an accuracy of +/- 2-3 metres. These positional data were merged into magnetic and ancillary data in the Geosoft GDB database.

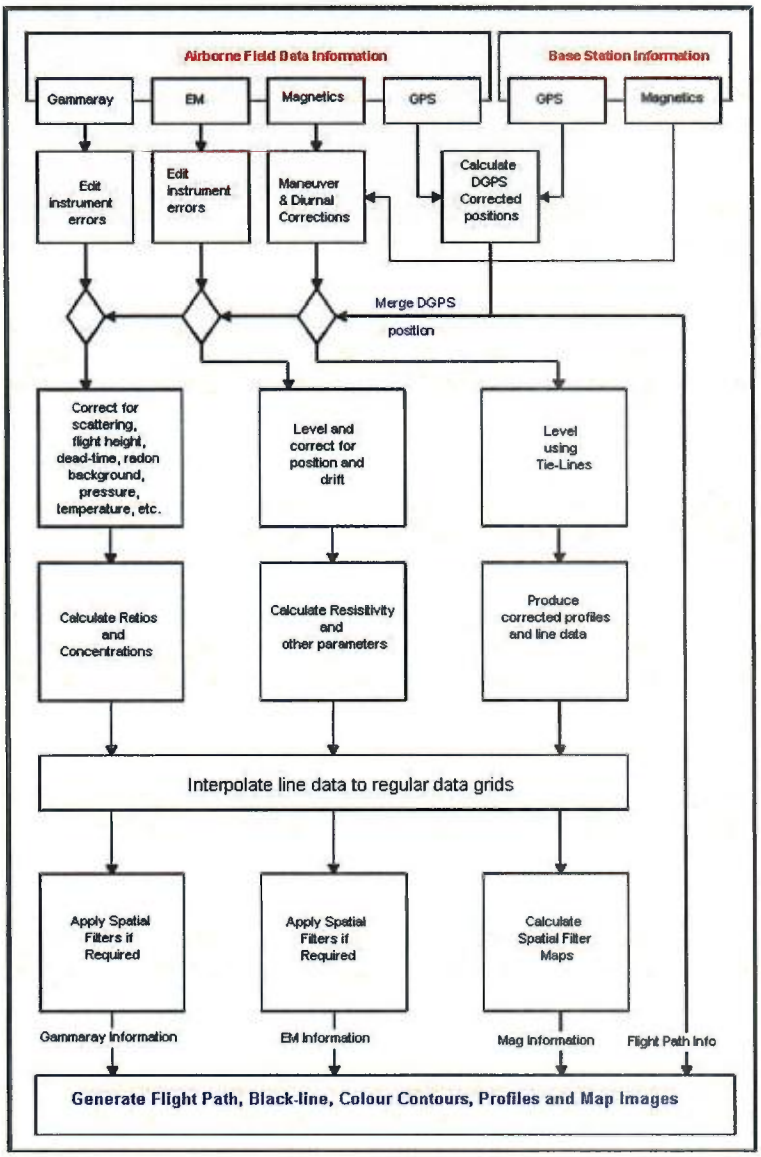

Figure 15: Data Processing Flow Chart

As part of the QA/QC process, the following parameters were checked during a flight:

- Number of satellites under observation (average of 6, minimum of 4 allowed)
- PDOP (position dilution of precision; maximum value of 3 allowed)

Following positional parameter was checked on daily basis as a part of QA/QC process after the flight.

- Flight path deviation in position (maximum +/- 15 m over a linear distance of 2000 metres)

If the above specification was not met, a reflight was necessary.

All positional data was converted from WGS 84 (World) geographic coordinates to the contract specified NAD83 UTM Zone 20N projected coordinates.

6.2 Base Station Magnetic Data

The base station magnetometer data was edited, plotted and merged into the GDB database on a daily basis.

The QA/QC procedure to determine acceptable magnetic base station data involved:

- De-spiking of the base station data resulting from cultural activities not associated with the performance of the survey.
- Determination of the maximum noise of the observed total magnetic intensity (TMI; 1 nT maximum allowable).
- Determination of the rate of diurnal change (maximum gradient of 20 nT for a 5 minute chord).

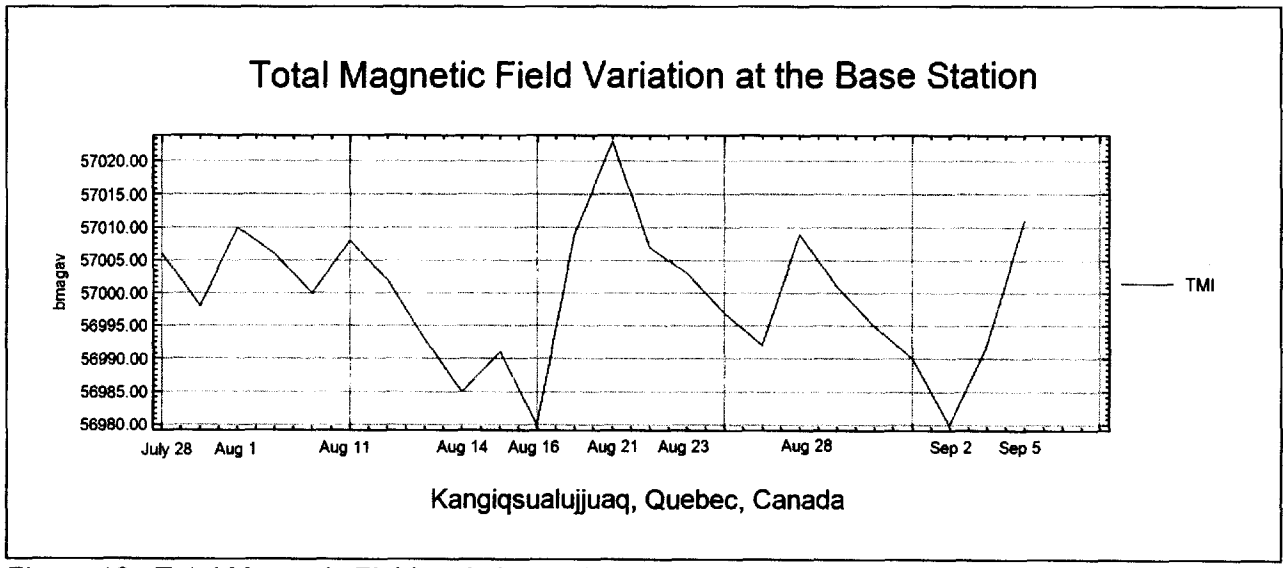

Figure 16: Total Magnetic Field variation at the base magnetic station

6.3 Corrections to the Magnetic Data

The processing of the data involved the application of the following corrections:

- Correction for diurnal variation using the digitally recorded ground base station magnetic values.
- Adjustment of the data for the time lag between the GPS position and the position of the magnetic sensor.
- Correction for the heading effect
- Post-flight compensation for the movement and orientation of the helicopter in the Earth's

magnetic field

- Network adjustment using the flight line and tie line information to level the survey data set.

6.3.1 Additional Corrections Applied to Profile Data

After applying the above corrections to the profile data residual line-direction related noise was removed through the application of micro-levelling. The micro-levelling technique consists of applying directional and high pass filters to produce a grid containing noise in the line direction. In order to differentiate between the two of them, the grid is extracted to the profile database, and an amplitude limit and a filter length are obtained, so that the final error channel reflects only noise present on the grid without removing or changing the signal. This error channel is then subtracted from the initial data channel in order to obtain the final micro-levelled channel. The resulting grid is free of line direction noise. The corrected data was then used to generate the Total Magnetic Intensity grid.

6.3.2 IGRF Removal

The International Geomagnetic Reference Field (IGRF) is a long-wavelength regional magnetic field calculated from permanent magnetic observatory data collected around the world. The IGRF is updated and determined by an international committee of geophysicists every 5 years. Secular variations in the Earth's magnetic field are incorporated into the determination of the IGRF. Through the removal of the IGRF from the observed Total Magnetic Intensity (TMI), the resulting residual magnetic intensity provides for more valid modelling of individual near surface anomalies. Additionally, the data can be more easily incorporated into databases of magnetic data acquired in the past or to be acquired in the future.

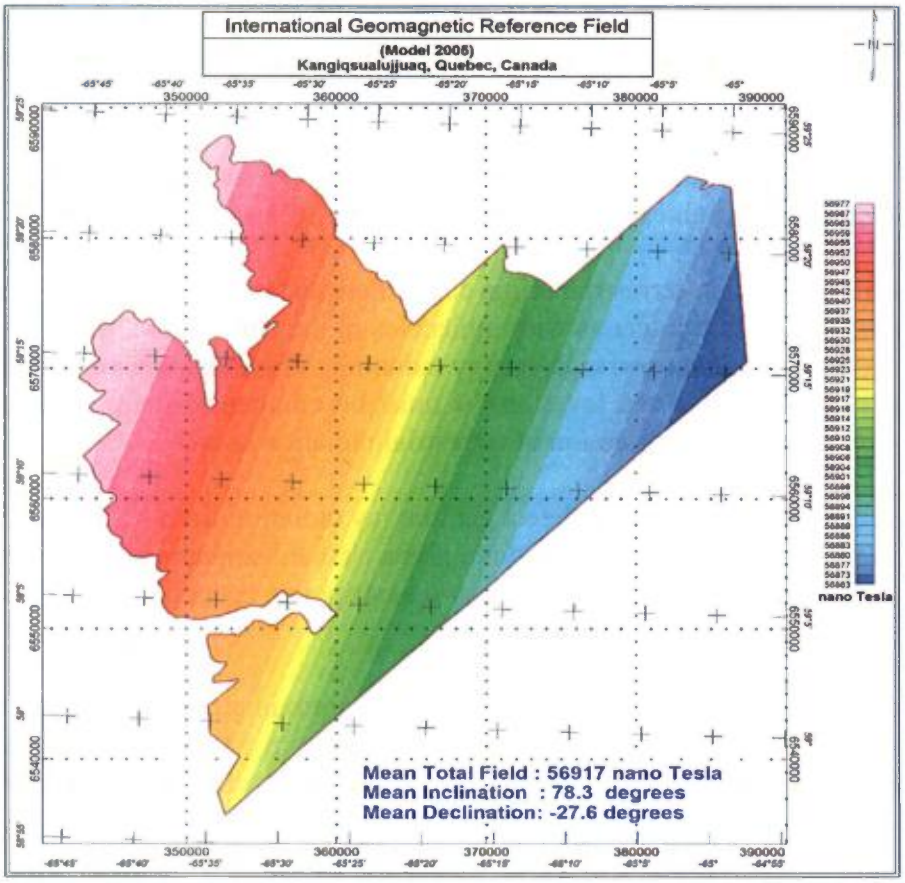

Figure 17: International Geomagnetic Reference Field in the Survey Block

6.3.3 Gridding

The corrected magnetic line data was interpolated between survey lines using a random point minimum curvature gridding algorithm to yield x-y grid values for a standard grid cell size of 30 metres equivalent to 1/5th of the traverse line spacing. Final grids are generated with 99.9% tolerance and 2000 iterations. A blanking distance of 500 m was used in gridding to avoid gaps in the image.

6.4 Corrections to Radiometric Data

6.4.1 Background to Corrections and Processing

Gamma-ray spectrometer surveys are utilized for mapping the concentration and distribution of naturally occurring radio elements. The use of an airborne gamma-ray spectrometer allows for the in-situ analysis of radioelement concentrations of naturally occurring Potassium (K), Uranium (U) and Thorium (Th) in the field.

For a geologist, maps showing concentrations of K, U, and Th can be diagnostic in the mapping of rocks and soils which aid in geological mapping, and in the exploration for uranium, gold, tin and tungsten deposits where the primary mineralization process is often related to K metasomatism or alteration.

Radioactivity measurements from an airborne platform are dependent upon the detection of gamma rays

produced through radioactive decay of the nuclide to be detected. Only three radioactive elements emit sufficient gamma radiation to be measured by airborne methods. The three major sources are:

- Potassium-40 (^{40}K) which is 0.011% of all potassium
- Daughter products from the ^{238}U decay series,
- Daughter products from the ^{232}Th decay series.

High-energy cosmic rays of non-terrestrial origin can be detected by airborne gamma-ray spectrometer surveys. This cosmic radiation interacts with molecules in the atmosphere, the aircraft, and the NaI detectors resulting in the production of high-energy radiation. This radiation is detectable and increases exponentially with height above sea level and it must be compensated for to obtain reliable and repeatable measurements and the detection of terrestrial radiation sources.

The traditional energy windows used to detect gamma ray radiation from K, Th, and U sources have overlapping areas where the energy recorded for a given element contains some contribution from all three radio elements. A correction procedure, known as stripping, is applied to the data to compensate for this spectral overlapping.

The natural gamma ray spectrum over the range of 0 to approximately 3000 keV is resolved by the spectrometer used into 512 channels, each channel ranging from 5 to 6.5 KeV in width. A separate channel records all high-energy radiation above 3000 KeV, the cosmic radiation contribution. Within the defined radioelement windows, the counts recorded are summed over a given time period.

Care must be taken during the acquisition of gamma-ray spectrometer data because the contribution from radon gas and related decay products in the atmosphere can result in misleading count rates. Radon gas can also diffuse from the ground, but only one radon nuclide is directly related to the Uranium decay series. In order to minimise the impact of radon "contamination", radiometric surveys are not completed during rain ("washes" radon from the air and increases ground concentrations) or fog conditions and for a period of not less than 2 hours after precipitation has finished in order to allow for dispersion of radon gas to normal background levels.

Radiometric surveys have no depth penetration; most radioactive sources are recorded from the upper 1.5 metres of the ground. Radiometric surveys are in effective over water bodies or snow-covered areas; the presence of water (in either liquid or solid state) effectively masks the radiation.

Spectrometer data are recorded in counts per second. The instrumentation requires a fraction of a second to process the incoming data – during this time period no counts are recorded. This interval is referred to as "*equipment down time or system dead-time*". A correction is applied to compensate for this time period.

6.4.2 Processing Applied Using PRAGA3/GEOSOFT Radiometric Processing System

The reduction of the radiometric data followed the standard processing steps as recommended in IAEA-TECDOC-1363 - Guidelines for radioelement mapping using gamma ray spectrometry data.

The processing of the radiometric data involved:

1. Smoothing of input 256 channel spectra using Noise Adjusted Singular Value Decomposition (NASVD) technique
2. Extraction of standard K, U, Th, TC and Cosmic windows from NASVD smoothed spectra
3. System dead-time correction
4. Filtering
5. Calculation of STP (Standard Temperature and Pressure) altitude.
6. Cosmic stripping and aircraft background correction
7. Radon background correction – "over water" method was applied according to the data acquired on radon test line and data acquired over lakes during production flights
8. Stripping correction for spectral overlap
9. Altitude attenuation correction
8. Reduction to apparent radio elemental concentrations

In 1997 J. Hovgaard (DTU Ph.D.) introduced a method called Noise Adjusted Singular Value Decomposition (NASVD). This technique is used for analyzing large sets of gamma spectra and is in common use by several AGS (Airborne Gamma Spectrometry) groups for mapping natural radioactivity. NASVD removes "statistical noise" from the measurements.

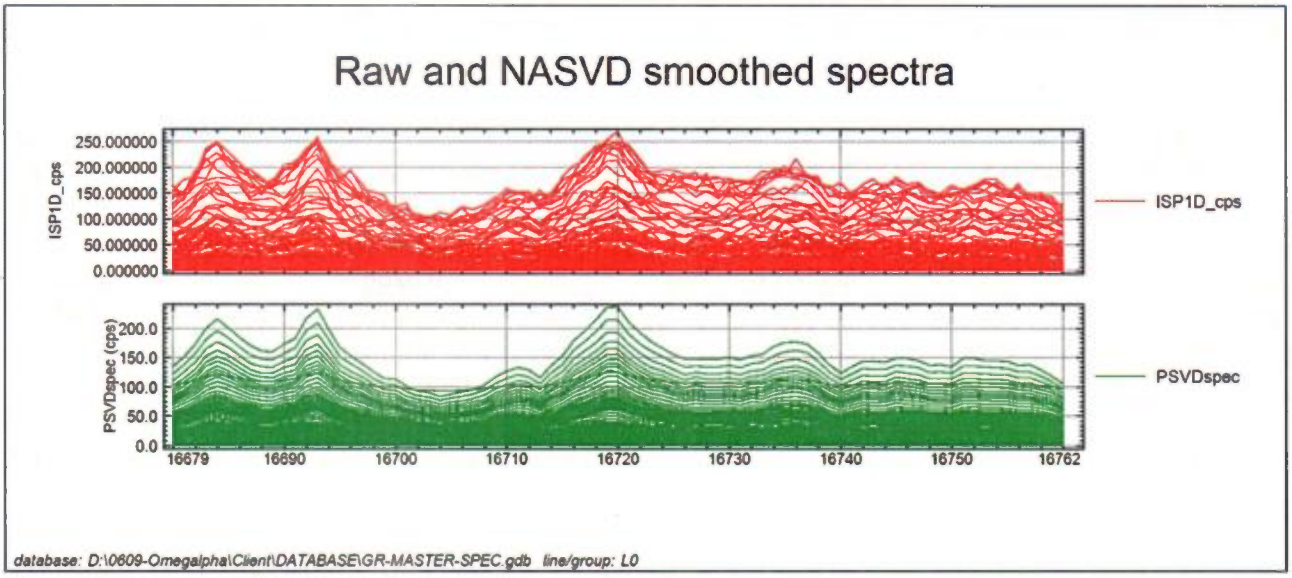

Figure 18: Raw and NASVD Smoothed Spectra

The above mentioned corrections were applied to the data from the spectrum of downward looking detectors accumulated in the K, U, Th and TC spectral windows.

A dead-time correction of 10 micro seconds was applied using the following relation:

$$N = n/(1-TC*t*10^{-6})$$

Where:
N = corrected count in each second

n = raw recorded count in each second
TC = raw total count data value
t = equipment dead time per pulse in micro seconds (10 micro seconds in the present case)

Then the data were subjected to a suitable combination of non-linear & low pass filters to minimize the statistical noise and improve the count statistics.

Aircraft background and Cosmic Compton scattering effect was removed using the following relation:

N = a + b*C

Where:
N = Combined cosmic and aircraft back ground in each spectral window
a = aircraft background in the window
b = cosmic stripping factor for the window
C = filtered cosmic count

Aircraft background value and the Cosmic stripping factor as estimated from the tests are tabulated below.

Table 6: Aircraft Background and Cosmic Stripping Factors

	COEFFICIENTS	
	Cosmic Stripping Factor (b)	Aircraft Background Value (a)
TC	2.05769	43.09220
K	0.06155	2.27315
U	0.04120	1.43760
Th	0.11853	0.67561

For the radon background correction, the "over water" method was applied using data acquired on the radon test line and data acquired over lakes during production flights.

Data was corrected for the spectral overlap in K, U, Th channels due to Compton scattering phenomenon using the following relevant relations:

$$\begin{bmatrix} K' \\ U' \\ Th' \end{bmatrix} = \begin{bmatrix} 1-a\cdot\alpha & a\cdot\beta-\gamma & \alpha\cdot\gamma-\beta \\ b\cdot\alpha-g & 1-b\cdot\beta & g\cdot\beta-\alpha \\ a\cdot g-b & b\cdot\gamma-a & 1-g\cdot\gamma \end{bmatrix} \times \begin{bmatrix} K \\ U \\ Th \end{bmatrix} / \delta$$

$$\delta = 1-g\cdot\gamma-a\cdot(\alpha-g\cdot\beta)-b\cdot(\beta-\alpha\cdot\gamma)$$

Where:
K = Background Corrected count rate in Potassium window
U = Background Corrected count rate in Uranium window
Th = Background Corrected count rate in Thorium window
K' = Stripped count rate in Potassium window

U' = Stripped count rate in Uranium window
Th' = Stripped count rate in Thorium window
α = Stripping Ratio U/Th (pure source)
β = Stripping Ratio K/Th (pure source)
γ = Stripping Ratio K/U (pure source)
a = Stripping Ratio Th/U (pure source)
b = Stripping Ratio Th/K (pure source)
g = Stripping Ratio U/K (pure source)

Appropriate set of stripping ratios, estimated from the PAD Calibration done on 26 September 2006 at Holland landing airport, Newmarket are tabulated below.

Table 7: Compton Stripping Ratios

Calculated Stripping Ratios			
Th into U	α =	0.1026	SD = 0.0011
Th into K	β =	0.2019	SD = 0.0039
U into K	γ =	0.5303	SD = 0.0071
U into Th	a =	0.0679	SD = 0.0025
K into Th	b =	0.004	SD = 0.0010
K into U	g =	0.0009	SD = 0.0005

Observed height above ground level measured by the radar altimeter was reduced to equivalent STP (Standard Temperature and Pressure) height using the following relation:

He = (H*P*273)/(1013*(T+273))

Where
H_e = Effective Height AGL at STP (metres)
H = Filtered Radar Altitude (metres)
T = Measured Air Temperature C^0
P = Barometric Pressure in KPa

Stripping Ratios increase with height and the effective stripping ratios at equivalent STP height are based on the following relations:

$$\alpha_e = \alpha + 0.00049 * H_e$$
$$\beta_e = \beta + 0.00065 * H_e$$
$$\gamma_e = \gamma + 0.00069 * H_e$$

Where
α_e = Effective stripping ratio at STP height H_e
β_e = Effective stripping ratio at STP height H_e
γ_e = Effective stripping ratio at STP height H_e

Variation in the reverse stripping ratios a, b, g is negligible.

Altitude attenuation coefficients and sensitivity factors, for converting corrected counts in spectrometric windows in to respective apparent radio elemental concentrations, are established from the test done at Holland landing airport, Newmarket are tabulated below.

Table 8: Altitude Attenuation Coefficients

COEFFICIENTS	
Element	Attenuation Coeff.
TC	-0.00710
K	-0.01020
U	-0.00540
Th	-0.00790

Table 9: Sensitivity Factors

Sensitivity Factors	
Element	Sensitivity Factor at 50 m STP Height
K	0.018126232 %/cps
U	0.177164519 ppm eU/cps
Th	0.3050723318 ppm eTh/cps
Dose rate	0.0473157437 nGy/h/cps

Finally, de-corrugation and micro-levelling techniques were applied to minimize the fine line directional levelling noise.

The summary of coefficients used for radiometric data processing is listed in Appendix 1.

The final corrected radio element and dose rate line data was interpolated between survey lines using a random point minimum curvature gridding algorithm. The following scheme is adopted in generating the final grids.

- Standard minimum curvature gridding is applied with a cell size of 30 m (equivalent to 1/5 th of traverse line spacing), 99.9% tolerance, 2000 iterations and a suitable blanking distance of 500 m is used to avoid gaps in the image.
- Resultant grids K, U, Th and Dose Rate were treated with Hanning space domain convolution filter with 3 passes to obtain smooth contours.
- Traverse line data was used for gridding

6.5 Digital Terrain Model

As part of the processing step the digital terrain (elevation) model (DTM) was calculated by subtracting the radar altimeter reading from the GPS height data.

7. DELIVERABLE PRODUCTS

The survey data are presented as colour/contour maps on paper, produced at a scale of 1:100,000. A set of report-sized colour/contour images, on paper, is included in Appendix 5 of the report.

7.1 Maps

The following maps are delivered in one (1) paper copy.

- Flight Path with Topography
- Digital Terrain Model Calculated from survey data (DTM)
- Total Magnetic Intensity (IGRF Removed)
- Calculated Dose rate from Total Count Data
- Apparent Concentration of Uranium
- Apparent Concentration of Thorium
- Apparent Concentration of Potassium

7.2 Digital Data

The final processed line and grid data, in GEOSOFT format is also delivered in five (5) copies on DVD-ROM. Full descriptions of the digital data formats are included in this final report.

7.3 Report

One (1) copy of a survey report was delivered, complete with all final maps as page size maps. This report provides information about the acquisition, processing and presentation of the survey data.

Respectfully submitted,
McPhar Geosurveys Ltd.

Dr. Tomas Grand
Chief Geophysicist

APPENDICES

APPENDIX 1 **System Tests and Reports**

- Lag Test
- Altimeter Test
- FOM
- Altitude Attenuation Coefficient Calibration
- Cosmic Attenuation Coefficient Calibration
- Daily Sample Checks
- Spectrometer Test Line statistics
- Summary of coefficients used in spectrometric data processing
- Flight Logs
- Daily Reports

APPENDIX 2 **Equipment Documentation**

- Geometrics G-822A Cesium Magnetometer
- Billingsly TFM-100 Tri-axial Fluxgate Magnetometer
- Pico-Envirotec GRS-10 Gamma Spectrometer
- Pico-Envirotec AGIS Data Acquisition System
- Terra TRA-3000 / TRI-30 Radar Altimeter
- SETRA Model 276 digital barometric altmeter/pressure transducer
- CSI-Wireless DGPS Max positioning system
- Geo-iMAGe Colour Digital Imaging System
- Pico-Envirotec GMAG Magnetometer Base Station
- NovAtel Millennium dual-frequency GPS receiver
- GEM GSM-19 Proton Base Station Magnetometer
- CCMag Magnetic Compensation Software
- Geosoft Montaj Processing Software
- Field Data Processing Workstations

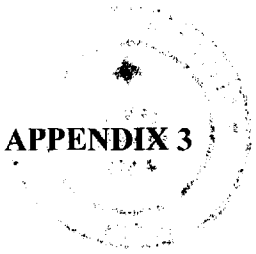

APPENDIX 3 **Personnel Resumes**

- Dr. Tomas Grand
- John Currie
- Ramesh Acharya
- Paul Beaubien
- Asif Mirza

APPENDIX 4 **Digital Data Specifications**

APPENDIX 5 Page Size Maps

- Flight Path with Topography
- Digital Terrain Model Calculated from survey data (DTM)
- Total Magnetic Intensity (IGRF Removed)
- Calculated Dose rate from Total Count Data
- Apparent Concentration of Uranium
- Apparent Concentration of Thorium
- Apparent Concentration of Potassium

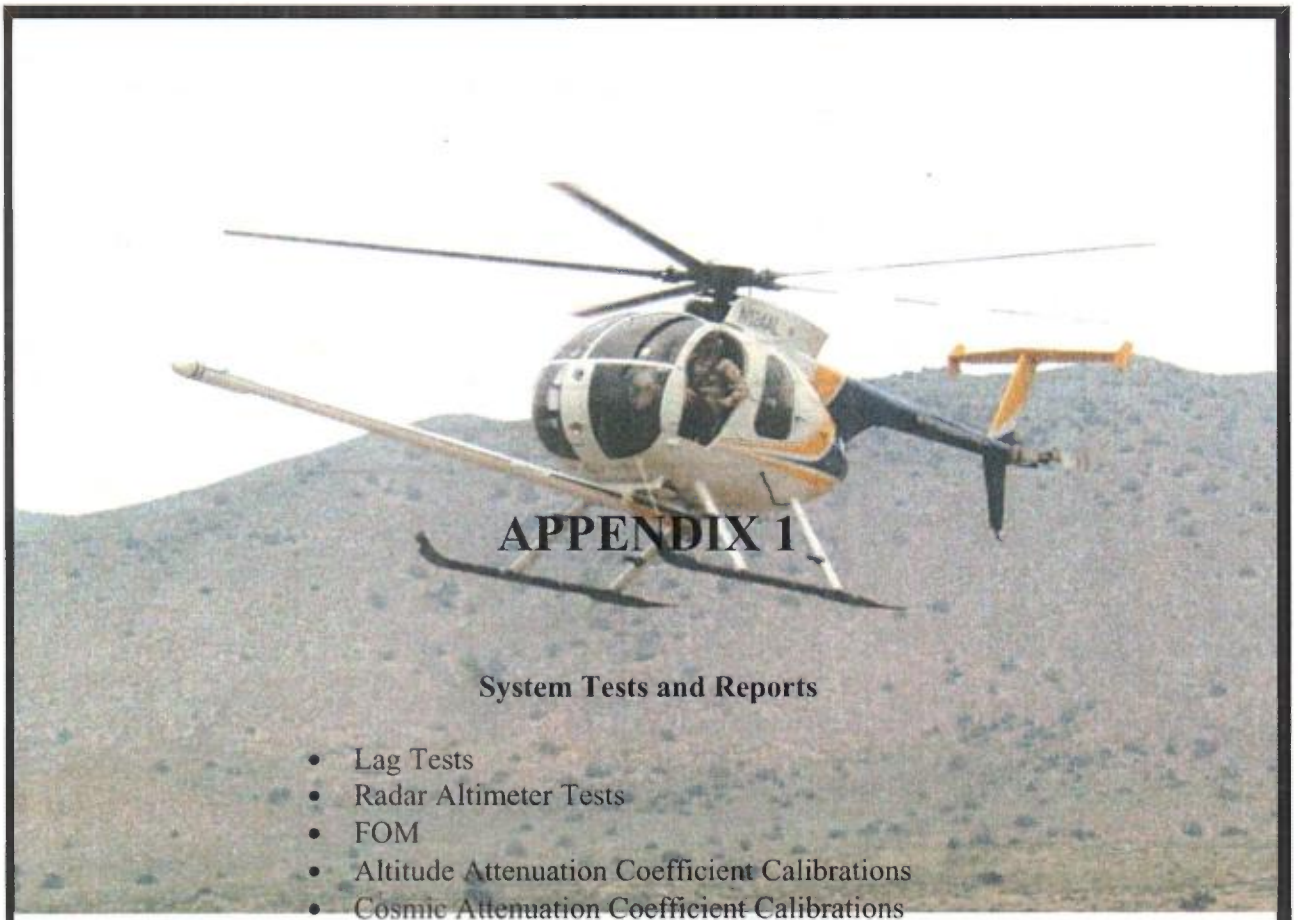

APPENDIX 1

System Tests and Reports

- Lag Tests
- Radar Altimeter Tests
- FOM
- Altitude Attenuation Coefficient Calibrations
- Cosmic Attenuation Coefficient Calibrations
- PAD Calibration
- Sensitivity Factors
- Daily Sample Checks
- Spectrometry Test Lines
- Flight Logs
- Daily Reports

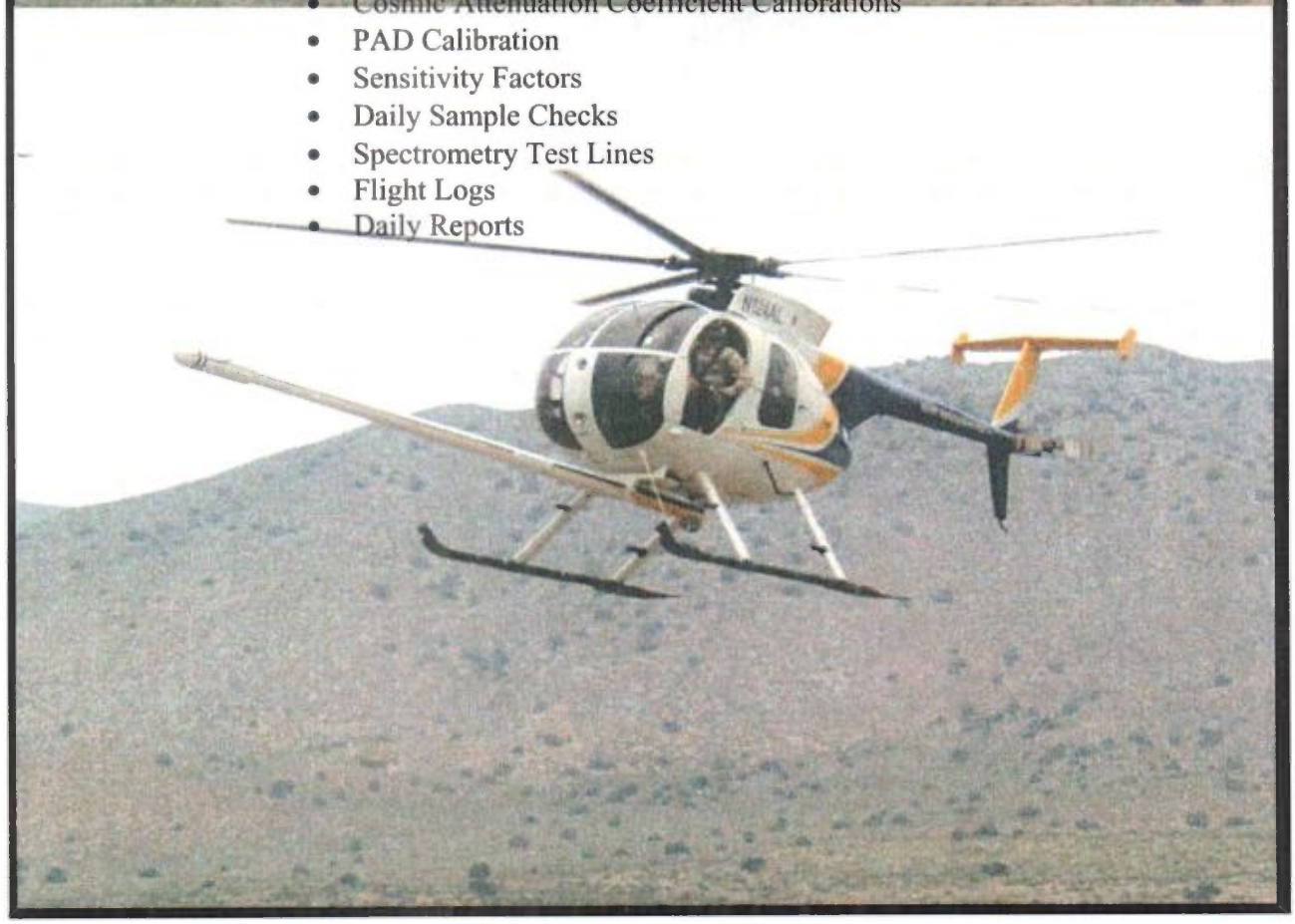

McPhar Geosurveys Ltd.

Lag Test

Project:	**0609 - Omegalpha**
Location:	x = 329439 y= 6510246
Date:	28-Jul-06
Flight:	5
Test No.	1
Aircraft:	N124AL
Lines:	S9002 , S9003

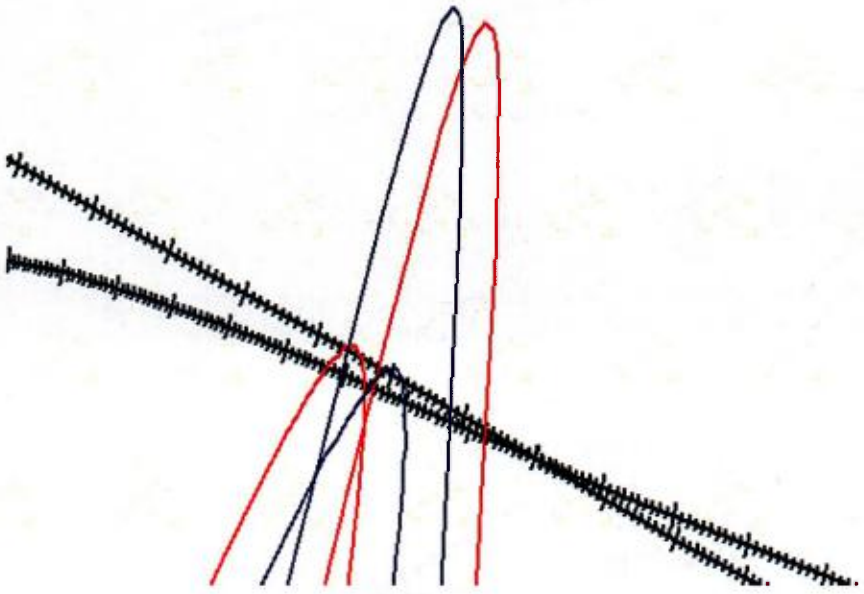

LAG = 0.35 seconds

Pilot: David Kresser
Operator: Paul Beabien
QC: Ramesh Acharya
PM: John Currie

Approved: Date:
Name:

McPhar Geosurveys Ltd.
Lag Test

Project:	**0609 - Omegalpha**
Location:	x = 329439 y= 6510246
Date:	03-Sep-06
Flight:	46
Test No.	2
Aircraft:	N124AL
Lines:	S9002 , S9003

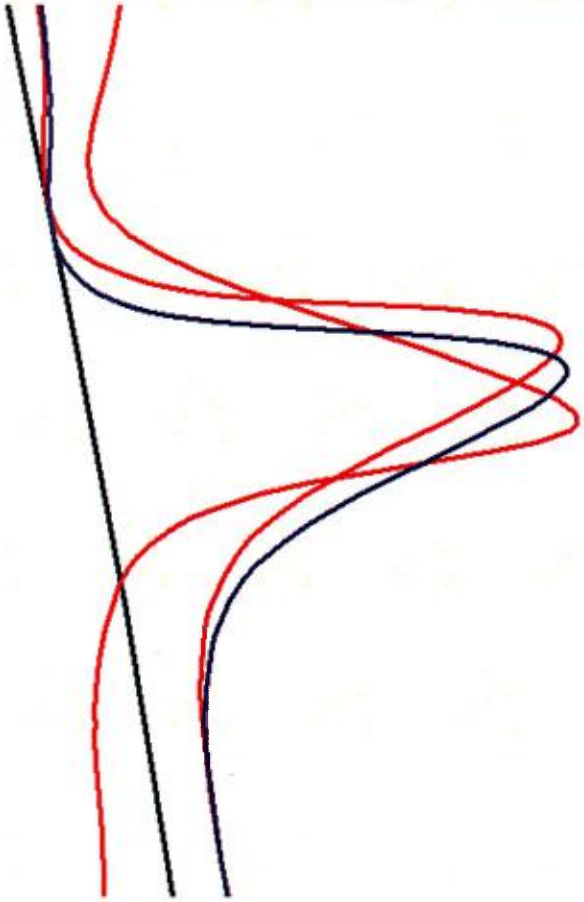

LAG = 0.35 seconds

Pilot: David Kresser
Operator: Paul Beabien
QC: Ramesh Acharya
PM: John Currie

Approved: Date:
Name:

McPhar Geosurveys Ltd.
Altimeter Calibration Test

Project:	0609 - Omegalpha Inc.
Location:	George River, Quebec, Canada
Date:	20060727
Flight:	1
Test No.	1
Aircraft:	N124AL

Line	Nominal Altitude above ground (m)	Nominal Altitude above ground (ft)	Radar Altitude Raw Data (mV)	DGPS Altitude Ellipsoidal Height (m)	Barometric Altitude Raw Data (mV)	DGPS Altitude Ellipsoidal Height (m)	DTM = DGPS - Radar Alt Ellipsoidal Height WGS84 (m)	DGPS Altitude (ALT) ALT=DGPS - AVERAGE(DTM) (m)
2000	15.24	50	-13995	73.4	408704	73.4	58.16	13.22
2001	30.48	100	-26288	87.5	406356	87.5	57.02	27.32
2002	45.72	150	-40481	104.8	403705	104.8	59.08	44.62
2003	60.96	200	-64201	122.6	402006	122.6	61.64	62.42
2004	76.20	250	-74942	138.2	399955	138.2	62.00	78.02
2005	91.44	300	-94271	154.6	398042	154.6	63.16	94.42
							60.18	
							AVERAGE	

DGPS-Raw Radar Slope = -0.0010018
DGPS-Raw Baro Slope = -0.0077198

DGPS-RAW Radar Int = 0.88
DGPS-RAW Baro Int = 3225.58

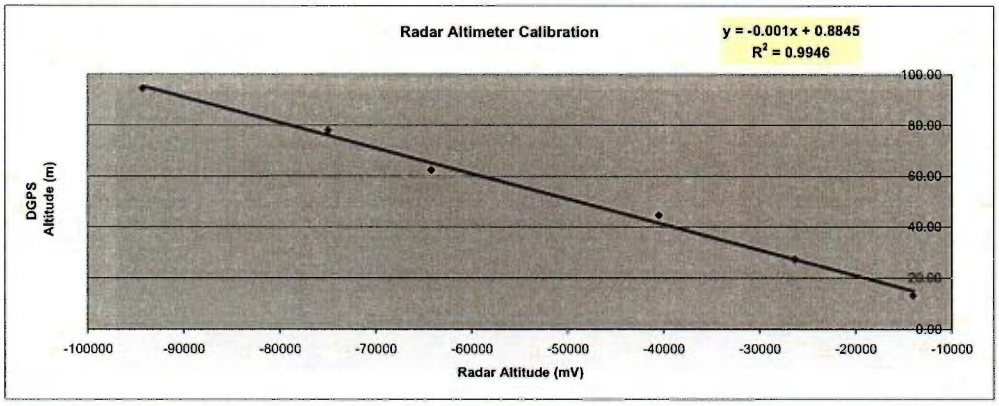

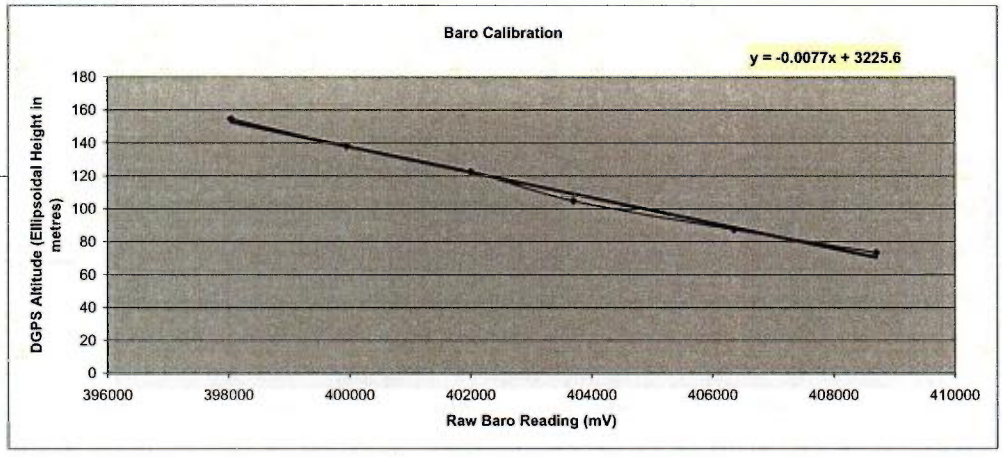

Pilot: Davil Kresser
Operator: Paul Beaubien
QC: Ramesh Acharya
PM: John Currie

Approved: Date:
Name:

McPhar Geosurveys Ltd.
Altimeter Calibration Test

Project:	0609 - Omegalpha Inc.
Location:	George River, Quebec, Canada
Date:	20060903
Flight:	47
Test No.	2
Aircraft:	N124AL

Line	Nominal Altitude above ground (m)	Nominal Altitude above ground (ft)	Radar Altitude Raw Data (mV)	DGPS Altitude Ellipsoidal Height (m)	Barometric Altitude Raw Data (mV)	DGPS Altitude Ellipsoidal Height (m)	DTM (m)	DGPS Altitude (ALT) ALT=DGPS - AVERAGE DTM (m)
10100	52.40	100	-51909	115	409000	115	62.60	55.54
10200	76.12	200	-75062	132	406380	132	55.88	72.54
10300	107.26	300	-106419	165	401843	165	57.74	105.54
10400	152.45	400	-151679	214.6	395909	214.6	62.15	155.14
10500	164.08	500	-163375	227	393539	227	62.92	167.54
10600	195.51	600	-194774	254	390800	254	58.49	194.54
							59.96	
							AVERAGE	

DGPS-Raw Radar Slope = -0.0010080
DGPS-Raw Baro Slope = -0.0076107

DGPS-RAW Radar Int = 0.28
DGPS-RAW Baro Int = 3225.66

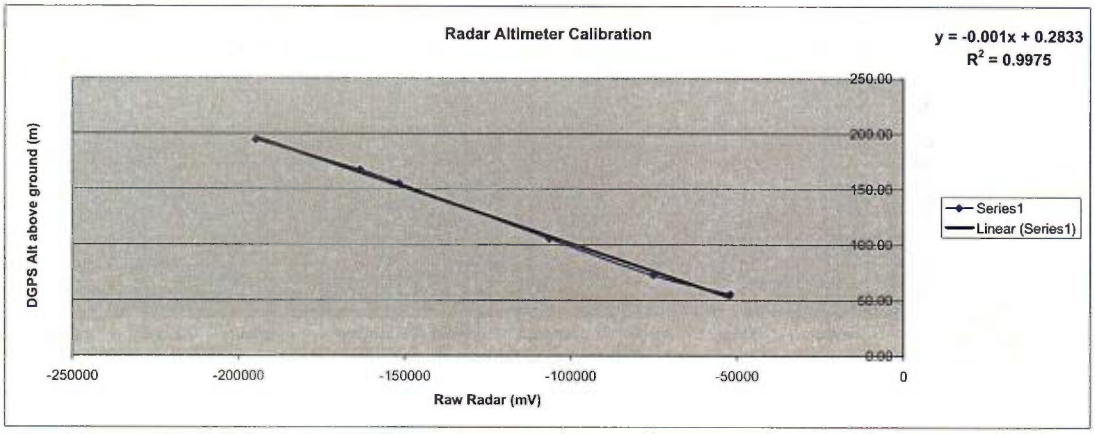

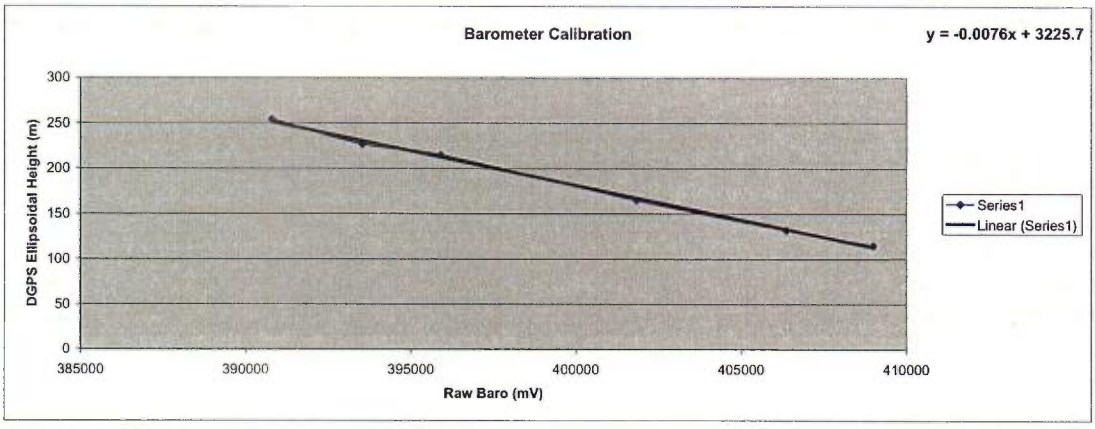

Pilot: Davil Kresser
Operator: Paul Beaubien
QC: Ramesh Acharya
PM: John Currie

Approved: Date:
Name:

McPhar Geosurveys Ltd.
FOM/Maneuver Test

Project:	**0609 - Omegalpha Inc.**
Location:	Kangiqsualujjuaq, Quebec
Altitude:	2500 m
Date:	20060903
Flight:	46
Test No.	1
Aircraft:	N124AL

Total Field (Sensor in the long boom in front of the helicopter)

Line	Direction	Roll	Pitch	Yaw	Total
S9001	45	0.200	0.210	0.050	**0.460**
S9001	135	0.050	0.060	0.080	**0.190**
S9001	225	0.050	0.060	0.050	**0.160**
S9001	315	0.050	0.080	0.040	**0.170**
	Total	**0.350**	**0.410**	**0.220**	

FOM =	**0.980 nT**

Pilot: David Kresser
Operator: Paul Beaubien
QC: Ramesh Acharya
PM: John Currie
Clients Rep.:

Approved: Date:
Name:

McPhar Geosurveys Ltd.
Spectrometer Altitude Attenuation Test

Project:	0609 - Omegalpha Inc.
Location:	George River, Quebec, Canada
Date:	20060728
Flight:	4
Test No.	1
Aircraft:	N124AL

ALTITUDE ATTENUATION COEFFICIENT CALIBRATION

DATA SUMMARY : AVERAGED DATA AT INDICATED GPS ELEVATIONS

LINE	RALT(STP) (m)	TC (cps)	K (cps)	U (cps)	TH (cps)	RALT(STP) (m)
5001	63.2	1529.6	100.30	7.20	60.30	63.2
5002	61.9	1548.8	97.70	8.10	59.20	61.9
5003	110.1	865.7	46.20	4.70	33.30	110.1
5004	157.4	627.6	29.80	3.50	24.20	157.4
5005	199.4	401.8	15.60	2.60	14.80	199.4
5006	248.4	300.0	9.90	2.30	11.30	248.4

RESULTS OF LSQ FIT :

COEFFICIENTS	
Element	Attenuation
TC	-0.00900
K	-0.01250
U	-0.00680
Th	-0.00920

TOTAL COUNT ALTITUDE DEPENDENCE:

Ralt (STP)	Measured	Fit
63.20	1529.60	1456.11
61.90	1548.80	1473.24
110.10	865.70	954.72
157.40	627.60	623.73
199.40	401.80	427.40
248.40	300.00	274.99

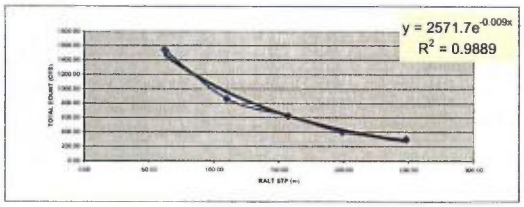

POTASSIUM ALTITUDE DEPENDENCE:

Ralt (STP)	Measured	Fit
63.20	100.30	93.93
61.90	97.70	95.47
110.10	46.20	52.26
157.40	29.80	28.93
199.40	15.60	17.12
248.40	9.90	9.28

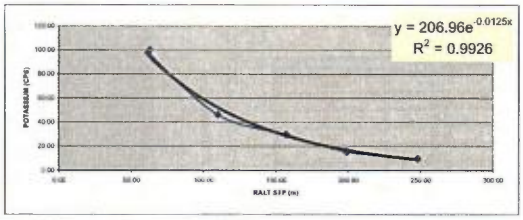

URANIUM ALTITUDE DEPENDENCE:

Ralt (STP)	Measured	Fit
63.20	7.20	7.11
61.90	8.10	7.18
110.10	4.70	5.17
157.40	3.50	3.75
199.40	2.60	2.82
248.40	2.30	2.02

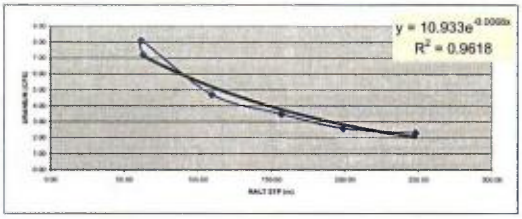

THORIUM ALTITUDE DEPENDENCE:

Ralt (STP)	Measured	Fit
63.20	60.30	56.60
61.90	59.20	57.28
110.10	33.30	36.77
157.40	24.20	23.79
199.40	14.80	16.17
248.40	11.30	10.30

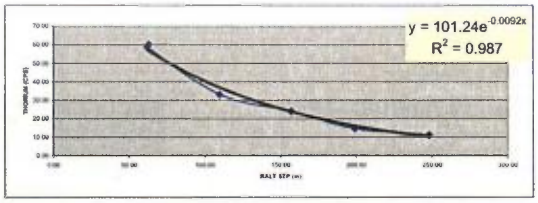

Pilot: David Kresser
Operator: Paul Beabien
QC: Ramesh Acharya
PM: John Currie

Approved: Date:
Name:

McPhar Geosurveys Ltd.
Spectrometer Altitude Attenuation Test

Project:	0609 - Omegalpha Inc.
Location:	George River, Quebec, Canada
Date:	20060903
Flight:	46
Test No.	1
Aircraft:	N124AL

ALTITUDE ATTENUATION COEFFICIENT CALIBRATION

DATA SUMMARY : AVERAGED DATA AT INDICATED GPS ELEVATIONS

LINE	RALT (m)	TC (cps)	K (cps)	U (cps)	TH (cps)	RALT(STP) (m)
10100	56.3	1267.0	99.10	8.90	38.90	52.7
10200	84.9	947.0	67.30	6.70	29.00	79.3
10300	109.0	809.0	54.60	5.40	25.30	101.8
10400	148.0	596.0	34.80	4.40	18.50	137.3
10500	190.0	500.0	26.60	4.00	15.70	175.5
10600	221.0	354.0	16.80	3.40	10.20	204.0
10700	229.0	344.7	15.90	3.30	10.20	210.1

RESULTS OF LSQ FIT:

COEFFICIENTS	
Element	Attenuation
TC	-0.00800
K	-0.01120
U	-0.00580
Th	-0.00820

TOTAL COUNT ALTITUDE DEPENDENCE:

Ralt (STP)	Measured	Fit
52.70	1267.00	1211.69
79.30	947.00	979.43
101.80	809.00	818.09
137.30	596.00	615.83
175.50	500.00	453.67
204.00	354.00	361.18
210.10	344.70	343.98

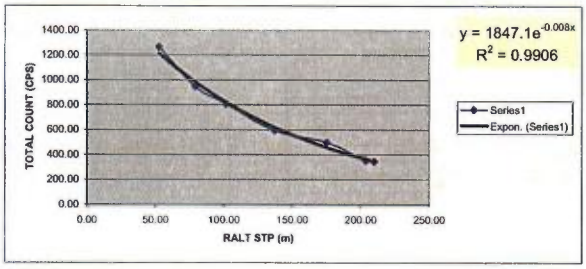

POTASSIUM ALTITUDE DEPENDENCE:

Ralt (STP)	Measured	Fit
52.70	99.10	95.30
79.30	67.30	70.75
101.80	54.60	54.99
137.30	34.80	36.95
175.50	26.60	24.09
204.00	16.80	17.50
210.10	15.90	16.35

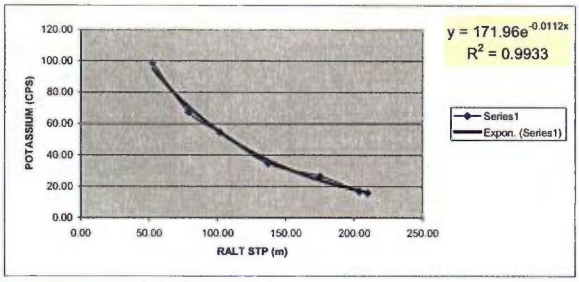

URANIUM ALTITUDE DEPENDENCE:

Ralt (STP)	Measured	Fit
52.70	8.90	7.91
79.30	6.70	6.78
101.80	5.40	5.95
137.30	4.40	4.84
175.50	4.00	3.88
204.00	3.40	3.29
210.10	3.30	3.18

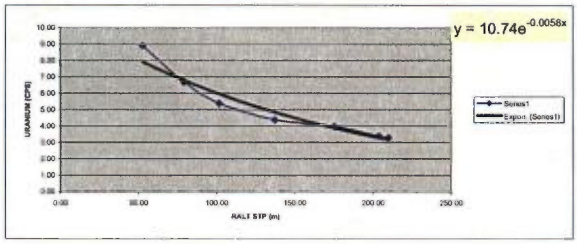

THORIUM ALTITUDE DEPENDENCE:

Ralt (STP)	Measured	Fit
52.70	38.90	38.01
79.30	29.00	30.56
101.80	25.30	25.41
137.30	18.50	18.99
175.50	15.70	13.88
204.00	10.20	10.99
210.10	10.20	10.45

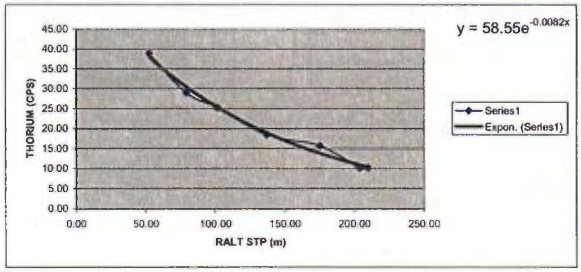

Pilot: David Kresser
Operator: Paul Beabien
QC: Ramesh Acharya
PM: John Currie

Approved:

Date:
Name:

McPhar Geosurveys Ltd.

Spectrometer Altitude Attenuation Test

Project:	0609 - Omegalpha Inc.
Location:	Holland Landing, Newmarket
Date:	20060926
Flight:	NA
Test No.	3
Aircraft:	N124AL

ALTITUDE ATTENUATION COEFFICIENT CALIBRATION

DATA SUMMARY : AVERAGED DATA AT INDICATED GPS ELEVATIONS

LINE	RALT STP (m)	TC (cps)	K (cps)	U (cps)	TH (cps)	RALT(STP) (m)
2740	15.2	962.0	116.10	7.00	19.30	15.2
2730	31.9	825.6	94.70	6.30	16.00	31.9
2720	51.7	702.5	74.90	5.10	13.60	51.7
2690	83.0	554.2	53.60	4.40	10.10	83.0
2680	117.4	435.1	38.60	3.10	8.40	117.4
2670	140.5	370.1	30.10	2.80	6.90	140.5
2660	173.8	296.9	22.80	3.00	4.60	173.8
2650	244.8	188.8	10.80	2.00	3.20	244.8

RESULTS OF LSQ FIT:

COEFFICIENTS	
Element	Attenuation
TC	-0.00710
K	-0.01020
U	-0.00540
Th	-0.00790

TOTAL COUNT ALTITUDE DEPENDENCE:

Ralt (STP)	Measured	Fit
15.20	962.00	918.53
31.90	825.60	815.83
51.70	702.50	708.83
83.00	554.20	567.58
117.40	435.10	444.59
140.50	370.10	377.34
173.80	296.90	297.89
244.80	188.80	179.94

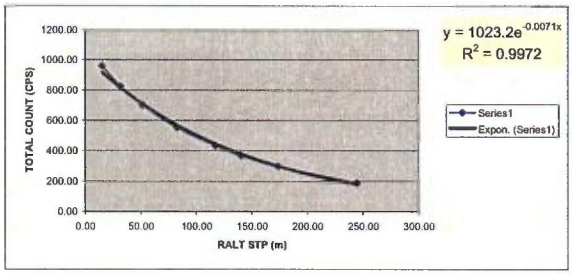

POTASSIUM ALTITUDE DEPENDENCE:

Ralt (STP)	Measured	Fit
15.20	116.10	111.07
31.90	94.70	93.68
51.70	74.90	76.55
83.00	53.60	55.62
117.40	38.60	39.16
140.50	30.10	30.94
173.80	22.80	22.03
244.80	10.80	10.68

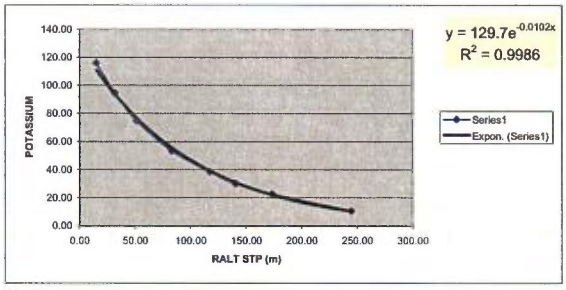

URANIUM ALTITUDE DEPENDENCE:

Ralt (STP)	Measured	Fit
15.20	7.00	6.41
31.90	6.30	5.86
51.70	5.10	5.26
83.00	4.40	4.44
117.40	3.10	3.69
140.50	2.80	3.26
173.80	3.00	2.72
244.80	2.00	1.85

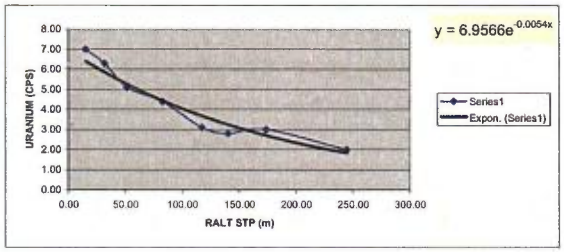

THORIUM ALTITUDE DEPENDENCE:

Ralt (STP)	Measured	Fit
15.20	19.30	18.27
31.90	16.00	16.01
51.70	13.60	13.69
83.00	10.10	10.69
117.40	8.40	8.15
140.50	6.90	6.79
173.80	4.60	5.22
244.80	3.20	2.98

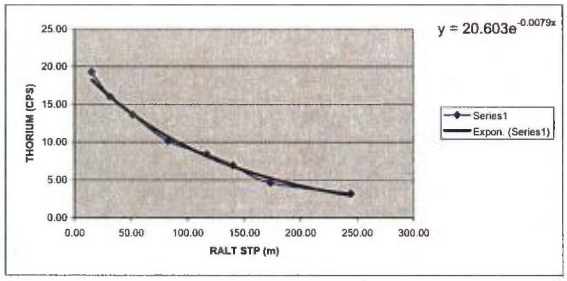

Pilot: David Kresser
Operator: Paul Beabien
QC: Ramesh Acharya
PM: John Currie

Approved: Date:
Name:

McPhar Geosurveys Ltd.
Spectrometer Cosmic Calibration Test

Project:	0609 - Omegalpha Inc.
Location:	George River, Quebec, Canada
Date:	20060727
Flight:	2
Test No.	1
Aircraft:	N124AL

COSMIC ATTENUATION COEFFICIENT CALIBRATION

DATA SUMMARY : AVERAGED DATA AT INDICATED GPS ELEVATIONS

LINE	GPS ALT (m)	TC (cps)	K (cps)	U (cps)	TH (cps)	COSMIC (cps)
3001	1276.2	103.6	4.18	2.67	4.45	29.46
3002	1601.2	114.9	4.43	2.71	4.78	34.97
3003	1877.2	128.2	4.84	3.37	5.67	41.20
3004	2216.1	143.3	5.21	3.44	6.36	48.81
3005	2512.6	163.0	5.89	3.78	7.61	58.25

RESULTS OF LSQ FIT TO $N_n = a_n.COS + b_n$ RELATION :

	COEFFICIENTS	
	SLOPE (a_n)	INTERCEPT (b_n)
TC	2.05769	43.09220
K	0.06155	2.27315
U	0.04120	1.43760
Th	0.11853	0.67561

TOTAL COUNT COSMIC DEPENDENCE:

Cosmic	Measured	Fit
29.46	103.60	103.71
34.97	114.90	115.05
41.20	128.20	127.87
48.81	143.30	143.53
58.25	163.00	162.95

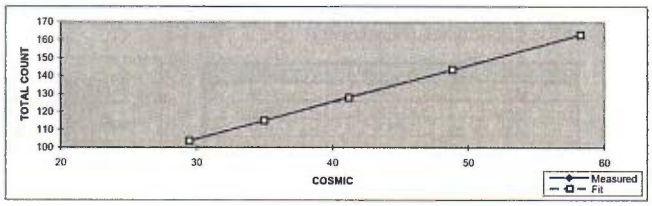

POTASSIUM COSMIC DEPENDENCE:

Cosmic	Measured	Fit
29.46	4.18	4.09
34.97	4.43	4.43
41.20	4.84	4.81
48.81	5.21	5.28
58.25	5.89	5.86

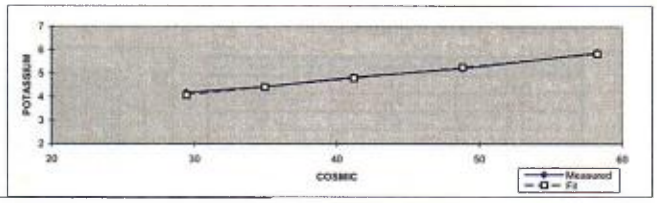

URANIUM COSMIC DEPENDENCE:

Cosmic	Measured	Fit
29.46	2.67	2.65
34.97	2.71	2.88
41.20	3.37	3.14
48.81	3.44	3.45
58.25	3.78	3.84

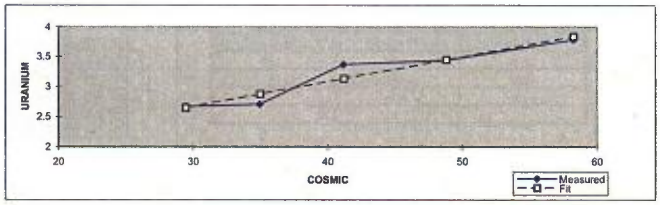

THORIUM COSMIC DEPENDENCE:

Cosmic	Measured	Fit
29.46	4.45	4.17
34.97	4.78	4.82
41.20	5.67	5.56
48.81	6.36	6.46
58.25	7.61	7.58

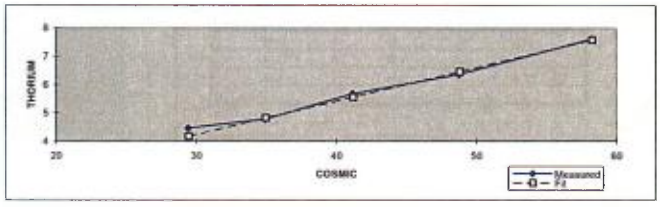

Pilot: David Kresser
Operator: Paul Beabien
QC: Ramesh Acharya
PM: John Currie

Approved: Date:
Name:

McPhar Geosurveys Ltd.
Spectrometer Cosmic Calibration Test

Project:	**0609 - Omegalpha Inc.**
Location:	George River, Quebec, Canada
Date:	20060903
Flight:	46
Test No.	2
Aircraft:	N124AL

COSMIC ATTENUATION COEFFICIENT CALIBRATION

DATA SUMMARY : AVERAGED DATA AT INDICATED GPS ELEVATION:

LINE	GPS ALT (m)	TC (cps)	K (cps)	U (cps)	TH (cps)	COSMIC (cps)
9005	905.8	116.8	4.80	3.70	3.90	24.20
9006	1221.1	128.8	5.20	4.00	4.30	28.60
9007	1451.3	138.7	5.20	4.30	4.70	31.90

RESULTS OF LSQ FIT TO $N_n = a_n.COS + b_n$ RELATION :

	COEFFICIENTS	
	SLOPE (a_n)	INTERCEPT (b_n)
TC	2.83784	47.97838
K	0.05405	3.54054
U	0.07740	1.81486
Th	0.10319	1.38649

TOTAL COUNT COSMIC DEPENDENCE:

Cosmic	Measured	Fit
24.20	116.80	116.65
28.60	128.80	129.14
31.90	138.70	138.51

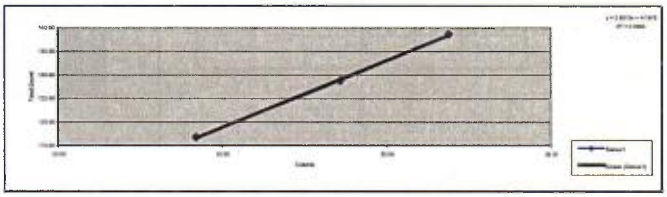

POTASSIUM COSMIC DEPENDENCE:

Cosmic	Measured	Fit
24.20	4.80	4.85
28.60	5.20	5.09
31.90	5.20	5.26

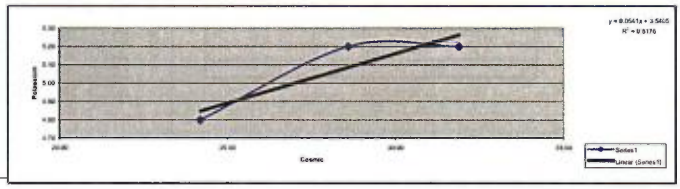

URANIUM COSMIC DEPENDENCE:

Cosmic	Measured	Fit
24.20	3.70	3.69
28.60	4.00	4.03
31.90	4.30	4.28

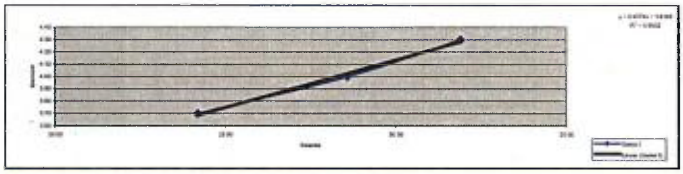

THORIUM COSMIC DEPENDENCE:

Cosmic	Measured	Fit
24.20	3.90	3.88
28.60	4.30	4.34
31.90	4.70	4.68

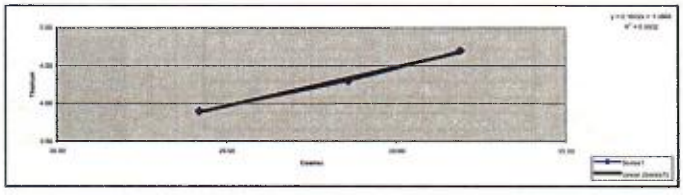

Pilot: David Kresser
Operator: Paul Beabien
QC: Ramesh Acharya
PM: John Currie

Approved: Date:
Name:

McPhar Geosurveys Ltd.

SPECTROMETER CALIBARTION ON TRANSPORTABLE PADS

Project:	**0609 - Omegalpha**
Test Location:	Holland Landing, Ontario, Canada
Altitude:	850 ft
Date:	July 18, 2006
Test No.	No. 1 for Season 2006

Calibration Pads Info

No. of PADS	**4**
	Constructed by Geological Survey of Canada in 1994
Owner:	Pico Envirotec Inc.
Date:	July 18, 2006
Location:	Holland Landing, Ontario, Canada

Pad Concentrations

PAD	PAD Label	K %	U ppm	Th ppm
Background	B6-94	1.410 (SD 0.010)	0.97 (SD 0.030)	2.26 (SD 0.10)
K-Pad	K6-94	8.710 (SD 0.090)	0.32 (SD 0.02)	0.74 (SD 0.10)
U-Pad	U6-94	1.340 (SD 0.020)	52.9 (SD 1.00)	3.40 (SD 0.14)
Th-Pad	Th6-94	1.340 (SD 0.020)	2.96 (SD 0.06)	136.0 (SD 2.10)

Deadtime Corrected Accumulated Counts

PAD	Time seconds	K (cps)	U (cps)	Th (cps)
Background	600	79697	6250	9019
K-Pad	600	415642	3421	6369
U-Pad	600	157359	170518	21506
Th-Pad	600	135023	41151	301489

Geometric Correction Factors
1.17
1.17
1.19

Calculated Stripping Ratios

Th into U	α =	0.1026	SD = 0.0011
Th into K	β =	0.2019	SD = 0.0039
U into K	γ =	0.5303	SD = 0.0071
U into Th	a =	0.0679	SD = 0.0025
K into Th	b =	0.004	SD = 0.0010
K into U	g =	0.0009	SD = 0.0005

Operator: Paul Beaubien
QC: Ramesh Acharya
PM:
Clients Rep.:

Approved : Tomas Grand

McPhar Geosurveys Ltd.
Sensitivity Factors

Project:	**0609 - Omegalpha Inc.**	
Location:	Holland Landing Airport, Newmarket	
Date:	26-Sep-06	
Flight:	NA	
Test No.	1	
Aircraft:	N124AL	
Lines:		

Sensitivity Factors	
Element	Sensitivity Factor at 50 m STP Height
K	0.018126232 %/cps
U	0.177164519 ppm eU/cps
Th	0.3050723318 ppm eTh/cps
Doserate	0.0473157437 nG/h/cps

Pilot:
Operator: Adam Barrett
QC: Ramesh Acharya
PM: Tomas Grand

Approved: Date:
Name:

McPHAR

0609-Omegalpha Inc.

Sample Checks

		Background (TC_CPS)			Thorium (TH_CPS)			Uranium (U_CPS)			Cesium (CS_CPS)			Background (TC_CPS)		
Date	Flight	Counts	Average	% deviation	Counts	Average	% deviation	Counts	Average	% deviation	Counts	Average	% deviation	Counts	Average	% deviation
27/07/2006	1	1842	1827.9	0.77	589.0	588.2	0.14	370	371.3	-0.35	7061	7062.6	-0.02	1824	1834.9	-0.60
27/07/2006	3	1826	1827.9	-0.10	553.0	588.2	-5.98	350	371.4	-5.76	6659	7062.2	-5.71	1834	1835.5	-0.08
28/07/2006	4	1871	1827.9	2.36	563.0	588.2	-4.28	360	371.3	-3.04	6898	7062.6	-2.33	1859	1834.9	1.31
28/07/2006	7	1837	1827.9	0.50	605.0	588.2	2.86	385	371.3	3.69	7399	7062.6	4.76	1860	1834.9	1.37
31/07/2006	8	1801	1827.9	-1.47	602.0	588.2	2.35	332	371.3	-10.58	7356	7062.6	4.15	1807	1834.9	-1.52
01/08/2006	9	1809	1827.9	-1.03	593.0	588.2	0.82	368	371.3	-0.89	7003	7062.6	-0.84	1815	1834.9	-1.09
01/08/2006	10	1836	1827.9	0.44	586.0	588.2	-0.37	374	371.3	0.73	6925	7062.6	-1.95	1847	1834.9	0.66
02/08/2006	11	1840	1827.9	0.66	594.0	588.2	0.99	375	371.3	1.00	7095	7062.6	0.46	1851	1834.9	0.88
02/08/2006	12	1830	1827.9	0.11	589.0	588.2	0.14	371	371.3	-0.08	7147	7062.6	1.20	1836	1834.9	0.06
03/08/2006	13	1870	1827.9	2.30	574.0	588.2	-2.41	369	371.3	-0.62	6927	7062.6	-1.92	1896	1834.9	3.33
11/08/2006	15	1794	1827.9	-1.86	586.0	588.2	-0.37	377	371.3	1.54	7104	7062.6	0.59	1787	1834.9	-2.61
12/08/2006	16	1799	1827.9	-1.58	588.0	588.2	-0.03	369	371.3	-0.62	6785	7062.6	-3.93	1807	1834.9	-1.52
12/08/2006	17	1808	1827.9	-1.09	579.0	588.2	-1.56	361	371.3	-2.77	6840	7062.6	-3.15	1807	1834.9	-1.52
13/08/2006	18	1797	1827.9	-1.69	580.0	588.2	-1.39	367	371.3	-1.16	6968	7062.6	-1.34	1804	1834.9	-1.69
14/08/2006	19	1803	1827.9	-1.36	562.0	588.2	-4.45	353	371.3	-4.93	6663	7062.6	-5.66	1811	1834.9	-1.30
14/08/2006	20	1795	1827.9	-1.80	591.0	588.2	0.48	369	371.3	-0.62	7170	7062.6	1.52	1800	1834.9	-1.90
15/08/2006	21	1823	1827.9	-0.27	586.0	588.2	-0.37	378	371.3	1.81	7116	7062.6	0.76	1839	1834.9	0.22
15/08/2006	22	1843	1827.9	0.83	586.0	588.2	-0.37	371	371.3	-0.08	7107	7062.6	0.63	1846	1834.9	0.60
16/08/2006	23	1808	1827.9	-1.09	589.0	588.2	0.14	372	371.3	0.19	7103	7062.6	0.57	1815	1834.9	-1.09
17/08/2006	24	1870	1827.9	2.30	558.0	588.2	-5.13	350	371.3	-5.73	6520	7062.6	-7.68	1872	1834.9	2.02
21/08/2006	26	1857	1827.9	1.59	581.0	588.2	-1.22	364	371.3	-1.96	6878	7062.6	-2.61	1863	1834.9	1.53
21/08/2006	27	1805	1827.9	-1.25	579.0	588.2	-1.56	367	371.3	-1.16	6882	7062.6	-2.56	1823	1834.9	-0.65
22/08/2006	28	1835	1827.9	0.39	583.0	588.2	-0.88	370	371.3	-0.35	6957	7062.6	-1.49	1856	1834.9	1.15
22/08/2006	29	1851	1827.9	1.26	585.0	588.2	-0.54	377	371.3	1.54	7039	7062.6	-0.33	1894	1834.9	3.22
23/08/2006	30	1845	1827.9	0.93	589.0	588.2	0.14	371	371.3	-0.08	7021	7062.6	-0.59	1866	1834.9	1.69
23/08/2006	31	1816	1827.9	-0.65	574.0	588.2	-2.41	362	371.3	-2.50	6827	7062.6	-3.34	1810	1834.9	-1.36
25/08/2006	32	1807	1827.9	-1.14	617.0	588.2	4.90	386	371.3	3.96	7362	7062.6	4.24	1811	1834.9	-1.30
26/08/2006	33	1817	1827.9	-0.60	606.0	588.2	3.03	382	371.3	2.88	7164	7062.6	1.44	1840	1834.9	0.28
26/08/2006	34	1803	1827.9	-1.36	577.0	588.2	-1.90	359	371.3	-3.31	6921	7062.6	-2.00	1806	1834.9	-1.58
27/08/2006	35	1842	1827.9	0.77	661.0	588.2	12.38	428	371.3	15.27	8031	7062.6	13.71	1843	1834.9	0.44
27/08/2006	36	1814	1827.9	-0.76	564.0	588.2	-4.11	353	371.3	-4.93	6745	7062.6	-4.50	1817	1834.9	-0.98
28/08/2006	37	1822	1827.9	-0.32	596.0	588.2	1.33	382	371.3	2.88	7245	7062.6	2.58	1844	1834.9	0.49
28/08/2006	38	1826	1827.9	-0.10	580.0	588.2	-1.39	368	371.3	-0.89	7055	7062.6	-0.11	1832	1834.9	-0.16
29/08/2006	39	1863	1827.9	1.92	599.0	588.2	1.84	387	371.3	4.23	7279	7062.6	3.06	1849	1834.9	0.77
29/08/2006	40	1849	1827.9	1.15	572.0	588.2	-2.75	367	371.3	-1.16	6908	7062.6	-2.19	1850	1834.9	0.82
30/08/2006	41	1856	1827.9	1.54	581.0	588.2	-1.22	367	371.3	-1.16	7027	7062.6	-0.50	1881	1834.9	2.51
01/09/2006	43	1814	1827.9	-0.76	585.0	588.2	-0.54	362	371.3	-2.50	6963	7062.6	-1.41	1813	1834.9	-1.20
01/09/2006	44	1863	1827.9	1.92	602.0	588.2	2.35	382	371.3	2.88	7269	7062.6	2.92	1853	1834.9	0.98
02/09/2006	45	1829	1827.9	0.06	593.0	588.2	0.82	375	371.3	1.00	7131	7062.6	0.97	1832	1834.9	-0.16
03/09/2006	46	1836	1827.9	0.44	614.0	588.2	4.39	392	371.3	5.58	7442	7062.6	5.37	1836	1834.9	0.06
03/09/2006	47	1906	1827.9	4.27	562.0	588.2	-4.45	359	371.3	-3.31	6752	7062.6	-4.40	1898	1834.9	3.44
04/09/2006	48	1799	1827.9	-1.58	619.0	588.2	5.24	394	371.3	6.12	7432	7062.6	5.23	1802	1834.9	-1.79
04/09/2006	48	1779	1827.9	-2.68	620.0	588.2	5.41	398	371.3	7.19	7538	7062.6	6.73	1806	1834.9	-1.58
05/09/2006	49	1808	1827.9	-1.09	587.0	588.2	-0.20	368	371.4	-0.91	7024	7062.2	-0.54	1821	1835.5	-0.79
05/09/2006	49	1812	1827.9	-0.87	590	588.2	0.31	367	371.3	-1.16	7078	7062.6	0.22	1809	1834.9	-1.41

0609 - Omagalpha Inc. Spec Test Lines Statistics

POTASSIUM						URANIUM						THORIUM						TOTAL COUNT						RALT STP					
LINE	MIN	MAX	MEAN	STD.DEV	NO. OF POINTS	LINE	MIN	MAX	MEAN	STD.DEV	NO. OF POINTS	LINE	MIN	MAX	MEAN	STD.DEV	NO. OF POINTS	LINE	MIN	MAX	MEAN	STD.DEV	NO. OF POINTS	LINE	MIN	MAX	MEAN	STD.DEV	NO. OF POINTS
S9999.7:7	0.3	137.8	83.8	33.3	426	S9999.7:7	0	16.1	6.3	3.3	418	S9999.7:7	0.3	62.8	28.3	12.7	436	S9999.7:7	3.6	1750.8	988.4	422.8	444	S9999.7:7	16.71	77.25	41.15	11.96	444
S9999.6:6	1.2	132.3	80.4	30.6	388	S9999.6:6	0	13.8	6.1	2.9	357	S9999.6:6	0.2	59.3	28.2	12.5	402	S9999.6:6	0.2	1639.5	947.8	421.7	413	S9999.6:6	24.51	110.57	50.24	15.7	423
S999.15:15	0.2	129.8	77.1	28.7	579	S999.15:15	0.1	12.4	4.7	2.4	506	S999.15:15	0.1	56.3	27.4	10.9	586	S999.15:15	3.7	1599.1	936.3	346.8	580	S999.15:15	34.63	106.96	55.37	14.31	601
S9999.10:10	0.2	140.9	81.2	30.3	473	S9999.10:10	0	15.4	6.4	3	470	S9999.10:10	0	62.7	28.6	11.9	487	S9999.10:10	14.6	1724.1	984.4	406	499	S9999.10:10	14.27	80.67	43.65	13.13	499
S9999.11:11	0.1	127.3	74.1	30.4	387	S9999.11:11	0.2	13	5.2	2.8	350	S9999.11:11	0.1	57.2	26.3	11.7	397	S9999.11:11	3.5	1579.2	917.1	386.5	398	S9999.11:11	15.77	94.24	47.85	14.9	400
S999.9:9	0.1	155.8	84.1	33.3	585	S999.9:9	0.1	18.2	7.1	3.5	562	S999.9:9	0.3	61.3	28.5	11.7	587	S999.9:9	0.3	1900.8	1021.8	417.3	602	S999.9:9	4.26	78.2	33.95	17.67	605
S9999.12:12	0.1	138	78.2	29.3	414	S9999.12:12	0	17.3	5.6	3.1	381	S9999.12:12	0.1	59.9	27.5	11.7	427	S9999.12:12	1.5	1561.8	939.8	393.9	433	S9999.12:12	16.58	80.87	47.78	13.72	435
S9999.9:9	0.3	126.3	77.4	29.7	393	S9999.9:9	0	13.6	4.6	2.8	355	S9999.9:9	0	47.6	26.3	11.4	408	S9999.9:9	9.8	1520.6	932.8	357.2	400	S9999.9:9	24.85	104.76	53.58	17.97	419
S9999.15:15	0.1	134.5	74.2	28	438	S9999.15:15	0.2	12.1	5	2.5	399	S9999.15:15	0.1	47.7	25.4	10.7	458	S9999.15:15	1.9	1511.2	885.1	358.9	457	S9999.15:15	23.19	76.48	51.06	10.46	460
S9999.13:13	0.6	134.7	78.6	29.9	423	S9999.13:13	0.1	17	7	3.3	438	S9999.13:13	0.3	55.4	28.1	11.9	433	S9999.13:13	40.3	1657.5	1000.1	399.4	443	S9999.13:13	23.17	90.73	55.11	13.71	443
S9999.14:14	37.7	109.7	73.9	16.5	457	S9999.14:14	5.1	16	10.1	2	457	S9999.14:14	17.6	49	30.3	5.7	457	S9999.14:14	635.3	1422.6	1066.8	189.8	457	S9999.14:14	19.22	89.91	55.99	14.55	457
S9999.8:8	0.1	130	79	31.6	421	S9999.8:8	0.1	17.1	6.2	2.9	399	S9999.8:8	0.3	52.2	27.7	11.4	429	S9999.8:8	6.6	1647.6	952.5	405.6	438	S9999.8:8	5.11	67.83	35.75	11.95	438
S9999.16:16	0.1	129.3	69.1	29.1	388	S9999.16:16	0	11.7	5	2.6	355	S9999.16:16	0.2	52	23.9	11.2	403	S9999.16:16	1.4	1467.6	897	357.6	401	S9999.16:16	24.68	93.15	54.36	12.96	405
S9999.17:17	0.2	132.7	78.3	28.9	441	S9999.17:17	0	15.4	5.3	2.9	411	S9999.17:17	0.1	53.7	27.2	11.6	460	S9999.17:17	4	1511.5	929.9	374.9	462	S9999.17:17	33.99	94.56	60.72	11.02	462
S9999.24:24	0.3	133.8	76.9	28.4	397	S9999.24:24	0.2	13.1	5	2.8	349	S9999.24:24	0.1	54.3	26.5	11.6	415	S9999.24:24	1.9	1536.7	918.7	375.6	414	S9999.24:24	39.15	101.69	61.66	11.91	417
S9999.26:26	0	141.5	74.7	30.6	406	S9999.26:26	0.1	16.4	6.8	3.4	414	S9999.26:26	0	50	26.6	12	420	S9999.26:26	48.5	1680.1	940.8	404.4	427	S9999.26:26	34.55	83.34	54.3	10.97	427
S999.18:18	0.1	121.5	74.2	24.7	425	S999.18:18	0	15.1	4.5	2.7	366	S999.18:18	0	55	26.1	11.3	447	S999.18:18	0.8	1396.1	910.6	336.6	441	S999.18:18	37.65	100.21	64.54	13.09	450
S9999.18:18	0	153.5	79.9	31.3	440	S9999.18:18	0	11.4	4.5	2.5	387	S9999.18:18	0.4	60.1	27.6	12.8	466	S9999.18:18	0.1	1685.7	953.1	377.1	453	S9999.18:18	39.98	92.84	61.64	12.57	468
S9999.19:19	0.2	134.7	77.3	29.9	411	S9999.19:19	0	17.4	5.2	2.7	389	S9999.19:19	0.1	52.4	27.4	11.8	420	S9999.19:19	1.5	1557.1	942.6	370	421	S9999.19:19	29.91	95.94	60.35	11.75	422
S9999.21:21	0.4	127.3	79.2	28.6	450	S9999.21:21	0.1	14.8	5.7	3	441	S9999.21:21	0.1	51.7	27.1	11.4	465	S9999.21:21	1.4	1586.3	953	377.7	471	S9999.21:21	30.3	86.65	56.9	10.64	471
S9999.23:23	0.1	128.3	74.9	28.1	509	S9999.23:23	0	13.1	5.4	2.6	479	S9999.23:23	0	56	26.5	11.3	521	S9999.23:23	7.4	1556.2	918.6	367.3	528	S9999.23:23	24.87	81.89	53.09	10.24	532
S999.24:24	0.1	137.6	73.6	27.2	512	S999.24:24	0	13.3	4.1	2.7	408	S999.24:24	0.3	49.9	26.6	10.8	529	S999.24:24	0.3	1391.1	851.6	332.2	535	S999.24:24	42.14	193.04	111.99	30.22	535
S9999.28:28	0.2	132.8	77.7	28.6	396	S9999.28:28	0	13.8	5.9	3.1	402	S9999.28:28	0	51.3	26.5	11.4	412	S9999.28:28	7.1	1523.9	912.3	403.9	429	S9999.28:28	24.22	78.19	51.7	9.77	429
S9999.35:35	0.3	129.1	76.3	29.3	413	S9999.35:35	0	15	6.3	3.1	415	S9999.35:35	0	49.6	27.1	11.8	421	S9999.35:35	30.8	1508.5	956.3	371.6	428	S9999.35:35	31.83	85.37	54.39	10.94	428
S9999.33:33	0.3	130.3	75.8	28.8	417	S9999.33:33	0	14.5	5.5	3	402	S9999.33:33	0	53.1	27.1	11.2	427	S9999.33:33	6.3	1527	925.8	374	436	S9999.33:33	29.52	81.25	53.77	11.63	437
S9999.37:37	0.3	141.7	78.7	30	432	S9999.37:37	0.1	14.3	5.7	3	399	S9999.37:37	0.1	53.1	27.2	11.3	437	S9999.37:37	2.3	1548.3	954.7	366.5	441	S9999.37:37	40.55	99.25	63.02	13.26	445
S9999.30:30	0.1	142.2	77.6	28.3	385	S9999.30:30	0	15.7	5.9	3.2	386	S9999.30:30	0.1	52.4	27	11.3	401	S9999.30:30	14.9	1490.1	930.4	381.1	410	S9999.30:30	26.05	87.9	56.96	11.99	410
S9999.20:20	0.4	136.7	78.7	28.6	478	S9999.20:20	0	15.6	5.3	2.8	442	S9999.20:20	0	59.6	27.4	11.7	493	S9999.20:20	2.2	1586.5	935.5	369.6	495	S9999.20:20	34.71	94.32	58.22	12.13	502
S9999.38:38	0.1	150.9	82.2	30.6	457	S9999.38:38	0.1	14.5	6.1	2.9	435	S9999.38:38	0	58.6	27.7	11.8	472	S9999.38:38	1.8	1518.8	960.3	386.5	477	S9999.38:38	33.43	88.87	58.17	12.26	480
S9999.36:36	0.4	139.8	81.8	30.8	453	S9999.36:36	0	13.1	5.8	2.7	423	S9999.36:36	0.2	57.4	28.3	12	488	S9999.36:36	6.4	1553.4	954.8	392.5	474	S9999.36:36	39.47	112.58	60.49	11.09	474
S9999.41:41	0.6	138.3	78.6	29.1	387	S9999.41:41	0.1	14.8	6.4	2.9	383	S9999.41:41	0.1	51.6	28	11.5	399	S9999.41:41	36.5	1579.1	963.3	375.1	404	S9999.41:41	28.01	87.49	58.25	12.64	404
S9999.43:43	0.1	137.7	75.5	30.4	389	S9999.43:43	0	12.8	4.6	2.4	331	S9999.43:43	0.1	51.2	26.2	11.2	395	S9999.43:43	0	1461.1	912.4	363.2	394	S9999.43:43	24.73	90.79	52.47	12.74	402
S9999.39:39	0	133.4	76.2	30	388	S9999.39:39	0	14.2	6.4	3.1	374	S9999.39:39	0.1	52.7	27.1	11.7	398	S9999.39:39	28	1507.5	956	376.6	400	S9999.39:39	37.16	103.62	63.88	13.87	400
S9999.40:40	0	139.4	79.3	30.5	391	S9999.40:40	0	15.5	7.4	3.3	400	S9999.40:40	0.1	53	27.2	11.7	401	S9999.40:40	35	1576.2	973.3	398.1	410	S9999.40:40	31.69	88.61	56.42	11.32	410
S9999.44:44	0.1	147.6	81.1	30.9	496	S9999.44:44	0	16.6	6.7	3.2	501	S9999.44:44	0.1	53.8	27.3	11.8	515	S9999.44:44	9.1	1597.9	954.7	430.3	536	S9999.44:44	38.4	111.8	56.48	11.35	536
S9999.42:42	4.1	139	78.3	24.8	312	S9999.42:42	0	12.1	4.3	2.5	275	S9999.42:42	2.5	59.9	26	11.1	312	S9999.42:42	64.3	1694.8	926.9	292.2	312	S9999.42:42	8.11	92.19	39.21	20.98	312
S9999.46:46	0.1	136.1	79.2	30.2	485	S9999.46:46	0.1	15	5.3	3	463	S9999.46:46	0.1	54.2	27.7	11.4	498	S9999.46:46	1.5	1537	928.8	407.8	518	S9999.46:46	29.59	98.72	57.55	14.9	519
S999.45:45	0.1	139.5	79.8	29.8	455	S999.45:45	0.1	13.4	5.3	2.6	430	S999.45:45	0.7	54.3	26.9	11.3	474	S999.45:45	0.4	1512.6	927.5	389.4	480	S999.45:45	33.49	97.27	60.17	13.76	482
S9999.22:22	0.2	134.9	79.8	30.2	448	S9999.22:22	0.1	15	6.8	3.3	464	S9999.22:22	0.1	54.8	27.4	12.4	473	S9999.22:22	5.2	1559.2	941.1	423.6	489	S9999.22:22	35.26	87.35	56.13	9.5	489
S9999.45:45	0	141.4	83.4	32.4	510	S9999.45:45	0	18.5	5.9	3.4	466	S9999.45:45	0.1	58.1	28.5	12.6	531	S9999.45:45	0.6	1660.6	978.3	420	536	S9999.45:45	36.63	107.42	59.87	12.23	539
S999.48:48	0	133	73.7	29.6	419	S999.48:48	0.1	14.8	5	2.6	368	S999.48:48	0	49.9	25.9	12.1	437	S999.48:48	0.4	1491	908.6	358.6	427	S999.48:48	32.13	92.46	60.86	13.57	449
S99999.24:24	0.1	135.3	78.1	30.1	474	S99999.24:24	0.4	16	8.3	3.4	504	S99999.24:24	0.1	52	26.9	12.1	496	S99999.24:24	47.4	1577.5	963.9	422.6	512	S99999.24:24	28.04	96.05	57.91	11.89	512
S9999.48:48	0.7	135.6	76.8	27.3	479	S9999.48:48	0	12.4	5	2.6	429	S9999.48:48	0.1	54.7	27.1	11	496	S9999.48:48	0.3	1469.2	911.6	368.6	504	S9999.48:48	26.94	87.38	54.43	14.48	509
S99999.49:49	0.5	146	75.6	31.8	438	S99999.49:49	0	18.8	5	3	375	S99999.49:49	0.6	54.5	27.1	11.5	452	S99999.49:49	0.7	1373.5	881.4	374.4	459	S99999.49:49	32.35	177.98	89.5	36.73	460
S9999.27:27	0.7	137.5	80.6	30.5	388	S9999.27:27	0	15.8	5.6	2.8	367	S9999.27:27	0	50.9	27.8	11.7	398	S9999.27:27	0.8	1666.6	961	382	401	S9999.27:27	31.56	82.84	55.68	8.42	410
S9999.49:49	0.4	114.9	73.7	28	331	S9999.49:49	0.1	11.4	4.8	2.9	269	S9999.49:49	0.1	48	26.6	11	340	S9999.49:49	0.6	1484.5	893.8	347.5	341	S9999.49:49	32.92	178.94	87.49	39.55	346
S999.49:49	0.4	137.6	75.9	27.5	341	S999.49:49	0.1	10.7	3.6	2.2	264	S999.49:49	0.4	50.5	25.7	11.1	367	S999.49:49	1.3	1335.6	855.9	353.7	367	S999.49:49	45.02	164.14	98.31	28.29	381
S9999.34:34	0.3	143.1	80.3	29.5	424	S9999.34:34	0.1	15.6	5.8	3.1	401	S9999.34:34	0	56.1	26.6	11.9	446	S9999.34:34	0.2	1531.7	938.4	385.2	446	S9999.34:34	33.55	91.45	57.77	12.02	446
ALL	0	155.8	77.9	29.6	20749	ALL	0	18.8	5.8	3.1	19479	ALL	0	62.8	27.2	11.6	21411	ALL	0	1900.8	940.7	381.7	21649	ALL	4.26	193.04	58.1	21.05	21824

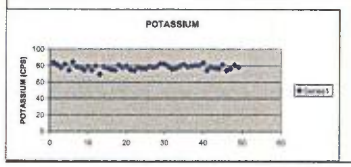

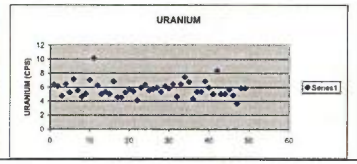

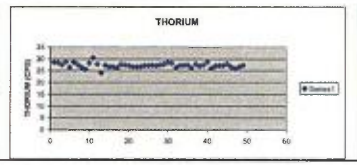

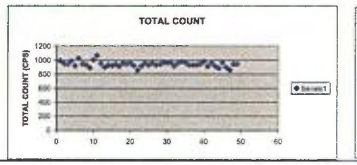

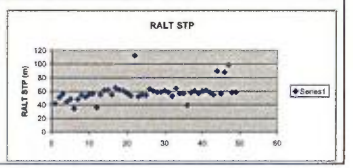

AIRBORNE GEOPHYSICAL FLIGHT LOG

CLIENT:	OMEGALPHA Inc.	BLOCK:	JOB: 0609	PAGE	1 of 1
FLT #:	01	Date (dd/mm/yr): 27/07/06		OPERATOR:	Paul Beaubien
PILOT:	David	O.A.T.: /		A/C REG:	N124AL
DEPART TIME:	11:10	RETURN TIME:	11:30	FLIGHT TIME (HRS):	0:20
SURVEY HEIGHT:	50 M	NOVATEL GPS FILE:			
		GEM/NOVATEL BMAG FILE:			
		BLUE BOX BMAG AND GPS TIME FILE:			
		OTHERS:			

Line	Time	Fid	AIR MAG SDAS FILE .DAT / Radar Altitude Test	AIR SPEC BINARY FILE .P??	Comments
	165	205			50'
	325	360			100'
	475	505			150'
	625	655			200'
	760	795			250'
	920	950			300'

ANY LINE REFLOWN SHOULD HAVE THE LINE NUMBER INCREMENTED BY 1 EACH TIME

SPECTROMETER SAMPLE CALIBRATION CHECKS

Presurvey Spec Calibration

Cs137 Peak Chan:

	Start	End	Comments
BKG	1	60	
Cs 137	150	270	
U	340	660	
Th	780	900	
BKG	950	1010	

Binary File:

	Resolution	Channel	Start
1st Crystal	9.4	56.9	
2nd Crystal	9.6	56.8	
3rd Crystal	9.5	55.6	
4th Crystal	9.4	57.0	
5th UP Crystal	10.5	56.2	

Postsurvey Spec Calibration

Cs137 Peak Chan:

	Start	End	Comments
BKG			
Cs 137			
U			
Th			
BKG			

Binary File:

	Resolution	Channel	End
1st Crystal			
2nd Crystal			
3rd Crystal			
4th Crystal			
5th UP Crystal			

AIRBORNE GEOPHYSICAL FLIGHT LOG

McPHAR

CLIENT:	OMEGALPHA Inc.	BLOCK:	JOB: 0609	PAGE	1 of 1
FLT #:	02	Date (dd/mm/yr):	27/07/06	OPERATOR:	Paul Beaubien
PILOT:	David	O.A.T.:	/	A/C REG:	N124AL
DEPART TIME:	13:30	RETURN TIME:	15:05	FLIGHT TIME (HRS):	1:35
SURVEY HEIGHT:	50 M	NOVATEL GPS FILE:			
		GEM/NOVATEL BMAG FILE:			
		BLUE BOX BMAG AND GPS TIME FILE:			
		OTHERS:			

Line	Time/Fid	AIR MAG SDAS FILE .DAT	AIR SPEC BINARY FILE .P??	Comments
		Cosmic Test		4000'
				5000'
				6000'
				7000'
				8000'
				Too Cold
				Too High

ANY LINE REFLOWN SHOULD HAVE THE LINE NUMBER INCREMENTED BY 1 EACH TIME

SPECTROMETER SAMPLE CALIBRATION CHECKS

Presurvey Spec Calibration

Cs137 Peak Chan: _____

	Start	End	Comments
BKG			
Cs 137			
U			
Th			
BKG			

Binary File:

	Resolution	Channel	Start
1st Crystal			
2nd Crystal			
3rd Crystal			
4th Crystal			
5th UP Crystal			

Postsurvey Spec Calibration

Cs137 Peak Chan: _____

	Start	End	Comments
BKG			
Cs 137			
U			
Th			
BKG			

Binary File:

	Resolution	Channel	End
1st Crystal			
2nd Crystal			
3rd Crystal			
4th Crystal			
5th UP Crystal			

AIRBORNE GEOPHYSICAL FLIGHT LOG

McPHAR | McPHAR

CLIENT:	OMEGALPHA Inc.	BLOCK:	JOB: 0609	PAGE	1 of 1
FLT #:	03	Date (dd/mm/yr):	27/07/06	OPERATOR:	Paul Beaubien
PILOT:	David	O.A.T.:	/	A/C REG:	N124AL
DEPART TIME:	15:50	RETURN TIME:	16:30	FLIGHT TIME (HRS):	0:40
SURVEY HEIGHT:	50 M	NOVATEL GPS FILE:			
		GEM/NOVATEL BMAG FILE:			
		BLUE BOX BMAG AND GPS TIME FILE:			
		OTHERS:			

Line	Time/Fid		AIR MAG SDAS FILE .DAT	AIR SPEC BINARY FILE .P??	Comments
			Attenuation Test		
	540	1120			150'
	1135	1670			250'
	1700	2170			350'
	2220	2625			450'
					550'
					650'
					750'
					850'

ANY LINE REFLOWN SHOULD HAVE THE LINE NUMBER INCREMENTED BY 1 EACH TIME

SPECTROMETER SAMPLE CALIBRATION CHECKS

Presurvey Spec Calibratior

Cs137 Peak Chan: _____

	Start	End	Comments
BKG			
Cs 137			
U			
Th			
BKG			

Postsurvey Spec Calibratior

Cs137 Peak Chan: _____

	Start	End	Comments
BK	1	60	
Cs	75	200	
U	230	350	
Th	370	490	
BK	500	600	

Binary File:

	Resolution	Channel	Start
1st Crystal			
2nd Crystal			
3rd Crystal			
4th Crystal			
5th UP Crystal			

Binary File:

	Resolution	Channel	End
1st Crystal	9.5	56.5	
2nd Crystal	9.6	56.3	
3rd Crystal	9.6	55.6	
4th Crystal	9.4	56.8	
5th UP Crystal	10.3	55.4	

AIRBORNE GEOPHYSICAL FLIGHT LOG

CLIENT:	OMEGALPHA Inc.	BLOCK:	JOB: 0609	PAGE	1 of 1
FLT #:	04	Date (dd/mm/yr):	28/07/06	OPERATOR:	Paul Beaubien
PILOT:	David	O.A.T.:	/	A/C REG:	N124AL
DEPART TIME:	6:40	RETURN TIME:	7:30	FLIGHT TIME (HRS):	0:50
SURVEY HEIGHT:	50 M	NOVATEL GPS FILE:			
		GEM/NOVATEL BMAG FILE:			
		BLUE BOX BMAG AND GPS TIME FILE:			
		OTHERS:			

Line	Time	Fid	AIR MAG SDAS FILE .DAT	AIR SPEC BINARY FILE .P??	Comments
				Ferry from Camp to George river	

ANY LINE REFLOWN SHOULD HAVE THE LINE NUMBER INCREMENTED BY 1 EACH TIME

SPECTROMETER SAMPLE CALIBRATION CHECKS

Presurvey Spec Calibratior

Cs137 Peak Chan: _____

	Start	End	Comments
BKG			
Cs 137			
U			
Th			
BKG			

Postsurvey Spec Calibratior

Cs137 Peak Chan: _____

	Start	End	Comments
BKG			
Cs 137			
U			
Th			
BKG			

Binary File:

	Resolution	Channel	Start
1st Crystal			
2nd Crystal			
3rd Crystal			
4th Crystal			
5th UP Crystal			

Binary File:

	Resolution	Channel	End
1st Crystal			
2nd Crystal			
3rd Crystal			
4th Crystal			
5th UP Crystal			

AIRBORNE GEOPHYSICAL FLIGHT LOG

CLIENT:	OMEGALPHA Inc.	BLOCK:	JOB: 0609	PAGE	1 of 1
FLT #:	05	Date (dd/mm/yr): 28/07/06		OPERATOR:	Paul Beaubien
PILOT:	David	O.A.T.: /		A/C REG:	N124AL
DEPART TIME:	9:05	RETURN TIME:	9:20	FLIGHT TIME (HRS):	0:15
SURVEY HEIGHT:	50 M	NOVATEL GPS FILE:			
		GEM/NOVATEL BMAG FILE:			
		BLUE BOX BMAG AND GPS TIME FILE:			
		OTHERS:			

Line	Time/Fid		AIR MAG SDAS FILE .DAT	AIR SPEC BINARY FILE .P??	Comments
				Altitude Attenuation	
	370	655			150'
	705	880			200'
	925	1125			400'
	1180	1305			600'
	1355	1530			800'
	1585	1715			1000'
	2080	2610		Test Line	
				Lag Test	
	35	80			225°
	100	130			45°
	220	250			135°
	275	300			315°

ANY LINE REFLOWN SHOULD HAVE THE LINE NUMBER INCREMENTED BY 1 EACH TIME

SPECTROMETER SAMPLE CALIBRATION CHECKS

Presurvey Spec Calibration				Postsurvey Spec Calibration			
	Cs137 Peak Chan:				Cs137 Peak Chan:		
	Start	End	Comments		Start	End	Comments
BKG	1	60		BKG			
Cs 137	110	230		Cs 137			
U	300	420		U			
Th	490	610		Th			
BKG	730	820		BKG			

Binary File:				Binary File:			
	Resolution	Channel	Start		Resolution	Channel	End
1st Crystal	9.5	56.3		1st Crystal			
2nd Crystal	9.7	56.5		2nd Crystal			
3rd Crystal	9.3	55.5		3rd Crystal			
4th Crystal	9.3	56.4		4th Crystal			
5th UP Crystal	10.1	56		5th UP Crystal			

AIRBORNE GEOPHYSICAL FLIGHT LOG

CLIENT:	OMEGALPHA Inc.	BLOCK:	JOB: 0609 ##	PAGE	1 of 1
FLT #:	06	Date (dd/mm/yr): 28/07/06		OPERATOR:	Paul Beaubien
PILOT:	David	O.A.T.: /		A/C REG:	N124AL
DEPART TIME:	10:05	RETURN TIME:	15:20	FLIGHT TIME (HRS):	5:15
SURVEY HEIGHT:	50 M	NOVATEL GPS FILE:	GR_July27a5		
		GEM/NOVATEL BMAG FILE:	G6072817.T57		
		BLUE BOX BMAG AND GPS TIME FILE:	M6072812 - M6072821		
		OTHERS:			

Line	Time/Fid		AIR MAG SDAS FILE .DAT	AIR SPEC BINARY FILE .P??	Comments
N2400	1805	3770	sdas1-20060728_101455	B6072810.P20	
S2390	3886	5651			
N2380	6612	8160			
S2370	8230	9781			
N2360	10820	11970			
S2350	12010	13156			
N2410	14180	16110			
S2420	16190	17920			

ANY LINE REFLOWN SHOULD HAVE THE LINE NUMBER INCREMENTED BY 1 EACH TIME

SPECTROMETER SAMPLE CALIBRATION CHECKS

Presurvey Spec Calibration — Cs137 Peak Chan: _____

	Start	End	Comments
BKG			
Cs 137			
U			
Th			
BKG			

Binary File:

Postsurvey Spec Calibration — Cs137 Peak Chan: _____

	Start	End	Comments
BKG			
Cs 137			
U			
Th			
BKG			

Binary File:

	Resolution	Channel	Start
1st Crystal			
2nd Crystal			
3rd Crystal			
4th Crystal			
5th UP Crystal			

	Resolution	Channel	End
1st Crystal			
2nd Crystal			
3rd Crystal			
4th Crystal			
5th UP Crystal			

AIRBORNE GEOPHYSICAL FLIGHT LOG

CLIENT:	OMEGALPHA Inc.	BLOCK:	JOB:0609	PAGE	1 of 1
FLT #:	07	Date (dd/mm/yr):	28/07/06	OPERATOR:	Paul Beaubien
PILOT:	David	O.A.T.:	/	A/C REG:	N124AL
DEPART TIME:	15:40	RETURN TIME:	17:20	FLIGHT TIME (HRS):	1:40
SURVEY HEIGHT:	50 M	NOVATEL GPS FILE:	GR_July27a5		
		GEM/NOVATEL BMAG FILE:	66072817.T57		
		BLUE BOX BMAG AND GPS TIME FILE:	M6072812 - M6072821		
		OTHERS:			

Line	Time	Fid	AIR MAG SDAS FILE .DAT	AIR SPEC BINARY FILE .P??	Comments
L2430	179	1776	sdas1-20060728_153827	B6072815.P40, B6072817.P46	
L2440	1940	3563			

ANY LINE REFLOWN SHOULD HAVE THE LINE NUMBER INCREMENTED BY 1 EACH TIME

SPECTROMETER SAMPLE CALIBRATION CHECKS

Presurvey Spec Calibratior				Postsurvey Spec Calibratior			
	Cs137 Peak Chan:				Cs137 Peak Chan:		
	Start	End	Comments		Start	End	Comments
BKG				BKG	1	60	
Cs 137				Cs 13	150	270	
U				U	310	430	
Th				Th	460	580	
BKG				BKG	600	720	
Binary File:				Binary File:			B6072817.P46

	Resolution	Channel	Start		Resolution	Channel	End
1st Crystal				1st Crystal	9.4	56.7	
2nd Crystal				2nd Crystal	9.5	56.7	
3rd Crystal				3rd Crystal	9.2	56.0	
4th Crystal				4th Crystal	9.0	56.9	
5th UP Crystal				5th UP Crystal	9.5	55.7	

AIRBORNE GEOPHYSICAL FLIGHT LOG

CLIENT:	OMEGALPHA Inc.	BLOCK:	JOB: 0609	PAGE	1 of 1
FLT #:	08	Date (dd/mm/yr):	31/07/06	OPERATOR:	Paul Beaubien
PILOT:	David	O.A.T.:	/	A/C REG:	N124AL
DEPART TIME:	15:15	RETURN TIME:	20:00	FLIGHT TIME (HRS):	4:45
SURVEY HEIGHT:	50 M	NOVATEL GPS FILE:	GR_July28a1		
		GEM/NOVATEL BMAG FILE:	G6072817.T57		
		BLUE BOX BMAG AND GPS TIME FILE:	M6073112 - M6073123		
		OTHERS:			

Line	Time	Fid	AIR MAG SDAS FILE .DAT	AIR SPEC BINARY FILE .P??	Comments
D1.1	140	640	sdas1-20060731_151439	B6073115.P16	
L2340	1400	3290			
L2330	3420	5304			
L2320	6390	8460			
L2310	8500	10150			
L2300	11260	13140			
L2290	13190	14935			

ANY LINE REFLOWN SHOULD HAVE THE LINE NUMBER INCREMENTED BY 1 EACH TIME

SPECTROMETER SAMPLE CALIBRATION CHECKS

Presurvey Spec Calibration 8:45

Cs137 Peak Chan: _____

	Start	End	Comments
BKG	1	60	
Cs 137	130	250	
U	370	490	
Th	620	740	
BKG	800	880	

Binary File: B6073108.P54

	Resolution	Channel	Start 9:00
1st Crystal	9.6	56.7	
2nd Crystal	9.6	56.9	
3rd Crystal	9.7	55.9	
4th Crystal	9.5	56.7	
5th UP Crystal	10.8	55.8	

Presurvey Spec Calibration 15:0(

Cs137 Peak Chan: _____

	Start	End	Comments
BKG	1	60	
Cs 13	90	210	
U	270	390	
Th	420	540	
BKG	560	620	

Binary File: B6073115.P06

	Resolution	Channel	End
1st Crystal			
2nd Crystal			
3rd Crystal			
4th Crystal			
5th UP Crystal			

AIRBORNE GEOPHYSICAL FLIGHT LOG

McPHAR | McPHAR

CLIENT:	OMEGALPHA Inc.	BLOCK: T	JOB:0609	PAGE	1 of 1
FLT #:	09	Date (dd/mm/yr): 01/08/06		OPERATOR:	Paul Beaubien
PILOT:	David	O.A.T.: 9C / 2984		A/C REG:	N124AL
DEPART TIM	11.2 11:20	RETURN TIME:	14:40	FLIGHT TIME (HRS):	3:20
SURVEY HEIGHT:	50 M	NOVATEL GPS FILE:	GR_Aug1a		
		GEM/NOVATEL BMAG FILE:	G6080118.T17		
		BLUE BOX BMAG AND GPS TIME FILE:	M6080112 - M6080121		
		OTHERS:			

Line	Time	Fid	AIR MAG SDAS FILE .DAT	AIR SPEC BINARY FILE .P??	Comments
L2280	1665	3450	sdas1-20060801_111933	B6080112.P33	
L2270	3548	5243			
L2260	6484	7811			
L2250	7824	9205			

ANY LINE REFLOWN SHOULD HAVE THE LINE NUMBER INCREMENTED BY 1 EACH TIME

SPECTROMETER SAMPLE CALIBRATION CHECKS

Presurvey Spec Calibration 10.4

Cs137 Peak Chan: _____

	Start	End	Comments
BKG	1	60	
Cs 137	150	270	
U	350	470	
Th	560	680	
BKG	720	780	

Binary File: B6080110.P44

	Resolution	Channel	Start
1st Crystal	9.6	57.0	
2nd Crystal	9.7	56.7	
3rd Crystal	9.5	55.6	
4th Crystal	9.5	56.7	
5th UP Crystal	11.2	55.7	

Postsurvey Spec Calibratior

Cs137 Peak Chan: _____

	Start	End	Comments
BKG			
Cs 137			
U			
Th			
BKG			

Binary File:

	Resolution	Channel	End
1st Crystal			
2nd Crystal			
3rd Crystal			
4th Crystal			
5th UP Crystal			

AIRBORNE GEOPHYSICAL FLIGHT LOG

CLIENT:	OMEGALPHA Inc.	BLOCK:	JOB:0609	PAGE	1 of 1
FLT #:	10	Date (dd/mm/yr): 01/08/06		OPERATOR:	Paul Beaubien
PILOT:	David	O.A.T.: 15C / 2979		A/C REG:	N124AL
DEPART TIM	15:00	18.10 RETURN TIME:	18:10	FLIGHT TIME (HRS):	3:10
SURVEY HEIGHT:	50 M	NOVATEL GPS FILE:	GR_Aug1a		
		GEM/NOVATEL BMAG FILE:	G6080118.T17		
		BLUE BOX BMAG AND GPS TIME FILE:	M6080112 - M6080121		
		OTHERS:			

Line	Time	Fid	AIR MAG SDAS FILE .DAT	AIR SPEC BINARY FILE .P??	Comments
L2240	2421	3327	sdas1-20060801_150054	B6080116.P19	
L2230	3361	4169			
L2220	5669	7134			
L2200	7169	8770			

ANY LINE REFLOWN SHOULD HAVE THE LINE NUMBER INCREMENTED BY 1 EACH TIME

SPECTROMETER SAMPLE CALIBRATION CHECKS

Presurvey Spec Calibration 10.45

Cs137 Peak Chan:

	Start	End	Comments
BKG			
Cs 137			
U			
Th			
BKG			

Binary File:

	Resolution	Channel	Start
1st Crystal			
2nd Crystal			
3rd Crystal			
4th Crystal			
5th UP Crystal			

Postsurvey Spec Calibration 18.25

Cs137 Peak Chan:

	Start	End	Comments
BK	1	60	
Cs	110	230	
U	300	420	
Th	480	600	
BK	620	680	

Binary File: B6080119.P58

	Resolution	Channel	End 18.20
1st Crystal	9.6	56.5	
2nd Crystal	9.6	56.1	
3rd Crystal	9.6	56.1	
4th Crystal	9.5	56.4	
5th UP Crystal	10.8	54.9	

AIRBORNE GEOPHYSICAL FLIGHT LOG

McPHAR

CLIENT:	OMEGALPHA Inc.	BLOCK:	JOB:0609	PAGE	1 of 1
FLT #:	11	Date (dd/mm/yr): 02/08/06		OPERATOR:	Paul Beaubien
PILOT:	David	O.A.T.: 13C / 2967		A/C REG:	N124AL
DEPART TIM	6.55 6:55	12.45 RETURN TIME:	12:35	FLIGHT TIME (HRS):	5:40
SURVEY HEIGHT:	50 M	NOVATEL GPS FILE:	GR_Aug2a		
		GEM/NOVATEL BMAG FILE:	G6080218.T18		
		BLUE BOX BMAG AND GPS TIME FILE:	M6080211 - M6080220		
		OTHERS:			

Line	Time	Fid	AIR MAG SDAS FILE .DAT	AIR SPEC BINARY FILE .P??	Comments
L2210	2300	4110	sdas1-20060802_075340	B6080208.P56	
L2190	4141	5843			
L2180	7128	8901			
L2170	8916	10641			
L2160	12025	13823			
L2150	13857	15762			

ANY LINE REFLOWN SHOULD HAVE THE LINE NUMBER INCREMENTED BY 1 EACH TIME

SPECTROMETER SAMPLE CALIBRATION CHECKS

Presurvey Spec Calibration 7.3

Cs137 Peak Chan:

	Start	End	Comments
BKG	40.0	100.0	
Cs 137	250.0	310.0	
U	400.0	520.0	
Th	600.0	720.0	
BKG	760.0	820.0	

Binary File: B6080208.P35

	Resolution	Channel	Start 7.30
1st Crystal	9.7	56.3	
2nd Crystal	9.6	56.7	
3rd Crystal	9.3	55.9	
4th Crystal	9.4	56.4	
5th UP Crystal	9.8	55.2	

Postsurvey Spec Calibration

Cs137 Peak Chan:

	Start	End	Comments
BK	1	60	
Cs	110	230	
U	300	420	
Th	480	600	
BK	620	680	

Binary File:

	Resolution	Channel	End
1st Crystal			
2nd Crystal			
3rd Crystal			
4th Crystal			
5th UP Crystal			

AIRBORNE GEOPHYSICAL FLIGHT LOG

CLIENT:	OMEGALPHA Inc.	BLOCK:	JOB:0609	PAGE	1 of 1
FLT #:	12	Date (dd/mm/yr): 02/08/06		OPERATOR:	Paul Beaubien
PILOT:	David	O.A.T.: 18C / 2970		A/C REG:	N124AL
DEPART TIM	13.25 13:25	18.10 RETURN TIME:	17:55	FLIGHT TIME (HRS):	4:30
SURVEY HEIGHT:	50 M	NOVATEL GPS FILE:	GR_Aug2a		
		GEM/NOVATEL BMAG FILE:	G6080218.T18		
		BLUE BOX BMAG AND GPS TIME FILE:	M6080211 - M6080220		
		OTHERS:			

Line	Time	Fid	AIR MAG SDAS FILE .DAT	AIR SPEC BINARY FILE .P??	Comments
L2140	1396	3177	sdas1-20060802_132247	B6080214.P53	
L2130	3221	5050			
L2120	6413	8230			
L2110	8255	10125			
L2100	11378	13030			
L2090	13071	14841			

ANY LINE REFLOWN SHOULD HAVE THE LINE NUMBER INCREMENTED BY 1 EACH TIME

SPECTROMETER SAMPLE CALIBRATION CHECKS

Presurvey Spec Calibration				Postsurvey Spec Calibration 18.3(			
	Cs137 Peak Chan:				Cs137 Peak Chan:		
	Start	End	Comments		Start	End	Comments
BKG				BKG	1	60	
Cs 137				Cs 13	150	270	
U				U	340	460	
Th				Th	520	640	
BKG				BKG	690	750	
Binary File:				Binary File:			B6080220.P17

	Resolution	Channel	Start		Resolution	Channel	End 18.15
1st Crystal				1st Crystal	9.500	56.7	
2nd Crystal				2nd Crystal	9.600	57.4	
3rd Crystal				3rd Crystal	9.400	55.9	
4th Crystal				4th Crystal	9.200	56.7	
5th UP Crystal				5th UP Crystal	9.900	55.8	

AIRBORNE GEOPHYSICAL FLIGHT LOG

CLIENT:	OMEGALPHA Inc.	BLOCK:	JOB:0609	PAGE	1 of 1
FLT #:	13	Date (dd/mm/yr): 03/08/06		OPERATOR:	Paul Beaubien
PILOT:	David	O.A.T.: 13C / 2972		A/C REG:	N124AL
DEPART TIME	8.05 8:05	12.00 RETURN TIME:	11:40	FLIGHT TIME (HRS):	3:35
SURVEY HEIGHT:	50 M	NOVATEL GPS FILE:	GR_Aug3a		
		GEM/NOVATEL BMAG FILE:	G6080316.T56		
		BLUE BOX BMAG AND GPS TIME FILE:	M6080311 - M6080320		
		OTHERS:			

Line	Time/Fid		AIR MAG SDAS FILE .DAT	AIR SPEC BINARY FILE .P??	Comments
L2080	1680	2009	sdas1-20060803_075737	B6080309.P58	
L2070	2021	2428			
L2060	2502	2868			
L2050	2880	3329			
L2040	3394	3825			
L2030	3841	4290			
L2020	4325	4689			
L2010	4716	5022			
L2000	5037	5325			
L1990	5360	5676			
L1980	5685	6007			
L1970	8594	8858			
L1960	8884	9166			
L1950	9196	9475			
L1930	9498	9178			
L1920	9743	9902			
L1910	9952	10120			
L1900	10144	10332			
L1890	10342	10529			
L1880	10540	10686			
L1870	10699	10867			
L1860	10877	11028			
L1850	11038	11152			
L1830	11169	11249			
L1820	11261	11339			
L1810	11347	11426			
L1800	11434	11505			
L1790	11514	11583			
L1780	11593	11652			
L1770	11660	11710			

ANY LINE REFLOWN SHOULD HAVE THE LINE NUMBER INCREMENTED BY 1 EACH TIME

SPECTROMETER SAMPLE CALIBRATION CHECKS

Presurvey Spec Calibration 7.35				Postsurvey Spec Calibration			
	Cs137 Peak Chan:				Cs137 Peak Chan:		
	Start	End	Comments		Start	End	Comments
BKG	1	60		BKG			
Cs 137	160	280		Cs 137			
U	350	470		U			
Th	540	660		Th			
BKG	730	860		BKG			
Binary File:			B6080309.P30	Binary File:			

	Resolution	Channel	Start 7.25		Resolution	Channel	End
1st Crystal	10	56		1st Crystal			
2nd Crystal	10	56		2nd Crystal			
3rd Crystal	10	56		3rd Crystal			
4th Crystal	10	57		4th Crystal			
5th UP Crystal	10	56		5th UP Crystal			

AIRBORNE GEOPHYSICAL FLIGHT LOG

CLIENT:	OMEGALPHA Inc.	BLOCK:	JOB:0609	PAGE	1 of 1
FLT #:	14	Date (dd/mm/yr): 03/08/06		OPERATOR:	Paul Beaubien
PILOT:	David	O.A.T.: 15C / 2972		A/C REG:	N124AL
DEPART TIME:	13:05	RETURN TIME:	16:30	FLIGHT TIME (HRS):	3:25
SURVEY HEIGHT:	50 M	NOVATEL GPS FILE:	GR_Aug3a		
		GEM/NOVATEL BMAG FILE:	G6080316.T56		
		BLUE BOX BMAG AND GPS TIME FILE:	M6080311 - M6080320		
		OTHERS:			

Line	Time	Fid	AIR MAG SDAS FILE .DAT	AIR SPEC BINARY FILE .P??	Comments
L2080.1	1646	3060	sdas1-20060803_130604	B6080315.P07	
L2070.1	3105	4605			
L2070.2	5708	7018			
L2060.1	7070	8416			

ANY LINE REFLOWN SHOULD HAVE THE LINE NUMBER INCREMENTED BY 1 EACH TIME

SPECTROMETER SAMPLE CALIBRATION CHECKS

Presurvey Spec Calibration — Cs137 Peak Chan: _____

	Start	End	Comments
BKG			
Cs 137			
U			
Th			
BKG			

Binary File: B6080309.P30

Postsurvey Spec Calibration 17.00 — Cs137 Peak Chan: _____

	Start	End	Comments
BKG	60	120	
Cs 13	240	360	
U	420	540	
Th	610	730	
BKG	800	860	

Binary File:

	Resolution	Channel	Start
1st Crystal			
2nd Crystal			
3rd Crystal			
4th Crystal			
5th UP Crystal			

	Resolution	Channel	End
1st Crystal			
2nd Crystal			
3rd Crystal			
4th Crystal			
5th UP Crystal			

AIRBORNE GEOPHYSICAL FLIGHT LOG

CLIENT:	OMEGALPHA Inc.	BLOCK:	JOB:0609	PAGE	1 of 1
FLT #:	15	Date (dd/mm/yr): 11/08/06		OPERATOR:	Paul Beaubien
PILOT:	David	O.A.T.: 16C / 2994		A/C REG:	N124AL
DEPART TIME:	14:35	RETURN TIME:	18:35	FLIGHT TIME (HRS):	4:00
SURVEY HEIGHT:	50 M	NOVATEL GPS FILE:	GR Aug11a		
		GEM/NOVATEL BMAG FILE:	G6081118.T36		
		BLUE BOX BMAG AND GPS TIME FILE:	M6081114 - M6081121		
		OTHERS:			

Line	Time/Fid		AIR MAG SDAS FILE .DAT	AIR SPEC BINARY FILE .P??	Comments
L2050	2516	4344	sdas1-20040101_222059	B6081119.P04, B6081121.P04	
L2040	4380	4404			
L2030	6606	8367			
L2020	8416	9901			
L2040.1	4481	5887			

ANY LINE REFLOWN SHOULD HAVE THE LINE NUMBER INCREMENTED BY 1 EACH TIME

SPECTROMETER SAMPLE CALIBRATION CHECKS

Presurvey Spec Calibration 13.40

Cs137 Peak Chan:

	Start	End	Comments
BKG	1.0	120.0	
Cs 137	210.0	330.0	
U	480.0	520.0	
Th	580.0	700.0	
BKG	760.0	820.0	

Binary File: B6081117.P41

	Resolution	Channel	Start 14.00
1st Crystal	9.6	56.7	
2nd Crystal	9.5	56.7	
3rd Crystal	9.6	55.6	
4th Crystal	9.3	55.9	
5th UP Crystal	10.0	56.0	

Postsurvey Spec Calibration

Cs137 Peak Chan:

	Start	End	Comments
BKG	1	60	
Cs 137	100	220	
U	320	440	
Th	500	620	
BKG	680	740	

Binary File: B6081122.P43

	Resolution	Channel	End 18.40
1st Crystal	9.7	57.1	
2nd Crystal	9.5	56.9	
3rd Crystal	9.2	55.9	
4th Crystal	9.3	55.8	
5th UP Crystal	10.4	56.1	

AIRBORNE GEOPHYSICAL FLIGHT LOG

CLIENT:	OMEGALPHA Inc.	BLOCK: T	JOB: 0609	PAGE	1 of 1
FLT #:	16	Date (dd/mm/yr): 12/08/06		OPERATOR:	Paul Beaubien
PILOT:	David	O.A.T.: 8C / 3010		A/C REG:	N124AL
DEPART TIME:	7:00	RETURN TIME:	14:23	FLIGHT TIME (HRS):	7:23
SURVEY HEIGHT:	50 M	NOVATEL GPS FILE:	GR_Aug12a		
		GEM/NOVATEL BMAG FILE:	G6081217.T34		
		BLUE BOX BMAG AND GPS TIME FILE:	M6081211 - M6081220		
		OTHERS:			

Line	Time	Fid	AIR MAG SDAS FILE .DAT	AIR SPEC BINARY FILE .P??	Comments
L2010	2672	4540	sdas1-20060812_065950	B6081212.P13	
L2000	4584	6296	sdas1-20060812_081414	B6081214.P13	
L1990	7167	9386		B6081216.P13	
L1980	9445	10588		B6081218.P13	
L1980.1	10852	11572			
L1970	12376	14450			
L1960	14484	16195			
L1950	16993	19071			
L1940	19119	20902			

ANY LINE REFLOWN SHOULD HAVE THE LINE NUMBER INCREMENTED BY 1 EACH TIME

SPECTROMETER SAMPLE CALIBRATION CHECKS

Presurvey Spec Calibration				Postsurvey Spec Calibration			
	Cs137 Peak Chan:			Cs137 Peak Chan:			
	Start	End	Comments		Start	End	Comments
BKG	60.0	120.0		BKG			
Cs 137	160.0	280.0		Cs 137			
U	340.0	460.0		U			
Th	600.0	720.0		Th			
BKG	790.0	850.0		BKG			
Binary File:			B6081211.P40	Binary File:			

	Resolution	Channel	Start 7.35		Resolution	Channel	End
1st Crystal	9.6	57.7		1st Crystal			
2nd Crystal	9.6	57.0		2nd Crystal			
3rd Crystal	9.6	55.4		3rd Crystal			
4th Crystal	9.5	56.1		4th Crystal			
5th UP Crystal	10.3	55.2		5th UP Crystal			

McPHAR

AIRBORNE GEOPHYSICAL FLIGHT LOG

McPHAR

CLIENT:	OMEGALPHA Inc.	BLOCK:	JOB: 0609	PAGE	1 of 1
FLT #:	17	Date (dd/mm/yr): 12/08/06		OPERATOR:	Paul Beaubien
PILOT:	David	O.A.T.: 14C / 3018		A/C REG:	N124AL
DEPART TIME:	15:05	RETURN TIME:	17:18	FLIGHT TIME (HRS):	2:13
SURVEY HEIGHT:	50 M	NOVATEL GPS FILE:	GR_Aug12a		
		GEM/NOVATEL BMAG FILE:	G6081217.T34		
		BLUE BOX BMAG AND GPS TIME FILE:	M6081211 - M6081220		
		OTHERS:			

Line	Time/Fid		AIR MAG SDAS FILE .DAT	AIR SPEC BINARY FILE .P??	Comments
L1930	8956	11061	sdas1-20060812_145648	B6081219.P07	
L1920	11103	13142		B6081221.P07	

ANY LINE REFLOWN SHOULD HAVE THE LINE NUMBER INCREMENTED BY 1 EACH TIME

SPECTROMETER SAMPLE CALIBRATION CHECKS

Presurvey Spec Calibration

Cs137 Peak Chan: ____

	Start	End	Comments
BKG			
Cs 137			
U			
Th			
BKG			

Binary File: B6081211.P40

Postsurvey Spec Calibration 17.45

Cs137 Peak Chan: ____

	Start	End	Comments
BKG	1	60	
Cs 13	100	220	
U	300	420	
Th	520	640	
BKG	680	740	

Binary File: B6081221.P46

	Resolution	Channel	Start
1st Crystal			
2nd Crystal			
3rd Crystal			
4th Crystal			
5th UP Crystal			

	Resolution	Channel	End
1st Crystal	9.9	56.2	
2nd Crystal	9.6	56.5	
3rd Crystal	9.6	56.0	
4th Crystal	9.5	55.9	
5th UP Crystal	10.8	55.6	

AIRBORNE GEOPHYSICAL FLIGHT LOG

CLIENT:	OMEGALPHA Inc.	BLOCK:	JOB:0609	PAGE	1 of 1
FLT #:	18	Date (dd/mm/yr):	13/08/06	OPERATOR:	Paul Beaubien
PILOT:	David	O.A.T.:	7C / 3001	A/C REG:	N124AL
DEPART TIME:	6:00	RETURN TIME:	10:42	FLIGHT TIME (HRS):	4:42
SURVEY HEIGHT:	50 M	NOVATEL GPS FILE:	GR_Aug13a		
		GEM/NOVATEL BMAG FILE:	G6081315.T52		
		BLUE BOX BMAG AND GPS TIME FILE:	M6081310 - M6081319, M6081319.P01		
		OTHERS:			

Line	Time	Fid	AIR MAG SDAS FILE .DAT	AIR SPEC BINARY FILE .P??	Comments
L1910	2046	4167	sdas1-20060813_060356	B6081311.P53	
L1900	4212	5886	sdas1-20060813_071152	B6081313.P53	
L1890	6690	8900	sdas1-20060813_075251		
L1880	9015	10494	sdas1-20060813_153436		

ANY LINE REFLOWN SHOULD HAVE THE LINE NUMBER INCREMENTED BY 1 EACH TIME

SPECTROMETER SAMPLE CALIBRATION CHECKS

Presurvey Spec Calibration 7.00

Cs137 Peak Chan:

	Start	End	Comments
BKG	1.0	60.0	
Cs 137	110.0	230.0	
U	300.0	420.0	
Th	470.0	590.0	
BKG	630.0	700.0	

Binary File: B6081310.P46

	Resolution	Channel	Start 6.43
1st Crystal	9.80	57.00	
2nd Crystal	9.60	56.50	
3rd Crystal	9.50	55.80	
4th Crystal	9.60	55.50	
5th UP Crystal	10.70	56.40	

Postsurvey Spec Calibration 16.00

Cs137 Peak Chan:

	Start	End	Comments
BKG	1	60	
Cs 13	100	220	
U	280	400	
Th	500	620	
BKG	640	700	

Binary File: B6081320.P00

Ur. 750 870

	Resolution	Channel	End
1st Crystal	9.800	56.7	
2nd Crystal	9.900	56.5	
3rd Crystal	9.600	55.9	
4th Crystal	9.800	55.5	
5th UP Crystal	9.400	56.5	

AIRBORNE GEOPHYSICAL FLIGHT LOG

CLIENT:	OMEGALPHA Inc.	BLOCK:	JOB:0609	PAGE	1 of 1
FLT #:	19	Date (dd/mm/yr):	14/08/06	OPERATOR:	Paul Beaubien
PILOT:	David	O.A.T.:	12C / 2960	A/C REG:	N124AL
DEPART TIME:	6:48	RETURN TIME:	12:24	FLIGHT TIME (HRS):	5:36
SURVEY HEIGHT:	50 M	NOVATEL GPS FILE:	GR_Aug14a		
		GEM/NOVATEL BMAG FILE:	G6081416.T44		
		BLUE BOX BMAG AND GPS TIME FILE:	M6081411 - M6081420		
		OTHERS:			

Line	Time/Fid		AIR MAG SDAS FILE .DAT	AIR SPEC BINARY FILE .P??	Comments
L1870	2861	4820	sdas1-20060814_065026	B6081411.P57	
L1860	4844	6525	sdas1-20060814_075649	B6081413.P57	
L1860.1	7464	9408		B6081415.P57	
L1850	9413	10952			
L1840	11664	13840			
L1830	13880	15462			

ANY LINE REFLOWN SHOULD HAVE THE LINE NUMBER INCREMENTED BY 1 EACH TIME

SPECTROMETER SAMPLE CALIBRATION CHECKS

Presurvey Spec Calibration				Postsurvey Spec Calibration			
Cs137 Peak Chan:				Cs137 Peak Chan:			
	Start	End	Comments		Start	End	Comments
BKG	1.0	60.0		BKG			
Cs 137	100.0	220.0		Cs 137			
U	270.0	390.0		U			
Th	500.0	620.0		Th			
BKG	670.0	730.0		BKG			
Binary File:			B6081411.P17	Binary File:			B6081320.P00
				Ur.	750	870	
	Resolution	Channel	Start 7.15		Resolution	Channel	End
1st Crystal	9.70	56.80		1st Crystal			
2nd Crystal	9.60	57.10		2nd Crystal			
3rd Crystal	9.30	55.80		3rd Crystal			
4th Crystal	9.70	55.90		4th Crystal			
5th UP Crystal	10.60	55.90		5th UP Crystal			

AIRBORNE GEOPHYSICAL FLIGHT LOG

CLIENT:	OMEGALPHA Inc.	BLOCK:	JOB:0609	PAGE	1 of 1
FLT #:	20	Date (dd/mm/yr):	14/08/06	OPERATOR:	Paul Beaubien
PILOT:	David	O.A.T.:		A/C REG:	N124AL
DEPART TIME:	13:10	RETURN TIME:	16:28	FLIGHT TIME (HRS):	3:18
SURVEY HEIGHT:	50 M	NOVATEL GPS FILE:	GR_Aug14a		
		GEM/NOVATEL BMAG FILE:	G6081416.T44		
		BLUE BOX BMAG AND GPS TIME FILE:	M6081411 - M6081420		
		OTHERS:			

Line	Time/Fid		AIR MAG SDAS FILE .DAT	AIR SPEC BINARY FILE .P??	Comments
L1820	8310	47662	sdas1-20060814_131259		
L1810	48461	84543			
L1800	102981	140963			
L1790	141561	180563			

ANY LINE REFLOWN SHOULD HAVE THE LINE NUMBER INCREMENTED BY 1 EACH TIME

SPECTROMETER SAMPLE CALIBRATION CHECKS

Presurvey Spec Calibration — Cs137 Peak Chan: _____

	Start	End	Comments
BKG			
Cs 137			
U			
Th			
BKG			

Binary File:

Postsurvey Spec Calibration — Cs137 Peak Chan: _____

	Start	End	Comments
BKG	1	60	
Cs	190	310	
U	410	530	
Th	630	750	
BKG	820	900	

Binary File: B6081420.P58

	Resolution	Channel	Start
1st Crystal			
2nd Crystal			
3rd Crystal			
4th Crystal			
5th UP Crystal			

	Resolution	Channel	End
1st Crystal	9.800	56.2	
2nd Crystal	9.500	56.8	
3rd Crystal	9.500	55.9	
4th Crystal	9.600	55.7	
5th UP Crystal	10.400	56.0	

AIRBORNE GEOPHYSICAL FLIGHT LOG

CLIENT:	OMEGALPHA Inc.	BLOCK:	JOB:0609	PAGE	1 of 1
FLT #:	21	Date (dd/mm/yr): 15/08/06		OPERATOR:	Paul Beaubien
PILOT:	David	O.A.T.: 10 / 2940		A/C REG:	N124AL
DEPART TIME:	6:57	RETURN TIME:	12:05	FLIGHT TIME (HRS):	5:08
SURVEY HEIGHT:	50 M	NOVATEL GPS FILE:	GR_Aug15a		
		GEM/NOVATEL BMAG FILE:	G6081516.T04		
		BLUE BOX BMAG AND GPS TIME FILE:	M6081511 - M6081519		
		OTHERS:			

Line	Time/Fid		AIR MAG SDAS FILE .DAT	AIR SPEC BINARY FILE .P??	Comments
L1780	2701	4197	sdas1-20060815_065639	B6081511.P58	
L1770	4202	5822	sdas1-20060815_075721	B6081513.P58	
L1760	6845	8184		B6081515.P58	
L1750	8189	9727			
L1740	10648	12168			
L1730	12176	13910			

ANY LINE REFLOWN SHOULD HAVE THE LINE NUMBER INCREMENTED BY 1 EACH TIME

SPECTROMETER SAMPLE CALIBRATION CHECKS

Presurvey Spec Calibration 7.25

Cs137 Peak Chan:

	Start	End	Comments
BKG	1.0	60.0	
Cs 137	100.0	220.0	
U	280.0	400.0	
Th	470.0	590.0	
BKG	650.0	720.0	

Binary File: B6081511.P23

	Resolution	Channel	Start 7.18
1st Crystal	9.60	56.70	
2nd Crystal	9.70	56.60	
3rd Crystal	9.40	56.00	
4th Crystal	9.40	56.10	
5th UP Crystal	10.40	55.70	

Postsurvey Spec Calibration

Cs137 Peak Chan:

	Start	End	Comments
BKG			
Cs 137			
U			
Th			
BKG			

Binary File:

	Resolution	Channel	End
1st Crystal			
2nd Crystal			
3rd Crystal			
4th Crystal			
5th UP Crystal			

AIRBORNE GEOPHYSICAL FLIGHT LOG

CLIENT:	OMEGALPHA Inc.	BLOCK:	JOB:0609	PAGE	1 of 1
FLT #:	22	Date (dd/mm/yr):	15/08/06	OPERATOR:	Paul Beaubien
PILOT:	David	O.A.T.:	15C / 2940	A/C REG:	N124AL
DEPART TIME:	12:50	RETURN TIME:	15:54	FLIGHT TIME (HRS):	3:04
SURVEY HEIGHT:	50 M	NOVATEL GPS FILE:	GR_Aug15a		
		GEM/NOVATEL BMAG FILE:	G6081516.T04		
		BLUE BOX BMAG AND GPS TIME FILE:	M6081511 - M6081519		
		OTHERS:			

Line	Time	Fid	AIR MAG SDAS FILE .DAT	AIR SPEC BINARY FILE .P??	Comments
L1720	896	2654	sdas1-20060815_125246	B6081516.P54	
L1710	2661	4385		B6081518.P54	
L1700	5481	6998			
L1690	7068	8783			

ANY LINE REFLOWN SHOULD HAVE THE LINE NUMBER INCREMENTED BY 1 EACH TIME

SPECTROMETER SAMPLE CALIBRATION CHECKS

Presurvey Spec Calibration				Postsurvey Spec Calibration			
Cs137 Peak Chan:				Cs137 Peak Chan:			
	Start	End	Comments		Start	End	Comments
BKG				BKG	1	60	
Cs 137				Cs 13	180	300	
U				U	490	610	
Th				Th	710	830	
BKG				BKG	870	930	
Binary File:				Binary File:			B6081520.P10

	Resolution	Channel	Start		Resolution	Channel	End 16.06
1st Crystal				1st Crystal	9.700	56.4	
2nd Crystal				2nd Crystal	9.400	56.5	
3rd Crystal				3rd Crystal	9.400	55.6	
4th Crystal				4th Crystal	9.500	56.1	
5th UP Crystal				5th UP Crystal	10.900	55.6	

AIRBORNE GEOPHYSICAL FLIGHT LOG

CLIENT:	OMEGALPHA Inc.	BLOCK:	JOB:0609	PAGE	1 of 1
FLT #:	23	Date (dd/mm/yr):	16/08/06	OPERATOR:	Paul Beaubien
PILOT:	David	O.A.T.:	11C / 2955	A/C REG:	N124AL
DEPART TIME:	7:00	RETURN TIME:	9:36	FLIGHT TIME (HRS):	2:36
SURVEY HEIGHT:	50 M	NOVATEL GPS FILE:	GR_Aug16a		
		GEM/NOVATEL BMAG FILE:	G6081615.T20		
		BLUE BOX BMAG AND GPS TIME FILE:	M6081611 - M6081618		
		OTHERS:			

Line	Time	Fid	AIR MAG SDAS FILE .DAT	AIR SPEC BINARY FILE .P??	Comments
L1680	2350	3567	sdas1-20060816_065943	B6081617.P53	
L1670	3722	5339	sdas1-20060816_075352	B6081611.P56	
			sdas1-20060816_135134		

ANY LINE REFLOWN SHOULD HAVE THE LINE NUMBER INCREMENTED BY 1 EACH TIME

SPECTROMETER SAMPLE CALIBRATION CHECKS

Presurvey Spec Calibration				Postsurvey Spec Calibration			
	Cs137 Peak Chan:				Cs137 Peak Chan:		
	Start	End	Comments		Start	End	Comments
BKG	1.0	60.0		BKG			
Cs 137	110.0	230.0		Cs 137			
U	300.0	420.0		U			
Th	540.0	660.0		Th			
BKG	700.0	760.0		BKG			
Binary File:			B6081611.P26	Binary File:			

	Resolution	Channel	Start 7.24		Resolution	Channel	End 16.06
1st Crystal	9.50	56.90		1st Crystal			
2nd Crystal	9.70	56.50		2nd Crystal			
3rd Crystal	9.40	56.20		3rd Crystal			
4th Crystal	9.60	55.60		4th Crystal			
5th UP Crystal	10.00	55.80		5th UP Crystal			

AIRBORNE GEOPHYSICAL FLIGHT LOG

CLIENT: OMEGALPHA Inc.	BLOCK:	JOB:0609	PAGE 1 of 1
FLT #: 24	Date (dd/mm/yr): 17/08/06		OPERATOR: Paul Beaubien
PILOT: David	O.A.T.: 10C / 2995		A/C REG: N124AL
DEPART TIME: 10:36	RETURN TIME: 16:24		FLIGHT TIME (HRS): 5:48
SURVEY HEIGHT: 50 M	NOVATEL GPS FILE:	GR Aug17a	
	GEM/NOVATEL BMAG FILE:	G6081716.T56	
	BLUE BOX BMAG AND GPS TIME FILE:	M6081712 - M6081720	
	OTHERS:		

Line	Time	Fid	AIR MAG SDAS FILE .DAT	AIR SPEC BINARY FILE .P??	Comments
L1660	1518	3049	sdas1-20060817_070124	B6081716.P05	
L1650	3054	5063	sdas1-20060817_095706	B6081718.P05	
L1640	6274	7867	sdas1-20060817_120413	B6081720.P05	
L1630	7876	9807			
L1620	11140	12750			
L1610	12765	14588			

ANY LINE REFLOWN SHOULD HAVE THE LINE NUMBER INCREMENTED BY 1 EACH TIME

SPECTROMETER SAMPLE CALIBRATION CHECKS

Presurvey Spec Calibration 7.40				Postsurvey Spec Calibration			
	Cs137 Peak Chan:				Cs137 Peak Chan:		
	Start	End	Comments		Start	End	Comments
BKG	1.0	60.0		BK	1	60	
Cs 137	240.0	360.0		Cs	90	210	
U	430.0	550.0		U	290	410	
Th	700.0	820.0		Th	490	610	
BKG	840.0	900.0		BK	650	710	
Binary File:			B6081711.P27	Binary File:			B6081721.P04

	Resolution	Channel	Start 7.24		Resolution	Channel	End 17.01
1st Crystal	9.70	56.70		1st Crystal	9.800	56.5	
2nd Crystal	9.60	56.20		2nd Crystal	9.500	56.8	
3rd Crystal	9.40	56.10		3rd Crystal	9.400	56.2	
4th Crystal	9.60	55.60		4th Crystal	9.600	56.7	
5th UP Crystal	11.20	55.50		5th UP Crystal	10.300	55.7	

AIRBORNE GEOPHYSICAL FLIGHT LOG

CLIENT:	OMEGALPHA Inc.	BLOCK:	JOB:0609	PAGE	1 of 1
FLT #:	25	Date (dd/mm/yr): 20/08/06		OPERATOR:	Paul Beaubien
PILOT:	David	O.A.T.: 10C / 2976		A/C REG:	N124AL
DEPART TIME:	7:00	RETURN TIME:	9:48	FLIGHT TIME (HRS):	2:48
SURVEY HEIGHT:	50 M	NOVATEL GPS FILE:			
		GEM/NOVATEL BMAG FILE:			
		BLUE BOX BMAG AND GPS TIME FILE:			
		OTHERS:			

Line	Time/Fid		AIR MAG SDAS FILE .DAT	AIR SPEC BINARY FILE .P??	Comments

ANY LINE REFLOWN SHOULD HAVE THE LINE NUMBER INCREMENTED BY 1 EACH TIME

SPECTROMETER SAMPLE CALIBRATION CHECKS

Presurvey Spec Calibration 7.47

Cs137 Peak Chan:

	Start	End	Comments
BKG	1.0	60.0	
Cs 137	130.0	250.0	
U	330.0	450.0	
Th	510.0	630.0	
BKG	660.0	720.0	

Binary File: B6082011.P31

	Resolution	Channel	Start 7.21
1st Crystal	9.60	57.10	
2nd Crystal	9.70	57.00	
3rd Crystal	9.50	55.00	
4th Crystal	9.80	56.30	
5th UP Crystal	10.60	55.70	

Postsurvey Spec Calibration

Cs137 Peak Chan:

	Start	End	Comments
BKG			
Cs 137			
U			
Th			
BKG			

Binary File:

	Resolution	Channel	End 17.01
1st Crystal			
2nd Crystal			
3rd Crystal			
4th Crystal			
5th UP Crystal			

AIRBORNE GEOPHYSICAL FLIGHT LOG

CLIENT:	OMEGALPHA Inc.	BLOCK:	JOB:0609	PAGE	1 of 1
FLT #:	26	Date (dd/mm/yr): 21/08/06		OPERATOR:	Paul Beaubien
PILOT:	David	O.A.T.: 9C / 2980		A/C REG:	N124AL
DEPART TIME:	6:00	RETURN TIME:	12:27	FLIGHT TIME (HRS):	6:27
SURVEY HEIGHT:	50 M	NOVATEL GPS FILE:	GR_Aug21a		
		GEM/NOVATEL BMAG FILE:	G6082117.T16		
		BLUE BOX BMAG AND GPS TIME FILE:	M6082110 - M6082120		
		OTHERS:			

Line	Time/Fid		AIR MAG SDAS FILE .DAT	AIR SPEC BINARY FILE .P??	Comments
L1600	2424	3690	sdas1-20060821_060541	B6082113.P06	
L1590	3697	4912	sdas1-20060821_065634	B6082115.P06	
L1580	4920	6092	sdas1-20060821_091044	B6082110.P54	
L1570	6097	7219		B6082112.P54	
L1560	8656	10010			
L1550	10016	11210			
L1540	11216	12429			
L1530	12434	13547			
L1520	14897	16108			
L1510	16113	17241			
L1500	17249	18464			
L1490	18601	19877			

ANY LINE REFLOWN SHOULD HAVE THE LINE NUMBER INCREMENTED BY 1 EACH TIME

SPECTROMETER SAMPLE CALIBRATION CHECKS

Presurvey Spec Calibration				Postsurvey Spec Calibration			
	Cs137 Peak Chan:				Cs137 Peak Chan:		
	Start	End	Comments		Start	End	Comments
BKG	1.0	60.0		BKG			
Cs 137	100.0	220.0		Cs 137			
U	290.0	410.0		U			
Th	470.0	590.0		Th			
BKG	640.0	700.0		BKG			
Binary File:			B6082110.P26	Binary File:			

	Resolution	Channel	Start 6.23		Resolution	Channel	End
1st Crystal	9.80	57.60		1st Crystal			
2nd Crystal	9.80	57.60		2nd Crystal			
3rd Crystal	9.60	55.80		3rd Crystal			
4th Crystal	9.70	55.30		4th Crystal			
5th UP Crystal	10.40	56.10		5th UP Crystal			

AIRBORNE GEOPHYSICAL FLIGHT LOG

McPHAR | McPHAR

CLIENT:	OMEGALPHA Inc.	BLOCK:	JOB:0609	PAGE	1 of 1
FLT #:	27	Date (dd/mm/yr): 21/08/06		OPERATOR:	Paul Beaubien
PILOT:	David	O.A.T.: 21C / 2980		A/C REG:	N124AL
DEPART TIME:	13:12	RETURN TIME:	16:57	FLIGHT TIME (HRS):	3:45
SURVEY HEIGHT:	50 M	NOVATEL GPS FILE:	GR_Aug21a		
		GEM/NOVATEL BMAG FILE:	G6082117.T16		
		BLUE BOX BMAG AND GPS TIME FILE:	M6082110 - M6082120		
		OTHERS:			

Line	Time	Fid	AIR MAG SDAS FILE .DAT	AIR SPEC BINARY FILE .P??	Comments
L1480	479	1690	sdas1-20060821_131535	B6082117.P15	
L1470	1697	2885		B6082119.P15	
L1460	2892	3982			
L1450	4052	5277			
L1440	6703	7962			
L1430	8026	9081			
L1420	9091	10265			
L1410	10310	11394			

ANY LINE REFLOWN SHOULD HAVE THE LINE NUMBER INCREMENTED BY 1 EACH TIME

SPECTROMETER SAMPLE CALIBRATION CHECKS

Presurvey Spec Calibration				Postsurvey Spec Calibration			
Cs137 Peak Chan:				Cs137 Peak Chan:			
	Start	End	Comments		Start	End	Comments
BKG				BKG	1	60	
Cs 137				Cs 13	130	250	
U				U	300	420	
Th				Th	600	720	
BKG				BKG	800	860	
Binary File:				Binary File:			B6082121.P16

	Presurvey Resolution	Presurvey Channel	Presurvey Start		Postsurvey Resolution	Postsurvey Channel	Postsurvey End 17.13
1st Crystal				1st Crystal	9.700	56.7	
2nd Crystal				2nd Crystal	9.700	56.4	
3rd Crystal				3rd Crystal	9.500	56.1	
4th Crystal				4th Crystal	9.600	56.0	
5th UP Crystal				5th UP Crystal	11.300	55.5	

AIRBORNE GEOPHYSICAL FLIGHT LOG

CLIENT:	OMEGALPHA Inc.	BLOCK: T	JOB:0609	PAGE	1 of 1
FLT #:	28	Date (dd/mm/yr): 22/08/06		OPERATOR:	Paul Beaubien
PILOT:	David	O.A.T.: 16C / 2950		A/C REG:	N124AL
DEPART TIME:	6:30	RETURN TIME:	12:32	FLIGHT TIME (HRS):	6:02
SURVEY HEIGHT:	50 M	NOVATEL GPS FILE:	GR_Aug22a		
		GEM/NOVATEL BMAG FILE:	G6082215.T32		
		BLUE BOX BMAG AND GPS TIME FILE:	M6082210 - M6082218		
		OTHERS:			

Line	Time	Fid	AIR MAG SDAS FILE .DAT	AIR SPEC BINARY FILE .P??	Comments
L1400	2955	4257	sdas1-20060822_063106	B6082212.P17	
L1390	4281	5300	sdas1-20060822_081726	B6082214.P17	
L1380	5308	6461		B6082216.P17	
L1370	6529	7645			
L1360	9192	10411			
L1350	10420	11647			
L1340	11655	12818			
L1330	12825	13939			

ANY LINE REFLOWN SHOULD HAVE THE LINE NUMBER INCREMENTED BY 1 EACH TIME

SPECTROMETER SAMPLE CALIBRATION CHECKS

Presurvey Spec Calibration				Postsurvey Spec Calibration			
Cs137 Peak Chan:				Cs137 Peak Chan:			
	Start	End	Comments		Start	End	Comments
BKG	1.0	60.0		BKG			
Cs 137	170.0	290.0		Cs 137			
U	570.0	690.0		U			
Th	770.0	890.0		Th			
BKG	940.0	1000.0		BKG			
Binary File:			B6082211.P02	Binary File:			

	Resolution	Channel	Start 6.57 Count:460		Resolution	Channel	End
1st Crystal	9.80	56.50		1st Crystal			
2nd Crystal	9.40	56.40		2nd Crystal			
3rd Crystal	9.40	55.80		3rd Crystal			
4th Crystal	9.50	55.80		4th Crystal			
5th UP Crystal	10.30	55.70		5th UP Crystal			

AIRBORNE GEOPHYSICAL FLIGHT LOG

CLIENT:	OMEGALPHA Inc.	BLOCK:	JOB:0609	PAGE	1 of 1
FLT #:	29	Date (dd/mm/yr):	22/08/06	OPERATOR:	Paul Beaubien
PILOT:	David	O.A.T.:	22C / 2944	A/C REG:	N124AL
DEPART TIME:	14:10	RETURN TIME:	15:32	FLIGHT TIME (HRS):	1:22
SURVEY HEIGHT:	50 M	NOVATEL GPS FILE:	GR_Aug22a		
		GEM/NOVATEL BMAG FILE:	G6082215.T32		
		BLUE BOX BMAG AND GPS TIME FILE:	M6082210 - M6082218		
		OTHERS:			

Line	Time	Fid	AIR MAG SDAS FILE .DAT	AIR SPEC BINARY FILE .P??	Comments
L1320	512	1775	sdas1-20060822_130845	B6082217.P09	
L1310	1781	2875		B6082219.P09	
L1290	2885	4059			
L1280	4064	4184			
L1280.1	4278	5135			

ANY LINE REFLOWN SHOULD HAVE THE LINE NUMBER INCREMENTED BY 1 EACH TIME

SPECTROMETER SAMPLE CALIBRATION CHECKS

Presurvey Spec Calibration — Cs137 Peak Chan: _____

	Start	End	Comments
BKG			
Cs 137			
U			
Th			
BKG			

Binary File:

Postsurvey Spec Calibration — Cs137 Peak Chan: _____

	Start	End	Comments
BKG	1	60	
Cs 13	100	220	
U	290	410	
Th	470	590	
BKG	640	700	

Binary File: B6082219.P41

	Resolution	Channel	Start
1st Crystal			
2nd Crystal			
3rd Crystal			
4th Crystal			
5th UP Crystal			

	Resolution	Channel	End 15.38
1st Crystal	9.800	56.5	
2nd Crystal	9.500	57.0	
3rd Crystal	9.400	55.9	
4th Crystal	9.300	56.0	
5th UP Crystal	10.100	56.1	

AIRBORNE GEOPHYSICAL FLIGHT LOG

CLIENT:	OMEGALPHA Inc.	BLOCK:	JOB: 0609	PAGE	1 of 1
FLT #:	30	Date (dd/mm/yr):	23/08/06	OPERATOR:	Paul Beaubien
PILOT:	David	O.A.T.:	11C / 2945	A/C REG:	N124AL
DEPART TIME:	6:13	RETURN TIME:	9:30	FLIGHT TIME (HRS):	3:17
SURVEY HEIGHT:	50 M	NOVATEL GPS FILE:	GR_Aug23a		
		GEM/NOVATEL BMAG FILE:	G6082317.T27		
		BLUE BOX BMAG AND GPS TIME FILE:	M6082310 - M6082320		
		OTHERS:			

Line	Time	Fid	AIR MAG SDAS FILE .DAT	AIR SPEC BINARY FILE .P??	Comments
L1270	526	1244	sdas1-20060823_061652	B6082312.P01	
L1260	1252	2049	sdas1-20060823_071756	B6082311.P17	
L1250	2054	2782	sdas1-20060823_080106		
L1240	2788	3513			
L1230	3519	4182			
L1220	4188	4897			

ANY LINE REFLOWN SHOULD HAVE THE LINE NUMBER INCREMENTED BY 1 EACH TIME

SPECTROMETER SAMPLE CALIBRATION CHECKS

	Presurvey Spec Calibration 7.07 Cs137 Peak Chan:			Postsurvey Spec Calibration Cs137 Peak Chan:		
	Start	End	Comments	Start	End	Comments
BKG	1	60		BKG		
Cs 137	90	210		Cs 137		
U	260	380		U		
Th	460	580		Th		
BKG	610	690		BKG		
Binary File:			B6082310.P56	Binary File:		

	Resolution	Channel	Start 6.54		Resolution	Channel	End
1st Crystal	10	57		1st Crystal			
2nd Crystal	10	57		2nd Crystal			
3rd Crystal	9	56		3rd Crystal			
4th Crystal	10	55		4th Crystal			
5th UP Crystal	10	56		5th UP Crystal			

AIRBORNE GEOPHYSICAL FLIGHT LOG

CLIENT:	OMEGALPHA Inc.	BLOCK:	JOB: 0609	PAGE	1 of 1
FLT #:	31	Date (dd/mm/yr): 23/08/06		OPERATOR:	Paul Beaubien
PILOT:	David	O.A.T.: 13C / 2948		A/C REG:	N124AL
DEPART TIME:	12:40	RETURN TIME:	16:29	FLIGHT TIME (HRS):	3:49
SURVEY HEIGHT:	50 M	NOVATEL GPS FILE:	GR_Aug23a		
		GEM/NOVATEL BMAG FILE:	G6082317.T27		
		BLUE BOX BMAG AND GPS TIME FILE:	M6082310 - M6082320		
		OTHERS:			

Line	Time	Fid	AIR MAG SDAS FILE .DAT	AIR SPEC BINARY FILE .P??	Comments
L1210	1757	2510	sdas1-20060823_124213	B6082316.P42	
L1200	2515	3246		B6082318.P42	
L1190	3253	4029		B6082320.P42	
L1180	4036	4795			
L1170	4800	5592			
L1160	5597	6304			
L1150	7820	8545			
L1140	8550	9231			
L1130	9239	9964			
L1120	9969	10630			
L1110	10637	11423			
L1100	11429	12105			

ANY LINE REFLOWN SHOULD HAVE THE LINE NUMBER INCREMENTED BY 1 EACH TIME

SPECTROMETER SAMPLE CALIBRATION CHECKS

Presurvey Spec Calibration — Cs137 Peak Chan:

	Start	End	Comments
BKG			
Cs 137			
U			
Th			
BKG			
Binary File:			

Postsurvey Spec Calibration — Cs137 Peak Chan:

	Start	End	Comments
BKG	1	60	
Cs 13	90	210	
U	250	370	
Th	480	600	
BKG	660	720	
Binary File:			B6082321.P08

	Resolution	Channel	Start
1st Crystal			
2nd Crystal			
3rd Crystal			
4th Crystal			
5th UP Crystal			

	Resolution	Channel	End 17.06
1st Crystal	9.800	57.2	
2nd Crystal	9.600	57.0	
3rd Crystal	9.300	55.8	
4th Crystal	9.500	55.9	
5th UP Crystal	10.300	55.8	

AIRBORNE GEOPHYSICAL FLIGHT LOG

CLIENT:	OMEGALPHA Inc.	BLOCK:	JOB: 0609	PAGE	1 of 1
FLT #:	32	Date (dd/mm/yr): 25/08/06		OPERATOR:	Paul Beaubien
PILOT:	David	O.A.T.: 3C / 3001		A/C REG:	N124AL
DEPART TIME:	12:00	RETURN TIME:	16:48	FLIGHT TIME (HRS):	4:48
SURVEY HEIGHT:	50 M	NOVATEL GPS FILE:	GR_Aug25a		
		GEM/NOVATEL BMAG FILE:	G6082516.T46		
		BLUE BOX BMAG AND GPS TIME FILE:	M6082511 - M6082520		
		OTHERS:			

Line	Time	Fid	AIR MAG SDAS FILE .DAT	AIR SPEC BINARY FILE .P??	Comments
L1090	196	1017	sdas1-20060825_064310	B6082518.P25	
L1080	1023	1901	sdas1-20060825_092956		
L1070	1906	2780	sdas1-20060825_102838		
L1060	2785	3652	sdas1-20060825_124217		
L1050	3758	4571	sdas1-20060825_142642		
L1040	4576	5390			

ANY LINE REFLOWN SHOULD HAVE THE LINE NUMBER INCREMENTED BY 1 EACH TIME

SPECTROMETER SAMPLE CALIBRATION CHECKS

Presurvey Spec Calibration 7.15

Cs137 Peak Chan: _____

	Start	End	Comments
BKG	1	60	
Cs 137	100	220	
U	300	420	
Th	630	750	
BKG	800	900	

Binary File: B6082511.P08

	Resolution	Channel	Start 7.05
1st Crystal	9.8	56.8	
2nd Crystal	9.8	56.6	
3rd Crystal	9.5	55.8	
4th Crystal	9.9	55.8	
5th UP Crystal	10.9	56.2	

Postsurvey Spec Calibration

Cs137 Peak Chan: _____

	Start	End	Comments
BK	1	60	
Cs	110	230	
U	280	400	
Th	480	600	
BK	660	720	

Binary File: B6082521.P18

	Resolution	Channel	End 16.50
1st Crystal	9.8	56.9	
2nd Crystal	9.7	57.0	
3rd Crystal	9.6	55.9	
4th Crystal	10.0	55.4	
5th UP Crystal	10.1	56.2	

AIRBORNE GEOPHYSICAL FLIGHT LOG

McPHAR

CLIENT:	OMEGALPHA Inc.	BLOCK:	JOB: 0609	PAGE	1 of 1
FLT #:	33	Date (dd/mm/yr): 26/08/06		OPERATOR:	Paul Beaubien
PILOT:	David	O.A.T.: 8C / 3018		A/C REG:	N124AL
DEPART TIME:	6:22	RETURN TIME:	12:16	FLIGHT TIME (HRS):	5:54
SURVEY HEIGHT:	50 M	NOVATEL GPS FILE:	GR Aug26a		
		GEM/NOVATEL BMAG FILE:	G6082616.T45		
		BLUE BOX BMAG AND GPS TIME FILE:	M6082610 - M6082619		
		OTHERS:			

Line	Time	Fid	AIR MAG SDAS FILE .DAT	AIR SPEC BINARY FILE .P??	Comments
L1300	2517	3327	sdas1-20060826_061906	B6082611.P07	
L1030	3489	4454	sdas1-20060826_070742	B6082613.P07	
L1020	4459	5237		B6082615.P07	
L1010	5263	6219			
L1000	7697	8492			
L990	8538	9471			
L980	9552	10333			
L970	10339	11189			
L960	11243	12037			
L950	12042	12844			
L940	14707	14819			
L930	14828	14945			
L920	14950	15058			
L910	15064	15174			
L900	15179	15279			
L890	15285	15385			
L880	15389	15482			
L870	15489	15590			
L860	15595	15684			
L850	15691	15782			
L840	15787	15877			
L830	15883	15965			
L820	15969	16003			
L820.1	16027	16085			
L810	16092	16163			
L800	16168	16232			
L790	16238	16309			
L780	16314	16382			
L770	16450	16519			
L760	16592	1660			

ANY LINE REFLOWN SHOULD HAVE THE LINE NUMBER INCREMENTED BY 1 EACH TIME

SPECTROMETER SAMPLE CALIBRATION CHECKS

Presurvey Spec Calibration 7.53

Cs137 Peak Chan:

	Start	End	Comments
BKG	1.0	60.0	
Cs 137	100.0	220.0	
U	300.0	420.0	
Th	480.0	600.0	
BKG	640.0	700.0	
Binary File:			B6082610.P42

Postsurvey Spec Calibration

Cs137 Peak Chan:

	Start	End	Comments
BKG			
Cs 137			
U			
Th			
BKG			
Binary File:			

	Resolution	Channel	Start 7.36
1st Crystal	9.50	57.60	
2nd Crystal	9.80	56.70	
3rd Crystal	9.50	55.70	
4th Crystal	10.10	55.40	
5th UP Crystal	10.80	55.90	

	Resolution	Channel	End
1st Crystal			
2nd Crystal			
3rd Crystal			
4th Crystal			
5th UP Crystal			

AIRBORNE GEOPHYSICAL FLIGHT LOG

CLIENT:	OMEGALPHA Inc.	BLOCK:	JOB: 0609	PAGE	1 of 1
FLT #:	34	Date (dd/mm/yr): 26/08/06		OPERATOR:	Paul Beaubien
PILOT:	David	O.A.T.: 10C / 3018		A/C REG:	N124AL
DEPART TIME:	12:45	RETURN TIME:	16:45	FLIGHT TIME (HRS):	4:00
SURVEY HEIGHT:	50 M	NOVATEL GPS FILE:	GR_Aug26a		
		GEM/NOVATEL BMAG FILE:	G6082616.T45		
		BLUE BOX BMAG AND GPS TIME FILE:	M6082610 - M6082619		
		OTHERS:			

Line	Time	Fid	AIR MAG SDAS FILE .DAT	AIR SPEC BINARY FILE .P??	Comments
L940	637	968	sdas1-20060826_124729	B6082616.P47	
L930	974	1314		B6082618.P47	
L920	1324	1664			
L910	1672	2057			
L900	2065	2432			
L890	2482	2917			
L880	2925	3255			
L870	3261	3671			
L860	3774	4103			
L850	4109	4503			
L840	4510	4847			
L830	6986	7300			
L820	7306	7650			
L810	7657	7972			
L800	7976	8346			
L790	8351	8670			
L780	8676	9026			
L770	9032	9329			
L750	9339	9714			
L740	9720	10007			
L730	10013	10352			
L720	10357	10624			
L710	10684	10910			
L700	10915	11090			

ANY LINE REFLOWN SHOULD HAVE THE LINE NUMBER INCREMENTED BY 1 EACH TIME

SAMPLE CALIBRATION CHECKS

'vey Spec Calibration — Cs137 Peak Chan: _____

	Start	End	Comments
BKG			
Cs 137			
U			
Th			
BKG			

Postsurvey Spec Calibration — Cs137 Peak Chan: _____

	Start	End	Comments
BKG	1	60	
Cs 13	150	270	
U	400	520	
Th	560	680	
BKG	700	800	

Binary File:

Binary File: B6082620.P56

	Resolution	Channel	Start
1st Crystal			
2nd Crystal			
3rd Crystal			
4th Crystal			
5th UP Crystal			

	Resolution	Channel	End 16.51
1st Crystal	9.700	57.2	
2nd Crystal	9.800	56.2	
3rd Crystal	9.600	55.6	
4th Crystal	9.900	55.6	
5th UP Crystal	10.600	55.4	

AIRBORNE GEOPHYSICAL FLIGHT LOG

CLIENT:	OMEGALPHA Inc.	BLOCK:	JOB: 0609	PAGE:	1 of 1
FLT #:	35	Date (dd/mm/yr): 27/08/06		OPERATOR:	Paul Beaubien
PILOT:	David	O.A.T.: 6C / 3020		A/C REG:	N124AL
DEPART TIME:	6:00	RETURN TIME:	12:48	FLIGHT TIME (HRS):	6:48
SURVEY HEIGHT:	50 M	NOVATEL GPS FILE:	GR_Aug27a		
		GEM/NOVATEL EMAG FILE:	G6082717.T04		
		BLUE BOX EMAG AND GPS TIME FILE:	M6082710 - M6082720		
		OTHERS:			

Line	Time/Fid		AIR MAG SDAS FILE .DAT	AIR SPEC BINARY FILE .P??	Comments
L690	2675	2916	sdas1-20060827_065105	B6082710.P50	
L680	2954	3199	sdas1-20060827_055539	B6082712.P50	
L670	3204	3442		B6082714.P50	
L650	3452	3712			
L640	3717	3974			
L630	3979	4270			
L620	4276	4548			
L610	4553	4833			
L600	4837	5112			
L590	5117	5420			
L580	5424	5714			
L570	5720	6021			
L560	6026	6283			
L550	6288	6537			
L540	6545	6772			
L530	6777	7026			
L520	7032	7247			
L510	9374	9596			
L500	9641	9854			
L490	9860	10095			
L480	10100	10326			
L470	10336	10558			
L460	10563	10758			
L450	10763	10971			
L440	10976	11180			
L430	11185	11413			
L420	11419	11593			
L410	11598	11730			
L400	11735	11864			
L390	11868	12016			
L380	12022	12146			
L370	12153	12288			
L360	12292	12418			
L350	12422	12552			
L340	12556	12672			
L330	12677	12783			
L320	12786	12844			
L310	12850	12914			
L940	15552	15863			
L930	15900	16246			
L920	16251	16572			
L910	16663	17015			
L900	17020	17338			
L900.1	17359	17727			
L890	17732	18048			
L880	18055	18434			
L870	18439	18742			
L860	18748	19082			

ANY LINE REFLOWN SHOULD HAVE THE LINE NUMBER INCREMENTED BY 1 EACH TIME

SAMPLE CALIBRATION CHECK:

vey Spec Calibration				Postsurvey Spec Calibration			
	Cs137 Peak Chan:				Cs137 Peak Chan:		
	Start	End	Comments		Start	End	Comments
BKG	40.0	10.0		BKG			
Cs 137	140.0	260.0		Cs 137			
U	340.0	460.0		U			
Th	520.0	680.0		Th			
BKG	780.0	860.0		BKG			

Binary File:			B6082710.P17	Binary File:			
	Resolution	Channel	Start 6.12		Resolution	Channel	End
1st Crystal	9.70	57.50		1st Crystal			
2nd Crystal	9.70	56.30		2nd Crystal			
3rd Crystal	9.40	55.90		3rd Crystal			
4th Crystal	9.80	55.40		4th Crystal			
5th UP Crystal	10.60	56.00		5th UP Crystal			

AIRBORNE GEOPHYSICAL FLIGHT LOG

McPHAR

CLIENT:	OMEGALPHA Inc.	BLOCK:	JOB: 0609	PAGE	1 of 1
FLT #:	36	Date (dd/mm/yr): 27/08/06		OPERATOR:	Paul Beaubien
PILOT:	David	O.A.T.: 24C / 3020		A/C REG:	N124AL
DEPART TIME:	13:18	RETURN TIME:	17:00	FLIGHT TIME (HRS):	3:42
SURVEY HEIGHT:	50 M	NOVATEL GPS FILE:	GR_Aug27a		
		GEM/NOVATEL BMAG FILE:	G6082717.T04		
		BLUE BOX BMAG AND GPS TIME FILE:	M6082710 - M6082720		
		OTHERS:			

Line	Time	Fid	AIR MAG SDAS FILE .DAT	AIR SPEC BINARY FILE .P??	Comments
L850	1974	2238	sdas1-20060827_132117	B6082717.P21	
L840	2244	2504		B6082719.P21	
L830	2509	2724			
L830.1	2739	2960			
L810	3027	3217			
L800	3224	3448			
L790	3454	3684			
L780	3690	3921			
L770	3927	4127			
L760	4132	4365			
L750	4369	4581			
L740	4589	4842			
L730	4848	5044			
L720	5050	5295			
L710	5300	5500			
L700	5505	5751			
L690	5755	5949			
L680	5954	6191			
L670	8148	8374			
L660	8420	8687			
L650	8692	8948			
L640	8953	9238			
L630	9243	9468			
L620	9473	9709			
L610	9713	9744			
L610.1	9769	9972			
L600	9977	10233			

ANY LINE REFLOWN SHOULD HAVE THE LINE NUMBER INCREMENTED BY 1 EACH TIME

SAMPLE CALIBRATION CHECKS

vey Spec Calibration

Cs137 Peak Chan: _____

	Start	End	Comments
BKG			
Cs 137			
U			
Th			
BKG			

Binary File:

	Resolution	Channel	Start
1st Crystal			
2nd Crystal			
3rd Crystal			
4th Crystal			
5th UP Crystal			

Postsurvey Spec Calibration

Cs137 Peak Chan: _____

	Start	End	Comments
BKG	1	60	
Cs 13	120	240	
U	300	420	
Th	550	670	
BKG	720	780	

Binary File: B6082721.P14

	Resolution	Channel	End 17.08
1st Crystal	9.8	56.4	
2nd Crystal	9.4	56.7	
3rd Crystal	9.4	56.1	
4th Crystal	9.4	55.9	
5th UP Crystal	10.0	55.7	

AIRBORNE GEOPHYSICAL FLIGHT LOG

CLIENT:	OMEGALPHA Inc.	BLOCK:	JOB:0609	PAGE 1 of 1	
FLT #:	37	Date (dd/mm/yr): 28/08/06		OPERATOR:	Paul Beaubien
PILOT:	David	O.A.T.: 12C / 3006		A/C REG:	N124AL
DEPART TIME:	5:48	RETURN TIME: 12:22		FLIGHT TIME (HRS):	6:34
SURVEY HEIGHT:	50 M	NOVATEL GPS FILE:	GR_Aug28a		
		GEM/NOVATEL BMAG FILE:	G6082816.T48		
		BLUE BOX BMAG AND GPS TIME FILE:	M6082810 - M6082819		
		OTHERS:			

Line	Time/Fid		AIR MAG SDAS FILE .DAT	AIR SPEC BINARY FILE .P??	Comments
L590	2434	2652	sdas1-20060828_063506	B6082810.P35	
L580	2657	2881	sdas1-20060828_054702	B6082812.P35	
L570	2886	3100		B6082814.P35	
L560	3105	3341			
L550	3459	3702			
L540	3707	3973			
L530	3977	4202			
L520	4206	4461			
L510	4465	4540			
L510.1	4575	4778			
L500	4783	5014			
L490	5020	5232			
L480	5237	5460			
L470	5464	5475			
L470.1	5519	5744			
L460	5750	5772			
L450	5979	6163			
L440	6169	6387			
L430	6391	6585			
L420	6590	6773			
L410	6778	6931			
L400	6936	7115			
L390	9547	9702			
L380	9707	9876			
L370	9880	10014			
L360	10019	10179			
L350	10259	10396			
L340	10402	10561			
L330	10566	10603			
L330.1	10639	10663			
L330.2	10679	10784			
L320	10789	10942			
L310	10947	11078			
L300	11083	11239			
L290	11244	11360			
L280	11364	11493			
L270	11498	11613			
L260	11618	11755			
L250	11761	11782			
L250.1	11797	11917			
L240	11921	12052			
L230	12057	12170			
L220	12174	12306			
L210	12310	12424			
L200	12430	12545			
L190	12549	12587			
L190.1	12615	12688			
L180	12694	12790			
L170	12796	12872			
L160	12877	12966			
L150	12971	13036			
L140	13067	13128			
L130	13133	13174			
L120	13211	13251			
L110	13255	13291			
L100	13295	13330			
L90	15708	15762			
L80	15833	15911			
L70	15916	15989			
L60	16032	16124			
L50	16130	16212			
L40	16218	16315			
L30	16320	16407			
L20	16415	16514			
L10	16555	16629			
L0	16680	16761			
L1300	17302	17619			
L760	18350	18743			

ANY LINE BELOW SHOULD HAVE THE LINE NUMBER INCREMENTED BY 1 EACH TIME

SAMPLE CALIBRATION CHECK

Prey Spec Calibration

	Cs137 Peak Chan: Start	End	Comments
BKG	1	60	
Cs 137	100	220	
U	300	420	
Th	480	600	
BKG	640	720	

Binary File: B6082810.P07

	Resolution	Channel	Start 6.05
1st Crystal	10	57	
2nd Crystal	9	57	
3rd Crystal	9	56	
4th Crystal	9	56	
5th UP Crysta	10	56	

Postsurvey Spec Calibration:

Cs137 Peak Chan:

	Start	End	Comments
BKG			
Cs 137			
U			
Th			
BKG			

Binary File:

	Resolution	Channel	End
1st Crystal			
2nd Crystal			
3rd Crystal			
4th Crystal			
5th UP Crystal			

AIRBORNE GEOPHYSICAL FLIGHT LOG

CLIENT:	OMEGALPHA Inc.	BLOCK:	JOB:0609	PAGE	of
FLT #:	38	Date (dd/mm/yr): 28/08/06		OPERATOR:	Paul Beaubien
PILOT:	David	O.A.T.: 22C / 2992		A/C REG:	N124AL
DEPART TIME:	13:03	RETURN TIME:	16:05	FLIGHT TIME (HRS):	3:02
SURVEY HEIGHT:	50 M	NOVATEL GPS FILE:	GR_Aug28a		
		GEM/NOVATEL BMAG FILE:	G6082816.T48		
		BLUE BOX BMAG AND GPS TIME FILE:	M6082810 - M6082819		
		OTHERS:			

Line	Time	Fid	AIR MAG SDAS FILE .DAT	AIR SPEC BINARY FILE .P??	Comments
L1790	1660	2841	sdas1-20060828_130528	B6082817.P05	
L1800	2865	4371		B6082819.P05	
L1810	5316	6564			
L1820	6604	8133			

ANY LINE REFLOWN SHOULD HAVE THE LINE NUMBER INCREMENTED BY 1 EACH TIME

SAMPLE CALIBRATION CHECKS

vey Spec Calibration				Postsurvey Spec Calibration			
	Cs137 Peak Chan:				Cs137 Peak Chan:		
	Start	End	Comments		Start	End	Comments
BKG				BKG	1	60	
Cs 137				Cs 13	100	220	
U				U	270	390	
Th				Th	450	570	
BKG				BKG	610	690	
Binary File:				*Binary File:*			B6082820.P15

	Resolution	Channel	Start		Resolution	Channel	End 16.09
1st Crystal				1st Crystal	9.6	56.1	
2nd Crystal				2nd Crystal	9.4	57.0	
3rd Crystal				3rd Crystal	9.3	55.7	
4th Crystal				4th Crystal	9.6	55.7	
5th UP Crystal				5th UP Crystal	9.7	56.2	

AIRBORNE GEOPHYSICAL FLIGHT LOG

CLIENT:	OMEGALPHA Inc.	BLOCK:	JOB: 0609	PAGE	1 of 1
FLT #:	39	Date (dd/mm/yr): 29/08/06		OPERATOR:	Paul Beaubien
PILOT:	David	O.A.T.: 13C / 2993		A/C REG:	N124AL
DEPART TIME:	6:52	RETURN TIME:	12:31	FLIGHT TIME (HRS):	5:39
SURVEY HEIGHT:	50 M	NOVATEL GPS FILE:	GR_Aug29a		
		GEM/NOVATEL BMAG FILE:	G6082915.T52		
		BLUE BOX BMAG AND GPS TIME FILE:	M6082911 - M6082919		
		OTHERS:			

Line	Time/Fid		AIR MAG SDAS FILE .DAT	AIR SPEC BINARY FILE .P??	Comments
L820	3190	3437	sdas1-20060829_074344	B6082911.P44	
L1670	3838	4363	sdas1-20060829_065453	B6082913.P44	
L1680	4373	4879		B6082915.P44	
L1940	5493	6521			
L1940.1	6563	6922			
L2230	8415	9192			
L2240	9239	10065			
L2220	10397	10811			
L2200	10851	11384			
L2360	13089	13942			
L2350	14014	14188			
L2350.1	14213	14941			

ANY LINE REFLOWN SHOULD HAVE THE LINE NUMBER INCREMENTED BY 1 EACH TIME

SAMPLE CALIBRATION CHECKS

Survey Spec Calibration — Cs137 Peak Chan: _____

	Start	End	Comments
BKG	1.0	60.0	
Cs 137	100.0	220.0	
U	290.0	410.0	
Th	590.0	710.0	
BKG	780.0	860.0	

Binary File: B6082911.P16

	Resolution	Channel	Start 7.12
1st Crystal	9.50	56.80	
2nd Crystal	9.40	56.70	
3rd Crystal	9.40	56.00	
4th Crystal	9.50	55.90	
5th UP Crystal	10.40	56.30	

Postsurvey Spec Calibration — Cs137 Peak Chan: _____

	Start	End	Comments
BKG			
Cs 137			
U			
Th			
BKG			

Binary File:

	Resolution	Channel	End
1st Crystal			
2nd Crystal			
3rd Crystal			
4th Crystal			
5th UP Crystal			

AIRBORNE GEOPHYSICAL FLIGHT LOG

CLIENT:	OMEGALPHA Inc.	BLOCK:	JOB: 0609	PAGE	1 of 1
FLT #:	40	Date (dd/mm/yr): 29/08/06		OPERATOR:	Paul Beaubien
PILOT:	David	O.A.T.: 18C / 2988		A/C REG:	N124AL
DEPART TIME:	13:21	RETURN TIME:	15:54	FLIGHT TIME (HRS):	2:33
SURVEY HEIGHT:	50 M	NOVATEL GPS FILE:	GR_Aug29a		
		GEM/NOVATEL BMAG FILE:	G6082915.T52		
		BLUE BOX BMAG AND GPS TIME FILE:	M6082911 - M6082919		
		OTHERS:			

Line	Time/Fid		AIR MAG SDAS FILE .DAT	AIR SPEC BINARY FILE .P??	Comments
T10360	832	1108	sdas1-20060829_132213	B6082917.P22	
T10350	1223	1677		B6082919.P22	
T10340	1758	1969			
T10320	2277	2847			
T10330	2916	3240			
T10310	4720	5334			
T10300	5455	6176			
T10290	6312	6651			

ANY LINE REFLOWN SHOULD HAVE THE LINE NUMBER INCREMENTED BY 1 EACH TIME

SAMPLE CALIBRATION CHECKS

vey Spec Calibration

Cs137 Peak Chan: _____

	Start	End	Comments
BKG			
Cs 137			
U			
Th			
BKG			
Binary File:			

Postsurvey Spec Calibration

Cs137 Peak Chan: _____

	Start	End	Comments
BKG	1	60	
Cs 13	100	220	
U	270	390	
Th	460	580	
BKG	620	680	
Binary File:			B6082920.P04

	Resolution	Channel	Start
1st Crystal			
2nd Crystal			
3rd Crystal			
4th Crystal			
5th UP Crystal			

	Resolution	Channel	End 16.02
1st Crystal	9.800	56.4	
2nd Crystal	9.400	56.7	
3rd Crystal	9.400	55.9	
4th Crystal	9.300	55.8	
5th UP Crystal	10.100	56.0	

AIRBORNE GEOPHYSICAL FLIGHT LOG

CLIENT:	OMEGALPHA Inc.	BLOCK:	JOB: 0609	PAGE	1 of 1
FLT #:	41	Date (dd/mm/yr):	30/08/06	OPERATOR:	Paul Beaubien
PILOT:	David	O.A.T.:	14C / 2990	A/C REG:	N124AL
DEPART TIME:	6:11	RETURN TIME:	12:16	FLIGHT TIME (HRS):	6:05
SURVEY HEIGHT:	50 M	NOVATEL GPS FILE:	GR Aug30a		
		GEM/NOVATEL BMAG FILE:	G6083117.T10		
		BLUE BOX BMAG AND GPS TIME FILE:	M6083010 - M6083021		
		OTHERS:			

Line	Time	Fid	AIR MAG SDAS FILE .DAT	AIR SPEC BINARY FILE .P??	Comments
T10290	1667	1913	sdas1-20060830_065937	B6083011.P00	
L2370	3198	4381	sdas1-20060830_061410	B6083013.P00	
L2260	4443	4837		B6083015.P00	
L2250	4888	5319			
L2380	5453	6788			
T10280	8918	9624			
T10270	9694	10734			
T10260	10929	11901			
T10250	13434	14200			
T10240	14298	15234			
T10250.1	15318	15679			
T10230	16759	17274			
T10220	17370	18129			
T10230.1	18197	18532			

ANY LINE REFLOWN SHOULD HAVE THE LINE NUMBER INCREMENTED BY 1 EACH TIME

SAMPLE CALIBRATION CHECKS

vey Spec Calibration

	Cs137 Peak Chan:	
	Start	End
BKG	1.0	60.0
Cs 137	100.0	220.0
U	270.0	390.0
Th	480.0	600.0
BKG	680.0	740.0

6.47

Comments

Postsurvey Spec Calibration

	Cs137 Peak Chan:		
	Start	End	Comments
BKG			
Cs 137			
U			
Th			
BKG			

Binary File: B6083010.P35 **Binary File:**

	Resolution	Channel	Start
1st Crystal			
2nd Crystal			
3rd Crystal			
4th Crystal			
5th UP Crystal			

	Resolution	Channel	End
1st Crystal			
2nd Crystal			
3rd Crystal			
4th Crystal			
5th UP Crystal			

AIRBORNE GEOPHYSICAL FLIGHT LOG

CLIENT:	OMEGALPHA Inc.	BLOCK:	JOB: 0609	PAGE	1 of 1
FLT #:	42	Date (dd/mm/yr): 31/08/06		OPERATOR:	Paul Beaubien
PILOT:	David	O.A.T.: 5C / 3032		A/C REG:	N124AL
DEPART TIME:	11:22	RETURN TIME:	11:35	FLIGHT TIME (HRS):	0:13
SURVEY HEIGHT:	50 M	NOVATEL GPS FILE:	GR_Aug30a		
		GEM/NOVATEL BMAG FILE:	G6083117.T1C		
		BLUE BOX BMAG AND GPS TIME FILE:	M6083010 - M6083021		
		OTHERS:			

Line	Time/Fid	AIR MAG SDAS FILE .DAT	AIR SPEC BINARY FILE .P??	Comments
			Flight aborted due to bad weather	

ANY LINE REFLOWN SHOULD HAVE THE LINE NUMBER INCREMENTED BY 1 EACH TIME

SAMPLE CALIBRATION CHECKS

vey Spec Calibration					Postsurvey Spec Calibration			
	Cs137 Peak Chan:				Cs137 Peak Chan:			
	Start	End	Comments		Start	End	Comments	
BKG				BKG				
Cs 137				Cs 137				
U				U				
Th				Th				
BKG				BKG				
Binary File:			B6083010.P35	Binary File:				

	Resolution	Channel	Start		Resolution	Channel	End
1st Crystal				1st Crystal			
2nd Crystal				2nd Crystal			
3rd Crystal				3rd Crystal			
4th Crystal				4th Crystal			
5th UP Crystal				5th UP Crystal			

AIRBORNE GEOPHYSICAL FLIGHT LOG

CLIENT:	OMEGALPHA Inc.	BLOCK:	JOB: 0609	PAGE	1 of 1
FLT #:	43	Date (dd/mm/yr): 01/09/06		OPERATOR:	Paul Beaubien
PILOT:	David	O.A.T.: 8C / 3050		A/C REG:	N124AL
DEPART TIME:	6:25	RETURN TIME:	12:50	FLIGHT TIME (HRS):	6:25
SURVEY HEIGHT:	50 M	NOVATEL GPS FILE:	GR_Sep01a		
		GEM/NOVATEL BMAG FILE:	G6090116.T00		
		BLUE BOX BMAG AND GPS TIME FILE:	M6090111 - M6090119		
		OTHERS:			

Line	Time	Fid	AIR MAG SDAS FILE .DAT	AIR SPEC BINARY FILE .P??	Comments
T10210	2694	3189	sdas1-20060901_072532	B6090111.P25	
T10200	3252	4067	sdas1-20060901_062633	B6090113.P25	
T10210.1	4133	4425		B6090115.P25	
T10190	4588	5068			
T10180	5214	6227			
T10190.1	6305	6617			
T10170	8158	8847			
T10160	9039	10194			
T10170.1	10273	10560			
T10150	10672	11443			
T10140	11499	12688			
T10150.1	12749	13143			
T10130	15245	15744			
T10120	15804	16673			
T10130.1	16727	17118			

ANY LINE REFLOWN SHOULD HAVE THE LINE NUMBER INCREMENTED BY 1 EACH TIME

SAMPLE CALIBRATION CHECKS

vey Spec Calibration			7.1		Postsurvey Spec Calibration		
	Cs137 Peak Chan:				Cs137 Peak Chan:		
	Start	End	Comments		Start	End	Comments
BKG	1.0	60.0		BKG			
Cs 137	120.0	240.0		Cs 137			
U	310.0	430.0		U			
Th	490.0	610.0		Th			
BKG	650.0	720.0		BKG			
Binary File:			B6090110.P59	Binary File:			

	Resolution	Channel	Start 6.53		Resolution	Channel	End
1st Crystal	9.90	56.80		1st Crystal			
2nd Crystal	9.60	56.80		2nd Crystal			
3rd Crystal	9.70	55.50		3rd Crystal			
4th Crystal	9.60	55.70		4th Crystal			
5th UP Crystal	10.30	56.00		5th UP Crystal			

AIRBORNE GEOPHYSICAL FLIGHT LOG

CLIENT:	OMEGALPHA Inc.	BLOCK:	JOB: 0609	PAGE	1 of 1
FLT #:	44	Date (dd/mm/yr): 01/09/06		OPERATOR:	Paul Beaubien
PILOT:	David	O.A.T.: 18C / 3044		A/C REG:	N124AL
DEPART TIME:	13:17	RETURN TIME:	15:58	FLIGHT TIME (HRS):	2:41
SURVEY HEIGHT:	50 M	NOVATEL GPS FILE:	GR_Sep01a		
		GEM/NOVATEL BMAG FILE:	G6090116.T00		
		BLUE BOX BMAG AND GPS TIME FILE:	M6090111 - M6090119		
		OTHERS:			

Line	Time/Fid		AIR MAG SDAS FILE .DAT	AIR SPEC BINARY FILE .P??	Comments
T10110	2519	3356	sdas1-20060901_132052	B6090117.P20	
T10100	3480	4421		B6090119.P20	
T10280	5160	5921			

ANY LINE REFLOWN SHOULD HAVE THE LINE NUMBER INCREMENTED BY 1 EACH TIME

SAMPLE CALIBRATION CHECKS

Survey Spec Calibration — Cs137 Peak Chan: _____

	Start	End	Comments
BKG			
Cs 137			
U			
Th			
BKG			

Binary File:

	Resolution	Channel	
1st Crystal			
2nd Crystal			
3rd Crystal			
4th Crystal			
5th UP Crystal			

Postsurvey Spec Calibration — Cs137 Peak Chan: _____

	Start	End	Comments
BKG	1	60	
Cs 137	120	240	
U	310	430	
Th	480	600	
BKG	630	720	

Binary File: B6090120.P10

	Resolution	Channel	End
1st Crystal	9.800	57.2	
2nd Crystal	9.700	56.4	
3rd Crystal	9.500	55.8	
4th Crystal	9.800	55.5	
5th UP Crystal	10.800	55.6	

AIRBORNE GEOPHYSICAL FLIGHT LOG

CLIENT:	OMEGALPHA Inc.	BLOCK:	JOB: 0609
PAGE	1 of 1		
FLT #:	45	Date (dd/mm/yr): 02/09/06	OPERATOR: Paul Beaubien
PILOT:	David	O.A.T.: 14C / 3018	A/C REG: N124AL
DEPART TIME:	5:42	RETURN TIME: 11:54	FLIGHT TIME (HRS): 6:12
SURVEY HEIGHT:	50 M	NOVATEL GPS FILE:	GR_Sep02a
		GEM/NOVATEL BMAG FILE:	G6090213.T51
		BLUE BOX BMAG AND GPS TIME FILE:	M6090210 - M6090217
		OTHERS:	

Line	Time	Fid	AIR MAG SDAS FILE .DAT	AIR SPEC BINARY FILE .P??	Comments
T10090	2974	4054	sdas1-20060902_063936	B6090210.P40	
T10080	4190	5314	sdas1-20060902_055133	B6090212.P40	
T10070	5371	6331	sdas1-20060902_130411	B6090214.P40	
T10060	6468	7317			
T10050	7434	8027			
T10040	11438	11997			
T10030	12139	12639			
T10020	12731	13046			
T10010	13134	13335			
T10000	13403	13492			
L660	15047	15357			
L1840	16102	16250			

ANY LINE REFLOWN SHOULD HAVE THE LINE NUMBER INCREMENTED BY 1 EACH TIME

SAMPLE CALIBRATION CHECKS

Survey Spec Calibration — Cs137 Peak Chan: _____

	Start	End	Comments
BKG	1	60	
Cs 137	120	240	
U	330	450	
Th	550	670	
BKG	710	780	

Binary File: B6090210.P12

	Resolution	Channel
1st Crystal	10	57
2nd Crystal	10	56
3rd Crystal	9	56
4th Crystal	10	56
5th UP Crystal	10	56

Start 6.08

Postsurvey Spec Calibration — Cs137 Peak Chan: _____

	Start	End	Comments
BKG	1	60	
Cs 137	100	220	
U	290	410	
Th	480	600	
BKG	640	740	

Binary File: B6090217.P27

	Resolution	Channel
1st Crystal	9.7	56.5
2nd Crystal	9.2	56.8
3rd Crystal	9.3	55.9
4th Crystal	9.3	55.6
5th UP Crystal	10.3	55.7

End 13.23

AIRBORNE GEOPHYSICAL FLIGHT LOG

CLIENT:	OMEGALPHA Inc.	BLOCK:	JOB: 0609	PAGE	1 of 1
FLT #:	46	Date (dd/mm/yr): 03/09/06		OPERATOR:	Paul Beaubien
PILOT:	David	O.A.T.: ____/____		A/C REG:	N124AL
DEPART TIME:	5:58	RETURN TIME:	8:02	FLIGHT TIME (HRS):	2:04
SURVEY HEIGHT:	50 M	NOVATEL GPS FILE:	GR_Sep03a		
		GEM/NOVATEL BMAG FILE:	G6090318.T08		
		BLUE BOX BMAG AND GPS TIME FILE:	M6090310 - M6090321		
		OTHERS:			

Line	Time/Fid		AIR MAG SDAS FILE .DAT	AIR SPEC BINARY FILE .P?? Tests	Comments
S9001	340	359	sdas1-20060903_064637	B6090311.P30	
S9002	399	428		B6090311.P45	
S9003	484	501		B6090310.P49	
S9004	540	567			
S9005	760	1270			
S9006	1354	1899			
S9007	1964	2420			

ANY LINE REFLOWN SHOULD HAVE THE LINE NUMBER INCREMENTED BY 1 EACH TIME

SAMPLE CALIBRATION CHECKS

vey Spec Calibration			6.25		Postsurvey Spec Calibration		
	Cs137 Peak Chan: ____				Cs137 Peak Chan: ____		
	Start	End	Comments		Start	End	Comments
BKG	1	60		BKG			
Cs 137	100	220		Cs 137			
U	280	400		U			
Th	450	570		Th			
BKG	590	600		BKG			

Binary File:			B6090310.P24	Binary File:			
	Resolution	Channel	Start 6.20		Resolution	Channel	End
1st Crystal	10	57		1st Crystal			
2nd Crystal	10	57		2nd Crystal			
3rd Crystal	10	56		3rd Crystal			
4th Crystal	10	56		4th Crystal			
5th UP Crystal	10	56		5th UP Crystal			

AIRBORNE GEOPHYSICAL FLIGHT LOG

CLIENT:	OMEGALPHA Inc.	BLOCK:	JOB: 0609	PAGE	1 of 1
FLT #:	47	Date (dd/mm/yr): 03/09/06		OPERATOR:	Paul Beaubien
PILOT:	David	O.A.T.: 10C /		A/C REG:	N124AL
DEPART TIME:	8:26	RETURN TIME:	8:46	FLIGHT TIME (HRS):	0:20
SURVEY HEIGHT:	50 M	NOVATEL GPS FILE:	GR_Sep03a		
		GEM/NOVATEL BMAG FILE:	G6090318.T08		
		BLUE BOX BMAG AND GPS TIME FILE:	M6090310 - M6090321		
		OTHERS:			

Line	Time/Fid		AIR MAG SDAS FILE .DAT	AIR SPEC BINARY FILE .P??	Comments
			Radar AltitudeTest		
			sdas1-20060903_081657	B6090312.P19	
	612	647			600'
	698	732			500'
	777	815			400'
	872	911			300'
	951	991			200'
	1039	1080			100'

ANY LINE REFLOWN SHOULD HAVE THE LINE NUMBER INCREMENTED BY 1 EACH TIME

SAMPLE CALIBRATION CHECKS

Pvey Spec Calibration — Cs137 Peak Chan: _____

	Start	End	Comments
BKG	70.0	140.0	
Cs 137	190.0	310.0	
U	410.0	530.0	
Th	600.0	720.0	
BKG	780.0	850.0	

Postsurvey Spec Calibration — Cs137 Peak Chan: _____

	Start	End	Comments
BKG			
Cs 137			
U			
Th			
BKG			

Binary File: B6090312.P44 — **Binary File:**

	Resolution	Channel	Start 9.02
1st Crystal			
2nd Crystal			
3rd Crystal			
4th Crystal			
5th UP Crystal			

	Resolution	Channel	End
1st Crystal	9.600	56.7	
2nd Crystal	9.500	56.7	
3rd Crystal	9.500	55.5	
4th Crystal	9.400	55.8	
5th UP Crystal	10.200	55.9	

AIRBORNE GEOPHYSICAL FLIGHT LOG

CLIENT:	OMEGALPHA Inc.	BLOCK:	JOB: 0609	PAGE	1 of 1
FLT #:	48	Date (dd/mm/yr): 04/09/06		OPERATOR:	Paul Beaubien
PILOT:	David	O.A.T.: 6C / 3002		A/C REG:	N124AL
DEPART TIME:	5:50	RETURN TIME:	11:44	FLIGHT TIME (HRS):	5:54
SURVEY HEIGHT:	50 M	NOVATEL GPS FILE:	GR_Sep04a		
		GEM/NOVATEL BMAG FILE:	G6090414.T57		
		BLUE BOX BMAG AND GPS TIME FILE:	M6090410 - M6090418		
		OTHERS:			

Line	Time/Fid		AIR MAG SDAS FILE .DAT	AIR SPEC BINARY FILE .P??	Comments
S9001	2972	3230	sdas1-20060904_063636	B6090410.P37	
S9002	3238	3654	sdas1-20060904_143104	B6090412.P37	
S9003	3783	4051	sdas1-20060904_055219	B6090414.P37	
S9004	4074	4328			
L2390	7260	8519			
L2400	8541	10040			
L2410	12664	13635			
L2420	13640	14876			

ANY LINE REFLOWN SHOULD HAVE THE LINE NUMBER INCREMENTED BY 1 EACH TIME

SAMPLE CALIBRATION CHECKS

vey Spec Calibration			6.25	Postsurvey Spec Calibration			
	Cs137 Peak Chan:			Cs137 Peak Chan:			
	Start	End	Comments		Start	End	Comments
BKG	1.0	60.0		BKG	1	60	
Cs 137	100.0	220.0		Cs 13	160	280	
U	270.0	390.0		U	440	560	
Th	440.0	560.0		Th	660	780	
BKG	610.0	700.0		BKG	900	980	
Binary File:			B6090410.P14	Binary File:			B6090418.P54

	Resolution	Channel	Start 6.10		Resolution	Channel	End 14.54
1st Crystal	9.6	56.8		1st Crystal	9.7	56.8	
2nd Crystal	9.7	56.1		2nd Crystal	9.7	56.2	
3rd Crystal	9.4	56.0		3rd Crystal	9.5	55.9	
4th Crystal	9.7	55.5		4th Crystal	9.9	55.3	
5th UP Crystal	10.2	55.5		5th UP Crystal	10.4	55.3	

AIRBORNE GEOPHYSICAL FLIGHT LOG

CLIENT:	OMEGALPHA Inc.	BLOCK:	JOB: 0609	PAGE	of
FLT #:	49	Date (dd/mm/yr): 05/09/06		OPERATOR:	Paul Beaubien
PILOT:	David	O.A.T.:_____/_____		A/C REG:	N124AL
DEPART TIME:		RETURN TIME:		FLIGHT TIME (HRS):	
SURVEY HEIGHT:	50 M	NOVATEL GPS FILE:	GR_Sep05a		
		GEM/NOVATEL BMAG FILE:	G6090517.T00		
		BLUE BOX BMAG AND GPS TIME FILE:	M6090512 - M6090520		
	_____	OTHERS:			

Line	Time/Fid		AIR MAG SDAS FILE .DAT	AIR SPEC BINARY FILE .P??	Comments
T10380	1251	1371	sdas1-20060905_083850	B6090513.P07	
T10370	1407	1761	sdas1-20060905_145201	B6090518.P54	
T10360	1806	2127	sdas1-20060905_074546		
T10360.1	2174	2494			
T10360.2	2598	2864			
T10360.3	2852	3126			

ANY LINE REFLOWN SHOULD HAVE THE LINE NUMBER INCREMENTED BY 1 EACH TIME

SAMPLE CALIBRATION CHECKS

vey Spec Calibration			8.12		Postsurvey Spec Calibration		
	Cs137 Peak Chan:				Cs137 Peak Chan:		
	Start	End	Comments		Start	End	Comments
BKG	1.0	60.0		BKG	1	60	
Cs 137	260.0	380.0		Cs 13	100	220	
U	450.0	570.0		U	460	580	
Th	680.0	800.0		Th	640	700	
BKG	830.0	900.0		BKG	900	960	
Binary File:			B6090512.P12	Binary File:			B6090520.P27

	Resolution	Channel	Start		Resolution	Channel	End 16.23
1st Crystal	9.60	56.80		1st Crystal	9.900	57.2	
2nd Crystal	9.80	57.30		2nd Crystal	9.600	57.1	
3rd Crystal	9.50	55.80		3rd Crystal	9.400	55.8	
4th Crystal	9.60	55.90		4th Crystal	9.800	55.6	
5th UP Crystal	10.40	56.20		5th UP Crystal	10.100	56.2	

Project #:	0609	Daily Field Report - Kangiqsualujjuaq Survey					
Report Date:	25-Jul-06	Aircraft:	N124AL	SURVEY PERSONNEL			
Report Number:	1	Ops Base:	George River	Pilot	David Kresser		
Client:	Omegalpha Inc.	Country:	CANADA	Operator	Paul Beaubien		
Survey Type:	High Resolution Mag/Spec Survey			Field Data QC:	John Currie		
Survey Area:	Kangiqsualujjuaq Area, Quebec			Helicopter Engineer	Mark Greenen		
Project Km:	21,824.5		Total Flown	Total Accepted			
Km flown today:							
Accumulated km:							
Percent Completed:							
Lines flown:							

Flight #	Comments	Take off (GPS time)	Land (GPS time)	Hours Flown
	Helicopter ferried from Kuujjuaq to George River.			
	6 round trips to cache fuel near area.			
	Helicopter ferried from George River to Omegalpha camp			6:36:00
Weather:	Overcast with some rain. Temp. 15C.	Hours Flown Today:		6:36:00
Accum. Standby:	Accumulated Survey Days: 1	Accumulated Project Hours:		6:36:00

COMMENTS

Helicopter ferried from Kuujjuaq to George River.
12 drums of fuel flown to remote fuel cache location near edge of survey area.
Paul Beaubien arrived in George River.
Paul Beaubien, David and Mark flew to Omegalpha camp and are now based there. John Currie based in George River.

CONTROL	Flight # :		Flight date:	
POST FLIGHT	Accepted km	Rejected km	Reasons for Rejection	

REFLIGHTS		OBSERVATIONS.	LINES REFLOWN
Rejected km			
Kms today			
Accumulated km			
Percent Completed			

Operations Base: George River, Quebec				
Geophy Co-ordinator:	Dr. Tomas Grand		1-905-830-6880	tgrand@mgssurveys.com
General Manager	Tim Bodger		1-905-830-6880	tbodger@mgssurveys.com
Project Manager:	John Currie		1-905-830-6880	jcurrie@mgssurveys.com
Systems Engineer	Keith W. Hall		1-905-954-5212	khall@mgssurveys.com
HSE Manager:	Victor Oetke		1-905-830-6880	vho@mgssurveys.com

McPhar Geosurveys Ltd.
1256B Kerrisdale Boulevard, Newmarket, Ontario, Canada L3Y 8Z9
Tel: (905) 830-6880, Fax: (905) 898-0336, E-mail: info@mgssurveys.com

Please note that kilometres flown are estimates.

*Exact kilometres will be calculated upon completion of survey, and will be based on GPS observations & contractual boundaries

Project #:	0609	Daily Field Report - Kangiqsualujjuaq Survey					
Report Date:	26-Jul-06	Aircraft:	N124AL	SURVEY PERSONNEL			
Report Number:	2	Ops Base:	George River	Pilot	David Kresser		
Client:	Omegalpha Inc.	Country:	CANADA	Operator	Paul Beaubien		
Survey Type:	High Resolution Mag/Spec Survey			Field Data QC:	John Currie		
Survey Area:	Kangiqsualujjuaq Area, Quebec			Helicopter Engineer	Mark Greenen		
Project Km:	21,824.5	Total Flown	Total Accepted				
Km flown today:							
Accumulated km:							
Percent Completed:							
Lines flown:							

Flight #	Comments	Take off (GPS time)	Land (GPS time)	Hours Flown
	Helicopter ferried from Omegalpha camp to George River (2 round trips)			1:00:00

Weather:	Clear. Temp. 18C.	Hours Flown Today:		1:00:00
Accum. Standby:	Accumulated Survey Days: 2	Accumulated Project Hours:		7:36:00

COMMENTS

Equipment installed in helicopter. Fluxgate reinstalled further out on boom to decrease noise levels.
Equipment ground tested.
Ramesh arrived in George River.

CONTROL	Flight # :		Flight date:	
POST FLIGHT	Accepted km	Rejected km	Reasons for Rejection	

REFLIGHTS		OBSERVATIONS.	LINES REFLOWN
Rejected km			
Kms today			
Accumulated km			
Percent Completed			

Operations Base: George River, Quebec				
Geophy Co-ordinator:	Dr. Tomas Grand		1-905-830-6880	tgrand@mgssurveys.com
General Manager	Tim Bodger		1-905-830-6880	tbodger@mgssurveys.com
Project Manager:	John Currie		1-905-830-6880	jcurrie@mgssurveys.com
Systems Engineer	Keith W. Hall		1-905-954-5212	khall@mgssurveys.com
HSE Manager:	Victor Oetke		1-905-830-6880	vho@mgssurveys.com

McPhar Geosurveys Ltd.
1256B Kerrisdale Boulevard, Newmarket, Ontario, Canada L3Y 8Z9
Tel: (905) 830-6880, Fax: (905) 898-0336, E-mail: info@mgssurveys.com

Please note that kilometres flown are estimates.

Exact kilometres will be calculated upon completion of survey, and will be based on GPS observations & contractual boundaries

Project #:	0609	Daily Field Report - Kangiqsualujjuaq Survey					
Report Date:	27-Jul-06	Aircraft:	N124AL	SURVEY PERSONNEL			
Report Number:	3	Ops Base:	George River	Pilot	David Kresser		
Client:	Omegalpha Inc.	Country:	CANADA	Operator	Paul Beaubien		
Survey Type:	High Resolution Mag/Spec Survey			Field Data QC:	Ramesh Acharya		
Survey Area:	Kangiqsualujjuaq Area, Quebec			Helicopter Engineer	Mark Greenen		
Project Km:	21,824.5	Total Flown	Total Accepted	Crew Chief	John Currie		
Km flown today:							
Accumulated km:							
Percent Completed:							
Lines flown:							

Flight #	Comments	Take off (GPS time)	Land (GPS time)	Hours Flown
1	Radar altimeter calibration	11:10	11:30	0:20:00
2	Cosmic test	13:30	15:05	1:35:00
3	Attenuation test	15:50	16:30	0:40:00
		ferry		1:13:00
Weather:	Clear. Temp. 28C.	Hours Flown Today:		3:48:00
Accum. Standby:	Accumulated Survey Days: 3	Accumulated Project Hours:		11:24:00

COMMENTS

Base stations installed at George River airport.

Radar altimeter calibration, spectrometer cosmic test and spectrometer attenuation test done. Attenuation test to be redone.

CONTROL	Flight # :		Flight date:	
POST FLIGHT	Accepted km	Rejected km	Reasons for Rejection	

REFLIGHTS		OBSERVATIONS.	LINES REFLOWN
Rejected km			
Kms today			
Accumulated km			
Percent Completed			

Operations Base: George River, Quebec

Geophy Co-ordinator:	Dr. Tomas Grand		1-905-830-6880	tgrand@mgssurveys.com
General Manager	Tim Bodger		1-905-830-6880	tbodger@mgssurveys.com
Project Manager:	John Currie		1-905-830-6880	jcurrie@mgssurveys.com
Systems Engineer	Keith W. Hall		1-905-954-5212	khall@mgssurveys.com
HSE Manager:	Victor Oetke		1-905-830-6880	vho@mgssurveys.com

McPhar Geosurveys Ltd.
1256B Kerrisdale Boulevard, Newmarket, Ontario, Canada L3Y 8Z9
Tel: (905) 830-6880, Fax: (905) 898-0336, E-mail: info@mgssurveys.com

*Please note that kilometres flown are estimates.

*Exact kilometres will be calculated upon completion of survey, and will be based on GPS observations & contractual boundaries

Daily Field Report - Kangiqsualujjuaq Survey

Project #:	0609				SURVEY PERSONNEL	
Report Date:	28-Jul-06	Aircraft:	N124AL			
Report Number:	4	Ops Base:	George River		Pilot	David Kresser
Client:	Omegalpha Inc.	Country:	CANADA		Operator	Paul Beaubien
Survey Type:	High Resolution Mag/Spec Survey				Field Data QC:	Ramesh Acharya
Survey Area:	Kangiqsualujjuaq Area, Quebec				Helicopter Engineer	Mark Greenen
Project Km:	21,824.5		Total Flown	Total Accepted	Crew Chief	John Currie
Km flown today:			473.00	473.00		
Accumulated km:			473.00	473.00		
Percent Completed:			2.2%	2.2%		
Lines flown:	L2400,L2390,L2380,L2370,L2360,L2350,L2410,L2420,L2430,L2440					

Flight #	Comments	Take off (GPS time)	Land (GPS time)	Hours Flown
4	Ferry from camp to George River (round trip)	6:40	7:30	0:50:00
5	Attenuation and lag tests	9:05	9:20	0:15:00
6	production	10:05	15:20	5:15:00
7	production	15:40	17:20	1:40:00
		ferry		0:22:00

Weather:	Scattered clouds, moderate winds. Temp 26C.	Hours Flown Today:		8:22:00
Accum. Standby:	Accumulated Survey Days: 4	Accumulated Project Hours:		19:46:00

COMMENTS
Spectrometer attenuation test and magnetometer lag test completed.
2 production flights.
High winds in late afternoon, so no more flying possible.

CONTROL	Flight # :		Flight date:	
POST FLIGHT	Accepted km	Rejected km	Reasons for Rejection	

REFLIGHTS		OBSERVATIONS.	LINES REFLOWN
Rejected km			
Kms today			
Accumulated km			
Percent Completed			

Operations Base: George River, Quebec

Geophy Co-ordinator:	Dr. Tomas Grand		1-905-830-6880	tgrand@mgssurveys.com
General Manager	Tim Bodger		1-905-830-6880	tbodger@mgssurveys.com
Project Manager:	John Currie		1-905-830-6880	jcurrie@mgssurveys.com
Systems Engineer	Keith W. Hall		1-905-954-5212	khall@mgssurveys.com
HSE Manager:	Victor Oetke		1-905-830-6880	vho@mgssurveys.com

McPhar Geosurveys Ltd.
1256B Kerrisdale Boulevard, Newmarket, Ontario, Canada L3Y 8Z9
Tel: (905) 830-6880, Fax: (905) 898-0336, E-mail: info@mgssurveys.com

McPHAR

*Please note that kilometres flown are estimates.
*Exact kilometres will be calculated upon completion of survey, and will be based on GPS observations & contractual boundaries

Project #:	0609	Daily Field Report - Kangiqsualujjuaq Survey					
Report Date:	29-Jul-06	Aircraft:		N124AL	SURVEY PERSONNEL		
Report Number:	5	Ops Base:		George River	Pilot	David Kresser	
Client:	Omegalpha Inc.	Country:		CANADA	Operator	Paul Beaubien	
Survey Type:	High Resolution Mag/Spec Survey				Field Data QC:	Ramesh Acharya	
Survey Area:	Kangiqsualujjuaq Area, Quebec				Helicopter Engineer	Mark Greenen	
Project Km:	21,824.5		Total Flown	Total Accepted	Crew Chief	John Currie	
Km flown today:							
Accumulated km:			473.00	473.00			
Percent Completed:			2.2%	2.2%			
Lines flown:							

Flight #	Comments	Take off (GPS time)	Land (GPS time)	Hours Flown
	NO PRODUCTION			

Weather:	High winds in morning, heavy rain in afternoon. Temp 15C.	Hours Flown Today.		
Accum. Standby:	1	Accumulated Survey Days: 4	Accumulated Project Hours:	19:46:00

COMMENTS
No flyng possible due to bad weather.
Standby day.

CONTROL	Flight # :		Flight date:	
POST FLIGHT	Accepted km	Rejected km	Reasons for Rejection	

REFLIGHTS		OBSERVATIONS.	LINES REFLOWN
Rejected km			
Kms today			
Accumulated km			
Percent Completed			

Operations Base: George River, Quebec

Geophy Co-ordinator:	Dr. Tomas Grand		1-905-830-6880	tgrand@mgssurveys.com
General Manager	Tim Bodger		1-905-830-6880	tbodger@mgssurveys.com
Project Manager:	John Currie		1-905-830-6880	jcurrie@mgssurveys.com
Systems Engineer	Keith W. Hall		1-905-954-5212	khall@mgssurveys.com
HSE Manager:	Victor Oetke		1-905-830-6880	vho@mgssurveys.com

McPhar Geosurveys Ltd.
1256B Kerrisdale Boulevard, Newmarket, Ontario, Canada L3Y 8Z9
Tel: (905) 830-6880, Fax: (905) 898-0336, E-mail: info@mgssurveys.com

*Please note that kilometres flown are estimates.
*Exact kilometres will be calculated upon completion of survey, and will be based on GPS observations & contractual boundaries

Project #:	0609	Daily Field Report - Kangiqsualujjuaq Survey					
Report Date:	30-Jul-06	Aircraft:	N124AL	SURVEY PERSONNEL			
Report Number:	6	Ops Base:	George River	Pilot	David Kresser		
Client:	Omegalpha Inc.	Country:	CANADA	Operator	Paul Beaubien		
Survey Type:	High Resolution Mag/Spec Survey			Field Data QC:	Ramesh Acharya		
Survey Area:	Kangiqsualujjuaq Area, Quebec			Helicopter Engineer	Mark Greenen		
Project Km:	21,824.5	Total Flown	Total Accepted	Crew Chief	John Currie		
Km flown today:							
Accumulated km:		473.00	473.00				
Percent Completed:		2.2%	2.2%				
Lines flown:							

Flight #	Comments	Take off (GPS time)	Land (GPS time)	Hours Flown

Weather:	High winds in morning, heavy rain in afternoon. Temp 15C.		Hours Flown Today.		
Accum. Standby:	2	Accumulated Survey Days:	4	Accumulated Project Hours:	19:46:00

COMMENTS
No flyng possible due to bad weather.
Standby day.

CONTROL	Flight # :		Flight date:	
POST FLIGHT	Accepted km	Rejected km	Reasons for Rejection	

REFLIGHTS		OBSERVATIONS.	LINES REFLOWN
Rejected km			
Kms today			
Accumulated km			
Percent Completed			

Operations Base: George River, Quebec				
Geophy Co-ordinator:	Dr. Tomas Grand		1-905-830-6880	tgrand@mgssurveys.com
General Manager	Tim Bodger		1-905-830-6880	tbodger@mgssurveys.com
Project Manager:	John Currie		1-905-830-6880	jcurrie@mgssurveys.com
Systems Engineer	Keith W. Hall		1-905-954-5212	khall@mgssurveys.com
HSE Manager:	Victor Oetke		1-905-830-6880	vho@mgssurveys.com

McPhar Geosurveys Ltd.
1256B Kerrisdale Boulevard, Newmarket, Ontario, Canada L3Y 8Z9
Tel: (905) 830-6880, Fax: (905) 898-0336, E-mail: info@mgssurveys.com

Please note that kilometres flown are estimates.
Exact kilometres will be calculated upon completion of survey, and will be based on GPS observations & contractual boundaries

Project #:	0609	Daily Field Report - Kangiqsualujjuaq Survey					
Report Date:	31-Jul-06	Aircraft:	N124AL		SURVEY PERSONNEL		
Report Number:	7	Ops Base:	George River		Pilot	David Kresser	
Client:	Omegalpha Inc.	Country:	CANADA		Operator	Paul Beaubien	
Survey Type:	High Resolution Mag/Spec Survey				Field Data QC:	Ramesh Acharya	
Survey Area:	Kangiqsualujjuaq Area, Quebec				Helicopter Engineer	Mark Greenen	
Project Km:	21,824.5		Total Flown	Total Accepted	Crew Chief	John Currie	
Km flown today:			304.00	304.00			
Accumulated km:			777.00	777.00			
Percent Completed:			3.6%	3.6%			
Lines flown:	L2340,L2330,L2320,L2310,L2300,L2290						

Flight #	Comments	Take off (GPS time)	Land (GPS time)	Hours Flown
8	production	15:15	20:00	4:45:00
		ferry		0:45:00
Weather:	Low ceiling in the morning. Temp 10 °C	Hours Flown Today:		5:30:00
Accum. Standby: 2	Accumulated Survey Days: 5	Accumulated Project Hours:		25.16.00

COMMENTS
Bad weather in the morning. Survey commenced in the afternoon

CONTROL	Flight # :		Flight date:	
POST FLIGHT	Accepted km	Rejected km	Reasons for Rejection	

REFLIGHTS		OBSERVATIONS.	LINES REFLOWN
Rejected km			
Kms today			
Accumulated km			
Percent Completed			

Operations Base: George River, Quebec

Geophy Co-ordinator:	Dr. Tomas Grand		1-905-830-6880	tgrand@mgssurveys.com
General Manager	Tim Bodger		1-905-830-6880	tbodger@mgssurveys.com
Project Manager:	John Currie		1-905-830-6880	jcurrie@mgssurveys.com
Systems Engineer	Keith W. Hall		1-905-954-5212	khall@mgssurveys.com
HSE Manager:	Victor Oetke		1-905-830-6880	vho@mgssurveys.com

McPhar Geosurveys Ltd.
1256B Kerrisdale Boulevard, Newmarket, Ontario, Canada L3Y 8Z9
Tel: (905) 830-6880, Fax: (905) 898-0336, E-mail: info@mgssurveys.com

*Please note that kilometres flown are estimates.
*Exact kilometres will be calculated upon completion of survey, and will be based on GPS observations & contractual boundaries

Project #:	0609	Daily Field Report - Kangiqsualujjuaq Survey					
Report Date:	01-Aug-06	Aircraft:	N124AL		SURVEY PERSONNEL		
Report Number:	8	Ops Base:	George River		Pilot	David Kresser	
Client:	Omegalpha Inc.	Country:	CANADA		Operator	Paul Beaubien	
Survey Type:	High Resolution Mag/Spec Survey				Field Data QC:	Ramesh Acharya	
Survey Area:	Kangiqsualujjuaq Area, Quebec				Helicopter Engineer	Mark Greenen	
Project Km:	21,824.5		Total Flown	Total Accepted	Crew Chief	John Currie	
Km flown today:			314.00	314.00			
Accumulated km:			1,091.00	1,091.00			
Percent Completed:			5.0%	5.0%			
Lines flown:	L2280,L2270,L2260,L2250,L2240,L2230,L2220,L2200						

Flight #	Comments	Take off (GPS time)	Land (GPS time)	Hours Flown
9	Production	11:20:00	14:40:00	3:20:00
10	Production	15:00:00	18:10:00	3:10:00
		ferry		0:36:00
		Hours Flown Today.		7:06:00
		Accumulated Project Hours:		32.32.00

Weather:	Cool weather temp 15° c		
Accum. Standby:	2	Accumulated Survey Days:	6

COMMENTS

CONTROL	Flight # :		Flight date:	
POST FLIGHT	Accepted km	Rejected km	Reasons for Rejection	

REFLIGHTS		OBSERVATIONS.	LINES REFLOWN
Rejected km			
Kms today			
Accumulated km			
Percent Completed			

Operations Base: George River, Quebec				
Geophy Co-ordinator:	Dr. Tomas Grand		1-905-830-6880	tgrand@mgssurveys.com
General Manager	Tim Bodger		1-905-830-6880	tbodger@mgssurveys.com
Project Manager:	John Currie		1-905-830-6880	jcurrie@mgssurveys.com
Systems Engineer	Keith W. Hall		1-905-954-5212	khall@mgssurveys.com
HSE Manager:	Victor Oetke		1-905-830-6880	vho@mgssurveys.com

McPhar Geosurveys Ltd.
1256B Kerrisdale Boulevard, Newmarket, Ontario, Canada L3Y 8Z9
Tel: (905) 830-6880, Fax: (905) 898-0336, E-mail: info@mgssurveys.com

*Please note that kilometres flown are estimates.

*Exact kilometres will be calculated upon completion of survey, and will be based on GPS observations & contractual boundaries

Project #:	0609	Daily Field Report - Kangiqsualujjuaq Survey					
Report Date:	02-Aug-06	Aircraft:	N124AL	SURVEY PERSONNEL			
Report Number:	9	Ops Base:	George River	Pilot	David Kresser		
Client:	Omegalpha Inc.	Country:	CANADA	Operator	Paul Beaubien		
Survey Type:	High Resolution Mag/Spec Survey			Field Data QC:	Ramesh Acharya		
Survey Area:	Kangiqsualujjuaq Area, Quebec			Helicopter Engineer	Mark Greenen		
Project Km:	21,824.5	Total Flown	Total Accepted	Crew Chief	John Currie		
Km flown today:		595.00	595.00				
Accumulated km:		1,686.00	1,686.00				
Percent Completed:		7.7%	7.7%				
Lines flown:	L2210,L2190,L2180,L2170,L2160,L2150,L2140,L2130,L2120,L2110,L2100,L2090						

Flight #	Comments	Take off (GPS time)	Land (GPS time)	Hours Flown
11	Production	6:55:00	12:35:00	5:40:00
12	Production	13:25:00	17:55:00	4:30:00
Weather:	Cool weather temp 15° c	Hours Flown Today		10:10:00
Accum. Standby:	2	Accumulated Survey Days: 7	Accumulated Project Hours:		42.42.00

COMMENTS

CONTROL	Flight # :		Flight date:	
POST FLIGHT	Accepted km	Rejected km	Reasons for Rejection	

REFLIGHTS		OBSERVATIONS.	LINES REFLOWN
Rejected km			
Kms today			
Accumulated km			
Percent Completed			

Operations Base: George River, Quebec				
Geophy Co-ordinator:	Dr. Tomas Grand		1-905-830-6880	tgrand@mgssurveys.com
General Manager	Tim Bodger		1-905-830-6880	tbodger@mgssurveys.com
Project Manager:	John Currie		1-905-830-6880	jcurrie@mgssurveys.com
Systems Engineer	Keith W. Hall		1-905-954-5212	khall@mgssurveys.com
HSE Manager:	Victor Oetke		1-905-830-6880	vho@mgssurveys.com

McPhar Geosurveys Ltd.
1256B Kerrisdale Boulevard, Newmarket, Ontario, Canada L3Y 8Z9
Tel: (905) 830-6880, Fax: (905) 898-0336, E-mail: info@mgssurveys.com

*Please note that kilometres flown are estimates.

*Exact kilometres will be calculated upon completion of survey, and will be based on GPS observations & contractual boundaries

Project #:	0609	Daily Field Report - Kangiqsualujjuaq Survey					
Report Date:	03-Aug-06	Aircraft:	N124AL	SURVEY PERSONNEL			
Report Number:	10	Ops Base:	George River	Pilot	David Kresser		
Client:	Omegalpha Inc.	Country:	CANADA	Operator	Paul Beaubien		
Survey Type:	High Resolution Mag/Spec Survey			Field Data QC:	Ramesh Acharya		
Survey Area:	Kangiqsualujjuaq Area, Quebec			Helicopter Engineer	Mark Greenen		
Project Km:	21,824.5	Total Flown	Total Accepted	Crew Chief	John Currie		
Km flown today:		314.00	276.00				
Accumulated km:		2,000.00	1,962.00				
Percent Completed:		9.2%	9.0%				
Lines flown:	L2080,L2070,L2060,L2050,L2040,L2030,L2020,L2010,L2000,L1990,L1980,L1970,L1960,L1950,L1930,L1920,L1910,L1900,L1890,L1880,L1870,L1860,L1850,L1830,L1820,L1810,						

Flight #	Comments	Take off (GPS time)	Land (GPS time)	Hours Flown
13	Production	8:05:00	11:40:00	3:35:00
14	Production	13:05:00	16:30:00	3:25:00
Weather: Cool weather temp 15° c		Hours Flown Today.		7:00:00
Accum. Standby: 2	Accumulated Survey Days: 8	Accumulated Project Hours:		49.42.00

COMMENTS

Partial line segments west & east of the water body - Pilot has avoided the big water body for safety reasons

Helicopter passed through a rain storm during flight 14. Ground sample tests after the flight shown less counts
Spectrometer crystals 3,4 & 5 appeared non functioning. Further survey stopped pending rectification of the problem

CONTROL	Flight # :		Flight date:	
POST FLIGHT	Accepted km	Rejected km	Reasons for Rejection	

REFLIGHTS		OBSERVATIONS.	LINES REFLOWN
Rejected km			
Kms today			
Accumulated km			
Percent Completed			

Operations Base: George River, Quebec				
Geophy Co-ordinator:	Dr. Tomas Grand		1-905-830-6880	tgrand@mgssurveys.com
General Manager	Tim Bodger		1-905-830-6880	tbodger@mgssurveys.com
Project Manager:	John Currie		1-905-830-6880	jcurrie@mgssurveys.com
Systems Engineer	Keith W. Hall		1-905-954-5212	khall@mgssurveys.com
HSE Manager:	Victor Oetke		1-905-830-6880	vho@mgssurveys.com

McPhar Geosurveys Ltd.
1256B Kerrisdale Boulevard, Newmarket, Ontario, Canada L3Y 8Z9
Tel: (905) 830-6880, Fax: (905) 898-0336, E-mail: info@mgssurveys.com

*Please note that kilometres flown are estimates.
*Exact kilometres will be calculated upon completion of survey, and will be based on GPS observations & contractual boundaries

Project #:	0609	Daily Field Report - Kangiqsualujjuaq Survey					
Report Date:	04-Aug-06	Aircraft:		N124AL		SURVEY PERSONNEL	
Report Number:	11	Ops Base:		George River		Pilot	David Kresser
Client:	Omegalpha Inc.	Country:		CANADA		Operator	Paul Beaubien
Survey Type:	High Resolution Mag/Spec Survey					Field Data QC:	Ramesh Acharya
Survey Area:	Kangiqsualujjuaq Area, Quebec					Helicopter Engineer	Mark Greenen
Project Km:	21,824.5		Total Flown	Total Accepted		Crew Chief	John Currie
Km flown today:							
Accumulated km:			2,000.00	1,962.00			
Percent Completed:			9.2%	9.0%			
Lines flown:							

Flight #	Comments	Take off (GPS time)	Land (GPS time)	Hours Flown
	No Production - Standby			

Weather:	Cool weather temp 15° c			Hours Flown Today		
Accum. Standby:	3	Accumulated Survey Days:	8	Accumulated Project Hours:		49.42.00

COMMENTS

Spectrometer shipped to Kujjuak and from there to Toronto for repair

Standby

CONTROL	Flight # :		Flight date:	
POST FLIGHT	Accepted km	Rejected km	Reasons for Rejection	

REFLIGHTS		OBSERVATIONS.	LINES REFLOWN
Rejected km			
Kms today			
Accumulated km			
Percent Completed			

Operations Base: George River, Quebec

Geophy Co-ordinator:	Dr. Tomas Grand		1-905-830-6880	tgrand@mgssurveys.com
General Manager	Tim Bodger		1-905-830-6880	tbodger@mgssurveys.com
Project Manager:	John Currie		1-905-830-6880	jcurrie@mgssurveys.com
Systems Engineer	Keith W. Hall		1-905-954-5212	khall@mgssurveys.com
HSE Manager:	Victor Oetke		1-905-830-6880	vho@mgssurveys.com

McPhar Geosurveys Ltd.
1256B Kerrisdale Boulevard, Newmarket, Ontario, Canada L3Y 8Z9
Tel: (905) 830-6880, Fax: (905) 898-0336, E-mail: info@mgssurveys.com

Please note that kilometres flown are estimates.

Exact kilometres will be calculated upon completion of survey, and will be based on GPS observations & contractual boundaries

Project #:	0609	Daily Field Report - Kangiqsualujjuaq Survey					
Report Date:	05-Aug-06	Aircraft:		N124AL	SURVEY PERSONNEL		
Report Number:	12	Ops Base:		George River	Pilot		David Kresser
Client:	Omegalpha Inc.	Country:		CANADA	Operator		Paul Beaubien
Survey Type:	High Resolution Mag/Spec Survey				Field Data QC:		Ramesh Acharya
Survey Area:	Kangiqsualujjuaq Area, Quebec				Helicopter Engineer		Mark Greenen
Project Km:	21,824.5		Total Flown	Total Accepted	Crew Chief		John Currie
Km flown today:							
Accumulated km:			2,000.00	1,962.00			
Percent Completed:			9.2%	9.0%			
Lines flown:							

Flight #	Comments	Take off (GPS time)	Land (GPS time)	Hours Flown
	No Production - Standby			

Weather:	Cool weather temp 15° c			Hours Flown Today.		
Accum. Standby:	4	Accumulated Survey Days:	8	Accumulated Project Hours:		49.42.00

COMMENTS
Waiting for the spectrometer

Standby

CONTROL	Flight # :		Flight date:	
POST FLIGHT	Accepted km	Rejected km	Reasons for Rejection	

REFLIGHTS		OBSERVATIONS.	LINES REFLOWN
Rejected km			
Kms today			
Accumulated km			
Percent Completed			

Operations Base: George River, Quebec

Geophy Co-ordinator:	Dr. Tomas Grand		1-905-830-6880	tgrand@mgssurveys.com
General Manager	Tim Bodger		1-905-830-6880	tbodger@mgssurveys.com
Project Manager:	John Currie		1-905-830-6880	jcurrie@mgssurveys.com
Systems Engineer	Keith W. Hall		1-905-954-5212	khall@mgssurveys.com
HSE Manager:	Victor Oetke		1-905-830-6880	vho@mgssurveys.com

McPhar Geosurveys Ltd.
1256B Kerrisdale Boulevard, Newmarket, Ontario, Canada L3Y 8Z9
Tel: (905) 830-6880, Fax: (905) 898-0336, E-mail: info@mgssurveys.com

Please note that kilometres flown are estimates.
Exact kilometres will be calculated upon completion of survey, and will be based on GPS observations & contractual boundaries

Project #:	0609	Daily Field Report - Kangiqsualujjuaq Survey					
Report Date:	06-Aug-06	Aircraft:		N124AL	SURVEY PERSONNEL		
Report Number:	13	Ops Base:		George River	Pilot	David Kresser	
Client:	Omegalpha Inc.	Country:		CANADA	Operator	Paul Beaubien	
Survey Type:	High Resolution Mag/Spec Survey				Field Data QC:	Ramesh Acharya	
Survey Area:	Kangiqsualujjuaq Area, Quebec				Helicopter Engineer	Mark Greenen	
Project Km:	21,824.5		Total Flown	Total Accepted	Crew Chief	John Currie	
Km flown today:							
Accumulated km:			2,000.00	1,962.00			
Percent Completed:			9.2%	9.0%			
Lines flown:							

Flight #	Comments	Take off (GPS time)	Land (GPS time)	Hours Flown
	No Production - Standby			

Weather:	Cool weather temp 15 ° c			Hours Flown Today.		
Accum. Standby:	5	Accumulated Survey Days:	8	Accumulated Project Hours:		49.42.00

COMMENTS
Waiting for the spectrometer

Standby

CONTROL	Flight # :		Flight date:	
POST FLIGHT	Accepted km	Rejected km	Reasons for Rejection	

REFLIGHTS		OBSERVATIONS.	LINES REFLOWN
Rejected km			
Kms today			
Accumulated km			
Percent Completed			

Operations Base: George River, Quebec				
Geophy Co-ordinator:	Dr. Tomas Grand		1-905-830-6880	tgrand@mgssurveys.com
General Manager	Tim Bodger		1-905-830-6880	tbodger@mgssurveys.com
Project Manager:	John Currie		1-905-830-6880	jcurrie@mgssurveys.com
Systems Engineer	Keith W. Hall		1-905-954-5212	khall@mgssurveys.com
HSE Manager:	Victor Oetke		1-905-830-6880	vho@mgssurveys.com

McPhar Geosurveys Ltd.
1256B Kerrisdale Boulevard, Newmarket, Ontario, Canada L3Y 8Z9
Tel: (905) 830-6880, Fax: (905) 898-0336, E-mail: info@mgssurveys.com

*Please note that kilometres flown are estimates.
*Exact kilometres will be calculated upon completion of survey, and will be based on GPS observations & contractual boundaries

Project #:	0609	Daily Field Report - Kangiqsualujjuaq Survey					
Report Date:	07-Aug-06	Aircraft:	N124AL	SURVEY PERSONNEL			
Report Number:	14	Ops Base:	George River	Pilot	David Kresser		
Client:	Omegalpha Inc.	Country:	CANADA	Operator	Paul Beaubien		
Survey Type:	High Resolution Mag/Spec Survey			Field Data QC:	Ramesh Acharya		
Survey Area:	Kangiqsualujjuaq Area, Quebec			Helicopter Engineer	Mark Greenen		
Project Km:	21,824.5	Total Flown	Total Accepted	Crew Chief	John Currie		
Km flown today:							
Accumulated km:		2,000.00	1,962.00				
Percent Completed:		9.2%	9.0%				
Lines flown:							

Flight #	Comments	Take off (GPS time)	Land (GPS time)	Hours Flown
	No Production - Standby			

Weather:	Cool weather temp 15° c	Hours Flown Today.		
Accum. Standby:	6	Accumulated Survey Days: 8	Accumulated Project Hours:	49.42.00

COMMENTS
Waiting for the spectrometer

Standby

CONTROL	Flight # :		Flight date:	
POST FLIGHT	Accepted km	Rejected km	Reasons for Rejection	

REFLIGHTS		OBSERVATIONS.	LINES REFLOWN
Rejected km			
Kms today			
Accumulated km			
Percent Completed			

Operations Base: George River, Quebec				
Geophy Co-ordinator:	Dr. Tomas Grand		1-905-830-6880	tgrand@mgssurveys.com
General Manager	Tim Bodger		1-905-830-6880	tbodger@mgssurveys.com
Project Manager:	John Currie		1-905-830-6880	jcurrie@mgssurveys.com
Systems Engineer	Keith W. Hall		1-905-954-5212	khall@mgssurveys.com
HSE Manager:	Victor Oetke		1-905-830-6880	vho@mgssurveys.com

McPhar Geosurveys Ltd.
1256B Kerrisdale Boulevard, Newmarket, Ontario, Canada L3Y 8Z9
Tel: (905) 830-6880, Fax: (905) 898-0336, E-mail: info@mgssurveys.com

*Please note that kilometres flown are estimates.

*Exact kilometres will be calculated upon completion of survey, and will be based on GPS observations & contractual boundaries

Project #:	0609	Daily Field Report - Kangiqsualujjuaq Survey					
Report Date:	08-Aug-06	Aircraft:		N124AL	SURVEY PERSONNEL		
Report Number:	15	Ops Base:		George River	Pilot	David Kresser	
Client:	Omegalpha Inc.	Country:		CANADA	Operator	Paul Beaubien	
Survey Type:	High Resolution Mag/Spec Survey				Field Data QC:	Ramesh Acharya	
Survey Area:	Kangiqsualujjuaq Area, Quebec				Helicopter Engineer	Mark Greenen	
Project Km:	21,824.5		Total Flown	Total Accepted	Crew Chief	John Currie	
Km flown today:							
Accumulated km:			2,000.00	1,962.00			
Percent Completed:			9.2%	9.0%			
Lines flown:							

Flight #	Comments	Take off (GPS time)	Land (GPS time)	Hours Flown
	No Production - Standby			

Weather:	Cool weather temp 15° c			Hours Flown Today.		
Accum. Standby:	7	Accumulated Survey Days:	8	Accumulated Project Hours:		49.42.00

COMMENTS
Waiting for the spectrometer

Standby

CONTROL	Flight # :		Flight date:	
POST FLIGHT	Accepted km	Rejected km	Reasons for Rejection	

REFLIGHTS		OBSERVATIONS.	LINES REFLOWN
Rejected km			
Kms today			
Accumulated km			
Percent Completed			

Operations Base: George River, Quebec				
Geophy Co-ordinator:	Dr. Tomas Grand		1-905-830-6880	tgrand@mgssurveys.com
General Manager	Tim Bodger		1-905-830-6880	tbodger@mgssurveys.com
Project Manager:	John Currie		1-905-830-6880	jcurrie@mgssurveys.com
Systems Engineer	Keith W. Hall		1-905-954-5212	khall@mgssurveys.com
HSE Manager:	Victor Oetke		1-905-830-6880	vho@mgssurveys.com

McPhar Geosurveys Ltd.
1256B Kerrisdale Boulevard, Newmarket, Ontario, Canada L3Y 8Z9
Tel: (905) 830-6880, Fax: (905) 898-0336, E-mail: info@mgssurveys.com

Please note that kilometres flown are estimates.

Exact kilometres will be calculated upon completion of survey, and will be based on GPS observations & contractual boundaries

Project #:	0609	Daily Field Report - Kangiqsualujjuaq Survey					
Report Date:	09-Aug-06	Aircraft:	N124AL	SURVEY PERSONNEL			
Report Number:	16	Ops Base:	George River	Pilot	David Kresser		
Client:	Omegalpha Inc.	Country:	CANADA	Operator	Paul Beaubien		
Survey Type:	High Resolution Mag/Spec Survey			Field Data QC:	Ramesh Acharya		
Survey Area:	Kangiqsualujjuaq Area, Quebec			Helicopter Engineer	Mark Greenen		
Project Km:	21,824.5	Total Flown	Total Accepted	Crew Chief	John Currie		
Km flown today:							
Accumulated km:		2,000.00	1,962.00				
Percent Completed:		9.2%	9.0%				
Lines flown:							

Flight #	Comments	Take off (GPS time)	Land (GPS time)	Hours Flown
	No Production - Standby			
Weather:	Cool weather temp 15° c	Hours Flown Today.		
Accum. Standby: 8	Accumulated Survey Days: 8	Accumulated Project Hours:		49.42.00

COMMENTS
Waiting for the spectrometer

Standby

CONTROL	Flight # :		Flight date:	
POST FLIGHT	Accepted km	Rejected km	Reasons for Rejection	

REFLIGHTS		OBSERVATIONS.	LINES REFLOWN
Rejected km			
Kms today			
Accumulated km			
Percent Completed			

Operations Base: George River, Quebec

Geophy Co-ordinator:	Dr. Tomas Grand		1-905-830-6880	tgrand@mgssurveys.com
General Manager	Tim Bodger		1-905-830-6880	tbodger@mgssurveys.com
Project Manager:	John Currie		1-905-830-6880	jcurrie@mgssurveys.com
Systems Engineer	Keith W. Hall		1-905-954-5212	khall@mgssurveys.com
HSE Manager:	Victor Oetke		1-905-830-6880	vho@mgssurveys.com

McPhar Geosurveys Ltd.
1256B Kerrisdale Boulevard, Newmarket, Ontario, Canada L3Y 8Z9
Tel: (905) 830-6880, Fax: (905) 898-0336, E-mail: info@mgssurveys.com

*Please note that kilometres flown are estimates.
*Exact kilometres will be calculated upon completion of survey, and will be based on GPS observations & contractual boundaries

Project #:	0609	Daily Field Report - Kangiqsualujjuaq Survey					
Report Date:	10-Aug-06	Aircraft:		N124AL	SURVEY PERSONNEL		
Report Number:	17	Ops Base:		George River	Pilot	David Kresser	
Client:	Omegalpha Inc.	Country:		CANADA	Operator	Paul Beaubien	
Survey Type:	High Resolution Mag/Spec Survey				Field Data QC:	Ramesh Acharya	
Survey Area:	Kangiqsualujjuaq Area, Quebec				Helicopter Engineer	Mark Greenen	
Project Km:	21,824.5		Total Flown	Total Accepted	Crew Chief	John Currie	
Km flown today:							
Accumulated km:			2,000.00	1,962.00			
Percent Completed:			9.2%	9.0%			
Lines flown:							

Flight #	Comments	Take off (GPS time)	Land (GPS time)	Hours Flown
	No Production - Standby			

Weather:	Cool weather temp 15° c	Hours Flown Today		
Accum. Standby:	9	Accumulated Survey Days: 8	Accumulated Project Hours:	49.42.00

COMMENTS
Waiting for the spectrometer

Standby

CONTROL	Flight # :		Flight date:	
POST FLIGHT	Accepted km	Rejected km	Reasons for Rejection	

REFLIGHTS		OBSERVATIONS.	LINES REFLOWN
Rejected km			
Kms today			
Accumulated km			
Percent Completed			

Operations Base: George River, Quebec				
Geophy Co-ordinator:	Dr. Tomas Grand		1-905-830-6880	tgrand@mgssurveys.com
General Manager	Tim Bodger		1-905-830-6880	tbodger@mgssurveys.com
Project Manager:	John Currie		1-905-830-6880	jcurrie@mgssurveys.com
Systems Engineer	Keith W. Hall		1-905-954-5212	khall@mgssurveys.com
HSE Manager:	Victor Oetke		1-905-830-6880	vho@mgssurveys.com

McPhar Geosurveys Ltd.
1256B Kerrisdale Boulevard, Newmarket, Ontario, Canada L3Y 8Z9
Tel: (905) 830-6880, Fax: (905) 898-0336, E-mail: info@mgssurveys.com

*Please note that kilometres flown are estimates.
*Exact kilometres will be calculated upon completion of survey, and will be based on GPS observations & contractual boundaries

Project #:	0609	Daily Field Report - Kangiqsualujjuaq Survey					
Report Date:	11-Aug-06	Aircraft:		N124AL	SURVEY PERSONNEL		
Report Number:	18	Ops Base:		George River	Pilot	David Kresser	
Client:	Omegalpha Inc.	Country:		CANADA	Operator	Paul Beaubien	
Survey Type:	High Resolution Mag/Spec Survey				Field Data QC:	Ramesh Acharya	
Survey Area:	Kangiqsualujjuaq Area, Quebec				Helicopter Engineer	Mark Greenen	
Project Km:	21,824.5		Total Flown	Total Accepted	Crew Chief	John Currie	
Km flown today:			154.00	154.00			
Accumulated km:			2,154.00	2,116.00			
Percent Completed:			9.9%	9.7%			
Lines flown:	L2050,L2040,L2030,L2020						

Flight #	Comments	Take off (GPS time)	Land (GPS time)	Hours Flown
15	Production	14:35:00	18:35:00	4:00:00
		ferry		0:36:00
Weather:	Cool weather temp 10° c	Hours Flown Today		4:36:00
Accum. Standby: 9	Accumulated Survey Days: 9	Accumulated Project Hours:		54.18.00

COMMENTS

Spectrometer arrived in the morning. Calibration and pad test done

Production Resumed

CONTROL	Flight # :		Flight date:	
POST FLIGHT	Accepted km	Rejected km	Reasons for Rejection	

REFLIGHTS		OBSERVATIONS.	LINES REFLOWN
Rejected km			
Kms today			
Accumulated km			
Percent Completed			

Operations Base: George River, Quebec				
Geophy Co-ordinator:	Dr. Tomas Grand		1-905-830-6880	tgrand@mgssurveys.com
General Manager	Tim Bodger		1-905-830-6880	tbodger@mgssurveys.com
Project Manager:	John Currie		1-905-830-6880	jcurrie@mgssurveys.com
Systems Engineer	Keith W. Hall		1-905-954-5212	khall@mgssurveys.com
HSE Manager:	Victor Oetke		1-905-830-6880	vho@mgssurveys.com

McPhar Geosurveys Ltd.
1256B Kerrisdale Boulevard, Newmarket, Ontario, Canada L3Y 8Z9
Tel: (905) 830-6880, Fax: (905) 898-0336, E-mail: info@mgssurveys.com

*Please note that kilometres flown are estimates.

*Exact kilometres will be calculated upon completion of survey, and will be based on GPS observations & contractual boundaries

Project #:	0609	Daily Field Report - Kangiqsualujjuaq Survey					
Report Date:	12-Aug-06	Aircraft:		N124AL	SURVEY PERSONNEL		
Report Number:	19	Ops Base:		George River	Pilot	David Kresser	
Client:	Omegalpha Inc.	Country:		CANADA	Operator	Paul Beaubien	
Survey Type:	High Resolution Mag/Spec Survey				Field Data QC:	Ramesh Acharya	
Survey Area:	Kangiqsualujjuaq Area, Quebec				Helicopter Engineer	Mark Greenen	
Project Km:	21,824.5		Total Flown	Total Accepted	Crew Chief	John Currie	
Km flown today:			397.00	397.00			
Accumulated km:			2,551.00	2,513.00			
Percent Completed:			11.7%	11.5%			
Lines flown:	L2010,L2000,L1990,L1980,L1970,L1960,L1950,L1940,L1930,L1920						

Flight #	Comments	Take off (GPS time)	Land (GPS time)	Hours Flown
16	Production	7:00:00	14:23:00	7:23:00
17	Production	15:05:00	17:18:00	2:13:00
			Hours Flown Today	9:36:00

Weather:	Cool weather temp 10° c			
Accum. Standby:	9	Accumulated Survey Days:	10	Accumulated Project Hours: 63.54.00

COMMENTS
High winds and cloudy weather

Production Flights

CONTROL	Flight # :		Flight date:	
POST FLIGHT	Accepted km	Rejected km	Reasons for Rejection	

REFLIGHTS		OBSERVATIONS.	LINES REFLOWN
Rejected km			
Kms today			
Accumulated km			
Percent Completed			

Operations Base: George River, Quebec

Geophy Co-ordinator:	Dr. Tomas Grand		1-905-830-6880	tgrand@mgssurveys.com
General Manager	Tim Bodger		1-905-830-6880	tbodger@mgssurveys.com
Project Manager:	John Currie		1-905-830-6880	jcurrie@mgssurveys.com
Systems Engineer	Keith W. Hall		1-905-954-5212	khall@mgssurveys.com
HSE Manager:	Victor Oetke		1-905-830-6880	vho@mgssurveys.com

McPhar Geosurveys Ltd.
1256B Kerrisdale Boulevard, Newmarket, Ontario, Canada L3Y 8Z9
Tel: (905) 830-6880, Fax: (905) 898-0336, E-mail: info@mgssurveys.com

*Please note that kilometres flown are estimates.
*Exact kilometres will be calculated upon completion of survey, and will be based on GPS observations & contractual boundaries

Project #:	0609	Daily Field Report - Kangiqsualujjuaq Survey					
Report Date:	13-Aug-06	Aircraft:		N124AL	SURVEY PERSONNEL		
Report Number:	20	Ops Base:		George River	Pilot		David Kresser
Client:	Omegalpha Inc.	Country:		CANADA	Operator		Paul Beaubien
Survey Type:	High Resolution Mag/Spec Survey				Field Data QC:		Ramesh Acharya
Survey Area:	Kangiqsualujjuaq Area, Quebec				Helicopter Engineer		Mark Greenen
Project Km:	21,824.5		Total Flown	Total Accepted	Crew Chief		John Currie
Km flown today:			164.00	164.00			
Accumulated km:			2,715.00	2,677.00			
Percent Completed:			12.4%	12.3%			
Lines flown:	L1910,L1900,L1890,L1880						

Flight #	Comments	Take off (GPS time)	Land (GPS time)	Hours Flown
18	Production	6:00:00	10:42:00	4:42:00

Weather:	Cool weather temp 10° c	Hours Flown Today.		4:42:00
Accum. Standby:	9	Accumulated Survey Days: 11	Accumulated Project Hours:	68.36.00

COMMENTS
High winds with drizzle
Bad weather hampered the production. One production flight only

CONTROL	Flight # :		Flight date:	
POST FLIGHT	Accepted km	Rejected km	Reasons for Rejection	

REFLIGHTS		OBSERVATIONS.	LINES REFLOWN
Rejected km			
Kms today			
Accumulated km			
Percent Completed			

Operations Base: George River, Quebec				
Geophy Co-ordinator:	Dr. Tomas Grand		1-905-830-6880	tgrand@mgssurveys.com
General Manager	Tim Bodger		1-905-830-6880	tbodger@mgssurveys.com
Project Manager:	John Currie		1-905-830-6880	jcurrie@mgssurveys.com
Systems Engineer	Keith W. Hall		1-905-954-5212	khall@mgssurveys.com
HSE Manager:	Victor Oetke		1-905-830-6880	vho@mgssurveys.com

McPhar Geosurveys Ltd.
1256B Kerrisdale Boulevard, Newmarket, Ontario, Canada L3Y 8Z9
Tel: (905) 830-6880, Fax: (905) 898-0336, E-mail: info@mgssurveys.com

*Please note that kilometres flown are estimates.
*Exact kilometres will be calculated upon completion of survey, and will be based on GPS observations & contractual boundaries

Project #:	0609	Daily Field Report - Kangiqsualujjuaq Survey					
Report Date:	14-Aug-06	Aircraft:		N124AL	SURVEY PERSONNEL		
Report Number:	21	Ops Base:		George River	Pilot	David Kresser	
Client:	Omegalpha Inc.	Country:		CANADA	Operator	Paul Beaubien	
Survey Type:	High Resolution Mag/Spec Survey				Field Data QC:	Ramesh Acharya	
Survey Area:	Kangiqsualujjuaq Area, Quebec				Helicopter Engineer	Mark Greenen	
Project Km:	21,824.5		Total Flown	Total Accepted	Crew Chief	John Currie	
Km flown today:			430.00	225.00			
Accumulated km:			3,145.00	2,902.00			
Percent Completed:			14.4%	13.3%			
Lines flown:	L1870,L1860,L1850,L840,L1830,L1820,L1810,L1800,L1790						

Flight #	Comments	Take off (GPS time)	Land (GPS time)	Hours Flown
19	Production	6:48:00	12:24:00	5:36:00
20	Production	13:10:00	16:28:00	3:18:00
Weather:	Cool weather temp 10° c	Hours Flown Today		8:54:00
Accum. Standby:	9	Accumulated Survey Days: 12	Accumulated Project Hours:		77.30.00

COMMENTS

No spectrometric data in most part of the Flt#20. Lines flagged for reflight

CONTROL	Flight # :		Flight date:	
POST FLIGHT	Accepted km	Rejected km	Reasons for Rejection	

REFLIGHTS		OBSERVATIONS.	LINES REFLOWN
Rejected km			
Kms today			
Accumulated km			
Percent Completed			

Operations Base: George River, Quebec				
Geophy Co-ordinator:	Dr. Tomas Grand		1-905-830-6880	tgrand@mgssurveys.com
General Manager	Tim Bodger		1-905-830-6880	tbodger@mgssurveys.com
Project Manager:	John Currie		1-905-830-6880	jcurrie@mgssurveys.com
Systems Engineer	Keith W. Hall		1-905-954-5212	khall@mgssurveys.com
HSE Manager:	Victor Oetke		1-905-830-6880	vho@mgssurveys.com

McPhar Geosurveys Ltd.
1256B Kerrisdale Boulevard, Newmarket, Ontario, Canada L3Y 8Z9
Tel: (905) 830-6880, Fax: (905) 898-0336, E-mail: info@mgssurveys.com

*Please note that kilometres flown are estimates.

*Exact kilometres will be calculated upon completion of survey, and will be based on GPS observations & contractual boundaries

Project #:	0609	Daily Field Report - Kangiqsualujjuaq Survey					
Report Date:	15-Aug-06	Aircraft:	N124AL	SURVEY PERSONNEL			
Report Number:	22	Ops Base:	George River	Pilot	David Kresser		
Client:	Omegalpha Inc.	Country:	CANADA	Operator	Paul Beaubien		
Survey Type:	High Resolution Mag/Spec Survey			Field Data QC:	Ramesh Acharya		
Survey Area:	Kangiqsualujjuaq Area, Quebec			Helicopter Engineer	Mark Greenen		
Project Km:	21,824.5	Total Flown	Total Accepted	Crew Chief	John Currie		
Km flown today:		470.00	470.00				
Accumulated km:		3,615.00	3,372.00				
Percent Completed:		16.6%	15.5%				
Lines flown:	L1780,L1770,L1760,L1750,L1740,L1730,L1720,L1710,L1700,L1690						

Flight #	Comments	Take off (GPS time)	Land (GPS time)	Hours Flown
21	Production	6:57:00	12:05:00	5:08:00
22	Production	12:50:00	15:54:00	3:04:00
			Hours Flown Today.	8:12:00
Weather:	Cool weather temp 10° c		Accumulated Project Hours:	85.42.00
Accum. Standby:	9	Accumulated Survey Days: 13		

COMMENTS

CONTROL	Flight # :		Flight date:	
POST FLIGHT	Accepted km	Rejected km	Reasons for Rejection	

REFLIGHTS		OBSERVATIONS.	LINES REFLOWN
Rejected km			
Kms today			
Accumulated km			
Percent Completed			

Operations Base: George River, Quebec				
Geophy Co-ordinator:	Dr. Tomas Grand		1-905-830-6880	tgrand@mgssurveys.com
General Manager	Tim Bodger		1-905-830-6880	tbodger@mgssurveys.com
Project Manager:	John Currie		1-905-830-6880	jcurrie@mgssurveys.com
Systems Engineer	Keith W. Hall		1-905-954-5212	khall@mgssurveys.com
HSE Manager:	Victor Oetke		1-905-830-6880	vho@mgssurveys.com

McPhar Geosurveys Ltd.
1256B Kerrisdale Boulevard, Newmarket, Ontario, Canada L3Y 8Z9
Tel: (905) 830-6880, Fax: (905) 898-0336, E-mail: info@mgssurveys.com

*Please note that kilometres flown are estimates.
*Exact kilometres will be calculated upon completion of survey, and will be based on GPS observations & contractual boundaries

Project #:	0609	Daily Field Report - Kangiqsualujjuaq Survey					
Report Date:	16-Aug-06	Aircraft:		N124AL		SURVEY PERSONNEL	
Report Number:	23	Ops Base:		George River		Pilot	David Kresser
Client:	Omegalpha Inc.	Country:		CANADA		Operator	Paul Beaubien
Survey Type:	High Resolution Mag/Spec Survey					Field Data QC:	Ramesh Acharya
Survey Area:	Kangiqsualujjuaq Area, Quebec					Helicopter Engineer	Mark Greenen
Project Km:	21,824.5		Total Flown	Total Accepted		Crew Chief	John Currie
Km flown today:			77.00	77.00			
Accumulated km:			3,692.00	3,449.00			
Percent Completed:			16.9%	15.8%			
Lines flown:	L1680,L1670						

Flight #	Comments	Take off (GPS time)	Land (GPS time)	Hours Flown
23	Production	7:00:00	9:36:00	2:36:00
Weather: Cool weather temp 10° c		Hours Flown Today		2:36:00
Accum. Standby: 9	Accumulated Survey Days: 14	Accumulated Project Hours:		88.18.00

COMMENTS

Bad weather hampered the production.

CONTROL	Flight # :		Flight date:	
POST FLIGHT	Accepted km	Rejected km	Reasons for Rejection	

REFLIGHTS		OBSERVATIONS.	LINES REFLOWN
Rejected km			
Kms today			
Accumulated km			
Percent Completed			

Operations Base: George River, Quebec				
Geophy Co-ordinator:	Dr. Tomas Grand		1-905-830-6880	tgrand@mgssurveys.com
General Manager	Tim Bodger		1-905-830-6880	tbodger@mgssurveys.com
Project Manager:	John Currie		1-905-830-6880	jcurrie@mgssurveys.com
Systems Engineer	Keith W. Hall		1-905-954-5212	khall@mgssurveys.com
HSE Manager:	Victor Oetke		1-905-830-6880	vho@mgssurveys.com

McPhar Geosurveys Ltd.
1256B Kerrisdale Boulevard, Newmarket, Ontario, Canada L3Y 8Z9
Tel: (905) 830-6880, Fax: (905) 898-0336, E-mail: info@mgssurveys.com

*Please note that kilometres flown are estimates.

*Exact kilometres will be calculated upon completion of survey, and will be based on GPS observations & contractual boundaries

Project #:	0609	Daily Field Report - Kangiqsualujjuaq Survey					
Report Date:	17-Aug-06	Aircraft:	N124AL	SURVEY PERSONNEL			
Report Number:	24	Ops Base:	George River	Pilot	David Kresser		
Client:	Omegalpha Inc.	Country:	CANADA	Operator	Paul Beaubien		
Survey Type:	High Resolution Mag/Spec Survey			Field Data QC:	Ramesh Acharya		
Survey Area:	Kangiqsualujjuaq Area, Quebec			Helicopter Engineer	Mark Greenen		
Project Km:	21,824.5	Total Flown	Total Accepted	Crew Chief	John Currie		
Km flown today:		287.00	287.00				
Accumulated km:		3,979.00	3,736.00				
Percent Completed:		18.2%	17.1%				
Lines flown:	L1660,L1650,L1640,L1630,L1620,L1610						

Flight #	Comments	Take off (GPS time)	Land (GPS time)	Hours Flown
24	Production	10:36:00	16:24:00	5:48:00

Weather:	Cool weather temp 10° c	Hours Flown Today		5:48:00
Accum. Standby:	9	Accumulated Survey Days: 15	Accumulated Project Hours:		94.06.00

COMMENTS

CONTROL	Flight # :		Flight date:	
POST FLIGHT	Accepted km	Rejected km	Reasons for Rejection	

REFLIGHTS		OBSERVATIONS.	LINES REFLOWN
Rejected km			
Kms today			
Accumulated km			
Percent Completed			

Operations Base: George River, Quebec				
Geophy Co-ordinator:	Dr. Tomas Grand		1-905-830-6880	tgrand@mgssurveys.com
General Manager	Tim Bodger		1-905-830-6880	tbodger@mgssurveys.com
Project Manager:	John Currie		1-905-830-6880	jcurrie@mgssurveys.com
Systems Engineer	Keith W. Hall		1-905-954-5212	khall@mgssurveys.com
HSE Manager:	Victor Oetke		1-905-830-6880	vho@mgssurveys.com

McPhar Geosurveys Ltd.
1256B Kerrisdale Boulevard, Newmarket, Ontario, Canada L3Y 8Z9
Tel: (905) 830-6880, Fax: (905) 898-0336, E-mail: info@mgssurveys.com

*Please note that kilometres flown are estimates.
*Exact kilometres will be calculated upon completion of survey, and will be based on GPS observations & contractual boundaries

Project #:	0609	Daily Field Report - Kangiqsualujjuaq Survey					
Report Date:	18-Aug-06	Aircraft:		N124AL	SURVEY PERSONNEL		
Report Number:	25	Ops Base:		George River	Pilot	David Kresser	
Client:	Omegalpha Inc.	Country:		CANADA	Operator	Paul Beaubien	
Survey Type:	High Resolution Mag/Spec Survey				Field Data QC:	Ramesh Acharya	
Survey Area:	Kangiqsualujjuaq Area, Quebec				Helicopter Engineer	Mark Greenen	
Project Km:	21,824.5		Total Flown	Total Accepted	Crew Chief	John Currie	
Km flown today:							
Accumulated km:			3,979.00	3,736.00			
Percent Completed:			18.2%	17.1%			
Lines flown:							

Flight #	Comments	Take off (GPS time)	Land (GPS time)	Hours Flown
	No Production			

Weather:	Cool weather temp 10° c			Hours Flown Today		
Accum. Standby:	10	Accumulated Survey Days:	15	Accumulated Project Hours:		94.06.00

COMMENTS

Bad Weather. Low clouds and rain.
Weather Standby

CONTROL	Flight # :		Flight date:	
POST FLIGHT	Accepted km	Rejected km	Reasons for Rejection	

REFLIGHTS		OBSERVATIONS.	LINES REFLOWN
Rejected km			
Kms today			
Accumulated km			
Percent Completed			

Operations Base: George River, Quebec				
Geophy Co-ordinator:	Dr. Tomas Grand		1-905-830-6880	tgrand@mgssurveys.com
General Manager	Tim Bodger		1-905-830-6880	tbodger@mgssurveys.com
Project Manager:	John Currie		1-905-830-6880	jcurrie@mgssurveys.com
Systems Engineer	Keith W. Hall		1-905-954-5212	khall@mgssurveys.com
HSE Manager:	Victor Oetke		1-905-830-6880	vho@mgssurveys.com

McPhar Geosurveys Ltd.
1256B Kerrisdale Boulevard, Newmarket, Ontario, Canada L3Y 8Z9
Tel: (905) 830-6880, Fax: (905) 898-0336, E-mail: info@mgssurveys.com

*Please note that kilometres flown are estimates.
*Exact kilometres will be calculated upon completion of survey, and will be based on GPS observations & contractual boundaries

Project #:	0609	Daily Field Report - Kangiqsualujjuaq Survey					
Report Date:	19-Aug-06	Aircraft:	N124AL	SURVEY PERSONNEL			
Report Number:	26	Ops Base:	George River	Pilot	David Kresser		
Client:	Omegalpha Inc.	Country:	CANADA	Operator	Paul Beaubien		
Survey Type:	High Resolution Mag/Spec Survey			Field Data QC:	Ramesh Acharya		
Survey Area:	Kangiqsualujjuaq Area, Quebec			Helicopter Engineer	Mark Greenen		
Project Km:	21,824.5	Total Flown	Total Accepted	Crew Chief	John Currie		
Km flown today:							
Accumulated km:		3,979.00	3,736.00				
Percent Completed:		18.2%	17.1%				
Lines flown:							

Flight #	Comments	Take off (GPS time)	Land (GPS time)	Hours Flown
	No Production			
Weather:	Cool weather temp 10° c	Hours Flown Today.		
Accum. Standby: 11	Accumulated Survey Days: 15	Accumulated Project Hours:		94.06.00

COMMENTS

Bad Weather. Low clouds and rain.
Weather Standby

CONTROL	Flight # :		Flight date:	
POST FLIGHT	Accepted km	Rejected km	Reasons for Rejection	

REFLIGHTS		OBSERVATIONS.	LINES REFLOWN
Rejected km			
Kms today			
Accumulated km			
Percent Completed			

Operations Base: George River, Quebec

Geophy Co-ordinator:	Dr. Tomas Grand		1-905-830-6880	tgrand@mgssurveys.com
General Manager	Tim Bodger		1-905-830-6880	tbodger@mgssurveys.com
Project Manager:	John Currie		1-905-830-6880	jcurrie@mgssurveys.com
Systems Engineer	Keith W. Hall		1-905-954-5212	khall@mgssurveys.com
HSE Manager:	Victor Oetke		1-905-830-6880	vho@mgssurveys.com

McPhar Geosurveys Ltd.
1256B Kerrisdale Boulevard, Newmarket, Ontario, Canada L3Y 8Z9
Tel: (905) 830-6880, Fax: (905) 898-0336, E-mail: info@mgssurveys.com

*Please note that kilometres flown are estimates.
*Exact kilometres will be calculated upon completion of survey, and will be based on GPS observations & contractual boundaries

Project #:	0609	Daily Field Report - Kangiqsualujjuaq Survey					
Report Date:	20-Aug-06	Aircraft:		N124AL	SURVEY PERSONNEL		
Report Number:	27	Ops Base:		George River	Pilot	David Kresser	
Client:	Omegalpha Inc.	Country:		CANADA	Operator	Paul Beaubien	
Survey Type:	High Resolution Mag/Spec Survey				Field Data QC:	Ramesh Acharya	
Survey Area:	Kangiqsualujjuaq Area, Quebec				Helicopter Engineer	Mark Greenen	
Project Km:	21,824.5		Total Flown	Total Accepted	Crew Chief	John Currie	
Km flown today:							
Accumulated km:			3,979.00	3,736.00			
Percent Completed:			18.2%	17.1%			
Lines flown:							

Flight #	Comments	Take off (GPS time)	Land (GPS time)	Hours Flown
25	No Production	7:00:00	9:48:00	2:48:00
	Attempted but low ceiling in the survey area			
			Hours Flown Today	2:48:00
Weather:	Cool weather temp 10° c		Accumulated Project Hours:	96.54.00
Accum. Standby:	11	Accumulated Survey Days: 16		

COMMENTS

Bad Weather. Low clouds and poor visibilty.
Weather Standby

CONTROL	Flight # :		Flight date:	
POST FLIGHT	Accepted km	Rejected km	Reasons for Rejection	

REFLIGHTS		OBSERVATIONS.	LINES REFLOWN
Rejected km			
Kms today			
Accumulated km			
Percent Completed			

Operations Base: George River, Quebec				
Geophy Co-ordinator:	Dr. Tomas Grand		1-905-830-6880	tgrand@mgssurveys.com
General Manager	Tim Bodger		1-905-830-6880	tbodger@mgssurveys.com
Project Manager:	John Currie		1-905-830-6880	jcurrie@mgssurveys.com
Systems Engineer	Keith W. Hall		1-905-954-5212	khall@mgssurveys.com
HSE Manager:	Victor Oetke		1-905-830-6880	vho@mgssurveys.com

McPhar Geosurveys Ltd.
1256B Kerrisdale Boulevard, Newmarket, Ontario, Canada L3Y 8Z9
Tel: (905) 830-6880, Fax: (905) 898-0336, E-mail: info@mgssurveys.com

*Please note that kilometres flown are estimates.
*Exact kilometres will be calculated upon completion of survey, and will be based on GPS observations & contractual boundaries

Project #:	0609	Daily Field Report - Kangiqsualujjuaq Survey					
Report Date:	21-Aug-06	Aircraft:	N124AL	SURVEY PERSONNEL			
Report Number:	28	Ops Base:	George River	Pilot	David Kresser		
Client:	Omegalpha Inc.	Country:	CANADA	Operator	Paul Beaubien		
Survey Type:	High Resolution Mag/Spec Survey			Field Data QC:	Ramesh Acharya		
Survey Area:	Kangiqsualujjuaq Area, Quebec			Helicopter Engineer	Mark Greenen		
Project Km:	21,824.5	Total Flown	Total Accepted	Crew Chief	John Currie		
Km flown today:		701.00	701.00				
Accumulated km:		4,680.00	4,437.00				
Percent Completed:		21.4%	20.3%				
Lines flown:	L1600,L1590,L1580,L1570,L1560,L1550,L1540,L1530,L1520,L1510,L1500,L1490,L1480,L1470,L1460,L1450,L1440,L1430,L1420,L1410						

Flight #	Comments	Take off (GPS time)	Land (GPS time)	Hours Flown
26	Production	6:00:00	12:27:00	6:27:00
27	Production	13:12:00	16:57:00	3:45:00
Weather: Cool weather temp 10° c		Hours Flown Today.		10:12:00
Accum. Standby: 11	Accumulated Survey Days: 17	Accumulated Project Hours:		107.06.00

COMMENTS

CONTROL	Flight # :		Flight date:	
POST FLIGHT	Accepted km	Rejected km	Reasons for Rejection	

REFLIGHTS		OBSERVATIONS.	LINES REFLOWN
Rejected km			
Kms today			
Accumulated km			
Percent Completed			

Operations Base: George River, Quebec				
Geophy Co-ordinator:	Dr. Tomas Grand		1-905-830-6880	tgrand@mgssurveys.com
General Manager	Tim Bodger		1-905-830-6880	tbodger@mgssurveys.com
Project Manager:	John Currie		1-905-830-6880	jcurrie@mgssurveys.com
Systems Engineer	Keith W. Hall		1-905-954-5212	khall@mgssurveys.com
HSE Manager:	Victor Oetke		1-905-830-6880	vho@mgssurveys.com

McPhar Geosurveys Ltd.
1256B Kerrisdale Boulevard, Newmarket, Ontario, Canada L3Y 8Z9
Tel: (905) 830-6880, Fax: (905) 898-0336, E-mail: info@mgssurveys.com

*Please note that kilometres flown are estimates.

*Exact kilometres will be calculated upon completion of survey, and will be based on GPS observations & contractual boundaries

Project #:	0609	Daily Field Report - Kangiqsualujjuaq Survey					
Report Date:	22-Aug-06	Aircraft:		N124AL		SURVEY PERSONNEL	
Report Number:	29	Ops Base:		George River		Pilot	David Kresser
Client:	Omegalpha Inc.	Country:		CANADA		Operator	Paul Beaubien
Survey Type:	High Resolution Mag/Spec Survey					Field Data QC:	Ramesh Acharya
Survey Area:	Kangiqsualujjuaq Area, Quebec					Helicopter Engineer	Mark Greenen
Project Km:	21,824.5		Total Flown	Total Accepted		Crew Chief	John Currie
Km flown today:			394.00	394.00			
Accumulated km:			5,074.00	4,831.00			
Percent Completed:			23.2%	22.1%			
Lines flown:	L1400,L1390,L1380,L1370,L1360,L1350,L1340,L1330,L1320,L1310,L1290,L1280						

Flight #	Comments	Take off (GPS time)	Land (GPS time)	Hours Flown
28	Production	6:30:00	12:32:00	6:02:00
29	Production	14:10:00	15:32:00	1:22:00
Weather: Cool weather temp 10° c		Hours Flown Today		7:24:00
Accum. Standby: 11	Accumulated Survey Days: 18	Accumulated Project Hours:		114.30.00

COMMENTS

CONTROL	Flight # :		Flight date:	
POST FLIGHT	Accepted km	Rejected km	Reasons for Rejection	

REFLIGHTS		OBSERVATIONS.	LINES REFLOWN
Rejected km			
Kms today			
Accumulated km			
Percent Completed			

Operations Base: George River, Quebec

Geophy Co-ordinator:	Dr. Tomas Grand		1-905-830-6880	tgrand@mgssurveys.com
General Manager	Tim Bodger		1-905-830-6880	tbodger@mgssurveys.com
Project Manager:	John Currie		1-905-830-6880	jcurrie@mgssurveys.com
Systems Engineer	Keith W. Hall		1-905-954-5212	khall@mgssurveys.com
HSE Manager:	Victor Oetke		1-905-830-6880	vho@mgssurveys.com

McPhar Geosurveys Ltd.
1256B Kerrisdale Boulevard, Newmarket, Ontario, Canada L3Y 8Z9
Tel: (905) 830-6880, Fax: (905) 898-0336, E-mail: info@mgssurveys.com

*Please note that kilometres flown are estimates.
*Exact kilometres will be calculated upon completion of survey, and will be based on GPS observations & contractual boundaries

Project #:	0609	Daily Field Report - Kangiqsualujjuaq Survey					
Report Date:	23-Aug-06	Aircraft:	N124AL	SURVEY PERSONNEL			
Report Number:	30	Ops Base:	George River	Pilot	David Kresser		
Client:	Omegalpha Inc.	Country:	CANADA	Operator	Paul Beaubien		
Survey Type:	High Resolution Mag/Spec Survey			Field Data QC:	Ramesh Acharya		
Survey Area:	Kangiqsualujjuaq Area, Quebec			Helicopter Engineer	Mark Greenen		
Project Km:	21,824.5	Total Flown	Total Accepted	Crew Chief	John Currie		
Km flown today:		468.00	468.00				
Accumulated km:		5,542.00	5,299.00				
Percent Completed:		25.4%	24.3%				
Lines flown:	L1270,L1260,L1250,L1240,L1230,L1220,L1210,L1200,L1190,L1180,L1170,L1160,L1150,L1140,L1130,L1120,L1110,L1100						

Flight #	Comments	Take off (GPS time)	Land (GPS time)	Hours Flown
30	Production	6:13:00	9:30:00	3:17:00
31	Production	12:40:00	16:29:00	3:49:00
Weather: Cool weather temp 10° c		Hours Flown Today.		7:06:00
Accum. Standby: 11	Accumulated Survey Days: 19	Accumulated Project Hours:		121.36.00

COMMENTS

CONTROL	Flight # :		Flight date:	
POST FLIGHT	Accepted km	Rejected km	Reasons for Rejection	

REFLIGHTS		OBSERVATIONS.	LINES REFLOWN
Rejected km			
Kms today			
Accumulated km			
Percent Completed			

Operations Base: George River, Quebec				
Geophy Co-ordinator:	Dr. Tomas Grand		1-905-830-6880	tgrand@mgssurveys.com
General Manager	Tim Bodger		1-905-830-6880	tbodger@mgssurveys.com
Project Manager:	John Currie		1-905-830-6880	jcurrie@mgssurveys.com
Systems Engineer	Keith W. Hall		1-905-954-5212	khall@mgssurveys.com
HSE Manager:	Victor Oetke		1-905-830-6880	vho@mgssurveys.com

McPhar Geosurveys Ltd.
1256B Kerrisdale Boulevard, Newmarket, Ontario, Canada L3Y 8Z9
Tel: (905) 830-6880, Fax: (905) 898-0336, E-mail: info@mgssurveys.com

Please note that kilometres flown are estimates.

Exact kilometres will be calculated upon completion of survey, and will be based on GPS observations & contractual boundaries

Project #:	0609	Daily Field Report - Kangiqsualujjuaq Survey					
Report Date:	24-Aug-06	Aircraft:		N124AL	SURVEY PERSONNEL		
Report Number:	31	Ops Base:		George River	Pilot	David Kresser	
Client:	Omegalpha Inc.	Country:		CANADA	Operator	Paul Beaubien	
Survey Type:	High Resolution Mag/Spec Survey				Field Data QC:	Ramesh Acharya	
Survey Area:	Kangiqsualujjuaq Area, Quebec				Helicopter Engineer	Mark Greenen	
Project Km:	21,824.5		Total Flown	Total Accepted	Crew Chief	John Currie	
Km flown today:							
Accumulated km:			5,542.00	5,299.00			
Percent Completed:			25.4%	24.3%			
Lines flown:	L1270,L1260,L1250,L1240,L1230,L1220,L1210,L1200,L1190,L1180,L1170,L1160,L1150,L1140,L1130,L1120,L1110,L1100						

Flight #	Comments	Take off (GPS time)	Land (GPS time)	Hours Flown
	No Production			
	Weather Standby			
Weather:	Cool weather temp 10° c	Hours Flown Today		
Accum. Standby: 12	Accumulated Survey Days: 19	Accumulated Project Hours:		121.36.00

COMMENTS

Bad Weather - low ceiling, drizzle and heavy winds
standby

CONTROL	Flight # :		Flight date:	
POST FLIGHT	Accepted km	Rejected km	Reasons for Rejection	

REFLIGHTS		OBSERVATIONS.	LINES REFLOWN
Rejected km			
Kms today			
Accumulated km			
Percent Completed			

Operations Base: George River, Quebec				
Geophy Co-ordinator:	Dr. Tomas Grand		1-905-830-6880	tgrand@mgssurveys.com
General Manager	Tim Bodger		1-905-830-6880	tbodger@mgssurveys.com
Project Manager:	John Currie		1-905-830-6880	jcurrie@mgssurveys.com
Systems Engineer	Keith W. Hall		1-905-954-5212	khall@mgssurveys.com
HSE Manager:	Victor Oetke		1-905-830-6880	vho@mgssurveys.com

McPhar Geosurveys Ltd.
1256B Kerrisdale Boulevard, Newmarket, Ontario, Canada L3Y 8Z9
Tel: (905) 830-6880, Fax: (905) 898-0336, E-mail: info@mgssurveys.com

*Please note that kilometres flown are estimates.
*Exact kilometres will be calculated upon completion of survey, and will be based on GPS observations & contractual boundaries

Daily Field Report - Kangiqsualujjuaq Survey

Project #:	0609				
Report Date:	25-Aug-06	Aircraft:	N124AL	SURVEY PERSONNEL	
Report Number:	32	Ops Base:	George River	Pilot	David Kresser
Client:	Omegalpha Inc.	Country:	CANADA	Operator	Paul Beaubien
Survey Type:	High Resolution Mag/Spec Survey			Field Data QC:	Ramesh Acharya
Survey Area:	Kangiqsualujjuaq Area, Quebec			Helicopter Engineer	Mark Greenen
Project Km:	21,824.5	Total Flown	Total Accepted	Crew Chief	John Currie
Km flown today:		158.00	158.00		
Accumulated km:		5,700.00	5,457.00		
Percent Completed:		26.1%	25.0%		
Lines flown:	L1090,L1080,L1070,L1060,L1050,L1040				

Flight #	Comments	Take off (GPS time)	Land (GPS time)	Hours Flown
32	Production	12:00:00	16:48:00	4:48:00

Weather:	Cool weather temp 10° c	Hours Flown Today.	4:48:00
Accum. Standby: 12	Accumulated Survey Days: 20	Accumulated Project Hours:	126.24.00

COMMENTS

CONTROL	Flight # :		Flight date:	
POST FLIGHT	Accepted km	Rejected km	Reasons for Rejection	

REFLIGHTS		OBSERVATIONS.	LINES REFLOWN
Rejected km			
Kms today			
Accumulated km			
Percent Completed			

Operations Base: George River, Quebec

Geophy Co-ordinator:	Dr. Tomas Grand		1-905-830-6880	tgrand@mgssurveys.com
General Manager	Tim Bodger		1-905-830-6880	tbodger@mgssurveys.com
Project Manager:	John Currie		1-905-830-6880	jcurrie@mgssurveys.com
Systems Engineer	Keith W. Hall		1-905-954-5212	khall@mgssurveys.com
HSE Manager:	Victor Oetke		1-905-830-6880	vho@mgssurveys.com

McPhar Geosurveys Ltd.
1256B Kerrisdale Boulevard, Newmarket, Ontario, Canada L3Y 8Z9
Tel: (905) 830-6880, Fax: (905) 898-0336, E-mail: info@mgssurveys.com

*Please note that kilometres flown are estimates.
*Exact kilometres will be calculated upon completion of survey, and will be based on GPS observations & contractual boundaries

Project #:	0609	Daily Field Report - Kangiqsualujjuaq Survey					
Report Date:	26-Aug-06	Aircraft:		N124AL	SURVEY PERSONNEL		
Report Number:	33	Ops Base:		George River	Pilot	David Kresser	
Client:	Omegalpha Inc.	Country:		CANADA	Operator	Paul Beaubien	
Survey Type:	High Resolution Mag/Spec Survey				Field Data QC:	Ramesh Acharya	
Survey Area:	Kangiqsualujjuaq Area, Quebec				Helicopter Engineer	Mark Greenen	
Project Km:	21,824.5		Total Flown	Total Accepted	Crew Chief	John Currie	
Km flown today:			526.00	526.00			
Accumulated km:			6,226.00	5,983.00			
Percent Completed:			28.5%	27.4%			
Lines flown:	L1300 TO L700 (Segments)						

Flight #	Comments	Take off (GPS time)	Land (GPS time)	Hours Flown
33	Production	6:22:00	12:16:00	5:54:00
34	Production	12:45:00	16:45:00	4:00:00
Weather:	Cool weather temp 10° c	Hours Flown Today.		9:54:00
Accum. Standby: 12	Accumulated Survey Days: 21	Accumulated Project Hours:		136.18.00

COMMENTS

CONTROL	Flight # :		Flight date:	
POST FLIGHT	Accepted km	Rejected km	Reasons for Rejection	

REFLIGHTS		OBSERVATIONS.	LINES REFLOWN
Rejected km			
Kms today			
Accumulated km			
Percent Completed			

Operations Base: George River, Quebec				
Geophy Co-ordinator:	Dr. Tomas Grand		1-905-830-6880	tgrand@mgssurveys.com
General Manager	Tim Bodger		1-905-830-6880	tbodger@mgssurveys.com
Project Manager:	John Currie		1-905-830-6880	jcurrie@mgssurveys.com
Systems Engineer	Keith W. Hall		1-905-954-5212	khall@mgssurveys.com
HSE Manager:	Victor Oetke		1-905-830-6880	vho@mgssurveys.com

McPhar Geosurveys Ltd.
1256B Kerrisdale Boulevard, Newmarket, Ontario, Canada L3Y 8Z9
Tel: (905) 830-6880, Fax: (905) 898-0336, E-mail: info@mgssurveys.com

*Please note that kilometres flown are estimates.

*Exact kilometres will be calculated upon completion of survey, and will be based on GPS observations & contractual boundaries

Project #:	0609	Daily Field Report - Kangiqsualujjuaq Survey					
Report Date:	27-Aug-06	Aircraft:	N124AL	SURVEY PERSONNEL			
Report Number:	34	Ops Base:	George River	Pilot	David Kresser		
Client:	Omegalpha Inc.	Country:	CANADA	Operator	Paul Beaubien		
Survey Type:	High Resolution Mag/Spec Survey			Field Data QC:	Ramesh Acharya		
Survey Area:	Kangiqsualujjuaq Area, Quebec			Helicopter Engineer	Mark Greenen		
Project Km:	21,824.5	Total Flown	Total Accepted	Crew Chief	John Currie		
Km flown today:		497.00	482.00				
Accumulated km:		6,723.00	6,465.00				
Percent Completed:		30.8%	29.6%				
Lines flown:	L690 TO L310 and L940 to L600 (Segments)						

Flight #	Comments	Take off (GPS time)	Land (GPS time)	Hours Flown
35	Production	6:00:00	12:48:00	6:48:00
36	Production	13:18:00	17:00:00	3:42:00
Weather:	Cool weather temp 10° c	Hours Flown Today		10:30:00
Accum. Standby:	12	Accumulated Survey Days: 22	Accumulated Project Hours:		146.48.00

COMMENTS

CONTROL	Flight # :		Flight date:	
POST FLIGHT	Accepted km	Rejected km	Reasons for Rejection	

REFLIGHTS		OBSERVATIONS.	LINES REFLOWN
Rejected km			
Kms today			
Accumulated km			
Percent Completed			

Operations Base: George River, Quebec

Geophy Co-ordinator:	Dr. Tomas Grand		1-905-830-6880	tgrand@mgssurveys.com
General Manager	Tim Bodger		1-905-830-6880	tbodger@mgssurveys.com
Project Manager:	John Currie		1-905-830-6880	jcurrie@mgssurveys.com
Systems Engineer	Keith W. Hall		1-905-954-5212	khall@mgssurveys.com
HSE Manager:	Victor Oetke		1-905-830-6880	vho@mgssurveys.com

McPhar Geosurveys Ltd.
1256B Kerrisdale Boulevard, Newmarket, Ontario, Canada L3Y 8Z9
Tel: (905) 830-6880, Fax: (905) 898-0336, E-mail: info@mgssurveys.com

*Please note that kilometres flown are estimates.
*Exact kilometres will be calculated upon completion of survey, and will be based on GPS observations & contractual boundaries

Project #:	0609	Daily Field Report - Kangiqsualujjuaq Survey					
Report Date:	28-Aug-06	Aircraft:		N124AL	SURVEY PERSONNEL		
Report Number:	35	Ops Base:		George River	Pilot	David Kresser	
Client:	Omegalpha Inc.	Country:		CANADA	Operator	Paul Beaubien	
Survey Type:	High Resolution Mag/Spec Survey				Field Data QC:	Ramesh Acharya	
Survey Area:	Kangiqsualujjuaq Area, Quebec				Helicopter Engineer	Mark Greenen	
Project Km:	21,824.5		Total Flown	Total Accepted	Crew Chief	John Currie	
Km flown today:			460.00	460.00			
Accumulated km:			7,183.00	6,925.00			
Percent Completed:			32.9%	31.7%			
Lines flown:	L0 TO L590, L1300,L760,L1790,L1800,L1810,L1820						

Flight #	Comments	Take off (GPS time)	Land (GPS time)	Hours Flown
37	Production	5:48:00	12:22:00	6:34:00
38	Production	13:03:00	16:05:00	3:02:00
Weather:	Cool weather temp 10° c	Hours Flown Today:		9:36:00
Accum. Standby: 12	Accumulated Survey Days: 23	Accumulated Project Hours:		156.24.00

COMMENTS

CONTROL	Flight # :		Flight date:	
POST FLIGHT	Accepted km	Rejected km	Reasons for Rejection	

REFLIGHTS		OBSERVATIONS.	LINES REFLOWN
Rejected km			
Kms today			
Accumulated km			
Percent Completed			

Operations Base: George River, Quebec

Geophy Co-ordinator:	Dr. Tomas Grand		1-905-830-6880	tgrand@mgssurveys.com
General Manager	Tim Bodger		1-905-830-6880	tbodger@mgssurveys.com
Project Manager:	John Currie		1-905-830-6880	jcurrie@mgssurveys.com
Systems Engineer	Keith W. Hall		1-905-954-5212	khall@mgssurveys.com
HSE Manager:	Victor Oetke		1-905-830-6880	vho@mgssurveys.com

McPhar Geosurveys Ltd.
1256B Kerrisdale Boulevard, Newmarket, Ontario, Canada L3Y 8Z9
Tel: (905) 830-6880, Fax: (905) 898-0336, E-mail: info@mgssurveys.com

*Please note that kilometres flown are estimates.

*Exact kilometres will be calculated upon completion of survey, and will be based on GPS observations & contractual boundaries

Project #:	0609	Daily Field Report - Kangiqsualujjuaq Survey					
Report Date:	29-Aug-06	Aircraft:	N124AL	SURVEY PERSONNEL			
Report Number:	36	Ops Base:	George River	Pilot	David Kresser		
Client:	Omegalpha Inc.	Country:	CANADA	Operator	Paul Beaubien		
Survey Type:	High Resolution Mag/Spec Survey			Field Data QC:	Ramesh Acharya		
Survey Area:	Kangiqsualujjuaq Area, Quebec			Helicopter Engineer	Mark Greenen		
Project Km:	21,824.5	Total Flown	Total Accepted	Crew Chief	John Currie		
Km flown today:		335.00	335.00				
Accumulated km:		7,518.00	7,260.00				
Percent Completed:		34.4%	33.3%				
Lines flown:	L820,L1670,L1680,L1940,L2230,L2240,L2220,L2200,L2360,L2350,T360,T350,T340,T320,T330,T310,T300,T290						

Flight #	Comments	Take off (GPS time)	Land (GPS time)	Hours Flown
39	Production	6:52:00	12:31:00	5:39:00
40	Production	13:21:00	15:54:00	2:33:00
Weather:	Cool weather temp 10° c	Hours Flown Today.		8:12:00
Accum. Standby:	12	Accumulated Survey Days: 24	Accumulated Project Hours:		164.36.00

COMMENTS

Lines and Tie lines

CONTROL	Flight # :		Flight date:	
POST FLIGHT	Accepted km	Rejected km	Reasons for Rejection	

REFLIGHTS		OBSERVATIONS.	LINES REFLOWN
Rejected km			
Kms today			
Accumulated km			
Percent Completed			

Operations Base: George River, Quebec

Geophy Co-ordinator:	Dr. Tomas Grand		1-905-830-6880	tgrand@mgssurveys.com
General Manager	Tim Bodger		1-905-830-6880	tbodger@mgssurveys.com
Project Manager:	John Currie		1-905-830-6880	jcurrie@mgssurveys.com
Systems Engineer	Keith W. Hall		1-905-954-5212	khall@mgssurveys.com
HSE Manager:	Victor Oetke		1-905-830-6880	vho@mgssurveys.com

McPhar Geosurveys Ltd.
1256B Kerrisdale Boulevard, Newmarket, Ontario, Canada L3Y 8Z9
Tel: (905) 830-6880, Fax: (905) 898-0336, E-mail: info@mgssurveys.com

Please note that kilometres flown are estimates.

Exact kilometres will be calculated upon completion of survey, and will be based on GPS observations & contractual boundaries

Project #: 0609	Daily Field Report - Kangiqsualujjuaq Survey					
Report Date:	30-Aug-06	Aircraft:	N124AL	SURVEY PERSONNEL		
Report Number:	37	Ops Base:	George River	Pilot	David Kresser	
Client:	Omegalpha Inc.	Country:	CANADA	Operator	Paul Beaubien	
Survey Type:	High Resolution Mag/Spec Survey			Field Data QC:	Ramesh Acharya	
Survey Area:	Kangiqsualujjuaq Area, Quebec			Helicopter Engineer	Mark Greenen	
Project Km:	21,824.5	Total Flown	Total Accepted	Crew Chief	John Currie	
Km flown today:		355.00	355.00			
Accumulated km:		7,873.00	7,615.00			
Percent Completed:		36.1%	34.9%			
Lines flown:	L2370,L2260,L2250,L2380,T10280,T10270,T10260,T10250,T10240,T10230,T10220					

Flight #	Comments	Take off (GPS time)	Land (GPS time)	Hours Flown
41	Production	6:11:00	12:16:00	6:05:00
Weather: Cool weather temp 10° c		Hours Flown Today.		6:05:00
Accum. Standby: 12	Accumulated Survey Days: 25	Accumulated Project Hours:		170.54.00

COMMENTS

Lines and Tie lines

CONTROL	Flight # :		Flight date:	
POST FLIGHT	Accepted km	Rejected km	Reasons for Rejection	

REFLIGHTS		OBSERVATIONS.	LINES REFLOWN
Rejected km			
Kms today			
Accumulated km			
Percent Completed			

Operations Base: George River, Quebec				
Geophy Co-ordinator:	Dr. Tomas Grand		1-905-830-6880	tgrand@mgssurveys.com
General Manager	Tim Bodger		1-905-830-6880	tbodger@mgssurveys.com
Project Manager:	John Currie		1-905-830-6880	jcurrie@mgssurveys.com
Systems Engineer	Keith W. Hall		1-905-954-5212	khall@mgssurveys.com
HSE Manager:	Victor Oetke		1-905-830-6880	vho@mgssurveys.com

McPhar Geosurveys Ltd.
1256B Kerrisdale Boulevard, Newmarket, Ontario, Canada L3Y 8Z9
Tel: (905) 830-6880, Fax: (905) 898-0336, E-mail: info@mgssurveys.com

*Please note that kilometres flown are estimates.

*Exact kilometres will be calculated upon completion of survey, and will be based on GPS observations & contractual boundaries

Project #:	0609	Daily Field Report - Kangiqsualujjuaq Survey					
Report Date:	31-Aug-06	Aircraft:	N124AL	SURVEY PERSONNEL			
Report Number:	38	Ops Base:	George River	Pilot	David Kresser		
Client:	Omegalpha Inc.	Country:	CANADA	Operator	Paul Beaubien		
Survey Type:	High Resolution Mag/Spec Survey			Field Data QC:	Ramesh Acharya		
Survey Area:	Kangiqsualujjuaq Area, Quebec			Helicopter Engineer	Mark Greenen		
Project Km:	21,824.5	Total Flown	Total Accepted	Crew Chief	John Currie		
Km flown today:							
Accumulated km:		7,873.00	7,615.00				
Percent Completed:		36.1%	34.9%				
Lines flown:							

Flight #	Comments	Take off (GPS time)	Land (GPS time)	Hours Flown
42	No Production - Survey was not possible due to thick fog No Production - aborted due to fog	11:22:00	11:35:00	0:13:00

Weather:	Cool weather temp 10° c	Hours Flown Today		
Accum. Standby:	13	Accumulated Survey Days: 25	Accumulated Project Hours:	170.54.00

COMMENTS

No survey due to thick fog
standby

CONTROL	Flight # :		Flight date:	
POST FLIGHT	Accepted km	Rejected km	Reasons for Rejection	

REFLIGHTS		OBSERVATIONS.	LINES REFLOWN
Rejected km			
Kms today			
Accumulated km			
Percent Completed			

Operations Base: George River, Quebec

Geophy Co-ordinator:	Dr. Tomas Grand		1-905-830-6880	tgrand@mgssurveys.com
General Manager	Tim Bodger		1-905-830-6880	tbodger@mgssurveys.com
Project Manager:	John Currie		1-905-830-6880	jcurrie@mgssurveys.com
Systems Engineer	Keith W. Hall		1-905-954-5212	khall@mgssurveys.com
HSE Manager:	Victor Oetke		1-905-830-6880	vho@mgssurveys.com

McPhar Geosurveys Ltd.
1256B Kerrisdale Boulevard, Newmarket, Ontario, Canada L3Y 8Z9
Tel: (905) 830-6880, Fax: (905) 898-0336, E-mail: info@mgssurveys.com

*Please note that kilometres flown are estimates.
*Exact kilometres will be calculated upon completion of survey, and will be based on GPS observations & contractual boundaries

Project #:	0609	Daily Field Report - Kangiqsualujjuaq Survey					
Report Date:	01-Sep-06	Aircraft:		N124AL	SURVEY PERSONNEL		
Report Number:	39	Ops Base:		George River	Pilot	David Kresser	
Client:	Omegalpha Inc.	Country:		CANADA	Operator	Paul Beaubien	
Survey Type:	High Resolution Mag/Spec Survey				Field Data QC:	Ramesh Acharya	
Survey Area:	Kangiqsualujjuaq Area, Quebec				Helicopter Engineer	Mark Greenen	
Project Km:	21,824.5		Total Flown	Total Accepted	Crew Chief	John Currie	
Km flown today:			423.00	423.00			
Accumulated km:			8,296.00	8,038.00			
Percent Completed:			38.0%	36.8%			
Lines flown:	T10210,T10200,T10190,T10180,T10170,T10160,T10150,T10140,T10130,T10120,T10110,T10100,T10280						

Flight #	Comments	Take off (GPS time)	Land (GPS time)	Hours Flown
43	Production	6:25:00	12:50:00	6:25:00
44	Production	13:17:00	15:58:00	2:41:00
Weather: Cool weather temp 10° c		Hours Flown Today.		9:06:00
Accum. Standby: 13	Accumulated Survey Days: 26	Accumulated Project Hours:		180.00.00

COMMENTS

Tie Lines

CONTROL	Flight # :		Flight date:	
POST FLIGHT	Accepted km	Rejected km	Reasons for Rejection	

REFLIGHTS		OBSERVATIONS.	LINES REFLOWN
Rejected km			
Kms today			
Accumulated km			
Percent Completed			

Operations Base: George River, Quebec

Geophy Co-ordinator:	Dr. Tomas Grand		1-905-830-6880	tgrand@mgssurveys.com
General Manager	Tim Bodger		1-905-830-6880	tbodger@mgssurveys.com
Project Manager:	John Currie		1-905-830-6880	jcurrie@mgssurveys.com
Systems Engineer	Keith W. Hall		1-905-954-5212	khall@mgssurveys.com
HSE Manager:	Victor Oetke		1-905-830-6880	vho@mgssurveys.com

McPhar Geosurveys Ltd.
1256B Kerrisdale Boulevard, Newmarket, Ontario, Canada L3Y 8Z9
Tel: (905) 830-6880, Fax: (905) 898-0336, E-mail: info@mgssurveys.com

*Please note that kilometres flown are estimates.

*Exact kilometres will be calculated upon completion of survey, and will be based on GPS observations & contractual boundaries

Project #:	0609	Daily Field Report - Kangiqsualujjuaq Survey					
Report Date:	02-Sep-06	Aircraft:	N124AL	SURVEY PERSONNEL			
Report Number:	40	Ops Base:	George River	Pilot	David Kresser		
Client:	Omegalpha Inc.	Country:	CANADA	Operator	Paul Beaubien		
Survey Type:	High Resolution Mag/Spec Survey			Field Data QC:	Ramesh Acharya		
Survey Area:	Kangiqsualujjuaq Area, Quebec			Helicopter Engineer	Mark Greenen		
Project Km:	21,824.5	Total Flown	Total Accepted	Crew Chief	John Currie		
Km flown today:		217.00	217.00				
Accumulated km:		8,513.00	8,255.00				
Percent Completed:		39.0%	37.8%				
Lines flown:	T10090,T10080,T10070,T10060,T10050,T10040,T10030,T10020,T10010,T10000,L660,L1840						

Flight #	Comments	Take off (GPS time)	Land (GPS time)	Hours Flown
45	Production	5:42:00	11:54:00	6:12:00

Weather:	Cool weather temp 10° c	Hours Flown Today		6:12:00
Accum. Standby:	13	Accumulated Survey Days: 27	Accumulated Project Hours:		186.12.00

COMMENTS

Tie Lines
Cloudy and low ceiling in the afternoon. Only one flight could be done

CONTROL	Flight # :		Flight date:	
POST FLIGHT	Accepted km	Rejected km	Reasons for Rejection	

REFLIGHTS		OBSERVATIONS.	LINES REFLOWN
Rejected km			
Kms today			
Accumulated km			
Percent Completed			

Operations Base: George River, Quebec				
Geophy Co-ordinator:	Dr. Tomas Grand		1-905-830-6880	tgrand@mgssurveys.com
General Manager	Tim Bodger		1-905-830-6880	tbodger@mgssurveys.com
Project Manager:	John Currie		1-905-830-6880	jcurrie@mgssurveys.com
Systems Engineer	Keith W. Hall		1-905-954-5212	khall@mgssurveys.com
HSE Manager:	Victor Oetke		1-905-830-6880	vho@mgssurveys.com

McPhar Geosurveys Ltd.
1256B Kerrisdale Boulevard, Newmarket, Ontario, Canada L3Y 8Z9
Tel: (905) 830-6880, Fax: (905) 898-0336, E-mail: info@mgssurveys.com

*Please note that kilometres flown are estimates.
*Exact kilometres will be calculated upon completion of survey, and will be based on GPS observations & contractual boundaries

Project #:	0609	Daily Field Report - Kangiqsualujjuaq Survey					
Report Date:	03-Sep-06	Aircraft:		N124AL	SURVEY PERSONNEL		
Report Number:	41	Ops Base:		George River	Pilot	David Kresser	
Client:	Omegalpha Inc.	Country:		CANADA	Operator	Paul Beaubien	
Survey Type:	High Resolution Mag/Spec Survey				Field Data QC:	Ramesh Acharya	
Survey Area:	Kangiqsualujjuaq Area, Quebec				Helicopter Engineer	Mark Greenen	
Project Km:	21,824.5		Total Flown	Total Accepted	Crew Chief	John Currie	
Km flown today:							
Accumulated km:			8,513.00	8,255.00			
Percent Completed:			39.0%	37.8%			
Lines flown:							

Flight #	Comments	Take off (GPS time)	Land (GPS time)	Hours Flown
46	Tests	5:58:00	8:02:00	2:04:00
47	Tests	8:26:00	8:46:00	0:20:00
Weather:	Cool weather temp 10° c	Hours Flown Today.		2:24:00
Accum. Standby:	13	Accumulated Survey Days: 28	Accumulated Project Hours:		188.36.00

COMMENTS

Lag,Cosmic,Radar Stack,FOM tests done
No production was possible due to bad weather

CONTROL	Flight # :		Flight date:	
POST FLIGHT	Accepted km	Rejected km	Reasons for Rejection	

REFLIGHTS		OBSERVATIONS.	LINES REFLOWN
Rejected km			
Kms today			
Accumulated km			
Percent Completed			

Operations Base: George River, Quebec

Geophy Co-ordinator:	Dr. Tomas Grand		1-905-830-6880	tgrand@mgssurveys.com
General Manager	Tim Bodger		1-905-830-6880	tbodger@mgssurveys.com
Project Manager:	John Currie		1-905-830-6880	jcurrie@mgssurveys.com
Systems Engineer	Keith W. Hall		1-905-954-5212	khall@mgssurveys.com
HSE Manager:	Victor Oetke		1-905-830-6880	vho@mgssurveys.com

McPhar Geosurveys Ltd.
1256B Kerrisdale Boulevard, Newmarket, Ontario, Canada L3Y 8Z9
Tel: (905) 830-6880, Fax: (905) 898-0336, E-mail: info@mgssurveys.com

*Please note that kilometres flown are estimates.
*Exact kilometres will be calculated upon completion of survey, and will be based on GPS observations & contractual boundaries

Project #:	0609	Daily Field Report - Kangiqsualujjuaq Survey					
Report Date:	04-Sep-06	Aircraft:		N124AL	SURVEY PERSONNEL		
Report Number:	42	Ops Base:		George River	Pilot		David Kresser
Client:	Omegalpha Inc.	Country:		CANADA	Operator		Paul Beaubien
Survey Type:	High Resolution Mag/Spec Survey				Field Data QC:		Ramesh Acharya
Survey Area:	Kangiqsualujjuaq Area, Quebec				Helicopter Engineer		Mark Greenen
Project Km:	21,824.5		Total Flown	Total Accepted	Crew Chief		John Currie
Km flown today:			187.00	187.00			
Accumulated km:			8,700.00	8,442.00			
Percent Completed:			39.9%	38.7%			
Lines flown:	L2390,L2400,L2410,L2420						

Flight #	Comments	Take off (GPS time)	Land (GPS time)	Hours Flown
48	Production	5:50:00	11:44:00	5:54:00
	Heading Test			

Weather:	Cool weather temp 10° c	Hours Flown Today.		5:54:00
Accum. Standby:	13	Accumulated Survey Days: 29	Accumulated Project Hours:	194.30.00

COMMENTS

CONTROL	Flight # :		Flight date:	
POST FLIGHT	Accepted km	Rejected km	Reasons for Rejection	

REFLIGHTS		OBSERVATIONS.	LINES REFLOWN
Rejected km			
Kms today			
Accumulated km			
Percent Completed			

Operations Base: George River, Quebec				
Geophy Co-ordinator:	Dr. Tomas Grand		1-905-830-6880	tgrand@mgssurveys.com
General Manager	Tim Bodger		1-905-830-6880	tbodger@mgssurveys.com
Project Manager:	John Currie		1-905-830-6880	jcurrie@mgssurveys.com
Systems Engineer	Keith W. Hall		1-905-954-5212	khall@mgssurveys.com
HSE Manager:	Victor Oetke		1-905-830-6880	vho@mgssurveys.com

McPhar Geosurveys Ltd.
1256B Kerrisdale Boulevard, Newmarket, Ontario, Canada L3Y 8Z9
Tel: (905) 830-6880, Fax: (905) 898-0336, E-mail: info@mgssurveys.com

*Please note that kilometres flown are estimates.
*Exact kilometres will be calculated upon completion of survey, and will be based on GPS observations & contractual boundaries

Project #:	0609	Daily Field Report - Kangiqsualujjuaq Survey					
Report Date:	05-Sep-06	Aircraft:		N124AL	SURVEY PERSONNEL		
Report Number:	43	Ops Base:		George River	Pilot	Robert	
Client:	Omegalpha Inc.	Country:		CANADA	Operator	Paul Beaubien	
Survey Type:	High Resolution Mag/Spec Survey				Field Data QC:	Ramesh Acharya	
Survey Area:	Kangiqsualujjuaq Area, Quebec				Helicopter Engineer	Mark Greenen	
Project Km:	21,824.5		Total Flown	Total Accepted	Crew Chief	John Currie	
Km flown today:			26.00	26.00			
Accumulated km:			8,726.00	8,468.00			
Percent Completed:			40.0%	38.8%			
Lines flown:	T10380,T10370,T10360						

Flight #	Comments	Take off (GPS time)	Land (GPS time)	Hours Flown
49	Production			
	Heading Test			
Weather:	Cool weather temp 10° c	Hours Flown Today		
Accum. Standby: 13	Accumulated Survey Days: 30	Accumulated Project Hours:		194.30.00

COMMENTS

Further production was not possible due to bad weather

CONTROL	Flight # :		Flight date:	
POST FLIGHT	Accepted km	Rejected km	Reasons for Rejection	

REFLIGHTS		OBSERVATIONS.	LINES REFLOWN
Rejected km			
Kms today			
Accumulated km			
Percent Completed			

Operations Base: George River, Quebec				
Geophy Co-ordinator:	Dr. Tomas Grand		1-905-830-6880	tgrand@mgssurveys.com
General Manager	Tim Bodger		1-905-830-6880	tbodger@mgssurveys.com
Project Manager:	John Currie		1-905-830-6880	jcurrie@mgssurveys.com
Systems Engineer	Keith W. Hall		1-905-954-5212	khall@mgssurveys.com
HSE Manager:	Victor Oetke		1-905-830-6880	vho@mgssurveys.com

McPhar Geosurveys Ltd.
1256B Kerrisdale Boulevard, Newmarket, Ontario, Canada L3Y 8Z9
Tel: (905) 830-6880, Fax: (905) 898-0336, E-mail: info@mgssurveys.com

*Please note that kilometres flown are estimates.

*Exact kilometres will be calculated upon completion of survey, and will be based on GPS observations & contractual boundaries

Project #:	0609	Daily Field Report - Kangiqsualujjuaq Survey					
Report Date:	06-Sep-06	Aircraft:		N124AL	SURVEY PERSONNEL		
Report Number:	44	Ops Base:		George River	Pilot	Robert	
Client:	Omegalpha Inc.	Country:		CANADA	Operator	Paul Beaubien	
Survey Type:	High Resolution Mag/Spec Survey				Field Data QC:	Ramesh Acharya	
Survey Area:	Kangiqsualujjuaq Area, Quebec				Helicopter Engineer	Mark Greenen	
Project Km:	21,824.5		Total Flown	Total Accepted	Crew Chief	John Currie	
Km flown today:							
Accumulated km:			8,726.00	8,468.00			
Percent Completed:			40.0%	38.8%			
Lines flown:							

Flight #	Comments	Take off (GPS time)	Land (GPS time)	Hours Flown
	Survey Closed			
	Demob			
Weather:	Cool weather temp 10° c	Hours Flown Today.		
Accum. Standby: 13	Accumulated Survey Days: 30	Accumulated Project Hours:		194.30.00

COMMENTS

Equipment packed and shipped

CONTROL	Flight # :		Flight date:	
POST FLIGHT	Accepted km	Rejected km	Reasons for Rejection	

REFLIGHTS		OBSERVATIONS.	LINES REFLOWN
Rejected km			
Kms today			
Accumulated km			
Percent Completed			

Operations Base: George River, Quebec				
Geophy Co-ordinator:	Dr. Tomas Grand		1-905-830-6880	tgrand@mgssurveys.com
General Manager	Tim Bodger		1-905-830-6880	tbodger@mgssurveys.com
Project Manager:	John Currie		1-905-830-6880	jcurrie@mgssurveys.com
Systems Engineer	Keith W. Hall		1-905-954-5212	khall@mgssurveys.com
HSE Manager:	Victor Oetke		1-905-830-6880	vho@mgssurveys.com

McPhar Geosurveys Ltd.
1256B Kerrisdale Boulevard, Newmarket, Ontario, Canada L3Y 8Z9
Tel: (905) 830-6880, Fax: (905) 898-0336, E-mail: info@mgssurveys.com

*Please note that kilometres flown are estimates.

*Exact kilometres will be calculated upon completion of survey, and will be based on GPS observations & contractual boundaries

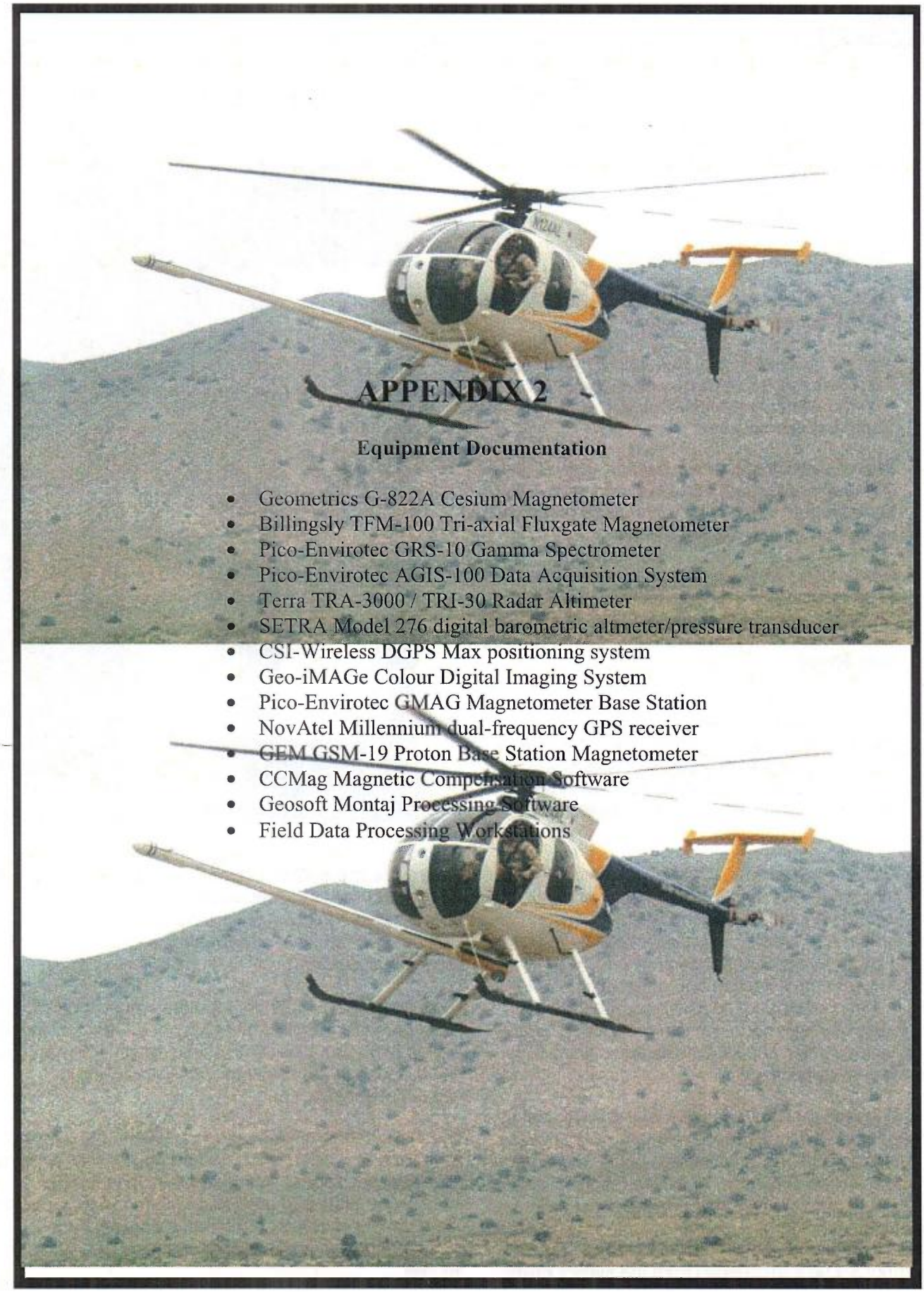

APPENDIX 2

Equipment Documentation

- Geometrics G-822A Cesium Magnetometer
- Billingsly TFM-100 Tri-axial Fluxgate Magnetometer
- Pico-Envirotec GRS-10 Gamma Spectrometer
- Pico-Envirotec AGIS-100 Data Acquisition System
- Terra TRA-3000 / TRI-30 Radar Altimeter
- SETRA Model 276 digital barometric altmeter/pressure transducer
- CSI-Wireless DGPS Max positioning system
- Geo-iMAGe Colour Digital Imaging System
- Pico-Envirotec GMAG Magnetometer Base Station
- NovAtel Millennium dual-frequency GPS receiver
- GEM GSM-19 Proton Base Station Magnetometer
- CCMag Magnetic Compensation Software
- Geosoft Montaj Processing Software
- Field Data Processing Workstations

GEOMETRICS

G-822A CESIUM MAGNETOMETER

- ***Airborne and Vehicle Applications with Multi-Sensor Array Capability***
- ***Automatic Hemisphere Switching***
- ***Highest Sensitivity ___ 0.0005 nT/√Hz RMS with the G-822A Super-Counter***
- ***Highest Versatility ___ Full Aircraft Compensation with RMS AADCII or Button-on Towed Bird system with CM-201 Internal Mini-Counter, with 6 Channel 12 bit A to D converters***
- ***Superior resolution of the Cesium Larmor signal, tracking earth's field variation rates exceeding thousands of nT (γ) over 0.01second periods when using the G-822A Super-Counter***
- ***Gradiometer arrays offering simultaneous operation of up to four separate sensors with the RMS Instruments AADCII , Geometrics' G-822A Super-Counter or CM-201 Internal Mini-counter (See 823A Data Sheet)***
- ***Geometrics offers complete turnkey systems including Birds, Stingers, Wingtip installation accessories as well as Digital Data Acquisition Systems, Flight Path Recovery, GPS Navigation, Gamma Ray Spectrometers, VLF EM , Post Acquisition Data Processing Software and Training***

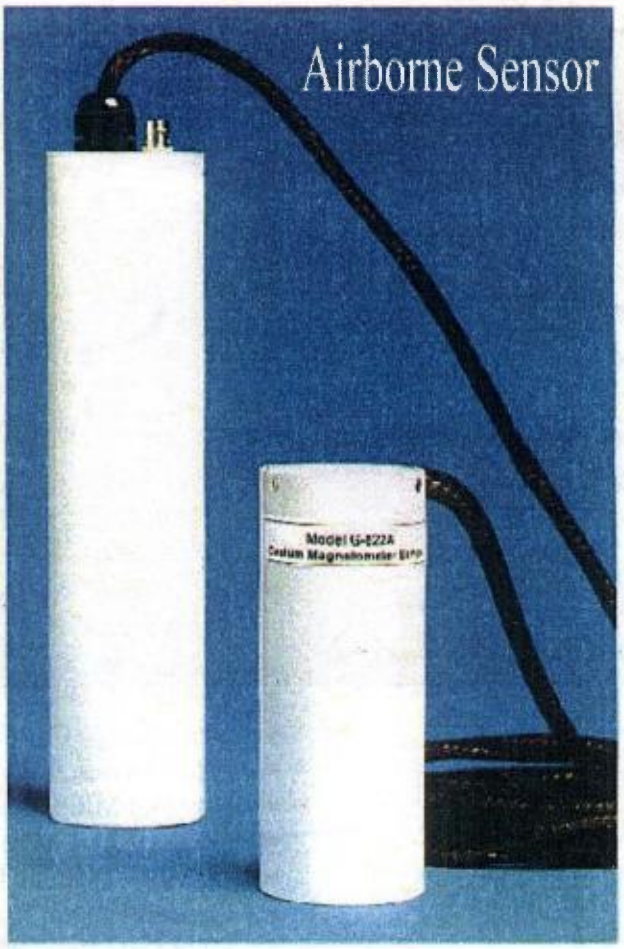

The G-822A is designed for all airborne or mobile applications where the unique combination of high sensitivity and very rapid sampling of the earth's magnetic field are required. Applications include mapping geologic structure for mining, oil and gas exploration, and the detection and delineation of target bodies in environmental or military type surveys. The unit consists of a high performance low heading error cesium vapor sensor with its associated cables and driver electronics package.

The G-822A sensor uses a precise well-proven design, carefully selected and tested components to insure the very best specifications in sensitivity, noise, heading error and absolute accuracy. A proven record of stable and reliable operation over long periods is the hallmark of the industry standard G-822A. A single coaxial cable of up to 50 meters length supplies both 28 VDC power and Larmor signal transmission from the sensor driver electronics to the 822A Super-Counter or the RMS Instruments' AADCII Automatic Aeromagnetic Digital Compensator. Internal or external signal/power filter-decoupler assemblies are available to provide extremely low noise operation.

The interconnect cable from the driver/electronics to the sensor may be supplied in lengths of 82 and 136 inches. Tuning throughout the earth's field range is fully automatic, and includes automatic hemisphere switching for equatorial surveys.

The sensor/electronics package is watertight, temperature controlled, and delivers full performance under extreme operating conditions. Accessories include special mounting clamps and orientation platforms for installation into a variety of vehicle or aircraft mounting configurations, as well as Birds, Stingers and Wing Tip fairings.

MODEL G-822A AIRBORNE CESIUM MAGNETOMETER SENSOR SPECIFICATIONS

OPERATING PRINCIPLE:	Self-oscillating split-beam Cesium Vapor (non-radioactive)
OPERATING RANGE:	20,000 to 100,000 nT
OPERATING ZONES:	The earth's field vector should be at an angle greater than 6 from the sensor's equator and greater than 6° away from the sensor's long axis. Automatic hemisphere switching.
SENSITIVITY:	<0.0005 nT/√Hz rms. Typically 0.003 nT P-P at a 0.1 second sample rate (90% of all readings falling within the P-P envelope) using 822A Supercounter, 0.02nT P-P for CM-201
HEADING ERROR:	±0.25 nT (over entire 360° spin and tumble)
ABSOLUTE ACCURACY:	<3 nT throughout range
OUTPUT:	Cycle of Larmor frequency = 3.498572 Hz/nT, 2V P-P coupled through the sensor power input
MECHANICAL:	
Sensor:	2.375" (60.32 mm) dia., 6.25" (158.75 mm) long, 12 oz (339 g) - any orientation in 7" dia. stinger
Sensor Electronics:	2.5" (63.5 mm) dia., 11" (279.4 mm) long, 22 oz (623 g)
Cables:	
Sensor to electronics:	70" (1.78 m) or additional 40" (1.1 m) increments with quick disconnect on electronic end. Longer lengths available - Up to 19.5 ft (6.1m)
Sensor Electronics to Counter:	Up to 220 ft (70 m)
OPERATING TEMPERATURE:	-30°F to +122°F (-35°C to +50°C)
STORAGE TEMPERATURE:	-48°F to +158°F (-45°C to +70°C)
ALTITUDE:	Up to 30,000 ft (9,000 m)
WATER TIGHT:	Sealed for up to 2 ft (0.9 m) depth
POWER:	24 to 32 VDC, 0.75 amp at turn-on and 0.5 amp thereafter
ACCESSORIES:	
Standard:	Power/Larmor coaxial cable (electronics to counter), lengths to be specified, spare O rings, operation manual and carrying case
Optional:	
Signal/Power Decoupler:	Separates the Larmor signal from the power (28 V) to enable connection to RMS Instruments' AADCII Automatic Aeromagnetic Compensator or Customer supplied counter
Internal Decoupler:	P/N 27504 - up to two sensor installation
External Decoupler:	P/N 27560 - three and four sensor installation
Internal CM-201 Counter	See G-823 A Data Sheet
Stinger, Wingtip, Bird	Contact Factory for complete system integration information
Base Station Accessories	Non-magnetic Tripod, clamps cables

SPECIFICATIONS SUBJECT TO CHANGE WITHOUT NOTICE **1/98**

GEOMETRICS, INC. 2190 Fortune Drive, San Jose, California 95131
408-954-0522 • Fax 408-954-0902 • Internet: sales@mail.geomtrics.com

GEOMETRICS Europe Manor Farm Cottage, Galley Lane, Great Brickhill, Bucks,
England MK179AB • 44-1525-261874 • Fax 44-1525-261867

GEOMETRICS

GEOMETRICS China Laurel Industrial Co. Inc. - Beijing Office, Room 2509-2511, Full Link Plaza
#18 Chaoyangmenwai Dajie, Chaoyang District, Beijing, China 100020
10-6588-1126 (1127..1130), 10-6588-1132 • Fax 010-6588-1162

BILLINGSLEY MAGNETICS

TFM100 : Triaxial Fluxgate Magnetometer

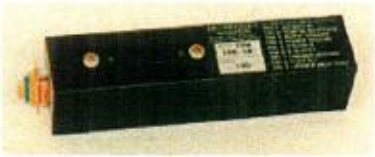

Triaxial Fluxgate Magnetometer for general magnetic measurements in the laboratory or field applications such as remotely piloted vehicles, aircraft attitude measurements, data buoys, sounding rockets, etc.

Axial Alignment :	Orthogonality better than ± 1 °
Input Voltage Options :	+ 24 to + 34 VDC (TFM100-1) + 15 VDC (TFM100-2) ± 15 VDC (TFM100-2D)
Input Current :	30 mA
Field Measurement Range :	± 100,000 nanoTesla (other ranges available)
Accuracy :	± 0.75% of full scale (0.5% typical)
Linearity :	± 0.0035% of full scale
Sensitivity :	100 microvolt/nanoTesla
Scale Factor Temperature Shift :	0.007% full scale/ Celsius
Noise :	28 picoTesla RMS/√ Hz @ 1 Hz 15 picoTesla RMS/√ Hz @ 5 Hz
Output Ripple :	3 millivolt peak to peak @ 2nd harmonic
Analog Output @ Zero Field :	± 0.020 volt (± 200 nanoTesla)
Zero Shift with Temperature :	± 25 nanoTesla 0° to 70° Celsius
Susceptibility to Perming :	± 8 nanoTesla shift with ± 5 Gauss applied ± 30 nanoTesla shift with ± 18 Gauss applied
Output Impedance :	470 Ω ± 5%
Frequency Response :	3 dB @ > 300 Hz (available with bandwidth to > 5 KHz with increased output ripple)
E M I :	CEO3, REO2 Part 2
Random Vibration :	20G RMS 20 Hz to 2 KHz
Temperature Range :	- 40° to + 85° Celsius (operating)
Acceleration :	60G
Weight; Size :	182 grams; 3.51 cm x 3.51 cm x 15.37 cm
Connector :	Chassis mounted 9 pin male "D" type; mating connector supplied
Connector Pins :	1. + Power In 2. Temp. Monitor (Option) 3. Signal/Chassis Gnd* 4. Power Ground 6. X Axis Out 7. Signal/Chassis Gnd* 8. Y Axis Out 9. - Power In (Option)

2600 Brighton Dam Road Brookeville, Maryland 20833
(301) 774-7707 LAB (301)774-0745 FAX
www.magnetometer.com sales@magnetometer.com

PICO ENVIROTEC INC.

GRS-10, GRS-16 INTELLIGENT GAMMA RAY SPECTROMETERS

GRS-10, GRS-16 Intelligent Gamma Ray Spectrometers

The GRS-10 and GRS-16 systems are intelligent, self calibrating Gammy Ray spectrometers using NaI (Tl) large volume detector arrays. They are used for natural and man made radiation contamination detection. Simple serial (RS-232) communications protocol allows them to be connected to any "PC" compatible computer system. All dedicated electronics modules are housed within the detector container. By virtue of application software any personal computer may be transformed into a sophisticated Gamma spectrum analyzer.

The GRS-10 or GRS-16 series of spectrometers are widely used in geological and geophysical exploration and mapping as well as in environmental and nuclear surveillance.

Individual, independent, detector processing provides real time gain and linearity correction. PEI's ongoing research to improve the system stabilization algorithms make these spectrometer systems fully automated and self stabilizing on natural radioactive elements. This eliminates the requirement for regular, time consuming, and frequent system checking and re-calibration by the user. Furthermore it provides excellent accuracy and reliability of the gamma measurements.

Specially developed software algorithms provide results in absolute units of contamination and dosage automatically corrected from acquisition altitude to ground level equivalents. Individual crystal detector signal processing provides an accurate control over each contributing sensor providing the user with the best possible spectra alignment for the complete system. New design techniques for the peak detection electronics almost completely eliminate "pulse pile up" and "Dead Time" effects.

Technical Specifications

Spectrometer Front End Electronics

- High voltage controlled remotely via software
- Digital peak detector
- Elimination of Dead Time
- Elimination of pulse pile up
- Count rates of up to 1000,000 pps / per detector
- Count capacity per channel 65535
- Energy detection range: 50 KeV to 3 MeV
- Cosmic channel above 3 MeV
- Collected spectrum 256 / 512 channels
- Output on request via RS-232 serial communication
- Mechanical design complies with PC-104 standard

Technical specifications: *(continued)*

Spectrometer concentrator

- Based on PC-104 technology
- GRS-10 up to 10 detectors
- GRS-16 up to 16 detectors
- Real time corrections: Gain, Linearity
- Data Inputs: serial (RS-232) protocol
- Optional:
  - 4 channel, 15 bit resolution A/D converter for temperature, altitude, press sure temperature and humidity measurements
- Data output: serial communications (RS-232) protocol
  - GRS-10: Individual and / or summed spectra
  - GRS-16: summed spectra only
- Each detector can be designated as upwards or downwards looking
- Software:
  - Calibration;
    - High voltage adjustment
    - Linearity correction coefficients calculation
    - Communication test support
  - Real Time Data Collection:
    - Automatic Gain real time control on natural isotopes
    - Optional software to calculate absolute levels of contamination by different radio nuclei on the ground and total dose at 1 meter above the ground.
  - PC based test and calibration software suite

Power Requirements:

- 10 to 30 VDC (approx 3 watts / detector
- approx 10 watts / concentrator

Mechanical:

- All electronic modules including concentrators are housed in the detector container
- Packaging available for different detector volumes , 8.4 L, 16.8 L, and 20.1 L
- Weights: each detector (100mm x 100mm x 405 mm) is approx 18 kg
- Crystal container (for 4 detectors) approx 10 kg
- Concentrator optionally housed in a special container

Front end detector electronics

Concentrator electronics & A/D module

System Calibration program

PICO ENVIROTEC INC.

Pico Envirotec Inc., 222 Snidercroft Rd.,
Concord, Ontario, Canada L4K 2K1

Tel: (905) 760-9512
Fax: (905) 760-9513
Email: picoenv@bellnet.ca
www.picoenvirotec.com

Dealer Info:

PICO ENVIROTEC INC.

AGIS
AIRBORNE GEOPHYSICAL INFORMATION SYSTEM

Real Time Data Acquisition, Navigation and man machine communication tasks are integrated into a single unit that can be easily installed in a wide variety of mobile platforms without need for a permanent installation in the carrying vehicle.

AGIS is designed to operate using Pico Envirotec "intelligent sensors". Special processors dedicated to each sensor handle tasks required by individual sensors with the main CPU concentrates on "housekeeping" chores such as data recording, navigation, pilot display information, and data presentation for the system operator.

The use of common processors for different sensor modules reduces maintenance and spares requirements.

Software standardization and modularity shortens and simplifies the learning curve of service personnel

Interfacing of individual sensors is accomplished via standard RS-232 serial communication channels

AGIS Main Features

- **High brightness color display** displaying navigation and acquired data in a variety of user configurations
- **Available Touch Screen** eliminates frustration of keyboard entries under stressful or turbulent sea states
- **User friendly Man-machine interface**
- AGIS design increases reliability and reduces complexity. Mean time between failures is increased and mean repair time is decreased. This has a direct positive impact on the cost of data acquisition and system readiness
- Modularity of the system lends itself to be used universally either as a complete system, or as a unique instrument
- AGIS data format is easily converted into Geosoft –Oasis or ASCII formats by a supplied conversion program (PEI View)
- Easy connection to "Intelligent Sensors" via standard serial communication link

System Consists of:

NAVIGATION
- Aircraft guidance
- Operator information
- Data synchronization to GPS position
- Pilot Guidance Unit (PGU)
- UTM, UPS, Lambert, and ADRG support

DATA ACQUISITION
- High Capacity Data storage
- Data integrity verification Special data algorithms

DATA INPUTS / OUTPUTS
- Navigation data to other instruments
- Sun readable color operators display
- Touch screen and / or keyboard
- Standard serial data protocols
- Multiple asynchronous communication links

Optional outputs
- Video overlay information
- Digital video flight path recording system

Specifications, *Continued*

Intelligent sensors
- Pico Envirotec Intelligent Gamma Spectrometer with optional recalculation to absolute units
- Pico Envirotec magnetometer processor with optional compensation
- Pico Envirotec intelligent multi-channel analog processor
- Other supported instruments
  - Exploranium Gamma Spectrometer
  - RMS magnetometer and compensation
  - Special interfaces to user developed instruments

Software
- A complete survey program consisting of navigation, pilot guidance and data acquisition for all supported sensors
- A map conversion program allowing calibration and display of any scanned map or picture
- A data replay / verification program allowing for instant selected data replay after data collection termination
- A conversion program allowing data export to ASCII or Geosoft GBN files
- Support software for intelligent sensors for calibration, testing, firmware upgrades

Main Features:
- PC compatible embedded processor
- VGA TFT daylight readable LCD touch screen display 640 x 480 pixels (supports 1024 x 768)
- Color pilot Guidance Display (PGU)
- High capacity storage on compact flash cards
- +/- 10 volt 16 bit analog inputs
- PCMCIA III port
- Multiple RS-232 serial communication ports
- Operating temperature -10 to +55 C
- Operating Altitude range to 3000 meter (exclusive of radar altimeter)
- Power 10 to 30 VDC at 60 watts typical

PEi Crystal Detector Array

Pilot Navigation Display (PGU)

PEIView Data QC Tool

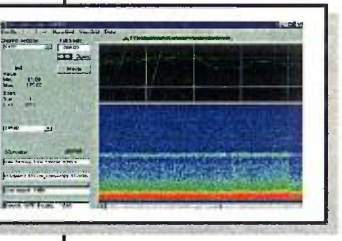

PICO ENVIROTEC INC.

Pico Envirotec Inc., 222 Snidercroft Rd.,
Concord, Ontario, Canada L4K 2K1

Tel: (905) 760-9512
Fax: (905) 760-9513
Email: picoenv@bellnet.ca
www.picoenvirotec.com

Dealer Info:

McPhar Geosurveys Ltd.
1256B Kerrisdale Blvd., Newmarket
Ontario, Canada L3Y 8Z9
Tel: (905) 830-6880, Fax: (905) 898-0336
E-Mail: info@mgssurveys.com
WebSite: www.mgssurveys.com

TERRA TRA-3000 / TRI-30 Radar Altimeter

The Terra TRA-3000 Radar Altimeter unit provides AGL (Above Ground Level) altitude information from 40 feet (12.3 m) up to 2,500 feet (769 m). The system consists of a single TRA-3000 receiver/transmitter/antenna unit and a TRI-30 indicator.

SPECIFICATIONS

TRA-3000 Unit

Type:	Single antenna, FMCW
Altitude Range:	40 to 2,500 ft
System Accuracy:	
• 40 to 100 ft	+/- 5 ft
• 100 to 500 ft	+/- 5%
• 500 to 2,500 ft	+/- 7%
Frequency Range:	100 MHz sweep within 4,200 to 4,400 GHz range
Input Voltage:	Approx. 20 VDC from indicator
Input Current:	600 ma
Altitude Output:	Digital
Self-Test:	Ground or flight, initiated at indicator
Transmitter/Receiver/Antenna:	All solid-state, microstrip antenna,
Physical:	Size - 1" H x 5" W x 7.625" L, Weight - 1.5 lb.
Environment:	-40° C to + 70° C
Unlock display:	Altitude – 45,000 ft

TRI-30 Indicator

Power Supply:	Input voltage – 27.5 VDC +/- 20%
Environment:	Power – 16 watts nominal (includes power to T/R/A unit
Physical:	Size – 3.25" H x 3.25" W x 4" L, Weight – 1 lb.
Mounting:	Front panel mounting; requires a 3" ATI mounting space
Altitude range:	40 ft. to 2,500 ft (linear); 40 – 500 ft (enlarged linear)
Analog display:	Servo; pointer and dial type Needle will go off scale on the high-end
Decision height:	Bug, continuous setting from 40 to 2,500 ft.
Display update rate:	continuous
Analog output:	2.5 mv/ft., 100 mv = 40 ft.
Display disable:	One strut switch input, ground to enable
Altitude accuracy:	
• 40 to 100 ft	+/- 5 ft
• 100 to 500 ft	+/- 5%
• 500 to 2,500 ft	+/- 7%
Aural Decision Height alert:	1 KHz tone for 2 sec. (500 ohms) adjustable audio level
Self-test:	Indicates 40 ft., DH operates normally
Visual alert:	Amber lamp with automatic adjustable intensity; internal LED standard; external lamp operation available.

Model 276
Low Cost Barometric Pressure Transducer

Featuring the SETRACERAM™ Sensor
Barometric Pressure: 600-1100, 800-1100 hPa/mb
Absolute Pressure: 0-20 psia

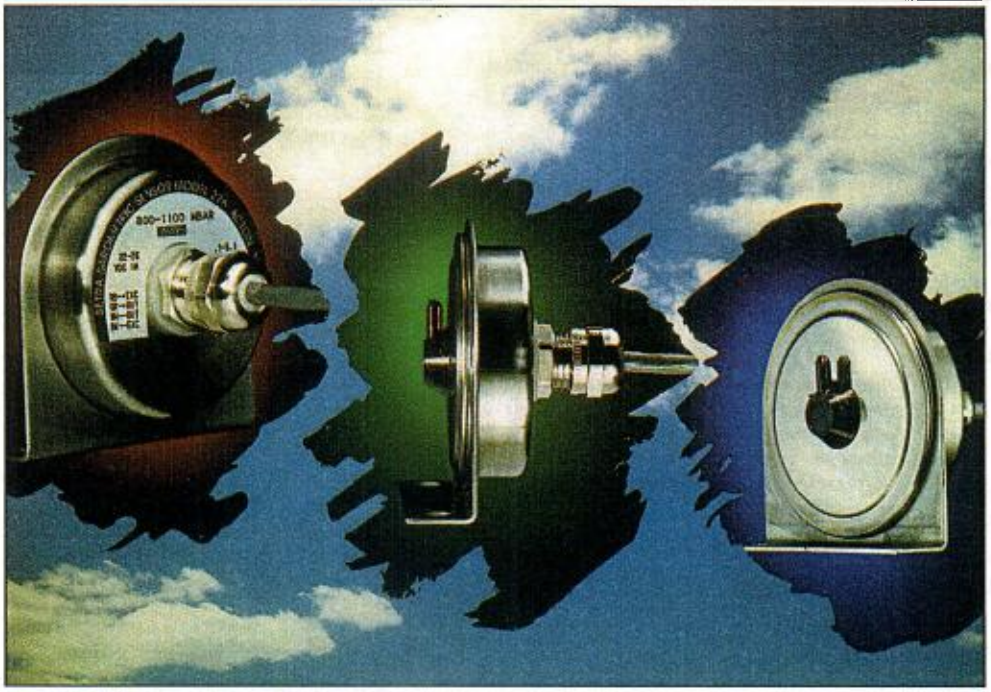

Setra Systems has been a technology leader in Environmental Pressure Measurement for over three decades. The Model 276 is an extremely accurate and stable transducer based on the proven Setraceram™ sensing element. The glass fused ceramic capacitive sensing capsule is the heart of Setra's environmental pressure transducers because of its inherent thermal stability, low hysteresis and fundamentally simple design.

Another major feature of the 276 is Setra's custom Application Specific Integrated Circuit (ASIC). The ASIC works hand-in-hand with the Setraceram™ sensor to achieve long-term stability and high accuracy, unmatched by other manufacturers - even at a much higher cost. The ASIC circuit allows the 276 to operate with an excitation as low as 5 VDC for remote battery or solar powered applications.

The 276 is designed specifically to give maximum flexibility to system integrators and OEM's. The standard unit has a convenient mounting bracket and simple 1/8" tube fitting for quick installations. Its low cost, small size and available options make it application configurable.

If your OEM environmental application requires low cost, combined with superior performance, specify Setra's Model 276 and apply the savings to the bottom line.

Type of Pressure	Pressure Range	Maximum Pressure
Barometric	600-1100 mb 800-1100 mb	20 PSIA 20 PSIA
Absolute	0-20 PSIA	30 PSIA

NOTE: Setra quality standards are based on ANSI-Z540-1. The calibration of this product is NIST traceable.

U.S. Patent Nos. 4168518; 4054833

Applications

- Environmental Monitoring Systems
- Weather Measurement Systems
- Weather and Environmental Data Logging
- Barometric Pressure Compensation for Internal Combustion Engine Performance
- Cleanroom Barometric Pressure Compensation
- Automotive Emissions Test Equipment

Features

- Proven SETRACERAM™ Sensor
- 0.25% FS Accuracy
- Environmentally Rugged
- <±0.25% FS, 6 Month Stability
- Compact Size (2" dia. x 1")
- Excellent Long-Term Stability
- Low Power Consumption (for Solar or Battery Power)
- Fast Response
- Meets CE Conformance Standards

When it comes to a product to rely on - choose the Model 276. When it comes to a company to trust - choose Setra.

ISO 9001: 2000 Certified

Visit Setra Online:
http://www.setra.com

setra

800-257-3872

159 Swanson Rd., Boxborough, MA 01719/Telephone: 978-263-1400/Fax: 978-264-0292

Model 276 Specifications

Performance Data

Accuracy RSS* (at constant temp)	±0.25% FS**
Thermal Effects***	
Compensated Range °F(°C)	+30 to +130 (0 to +55)
Zero Shift (Over Compensated Range)	1% FS
Span Shift (Over Compensated Range)	1% FS
Resolution	Infinite, limited only by output noise level (0.0005% FS)
Time Constant	10 milliseconds to reach 90% final output with step function pressure input.
Long Term Stability	0.25% FS/6 months

*RSS of Non-Linearity, Hysteresis and Non-Repeatability.

**FS = 300mb for 800-1100mb range; 500 for 600-1100mb range; and 20 PSI for 0 to 20 PSIA.

***Units calibrated at nominal 70°F. Maximum thermal error computed from this datum.

Environmental Data

Temperature	
Operating* °F (°C)	0 to +175 (-18 to +79)
Storage °F (°C)	-65 to +250 (-55 to +121)
Vibration	2g from 5 Hz to 500 Hz
Shock	50g (Operating, 1/2 sine 10 ms)
Acceleration	10g

*Operating temperature limits of the electronics only. Pressure media temperatures may be considerably higher or lower.

Physical Description

Case	Stainless Steel
Electrical Connection	2ft. Multiconductor Cable
Pressure Fitting	1/8" Tube Fitting

Electrical Data (Voltage)

Circuit	3-Wire* (Exc, Out, Com)
Specify One:	
Excitation	Output
12 VDC (9.0 to 14.5)	0.1 to 5.1 VDC**
24 VDC (21.6 to 26.0)	0.1 to 5.1 VDC**
5 VDC (4.9 to 7.1)	0.5 to 4.5 VDC**
Power Consumption	0.2 Watts (24 VDC)
Output Impedance	5 ohms
Output Noise	<200 microvolts RMS (0 to 100 Hz)

*There are separate leads for +Exc, -Exc, +Out, -Out. The -Exc and -Out are commoned internally. The shield is connected to the case. For best performance, either the -Exc or -Out should be connected to the case. Unit is calibrated at the factory with the -Exc connected to the case. The insulation resistance between all signal leads tied together and case ground is 100 megohms minimum at 25 VDC.

**Zero and Full Scale Outputs are factory set to within ±0.25% Full Scale.

Pressure Media

Non-condensing air or gas compatible with stainless steel, alumina ceramics, gold and elastomer.

Available Options

Performance Options

Option #715	0.1% FS (RSS) Accuracy

Mechanical Options

Option #803-825	Up to 25 ft. of cable can be supplied. Specify cable length when ordering (i.e., 805 for 5 ft. cable). Consult factory for cable lengths longer than 25 ft.
Option #839	1/8" NPT Pressure Connection

Calibration Certificate Option

Option #901	11-point Calibration Certificate

Specifications subject to change without notice.

Outline Drawings

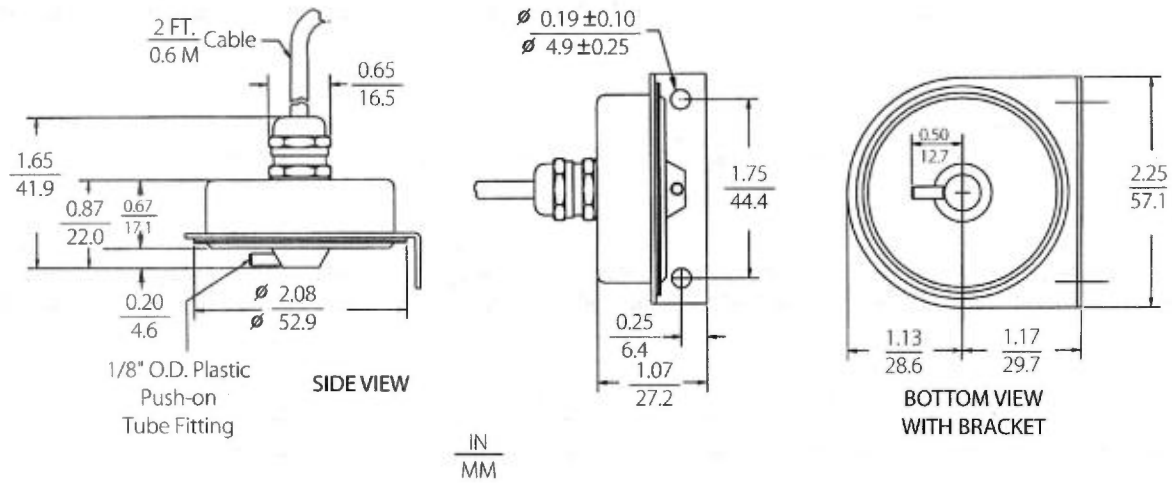

SSP276 RevC 07/14/04

ORDERING INFORMATION

Example: Order as a Model 276, specify Pressure Range, Excitation, Electrical Output and Options.

While we provide application assistance on all Setra products, both personally and through our literature, it is the customer's responsibility to determine the suitability of the product in the application.

159 Swanson Road, Boxborough, MA 01719/Tel: 978-263-1400;
Toll Free: 800-257-3872; Fax: 978-264-0292; email: sales@setra.com

DGPS MAX

Feature-packed sub-meter GPS positioning

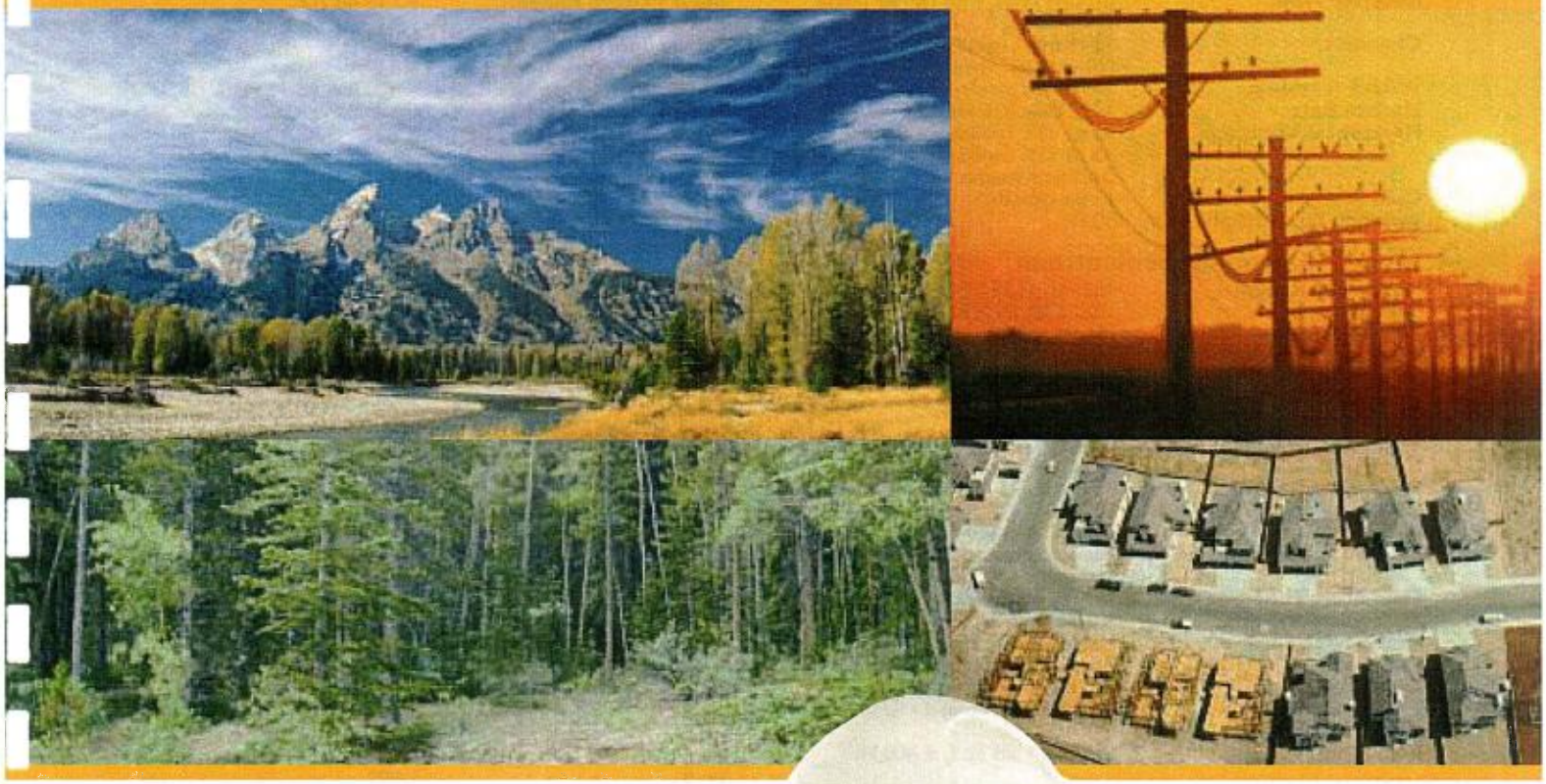

DGPS MAX

- Receives GPS, SBAS, OmniSTAR, and beacon signals
- Automatic dual channel SBAS tracking for more reliable reception
- Sub-meter positioning at rates of up to 5 Hz
- Raw measurement data for post-processing applications
- COAST™ technology allows use of corrections for up to 40 minutes without significant performance loss
- Easy configuration using the Setup Wizard
- User-defined profiles save receiver configurations for later use

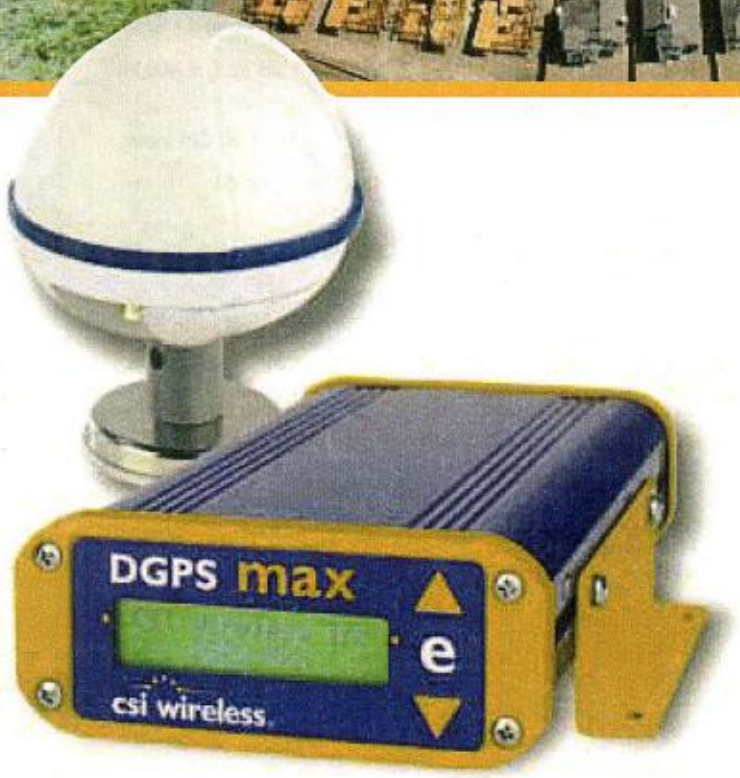

ESRI Technology
AUTHORIZED BUSINESS PARTNER

csi wireless™
www.csi-wireless.com

DGPS MAX

Feature-packed sub-meter GPS positioning

GPS Sensor Specifications

Receiver Type:	L1, C/A code, with carrier phase smoothing
Channels:	12-channel, parallel tracking (10-channel when tracking WAAS)
WAAS Tracking:	2-channel, parallel tracking
Update Rate:	1 Hz default, 5 Hz max
Horizontal Accuracy:	<1 m 95% confidence (DGPS*) <5 m 95% confidence** (autonomous, no SA)
Cold Start:	1 min typical
Antenna Input Impedance:	50 Ω

L-band Sensor Specifications

Frequency Range:	1525 to 1559 MHz
Sensitivity:	-120 dBm for $<10^{-3}$ BER
Tuning Mode:	Manual or automatic
Adjacent Channel Rejection:	50 kHz spacing >25 dB, 1 MHz spacing >60 dB

Beacon Sensor Specifications

Channels:	2-channel, parallel tracking
Frequency Range:	283.5 to 325 kHz
Channel Spacing:	500 Hz
MSK Bit Rates:	50, 100, and 200 bps
Operating Modes:	Manual, automatic, semi-automatic
Cold Start Time:	< 1 minute typical
Reacquisition Time:	< 2 seconds typical
Demodulation:	Minimum shift keying (MSK)
Sensitivity:	2.5 µV/m for 6 dB SNR @ 200 bps
Dynamic Range:	100 dB
Frequency Offset:	± 8 Hz (~ 27 ppm)
Adjacent Channel Rejection:	61 dB ± 1 dB @ f_o ± 400 Hz

Communications

Serial ports:	1 full duplex, 1 RTCM input
Interface Level:	RS-232C
Baud Rates:	4800, 9600, 19200
CAN Bus:	CAN 2.0B
Correction Input / Output Protocol:	RTCM SC-104
Data Input / Output Protocol:	NMEA 0183
Raw Measurement Data:	Proprietary binary (RINEX utility available)
Timing Output:	1 PPS (HCMOS, active high, rising edge sync, 10 kΩ, 10 pF load)
Event Marker Input:	HCMOS, active low, falling edge sync, 10 kΩ, 10 pF load

Environmental

Operating Temperature:	-32°C to +74°C
Storage Temperature:	-40°C to +85°C
Humidity:	95% non-condensing
EMC:	FCC Part 15, Subpart B, Class B CISPR 22

Power

Input Voltage Range:	9.2 to 48 VDC
Reverse Polarity Protection:	Yes
Power Consumption:	< 4.8 W
Current Consumption:	< 400 mA @ 12 VDC
Load Dump Protection:	Up to 86 VDC
Antenna Voltage Output:	5 VDC
Antenna Short Circuit Protection:	Yes

Mechanical

Enclosure:	Powder-coated aluminum
Dimensions:	203 mm L x 125 mm W x 51 mm H (8.0" L x 4.9" W x 2.0" H)
Weight:	0.80 kg (1.76 lb)
Display:	2-line x 16-character LCD
Keypad:	3-button
Power Switch:	Push-button
Power Connector:	2-pin miniature
Data Connector:	DB9-socket
Antenna Connector:	TNC-socket

Pin-out

Main Port

Pin 2	Transmit data (TXD)
Pin 3	Receive data (RXD)
Pin 5	Signal ground

RTCM Input Port

Pin 2	Transmit data (TXD)
Pin 3	Receive data (RXD)
Pin 5	Signal ground
Pin 6	Event marker input
Pin 9	1 PPS

CDA-3 Antenna

GPS Freq. Range:	L1 (1575 MHz ± 20 MHz)
GPS LNA Gain:	27 dB
L-band Freq. Range:	1525 to 1585 MHz
L-band LNA Gain:	28 dB
Beacon Freq. Range:	283.5 to 325 kHz
Beacon LNA Gain:	34 dB
Dimensions:	141 mm dia x 127 mm H (5.57" dia 5.00" H)
Weight:	0.478 kg (1.1 lb)
Antenna Connector:	TNC-socket
Enclosure:	polycarbonate
Mounting Thread:	1-14-UNS-2B
Input Voltage:	5.0 to 15.0 VDC
Input Current:	50 to 60 mA
Operating Temp.:	-40°C to +85°C
Storage Temp.:	-40°C to +85°C
Relative Humidity:	100% condensing

* SVs > 5, HDOP < 2, RTCM SC-104 correction data from a dual frequency reference station, short baseline, and low multipath environment.

** Dependent upon ionospheric activity and multipath

© Copyright September 2002, CSI Wireless Inc. All rights reserved. Specifications subject to change without notice. CSI Wireless, the CSI Wireless logo, and COAST™ are trademarks of CSI Wireless Inc. OmniSTAR™ is a registered product and service owned and operated by the Fugro group of companies. Made in Canada.

Warranty: Each CSI Wireless product is covered by a limited one-year warranty on parts and labor.

CSI Wireless Dealer

Avery label #05260 (laser print)

Printed in Canada

csi wireless™

4110 - 9th Street SE · Calgary · AB · Canada · T2G 3C4
Phone (403) 259-3311 · Fax (403) 259-8866

McPhar Geosurveys Ltd.
1256B Kerrisdale Blvd., Newmarket
Ontario, Canada L3Y 8Z9
Tel: (905) 830-6880, Fax: (905) 898-0336
E-Mail: info@mgssurveys.com
WebSite: www.mgssurveys.com

Geo-iMAGe Lite Colour Digital Imaging System

The airborne geophysical survey industry has traditionally acquired flight path imagery to document the position of the aircraft and sensor array with respect to the ground. The technology has progressed from 35 mm continuous-strip or frame film camera to videotape and VCR's, usually in the VHS - NTSC format. Current technology overlays the acquired video imagery with GPS position data as well as information from the geophysical data acquisition system, permitting correlation of the video imagery to the ground surface.

This technology has not progressed much since the early 1970's, and although digital camera systems have been available for some time, the industry has not utilized them for many reasons, mainly the inability to store the large volumes of video data in real time. Due to advances in the computer technology industry, this limitation has been overcome. Now that more versatile computer systems are available for use in the aircraft and the capacity to store large volumes of data quickly has become readily and affordably available, digital video has taken on a far more attractive role in airborne geophysics.

The older videotape systems generated imagery that was usually of poor quality, and there was no way to quickly find any given ground location on the tape without playing the entire tape. The video data was good for little more than proving that the aircraft had passed over a given point on a flight line. Certainly it was not of any use in creating any kind of map or photo-mosaic.

Today, however, we can acquire and record high-resolution video images in a format that can be read on any standard PC type computer. These images, combined with suitable information (GPS position, time, height above ground, height above sea level, pitch and roll axis tilt) will now permit the generation of digital 3D terrain models that can be integrated into the geophysical data set.

Most of the areas currently being explored for minerals or hydrocarbons have, at best, very poor topographical information. In many areas no useable information is available at all. Satellite imagery while available, is very costly and usually takes many months to acquire and process, and yields imagery with typically ten meters (or worse) pixel resolution.

Our goal is to provide simultaneously, with the acquisition of the geophysical data, medium to high resolution digital video frames (sub 3-meter pixels) with sufficient horizontal and vertical overlap to allow generation of video stereo pairs, and with the addition of the GPS and altimeter information to create a 3D terrain model.

Figure 1: Sony Digital Colour Camera

The basic Geo-iMAGe Lite module comprises a stand-alone rack-mountable console that contains a powerful micro-computer, hard disk drive

comprises the following:

- Stand alone, "small footprint" computer system, c/w Pentium III, 1.2 GHz clock speed (or faster) processor, 256 MB RAM memory, 60 GB HDD, RS-232 serial port, 1 x IEEE 1394 firewire port, 3 x USB ports, 2 x Ps/2 ports, and CD-RW drive
- Windows 2000 Professional Operating System software
- Proprietary video image and GPS data acquisition software to enable acquisition of JPEG, TIF, BMP or PNG format video frames with a resolutionof 640 x 480, 320 x 240 or 160 x 120 pixel resolutions, user selectable.
- User selectable video frame and GPS data acquisition rate - from 1 frame per second to 1 frame every 10 seconds – synchronized with GPS time
- Sony digital video camera with 1/3 inch CCD video element
- 5.64 to 64.8 mm focal length lens with wide angle adapter (0.6 X increase in view angle)

Optional modules for use with Geo-iMAGe Lite include:

Geo-iMAGe GPS module

- Comprises a NovAtel OEM-4 GPSCard receiver, 12-channel, L1 code, imbedded in the Geo-iMAGe console.
- Novatel 511 aircraft certified active GPS antenna or Novatel 521 land vehicle active antenna, and cabling

Geo-iMAGe Screen/Keyboard module

Comprises a 19", 1 "U" high, rack-mount drawer containing a folding 15" LCD TFT (1024 x 768 pixel resolution) screen, keyboard and touchpad "mouse" pointing device.

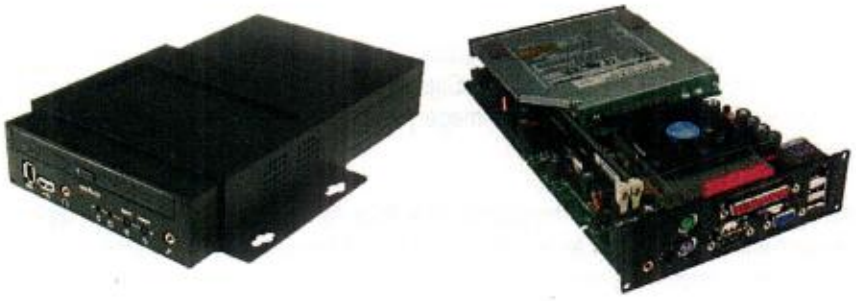

Figures 2 & 3: "mini-footprint" Pentium III computer module

Figure 4: Geo-iMAGe Screen/Keyboard module comprising a 19", 1 "U" high, rack-mount drawer containing a folding 15" LCD TFT (1024 x 768 pixel resolution) screen, keyboard and touchpad "mouse" pointing device.

BASIC SYSTEM OVERVIEW

Typical video frame acquisition rate is in the order of 1 frame per second but may be user selected from a range of 1 frame/second to 1 frame every 10 seconds, in increments of 1.0 second. This will allow for variations in flight height above ground, aircraft ground speed and the viewing angle of the camera. Cameras typically used have 47° to 96° angle-of-view.

The system will import a serial data string from a GPS receiver (NEMA format GPGGA string). Rather than overlay the data string on the border of each image frame, a separate GPS data file is created with the same file name as the video frame but with the file extension GEO. The GPS data is available at rates of up to 10 HZ. The GPS receiver has several RS-232 serial ports available to transmit data strings to other equipment should the user so desire.

The video frames are stored on a large capacity hard disk. A naming convention for each frame has been developed utilizing GPS time as the reference. The frames are numbered in the format YYYYMMDDHHMMSSS.XXX where YYYY represents the year, MM the month, DD the day, HH the hour, MM, the minutes, SSS the seconds and decimal seconds of GPS time when the frame was captured. The system includes a CD-RW writer and appropriate software to allow storage of the imagery on CD media for long-term archival purposes.

The primary focus of this product is to replace the traditional "VCR" with a digital picture recording mechanism. Any standard image display software may be used to view the frame or frames of choice on a computer.

Figures 6 & 7: Digital images acquired over farmland in South America

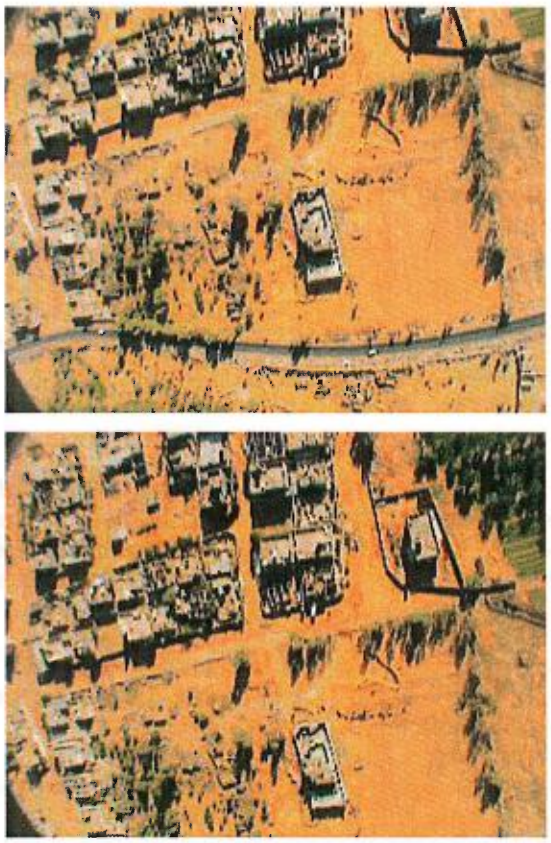

Figures 8 & 9: Digital images acquired over desert village in North Africa

System Specifications:

OPERATING SYSTEM & DEDICATED SOFTWARE

Operating System:	Microsoft Windows 2000 PRO or ME
Video Acquisition Software:	GEOIMAGE LITE

POWER REQUIREMENTS: 24 –32 Volts DC at 50 watts power consumption
12 VDC or 115 / 230 VAC optionally available

GEO-iMAGe LITE:

Frame capture rate:	frame / second to 1 frame every 60 seconds, software selectable
Video format:	JPG, TIF, BMP, PNG, user selectable (JPG recommended)
GPS data:	internal dedicated GPS receiver, Novatel OEM-4, 12 channel L1 - NMEA 0183 GPGGA data string GPS data collected at same rate as video frame data User selectable baud rate for GPS data
File naming:	
Video file:	YYYYMMDDHHMMSSS.XXX, where: YYYY= Year MM= Month DD= Day HH= Hour MM= Minute SSS= seconds,tenths of seconds XXX= video extension, JPG, BMP, PNG etc (automatic)
GPS data:	same as above except file extension automatically selected as GEO

Digital Camera:

Model:	Sony DFW-V500 or equivalent
Interface Format:	IEEE 1394
Data format:	640x480 YUV (4.2.2) 640x480 YUV(4.1.1) 320x240 YUV(4.2.2) 160x120 YUV(4.4.4) all formats user selectable
Image Device:	CCD
White Balance:	Automatic or Manual
Hue:	variable
Saturation:	variable
Lens focal length:	5.64 to 64.8 mm, F:1.18
Wide angle adapter:	VCL-0637H (0.6 X increase in view angle)
Zoom:	12X range, manual, user selectable
Focus:	manual, user selectable
CCD Iris:	ON/OFF selectable
Shutter Speed:	1/30 to 1/100000 sec
Gain:	Automatic or manual
Power:	8-30 VDC (supplied through 1394 cable)
Power Consumption:	4 watts
Operating Temp:	-20 to +50 DEG C
Dimensions:	60 x 61 x 118 mm (w/h/d)
Mass:	335 grams

LCD display and keyboard

Full keyboard function
SynapticsTouchpad
Microsoft Mouse compatible with PS/2 mouse interface
15.1" high brightness TFT LCD display

Resolution :	1024 x 768 (36-bit colors)
Brightness :	200 cd/m2
LCD MTBF :	50,000 hrs
On Screen Display:	built-in OSD for user adjustment, including H/V position, Color, size, etc.
Power Supply :	Built-in universal AC input adapter (LKM-926x / 9265x) -48VDC (LKM-926xT / 9265xT)
Operating Temp:	0° ~ 50°C

Up to five VGA / Keyboard / Mouse / Audio inputs (5 PCs)
Built-in Manual or Auto Scan function

CPU Processor and Peripherals:

CPU :	Socket-370 base support CeleronTM / Pentium® III up to 1.33GHz FSB
System Memory :	One 168-pin DIMM socket up to 512MB SDRAM / VCM
System Chipset :	SiS 630
Video Controller :	up to 1600 x 1200, 16 bits colors, resolution 1394: Fully supports provisions of IEEE 1394-1995 standard for high performance serial bus and the P1394a supplement. Two P1394a fully compliant cable ports at 100/200/400 Mbps
Super I/O :	3 x RS-232 and one RS-232/422/485 (auto-direction RS-485) One parallel port Floppy Disk Controller
USB Ports :	Two ports meets USB ver.1 standard by pin header
Digital I/O :	4 DI and 4 DO
Ethernet :	Dual 10/100Mbps LANS with one integrated in Support ATX function PC/104 expansion by LPC to ISA controller Support one PCI slot
SSD :	Support CompactFlash Type II socket
IDE :	ATA66 interface by one 40-pin connector
Power:	6.5A/5V, 170mA/12V (PIII-933MHz and 256MB SDRAM)
Operating temp:	0 ~ 60°C (CPU needs cooler)

CD-WRITER:	HP 8200 CD-RW
MEDIA:	20 GB, 2.5 INCH DRIVE Optional 250 MB IOMEGA ZIP DRIVE

NovAtel OEM-4 GPSCard:

position accuracy - single point	
SA off:	11 m CEP 3
SA on:	48 m CEP 4
DGPS:	(L1, C/A)5 0.45 m CEP
measurement precision	
L1 C/A code:	6 cm RMS
L1 carrier phase:	0.75 mm RMS (differential channel)
data rates	
measurements:	10 Hz
position:	10 Hz
time to first fix - cold start:	60 seconds (typical)
signal re-acquisition:	0.5 s (typical)
time accuracy:	
SA off:	102 ns RMS 3
SA on:	173 ns RMS
Size:	85 mm x 125 mm x 16 mm
Weight:	120 g
Input Voltage:	6.0 -18.0 VDC
Power Consumption:	2.7 W typical, 3.2 W max

PICO ENVIROTEC INC.

GMAG MAGNETOMETER BASE STATION

GMAG Base Station Magnetometer

The GMAG is a high sensitivity magnetometer processor module able to process the signals from continuously measuring magnetometer sensors. It incorporates as well facilities for data recording, graphical data display, GPS positioning and synchronization. Data rates are available up to 10 Hz at resolutions of 0.2 pT.
The unit has been designed and constructed around the reliable PC-104 technology and incorporates sunlight readable TFT LCD screen mounted in a rugged, water resistant, and easily portable case. It will support several optional GPS receivers.

GMAG Technical specifications

- Inputs: single sensor plus 4 RS-232 ports
- Weather resistant packaging
- Resolution: 0.0002 nT, 0.2 pT
- Dynamic range: 15000 – 100000 nT
- Sampling rates: 10 Hz
- Software controlled sensor "Power On" sequence control
- Display : sun readable 640 x 480 color TFT LCD VGA monitor
- Control via remote keypad assembly
- Data storage on robust compact flash storage media, 64 Mbyte minimum, gives 15 hrs storage for 1 sensors
- Operating temperature range: -10 to 50 C
- Power Consumption: approx 20 W *
- Field data QC & verification software
- Internal battery for time keeping
- GPS receiver with integrated antenna
- Other GPS receivers optional
- Supports user definable digital filters max 51 taps
- Optional cesium sensor power booster :
- Optional cesium sensor power booster : 12 VDC to 32 VDC @ 150 Watts
- Optional belt carried external battery pack
- Size: approx 270 mm H x 350 mm W x 215 mm D
- Weight : approx 1.5 kg **
- Console operating voltage range 10 to 32 VDC

notes: ** without sensor, GPS and batteries
*console and processor only
- Cesium sensor requires 30 VDC operating voltage, and requires approx 70 Watts at startup for 2 minutes, then 25 Watts in continuous operation

GMAG c/w optional Garmin GPS 35

GMAG VIEWS

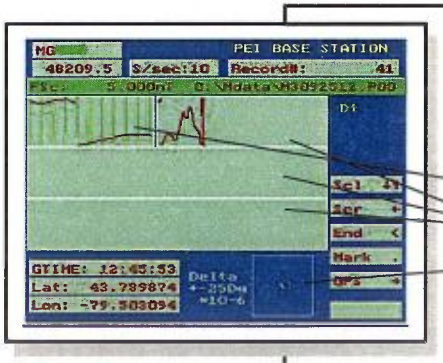

Operating screen
(sensor signal strength and readings)

- Individual data
- Continuous data 1 second
- GPS readings

Front view of GMAG

- Removable compact flash memory slot for simple data removal
- Optional removable integrated GPS receiver
- 7" TFT LCD color display

- Signal and power connectors on rear of case

- Adapter for compact flash card for PCMCIA card buss

For isolated areas, long power cables and a stationary high capacity battery can be used. GPS receiver may be left inside the console housing or mounted remotely. 3D interpretation software for advanced magnetometer data processing is supplied by PetRos EiKon.

PICO ENVIROTEC INC.

Pico Envirotec Inc., 222 Snidercroft Rd.,
Concord, Ontario, Canada L4K 2K1

Tel: (905) 760-9512
Fax: (905) 760-9513
Email: picoenv@bellnet.ca
www.picoenvirotec.com

Dealer Info:

Look into NovAtel's MiLLennium®

It's a state of the art dual frequency GPS receiver that features pseudorange and full wavelength carrier phase measurements on both L1 and L2 frequencies.

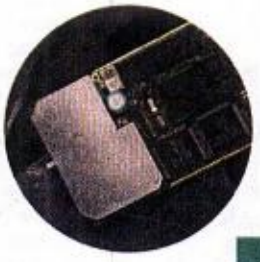

ADVANTAGES

- 24 channel "all in view" parallel tracking
- L1-C/A code and L2-P-code measurements
- L1 and L2 full wave carrier measurements
- Narrow Correlator® technology
- P-code tracking through Antispoofing (AS)
- cm level real-time accuracy
- mm level post-processed accuracy
- High data output rates
- Low data latency
- High dynamics
- Ease of use
- OEM or standalone configurations
- Flexible integration
- Field-upgradable
- CMR compatible

MiLLennium

MiLLennium®

NovAtel's MiLLennium GPSCard provides unparalleled dual frequency GPS performance. Featuring Narrow Correlator and P-code Delayed Correlation technologies, the MiLLennium receiver outputs pseudorange and full wavelength carrier phase observations for both the L1 and L2 frequencies – even in the presence of Antispoofing (AS). High data output rates, low data latency, and fast signal acquisition algorithms round out the MiLLennium advantage and make it the ideal choice for your high dynamic, high precision GPS applications.

To address your integration requirements, MiLLennium's multiple hardware configurations provide you with the flexibility you need. Available modules include a single card OEM platform for embedded systems, and PowerPak™ II or ProPak® II enclosures for standalone applications. The MiLLennium hardware platform supports several different firmware models; offering a comprehensive and affordable upgrade path beyond that available on a single frequency-only hardware platform.

Features

- mm level post-processed accuracy
- L1-C/A code and carrier tracking
- L2-P-code and full wavelength carrier tracking
- 24 channel "all in view" parallel tracking
- Fast reacquisition
- Patented Narrow Correlator technology
- 5 or 10 MHz external oscillator input
- 10 Hz position output rate
- 10 Hz raw data output rate
- 1 PPS output
- Event marker
- RTCM SC104 v 2.1/2.2
- RTCA SC159
- RINEX v 2.0
- NMEA 0183 v 2.01
- GPSolution™ – Windows® compatible graphical user interface
- RT-2 transmit
- Transmit CMR v 3.0
- Receive CMR v 1.0, 2.0 or 3.0 (except 3151 model)
- WAAS differential capability

Windows is a registered trademark of Microsoft Corporation

Specifications[1]

• position accuracy[2]	
standalone	
SA off	15 m CEP
SA on	40 m CEP
differential	
code (L1,C/A)[3]	0.75 m
• post-processed (MiLLennium STD & RT-2)	±5mm +1ppm
• time to first fix	
cold start	70 s (typical)
• reacquisition	
warm start	1 s L1, 10 s L2 (typical)
• data rates	
measurements	10 Hz
position	10 Hz
• time accuracy[4]	
SA off	50 ns RMS
SA on	250 ns RMS
• velocity accuracy	
standalone	0.20 m/s RMS
differential	0.03 m/s RMS
• measurement precision	
C/A code	10 cm RMS
L2 P code	40 cm RMS
L1 carrier phase	
single channel	3 mm RMS
differential channel	0.75 mm RMS
L2 carrier phase	
single channel	5 mm RMS
differential channel	4 mm RMS
• dynamics	
acceleration	6 g
velocity[5]	515 m/s max.

1. Performance specifications are subject to GPS system characteristics & U.S. DOD operational degradation.
2. Accuracy is dependent upon ionospheric and tropospheric conditions, satellite geometry, baseline length and multipath effects.
3. Requires use of choke ring with antenna.
4. Time does not include biases due to antenna cables or RF delay.
5. Export licensing restricts operation to 60,000 feet maximum and 1,000 nautical miles/hour maximum.

OEMCard MiLLennium

• physical (Eurocard)	
size	17.9 cm x 10.0 cm x 1.8 cm
weight	175 g
• temperature	
operating	-40°C to +85°C
storage	-45°C to +95°C
• humidity	95% non-condensing
• interface	
dual RS232	300 to 115,200 bps
strobes I/O	5 signals, TTL level
external clock	5 or 10 MHz
• connector type	
edge	64 pin 0.1" DIN 41612 type B
antenna	SMB male
external clock	SMB male
• input voltage	+5 VDC
• power consumption (typical)	7 watts

PowerPak II MiLLennium

• physical	
size	21.0 cm x 11.1 cm x 4.7 cm
weight	980 g
• temperature	
operating	-40°C to +60°C
storage	-40°C to +85°C
• humidity	95% non-condensing
• interface	
dual RS232	300 to 115,200 bps
strobes I/O	TTL level
external clock	5 or 10 MHz
• connector type	
communications	DE9P
strobes I/O	DE9S
antenna	TNC female
power	2.1 mm threaded plug
external clock input	SMB male
• input voltage	10-36 VDC
• power consumption	11 watts
• included accessories	
RS232 "Y" type null modem cable	
automotive power adaptor	
• optional accessories	
110/220 Volt AC adapter	

ProPak II MiLLennium

• physical	
size	25.1 cm x 13.0 cm x 6.2 cm
weight	1.3 kg
• temperature	
operating	-40°C to +55°C
storage	-40°C to +85°C
• humidity	95% non-condensing
• interface	
dual RS232	300 to 115,200 bps
strobes I/O	TTL level
• connector type	
communications	10 pin LEMO
strobes I/O	8 pin LEMO
antenna	TNC female
power	4 pin LEMO
• input voltage	10-36 VDC
• power consumption	12 watts
• included accessories	
RS232 null and straight modem cable	
automotive power adaptor	
• optional accessories	
110/220 Volt AC adapter	

Version 980825 • Printed in Canada

For detailed product technical specifications, please call:

1-800-NovAtel

in U.S. or Canada or +1-403-295-4900
email: sales@novatel.ca
internet: www.novatel.ca

NovAtel Inc.
1120-68th Avenue NE
Calgary, Alberta, Canada, T2E 8S5

NovAtel

Now, what's tomorrow's challenge?

Proton Precession

Magnetometer / Gradiometer / VLF (GSM-19 v6.0)

The new v6.0 system is the industry's latest innovation in proton precession design - with many new technologies that deliver significant benefits for geophysical applications.

Key technologies include:

- **Integrated GPS option (the only system with fully built-in GPS)**
- **25% increase in sensitivity over GEM's v5.0 system**
- **Enhanced memory (increased by 8 times to 4 Mbytes standard and expandable to 32 Mbytes)**
- **Programmable base station (for scheduling base stations in one of three modes)**
- **Optional DGPS real-time and post-time processing (for metre to sub-metre positioning accuracy)**
- **Rapid data transfer (using the advanced GEMLinkW software)**
- **Internet-based upgrades (from the office or field)**

And all of these technologies come complete with the most attractive prices and warranty in the business!

QuickTracker (GSM-19T) console with sensor and cable. Can also be configured with additional sensor for gradiometer(simultaneous) readings.

For geophysical survey groups who require a complete solution for end-to-end magnetic data acquisition at an affordable price, the *QuickTracker*™ (GSM-19T) proton precession family is the proven choice - for even the most challenging environments.

From robust field units to efficient survey modes to fast data downloading, *QuickTracker* is carefully designed to deliver the maximum value in a proton precession system.

The GSM-19T also provides numerous technologies that differentiate it from other systems. For example, it is the only proton precession system with ***integrated GPS*** (optional) for high-sensitivity, accurately-positioned ground surveys.

With other v6.0 upgrades, *QuickTracker* also leads in sensitivity, memory, base station technology, and other key areas.

Designed From the Ground Up

Leading the list of advances is GEM's rover unit which features a 25% increase in ***sensitivity*** -- reflecting new processing algorithms and implementation of the latest RISC microprocessors.

In addition, v6.0 ***standard memory*** is 4 Mbytes (expandable in 4 Mybte increments) which translates into 209,715 readings of line / station data or more than 600,000 readings for base station units.

The new memory capacity sets an industry standard, but more importantly, it means that operators can now handle even the largest surveys with ease.

Another important innovation is GEM's unique ***programmable base station*** which you can enable via either a field unit *or* a *Personal Computer* as follows:

Daily scheduling (define working hours and minutes each day). This mode provides economy of memory and battery usage on a daily basis.

Flexible scheduling (up to 30 on / off periods). Simply define a series of intervals and the base station will turn itself on as you need. This mode provides the greatest flexibility for longer surveys where leaving your base station running increases efficiency.

Immediate start. This mode is the traditional mode of starting a base station unit and leaving it until the operator can return to turn off the unit.

Survey Planning and Efficiency

One of the traditional challenges in ground magnetometer / gradiometer surveys is ensuring that surveys are designed and implemented as effectively as possible.

With the v6.0 proton precession system, GEM addresses this challenge through

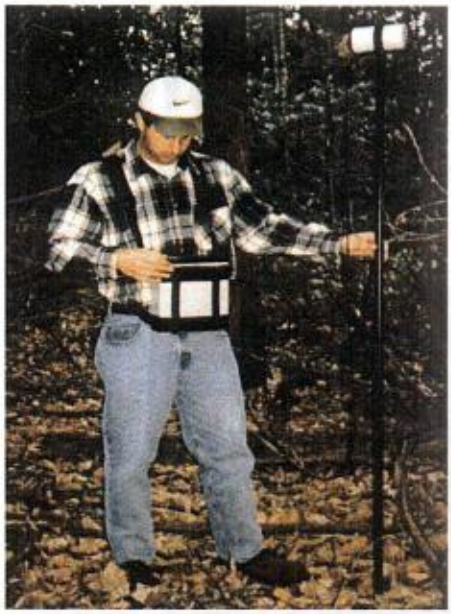

standard GEM capabilities, such as the Walking Mag option that enables the operator to sample while walking. Though there is some increase in noise, many users find this is balanced by improved field productivity. Having nearly continous data on survey lines also helps increase the accuracy of interpretations.

Another innovation is GPS way ***point pre-programming***. Now you can define a complete survey in the office on your Personal Computer and download this information directly to a rover unit via RS-232. Then, the operator simply performs the survey using the points as their survey guide -- with a resulting decrease in errors and more rapid survey completion.

Survey Operations

QuickTracker also helps the operator on a daily basis while performing surveys. A key feature is the ***easy-to-read LCD*** data display in graphical (or text) format along with a signal quality indicator to determine when readings need to be repeated.

And, although GEM's proton precession unit is very tolerant to gradients, it also provides a warning indicator so that the operator can monitor data quality continuously. Other features operators appreciate include easy-to-use line and station incrementing -- as well as end-of-line indicators.

Fast Data Transfer

Another traditional area in which time is lost in surveys is in data transfer. In v6.0, GEM addressed this in several ways:

- Data download is tripled to 115 KBaud (fastest rate possible with RS-232).

PC-based data reduction is now possible using an upgraded version of GEMLinkW, GEM's proprietary data transfer software.

GPS and Other Software

GEM Systems recently became the only manufacturer to provide a ***fully integrated*** GPS option for its line of proton precession products. Along with metre to sub-metre positioning options, the new processing functionality enables users to take advantage of the benefits of GPS.

Some of the capabilities include:

Pre-programming of way points.

Post-processing of GPS data. GEM's DGPS option enables transfer of GPS data for post-processing and merging via 3rd party software.

Precise ***time synchronization*** of field and base station units. This capability is particularly important for working in noisy magnetic conditions and provides the highest accuracy possible.

In addition to its own software, GEM is also pleased to offer a variety of data analysis and processing software from 3rd party developers.

Ongoing Maintenance and Support

As a potential user of a GSM-19T system -- the industry's end-to-end magnetometer / gradiometer solution -- you should also know that we stand by our technologies, products and services.

With a 22-year record of success and new innovations -- plus ***Internet-based upgrades*** that keep your system up-to-date and our ongoing support -- we believe that you will find that GEM offers the best solution in proton precession units today.

GEM Systems, Inc.
52 West Beaver Creek Road, 14
Richmond Hill, ON
Canada L4B 1L9
Email: info@gemsys.on.ca
Web: www.gemsys.ca

Specifications

Performance

Sensitivity:	< 0.1 nT
Resolution:	0.01 nT
Absolute Accuracy:	1 nT
Dynamic Range:	10,000 to 120,000 nT
Gradient Tolerance:	Over 7000 nT/m
Sampling Rate:	1 reading per 3 to 60 sec
Operating Temperature:	-40C to +60C

Operating Modes

Manual: Coordinates, time, date and reading stored automatically at minimum 3 second interval.

Base Station: Time, date and reading stored at 3 to 60 second intervals.

Remote Control: Optional remote control using RS-232 interface.

Input / Output: RS-232 or analog (optional) output using 6-pin weatherproof connector.

Storage - 4Mbytes (# of Readings)

Mobile:	209,715
Base Station:	699,050
Gradiometer:	174,762
Walking Mag:	299,593

Dimensions

Console:	223 x 69 x 240mm
Sensor:	170 x 71mm diameter cylinder

Weights

Console:	2.1 kg
Sensor and Staff Assembly:	2.2 kg

Standard Components

GSM-19T console, GEMLinkW software, batteries, harness, charger, sensor with cable, RS-232 cable, staff, instruction manual and shipping case.

Optional VLF

Frequency Range: Up to 3 stations between 15 to 30.0 kHz

Parameters: Vertical in-phase and out-of-phase components as % of total field. 2 relative components of the horizontal field.

Resolution: 0.1% of toal field

McPhar Geosurveys Ltd.
1256B Kerrisdale Blvd., Newmarket
Ontario, Canada L3Y 8Z9
Tel: (905) 830-6880, Fax: (905) 898-0336
E-Mail: info@mgssurveys.com
WebSite: www.mgssurveys.com

CCMAG Post-flight Maneuver Compensation Software

The magnetic field, recorded by a magnetometer mounted on a moving aircraft, measures both the natural field and the field caused by the aircraft's orientation and movement within the ambient magnetic field. Most aircraft used in aeromagnetic data acquisition are constructed largely of aluminum with a minor amount of ferrous components. To minimize the magnetic maneuver noise, and also the fields associated with electric currents of onboard instruments, the magnetometer is usually mounted as an extension to either a wing-tip (Figure 3), or in a tail-stinger (Figure 2), or in the case of a helicopter, in a rigid boom extruding from the front of the helicopter (Figure 1).

The maneuver noise can be considered to be caused by three (3) effects:

- permanent magnetic field of the aircraft
- induced magnetic field of the aircraft in the earth's magnetic field
- magnetic field from eddy currents due to changing orientation of the large metal surfaces in the earth's field.

It has been shown that this model can be represented by a set of linear equations with eighteen distinct terms (Leach, 1980). The problem of determining the coefficients is generally considered as a linear least-squares regression. However, it can also be considered as a cross-correlation problem, whereby it is assumed that there is no correlation between the aircraft orientation, and that the orientation of the aircraft can be described by a set of "monitors" (LaCoste, 1973). The "monitors" in the latter method are thus the coefficients associated with the direction cosines and their time derivatives, which can be derived from the three-axis fluxgate magnetometer, such as the Billingsly TFM100.

Advances in portable computer equipment have made it possible to readily record digitally all the desired parameters from an airborne survey flight. In addition, in-field computer resources have also grown to where a large part of the "pre-processing" is accomplished in the field at the base of operations as part of the regular Quality Control procedure. The post-flight compensation of the aeromagnetic data can readily be carried out together with other chores such as differential correction of GPS positions, base station corrections, etc.

The process of recording all the parameters in flight for later processing and removal of the manoeuvre noise has many obvious operational advantages. However, the main advantage is in the ability to readily reprocess the data should a quality improvement be possible.

In simple terms, CCMAG software will accept the raw data from a magnetometer sensor, and will produce outputs of compensated magnetometer data. The basic magnetometer processing software is capable of resolving down to 0.001 nT at twenty samples per second. Proprietary digital processing techniques then calculate the compensated total-field magnetic data. The attitude and motion of the aircraft in flight, with respect to the Earth's magnetic field vector, is monitored by a three-component fluxgate magnetometer, which is very sensitive to attitude changes. The outputs of this magnetometer, or motion or attitude sensor, are used in the mathematical computations of the raw magnetic data to produce the compensated magnetometer data.

Figure 1

Figure 2

Figure 3

Below are three charts (Figures 10, 11 & 12) from a recent FOM exercise (roll, pitch and yaw data from the south heading) wherein the raw data acquired from a magnetometer installed on a wingtip of the aircraft was compensated post-survey using CCMAG. The resultant FOM was less than 1nT. The FOM (Figure-of-Merit) was determined by applying the industry standard Geological Survey of Canada method*.

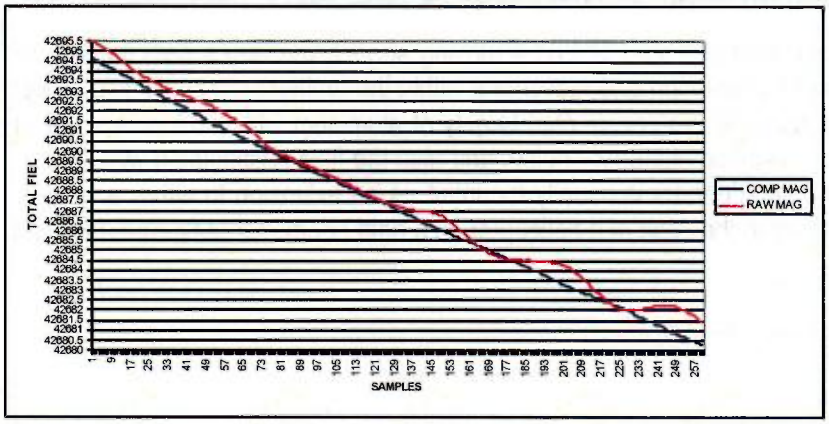

Figure 1:
Compensation Maneuver,
ROLLS
South Heading, +/- 10º

Figure 2:
Compensation Maneuver,
PITCHES
South Heading, +/- 5º

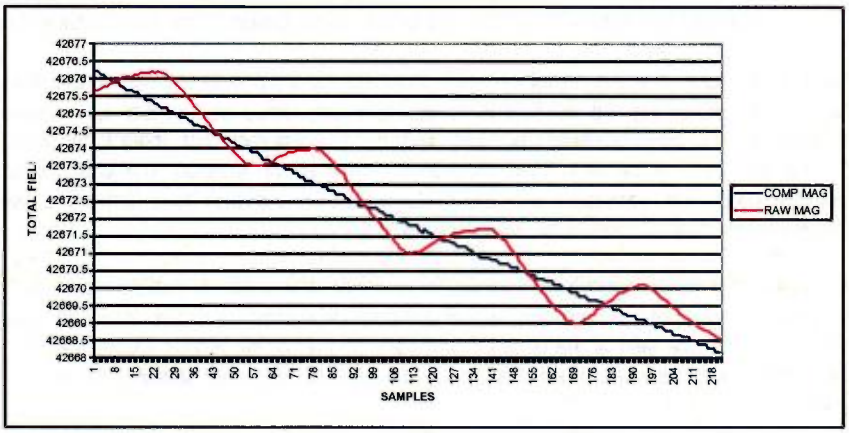

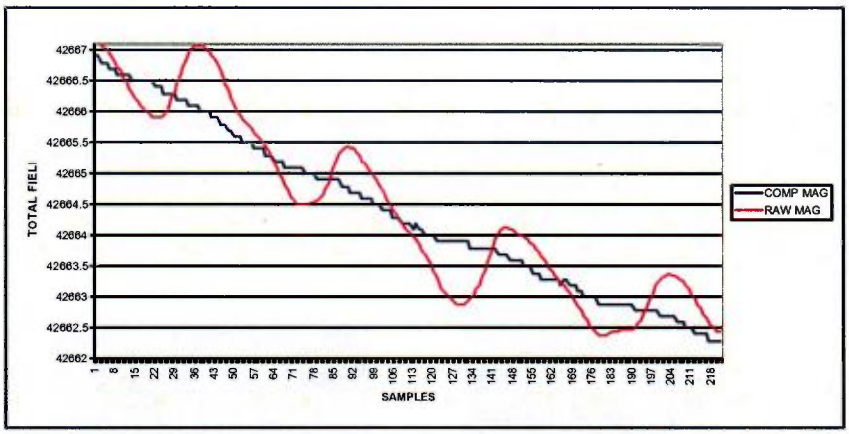

Figure 3:
Compensation Maneuver,
YAWS
South Heading, +/- 5º

---

* *As the magnetometer system's sensor is installed in a tail-stinger, tests are conducted to determine the effects of aircraft roll, pitch and yaw. These tests are conducted at high altitude over an area of low magnetic gradient by carrying out +/-10º rolls, +/-5º pitches and +/-5º yaws flown over periods of 4 - 5 seconds in the same direction as the flight lines and tie lines. A compensation Figure-of-Merit (FOM) for the aircraft is be calculated by summing the peak-to-peak amplitudes of the twelve magnetic signatures. The FOM is usually determined at the commencement of flight operations and then again at the end of the survey.*

Airborne Quality Control Toolkit

product description

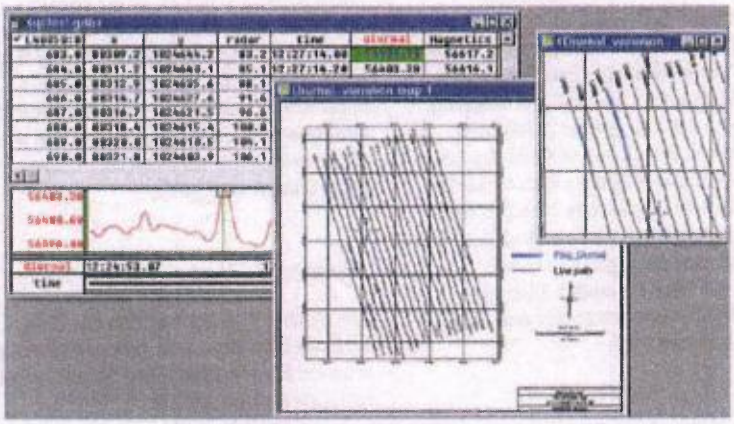

The Airborne Quality Control toolkit offers the productivity tools to plan an airborne survey, and meet basic tender specifications. This provides flight path planning tools, the ability to monitor the survey progress, and streamlined quality control (QC) tools. A built-in mapping wizard automatically displays QC results.

The Airborne Quality Control toolkit provides the tools to accomplish the tasks below:

- Generate flight path map of planned survey
- Display survey statistics
- Display survey line distance
- Perform altitude deviation QC test
- Perform flight path deviation QC test
- Perform flight line separation QC test
- Perform sample spacing QC test
- Perform diurnal drift QC test
- Perform magnetic noise QC test
- Map and print QC results

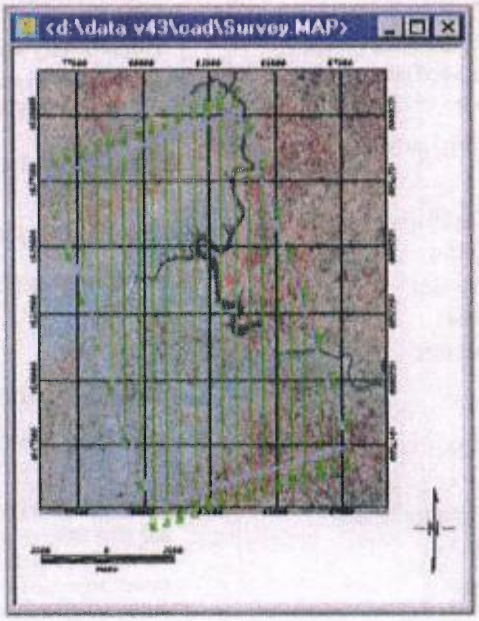

This tool can be added to any Geosoft application to offer you a more complete data processing and analysis solution. For more information about specialized data processing and analysis tools, please contact your local Geosoft representative.

product capabilities

This tool includes the following capabilities:

- Map Creation
- Importing
- Symbol plots
- Survey line plots
- Quality Control
- Grid Compression
- Database compression
- Coordinate Utilities and Warping

Aiborne Quality Control Toolkit capabilities

Map Creation

Map creation capabilities consist of the "Mapping Wizard" which simplifies the mapmaking process. The wizard uses a series of dialog boxes in which the user can define each specification for the map. The Mapping Wizard uses an existing grid or database to define the extent (area) and scale of the map. The first step in mapping data is to create a new map, which is a blank map with the size, scale and name defined. Once a blank map has been created, plot data, grids or other information can then be added. Map surrounds, north arrows, coordinates and titles can also be add to a map.

Importing

Oasis montaj provides seamless access to both original spatial data and processed information (grids, images and plots).

Spatial data import formats include:

- ASCII data files
- Database table files (single or all tables)
- Geosoft XYZ data files
- Geosoft binary data files
- Flat archive data files
- Blocked binary data files
- ODBC data files
- RMS data files
- Picodas PDAS data files
- USGS data files

Processed data import formats include:

- Geosoft plot (PLT)
- AutoCAD DXF (DXF)
- MapInfo TAB files
- ArcView shape files

Database Compression

Oasis montaj (v4.3 or later) features a database compression option that can reduce file size and improve the performance of Geosoft database files (*.gdb). Processing speed is improved by compressing files because the computer takes less time to read and write to disk. Power users will especially benefit from using compressed databases.

Grid Compression

Oasis montaj (v4.3 or later) features a grid compression option that can reduce the file size and improve the performance of Geosoft grids files (*.grd). Processing speed is improved by compressing files because the computer takes less time to read and write to disk. Power users will especially benefit from using compressed grids.

Symbol Plots

The symbol plotting function can draw symbols on a map at all data points along all selected lines in a database. Symbol plotting methods include adding:

- Symbols
- Proportionally scaled symbols
- Zoned colored symbols (symbols can be a fixed size, or sized in proportion to data values)
- Range classified symbols

Survey Line Plots

The survey line path plots and labels survey line locations.

Quality Control (Airborne)

Airborne Quality Control includes three main functions:

- The Flight Path Planning creates a flight line plan tailored to the shape and size of the survey area. Boundary maps of the survey area can be imported from an AutoCAD DXF file or digitized as polygon files. Planning controls specify the direction, starting reference point, and distance between flight lines for the airborne survey area. The software plots both regular flight lines and tie lines. The flight planning utility produces a database and a map of the flight lines that can be viewed, printed or exported.
- Database Statistics extends the statistical reporting tools included in the basic **Oasis montaj** system. The QC statistical tool generates and prints a statistical report for specific channels or an entire database. The statistical report provides the number of dummies, minimum, maximum, mean and total distance flown for each channel and for the whole database. The survey line distance tool displays the total distance flown for a specific flight line.
- Airborne Quality Control Tool identifies line sections that do not meet survey specifications. Examples include evaluating the diurnal variation, altitude deviation, flight path deviation, and flight line separation of each point along the flight lines to ensure they are within specification. Points that do not meet specifications are identified by a coloured symbol using a colour that corresponds to the type of error. These results are plotted to a map so that the user can visualize the sections of the survey that must be re-flown.

Warping & Coordinate Utilities

Warping is the process of re-projecting or moving data coordinates numerically, instead of using standard analytical methods for projecting to UTM, longitude/latitude and other coordinate systems. **Oasis montaj** warping defines a polygonal outline (either in a file or interactively) by defining a maximum of four control points. Then data can be warped (creating new X and Y channels) or an entire grid can be warped based on this polygonal outline.

Warping and coordinate utilities include capabilities to do the following:

- Change coordinates
- Backup current X, Y channels
- Restore backup X, Y channels
- Translate coordinates
- Rotate coordinates
- Interpolate X, Y channels
- Convert longitude, latitude to local X, Y
- Convert local X, Y to longitude, latitude
- Define a warp
- Apply a warp

Airborne Geophysics

product description

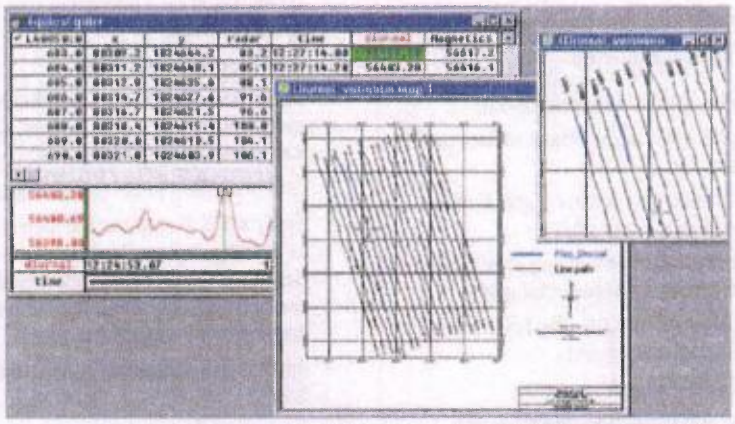

Geosoft's **Airborne Geophysics** application for the **Oasis montaj**™ software platform provides field geophysicists with the ability to process, filter, grid, and map data from airborne geophysical surveys.

This application includes **Oasis montaj** the core software platform for working with large volume spatial data. The core software platform consists of an interface and a Processing engine. For detailed information on the system and its capabilities, see the **Oasis montaj** Core software platform information page.

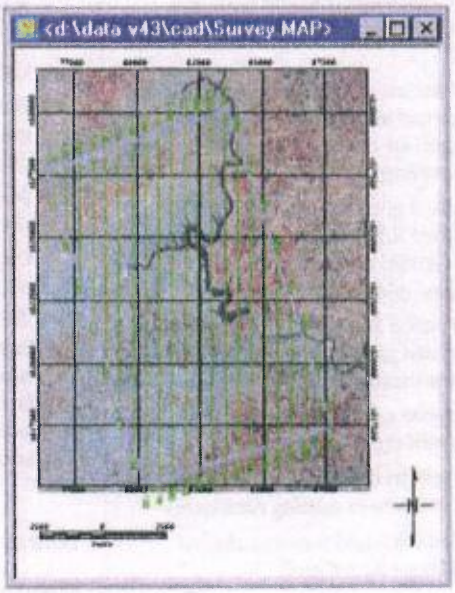

In addition to the features provided in the core platform, the **Airborne Geophysics** application provides a variety of gridding methods and 1-D filters for processing your data. Perform quality control tasks on airborne data including levelling survey lines and correcting IGRF, lag, heading, and base station errors. Several map-creation capabilities are also provided to present your processed data for interpretation.

product capabilities

The **Airborne Geophysics** application includes the following capabilities:

- Basic grid utilities
- Advanced grid utilities
- Basic 1-D Filters
- 1D Non-linear Filters
- Line levelling
- Line intersections
- Lag, heading, and base station corrections
- IGRF
- Picodas (PDAS) import
- C3NAV support
- Profile Plotting
- Symbol plotting
- Posting (label) plotting
- Contouring
- Line gridding (Bigrid)
- Minimum curvature gridding
- Tinning
- Target Picking
- Survey line plotting
- Quality Control
- Trend gridding (**GeoStrike**™ Tool)

Airborne Geophysics capabilities

Basic Grid Utilities

The following functions can be performed with the basic grid utilities:

- Display grid as a terenary image
- Display grids as two, three or four grid composites
- Grid windowing (create a grid from a window of a larger grid)
- Colour shaded grid (apply shading to create a quick shaded relief grid)
- Display statistics (display header and grid details on screen)
- Import ASCII grid
- Point grid value (the grid value at a selected location from up to four grid files)
- Grid outline (find edge points in a grid image and either save the edges in a polygon file or draw the edges on the current map)
- Sample a grid (sample a grid at specified X,Y locations and create a new channel that contains the sampled grid data)
- Grid profile (extract a data profile from a grid and place it in a new line of the current database)
- Transpose a grid by swapping the grid rows with the grid columns
- Save grid to database (import grid data into new or existing databases)
- Shaded relief grid (create a shaded relief image from a grid)

Advanced Grid Utilities

The following functions can be performed with advanced grid utilities:

- Trend enforcement (GeoStrike)
- Remove regional trends and gradients (remove a regional trend or gradient from a grid)
- Locate grid peaks
- Grid masking (insert placeholder values based on a polygonal area you specify in a file)
- Grid expansion and filling
- Grid volume (calculate the volume of space defined by a grid surface, above and below a base of reference)
- Grid peak (find peaks in a grid file)
- Apply a 3 X 3 convolution filter such as hanning, laplace, horizontal derivative (X direction), horizontal derivative (Y direction), horizontal derivative (45 degree direction)
- Apply a 5x5 symmetric convolution filter
- Apply a vertical derivative convolution filter
- Create and apply user defined filters
- Horizontal gradient (calculate the grid gradient amplitude in a specified direction)
- AGC (apply automatic gain compensation to a grid)
- Use Boolean operators to merge overlapping grids or display the parts of grids which overlap
- Expressions: mathematical operations such as remove base, multiply by factor, add grids, subtract grids, multiply grids, ratio grids and general expressions

Basic 1D Filters

Basic one dimensional filters are commonly used to smooth data, with or without non-linear filtering. The following are descriptions of the different 1D filters:

- High-pass filter applies a high-pass (sharpening) filter to a channel.
- Low-pass filter applies a low-pass (smoothing) filter to a channel.
- Bandpass filter applies a filter that removes features longer than the long wavelength cutoff and shorter than the short wavelength cutoff.
- Convolution filter applies space-domain averaging filter to a channel. The filter can be defined in a filter file or in a comma delimited string.
- Difference filter calculates differences between values in a channel. The common fourth difference can be calculated by specifying four differences, which is useful for identifying noise.
- Polynomial filter calculates n'th (maximum nine) order trend of a data channel by (least square) best-fit polynomial. The trend is then evaluated and placed in a new channel. An optional residual channel (input trend) may also be created.
- B-Spline filter calculates a B-spline interpolation of data in a channel. A B-spline allows you to control the smoothness of the spline and the tension applied to the ends of the spline.
- Linear Regression filter fits a least-square linear regression to a set of marked data in a channel and reports the slope and intercept.

1D Non-Linear Filters

The 1D Non-Linear Filter is ideal for removing very short wavelength, but high amplitude features from data. It is often thought of as a noise spike-rejection filter, but it can also be effective for removing short wavelength geological features, such as signal from surficial features.

The 1D Non-Linear Filter is used to locate and remove data that is recognized as noise. The algorithm is 'non- linear' because it looks at each data point and decides if that data is noise or a valid signal. If the

— continued on next page

Airborne Geophysics capabilities

point is noise, it is simply removed and replaced by an estimate based on surrounding data points. Parts of the data that are not considered noise are not modified at all.

Line Levelling

Statistical levelling corrects for intersection errors (miss ties) that follow a specific pattern or trend. The algorithm calculates a least-squares trend line through an error channel to derive a trend error curve, which is then added to the channel to be levelled.

The objective of full line levelling is to adjust the survey lines so that all lines match the trended tie lines exactly at each intersection that has been included in the process.

The line levelling system:

- Identifies potential errors in data sets
- Applies systematic corrections including magnetic base station, lag and heading corrections and select line direction
- Performs conventional levelling using simple (tie line and full levelling) and careful levelling methods

Line Intersections

The output intersection table file tabulates every intersection between tie lines and regular survey lines. It includes the exact ground location of the intersection point, the tie line and survey line numbers, the recorded value on each line, and the horizontal gradient of the data at that location. The line intersection system can find and edit intersection between any lines in a data set (lines can either be regular survey lines or tie lines).

Lag, Heading and Base Station Corrections

Correction routines include applying a:

- Lag correction to a channel of data by shifting the start fiducial by a specified lag amount
- Heading correction to data for a systematic shift (in the data) that is a function of the direction of travel for a survey line
- Magnetic base station correction to a magnetic channel

IGRF

The International Geomagnetic Reference Field **IGRF** or the Definitive International Geomagnetic Reference Field **DGRF** correction (field strength, inclination and declination) can be calculated from a geographic coordinate channel or a single geographic point.

Picodas import

Picodas is an airborne instrument data acquisition system that records multi-parameter airborne survey data. The system produces a set of files for each survey flight. The files include an ASCII header file and a number of binary data files that contain the data for each survey flight. The ASCII header file fully documents the contents of the binary data files and includes a list of the binary files for that flight.

C3NAV

C3Nav software corrects errors caused by the difference between recorded GPS location and the true ground loaction.

C3Nav matches the ground GPS and moving GPS readings at the same time, and uses the data only from the common set of satellites that both are observing at that time. C3Nav produces a listing file that contains the GPS time (seconds from the start of the week), and the differentially corrected location of the moving GPS receiver.

Profile Plots

The profile plotting capability features the ability to draw profiles of channel values for all selected lines in a database.

Posting Plots

Posting plots means the user can post the data values for a channel on a map.

Symbol Plots

The symbol plotting function can draw symbols on a map at all data points along all selected lines in a database. Symbol plotting methods include adding:

- Symbols
- Proportionally scaled symbols
- Zoned colored symbols (symbols can be a fixed size, or sized in proportion to data values)
- Range classified symbols

Contouring

Contouring is the capability to draw contours on a map using a specified grid.

— continued on next page

Airborne Geophysics capabilities

Line Gridding

Line gridding is the capability to create a new grid file (.GRD) using the bi-directional gridding method (BIGRID).

The BIGRID method uses a two step process:

1. Each line is interpolated along the original survey line to yield data values at the intersection of each required grid line with the observed value.
2. The intersected points from each line are then interpolated in the across-line direction to produce a value at each required grid node.

The BIGRID GX has the following capabilities:

- Unlimited line based data
- LP, HP filters
- Data presort options
- Enhanced trended gridding
- Output any grid size

Minimum Curvature Gridding

Minimum curvature gridding uses a minimum curvature gridding algorithm (RANGRID) to create a new grid file (.GRD).

The RANGRID method fits a minimum curvature surface to the data points. A minimum curvature surface is the smoothest possible surface that will fit the given data values and settings.

The RANGRID GX also has the capability to:

- Access unlimited number of input observation points
- Adjust internal tension
- Apply de-aliasing filter
- Apply linear and logarithmic gridding
- Blank un-sampled areas
- Output grids up to any size

Tinning

The Triangular Irregular Network (TIN) method, utilizes the Sweepline algorithm implemented by Steven Fortune of Bell Laboratories. The Sweepline algorithm calculates the X,Y (Z-optional) values to create a binary (*.TIN) file.

When Z values are included in the (*.TIN) file, a TIN grid can be created using the TINGRID GX. The TINGRID GX applies the Natural Neighbour algorithm (Sambridge, Brown & McQueen 1995) to the Z values in the (*.TIN) file to create a grid.

Survey Line Plots

The survey line path plots and labels survey line locations.

Quality Control (Airborne)

Airborne Quality Control includes three main functions:

1 **The Flight Path Planning** which creates a flight line plan tailored to the shape and size of the survey area. Boundary maps of the survey area can be imported from an AutoCAD DXF file or digitized as polygon files.
- Planning controls specify the direction, starting reference point, and distance between flight lines for the airborne survey area.
- The software plots both regular flight lines and tie lines. The flight planning utility produces a database and a map of the flight lines that can be viewed, printed or exported.

2 **Database Statistics** extends the statistical reporting tools included in the basic **OASIS montaj**™ system.
- The QC statistical tool generates and prints a statistical report for specific channels or an entire database. The statistical report provides the number of dummies, minimum, maximum, mean and total distance flown for each channel and for the whole database.
- The survey line distance tool displays the total distance flown for a specific flight line.

3 **Airborne Quality Control Tool** identifies line sections that do not meet survey specifications. Examples include evaluating the diurnal variation, altitude deviation, flight path deviation, flight line separation of each point along the flight lines to ensure they are within specification. Points that do not meet specifications are identified by a coloured symbol using a colour that corresponds to the type of error. These results are plotted to a map so that the user can visualize the sections of the survey that must be re-flown.

Trend Gridding (GeoStrike™)

Trend Gridding (GeoStrike™) alleviates the aliasing problem that results when there are more samples "along the lines" than across lines — a traditional problem in gridding geophysical data. This problem leads to undesirable effects including ellipsoids or ellipsoidal "beads" between lines in gridded data. The Trend Gridding (GeoStrike™) algorithm is designed to provide a solution that preserves the character of local trends while eliminating aliasing effects.

— continued on next page

Airborne Geophysics capabilities

Target Picking

Two new target-picking capabilities have been added to the Geophysics application:

- The new Pick anomalies option, located on the X-Utility menu, enables the users to pick anomalies from one or multiple channels based on the channel(s) values and the amplitude of the troughs on either side of the anomaly in the channel(s) profile. The target results will be stored in a new "targets" line using the actual values of the input channel or with alphabetical or numerical numbering.
- The Select target option, located on the profile window popup menu, enables individual targets to be picked directly from the profile window. The selected targets are appended to the "targets" line and, optionally, can be plotted simultaneously to the current map using user-defined symbols.

Advanced Gridding Toolkit

product description

Geosoft's **Advanced Gridding Toolkit** expands your **Oasis montaj™** core system to enable advanced gridding capabilities, including four proven gridding routines and basic grid analysis methods.

The **Advanced Gridding Toolkit** enables you to interpolate data and produce a grid using any of Geosoft's four gridding routines; Minimum Curvature (Random) Gridding, Line (Bi-Directional) Gridding, TIN Gridding using the Natural Neigbours method, and Kriging. Basic grid utilities provide processing and grid enhancement tools, including:

- Grid outline
- Grid windowing
- Point grid value
- Apply shading to create a shaded relief grid
- Display and update standard grid statistics

This tool can be added to any Geosoft application to meet your specific data processing and analysis needs. For more information about specialized data processing and analysis tools, please contact your local Geosoft representative.

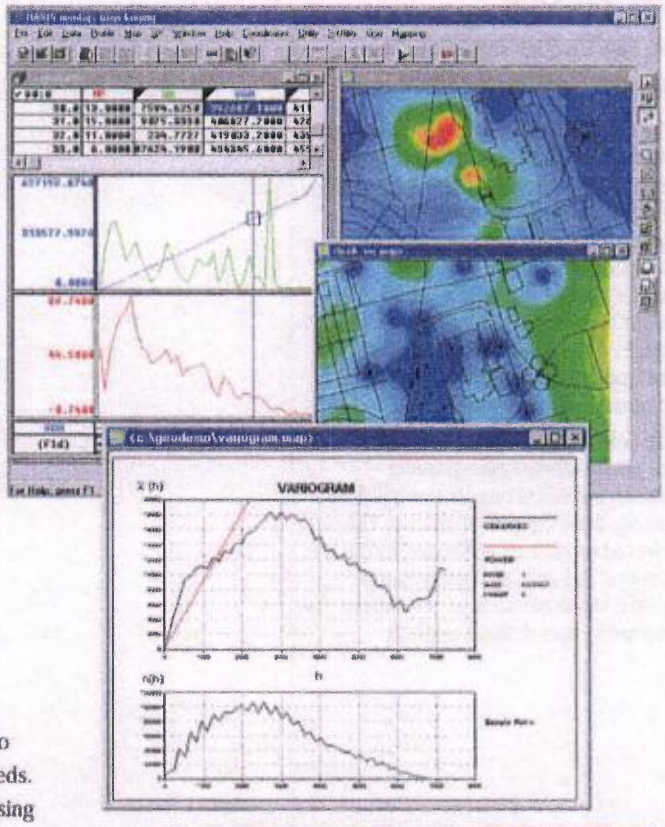

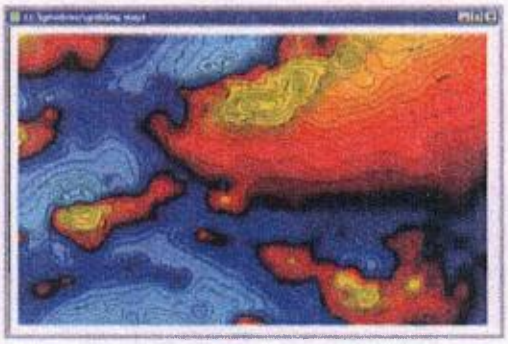

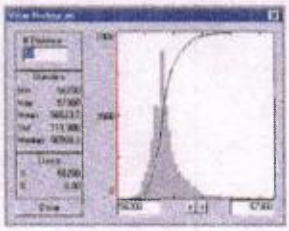

product capabilities

This tool includes the following capabilities:

- Basic Grid Utilities
- Line gridding
- Minimum curvature gridding
- Tinning
- Kriging

Advanced Gridding Toolkit capabilities

Basic Grid Utilities

The following functions can be performed with the basic grid utilities:

- Display grid as a terenary image
- Display grids as two, three or four grid composites
- Grid windowing (create a grid from a window of a larger grid)
- Colour shaded grid (apply shading to create a quick shaded relief grid)
- Display statistics (display header and grid details on screen)
- Import ASCII grid
- Point grid value (the grid value at a selected location from up to four grid files)
- Grid outline (find edge points in a grid image and either save the edges in a polygon file or draw the edges on the current map)
- Sample a grid (sample a grid at specified X,Y locations and create a new channel that contains the sampled grid data)
- Grid profile (extract a data profile from a grid and place it in a new line of the current database)
- Transpose a grid by swapping the grid rows with the grid columns
- Save grid to database (import grid data into new or existing databases)
- Shaded relief grid (create a shaded relief image from a grid)

Line Gridding

Line gridding is the capability to create a new grid file (.GRD) using the bi-directional gridding method (BIGRID). The BIGRID method uses a two step process:

1. Each line is interpolated along the original survey line to yield data values at the intersection of each required grid line with the observed value.
2. The intersected points from each line are then interpolated in the across-line direction to produce a value at each required grid node.

The BIGRID GX has the following capabilities:

- Unlimited line based data
- LP, HP filters
- Data presort options
- Enhanced trended gridding
- Output any grid size

Minimum Curvature Gridding

Minimum curvature gridding uses a minimum curvature gridding algorithm (RANGRID) to create a new grid file (.GRD). The RANGRID method fits a minimum curvature surface to the data points. A minimum curvature surface is the smoothest possible surface that will fit the given data values and settings. The RANGRID GX also has the capability to:

- Access unlimited number of input observation points
- Adjust internal tension
- Apply de-aliasing filter
- Apply linear and logarithmic gridding
- Blank un-sampled areas
- Output grids up to any size

Tinning

The Triangular Irregular Network (TIN) method, utilizes the Sweepline algorithm implemented by Steven Fortune of Bell Laboratories. The Sweepline algorithm calculates the X,Y (Z-optional) values to create a binary (*.TIN) file.

When Z values are included in the (*.TIN) file, a TIN grid can be created using the TINGRID GX. The TINGRID GX applies the Natural Neighbour algorithm (Sambridge, Brown & McQueen 1995) to the Z values in the (*.TIN) file to create a grid.

Kriging

The Kriging Tool provides you with the capability to:

- Apply de-aliasing filter
- Apply linear and logarithmic gridding options
- Blank un-sampled areas
- Calculate a variogram from the input data channel
- Output grids up to any size
- Process unlimited number of input observation points
- Support linear, power, spherical, Gaussian, exponen-

McPhar Geosurveys Ltd.
1256B Kerrisdale Blvd., Newmarket
Ontario, Canada L3Y 8Z9
Tel: (905) 830-6880, Fax: (905) 898-0336
E-Mail: info@mgssurveys.com
WebSite: www.mgssurveys.com

FIELD DATA PROCESSING WORKSTATIONS

Our Field Data Processing Workstations (FWS) are dedicated PC-based microcomputer systems for use at the technical base in the field. The workstations are designed for use with Geosoft OASIS, MPS and MONTAJ, ENCOM, and other data processing software, as well as in-house developed software and utilities.

The FWS has a data replot capability, and may be used to produce pseudo analog charts from the recorded digital data within less than 12 hours after the completion of a survey flight, if this is necessary. It is also capable of processing and imaging all the geophysical and navigation data acquired during the survey, producing semi-final, preliminary-levelled maps in either black-line contours on Mylar or full colour contours on paper.

FWS FEATURES

- **Portability** - the workstations can be packaged and transported to the field with a minimum of effort
- **Digital Data Verification** - flight data quality and completeness can be assured by both statistical and graphical means
- **Flight Path Plots** - flight path plots can be quickly generated from the GPS satellite data to verify the completeness and accuracy of a day's flying
- **Versatility** - the FWS can be used in both the field and the office. Data pre-processed in the field can be up-loaded to the computers at the Data Processing Centre to speed data turnaround.
- **QC and Preliminary Maps** - the software will permit preliminary maps of the magnetic and gamma-ray spectrometer data to be quickly and efficiently created in the field, providing a quick and efficient method to undertake QC Verification of newly acquired data.

THE HARDWARE

The workstations are PC-compatible PENTIUM microcomputers with a 2GHz or faster processor, 512 MB of memory, a large capacity hard disk drive, an extended VGA graphics card with VGA monitor and a colour inkjet plotter for generating maps and/or profiles, and ZIP, JAZZ and writeable CD-ROM drives to backup data.

THE SOFTWARE

The FWS software enables the user to read the FLASH cards, ZIP cartridges or PCMCIA removable hard disks from the airborne system, check the data for gaps, spikes or other defects and permits editing where necessary.

The base station GPS/magnetometer data is checked and edited, and where necessary merged with the airborne data. Post-survey differential GPS corrections are made using either C³NAV and/or WAYPOINT software. GPS flight path plots may be created and plotted. Multi-channel stacked profiles of the recorded and edited data may be produced on the dot-matrix printer.

The Software includes:

- Geosoft OASIS/Montaj Airborne Processing Software
- PC-based airborne data compilation and binary database system for in-field processing and compilation of large volumes of time or fiducial based airborne data
- Proprietary data for processing HEM data
- GrafNAV GPS processing/differential GPS correction software
- McPhar's proprietary software and utilities
- General Utility software (WINDOWS 200 PRO, Norton Utilities, Norton Anti-virus, Xtree Gold, LapLink, etc.)

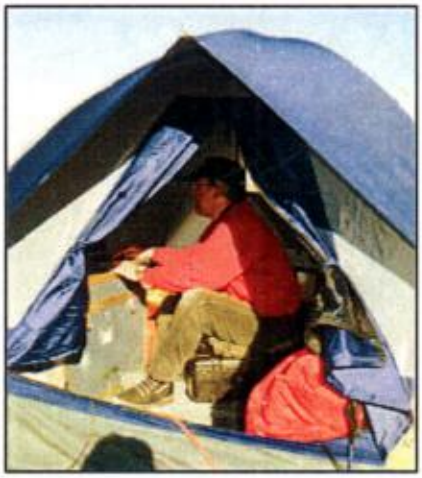

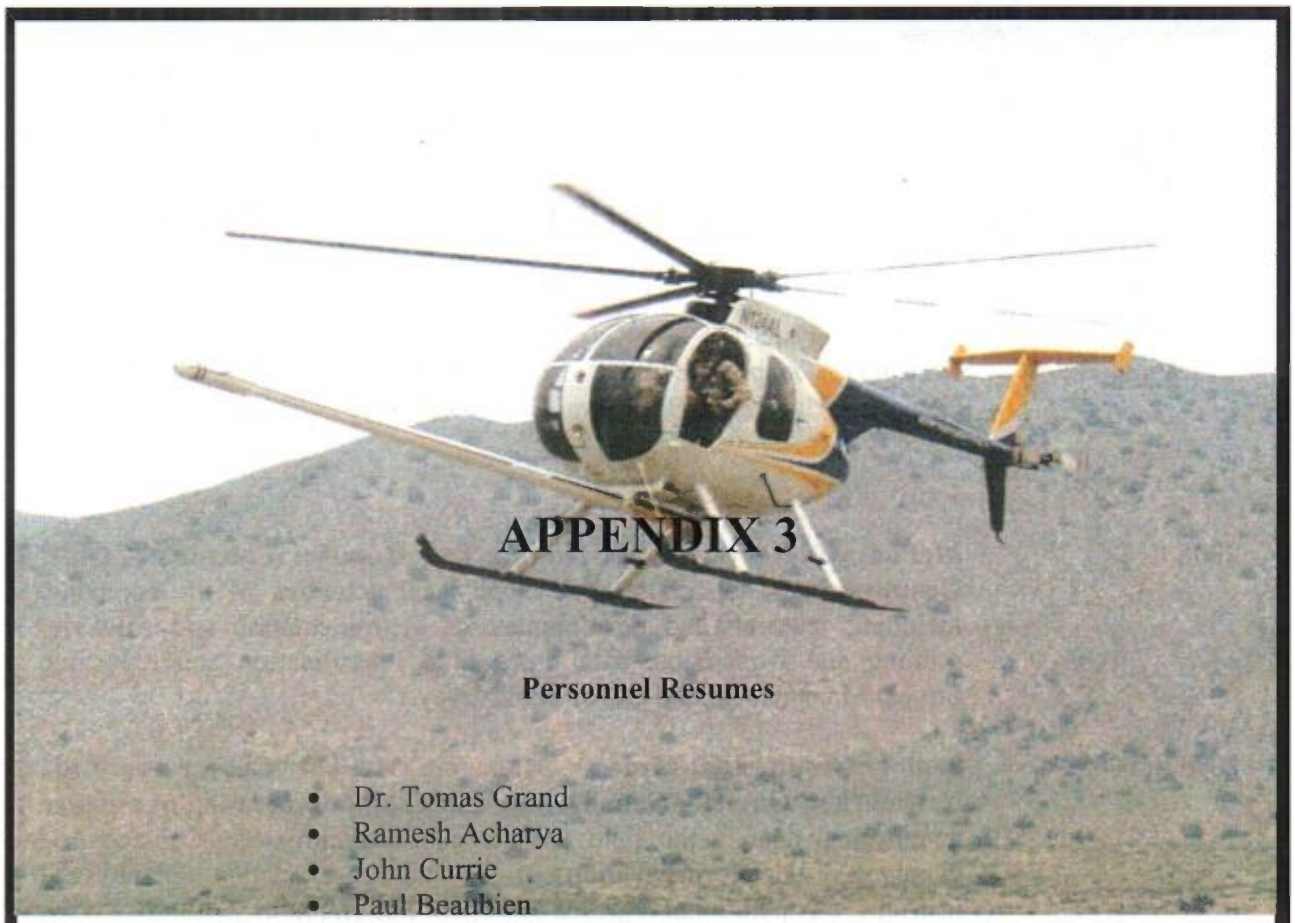

APPENDIX 3

Personnel Resumes

- Dr. Tomas Grand
- Ramesh Acharya
- John Currie
- Paul Beaubien
- Asif Mirza

McPhar Geosurveys Ltd.
1256B Kerrisdale Blvd., Newmarket
Ontario, Canada L3Y 8Z9
Tel: (905) 830-6880, Fax: (905) 898-0336
E-Mail: info@mgssurveys.com
WebSite: www.mgssurveys.com

RÉSUMÉ

Name: Tomas Grand
Profession: Chief Geophysicist
Education: Dr. (Ph.D.), Geophysics (1988)
Comenius University, Bratislava, Czechoslovakia

Experience:

2005 **McPhar Geosurveys Ltd., Newmarket, Ontario, Canada - Chief Geophysicist** - supervising all geophysical activities of the company, including research and development of instrumentation and software; training and workshops, data processing, interpretation and reporting. Project Management and QC of field surveys.

2003 to 2005 **Senior Geophysicist/Projects Manager, McPhar Geosurveys Ltd., Newmarket, Ontario, Canada** - responsible for processing of airborne geophysical data in the field; on-site quality control (QC) of acquired geophysical data; installation of ground base station geophysical instruments; operational logistics and client liaison report writing.

1995 to 1996 **Aero Surveys Inc., Uxbridge, Ontario, Canada – Geophysicist** – field QC and data processing on HEM/MAG surveys, Voisey's Bay, Labrador.

1994 to 2003 **Zebra Earth Sciences Ltd., Vice-President and Geophysicist** - an agency based in Czech Republic providing geotechnical services and representing several Canadian manufacturers of geotechnical equipment. Since 2000 associated with AEA Technology PLC of U.K., acting as training manager and consultant for EU geological and environmental projects conducted in Central and Eastern Europe. Various projects, surveys and/or processing and interpretation of geophysical data; mineral exploration, coal exploration, geothermal energy exploration, engineering and environmental geophysics, undertaken in Europe, North and Central America, Asia.

1988 -1994 **Geofyzika Brno (in 1992 transformed to Geocomplex a.s. Bratislava, Slovakia) - Senior Geophysicist, Project Manager**. Responsible for managing and conducting of gravity surveys, data processing, interpretation and development of geophysical software for mineral exploration, coal exploration, oil and gas exploration, regional geology studies and geotechnical surveys

Languages: English, German, Russian, Slovak

Relevant Work Experience (geophysical surveys and training/ data processing of geophysical data) :

Gravity

Responsible for managing and conducting of more than 50 gravity surveys, data processing, interpretation (mineral exploration, coal exploration, oil and gas exploration, geothermal energy exploration, geotechnical and environmental projects) - surveys in Czech and Slovak Republics, Turkey, United Arab Emirates, Mexico, Thailand.

Induced Polarization/Resistivity

Surveys in Thailand, Philippines, Slovak Republic, U.A.E. Training programs conducted in Philippines Yemen, Costa-Rica, Mexico.

Magnetics

Mineral exploration, environmental and geotechnical surveys conducted in Czech and Slovak Republics, Philippines

Ground and Airborne Data Processing

Responsible for managing and conducting of data processing (gravity, ground and airborne magnetic/EM/radiometric, IP/Resistivity and GPR data) in various projects undertaken in Czech and Slovak Republics, Denmark, Mexico, Canada, South-eastern Asia, Russia, Turkey, U.A.E., Mexico.

Data processing and data interpretation training programs undertaken in Europe, Canada, USA, Costa Rica, Mexico, Yemen, Turkey and Saudi Arabia.

Major Clients for whom the surveys and geophysical/geological compilations have been performed include:

Geological Survey of Slovakia, Ministry of Environment of Slovakia, H&O Consulting (Denmark), AEA Technology plc. (U.K), European Commission, Geonika, G-Impulz Inset and GHE (Czech Republic), TIMCO (U.A.E), RTZ Mining, KACST (Saudi Arabia), Ministry of Agriculture of Yemen, Ban Pu Coal (Thailand), Birlik Co. Ltd (Turkey), Pemex (Mexico), Scintrex Ltd., Geosoft Inc., Quantec, GEM Systems, Inc (Canada)

McPhar Geosurveys Ltd.
1256B Kerrisdale Blvd., Newmarket
Ontario, Canada L3Y 8Z9
Tel: (905) 830-6880, Fax: (905) 898-0336
E-Mail: info@mgssurveys.com
WebSite: www.mgssurveys.com

RÉSUMÉ

NAME: G. Ramesh Acharya

PROFESSION: Geophysicist

EDUCATION: M.Sc.(Tech) Geophysics from Center of Exploration Geophysics, Osmania University , Hyderabad , India (First class with distinction).

TRAINING:

i) Airborne geophysical data processing on Geosoft Oasis Montaj DPA platform, image processing & GIS with ERMapper, PICODAS airborne geophysical data acquisition system software, SCINTREX, Ontario, CANADA for 18 weeks (7/1998-11/1998) and a refresher training course by SCINTREX experts for 6 weeks (1/2000 – 2/2000) at Bangalore, India.

ii) Intensive course on methods of geophysical data interpretation - at GSI training institute, Hyderabad, India for 6 weeks in 1994.

iii) Training on Arc GIS by NIIT-GIS, Bangalore from 9/2004

WORK EXPERIENCE:

2005 - **Alcock, McPhar, Geotech (Pvt) Ltd., Kolkata, India (subsidiary office of McPhar), Senior Geophysicist/Data Processor - -** responsible for processing and interpretation of airborne geophysical data in the field and office; on-site quality control (QC) of acquired geophysical data; installation of ground base station geophysical instruments; operational logistics and client liaison report writing.

1989 - 2004 **Airborne Mineral Surveys & Exploration Wing, Geological Survey of India, Bangalore, India, Senior Geophysicist** - responsible for processing of airborne geophysical data in the field and at AMSE's data processing centre in Bangalore. Performed on-site quality control (QC) of acquired geophysical data; installation of ground base station geophysical instruments; operational logistics reports. Performed detailed geophysical and geological interpretation of airborne geophysical data.

PROFESSIONAL EXPERIENCE:

- 16 years of continuous experience in airborne geophysics.
- Management of all phases of numerous airborne magnetic and/or EM/magnetics/ radiometric programs in India

- Familiar with a wide variety of processing, interpretation and mapping software, including Geosoft MONTAJ, ERMapper, ArcGIS.

PUBLICATIONS:

- Structural features of Bundelkhand Granite Complex delineated by aeromagnetic expression around Jhansi, Madhya Pradesh, India by D.Ghosh and G.Ramesh Acharya. (paper accepted for publication in Journal of Geological Society of India)

- Prognostication for Kimberlite Clan Rocks in Kandakur-Raichur-Mantralayam area from airborne magnetic and radiometric maps by C.Ramachandran, G.S.R.Umasankar, Ch.V.V.S.Murty, G.Ramesh Acharya, H.Rajaram and P.Ramasastry. Geol. Surv.India spl. Publication no.75,2002.pp: 97-110

- Aeromagnetic anomaly interpretation and correlation with geological features of central India by H.M.Ramachandra, M.P.Mathew, G.Ramesh Acharya, H.C.Gouda and R.K.Singh. Geol. Surv.India spl. Publication no.64,2001.pp: 163-176

- Report on interpretation of multisensor airborne geophysical anomaly maps of block CHB-II, Chattisgarh basin and adjoining areas, M.P. & Orissa, India by A.U.S.Sarma, G.Ramesh Acharya. Unpublished GSI report, Dec 1999, F.S.1998-99.sl.no. 19

LANGUAGES:

English, Hindi

McPhar Geosurveys Ltd.
1256B Kerrisdale Blvd., Newmarket
Ontario, Canada L3Y 8Z9
Tel: (905) 830-6880, Fax: (905) 898-0336
E-Mail: info@mgssurveys.com
WebSite: www.mgssurveys.com

RÉSUMÉ

NAME: **John R. Currie**

PROFESSION: Geophysicist

EDUCATION:

1990 Bachelor of Science (Honours), Geology - Physics
University of New Brunswick

WORK EXPERIENCE:

2002 - **McPhar Geosurveys Ltd., Contract Geophysicist/Project Manager,** responsible for processing of airborne geophysical data in the field; on-site quality control (QC) of acquired geophysical data; installation of ground base station geophysical instruments; operational logistics and client liaison report writing.

2001 – 2002 **AERO SURVEYS INC., Contract Geophysicist/Project Manager,** responsible for processing of airborne geophysical data in the field; on-site quality control (QC) of acquired geophysical data; installation of ground base station geophysical instruments; operational logistics and client liaison report writing.

1994 – 2000 **Scintrex Limited, Concord, Ontario, Geophysicist.** Responsible for acquiring and processing high resolution airborne electromagnetic, magnetic, radiometric, and VLF-EM data. Experienced with the Global Positional System (GPS) and differential GPS correction. Data processing was done on Pentium PC's in DOS and Windows environments using GEOSOFT and in-house software.

Responsible for field crew management, data quality control, and field data interpretation on helicopter and fixed wing geophysical airborne surveys internationally.

Provided training worldwide to clients on data processing and field operation procedures.

Responsible for managing the Data Processing department to ensure that all projects were completed on time and to contract specifications.

1992 - 1994 **Sander Geophysics Limited, Kanata, Ontario, Geophysicist.** Responsible for processing high resolution magnetic, radiometric, and VLF-EM data from airborne surveys flown for oil and mining

companies. Was responsible for field data quality control and processing on airborne surveys in Canada and South America.

1990 – 1992 **Schlumberger of Canada, Estevan, Saskatchewan. Senior Field Engineer**. Responsible for managing and training a crew that consisted of two Field Engineers, three Senior Field Technicians, and an Electronics Technician.

Operated and maintained a complete suite of geophysical borehole survey equipment. Typical surveys measured resistivity, sonic transit time, neutron and gamma ray density and porosity. Other surveys included measuring stratigraphic dips, subsurface fluid pressures, electromagnetic wave propagation, and natural gamma ray spectrometry.

Carried out field interpretation of data to determine physical properties of underground rock formations such as subsurface permeability, porosity, salinity, pressure, and oil and gas content.

Extensively used PC's and became familiar with DOS, UNIX, WORD, WORDPERFECT, EXCEL, and Schlumberger software.

Summer 1989 University of New Brunswick, Fredericton, N.B., Research Geophysicist. Performed magnetic, electrical, and seismic geophysical surveys as part of a Geological Survey of Canada research project. Designed and wrote software to process the data, and then interpreted the data using software such as MAGIX, MAGPAC, and MAGRAV.

AWARDS

1989 Canadian Society of Exploration Geophysicists Scholarship, T.B. Fraser Memorial Scholarship, Sharon Bachinski Memorial Scholarship, Canadian Society of Petroleum Geologists Award, Amoco Scholarship, Natural Sciences & Engineering Research Council of Canada, Student Research Award, UNB Undergraduate Scholarship.

1988 Canadian Society of Petroleum Geologists Award, UNB Undergraduate Scholarship.

1987 Sophia Wood Scholarship, UNB Undergraduate Scholarship.

1986 N.B. Society of Retired Teachers Scholarship, Nina Fairchild Simon Memorial, Scholarship, UNB Undergraduate Scholarship.

PROFESSIONAL EXPERIENCE:

- 13 years of continuous experience in the geophysical survey industry
- Management of all phases of numerous airborne magnetic and/or magnetics/radiometric programs in numerous countries in North and South America
- Extensive participation as an expert in various in-house geophysical training programs and provision of instructional seminars for government / private industry delegations

LANGUAGES: English, Spanish

McPhar Geosurveys Ltd.
1256B Kerrisdale Blvd., Newmarket
Ontario, Canada L3Y 8Z9
Tel: (905) 830-6880, Fax: (905) 898-0336
E-Mail: info@mgssurveys.com
WebSite: www.mgssurveys.com

RESUMÉ

NAME: Paul Beaubien

PROFESSION: Electronic Technologist

EDUCATION: DeVry Institute of Technology

WORK EXPERIENCE:

2005 **McPhar Geosurveys Ltd - Technician/Operator** - responsible for maintaining and operating airborne geophysical systems in the field. Experienced in operating fixed-wing magnetometer, gravity/magnetometer and multi-sensor systems.

1999 - 2004 **Terraquest Inc, Mississauga, Ontario - Electronics Technologist/ Operator** -Responsible for maintaining and operating airborne geophysical systems in the field. Operator for mag and spectrometry surveys in various location across Canada, USA and South America.

1995 - 2002 **Aero Surveys Inc., Richmond Hill, Ontario - Electronics Technologist/Operator** - responsible for maintaining and operating airborne geophysical systems in the field, summer and fall 1995, 1996 and 1997 spent in Voisey Bay, Labrador and Newfoundland, operating helicopter-borne EM system. Has worked in Ecuador, Bolivia, Peru and USA.

1992 - 1995 **Open Sky Inc., Winnipeg, Manitoba** - Service and installation of residential satellite receivers

1990 - 1992 **North African Geophysical Exploration Company, Libya - Seismic Operator/Crew Supervisor** - responsible for the supervision of personnel working on the operations, repair and maintenance of both wire and radio telemetry seismic recording systems, and land gravity/GPS surveys.

1987 - 1990 **Western Atlas, Calgary, Alta. - Operator/Technician** - responsible for the operations, repair and maintenance of both wire and radio telemetry seismic recording systems. In latter years was Crew Chief supervising data acquisition, training crews, and performing quality control of production data. Worked primarily in Canada and USA.

1981- 1987	**CGG Geophysics of Canada, Calgary, Alta. - Operator/Technician -** responsible for the operations, repair and maintenance of wire and radio telemetry seismic recording systems. Operated L & R gravity meters. Worked primarily in Canada and USA.
1979 - 1980	**Perimeter Aviation, Winnipeg, Manitoba** - Service and repair of light aircraft avionics instrumentation.
1976 - 1978	**Digital Equipment Company of Canada Ltd., Ottawa, Ont. - Service Technician** - Repair and maintenance of mini-computer systems, including PDP-11 and VAX 11/730 and 11/750 systems.

PROFESSIONAL EXPERIENCE:

- Twenty five years professional experience in the installation, repair and service of sophisticated electronic systems, including helicopter-borne geophysical systems, satellite receiver systems, seismic recording trucks and mainframe computers.
- Thirteen years experience in the installation, repair and operation of geophysical systems
- Experience working in USA, Canada and North Africa
- Many years supervisory experience on geophysical survey crews

LANGUAGES:

English and French

McPhar Geosurveys Ltd.
1256B Kerrisdale Blvd., Newmarket
Ontario, Canada L3Y 8Z9
Tel: (905) 830-6880, Fax: (905) 898-0336
E-Mail: info@mgssurveys.com
WebSite: www.mgssurveys.com

RÉSUMÉ

NAME: **ASIF M. MIRZA**

PROFESSION: **Geophysicist**

EDUCATION:

- M.Sc., Applied Environmental Measurement Techniques, Chalmers University of Technology, Sweden
- M.Sc., Applied Geophysics, Dept. of Earth Science, Quaid-I-Azam University, Islamabad, Pakistan
- B.Sc., Applied Geology, Institute of Geology, University of the Punjab, Lahore, Pakistan

TRAINING:

Internship

- Seismic Data Processing, OGDCL, Islamabad, Pakistan

Technical Courses

- Evaluation of Aggregates as constructional material, Course arranged by the Kent State University, Ohio, USA and Institute of Geology, University of the Punjab, Lahore, Pakistan
- Course on Geographical Information System (GIS), Course arranged by the National University of Science and Technology, Islamabad, Pakistan
- Course on Seismic Stratigraphy and Tectonics (Basin Analysis and Computer Modelling), Course arranged by Petroleum Geology Investigators ApS, Copenhagen, Denmark and the Dept. of Earth Sciences, Quaid-i-Azam University, Islamabad, Pakistan
- Well Logging interpretation, course arranged by Petroleum Geology Investigators ApS, Copenhagen, Denmark and the Dept. of Earth Sciences, Quaid-i-Azam University, Islamabad, Pakistan

PROFESSIONAL EXPERIENCE:

2004 McPhar Geosurveys Ltd, Newmarket, Ont, Canada - Geophysicist

- Airborne geophysical field data management and preliminary processing, of different projects, using Geosoft Oasis Montaj
- Quality control decisions of survey data within the specification laid down with clients and McPhar's standards
- Gridding, contouring and leveling of magnetic and electromagnetic geophysical data to produce profiles and contours maps
- Set up and operate ground base station system, comprising magnetometer and GPS system
- Producing of backup CD-ROM's of the processed data for forwarding to clients via internet or company network site
- Making final reports of the processed geophysical data for clients

2000 – 2001 SEFEC (Pvt.) Ltd, Karachi, Pakistan - Field Geophysicist

- Seismic reflection data acquisition with the help of dynamite in Attock Area, Pakistan
- Seismic reflection data recorded in the field using well-defined field parameters, i.e. source and spread configuration
- Seismic spread and geophone arrays designed using walk away test and spectral analysis
- Performed field seismic data processing Attock Area, Pakistan

HIGHLIGHTS OF QUALIFICATIONS:

- Experience as a field geophysicist
- Airborne geophysical data management and processing
- Seismic reflection data processing experience in Geophysical Investigations for the demarcation of overburden from the bedrock and concerning oil resources
- Extensive experience in 2-D seismic reflection data interpretation
- Experience in seismic data interpretation with the help of Seismic Straitigraphy, Borehole logging, Gravity and Resistivity methods
- Data acquisition with the help of different environmental instruments
- Research about new environmental issues
- Risk assessments and cost estimates related to environmental clean up
- Evaluation of groundwater potential along sea shoreline, environmental investigations, remedial activities
- Master's in Environmental Science, Master's in Geophysics and Bachelor of Applied Geology
- Knowledge and work experience of the software's, Geosoft Montaj, DOS, Windows XP/NT/2000, M.S.Office, Corel DRAW 9, Arc view GIS

LANGUAGES

- English, Urdu, Hindi and Punjabi

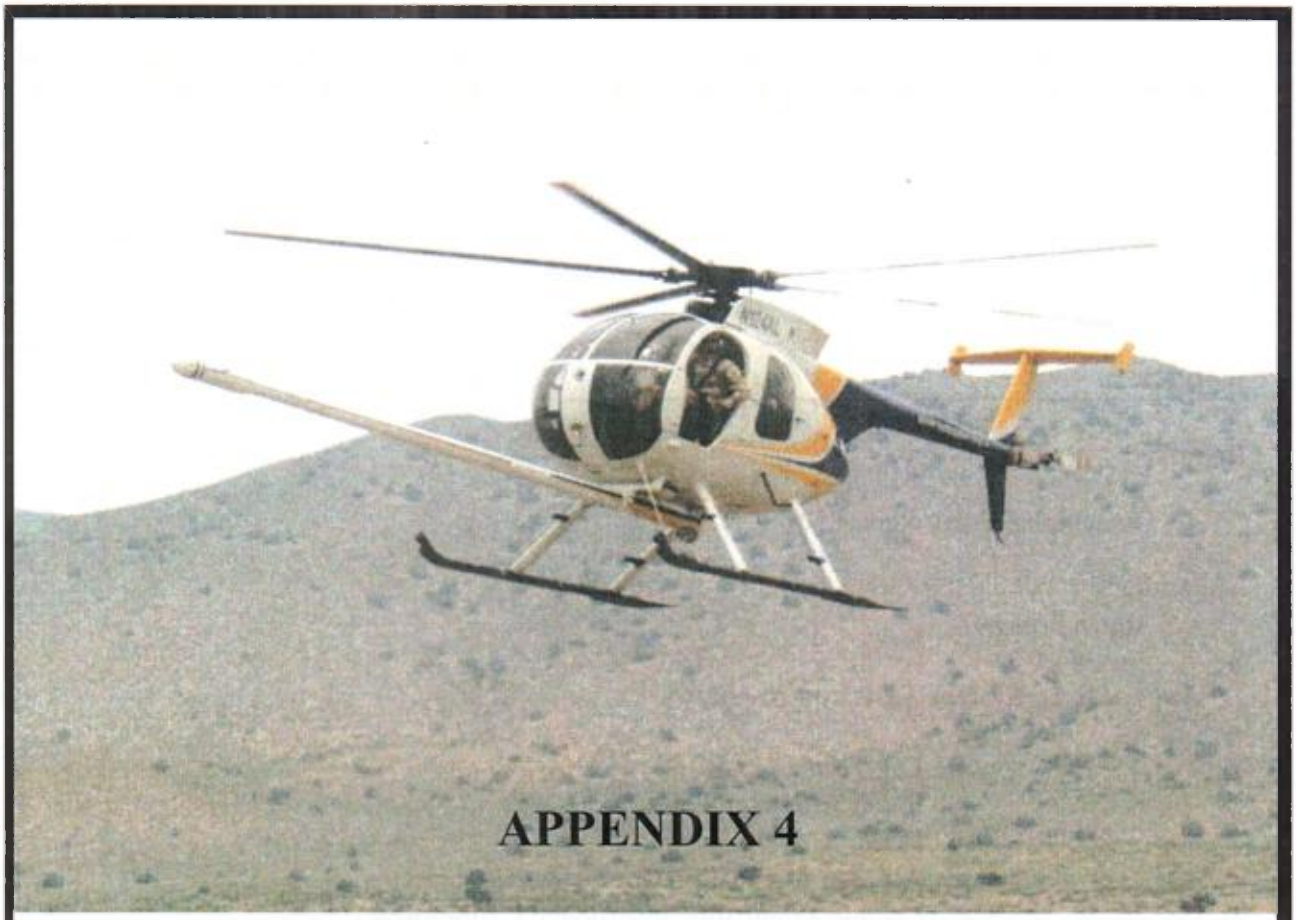

APPENDIX 4

Digital Data Specifications

McPhar Geosurveys Ltd.

Digital File Organization

Directory Structure:

Digital data is arranged on the DVD_ROM in the following structure:

Report:

Report

- Omagalpha_Final_Report.pdf

Appendices

- Appendices.pdf

Appendix 1: System Tests and Reports

- Lag Tests
- Radar Altimeter Tests
- FOM
- Altitude Attenuation Coefficient Calibrations
- Cosmic Attenuation Coefficient Calibrations
- PAD Calibration
- Daily Sample Checks
- Spectrometry Test Lines
- Flight Logs
- Daily Reports

Appendix 2: Technical Information

- Geometrics G-822A Cesium Magnetometer
- Billingsly TFM-100 Tri-axial Fluxgate Magnetometer
- Pico-Envirotec GRS-10 Gamma Spectrometer
- Pico-Envirotec AGIS Data Acquisition System
- Terra TRA-3000 / TRI-30 Radar Altimeter
- SETRA Model 276 digital barometric altmeter/pressure transducer
- CSI-Wireless DGPS Max positioning system
- Geo-iMAGe Colour Digital Imaging System
- Pico-Envirotec GMAG Magnetometer Base Station
- NovAtel Millennium dual-frequency GPS receiver
- GEM GSM-19 Proton Base Station Magnetometer
- CCMag Magnetic Compensation Software
- Geosoft Montaj Processing Software
- Field Data Processing Workstations

Appendix 3: McPhar Personnel Resumes

- Dr. Tomas Grand
- Ramesh Acharya
- John Currie
- Paul Beaubien
- Asif Mirza

Appendix 4: Digital Data Specifications

Appendix 5: Page Sized Maps

- Flight Path with Topography
- Digital Terrain Model Calculated from survey data (DTM)
- Total Magnetic Intensity (IGRF Removed)
- Calculated Dose rate from Total Count
- Apparent Concentration of Uranium
- Apparent Concentration of Thorium
- Apparent Concentration of Potassium

Geosoft Grid Files:

- **DTM.grd**- Digital Terrain Model Calculated from survey data (DTM)
- **tmiig.grd**- Total Magnetic Intensity (IGRF Removed)
- **doserate.grd**- Calculated dose rate from Total Count
- **Ucon.grd**- Apparent Concentration of Uranium (eU)
- **Thcon.grd**- Apparent Concentration of Thorium (eTh)
- **Kcon.grd**- Apparent Concentration of Potassium (K %)

Packed Geosoft Map Files:

- **FP_Final.map** - Flight Path with Topography
- **DTM_Final.map** - Digital Terrain Model Calculated from survey data (DTM)
- **TMI_Final.map** - Total Magnetic Intensity (IGRF Removed))
- **TMI_Shaded_Final.map** - Total Magnetic Intensity (IGRF Removed)
- **TC_Final.map** – Calculated Dose rate from Total Count
- **U_Final.map** - Apparent Concentration of Uranium (eU)
- **Th_Final.map** - Apparent Concentration of Thorium (eTh)
- **K_Final.map** - Apparent Concentration of Potassium (K %)

Geosoft Map – Tiff Format Files:

- **FP_Final.tif** - Flight Path with Topography
- **DTM_Final.tif** - Digital Terrain Model Calculated from survey data (DTM)
- **TMI_Final.tif** - Total Magnetic Intensity (IGRF Removed))
- **TMI_Shaded_Final.tif** - Total Magnetic Intensity (IGRF Removed)
- **TC_Final.tif** – Calculated Dose rate from Total Count
- **U_Final.tif** - Apparent Concentration of Uranium (eU)
- **Th_Final.tif** - Apparent Concentration of Thorium (eTh)
- **K_Final.tif** - Apparent Concentration of Potassium (K %)

Geosoft Map – RTL Format Files:

- **FP_Final.prn** - Flight Path with Topography
- **DTM_Final.prn** - Digital Terrain Model Calculated from survey data (DTM)
- **TMI_Final.prn** - Total Magnetic Intensity (IGRF Removed))
- **TMI_Shaded_Final.prn** - Total Magnetic Intensity (IGRF Removed)
- **TC_Final.prn** – Calculated Dose rate from Total Count
- **U_Final.prn** - Apparent Concentration of Uranium (eU)
- **Th_Final.prn** - Apparent Concentration of Thorium (eTh)
- **K_Final.prn** - Apparent Concentration of Potassium (K %)

Databases:

Geosoft GDB files

Survey Data:

- GR-Master-Mag.gdb - Magnetic Data
- GR-Master_Spec.gdb – Gamma Ray Spectrometry Data

Test and Calibration Data:

- July27-FLT1-RADAR.gdb - Altimeter Calibration , July 27, Flt 1
- SEP3-FLT47-RADAR.gdb - Altimeter Calibration , Sep 3, Flt 47
- July27-FLT2A-COSMIC.gdb - Cosmic Test , July 7, Flt 2
- SEP3-FLT46-COSMIC.gdb - Cosmic Test, Sep 3, Flt 46
- July28-FLT4-ATTENUATION.gdb - Attenuation Test, July 28, Flt 4
- SEP3-FLT46-ATTENUATION.gdb - Attenuation Test, Sep 3, Flt 46
- SEP26-ATTENUATION.gdb - Attenuation Test, Sep 26
- July28-FLT5-LAG.gdb - Lag Test, July 28, Flt 5
- SEP3-FLT46-LAG.gdb - Lag Test , Sep 3, Flt 46

- SEP3-FLT46-FOM.gdb - FOM test, Sep 3, Flt 46
- Spec-Samples.gdb - Daily Source Sample tests – entire survey
- Spec-Testline.gdb - Daily Test Line – entire survey

Digital Video Images of Production Flights:

Flight video is stored sequentially on a set of four DVD's.
The contents of the DVD's are as follows:

DVD1: flights 1 to 15
DVD 2: flights 16 to 29
DVD 3: flights 30 to 44
DVD 4: flights 45 to 49

Each flight has a folder containing folders of video images. Each image is a JPEG file with a corresponding GEO file, containing the geographic position of the centre of the image. The filenames are sequential numbers in the order taken on the flight. The corresponding GEO file has the same filename.

Free Viewer:

- **Geosoft Oasis Montaj 6.3 free viewer for viewing maps**

CLIENT: Omegalpha Inc. Project # 0609 | PAGE 1 OF 1

DATABASE DESCRIPTION

Databases: GR-Master-Mag.gdb

QC: Ramesh Acharya, John Currie

Proc: Ramesh Acharya

Rev.: A.Mirza, T.Grand

Channel	Type	Units	Description
Line	RAW		Line no.
fid	RAW		fiducial
UTC_sec	RAW	Secods of Day	UTC Time
Lat_deg	RAW/PROC	degrees decimal	Latitude - WGS84 - Real Time DGPS
Lon_deg	RAW/PROC	degrees decimal	Latitude - WGS84 - Real Time DGPS
Galt_m	RAW/PROC	metre	Altitude - WGS84 - Real Time DGPS
x	RAW/PROC	metre	Easting - projected to UTM zone 20 N / NAD83
y	RAW/PROC	metre	Northing - projected to UTM zone 20 N / NAD83
Baro_mbar	RAW	mbar	Barometric Pressure
ralt_m	RAW/PROC	metre	Height of the Helicopter AGL
Topo_m	PROC	metre	Calculated Digital Terrain Model
filuxX	RAW	nT	flux gate channel - X deviation
filuxY	RAW	nT	flux gate channel - Y deviation
filuxZ	RAW	nT	flux gate channel - Z deviation
rawmag	RAW	nT	Raw Total Magnetic Intensity
bmag	RAW	nT	Raw Total Magnetic Intensity - Base Station
mag_d	PROC	nT	Total Magnetic Intensity - diurnal corrected
mag_dl	PROC	nT	Total Magnetic Intensity - diurnal & lag corrected
TMI	PROC	nT	Total Magnetic Intensity - final levelled
igrf_t	PROC	nT	IGRF Model 2005 - Total Field
igrf_i	PROC	degrees	IGRF Model 2005 - inclination
igrf_d	PROC	degrees	IGRF Model 2005 - declination
TMIIG	PROC	nT	Total Magnetic Intensity - final IGRF corrected

CLIENT: Omegalpha Inc. Project # 0609 | PAGE 1 OF 1

DATABASE DESCRIPTION

Databases: GR-Master-Spec.gdb

QC: Ramesh Acharya, John Currie

Proc: Ramesh Acharya

Rev.: A.Mirza, T.Grand

Channel	Type	Units	Description
Line	RAW		line no.
Fid	RAW		fiducial
Recs_	RAW		record no.
GPStm_sec	RAW	Secods of Day	GPS Time
UTC_sec	RAW	Secods of Day	UTC Time
Lat_deg	RAW/PROC	degrees decimal	Latitude - WGS84 - Real Time DGPS
Lon_deg	RAW/PROC	degrees decimal	Latitude - WGS84 - Real Time DGPS
Galt_m	RAW	metre	Altitude - WGS84 - Real Time DGPS
x	RAW/PROC	metre	Easting - projected to UTM zone 20 N / NAD83
y	RAW/PROC	metre	Northing - projected to UTM zone 20 N / NAD83
Baro_mbar	RAW	mbar	Barometric Pressure
Temp_deg	RAW/PROC	degree Celsius	Outside Air Temperature
ralt_m	RAW/PROC	metre	Height of the Helicopter AGL
RALTSTP	PROC	metre	Effective Height of the Helicopter AGL adjusted to Standard Temeperature and Pressure
ISP1D_cps	RAW	cps	Downward 256 channel spectrum
ISP1U_cps	RAW	cps	Upward 256 channel spectrum
PSVDspec	PROC	cps	Downward 256 channel spectrum - NASVD smoothed
PTCrawW	RAW	cps	Total Count - extracted from raw input downward spectra
PKrawW	RAW	cps	Potassium - extracted from raw input downward spectra
PUrawW	RAW	cps	Uranium - extracted from raw input downward spectra
PThrawW	RAW	cps	Thorium - extracted from raw input downward spectra
PTCrawN	PROC	cps	Total Count - extracted from NASVD smoothed spectra - downward
PKrawN	PROC	cps	Potassium - extracted from NASVD smoothed spectra - downward
PUrawN	PROC	cps	Uranium - extracted from NASVD smoothed spectra - downward
PThrawN	PROC	cps	Thorium - extracted from NASVD smoothed spectra - downward
upUraw	PROC	cps	Uranium - extracted from raw upward spectra
Kcorrfinal	PROC	cps	Potassium - final corrected
Ucorrfinal	PROC	cps	Uranium - final corrected
Thcorrfinal	PROC	cps	Thorium - final corrected
Tccorrfinal	PROC	cps	Total Count - final corrected
doserate	PROC	nGy/h	Apparent doserate Calculated from Total Count (TC)
Kcon	PROC	perc %	Potassium - concentration
Ucon	PROC	ppm eq U	Uranium - concentration
Thcon	PROC	ppm eq Th	Thorium - concentration

CLIENT: Omegalpha Inc. Project # 0609 | PAGE 1 OF 1

DATABASE DESCRIPTION

Databases: July28-Flt4-Attenuation.gdb, Sep3-Flt46-Attenuation.gdb, Sep26-Attenuation.gdb

QC: Ramesh Acharya, John Currie

Proc: Ramesh Acharya

Rev.: A.Mirza, T.Grand

Channel	Type	Units	Description
Line	RAW		line no.
Fid	RAW		fiducial
Recs_	RAW		record no.
GPStm_sec	RAW	Secods of Day	GPS Time
UTC_sec	RAW	Secods of Day	UTC Time
Lat_deg	RAW/PROC	degrees decimal	Latitude - WGS84 - Real Time DGPS
Lon_deg	RAW/PROC	degrees decimal	Latitude - WGS84 - Real Time DGPS
Galt_m	RAW	metre	Altitude - WGS84 - Real Time DGPS
x	RAW/PROC	metre	Easting - projected to UTM zone 20 N / NAD83
y	RAW/PROC	metre	Northing - projected to UTM zone 20 N / NAD83
Baro_mbar	RAW	mbar	Barometric Pressure
Temp_deg	RAW/PROC	degree Celsius	Outside Air Temperature
ralt_m	RAW/PROC	metre	Height of the Helicopter AGL
RALTSTP	PROC	metre	Effective Height of the Helicopter AGL adjusted to Standard Temeperature and Pressure
ISP1D_cps	RAW	cps	Downward 256 channel spectrum
ISP1U_cps	RAW	cps	Upward 256 channel spectrum
K_cps	RAW	cps	Raw Potassium
U_cps	RAW	cps	Raw Uranium
Th_cps	RAW	cps	Raw Thorium
TC_cps	RAW	cps	Raw Total Count
Cos_cps	RAW	cps	Raw Cosmic
Cs_cps	RAW	cps	Raw Cesium
upUraw	PROC	cps	Uranium - extracted from raw upward spectra
Kcorr	PROC	cps	Potassium - corrected
Ucorr	PROC	cps	Uranium - corrected
Thcorr	PROC	cps	Thorium - corrected
Tccorr	PROC	cps	Total Count - corrected

CLIENT: Omegalpha Inc. Project # 0609 | PAGE 1 OF 1

DATABASE DESCRIPTION

Databases: July27-Flt2A-Cosmic.gdb
Sep3-Flt46-Cosmic.gdb

QC: Ramesh Acharya, John Currie
Proc: Ramesh Acharya
Rev.: A.Mirza, T.Grand

Channel	Type	Units	Description
Line	RAW		line no.
Fid	RAW		fiducial
Recs_	RAW		record no.
GPStm_sec	RAW	Secods of Day	GPS Time
UTC_sec	RAW	Secods of Day	UTC Time
Lat_deg	RAW/PROC	degrees decimal	Latitude - WGS84 - Real Time DGPS
Lon_deg	RAW/PROC	degrees decimal	Latitude - WGS84 - Real Time DGPS
Galt_m	RAW	metre	Altitude - WGS84 - Real Time DGPS
x	RAW/PROC	metre	Easting - projected to UTM zone 20 N / NAD83
y	RAW/PROC	metre	Northing - projected to UTM zone 20 N / NAD83
Baro_mbar	RAW	mbar	Barometric Pressure
Temp_deg	RAW/PROC	degree Celsius	Outside Air Temperature
ISP1D_cps	RAW	cps	Downward 256 channel spectrum
ISP1U_cps	RAW	cps	Upward 256 channel spectrum
K_cps	RAW	cps	Raw Potassium
U_cps	RAW	cps	Raw Uranium
Th_cps	RAW	cps	Raw Thorium
TC_cps	RAW	cps	Raw Total Count
Cos_cps	RAW	cps	Raw Cosmic

CLIENT: Omegalpha Inc. Project # 0609 | PAGE 1 OF 1

DATABASE DESCRIPTION

Databases: Sep3-FLT46-FOM.gdb

QC: Ramesh Acharya, John Currie
Proc: Ramesh Acharya
Rev.: A.Mirza, T.Grand

Channel	Type	Units	Description
fid	RAW		fiducial
UTC_sec	RAW	Secods of Day	UTC Time
Lat_deg	RAW/PROC	degrees decimal	Latitude - WGS84 - Real Time DGPS
Lon_deg	RAW/PROC	degrees decimal	Latitude - WGS84 - Real Time DGPS
Galt_m	RAW/PROC	metre	Altitude - WGS84 - Real Time DGPS
x	RAW/PROC	metre	Easting - projected to UTM zone 20 N / NAD83
y	RAW/PROC	metre	Northing - projected to UTM zone 20 N / NAD83
Baro_mbar	RAW	mbar	Barometric Pressure
ralt_m	RAW/PROC	metre	Height of the Helicopter AGL
fluxX	RAW	nT	flux gate channel - X deviation
fluxY	RAW	nT	flux gate channel - Y deviation
fluxZ	RAW	nT	flux gate channel - Z deviation
rawmag	RAW	nT	Raw Total Magnetic Intensity
cmag	PROC	nT	Raw Total Magnetic Intensity - Compensated for aircraft manuevre effect

CLIENT: Omegalpha Inc. Project # 0609 | PAGE 1 OF 1

DATABASE DESCRIPTION

Databases: July28-flt5-lag.gdb
Sep3-flt46-lag.gdb

QC: Ramesh Acharya, John Currie
Proc: Ramesh Acharya
Rev.: A.Mirza, T.Grand

Channel	Type	Units	Description
fid	RAW		fiducial
UTC_sec	RAW	Secods of Day	UTC Time
Lat_deg	RAW/PROC	degrees decimal	Latitude - WGS84 - Real Time DGPS
Lon_deg	RAW/PROC	degrees decimal	Latitude - WGS84 - Real Time DGPS
Galt_m	RAW/PROC	metre	Altitude - WGS84 - Real Time DGPS
x	RAW/PROC	metre	Easting - projected to UTM zone 20 N / NAD83
y	RAW/PROC	metre	Northing - projected to UTM zone 20 N / NAD83
Baro_mbar	RAW	mbar	Barometric Pressure
ralt_m	RAW/PROC	metre	Height of the Helicopter AGL
fluxX	RAW	nT	flux gate channel - X deviation
fluxY	RAW	nT	flux gate channel - Y deviation
fluxZ	RAW	nT	flux gate channel - Z deviation
rawmag	RAW	nT	Raw Total Magnetic Intensity
rawmagl	PROC	nT	Raw Total Magnetic Intensity - Lag corrected

CLIENT: Omegalpha Inc. Project # 0609				PAGE 1 OF 1
DATABASE DESCRIPTION	Databases:	July27-flt1-Radar.gdb Sep3-flt47-Radar.gdb	QC: Proc: Rev.:	Ramesh Acharya, John Currie Ramesh Acharya A.Mirza, T.Grand

Channel	Type	Units	Description
Line	RAW		Line no.
fid	RAW		fiducial
UTC_sec	RAW	Secods of Day	UTC Time
Lat_deg	RAW/PROC	degrees decimal	Latitude - WGS84 - Real Time DGPS
Lon_deg	RAW/PROC	degrees decimal	Latitude - WGS84 - Real Time DGPS
Galt_m	RAW/PROC	metre	Altitude - WGS84 - Real Time DGPS
x	RAW/PROC	metre	Easting - projected to UTM zone 20 N / NAD83
y	RAW/PROC	metre	Northing - projected to UTM zone 20 N / NAD83
Baro	RAW	mV	Raw Barometric Pressure
ralt	RAW	mV	Raw Radar Altimeter Data

CLIENT: **Omegalpha Inc. Project # 0609** | **PAGE 1 OF 1**

DATABASE DESCRIPTION

Databases: **Spec-Samples.gdb**

QC: **Ramesh Acharya, John Currie**

Proc: **Ramesh Acharya**

Rev.: **A.Mirza, T.Grand**

Channel	Type	Units	Description
Fid	RAW		fiducial
Recs_	RAW		record no.
GPStm_sec	RAW	Secods of Day	GPS Time
Lat_deg	RAW/PROC	degrees decimal	Latitude - WGS84 - Real Time DGPS
Lon_deg	RAW/PROC	degrees decimal	Latitude - WGS84 - Real Time DGPS
Galt_m	RAW	metre	Altitude - WGS84 - Real Time DGPS
x	RAW/PROC	metre	Easting - projected to UTM zone 20 N / NAD83
y	RAW/PROC	metre	Northing - projected to UTM zone 20 N / NAD83
ISP1D_cps	RAW	cps	Downward 256 channel spectrum
ISP1U_cps	RAW	cps	Upward 256 channel spectrum
K_cps	RAW	cps	Raw Potassium
U_cps	RAW	cps	Raw Uranium
Th_cps	RAW	cps	Raw Thorium
TC_cps	RAW	cps	Raw Total Count
Cs_cps	RAW	cps	Raw Cesium
Cos_cps	RAW	cps	Raw Cosmic

CLIENT: Omegalpha Inc. Project # 0609 | PAGE 1 OF 1

DATABASE DESCRIPTION

Databases: Spec-testline.gdb

QC: Ramesh Acharya, John Currie

Proc: Ramesh Acharya

Rev.: A.Mirza, T.Grand

Channel	Type	Units	Description
Fid	RAW		fiducial
Recs_	RAW		record no.
GPStm_sec	RAW	Secods of Day	GPS Time
UTC_sec	RAW	Secods of Day	UTC Time
Lat_deg	RAW/PROC	degrees decimal	Latitude - WGS84 - Real Time DGPS
Lon_deg	RAW/PROC	degrees decimal	Latitude - WGS84 - Real Time DGPS
Galt_m	RAW	metre	Altitude - WGS84 - Real Time DGPS
x	RAW/PROC	metre	Easting - projected to UTM zone 20 N / NAD83
y	RAW/PROC	metre	Northing - projected to UTM zone 20 N / NAD83
Baro_mbar	RAW	mbar	Barometric Pressure
Temp_deg	RAW/PROC	degree Celsius	Outside Air Temperature
ralt_m	RAW/PROC	metre	Height of the Helicopter AGL
RALTSTP	PROC	metre	Effective Height of the Helicopter AGL adjusted to Standard Temeperature and Pressure
ISP1D_cps	RAW	cps	Downward 256 channel spectrum
ISP1U_cps	RAW	cps	Upward 256 channel spectrum
K_cps	RAW	cps	Raw Potassium
U_cps	RAW	cps	Raw Uranium
Th_cps	RAW	cps	Raw Thorium
TC_cps	RAW	cps	Raw Total Count
Cos_cps	RAW	cps	Raw Cosmic
Cs_cps	RAW	cps	Raw Cesium
upUraw	PROC	cps	Uranium - extracted from raw upward spectra
Kcorr	PROC	cps	Potassium - corrected
Ucorr	PROC	cps	Uranium - corrected
Thcorr	PROC	cps	Thorium - corrected
Tccorr	PROC	cps	Total Count - corrected

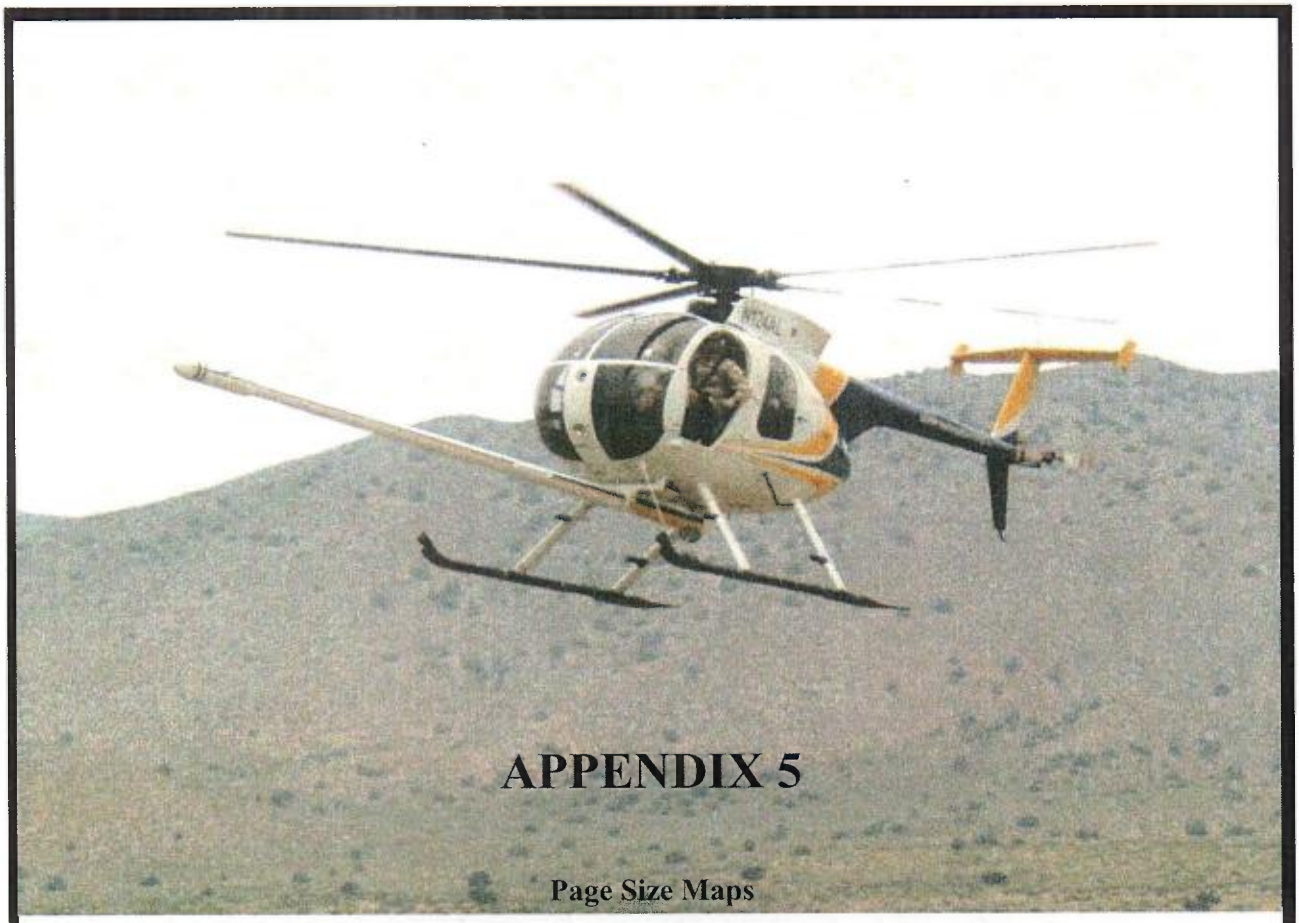

APPENDIX 5

Page Size Maps

- Flight Path with Topography
- Digital Terrain Model Calculated from survey data (DTM)
- Total Magnetic Intensity (IGRF Removed)
- Calculated Dose rate from Total Count
- Apparent Concentration of Uranium
- Apparent Concentration of Thorium
- Apparent Concentration of Potassium

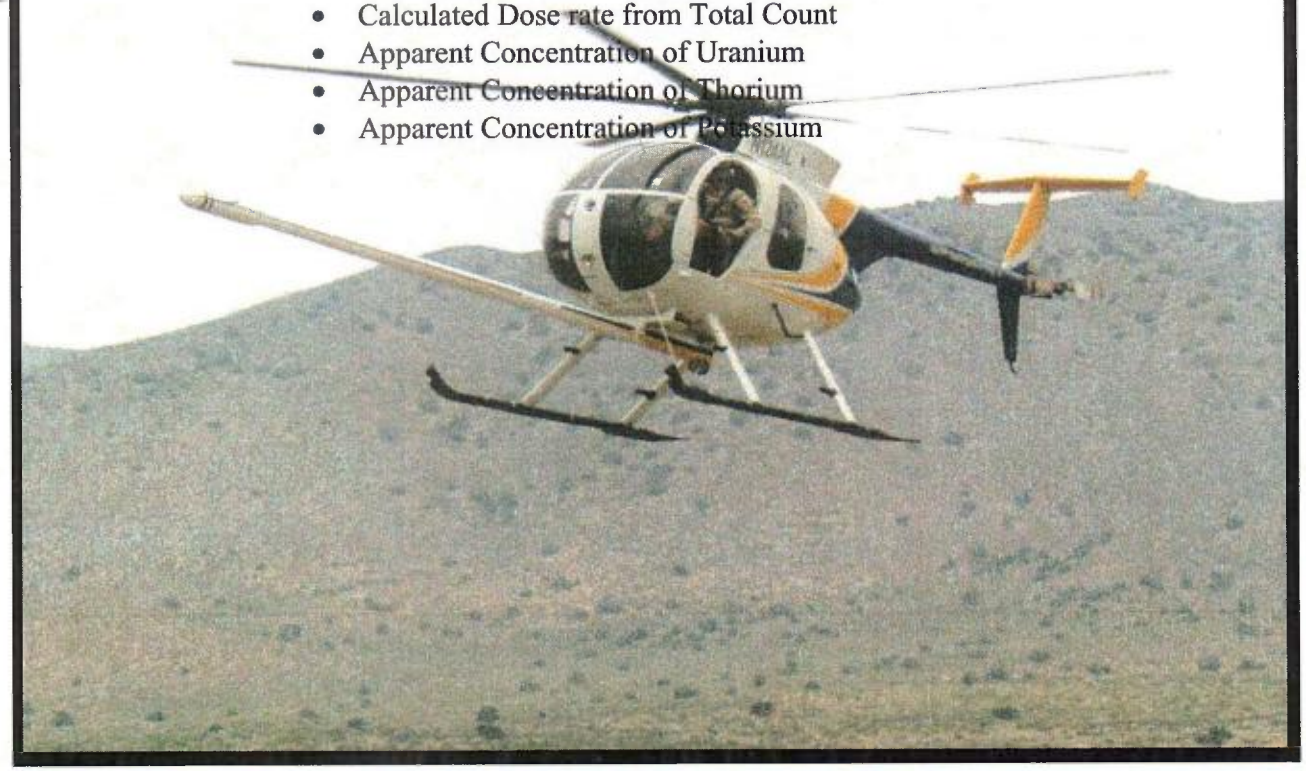

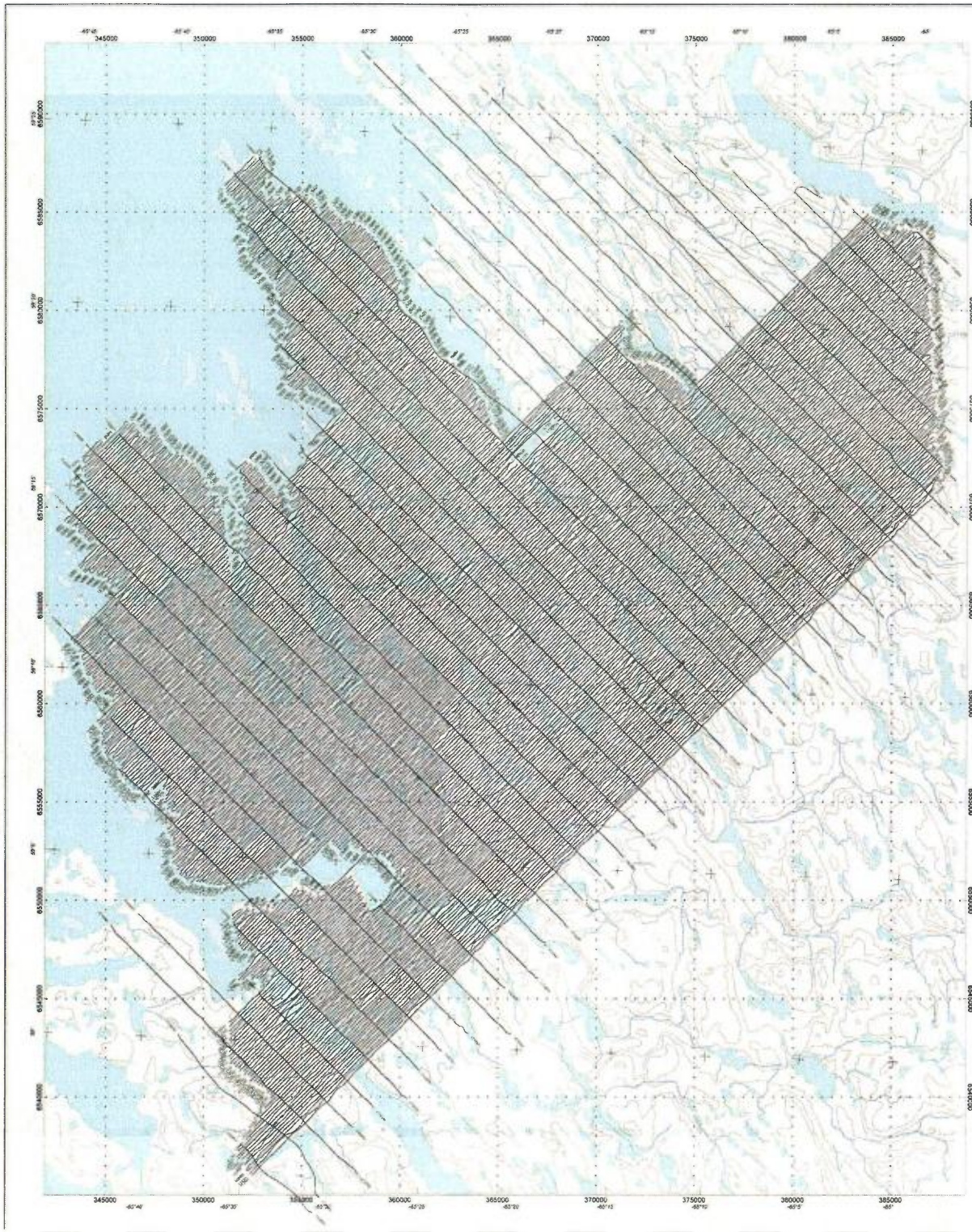

LEGEND

Helicopter Type: McDonald Douglas MD500E
Helicopter Registration: N124AL
Survey Period: August, 2006

SURVEY PARAMETERS:

Mean Terrain Clearance: 60 (Helicopter)
Traverse Line Spacing: 150 m
Traverse Line Direction: 45°
Control Line Spacing: 1500 m
Control Line Direction: 135°

AIRBORNE MAGNETOMETER SYSTEM:

Geometrics G-822A Cesium Magnetometer
Sensitivity: 0.0005 nT
Noise Level: +/- 0.001 nT
Sensor Height: Nominally 50 m above ground level
Sensor Location: Mounted in rigid-boom stinger
Sampling Rate: 20 readings/second

AIRBORNE GAMMARAY SPECTROMETER:

Pico-Envirotec GRS-10 multi-channel gamma-ray spectrometer with 16.8 liters "downward looking" NaI sensor and 4.2 litres "upward looking" NaI sensor
Sampling Rate: 1 reading/second
Sensor Height: Nominal 60 m above ground level

DATA ACQUISITION SYSTEM:

Pico-Envirotec ADAS Data Acquisition System

DIGITAL IMAGING SYSTEM:

Dan-Tech Geo-MAGix Colour Digital Imaging System

AIRBORNE NAVIGATION SYSTEM:

AGNAV navigation system
CMI-Wireless DGPSNav receiver
Pilot steering and navigation computer

BASE STATION SYSTEMS:

Pico-Envirotec GMAG magnetometer base station with Geometrics G-822A cesium magnetometer
Sample Interval: 0.1 second
Sensitivity: 0.0005 nT
Noise Level: +/- 0.001 nT

GEM GSM-19T Backup Basestation Proton Magnetometer
Sample Interval: 1 second
Sensitivity: 0.1 nT

Novatel Millenium GPS Base Station
Sample Interval: 1 second

Topographic Legend:

Lake
River
Topography

Scale 1:100000

2000 0 2000 4000 6000
metres

McPHAR

Omegalpha Inc.
Flight Path Map with Topography
Centre Cage Zone
Kangiqsualujjuaq, Quebec, Canada
High Resolution Helicopter-Borne Magnetic & Gamma Ray Spectrometry Survey
McPhar Geosurveys Ltd.

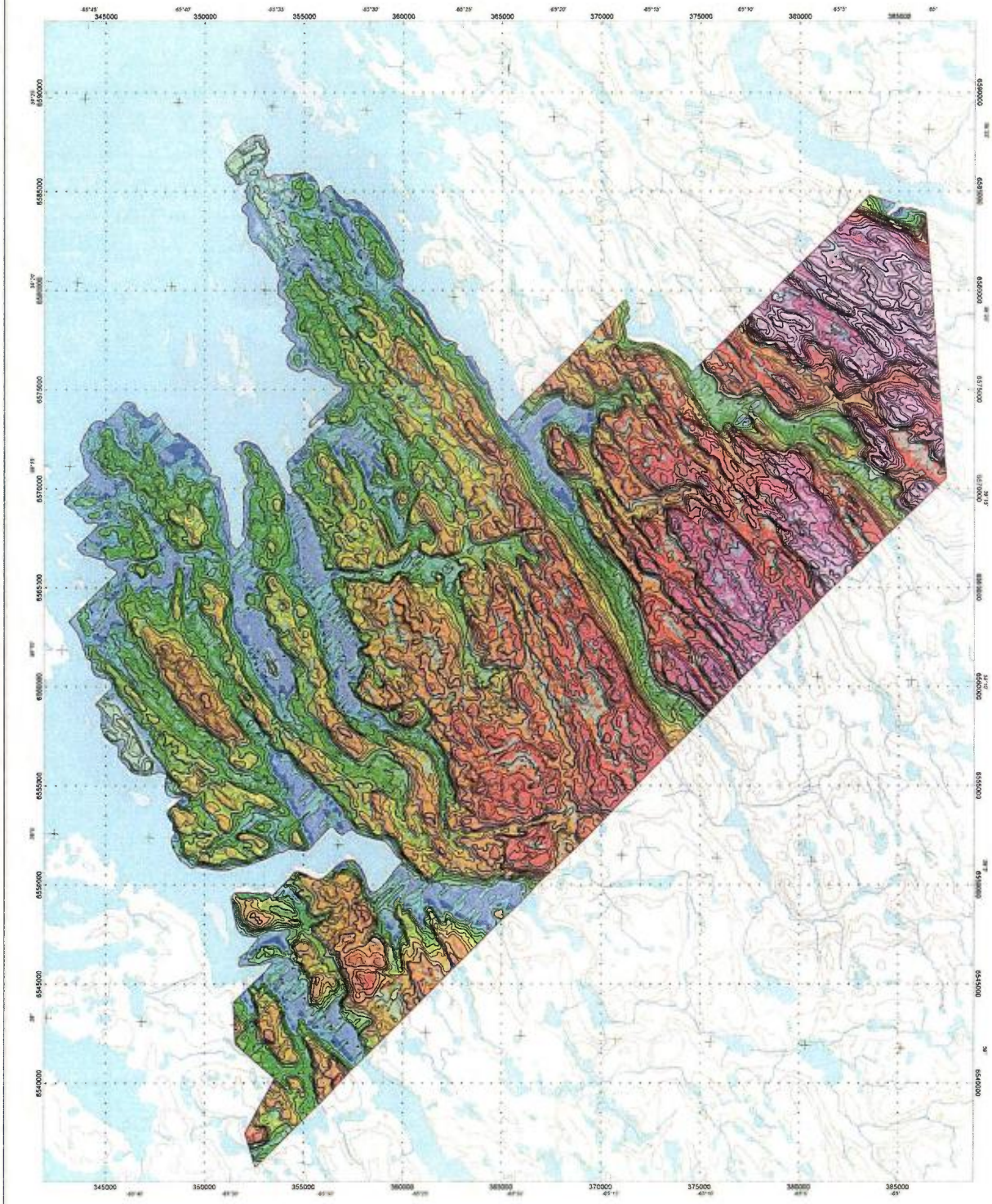

LEGEND

Helicopter Type: McDonald Douglas MD500E
Helicopter Registration: N124AL
Survey Period: August, 2006

SURVEY PARAMETERS:

Mean Terrain Clearance: 50 (Helicopter)
Traverse Line Spacing: 150 m
Traverse Line Direction: 45°
Control Line Spacing: 1500 m
Control Line Direction: 135°

AIRBORNE MAGNETOMETER SYSTEM:

Geometrics G-822A Cesium Magnetometer
Sensitivity: 0.0005 nT
Noise Level: +/- 0.001 nT
Sensor Height: Nominally 50 m above ground level
Sensor Location: Mounted in rigid-boom stinger
Sampling Rate: 20 readings/second

AIRBORNE GAMMARAY SPECTROMETER:

Pico-Envirotec GRS-10 multi-channel gamma-ray spectrometer with 16.8 litres "downward looking" NaI sensor and 4.2 litres "upward looking" NaI sensor
Sampling Rate: 1 reading/second
Sensor Height: Nominal 50 m above ground level

DATA ACQUISITION SYSTEM:

Pico-Envirotec AGIS Data Acquisition System

DIGITAL IMAGING SYSTEM:

Dev-Tech Geo-IMAGe Colour Digital Imaging System

AIRBORNE NAVIGATION SYSTEM:

AGNAV navigation system
CSI-Wireless DGPSMax reciever
Pilot steering and navigation computer

BASE STATION SYSTEMS:

Pico-Envirotec OMAG magnetometer base station with Geometrics G-822A cesium magnetometer
Sample Interval: 0.1 second
Sensitivity: 0.0005 nT
Noise Level: +/- 0.001 nT

GEM GSM-19T Backup Basestation Proton Magnetometer
Sample Interval: 1 second
Sensitivity: 0.1 nT

Novatel Millenium GPS Base Station
Sample Interval: 1 second

Topographic Legend:

Lake
River
Topography

Contour Legend:

5 metre
25 metre
100 metre

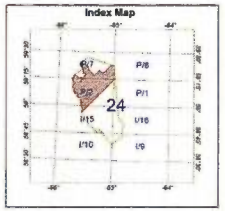

Scale 1:100000

2000 0 2000 4000 6000
metres

McPHAR

Omegalpha Inc.

Digital Terrain Model Calculated from Survey Data
Centre Cage Zone
Kangiqsualujjuaq, Quebec, Canada

High Resolution Helicopter-Borne
Magnetic & Gamma Ray Spectrometry Survey

McPhar Geosurveys Ltd.

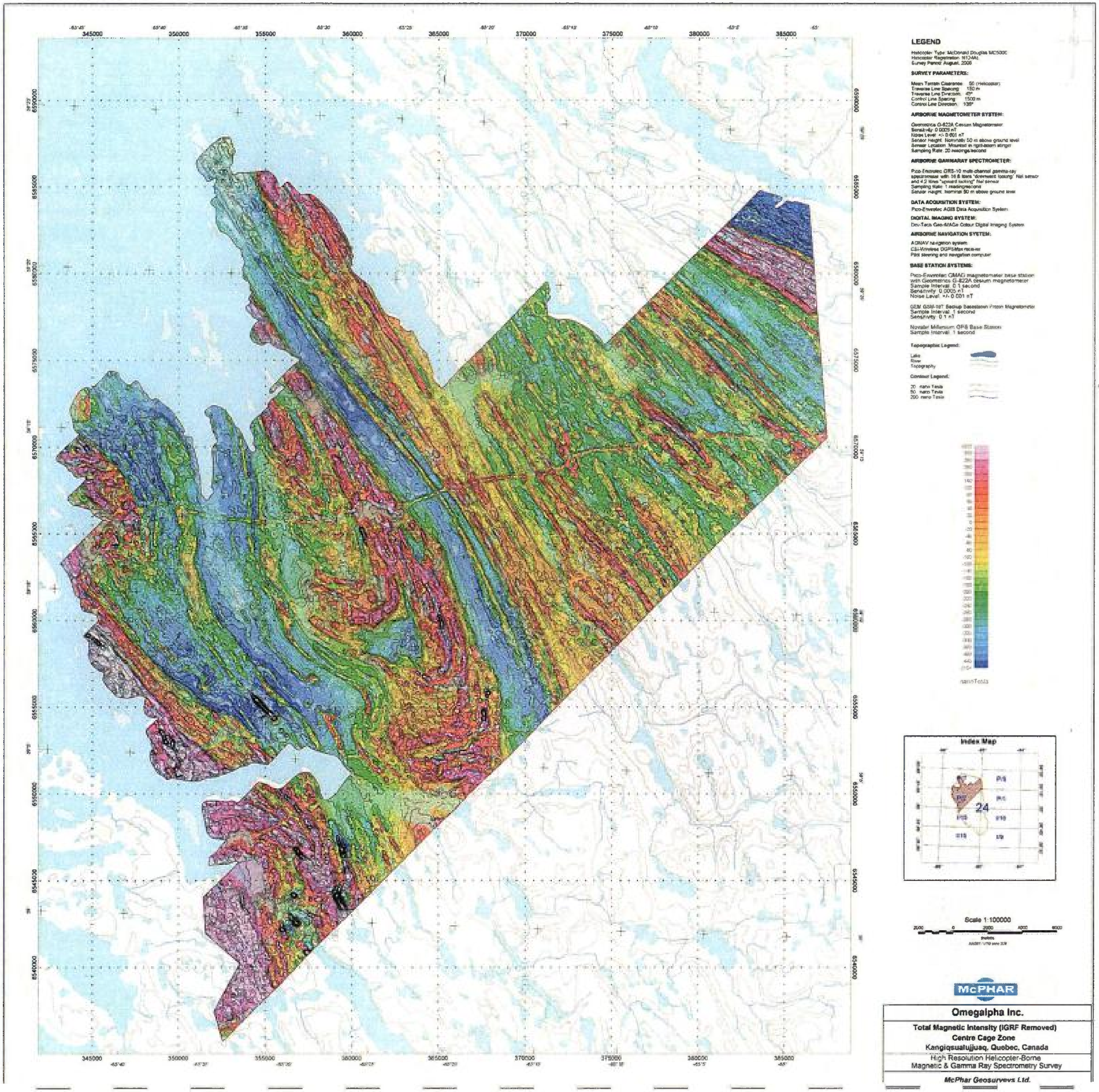
LEGEND
Helicopter Type: McDonald Douglas MD500E
Helicopter Registration: N174AL
Survey Period: August, 2006
SURVEY PARAMETERS:
Mean Terrain Clearance: 50 (Helicopter)
Traverse Line Spacing: 150 m
Traverse Line Direction: 45°
Control Line Spacing: 1500 m
Control Line Direction: 135°
AIRBORNE MAGNETOMETER SYSTEM:
Geometrics G-822A Cesium Magnetometer
Sensitivity: 0.0005 nT
Noise Level: +/- 0.001 nT
Sensor Height: Nominally 50 m above ground level
Sensor Location: Mounted in rigid-boom stinger
Sampling Rate: 20 readings/second
AIRBORNE GAMMARAY SPECTROMETER:
Pico-Envirotec GRS-10 multi-channel gamma-ray spectrometer with 16.8 litres "downward looking" NaI sensor and 4.2 litres "upward looking" NaI sensor
Sampling Rate: 1 reading/second
Sensor Height: Nominal 50 m above ground level
DATA ACQUISITION SYSTEM:
Pico-Envirotec AGIS Data Acquisition System
DIGITAL IMAGING SYSTEM:
Dev-Tech Geo-iMAGe Colour Digital Imaging System
AIRBORNE NAVIGATION SYSTEM:
AGNAV navigation system
CSI-Wireless DGPSMax receiver
Pilot steering and navigation computer
BASE STATION SYSTEMS:
Pico-Envirotec GMAG magnetometer base station with Geometrics G-822A cesium magnetometer
Sample Interval: 0.1 second
Sensitivity: 0.0005 nT
Noise Level: +/- 0.001 nT
GEM GSM-19T Backup Basestation Proton Magnetometer
Sample Interval: 1 second
Sensitivity: 0.1 nT
Novatel Millenium GPS Base Station
Sample Interval: 1 second
Topographic Legend:
Lake
River
Topography
Contour Legend:
20 nano Tesla
50 nano Tesla
200 nano Tesla
nanoTesla
Index Map
24
Scale 1:100000
2000
0
2000
4000
6000
McPHAR
Omegalpha Inc.
Total Magnetic Intensity (IGRF Removed)
Centre Cage Zone
Kangiqsualujjuaq, Quebec, Canada
High Resolution Helicopter-Borne
Magnetic & Gamma Ray Spectrometry Survey
McPhar Geosurveys Ltd.
345000
350000
355000
360000
365000
370000
375000
380000
385000
6590000
6585000
6580000
6575000
6570000
6565000
6560000
6555000
6550000
6545000
6540000

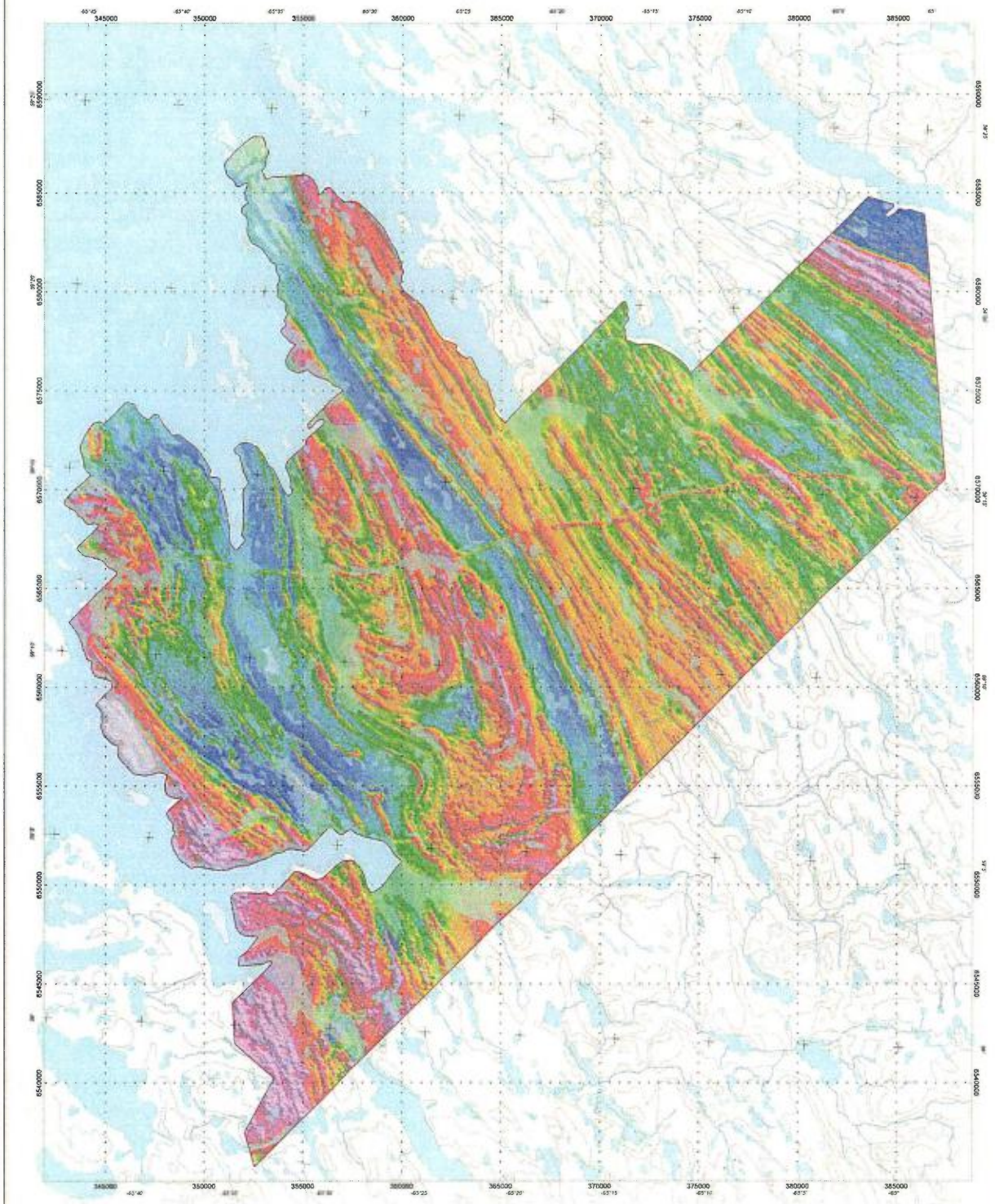

LEGEND

Helicopter Type: McDonald Douglas MD3206
Helicopter Registration: N124AL
Survey Period: August, 2006

SURVEY PARAMETERS:

Mean Terrain Clearance: 50 (Helicopter)
Traverse Line Spacing: 150 m
Traverse Line Direction: 45°
Control Line Spacing: 1500 m
Control Line Direction: 135°

AIRBORNE MAGNETOMETER SYSTEM:

Geometrics G-822A Cesium Magnetometer
Sensitivity: 0.0005 nT
Noise Level: +/- 0.001 nT
Sensor Height: Nominally 50 m above ground level
Sensor Location: Mounted in rigid boom stinger
Sampling Rate: 20 readings/second

AIRBORNE GAMMARAY SPECTROMETER:

Pico-Envirotec GRS-10 multi-channel gamma-ray spectrometer with 16.8 litres "downward looking" NaI sensor and 4.2 litres "upward looking" NaI sensor
Sampling Rate: 1 reading/second
Sensor Height: Nominal 50 m above ground level

DATA ACQUISITION SYSTEM:

Pico-Envirotec AGIS Data Acquisition System

DIGITAL IMAGING SYSTEM:

Dev-Tech Geo-4/AQe Colour Digital Imaging System

AIRBORNE NAVIGATION SYSTEM:

AGNAV navigation system
CSI-Wireless DGPSNav receiver
Pilot steering and navigation computer

BASE STATION SYSTEMS:

Pico-Envirotec GMAG magnetometer base station with Geometrics G-822A cesium magnetometer
Sample Interval: 0.1 second
Sensitivity: 0.0005 nT
Noise Level: +/- 0.001 nT

GSM GSM-19T Backup Seamstation Proton Magnetometer
Sample Interval: 1 second
Sensitivity: 0.1 nT

Novatel Millenium GPS Base Station
Sample Interval: 1 second

Topographic Legend:

Lake
River
Topography

Scale 1:100000

2000 0 2000 4000 6000
metres

McPHAR

Omegalpha Inc.

Total Magnetic Intensity (IGRF Removed)
Centre Cage Zone
Kangiqsualujjuaq, Quebec, Canada

High Resolution Helicopter-Borne
Magnetic & Gamma Ray Spectrometry Survey

McPhar Geosurveys Ltd.

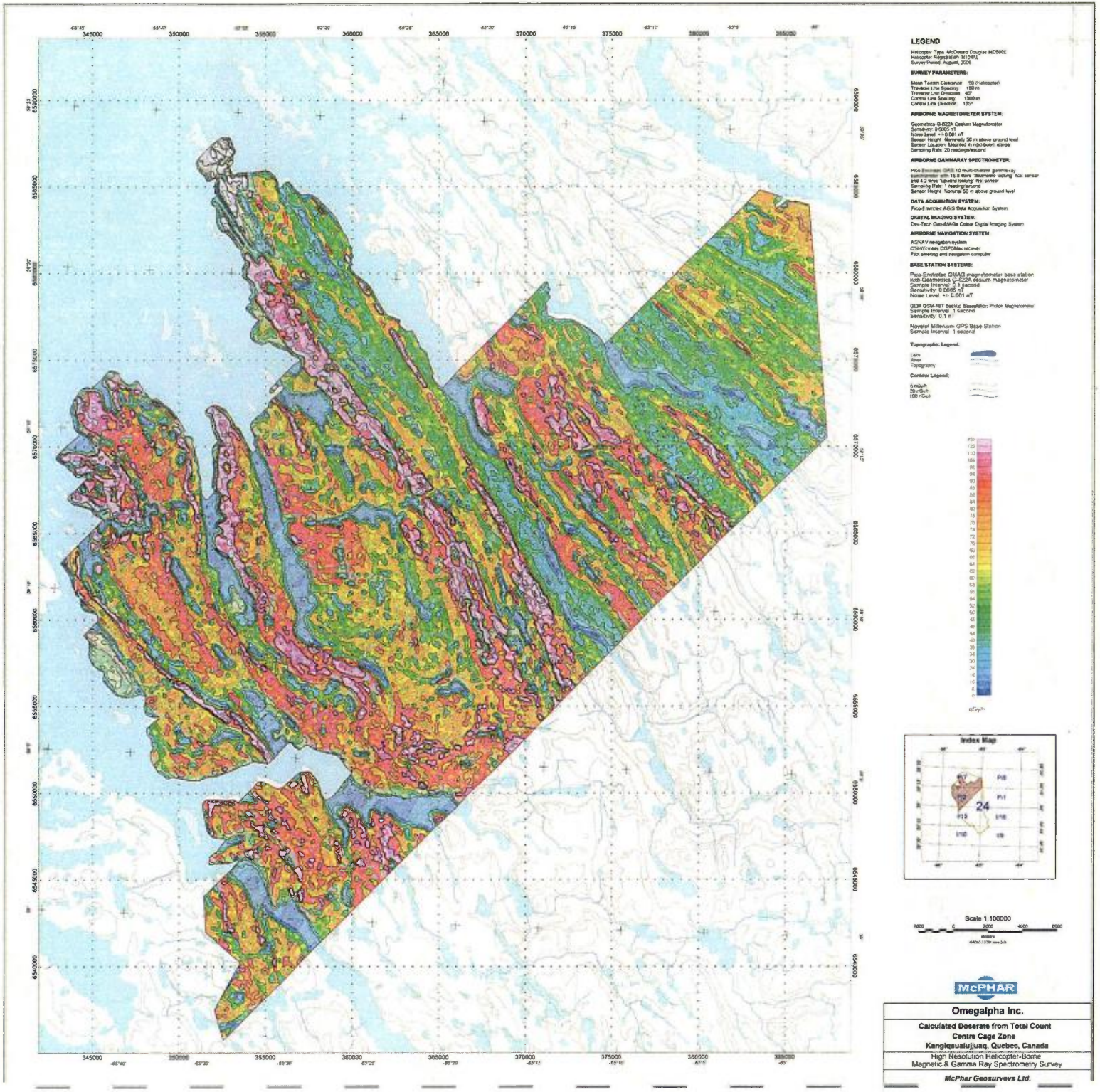

LEGEND

Helicopter Type: McDonnell Douglas MD500E
Helicopter Registration: H124N
Survey Period: August, 2006

SURVEY PARAMETERS:

Mean Terrain Clearance: 50 (Helicopter)
Traverse Line Spacing: 100 m
Traverse Line Direction: 49°
Control Line Spacing: 1300 m
Control Line Direction: 139°

AIRBORNE MAGNETOMETER SYSTEM:

Geometrics G-822A Cesium Magnetometer
Sensitivity: 0.0005 nT
Noise Level: +/- 0.001 nT
Sensor Height: Nominally 50 m above ground level
Sensor Location: Mounted in rigid boom stinger
Sampling Rate: 20 readings/second

AIRBORNE GAMMARAY SPECTROMETER:

Pico-Envirotec GRS 10 multi-channels gamma-ray spectrometer with 16.8 liters "downward looking" Nal sensor and 4.2 liters "Upward looking" Nal sensor
Sampling Rate: 1 reading/second
Sensor Height: Nominal 50 m above ground level

DATA ACQUISITION SYSTEM:

Pico-Envirotec AGIS Data Acquisition System

DIGITAL IMAGING SYSTEM:

Dev-Tech Geo-MAGs Colour Digital Imaging System

AIRBORNE NAVIGATION SYSTEM:

AGNAV navigation system
CSI-Wireless DGPSNav receiver
Pilot steering and navigation computer

BASE STATION SYSTEMS:

Pico-Envirotec GR6AQ magnetometer base station with Geometrics G-822A cesium magnetometer
Sample Interval: 0.1 second
Sensitivity: 0.0005 nT
Noise Level: +/- 0.001 nT

GEM GSM-19T Backup Base station: Proton Magnetometer
Sample Interval: 1 second
Sensitivity: 0.1 nT

Novatel Millenium GPS Base Station
Sample Interval: 1 second

Topographic Legend:

Lake
River
Topography

Contour Legend:

6 nGy/h
30 nGy/h
100 nGy/h

nGy/h

Scale 1:100000

2000 0 2000 4000 6000
Meters

McPHAR

Omegalpha Inc.
Calculated Doserate from Total Count Centre Cage Zone Kangiqsualujjuaq, Quebec, Canada
High Resolution Helicopter-Borne Magnetic & Gamma Ray Spectrometry Survey
McPhar Geosurveys Ltd.

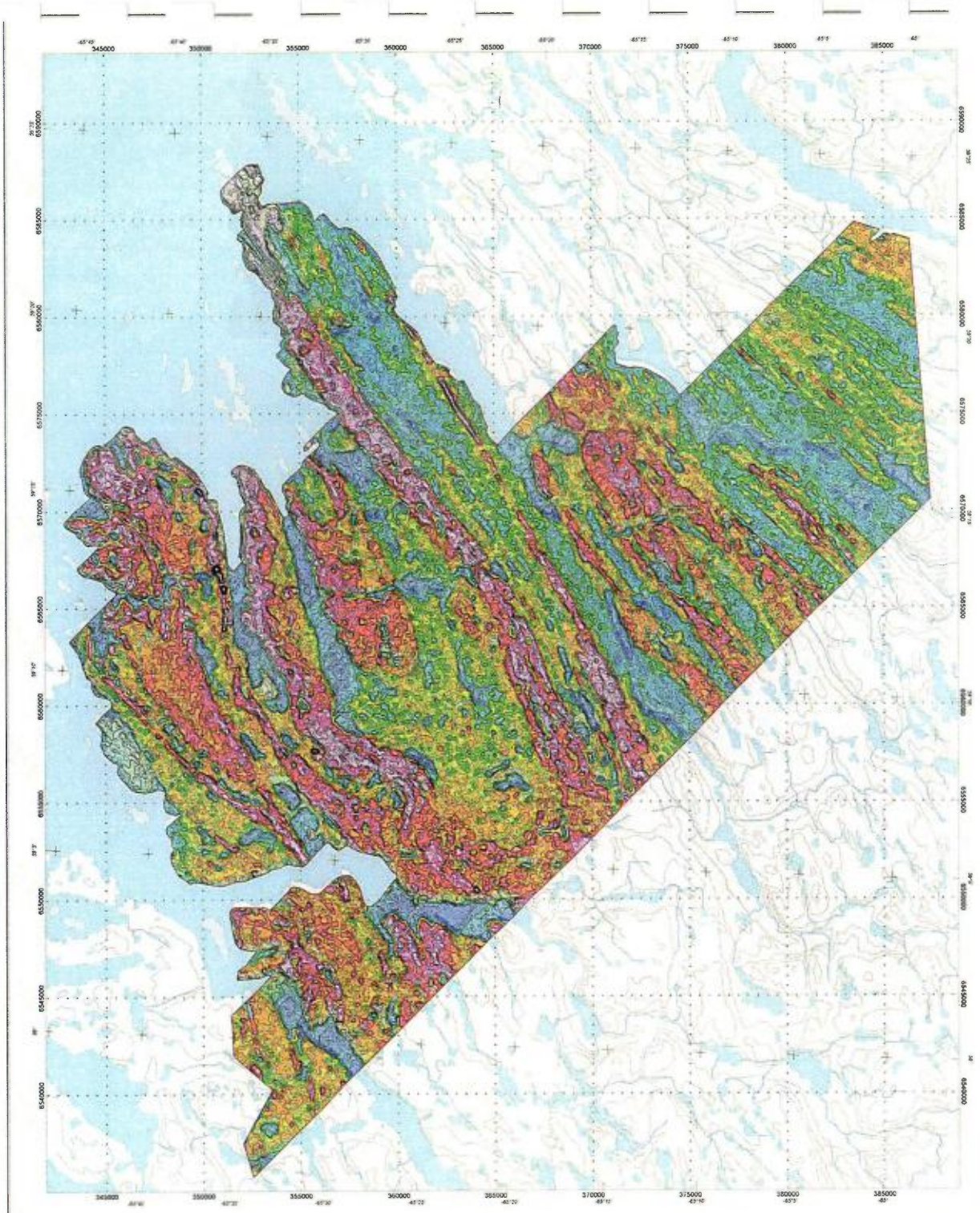

LEGEND

Helicopter Type: McDonald Douglas MD500E
Helicopter Registration: N174AL
Survey Period: August, 2006

SURVEY PARAMETERS:

Mean Terrain Clearance: 80 (Helicopter)
Traverse Line Spacing: 150 m
Traverse Line Direction: 45°
Control Line Spacing: 1500 m
Control Line Direction: 135°

AIRBORNE MAGNETOMETER SYSTEM:

Geometrics G-822A Cesium Magnetometer
Sensitivity: 0.0005 nT
Noise Level: +/- 0.001 nT
Sensor Height: Nominally 30 m above ground level
Sensor Location: Mounted in rigid-boom stinger
Sampling Rate: 20 readings/second

AIRBORNE GAMMARAY SPECTROMETER:

Pico-Envirotec GRS-10 multi-channel gamma-ray spectrometer with 16.8 liters "downward looking" Nal sensor and 4.2 liters "upward-looking" Nal sensor
Sampling Rate: 1 reading/second
Sensor Height: Nominal 80 m above ground level

DATA ACQUISITION SYSTEM:

Pico-Envirotec AGIS Data Acquisition System

DIGITAL IMAGING SYSTEM:

Dev-Tech Geo-IMAGe Colour Digital Imaging System

AIRBORNE NAVIGATION SYSTEM:

AGNAV navigation system
CSI Wireless DGPSMax receiver
Pilot steering and navigation computer

BASE STATION SYSTEMS:

Pico-Envirotec GMAG magnetometer base station with Geometrics G-822A cesium magnetometer
Sample Interval: 0.1 second
Sensitivity: 0.0005 nT
Noise Level: +/- 0.001 nT

GEM GSM-19T Backup Basestation Proton Magnetometer
Sample Interval: 1 second
Sensitivity: 0.1 nT

Novatel Millenium GPS Base Station
Sample Interval: 1 second

Topographic Legend:

Lake
River
Topography

Contour Legend:

0.1 ppm
0.5 ppm
2.5 ppm

parts per million

Index Map

Scale 1:100000

metres

McPHAR

Omegalpha Inc.

Apparent Concentration of Uranium (eU)
Centre Cage Zone
Kangiqsualujjuaq, Quebec, Canada
High Resolution Helicopter-Borne
Magnetic & Gamma Ray Spectrometry Survey

McPhar Geosurveys Ltd.

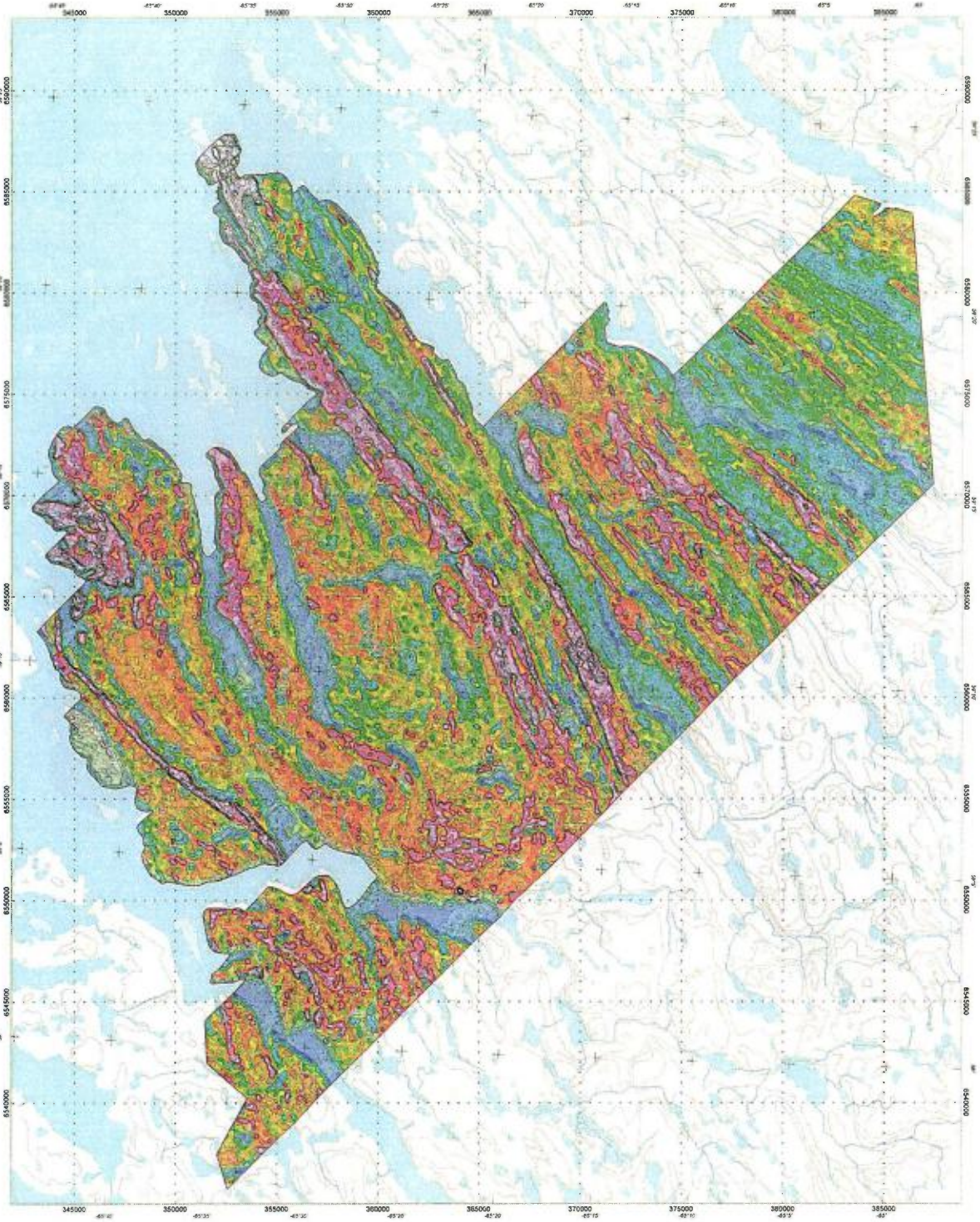

LEGEND

Helicopter Type: McDonald Douglas MD500E
Helicopter Registration: N124AL
Survey Period: August, 2002

SURVEY PARAMETERS:

Mean Terrain Clearance: 50 (Helicopter)
Traverse Line Spacing: 150 m
Traverse Line Direction: 45°
Control Line Spacing: 1500 m
Control Line Direction: 135°

AIRBORNE MAGNETOMETER SYSTEM:

Geometrics G-822A Cesium Magnetometer
Sensitivity: 0.0005 nT
Noise Level: +/- 0.001 nT
Sensor Height: Nominally 50 m above ground level
Sensor Location: Mounted in rigid-boom stinger
Sampling Rate: 20 readings/second

AIRBORNE GAMMARAY SPECTROMETER:

Pico-Envirotec GRS-10 multi-channel gamma-ray spectrometer with 16.8 liters "downward looking" NaI sensor and 4.2 litres "upward looking" NaI sensor
Sampling Rate: 1 reading/second
Sensor Height: Nominal 50 m above ground level

DATA ACQUISITION SYSTEM:

Pico-Envirotec AGIS Data Acquisition System

DIGITAL IMAGING SYSTEM:

Dini-Tech Geo-IMAGe Colour Digital Imaging System

AIRBORNE NAVIGATION SYSTEM:

AGNAV navigation system
CSI-Wireless DGPSMax receiver
Pilot steering and navigation computer

BASE STATION SYSTEMS:

Pico-Envirotec GMAG magnetometer base station with Geometrics G-822A cesium magnetometer
Sample Interval: 0.1 second
Sensitivity: 0.0005 nT
Noise Level: +/- 0.001 nT

GEM GSM-19T Backup Basestation Proton Magnetometer
Sample Interval: 1 second
Sensitivity: 0.1 nT

Novatel Millenium GPS Base Station
Sample Interval: 1 second

Topographic Legend:

Lake
River
Topography

Contour Legend:

1 ppm
5 ppm
20 ppm

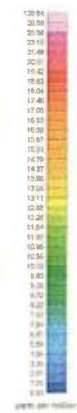

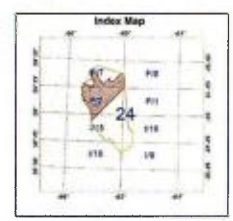

Scale 1:100000

2000 0 2000 4000 6000
metres

McPHAR

Omegalpha Inc.

Apparent Concentration of Thorium (eTh)
Centre Cage Zone
Kangiqsualujjuaq, Quebec, Canada

High Resolution Helicopter-Borne
Magnetic & Gamma Ray Spectrometry Survey

McPhar Geosurveys Ltd.

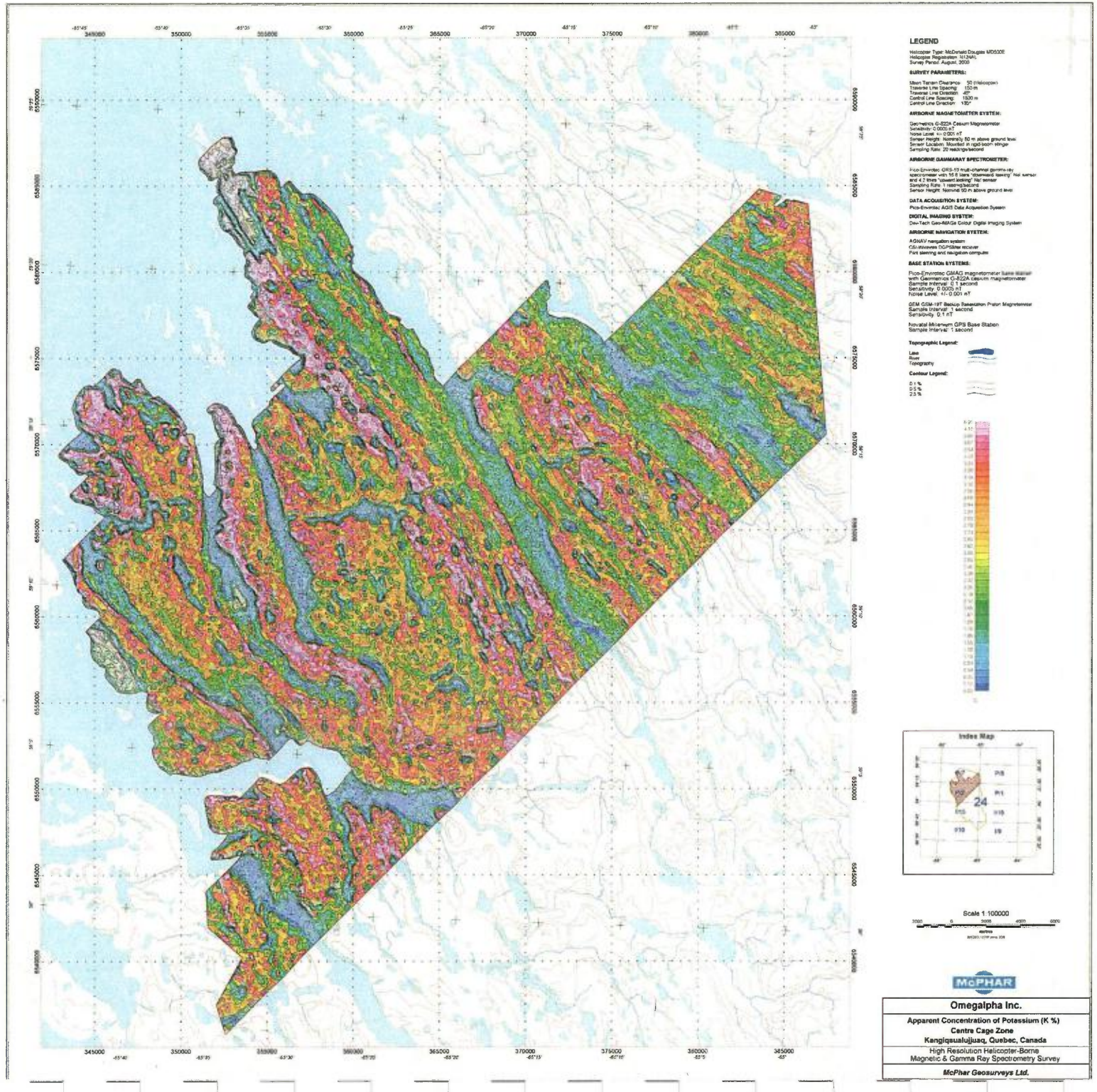

LEGEND

Helicopter Type: McDonald Douglas MD500E
Helicopter Registration: N124AN
Survey Period: August, 2003

SURVEY PARAMETERS:

Mean Terrain Clearance: 50 (Helicopter)
Traverse Line Spacing: 150 m
Traverse Line Direction: 45°
Control Line Spacing: 1800 m
Control Line Direction: 135°

AIRBORNE MAGNETOMETER SYSTEM:

Geometrics G-822A Cesium Magnetometer
Sensitivity: 0.0005 nT
Noise Level: +/- 0.001 nT
Sensor Height: Nominally 50 m above ground level
Sensor Location: Mounted in rigid boom fairing
Sampling Rate: 20 readings/second

AIRBORNE GAMMARAY SPECTROMETER:

Pico-Envirotec GRS-10 multi-channel gamma-ray spectrometer with 16.8 liters "downward looking" NaI sensor and 4.2 litres "upward looking" NaI sensor
Sampling Rate: 1 reading/second
Sensor Height: Nominal 50 m above ground level

DATA ACQUISITION SYSTEM:

Pico-Envirotec AGIS Data Acquisition System

DIGITAL IMAGING SYSTEM:

Dew-Tech Geo-MAGs Colour Digital Imaging System

AIRBORNE NAVIGATION SYSTEM:

AGNAV navigation system
C&I-Wireless DGPS/Beo receiver
Pilot steering and navigation computer

BASE STATION SYSTEMS:

Pico-Envirotec GMAG magnetometer base station with Geometrics G-822A cesium magnetometer
Sample Interval: 0.1 second
Sensitivity: 0.0005 nT
Noise Level: +/- 0.001 nT

GEM GSM-19T Backup Basestation Proton Magnetometer
Sample Interval: 1 second
Sensitivity: 0.1 nT

Novatel Millenium GPS Base Station
Sample Interval: 1 second

Topographic Legend:

Lake
River
Topography

Contour Legend:

0.1 %
0.5 %
2.5 %

Index Map

Scale 1:100000

McPHAR

Omegalpha Inc.

Apparent Concentration of Potassium (K %)
Centre Cage Zone
Kangiqsualujjuaq, Quebec, Canada

High Resolution Helicopter-Borne
Magnetic & Gamma Ray Spectrometry Survey

McPhar Geosurveys Ltd.

ANNEXE K

URANOR

CERTIFICATS D'ANALYSE DU *SASKATCHEWAN RESEARCH COUNCIL (SRC)*

OMÉGALPHA

ANNEXE K

16. VÉRIFICATION DES DONNÉES

Les analyses proviennent du Saskatchewan Research Council, Analytical Laboraties. Ce laboratoire est précisément spécialisé dans les analyses de l'uranium à cause des gisements de types discordance qui se trouvent dans la province. Ce laboratoire utilise une procédure de contrôle de qualité fiable.

L'annexe K présente les résultats des analyses géochimiques arrivées du laboratoire SRC. Les numéros (1ère colonne) apparaissant sur ces tableaux n'apparaissent pas sur les cartes.

- Les lettres GM et GS n'ont pas d'autre signification que de référer à des numéros de chaudières lors de l'expédition;
- Les chiffres correspondent au numéro des carnets à souche (tableau XXX);
- Les numéros CGXXX/LS4 sont des standards;
- Les numéros se terminant avec un R sont des doublons (en anglais répliques).

On y retrouve donc les standards analysés par le laboratoire ainsi que des répliques de certaines analyses que l'analyste a choisi de refaire. La vérification montre qu'il n'y a pas de variation statistiquement significative de ces analyses.

En introduction à cette annexe, on retrouve le tableau de correspondance entre les numéros des souches (SRC) et les numéros des échantillons apparaissant sur les cartes du rapport. Il faut noter que certaines analyses ne proviennent pas de ce projet et ne sont pas identifiées dans le tableau des correspondances # coupons et # échantillons.

ANNEXE K

CORRESPONDANCE # Coupons et # échantillons

No Coupon	No Échantillon	Type de station	Easting (NAD 83)	Northing (NAD 83)	Zone	RA Échantillon c/s	Lithologie	Analyse	Contenant pour envoi lab
1	CG06-01-01 (ANA)	Affleurement	346619	6560067	20	150	Pegmatite	oui	Analyse GS #5
2	CG06-01-02A (LM, ANA)	Affleurement	346625	6560002	20	130	Pegmatite	oui	Analyse GS #5
3	CG06-01-02B (ANA)	Affleurement	346625	6560002	20	55	Pegmatite	oui	Analyse GS #5
4	CG06-01-04	Affleurement	346998	6559735	20		Marbre calcitique	non	
5	CG06-01-05	Affleurement	347118	6559607	20		Marbre	non	
6	CG06-02-01	Affleurement	348424	6558656	20		Marbre calcitique	non	
7	CG06-02-06A (ANA)	Affleurement	348560	6558769	20	625	Paragneiss	oui	Analyse GS #5
8	CG06-02-06A'	Affleurement	348560	6558769	20	625	Paragneiss	non	
9	CG06-02-06A" (LP)	Affleurement	348560	6558769	20	625	Paragneiss	oui	
10	CG06-02-07A	Affleurement	348585	6558781	20	250	Paragneiss	non	
11	CG06-02-07A' (ANA)	Affleurement	348585	6558781	20	250	Paragneiss	oui	Analyse GS #5
12	CG06-02-07A" (LM)	Affleurement	348585	6558781	20	250	Paragneiss	non	
13	CG06-03-03	Affleurement	351500	6556196	20		roche calco-silicatée	non	
14	CG06-03-07 (ANA)	Affleurement	351801	6556275	20	725	Pegmatite	oui	Analyse GS #5
15	CG06-04-04 (ANA)	Affleurement	351890	6556273	20	675	Pegmatite	oui	Analyse GS #5
16	CG06-04-09 (ANA)	Affleurement	351977	6556213	20	210	Pegmatite	oui	Analyse GS #5
17	CG06-05-02 (ANA)	Affleurement	352448	6556210	20	100	Pegmatite	oui	Analyse GS #5
18	CG06-05-03A (ANA)	Affleurement	352411	6556199	20	225	Pegmatite	oui	Analyse GS #5
19	CG06-06-04	Affleurement	349346	6557889	20	50	Grès quartzitique	non	
20	CG06-06-07A (ANA)	Affleurement	349737	6557576	20	880	Marbre calcitique	oui	Analyse GS #5
21	CG06-06-07A'	Affleurement	349737	6557576	20	880	Marbre calcitique	non	
22	CG06-07-03 (LM, ANA)	Affleurement	357785	6567624	20	325	Marbre calcitique	oui	Analyse GS #5
23	CG06-07-10	Affleurement	358419	6568045	20	50	Paragneiss	non	
24	CG06-07-11 (ANA)	Affleurement	358801	6568213	20	660	Paragneiss	oui	Analyse GS #6
25	CG06-09-06	Affleurement	362787	6566850	20	55	Gneiss granitique	non	
26	CG06-09-11	Affleurement	363328	6567203	20	70	Paragneiss	non	
27	CG06-15-01	Affleurement	347419	6566679	20	60	Gneiss granitique	non	
28	CG06-15-03	Affleurement	347757	6566671	20	60	Marbre	non	
29	CG06-15-04C	Affleurement	347871	6566723	20	65	Grès quartzitique	non	
30	CG06-15-05A (LM)	Affleurement	347923	6566753	20	50	Grès quartzitique	non	
31	CG06-15-10A	Affleurement	347654	6567448	20	1700	Pegmatite	oui	Analyse GS #5
32	CG06-15-10B	Affleurement	347654	6567448	20		Marbre	non	
33	CG06-15-13A (LM)	Affleurement	347362	6567592	20	107	Paragneiss	non	
34	CG06-17-07A (LP, ANA)	Affleurement	350494	6569337	20	1675	Pegmatite	oui	Analyse GS #5
35	CG06-17-09A'	Affleurement	350662	6569117	20	15000	Roche calco-silicatée	non	
35	CG06-17-09A"'	Affleurement	350662	6569117	20	1500	Marbre	non	
35	CG06-17-09A"' (LP, ANA)	Affleurement	350662	6569117	20	3900	Marbre	oui	Analyse GS #5
36	CG06-17-11D	Affleurement	350645	6568477	20		Grès	non	
37	CG06-17-13A	Affleurement	350492	6568248	20		roche calco-silicatée	non	
38	CG06-17-16A (LP, ANA)	Affleurement	350359	6567679	20	900	Roche calco-silicatée	non	
38	CG06-17-16A (LP, ANA)	Affleurement	350359	6567679	20	2200	Roche calco-silicatée	oui	Analyse GS #5
39	CG06-18-04 (ANA)	Affleurement	346073	6569647	20	65	Pegmatite	oui	Analyse GS #5
40	CG06-02-03	Affleurement	348404	6558591	20		roche calco-silicatée	non	

ANNEXE K

CORRESPONDANCE # Coupons et # échantillons

No Coupon	No Échantillon	Type de station	Easting (NAD 83)	Northing (NAD 83)	Zone	RA Échantillon c/s	Lithologie	Analyse	Contenant pour envoi lab
41	CG06-18-07	Affleurement	346179	6569252	20		Marbre	non	
42	CG06-19-05B (LM)	Affleurement	345689	6565040	20		Marbre	non	
43	CG06-19-05	Affleurement	345689	6565040	20		Paragneiss	non	
44	CG06-19-06	Affleurement	346009	6565236	20		Gneiss	non	
45	CG-06-20-08 (ANA)	Affleurement	350475	6567335	20	18000	Quartzite	oui	Analyse GM #1
46	CG-06-21-12	Affleurement	351700	6478720	20		Pegmatite	non	
47	CG-06-21-13	Affleurement	351703	6478712	20	780	Pegmatite	non	
48	CG-06-24-03	Affleurement	346590	6564710	20		gneiss quartzo-feldspathique	non	
49	CG-06-24-05	Affleurement	346695	6564885	20	1250	Pegmatite	non	
50	CG-06-24-08	Affleurement	347227	6565213	20		Orthogneiss	non	
51	CA06-1000-00 (indice Mario)(ANA)	Affleurement	355379	6558211	20	8000	Pegmatite	GM	Analyse GM #1
52	CA06-T-01-01 (ANA)	Rainurage	355380	6558212	20	<100	Marbre	GS	Analyse GS #1
53	CA06-T-01-02 (LP, ANA)	Rainurage	355379	6558211	20	5000	Roche calco-silicatée	GS	Analyse GS #1
54	CA06-T-01-03 (ANA)	Rainurage	355379	6558211	20	120	Marbre	GS	Analyse GS #1
55	CA06-T-01-04 (ANA)	Rainurage	355378	6558210	20	<100	Marbre	GS	Analyse GS #1
56	CA06-T-02-01 (ANA)	Rainurage	355367	6558228	20	<100	Marbre	GS	Analyse GS #1
57	CA06-T-02-02 (LP, ANA))	Rainurage	355367	6558228	20	150	Marbre	GS	Analyse GS #2
58	CA06-T-02-03 (ANA)	Rainurage	355366	6558227	20	<100	Marbre	GS	Analyse GS #2
59	CA06-T-02-04 (ANA)	Rainurage	355365	6558227	20	<100	Marbre	GS	Analyse GS #2
60	CA06-T-02-05 (ANA)	Rainurage	355364	6558226	20	<100	Marbre	GS	Analyse GS #2
61	CA06-T-02-06 (ANA)	Rainurage	355364	6558225	20	<100	Marbre	GS	Analyse GS #3
62	CA06-T-02-07 (ANA)	Rainurage	355363	6558225	20	<100	Marbre	GS	Analyse GS #3
63	CA06-T-03-01 (ANA)	Rainurage	355362	6558236	20	<100	Marbre	GS	Analyse GS #3
64	CA06-T-03-02 (ANA)	Rainurage	355361	6558236	20	<100	Marbre	GS	Analyse GS #3
65	CA06-T-03-03 (LP, ANA)	Rainurage	355361	6558236	20	550	Marbre	GM	Analyse GM #1
66	CA06-T-03-04 (ANA)	Rainurage	355360	6558235	20	<100	Marbre	GS	Analyse GS #3
67	CA06-T-04-01 (ANA)	Rainurage	355353	6558236	20	<100	Marbre	GS	Analyse GS #4
68	CA06-T-04-02 (LP, ANA)	Rainurage	355352	6558235	20	5300	Marbre	GM	Analyse GM #1
69	CA06-T-04-03 (ANA)	Rainurage	355352	6558234	20	<100	Marbre	GS	Analyse GS #4
70	CA06-T-05-01 (ANA)	Rainurage	355426	6558162	20	<100	Marbre	GS	Analyse GS #3
71	CA06-T-05-02 (LP, ANA)	Rainurage	355426	6558162	20	280	Marbre	GS	Analyse GS #4
72	CA06-T-05-03 (ANA)	Rainurage	355425	6558161	20	<100	Marbre	GS	Analyse GS #4
73	CA06-T-06-01 (LP, ANA)	Rainurage	355843	6557583	20	6500	Marbre	GM	Analyse GM #1
74	CA06-T-06-02 (LP, ANA)	Rainurage	355844	6557583	20	3500	Marbre	GM	Analyse GM #1
75	CA06-T-06-03 (ANA)	Rainurage	355845	6557584	20	<100	Marbre	GS	Analyse GS #6
76	CA06-T-06-04 (ANA)	Rainurage	355845	6557584	20	<100	Marbre	GS	Analyse GS #6
77	CA06-T-06-05 (LP, ANA)	Rainurage	355846	6557585	20	190	Marbre	GM	Analyse GM #1
78	CA06-T-06-06 (ANA)	Rainurage	355847	6557586	20	<100	Marbre	GS	Analyse GS #4
79	CA06-T-06-07 (ANA)	Rainurage	355848	6557586	20	200	Marbre	GS	Analyse GS #6
80	CA06-T-06-08 (ANA)	Rainurage	355848	6557587	20	150	Marbre	GS	Analyse GS #6
81	CG-06-24-09	Affleurement	347196	6565001	20		Orthogneiss	non	
82	CG-06-25-03	Bloc	347360	6572318	20	1500	Pegmatite	non	

ANNEXE K

CORRESPONDANCE # Coupons et # échantillons

No Coupon	No Échantillon	Type de station	Easting (NAD 83)	Northing (NAD 83)	Zone	RA Échantillon c/s	Lithologie	Analyse	Contenant pour envoi lab
83	CG06-25-18 (LM, ANA)	Affleurement	350010	6570822	20	1600	Pegmatite	oui	Analyse GM #1
84	CG06-12-10	Affleurement	387372	6512440	20		Paragneiss	non	
85	CG06-15-10B'	Affleurement	347654	6567448	20		Marbre	non	
86	CG06-15-10C	Affleurement	347654	6567448	20		Marbre	non	
87	CG-06-20-07	Affleurement	350477	6567368	20	350	Pegmatite	non	
88	CG-06-26-08	Affleurement	366931	6568673	20	1500	Pegmatite	non	
89	CG-06-26-09B	affleurement	366802	6568972	20		Granite	non	
90	CG-06-27-06 (ANA)	Affleurement	382674	6511263	20	425	Quartzite	oui	Analyse GS #5
91	CG-06-27-08 (LM, ANA)	Affleurement	382742	6511450	20	1500	Quartzite	oui	Analyse GS #5
92	CG-06-34-04	Affleurement	360823	6562183	20		Marbre calcitique	non	
93	CG-06-34-07	Affleurement	361072	6562725	20		gneiss quatzo-feldspathique	non	
94	CG-06-34-09	Affleurement	361210	6564280	20		Paragneiss à biotite	non	
95	CG-06-35-15	Affleurement	360519	6554505	20		Paragneiss	non	
96	CG-06-35-19	Affleurement	360298	6554012	20		Orthogneiss pegmatitique	non	
97	CG-06-36-01	Bloc	364129	6559243	20	2000	Pegmatite	non	
98	CG-06-36-02	Affleurement	363864	6559206	20		Granite pegmatitique	non	
99	CG-06-36-06 (LP, ANA)	Affleurement	362926	6558848	20	10001	Pegmatite	oui	Analyse GM #1
100	CG-06-37-02	Affleurement	360658	6544915	20		Gneiss granitique	non	
201	CG-06-37-06	Affleurement	360489	6544671	20		Méta-arkose	non	
202	CG-06-37-10	Affleurement	360241	6544508	20	10000	Pegmatite	non	
203	CG-06-37-11	Affleurement	360207	6544501	20		Gneiss granitique	non	
204	CG-06-37-18	Affleurement	359473	6544902	20		Gneiss granitique	non	
205	CG-06-37-20	Affleurement	358388	6544555	20		Paragneiss	non	
206	CG-06-38-03	Affleurement	368808	6560829	20	1500	Pegmatite	non	
207	CG-06-39-10A	Affleurement	351435	6559035	20		Granite	non	
208	CG-06-39-10B	Affleurement	351435	6559035	20		Pegmatite	non	
209	CG-06-41-02	Affleurement	367572	6565835	20		Orthogneiss granitique	non	
210	CG-06-41-08 (LM, ANA)	Affleurement	368504	6565378	20	2500	Orthogneiss pegmatitique	oui	Analyse GS #6
211	CG-06-41-14	Affleurement	368770	6565043	20		Orthogneiss granitique	non	
212	CG-06-43-03	Affleurement	353016	6476117	20		Paragneiss	non	
213	CG-06-44-04	Affleurement	348942	6476416	20	1250	Pegmatite	non	
214	CG06-44-06	Affleurement	348852	6476215	20	9000	Méta-arkose	non	
215	CG-06-45-12 (LP, ANA)	Affleurement	361488	6544843	20	27000	Marbre	oui	Analyse GM #2
216	CG-06-46-03	Affleurement	362631	6543544	20		Méta-arkose	non	
217	CG-06-47-01	Affleurement	367028	6557224	20		Orthogneiss	non	
218	CG-06-47-04 (LP, ANA)	Bloc	365924	6556951	20	3100	Granite gneissique	oui	Analyse GS #6
219	CG-06-45-12C	Affleurement	361545	6544854	20		Marbre	non	
220	CG-06-47-05 (LM, ANA)	Affleurement	365785	6556888	20	6000	Granite pegmatitique	oui	Analyse GS #6
221	CG-06-49-02	Affleurement	368195	6522618	20		Tonalite	non	
222	CG-06-50-11	Bloc	372469	6521679	20	2500	Pegmatite	non	
223	CG-06-51-24	Affleurement	360883	6544523	20		Paragneiss	non	
224	CG-06-51-47	Affleurement	361168	6545652	20		Paragneiss	non	

ANNEXE K

CORRESPONDANCE # Coupons et # échantillons

No Coupon	No Échantillon	Type de station	Easting (NAD 83)	Northing (NAD 83)	Zone	RA Échantillon c/s	Lithologie	Analyse	Contenant pour envoi lab
225	CG-06-53-01	Affleurement	372529	6554188	20		Gneiss à biotite	non	
226	CG-06-53-02	Affleurement	372522	6554566	20		Gneiss à biotite	non	
227	CG-06-53-03	Affleurement	372041	6554771	20		Monzonite	non	
228	CG-06-53-08	Affleurement	370255	6555819	20		Paragneiss	non	
229	CG06-54-01	Affleurement	358379	6553068	20		Paragneiss	non	
230	CG06-54-03	Affleurement	358625	6553218	20	150	Roche calco-silicatée	non	
231	CG06-54-04A	Affleurement	358962	6553579	20		Paragneiss	non	
232	CG06-54-04B	Affleurement	358962	6553579	20		Marbre	non	
233	CG06-54-05	Affleurement	359312	6553877	20		Marbre	non	
234	CG06-54-06A	Affleurement	359713	6554242	20		Marbre	non	
235	CG06-54-06B	Affleurement	359713	6554242	20		Marbre	non	
236	CG06-54-07	Affleurement	360102	6554440	20		Granite pegmatitique	non	
237	CG06-55-09	Affleurement	378052	6512060	20		Orthogneiss	non	
238	CG06-55-10B	Affleurement	378060	6512154	20		Orthogneiss	non	
239	CG06-55-22 (LM)	Affleurement	378604	6514097	20	260	Granite	non	
240	CG06-56-08	Affleurement	379930	6518654	20		Granite pegmatitique	non	
241	CG06-57-03	Affleurement	353523	6558606	20		Paragneiss	non	
242	CG06-57-08	Affleurement	353740	6550428	20		Quartzite	non	
243	CG06-57-10A (LM, ANA)	Affleurement	353490	6560594	20	1600	Marbre	oui	Analyse GS #6
244	CG06-57-10B (LP, ANA)	Affleurement	353490	6560594	20	4900	Marbre	oui	Analyse GM #2
245	CG06-58-17	Affleurement	351033	6560055	20		gneiss granitique	non	
246	CG06-58-23	Affleurement	351818	6560681	20		gneiss granitique	non	
247	CG06-60-01	Affleurement	388088	6525298	20		Paragneiss	non	
248	CG06-60-02A	Affleurement	387889	6525291	20		Paragneiss	non	
249	CG06-60-02B	Affleurement	387889	6525291	20	40	Quartzite	non	
250	CG06-60-03	Affleurement	387413	6524989	20		Paragneiss migmatisé	non	
251	CG06-60-05	Affleurement	386698	6524913	20		gneiss quartzo-feldspathique	non	
252	CG06-62-05 (LM, ANA)	Affleurement	357613	6536553	20	140	Granite	oui	Analyse GS #6
253	CG06-62-09A	Affleurement	359037	6535256	20		gneiss quartzo-feldspathique	non	
254	CG06-62-09B	Affleurement	359037	6535256	20		gneiss quartzo-feldspathique	non	
255	CG06-63-07	Affleurement	360028	6533297	20		Granite gneissique	non	
256	CG06-65-07A (LP, ANA)	Affleurement	353494	6560629	20	1800	Marbre	oui	Analyse GM #2
257	CG06-65-07B (LM)	Affleurement	353494	6560629	20		Roche calco-silicatée	non	
258	CG06-65-07C	Affleurement	353494	6560629	20		Granodiorite	non	
259	CG06-66-02	Affleurement	366712	6551182	20		Tonalite	non	
260	CG06-66-05	Affleurement	367796	6550922	20		Gneiss	non	
261	CG06-66-07	Affleurement	369815	6550905	20		Paragneiss	non	
262	CG06-66-09 (LM, ANA)	Affleurement	370687	6550461	20		Paragneiss	oui	Analyse GS #6
263	CG06-68-01	Affleurement	357199	6539656	20		gneiss à bt-hb-grenat	non	
264	CG06-68-03 (LP, ANA)	Affleurement	356112	6540211	20	420	Paragneiss	oui	Analyse GS #6

ANNEXE K

CORRESPONDANCE # Coupons et # échantillons

No Coupon	No Échantillon	Type de station	Easting (NAD 83)	Northing (NAD 83)	Zone	RA Échantillon c/s	Lithologie	Analyse	Contenant pour envoi lab
265	CG06-68-05	Affleurement	356031	6540021	20		Paragneiss	non	
266	CG06-68-07 (LP, ANA)	Affleurement	355768	6539812	20	650	Métawacke	oui	Analyse GS #6
267	CG06-70-05A	Affleurement	363093	6547405	20		Marbre	non	
268	CG06-70-05B (LM)	Affleurement	363093	6547405	20		Marbre	non	
269	CG06-71-01	Affleurement	365065	6548739	20		Paragneiss à biotite	non	
270	CG06-71-02	Affleurement	365014	6548646	20		Granite arkosé	non	
271	CG06-71-03	Affleurement	365034	6548569	20		Granite arkosé	non	
272	CG06-71-04	Affleurement	364990	6548558	20		Paragneiss	non	
273	CG06-71-05	Affleurement	365262	6548295	20		Paragneiss à biotite	non	
274	CG06-71-06	Affleurement	365318	6548102	20		Paragneiss	non	
275	CG06-72-03	Affleurement	360032	6547757	20		Paragneiss	non	
276	CG06-73-02	Affleurement	372469	6556687	20		Granite arkosé	non	
277	CG06-73-04	Affleurement	372182	6557685	20		amphibolite ou diabase	non	
278	CG06-75-04	Affleurement	361270	6528384	20		Granite	non	
279	CG06-75-07A	Affleurement	360873	6528960	20		Granite	non	
280	CG06-75-07B	Affleurement	360873	6528960	20		Granite	non	
281	CG06-75-09A	Affleurement	361124	6528676	20	300	Granite	non	
282	CG06-75-09B	Affleurement	361124	6528676	20		Granite	non	
283	CG06-75-09C	Affleurement	361124	6528676	20		Roche calco-silicatée	non	
284	CG06-76-04	Affleurement	365122	6530996	20		Pegmatite	non	
285	CG06-76-06	Affleurement	364904	6530784	20	420	Gneiss granitique	non	
286	CG06-76-08A (LP, ANA)	Affleurement	364740	6530600	20	1100	Paragneiss	oui	Analyse GS #6
287	CG06-76-08B	Affleurement	364740	6530600	20		Paragneiss	non	
288	CG06-76-12	Affleurement	364270	6530897	20		Paragneiss à biotite	non	
289	CG06-77-02	Affleurement	370250	6527411	20		Granite gneissique	non	
290	CG06-77-05B	Affleurement	370857	6527382	20		Granite gneissique	non	
291	CG06-77-08	Affleurement	371510	6527443	20		Paragneiss	non	
292	CG06-78-03	Affleurement	372748	6534892	20		Orthogneiss granitique	non	
293	CG06-78-05	Affleurement	373732	6533980	20		Gneiss	non	
294	CG06-78-08	Affleurement	374115	6533408	20		Méta-arkose	non	
295	CG06-78-12A	Affleurement	374203	6532990	20	120	Granite	non	
296	CG06-78-12B	Affleurement	374203	6532990	20		Gneiss à biotite	non	
297	CG06-78-13	Affleurement	374255	6532403	20	380	Pegmatite	oui	
298	CG06-78-14	Affleurement	374282	6532162	20		Gneiss	non	
299	CG06-78-15 (LP, ANA)	Affleurement	374553	6531833	20	1300	Pegmatite	oui	Analyse GS #7
300	CG-06-79-02 (LP, ANA)	Affleurement	362872	6551117	20	40001	Pegmatite	oui	Analyse GM #2
301	CG06-79-02B (ANA)	Affleurement	362872	6551117	20	6100	Pegmatite	oui	Analyse GM #2
302	CG06-79-04 (ANA)	Affleurement	362799	6551222	20	40001	Pegmatite	oui	Analyse GM #2
303	CG06-79-09 (ANA)	Affleurement	361497	6552380	20	18700	Gneiss granitique	oui	Analyse GM #2
304	CG06-80-05	Affleurement	353730	6570307	20		Quartzite	non	
305	CG06-80-07 (LM, ANA)	Affleurement	354063	6569297	20	115	Roche calco-silicatée	oui	Analyse GS #7
306	CG06-81-02	Affleurement	353369	6566032	20		Gneiss	non	
307	CG06-81-04	Affleurement	354680	6566062	20		Paragneiss à grenat	non	

ANNEXE K

CORRESPONDANCE # Coupons et # échantillons

No Coupon	No Échantillon	Type de station	Easting (NAD 83)	Northing (NAD 83)	Zone	RA Échantillon c/s	Lithologie	Analyse	Contenant pour envoi lab
308	CG06-82-02	Affleurement	360200	6546191	20		Gneiss granitique	non	
309	CG06-82-04 (ANA)	Affleurement	360098	6546076	20	102	Pegmatite	oui	Analyse GS #7
310	CG06-82-05A	Affleurement	360157	6545987	20		Granite	non	
311	CG06-82-06B	Affleurement	360111	6545885	20		Roche calco-silicatée	non	
312	CG06-82-09 (LM, ANA)	Affleurement	360175	6545690	20	225	Granite gneissique	oui	Analyse GS #7
313	CG06-83-01	Affleurement	361287	6528640	20		Orthogneiss granitique	non	
314	CG06-83-04	Bloc	361575	6528413	20		Gneiss granitique	non	
315	CG06-83-08 (LP, ANA)	Affleurement	362574	6528684	20	430	Granite	oui	Analyse GS #7
316	CG06-83-10	Affleurement	362631	6528967	20		Granite	non	
317	CG06-84-01	Affleurement	361308	6577489	20		Quartzite	non	
318	CG06-84-03	Affleurement	361656	6577719	20		Gneiss granitique	non	
319	CG06-84-11 (LM, ANA)	Affleurement	362505	6577121	20	220	Pegmatite	oui	
320	CG06-84-19	Affleurement	362580	6576316	20		Orthogneiss	non	
321	CG06-85-01	Affleurement	369320	6537937	20		Gneiss granitique	non	
322	CG06-85-04	Affleurement	368664	6537765	20		Gneiss granitique	non	
323	CG06-85-06	Affleurement	368439	6537679	20	310	Pegmatite	non	
324	CG06-85-08	Affleurement	367835	6537280	20		Pegmatite	non	
325	CG06-85-09	Affleurement	367763	6537219	20		Gneiss	non	
326	CG06-85-13 (ANA)	Affleurement	365707	6536390	20	120	Pegmatite	oui	Analyse GS #7
327	CG06-87-04	Affleurement	355373	6579711	20		Marbre	non	
328	CG06-87-05 (ANA)	Affleurement	355485	6569768	20	330	Paragneiss	oui	Analyse GS #7
329	CG06-87-06	Affleurement	355838	6570015	20		Paragneiss	non	
330	CG06-87-08	Affleurement	356841	6570080	20		Gneiss	non	
331	CG06-87-18A (ANA)	Affleurement	356335	6571577	20	2100	Pegmatite	oui	Analyse GM #2
332	CG06-87-18B (ANA)	Affleurement	356335	6571577	20	740	Pegmatite	oui	Analyse GS #7
333	CG06-87-18C	Affleurement	356335	6571577	20		Pegmatite	non	
334	CG06-87-18D (LM)	Affleurement	356335	6571577	20		Pegmatite	non	
335	CG06-88-01	Affleurement	355114	6573647	20		Marbre	non	
336	CG06-88-06	Affleurement	355325	6573241	20		Marbre	non	
337	CG06-88-07	Affleurement	355320	6573078	20		Marbre/roche Ca-Si	non	
338	CG06-88-12 (LP, ANA)	Affleurement	355452	6572553	20	1300	Pegmatite	oui	Analyse GS #7
339	CG06-88-17	Affleurement	355037	6571658	20		Gneiss granitique	non	
340	CG06-89-03	Affleurement	385734	6524822	20		Pegmatite	non	
341	CG06-89-06	Affleurement	386057	6524724	20		Orthogneiss	non	
342	CG06-89-10	Affleurement	387502	6524250	20		Gneiss	non	
343	CG06-89-11 (LM)	Affleurement	387988	6524557	20		Gneiss	non	
344	CG06-91-01A	Affleurement	357351	6491119	20		Orthogneiss	non	
345	CG06-91-01B	Affleurement	357351	6491119	20		Pegmatite	non	
346	CG06-91-02	Affleurement	357491	6491273	20		Paragneiss	non	
347	CG06-91-02B	Affleurement	357491	6491273	20		Pegmatite	non	
348	CG06-91-03 (ANA)	Affleurement	357573	6491238	20	380	Pegmatite	oui	Analyse GS #7
349	CG06-91-04 (LP, ANA)	Affleurement	357631	6491148	20	7700	Pegmatite	oui	Analyse GM #2
350	CG06-91-06	Affleurement	357865	6490998	20		Pegmatite	non	

ANNEXE K

CORRESPONDANCE # Coupons et # échantillons

No Coupon	No Échantillon	Type de station	Easting (NAD 83)	Northing (NAD 83)	Zone	RA Échantillon c/s	Lithologie	Analyse	Contenant pour envoi lab
351	CG06-91-11	Affleurement	358205	6490260	20		Paragneiss	non	
352	CG06-91-15	Affleurement	359351	6489319	20		Schiste à biotite	non	
353	CG06-92-01	Affleurement	356355	6490554	20		Gneiss silicieux	non	
354	CG06-92-04	Affleurement	356589	6490279	20	225	Gneiss granitique	non	
355	CG06-92-06	Affleurement	356792	6490014	20		Gneiss granitique	non	
356	CG06-92-08	Affleurement	357448	6489077	20		Gneiss granitique	non	
357	CG06-92-09	Affleurement	357767	6489084	20		Paragneiss à biotite	non	
358	CG06-92-10	Affleurement	357925	6488973	20		orthogneiss	non	
359	CG06-92-11	Affleurement	358185	6488787	20		orthogneiss	non	
360	CG06-92-13 (ANA)	Affleurement	358221	6488553	20	370	Pegmatite	oui	Analyse GS #7
361	CG06-92-15	Affleurement	358511	6488289	20		Orthogneiss	non	
362	CG06-92-16	Affleurement	358721	6488034	20		Paragneiss	non	
363	CG06-93-04 (LM, ANA)	Affleurement	354090	6488245	20	350	Orthogneiss granitique	oui	Analyse GS #7
364	CG06-93-10	Affleurement	353981	6488724	20		Pegmatite	non	
365	CG06-94-01	Affleurement	351741	6483472	20		Quartzite	non	
366	CG06-94-03B	Affleurement	351904	6483455	20		Pegmatoïde	non	
367	CG06-94-09	Affleurement	349962	6481175	20		Schiste à biotite	non	
368	CG06-96-02A	Affleurement	353117	6555848	20	60	Méta-arkose	non	
369	CG06-96-02B (LP, ANA)	Affleurement	353117	6555848	20	15000	Méta-arkose	oui	Analyse GM #2
370	CG06-96-02C (LM)	Affleurement	353117	6555848	20		Marbre	non	
371	CG06-97-02A	Affleurement	354685	6547178	20		Paragneiss	non	
372	CG06-97-02B (LM, ANA)	Affleurement	354685	6547178	20		Paragneiss	oui	Analyse GS #7
373	CG06-97-04	Affleurement	354842	6547411	20	1500	Pegmatite	non	
374	CG06-97-05 (ANA)	Affleurement	354821	6547405	20	1500	Pegmatite	oui	Analyse GS #7
375	CG06-05-05	Affleurement	352511	6556328	20	38000	Pegmatite	oui	Analyse GM #2
376	CG06-07-11-A6	Affleurement	352528	6556383	20			oui	Analyse GS #6
377	CG06-11-32	Affleurement	352622	6556484	20	15000	Pegmatite	non	
378	CG06-12-21 (ANA)	Bloc	386319	6512623	20	2000	Quartzite	oui	Analyse GM #2
379	CG06-13-18 (ANA)	Affleurement	383477	6510004	20	260	Pegmatite	oui	Analyse GS #7
380	CG06-16-07	Bloc	356385	6568674	20	2300	Pegmatite	non	
381	CG-06-17-16A	Affleurement	350359	6566779	20	15001	Roche calco-silicatée	oui	Analyse GM #2
382	CG06-15-10A (ANA)	Affleurement	347654	6567448	20		Marbre	oui	Analyse GM #3
383	CG06-57-10B (ANA)	Affleurement	353490	6560594	20	4800	Marbre	oui	Analyse GM #3
384	CA06-1001-23 (LP, ANA)	Bloc	355876	6557290	20	30000	Marbre	oui	Analyse GM #3
385	CA06-1001-24 (ANA)	Affleurement-Bloc	355872	6557324	20	3000	Marbre	oui	Analyse GM #3
386	CA06-1002-05(suite)(ANA)	Affleurement	355580	6557896	20	310	Roche calco-silicatée	oui	Analyse GS #7
387	CA06-1003-20 (ANA)	Affleurement	355873	6557396	20	550	Marbre dolomitique	oui	Analyse GS #7
388	CA06-1004-08A (ANA)	Affleurement	355867	6557575	20	2500	Marbre	oui	Analyse GM #3
389	CA06-1004-08B (LP)	Affleurement	355873	6557570	20	6000	Marbre	oui	Analyse GM #3
390	CA06-1005-07 (ANA)	Affleurement	354998	6558518	20	3000	Sable calcitique	oui	Analyse GM #3
391	CA06-1006-03A (LP, ANA)	Affleurement	354672	6558990	20	2020	Roche calco-silicatée	oui	Analyse GM #3
392	CA06-1006-03B (LP, ANA)	Affleurement-bloc	354672	6558990	20	13500	Pegmatite	oui	Analyse GM #3
393	CA06-1013-05 (ANA)	Affleurement	356822	6556207	20	11000	Marbre	oui	Analyse GM #3

ANNEXE K

CORRESPONDANCE # Coupons et # échantillons

No Coupon	No Échantillon	Type de station	Easting (NAD 83)	Northing (NAD 83)	Zone	RA Échantillon c/s	Lithologie	Analyse	Contenant pour envoi lab
394	CA06-1013-15 (LP, ANA)	Affleurement	355868	6557255	20	14000	Marbre	oui	Analyse GM #4
395	CA06-1014-05 (LP, ANA)	Affleurement	357488	6555787	20	4000	Marbre	oui	Analyse GM #4
396	CA06-1020-07 (LP, ANA)	Affleurement	355792	6557497	20	850	Marbre	oui	Analyse GM #4
397	CA06-1020-16	Bloc	355925	6557612	20	4700	Marbre	non	
398	CA06-1022-03 (ANA)	Affleurement	355481	6557774	20	210	Marbre	oui	Analyse GS #8
399	CA06-1022-04 (ANA)	Affleurement	355522	6557751	20	13000	Marbre	oui	Analyse GM #4
400	CA06-1024-33 (LP, ANA)	Bloc	355856	6557240	20	5000		oui	Analyse GM #4
401	CA06-1029-10 (LP, ANA)	Affleurement	356252	6557319	20	5100	Pegmatite	oui	Analyse GM #4
402	CA06-1029-11	Bloc	356174	6557308	20	4300	Roche calco-silicatée	non	
403	CA06-1030-03	Affleurement	356603	6556870	20			non	
404	CA06-1032-01 (ANA)	Affleurement	356820	6556209	20	5700	Marbre	oui	Analyse GM #4
405	CA06-1032-06 (LM, ANA)	Bloc	356399	6556450	20	600	Marbre	oui	Analyse GM #4
406	CA06-1033-02B	Affleurement	357806	6555904	20		Pegmatite	non	
407	CA06-1035-09	Bloc	354561	6558877	20	630	Marbre	non	
408	CA06-1035-12 (LP, ANA)	Affleurement	354865	6558791	20	2002	Marbre	oui	temporaire
409	CA06-1036-02 (ANA)	Bloc	355956	6557165	20	1750	Marbre	oui	temporaire
410	CA06-1036-04 (LM, ANA)	Affleurement-Bloc	356033	6557124	20	240	Marbre	oui	Analyse GS #8
411	CG06-2001-05 (LM, ANA)	Affleurement	357041	6553163	20	350	Pegmatite	oui	Analyse GS #8
412	CG06-2002-11 (ANA)	Affleurement	355376	6554551	20	140	Pegmatite	oui	Analyse GS #8
413	CG06-2003-04 (LP, ANA)	Affleurement	355219	6555380	20	13200	Marbre	oui	temporaire
414	CG06-2005-03 (LM, ANA)	Affleurement	354411	6554627	20	210	Pegmatite	oui	Analyse GS #8
415	CG06-2005-11 (ANA)	Affleurement	354101	6554181	20	1030	Pegmatite	oui	Analyse GS #8
416	CG06-2006-16 (LP, ANA)	Affleurement	359153	6549056	20	2600	Quartzite	oui	temporaire
417	CG06-2009-16 (ANA)	Affleurement	363744	6550617	20	1050	Quartzite	oui	Analyse GS #8
418	CG06-2009-19 (ANA)	Affleurement	363949	6550420	20	3500	Pegmatite	oui	temporaire
419	CG06-2016-01 (LM, ANA)	Affleurement	357997	6538599	20	330	Pegmatite	oui	Analyse GS #8
420	CG06-2017-01 (ANA)	Affleurement	355901	6542301	20	150	Paragneiss	oui	Analyse GS #8
421	CG-06-2019-08 (ANA)	Affleurement	358721	6540343	20	6000	Gneiss	oui	temporaire
422	CG06-2022-07 (LM, ANA)	Affleurement	354604	6545982	20	235	Pegmatite	oui	Analyse GS #8
423	CG06-2023-07 (ANA)	Affleurement	345470	6564633	20	140	Granite	oui	Analyse GS #8

SRC Geoanalytical Laboratories

125 - 15 Innovation Blvd., Saskatoon, Saskatchewan, S7N 2X8
Tel: (306) 933-8118 Fax: (306) 933-5656 Email: geochem@src.sk.ca

Omegalpha Inc.
Attention: Mario Joly
PO #/Project:
Samples: 27

Report No: 07-61
Date: February 23, 2007

ICP4.3R Partial Digestion

Column Header Details

Silver in ppm (Ag)
Arsenic in ppm (As)
Bismuth in ppm (Bi)
Cobalt in ppm (Co)
Copper in ppm (Cu)

Germanium in ppm (Ge)
Mercury in ppm (Hg)
Molybdenum in ppm (Mo)
Nickel in ppm (Ni)
Lead in ppm (Pb)

Antimony in ppm (Sb)
Selenium in ppm (Se)
Tellurium in ppm (Te)
Uranium in ppm (U, ICP)
Vanadium in ppm (V)

Zinc in ppm (Zn)

SRC Geoanalytical Laboratories

125 - 15 Innovation Blvd., Saskatoon, Saskatchewan, S7N 2X8

Tel: (306) 933-8118 Fax: (306) 933-5656 Email: geochem@src.sk.ca

Omegalpha Inc.
Attention: Mario Joly
PO #/Project:
Samples: 27

Report No: 07-61
Date: February 23, 2007

ICP4.3R Partial Digestion

Sample Number	Ag ppm	As ppm	Bi ppm	Co ppm	Cu ppm	Ge ppm	Hg ppm	Mo ppm	Ni ppm	Pb ppm	Sb ppm	Se ppm	Te ppm	U, ICP ppm	V ppm	Zn ppm
CG515/LS4	0.2	11.2	0.9	40.0	48.7	<0.2	<0.2	10.9	50.1	20.8	<0.2	<0.2	<0.2	37.4	108	212
GM-0077	1.7	9.5	2.1	1.6	11.9	<0.2	<0.2	17.4	8.5	430	<0.2	19.2	0.2	67.7	46.9	115
GS-0024	0.2	2.5	0.6	2.7	6.8	1.4	<0.2	1.2	9.8	2.62	<0.2	<0.2	<0.2	3.9	97.8	68.8
GS-0059	2.3	4.6	1.2	1.0	17.1	<0.2	<0.2	2.4	6.3	1080	<0.2	6.0	0.5	27.4	5.7	28.7
GS-0061	<0.1	4.2	1.3	1.0	14.9	<0.2	<0.2	1.4	6.4	360	<0.2	<0.2	0.6	28.6	4.0	30.4
GS-0062	1.6	4.2	1.3	1.0	13.8	<0.2	0.4	8.9	7.2	498	<0.2	2.2	1.3	53.1	15.8	1120
GS-0063	<0.1	9.2	1.8	0.6	22.1	<0.2	<0.2	2.1	5.5	225	<0.2	<0.2	0.9	16.6	3.4	24.5
GS-0064	<0.1	2.6	0.5	<0.1	1.0	<0.2	<0.2	1.3	2.8	13.5	<0.2	0.6	<0.2	4.8	1.3	26.2
GS-0066	<0.1	4.6	1.0	1.1	18.4	<0.2	<0.2	1.8	4.6	105	<0.2	2.0	0.5	17.9	6.9	22.0
GS-0067	<0.1	5.8	1.4	0.8	10.7	<0.2	0.2	1.9	5.7	137	<0.2	0.4	1.0	24.3	6.5	608
GS-0069	<0.1	5.6	1.4	0.5	10.9	<0.2	0.5	11.3	4.9	273	<0.2	2.2	0.6	28.0	6.3	1350
GS-0070	0.4	8.7	0.3	2.3	9.0	<0.2	<0.2	1.3	3.4	200	<0.2	2.7	<0.2	8.5	10.0	27.2
GS-0071	<0.1	6.4	1.5	1.9	24.4	<0.2	<0.2	3.4	7.2	590	<0.2	3.7	1.3	118	38.1	690
GS-0072	<0.1	5.9	1.3	1.1	18.6	<0.2	0.4	2.2	6.6	365	<0.2	5.2	0.7	22.4	12.4	1170
GS-0075	0.1	4.0	0.5	0.6	2.4	<0.2	<0.2	1.1	2.0	29.0	1.1	3.1	<0.2	8.0	1.8	22.1
GS-0076	0.7	5.3	1.5	0.6	3.0	<0.2	<0.2	4.8	1.4	67.5	0.8	4.0	<0.2	8.5	4.9	22.6
GS-0078	<0.1	6.6	1.4	0.9	9.2	<0.2	<0.2	3.8	6.3	101	<0.2	5.7	<0.2	19.9	12.9	39.5
GS-0104	<0.1	0.6	<0.2	8.6	82.5	0.2	<0.2	2.2	8.1	0.59	<0.2	0.3	<0.2	<0.5	6.8	2.9
GS-0105	<0.1	8.9	0.9	1.3	67.9	<0.2	<0.2	1.3	5.0	26.6	<0.2	1.6	0.4	7.7	1.7	1080
GS-0109	<0.1	0.6	0.8	18.6	46.9	1.0	<0.2	0.9	31.4	0.55	<0.2	<0.2	<0.2	4.7	42.9	19.2
CG515/LS4	0.2	11.6	1.5	38.2	46.5	<0.2	<0.2	10.8	50.0	21.3	<0.2	<0.2	<0.2	35.0	102	206
GS-0220	0.1	0.9	0.3	14.5	57.2	0.9	<0.2	0.9	39.4	0.44	<0.2	<0.2	<0.2	2.0	73.5	74.8
GS-0262	0.2	2.6	0.9	1.9	11.1	0.8	<0.2	0.5	5.9	0.25	<0.2	<0.2	<0.2	1.3	69.3	55.8
GS-0305	<0.1	3.7	1.3	0.2	1.6	<0.2	<0.2	65.7	3.5	27.9	<0.2	<0.2	<0.2	16.7	0.3	17.4
GS-0372	0.2	3.8	0.6	0.5	8.2	0.7	<0.2	29.3	4.7	1.38	<0.2	1.0	2.2	2.6	223	4.5
GS-0386	<0.1	3.5	1.1	0.2	<0.1	<0.2	<0.2	1.9	5.4	0.20	<0.2	<0.2	0.9	15.9	1.7	30.9
GS-0220 R	<0.1	1.3	0.2	14.6	58.6	1.1	<0.2	1.0	40.2	0.49	<0.2	<0.2	<0.2	2.0	75.3	75.3

Partial Digestion: A 1.00 g pulp is digested with 2.25 ml of 8:1 HNO3:HCl for 1 hour at 95C.
The standard is LS4.

SRC Geoanalytical Laboratories
125 - 15 Innovation Blvd., Saskatoon, Saskatchewan, S7N 2X8
Tel: (306) 933-8118 Fax: (306) 933-5656 Email: geochem@src.sk.ca

Omegalpha Inc.
Attention: Mario Joly
PO #/Project:
Samples: 27

Report No: 07-61
Date: February 23, 2007

ICP4.3 Total Digestion

Column Header Details

Silver in ppm (Ag)
Aluminum in wt % (Al2O3)
Barium in ppm (Ba)
Berylium in ppm (Be)
Calcium in wt % (CaO)

Cadmium in ppm (Cd)
Cerium in ppm (Ce)
Cobalt in ppm (Co)
Chromium in ppm (Cr)
Copper in ppm (Cu)

Dysprnnosium in ppm (Dy)
Erbium in ppm (Er)
Europium in ppm (Eu)
Iron in wt % (Fe2O3)
Gallium in ppm (Ga)

Gadolinium in ppm (Gd)
Hafnium in ppm (Hf)
Holmium in ppm (Ho)
Potassium in wt % (K2O)
Lanthanum in ppm (La)

Lithium in ppm (Li)
Magnesium in wt % (MgO)
Manganese in wt % (MnO)
Molybdenum in ppm (Mo)
Sodium in wt % (Na2O)

Niobium in ppm (Nb)
Neodymium in ppm (Nd)
Nickel in ppm (Ni)
Phosphorus in wt % (P2O5)
Lead in ppm (Pb)

Praseodymium in ppm (Pr)
Scandium in ppm (Sc)
Samarium in ppm (Sm)
Tin in ppm (Sn)
Strontium in ppm (Sr)

Tantalum in ppm (Ta)
Terbium in ppm (Tb)
Thorium in ppm (Th)
Titanium in wt % (TiO2)
Uranium in ppm (U, ICP)

SRC Geoanalytical Laboratories
125 - 15 Innovation Blvd., Saskatoon, Saskatchewan, S7N 2X8
Tel: (306) 933-8118 Fax: (306) 933-5656 Email: geochem@src.sk.ca

Omegalpha Inc.
Attention: Mario Joly
PO #/Project:
Samples: 27

Report No: 07-61
Date: February 23, 2007

ICP4.3 Total Digestion

Column Header Details

Vanadium in ppm (V)
Tungsten in ppm (W)
Yttrium in ppm (Y)
Ytterbium in ppm (Yb)
Zinc in ppm (Zn)

Zirconium in ppm (Zr)
Au Fire Assay by ICP in ppb (Au)
Au Fire Assay by ICP Repeat in ppb (Au R)

SRC Geoanalytical Laboratories

Omegalpha Inc.
Attention: Mario Joly
PO #/Project:
Samples: 27

125 - 15 Innovation Blvd., Saskatoon, Saskatchewan, S7N 2X8
Tel: (306) 933-8118 Fax: (306) 933-5656 Email: geochem@src.sk.ca

Report No: 07-61
Date: February 23, 2007

ICP4.3 Total Digestion

Sample Number	Ag ppm	Al2O3 wt %	Ba ppm	Be ppm	CaO wt %	Cd ppm	Ce ppm	Co ppm	Cr ppm	Cu ppm	Dy ppm	Er ppm	Eu ppm	Fe2O3 wt %	Ga ppm	Gd ppm	Hf ppm
CG515/LS4	<0.2	17.1	2140	2.2	4.70	1.2	160	18	116	4	3.4	2.5	2.6	7.29	24	5.7	3.4
GM-0077	2.1	2.94	9190	0.6	26.7	3.2	26	1	25	12	1.7	0.6	0.3	1.12	5	1.1	<0.5
GS-0024	<0.2	17.2	1830	0.5	1.01	1.0	85	3	184	8	1.9	1.7	1.6	6.68	27	3.5	4.9
GS-0059	3.9	0.85	10500	0.2	29.1	3.3	6	<1	17	17	1.1	0.4	<0.2	0.42	2	0.5	<0.5
GS-0061	1.2	0.60	12400	<0.2	29.3	3.4	5	<1	16	15	1.0	0.2	<0.2	0.44	1	<0.5	<0.5
GS-0062	2.3	0.49	9900	<0.2	29.0	7.4	4	<1	24	14	0.9	0.2	<0.2	0.36	1	<0.5	<0.5
GS-0063	1.6	0.49	8860	<0.2	29.5	2.5	3	<1	13	23	0.7	<0.2	<0.2	0.41	2	<0.5	<0.5
GS-0064	0.2	0.42	7230	<0.2	21.8	2.1	1	<1	28	3	0.6	<0.2	<0.2	0.44	2	<0.5	<0.5
GS-0066	0.4	0.61	21600	0.2	28.0	5.2	5	<1	16	20	0.9	0.3	<0.2	0.48	2	<0.5	<0.5
GS-0067	0.9	0.31	8320	<0.2	30.0	4.9	2	<1	12	11	0.7	<0.2	<0.2	0.30	2	<0.5	<0.5
GS-0069	1.5	0.31	7110	<0.2	30.8	7.5	1	<1	12	12	0.7	<0.2	<0.2	0.20	1	<0.5	<0.5
GS-0070	0.5	1.07	1190	0.6	21.5	0.6	1	2	44	10	0.7	0.2	<0.2	1.05	4	<0.5	<0.5
GS-0071	1.6	0.59	12600	<0.2	30.6	7.4	6	<1	16	27	1.0	<0.2	<0.2	0.54	2	<0.5	<0.5
GS-0072	1.1	0.38	14700	0.2	27.0	9.8	2	<1	17	21	0.7	<0.2	<0.2	0.52	2	<0.5	<0.5
GS-0075	0.2	14.2	615	3.7	1.00	0.9	4	<1	127	3	0.9	0.3	<0.2	0.69	25	0.8	0.8
GS-0076	0.7	17.7	2680	11.7	3.54	1.6	7	<1	71	4	0.4	<0.2	<0.2	0.84	25	<0.5	1.1
GS-0078	0.4	2.36	7860	0.5	26.5	2.5	13	<1	31	11	1.3	0.5	0.2	0.90	4	0.7	<0.5
GS-0104	<0.2	1.71	184	<0.2	0.04	<0.2	7	7	300	86	<0.2	<0.2	0.3	1.25	3	0.8	3.2
GS-0105	0.6	0.04	358	<0.2	22.0	2.8	1	<1	18	68	0.5	<0.2	0.2	1.93	<1	<0.5	<0.5
GS-0109	<0.2	16.3	99	1.2	9.42	1.0	21	37	298	46	3.0	2.3	1.5	11.0	23	2.7	2.1
CG515/LS4	<0.2	17.6	2190	2.2	4.83	1.1	165	19	124	4	3.4	2.5	2.6	7.48	25	5.9	3.8
GS-0220	<0.2	16.8	221	2.2	2.65	0.5	25	18	229	60	1.0	1.2	0.8	7.11	25	1.3	2.7
GS-0262	<0.2	11.4	521	0.3	1.49	0.6	88	2	160	12	2.4	1.3	1.3	3.83	16	4.6	4.1
GS-0305	0.5	26.7	1070	8.8	20.3	1.7	18	<1	70	3	1.0	0.4	0.4	0.66	29	0.8	0.5
GS-0372	<0.2	13.0	849	0.4	1.26	0.8	98	<1	270	7	2.8	1.4	1.2	2.42	11	5.8	3.9
GS-0386	<0.2	0.29	389	<0.2	30.2	<0.2	1	<1	13	2	0.9	<0.2	<0.2	0.98	1	<0.5	<0.5
GS-0220 R	<0.2	17.4	227	2.2	2.79	0.4	28	19	233	61	1.0	1.2	0.8	7.22	26	1.1	2.6

SRC Geoanalytical Laboratories
125 - 15 Innovation Blvd., Saskatoon, Saskatchewan, S7N 2X8
Tel: (306) 933-8118 Fax: (306) 933-5656 Email: geochem@src.sk.ca

Omegalpha Inc.
Attention: Mario Joly
PO #/Project:
Samples: 27

Report No: 07-61
Date: February 23, 2007

ICP4.3 Total Digestion

Sample Number	Ho ppm	K2O wt %	La ppm	Li ppm	MgO wt %	MnO wt %	Mo ppm	Na2O wt %	Nb ppm	Nd ppm	Ni ppm	P2O5 wt %	Pb ppm	Pr ppm	Sc ppm	Sm ppm	Sn ppm
CG515/LS4	1.1	3.14	90	29	2.82	0.075	1	3.29	9	63	23	0.657	19	17	12	8.7	2
GM-0077	<0.4	1.92	22	39	20.3	0.067	17	0.13	1	7	9	0.050	459	2	1	<0.5	<1
GS-0024	<0.4	7.94	51	33	2.04	0.030	1	3.15	22	31	11	0.112	35	8	16	5.5	<1
GS-0059	<0.4	0.352	13	7	21.7	0.036	2	0.08	<1	1	7	0.024	1100	<1	<1	<0.5	<1
GS-0061	<0.4	0.198	13	5	22.4	0.033	1	0.07	<1	<1	7	0.029	370	<1	<1	<0.5	<1
GS-0062	<0.4	0.193	13	6	22.4	0.030	10	0.03	<1	<1	8	0.047	500	<1	<1	<0.5	<1
GS-0063	<0.4	0.213	12	4	23.5	0.032	2	0.05	<1	<1	6	0.014	228	<1	<1	<0.5	<1
GS-0064	<0.4	0.014	8	28	18.5	0.026	1	0.19	<1	<1	2	0.007	16	<1	<1	<0.5	<1
GS-0066	<0.4	0.183	9	9	20.7	0.035	1	0.09	<1	<1	5	0.028	110	<1	<1	<0.5	<1
GS-0067	<0.4	0.128	8	4	20.5	0.029	1	0.02	<1	<1	6	0.035	149	<1	<1	<0.5	<1
GS-0069	<0.4	0.236	9	3	21.0	0.030	12	0.01	<1	<1	5	0.031	280	<1	<1	<0.5	<1
GS-0070	<0.4	0.088	8	45	17.6	0.035	1	0.41	<1	<1	5	0.015	210	<1	<1	<0.5	<1
GS-0071	<0.4	0.296	11	6	22.3	0.042	3	0.04	<1	<1	7	0.028	640	<1	<1	<0.5	<1
GS-0072	<0.4	0.085	11	15	22.1	0.039	2	0.07	<1	<1	7	0.025	370	<1	<1	<0.5	<1
GS-0075	<0.4	7.13	2	81	0.681	0.019	<1	4.06	9	<1	2	0.294	93	<1	2	0.7	4
GS-0076	<0.4	7.74	8	259	3.78	0.023	5	3.26	3	1	2	0.160	158	<1	1	<0.5	<1
GS-0078	<0.4	1.19	14	25	20.6	0.053	4	0.22	<1	3	7	0.023	104	<1	1	<0.5	<1
GS-0104	<0.4	0.583	5	4	0.067	0.004	2	0.11	5	2	10	0.003	4	<1	<1	0.6	<1
GS-0105	<0.4	0.046	9	11	24.3	0.058	1	0.03	<1	<1	6	0.021	29	<1	<1	<0.5	<1
GS-0109	<0.4	0.395	15	9	8.70	0.177	1	0.53	4	11	38	0.136	7	2	32	1.1	<1
CG515/LS4	1.2	3.20	89	29	2.91	0.077	1	3.35	9	64	22	0.677	19	17	13	8.8	1
GS-0220	<0.4	2.94	27	33	3.40	0.086	<1	4.41	11	13	48	0.043	8	3	15	1.9	<1
GS-0262	<0.4	2.52	45	22	1.50	0.014	<1	2.44	10	35	6	0.075	14	9	12	6.2	<1
GS-0305	<0.4	0.797	18	17	4.25	0.038	67	0.94	<1	3	5	0.176	41	1	<1	<0.5	<1
GS-0372	<0.4	5.87	55	23	1.58	0.020	30	2.04	3	41	6	0.085	11	11	15	7.3	<1
GS-0386	<0.4	0.254	11	<1	25.1	0.067	1	0.02	<1	<1	5	0.071	1	<1	<1	<0.5	<1
GS-0220 R	<0.4	3.07	32	35	3.48	0.088	1	4.54	11	14	50	0.045	8	4	16	2.0	<1

SRC Geoanalytical Laboratories

125 - 15 Innovation Blvd., Saskatoon, Saskatchewan, S7N 2X8
Tel: (306) 933-8118 Fax: (306) 933-5656 Email: geochem@src.sk.ca

Omegalpha Inc.
Attention: Mario Joly
PO #/Project:
Samples: 27

Report No: 07-61
Date: February 23, 2007

ICP4.3 Total Digestion

Sample Number	Sr ppm	Ta ppm	Tb ppm	Th ppm	TiO2 wt %	U, ICP ppm	V ppm	W ppm	Y ppm	Yb ppm	Zn ppm	Zr ppm	Au ppb	Au R ppb
CG515/LS4	1180	<1	<0.3	13	1.02	3	128	2	22	1.9	84	155	N/R	N/R
GM-0077	183	<1	0.6	2	0.120	70	87	2	7	0.7	134	25	17	N/R
GS-0024	238	<1	<0.3	16	0.741	15	109	<1	16	1.8	88	184	17	N/R
GS-0059	209	<1	0.5	<1	0.026	29	15	<1	4	0.3	37	16	5864	4947
GS-0061	219	<1	<0.3	<1	0.015	30	12	<1	4	0.2	39	10	29	N/R
GS-0062	198	<1	0.7	<1	0.018	57	41	<1	3	0.2	1200	6	10	N/R
GS-0063	195	<1	0.6	<1	0.018	19	11	<1	3	0.2	34	8	7	N/R
GS-0064	51	<1	0.6	<1	0.019	6	13	<1	2	0.2	95	6	13	N/R
GS-0066	204	<1	0.4	<1	0.020	20	27	<1	4	0.3	41	8	9	N/R
GS-0067	158	<1	0.6	<1	0.009	24	13	<1	3	0.2	656	4	16	N/R
GS-0069	137	<1	0.6	<1	0.011	30	22	<1	3	0.1	1400	2	7	N/R
GS-0070	39	<1	0.8	<1	0.036	10	116	<1	3	0.3	128	17	3	N/R
GS-0071	205	<1	0.6	<1	0.022	122	126	<1	4	0.2	748	9	18	N/R
GS-0072	200	<1	0.4	<1	0.015	24	48	<1	2	0.2	1240	4	9	N/R
GS-0075	17	<1	<0.3	<1	0.030	10	2	1	5	0.7	27	21	15	N/R
GS-0076	66	<1	<0.3	<1	0.019	10	15	61	3	0.3	40	17	4	N/R
GS-0078	248	<1	0.7	<1	0.093	21	41	<1	5	0.5	77	21	5	N/R
GS-0104	17	<1	<0.3	2	0.145	<2	16	<1	1	0.2	6	104	23	N/R
GS-0105	117	<1	0.6	<1	0.003	8	1	<1	2	0.1	1160	<1	12	N/R
GS-0109	230	1	0.5	1	1.07	6	269	<1	21	2.3	153	74	6	N/R
CG515/LS4	1210	<1	<0.3	13	1.04	4	132	<1	22	2.0	87	146	N/R	N/R
GS-0220	195	<1	<0.3	6	0.571	2	116	<1	10	1.2	104	61	7	N/R
GS-0262	114	<1	0.3	13	0.552	2	74	<1	12	0.8	71	149	3	N/R
GS-0305	290	<1	<0.3	<1	0.020	19	4	3	5	0.5	33	30	9	N/R
GS-0372	118	<1	1.1	16	0.199	5	369	3	15	1.1	8	172	<2	N/R
GS-0386	32	<1	0.7	<1	0.007	17	1	<1	3	0.1	35	3	<2	N/R
GS-0220 R	198	<1	<0.3	7	0.594	2	118	<1	11	1.2	107	62	3	N/R

Total Digestion: A 0.125 g pulp is gently heated in a mixture of HF/HNO3/HClO4 until dry and the residue is dissolved in dilute HNO3.
The standard is CG515.
Fire Assay: A 30 g pulp is subjected to standard fire assaying procedures.

SRC Geoanalytical Laboratories
125 - 15 Innovation Blvd., Saskatoon, Saskatchewan, S7N 2X8
Tel: (306) 933-8118 Fax: (306) 933-5656 Email: geochem@src.sk.ca

Omegalpha Inc.
Attention: Mario Joly
PO #/Project:
Samples: 126

Report No: 07-61
Date: February 23, 2007

ICP4.3R Partial Digestion

Column Header Details

Silver in ppm (Ag)
Arsenic in ppm (As)
Bismuth in ppm (Bi)
Cobalt in ppm (Co)
Copper in ppm (Cu)

Germanium in ppm (Ge)
Mercury in ppm (Hg)
Molybdenum in ppm (Mo)
Nickel in ppm (Ni)
Lead in ppm (Pb)

Antimony in ppm (Sb)
Selenium in ppm (Se)
Tellurium in ppm (Te)
Uranium in ppm (U, ICP)
Vanadium in ppm (V)

Zinc in ppm (Zn)

SRC Geoanalytical Laboratories

125 - 15 Innovation Blvd., Saskatoon, Saskatchewan, S7N 2X8

Tel: (306) 933-8118 Fax: (306) 933-5656 Email: geochem@src.sk.ca

Omegalpha Inc.
Attention: Mario Joly
PO #/Project:
Samples: 126

Report No: 07-61
Date: February 23, 2007

ICP4.3R Partial Digestion

Sample Number	Ag ppm	As ppm	Bi ppm	Co ppm	Cu ppm	Ge ppm	Hg ppm	Mo ppm	Ni ppm	Pb ppm	Sb ppm	Se ppm	Te ppm	U, ICP ppm	V ppm	Zn ppm
CG515/LS4	<0.1	11.6	0.6	39.6	48.6	<0.2	<0.2	10.8	51.1	21.6	<0.2	<0.2	<0.2	35.1	106	215
GM-0065	0.2	5.0	1.9	0.7	9.0	<0.2	<0.2	3.3	6.5	720	<0.2	2.6	0.6	28.8	19.3	31.4
GM-0099	<0.1	4.8	1.0	0.3	0.4	<0.2	<0.2	1450	4.3	16.7	<0.2	<0.2	<0.2	45.6	<0.1	2.9
GM-0405	<0.1	12.7	1.5	5.1	<0.1	<0.2	<0.2	85.7	12.0	197	<0.2	2.0	<0.2	519	22.6	15.7
GM-0421	0.2	1.9	2.8	5.1	13.1	<0.2	<0.2	11.9	18.7	16.9	<0.2	<0.2	<0.2	19.0	102	95.5
GS-0001	0.2	2.1	0.7	6.9	23.3	0.6	<0.2	14.0	23.9	38.1	<0.2	<0.2	<0.2	117	92.3	35.7
GS-0002	0.1	3.2	0.2	37.2	151	3.8	<0.2	59.9	154	23.3	<0.2	2.6	<0.2	17.2	59.2	6.8
GS-0003	0.2	1.7	1.2	0.8	5.1	0.4	<0.2	10.4	6.0	1.80	0.3	1.3	0.4	2.9	134	8.9
GS-0007	<0.1	<0.2	1.5	0.4	43.9	<0.2	<0.2	117	24.1	377	<0.2	2.7	7.9	1020	754	21.6
GS-0011	<0.1	4.3	1.6	56.5	151	0.4	<0.2	85.4	149	51.5	<0.2	2.8	1.1	522	157	27.4
GS-0015	<0.1	0.6	17.9	0.6	<0.1	<0.2	<0.2	1.6	4.1	172	0.3	<0.2	1.0	369	<0.1	4.5
GS-0016	<0.1	1.4	3.2	2.2	7.6	<0.2	<0.2	1.2	15.8	67.5	<0.2	0.9	<0.2	37.5	1.6	34.8
GS-0017	<0.1	0.6	0.7	0.5	1.0	<0.2	<0.2	1.2	4.0	39.3	<0.2	0.2	<0.2	75.6	1.1	9.5
GS-0018	<0.1	<0.2	0.7	0.5	<0.1	<0.2	<0.2	1.5	2.1	111	<0.2	<0.2	<0.2	263	2.2	6.7
GS-0020	<0.1	4.3	3.0	4.4	68.4	2.4	<0.2	2.7	24.9	17.1	<0.2	<0.2	<0.2	7.7	68.7	2.4
GS-0022	<0.1	1.0	1.3	0.3	<0.1	<0.2	<0.2	1.7	4.5	138	<0.2	<0.2	<0.2	464	1.4	<0.1
GS-0031	<0.1	<0.2	5.9	1.9	<0.1	<0.2	<0.2	3.3	4.8	82.2	<0.2	0.9	1.9	2.2	12.6	12.8
GS-0039	<0.1	<0.2	0.6	1.1	1.2	<0.2	<0.2	3.2	4.0	3.67	0.3	0.4	<0.2	3.0	10.0	13.0
GS-0052	<0.1	3.2	1.5	1.3	12.1	<0.2	<0.2	2.8	5.1	314	<0.2	0.5	<0.2	18.9	9.6	20.1
GS-0054	<0.1	15.0	1.0	0.9	45.3	<0.2	<0.2	3.3	5.5	212	<0.2	2.2	<0.2	93.3	18.5	66.9
CG515/LS4	<0.1	11.4	0.8	38.3	48.6	<0.2	<0.2	10.5	49.0	21.6	<0.2	<0.2	<0.2	35.5	102	209
GS-0055	<0.1	5.0	0.8	0.5	8.9	<0.2	<0.2	21.0	7.2	517	<0.2	1.6	<0.2	29.7	15.7	25.6
GS-0056	<0.1	6.3	1.6	0.8	21.9	<0.2	<0.2	5.7	7.2	233	<0.2	3.9	<0.2	24.1	11.7	16.2
GS-0057	<0.1	10.7	1.3	0.9	33.6	<0.2	<0.2	8.3	6.3	1380	<0.2	21.4	<0.2	95.6	8.2	13.7
GS-0058	<0.1	2.8	1.6	0.8	9.8	<0.2	<0.2	10.5	5.0	987	<0.2	7.6	<0.2	27.4	6.8	75.6
GS-0060	<0.1	3.7	1.5	1.1	7.4	<0.2	<0.2	3.0	6.5	359	<0.2	0.4	<0.2	24.1	4.3	21.3
GS-0079	0.2	58.7	1.2	1.7	66.3	<0.2	<0.2	46.5	8.7	2700	<0.2	36.5	<0.2	61.8	79.9	40.2
GS-0080	<0.1	89.7	1.4	3.4	91.2	<0.2	0.6	304	8.9	4100	<0.2	55.6	<0.2	161	56.5	2370
GS-0090	<0.1	1.0	5.0	1.5	<0.1	<0.2	<0.2	53.4	3.8	121	<0.2	<0.2	<0.2	216	9.6	18.7
GS-0091	<0.1	0.3	8.9	1.3	<0.1	<0.2	<0.2	69.7	5.4	59.9	<0.2	<0.2	0.4	145	15.3	15.1
GS-0103	0.4	<0.2	3.3	3.8	<0.1	<0.2	<0.2	15.2	6.3	35.8	1.1	<0.2	0.4	101	24.0	63.4
GS-0111	0.3	<0.2	15.5	0.4	<0.1	<0.2	<0.2	4.0	2.5	80.1	<0.2	0.6	<0.2	312	1.0	1.7
GS-0128	0.6	1.8	0.8	53.0	196	1.6	<0.2	6.6	195	12.7	<0.2	1.3	<0.2	5.9	85.2	85.8
GS-0210	<0.1	0.4	4.5	4.0	3.0	<0.2	<0.2	1.7	7.6	32.7	<0.2	0.6	<0.2	27.3	17.0	14.5
GS-0252	0.1	<0.2	4.2	2.1	<0.1	<0.2	<0.2	1.0	5.7	45.6	1.6	1.0	0.5	1.5	12.8	13.2
GS-0264	<0.1	<0.2	8.1	1.3	<0.1	<0.2	<0.2	5.0	5.2	85.8	0.3	0.2	1.4	22.4	24.6	32.6
GS-0266	<0.1	<0.2	11.0	4.0	<0.1	<0.2	<0.2	1.0	11.4	142	1.3	1.1	2.6	30.1	33.4	14.7
GS-0299	0.2	3.0	0.5	17.0	16.5	1.7	<0.2	<0.1	46.3	31.9	<0.2	<0.2	<0.2	36.4	179	262
GS-0309	<0.1	1.0	0.8	2.5	14.7	<0.2	<0.2	42.4	7.6	25.9	1.1	0.5	<0.2	50.7	3.7	2.0
GS-0264 R	<0.1	<0.2	8.4	1.5	<0.1	<0.2	<0.2	5.3	5.6	86.6	0.2	<0.2	0.5	23.2	25.2	33.5

SRC Geoanalytical Laboratories

125 - 15 Innovation Blvd., Saskatoon, Saskatchewan, S7N 2X8

Tel: (306) 933-8118 Fax: (306) 933-5656 Email: geochem@src.sk.ca

Omegalpha Inc.
Attention: Mario Joly
PO #/Project:
Samples: 126

Report No: 07-61
Date: February 23, 2007

ICP4.3R Partial Digestion

Sample Number	Ag ppm	As ppm	Bi ppm	Co ppm	Cu ppm	Ge ppm	Hg ppm	Mo ppm	Ni ppm	Pb ppm	Sb ppm	Se ppm	Te ppm	U, ICP ppm	V ppm	Zn ppm
CG515/LS4	<0.1	12.0	0.6	38.4	47.8	<0.2	<0.2	10.9	50.5	22.1	<0.2	<0.2	<0.2	34.1	100	203
GS-0312	<0.1	0.3	5.2	1.2	4.8	<0.2	<0.2	3.1	2.4	58.6	<0.2	<0.2	<0.2	45.1	2.6	3.6
GS-0315	<0.1	<0.2	9.6	1.3	<0.1	<0.2	<0.2	0.9	4.5	61.2	0.8	<0.2	1.1	25.0	24.4	10.0
GS-0319	0.1	1.7	2.5	3.5	14.1	0.2	<0.2	1.3	10.2	8.02	<0.2	<0.2	<0.2	11.0	86.2	58.3
GS-0326	<0.1	0.4	1.9	0.8	8.1	0.2	<0.2	3.3	5.7	14.4	<0.2	<0.2	<0.2	10.6	131	62.8
GS-0328	<0.1	0.3	8.1	3.2	18.5	0.2	<0.2	2.3	11.3	131	0.6	<0.2	<0.2	84.2	7.5	2.5
GS-0348	<0.1	1.1	2.4	1.3	<0.1	<0.2	<0.2	424	4.7	93.7	<0.2	<0.2	<0.2	162	16.3	30.6
GS-0360	<0.1	<0.2	2.8	2.4	<0.1	<0.2	<0.2	8.8	4.5	165	<0.2	<0.2	<0.2	318	9.1	65.7
GS-0363	<0.1	0.6	5.0	2.5	<0.1	<0.2	<0.2	10.9	5.8	21.0	<0.2	<0.2	<0.2	15.9	2.7	22.4
GS-0374	<0.1	3.6	1.0	1.2	0.3	<0.2	<0.2	1.3	3.3	47.5	0.4	0.5	<0.2	90.4	4.5	17.4
GS-0379	<0.1	0.4	2.6	1.0	<0.1	<0.2	<0.2	2.4	2.2	419	<0.2	<0.2	0.4	827	1.5	9.8
GS-0398	<0.1	18.9	1.1	1.9	8.6	0.5	0.3	7600	11.0	201	<0.2	<0.2	<0.2	284	<0.1	13.2
GS-0410	0.2	92.8	1.9	7.5	35.5	0.8	<0.2	151	24.0	561	1.9	129	11.0	159	965	44.2
GS-0411	<0.1	0.5	2.4	1.2	<0.1	<0.2	<0.2	17.6	3.8	45.6	<0.2	0.6	<0.2	70.1	5.9	2.4
GS-0414	<0.1	1.0	1.4	0.9	11.5	<0.2	<0.2	4.3	2.4	61.3	1.2	0.2	<0.2	155	0.7	0.4
GS-0419	<0.1	1.1	5.7	0.5	<0.1	<0.2	<0.2	2.4	3.2	111	0.7	0.5	<0.2	138	1.6	5.4
GS-0420	<0.1	1.0	2.6	2.2	20.0	<0.2	<0.2	3.9	4.6	31.7	<0.2	<0.2	<0.2	20.8	17.5	29.9
GS-0422	<0.1	0.4	0.8	2.1	5.0	<0.2	<0.2	8.0	6.0	42.1	<0.2	0.7	<0.2	167	1.0	1.3
GS-0423	<0.1	<0.2	0.5	0.7	0.7	<0.2	<0.2	2.3	2.5	42.3	0.5	0.5	<0.2	118	1.6	1.9
GS-0420 R	<0.1	0.7	2.3	2.2	19.2	<0.2	<0.2	3.9	5.2	32.8	<0.2	<0.2	<0.2	20.2	17.9	30.5
CG515/LS4	0.1	12.7	1.0	37.7	47.4	<0.2	<0.2	10.7	49.6	21.8	<0.2	<0.2	<0.2	34.0	98.9	200
GM-0045	0.8	7.8	7.4	5.6	<0.1	<0.2	<0.2	301	12.4	786	<0.2	<0.2	<0.2	1570	55.5	57.9
GM-0051	10.3	11.2	2.1	2.4	17.1	<0.2	<0.2	4.3	8.0	9950	7.0	33.4	3.0	3880	324	23.1
GM-0068	1.8	4.2	1.5	1.0	7.5	<0.2	<0.2	12.7	6.0	1030	<0.2	2.5	1.5	1310	160	530
GM-0073	4.7	7.8	7.7	4.7	30.6	<0.2	<0.2	127	9.2	3860	<0.2	215	3.7	3850	392	1310
GM-0083	<0.1	<0.2	1.1	8.6	<0.1	<0.2	<0.2	129	15.0	588	<0.2	<0.2	<0.2	1670	75.4	124
GM-0102	<0.1	<0.2	24.2	4.6	<0.1	<0.2	<0.2	9.6	12.1	1720	6.8	<0.2	15.7	5100	57.4	21.3
GM-0244	8.3	9.9	95.0	7.8	344	<0.2	<0.2	1.8	15.3	1660	7.4	756	0.4	3560	66.4	299
GM-0256	0.2	6.7	2.5	9.0	25.1	<0.2	<0.2	2.1	11.8	979	<0.2	4.3	<0.2	2350	132	94.6
GM-0300	0.1	2.5	2.2	0.6	<0.1	<0.2	<0.2	412	2.1	849	<0.2	<0.2	<0.2	2750	<0.1	15.7
GM-0301	0.2	1.5	3.6	0.3	<0.1	<0.2	<0.2	1.8	2.6	1460	<0.2	0.4	<0.2	4840	<0.1	11.2
GM-0302	0.1	13.2	3.2	2.5	244	<0.2	<0.2	3210	3.0	1340	<0.2	<0.2	<0.2	2860	<0.1	23.1
GM-0331	<0.1	<0.2	<0.2	6.3	<0.1	<0.2	<0.2	18.3	12.0	435	<0.2	<0.2	4.4	677	10.8	22.0
GM-0369	0.2	1.0	2.3	5.5	17.1	<0.2	<0.2	13.2	13.0	501	<0.2	0.3	<0.2	1430	32.0	3.1
GM-0378	<0.1	<0.2	19.0	1.4	<0.1	<0.2	<0.2	40.9	4.7	246	<0.2	<0.2	1.3	493	2.2	7.2
GM-0381	1.5	3.7	3.2	2.1	8.5	<0.2	<0.2	1430	1.1	692	<0.2	<0.2	<0.2	2390	<0.1	4.1
GM-0382	<0.1	3.1	9.5	1.5	<0.1	<0.2	<0.2	11.2	3.1	275	<0.2	<0.2	<0.2	603	2.0	1.6
GM-0385	6.6	8.2	3.3	2.9	56.9	<0.2	<0.2	509	15.0	2440	<0.2	86.5	3.9	4400	562	272
GM-0388	8.1	200	2.0	1.5	135	<0.2	<0.2	289	15.8	12100	22.1	143	22.2	3530	1800	40.9
GM-0389	0.2	6.1	2.8	1.3	7.7	<0.2	<0.2	25.4	4.3	735	<0.2	21.2	<0.2	974	122	106

SRC Geoanalytical Laboratories
125 - 15 Innovation Blvd., Saskatoon, Saskatchewan, S7N 2X8
Tel: (306) 933-8118 Fax: (306) 933-5656 Email: geochem@src.sk.ca

Omegalpha Inc.
Attention: Mario Joly
PO #/Project:
Samples: 126

Report No: 07-61
Date: February 23, 2007

ICP4.3R Partial Digestion

Sample Number	Ag ppm	As ppm	Bi ppm	Co ppm	Cu ppm	Ge ppm	Hg ppm	Mo ppm	Ni ppm	Pb ppm	Sb ppm	Se ppm	Te ppm	U, ICP ppm	V ppm	Zn ppm
CG515/LS4	0.1	11.7	0.5	37.1	46.3	<0.2	<0.2	10.6	48.1	22.1	<0.2	<0.2	<0.2	33.5	96.3	195
GM-0390	17.7	33.1	2.2	4.0	137	<0.2	<0.2	1060	23.9	6300	44.2	9.8	6.5	5410	532	18.9
GM-0391	<0.1	28.2	3.0	<0.1	24.5	<0.2	0.3	6590	2.9	544	<0.2	5.1	<0.2	1020	<0.1	36.8
GM-0395	0.2	1.6	2.8	0.9	<0.1	<0.2	<0.2	25.3	6.0	2130	<0.2	<0.2	<0.2	5730	1.7	2.1
GM-0396	0.2	7.4	1.8	1.8	<0.1	<0.2	<0.2	9.5	10.6	616	<0.2	8.3	<0.2	1640	42.1	5.8
GM-0400	0.1	0.4	1.3	3.6	12.2	<0.2	<0.2	72.1	12.5	745	<0.2	9.2	0.3	1770	145	10.9
GM-0404	0.2	16.2	<0.2	1.8	0.2	<0.2	0.9	554	11.8	7460	28.5	<0.2	<0.2	18500	<0.1	2.1
GM-0408	0.1	16.5	1.4	21.0	264	<0.2	<0.2	15.2	23.9	565	<0.2	16.1	0.8	1510	151	15.8
GM-0409	0.1	9.5	2.5	13.6	13.7	<0.2	<0.2	79.3	25.3	1280	<0.2	97.0	<0.2	3290	185	6.7
GM-0416	0.2	0.3	4.2	0.5	<0.1	<0.2	<0.2	2.8	2.3	144	<0.2	<0.2	<0.2	349	0.5	0.6
GM-0418	0.1	<0.2	3.7	5.3	3.0	<0.2	<0.2	3.6	15.9	1830	<0.2	<0.2	<0.2	5350	79.1	71.0
GS-0014	<0.1	1.4	11.8	1.1	<0.1	<0.2	<0.2	1.7	4.1	214	0.9	<0.2	0.3	218	2.6	1.9
GS-0034	<0.1	2.3	10.9	7.0	<0.1	<0.2	<0.2	498	19.3	81.4	<0.2	<0.2	<0.2	182	42.1	41.6
GS-0035	0.1	2.7	1.7	0.6	<0.1	<0.2	<0.2	432	1.2	398	<0.2	<0.2	<0.2	1080	<0.1	21.0
GS-0038	<0.1	2.0	1.0	0.6	2.6	<0.2	<0.2	126	1.7	118	<0.2	0.2	<0.2	351	<0.1	2.7
GS-0106	0.2	843	17.4	4.6	<0.1	27.9	<0.2	<0.1	12.4	268	8.1	<0.2	123	250	213	145
GS-0218	0.1	0.9	7.3	3.3	<0.1	<0.2	<0.2	1.2	7.5	2060	<0.2	<0.2	<0.2	6470	8.6	22.9
GS-0243	0.2	8.8	2.9	2.9	<0.1	<0.2	0.6	2.0	8.3	968	<0.2	8.5	<0.2	3150	37.2	24.0
GS-0286	<0.1	<0.2	15.0	2.2	<0.1	<0.2	<0.2	1.7	8.0	241	<0.2	<0.2	2.1	184	19.0	26.9
GS-0243 R	0.2	9.1	2.6	3.3	<0.1	<0.2	0.7	1.8	8.4	977	<0.2	8.3	<0.2	3150	37.0	22.4
CG515/LS4	0.2	11.3	0.6	38.4	48.6	<0.2	<0.2	11.2	50.0	20.8	<0.2	<0.2	<0.2	37.6	104	202
GS-0332	<0.1	1.2	9.6	1.6	<0.1	<0.2	<0.2	37.5	5.1	162	1.5	<0.2	<0.2	225	1.7	8.0
GS-0338	<0.1	<0.2	5.6	1.0	<0.1	<0.2	<0.2	43.0	5.2	63.0	0.3	0.6	2.0	84.5	62.9	31.9
GS-0376	<0.1	<0.2	14.8	<0.1	<0.1	<0.2	<0.2	13.4	4.3	160	0.6	<0.2	2.2	243	2.9	5.5
GS-0387	5.1	4.6	9.2	3.1	41.5	<0.2	<0.2	88.9	11.7	1870	<0.2	38.1	4.4	1040	381	1050
GS-0412	<0.1	1.3	6.0	4.5	109	<0.2	<0.2	6.3	16.3	296	<0.2	<0.2	<0.2	58.6	18.7	15.9
GS-0415	<0.1	<0.2	16.8	0.3	<0.1	<0.2	<0.2	27.0	4.3	151	<0.2	<0.2	2.7	65.8	68.8	13.4
GS-0417	<0.1	<0.2	17.3	1.0	<0.1	<0.2	<0.2	8.4	3.7	209	1.4	2.8	10.7	196	9.7	7.2
GM-0074	2.5	11.3	3.9	3.7	27.6	0.6	<0.2	160	6.8	2370	<0.2	119	3.5	3690	358	499
GM-0349	0.2	5.0	14.8	5.7	<0.1	<0.2	<0.2	1720	6.1	3200	<0.2	<0.2	<0.2	11700	62.6	97.5
GM-0375	<0.1	<0.2	<0.2	0.1	326	<0.2	<0.2	15.7	4.1	703	<0.2	<0.2	16.8	1820	14.7	8.2
GM-0392	0.1	22.9	8.4	<0.1	<0.1	<0.2	0.2	5310	1.0	1710	<0.2	1.5	<0.2	4130	<0.1	28.9
GM-0393	0.2	8.4	5.3	0.3	<0.1	<0.2	<0.2	56.6	13.2	4230	<0.2	<0.2	0.7	13000	1.3	0.2
GM-0401	0.1	3.6	2.8	11.1	69.7	<0.2	<0.2	13.9	24.0	1720	<0.2	19.7	0.7	5640	108	8.8
GM-0215	0.1	5.8	11.3	<0.1	<0.1	<0.2	<0.2	5.3	4.6	2490	<0.2	<0.2	<0.2	8300	<0.1	1.4
GM-0383	0.2	11.2	3.0	3.0	<0.1	<0.2	0.5	3.7	7.1	1640	<0.2	5.1	0.3	5390	36.7	21.8
GM-0394	0.1	7.3	11.4	4.6	<0.1	<0.2	<0.2	132	11.6	5750	<0.2	54.6	5.9	17200	594	51.0
GS-0053	0.2	331	3.3	5.4	328	<0.2	0.7	9.7	10.9	11300	70.5	49.3	3.4	5520	228	408
GM-0384	0.1	10.0	15.8	5.9	<0.1	<0.2	<0.2	35.9	16.9	6300	<0.2	140	4.8	21000	521	21.4
GM-0413	0.2	<0.2	<0.2	0.2	88.7	<0.2	<0.2	2.0	3.1	7600	<0.2	<0.2	5.6	25300	<0.1	1.9

SRC Geoanalytical Laboratories

125 - 15 Innovation Blvd., Saskatoon, Saskatchewan, S7N 2X8

Tel: (306) 933-8118 Fax: (306) 933-5656 Email: geochem@src.sk.ca

Omegalpha Inc.
Attention: Mario Joly
PO #/Project:
Samples: 126

Report No: 07-61
Date: February 23, 2007

ICP4.3R Partial Digestion

Sample Number	Ag ppm	As ppm	Bi ppm	Co ppm	Cu ppm	Ge ppm	Hg ppm	Mo ppm	Ni ppm	Pb ppm	Sb ppm	Se ppm	Te ppm	U, ICP ppm	V ppm	Zn ppm
CG515/LS4	0.2	11.4	1.4	38.0	48.2	<0.2	<0.2	11.4	48.6	22.3	<0.2	<0.2	<0.2	36.6	106	206
GM-0413 R	0.1	<0.2	<0.2	<0.1	90.5	<0.2	<0.2	1.5	3.7	7710	<0.2	<0.2	6.2	25200	<0.1	1.5
CG515/LS4	0.1	11.8	1.0	38.5	48.5	<0.2	<0.2	10.7	52.0	21.9	<0.2	<0.2	<0.2	35.6	98.7	199
GM-0303	0.1	12.3	50.6	<0.1	120	<0.2	<0.2	6550	7.5	22900	<0.2	<0.2	<0.2	77100	<0.1	12.2
GM-0399	0.2	124	51.9	<0.1	45	<0.2	1.8	18900	<0.1	20200	<0.2	<0.2	<0.2	68900	<0.1	0.2
GM-0303 R	0.1	12.4	48.9	<0.1	124	<0.2	<0.2	6460	8.1	22700	<0.2	<0.2	<0.2	77100	<0.1	11.6

Partial Digestion: A 0.5 g pulp is digested with 2.25 ml of 8:1 HNO3:HCl for 1 hour at 95 C.
The standard is LS4.

SRC Geoanalytical Laboratories
125 - 15 Innovation Blvd., Saskatoon, Saskatchewan, S7N 2X8
Tel: (306) 933-8118 Fax: (306) 933-5656 Email: geochem@src.sk.ca

Omegalpha Inc.
Attention: Mario Joly
PO #/Project:
Samples: 126

Report No: 07-61
Date: February 23, 2007

ICP4.3 Total Digestion

Column Header Details

Silver in ppm (Ag)
Aluminum in wt % (Al2O3)
Barium in ppm (Ba)
Beryllium in ppm (Be)
Calcium in wt % (CaO)

Cadmium in ppm (Cd)
Cerium in ppm (Ce)
Cobalt in ppm (Co)
Chromium in ppm (Cr)
Copper in ppm (Cu)

Dysprnnosium in ppm (Dy)
Erbium in ppm (Er)
Europium in ppm (Eu)
Iron in wt % (Fe2O3)
Gallium in ppm (Ga)

Gadolinium in ppm (Gd)
Hafnium in ppm (Hf)
Holmium in ppm (Ho)
Potassium in wt % (K2O)
Lanthanum in ppm (La)

Lithium in ppm (Li)
Magnesium in wt % (MgO)
Manganese in wt % (MnO)
Molybdenum in ppm (Mo)
Sodium in wt % (Na2O)

Niobium in ppm (Nb)
Neodymium in ppm (Nd)
Nickel in ppm (Ni)
Phosphorus in wt % (P2O5)
Lead in ppm (Pb)

Praseodymium in ppm (Pr)
Scandium in ppm (Sc)
Samarium in ppm (Sm)
Tin in ppm (Sn)
Strontium in ppm (Sr)

Tantalum in ppm (Ta)
Terbium in ppm (Tb)
Thorium in ppm (Th)
Titanium in wt % (TiO2)
Uranium in ppm (U, ICP)

SRC Geoanalytical Laboratories
125 - 15 Innovation Blvd., Saskatoon, Saskatchewan, S7N 2X8
Tel: (306) 933-8118 Fax: (306) 933-5656 Email: geochem@src.sk.ca

Omegalpha Inc.
Attention: Mario Joly
PO #/Project:
Samples: 126

Report No: 07-61
Date: February 23, 2007

ICP4.3 Total Digestion

Column Header Details

Vanadium in ppm (V)
Tungsten in ppm (W)
Yttrium in ppm (Y)
Ytterbium in ppm (Yb)
Zinc in ppm (Zn)

Zirconium in ppm (Zr)
Au Fire Assay by ICP in ppb (Au)

SRC Geoanalytical Laboratories

125 - 15 Innovation Blvd., Saskatoon, Saskatchewan, S7N 2X8
Tel: (306) 933-8118 Fax: (306) 933-5656 Email: geochem@src.sk.ca

Omegalpha Inc.
Attention: Mario Joly
PO #/Project:
Samples: 126

Report No: 07-61
Date: February 23, 2007

ICP4.3 Total Digestion

Sample Number	Ag ppm	Al2O3 wt %	Ba ppm	Be ppm	CaO wt %	Cd ppm	Ce ppm	Co ppm	Cr ppm	Cu ppm	Dy ppm	Er ppm	Eu ppm	Fe2O3 wt %	Ga ppm	Gd ppm	Hf ppm
CG515/LS4	<0.2	17.8	2240	2.2	4.81	1.2	172	19	117	4	3.6	2.8	2.7	7.10	25	6.2	3.8
GM-0065	2.1	0.53	11700	<0.2	28.8	3.3	4	<1	14	11	0.8	0.3	<0.2	0.38	2	<0.5	<0.5
GM-0099	<0.2	6.41	100	2.7	24.6	0.2	500	3	56	1	18.1	11.5	1.4	2.63	<1	28.1	<0.5
GM-0405	<0.2	0.96	1720	0.2	29.8	0.5	26	4	35	2	2.4	0.4	0.6	1.35	<1	1.5	<0.5
GM-0421	<0.2	9.70	470	0.2	0.83	<0.2	8680	8	214	<1	102	34.7	<0.2	7.63	65	317	10.5
GS-0001	0.8	14.0	157	5.0	2.52	0.4	85	7	192	24	2.7	2.8	0.7	4.67	27	3.6	23.6
GS-0002	<0.2	7.81	393	9.6	3.90	<0.2	13	38	115	155	1.5	2.5	1.4	22.6	18	1.6	4.4
GS-0003	<0.2	14.4	626	1.4	1.18	0.7	78	<1	250	5	2.1	1.2	1.6	2.59	21	4.6	4.7
GS-0007	<0.2	3.93	177	0.4	25.6	<0.2	1590	1	97	44	48.9	32.8	3.2	11.3	20	65.3	<0.5
GS-0011	<0.2	1.86	21	0.4	13.9	<0.2	807	61	267	152	76.5	39.4	2.7	9.40	3	91.3	<0.5
GS-0015	25.8	10.4	25	19.7	0.47	<0.2	123	<1	157	<1	18.5	19.5	<0.2	0.54	32	13.2	463
GS-0016	1.5	11.3	16	14.6	0.17	0.4	18	1	155	8	2.2	2.1	<0.2	2.00	27	2.1	33.1
GS-0017	0.4	13.7	104	70.8	0.27	0.5	53	<1	132	<1	12.3	9.7	0.4	1.90	79	7.9	18.1
GS-0018	0.7	17.7	160	65.9	0.20	0.7	50	<1	76	<1	17.1	12.5	0.4	1.22	71	10.4	32.5
GS-0020	<0.2	3.82	38	1.4	13.7	<0.2	2	5	66	79	<0.2	0.3	0.8	16.9	11	<0.5	2.9
GS-0022	<0.2	9.93	26	2.4	22.1	0.3	6	2	74	<1	0.9	<0.2	<0.2	2.25	11	<0.5	<0.5
GS-0031	<0.2	16.6	968	1.1	4.85	0.5	2700	1	75	<1	55.0	22.4	0.5	2.74	35	103	26.3
GS-0039	0.3	12.6	98	1.6	2.41	0.6	63	<1	182	1	1.2	0.6	1.0	0.88	17	2.6	7.8
GS-0052	1.0	0.45	10900	<0.2	29.0	3.1	4	<1	21	13	0.7	<0.2	<0.2	0.50	1	<0.5	<0.5
GS-0054	1.0	1.40	24000	0.6	31.3	6.0	7	<1	17	47	0.9	<0.2	<0.2	0.43	2	<0.5	<0.5
CG515/LS4	<0.2	17.8	2320	2.2	4.83	1.2	167	19	116	4	3.5	2.5	2.6	7.17	25	5.8	3.6
GS-0055	1.4	0.41	12600	<0.2	29.3	3.4	3	<1	10	11	0.9	<0.2	<0.2	0.37	2	<0.5	<0.5
GS-0056	0.6	0.69	8350	0.2	34.7	2.5	9	<1	17	30	1.0	0.2	<0.2	0.48	3	0.6	<0.5
GS-0057	5.2	1.08	13000	0.2	27.7	3.9	6	<1	24	38	1.2	0.3	<0.2	0.57	3	0.5	<0.5
GS-0058	2.7	0.76	10800	0.3	29.4	3.4	3	<1	12	12	0.8	<0.2	<0.2	0.34	2	<0.5	<0.5
GS-0060	1.0	0.63	12300	<0.2	28.2	3.3	3	<1	11	9	0.8	<0.2	<0.2	0.39	2	<0.5	<0.5
GS-0079	13.3	1.33	4480	0.4	29.1	2.7	15	1	28	70	1.2	0.4	0.2	0.78	3	0.7	<0.5
GS-0080	24.1	1.25	25600	0.4	27.6	16.5	15	<1	88	93	1.5	0.7	0.3	0.76	<1	0.9	<0.5
GS-0090	1.1	11.7	273	1.5	1.41	0.6	17	1	189	<1	2.0	1.7	0.7	1.41	12	2.1	15.7
GS-0091	3.1	1.50	110	<0.2	0.08	<0.2	3	1	250	<1	1.7	2.1	<0.2	1.80	1	1.6	46.4
GS-0103	1.3	17.4	3230	3.3	1.57	1.3	1220	3	79	<1	4.7	4.0	3.0	4.32	32	14.2	31.6
GS-0111	<0.2	0.26	91	<0.2	0.02	<0.2	5	<1	127	<1	3.1	2.0	<0.2	0.23	<1	1.3	<0.5
GS-0128	0.2	15.8	168	14.2	1.85	2.1	37	57	133	208	<0.2	0.7	2.0	12.1	20	0.9	2.8
GS-0210	0.8	14.9	225	3.5	2.50	0.6	140	4	165	6	1.1	1.0	0.5	1.79	23	3.1	11.5
GS-0252	<0.2	20.7	709	2.7	3.85	0.5	1530	4	90	<1	7.1	3.8	0.6	8.33	39	27.3	1.5
GS-0264	0.4	17.2	321	2.2	2.60	0.6	1160	<1	155	<1	8.6	4.4	<0.2	2.21	30	26.2	9.9
GS-0266	<0.2	10.8	579	1.9	1.91	<0.2	2110	3	232	<1	16.8	10.2	<0.2	2.25	24	43.1	1.9
GS-0299	<0.2	17.1	63	2.7	0.03	<0.2	785	34	495	17	16.9	6.4	0.8	22.7	89	34.4	10.9
GS-0309	<0.2	19.6	360	6.5	10.5	0.8	60	2	112	19	2.6	1.7	0.5	0.91	24	3.5	2.8
GS-0264 R	0.4	17.2	325	2.2	2.57	0.5	1130	1	146	<1	8.2	4.2	<0.2	2.23	30	25.2	9.8

SRC Geoanalytical Laboratories
125 - 15 Innovation Blvd., Saskatoon, Saskatchewan, S7N 2X8
Tel: (306) 933-8118 Fax: (306) 933-5656 Email: geochem@src.sk.ca

Omegalpha Inc.
Attention: Mario Joly
PO #/Project:
Samples: 126

Report No: 07-61
Date: February 23, 2007

ICP4.3 Total Digestion

Sample Number	Ag ppm	Al2O3 wt %	Ba ppm	Be ppm	CaO wt %	Cd ppm	Ce ppm	Co ppm	Cr ppm	Cu ppm	Dy ppm	Er ppm	Eu ppm	Fe2O3 wt %	Ga ppm	Gd ppm	Hf ppm
CG515/LS4	<0.2	17.4	2160	2.2	4.75	1.1	165	18	116	4	3.4	2.6	2.6	7.22	24	5.7	4.5
GS-0312	1.9	16.0	2350	1.3	4.26	1.2	94	1	83	5	3.3	2.3	0.4	1.55	23	4.6	25.5
GS-0315	3.0	16.4	132	2.9	3.15	0.5	469	1	131	<1	5.4	3.9	0.3	3.80	27	13.7	55.9
GS-0319	<0.2	13.4	1220	0.4	0.94	0.6	1010	5	191	15	11.3	6.6	1.1	6.13	23	33.3	5.9
GS-0326	<0.2	9.75	310	0.6	1.33	0.4	196	1	235	8	2.4	1.5	0.7	4.26	18	6.9	11.9
GS-0328	0.5	12.0	102	3.7	11.3	0.3	27	8	97	28	1.9	1.6	0.4	8.71	25	2.0	2.8
GS-0348	31.8	2.13	83	<0.2	0.12	<0.2	6	2	233	<1	2.7	2.1	0.3	2.28	<1	2.1	1.0
GS-0360	<0.2	15.4	41	3.3	2.33	0.5	293	2	88	<1	19.1	13.1	0.3	3.41	27	20.2	8.0
GS-0363	4.0	8.60	149	1.0	1.25	0.3	61	2	221	<1	3.0	3.5	0.4	1.26	11	4.1	67.4
GS-0374	<0.2	13.0	324	2.5	0.39	0.5	183	1	135	<1	3.2	2.4	0.2	1.29	28	4.9	7.6
GS-0379	1.0	11.4	777	0.3	0.23	0.6	295	1	177	<1	17.3	8.2	0.7	0.67	7	22.2	22.6
GS-0398	<0.2	8.71	368	1.5	1.11	0.6	38	3	199	9	1.6	11.7	0.4	3.99	<1	1.6	<0.5
GS-0410	<0.2	2.90	282	1.3	28.9	0.5	21	7	9	35	<0.2	0.6	0.3	3.22	7	0.6	<0.5
GS-0411	1.6	2.86	81	0.3	0.37	<0.2	4	1	261	<1	0.9	0.9	0.2	0.64	2	1.2	23.8
GS-0414	0.5	12.2	20	43.5	0.46	0.4	38	<1	116	13	44.8	37.5	2.9	0.82	59	22.6	36.9
GS-0419	4.0	14.3	747	3.7	0.48	0.7	8	<1	165	<1	1.5	2.9	0.2	0.78	28	1.1	70.0
GS-0420	0.2	16.3	843	1.9	1.13	0.7	418	3	91	22	6.1	2.6	0.3	2.50	27	14.9	0.5
GS-0422	2.0	0.20	5	<0.2	0.01	<0.2	5	1	317	6	0.7	1.0	<0.2	0.89	<1	1.0	40.9
GS-0423	<0.2	9.57	56	5.8	0.12	0.4	7	<1	195	<1	0.5	0.4	<0.2	0.91	29	0.7	<0.5
GS-0420 R	<0.2	16.1	863	1.8	1.13	0.8	410	2	90	21	5.9	2.3	0.4	2.52	26	13.1	<0.5
CG515/LS4	<0.2	17.8	2230	2.2	4.83	1.1	169	18	116	4	3.4	2.7	2.7	7.31	25	6.0	4.9
GM-0045	2.2	4.11	288	0.4	0.14	<0.2	1040	7	276	<1	24.5	11.2	<0.2	4.80	1	43.9	30.7
GM-0051	14.5	0.87	2260	0.6	30.4	5.1	10	2	11	20	1.5	<0.2	0.5	0.49	<1	<0.5	<0.5
GM-0068	0.3	0.28	9810	0.3	28.9	4.7	4	1	7	11	1.7	<0.2	0.3	0.28	<1	<0.5	<0.5
GM-0073	8.7	3.53	5300	1.4	24.7	11.0	21	4	19	35	1.0	<0.2	0.4	1.24	<1	<0.5	<0.5
GM-0083	<0.2	13.3	818	0.5	7.79	0.8	247	12	100	<1	71.1	32.7	1.4	7.35	16	49.5	<0.5
GM-0102	<0.2	6.81	47	<0.2	4.78	<0.2	5650	6	188	<1	974	592	<0.2	2.48	<1	754	99.2
GM-0244	15.9	2.85	160	0.8	24.5	18.7	52	11	36	375	7.9	2.7	1.5	1.97	<1	0.6	<0.5
GM-0256	<0.2	3.56	870	1.1	24.3	3.5	50	26	39	34	2.7	<0.2	0.8	2.57	<1	<0.5	<0.5
GM-0300	<0.2	12.8	417	2.0	3.48	0.7	6	<1	166	<1	6.4	0.7	<0.2	0.60	<1	0.7	<0.5
GM-0301	<0.2	0.58	39	0.3	24.3	<0.2	1	2	33	<1	7.8	<0.2	<0.2	3.94	<1	<0.5	<0.5
GM-0302	<0.2	12.8	420	4.0	12.7	0.8	17	4	115	291	9.7	5.7	<0.2	4.63	<1	2.8	<0.5
GM-0331	20.1	13.3	248	9.4	3.39	0.2	164	6	121	<1	7.0	9.9	<0.2	5.51	22	6.7	431
GM-0369	<0.2	12.9	342	2.9	0.69	0.4	52	5	185	21	2.3	1.1	0.7	3.78	9	1.0	<0.5
GM-0378	3.1	6.42	191	0.7	0.63	0.2	88	1	180	<1	9.9	5.8	<0.2	0.92	2	10.0	25.2
GM-0381	<0.2	1.09	48	1.2	22.4	<0.2	12	6	35	15	6.3	4.0	0.3	4.23	<1	<0.5	<0.5
GM-0382	0.8	10.2	766	0.6	10.5	0.5	183	1	112	<1	7.5	3.7	0.3	1.17	13	10.1	3.1
GM-0385	10.6	16.1	2880	4.9	7.49	3.4	52	3	48	67	6.2	1.7	2.0	5.19	<1	<0.5	<0.5
GM-0388	34.2	2.36	2290	2.3	26.5	4.1	21	1	32	140	1.1	<0.2	0.8	0.59	<1	<0.5	<0.5
GM-0389	<0.2	2.50	3300	1.5	23.6	1.6	16	3	21	10	1.2	<0.2	0.4	1.43	<1	<0.5	<0.5

SRC Geoanalytical Laboratories

Omegalpha Inc.
Attention: Mario Joly
PO #/Project:
Samples: 126

125 - 15 Innovation Blvd., Saskatoon, Saskatchewan, S7N 2X8
Tel: (306) 933-8118 Fax: (306) 933-5656 Email: geochem@src.sk.ca

Report No: 07-61
Date: February 23, 2007

ICP4.3 Total Digestion

Sample Number	Ag ppm	Al2O3 wt %	Ba ppm	Be ppm	CaO wt %	Cd ppm	Ce ppm	Co ppm	Cr ppm	Cu ppm	Dy ppm	Er ppm	Eu ppm	Fe2O3 wt %	Ga ppm	Gd ppm	Hf ppm
CG515/LS4	<0.2	17.5	2200	2.2	4.75	1.2	167	18	111	4	3.5	2.8	2.6	7.07	25	5.8	4.6
GM-0390	61.8	1.15	12700	0.9	25.9	4.6	2	<1	6	167	4.9	<0.2	0.9	0.56	<1	<0.5	<0.5
GM-0391	<0.2	4.23	3370	3.2	18.3	1.3	9	<1	91	33	3.4	8.9	0.2	3.62	<1	<0.5	<0.5
GM-0395	<0.2	3.11	166	0.8	25.2	<0.2	48	<1	33	<1	11.6	1.9	1.5	1.20	<1	<0.5	<0.5
GM-0396	<0.2	3.82	7280	0.8	22.7	2.1	11	<1	35	2	2.0	<0.2	0.4	1.18	<1	<0.5	<0.5
GM-0400	<0.2	8.07	683	2.1	16.7	0.4	46	3	54	16	2.8	1.0	1.1	2.53	2	0.6	<0.5
GM-0404	<0.2	5.45	13400	1.5	17.9	3.2	400	1	82	<1	142	41.5	34.1	1.40	<1	213	<0.5
GM-0408	<0.2	14.1	12300	25.5	4.70	4.1	46	24	85	290	9.0	3.7	2.0	2.28	21	7.8	<0.5
GM-0409	<0.2	7.70	1350	3.4	19.9	0.6	37	13	64	18	9.8	3.4	2.2	3.77	<1	4.5	<0.5
GM-0416	<0.2	18.8	46	4.2	22.2	0.7	55	1	54	<1	2.8	1.2	<0.2	1.19	17	2.2	<0.5
GM-0418	<0.2	12.3	841	1.1	1.63	<0.2	13500	9	209	27	179	62.8	3.4	5.94	<1	405	<0.5
GS-0014	0.9	8.96	78	9.7	4.87	0.3	96	1	122	<1	13.6	7.5	0.7	1.70	33	13.2	7.1
GS-0034	1.1	3.53	308	<0.2	0.05	<0.2	7	18	160	<1	2.2	2.7	<0.2	5.85	4	1.8	3.6
GS-0035	<0.2	1.64	44	1.6	21.7	0.3	5	3	73	<1	3.2	1.1	0.4	5.67	<1	<0.5	<0.5
GS-0038	<0.2	5.15	265	3.3	17.9	<0.2	8	4	44	6	3.4	2.0	0.3	4.36	6	1.1	<0.5
GS-0106	<0.2	12.2	1070	3.8	6.24	<0.2	1	6	89	<1	40.1	3.2	8.3	10.8	360	311	<0.5
GS-0218	<0.2	5.45	62	2.4	18.7	<0.2	229	3	93	<1	20.1	5.7	0.7	2.41	<1	4.3	<0.5
GS-0243	<0.2	3.12	196	0.6	26.1	0.3	50	5	22	1	6.1	0.7	2.0	1.89	<1	1.1	<0.5
GS-0286	7.3	20.0	93	5.0	3.79	0.4	1810	2	113	<1	58.7	25.5	4.2	2.43	33	99.0	165
GS-0243 R	<0.2	3.14	202	0.6	26.6	0.2	52	5	24	2	6.1	0.8	2.1	1.94	<1	1.2	<0.5
CG515/LS4	<0.2	17.6	2210	2.2	4.84	1.1	169	19	121	5	3.5	2.8	2.7	7.29	25	6.0	4.4
GS-0332	7.5	14.5	58	23.0	4.86	0.4	86	2	164	<1	7.3	7.1	0.3	1.54	37	7.7	182
GS-0338	<0.2	12.9	120	1.6	2.11	<0.2	3920	<1	191	<1	25.7	13.0	<0.2	1.64	37	89.1	31.2
GS-0376	<0.2	2.40	27	15.3	2.61	<0.2	1450	<1	327	<1	63.0	32.7	1.1	2.49	16	68.8	14.7
GS-0387	6.9	1.39	1540	0.5	28.8	6.6	25	2	23	41	2.3	0.6	0.6	0.93	<1	0.7	<0.5
GS-0412	<0.2	15.2	504	4.3	5.75	0.6	395	6	130	127	6.3	3.8	0.2	5.39	31	12.6	5.6
GS-0415	5.7	9.00	151	1.5	3.93	<0.2	1630	<1	101	<1	19.6	13.8	<0.2	2.53	22	36.8	117
GS-0417	<0.2	3.77	448	<0.2	0.21	<0.2	14600	<1	217	<1	257	72.4	<0.2	0.70	69	665	<0.5
GM-0074	2.9	3.10	4480	2.4	18.4	4.7	29	4	92	34	0.8	<0.2	0.4	1.24	<1	<0.5	<0.5
GM-0349	<0.2	7.69	181	0.8	0.68	<0.2	31	13	154	<1	43.7	24.6	1.4	9.10	<1	11.1	<0.5
GM-0375	2.3	9.18	169	18.5	3.10	<0.2	1250	<1	122	330	75.1	46.8	18.1	3.10	19	70.0	26.8
GM-0392	<0.2	6.10	3350	3.3	17.0	1.3	20	<1	68	<1	7.2	8.4	0.3	2.73	<1	<0.5	<0.5
GM-0393	<0.2	3.00	4880	0.4	18.7	1.1	173	1	90	<1	113	38.6	20.0	1.05	<1	138	<0.5
GM-0401	<0.2	4.63	2530	1.5	18.8	0.7	33	12	79	85	8.5	0.3	1.7	4.30	<1	<0.5	<0.5
GM-0215	<0.2	17.1	67	3.8	24.7	0.5	299	<1	48	<1	28.6	9.2	1.0	0.99	<1	9.9	<0.5
GM-0383	<0.2	3.01	164	0.5	26.9	<0.2	50	5	32	2	13.9	3.4	3.5	1.98	<1	4.9	<0.5
GM-0394	<0.2	12.4	1780	3.8	0.92	0.7	48	4	86	2	1.3	<0.2	1.8	3.67	<1	<0.5	<0.5
GS-0053	48.5	0.75	3590	1.0	28.7	7.5	10	4	36	348	1.7	<0.2	0.7	0.79	<1	<0.5	<0.5
GM-0384	1.3	10.8	2880	3.9	1.84	0.8	124	5	91	<1	6.5	<0.2	3.5	5.02	<1	<0.5	<0.5
GM-0413	<0.2	7.93	237	1.9	20.8	<0.2	107	3	52	<1	24.8	<0.2	1.3	2.32	<1	<0.5	<0.5

SRC Geoanalytical Laboratories
125 - 15 Innovation Blvd., Saskatoon, Saskatchewan, S7N 2X8
Tel: (306) 933-8118 Fax: (306) 933-5656 Email: geochem@src.sk.ca

Omegalpha Inc.
Attention: Mario Joly
PO #/Project:
Samples: 126

Report No: 07-61
Date: February 23, 2007

ICP4.3 Total Digestion

Sample Number	Ag ppm	Al2O3 wt %	Ba ppm	Be ppm	CaO wt %	Cd ppm	Ce ppm	Co ppm	Cr ppm	Cu ppm	Dy ppm	Er ppm	Eu ppm	Fe2O3 wt %	Ga ppm	Gd ppm	Hf ppm
CG515/LS4	<0.2	17.3	2160	2.2	4.67	1.1	164	18	114	3	3.4	2.6	2.6	7.15	25	5.7	3.1
GM-0413 R	<0.2	7.93	236	1.9	20.9	<0.2	112	3	54	1	25.7	<0.2	1.3	2.31	<1	<0.5	<0.5
CG515/LS4	<0.2	17.4	2220	1.9	4.78	1.0	166	19	113	2	3.2	2.4	2.7	7.13	22	6.0	4.4
GM-0303	<0.2	9.89	173	0.8	11.7	<0.2	428	2	96	128	94.6	<0.2	0.9	5.76	<1	124	<0.5
GM-0399	<0.2	0.71	12	<0.2	12.7	1.3	992	<1	290	53	56.2	<0.2	2.3	1.59	<1	93.6	<0.5
GM-0303 R	<0.2	9.77	171	0.8	11.5	<0.2	418	2	94	130	94.3	<0.2	0.9	5.68	<1	121	<0.5

SRC Geoanalytical Laboratories

125 - 15 Innovation Blvd., Saskatoon, Saskatchewan, S7N 2X8

Tel: (306) 933-8118 Fax: (306) 933-5656 Email: geochem@src.sk.ca

Omegalpha Inc.
Attention: Mario Joly
PO #/Project:
Samples: 126

Report No: 07-61
Date: February 23, 2007

ICP4.3 Total Digestion

Sample Number	Ho ppm	K2O wt %	La ppm	Li ppm	MgO wt %	MnO wt %	Mo ppm	Na2O wt %	Nb ppm	Nd ppm	Ni ppm	P2O5 wt %	Pb ppm	Pr ppm	Sc ppm	Sm ppm	Sn ppm
CG515/LS4	1.2	3.24	91	31	2.90	0.077	1	3.39	6	67	23	0.677	19	18	12	9.1	<1
GM-0065	<0.4	0.226	11	6	23.2	0.033	<1	0.05	<1	<1	2	0.019	730	<1	<1	<0.5	<1
GM-0099	3.7	0.386	200	9	12.1	0.076	1500	1.79	3	220	12	6.64	24	57	2	30.8	<1
GM-0405	<0.4	0.744	19	30	23.8	0.054	98	0.03	<1	11	12	0.023	212	2	<1	<0.5	<1
GM-0421	28.7	3.69	4230	45	3.69	0.056	12	0.99	41	3190	19	1.18	297	933	16	510	<1
GS-0001	<0.4	2.64	47	55	1.80	0.019	14	3.21	3	28	23	0.050	43	9	14	5.3	<1
GS-0002	<0.4	1.61	10	48	7.06	0.072	61	0.61	<1	11	172	0.073	34	1	10	3.3	<1
GS-0003	<0.4	5.50	43	49	2.56	0.015	10	2.14	<1	31	7	0.093	7	8	11	5.8	<1
GS-0007	12.6	2.14	855	16	6.57	0.038	120	0.05	11	562	15	21.3	380	169	<1	79.0	<1
GS-0011	14.1	0.408	313	7	1.43	0.027	89	0.32	<1	450	187	11.6	51	100	10	97.3	<1
GS-0015	<0.4	0.420	36	4	0.204	0.008	<1	5.97	291	5	4	0.033	190	16	<1	11.7	21
GS-0016	<0.4	0.145	8	<1	0.091	0.004	<1	6.76	59	5	16	0.016	68	2	<1	2.2	<1
GS-0017	1.7	2.95	29	1	0.392	0.024	<1	6.26	91	19	5	0.012	41	6	<1	6.1	9
GS-0018	1.8	3.69	12	1	0.282	0.010	<1	8.28	168	24	3	0.017	114	6	<1	9.5	4
GS-0020	<0.4	0.471	8	5	11.0	0.021	6	2.11	<1	<1	26	0.010	19	<1	18	<0.5	<1
GS-0022	<0.4	0.564	6	53	11.1	0.028	<1	1.92	10	1	4	0.132	140	<1	7	<0.5	<1
GS-0031	12.2	8.58	1380	77	1.90	0.017	2	3.66	18	861	6	2.73	92	274	11	145	<1
GS-0039	<0.4	1.27	39	17	0.318	0.005	2	3.66	3	19	5	0.057	19	6	1	3.1	<1
GS-0052	<0.4	0.235	10	4	23.5	0.031	<1	0.05	<1	<1	4	0.028	320	<1	<1	<0.5	<1
GS-0054	<0.4	0.247	10	11	13.2	0.037	5	0.30	<1	<1	5	0.067	220	<1	<1	<0.5	<1
CG515/LS4	1.1	3.24	87	31	2.90	0.077	1	3.41	7	64	22	0.672	19	17	12	9.1	1
GS-0055	<0.4	0.194	8	5	23.6	0.032	21	0.04	<1	<1	8	0.022	533	<1	<1	<0.5	<1
GS-0056	<0.4	0.240	13	6	17.8	0.038	7	0.11	<1	<1	7	0.029	240	<1	<1	<0.5	<1
GS-0057	<0.4	0.393	11	11	20.5	0.032	8	0.14	<1	1	6	0.024	1400	<1	<1	<0.5	<1
GS-0058	<0.4	0.273	10	6	23.3	0.029	8	0.11	<1	<1	6	0.046	1100	<1	<1	<0.5	<1
GS-0060	<0.4	0.262	13	7	22.5	0.031	4	0.05	<1	<1	7	0.033	360	<1	<1	<0.5	<1
GS-0079	<0.4	0.695	16	12	19.3	0.061	49	0.15	<1	3	9	0.017	2800	1	<1	<0.5	<1
GS-0080	<0.4	0.593	15	12	15.2	0.053	345	0.17	<1	4	10	0.009	4300	1	<1	<0.5	<1
GS-0090	<0.4	1.82	12	28	0.404	0.018	54	3.40	3	5	4	0.028	133	2	1	1.6	<1
GS-0091	<0.4	0.658	3	22	0.401	0.016	71	0.16	5	<1	6	0.005	66	1	2	<0.5	<1
GS-0103	<0.4	8.73	689	57	1.01	0.060	29	3.94	24	293	8	0.555	55	113	7	31.6	<1
GS-0111	<0.4	0.149	1	<1	0.027	0.003	5	0.01	<1	2	4	0.003	82	<1	<1	1.2	<1
GS-0128	<0.4	2.23	24	93	2.91	0.056	7	2.54	<1	13	252	0.066	29	3	16	2.9	<1
GS-0210	<0.4	1.35	79	23	0.747	0.015	1	4.87	4	41	7	0.039	45	14	1	5.2	<1
GS-0252	2.3	2.52	775	19	0.188	0.026	1	6.65	<1	413	5	0.337	72	140	<1	52.8	<1
GS-0264	1.8	1.98	578	20	0.717	0.014	4	5.77	9	366	4	0.178	114	119	1	47.9	<1
GS-0266	6.1	2.46	1070	41	0.915	0.033	<1	2.47	48	628	12	0.068	149	211	4	83.9	<1
GS-0299	2.6	8.89	379	238	6.33	0.338	2	0.16	147	281	73	0.118	63	82	49	50.9	16
GS-0309	0.6	0.554	25	16	4.52	0.025	43	6.31	20	24	9	0.222	36	6	4	2.3	<1
GS-0264 R	1.7	1.99	553	24	0.727	0.014	5	5.70	9	351	6	0.171	111	117	1	46.0	<1

SRC Geoanalytical Laboratories

Omegalpha Inc.
Attention: Mario Joly
PO #/Project:
Samples: 126

125 - 15 Innovation Blvd., Saskatoon, Saskatchewan, S7N 2X8
Tel: (306) 933-8118 Fax: (306) 933-5656 Email: geochem@src.sk.ca

Report No: 07-61
Date: February 23, 2007

ICP4.3 Total Digestion

Sample Number	Ho ppm	K2O wt %	La ppm	Li ppm	MgO wt %	MnO wt %	Mo ppm	Na2O wt %	Nb ppm	Nd ppm	Ni ppm	P2O5 wt %	Pb ppm	Pr ppm	Sc ppm	Sm ppm	Sn ppm
CG515/LS4	1.1	3.18	90	30	2.84	0.075	1	3.34	8	64	22	0.667	19	17	12	8.8	2
GS-0312	<0.4	8.41	44	7	2.12	0.024	3	2.89	7	32	2	0.026	60	10	4	5.4	<1
GS-0315	<0.4	0.942	208	12	0.125	0.021	1	5.83	<1	160	5	0.102	68	50	1	25.1	<1
GS-0319	3.4	4.75	495	26	1.97	0.101	1	1.92	10	388	11	0.161	45	107	18	57.4	<1
GS-0326	<0.4	2.47	100	24	1.32	0.022	3	1.93	2	73	6	0.055	33	21	7	11.2	<1
GS-0328	<0.4	1.08	17	12	5.31	0.059	2	4.99	10	12	15	0.173	137	3	12	<0.5	<1
GS-0348	<0.4	1.33	5	22	0.580	0.033	430	0.10	14	3	6	0.082	102	1	7	1.4	<1
GS-0360	3.1	2.07	141	53	0.909	0.071	9	5.50	18	115	5	0.109	170	32	8	24.9	<1
GS-0363	<0.4	1.42	30	27	0.363	0.010	14	1.72	3	19	7	0.042	36	7	2	4.7	<1
GS-0374	0.5	6.82	98	18	1.18	0.008	1	2.83	22	51	3	0.037	52	18	1	8.3	3
GS-0379	0.5	7.37	129	19	0.195	0.008	2	1.37	1	119	3	0.106	456	34	4	28.6	<1
GS-0398	<0.4	1.64	21	15	1.08	0.013	8390	4.92	19	17	11	0.344	210	10	3	3.3	<1
GS-0410	<0.4	1.41	23	8	17.9	0.067	187	0.33	3	4	25	0.047	570	2	<1	<0.5	<1
GS-0411	<0.4	0.586	2	2	0.105	0.004	18	0.76	<1	<1	5	0.017	48	<1	<1	<0.5	<1
GS-0414	8.1	0.152	7	<1	0.103	0.004	4	7.64	334	27	2	0.011	51	6	<1	14.1	2
GS-0419	<0.4	6.24	5	9	0.172	0.007	3	4.92	1	<1	3	0.020	112	1	<1	0.8	<1
GS-0420	1.3	6.33	212	26	1.07	0.025	4	4.40	10	145	4	0.142	48	44	5	23.5	<1
GS-0422	<0.4	0.076	4	4	0.003	0.002	18	0.03	<1	<1	7	0.004	47	<1	<1	0.9	<1
GS-0423	<0.4	4.72	5	<1	0.207	0.003	3	3.90	3	2	2	0.008	44	<1	<1	0.7	<1
GS-0420 R	1.0	6.31	202	26	1.10	0.026	4	4.37	10	140	5	0.140	46	41	5	22.1	<1
CG515/LS4	1.0	3.24	90	33	2.89	0.077	1	3.40	8	66	22	0.689	19	17	12	9.1	1
GM-0045	<0.4	2.65	479	33	1.82	0.039	310	0.12	24	379	14	0.247	810	110	10	67.9	<1
GM-0051	<0.4	0.458	<1	19	20.9	0.038	4	0.07	<1	14	10	0.022	10000	3	<1	<0.5	<1
GM-0068	<0.4	0.187	4	10	22.3	0.029	13	0.03	<1	5	7	0.041	1100	1	<1	<0.5	<1
GM-0073	<0.4	2.20	<1	92	18.4	0.055	130	0.17	<1	12	10	0.047	3900	4	1	<0.5	<1
GM-0083	12.1	6.26	80	95	2.80	0.117	131	2.33	33	144	17	5.68	600	32	18	43.5	<1
GM-0102	188	0.553	2370	9	0.371	0.067	11	0.85	<1	2510	12	1.23	1930	682	3	615	<1
GM-0244	<0.4	2.13	6	7	19.5	0.045	1	0.06	<1	31	20	0.044	1700	7	<1	<0.5	<1
GM-0256	<0.4	2.06	12	23	18.3	0.041	1	0.18	<1	19	22	0.046	990	5	<1	<0.5	<1
GM-0300	<0.4	2.22	<1	50	0.344	0.006	420	2.63	7	8	3	0.201	850	2	<1	2.4	<1
GM-0301	<0.4	0.042	<1	55	18.1	0.072	2	0.16	<1	11	4	0.005	1500	2	3	<0.5	<1
GM-0302	<0.4	2.06	<1	59	4.85	0.027	3670	1.86	12	14	5	0.468	1400	6	<1	3.0	<1
GM-0331	<0.4	1.94	77	26	0.161	0.014	20	4.14	7	10	14	0.229	450	18	5	7.2	<1
GM-0369	<0.4	1.19	22	10	0.862	0.009	15	6.04	9	22	15	0.121	510	6	7	4.1	<1
GM-0378	<0.4	2.18	37	19	0.203	0.011	44	1.47	2	35	5	0.024	263	12	2	8.3	<1
GM-0381	<0.4	0.060	<1	28	18.6	0.124	1490	0.16	<1	14	2	<0.002	700	4	<1	<0.5	<1
GM-0382	<0.4	4.91	87	11	5.31	0.025	7	2.14	4	72	3	0.378	280	21	2	11.2	<1
GM-0385	<0.4	2.14	<1	255	13.9	0.036	668	2.23	10	38	16	0.087	2510	9	9	6.5	<1
GM-0388	<0.4	0.483	<1	11	16.0	0.049	290	0.45	<1	17	17	0.025	12500	5	<1	<0.5	<1
GM-0389	<0.4	1.05	10	116	18.8	0.057	26	0.22	<1	6	6	0.037	740	2	1	<0.5	<1

SRC Geoanalytical Laboratories

125 - 15 Innovation Blvd., Saskatoon, Saskatchewan, S7N 2X8

Tel: (306) 933-8118 Fax: (306) 933-5656 Email: geochem@src.sk.ca

Omegalpha Inc.
Attention: Mario Joly
PO #/Project:
Samples: 126

Report No: 07-61
Date: February 23, 2007

ICP4.3 Total Digestion

Sample Number	Ho ppm	K2O wt %	La ppm	Li ppm	MgO wt %	MnO wt %	Mo ppm	Na2O wt %	Nb ppm	Nd ppm	Ni ppm	P2O5 wt %	Pb ppm	Pr ppm	Sc ppm	Sm ppm	Sn ppm
CG515/LS4	1.0	3.21	87	32	2.86	0.076	2	3.35	7	64	22	0.677	19	17	12	9.1	1
GM-0390	<0.4	0.308	<1	9	21.2	0.043	1160	0.14	<1	16	24	0.010	6600	3	<1	<0.5	<1
GM-0391	<0.4	2.04	5	88	20.1	0.071	6600	0.14	36	7	5	<0.002	643	6	2	<0.5	12
GM-0395	<0.4	1.75	<1	33	21.4	0.048	27	0.05	<1	40	4	0.039	2200	8	1	4.1	<1
GM-0396	<0.4	2.08	2	57	21.6	0.041	6	0.21	<1	8	6	0.038	620	2	2	<0.5	<1
GM-0400	<0.4	1.85	12	150	17.0	0.037	77	2.52	2	23	12	0.106	750	6	6	0.7	<1
GM-0404	18.9	2.42	35	115	17.4	0.032	589	0.30	<1	431	28	0.163	750	61	2	202	<1
GM-0408	0.8	10.5	13	117	3.70	0.071	13	0.90	38	30	35	0.690	570	6	7	8.2	27
GM-0409	0.4	1.16	<1	114	13.5	0.051	86	1.21	4	35	28	0.074	1300	6	4	5.2	<1
GM-0416	<0.4	0.240	25	12	9.41	0.039	3	0.72	<1	17	6	0.262	212	6	5	<0.5	<1
GM-0418	45.6	4.62	7100	60	2.14	0.065	6	2.03	19	4600	17	3.22	2040	1400	8	667	1
GS-0014	1.1	0.879	30	10	4.97	0.026	2	4.62	171	53	3	0.026	220	14	4	12.9	2
GS-0034	<0.4	2.30	6	82	2.84	0.043	510	0.02	17	1	42	0.004	81	2	6	0.6	<1
GS-0035	<0.4	0.086	<1	27	17.0	0.135	440	0.39	<1	5	3	<0.002	436	1	2	<0.5	<1
GS-0038	<0.4	0.422	4	27	15.1	0.115	151	0.87	3	5	1	0.008	124	<1	1	<0.5	<1
GS-0106	86.7	2.47	31400	57	0.528	0.269	5	1.49	8	7450	13	0.186	290	10800	13	727	8
GS-0218	1.2	0.621	87	27	13.0	0.063	1	1.52	<1	83	8	2.47	2100	26	5	10.7	<1
GS-0243	<0.4	2.34	3	13	18.9	0.048	2	0.06	<1	30	11	0.042	970	6	<1	<0.5	<1
GS-0286	<0.4	1.29	870	23	0.711	0.029	2	6.46	7	696	9	0.469	313	199	5	130	<1
GS-0243 R	<0.4	2.34	4	15	19.1	0.048	2	0.06	<1	33	12	0.042	980	7	<1	<0.5	<1
CG515/LS4	1.0	3.20	86	30	2.91	0.077	2	3.41	7	65	22	0.681	20	18	12	9.5	1
GS-0332	<0.4	0.871	41	14	0.246	0.011	40	5.25	31	20	6	0.429	166	10	1	6.8	<1
GS-0338	8.2	1.36	1890	18	0.741	0.010	47	4.17	<1	1250	6	0.536	158	399	1	169	<1
GS-0376	13.7	1.73	628	3	0.313	0.090	15	0.25	514	442	4	0.013	170	146	1	87.1	48
GS-0387	<0.4	0.878	14	26	20.5	0.056	90	0.12	1	11	12	0.026	1900	2	<1	<0.5	<1
GS-0412	0.6	0.945	183	38	2.70	0.072	6	7.04	16	144	18	0.225	300	42	7	20.1	<1
GS-0415	<0.4	1.33	836	12	0.793	0.029	28	3.19	<1	438	6	2.85	153	159	5	58.6	<1
GS-0417	57.4	2.35	6340	14	0.052	0.005	11	0.37	<1	5720	5	2.80	611	1560	<1	1000	<1
GM-0074	<0.4	1.34	3	106	13.8	0.048	170	0.32	<1	15	8	0.051	2400	4	1	<0.5	<1
GM-0349	5.5	3.69	<1	106	2.90	0.120	1800	0.29	44	60	7	0.413	3300	12	29	22.1	<1
GM-0375	10.2	2.25	552	6	0.487	0.095	17	3.86	454	394	6	0.016	710	134	2	81.1	39
GM-0392	<0.4	2.46	<1	108	18.7	0.065	5370	0.15	37	19	4	<0.002	1770	8	3	1.2	15
GM-0393	15.9	2.08	<1	70	15.4	0.021	58	0.11	<1	227	33	0.098	4300	29	1	117	<1
GM-0401	<0.4	1.72	<1	229	18.8	0.193	16	0.26	<1	36	28	0.062	1760	6	4	4.3	<1
GM-0215	2.6	0.350	111	24	8.30	0.041	6	0.32	<1	115	5	4.92	2500	34	3	15.9	<1
GM-0383	0.6	2.34	<1	9	18.0	0.046	4	0.05	<1	46	11	0.049	1700	8	<1	6.1	<1
GM-0394	<0.4	8.46	<1	83	3.45	0.005	145	0.71	4	44	12	0.204	5790	14	9	4.8	14
GS-0053	<0.4	0.263	<1	36	17.0	0.035	10	0.18	<1	18	10	0.026	11500	4	<1	<0.5	<1
GM-0384	<0.4	5.96	<1	70	4.40	0.010	39	1.45	2	99	17	0.193	6370	27	8	14.0	18
GM-0413	<0.4	0.752	<1	38	13.7	0.076	5	0.33	<1	140	6	0.027	7700	29	<1	24.2	<1

SRC Geoanalytical Laboratories

125 - 15 Innovation Blvd., Saskatoon, Saskatchewan, S7N 2X8

Tel: (306) 933-8118 Fax: (306) 933-5656 Email: geochem@src.sk.ca

Omegalpha Inc.
Attention: Mario Joly
PO #/Project:
Samples: 126

Report No: 07-61
Date: February 23, 2007

ICP4.3 Total Digestion

Sample Number	Ho ppm	K2O wt %	La ppm	Li ppm	MgO wt %	MnO wt %	Mo ppm	Na2O wt %	Nb ppm	Nd ppm	Ni ppm	P2O5 wt %	Pb ppm	Pr ppm	Sc ppm	Sm ppm	Sn ppm
CG515/LS4	0.9	3.18	81	31	2.84	0.075	2	3.28	6	63	24	0.680	19	17	12	9.1	<1
GM-0413 R	<0.4	0.742	<1	38	13.7	0.076	4	0.33	<1	145	6	0.028	7750	31	<1	24.9	<1
CG515/LS4	1.4	3.02	88	27	2.74	0.074	1	3.12	8	66	23	0.680	20	15	12	8.0	3
GM-0303	<0.4	0.747	334	52	4.66	0.025	9380	1.62	14	<1	9	0.178	28900	<1	<1	12.3	<1
GM-0399	<0.4	0.074	568	10	3.82	0.023	50800	0.32	33	10	2	5.21	24200	<1	16	34.4	<1
GM-0303 R	<0.4	0.750	323	53	4.60	0.025	9280	1.59	15	<1	8	0.176	28400	<1	<1	13.7	<1

SRC Geoanalytical Laboratories

Omegalpha Inc.
Attention: Mario Joly
PO #/Project:
Samples: 126

125 - 15 Innovation Blvd., Saskatoon, Saskatchewan, S7N 2X8
Tel: (306) 933-8118 Fax: (306) 933-5656 Email: geochem@src.sk.ca

Report No: 07-61
Date: February 23, 2007

ICP4.3 Total Digestion

Sample Number	Sr ppm	Ta ppm	Tb ppm	Th ppm	TiO2 wt %	U, ICP ppm	V ppm	W ppm	Y ppm	Yb ppm	Zn ppm	Zr ppm	Au ppb
CG515/LS4	1190	<1	<0.3	13	0.979	3	125	<1	22	2.0	86	142	N/R
GM-0065	192	<1	0.7	<1	0.023	31	52	<1	3	0.2	42	7	2
GM-0099	86	<1	4.5	47	0.091	47	11	1	105	7.0	19	8	<2
GM-0405	158	<1	0.4	9	0.054	631	76	<1	12	0.7	22	17	2
GM-0421	61	4	45.2	3020	1.13	24	162	<1	270	7.1	162	564	2
GS-0001	57	<1	<0.3	39	0.286	124	100	1	21	4.4	42	883	3
GS-0002	30	15	1.6	23	0.164	27	211	1	33	4.4	27	156	12
GS-0003	65	<1	0.6	13	0.256	3	139	1	11	0.8	14	176	2
GS-0007	104	7	11.5	67	0.605	1100	1050	5	366	25.4	30	20	2
GS-0011	13	6	15.9	23	0.096	530	214	6	454	25.9	33	36	4
GS-0015	11	36	6.2	2360	0.459	522	5	2	136	19.7	6	17400	<2
GS-0016	4	6	0.8	352	0.162	42	2	<1	16	2.1	40	1040	<2
GS-0017	11	6	1.4	41	0.031	84	1	1	99	9.9	13	368	<2
GS-0018	14	4	1.7	67	0.089	278	2	2	113	9.9	9	771	5
GS-0020	36	11	2.1	372	0.202	9	263	<1	8	1.6	8	55	<2
GS-0022	99	<1	<0.3	109	0.202	489	18	1	5	0.5	4	186	3
GS-0031	177	<1	15.4	872	0.735	<2	29	2	225	8.0	22	1070	4
GS-0039	177	<1	<0.3	34	0.105	4	11	1	5	0.4	16	288	9
GS-0052	155	<1	0.8	<1	0.016	20	29	<1	3	0.2	30	5	5
GS-0054	423	<1	0.6	<1	0.040	95	87	<1	3	0.2	76	17	8
CG515/LS4	1180	<1	<0.3	13	0.995	3	127	<1	22	2.0	93	144	N/R
GS-0055	178	<1	0.6	<1	0.010	32	41	<1	3	0.2	35	5	7
GS-0056	204	<1	1.1	<1	0.022	27	75	<1	4	0.3	28	7	5
GS-0057	219	<1	0.6	<1	0.041	101	53	<1	5	0.4	32	15	11
GS-0058	154	<1	0.7	<1	0.025	30	24	<1	3	0.2	91	9	7
GS-0060	205	<1	0.6	<1	0.025	26	10	<1	3	0.3	29	8	<2
GS-0079	228	<1	1.1	<1	0.050	64	263	<1	4	0.4	71	9	46
GS-0080	685	<1	0.5	<1	0.050	170	155	<1	6	0.5	2590	14	40
GS-0090	164	<1	1.0	699	0.115	221	17	1	12	1.4	23	807	7
GS-0091	7	1	2.8	1210	0.155	162	25	<1	8	2.0	22	1860	<2
GS-0103	1300	<1	1.7	548	0.422	106	45	<1	20	2.2	76	1630	<2
GS-0111	6	<1	0.3	76	0.008	323	2	<1	10	1.8	2	18	6
GS-0128	170	2	<0.3	9	0.239	9	94	<1	11	1.1	105	56	2
GS-0210	285	<1	0.9	598	0.188	31	22	<1	4	0.4	20	500	<2
GS-0252	445	<1	4.1	743	0.170	<2	35	1	25	0.9	22	31	<2
GS-0264	175	<1	5.0	1280	0.282	27	34	<1	25	1.0	47	391	<2
GS-0266	134	<1	8.5	1710	0.614	36	43	<1	61	5.3	20	156	<2
GS-0299	11	26	5.8	379	1.90	41	325	<1	63	2.7	467	375	2
GS-0309	185	<1	<0.3	73	0.421	67	47	1	14	1.3	11	144	11
GS-0264 R	171	<1	4.9	1260	0.282	26	34	<1	24	0.9	47	377	<2

SRC Geoanalytical Laboratories

Omegalpha Inc.
Attention: Mario Joly
PO #/Project:
Samples: 126

125 - 15 Innovation Blvd., Saskatoon, Saskatchewan, S7N 2X8
Tel: (306) 933-8118 Fax: (306) 933-5656 Email: geochem@src.sk.ca

Report No: 07-61
Date: February 23, 2007

ICP4.3 Total Digestion

Sample Number	Sr ppm	Ta ppm	Tb ppm	Th ppm	TiO2 wt %	U, ICP ppm	V ppm	W ppm	Y ppm	Yb ppm	Zn ppm	Zr ppm	Au ppb
CG515/LS4	1190	<1	<0.3	14	0.990	4	129	<1	22	2.0	85	155	N/R
GS-0312	190	<1	1.5	669	0.190	46	17	1	15	1.7	14	1160	<2
GS-0315	253	<1	3.8	1180	0.118	27	41	1	22	2.6	19	2080	<2
GS-0319	123	<1	4.2	268	0.612	13	91	<1	45	4.2	76	220	<2
GS-0326	106	<1	1.3	198	0.393	12	136	<1	11	0.9	73	446	<2
GS-0328	64	2	3.2	1230	0.324	89	94	1	14	2.0	18	147	<2
GS-0348	10	1	0.9	245	0.262	162	21	<1	13	1.4	41	148	<2
GS-0360	92	<1	3.2	214	0.361	330	8	<1	110	15.0	73	414	<2
GS-0363	89	<1	2.2	805	0.111	34	8	<1	19	5.1	31	2590	<2
GS-0374	87	<1	<0.3	78	0.223	96	5	2	19	2.9	23	294	<2
GS-0379	113	<1	3.0	230	0.062	830	3	1	80	8.5	13	1270	<2
GS-0398	66	1	<0.3	17	0.425	270	<1	4	9	1.4	17	171	5
GS-0410	40	<1	5.9	3	0.123	165	3040	2	8	1.7	59	15	43
GS-0411	36	<1	0.7	320	0.028	72	8	<1	5	1.0	4	978	<2
GS-0414	15	68	5.4	55	0.036	206	1	6	350	43.3	2	935	<2
GS-0419	125	<1	0.4	538	0.033	140	3	2	14	4.4	29	2940	2
GS-0420	151	<1	2.0	279	0.250	22	18	<1	22	1.1	34	15	7
GS-0422	2	<1	<0.3	52	0.010	183	1	<1	5	1.6	4	1410	<2
GS-0423	15	<1	<0.3	18	0.023	121	2	1	3	0.6	4	49	<2
GS-0420 R	156	<1	1.7	270	0.264	23	18	1	20	1.1	36	13	5
CG515/LS4	1190	<1	0.3	13	0.977	4	132	<1	22	2.0	89	144	N/R
GM-0045	23	3	7.3	1290	0.598	1660	79	<1	90	6.3	88	2410	<2
GM-0051	161	<1	<0.3	2	0.024	4410	1340	<1	12	0.6	44	5	<2
GM-0068	187	<1	<0.3	<1	0.009	1560	349	<1	9	0.3	548	3	<2
GM-0073	100	<1	<0.3	4	0.142	4180	1140	<1	7	0.8	1600	21	38
GM-0083	179	4	9.8	180	0.867	1780	110	<1	361	18.7	195	457	<2
GM-0102	153	15	158	4790	0.101	5300	82	1	5560	428	32	6680	<2
GM-0244	49	<1	<0.3	23	0.190	4010	146	<1	52	4.1	385	68	422
GM-0256	68	<1	<0.3	5	0.106	2610	394	<1	20	1.2	170	55	52
GM-0300	35	<1	<0.3	130	0.053	2800	<1	1	25	0.9	27	8	<2
GM-0301	6	3	<0.3	278	0.055	5230	6	<1	24	1.0	219	27	12
GM-0302	38	<1	<0.3	214	0.085	3030	<1	4	38	1.9	122	361	6
GM-0331	119	<1	8.6	4040	0.119	707	12	1	42	9.6	29	14700	2
GM-0369	86	<1	<0.3	170	0.385	1500	47	1	15	1.7	6	175	4
GM-0378	66	<1	7.5	2920	0.073	507	11	1	38	3.8	13	1290	<2
GM-0381	8	2	<0.3	366	0.060	2530	3	<1	33	4.1	59	17	<2
GM-0382	90	<1	3.7	1420	0.206	610	24	1	30	2.3	9	557	<2
GM-0385	245	<1	<0.3	31	0.526	5010	1000	<1	38	3.5	363	278	36
GM-0388	215	<1	6.1	4	0.081	3580	5100	<1	12	2.4	60	5	158
GM-0389	74	<1	0.5	5	0.104	1050	694	<1	6	0.8	320	19	19

SRC Geoanalytical Laboratories

125 - 15 Innovation Blvd., Saskatoon, Saskatchewan, S7N 2X8

Tel: (306) 933-8118 Fax: (306) 933-5656 Email: geochem@src.sk.ca

Omegalpha Inc.
Attention: Mario Joly
PO #/Project:
Samples: 126

Report No: 07-61
Date: February 23, 2007

ICP4.3 Total Digestion

Sample Number	Sr ppm	Ta ppm	Tb ppm	Th ppm	TiO2 wt %	U, ICP ppm	V ppm	W ppm	Y ppm	Yb ppm	Zn ppm	Zr ppm	Au ppb
CG515/LS4	1160	<1	<0.3	13	0.989	4	128	<1	22	2.0	84	148	N/R
GM-0390	313	<1	<0.3	2	0.027	5790	1760	<1	20	1.2	30	4	9
GM-0391	16	7	<0.3	341	0.259	1190	<1	54	16	1.9	114	38	11
GM-0395	56	<1	<0.3	53	0.131	6350	28	1	33	3.8	8	22	3
GM-0396	79	<1	<0.3	21	0.174	1770	108	<1	10	0.8	18	29	<2
GM-0400	61	<1	<0.3	10	0.377	1960	629	<1	18	1.9	38	111	<2
GM-0404	254	<1	12.7	18	0.199	19200	40	1	876	21.3	13	49	2
GM-0408	174	9	<0.3	11	0.256	1520	453	46	60	3.6	45	111	5
GM-0409	99	<1	1.0	19	0.230	3480	1450	1	47	4.6	42	129	5
GM-0416	165	<1	1.2	885	0.057	578	17	2	11	1.0	13	34	<2
GM-0418	129	3	42.4	243	0.893	5500	131	<1	663	30.9	120	281	<2
GS-0014	22	29	5.9	1880	0.736	220	19	<1	55	6.4	8	277	5
GS-0034	3	2	4.1	1820	0.906	194	103	<1	11	1.3	102	284	3
GS-0035	14	3	<0.3	166	0.067	1410	27	<1	15	1.4	169	8	5
GS-0038	44	7	0.4	78	0.054	431	14	<1	22	3.0	69	43	<2
GS-0106	1940	<1	23.4	3830	0.911	290	227	<1	55	5.3	172	228	<2
GS-0218	76	<1	<0.3	859	0.184	6930	25	<1	103	6.3	63	46	<2
GS-0243	46	<1	<0.3	12	0.074	3470	106	<1	37	2.1	60	46	22
GS-0286	261	<1	18.5	2340	0.254	170	31	1	214	14.7	45	5690	<2
GS-0243 R	47	<1	<0.3	14	0.074	3550	108	<1	37	2.2	60	49	32
CG515/LS4	1160	<1	<0.3	16	0.971	3	130	<1	22	2.1	84	144	N/R
GS-0332	138	2	3.1	1250	0.059	230	5	2	49	7.7	14	5500	5
GS-0338	127	<1	13.0	1740	0.162	92	56	1	72	2.7	31	1180	<2
GS-0376	28	55	15.6	1960	1.76	250	7	<1	277	18.0	14	431	<2
GS-0387	77	<1	0.9	5	0.056	1100	491	<1	10	0.8	1120	8	34
GS-0412	145	<1	2.3	595	0.434	62	45	<1	28	2.3	33	187	2
GS-0415	75	<1	9.3	2250	0.153	67	86	<1	96	9.0	21	4510	4
GS-0417	58	<1	96.5	5310	0.051	210	13	<1	694	9.3	9	141	<2
GM-0074	74	<1	<0.3	13	0.131	3700	1370	<1	6	0.9	689	34	24
GM-0349	16	7	<0.3	1400	1.22	12000	167	<1	200	21.8	190	327	<2
GM-0375	55	49	23.1	5580	1.47	1870	13	2	405	34.5	13	1800	7
GM-0392	53	6	<0.3	794	0.304	4200	<1	50	31	3.8	103	73	4
GM-0393	219	<1	9.5	32	0.125	13300	34	<1	660	19.7	10	29	2
GM-0401	111	1	<0.3	24	0.183	5700	467	<1	43	2.9	32	56	10
GM-0215	107	<1	<0.3	906	0.035	8500	6	2	162	8.8	30	26	14
GM-0383	50	<1	<0.3	15	0.081	5400	87	<1	69	4.4	48	50	9
GM-0394	209	<1	<0.3	37	0.481	17800	914	12	21	0.9	62	160	20
GS-0053	151	<1	<0.3	6	0.021	5600	1690	<1	16	0.8	457	3	180
GM-0384	99	<1	<0.3	39	0.422	21700	869	4	49	2.9	42	154	58
GM-0413	68	<1	<0.3	1310	0.109	25300	30	<1	112	11.3	16	44	13

SRC Geoanalytical Laboratories

Omegalpha Inc.
Attention: Mario Joly
PO #/Project:
Samples: 126

125 - 15 Innovation Blvd., Saskatoon, Saskatchewan, S7N 2X8
Tel: (306) 933-8118 Fax: (306) 933-5656 Email: geochem@src.sk.ca

Report No: 07-61
Date: February 23, 2007

ICP4.3 Total Digestion

Sample Number	Sr ppm	Ta ppm	Tb ppm	Th ppm	TiO2 wt %	U, ICP ppm	V ppm	W ppm	Y ppm	Yb ppm	Zn ppm	Zr ppm	Au ppb
CG515/LS4	1120	<1	<0.3	15	0.981	4	127	<1	22	2.0	82	145	N/R
GM-0413 R	69	<1	<0.3	1390	0.109	26000	30	<1	117	11.8	15	47	21
CG515/LS4	1170	<1	0.3	14	1.02	2	130	<1	20	2.0	84	145	N/R
GM-0303	28	23	163	2910	0.080	79500	<1	3	295	9.4	101	88	18
GM-0399	22	51	136	5230	0.247	68900	<1	33	245	<0.1	5	194	37
GM-0303 R	28	21	158	3210	0.082	79100	<1	4	295	9.4	99	90	31

Total Digestion: A 0.125 g pulp is gently heated in a mixture of HF/HNO3/HClO4 until dry and the residue is dissolved in dilute HNO3.
The standard is CG515.
Fire Assay: A 30 g pulp is subjected to standard fire assaying procedures.

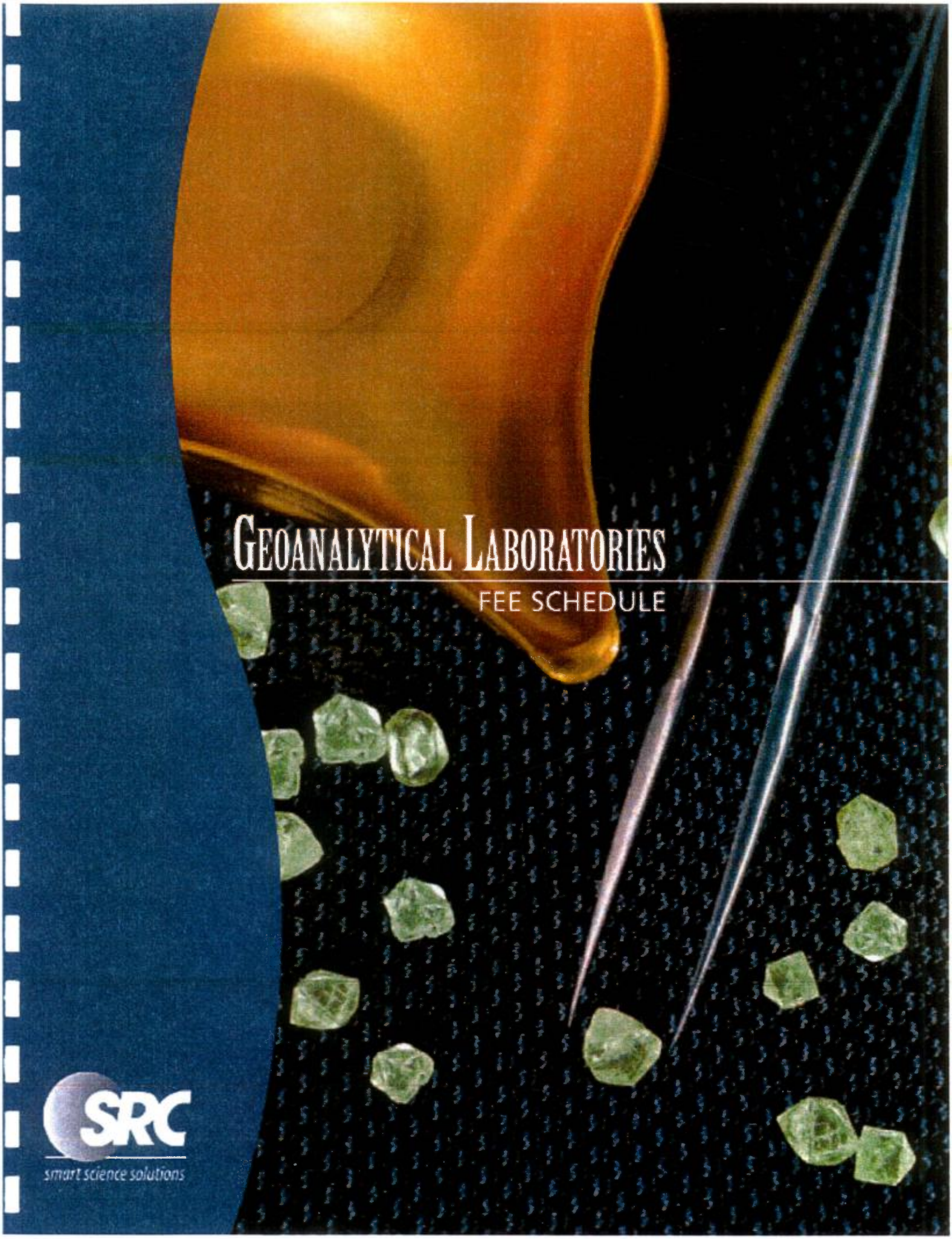
GEOANALYTICAL LABORATORIES
FEE SCHEDULE
SRC
smart science solutions

GEOANALYTICAL LABORATORIES

Mailing and Shipping Address:

Saskatchewan Research Council
Geoanalytical Laboratories
125 – 15 Innovation Blvd.
Saskatoon, SK
S7N 2X8

For Inquiries or Further Information Contact:

Allan D. Holsten	(306) 933-5426
Bernard Gartner	(306) 933-8118
Fax	(306) 933-5656
Email	geolab@src.sk.ca
Home Page	www.src.sk.ca

TABLE OF CONTENTS

1.0 INTRODUCTION....3
1.1 Geoanalytical Laboratory....3
1.2 Heavy Minerals Laboratory....3
2.0 SERVICE POLICIES....4
2.1 Scope....4
2.2 Consultation....4
2.3 Pricing Policy and Payments....4
2.4 Confidentiality and Security....4
2.5 Liability....5
2.6 Certifications and Quality Assurance/Quality Control....5
2.7 Facility....5
2.8 Sample Storage....5
2.9 Long Term Sample Archiving....6
2.10 Reporting and Data Handling....6
3.0 SAMPLE PREPARATION....6
4.0 ICP Analysis....7
4.1 Digestions....7
4.2 Detection Limits....9
4.3 Uranium Exploration Major and Trace Element Package....9
4.4 Whole Rock Analysis by Lithium Metaborate Fusion ICP....9
4.5 Rare Earth Element Analysis by Lithium Metaborate Fusion ICP....10
5.0 ASSAYING SHEDULE....10
5.1 Base Metals Assaying....10
5.2 Single Element Assays....11
6.0 PRECIOUS METALS ASSAYING....12
6.1 Gold by Fire Assay....12
6.2 Gold, Platinum, Palladium by Fire Assay....12
6.3 Rhodium by Fire Assay....12
6.4 Silver by Aqua Regia or Fire Assay....12
6.5 Metallic Gold Assaying....12
6.6 Gold by Cyanide Leach....12
7.0 GOLD DRIFT PROSPECTING....13
7.1 Gold Grain Recovery....13
7.2 Fine Gold Determination....13
8.0 SPECIAL METHODS....13
9.0 DIAMOND AND INDICATOR MINERALS....13
9.1 Kimberlite Indicator Mineral Processing....13
9.2 Micro Probe Analysis....14
9.3 Scanning Electron Microscope (SEM)....14
9.4 Caustic Fusion for Micro-Diamonds....14
9.5 Digital Photography of Diamonds and Diamond Indicators....14
9.6 Cathodoluminescence....14
10.0 EQUIVALENCES AND CONVERSION FACTORS....15
10.1 Equivalences....15
10.2 Common Sieve Sizes....15
10.3 Conversions....15

1.0 INTRODUCTION

1.1 Geoanalytical Laboratory

Geoanalytical Laboratory has been providing high quality analysis to the mining industry since 1972. Our key thrusts are diversity and customer satisfaction: we provide a wide spectrum of services that are relevant, timely and cost effective. Our solid background allows us to continually improve the reliability and sensitivity of our analyses, helping to assure your success in the future.

The latest techniques in sample preparation and digestion, analytical instrumentation and computer-based data management and reporting are used in the laboratory. We offer a wide choice of chemical analyses for the various sample materials used in mineral exploration, including rocks, sediments, soils, organics, and vegetation.

The Lab is backed by the resources of a large corporation - Saskatchewan Research Council (SRC) - with an even broader range of professional technical expertise. We offer you the convenience of dealing with one organization using a multi-disciplinary approach. This approach will enhance the due diligence component of your projects that is so very important in retaining investor confidence.

SRC can provide you with geochemical data, as well as mineralogical and petrographic information, that will give you a solid foundation for better interpretation. SRC also has a staff of senior research scientists who are experts in such areas as geological thermal tectonic and metallogenic models, economic geology and mineralogy.

Given the fluctuations in the mining industry's business cycle, it makes good sense to select experienced organizations with which to do business. The Saskatchewan Research Council certainly fulfills this requirement.

1.2 Heavy Minerals Laboratory

Gold

Research conducted by SRC in drift prospecting for gold has resulted in the establishment (1986) of a heavy minerals laboratory. The extraction, counting and describing of metallic gold grains as small as 10 microns from large bulk tills has provided an ultra sensitive method for locating gold deposits.

Diamonds

SRC expanded its heavy mineral research into the area of diamond exploration using new and innovative technologies.

Techniques developed include Diamond Indicator Mineral Extraction, Micro Diamond Extraction (Caustic Fusion Method).

Since 1990, SRC has processed thousands of bulk till samples for indicator minerals as well as hundreds of tons of kimberlite, finding hundreds of macrodiamonds and thousands of microdiamonds.

2.0 SERVICE POLICIES

We strive to give our clients the best service possible. We operate 24 hours a day, 7 days a week for your convenience.

2.1 Scope

The diversity of services we offer goes well beyond the scope of this book. We are committed to providing a wide spectrum of services to the mining industry that are relevant, timely and cost effective. It is our desire to provide for you services that are technically up to date, relevant and worth your investment. Your investment in Geoanalytical Laboratory will be used to ensure that you receive the benefit of having the best technologies available for your exploration efforts. Should you require services not listed in this fee schedule please feel free to contact us for further information.

2.2 Consultation

Experience has shown that it is not always apparent to the requester that the results obtained from analytical work are strongly related to the procedure employed. Consequently, it is strongly recommended that the requester discuss the method of sample digestion and analytical procedures with the analyst prior to analysis, so that the final results will be consistent with the objectives of the analytical program. For example, detection limits for some elements can be improved depending upon the nature and composition of the sample.

2.3 Pricing Policy and Payments

All prices are in Canadian dollars. GST will be added to all invoices if applicable. New clients will be required to pay in advance before work will proceed. Payment is due upon receipt of invoice. Late payment charges are assessed after 30 days at a rate of 1.5 % compounded monthly. Price discounts are available for higher volumes of samples.

2.4 Confidentiality and Security

All reports are the confidential property of the client. Publications of statements, conclusions or extracts from these reports are not permitted without the clients written approval. All reports are kept under lock and key and are accessible to only a select few senior lab staff. The entire premises are regularly patrolled by security guards 24 hours a day. Entry to the lab is restricted by an electronic security system. Only those with cards can gain access to the lab. We take the issues of confidentiality and security very seriously and have taken appropriate steps to protect our clients interests.

2.5 Liability

SRC's liability, if any, shall be limited to the cost of performing the analyses.

2.6 Certifications and Quality Assurance/Quality Control

Geoanalytical Laboratory personnel are registered members of the Canadian Mineral Analysts association. The laboratory has received a certificate of proficiency from Canmet for base metals and precious metal assaying (copy of certificate available upon request). We are a certified diamond laboratory, ISO Certified (14025).

Geoanalytical Laboratory strives to provide highly reliable analyses and does this by employing a wide range of QC protocols.

2.6.1 Only ISO Certified calibration standards are used and are discarded after their expiry date has lapsed.

2.6.2 Control samples and /or certified standards are analyzed at specified intervals and reported.

2.6.3 Duplicate samples are also analyzed at specific intervals.

2.6.4 Analytical instrumentation must pass a daily performance test that determines
- detection limits
- analytical precision

2.6.5 All analytical instrumentation are placed on a maintenance schedule to reduce down time and ensure optimum performance.

2.6.6 Geoanalytical Laboratory participates in a proficiency testing program with Canmet CCRMP/PTP-MAL. Our ratings in this program will be made available upon request.

2.6.7 Geoanalytical Laboratory is licenced by Atomic Energy Control Board to receive radioactive material.

2.7 Facility

Geoanalytical Laboratory is located in a Research Park surrounded by many other labs and research organizations. This park has become a world renowned center for research and technology. We believe that we have a quality facility second to none. We invite you to tour our lab and see for yourself how we compare.

2.8 Sample Storage

Reject material and pulps are retained until January of the following year. Clients will be contacted at this time to determine if they want their samples returned or discarded.

2.9 Long Term Sample Archiving

Samples are very expensive to collect while storing them is relatively inexpensive. Individual geologists within a company are generally responsible for looking after their own samples. As staff turnover occurs over time, samples can get lost. As technology improves, archived samples can become an important resource when extra analysis may provide additional valuable information pointing to mineral deposits. Let us archive your samples and protect your investment.

2.10 Reporting and Data Handling

Final official reports are mailed or couriered to clients as hard copies with accompanying certification. Our liabilities will be limited to this certified report. We do, however, provide data to our clients by fax, on floppy disk or by e-mail. Data on floppy disk or by e-mail can be put in the format of your choice.

3.0 SAMPLE PREPARATION

General Information

Please ensure that all samples are clearly marked with water proof ink. International shipments must be clearly marked "Test Samples for Analysis. No commercial value." We purchase large quantities of sampling supplies and provide these to our clients at cost. Sampling supplies available are listed below.

Sample Preparation Prices

3.1	Soils and Clastic Sediments	Dry, mortar, sieve -180µm	$3.35 per sample
3.2	Lake Sediments	Dry, grind	$3.50 per sample
3.3	Rocks and Cores	Crush, split, grind	$7.00 per sample
3.4	Rocks and Cores	Agate grind	$8.30 per sample
3.5	Radioactive Rocks and Cores**	Crush, split, grind	$12.55 per sample
3.6	Roller Pinning of Clay Rich Tills	-2 mm	$6.25 per sample
3.7	Soils and Sediments	Wet Sieve -106µm	$7.25 per sample
3.8	Vegetation	Ash 470°C (LOI included)	$8.80 per sample
3.9	Hot Partial Acid Leach	HNO_3/HCl	$1.50 per sample
3.10	Hot Partial Acid Leach	Aqua Regia	$1.50 per sample
3.11	Tri Acid Digestion	HF/HNO_3/$HClO_4$	$6.25 per sample
3.12	Fusion	Lithium Metaborate	$14.55 per sample
3.13	Fusion	Sodium Peroxide	$7.35 per sample
3.14	Clay Separation	Centrifuge	$11.15 per sample

Sampling Supplies

- Plastic Bags 6 mil 8″ × 13″
- Plastic Bags 6 mil 12″ × 20″
- Plastic Pails 5 gallon
- Kraft Paper Bags
- One Cubic Metre Kimberlite Bags (1.5 tonne capacity)
- Tyvek Bags 5 ½″ × 10 ½″
- sample tags*
- preaddressed shipping labels*
- sample submittal form*

*Provided for your convenience at no charge

** Radioactive Decontamination: $65.00 per hour labour (average four hours). Minimum $65.00 per radioactive shipment.

4.0 ICP Analysis

General Information

We provide several multi-element ICP packages for your convenience. We offer the economical, industry standard 30 element packages as well as a more comprehensive 55 element package with lower detection limits for selected elements. You have the option to choose some or all of the elements listed for maximum flexibility. Please inquire if you have special requirements.

4.1 Digestions

The aqua regia leach is by definition a "partial" digestion and technically, none of the elements listed will "totally" dissolve. Some elements such as Ag, As, Bi, Cd, Co, Cu, Hg, Mo, Mn, Ni, P, Pb, U, V and Zn will be very "near" to total dissolution. Other elements, marked with a Δ, are more refractory in nature and will only be partially dissolved. The tri-acid digestion will however, "totally" dissolve most elements since the crystalline matrix of the sample is destroyed. Occluded minerals in the matrix are exposed and dissolved by the acids. Only those elements found in refractory minerals may not be dissolved. These refractory elements are marked with a +.

Digestion		Aqua Regia Leach		Triacid Digestion	
ICP Package #		**4.1**	**4.1T**	**4.2**	**4.2T**
Element	Symbol	Detection Limit	Detection Limit	Detection Limit	Detection Limit
Aluminum	Al_2O_3	0.01% Δ	0.01% Δ	0.01% +	0.01% +
Antimony	Sb	1 ppm Δ	5 ppm Δ	-	-
Arsenic	As	1 ppm	5 ppm	-	-
Barium	Ba	1 ppm Δ	10 ppm Δ	1 ppm +	10 ppm +
Beryllium	Be	0.2 ppm Δ	0.5 ppm Δ	0.2 ppm	0.5 ppm
Bismuth	Bi	1 ppm	5 ppm	-	5 ppm
Cadmium	Cd	0.2 ppm	1 ppm	0.2 ppm	1 ppm
Calcium	CaO	0.01% Δ	0.01% Δ	0.01%	0.01%
Cerium	Ce	1 ppm Δ	-	1 ppm +	-
Chromium	Cr	1 ppm Δ	1 ppm Δ	1 ppm	1 ppm
Cobalt	Co	1 ppm	1 ppm	1 ppm	1 ppm
Copper	Cu	1 ppm	1 ppm	1 ppm	1 ppm
Dysprnnosium	Dy	0.2 ppm Δ	-	0.3 ppm	-

Digestion		Aqua Regia Leach		Triacid Digestion	
ICP Package #		**4.1**	**4.1T**	**4.2**	**4.2T**
Erbium	Er	0.2 ppm Δ	-	0.3 ppm	-
Europium	Eu	0.2 ppm Δ	-	0.3 ppm	-
Gadolinium	Gd	1 ppm Δ	-	1 ppm	-
Gallium	Ga	1 ppm Δ	-	1 ppm	-
Germanium	Ge	1 ppm Δ	-	-	-
Hafnium	Hf	1 ppm Δ	-	1 ppm +	-
Holmium	Ho	0.4 ppm Δ	-	0.5 ppm	-
Iron	Fe_2O_3	0.01% Δ	0.01% Δ	0.01%	0.01%
Lanthanum	La	1 ppm Δ	-	1 ppm	-
Lead	Pb	1 ppm	2 ppm	1 ppm	2 ppm
Lithium	Li	1 ppm Δ	-	1 ppm	-
Lutetium	Lu	0.2 ppm Δ	-	0.2 ppm	-
Magnesium	MgO	0.001% Δ	0.01% Δ	0.001% +	0.01% +
Manganese	MnO	0.001% Δ	0.001% Δ	0.001% +	0.001% +
Mercury	Hg	0.1 ppm	-	-	--
Molybdenum	Mo	1 ppm	2 ppm	1 ppm	2 ppm
Neodymium	Nd	1 ppm Δ	-	1 ppm	-
Nickel	Ni	1 ppm	1 ppm	1 ppm	1 ppm
Niobium	Nb	1 ppm Δ	-	1 ppm	-
Phosphorus	P_2O_5	0.001%	0.001%	0.001%	0.001%
Potassium	K_2O	0.002% Δ	0.01% Δ	0.002%	0.01%
Praseodymium	Pr	1 ppm Δ	-	1 ppm	-
Samarium	Sm	1 ppm Δ	-	1 ppm	-
Scandium	Sc	1 ppm Δ	1 ppm Δ	1 ppm	-
Selenium	Se	1 ppm Δ	-	-	-
Silver	Ag	0.2 ppm	0.2 ppm	0.2 ppm	1 ppm
Sodium	Na_2O	0.01% Δ	0.01% Δ	0.01%	0.01%
Strontium	Sr	1 ppm Δ	1 ppm Δ	1 ppm	1 ppm
Tantalum	Ta	1 ppm Δ	-	1 ppm	-
Tellurium	Te	1 ppm Δ	-	-	-
Terbium	Tb	0.3 ppm Δ	-	0.5 ppm	-
Thorium	Th	1 ppm Δ	-	2 ppm	-
Thulium	Tm	0.2 ppm Δ	-	0.3 ppm	-
Tin	Sn	1 ppm Δ	10 ppm Δ	1 ppm	-
Titanium	TiO_2	0.002% Δ	0.01% Δ	0.002%	0.01%
Tungsten	W	1 ppm Δ	10 ppm Δ	2 ppm +	10 ppm +
Uranium	U	2 ppm	-	5 ppm	-
Vanadium	V	1 ppm	1 ppm	1 ppm	1 ppm
Ytterbium	Yb	0.2 ppm Δ	-	0.3 ppm	-
Yttrium	Y	1 ppm Δ	1 ppm Δ	1 ppm	-
Zinc	Zn	1 ppm	1 ppm	1 ppm	2 ppm
Zirconium	Zr	1 ppm Δ	1 ppm Δ	1 ppm +	-

Per Sample Cost	$20.85	$12.00	$27.75	$17.15

4.2 Detection Limits

Detection limits are generally based upon 3 sigma data obtained from analyzing a reagent blank. Sample matrices containing interfering elements will substantially degrade detection limits. We attempt to quote detection limits that reflect an average sample matrix rather than the optimum values obtained from the reagent blank. Therefore, our quoted detection limits will be substantially higher than those obtained from a reagent blank. Detection limits can be substantially improved for many elements depending on the sample matrix. Samples, like Athabaska sandstones, that are predominantly silica fall into this category. These types of samples have very low concentrations of interfering elements like iron. Since the concentrations of the various elements of interest eg. Cu, Ni, Pb, Zn, Co, V, As, B, Mo and U are also very low, much lower detection limits are required. We offer customized ICP packages with lower detection limits for uranium exploration. We also offer specialized sample digestions for uranium and associated elements. Please inquire for further details.

4.3 Uranium Exploration Major and Trace Element Package

- all 55 elements, 59 analyses: $27.75 per sample (digestions included)

This analytical package was designed specifically for uranium exploration. It requires two separate digestions and analyses as indicated below.

Tables of Detection Limits

HNO_3/HCl PARTIAL DIGESTION

Ag	0.1 ppm
As	0.2 ppm
Bi	0.2 ppm
Co	0.1 ppm
Cu	0.1 ppm
Ge	0.2 ppm
Hg	0.03 ppm
Mo	0.1 ppm
Ni	0.1 ppm
Pb	0.02 ppm
Sb	0.2 ppm
Se	0.2 ppm
Te	0.2 ppm
U	0.5 ppm
V	0.1 ppm
Zn	0.1 ppm

$HF/HNO_3/HClO_4$ TOTAL DIGESTION

Al_2O_3	0.01 %	Ba*	1 ppm	Li	1 ppm	Th	1 ppm
CaO	0.01 %	Be	0.2 ppm	Lu	0.1 ppm	Tm	0.2 ppm
Fe_2O_3	0.01 %	Cd	0.2 ppm	Mo	1 ppm	U	2 ppm
K_2O	0.002 %	Ce	1 ppm	Nb*	1 ppm	V	1 ppm
MgO	0.002 %	Cr*	1 ppm	Nd	1 ppm	W*	1 ppm
MnO	0.001 %	Dy	0.2 ppm	Pb	1 ppm	Y	1 ppm
Na_2O	0.01 %	Er	0.2 ppm	Pr	1 ppm	Yb	0.1 ppm
P_2O_5	0.002 %	Eu	0.2 ppm	Sc	1 ppm	Zr*	1 ppm
TiO_2*	0.002 %	Ga	1 ppm	Sm	0.5 ppm	Cu	1ppm
		Gd	0.5 ppm	Sn	1 ppm	Zn	1ppm
		Hf*	0.5 ppm	Sr	1 ppm	Co	1ppm
		Ho	0.4 ppm	Ta	1 ppm	Ag	0.2ppm
		La	1 ppm	Tb	0.3 ppm	Ni	1 ppm

** Please note that several of the elements listed above may be only partially extracted.*

4.4 **Whole Rock Analysis** by Lithium Metaborate Fusion ICP

Element	Symbol	Detection Limit	Element	Symbol	Detection Limit
Aluminum	Al_2O_3	0.01%	Potassium	K_2O	0.01%
Barium	Ba	2 ppm	Scandium	Sc	2 ppm
Calcium	CaO	0.01%	Silica	SiO_2	0.1%
Chromium	Cr	2 ppm	Sodium	Na_2O	0.01%
Iron	Fe_2O_3	0.01%	Strontium	Sr	2 ppm
Loss on Ignition	LOI	0.1%	Titanium	Ti	0.01%
Magnesium	MgO	0.01%	Yttrium	Y	2 ppm
Manganese	MnO	0.01%	Zirconium	Zr	2 ppm
Phosphorous	P_2O_5	0.01%			

$33.20 per sample

We also offer a whole rock analysis package by XRF that has detection limits similar to those listed above. Please inquire for quotes.

4.5 **Rare Earth Element Analysis** by Lithium Metaborate Fusion ICP

Element	Symbol	Detection Limit	Element	Symbol	Detection Limit
Cerium	Ce	0.002%	Neodymium	Nd	0.002%
Dysprosium	Dy	0.002%	Praseodymium	Pr	0.002%
Erbium	Er	0.002%	Samarium	Sm	0.002%
Europium	Eu	0.002%	Terbium	Tb	0.002%
Gadolinium	Gd	0.002%	Thorium	Th	0.002%
Hafnium	Hf	0.002%	Thulium	Tm	0.002%
Holmium	Ho	0.002%	Uranium	U	0.002%
Lanthanum	La	0.002%	Ytterbium	Yb	0.002%
Lutetium	Lu	0.002%	Yrrtium	Y	0.002%

$33.20 per sample

5.0 ASSAYING SHEDULE

5.1 **Base Metals Assaying**

Element	Symbol	Detection Limit	Method	Element	Symbol	Detection Limit	Method
Cobalt	Co	0.01%	AA	Nickel	Ni	0.01%	AA
Copper	Cu	0.01%	AA	Silver	Ag	0.2 ppm	AA
Lead	Pb	0.01%	AA	Zinc	Zn	0.01%	AA

First element $12.00 per sample
Each additional element $6.95 per sample

5.2 Single Element Assays

Element	Symbol	Det-Limit	Cost per Sample
Aluminum	Al_2O_3	0.01%	$15.15
Antimony	Sb	0.01%	$15.15
Arsenic	As	0.01%	$15.15
Barium	Ba	0.01%	$15.15
Beryllium	Be	0.01%	$15.15
Bismuth	Bi	0.01%	$15.15
Boron	B	0.01%	$25.25
Cadmium	Cd	0.01%	$11.35
Calcium	CaO	0.01%	$15.15
Carbon total	CaO	0.01%	$15.15
Cerium	Ce	0.01%	$31.60
Chromium	Cr	0.01%	$15.15
Cobalt	Co	0.01%	$11.35
Copper total	Cu	0.01%	$11.35
Gallium	Ga	0.01%	$31.60
Germanium	Ge	0.01%	$31.60
Iron total	Fe_2O_3	0.01%	$15.15
Lanthanum	La	0.01%	$31.60
Lead total	Pb	0.01%	$11.35
Lithium	Li	0.01%	$15.15
Magnesium	MgO	0.01%	$15.15
Manganese	MnO	0.01%	$15.15
Molybdenum	Mo	0.01%	$11.35

Element	Symbol	Det-Limit	Cost per Sample
Neodymium	Nd	0.01%	$31.60
Nickel	Ni	0.01%	$11.35
Niobium	Nb	0.01%	$31.60
Phosphorous	P_2O_5	0.01%	$15.15
Potassium	K_2O	0.01%	$15.15
Rubidium	Rb	0.01%	$15.15
Selenium	Se	0.01%	$31.60
Silica	SiO_2	0.01%	$31.60
Sodium	Na_2O	0.01%	$15.15
Strontium	Sr	0.01%	$15.15
Sulfur total	S	0.01%	$15.15
Tantalum	Ta	0.01%	$15.15
Tellurium	Te	0.01%	$31.60
Thorium	Th	0.01%	$31.60
Tin	Sn	0.01%	$15.15
Titanium	Ti	0.01%	$15.15
Tungsten	W	0.01%	$15.15
Uranium	U	0.01%	$15.15
Vandium	V	0.01%	$15.15
Yttrium	Y	0.01%	$31.60
Zinc Total	Zn	0.01%	$11.35
Zirconium	Zr	0.01%	$31.60

6.0 PRECIOUS METALS ASSAYING

6.1 Gold by Fire Assay

Grade	Weight	Detection Limit Au	Finish	Cost
low	15 g	2 ppb	AA	$11.25
low	30 g	1 ppb	AA	$12.65
high	1 AT	0.01g/tonne	Gravimetric	$13.95

6.2 Gold, Platinum, Palladium by Fire Assay

Weight	Detection Limit ppb			Finish	Cost
	Au	Pt	Pd		
15g	2	2	2	Axial ICP	$21.25
30g	1	1	1	Axial ICP	$21.80

6.3 Rhodium by Fire Assay

Weight	Detection Limit Rh	Finish	Cost
15g	2 ppb	Axial ICP	$18.90
30g	1 ppb	Axial ICP	$19.80

6.4 Silver by Aqua Regia or Fire Assay

Method	Grade g/ton	Weight	Detection Limit	Finish	Cost
Aqua Regia	<100	1g	0.2g/tonne	AA	$12.00
Fire Assay	>100	30g	1g/tonne	Gravimetric	$15.15

6.5 Metallic Gold Assaying

The sample is completely crushed, ground and sieved at ±150 µm. All the +150µm material is fire assayed. Two, 30 g. replicates are fire assayed from the -150 µm fraction. All weights, assays and calculations are reported. Quotes for various sample sizes are available, please inquire. A typical sample weighing 1 kg will cost $63.00 for metallic gold assaying.

6.6 Gold by Cyanide Leach

We offer a variety of cyanide leaches for gold. Various sized samples from 30 g to 30 kg can be leached from 24-96 hours. pH, cyanide concentrations and gold concentrations can be monitored at various time intervals along with head and tails assays. The cost will depend upon these variables. We would be pleased to give you a quote for your specific requirements.

7.0 GOLD DRIFT PROSPECTING

7.1 Gold Grain Recovery

Gold prospecting by recovering, counting and examining the metallic gold grains in till samples has proven to be several magnitudes more sensitive than typical gold analysis of soils. Till samples are subjected to the various gravity and magnetic processes that will extract gold grains as small as 10 µm. Gold grains are identified using a binocular microscope.

- tills ≤7 kg.: **$54.25** per sample
- gold grain documentation: **$69.00** per hour

7.2 Fine Gold Determination

Till samples may contain very fine gold (<10 µm) or adsorbed gold. For this procedure tills are wet sieved at ±106µm. The -106µm fraction is then fire assayed for gold.

- tills wet sieved ±106µm: **$7.25**
- Au fire assay 15 g. subsample: **$12.25**

8.0 SPECIAL METHODS

	Element	Symbol	Method	Det. Limit	Cost per Sample
8.1	Boron	B	Na_2O_2 Fusion, ICP	2 ppm	$9.65
8.2	Carbonates	Ca, Mg	dilute HCl, ICP	0.01%	$7.70
8.3	Carbon**	C	Leco	0.01%	$11.80
8.4	Ferrous Iron	FeO	HF/H_2SO_4, titration	0.1%	$11.80
8.5	Loss on Ignition	LOI	1000° C	0.1%	$7.95
8.6	Organic Carbon	C	Leco	0.01%	$19.90
8.7	Specific Gravity	SG	Volume Displacement	-	$13.25
8.8	Sulfur**	S	Leco	0.01%	$11.80
8.9	Uranium	U	Tri Acid, Fluorimetry	0.1 ppm	$12.65
8.10	Uranium	U	HNO_3/HCl, Fluorimetry	0.02 ppm	$8.20
8.11	Sand, Silt, Clay*		Pipette Method	0.1%	$39.70

* Add $13.25 for sand fractionation (5 fractions).
**Carbon and Sulfur (combined) $17.35

9.0 DIAMOND AND INDICATOR MINERALS

9.1 Kimberlite Indicator Mineral Processing

25 kg till sample $249 per sample
25 kg rock sample $326.50 per sample

* Observation cost $45.80 per hour
* Quoted price is for a typical till; extra charges will be assessed for non typical samples.

9.2 Micro Probe Analysis

Al_2O_3, FeO, CaO, MgO, K_2O, Na_2O, TiO_2, MnO, Cr_2O_3, and SiO_2

<25 mineral grains:	Silicates only:	$13.85 per grain (mounts included)*
25 - 100 mineral grains:		$11.50 per grain (mounts included)
>100 mineral grains:		$10.50 per grain (mounts included)
	Oxides:	$ 2.55 per scanned grain or
		Detailed analysis $66 per hour

* Minimum probe charge $126.00

9.3 Scanning Electron Microscope (SEM)

Analysis $100.00 per hour
Images (pictures) $70.00 per hour

9.4 Caustic Fusion for Micro-Diamonds

$83.00 per kilogram (>106 micron)
$88.00 per kilogram (>75 micron)
$41.20 per kilogram (>500 microns)

*Observation costs included.
* Maximum fusion 8 kg and 16 kg
* Minimum charge of $664.00 for samples <8 kg (106 micron)
* Minimum charge of $704.00 for samples <8 kg (75 micron)
* Minimum charge of $659.20 for samples <16 kg (75 micron)
* Price is based on 1 diamond per kg. A $7.50 per diamond charge for any additional diamonds.
* Quoted price is for a typical kimberlite, extra charges will be assessed for non typical samples.

9.5 Digital Photography of Diamonds and Diamond Indicators

$70.00 per hour

9.6 Cathodoluminescence

$85.00 per hour

10.0 EQUIVALENCES AND CONVERSION FACTORS

10.1 Equivalences

ppm	= parts per million	1 ppm	= 1 μg/g	= 1 gram/metric tonne	= 1000 ppb
ppb	= parts per billion	1 ppb	= 1 ng/g	= 0.0001 gram/metric tonne	= 0.001 ppm
AT	= assay ton	1 AT	= 29.166 grams		
%	= weight percent	1 Troy ounce	= 31.1035 grams		
μg/g	= micrograms/gram	1 Short ton	= 2000 pounds		
ng/g	= nanograms per gram	1 metric tonne	= 2204.6 pounds	= 1,000 kilograms	
			10,000 ppm	= 1%	

10.2 Common Sieve Sizes

Tyler	US/Canada	Sieve Opening	Tyler	US/Canada	Sieve Opening
10	12	1.70mm	100	100	150μm
20	20	850μm	150	140	106μm
35	40	425μm	200	200	75μm
60	60	250μm	250	230	63μm
80	80	180μm	400	400	38μm

10.3 Conversions

From	To	x Factor
%	ppm	10^4
ppm	%	10^{-4}
ppm	ppb	10^3
ppb	ppm	10^{-3}
ppm	Troy ounces/short ton	2.9166×10^{-2}
Troy ounces/short tone	ppm	34.286
ppb	Troy ounces/short ton	2.9166×10^{-5}
Troy ounces/short ton	ppb	3.4286×10^4

From	To	x Factor
%Al	$\%Al_2O_3$	1.8895
$\%Al_2O_3$	%Al	0.5292
%Ca	%CaO	1.3992
%Ca	$\%CaCO_3$	2.4973
%CaO	%Ca	0.7147
$\%CaCO_3$	%Ca	0.4004
%Fe	$\%Fe_2O_3$	1.4297
%Fe	%FeO	1.2865
$\%Fe_2O_3$	%Fe	0.6994
%FeO	%Fe	1.7773
%K	$\%K_2O$	1.2046
$\%K_2O$	%K	0.8302
%Mg	%MgO	1.6580
%Mg	$\%MgCO_3$	3.4683

From	To	x Factor
%MgO	%Mg	0.631
$\%MgCO_3$	%Mg	0.2883
%Mn	%MnO	1.2912
%MnO	%Mn	0.7745
%Na	$\%Na_2O$	1.3480
$\%Na_2O$	%Na	0.7418
%P	$\%P_2O_5$	2.2914
$\%P_2O_5$	%P	0.4364
%Ti	$\%TiO_2$	1.6681
$\%TiO_2$	%Ti	0.5995
%Si	$\%SiO_2$	2.1393
$\%SiO_2$	%Si	0.4674
%U	$\%U_3O_8$	1.1793
$\%U_3O_8$	%U	0.8480

Geoanalytical Laboratories

Saskatchewan Research Council
15 Innovation Blvd
Saskatoon, SK S7N 2X8
Ph: (306) 933-5426 • Fx: (306) 933-5656
geolab@src.sk.ca • www.src.sk.ca

Affiliated Mineral Testing Labs

TSL Laboratories
Saskatoon, SK

University of Saskatchewan Geological Sciences
Electron Microscopy Laboratory
Saskatoon, SK

Affiliated Environmental Lab

SRC Analytical
Saskatoon, SK

TSL LABORATORIES

SRC
smart science solutions

ANNEXE L

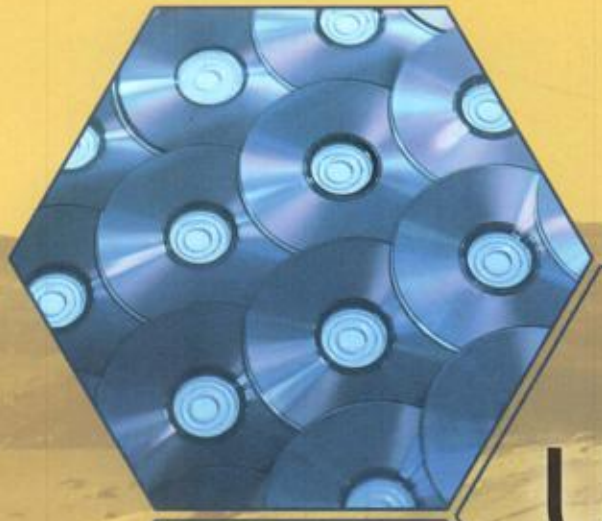

URANOR

PRODUITS NUMÉRIQUES

OMÉGALPHA